

АКАДЕМИЯ НАУК СССР
ИНСТИТУТ НАУЧНОЙ ИНФОРМАЦИИ

РЕФЕРАТИВНЫЙ ЖУРНАЛ

ХИМИЯ

РЕФЕРАТЫ

77134—82316

*

№ 24

1956

ИЗДАТЕЛЬСТВО АКАДЕМИИ НАУК СССР
МОСКВА

ГЛАВНАЯ РЕДАКЦИОННАЯ КОЛЛЕГИЯ
РЕФЕРАТИВНОГО ЖУРНАЛА

*Н. В. Агеев, В. В. Аллатов, Г. Д. Афанасьев, В. И. Динкин, В. Ю. Домоногов,
С. М. Никольский, К. Ф. Огородников, Д. Ю. Панов (председатель редколлегии),
В. В. Покинниевский, Л. И. Седов, В. В. Серпинский, Э. В. Шпольский*

СОДЕРЖАНИЕ

ОБЩИЕ ВОПРОСЫ	1	Удобрения	1
Методология. История. Научные учреждения и конференция. Преподавание. Вопросы библиографии и научной документации	1	Пестициды	1
ФИЗИЧЕСКАЯ ХИМИЯ	7	Электрохимические производства. Электроосаждение. Химические источники тока	7
Общие вопросы	7	Силикаты. Стекло. Керамика. Вязкие материалы. Получение и разделение газов	7
Атомное ядро	7	Подготовка воды. Сточные воды	7
Атом	9	Переработка твердых горючих ископаемых	9
Молекула. Химическая связь	10	Переработка природных газов и нефти. Моторное топливо. Смазки	10
Кристаллы	18	Промышленный органический синтез	37
Жидкости и аморфные тела. Газы	35	Промышленный синтез красителей	37
Общие вопросы химии изотопов	37	Крашение и химическая обработка текстильных материалов	39
Термодинамика. Термодинамика. Равновесия. Физико-химический анализ. Фазовые переходы	39	Взрывчатые вещества. Пиротехнические составы. Лекнарственные вещества. Витамины. Антибиотики	48
Кинетика. Горение. Взрывы. Токсичность. Катализ	48	Фотографические материалы	58
Сотокимия. Радиационная химия. Теория фотографического процесса	58	Душистые вещества. Эфирные масла. Парфюмерия и косметика	64
Растворы. Теория кислот и оснований	60	Каучук натуральный и синтетический. Резина	73
Электрохимия	64	Синтетические полимеры. Пластмассы	73
Поверхностные явления. Адсорбция. Хроматография. Новый обмен	73	Лаки. Краски. Эмали. Олифы. Синкатины	79
Химия полимеров. Дисперсные системы	79	Лесохимические продукты. Целлюлоза и ее производные. Бумага	84
НЕОРГАНИЧЕСКАЯ ХИМИЯ. КОМПЛЕКСНЫЕ СОЕДИНЕНИЯ	84	Искусственное и синтетическое волокно	90
КОСМОХИМИЯ. ГЕОХИМИЯ. ГИДРОХИМИЯ	90	Жиры и масла. Воски. Мыла. Моющие средства. Фото-реагенты	97
ОРГАНИЧЕСКАЯ ХИМИЯ	97	Углеводы и их переработка	97
Теоретические и общие вопросы органической химии	121	Бродильная промышленность	175
Синтетическая органическая химия	121	Пищевая промышленность	200
Природные вещества и их синтетические аналоги	175	Кожа. Мех. Желатина. Дубители. Технические белки. Прочие производства	200
ХИМИЯ ВЫСОКОМОЛЕКУЛЯРНЫХ ВЕЩЕСТВ	200	КОРРОЗИЯ. ЗАЩИТА ОТ КОРРОЗИИ	214
АПЛАТИЧЕСКАЯ ХИМИЯ	214	ПРОЦЕССЫ И ОБОРУДОВАНИЕ ХИМИЧЕСКИХ ПРОИЗВОДСТВ	221
Общие вопросы	214	Процессы и аппараты химической технологии	236
Анализ неорганических веществ	221	Контрольно-измерительные приборы. Автоматическое регулирование	243
Анализ органических веществ	236	ТЕХНИКА БЕЗОПАСНОСТИ. САНИТАРНАЯ ТЕХНИКА	250
ОБОРУДОВАНИЕ ЛАБОРАТОРИЙ. ПРИБОРЫ. ИХ ТЕОРИЯ, КОНСТРУКЦИЯ, ПРИМЕНЕНИЕ	243	ТАБЛИЦА ПАТЕНТОВ, ВЫДАННЫХ В РАЗНЫХ СТРАНАХ НА ОДНО И ТО ЖЕ ИЗОБРЕТЕНИЕ	250
ХИМИЧЕСКАЯ ТЕХНОЛОГИЯ. ХИМИЧЕСКИЕ ПРОДУКТЫ И ИХ ПРИМЕНЕНИЕ	250	НОВЫЕ КНИГИ, ПОСТУПИВШИЕ В РЕДАКЦИЮ	251
Общие вопросы	250	АВТОРСКИЙ УКАЗАТЕЛЬ	—
Серия нитрата, сера и ее соединения	250	УКАЗАТЕЛЬ ДЕРЖАТЕЛЕЙ ПАТЕНТОВ	222
Азотная промышленность	251		
Содовая промышленность	—		
Минеральные соли. Окислы. Кислоты. Основания	222		

ОПЕЧАТКИ

В Авторском указателе за 1955 год, РЖХимия № 24 замечены опечатки.

Просьба на соответствующие места наклеить прилагаемые исправленные тексты:

К стр. 175, средняя колонка, 5—6 строки сверху

Ворожцов Н. Н., Основы синтеза полупродуктов и красителей, **16420 К**

К стр. 1059, левая колонка, 28—32 строки сверху

Юрченко Г. К. см. Садов Ф. И., **15154**
Юрьев Ю. К., Вендельштейн Е. Г.
XLIII. Превращение α -ацетофурана,
фурфуrolа и фурфуриденанилина
в N-фенилпиррол, **5609**

ИСПРАВЛЕНИЯ

Просьба на соответствующие места наклеить прилагаемые исправленные тексты:

*К РЖХим, 1956, № 11, реферат 34357,
5—9 строки от начала реферата*

рационного сока, что обуславливается не слабой кислотоемкостью анионита, а неправильной организацией работы. Существующие аниониты вполне пригодны для очистки всего сока если на верстате завода иметь достаточное кол-во ионита. Подчеркивается необходи-

*К РЖХим, 1956, № 12, реферат 36334,
весь реферат*

36334. Получение воды для определения электропроводности. Джейкобе (The preparation of conductivity water. Jacobs S.), Chemistry and Industry, 1955, № 30, 944—946 (англ.)

Описан лабор. аппарат для получения обессоленной воды и устройство для определения ее проводимости. Вода пропускается через колонку со смесью катионо- и анионообменных смол (1:2). Проводимость полученной деионизированной воды, равная $0,07 \cdot 10^{-6} \text{ ом}^{-1} \text{ см}$, изменяется до $0,15 \cdot 10^{-6} \text{ ом}^{-1} \text{ см}$ после пропускания через колонку 7000 л дистиллированной воды. Для измерения проводимости вода пропусклась через спец. сосуд с двумя Pt-электродами, соединенными с омметром. В. Б.

Pe

7711

HO

M

cy

c

(S)

7711

M

(L)

u

7711

p

b

(h)

7711

(A)

t

O

HOV

7711

M

J

7711

J

和

(C)

7711

v

o

M

S

C

изв

фин

ла

кра

сре

7711

c

T

2

7711

u

M

X

C

РЕФЕРАТИВНЫЙ ЖУРНАЛ ХИМИЯ

главный редактор В. В. Серпинский. УЧЕНЫЙ СЕКРЕТАРЬ И. А. Зайцев

руководители секторов и групп: Х. С. Багдасарян, Д. А. Бочвар, Л. М. Броде, А. И. Бусев, М. Е. Дяткина, В. В. Кафаров, В. Л. Кретович, Д. Н. Курсанов, Б. А. Сасс-Тисовский, В. А. Соколов, Е. С. Топчиев, Н. А. Фукс

Рефераты 77134—82316

№ 24

25 декабря 1956 г.

ОБЩИЕ ВОПРОСЫ

МЕТОДОЛОГИЯ. ИСТОРИЯ. НАУЧНЫЕ УЧРЕЖДЕНИЯ И КОНФЕРЕНЦИИ.
ПРЕПОДАВАНИЕ. ВОПРОСЫ БИБЛИОГРАФИИ И НАУЧНОЙ ДОКУМЕНТАЦИИ

77134. Химические проблемы, связанные с применением ядерной энергии в мирных целях. Делимарский (Хімічні проблеми, пов'язані з застосуванням ядерної енергії в мирних цілях. Делімарський Ю. К.) Вісник АН УРСР, 1956, № 7, 19—26 (укр.)
77135. Вёлеровский синтез мочевины — опровержение мистической теории жизненной силы. Штрубе (Wöhlers Harnstoffsynthese — Widerlegung der mystischen Lebenskraft-Theorie. Strube Irene). Wiss. und Fortschr., 1956, № 5, 130—133 (нем.)
77136. О понятии вещества. Пуэнте (Una fundamentación del concepto de sustancia. Puente Herberto A.). Cienc. e invest., 1955, 11, № 3, 112—117 (исп.)
77137. Флогистонная теория коррозии. Уилбанкс (A phlogiston theory of corrosion. Willbanks Otto L.). J. Electrochem. Soc., 1954, 101, № 3, 76C (англ.)
О возможности истолкования явлений коррозии на основе представлений флогистонной теории. Д. Т.
77138. Кустарная железодельательная промышленность Китая в эпоху Воюющих царств. Ян Куань (戰國時代的冶鐵手工業·楊寬), 新建設, Синьцзяньше, 1954, № 6, 32—37 (кит.)
77139. Успехи древней фармакологии Китая. Хуан Лань-сунь (我國古代藥物學的偉大成就·黃蘭孫), 科學大眾, Кэсюэ дачжун, 1954, № 11, 431—433 (кит.)
77140. Химическая технология органических материалов в древней Месопотамии. Леви (Chemical technology of organic materials in ancient Mesopotamia. Levey M.). Scientia (Ital.), 1956, 91, № 5, 145—150 (англ.), Suppl., 91—97 (франц.)
Судя по древним хим. аппаратам, в Месопотамии были известны приемы возгонки, перегонки, экстрагирования, фильтрации и другие. В третьем тысячелетии до н. э. была хорошо развита практическая технология дубления, крашения, парфюмерное дело, изготовление моющих средств и очистка масел. Д. Т.
77141. Химический состав древних финских цветных сплавов. Каштанов Л. И., Каштанова М. Я. Тр. Ин-та истории естествозн. и техн., 1955, 6, 202—213
77142. Некоторые данные химического исследования цветных стекол, изготовленных М. В. Ломоносовым. Морачевский Ю. В., Штрихман Р. А. Ж. прикл. химии, 1956, 29, № 9, 1432—1435.
См. также РЖХим, 1954, 14104.
77143. «Таха Pharmaceutica Poseniensis» — выдающийся труд в нашей фармацевтической литературе. Фундаре́к (Таха Pharmaceutica Poseniensis, významné dílo naší farmaceutické literatury. Fundárek Radoslav), Českosl. farmac., 1955, 4, № 6, 313—318 (словац.)
Подробно описывается книга, изданная в Братиславе в 1745 г., содержащая рецептуру и цены лекарств. Приводятся также биографич. сведения о ее авторе (Ян Юстус Торкос, 1699—1770). А. Б.
77144. Библиографическое исследование проникновения сочинения Лавуазье «Traité élémentaire de chimie» в Великобританию и Америку. Дьювин, Кликстейн (A bibliographical study of the introduction of Lavoisier's «Traité élémentaire de chimie» into Great Britain and America. Duveen Denis I., Klickstein Herbert S.), Ann. Sci., 1954, 10, № 4, 321—338 (англ.)
77145. Из ранней истории химии в штате Южная Каролина. Хок (The early background of chemistry in South Carolina. Hoch J. Hampton), J. Chem. Educ., 1955, 32, № 8, 431—435 (англ.)
Сведения, относящиеся к периоду конец XVIII в. — начало XIX в. В. А.
77146. Из ранней истории лабораторного обучения химии. Вальден (The early history of chemical laboratory instruction. Walden Paul), Sci. Counselor, 1955, 18, № 3, 97—100, 110 (англ.)
Исторический обзор за период начало XVII в. — середина XIX в. Сведения относятся в основном к Германии. Д. Т.
77147. О функции химических формул. Об одной дискуссии прошлого столетия. Поттер (On the function of chemical formulae: A nineteenth — century discussion. Potter Owen), Brit. J. Philos. Sci., 1953, 3, № 12, 359—363 (англ.)
О взглядах Ш. Жерара и О. Лорана. Д. Т.
77148. Картотека рецептов и журнал аптеки Даниела Б. Смита за 1822—23 г. Гриффенхейген (The prescription file and journal of the Daniel B. Smith pharmacy, 1822—23. Griffenhagen George), Amer. J. Pharmacy, 1954, 126, № 10, 344—352 (англ.)
Описание альбома с рецептами и аптечного журнала филадельфийской аптеки Д. Б. Смита (1792—1883), первого президента Американской фармацевтической ассоциации. Б. Р.

- 77149. Розовая окись цинка. Сир** (The pink zinc oxide. Сир Н. М.), Octagon, 1954, 37, № 6, 84, 86, 88, 91 (англ.) Из истории открытия германия и его соединений. В. С.
- 77150. Сто лет химического синтеза. Барбье, Бахман** (Un siècle de synthèse chimique. Barbier Henri, Bachmann Pierre), Schweiz. techn. Z., 1955, № 23-24, 434-442 (франц.) Исторический обзор. Рассматривается, в частности, синтез красителей, фармацевтич. продуктов, душистых в-в, взрывчатых в-в, пластич. материалов, искусственных волокон. Д. Т.
- 77151. Столетие промышленного производства алюминия (1854—1954 гг.). Французская алюминиевая промышленность.** — (Centenaire de l'aluminium. Eléments sur l'industrie française de l'aluminium.). Métaux (Corros.-inds), 1954, 29, № 346, 259-267 (франц.)
- 77152. Д. И. Менделеев — основоположник теории химического строения силикатов. Мельниченко Л. Г.**, Тр. Харьковск. политехн. ин-та, 1956, 8, 21-28 См. также: РЖХим, 1955, 33716; Стекло и керамика, 1950, № 2; Тр. Харьковск. политехн. ин-та, 1952, 1, вып. 1. Д. Т.
- 77153. К истории открытия таутомерии А. М. Бутлеровым. Луцкий А. Е.**, Тр. Харьковск. политехн. ин-та, 1956, 8, 8-19 Библ. 14 назв.
- 77154. К вопросу о возникновении теории нитрования насыщенных углеводородов. Гловацкий** (До питання про створення теорії нітрування насичених вуглеводнів. Гловацький М. Т.), Нариси з історії техн. АН УРСР, 1956, вып. 3, 123-129 (укр.) Краткий историч. очерк. Библ. 22 назв. Д. Т.
- 77155. История учения о формах кристаллических многогранников. Шафрановский И. И.**, В сб.: Кристаллография. Вып. 5. М., Металлургиздат, 1956, 213-247 Библ. 32 назв. Д. Т.
- 77156. Крашение хлопка и целлюлозных волокон. Обзор с 1879 г. Тернер** (Dyeing of cotton and cellulosic fibres — Retrospect to 1879. Turner H. A.), Dyer, 1954, 112, № 10, 775-781 (англ.)
- 77157. Обзор развития технологии крашения искусственного шелка. Уилкок** (Review of progress in rayon dyeing. Wilcock C. C.), Dyer, 1954, 112, № 10, 782-786 (англ.) Краткий историч. обзор. Библ. 28 назв. Д. Т.
- 77158. Крашение шерсти в последние 75 лет. Берд** (Wool dyeing in the last 75 years. Bird C. L.), Dyer, 1954, 112, № 10, 787-792 (англ.) Краткий историч. обзор. Д. Т.
- 77159. Развитие технологии крашения трикотажных изделий. Карпентер** (Advance of hosiery dyeing. Carpenter A. W.), Dyer, 1954, 112, № 10, 793-794, 799-802 (англ.) Краткий историч. обзор за 75 лет. Д. Т.
- 77160. 75 лет в ситцепечатании. Хибберт** (75 years of roller printing. Hibbert G. S.), Dyer, 1954, 112, № 10, 803-807 (англ.) Краткий историч. обзор за 75 лет. Д. Т.
- 77161. Отбелка в 1879—1954 гг. Барретт, Стабс** (Bleaching 1879-1954. Barrett F. L., Stubbs A. E.), Dyer, 1954, 112, № 10, 808-812 (англ.) Краткий историч. обзор развития технологии отбелки текстильных материалов. Д. Т.
- 77162. Развитие текстильных химикалий. Кертесс** (Developments in textile chemicals. Kertess A. F.), Dyer, 1954, 112, № 10, 825, 827, 831, 833 (англ.) Краткий историч. обзор за 75 лет. Д. Т.
- 77163. Электрохимический синтез и электролиз в работах русских ученых дореволюционного периода (К столетию открытия электрохимии в России). Хомяков Н. Е.**, Тр. Моск. хим.-технол. ин-та, 1956, вып. 22, 175-194
- 77164. Электрохимические производства в химической промышленности России конца XIX и начала XX веков [до 1917 г.]. Хомяков В. Г., Фиошин М. Я.**, Тр. Моск. хим.-технол. ин-та, 1956, вып. 22, 158-162
- 77165. К истории кирпича в России в XI—XX вв. Коноров А. В.**, Тр. Ин-та истории естествозн. и техн. АН СССР, 1956, 7, 178-224
- 77166. Против искажения английскими авторами истории открытия хроматографии. Коштоянц Х. С., Калмыков К. Ф.** (クロマトグラフィー発見史の歪曲を離す. 発見者は M. S. Tsvet. Koshtoyants Kh. S., Kalmukov K. F.), 化学の領域, Karaku-no renkin, J. Japan. Chem., 1955, 9, № 9, 67-69 (япон.) Перевод. См. РЖХим, 1954, 14118. Д. Т.
- 77167. Приоритет русских химиков в открытии водородной связи. Батюев М. И.** (水素結合発見に於けるロシア化学者の priority. Batuev M. I.), 化学の領域, Karaku-no renkin, J. Japan. Chem., 1955, 9, № 9, 59-66 (япон.) Перевод. См. РЖХим, 1954, 14118.
- 77168. Лавуазье. Дьювин** (Lavoisier. Duveen Denis I.), Scient. Amer., 1956, 194, № 5, 85-88, 91-92, 94 (англ.) Краткий очерк деятельности Лавуазье в областях: физиология, земледелие, технология, финансы, экономика, народное просвещение, политика. Д. Т.
- 77169. Пристли. Вильсон** (Priestley. Wilson Mitchell), Scient. Amer., 1954, 191, № 4, 68-70, 72-73 (англ.) Очерк жизни и деятельности. В. А.
- 77170. М.-Э. Шеврёль — основоположник химии жиров (К 170-летию со дня рождения). Хашко** (M. E. Chevreul, a zsrékémia megalapítója. (Születésének 170. évfordulójára). Haskó Lajos), Olaj, szappan, kozmetika, 1956, máju — június, 1-7 (венг.) Очерк жизни и деятельности Шеврёля (1786—1889). Г. В.
- 77171. Анри Браконно (1780—1855), предшественник и соперник М.-Э. Шеврёля. Франсуа** (Henry Braconnot. Précurseur ignoré et émule de M.-E. Chevreul. François Th. M-ile), Oléagineux, 1956, 11, № 6, 365-371 (франц.) Очерк жизни и деятельности; список трудов; портрет. Д. Т.
- 77172. Жан-Франсуа Персо. Жюстен-Мюллер** (J.-F. Persoz. Justin-Mueller Ed.), Teintex, 1955, 20, № 6, 469-470 (франц.) Краткий очерк научной деятельности французского химика проф. Ж.-Ф. Персо (1805—1868) в области химии и технологии крашения текстильных материалов. См. также: Zuber, La traité de l'impression de tissus de J. Persoz, Teintex, 1946, март. Д. Т.
- 77173. Сент-Клер Девиль. Зерледер** (Sainte-Claire Deville. Zeerleder A. von), Aluminium suisse, 1954, 4, № 3, 75-77 (нем., франц.) Об истории открытия Сент-Клер Девилем в 1854 г. первого промышленного метода получения алюминия. В. Р.
- 77174. Анри Сент-Клер Девиль. Гледич** (Henri Sainte-Claire Deville 1818-1881. Gleditsch Elen), Fra Fys. verden, 1954, 16, № 4, 145-148 (норв.)
- 77175. Анри Люсьен Сент-Клер Девиль. Раух** (Henri Lucien Sainte-Claire Deville. Zur Hundertjahr-Gedenkfeier. Rauch Ernst), Aluminium (Düsseldorf), 1954, 30, № 6, 229-232 (нем.)
- 77176. Семья Маспратт и британская химическая промышленность. Харди** (The Muspratts and the British chemical industry. Hardie D. W. F.), Endeavour, 1955, 14, № 53, 29-33 (англ.) Биографические сведения о членах семьи Маспратт — химиках и промышленных деятелях. Библ. 19 назв. Д. Т.
- 77177. Огюст Шейпер-Кестнер. Жюстен-Мюллер**

лер (Auguste Scheurer-Kestner. Justin-Muel-ler E. d.), Teintex, 1955, 20, №1, 31—32 (франц.)

Краткий очерк деятельности французского химика-технолога О. Шейрер-Кестнера (1833—1899). В. С. Федорова.

77178. О мировоззрении Е. С. Федорова. Соколов Н. М. В сб.: Кристаллография, Вып. 5. М., Металлургиздат, 1956, 5—23

77179. Деятельность Е. С. Федорова в области геологии рудных месторождений, Смирнов В. И. В сб.: Очерки по истории геол. знаний. Вып. 5. М., АН СССР, 1956, 239—247

Краткий очерк. Приведен список трудов, касающихся рудных месторождений, и список главных работ о Е. С. Федорове. Д. Т.

77180. Былшие президенты Королевского института химии. Перси Фарадей Франкланд. Чалленджер (Former presidents of the Institute: Percy Faraday Frankland 1858—1946. Challenger Frederick), J. Roy. Inst. Chem., 1956, 80, Jan., 3—5 (англ.)

П. Ф. Франкланд (1858—1946) был президентом ин-та в 1906—1909 г. Д. Т.

77181. Пьер Кюри. Зотовский (Piotr Curie. Złotowski Ignacy), Problemy, 1956, 12, № 8, 526—540 (польск.)

См. также РЖХим, 1956, 57101—57107.

77182. Открытие пенициллина. Дёрфлер (Die Entdeckung des Penicillins. Dörfler Friedrich), Urania (DDR), 1956, 19, № 8, 296—301 (нем.)

К 75-летию со дня рождения А. Флеминга. См. также РЖХим, 1956, 70778, 70789. Д. Т.

77183. Егор Иванович Орлов — виднейший ученый нашей страны. Атрошенко В. И., Некрич М. И. Тр. Харьковск. политехн. ин-та, 1956, 8, 3—12

Краткий очерк научной деятельности действ. члена АН УССР Е. И. Орлова (1865—1944) в области хим. технологии неорганич. и органич. в-в, физич. химии, технологии силикатов. Приведены список трудов и библиографии о нем. Д. Т.

77184. Генри Жорж Деркс. Беккинг (Henri George Derx. B e c k i n g L. G. M. B a a s), Proc. Koninkl. nederl. akad. wetensch., 1954, 57, № 2, 129—142 (голл.; рез. англ.)

Очерк жизни и деятельности голландского химика-органика и биохимика Г. Ж. Деркса (1894—1953). Приведен список научных трудов. В. С.

77185. Биография Арнольда Фредерика Голлемана. Виббаут (Levensbericht van Arnold Frederik Holleman. W i b b a u t J. P.), Jaarb. Koninkl. nederl. akad. wetensch., 1954—1955, 280—287 (голл.)

Очерк жизни и деятельности известного голландского химика А. Ф. Голлемана (1859—1953). Д. Т.

77186. Этиенн Одибер. — (Etienne Audibert. —), App. mines, 1955, 144, Novembre, 33—49 (франц.)

Биография и очерк научных работ Э. Одибера (1888—1954) — видного французского инженера-исследователя и организатора в угольной пром-сти, выполнившего ряд работ по безопасности взрывных работ, шахтному силикозу, теории горения метана, коксованию, сжиганию пылевидного угля, синтезу метанола, получению жидких топлив методом гидрирования. Б. Р.

77187. Марио Джакомо Леви. Натта (Mario Giacomo Levi. Natta Giulio), Ricerca scient., 1955, 25, № 6, 1323—1332 (итал.)

Очерк жизни и деятельности М. Дж. Леви (1878—1954) — президента Итальянского хим. об-ва; приведен список трудов. В. С.

77188. Марио Джакомо Леви. I. Жизнь и выдающаяся педагогическая деятельность. Назини. II. Основоположник и активный деятель в области химических исследований топлив в Италии. Падовани (Mario Giacomo Levi. I. Il maestro nell'insegnamento e nella vita. Nasini Antonio. II. Il fondatore e propul-

sore degli studi chimici sui combustibili in Italia. Padovani Carlo), Gazz. chim. Ital., 1956, 86, № 1-3, 3—18; 19—34 (итал.)

77189. Марио Джакомо Леви. Коппаторо (Mario Giacomo Levi. Coppadoro Angelo), Chimica e industria, 1955, 37, № 1, 2—5 (итал.)

77190. Руй Густаво Косейру-да-Коста. Говейя (Professor doutor Ruy Gustavo Couceiro da Costa. G o u v e i a A. J. A. d e), Rev. Fac. Cienc. Univ. Coimbra, 1955, 24, 102—109 (порт.)

Некролог Р. Г. Косейру-да-Коста (1901—1955), физико-химика, проф. химии ун-та в Коимбре. Приведен перечень трудов. Д. Т.

77191. Памяти профессора Н. А. Вальяшко (1871—1955). Луцкий А. Е., Атрошенко В. И. Тр. Харьковск. политехн. ин-та, 1956, 8, 225—232

См. также РЖХим, 1956, 42174.

77192. Научные достижения Ирен Жолио-Кюри. Неводничанский (Dorobek naukowy Ireny Joliot-Curie. Niewodniczański Henryk), Nauka polska, 1956, 4, № 2-3, 233—241 (польск.)

См. также РЖХим, 1956, 57113, 57114, 64081.

77193. К 75-летию Отто Гана. Фламмерсфельд (Otto Hahn 75 Jahre. Flammersfeld A.), Naturwiss. Rundschau, 1954, 7, № 3, 93—94 (нем.)

77194. К 75-летию со дня рождения профессора А. Гамсика. Рихтер (K sedmdesátým pátým narozeninám profesora A. Hamsíka. Richter A. F.), Chemické listy, 1953, 47, № 2, 161—167 (чеш.)

Очерк жизни и деятельности почетного проф. Карлова ун-та в Праге А. Гамсика (род. 1878) — специалиста области медицинской и судебной химии. Приведен перечень трудов. А. Б.

77195. Андрей Иванович Киприанов (К 60-летию со дня рождения). Сыч Е. Д., Бабичев Ф. С., Укр. хим. ж., 1956, 22, № 4, 550—553

Краткий очерк жизни и деятельности А. И. Киприанова (род. 1896), проф. органич. химии Киевского ун-та, действ. члена АН УССР, исследователя в области цианиновых красителей и в других областях органич. химии. Д. Т.

77196. Академик А. Н. Теренин (к 60-летию со дня рождения). Вартанян А. Т., Ж. науч. и прикл. фотогр. и кинематогр., 1956, 1, № 4, 310—312

См. также РЖХим, 1956, 64086.

77197. Александр Николаевич Теренин. Неуймин Г. Г. Оптика и спектроскопия, 1956, 1, № 4, 449—455

77198. 60-летие профессора Фрица Виндиша. Хев (Zum 60. Geburtstag von Prof. Dr. Fritz Windisch. H a e h n H.), Brauwelt, 1955, ВБ5, № 101, 1693 (нем.)

Ф. Виндиш (род. 1895) — проф. биохимии Берлинского ун-та им. Гумбольдта, исследователь в области химии брожения и физиологии клеток. Д. Т.

77199. 60-летие профессора Вильгельма Клемма. Асмус, Фрезениус, Куртенаккер (Prof. Dr., Dr. h. c. Wilhelm Klemm zum 60. Geburtstag. A s m u s E., Fresenius W., Kurtenacker A.), Z. analyt. Chem., 1956, 149, № 1—2, 1—3 (нем.)

В. Клемм (род. 1896) — проф. неорганич. химии и директор Ин-та неорганич. химии Мюнстерского ун-та. Д. Т.

77200. Жизнь и деятельность Г. Штаудингера. Ивакура (スタウディングー博士. 人とその業績. 岩倉義男),プラスチックス, Пурасутикуссу, 1954, 5, № 1, 32—35 (япон.)

См. также РЖХим, 1956, 57116—57118, 64083.

77201. Вручение Артуру Цичеру медали Перкина. — (Presentation of the Perkin Medal to Dr. Arthur Zitscher. —), J. Soc. Dyers and Colourists, 1954, 70, № 12, 529—530 (англ.)

Медаль присуждена А. Цичеру (Франкфурт-на-Майне) за открытие нового класса азокрасителей на основе ариамидов о-оксикарбоновых к-т. Д. Т.

77202. Научная деятельность Ларса Онзагера. Керквуд (The scientific work of Lars Onsager. Kirkwood John G.), Proc. Amer. Acad. Arts and Sci., 1954, 82, № 7, 298—300 (англ.)

Л. Онзагер — проф. теоретич. химии Йельского ун-та. Краткий очерк в связи с присуждением ему золотой и серебряной медалей Румфорда за работы по термодинамике процессов переноса.

И. Р.

77203. Преподавание химии и исследования в области химии в Фрейберге. Шеффер (Chemische Lehre und Forschung in Freiberg. Schäfer Hans-Georg), Bergakademie, 1955, 7, № 5, 250—263 (нем.)

Исторический очерк с XII в. до настоящего времени; характеристика деятельности и портреты наиболее выдающихся ученых; хронологич. таблица руководителей кафедр по хим. и смежным дисциплинам и план расположения в г. Фрейберге учебных и научных центров за последние два столетия. Библ. 40 назв.

Е. С.

77204. Химические школы в Великобритании и Ирландии. Х. Королевский технический колледж в Глазго. Кранстон. XI. Университетский колледж С. Уэльса в Бангоре. Ангус. XII. Бирмингемский университет. Картер, Стейси. XIII. Манчестерский университет. Беркхарт. XIV. Университетский колледж в Корке. Рейлли. XV. Университетский колледж в Лестере. Хантер. XVI. Оксфордский университет. Ч. и П. Хартли. XVII. Bedfordский колледж в Лондоне. Тернер. XVIII. Королевский колледж в Лондоне. Хей (Schools of chemistry in Great Britain and Ireland. X. The Royal Technical College, Glasgow. Cranston John A. XI. University College of North Wales, Bangor. Angus W. Rogie. XII. The University of Birmingham. Carter S. R., Stacy Maurice. XIII. The University of Manchester (Faculty of Science). Burkhardt G. N. XIV. University College, Cork. Reilly Joseph. XV. The University College of Leicester. Hunter Louis. XVI. The University of Oxford. Part I, Part II. Hartley Harold. XVII. Bedford College, London. Turner E. E. XVIII. King's College, London. Hey D. H.), J. Roy. Inst. Chem., 1954, 78, March, 116—124; June, 291—298; Aug., 405—414; Sept., 448—460; Dec., 610—616; 1955, 79, Jan., 14—18; March, 118—127; Apr., 174—184; May, 235—238; June, 305—315 (англ.)

Статьи VII—IX см. РЖХим, 1954, 49339—49341 Д. Т. 77205. Королевское Общество прикладных знаний [Англия]. — (The Royal Society of Arts, 1754—1954.—), Chemistry and Industry, 1954, № 12, 318—320 (англ.)

Сведения об основании о-ва в 1754 г. и о его деятельности за 200 лет, в частности в области химии и хим. технологий.

Д. Т.

77206. Центральный институт промышленных исследований [Норвегия]. Саненген (Sentralinstitutt for industriell forskning. Sanengen Alf), Tidsskr. kjemi, bergves. og metallurgi, 1953, 13, № 9, 193—195 (норв.)

Некоторые сведения о задачах ин-та, его организации и тематике в области химии и технич. физики.

Д. Т.

77207. Отчет о деятельности Научного общества им. Макса Планка за период 1 апреля 1952 г. — 31 марта 1954 г. Институт биохимии. — Институт химии. — Исследовательский институт железа. — Исследовательский институт белка и кожи. — Гмелинский институт неорганической химии и смежных областей. — Институт приборостроения. — Исследовательский институт угля. — Институт медицинских исследований [Гейдельберг]. Институт химии. — Медицинский исследовательский институт [Гёттинген]. Биохимическое отделение, Фармакологическое отделение. — Исследовательский институт металлов, Институт физической химии металлов. — Институт физической химии. — Исследовательский институт силикатов. — Исследовательский институт спектро-

скопии. — (Tätigkeitsbericht der Max-Planck-Gesellschaft zur Förderung der Wissenschaften e. V. für die Zeit von 1. 4. 1952 bis 31. 3. 1954. Max-Planck-Institut für Biochemie. — Max-Planck-Institut für Chemie. — Max-Planck-Institut für Eisenforschung. — Max-Planck-Institut für Eiweiss- und Lederforschung. — Gmelin-Institut für anorganische Chemie und Grenzgebiete in der Max-Planck-Gesellschaft z. F. d. W. — Institut für Instrumentenkunde in der Max-Planck-Gesellschaft z. F. d. W. — Max-Planck-Institut für Kohlenforschung. — Max-Planck-Institut für medizinische Forschung, Institut für Chemie. — Medizinische Forschungsanstalt der Max-Planck-Gesellschaft z. F. d. W., Biochemische Abteilung, Pharmakologische und Standard-Abteilung. — Max-Planck-Institut für Metallforschung, Institut für Physikalische Chemie der Metalle. — Max-Planck-Institut für Physikalische Chemie. — Max-Planck-Institut für Silikatforschung. — Forschungsstelle für Spektroskopie in der Max-Planck-Gesellschaft z. F. d. W.—), Naturwissenschaften, 1954, 41, № 22, 511—512; 514—515; 515—516; 516; 518; № 23, 540; 542; 543; 544—545; 547; 548; № 24, 563—564; 564—565 (нем.)

77208. Годовые отчеты институтов и клиник Грейфсвальдского университета им. Арида. Отчетный год 1954. Институт неорганической химии. Бер. Институт органической химии. Бейер. Институт физической химии. Визманн. Институт фармацевтической химии. Поглодек-Фабини. Фармакологический институт. Вельс. Институт физиологической химии. Хартманн (Jahresberichte der Institute und Kliniken der Ernst Moritz Arndt-Universität Greifswald. Berichtsjahr 1954. Institut für anorganische Chemie. Bähr G. Institut für organische Chemie. Beyer H. Institut für physikalische Chemie. Witzmann H. Pharmazeutisch-Chemisches Institut. Pohloudek-Fabini R. Pharmakologisches Institut. Wels P. Physiologisch-Chemisches Institut. Hartmann N.), Wiss. Z. E. M. Arndt-Univ. — Greifswald, 1954—1955, 4, № 3-4, 393—394; 394—396; 397—399; 405—407; 416—417; 419—420 (нем.)

Отчеты за 1953 г. см. РЖХим, 1956, 74020.

Д. Т.

77209. Институт химиков (Индия). Испытания на звание ассистента. Экзаменационная программа. Группа А (аналитическая химия). — Ассистентские экзамены, ноябрь 1952 г. Группа А (аналитическая химия). — (Institution of Chemists (India). Associationship examination. Syllabus. Group A (Analytical chemistry). — Associationship examination, November, 1952. Group A (Analytical chemistry), J. and Proc. Instn Chemists (India), 1953, 25, 1, 50—60; 66—73 (англ.)

Общие программы по общей и аналитич. химии. Экзаменационные задания, ноябрь 1952 г.

Б. Б.

77210. Экзаменационная программа Отделения химического образования [Американского химического общества]. Ашфорд (The examinations program of the Division of Chemical Education. Ashford The O. A.), J. Chem. Educ., 1955, 32, № 7, 360—363 (англ.)

Отчет Экзаменационного комитета Отделения за 1947—1954 г. Экзаменационная программа — систематическая работа, проводимая комитетом с 1933 г., по разработке, изданию и распространению тестов (экзаменационных заданий) по хим. дисциплинам для ун-тов и колледжей. Число учащихся, экзаменуемых по этим тестам в 1953/54 г., — от 60 до 75 тыс. Предыдущий отчет см. J. Chem. Educ., 1948, 25, 280—282.

Д. Т.

77211. К вопросу о химическом обучении в высшей школе. Гвудз, Вербер (W sprawie studiów chemicznych. Gwóźdź Rajmund, Werber Teodor), Życie szkoły wyższej, 1954, № 4, 103—106 (польск.)

Обсуждаются основные вопросы преподавания химии в ун-тах. Отмечается необходимость улучшения оснащения

лабораторий и рационализации теоретич. обучения.

Z. Przybyłowicz

77212. Данные обследования уровня химических знаний окончивающих высшую школу по разным специальностям. Осборн, Сандерс (The chemistry profile of the Graduate Record Examination. Osborne R. Travis, Sanders Wilma B.), J. Chem. Educ., 1954, 31, № 10, 548—550 (англ.)

77213. Целесообразно ли преподавание химии во второй ступени средней школы? Томсон (With or without secondary-school chemistry. Thomson Earl W.), J. Chem. Educ., 1953, 30, № 7, 353—355 (англ.)

Приведены данные анкетного обследования. И. Р.
77214. К вопросу о новой градации в системе профессионально-технического образования [ФРГ]. Гросс (Zur Neugliederung des berufsbildenden Schulwesens. Groß Georg), Chemiker-Ztg, 1956, 80, № 9, 271—274 (нем.)

Приведена характеристика четырех типов учебных заведений. Д. Т.

77215. Обучение и использование инженеров-химиков. Селлерс (The training and employment of chemical engineers. Sellers E. S.), Chemistry and Industry, 1955, № 11, 267—270 (англ.)

Рассматриваются вопросы технического профиля инженера-химика в современной пром-сти, принципов подготовки в вузах и рациональной организации начальной стажировки в пром-сти. В. А.

77216. Роль и задачи инженерной химии. Циборовский, Хоблер (Rola i zadania inżynierii chemicznej. Cиборовский Janusz, Hоблер Tadeusz), Nauka polska, 1954, № 4, 153—158 (польск.)

Обсуждается содержание инженерной химии как дисциплины при подготовке инж.-технич. и научных кадров в Польше. К. З.

77217. Процессы и аппараты химической технологии и инженер по этой специальности. Мьялкий (Verfahrenstechnik und Verfahreningenieur. Miałki Werner), Chemiker-Ztg, 1954, 78, № 21, 713—718 (нем.; рез. англ., франц., итал.)

Анализ понятия «инженер по процессам и аппаратам хим. технологии»; объем химико-технологич. сведений в подготовке такого инженера; возможные формы кооперирования трудов инженера по процессам и аппаратам и химика-технолога. В. С.

77218. Химико-технологическое обучение в институтах Америки. Йосида (米國の大學における化學工學教育. 吉田文武), 化學工學, Kagaiku kagaku, Chem. Engng (Tokyo), 1954, 18, № 3, 129—132 (япон.)

77219. Состояние обучения в области пластических масс в США. Уайдинг (Status of plastics education in the U. S. A. Winding C. C.), Plastics Ind., 1953, 11, № 12, 26—27 (англ.)

Приведены результаты анкетного обследования 36 высших учебных заведений. Д. Т.

77220. Специальность по керамике в университете г. Лидс [Англия]. Карратерс, Гримшоу, Робертс (Ceramic education at the University of Leeds. Carruthers T. G., Grimshaw R. W., Roberts A. L.), Refractories J., 1955, 31, № 9, 507—510 (англ.)

Сведения об учебных планах и программах. Д. Т.

77221. Государственные полные средние школы с преподаванием химии в штате Айова [США]. Керчевал (Public high schools offering chemistry in Iowa. Kercheval James W.), Proc. Iowa Acad. Sci., 1954, 61, 260—264 (англ.)

Статистика, территориальное размещение и список школ. Д. Т.

77222. Преподавание естественных наук в приходских полных средних школах штата Айова [США]. Керчевал (Science courses offered in the parochial high

schools of Iowa. Kercheval James W.), Proc. Iowa Acad. Sci., 1955, 62, 253—257 (англ.)

Статистика, территориальное размещение, список школ, преподавание химии. Д. Т.

77223. Последующая подготовка лиц, имеющих докторскую степень, организуемая канадским Национальным исследовательским советом. Маршала (Post-doctorate fellowships of the National Research Council. Marshall J. B.), Chem. in Canada, 1954, 6, № 9, 34—36 (англ.)

77224. Методология естественно-научных дисциплин и преподавание химии во второй ступени средней школы. Клаубертанц (The nature of science and the teaching of high-school chemistry. Klubertanz George F.), J. Chem. Educ., 1955, 32, № 5, 248—252 (англ.)

Методическая статья.

Е. С.

77225. Педагогическое значение освещения социально-экономических факторов в развитии химии. Дейвис (The educational value of the social relations of chemistry. Davies Mansel), School Sci. Rev., 1954, 35, № 126, 193—198 (англ.)

Методическая статья.

Д. Т.

77226. К методике ознакомления учащихся с числом Авогадро. Фаерштейн М. Г. Уч. зап. Тираспольск. пед. ин-т, 1956, вып. 1, 121—126

77227. Простой метод установления электронных формул. Форстер (Eine einfache Methode zur Aufstellung von Elektronenformeln. Forster E. L.), Monatsh. Chem., 1954, 85, № 5, 1104—1109 (нем.)

Методическая статья.

В. С.

77228. Наглядное пособие «Тубиль» и преподавание химии. I. Введение.—II. Система «Тубиль» и преподавание в средней школе. Белен. III. Система «Тубиль» и преподавание в высшей школе. Готье (Le matériel «Toubille» et l'enseignement de la chimie. I. Introduction. M. J. II. Le système «Toubille» dans l'enseignement secondaire. Belin Léon. III. Le système «Toubille» dans l'enseignement supérieur et l'enseignement de la chimie en spéciales. Gauthier Jean), Bull. Union. physiciens, 1954, 48, № 416, 358; 359—361; 361—364; рис. 365—368 (франц.)

Описание пособия для изготовления моделей молекул и методич. указания. В. С.

77229. Рисунки моделей структур внутрикомплексных соединений. Смит (Line drawings of chelate structure models. Smith R. L.), Chemistry and Industry, 1956, № 17, 333 (англ.)

Предложено показывать атомы элементов на рисунках моделей, пользуясь условными обозначениями; приведен ряд примеров. И. Р.

77230. Электромагнитный спектр в химии. Дейвис (The electromagnetic spectrum in chemistry. Davies Mansel), J. Chem. Educ., 1954, 31, № 2, 87—91 (англ.)

Методическая статья.

В. С.

77231. Фазовые равновесия и химический потенциал. Кастеллан (Phase equilibria and the chemical potential. Castellan Gilbert W.), J. Chem. Educ., 1955, 32, № 8, 424—427 (англ.)

Методическая статья. Приводятся графич. примеры для урния $dm = -SdT + Vdp$. Ю. В.

77232. Вычисление концентраций ионов водорода в сложных буферных растворах. Кинг (Calculating the concentrations of the species present in complex buffers. King Edward L.), J. Chem. Educ., 1954, 31, № 4, 183—187 (англ.)

Методическая статья.

Д. Т.

77233. Демонстрация синтеза аммиака из атмосферного азота. Полосин В. С. (自大气中氮合成氨的演示實驗.

- В. С. 包羅新), 化學通報, Хуасюэ тунбао, 1956, № 5, 62—63 (кит.).
Перевод. См. РЖХим, 1956, 11996.
- 77234.** Школьные опыты по химической переработке жиров и углеводов. Часть 1. Гидрогенизация масла. Часть 2. Переработка крахмала. Часть 3. Гидролиз клетчатки. Часть 4. Получение искусственного волокна. Грабейский А. А., Цветков Л. А. (油脂與糖類作化學上加工製造的學實驗. (一). 油脂氫化. (二). 澱粉加工製造. (三). 纖維素能水解. (四). 人造絲製造. 格拉別茨基 А. А. 茨維得可夫 Л. А.), 化學通報, Хуасюэ тунбао, 1955, № 3, 184—185; № 4, 245; № 5, 308; № 6, 371—372 (кит.).
Перевод. См. РЖХим, 1956, 24709.
- 77235.** Новые достижения в области ионообмена. Арден (Recent advances in ion exchange. Arden T. V.), School Sci. Rev., 1954, 36, № 128, 18—24 (англ.).
Общие сведения о катионо- и анионообменниках. Описано лабораторное применение для обессоливания воды и для получения высокоочищенной воды для электропроводности. Рассмотрено применение для очистки водорастворимых органич. в-в и промышленных сточных вод, для обработки вина и в химико-аналитич. практике. Описаны наглядные демонстрационные опыты обессоливания водных р-ров. Д. Т.
- 77236.** Оценка смачивателей (учебный опыт). Манро (The evaluation of wetting agents. A student experiment. Manro L. A.), J. Chem. Educ., 1954, 31, № 2, 85—86 (англ.).
Описан упрощенный прибор и методика работы с ним. Определяют время погружения мотка пряжи при разных конц-ях смачивателя и вычерчивают кривую. Различные детергенты сравнивают, определяя конц-ию, при которой моток тонет за 25 сек. М. С.
- 77237.** Простые опыты с мылом. Хейлигман (Einfache Versuche mit Seife. Heiligmann Werner), Aus Heimat, 1956, 64, № 7-8, 132—134 (нем.).
Описано 6 опытов для преподавания и для любительских занятий. Д. Т.
- 77238.** Иноязычные элементы в переводах на английский язык. Хаген (Foreign residues in English. How to read translation. Haagen Ernst van), J. Chem. Educ., 1955, 32, № 3, 123—127 (англ.).
Обсуждается вопрос о точной эквивалентности слов и терминов при переводе с европейских языков на английский. Приведены примеры и справочная таблица (~300 терминов). Т. Л.
- 77239 К.** Очерки химии. Шишке (Přehled chemie. Šiške Vladimír. Bratislava, ŠNTL, 1954, 111 [2] str., 13 Kčs (словац.).
- 77240 К.** Химические расчеты. Изд. 2-е. Цалус (Obliczenia chemiczne. Wyd. 2. Ciałus Henryk. Warszawa, Państw. Wydawn. Techn., 1956, 207, 1 nrb. s., il., 9 zł.) (польск.).
- 77241 К.** Химия. Учебник для VII класса семилетней и средней школы. Кирюшкин Д. М. (Йэтгэ жилжик, вэ оттура мэктапларини йэттинчи синипи учун дарислик. Кирюшкин Д. М.) Алматы, Казак ССР Окуш-педагогика наширияти, 1954, 151 с.) (уйгур.).
- 77242 К.** Неорганическая и общая химия. Часть 2. Старонка (Chemia nieorganiczna i ogólna. Cz. 2. Staronka Wilhelm. Kraków, Państw. Wydawn. Nauk., 1955, 414 s., il., 17 zł. Tekst maszynopis powiel.) (польск.).
- 77243 К.** Неорганическая химия для VII класса гимназии. Арсениевич (Неорганска хемија за VII разред гимназије. Арсенијевић Станислав Р. Београд, «Научна књига», 1956, 151 стр.) (сербохорв.).
- 77244 К.** Экспериментальное введение в химию. Изд. 4-е, перераб. и испр. Антропов (Exp erimentelle Einführung in die Chemie. 4. neubearb. und verb. Aufl. Antropoff Andreas von. Baden-Baden, Verl. angew. Wiss., 1955, 94, S., ill. 9.80 DM) (нем.).
- 77245 К.** Лекции по общей и неорганической экспериментальной химии. Тило (Vorlesungen über allgemeine und anorganische Experimentalchemie. Thilo Erich. Berlin, Dtsch. Verl. Wiss., 1955, XII, 359 S., ill., 22.30 DM) (нем.).
- 77246 К.** Общая и физическая химия. Часть 1. Изд. 4-е, перераб. Шульце (Allgemeine und physikalische Chemie. T. 1.4. neubearb. Aufl., Schulze Werner. Berlin, de Gruyter, 1955, 138 S., 2.40 DM) (нем.).
- 77247 К.** Задачи по физической химии. Силлен (Problems in physical chemistry. Sillén Lars Gunnar. Bailey, 1955, 370 p., 59 sh.) (англ.).
- 77248 К.** Лабораторные упражнения по физической химии. Учебник для IV класса промышленной химической школы. Уэр (Laboratorní cvičení z fyzikální chemie. Učební text pro 4. roč. prům. škol. chemických. Uher Otto. Praha, SPN, 1955, 178, [2] s., il., 6.20 Kčs.) (чеш.).
- 77249 К.** Химическая технология. Учебник для специальных школ. Шимек (Chemická technologie. Učební text pro odborné školy. Šimek Zdeněk. Praha, SPN, 1956, 334, [1] s., il., 11, 80 Kčs.) (чеш.).
- 77250 К.** Элементы технологии органических веществ. Ред. Вэнту (Elemente de tehnologie chimică organică. Coordonatorul lucrării. Văntu Valeriu. București, Ed. tehnică, 1954, 518 p. cu fig., 35,10 lei) (рум.).
- 77251 Д.** О диалектике форм движения материи в неорганической природе. Масько В. А. — Автореф. дисс. канд. филос. н. Киевск. ун-т. Киев, 1955, 16 стр.
- 77252 Д.** Основы химического производства в лекционном курсе неорганической химии пединститутов в свете задач профессионально-педагогической направленности преподавания. Алибекова Ф. М. — Автореф. дисс. канд. пед. н. Азерб. пед. ин-т, Баку, 1956
- См. также: Понятие гомологий. ряда 78022. Номенклатура органич. химии 78020, 78021. История: иск. радиоактивность 77276; полиграфия 77732; хим. произ-ва 78613; стеклотекстолит 78786; керамика. пром-сть 78821; брод. пром-сть 79963; перераб. рыбы 80316. Персоналии: Штаудингер Г. 78268; Костычев С. П. 23215Бх. Институты: химиотерапия 23800Бх. Ассоциации: керамика 78791; броматология 79999; приборостроение 80382. Конференции: атомная спектроскопия 77279, 77316; горение 77615; полиграфия 77730, 77733; органич. химия 78013; высокомолек. соед. 78266, 78267; хим. перераб. угля 78994; химия нефти 79007, 79008; броматология 79999; хим. аппаратура 80347; приборостроение 80382; техн. безопасность 80411; биохимия 22768Бх, 22769Бх; витаминология 22993Бх. Уч. оборудование 78583. Уч. лит-ра: неорганич. химия 77865; аналитич. химия 78416, 78418; органич. химия 78023—78032; технология кожи 80176; проц. и апп. хим. технологии 80348. Справ. лит-ра: тепловые св-ва газов 77480; потенциалы полуволн неорганич. деполаризаторов 77735; лаки и краски 79691; макар. произ-во 80132.

НОВЫЕ ЖУРНАЛЫ

- 77253.** The International Journal of Applied Radiation and Isotopes (Международный журнал по вопросу применения излучений и изотопов). New York — London, Pergamon Press (англ.).
Выходит с 1956 г. №1/2 — июль. Подписная плата за том — 17 долл., 6 ф. ст.; для индивидуальных подписчиков — 9,80 долл., 3 ф. 10 ш. (Сокращенное название в РЖ—Internat. J. Appl. Radiat. and Isotopes).

ФИЗИЧЕСКАЯ ХИМИЯ.

ОБЩИЕ ВОПРОСЫ

77254. К обоснованию статистической теории Томаса — Ферми. Тейс (Zur Begründung der Thomas-Fermischen statistischen Theorie. Theis W. R.), Z. Phys., 1955, 142, № 5, 503—510 (нем.)

По методу квантовомеханич. матрицы плотности получены строгие ур-ния, которым подчиняется функция распределения в фазовом пространстве для системы N взаимодействующих фермионов, находящихся во внешнем потенциальном поле. Матрица плотности $\langle q' | \rho | q'' \rangle = \sum_{n=1}^{N-1} \Psi_n(q') \Psi_n^*(q'')$, описывающая основное состояние системы, удовлетворяет ур-ниям эрмитовости $\rho^+ = \rho$, принципу Паули $\rho^2 = \rho$ (собственные значения матрицы плотности равны 0 или 1, без учета спина электрона), требованию нормировки $\text{Sp} \rho = N$ и условию минимума математич. ожидания энергии: $\min \text{Sp}(\rho H)$. С помощью следующего преобразования Фурье квантовомеханич. оператором A однозначно сопоставляются функции фазовых переменных: $A_{ph}(p, q) = \int \langle q - q' | 2 | A | q + q' | 2 \rangle e^{i p q' / \hbar} dq'$, $\langle q_1 | A | q_2 \rangle = (1/\hbar) \int A_{ph}(p, (q_1 + q_2)/2) \times \times e^{-i p (q_2 - q_1) / \hbar} dp$. Аналогичное преобразование имеет место для квантовомеханич. операторов, взятых в импульсном представлении. С применением этого преобразования к вышеприведенным ур-ниям найдены точные ур-ния, которым должна удовлетворять функция распределения $h f(p, q)$, являющаяся изображением квантовомеханич. матрицы ρ в фазовом пространстве: $f(p, q)$ вещественна (1); $h \{ [\cos(h/2) (\partial^2 / \partial p_1 \partial q_2 - \partial^2 / \partial p_2 \partial q_1)] \times \times f(p, q_1) \cdot f(p_2, q_2) \}_{p_1=p_2=p; q_1=q_2=q} = f(p, q)$ (2); $\int f(p, q) \times \times dp dq = N$ (3); $f(q)$ реализует минимум функционала $\int f(p, q) N(p, q) dp dq$ (4), где $N(p, q)$ — классич. функция Гамильтона. Если в ур-нии (2) ограничиться первым членом разложения косинуса в ряд, то полученные ур-ния приводят к функции распределения Томаса — Ферми: $h f(p, q) = 1$ при $N(p, q) \leq N_0$ и $f(p, q) = 0$ при $N(p, q) > N_0$. Автор отмечает, что функция Томаса — Ферми наиболее грубо аппроксимирует решение ур-ния (2) вблизи поверхности скачка $N = N_0$. В двух случаях: а) $v(q) = 0$ и б) заняты все состояния — функция Томаса — Ферми точно удовлетворяет системе ур-ний, полученных автором. Для случая гармонич. осциллятора автор сравнивает точное решение ур-ний (1) — (4) с распределением Томаса — Ферми.

Т. Р.

77255. Связь между сверхтекучестью и сверхпроводимостью. Шафрот (Connection between superfluidity and superconductivity. Schafroth M. R.), Phys. Rev., 1955, 100, № 2, 502—505 (англ.)

Рассматривается связь между явлениями сверхтекучести и сверхпроводимости в рамках модели идеального бозе-газа. Ю. К.

77256. Проблема реологии. Оценка современного состояния. Бранкер (The problem of rheology. A current appraisal. Branner A. V.), Petroleum, 1955, 18, № 10, 373—380 (англ.)

Краткий обзор.

Е. С.

- 77257 К. Физическая химия некоторых повседневных явлений. Хижевский (Chemia fizyczna niektórych zjawisk życia codziennego. Chyżewski Eugeniusz. Warszawa, PWN, 1955, 311 s., il., 8.10 zł) (польск.)

АТОМНОЕ ЯДРО

77258. Новая интерпретация моделей ядра. Савицкий (Nowa interpretacja modeli jądrowych. Sawicki Jerzy), Postępy fiz., 1956, 7, № 3, 195—215 (польск.)

77259. Оболочечная структура ядра. Прайс (Shell structure in the nucleus. Price M. H. L.), Discovery, 1956, 17, № 7, 278—281 (англ.)

Обзорная статья.

Р. Ф.

77260. Упругое рассеяние 90 Мэв нейтронов медью. Шах, Гатха (The elastic scattering of 90 MeV neutrons by copper. Shah G. Z., Gatha K. M.), Current Sci., 1956, 25, № 4, 113—114 (англ.)

В работе, опубликованной ранее (РЖФиз, 1955, 13361), распределение ядерной плотности для легких элементов было получено из анализа эксперим. данных по рассеянию протонов с E 340 Мэв на ядрах с использованием первого борновского приближения. Использование влияния приближения позволяет получить распределение $\rho(r) = a_1 \exp(-b_1 r^2) + a_2 \exp(-b_2 r^2) \{1 - b_3 r^2 + b_4 r^4\}$, где $a_1 = 0.12 \cdot 10^{30} \text{ см}^{-3}$; $a_2 = 0.25 \cdot 10^{30} \text{ см}^{-3}$; $b_1 = 8.62 \cdot 10^{30} \text{ см}^{-2}$; $b_2 = 1.09 \cdot 10^{26} \text{ см}^{-2}$; $b_3 = 0.44 \cdot 10^{26} \text{ см}^{-2}$; $b_4 = 0.13 \cdot 10^{32} \text{ см}^{-4}$. Применяя это распределение к ядерной модели с комплексным потенциалом, можно получить потенциал $V(r) = -\hbar v \zeta(r) (\bar{n}_1 + i \bar{n}_2)$, где \bar{n}_1 и \bar{n}_2 — коэфф. преломления ядра, равные 42 и 14 мбэрн соответственно. Проведено сравнение приведенных выше результатов с данными по рассеянию нейтронов с E 90 Мэв на Си. Показано, что приведенный ядерный комплексный потенциал хорошо согласуется с эксперим. данными.

Г. С.

77261. О состоянии ядра N^{15} с изотопическим спином $T = 3/2$. Бартоломью, Литерленд, Пол, Гов (Note on the $T = 3/2$ state in N^{15} . Bartholomew G. A., Litherland A. E., Paul E. B., Gove H. E.), Canad. J. Phys., 1956, 34, № 1, 147 (англ.)

Анализ данных по р-циям $C^{14}(d, p)C^{15}$ и $C^{14}(p, \gamma)N^{15}$ приводит авторов к заключению, что состояние ядра N^{15} с изотопич. спином $T = 3/2$ соответствует основному состоянию C^{15} .

Б. Ш.

77262. Свойства энергетической поверхности тяжелых ядер. Колесников Н. Н., Ж. эксперим. и теор. физики, 1956, 30, № 5, 889—899 (рез. англ.)

Произведено подробное изучение свойств энергетич. поверхности тяжелых ядер в отдельности для каждого из четырех типов четности ядер. Показано, что при одних и тех же массовых числах A массы ядер в зависимости от четности Z достигают миним. значений при несколько различных значениях Z . Выясняется характер оболочек $N = 126$ и $Z = 82$. Результаты сравниваются с обычными ф-лами энергии связи.

Р. Ф.

77263. Ориентирование ядер Ce^{141} и Nd^{147} . Амблер, Хадсон, Теммер (Alignment of cerium-141 and neodymium-147 nuclei. Ambler E., Hudson R. P., Temmer G. M.), Phys. Rev., 1955, 97, № 5, 1212—1221 (англ.)

Радиоактивные ядра Ce^{141} и Nd^{147} ориентировались магнитно-радиочастотным методом Блинни (Bleaney V., Proc. Roy. Soc., 1951, A64, 315). Найдена анизотропия γ -излучений с E 142 кэв для Ce^{141} и E 92 и 530 кэв для Nd^{147} . Показано, что γ -переходы с E 142, 92 и 530 кэв могут быть идентифицированы как $M1$, $M1+E2$ и $E2$ соответственно. Приведены схемы распада Ce^{141} и Nd^{147} .

Р. Ф.

77264. Новые данные по сопоставлению энергий связи средних ядер. Кравцов В. А., Изв. АН СССР, сер. физ., 1955, 19, № 3, 377—384

Обсуждаются данные по измерению масс средних ато-

мов, связанные с появлением новых масс-спектрометрических данных (РЖФиз, 1955, 8625) по изучению атомов-изотопов элементов с порядковыми $31 \leq Z \leq 41$. Приложена таблица новых значений масс атомов и энергий связи их ядер, находящихся в соответствии с новыми эксперим. данными. В таблице содержатся 162 массы атомов изотопов и энергии связи их ядер с массовыми числами в интервале $68 \leq A \leq 104$. Энергии связи, полученные этим способом, следующие (в Мэв): $Zn^{68} 595,10 \pm 0,10$, $Zn^{69} 601,61 \pm 0,06$, $Zn^{70} 611,01 \pm 0,08$, $Ga^{68} 591,42 \pm 0,19$, $Ga^{69} 601,73 \pm 0,06$, $Ga^{70} 609,59 \pm 0,08$, $Ga^{71} 618,75 \pm 0,14$, $Ge^{69} 598,71 \pm 0,07$, $Ge^{70} 610,55 \pm 0,09$, $Kr^{86} 749,12 \pm 0,12$, $Kr^{87} 754,70 \pm 0,13$, $Pb^{87} 757,63 \pm 0,10$, $Sr^{86} 748,69 \pm 0,10$, $Sr^{87} 757,12 \pm 0,10$, $Sr^{88} 768,23 \pm 0,14$, $Sr^{89} 774,81 \pm 0,16$, $Y^{89} 775,50 \pm 0,16$, $Zr^{89} 771,92 \pm 0,17$, $Zr^{90} 784,22 \pm 0,22$, $Zr^{91} 791,44 \pm 0,23$, $Zr^{92} 800,15 \pm 0,24$, $Zr^{93} 806,92 \pm 0,20$, $Nb^{92} 797,40 \pm 0,28$, $Nb^{93} 806,20 \pm 0,20$, $Nb^{94} 813,41 \pm 0,20$. Р. Ф.

77265. Захват орбитального электрона в Ta¹⁷⁰. Бизи, Цанпа, Циммер (Orbital electron capture in ¹⁷⁰Ta. Bisi A., Zappa L., Zimmer E.), Nuovo cimento, 1956, 4, № 2, 307—312 (англ.; рез. итал.) Исследовался захват K- и L-электронов в Ta¹⁷⁰, полученном бомбардировкой HFO₂ дейтронами с E 26 Мэв. Распад Ta¹⁷⁰ исследовался при помощи люминесцентного γ-спектрометра и пропорционального счетчика, включенных на совпадение, причем благодаря использованию амплитудного дискриминатора импульсов отмечались лишь импульсы, принадлежащие к избранному фотомаскиму. При исследовании γ-излучения найдены максимумы интенсивности с E 55 и 740 кэв. Найдено отношение L/K-захватов, равное $1,4 \pm 0,4$. Соответствующая энергия перехода $E_0 = 94 + 9(-4)$ кэв. T_{1/2} распада, следующих за захватом K- и L-электронов, согласуется с T_{1/2} 600 дней. Г. С.

77266. Нейтронно-дефицитные изотопы Pb и Tl. I. Изомеры Pb и Tl. Бергстрём, Ванстра (Neutron deficient isotopes of Pb and Tl. I. Isomers of Pb and Tl. Bergström I., Wapstra A. H.), Philos. Mag., 1955, 46, № 372, 61—64 (англ.)

Сделана попытка выявления закономерностей в некоторых свойствах указанных изотопов, интересных с точки зрения изомерии. Найден изомерный переход $i_{1/2} \rightarrow i_{1/2}$ в изомере Pb^{207m} с T_{1/2} 0,9 сек, причем авторы считают, что такие переходы типичны для нечетных изотопов с N < 126. Опыты авторов показали, что Pb²⁰³ следует приписать короткоживущую γ-активность с E_γ 0,9 и 0,5 Мэв и T_{1/2} 10 сек., материнским в-вом которой является Bi. Данные по Pb¹⁹⁹ и Pb¹⁹⁷ показывают, что они имеют изомерные уровни с T_{1/2} 12 мин. и ~1 часа соответственно. T_{1/2} уменьшается при приближении к магич. числу N = 126. Авторы отождествляют 25-минутную активность Pb^{198m} с 42-минутной активностью Pb¹⁹⁷. Приводятся данные относительно нечетно-нечетных изотопов Tl^{198m}, Tl²⁰⁰ и Tl^{202m}, а также относительно четно-нечетных изотопов Tl. Показано, что T_{1/2} изомерного состояния изотопов Tl будет малым, и можно объяснить, почему изомер найден только у одного четно-нечетного изотопа таллия — Tl¹⁹⁷. Приводятся схемы распада Pb^{206m}, Pb^{204m}, Pb^{202m}, Tl^{202m}, Tl²⁰⁰ и Tl^{198m}. П. Ш.

77267. Период полураспада спонтанного деления Cm²⁴⁶. Фрид, Пайл, Стивенс, Хейзенга (Spontaneous fission half-life of Cm²⁴⁶. Fried S. M., Pyle G. L., Stevens C. M., Huizenga J. R.), J. Inorg. and Nuclear Chem., 1956, 2, № 5—6, 415—416 (англ.)

Cm²⁴⁶ выделен из продуктов распада Pu²⁴⁸ с T_{1/2} 11,2 дней, причем Am²⁴¹ использовался как индикатор.

С помощью масс-спектрометрических измерений найден T_{1/2} Cm²⁴⁶, равный $(2,0 \pm 0,8) \cdot 10^7$ лет. Г. С.

77268. Сложный α- и γ-спектр Cf^{250,252}. Асаро, Стивенс, Харви, Перлман (Complex alpha and gamma spectra of Cf^{250,252}. Asaro Frank S., Stephens Frank S. Jr., Harvey B. G., Perlman I.), Phys. Rev., 1955, 100, № 1, 137—142 (англ.)

В области тяжелых элементов исследования α-распада четно-четных ядер указывают на некоторые закономерности, относящиеся к уровням энергии и избирательной заселенности различных ядерных уровней α-частицами. Эти данные не согласуются с теорией α-распада. В работе делается попытка проследить эти отклонения для Cf²⁵⁰ и Cf²⁵² с T_{1/2} 10 и 2 года соответственно. γ-Спектр изотопов Cf измерялся в совпадении с α-частицами с помощью α-спектрографа и счетчика совпадений. Найдены группы α-частиц с E 6,112 и 6,069 Мэв, принадлежащие Cf²⁵², и α-группы с E 6,024 и 5,980 Мэв, относящиеся к Cf²⁵⁰. γ-Лучи с E 42 и 100 кэв отнесены к Cf²⁵². Приведены схемы распада. γ-Излучение с E 100 кэв интерпретируется как переход между двумя вращательными уровнями. Исследования показывают, что отклонение от простой теории α-распада имеет место также и для Cf^{250,252}. Г. С.

77269. Новые γ-лучи при распаде Np²³⁹. Лефевр, Кайндерман, Ван-Тейл (New gamma rays in the neptunium-239 decay. Lefevre Harlan W., Kinderman Edwin M., Van Tuyl Harold H.), Phys. Rev., 1955, 100, № 5, 1374 (англ.)

При изучении излучения высокоактивных образцов Np²³⁹ на сцинтилляционном спектрометре были обнаружены две неизвестные γ-линии с E 440 и 490 кэв, отнесенные к Np²³⁹. Число γ-квантов на распад для γ-линий 440 и 490 кэв равно $1,6 \cdot 10^{-4}$ и $1,9 \cdot 10^{-4}$ соответственно. Предполагается, что оба γ-излучения возникают при высечивании возбужденного уровня Np²³⁹ с E 480 кэв. Р. Ф.

77270. Электронные спектры Pu²³⁹, Pu²⁴⁰ и Pu²⁴¹. Шлагин, К. Н., Ж. эксперим. и теор. физики, 1956, 30, № 5, 817—823 (рез. англ.)

Исследованы электронные спектры Pu²³⁹, Pu²⁴⁰ и Pu²⁴¹ с T_{1/2} 24 400, 6000 и 10 лет. Энергетич. β-спектры изотопов Pu получены с помощью магнитного β-спектрометра. Электроны регистрировались Г.—М.-счетчиком. Pu²³⁹, Pu²⁴⁰ и Pu²⁴¹ получены из р-ций $U^{238} (n, \gamma) U^{239} \xrightarrow{\beta} Pu^{239}$ и $U^{238} (n, \gamma) U^{240} \xrightarrow{\beta} Pu^{240}$.

Ряд электронных линий в полученных β-спектрах являются конверсионными линиями U²³⁵ и U²³⁸. По линиям электронов конверсии определены E_γ переходов в U²³⁵ и U²³⁸: 12,5; 38,3; 50,8; 117 и 44,6 кэв соответственно. Показано, что β-спектр Pu²⁴¹ имеет разрешенную форму. Приведена схема распада, Г. С.

77271. Измерение периода полураспада Pu²⁴¹. Роз, Милстед (A measurement of the half-life of Pu²⁴¹. Rose B., Milsted J.), J. Nuclear Energy, 1956, 2, № 4, 264—276 (англ.)

Измерен T_{1/2} Pu²⁴¹ образованного в р-ции $U^{238} (n, \gamma) U^{239} \xrightarrow{\beta} Pu^{239} \xrightarrow{\beta} Pu^{240} \xrightarrow{\alpha} Pu^{241}$. Вследствие α-распада с E 20 кэв Pu²⁴¹ переходит в α-активный Am²⁴¹ с T_{1/2} 470 лет и E_α 59,6 кэв. Измерение γ-излучения Am²⁴¹ с E_γ 60 кэв позволяет определить T_{1/2} Pu²⁴¹. Измерение γ-излучения из распада Am²⁴¹ ведется с помощью пропорционального счетчика. T_{1/2} Pu²⁴¹ найден равным $12,95 \pm 0,28$ лет. Г. С.

77272. Измерения электронов конверсии из кулоновского возбуждения редкоземельных элементов. Хус, Бьеррегор, Эльбек (Measurements of conversion electrons from coulomb excitation of the elements in the rare earth region. Huus Torben, Bjerregaard Jørgen H., Elbek Bent.), Kgl. danske vidensk. Mat.-fys. medd., 1956, 30, №17, 72 pp. (англ.)

Рассмотрены эксперим. задачи, связанные с измерением конверсионных электронов, порожденных кулоновским возбуждением элементов с Z 25, 26, 47, 60, 62, 75, 77, 78, 79. Приведенные вероятности переходов, полученные из результатов измерения конверсионных электронов, сравниваются вероятностями переходов, полученными из величин $T_{1/2}$. Ядерные моменты вычислены из энергий возбуждения и вероятностей переходов с помощью объединенной ядерной модели. Сравнение экспериментов с теорией дает хорошее согласие. Р. Ф.

77273. Нахождение сечения поглощения медленных нейтронов 9,2-часовым Xe^{135} методом отрицательной активации. Фридман, Туркевич, Адамс, Шугарман, Рейнор, Станг (The slow-neutron absorption cross-section of 9.2-h Xe^{135} by the method of negative activation. Freedman M. S., Turkevich A., Adams R. M., Sugarman N., Raynor S., Stang L. G., Jr., J. Inorg. and Nuclear Chem., 1956, 2, № 5-6, 271-285 (англ.))

Измерено сечение поглощения тепловых нейтронов Xe^{135} с $T_{1/2}$ 9,2 часа. Сечение определялось двумя методами: методом, основанным на облучении двух образцов Xe^{135} пучками нейтронов различной интенсивности, и другим, основанным на измерении уменьшения радиоактивности образца при облучении его нейтронами. Xe^{135} является членом радиоактивного ряда Te^{135} (< 2 мин.) \rightarrow I^{135} (6,2 час.) \rightarrow Xe^{135} (9,2 час.) \rightarrow Cs^{135m} (15,6 мин.) \rightarrow Cs^{135} ($3,0 \cdot 10^6$ лет) \rightarrow Ba^{135} стаб. Образцы Xe^{135} содержат Xe^{135} с $T_{1/2}$ 5,3 дня. Сечение найдено равным $2,58 \pm 0,20 \cdot 10^{-18}$ см² для медленных нейтронов с T 400°K. Г. С.

77274. Число нейтронов, испускаемых при делении. Дивен, Мартин, Ташек, Террелл (Multiplicities of fission neutrons. Diven B. C., Martin H. C., Taschek R. F., Terrell J.), Phys. Rev., 1956, 101, № 3, 1012-1015 (англ.)

Большой жидкостной сцинтиллятор, имеющий приблизительно 80%-ную эффективность регистрации нейтронов, использовался для измерения числа нейтронов, испускаемых при спонтанном делении Pu^{240} , Cm^{244} , Cf^{252} и при делении U^{233} , U^{235} и Pu^{239} под действием нейтронов с E 80 кэв. Показано, что распределение вероятности испускания при одном акте деления 0, 1, 2... нейтронов близко к синomialному типу. Р. Ф.

77275. α -Радиоактивность. Перлман, Асаро (Alpha radioactivity. Perlman I., Asaro Frank), Annual Rev. Nuclear Sci., Vol. 4., Stanford, Calif., 1954, 157-190 (англ.)

77276 К. Открытие искусственной радиоактивности. Савель (La découverte de la radioactivité artificielle. Savel Pierre. Paris, Union ration., 1954, 16 p., 80 fr.) (франц.)

77277 Д. Фотораспад кислорода. Паттон (Photodisintegration of oxygen. Patton Benjamin Joseph. Doct. diss., Univ. Pennsylvania, 1955), Dissert. Abstrs, 1955, 15, № 10, 1881-1882 (англ.)

Изучались фотопотоны, полученные при облучении О-мишени тормозным излучением из бетатрона. Исследование велось методом ядерных эмульсий. Р. Ф.

См. также: Элементарные частицы, атомное ядро 77318. Ядерная аппаратура 78570-78575. Радиоактивные изотопы 77492-77495, 77498, 77500, 77502, 77503

АТОМ

77278. Свойства атомов при сверхвысоких давлениях. Капустинский А. Ф., Изв. АН СССР. Отд. хим. н., 1956, № 4, 427-434

По мере сжатия атомов хим. элементов до сверхвысоких давлений: а) сначала происходит переход электронов на незаполненные, но допустимые принципом запрета Паули глубокие энергетич. уровни, что ведет к «вырождению» нормальных свойств атомов и видоизменяет весь строй периодич. системы элементов; б) затем происходит «раздавливание» электронных оболочек и «обобществление» электронов, ведущее к полному устранению хим. различий между частицами и к возникновению универсального металлич. состояния материи. Рассмотрены термодинамич. квантовохим. и сейсмологич. данные, подтверждающие сформулированные выше положения; высказана гипотеза о зональном строении земного шара и о физ.-хим. свойствах геохим. оболочек. Резюме автора

77279. Симпозиум по атомной спектроскопии, организованный Национальной лабораторией в Аргонне. Бови (Atomic spectroscopy symposium at the Argonne National Laboratory. Bovey L. F. H.), Nature, 1956, 177, № 4512, 737-738 (англ.)

Сообщается тематика работ, доложенных на симпозиуме по атомной спектроскопии, организованном Национальной лабораторией в Аргонне. Н. Я.

77280. Структура спектра однократно ионизованного брома. Бхупала-Рао (Structure of the spectrum of singly ionised bromine. Bhupala Rao Y.), Indian J. Phys., 1956, 30, № 2, 95-96 (англ.)

Изучен спектр Br II в области λ 400-9000 Å. Определены новые уровни и классифицировано ~ 250 линий. Данные об уровнях приведены в таблице. Н. Я.

77281. Спектр /-флуоресценции плутония. Кошуа, Манеску (Spectre de fluorescence L du plutonium. Cauchois Yvette, Manescu Ioana), C. r. Acad. sci., 1956, 242, № 11, 1433-1436 (франц.)

При помощи 10 мг окиси плутония, нанесенной на экран, поставленный наклонно к возбуждающему излучению, наблюдались спектры поглощения и испускания в области 600-1000 X-единиц. Найдено около двадцати новых линий /-флуоресценции и промерены их интенсивности по отношению к K-линиям, излучаемым элементами с Z от 35 до 48 в тех же условиях. Малое кол-во плутония не позволило получить более полных результатов в этой спектральной области. В. А.

77282. Тонкая структура атома водорода. Лэмб (Fine structure of the hydrogen atom. Lamb Willis E., Jr.), Science, 1956, 123, № 3194, 439-442 (англ.)

Обзор. **77283. Тонкая структура линии He^3 Π λ 4687 Å с учетом лембовского сдвига термов $3S_{1/2}$.** Киреев П. С., Докл. АН СССР, 1956, 108, № 2, 226-227

При помощи эталона Фабри-Перо (толщина 2 и 2,5 мм) исследована тонкая структура линии He^3 Π λ 4687 Å. Источник света — разрядная трубка с полым катодом, охлаждаемым жидким азотом. Излучаемая линия разгнана на четыре группы, каждая из которых состоит из нескольких компонент. Измерения показали, что имеется удовлетворительное согласие с результатами теории тонкой структуры гелия с учетом лембовского смещения. Величина сдвига терма $3S_{1/2}$ равна $(116 \pm 15) \cdot 10^{-8}$ см⁻¹, а $4S_{1/2}$ $(64 \pm 30) \cdot 10^{-8}$ см⁻¹. Н. Я.

77284. Сверхтонкая структура He^{2+} и He^3 . Сеслер, Фолли (Hyperfine structure of He^{2+} and He^3 . Sessler A. M., Foley H. M.), Phys. Rev., 1955, 98, № 1, 6-18 (англ.)

При расчете отношений величин расщеплений сверхтонкой структуры He^{2+} и He^3 авторы учитывают все поправки (кроме массовых порядка a/m), которые дают вклад более 10^{-6} . Движение электронов вблизи ядра

считается адиабатическим. Полученная таким образом волновая функция электронов сшивается с волновой функцией другого предельного случая — движения вокруг общего центра масс нуклонов ядра. Такое сшивание, как оказывается, необходимо делать на расстоянии ~ 25 размеров ядра. Влияние движения нуклонов в ядре рассчитывается (согласно Бору) в адиабатическом приближении с учетом поправки на неадиабатичность (по Бору—Оппенгеймеру). Взаимодействие нуклонных потоков, приводящих к распределению магнитного момента ядра, рассмотрено на модели сил, не зависящих от скорости. Учено взаимодействие спин — орбита и спин — спин для электронов, а также магнитные взаимодействия спинов и релятивистские поправки, которые рассматривались для точечного ядра.

77285. Квадрупольный момент V^{51} . Муракава (The quadrupole moment of V^{51} , Murakawa Kiyoshi), J. Phys. Soc. Japan, 1956, 11, № 4, 422—425 (англ.)
Сверхтонкая структура линии $V I$ изучалась при помощи эталона Фабри—Перо и источника света с полым катодом, охлаждаемым жидким азотом. Изучена структура линий $\lambda\lambda$ 4851,5; 4330,0; 4881,5; 4875,5; 4831,6; 4594,1 и 4646,4 Å. Линия 4851,5 Å является наиболее подходящей для вычисления Q квадрупольного момента ядра V^{51} . Для вычисления Q из эксперим. величины постоянной квадрупольного взаимодействия $B(3d^3 4s^2 F_{5/2})$ величина эффективного заряда для $3d$ электронов $V I$ определялась при помощи интервальных факторов терма $3d^3 4s^2 4F$, и найдено, что поправка на экранирование для d электрона равна 13. Учитывая поляризационную поправку Штернхаймера, автор получил $Q(V^{51}) = (0,28 \pm 0,15) \cdot 10^{-21} \text{ см}^2$. В ошибку не включена неточность, обусловленная неопределенностью экранировочной поправки d электрона.

77286. Измерения сверхтонкой структуры и изотопического сдвига линий ртути со сложным эталоном Фабри—Перо. Королев Ф. А., Одинцов В. И., Оптика и спектроскопия, 1956, 1, № 1, 17—21
Сложный эталон Фабри—Перо (мультиплекс) был использован для исследования сверхтонкой структуры и изотопич. смещения на линиях ртути. Источник света — ртутная лампа с электронным возбуждением. Юстировка мультиплекса осуществлялась механически (не изменением давления).

МОЛЕКУЛА. ХИМИЧЕСКАЯ СВЯЗЬ

77287. Поверхность потенциальной энергии для системы из трех атомов. Сато (Potential energy surface of the system of three atoms. Sato Shin), J. Chem. Phys., 1955, 23, № 12, 2465—2466 (англ.)

Ранее предложенный метод построения поверхностей потенциальной энергии системы из трех атомов (РЖХим, 1956, 3139) использован для расчета энергии активации реакции $H + NH \rightarrow H_2 + X$, где X — атом галогена. Полученные данные (при значениях параметра $k = 0,18$) лучше согласуются с эксперим. данными, чем величины, вычисленные по методу Эйринга. Метод автора имеет еще и другое преимущество перед методом Эйринга, заключающееся в том, что на поверхностях потенциальной энергии реакции $X + X_2 \rightarrow X_2 + X$ при значениях r , соответствующих активному комплексу, нет потенциальной ямы сколь-нибудь заметной глубины, тогда как метод Эйринга дает потенциальную яму глубиной в несколько ккал/моль, т. е. предсказывает устойчивость при обычных r -рах молекул типа X_3 , что не соответствует действительности.

77288. Величина углов в молекулах типа H_2O и NH_3 и их производных. Малликен (Bond angles in water-type and ammonia-type molecules and their derivatives. Mulliken R. S.), J. Amer. Chem. Soc., 1955, 77, № 4, 887—891 (англ.)

Обсуждаются причины уменьшения углов при переходе от первого ряда гидридов V и VI групп периодической системы к следующим рядам. Большой угол HNH в NH_3 объясняется тем, что выигрыш энергии, связанный с $s-p_2$ -гибридизацией орбит a'_2 и a'_1 , при переходе от плоской NH_3 к пирамидальной форме частично теряется вследствие перекрывания e -орбит и усиления отталкивания атомов H . При переходе к PH_3 отталкивание атомов H ослабевает и соответственно угол HPH меньше. В случае H_2O и H_2S фактором, обуславливающим выгодность нелинейной конфигурации, является $p-d$ -гибридизация b_2 -орбиты. Вследствие большой энергии отталкивания атомов H в H_2O равновесный угол в H_2O больше, чем в H_2S . В NF_3 угол меньше, чем в NH_3 , из-за слабого, по сравнению с NH_3 , отталкивания атомов F . В то же время угол FXF при переходе к PF_3 и AsF_3 не уменьшается, хотя расстояние $F \dots F$ растет из-за увеличения отталкивания фторов, поскольку вследствие увеличения разностей электроотрицательностей заряд на атомах фтора растет. Большой угол в Cl_2O объясняется размерами атомов хлора и, соответственно этому, значительными силами отталкивания.

77289. Молекулярные диаграммы фульвалена и пирациклена. Фернандес-Алонсо, Мира (Diagramas moleculares de fulvaleno y piracileno. Fernánde z Alonso J. I., Mira J.), An. Real Soc. española fís. y quim. Ser. B, 1954, 50B, № 2, 146—150 (исп.)
Вычислены молекулярные диаграммы пирациклена (I) и фульвалена (II). Найдены электронные плотности (q), индексы свободной валентности атомов (F) и порядки связей (p): I 1, $q = 1,030$, $F = 0,512$, 1—2, $p = 0,856$; 3, 1,001, 0,463, 3—4, 0,582; 9, 0,950, 0,184, 9—1, 0,362; 13, 1,038, 0,213, 10—3, 0,684; —, —, —, 13—14, 0,519; —, —, —, 9—13, 0,493; II 1, 1,063, 0,487, 1—2, 0,852; 2, 1,000, 0,518, 1—10, 0,394; 9, 0,874, 0,234, 2—3, 0,363; —, —, —, 9—10, 0,710. Полученные данные для q и F показывают, что II подчиняется правилу перепере- нуклеофильная р-ция должна идти в положении 2, электрофильная — в положении 1.

77290. О соединениях, содержащих ядра симметричного триазина. Сообщение II. Моно-, ди- и триаминотриазин. Паолони (Sui composti contenenti l'anello della triazina simmetrica. Nota II. La monoammino-, la diammino-e la triammino-triazina. Paoloni Leonello), Gazz. chim. ital., 1954, 84, № 7-8, 735—741 (итал.)
Методом МО с использованием теории возмущений по Дьюару (Dewar, J. Amer. Chem. Soc., 1952, 74, 3341) рассчитаны электронные энергетич. уровни моно-, ди- и триаминотриазина. Согласно расчету при увеличении кол-ва симметрично расположенных аминогрупп электронная энергия триазинового кольца уменьшается. Энергии колец относятся соответственно, как 1,77 : 1,59 : 1,40. Сообщение I см. РЖХим, 1956, 21671.

77291. Рассмотрение сопряжения в хлористом виниле методом молекулярных орбит с учетом неортогональности. Голдстейн (Molecular orbital treatment of conjugation in vinyl chloride, with inclusion of overlap. Goldstein J. H.), J. Chem. Phys., 1956, 24, № 3, 507—509 (англ.)
Рассматривается сопряжение между неподеленной парой p_y -электронов атома хлора и этиленовой системой в молекуле хлористого винила с учетом неортогональности. Применяется предложенная Лёвдиным схема расчета по методу МО — ЛКАО с переходом к ортонормированным функциям (Löwdin Per-Olov, J. Chem. Phys.,

1950, 18, 365). Приняты следующие значения интегралов: $S_{CC} = 0,253$, $S_{CCl} = 0,1468$, $a_{Cl} = -10,64$ эв; значения интегралов a_C и β_{CC} такие же, как и в расчете этилена (Mulliken R. S., Phys. Rev., 1948, 74, 736). Интеграл β_{CCl} варьировали до получения наилучшего согласия теор. дефекта заряда p_{Σ} электронов хлора δ с эксперим. значением $\delta = 0,06$, определенным из микроволнового спектра (Goldstein J. H., Bragg J. K., Phys. Rev., 1950, 78, 347A). Оптимальным оказалось значение $\beta_{CCl} = -2,45$ эв.

При этом вычисленный потенциал ионизации молекулы $I = -E_2$ равен 9,99 эв (опыт 9,95 эв). Найдено распределение зарядов, локализованных у атомов ($q_C = 0,8858$; $q_{Cl} = 0,7588$; $q_C = 1,9369$) и у связей ($q_{C-C} = 0,3979$; $\beta_{CCl} = 0,0224$). Отмечается, что пренебрежение интегралами неортогональности привело бы к заметному усилению эффекта сопряжения.

77292. Электроотрицательности элементов. Горди Томас (Electronegativities of elements. Gordy Walter, Thomas Orville W. J.), J. Chem. Phys., 1955, 24, № 2, 439—444 (англ.)

Приведены результаты новых вычислений электроотрицательности x_i по ранее предложенной ф-ле $x_i = 0,31 [(n+1)/r] + 0,50$ (Gordy W., Phys. Rev., 1946, 69, 604), где n — число электронов в валентной оболочке, r — ковалентный радиус атома. Для ионов ф-ла несколько отличается от предыдущей: $x_i = 0,31 [(n+1 \pm c)/r] + 0,50$, где $\pm c$ — формальный заряд иона. В случае элементов переходных групп константа экранирования для не участвующих в связях электронов незаполненной оболочки принимается равной 1,00 (полное экранирование); в этом случае n также совпадает с валентностью элемента. Авторы приводят также результаты вычисления x_i по ф-ле $k = aN(x_A x_B / d^2)^{1/4} + b$, выведенной ранее (Gordy W., J. Chem. Phys., 1946, 14, 305) и связывающей значения электроотрицательностей элементов с силовой постоянной связи между ними. Найдена новая закономерность, связывающая x_i с работой выхода электрона из решетки металла (Φ): $x_i = 0,44 \Phi - 0,15$. Из данных по x_i , полученных различными методами, выведены средние наиболее вероятные значения x_i для всех элементов периодич. системы, приведенные в виде таблицы.

77293. Электроотрицательность химических элементов. Роже (Electronegativité des éléments chimiques. Roger P.), Inform. scient., 1955, 10, № 5, 133—138 (франц.)

Обзор. **77294. Валентные углы в молекулах, представленные о валентных состояниях атомов.** Татевский В. М., Докл. АН СССР, 1955, 101, 515—516

Рассматриваются закономерности в валентных углах и геометрич. конфигурациях молекул типа AX_n и $AX_m YZ_k$, где A — центральный n -валентный атом, X , Y , Z — одинаковые или различные атомные группы, связанные с центральным атомом одинарной (X), двойной (Y) или тройной (Z) связью: $m + 2l + 3k = n$. Молекулы указанного типа группируются по группам периодич. системы, к которым относятся центральные атомы A . Внутри этих групп молекулы разбиваются на классы, соответствующие определенной валентности центрального атома A . Внутри каждого класса молекулы подразделяются на виды в зависимости от последовательности и кратности хим. связей центрального атома с его заместителями; молекулы данного вида отличаются только хим. индивидуальностью центрального атома или хим. индивидуальностью заместителей. На основании анализа эксперим. данных по валентным углам автор заключает, что все молекулы данного вида имеют одинаковую геометрич. конфигурацию,

т. е. геометрич. конфигурация зависит в основном от валентного состояния (валентности, последовательности и кратности хим. связей) центрального атома, иными словами, от характера движения его валентных электронов. Атомы элементов одной и той же группы (или подгруппы) периодической системы могут иметь в молекулах строго определенные валентные состояния, характерные для элементов данной группы. Предполагается, что валентные состояния центрального атома в молекулах должны сопровождаться также различием целого ряда физ.-хим. свойств связей (межатомные расстояния, энергии, рефракции и т. д.).

77295. Послевоенные достижения в химии координационных соединений. Ямасаки (錯遷化學. 戦後日本の業績を主として. 山崎一雄), 化学の領域, Karakuri reiki, J. Japan. Chem., 1956, 10, № 4, 19—24 (япон.)

Обзор. Библ. 143 назв. **77296. Современные достижения в неорганической стереохимии.** Найхольм (Recent developments in inorganic stereochemistry. Nyholm R. S.), J. Roy. Inst. Chem., 1956, 80, 328—331 (англ.)

77297. Соответствие между интенсивностями дублета натрия и полосы (6,1) OH в ночном небе. Бертье (Corrélation entre l'intensité du doublet du sodium et l'intensité de la bande (6,1) de OH pendant la nuit. Berthier Pierre. Publ. Observ. Haute Provence, 1954, 3, №1, 2 p.) (франц.)

См. РЖХим, 1955, 1981. **77298. Закономерности в спектрах поглощения галогенидов.** Катцин (Regularities in the absorption spectra of halides. Katzin Leonard I.), J. Chem. Phys., 1955, 23, №11, 2055—2060 (англ.)

Исследованы электронные спектры поглощения p -ров $CHCl_3$, CCl_4 , CH_2CHBr , $CHBr_3$, $CBBr_3$, $HgCl_2$, $SnCl_2$, $NiCl_2$, HgI_2 , SbI_3 , SnI_4 в *трет*-бутиловом спирте, а также в некоторых других p -рителях ($SnBr_4$, SnI_4 , SbI_3 и HgI_2 в $CHCl_3$ и HgI_2 в CCl_4). Автор исходит из предположения, что при осуществлении электронного перехода с участием отрицательного иона галогена происходит миграция электрона от последнего к другой части молекулы и возбужденное состояние молекулы характеризуется наличием нейтр. атома галогена. Поэтому идентификация полос поглощения, характеризующих атомы галогена, производилась путем нахождения в спектре пар полос, отстоящих друг от друга на 7600 см^{-1} (J), 3700 (Br) и 880 (Cl). Эти величины представляют собой разности уровней дублета $P_{1/2}$, $1/2$ основного состояния соответствующих атомов галогенов. С указанной точки зрения изучен также и имеющийся литературный материал по электронным спектрам других галогенидов. Отмечается, что разделение уровней дублета в общем случае больше в кристаллич. состоянии и в p -ре, чем в паре. Чувствительность полос поглощения галогенов к влиянию окружения усиливается от Cl к J , что связано, по-видимому, с увеличением поляризуемости электронной оболочки в ряду Cl, Br, J . Найдено, что метильная группа и атом фтора оказывают одинаковое влияние на положение полос поглощения J . В ряду неорганич. галогенидов также замечается ряд закономерностей, которые, однако, выражены менее ярко.

77299. Ошибочное отнесение запрещенных интеркомбинационных переходов в пиридине. Брилли (Misassignment of the multiplicity forbidden transitions in pyridine. Brealey Graham J.), J. Chem. Phys., 1956, 24, №3, 571—573 (англ.)

Ранее слабые полосы 29000 — 33000 и 25000 — 28500 см^{-1} , найденные в спектре поглощения пиридина, были приписаны запрещенным интеркомбинационным электронным переходам (Reid J. Chem. Phys., 1950, 18, 1673). Автор, исследовав спектры поглощения тщательно очищенного пиридина, показал, что полосы, найденные ранее (см. ссылку), принадлежат небольшой примеси пиразина ($\sim 1:15000$). Ему же приписывается ранее наблю-

денная слабая фосфоресценция пиридина в области 20 000—26 600 см^{-1} . В ходе приготовления чистого пиридина было обнаружено, что при малых кол-вах пиразина окисление последнего хромовой к-той не дает желаемого результата. При дистилляции пиразина против ожидания концентрируется в головных фракциях, по-видимому, за счет образования азотропной смеси с пиридином. В. А.

77300. Влияние элементов шестой группы (первой подгруппы) периодической системы на спектры поглощения органических соединений. II. Спектроскопическое исследование связанных через гетероатом дифенилдикарбоновых кислот. К и ш ш, М у т (Einfluss der Elemente der VI. Hauptgruppe des periodischen Systems auf die Lichtabsorption organischer Verbindungen. II. Spectroskopische Untersuchungen der durch Heteroatome gebundenen Diphenyl-dicarbonsäuren. Kiss A. I., Muth B. R.), Acta chim. Acad. sci. hung., 1955, 7, № 3-4, 385—392 (нем; рез. русс., англ.)

Исследованы УФ-спектры поглощения р-ров о,о'-дикарбоновых к-т дифенилсульфида (I), дифенилдисульфида (II), дифенилселенида (III) и дифенилдиселенида (IV) в 96%-ном этаноле. Найдено, что введение двух карбоксильных групп в кольца дифенилсульфида (V) и дифенилселенида (VI) не меняет числа полос, но смещает их в длинноволновую область и понижает их интенсивность. Последнее обстоятельство приписывается стерич. препятствиям, возникающим из-за карбоксильных групп, вследствие чего молекулы I и III в отличие от V и VI неплоские. Смещение полос в спектре III больше, чем в I. Аналогичные изменения по сравнению с дифенилдисульфидом (VII) и дифенилдиселенидом (VIII) обнаруживаются в спектрах II и IV с тем отличием, что полосы у II и IV более интенсивны, чем у VII и VIII. Поскольку конфигурация последних неплоская, то введение карбоксильных групп не сказывается существенным образом на геометрии молекулы. Этим и объясняются наблюдаемые особенности спектров поглощения указанных соединений. Сообщение I см. РЖХим, 1956, 57231. В. А.

77301. Спектры поглощения ряда азометинов. Попытка интерпретации полученных спектров. И д а л ь г о (Espectros de absorcion infrarroja de una serie de azometinas. Ensayo de interpretacion de los espectros registrados. Hidalgo, Antonio), An. Real. soc. española fis. y quim., 1954, B50, № 11, 887—894 (исп.; рез. англ.)

В области 4000—600 см^{-1} измерены спектры бензильденбензиламина и бензильден- α -алкилбензиламина с алкильными радикалами CH_3 , CH_2CH_3 , $\text{CH}(\text{CH}_3)_2$, $\text{C}(\text{CH}_3)_3$, C_6H_5 , C_6H_4 . Произведено отнесение частот к алкильным группам с указанием типа колебаний. В области 3062, 3065 и 3022—3055 см^{-1} полосы относятся к вал. кол. группы CH ароматич. кольца. Интенсивность полос 2977—2955 и 2931—2903 см^{-1} регулярно возрастает с увеличением числа атомов углерода в алкильных радикалах. А. М.

77302. Ультрафиолетовые спектры поглощения изооксазола и его метилпроизводных. VI. Сообщение об изооксазоле. П и н о, С п е р о н и, Ф у г а (Spettri di assorbimento U. V. dell'isossazolo e dei suoi metilderivati. Nota VI sull'isossazolo. Pino Piero, Speroni Giovanni, Fuga Valeria), Gazz. chim. ital., 1954, 84, № 7-8, 759—768 (итал.)

Получены УФ-спектры поглощения изооксазола, а также его α -, β -, γ -метил-, $\alpha\beta$ -, $\beta\gamma$ -, $\alpha\gamma$ -диметил- и $\alpha\beta\gamma$ -триметилпроизводных в водн. р-ре и в изооктане. Водн. р-ры имеют максимумы поглощения в области 215—220 м μ . Для изооктана наблюдается небольшое смещение в сторону коротких волн. При изменении положения метильных групп и их числа наблюдается смещение максимума в обе стороны на величину порядка 5—15 м μ . Сообщение V см. Gazz. chim. ital., 1952, 82, 285. А. М.

77303. Спектры и строение молекул хлорофиллов. Г у д х е р (Chlorophyll spectra and molecular structure. Goedheer J. C.), Nature, 1955, 176, № 4489, 928—929 (англ.)

Для определения ориентации пигмента в хлоропласте и грани исследовалось направление, по которому поглощается линейно поляризованный свет. Изучены дихроизм поглощения и поляризация флуоресценции хлорофиллов а (I) и b(II), бактериохлорофилла (III) и соответствующих феофитинов. Изученные хлорофиллы поглощают в области 400—750 м μ в плоскости порфинового кольца. В спектре поглощения III направление электронного перехода, ответственного за полосу у 780 м μ (1-й переход), перпендикулярно к направлению перехода, ответственного за полосу 590 м μ (2-й переход). Полоса Core в спектре III, по мнению автора, обусловлена 2 переходами: одним, перпендикулярным к 1-му переходу, и вторым — параллельным ему. В спектре поглощения бактериофеофитина (IV) полоса у 590 м μ сдвинута к 535 м μ . Полоса у 510 м μ в поляризованных спектрах флуоресценции III и IV приписывается изолированному переходу малой вероятности. В спектре поглощения феофитина а полоса, соответствующая 2-му переходу, сдвинута к 525 м μ . У I эта полоса обнаружена у 580 м μ ; причем она отчасти перекрывает полосы, обусловленные 1-м переходом. Это перекрывание, наблюдаемое также в спектре флуоресценции I, являющемся (с хорошим приближением) зеркальным отражением спектра поглощения в этой области, указывает, по мнению автора, на то, что 2-й переход перпендикулярен к 1-му. Исходя из величин ρ (степень поляризации) полосы Core в спектре I, автор приходит к выводу о перекрывании переходов: одного с максимумом у 435 м μ , перпендикулярного к 1-му, и второго с максимумом 415 м μ , параллельного 1-му. Поляризованный спектр флуоресценции II менее четок. Проведено сравнение данных по ориентации переходов λ и ϵ , найденных расчетным путем (метод MO, Lorguet-Higgins H. C. и др., Chem. Phys., 1950, 18, 1174; Platt J. R., J. Chem. Phys., 1950, 18, 1168) для сопряженных кольцевых структур (тетрагидропорфин, порфин) и полученных экспериментально в данной работе для IV. Делается вывод, что проведенные измерения не дают ас. ориентации перехода I в плоскости порфинового ядра, однако допускается, что он перпендикулярен к направлению сопряжения. О. Г.

77304. Люминесценция кристаллов при низких температурах. Нафталин при 20° К. П е с т е й, З м е р л и (Luminescence de cristaux aux basses températures. Naphtalène à 20° K. Pestel Paul, Zmerli Adnan), C. r. Acad. sci., 1956, 242, № 15, 1876—1878 (франц.)

В развитие предыдущих работ по изучению спектров низкотемпературной фосфоресценции кристаллов ароматич. соединений (РЖХим, 1955, 28276; 33826; 1956, 24832; 24833; 24834; 35005) исследованы спектры фосфоресценции нафталина, α - и β -метилнафталинов, 1,5-, 1,6-, 2,3-, 2,6- и 2,7-диметилнафталинов при 20° К. Спектры производных нафталина в видимой области состоят из широких полос, наиболее коротковолновые из которых имеют частоты α -20 480, β -20 550, 1,5-20 313, 1,6-20 300, 2,3-20 440, 2,6-20 460 и 2,7-20 216 см^{-1} . Характер смещения полос при метилировании (напр. $\nu_\alpha < \nu_\beta$) позволяет заключить, что электронный переход имеет симметрию $^3B_{2u}$. Полосы в спектре нафталина выражены более отчетливо, причем частоты наиболее коротковолновых из них имеют значения: 19 326, 19 283, 19 238 и 18 553 см^{-1} . Соответствующие разности частот 43, 90 и 773 см^{-1} наблюдались в изучавшемся ранее спектре люминесценции нафталина в УФ-области (РЖХим, 1956, 35005). Эта аналогия приводит авторов к выводу, что чисто электронный переход имеет частоту на 1391 см^{-1} большую, чем

первая из полос, т.е. $20\ 717\text{ см}^{-1}$, и позволяет приписать колебательной структуре симметрию $^3B_{3g}$. В твердых p -рах (в полистироле) наблюдается полный спектр, включая чисто электронный переход. Длительность видимой фосфоресценции (~ 3 сек.) значительно превышает длительность УФ-свечения ($3,3 \cdot 10^{-9}$ сек.), что позволяет объяснить необходимость глубокого охлаждения для наблюдения видимой фосфоресценции. П. Ф.

77305. Термохромия соединений, содержащих тиокарбонильную или дисульфидную группу. Бранд, Дейвидсон (Thermochromism of compounds containing the thiocarbonyl and disulphide functions. Brand J. C. D., Davidson J. R.), J. Chem. Soc., 1956, Jan., 15—22 (англ.)

Исследовано влияние t -ры на УФ-спектры поглощения p -ров ди- p -метоксифенилтиокарбоната (I), метил-1-тиокарбоната (II), 1-нафтилфенилтиокарбоната (III), дифенилтиокарбоната (IV), дифенилтрисульфидкарбоната (V), ди-(бензил-2-ил)-дисульфида (VI), ди-1-тионафтилдисульфида (VII), и ди-(тетраметилтиурам)-дисульфида (VIII) в декалине. В спектрах соединений, содержащих тиокетогруппу, при повышении t -ры (20 — 115°) наблюдается уширение первой полосы поглощения (переход $N \rightarrow A$) без изменения интегральной интенсивности, что приписывается изменению распределения энергии молекулы по колебательным степеням свободы в основном состоянии. Наблюдающееся также небольшое смещение полосы в сторону длинных волн (100 — 150 см^{-1}) объясняется уменьшением взаимодействия r -ритера с растворенным в-вом при повышении t -ры, сказывающемся в большей степени на основном состоянии молекулы, поскольку переход типа $N \rightarrow A$ сопровождается уменьшением постоянного момента молекулы. Найден, что спектры поглощения соединений, содержащих сульфидную группу, подчиняются при обычных t -рах закону Бера, что говорит против образования свободных радикалов. Это противоречит литературным данным, согласно которым в описанных случаях происходит образование свободных радикалов путем разрыва связи $S-S$. Изменение интенсивности полос некоторых соединений (VI—VII) при повышении t -ры объясняется необратимым разложением под действием t -ры. В. А.

77306. Расчет основных колебательных частот бромсианов. Мурата, Каваи (Calculated fundamental vibrational frequencies for bromosilanes. Murata Hiromu, Kawai Kiyoyasu), J. Chem. Phys., 1955, 23, № 12, 2451—2452 (англ.)

Используя метод и силовые постоянные, приведенные ранее (Shimanouchi T., J. Chem. Phys., 1949, 17, 245; РЖХим, 1956, 42324), авторы рассчитали в хорошем согласии с эксперим. данными основные колебательные частоты для SiBr_4 , SiBr_3H , SiBr_2H_2 , SiBrH_3 и SiH_4 . М. П.

77307. О спектральном проявлении связи C—N в формамиде. Васенко Е. Н., Докл. Львовск. политехн. ин-та, 1955, 1, № 2, 100—104

Исследованы ИК-спектры очень разб. p -ров ($< 0,01$ мол. %) формамида (I) в CCl_4 и в ацетоне. В спектре I в CCl_4 обнаружены полосы 1135 и 1151 см^{-1} и перегибы 1105 и 1170 см^{-1} ; в спектре I в ацетоне обнаружена слабая полоса 1045 см^{-1} , более интенсивная 1070 и еще более интенсивные полосы 1080 и 1110 см^{-1} . Таким образом, при растворении происходит смещение полос чистого I (1052 и 1090 см^{-1}) в коротковолновую сторону, что характерно для полосы NH_2 при переходе от ассоциированных к мономерным молекулам; полоса 1045 см^{-1} относится к ассоциированным молекулам I, полоса 1080 см^{-1} — к связям формамид — ацетон. Обнаруженная полоса с максимумом при 1335 см^{-1} , отнесена к колебаниям связи C—N в жидком I, что подтверждается смещением этой полосы до 1285 см^{-1} при растворении I в CCl_4 . М. П.

77308. Сверхсопряжение анионного типа. Инфракрасные спектры алколятов натрия. Сьюболд (Anio-

nic hyperconjugation: the infrared spectra of sodium alkoxides. Seubold Frank H., Jr), J. Organ. Chem., 1956, 21, № 2, 156—160 (англ.)

Исследованы ИК-спектры поглощения в твердой фазе ряда алколятов натрия RONa , где $R = \text{CH}_3$, C_2H_5 , $\text{iso-C}_3\text{H}_7$, $n\text{-C}_3\text{H}_7$, $\text{атер-C}_4\text{H}_9$, $\text{трет-C}_4\text{H}_9$ и $(\text{CH}_3)_2\text{CD}$ и сопоставлены с ИК-спектрами поглощения соответствующих спиртов. Найден, что частоты валентных колебаний α -связей C—H у алколятов ниже, а частоты колебаний связи C—O выше, чем у соответствующих спиртов. Обнаруженный эффект автор объясняет сверхсопряжением анионного типа, связанного со смещением электрона атома O к α -атомам H. В соответствии с предложенной интерпретацией уменьшение частоты α -связи C—H наибольшее, когда $R = \text{iso-C}_3\text{H}_7$, поскольку влияние кислорода целиком сосредоточено на единственной α -связи C—H, и наименьшее, когда $R = \text{CH}_3$, поскольку влияние кислорода распределено по трем α -связям C—H. У $\text{трет-C}_4\text{H}_9$ эффект не наблюдается, в соответствии с отсутствием у этого радикала α -связей C—H. Спец. исследование ИК-спектров CH_3OLi в различных условиях показало, что наблюдаемый эффект не связан с различием агрегатных состояний, при которых были получены ИК-спектры алколята и соответствующего спирта (жидкость). Полученные данные согласуются с уменьшением кислотных свойств спиртов в ряду $R = \text{CH}_3, \text{C}_2\text{H}_5, \text{iso-C}_3\text{H}_7, \text{трет-C}_4\text{H}_9$ (McEwen, J. Amer. Chem. Soc., 1936, 58, 1124).

В. А.

77309. Колебательные спектры и строение циклопропана и гексадигетероциклопропана. Бейкер, Лорд (Vibrational spectra and structure of cyclopropane and cyclopropane- d_6 . Baker A. W., Lord R. C.), J. Chem. Phys., 1955, 23, № 9, 1636—1643 (англ.)

Исследованы ИК-спектры в области 350 — 3700 см^{-1} для паров и 650 — 3700 см^{-1} для жидкостей и спектры комб. расс. жидких циклопропана и гексадигетероциклопропана, полученного из D_2O и Mg_2C через $\text{CDC} \equiv \text{CD}$, $\text{CD}_3\text{CD} = \text{CD}_2$, $\text{CD}_2\text{C}(\text{CD}) = \text{CD}_2$, $\text{CD}_2\text{C}(\text{CD}_2)\text{CD}_2\text{Br}$. Из анализа полученных данных найдены следующие значения для частот основных колебаний (в см^{-1} , звездочкой отмечены частоты колебания, определенные из обертонов, первая цифра — частота для C_3H_6 , вторая — для C_3D_6 , симметрия D_{3h} : 3009 ; 2236 (ν_1 , CH вал., A_1'), 1475 ; 1270 (ν_2 , CH_2 деф., A_1'), 1188 ; 956 (ν_3 , C—C вал., A_1'), 1125^* ; 800^* (ν_4 , CH_2 деф., A_1'), 975^* ; 790^* (ν_5 , CH_2 деф., A_2'), 3142 ; 2238 (ν_6 CH вал., A_2'), 854^* ; 614 (ν_7 , CH_2 деф., A_2'), $3028,1$; $2211,4$ (ν_8 , CH вал., E'), $1441,8$; $1074,3$ (ν_9 , CH_2 деф., E'), $1028,7$; $886,9$ (ν_{10} , деф. кольца, E'), $868,5$; $720,1$ (ν_{11} , CH_2 деф., E'), 3075 ; 2329 (ν_{12} , CH_2 вал., E''), 1050^* ; 835^* (ν_{13} , CH_2 деф., E''), 741 ; 528 (ν_{14} , CH_2 деф., E''). Отмечается резкое изменение частот ν_2 , ν_3 , ν_{10} , ν_{11} при переходе от C_3H_6 к C_3D_6 , что объясняется взаимодействием колебаний группы $>\text{CD}_2$ и кольца из-за близости частот. Из разности частот P и R -ветвей полосы 2236 см^{-1} , специально исследованной с большой дисперсией, определен двойной момент инерции $J_{x,y}$, из которого получено для r_{C-C} значение $1,524 \pm 0,014$ А. Дана интерпретация большинства наблюдавшихся в исследованных спектрах обертонов.

В. А.

77310. Инфракрасные спектры p -бензохинонов. Йейтс, Ардао, Физер (The infrared spectra of p -benzoquinones. Yates Peter, Ardao Maria Isabel, Fieser Louis F.), J. Amer. Chem. Soc., 1956, 78, № 3, 650—652 (англ.)

Получены ИК-спектры в области 5 — 15 мкм p -бензохинонов с заместителями X, Y, Z, U = H, CH_3 , Cl, OCH₃, OH, Br. Найден, что положение частот C—O,

в твердом состоянии и в р-ре CS_2 , существенно зависит от типа замещающих групп. Электронодонорные группы повышают длину волны (при $X = CH_3$, $Y, Z, U = H$ длина волны равна $6,01 \mu$; при $X, Y = CH_3$, $Z, U = H$ $6,02 \mu$; при $X, Y, Z, U = CH_3$, $6,09 \mu$), электроотрицательные группы понижают длину волны ($X = Cl$, $Y, Z, U = H$ $5,97 \mu$; $X, Y, Z = Cl$, $U = H$ $5,91 \mu$, $5,97 \mu$ (дублет)). В отдельных случаях наблюдалось расщепление частот $S = O$. Среднее значение частот двух компонент соответствует величинам, наблюдаемым в близких по строению соединениях с одной частотой $S = O$. Частоты валентных колебаний $C = C$ расположены в области $6,17-6,28 \mu$ и имеют тенденцию к повышению при введении групп CH_3 . В галогеносодержащих соединениях эта линия расположена у $\sim 6,35 \mu$. Во всех соединениях наблюдались интенсивные полосы в области $7-10 \mu$. Отмечается, что у п-бензохинонов с одним или более изолированными атомами Н в кольце имеются интенсивные частоты $10,9-11,4 \mu$ (р-р в CS_2), а при наличии двух смежных атомов Н наблюдается характерное поглощение между $11,9-12,4 \mu$. Ю. Е.

77311. Исследования стереохимии дикарбоновых кислот.

I. Инфракрасные спектры поглощения некоторых α, α' -диметилзамещенных кислот. Шотте, Розенберг (Stereochemical studies on dicarboxylic acids. I. The infrared absorption of some α, α' -dimethylsubstituted acids. Schotte Lennart, Rosenberg Andreass), Arkiv kemi, 1954, 7, № 5, 479-491 (англ.)

Более подробное изложение предыдущей работы. См. РЖХим, 1955, 23080. Ю. Е.

77312. Инфракрасные спектры полихлорнафталинов. Ценцель, Хаджи (Infra-red spectra of polychloronaphthalenes. Cencelj L., Hadzi D.), Spectrochim. acta, 1955, 7, № 5, 274-282 (англ.)

В области $1650-660 \text{ см}^{-1}$ исследованы ИК-спектры всех дихлорнафталинов, 1, 2, 8-, 1, 2, 5-, 1, 3, 8-, 1, 3, 5-, 1, 4, 5-, 1, 6, 7-, 1, 2, 6-, 1, 2, 7-, 1, 3, 6-, 1, 3, 7-, 1, 4, 6-, 2, 3, 6-трихлорнафталинов и 1, 2, 3, 7-, 1, 2, 4, 6-, 1, 3, 5, 8-, 1, 4, 5, 8-, 1, 4, 6, 7-, 1, 3, 5, 7- и 1, 3, 6, 7-тетрахлорнафталинов. В большинстве случаев спектры препаратов в твердом виде мало отличаются от спектров р-ров (в CCl_4 и циклогексане). В некоторых случаях, однако, наблюдается значительное смещение в положении полос (1, 5-, 1, 7-, 2, 3-дихлорнафталины и т. д.), а также изменение их числа (1, 3-, 1, 6-, 2, 7-дихлорнафталины и др.). Подробно исследована область неплоских колебаний $C-H$ -связей $690-900 \text{ см}^{-1}$ с целью проверки ранее найденных закономерностей, связывающих положение и число полос в этой области с типом замещения нафталинового кольца (Thompson H. W., J. Chem. Soc., 1948, 329; Colthup N. B., J. Opt. Soc. Amer., 1950, 40, 397). Полученные данные подтверждают ранее найденные закономерности, но авторы заключают, что число полос в рассматриваемой области больше числа характеристик. Полос и присутствие последних еще не является окончательным доказательством наличия данного типа замещения в исследованной смеси. В то же время при отсутствии той или иной характеристики, полосы можно с большей уверенностью заключить об отсутствии данного типа замещения. Полученные спектральные данные использованы для анализа некоторых промышленных смесей полихлорнафталинов. В. А.

77313. Инфракрасные спектры поглощения некоторых оснований ряда пиридина. Шигорин Д. Н., Данишевский Я. Л., Гольдфарб Я. Л., Изв. АН СССР. Отд. хим. н., 1956, №1, 120-126

Исследованы ИК-спектры поглощения α -аминопиридина (I), N-метил- α -пиридонимина (II), йодгидрата α -аминопиридина, йодгидрата N-метил- α -пиридонимина, хлоргидрата N-бензил- α -пиридонимина и йодметилата α -аминоникотина. Сравнение спектров между собой и со спектрами модельных соединений показывает, что в этих со-

единениях более основным является азот, связанный кратной связью. Найдено, что присоединение HX к II влечет за собой перераспределение электронной плотности, приводящей к возникновению «бензoidной» структуры. В солях I и II положительный заряд распределен между обоими атомами азота, причем большая доля сосредоточена на кольцевом азоте. В спектре твердого хлоргидрата анилина наблюдается полоса $\sim 2575 \text{ см}^{-1}$, по предположению принадлежащая HCl . Отсюда авторы заключают, что соли типа хлоргидрата анилина не являются солями, характеризующимися ионной структурой ($-NH_3^+Cl^-$), а представляют собой прочные межмолекулярные соединения. В. А.

77314. Изучение гидратов окислов меди, кадмия и магния с помощью инфракрасной спектроскопии. Кабанн-Отт (Étude par spectrographie infrarouge des oxydes hydratés de cuivre, cadmium et magnésium. Cabannes-Ott Christiane), C. r. Acad. sci., 1956, 242, № 3, 355-357 (франц.)

Получены ИК-спектры порошков $Cu(OH)_2$ (I) $Cd(OH)_2$ (II), $Mg(OH)_2$ (III), $Cu(OD)_2$ (IV) в области $2400-3900 \text{ см}^{-1}$ (призма LiF) и области $\sim 7000 \text{ см}^{-1}$ (дифракционная решетка). Из значений частот основного тона и первого обертона вал. кол. OH (группы, не участвующей в водородной связи) по классич. флам вычислены константа ангармоничности и энергия диссоциации, оказавшиеся равными (первая цифра — частота фундаментального колебания ω , вторая — наблюдаемая частота, третья — константа ангармоничности, четвертая — D в ккал/моль): I 3787; 3579; 0,027; ~ 100 ; II 3859; 3612; 0,032; ~ 86 ; III 3953; 3700; 0,031; $\sim 94,3$; IV 2756; 2632; 0,022. Величины ω и D , полученные для I, очень близки к значениям для нейтр. группы OH (3735 см^{-1} , $109,5 \text{ ккал/моль}$), поэтому возможно, что группы OH в I частично нейтральны. Обращается внимание на появление в ИК-спектрах кристаллов I-IV частот групп OH, участвующих в водородных связях. Отношение ν_{OH}/ν_{OH} различно для свободных (1,356) и связанных (1,344) групп OH. Ю. Е.

77315. Интенсивности колебательных полос и электрическая ангармоничность группы NH. Расселл, Томпсон (Vibrational band intensities and the electrical anharmonicity of the NH group. Russell R. A., Thompson H. W.), Proc. Roy. Soc., 1956, A234, № 1198, 318-326 (англ.)

Измерены положения и интегральная интенсивность основного тона и первого обертона колебания NH в ИК-спектрах ряда вторичных аминов. На основании полученных данных, приближенно рассматривая молекулы исследованных соединений как 2-атомные RH , авторы вычислили фактор механич. ангармоничности рассматриваемого колебания в исследованных соединениях. Найдено, что последний меняется в сравнительно небольших пределах: от $1,8 \cdot 10^{-2}$ в гетероциклич. соединениях до $2,5 \cdot 10^{-2}$ в алифатич. аминах. В то же время отношение интенсивности основного тона к интенсивности первого обертона A_{01}/A_{02} меняется в значительных пределах: до 60 раз. Используя ранее выведенные соотношения для A_{01}/A_{02} (Dunham J. L., Phys. Rev., 1929, 34, 438; 1930, 35, 1347; Heaps N. S., Herzberg G., Z. Phys., 1952, 133, 48), авторы на основании эксперим. данных по A_{01}/A_{02} вычислили функциональную зависимость дипольного момента NH от величины смещения $\xi = (r - r_e)/r$: $M = M_0 + M_1\xi + M_2\xi^2 + \dots$. Полученные данные показывают, что у аминов со значительным ионным характером связи NH (нидол, дифениламин, карбазол) дипольный момент практически линейно зависит от ξ , так как электрич. ангармоничностью колебания NH в этих случаях можно пренебречь. Напротив, последняя велика для диэтиламина и морфолина. Эти результаты указывают на ограниченность метода опреде-

ления моментов связей из данных по интенсивностям полос колебаний в ИК-спектрах.

77316. VI Международное совещание по спектроскопии в Амстердаме. Кемуля (VI colloquium spectroscopicum internationale w Amsterdamie. Kemuła Wiktor), Problem, 1956, 12, № 7, 522—523 (польск.).

77317. Наблюдение парамагнитного резонанса у конденсированных продуктов электрических разрядов в парах воды и родственных веществ. Ливингстон, Горли, Зельдс (Paramagnetic resonance observations on the condensed products of electric discharges through water vapor and related substances. Livingston Ralph, Gormley John, Zeldes Henry), J. Chem. Phys., 1956, 24, № 2, 483—484 (англ.).

Продукты, образующиеся при разряде в парах воды, конденсировались на поверхности, охлаждаемой жидким азотом. В получаемых таким образом стекловидных образцах желтоватого цвета было обнаружено парамагнитное резонансное поглощение. Опыты велись при 77°K. При нагревании до 138°K образцы светлели и парамагнитный резонанс исчезал. Резонансный спектр состоит из одной линии ($g = 2,0085$) со слабо выраженным перегибом ($g = 2,027$) на одном из ее крыльев. На 9000 Мгц перегиб выражен гораздо слабее, чем на 23 000 Мгц. Та же картина получается, когда вместо воды используется D₂O или H₂O₂ с конц-ией выше 90%, при разряде в H₂ последующим добавлением O₂, при использовании NH₃ вместо H₂. Авторы считают, что резонанс обусловлен свободными радикалами с непогашенным орбитальным магнетизмом (напр., OH или HO₂). Тогда наблюдаемая картина есть результат усреднения анизотропных спектров. Сверхтонкое взаимодействие неспаренного электрона с протонами, видимо, слабо, так как при замене H₂O на D₂O картина не меняется. Примерное весовое содержание HO₂ (главная линия) и OH (перегиб) оценено в 0,3 и 0,15% соответственно.

77318. Спектр парамагнитного резонанса двуокиси хлора. Беннетт, Инграм (The paramagnetic resonance spectrum of chlorine dioxide. Bennett J. E., Ingram D. J. E.), Philos. Mag., 1956, 1, № 1, 109—111 (англ.).

В разбавленном спирт. р-ре двуокиси хлора (I) на $\lambda = 1,25$ см при 220°K наблюдались 4 линии сверхтонкой структуры (СТС), обусловленной спином ядра Cl³⁵, шириной по 8 гс каждая; всего спектр занимает 50 гс; $g = 2,010 \pm 0,001$. При охлаждении р-ра до т-ры жидкого кислорода спектр сильно изменяется. Отдельные линии расширяются, смещаются, так что спектр занимает 170 гс, и изменяют свою интенсивность, вероятно, вследствие анизотропии СТС, которая становится эффективной в твердом состоянии. В жидком р-ре анизотропия не сказывается из-за быстрого вращения молекул. Та же самая картина получается, когда р-рителем служит ацетон, бензол и вода. Изменение спектра происходит при т-ре замерзания р-рителя. В конц. р-рах, так же как и в чистой I, СТС не наблюдается ни при каких т-рах. Все эти данные указывают на значительный орбитальный магнетизм неспаренного электрона. В жидких р-рах на $\lambda = 8$ мм картина та же, что и на 1,25 см, а на 3 см наблюдается одиночная линия шириной 26 гс; это вызвано влиянием обменных сил. При 90°K на всех длинах волн спектры одинаковы.

77319. Новое теоретическое объяснение электронного резонанса на монокристаллах дифенилпикрилгидразила с учетом эффекта Оверхаузера. Габийяр (Une nouvelle interprétation théorique de la résonance électronique d'un monocristal de diphenyl-picryl-hydrazil faisant intervenir l'effet Overhauser. Gabillard R.), Colloq. A. M. P. E. R. E., mars 1956. Inst. Phys. Univ. Genève, 1956, 103—106; Arch. sci., 1956, 9 fasc. spécial, 98—101 (франц.).

В р-ре дифенилпикрилгидразила (I) в бензоле на-

блюдаются 5 линий электронного резонанса, отстоящих друг от друга на ~ 10 э (Hutchison Jr, и др. J. Chem. Phys., 1952, 20, 534; РЖХим, 1954, 15956). В монокристалле I наблюдается 1 линия с анизотропным g -фактором; величина анизотропии пропорциональна внешнему полю H_0 . Так, для частот 24 000 и 9000 Мгц разность Δh максим. и миним. значений резонансного поля равна 2,5 и 1 э соответственно; при 280 Мгц $\Delta h \ll 0,1$ э. Эти результаты объясняются наличием взаимодействия неспаренного электрона с двумя ближайшими ядрами N (спин ядра 1). В изолированной молекуле эти ядра создают дополнительное поле h в точке, где находится электрон: $h = \mu r^{-3} (3 \cos^2 \theta - 1) (\epsilon_1 + \epsilon_2)$, где μ — магнитный момент ядра, $\epsilon_1, \epsilon_2 = 1, 0, -1$ — проекции спинов ядер на направление H_0 . Сумма $\epsilon_1 + \epsilon_2$ принимает 5 значений от 2 до -2. В р-ре возможны все ориентации молекулы относительно внешнего поля; после усреднения по θ получается расщепление уровней спина электрона на 5 уровней; величина расщепления равна $\mu/2r^3 \sim 10$ э, если $\mu = 0,403$ ядерных магнетона, $r = 0,45$ А. В монокристалле молекулы сближены и электрон быстро перемещается между ними; поэтому на него действует среднее поле ядер \bar{h} . $\bar{h} \neq 0$ благодаря эффекту Оверхаузера: число ядер $\epsilon = -1$ и $+1$ становится неодинаковым. Показано, что \bar{h} пропорционально $\mu_e H_0 s/kT$, где s — фактор насыщения, μ_e — момент электрона. Однако количественно анизотропия \bar{h} мала по сравнению с наблюдаемой. Если эффект Оверхаузера существен, то наблюдаемая анизотропия должна зависеть от т-ры.

77320. Узкая линия электронного спинового резонанса в обугленной глюкозе. Пастор, Уэйл, Браун, Туркевич (Narrow electron spin resonance in charred dextrose. Pastor Ricardo C., Weil John A., Brown Thomas H., Turkevich John), Phys. Rev., 1956, 102, № 3, 918—919 (англ.).

Наблюдался электронный спиновый резонанс в безводн. глюкозе, предварительно прокаленной в воздухе при т-ре 300° и затем нагретой до различных т-р в вакууме. Ширина линии (ШЛ) оказалась меньше, чем у свободного радикала дифенилпикрилгидразила (I); g -фактор равен 2,003. ШЛ зависит от т-ры нагревания в вакууме; она минимальна для образцов, отожженных при т-ре $570 \pm 5^\circ$: $1,1 \pm 0,1$ э. Отношение высоты пика к уровню шумов возрастает от 10 до 300° до 10^3 — 10^4 при 570°. Образцы, отожженные при т-ре выше 570°, дают более широкие линии; линия становится ненаблюдаемой при т-ре отжига 780°. ШЛ на образцах, отожженных в воздухе с последующей откачкой воздуха, такая же, как для отожженных в вакууме. ШЛ сильно возрастает в присутствии парамагнитных газов O₂, NO под давлением выше 0,1 мм рт. ст.; при 100 мм рт. ст. ШЛ ~ 60 э. При откачке в течение 10—30 мин. ШЛ достигает прежнего значения. Однако газы N₂, H₂ не влияют на ШЛ. Авторы считают, что, так как отожженную глюкозу легче приготовить и ее ШЛ меньше, чем у I, то эти образцы могут заменить I при измерениях.

77321. Изучение методом парамагнитного резонанса кристаллических производных гемоглобина. Беннетт, Инграм (Analysis of crystalline haemoglobin derivatives by paramagnetic resonance. Bennett J. E., Ingram D. J. E.), Nature, 1956, 177, № 4502, 275—276 (англ.).

На частоте 25 000 и 36 000 Мгц и при т-ре 20°K изучено парамагнитное поглощение на монокристаллах производных гемоглобина (Г). Авторы полагают, что измерения анизотропии g -фактора позволят определить положение плоскостей порфирина и гема относительно внешних осей кристалла. g -Фактор на монокристалле кислого метмиоглобина кита (I) изменяется от

$g_{\perp} = 5,95 \pm 0,05$ до $g_{\parallel} = 2,00 \pm 0,01$. Эти значения можно объяснить, считая, что расстояние между низшим $S_z = \pm 1/2$ и более высоким дублетами, на которые расщепляются уровни спина $S = 5/2$ иона Fe^{3+} в поле кристалла, $> 2 \text{ см}^{-1}$. Это расщепление гораздо больше, чем в других солях окисленного железа, и указывает, что разделение зарядов окружающих атомов влияет гораздо сильнее, чем в обычной ионной связи. При измерении изменений g -фактора в плоскостях ab , bc , ac кристалла миоглобина кашалота найдены направляющие косинусы оси, проходящей через ион железа перпендикулярно к плоскости гема: 0,89; 0,36; 0,28 и 0,13; 0,95; 0,29 для двух кристаллич. модификаций миоглобина кашалота соответственно. Изучено производное, полученное путем выдерживания кристалла I определенное время в азиде Na. При этом на поверхности кристалла получено азидное производное Г с прежними кристаллич. осями, а внутри образца сохраняется I с приведенными выше осями кристалла и значениями g -фактора. Авторы предлагают эту методику для определения осей кристаллов новых производных Г.

К. В.

77322. Протон-дейтеронная сверхтонкая структура парамагнитного резонанса и роль π - σ -взаимодействия. Венкатараман, Френкел (Proton-deuteron hyperfine structure in paramagnetic resonance: A π - σ -interaction. Venkataraman Balu, Fraenkel George K.), J. Chem. Phys., 1956, 24, № 4, 737-740 (англ.)

Неспаренный электрон (НЭ) ароматич. свободных радикалов находится в π -состоянии, для которого плоскость ароматич. кольца (АК) является узловой (плотность вероятности равна нулю). Поэтому взаимодействие спина НЭ и протонов АК должно отсутствовать. Однако опыт показывает расщепление линии парамагнитного резонансного поглощения $\sim 2 \text{ э}$, обусловленное протонами АК. Теоретич. расчетом авторы показали, что наблюдаемое расщепление нельзя объяснить колебаниями протонов. В этом случае взаимодействие типа $\Sigma_i a_i S_i I_i$ (S_i — спины электронов и ядер) нужно усреднить по колебательному движению протонов ($a_i = (8\pi/3) g g_i \beta_N |\psi(i)|^2$, где g , g_i и β , β_N — g -факторы и магнетоны электронов и ядер, $\psi(i)$ — функция состояния НЭ на ядре i , $\psi(i) = 0$, если i — протон АК, а НЭ находится в π -состоянии). Произведена оценка величины связи спина π -электрона углерода на $2p$ -орбите со спином соседнего протона; эта связь возникает благодаря колебанию протона вдоль p -орбиты (одномерный осциллятор). После усреднения получено $|\psi_{2p}|_{\text{ср}}^2 \sim (n + 1/2) / (\nu m) \exp(-3,25 x/a_0) (1)$, где n — квантовое число колебания, ν — частота колебания, m — эффективная масса осциллятора, x — расстояние от атома С по нормали к орбите НЭ. Принимая m за массу протона $\nu/c = 671 \text{ см}^{-1}$ и $x = 1,08 \text{ А}$ (длина связи С—Н), найдено значение $a_i = 0,68 \text{ э}$. При учете того, что $2p$ -орбита углерода входит в функцию состояния НЭ с коэфф. < 1 , получено значение $a_H = 0,053 \text{ э}$, что в 50 раз меньше наблюдаемого расщепления. Можно допустить, что механизм верен, но при оценке a допущена ошибка. Тогда для $n = 1$ (возбужденный колебательный уровень) должен существовать спектр с расщеплением, в 3 раза большим обычного (согласно ур-нию (1)). Ширина линий этого спектра должна быть такой же, как у спектра $n = 0$, так как она определяется числом соударений осциллятора. Заселенность уровня с $n = 1$ при комнатной T — 4%, но спектр не удалось наблюдать, хотя прибор может обнаружить сигнал от уровня с заселенностью 1%. Кроме того, a зависит от массы осциллятора; при замене водорода дейтерием $a_H/a_D = 9,2$, если важен ме-

ханизм колебаний, и $a_H/a_D = g_H/g_D = 6,514$, если колебания протонов не играют роли. Измерения авторов на дейтронах иона n -бензосемихенона дали $a_D = 0,365 \text{ э}$, и $a_H/a_D = 6,48$. Таким образом, колебания протонов могут дать лишь малый вклад в константу a . Авторы считают, что косвенная связь между моментами электрона и ядра, аналогичная связи моментов удаленных ядер в ядерном резонансе, также не может объяснить опыта. Опыт можно объяснить, допуская, что НЭ находится в π -состоянии с примесью σ -состояния. Эта примесь может быть обусловлена, напр., расщеплением одной из σ -связей С—Н и переходом σ -электрона в возбужденное σ -состояние; этот переход возможен благодаря конфигурационному π - σ -взаимодействию.

К. В.

77323. Косвенное сверхтонкое взаимодействие в парамагнитных резонансных спектрах ароматических свободных радикалов. Мак-Коннелл (Indirect hyperfine interactions in the paramagnetic resonance spectra of aromatic free radicals. McConnell Hardin M.), J. Chem. Phys., 1956, 24, № 4, 764-766 (англ.)

Произведен расчет величины сверхтонкого взаимодействия (СТВ) спина неспаренного электрона (НЭ) ароматич. свободных радикалов со спином протонов ароматич. кольца (АК). СТВ обусловлено главным образом частичным переходом НЭ в π -состоянии в σ -состояние (см. пред. реф.). Этот переход возникает благодаря сильной обменной связи атомов. Рассматривается следующая модель: 2-электронная связь С—Н образуется электроном С в смешанном (гибридном) $sp^2(\sigma)$ -состоянии и электроном Н в s -состоянии. НЭ находится на π -орбите; последняя образуется p_z -орбитой атома С, перпендикулярной к плоскости σ -орбиты. Поэтому орбитальная часть функции основного состояния $\psi = p_z(1) \sigma(2) (3)$. Спиновая часть удовлетворяет условиям $S_z = \pm 1/2$; S^2 имеет собственное значение $3/4$. Из шести линейных комбинаций $\alpha\alpha\beta$ (α , β — спинорные функции), соответствующих различным состояниям электронов 1, 2, 3, выбран дублет φ_1 и φ_2 , соответствующий основному и возбужденному состояниям фрагмента С—Н; разность энергии ΔW между ними 5-15 эв. В состоянии φ_1 СТВ отсутствует; оно возникает благодаря примеси φ_2 к φ_1 , $\varphi'_1 = \varphi_1 + f\varphi_2$, где $f = -H_{21}/\Delta W$, $H_{21} = \langle \varphi_2 | H | \varphi_1 \rangle$, H — полный гамильтониан системы трех электронов 1, 2, 3. $H_{21} \approx -(V^2/2) J_{\sigma\sigma}$, где $J_{\sigma\sigma} = \int p_z(i) \sigma(i) (e^2/r_{ij}) : p_z(j) \sigma(j) dt_i dt_j$ — обменный интеграл. J можно оценить из данных по атомным спектрам: $J \sim 1 \text{ эв}$ и $f \sim 0,07-0,2$, f определяет меру примеси σ -состояния к π -орбите НЭ. Так как НЭ будет «разделен» между всеми углеродными атомами АК, то нужно взять вместо φ'_1 функцию $\psi_j = \varphi_1 + \rho_j f \varphi_2$, где $\rho_j < 1$; j — номер протона. Уровни спина НЭ расщепляются СТВ типа $K = \Sigma_i \delta(r_{iH}) \cdot S_z(i) I_z$ (r_{iH} — расстояние между электроном i и протоном, I_z — спин ядра); матричные элементы K отличны от нуля благодаря примеси φ_2 к φ_1 : $\langle \varphi_j | K | \varphi_j \rangle \sim \sim \rho_j f |s(0)|^2 I_z$. Расстояние между уровнями $S_z = 1/2$, $I_z = 1/2, -1/2$, определяющее величину сверхтонкого расщепления, равно $\Delta\nu = (2/\sqrt{3}) \cdot (\rho_j f |s(0)|^2) (1420) \text{ Мгц}$; если $\rho_j = 0,1$, $f_j = 0,1$, то $\Delta\nu \sim 10 \text{ Мгц}$, что хорошо согласуется с наблюдаемыми на опыте расщеплениями. Определяя $\Delta\nu$, объясненное СТВ с различными протонами j , можно определить плотность вероятности НЭ у различных атомов углерода АК. Изученный механизм СТВ НЭ с протонами, обусловленный связью π - и σ -электронов, может объяснить также СТВ НЭ с ядрами C^{13} и N^{14} . Автор подчеркивает факт ослабления СТВ благодаря «посредничеству» электронов атома С и называет

f_i — фактором ослабления связи. Применяя развитую теорию к связи удаленных протонов в насыщ. углеводородах, можно найти, что их взаимодействие будет порядка J_0/f^n , где J_0 — энергия связи протонов в молекуле водорода, f — фактор ослабления связи, n — число посредствующих атомов С.

77324. Протонный магнитный резонанс в углеводородах. Поппл (Proton magnetic resonance of hydrocarbons. Popple J. A.), J. Chem. Phys., 1956, 24, № 5, 111 (англ.)

Химическое смещение (ХС) резонансного поля для протонов углеводородов обычно объясняется изменением ионного характера связей (РЖХим, 1954, 32038). Однако ХС для изученных фрагментов — CH_3 , $=\text{CH}_2$, водорода ароматич. кольца (АК) и $\equiv\text{CH}$ не коррелирует с другими свойствами, зависящими от ионного характера связи (частотой вал. кол.). Наблюдаемое ХС может быть объяснено возникновением диамагнитных токов. В случае АК, когда поле H перпендикулярно к плоскости АК, 6 электронов прецессируют по кольцу с частотой $eH/2mc$, создавая ток $3e^2H/2\pi mc$, эквивалентный диполью $3e^2Ha^2/2mc^2$ в центре АК (a — радиус АК). Направление диполя противоположно полю. Диполь создает на протоне поле $3e^2a^2H/2mc^2(a+b)^3$, где b — длина связи С — Н, совпадающая по направлению с внешним полем (положительное смещение). Определяя ХС как $\delta = 10^5 (H_r - H_c)/H_r$, где H_r — резонансное поле для протонов в воде, H_c — в изучаемом в-ве, и оценивая разность δ для бензола и этилена при $a = 1,4 \cdot 10^{-8}$, $b = 1,1 \cdot 10^{-8}$ см, найдена величина $+0,17$ в согласии с наблюдаемой $+0,14$. Подобным образом можно объяснить отрицательное смещение группы $\equiv\text{CH}$: диамагнитный диполь создает на протоне поле, обратное по направлению внешнему полю.

77325. Влияние гидратации на ядерный спиновый резонанс Cl^{35} . Уэрц (Hydration effects in chlorine-35 nuclear spin resonance. Wertz John E.), J. Chem. Phys., 1956, 24, № 2, 484 (англ.)

В водн. р-ре NaCl ширина линии ядерного магнитного резонанса Cl^{35} составляет 0,2 гс. Если считать, что эта ширина обусловлена конечным временем релаксации спин — среда, то добавка парамагнитных ионов (ПИ) в р-р должна расширить линию, так как ПИ создают сильные флуктуирующие магнитные поля. Действительно, добавка ионов Mn^{2+} и Cu^{2+} в конц-ии $\sim 10^{-4}$ М в 3М р-р NaCl расширяет линию и уменьшает интенсивность, а при конц-иях ПИ $\sim 6 \cdot 10^{-3}$ М линия так широка, что резонанс Cl^{35} уже нельзя наблюдать. Найдено, что влияние ПИ убывает в ряду Mn^{2+} , Cu^{2+} , Fe^{3+} , Ti^{3+} , Ni^{2+} , Co^{2+} , Cr^{3+} (1). ПИ $\text{Fe}(\text{CN})_6^{3-}$, вплоть до 1 М, не влиял на резонанс Cl^{35} . Очень мало влияние ионов Nd^{3+} и Sm^{3+} . Ряд (1) не совпадает с соответствующим рядом для протонного резонанса. Если бы не было гидратации, то ряд (1) должен был совпадать с рядом ионов, расположенных в порядке убывания магнитных моментов, т. е. Fe^{3+} и Mn^{2+} , Co^{2+} , Cu^{2+} , Ni^{2+} , Ti^{3+} . Гидратация изменяет этот порядок, поскольку там, где время жизни сольватной оболочки меньше, влияние ПИ увеличивается, так как ионы Cl^- чаще могут подходить к ПИ. Ряд (1) может служить для сравнительной оценки энергий активации, необходимых для разрушения сольватных оболочек. Добавка ионов Cr^{3+} , Co^{2+} , Ni^{2+} и Cu^{2+} сдвигает резонанс Cl^{35} в сторону слабых полей, ионов Sm^{3+} — к сильным полям. Ионы Ti^{3+} , Mn^{2+} , Fe^{3+} и Nd^{3+} не вызывают сдвига.

77326. Ядерный магнитный резонанс в ядрах брома в бромиде аммония. Ито, Ямагата (Nuclear magnetic resonance studies of bromine nuclei in ammonium bromide. Itoh Junkichi, Yamagata Yukio), J. Chem. Phys., 1956, 24, № 3, 621 (англ.)

В интервале t -р от -38 до $+138^\circ$ бромид аммония образует кристаллы типа CsCl (фаза II). В фазе II найдено, что резонансное поле для ядер брома имеет парамагнитное смещение $2,3 \cdot 10^{-4}$ по сравнению с резонансом Br^- в водн. р-ре NaBr, а время релаксации изменяется, как $T_1 = \text{const} \cdot \exp(-E/kT)$. $E = 1800^\circ$ в температурной шкале, что точно совпадает с энергией активации реориентационного движения ионов аммония. Эти результаты можно объяснить, считая, что ион Br^- и ближайшие ионы аммония образуют ковалентную связь (КС) или водородную связь особого типа, когда ион NH_4^+ обращен к Br атомом водорода. Благодаря КС возникает электр. квадрупольное взаимодействие eqQ с ядрами Br (электр. поле на ядрах становится неоднородным). Благодаря реориентационному движению ионов NH_4^+ eqQ изменяется во времени, что обеспечивает релаксацию ядер Br ; поэтому время релаксации T_1 связано с энергией активации E . Степень ковалентности оценивается в 1,8%. В фазе I (выше 138° , решетка типа NaCl) хим. смещение убывает от $1,3 \cdot 10^{-4}$, а T_1 сильно увеличивается для протонов и ядер Br . По-видимому, появляется вращение иона NH_4^+ вокруг одной из осей третьего порядка, что уменьшает число соседей Br , образующих КС. Увеличение T_1 объясняется быстрой переориентацией оси вращения, что вызывает усреднение обеспечивающих релаксацию сил взаимодействия. В фазе III (ниже -38° , тетрагональная структура) резонанс наблюдается только в монокристалле и соответствует переходу $m=1/2 \leftrightarrow -1/2$, смещенному за счет квадрупольного взаимодействия. С понижением t -ра увеличивается степень упорядочения кристалла и возрастает величина eqQ , определяемая из смещения. eqQ для полностью упорядоченного кристалла можно найти из геометрии кристалла и степени КС; эта величина совпадает с вычисленной из смещения в фазе III ($\sim 5,5$ Мгц).

77327. Обзор последних работ лабораторий в Павии в области времен ядерной релаксации. Джулотто (Exposé sur les travaux récents effectués au Laboratoire de Pavia dans le domaine des temps de relaxation nucléaire. Giulotto L.), Arch. sci., 1956, 9, fasc. spécial, 212—228 (франц.)

Обзор. Библ. 12 назв. **77328. О развитии ядерного резонанса во Франции и о достигнутых успехах в экспериментальных методах в США.** Гриве (Regards sur le développement de la résonance nucléaire en France et sur les progrès récents des méthodes expérimentales aux U. S. A. Grivet P.), Arch. sci., 1956, 9, fasc. spécial, 239—269 (франц.)

Обзор. Библ. 38 назв. **77329. Ядерный магнитный резонанс.** Паулс (Nuclear magnetic resonance. Powles J. G.), Sci. Progr., 1956, 44, № 175, 449—471 (англ.)

Обзор. Библ. 15 назв. **77330. Диамагнетизм бензола.** Пако, Лемансо, Жуссо-Дюбен (Le diamagnétisme du benzène. Pascault Adolphe, Lemaureau Bernard, Jousset-Dubien Jacques), C. r. Acad. sci., 1956, 242, № 10, 1305—1306 (франц.)

Измерены главные молярные восприимчивости кристалла бензола при -12° : $\chi_a = (-65,2 \pm 0,9) \cdot 10^{-6}$; $\chi_b = (-37,9 \pm 0,9) \cdot 10^{-6}$; $\chi_c = (-61,3 \pm 0,6) \cdot 10^{-6}$. Одна треть от суммы главных восприимчивостей совпадает с величиной средней восприимчивости.

77331. Оптическая активность спиральных молекул. Фитс, Керквуд (The optical rotatory power of helical molecules. Fitts Donald D., Kirkwood John G.), Proc. Nat. Acad. Sci. U. S. A., 1956, 42, № 1, 33—36 (англ.)

С помощью теории оптич. активности, предложенной ранее (Kirkwood J. G., J. Chem. Phys., 1937, 5, 479), вычислена оптич. активность бесконечно длинной спиральной макромолекулы (в частности, полипептидной).

Рассматривается праввинтовая спираль, у-ния которой имеют вид: $x = a \cos \theta$, $y = a \sin \theta$, $z = b\theta$. Предполагается, что тензоры поляризуемости групп симметричны по отношению к касательной К спирали и что распределение поляризуемости по спирали можно считать непрерывным. Интегрирование у-ний Кирквуда, связывающих гирацию g с поляризуемостями атомных групп и геометрией молекулы, по рассматриваемой спирали даёт $g = [\alpha_1^2 \beta^2 \gamma \nu / 12\pi a^2 (1 + \gamma^2)^2] \cdot \int_0^\infty f(\theta) d\theta$, где α_1 — поляризуемость, приходящаяся на один оборот спирали, β — анизотропия поляризуемости, $\gamma = b/a$, ν — число оборотов спирали, а $f(\theta)$ — функция от θ и γ . Применение этой ф-лы к типичной α -спирали, на один оборот которой приходится 3,69 аминокислотных остатков, даёт $g = 1,15 \cdot 10^{-3} \alpha_1^2 \beta^2 \nu^2$, откуда удельное вращение для D-линии Na $[\alpha]_D = 567 \alpha_1^2 \beta^2 (n^2 + 2) / 3m$ (n — показатель преломления р-ра, $m = M/\nu$, M — мол. вес). С помощью последней ф-лы рассчитано $[\alpha]_D$ для гипотетич. α -спирали полиглицина (единственного полипептида, не содержащего асимметричных атомов углерода) в водн. р-ре с $n = 1,35$ $[\alpha]_D = +132^\circ$. Эксперим. данные по оптич. активности полипептидов нельзя сравнивать с предложенной теорией, так как полипептиды представляют собой смесь правых и левых спиралей.

77332. Энергии и радиусы взаимодействия между сильно полярными молекулами и окружающим роем диполей. Липперт (Wechselwirkungsenergien und Wechselwirkungsradialen zwischen stark polaren Molekülen und Dipolschwärmen. Lippert Ernst), Z. Phys. Chem. (DFR), 1956, 6, № 1-2, 125—128 (нем.)

По соотношению Онзагера $W = (2\mu^2/a^3)[(\epsilon - 1)/(2\epsilon - 1)]$ вычислены энергии взаимодействия возбужденных молекул n -нитро- n - и n -циано- n -диметиламиностильбена с молекулами полярного р-рителя (o -дихлорбензол, n -бутилхлорид). При расчете использовались значения дипольных моментов рассматриваемых молекул в возбужденных состояниях, приведенные в предыдущей работе (РЖХим, 1956, 42358). Вычисленные значения хорошо согласуются с данными по энергиям взаимодействия, полученными при изучении температурной зависимости положения полос флуоресценции этих соединений, растворенных в смесях полярных р-рителей с неполярными. При этом предполагалось, что число молекул полярного р-рителя, находящихся на поверхности молекулы растворенного в-ва, определяется зависимостью типа соотношения Ленгмюра.

77333. Природа водородной связи. II. Влияние образования водородной связи и других типов взаимодействия растворителя с растворенным веществом на форму и интенсивность полосы OH в инфракрасном спектре фенола. Цубокура (Nature of the hydrogen bond. II. The effect of hydrogen bonding and other solute-solvent interactions upon the shape and intensity of the infrared OH band of phenol. Tsubokura Hiroshi), J. Chem. Phys., 1955, 23, № 11, 2130—2133 (англ.)

Измерено положение, интенсивность и ширина полосы OH в ИК-спектре фенола (I), растворенного в малом количестве (0,008—0,03 моль/л) CCl_4 или n -гептане с добавкой протоноакцепторных соединений. В качестве последних использовались этиловый эфир, этилацетат, ацетонитрил и гексаметиленetetрамин. Показано, что параметры полосы OH мало зависят от конц-ии протоноакцепторного соединения (вплоть до $\sim \leq 2$ моль/л). При более высоких конц-иях последнего наблюдается уширение полосы и увеличение ее интегральной интенсивности, связываемое с электростатич. и ван-дер-ваальсовым взаимодействием молекул акцептора с комплексом, образованным за счет водородной связи. Подчеркивается, что эти изменения меньше тех, которые имеют место при образовании водородной

связи. Найдены значения констант образования водородной связи между I и всеми акцепторами. Большое значение ΔH , полученное для комплекса I с гексаметилентетрамином, является подтверждением ранее высказанного предположения о роли миграции заряда при образовании водородной связи (Сообщение I, РЖХим, 1956, 38740), поскольку такие сильные основания должны стабилизировать донорную связь типа $H-Y^+v$ в комплексе $R-O-H \cdot Y$. Автор замечает, что изменения положения полосы OH, участвующей в водородной связи, в зависимости от конц-ии акцептора не находятся в строгом соответствии с ходом константы диссоциации комплекса с водородной связью.

77334. Молекулярная ассоциация и протонный резонанс в пропионовой кислоте. Бхар, Линдстрём (Molecular association and proton resonance in propionic acid. Bhar B. N., Lindström G.), J. Chem. Phys., 1955, 23, № 10, 1958—1959 (англ.)

Исследован спектр протонного магнитного резонансного поглощения пропионовой к-ты (I) и ее водн. р-ров при 3285 гс. Для димеров I обнаружены 2 пика, из которых один при более низком значении приложенного магнитного поля обусловлен протонами группы $COOH$, а другой — протонами групп CH_3 и CH_2 . При разбавлении пик, обусловленный группами $COOH$ и группами OH воды, смещается в сторону более высоких значений приложенного магнитного поля, и при конц-ии 50 об. % имеет место нерегулярность в смещении, так же как и в случае уксусной к-ты. На кривой зависимости расстояния между пиками CH и OH от конц-ии наблюдается перегиб. Авторы предполагают, что такое явление будет иметь место и для других в-в, существующих в ассоциированном состоянии в жидкой фазе, при изменении степени ассоциации в активном р-рителе.

77335 К. Ядерный парамагнитный резонанс. Дипольные и квадрупольные моменты. Гриве, Габийар, Эйан, Сутиф, Экстерман, Бюль-Боден, Бен, Дени (La résonance paramagnétique nucléaire. Moments dipolaires et quadrupolaires. Grivet P., Gabillard R., Ayant Y., Soutif M., Extermann J. C., Buyle-Bodinn M., Bene G. J., Denis P. M. Paris. Centre Nat. Rech. Scient., 1955, 302 p.) (франц.)

77336 К. Инфракрасный спектр и химическое строение. Беллами (Ultrarot-Spectrum und chemische Konstitution. Bellamy L. J., Übers. aus dem Engl. Darmstadt. Dr. D. Steinkopff, 1955, XV, 300 S., ill., 24.—DM) (нем.)

См. также: Структура молекулы: неорганич. 77840, 77842, 77845; органич. 77935; по рентген. данным 77358, 77361, 77363, 77373, 77377, 77383—77385. Энергия связей 77844. Спектры 77399—77401, 77685, 77860, 77947, 77948, 77958, 77974, 78019. Дипольные моменты и диэлектрич. св-ва 77477, 77478. Магнитные св-ва 77442. 77443, 77448, 77821. Реакционная способность 77569, 77944, 77946, 77950, 77959. Межмол. взаимодействие и водородная связь 77519, 77675. Др. вопр. 77254, 77389, 77390, 78033

КРИСТАЛЛЫ

77337. Статистический метод определения знаков структурных факторов. Симерская (A statistical method for the determination of the signs of structure factors. Simerska Marie), Чехосл. физ. ж., 1956, 6, № 1, 1—7 (англ.; рез. русс.)

Выведена ф-ла среднего значения произведения произвольного числа m единичных амплитуд с постоянной суммой индексов. Ф-ла может быть использована для установления статистич. методом знаковых связей структур-

ных амплитуд для кристаллов как с одинаковыми, так и с разными атомами. Для рассмотренных частных значений $m \leq 4$ выведенная ф-ла дает либо тривиальные результаты, либо аналоги ранее известных статистич. соотношений. Надежность установления знаков с помощью выведенной ф-лы продемонстрирована на известных структурах β -Se и метаборной к-ты. Статистич. соотношение выполняется для произведений с достаточно большими единичными амплитудами. Т. Т.

77338. Некоторые соотношения между структурными факторами. Буллоу, Крукшанк (Some relations between structure factors. Bullough R.K., Cruickshank D. W. J.), Acta crystallogr., 1955, 8, №1, 29—31 (англ.)
См. РЖФиз, 1956, 22613.

77339. О некоторых возможностях устранения ошибок при прецизионном определении параметров элементарной ячейки кристаллов. Иевиньш А. Ф., Шварц Е. М., Latvijas PSR zinātņu akadēmijas Vēstis, Изв. АН ЛатвССР, 1956, № 2, 117—126 (рез. лат.).

Показана возможность прецизионного определения параметров решетки при применении неточных камер и асимметрич. метода. Для исключения ошибки, вызванной наличием эксцентриситета между осью камеры и осью вращения препарата, предлагается ввести поправочный коэф. K , вычисляемый для данной камеры по ф-ле: $\alpha/2 = \Delta\varphi = -p \cos \Omega / R \cos \varphi \sin \varphi = K \cos \varphi \sin \varphi$, где α — смещение интерференций, определяемое экспериментально из двух снимков одного и того же в-ва с поворотом крышки камеры на 180° , R — радиус камеры, p и $\cos \Omega$ — величины, характеризующие величину эксцентриситета. В неточной камере получены порошковые граммы Al, Fb и LiF. Коэф. K вычислен по порошковой грамме Al. С помощью этого коэф. скорректированы углы остальных порошковых граммов и вычисленные постоянные a . Они совпали с соответствующими постоянными, полученными в точных камерах. Применение микрофотометра для определения координат середины линии дифракции, как показали измерения порошковых граммов NaCl, NaF, LiF, TiCl₃, Al, Sn, Bi и Mg, особых преимуществ перед визуальным методом не имеет, но с помощью микрофотометра получаются более близко совпадающие результаты, чем при визуальном измерении. У. А.

77340. Метод подсчета структурных факторов. Роз, Эрпен (Une méthode de calcul des facteurs de structure. Rose A.-J., Herpin P.), Bull. Soc. franç. minéral. et cristallogr., 1956, 79, № 1-3, 178—179 (франц.)
Сообщается об использовании для расчета 3-мерных рядов Фурье счетной машины, принципы которой были описаны ранее (Rose A.-J., J. rech. Centre nat. rech. Scient., 1948, № 7, 139). Машина автоматически выполняет подсчет ряда $\sum_h \sum_k \sum_l A(hkl) \sin(\cos) [hx + ky + lz]$ для всех значений x в интервале от 0 до 1 при постоянных y и z и заданных на перфолене $A(hkl)$ и hkl . Машина может быть использована для подсчета атомных факторов, т. е. ряда вида $\sum_j f_j \sin(\cos) [hx_j + ky_j + lz_j]$. Здесь задаются x_j, y_j, z_j и подсчет ведется для всех hkl с постоянными k, l и h , пробегающими все значения от 0 до 64. Промежуточные результаты суммирования тригонометрич. части записываются машиной для последующего умножения на f_j для каждого сорта атомов. Т. Т.

77341. О штрипсовых методах подсчета синтезов Фурье в структурном анализе кристаллов. Белов Н. В., Тархова Т. Н., Кристаллография, 1956, 1, № 1, 132—136

Описан новый тип штрипсов, получившихся из обычных заменой всех отрицательных чисел штрипсов их дополнениями до 100. Подсчет синтезов на таких штрипсах снижает напряжение у работающего за счет замены операций сложения и вычитания одним сложением. Приведен

ные схема и таблицы косинусов и синусов для амплитуды 100 и l от 1 до 30 при шестидесятиричном разделении оси позволяют изготовить штрипсы нового образца для любых значений амплитуд. Т. Т.

77342. Номографический метод подсчета структурных факторов. Белов Н. В., Тархова Т. Н., Кристаллография, 1956, 1, № 2, 235—238

Новый тип номограмм для подсчета геометрич. структурных факторов с аргументом $\cos(\sin)$ -функций в виде суммы (РЖХим, 1955, 7057) оказался весьма полезным и в тех случаях, когда можно пользоваться логарифмич. номограммами. Подробно излагаются способ построения такой номограммы и правила пользования ею на примере целого ряда пространственных ромбич. фтороскопических групп. Т. Т.

77343. Номограмма для подбора излучений при прецизионных измерениях параметра кубической решетки. Герурикен С. Д., Наук. зап. Київськ. ун-т, 1955, 14, № 8, 83—86

Предлагаемая номограмма позволяет выбрать наиболее подходящую длину волны из числа K_α и K_β для Cr, Fe, Mn, Co, Ni, Cu и Zn, а также найти соответствующее отражение hkl , которое при данной λ имеет угол θ , максимально приближающийся к 90° . Номограмма пригодна только для кусоч. кристаллов с величиной параметра a в пределах 2,8—6,0 кХ. При использовании номограммы необходимо знание приближенных значений a . Ю. П.

77344. Определение лауэ-класса и ориентации неограниченного кристалла по одному снимку неподвижного кристалла в полихроматическом излучении. Заславский А. И., Рогачев Д. Л., Кристаллография, 1956, 1, № 2, 159—164

Определение ориентировки кристалла и класса рентгеновской дифракционной симметрии нового минерала, названного «розовым пластинчатым Fe-силикатом», проведено методом «рентгеновской гониометрии». Для построения проекции применен один полихроматич. снимок, полученный в цилиндрич. кассете. Определение по точкам рентгенограммы углов проекции проецилось графически с помощью спец. сетки (Henri N. F. M. и др., The Interpretation of X-ray Diffraction Photographs, London, 1951). Указаны математич. выражения, позволяющие по координатам точки на рентгенограмме вычислять соответствующие сферич. углы. Для наглядности предложено вместо построения стереографич. проекции на плоскости пользоваться проекцией на сфере. М. У.

77345. Применение теоремы свертки для вывода формулы температурного фактора. Вайнштейн Б. К., Кристаллография, 1956, 1, № 1, 137—138

Дан вывод ф-лы атомотемпературного фактора с помощью теоремы свертки. Отмечается, что теорема свертки может быть применена как для вывода ранее известных результатов более простым путем, так и для получения новых результатов в теории рассеяния и структурного анализа кристаллов. Т. Т.

77346. Одномерный полиморфизм. Шнир (Polymorphism in one dimension. Schneer Cecil J.), Acta crystallogr., 1955, 8, № 5, 279—285 (англ.)
См. РЖФиз, 1956, 13369.

77347. Рентгенографическое исследование структуры отливки алюминия высокой чистоты с точки зрения анизотропии скорости роста кристалла. И. Такаки, Кояма (X-ray studies on the cast structure of high purity aluminium in the light of anisotropy of the rate of crystal growth. (I). Takaki Hideo, Koyama Masahige), Bull. Inst. Chem. Res., Kyoto Univ., 1955, 33, № 4, 144—152 (англ.)

77348. Кристаллографические соотношения в стареющих сплавах Cu—Fe. Боулз, Тегарт (Crystallographic relationships in aged copper-beryllium alloys.

Bowles J. S., Tegart W. J. McG), Acta metallurgica, 1955, 3, № 6, 590—597 (англ.; рез. франц., нем.)

77349. Структурные соотношения CuAl_2 и продуктов выделения сплавов Al—Cu. Делигер, Пфлейдерер (Strukturbeziehungen des CuAl_2 und der Ausscheidungsgitter von Aluminium-Kupfer-Legierungen. Dehlinger Ulrich, Pfeleiderer Hans), Z. Metallkunde, 1956, 47, № 4, 229—231 (нем.; рез. англ.)

77350. Кристаллическая структура дейтеридов иттербия и европия. Корст, Уорф (The crystal structure of the deuterides of ytterbium and europium. Korst William L., Warf James C.), Acta crystallogr., 1956, 9, № 5, 452—454 (англ.)

По ранее описанному методу (РЖХим, 1954, 17127) получены Yb и Eu, а затем их дейтериды с максим. содержанием D, соответст. составам $\text{YbD}_{1.93}$ (I) и $\text{EuD}_{1.95}$ (II). Так как дебаграммы I и гидридов щел.-зем. элементов подобны, для I предположена ф. гр. $Pnma$ и рассчитана интенсивность всех линий в предположении, что Yb занимает положение 4(c) с $x = 0,240$; $z = 0,110$. После индиферирования найдено: a 5,871, b 3,561, c 6,763 ($\pm 0,005$ А). Для II a 6,21, b 3,77, c 7,16 ($\pm 0,02$ А). Л. К.

77351. Высокотемпературное рентгенографическое изучение окислов урана в области UO_2 — U_3O_8 . Грэнволл (High-temperature X-ray study of uranium oxides in the UO_2 — U_3O_8 region. Grönwald Fredrik), J. Inorg. and Nuclear Chem., 1955, 1, № 6, 357—370 (англ.)

Окислы состава в интервале UO_2 — U_3O_8 получены нагреванием соответствующих смесей UO_2 и U_3O_8 (с интервалом 0,05 атома О на атом U) при 1000° в эвакуированной запаянной кварцевой трубке. Рентгенографические при комнатной т-ре найдены фазы: UO_2 , U_4O_9 и U_3O_{8-x} . Получены значения параметров решеток: $\text{UO}_{2.00}$ a 5,4704; $\text{UO}_{2.20}$ a 5,4462; $\text{UO}_{2.25}$ a 5,4411 $\pm 0,0008$ А (при $20 \pm 2^\circ$). Несколько слабых линий на снимке U_4O_9 показывают, что атомы U располагаются не точно в центрах граней. Состав фазы U_3O_{8-x} находящейся в равновесии с U_4O_9 , близок к $\text{UO}_{2.61 \pm 0,01}$. Параметры решетки $\text{UO}_{2.667}$ a 6,7198 $\pm 0,0012$, b 3,9831 $\pm 0,0015$, c 4,1462 $\pm 0,0008$. Приведены данные для $\text{UO}_{2.40}$, $\text{UO}_{2.633}$, $\text{UO}_{2.65}$. Измерения ρ в интервале UO_2 — U_3O_8 дали: UO_2 10,793; U_4O_9 11,159; $\text{UO}_{2.633}$ 8,408; $\text{UO}_{2.967}$ 8,378.

Предел гомогенности фазы UO_2 при 960° достигает $\text{UO}_{2.20}$. Параметр решетки UO_2 изменяется от 20 до 946° по ф-ле: $a_t = 5,4704 [1 + 10,8 \cdot 10^{-6} (t - 20^\circ)] \pm 0,0004$. Образцы составов $\text{UO}_{2.30}$, $\text{UO}_{2.40}$, $\text{UO}_{2.50}$ в интервале т-р 20 — 950° состоят из фаз U_4O_9 и U_3O_{8-x} . Нижним пределом гомогенности фазы U_3O_{8-x} при 250° является $\text{UO}_{2.60}$. Образцы $\text{UO}_{2.967}$ при 500° не являются гексагональными в отличие от данных, полученных ранее (РЖХим, 1956, 3625), но их отклонения от гексагональной симметрии незначительны. Л. К.

77352. Полуторный окисел индия, In_2O_3 . Старицкий (Indium sesquioxide, In_2O_3 . Staritzky Eugene), Anal. Chem., 1956, 28, № 4, Part 1, 553 (англ.)

In_2O_3 получался окислением металлич. In. Структура его относится к типу Ti_2O_3 , a 10,105 $\pm 0,0010$ А, $n = 16$, ρ (рент.) 7,143, ф. гр. $Ia\bar{3}$. Показатель преломления 2,08 (λ 5893 А). Кристаллы бесцветны. Приведены данные порошковых (I и d). Р. О.

77353. Изменения параметров решетки Cr_2O_3 вблизи температуры Кюри. Гринволд (Changes in lattice constant of Cr_2O_3 near the Curie temperature. Greenwald Selma), Nature, 1956, 177, № 4502, 286—287 (англ.)

Дополнительное рентгенографич. исследование (Greenwald S., Nature, 1951, 168, 379) изменения параметров

кристаллич. решетки Cr_2O_3 при переходе через антиферромагнитную точку Кюри (по магнитным измерениям $\approx 38^\circ$). Применялся диффрактометр «Норелко». Параметр c в переходной области (≈ 10 — 45°) возрастает линейно при понижении т-ры, параметр a , напротив, нелинейно уменьшается; c/a уменьшается; ромбоэдрич. угол уменьшается резко. При 95°K a 4,944, c 13,599 А. Р. О.

77354. Полуторный окисел неодима, Nd_2O_3 , форма А. Дуглас (Neodymium sesquioxide, Nd_2O_3 , form A. Douglass R. M.), Anal. Chem., 1956, 28, № 4, Part 1, 551—552 (англ.)

А-форма Nd_2O_3 (I) получалась путем плавления С-формы в кислородно-ацетиленовом пламени (3000 — 3500°). Последняя получалась прокаливанием продажного $\text{NH}_4\text{Nd}(\text{NO}_3)_4$ в электрич. печи при $815 \pm 20^\circ$ в течение 72 час. Существование В-формы I не подтверждается. Исследованные кристаллы I относятся к тригональной сингонии. Спайность по {0001}; a 3,841, c 6,002 А, $n = 1$, ρ (рент.) 7,27, ф. гр. $P\bar{3}m1$. Оптич. данные: кристаллы светлоголубые, одноосные, отрицательные, n_p 2,11, n_z 2,10 (для λ 5893 А). Приведены данные порошковых (I и d) и спектра поглощения (λ и I). Р. О.

77355. Полуторный окисел самария Sm_2O_3 , форма В. Дуглас, Старицкий (Samarium sesquioxide, Sm_2O_3 , form B. Douglass R. M., Staritzky Eugene), Anal. Chem., 1956, 28, № 4, Part 1, 552 (англ.)

Ранее было показано, что форма В является одной из трех полиморфных модификаций полуторных окислов редкоземельных элементов (Goldschmidt V. M., Ulrich F., Barth T., Skifter Norske Videnskaps-Akad. Oslo, I, Mat-Nat. Kl. 1925, № 5, 5). Кристаллы формы В для Sm_2O_3 получены нагреванием Sm_2O_3 в кислородно-ацетиленовом пламени (3000 — 3500°). Параметры решетки: a 14,17, b 3,63, c 8,84 А, β 99,96°, $n = 6$, веюятные ф. гр. $C2/m$, $C2$, Cm . Оптич. свойства: n_p 2,070, n_m 2,093, n_g 2,095, $2V$ 29,5°. Приведены данные индиферирования порошковых. Е. Ш.

77356. Бориды редкоземельных металлов. Пост, Москвитин, Глейзер (Borides of rare earth metals. Post B., Moskowitz D., Glaser F. W.), J. Amer. Chem. Soc., 1956, 78, № 9, 1800—1802 (англ.)

Бориды редкоземельных металлов, полученные нагреванием различных по составу смесей окислов металлов с В и С при 1500 — 1800° в атмосфере H_2 , изучены методом порошка. Наиболее устойчивы бориды типа MB_6 (структурный тип CaCl_2) с a : LaB_6 4,153; PrB_6 4,130; SmB_6 4,129; GdB_6 4,110; YbB_6 4,140; ThB_6 4,110 А. Бориды типа MB_2 получить не удалось. Бориды типа MB_4 кристаллизуются в тетрагональной сингонии с параметрами: PrB_4 a 7,20; c 4,11; SmB_4 7,12; c 4,07; GdB_4 7,12; c 4,05; YbB_4 7,01; c 4,00 А, изоморфны CeB_4 , ThB_4 и UB_4 . На некоторых снимках найдены линии фазы MB_x (с $x = 3$ или 4), которые могут быть индиферированы в тетрагональной сингонии с периодами: LaB_x 3,82; c 3,93; PrB_x 3,81; 3,81; GdB_x 3,79; 3,63, YbB_x 3,77, 3,56 А. Возможно, что эта фаза стабилизируется примесью С. Л. К.

77357. Политипные кристаллы синтетического сульфид цинка. Строк, Брофи (Synthetic zinc sulfide polytype crystals. Strock Lester W., Brophy Vincent A.), Amer. Mineralogist, 1955, 40, № 1—2, 94—106 (англ.)

См. РЖФиз, 1956, 13336.

77358. Рентгеноструктурное исследование кристаллов $\text{InF}_3 \cdot 3\text{H}_2\text{O}$. Бокий Г. Б., Ходашова Т. С., Кристаллография, 1956, 1, № 2, 197—204

Кристаллы $\text{InF}_3 \cdot 3\text{H}_2\text{O}$ представляют собой бесцветные четырехгранные иглы. Оптич. данные: псевдоодноосность, n_p 1,425, n_m 1,430. Элементарная ячейка псевдотетрагональная, $a = b = 7,88$, c 4,13 $\pm 0,05$ кХ, β 90° \pm 0°10', ρ 2,83, $n = 2$, ф. гр. $P2/n$ (ось 2 параллельна z). Первое

начальные данные о положении атомов в структуре получены из проекции Паттерсона, а уточнение проводилось по проекции электронной плотности на (100). Рентгенографически различимые F и H₂O распределены в структуре на основании кристаллохим. анализа. Положение атомов: In в (c) (0,00, 0,500, 0,335); H₂O₍₁₎ в (a) (0,00, 0,00, 0,061); H₂O₍₂₎ в (g) (0,742, 0,117, 0,290); F₍₁₎ в (c) (0,00, 0,500, 0,835); F₍₂₎ в (g) (0,113, 0,261, 0,335). Структура координационная, не содержащая изолированных комплексов. In окружен октаэдрически: 4F + 2H₂O. Октаэдры образуют одномерные цепочки вдоль оси z. Связь между октаэдрами осуществляется через общие атомы F. Молекулы H₂O₍₂₎ образуют бесконечные цепочки вдоль оси z. Последние соединяются между собой молекулами H₂O₍₁₎ в гофрированные сетки, параллельные (110). Молекулы H₂O_(1,2) имеют тетраэдрич. координацию. Межатомные расстояния: In—F₍₁₎ 2,07, In—F₍₂₎ 2,08 (меньше суммы ионных радиусов, равной 2,27, по мнению авторов, за счет полярности; координационное число атомов F—2); In—H₂O₍₂₎ 2,13; H₂O₍₁₎—H₂O₍₂₎ 2,67; H₂O₍₂₎—H₂O₍₂₎ 2,73 и 3,19 Å. Отмечается связь между исследуемой структурой и PbO.

Р. О. 77359. К кристаллографии обезвоживания гидрагилита. Зальфельд (Zur Kristallographie der Hydrargillit-Entwässerung. Saalfeld Horst), Naturwissenschaften, 1956, 43, № 7, 155—156 (нем.).

Целью исследования было проследить кристаллохимический процесс обезвоживания гидрагилита (I) в гидротермальных условиях (270°, 70 атм) при его превращении в сѐмит (II). Согласно рентгенограммам существуют две преимущественные ориентации образующихся кристалликов II относительно кристаллов исходного I: 1) ось b II параллельна оси c I, 2) ось b II параллельна направлениям [021] или [021]. Это обусловлено близостью периодов чередования атомов и атомных плоскостей вдоль соответствующих направлений при указанных взаимных ориентациях кристалликов обоих минералов.

Б. 3. 77360. Об амидах и нитридах металлов. Сообщение 29. Кристаллическая структура амида натрия. Юца, Вебер, Опп (Kristallstruktur des Natriumamids. 29. Mitteilung. Über Metallamide und nitride. J. u. R. Robert, Weber Hans Hermann, Opp Karl), Z. anorgan. und allgem. Chem., 1956, 284, № 1—3, 73—82 (нем.).

Подробное изложение материала, опубликованного в предыдущем сообщении (РЖХим, 1956, 190).

Л. К. 77361. Структура ферромагнитных ферритов редких земель. Берто, Форра (Structure des ferrites ferromagnétiques des terres rares. Bertaut Félix, Forrat Francis), C. r. Acad. sci., 1956, 242, № 3, 382—384 (франц.).

В результате обсуждения причины спонтанной намагниченности (СН) ферритов редкоземельных элементов, в частности FeCdO₃, авторы приходят к выводу о правильности точки зрения Неэля (РЖХим, 1955, 42508) и об ошибочности утверждения, что СН в исследуемых ферритах редких земель обуславливается структурой типа перовскита (Guilot—Guillain G., C. r. Acad. sci., 1951, 232, 1832). Для подтверждения этого предположения проведено рентгеноструктурное исследование феррита Cd с более высоким содержанием Fe₂O₃, чем соответствующее составу 1:1. При систематич. повышении доли Fe вместо перовскитной фазы постепенно начинает появляться новая фаза, структура которой описывается ф-лой $n\text{Fe}_2\text{O}_3 \cdot \text{Cd}_2\text{O}_3$ с n, несколько меньшим 2. Структурным исследованием для этой фазы установлена ф-ла $5\text{Fe}_2\text{O}_3 \cdot 3\text{Cd}_2\text{O}_3$ с куб. центрированной решеткой, a 12,44 Å; Z = 8 (Fe₅Gd₃O₁₃), ф. гр. Ia3d.

Атомы Fe занимают положение 16(a) и 24(d), атомы Cd 24(c). Атом Fe(a) имеет 6 соседей Fe(d) или Cd(c) в вершинах октаэдра на расстоянии $a\sqrt{5/8} = 3,48$ Å. Атом Fe(d) или Cd(c) имеет 4 соседей Fe(a) в вершинах тетраэдра. Кроме того, каждый атом Fe(d) или Cd(c) окружен по тетраэдру 4 атомами того же сорта на расстояниях $a\sqrt{6/8} = 3,81$ Å. Наиболее короткое расстояние Fe(a)—Fe(a) равно $a\sqrt{5/4} = 5,39$ Å. Атомы O занимают полжения 96(h) с параметрами x = 0,142, y = —0,038, z = 0,052. Атомы Fe(a) находятся в правильных октаэдрах (Fe—O 1,94 Å), атомы Fe(d) находятся в тетраэдрах (Fe—O 1,84 Å), атом Cd(24 c) окружен 8 атомами O (Cd—O 2,51 Å). Установлено, что эта структура изотипна гранатам A₂F₃(SiO₄). Исследовались также другие в-ва с ф-лой Fe₅P₃O₁₃ с B = Er, Y, Dy, Cd, Y_{0,5}Nd_{0,5}, Sm. Параметр a этих в-в менялся по мере роста атомного радиуса иона B от 12,33 до 12,52 Å. Авторы считают, что наличие в исследованной куб. фазе атомов Fe двух сортов: (a) и (d) подтверждает правильность точки зрения Неэля о причине спонтанной намагниченности этих соединений.

Г. Г. 77362. Строение комплексных фторидов. I. Гексафторосмат калия KOsF₆. Хепуэрт, Джэкс, Уэстленд (Structures of complex fluorides. I. Potassium hexafluoro-osmate (V), KOsF₆. Herworth M. A., Jack K. H., Westland G. J., J. Inorg. and Nuclear Chem., 1956, 2, № 2, 79—87 (англ.).

Из дебаергамм KOsF₆ (I) определены параметры ромбоэдрич. решетки I: a 4,991 ± 0,001 Å, a 97,18 ± 0,02°, n = 1, ф. гр. R3̄. Координаты атомов: Os 0,0,0; K 1/2 1/2 1/2; 6F ± (x, y, z), ± (z, x, y), ± (y, z, x) с x 0,717 ± 0,005, y 0,789 ± 0,005 и z 0,103 ± 0,005. Структура I может быть описана как деформированная решетка типа CsCl, содержащая ионы K⁺ и искаженные (сжатые по оси 3) октаэдры OsF₆[—]; она сходна с известной для BaXF₆, где X = Si, Ge, Ru(4+). TlSbF₆ и MRuF₆, где M = K, Rb, Cs (РЖХим, 1956, 3642), обладающих более высокой симметрией R3̄m. В октаэдрах OsF₆[—] в структуре I расстояния Os—F 1,82, F—F 2,48 (2) и 2,66 (2) Å. Атомы K окружены 12 F с расстояниями K—F 2,84 и 3,17 Å; расстояние F—F из разных комплексов 2,87 Å; наименьшее расстояние K—Os 3,74 (2) Å. Эта структура может наблюдаться при отнесении радиусов M и F, близком к 1. NaOsF₆ образует моноклинные кристаллы с параметрами решетки: a 4,88, b 2,68, c 4,41 Å, β 93,4°; сходную структуру имеет и AgOsF₆. Для ряда других комплексов найдены ромбоэдрич. ячейки с параметрами a и α: KRuF₆ 4,97, 97,4°, RbRuF₆ 5,07, 96,9°, CsRuF₆ 5,25, 96,3°; BaRuF₆ 4,89, 97,9°; CsOsF₆ 5,28, 96,1°; KIrF₆ 4,98, 97,4°; CsIrF₆ 5,27, 96,2°; BaIrF₆ 4,90, 97,8°. Размеры ячеек близки к ожидаемому для типа BaSiF₆, но результаты точных измерений интенсивности несовместимы, по крайней мере для части этих в-в, с ф. гр. R3̄m. Синтез в-в см. РЖХим, 1955, 13789; 1956, 61263.

И. Р. 77363. Кристаллическая структура гексахлороадрата калия. Бергерхофф, Шмиц—Дюмон (Die Kristallstruktur des Kaliumhexachloroocadmate (II). Bergerhoff Günter, Schmitz—Dumont O.), Z. anorgan. und allgem. Chem., 1956, 284, № 1—3, 10—19 (нем.).

При рентгенографич. изучении K₄CdCl₆ (I), (NH₄)₄ × × CdCl₆ (II) и Rb₄CdCl₆ (III) применялся метод порошка (для I—также методы вращения и Вейсберга). Параметры ромбоэдрич. решетки: I a 8,53 кХ, α 90°, ρ 2,52; Z = 2, ф. гр. R3̄c; II 8,75, 89° 10'; III 8,70, 88° 46'. Структура I определена построением проекции электронной плотности вдоль гексагональной оси c и ребра ромбоэдра a. Структура I содержит цепи из окта-

эдров $[\text{CdCl}_6]^{4-}$, соединенных ионами K^+ вдоль оси c . Остальные ионы K^+ располагаются в пустотах, образованных ионами Cl^- трех соседних цепей. Координаты атомов: $\text{K}_{(1)}$ в 2 (a), $\text{K}_{(2)}$ в 6 (e) с $x = 0,634$; Cd в 2 (b); Cl в 12 (f), $x = 0,117$, $y = 0,267$, $z = 0,918$. Межатомные расстояния (в к X) $\text{Cd}-\text{Cl}$ 2,63; $\text{K}_{(1)}-\text{Cl}$ 3,08; $\text{K}_{(2)}-\text{Cl}$ 3,16—3,44; $\text{Cl}-\text{Cl}$ 3,7—4,5. Л. К.

77364. Пентагидрат сульфата неодима $\text{Nd}_2(\text{SO}_4)_3 \cdot 5\text{H}_2\text{O}$ Старицкий, Кромер (Dineodymium trisulfate pentahydrate, $\text{Nd}_2(\text{SO}_4)_3 \cdot 5\text{H}_2\text{O}$. Staritzky Eugene, Cromer Don T.), *Analyt. Chem.*, 1956, 28, № 4, Part 1, 555 (англ.)

Проведено морфологическое исследование кристаллов $\text{Nd}_2(\text{SO}_4)_3 \cdot 5\text{H}_2\text{O}$, полученных из р-ра $\text{Nd}_2(\text{SO}_4)_3$ в конц. серной к-те. Кристаллы принадлежат к моноклинной сингонии, призматич. виду симметрии. Параметры решетки: a 15,75, b 9,61, c 10,24 Å, β 120,3°, $n = 4$, ф. гр. C 2/c. Оптич. свойства: $n_p = 1,582$, $n_m = 1,600$, $n_g = 1,608$, $2V = 66^\circ$. Приведены данные индиференции дебаеграммы. Е. III.

77365. Обсуждение структур гексагональной модификации титаната бария и двуокиси титана. Ваусден (An explanation of the structures of hexagonal barium titanate and titanium dioxide. Vonsden P.), *Acta crystallogr.*, 1956, 9, № 2, 141—142 (англ.)

Возможность реализующегося в гексагональной модификации BaTiO_3 (I) сочленения октаэдров TiO_6 по их граням объясняется полуполярным характером связи $\text{Ti}-\text{O}$; наличие не чисто ионных сил, действующих внутри октаэдров TiO_6 , определяет умеренное взаимное отталкивание атомов Ti , которое допускает указанное сочленение Ti -октаэдров друг с другом. В результате сопоставления расстояний $\text{Ti}-\text{O}$ и $\text{Ba}-\text{O}$ в структуре I и структуре кубич. BaTiO_3 с идеальными (сумма гольдшмидтовских радиусов) межатомными расстояниями автор устанавливает, что в случае I расстояния катион — анион ближе к идеальным; указанное обстоятельство, по мнению автора, определяет большую устойчивость структуры I. Характерные структурные особенности (способы сочленения Ti -октаэдров) модификаций TiO_2 рассматриваются подобным же образом, исходя из полуполярной природы сил внутри Ti -октаэдров, причем наибольшее внимание уделяется изменению углов между связями $\text{Ti}-\text{O}-\text{Ti}$. Ю. П.

77366. Рентгенографическое исследование системы $\text{KF}-\text{MgF}_2$. Реми, Хансен (Röntgenographische Untersuchung des Systems $\text{KF}-\text{MgF}_2$. Remy Heinrich, Hansen Franz), *Z. anorgan. und allgem. Chem.*, 1956, 283, № 1—6, 277—286 (нем.)

Рентгенография, исследование с целью подтверждения строения некоторых соединений в системе $\text{KF}-\text{MgF}_2$, изученной ранее термич. методом (Remy, H. Seemann W., *Rec. Trav. chim. Pays-Bas*, 1940, 59, 516). Сплавы приготавливались расплавлением в Pt -тиглях. KF получено из KHF_2 путем медленного изгравития, MgF_2 из MgSO_4 и NH_4F . Смесь выдерживалась в расплавленном состоянии в течение получаса для лучшего перемешивания. Проведен фазовый анализ приготовленных сплавов, который подтвердил существование соединений KMgF_3 (I) и K_2MgF_4 (II) и их границы распространения, изученные ранее методом термич. анализа. Соединение I имеет куб. решетку с параметром a 3,973 Å, со структурной типа перовскита. Соединение II обладает тетрагональной решеткой с параметрами a 3,955; c 13,70 Å. c/a 3,306. II имеет меньшую плотность (ρ 2,89), чем I (ρ (изм.) 3,18; ρ (пент.) 3,199), но более высокую, чем KF (ρ (изм.) 2,48) ρ (пент.) 2,505). II образуется при t -ре 840° при затвердевании расплава с молекулярным соотношением $\text{MgF}_2 : \text{KF} = 1:2$ в результате р-ции в твердом состоянии. В. С.

77367. $\text{KAg}(\text{CN})_2$. Старицкий (Potassium silver

dicyanide. $\text{KAg}(\text{CN})_2$. Staritzky Eugene), *Analyt. Chem.*, 1956, 28, № 3, 419—420 (англ.)

Гониометрически и рентгенографически исследовались тригональные кристаллы $\text{KAg}(\text{CN})_2$, полученные выпариванием водн. р-ра смеси KCN и AgCN . Простые формы: $\{100\}$, $\{122\}$, $\{111\}$; $\{1\bar{1}1\}$; $\{2\bar{1}1\}$; $\{100\}$; $\{122\}$. Параметры решетки: a 7,40, c 17,59 Å, β 67°31', $n = 6$, ρ 2,376, ф. гр. $P\bar{3}c$. Показатели преломления (λ Na) $n_m = 1,4915$, $n_g = 1,6035$. Приводятся данные порошковых диаграмм. У. А.

77368. $\text{K}_3\text{Ag}(\text{CN})_4$. Старицкий, Эллигер (Tripotassium silver tetracyanide, $\text{K}_3\text{Ag}(\text{CN})_4$. Staritzky Eugene, Ellinger Finley H.), *Analyt. Chem.*, 1956, 28, № 3, 423 (англ.)

Гониометрически и рентгенографически исследованы тригональные кристаллы $\text{K}_3\text{Ag}(\text{CN})_4$, полученные выпариванием водн. р-ра смеси KCN и AgCN с молярным отношением 1:3. Простые формы: $\{110\}$, $\{011\}$, $\{111\}$, $\{1\bar{1}1\}$, $\{1\bar{1}\bar{1}\}$. Параметры решетки: a 8,19 Å, a 74,2°, $n = 2$, ρ 2,30, ф. гр. $R\bar{3}2$. Показатели преломления (5893 Å) $n_m = 1,521$, $n_p = 1,516$. Приводятся данные порошковых диаграмм. У. А.

77369. $\text{KCu}(\text{CN})_2$. Старицкий, Уокер (Potassium copper dicyanide, $\text{KCu}(\text{CN})_2$. Staritzky Eugene, Walker Donald I.), *Analyt. Chem.*, 1956, 28, № 3, 419 (англ.)

Гониометрически и рентгенографически исследованы моноклинные кристаллы $\text{KCu}(\text{CN})_2$, полученного выпариванием при комнатной t -ре водн. р-ра, содержащего 20% KCN и 14% CuCN . Простые формы: $\{100\}$, $\{001\}$, $\{110\}$, $\{102\}$, $\{011\}$, $\{111\}$. Параметры решетки: a 7,57, b 7,82, c 7,45 Å, β 102,2°, $n = 4$, ρ 2,384, ф. гр. $P2_1/c$. Показатели преломления (5893 Å): $n_x = 1,589 \pm 0,002$; $n_y = 1,705 \pm 0,003$; $n_z = 1,718 \pm 0,005$; $Y = b$; $X/c = 68^\circ$; $2V_z = 35^\circ$; $r > V$. Приводятся данные порошковых диаграмм. У. А.

77370. $\text{K}_3\text{Cu}(\text{CN})_4$. Старицкий, Эллигер (Tripotassium copper tetracyanide, $\text{K}_3\text{Cu}(\text{CN})_4$. Staritzky Eugene, Ellinger Finley H.), *Analyt. Chem.*, 1956, 28, № 3, 422 (англ.)

Рентгенографически исследован $\text{K}_3\text{Cu}(\text{CN})_4$, полученный в результате испарения р-ра, содержащего смесь цианидов с молярным отношением $\text{KCN} : \text{CuCN} = 3:1$. Кристаллы тригональные, простые формы $\{110\}$, $\{111\}$, α 73°55', a 8,02 Å, $\rho_{\text{рент}} = 2,03$, $n = 2$, ф. гр. $R\bar{3}2$; $n_m = 1,555$, $n_p = 1,547$. У. А.

77371. $\text{KCu}_2(\text{CN})_3 \cdot \text{H}_2\text{O}$. Уокер, Старицкий (Potassium dicopper tricyanide monohydrate, $\text{KCu}_2(\text{CN})_3 \cdot \text{H}_2\text{O}$. Walker Donald I., Staritzky Eugene), *Analyt. Chem.*, 1956, 28, № 3, 421—422 (англ.)

Гониометрически и рентгенографически исследованы бесцветные кристаллы $\text{KCu}_2(\text{CN})_3 \cdot \text{H}_2\text{O}$, полученные охлаждением водн. р-ра цианидов в присутствии избытка твердого CuCN . Простые формы: $\{100\}$, $\{001\}$, $\{110\}$, $\{101\}$, $\{111\}$. Параметры решетки: a 12,11, b 8,16, c 7,44 Å, β 97,5°, $n = 4$, ρ 2,365, ф. гр. $P2_1/c$. Показатели преломления (5893 Å): $n_x = 1,582$; $n_y = 1,744$; $n_z = 1,748$. У. А.

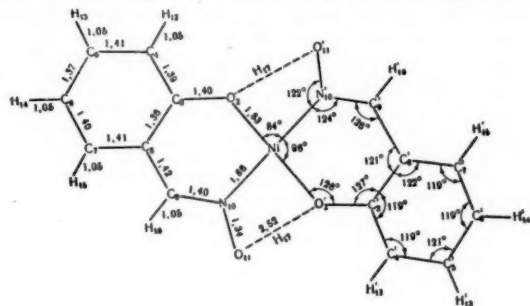
77372. Тетрагидрат сульфата неодима и аммония $\text{NH}_4\text{Nd}(\text{SO}_4)_2 \cdot 4\text{H}_2\text{O}$. Старицкий, Кромер (Ammonium neodymium disulfate tetrahydrate $\text{NH}_4\text{Nd}(\text{SO}_4)_2 \cdot 4\text{H}_2\text{O}$. Staritzky Eugene, Cromer Don T.), *Analyt. Chem.*, 1956, 28, № 4, Part 1, 554—555 (англ.)

Кристаллы $\text{NH}_4\text{Nd}(\text{SO}_4)_2 \cdot 4\text{H}_2\text{O}$, полученные сливанием водн. р-ров (или р-ров в разб. H_2SO_4) исходных простых сульфатов в стехиометрич. соотношении, относятся к моноклинной сингонии, a 6,63, b 18,94, c 8,80 Å, β 96,2°, ρ 2,584, ρ (пент.) 2,58, $n = 4$, ф. гр. $P2_1/c$. Оптич.

данные: при ориентации $Z = b$, $X/\angle c 74^\circ$ показатели преломления ($\lambda 5893 \text{ \AA}$) $n_x 1,531$, $n_y 1,540$ и $n_z 1,549$; $2V_x = 89^\circ$. Р. О.

77373. Кристаллическая структура салицилальдоксимата никеля. Мерритт, Гьюар, Лессор (The crystal structure of nickel salicylaldoxime. Merritt Lynne L., Jr, Guare Charles, Lessor Arthur E., Jr), Acta crystallogr., 1956, 9, № 3, 253—256 (англ.)

Рентгенографически ($\lambda \text{ Cu}$, методы вращения и Вейсберга) изучена структура $\text{Ni}[\text{OC}_6\text{H}_4\text{CH}=\text{N}(\text{OH})_2]$. Параметры решетки: $a 13,83$, $b 4,88$, $c 10,20 \text{ \AA}$, $\beta 110^\circ 26'$, ρ (изм.) 1,73, ρ (рент.) 1,70, $n = 2$, ф. гр. $P2_1/n$. Из



геометрич. соображений найдены знаки структурных амплитуд и затем методом проекций электронной плотности в сочетании с проекциями Паттерсона получены после нескольких уточнений координаты атомов. Молекула плоская. Среднее межатомное расстояние C—C в бензольном кольце 1,39 Å. Отмечено образование шестичленного кольца, содержащего Ni. Простые связи в этом кольце несколько укорочены, а двойные связи немного увеличены. Авторы предполагают, что в образовании кольца принимают участие 4d-орбиты Ni. В этой структуре наблюдается очень сильная внутримолекулярная водородная связь O—H...O с расстоянием O—O 2,52 Å. В отличие от диметилглиоксимата Ni (РЖХим, 1954, 15975) здесь нет межмолекулярной связи Ni—Ni. В. П.

77374. О целъзиане. Гей (A note on celsian. G a y P.), Acta crystallogr., 1956, 9, № 5, 474 (англ.)

Автор утверждает, что параметры решетки целъзиана $\text{BaSi}_2\text{Al}_2\text{O}_7$, определенные ранее (Taylor W. H. и др., Z. Kristallogr., 1934, 87, 464), относятся к псевдоячейке, а истинная ячейка является объемноцентрированной и имеет вдвое больший параметр c по сравнению с псевдо-ячейкой (дополнительные слоевые линии на рентгенограмме колебания вокруг c). Полученные данные подтверждают предположение о сходстве богатых Ba целъзианов с богатыми Ca плагиоклазами (РЖХим, 1954, 17753). Предполагается, что целъзианы, так же как и анортиты, имеют упорядоченное распределение в структурном тетраэдрич. каркасе ионов Si^{4+} и Al^{3+} . Некоторые различия в рентгенограммах анортита и целъзиана (резкость дополнительных слоевых линий, наличие у анортита «запрещенных» рефлексов) могут быть объяснены большим размером и весом Ba по сравнению с Ca. Отмечается, что изученные образцы целъзианов содержали заметные кол-ва K-полевого шпата и что окончательные выводы о степени упорядочения ионов Si^{4+} и Al^{3+} могут быть сделаны лишь при изучении чисто Ba-полевых шпатов. В. А.

77375. Структура глинистых минералов. Шрёдер (Die Struktur der Tonminerale. Schroeder Dietrich), Wiss. Z. Univ. Rostock. Math.-naturwiss. Reihe, 1954—1955, 4, № 4, 421—426 (нем.)

Структурные особенности глинистых минералов подобно описаны и сопоставлены с их агрохим. свойствами.

Э. Г.

77376. Изучение дегидроксидации глинистых минералов с помощью колебательного высокотемпературного рентгеновского дифрактометра. Уэйсс, Роуленд (Oscillating-heating X-ray diffractometer studies of clay mineral dehydroxylation. Weiss E. J., Rowland Richards A.), Amer. Mineralogist, 1956, 41, №1-2, 117—126 (англ.)

С помощью высокотемпературного колебательного рентгеновского дифрактометра непрерывно прослежены структурные изменения, происходящие при нагреве глинистых минералов, что позволило установить тонкие различия между близкими их разновидностями. Образец, осажденный на платиновую пластинку, помещался в печь нагрева и колебался в пределах дифракционного пика в малом интервале углов, охватывающем возможные смещения максимума интенсивности отражения. В процессе нагревания пик (001) каолинита остается неизменно при $2\theta = 12,32^\circ$ и исчезает при 525° . Пик (002) хлорита смещается от $12,55$ к $12,42^\circ$ и спадает одновременно с увеличением интенсивности рефлекса (001). Пик (001) шериданита резко возрастает при 575° и исчезает при 850° , смещаясь от $6,28$ к $6,49^\circ$. У клинохлора пик (002) резко исчезает при 575° . У хлорида из Вермонта пик (001) начинает возрастать при 600° , достигает наибольшей интенсивности при 780° , начинает спадать при 840° и исчезает при 910° , смещаясь от $6,28$ к $6,52^\circ$. Исчезновение пика (002) начинается при 600° и завершается при 910° . Увеличение интенсивности (001) связано с тем, что при нагреве бруситовые слои, отдельные и входящие в тальковый слой, изменяются различно и перестают погашать друг друга. Различия изменений дифференциальных картин железистых имангезиальных хлоритов определяются различием для обоих случаев преобразования бруситоподобных слоев. Б. З.

77377. Пятикоординатные терпиридиновые комплексы двухвалентных металлов. I. Стереохимия соединений цинка, кадмия и меди. Корбридж, Кокс (Five-covalent terpyridyl complexes of bivalent metals. Part I. The stereochemistry of the zinc, cadmium, and copper compounds. Corbridge D. E. C., Cox E. G.), J. Chem. Soc., 1956, March, 594—603 (англ.)

Проведено рентгеноструктурное исследование терпиридиновых комплексов $\text{C}_{15}\text{H}_{11}\text{N}_3\text{ZnCl}_2$ (I), $\text{C}_{15}\text{H}_{11}\text{N}_3\text{CdCl}_2$ (II), $\text{C}_{15}\text{H}_{11}\text{N}_3\text{CuCl}_2 \cdot 2\text{H}_2\text{O}$ (III). Соединения I и II диморфны. Изучена форма этих соединений, изоморфная III. Параметры решетки: I $a 16,21$, $b 8,25$, $c 10,97 \text{ \AA}$, $\beta 93,5^\circ$; II $a 16,42$, $b 8,22$, $c 11,15 \text{ \AA}$, $\beta 93^\circ$; III $a 16,20$, $b 8,26$, $c 10,66 \text{ \AA}$, $\beta 95^\circ$. Во всех случаях $n = 4$, ф. гр. $P2_1/a$. Наиболее подробно изучено соединение I. Положения атомов Zn и $\text{Cl}_{(1)}$ и $\text{Cl}_{(2)}$ найдены из проекции Паттерсона (010) и синтеза Харкера $P(x'_{1/2}z)$. В проекции Фурье, с применением метода последовательных приближений, получено полное разрешение атомов пиридиновых колец. Координаты y определены при помощи линейных 3-мерных синтезов Паттерсона, проекций Паттерсона и Фурье (001) и проекции половины ячейки от $z = 0$ до $z = 1/2$. Для уточнения были рассчитаны 7 сечений Фурье для y от $1/30$ до $7/30$ и линейные сечения, параллельные оси b . Найдено, что молекула $\text{C}_{15}\text{H}_{11}\text{N}_3\text{ZnCl}_2$ имеет форму искаженной тригональной дипирамиды с расстояниями Zn—N 2,2 (3) и Zn—Cl 2,29 (2) Å. Для соединений II и III детального исследования не проводилось, но из проекций Фурье (010) и (001) с несомненностью следует, что их молекулы также имеют форму тригональной дипирамиды. Такое строение молекул отвечает гибридизации dsp^3 в соответствии с результатами ранее опубликованного исследования (Kimbball, J. Chem. Phys., 1940, 8, 188). Молекулы H_2O в III не локализованы. Е. Ш.

77378. Кристаллическая структура α -транс-коричной кислоты. Лейделл, Мак-Доналд, Шмидт (The crystal structure of α -trans-cinnamic acid. L. Adell J., McDonald T. R. R., Schmidt G. M. J.), Acta crystallogr., 1956, 9, № 2, 195 (англ.)

Предварительное сообщение. Стабильная α -модификация транс-коричной к-ты относится к моноклинной сингонии. Параметры решетки: a 7,79, b 18,07, c 5,67 Å, β 97°, $n=4$, ф. гр. $P2_1/n$. Структура определена с помощью трехмерных рядов Паттерсона. Основой структуры являются centrosymmetричные димеры, образованные за счет водородных связей.

77379. Данные порошкограмм для некоторых 1,3,4-оксадиазолов. Пфейффер (X-ray diffraction powder data for some 1,3,4-oxadiazoles. Pfeiffer Ralph R.), Analyt. Chem., 1956, 28, № 2, 206—207 (англ.)

77380. Кристаллографические данные для салицилальдоксима $C_7H_7O_3N$. Мерритт, Шредер (Crystallographic data for salicylaldehyde oxime $C_7H_7O_3N$. Merritt Lynne L., Jr., Schroeder Edith), Acta crystallogr., 1956, 9, № 2, 194 (англ.)

Приводятся предварительные результаты рентгенографич. изучения кристаллич. структуры салицилальдоксима $C_7H_7O_3N$ (I). Кристаллы I получены из спирт. р-ра и исследовались методами вращения, Вейсберга, прецессии и порошка (фильтрованное излучение $Cu-K\alpha$). Параметры решетки: a 12,69, b 13,51, c 7,98 Å; $n=8$, ф. гр. $P2_12_12_1$. Приведены данные рентгенограммы порошка. Показатели преломления (определены иммерсионным методом), $n_p = 1,480$, $n_m = 1,76$, $n_g = 1,79—1,80$.

Ю. П.

77381. Размеры элементарной ячейки и пространственная группа этилсульфата меди. Сваминатхан, Сивараджан, Рао (Unit cell dimensions and space group of copper ethyl sulphate. Swaminathan S., Sivarajan S. R., Rao R. V. G. Sundara), Current Sci., 1956, 25, № 3, 81—82 (англ.)

Кристаллы $Cu(C_2H_5SO_4)_2 \cdot 4H_2O$ принадлежат к ромбич. сингонии. Параметры решетки: a 9,73, b 7,30, c 19,70 Å, ρ 1,79, $n=4$, ф. гр. $Pbca$. Детальным хим. анализом подтверждено наличие четырех молекул H_2O на одну молекулу соли.

Е. Ш.

77382. Идентификация органических соединений микроскопически и рентгенографически. Митчелл, Райленд (Identification of organic compounds by microscopy and X-ray diffractometry. Mitchell John Jr., Ryland Ada L.), Mikrochim. acta, 1956, № 1-3, 422—436 (англ.; рез. франц., нем.)

Предложено использовать совокупность обоих методов не только для идентификации органич. в-в, но также и для их фазового анализа. Приводятся данные исследований двух рядов смесей: n -броманилидов уксусной и пропионовой к-т и 2,4-динитрофенилгидразонов ацетальдегида и пропиональдегида.

Г. П.

77383. Структура продукта присоединения, содержащего две молекулы монохлорида иода и одну молекулу 1,4-диоксана. Хассель, Вослеф (Structure of an addition compound containing two molecules of iodine monochloride and one molecule of 1,4-dioxan. Hassel O., Hvosllef J.), Acta chem. scand., 1956, 10, № 1, 138—139 (англ.)

Соединение образует желтые моноклинные кристаллы с т. пл. 103°. Параметры решетки: a 14,62, b 8,00, c 4,56 Å; β 95,2°, $Z=2$ ($C_4H_8O_2 \cdot 2ClI$). ф. гр. $C2/m$. Приблизительные координаты атомов J находились методом проб. Координаты легких атомов определялись с помощью рядов Фурье. Проводилось одно уточнение координат атомов. Молекула диоксана имеет форму «кресла» и каждый атом O связан с атомом J. Угол O—J—Cl $\sim 180^\circ$. Межмолекулярное расстояние O—J равно 2,6 Å, J—Cl 2,3 Å. Наименьшее расстояние Cl—Cl 3,38 Å, что отвечает ван-

дер-ваальсовскому взаимодействию между атомами Cl.

В. П.

77384. Структура продукта присоединения, содержащего две молекулы брома и одну молекулу гексаметилен-тетрамина. Эйя, Хассель (Structure of an addition compound containing two bromine molecules and one molecule of hexamethylene tetramine. Eia Cunnar, Hassel O.), Acta chem. scand., 1956, 10, № 1, 139—141 (англ.)

Желтые моноклинные кристаллы $C_6H_{12}N_4 \cdot 2Br_2$ принадлежат к моноклинной сингонии с параметрами: a 6,05, b 14,90, c 13,88 Å, β 91,4°, $Z=4$ ($C_6H_{12}N_4 \cdot 2Br_2$) амина, ф. гр. $I2_1/c$. С помощью метода проб и функций Паттерсона получены приблизительные координаты атомов Br, которые затем использовались для двумерного синтеза Фурье. Каждая из двух молекул Br_2 , образующих комплекс с молекулой $C_6H_{12}N_4$, связана лишь с одним третичным атомом N. Группа N—Br—Br линейная и образует с C—N связями углы, близкие к $109,5^\circ$ (тетраэдр. св-зи у N). Расстояние N—Br равно 2,3 Å, Br—Br 2,4 Å. Это указывает на сильное взаимодействие между атомами N и Br, а также на значительное ослабление связи Br—Br. Авторы предполагают, что может даже происходить диссоциация связи Br—Br.

В. П.

77385. N-хлорсукцинимид. Браун (N-chloro-succinimide. Brown R. N.), Acta crystallogr., 1956, 9, № 2, 193 (англ.)

Проведен рентгеноструктурный анализ изоморфных Cl—I и Br—I N-производных сукцинимидов. Параметры решетки: I a 6,41, b 7,11, c 11,69 Å, ρ 1,650; II a 6,48, b 7,25, c 11,86 Å, ρ 2,098; для I и II $n=4$; ф. гр. $P2_12_12_1$. Положение тяжелого атома и примерная ориентировка молекулы найдены из II и использованы для изоморфного ему I. Координаты уточнены из двумерного синтеза Фурье и разностных синтезов для (0kl) и (h0l). Приведены лишь предварительные результаты. Молекула расположена почти параллельно плоскости (373). Водородные связи отсутствуют; межмолекулярное расстояние Cl—O 2,9 Å; вследствие сближения этих атомов молекулы соединены в зигзагообразные цепочки, параллельные направлению [100], на двух различных уровнях над плоскостью (010). Молекула почти плоская, максим. отклонение тяжелых атомов от плоскости $\sim 0,2$ Å.

Г. Г.

77386. Кристаллографическое изучение системы дифенилсульфоксид — дифенилсульфон. Эйбрахамс, Силвертон (A crystallographic study of the diphenyl sulphoxide-diphenyl sulphone system. Abrahams S. C., Silverton J. V.), Acta crystallogr., 1956, 9, № 3, 281—282 (англ.)

Рентгенографически исследовалась методом порошка и монокристалла система дифенилсульфоксид (I) — дифенилсульфон (II). I растворяется в II до 92% с сохранением структуры II. При конц-ии I $> 92\%$ происходит превращение в структуру I.

В. П.

77387. О сверхструктуре упорядоченного сплава Cu_3Pd . I. Электронографическое исследование. Ватанабе, Огава (On the superstructure of the ordered alloy Cu_3Pd . I. Electron diffraction study. Watanabe Denjiro, Ogawa Shiro), J. Phys. Soc. Japan, 1956, 11, № 3, 226—239 (англ.)

Предварительное сообщение см. РЖХим, 1956, 38758.

В. Х.

77388. Метод электронной микродифракции. Суито, Уэда (電子顕微鏡折法. 水渡英二, 植田夏), 化学の領域, Кагаку-но рёнки, J. Japan Chem., 1954, 8, № 3, 11—20 (япон.)

Популярный обзор. Библ. 17 назв.

Э. Г.

77389. Решение уравнения Шредингера для периодических решеток с применением к металлическому литию. Кон, Ростокер (Solution of the Schrödinger equation in periodic lattices with an application to metallic

lithium. Kohn W., Rostoker N.), Phys. Rev., 1954, 94, № 5, 1111—1120 (англ.)

Вариационный метод последовательных приближений применяется для построения блоховских волновых функций для электрона в периодич. поле. Используется метод ячеек. Схема расчета значительно упрощается, когда потенциал V обладает центральной симметрией внутри сфер, вписанных в атомные полиэдры: $V = V(r)$ при $r < r_i$, а в промежутках между указанными сферами потенциал постоянен: $V = V_0$. На поверхности полиэдра волновая функция ψ и ее нормальная производная подчинены условию трансляционной симметрии. Функция ψ выражается через функцию Грина $\psi(r) = \int g(r, r') V(r') \psi(r') d\tau'$ ($-\nabla^2 - E$) $g(r, r') = -\delta(r - r')$. Это эквивалентно вариационному принципу $\delta\Lambda = 0$, $\Lambda = \int \psi^*(r) V(r) \psi(r) d\tau - \iint \psi^*(r) V(r) g(r, r') \times V(r') \psi(r') d\tau d\tau'$. Так как путем сдвига начала отсчета энергии можно положить $V_0 = 0$, то функционал Λ определяется поведением функции ψ только внутри сфер $r < r_i$. Пробные функции ψ строятся в виде конечных сумм по сферич. функциям $\psi = \sum_{lm} C_{lm} R_l(r) Y_{lm}(\theta, \varphi)$.

Требование $\delta\Lambda = 0$ приводит тогда к вековому ур-нию. Элементы вековой матрицы полностью определяются значениями логарифмич. производных функций R_l на поверхности сферы $r = r_i$ и значениями структурных констант A_{lm}, V_{lm} , характеризующих тип решетки (последние входят в выражение функции Грина). Наиболее трудоемким является вычисление констант A ; однако это нужно делать только один раз для каждого типа решетки. Значения производных функций R_e можно найти или численным интегрированием или же непосредственно из атомных спектров. Метод применен для расчета энергии в некоторых точках симметрии зоны Бриллюэна для 2s-зоны металлич. Li. Использован центрально-симметрический потенциал Зейца (Seitz F., Phys. Rev., 1935, 47, 400). Результаты вариационных расчетов быстро сходятся при увеличении числа параметров (числа членов в суммах вида $\sum_{lm} C_{lm} R_e(r) Y_{lm} \times \times (\theta, \varphi)$). Т. Р.

77390. Зоны электронной энергии в кристаллах. Уэйнайт, Парзен (Electronic energy bands in crystals. Wainwright Thomas, Parzen George), Phys. Rev., 1953, 92, № 5, 1129—1134 (англ.)

В предыдущей статье (РЖФиз. 1954, 2607) был предложен вариационный принцип для определения уровней энергии электрона в кристалле, основанный на использовании функций Ванье вместо обычных функций Блоха. В настоящей работе указанный вариационный принцип применен к двум задачам: к движению электрона в одномерном косинусоидальном потенциальном поле и к валентным электронам в кристалле Li. Отличительной особенностью применяемого метода является то, что для нахождения зависимости энергии электрона от волнового вектора требуется минимизировать только один интеграл $I_0 = \int dx U^* H U$. Искомая функция Ванье U удовлетворяет условиям нормировки $\int dx U^* U = 1$ и ортогональности $\int dx U^* D^N U = 0$, D — оператор смещения на одну ячейку в кристалле. Энергия электрона с волновым вектором k дается тогда ф-лой $E(k) = \int dx \psi_k^* H \psi_k / \int dx \psi_k^* \psi_k$, где $\psi_k(x) = N^{-1/2} \sum_n \exp(ikx_n) U(x - x_n)$. Для случая одномерного косинусоидального потенциала приближенная функция Ванье $U(x)$ найдена (в импульсном представлении) в виде функции, содержащей два варьируемых параметра. Вычисленная функция Ванье $U(x)$ и функция $E(k)$ сопоставлены с результатами точных расчетов (Slater J. C., Phys. Rev., 1952, 87, 807). При рас-

смотрении валентных электронов в кристалле Li использован потенциал Зейца (Seitz F. Phys. Rev., 1935, 47, 400). Приближенная функция Ванье (в импульсном представлении) построена, исходя из 4-параметрич. пробной функции. Вычисленные авторами положение нижнего края валентной зоны и ширина ее заполненной части отличаются на 0,07—0,08 ридберга от результатов, получаемых по методу Вигнера — Зейтца. На разобранных в работе примерах не выступают преимущества предложенного авторами метода перед методом ортогонализированных плоских волн (Herring C., Phys. Rev., 1940, 57, 1169). По мнению авторов, эти преимущества проявились бы в случае вариационных расчетов с большим числом параметров. Т. Р.

77391. Точное определение плотности крупных монокристаллов гидростатическим взвешиванием. Смакула, Силс (Precision density determination of large single crystals by hydrostatic weighing. Smakula A., Sils V.), Phys. Rev., 1955, 99, № 6, 1744—1746 (англ.)

Методом гидростатич. взвешивания определены плотности d (g/cm^3) больших монокристаллов Si, SiO₂, CaF₂, CsJ, Ge, TiCl₃, TlBr и поликристаллич. Al. Иммерсионной жидкостью служил C₆H₆Br₂, т-ра опыта $25 \pm 0,01^\circ$. d равны соответственно: 2,32902, 2,64845, 3,17934, 4,52593, 5,32674, 7,01829, 7,45292 и 2,69801. С. Б.

77392. Аморфизм алмаза, вызванный радиацией. Леви, Каммерер (Radiation-induced amorphism in diamond. Levy Paul W., Kammerer Otto F.), Phys. Rev., 1955, 100, № 6, 1787—1788 (англ.)

Порошок алмаза (270 меш) отжигали при 500° для снятия деформаций и облучали в реакторе интегральной дозой $2,4 \cdot 10^{21}$ $neut$ тепловых нейтронов и $\sim 3,8 \cdot 10^{20}$ $neut$ быстрых нейтронов. На рентгенограммах облученного алмаза отсутствуют линии кристаллич. алмаза и их диффузный характер отвечает аморфному в-ву. Грубо оценено, что расширение решетки в результате облучения равно 2,4%. Сделан вывод, что при указанных дозах нейтронов радиационные нарушения решетки весьма значительны и поэтому возможен переход в аморфное в-во. А. Х.

77393. Рассеяние под малым углом и структура поверхности. Ли Иньюань, Смолюховский (Small-angle scattering and surface structure. Li Yin Yuan, Smoluchowski R.), J. Appl. Phys., 1955, 26, № 1, 128—129 (англ.)

Математически проанализирован случай рассеяния рентгеновских лучей или тепловых нейтронов под малыми углами. Сделан вывод о возможности определения с помощью этого метода среднего размера поверхностных нарушений (дефектов поверхности) и изучения процесса образования зародышей на поверхности. Указана возможность ошибок в оценке внутренних дефектов решетки, по данным рассеяния под малыми углами, особенно когда интенсивность рассеяния мала, так как в этом случае составляющая рассеяния от поверхности значительна. В. Г.

77394. Выделение энергии при отжиге деформированных металлов. Клэрбро, Харгривс, Уэст (The release of energy during annealing of deformed metals. Clarebrough L. M., Hargreaves M. E., West G. W.), Proc. Roy. Soc., 1955, A232, № 1189, 252—270 (англ.)

Метод, описанный ранее (Clarebrough L. M. и др., Proc. Roy. Soc., 1952, A215, 507) для измерения энергии U , накопленной в деформированных металлах, применен к Cu (99,96—99,98% Cu) (I), Cu-As (99,55% Cu; 0,35% As и 0,05% P) (II) и Ni 99,6% (III). Деформация производилась кручением, растяжением и сжатием, а скорости нагрева составляли 2,4 и 6 град/мин. В образцах I U освобождается в одну стадию, соответствующую перекристаллизации (ПК) Cu, причем эта U является линейной функцией деформации. Твердость и проводимость σ меди

уменьшаются, а макроскопич. плотность (МП) увеличивается в интервале т-р, соответствующих ПК. В образцах II U освобождается в 2 стадии, причем вторая соответствует ПК. U , связанная с ПК, является линейной функцией деформации металла. Твердость II уменьшается, а МП увеличивается в процессе ПК, σ возрастает до максимума на 1-й стадии, а затем снова уменьшается, когда происходит ПК. В образцах III U освобождается в 3 стадии и 3-я стадия соответствует ПК. U связанная со 2-й и 3-й стадиями, является линейной функцией деформации, а U , выделяется на 1-й стадии и почти постоянна при всех деформациях. Твердость III быстро уменьшается в интервале т-р, соответствующих ПК. По мнению авторов, для всех в-в освобождение U , связанное с ПК, является следствием исчезновения дислокаций, вызванных деформацией. В образце II 1-я стадия освобождения U связана, по-видимому, с перегруппировкой и аннигиляцией дислокаций. Разница в поведении I и II является следствием «блокирования» дислокаций атомами As. В образце III исчезновение вакансий, созданных деформацией, обуславливает освобождение энергии на 1-й стадии. Ю. Т.

77395. Упругие постоянные антимонида индия. Де-Во, Пиццарелло (Elastic constants of indium antimonide. De Vaux L. H., Pizzarello F.A., Phys. Rev., 1956, 102, № 1, 85 (англ.).

Акустическим методом измерены упругие постоянные InSb при комнатной т-ре: $C_{11} = (6.6 \pm 0.3) \cdot 10^{11}$, $C_{12} = (3.8 \pm 0.2) \cdot 10^{11}$ и $C_{44} = (3.0 \pm 0.1) \cdot 10^{11}$ дн/см². А. Х.

77396. Теплопроводность Ge при температурах, близких к комнатной. Такэно (常温附近に於ける Ge の熱導率. 武野正三), 物性論研究, Буссейрон кэнкю, 1956, №92, 53—63 (япон.; рез. англ.).

Вычислена решеточная теплопроводность κ_L Ge при т-рах, близких к комнатной. κ_L убывает с т-рой приблизительно по линейному закону. Вычислена также электронная теплопроводность. Полученные результаты хорошо согласуются с эксперим. данными. Ш. К.

77397. К теории устойчивости и механических свойств ионных кристаллов типа NaCl. Жданов В. А., Кудоявцева Н. В., Привалова Г. К., То. Сибирск. физ.-техн. ин-та при Томском ун-те, 1955, вып. 34, 236—254

Исследованы условия устойчивости и механич. свойства ионных решеток типа NaCl при абс. нуле. Вычисления основаны на приближенном четырехпараметрич. выражении для эффективной энергии взаимодействия ионов $\Phi_{ik} = e_i e_k / r_{ik} + b_{ik} / r_{ik}^n$, где r_{ik} — расстояние между ионами, b_{ik} и n — параметры. Решетки типа NaCl устойчивы, а следовательно, реализуются в очень широком интервале изменения параметров взаимодействия. С этим, по-видимому, связана большая распространенность их в природе. Область устойчивости очень быстро увеличивается с увеличением параметра n . Ш. К.

77398. О простом методе наблюдения фазового перехода в монокристаллах кварца. Зубов В. Г., Кристаллография, 1956, 1, № 2, 243—245

Разработан простой метод наблюдения процесса фазового перехода в крупных кристаллах кварца, основанный на наблюдении интенсивного и регулярного отражения света на границах α -и β -фаз и перераспределения света в областях, прилегающих к этим границам. Дана схема рабочей установки. Опыты показали, что места возникновения новой фазы определяются особенностями температурного поля печи. Время полного завершения фазового перехода определяется скоростью подачи тепла к образцу. При медленном проведении фазового перехода образец сохраняет монокристаллич. строение, при быстрых переходах образцы иногда двойнируются. Если $\alpha \rightarrow \beta$ -переход не сопровождается двойникованием, то $\beta \rightarrow \alpha$ -

переход строго повторяет все стадии первого перехода в обратном порядке. М. К.

77399. Инфракрасные спектры некоторых модификаций трехокисей мышьяка и сурьмы. Борген, Крог-Му (The infrared spectra of some modifications of arsenic trioxide and antimony trioxide. Borgen O., Krogh-Moe J.), Acta Chem. Scand., 1956, 10, № 2, 265—267 (англ.).

Исследованы ИК-спектры поглощения (в области ~ 2 — 14.5μ) куб., моноклинной и стеклообразной модификаций As_2O_3 (I) и куб., ромбич. и стеклообразной Sb_2O_3 (II). Образцы готовили прессованием смеси 2 или 10 мг окисла с 2 г KBr под давл. 20 т на диски диам. ~ 2.5 см. Повторяющиеся полосы поглощения в области 2— 6.5μ обусловлены водой и примесями. Наблюдается большое сходство спектров куб. I и II при некотором смещении полос для II в сторону длинных волн. Основная полоса моноклинной I лежит при меньшей длине волны, чем для куб. I. Соответствующая полоса для ромбич. II смещена в сторону длинных волн. Это указывает на различие между структурами модификаций с пониженной симметрией. Для стеклообразных I и II основная полоса лежит при тех же λ , что и для куб. I и II, но она менее интенсивна и более широка. Состаренные стеклообразные I и II имеют дополнительную полосу в том же положении, что и куб. I и II: это указывает на частичную кристаллизацию. Сравнение всех спектров указывает на большую близость стеклообразных модификаций к куб. форме, а не к формам с низкой симметрией. А. Х.

77400. Спектр комбинационного рассеяния кристаллов α -и β -резорцина. Пено, Матьё (Spectre raman des cristaux de resorcin α et β . Penot Denise, Mathieu Jean-Paul), J. chim. phys. et phys.-chim. biol., 1955, 52, № 11-12, 829—833 (франц.).

Исследованы кристаллы, вырезанные в виде прямоугольных параллелепипедов с гранями OX, OY, OZ, параллельными граням элементарной ячейки. Спектры возбуждались Hg-линиями λ 4047 и 4358 Å и фотографировались с помощью спектрографа с относительным отверстием 1:5. Спектр α -формы насчитывает 41 линию внутренних колебаний и 17 линий внешних колебаний. Менее полный спектр получен для β -формы из-за меньшей фотохим. устойчивости, не позволяющей применение больших выдержек. Отмечается зависимость частот двух линий внутренних колебаний спектра от ориентировки кристалла (α -модификация), аналогичная наблюдаемой для других пьезоэлектрич. кристаллов. Колебания в группах OH обсуждаются с точки зрения образования водородной связи. Проведен теоретич. анализ колебаний в низкочастотной области спектра. Показано, что переход $\alpha \rightarrow \beta$ сопровождается понижением частот колебаний около главных осей эллипсоида инерции. Опытные данные, по-видимому, подтверждают этот вывод. Я. Б.

77401. Радиочастотное вибрационное поглощение пьезоэлектрических кристаллов. Дюшен, Монфис (Radio-frequency vibrational absorption in piezoelectric crystals. Duchesne Jules, Monfils André), J. Chem. Phys., 1955, 23, № 4, 762 (англ.).

Использован метод, аналогичный применяемому в ядерной квадрупольной спектроскопии, с тем отличием, что образец помещали в конденсатор колебательного контура. Это позволило наблюдать дискретное акустич. поглощение пьезоэлектрич. кристаллов антибиотиков I- и рац-хлорафеникола (I и II) и окситетрациклина (III) в интервале частот 15—50 Мгц. Результаты относятся к I, для II и III они аналогичны. Спектр состоит из большого числа линий шириной 2—20 кгц для т-р 77—300° К. Из эффекта насыщения линий видно, что время релаксации каждой из них при 263° К равно ~ 1 сек. Линии обратно смещаются с т-рой по ф-ле $\Delta\nu/\Delta T = -\Delta(T)_v$, где $\Delta(T)_v$ для I при 300° К равно

10^{-4} град $^{-1}$. Коэфф. $\Delta(T)$, весьма чувствителен к структурным изменениям, возраста в 2 раза при переходе от I к II (при 220° K). Показано, что $\Delta(T)/\alpha = \gamma$, где α — объемный коэфф. термич. расширения, а γ — постоянная Грюнштейна. Принимаемая для I при 300° K $\alpha = 10^{-4}$ град $^{-1}$, получают $\gamma = 1$ в согласии с термодинамич. измерениями ($\gamma = 1-3$). Это показывает, что спектр обусловлен колебаниями решетки. Отмечено значение метода для исследования сложных в-в и различий между ними. А. Х.

77402. Спектрофотометрическое исследование прозрачных тонких пленок при косом падении. Буске (Étude spectrophotométrique de lames minces transparentes en incidence oblique. Bousquet Paul, C. r. Acad. sci., 1955, 241, № 5, 478—480 (франц.))

Исследовано отражение света от тонких пленок криолита и CaF_2 при углах падения i от 0° до 70°. Для каждого из этих углов строился график зависимости коэфф. отражения R_{\perp} и R_{\parallel} пленки от длины волны λ . Спектрофотометрич. анализ показал, что максимумы и минимумы коэфф. отражения R_{\perp} и R_{\parallel} расположены при различных $\lambda: \lambda_{\perp}$ и λ_{\parallel} (для CaF_2), практически совпадая при малых углах падения по мере увеличения i от 0° до 45°, смещаются в сторону более коротких λ . Выше 45° λ_{\perp} и λ_{\parallel} начинают расходиться за счет более быстрого смещения λ_{\parallel} в указанную сторону; одновременно с этим минимум R_{\parallel} приближается со стороны длинных волн к λ_{\perp} , не совпадая с ним, но следуя в интервале от 55° до 70° на почти неизменном расстоянии 250—300 Å. По аналогии с аномалиями отражения от криолита вблизи угла Брюстера эти результаты объяснены наличием переходного поверхностного слоя на границе раздела пленка — воздух, а также, возможно, и на границе пленка — подложка. С. Ф.

77403. Определение оптических постоянных германия. Синельников К. Д., Шкляревский И. Н., Скоробогатов Б. С., Уч. зап. Харьковск. ун-та, 1955, 64, 135—140

Показатель преломления μ тонких Ge-пленок измеряли методом Ge-клина, нанесенного в вакууме на стекло или Ag. Среднее значение $\bar{\mu}$ в данной области толщин клина находили из ур-ния $\bar{\mu} = \lambda/4(t_{\text{мин.}} - t_{\text{макс.}})$, где $t_{\text{мин.}}$ и $t_{\text{макс.}}$ — толщины Ge-клина в местах k -го дифференциального минимума и максимума для данной λ . Для λ 590 м μ μ не зависит от t вплоть до t порядка $4 \cdot 10^{-6}$ см и равен 3,6. Это показывает, что структура пленок не меняется с толщиной. Для λ 690 и 550 м μ μ равен 4,1 и 3,4. μ и коэфф. поглощения μx толстых непрозрачных в видимой области Ge-пленок определяли из измерений коэфф. отражения (Avery D. G., Proc. Phys. Soc., 1952, B65, 425). Для λ 650, 600 и 550 м μ и μ равен 3,7; 3,5 и 3,4, а μx 1,8; 2,1 и 2,3. В области 400—1100 м μ μx определяли из измерений коэфф. пропускания (РЖХим, 1956, 67732); результаты хорошо согласуются с данными, полученными описанными выше методами, и с данными других авторов. Для λ 300 и 500 м μ μx не зависит от t -ры в интервале 20—250°, для λ 700—1100 м μ μx линейно возрастает с t -рой. А. Х.

77404. Тепловые переходы электронов под действием акустических колебаний кристаллической решетки. Коварский В. А., Уч. зап. Кишиневск. ун-та, 1955, 17, 185—195

Вычислена вероятность теплового (безызлучательного) перехода связанного электрона при взаимодействии с оптич. и акустич. колебаниями решетки ионного кристалла и показано, что в интервале t -р 60—120° K взаимодействие с акустич. колебаниями, выделяемыми как замкнутая подсистема, является основной причиной тепловых

переходов. Вычислено, что поперечное сечение захвата быстрого (зонного) электрона F -центром равно $\sim 10^{-15}$ см 2 при 300° K, что совпадает с эксперим. значением. А. Х.

77405. Зависимость прозрачности сегнетоэлектрических монокристаллов титаната бария от температуры. Хорие, Кавабэ, Татики, Савада (Thermal transition of transparency in ferroelectric single crystal of barium titanate. Horie Tadao, Kawabe Kazuo, Tachiki Masashi, Sawada Shozo, J. Phys. Soc. Japan, 1955, 10, № 7, 541—549 (англ.))

Изучена зависимость прозрачности сегнетоэлектрич. монокристаллов BaTiO_3 от t -ры для естественного и поляризованного света. Обнаружено, что при t -ре $\leq -80^\circ$ кристаллы, даже при толщине 20 м μ , перестают быть прозрачными. Автор назвал это явление «тепловым переходом прозрачности». Эксперим. результаты обсуждены, исходя из данных теорий сегнетоэлектрич. доменов и кристаллооптики. Г. К.

77406. Пьезооптические и электрооптические свойства цинковой обманки. Пуле (Propriétés piézo-optiques et électro-optiques de la blende. Poulet Henri, J. phys. et radium, 1955, 16, № 3, 237—238 (франц.))

Автор отмечает несоответствие полученных им результатов (РЖХим, 1956, 50015) с результатами Шрамма (Schramm Ch., Ann. Phys., 1936, 25, 309) и указывает возможные причины этого несоответствия. В. Г.

77407. О рефракциях полиморфных модификаций. Бацанов С. С., Вестн. Моск. ун-та, 1956, № 3, 131—136

Сравниваются молярные рефракции R и объемы V полиморфных модификаций окислов, сульфидов, простых и комплексных солей. V полиморфных модификаций окислов, различаются на 7—32%, R на 2,7—11,5%, причем изменение R при переходе от одной модификации к другой прямо пропорционально изменению V . R полиморфных модификаций простых солей колеблется в пределах 1—3,5%, комплексных — 0—2%. При повышении координационного числа R уменьшаются в среднем на 1 см^3 в окислах Al и Ge и на $0,4 \text{ см}^3$ в солях Cs. Объяснение эффекту дано с точки зрения теории поляризации. С. Б.

77408. Связь между температурами плавления и показателями преломления ионных кристаллов. Бацанов С. С., Кристаллография, 1956, 1, № 1, 140—142

На основании литературных данных показано, что показатели преломления n в рядах галогенидов щел. металлов с общим катионом линейно уменьшаются с ростом t -ры плавления, т. е. в направлении J—Br—Cl—F . Закономерность объясняется аддитивным характером обоих свойств и их общей зависимостью от ионных радиусов. А. Х.

77409. Инфракрасные спектры и полиморфизм глицеридов. Чапман (Infra-red spectra and the polymorphism of glycerides. Chapman D., Nature, 1955, 176, № 4474, 216—217 (англ.))

ИК-спектры поглощения полиморфных форм 1-моностеарина (α , суб- α , β и β') отчетливо изменяются при переходе одной кристаллич. модификации в другую и могут служить для определения структуры в-ва. При охлаждении α -форма обратимо переходит в суб- α (47°) и максимум при 720 см $^{-1}$ расщепляется на два. Это расщепление сопоставляется с данными по ИК-спектрам n -парафинов и полиэтилена и объясняется спариванием двух молекул в одной ячейке. Суб- α -форма устойчива при 20°. β - и β' -формы получены соответственно путем медленной и быстрой кристаллизации из легкой нефти. Различные структур β - и β' -форм подтверждалось при помощи рентгеноструктурного анализа и по t -рам плавления. Приведены ИК-спектры полиморфных модификаций 1-моностеарина (жидкого, α -, суб- α , β - и β' -форм). Е. П.

77410. Влияние переменных электрических полей на свечение фосфоров. Стейнбергер, Лоу,

Александр (Influence of alternating electric fields on the light emission of some phosphors. Steinberger I. T., Low W., Alexander E.), Phys. Rev., 1955, 99, № 4, 1217—1222 (англ.)

Исследовано влияние переменного электрич. поля на свечение при возбуждении УФ-лучами и послесвечение фосфоров на основе ZnS и $ZnS-CdS$, активированных Cu или Ag . При наложении поля наблюдается кратковременное увеличение яркости с последующим стационарным уменьшением яркости вследствие гашения. Интенсивности вспышки и гашения различны для разных фосфоров. В области перехода от вспышки к гашению наблюдаются две волны яркости на период; в области стационарного свечения — одна или две волны в зависимости от напряжения. Эти волны отличаются одна от другой по амплитуде, форме и зависимости их амплитуд и светосумм от напряжения. Волны, отвечающие положительному знаку освещенного электрода, ведут себя одинаково для всех фосфоров. Вторые волны ведут себя по-разному и, по-видимому, связаны с наличием активатора. Возможно, что вторые волны соответствуют вторичным максимумам электролюминесценции.

77411. Электрические свойства электролюминесцирующих фосфоров Инс, Отли (The electrical properties of electroluminescent phosphors. Ince A. N., Oatley C. W.), Philos. Mag., 1955, 46, № 381, 1081—1103 (англ.)

Измерены диэлектрич. свойства ряда электролюминесцирующих фосфоров в виде порошков или поликристаллич. кусков. Дисперсия диэлектрич. проницаемости и потерь наблюдается как в темноте, так и при освещении УФ-лучами. В последнем случае она аналогична наблюдаемой в обычных неэлектролюминесцирующих фосфорах, хотя время релаксации на порядок больше. Темновая дисперсия характерна для электролюминофоров, появляется при низких частотах и исследована подробно при различных напряжениях и т-ре. Для объяснения наблюдаемых явлений предполагается образование выпрямляющих электронных барьеров в образце и движение междуузельных ионов в области барьера. Эта модель приводит к полуконич. согласно с опытом. Высота барьера равна $\sim 0,5$ эв, конца подвижных междуузельных ионов $\geq 3 \cdot 10^{10} S^2/cm^3$, где S — число соединенных последовательно пар барьеров в поликристаллич. образце, коэфф. диффузии этих ионов $\sim 10^{-7} cm^2/сек$, ширина барьера $10^{-2} cm$. При этой ширине электрич. поле в пределах барьера достигает достаточно больших значений, чтобы могла появиться, электролюминесценция.

77412. Структурно-чувствительное окрашивание кристаллов NaCl рентгеновскими лучами. Гордон, Новик (Structure sensitivity of the X-ray coloration of NaCl crystals. Gordon R. B., Nowick A. S.), Phys. Rev., 1956, 101, № 3, 977—983 (англ.)

Измерена скорость роста F -полосы при рентгенизации монокристаллов $NaCl$ при 20° . Окрашивание протекает в две стадии. Первая, быстрая стадия идет во всем объеме кристалла (толщиной до $0,56 cm$) и быстро достигает насыщения ($\sim 10^{17} F$ -центров в $1 cm^3$). Вторая, медленная стадия протекает в поверхностном слое толщиной $\sim 0,02 cm$. Конц-ия F -центров в этом слое линейно возрастает с дозой, достигая $> 10^{18} cm^{-3}$. В этом же слое возрастает твердость и падает плотность кристалла. Быстрая стадия приписана образованию F -центров из вакансий, уже присутствовавших в необлученном кристалле, а медленная стадия — образованию F -центров из вакансий, образовавшихся на дислокациях под действием излучения. Деформация сжатием ($\sim 4-8\%$) слегка повышает скорость быстрой стадии, последующее выдерживание при 20° снова уменьшает ее. Отжиг при 700° увеличивает скорость окрашивания еще сильнее, чем деформация. Деформация отожженных кристаллов не изменяет скорости окрашивания, хотя, согласно Зейцу (Seitz F., Phys. Rev.,

1950, 80, 239), при деформации на дислокациях генерируются новые вакансии. Результаты объясняются, на основе взглядов Шульмана (РЖХим, 1955, 166) тем, что скорость окрашивания определяется не структурными дефектами, а в основном степенью агрегации двух- и многовалентных примесей. Отжиг и деформация переводят примеси в р-р, возврат при 20° ведет к осаждению примесей на дислокациях. Выводы подтверждаются параллельным возрастанием ионной проводимости и скорости окрашивания при отжиге.

77413. Сернистый кадмий, активированный серебром. Лам (Cadmium sulfide with silver activator. Lam J. O. H.), Phys. Rev., 1955, 100, № 6, 1586—1588 (англ.)

Одновременно измерены фотопроводимость σ_f и интенсивность свечения I кристаллов $CdS-Ag$, предварительно возбужденных УФ-лучами при $77^\circ K$. I быстро падает до нуля, а σ_f спадает медленно. Если в этом состоянии облучить кристалл ИК-лучами $\lambda 1 \mu$, то происходит вспышка оранжевого свечения и очень незначительное начальное увеличение σ_f с последующим гашением его. Это показывает, что излучение $\lambda 1 \mu$ создает свободные дырки, и подтверждает предложенную ранее модель для $CdS-Ag$ (РЖХим, 1956, 2180), согласно которой Ag образует активаторный уровень на $0,4$ эв ниже зоны проводимости и свечение происходит, когда электрон на этом уровне рекомбинирует со свободной дыркой. Установлено, что носители заряда в кристаллах $CdS-Ag$ при облучении $\lambda 4400 \text{ \AA}$ и 3μ являются электроны. При освещении $\lambda 3 \mu$ σ_f кристаллов $CdS-Ag$ увеличивается за счет возбуждения электронов с уровня активатора в зону проводимости, а люминесценция при этом тухнет, что хорошо согласуется с предложенной моделью.

77414. Люминесценция и люминесцентные устройства. Джонсон (Luminescence and luminescent devices. Johnson P. D.), Proc. Nat. Electronics Conf. 11. Chicago 1955. Chicago 1956, 152—161 (англ.)

Обзор по фото- и электролюминесценции. Библ. 35 назв.

77415. Центры свечения в фосфорах $ZnS-(Cu,Cl)$. Боуэрс, Меламед (Luminescent centers in $ZnS:Cu:Cl$ phosphors. Bowers R., Melamed N. T.), Phys. Rev., 1955, 99, № 6, 1781—1787 (англ.)

Измерены магнитная восприимчивость χ и спектры излучения $ZnS-Cu, ZnS-(Cu, Cl)$ и $ZnS-Cl$. Измерения χ в интервале $300-1,5^\circ K$ позволяли обнаружить парамагнетизм, вызванный $0,001$ мол. % Cu^{2+} в ZnS . Исследования образцов $ZnS, ZnS-Cl(I), ZnS(0,009\% Cu, Cl)(II), ZnS(0,06\% Cu, Cl)(III), ZnS(0,1\% Cu, Cl)(IV)$ и $ZnS(0,1\% Cu)(V)$. Ни один из них не парамагнитен, что доказывает отсутствие Cu^{2+}, Cu^+Cu^+ и Cu^+ в фосфорах $II-V$. Из этих данных в совокупности с данными по спектрам излучения следует, что в этих фосфорах имеются только три полосы: синяя полоса в III , отвечающая не $Cu^+ Cu^+$ -центрам, а тем же центрам, что и в I ; зеленая полоса, одна и та же в II и IV , и красная полоса в V . Синяя полоса приписана Zn^{2+} -вакансии в ZnS , получающейся при внедрении Cl^- . Гипотеза Крэгера (РЖХим, 1955, 1744), что эта вакансия связана с ионом S^{2-} , ошибочна, так как S^{2-} -ион был бы парамагнитен. Зеленая полоса приписана иону Cu^{2+} , замещающему Zn^{2+} , так как для получения этой полосы необходимо одновременно вводить 1-валентный отрицательный ион или 3-валентный положительный ион. Красная полоса может быть связана либо с ионом Cu^+ , замещающим Zn^{2+} (заряд компенсируется S^{2-} -вакансией), либо с Cu^+ в междуузлии (заряд компенсируется Zn^{2+} -вакансией), что более вероятно, так как красная полоса всегда сосуществует в $ZnS-Cu$ с синей полосой. Близкие результаты получены при рассмотрении полупроводниковой модели в зонном приближении, исходя из донорно-акцепторных свойств атомов основания и примесей.

А. Х.

77416. **Современные применения люминесцентных материалов.** Мак-Киг (Modern applications of luminescent materials. McKeag A. H.), Industr. Chemist, 1956, 32, № 374, 105—110 (англ.)
Обзор. Библ. 5 назв.

А. Х.

77417. **О фотохимическом превращении F-центров в нагретых кристаллах хлорида калия.** Шаталов А. А. (Про фотохімічне перетворення F-центрів в нагрітих кристалах хлористого калію. Шаталов А. А.), Наук. зап. Київськ. ун-та, 1955, 13, № 7, 111—121 (укр. рез. русс.)
См. РЖХим, 1956, 74232

77418. **Полоса поглощения при 2420 Å плавного кварца: примесь германия и недостаток кислорода.** Гарино-Канина (La bande d'absorption à 2420 Å de la silice vitreuse: impureté germanium et perte d'oxygène. Garino-Canina Vittorio), C. r. Acad. sci., 1956, 242, № 16, 1982—1984 (франц.)

Продолжены исследования (РЖХим, 1955, 42374; 1956, 12219) полосы поглощения при 2420 Å, которая всегда присутствует в плавном кварце, полученном в восстановительных, но не в окислительных условиях, и обуславливает люминесценцию. Она отсутствует в кристаллич. кварце. В электрич. поле при $\sim 1000^\circ$ центры окраски перемещаются к катоду и полоса 2420 Å исчезает, а после нагревания при $\geq 1400^\circ$ в восстановительной атмосфере она снова появляется. При добавлении к плавному кварцу $5 \cdot 10^{-4}$ — $5 \cdot 10^{-3}$ вес. % Ge в виде GeO_2 полоса при 2420 Å резко усиливается и растет с конц-ей GeO_2 . Хим. анализ показывает, что природный и, часто, синтетич. кварц содержат $\sim 10^{-6}$ вес. % Ge. После электролиза полоса 2420 Å исчезает, а конц-я Ge не изменяется. Так как в плавном кварце имеется стехиометрич. недостаток кислорода (см. цитированные работы), то высказано предположение, что GeO_2 частично восстанавливается и рядом с некоторыми «ионами» Ge^{4+} появляются кислородные вакансии, способные захватить два электрона и служащие центрами поглощения. В электрич. поле движутся кислородные вакансии.

А. Х.

77419. **Поглощение миллиметровых волн в сверхпроводящем алюминии.** Бьонди, Гарфункел, Мак-Каубри (Millimeter wave absorption in superconducting aluminium. Biondi M. A., Garfunkel M. P., McCoubrey A. O.), Phys. Rev., 1956, 101, № 4, 1427—1429 (англ.)

Исследовано поглощение в сверхпроводящем алюминии ($T_c = 1,174^\circ \text{K}$) излучения $h\nu \approx kT_c$, т. е. $\lambda_c = (hc/kT_c) = 12,3$ мм. Измерения проведены в интервале T от 0,9— $1,2^\circ \text{K}$ калориметрич. методом при 18 длинах волн между 13 и 5,3 мм ($0,95 kT_c < h\nu < 2,33 kT_c$). Поглощение R_s в сверхпроводящем состоянии при λ отличается от поглощения R_n в нормальном состоянии, однако, T -ра, при которой $R_s/R_n = 1$, меньше T_c и уменьшается с уменьшением λ . Кривые зависимости R_s/R_n от T имеют ряд максимумов, однако приближенно линейны. Предложены различные способы объяснения эксперим. результатов, исходя из модели сверхпроводника с зазором ΔE в спектре уровней энергии. Структура кривых $R_s/R_n(T)$ может быть связана со структурой уровней энергии в сверхпроводящем состоянии.

Т. Б.

77420. **Замороженный поток в сверхпроводниках.** Пиппард (Trapped flux in superconductors. Pippard A. B.), Philos. Trans. Roy. Soc. London, 1955, 248, № 941, 97—129 (англ.)

При переходе достаточно больших образцов в сверхпроводящее состояние при уменьшении внешнего магнитного поля (при $T < T_{кр}$), образцы, как правило, обладают остаточным магнитным моментом M . Это об-

условлено сохранением в образце слоев нормальной фазы. Исследована зависимость M от T -ры у монокристаллов чистого Sn и сплавов Sn-In с конц-ей In до 3%. $M \approx 0,1\%$ у чистого Sn и возрастает с ростом конц-ии In. Для образцов, содержащих $< 2,3\%$ In $M \rightarrow 0$ при $T \rightarrow T_{кр}$. При больших конц-ях In M резко растет, достигая 50% вблизи $T_{кр}$. M довольно прочно связан с ориентацией образца. Результаты объясняются на основе теорий Лондона—Лондона и Гортера—Казимира. Рассмотрен процесс самопроизвольного зародышеобразования сверхпроводящей фазы.

Н. Б.

77421. **Фосфоресценция ацетатов натрия и калия.** Осада (Phosphorescence of sodium- and potassium-acetates. Osada Kikusaburo), J. Phys. Soc. Japan, 1956, 11, № 4, 425—429 (англ.)

Ацетаты Na (I) и K (II) после возбуждения в вакууме λ 254 мμ фосфоресцируют зеленым светом в течение нескольких секунд. Спектры излучения состоят из зеленой полосы при 530 мμ и синей при 465 мμ. Обе полосы затухают по экспоненте $I_t = I_0 \exp(-t/\tau)$, где I_0 — начальная интенсивность свечения. Время жизни τ для I больше, чем для II, а для зеленой полосы больше, чем для синей. Порядок $\tau \sim 1$ сек. I_0 и τ возрастают с понижением T -ры в интервале от $+20$ до -50° . Энергия активации E , вычисленная из ур-ния $\tau^{-1} = s \exp(-E/kT)$ равна 0,034 эв. В интервале давлений p 10^{-2} — 4 мм рт. ст. I_0 и τ не зависят от p_{H_2} и линейно уменьшаются с увеличением p влажного и сухого воздуха, причем последний тушит фосфоресценцию значительно сильнее, чем влажный. Колич. оценка показывает, что тушителем являются адсорбированные молекулы O_2 . Спектры поглощения p -ров I и II в H_2O и HAc показывают, что линия λ 254 мμ лежит в области собственного поглощения. Очищ. и неочищ. образцы I имеют свечение равной интенсивности. Образец, быстро высушенный в вакууме после пребывания на воздухе, имеет значительно более яркое свечение, чем медленно высушенный. Сделан вывод, что фосфоресценция обусловлена дефектами решеток.

А. Х.

77422. **Степень чистоты полупроводников и их электрические свойства.** Абе (半導体の純度とその電気的性質について. 阿部清), 材料試験, Дзайрэй сикэн, J. Japan Soc. Test. Mater., 1956, 5, № 28, 10—12 (япон.)

77423. **Свойства гексагидрата сульфата гуанидина — алюминия и некоторых изоморфных ему соединений.** Холден, Мерз, Ремеика, Маттайас (Properties of guanidine aluminum sulfate hexahydrate and some of its isomorphs. Holden A. N., Merz W. J., Remeika J. P., Matthias B. T.), Phys. Rev., 1956, 101, № 3, 962—966 (англ.)

Исследованы электрич. свойства сегнетоэлектрика $(\text{CN}_3\text{H}_5\text{Al}(\text{SO}_4)_2 \cdot 6\text{H}_2\text{O})$ (I) и изоморфных ему соединений, в которых Al^{3+} замещен на Ga^{3+} и Cr^{3+} ; $(\text{SO}_4)^{2-}$ на $(\text{SeO}_4)^{2-}$ и H_2O на D_2O . Кристаллы I получают из водн. p -ров в виде гексагональных пластинок, обладающих тригональной симметрией. Пространственная группа $C_{3v}(2) — P31m$; кол-во молекул на ячейку 3. Кристаллы обладают совершенной спайностью по базису. Свойства I в различных пирамидах роста различны. Это подтверждается фигурами травления (приведены фотографии) и характером петель гистерезиса. Петли гистерезиса исследованы на пластинках, перпендикулярных к тройной оси симметрии, в поле 60 гц. Пластины из разных пирамид роста дают петли, по-разному смещенные вдоль горизонтальной оси. Пластины, вырезанные на границе двух пирамид, обнаруживают двойную петлю гистерезиса. Диэлектрич. проницаемость ϵ при 20° вдоль оси равна 6, а перпендикулярно оси ~ 5 . ϵ слабо зависит от T -ры до 100° . Выше 100° кристаллы теряют кристаллизационную воду. Спонтанная поляризация $P_s = 0,35 \times$

$\times 10^{-6}$ к/см², ее зависимость от T -ры почти линейна. При частоте 60 гц коэрцитивное поле выше 20° постоянно, но сильно возрастает при -30° . Сопротивление постоянному току при $20^\circ \sim 10^{12}$ ом/см. Исследование времени переполяризации (переброски) и тока переброски в зависимости от приложенного поля указывает на то, что механизм переполяризации такой же, как в BaTiO_3 . В-ва, изоморфные I, обнаруживают аналогичные свойства.

77424. Влияние давления на электрические свойства полупроводников. Лонг (Effects of pressure on the electrical properties of semiconductors. Long Donald Phys. Rev., 1956, 101, № 4, 1256—1263 (англ.))

Исследовано влияние всестороннего сжатия до $1-2000$ ат на электрич. свойства Ge, InSb, InAs, GaSb, Te и Mg_2Sn . Т-ра, при которой постоянная Холла R для p -Ge изменяет знак, возрастает при давл. 2000 ат, а величина возрастания хорошо согласуется с вычисленной из известного увеличения ширины запрещенной зоны ΔE при переходе от 1 к 2000 ат. Сопротивление InSb в поперечном магнитном поле слегка уменьшается с ростом давления в согласии с известным уменьшением подвижности электронов. Измерения проводимости σ и R при различных давлениях для InAs и GaSb n -типа в области примесной проводимости показывают, что подвижность μ электронов в InAs уменьшается на $\sim 7\%$ в интервале $1-200$ ат, а μ в GaSb не изменяется. Для Te ΔE уменьшается от $0,336$ до $0,304$ эв в интервале $1-2000$ ат, а μ электронов и дырок возрастает с давлением. Для Mg_2Sn ΔE возрастает на $0,01$ эв в интервале $1-2000$ ат.

77425. Релаксация фотопроводимости двуокиси олова. Андриевский А. И., Журавлев В. А., Докл. АН СССР, 1956, 108, № 1, 43—46

77426. Замечания к статье Г. Е. Пикуса и Ю. А. Фирсова. Бойч-Бруевич В. Л., Ж. техн. физики, 1956, 26, № 6, 1372

См. РЖХим, 1956, 35184.

77427. Теория остаточного электросопротивления тройных неупорядоченных сплавов. Кривоглаз М. А., Матysiна З. А., Смирнов А. А., Физ. металлов и металловедение, 1955, 1, № 3, 385—392

В рамках многоэлектронной теории металла вычислено остаточное электросопротивление тройных неупорядоченных сплавов в зависимости от конц-ии и T -ры отжига с учетом корреляции во всех координационных сферах.

77428. Применение теории фото-э. д. с. и фотопроводимости к In Sb. Мосс (Photovoltaic and photoconductive theory applied to InSb. Moss T. S.), J. Electronics., 1955, 1, № 2, 126—133 (англ.)

Решены ур-ния, определяющие распределение фотоэлектронов и фотодырок в равномерно освещенной пластинке из материала с собственной проводимостью. Результаты применяются для вычисления фото-э. д. с. и величины фотопроводимости. Показано, что по спектральной зависимости фото-э. д. с. и коэфф. поглощения материала можно определить биполярную диффузионную длину l . Если l определено таким образом, а скорость поверхностной рекомбинации s относительно велика ($l/\tau s \gg 1$), то измерение абс. величины фотопроводимости либо ее спектральной зависимости позволяет определить s . Метод используется для измерения τ и s в InSb.

77429. Полуэмпирический метод вычисления электронной работы выхода из металлов. Сахтлер (Halbempirische Methode zur Berechnung des Elektronen-Austrittspotentials von Metallen. Sachtler W. M. H.), Z. Elektrochem., 1955, 59, № 2, 119—122 (нем.)

Автор ищет полуэмпирич. ф-лу для определения работы выхода ϕ , исходя из следующих положений: 1) ϕ связана с потенциалом ионизации I свободных атомов, образующих кристаллич. решетку, 2) ϕ зависит от

величины перекрытия атомных функций. Это означает, что ϕ должна зависеть от плотности упаковки атомов δ на соответствующей кристаллич. грани. Исходя из сказанного, ϕ ищется в виде $\phi = f(\delta I)$. Обработка по методу наименьших квадратов эксперим. значений ϕ для различных металлов дает $\phi = 1,58 + 2,47 \delta \cdot I$ эв. Отклонения от этой ф-лы, как правило не $> 0,1$ эв, что находится в пределах точности измерений. Для металлов с особенно большими значениями I (Co, Zn) вычисленные ϕ больше измеренных. Ф-ла непригодна для наиболее легких металлов (Li, Be) и наиболее тяжелых (Pb, Ti). Ф-ла в пределах ее применимости, позволяет находить ϕ для тех металлов, для которых ϕ еще не измерена, либо по данным ϕ определять I . Вычисленные таким образом значения I для ряда атомов согласуются с имеющимися хим. данными.

77430. Проводимость бромистого серебра в присутствии брома. Шамовский Л. М., Дунина А. А., Гостева М. И., Ж. эксперим. и теор. физики, 1956, 30, № 4, 640—648

Исследована зависимость электропроводности σ монокристаллов AgBr от давления p (до 2 ат) и T -ры ($100-300^\circ$) насыщ. паров Br_2 . Прирост σ , обусловленный парами Br_2 при данной T -ре описывается ф-лой $\Delta\sigma = 1,82 \cdot 10^2 \sqrt{p_{\text{Br}_2}} \cdot \exp(-13520/RT)$ ом⁻¹ см⁻¹ ат^{-1/2}. Прирост σ приписан образованию дырок (Br_G) по р-ции Br_2 (газ) $\rightarrow 2\text{Br}_G$ (1), откуда при $T = \text{const}$ конц-ия дырок $C_{\text{Br}_G} = V K_1 \sqrt{p_{\text{Br}_2}}$, где K_1 — константа равновесия р-ции (1). Исходя из того, что Br_G взаимодействует с Ag^+ -вакансиями (Ag_G^+) с образованием V_1 -центров $[\text{Ag}_G^+ \text{Br}_G]$, авторы получают $C_{[\text{Ag}_G^+ \text{Br}_G]} = K_2 p_{\text{Br}_2} \times C_{\text{Ag}_G^+}/C_{\text{Br}_G}$, т. е. конц-ия V_1 -центров пропорциональна p_{Br_2} .

Это, по мнению авторов, показывает ошибочность вывода Мольво (Mollwo E., Ann. Physik., 1937, 29, 394), что центры окраски аддитивно окрашенных в парах галогена KBr и KJ являются молекулами галогена, растворенного в кристалле, и ошибочность модели V_2 -центров Зейца. При 20° дырочная проводимость равна нулю при $p_{\text{Br}_2} \approx 40$ мм рт. ст. Оценено, что энергия термич. диссоциации V_1 -центров в AgBr, KBr и KJ равна соответственно $\sim 0,3$, $\sim 0,3$ и $0,34$ эв. Предложен механизм образования дырок в AgBr в атмосфере Br_2 : Br_2 адсорбируется на внешних и внутренних поверхностях кристалла, диссоциирует на атомы Br, которые отдают дырки в кристалл, превращаясь в Br_G^- , образующий с междузельными ионами Ag^+ новые кристаллич. плоскости AgBr.

77431. Электрические свойства халкогенидов висмута. I. Электрические свойства сульфида висмута Bi_2S_3 . Коноров П. П., Ж. техн. физики, 1956, 26, № 5, 1126—1128

Измерены проводимость σ , постоянная Холла R и коэфф. термо-э. д. с. α Bi_2S_3 , Bi_2Se_3 и Bi_2Te_3 в интервале от T -ры жидкого воздуха до 700°K . σ поликристаллич. пресованных образцов Bi_2S_3 стехиометрич. состава в интервале $300-600^\circ\text{K}$ экспоненциально возрастает с T -рой; энергия активации ΔE при T -рах $< 400^\circ\text{K}$ равна $0,17$ эв, а выше 400°K ~ 1 эв. При 20°C $\alpha \approx 1300$ мкВ/град и по знаку соответствует электронной проводимости. Значения ΔE , полученные из кривых $\lg \sigma = f(T)$ и $\alpha = f(T)$ при T -рах $> 400^\circ$, совпадают между собой и со значением, найденным из порога ИК-фотопроводимости. Сделан вывод, что ширина запрещенной зоны Bi_2S_3 равна ~ 1 эв. Э. д. с. Холла весьма мала. Примесь Bi повышает σ и сообщает металлич. свойства. Подвижность носителей мала и умень-

шается с ростом t -ры, что приписано преобладанию ионной связи в Bi_2S_3 . А. Х.

77432. К исследованию электропроводности тонких металлических слоев при низких температурах. В о д а р (Contribution à l'étude de la conduction électrique des couches métalliques minces aux basses températures. V o d a r B.), Colloq. internat. Centre nat. renh. scient., 1956, 61, №45—51 (франц.; рез. англ.)

Обзор опубликованных работ автора с сотрудниками по полупроводниковым свойствам тонких металлич. слоев. Библ. 18 назв. А. Х.

77433. Фотоэлектронная эмиссия с CdS . Ш у б а Ю. А., Ж. техн. физики, 1956, 26, № 5, 1129—1135

Поликристаллические слои CdS толщиной 10^{-8} — 10^{-9} см состояли из гексагональной и куб. модификаций. Работа выхода, измеренная по вольтамперным характеристикам, не превышает 4,1 эв, однако порог внешнего фотоэффекта лежит ~5 эв. Квантовый выход эмиссии с CdS ниже, чем у других полупроводников, и медленнее возрастает с энергией фотонов. Энергия эмитируемых электронов крайне мала и не зависит от энергии фотонов в области 5—6,5 эв. Работа выхода и квантовый выход эмиссии при облучении УФ-лучами сильно изменяются при одновременной подсветке видимым светом. Наблюдается качеств. связь между внешним и внутренним фотоэффектом. Результаты объясняются на основе экситонного механизма поглощения света: эмиссия происходит в результате возбуждения экситонами электронов, локализованных на метастабильных примесных уровнях, которые заполняются электронами при распаде экситонов. А. Х.

77434. Измерение проводимости селена высокой чистоты. Эккарт (Leitfähigkeits-Messungen an hochgereinigtem Selen. Eckart F.), Ann. Phys., 1956, 17, № 2—3, 84—93 (нем.)

В продолжение работ (РЖХим, 1955, 51287) исследована зависимость проводимости σ Se от t -ры в высоком вакууме. Кривые $\sigma = f(T)$ сильно зависят от предварительной термич. обработки образца. Для Se, многократно переплавленного в вакууме, наблюдается прямолинейная зависимость $\lg \sigma = f(1/T)$ в области 80—180°. Энергия активации собственной проводимости равна 1,2—1,6 эв. После термич. обработки на воздухе при 200° σ возрастает на 6 порядков. Энергия активации для этого случая в интервале 40—210° равна 0,19—0,14 эв, в зависимости от времени термич. обработки. Подтверждено предположение, что O_2 или его соединения существенно влияют на σ Se, однако неясно, образуют ли они дефекты структуры или каталитически влияют на процессы кристаллизации. А. Л.

77435. Эффект Расселла в кремнии и германии. Эйхерн, Ло (Russell effect in silicon and germanium. Ahearn A. J., Law J. T.), J. Chem. Phys., 1956, 24, № 3, 633—634 (англ.)

Обнаружено, что свежезачищенные Si и Ge за несколько минут вызывают заметное потемнение фотопластинок Илфорд Q. Испытания со светофильтрами и электрич. полями показывают, что потемнение вызывается не фотонами и не отрицательными частицами. Хим. испытания показывают, что оно вызывается H_2O_2 , образующейся в результате взаимодействия свежезачищенной поверхности с O_2 воздуха в присутствии влаги. В логарифмич. координатах скорость потемнения линейно уменьшается с увеличением промежутка времени между зачисткой поверхности и экспонированием. Найдено, что такая зависимость обусловлена уменьшением скорости образования H_2O_2 в течение хранения металла на воздухе. Скорости потемнения под действием Al, Ge и Si относятся как 1 : 20 : 400. Травленая поверхность дает более слабое потемнение, чем зачищенная. В отличие от Zn (РЖХим, 1956, 24959), поверхность расколотого кристалла Si дает сильное потемнение за 2,5 часа. Высказано предположение, что H_2O_2 образуется в результате хемосорбции O_2 , который при этом

диссоциирует на атомы O, реагирующие с соседними адсорбированными молекулами H_2O . А. Х.

77436. Исследование специфического влияния подкладки из окиси висмута на проводимость очень тонких слоев некоторых металлов. Сен-Сик-Минн, Офре (Étude de l'effet spécifique d'un support d'oxyde de bismuth sur la conductibilité de couches très minces de certains métaux. Sen-Sik Minn, Offret Suzanne, m-lle), C. r. Acad. sci., 1956, 242, № 17, 2117—2120 (франц.)

Слой Bi_2O_3 получали катодным распылением Bi в окислительной атмосфере (50% O_2) на пирексовую пластинку. На слой Bi_2O_3 в вакууме сублимировали слой металла (Al, Ag, Au, Cu, Pt). Установлено, что подкладка Bi_2O_3 сильно увеличивает проводимость σ слоев Ag и Au и не влияет на σ слоев Al, Cu и Pt. Измерена зависимость сопротивления R слоев Au, Ag и Pt на слое Bi_2O_3 от t -ры в интервале от t -ры жидкого водорода до 293° K: Слой Au и Ag с высоким R обладают низким отрицательным температурным коэф. сопротивления соответственно —0,25 и —0,56% на 1° K. Влияние подкладки приписано тому, что она уменьшает тенденцию пленок металлов распадаться на изолированные гранулы. Эта тенденция особенно велика у Ag и Au. Такое влияние пленок Bi_2O_3 приписано явлению эпитаксии. Так, параметры решеток Ag и Au близки между собой ($a_0 = 4,070$ Å для Au и 4,077 Å для Ag). Предварительные опыты показывают, что слои Bi_2O_3 хорошо кристаллизуются. А. Х.

77437. Темновая проводимость и фотопроводимость антрацена. Цинсер (Über die Dunkel- und Photoleitfähigkeit des Anthracens. Zinszer Hans Joachim), Z. Naturforsch., 1956, 11a, № 4, 306—311 (нем.)

Поведение антрацена (I) как фотопроводника сильно зависит от устройства электродов. Так, если с помощью нагретых электродов наложить на кристалл I электрич. поле, то при освещении возникают встречные поля, которые в темноте устойчивы в течение многих часов, но исчезают при освещении УФ-лучами после снятия напряжения. При использовании напыленных электродов освещение не создает устойчивых встречных полей. Они возникают в темноте и исчезают после снятия напряжения. УФ-лучи не влияют на их исчезновение. Чем хуже контакт с электродами, тем сильнее устойчивые поля. Сделан вывод, что разрушение встречных полей происходит в поверхностном слое кристалла, контактирующем с электродами. Примеси тетрацена повышают темновую проводимость и уменьшают фотопроводимость. Первое показывает, что тетрацен служит донором или акцептором. Фотопроводимость уменьшается после облучения I α -частицами. А. Х.

77438. Проводимость антимонида индия при низкой температуре. Бок (Sur la conductibilité de l'antimoniure d'indium à basse température. Bok Julien), C. r. Acad. sci., 1956, 242, № 17, 2114—2117 (франц.) При увеличении плотности тока I , проходящего через образец InSb при 20° K, напряжение сначала возрастает пропорционально I , далее остается постоянным и затем растет пропорционально I^x ($x > 1$). А. Х.

77439. Электрические измерения на алмазах типа IIb. Дайер, Ундпол (Electrical measurements on type IIb diamonds. Dyer H. B., Wederohl P. T.), Proc. Phys. Soc., 1956, B69, № 3, 410—412 (англ.)

Коэффициент выпрямления при 1 в равен ~60, знак выпрямления указывает на преимущественно дырочную проводимость. Закон Ома выполняется в интервале 0—4 в. Измерена зависимость общего сопротивления R одного из образцов от t -ры в интервале 200—10° K. R имеет максимум при ~500° K. В интервале 200—290° K зависимость $\lg R = f(1/T)$ выражается прямой. Е в ур-нии $\lg R = A \exp(E/2kT)$ равна 0,77 эв; эта величина связана с энергией активации, но не равна ей. Знак

постоянной Холла указывает на p -проводимость, конц-ия носителей при 20° С равна $8 \cdot 10^{19} \text{ см}^{-3}$. Проводимость при 20° С связана с интенсивностью ИК-полос поглощения.

77440. Гальванические элементы с твердыми электролитами, обладающими смешанной проводимостью. Вагнер (Calvanische Zellen mit festen Elektrolyten mit gemischter Stromleitung. Wagner C.), Z. Elektrochem., 1956, 60, № 1, 4—7 (нем.)

Обзор применения различных типов гальванич. элементов для определения доли ионной и электронной проводимостей в проводниках со смешанной проводимостью.

77441. Электрические и оптические свойства полупроводникового алмаза. Остин, Вулф (Electrical and optical properties of a semiconducting diamond. Austin I. G., Wolfe R.), Proc. Phys. Soc., 1956, B59, № 3, 323—338 (англ.)

Измерены уд. сопротивление ρ и постоянная Холла R полупроводникового алмаза типа $1b$ в интервале от —100 до +600°. Алмаз обладает свойствами обычного полупроводника p -типа. При 20° $\rho = 270 \text{ ом см.}$ а холловская подвижность дырок $\mu_p = 1550 \pm 150 \text{ см}^2 \text{ в}^{-1} \text{ сек}^{-1}$.

Вблизи этой t -ры $\mu_p \propto T^{-1/2}$. Энергия активации акцепторов 0,38 эв. Предполагается, что акцепторами являются примесные атомы и что полная конц-ия примесей в алмазах типа $1b$ меньше, чем в других алмазах. ИК-спектр поглощения исследованного алмаза типичен для алмазов типа $1b$, но обнаруживает добавочный резкий пик при 3,57 μ , слабые пики при 4,1; 3,4 и 2,5 μ и сплошное поглощение в области 1—2,5 μ . Добавочное поглощение уменьшается с ростом t -ры и выше 300° пики отсутствуют. При —155° в области λ 0,9—3,6 μ наблюдается фотокот порядка 10^{-9} а. Предложена модель, связывающая фотопроводимость и главный пик поглощения с механизмом проводимости. Близость энергии активации акцепторов (0,38 эв) и главного пика (0,34 эв) указывает на их прямую связь. Согласно водородоподобной модели примесных атомов дырка в основном состоянии локализована на акцепторном уровне, а в возбужденном состоянии может находиться на ряде локальных уровней, примыкающих к заполненной зоне. Поглощение фотона ведет к переходу дырки из основного в возбужденное состояние. Нагревание заполняет акцепторные уровни электронами.

77442. Парамагнитный резонанс в антраците и других содержащих углерод веществах. Гарифьянов Н. С., Козырев Б. М., Ж. эксперим. и теор. физики, 1956, 30, №2, 272—276

Измерения производились на частотах 9450; 536,71; 176,1 и 20 Мгц. Электронный парамагнитный резонанс дал ряд в-в, содержащих С (после названия в-ва приведена по ширине линии поглощения в э): антрацит 0,8; каменный уголь 4,4; свежеприготовленный древесный уголь 4,8; гудрон 4,3; карболит 3,8; черный каучук 11. Значение g -фактора для всех в-в не зависит от частоты и составляет $2,004 \pm 0,002$. Ширины линий также не зависят от частоты. Во всех в-вах интенсивность поглощения возрастала в 3 раза при понижении t -ры от 295 до 90° К, что согласуется с законом Кюри. Все эти факты указывают, что, вероятно, во всех случаях эффект обусловлен свободными радикалами, а не электронами проводимости. При 90° К слабое поглощение с $g \approx 2$ было обнаружено в образцах нефти Бавлинского месторождения. На образцах антрацита обнаружено влияние электропроводности на парамагнитное поглощение: когда глубина скин-слоя была меньше, чем толщина образца, кривая поглощения искажалась и становилась похожей на дисперсионную кривую; в тонких образцах этого не происходило. Эти результаты находятся в качеств. согласии с теорией (Bloembergen N., J. Appl. Phys., 1952, 23, 1383),

которая пока была подтверждена только для ядерного резонанса.

77443. Парамагнитный резонанс в синтетическом рубине. Зарипов М. М., Шамонин Ю. Я., Ж. эксперим. и теор. физики, 1956, 30, № 2, 291—295

Опыты велись при комнатной t -ре на частоте 9580 Мгц. Исследовались монокристаллы искусств. рубинов, общую флу которых можно записать в виде $(1-n) \text{ Al}_2\text{O}_3 \cdot n \text{ Cr}_2\text{O}_3$ с $n = 0,1—0,01\%$. Парамагнитный резонанс дают ионы Cr^{3+} . Наблюдаемые спектры хорошо объясняются, если допустить, что электрич. поле кристалла имеет в основном тригональную симметрию; это не противоречит кристаллографич. данным. Найдено начальное расщепление основного уровня Cr^{3+} : $0,38 \text{ см}^{-1}$, и значения g -факторов, входящих в обычный спиновый гамильтониан с осевой симметрией: $g_{\parallel} \approx g_{\perp} = 1,98$.

77444. О спиновом парамагнетизме газа свободных электронов. П. Донован, Лидиард, Марч (On the spin paramagnetism of a free electron gas: P. Donovan B., Lidiard A. B., March N. H.), Proc. Phys. Soc., 1955, A68, № 7, 644—647 (англ.)

В сообщении I (РЖХим, 1955, 45402) была вычислена температурная зависимость спиновой парамагнитной восприимчивости χ газа свободных электронов с учетом обменного взаимодействия. Кривая зависимости $1/\chi$ от t -ры T имела «горб» в области промежуточных t -р, при которых фермиевская функция распределения переходит в больцмановскую. Величина этого горба быстро росла с увеличением обменного взаимодействия. Цель работы — выяснить, обусловлено ли существование этого горба неудачным выбором пробной функции распределения электронов, или же оно действительно обусловлено обменным взаимодействием. Для решения вопроса более разумным образом выбрана двухпараметрическая функция распределения и на ее основе заново рассчитана температурная зависимость χ . На кривой зависимости $1/\chi$ от T «горб» отсутствует.

77445. Антиферромагнетизм в системе $\text{Ti}—\text{H}$. Уолфарт (Antiferromagnetism in the system $\text{Ti}—\text{H}$. Wolfart H. E. P.), Acta metallurgica, 1956, 4, № 2, 225—227 (англ.)

77446. К теории магнитной восприимчивости металлов при низких температурах. Лифшиц И. М., Косевич А. М., Ж. эксперим. и теор. физики, 1955, 29, № 6, 730—742

77447. Теория циклотронного резонанса в металлах. Азбель М. Я., Канер Э. А., Ж. эксперим. и теор. физики, 1956, 30, № 4, 811—814.

Кратко излагаются результаты теоретич. исследования резонансного эффекта в металлах, называемого авторами циклотронным резонансом (в отличие от диамагнитного резонанса, характерного для полупроводников) (Дорфман Я. Г., Докл. АН СССР, 1951, 81, 765; Dingle R. B., Proc. Roy. Soc., 1952, 212, 38). Этот эффект возникает в металлах, помещенных в высокочастотное электромагнитное поле, в том случае, если параллельно поверхности металла налагается также постоянное магнитное поле H . Как показывают авторы, глубина скин-слоя в металлах вблизи резонанса значительно меньше радиуса орбиты электрона в магнитном поле. Поэтому существует достаточно большое число электронов, которые, двигаясь по спирали, многократно возвращаются в скин-слой, где электрич. поле не мало. Их движение полностью аналогично движению зарядов в циклотроне с одним замором, так что при частотах переменного электромагнитного поля ω , кратных «циклотронной» частоте $\Omega_c = eH/mc$ ($\omega = q\Omega_c$, $q=1,2$), будет иметь место резонанс (e и m — заряд и масса электрона, c — скорость света). Авторы подчеркивают, что условием появления циклотронного резонанса является строгая параллельность H поверхности металла; в магнитном поле, не параллельном поверхности металла, резонанс отсутству-

ет, так как электрон попадает при этом в скин-слой только один раз. Приведены результаты вычислений по зонной теории металлов величины поверхностного импеданса вблизи резонанса и относительной высоты резонанса. Указываются возможные направления эксперим. изучения строения металлов с помощью циклотронного резонанса.

77448. Резонанс эффекта Фарадея в парамагнитных $\text{Cr}_2(\text{SO}_4)_3$, MnCl_2 и CoCl_2 на волне 3,37 см. Хедвиг, Надь (Resonance of paramagnetic Faraday effect in $\text{Cr}_2(\text{SO}_4)_3$, MnCl_2 and CoCl_2 at 3,37 cm wavelength. Hedvig P., Nagy A.), Acta phys. Acad. sci. hung., 1956, 5, № 4, 529—531 (англ.)

Изучалось фарадеевское вращение (ФВ) плоскости поляризации радиочастотного излучения (λ 3,37 см) при прохождении через порошок парамагнитного в-ва в зависимости от напряженности внешнего поля H . В волноводе распространялась волна типа TE_{11} . Длина образца равнялась 10 см. Измерения на MnSO_4 хорошо согласуются с результатами, полученными Н. Непримеровым (смотри РЖХим, 1955, 132). Аналогична форма кривой ФВ в $\text{MnCl}_2 \cdot \text{H}_2\text{O}$; она имеет дисперсную форму с максим. вращением (МУВ) ± 5 мин/см; вращение меняет знак, когда H достигает резонансного значения 3450 э (точка инверсии ФВ). В $\text{Cr}_2(\text{SO}_4)_3 \cdot 18\text{H}_2\text{O}$ МУВ равно $\pm 2,5$ мин/см. Точка инверсии (3400 э) соответствует g -фактору 1,87. На этих образцах при $H=2500$ э наблюдается минимум ФВ без перемены знака. В CoCl_2 ФВ весьма мало; вероятно, МУВ было около $\pm 0,3$ мин/см, а точка инверсии близки 3150 э ($g=1,93$).

77449. Некоторые свойства ферритов в связи с их химией. Гортер (Some properties of ferrites in connection with their chemistry. Gorter E. W.), Proc. IRE, 1955, 43, № 12, 1945—1973, 1976 (англ.)

Обзор магнитных свойств и кристаллохимии ферритов. Библ. 63 назв.

77450. Время ядерной спин-решеточной релаксации в меди и алюминии. Редфилд (Nuclear spin-lattice relaxation time in copper and aluminum. Redfield Alfred G.), Phys. Rev., 1956, 101, № 1, 67—68 (англ.)

77451. Резонансные явления в ферритах в области точки компенсации в полях с круговой поляризацией. (Ферри-магнитный резонанс.) Польве, Дрейфус (Résonance de ferrites à point de compensation, en champ polarisé circulairement (Résonance ferrimagnétique). Paulevé Jean, Dreyfus Bernard), C. r. Acad. sci., 1956, 242, № 10, 1273—1275 (франц.)

Резонансные явления в области т-ры магнитной компенсации T_M наблюдались в ферритах состава $\text{Li}_{0,5}\text{Fe}_{2,5}^{3+}\text{O}_4$ при $a=1,25$ и $a=1,5$ в циркулярно поляризованных полях 9400 Мгц в интервале т-р от -60 до $+100^\circ$. В области T_M оказалось возможным разделить линии резонансного поглощения двух типов, одному из которых соответствует гиромагнитное отношение со знаком, противоположным знаку такого же отношения для электрона. Эта линия «обменного» резонанса наблюдается только при $T_M < T_C$, где T_C — т-ра компенсации механич. момента. При $T < T_M$ и $T > T_h$ наблюдается лишь линия обычного ферромагнитного резонанса.

77452. О росте кристаллов сульфида цинка при отжиге. Сионоя, Аmano (硫化亜鉛の焼成過程における結晶成長について. 藤谷繁雄, 天野開一), 日本化学雑誌, Нихон кагаку дзасси, J. Chem. Soc. Japan., Pure. Chem. Sec., 1956, 77, № 2, 303—305 (япон.)

77453. Особенности взаимодействия нитрата стронция с метиленовым голубым в процессе кристаллизации. Славнова Е. Н., Докл. АН СССР, 1956, 107, № 5, 693—696

Исследована кристаллизация $\text{Sr}(\text{NO}_3)_2$ (I) из р-ров, пересыщенных относительно высокотемпературной куб. фазы I, при комнатной т-ре и при 40° в присутствии примесей ($1 \cdot 10^{-4}$ — $2 \cdot 10^{-2}$ вес. % в исходном водн. р-ре) метиленового голубого (II). Обнаружено стабилизирующее влияние II (при конц-ях $3 \cdot 10^{-3}$ и $1 \cdot 10^{-2}\%$) на пересыщ. р-ры I с последующим выделением при комнатной т-ре вместо низкотемпературной фазы $\text{Sr}(\text{NO}_3)_2 \cdot 4\text{H}_2\text{O}$ кристаллов высокотемпературной фазы $\text{Sr}(\text{NO}_3)_2$, содержащих примесь II. В отличие от нитратов Pb и Ba (РЖХим, 1956, 67779) кристаллы I извлекают II начиная с $2 \cdot 10^{-4}\%$ во всей области изученных конц-ий. Габитус полученных кристаллов, интенсивность их окраски, а также характер кривых поглощения окрашенных кристаллов I позволили сделать вывод, что II может находиться в этих кристаллах как в молекулярном, так и в кристаллич. состоянии в зависимости от условий кристаллизации. Первое характерно для кристаллов, полученных из р-ров, содержащих II преимущественно в состоянии мономера, второе — для кристаллов, выращенных в присутствии значительных кол-в димера. При средних конц-ях II ($\sim 5 \cdot 10^{-3}\%$) возможно присутствие в одном кристалле I как молекул, так и кристаллов II.

77454. Коэффициенты распределения различных примесей в слитке тетраиодида кремния. Рубин, Мотс (Segregation coefficients of various impurities in a silicon tetraiodide matrix. Rubin Bernard, Moates Guy H.), J. Amer. Chem. Soc., 1956, 78, № 4, 880 (англ.) Такие примеси, как В, не могут быть удалены из Si методом зонной плавки. Сделана попытка осуществить эту задачу путем очистки не элементарного Si, а его соединений с последующим разложением до элементарного Si. Для этого путем взаимодействия паров I_2 с Si (98%) при 800° получали SiI_4 , перекристаллизовывали его из толуола, помещали в пирексовые ампулы длиной 30 см, запаивали и подвергали зонной плавке при т-ре расплавленной зоны 135° (т-ра плавления SiI_4 $121,5$ — $122,5^\circ$), длине 2,5 см и скорости ее перемещения 5 см/час. Спектрографич. анализом слитка после однократной плавки определены коэфф. распределения примесей: В $0,16 \pm 0,07$, Al $0,88 \pm 0,04$, Na $0,07 \pm 0,01$, Mg $0,58 \pm 0,06$, Cu $0,63 \pm 0,05$. Путем многократной плавки содержание примесей может быть доведено до уровня, меньшего, чем $1:10^6$.

77455. Технические замечания к выращиванию монокристаллов из расплава. Тарьян, Турчань (Technische Bemerkungen zur Züchtung von Einkristallen aus Schmelzen. Tarján I., Turchányi Gy.), Acta phys. Acad. sci. hung., 1956, 5, № 4, 533—535 (нем.)

Описаны практич. приемы, улучшающие выращивание монокристаллов Na (Tl) из расплава. В случае применения метода Бриджмена конец капиллярной части трубки предлагается брать в виде двух отростков. Для предотвращения появления напряжений в образце, обычно возникающих в процессе охлаждения вследствие различия коэфф. теплового расширения трубки и кристалла, последний рекомендуется слегка оплавить и перевести в противоположную, расширенную часть трубки. Благодаря этому кристалл будет соприкасаться со стенками сосуда только в нескольких точках и охлаждение будет происходить свободно. При использовании метода Киропулуса лучшие результаты получаются, если в процессе роста кристалла вращать тигель с расплавом, накрытым фарфоровой крышкой с отверстием.

77456. Скорости роста монокристаллов этилендиамин-тарtrate. Бут, Бакли (Growth rates of single crystals of ethylene diamine tartate. Booth A. H., Buckley H. E.), Canad. J. Chem., 1955, 33, № 6, 1155—1161 (англ.)

Исследован рост граней монокристалла этилендиамин-тарtrate при контролируемых условиях прямо в р-ре через короткие интервалы посредством передвижного микро-

скопа. Для пары наиболее быстро растущих граней ($\bar{1}\bar{1}0$) и ($1\bar{1}0$) воспроизводим постоянный рост при постоянном пересыщении. Эквивалентные грани с противоположного конца оси у кристалла растут при меньшем насыщении неправильными скачками, так что не может быть получена воспроизводимая величина скорости роста. Полученные результаты рассмотрены в соответствии с существующими теориями роста кристаллов. В. Г.

77457. Явления рекристаллизации в чистых металлах. Болье (Les phénomènes de recristallisation dans les métaux purs. Beaulieu Christian de), *Chimie et industrie*, 1956, 75, № 4, 740—747 (франц.; рез. англ., исп.).

77458. Рекристаллизация и рост зерен в титане (продажном). Лили, Уокер (Recrystallization and grain growth in commercial titanium. Leighly H. P., Walker H. L.), *Trans. Indian Inst. Metal.*, 1954—1955, 8, 287—299 (англ.).

77459. Эпитаксия и образование зародышей переохлажденной воды. Монмори (L'épitation et la nucléation de l'eau surfondu. Montmory R.), *Bull. Observ. Puy-de-Dôme*, 1955, № 4, 108—124 (франц.; рез. англ.). Дается геометрия, определение эпитаксии по Руайе и Фриделю. Приводятся данные о структуре льда и воды при различных T -рах, а также о структурах ряда кристаллич. в-в, обладающих глицогенными (льдообразующими) свойствами (гексагональных, куб., орторомбич.). Обсуждаются примеры эпитаксии: КJ и лед на мусковите. Установлено, что для всех указанных в-в, порог действия которых не ниже -10° , относительная разница соответствующих параметров не превышает 15%. Показано, что для в-в с гексагональной структурой для каждого типа решетки (ZnO , CdJ_2) имеется простая связь между относительной разницей параметров a (a — сторона 6-угольного базиса элементарной ячейки) и понижением температурного порога глицогенного действия. Н. Г.

77460. Прочность монокристаллического и поликристаллического корунда. Джэксман, Робертс (The strength of single crystal and polycrystalline corundum. Jackman Elizabeth A., Roberts J. P.), *Philos. Mag.*, 1955, 46, № 378, 809—811 (англ.). См. РЖФиз., 1956, 13603.

77461. Первые результаты дискуссии о природе округлых форм алмаза. Аншелес О. М., *Минералог. сб. Львовск. геол. о-ва при ун-те*, 1955, № 9, 346—358

77462. Грани и облик кристаллов алмазного типа. Вулф (Faces and habits of diamond type crystals. Wolff G. A.), *Amer. Mineralogist*, 1956, 41, № 1—2, 60—66 (англ.).

Проводилось изучение граней кристаллов алмазного типа с целью выяснения последовательности возникновения простых форм. Объекты изучения: Si, Ge, куб. As_2O_3 (арсенолит) и куб. Sb_2O_3 (сенармонтит). В условиях быстрого роста все эти в-ва кристаллизуются в форме октаэдров {111}. При замедленном росте огранка обогащается за счет дополнительных форм. Последовательность возникновения форм для Si и Ge: {111}, {001}, {113}, {011}, {013}; для арсенолита и сенармонтита: {111}, {011}, {001}. Автор объясняет это различие несимметричностью молекул As_2O_3 и Sb_2O_3 . Двойникование, спайность и скольжение не столь зависимы от условий роста, как облик кристаллов, и для перечисленных соединений соответствующими плоскостями являются {111}. Приводятся последовательность возникновения граней цинковой обманки: {111}, {111}, {001}, а также описание различных типов габитуса кристаллов Si и Ge при различных условиях образования. Г. П.

77463. О происхождении обратнопараллельных треугольных впадин на гранях алмаза. Гиевушев М. А., *Минералог. сб. Львовск. геол. о-ва при ун-те*, 1955, № 9, 25—30

77464. Исследование фигур травления чистой меди с помощью электронного микроскопа. Бонфилиоли, Ферро (Figure di attacco del rame puro esaminate al microscopio elettronico. Bonfiglioli G., Ferro A.), *Metallurgia ital.*, 1955, 47, № 12, 555—558 (итал.; рез. англ., франц., нем.).

Микроскопически исследованы фигуры травления на поверхности чистой меди, полученные под действием смеси CH_3COOH и 10%-ной HNO_3 . Получены некоторые данные о кристаллизации куб. гранецентрированных металлов и субструктурах внутри отдельных кристаллов. М. П.

77465. Новый способ определения точечной группы симметрии прозрачных кристаллов. Дейвиссон (A new aid to the determination of the point-group symmetry of transparent crystals. Davisson J. W.), *Acta crystallogr.*, 1956, 9, № 1, 9—15 (англ.).

В качестве нового метода определения симметрии прозрачных кристаллов использовано явление электрич. пробоя. К ориентированной пластинке кристалла, помещенной в масло, прикладывается пульсирующее электрич. поле с длительностью импульса 10^{-6} сек. Напряжение поля подбирается так, чтобы получить лишь частичный пробой: при искровом промежутке в воздухе, равном 5—7,5 см, толщина пластинки должна быть порядка нескольких мм. Один из электродов плоский, другой — точечный. Линии действия электрич. пробоя идут от точечного электрода не на всю толщину пластинки (частичный пробой) и располагаются вдоль определенных кристаллографич. направлений. Узоры, образованные линиями действия пробоя, наносятся с обеих сторон пластинки. Исследование симметрии этих узоров приводит к определению точечной группы. Для кристаллов триклинной и моноклинной сингоний это определение является однозначным. Кристаллы более высокой симметрии требуют дополнительных исследований. Определены точечные группы симметрии ряда кристаллов: $(NH_4)H_2PO_4$, KH_2PO_4 , $NaClO_3$, $NaBrO_3$ и др.; полученная симметрия совпадает с симметрией этих же кристаллов, определенной другими способами. А. В.

77466. Кристалл александрита из Бирмы. Пейн (An alexandrite crystal from Burma. Payne C. J.), *Gemmologist*, 1956, 25, № 296, 39—40 (англ.).

В районе Могок (Бирма) найден кристалл александрита с простыми формами: {100}, {010}, {111}, {101}, {011}, {5/0}. Показатели преломления $n_g = 1,7548$, $n_m = 1,7484$, $n_p = 1,7463$, $\rho = 3,706$. Плеохроич. окраска ($n_g(z)$ — голубовато-зеленая, $n_m(y)$ — зеленая, $n_p(x)$ — пурпурная) отличалась от окраски уральского александрита. Приведены данные спектра поглощения по трем главным направлениям кристалла. Описаны включения в кристаллах. У. А.

77467. Фрагментация в кристаллах вольфрама. Рик (Fragmentation in tungsten crystals. Rieck G. D.), *Acta Metallurgica*, 1956, 4, № 1, 47—51 (англ.; рез. франц., нем.).

77468. Преимущественная ориентация в метастабильном объемноцентрированном кубическом сплаве Zr-Nb. Килер (Preferred orientations in a meta-stable body-centered-cubic Zr-Nb alloy. Keeler J. H.), *J. Metals*, 1956, 8, № 2, Sec. 2, 122—123 (англ.).

77469. О микрогеометрии поверхностей электролитически полированной α -латуни. Жакке (Sur la microgéométrie des surfaces d'un laiton α polies électrolytiquement. Jacquet Pierre A.), *C. r. Acad. sci.*, 1956, 242, № 16, 1990—1993 (франц.).

77470. Доказательство физическими методами дислокаций в хроме. Фрейзер, Каплан, Берр (Physical evidence of dislocations in chromium. Fraser M. J., Caplan D., Burr A. A.), *Acta metallurgica*, 1956, 4, № 2, 186—196 (англ.; рез. франц., нем.).

77471. Изменение габитуса неорганических кристаллов красителями. Часть 1. Общие положения. Уэстон (The crystal habit modification of inorganic salts with dyes. Part 1. General considerations. Wheatstone J.), Trans. Faraday Soc., 1955, 51, № 7, 973—980 (англ.).

Рассматриваются результаты работ автора и других исследователей по изучению свойств красителей, влияющих на габитус кристаллов. Предлагается механизм адсорбции красителей кристаллич. гранями растущих кристаллов, в основу которого положена необходимость соответствия между структурой полярных групп молекул красителя и структурным мотивом кристаллич. плоскостей. Согласно представлениям автора, молекулы красителей закрепляются на боковых поверхностях тангенциальных слоев роста, образующих грани, что и вызывает замедление роста этих граней в направлении нормали, приводящее в результате к изменению габитуса. Плоскости молекул красителей при этом оказываются перпендикулярными или почти перпендикулярными (в зависимости от симметрии кристалла) к грани. Способность красителей изменять габитус кристаллов существенно зависит от ориентации их полярных групп, а также от достаточной растворимости красителей в насыщ. р-рах солей. Е. С.

77472 Д. Изучение разновидностей сподумена: кунцита и гиденита. Бетгер (Beiträge zur Kenntnis der Spodumen-Varietäten Kunzit und Hidenit insbesondere ihrer optischen Eigenschaften. Böttger Günther. Diss. Math.-naturwiss. F. Hamburg, 1953, Maschinenschr.), Dtsch. Nationalbibliogr., 1955, B, № 3, 221 (нем.).

77473 Д. Самодиффузия в упорядоченном и неупорядоченном Cu-Zn. Кьюпер (Self-diffusion in ordered and disordered copper-zinc. Kuper Alan Birk. Doct. diss., Univ. Illinois, 1955), Dissert. Abstrs, 1955, 15, № 12, 2554—2555 (англ.).

См. также: Рентгеногр., электроногр. исслед. 77846, 77860, 77879, 77896, 78272, 78274—78277, 78307, 78308, 78312, 78634, 78880, 79804. Магнитный резонанс 77319, 77321, 77326. Фазовые превращения, полиморфизм 77511, 77536. Магнитные св-ва кристаллов 77330. Спектры и др. оптич. св-ва кристаллов 77304, 77312, 77314, 78311, 78315. Рост кристаллов 77537, 77538, 77857. Приборы и оборудование 78559—78563, 78565—78568. Др. вопр. 77518, 77534, 77635, 77662, 78344, 78797, 78798

ЖИДКОСТИ И АМОРФНЫЕ ТЕЛА. ГАЗЫ

77474. Решение уравнения Больцмана для максвелловских молекул. Гросс (Solution of the Boltzmann equation for Maxwellian molecules. Gross E. P.), Phys. Rev., 1954, 93, № 2, 347—348 (англ.).

77475. Уравнение состояния системы газ — жидкость — твердое тело. Симосэ (氣・液・固體系の狀態式・下瀬有郎), 物性論研究, Буссейрон кэнкю, 1954, № 79, 140—147 (япон.).

77476. О броуновском движении полярных молекул. Сайто, Като (極性分子のBrown運動について齊藤信彦, 加藤範一), 物性論研究, Буссейрон кэнкю, 1956, № 92, 103—113 (япон.).

Теоретически рассматривается вращательное броуновское движение частиц, обладающих перманентным дипольным моментом. Л. Л.

77477. Влияние формы молекул на время диэлектрической релаксации. Ле-Февр, Салливан (The influence of molecular shape upon dielectric relaxation times. Le Fèvre R. J. W., Sullivan E. P. A.), J. Chem. Soc., 1954, Aug., 2873—2878 (англ.).

Измерены в CCl_4 и C_6H_6 диэлектрич. потери и вычислено время релаксации τ CH_3Cl , CH_3Br , CH_3I , CH_3NO_2 , CH_3CN , $\text{C}_6\text{H}_5\text{CH}_3$, $\text{C}_6\text{H}_5\text{F}$, $\text{C}_6\text{H}_5\text{Cl}$, $\text{C}_6\text{H}_5\text{Br}$, $\text{C}_6\text{H}_5\text{I}$,

$\text{C}_6\text{H}_5\text{CN}$, $\text{C}_6\text{H}_5\text{NO}_2$, *o*-ксилола, *m*-ксилола, 4- C_6H_5 · $\text{C}_6\text{H}_4\text{Cl}$, 4- C_6H_5 · C_6H_4 · NO_2 , 1- $\text{C}_{10}\text{H}_7\text{NO}_2$, *n*- $\text{ClC}_6\text{H}_4\text{NO}_2$, *n*- CH_3 · $\text{C}_6\text{H}_4\text{NO}_2$, $\text{C}(\text{CH}_3)_3\text{Cl}$, $\text{C}(\text{CH}_3)_3\text{Br}$, $\text{C}(\text{CH}_3)_3\text{I}$, α - $\text{C}_{10}\text{H}_7\text{F}$, β - $\text{C}_{10}\text{H}_7\text{F}$, α - $\text{C}_{10}\text{H}_7\text{Cl}$, β - $\text{C}_{10}\text{H}_7\text{Cl}$, α - $\text{C}_{10}\text{H}_7\text{Br}$, β - $\text{C}_{10}\text{H}_7\text{Br}$, α - $\text{C}_{10}\text{H}_7\text{I}$, β - $\text{C}_{10}\text{H}_7\text{I}$ и камфоры. Графически представлена зависимость $\tau \cdot 10^{12}$ от α (exр h^2) $^{1/2} \cdot 10^{24}$, где α — средняя поляризуемость, h — коэфф., характеризующий форму молекулы (Holland, Le Fèvre R. J. W., J. Chem. Soc., 1950, 2166). А. З.

77478. Барический коэффициент диэлектрической постоянной воды. Мавроидес (Pressure coefficient of the dielectric constant of water. Mavroides John G.), J. Chem. Phys., 1956, 24, № 2, 398—399 (англ.).

Рассчитано изменение диэлектрич. постоянной воды при изменении давления по двум моделям: 1) с одним состоянием тетраэдроподобной формы, 2) модель с 2 состояниями с возможными переходами между ними: плотная упаковка и тетраэдроподобная. Относительное изменение ϵ выражается ф-лой: $\Delta\epsilon/\epsilon = -\Delta V/V + (1/\epsilon V) \cdot \sum_{k=1}^2 \{6\pi(\alpha_k \Delta N_k + N_k \Delta \alpha_k) + (2\pi/kT) [\mu_k < \mu_k > \Delta N_k + N_k \Delta(\mu_k < \mu_k >)]\}$, где V — молярный объем, N_k — число молекул в k -состоянии, μ_k — дипольный момент, α_k — оптич. поляризуемость, а $< \mu_k >$ — полный момент с учетом момента, индуцированного окружающими молекулами. Для модели с одним состоянием $\Delta N_k = 0$ и суммирование по k опускается. Для $t = 20^\circ$ по первой модели $\Delta\epsilon/\epsilon = 3,7 \cdot 10^{-8}$, а по второй $7,5 \cdot 10^{-8}$ (при $\Delta p = 1$ атм). Ввиду недостаточной точности эксперимента выбор надлежащей модели невозможен. А. З.

77479. О свободном объеме жидкостей. Луцкий А. Е., Ж. физ. химии, 1956, 30, № 3, 487—491 (рез. англ.).

В каждый данный момент свободный объем жидкости: $v_1 = v - \Lambda v_2$ (v — молярный объем, v_2 — размер микро-частицы, Λ — число Авогадро) состоит из экранированного объема (v_3) и из объема, доступного для движения микро-частиц (v_4). Величины v_4 рассчитаны для большого числа жидкостей по ф-лам, выведенным из ячеичной модели жидкости и из представлений о наличии в жидкостях дырок и временных скоплений микро-частиц. Полученные в последнем случае значения v_4 весьма близки к таковым, полученным из данных для вязкости, плотности и других свойств жидкостей. С ростом дипольного момента молекул при их циклич. форме и комплексообразовании v_4 уменьшается. В гомологич. рядах с ростом длины углеводородной цепи $v_4 : v_1$ уменьшается, а $v_3 : v_1$ растет. С ростом t -ры, наоборот, $v_4 : v_1$ растет, а $v_3 : v_1$ уменьшается. При том же внешнем давлении у нормальных жидкостей кипение наступает при одинаковом значении $v_4 : v_1$. А. Л.

77480. Таблицы тепловых свойств газов. Таблицы термодинамических величин и величин, характеризующих явления переноса, для воздуха, аргона, двуокиси углерода, окиси углерода, водорода, азота, кислорода и водяного пара. Хильзенрат, Беккетт, Бенедикт, Фано, Хог, Мейзи, Наттала, Тулукия, Вулли (Tables of thermal properties of gases. Comprising tables of thermodynamic and transport properties of air, argon, carbon dioxide, carbon monoxide, hydrogen, nitrogen, oxygen, and steam. Hilsenrath Joseph, Beckett Charles W., Benedict William S., Fano Lilla, Hoge Harold J., Masi Joseph F., Nuttall Ralph L., Touloukian Yeram S., Woolley Harold W.), Nat. Bur. Standards Circ., 1955, № 564, 488 pp. (англ.).

77481. Теплопроводность некоторых органических жидкостей. Сесил, Манч (Thermal conductivity of some organic liquids. Cecil O. B., Munch R. H.),

Industr. and Engng Chem., 1956, 48, № 3, Part 1, 437—440 (англ.)

Сконструирован прибор, позволяющий с точностью ~2% измерять теплопроводность малых образцов жидкости (20 мл) в 20—30 мин. Прибор состоит из стеклянной трубки длиной 10 см с внутренним diam. 1,07 и внешним 1,26 см. По оси трубки натянута тонкая Pt-нить diam. 0,0058 см. На концах нить раздваивается и присоединяется к Pt-выводам толщиной 0,051 см. Такая схема с 4 выводами позволяет учесть сопротивление выводов и раздвоенной части нити и исключить влияние краевых эффектов. Прибор наполняют исследуемой жидкостью, погружают в термостат и через Pt-нить пропускают ток. Приводится ф-ла расчета теплопроводности жидкости по разности т-р нити и термостата, теплопроводности стекла трубки, силе тока и геометрии констант прибора. Проведено измерение теплопроводности ряда жидкостей (H_2O , CH_3OH , CCl_4 , C_2H_5Br , $CHCl_3$). Получено хорошее совпадение с литературными данными. Приводятся результаты измерений 16 жидкостей, теплопроводности которых были ранее плохо известны (дибутилфталат, 1,2,4-трихлорбензол и т. д.). Исследована теплопроводность двойных и тройных смесей. Получено хорошее совпадение с теоретич. значениями теплопроводности, подсчитанными по теплопроводностям отдельных компонент.

В. Л.

77482. Оценка теплопроводности для смесей неполярных газов. Простой эмпирический метод. Брокко (Estimating thermal conductivities for nonpolar gas mixtures. Simple empirical method. Brokaw Richard S.), Industr. and Engng Chem., 1955, 47, № 11, 2398—2400 (англ.)

Предложена ф-ла, позволяющая вычислить теплопроводность бинарной смеси λ легких газов (H_2 , He) с более тяжелыми неполярными газами по теплопроводностям компонент: $\lambda = a\lambda' + (1-a)\lambda''$. Здесь $\lambda' = x_1\lambda_1 + x_2\lambda_2$, а $1/\lambda'' = x_1/\lambda_1 + x_2/\lambda_2$; где x_1 и λ_1 — соответствующие молярные доли теплопроводности. Из экспериментально определенных теплопроводностей смесей построен график зависимости коэфф. a от конц-ии. При увеличении молярной доли легкой компоненты от 0 до 1,0 a увеличивается от 0,3 до 0,8. Этот метод расчета может быть применен в качестве первого приближения и для многокомпонентных газовых смесей, если считать $a = 0,50$. Приведено сравнение с наблюдаемыми для тройных смесей, а также с результатами других методов расчета.

А. Л.

77483. Теплопроводность газов при высоких температурах. Измерения с азотом, двуокисью углерода, аргон и смесями азот-двуокисль углерода до температуры 775° С. Ротман, Бромли (High temperature thermal conductivity of gases. Measurements on nitrogen, carbon dioxide, argon, and nitrogen-carbon dioxide mixtures at temperatures up to 775° C. Rothman Albert J., Bromley LeRoy A.), Industr. and Engng Chem., 1955, 47, № 5, 899—906 (англ.)

Измерения теплопроводности проведены в кольцевом зазоре шириной 0,63 или 0,84 мм между двумя серебряными цилиндрами длиной 178 мм. Подробно описано устройство термостата и всех вспомогательных приборов, а также метод введения поправок на излучение и конвекцию. При высоких т-рах и давл. ~1 атм необходимо учитывать коэфф. аккомодации и скачок т-ры у поверхности серебра. Разбор эксперим. результатов в пределах 1%. Проведено сравнение с результатами других авторов для т-р до 400°, а для смеси и с корреляционной ф-лой Линдсея — Бромли.

А. Л.

77484. О некоторых свойствах жидких металлов. Харшер (Some aspects of liquid metals. Harper L. H. J.), J. Birmingham Metallurg. Soc., 1956, 36, № 1, 346—359 (англ.)

77485. Некоторые свойства жидкого гелия при температурах ниже 1° К. II В. Крамерс (Some properties of liquid helium below 1° K. II. B. Kramers H. C.), Proc. Koninkl. nederl. akad. wetensch., 1955, 858, № 5, 377—385 (англ.)

Продолжение (сообщение II А, РЖХим, 1956, 53853). Описываются ход эксперимента и некоторые детали установок для измерений.

Р. Ч.

77486. Атомное распределение в жидком гелии по нейтронографическим данным. Херст, Хеншоу (Atomic distribution in liquid helium by neutron diffraction. Hurst D. G., Henshaw D. G.), Phys. Rev., 1955, 100, № 4, 994—1002 (англ.)

Угловое распределение нейтронов ($\lambda = 1,04$ А), рассеянных жидким He, измерено для ряда т-р в интервале 1,6—5,04° К при углах 3—70°. В большой области изменений плотности жидкости дифракционная картина характеризуется одним главным максимумом при $19,6 \pm \pm 0,5^\circ$. В точке λ -перехода не наблюдается какого-либо заметного изменения дифракционной картины. Показано, что в отношении рассеяния на большие углы жидкий He ведет себя подобно системе свободных атомов. По данным об интенсивности рассеянных нейтронов получены функции радиального распределения для т-р 5,04, 4,24 и 2°. Первый максимум плотности лежит при 3,5 А в случае самой низкой т-ры и при 3,6 А в случае самой высокой. Изменение плотности не удается связать со смещением максимума, и авторы высказывают предположение об уменьшении числа соседей. Средние радиусы, соответствующие положениям первых и вторых соседей по данным анализа, проведенного в настоящей работе, согласуются с плотной упаковкой симметричных частиц, однако среднее число ближайших соседей оказывается меньшим, чем при полной системе плотной упаковки, в согласии со случайным характером расположения атомов, ожидаемым для жидкости.

Резюме автора.

77487. Теплоемкость и вязкость жидкого He³. Агарвал (Heat conductivity and viscosity of liquid He³. Agarwal Bipin Kumar), Progr. Theoret. Phys., 1955, 14, № 5, 493—494 (англ.)

На основе модели идеального газа Ферми — Дирака (Померанчук И. Я., Ж. эксперим. и теор. физики, 1950, 20, 1919) ранее получена связь теплопроводности K и вязкости η жидкого He³ при $T \ll T_0$: $K = \frac{1}{2} C_V$ (C_V — теплоемкость, f — числовой фактор). При этом $K \sim T^{-1}$. Используя эмпирич. ур-ние для температурной зависимости теплоемкости $C = aT + bT^2$, переходящее в $C = aT$ при $T < 1^\circ K$, автор приходит к зависимости $\eta \sim T^{-2}$, что находится в согласии с результатами работ других авторов.

Я. П.

77488. О λ -переходе жидкого гелия. Критика теории Честера. Морита (液体ヘリウムの入-轉移について. Chester の理論に對する批判. 森田章), 物性論研究, Бусэйрон зэнкю, 1956, № 94, 62—65 (япон.)

77489. Второй вириальный коэффициент для смесей He³-He⁴ в интервале температур 2—4° К. Келлер (Second virial coefficients of He³-He⁴ mixtures between 2 and 4° K. Keller William E.), Phys. Rev., 1955, 100, № 4, 1021—1022 (англ.)

Измерены p - V -изотермы газообразной смеси, содержащей 54,75 ат.% He³ и 45,25 ат.% He⁴ при 2146 и 3944° К. Значения второго вириального коэфф. смеси B , полученные из этих изотерм, соответственно равны —144,5 и —70,0 см³/моль. Соответствующие значения B , рассчитанные по эксперим. значениям второго вириального коэфф. для чистых компонент и из теоретич. значения параметра неидеальности раствора, составляют 144,9 и —72,8 см³/моль. Видно, что растворы очень близки к идеальному и что в области 2—4° К могут быть получены надежные значения B' для всех концентраций.

Резюме автора

77490. Определение скорости ультразвука в стеклах методом составного пьезокварцевого резонатора. Гладков А. В., Тр. Моск. хим.-технол. ин-та, 1956, вып. 21, 34—38

Методом определения резонансных частот составного пьезокварцевого резонатора (Balamuth L., Phys. Rev., 1934, 45, 715) измерены (в м/сек) скорости ультразвука (частота ~128 кгц) в плавном кварце и натрийсиликатных стеклах при комнатной т-ре (первое число) и т-ре жидкого азота (второе число). Найдено: кварц плавный 5737,80, 5654,84; пентасиликат ($\text{Na}_2\text{O} \cdot 4,98 \text{ SiO}_2$) 5026,46, 5161,35; тетрасиликат ($\text{Na}_2\text{O} \cdot 3,78 \text{ SiO}_2$) 5022,01, 5114,96; трисиликат ($\text{Na}_2\text{O} \cdot 2,87 \text{ SiO}_2$) 4910,70, 5057,63; дисиликат ($\text{Na}_2\text{O} \cdot 1,93 \text{ SiO}_2$) 4790,08, 4950,39. Б. К.

77491. О тонкой структуре рентгеновских спектров поглощения аморфных веществ. Аморфное состояние бинарной системы никель — сера. II. Савада, Цуцуми, Сиранва, Обаси (On the fine structures of X-ray absorption spectra of amorphous substances. The amorphous state of the binary system of nickel-sulfur. II. S. Sawada Masao, Tsutsumi Kenjiro, Shiraiwa Toshio, Obashi Masayoshi), J. Phys. Soc. Japan, 1955, 10, № 6, 464—468 (англ.)

В продолжение предыдущей работы (РЖХим, 1956, 57494) исследованы рентгеновские спектры поглощения образцов, содержащих 0, 9, 13, 17 и 25 вес. % серы, толщиной ~10 м. Измерялись длины волн и интенсивности тонкой структуры края К-полосы поглощения никеля. Тонкая структура, найденная для образцов в аморфном состоянии, сходна с тонкой структурой закристаллизованных образцов, но менее ясно выражена, в особенности у коротковолновой границы, что подтверждает сделанное ранее предположение о мелкокристаллич. природе аморфного состояния. Н. Ш.

См. также: Термодинамика 77507, 77508, 77510, 77541. Межмол. взаимодействие 77287, 77292, 77330, 77332—77334. Строение и физ. характеристики 78773, 78766, 78770, 78773, 78774, 78777. Др. вопр. 77225, 77226, 77278

ОБЩИЕ ВОПРОСЫ ХИМИИ ИЗОТОПОВ

77492. Выделение радиоактивного Ag^{111} из облученного в реакторе палладия. Сиччино, Питерсон, Рудольф (Separation of radioactive silver-111 from pile-irradiated palladium. Sicilio Fred, Peterson M. D., Rudolph Guilford G.), Analyt. Chem., 1956, 28, № 3, 365—366 (англ.)

Радиоактивный изотоп Ag^{111} выделен из облученного нейтронами металлич. Pd в стеклянной аппаратуре за защитой. Облученный Pd в виде фольги (~1 г) растворялся в 8 мл царской водки при нагревании. К р-ру добавлялось 5 мл конц. HCl и неактивное Ag (носитель) в виде хлоридного комплекса. После перемешивания р-р разбавлялся до 2 л, причем выпадал осадок AgCl. Дополнительно вводился 1 мг Ag в виде нитрата. После выстаивания осадок отфильтровывался, промывался 1%-ным р-ром HNO_3 , растворялся в 3 мл конц. NH_4OH и вновь осаждался 1—2 каплями HCl. Р-р подкислялся 6 М HNO_3 , осадок AgCl отфильтровывался, промывался 1%-ным р-ром HNO_3 и растворялся в 3 мл конц. NH_4OH . Для перевода в нитрат р-р обрабатывался 1 н. NaOH, нагревался и выделявшаяся Ag_2O после промывки растворялась в HNO_3 . Коэфф. очистки от Pd за одно осаждение AgCl ~ 10^5 . В продукте содержалось < 1 γ Pd. Посторонней активности не было обнаружено даже после распада в течение 10 периодов полураспада. Выход Ag^{111} составляет 90%. Максим. активность Ag^{111} , выделенная из 2 г Pd, составляла ~50 мкюри. В. Л.

77493. Радиохимически чистый церий. Новые технические условия химической чистоты. Салуцкий, Керби, Куиля (Radiochemically pure cerium new specification of chemical purity. Salutsky Murrell L., Kirby H. W., Quill Laurence L.), Analyt. Chem., 1955, 27, № 12, 1960—1962 (англ.)

Продажные препараты Ce не пригодны в качестве носителей для 3- и 4-валентных ионов при радиохим. анализе, так как все они загрязнены большим или меньшим количеством α-активных примесей. В 15 исследованных препаратах зарегистрирована α-активность от 6 до 1245 импульсов в час на 1 мг Ce. Главной примесью, обуславливающей α-активность, является Th; кроме того, препараты Ce содержат некоторое количество изотопов As и Ra и продуктов их распада. Для лабораторной очистки соединений Ce применяют метод фракц. осаждения (ФО) $\text{Ce}(\text{JO}_3)_4$ из р-ра, содержащего 5 моль/л HNO_3 . К этому р-ру добавляют HJO_3 и KClO_4 , кипятят и осаждают несколько последовательных фракций $\text{Ce}(\text{JO}_3)_4$. Оставшийся неосажденным Ce (4+) выделяют в виде гидроокиси. Вся α-активность распределяется между осадком гидроокиси и 1-й фракцией $\text{Ce}(\text{JO}_3)_4$. Последующие 4 фракции $\text{Ce}(\text{JO}_3)_4$, содержавшие ~90% исходного количества Ce, не имели α-активных загрязнений. Для получения больших количеств радиохимически чистого Ce пригодны ранее описанные методы фракц. кристаллизации двойного нитрата Mg и Ce из конц. HNO_3 или церийаммонийнитрата. Н. П.

77494. Исследование коэффициента обогащения деутерием при электролизе. Цикс, Чаньн (A deutérium elektrolízis szétválasztási tényezőjére vonatkozó vizsgálatok. Czike Kálmán, Csányi Fodor n), Magyar kém. folyóirat, 1955, 61, № 12, 385—393 (венг.; рез. англ.)

Найдено, что при сравнимых условиях: 1) коэфф. $\alpha = (D/H)_{\text{р-р}} / (D/H)_{\text{газ}}$ зависит от природы электродов от состава и концентрации электролита, т-ры, от скорости потоков жидкости и газа и от наличия примесей в катод; 2) α не зависит от плотности тока, от размера и расположения электродов. Величину α нельзя увеличить добавлением NH_3 . В. Л.

77495. Исследование соотношения изомеров Br^{80} при помощи процесса адсорбции на глиноземе. Аперс, Капрон (Activity ratios of the Br^{80} isomers studied by means of an alumina adsorption process. A pers D. J., Capron P. C.), J. Inorg. and Nuclear Chem., 1956, 2, № 4, 219—222 (англ.)

Соотношение активностей $R = [\text{Br}^{80} (18 \text{ мин.})] / \text{Br}^{80} (4,4 \text{ часа})$ в $n\text{-C}_3\text{H}_7\text{Br}$ (I), облученном в течение 20 мин. быстрыми нейтронами, уменьшилось при пропускании I через колонку с глиноземом с 25,2 до 19,8. При облучении I медленными нейтронами R равнялось 26 и не уменьшалось при пропускании I через колонку с глиноземом. Изомеры Br^{80} реагируют по-разному в зависимости от энергии нейтронов, применяемых для облучения (РЖХим, 1956, 74081).

Б. К.

77496. Применение системы аммиак — карбонат аммония для концентрирования N^{15} . Биган, Палко, Браун (The ammonia — ammonium carbonate system for the concentration of nitrogen-15. Begun G. M., Palko A. A., Brown L. L.), J. Phys. Chem., 1956, 60, № 1, 48—51 (англ.)

Исследован изотопный обмен между газообразным NH_3 и р-ром $(\text{NH}_4)_2\text{CO}_3$, насыщ. NH_3 . Установлено, что обмен между иском NH_3COO^- и другими соединениями N протекает быстро; эффективный коэфф. разделения при атмосферном давлении равен 1,015 при 15,6°, 1,019 при 25,8°, 1,021 при 35,9° и 1,022 при 44,3°. Рассчитана константа равновесия р-ции $\text{N}^{14}\text{H}_2\text{COO}^- (\text{р-р}) + \text{N}^{15}\text{H}_3 (\text{газ}) = \text{N}^{15}\text{H}_2\text{COO}^- (\text{р-р}) + \text{N}^{14}\text{H}_3 (\text{газ})$ при 15,6°, 1,021 при 25,8°, 1,021 при 35,9° и 1,019 при

44,3°. Опыты по обогащению N^{15} в колонне согласуются с полученными результатами. В. Л.

77497. Исследование соляных маточников как источника тяжелой воды. Вейнгертнер, Датта (Investigation of «bitterns» as a source for heavy water. Weingaertner E., Datta R. L.), J. Indian Inst. Sci., 1956, 38, № 1, A73—A86 (англ.)

Исследована возможность накопления D_2O в маточниках, остающихся при получении соли из морской воды, с использованием солнечного тепла для выпаривания воды. Условия этого процесса близки к так называемой дифференц. дистилляции. Расчеты по ур-нию Рэлея показали, что если испарение происходит при 40°, то содержание D_2O в соляных маточниках должно составлять 0,0224 мол. % (против 0,0145 мол. % в обычной воде). Для отделения воды от солей маточников лучшим способом оказалась дистилляция. Отогнанная из маточников вода (рН 3,5) нейтрализовалась и вновь перегонялась (до 4—5 раз). Содержание D_2O в ней равнялось в среднем 0,0208 мол. %. Эта вода была подвергнута фракционной перегонке. При этом, против ожидания, оказалось, что первые фракции дистиллата богаче D_2O , чем последующие. По мнению авторов, это явление можно объяснить на основе допущения об образовании азеотропной смеси с участием газов воздуха. В. Л.

77498. Измерение концентрации легкой воды в смеси с тяжелой водой с помощью ядерного резонанса. Митчелл, Филиппс (The measurement, by nuclear resonance, of light water concentration in mixtures of light and heavy water. Mitchell A. M. J., Phillips G.), Brit. J. Appl. Phys., 1956, 7, № 2, 67—72 (англ.)

Описан метод определения содержания легкой воды в смеси с тяжелой водой, основанный на использовании ядерного магнитного резонанса. Кол-во энергии, поглощаемое протонами, зависит от конц-ии легкой воды, последнюю можно определить сравнением со стандартами известного состава. Описано два способа измерений: для конц-ий H_2O 7—100% и для низких конц-ий H_2O (от 0,2%). Измерения можно производить с неподвижными пробями и в потоке. Приведены схема аппарата и описание экспериментов. В. Л.

77499. Реакции с N^{15} . XVIII. Улучшенный спектроскопический микрометод определения N^{15} . Хюрцелер, Хостетлер (Reaktionen mit N^{15} . XVIII. Verbesserte spektroskopische Mikromethode zur Bestimmung von N^{15} . Hürzeler H., Hostettler H. U.), Helv. chim. acta, 1955, 38, № 7, 1825—1831 (нем.)

Улучшен спектральный метод определения N^{15} (Hoch M., Weisser H. R., Helv. chim. acta, 1950, 33, 2128) в газах, основанный на сравнении почернения квантов полос поглощения $N^{14}N^{14}$ при 3159 Å и $N^{14}N^{15}$ при 3162 Å. Спектрографирование производится при постоянной экспозиции. На одну пластинку снимаются 3 ослабленных спектра испытуемого образца и 7 спектров сравнения, полученных путем применения 7 вращающихся секторов с различными углами α , подобранными так, чтобы соответствующие им экстинкции равномерно менялись в пределах 1,586 — 0,940. Для колич. определения N^{15} применяют калибровочные графики, полученные при помощи эталонных образцов с известным содержанием N^{15} . Для анализа требуется не более 20 γ N_2 . Средняя ошибка метода $\pm 2\%$. Сообщение XVII см. РЖХим, 1956, 68226. Б. К.

77500. Измерение активности C^{14} в твердом состоянии. Дас-Гупта, Наир (Counting of carbon-14 in the solid state. Das Gupta A. K., Nair C. K. N.), J. Scient. and Industr. Res., 1956, (B—C) 15, № 1, B1—B3 (англ.)

Описан метод быстрого определения активности C^{14} в виде $CaCO_3$. Органич. в-во сжигают и CO_2 поглощают 1%-ным р-ром NaOH. Затем добавляют определенное

кол-во титрованного р-ра Na_2CO_3 и из части полученного р-ра определяют титрованием к-той общее содержание Na_2CO_3 . Другую часть р-ра нейтрализуют до рН 9, добавляют тв. NH_4Cl и при 90° осаждают избыток 5%-ного р-ра $BaCl_2$, после чего добавляют NH_4OH до щел. р-ции по фенолфталеину. Выдержав осадок 1 час при 80—90°, его промывают 5 раз водой, размешивают в 1,5 мл воды и полученной пульпой заполняют до краев Al-тарелочку (глубина 0,5 см). Колич. переноса осадка не требуется. Осадок сушат до постоянного веса и определяют его активность при помощи торцевого счетчика. При расчете вводятся обычные поправки. При изменении веса $BaCO_3$ на тарелочке от 0,0074 до 0,0973 г измеренные величины общей активности отличались не более, чем на 3%. В. Л.

77501. Определение концентрации плутониевой пыли в воздухе. Тейт (Determining concentration of airborne plutonium dust. Tait G. W. C.), Nucleonics, 1956, 14, № 1, 53—55 (англ.)

Описан метод быстрого определения содержания Pu и других долгоживущих α -излучателей в воздухе. Для отделения Pu от продуктов распада Rn предложена конструкция ударного кольцевого сепаратора, позволяющего отделять более крупные частицы пыли ($\geq 1 \mu$), несущие Pu , от более мелких частиц ($\leq 0,035 \mu$), с которыми связаны продукты распада Rn . Струя воздуха с большой скоростью попадает на счетную тарелочку, смазанную клейким в-вом; через 2—5 мин. измеряется активность осадка на тарелочке. На счетных тарелочках оседает в среднем 90% Pu и 10% продуктов распада Rn . Возможно применение кольцевого сепаратора для определения β - и γ -активных аэрозолей и для анализа неактивной пыли. В. Л.

77502. Поиски химических эффектов внутренней конверсии, вызванной радиационным нейтронным захватом. Маддок, Мейн (A search for the chemical effects of internal conversion following radiative neutron capture. Maddock A. G., Maine M. M. d.), Canad. J. Chem., 1956, 34, № 4, 441—444 (англ.)

Соли или окислы Sb, As, Se, Cr и Ti низших степеней окисления облучались в твердом виде тепловыми нейтронами. Из р-ров облученных в-в пытались выделить на носителях соответствующие радиоэлементы в высших степенях окисления. Положительные результаты были получены лишь в тех случаях, когда облучению подвергались кристаллогидраты (РЖХим, 1955, 34102). Отрицательные результаты не доказывают отсутствия окисления, вызванного внутренней конверсией γ -квантов радиационного захвата. Возможно, что после окисления в твердых облученных в-вах или в их р-рах протекают обменные электронные р-ции. Б. К.

77503. Химические эффекты реакции $C^{12}(\gamma, n)C^{11}$ в карбонатах. Эдуардс, Мак-Каллум (Chemical effects of the $C^{12}(\gamma, n)C^{11}$ reaction in carbonates. Edwards W. J., McCallum K. J.), Canad. J. Chem., 1956, 34, № 3, 189—192 (англ.)

При облучении твердых $CaCO_3$ и $NaHCO_3$ γ -лучами бетатрона с пиковой энергией 23 Мэв в течение 10 мин. при интенсивности 1000—2000 рентген/мин образовались O^{15} , C^{11} и небольшое кол-во долгоживущих радиоактивных продуктов. Распределение C^{11} между продуктами облучения почти полностью совпало с ранее изученным распределением C^{11} между продуктами γ -облучения твердого Na_2CO_3 (РЖХим, 1956, 46484). Противоречие этим результатам опытные данные (РЖХим, 1956, 24768) были, по-видимому, искажены в связи с неправильной методикой выделения газообразных продуктов облучения. Б. К.

77504. Наблюдения над эффектом Сциларда — Чалмерса у хромовой кислоты и сернокислого хрома. Иванов, Хайсинский (Observations sur l'effet Szilard et Chalmers dans l'acide chromique et le sulfate de chrome.

Ivanoff Nina, Haissinsky M.), J. chim. phys. et phys.-chim. biol., 1956, 53, № 4, 400—401 (франц.)

При нейтронном облучении 0,25–0,5 М р-ров CrO_3 40–45% образовавшегося радиохрома сохраняется в виде $\text{Cr}(6+)$. Увеличение конц-ии анионов и понижение pH уменьшает соотношение активностей $\text{Cr}(6+)/\text{Cr}(3+)$. Предполагается, что первичный продукт р-ции Силларда — Чалмерса — CrO_3^{2-} подвергается диспропорционированию и превращается в соединения $\text{Cr}(3+)$ и $\text{Cr}(5+)$. В слабодиссоциирующей среде при этом образуется CrO_4^{2-} , легко обмениваемый электроном с CrO_4^{2-} . Присутствие анионов способствует комплексообразованию, препятствующему указанному обмену. При облучении суспензии $\text{Cr}(\text{OH})_3$ в чистой воде и при облучении твердого CrO_3 наблюдалось приблизительно одинаковое значение $\text{Cr}(6+)/\text{Cr}(3+)$ (5:1). Б. К.

77505. Химические реакции с ускоренными ионами. Бруно, Беллуко (Reazioni chimiche con ioni accelerati. Bruno Maria, Bellucumberto), Ricerca scient., 1956, 26, № 2, 529—530 (итал.)

При бомбардировке пластинки кальцита (с площадью $\sim 1 \text{ см}^2$) потоком ионов C^{14}O^+ (40 μA) с энергией 30 кэВ в течение 18 мин. активность фиксировалась в основном поверхностным слоем кальцита ($\sim 28 \text{ мг}$) и не извлекалась из него путем обмена с $\text{CO} + \text{CO}_2$. После растворения поверхностного слоя кальцита в HCl обнаружено следующее распределение активности между продуктами р-ции (в %): CO_2 48,5, CO 38,7 и $\text{C}_2\text{O}_4^{2-}$ 12,8. Б. К.

77506. Расчет доз β -излучения радиоэлементов. Порошков И. В., Тр. Центр. н.-и. ин-та рентгенол. и радиологии, 1955, 9, 33—45

На основании изучения спектров β -излучения радиоэлементов RaB , RaE , Al^{28} , P^{32} и K^{40} автор приходит к выводу, что экспоненциальный закон ослабления интенсивности смешанного излучения приближенно справедлив для β -спектров всех радиоэлементов, по крайней мере на первой половине глубины проникновения β -частиц в в-во. Выведены приближенные ур-ния для распределения числа электронов и их энергии по спектру β -излучения. Средняя величина энергии электронов равна приблизительно 0,36 от величины максим энергии β -частиц. Выведены выражения для расчета дозы по характеристич. параметрам β -излучения для типичных случаев практического использования β -излучателей. Л. Б.

См. также: Радиоактивн. св-ва 77263—77273, 77275, 77276. Введение в молекулу 77970, 78004, 78199—78205. Изотопные эффекты 77286, 77309, 77605, 77939. Изотопный обмен 77592, 77610, 77614, 77867. Измерение активности 78552, 78569, 78570, 78572—78575. Применение: в исслед. кинетики и механизма р-ций 77527, 77570, 77583, 77597, 77951, 77955, 77960, 77980, 77986, 77987, 77991, 77992, 77998, 78005, 78037, в физ. процессах 77633; в биохимии 72786—22792Бх, 22891Бх, 23052Бх, 23057Бх, 23069Бх, 23114Бх, 23115Бх, 23119Бх, 23134Бх, 23222Бх, 23231Бх, 23240Бх, 23242Бх, 23245Бх, 23269Бх, 23272Бх, 23275Бх, 23280Бх, 23299Бх, 23306Бх, 23308Бх, 23317Бх, 23319Бх, 23337Бх, 23342Бх, 23343Бх, 23347Бх, 23349Бх, 23354Бх, 23366Бх, 23375Бх, 23398Бх, 23410Бх, 23418Бх, 23426Бх, 23427Бх, 23513Бх, 23526Бх, 23531Бх, 23605Бх, 23652Бх, 23697Бх, 23700Бх, 23940Бх; в пром-сти 80188; в аналит. химии 78374, 78443, 78446, 78452, 78466, 78510. Изотопы в геохимии 77872, 77873, 77884, 77921, 77934. Др. вопр. 77552, 77574, 78018, 78217, 78569, 78571, 80190, 80425—80430

ТЕРМОДИНАМИКА. ТЕРМОХИМИЯ. РАВНОВЕСИЯ. ФИЗИКО-ХИМИЧЕСКИЙ АНАЛИЗ. ФАЗОВЫЕ ПЕРЕХОДЫ

77507. Статистическая механика жидкого He^3 . Кикучи (Statistical mechanics of liquid He^3 . Kikuchi Ryoichi), Phys. Rev., 1955, 99, № 6, 1684—1691 (англ.)

Для описания He^3 использована функция распределения, предложенная Фейнманом (РЖХим, 1955, 36812) для He^4 . Статистика Ферми — Дирака учтена введением под знаком суммы множителя $(-1)^{\sum_i \epsilon_i}$, где P — перестановка координат частиц. Для свободной энергии получено выражение $F = -3RT \int_{-1/2}^{1/2} dx \ln \theta_3(x; e^{-\epsilon})$, где $\theta_3(x; y)$ — одна из тета-функций, а ϵ пропорционально t -ре; учет ядерного спина приводит к более сложному выражению. Вычислена ядерная магнитная восприимчивость в решеточной модели; получается согласие с эксперим. данными (РЖХим, 1956, 28411) при $5,0 < m'/m < 5,5$ в случае простой куб. решетки и при $3,2 < m'/m < 3,8$ для гранцентрированной куб. решетки (m' — эффективная масса атома He^3). Энтропия не вычислялась из-за того, что неизвестен один из необходимых для расчета параметров. В. У.

77508. Определение теплоемкости органических жидкостей. Джонсон, Хуан Чжэнь-жун (Estimation of the heat capacities of organic liquids. Johnson A. I., Huang Chen-Jung), Canad. J. Technol., 1955, 33, № 6, 421—425 (англ.)

Предложен метод определения теплоемкости органич. жидкостей при 20°, основанный на предположении аддитивности теплоемкости атомных групп, входящих в состав соединения. Приведены значения составляющей теплоемкости для 15 групп. Для 84 в-в среднее отклонение расчетных данных от эксперим. составляет 5%; максим. отклонения наблюдаются у производных бензола и эфиров хлоруксусной к-ты. Предложенный метод расчета значительно проще ранее описанного (РЖХим, 1954, 19579) и мало уступает ему по точности. Ю. Т.

77509. Энтальпия и теплоемкость магния и нержавеющей стали типа 430 в интервале температур 700—1100° К. Сталл, Мак-Доналд (The enthalpy and heat capacity of magnesium and of type 430 stainless steel from 700 to 1100° K. Stull Daniel R., McDonald Richard A.), J. Amer. Chem. Soc., 1955, 77, № 20, 5293 (англ.)

В интервале 700—1100° К измерены энтальпия магния (I) и нержавеющей стали типа 430 (II). Калориметр подобен описанному (Soutard J. C., J. Amer. Chem. Soc., 1941, 63, 3142). Опытные данные обработаны по ранее описанному методу (РЖХим, 1956, 31900); в ур-нии $H_T - H_{298,16} = aT + bT + cT^{-1} + d$ постоянные a, b, c и d соответственно равны: для I (тв.) 0,1835; 0,0000760; -1360,5; -56,916; для I (жидк.) 0,2176; 0,0000535; 484,63; 16,851; для II — 0,05709; 0,000141; -7380,6; 29,236. Теплота плавления I (т. пл. 923° К) $2140 \pm 50 \text{ кал/г-атом}$. Вычислены (по ур-нию $C_p = a + bT + cT^{-2}$) и табулированы значения теплоемкости I и II в изученном интервале t -р (шаг 50°). М. К.

77510. Уравнение состояния с термодинамические свойства неопентана и изобутана. Казавинский Я. З., Катхе О. И., Ж. физ. химии, 1955, 29, № 12, 2230—2235

На основе предложенного ранее (РЖХим, 1955, 18283, 54568) ур-ния состояния рассчитаны разность энтальпий и теплоемкостей $C_p - C_v$ по сравнению с идеально-газовым состоянием, а также уд. объемы изопентана в интервале давлений 1—150 атм и t -р 125—300° и изобутана соответственно 1—160 атм и 100—275°. Согласно с литератур-

ными эксперим. данными хорошее. Результаты сведены в таблицу. В. Ц.

77511. Чувствительность α - и β -форм азиды свинца. Грей, Уоддингтон (Sensitivity of alpha- and beta-lead azide. Gray Peter, Waddington T. C.), Nature, 1955, 176, № 4483, 653 (англ.)

Методом э.д.с. исследована р-ция перехода азиды свинца α -PbN₆ (крист.) \rightarrow β -PbN₆ (крист.). Найдено, что изменение энтальпии $\Delta H \sim 0,30 \pm 0,05$ ккал/моль. Авторы считают, что малая величина ΔH (энтальпия образования α -PbN₆ (крист.) равна $+115,5$ ккал/моль) вызывает сомнение в сообщенной ранее (Miles F. D., J. Chem. Soc., 1931, 2532.; Garner W. E., Gomm A. S., J. Chem. Soc., 1931, 2133) повышенной взрывчатости β -формы PbN₆. В. Ф.

77512. Охлаждение за счет диссоциации. Дискуссия. Мак-Киссон (Dissociation—cooling: a discussion. McKisson R. L.), U. S. Atomic Energy Comm. Repts, 1954, LRL-86, 20 p. (англ.)

Обсуждено использование в качестве теплообменных в-в при высоких т-рах газообразных систем, в которых идет обратимая эндотермич. р-ция (напр., $2\text{HJ} \rightleftharpoons \text{H}_2 + \text{J}_2$), с целью увеличения эффективной теплоемкости теплоносителя. Показано, что из рассмотренных газов наиболее удовлетворительными с термодинамич. точки зрения теплоносителями являются газообразные галогены и HJ, хотя они и уступают Na. Автор указывает на принципиальную термодинамич. выгоду применения в качестве теплоносителей жидких в-в (напр., PJA), которые при нагревании испаряются и затем диссоциируют. Приведены таблицы и графики, характеризующие различные р-ции указанного типа. И. Л.

77513. Влияние добавок золота, серебра, меди или никеля на равновесие окисления железа. Ройен, Рейнхардт (Die Beeinflussung des Oxydationsgleichgewichtes von Eisen durch Zusätze von Gold, Silber, Kupfer oder Nickel. Royen P., Reinhardt H.), Z. anorgan. und allgem. Chem., 1955, 281, № 1—2, 18—36 (нем.)

Исследовано влияние металлич. добавок Au, Ag, Cu или Ni на равновесие $3\text{Fe} + 4\text{H}_2\text{O} \rightleftharpoons \text{Fe}_3\text{O}_4 + 4\text{H}_2$. Сдвиг равновесия при введении металлич. добавок происходит только в случае образования твердых р-ров добавляемых металлов с железом. Образование твердых р-ров выше нормальной границы растворимости наблюдалось при восстановлении тонкодисперсной смеси окисей при максим. т-ре 550°. При отжиге этих твердых р-ров имело место выделение соответствующих добавляемых компонентов (до нормальной растворимости). Сдвиг равновесия влево наблюдался по изменению общего давления газовой смеси ($\text{P}_{\text{H}_2\text{O}} + \text{P}_{\text{H}_2}$). На основании измерений равновесия разработан метод определения растворимости малорастворимых добавок. Растворимость меди в железе при 450° равна $0,15 \pm 0,02$ вес. %. Е. Б.

77514. Термодинамические свойства системы бензол — 1,2-дихлорэтан. Часть I. Теплоты смешения. Рёйтер (Some thermodynamic properties of the system benzene — 1,2-dichloroethane. Part I. The heats of mixing. Røtter L. H.), Recueil trav. chim., 1955, 74, № 8-9, 1131—1159 (англ.)

Калориметрически определены теплоты смешения в системе бензол (I) — 1,2-дихлорэтан (II) при 7,60, 25,00 и 41,85°. Дано подробное описание методики и аппаратуры. Эксперим. данные подчиняются ур-нию $\Delta H(x) = a + b[2x - 1] + c[2x - 1]^2$, где ΔH — теплота смешения в дж/моль, x — конц-ия II в молях. Для 7,60° $a = 361$, $b = 200$, $c = 105$; для 25,00° $a = 254$, $b = 208$, $c = 86$; для 41,85° $a = 178$, $b = 229$, $c = 84$. Теплоты смешения положительны, невелики и уменьшаются с ростом т-ры. Приведен обзор литературных данных. Л. Р.

77515. Термодинамические свойства системы Ag — Zn и аналогичной β -фазы AgMg. Т жебятковский В., Терпиловский Я., Бюл. Польской АН, 1955, Отд. 3, 3, № 7, 387—391

Измерены э.д.с. обратимых гальванич. элементов типа $\text{Zn (жидк.)} | (0,583 \text{ LiCl} + 0,417 \text{ KCl}) + 0,05 \text{ ZnCl}_2 | \text{Ag}_x = \text{Zn}_{1-x}$, исследования производились в интервале т-р 428—600°. Приводятся значения э.д.с. при 500° (E_{500}) и dE/dT , а также вычисленные изменения парц. термодинамич. потенциала ΔF_{Zn} , парц. энтропии ΔS_{Zn} и парц. энтальпии ΔH_{Zn} для процесса $\text{Zn (жидк.)} \rightarrow \text{Zn (тв. сплав)}$ при разных содержаниях Zn. Значения э.д.с. соответствуют 2-фазным пространствам $\alpha + \beta$, $\beta + \gamma$, $\gamma + \epsilon$ в полном согласии с диаграммой состояния системы Ag — Zn. Значения dE/dT в пределах β - и ϵ -фазы доказывают, что эти фазы при составах AgZn и AgZn₃ представляют неупорядоченный тип структуры; это совпадает с рентгеноструктурными данными.

Значения ΔF_{Zn}^1 , ΔS_{Zn}^1 , ΔH_{Zn}^1 в пределах β - и ϵ -фаз меняются мало, что указывает на слабое взаимодействие компонентов и типично для твердых р-ров из металлов смежных подгрупп. Аналогичные измерения проведены для β -фазы сплавов AgMg в интервале т-р 500—610° на гальванич. элементе Mg (тв.) $| (0,583 \text{ LiCl} + 0,417 \text{ KCl}) + 0,1 \text{ MgCl}_2 | \text{Ag}_x \text{Mg}_{1-x}$. Для β -фазы AgMg, в отличие от β - и ϵ -фаз системы Ag — Zn, значения ΔF_{Mg} , ΔS_{Mg} , ΔH_{Mg} сильно зависят от состава, и при составе Ag_{0,5}Mg_{0,5} имеется четкий перегиб кривых, что характерно для «дальтониной» фазы. В. У.

77516. Физико-химическое изучение взаимодействия углекислого марганца с растворами хлористого кальция. Шамовский Л. М. В сб.: Исследования по прикл. химии, М.—Л., Изд-во АН СССР, 1955, 39—49

Исследовано равновесие реакции: $\text{MnCO}_3 (\text{кр}) + \text{CaCl}_2 (\text{р-р}) \rightleftharpoons \text{MnCl}_2 (\text{р-р}) + \text{CaCO}_3 (\text{кр})$ (1) при 100 и 200° для синтетич. углекислого марганца ($\text{MnCO}_3 \cdot \frac{1}{2} \text{H}_2\text{O}$) и р-ров CaCl₂ различной конц-ии. В р-рах CaCl₂ с конц-ией до 3,4 моль/л растворяется лишь небольшое кол-во карбоната марганца. Соотношение молярных конц-ий $[\text{Mn}^{2+}] : [\text{Ca}^{2+}] = 6,65 \cdot 10^{-3}$ при 100° в указанных границах постоянно. С дальнейшим повышением конц-ии CaCl₂ в р-ре равновесная конц-ия MnCl₂ резко возрастает. Так, для изотермы при 100° в р-ре CaCl₂ с 5,5 моль/л равновесная конц-ия марганца равна 79,2 г/л, а при 7,5 моль/л CaCl₂ достигает 146,5 г/л. При 200° в р-рах CaCl₂ с 4 моль/л и с 5 моль/л равновесная конц-ия марганца достигает соответственно 98,8 и 162 г/л. Резкое смещение равновесия р-ции (1) в крепких р-рах CaCl₂ в сторону образования MnCl₂ объясняется образованием прочных гидратов Ca²⁺. Рассчитаны коэфф. активностей хлоридов кальция и марганца при различных конц-иях и вычислены значения константы р-ции (1) (0,00218) и свободной энергии (4540 кал при 100°). Изучена скорость р-ции (1) в избытке CaCl₂ с конц-ией 4—5 моль/л. При 100° за 8 мин. 65% карбоната марганца превращается в хлорид, за 15 мин. 85% и за 60 мин. 90%. Скорость р-ции (1) следует мономолекулярному закону. Определяющей стадией является образование промежуточного соединения — гидрооксикарбоната за счет присоединения к карбонату марганца молекул воды. Исследованы также равновесия р-ций $\text{MgCO}_3 (\text{кр}) + \text{CaCl}_2 (\text{р-р}) = \text{MgCl}_2 (\text{р-р}) + \text{CaCO}_3 (\text{кр})$ при 100° и $\text{FeCO}_3 (\text{кр}) + \text{CaCl}_2 (\text{р-р}) = \text{FeCl}_2 (\text{р-р}) + \text{CaCO}_3 (\text{кр})$ при 100 и 150°. Л. Ш.

77517. Гидраты газа — приближенное соответствие между теплотой образования, составом и понижением температуры равновесия «ингибиторами». Пирун (Gas hydrates — approximate relations between heat of formation, composition and equilibrium temperature lowering by «inhibitors». Pieroen A. P.), Recueil trav. chim., 1955, 74, № 8-9, 995—1002 (англ.)

Выведено соотношение между теплотой образования гидрата газа (о термине см. РЖХим, 1955, 18199), его составом и понижением т-ры равновесия трех фаз при добавлении третьего компонента (ТК) при постоянном давлении: $\Delta T = -nRT_0^2 X(\text{тк})/\Delta H$, где n — число молей H_2O на моль гидрата, R — газовая постоянная, T_0 — т-ра равновесия в отсутствие ТК, $X(\text{тк})$ — молярная доля ТК в слое H_2O , ΔH — «испарительная» теплота образования гидрата при т-ре T_0 , находится по ур-нию Клаузиуса — Клапейрона из диаграммы $\ln p - 1/T$ для бинарной системы H_2O -газ. Ур-ние находится в хорошем соответствии с эксперим. данными.

Н. А.

77518. Разделение ионов при кристаллизации воды. Брилл, Эндер (Separation of ions at crystallization of water. Brill R., Ender H.), Nature, 1955, 176, № 4489, 925 (англ.)

Найдено, что при кристаллизации разб. водн. р-ра CsF в решетке льда остаются включенными ионы F^- , как предполагалось ранее (РЖХим, 1954, 47967), а нейтральные молекулы HF: при кристаллизации половины р-ра с pH 8,0 лед имел pH 7,0, а оставшийся р-р — pH 8,5. Это согласуется с предыдущей работой одного из авторов (РЖХим, 1955, 225). Имеющиеся данные свидетельствуют о большом влиянии водородной связи на устойчивость решетки льда.

В. У.

77519. Ассоциация N—H-соединений. I. В бензоде. Уайт, Килпатрик (Association of N—H compounds. I. In benzene. White Norman E., Kilpatrick Martin), J. Phys. Chem., 1955, 59, № 10, 1044—1053 (англ.)

Исследована ассоциация азотсодержащих органич. соединений в бензольном р-ре по понижению т-ры замерзания р-ров конц-ии 0,005—0,1 M. Табулированы найденные значения мол. весов и коэфф. ассоциаций в зависимости от молярности р-ра для 2-н-бутилбензимидазола (I), бензотриазола (II), N,N'-дифенилгуанидина (III), N,N'-дифенилформамидина (IV), 3,5-диметилпиразола (V), диазоминобензола (VI), фенилгидразона бензальдегида (VII) и N-фенил-N'-л-толилацетамидина (VIII). Вычислены константы ассоциации указанных в-в. Найдено, что I, II, VII и VIII образуют линейные полимеры, III и V — линейные димеры и циклич. тримеры; IV и VI — только циклич. димеры. Полимеризация осуществляется за счет водородных связей.

О. К.

77520. Коэффициент испарения жидкого калия. Нейман (Der Verdampfungskoeffizient des flüssigen Kaliums. Neumann Kurt), Z. phys. Chem. (Frankfurt), 1954, 2, № 3-4, 215—228 (нем.)

Дан обзор работ по кинетике испарения различных жидкостей. Обсуждена возможность распространения на жидкости теории двухступенчатой конденсации паров на твердых телах — начальной адсорбции молекул пара на гранях кристаллов и последующей поверхностной диффузии (Stranski I. N., Wolff G., Z. Elektrochem., 1949, 53, 1). Показано, что в случае такого механизма конденсации коэфф. испарения (коэфф. accommodation) должен заметно отличаться от 1, в то время как в случае одноступенчатой конденсации следует ожидать температурной независимости коэфф. испарения, близкого к 1. Коэфф. испарения определен экспериментально для жидкого калия методом испарения в глубокий вакуум с капли, осаждаемой на серебряной проволоке. Кол-во испарившегося материала определялось

по изменению размера капли. Коэфф. испарения α вычислялся по ур-нию Кнудсена: $-dn/dt = \alpha \cdot O \cdot p \cdot (2\pi MRT)^{-1/2}$, где $-dn/dt$ — число молей, испаряющихся за 1 сек., O — величина испаряющей поверхности, p — давление насыщ. пара при т-ре поверхности T , M — мол. вес в парообразном состоянии. Экспериментально показано, что коэфф. испарения жидкого калия близок к 1 и не зависит от т-ры; следовательно, испарение происходит в одну ступень по простейшему механизму полной неупорядоченности жидкого состояния, и атомы калия переходят непосредственно в газовую фазу из любой точки поверхности жидкости.

А. Г.

77521. Механизм проникновения паров серебра, меди и ртути через твердый графит. Эдвардс, Даунинг (Mechanisms of permeation of silver, copper, and mercury gases of solid graphite walls. Edwards Russell K., Downing James H.), J. Phys. Chem., 1955, 59, № 10, 1079—1083 (англ.)

Данные измерений эффузии Hg, Ag и Cu при т-рах выше т-ры плавления указывают на проникновение паров этих в-в через стенки графитового эффузионного тигля. Для выяснения механизма этого процесса были проведены опыты по испарению из камеры без отверстия и из камеры с отверстиями различных диаметров. В случае ртути и серебра прямые $\lg p$ (опыт.) — $1/T$ при разных диаметрах отверстия имеют одинаковый наклон и проникновение паров через графитовые стенки описывается ур-нием Кнудсена, причем параметр, подставленный вместо площади отверстия, незначительно зависит от т-ры. Рассчитана теплота испарения Ag $\Delta H_0^0 = 68,690$ ккал/моль. В опытах с Cu наклон прямых $\lg p$ (опыт.) — $1/T$ зависит от диаметра отверстия. По мнению авторов, в этом случае происходит частичное растворение Cu в графите и диффузия имеет активационный характер. Для энергии активации получено значение 20,7 ккал. Для Cu $\Delta H_0^0 = 80,400$ ккал/моль.

Л. Б.

77522. Корреляция данных о равновесии между жидкостью и паром и их предсказание по данным о давлении паров бинарных смесей. Рао, Рао (Correlation of vapour — liquid equilibrium data and their predictions from vapour pressure data of binary mixtures. Rao V. N. Kumar Krishna, Rao M. Narasinga), Trans. Indian Inst. Chem. Engrs, 1953—1954, 6, 105—107 (англ.)

На основании того, что по ур-ниям Бенедикта с двумя константами для бинарных смесей при эквимолекулярном соотношении компонентов ($x_1 = x_2 = 0,5$) константы A_{112} и A_{122} выражаются ур-ниями $A_{112} = RT \ln \gamma_1 / 0,75$ и $A_{122} = RT \ln \gamma_2 / 0,75$, где γ_1 и γ_2 — коэфф. активности компонентов, предложено метод определения данных о равновесии между жидкостью и паром по общему давлению. Метод заключается в том, что, задаваясь величиной γ_1 , по найденному экспериментально давлению пара для эквимолекулярной смеси определяют γ_2 , A_{112} и A_{122} . По найденным значениям констант рассчитывают давления паров для смесей другого состава, которые сравниваются с найденными экспериментально. Значения констант, обеспечивающие согласие рассчитанных и опытных величин давления пара, находят путем последовательного приближения.

В. К.

77523. Фазовые равновесия в углеводородных системах. Волюметрические свойства n-гептана. Николс, Ример, Сейдж (Phase equilibria in hydrocarbon systems. Volumetric behavior of n-heptane. Nichols W. B., Reamer H. H., Sage B. H.), Industr. and Engng Chem., 1955, 47, № 10, 2219—2221 (англ.)

Методами, описанными ранее (РЖХим, 1956, 53880), исследовано влияние давления и т-ры на молярный объем

n-гептана при давлениях до 700 ат в интервале t -р 4—238°. Образец *n*-гептана, очищ. фракционной перегонкой, имел при 42,8° уд. в. 42,4232 и коэф. преломления 1,3853, что отвечает присутствию <0,05 мол. % примесей. Данные измерения молярного объема *n*-гептана табулированы и представлены в виде графиков.

Ю. Т. 77524. Исследование равновесия жидкости и пара в системе аргон — азот. П. Фастовский В. Г., Петровский Ю. В., Ж. физ. химии, 1956, 30, № 1, 76—78

Изучено фазовое равновесие жидкости и пара в системе аргон — азот при давл. 912, 1520, 2280 и 3040 мм рт. ст. (1,2; 2,0; 3,0 и 4,0 атм). Имеет место линейная зависимость между $\lg p$ и $1/T$. Получены данные о равновесных составах жидкости и пара и соответствующих им t -рах для 5 различных смесей (90,4; 73,1; 55,5; 36,8 и 22,1 мол. % Аг). На основании экспериментально установленной зависимости t -ры кипения от состава жидкости $T = \varphi(x)$ вычислены составы равновесного пара, с которыми сопоставлены опытные данные; хорошее совпадение расчетных и опытных значений делает возможным применение уравнения Ван-Лаара с коэф., значения которых приведены для 4 исследованных давлений. Представленные данные позволяют построить x — y -диаграммы (y — состав в паре, мол. % Аг), необходимые для расчета ректификационной аппаратуры. Эксперим. установка, а также методика работы и расчетов описаны в предыдущем сообщении (РЖХим, 1956, 42596).

В. У. 77525. Равновесие жидкость — пар. Рао, Мурти, Рао (Vapour-liquid equilibria. Rao K. V. Kurmanadha, Murty P. Sanyanarya, Rao C. Venkata), Trans. Indian. Inst. Chem. Engrs, 1953—1954, 6, 121—128 (англ.)

Получены диаграммы давление пара — состав для 60 и 70° и t -ра кипения — состав при 760 мм рт. ст. системы метилэтилкетон — трихлорэтилен. Эксперим. данные и вычисленные коэф. активности компонентов табулированы и представлены графически. Приведены графики показателя преломления — состав, по которым анализировались смеси. Результаты показывают, что исследованная система близка к идеальной. Рассмотрена приложимость уравнений Ван-Лаара и Маргулеса.

И. Р. 77526. Бинарная система этилбензол — стирол. Равновесие жидкость — пар при 30, 60, 90 и 120°, определенное динамическим методом, и теплоты смешения при 20°. Юнгханс, Вебер (Das binäre System Äthylbenzol — Styrol. Dampf — Flüssigkeit-Gleichgewichte bei 30, 60, 90 und 120° C nach einer Mitführungsmethode und Mischungswärmen bei 20° C. Junghans Werner, Weber Ulrich, von), J. prakt. Chem., 1955, 2, № 5-6, 265—273 (нем.)

Исследовано динамич. методом равновесие между жидкостью и паром в системе этилбензол (I) — стирол (II) при 30, 60, 90 и 120°. В качестве газа-носителя применялся водород. Подробно описан метод. Состав смесей определялся по показателю преломления. Эксперим. данные показывают, что система I—II в первом приближении может рассматриваться как идеальная, а во втором приближении — как регулярная. Коэф. относительной летучести (α) выражается уравнением $\alpha = P_1^0/P_2^0 \exp A(1-2x)^2/RT$, где P_1^0 и P_2^0 — давление насыщ. паров компонентов и $A = 11,5$ кал/моль. Результаты определений теплот смешения в калориметре объемом 200 мл при 20° показали, что теплоты смешения малы по абс. величине.

В. К. 77527. Исследование равновесия пар — жидкость с применением радиоактивных индикаторов. Система углекислота — сероводород — углекислый натрий — двууглекислый натрий — сернистый натрий — вода. Мей, Бабб (Vapor — liquid equilibria by radioactive tracer techniques. System carbon dioxide — hydro-

gen sulfide — sodium carbonate — sodium dicarbonate — sodium sulfide — water. Mai K. L., Babb A. L.), Industr. and Engng Chem., 1955, 47, № 9, Part 1, 1749—1757 (англ.)

Определены константы равновесия p -ций $\text{Na}_2\text{CO}_3 + \text{CO}_2 + \text{H}_2\text{O} \rightleftharpoons 2\text{NaHCO}_3$ (1) и $\text{NaHS} + \text{CO}_2 + \text{H}_2\text{O} \rightleftharpoons \text{NaHCO}_3 + \text{H}_2\text{S}$ (2) для t -р 20, 65, 50 и 65°. Состав жидкой фазы определялся измерением pH и электропроводности с помощью диаграммы для тройных p -ров, построенной по данным для p -ров известного состава. Состав газовой фазы определялся путем измерения общего давления, вычисления давления водяного пара по закону Рауля и вычисления парц. давления H_2S по данным измерения радиоактивности газа (в p -р пропускался H_2S , меченный изотопом S^{35}). Полученные данные приводятся в следующем порядке: p -ция; область конч.-ий; константа равновесия в зависимости от конч.-и C и абс. t -ры; теплота p -ции в ккал/моль: (1); 0,01—0,50 н.; $2,984 \cdot 10^{-5} \cdot C^{-0,128} \exp(2586/T)$; 5,12 (1); 0,50—2,00 н.; $1,591 \cdot 10^{-5} \cdot C^{-0,362} \exp(2729/T)$; 5,40 (2); 0,10—1,00 н.; $9,746 \cdot 10^{-4} \cdot C^{0,125} \exp(2275/T)$; 4,51.

Б. А. 77528. Об аномалиях, обнаруживаемых при перегонке смесей, образующих трехкомпонентные отрицательно-положительные азеотропы и азеотропы. I. Свентославский В., Тромбчинский В., Бюл. Польской АН, Отд. 3, 1955, 3, вып. 6, 331—335

Изучены свойства трехкомпонентного положительно-отрицательного седлового азеотропа, образованного уксусной k -той, пиридином и нормальным октаном. Этот азеотроп относится к обнаруженному недавно новому типу седловых положительно-отрицательных азеотропов, образующихся слабой органич. k -той, слабым органич. основанием и одним из углеводородов. Установлено, что изученный азеотроп характеризуется сходными свойствами с седловым азеотропом, образованным хлороформом, ацетоном и метанолом.

С. Б. 77529. Равновесие жидкость — пар неидеальных растворов. Изучение тройной системы ацетон — четыреххлористый углерод — трихлорэтилен при 760 мм рт. ст. Ачария, Рао (Vapour liquid equilibria of non-ideal solutions. Study of acetone-carbon tetrachloride-trichloroethylene ternary system at 760 mm Hg. Acharya M. V. R., Rao C. V.), Trans. Indian Inst. Chem. Engrs, 1953—1954, 6, 137—152 (англ.)

Изучены равновесный состав жидкости и пара в зависимости от t -ры для системы ацетон — четыреххлористый углерод — трихлорэтилен при 760 мм рт. ст. Эксперим. данные и вычисленные коэф. активности (γ) компонентов табулированы и представлены графически. Тройных азеотропов не обнаружено. Все значения γ трихлорэтилена ниже единицы. Показано, что равновесные данные тройной системы (TC) можно вычислить при помощи уравнения Маргулеса в форме, применявшейся Воллом (Wohl Kurt, Trans. Amer. Inst. Chem. Engrs, 1946, 42, 215). Табулированы и представлены графически значения плотности и показателя преломления TC в зависимости от состава, по которым производился анализ смесей.

И. Р. 77530. Эмпирический метод построения кривых критических параметров для бинарных смесей углеводородов. Тревиссо (Un metodo empirico per la determinazione della curva critica delle miscele binarie d'idrocarburi. Trevisso Carlo), Boll. scient. Fac. chim. industr. Bologna, 1953, 11, № 1, 1—14 (итал.)

77531. Система этан — этилен — ацетилен. Данные равновесия пар — жидкость при —37,2, —17,8 и 4,4°. Хоган, Нелсон, Хансон, Сайнс (Ethane-ethylene-acetylene system. Vapor-liquid equilibrium data at —35°, 0°, and 40° F. Hogan R. J., Nelson W. T., Hanson G. H., Cines M. R.), Industr. and Engng Chem., 1955, 47, № 10, 2210—2215 (англ.)

В аппаратуре типа качающейся бомбы изучены равно-

весия пар — жидкость в системе этан (I) — этилен (II) — ацетилен (III) при $-37,2$, $-17,8$ и $4,4^\circ$. Данные равновесия в системе I—II при $-17,8^\circ$ и $19,2$ атм согласуются с результатами, полученными при изучении равновесия в аппаратуре с циркулирующей газовой. При $-17,8^\circ$ в системе II—III образуется азеотропная смесь при конц-ии III 3–8% и давл. $27,2$ атм. Состав азеотропной смеси I—III при $-37,2$ и $-17,8^\circ$ отвечает более 30% III. В тройной системе I—II—III во всем исследованном интервале составов конц-ии II и III в парообразной фазе больше, чем в жидкой. III при конц-ии от 10 до 15% является самым летучим компонентом. Эксперим. данные табулированы и приведены в виде графиков. Ю. Т.

77532. Равновесие жидкость — пар. XIII. Фазовое равновесие в системе вода — *n*-бутиловый спирт — *n*-бутилацетат. Пик, Фрид, Гала, Вилим (Rovnováha kapalina — pára. XIII. Fázové rovnováhy v systému voda — *n*-butanol — *n*-butylacetat. Pick Jirí, Fried Vojtěch, Hála Eduard, Vilím Otakar), Chem. listy, 1955, 49, № 8, 1112–1116 (чеш.); Сб. чехосл. хим. работ, 1956, 21, № 1, 49–54 (нем.; рез. русс.)

Изучено равновесие в трехкомпонентной системе H_2O — *n*-бутиловый спирт (I) — *n*-бутилацетат (II), для которой характерна частичная взаимная растворимость компонентов H_2O — I и H_2O — II. Растворимость H_2O в бинарной системе I—II определялась визуально-полимерич. методом. На основании полученных результатов построена диаграмма растворимости тройной системы. Эбуллиометрич. методом получена изобарич. диаграмма растворимости и определены конноды. Для гомог. области тройной системы определено равновесие жидкость — пар с помощью ур-ний Ван-Лаара третьего порядка, константы которых определены экспериментально. Сообщение XII см. РЖХим, 1955, 31220. Vladimir Ka ena

77533. Исследование хода кривой давления пара водных трехкомпонентных растворов. II. Сарновский, Зыгadlo, Сценская. III. Часть интерпретационная. Сарновский, Барановский, Зыгadlo (Badania nad przebiegiem przebiegu par roztworów wodnych trójskładnikowych. II. Sarnowski M., Zyga dlo J., Scienska I. III. Część interpretacyjna. Sarnowski M., Baranowski B., Zyga dlo J.), Przem. chem., 1955, 11, № 8, 422–425; 425–430 (польск.; рез. русс., англ.)

II. Методом, описанным ранее (сообщение I, РЖХим, 1956, 46327), качественно исследовано изменение давления пара ΔP в тройных системах: $CaCl_2$ — $CO(NH_2)_2$ — H_2O , $Mg(NO_3)_2$ — $CO(NH_2)_2$ — H_2O , $CaBr_2$ — $CO(NH_2)_2$ — H_2O и $LiBr$ — $CO(NH_2)_2$ — H_2O при $20 \pm 0,01^\circ$. Наблюдения проводились в течение 5–11 суток. Для конц. р-ров электролитов (33,1% $CaCl_2$, 37,6% $Mg(NO_3)_2$, 50,1% $CaBr_2$ и 46,9% $LiBr$) при добавлении $CO(NH_2)_2$ P повышается и проходит через максимум. В менее конц. р-рах солей с добавлением $CO(NH_2)_2$ имеет место линейное понижение P .

III. Рассмотрены современные теории, объясняющие явления высаливания и повышения растворимости в в р-рах электролитов. Не согласующиеся с законом Рауля свойства систем объяснены образованием в р-ре молекул двойных солей или комплексных ионов. Е. Б.

77534. Теория плавления и пределы текучести. Арёсте (Theory of melting and yield strengths. Aröste H e n r y), Phys. Rev., 1955, 97, № 6, 1723–1724 (англ.)

Теория плавления Фюрта (Fü rth R., Philos. Mag., 1949, 40, 1227) применена к расчету предела текучести идеального монокристалла. Вычисление энергии образования круговой дислокации радиуса R и ширины ζ приводит, согласно теории Фюрта, к выражению $2R \approx 6 \cdot b \cdot \lambda / Q$, где b — вектор Бюргерса, λ и Q — теплоты сублимации и плавления. Отсюда следует соотношение для крит. напряжения растекания (КНР), пригодное вообще вплоть до абс. нуля. Значения КНР из этого соотношения при-

мерно на порядок больше опытных величин для кристаллов Zn , Cd и $NaCl$ при низких t -рах. Расхождение зависит от неоднородности реальных кристаллов. Кроме того, механизм плавления связан не только с размерами блоков, но и с расстоянием их друг от друга. Поэтому ф-ла Фюрта должна быть заменена выражением $2R \approx \approx 6 \cdot (\zeta / 2) \lambda / Q$, откуда следует уменьшение величины КНР. Л. Р.

77535. До- и послекритическая область однокомпонентных систем. VIII. Температурный интервал докритической области. Кренглевский (Obszar przed i pokrytyczny układów jednoskładnikowych. VIII. Wielkość obszaru przedkrytycznej cieczy. Kręglewski Aleksander), Roczn. chem., 1955, 29, № 1, 95–106 (польск.; рез. англ.)

Микрофотометрическим методом измерена разность плотности жидкой и газовой фазы ($\Delta \rho$) в крит. области при нагревании и охлаждении. Вид кривой, выражающей зависимость $\Delta \rho$ от t -ры, одинаков для исследованных пропилена, пропана, *n*-пентана, *n*-октана, хлористого метила и сернистого ангидрида. Докритич. область существует, по мнению автора, от начала предкритич. области T_p (Świtołowski W., Kręglewski A., Roczn. chem. 1952, 26, 433) до T_k . При t -рах выше T_p заметную роль начинает играть взаимная растворимость фаз. При t -ре T_k теплоемкость C_p имеет минимум и не зависит от эффектов, связанных с действием силы тяжести. Часть VII см. РЖХим, 1955, 18285. А. Л.

77536. Полиморфное фазовое превращение $BaCa_2(C_2H_5CO_2)_6$. Сэки, Момотани, Накацу, Осима (Polymorphic phase transition of bariumdicalcium propionate $BaCa_2(C_2H_5CO_2)_6$. Seki Syūzō, Momotani Masanobu, Nakatsu Kazumichi, Ōshima Teruo), Bull. Chem. Soc. Japan, 1955, 28, № 6, 411–416 (англ.)

Для выяснения механизма фазового превращения (ФП) $BaCa_2(C_2H_5CO_2)_6$ (I) предпринято термохим. и dilatометрич. исследование чистого I и смешанных кристаллов I с $PbCa_2(C_2H_5CO_2)_6$ (II). Дифференциальным термич. анализом установлено наличие ФП I при -6° . В калориметре, описанном ранее (Nitta I и др., Proc. Japan. Acad., 1950, 26, № 9, 25), измерена теплоемкость (C_p) I и смешанных кристаллов I с II в области ФП при нагревании и охлаждении. Термич. расширение измерено с помощью dilatометра в тех же интервалах t -р. Для I теплота ФП равна 1743 кал/моль, энтропия ФП $6,5$ – $7,00$ энтр. ед., а объемное изменение $9,07$ см³/моль. По мере увеличения содержания Pb в смешанных кристаллах энтропия и теплота ФП становятся все меньше, и характер изменения C_p при охлаждении и нагревании не всегда совпадает. По мнению авторов, ФП связано с переходом I в куб. модификацию с 6 метильными группами, окружающими атом Ba . В тетрагональных смешанных кристаллах I со II состава I : I медленно происходит ФП при 160° . Ю. Т.

77537. Образование центров кристаллизации свинца, обладающих преимущественной ориентацией. Атуотер, Чалмерс (Nucleation of lead with preferred orientation. Atwater H. A., Chalmers B.), J. Appl. Phys., 1955, 26, № 7, 918–919 (англ.)

При затвердевании расплава свинца высокой чистоты (до 99,99% Pb) в графитовом тигле, покрытом изнутри колл. графитом и подогреваемом снаружи, на поверхности образуется твердая фаза в виде пластинки толщиной ~ 1 мм с дендритами, направленными внутрь расплава. При полном затвердевании получается монокристалл Pb , наружная поверхность которого всегда совпадает с плоскостью (111) кристалла, даже если при застывании тигель наклонить на 5° и если расплав перегреть на 100° выше точки затвердевания. Для образования зародышей требуется переохлаждение $< 0,5^\circ$. Аналогичные опыты

с Рb меньшей чистоты показали, что при затвердевании образуется поликристаллич. твердая фаза с игольчатой поверхностью, где индивидуальные зерна не имеют определенной ориентировки.

Л. Р.
77538. Кристаллизация хромата серебра. Говард, Нанколлас (Crystallization of silver chromate. Howard J. R., Nancollas G. H.), Nature, 1955, 176, № 4487, 833—834 (англ.)

В процессе кристаллизации хромата серебра (I) из пересыщ. р-ров наблюдается индукционный период (ИП), длительность которого зависит от степени загрязненности р-ров. Предполагается, что загрязнениями являются продукты гидролиза I: HCrO_4^- , AgOH , Ag_2OH^+ . Адсорбированные на растущих кристаллах примеси сильно увеличивают ИП. При использовании свежеприготовленной затравочной суспензии ИП не наблюдался. Мерой скорости кристаллизации I является изменение проводимости р-ра. Скорость кристаллизации I описывается уравнением $-dm/dt = k(p - p_0)^3$, где k — постоянная, $p = \{[\text{Ag}^+]^2 [\text{CrO}_4^{2-}]\}^{1/2}$, p — растворимость I. Механизм процесса представляется как одновременное появление двух ионов Ag^+ и иона CrO_4^{2-} на гидратированном монослое, адсорбированном на поверхности кристаллов. При избытке ионов CrO_4^{2-} скорость кристаллизации замедляется. Методика исследования описана ранее (РЖХим, 1956, 25101).

М. Ж.
77539. О величине наименьшего давления, препятствующего кипению. Пинтер (Über den kleinsten, das Sieden verhindernden Druck. Pinter Tomislav), Naturwissenschaften, 1955, 42, № 22, 602 (нем.)

Рассмотрены условия термодинамич. равновесия в моновариантной однокомпонентной 2-фазной системе и равновесие в этой же системе при крит. т-ре. Приведен анализ уравнения $p = P \exp(-\Delta F/\omega)$, где p — наименьшее препятствующее кипению давление, P — давление сосуществующей паровоздушной фазы, ΔF — разность свободных молярных энергий жидкости и пара, ω — свободная молярная поверхностная энергия (стремящаяся к приближению к крит. т-ре к нулевому значению). Показано, что в случае равновесия в 2-фазной системе ($\Delta F = 0$) при $T < T_{\text{кр.}}$ = const величина $p = P$. В крит. точке [$\Delta F < 0$ и $T = T_{(\text{кр.})} = \text{const}$] при $\omega = 0$ величина $p = \infty$.

С. Б.
77540. Скорость испарения воды через монослой жирных кислот. Арчер, Ла-Мер (The rate of evaporation of water through fatty acid monolayers. Archer Robert James, La Mer Victor K.), J. Phys. Chem., 1955, 59, № 3, 200—208 (англ.)

Влияние монослоев предельных жирных к-т C_{17} , C_{18} , C_{19} и C_{20} на скорость испарения воды изучалось путем измерения скорости абсорбции водяного пара твердым осушителем, помещаемым над поверхностью воды. По опытным данным вычислялось уд. сопротивление монослоя g испарению, равное обратной уд. константе скорости конденсации через пленку. Установлена значительная роль загрязнений, искажавших результаты других авторов. Величина g представлена как функция поверхностного давления монослоя P , длины углеводородной цепи n , фазы монослоя, состава субфазы и т-ры поверхности. Для жидкой поверхностной фазы g не зависит от P и от pH субфазы, причем $\ln g$ есть линейная функция n . Для твердой поверхностной фазы над шел. субфазой, содержащей ионы Ca , $\ln g$ есть линейная функция P и n . Показано, что $\ln g$ для жидкой фазы монослоев к-ты C_{19} есть линейная функция $1/T$, откуда следует связь g с энергетич. барьером вида $g = C \cdot \exp(E/RT)$, где C — функция т-ры, E — энергия активации для конденсации. Из опыта для к-ты C_{19} следует $E = 14595$ кал/моль. Дана теория энергетич.

барьера, основанная на представлениях о строении монослоев, содержащих свободные участки, через которые проникают молекулы воды. Вычисленные значения энергии активации хорошо сходятся с опытными величинами. Исследованные монослои снижают скорость испарения воды в $\sim 10^4$ раз.

Л. Р.
77541. Об образовании пузырьков в полярных жидкостях. Ота, Такэо (有極性液体に於ける泡の形成. 太田時男, 竹生信), 物性論研究, Буссейрон кэнкю, 1955, № 85, 26—35 (япон.; рез. англ.)

В связи с анализом работы «пузырьковой» камеры (РЖФиз, 1954, 3522) развита теория образования ионизированных пузырьков с учетом влияния, помимо поверхностного натяжения, также электрических дипольных и квадрупольных моментов молекул бомбардируемой ядерными частицами жидкости. Выводы теории применены к воде, ацетону, этиловому спирту и этиловому эфиру при т-ре $\sim 100^\circ$.

В. Л.
77542. Измерение хода температуры в процессе расширения воздуха, насыщенного водяным паром. Маусхарт, Поллерман (Messung des Temperaturverlaufs während der Expansion wasserdampfgesättigter Luft. Maushart R., Pollerman M.), Z. Elektrochem., 1955, 59, № 5, 455—460 (нем.)

Ход т-ры в процессе расширения воздуха определен по изменению сопротивления тонкой платиновой проволоки, натянутой вдоль оси камеры. Инертность измерительной проволоки и связанные с этим искажения значений т-ры устранялись проведением измерений с проволоками различной толщины и экстраполяцией показаний до нулевой толщины. Конденсация воды на проволоке при пересыщении в камере устранена перегревом проволоки на 30° по сравнению с окружающей средой. Показано, что при расширении сухого воздуха т-ра изменяется адиабатически; после расширения она остается постоянной на время, большее длительности расширения. У насыщ. водяным паром воздуха т-ра понижается медленнее, достигает при относительном расширении $\epsilon = 1,42$ минимума и затем опять повышается. Из этой кривой рассчитано истинное пересыщение в камере (S) как функция ϵ или времени. Кривая $S = f(\epsilon)$ имеет такой же ход, как и теоретическая (Mason B. J., Proc. Phys. Soc., 1951, B 64, part 9, № 381 b). Данные $S = f(t)$ использованы для расчета увеличения среднего радиуса капель со временем; результаты хорошо согласуются с измерениями (Bagge E. и др., Z. angew. Phys., 1951, 3, 201) и теорией (Becker R., Döring W., Ann. Physik., 1935, 24, 719).

Ю. Т.
77543. Абсорбция пузырьков воздуха водой. Пиккар (Absorption des bulles d'air par l'eau. Piccard A.), Helv. phys. acta, 1955, 28, № 4, 307 (франц.)

Дано объяснение выделения пузырьков воздуха из воды при вытекании ее из трубы. По мнению автора, воздух маленьких пузырьков растворяется в воде и диффундирует к большим пузырькам, которые и выделяются.

Н. К.
77544. Влияние скорости охлаждения на предельное пересыщение. Шлык А. В., Горбачев С. В., Ж. физ. химии, 1955, 29, № 6, 1027—1030

В продолжение ранее опубликованной работы (РЖХим, 1956, 42611) изучено влияние скорости охлаждения (\dot{t}) на т-ру кристаллизации (ТК) 8,78 Мл р-ров KNO_3 . Величина \dot{t} регулировалась путем установления различных т-р (t_1) в термостате, в который помещался сосуд с ампулами р-ра KNO_3 , предварительно нагретыми до т-ры (t_2) более высокой, чем ТК. Авторы установили, что величина ТК р-ра не зависит от t_2 , а лишь от t_1 . Средняя ТК ($29,6^\circ$) из 500 измерений, проведенных при $t_2 = 100^\circ$ и $t_1 = 10^\circ$, оказалась одинаковой со средней ТК ($29,6^\circ$) из 500 измерений, проведенных при $t_2 = 33—34^\circ$ и $t_1 = 10^\circ$. Средняя ТК ($30,5^\circ$) из 500 измерений при $t_2 = 100^\circ$ и $t_1 = 25^\circ$ оказалась одинаковой со средней ТК ($30,5^\circ$) из 500 измерений при $t_2 = 33—34^\circ$ и $t_1 = 25^\circ$. Авторы приходят к заключению, что при самопроиз-

вольной кристаллизации соли из пересыщ. р-ра величина ТК, а следовательно, и величина предельного пересыщения определяются величиной σ р-ра, находящегося в состоянии пересыщения. Этот факт, по мнению авторов, находится в соответствии с ранее развитыми взглядами на механизм зарождения центров кристаллизации (Горбачев С. В., Исследование явлений возникновения новой фазы. Диссертация, М., 1941).

77545. О диффузии в β -фазе системы серебро — цинк. Хейман, Ломан (Über die Diffusion in der β -Phase des Systems Silber — Zink. Heumann Theo, Lohmann Paul), Z. Elektrochem., 1955, 59, № 9, 849—860 (нем.)

Изучено поведение β -фазы в системе Ag — Zn и показано, что диффузия, охватывающая гетерог. области ($\alpha + \beta$) и ($\beta + \gamma$), является определяющим процессом. Установлено, что концы на границах фаз совпадают с равновесными концами на диаграмме состояния. Общий коэфф. диффузии (КД) в пределах гомог. области β -фазы сильно возрастает с увеличением содержания Zn. Рассчитаны КД для Ag и Zn и показано, что подвижность атомов Zn в β -фазе в 3—4 раза больше подвижности атомов Ag. С применением изотопов Ag^{110} определены коэфф. самодиффузии Ag в β -фазе (с 47,6% Zn) при 400, 470 и 610° соответственно $0,89 \cdot 10^{-8}$, $2,95 \cdot 10^{-8}$ и $20,5 \cdot 10^{-8}$ см² сек⁻¹. Отмечена необычайно высокая подвижность атомов Ag и Zn в β -фазе, что находит свое выражение в низких значениях энергии активации. Даны ур-ния для расчета диффузии в β -фазе и показана их связь с ур-ниями Даркена.

77546. Термографическое определение теплот фазовых превращений. Берг Л. Г., Тр. 1-го совещания по термографии. Казань, 1953. М.—Л., Изд-во АН СССР, 1955, 59—66

Для определения теплоты фазового перехода предложен метод сопоставления двух эффектов на одной термограмме при одинаковых условиях теплопередачи в моменты обоих эффектов.

77547. Применение термографического метода к исследованию горючих сланцев. Климов Б. К., Казаков Е. И., Луцковская Н. Л., Тр. 1-го совещания по термографии. Казань, 1953. М.—Л., Изд-во АН СССР, 1955, 148—153

С помощью дифференциального термографич. метода проведены систематич. исследования горючих сланцев (I) в процессе их термич. разложения. Исследования велись на приборе Курнакова с применением кварцевого чехла для защиты термодатчиков от науглероживания. Показано, что I с различными генетич. характеристиками (обшесыртовский, азербайджанский, диктиномовый и кукурситный) дают резко отличающиеся друг от друга термограммы, тогда как однотипные I, взятые из разных мест (различные промышленные и пластово-дифференциальные пробы кукурситного сланца), дают термограммы, сходные между собой и характерные для данного типа I. Установлено, что основной минер. примесью, влияющей на процесс термич. разложения кукурситного сланца, является СаСО₃. Результаты исследования показывают, что термографич. метод с успехом может быть применен для изучения природы и свойств I.

77548. Применение послонного термографирования для выяснения генезиса железных руд. Каурковский В. И., Тр. 1-го совещания по термографии. Казань, 1953. М.—Л., Изд-во АН СССР, 1955, 211—218

Для изучения процесса окисления сидерита (I) и установления генетич. связи бурых железняков (II) с I впервые применен метод послонного анализа. Последовательное исследование ярко выраженных зон I позволяет использовать данные термографии для выяснения процесса минералообразования. Окисление I приводит к образованию гидрата окиси железа, характеризующегося своеобразной формой термограмм. Такие термограммы, харак-

терные для основной массы рудных залежей II, получены впервые и названы автором гидродугетитовыми. Показана зависимость термографич. характеристики II от времени их образования. Формирование II при окислении I характеризуется наличием явления рекалценции. Изменение геометр. формы термограмм, наличие температурного эффекта при термич. диссоциации II, а также явление рекалценции являются характерными термографич. данными для диагностики II и могут быть использованы как поисковые признаки железных руд.

77549. К вопросу о термографической характеристике сидеритов. Каурковский В. И., Тр. 1-го совещания по термографии. Казань, 1953. М.—Л., Изд-во АН СССР, 1955, 205—210

Термографическим методом с использованием микроскопич. данных изучен процесс термич. диссоциации сидеритов (I) и их смесей. Анализом I при нагревании в атмосфере воздуха и в видоизмененном сосудике Степанова установлено, что диссоциация их происходит ступенчато. Получены термограммы, характеризующиеся переломами дифференциальных кривых. Природа указанных перегибов трактуется автором как результат ступенчатой диссоциации I. Исследованием микроструктуры образцов I в сопоставлении с термографич. данными показано, что ступенчатая диссоциация I обусловлена их поликристаллич. структурой. Экспериментально установлена зависимость т-ры диссоциации I от их кристаллич. структуры.

77550. Применение термографии к исследованию процесса обжига доломита. Берг Л. Г., Ганелина С. Г., Тр. 1-го совещания по термографии. Казань, 1953. М.—Л., Изд-во АН СССР, 1955, 192—199

Более подробное сообщение о работе, опубликованной ранее (РЖХим, 1956, 58639).

77551. О способе двух разворотелей. Крупаткин И. Л., Ж. общ. химии, 1955, 25, № 12, 2189—2198

Система антипирин (I) — салициловая к-та (II) исследована способом двух р-рителей по изотермам расслаиваемости в H₂O (III) и в бензине (IV). I и II при молекулярном соотношении 1 : 1 образуют салипирин (V). Обычным политемич. методом исследована расслаиваемость тройных систем I—II—III и I—II—IV. Изотермы растворимости для I—II—III представляют собой замкнутые кривые, концентрически уменьшающиеся при повышении т-ры. В системе осуществляется верхняя тройная точка, лежащая при 170° и соответствующая составу 18% I, 22% II, 60% III. При 100—110° минимумы взаимной растворимости III и смесей I и II лежат в разрезе, соответствующем составу V, но при повышении т-ры отклоняются в сторону больших конц-ий II. Двойная система II—III имеет нестабильное расслаивание; в тройной системе гомогенизация производится I. Исследование условно двойной системы I—IV показало, что в системе должна осуществиться верхняя крит. точка, не достигнутая в эксперименте ввиду ее расположения при высоких т-рах. Система I—IV гомогенизируется II. Поверхность равновесия на треугольной диаграмме системы I—II—IV имеет максимум взаимной растворимости V и IV. Синклинальное сингулярное ребро, проходящее через максимумы, приходится на состав V. Сингулярное ребро делит систему на две тройные системы: V—I—IV и V—II—IV. В V—I—IV объем расслаивания соединяет плоскости разрывов растворимости IV—I и IV—V. В V—II—IV расслаивание двойной системы IV—V гомогенизируется II. Р-рители разной полярности качественно изменяют характер растворимости системы I—II. Тройная система с верхней тройной крит. точкой (для III) преобразуется в тройную систему с синклинальной (для IV). В случае растворения в III возможность образования сольватационных соединений отразилась на изотермах расслаиваемости в виде минимумов растворимости. В случае IV образование ассоциационных соединений отразилось в виде сингулярного ребра. V связан в прочный

комплекс, а II в смесях с V сильно диссоциирует в неполярной среде. Автор считает, что способ двух р-рителей (полярного и неполярного) достаточен для решения основных задач по расщепляемости.

В. Ф.

77552. Растворимость водорода и трития в палладиевой черни. Фавро, Паттерсон, Рандалл, Салмон (The solubility of hydrogen and tritium in palladium black. Favreau R. L., Patterson R. E., Randall D., Salmon O. N.), U. S. Atomic Energy Comm. Repts, 1954, KAPL-1036, 21 pp. (англ.) В интервале t -р 200—400° и в области давлений $P < 1/2$ атм измерены растворимости (S) водорода и трития в палладиевой черни. Дано детальное описание применявшейся методики. При постоянной t -ре зависимости величины S водорода и трития от равновесного давления P выражается уравнением типа $S = KV\sqrt{P}$, где K — константа. $\lg K_{H_2} = -1,51707 + 437,249/T$ для водорода и $\lg K_{T_2} = -1,09855 + 403,901/T$ для трития. Найдены значения теплот растворения $\Delta H_S (H_2) = -4000 \pm 110 \text{ кал/моль}$, $\Delta H_S (T_2) = -950 \pm 300 \text{ кал/моль}$.

Н. Х.

77553. Кривые ликвидуса для электролита, применяемого при получении алюминия. I. Криолит — глинозем. Филиппс, Синглетон, Холлингсхед (Liquidus curves for aluminum cell electrolyte. I. Cryolite-alumina. Phillips N. W. F., Singleton R. H., Hollingshead E. A.), J. Electrochem. Soc., 1955, 102, № 11, 648—649 (англ.)

Получены данные по кривой плавкости системы криолит — глинозем (до 16% Al_2O_3). Т. зам. криолита 1009 ± 1°, эвтектик. точка 962° при 10 вес. % Al_2O_3 . Расплав с 16% Al_2O_3 плавится при 1050°. Для сплавов с содержанием $Al_2O_3 > 10\%$ остановок на кривых охлаждения не наблюдалось I, и в этих случаях использовался визуальный метод наблюдения.

Л. Р.

77554. К вопросу о влиянии минерализаторов на температуру плавления, кристаллизационную способность и вязкость в системе диоксид — анортит. Никольская Т. Л., Уч. зап. ЛГУ, 1955, № 188, 129—146

Выяснялось влияние фтористого кальция — минерализатора (Гинзберг А. С., Уч. зап. Ленингр. пед. ин-та, 1939, XVI) — на t -ру плавления, кристаллизационную способность и вязкость в системе диоксид (D) — анортит (A). Изучены расплавы: чистый D (I); 80 вес. % D + 20 вес. % A, эвтектика 58 вес. % D + 42 вес. % A (II), 50 вес. % D + 50 вес. % A (III) и с добавками 1, 2 и 4 вес. % CaF_2 . Т-ра кристаллизации определялась микроскопически по появлению первой кристаллич. фазы в сплавах, выдержанных при различных t -рах в интервале 1200—1400° и затем закаленных в воде или ртути. Прибавление CaF_2 снижает t -ру плавления расплавов, не изменяя их оптич. свойств. CaF_2 вызывает кристаллизацию расплавов II, III, которые в отсутствие минерализатора образуют стекла, а также увеличивает размер кристаллов, выделяющихся из расплава I; при этом малые добавки оказывают более заметное действие. Кривые зависимости вязкости от t -ры становятся более пологими по мере увеличения содержания D в расплавах. Изоликвиды вязкости (Куманин К. Г. и др., Тр. Лензавода опт. ст. сб. раб., 1939, № 1, 71), построенные для всех смесей (и с добавками CaF_2), представляют из себя кривые с максимумом, отвечающим эвтектич. составу. Добавки I и 4 вес. % CaF_2 наиболее понижают вязкость расплавов I и II. По мнению автора, CaF_2 уменьшает стойкость молекулярных группировок в расплавах.

И. С.

77555. Комплексообразование и обменное разложение во взаимной системе из титанатов и фторидов натрия и калия. Шолохович М. Л., Ж. общ. химии, 1955, 25, № 10, 1900—1907

Сплавлением TiO_2 с карбонатами щел. металлов при 1200°

получены Na_2TiO_3 (I), т. пл. 1025° и K_2TiO_3 (II), т. пл. 826°. Визуально-политермич. методом изучена диаграмма плавкости взаимной системы Na, K || TiO_3 , F, причем установлено образование $Na_2TiO_3 \cdot K_2TiO_3$ (III) и $3Na_2TiO_3 \cdot 2NaF$ (IV), конгруэнтно плавящихся при 906 и 899°, соответственно. Установлено, что поверхность кристаллизации системы Na, K || TiO_3 , F состоит из 6 полей кристаллизации: NaF, KF, I, II, III и IV, тройной эвтектики при 682° и переходных точек при 826, 782 и 682°. Полученные данные подтверждают высказанное ранее (РЖХим, 1955, 5284) замечание о различии в хим. свойствах солей натрия и калия.

Ю. Т.

77556. Обменное разложение в отсутствие растворителя. Взаимная система из сульфатов и метаборатов лития и калия. Бергман А. Г., Кислова А. И., Посыпайко В. И., Ж. общ. химии, 1955, 25, № 10, 1890—1899

Визуально-политермическим методом плавкости изучена тройная взаимная система Li, K || SO_4 , BO_3 . Установлено наличие 6 полей кристаллизации: K_2SO_4 , комплекса $Li_2SO_4 \cdot K_2SO_4$; Li_2SO_4 ; $Li_2(BO_3)_2$; комплекса, $3Li_2SO_4 \cdot 2LiBO_3$ и $K_2(BO_3)_2$. Найдены тройные эвтектики при 525, 726 и 570°, двойные перевальные эвтектики при 730 и 750° и переходная невариантная точка при 718°. Поле конгруэнтно плавящегося соединения $Li_2SO_4 \cdot K_2SO_4$ глубоко внедряется в систему, занимая площадь в 14,9%, в отличие от соответствующего вольфраматного комплекса (РЖХим, 1956, 380). Установлено, что комплексообразование в системе Li, K || SO_4 , BO_3 имеет резко выраженный характер, преобладая над r -цией обмена. Система классифицирована как адиагональная с подчиненной диагональю.

Ю. Т.

77557. Растворимость труднорастворимых солей в воде. Часть 4. Растворимость хлорида закиси ртути при 25°.

Драй, Гледхилл (The solubilities of sparingly soluble salts in water. Part 4. The solubility of mercurous chloride at 25° C. Dry M. E., Gledhill J. A.), Trans. Faraday Soc., 1955, 51, № 8, 1119—1124 (англ.)

Измерены уд. электропроводность (ρ), pH и общее содержание ртути насыщ. р-ра Hg_2Cl_2 (I) в «ультра-чистой» воде при 25°. р-р р-ра I, аппаратура для определения которой описана ранее (РЖХим, 1953, 1955), увеличивается со временем на величину порядка $12 \cdot 10^{-6} \text{ ом}^{-1} \cdot \text{см}^{-1}$ в час., что вызвано ионным обменом со стенками пирексного сосуда. Поправка на проводимость воды составляет менее 0,7% общей проводимости. С учетом поправки $\rho_{Hg_2Cl_2}$ равна $(3508 \pm 10 \cdot 10^{-6} \text{ ом}^{-1} \cdot \text{см}^{-1})$, pH р-ра I составляет $5,085 \pm 0,01$. Общее содержание Hg. измеренное дифференциальным колориметрич. методом, равно $(7,5 \pm 0,3) \cdot 10^{-6} \text{ моль/л}$. Показано, что р-р I содержит главным образом H^+ ($8,17 \cdot 10^{-6} \text{ г-ион/л}$), Cl^- ($8,40 \cdot 10^{-6} \text{ г-ион/л}$), $Hg(OH)_2$ ($4,03 \cdot 10^{-6} \text{ моль/л}$), $HgCl_2$ ($3,3 \cdot 10^{-6} \text{ моль/л}$). При растворении Hg_2Cl_2 в воде 98,4% находящихся в р-ре ионов закисной ртути подвергается диспропорционированию на Hg^{2+} и Hg , 84% от оставшихся ионов закисной ртути гидролизуются с образованием Hg_2OH^+ , 45% Hg^{2+} образуют $HgCl_2$ и 55% — гидролизует с образованием $Hg(OH)_2$. Лишь 0,25% ртути остается в виде закисных ионов и 0,002% Hg^{2+} сохраняется неизменным. Часть 3 см. РЖХим, 1955, 226.

Ю. Т.

77558. Взаимные системы из хлорида натрия, сульфата аммония, сульфата натрия, хлорида аммония и воды при 20° и 60° C. Часть I. Тройные системы. II. Четверная система. Лейбаш, Ласби (The reciprocal salt-pair system: sodium chloride—ammonium sulphite—sodium sulphite—ammonium chloride—water at 20° C and 60° C. Part I. Ternary systems. Part II: The quaternary system. L. a. b. a. s. h. J. A., L. u. s. b. y. G. R.), Canad. J. Chem., 1955, 33, № 5, 774—786; 787—796 (англ.) I. Изучена растворимость в система: I) NaCl— NH_4Cl —

—H₂O, 2) NH₄Cl—(NH₄)₂SO₃—H₂O, 3) Na₂SO₄—(NH₄)₂SO₃—H₂O, 4) NaCl—Na₂SO₄—H₂O при 20 и 60°. В системах 1 и 2 кристаллизуются только исходные соли, причем (NH₄)₂SO₃ в системе 2—в виде моногидрата. В системе 3 наряду с компонентами выделяются новые фазы, природа которых не была установлена. Возможно, что фазы, образующиеся при 60° в системе 4,— твердые р-ры Na₂SO₄ в Na₂SO₃. Na₂SO₄ может присутствовать как примесь.

II. Изучена растворимость в системе NaCl—(NH₄)₂SO₃—Na₂SO₄—NH₄Cl—H₂O при 20 и 60°. В обоих случаях наблюдалась кристаллизация новых фаз, природа которых не была установлена. Вероятнее всего, по мнению авторов, они являются твердыми р-рами Na₂SO₄ в Na₂SO₃ различных составов (Na₂SO₄ может присутствовать как примесь). Результаты представлены в виде диаграмм, изобравенных по методу Йенке.

Н. Е. 77559. Фазовые равновесия в системе фенол — вода — α-метилстирол. Щербак Л. И., Бык С. Ш., Аэров М. Э., Ж. прикл. химии, 1955, 28, № 10, 1120—1123

В качестве I-го этапа в исследовании системы фенол — вода — α-метилстирол изучено равновесие жидкостной пары для бинарной смеси фенол — α-метилстирол. Определение фазовых равновесных составов проводилось в приборе с термосфонной циркуляцией паро-жидкостной смеси, конструкция которого аналогична описанному ранее (Gillespie D. T., Industr. and Engng Chem., 1946, 18, 575; Киреев В. А. и др., Ж. физ. химии, 1952, 26, 352). Состав равновесных фаз находили по предварительному составленным кривым зависимости показателей преломления и плотности от процентного содержания фенола в смеси. Установлено, что исследуемая бинарная система дает при нормальном давлении азеотропную смесь с содержанием фенола 7 вес. % и т. кип. 162° (760 мм рт. ст.).

Ю. З. 77560. Исследование вязкости и критических температур тройных растворов спирты — кислоты — вода. Голик А. З., Орищенко А. В., Равикович С. Д., Соломко В. П., Шиманский Ю. И., Укр. хим. ж. 1955, 21, № 5, 576—585

С использованием ранее разработанной методики (РЖХим, 1956, 25247) исследованы вязкость и крит. т-ры тройных р-ров (ТР) уксусная к-та (I) — вода (II) — этанол (III), I—II — пропанол (IV), масляная к-та (V) — II—III и V—II—IV. Найдено, что закономерности для конц. зависимости крит. т-р ТР во всех случаях аналогичны подобным закономерностям для двойных р-ров. Кривые температурной зависимости вязкости ТР лежат как между, так и вне соответствующих кривых компонентов, и их расположение не определяется закономерностями роста крит. т-р р-ров. Результаты исследования ТР всех четырех систем представлены в виде кривых концентрационной и температурной зависимости вязкости и концентрационной зависимости энергии активации вязкого течения и предэкспоненциального множителя. Для всех систем построены тройные диаграммы состав — свойство на плоском треугольнике.

Г. Б. 77561. Диффузия в системе метанол — бензол. Колдуэлл, Бабб (Diffusion in the system methanol-benzene. Caldwell E. L., Babb A. L.), J. Phys. Chem., 1955, 59, № 10, 1113—1114 (англ.)

Коэффициент диффузии (D) для системы метанол (I) — бензол (II) был измерен с помощью аппаратуры, описанной ранее (РЖХим, 1956, 46524). Для 27,06° построена изотерма D—x (x—состав системы); на изотерму при 11,0°, полученную ранее (Lemond H., App. Phys., 1938, 9, 539), нанесены новые точки в области малых конц-ий I; из эксперим. данных рассчитаны энергия активации диффузии (E_D) и энергия активации вязкости (E_η) и построены кривые E_D—x и E_η—x.

Для большинства конц-ий величины E_D выше величин E_η, но при значительном уменьшении содержания II в системе E_D приближается к E_η. При изменении конц-ий I от 0 до 6 мол. % наблюдается резкое падение значений D от 4,05·10⁻⁵ до 1,80·10⁻⁵ см²/сек и соответствующее увеличение значений E_D от 2,7 до 5,9 ккал/моль. На основании иррегулярной формы кривой E_D—x авторы считают, что в этой области происходят значительные изменения в структуре I.

Л. Б. 77562. Исследование жидких бинарных систем с различной природой молекулярного взаимодействия компонентов. Суслов Б. Н., Кудрявцев Б. Б. В сб.: Применение ультраакустики к исслед. веществ. Вып. 2., М., Изд. МОПИ, 1955, 5—23

Оптическим методом измерены скорости звука в смесях C₆H₆—CCl₄ (I), C₆H₆—C₆H₅NO₂ (II), C₆H₅Cl—C₆H₅Br (III), CH₃NO—C₃H₇O (IV). Измерения производились в интервале т-р 10—60°. Установлено, что скорость ультразвука а определяется величиной сил межмолекулярного взаимодействия и характером изменения этих сил с расстоянием, но не зависит от их физ. природы. В выражение для потенциальной энергии молекулярных взаимодействий входят, наряду с другими величинами, электрич. моменты и поляризация молекул, которые зависят от размеров и структуры молекул, поэтому структурные особенности молекул влияют на a, которая изменяется при изменении конц-ий одного из компонентов, даже в так называемых идеальных системах. Аддитивность a, выраженной в координатах молекулярного состава, не является признаком идеальных жидких смесей. Во всех изученных системах выполняется правило Рао. Молекулярная скорость звука не зависит от т-ры как в чистых компонентах, так и в любых смесях, образованных из них. В смесях I, II, III, как показывают результаты исследования, для a выполняется закон соответственных состояний. Приведены данные о скоростях звука в смесях C₆H₆—CCl₄ различной конц-ии при 14° и давлениях до 250 атм.

Б. К. 77563. Зависимость скорости распространения ультразвуковых волн от температуры и концентрации в смесях нормальных органических жидкостей. Дмитриева Н. А., Ж. физ. химии, 1955, 29, № 9, 1722—1724

Оптическим методом измерены скорости ультразвука v (частоты 3 и 6 Мгц) в смесях: C₆H₆—CCl₄ от +15 до +70°, C₂H₅—CCl₄ от -60 до +90° и o-C₃H₇O—CCl₄ от +15 до +70° при различных соотношениях компонентов. На основании данных о скоростях звука вычислены коэфф. адиабатич. сжимаемости смесей. Во всех смесях v с ростом т-ры уменьшается линейно. В первом приближении скорость звука в смеси аддитивна в отношении состава. Для смесей нормальных органич. жидкостей хорошо выполняется соотношение: $M\theta^2 T_{кр}^{-1} = f(\theta)$, где M—мол. вес и θ—приведенная т-ра, и с незначительными отклонениями — соотношение $v^{1/3} M\rho^{-1} = R$, где ρ—плотность жидкости и R—молекулярная скорость звука. Выводы данной работы не распространяются на смеси ассоциированных жидкостей с неассоциированными, а также и на водно-спиртовые смеси. Указано, что если компоненты смеси подчиняются закону соответственных состояний, то ему подчиняется и смесь. См. также РЖХим, 1956, 61035.

Б. К. 77564. Теплопроводности смесей паров органических веществ. Беннетт, Вайнс (Thermal conductivities of organic vapor mixtures. Bennett L. A., Vines R. G.), J. Chem. Phys., 1955, 23, № 9, 1587—1591 (англ.)

Известным (РЖХим, 1955, 15901, 396/6) методом измерены коэфф. теплопроводности K смесей паров бензолгексан (I), аргон-бензол (II), эфир-хлороформ (III), диэтиламин-эфир (IV), ацетон-бензол (V), метилоый

спирт-гексан (VI), метиловый спирт-аргон (VII) в интервале t -р 60—125°. У смесей неполярных в-в с мало отличающимися мол. весами и вязкостью (I, III, IV) зависимость между K и составом смеси линейна; она удовлетворительно описывается эмпирич. ф-лой (Lindsay A. L., Bromley L. A., Ind. Eng. Chem., 1950, 42, 1508). В случае II наблюдаются значительные отрицательные отклонения от прямой, что объясняется большой вязкостью аргона. В случае смесей неполярного и сильно полярного в-в (V—VII) кривая с ростом конц-ии полярного в-ва отклоняется от прямой и дает ясно выраженный максимум, что связано со значительным взаимодействием молекул полярного в-ва. В. Ф.

77565. Коэффициенты диффузии в системах, состоящих из углеводородов. *n*-Гептан в газовой фазе системы метан—*n*-гептан. Кармайкл, Ример, Сейдж, Лейси (Diffusion coefficients in hydrocarbon systems. *n*-Heptane in gas phase of methane—*n*-heptane system. Carmichael L. T., Reamer H. N., Sage B. H., Lacey W. N.), Industr. and Engng Chem., 1955, 47, № 10, 2205—2210 (англ.)

При помощи усовершенствованной диффузионной ячейки Стефана исследовалась диффузия *n*-гептана в газовой фазе системы метан—*n*-гептан при t -рах, 38, 71 и 105°, при давл. от 1 до 4,5 *атм*. При каждой t -ре определения производились для трех расстояний от основания камеры, изменявшихся от 37 до 137 *мм*. Влияние конвективного переноса исключалось путем введения поправок, определенных на основании данных специально проведенных опытов. Определявшиеся в опытах величины измерялись с точностью, обеспечивавшей при расчете коэфф. диффузии погрешность, не превышающую 2,5%. Данные опытов показывают, что коэфф. диффузии Максвелла мало зависит от давления. Это подтверждает применимость к исследованной системе гипотезы Максвелла, согласно которой коэфф. диффузии в области низких давлений практически не зависит от давления. С помощью соотношения, связывающего коэфф. диффузии Фика и Максвелла для идеальных газов, рассчитан коэфф. диффузии Фика. Из полученных данных следует, что последние сильно зависят от состава смесей и давления. В. К.

77566. Растворимость в системе пиридин—вода—четырёххлористый углерод. Рахимов Х. Р., Фаткулина Л. Г., Докл. АН УзССР, 1955, № 9, 21—24 (рез. узб.)

Методом Алексеева изучена растворимость в системе пиридин—вода—четырёххлористый углерод с точностью 0,1—0,5% в интервале 20—70°. Получено 7 политерм для p -ров с постоянным соотношением H_2O и C_6H_5N и 4 политермы с постоянным соотношением CCl_4 и C_6H_5N . Определены составы сопряженных p -ров при 30°. Состав крит. точки найден графически и отвечает 49,9 вес. % C_6H_5N , 9,7 вес. % H_2O , 40,9 вес. % CCl_4 . Отмечено, что указанная система не подчиняется правилу Тарасенкова (Тарасенков Д. Н., Паульсен И. А., Ж. общ. химии, 1938, 9, 83). И. С.

См. также: Фазовые переходы 77398, 77807, 77878, 78634, 78768. Термодинамика: кристаллов 78318, 78319, 77738; жидкостей и газов 77480, 77482, 77483, 77485, 77487, 77680. Ур-ния состояния 77475. Равновесия 77386, 77496, 77591, 77806, 77841, 77852—77854, 78342, 78541, 78646. Физ.-хим. анализ систем: неорганич. 77688, 77866, 78377; органич. 77695, 78948. Приборы и методы 78565, 78577—78580, 78582, 78600, 77783

КИНЕТИКА. ГОРЕНИЕ. ВЗРЫВЫ. ТОПОХИМИЯ. КАТАЛИЗ

77567. Некоторые замечания о теории скоростей Голдена. Ясумори, Сато (Golden 反應速度理論の適用性について. 安盛岩雄, 佐藤伸), 物性論研究,

Буссэйрон кэнкю, 1953, № 69, 37—51 (япон.); J. Chem. Phys., 1954, 22, № 11, 1938 (англ.)

Критикуя теорию скоростей p -ций Голдена (РЖХИМ, 1955, 42595), авторы указывают, что эта теория справедлива для систем, в которых энергия взаимодействия молекул (энергия возмущения) много меньше энергии соответствующих невозмущенных состояний. Это условие вряд ли выполняется в реальных хим. процессах. Действительно, одномерный расчет p -ции $NaH + H \rightarrow Na + H_2$ приводит к энергии активации порядка kT (k — константа Больцмана, T — абс. t -ра), хотя при расчете было предположено, что высота потенциального барьера равна 9 *ккал/моль*. Детальный расчет скорости p -ции $H + H_2 \rightarrow H_2 + H$ при условии ее адиабатич. протекания приводит к отрицательным величинам для энергии активации (от 4 до 20 *ккал/моль*) при 300—1000° К. В. В.

77568. Применимость борновского приближения для расчета скоростей химических реакций. Ответ Ясумори и Сато. Голден (Adequacy of the born approximation in the calculation of chemical reaction rates: A reply to Yasumori and Sato. Golden Sidney), J. Chem. Phys., 1954, 22, № 11, 1938—1939 (англ.)

Автор соглашается с критикой (см. пред. реф.), показавшей недостаточность борновского приближения для расчета скоростей хим. p -ций. Указывается, что расчет скорости p -ции $H + H_2 \rightarrow H_2 + H$, проведенный во втором приближении, дает результаты, отличающиеся от результатов, полученных в первом борновском приближении на фактор порядка 10^4 . В. В.

77569. Гипотеза о туннельном эффекте для реакций переноса электрона. Маркус, Зволинский, Эйринг (The electron tunnelling hypothesis for electron exchange reactions. Marcus Rudolph J., Zwolinsky Bruno J., Eyring Henry), J. Phys. Chem., 1954, 58, № 5, 432—437 (англ.)

Литературные данные по p -циям перехода электрона между неорганич. положительными ионами указывают на существование двух групп таких p -ций: одна группа характеризуется малой энергией активации E (7—15 *ккал/моль*) и значительной отрицательной энтропией активации ΔS^* (от—18 до—33 энтр. ед.), для другой группы E велика (20—35 *ккал/моль*), а ΔS^* имеет большое положительное значение (16—53 энтр. ед.). Эти факты авторы объясняют различной вероятностью туннельного прохождения электрона через барьер, высота которого определяется электростатич. взаимодействием системы из двух положительных ионов и электрона. Для случая треугольного потенциального барьера выведено ур-ние зависимости константы скорости p -ции электронного перехода (k') от расстояния между реагирующими ионами (r). Находится значение r , при котором k' наибольшая. Дано объяснение ранее опубликованным эксперим. данным: в p -циях с малой E r велико и вследствие этого трансмиссионный коэфф. κ мал; при малых r E возрастает, однако одновременно возрастает и вероятность туннельного эффекта и κ становится близким к единице. Рассчитанные величины свободной энергии активации, за небольшим исключением, согласуются с опытными. Т. Г.

77570. Кинетический метод изучения механизма химических реакций при помощи меченых атомов. Нейман М. Б., Луковников А. Ф. В сб.: Ценные реакции окисления углеводородов в газовой фазе. М., АН СССР, 1955, 140—160

77571. Физическая химия. Изучение быстрых реакций в газовой фазе. Кондзуми (物理化学. 超迅速反応の研究. 1. 氣相反應. 小泉正夫), 化学, Karaky, Chemistry (Kyoto), 1955, 10, № 10, 2, 10—13 (япон.) Обзор за 1954 год. Э. Б.

77572. Изучение механизмов химических реакций в молекулярных пучках. Реакция K с HBr . Тейлор, Дац (Study of chemical reaction mechanisms with

molecular beams. The reaction of K with HBr. Taylor Ellison H., Datz Sheldon J., J. Chem. Phys., 1955, 23, № 9, 1711—1718 (англ.)

Реакция K с HBr изучалась в скрещивающихся молекулярных пучках при давлениях реагентов 0,1 мм рт. ст. и $T_K = 540—840^\circ \text{K}$ и $T_{HBr} = 200—500^\circ \text{K}$. Угловое распределение непрореагировавшего K и образовавшегося KBr измерялось поверхностным ионизационным манометром с W-нитью, чувствительной к обоим компонентам, и с нитью из Pt-сплава, чувствительной только к K. Выход на столкновение (отношение скорости образования KBr к числу столкновений) определен для ряда пар значений T_K и T_{HBr} . Из этих данных рассчитана энергия активации р-ции, равная 3,41 ккал/моль. Для стерич. фактора р-ции получено значение 0,1.

77573. Скорость рекомбинации радикалов. II. Скорость рекомбинации трифторметильных радикалов. Аско (Rate of recombination of radicals. II. The rate of recombination of trifluoromethyl radicals. Ayscough P. B.), J. Chem. Phys., 1956, 24, № 5, 944—946 (англ.) Скорость рекомбинации трифторметильных радикалов, полученных фотоллизом гексафторэтанона (40 мм рт. ст., 127° , λ 3000—3200 Å), определена методом, предложенным ранее (часть I, РЖХим, 1956, 74390). $k_2 = 2,3 \cdot 10^{13} \text{ см}^3/\text{моль сек.}$

77574. Действие ингибиторов на реакцию обмена между водородом и дейтерием. Стивен, Данби (The effect of inhibitors on the hydrogen-deuterium exchange reaction. Stephen M. J., Danby C. J.), Proc. Roy. Soc., 1955, A232, № 1189, 271—277 (англ.)

Окись азота и пропилен, как и в случае крекинга парафинов, тормозят р-цию $\text{H}_2 + \text{D}_2 \rightarrow 2\text{HD}$ до одного и того же предела — остаточной скорости, дальнейшее увеличение концентрации ингибиторов не влияет на величину скорости. Р-ция изучалась при $\sim 560^\circ$ и давлении эквимолекулярной смеси H_2 и D_2 200 мм рт. ст. Такая полностью заторможенная р-ция протекает по 1-му порядку, ее энергия активации равна 19,0 ккал/моль. В опытах с набивкой величина остаточной скорости пропорциональна отношению поверхности сосуда и набивки к объему сосуда. Скорость заторможенной р-ции гораздо меньше зависит от состояния поверхности сосуда, чем скорость незаторможенной р-ции. Авторы считают полностью заингибированную р-цию чисто гетерогенной.

77575. Термическая реакция между водородом и двуокисью азота. Ашмор, Левитт (Thermal reaction between hydrogen and nitrogen dioxide. Ashmore P. G., Levitt B. P.), Nature, 1955, 176, № 4491, 1013—1015 (англ.)

Кинетика р-ции $\text{H}_2 + \text{NO}_2$ изучалась при 411° и давлении NO_2 5—10 мм рт. ст. и H_2O — 100 мм рт. ст. путем фотометрич. определения конц-ии NO_2 . Продуктами р-ции являются NO и H_2O . Добавление NO (до 50 мм рт. ст.) оказывает на р-цию ингибирующее действие — обратная величина начальной скорости расходования NO_2 растет линейно с увеличением добавки NO . Большое разбавление смеси кислородом (до 0,5 атм) снижает начальную скорость на 50%; тормозящее действие (несколько меньшее) наблюдается также при добавках 0,5 атм N_2 .

77576. Реакция атомов водорода с метилцианидом. Форст, Уинклер (The reaction of hydrogen atoms with methyl cyanide. Forst W., Winkler C. A.), Canad. J. Chem., 1955, 33, № 12, 1814—1818 (англ.)

Продуктами р-ции атомов H, полученных в разрядной трубке, с CH_3CN при 107 и 237° являются HCN и (определяемые масс-спектрографически) CH_4 и C_2H_6 . Методика исследования аналогична применявшейся ранее (Blades H., Winkler C. A., Canad. J. Chem., 1951, 29, 1022). Авторы предлагают механизм р-ции, начальной стадией которого является $\text{H} + \text{CH}_3\text{CN} \rightarrow \text{HCN} + \text{CH}_3 + 10 \text{ ккал. Обра-}$

зование CH_4 и C_2H_6 происходит в результате последующей р-ции радикала CH_3 .

77577. Кинетика термического разложения и полимеризации этана и этилена. Силкокс (The kinetics of the thermal decomposition and polymerization of ethane and ethylene. Silcocks C. G.), Proc. Roy. Soc., 1956, A223, № 1195, 465—479 (англ.)

Кинетика разложения смесей C_2H_6 - C_2H_4 изучалась в статич. условиях путем определения состава продуктов р-ции в различные моменты времени. Чистый C_2H_6 при 600° дает C_2H_4 , H_2 и немного CH_4 . Р-ция ингибируется NO . В смеси C_2H_6 - C_2H_4 образуются CH_4 (значительно больше, чем в случае C_2H_6), C_4H_8 (скорее всего 1-бутен), C_3H_6 и высшие углеводороды. Ни на одну из этих стадий NO не влияет. Из зависимости $d[\text{C}_2\text{H}_4]/dt$ от $[\text{C}_2\text{H}_6]$, $[\text{H}_2]$, $[\text{C}_2\text{H}_4]$ в условиях, когда дальнейшими превращениями C_2H_4 можно пренебречь, найдены константы скорости при 600° и константа равновесия обратной р-ции $\text{C}_2\text{H}_6 \rightleftharpoons \text{C}_2\text{H}_4 + \text{H}_2$ $k_1 = 3,37 \cdot 10^{-4} \text{ сек}^{-1}$, $k_2 = 1,10 \text{ моль}^{-1} \text{ л сек}^{-1}$ $K = 3,1 \cdot 10^{-4} \text{ моль}^{-1}$ в соответствии с данными других авторов. Судя по кинетич. данным C_2H_6 образуется по р-циям $\text{C}_2\text{H}_4 + \text{C}_2\text{H}_6 \rightarrow \text{C}_4\text{H}_8 + \text{H}_2$ ($k_3 = -0,0070 \text{ моль}^{-1} \text{ л сек}^{-1}$); $2\text{C}_2\text{H}_4 \rightarrow \text{C}_4\text{H}_8$ ($k_4 = 0,046 \text{ моль}^{-1} \text{ л сек}^{-1}$); CH_4 путем распада C_4H_8 ($k_5 = 0,0058 \text{ сек}^{-1}$); C_3H_6 и полимеры — при р-ции C_4H_8 с C_2H_4 ($k_6 = 4,0 \text{ л моль}^{-1} \text{ сек}^{-1}$). Энергии активации трех последних р-ций, найденные из данных по распаду смеси C_2H_4 и C_2H_6 при 600° и чистого C_2H_4 при 450° , равны соответственно 36,29 и 23 ккал/моль.

77578. Механизм термического распада метилэтилкетона. Уэринг, Спектор (The mechanism of the thermal decomposition of methyl ethyl ketone. Waring Chas E., Spector Marshall J.), J. Amer. Chem. Soc., 1955, 77, № 24, 6453—6457 (англ.)

Кинетика термич. распада (ТР) метилэтилкетона (I) при 550° изучалась по изменению давления в статич. условиях. Установлено, в согласии с данными, полученными ранее (Waring C. E., Mutter W. E., J. Amer. Chem. Soc., 1948, 70, 4073), что р-ция гомогенна и при давлении $P > 50 \text{ мм рт. ст.}$ следует первому порядку. Добавление NO (1—200 мм рт. ст.) увеличивает скорость ТР I. Пропилен оказывает на р-цию ингибирующее действие, причем скорость ТР I с увеличением конц-ии C_3H_6 падает до некоторого предельного значения, зависящего от начальной конц-ии I. Из отношения скоростей ингибированной и неингибированной р-ции рассчитана длина цепи: для 100 мм рт. ст. I 2,3; для ацетона 3,4. Разбавление азотом, а также увеличение поверхности реакционного сосуда не влияет на скорость ТР I. Отношение конечного и начального давления при ТР I без добавок и в присутствии NO , C_3H_6 и N_2 одинаково, что свидетельствует об одном и том же составе продуктов. Кол-ва продуктов р-ции (CH_4 , CO , C_2H_4 , H_2 , кетена и CO_2), найденные экспериментально, совпадают с величинами, рассчитанными исходя из предложенного авторами цепного механизма р-ции, первой стадией которого предполагается разрыв связи C—C с образованием радикала CH_3 .

77579. Кинетика термического распада бромистых бутилов. Сергеев Г. Б., Докл. АН СССР, 1956, 106, № 2, 299—302

В статических условиях по изменению давления изучена кинетика термич. распада *n*-, *втор-* и *трет-*бромистого бутилов и бромистого изобутила (соответственно I—IV). Распад II и III идет по первому порядку, а распад I и IV подчиняется полупорядку. Для энергии активации (ккал/моль) и предэкспонента получены следующие значения: I 48,0 и $2 \cdot 10^{11} \text{ сек}^{-1}$ (мм рт. ст.) $^{-1/2}$, II 45,5 и $1,1 \cdot 10^{13} \text{ сек}^{-1}$, III 41,0 и $1,7 \cdot 10^{13} \text{ сек}^{-1}$, IV 30,0 и $1,8 \cdot 10^6 \text{ сек}^{-1}$ (мм рт. ст.) $^{-1/2}$. Исследовано влияние на распад различных добавок брома и пропилена. Сделан вывод о том, что бромистые алкилы, содержащие группы

CH_2Br , распадаются по цепному механизму. В бромистых алкилах, содержащих группу CHBr , по-видимому, преобладает мономолекулярный распад. Г. С.

77580. Термический распад этилнитрата. Поллард, Маршалл, Педлер (The thermal decomposition of ethyl nitrate. Pollard E. H., Marshall H. S. B., Pedler A. E.), Trans. Faraday Soc., 1956, 52, № 1, 59—68 (англ.)

Скорость термич. распада $\text{C}_2\text{H}_5\text{ONO}_2$ при 175—209° и давлении $\text{C}_2\text{H}_5\text{ONO}_2$ 30 мм рт. ст., измерявшаяся по изменению давления в начале р-ции, описывается уравнением $k = 10^{14.7} \exp(-38\,000/RT)$ сек⁻¹. Концентрация образующейся NO_2 , определявшаяся фотометрически, в ходе р-ции достигает максим. значения $(\text{NO}_2)_{\text{макс}}$, величина которого тем больше, чем больше давление исходного $\text{C}_2\text{H}_5\text{ONO}_2$. В газовых продуктах р-ции содержатся также NO , N_2O , CO и CO_2 . Добавление NO_2 уменьшает кол-во NO_2 , образующегося в р-ции, не влияя на время достижения $(\text{NO}_2)_{\text{макс}}$; добавки NO увеличивают как скорость образования NO_2 , так и $(\text{NO}_2)_{\text{макс}}$. Авторы предлагают механизм р-ции, по которому первой стадией является р-ция $\text{C}_2\text{H}_5\text{ONO}_2 \rightarrow \text{C}_2\text{H}_5\text{O} + \text{NO}_2$. Радикалы $\text{C}_2\text{H}_5\text{O}$, согласно этой схеме, либо разлагаются, давая CH_3CHO и CH_2O , либо реагируют с NO и NO_2 . Вероятность последних р-ций авторы подтверждают экспериментально: при 190° при р-ции $\text{C}_2\text{H}_5\text{ONO}$ с NO образуется $\text{C}_2\text{H}_5\text{ONO}_2$, а при р-ции $\text{C}_2\text{H}_5\text{ONO}$ с NO_2 спектрофотометрически обнаружен $\text{C}_2\text{H}_5\text{ONO}$. З. М.

77581. Исследования в области пиролиза. Часть 4. Системы для моделирования пиролиза полиэтилентерефталата и сходных с ним полимеров. Аллан, Форман, Ритчи (Studies in pyrolysis. Part IV. Model systems for the pyrolysis of poly (ethylene terephthalate) and allied polyesters. Allan R. J. P., Forman R. L., Ritchie P. D.), J. Chem. Soc., 1955, Aug., 2717—2725 (англ.)

Изучался состав продуктов парофазного пиролиза в сосудах из стекла и нержавеющей стали при 400—550°: этилендибензоата (I), винилбензоата (II), бензоилацетальдегида (III), винилацетата (IV) и винилбутирата (V). I и II моделируют соответственно участок основной цепи молекулы полиэтилентерефталата и конечную группу продукта ее распада по связи O—алкил, III—продукт внутримолекулярной перегруппировки II; IV и V моделируют конечные группы продукта распада по связи O—алкил молекулы поливинилмалеата. Обнаружено в продуктах пиролиза: I $\text{C}_6\text{H}_5\text{COOH}$, II, $(\text{C}_6\text{H}_5\text{CO})_2\text{O}$, CH_3CHO , C_2H_2 , CO_2 , $\text{C}_6\text{H}_5\text{CH}=\text{CH}_2$, CO , $\text{CH}_3\text{COC}_6\text{H}_5$, C_6H_6 , CH_4 и небольшие кол-ва C_2H_4 ; II $\text{C}_6\text{H}_5\text{COOH}$, C_2H_2 , $\text{C}_6\text{H}_5\text{CH}=\text{CH}_2$, $\text{CH}_3\text{COC}_6\text{H}_5$, C_6H_6 , C_2H_4 ; III $\text{CH}_3\text{COC}_6\text{H}_5$; IV CH_3CHO , $\text{CH}_3\text{COC}_6\text{H}_5$, CH_3COOH , $(\text{CH}_3\text{CO})_2\text{O}$, $\text{CH}_2=\text{CO}$, C_2H_4 , C_6H_6 , C_2H_2 и CH_4 ; V CH_3CHO , $\text{CH}_3\text{COC}_6\text{H}_5$, $(\text{CH}_3)_2\text{CHCOOH}$, 2,3-диметилбутен-2, 2-метилбутен-1 и 2-метилбутен-2. Продукты идентифицировались хим. путем или ИК-спектрами. Из относительных кол-в продуктов пиролиза авторы делают следующие выводы: I распадается преимущественно с разрывом связи O—алкил на бензойную к-ту и II в меньшей степени происходит диспропорционирование на бензойный ангидрид и ацетальдегид; далее II изомеризуется в III (который распадается на CO и ацетофенон) и в меньшей степени распадается на бензойную к-ту и C_2H_2 по связи O—алкил или на CO_2 и стирол. Распад IV и V подобен распаду II, но в этом случае появляется еще один, в данном случае преимущественный, путь распада по связи O—алкил на ацетальдегид и соответствующий кетен. Образование C_6H_6 и CH_4 объясняется соответственно распадом бензойной к-ты и ацетальдегида. При пиролизе в стальных сосудах обнаружен H_2 ; предполагается его образование каталитич. пиролизом этилена или (в случае IV) ацетона. Обсуждается возможность распространения установленного механизма газофазного пиролиза на пиролиз полиэфиров, происходя-

щий в жидкой фазе. Часть III см. J. Chem. Soc., 1935, 1054. Т. Г.

77582. Об одном возможном механизме вырожденных разветвлений в реакциях окисления углеводородов. Воеводский В. В., Веденеев В. И., Докл. АН СССР, 1956, 106, № 4, 679—682

Вывинуту предположение, что вырожденное разветвление может происходить в некоторых случаях путем взаимодействия разветвляющегося агента со свободным радикалом, напр., $\text{RO}_2 + \text{R}'\text{COH} \rightarrow \text{RO} + \text{OH} + \text{R}'\text{CO} \cdot$ — 9 ккал/моль. Показано, что в случае линейного обрыва цепей для начальных стадий р-ции (пренебрегая расходом исходных в-в) система дифференциальных уравнений, описывающая кинетику процесса, может быть сведена к уравнению Эйри. Полученные соотношения позволяют описать кинетику медленного окисления этана, наблюдавшуюся ранее (Чирков Н. М., Энтелис С. Г., Ж. физ. химии, 1948, 22, 930), которую не удалось описать экспоненциальной ф-лой Семенова. Д. К.

77583. Изучение механизма реакции окисления метана при помощи меченых атомов. Антонова И. Н., Кузьмин В. А., Мошкина Р. И., Налбандян А. Б., Нейман М. Б., Феканов Г. И., Изв. АН СССР, Отд. хим. н., 1955, № 5, 789—792

Кинетическим методом применения меченых атомов (РЖХим, 1956, 9348) изучена роль CH_2O при окислении CH_4 в струе при 670°. Формальдегид $\text{C}^{14}\text{H}_2\text{O}$ получался путем неполного окисления $\text{C}^{14}\text{H}_3\text{OH}$ на Ag-катализаторе. Реагирующая смесь содержала в %: CH_4 — 33, воздуха — 66, NO — 0,1, CO — 0,5 и $\text{C}^{14}\text{H}_2\text{O}$ — 0,07. Проведен ряд опытов при времени пребывания газа в нагретой зоне 0—0,2 сек. В продуктах р-ции определялись CH_2O и CO . В условиях опытов CO_2 практически не получался. CH_2O выделялась из смеси 2,4-динитрофенилгидразином, уд. активность которого определялась при помощи торцового счетчика. CO окислялся до CO_2 при помощи J_2O_5 , после чего CO_2 переводился в BaCO_3 , кол-во и уд. активность которого также определялись. Концентрация CH_2O с течением времени повышалась и достигала максимума через 0,12 сек. после начала р-ции. Концентрация CO нарастает с ускорением. Уд. активность α CH_2O быстро падает, а уд. активность β CO быстро возрастает и достигает максимума через 0,06 сек. В максимуме $\alpha = \beta$, откуда следует, что единственным предшественником CO является CH_2O . Тот же результат был получен путем сравнения рассчитанных скоростей расхождения CH_2O и образования CO из CH_2O с экспериментально найденной скоростью накопления CO . В пределах погрешности все эти скорости имеют одну и ту же величину. М. Н.

77584. Окисление формальдегида. Часть 2. Обсуждение результатов и механизм реакции. Хорнер, Стайл, Саммерс (The oxidation of formaldehyde. Part 2. General discussion and mechanism of the reaction. Horner E. C. A., Style D. W. G., Summers D.), Trans. Faraday Soc., 1954, 50, № 11, 1201—1212 (англ.) Сравнение термич. и фотохим. окисления CH_2O приводит авторов к заключению об одинаковом цепном неразветвленном механизме обеих р-ций, отличающимся только р-циями зарождения цепей. Авторы предлагают механизм р-ции, по которому образующийся при иницировании радикал HCO может либо распасться на H и CO , либо прореагировать с O_2 . Образующийся в последнем случае радикал HO_2 с CH_2O дает радикал $\text{HO}-\text{O}-\text{CH}_2-\text{O} \cdot$ (I), дающий при отнятии H_2O неактивный радикал. Наиболее трудный акт р-ции $\text{I} + \text{CH}_2\text{O} \rightarrow \text{HCO} + \alpha\text{H}_2 + \text{ICO} + \text{CO}_2 + \text{HCOOH}$. Зарождение и обрыв цепей происходит гетерогенно. Наблюдающийся в р-ции период индукции (30—120 сек.) объясняется тем, что полная скорость р-ции в объеме достигается только после того, как радикалы, выброшенные с поверхности, равномерно распределяются в объеме. Основное различие термич. и фотохим. р-ции окисления, по мнению авторов, заключается в том, что

при уменьшении p_{O_2} (< 100 мм рт. ст.) скорость термич. р-ции не меняется, а скорость фотохим. падает. Часть 1 см. ГЖХим, 1956, 61059. С. П.

77585. Изучение кинетики в системах газ — жидкость. Часть 2. Начальные скорости абсорбции двуокиси углерода в аминах как абсорбентах. Гудридж (Kinetic studies in gas — liquid systems. Part 2. Initial absorption rates of carbon dioxide in amine absorbents. Goodridge F.), Trans. Faraday Soc., 1955, 51, № 12, 1703—1709 (англ.)

Изучено поглощение CO_2 жидкими аминами и их водн. р-рами за время контакта порядка 0,1 сек. (часть 1, РЖХим, 1956, 50222). На примере 2-аминоэтилового спирта показано, что скорость поглощения (в $см^3 CO_2$ на $см^2$ поверхности капли) прямо пропорциональна конц-ии амина в жидкой фазе и конц-ии CO_2 в газовой фазе, а также площади поверхности капли. Ни для одного третичного амина не обнаружено поглощения CO_2 . Автор получает хорошее постоянство констант на основе предположения, что стадией, определяющей скорость, является хим. р-ция нулевого порядка между аминами и CO_2 . А. Р.

77586. О клеточном эффекте. Рейбаум, Шварц (Remarks on a cage reaction. Rembaum A., Schwartz M.), J. Amer. Chem. Soc., 1955, 77, № 13, 3486—3487 (англ.)

Получающиеся при разложении $5 \cdot 10^{-3}$ М р-ра перекиси ацетила (I) в изоктане (II) радикалы CH_3 либо рекомбинируют в C_6H_6 , либо, взаимодействуя с II, дают CH_4 и продукты превращения II. Следующие факты указывают на образование C_6H_6 в результате клеточного эффекта при взаимодействии ацетатных радикалов: 1) отношение $2C_6H_6/CO_2$, являющееся мерой радикалов CH_3 , равно 0,169 при 65° и только 0,094 при 85°, несмотря на возрастание стационарной конц-ии радикалов CH_3 ; 2) прибавление к реакционной смеси хинона значительно снижает величину CH_4/CO_2 (мера «свободных» CH_3), оставляя неизменным величину $2C_6H_6/CO_2$; 3) при разложении I в газовой фазе в присутствии J_2 величина $2 C_6H_6/CO_2$ падает до нуля (при парц. давлении J_2 0,23 мм рт. ст.), в то время как константа скорости мономолекулярной р-ции разложения остается неизменной (1,69—1,95 сек.⁻¹), что исключает образование C_6H_6 в результате р-ции $(CH_3COO)_2 \rightarrow C_2H_6 + 2CO_2$. В. Л.

7757. Кинетика очень быстро протекающих ионных реакций в водных растворах. Эйген (Über die Kinetik sehr schnell verlaufender Ionenreaktionen in wässriger Lösung. Eigen M.), Z. phys. Chem. (Frankfurt), 1954, 1, № 3—4, 176—200 (нем.)

См. РЖХим, 1955, 54650.

77588. Импульсный метод изучения очень быстро протекающих ионных реакций в водных растворах. Эйген, Шён (Stoßspannungsverfahren zur Untersuchung sehr schnell verlaufender Ionenreaktionen in wässriger Lösung. Eigen M., Schoen J.), Z. Elektrochem., 1955, 59, № 6, 483—494 (нем.)

См. РЖХим, 1955, 54650.

77589. Полярографический метод определения скорости диссоциации кислот. Рюэчи (Polarographische Methode zur Bestimmung der Dissoziationsgeschwindigkeit von Säuren. Rüetschi P. u. l.), Z. phys. Chem. (Frankfurt), 1955, 5, № 5—6, 323—332 (нем.)

Изложена теория метода, являющегося развитием так называемого способа тока реакции (РЖХим, 1955, 36954), применительно к к-там, анионы и недиссоциированные молекулы которых сами не восстанавливаются на капельном электроде. Для получения четкой водородной волны и исследования зависимости тока насыщения от скорости капания к буферному р-ру добавляется восстанавливающееся, при относительно положительном потенциале в-во (напр. азобензол). Метод применим для к-т с константой диссоциации $< 10^{-5}$. Константы скорости

диссоциации и рекомбинации уксусной к-ты в водно-спиртовом р-ре равны соответственно $2,1 \cdot 10^5$ сек.⁻¹ и $4,4 \cdot 10^{10}$ л/моль сек. В. А.

77590. Реакции газообразного водорода в растворе. Уинфилд (Reactions of hydrogen gas in solution. Winfield M. E.) Revs Pure and Appl. Chem., 1955, 5, № 4, 217—246 (англ.)

Обзор. Библ. 72 назв.

Л. О.

77591. О системе $H_2O_2 - Fe^{2+} - Fe^{3+}$ (Краткое сообщение). Абель (Zum System H_2O_2 , Fe^{2+} , Fe^{3+} -Ion (Kurze Mitteilung). Abel E.), Monatch. Chem., 1956, 87, № 1, 244—245 (нем.)

Автор подтверждает правоту предположения Кристиансена (РЖХим, 1956, 74400) о механизме установления равновесия в системе $H_2O_2 - Fe^{2+} - Fe^{3+}$. А. Р.

77592. Обмен радиоактивного иона циана с октацианидными комплексами вольфрама. Гуднау, Гарнер (Exchange of radiocyanide ion with tungsten octocyanide complexes. Goodenow Elden L., Garner Clifford S.), J. Amer. Chem. Soc., 1955, 77, № 20, 5268—5271 (англ.)

Обмен иона CN^- между меченым цианидом $NaC^{14}N$ (I) и октациановольфраматами калия $W(CN)_8^{3-}$ (II) или $W(CN)_8^{4-}$ (III) за 111—123 дня не наблюдается при 25° и равновесных рН. Это согласуется с принадлежностью II и III к типу комплексов с «инертными» внутренними электронными орбитами (Taube H., Chem. Rev., 1952, 50, 69). При освещении р-ров лампой 100 ат, обмен при 25° наблюдается и имеет полупериод 250—290 час., независимо от конц-ии I и комплекса, что авторы объясняют фотовосстановлением II в III, сопровождающимся вытеснением CN^- водой из III. Это согласуется с наблюдаемым изменением рН при освещении. Подробно описано получение I, II и III. После обмена CN^- вытеснялся из I посредством 0,2 н. H_2SO_4 , не разлагающего комплекса. Активность его измерялась в виде $Zn(CN)_2$ на торцевой счетной трубке. А. Б.

77593. Нуклеофильность цианид-иона. Хотерн, Хаммонд, Грейбилл (The nucleophilicity of the cyanide ion. Hawthorne M. Frederick, Hammond George S., Graybill Bruce M.), J. Amer. Chem. Soc., 1955, 77, № 2, 486—488 (англ.)

С целью определения нуклеофильности иона CN^- сравнены скорости р-ций KCN и KOH с CH_3J при 25,5° в 50%-ном водн. р-ре диоксана. Константы скорости р-ций равны соответственно $4,4 \cdot 10^{-1}$ и $1,6 \cdot 10^{-2}$ л/моль мин. Показано, что нуклеофильность иона CN^- подчиняется предложенному ранее правилу Суэйна и Скотта (РЖХим, 1955, 3460). Обсуждаются причины несоответствия л и окислительного потенциала $2CN^- \rightleftharpoons (CN)_2 + 2e^-$ (РЖХим, 1956, 74399). А. Р.

77594. Исследование окисления красного фосфора перманганатом калия в кислом растворе. Венугопалан, Матхан (Studies on the oxidation of red phosphorus by potassium permanganate in an acid medium. Venugopalan M., Mathai K. U.), Z. analyt. Chem., 1956, 151, № 4, 262—268 (англ.)

Изучена р-ция окисления красного Р кислым р-ром $KMnO_4$: на 1 моль Р расходуется 1 моль $KMnO_4$. Р-ция применена для титрометрич. определения красного Р. Кинетика окислительно-восстановительного процесса показывает, что р-ция является бимолекулярной. Исследование влияния т-ры на константу скорости (K), а также изменение K в зависимости от конц-ии окислителя позволило определить энергию активации р-ции. В. С.

77595. Каталитическое восстановление кобальта в аммиачных растворах сульфата кобальта. Канеко, Уодсуорт (The catalytic reduction of cobalt from ammoniacal cobalt sulfate solutions. Kaneko Thomas M., Wadsworth Milton E.), J. Phys. Chem., 1956, 60, № 4, 457—462 (англ.)

Кинетика восстановления аммиачных р-ров $CoSO_4$

водородом изучалась при t -рах 150—245° и давл. 10—50 атм путем электролитич. определения Co в пробах, отбираемых по ходу р-ции. Р-ция идет с измеримой скоростью лишь в присутствии графита и скорость изменяется линейно с изменением конц-ии графита в диапазоне 40—240 мг/л. Скорость растет экспоненциально с ростом давления H_2 и проходит через максимум при соотношении $\text{CoSO}_4 : \text{NH}_3 = 1 : 2$. Энергия активации процесса 15,7 ккал/моль. Катализ, по мнению авторов, осуществляется в результате обратимого восстановления водородом хиноидных групп, находящихся на поверхности графита, до фенольных групп, способных восстанавливать комплекс $[\text{Co}(\text{NH}_3)_2(\text{H}_2\text{O})_4]^{2+}$ (I). Это подтверждается сильным катализирующим действием гидрохинона и пирокатехина, тогда как не дающий хиноидной формы резорцин не обладает каталитическим действием. Лимитирующей стадией является образование промежуточного соединения в результате перехода двух атомов H от фенольной формы катализатора к I.

77596. Разложение смеси гипохлорит-гипобромит в интервале pH 7-10. Левин, Авраами (The decomposition of hypochlorite-hypobromite mixtures in the pH range 7-10. Lewin Menashe, Avrahami Menashe), J. Amer. Chem. Soc., 1955, 77, № 17, 4491—4498 (англ.)

Разложение смеси гипохлорита и гипобромита, изучавшееся при 25° в интервале pH 7—10, идет с образованием хлората и бромата. Добавка гипобромита к гипохлориту уменьшает период полураспада на три порядка. Р-ции разложения гипохлорита и гипобромита в отдельности следуют второму порядку. Авторы приходят к заключению, что р-ция определяется следующей схемой: $\text{HOCl} + \text{HOBr} \rightarrow \text{HClO}_2 + \text{H}^+ + \text{Br}^-$ (k_1') (медленно); $\text{HClO}_2 + \text{HOBr} \rightarrow \text{ClO}_3^- + 2\text{H}^+ + \text{Br}^-$ (быстро); $\text{HOCl} + \text{HOBr} \rightarrow \text{HBrO}_2 + \text{H}^+ + \text{Cl}^-$ (k_2') (медленно); $\text{HBrO}_2 + \text{HOCl} \rightarrow \text{BrO}_3 + \text{Cl}^- + 2\text{H}^+$ (быстро).

Максим. конц-ия HClO_2 , рассчитанная с учетом констант скоростей приведенных р-ций, составляет <1% от конц-ии гипохлорита; максим. конц-ия HBrO_2 — менее 2,3% от конц-ии гипобромита. k_1' и k_2' увеличиваются с уменьшением pH. Добавки хлоридов и HBrO_3 увеличивают скорость разложения смеси.

77597. Изучение реакций полиитионатов с помощью меченой серы. II. Реакции тетратионатов и пентатионатов. Еременко Р. К., Бродский А. И., Ж. общ. химии, 1955, 25, № 7, 1241—1250

См. РЖХим, 1956, 42931. Часть I см. РЖХим, 1955, 31249.

77598. Разложение мочевины в водной среде. Шоу, Бордо (The decomposition of urea in aqueous media. Shaw William H. R., Bordeaux John J.), J. Amer. Chem. Soc., 1955, 77, № 18, 4729—4733 (англ.)

Преобразование мочевины (I) в NH_4OCN в водн. р-рах изучалось при 60—100° и начальных конц-иях I 0,006—1,2 М в запаянных трубках. Методика анализа описана ранее (РЖХим, 1955, 46181). Р-ция I-го порядка относительно I. Прибавление H_2SO_4 до 0,25 М почти не влияет на скорость р-ции, но удваивает скорость образования NH_4^+ вследствие перехода CNO^- в присутствии к-ты в NH_4^+ . Энергия активации р-ции равна 32,7 ккал/моль, предэкспоненциальный множитель составляет $5 \cdot 10^{14}$ сек.⁻¹. Скорость р-ции почти не зависит от природы аниона сильной к-ты и ионной силы р-ра.

77599. Кинетическое изучение окисления ароматических соединений перманганатом калия. Часть IV. *n*- и *изо*-пропил-бензол. Каллис, Ладбери (Kinetic studies of the oxidation of aromatic compounds by potassium permanganate. Part IV. *n*- and *iso*-Propylbenzene. Cullis C. F., Ladbury J. W.), J. Chem. Soc., 1955, Dec., 4186—4190 (англ.)

Окисление *n*-пропилбензола (I) и *изо*-пропилбензола (II) в 54%-ной водной KMnO_4 идет практически без разрыва кольца, причем образуется в случае I 5,4%, а в случае II 18,3% CO_2 . Это указывает, что в случае I окисление идет преимущественно до бензойной к-ты и CH_3COOH , а в случае II до CO_2 и ацетифенона с последующим частичным окислением последнего до бензойной к-ты. Скорость окисления пропорциональна [I] или [II] и $[\text{KMnO}_4]$. В случае II в начальный период наблюдается быстрое окисление, сменяющееся более медленным ускоряющимся процессом. Опыты с тщательно очищенным II показывают, что быстрая начальная стадия не может быть отнесена на счет какой-либо примеси. Добавка Mn^{2+} ускоряет процесс, добавка пирофосфата, связывающего активные ионы Mn^{3+} , замедляет р-цию, причем оба иона в случае II влияют только на вторую стадию. Бимолекулярная константа скорости окисления I равна $1,50 \cdot 10^{10}$ exp $(-14\,400/RT)$ л/моль мин. Начальная скорость окисления II при 50° в ~10 раз больше скорости окисления I. Часть III см. РЖХим, 1956, 64507.

77600. Кинетика конденсации оксигензольных альдегидов с солянокислым гидроксилламинном и фенилгидразинном в водно-спиртовых растворах. Кнорре Д. Г., Ж. физ. химии, 1956, 30, № 4, 753—762

Кинетика взаимодействия салицилового (I), (II) и *п*-оксибензальдегида (III) с $\text{NH}_2\text{OH} \cdot \text{HCl}$ (IV) и $\text{C}_6\text{H}_5\text{NHNH}_2 \cdot \text{HCl}$ (V) изучалась путем определения выделяющейся по ходу р-ции HCl в 95%-ном водн. CH_3OH . Во всех случаях, кроме р-ции III с V, кинетика р-ции хорошо описывается ур-нием $dx/dt = k(a-x)(b-x)/x$, где x — конц-ия HCl , a , b — начальные конц-ии альдегида и карбонильного реагента. Скорость р-ции падает при добавлении HCl и не зависит от ионной силы р-ра. Р-ция I с IV и V в несколько раз быстрее, чем р-ции II и III с IV и V. При р-ции с IV константы скорости при 200° (мин.⁻¹, первая цифра) и энергия активации (ккал/моль, вторая цифра) равны: для I 0,228, 14,5, II — 16,0; III — 13,5; для р-ции с V при 34° в случае I 0,0081, 14,2; II 0,000415. Кинетика р-ции согласуется с механизмом $\text{RCHO} + \text{NH}_2\text{OH}^+ \rightleftharpoons \text{RCH}(\text{OH})\text{NH}_2\text{OH}^+$ (быстро) $\text{RCH}(\text{OH})\text{NH}_2\text{OH}^+ + \text{OH}^- \rightarrow \text{RCH}(\text{OH})\text{NHOH} + \text{H}_2\text{O}$ (медленно) $\text{RCH}(\text{OH})\text{NHOH} \rightarrow \text{RCHNHOH} + \text{H}_2\text{O}$ (быстро), предложенным для р-ций этого типа Гамметом.

77601. Процессы молекулярной диссоциации в растворе. Часть III. Скорость диссоциации некоторых инициаторов полимеризации. Баун, Халфорд (Molecular dissociation processes in solution. Part III. The rate of dissociation of some polymerisation initiators. Bawn C. E. H., Halford R. G.), Trans. Faraday Soc., 1955, 51, № 6, 780—785 (англ.)

Методом обесцвечивания дифенилпикрилгидразила (Части I и II см. Bann, Mellish, Trans. Faraday Soc., 1951, 47, 1216) определены скорости диссоциации перекиси ацетила (I), лаурилола (II) и *азо-бис*-(1-карбометокси-3-метилпропана) (III). В р-ре бензола получены следующие значения для энергии активации E в ккал/моль (первая цифра) и предэкспонента (вторая цифра) (10^{-14} сек.⁻¹): I 30,5, 1,74; II 30,4, 7,84; III 28,4, 0,763. В р-ре CCl_4 величины E и A мало отличаются от указанных выше. В. С. 77602. Замечание к кинетике полимеризации (краткое сообщение). Абель (Notiz zur Polymerisationskinetik (kurze Mitteilung). A bel E.), Monatsch. Chem., 1956, 87, № 2, 373—374 (нем.)

При рассмотрении кинетики полимеризации фосфоритрилхлорида (РЖХим, 1956, 47201) автор предлагает учитывать обратимость р-ции образования первичных монорадикалов, инициирующих полимеризацию.

77603. Кинетика разложения перекисей в растворителях. Часть I. Перекись циннамоила. Нанди, Шаха,

1955,

бензола
и без
5,4%,
учае I
ты и
послед-
ющей
и [III]
дается
авто-
номным
т быть
Мп²⁺
ощего
нона
олеку-
равна
скоро-
рости
Д. К.
егидов
эинном
Ж.
М. (II)
IV) и
ия вы-
H₂O.
р-ции
х)/x,
егиды
ст при
р-ра-
р-ции
рости
ивации
II —
чае I
уется
H₂O⁺
H₂O
метом.
Д. К.
творе-
аторов
disso-
disso-
С. Е.
1955,
разила
Сос.,
ерек-
токси-
ющие
первая
...-1): I
Cl, ве-
В. С.
ратко-
ionski-
Chem.,
осфор-
лагает
ичных
Х. Б.
орите-
а х,

Палит (Kinetics of decomposition of peroxides in solvents. Part I. Cinnamoyl peroxide. Nandi U. S., Saha N. G., Palit Santir R., J. Indian Chem. Soc., 1955, 32, № 6, 391—398 (англ.))

Скорость распада перекиси циннамоила (I) при 60 и 80° в различных р-рителях растет в ряду: хлорбензол, хлороформ, бензол, толуол, метилэтилкетон, этилацетат, уксусная к-та. Скорость р-ции не подчиняется ур-нию первого порядка и существенно зависит от исходной конц-ии I. Добавление O₂ и гидрохинона тормозит распад I. Авторы считают, что механизм р-ции включает мономолекулярный распад I на радикалы (k — константа скорости этой стадии) и последующий индуцированный распад I при участии этих радикалов (k_i). Значительно большая скорость окисления I по сравнению с перекисью бензола связана именно с индуцированным окислением: значения k , рассчитанные для обоих случаев, примерно одинаковы, тогда как k_i для I значительно больше, чем для перекиси бензола. Энергия активации распада I в этилацетате и толуоле, вычисленная из значений k при 60 и 80°, равна соответственно 26,5 и 23,9 ккал/моль, из k_i 26,7 и 22,9 ккал/моль. З. М.

77604. Образование гидроперекисей при автоокислении олефинов. Харгрейв, Моррис (Hydroperoxide yields of autoxidized olefins. Hargrave K. R., Morris A. L.), Trans. Faraday Soc., 1956, 52, № 1, 89—97 (англ.)

Проведена сравнительная оценка хим. методов анализа перекисей и показано, что применение SnCl₂ позволяет количественно определять гидроперекиси в присутствии диперекисей. Определены кол-ва поглощенного O₂ и образовавшихся гидроперекисей при автоокислении 20 олефинов различного строения при 55—75°. При окислении циклогексана и его замещенных, 1,4-диенов, диметилгептена и др. 95—100% поглощенного O₂ определяется в виде гидроперекисей, для некоторых олефинов выход гидроперекисей значительно меньше: октен-1 69,7%, 2-метилнонен-1 42% и т. д. Сопоставляя выход гидроперекисей с реакционной способностью группы CH₂, находящейся в α-положении к двойной связи в молекуле олефина, авторы приходят к выводу, что при уменьшении реакционной способности этой группы наряду с р-цией RO₂ + RH → RO₂H + R· приобретает существенное значение присоединение радикала RO₂ к двойной связи в молекуле олефина (RH) с образованием диперекисей. В соответствии с этим авторы вводят поправку в механизм окисления олефинов, предложенный ранее (Bolland, Quart. Rev., 1949, 3, 1). З. М.

77605. Изотопный эффект дейтерия на скорость гидратации и гидролиза водного [Co(NH₃)₅Cl]²⁺ и [Co(NH₃)₅Br]²⁺. Адамсон, Басоло (Deuterium isotope effect on the aqution and hydrolysis rates of aqueous [Co(NH₃)₅Cl]²⁺ and [Co(NH₃)₅Br]²⁺. Adamson Arthur W., Basolo Fred), Acta chem. scand., 1955, 9, № 8, 1261—1274 (англ.)

Скорость гидратации и гидролиза [Co(NH₃)₅Cl]²⁺ (I) и [Co(NH₃)₅Br]²⁺ (II) в H₂O и D₂O изучалась спектрофотометрически. [Co(NH₃)₅Cl]Cl₂ (III) получен следующим образом. Р-р [Co(NH₃)₅H₂O]Cl₂ (IV) в 99%-ной D₂O подщелачивался добавлением металлич. Na, и получающийся р-р [Co(NH₃)₅(OD)]²⁺ (V) подкислялся сухим HCl и нагревался на водяной бане до полного осаждения III. III обменивается с H₂O медленно в кислой и быстро в щел. среде. Определены следующие величины коэфф. поглощения при 550 мμ в H₂O и D₂O: I 46,8; 46,5; II 46,5; 47,6; IV 21,0; 18,5; [Co(NH₃)₅H₂O]Cl₂ 19,2; —; [Co(NH₃)₅D₂O]Cl₂—; 19,2; при 550 мμ [Co(NH₃)₅OH]Cl₂ в H₂O 66,8; V в D₂O 69,2. Данные, полученные спектрофотометрически, хорошо согласуются с данными, полученными путем титрования по OH⁻ или Cl⁻. Р-ция гидролиза I в H₂O идет по вто-

рому порядку с энергией активации 28,7 ккал/моль и энтропией активации при 18° 37 энтр. ед. Скорость гидролиза III в D₂O составляет 56 и 63% при 18 и 2,5° от скорости гидролиза I в H₂O. Скорость гидратации I и III определялась в H₂O и D₂O при pH 1; скорость уменьшается на ~65%, если D введен или в комплекс, или в р-ритель, или в оба субстрата. Гидратация II в D₂O идет на 25% медленнее, чем в H₂O. Авторы предполагают, что гидролиз идет через предварительное установление кислотно-основного равновесия, а в р-ции гидратации играют большую роль водородные связи групп NH₃ или ND₃ с молекулами воды как р-рителя. А. Р.

77606. О кислотном катализе гидролиза уксусного ангидрида в уксусной кислоте. Иверно (Sur la catalyse acide de l'hydrolyse de l'anhydride acétique dans l'acide acétique. Yvernault Théophile), C. r. Acad. sci., 1955, 241, № 5, 485—487 (франц.)

Катализ гидролиза (CH₃CO)₂O посредством H₂SO₄ и HClO₄ в CH₃COOH не связан простой зависимостью с функцией Гамметта. На основании кинетич. данных предполагается взаимодействие между неонизированными молекулами катализатора и (CH₃CO)₂O с обратимым образованием ацетилсульфата или ацетилперхлората и ассоциация катализатора с H₂O с образованием каталитически неактивного продукта. М. Л.

77607. Кинетика реакций сольволиза. IV. Дискуссия.

Вилпютте-Стейнерт, Фиренс. V. Сольволиз парахлорметиланизола и парахлорметилтолуола. Адам-Брирс, Биворт, Фиренс (Étude cinétique des réactions de solvolys. IV. Discussion générale. Wilputte-Steinert L., Fierens P. J. C.), V. Solvolyses des para-chlorométhylanisole et para-chlorométhyltoluène. Adam-Briers M., m-me, Bivort P., Fierens P. J. C.), Bull. Soc. chim. belges, 1955, 64, № 7-8, 308—332, 1956, 65, № 5-6, 501—510 (франц.; рез. англ.)

IV. Обсуждается механизм S_N1 сольволиза органич. галондопроизводных. Показано, что как ур-ние Винштейна и Грюнвальда (1) (Winstein S., Grunwald E., Jones H. W., J. Amer. Chem. Soc., 1951, 73, 2700), так и ур-ние Свейна и Диттмара (сообщение III, РЖХим, 1956, 50242) для скорости сольволиза основаны на следующих приближениях: изменение свободной энергии, характеризующее переход из начального в переходное состояние ΔF^{*}, рассматривается как сумма двух слагаемых: 1-е — изменение свободной энергии ΔF₀^{*}, не зависящее от природы р-рителя, и 2-е — произведение из f-функции ионизационных и электрофильных свойств р-рителя и константы L', характеризующей природу галондопроизводного ΔF^{*} = ΔF₀^{*} + L'f. Ур-ние (1) лучше выражается в форме (lg k_A - lg k_B) / (lg k_B - lg k_C) = L_A / L_B = m_{AB}, где L = -L' / 2,303 RT, A и B — галондопроизводные, подвергающиеся сольволизу в средах a и b. Изучение сольволиза третичного хлористого бутила (I), хлористого α-метилаллила (II), хлористого α-фенилэтила (III), хлористого α, α-диметилнеопентила (IV) и хлористого α-фенилнеопентила (V) в различных средах показало, что сольволиз протекает по механизму S_N1 (РЖХим, 1956, 50242). Ур-ние (1) справедливо для сольволиза I и II и не выполняется для III, IV и V. Определенные из этого ур-ния для сольволиза I, II, III, IV и V ионизационные мощности р-рителей различаются между собой. Авторы считают, что колич. шкала ионизационных мощностей, данная Винштейном и Грюнвальдом, не может считаться правильной. Неучет ряда факторов (полярность, растворимость, стерич. особенности) приводят к отклонению кинетики сольволиза ряда галондопроизводных от ур-ния (1).

V. Изучен кондуктометрич. методом сольволиз парахлорметиланизола (VI) в смеси диоксан — вода и пара-

хлорметилтолуола (VII) в смесях: диоксан — вода, диоксан — HCOOH и H_2O — HCOOH . Анализ кинетич. данных показывает, что сольволиз VI и VII несколько отличен от механизма S_N1 . С. П.

77608. Влияние алкильных групп на скорости реакций в растворах. Часть VI. Катализированная кислотами прототропия диалкилкетонов. Эванс, Янг. Часть VII. Образование иодистого фенилтриалкиламмония в метиловом спирте. Эванс (The influence of alkyl groups upon reaction velocities in solution. Part VI. The acid-catalysed prototropy of dialkyl ketones. Evans D. P., Young J. R.), Part VII. The formation of phenyltrialkylammonium iodides in methyl alcohol. Evans David P.), J. Chem. Soc., 1954, Apr., 1314—1316; 1316—1318 (англ.)

VI. Измерялись скорости бромированиями 8 мл диалкилкетонов в 75%-ной CH_3COOH в присутствии катализатора HClO_4 (0,5 M) при 15—55°. Скорость бромирования убывает в порядке $(\text{C}_2\text{H}_5)_2\text{CO}$, $(\text{н-С}_3\text{H}_7)_2\text{CO}$, $(\text{CH}_3)_2\text{CO}$, $(\text{трет-С}_4\text{H}_9)_2\text{CO}$, $(\text{C}_2\text{H}_5)_2\text{CO}$, $(\text{трет-С}_4\text{H}_9)_2\text{CO}$, $(\text{C}_2\text{H}_5)_2\text{CO}$, $(\text{н-С}_3\text{H}_7)_2\text{CO}$, $(\text{трет-С}_4\text{H}_9)_2\text{CO}$, $(\text{C}_2\text{H}_5)_2\text{CO}$. Авторы предлагают объяснение различий в значениях E и $\lg PZ$ с точки зрения эффекта сверхсопряжения, индукционного эффекта и стерических затруднений.

VII. Р-ция диалкиланилов с CH_3I изучалась в абс. CH_3OH при трех т-рах. В случае диметил-(I), этилметил-(II), метилпропил-(III) и дибутиланилина (IV) удовлетворительно соблюдался 2-й порядок р-ции. В остальных случаях наблюдался слабый автокатализ и константа 2-го порядка определялась по начальной скорости р-ции. Энергия активации E (в ккал/моль) и $\lg PZ$ (в л моль⁻¹сек⁻¹) равны соответственно для I 15,2 и 6,9; для II 15,4 и 6,9; для III 15,4 и 6,7; для IV 18,0 и 7,7; для $\text{C}_6\text{H}_5\text{N}(\text{C}_2\text{H}_5)_2$ -н-С₃H₇ 19,0 и 8,2; для $\text{C}_6\text{H}_5\text{N}$ (н-С₃H₇)₂ 19,06 и 8,1 для $\text{C}_6\text{H}_5\text{N}(\text{C}_4\text{H}_9)_2 19,0 и 8,1. Полученную зависимость E от природы алкильных групп автор связывает с стерическими эффектами алкильных групп. Часть V см. РЖХим, 1956, 54314. А. Ш.$

77609. Реакции арилсульфоновых эфиров. II. Алкильная группа. Лотон, Робертсон (Reactions of arylsulphonic esters. II. The alkyl group. Laughton P. M., Robertson R. E.), Canad. J. Chem. 1955, 33, № 7, 1207—1215 (англ.)

Изучалась кинетика сольволиза различных бензол- и толуолсульфонатов в H_2O и $\text{C}_2\text{H}_5\text{OH}$, протекающего по схеме $\text{R'OH} + \text{ArSO}_3\text{R} = \text{ROR}' + \text{ArSO}_3\text{H}$. Приведены скорости р-ций при разных т-рах, величины энергии активации и предэкспоненциального множителя для бензолсульфонатов, $\text{R}'\text{-CH}_3$, C_2H_5 , н-С₃H₇, изо-С₃H₇, н-С₄H₉, изо-С₄H₉, н-С₅H₁₁, н-С₆H₁₃, $\text{CH}_3\text{O}(\text{CH}_2)_2$, $\text{C}_2\text{H}_5\text{O}(\text{CH}_2)_2$, $\text{C}_2\text{H}_5\text{O}(\text{CH}_2)_3$ и толуолсульфонатов, $\text{R}'\text{-н-С}_3\text{H}_7$, $\text{C}_2\text{H}_5\text{O}(\text{CH}_2)_2$, $\text{C}_2\text{H}_5\text{O}(\text{CH}_2)_3$, $(\text{C}_2\text{H}_5\text{O})_2\text{C}(\text{CH}_2)_2$, $\text{NC}(\text{CH}_2)_2$. Сообщение 1 см. РЖХим, 1956, 61070. А. Р.

77610. По поводу статьи «Обменные реакции дейтерированных производных бензола с амидом калия в жидком аммиаке». Шатенштейн А. И., Ж. физ. химии, 1956, 30, № 3, 714

Статью см. РЖХим, 1956, 31992. Автор отмечает, что исследование водородного обмена между органич. соединениями в жидком NH_3 были начаты им в 1947 г. и первая публикация появилась в 1950 г. Х. Б.

77611. Кинетика реакций бензольных растворов некоторых жирных кислот с натрием. Гиндин Л. Г., Мискинова Т. А., Путилова И. Н., Докл. АН СССР, 1956, 105, № 4, 683—686

Кинетика взаимодействия металл. Na, заключенного в трубочки длиной 4—5 мм и внутренним диам. 2,4 мм, с бензольным р-ром масляной (I) и лауриновой (II) к-т изучалась по скорости выделения H_2 . При конциях к-ты выше 0,5—1 н. скорость пропорциональна конц-ии к-ты, мономолекулярные константы скорости равны при 20°

для I $6,1 \cdot 10^{-6}$, для II $1,7 \cdot 10^{-7}$ мин.⁻¹, энергия активации для I и II 13,5 ккал. При малых конц-иях к-ты наблюдаются отклонения от мономолекулярного закона из-за образования средней соли, плохо растворимой в бензоле и экранирующей Na от р-ра. В более концентрированных р-рах образуется хорошо растворимая кислая соль; в случае I, судя по криоскопич. данным, она имеет состав $\text{C}_8\text{H}_7\text{COONa} \cdot 4\text{C}_8\text{H}_7\text{COOH}$. Д. К.

77612. Механизм конверсии *цис*-модификации эфиров ненасыщенных высших жирных кислот в *транс*-модификацию под действием двуокиси азота. Хан (Mechanism of the conversion of *cis*- to *trans*-modifications of the unsaturated higher fatty acid esters by nitrogen dioxide. Khan N. A.), J. Chem. Phys., 1955, 23, № 12, 2447—2448 (англ.)

Путем спектрального анализа (ИК- и УФ-спектры поглощения) продуктов р-ции изучалось действие N_2O , NO и NO_2 на метилолеат (I) и метиллинолеат (II). Установлено, что N_2O не реагирует с I и II. В присутствии NO и NO_2 образуются азотсодержащие продукты; NO_2 , кроме того, приводит к изомеризации *цис*-изомера в *транс*-, причем р-ция идет с разогревом. При более мягком проведении процесса (р-ция в пленке II) установлено, что до появления *транс*-изомера образуется промежуточный продукт с максимумом поглощения при 301 мμ, далее исчезающий по мере образования *транс*-II. Это, по мнению автора, указывает на образования молекулярного соединения II с NO_2 , обладающего свободным вращением по месту двойной связи. Д. К.

77613. Механизм фенолформальдегидной реакции под каталитическим действием щелочи. Финджералд, Мартин (The mechanism of the alkali catalysed phenol-formaldehyde reaction. Fitzgerald J. S., Martin R. J. L.), Austral. J. Chem., 1955, 8, № 2, 194—214 (англ.)

Изучалась кинетика р-ции H_2CO с 2,3,4,5-тетраметилфенолом (I) при 60° в смеси диоксан- H_2O (1 : 10) и с 2,6-ксиленолом (II) при 40 и 60° в H_2O в присутствии NaOH. Конция I определялась цианидным методом. Скорость р-ции H_2CO с II в присутствии избытка NaOH пропорциональна конц-ии феноксидного иона в степени 1,4, конц-ии H_2CO в степени 1,4 и конц-ии свободной NaOH в степени —0,4. Предполагается, что р-ция идет через стадию р-ции феноксидного иона с H_2CO . Участие иона $^+\text{CH}_2\text{OH}$ в этой р-ции маловероятно. Механизм, заключающийся в образовании полуформала с последующей перегруппировкой в фенолоспирт, не согласуется с эксперим. данными. В присутствии фенола р-ция осложняется протеканием р-ции Канниццаро, однако последняя идет с большим индукционным периодом (5 час.) и не влияет на результаты в начальных стадиях р-ции. Другой побочной р-цией является образование 2,2-дигидрокси-3,3,4,4,5,5,6,6-октаметилдифенилметана в результате р-ции H_2CO с фенолоспиртом, однако эта р-ция также не протекает в начальной стадии. И. Т.

77614. Реакция *п*-нитробензилбромида и хлорида с бромистым литием. Бауэрс, Стертевант (The reaction of *p*-nitrobenzyl bromide and chloride with lithium bromide. Bowers Spotswood D., Jr., Stertevant Julian M.), J. Amer. Chem. Soc., 1955, 77, № 18, 4903—4907 (англ.)

Скорость р-ции обмена галогенами *п*-нитробензилбромида (I) и *п*-нитробензилхлорида (II) с LiBr, содержащим Br^{82} , в ацетоне (5% CH_3OH и 0,5% H_2O) определялась при 0° и 30° по активности Br^{82} и весовым методом. Период полураспада Br^{82} равен в $35,3 \pm 0,3$ часа. Степень диссоциации LiBr определялась по ур-нию Бьеррума, коэфф. активности — по теории Дебая — Гюккеля. Суммарная константа скорости р-ции k в пределах ошибок опыта описывается ур-нием Акри: $k = (1 - \alpha) k_m + \alpha k_n$, где k_m и k_n — константы скорости соответственно для недис-

социнированной молекулы и иона. Найдено, что $k_m \ll k_n$, причем для р-ции $I + LiBr$ $k_m \approx 0$. Энергии активации р-ции $I + Br^-$ и $II + Br^-$ равны 16,3 и 21,5 ккал/моль. Р-ция $II + Br^-$ эндотермична. Атака Br^- на связь C—галоген в **I** происходит при 30° в 310 раз быстрее, а при 0° в 800 раз быстрее, чем в **II**. А. Р.

77615. Введение к 5-му интернациональному симпозиуму по горению. Хоттел (Introduction to the fifth symposium (international) on combustion. Hottel Hoyt C.), 5th Sympos. (Internat.) Combust., 1954, New York, Reinhold Publ. Corp., 1955, XXV—XXVI (англ.)

77616. Химическая кинетика горения углеводородов. Эльбе (Chemical kinetics of hydrocarbon combustion. Elbe Guenther von), 5th Sympos. (Internat.) Combust., 1954, New York, Reinhold Publ. Corp., 1955, 79—85 (англ.)

77617. Процессы соударения при горении углеводородов. Уббелюде (Survey of collision processes in the combustion of hydrocarbons. Ubbelohde A. R.), 5th Sympos. (Internat.) Combust., 1954, New York, Reinhold Publ. Corp., 1955, 74—79 (англ.)

77618. Кинетика элементарных газофазных реакций при высоких температурах. Шулер (On the kinetics of elementary gas phase reactions at high temperatures. Shuler Kurt E.), 5th Sympos. (Internat.) Combust., 1954, New York, Reinhold Publ. Corp., 1955, 56—74 (англ.)

77619. Проблемы горения в двигателях внутреннего сгорания. Ловелл (Combustion problems in internal combustion engines. Lovell W. G.), 5th Sympos. (Internat.) Combust., 1954, New York, Reinhold Publ. Corp., 1955, 1—7 (англ.)

77620. Проблемы горения в дизелях. Швейцер (Combustion problems in diesel engines. Schweitzer P. H.), 5th Sympos. (Internat.) Combust., 1954, New York, Reinhold Publ. Corp., 1955, 7—10 (англ.)

77621. Проблемы горения в ракетных двигателях жидкого топлива. Пеннер, Датнер (Combustion problems in liquid-fuel rocket engines. Penner S. S., Datner P. P.), 5th Sympos. (Internat.) Combust., 1954, New York, Reinhold Publ. Corp., 1955, 11—29 (англ.)

77622. Нерешенные проблемы горения твердых ракетных топлив. Геклер (Unsolved problems in solid-propellant combustion. Geckler Richard D.), 5th Sympos. (Internat.) Combust., 1954, New York, Reinhold Publ. Corp., 1955, 29—40 (англ.)

77623. Проблемы турбо-реактивного сгорания. Ллойд (Problems of turbo-jet combustion. Lloyd Peter), 5th Sympos. (Internat.) Combust., 1954, New York, Reinhold Publ. Corp., 1955, 40—48 (англ.)

77624. Объемная скорость нагрева и высокотемпературная кинетика. Эйвери (Space heating rates and high temperature kinetics. Avery W. H.), 5th sympos. (Internat.) Combust., 1954, New York, Reinhold Publ. Corp., 1955, 86—91 (англ.)

77625. Теоретический расчет пространства, необходимого для сгорания за решетками в закрытой камере. Дженнисен (A theory of space requirements for combustion behind grids in a closed duct. Jennissen Joseph), 5th Sympos. (Internat.) Combust., 1954, New York, Reinhold Publ. Corp., 1955, 91—100 (англ.)

77626. Исследование пламен трехфтористого хлора. Скерроу, Вульфхард (Studies of chlorine trifluoride flames. Skirrow G., Wolfhard H. G.), Proc. Roy. Soc., 1955, A232, № 1188, 78—87 (англ.). Исправления (Corrigendum), Proc. Roy. Soc. 1955, A232, № 1191, 577

Описаны спектры испускания диффузионных пламен ClF в струе N_2 с H_2 , CO , CS_2 , $CHCl_3$, CH_3OH , NH_3 и H_2O , а также при добавке к H_2 и $COCH_3$ и C_2H_2 , а к ClF_3 O_2 . В наиболее горячей зоне пламени предполагается почти полное хим. равновесие, что авторы объясняют сходством пламен CH_4 с $C_2H_2 + H_2$ и $CCl_4 + H_2$, и пламен CH_3OH с $(CH_4 + H_2)$ с добавкой O_2 к окислителю. Отмечаются следующие особенности пламен: высокая т-ра (до 4000° K), обильное выделение C в углеводородах с большим отношением $C:H$ и резкое усиление свечения при добавке к углеводороду H_2 , что объясняется большой скоростью диффузии H_2 и перехватыванием им фтора, вследствие чего резко удлиняется время жизни радикалов C_2 и CN в зоне высоких т-р. Введение O_2 приводит к образованию OH , который, реагируя с C_2 и CN , ослабляет свечение пламени. А. С.

77627. Условие стабилизации фронта горения и скорости распространения пламени на границах. Хитри Л. Н., Гольденберг С. А., Докл. АН СССР, 1955, 103, № 5, 861—863

Условие стабилизации пламени поджиганием свежей смеси рециркулирующими продуктами горения на стабилизаторе выводится из общего условия равенства скоростей теплоотдачи и тепловыделения от р-ции (РЖХим, 1956, 35375), которое в данном случае определяется массовой скоростью пламени: $Nu_{(кр.)} \approx ud/a$, где u — нормальная скорость пламени, d — размер стабилизатора, a — температуропроводность. Заменяя $Nu = A Re^n$, получают: $Re_{(кр.)} = AS^{1/n}$, вводя критерий стабилизации $S = ud/a$. Из обработки эксперим. данных получено $Re_{(кр.)} = 1,45 S^2$, т. е. $n = 0,5$. Из условия стабилизации определяется скорость пламени на границе зажигания в неподвижной или ламинарно движущейся среде. А. С.

77628. Структура области сгорания в газовой фазе пороха на труднотетучем растворителе. Хеллер, Гордон (Structure of the gas phase combustion region of a solid double base propellant. Heller C. A., Gordon Alvin S.), J. Phys. Chem., 1955, 59, № 8, 773—777 (англ.)

Т-ра поверхности пороха (55% нитроцеллюлозы с 12,6% N и 45% нитроглицерина), горящего в атмосфере He, изменяется с $\sim 420^\circ$ при 1 ат до $\sim 1100^\circ$ при 35 ат. Повышение т-ры газов по мере отхода от поверхности прекращается при беспламенном горении после достижения 1100—1200°. При горении с пламенем ($> 10,5$ ат) в темной зоне наблюдается дальнейшее медленное повышение т-ры, при почти неизменном составе газов. Газы в темной зоне содержат около 41% CO , 30% NO , 11% CO_2 , 9% H_2 , 5% N_2 , 1% C_2H_4 , 1% CH_4 , 0,5% HCN , 0,1% $(CN)_2$. После пламени NO превращается в N_2 , количество CO_2 увеличивается на 20—30%, а CO — уменьшается на 10%, количество H_2 слегка возрастает, остальные газы исчезают. Предполагается, что скорость горения определяется теми р-циями отщепления NO_2 и взаимодействия NO_2 с углеводородами, которые протекают в «зоне пены» и «зоне шипения». Получающиеся газы отходят от поверхности, пока в них в результате р-ции (порядок р-ции $\sim 1,4$) не накопится количество активных центров, необходимое для начала цепных р-ций, протекающих в пламени. В. Ф.

77629. О баллистике сложных зарядов применительно к закону горения с учетом различных значений гамма. Аггарвал (On ballistics of composite charges for power law of burning taking account of different gammas. Aggarwal S. P.), Proc. Nat. Inst. Sci. India, 1955, A21, № 5, 342—349 (англ.)

77630. Ход некоторых реакций между порошкообразными веществами при приготовлении титаната свинца. Бергштейн (Průběh některých práškových reakcí při přípravě titaničitanu olovnatého. Bergstein A. gnost.), Chem. listy, 1956, 50, № 1, 3—10 (чеш.); Сб. чехосл. хим. работ, 1956, 21, № 3, 542—550 (нем.; рез. русс.)

Изучено образование титаната свинца (I) при взаимодействии между порошкообразными в-вами: красной γ - PbO (II) с анатазом (III) или рутилом (IV) или III с карбонатом свинца (V). Путем дилатометрич., термич. и рентгенографич. методов анализов и измерений веса, размера зерен и плотности, а также по изменениям окраски при прокаливании и после охлаждения установлены начало, тип и соотношение отдельных процессов, имеющих место при прокаливании порошков до 1000° . В эквимолекулярных смесях II и III образование I начинается при 350° , в смесях II и IV — при 390° . При 400 — 500° наблюдается преимущественно окисление II до Pb_2O_4 (VI); выше 500° — образование I. В эквимолекулярных смесях III и V образование I начинается только после полного разложения V; начало образования I точно не установлено. При разложении V образуется смесь красной и желтой II, менее активная по отношению к окислению до VI и к образованию I, чем красная II. Устойчивость препарата I, полученного при прокаливании соответствующих порошков, по отношению к восстановлению и к термич. диссоциации тем выше, чем больше различие между максим. т-рой прокаливании и т-рой, при которой исходные в-ва количественно вступают во взаимодействие. V. Ružička

77631. Получение активных твердых тел путем термического разложения. Часть VI. Прокаливание гидроокиси магнезия. Грегг, Паккер (The production of active solids by thermal decomposition. Part VI. The calcination of magnesium hydroxide. Gregg S. J., Packer R. K.), J. Chem. Soc., 1955, Jan., 51—55 (англ.)
При 300 — 1400° изучено влияние т-ры прокаливании на термич. разложение гидроокиси магнезия, полученной осаждением KOH из р-ра $MgCl_2$ и тщательно отмытой (содержание Cl^- 0,015%, образец I) и гидроокиси магнезия, полученной осаждением аммиаком из р-ра $MgSO_4$ и содержащей 1,22% SO_4^{2-} (образец II). Процесс дегидратации образцов I и II в основном происходит при 340 — 400° . Остаточные кол-ва H_2O (<2%) удерживаются до 700° . Одновременно с дегидратацией образца II происходит резкое увеличение уд. поверхности (s) и теплоты погружения в CCl_4 (H_L); при дальнейшем росте т-ры s и H_L падают. У образца I увеличение s и H_L начинается при более низких т-рах, а последующее падение происходит медленнее, чем у II. Объем пор как у непрокаленного, так и у прокаленного образца I значительно больше, чем у II. Авторы считают, что SO_4^{2-} тормозит образование MgO , но ускоряет ее спекание, участвуя в поверхностной диффузии ионов. Часть V см. РЖХим, 1956, 64524. О. К.

77632. Дискуссия по статье Спаушуса, Хардта и Фоли «Реакция между серебряными сплавами и серой в минеральном масле. II. Исследование реакционных пленок и механизм реакции». — (The reaction of silver alloys with sulfur in mineral oil. II. Examination of reaction films and mechanism of reaction. H. O. Spauschus, R. W. Hardt, R. T. Foley. [Discussion]. —), J. Electrochem. Soc., 1954, 101, № 12, 632 (англ.)
См. РЖХим, 1956, 202023.

77633. Самодиффузия в станиате цинка и двуокиси олова. Линднер, Энквист (Self-diffusion in zinc stannate and stannic oxide. Lindner Roland, Enqvist Olle), Arkiv kemi, 1956, 9, № 5, 471—474 (англ.)

С помощью радионуклидов Zn^{65} и смеси Sn^{110} , Sn^{121} , Sn^{123} и Sn^{125} изучена самодиффузия в таблетках $SnZn_2O_4$

(I) и SnO_2 (II), полученных спеканием порошков при 1400 — 1450° . В интервале 1000 — 1300° коэффициенты самодиффузии (D) Zn в I 37 exp ($-76300/RT$); Sn в I $2,3 \cdot 10^5$ exp ($-109000/RT$); Sn в II 10^6 exp ($-118700 \pm 3700/RT$) $cm^2 \cdot sec^{-1}$. Скорость р-ции ZnO в твердом состоянии измерена при 1000 — 1150° . Полученные константы скорости близки к соответствующим значениям D для Sn в I и ниже значений, найденных Александре и Вердуче (РЖХим, 1956, 46428). Энергия активации E образования I близка к E самодиффузии Sn в I. Отсюда сделан вывод, что скорость образования I определяется диффузией ионов Sn. О. К.

77634. Связь между константами уравнения Аррениуса в гетерогенном катализе и ее значение для процессов десорбции. Молилари (On the relation between the constants of the Arrhenius equation in heterogeneous catalysis and its significance for the desorption processes. Molinari Ettore), Z. phys. Chem. (DFR), 1956, 6, № 1-2, 1—17 (англ.)

Показано, что так называемое «правило», т.е. соотношение $\ln k_0 = \ln B + \epsilon / R\theta$ (1), (где ϵ — энергия активации, k_0 — предэкспоненциальный множитель в ур-нии Аррениуса, θ — т-ра пересечения прямых Аррениуса для различных контактов исследуемой серии, R — газовая постоянная, B — константа) выполняется при обмене $H_2 + D_2$ на серии ZnO-катализаторов, чистых и с добавками Ca_2O_3 , Al_2O_3 , Li_2O (РЖХим, 1954, 49523), а также на окислах Mo, W и U с недостатком кислорода; при обмене $H_2 + D_2$ на различных катализаторах, изученных Холмом и Блю (Industr. and Engrg. Chem., 1952, 44, 107), (1) не имеет места. Автор указывает, что (1) не является тривиальным следствием ур-ния Аррениуса и предлагает новое истолкование «правила», основанное на предположении, что в стационарном состоянии при катализе энергия, необходимая для десорбции, если она является контролирующей стадией, подставляется адсорбирующимся молекулами. С этой точки зрения θ является т-рой равновесного состояния адсорбционного процесса, при которой экспериментально определяемая ϵ изменяется от ϵ десорбции до ϵ адсорбции. Если при достижении θ не происходит изменения ϵ , то «правило θ » носит, по мнению автора, чисто формальный характер и связано с тем, что скорости р-ции измеряются в узком интервале т-р вблизи θ . На основании предложенного механизма «индуцированной десорбции» можно объяснить ускорение десорбции в присутствии адсорбирующегося газа, а также ряд наблюдаемых закономерностей при дейтеробомбе и пара-орто-превращении H_2 . О. К.

77635. Электронные явления в полупроводниковом катализе. Исследование влияния примесей, растворенных в решетке закиси никеля, на ее каталитическую активность. Кейер Н. П., Рогинский С. З., Сафонова И. С., Докл. АН СССР, 1956, 106, № 5, 859—861

При т-рах от комнатной до 350° изучено окисление CO на NiO , чистой и с добавками MgO ; Li_2O ; Cr_2O_3 или $Li_2O + Fe_2O_3$, образующими твердые р-ры с NiO . MgO , в кол-ве от 1 до 50 ат. % Mg^{2+} в NiO , значительно изменяет параметр решетки, но не влияет на энергию активации E окисления CO. При увеличении содержания Li^+ в NiO от нуля до 0,82 ат. % E линейно возрастает от 4,5 до 17,6 ккал/моль, симбатно с E растет предэкспоненциальный множитель в ур-нии Аррениуса; одновременно в изученном интервале т-р падает скорость р-ции. Введение Fe_2O_3 в NiO с добавкой 0,82% Li_2O понижает E и увеличивает скорость р-ции; введение 1,25 ат. % Fe^{3+} возвращает E к величине для чистой NiO . Введение Cr_2O_3 в NiO слабо влияет на каталитич. активность. Высказано предположение о решающем значении заряда катиона окисла, введенного в решетку, на каталитич. активность NiO . Данные показывают, что значительные изменения каталитич. активности вызывают только

окислы, заряды катионов которых отличны от заряда никеля в NiO. Действия M^+ и M^{3+} противоположны и в эквивалентных кол-вах взаимно компенсируются. Изменения параметров решетки сами по себе не влияют на активность.

О. К.
77636. Гетерогенный катализ. Будар, Кан (Heterogeneous catalysis. Boudart Michel, Kwan Takao), Industr. and Engng Chem., 1956, 48, № 3, Part II, 562—569 (англ.)

Обзор основных работ в области гетерог. катализа, опубликованных в 1954 г. и в первой половине 1955 г. Библи. 121 назв.

А. Ш.
77637. Контактный катализ и равновесие. Энгелл (Kontaktkatalyse und Gleichgewicht. Engell H.-J.), Z. anorgan. und allgem. Chem., 1954, 276, № 1-2, 57—71 (нем.)

Теоретически разбирается вопрос о соотношении между гетерог. хим. равновесием газ — твердое тело и каталитич. активностью этого твердого тела. Автор рассматривает равновесие, устанавливающееся вследствие происходящих в твердом теле электронных (хемосорбция) или ионных (включения в решетку) изменений и (или) вследствие р-ции в газовой фазе. Обсуждается влияние силового поля кристаллич. решетки на равновесное давление O_2 и на каталитич. активность окислов; рассматривается соотношение между «активной структурой» и каталитич. активностью. Сравнительно сильное влияние мельчайших примесей автор истолковывает как сдвиг электронного равновесия между катализатором и газовой фазой. Обсуждается зависимость между измеренными значениями энергии активации окисления CO на смешанных $CuO-Cr_2O_3$ катализаторах и фазовым составом этих последних.

А. Ш.
77638. Современное состояние научных исследований в области промышленного катализа. Шваб (Der gegenwärtige Stand der wissenschaftlichen Erforschung der technischen Katalyse. Schwab Georg-Maria), Phys. Bl., 1956, 12, № 3, 108—116 (нем.) См. РЖХим, 1954, 42737.

77639. Технические применения металлических катализаторов. I. (Предварительное сообщение). Мадьяр (Fémkatalízis a műszaki gyakorlatban. I. Magyar Miklós), Magyar kém. folyóirat, 1956, 62, № 4, 143—144 (венг.; рез. нем.)

Описан прием, позволяющий быстро и с точностью, достаточной для практич. применений, проводить кинетич. анализ изотермич. процессов на металлич. катализаторах. В качестве примера разбирается кинетика окисления этилена на Ag-контакте.

А. Ш.
77640. О последовательности реакций гидрогенизации, циклизации и гидрогенолиза производных фурана над никелевыми катализаторами. Баландин А. А., Пономарев А. А., Ж. общ. химии, 1956, 26, № 4, 1146—1160

Более подробное изложение результатов работ авторов (РЖХим, 1956, 35406) см. также РЖХим, 1956, 74374.

А. Ш.
77641. Каталитическое действие окислов кобальта, железа, никеля и ванадия на реакцию углерода с водяным паром. Тадденем, Хилл (Catalytic effects of cobalt, iron, nickel, and vanadium oxides on steam carbon reaction. Tuddenham W. M., Hill George R.), Industr. and Engng Chem., 1955, 47, № 10, 2129—2133 (англ.)

При 555—1140° изучена газификация водяным паром двух образцов графитированных угольных электродов как чистых, так и пропитанных р-рами $Co(NO_3)_2$, $Fe(NO_3)_3$, $Ni(NO_3)_2$ или NH_4VO_3 с последующим переводом солей в окислы Co, Fe или V. Очень малые добавки окислов значительно увеличивают скорость газификации. Скорость р-ции чистого углерода $w = k(a + bp)$, где p — давление ($CO + CO_2$), a — начальное кол-во активных центров углерода, k и b — константы. Близкая зависимость w

от p наблюдается на углеводе с добавками окислов Fe, Co и Ni; при добавке окисла V к углероду w постоянна, что указывает на диффузионное влияние. Энергия активации E газификации чистого углерода 72 ккал/моль — для одного образца и 36 ккал/моль — для другого. Добавки окислов изменяют E сложным образом. В случае добавок окислов Fe, Co и Ni при высоких t -рах наблюдался отрицательный температурный коэфф. На углеводе с добавками окислов Fe и V при низких t -рах наблюдалось обратимое отравление, вероятно, вследствие адсорбции H_2 .

О. К.
77642. Конверсия окиси углерода на подщелоченном активном угле. Сообщение 2. Ройен, Эрхард (Die Kohlenoxyd-Konvertierung an alkalisierten Aktivkohle. 2. Mitteilung. Royen Paul, Ehrhard Fritz), Erdöl und Kohle, 1956, 9, № 1, 19—24 (нем.)

Изучена конверсия CO на активных углях (АУ), содержащих $KOOCN$, KCl , KF и на АУ, содержащем K_2CO_3 и обработанном H_2S . Нулевой порядок р-ции по CO, наблюдающийся на АУ при 250° и конц-ии паров H_2O , равной 32,5 об. %, при повышении конц-ии паров H_2O и t -ры сменяется на первый, причем изменение порядка р-ции происходит лишь при одновременном понижении конц-ии CO ниже некоторого предела. Установлен первый порядок р-ции по H_2O . Авторы считают, что процесс протекает с участием ионов OH^- , образующихся при диссоциации H_2O на подщелоченном АУ, и предлагают следующую стадийную схему процесса в стационарном состоянии: 1) $CO + OH^- = [COOH^-] \rightarrow HCOO^-$; 2) $HCOO^- + HON = HCOOH + OH^-$; 3) $HCOOH = CO_2 + H_2$. Сообщение 1 см. РЖХим, 1954, 25004.

М. С.
77643. Исследование влияния условий синергизма и действия водяного пара на структуру и активность алюмосиликатных катализаторов. Зульфаров З. Г., Топчиева К. В., Крылова А. В., АзербСССР элмлер академиясынын хэбэрлэри, Изв. АН АзербСССР, 1955, № 11, 19—31 (рез. азерб.)

Синтетические катализаторы состава 3,7% Al_2O_3 , 94,57% SiO_2 , 2,94% MgO в течение 16 час. подвергались синергизму в р-ре Na_2SO_4 с рН 8,6, а также прокаливанию при 550° и обработке водяным паром при 750° в течение 8 час. В результате синергизма при комнатной t -ре величины уд. поверхности (s), пористости, общего и уд. объема пор (τ) увеличиваются, насыщенный вес катализаторов уменьшается. При 65° как синергизм, так и обработка водяным паром приводят к уменьшению s и насыщенного веса, увеличению τ и резкому снижению активности катализаторов при крекинге газойля. Снижение активности катализаторов авторы объясняют значительным увеличением радиуса пор и уменьшением s .

С. К.
77644. Кинетическое исследование разложения углеводородов на алюмосиликатных катализаторах. Франклин, Николсон (A kinetic study of the decomposition of hydrocarbons by silica-alumina catalysts. Franklin J. L., Nicholson D. E.), J. Phys. Chem., 1956, 60, № 1, 59—62 (англ.)

В статической системе при 321,7—550° масс-спектроскопически изучена кинетика разложения пропана (I), n -бутана (II), n -пентана (III), n -гексана (IV), 2-метилпропана (V), 2-метилбутана (VI), 2,2-диметилпропана (VII) и циклогексана (VIII) на катализаторах исходного состава: 85,6% SiO_2 , 12,9% Al_2O_3 , 1,5% H_2O . Разложение I, V, VI, VII, VIII идет по р-ции 1-го порядка, порядок р-ции разложения II и III равен 1,5. При разложении V при 500° в первые 10 сек. скорость р-ции вдвое меньше стационарной; введение низших олефинов ускоряет разложение VII, а C_6H_6 и этилбензол — замедляют, что, по мнению авторов, свидетельствует о наличии индукционного периода. Энергии активации (E) при разложении I—VIII равны соответственно 41,7; 26,3; 20,7; 18,4; 37,1; 20,5; 40,0; 18,5 ккал/моль; соотношение скоростей разложения I : II : III : IV = 1 : 7 : 13 : 20. Различия в значениях E сопоставлены с раз-

личием ионизационных потенциалов углеводородов, которые при переходе от I — II — III — IV уменьшаются симбатно с E . По мнению авторов, ускоряющее действие олефинов связано с образованием молекулярных ионов исходных в-в. С. К.

77645. Влияние примесей натрия на основные качества катализатора. Шестакова Н. М., Волкова Л. И., Шайкина Ю. В., Новости нефт. техн. Нефтепереработка, 1956, № 1, 8—10

Исследовалось влияние степени отмывки натрия при активации различных алюмосиликатных катализаторов на их активность. Показано отрицательное влияние Na на каталитич. способность алюмосиликатов при содержании в них $>0,5\%$ Na_2O ; при содержании $<0,5\%$ Na_2O натрий, оставшийся после активации, не снижает качества катализаторов. Авторы считают, что на основании полученных данных длительность активации катализатора в обычных заводских условиях может быть сокращена до 15 час., так как дальнейшее снижение кол-ва Na_2O от 0,5 до 0,15% не изменяет свойств катализатора. В. В.

77646. Скорость реакции образования хлористого винила. Кондо, Синдо, Вакао, Сакураи (藍化ビニル合成速度について. 近藤信一, 進藤益男, 若野精二, 桜井浩), 工業化学雑誌, Kōgō Kagaku Zasshi, J. Chem. Soc. Japan. Industr. Chem. Sec., 1954, 57, № 12, 909—913 (япон.)

Изучена кинетика каталитич. образования хлористого винила на трех различных катализаторах. Эксперим. результаты соответствуют эмпирич. ф-ле: $v = a \cdot 10^{-4} \exp(b/RT) p_{\text{HCl}}^d p_{\text{C}_2\text{H}_4}^c$, где v — скорость р-ции; p — парц. давление a, b, c, d — постоянные, равные соответственно 1,01—3,04; от —2474 до —3110; 0,65—0,89 и 0,25—0,38.

Chem. Abstrs, 1955, 49, № 17, 11378. Katsuya Inouye.

77647 Д. Кинетическое изучение скорости быстрой реакции сульфата четырехвалентного церия с сульфаниловой кислотой. Смит (Kinetic studies on the rate of the rapid reaction between ceric sulfate and sulfanilic acid. Smith Kenneth McGregor. Doct. diss., Ohio State Univ., 1955), Dissert. Abstrs, 1955, 15, № 6, 993 (англ.)

Разработан прибор, позволяющий изучать быстро протекающие р-ции в р-рах, сопровождающиеся изменением цвета. Для этого через р-р пропускается модулированный с помощью вращающегося сектора луч света. По выходе из р-ра луч попадает на фотоземлет и после усиления подается на осциллограф. Амплитуда сигнала дает степень превращения, период колебаний — шкалу времени. Спец. механич. устройство обеспечивает смешение порций обоих реагентов по 5 мл каждая в течение 0,16 сек. На описанном приборе изучена скорость образования окрашенного промежуточного продукта взаимодействия $\text{Ce}(\text{SO}_4)_2$ с сульфаниловой к-той, имеющего максимум поглощения при 500 мμ. Р-ция 1-го порядка по обоим реагентам. Д. К.

77648 Д. Кинетика восстановления окислов марганца твердым углеродом. Козлов Б. А. Автореф. дисс. канд. техн. н., Уральский политехн. ин-т, Свердловск, 1956

См. также: Реакционная способность и строение 77289, 77939, 77942—77946, 77961. Кинетика и механизмы р-ций 77287, 77941, 77950, 77956, 77957, 77959, 77960, 77966—77968, 77971, 77972, 77974, 77976, 77981, 77984, 77985, 77987, 77989, 77990, 77998, 77999, 78009. Органич. гетерогенный катализ. 78000, 78091. Катализаторы 78038, 78629, 78643, 79035, 79040, 79043, 79044, 79046, 79049, 79053, 79055, 80192, 80194, 80195. Адсорбция 77762

ФОТОХИМИЯ. РАДИАЦИОННАЯ ХИМИЯ. ТЕОРИЯ ФОТОГРАФИЧЕСКОГО ПРОЦЕССА

77649. Прикладная химическая кинетика. XIII. Фотохимия. Юнгерс, Эшар. XIV. Цепные реакции. Юнгерс, Балчану. Лимидо (Cinétique chimique appliquée. XIII. La photochimie. Jungers J. C., Eschard F. XIV. Les réactions en chaînes. Jungers J. C., Balacéanu J. C., Limido G. E.), Rev. Inst. franç. pétrole, 1956, II, № 1, 66—108; № 5, 593—640 (франц.)

Часть XII см. РЖХим, 1956, 42642.

Х. В.

77650. Обнаружение молекул с малой продолжительностью жизни. Валанс (Détection des assemblages d'atomes à vie courte. Valence M.), La nature, 1956, № 3253, 181 (франц.)

77651. Кинетика конкурирующих процессов при условии возникновения активных осколков парами. Нойс (Kinetics of competitive processes when reactive fragments are produced in pairs. Noyes Richard M.), J. Amer. Chem. Soc., 1955, 77, № 8, 2042—2045 (англ.)

Рассматривается проблема конкуренции р-ции радикалов R_0^* , являющихся продуктами элементарного акта термич. или фотохимич. диссоциации, с молекулами S и с р-циями первичной и вторичной рекомбинации, т. е. конкуренция р-ций: $2R_0^* \rightarrow R_2$ (1), $R_0^* + S \rightarrow P$ (2), $R_0^* + R \rightarrow R_2$ (3) (R — радикал, происходящий от другого элементарного акта диссоциации R_2 , чем R_0^*). Р-ция (1) включает как первичную рекомбинацию в «клетке» р-рителя до 1-го диффузионного перемещения, так и вторичную рекомбинацию после некоторого числа диффузионных перемещений. В случае конкуренции р-ции (2) с (1) и (3) при малых конц-ях S (ниже 0,01 моль/л) выведены выражения для доли радикалов α_2 , участвующих в реакции (2) при условиях, когда P инертен и когда P столь же активен, как и R_0^* . В первом случае

$\alpha_2 = 4(1 - \beta') / [3 + (1 + 16/C^2[S]^2)^{1/2}]$, во втором $\alpha_2 = (1 - \beta')C[S] / (1 + C[S])$, где β' — вероятность вторичной рекомбинации (1), $C = k_2 / [(1 - \beta')k_3r]^{1/2}$, k_2 и k_3 — константы скорости р-ции (2) и (3), r — скорость образования пар R_0^* . Приближенный расчет дает $\beta' = 0,53$ (РЖХим, 1955, 45488). При $[S] < 0,01$ моль/л р-ция (2) не может конкурировать с р-цией (1). Приближенно рассмотрена конкуренция р-ции (2) с (1) при $[S] > 0,01$ моль/л. Р-ция. (2) может конкурировать с р-цией (1) только в случае очень активного S при $[S] \geq 0,01$ моль/л. Даже в случае, когда S является р-рителем, требуется, чтобы $k_2 > 10^7$ л/моль сек.

В. П.

77652. Фотолитез кетена в присутствии водорода. Гессер, Стиси (The photolysis of ketene in the presence of hydrogen. Gesser H., Steacie E. W. R.), Canad. J. Chem., 1956, 34, № 2, 113—122 (англ.)

Фотолитез кетена в присутствии H_2 изучался при т-рах от —40 до +207°. В отсутствие H_2 основными продуктами являются CO и C_2H_4 , в присутствии H_2 — CO, C_2H_4 , C_2H_6 и полимерные в-ва. При более высоких т-рах появляется CH_4 и метилэтикетон. Полученные данные в основном количественно согласуются с механизмом р-ций $\text{CH}_3\text{CO} + h\nu \rightarrow \text{CH}_3 + \text{CO}$; $\text{CH}_3 + \text{CH}_3\text{CO} \rightarrow \text{C}_2\text{H}_4 + \text{CO}$; $\text{CH}_3 + \text{H}_2 \rightarrow \text{CH}_3 + \text{H}$; $\text{H} + \text{CH}_3\text{CO} \rightarrow \text{CH}_3 + \text{CO}$; $\text{CH}_3 + \text{CH}_3 \rightarrow \text{C}_2\text{H}_6$; $\text{CH}_3 + \text{H}_2 \rightarrow \text{CH}_4 + \text{H}$, причем энергия активации (E) последней р-ции (10,2 ккал/моль) полностью соответствует данным, полученным другими методами. Метилэтикетон образуется по схеме $\text{CH}_3 + \text{CH}_3\text{CO} \rightarrow \text{CH}_3\text{COCCH}_3$ ($E = 7,4$ ккал/моль, стерич. фактор 7·10⁻⁸); $\text{CH}_3\text{COCCH}_3 + \text{CH}_3 \rightarrow \text{C}_2\text{H}_5\text{COCCH}_3$. Д. К.

77653. Фотохлорирование хлористого бензоила в газовой фазе. П. Судзуки, Миядзакэ (氣相におけるベンゾイルクロライドの鹽素化反應に関する研究 第2報. 鈴木桃太郎, 宮崎正蔵), 日本化学雑誌, Нихон

кагаку дзасси, J. Chem. Soc. Japan. Pure Chem. Sec., 1954, 75, № 7, 700—703 (япон.)

Исследовано фотохлорирование хлористого бензила при 20, 30, 40°. Часть I см. РЖХим, 1956, 64540 Chem. Abstrs, 1955, 49, № 8, 5133. T. Katsurai.

77654. Окисление водного раствора аммиака. Джайн (Oxidation of ammonia in aqueous solution. Jain T. C.), J. Scient. and Industr. Res., 1955, (B—C) 14, № 8, B418—B419 (англ.)

Единственными продуктами фотохим. (313,5 мμ) окисления водн. р-ров NH₃ перекисью водорода при комнатной т-ре являются NH₂OH и HNO₂. Квантовый выход р-ции 0,18—0,22. Авторы предлагают следующий механизм р-ции: H₂O₂ → 2OH; NH₃ + OH → NH₂ + H₂O; NH₂ + OH → NH₂OH; NH₂OH + 4OH → HNO₂ + 3H₂O. З. М.

77655. Дальнейшие исследования ускоряющего действия оптического излучения на реакции восстановления. Шпode, Вебер (Weitere Untersuchungen über die reduktionsbeschleunigende Wirkung optischer Strahlung. Spode E., Weber E.), Naturwissenschaften, 1956, 43, № 3, 58 (нем.)

В продолжение прежней работы (РЖХим, 1956, 50297) облучению подвергались смеси 0,1%-ных р-ров цистеина и теллурита Na в отношении 1 : 2. Поверхностная доза составляла 2·10⁶ эрг/см². Эффект восстановления измерялся колориметрически. Спектр действия соответствовал спектру поглощения облучаемой смеси. Подобные результаты получены при облучении смеси 0,1%-ных р-ров цистеина и нитрита Ag в отношении 1 : 3. Эффект восстановления в исследованном спектральном интервале (~300—450 мμ) не зависит от длины волны, а зависит только от общей поглощенной энергии. И. В.

77656. Промышленное будущее радиационной химии. Мановиц (The industrial future of radiation chemistry. Manowitz Bernard), Nucleonics, 1953, 11, № 10, 18—20 (англ.)

77657. Фиксация азота в виде двуокиси азота и закиси азота при действии ионизирующего излучения. Хартек, Дондс (Fixation of nitrogen by ionizing radiation as nitrogen dioxide and nitrous oxide. Hartek R., Dondes S.), J. Chem. Phys., 1956, 24, № 3, 619 (англ.)

Смеси N₂ с O₂ (1—99%) при давл. 0,01—50 атм и т-рах от —193 до 300° облучались в ядерном реакторе при интенсивностях от 5·10⁶ до 3·10⁸ рентген/час. Кол-ва образующихся NO₂ и N₂O зависят от т-ры, давления, интенсивности излучения и соотношения компонентов смеси. Оптимальные условия найдены для смеси с тем же соотношением между компонентами, что и в воздухе, при давл. 20—25 атм, т-ре 175—200° и дозе ~3·10⁸ рентген/час. В наиболее благоприятных условиях радиационно-химические выходы NO₂ ≈ 6 и N₂O ≈ 3. Рассмотрен возможный механизм р-ций. См. также РЖХим, 1955, 20825; 1956, 42751. И. В.

77658. Люминесценция под действием радиации. 1. Трех- и четырехкомпонентные растворы циклогексана, бензола, п-терфенила и кислорода. Бертон, Берри, Липский. 2. Действие кислорода и бромбензола. Берри, Липский, Бертон (Luminescence induite par les radiations. 1. Solutions ternaires et quaternaires de cyclohexane, benzène, p-terphényle et d'oxygène. Burton Milton, Berry Paul J., Lipsky S. Radiation-induced luminescence. 2. The effect of oxygen and bromobenzene. Berry P. J., Lipsky S., Burton M.), J. chim. phys. et phys.-chim. biol., 1955, 52, № 9, 657—666 (франц.); Trans. Faraday Soc., 1956, 52, № 3, 311—320 (англ.)

1. Интенсивность люминесценции (Л) освобожденных от воздуха р-ров п-терфенила (I) в циклогексане (II) и бензоле (III) под действием γ-лучей Co⁶⁰ увеличивается с ростом конц-ии I, причем в III интенсивность Л дости-

гает предельного значения при конц-ии I ~ 2 г/л и при дальнейшем увеличении конц-ии остается практически постоянной. В присутствии O₂ (конц-ия до 25·10⁻³ моль/л) Л заметно уменьшается. В смесях II и III при постоянной конц-ии I Л увеличивается с возрастанием содержания III в смеси. В присутствии O₂ эта зависимость проходит через минимум при содержании III в смеси ~ 2%. Авторы считают, что при радиоллизе происходит передача энергии от возбужденных молекул растворителя к молекулам I. Уменьшение Л в присутствии O₂ связано с дезактивацией молекулами O₂ возбужденных молекул как растворителя, так и I. На основании предложенного механизма авторы получают зависимость $I_0/I = (1 + \gamma_1 [O_2]) \times (1 + \gamma_2 [O_2])$, где I₀ и I = интенсивности Л в отсутствие O₂, γ₁ и γ₂ — константы, пропорциональные скоростям дезактивации O₂ возбужденных молекул р-рителя и I. Для р-ров I в II в области исследованных конц-ий O₂ I₀/I линейно зависит от [O₂], так как γ₂ ≪ γ₁. Для р-ров I в III при конц-ии O₂ > 10⁻² моль/л наблюдается отклонение от линейной зависимости I₀/I от [O₂], так как γ₂ соизмеримо с γ₁.

II. Изучено гашение кислородом и бромбензолом Л, вызываемой γ-излучением Co⁶⁰ в р-рах п-терфенила, м-терфенила и 1,4-дифенилбутадиена в бензоле, циклогексане и толуоле. Гашение C₆H₅Br Л этих р-ров обусловлено главным образом взаимодействием C₆H₅Br с возбужденными молекулами р-рителя, которые передают энергию молекулам флуорента, т. е. γ₁ ≫ γ₂ для всех исследованных конц-ий C₆H₅Br (до 0,1 моль/л). Гашение O₂ Л этих р-ров усиливается при больших конц-иях O₂. Это обусловлено, по мнению авторов, не только тем, что для O₂ γ₂ соизмеримо с γ₁, но и тем, что при больших конц-иях O₂ проявляется «статическое» гашение, не требующее взаимного сближения возбужденной молекулы с молекулой O₂. В. К.

77659. Механизм радиолиза водных растворов глицина. Гаррисон, Уикс (Mechanism in the radiolysis of aqueous glycine solutions. Garrison Warren M., Weeks Boyd M.), J. Chem. Phys., 1956, 24, № 3, 616—617 (англ.)

Основными продуктами действия излучения на глицин (I) в водн. р-ре являются NH₃, CO₂, H₂, CH₂O, глиоксильная и уксусная к-ты. При облучении р-ра I ионами гелия, ускоренными на циклотроне, обнаружены ятарная, аминокятарная и диаминокятарная к-ты. Предложена схема р-ций, происходящих в р-ре I, не содержащем кислорода: OH + I → H₂O + NH₂CHCOOH (или NHCH₂COOH); H + I → H₂ + NH₂CHCOOH или → NH₂ + CH₂COOH; CH₂COOH + I → CH₂COOH + NH₂CHCOOH; 2NH₂CHCOOH → NH₂CH₂COOH + NHCH₂COOH; H₂O₂ + NH₂CHCOOH → H₂O + OH + NHCH₂COOH; H₂O + NHCH₂COOH → NH₂ + CH₂COOH или → NH₂ + CH₂O + CO₂. В предположении, что радиационнохим. выход G р-ции H₂O → H + OH равен 3,0 и р-ции H₂O → 1/2 H₂ + 1/2 H₂O₂, равен 0,8 (РЖХим, 1955, 48539), вычислены образования NH₃ 4,70, глиоксильной и муравьиной к-т 2,83, уксусной к-ты 1,30, CH₂O 0,57, CO₂ 0,57 и H₂ 2,10, образующихся в 1 M р-ре I, не содержащем воздуха. Вычисленные величины близки к найденным экспериментально. И. В.

77660. Облучение растворов хлоралгидрата. Хилсенрод (Irradiation of chloral hydrate solutions. Hilsenrod Arthur), J. Chem. Phys., 1956, 24, № 4, 917—918 (англ.)

Действие рентгеновских лучей (200 кВ, 10 мА) на водн. р-ры хлоралгидрата (I) в исследованном интервале доз (~1000 рентген) приводит к увеличению электропроводности р-ра. Добавление 0,01 M глюкозы к 0,5 M р-ру I почти удваивает электропроводность, добавление этого же кол-ва к 2,5 M р-ру I не изменяет электропроводности. Большие кол-ва глюкозы (0,1 M) оказывают ингибирующее действие. И. В.

77661. Рекомбинация осколков отдачи хромовокислого калия, облученного нейтронами. Маддок, Мейн (Recombination of recoil fragments in neutronirradiated potassium chromate. Maddock A. G., Maine M. M. d.e), Canad. J. Chem., 1956, 34, № 3, 275—283 (англ.)

Предложено исследование увеличения удерживания радиоактивности (УР) в форме $\text{Cr}(6+)$ при нагревании K_2CrO_4 (I), облученного нейтронами (РЖХим, 1956, 12339). Начальное УР без нагревания равнялось 69,1%. За первые 4 часа нагревания УР быстро росло до величины, характерной для каждой т-ры нагревания (435°K 71% и 540°K 96%). Дальнейшее нагревание приводило к незначительному увеличению УР. Характерные величины УР оказались линейно связанными с обратными величинами соответствующих абс. т-р нагревания. При нагревании до 517°K образцов, предварительно нагретых до 468°K или 498°K , через 4 часа УР достигало характерной величины для 517°K . При нагревании смеси $\text{I} + \text{KBF}_4$ (1 мол. % I), предварительно облученной нейтронами, также наблюдалось значительное увеличение УР. Доказывается, что рассматриваемые явления не могут быть объяснены механизмом, состоящим из нескольких мономолекулярных р-ций, бимолекулярных р-ций или р-ций, скорость которых определяется диффузией. Предполагается, что увеличение УР вызвано рекомбинацией осколков отдачи: CrO_4^- и ионов кислорода, скорость которой определяется ур-нием: $dR/dt = \exp(-U/kT) \times \exp(V/kTx)$ (1), где x — миним. расстояние между осколками во время t , U — энергия активации рекомбинации, k — константа Больцмана и V/x — энергия электростатич. притяжения осколков. x — Может быть заменено $\Delta R + S$ (где ΔR — изменение УР и S — константа), если предположить, что ионы кислорода равномерно распределены между x_0 (расстоянием, определяемым начальным УР) и x_∞ (расстоянием, соответствующим УР-100%). Псевдоравновесное характерное УР наблюдается, когда второй член правой части ур-ния (1) практически превращается в единицу. Б. К.

77662. Окрашивание азиды натрия при облучении. Розенуассер, Дрейфус, Леви (Radiation-induced coloring of sodium azide. Rosenwasser H., Dreyfus Russell W., Levy P. W.), J. Chem. Phys., 1956, 24, № 2, 184—190 (англ.)

Путем измерения спектра отражения в области 2700—12 000 Å исследовано окрашивание порошка кристаллич. NaN_3 γ -лучами от Co^{60} и нейтронами. γ -лучи при 20 — 30° создают широкую полосу поглощения при 3600 Å, устойчивую при т-рах $\leq 90^\circ$ и сильно выцветающую при 160° , и слабые полосы при 6600 и 7600 Å, которые полностью исчезают при 20° . Быстрые нейтроны при 20° , медленные нейтроны (≤ 1 — 2 Мэв) при 100° , медленные нейтроны при 20° плюс нагревание при 90 — 140° , γ -лучи при 30° плюс нагревание при 150 — 240° создают полосу при 6000 Å, устойчивую при 20° . После нагревания облученных кристаллов до 250 — 285° , т. е. до т-р, близких к т-ре разложения NaN_3 , спектры отражения для всех видов излучения сближаются и появляется новая полоса при 2800 Å. Нагревание необлученных кристаллов создает полосу при 3600 Å, которая значительно более слаба, чем в облученных. УФ-лучи действуют аналогично γ -лучам. При растворении окрашенных γ -лучами кристаллов в H_2O выделяется газ, по-видимому, N_2 (H_2 ?) и (NH_3 ?). В результате рассмотрения механизма действия различных излучений на NaN_3 полоса при 3600 Å приписана центрам окраски, аналогичным таковым в щелочноалюминидных кристаллах: γ -лучи освобождают электрон из иона N_3^- , который остается в возбужденном или метастабильном состоянии и далее разлагается с выделением N_2 , который локализуется в кристалле. Полосы при 6600 и 7600 Å

приписаны неустойчивым центрам окраски различного типа, связанным с переходами электронов. Полоса при 6000 Å приписана либо частицам колл. Na, либо электронам в вакантных узлах ионов N_3^- или азота. А. Х.

77663. Критическая частота прерывистого освещения фотографического слоя и релаксационные процессы в эмульсионных кристаллах. Картужанский А. Л., Ж. науч. и прикл. фотографии и кинематогр., 1956, 1, № 1, 10—18

Исследована зависимость фотографич. действия (ФД) неизменного кол-ва освещения H от частоты прерывания f светового потока при различных освещенностях E и различных отношениях q длительности световых импульсов и темновых пауз. Мерой ФД служило значение $\lg H$, отвечающее плотности почернения $D = 1,0$ над вуалью. Показано, что существует некоторая крит. f , выше которой ФД перестает зависеть от f , а ниже ее возрастает с уменьшением f . При данной E величина $f_{(кр.)}$ пропорциональна q , а крит. длительность светового импульса $t_{(кр.)}$ не зависит от q (так же, как и от D), условий проявления и типа эмульсии. Эксперим. значения $t_{(кр.)}$ 10^{-3} — 10^{-4} сек.) и характер его зависимости от E ($t_{(кр.)}$ пропорционален $E^{-1/2}$) хорошо совпадают с результатами измерений времени релаксации фотопроводимости монокристаллов AgBr (Мейкляр П. В., Ж. эксперим. и теор. физики, 1951, 21, 42). Сделан вывод, что при $t \leq t_{(кр.)}$ за время отдельных световых импульсов образуются только атомарные центры Ag , собственно скрытое изображение образуется во время темновых пауз в результате перераспределения локализованных электронов с переходом их на более глубокие уровни захвата. Показано, что действие прерывистого освещения не является частным случаем явления несовместимости при непрерывном освещении. А. Х.

77664 Д. Исследование образования гексахлорциклопексана при фотохлорировании бензола в зависимости от различных физико-химических факторов. Плиев Т. Н., Автореф. дисс. канд. хим. н., МГУ, М., 1956

77665 Д. Изменение сенсibilизатора в процессе фотохимической реакции. Каравацкая В. А. Автореф. дисс. канд. физ.-матем. н. Моск. гос. пед. ин-т, М., 1956

77666 Д. Сенсibilизация окислительно-восстановительных реакций при радиоллизе. Проскуряни М. А. Автореф. дисс. докт. хим. н. Н.-и. физ.-хим. ин-т, М., 1956

77667 Д. Влияние поверхностно-активных веществ на процесс оптической сенсibilизации фотографических эмульсий. Грацианская З. И. Автореф. дисс. канд. техн. н., Ленингр. ин-т киноинженеров, Л., 1956

См. также: Фотохимия 78197. Радиационная химия 78344, 78349—78353

РАСТВОРЫ. ТЕОРИЯ КИСЛОТ И ОСНОВАНИЙ

77668. Рассеяние растворенного вещества в жидкости, текущей через трубку. Эрис (On the dispersion of a solute in a fluid flowing through a tube. Aris R.), Proc. Roy. Soc., 1956, A235, № 1200, 67—77 (англ.) В развитие работ Тейлора (РЖХим, 1954, 32140; 1955, 51559), выведены общие ур-ния для течения и диффузии в прямой трубе круглого сечения, причем основным является движение центра тяжести распределения растворенного в-ва (S) и рост с течением времени высших моментов этого распределения. Такой подход дал возможность устранить ограничения, на которые указал Тейлор. Моменты распределения рассчитаны в направлении потока, т. е. рассматривается распределение кон-ции S

вдоль оси трубы. Показано, что производная дисперсии m_2 по времени τ пропорциональна эффективному коэфф. диффузии K , который равен сумме молекулярного коэфф. диффузии D и кажущегося коэфф. диффузии $a^2 u^2 / 48 D$, где a — радиус трубы, u — скорость потока, т. е. $K = (1/2) dm_2 / d\tau = D + (a^2 u^2 / 48 D)$ (1). Для трубы произвольного сечения 2-й член следует помножить на параметр формы k_0 . При этом показано, что дисперсия S в трубе круглого сечения меньше, нежели в эллиптической с той же площадью сечения. С течением времени распределение S приближается к нормальному. Турбулентность учитывается введением в ф-лу (1) соответствующим образом рассчитанного параметра k_0 . С. Ф.

77669. Постоянная диффузии и коэффициент диффузии. Вердуйн (Diffusion constant and diffusion coefficient. Verduin J a c o b), Science, 1955, 121, № 3137, 215—216 (англ.)

Автор статьи критикует определение постоянной диффузии, данное Крогом для случая диффузии газа через ткань, и то, что Круг считает постоянной диффузии незначительно отличающейся от коэфф. диффузии. Согласно Крогу, постоянная диффузии O_2 в воду равна 0,34, а коэфф. диффузии, по литературным данным, равен $1,12 \cdot 10^{-3}$ см²/мин, т. е. постоянная диффузия равна $1,12 \cdot 10^{-3} \times 0,031 \cdot 10^4 = 0,346$, где 0,031 растворимость O_2 в воде при 20°. Таким образом, Круг не учитывает растворимость O_2 в воде. Последнее приводит к тому, что многие биологи считают диффузию CO_2 в жидкую среду больше диффузии O_2 . Автор считает, что ошибки также возникают из-за использования концепции напряжения (РЖБиол, 1955, 56221) при определении постоянной диффузии.

М. С.

77670. Постоянная диффузии и коэффициент диффузии. Миллингтон (Diffusion constant and diffusion coefficient. Millington R. J.), Science, 1955, 122, № 3179, 1090—1091 (англ.)

Обсуждаются замечания относительно неправильного использования некоторыми биологами постоянной диффузии (K) (Krogh A., J. Physiol., 1919, 52, 391), относящейся к диффузии газов в жидкую среду. Основное отличие K от коэфф. диффузии (D) состоит в том, что K включает величину растворимости диффундирующего газа в жидкости. Отмечено, что Круг приводит неправильные значения D O_2 в воду и поэтому получает ошибочную величину K . На основании литературных данных подсчитано, что в интервале 16—25° D O_2 в воду линейно увеличивается на ~3% на каждый градус. Автор подтверждает положение Крога, что в указанном температурном интервале с ростом t -ры на 1° K увеличивается на 1%.

В. С.

77671. Влияние солей на помутнение, возникающее при диффузии уксусной кислоты из толуола в воду. Ваикум (Acțiunea sărurilor asupra fenomenului de opacifiere ce se produce în cursul difuziei acidului acetic din toluen în apă. Vaicu m L y d i a), Comun. Acad. R. P. R., 1955, 5, № 3, 523—528 (рум.; рез. русс., франц.)

Проведено дальнейшее изучение явления помутнения, происходящего при диффузии уксусной к-ты из толуола в воду, механизм которого был описан ранее (Macovschi E., Vaicu m L., Bul. științ. Acad. R. P. Române, Sec. biol., agron., geol. și geogr., 1951, 3, № 4, 723). Исследована диффузия уксусной к-ты из толуола в водн. р-ры различных солей в зависимости от их плотности и изменения проницаемости жидкой пленки толуол — вода. Установлено, что для случая молярных и изосмотич. р-ров главным фактором усиления помутнения является плотность. Коэфф. диффузии уксусной к-ты в р-ры с одинаковой плотностью в присутствии различных солей одинаковы. С. Ш.

77672. Исследование осмоса. II. Дюкло, Кон (Recherches sur l'osmose. II. Duclaux Jacques,

Cohn Charlotte), J. chim. phys. et phys.-chim. biol., 1956, 53, № 3, 278—283 (франц.)

В лиотропном ряду $HClO_4 > HNO_3 > HBr > HCl > H_2SO_4 > H_3PO_4$ скорость осмоса (O) через целлофановую мембрану (ЦМ) между водн. р-ром и метилэтилкетонем (I) или вторичным бутиловым спиртом (II) уменьшается, причем $HClO_4$ и HNO_3 значительно повышают скорость O , что авторы объясняют увеличением взаимной растворимости воды и I или II, а H_2SO_4 и H_3PO_4 замедляют O по сравнению с чистой водой. Установлено, что в некоторых случаях ЦМ препятствует прохождению истинно растворенного в-ва в неводн. фазу, напр. водн. р-р $CuSO_4$ в диэтиловый спирт (III). При этом кристаллизация наблюдается не в III, где $CuSO_4$ малорастворим, а в водн. фазе около ЦМ. Известны также случаи O , когда через ЦМ избирательно проходит вода. На основании этого авторы рекомендуют органич. жидкость для O выбирать так, чтобы кол-во воды, проходящей через ЦМ, было больше кол-ва диффундирующих в водн. р-р органич. в-в. Найдено, что III переходит в водн. фазу в гораздо меньших кол-вах (16% за 6 час.), чем метанол или этанол. Сравнение I, II, III, эфира этилгликоля и эфира бутилгликоля показывает, что наибольшее кол-во воды в результате O переходит в 3 последние жидкости (соответственно 142, 130 и 115 мл за 5 час.). O воды в смешивающихся с ней жидкостях протекает с большей скоростью. Для замедления диффузии III в воду в III вводят небольшие кол-ва окиси мезитила (IV). Метод O с применением смеси III + IV в качестве наружной жидкости использован для обработки органич. и неорганич. коллоидов, напр. для концентрирования золя $Fe(OH)_3$, по-видимому, состава $FeCl_3 \cdot 10Fe(OH)_3 \cdot aq$. Часть I см. РЖХим, 1955, 31307. Н. П.

77673. Скорость ультразвука и межмолекулярное притяжение в бинарных жидких смесях, образующих химическое соединение. Мелконян Л. Г. В сб.: Применение ультразвука к исследованию вещества. Вып. III. М., МОПИ, 1956, 31—49

Указана возможность определения ван-дер-ваальсовской постоянной a при разных t -рах из скорости звука, плотности и мол. веса. В жидких смесях, в которых возможно возникновение хим. соединений или ассоциация, для характеристики межмолекулярных сил, применяется величина $a_y = a^2 v / 2$, где a — скорость звука, v — мол. объем. На основании эксперим. данных показано, что в идеальных и близких к ним смесях a_y — линейная функция состава. При повышении t -ры a_y уменьшается (кроме воды). В водн. р-рах спиртов и органич. к-т кривая, выражающая зависимость a_y от состава, проходит через максимум. При изменении длины органич. молекулы положение максимума смещается. В водн. р-рах спиртов изотермы « a_y — состав», полученные для разных t -р, пересекаются в одной точке, характерной для каждого р-ра и смещающейся при переходе от низшего гомолога к высшему. Для водн. р-ров минер. к-т a_y почти линейно изменяется с увеличением конц-ии к-ты. Б. К.

77674. О показателе преломления чистых жидкостей и растворов, в частности морской воды, как функции температуры и концентрации. Сен-Гили (Sur l'indice de réfraction des liquides purs et des solutions, en particulier de l'eau de mer, comme fonction de la température et de la concentration. Saint-Guil y B.), Bull. Inst. océanogr., 1955, 52, № 1052, 2—24 (франц.)

Рассмотрены результаты различных измерений показателя преломления воды, бензола, морской воды и солевых р-ров. Эти результаты показывают, с одной стороны, что теории Лоренца и Онзагера — Бётхера недостаточны для описания изменения показателя преломления с t -рой, с другой стороны, для водн. р-ров при постоянной t -ре и переменном содержании солей к лучшим результатам

приводит применение закона Лоренца. Кратко рассмотрена и формально распространена на случай р-ров теория Кирквуда — Ивана. Колич. сравнение этой теории с результатами наблюдений затруднено из-за сложности расчетов.

И. С.

77675. Протоно-акцепторные свойства каротина. Уасерман (Proton-acceptor properties of carotene. Wassermann Albert), J. Chem. Soc., 1954, Dec., 4329—4336 (англ.)

Спектрофотометрически изучено взаимодействие смеси α - и β -каротина (I) с моно-(II), ди- и трихлоруксусными, соляной, пикриновой и додецилбензолсульфокислотами в полярных и неполярных р-рителях. При добавлении сильных к-т к I наблюдается появление новой полосы поглощения >500 м μ (вследствие образования каротин-кислотных аддуктов). Установлена обратимость протолинич. р-ции $nA + B \rightleftharpoons C \dots D$ (A — к-та, B — каротин, C...D — аддукт, л допускается равным I). Отмечен рост константы основности (K) с ростом конц-ии к-ты. На основании ур-ния $K = \exp \Delta S / R \cdot \exp -\Delta H / RT$ найдено значение для ΔS (энтропия перехода протона к I), равное -9 ± 7 энтр. ед. и $-\Delta H = 2.0 \pm 1.8$ ккал/моль. Константа равновесия р-ции между I и II (K') равна 10^{-5} М. Диоксан, пиперидин, ацетон и этиловый спирт значительно сдвигают равновесие. Наоборот, величины K, найденные в апротонных р-рителях как полярных, так и неполярных, подобны. Из спектрофотометрич. измерений конц-ий определена молекулярная электропроводность каротин-кислотных аддуктов. На основании линейной зависимости между константами равновесия и диссоциации автор считает, что I вследствие наличия π -электронов является протоно-акцептором, а аддукт C...D — солью, действующей как протоно-донор по отношению к I. Протолинич. механизм образования аддуктов, по мнению автора, согласуется с теорией Бренстеда и подтверждается значительной электропроводностью каротин-кислотных аддуктов в бензоле и тем, что образование этих аддуктов предотвращается основными р-рителями. О. Г.

77676. О применении ионообменных мембран для измерения коэффициентов активности сильных электролитов. Кальвейт (Über die Anwendung von Ionenaustauschermembranen zur Messung von Aktivitätskoeffizienten starker Elektrolyte. Kahlweit M.), Z. phys. Chem. (ERD), 1956, 6, № 1-2, 45—55 (нем.)

Описан новый способ определения коэфф. активности (KA) электролитов с применением элемента Гельмгольца и катионообменной мембраны вместо промежуточных электродов в этом элементе. Предложенный метод пригоден для определения КА в чистом электролите, а также в р-рах, содержащих, кроме того, посторонние электролиты и неэлектролиты. Автор рекомендует этот способ для определения КА таких электролитов, для катионов которых неизвестны обратимые электроды (напр., для определения КА солей аммония). Способ апробирован на чистых р-рах HCl и KCl, на р-рах смесей HCl + HClO₄, HCl + HNO₃, HCl + H₂SO₄, HCl + сахар, а также KCl + KNO₃ и KCl + K₂SO₄ при малых конц-иях ($<0,1$ н.). Показано, что описанные до настоящего времени способы измерения КА с применением цепи — электрод сравнения [KCl (солевой мостик)|MX (c₁) |ионообменник| MX (c₂)|KCl (солевой мостик)]/электрод сравнения — приводили к определению не средних КА электролитов, а КА того сорта ионов, для которых ионообменник представляет полупроницаемую мембрану. Отмечена неточность старого метода, обусловленная тем, что диффузионный потенциал на границе солевой мостик/р-р не учитывался. В работе также показано, что для р-ров HCl и KCl при конц-иях $<0,1$ н. оба КА одинаковы, а в смесях электролитов наблюдаются заметные различия между ними. Н. Х.

77677. Изучение коэффициентов активности неэлектролитов в растворах солей. I. Влияние аммиачных комплексов кобальта на растворимость валерьяновой кислоты

в воде. Хуан Цзы-цин, Ян Вэнь-чжи (在鹽的水溶液中非電解質的活度係數的研究. I. 鉅絡鹽對於正戊酸在水中溶解度的影響. 黃子卿, 楊文治), 化學世界, Хуасюэ сюэбао, Acta chim. sinica, 1956, 22, № 1, 69—79 (кит.; рез. англ.)

Для объяснения высаливающего действия больших ионов на водн. р-ры неэлектролитов предложен механизм, основанный на взаимодействии, связанном с дисперсионными силами Ван-дер-Ваальса. Рассмотрены случаи ионов симметричного и несимметричного строения. Для проверки этого механизма измерена растворимость *n*-валерьяновой к-ты (I) при 25° в водн. р-рах пяти аммиаков Со. Все они высаливают I. Для каждой конц-ии соли (c_s) рассчитан коэфф. активности I f, определяемый отношением растворимости в чистой воде S₀ к растворимости в солевом р-ре S. Для пяти солей, в согласии с теориями Дебая и Мак-Элая, f и 1/f меняются линейно с c_s. Объяснено отсутствие солюбилизации I. И. С.

77678. Активность ионов. Траутманн, Амбар (De l'activité des ions. Trautmann Simone, Ambard Léon), J. chim. phys. et phys.-chim. biol., 1956, 53, № 4, 389—392 (франц.)

Измерена скорость гидролиза сахарозы в р-рах HCl в присутствии электролитов и глицерина. Показано, что скорость гидролиза пропорциональна конц-ии сахарозы. При прибавлении глицерина она возрастает за счет того, что часть объема р-ра занята глицерином, при этом растет конц-ия H⁺. В присутствии 3,5 н. KCl, NaCl, LiCl гидролиз ускоряется, соответственно, в 3,32; 3,85; 4,83 раза, что указывает на увеличение активности ионов H⁺. Авторы считают, что повышение активности H⁺ в присутствии электролитов вызывается его дегидратацией ионами соли. Чем меньше гидратация иона, тем больше его подвижность и активность, что доказывается и опытами по ультрафильтрации р-ров NaCl. И. С.

77679. Распределение низкомолекулярных ионов в многозарядном электролите. 2. Иман, Осава (多電荷球狀電解質のまわりの低分子イオン分布. 2. 今井宣久, 大澤文夫), 物性論研究, Буссэйрон кэнкю, 1953, № 59, 99—121 (япон.)

77680. Термодинамика образования ионных пар в некоторых неводных растворителях. Штерн, Мартелл (Thermodynamics of ion pair formation in some non-aqueous solvents. Stern Kurt H., Martell Arthur E.), J. Amer. Chem. Soc., 1955, 77, № 7, 1983—1986 (англ.)

Измерены электропроводности разб. р-ров пикратов тетраметил-(I), тетраэтил-(II), тетрапропил-(III), тетрабутил-(IV), тетраамиламмония (V) в этиленхлориде (VI), р-р-в IV в пропиленхлориде (VII) и р-р-в (IV) в этиленхлориде (VIII) при 5,69, 25 и 35,0. При помощи функций электропроводности Шедловского (Shedlovsky T., J. Franklin Inst., 1938, 735) рассчитаны эквивалентные электропроводности при бесконечном разбавлении (λ_0) и константы диссоциации ионных пар (K). Найдены стандартные изобарные потенциалы (ΔF°), теплосодержания (ΔH°) и энтропии диссоциации (ΔS°) ионных пар. λ_0 в ом⁻¹. см² для р-ров I, II, III, IV, V и VI соответственно равны: при 5,69°: 53,0; 51,0; 46,2; 42,9; 38,4; при 25° 73,81; 69,44; 62,66; 57,40; 54,50. $K \cdot 10^4$ для р-ров I, II, III, IV, V, в VI соответственно равны: при 5,69° 0,508; 2,33; 2,90; 3,01; 3,07; при 25° 0,32; 1,59; 1,94; 2,26; 2,38. ΔH° ккал/моль для р-ров I, II, III, IV, V в VI соответственно равны: —5,66; 3,31; 3,39; 2,35; 2,30; для р-ра IV в VII —1,80; для р-ра IV в VIII —2,96. ΔS° (энтр. ед.) для р-ров I, II, III, IV, V в VI соответственно равны: —40; 28; 28; 25; 24; для р-ра IV в VII 21—27; для р-ра IV в VIII —30. По мнению автора, ΔS° одной и той же соли в разных р-рителях зависит только от величин d/dT (1/D), где D — диэлектрич. постоянная. Особенности влияния природы р-рителя на величины ΔH°

какой-либо соли авторы связывают с различием в устойчивости сольватированных ионных пар и ионов. При $\Delta H^\circ > 0$ сольватированные ионные пары более устойчивы, чем сольватированные ионы, а при $\Delta H^\circ < 0$ наоборот. Для р-рителей с одинаковым значением d/dT (1/Д) различия в размере диссоциации ионных пар обусловлены различиями величин ΔH° .

77681. Электропроводность растворов с «большой» молекулой растворителя. Часть I. Растворы пикрата тетраэтиламмония в некоторых эфирах фталевой кислоты. Френч, Сингер (The conductivity of solutions in which the solvent molecule is «large». Part I. Solutions of tetraethylammonium picrate in some phthalate esters. French C. M., Singer N.), J. Chem. Soc., 1956, June, 1424—1429 (англ.)

Измерена электропроводность р-ров пикрата тетраэтиламмония в ряде диалкилфталатов $C_6H_4(COR)_2$, где $R-CH_3$ (I), C_2H_5 (II), C_4H_9 (III), C_6H_{11} (IV), $CH_2CH(C_2H_5)C_4H_9$ (V), C_6H_{13} (VI), при 25, 35 и 45°. Во всех случаях форма кривых $\lambda - \sqrt{C}$ (λ — эквивалентная электропроводность, C — конц-ия в М) может быть полностью объяснена образованием ионных пар в разб. р-рах и тройных ионов в более конц. р-рах. С уменьшением диэлектрич. постоянной р-рителя наклон линейных графиков $\lg \lambda - \lg C$ уменьшается до предельного значения $-1/2$. Для I—VI предельные эквивалентные электропроводности при 25° равны соответственно 5,05; 6,52; 5,92; 2,08; 0,276; 0,117 $cm^{-1} cm^2$. Произведение предельной электропроводности на вязкость $\lambda_0 \eta$ уменьшается с увеличением размера молекулы р-рителя; для р-рителей с большими молекулами $\lambda_0 \eta$ растет с увеличением т-ры. Уменьшение $\lambda_0 \eta$ в ряду I—VI объясняется увеличением сольватации ионов, связанным с уменьшением энергии взаимодействия молекул р-рителя между собой. С ростом т-ры сольватация уменьшается и $\lambda_0 \eta$ растет. Рассчитаны значения константы равновесия K образования пар. Величины K уменьшаются с увеличением алкильного радикала медленнее, чем это можно ожидать по падению диэлектрич. постоянной, что связано с ростом радиуса ионных пар a от 5,86 (I) до $7,62 \cdot 10^{-8}$ см (VI) при 25°. При 45° a равен 5,65 для I и $7,21 \cdot 10^{-8}$ см для VI.

77682. Электропроводность некоторых электролитов в 1-пропанол при 25°. Говер, Серс (Conductances of some electrolytes in 1-propanol at 25°. Gover Thomas A., Sears Paul G.), J. Phys. Chem., 1956, 60, № 3, 330—332 (англ.)

Определена эквивалентная электропроводность λ $NaSCN$, $KSCN$, NaI , KI , $(C_2H_5)_4NBr$, $(C_2H_5)_4NI$, $(C_6H_7)_4NBr$, $(C_6H_7)_4NI$ в $8-300 \cdot 10^{-5}$ н. 1-пропаноловых р-рах. Графич. методом Фуосса — Шедловского (Fuoss R. M., Shedlovsky T., J. Amer. Chem. Soc., 1949, 71, 1496) определены значения λ_∞ и константы диссоциации изученных солей (лежащие в пределах $1,7-5,3 \cdot 10^{-2}$). Показано, что р-ры электролитов в 1-пропанол подчиняются закону Кольрауша о независимой подвижности ионов и не являются исключением в ряду других спирт. р-ров, вопреки утверждению Говорка и Симмса (Hovorka F., Simms J. C., J. Amer. Chem. Soc., 1937, 59, 92).

77683. Числа переноса катионов в растворах некоторых солей кадмия и таллия. Брек (The cation transport numbers of certain cadmium and thallous solutions. Breck W. G.), Trans. Faraday Soc., 1956, 52, № 2, 247—250 (англ.)

Числа переноса Cd^{2+} определены методом э. д. с. в 0,01, 0,0333, 0,1, 0,333, 1,0 и 2,06 М р-рах $CdSO_4$ и соответственно равны 0,397, 0,388, 0,358, 0,309, 0,244 и 0,172. Эти результаты хорошо согласуются с данными Яна (Jahn, Z. phys. Chem., 1907, 58, 649) и Кинга (РЖХим, 1955, 23343). Числа переноса Tl^+ при 25° определены ме-

тодом движущейся границы в р-рах $TiClO_4$, $TiNO_3$, $TiCH_3COO$, TiF и Ti_2SO_4 . Полученные величины мало зависят от конц-ии и в 0,1 М р-рах указанных солей равны соответственно 0,533, 0,519, 0,656, 0,481 и 0,468.

77684. Дезоксирибонуклеиновые кислоты. Часть VII. Проверка кривых титрования дезоксирибонуклеата натрия. Часть VIII. Влияние концентрации и ионной силы на электрометрическое титрование дезоксирибонуклеата натрия. Джордан, Матисон, Матти (Deoxypentose nucleic acids. Part VII. A re-examination of the titration curves of sodium deoxyribonucleate. Part VIII. The influence of concentration and ionic strength on the electrometric titration of sodium deoxyribonucleate. Jordan D. O., Mathieson A. R., Matty Sheila), J. Chem. Soc., 1956, Jan., 154—157; 158—163 (англ.)

VII. Препарат дезоксирибонуклеата натрия (I) с мол. в. $7,9 \cdot 10^5$, содержащий 15,7% N и 8,8% P, титровали по водородному индикаторному электроду 0,05 н. р-рами HCl или $NaOH$. На основании ранее опубликованных данных (Wyatt, Biochem. J., 1951, 48, 584) принято, что на 4 атома P в I приходится 1,13 моля аденина (II), 0,86 гуанина (III), 0,85 цитозина (IV) и 1,11 тимина. В согласии с известными данными (Lee, Peacocke, J. Chem. Soc., 1951, 2361), кривые обратного титрования (OT) I щелочью и к-той не совпадают. Кривые прямого титрования (ПТ) и OT не совпадают, что авторы объясняют образованием водородных связей (ВС) между амино- и карбонильной группами оснований, необратимо разрушающихся к-той или щелочью. Аминогруппы III не принимают участия в образовании ВС и потому значения отрицательного логарифма кажущейся константы титрования (pG'), вычисленные по кривым ПТ и OT, почти совпадают и соответственно равны 2,50 и 2,40. Для II и IV при ПТ $pG' = 4,40$. При OT значения pG' для II и IV составляют соответственно 3,65 и 4,85. Наличие ВС сглаживает это различие pG' , так как в обоих случаях образуются сходные восьмичленные структуры.

VIII. Кривые ПТ и OT I, экстраполированные к нулевой конц-ии I ($C = 0$) и $\mu = 0$, не совпадают. При $C = 0$ и $\mu = 0$ значение pG' (см. выше) равно величине отрицательного логарифма термодинамич. константы диссоциации оснований, которая для III, II, IV соответственно равна 3,45; 4,25 и 5,25. Возрастание конц-ии I и увеличение μ приводит к значительному уменьшению pG' . μ не влияет на величину петли гистерезиса кривых ПТ и OT 0,25%-ного р-ра I в шел. области (pH 10—12). В слабосильных р-рах (pH 4—7) величина гистерезисной петли между кривыми ПТ и OT линейно возрастает с конц-ией I. Следовательно, μ и конц-ия I в одинаковой степени влияют на кривые ПТ и OT. На основании этого авторы объясняют гистерезис не электростатич. или межмолекулярным взаимодействием, а образованием внутримолекулярных водородных связей. Число положительных зарядов нуклеат-иона и величина его эффективного отрицательного заряда, вычисленные по экстраполированным к $\mu = 0$ и $C = 0$ кривым титрования, в широких пределах изменяются с pH р-ра. Возрастание конц-ии I и μ р-ра вызывает увеличение эффективного отрицательного заряда нуклеат-иона. Часть VI см. J. Chem. Soc., 1949, 1413.

77685. Изучение с помощью спектров комбинационного рассеяния растворов нитрата, бромата и хлорида цинка и их растворов в присутствии избытка галогенид-иона. Доказательство наличия неионизированных молекул ZnX_2 и ионов ZnX_4^{2-} . Дельвольт (Étude au moyen de l'effet Raman de la constitution des solutions d'iodure de bromure et de chlorure de zinc dissous seuls ou en présence d'ions halogènes. Mise en évidence des molécules non ionisées ZnX_2 et des ions ZnX_4^{2-} . De l-

waulle Marie-Louise), C. r. Acad. sci., 1955, 240, № 22, 2132—2134 (франц.)

В спектре комб. расс. водн. р-ров ZnJ_2 (I), ZnBr_2 (II) и ZnCl_2 (III) наблюдаются частоты 163, 208 и 305 см^{-1} , указывающие на присутствие линейных молекул. Для концентрированного р-ра II обнаружены очень поляризованные частоты 172, 184 и 208 см^{-1} , подтверждающие существование двух комплексов. В присутствии избытка галогенид-ионов в спектрах комб. расс. I и II обнаружены четыре пика (один из них поляризован), что аналогично спектру для SnBr_4 ; для III пики менее интенсивны. Для всех трех галогенидов автор предполагает существование комплексов ZnX_4^{2-} , имеющих тетраэдрич. структуру. И. Л.

77686. Спектрофотометрическое изучение констант гидролиза отрицательных ионов некоторых арилимидазолов. Уолба, Айзенс (Spectrophotometric study of the hydrolysis constants of the negative ions of some aryl imidazoles. Walba Harold, Isensee Robert W.), J. Amer. Chem. Soc., 1955, 77, № 21, 5488—5492 (англ.)

Спектрофотометрическим методом изучено равновесие гидролиза $\text{R}^- + \text{HON} = \text{HR} + \text{OH}^-$, где HR — к-та и R^- — сопряженное основание, в р-рах ряда арилимидазолов: 2-фенилбензимидазола (I), 2,4 (или 2,5)-дифенил-имидазола (II), бензимидазола (III), 2-фенилимидазола (IV), 4 (или 5)-фенилимидазола (V). Сравнение спектров поглощения арилимидазолов и соответствующих ионов показывает, что потеря протона приводит к bathochromismu эффекту, а приобретение — к гипсохромному. Методом, учитывающим bathochromный эффект среды, рассчитаны константы гидролиза $K_h = c_{\text{OH}^-} / (c_{\text{HR}} / c_{\text{R}^-})$. При ионной силе $I = 0,5$ для I—V $\text{p}K_h$ равны соответственно 2,022; 1,401; 1,151; 0,623; 0,518. При постоянной I изменение относительных кол-в NaOH и NaCl в р-ре не влияет на K_h . При увеличении конц-ии NaCl в р-ре $\text{p}K_h$ уменьшается линейно с $I^{1/2}$. Для I $\text{p}K_h = -0,10 \cdot I^{1/2} + 2,095$. Для III рассчитано значение $\text{p}K_a = 12,57$, где K_a — константа кислотности. Авторы объясняют различие в кислотности изученных соединений с позиций теории резонанса. И. С.

77687. Классификация уравнений вязкости. Неринг (Zur Klassifikation der Viskositätsgleichungen. Nering O.), Plaste und Kautschuk, 1955, 2, № 8, 180—181 (нем.)

Ур-ния функциональной зависимости между относительной вязкостью р-ров и конц-ией растворенного в-ва, имеющиеся в литературе, разбиты автором на 3 группы: на ур-ния с линейной, гиперболической и показательной функциями. Все эти ур-ния, как показано на примерах, представляют собой лишь приближенное решение. Е. Х.

77688. Изучение плотности и вязкости некоторых растворов электролитов. I. Система $\text{KNO}_3 - \text{Pb}(\text{NO}_3)_2 - \text{H}_2\text{O}$. II. Система $\text{Pb}(\text{NO}_3)_2 - \text{NaNO}_3 - \text{H}_2\text{O}$. Габее (Studii asupra densităților și coeficienților de viscozitate în unele sisteme de soluții de electroliti. I. Sistemul $\text{KNO}_3 - \text{Pb}(\text{NO}_3)_2 - \text{H}_2\text{O}$. II. Sistemul $\text{Pb}(\text{NO}_3)_2 - \text{NaNO}_3 - \text{H}_2\text{O}$. Gabe Julian), Studi și cercetări științ. Acad. RPR. Fil. Iași, 1955, 6, № 3-4, 329—345 (рум.; рез. русс., франц.)

I. Исследованы плотность и вязкость систем $\text{KNO}_3 - \text{H}_2\text{O}$, $\text{Pb}(\text{NO}_3)_2 - \text{H}_2\text{O}$, $\text{KNO}_3 - \text{Pb}(\text{NO}_3)_2 - \text{H}_2\text{O}$ (I) при 20° . Обсуждена применимость ур-ния $I \eta^{-1/2} = \text{const}$, где I — интенсивность предельного тока, η — вязкость к системе (I) в случае конц. р-ров. Характер зависимости вязкости от конц-ии компонентов подтверждает наличие в р-рах комплексного иона. Полученный вывод хорошо согласуется с полярографич., потенциометрич. и спектрофотометрич. данными.

II. Исследована вязкость системы $\text{Pb}(\text{NO}_3)_2 - \text{NaNO}_3 -$

H_2O и влияние конц-ии компонентов и т-ры. Обсуждена применимость предельного закона Джонса и Дола. Отклонения от предельного закона обусловлены изменением структуры системы и зависят от конц-ии компонентов.

М. С.

77689. Исследование плотности смеси нормального пропилового спирта с водой в зависимости от температуры и концентрации. Эмирасланов (Нормал пропиол спирти илэ су гарышыгынын концентрация ва температурадан асылы оларат сыхлыгынын өйренилмеси. Эмирасланов А. М.), Азэрб. дөвлэт. пед. инст. эсэрлэри, Тр. Азэрб. гос. пед. ин-та, 1955, 2, 81—88 (азерб.)

77690. Электролитические свойства водных растворов полиэлектролитов. Уолл, Доримус (Electrolytic properties of aqueous solutions of polymeric electrolytes. Wall Frederick T., Doremus Robert H.), J. Amer. Chem. Soc., 1954, 76, № 6, 1557—1560 (англ.)

Измерены электропроводность и числа переноса р-ров полнакриловой к-ты, частично нейтрализованной NaOH . Найдено, что кол-во ионов Na^+ , связанных с ионом полимера, подвижность ионов полимера и числа переноса полиионов уменьшаются с ростом конц-ии полимера. Обнаружено, что кол-во связанного Na остается постоянным в широком интервале т-р ($0^\circ - 42^\circ$). Доля связанного катиона и подвижность полииона не изменяются при замене иона Na^+ на ион K^+ . Из эксперим. данных по числам переноса следует, что на скорость обмена несвязанного катиона мало влияет изменение степени нейтр-ции, конц-ия полимера, природа одновалентного катиона, тип полииона и т-ра р-ра. М. С.

77691 Д. Определение дифференциальных коэффициентов диффузии. Уэндт (Determination of differential diffusion coefficients. Wendt Robert Charles. Doct. diss., Univ. Illinois.), Dissert. Abstrs, 1955, 15, № 11, 2036 (англ.)

77692 Д. Изучение ансолювоксидов в аммиаке. Эйдлинг (Zur Kenntnis von Ansolvoxyden im Ammoniumsystem. Das Verhalten v. Estern d. Orthovanadin- und Dikiesels ure im Amminsystem. Eiding Dieter. Diss., Math.-naturwiss. F., Bonn, 1954, Maschinenschr.). Dtsch. Nationalbibliogr., 1955, B, № 19, 1366 (нем.)

См. также: Растворимость 77533, 77557, 77558, 77566. Диффузия 77545, 77561. Структура р-ров 77325, 77333, 77334, 77516, 77601, 77806. Кислотно-основные равновесия 77605, 77606. Др. вопр. 77562, 77563, 77590

ЭЛЕКТРОХИМИЯ

77693. Электрохимические исследования в Индии в 1955г. Сринивасан (Electrochemical research in India — 1955. Srinivasan N. R.), Chem. Age, 1956, 74, № 1927, 1317—1319 (англ.)

Обзор. Библ. 28 назв.

М. П.

77694. Об изменении ионной электропроводности жидких химических индивидуальных и систем с температурой. Клочко М. А., Ж. общ. химии, 1956, 26, № 4, 1010—1021. Рассмотрены причины изменения уд. электропроводности (κ) жидких индивидуальных в-в и систем с т-рой (Т). Указано, что важнейшим фактором, обуславливающим, наряду с вязкостью (η) и плотностью (d), изменение κ всех без исключения жидких электролитов с т-рой, является изменение интенсивности теплового движения ионов. Увеличение интенсивности теплового движения ионов с ростом Т уменьшает κ вследствие торможения движения ионов в направлении электродов. Предложено ур-ние: $\kappa_2 = \kappa_1 T_1^{-1} \eta_1 d_1 / T_2^{-1} \eta_2 d_1$ (1), позволяющее вычис-

лить x_2 при T_2 , если известны x_1 , η_1 и d_1 при T_1 и η_2 и d_2 при T_2 . Путем сопоставления теоретич. и эксперим. данных показано, что отрицательный температурный коэфф. (dx/dT) является для электролитов не случайным, а характерным признаком и проявляется в тех областях T -ры и конц-ий, где изменение η с T невелико. При расширении интервала исследований в сторону высоких T , отрицательный dx/dT может проявиться у любых электролитов, в частности в солевых расплавах. Автор предлагает пользоваться делением всех электролитов на автоллиты, проводящие в индивидуальном жидком состоянии, и в p -рах, и гетеролиты, которые образуют проводящие p -ры из непроводящих компонентов (Bousfield W. R., Lowry T. M., Phil. Trans., Serie A., 1905, 204, 253). В отличие от автоллитов гетеролиты изменяют степень электролитич. или термич. диссоциации образуемых ими с p -рителем (или другими компонентами системы) проводящих соединений при изменении T . Это изменение может быть приближенно учтено по отклонению x , рассчитанных по ур-нию 1, от опытных данных. И. З.

77695. Электропроводность тройных систем, состоящих из аминов, уксусной кислоты и воды. Мискиджьян С. П., Волина И. А., Ж. общ. химии, 1956, 26, № 4, 1041—1045

Измерялась уд. электропроводность κ p -ров тройных систем: хинолин — CH_3COOH (I) — вода, анилин — I — вода и пиридин — I — вода в зависимости от содержания воды при 20°. Соотношение между двумя первыми компонентами не менялось и отвечало составам соединений, установленных в двойных системах методами физ.-хим. анализа. При увеличении содержания воды κ растет, достигает максим. значения при 95 мол. % воды и затем резко снижается. κ p -ров тройных систем всегда больше κ p -ров двойных систем, образованных из аминов и I или из I и воды. Возрастание κ объясняется независимой ионизацией I в воде и комплексного соединения, образованного амином и I. Б. М.

77696. Потенциал 3,5 н. каломельного электрода при температурах от 40 до 90°. Штрафельда, Полей (Potenciál 3,5 N kalomelové elektrody od 40 do 90° C. Štráfelda František, Polej Bohumil), Chem. listy, 1956, 50, № 2, 185—189 (чеш.)

Измерен потенциал (П) 3,5 н. каломельного электрода при T -рах 40—90° с интервалом 5° при помощи элемента $\text{Pt}(\text{H}_2)|\text{HCl}(0,01 \text{ M})||\text{KCl}(3,5 \text{ н.}) \text{ Hg}_2\text{Cl}_2, \text{Hg}$. Оба электрода находились при одинаковой T -ре. П 3,5 н. каломельного электрода при всех T -рах быстрее устанавливается, чем П насыщ. к. э. Воспроизводимость П $\sim 0,1$ — $0,2$ мВ. Температурная зависимость П, начиная с 45°, практически линейна и температурный коэфф. равен 0,48 мВ/град. L. Matoušek

77697. Стандартный потенциал хлорсеребряного электрода при температурах от 60 до 90°. Штрафельда (Standardní potenciál chloridostříbrné elektrody od 60 do 90° C. Štráfelda František), Chem. listy, 1956, 50, № 2, 190—195 (чеш.)

Описан водородный электрод с автоматич. замкнутой циркуляцией газа. При помощи этого электрода определен стандартный потенциал E° хлорсеребряного электрода с точностью до $\pm 5 \cdot 10^{-5}$ в в интервале 60—90°: $E^\circ = 0,19635 - 8,1858 \cdot 10^{-4} (t - 60) - 3,1144 \cdot 10^{-6} (t - 60)^2 + 7,824 \cdot 10^{-9} (t - 60)^3$. L. Matoušek

77698. Электродвижущие силы термоцепей с расплавленными солями. Марков Б. Ф., Докл. АН СССР, 1956, 108, № 1, 115—117

Измерены электродвижущие силы E термоцепей с расплавленными галогенидами Ag как в индивидуальном состоянии, так и в смеси с галогенидами щел. металлов. Термокачка состояла из двух сосудов, соединенных узкой трубкой и находящихся при разных T -рах. В сосуды

помещался расплав, два шариковых Ag-электрода и термодары. В хорошем приближении E изменяется линейно с разностью T -р электродов. Найдены следующие значения dE/dT (мВ/град): AgJ 0,505; AgBr 0,456; AgCl 0,420; AgCl-LiCl (50 мол. %) 0,424; AgCl-KCl (эвт.) 0,383; AgCl-CsCl (50 мол. %) 0,356. По методу Вагнера (Wagner C., Ann. Phys., 1929, 3, 629) значения dE/dT расчленины на две составляющие — гетерог. и гомог. термоэлектрич. эффекты. Гомог. эффект изменяется в той же последовательности, как для твердых галогенидов Ag, что указывает, по мнению автора, на одинаковый тип проводимости в обоих случаях. Б. М.

77699. Мембранные электроды из глины для измерения активности ионов цинка, марганца и кобальта. Митра, Чаттерджи (Clay membrane electrodes for the measurement of zinc, manganese and cobalt ion activities. Mitra D. K., Chatterjee B.), J. Indian Chem. Soc., 1955, 32, № 11, 751—753 (англ.)

Измерена э. д. с. цепей, состоящих из находящихся между двумя насыщ. к. э. p -ров солей изучаемых металлов известной и неизвестной активностей (a), разделенных мембраной из глины, проницаемой только для катионов. При $a = 0,0001$ — $0,0081$ для Cu^{2+} , Mn^{2+} и Co^{2+} и при $a = 0,0001$ — $0,0243$ для Zn^{2+} эксперим. значения a близки к рассчитанным по ур-нию Нернста. А. Г.

77700. Измерение активности ионов бромидов и нитратов в растворах электролитов при помощи мембранных электродов из смолы. Басу (Measurement of bromide and nitrate ion activity in electrolytic solutions with resin-membrane electrodes. Basu A. S.), Sci. and Culture, 1956, 21, № 8, 447 (англ.)

В продолжение работ (РЖХим, 1955, 5340, 34126) при помощи мембранных электродов из синтетич. анионитов ионак 300 (I) и IR-4B (II) измерены активности ионов NO_3^- (конц-ии 0,001—0,01 М) и Br^- (конц-ии 0,001—0,1 М). Показано, что для II совпадение эксперим. значений э. д. с. с теоретич. лучше, чем для I. А. Г.

77701. Потенциометрическое определение pH. Зейдлер (Die potentiometrische Bestimmung des pH-Wertes. Seidler Helmut), Chem. Labor und Betrieb, 1956, 7, № 6, 237—246 (нем.)

Обзор. Предыдущее сообщение см. РЖХим, 1956, 67990. М. П.

77702. О щелочных ошибках стеклянного электрода. Ландквист (On the alkaline error of the glass electrode. Landqvist Nils), Acta chem. scand., 1955, 9, № 4, 595—612 (англ.)

Сделана попытка объяснить поведение стеклянных электродов (СЭ) в щел. p -рах на основе представлений об ионообменной адсорбции. При выводе основного ур-ния учитывается зависимость энергии адсорбции ионов в стекле от степени ионообменного замещения. После ряда преобразований и приближений выведенное ур-ние приводится к известной эмпирич. ф-ле, выражающей зависимость потенциала СЭ от состава p -ра. Эксперим. данные автора для буферных p -ров pH 9—11,5 и для конц-ий ионов Na^+ 0,10—4,00 н. и ионов Li^+ 0,1—1,0 н. при 10, 25 и 50° хорошо выражаются полученной ф-лой. Описан метод, позволяющий вносить поправку на щел. ошибку СЭ для p -ров с неизвестной активностью ионов Na^+ . М. Ш.

77703. Потенциалы на границе раздела. Штанге (Grenzflächenpotentiale. Stange R.), Wiss. und Fortschr., 1956, 6, № 4, 102—104 (нем.)

Краткий обзор. М. П.

77704. Об измерении поляризационной емкости. Деваи, Береш (Megjegyzések a polarizációs kapacitás méréséhez. Dévay József, Béresné Triznyai Maria), Magyar kém. folyóirat, 1954, 60, № 11, 325—331 (венг.; рез. нем.)

При помощи видеоизмененного метода Эрдей-Груза и Кромпрея (Erdey — Gruz T., Kromprey G. G., Z. phys. Chem.,

1931, 157, 213) проведены измерения поляризационной емкости Hg-электродов в 1 н. KCl при различных плотностях тока и различных частотах импульсов тока прямоугольной формы для области электродных потенциалов более отрицательных, чем потенциал н. к. э. Применявшийся ток характеризовался наличием промежутков без тока между положительными и отрицательными импульсами тока. На основе анализа полученных осциллограмм сделан вывод, что во время периода заряжения не достигается равновесное строение двойного электрич. слоя, и изменения в его внешней обкладке продолжают во время перерыва тока. К. П.

77705. К кинетике очень быстро протекающих адсорбционных процессов на ртутных электродах. Лоренц, Мёккель (Zur Kinetik sehr schnell verlaufender Adsorptionsvorgänge an Quecksilberelektroden. Lorenz W., Mёккель F.), Naturwissenschaften, 1956, 43, № 9, 197 (нем.).

Предварительное сообщение о результатах измерения скорости адсорбции (А) поверхностноактивных в-в (ПАВ) на Hg в случаях, когда А протекает значительно быстрее, чем диффузия ПАВ к поверхности электрода. Исследование проводилось методом измерения импеданса двойного слоя в интервале частот 1—100 кгц. Приводятся данные по скорости А фенола, *n*-бутилового спирта и метилтилкитона из 1 н. KCl. Предложенный метод пригоден для измерения скоростей $A \sim 10^{-8}$ моль/см² сек. Г. Ф.

77706. Электростатическая свободная энергия и другие свойства состояний с необратимой поляризацией. I. Маркус (Electrostatic free energy and other properties of states having nonequilibrium polarization. I. Marcus R. A.), J. Chem. Phys., 1956, 24, № 5, 979—989 (англ.).

Ряд процессов, напр. перенос электронов, окислительно-восстановительные р-ции на электродах, возбуждение электроных уровней у ионов в р-рах и другие, может протекать через такие промежуточные состояния, в которых электролитич. поляризация систем не находится в равновесии с полем присутствующих электрич. зарядов. Напр., при абсорбции света ион, находящийся в р-ре, почти мгновенно переходит в возбужденное состояние, тогда как для ориентации диполей, соответствующей этому состоянию, требуется значительно большее время. Обычные выражения для электростатич. свободной энергии (F_e) не учитывают этих отклонений от равновесия и обладают поэтому ограниченной приложимостью к таким процессам. Автор выводит ур-ния для различных термодинамич. функций систем, находящихся в состояниях с необратимой (неравновесной) поляризацией, а именно для F_e , полной энергии, энтропии и пространственного распределения электростатич. потенциала. Величины F_e , напр., могут быть использованы для расчета вероятности возникновения неравновесных состояний. И. З.

77707. О механизме действия постоянного импульсного тока на растворы электролитов. Товбин М. В., Товбин А. В., Укр. хим. ж., 1956, 22, № 2, 146—152

Исследовался процесс прохождения через электролитич. ячейку с Pt-электродами и различными р-рами электролитов коротких ($\tau = 2-250$ мсек.) прямоугольных импульсов тока при одновременном наложении на ячейку постоянной поляризации, близкой к напряжению разложения соответствующих электролитов. В каждом случае нормальный электролиз идет только при $\tau > \tau_{(мин)}$, причем в 0,05 н. KJ, KBr, KCl, 0,5 н. KJ и 0,02 н. H₂SO₄ значения $\tau_{(мин)}$ практически одинаковы и определяются, согласно авторам, кинетикой разряда ионов H₃O⁺. Величина $\tau_{(мин)}$ уменьшается при увеличении импульсного напряжения (V) в соответствии с эмпирич. ур-нием: $(\tau_{(мин)} - \tau_0)V = k$, где τ_0 и k — константы. Зависимость $\tau_{(мин)}$ от τ -ры (0—45°) хорошо подчиняется

экспоненциальному закону, откуда авторы вычисляют фактич. энергию активации процесса разряда ионов H₃O⁺, оказывающуюся равной 3,8 ккал/г-ион при $V = 0,7$ в. И. З.

77708. Применение электрохимических моделей к решению электрохимических проблем. Пьонтелли, Бьянки, Бертоцци, Ривольта (Modelli elettrochimici applicati alla risoluzione di problemi elettrochimici. Piontelli Roberto, Bianchi Giuseppe, Bertocci Ugo, Rivolta Bruno), Ricerca scient., 1956, 26, № 3, 838—859 (итал.; рез. англ., нем., франц.).

Рассмотрены принципы и примеры применения электрохим. моделей к решению электрохим. проблем: методики измерения перенапряжения, распределения тока в электролитич. ваннах, диффузионных процессов, процессов коррозии. М. П.

77709. О механизме электролитического осаждения металла на пассивированную поверхность. Каданер Л. И., Масик А. Х., Докл. АН СССР, 1956, 107, № 2, 276—279

Изучена электрокристаллизация металла на пассивированной поверхности (ПП) и непассивированной поверхности (НП) Fe и Cu. Показано, что на ПП число кристаллов Sn значительно больше, чем на НП. Путем осциллографич. измерений показано, что при электроосаждении Sn потенциал Fe-образцов с ПП положительнее, чем потенциал образцов с НП, и что в случае ПП происходит задержка возрастания потенциала, особенно при низких плотностях тока, соответствующая, по мнению авторов, процессу восстановления пассивирующей пленки. Потенциал Fe-образцов с ПП, покрытых Zn, более положительнее, чем потенциал образцов с НП, особенно при осаждении Zn из цинкатного электролита. Авторы объясняют это неполным восстановлением окисной пленки при электролизе. Результаты опытов по электроосаждению Cu на Au-электроде, покрытом сульфидной пленкой, содержащей радиоактивный изотоп S³⁵, также свидетельствуют о частичном восстановлении этой пленки при электроосаждении. Отмечается отсутствие текстуры Sn-покрытий и полное сходство рентгенограмм для образцов с ПП и НП, что авторы рассматривают как свидетельство того, что металл не осаждается непосредственно на пассивную пленку, которая должна была бы оказывать ориентирующее влияние на процесс кристаллизации. Высказывается мнение, что пассивирование металла в р-рах окислителей приводит к очистке поверхности от различных пленок органич. происхождения и к более высокой однородности поверхности. Последнее способствует образованию большего числа мелких кристаллов и, следовательно, меньшей пористости и большей сцепляемости осадка с основой. З. С.

77710. О механизме электролитического осаждения металла на пассивированную поверхность. Масик А. Х., Каданер Л. И., Науч. зап. Харьковск. ин-та сов. торговли, 1956, вып. 5 (7), 181—190

Более подробное изложение работы авторов (см. пред. реф.) З. С.

77711. Напряжение разложения азотнокислых растворов серебра и теллура. Медведева З. С., Изв. Сектора физ.-хим. анализа ИОНХ АН СССР, 1956, 27, 150—156

С целью изучения процесса катодного осаждения Ag из водн. р-ров AgNO₃, загрязненных Te, измерены напряжения разложения (НР) 0,1; 1 и 2 н. AgNO₃; тех же р-ров в присутствии 0,8 н. HNO₃; кислых р-ров Te(NO₃)₄ с содержанием Te 10; 1 и 0,1 г/л; р-ров AgNO₃ + Te(NO₃)₄ и 8, 0,8 и 0,08 н. р-ров HNO₃. Из сопоставления изменения НР исследованных р-ров и электродных потенциалов Ag и Te сделан вывод о совместном осаждении Ag и Te из всех изученных р-ров. Показано, что в присутствии Te снижаются НР р-ров AgNO₃ и потенциал катода, что

ведет к совместному осаждению Ag и Te на катоде и к образованию гучатых осадков вследствие загромождения Ag поверхностноактивным Te, размельчающим крупные кристаллы Ag.

77712. Деполаризующее действие меркаптоуксусной кислоты при электроосаждении меди. Сукава, Уинклер (Depolarization by mercaptoacetic acid during electrodeposition of copper. Sukawa A. J., Winkler C. A.), *Canad. J. Chem.*, 1956, **34**, № 2, 128—132 (англ.)

В продолжение работ (РЖХим, 1956, 490, 9457) изучено влияние меркаптоуксусной кислоты (I) на катодную поляризацию (КП) при электроосаждении Cu из кислых р-ров CuSO_4 при 24,5° и $i = 2 \text{ а/дм}^2$. Показано, что I оказывает деполаризующее влияние при всех конц-ях (до 20 мг/л), причем особенно сильное снижение КП происходит при повышении конц-ии I до 5 мг/л. При конц-ии 120 мг/л КП составляет 35 мВ. Введение в р-р, содержащий I, небольшого кол-ва ионов Cl^- вызывает дальнейшее снижение КП. При совместном присутствии I и цистина действие I не меняется. Деполаризующее действие I объяснено уменьшением перенапряжения разряда комплексов ионов Cu^{2+} с I по сравнению с гидратированными ионами Cu^{2+} . Усиление деполаризующего влияния I в присутствии ионов Cl^- , по мнению авторов, связано с образованием и разрядом еще более легко разряжающихся комплексов Cu^{2+} с I и Cl^- . Увеличение деполаризации при продолжительном электролизе трактуется как следствие уменьшения истинной i в результате образования грубых осадков Cu с большей поверхностью.

77713. Анодная поляризация кадмия в растворах едкого натра. Дезидерьева И. П., Тимошенко Н. Е., Уч. зап. Казанск. ун-та, 1956, **116**, № 1, 158—161

С целью исследования механизма пассивации Cd измерялись анодные поляризационные кривые и кривые изменения потенциала (ϕ) Cd во времени (для различных исходных плотностей тока i) в р-рах 1; 2,8; 8 и 14 н. NaOH при 20—50° и $i = 0,2—1,0 \text{ а/дм}^2$. Резкое изменение ϕ в начале измерений свидетельствует о быстром образовании пассивирующей пленки на Cd. На основании анализа вида поляризационных кривых при высоких положительных ϕ для р-ров NaOH различных конц-ий предполагается, что в 1 н. NaOH образуется $\text{Cd}(\text{OH})_2$, в более конц. р-рах первоначально образовавшийся $\text{Cd}(\text{OH})_2$ распадается до CdO , через который, однако, при достаточном высоких i возможно дальнейшее растворение Cd, преобладающее только после вторичного образования слоя $\text{Cd}(\text{OH})_2$, сохраняющегося и после выключения тока.

77714. К вопросу об анодном растворении амальгамы цинка. Лосев В. В., Ж. физ. химии, 1956, **30**, № 6, 1402—1403

В связи с работой, опубликованной ранее (РЖХим, 1956, 18893), показано, что при анодной поляризации амальгамы Zn (200 моль/л) в подкисленном р-ре 0,1 М NaCl в атмосфере N_2 анодный выход Zn по току при $i = 1 \text{ ма/см}^2$ составляет $102,4 \pm 2,2\%$.

77715. Фотоэлектрохимическое исследование оксидированных хрома, никеля и хромоникелевой стали в щелочном растворе. Рабинович И. Б., Веселовский В. И., Ж. физ. химии, 1956, **30**, № 2, 313—320

Исследовалось действие излучения оптич. частот на электрохим. свойства термически оксидированных металлов (ОМ) и неоксидированных металлов (НМ): Cr, Ni и хромоникелевой стали (I) в 0,1 н. NaOH при 15—18°. Измерялись анодные поляризационные кривые, кривые заряжения и кривые спектральной чувствительности фотоэлемента ФЭ. Показано, что на всех исследованных электродах наблюдается ФЭ, причем на ОМ этот эффект выражен значительно сильнее, чем на НМ. Полученные данные согласуются с предположением о сенсibilизационном характере механизма ФЭ, согласно которому

в случае Cr и Ni излучение поглощается толстым слоем окисла, а фотогальванически активными являются потенциалопределяющие комплексы $\text{Cr}^{3+} \cdot \text{Cr}_2\text{O}_3 \cdot n\text{OH}^-$ и $(\text{Ni} \cdot \text{NiO})^{2+} \cdot n\text{OH}^-$. Аналогичные результаты получены для I, причем из близкого совпадения данных для I и Cr следует, что термически образующиеся окисные слои на I близки по составу к соответствующим окислам на оксидируемом Cr.

77716. Электрохимическое поведение (включая перенапряжение водорода) железа в кислых средах. Стерн (The electrochemical behavior, including hydrogen overvoltage, of iron in acid environments. Stern Milton), *J. Electrochem. Soc.*, 1955, **102**, № 11, 609—616 (англ.)

Исследовалась зависимость между электрохим. характеристиками (величина стационарного потенциала ($\phi_{\text{ст.}}$), перенапряжение водорода, анодная поляризуемость) чистого Fe в кислых р-рах и скоростью его коррозии (V) в этих условиях. Основные данные получены в р-рах 4% NaCl, подкисленных HCl, в атмосфере H_2 , в отсутствие перемешивания при pH 1—5 и 25°. Зависимость $\phi_{\text{ст.}}$ от pH выражается прямой с коэфф. наклона 0,0559 в. V практически не зависит от pH в интервале pH 1—4. Для р-ров с pH < 3, в которых выделение H_2 не осложняется концентрационной поляризацией, эксперим. значения V удовлетворительно совпадают с вычисленными по результатам поляризационных измерений. Показано, что, вследствие наложения концентрационной поляризации по отношению к ионам водорода, катодные поляризационные кривые имеют перегибы, лежащие при тем более высокой плотности тока i , чем ниже pH. При потенциалах, лежащих отрицательнее этих перегибов, зависимость (ϕ , $\lg i$) для р-ров с различными исходными pH выражается уравнением $\phi = -0,670 - 0,174 \lg i$ (i — в $\mu \text{ а/см}^2$), отвечающим выделению H_2 за счет разряда молекул H_2O . Катодные кривые (ϕ , $\lg i$) сняты также в 0,1 М р-рах лимонной и маленовой к-т. Между анодными поляризационными кривыми, снятыми в прямом и обратном направлениях, наблюдается заметный гистерезис.

77717. Влияние добавок легирующих элементов к железу на перенапряжение водорода и скорость коррозии в кислых средах. Стерн (The effect of alloying elements in iron on hydrogen overvoltage and corrosion rate in acid environments. Stern Milton), *J. Electrochem. Soc.*, 1955, **102**, № 12, 663—668 (англ.)

Исследовалось влияние добавок S (0,02%), P (0,017%), C (0,11%), Cu (0,11%), Mn (0,11%) и Si (0,08%), а также некоторых сочетаний этих элементов (0,11% Mn + 0,032% S, 0,08% Cu + 0,022% S, 0,10% Cu + 0,028% P) к чистому Fe на скорость коррозии (V) и перенапряжение водорода в описанных ранее условиях (см. пред. реф.). Установлено, что введение S и P заметно увеличивает V, однако в присутствии Cu и Mn ускоряющее действие S на процесс растворения Fe проявляется значительно слабее. Для 0,1 М р-ра маленовой к-ты значение V меньше, чем для других исследованных р-ров с близкими величинами pH. В отличие от чистого Fe для сплавов V в 4% NaCl заметно повышается с понижением pH. Эксперим. значения V удовлетворительно совпадают с вычисленными из данных о перенапряжении водорода и величии стационарного потенциала. Результаты поляризационных измерений показывают, что изменение V с природой вводимой добавки может вызываться не только соответствующим изменением постоянных, характеризующих перенапряжение водорода, но и постоянных, характеризующих перенапряжение анодной р-ции. Показано, что характер коррозионного разрушения зависит от природы вводимой добавки: так, образцы, содержащие S, корродируют с образованием питтингов; в присутствии S наблюдается как межкристаллитная коррозия, так и образование питтин-

гов по центрам граней кристаллов; образцы, которые наряду с S содержали также Mn, склонны к питтинговой коррозии во всех р-рах, за исключением р-ра малеиновой к-ты.

Я. К.

77718. Растворение металлов в кислых водных растворах.

I. Соотношения между током и потенциалом для железа и мягкой стали. Макриде, Комодромос, Хаккерман (Dissolution of metals in aqueous acid solutions. I. Current-potential relations for iron and mild steel. Makrides A. C., Komodromos N. M., Hackerman Norman, J. Electrochem. Soc., 1955, 102, № 7, 363—369 (англ.))

Измерены скорости растворения (V) и потенциалы (E) чистого железа (99,92—99,96% Fe) и мягкой стали в р-рах HCl (0,5—4,0 н.), а также в 2,0 н. HCl с добавками $Ce(SO_4)_2$, $FeCl_3$ и $K_2Cr_2O_7$. В чистых р-рах HCl в атмосфере N_2 зависимость V от активности (a) к-ты выражается прямой с коэффициентом наклона $7,3 \cdot 10^{-2}$ μ экв/см² мин; вращение образца (2180 об/мин) уменьшает коэф. наклона до $6,9 \cdot 10^{-2}$ μ экв/см² мин. Сходные результаты получены также с образцами из мягкой стали, для которых V на 35% превосходила V Fe. Для Fe зависимость величины E , измеренной через 15 мин. после погружения образца в р-р, от a (в интервале a 1—10) выражается ур-нием $E = -0,45 + 0,047 \lg a$ (E — относительно насыщ. к. э.). Для тех же р-ров зависимость V Fe, выраженной в электр. единицах (i в ма/см²), от E выражается ур-нием $E = -0,415 + 0,054 \lg i$ (для скорости вращения 2180 об/мин). В р-рах, содержащих деполаризаторы, в которых растворение образца за счет выделения H_2 составляло от 5 до 15% общей скорости растворения, зависимость V от конц-ии деполаризатора, при постоянной скорости перемешивания, также является линейной. Как и в чистых р-рах HCl, зависимость E от $\lg i$ является линейной, причем положение этой прямой практически не зависит от природы деполаризатора: $E = -0,44 + 0,010 \lg i$ (при 2180 об/мин). Предполагая, что растворение металла является результатом сопряженного протекания на его поверхности катодной и анодной р-ций, авторы делают вывод, что эти ур-ния могут быть использованы для приближенной характеристики хода анодной поляризационной кривой.

Я. К.

77719. Истолкование значения потенциалов пассивного железа. Прайор (An interpretation of the significance of the potentials of passive iron. P. уог M. J., J. Electrochem. Soc., 1955, 102, № 4, 163—169 (англ.))

Измерены стационарные потенциалы ($\varphi_{(ст.)}$) Fe-электрода в 0,1 н. р-рах различных анодных ингибиторов (И) коррозии Fe в широкой области pH. Показано, что по поведению $\varphi_{(ст.)}$ исследованные И могут быть разделены на два класса. В р-рах $NaNO_3$, Na_2MoO_4 , C_6H_5COONa , CH_3COONa , Na_2WO_4 , Na_2CrO_4 , Na_2CO_3 и NaOH, которые при взаимодействии с ионами Fe^{2+} и O_2 образуют гидратированные окислы Fe, $\varphi_{(ст.)}$ смещается в отрицательную сторону с увеличением pH и конц-ии И. В р-рах И, которые при взаимодействии с ионами Fe^{2+} и O_2 образуют фосфаты 2- или 3-валентного Fe, повышение pH сопровождается смещением $\varphi_{(ст.)}$ в положительную сторону. По абс. величине эффекты, наблюдаемые в р-рах И 1-го класса, значительно превосходят эффекты, наблюдаемые в р-рах И 2-го класса, для тех же интервалов pH. Образцы, предварительно обработанные р-ром HCl, имеют более отрицательные значения $\varphi_{(ст.)}$ по сравнению с образцами, обработка которых ограничивалась предварительной шлифовкой. Добавление хлорида к р-рам Na_2HPO_4 и NaOH также сопровождается сдвигом $\varphi_{(ст.)}$ в отрицательную сторону, причем эти эффекты делаются более заметными с повышением pH. На примере 0,1 н. р-ра NaOH

показано, что повышение конц-ии растворенного O_2 сопровождается смещением $\varphi_{(ст.)}$ в положительную сторону. Полученные результаты истолкованы на основании теории, согласно которой действие анодных И связано с образованием поверхностных окисных пленок.

Я. К.

77720. Механизм замедления коррозии с помощью пертехнеат-иона. II. Обратимость механизма замедления. III. Изучение перренат-иона. Картледж (The mechanism of the inhibition of corrosion by the pertechnetate ion. II. The reversibility of the inhibiting mechanism. III. Studies on the perrenate ion. Cartledge G. H., J. Phys. Chem., 1956, 60, № 1, 28—32, 32—36 (англ.))

II. Исследовалась обратимость процесса замедления коррозии (ПЗК) Fe и стали под действием иона TcO_4^- в р-рах, насыщенных воздухом. Для этого изучалось влияние добавок Na_2SO_4 (I) и $KReO_4$ (II) на скорость коррозии углеродистой стали в р-рах, содержащих $KTcO_4$ (III), при 100 и 23°. Найдено, что добавки I и II нарушают ПЗК ионом TcO_4^- , причем это нарушение для I выражено значительно сильнее, чем для II. Показано, что прибавление I или II к р-ру III приводит к сдвигу потенциала E электролитического Fe в отрицательную сторону. Последующая замена смеси III и I (или II) на р-р III без добавок вызывает возвращение E к исходному значению. Миним. конц-ия I, обеспечивающая заметный сдвиг E , ниже, чем соответствующая конц-ия II. Замена воздуха на N_2 также вызывает сдвиг E в отрицательную сторону, причем последующее насыщение р-ра воздухом уничтожает этот эффект. Увеличение конц-ии III вызывает сдвиг E в положительную, а уменьшение — в отрицательную сторону. Обратимость ПЗК Fe ионом TcO_4^- доказана также на примере добавки $CuSO_4$. Нарушение ПЗК ионом TcO_4^- в присутствии исследованных электролитов объяснено специфич. действием этих электролитов, проявляющимся в конкуренции между различными ионами при их адсорбции на поверхности металла.

III. Исследовалось влияние иона ReO_4^- на коррозию Fe и стали в насыщ. воздухом р-рах при pH ~ 6. В отличие от TcO_4^- ион ReO_4^- не уменьшает коррозию стали и лишь очень мало сдвигает E Fe в положительную сторону по сравнению со случаем р-ров без II. Добавка I к р-ру, содержащему II, вызывает обратный сдвиг E в положительную сторону, причем для заметного сдвига E в случае иона ReO_4^- достаточно меньшая конц-ия I, чем в случае иона TcO_4^- . Замена воздуха на N_2 как для р-ров с II, так и для р-ров с I без II приводит к смещению E в отрицательную сторону; последующая замена N_2 на воздух восстанавливает исходное значение E . Предполагается, что причиной уменьшения коррозии ионом TcO_4^- является электростат. поляризация электрода под влиянием адсорбированного тетраэдрич. иона, причем проявляющийся в непосредственной близости от адсорбированного иона эффект наводки заряда зависит от специфич. особенностей иона, которые в случае ReO_4^- являются в этом смысле неблагоприятными. По мнению автора, предлагаемый механизм можно применить и для объяснения влияния Cl^- и S^{2-} на коррозию Fe. Сообщение I см. РЖХим, 1956, 38271.

Г. Ф.

77721. Электрохимия нержавеющей стали в серной кислоте. Картледж (Electrochemistry of stainless steel in sulphuric acid. Cartledge G. H., Nature, 1956, 177, № 4500, 181—182 (англ.))

Исследовалось электрохим. поведение нержавеющей стали (НС), покрытой окисной пленкой путем нагревания при 445° на воздухе в течение 2 часов, в разб. р-рах H_2SO_4 при $25-90^\circ$. Определялось изменение во времени (t) стационарного потенциала (φ) НС и кол-ва растворившегося Fe (m). В некоторый момент t на кривых (φ, t) наблюдается резкий сдвиг φ в отрицательную сторону, сопровождающийся исчезновением видимой пленки на НС. Затем наступает сдвиг φ в положительную сторону, характер которого зависит от кислотности, т-ры, парц. давления $O_2(P_{O_2})$ и т. д. Обычно на последней ветви кривой (φ, t) можно отметить значение «крит. φ восстановления» ($\varphi_{(кр.)}$), при котором происходит внезапный рост φ ; после чего наблюдается небольшой изгиб на кривой и медленный рост до φ , свойственного гладкой Pt в том же р-ре. Для 0,1 н. смеси H_2SO_4 и Na_2SO_4 при 85° и pH 1,46 $\varphi_{(кр.)} = -295$ мВ (насыщ. к. э.). Сдвиг φ в положительную сторону можно ускорить путем увеличения P_{O_2} , снижения т-ры, прибавления Fe^{3+} , Cu^{2+} и т. д. Кривые (m, t) показывают, что до начала резкого падения φ НС практически не растворяется. В момент спада φ начинается быстрое растворение НС (РЖХим, 1955, 10878) вплоть до момента достижения $\varphi_{(кр.)}$, после чего растворение практически прекращается. Показано, что $\varphi_{(кр.)}$ совпадает с потенциалом электрода Pt (H_2) в тех же условиях. Г. Ф.

77722. Действие полярных органических ингибиторов при растворении металлов в кислотах. Хаккерман, Макридес (Action of polar organic inhibitors in acid dissolution of metals. Hackerman Norman, Makrides A. C.), Industr. and Engng Chem., 1954, 46, № 3, 523—527 (англ.)

Критически рассмотрены теории катодного замедления растворения (ЗР) металлов в к-тах. Высказано предположение, что ингибитор адсорбируется на всей поверхности металла и может действовать как на катодную, так и на анодную р-ции. Предполагается, что полярные органич. ингибиторы (ПОИ) могут хемисорбироваться на металле за счет электронных пар, обеспечивающих связь ингибитора с металлом. На основе развитых представлений проанализированы литературные данные по влиянию ПОИ на растворение Fe в к-тах. Показано, что с теорией согласуются: 1) более сильные замедляющие свойства соединений S (напр., меркаптанов), чем соответствующих соединений N (аминов) или O (спиртов), а также соединений Se по сравнению с соединениями S; 2) ослабление эффекта ЗР при переходе от алифатич. к ароматич. соединениям данного элемента; 3) усиление эффекта ЗР при введении в соединение метильной группы, особенно в орто-положение; 4) сильное замедляющее действие соединений с двойной связью и др. Г. Ф.

77723. Замедление растворения металлов в кислотах. I. Некоторые общие замечания. Макридес, Хаккерман (Inhibition of acid dissolution of metals. I. Some general observations. Makrides A. C., Hackerman Norman), J. Phys. Chem., 1955, 59, № 8, 707—710 (англ.)

В продолжение работ авторов (РЖХим, 1955, 45598; см. пред. реф.) приводятся общие соображения о механизме замедления коррозии (ЗК) металлов в к-тах. ЗК связывается, в первую очередь, с адсорбцией ингибитора (И), причем важная роль приписывается способности И быть «донором электронов». Предполагается, что И может адсорбироваться в виде положительно заряженных ионов, замедляя разряд ионов H^+ , а также хемисорбироваться на поверхности металла, уменьшая скорость как катодной, так и анодной р-ции за счет уменьшения активной поверхности электрода. На основании поляризационных измерений сделан вывод о том, что при небольших плотностях тока И в больших конц-ях (С) действует в основном на

анодные р-ции, а в малых С в значительной мере уменьшается скорость разряда H^+ . По мнению авторов, важность адсорбции в процессе ЗК требует при оценке И учета не только взаимодействия И и металла между собой, но и их взаимодействия с р-рителем. Так как адсорбция определяется близостью С И к насыщению, то переход к р-рителю, в котором растворимость И понижается, позволяет применять И в меньшей С для получения того же эффекта ЗК. Указывается, что для более полного представления о механизме ЗК целесообразно изучать десорбцию И при определенной т-ре, причем при оценке эксперим. данных всегда следует учитывать гидрофобный характер адсорбированной пленки И. Г. Ф.

77724. Влияние азотсодержащих органических ингибиторов на электродный потенциал стали в серной кислоте. Райд (The influence of nitrogen-containing organic inhibitors on the electrode potential of steel in sulfuric acid. Ride R. N.), J. Electrochem. Soc., 1956, 103, № 2, 98—107 (англ.)

Исследовалось влияние анлина, этиланилина, диметиланилина, диэтиланилина, пиридина, хинолина, хинальдина, β -нафтохинона, диэтиламина, дибутиламина, пиперазина, тетраметилдиаминодифенилметана и брассина на среднюю скорость растворения и на потенциал мягкой стали в освобожденной от воздуха 1 н. H_2SO_4 при 25° . Измерялась эффективность ингибитора (И) $E = [(w_b - w_i)/w_b] \cdot 100\%$, где w_b и w_i — убыль веса образца в неингибированном р-ре (НР) и в ингибированном р-ре (ИР), а также изменение потенциала ($\Delta\varphi$) электрода в устойчивом состоянии при переходе от НР к ИР. Показано, что для данного И рост конц-и И (С) вызывает увеличение E и отрицательного значения $\Delta\varphi$; для разных И рост E при $C = \text{const}$ также сопровождается ростом отрицательных $\Delta\varphi$; при данном значении E величины $\Delta\varphi$ для разных И различны. Сделан вывод о влиянии И как на катодную, так и на анодную р-ции, причем предполагается, что это влияние проявляется в результате общей адсорбции И на поверхности электрода. Предполагается, что адсорбция И происходит на слое хемисорбированного на металле атомарного водорода. Адсорбированный И закрывает поры на водородной пленке, через которые возможно анодное растворение металла, а также способствует повышению перенапряжения водорода. Для случая, когда адсорбция подчиняется теории Лангмюра, выведено ур-ние, связывающее скорости растворения в ИР и в НР с $\Delta\varphi$ и С. Г. Ф.

77725. Растворение кадмия в растворах хлорида хрома. Кинг, Хиллер (Dissolution of cadmium in chromic chloride solutions. King Cecil V., Hillner Edward), J. Electrochem. Soc., 1956, 103, № 5, 261—265 (англ.)

С целью изучения растворения металла в таком р-ре, в котором на поверхности металла не может образовываться нерастворимая пленка, исследовались скорость растворения (СР) и потенциал Cd в 0,033—0,133 М $CrCl_3$ [в виде фиолетового (I) и зеленого комплексов (II)] в присутствии 0,5—4 М HCl в атмосфере N_2 при различных скоростях перемешивания (СП) р-ров при $15-35^\circ$. СР Cd в р-рах I достаточно мала и практически не зависит от СП. Константы скорости р-ции, рассчитанные из данных, полученных через 1—2 часа после погружения электрода в р-р I, показывают, что р-ция протекает по первому порядку. Температурные коэфф. р-ции сравнительно высоки. СР Cd в II значительно выше, чем в I, и зависит от СП. Температурные коэфф. этой р-ции низкие. Показано, что скорость разряда H^+ в исследованных условиях относительно мала и основной катодной р-цией является $Cr(3+) + e \rightarrow Cr(2+)$. Предложены механизмы растворения Cd в I и II. Предполагается, что в I скорость р-ции контролируется химически или электрохимически, а в II — диффузией. Г. Ф.

77726. Кинетика последовательных электрохимических реакций с активационным контролем: анодное выделение кислорода. Бокрис (Kinetics of activation controlled consecutive electrochemical reactions: anodic evolution of oxygen. Bockris J. O'M.), J. Chem. Phys., 1956, 24, № 4, 817—827 (англ.)

С помощью общей ф-лы (Christiansen C. A., Z. phys. Chem., 1936, B33, 145; 1937, B37, 374), выражающей суммарную скорость (v) электрохим. р-ции через константы скоростей (k_i) отдельных последовательных стадий этой р-ции, в предположении, что плотность тока (i) и продолжительность электролиза (t) таковы, что кон-ию ионов $\text{OH}^-(\text{COH}^-)$ вблизи поверхности электрода можно считать постоянной, рассмотрены следующие пять возможных механизмов анодного выделения кислорода (ABK) на металл. электроде (M): «окисный»: $\text{OH}^- + \text{M} = \text{MOH} + e$, $2\text{MOH} = \text{MO} + \text{M} + \text{H}_2\text{O}$ и $2\text{MO} = 2\text{M} + \text{O}_2$; «электрохимический окисный»: $\text{OH}^- + \text{M} = \text{MOH} + e$, $\text{MOH} + \text{OH}^- = \text{MO} + \text{H}_2\text{O} + e$ и $2\text{MO} = \text{O}_2 + 2\text{M}$; «перекисно-водородный»: $\text{OH}^- + \text{M} = \text{MOH} + e$; $2\text{MOH} = \text{MHO}_2 + \text{M}$; $\text{MOH} + \text{MHO}_2 = \text{MHO}_2 + \text{H}_2\text{O}$ и $\text{MHO}_2 + \text{MOH} = \text{O}_2 + \text{H}_2\text{O} + 2\text{M}$; «электрохимический металл-пероксидный»: $\text{OH}^- + \text{M} = \text{MOH} + e$; $2\text{MOH} = \text{MO} + \text{H}_2\text{O}$; $\text{MO} + \text{OH}^- = \text{MHO}_2$ и $2\text{MHO}_2 = \text{MO} + \text{H}_2\text{O} + \text{O}_2 + 2\text{M}$; «металл-пероксидный»: $\text{OH}^- + \text{M} = \text{MOH} + e$; $2\text{MOH} = \text{H}_2\text{O} + \text{MO}$; $\text{MO} + \text{MOH} = \text{MHO}_2$ и $\text{MHO}_2 + \text{MOH} = \text{H}_2\text{O} + \text{O}_2 + 2\text{M}$. При каждом из этих механизмов замедленной (определяющей v) стадией может быть любая из перечисленных 18 стадий. Для каждого из таких 18 возможных случаев получены ф-лы для зависимости v от COH^- , k_i и поляризации электрода ($\Delta\Phi$), а из них — выражения для предельного наклона кривых перенапряжения, а также значения $(\partial\eta/\partial \ln a_{\text{OH}^-})_i$ в кисл. и щел. р-рах в отсутствие и в присутствии постороннего электролита, и выражения для солевого эффекта $(\partial\eta/\partial C(\text{соли}))_{\text{pH}, i}$. Совокупность полученных результатов позволяет на основании опытных данных делать выводы о механизме ABK и о его замедленной стадии на каждом данном электроде. С точки зрения развитых представлений рассмотрены некоторые полученные ранее эксперим. данные. И. З.

77727. О деполаризации двуокисью марганца в гальванических элементах. Брене, Малессан, Грудн (Sur la dépolarisation dans les cellules électrochimiques au bioxyde de manganèse. Brenet Jean, Maléssan Pierre, Grund Alfred), C. r. Acad. sci., 1956, 242, № 1, 111—112 (франц.)

Для уточнения прежних результатов (РЖХим, 1953, 4404) рентгенографически изучено изменение структуры MnO_2 при разряде (до 350 к/г MnO_2) в элементах с катодами, не содержащими угля. $\gamma\text{-MnO}_2$ (I) при разряде частично восстанавливается, но не изменяет своей кристаллич. структуры (происходит только расширение решетки); кол-во восстановленного MnO_2 соответствует кол-ву прошедшего электричества. Аналогичные результаты получены для смесей $\alpha\text{-MnO}_2$ (криптомелан), $\beta\text{-MnO}_2$ (пирролюзит) и I, причем расширение решетки наблюдалось только у I, который обладает способностью к хемосорбции, являющейся первой фазой процесса деполаризации. А. Г.

77728. Исследование гальванического элемента воздушной деполаризации с щелочным электролитом. 2. Влияние добавок в электролит. Маки, Сэдзакки, Накамура (空氣ソーダ電池に關する研究. 第2報. 電解液に對する添加劑の效果. 横良之, 瀬崎幸, 中村典道), 電気試験所彙報, Дэнки сикэнсё ихо, Bull. Electrochem. Lab., 1954, 18, № 4, 250—256, 312 (япон.; рез. англ.)

Исследовано влияние добавок CaO , MgO и SiO_2 на работу

элемента воздушной деполаризации с Zn-катодом. Показано, что наиболее эффективной добавкой является 30—40 г/л H_2SiO_3 в 4,8 н. NaOH . В присутствии этой добавки емкость элемента увеличивается в 2—2,5 раза вследствие осаждения ZnSiO_3 и выделения свободной щелочи. Предыдущее сообщение см. Дэнки сикэнсё ихо, 1953, 17, 444. Р. Б.

77729. Полярография. Ходковский (Polarografia. Chodkowski Jerzy), Wszechświat, 1956, № 4, 78—82 (польск.)

Краткий обзор.

77730. Посещение Англии и конференция по полярографии в Варшаве. Гейровский (Zájezd do Anglie a polarografická konference ve Varšavě. Heyrovský Jaroslav), Věst. ČSAV, 1956, 65, № 3-4, 254—257 (чеш.)

77731. Современное состояние полярографии в Японии.

Синагава, Мацуо (わが國におけるポーログラフイーの近況. 品川睦明, 松尾博), 化學の領域, Караку-но рёнки, J. Japan Chem., 1956, 10, № 3, 22—30 (япон.)

Обзор. Библ. 403 назв.

77732. Развитие полярографии. Никки (ポーログラフイーの發展. 仁木榮次), 化學の領域, Караку-но рёнки, J. Japan Chem., 1956, 10, № 3, 31—41 (япон.)

Обзор. Библ. 32 назв.

77733. Конференция по полярографии. [ноябрь 1955 г., Хиросима]. I. Танака (ポーログラフ討論會雜感. 田中信行), 化學の領域, Караку-но рёнки, J. Japan Chem., 1956, 10, № 3, 42—43 (япон.)

77734. Полярография облегчает исследования. Лам (Polarography made easy. Lamb B., Mrs.), Chem. Prod., 1956, 19, № 7, 278—282 (англ.)

77735. Таблица потенциалов полуион неорганических деполаризаторов. Влчек (Tabulka polvinových potenciálu anorganických depolarisátorn. Vlček Antonín A.), Chem. listy, 1956, 50, № 3, 400—481 (чеш.)

Приведены значения $E_{1/2}$ неорганич. деполаризаторов для р-ров, содержащих различные индифферентные электролиты. Учтена также обратимость электродного процесса. Установленные переходы между степенями окисления, обратимость и род электродного процесса сведены в наглядную таблицу. Библ. 328 назв. Р. Zuman

77736. Поправка на сферическую диффузию в случае полярографических кинетических токов. Коутецкий, Чижек (Korekce na sférickou difuzi u polarografických kinetických proudů. Koutecký Jaroslav, Čížek Jiří), Chem. listy, 1956, 50, № 2, 196—202 (чеш.); Сб. чехосл. хим. работ, 1956, 4, № 4, 836—843 (нем.; рез. русс.)

В связи с обнаруженной ранее (Hanus V., Sborn I. mezinár. polarograf. sjedzu. Přírodovědecké vydavatelství, Praha 1951, 1, 804), зависимостью высоты волн полярографич. кинетич. токов от скорости вытекания Hg вычислена поправка на сферич. диффузию для медленного электродного процесса. После преобразования можно применить решение также для хим. р-ции, предшествующей электродному процессу. Из выведенных ур-ний вытекает, что соотношения i/i_∞ или i/i_d зависят не только от периода капания, но также и от скорости вытекания Hg. Наибольших значений (~5%) поправки достигают при соотношении i/i_∞ или i/i_d , равном 0,6. С увеличением скорости вытекания величина отношения i/i_∞ возрастает. Указанные поправки необходимо применять также при определении значений pK' из полярографич. измерений и значений $E_{1/2}$ при медленных электродных процессах. Р. Zuman

77737. Поправка на сферическую диффузию в случае каталитических полярографических токов. Коутецкий, Чижек (Korekce na sférickou difuzi u katalytických proudů. Koutecký Jaroslav, Čížek Jiří), Chem. listy, 1956, 50, № 2, 196—202 (чеш.); Сб. чехосл. хим. работ, 1956, 4, № 4, 836—843 (нем.; рез. русс.)

lytických polarografických proudů. Koutecký J., Šířek J.), Chem. listy, 1956, 50, № 3, 393—395 (чеш.); Сб. чехосл. хим. работ, 1956, 21, № 4, 1063—1066 (нем.; рез. русс.)

Аналогично предыдущей работе (см. пред. реф.) вычислена поправка на сферич. диффузию для случая, когда деполаризатор регенерируется из продукта электродной р-ции путем мономолекулярной р-ции. Значения констант скорости, вычисленные без учета этой поправки, оказываются заниженными. Р. Zuman

77738. К термодинамическому истолкованию полярграфических потенциалов полуволны простых ионов металлов. Турьян Я. И., Ж. физ. химии, 1956, 30, № 3, 709—713

Проанализированы существующие ур-ния для вычисления $E_{1/2}$ простых ионов металлов, растворяющихся в Нг. По мнению автора, наиболее правильным и удобным для расчетов является ур-ние зависимости $E_{1/2}$ от нормального потенциала металла, выведенное Линггейном, если в этом ур-нии произвести замену, приводящую к получению одинаковых размерностей констант ур-ния Ильковича для ионов металлов в р-ре (k_s) и атомов металла в амальгаме (k_a) (Кольтгоф И. М., Линггейм Дж. Дж., Полярграфия. Госхимиздат, 1947). Подстановка в полученное ур-ние двух различных по точности выражений для k_a и k_s приводит к двум ур-ниям

для $E_{1/2}$, в одном из которых $E_{1/2}(E'_{1/2})$ зависит, а в другом $E_{1/2}(E'_{1/2})$ не зависит от скорости вытекания Нг из капилляра (m) и периода капания (t). Рассчитаны значения $E'_{1/2}$ и $E''_{1/2}$ для р-ций восстановления Ti^{+} , Cd^{2+} и Zn^{2+} на фоне 0,01 М NH_4NO_3 и 0,01 М $LiNO_3$ в водн. р-рах для капилляров с постоянными m от 0,52 до 2,83 мг/сек и t от 2,5 до 4,3 сек. Из сравнения вычисленных значений $E'_{1/2}$ и $E''_{1/2}$ с эксперим. значениями потенциалов полуволны ($E_{1/2}^0$) сделан вывод о несколько более хорошем совпадении $E_{1/2}^0$ с $E'_{1/2}$, чем с $E''_{1/2}$. Однако различие даже между $E_{1/2}^0$ и $E'_{1/2}$ так мало (± 5 мВ), что для практич. полярграфии целесообразно использовать более простое ур-ние (для $E_{1/2}$). Г. Ф.

77739. Изменение потенциала полуволны восстановления кислорода под влиянием поверхностно-активных веществ. Сообщение I. Действие диметиланилина. Сильвестрони (Variazioni del $\pi^{1/2}$ di riduzione dell'ossigeno ad opera di sostanze superficialmente attive. Nota I-Azione della dimetilaniolina. Silvestroni Paolo), Ricerca scient., 1956, 26, № 1, 166—172 (итал.; рез. англ., нем., франц.)

$E_{1/2}$ восстановления O_2 на Нг-электрод из буферного р-ра с рН 8,7 при увеличении содержания изопропилового спирта от 4 до 58,3% сдвигается в отрицательную сторону. Добавки диметиланилина (I) также вызывают сдвиг $E_{1/2}$ этого процесса в отрицательную сторону в р-рах с рН 1,98—10,70, причем этот сдвиг возрастает с увеличением конц-ии I. Показано, что сдвиг $E_{1/2}$ вызывается адсорбцией молекул I на электроде и связан с изменением заряда поверхности Нг и возможным межмолекулярным взаимодействием между адсорбированными частицами I и молекулами деполаризатора. А. Ф.

77740. Деполаризация ртутного капельного электрода суспензиями нерастворимых веществ. I. Общие наблюдения. Мицка (Depolarisation der Quecksilbertropfektrode durch Suspensionen unlöslicher Stoffe. I. Allgemeine Beobachtungen. Micka K.), Сб. чехосл. хим. работ., 1956, 21, № 3, 647—651 (нем.; рез. русс.) См. РЖХим, 1956, 35520.

77741. Вытеснение кислорода насыщенными углевод-

ородами при полярографировании. Комлев (Вытеснения кислорода при полярографировании насыщенными углеводными. Комлев О. И.), Наук. зап. Львовск. ун-ту, 1955, 34, 141—142 (укр.)

Тридцатиминутного пропускания CH_4 со скоростью 1—2 пузырька в сек. достаточно для полного вытеснения O_2 из исследуемых р-ров. Применялся природный газ, предварительно очищенный пропусканием через р-ры пирогаллала и конц. H_2SO_4 . С. Ж.

77742. Об изучении органических перекисей при помощи полярграфии. Бернар (Contribution à l'étude des peroxydes organiques par polarographie. Bernard M.-L.-J.), Ann. chimie, 1955, 10, mars — avr., 315—352 (франц.)

Более подробное изложение опубликованной ранее работы (РЖХим, 1955, 5506). Л. Я.

77743. Электролитическое восстановление нитробензола до гидразобензола. II. Полярграфическое исследование механизма образования гидразобензола. Сэкинэ (ニトロベンゼンよりヒドラズベンゼンへの電解還元に関する研究. 第2報. ポーログラフによるヒドラズベンゼン生成機構の解析. 關根太郎), 日本化学生物誌, Нихон ка, гаку дзасси, J. Chem. Soc. Japan. Pure Chem. Sec., 1955, 76, № 6, 694—697 (япон.)

При полярографии. исследовании электролитич. восстановления нитробензола в гидразобензол в щел. среде установлено, что процесс восстановления нитробензол → азоксибензол → азобензол является первичной электрохим. р-цией; процесс восстановления азобензола до гидразобензола на Zn-катоде является вторичной электрохим. р-цией. Сообщение I см. РЖХим, 1956, 18885.

Chem. Abstrs, 1956, № 5, 3118. Т. Katsurai

77744. Полярграфическое и кулонометрическое исследование п-диметиламиноазобензола. Лайтинен, Нейп (Polarographic and coulometric study of p-dimethylaminoazobenzene. Laitinen H. A., Kneip T. J.), J. Amer. Chem. Soc., 1956, 78, № 4, 736—740 (англ.)

В водно-этаноловых буферных р-рах с рН 1,5—7 п-диметиламиноазобензол (I) дает 2 волны. Первая волна искажается максимумом. При рН < 5 вторая волна вчетверо выше первой. Добавки желатини при конц-ии больше 0,01% подавляют вторую волну, не полностью подавляя максимум. При повышении рН первая волна снижается постепенно при рН 4—5, более быстро при рН 6—8 и более медленно при рН > 8. При рН 13,5 первая волна вдвое ниже, чем в кислых р-рах. Вторая волна быстро снижается при рН 6—8 и исчезает при рН > 9,5. С ростом рН $E_{1/2}$ первой волны становится более отрицательным на 0,108 в на единицу рН при рН < 6 и на 0,051 в на единицу рН при рН > 7. $E_{1/2}$ второй волны не зависит от рН. Характер зависимости $i_{(пр.)}$ от высоты столба Нг и от т-ры указывает на диффузионную природу первой волны и кинетическую — второй. $i_{(пр.)}$ первой волны при рН 1,9—13,5 пропорционален конц-ии I в интервале 10^{-4} — 10^{-3} М. Выполнены кулонометрич. измерения на большом Нг-катоде при постоянном E , соответствующем $i_{(пр.)}$ первой волны. Полярграмма после электролиза при рН 13,5 содержит анодно-катодную волну; анодный ток, даже в р-ре, свободном от O_2 , уменьшается со временем. Согласно кулонометрич. измерениям $n = 4$ при рН 1,9—9,5 и $n = 2$ при рН 13,5. Первая волна в кислых р-рах соответствует восстановлению I в амины; вторая волна рассматривается как каталитическая волна H^+ . В щел. р-ре I восстанавливается в гидразосоединение, которое образует почти обратимую окислительно-восстановительную систему с I, однако медленно диспропорционирует на I и амины. С. Ж.

77745. Полярграфическое поведение бензилиденанилина. Холлек, Кастининг (Polarographisches Verhalten von Benzylidenanilin. Holleck L.,

Kastening B.), Z. Elektrochem., 1956, 60, № 2, 127—130 (нем.)

При $pH < 6$ гидролиз бензилиденанилина (I) протекает настолько быстро, что уже при первом измерении получается полярграмма бензальдегида (II). При $pH > 6$, наряду с возрастающей во времени волной II, появляются одна или две волны I. Первая волна по мере гидролиза I снижается и исчезает. Экстраполяцией на $t = 0$ получены полярграммы р-ров негидролизованного I. До $pH 11$ I дает две волны равной высоты. $E_{1/2}$ второй волны равен $-1,30$ в (насыщ. к. э.) и не зависит от pH до $pH 12$. $E_{1/2}$ первой волны равен $-0,350$ в при $pH 7$ и смещается на 75 мв в отрицательную сторону при возрастании pH на единицу. При $pH 12$ остается одна волна; при дальнейшем возрастании pH ее $E_{1/2}$ смещается в отрицательную сторону с той же скоростью, что и $E_{1/2}$ первой волны. Первая волна, судя по величине ее наклона, соответствует одноэлектронному обратимому процессу, вторая волна — необратимому процессу. Предполагается, что первая волна отвечает р-ции $C_6H_5CH=N-C_6H_5 + e + H^+ \rightarrow C_6H_5-\dot{C}H-NH-C_6H_5 \rightleftharpoons C_6H_5-CH_2-\dot{N}-C_6H_5$, приводящей к образованию радикала. Вторая волна соответствует р-ции $C_6H_5-\dot{C}H-NH-C_6H_5 + e \rightarrow C_6H_5-\dot{C}H-NH-C_6H_5$ или $C_6H_5CH_2-\dot{N}-C_6H_5 + e \rightarrow C_6H_5-CH_2-\dot{N}-C_6H_5$ с образованием аниона, который после присоединения иона H^+ дает $C_6H_5-CH_2-NH-C_6H_5$. См. также РЖХим, 1954, 30371.

С. Ж. 77746. Полярграфия производных мочевины и тиомочевины. VII. Некоторые замещенные производные мочевины, тиомочевины и изотиомочевины. Федоронко, Маноушек, Зуман. VIII. Анодная деполаризация в растворах некоторых 2-меркаптохиноазолонов-(4). Парканий, Выстрчил (Polarografie derivátů močoviny a thiomčoviny. VII. Některé substituované deriváty močoviny, thiomčoviny isothiomčoviny. Fedorůňko Michal, Manoušek Osvald, Zuman Petr VIII. Anodická depolarizace v roztocích některých 2-merkaptochinazolónů-(4) Párkányi Cyril, Vystrčil Alois), Chem. listy, 1955, 49, № 10, 1494—1498; 1956, 50, № 1, 62—68 (чеш.); Сб. чехосл. хим. работ, 1956, 21, № 3, 672—677 (нем. рез. русск.); 689—696 (русс., рез. нем.)

VII. Изучено полярграфич. поведение производных тиомочевины (I), изотиомочевины (II) и мочевины: $(NH_2)_2CS$, $(C_6H_5NH)_2CS$, $[(CH_3)_2N]_2CS$, $(CH_2NH)_2CS$, $C_6H_5NHCSNH_2$, $(C_6H_5NH)_2CS$, $(ClC_6H_4NH)_2CS$, $NH_2CSNHNH_2$, $NH_2CONHNH_2 \cdot HCl$, $NH_2C(=NH) \cdot S \cdot CH_3$, $\frac{1}{2} H_2SO_4$, $NH_2C(=NH) \cdot S \cdot CH_2C_6H_5 \cdot HCl$, $NH_2C(=NH) \cdot S \cdot CH_2C_{10}H_7 \cdot HCl$, $NH_2CO \cdot NH \cdot NH_2 \cdot NH_2 \cdot \frac{1}{2} H_2SO_4 \cdot H_2O$, $NH_2CO \cdot NH \cdot NH_2 \cdot HCl$, $(C_6H_5NH)_2CO$, $C_6H_5 \cdot NH \cdot NH \cdot CO \cdot N = NC_6H_5$ в р-рах 0,1 н. $HClO_4$, 1 н. $NaOH$, в ацетатном ($pH 4,7$) боратном ($pH 9,3$) буферных р-рах. Для производных I характерна анодная волна в кислой среде, обусловленная образованием растворимого комплекса ее пониженных форм с Hg . В щел. среде образуются соответствующие нерастворимые комплексы. У производных, содержащих гидразиновую группу, наблюдалась окислительная анодная волна. Производные II неактивны в кислой среде, в щел. среде они разлагаются с образованием меркаптанов, а при промежуточных значениях pH образуют соединения с Hg . Приведены значения $E_{1/2}$ ряда производных. Обсуждено влияние числа и природы заместителей у атома N, а также стадий ионизации на характер полярграфич. кривых и значения $E_{1/2}$.

VIII. Изучено полярграфич. поведение 2-меркапто-

хиноазолона-(4), 2-меркапто-3-фенилхиноазолона-(4) и 2-меркапто-3-бензилхиноазолона-(4) в водн. буферных р-рах и в водн. и спирт. р-рах едких щелочей. Показано, что у изучаемых в-в имеет место анодная деполаризация, вызванная, как и в случае других меркаптанов, образованием солей с Hg . Деполаризация усложнена адсорбционными явлениями. В р-рах S-замещенных производных 2-метилмеркапто-3-фенилхиноазолона-(4) и 2-бензилмеркапто-3-фенилхиноазолона-(4) деполаризации не наблюдалось. Определены $E_{1/2}$ изучаемых в-в в зависимости от состава р-ра и от pH . Определены также величины площади, занимаемой одной молекулой адсорбированного в-ва на поверхности электрода. Сообщение VI см. РЖХим, 1956, 68018.

L. Matoušek 77747. Полярграфическое поведение замещенных нитрокарбамминовых кислот в водной среде I. Нитромочевины. II. Нитрогуанидин. Намба, Судзук (Polarographic behavior of nitroammonocarbonic acids in aqueous media. I. Nitrourea. II. Nitroguanidine. Namba Kei ho, Suzuki Kyo ichi), Bull. Chem. Soc. Japan, 1955, 28, № 9, 620—625 (англ.)

I. Изучено полярграфич. восстановление нитромочевины I в буферных р-рах. При $pH 1-7$ наблюдается одна (первая) волна, для которой $E_{1/2}$ и I_d зависят от pH . При $pH 1-3$ I_d очень мало зависит от pH и в интервале конц-ий I (с) $10^{-3}-10^{-4}$ М пропорционален с. При $pH 7-8,5$ наблюдается вторая, а при $pH 7,7-9$ — третья волна; $E_{1/2}$ этих волн почти не зависят от pH . Для первой волны I_d пропорционален \sqrt{h} (h — высота столба Hg) для третьей — I_d не зависит от h , что указывает на ее кинетич. природу. Температурный коэфф. первой волны при $pH 2,2$ равен $\sim 1,30\%$ на 1° . Из ур-ния Ильковича рассчитано, что в р-ции участвуют 5 электронов.

II. Исследовалось полярграфич. восстановление нитрогуанидина в различных буферных р-рах при $pH 0-12$. В зависимости от pH и природы буферного р-ра получены одиночные или двойные волны. Приведены кривые зависимости $E_{1/2}$ и I_d найденных волн от pH и состава р-ра. Характер зависимости I_d от h и величины температурных коэфф. указывают на диффузионную природу волн. Из ур-ния Ильковича найдено, что при $pH 1,65$ и $5,63$ в р-ции участвуют 3, а при $pH 10,7-5$ электронов.

Г. Ф. 77748. Полярграфия гетероциклических соединений с восстанавливающимися заместителями. Тируфле, Фурнари, Шане (Polarographie des composés hétérocycliques à fonction latérale réductible. Tirouflet Jean, Fournari Pierre, Chané Jean-Paul), C. r. Acad. sci., 1956, 242, № 14, 1799—1801 (франц.)

Полярграфия. поведение 2-нитро-(I), 3-нитро-(II), 2-формилтиофена (III), оксима III (IV), ацетотииена (V), оксима V (VI), в 10%-ных спирт. буферных р-рах ($pH 1-13$) подобно поведению соответствующих производных бензола. В кислой среде I и II образуют две волны, в щел. — одну (у I раздваивается при $pH 0$). 2-нодтиофен (VII) отличается по поведению от нодбензола (VIII); $E_{1/2}$ для VII практически не зависит от pH и значительно меньше, чем для VIII. 2-(IX), 3-(X) и 4-формилпиридин (XI) и оксимы IX—XI резко отличаются по полярграфич. поведению от бензальдегида, образуя в кислой среде кинетич. волны. Для IX—XI полярграфич. процесс заключается в гидратации альдегидной функции.

Л. Я. 77749. Исследования химического действия электрических разрядов. XXXVIII. Калориметрические, электрические и осциллографические измерения при получении озона в тихом разряде в кислороде при разных температурах и давлениях и при частотах тока от 11 до 1380 гц

XXXIX. Общие результаты, полученные при изучении образования озона в тихом разряде. Рикка, Бринне (Recherches sur l'action chimique des décharges électriques. XXXVIII. Mesures calorimétriques, électriques et oscillographiques sur la production de l'ozone par effluvation de l'oxygène, à différentes températures et pressions et à des fréquences du courant allant de 11 à 1380 cycles/seconde. XXXIX. Résultats généraux obtenus sur la production de l'ozone au moyen de l'effluve. Ricca M., Briner E.), Helv. chim. acta, 1955, 38, № 1, 329—339, 340—348 (франц.)

XXXVIII. Изменение использованной ранее аппаратуры позволило расширить пределы изучаемых частот в сторону малых частот и применять охлаждения до -183° . Энергетич. выход O_3 определяется калориметрически. Калориметрич. жидкостью при низких т-рах служил жидкий кислород, при более высоких т-рах — толуол. Показано, что применение частот ниже 50 гц не дает никаких преимуществ и осциллограммы тока не обнаруживают при этом существенных отличий от полученных при более высоких частотах. Опыты при пониженной т-ре (-20 , -75° и -183°), повышенной частоте и пониженном давлении дали повышенные энергетич. выходы: наибольший выход ~ 300 г O_3 /кет-ч получен при частоте 1380 гц, силе тока 6 ма, т-ре -183° и давл. 210—250 мм рт. ст.

XXXIX. Завершающее сообщение с подведением итогов исследования условий образования O_3 в электрич. разряде. На основании осциллографич. данных уточнен вывод о том, что тихий разряд более пригоден для производства O_3 , чем искровой или дуговой разряды. Вследствие сложности электрич. режима тихого разряда предпочтительно пользоваться калориметрич. методами определения энергетич. выхода. Увеличению выхода более всего благоприятствует повышение частоты при сильно пониженной т-ре и при уменьшенном давлении. Вычисления показывают, что при максим. достигнутом выходе (~ 300 г O_3 /кет-ч), около 30% затраченной энергии используется для образования O_3 . Часть XXXVII см. РЖХим, 1954, 12534. В. А.

77750. О зависимости катодного распыления вольфрама от температуры. Зырина Л. В., Ягулаев М. Д., Тр. Среднеаз. ун-та, 1955, вып. 65, 33—37

В-нить диам 17 м и длиной 10 см подвергалась бомбардировке ионами Li^+ и Rb^+ с энергией 2000 эв. Пучок ионов подвергался электростатич. фокусировке в полосу длиной 5 см и шириной < 1 мм. Измерения проводились при вакууме $\sim 10^{-6}$ мм рт. ст. Кол-во распыленного в-ва определялось по изменению веса нити до и после бомбардировки ионами (время облучения — 6 час.) с помощью специально сконструированных кварцевых весов. Найдено, что коэфф. катодного распыления W при увеличении т-ры от 800 до 1700° К возрастает в 3 раза. Л. Ж.

77751. Появление остаточной э. д. с. в тонких пленках гексагидрата, активированных $ZnCl_2$. Методика получения пленок, обладающих э. д. с., и их исследование. Родкевич С. Д., Тарновский Н. Н., Сб. статей Ленингр. ин-та точной механ. и оптики, 1955, вып. 18, 169—173

Исследовано влияние ряда факторов (напряжения формирования, т-ры и характера обработки поверхности подложки) на величину остаточной э. д. с. пленок, полученных при высушивании слоя гексагидрата с примесью водн. р-ра $ZnCl_2$ на стеклянной подложке. Отмечено, что наибольшие э. д. с. (3—6 в) дают высокоомные пленки, нанесенные на стекло, матированное в направлении прохождения тока формирования. Э. д. с. пленки во всех случаях крайне неустойчива и уменьшается во времени. М. П.

77752 Д. Введение в полярографию. II. Перович (Introduzione in polarografia. II. Perović Constanin. București. Ed. tehn., 1956, 214 pp., ил.) (рум.)

См. также: Коррозия 80212, 80214, 80216. Полярография 77589, 78042, 78404—78406, 78454, 78460, 78540, 78542, 78545, 78586, 79880; 22801Бх, 23709Бх. Хим. источники тока 78741. Электропроводность 77680, 77681, 77690. Др. вопр. 77494, 78638, 78779, 80272

ПОВЕРХНОСТНЫЕ ЯВЛЕНИЯ. АДсорбция. ХРОМАТОГРАФИЯ. ИОННЫЙ ОБМЕН

77753. Прямые измерения молекулярного притяжения между твердыми телами в вакууме. Дерягин Б. В., Абрикосова И. И., Докл. АН СССР, 1956, 108, № 2, 214—217

Измерение молекулярного притяжения F между двумя твердыми телами (пластинкой и сферич. линзой) в воздухе в функции ширины зазора между ними H по описанному ранее (РЖХим, 1955, 25926; 1956, 6521) методу затрудняется вязкостью воздуха в зазоре. Для облегчения измерений и повышения их точности сконструирован прибор, позволяющий производить измерения при давлении воздуха 0,1—3 мм рт. ст., благодаря чему постоянная времени прибора доводится до долей секунды при сохранении затухания, необходимого для предотвращения автоколебаний. Результаты нескольких серий измерений, проведенных в течение длительного времени на разных образцах кварцевого стекла, удовлетворительно воспроизводимы. По измеренным значениям $F(H)$ вычислена энергия притяжения плоскопараллельных плоскостей $u(H)$. Значения E и u удовлетворительно согласуются с рассчитанными по теории Е. М. Лифшица (РЖХим, 1955, 18112; 1956, 24875), отражающей электромагнитную природу молекулярных сил. Значительно большие значения, полученные для сил молекулярного притяжения Овербеком и Спарнеем (РЖХим, 1956, 6520) связаны, по мнению авторов, с электризацией объектов. И. С.

77754. Электронно-микроскопическое исследование поверхностной структуры водонепроницаемой бумаги, покрытой латексом. Вакано, Миура, Такэути (ラテックス加工防湿紙の表面構造について. 若野精二, 三浦重義, 竹内彦雄), 電子顕微鏡, Дэнси кэмбикэ, Electron Microscopy, 1956, 4, № 3, 42—45 (япон.; рез. англ.)

Приводятся электронномикроскопич. снимки алюминиевых реплик поверхности бумаги, покрытой синтетич. латексом из сополимеров винилиденхлорида с различными другими компонентами. При многослойном покрытии наблюдается появление волнообразной структуры поверхности, образующейся вследствие гидрофобности нижележащих слоев покрытия. В. А.

77755. Исследование свойств поверхностного слоя жидкости методом плавающего капли. Товбин М. В., Укр. хим. ж., 1956, 22, № 3, 309—312

Показано, что предельный радиус r_m сферич. частицы, способной еще удержаться на поверхности раздела жидкость — воздух за счет флотационной силы, определяется выражением $r_m^2 = -3\sigma \cos \tau / (2d - d_0)g$ (1), где σ — поверхностное натяжение на поверхности раздела жидкость — воздух, τ — краевой угол, g — ускорение силы тяжести, d и d_0 — плотности частицы и жидкости. Разработан метод измерения величины максим. капелючки ртути, плавающей на поверхности воды, и по ур-нию (1) рассчитан соответствующий краевой угол. При 18, 25, 35, 45° τ равен соответственно 132°50', 129°5', 123°40', 121°20'. По ур-ниям теории капиллярности рассчитаны значения σ на поверхностях раздела влажная ртуть — воздух (395,7 дн/см) и ртуть — вода (342,5 дн/см). Метод может быть применен для исследования свойств поверхностного слоя водн. р-ров

и для определения σ на поверхности раздела твердое тело — газ. И. С.

77756. Адсорбция в водных фазах и ван-дер-ваальсовы силы. Дервишан (Adsorption in wäßrigen Phasen und van der Waalsche Kräfte. Dervichian D. G.), Kolloid-Z., 1956, 146, № 1-3, 96—107 (нем.)

Измерением концентрационной зависимости поверхностного натяжения (σ) водн. р-ров жирных к-т $C_6—C_{11}$ (рН с помощью HCl доводили до 2) и кинетики изменения σ при данной конц-ии (c) к-ты изучены свойства адсорбционных слоев на поверхности раздела воздух — р-р. В начале каждого опыта поверхность р-ра очищалась напылением и сдуванием талька. Для к-ты C_{11} показано, что с ростом c поверхностный избыток к-ты Γ увеличивается вначале медленно и пропорционально c (адсорбционная пленка напоминает идеальный газ). Начиная с $\Gamma = 0,25 \cdot 10^{-10}$ моль/см², когда площадь, приходящаяся на 1 молекулу к-ты $S \approx 650 \text{ \AA}^2$, Γ растет гораздо быстрее (между молекулами в адсорбционном слое начинают действовать ван-дер-ваальсовы силы, облегчающие адсорбцию) вплоть до $\Gamma = 3,5 \cdot 10^{-10}$ моль/см², где $S = 47 \text{ \AA}^2$ и молекулы к-ты уже соприкасаются друг с другом. Затем скорость изменения Γ с c вновь снижается. Аналогичные результаты получены и для остальных к-т $C_{10}—C_6$, несмотря на то, что измерения проводились различными методами, разными авторами и растворимость к-ты C_{11} в 1000 раз меньше, чем C_6 . На основании теоретич. обработки результатов автор приходит к выводу, что при адсорбции в поверхностном слое и десорбции из него молекулы растворенного в-ва должны преодолеть некоторый активационный барьер, зависящий от Γ и, следовательно, от различной степени проявления ван-дер-ваальсовых сил между молекулами в адсорбционном слое. З. В.

77757. Поверхностная сжимаемость и молекулярная упаковка монослоев высокополимерных веществ. Шуллер (Oberflächenkompressibilität und Molekülpackung gespreiteter hochpolymerer Substanzen. Schuller Helmut), Z. Electrochem., 1956, 60, № 2, 147—148 (нем.)

На кривой зависимости сжимаемости χ от площади F приходящейся на мономерный остаток для монослоев высокополимеров на поверхности воды и водн. р-ров имеются два перегиба A и B , указывающие на фазовые переходы 2-го рода. При $F > F_b$ монослой ведет себя как идеальный двумерный газ и $\chi = (1/RT)F$. Между перегибами A и B χ линейно растет с F , но быстрее, чем в растянутом монослое. Точка A соответствует минимуму χ . F_a совпадает с собственной площадью мономерного остатка. Автор считает, что F_a соответствует максимально плотной упаковке всех гидрофильных групп на поверхности воды. При увеличении F от F_a до F_b молекулярный клубок становится более рыхлым и освобождается часть поверхности. Дальнейшее расширение монослоя при $F > F_b$ происходит уже без изменения формы макромолекулы, за счет увеличения расстояний между плавающими на поверхности воды клубками. Отношение $F_b:F_a$ может служить мерой плотности молекулярной упаковки: чем оно меньше, тем туже свернута цепь высокополимера. Приведены величины $F_b:F_a$ для ряда полимеров и показано, что плотность молекулярного клубка растет с увеличением длины цепи и увеличивается при наличии в ней разветвлений. И. С.

77758. Гидрофобные монослои на платине, слюде и кварце. О'Коннор, Сандерс (Hydrophobic monolayers on platinum, mica, and silica. O'Connor D. J., Sanders S. V.), J. Colloid Sci., 1956, 11, № 2, 158—166 (англ.)

Исследованы смачивающие свойства р-ров цетилсуль-

фата Na (I), лаурата K (II), бромидов цетил- (III) и додецилтриметиламмония (IV) в широком интервале конц-ий ($c \sim 10^{-9}—1$ м) на поверхности платины, слюды и кварца при разных временах нахождения образцов в р-рах (1—60 мин.). Установлено, что при очень низких c все исследованные поверхности смачиваются р-рами, оставая на них видимые сплошные пленки жидкости. С увеличением c и времени погружения (τ) постепенно возникает несмачивание, прежде всего нижней поверхности образцов, пока при некотором определенном значении c , названном авторами первой крит. конц-ией (c_1), образцы целиком становятся гидрофобными и извлекаются из р-ра сухими. Дальнейшее увеличение c приводит к тому, что образцы вновь начинают полностью смачиваться при $c = c_2$ — второй крит. конц-ии. Влияние τ на смачивание сказывается более сильно при c_1 , чем при c_2 , так что в первом случае равновесие достигается за 10 мин., во втором — за 5 мин. Все поверхности, гидрофобизированные в р-рах III и IV, а платина — также в р-рах I и II, при смачивании чистой водой сохраняют свою гидрофобность, в остальных случаях вода устраняет ее. Полученные результаты объясняются авторами тем, что, начиная с c_1 , твердые поверхности гидрофобизируются сплошными ориентированными монослоями, образующимися в результате обратной (I—IV на платине) или активированной (III—IV на кварце) адсорбции. При c_2 р-ры с резко сниженным поверхностным натяжением ($\sim 30 \text{ эрг/см}^2$) вызывают образование второго адсорбционного слоя с обратной ориентацией, что приводит к повторному смачиванию поверхности. А. Т.

77759. Исследование мономолекулярных пленок. V. Изучение поверхностной пленки пальмитиновой кислоты путем измерения интенсивности эллиптически поляризованного света. Токштейн А., Дворжак Ю., Сб. чехосл. хим. работ, 1956, 21, № 2, 304—311 См. РЖХим., 1956, 22125.

77760. Экспериментальное исследование толщины мономолекулярных слоев водных растворов электролитов на стекле и кварце на границе с воздухом. Кусакон М. М., Мекеницкая Л. И., Докл. АН СССР, 1956, 107, № 4, 555—557

Для исследования толщины h слоев водн. р-ров электролитов (KCl , $BaCl_2$, $AlCl_3$), образующихся на внутренней стенке стеклянного или кварцевого капилляра позади отступающего мениска, измерено электрич. сопротивление тонкого слоя жидкости между пузырьком воздуха и поверхностью капилляра, заполненного р-ром. По характеру зависимости h от т-ры t и конц-ии электролита c установлено, что эти слои являются практически равновесными. Величина h быстро убывает с возрастанием t и c ; зависимость расклинивающего давления от h подобна аналогичной зависимости, наблюдающейся на плоской поверхности. Результаты измерений с пластовыми водами разной степени минерализации позволили авторам сделать ряд заключений об условиях, при которых становится возможным образование на стенках пор газоносных нефтяных коллекторов равновесных пленок воды. А. Т.

77761. Адсорбция азота на чистом хлориде натрия. Мак-Айвер, Эмметт (Adsorption of nitrogen on pure sodium chloride. MacIver Donald S., Emmett Paul H.), J. Phys. Chem., 1956, 60, № 6, 824—825 (англ.)

Изучена адсорбция азота при -195° на весьма чистом препарате $NaCl$, полученном электростатич. осаждением аэрозоля. В системе $NaCl—N_2$ график изотермы адсорбции в координатах БЭТ представляет собой прямую лишь в области $p/p_0 = 0,01—0,10$ (образованию монослоя соответствует $p/p_0 = 0,05$). При больших относительных давлениях N_2 график БЭТ искривлен, по-видимому, из-за ступенчатости изотермы на некоторых гладких кристаллич. поверхностях. Расчет уд. поверхности препарата по линейной части графика БЭТ дает правильное значение $41,7 \text{ м}^2/\text{г}$. И. С.

77762. Адсорбция газов на неоднородных поверхностях. Хеплер (Gas adsorption on heterogeneous surfaces. Hepler Loren G.), J. Chem. Phys., 1955, 23, № 11, 2110—2111 (англ.)

Исследован вопрос о пределах интегрирования обобщенного уравнения изотермы адсорбции Лангмюра для случая адсорбции газа на неоднородной поверхности $\theta = \int N_e dz / [1 + (a/p) \exp(-\varepsilon/kT)]$, где θ — суммарная степень покрытия поверхности адсорбента, ε — теплота адсорбции и N_e — функция распределения ε по адсорбционным центрам. Показано, что интегрирование в пределах от $-\infty$ до $+\infty$, применявшееся рядом авторов и эквивалентное учету неадсорбирующих центров поверхности, приводит к результатам, лишь немного отличающимся от результатов интегрирования в пределах от 0 до $+\infty$. Поправочный член (отвечающий области от $-\infty$ до 0), вычисленный с помощью эксперим. данных Франкенбурга по адсорбции H_2 на W (Frankenburg W. G., J. Amer. Chem. Soc., 1944, 66, 1827) и данных Гомфрей по адсорбции CO на активном угле, не превышает 1% от суммарного значения интеграла; при больших давлениях в случае H_2 на W он возрастает до 6%. Выведено уравнение, непосредственно связывающее N_e с изостерич. ε . З. В.

77763. Применение интерполяционной теории при анализе изотерм адсорбции газов. III. Применение к данным, полученным при низких температурах. Хониг (Use of interpolation theory in the analysis of gas adsorption isotherms. III. Application to low-temperatures data. Honig J. M.), J. Chem. Phys., 1956, 24, № 3, 510—513 (англ.)

Развита ранее (Части I и II РЖХим, 1955, 48610; 1956, 57685) интерполяционная теория применена к случаям адсорбции He на активном угле (АУ) при 20,38° К (Iitterbeek A. van, Dingenen W. van, Physica, 1938, 5, 529) и Ne на стекле при 11,79 и 17,47° К (Keesom W. H., Scheweers J., Physica, 1941, 8, 1020). Показано, что в случае He на АУ эксперим. данные согласуются с теоретич. уравнениями, выведенными из предположения о мономолекулярной адсорбции в соответствии с видоизмененной моделью Ленгмюра (РЖХим, 1955, 48610); в случае Ne на стекле, начиная с $\theta \approx 0,8$, наблюдаются отклонения, что, в согласии с другими данными, указывает на начало полимолекулярной адсорбции. Вычислены нижние пределы ряда величин, представляющих интерес для теории адсорбции газов. Все результаты применения интерполяционной теории согласуются с данными, полученными другими методами. (См. также РЖХим, 1955, 9291, 23385; 1956, 50418). З. В.

77764. Пористость анодных окисных покрытий на алюминии. Сравнение сорбции n-бутана и криптона. Косгроув (Porosity of anodic oxide coatings on aluminum. Comparison of n-butane and krypton sorption. Cosgrove Lee A.), J. Phys. Chem., 1956, 60, № 4, 385—388 (англ.)

Измерены изотермы сорбции Кг ($-195,8^\circ$, объемным способом) и $n-C_4H_{10}$ (0° , кварцевые пружинные весы) на окисных пленках (ОП), полученных анодным окислением алюминийевой фольги в серноуксусном (СЭ), хромовокислом (ХЭ) и шавелевокислом (ШЭ) электролитах. По изотермам вычислены уд. поверхности S по БЭТ (площади на молекулу Кг и $n-C_4H_{10}$ приняты равными 20,8 и 39 А), объем и диаметр пор ОП. S ОП, полученных в СЭ, больше, чем в случае ХЭ и ШЭ. Диаметр максимален в случае ХЭ. При постоянных т-ре, напряжении и конц-ии электролита S растет с длительностью электролиза. Для ОП одинаковой толщины S уменьшается с ростом напряжения. Данные для Кг лучше согласуются с данными для $n-C_4H_{10}$ и результатами металлографич. и электронномикроскопич. исследований, если для расчетов поль-

зоваться значениями упругости пара над твердым, а не над жидким Кг. З. В.

77765. Электронное взаимодействие между адсорбированными молекулами газов и поверхностями металлов. Зурман (Elektronische Wechselwirkung zwischen adsorbierten Gasmolekeln und Metalloberflächen. Surmann Rudolf), Z. Metallkunde, 1955, 46, № 11, 780—786 (нем.)

Обзор эксперим. работ автора (РЖХим, 1955, 54769; 1956, 18919) по изучению влияния адсорбции O_2 , H_2 , N_2 , CO, N_2O , H_2O и C_6H_6 на тонких сублимированных пленках Ni и Pt на электропроводность и работу выхода последних. Кратко описана методика исследования и дана теоретич. интерпретация результатов. З. В.

77766. Адсорбционная способность твердых тел и ее связь с твердостью и реакционной способностью последних. Хюттиг, Хертль (Le pouvoir adsorbant des matières dures et ses relations avec la dureté et la réactivité. Hüttig G. F., Härtl E.), Chimie et industrie, 1956, 75, № 5, 503—508 (франц.; рез. англ., исп.)

Приведены изотермы адсорбции NH_3 на порошкообразном ($<60 \mu$) $MoSi_2$ при 30,0, 80,0, 90,0 и $97,4^\circ$ (методика и результаты по адсорбции NH_3 на KCl, RbCl, NaCl, KJ, $BaCl_2$ и CaF_2 описаны ранее, см. РЖХим, 1956, 68038). Изотермы подчиняются уравнению Ленгмюра, но вычисленная из него уд. адсорбирующая поверхность $MoSi_2$, уменьшается с ростом т-ры, что авторы объясняют переходом первых порций адсорбированного NH_3 в активированное состояние и изменением адсорбционных свойств соответствующих участков поверхности $MoSi_2$. По изотермам вычислены теплота активированной адсорбции ~ 40 ккал/моль и неактивированной ~ 26 ккал/моль. Изложены теоретич. представления (РЖХим, 1955, 39848; 1956, 9505), связывающие теплоту хемосорбции, энергию хим. р-ции соединения газа с твердым телом и энергию (растяжения) кристаллич. решеток. Эта теория объясняет, почему тела типа $MoSi_2$, обладающие повышенной твердостью и хим. стойкостью, проявляют в то же время наибольшие значения энергии хемосорбции. Предварительные опыты по адсорбции NH_3 на WSi_2 привели к аналогичным результатам. З. В.

77767. Тензиметрическое исследование равновесной влажности коллоидных тел. Ласточкин Я. Л., Сб. студ. работ. Моск. технол. ин-т мяс. и молоч. пром-сти, 1956, вып. 4, 51—54

Экспикаторным методом (над водн. р-рами H_2SO_4) при 5, 20, 30 и 45° измерены изотермы сорбции паров H_2O на порошкообразных колл. в-вах (КВ): яичном порошке (меланж), яичном желтке, яичном альбумине (белок), кровяном альбумине, панкреатине, сухом цельном молоке, обезжиренном молоке и гидроторфе. Во всех случаях изотермы имеют S-образный вид с гистерезисом и не пересекают ось $P/P_s = 1$, что указывает на неограниченное набухание исследованных КВ. С повышением т-ры гигроскопичность КВ уменьшается. З. В.

77768. Сорбция полония стеклом. Старик И. Е., Розовская Н. Г., Ж. неорг. химии, 1956, 1, № 3, 598—605

Измерена сорбция (С) Po на пластинках из стекол: № 23 (I), Л-36 (II, 80,5% SiO_2), Л-100 (III, молибденовое, 22,5% B_2O_3), 3С-4 (IV, свинцовое, 30% PbO , 55% SiO_2) и кварцевого (V 99,9% SiO_2) из дистилл. H_2O , 0,1 и 0,01 н. HNO_3 , 0,1 и 0,001 н. $NaOH$. Для всех стекол С минимальна в нейтр. среде и максимальна в 0,01 н. HNO_3 . Из стекол I—IV максим. С наблюдается в нейтр. среде на II, в кислой среде — на V. С протекает с конечной скоростью, определяемой при $pH \sim 7$ диффузией PoO_2^{2+} в поверхностную пленку (ПП) SiO_2 , при $pH < 7$ — диффузией PO_4^{3-} в ПП и далее в стекло, а при $pH < 7$ — скоростью растворения ПП. Предполагается, что при $pH < 7$ Po^{4+} химически взаимодействует с SiO_2 , в нейтр. и

слабощел. средах происходит электростатич. С PoO^{2+} и колл. частиц, а в 0,1 н. NaOH имеет место C PoO_3^{2-} по ненасыщ. валентностям катионов. Обработка I, II и IV к-той и щелочью изменяет C Po на них. Сделан вывод, что различия в характере C при разных рН подтверждают прежние представления о различных состояниях Po в р-рах. З. В.

77769. Поверхностная адсорбция ионов Cs^{137} на кристаллах кварца. Антков, Веше, Сенфл (Surface adsorption of Cs^{137} ions on quartz crystals. Antkiw Stephen, Waesche Hugh, Senftle F. E.), Amer. Mineralogist, 1956, 41, № 3-4, 363—365 (англ.). С помощью автордиографии адсорбционных слоев Cs^{137} на гранях натуральных и синтетич. кристаллов кварца легко обнаруживаются неправильности кристаллич. структуры. Для этого кристаллы кипятят с HNO_3 , промывают бензолом, спиртом и деминерализованной водой и погружают на 20 мин.—1 час в р-р Cs^{137}Cl с активностью 5 $\mu\text{кюри/мл}$, после чего снимают автордиограмму с экспозицией 18—120 час. На гранях натуральных кристаллов выявляется множество точечных и линейных неправильностей структуры, отмечаемых по повышенной адсорбции радиондикатора. Линейные штрихи отвечают неправильностям роста кристалла. На синтетич. кристаллах Cs^{137} адсорбируется значительно меньше, причем на видимых глазом линиях роста повышенной адсорбции не наблюдается; отмечаются только точечные скопления радиондикатора, отвечающие центрам спиральных изгибов, существующих в этих кристаллах, или частицам посторонних включений. В. А.

77770. Адсорбция углеводов и родственных им соединений на глинистых минералах. Линч, Райт, Котнойр (The adsorption of carbohydrates and related compounds on clay minerals. Lynch D. L., Wright L. M., Cotoir L. J., Jr), Soil Sci. Soc. America Proc., 1956, 20, № 1, 6—9 (англ.).

Измерены изотермы адсорбции (А) этилцеллюлозы, метилцеллюлозы с вязкостью 15 сПз , декстринов (целлюлозного и крахмального) (I), инулина (II), гликогена, мансового полисахарида, оксигликогена (III), карбоксиметилцеллюлозы, мансового крахмала и сахарозы из водн. р-ров на кальцевой (Ca-M) и водородной (H-M) формах монтмориллонита и на кальцевом (Ca-K) каолините. А на Ca-M и H-M для большинства в-в одинакова; А I и II на Ca-M больше, чем на H-M, а А III больше на H-M. А всех в-в на Ca-K значительно меньше, чем на Ca-M и H-M. Рентгенографически показано, что мономолекулярная А происходит в межпакетных полостях минералов так, что длинная ось молекул углеводов перпендикулярна С-оси адсорбентов. Измеренные ИК-спектры указывают на возможную роль Н-связей в А, а трудная отмывка адсорбированных в-в р-рами солей, к-т и оснований — на неионообменный механизм А. З. В.

77771. Влияние активирования на адсорбционную активность ряда глин Армении. Асратян Г. С., Тр. Ереванск. зовет. ин-та, 1955, вып. 19, 37—49

Изучено влияние кислотного (HCl , H_2SO_4) активирования на адсорбционную способность (АС) 5 образцов обеливающих глин (Г) из месторождений Армении. АС определялась поглощением метиленового голубого, H_2SO_4 , КОН и обесцвечиванием 15%-ного р-ра автала «18» в керосине. Показано, что активирование в 2—3 раза повышает обеливающие свойства Г в отношении нефтепродуктов, причем HCl (к-та) лучше активирует Г, чем H_2SO_4 . Г из разных месторождений активируются в различной степени. З. В.

77772. Набухание органофильных монтмориллонитов в жидкостях. Грин - Келли (The swelling of organophilic montmorillonites in liquids. Greene - Kelly R.), J. Colloid Sci., 1956, 11, № 1, 77—79 (англ.).

Рентгенографически исследовано набухание кристаллич.

структуры аминопроизводных (АМ) монтмориллонита (М) (триэтиламмоний-М, пиперидил-М, пиридил-М и 4-этилпиридил-М) в воде, глицерине, пиридине, пиперидине α -никотине, хинолине, бензоле и метаноле; результаты сравнены с данными по набуханию Na-формы М. Показано, что в воде АМ не набухают, а при набухании в остальных жидкостях расстояние между кристаллич. плоскостями определяется свойствами как аминного катиона, так и молекулами жидкости, проникающими в кристаллы АМ (методику получения и исследования АМ см. РЖХим, 1955, 54775). З. В.

77773. Теплоты смачивания водой силикагелей различной степени гидратации. Егоров М. М., Красильников К. Г., Сысоев Е. А., Докл. АН СССР, 1956, 108, № 1, 103—106

Параллельно измерены теплоты смачивания Q (в калориметре с постоянным теплообменом), уд. поверхности S (по БЭТ) и содержание структурной воды x (прокаливанием при 1250° до постоянного веса) трех образцов силикагелей (СГ) с исходными S 695, 400 и 275 $\text{м}^2/\text{г}$, прокаленных на воздухе в течение 24 час. при различных t -рах до 850°. Показано, что между S СГ и x нет простой зависимости, но чем выше S , тем меньше x на единицу поверхности СГ. Делается вывод, что поверхность изученных СГ неоднородна и состоит по крайней мере из двух различных типов участков — гидратированных и дегидратированных, так что $Q = q_1 S_1 + q_2 S_2$, где q_1 и q_2 — теплоты смачивания полностью дегидратированной и гидратированной поверхности соответственно, а S_1 и S_2 — доли этих поверхностей. Это соотношение подтверждается и тем, что Q линейно изменяется с x от 110 до 200 эрг/см^2 . Установленная связь между Q , x и S позволяет найти любую из них по 2 остальным; в то же время для вычисления S нельзя пользоваться значениями только Q или x в отдельности. Таким образом, так называемые абсолютные величины Q , рассчитанные на единицу поверхности, имеют лишь относительное значение, применительно лишь к данным исследуемым образцам СГ и к данному методу их подготовки. З. В.

77774. Окисление графитизированной сажи. Смит, Полли (The oxidation of graphitized carbon 'black'. Smith W. R., Polley M. H.), J. Phys. Chem., 1956, 60, № 5, 689—691 (англ.).

Рентгенографически, электронномикроскопически, измерением степени и скорости обгара при окислении, определенном уд. поверхности S по БЭТ и по электронограммам изучено окисление сажи, полученной термич. разложением углеводородов, и графитизированных саж (ГС), приготовленных прокаливанием сажи в инертной атмосфере при низких t -рах в интервале 1000—2700°. S различных образцов сажи, определенная по БЭТ, совпадает с электронномикроскопич. измерениями, что указывает на отсутствие пористости. С ростом степени графитизации сферич. частицы ГС приобретают форму правильных полндров, а изотермы адсорбции Ar — все более четкий ступенчатый вид. При окислении сажи S возрастает в 6 раз без существенного изменения размеров частиц (d), т. е. развивается пористость, а при окислении ГС (прокаленной при 2700°) S растет лишь незначительно и только за счет уменьшения d , причем ступеньки изотермы сглаживаются. Сделан вывод, что окисление сажи протекает избирательно прежде всего на участках наибольшей неоднородности, а окисление ГС идет труднее и неспецифически. Таким образом, установлена связь между физ. характеристиками поверхности сажи (вид изотермы, электронограммы) и ее хим. свойствами (окисляемость). З. В.

77775. Понижение разрывной прочности стали при адсорбции водорода. Петч (The lowering of fracture stress due to surface adsorption. Petch N. J.), Philos. Mag., 1956, 1, № 4, 331—337 (англ.).

Исходя из существующих представлений о механизме

разрыва твердого тела, автор выводит ф-лу для понижения прочности стали при адсорбции H_2 , удовлетворительно согласующуюся с результатами опытов.

Н. Ф.

77776. Конференция по хроматографии. Рознати (Convegno di studi su problemi di cromatografia. Milano—15—16 marzo 1955. Rosnati L.), *Chimica e industria*, 1956, 38, № 3, 211, 226—228 (итал.)

Обзор докладов на съезде в Милане 15—16 марта 1955 г.

В. А.

77777. Хроматография на бумаге. Смит (Paper chromatography. Smith Ivor), *Soap, Perfum. and Cosmetics*, 1956, 29, № 4, 421—426 (англ.)

Популярная статья.

В. А.

77778. Хроматография. Сатакэ (クロマトグラフィ. 佐竹一夫). *化学の領域*, Karaku no reiki, *J. Japan. Chem.*, 1956, 10, № 4, 111—116 (япон.)

77779. Новая техника хроматографии на бумаге. Потра (Une nouvelle technique de chromatographie sur papier. Potterat M.), *Mitt. Gebiete Lebensmitteluntersuch. und Hyg.*, 1956, 47, № 1, 66—71 (франц.; рез. нем., англ.)

Предложено производить радиальную хроматографию на бумажном кружке, вокруг центра которого симметрично расположены 8 треугольных вырезов. На каждый образованный при этом бумажный перешеек наносится разделяемая смесь, а подача проявляющего р-ра производится при помощи фитиля через центр кружка. В каждом секторе образуется своя хроматограмма, что представляет удобство при сравнении нескольких анализируемых образцов. Хроматографич. зоны получаются узкими и резко очерченными, как это показано на примере разделения смеси различных сахаров.

В. А.

77780. Хроматография изомеров ароматического ряда. IV. Зависимость между дипольным моментом и значением R_F в гомологических рядах. Франц, Йокл (Chromatografie aromatischer isomere. IV. Vztah mezi dipólovým momentem a hodnotou R_F homologických řad. Franc Jaroslav, Jokl Jan), *Chem. listy*, 1956, 50, № 3, 373—380 (чеш.)

Изучена связь между хроматографич. поведением членов ароматич. гомологич. рядов и их строением. Для $0,16 \leq R_F \leq 0,84$ найдено эмпирич. соотношение $R_F = K_0 + n\Delta K_x + m\Delta K_y + \dots - 0,1 \mu$, где n и m — число групп x или y в ядре, K_0 — эмпирич. постоянная, ΔK_x и ΔK_y — приращения K_0 для заместителей x и y и μ — величина дипольного момента. Для целого диапазона R_F справедливо соотношение $R_M = C_0 + nC_1 + mC_2 + \dots + 2,3 \lg [(1 + 0,1 \mu)/(1 - 0,1 \mu)]$, где $R_M = \lg(1/R_F - 1)$, C_0 , C_1 , C_2 — эмпирич. постоянные, причем $C_1 = -2\Delta K_x$. Сообщение III см. РЖХим, 1956, 6544.

Vladimir Kačena

77781. Микроэлектрофорез. Михль (Mikroelektrophorese. Michl H.), *Mikrochim. acta*, 1956, № 1—3, 54—70 (нем.; рез. англ., франц.)

Обзор. Библ. 79 назв.

Н. П.

77782. Ионофорез олигосахаридов в виде N-бензилглюкозилламмониевых ионов. Баркер, Бурн, Грант, Стейси (Ionophoresis of oligosaccharides as N-benzylglucosylammonium ions. Barker S. A., Bourne E. J., Grant P. M., Stacey M.), *Nature*, 1956, 177, № 4520, 1125 (англ.)

Разработан метод разделения олигосахаридов, обладающих восстановительными свойствами, электрофорезом на бумаге. На каплю р-ра сахаров на полосу фильтровальной бумаги наносят каплю р-ра бензиламина (1 мл) в метаноле (9 мл) и 10 н. муравьиной к-те (5 мл). Нагревают 5 мин. при 95° и подвергают ионофорезу при 600 в на 55 см в течение 6 час. в электролите рН 1,8 из смеси 600 мл 5%-ного NaOH и 400 мл 90%-ной муравьиной к-ты. Сушат и проявляют пятна обработкой щел. р-ром

$AgNO_3$ или периодатом. Подвижность выражают отношением расстояния между зонами N-бензилглюкозилламмониевого иона и неизменного сахара к такому же расстоянию для глюкозы. Подвижность уменьшается с ростом мол. веса иона и не зависит от стереохимии сахара и положений связей в высших сахарах.

И. С.

77783. Термодинамическое вычисление коэффициентов катионообменной избирательности. Майерс, Бойд (A thermodynamic calculation of cation exchange selectivities. Myers G. E., Boyd G. E.), *J. Phys. Chem.*, 1956, 60, № 6, 521—529 (англ.)

Исходя из положений осмотич. теории ионообменного сорбента, авторы формулируют следующее определение коэфф. избирательности D при обмене однозарядных ионов: $\lg D = P(v_1 - v_2)/2,3 RT + \lg(\gamma_1/\gamma_2)_r - 2\lg(\gamma_1/\gamma_2)_w$ (1), где P — давление набухания, v_1 и v_2 — парц. молярные объемы 1-й и 2-й солевых форм ионита, γ — коэфф. активности внутреннего (индекс r) и внешнего (индекс w) электролитов. Это определение дает возможность произвести строгое термодинамич. вычисление величин D способом, не зависящим от измерений равновесного распределения ионов между фазами r и w . Достаточное число данных для этого дают эксперим. определения зависимости равновесного поглощения воды ионитом от степени замещения одного иона другим и от активности воды изопьестич. методом, описанным ранее (РЖХим, 1955, 20901). Такие данные приводятся для H^+ , Li^+ , Na^+ , K^+ и Cs^+ -форм сульфо-полистирольного катионита. Для вычисления осмотич. работы набухания (1-е слагаемое правой части ур-ния (1)) и свободной энергии взаимодействия ионов в фазах r и w (2-е и 3-е слагаемые) по теории Мак-Кея (РЖХим, 1956, 25243), числовые расчеты производились с помощью электронно-счетной машины и график. интегрирования. Вычисленные значения D для катионита с малой степенью поперечной связанности (0,5% дивинилбензола (I)) хорошо совпадают с экспериментальными, но этого согласия не наблюдается у катионитов с высоким содержанием I. Авторы объясняют это тем, что лежащий в основе вычислений метод Мак-Кея применим лишь для трехкомпонентных систем (два электролита и вода), в то время как сополимеры стирола с I, подвергнутые последующему сульфированию, являются системами, более сложными, и их сульфогруппы энергетически неравноценны и представляют поэтому дополнительные компоненты, не учтенные в теории.

В. А.

77784. Ионообменное равновесие некоторых двухвалентных ионов. Боннер, Ливингстон (Cation-exchange equilibria involving some divalent ions. Bonner O. D., Livingston Frances L.), *J. Phys. Chem.*, 1956, 60, № 5, 530—532 (англ.)

В продолжение систематич. изучения равновесия катионного обмена на катионитах типа дауэкс-50 (РЖХим, 1956, 25326) определены коэфф. избирательности k при обмене $Ba^{2+} - Cu^{2+}$, $Sr^{2+} - Cu^{2+}$, $Ca^{2+} - Cu^{2+}$, $Ag^+ - H^+$ и $Cu^{2+} - H^+$ методом, описанным ранее, но со значительно увеличенной продолжительностью контакта р-ра с ионитом, ввиду замедленности р-ции, и с соблюдением особой тщательности при отделении ионита от р-ра, чтобы предотвратить смещение равновесных соотношений при промывании водой. Результаты представлены в форме графиков зависимости k от степени обмена X (эквивалентные доли вытесняющего иона в фазе ионита). Термодинамич. константа K равновесия определялась как интеграл $\lg K = \int_0^1 \lg k dX$. Сорбционное сродство катионов на дауэкс-50 с 4 и 8% дивинилбензола (I) убывает в последовательности: $Ba > Ag > Sr > Ca > Cu > H$, а на дауэкс-50 с 16% I Ba и Ag меняются местами в этой последовательности. На примере обмена $Cu - H$ отмечено влияние аниона на величину K (1,92 в р-рах HCl и 1,99 — в HNO_3).

Измерено, кроме того, поглощение воды при набухании различных солевых форм катионитов, возрастающее в последовательности, обратной сорбционному средству соответствующих катионов.

77785. К вопросу об ионном обмене на целлюлозе и ее производных. **Иванов В. И., Лешина Н. Я.**, Изв. АН СССР, Отд. хим. н., 1956, № 4, 506—508.

Между кол-вом поглощенных катионов Ni^{2+} и содержанием групп COOH в образцах хлопковой и частично окисленной целлюлозы существует полный параллелизм, чем подтверждается гипотеза об ионообменной природе сорбции катионов целлюлозой. Вместе с тем, поглощение Fe^{3+} не зависит от содержания в целлюлозе групп COOH , что указывает на иной механизм его сорбции.

77786. Физическая химия полиэлектролитов и ионообменных смол. **Уинтер** (The physical chemistry of polyelectrolytes and ion-exchange resins. Winter Stephen S.), J. Chem. Educ., 1956, 33, № 5, 246—252 (англ.).

Популярная статья о строении, структурно-механических и электролитич. свойствах полиэлектролитов и синтетич. смол-ионитов, о механизме, равновесии и кинетике ионообменных процессов.

77787. Адсорбция неорганических солей неионизированными смолами по механизму вернеровского комплексообразования. **Кеннеди** (The adsorption of inorganic salts through a Werner complexing mechanism by non-ionic resins. Kennedy J.), Chemistry and Industry, 1956, № 18, 378 (англ.).

Полимер диаллил-аллилфосфоната $(\text{C}_3\text{H}_5\text{O})_2\text{P}(\text{O})\text{C}_3\text{H}_5$ обладает кислотно-щелочной обменной емкостью $\sim 0,01 \text{ мэкв/г}$, а емкостью относительно Fe^{3+} в водн. р-рах $\sim 0,2 \text{ мэкв/г}$. Из неводн. р-ров (кетоны, первичные спирты) полимер легко сорбирует хлориды и нитраты Fe^{3+} , UO_2^{2+} , Co^{2+} и Li^+ в кол-вах $1-3 \text{ мэкв/г}$. Установлено, что из ацетоновых р-ров сорбируются одновременно и катионы и анионы и что сорбируемая соль может быть отмыта обратно ацетон-водн. смесью, триалкилфосфатами или диметилформамидом. Автор считает, что в данном случае наблюдается конкуренция между координационным средством катионов к фосфорильному атому кислорода полимера и более слабым средством к кетонному карбонильному или спиртовому атому кислорода. В пределах конц-ий р-ров $10^{-2}-10^{-4} \text{ М}$ адсорбция следует изотерме Фрейндлиха.

77788. Электрохимические исследования ионитов. **XIV.** Диффузия воды и электромиграция электролита через ионообменную мембрану. **Нагамацу, Сэйяма, Сакаи** (イオン交換膜の電気化学的研究・第14報. 陽イオン交換膜を通しての水の擴散並びに溶質の電気泳動・永松政俊, 清山哲郎, 坂井渡), 電気化学, Дэнки кагаку, К. Electrochem. Soc. Japan, 1956, 24, № 2, 79—83 (япон.; рез. англ.).

В развитие предыдущих работ (часть XIII, РЖХим, 1956, 35566), более подробно изучены процессы переноса воды и ионов в конц. солевых р-рах (применительно к задаче обессоливания морской воды) при электролизе через катионитовые мембраны (М6) сульфокислотного типа. Теоретически обосновано выражение для коэфф. диффузии воды $D_w = (k\Delta x/\delta) - m(\Delta C - \Delta C_0)$, где m — перенесенное кол-во воды, Δx и δ — толщина и площадь М6, ΔC — разность конц-ий в данный момент, ΔC_0 — в начале опыта в двух половинах электролитич. ячейки. Числа переноса катиона t_+ определялись непосредственно и косвенно по величине мембранного потенциала и показано, что они пропорциональны ΔC . В то время как m растет пропорционально времени, этого не наблюдается для кол-ва перенесенного электролита; D_w в ~ 20 раз больше коэфф. диффузии электролита.

В. А.

77789. Непосредственное исследование состояния комплексных ионов, сорбированных ионообменными смолами, при помощи мембран. **Фуэзимото** (Über die Unmittelbare Messung von den Zuständen in die Ionenaustauschharzphase adsorbierter Komplexionen mit den Harzmembranen. Fujimoto Masatoshi), Bull. Chem. Soc. Japan, 1956, 29, № 2, 285—287 (нем.).

Окрашенные комплексные ионы часто сильно изменяют свою окраску при сорбции из водн. р-ров на бесцветных ионообменных смолах. Предварительные опыты с суспензиями сильноосновного анионита дауэкс-1 показали, что сорбированный $\text{Co}(2^+)$ -роданистый комплекс приобретает окраску, сходную с наблюдаемой в органич. р-рителях. Этот вывод подтверждается колич. спектральными измерениями, произведенными в кюветках из полупрозрачных сильноосновных анионитовых мембран, изготовленных по методу Иосикавы на основе синтетич. каучука: спектрофотометрич. кривые сорбированного комплекса сходны с кривыми в органич. р-рителях, но смещены на 10 мμ в красную сторону.

77790. Исследования ионообменных мембран. **I.** Числа переноса и электроосмотический перенос воды сквозь мембраны. **Ола, Муракоси, Сайто, Мацула** (イオン交換膜の研究・第1報・輸率及び電気浸透による水の移動について. 織田健一, 村越昌彦, 齊藤武男, 松田祥三), 電気化学, Дэнки кагаку, J. Electrochem. Soc. Japan, 1956, 24, № 1, 168—171 (япон.; рез. англ.).

С помощью простого прибора определены числа переноса U_K катиона K^+ и кол-во воды U_{H_2O} , перенесенной электроосмотически (в пересчете на 1 фаралей) при электролизе KCl через мембраны, изготовленные из сульфеноловых, сульфорезорин — бензиловых синтетич. смол и из смеси их с амберлитом $\text{IR} = 120$. Найдено, что величины K_K и U_{H_2O} не зависят от плотности тока; с ростом конц-ий KCl значения U_{H_2O} уменьшаются. Значения U_K оказываются большими, нежели вычисленные по ур-нию Нернста из мембранных потенциалов. Предлагается ур-ние, дополняющее ур-ние Нернста членом, зависящим от электроосмотич. переноса воды: $E = (2U_K - 1)(RT/F) \ln(a_{\text{KCl}}/I_{\text{KCl}}) + U_{H_2O}(RT/F) \ln(a_{H_2O}/a_{H_2O})$ в котором отношение активности воды по обе стороны мембраны a_{H_2O}/a_{H_2O} определяется из измерений упругостей пара по методу Брауна (РЖХим, 1955, 20763). Вычисленные по этому ур-нию величины U_K и U_{H_2O} хорошо согласуются с опытными при конц-ях KCl в пределах $0,1-2,0 \text{ М}$. Ур-ние Нернста дает удовлетворительное согласие с опытом только в области низких конц-ий KCl .

77791. Сенсибилизация мембранных электродов для идентификации алкалоидов. **Мах** (Sensibilisierung von Membranelektroden zur Differenzierung von Alkaloiden. Mach W. J.), Kolloid.-Z., 1956, 147, № 1-2, 81—82 (нем.).

С помощью катионитовой мембраны (М6) по э. д. с. цепи $\text{Hg}|\text{Hg}_2\text{Cl}_2|\text{KCl}$ (насыщ.) $|\text{KCl}| \text{M6} | \text{p-р алкалоида} |\text{KCl}$ (насыщ.) $|\text{Hg}_2\text{Cl}_2|\text{Hg}$ можно идентифицировать различные алкалоиды. Путем предварительного насыщения М6 каким-либо надлежаще подобранным крупным ионом можно значительно усилить различие нормальных потенциалов исследуемых алкалоидов: напр., если М6 из сульф-катионита, толщиной $0,5 \text{ мм}$ разделяет $0,001 \text{ н. р-р KCl}$ и $0,02 \text{ н. р-р алкалоида}$, то в случае хлоргидрата антистина (I) измеряемый потенциал равен $+37 \text{ мв}$, а в случае хлоргидрата хинина (II) $+31 \text{ мв}$; если же М6 обработать р-ром хлоргидрата дибензопиразина I дает $+25,8 \text{ мв}$, II — $-43,2 \text{ мв}$.

В. А.

77792 Д. Кажущаяся адсорбция некоторых алифатических соединений из водных растворов по данным измерений перенапряжения водорода. **Клампитт** (The

apparent adsorption of some aliphatic compounds from aqueous solutions as inferred from hydrogen overvoltage measurements. Clappitt Bert Howard. Abstr. doct. diss., Iowa state Coll., 1954, Iowa State Coll. J. Sci., 1956, 30, № 3, 341—342 (англ.)

Разработаны два новых метода снятия изотерм адсорбции органич. в-в на металлич. поверхностях: по кривым зависимости перенапряжения водорода от силы тока при стационарном процессе и по емкости двойного электрич. слоя на границе раздела металл — р-р. Результаты измерений по обоим методам на поверхности Ag хорошо совпадают друг с другом (за одним исключением *n*-гептальдегида). Результаты, полученные на Cu, пригодны к одинаковым значениям предельной адсорбции, но наклон кривых оказывается различным. Порядок измеренных величин адсорбции находится в согласии с данными других методов, но отмечаются две особенности: 1) ни для одной из изученных жирных к-т не найдена степень покрытия поверхности более чем на 50% и 2) последовательность относительной адсорбируемости: *n*-гептальдегид > гептанол-1 > *n*-гептиловая к-та противоречит найденной для этих соединений при адсорбции на угле. Приводятся три возможных объяснения этих фактов. Применительно предлагаемых методов к хорошо растворимым в-вам затрудняется изменением диэлектрич. свойств среды и необходимости, вследствие этого, внесения поправок на изменения обратного электродного потенциала. Оба метода более приложимы для изучения адсорбции малорастворимых в-в.

В. А.

См. также: Адсорбция 77634, 79328. Исслед. поверхностей 79669. Хроматография 78399—78401, 78518, 78519, 78536, 78592. Ионный обмен 78396. Монослон 77540

ХИМИЯ КОЛЛОИДОВ. ДИСПЕРСНЫЕ СИСТЕМЫ

77793. Вторичные частицы как принцип построения дисперсной фазы коллоидных систем. Схон (Sekundäre Teilchen als Bauprinzip der dispersen Phase kolloider Systeme. Schoon Th. G. F.), Kolloid.-Z., 1956, 146, № 1—3, 75—77 (нем.)

Приводится ряд эксперим. обоснований точки зрения, согласно которой во многих колл. системах частицы являются сравнительно простыми целочисленными агрегатами некоторых «фундаментальных» частиц вполне определенного (миним.) размера. Благодаря этому в таких колл. р-рах отсутствует широкое непрерывное распределение по размерам, а имеется сравнительно узкий дискретный спектр размеров частиц. Определенные таким образом «вторичные» частицы необязательно должны быть сферическими и могут иметь форму цепочек со сферич. звеньями. По-видимому, вторичные частицы весьма стабильны; в частности, в случае НК они выдерживают технологич. обработку и даже вулканизацию при 140°. Тенденция к агрегации мелких частиц обусловлена наличием некоторой оптимальной поверхности, при которой полная энергия системы минимальна. По этой же причине маловероятно появление очень больших агрегатов. Эти соображения иллюстрируются на примере сферич. частиц сажи.

С. Ф.

77794. Состояние гидроокиси цинка в растворах гидроокиси калия. Дешпанде, Кабади (Condition of zinc hydroxide in potassium hydroxide. Deshpande V. V., Kabadhi M. B.), J. Univ. Bombay, 1955, 23, № 5, A1—A4 (англ.)

Исследовано влияние добавки K_2SO_4 (до 1 г на 5 мл р-ра) на состояние гидроокиси цинка (II) в р-рах КОН при разных конц-ях КОН с в интервале т-р 35—75°. Показано, что с увеличением с от 1 н. до 6 н. кол-во I, осажденной электролитом, уменьшается, что, по мнению авторов, обусловлено убыванием той части I, которая

находится в р-ре в колл. состоянии. Для трех образцов I во всем интервале т-р обнаружено, что миним. кол-во колл. I содержится в р-рах с с = 6 н. Более высокие с, по-видимому, способствуют образованию одного цинката K. Показано, что кол-во осаждаемой электролитом I меняется от 0,1 до ~10%, в зависимости от с, т-ры и исследуемого образца I. Сделан вывод, что в интервале значений с 1—6 н. большая часть I находится в виде цинката K, и только небольшое кол-во — в виде колл. дисперсии. При с = 8—14 н. I находится исключительно в виде цинката K.

77795. Турбулентная коагуляция коллоидов. Фриш (Turbulent coagulation of colloids. Frisch H. L.), J. Phys. Chem., 1956, 60, № 4, 463—466 (англ.)

Принимая, что взвешенные в гомогенно и изотропно турбулированной среде частицы полностью увлекаются пульсациями, автор доказывает, что суммарный (турбулентный + молекулярный) коэфф. относительной диффузии двух частиц равен, как и в случае чисто молекулярной диффузии, сумме суммарных коэфф. диффузии обеих частиц. Отсюда вытекает применимость математич. аппарата теории «быстрой» коагуляции Смолуховского к турбулентной коагуляции. Характеристич. время коагуляции Φ (соответствующее уменьшению вдвое начальной конц-и c_0 частиц) зависит от величины Лагранжева масштаба турбулентности L_h . При $\Phi \gg L_h$ $\Phi \approx (4\pi K R c_0)^{-1}$, где K — постоянный (Эйлеровский) коэфф. турбулентной диффузии, R — радиус частиц, т. е. механизм коагуляции — чисто турбулентный. При $\Phi \ll L_h$ надо различать два случая. Если $D^2 > \bar{v}^2$, где \bar{v}^2 — средний квадрат скорости турбулентной пульсации, D — коэфф. молекулярной диффузии, $\beta = (2\pi R c_0)^{-1}$, т. е. при больших D и c_0 , $\Phi \approx (4\pi R D c_0)^{-1}$ и турбулентность практически не влияет на скорость коагуляции. Если же $D^2 < \bar{v}^2$, $\Phi \approx (2\pi R \bar{v}^2 c_0)^{-1/2}$. Кратко рассмотрена также теория «медленной» турбулентной коагуляции.

Н. Ф.

77796. Зависимость константы седиментации природных полиэлектролитов от центробежной силы и температуры. Горинг, Чепесвик (Variation of sedimentation constant with field and temperature for naturally occurring polyelectrolytes. Goring D. A. I., Chepeswick Carol), J. Phys. Chem., 1956, 60, № 4, 506—507 (англ.)

Исследована зависимость константы седиментации s от т-ры и центробежного поля для дезоксирибонуклеата (I), каррагината и альгината натрия (РЖХим, 1956, 50445). Влияние т-ры на вязкость и плотность р-рителя ацетатный или фосфатный буфер + NaCl) исключалось стандартным способом. В широких пределах поля (от 44 до 260 тыс. ϵ) независимо от ионной силы μ значения s для всех трех полимеров остаются неизменными, указывая на отсутствие какой-либо ориентации макромолекул под действием радиального градиента поля. Зависимость от т-ры (48 или 28°) для каррагината и альгината практически отсутствует при $\mu = 0,15$, однако заметное возрастание s с т-рой имеет место при $\mu = 0,002$, когда молекулярные клубки приобретают сильно развернутую конфигурацию. Эта зависимость объясняется уменьшением гидратации с ростом т-ры. Аналогичный, но более слабый эффект имеет место и для I.

С. Ф.

77797. Осмотические свойства солей гуммиарабика и агара. Сиркар (Osmotic behaviour of gum salts. Sircar Anil K.), J. Scient. and Industr. Res., 1956 (B—C), 15, № 1, B6—B10 (англ.)

В продолжение ранее опубликованной работы (РЖХим, 1956, 12597) изучены с помощью видоизмененного осмометра Фуосса и Мида (J. Phys. Chem., 1943, 47, 59) осмотич. свойства Na-солей гуммиарабика и агара. Показано, что молекулы этих в-в свернуты в клубки в присутствии

NaCl, причем тем в большей степени, чем больше конц-ия NaCl. В-ва эти не образуют в р-ре колл. агрегатов, а взаимодействие их с р-рителем возрастает с т-рой. Н. Ф. 77798.

Исследование золей окиси хрома. Часть I. Электропроводность золя окиси хрома. Триведи, Бхатт, Диватия (Studies in chromium oxide sols. Part I. Electrical conductivity of chromium oxide sol. Trivedi A. K. M., Bhatt C. S., Divatia A. S., J. Indian Chem. Soc., 1956, 33, № 2, 115—118 (англ.))

Конц. золя окиси хрома готовились путем постепенного добавления 14%-ного р-ра $(\text{NH}_4)_2\text{CO}_3$ к кипящему конц. р-ру хлорида хрома. Золи очищались длительным горячим диализом, затем выпаривались на водяной бане при 60° для получения требуемой конц-ии. В полученном золе определялось содержание ионов NH_4^+ , H^+ , Cr^{3+} и Cl^- . Показано, что хорошо диализованный золь практически не содержит других электролитов, кроме противоионов. Уд. электропроводность разб. водой золей понижается при диализе; показано, что эквивалентная электропроводность λ_m , обусловленная одними мицеллами, много меньше, чем λ_s стабилизирующего электролита, если последний присутствует в свободном состоянии. Полученная кривая зависимости λ от конц-ии хлорида показала, что λ_m при разбавлении вначале понижается, а затем, при дальнейшем разбавлении, вновь повышается. На основании аналогии в поведении золя окиси хрома с р-рами мыл первый классифицируется авторами как типичный колл. электролит. М. Л.

77799. Влияние неэлектролитов на antagonизм ионов при коагуляции гидрофобного золя. Почхали, Мукхерджи (Effect of non-electrolytes on the antagonism of ions in coagulation of hydrophobic sol. Pochhalli L., Mukherjee S. N., J. Indian Chem. Soc., 1956, 33, № 3, 201—204 (англ.))

Исследовано влияние метанола, этанола, сахарозы, глицерина и гликоля на antagonизм (А) между KCl и BaCl_2 при коагуляции золя сернистого мышьяка. Коагулирующая конц-ия с электролитов определялась оптич. методом: через слой смеси равных объемов золя и обоих электролитов пропускался свет от лампы накаливания и отменялось время, требуемое для исчезновения резкого контура нити. Определение с KCl и BaCl_2 в присутствии неэлектролитов показало, что наибольшая стабилизация золя по отношению к обоим электролитам происходит в присутствии этанола, наименьшая — в присутствии сахарозы. Глицерин и гликоль, не влияя на коагуляцию золя под действием KCl, сенсибилизируют его по отношению к BaCl_2 , в то время как метанол стабилизирует золь по отношению к KCl. На основании полученных результатов сделано 2 вывода: 1. А достигает максимума при конц-ии KCl, равной $\sim 0,5$ с, при более низкой или более высокой конц-ии KCl коагулирующая сила BaCl_2 возрастает и А уменьшается. 2. Неэлектролиты, стабилизирующие золь, повышают, а сенсибилизирующие понижают А. М. Л.

77800. Сглаживание спектра поглощения суспензий в сравнении с растворами. Дёйсенс (The flattening of the absorption spectrum of suspensions, as compared to that of solutions. Duysens L. N. M., Biochim. et biophys. acta, 1956, 19, № 1, 1—12 (англ.; рез. нем. франц.))

Как известно, многие биол. системы могут содержать частицы типа кровяных шариков, хлоропластов или ядер, обладающие заметным поглощением в видимом или близком УФ-свете, в то время как основная масса клеточного в-ва в этой области не поглощает. Показано, что спектр поглощения таких систем или в более общем случае — любой суспензии сильно поглощающих частиц, даже после учета поправок на рассеяние, представляется более сглаженным по сравнению со спектром истинного р-ра, состоящего из таких же молекул; чем сильнее по-

глощают отдельные частицы, тем сильнее это сглаживание. Оно обусловлено взаимным экранированием (затенением) молекул пигмента в суспензии. Развита коллч. теория этого явления. Вначале рассматривается модельная система куб. частиц, для которой выводятся основные ур-ния, после чего эти ур-ния распространяются на частицы любой формы и проверяется применимость закона Бэра для такой суспензии. Показано, что необходимое условие его применимости сводится к тому, чтобы полный объем частиц в 1 мл, умноженный на долю света, поглощаемого одной частицей, был мал в сравнении с объемом, в котором частицы взвешены. Далее рассматриваются возможные приложения теории. При эксперим. измерении сглаживания в принципе можно рассчитать оптич. плотность D индивидуальных частиц (для сферич. частиц приводится номограмма). Значения D могут быть использованы при анализе спектров смешанных суспензий, состоящих из различных пигментов, напр. при определении их фотохим. активности. С. Ф.

77801. Рентгеновское рассеяние под малыми углами в водных растворах желчной кислоты. Эквалли, Фонтелль (Small angle scattering of X-rays in aqueous solutions of bile acid salts. Ekwall Per, Fontell Krister, Acta chem. scand., 1956, 10, № 2, 327—329 (англ.))

Описаны приготовление дезоксихолевой к-ты и ее натривой соли (I) и измерения рентгеновского рассеяния под малыми углами от водн. р-ров I. Полученные дифракционные картины напоминают таковые для р-ров ассоциативных коллоидов парафинового типа; при этом, однако, наблюдается лишь один максимум интенсивности, менее яркий, нежели так называемая I-полоса упомянутых коллоидов. Приведены кривые фотометрирования гало при различных конц-иях I (с); отличие от чистой воды впервые появляется при $c = 0,06$ Мл и пик становится все более выраженным при дальнейшем росте с. Брэгговские расстояния с увеличением молярности от 0,1 до 0,5 убывают с ~ 90 до 60 А. В порошковой дифракционной камере, в дополнение к водн. гало (2,7—3,3 А), был получен короткий период (6,0—6,2 А), наблюдавшийся также для Na-соли холевой к-ты. По-видимому, мицеллы в р-рах I обладают достаточно правильными размерами и формой, чтобы давать сравнительно четкую дифракционную картину; не исключено, однако, что их структура отличается от структуры мицелл ассоциативных коллоидов с парафиновой цепью. С. Ф.

77802. Соображения об эффектах межчастичной интерференции при рентгеновском рассеянии под малыми углами. Краткий, Пород (Einfache Betrachtungen über interpartikuläre Interferenz-effekte bei der Röntgenkleinwinkelstreuung. Kratky O., Porod G., Z. phys. Chem. (BRD), 1956, 7, № 3-4, 236—241 (нем.))

Качественно рассмотрены возможные модификации кривых интенсивности рентгеновского рассеяния под малыми углами за счет взаимодействия частиц. Непосредственно исследована зависимость интерференционных эффектов от формы частиц и характера их взаимодействия. В случае «корпускулярных» (т. е. сплошных), сферич. или эллипсоидальных частиц возможны два отклонения от нормальной картины рассеяния: 1. Тенденция к агрегации придает кривым полидисперсный характер, и общая интенсивность рассеяния под малыми углами увеличивается. Характер рассеяния под большими углами при этом нередко не изменяется; это может быть связано с тем фактом, что агрегация приводит к образованию частиц, которые также можно считать корпускулярными. 2. Взаимное отталкивание частиц может привести к упорядочению структуры системы (образование псевдокристаллич. решеток) и в пределе — даже к появлению максимума. В случае сильно вытянутых частиц интерференционные эффекты зависят как от взаимных расстояний, так и от ориентации частиц. В самом общем виде произведена оценка порядка величины

ождаемых эффектов. Они значительно слабее, нежели в предыдущих случаях, что в значительной степени обусловлено беспорядочностью взаимных ориентаций. С. Ф.

77803. Теория рассеяния света растворами детергентов. Принс, Херманс (Theory of light-scattering by detergent solutions. Prins W., Hermans J.J.), Proc. Koninkl. ned. akad. wetensch., 1956, B59, № 2, 162—173 (англ.)

Общая теория рассеяния света многокомпонентными системами применена к р-рам детергентов при конц-ях с выше крит. конц-ии мицеллообразования c (кр.). Принимается, что заряд мицеллы p существенно ниже кол-ва m мономерных ионов s в ней. Показано, что дебаевская процедура экстраполяции $(c - c(\text{кр.}))/\tau$ (τ — мутность р-ра) к $c = c(\text{кр.})$ приводит не к истинному мол. весу мицелл M_m , а к некоторому значению M_m^* , отличающемуся от M примерно на 10%. Это обусловлено диссоциацией мицелл, степень которой $\alpha = p/m$. Лишь в случае $\alpha = 0$ $M_m^* = M_m$. В принципе m и p могут быть вычислены по наклону и точке пересечения дебаевского графика с осью ординат. Для этого следует учесть коэфф. активности мицелл γ , который рассчитывается методом исключенного объема; последний, в свою очередь, рассчитывается в приближении жестких сфер. Эффективный диаметр D_h этих сфер определяется условием, что электростатич. энергия отталкивания энергетич. двойных слоев равна kT , когда расстояние между центрами соответствующих мицелл равно D_h . γ рассчитывается при этом тем же путем, как при выводе 2-го вириального коэфф. для газов. В итоге этот коэфф. в ур-нии Дебая складывается из двух членов, примерно одинаковых по порядку величины и обусловленных соответственно наличием заряда мицелл и эффектом исключенного объема. Изложена программа дальнейших расчетов, которые покажут, что добавление солей приводит к реальному изменению M_m . С. Ф.

77804. Факторы, способствующие стабильности мицелл детергентов. Рейк (Factors responsible for the stability of detergent micelles. Reich Irving), J. Phys. Chem., 1956, 60, № 3, 257—262 (англ.)

Показано, что теория Дебая, приписывающая образованию мицелл (M) равновесию между взаимным притяжением углеводородных цепей и отталкиванием ионных концов молекул, предсказывает очень широкие распределения M по размерам, никогда не наблюдавшиеся на опыте; кроме того, эта теория не может описать образования M в р-рах неионных детергентов. Предложена общая теория мицеллообразования, основанная на модели структуры M Хартли. Исходя из чисто термодинамич. соображений, автор получает следующее ур-ние, связывающее конц-ию агрегатов со степенью агрегации N , $[A_N]$ с конц-ией мономеров $[A]$: $\ln [A_N] = -[(\Delta S^\circ - \Delta E^\circ)/kT] + N \ln [A]$ (1), где ΔS° и ΔE° — энтропия и энергия агрегации (в расчете на систему в целом), ΔS° и ΔE° суть функции N , и дальнейшая задача сводится к получению этих функций в явном виде. Таким путем с помощью ур-ния (1), удается предсказать разделение фаз для обычных систем и существование крит. конц-ии мицеллообразования для неионных детергентов. В последнем случае автор развивает концепцию «законченной M »: углеводородные цепочки образуют жидкое каплевидное ядро M , а полярные группы располагаются на ее поверхности; по мере роста N уменьшается площадь контакта ядра с водой, и для законченной M эта площадь равна нулю, что соответствует минимуму поверхностной энергии. Дальнейшее присоединение мономеров приводит к внедрению полярных групп в ядро; этот процесс энергетически

невыгоден, и поэтому M сплющиваются, чтобы увеличить свою поверхность и дать на ней место «лишним» полярным группам. После подстановки в ур-ние (1) рассчитанных в соответствии с изложенной концепцией ΔS° и ΔE° эта ф-ла предсказывает узкие функции распределения, близкие к наблюдаемым на опыте. В заключение теория приложена к рассмотрению систем со сложными M и ионных детергентов. С. Ф.

77805. Исследование взаимодействия алифатических спиртов с ассоциативными коллоидами. IV. Влияние деканола-1 на вязкость растворов некоторых ассоциативных коллоидов. Пассинен, Эквалль В. Зависимость концентрации мыльных растворов, при которой начинается взаимодействие их с деканолом-1, от длины цепей молекул мыл. Эквалль, Сёдерберг, Даниэльссон VI. Зависимость концентрации каприната натрия, при которой начинается его взаимодействие с длинноцепочечными спиртами, от длины цепей молекул спиртов. Эквалль, Аминов (Studies on the interaction of paraffin chain alcohols and association colloids. IV. The effect of decanol-1 on the viscosities of some association colloid solutions. Passinen Kaapo, Ekwall Per V. The soap concentration where interaction with decanol-1 begins and its dependence on the chain length of the soap. Ekwall Per, Söderberg Olof, Danielsson Ingvar VI. The sodium caprate concentration where interaction with long-chain alcohols begins and its dependence on the chain length of the alcohol. Ekwall Per, Aminoff Claes Fredrik), Acta Chem. Scand. 1956, 10, № 2, 215—226, 227—236, 237—243 (англ.)

IV. Исследовано влияние n -деканол-1 (I) (и частично n -кн-лола) на вязкость η р-ров олеата (II), миристилсульфата (III) и лаурилсульфата натрия и полученные результаты сопоставлены с данными по влиянию I на электропроводность этих р-ров и растворимость I в них (части II и III, РЖХим, 1956, 42880). Показано, что для кривых зависимости η р-ров II разных конц-ий (c_2) от содержания I (c_1) характерен следующий ход: при малых c_2 ниже $\sim 0,15 M$ η постепенно растет, не обнаруживая каких-либо отклонений в точке расслаивания р-ров, в которой начинается выделение новой фазы, состоящей из I, II и воды. При $c_2 \geq 0,2 M$ с увеличением c_1 η также возрастает (и тем сильнее, чем выше c_2), но в точке расслаивания, при которой резко падает электропроводность, достигается максимум, после которого η уменьшается; пройдя далее через минимум, η снова, и притом очень быстро, повышается до значений, отвечающих гелеобразному состоянию системы. В р-рах III добавки I также сильно увеличивают η , однако на кривых отсутствуют экстремумы, характерные для II. Детальное обсуждение возможных причин указанной зависимости привело авторов к следующему истолкованию влияния I на η р-ров мыл. При малых кол-вах I, полностью солибилизирующихся в мицеллах, η гомог. р-ров растет вследствие увеличения объема смешанных мицелл и изменения их формы от сферич. к более анизометрич. При увеличении c_1 с возникновением гетерогенности и выделением новой фазы η падает в результате уменьшения в р-ре конц-ии смешанных мицелл. Дальнейшее усиление расслаивания приводит к тому, что частицы новой фазы начинают влиять на текучесть р-ров и их вязкость снова резко возрастает.

V. С помощью нефелометрич. измерений мутности в р-рах (РЖХим, 1955, 45622) исследовано взаимодействие калиевых и частично натриевых мыл (M) гомологич. ряда жирных к-т от каприловой до стеариновой с I и определенны конц-ии («предельные конц-ии ассоциации», ПКА) M , при которых это взаимодействие появляется при различном содержании в р-рах I и разных т-рах. Показано, что все кривые зависимости относительной мутности от конц-ии M в присутствии I обладают в области разб. р-ров резко выраженным максимумом, соответствующим свобод-

ному состоянию I в системе в виде эмульсии, непосредственно за которым в узкой области конц-ий при ПКА мутность почти полностью исчезает в результате взаимодействия и образования комплексов M и I, растворимых в воде. Эта растворимость ограничена, и потому в менее разб. р-рах вследствие выделения высокодисперсного осадка мутность системы снова возрастает и на кривых возникает второй (более слабый) максимум. Установлено, что ПКА имеют одно и то же значение для соответствующих K- и Na-мыл для систем, состоящих соответственно из M и I и из M и жирных кислот. ПКА линейно возрастают с повышением т-ры и уменьшаются с удлинением углеводородных цепей молекул мыл (линейная зависимость $\lg \text{ПКА}$ от n , где n — число C-атомов в цепи). ПКА в 5–6 раз меньше крит. конц-ий мицеллообразования соответствующих мыл.

VI. Измерениями мутности р-ров показано, что ПКА каприната, Na (IV) при его взаимодействии с алифатич. спиртами (AC) для AC C₆–C₁₂ отвечают одним и тем же значениям, не зависящим от положения AC в гомологич. ряду. Для AC C₁₄–C₁₈ значения ПКА несколько смещаются в сторону больших конц-ий IV. С повышением т-ры они линейно возрастают для всех исследованных AC. Рассматривая, как и ранее, возникновение мутности и ее исчезновение в р-рах M при введении в них AC II, как результат расщепления этих систем и образования комплексов M с AC, авторы высказывают ряд соображений о роли в этих явлениях ионно-дипольных и вандерваальсовых взаимодействий между M и AC. В частности, высказывается предположение, что присутствие AC в р-рах M (или к-т) усиливает склонность M к ассоциации (в области конц-ий, значительно более низких, чем крит. конц-ия мицеллообразования) вследствие ослабления сил отталкивания между ионизированными группами их анионов.

77806. Молекулярное равновесие и размеры мицелл масляной кислоты в водных растворах. Дейвис, Гриффитс (The molecular equilibria and micellar size of butyric acid in aqueous solutions. Davies Mansel, Griffiths D. M. L.), Z. phys. Chem. (DFR), 1956, 6, № 3/4, 143–150 (англ.).

Описанным ранее способом (РЖХим, 1956, 35474) по литературным криоскопич. данным исследован процесс ассоциации молекул масляной к-ты по мере возрастания конц-ии р-ра. До молярности ~ 1 наблюдается только образование димера. Вычислена константа равновесия этого процесса $K_{1,2} = (9.0 \pm 1.0) \cdot 10^{-2}$ при 0°; это значение подтверждено и данными по распределению масляной к-ты между водн. и бензольной фазами. При молярности > 1 наблюдается дальнейшее усложнение ассоциационного комплекса так, что в 3–17 M в р-рах практически вся к-та оказывается в форме колл. мицелл, содержащих, в среднем, по 80 ± 10 молекул мономера. Для крит. конц-ии мицеллообразования найдено значение 3.4 M.

77807. Комплексная коацервация. I. Общие теоретические соображения. Ворн (Complex coacervation. I. General theoretical considerations. Voorn M. J.), Recueil trav. chim., 1956, 75, № 4, 317–330 (англ.).

Рассмотрены некоторые характеристики комплексной коацервации (КК), т. е. коацервации, обусловленной наличием противоположно заряженных ионов, применительно к водн. р-рам полиэлектролитов. Приведена фазовая диаграмма для симметричного случая (эквивалентные конц-ии полиионов одинаковы в каждой фазе до и после разделения фаз), и на ее примере показано влияние электролитов на состав двухфазной системы при постоянных плотностях зарядов и составе исходной смеси полиэлектролитов. Влияние солей может проявиться тройко: 1) объемная доля η коацервата уменьшается при первой небольшой добавке нейтр. соли и в конце концов обра-

щается в нуль; 2) η переходит через размытый максимум и обращается в нуль; 3) η возрастает до 100%. Предложен графич. метод для колич. рассмотрения этих возможностей. В общем случае обсуждена применимость правила фаз для описания КК. Изложена программа дальнейших расчетов, связанных с КК, основанная на модели взаимодействия противоположно заряженных полимерных клубков в солевом р-ре. При этом принимается, что единичные заряды на поли- и микроионах распределены в согласии с теорией Дебая — Хюккеля для моновалентных электролитов, а конфигурационная энтропия р-ров может быть описана на основе теории Флори — Хэггинса для обычных полимеров.

С. Ф. 77808. Новые исследования по механизму желатинизации. II. Интерпретация экспериментальных результатов. Бургуэн, Жоли (Nouvelles recherches sur le mécanisme de gélification. II-Interprétation des résultats expérimentaux. Bourgoïn D., Joly M.), Kolloid.-Z., 1956, 146, № 1-3, 121–133 (франц.; рез. нем.).

Дается теоретич. интерпретация результатов исследования перехода золь — гель в р-рах желатин (I) методом двулучепреломления в потске (часть I, РЖХим, 1955, 34209). При этом рассматриваются реологич. и оптич. свойства ряда модельных систем, изображающих р-ры I в процессе желатинизации, и полученные таким образом теоретич. результаты сравниваются с экспериментальными. Рассмотрена полидисперсная суспензия деформируемых независимых частиц и показано, что эта модель не согласуется с опытными фактами. Последние удается объяснить на основе механизма течения, предполагающего возникновение структуры в р-ре I. При этом принимается, что в I-й фазе превращения р-р однозначно характеризуется наличием λ -связей (в 1 см^3) между отдельными частицами I, и переход золь — гель отражает увеличение кол-ва этих связей. Под действием градиента скорости g часть связей рвется. Угол экстинкции χ определяется средней ориентацией рвущихся связей, а интенсивность двулучепреломления — их полным кол-вом. При этом принимается во внимание, что часть связей рекомбинирует, и при расчетах рассматривается стационарный режим. Аналогичным образом интерпретируются изменения вязкости η в зависимости от g . Теория предсказывает наличие максимума η вблизи $g = 500 \text{ сек.}^{-1}$, что согласуется с фактами. 2-я фаза желатинизации характеризуется необратимостью кривых $\chi(g)$, что указывает на некоторую модификацию структуры, которая выявляется, однако, не в покоящемся, а в текущем р-ре. λ становится при этом очень большим; теперь обрыв группы связей влечет за собой уже не разделение элементов объема, внутри которых структура сохраняется, а полное разрушение структуры в этих элементах; в итоге в р-ре появляются совершенно жидкие участки. На основе этих общих соображений рассматривается кинетика желатинизации; для ее колич. описания вводится некоторая скорость превращения, зависящая от энергии E взаимного притяжения частиц, которая противостоит их тепловому движению. В I-й фазе превращения кол-во новообразующихся связей пропорционально времени. Влияние конц-ий, т-ры, pH, солей и мочевины на скорость желатинизации интерпретируется с точки зрения влияния этих параметров на величину E .

С. Ф. 77809. О стрессии ступней агар-агара. Шарков В. И., Боярская Р. К., Докл. АН СССР, 1956, 108, № 1, 99–102

С целью выяснения вопроса, является ли ступень полимеров одно- или двухфазными системами, исследована скорость гидролиза агар-агара (II) в золях и студиях. Ранее В. И. Шарковым было показано (Сб.: Химия и физико-химия высокомолекулярных соединений. Изд. АН СССР, 1952, 132), что скорость гидролиза резко изменяется в зависимости от протекания р-ции в гомог.

или гетерог. условиях. Исследование скорости гидролиза 5%-ного золя I в 10%-ной H_2SO_4 показало, что в интервале t р 50—100° в первые 40 мин. гидролиз протекает быстро, а затем резко замедляется. Кол-во легкогидролизуемой фракции (ЛГФ) зависит от t ; это объясняется тем, что полисахарид находится в золе как в виде изолированных молекул, так и в виде мицелл. Скорости гидролиза 5%-ного студня и сухого студня различаются незначительно. Кривые зависимости выхода сахара от t совпадают для студня и золя выше t -ры плавления студня t_s , но расходятся при $t < t_s$. Меньшее содержание ЛГФ в студнях указывает на увеличенное содержание в нем плотноупакованных мицеллярных участков. Сохранение структуры студня после удаления из него ЛГФ подтверждает, что скелет студня является гетерог. образованием. Результаты гидролиза 0,5—10%-ных золь и студней при 50° показывают, что для золя выход сахара не зависит от концентрации I, а для студня уменьшается с ростом c , причем эти изменения являются обратимыми, что указывает на зависимость содержания ЛГФ в студне от c и на относительную устойчивость мицелл в золе.

77810. Влияние оптических изомеров на температуру плавления гелей желатин. Белло, Виноград (The effect of optical isomers on the melting point of gelatin gels. Bello J., Vinograd J. R.), J. Phys. Chem., 1956, 60, № 6, 818—820 (англ.)

Измерена t -ра плавления t_m 5%-ных гелей желатин в присутствии 0,5—0,9 M добавок, повышающих и понижающих t_m : арабинозы и натриевых солей яблочной, глютаминовой, аспарагиновой α -к-т, ацетилфенилаланина, ацетилтриптофана. Показано, что изменение t_m в присутствии L -, D - и DL -изомеров в пределах ошибки опыта одинаково. Полученный результат исключает попытки объяснения действия добавок их взаимодействием с асимметричными центрами молекулы желатин. Возможно предположить действие добавок на r -ритель или на неасимметричные атомы, участвующие в образовании поперечных связей или в изменении структуры при гелеобразовании. И. С.

77811. Тонкодисперсные твердые тела как эмульгаторы. Часть I. Эмульсии, стабилизированные гидроокисями металлов. Мукерджи, Срибастава (Finely divided solids as emulsifiers. Part I. Emulsions stabilised by hydroxides or hydrous oxides of metals. Mukerjee L. N., Srivastava S. N.), Kolloid Z., 1956, 147, № 3, 146—152 (англ.; рез. нем.)

Встряхиванием керосина с равным объемом 1%-ной суспензии гидроокисей металлов и последующей гомогенизацией получены эмульсии (Э) типа «масло в воде». Описанным ранее методом (King, Mukerjee, J. Soc. Chem. Ind., 1939, 58, 243) определено распределение глобул Э по размерам и рассчитана уд. поверхность раздела между фазами. При стоянии эта поверхность уменьшается со временем по линейному закону. Изучено эмульгирующее действие гидроокисей 2-, 3- и 4-валентных металлов и найдено, что во всех случаях образуются довольно устойчивые, но грубые Э с уд. поверхностью $1,5$ — $8,5 \cdot 10^3$ cm^2/g керосина. Сравнительно большей эмульгирующей способностью обладают гидроокиси Al, Cr, Fe, Th, Ti, Sn и меньшей — гидроокиси Cd, Mg, Hg, Zn, Be, Mn, Cu, Co, La. Не обнаружено связи между степенью дисперсности образующей Э и ее устойчивостью. Эмульгирующая способность гидроокисей сильно зависит от способа осаждения: тонкодисперсные и гелеобразные осадки более эффективны, чем зернистые. Старение осадка гидроокиси Cr не влияет на его эмульгирующую способность; эффективность гидроокисей Cu, Mg, Ti, Zn уменьшается, а гидроокиси Al сильно увеличивается при старении. Скорость старения приготовленных Э также меняется со временем. Э, стабилизированные гидроокисями металлов, устойчивы к действию солей и α -к-т.

И. С.

77812. К вопросу о структурообразовании в суспензиях сульфата бария. Нейман О. В., Гармашова Л. И., Шапошникова Н. В., Докл. АН СССР, 1956, 108, № 2, 287—289

С помощью dilatометрич. измерений исследована устойчивость суспензий $BaSO_4$, образованных непосредственно в dilatометре сливанием 0,075 н. водн. или 12—15%-ных водно-спиртовых р-ров Na_2SO_4 и $BaCl_2$. Показано, что во всех средах в момент смешения, вследствие выделения твердой фазы, наблюдается увеличение объема системы, несколько большее в воде, чем в спиртовых р-рах. Далее, для водн. суспензии кривая (H , τ), где H — повышение уровня мениска в капилляре dilatометра и τ — время с начала процесса, постепенно падает, указывая на небольшое сжатие. В отличие от этого в водно-спиртовых р-рах начальное расширение продолжается и после осаждения, так что кривая начинает снижаться лишь через некоторое время, пройдя через максимум. Время, отвечающее положению максимума, примерно соответствует началу седиментации. Эти результаты авторы объясняют тем, что в спирт. р-рах частицы $BaSO_4$ сольватируются спиртом, причем связанное с сольватацией сжатие уменьшает начальный эффект расширения, но последующая десольватация ведет к увеличению объема, пока, вследствие снижения устойчивости частиц, они не начнут седиментировать. С увеличением содержания спирта десольватация замедляется и максимум кривой смещается вправо к большему τ .

77813. Вискозиметрические исследования суспензий силикатов в применении к теории адсорбции на глинистых кристаллитах. Плётце, Рубин, Хукер, Кифер (Viskosimetrische Untersuchungen an Silikat-suspensionen als Beitrag zur Theorie der Adsorption an Tonkristalliten. Plötze E., Rubin A., Huckert G., Kiefer J.), Kolloid-Z., 1956, 147, № 1-2, 62—65 (нем.)

В целях изучения пластичности глин исследованы адсорбция воды на каолините состава $Al_2O_3 \cdot 2SiO_2 \cdot 2H_2O$ и вязкость разбавленных глинистых суспензий в воде и в одно- и многоатомных спиртах. Показано, что плотность адсорбированной воды, определяемая пикнометрически с точностью до 0,2%, увеличивается с уменьшением содержания воды в глин и при ~ 2 $mmol/g$ достигают максим. значения 1,2 g/cm^3 . В соответствии с изотермой давления паров этот эффект можно рассматривать как указание на образование поверхностного соединения с плотной упаковкой адсорбированного слоя, состоящего из нескольких молекулярных слоев. В результате изучения концентрационной (в пределах 0—3%) и температурной (20—50°) зависимости вязкости суспензий для всех t -р обнаружен острый максимум вязкости при конц-ии суспензии, равной 0,5%, нарушающий плавный ход кривой во всех остальных ее участках. При замене воды на спирты положение максимума смещается. Вблизи максимума наблюдается появление структурной вязкости. Эти эффекты объясняются авторами проявлением межмолекулярных сил, обусловливающих, при определенных условиях, стабильность дисперсной системы, состоящей из кристаллитов и адсорбционных оболочек вокруг них. Л. Э.

77814. Поверхностное явление — обращенные мыльные пузыри. Скуген (Inverted soap bubbles — a surface phenomenon. Skogen N.), Amer. J. Phys., 1956, 24, № 4, 239—241 (англ.)

Обнаружено и качественно исследовано явление образования «обращенных мыльных пузырей» (ОМП) — капель мыльного р-ра в том же р-ре, не сливающихся с ним вследствие наличия тонкой пленки воздуха, разделяющей обе массы жидкости. Если капли р-ра наносить на поверхность жидкости, заставляя их падать с высоты нескольких mm , то они плавают некоторое время, не сливаясь с окружающим р-ром и лишь коалесцируя друг с другом. Если же р-р осторожно выливать струей из стакана, то он прони-

кает под поверхность и оказывается как бы в воздушном мешке, который, постепенно сокращаясь, принимает сферич. форму. Таким путем в р-рах различных мыл можно получить ОМП размером 2—20 мк, время существования которых равно 4—5 мин. Как и обычные мыльные пузыри, ОМП обнаруживают интерференционную окраску, указывающую на то, что толщина их воздушных прослоек ~1 мк. Объем и толщину этих прослоек можно также оценить, увеличивая добавкой соли плотность вливаемой в р-р жидкости и уравнивая таким образом их плавучесть. Процессы разрушения ОМП и обычных пузырей имеют аналогичный характер. Последние, лопааясь, распадаются на множество мелких капель; ОМП, всплывая на поверхность р-ра, образуют при разрушении большое число мелких пузырьков воздуха. Ряд других свойств ОМП также сходен со свойствами обычных мыльных пузырей.

А. Т.

77815. Метод сравнительного изучения пенообразующих веществ в водной среде. Вильяр, Сото (Método para el estudio comparativo de las sustancias espumantes en medio acuoso. Villar G. E., Soto M.), Bol. Fac. ingr. u agrimensura Montevideo, 1955, 6, № 8, 219—230 (исп.)

Дается характеристика процесса пенообразования при вдувании воздуха в водн. р-р пенообразующих в-в (ПВ) и вводится понятие крит. конц-ии (КК) ПВ, при которой пенообразование не зависит от дальнейшего увеличения конц-ии ПВ в р-ре. Сравнение стабильности пен и свойств ПВ предлагается производить по фактору пенообразующей активности $K = v_f/v_a$, где v_f — объем образующейся пены при вдувании в р-р ПВ кол-ва воздуха v_a , и по кривым зависимости K от конц-ии в интервале от 0 до КК. Для определения K измеряется кол-во образующейся пены при вдувании воздуха в мерный цилиндр с р-ром ПВ через капилляр с калиброванным отверстием при постоянном давлении и скорости перемешивания р-ра. Описывается аппаратура и методика измерений. В. Ш.

77816. Методы химической идентификации микронных и субмикронных частиц. Лодж, Тафтс (Techniques for the chemical identification of micron and submicron particles. Lodge James P. Jr., Tufts Baraga J.), Tellus, 1956, 8, № 2, 184—190 (англ.)

Обзор методов определения размеров и хим. природы частиц аэрозолей, разработанных в лаборатории Отдела метеорологии Чикагского университета. Рассмотрены методы: (а) улавливание частиц на поверхности желатинизированной пены, содержащей реактив, реагирующий с в-вом частицы; (б) фильтрация аэрозоля через мембранный фильтр с последующей обработкой фильтра. В методах (а) и (б) образующиеся при р-ции пятна или скопления кристалликов

измеряются под микроскопом и с помощью эмпирически найденных пересчетных коэфф. определяется размер частиц; методы пригодны до ~1 мк. Для идентификации меньших частиц порядка 50—1000 Å разработан метод термич. осаждения аэрозоля и его обработки на формваровой пленке на объектодержателе электронного микроскопа. И. С.

77817. Как образуются капли из пузырьков газа или пара. — (How drops are formed from gas or vapour bubbles.), Chem. and Process Engng, 1955, 36, № 3, 85—86 (англ.)

См. РЖХим, 1954, 49260.

77818. Влияние водяного пара, аммиака и сероводорода на убывание эффективности дыма нитрата серебра под действием ультрафиолетовых лучей. Сано, Фукута (沃化銀煙の氷晶核としての安定度に及ぼす紫外線の照射, びに水蒸気, アンモニア等の添加の影響. 佐野稜, 福田矩彦), 気象集誌: Kisé сюси, J. Meteorol. Soc. Japan, 1956, Ser. 2, 34, № 1, 34—40 (япон.; рез. англ.)

Изучена скорость убывания под действием УФ-лучей способности дыма AgJ к образованию ледяных частиц. Дым, находившийся в камере емк. ~50 л с одной стенкой из полихлорвинила, облучался ртутной лампой. В камеру предварительно вводились пары H₂O, NH₃ или H₂S. Порции дыма время от времени выпускались в охлаждаемый до -12° ящик; число образующихся льдинок сосчитывалось невооруженным глазом. Диаметры частиц дыма лежали в интервале 0,01—0,4 мк с максимумом на кривой распределения у 0,07 мк. Начальная конц-ия частиц AgJ выбиралась такой, чтобы получалось ~1000 льдинок в 1 мл. Установлено, что все указанные газы предохраняют частицы AgJ от дезактивирующего действия УФ-лучей, причем этот эффект возрастает с конц-ией газов. При обсуждении результатов опытов было учтено осаждение частиц на стенках и на дне камеры, а также коагуляция дыма. Измерениями адсорбции (А) водяного пара на порошке AgJ показано, что при относительной влажности $r < 60\%$ А ничтожна, при $r > 70\%$ А резко возрастает, и адсорбционная пленка достигает толщины в несколько десятков молекулярных диаметров. По мнению авторов, действие водяных паров, возможно, заключается в поглощении УФ-лучей или в удержании образующегося при фотоллизе AgJ иода водяной пленкой. В случае NH₃ и H₂S эффект вызван, вероятно, образованием комплексов из AgJ и этих газов. Н. Ф.

См. также: раздел Химия высокомолекулярных веществ. и рефераты Структурно-механич. св-ва 80288, 80289. Детергенты 79855, 79858—79860. Полиэлектролиты 77690. Гели 80192, 80193. Аэрозоли 80439, 80441. Суспензии, эмульсии, пены 78595, 79488, 80291, 80448

НЕОРГАНИЧЕСКАЯ ХИМИЯ. КОМПЛЕКСНЫЕ СОЕДИНЕНИЯ

77819. Пути развития неорганической химии. Тшебатовский (Drogi rozwoju chemii nieorganicznej. Trzebiatowski Włodzimierz), Kosmos (Polska), 1956, B2, № 1, 31—41 (польск.)

77820. Возрождение неорганической химии. Ньюхольм (The renaissance of inorganic chemistry. Nyholm R. S.), Times Sci. Rev., 1956, № 20, 3—4 (англ.)

77821. Магнетизм и неорганическая химия. Ньюхольм Р. С., Успехи химии, 1956, 25, № 4, 517—544 См. РЖХим, 1954, 34001.

77822. Концентрирование радия из смеси сульфатов бария и радия фракционированным разложением комплекса с этилендиаминтетрауксусной кислотой (ЭДТА). Такэатацу (EDTA 錯鹽の分別分解によるバリウム-ラジウム混合 硫酸鹽よりラジウムの濃縮. 竹田津

富次), 日本化学雑誌, Нихон какаку дзасси, J. Chem. Soc. Japan., Pure Chem. Sec., 1954, 75, № 11, 1139—1141 (япон.)

BaSO₄, осаждаемый из р-ра BaCl₂, содержащего Ра, р-ром (NH₄)₂SO₄, обрабатывают аммиачным р-ром динатриевой соли ЭДТА. При прибавлении к этому р-ру по каплям HCl постепенно выпадает BaSO₄, а Ра концентрируется в первом осадке. В этом случае степень концентрирования Ра больше, чем при простом осаждении BaSO₄ из р-ра BaCl₂.

Chem. Abstrs, 1955, 49, № 15, 10120. К. Jamasaki.

77823. Бериллий. Рейнбах (Beryllium. Reinbach R.), Techn. Mitt., 1956, 49, № 7, 323—325; Vakuum-Technik, 1956, 5, № 5, 100—103 (нем.)

Краткий обзор. Технич. применение Ве и его сплавов. А. Н.

77824. Применение ионного обмена для извлечения урана из растворов карбонатного выщелачивания. Шанкар Я., Бхатнагар Д. В., Мюрти Т. К. С. В кн.: Химия ядерного горючего (Докл. ин. ученых на Междунар. конференции по мирному использованию атом. энергии, Женева, 1955). М., Госхимиздат, 1956, 112—124

Разработан метод извлечения и концентрирования U из разб. р-ров, содержащих свободный карбонат Na, путем сорбции сильноосновным анионитом амберлит IRA-400. U поглощается в форме комплексного аниона $[UO_2(CO_3)_3]^{4-}$. Емкость анионита по U снижается с уменьшением его содержания в р-ре (исследована область конц-ий 100—500 мг U_3O_8 в 1 л) и с повышением конц-ии Na_2CO_3 (от 1 до 100,0 г/л). Отмывка сорбированного U производилась 1,0 М р-ром $NaNO_3$, и конц-ия U в элюате достигала 25%. Установлено, что ванадат, фосфат- и алюминат-анионы, которые могут присутствовать в заводских щелоках, не задерживаясь, уходят с фильтратом. Извлечение и очистка U из нитратного элюата легко может производиться путем экстракции $UO_2(NO_3)_2$ эфиром. Карбонатный р-р может быть многократно использован при повторных циклах с новыми партиями руды, а нитратный — для повторных элюирований. Содержащийся в последнем избыток $NaNO_3$ служит высаливающим агентом в процессе эфирной экстракции. В. А.

77825. К вопросу о существовании H_2O_4 . Пурмаль А. П., Ж. физ. химии, 1955, 29, № 4, 744 Дискуссионная статья. См. РЖХим, 1955, 34244.

77826. О существовании высшей перекиси водорода. Некрасов Л. И., Скороходов И. И., Ж. физ. химии, 1956, 30, № 5, 1189—1190

Краткий обзор работ, посвященных вопросу о существовании H_2O_4 . См. РЖХим, 1955, 11334, 34244; см. пред. реф. Библ. 17 назв. А. Н.

77827. К вопросу о получении перманганата кальция. Ангелов И. И., Пятницкая Г. Н., Тр. Всес. н.-и. ин-та хим. реактивов, 1956, вып. 21, 96—101

Метод получения $Ca(MnO_4)_2 \cdot 4H_2O$ (I) основан на р-ции $KMnO_4$ (II) с H_2SiF_6 (III) с образованием осадка K_2SiF_6 (IV) и последующей нейтр-ции образовавшейся $HMnO_4$ (V) избытком $CaCO_3$. При добавлении теоретич. кол-ва 40—44%-ной III к нагретому до 40—50° II, осаждается только ~86% IV. Введение 100—200%-ного избытка III практически не сказывается на полноте осаждения IV. Для более полного осаждения IV р-ция между II и III должна выполняться при 15—20° в возможно меньшем объеме р-ра II. Целесообразно использовать р-р с весовым отношением II: H_2O = 1:5. В этих условиях получают ~15%-ную V. После отфильтровывания осадка IV, V нейтрализуют в фильтрате 15—20%-ным избытком $CaCO_3$, доводя pH р-ра до 5,65. Нейтрализованный р-р упаривают на водяной бане до появления сплошной пленки, выделившейся при охлаждении кристаллы I растворяют в 5-кратном кол-ве воды и перекристаллизовывают при 15° для отделения примесей II. Выпавшие кристаллы II отфильтровывают и из фильтрата кристаллизуют чистый I. Выход I 90—95%. Н. П.

77828. Исследование осадка, полученного из хлорида кадмия в присутствии сегнетовой соли и щелочи. Комлев О. И., Галанец З. Г. (Дослідження осаду, одержаного з хлористого кадмію в присутності сегнетової солі і луку. Комлев О. І., Галанець З. Г.), Наук. зап. Львівськ. ун-ту, 1955, 34, 134—137 (укр.)

В результате рентгенографич. исследования (сопоставления дебаеграмм осадка и $Cd(OH)_2$), аналитич. данных и данных по произведению растворимости осадка, полученного при высоком значении pH из р-ра $CdCl_2$ в присут-

ствии сегнетовой соли (Наук. зап. Львівськ. ун-ту, 1949-13), установлено, что этот осадок представляет собой не тартратное соединение Cd, а $Cd(OH)_2$. М. Г.

77829. К вопросу о получении чистого фтористого бора. Винник М. И., Манелис Г. Б., Рыбачев Р. С., Танцырев Г. Д., Чирков Н. М., Ж. неорг. химии, 1956, 1, № 4, 628—631

KBF_4 (I) получают из HF, H_2BO_3 и KOH (Неорганич. синтеза. Сб. 1, 1951). Для освобождения от Si, содержащегося в продажной HF, перед осаждением I из р-ра HBF_4 щелочью удаляют имеющуюся в р-ре H_2SiF_6 в виде Ва-соли, добавляя $BaCO_3$ и 10% от необходимого для нейтр-ции KOH. Разлагают смесь тонкоизмельченных I (1 моль) и $BaCl_2$ (0,5 моля) в реактсе из нержавеющей стали. Выдерживают 1 час при 200—250° в вакууме для высушивания, а затем нагревают до 600—650°, конденсируя выделяющийся BF_3 в ловушке, охлаждаемой жидким воздухом. Разгоняют BF_3 двукратным перемораживанием газа из ловушки при -100 и -101°. При разложении 1 моля I получают 16—19 л BF_3 при 1 атм. Для окончательной очистки разгоняют BF_3 на низкотемпературной фракционной колонке с насадкой из нержавеющей стали, отбирая фракцию с т. кип. от -100 до -101°. Масс-спектральный анализ и ИК-спектр BF_3 показывают, что он содержит не более 0,2% SiF_4 . И. С.

77830. Диметиламинометилборин. Берг, Бун (Dimethylaminomethylborine. Burg Anton B. Boone James L.), J. Amer. Chem. Soc., 1956, 78, № 8, 1521—1522 (англ.)

Диметиламинометилборин $(CH_3)_2NBHCH_3$ (I) получен смешением $(CH_3)_2BH_2$ и $(CH_3)_2NH$ при -78° и отгонкой избытка одного из реагентов в вакууме. Т-ра плавления I равна от -136,4 до -136,2°, давление насыщ. пара, измеренное от -58,9 до -22,8°, выражается уравнением $\lg p$ (мм) = -1947/T + 1,75 $\lg T$ - 0,009815 T + 7,771, экстраполированная нормальная т. кип. ~44° или 42°. При комнатной т-ре и 20 мм рт. ст. пар I медленно (равновесие устанавливается в течение 25 дней) диспропорционируется: $2 I \rightleftharpoons (CH_3)_2NBH(CH_3)_2$ (II) + $(CH_3)_2NBH_2$ (III); смешение II и III приводит к образованию I. В паре I содержатся незначительные кол-ва димера диметиламинометилборина (IV), выделяющегося при охлаждении в виде жидкости, содержащей растворенный I. Чистый IV — бесцветное неустойчивое твердое в-во, плавящееся при т-ре выше комнатной; давление насыщ. пара IV при 0° равно ~1,2 мм и при 25° 3,5 мм. Из давления насыщ. пара равновесной жидкой смеси I и IV ($\lg p$ мм) = 8,124 - 1800/T выведено, что при 21,65; 29,48; 34,38 и 38,56° молярные доли I соответственно равны 0,266, 0,295, 0,311 и 0,343. И. Р.

77831. Температуры плавления антимонидов галлия и индия. Беднарж, Шмироус (Die Schmelzpunkte des Gallium- und Indiumantimonids. Bednář Jan, Šmírouš Karel), Чехосл. физ. ж., 1955, 5, № 4, 546 (нем.)

См. РЖХим, 1956, 35600.

77832. Содержание кислорода в палочках иодида титана. Конн, Санто, Вальдхаузер (Der Sauerstoffgehalt von Titain-Iodid-Stäben. Koncz Stefan, Szántó Stefan, Waldhauser Helene), Naturwissenschaften, 1955, 42, № 12, 368—369 (нем.)

На основании результатов рентгенографич. исследования и спектрального анализа авторы пришли к выводу, что колебания твердости и электрич. характеристик Ti-палочек, полученных иодидным методом, обусловлены примесями кислорода в палочках иодида Ti. Д. К.

77833. К вопросу образования дитионата при действии сероводорода на раствор сульфита и бисульфита. Яницкис И. В., Прокопчик А. Ю.,

Тр. Каунасск. политехн. ин-та, 1955, 3, 3—7 (рез. лит.)

При пропускании 30—50%-ного избытка H_2S через изолированный от воздуха и нагретый до 80° р-р $Na_2SO_3 + NaHSO_3$ (1:1) с последующим отстаиванием при 7° в течение 3 суток, выделяются палочкообразные кристаллы $Na_2S_2O_8 \cdot 2H_2O$. Факт образования дитионата, согласующийся с ранее опубликованными данными (Зильберман Я. И., Фридман В. М., Ж. общей химии, 1940, 10, 347), авторы связывают с окислительными свойствами нестойкого продукта взаимодействия H_2S с ионами сернистой к-ты. При комнатной т-ре дитионат не образуется.

Н. П.

77834. О несуществовании соединения $Fe_4(TiO_4)_3$. Берто, Дюриф (Sur la non-existence du composé $Fe_4(TiO_4)_3$. Bertaut E. F., Durif A.). Bull. Soc. franç. minéral. et cristallogr., 1956, 79, № 1—3, 176—177 (франц.)

Авторы отвергают возможность существования $Fe_4(TiO_4)_3$, о котором сообщалось ранее (Pouillard E., Ann. Chim. Phys., 1950, 12, 5, 164—214), и показывают, что данные цитированной работы в пределах ошибок опыта согласуются с предположением об образовании псевдобрукита Fe_2TiO_5 (I). I действительно получен при прокаливании смеси 2 $Fe_2O_3 + 3 TiO_2$ при 1200° .

Н. П.

77835. К вопросу о получении карбонатов кальция, строения и магния высокой степени чистоты. Ангелов И. И., Хансон С. И. Тр. Всес. н.-и. ин-та хим. реактивов, 1956, вып. 21, 93—95

Для получения очень чистых карбонатов щел.-зем. металлов из 20%-ных р-ров нитратов Ca, Mg или Sr с pH 4,5—5 осаждают Fe и тяжелые металлы (ТМ) действием $(NH_4)_2S$, через 2 суток отфильтровывают осадок и кипятят фильтрат до полного разложения избытка осадителя. Отфильтровав выпавший осадок S, производят дополнительную очистку от следов Fe и ТМ. Фильтрат подкисляют р-ром HNO_3 (уд. в. 1,14), окисляют Fe (2+) до Fe(3+) бромной водой, кипячением удаляют избыток окислителя, охлаждают и добавляют 25%-ный р-р NH_3 до pH 7,6, приливая насыщ. р-р $(NH_4)_2CO_3$, чтобы осадить 5% Ca или Sr и 7% Mg в виде карбонатов. Эти осадки во время их образования особенно эффективно сорбируют следы примесей, оставшиеся после предварительной очистки. Р-ры с осадками нагревают 20—30 мин. при 80° , отстаивают 2—3 часа и фильтруют через беззольные фильтры, освобожденные от железа. Из фильтрата насыщ. р-ром $(NH_4)_2CO_3$ осаждают основную фракцию карбонатов, промывают осадки водой, содержащей $\leq 1 \cdot 10^{-5} \%$ Fe, до отрицательной р-ции на NO_3^- и сушат их при $100—110^\circ$. Полученные карбонаты содержат $4 \cdot 10^{-6} \%$ Fe и $< 1 \cdot 10^{-5} \%$ ТМ (и Mn).

Н. П.

77836. Химия иона окиси азота NO^+ . Зель (Die Chemie des Stickoxyd-Ions NO^+ . Seel F.), Angew. Chem., 1956, 68, № 8, 272—284 (нем.; рез. англ., франц.).

Обзор. Библ. 156 назв.

В. Ш.

77837. К химии конденсированных фосфатов. Тило (Zur Chemie der kondensierten Phosphate. Thilo Erich), Chem. Technik, 1956, 8, № 5, 251—258 (нем.)

Обзор. Библ. 17 назв.

Н. П.

77838. Неорганическая химия. Сексидентатные адденды. Цутида, Накахара (無機化学・六座配位子・樋田龍太郎・中原昭次)・化学, Karaky, Chemistry (Kyoto), 1955, 10, № 3, 1—5 (япон.)

Обзор за 1953 г. Библ. 16 назв.

А. Н.

77839. Неорганическая химия. Исследования комплексных солей в Японии. Цутида (無機化学・わが國の錯鹽研究・樋田龍太郎)・化学, Karaky, Chemistry (Japan), 1956, 11, № 3, 2—3 (япон.)

Обзор за 1954 г. Библ. 18 назв.

В. Ш.

77840. Строение моноглутамата меди. Дас-Сарма (The structure of copper monoglutamate. Das Sarma

Basudeb), J. Amer. Chem. Soc., 1956, 78, № 5, 892—894 (англ.)

Взаимодействием р-ра $CuCl_2$ с глутаминовой к-той (I) и NaOH получено плохо растворимое в воде соединение, состав которого отвечает эмпирич. ф-ле $CuG \cdot 2H_2O$ (II), где G — кислотный остаток I. Сушкой II при 90° получено соединение $CuG \cdot 0,5H_2O$ (III), которому ранее (Pfeiffer P., Werner H., Z. physiol. Chem., 1937, 246, 212) приписывалось строение $Cu[CuG_2] \cdot H_2O$. Даже многочисленная сушка III в вакууме при 90° не обезвоживает его. При действии сухого NH_3 на III происходит замещение молекулы H_2O двумя молекулами NH_3 и образуется $[Cu(NH_3)_2G_2(NH_3)Cu]$. Изучение ИК-спектра III показало наличие в III прочно связанной координированной молекулы H_2O . Автор приходит к выводу, что III представляет собой 2-ядерный комплекс, в котором молекула H_2O служит мостиком. Каждый из двух G^{2-} образует 5-членный цикл (связи с NH_3 и COO^-) с одним из атомов Cu и, кроме того, связывается группой COO^- с другим атомом, выполняя роль мостика. Действием I и Ba (OH) $_2$ на III получен $Ba[CuG_2] \cdot 4H_2O$ (IV), полностью обезвоживающийся при 90° . Аналогичным путем получен $Na_2[CuG_2]$ (V). Взаимодействием IV с $CoSO_4$ или $NiSO_4$ получены $Co[CuG_2]$ (VI) и $Ni[CuG_2]$ (VII). Соли IV—VII существенно отличаются от III хорошей растворимостью в воде, легкостью дегидратации, значительно большей электропроводностью р-ров. Смешением р-ров обезвоженных IV и $CuSO_4$ в тяжелой воде получен, по-видимому, III, содержащий D_2O вместо H_2O .

Л. В.

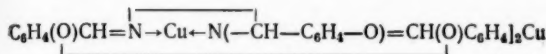
77841. Из изационные равновесия комплексов металлов в бензольных растворах. Часть II. Строение некоторых комплексов одновалентной меди. Буркин (Ionisation equilibria of metal coordination complexes in benzene solution. Part II. The structures of some monovalent complexes. Burkin A. R.), J. Chem. Soc., (1956, March, 538—541 англ.)

Комплексы галогенидов Cu (I+) эмпирич. состава CuX_2A_2 , где X — галоген, а A — монодентатный алденд, могут существовать в формах соли $[CuA_1][CuX_2]$ и 2-ядерного комплекса $[A_2CuX_2CuA_2]$ в зависимости от природы р-рителя. Измерения электропроводности в бензольном р-ре подтвердили строение $[Cu][AsCH_3(C_6H_5)_2]_2$, $[Cu]$ (диарсин) $_2$ (I), $[Cu](C_6H_5)_2NH_2$, $[CuBr(C_6H_5)_2NH_2]_2$ (II), где диарсин — $o-C_6H_4(As(CH_3)_2)_2$. Для $[Cu(As(CH_3)_2CH_3)_2]NO_3$ (III) электропроводность меньше ожидаемой для соли; после растворения III в петр. эфире, содержащем ацетон, и испарения получен III, являющийся неэлектролитом в C_6H_6 . В отличие от I, проводящего ток только в $C_6H_5NO_2$, аналогичный бромид находится в виде $[Cu(диарсин)_2] \cdot [CuBr_2]$ в обоих р-рителях. Мол. веса II в замещающем C_6H_6 и кипящих C_6H_6 и гексане соответственно равны 1028, 445 и 650, что, вероятно, связано с распадом димера при нагревании на $[CuBr(C_6H_5)_2NH_2]_2$ и свободный амин. Рост электропроводности бензольного р-ра II во времени объяснен постепенным превращением в $[Cu(C_6H_5)_2NH_2]_2 \cdot [CuBr_2]$. Часть I см. РЖХим, 1955, 16163.

И. Р.

77342. Строение комплекса меди с салициловым альдегидом, полученного в аммиачной среде. Парьо, Лабей (Structure du complexe cuivrique obtenu avec l'aldéhyde salicylique en milieu ammoniacal. Pariaud Jean-Charles, Labeille Pierre), Bull. Soc. chim. France, 1956, № 3, 429—432 (франц.)

Салициловый альдегид (I) образует с Cu^{2+} в щел. среде разные по составу комплексы, смотря по тому, достигнуто ли pH добавлением NaOH или NH_3 . При добавлении NH_3 к смеси 1 моля $CuSO_4$ и 2 молей I в водно-спиртовой среде до pH 10 образуется осадок, которому часто приписывалось строение производного салициллина. На основании аналитич. и термogravиметрич. данных авторы пришли к заключению, что комплекс представляет собой производное салицилгидрамина со строением



А. А.

77843. Физико-химическое исследование комплекса гистамина с фторидом серебра. Связь между вязкостью и светопоглощением в ультрафиолетовой области. Хатем (Étude physicochimique du complexe histamine-fluorure d'argent. Relation entre la viscosité et l'absorption dans l'ultraviolet. H a t e m S i m o n e), C. r. Acad. sci., 1956, 242, № 17, 2142—2145 (франц.)

Методом непрерывных изменений установлено, что комплекс гистамина с AgF имеет состав $[\text{Ag}(\text{C}_6\text{H}_7\text{N}_3)_2]\text{F}$ (I). В системе I — H_2O , по мере увеличения конц-ии I, имеет место постепенный переход от истинного р-ра к гелю. Исследованы вязкость и светопоглощение в УФ-области при разных конц-иях I в системе I — H_2O . В смесях, где конц-ия I составляет 0,0025 и 0,0050 M, комплекс, по-видимому, мономерен, а начиная с конц-ии 0,01 M, происходит полимеризация. При конц-иях от 0,01 M наблюдается рост вязкости и коэфф. экстинкции во времени. При дальнейшем увеличении конц-ии вязкость и коэфф. экстинкции резко возрастают. При конц-ии $\sim 0,08$ M система представляет собой прозрачный гель, а при большей конц-ии появляется опалесценция. Л. В.

77844. Константы образования комплексов иона кадмия и серусодержащих аминов. Берч, Фернелиус, Блок (Molarity quotients for the formation of complexes between cadmium ions and amines containing sulfur. Bertsch Charles R., Fernelius W. Co-pard, Block B. P.), J. Phys. Chem., 1956, 60, № 3, 384 (англ.)

Из результатов потенциометрич. титрования с использованием описанного ранее метода (РЖХим, 1955, 34273, 37078) вычислены концентрационные константы равновесия Q для отдельных ступеней образования комплексов Cd^{2+} с серусодержащими аминами при 30° в 1 M KNO_3 . Для комплексов $\text{CH}_3\text{SCH}_2\text{CH}_2\text{NH}_2$ (I), $\text{S}(\text{CH}_2\text{CH}_2\text{NH}_2)_2$ (II), и $(-\text{CH}_2\text{SCH}_2\text{CH}_2\text{NH}_2)_2$ (III) величины $\lg Q_1$ и $\lg Q_2$ соответственно равны 3,22 и 2,3; 5,47 и 3,52; 5,61 и 2,44. Сопоставление с величинами Q для несодержащих серы аминов подтверждает, что связь Cd с S менее прочна, чем с N . Для комплекса II с Zn^{2+} величины $\lg Q_1$ и $\lg Q_2$ равны 5,31 и 3,57; I и III образуют с Zn^{2+} осадки, что указывает на меньшую прочность комплексов их с Zn^{2+} , чем с Cd^{2+} , в то время как комплексы не содержащих S полиаминов с Zn более прочны, чем с Cd^{2+} . И. Р.

77845. Дициклопентадиенилово. Фишер, Груберт (Di-cyclopentadienyl-zinn. Fischer E. O., Grubert H.), Z. Naturforsch., 1956, 11b, № 7, 423—424 (нем.)

Взаимодействием в атмосфере N_2 6 г LiC_5H_5 с р-ром 8,6 г безводн. SnCl_2 в 70 мл абс. диметилформамида получено бесцветное кристаллич. в-во состава (по данным анализа) $\text{Sn}(\text{C}_5\text{H}_5)_2$ (I),* выход 50—60%, т. пл. $104-105^\circ$. Соединение I лучше, чем $\text{Pb}(\text{C}_5\text{H}_5)_2$, растворимо в C_6H_6 , $(\text{C}_2\text{H}_5)_2\text{O}$ и петр. эфире; разлагается на воздухе; устойчиво в холодной воде; в к-тах разлагается с выделением C_5H_5 . Магнитная восприимчивость I при 293° ($\chi_m - 128 \cdot 10^{-6}$) и дипольный момент (1,01 D) исключают для I пространственную конфигурацию, подобную $\text{Fe}(\text{C}_5\text{H}_5)_2$. Строение I, подобное строению $\text{Sn}(\text{C}_6\text{H}_5)_2$, подтверждается также быстрой р-цией I с ангидридом малеиновой к-ты в C_6H_6 . М. П.

77846. О фторсодержащих соединениях элементов главной подгруппы V р-группы. II. Гексафторофосфат тетра-хлорофосфония $[\text{PCl}_4]^+[\text{PF}_6]^-$. Кольдич (Über fluorhaltige Verbindungen der Elemente der V. Hauptgruppe. II. Tetrachlorphosphonium-hexafluorophosphat, $(\text{PCl}_4)^+(\text{PF}_6)^-$. Kolditz Lothar), Z. anorgan. und allgem. Chem., 1956, 284, № 1—3, 144—152 (нем.)

$[\text{PCl}_4][\text{PF}_6]$ (I) получен в виде белого гигроскопич. микрокристаллич. осадка введением по каплям 29 г AsF_5 в р-р 46 г PCl_5 в 300 мл AsCl_3 при комнатной т-ре и наружном охлаждении; при избытке AsF_5 выделяется PF_5 . Осадок I отсосан на фильтре, промыт AsCl_3 и продукт сухим воздухом; выход теоретический. Т-ра субли. I 135° (разл.) При титровании I щелочью в присутствии тимол-фталена протекает р-ция $\text{I} + 7 \cdot \text{KOH} \rightarrow \text{K}_2\text{HPO}_4 + 4 \cdot \text{KCl} + \text{KPF}_6 + 3\text{H}_2\text{O}$; наличие PF_6 в р-ре подтверждено выделением KPF_6 и осаждением гексафторофосфата нитрона. I плохо растворим в AsCl_3 , PCl_3 и POCl_3 , хорошо растворим в CH_3CN . Молекулярная электропроводность I в CH_3CN при 30° равна $140 \text{ ом}^{-1} \text{ см}^2 \text{ моль}^{-1}$. В отличие от $[\text{AsCl}_4][\text{AsF}_6]$ (часть I, РЖХим, 1956, 22192), I реагирует с AsF_5 (медленно при 0° , быстро при нагревании): $3 \cdot \text{I} + 4 \cdot \text{AsF}_5 \rightarrow 6\text{PF}_5 + 4\text{AsCl}_3$. Порошкограммы I и $[\text{AsCl}_4][\text{AsF}_6]$ обладают некоторым сходством, но эти в-ва не изоморфны. И. Р.

77847. Спектрофотометрическое исследование комплекса ниобия с пирогаллолом. Ли, Прайс, Ланд (A spectrophotometric investigation of the niobium pyrogallol complex. Lee Kil S., Price Edwin O., Land James E.), J. Amer. Chem. Soc., 1956, 78, № 7, 1325—1327 (англ.)

Спектрофотометрически с применением метода непрерывных изменений, логарифмич. анализа (Kingery, Hume, J. Amer. Chem. Soc., 1949, 71, 2393) и видоизмененного метода молярных отношений (Yoe, Jones, Ind. Engin. Chem. Analyt. Ed., 1944, 16, 111) исследованы р-ры желтого комплекса, образующегося при введении пирогаллола (I) в щел. р-р оксалатного комплекса $\text{Nb}(5+)$. Установлено, что отношение I: Nb = 1; коэфф. экстинкции комплекса равен $2800 \text{ л моль}^{-1} \text{ см}^{-1}$. Константа образования комплекса из оксалатного комплекса и I при низких конц-иях I близка к 870. И. Р.

77848. О соединениях Мо (6+) с концентрированными соляной и серной кислотами. Шово (Sur les composés de Mo^{VI} et des acides chlorhydrique et sulfurique concentrés. Chauveau Française), C. r. Acad. sci., 1956, 242, № 17, 2154—2157 (франц.)

Из измерений оптич. плотности р-ров $\text{Mo}(6+)$ в присутствии переменной конц-ии HCl и смесей HCl , HClO_4 и NaClO_4 найдено, что в 0,06 н. HCl Mo находится в виде H_2MoO_4 ; при повышении конц-ии HCl сперва образуется HMoO_4^- , а затем протекает р-ция $\text{HMoO}_4^- + 3\text{H}^+ + 4\text{Cl}^- \rightleftharpoons 2\text{MoO}_2\text{Cl}_2 + 2\text{H}_2\text{O}$. При дальнейшем повышении конц-ии HCl образуется новый комплекс Mo. Аналогичным методом установлено, что при конц-иях H_2SO_4 от 1,5 до 8 M образуется комплекс $[\text{MoO}_3 \cdot \text{SO}_3\text{H}_2]\text{H}^+$. И. Р.

77849. Соединения металлов с NN'-диариламидами. Брэдли, Райт (Metal derivatives of NN'-diaryl-amidines. Bradley William, Wright Ian), J. Chem. Soc., 1956, March, 640—648 (англ.)

Нагреванием первичных аминов с этилортоформиадом или с этилизоформанилами синтезирован ряд NN'-диарилформамидинов (ДАФ) общей ф-лы $\text{RNHCN} = \text{NR}'$. Выделены соединения (в скобках указаны т. пл.) со следующими $\text{R} = \text{R}'$: $n\text{-C}_6\text{H}_4\text{C}(\text{CH}_3)_2$ (I) (163°), $n\text{-C}_6\text{H}_4\text{O}-n\text{-C}_6\text{H}_5$ (II) ($98-99^\circ$), $o\text{-C}_6\text{H}_4\text{NO}_2$ (161°), $n\text{-C}_6\text{H}_4\text{COCH}_3$ (III) (172°), $n\text{-C}_6\text{H}_4\text{SO}_2\text{CH}_3$ ($218-221^\circ$), $n\text{-C}_6\text{H}_4\text{COOC}_2\text{H}_5$ (IV) (191°), 2-флуоренил ($253-254^\circ$), 2-флуоренил (V) ($264-265^\circ$), 5-хинолил (VI) (203°) и соединение с $\text{R} = 2\text{-антрахинонил}$, $\text{R}' = \text{C}_6\text{H}_5$ ($235-236^\circ$). Внутримолекулярные соединения Cu с ДАФ получены: а) нагреванием р-ра ДАФ в спирте или $\text{C}_6\text{H}_5\text{NO}_2$ с $\text{Cu}(\text{OOCCH}_3)_2$; б) смешением р-ров CuCl и ДАФ в пиридине (Py). В комплексах Cu замещает атом H , связанный с N ; они имеют состав $\text{Cu}(\text{RN})_2\text{CH}$; т. пл. (разл.) их для ряда R равны: C_6H_5 (VII) (310°), $n\text{-C}_6\text{H}_4\text{OCH}_3$ (VIII) ($269-270^\circ$, без разл.), $o\text{-C}_6\text{H}_4\text{Cl}$ (287°), $n\text{-C}_6\text{H}_4\text{CH}_3$ (IX) ($330-332^\circ$), I (397° , разл. с 350°).

$n\text{-C}_6\text{H}_4\text{OC}_2\text{H}_5$ (X) (220°), II (163°), $n\text{-C}_6\text{H}_4\text{Cl}$ ($318-320^\circ$), $n\text{-C}_6\text{H}_4\text{NO}_2$ (XI) (выше 400°), III (газл., не плавясь, выше 350°), IV (320°), $n\text{-C}_6\text{H}_4\text{N}_2\text{C}_6\text{H}_5$ ($336-338^\circ$), VI (235°); не определены т-ры разл. для комплексов с $R = \text{V}$ и $R = 2\text{-антр.}$ Смешиванием р-ров CH_3COOAg в Ру с р-рами ДАФ в Ру получены внутрикомплексные соединения $\text{Ag}(\text{RN})_2\text{CH}$ со следующими R (в скобках т. пл. (разл.)): VII (260°), VIII (205°), X (215°), II (185°), XI (318°), III (не определена), 2-антрахинонил (не определена); они значительно лучше растворимы в органич. р-рителях, чем комплексы $\text{Cu}(1+)$ и нечувствительны к свету. Комплексы $\text{Ag}(1+)$ и $\text{Cu}(1+)$ с ДАФ устойчивы к воде и водн. NH_3 , а также к водн. $\text{NH}_3 + \text{NH}_4\text{Cl}$. Комплексы $\text{Ag}(1+)$ и $\text{Cu}(1+)$ с $R = \text{II}$ и комплекс $\text{Ag}(1+)$ с $R = \text{VIII}$ тетрамерны в кипящем C_6H_6 и, вероятно, образуют циклы. Получены также комплексы $\text{Cu}(\text{RN})(\text{R}'\text{N})\text{CH}$, где $R = \text{XI}$ и $R' = \text{VII}$ (т. пл. $> 300^\circ$), и $R = 2\text{-антрахинонил}$, а $R' = \text{VII}$ (фиолетовый порошок), а также $\text{Ag}(\text{RN})(\text{R}'\text{N})\text{CH}$ с $R = \text{XI}$ и $R' = \text{VII}$ (т. пл. $264-265^\circ$). Испарением в вакууме смесей метанольных р-ров $\text{Cu}(\text{OOCCH}_3)_2$ и $\text{NN}'\text{-дифенилформамидина (XII)}$ или $\text{NN}'\text{-ди-}n\text{-толилформамидина (XIII)}$ получены растворимые в C_6H_6 и неустойчивые в воде зеленые комплексы $(\text{RNCH} =$

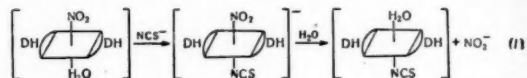
$= \text{NR})_2\text{Cu}(\text{OOCCH}_3)_2$, где $R = \text{VII}$ или IX. При введении р-ра CH_3OK в CH_3OH в горячий р-р $\text{Cu}(\text{OOCCH}_3)_2$ и $\text{NN}'\text{-ди-}n\text{-нитрофенилформамидина}$ в Ру, выпадает осадок, перекристаллизация которого из Ру приводит к получению сине-фиолетовых ромбич. таблечек

$(\text{RN} = \text{CHNR})\text{Cu}(\text{Py})_4(\text{RNCH} = \text{NR})$ (XIV), где $R = \text{XI}$. Аналогично получен идентичный по составу комплекс Ni — гексагональные сине-фиолетовые (в проходящем свете рубиновые) призмы (XV). XIV получен и при кипячении р-ра $\text{Cu}(\text{RN})_2\text{CH}$, где $R = \text{XI}$, в Ру. При 120° в течение 144 час. XIV теряет 2 Ру. Комплекс XV легко разлагается водой и разб. к-тами или NH_3 ; разб. щелочь вытесняет из него Ру. При кипячении XIII с $\text{Hg}(\text{OOCCH}_3)_2$ получен комплекс $\text{C}_{15}\text{H}_{14}\text{N}_2\text{Hg}$, нерастворимый в воде, т. разл. 320° . $\text{NN}'\text{-ди-}(n\text{-фенилформимидонл})\text{бензидин}$ образует с р-ром CuCl в Ру комплекс $\text{C}_{26}\text{H}_{20}\text{N}_4\text{Cu}_2$. $\text{NN}'\text{-ди-}n\text{-нитрофенилацетамидин}$ и $\text{NN}'\text{-ди-}2\text{-антрахинонсилацетамидин}$ образуют комплексы с $\text{Cu}(1+)$, но не с $\text{Ag}(1+)$. $n\text{-Нитро-NN}'\text{-дифенилбензамидин}$ образует при кипячении с Cu и $\text{C}_6\text{H}_5\text{NO}_2$ комплекс $\text{Cu}(1+)$, коричневые иглы $\text{C}_{18}\text{H}_{13}\text{O}_4\text{N}_4\text{Cu}$. Р-р дианила глутаконового альдегида в Ру образует с р-ром CuCl в Ру в присутствии CH_3OH и CH_3OK осадок $\text{C}_{17}\text{H}_{15}\text{N}_2\text{Cu}$, т. разл. 175° ; из ди- $n\text{-хлоранила}$ глутаконового альдегида аналогично получен $\text{C}_{17}\text{H}_{13}\text{N}_2\text{Cl}_2\text{Cu}$. Дианил ацетилацетона осаждает из водно-аммиачного р-ра $\text{Cu}(\text{OOCCH}_3)_2$ черный осадок комплекса $\text{Cu}(2+)$, $\text{C}_{24}\text{H}_{34}\text{N}_4\text{Cu}$, т. пл. $157-158^\circ$. 2- $n\text{-нитроанилинохинолин}$ образует при кипячении с Cu и $\text{C}_6\text{H}_5\text{NO}_2$ желтый комплекс $\text{Cu}(1+)$, $\text{C}_{15}\text{H}_{10}\text{O}_2\text{N}_3\text{Cu}$. И. Р.

77850. Изороданонитро- и изороданогалогено-бис-диметилглиоксимоксальтиксиды. Аблов А. В., Самусь Н. М., Попов М. С., Докл. АН СССР, 1956, 106, № 4, 665-668

При нагревании $[\text{CoH}_2\text{O}(\text{DH})_2\text{NO}_2]$ (I) (DH — остаток диметилглиоксима) образуется темно-коричневый р-р, из которого после добавления NH_3 до слабощел. р-ции выпадают желто-коричневые кристаллы $[\text{CoH}_2\text{O}(\text{DH})_2\text{NCS}]\cdot\text{H}_2\text{O}$ (II). Авторами было выдвинуто предположение, что по аналогии с р-цией I с галогеноводородными к-тами (РЖХим, 1955, 21001) молекула H_2O замещается на NCS -группу с образованием промежуточного аниона $[\text{Co}(\text{DH})_2\text{NO}_2(\text{NCS})]^-$, который далее переходит в II по схеме (I). Правильность этого предположения подтвердилась тем, что из темно-коричневого р-ра, полученного нагреванием I с KSCN , были выделены комплексные соли $[\text{CoPy}_2-$

$(\text{DH})_2][\text{Co}(\text{DH})_2\text{NCS}(\text{NO}_2)]$ (желтые 6-угольные призмы) и $[\text{Co}(o\text{-H}_2\text{NC}_6\text{H}_4\text{CH}_3)_2(\text{DH})_2][\text{Co}(\text{DH})_2(\text{NCS})\text{NO}_2]$ (светло-коричневые 4-угольные пластинки). При подкислении коричневого р-ра до pH 2-3 выделялась изороданонитрокислота $[\text{H}][\text{Co}(\text{DH})_2\text{NO}_2(\text{NCS})]\cdot\text{H}_2\text{O}$ (III), 4-угольные красные призмы, хорошо растворимые в спирте. При обливании водой или разб. р-ром NH_3 при комнатной т-ре



III переходит в II. При действии на II конц. HCl или HBr при нагревании молекула H_2O замещается на HCl или соответственно HBr . Полученные в-ва имеют состав: $[\text{H}][\text{Co}(\text{DH})_2(\text{NCS})\text{Cl}]\cdot\text{H}_2\text{O}$ (IV) — желто-коричневый мелкокристаллич. порошок; $[\text{H}][\text{Co}(\text{DH})_2(\text{NCS})\text{Br}]\cdot\text{H}_2\text{O}$ (V) — темно-красные мелкие октаэдры. IV и V полностью разлагаются водой с образованием II. Гидратация IV и V происходит значительно легче, чем гидратация нитрогалогено-бис-диметилглиоксимоксальтиксидов. Это дает повод предположить, что в диоксимидах Co по транс-активности роданогруппа предшествует нитрогруппе. А. А. 77851. Влияние координации на некоторые аналоги имидазола. Харкинс, Фрейсер (The effect of coordination on some imidazole analogs. Harkins Thomas S., Freiser Henry), J. Amer. Chem. Soc., 1956, 78, № 6, 1143-1146 (англ.)

2-(2-пиридил)-бензимидазол (A) и 2-(2-пиридил)-имидазол (B), рекомендуемые для колориметрич. определения $\text{Fe}(2+)$ (РЖХим, 1954, 5(215)), образуют комплексы и с рядом других ионов. Мало растворимы $[\text{CoA}_3]\text{J}_2$, $[\text{CuA}_2]\text{Br}_2$, $[\text{NiB}_3]\text{J}_2$, $[\text{CoB}_3]\text{J}_2$, $[\text{CuB}_2](\text{ClO}_4)_2$. Из кривых потенциометрич. титрования щелочью в водно-диоксановых р-рах (50 об. % воды) выведены логарифмы констант образования комплексов B в этом р-рителе при 25° : Cu^{2+} lg K_2 6,8; Ni^{2+} lg K_1 7,5, lg K_2 6,6, lg K_3 5,9; Co^{2+} lg K_1 6,4, lg K_2 5,6, lg K_3 4,8; Zn^{2+} lg K_1 6,0, lg K_2 5,0; Mn^{2+} lg K_1 3,9; данные мало точны, так как образование комплексов протекает при высоких pH, в области гидролиза ионов металлов. При титровании щелочью смесей перхлоратов тех же металлов, HClO_4 и A, обнаружена кислотная диссоциация иминного водорода координированного A, степень которой зависит от природы металла; pH полунейтрализации комплексов A с разными ионами приблизительно линейно связаны с величинами lg K_1 и lg K_2 для комплексов с B. Рост кислотных свойств обнаружен и при титровании водн. р-ров имидазола в присутствии ионов металлов. И. Р.

77852. Ионнообменное исследование диссоциации Co_2O_4 . Князев Г. А., Фокин В. В., Захаров-Нарциссов О. И., Ж. неорганич. химии, 1956, 1, № 2, 342-344

При помощи обмена на катионите СБС с использованием Co^{60} исследованы оксалатные комплексы кобальта. Сделано предположение, что образуется только один комплексный анион $\text{Co}(\text{C}_2\text{O}_4)^{2-2x}$. Найдено, что $x = 1$. Константа устойчивости Co_2O_4 равна $(3,1 \pm 0,4) \cdot 10^4$. При помощи найденной константы, пользуясь литературными данными по растворимости Co_2O_4 в воде и р-рах $\text{K}_2\text{C}_2\text{O}_4$, показано, что Co_2O_4 в водн. р-ре диссоциирован на 37,5%. Произведение растворимости $[\text{Co}^{2+}][\text{C}_2\text{O}_4^{2-}] = 2,4 \cdot 10^{-9}$. При достаточно большой конц-ии $\text{K}_2\text{C}_2\text{O}_4$ в р-ре образуется ион $\text{Co}(\text{C}_2\text{O}_4)^{2-}$, константа устойчивости которого равна $4,4 \cdot 10^6$. А. А.

77853. Внешнесферная ассоциация сульфат-иона с трехзарядными положительными амминкобальти-нонами. Позн, Таубе (The outer sphere association of sulfate ion with tripisotopic cobaltamine ions. Posey

Franz A., Taube Henry, J. Amer. Chem. Soc., 1956, 78, № 1, 15—20 (англ.)

Мгновенное изменение оптич. плотности в УФ-области, наблюдающееся при введении ионов SO_4^{2-} в р-ры, содержащие ионы М, где $\text{M} = \text{Co}(\text{NH}_3)_6^{3+}$ (I) или $\text{Co}(\text{NH}_3)_5\text{H}_2\text{O}^{3+}$ (II), объяснено внешнесферной ассоциацией $\text{M} + \text{SO}_4^{2-} = \text{M} \cdot \text{SO}_4^{2-}$. Вычисленные из данных спектрофотометрич. измерений значения $K = [\text{M} \cdot \text{SO}_4^{2-}] / [\text{M}][\text{SO}_4^{2-}]$ (л/моль) не зависят от изменения длины волны от 235 до 255 мμ и зависят от ионной силы μ в согласии с теорией Дебая—Гюккеля. Для образования внешнесферного комплекса I с SO_4^{2-} при μ = 0 и 25° значения $\Delta F^\circ = -4,53$, $\Delta H^\circ = 0,40$ ккал/моль и $\Delta S^\circ = -16,6$ энтр. ед. Для ассоциации II с SO_4^{2-} при 25° $\Delta F^\circ = -4,47$ ккал/моль; значения ΔH° (близко к нулю) и ΔS° (~16,4) недостаточно надежны. Для II наблюдается второе равновесие, изученное определением экстинкции при 560 мμ: $\text{Co}(\text{NH}_3)_5\text{SO}_4^+ + \text{H}_2\text{O} = \text{Co}(\text{NH}_3)_5\text{H}_2\text{O}^{3+} + \text{SO}_4^{2-}$ (III); для него K в 1 M NaClO₄ (μ = 1,05) равно 0,90 при 25° и 0,60 при 44,5°; при 25° $\Delta H^\circ = -3,95$ ккал/моль и $\Delta S^\circ = -13,0$ энтр. ед. Для образования III из свободных ионов при 25° в 1 M NaClO₄ $\Delta H^\circ = -0,3$ ккал/моль и $\Delta S^\circ = 3,3$ энтр. ед. Полученные данные сопоставлены с известными литературными данными о внешнесферной ассоциации в ряде других случаев. И. Р.

77854. Исследование координационной связи. IV. Механизм образования и диссоциации *трис*-2,2'-дипиридинового комплекса двухвалентного железа. Крумгольц (Studies on the coordinate bond. IV. The mechanism of formation and of dissociation of the tris-(2,2'-dipyridyl)-iron (II) complex. Krumholz P.), J. Phys. Chem., 1956, 60, № 1, 87—91 (англ.)

Из измерений конц-ий FeDipy_3^{2+} (*Dipy*—2,2'-дипиридил) в р-рах HCl и LiCl постоянной ионной силы μ = 2,2 при 25°, содержащих известные начальные конц-ии Fe^{2+} и *Dipy*, вычислены произведения констант равновесия $K = K_{\text{H}^+ \text{Dipy}} \cdot K_{\text{Fe} \text{Dipy}}$, где $K_{\text{H}^+ \text{Dipy}}$ — константа диссоциации $\text{H}^+ \text{Dipy}^+ + K_{\text{Fe} \text{Dipy}}$ — полная константа диссоциации FeDipy_3^{2+} . Более постоянные значения K вычисляются при учете образования $\text{H}_2\text{Dipy}^{2+}$ ($K_{\text{H}_2 \text{Dipy}} = 1,4 \pm 0,3$); возможность образования высоких конц-ий $\text{FeDipy}_3\text{H}^{3+}$ исключается результатами этих измерений. Измеренные в р-рах высокой кислотности (до 2,2 M HCl) скорость образования и разложения FeDipy_3^{2+} одинаковым образом зависят от конц-ии H^{3+} . Полученные данные указывают на неверность принятого ранее (Nature, 1949, 163, 724) механизма р-ции. Автор считает правильным иной (РЖХим, 1955, 31447) механизм р-ции; $\text{FeDipy}_3\text{H}^{3+}$ образуется как промежуточное соединение, находящееся в стационарной очень низкой конц-ии. Часть III, РЖХим, 1956, 21697. И. К.

77855. Об экстрагируемых галогеноидных комплексах тяжелых металлов. Циглер, Глемзер (Über extrahierbare Halogenoidkomplexe der Schwermetalle. Ziegler Max, Glemser O.), Angew. Chem., 1956, 68, № 12, 411 (нем.)

Роданиды, цианаты, азиды и подобные соединения (называемые авторами галогеноидами) ряда тяжелых металлов (напр. Fe^{3+} , Cu^{2+} , Pd^{2+} , UO_2^{2+} , Cr^{3+} , Rh^{3+} , Ru^{3+}) в водн. кислых, нейтр. или слабощел. р-рах образуют жидкие или кристаллич. труднорастворимые соединения с первичными, вторичными и третичными аминами. Образование этих соединений может быть использовано для препаративных и аналитич. целей. Так, при прибавле-

нии к кислому р-ру $\text{Co}(\text{NO}_3)_2$ р-ра KSCN (или KCNO) и три-*n*-бутиламина (или три-*n*-амиламина, или три-*n*-октиламина) и встряхивании р-р окрашивается в синий цвет. После отстаивания образуется 3 слоя: водн. фаза, не содержащая Со, синий р-р с галогеноидом Со и бесцветная фаза с непрореагировавшим амином. Р-ция весьма чувствительна: экстрагируется 1 μг Со при предельном разведении 1:1 000 000. В присутствии NaF или $\text{Na}_2\text{S}_2\text{O}_3$ р-ция специфична для Со. И. С.

77856. Комплексообразование в бинарных расплавленных солях. Антипин Л. Н., Успехи химии, 1956, 25, № 5, 632—642

Обзор. Библ. 38 назв.

В. Ш.

77857. О синтезе некоторых минералов скарнов из порошкообразных компонентов. Ягич (Über die Synthese einiger Skarnminerale aus den pulverförmigen Komponenten. Jagitsch Robert), Arkiv. kemi, 1956, 9, № 4, 319—325 (нем.)

Синтезированы диопсид, андрадит и уваровит и изучена их устойчивость. Синтезированные гранаты содержали связанную воду, которая при высокой т-ре могла быть удалена. В. Ш.

77858. Осаждение металлов из растворов солей восстановлением водородом. Шауфельбергер (Precipitation of metal from salt solution by reduction with hydrogen. Schauffelberger F. A.), Mining Engng, 1956, 8, № 5, 539—548 (англ.)

Обзор. Библ. 34 назв.

В. Ш.

77859. Аммонолиз трииодида бора в жидком аммиаке. Мак-Дауэлл, Кинан (The ammonolysis of boron triiodide in liquid ammonia. McDowell W. J., Keenan C. W.), J. Amer. Soc., 1956, 78, № 10, 2069 (англ.)

B_3I_3 энергично реагирует с жидким NH_3 с образованием хлопьевидного белого осадка имида бора по ур-нию: $2\text{B}_3\text{I}_3 + 9\text{NH}_3 \rightarrow \text{B}_2(\text{NH})_3 + 6\text{NH}_4\text{I}$. Имид бора не реагирует с р-ром К в жидком NH_3 при —33 и 25°. И. С.

77860. Изучение дегидратации и регидратации диалкилфосфата с помощью инфракрасной спектроскопии. Леконт, Булле, Лан-Дюпон (Étude par spectroscopie infrarouge de la déshydratation et de la réhydratation du phosphate dialcyle. Lecomte Jean, Boullé André, Lang-Dupont Marcelle), C. r. Acad. sci., 1955, 241, № 25, 1927—1929 (франц.)

В развитие предыдущей работы (ЖХХим, 1956, 18986) проведено спектроскопич., рентенографич. и термogravиметрич. исследование дегидратации $\text{CaHPO}_4 \cdot 2\text{H}_2\text{O}$ (I) и регидратации CaHPO_4 (II). Найдено, что в ИК-спектре I присутствует частота 663 cm^{-1} , исчезающая по мере дегидратации. При обратном процессе эта частота вновь не появляется. Аналогично ведет себя дублет 3488, 3522 cm^{-1} . Наблюдаемый в последней области дублет 3158, 3268 cm^{-1} восстанавливает интенсивность при регидратации II. Это указывает на присутствие в I двух типов молекул H_2O : 1) входящих в состав кристаллич. решетки (663, 3488, 3522 cm^{-1}) и 2) иных, характеризующихся частотами 3158, 3268 cm^{-1} . Полученные результаты совпадают с термogravиметрич. данными. Ю. Е.

77861. Реакция между роданом и азид-ионами. Гофман-Банг (The reaction between thiocyanogen and azide ions. Hofman-Bang N.), Acta chem. scand., 1956, 10, № 2, 340 (англ.)

Родан в р-пе CCl_4 реагирует с азид-ионами по р-ции $(\text{SCN})_2 + 2\text{N}_3^- \rightarrow 2\text{SCN}^- + 3\text{N}_2$. Автор полагает, что р-ция катализируется роданом и ионами SCN^- . В. П.

77862. Поведение урана и некоторых других веществ в фторирующих реагентах. Стейн, Вогел (Behavior of uranium and other selected materials in fluorinating reagents. Stein Lawrence, Vogel R. C.), Industr. and Engng Chem., 1956, 48, № 3, Part I, 418—421 (англ.)

Твердый U экзотермически реагирует с жидкими BrF_3 (I),

BrF_2 (II) и ClF_3 (III) по ур-ниям: $\text{U} + 2 \text{I} \rightarrow \text{UF}_6 + \text{Br}_2$ (50—125°); $\text{U} + 3 \text{II} \rightarrow \text{UF}_6 + 3 \text{I}$ (50—75°) и $\text{U} + 3 \text{III} \rightarrow \text{UF}_6 + \text{ClF}_{\text{газ}}$ (25—75°). В специально сконструированном приборе качественно изучен характер р-ций U, Th и ряда других в-в с I, II, III и F_2 (IV). В жидких I—III даже при т-рах, превышающих нормальную т. кип., U растворяется спокойно в связи с значительным теплоотводом; Br_2 и UF_6 (последний несколько сильнее) ускоряют растворение U в I. Если U сперва покрыт слоем I, а затем приводится в контакт с паром I при т-ре не ниже 150°, то через 1—2 мин. он загорается. Т. воспл. U, не смоченного жидкими фторидами галогенов, в парах I, II и III и в IV соответственно равны 190, 225, 205 и 260°. Th, Al, Cu, Fe и Mg устойчивы к действию I—IV до 410°. Pt легко растворяется в горячем жидком I. Zr незначительно реагирует с жидкими I и II, но корродирует в их парах; он загорается в паре III и в IV при 340°. Флуорирован загорается в паре III и IV (при 275 и 330°), но устойчив в парах I и II по крайней мере до 125°. Тефлон не реагирует заметно ниже 200°. Выполненные из Ni, монель-металла и инконеля части прибора были устойчивы при всех опытах, кварцевое окошко постепенно разрушалось в течение ряда опытов. И. Р.

77863 К. Справочник Гмелина по неорганической химии. Изд. 8-е, перераб. Селен. Сист. № 10. Часть А, вып. 3. Селеновый выпрямитель. Селеновый фотоэлемент (Gmelins Handbuch der anorganischen Chemie, 8. völlig neu bearb. Aufl., Selen, System-Nummer 10, Teil/A-Lfg. 3., Selengleichrichter. Selenphotoelement. Weinheim, Verl. Chemie, G.m.b.H., 1953, S. I-XVII, 415—598) (нем.).

77864 К. Химия бериллия. Блешинский С. В., Абрамова В. Ф., Дружинин И. Г., Винер Л. Р., Сургай В. Т. Фрунзе, АН КиргССР, 1955, 201 стр., илл., 10 р. 45 к.

77865 К. Неорганическая химия. Т. 2. Малатеста, Сакко (Chimica inorganica. Vol. 2. Malatesta L., Sacco A. Milano, Univ. studi di Milano, 1955, 581—1088 p.) (итал.).

77866 К. Неорганическая химия. Т. 4. Цинк, кадмий, ртуть, скандий, иттрий и лантаниды. Снид (Comprehensive inorganic chemistry. Vol. 4. Zinc, cadmium and mercury, scandium, yttrium, and the lanthanide series. Eds. Sneed Mayce Cannon et al. Van Nostrand, 1955, 193 pp., илл., 5 doll.) (англ.).

77867 Д. Реакции обмена между *трис*-(2,2'-дипиридил)-осмо- и осми-ионами и *трис*-(1,10-фенантролин)-ферро- и ферри-ионами. Эйклер (Exchange reactions between tris(2,2'-dipyridyl) osmium (II) and (III) ions and tris(1,10-phenanthroline) iron (II) and (III) ions. Eichler Eugene. Doct. diss., Washington Univ., 1955), Dissert. Abstrs, 1955, 15, № 5, 718 (англ.).

Связанный с переносом электрона обмен между Os (Dipy) $_3^{2+}$ (I) и Os (Dipy) $_3^{3+}$ (II), а также между Fe(Phen) $_3^{2+}$ III и Fe(Phen) $_3^{3+}$ (IV), где Dipy — 2,2'-дипиридил, а Phen — 1,10-фенантролин, изучен в водн. р-рах. При применении изотопного метода во всех случаях наблюден обмен почти на 100%; если принять, что процесс подчиняется закону р-ции 2-го порядка и учесть роль обмена во время разделения, то константа скорости k (л моль $^{-1}$ сек $^{-1}$) при 0° > 10 4 . Определенная с помощью измерений оптич. активности k для р-ции I и II > ~ 10 3 , что противоречит прежним данным (Dwyer, Gyarfas, Nature, 1950, 166, 481). Определенная тем же методом k для р-ции III и IV > ~ 2 · 10 2 . Окислительно-восстановительная р-ция между I и IV быстро протекает как между рацемич. смесями, так и между оптически активными формами; крайне быстры и р-ции I и Fe(Dipy) $_3^{3+}$, I и Ru(Dipy) $_3^{3+}$ (V), III и V; если они являются р-циями 2-го порядка, то k > 3 · 10 6 при 0°. Р-ции обмена I и II и III и IV протекают, по крайней мере, столь же быстро, как р-ции между MnO_4^{2-} и MnO_4^- или Fe(CN) $_6^{4-}$ и Fe(CN) $_6^{3-}$. Р-ции между положительно заряженными комплексными ионами протекают значительно быстрее, чем между отрицательно заряженными. И. Р.

77868 Д. Исследование координационных соединений алкиламмонных фосфинов и аминов. Изучение синтеза алкилфосфинов. Йок III (A study of coordination compounds of alkyl substituted phosphines and amines. Studies in the synthesis of alkylphosphines. Yoke III John Thomas. Doct. diss., Univ. Michigan, 1954), Dissert. Abstrs, 1955, 15, № 10, 1720—1721 (англ.).

77869 Д. Исследование восстановления соединений циркония и гафния. Ледди (A study of the reduced states of zirconium and hafnium. Leddy James Jerome. Doct. diss., Univ. Wisconsin, 1955), Dissert. Abstrs, 1955, 15, № 12, 2404 (англ.).

77870 Д. Изучение редкоземельных элементов. Некоторые исследования внутрикомплексных соединений. Гуайаш (Observations on the rare earths: some studies involving chelate compounds. Gulyas Elsie. Doct. diss., Univ. Illinois, 1955), Dissert. Abstrs, 1955, 15, № 11, 2004—2005 (англ.).

См. также: Элементы и простые в-ва 77292, 77293. Строение и св-ва молекул и кристаллов 77288, 77294, 77296, 77350—77352, 77354—77356, 77358—77360, 77363—77365, 77367—77373, 77511. Кинетика и механизмы неорг. р-ций 77572, 77575, 77591—77596. Комплексные соед. 77295, 77362, 77377, 77555, 77556, 77605, 77685, 77789, 78010, 78377, 78385, 78392, 78444. Др. вопр. 78393, 78641, 78648, 78652.

КОСМОХИМИЯ. ГЕОХИМИЯ. ГИДРОХИМИЯ

77871. Сравнительное экологическое изучение химии планетных атмосфер. Страгхолд (Comparative ecological study of the chemistry of the planetary atmospheres. Strughold H., J. Aviat. Med., 1953, 24, № 5, 393—399, 464 (англ.). См. РЖАстр., 1955, 3977.

77872. Возраст метеоритов. Сингер (The age of meteorites. Philosophical Society, 1399th, Meeting, November 5, 1954. Singer S. F., J. Wash. Acad. Sci., 1956, 46, № 4, 134—135 (англ.).

Определение возраста метеоритов гелиевым методом дает завышенные результаты вследствие воздействия кос-

мич. лучей: первичные фотоны и вторичные мезоны выбивают α -частицы из ядра Fe. Так, напр., полученный возраст метеорита в 8 миллиардов лет является следствием того, что практически весь гелий, 31% которого содержится в форме He 3 , образован в результате космич. активации. Р. Х.

77873. Образование Be 2 в атмосфере. Крукшанк, Коупер, Граммитт (Production of Be 2 in the atmosphere. Cruikshank A. J., Cowper G., Grummitt W. E.), Canad. J. Chem., 1956, 34, № 3, 214—219 (англ.).

Исследовано 32 образца воздуха, собранных в тече-

ние 14 месяцев в четырех точках, расположенных на большом расстоянии друг от друга, севернее широты 55°. Объем образца, равный 10⁷—10⁸ л, пропускался через эффективные бумажные фильтры, задерживающие всю массу атмосферной пыли. Фильтры озолялись при 500° и определялась конц-ия Be⁷ и Ce¹⁴⁴ с помощью добавления неактивных носителей. Be⁷ образуется естественно под действием космич. излучения по р-ции типа N¹⁴(p, 2α) Be⁷. Показано влияние осадков на изменение конц-ии Be⁷ в атмосфере. Скорость образования Be⁷ в северных широтах составляет 2300 атом/см² день.

Р. Х.

77874. Данные по содержанию CO₂ для Скандинавских стран в 1) сентябре — декабре 1955 г., 2) декабре 1955 г. — январе 1956 г. — (CO₂-values 1) Sept.—Dec. 1955; 2) Dec. 1955 — Jan. 1956 in Scandinavia.—), Tellus, 1956, 8, № 1, 114; № 2, 286 (англ.)

Сводная таблица значений, определенных по методу, описанному ранее (РЖХим, 1956, 19560).

В. Ш.

77875. Задачи и методы исследования геохимии географических ландшафтов. Глазовская М. А., Вест. Моск. ун-та, 1956, № 3, 19—29

77876. Сообщение о работе геохимиков в США. Фудзивара (米國地球化学界の二三の見聞. 藤原雄男), 化学の領域. Кагаку-но рёнки, J. Japan. Chem., 1956, 10, № 3, 18—21 (япон.)

77877. Успехи геохимии в Японии. Ямасаки (地球化学. 主として日本の業績について. 山崎一雄), 化学の領域. Кагаку-но рёнки, J. Japan. Chem., 1956, 10, № 4, 11—18 (япон.)

Обзор. Библ. 200 назв.

В. Ш.

77878. Политипизм глинистых и слюдяных минералов. Амелинкс, Декейзер (Le polytypisme des minéraux micacés et argileux. Amelinckx S., Dekeyser W.), Compt. rend. rech. I. R. S. I. A., 1955, № 14, 47—71 (франц.; рез. флам., англ.)

Рассмотрен частный случай полиморфизма — политипизм в отношении слюд и минералов группы каолинита и хлорита. Показано, что явление политипизма может быть объяснено на основе теории Франка. Предложена определенная символика для выражения политипизма слюд и хлоритов.

Л. Б.

77879. Слоистые и глинистые минералы и их определение. Декейзер, Хаббеке (Les minéraux micacés et argileux et leur détermination. Dekeyser W., Hoebeke F.), Compt. rend. rech. I. R. S. I. A., 1955, № 14, 9—45 (франц.; рез. флам., англ.)

Излагаются основные принципы структурного строения силикатов. Описаны наиболее важные минералы. Кратко рассмотрены основные современные методы определения слоистых минералов: рентгенографический и дифференциально-термический анализы.

Л. Б.

77880. Частота распределения концентраций элементов в породах. Обри (Frequency distribution of the concentrations of elements in rocks. Aubrey K. V.), Nature, 1954, 174, № 4420, 141—142 (англ.)

См. также РЖХим, 1955, 23551.

77881. Распределение меди и цинка в различных формах земной коры. Морита (Distribution of copper and zinc in various phases of the earth materials. Morita Y. Oshim I.), J. Earth Sci. Nagoya Univ., 1955, 3, № 1, 33—57 (англ.)

Исследовано 92 образца различных пород вулканич. происхождения из Японии и других стран (I): 3 образца сланца; 9 образцов снега и дождя (II); 21 образец воды из источников (III); 12 образцов, собранных в разное время года из рек (IV); 7 образцов различных частей устриц; 24 образца воды из рек и гавани, загрязненных отходами производств (V); 31 образец озерных вод, отобранных в разное время на разной глубине из 16 озер (VI); 30 образцов озерных отложений (VII) и 37 образцов морской воды (VIII). Предлагаются следующие кларки

для Cu и Zn в земной коре (соответственно): 4·10⁻³ и 8·10⁻³%. Средние величины из полученных значений: I — Cu 0,34·10⁻³—8,7·10⁻³%, Zn 4,4·10⁻³—13·10⁻³%, Cu/Zn 0,10—0,83; для II — Cu 0,7—1,3 γ/л, Zn 3,6—6,5 γ/л, Cu/Zn 0,20; III — Cu 0,6—0,7 γ/л, Zn 2,2—2,3 γ/л, Cu/Zn 0,33—0,35; IV — Cu 1,4 γ/л, Zn 5,0 γ/л, Cu/Zn 0,31; V — Cu 4,8—472 γ/л, Zn 13,3—1254 γ/л; VI — Cu 0,87—5,5 γ/л, Zn 3—12,4 γ/л, Cu/Zn 0,18—0,43; VII — Cu 5,88×10⁻³%; VIII — Cu 0,6—2,4 γ/л, Zn 1,4—5,1 γ/л, Cu/Zn 0,20—0,47.

Р. Х.

77882. Генетические типы промышленных месторождений урана. Суражский Д. Я., Атом. энергия, 1956, № 2, 75—84

На основании обзора фактич. материала ряда работ предложена схема генетич. классификации месторождений урана. Библ. 30 назв.

В. Ш.

77883. Новый тип диаграмм для изображения химических характеристик лав и их региональных ассоциаций. Юнг (Un nouveau type de diagramme pour la représentation des caractères chimiques des associations régionales de laves. Jung Jean), C. r. Acad. sci., 1955, 240, № 7, 799—800 (франц.)

Построена диаграмма для 40 образцов лав по следующему принципу: на оси абсцисс отложен процент содержания SiO₂, на оси ординат — величина R = CaO/(CaO + Na₂O + K₂O); величина i, соединяющая процент SiO₂, отвечающий R = 50, характеризует так назыв. «щелочность» (i < 5) и «кальциевость» (i > 61) и промежуточные характеристики. Определены лавы Таити как щел. и лавы Монт Каскада из Орегона как кальциевые.

М. Я.

77884. Распределение радиоактивности в породах Южной Индии. I. Чарнокиты и связанные с ними породы. Асватханараяна. II. Хондалиты штата Андхра. Састри, Асватханараяна (Distribution of radioactivity in the rocks of South India. I. Charnockites and associated rocks. Aswathanarayana U. II. Khondalites of Andhra, State. Sastri A. V. R., Aswathanarayana U.), J. Scient. and Industr. Res., 1954, B13, № 2, 87—92; 1956, (B—C) 15, B 112—B117 (англ.)

С помощью Г.—М.-счетчика, откалиброванного по самарскиту с 11,15% U и 0,545% Th, определялось β-излучение 22 образцов пород (чарнокитов, лептинитов, кондалитов и пр.) из четырех районов Индии: Анантхагри, штат Визакхапатнам; Паллаварам, штат Мадрас; Тиругирепалли и Кондалпалли, штат Кришна. Средние значения для указанных районов (кол-во U на 1 г породы) равны соответственно: 17,654·10⁻⁶, 12,813·10⁻⁶, 8,523·10⁻⁶, 6,002·10⁻⁶. При переходе от кислых чарнокитов к более основным радиоактивность уменьшается. Присутствие больших кол-в граната также понижает радиоактивность. Напротив, породы становятся более активными под действием процессов гранитизации.

Г. В.

77885. Золото-урановые месторождения в Южной Африке. А. З., Е. Г., Атом. энергия, 1956, № 2, 113—115

77886. Флуоресцирующий ториевый минерал. Минто (Fluorescent thorium mineral. Minto Wallace L.), Science, 1956, 123, № 3193, 419 (англ.)

Описан необычный ториевый минерал из Монтаны (США), излучающий под действием коротких УФ-волн зеленый свет, подобно уранофану. Образец красновато-коричневого цвета, твердость 5,5; уд. в. 4,534; немагнитен, не плавится на паяльной лампе, показатель преломления 1,690 и 1,716; медленно разлагается конц. серной или соляной к-тами. Результаты спектрографич. анализа: Th много (10—100%), Zr среднее (1—10%), Si ниже среднего, Mn мало (0,1—1%), Hf мало, U < 1%, следы Р, Ni, Be, Ge, Al; Та и Nb не обнаружены. Радиологическим путем определено 65±2% окиси Th, хим. путем

64,54%. Хим. анализ обнаружил 0,81% окиси U. Добавление малых кол-в Th из других источников к образцу тушит флуоресценцию. Р. Х.

77887. О составе некоторых индийских хромитов. Малхотра, Прасада-Рао (On the composition of some Indian chromites. Malhotra P. D., Prasad Rao G. H. S. V.), Amer. Mineralogist, 1956, 41, № 5—6, 460—473 (англ.)

Впервые изучен состав и произведен полный хим. анализ 9 образцов хромитов и неполный анализ 29 образцов хромовой руды из 5 штатов Индии и Пакистанского Белуджистана. Результаты полного анализа 9 образцов (в %): Cr_2O_3 49,38—61,44; Al_2O_3 10,63—15,86; Fe_2O_3 0,96—5,83; TiO_2 0,15—0,88; FeO 9,86—19,29; CaO от следов до 0,36; MnO от следов до 0,41; MgO 9,77—15,90; SiO_2 0,14—1,34; H_2O от следов до 0,68. В результате исследования и расчета элементарной ячейки образцы отнесены к Al-хромитам. Р. Х.

77888. Еще о сульфидной минерализации в девонских отложениях Татарии. Мировпольский Л. М., Уч. зап. Казанск. ун-та, 1956, 115, № 16, 251—266

На основании данных, ранее описанных (РЖХим, 1955, 51754) и вновь подтвержденных при дополнительном изучении, автор считает, что сульфаты в девонских отложениях возникли из гидротермальных низкотемпературных р-ров, связанных с магматич. деятельностью (выделение сульфидов в осадочных породах и в кристаллич. фундаменте по трещинам и порам за счет метасоматизма включающих пород; наличие парагенезиса гидротермальных минералов; присутствие сульфидных выделений по всему разрезу девонских отложений в разновозрастных породах). Л. Ф.

77889. О волластоните из архейского метаморфического комплекса Алданского массива. Лицарев М. А., Докл. АН СССР, 1956, 108, № 1, 143—146

В среднем течении р. Эмельджак (Алданский район, Якутская АССР) в архейских кристаллич. сланцах и гнейсах, впервые для алданского архея, встречены прослои волластонитсодержащих пород. Основные минералы прослоев: волластонит, диопсид, скаполит и микроклинпертит; минералы-примеси: сфен, плагиоклаз, кварц, кальцит и апатит. Хим. состав волластонита (в %): SiO_2 49,36, Al_2O_3 0,58, FeO 1,22, MnO 0,04, MgO 0,50, CaO 47,81, Na_2O 0,35, потеря при прокаливании 0,61, сумма 100,47; TiO_2 , Fe_2O_3 , K_2O , H_2O^+ и H_2O^- не обнаружены. Спектральный анализ показал присутствие тысячных долей Ba, Sr и Ti. Порошковая рентгенограмма вращения, термограмма и оптич. измерения подтвердили, что данный минерал является триклинным волластонитом. Предполагается, что образование волластонитовых пород связано с метаморфизмом первично-осадочных отложений известково-кремнистого состава. Г. В.

77890. Измерение и анализ газов в осадочных образованиях. Кояма (Measurement and analysis of gases in sediments. Koyama Tadashi), J. Earth Sci. Nagoya Univ., 1953, 1, № 2, 107—118 (англ.)

Описана аппаратура и методика определения малых кол-в газов (0,5—2 мл) CO_2 , CH_4 , H_2 , N_2 , O_2 в морских или озерных отложениях с точностью до 1%. Метод применим также к вязким или нефтяным в-вам. Анализировалось 12 образцов отложений, взятых на разной глубине и различном расстоянии от поверхности дна из 3 озер Японии. Величины содержания для 3 озер (в мл/л) лежат в пределах: O_2 0,0; N_2 0,0—39,0; CH_4 32,3—198,4; H_2 0,0—49,6; CO_2 56—345. Р. Х.

77891. Цвет осадочных пород как один из показателей условий их формирования. Данчев В. И. Вопросы минералогии осадоч. образований. Кн. 3—4. Львов, Львовск. ун-т, 1956, 57—72

Окраска осадочных пород, определяемая всеми слагающими их компонентами (обломочные, сингенетич., диагенетич. и эпигенетич.), может оказать помощь при

диагностике пород и для выяснения условий их формирования. Предлагается методика фотометрирования образцов на отечественном универсальном фотометре «ФМ». Р. М.

77892. Современные методы исследования глинистых минералов. Судо (粘土礦物の最近の研究. 形藤 男), 邦學, Кагаку, 1956, 26, № 5, 246—251 (япон.) Обзор. Библ. 27 назв. Г. В.

77893. Минералогический анализ глин методом дифракции рентгеновских лучей. Бак (Mineral composition of the Yazoo clay by x-ray diffraction methods. Buck Alan D.), J. Sediment. Petrol., 1956, 26, № 1, 67 (англ.)

77894. Коллоидные свойства глинистых минералов в водных суспензиях. Якобс (Les propriétés colloïdales des minéraux argileux en suspension aqueuse. Jacobs G.), Compt. rend. rech. I. R. S. I. A., 1955, № 14, 73—89 (франц.; рез. флам., англ.)

Поверхностные свойства глинистых минералов главным образом зависят от их структуры. Для гомоинных минералов способность к обмену оснований может быть с известным приближением объяснена только их структурным строением. Для гетероинных минералов еще нет достаточных объяснений. Подробно разобраны вопросы о pH суспензий глинистых минералов и титрования их NaOH и HCl. Указана необходимость титрования в инертной атмосфере, поскольку CO_2 воздуха может вызвать определенные отклонения на кривой титрования. Л. Б.

77895. Глинистые минералы Польдера и некоторых других естественных районов. Декейзер, Хёбеке, Ван-Кеймёлен (Les minéraux argileux des Polders et de quelques autres régions naturelles. Dekeyser W., Hoebeke F., Van Keumeulen J.), Compt. rend. rech. I. R. S. I. A., 1955, № 14, 123—162 (франц.; рез. флам., англ.)

Рассмотрены результаты исследования глинистых минералов в осадках, отложившихся во время II, III и IIIB Дюнкерских трансгрессий (соответственно: IV, X и XI века н. э.). Изменения, произошедшие за этот период, заключались в более или менее полной гидратации слюд. Так, напр., мусковит перешел в илит или монтмориллонит. Вместе с гидратированными минералами найдены следы или небольшие кол-ва каолинита. Г. В.

77896. Глаукоцит. Хёбеке, Декейзер (La glauconite. Hoebeke F., Dekeyser W.), Compt. rend. rech. I. R. S. I. A., 1955, № 14, 103—121 (франц.; рез. флам., англ.)

Кратко изложена теория образования глауконита по Галлихеру (Gallagher E. W., Bull. Geol. Soc. America, 1935, 46, 1351) и разобраны методы исследования этого минерала: термич. и рентгеноструктурный. Общая ф-ла глауконита: $(\text{Na}, \text{K}, \text{Ca})_x (\text{Fe}^{2+}, \text{Fe}^{3+}, \text{Mg}, \text{Al}, \text{Ti})_y (\text{Si}, \text{Al}, \text{Fe}^{2+})_z \text{O}_{10}(\text{OH})_2$. Л. Б.

77897. Геохимия и основные вопросы генезиса гипергенных керченских железных руд. Малаховский В. Ф. Вопросы минералогии осадоч. образований. Кн. 3—4. Львов, Львовск. ун-т, 1956, 190—202

На основании полевых, лабораторных и литературных данных составлены геохим. карты распределения Fe, Mn, P, S, As, SiO_2 и Al_2O_3 в пределах трех крупнейших месторождений бассейна. Установлена зависимость между содержанием Fe и Mn. При увеличении конц-ии Mn до 0,5—0,6% содержание Fe быстро увеличивается до 42—45% и соответственно при конц-ии Mn < 0,6%, — снижается до 35—38%. Переход закисных руд в окисные объясняется постепенным понижением уровня пластовых вод. Р. Х.

77898. О происхождении морских фосфоритных залежей. Маху, Ритман (Über die Entstehung mariner Phosphatlagerstätten. Machu W., Rit-

t mann A.), Naturwissenschaften, 1954, 41, № 10, 227—228 (нем.)

На основе изучения оолитовых фосфоритов Египта и эксперим. исследований допускается, что при образовании залежей фосфоритов морского происхождения фосфат кальция осаждается в результате р-ции между частицами карбоната кальция, взмученными морскими течениями и растворенным фосфатом аммония. Фосфат аммония возникает при разложении остатков животных. В фосфоритах Египта содержится ~ 0,003% урана в виде кальциуранофосфата. Г. Б.

77859. Ураноносные конгломераты района Блайнд-Ривер в Канаде. М. К., Атом. энергия, 1956, № 2, 112—113

Обзор. Библ. 5 назв.

В. Ш.

77900. О поведении вольфрама в зоне окисления шеелитовых месторождений. Яхонтова Л. К., Зап. Всес. минералог. о-ва, 1954, 83, № 2, 117—122

Контактово-метасоматические шеелитовые месторождения (скарны) имеют наиболее благоприятные условия для сохранения шеелита от выветривания. К ним близки обедненные сульфидами кварцево-шеелитовые жилы. Накопление шеелитовых россыпей и присутствие рассеянного W в гипергенных продуктах возможно в обоих случаях. Своеобразие зоны окисления метасоматич. жильных месторождений шеелита объясняется отсутствием контакта с осадочными породами, пестрым минер. составом рудных жил и содержанием сульфидов. К метасоматич. жильным месторождениям близки шеелитоносные кварцевые жилы, богатые сульфидами. Кроме рассеянного W в зоне окисления, возможны вторичные концы его в виде гипергенных вольфрамов. Особый интерес заслуживает связь W с Pb при наличии в первичных рудах галенита. Зона окисления шеелитовых месторождений всегда «заражена» W. При почках и разведке, несмотря на отсутствие видимых соединений W, необходимо проверять на W различные гипергенные минералы, в особенности гидрокислы Fe и Mn и карбонаты. Чиллагит и штофит служат признаком шеелитового оруденения на глубине. Л. Б.

77901. Минеральные формы вольфрама в окисленных скарнах Средней Азии. Левина С. Д., Зап. Всес. минералог. о-ва, 1954, 83, № 2, 106—116

Описаны 3 минер. формы W: 1) шеелит — остаточный минерал первичных руд, 2) тунгстит — корочки по шеелиту и 3) гипергенные минералы с небольшим кол-вом W. Изучение последних показывает, что связь W с ними не является сорбционной. Так, напр., минералы с хорошими сорбционными свойствами, образовавшиеся в шел. среде, почти не содержат WO₃, а минералы кислой и слабосреды содержат наибольшие концы этого металла. Г. В.

77902. Содержание цинка в почвах Латвийской ССР. Пейве Я. В., Иванова Н. Н., Докл. АН СССР, 1956, 106, № 5, 911—913

В почвах Латвии определялось содержание обменного Zn (I) в вытяжках 1 н. KCl и валового Zn (II) после сплавления почвы с углекислыми солями. Аналитически Zn определялся колориметрически с дитизином. Содержание II колебалось в пределах 21,6—43,7 мг/кг, а I 0,5—26,0 мг/кг. Меньше всего Zn в дерново-карбонатных и дерново-подзолистых почвах с нейтр. р-цией, больше всего в кислых торфянистых и лесных почвах. Наличие I связано с органич. в-вом и кислотностью почвы; наибольшее кол-во об. Zn сосредоточено в верхних перегнойных горизонтах почв. Все почвенные разности Латв. ССР в зависимости от колич. содержания I делятся на 5 групп. Л. М.

77903. Подвижный марганец в почвах Ульяновской области. Решетникова Е. В., Тр. Ульяновского с.-х. ин-та, 1956, 4, 67—79

Исследован 51 образец почв, взятых на глубине до 165 см. Колориметрия. определение подвижного Mn производилось из вытяжки 0,05 н. HCl, приготовленной по

методу Гедройца. Величина содержания лежит в пределах 0,0053±0,0210±20%. Почвы, залегающие под лесами, содержат в аккумулятивном гумусовом слое 0,044—0,210% Mn. Распределение подвижного Mn по профилю изученных почв примерно одинаково; наибольшее кол-во Mn содержится в верхнем горизонте и уменьшается с глубиной. Р. Х.

77904. Распространение бора и марганца в почвах некоторых районов Азербайджана. Абрамов М. И., Сеидова Р., Касимова С., Элми эсэрлэр. Азәрб. унив., Уч. зап. Азәрб. ун-та, 1956, № 2, 7—13 (рез. азерб.)

Исследовано 25 образцов почв, взятых на различной глубине (от 0 до 76 см) в 7 районах Азербайджана. В определялся колориметрич. методом с хиализарином, Mn — колориметрич. методом после окисления персульфатом. Величины содержания (в %) колеблются: для B от следов до 1,19·10⁻³, для Mn от следов до 66·10⁻³. Р. Х.

77905. К минералогии биоморфов в связи с генезисом железных руд Приазовского бассейна. Литвиненко А. У. Вopr. минералогии осадоч. образований. Кн. 3—4. Львов, Львовск. ун-т, 1956, 174—189

Исследованы зооморфы (I) и фитоморфы (II) замещения и выполнения из киммерийских слоев. I замещения представлены преимущественно ископаемыми костями морских животных. Главными минералами выполнения I является сидерит, вивинит, паравивинит, керчениты, оксидкерченит, митридатит, гидрогетит, лимонит, колл. гидрокислы Mn психомеланового и вернадитового состава, барит. Главные составляющие II: барит, барит землистого сложения с опалом, фосфат кальция, керчениты, оксидкерчениты, босфорит, сидерит, сидерит с лептохлоритом, гидрогетит. На основании анализа 7 типов биоморфов показано, что наиболее интенсивно в процессе обособления элементов в рудных осадках мигрировали Mn, P, Ca, Ba, S. Спектральный анализ 16 типов биоморфов указывает на присутствие в разных конциях As, P, Ga, Be, Y, Ni, Co, Zn, Pb, Cu, Na, Sr, Ba, Ca, Mg, Mn, Fe, Al, Ti, Si. Микроэлементы в стадиях диагенеза и эпигенеза испытывали значительные перемещения. Процесс минералообразования и перераспределения протекал на протяжении длительного времени при меняющейся геохим. обстановке. Р. Х.

77906. Органическая геохимия урана. Брегер И. А., Дьюл М. В. сб.: Геол. атомных, сырьевых материалов. М.: Гос. науч.-техн. изд-во лит. по геол. и охране недр, 1956, 95—105

Уран генетически не связан с углеродистыми в-вами, но он может быть собран этими в-вами в процессе его миграции. Таким образом, существенным для возникновения ураноорганич. образований является наличие трех факторов: источник урана, транспортирующая среда и органич. в-во. Наиболее эффективной транспортирующей средой является вода вследствие ее изобилия и высокой растворяющей способности. Сырая нефть из ураноносных провинций содержит лишь незначительное кол-во U и является поэтому менее вероятной транспортирующей средой; непотряпанная природа CO₂ также не способствует переносу уранила или других ионов U. Механизм конции сложен и связан как с хим. (образование уранил-гуматного комплекса), так и с физ. (сланцы) процессами. Углеродистые в-ва не во всех случаях могут быть осадителями или абсорбентами U даже в ураноносных провинциях. Р. Х.

77907. О «горном масле» Тувы. Миронов С. И., Соколова М. Н., Тр. Ин-та нефти АН СССР, 1956, 8, 3—7

Исследованы битуминозные образования в районах развития кембрийских отложений, перекрытых обломочными породами нижнего силура, с содержанием битума в породах от 0,010 до 0,041%. Светлые парафины спирто-бензольного экстракта представляют собой смесь твердых

парафиновых углеводородов с незначительным содержанием кислородных соединений. В темных парафинах содержание кислорода возрастает до 27,7%, с увеличением азота до 8,9%. В «смолистой» части содержание $O + S + N$ достигает 55,93%. «Горное масло» представляет собой озокерит, аналогичный озокеритам Минусинской котловины и может являться признаком нефтеносности территории Тувы. Р. Х.

77908. О растворимости нефти и газов в воде. Фокеев В. М., Тр. Моск. геол.-развед. ин-та, 1956, 29, 203—213

На основании литературных данных рассмотрен вопрос об изучении физ.-хим. свойств пластовых жидкостей. Пластовая вода, насыщ. N_2 , CH_4 , CO_2 , H_2S и газообразными углеводородами, проходя по трещинам, порам и контактными зонам, растворяет породы иначе, чем вода того же солевого состава, но лишенная газов. Это необходимо учитывать для оценки карста и прогноза растворимости горных пород подземными водами на глубине. Поиски нефти и угля могут вестись по содержанию жидких углеводородов, растворенных в водах. Однако при составлении данных по различным пробам для оценки газосодержания воды как поискового признака необходимо учитывать различие в растворимости газов, минерализацию и солевой состав вод, их т-ру, пластовое давление и давление насыщения, а также условия отбора проб и разгазирования пробы. На основе результатов по большому числу проб пластовых нефтей выведены эмпирич. ур-ния и составлены карты корреляции для определения давления насыщения и объемного коэф. нефти в пластовых условиях по плотности газа, плотности нефти на поверхности и газовому фактору. Основываясь на данных по растворимости нефти в воде, можно представить процесс аккумуляции нефти, как процесс привноса растворенного в-ва в коллектор, длящийся сотни тысяч лет и связанный с изменением растворимости нефти в воде в зависимости от т-ры. Р. Х.

77909. К геохимии нефтеносных отложений (нижнефранские породы Второго Баку). Страхов Н. М., Родионова К. Ф., Залманзон Э. С., Тр. Ин-та геол. н. АН СССР, 1955, вып. 155, 3—115

Проведено литолого-фациальное и геохим. изучение пород нефтеносного горизонта на основании анализа кернового материала из 22 скважин. Дано стратиграфич. расчленение на отдельных участках профиля. Для изучения рассеянных битумов исследовано 25 средних проб. Из пашинской толщи исчерпывающим экстрагированием петролейным эфиром, бензолом, ацетоном и хлороформом выделялось 4 группы органич. в-в: свободный битум (I), связанный битум (II), гуминовое в-во (III) и остаточное в-во. I разделялся на масла, смолы и асфальтены с определением C , H , N для каждого класса. В маслах определялась неомыляемая часть с последующим ацетилированием и выделением углеводородов. Для смол определены числа омыления, кислотности и эфирности. Величины содержания (в % на породу) лежат в пределах: I 0,033—2,350; II 0,020—0,970; III следы — 0,036. Групповой состав органич. в-в связан с петрографич. типом породы. Содержание III (в % от органич. в-ва) в алевролитах 0,61, в аргиллитах 0,37, в мергелях и известняках до следов; содержание I и II растет от алевролитов к известнякам соответственно от 10,76 до 48 и от 5,27 до 27; остаточное органич. в-во убывает от 83,36 до 25,0. В 91 образце определены отдельные хим. элементы (в %): Fe 0,37—5,44; Mn 0,009—0,147; P 0,016—0,170; Cu 3—73·10⁻³; Cr до 17·10⁻³; Ni 1—71·10⁻³; Co до 8·10⁻³; V до 144·10⁻³. Р. Х.

77910. Раздольничивание: обзор. Чилингар (De-dolomitization: a review. Chilingar George V.), Bull. Amer. Assoc. Petrol. Geologists, 1956, 40, № 4, 762—764 (англ.)

Рассмотрены две работы советских ученых (Татарского и Янатьевой, Докл. АН СССР, 1949, 69, № 6, 849—851;

РЖХим, 1956, 28477), посвященные хим. замещению доломита калцитом ($CaCO_3 \cdot MgCO_3 + CaSO_4 \rightarrow 2CaCO_3 + MgSO_4$) и растворимости системы $CaCO_3 - MgCO_3 - H_2O$. Р. Х.

77911. Распределение тяжелых воды в природных водах. Оана (Distribution of heavy water in natural waters. Oana Shinya), J. Earth Sci. Nagoya Univ., 1953, 1, № 1, 42—61 (англ.)

Исследовано 2 образца инее (образец I), 2 образца обычного снега (образец II) и 2 образца снега, оставшегося летом в горах (образец III), 5 образцов дождевой (образец IV), 35 речной (образец V), 7 озерной (образец VI) и 4 образца морской воды (образец VII), а также 10 образцов воды, сопутствующей газу и нефти (образец VIII), 64 образца воды из горячих и минер. источников (образец IX), 3 образца из горячих источников близ моря (образец X), 16 образцов воды, испаряющейся из кратера вулкана (образец XI), и 1 образец грунтовой воды (образец XII). Образцы анализировались флотационным методом; в качестве стандарта была взята токийская водопроводная вода. Полученные данные (Δb) указанных образцов лежат в пределах: I от —1,8 до —0,4; II от —3,6 до —2,0; III от —0,6 до +1,0; IV от —1,7 до 1,0; V от —1,9 до 0; VI от —0,7 до —0,1; VII от +3,3 до +5,9; VIII от 0,6 до +3,8; IX от —2,7 до +1,5; X от +2,2 до +5,1; XI от +1,9 до +5,4; XII —0,6. Обсуждается механизм изменения Δd . Р. Х.

77912. Данные по солям морских и континентальных вод и распределению растительности. Боуман (Salinity data on marine and inland waters and plant distribution. Bowman H. H. M.), Ohio J. Sci., 1956, 56, № 2, 101—106 (англ.)

На основании 11 монографий составлен обзор, представляющий сокращенный вариант готовящегося к опубликованию обзора в биологич. словаре. Приведены данные по среднему солевому составу морской воды, описаны морские растения и их распределение, солевой состав континентальных вод, маленькие щел. пруды и щел. почвы. Р. Х.

77913. О происхождении камчатских термальных вод. Иванов В. В. В сб. Репр. изучения курорт. ресурсов СССР. М., Медгиз, 1955, 63—78

Среди камчатских термальных вод выделены типы: 1) сернисто-углекисло-метановые кислые (фумарольные), связанные с современным вулканизмом, формирование их происходит в окислительной зоне за счет поверхностных вод, хим. состав определяется вулканич. газами; 2) углекислые, образуются при насыщении подземных вод CO_2 метаморфич. происхождения, приурочены к закрытым и слабо раскрытым структурам; 3) азотные щелочные — формируются на глубине в восстановительной зоне за счет инфильтрационных вод. Слабо минерализованные термы генетически связаны с толщей вулканогенных пород, а щелочные — с морскими осадочными отложениями, выход их приурочен к крупным разломам и хорошо раскрытым структурам. Во всех термах высокое содержание кремнекислоты, возрастающее с т-рой, наибольшее в гейзерах. М. Я.

77914. Минеральные воды Среднего Урала и прилегающих районов Западной Сибири. Морковкин К. Н., Славянова Л. В., Сб. науч.-техн. информ., М-во геол. и охраны недр., 1955, № 1, 58—61

На основе выявленной взаимосвязи между геоструктурными элементами и гидрогеологич. условиями в пределах юго-западной части Западно-Сибирской низменности выделяется ряд районов, перспективных для поисков минеральных вод: Тургайская впадина, где встречаются железистые воды с конц-ией 10 мг/л, сероводородные (3—5 мг/л) и соленые с минерализацией до 10 г/л; Иртышская впадина, где возможны щел. воды (рН 8) на глубине 500—800 м и соленые на глубине 1000 м. М. Я.

77915. Химический состав главных типов термальных источников Бурят-Монголии. Красинцева

В. В. В сб.: Вспр. изучения курорт. ресурсов СССР. М., Медгиз, 1955, 133—141

Термальные воды Бурят-Монголии являются сульфатно-натриевыми шел. водами, сухой остаток 0,6—1,58 г/л, pH 7,3—9,3. Т-ра вод доходит до 74,5°, содержание кремнекислоты колеблется от 2 до 98 мг/л, она находится главным образом в недиссоциированном состоянии (в Горнячинском лишь HSiO_3 составляет $\frac{1}{3}$ от общего содержания). Состав термальных вод объясняется выщелачиванием кристаллич. пород атмосферными водами при высокой т-ре.

М. Я. 77916. Минеральные воды «Феодосия». Фомичев М. М. В сб.: Вспр. изучения курорт. ресурсов СССР, М., Медгиз, 1955, 142—149

Минеральная вода «Феодосия» получена из скважины, пробуренной в 1904 г. на участке, ограниченном двумя сбросами в меловых отложениях. По данным Центр. ин-та курортологии хим. состав воды следующий в мг/л: Li 1,0, K 13,5, Na 1236,0, Ca 98,7, Mg 52,4, HCO_3 613,7, SO_4 1386,0, Cl 860,6, Br 7,7, J 0,1, Sr 0,7, H_2SiO_3 15,1, HBO_2 20,4, $\Sigma\text{H}_2\text{S}$ 6,0, pH 7,6. Сухой остаток 4,0 г/л. Состав газовой фазы в об. %: O_2 3,94, CH_4 3,80, N_2 81,64, H_2S 10,62. Вода эксплуатируется на розлив с искусственным насыщением CO_2 .

М. Я. 77917. К геохимии иодных источников Бад-Халль. Шмёлцер (Zur Geochemie der Jodquellen Bad Halls. Schmölzer Annemarie). Mitt. Geol. Ges. Wien, 1954 (1956), 47, Jan., 99—119 (нем.)

Район источников, расположенный в предгорьях Альп, характерен породами третичного периода, мощность которых доходит до 1800—2000 м. Олигоцен представлен темными битуминозными известняками, бедными песком. В различных горизонтах олигоцена встречаются мощные прослои галечника, мергелей, брекчий центральноальпийского происхождения. Палеогеографич. и стратиграфич. условия в области Бад Галлас благоприятны для образования, накопления и получения подосажденных вод. По приведенным данным в типичной воде источника Бад Галлас содержится в мг/кг: катионов — K^+ 10,4, Na^+ 6464,0, Li^+ 2,3, Ca^{2+} 244,5, Mg^{2+} 156,1, Sr^{2+} 13,0, Fe^{2+} 6,1, Al, Mn, Cu — следы, NH_4^+ 51,6; анионов — Cl^- 10704,0, Br^- 78,2, J^- 39,0, NO_2^- 0,03, HCO_3^- 425,0, SO_4^{2-} 0,0; недиссоциированных в-в — H_2SiO_3 11,6, HBO_2 168,0; газообразных — CO_2 26,0. Сумма минеральных соединений 18373,8. Эти воды относятся к группе подосажденных натрийхлоридных вод. Для сравнения приведены аналогичные данные о составе черноморской воды. Отношение J/Cl в минер. водах Бад Галлас колеблется между 3,32—4,19 $\cdot 10^{-3}$ при содержании Cl 7,78—13,78 г/л, J 26,3—58,3 и Br 71—151 мг/л. Рассмотрены ионные отношения Cl : HCO_3 : SO_4 и (Na + K) : Ca : Mg. Отношение NH_4/J составляет 0,82—1,32. Отмечено повышенное содержание B_2O_3 и P_2O_5 . Дан обзор геохим. теорий происхождения минер. вод Бад Галлас. В результате всестороннего рассмотрения вопроса о происхождении минер. вод Бад Галлас автор приходит к заключению, что воды, родственные нефтяным месторождениям, имеют преимущественно органическое происхождение, в то время как иодные источники имеют смешанное происхождение. См. также РЖХим, 1956, 46760.

А. Г. 77918. К геологии минеральных источников Висбадена. Михальс (Zur Geologie der Wiesbadener Mineralquellen. Michals Franz). Z. Dtsch. Geol. Ges., 1954 (1955), 106, № 1, 113—117 (нем.)

Большинство из 27 минер. источников Висбадена приурочено к большой водопроводящей тектонич. трещине в серпентитовых гнейсах, протягивающейся в направлении с Ю.-З. на С.-В. Исследованием подверглись воды крайнего восточного источника «Кипящий ключ» и юго-западного — «Ленивый ключ». По данным хим. анализа «Ленивый

ключ» содержит (в %): K^+ 71,8 $\cdot 10^{-3}$, Na^+ 1,514 $\cdot 10^{-3}$, Li^+ 2,6 $\cdot 10^{-4}$, NH_4^+ 2,4 $\cdot 10^{-4}$, Ca^{2+} 2,545 $\cdot 10^{-2}$, Sr^{2+} 8,2 $\cdot 10^{-4}$, Ba^{2+} 9 $\cdot 10^{-6}$, Mg^{2+} 2,96 $\cdot 10^{-3}$, Fe^{2+} 2,03 $\cdot 10^{-4}$, Mn^{2+} 3,2 $\cdot 10^{-5}$, Zn^{2+} 3 $\cdot 10^{-6}$, Cl^- 2,7 $\cdot 10^{-1}$, Br^- 2,3 $\cdot 10^{-4}$, J^- 2,0 $\cdot 10^{-6}$, SO_4^{2-} 9,48 $\cdot 10^{-3}$, HPO_4^{2-} 9,0 $\cdot 10^{-6}$, H_2AsO_4^- 5,0 $\cdot 10^{-6}$, HCO_3^- 33,07 $\cdot 10^{-3}$, HBO_2 4,2 $\cdot 10^{-4}$, H_2SiO_3 7,75 $\cdot 10^{-3}$, H_2TiO_3 2,0 $\cdot 10^{-6}$, CO_2 2,45 $\cdot 10^{-2}$ и следы Cu, Al и Be. «Кипящий ключ» содержит: Li^+ 3,48 $\cdot 10^{-4}$, Na^+ 26,78 $\cdot 10^{-2}$, K^+ 97,23 $\cdot 10^{-2}$, Rb^+ 3,89 $\cdot 10^{-5}$, Cs^+ 2,71 $\cdot 10^{-5}$, NH_4^+ 6,77 $\cdot 10^{-4}$, Mg^{2+} 48,23 $\cdot 10^{-4}$, Sr^{2+} 12,28 $\cdot 10^{-4}$, Ca^{2+} 35,09 $\cdot 10^{-3}$, Ba^{2+} 6,7 $\cdot 10^{-5}$, Mn^{2+} 52,95 $\cdot 10^{-6}$, Fe^{2+} 33,61 $\cdot 10^{-5}$, Cl^- 46,05 $\cdot 10^{-2}$, Br^- 2,93 $\cdot 10^{-4}$, J^- 2,0 $\cdot 10^{-6}$, SO_4^{2-} 65,02 $\cdot 10^{-4}$, NO_2^- 3,6 $\cdot 10^{-5}$, NO_3^- 5,5 $\cdot 10^{-5}$, HPO_4^{2-} 3,0 $\cdot 10^{-6}$, HAsO_4^{2-} 1,5 $\cdot 10^{-5}$, HCO_3^- 61,93 $\cdot 10^{-3}$, H_2SiO_3 7,49 $\cdot 10^{-5}$, HBO_2 4,19 $\cdot 10^{-4}$, CO_2 2,19 $\cdot 10^{-2}$ и следы Ge, Be, Al, Cu, Ag и Pb. Хлоридно-натриевая вода «Ленивого ключа» имеет низкую т-ру, в отличие от других источников Висбадена, которые относятся к термально-хлоридно-натриевым. Новыми буровыми работами (до 115 м) установлено отсутствие третичных отложений, в результате чего гравий залегают непосредственно на серпентитовых гнейсах. Исследованные воды, по мнению автора, имеют атмосферно-осадочное происхождение.

А. Г. 77919. Формирование подземных вод района Каратау (Мангышлак). Сыдыков Ж., Стрельников В. А., Изв. АН КазССР, сер. геол., 1956, № 22, 112—125 (рез. казах.)

Район Каратауских гор, несмотря на пустынный и засушливый климат, благоприятен для формирования, циркуляции и накопления подземных вод (ПВ) в ряде водоносных комплексов: 1) породах пермо-триаса (вследствие трещиноватости и обнаженности — один из важных коллекторов пресных ПВ хлоркальциевого типа); 2) альб-сеноманских отложениях (вследствие обнаженности служат областью питания, кроме того подпитываются трещинными водами пермо-триаса и, несмотря на локальные факторы засоления, имеют слабую минерализацию (М) и относятся к сульфатно-гидрокарбонатному типу); 3) ПВ удовлетворительного качества формируются также в разветвляемых песках и пролювиальных отложениях долин Южного Актау. Разнообразие химизма вод обуславливается различной М и степенью трещиноватости пород хим. состав изменяется от приподнятой площади (область питания) к погруженной части (область циркуляции и стока), М увеличивается от 300—900 мг/л до 1—1,5 г/л. Смена типов вод идет с увеличением М в ряду $\text{HCO}_3 \rightarrow \text{SO}_4 \rightarrow \text{HCO}_3 \rightarrow \text{Cl} \rightarrow \text{HCO}_3 \rightarrow \text{Cl} \rightarrow \text{SO}_4 \rightarrow \text{HCO}_3 \rightarrow \text{Cl} \rightarrow \text{SO}_4 \rightarrow \text{SO}_4 \rightarrow \text{Cl}$. В катионном составе — от Са через соответствующие переходы к Na. М трещинных вод пермо-триаса возрастает до 2 г/л (сульфатный тип вод). Когда трещинные воды дренируются в зоне контакта пермо-триаса с нижней юрой М их достигает 3 г/л (сульфатно-хлоридный и хлоридный). Выявление закономерностей формирования ПВ облегчает решение задач водоснабжения, обводнения пастбищ и оазисного орошения.

М. Г. 77920. Наблюдение за режимом подземных вод на Лебединском месторождении КМА. Павлов И. Н., Сб. науч.-техн. информ., М-во геол. и охраны недр., 1955, № 1, 61—62

Режим подземных вод на Лебединском месторождении связан с атмосферными факторами на водораздельных участках, а на пойме с уровнем реки — с небольшими сезонными колебаниями уровня. Т-ра равна 8—8,5° и не меняется в течение года. По хим. составу воды однотипны, так как водоносные горизонты тесно связаны между собой, минерализация сезонно не меняется, в то время как речная вода дает большие колебания в сумме солей: в паводок 180—210 мг/л, зимой 400—500 мг/л.

77921. Изотопный состав радия (Ra^{224}/Ra^{226} и Ra^{228}/Ra^{226}) в нефтяных водах. Армбруст, Курода (On the isotopic constitution of radium (Ra^{224}/Ra^{226} and Ra^{228}/Ra^{226}) in petroleum brines. Armbrust Bernard F., Jr, Kuroda P. K.), Trans. Amer. Geophys. Union, 1956, 37, № 2, 216—220 (англ.)

Определены относительные кол-ва Ra^{224} , Ra^{226} и Ra^{228} в 11 образцах нефтяных вод штатов Оклахома и Северо-Западного Арканзаса. Конц-ии изотопов (в мк. кюри/л) равны для Ra^{224} в пределах $0,08 \pm 0,01$ — $0,27 \pm 0,03$; Ra^{226} $0,01 \pm 0,01$ — $1,62 \pm 0,06$; Ra^{228} $0,075 \pm 0,008$ — $0,40 \pm 0,04$. Изотопы различных источников принадлежат либо к семейству урана, либо к семейству тория, либо к обоим семействам одновременно. Равновесие изотопов с материнскими породами отсутствует. Р. Х.

77922. Гидрохимическая характеристика рек Иссык-Кульского бассейна. Денисов П. В., Белова О. И., Кадыров В., Дружинин И. Г., Тр. Ин-та вод. х-ва и энерг. АН КиргССР, 1956, вып. 3(6), 127—137

Приведены данные по ионно-солевому составу воды рек Иссык-Кульского бассейна. Все реки имеют слабую минерализацию, в среднем до 200 мг/л. Для рек ледникового питания характерно соотношение анионов: $HCO_3^- > SO_4^{2-} > Cl^-$, а для рек родниковой и некоторой части рек ледникового питания с дополнительным питанием подземными водами: $HCO_3^- > SO_4^{2-} \geq Cl^-$ и $Cl^- > SO_4^{2-}$. Соотношение между катионами следующее: $Ca^{2+} > Mg^{2+} > Na^+ > K^+$. Данным водам характерно поле в левом верхнем углу графика-квадрата Н. И. Толстихина. А. Ф.

77923. Гидрохимическая характеристика рек Чуйского бассейна. Денисов П. В., Дружинин И. Г., Белова О. И., Кадыров В., Тр. Ин-та вод. х-ва и энерг. АН КиргССР, 1956, Вып. 3 (6), 123—126
Дана гидрохим. характеристика рек Чуйского бассейна. Общая минерализация воды рек колеблется от 76,1 до 343,5 мг/л. Наиболее характерная — 100—200 мг/л, при этом соотношения катионов и анионов характеризуются следующими рядами: $HCO_3^- > SO_4^{2-} > Cl^-$ и $Ca^{2+} > Mg^{2+} > Na^+$. Данным водам характерно поле в правом верхнем углу графика-квадрата Н. И. Толстихина. А. Ф.

77924. Гидрохимический режим воды Большого Чуйского канала и его ионный сток. Кадыров В., Сагадкова В., Тр. Ин-та вод. х-ва и энерг. АН КиргССР, 1956, вып. 3(6), 119—122

Даны результаты годичного исследования гидрохим. режима воды Большого Чуйского канала (БЧК). Установлено, что в течение года минерализация воды менялась от 216 до 240 мг/л, а содержание ионов: HCO_3^- — от 152 до 180 мг/л, SO_4^{2-} — от 24 до 30 мг/л, Cl^- — от 8 до 10 мг/л, Ca^{2+} — от 43 до 55 мг/л, Mg^{2+} — от 9,6 до 13 мг/л и $Na^+ + K^+$ — от 3,5 до 10,5 мг/л. Минерализация воды вниз по течению возрастает за счет влияния хим. состава грунтовых вод. Вычислено кол-во растворенных солей, вынесенных водой БЧК за 1954 г., оно составляет 377 736 т. А. Ф.

77925. Нахождение никеля в морской воде, морских организмах, морских осадочных образованиях и его определение. Лавасту, Томпсон (The determination and occurrence of nickel in sea water, marine organisms, and sediments. Lavastu T. A., Thompson Thomas G.), J. Conseil perman. internat. explorat. mer, 1956, 21, № 2, 125—143 (англ.)

Исследовано 17 образцов морской воды, отобранных на различных глубинах, в различное время года и из разных мест, 7 образцов пресной воды, 15 образцов планктона, 13 образцов рыб и моллюсков, 4 образца известковых

скелетов растений и животных и 26 образцов морских осадочных образований. Ni осаждали из отфильтрованной воды р-ром Na_2CO_3 и определяли с диметилглюксимом; органич. образцы предварительно озоляли. Полученные данные (в γ -атом/кг): среднее содержание свободного Ni в морской и речной воде 0,005; среднее содержание в морской воде 0,034; пределы содержания в зависимости от глубины и времени года: 0,024—0,046 в морской воде и 0,026—0,039 в пресной; в планктоне 8—90,153; в рыбах 7,0—28,9; в известковых скелетах 5,3—70, в морских осадочных образованиях 0,024—2,90. Приведен обзор литературных данных. Р. Х.

77926. Определение органического углерода в морских осадках. Ришар (Recherches sur le dosage du carbone organique dans les sediments marins. Richard J. M.), Bull. Assoc. franc. étude sol, 1956, № 72, 355—358 (франц.)
Модифицирован метод Анна (Anne P., App. Agro, 1945, 15) для илов с большим % $CaCO_3$. Автор рекомендует прибавлять сначала H_2SO_4 , а затем уже $K_2Cr_2O_7$. Метод проверен на смеси глюкозы и $CaCO_3$ и дал совпадающие результаты с методом Фрезениуса. М. Я.

77927. Растворение органического вещества в море. Плякетт, Рейкетт (Dissolved organic matter in the sea. Plunkett Mary Alys, Rakestraw Morris W.), Papers in Marine Biol. and Oceanogr. Deep—Sea Research, Suppl. vol 3, London—New York, Pergamon Press, 1955, 12—14 (англ.)
Приведены данные вертикального распределения в водн. толще растворенного органич. С в 1 л на трех станциях в Калифорнийском районе и двух — в северо-западной части Тихого океана. Растворенный органич. С определен аналогичным Кругу (Krogh A., Ecol. Mongr., 1934, 4, 430—439) методом. Кол-во растворенного органич. С, обнаруженное в водах Калифорнийского района, совпало с прежними данными Круга (2—3 мг/л), однако отмечается неравномерное распределение его по вертикали, конц-ии органич. С 1,41—1,71 мг/л в промежуточных слоях воды (на глубинах ~ 300—900 м). В Тихом океане колебания в содержании растворенного органич. С выражены сильнее в верхних слоях, а общий уровень конц-ии ниже (~ 1,5 мг/л), чем в Калифорнийском районе. В промежуточной зоне (~ 400—800 м) содержание органич. С понижается (0,8—1,3 мг/л). Пробы морской воды до анализа хранились замороженными, все определения сделаны с параллельными, таким образом, ошибки исключаются. О. Ш.

77928. Марганцевые конкреции и океанический радий. Петтерсон (Manganese nodules and oceanic radium. Pettersson Hans. Papers in Marine Biol. and Oceanogr. Deep—Sea Research, Suppl. 3, London—New York, Pergamon Press., 1955, 335—345) (англ.)
Исследованы 3 марганцевые конкреции (К), полученные на больших глубинах в юго-восточной части Тихого океана (из материалов экспедиции на Альбатросе). Описание К приведено Мерреем и Ли (Merray J., Lee G. V., Mem. Mus Comp Zool. Harvard coll. 1909, 38, 1—169). Пробы для анализов отбирались с поверхности и изнутри К. Для К со станции 13, взятых с нижней поверхности, отмечается максим. содержание Ra $102-189 \cdot 10^{-12}$ з/г; в пробах с верхней поверхности 38—61 $\cdot 10^{-12}$ з/г; содержание Fe в разных пробах колеблется 13—18%; MnO_2 18—29%. Скорость роста, вычисленная по падению конц-ии Ra внутри К 0,6—1,4 мм в 1000 лет. Для К со станции 173 содержание Ra в пробах нижней части 81—114 $\cdot 10^{-12}$ з/г; верхней 35,51 и 64 $\cdot 10^{-12}$ з/г. Кол-во MnO_2 ниже чем в предыдущей, а кол-во Fe примерно то же; скорость роста 0,4 мм в 1000 лет. 3-я К со станции 4658 самая большая и оригинальная по форме и цвету. Содержание Ra в пробах нижней поверхности 85—330 $\cdot 10^{-12}$ з/г; верхней 25—61 $\cdot 10^{-12}$ з/г; MnO_2 30—75%; К Fe низкая 0,03—1,3%; скорость роста 0,15—0,4 мм

в 1000 лет. Отмечено низкое содержание Ra ($5-6 \cdot 10^{-12}$ г/г) в ядре конкреции. Приведены конц-ии Ra и U в океанич. водах по вертикали. Содержание Ra колеблется в верхних слоях воды в пределах $0,035-0,1 \cdot 10^{-12}$ г/л; на глубинах 4000—7000 м $0,07-0,17 \cdot 10^{-12}$ г/л. Содержание U в верхних слоях $1,1 \cdot 10^{-6}$ г/л, на глубинах $1,4 \cdot 10^{-6}$ г/л.

О. Ш.

77929. Распределение углерода и азота в озерном иле. Кояма (Distribution of carbon and nitrogen in lake muds. Koyama Tadashi, J. Earth. Sci. Nagoya Univ., 1954, 2, № 1, 5—14 (англ.))

Исследовано 45 образцов ила, взятых со дна трех горных озер в Японии. Среднее содержание CO_2 , O_2 , N_2 , CH_4 , H_2 в см³/л равно соответственно: для глубины 12 м 234, 0, 12, 72,7; для глубины 29 м 137, 0, 17, 110, 17; для глубины 56 м 89,0, 18, 161, 24. Содержание C и N в % на сухое в-во соответственно в пределах: 4,33—9,25; 0,280—0,620; C/N 14,6—16,6. Большая часть C и N (99,2 и 97,7%) распределена в собственно иле, 3/5 C в воде из пор находится в газообразных соединениях и 2/5 — в нелетучей фракции. 2/3 N находится в нелетучей фракции. Содержание C и N растет с углублением в дно. Отношение C/N в воде из пор в целом равно 7—9 (4—5 для нелетучей части и 9—24 для газовой).

Р. Х.

77930. К вопросу об определении константы обменно-адсорбционного равновесия. Бахман В. И. В сб.: Вopr. изучения курорт. ресурсов СССР. М., Медгиз, 1955, 175—183

Константа обменно-адсорбционного равновесия определялась экспериментально путем обработки пресноводной глины серией р-ров морской воды, разб. дистилл. водой до различных конц-ий. Поглощенные катионы определялись таким образом в навеске, обработанной и затем отжатой под прессом глины. По уменьшению Cl в слабых р-рах обнаружена адсорбция воды глиной, в крепких, наоборот, глина отдает некоторое кол-во воды. Р-ры

в равновесном состоянии с глиной обогащались ионами Са, глина же получала ионы Na в поглощенном состоянии. Величина константы обменно-адсорбционного равновесия сохраняет практически постоянное значение при изменении ионной силы р-ров от 0,872 до 0,01 для разнотипной пары катионов и составляет ~ 0,086. М. Я.

77931 К. Химия и продуктивность морской воды. Харви (The chemistry and fertility of sea waters. Harvey Hildebrand Wolfe. Cambridge, Univ. Press, 1955 (англ.))

77932 Д. Гидрохимический режим и формирование ионного состава вновь залитых водоемов Воронежской области. Розинер И. М. Автореф. дисс. канд. хим. н., Новочеркас. политехн. ин-т, Воронеж, 1956

77933 Д. Аршаны района г. Улан-Батора. Шагдарын Цэрэн. Автореф. дисс. канд. хим. н., Гидрохим. ин-т АН СССР, Новочеркасск, 1956

77934 Д. Исследование изотопного состава радиоэлементов в минералах с неравновесным отношением актиния и радия. Хитрик М. Е. Автореф. дисс. канд. хим. н., Казахск. ун-т, Алма-Ата, 1956

См. также: Структура и состав минералов 77359, 77374—77376, 77466, 77472. Состав минералов, руд, пород, воздуха и нефтей 77501, 77548, 77549, 78419, 78425, 78429, 78435, 78436, 78443, 78448, 78453, 78459, 78487, 78494, 78496, 78502—78506, 78804, 79030, 79031, 80191, 80438. Микроэлементы и минералы в живых организмах 23223Бх, 23232Бх, 23233Бх, 23270Бх, 23274Бх, 23277Бх, 23402Бх, 23510Бх, 23608Бх, 23650Бх, 23725Бх, 23740Бх. Синтез минералов 77857. Др. вopr. 77462, 77547, 77554, 77674, 78666, 78757, 78758, 78760, 78792, 78834, 79043

ОРГАНИЧЕСКАЯ ХИМИЯ

ТЕОРЕТИЧЕСКИЕ И ОБЩИЕ ВОПРОСЫ ОРГАНИЧЕСКОЙ ХИМИИ

77935. О теории ароматического состояния. Аридт (Notiz zur Theorie des aromatischen Zustands. Aardt Fritz). Chem. Ber., 1956, 89, № 3, 730—731 (нем.)

Автор считает, что так называемые «димеркаптаны» (РЖХим, 1956, 68344) могут иметь строение типа (I) с семичленным ароматич. кольцом, содержащим 8 π -электронов. По мнению автора, причиной неароматич. характера циклооктатетраена является неплоское строение восьмичленного кольца, в отличие от

I, где семичленное кольцо может быть плоским. М. В.

77936. Органическая химия. Транскольцевое влияние в парациклофанах. В. Накагава (有機化学. Paracyclophane における transannular effect 正澄). 化学, Караку, Chemistry (Kyoto), 1955, 10, № 8, 4—8 (япон.)

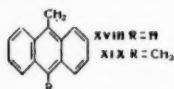
Обзор за 1954 г. Библ. 13 назв. М. В.

77937. Взаимодействие антрацена и 9-метилантрацена со свободными радикалами, образующимися из ди-трет-бутилперекиси. Бекунт, Уотерс (The reactions of anthracene and 9-methylanthracene with the free radicals derived from di-tert-butyl peroxide. Beckwith A. L. J., Waters William A.), J. Chem. Soc., 1956, May, 1108—1115 (англ.)

Изучено взаимодействие хлорбензола (I), нафталина (II), фенантрена (III), пирена (IV), антрацена (V) и 9-метил-

антрацена (VI) с CH_3 -радикалом (VII) и *трет*- $\text{C}_4\text{H}_9\text{O}$ -радикалом (VIII), образующимися при термич. разложении ди-трет-бутилперекиси (IX) при кипячении ее в р-ре I или о-дихлорбензола (X). При взаимодействии I, II, III и IV с VII и VIII образуются лишь некоторое кол-во ацетона, трет- $\text{C}_4\text{H}_9\text{OH}$ и смолы, возникающей, по-видимому, вследствие полимеризации радикалов; большая часть исходных соединений (70—80%) возвращается из р-ции неизменной. При кипячении 70 час. эквимольных кол-в V и IX в р-ре I образуются антрахинон (XI) (выход 3%), 9-метилантрацен (XII) (выход 7,5%) и 9,9',10,10'-тетрагидро-10,10'-диметил-9,9'-диантрин (XIII), выход 7%, т. пл. 264° (из хлф.), превращающийся при дегидрировании над S (при 230°) в XII; 40% V возвращается из р-ции неизменным. В случае избытка IX не удается выделить XII и XIII, так как они, вероятно, подвергаются дальнейшим превращениям. Атака свободных радикалов направлена, по-видимому, исключительно на мезо-положения V, что подтверждается получением только XI при окислении с помощью хромовой к-ты смолы, образующейся при р-ции V с IX. При проведении р-ции между V и IX (эквимольные кол-ва) в р-ре X (кипение 3 часа в атмосфере N_2) выход XI и XII повышается до 21% и соответственно до 27%, но XIII при этом не образуется, так как повышение т-ры способствует, вероятно, радикальному распаду XIII. Без р-рителя и при более низкой т-ре (на кипящей толуольной бане) V с IX не реагирует. Взаимодействие VI с IX в р-ре I (кипение 70 час. в атмосфере N_2) приводит к 1,2-ди-9'-антрилтану (XIV), выход 13,5%, т. пл. 310—312° (из толу-

ола), его полимеру (выход 16,5%), 9,10-диметилантрацену (XV) (выход 5,5%), 9-этил-10-метилантрацену (XVI) и 9-этилантрацену (XVII); 12,5% VI возвращается из р-ции неизменным. Образование XVI и XVII протекает, по-видимому, через внедрение VII в боковую цепь радикалов (XVIII) и (XIX). Взаимодействие VI с IX при более низкой т-ре ($\sim 110^\circ$) без р-рителя приводит к XIV и его полимеру (общий выход 42%), а также к *трет*-C₄H₉OH; продукты замещения в этом случае не образуются, в то

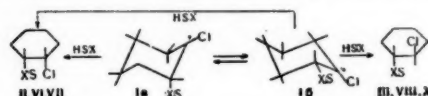


время как при более высокой т-ре (в р-ре X) выход продуктов замещения заметно увеличивается, причем наряду с XIV—XVII образуются также 9,10-этилантрацен (XX) и 1-(9'-антрил)-2-(10-метил-9-антрил)-этан (XXI). Эти данные показывают, что с повышением т-ры VII становится более реакционноспособным, чем VIII, и значительно легче последнего внедряется в ядро V. Из XIX образуется XVI со значительно большим выходом, чем XXI, а 1,2-ди-(10-метил-9-антрил)-этан (XXII) совсем не образуется; это указывает на то, что конца различных радикалов в реакционной смеси убывает в последовательности: VII > XVIII > XIX. Исходный VI получен взаимодействием антрацена (XXIII) с CH₃MgJ, выход 84%, т. пл. 80° (из CH₃OH). Все полученные соединения идентифицированы сравнением их т-ры плавления, а также ИК- и УФ-спектров с заводскими образцами. Заведомый XVII получен взаимодействием XXIII с C₂H₅MgJ, выход 87%, т. пл. 58° (из сл.); пикрат, т. пл. 120° . Аналогично из 10-метилантрацена (XXIV) с C₂H₅MgJ получен XVI, выход 92%, т. пл. 144° (из сл.); пикрат, т. пл. 137° . Взаимодействием C₂H₅MgBr с XI получают 9,10-диэтил-9,10-дигидро-9,10-диоксидантрацен, который нагреванием с уксуснокислым р-ром C₆H₅NNH₂ превращают в XX, выход 77%, т. пл. 148° (из сл.); пикрат, т. пл. 130° . Заведомый XIII получен восстановлением 10,10'-диметил-9,9'-диантрила (0,5 г), с помощью Na в C₂H₅OH, выход 180 мг, т. пл. 264° (из хлф.), а XIV — восстановлением XXIV при действии Zn в HCl—CH₃COOH, т. пл. 310° (из толуола). Заведомый XXI получают следующим образом: к C₄H₉Li прибавляют 9-бромантрацен, обрабатывают при т-ре $< 0^\circ$ эфирным р-ром окиси этилена, разлагают водой, образовавшийся спирт обрабатывают л-толуолсульфохлоридом в р-ре пиридина и полученный 2',9'-антрилэтил-л-толуолсульфонат (XXV), выход 69%, т. пл. 122° (из сл.), кипячением с р-ром NaJ в ацетоне превращают в 2,9'-антрилэтилдид (XXVI), выход 94%, т. пл. 112° (из петр. эф. или CH₃OH); последний (0,78 г) превращают в гриньярово соединение, которое при взаимодействии с XXIV (0,5 г) дает XXI, выход 0,36 г, т. пл. 236° (из ацетона). Для синтеза заведомого XXII Mg-соль 9,10-диметил-9,10-дигидро-9,10-диоксидантрацена переводят по ранее описанному методу (Badger, Pearce, J. Chem. Soc., 1950, 2314) в 9-ю-метил-10-метилантрацен (выход 77%); последний превращают в гриньярово соединение, которое при кипячении с безводн. CoCl₂ в бензольноэфирном р-ре дает XXII, выход 82%, т. пл. 272° (из бзл.). Восстановление XXII (0,5 г) с помощью Na в C₂H₅OH приводит к соответствующему дигидросоединению (XXVII), выход 0,43 г, т. пл. 304° (из бзл.-сл.). Приведены УФ-спектры XIII, XIV, XXI, XXV—XXVII.

Л. Х. 77938. Стереохимия радикальных реакций присоединения. III. Присоединение сероводорода, тиофенола и тиоуксусной кислоты к 1-хлорциклогексену. Горинг, Рильи, Ларсен (The stereochemistry of radical additions. III. The radical addition of hydrogen sulfide, thiophenol and thioacetic acid to 1-chlorocyclohexene. Goering Harlan L., Relyea Douglas I., Larsen Donald W.), J. Amer. Chem. Soc., 1956, 78, № 2, 348—353 (англ.).

Присоединение H₂S к 1-хлорциклогексену (I) приводит

преимущественно к *цис*-2-хлорциклогексантиолу (II) наряду с небольшим кол-вом *транс*-2-хлорциклогексантиола (III) и смеси диастереомерных *бис*-хлорциклогексантиолидов (IV). Радикальная р-ция тиофенола (V) с I также представляет собой *транс*-присоединение и приводит преимущественно к *цис*-2-хлорциклогексантилсульфиду (VI). Присоединение CH₃COSH к I протекает менее стереоспецифично и приводит к смеси *цис*- (VII) и *транс*-2-хлорциклогексантиолацетатов (VIII) в соотношении 7:3. Относительное кол-во *транс*-форм в аддуктах возрастает при уменьшении относительного кол-ва I в исходной смеси. Авторы предполагают, что первичным продуктом р-ции присоединения является радикал (Ia), в котором сернистый заместитель занимает аксиальное положение. Ia может присоединить H-атом с образованием *цис*-аддукта (*транс*-присоединение) либо перейти в более устойчивую экваториальную форму (Iб). Присоединение H к Iб уже не протекает стереоспецифично и приводит с равной вероятностью к *цис*- или *транс*-аддукту. Таким образом, стерич. направленность р-ции присоединения зависит от скорости превращения Ia в Iб, чем и объясняется ее зависимость от относительных кол-в H₂S, V или CH₃COSH в исходной смеси. Струк-



II X=H, III X=H, VI X=C₂H₅, VII X=CH₃O, VIII X=CH₃CO, X X=C₂H₅

тура IV доказана окислением до *бис*-2-хлорциклогексантилсульфона (IX). Возможно, что IV содержит также небольшое кол-во 3,3'-дихлор-1,1'-*бис*-2-циклогексантила. Соотношение *бис*- и *транс*-изомеров в продуктах присоединения к I установлено избирательным сольволизом *транс*-изомеров в 80%-ном спирте. При проведении сольволиза при 100° (45 мин.) чистые III и *транс*-2-хлорциклогексантилсульфид (X) отщепляют 1 экв хлора, II отщепляет $< 0,2$ экв хлора, а VI совершенно не реагирует. Аналогично, но при нагревании в течение 48 час. при 50° VIII отщепляет 0,275 экв хлора, а VII $2,5 \cdot 10^{-3}$ экв хлора. Структура VI и X подтверждается их устойчивостью при нагревании, в то время как 1-хлорциклогексантилсульфид (XI), образующийся при присоединении V к I в ионных условиях (HCl-газ, -10°), при перегонке отщепляет HCl. Структура VII и VIII и их соотношение в продуктах присоединения подтверждены ИК-спектрами. Радикальный характер р-ции присоединения H₂S к I подтверждается тем, что р-ция идет только при освещении. Присоединение V к I происходит не только при УФ-освещении, но и в темноте в отсутствие инициаторов. В этих условиях р-ция также идет по радикальному механизму, поскольку единственными ее продуктами являются VI и X, но не XI. Радикальный характер р-ции присоединения CH₃COSH к I подтверждается тем, что р-ция протормозится УФ-облучением, аскаридомом и (C₆H₅CO)₂O₂. 40 г смеси II и III кипятят 20 час. в 200 мл 80%-ного спирта, добавляя воду, из органич. слоя перегонкой выделяют II, т. кип. $90-91^\circ/12$ мм. Взаимодействием Na-соли II с 2,4-динитрохлорбензолом получают *цис*-2-хлорциклогексантил-2,4-динитрофенилсульфид, т. пл. $155,4-156,0^\circ$ (из ас. сл. CH₃COOH: 2:1), образующийся при окислении (30%-ная H₂O₂ в CH₃COOH) *цис*-2-хлорциклогексантил-2,4-динитрофенилсульфон, т. пл. $138,0-138,8^\circ$ (из 50%-ной водн. CH₃COOH). Действием HCl на циклогексантилсульфид синтезируют III, выход 34%, т. кип. $75,5-76,0^\circ/8$ мм, n_D^{22} 1,5175. Этим же методом из смеси продуктов присоединения V к I выделяют чистый VI, т. кип. $133-135^\circ/1$ мм, n_D^{25} 1,5845, образующийся при окислении

цис-2-хлорциклогексилфенилсульфон, т. пл. 119,0—119,5° (из 50%-ной водн. CH_3COOH). Р-р 9,53 г $\text{C}_6\text{H}_5\text{SOCl}$ в 50 мл CCl_4 добавляют (30 мин.) к р-ру 5,2 г циклогексена в 50 мл CCl_4 , смесь выдерживают 12 час. и перегонкой выделяют X, выход 38%, т. кип. 123—124°/1 мм, n_D^{25} 1,5802, дающий при окислении (30%-ная H_2O_2 в CH_3COOH) транс-2-хлорциклогексилфенилсульфон, т. пл. 82—82,8° (из 50%-ной водн. CH_3COOH). Взаимодействием окиси циклогексена с V синтезируют транс-2-оксидциклогексилфенилсульфид, выход 47%, т. кип. 130—132°/1 мм, превращенный действием PCl_5 в X. Ацелированием II ($(\text{CH}_3\text{CO})_2\text{O}$, пиридин) получают VII, т. кип. 93—93,6°/1 мм, n_D^{25} 1,5182. Р-ция циклогексенсульфида с CH_3COCl приводит к VIII, выход 39%, т. кип. 120—121°/12 мм, n_D^{25} 1,5187, d_4^{25} 1,1638. К 300 мл H_2S добавляют при охлаждении CO_2 -этаном 15,5 г I, смесь блушают 2 часа и разгонкой выделяют непрореагировавший I, выход 14,9%, смесь II и III, выход 62,1% и неочищ. IV, выход 23,7%, т. кип. 170—173°/1 мм, n_D^{25} 1,5491. Окисление IV H_2O_2 в CH_3COOH приводит к IX, т. пл. 170—168° (из водн. CH_3COOH). Сообщение II см. РЖХим, 1976, 57891. Л. Б.

77939. Влияние изотопного эффекта дейтерия на окисление кумола кислородом воздуха. Бузер, Пондер, Трислер, Уайтман (Deuterium isotope effects on the air oxidation of cumene. Booser C. E., Ponder B. W., Trisler J. C., Wightman C. E., III., J. Amer. Chem. Soc., 1956, 78, № 7, 1506—1507 (англ.).

С целью изучения причин стабилизации свободных радикалов, образующихся при окислении углеводородов кислородом воздуха, с целью выяснения способа завершения цепной р-ции определены скорости окисления при 65° кумола (I) и β-дейтерокумолов (IIa и IIб) (IIa содержит 1,4 г-атома D на 1 моль, IIб содержит 3,0 г-атома D на 1 моль) в хлорбензоле и в присутствии азодизобутиронитрила в качестве катализатора. Оказалось, что в отсутствие ингибиторов отношения константы скорости окисления I (K_H) к константе скорости окисления IIa или IIб (K_D) равно 0,91 (для IIa) и 0,85 (для IIб). В присутствии п-нитрофенола (III) $K_H/K_D = 1,05$ (для IIa) и 1,07 (для IIб); в присутствии 2,4-дихлорфенола (IV) 1,19 (для IIa) и 1,27 (для IIб). Авторы объясняют эти результаты тем, что в стабилизации свободных радикалов большую роль играет гиперконъюгация и предполагают, что обрыв цепи происходит по схеме: $2\text{C}_6\text{H}_5\text{C}(\text{CH}_3)_2\text{OO} \cdot \rightarrow \text{C}_6\text{H}_5\text{C}(\text{CH}_3)_2\text{OOH} + \text{C}_6\text{H}_5\text{C}(\text{CH}_3)_2 = \text{CH}_2 + \text{O}_2$. IIa и IIб синтезированы из дейтероацетона и $\text{C}_6\text{H}_5\text{MgBr}$. Получающийся карбинол дегидратируется в присутствии иона олефин гидрируется в р-ре CH_3OH над Pt (из PtO_2). Р. К.

77940. Механизм аутоокисления органических соединений. Йоккуш (Der Mechanismus der Autoxydation organischer Verbindungen. Jockusch H., Chemiker-Ztg., 1956, 80, № 8, 241—247 (нем.). Обзор. Библ. 50 назв. М. В.

77941. Изучение механизма окисления по Мауреру. Лангенбек, Рихтер (Studien zum Mechanismus der Maurer-Oxydation. Langenbeck Wolfgang, Richter Manfred, Chem. Ber., 1956, 89, № 2, 202—208 (нем.).

Проведено кинетич. и препаративное исследование окисления первичных спиртов двуокисью азота (окисление по Мауреру). Спирт и N_2O_4 смешивались при 10° в молярном отношении 1 : 2 (для диолов 1 : 4). После стояния 50 час. (при 18°) удалялись нитрозные газы и остаток растворялся в эфире, р-р промывался водой. По удалении эфира и высушивании в остатке определялись кислотное число (КЧ) (мл 0,1 М NaOH по фенолфталеину), карбонильное число (КЧ) (мл 0,1 М NaOH по гидро-

ксиламинному способу) и нитритное число (НЧ) (мг КОН, эквивалентные 1 г смеси, содержащей нитриты). Окисление жирных первичных спиртов и диолов приводит к образованию соответствующих к-т. Для ряда спиртов даны выходы к-ты и нитритов, выраженные как КЧ и НЧ в % к сырому продукту: *n*-гексанол, 78, 2, 13; *n*-октанол, 83, 1,57; *n*-деканол, 84, 1,18; лауриновый спирт, 85, 0,92; миристиловый спирт, 87, 0,79; цетиловый спирт 91, 0,42; стеариловый спирт 92, 0,4. Для р-ции окисления диолов определено содержание дикарбоновой к-ты в смеси (в %) бутандиол-1,4, 81, пентандиол-1,5, 73; гександиол-1,6, 96, гектандиол-1,7, 91. Опасно смешивать N_2O_4 с гликолем или нитроглицерином ввиду возможного взрыва. Бензиловый спирт на 73% переходит в бензальдегид и на 19% в бензойную к-ту. По мере удлинения алифатич. цепи выход жирноароматич. альдегидов уменьшается. 1-Фенилэтанол 2 превращается на 62% в фенилуксусную к-ту и на 14% в фенилальдегид. При окислении 1-фенилпропанола-3 образуется только гидрокоричная к-та, выход 85%. Кинетич. измерения показали, что бензиловый спирт за 45 час. р-ции образует продукты с высоким КЧ, которое затем падает. КЧ появляется только после периода индукции (15 час.). При образовании жирных к-т (капроновой, каприловой, каприновой, лауриновой, стеариновой и гексагидробензойной) КЧ уже в начале р-ции растет быстро, карбонильные соединения вовсе не обнаруживаются в смесях. При действии на гексагидробензилнитрит и *n*-гексилнитрит КЧ растет, а КЧ падает. Скорость окисления *n*-октилнитрита меньше скорости р-ции с *n*-октанолом и имеет период индукции, который исчезает при добавках к смесям небольшого кол-ва воды. Скорости окисления спирта и нитрита при добавках воды становятся одинаковыми. Отсюда сделан вывод, что нитриты являются промежуточными продуктами при окислении спиртов N_2O_4 . Из смеси N_2O_4 и гексагидробензильного спирта после стояния 70 час. при —40—(—30°) выделено масло, идентичное с гексагидробензоилнитритом, полученным из гексагидробензоилхлорида и AgNO_2 . Механизм окисления включает следующие р-ции: $\text{RCH}_2\text{OH} + \text{N}_2\text{O}_4 \rightarrow \text{RCH}_2\text{ONO} \xrightarrow{\text{HNO}_2} \rightarrow \text{RC(ONO)} = \text{NOH} \xrightarrow{\text{HNO}_2} \text{RCOONO} \xrightarrow{\text{H}_2\text{O}} \text{RCOOH}$. А. Я.

77942. Перенос водорода от спиртов к хинонам. Уэллс (Transfer of hydrogen from alcohols to quinones. Wells C. F., Nature, 1956, 177, № 4506, 483—484 (англ.).

С целью измерения относительной реакционной способности (РС) спиртов в р-циях переноса водорода исследована кинетика поглощения кислорода системой спирт — антрахинон — 2-сульфоакислый Na в водн. р-ре. Для первичных спиртов РС возрастает с возрастанием длины цепи. Для гликолей РС повышается с увеличением степени метилирования углеродного атома, находящегося в α-положении к гидроксилу. РС одноосновных спиртов возрастает по мере повышения степени алкилирования α-углеродного атома, но замещение всех атомов водорода на алкил приводит к резкому снижению РС. Накопление гидроксила в молекуле спирта понижает его РС. Г. Б.

77943. Механизм электрофильного ароматического замещения. Поллингер (The mechanism of electrophilic aromatic substitution. Zollinger H. ch., Experientia, 1956, 12, № 5, 165—175 (англ.).

На основании обзора работ по нитровании, галогенированию и сочетанию ароматич. соединений сделан вывод, что все эти р-ции замещения протекают по единому двуступенчатому механизму: $\text{X}^+ + \text{ArH} \xrightleftharpoons[k_{-1}]{k_1} [\text{HAr}^+\text{X}] (1)$, $[\text{HAr}^+\text{X}] + \text{B} \xrightarrow{k_2} \text{ArX} + \text{BH}^+ (2)$, где X^+ — активная форма электрофильного реагента, образовавшаяся при взаимодействии молекул реагента между собой или с р-рителем; $[\text{HAr}^+\text{X}]$ — нестабильный промежуточный продукт. С этих позиций отсутствие водородного изотопного

эффекта (ИЭ) в случае сочетания 2-метоксидиазобензола с 1,4-нафтолсульфокислотой объясняется тем, что значение k_{-1} мало в этом случае и $[k_2/k_{-1}][B] \gg 1$. Наличие ИЭ, равного 6,55, при р-ции 4-хлордiazобензола (I) с 2-нафтол-6,8-дисульфокислотой объясняется повышенным значением k_{-1} из-за стерич. отталкиваний в HAg^+X между сульфогруппой в положении 8 и присоединившейся в положении 1 диазогруппой. При р-ции I с 1,3-нафтолсульфокислотой наблюдался промежуточный между первыми двумя случаями ИЭ, равный 3,0, объясняющийся меньшим отталкиванием между сульфогруппами в этой р-ции.

И. М. 77944. Реакции электрофильного и нуклеофильного замещения в бензольном кольце и уравнение Хамметта. Миллер (Electrophilic and nucleophilic substitution in the benzene ring and the Hammett equation. Miller J., Austral. J. Chem., 1956, 9, № 1, 61—73 (англ.))

По опубликованным ранее автором и другими исследователями данным по скоростям р-ций электрофильного и нуклеофильного замещения в бензольном ядре и величинам σ или σ^+ (РЖХим, 1955, 3455) построены графики $\lg k = \rho\sigma$. Вычислены значения ρ для следующих р-ций: RC_6H_4F с CH_3O^- в CH_3OH 9,20 при 0° (8,31 при 25° , 7,55 при 50°); 4-замещ. 1-хлор-2-нитробензолы с CH_3O^- в CH_3OH 3,90 при 50° (4,59 при 0°); 4-замещ. 1-хлор-2,6-динитробензолы с CH_3O^- в CH_3OH 3,80 при 0° и C_6H_5R с Br_2 или Cl_2 в CH_3COOH — 8,82 при 25° . Подробно рассматривается применимость правила Хамметта к р-циям S_N и S_E в широком диапазоне заместителей: галогиды, нитро- и метоксигруппы, метил-, фенил-, сульфогруппы и др. В р-циях нуклеофильного замещения электроноакцепторные заместители хорошо подчиняются правилу Хамметта при условии использования значений σ^+ ; электронодонорные заместители дают значительные отклонения. В р-циях электрофильного замещения наблюдается обратная зависимость. Автор предлагает вместо констант σ или σ^+ пользоваться для р-ций замещения в бензольном ядре константами σ_N^+ и σ_E^+ , в которых находят свое отражение +M- и +E-эффекты сопряжения. Сравнение электронных влияний различных заместителей показывает, что T-эффект играет существенную роль для CH_3O^- и NH_2 -группы в р-циях электрофильного, а для $N(CH_3)_3^+$, NO_2^- и N_2^+ -группы нуклеофильного замещения. Характер влияния заместителей — галогенов в р-циях S_N и S_E определяется главным образом J-эффектом.

Г. Б. 77945. Влияние —I + M-групп в S_N -реакциях ароматических соединений. Эпполетт, Ливерис, Луц, Миллер, Вильямс (The influence of —I + M groups in aromatic S_N reactions. Herpolett R. L., Liveris M., Lutz P. G., Miller J., Williams V. A.), Austral. J. Chem., 1955, 8, № 3, 454—457 (англ.)

Найдено, что для р-ции замещения Cl на CH_3O^- в р-ре CH_3OH энергия активации и \lg фактора частоты равны соответственно для 2-хлор-3,5-динитроанизола 19 400 кал, 11,8 и для 1,4-дихлор-2,6-динитробензола 17 300 кал, 10,4. Сопоставлены эти и полученные ранее (J. Chem. Soc., 1952, 3550) константы скоростей замещения Cl , CH_3O^- и NH_2 -групп соответствующих нитро- и динитробензолов в зависимости от их орто-, мета- и пара-положения. В ряду заместителей Cl , CH_3O^- , NH_2 — I-эффект уменьшается, +M-эффект растет.

В. А. 77946. Константы кислотности бензолсульфонамидов и влияние на них замещения. Вилли (Die Aciditätskonstanten von Benzolsulfonamiden und ihre Beeinflussbarkeit durch Substitution. Willi A. V.), Helv. chim. acta, 1956, 39, № 1, 46—53 (нем.; рез. англ.)

Потенциометрически, а в случае малорастворимых соединений спектрофотометрически, измерены величин

ны pK (при 20° и ионной силе $\mu = 0,1$) сульфамидных соединений типа $XC_6H_4SO_2NH_2$ (I), $XC_6H_4SO_2NHC_6H_5$ (II) и $C_6H_5SO_2NHC_6H_4X$ (III). Соединения I и II отличаются тем, что в них X находится в сульфонатном фенильном кольце, отделенном от NH -группы изолирующим атомом S, тогда как X в III находится в фенильном кольце, непосредственно связанном с NH -группой. Ниже приведены последовательно X и величины pK , получающиеся при его введении в I, II и III: H, 10,00, 8,31, 8,31; n - CH_3 , 10,17, 8,46, 8,64; n - OCH_3 , 10,22, 8,66, 8,70; n - Cl , 9,77, 7,98, 7,93; n - NO_2 , 9,14, 7,415, 6,20; m - NO_2 , 9,195, 7,50, 6,94; n - NH_2 , 10,575, 8,89, 9,05; n - CH_3CONH , 10,02, —, —; n - $COCH_3$, —, —, 6,94; n - COO^- , —, —, 7,75; m -OH и n - COO^- , —, —, 7,61. За исключением значения для $X = n$ - NH_2 , полученные данные согласуются с уравнением Хамметта. Значения ρ для I (1,06) и для II (1,16) близки между собой и отличаются от ρ для III, равного 1,74. Рассмотрение литературных данных показывает, что во всех случаях, когда заместитель находится в фенильном кольце, непосредственно связанном с реактивной группой, величины ρ колеблются от 1,7 до 2,8, тогда как при наличии отделивающего атома ρ имеет значение $1,00 \pm 16\%$. Обсуждение полученных результатов приводит к выводу, что величина ρ определяется не только чисто электростатич. эффектом, но также мезомерным и индуктивным влиянием заместителя.

Н. С. 77947. Эффект сопряжения диметилсульфониевой и триметиламмониевой групп. Бордуэлл, Бутан (Conjugative effects of dimethylsulfonio $[(CH_3)_2S^+]$ and trimethylammonio $[(CH_3)_3N^+]$ groups. Bordwell F. G., Boutan Pierre J.), J. Amer. Chem. Soc., 1956, 78, № 1, 87—91 (англ.)

В продолжение работ по сопряжению групп, содержащих серу (см. РЖХим, 1956, 61376), измерены константы кислотности фенолов и тиофенолов, имеющих группу $(CH_3)_2N^+$, и бензойных к-т и фенолов с группой $(CH_3)_2S^+$. УФ-спектры и сопоставление значений σ для заместителей в мета- и пара-положении показывают наличие сопряжения группы $(CH_3)_2S^+$ с n -OH-группой и отсутствие этого эффекта для $(CH_3)_2N^+$. Одинаковый характер влияния групп $(CH_3)_2S^+$ и CH_3SO_2 на положение максимума поглощения производных бензола и сходство эффекта сопряжения в обоих случаях доказывают, что определяющим для появления эффекта сопряжения является атом S, а не наличие связи $S=O$. Найденные следующие значения pK_a (средние) в воде при 25° (перечисляются катион, анион, pK_a): n -($CH_3)_2S^+C_6H_4OH$ (I), n - $CH_3C_6H_4SO_3^-$ (а), 7,30; I, n - $BrC_6H_4SO_3^-$ (б), 7,30; m -($CH_3)_2S^+C_6H_4OH$ (II), б, 7,67; n -($CH_3)_2N^+C_6H_4OH$ (III), а, 8,34; m -($CH_3)_2N^+C_6H_4OH$ (IV), а, 8,04; n -($CH_3)_2S^+C_6H_4COOH$ (V), а, 3,30; m -($CH_3)_2S^+C_6H_4COOH$ (VI), а, 3,20. Кажущиеся pK_a (средние) в 48% спирте при 25° : n -($CH_3)_2N^+C_6H_4SH$ (VII), а, 5,68; m -($CH_3)_2N^+C_6H_4SH$ (VIII), б, 5,47. Алкилирование m -броманилина $(CH_3)_2SO_4$ по описанному методу (Gilman, Banner, J. Amer. Chem. Soc., 1940, 62, 344) дает с выходом 56% m -бромдиметиланилин (IX), т. кип. 147 — $148^\circ/30$ мм, т. пл. 10 — $10,5^\circ$. Из IX получают Li-регент (0,25 моля IX, 0,55 моля Li), который с пропиленсульфидом (0,25 моля IX) образует m -($CH_3)_2N^+C_6H_4SH$, выход 46%, т. кип. 82 — $83^\circ/0,6$ мм, n_D^{25} 1,6173. Аналогично получен с выходом 78% параизомер, т. кип. 74 — $75^\circ/0,2$ мм, т. пл. 33 — $33,7^\circ$. Аммониевые соли синтезированы по ранее описанному методу (Marvel и др., J. Amer. Chem. Soc., 1929, 51, 3638), перекристаллизованы из спирта-этилацетата или спирта-эфира (указана соль, выход в %, т. пл. в $^\circ C$): IIIа, 85, 178 — 179° ; IVа, 55, 142 — 144° ; VIIа, 76, 210 — 211° ; VIIIб, 48, 140 — 141° . Для получения сульфониевых солей $RSCH_3$ нагревали с удвоенным молярным кол-вом n - $CH_3C_6H_4SO_3^-Na^+$ (X) или n - $BrC_6H_4SO_3^-Na^+$ в течение 1—2 час. в

кипящем толуоле (метод А) или при 100–150° без р-рителя (метод Б); в последнем случае выходы были на 15–35% выше (перечислены соль, метод получения, выход в %, т. пл. в °С): **Ia**, —, 90, 76–78 (1 молекула кристаллизационной воды); **Ib**, —, 80, 124–125 (высушивание при 65°/10 мм); **Ib**, А, 83, 103–104; **Va**, Б, 80, 176–177; **Iva**, Б, 96, 196–197. II-пикрат получен добавлением продукта взаимодействия 0,01 моля $m\text{-HOC}_6\text{H}_4\text{SCH}_3$ и 0,025 моля **X** к 0,01 молю пикриновой к-ты, выход 60%, т. пл. 175–176° (из сп.). Аналогично синтезирован I-пикрат, выход 86%, т. пл. 184–185°. Синтез II-J (Zinske, Ebel, Ber., 1914, 47, 923) идет с выходом 70%, т. пл. 96–96,5°. При нагревании 0,02 моля $(\text{CH}_3)_2\text{SO}_4$ с 0,01 моля $m\text{-HOC}_6\text{H}_4\text{SCH}_3$ или 0,014 моля $p\text{-NO}_2\text{C}_6\text{H}_4\text{SCH}_3$ получен I- CH_3SO_4^- , выход 83%, т. пл. 92–93° (из CH_3OH -этилацетата), и $p\text{-}(\text{CH}_3)_2\text{S}^+\text{C}_6\text{H}_4\text{NO}_2\text{-CH}_3\text{SO}_4^-$, выход 95%, т. пл. 157–158,5° (из сп.). Перхлорат диметилсульфония получен с выходом 80%, т. пл. 158–160° (разл.).

77948. Эффекты сопряжения в группировках, содержащих двухвалентную серу. Бордуэлл, Бутан (Conjugative effects in divalent sulfur groupings. Bordwell F. G., Boutan Pierre J.), J. Amer. Chem. Soc., 1956, 78, № 4, 854–860 (англ.).

На основании измерения констант диссоциации ряда в-в общей ф-лы $\text{RC}_6\text{H}_4\text{COOH}$ (I), $\text{RC}_6\text{H}_4\text{OH}$ (II) и $\text{RC}_6\text{H}_4\text{SH}$ (III) и сопоставления вычисленных значений σ для одних и тех же R в мета- и пара-положении (см. РЖХим, 1956, 61376 и пред. реф.) авторы делают вывод, что порядок влияния заместителей в сопряжении электронодонорного типа следующий: $(\text{CH}_3)_2\text{N} > \text{CH}_3\text{O} > \text{CH}_3\text{S} > \text{CH}_3\text{CO} > \text{H} > \text{CH}_3\text{COO} > \text{CH}_3\text{COS}$. Этот же порядок выражает степень активирующего влияния групп при ароматическом замещении. Константы кислотности и УФ-спектры указывают на незначительную величину сопряжения электроакцепторного типа групп SH, SCH_3 , SCOCCH_3 и SCN с группами $p\text{-OCH}_3$ или $p\text{-O}^-$. Для проявления этого сопряжения в группировках, содержащих двухвалентную серу, необходимо присутствие такого сильного электронодонорного заместителя, как карбанион. Получены следующие значения констант диссоциации при 25° (перечисляются R, pK_a средние). Для **I** в 50 об. % спирте: $m\text{-CH}_3\text{COO}$, 5,16; $p\text{-CH}_3\text{COO}$ (**Ia**), 5,29; $m\text{-CH}_3\text{COS}$ (**Ib**), 5,17; $p\text{-CH}_3\text{COS}$, 5,09; $m\text{-CH}_3\text{CO}^-\text{H}$, 5,35; $p\text{-CH}_3\text{CONH}$, 5,68; $p\text{-SCN}$ (**Iv**), 4,97. Для **II** в воде: $m\text{-CH}_3\text{S}$, 9,42; $p\text{-CH}_3\text{S}$, 9,47; $m\text{-}(\text{CH}_3)_2\text{N}$, 8,85; $p\text{-}(\text{CH}_3)_2\text{N}$, 10,22; $p\text{-CH}_3\text{COS}$ (**Ila**), 8,88; $p\text{-SCN}$ (**IIf**), 8,57. Для **III** в 48 об. % спирте: $m\text{-}(\text{CH}_3)_2\text{N}$, 7,94; $p\text{-}(\text{CH}_3)_2\text{N}$, 8,37. **Ib** получен 15-минутным встряхиванием и последующим подкислением смеси 0,05 моля $(\text{CH}_3\text{CO})_2\text{O}$ (**IV**), 0,04 моля $m\text{-HSC}_6\text{H}_4\text{COOH}$, 0,10 моля KOH, 50 г льда и 56 мл воды, выход 64%, т. пл. 152–153° (из бзл.-гексана). Аналогично приготовлен **Ia** с выходом 60%, т. пл. 202,5–203,5° (из хлф.-бзл.). Для синтеза **Ila** 0,065 моля **IV**, 0,07 моля моногидридоксиона, 0,06 моля NaOH, 20 мл воды и 60 г льда встряхивают 10 мин., подкисляют CH_3COOH и экстрагируют CHCl_3 , выход 44%, т. пл. 85–86°. В-во дает сине-коричневую окраску с FeCl_3 . Для получения **Iv** р-р диазотированной $p\text{-H}_2\text{C}_6\text{H}_4\text{COOH}$ (0,25 моля) постепенно приливают при 0° к 50 г KCNS и вводят CuCNS (приготовлена медленным нагреванием смеси 0,25 моля CuSO_4 , 0,10 моля KCNS и 100 мл воды). Экстрагируют эфиром (10 раз по 100 мл), обрабатывают экстракт 200 мл насыщ. р-ра NaHCO_3 , подкисляют водн. слой и выпавший осадок кипятят в 1 л воды, затем фильтруют. **Iv** выпадает при охлаждении фильтрата, выход 23%, т. пл. 209–210° (из бзл.-гексана). **IIf** получен медленным бромированием (0,31 моля Br_2) взвеси 0,28 моля фенола, 1,0 моля NaCNS

в 200 мл CH_3OH , насыщ. NaBr, выход 79%, т. пл. 62–63° (из водн. CH_3OH , затем бзл.-гексана). Ацетилирование $\text{C}_6\text{H}_5\text{SnA}$ **IV** по Шоттену–Бауманну дает фенилтиоацетат (**V**) с выходом 84%, т. кип. 89–90°/7–8 мм, n_D^{25} 1,5681. $\text{C}_6\text{H}_5\text{SCN}$ (**VI**) синтезирован диазотированием р-ра 0,27 моля $p\text{-тиоциананилина}$ и 0,86 моля H_2SO_4 в 250 мл спирта, отгонкой с водяным паром, насыщением отгона NaCl и экстракцией эфиром, выход 62%, т. кип. 89–90°/8 мм, n_D^{25} 1,5712. Приведены кривые УФ-спектров для **Ila**, **IIf**, $p\text{-CH}_3\text{COSC}_6\text{H}_4\text{O}^-$, **V**, **VI** и $p\text{-NCSC}_6\text{H}_4\text{O}^-$.

77949. Комплексообразующие красители. Сообщение I. Основы действия сульфамид- и метилсульфонгруппы в красителях. Значение σ Хамметта и эффект сольватации. Поллингер, Витвер (Grundlagen der Wirkung von Sulfamid- und Methylsulfonylgruppen in Farbstoffen: Hammett's σ -Werte und Solvationseffekte. I. Mitteilung über Komplexfarbstoffe. Zollinger Hch., Wittwer C.), Helv. chim. acta, 1956, 39, № 2, 347–356 (нем.; рез. англ.).

С целью исследования механизма крашения новыми противными красителями, содержащими сульфамидную группу, определены значения σ для этой группы и сопоставлены с величинами σ для SO_2CH_3 , SO_3^- и CN-групп. Несовпадение значений σ $p\text{-SO}_2\text{N}_2$, вычисленных из pK $p\text{-аминобензосульфида}$ и $p\text{-сульфида бензойной к-ты}$ (0,94 и 0,62), указывает на наличие мезомерного эффекта, который имеет место также и в случае SO_2CH_3 -группы. Однако этот эффект не играет существенной роли в специфич. поведении красителей, образующих с Cr комплекс типа 1:2 (1 экв металла на 2 экв красителя). Такие красители не должны содержать CN-заместителей, так как нитрильная группа очень плохо сольватируется в водн. среде, о чем свидетельствуют результаты определения растворимости в воде (при 25 и 80°) производных толуола $p\text{-RC}_6\text{H}_4\text{CH}_3$ ($R = \text{SO}_2\text{H}$, SO_2CH_3 и CN) и давление паров воды над этими р-рами. Методом потенциометрич. титрования $4 \cdot 10^{-3}$ н. р-ров в 0,1 н. KCl при 25° получены следующие значения pK : $m\text{-N}_2\text{C}_6\text{H}_4\text{SO}_2\text{H}$ 2,90 ($\pm 0,03$); $p\text{-N}_2\text{C}_6\text{H}_4\text{SO}_2\text{H}$ 2,40 ($\pm 0,05$); $m\text{-HOOC}_6\text{H}_4\text{SO}_2\text{H}$ 3,54 ($\pm 0,02$) и $p\text{-HOOC}_6\text{H}_4\text{SO}_2\text{H}$ 3,47 ($\pm 0,02$). Г. Б.

77950. Ионы карбония. III. Ароматическое нитрование и кислотная функция. С. Дино, Стейн (Carbocation ions. III. Aromatic nitration and the C_a acidity function. Deno N. C., Stein Richard), J. Amer. Chem. Soc., 1956, 78, № 3, 578–581 (англ.).

В целях подтверждения общего характера ур-ния $lg k = -C + \text{const}$ (1), связывающего константу скорости и кислотную функцию (РЖХим, 1956, 4605) при кислотном катализе р-ций, идущих через промежуточный ион карбония, методом спектроскопии изучена кинетика нитрования анизола, бензола, бензонитрила и фтор-, хлор- и бромбензола в серной к-те различной концентрации при действии избытка HNO_3 . Несовпадение полученных данных ур-ния (1) авторы объясняют различием в структуре и размерах промежуточного иона NO_2^+ и трет-алкилкаттона , для которого было введено ур-ние (1). Сообщение II см. РЖХим, 1956, 46506.

77951. Ионы карбония. IV. Изучение триарилметилкаатионов с помощью дейтерия. Дино, Эванс (Carbocation ions. IV. Deuterium experiments with triarylmethyl cations. Deno N. C., Evans W. M. L.), J. Amer. Chem. Soc., 1956, 78, № 3, 582–584 (англ.).

Изучено влияние замещения водорода на дейтерий на положение равновесия р-ции $\text{Ar}_3\text{CONH}^+ + \text{H}^+ \rightleftharpoons \text{Ar}_3\text{C}^+ + \text{H}_2\text{O}$ в 10, 28, 50 и 73%-ной H_2SO_4 и в 6%-ной HNO_3 при $25 \pm 0,2^\circ$. На примерах 4,4-диметокситрифенилметанола, 4-метокситрифенилметанола, трифенилметанола и 4,4-динитротрифенилметилхлорида, содержащих 0, 10, 20, 30, 40, 50, 60, 70, 80, 90 и 100 мол. % D измерено отно-

шение констант равновесия K_n/K_H (где $K_n = [R^+ \cdot [ROH + ROD]^{-1}]$, индекс n есть молярная доля D в системе, $K_H = [R^+ \cdot [ROH]^{-1}]$. Показано, что при 100%-ном содержании D ($n=1$) найденное отношение K_D/K_H во всех случаях удовлетворительно совпадает с вычисленным по методу Батлера (Butler и др., J. Chem. Soc., 1937, 330; 1938, 978). Показано далее, что III и 4,4', 4'-триметилтрифенилкарбинол не обменивают водород C—H-связей в 50- и соответственно 40%-ной H_2SO_4 (содержащей 95% D) за 6 час. при 25°. На этом основании сделан вывод об отсутствии в этих условиях равновесия катиона Ar_3C^+ с хиноидными структурами типа (A), ибо их обратимое образование должно было бы привести к обмену H на D в пара- и орто-положениях. Методы определения K_H и K_D описаны в сообщении I, РЖХим, 1956, 46505. Р. К.

77952. Влияние величины кольца на енолизацию и кислотность α -карбокси- и α -ацилциклоалканон. Расселл (The effect of ring size on the enolization and acidity of α -carboxy and α -acylcycloalkanones. Russell Peter B.), Chemistry and Industry, 1956, № 17, 326—327 (англ.)

На основании анализа литературных данных по кислотности, енолизированности и другим хим. свойствам α -карбокси- и α -ацилпроизводных циклопентанона (I) и циклогексанона (II) автор объясняет отклонения от правила Кляйзена различной структурной енольных форм производных I и II. Характер енола зависит от структуры соответствующего иона, которая, в свою очередь, связана с величиной кольца. Пятичленное кольцо благоприятствует структуре с экзотич. двойной связью, а шестичленное — эндоцикл. структуре. Указывается, что образование внутрикомплексного соединения в гидроксильном р-рителе не играет столь существенной роли в кислотности енольных форм β -кетозифоров, как это считалось ранее. Г. Б.

77953. О выделении катионидных промежуточных комплексов реакций электрофильного замещения ароматических соединений и о применении их, как замещающих реагентов. Ола, Куи (Über die Isolierung der kationoiden Zwischenkomplexe der elektrophilen aromatischen Substitutionsreaktionen und ihre Anwendung als Substitutionsagenten. Olah G., Kuhn S.), Naturwissenschaften, 1956, 43, № 3, 59—60 (нем.)

Выделены и исследованы стабильные комплексы катионов с фторборатом. Алкилфторбораты (RF_4) могут применяться для прямого алкилирования ароматич. ядра. Фторборат нитрония NO_2BF_4 оказался исключительно сильным нитрующим реагентом электрофильного характера. С помощью нитрозилфторбората $NOBF_4$ можно производить нитрозирование. Фторборат сульфония $SO_2(OH)BF_4$ способен сульфировать ароматич. соединения в органич. растворителях. А. К.

77954. Нитрамин и нитрамиды. Часть X. Демонстрация образования алкилкатеонов при кислотно-катализируемом разложении (+)-втор-бутилнитрамина и O-метил-N-неопентилнитрамина. Брук, Дентон, Ламбертон (Nitramines and nitramides. Part X. The formation of alkyl cations during acid-catalysed decomposition: evidence from (+)-sec-butyl nitramine and O-methyl-N-neopentyl nitramine. Bruck Peter, Denton I. N., Lambert Alex H.), J. Chem. Soc., 1956, Apr., 921—925 (англ.)

Разложение (+)- $C_2H_5CH(CH_3)NHNH_2$ (I) и O-метил-N-неопентилнитрамина (II) при 84° в разб. HCl или H_2SO_4 сопровождается промежуточным образованием соответствующих катионов $(CH_3)_3(C_2H_5)C^+H$ (III) и $(CH_3)_3CC^+H_2$ (IV). Образование III доказано тем, что I превращается в $rac-C_2H_5CH(CH_3)OH$. Для доказатель-

ства промежуточного образования IV разложение II проведено в 20%-ной H_2SO_4 в присутствии бихромата в качестве окислителя; при этом доказано образование ацетона. Известно, что образование IV всегда сопровождается перегруппировкой в $(CH_3)_3C^+C_2H_5$, который затем дает $(CH_3)_3(C_2H_5)COH$ (V); при окислении V получается ацетон. Если бы разложение II не сопровождалось образованием IV, то вместо V был бы получен неопентильный спирт, при дальнейшем окислении которого были бы получены $(CH_3)_3CCHO$, $(CH_3)_3CCOOH$, $(CH_3)_3CHCOCH_3$, но не ацетон, образование которого таким образом доказывает промежуточное существование IV при разложении II. Описано разделение втор-бутиламина (VI) на антиподы с помощью (+)-винной к-ты. Получены (+)-VI, $d_4^{20} D + 7,48^\circ$ (здесь и ниже в воде) и (—)-VI, $d_4^{19} D + 7,64^\circ$; тартрат (+)-VI, т. пл. 139—140°, $[a]_D^{21} D + 18,1^\circ$; моногидрат тартрата, т. пл. 96°, $[a]_D^{21} D + 16,8^\circ$; тартрат (—)-VI, т. пл. 138—139°, $[a]_D^{20} D + 19,8^\circ$; и моногидрат, т. пл. 85°, $[a]_D^{21} D + 17,8^\circ$; уретан (+)-VI, $d_4^{21} D + 10,2^\circ$; нитроуретан (+)-VI, $d_4^{19} D + 10,2^\circ$; I, т. кип. 101°/10 мм, $[a]_D^{21} D + 28^\circ$ (с 0,47; вода); +40° (с 4,1; сп.). Часть IX см. РЖХим, 1956, 50665. Р. К.

77955. Изучение механизма гидролиза с помощью тяжелого изотопа кислорода. I. Гидролиз этилпропионата в щелочной среде. Курсанов Д. Н., Кудрявцев Р. В., Ж. общ. химии, 1956, 26, № 1, 1040—1041

С помощью O^{18} изучен механизм щел. гидролиза этилового эфира пропионовой к-ты (I). Показано, что гидролиз I происходит с разрывом ацил-кислородной связи. Это следует из того, что при гидролизе I, содержащего в эфирном положении избыток O^{18} , обычной водой получается C_2H_5OH , содержащий весь избыток O^{18} из I и C_2H_5COOH с нормальным изотопным составом кислорода. I синтезирован по следующей схеме: $CH_3CHO + H_2O^{18} \rightleftharpoons CH_3CHO^{18} + H_2O$; $CH_3CHO^{18} \xrightarrow{H_2N} C_2H_5O^{18}H$; $C_2H_5O^{18}H + C_2H_5COCl \rightarrow C_2H_5COO^{18}C_2H_5 + HCl$. Изотопный анализ кислорода проводился методом исчерпывающего гидрирования. По мнению авторов, этот метод свободен от принципиальных недостатков, имеющихся в методике Поляны, изучавшего с помощью O^{18} щел. гидролиз амилцетата (Polanyi, Szabo, Trans. Faraday Soc., 1934, 30, 508). Р. К.

77956. Механизм щелочного гидролиза метилового эфира 2,4,6-триметилбензойной кислоты. Бендер, Дьюи (The mechanism of alkaline hydrolysis of methyl 2,4,6-trimethylbenzoate. Bender Myron L., Dewey Ray S.), J. Amer. Chem. Soc., 1956, 78, № 2, 317—319 (англ.)

Изучен щел. гидролиз метилового эфира 2,4,6-триметилбензойной к-ты (I) при $126,0 \pm 0,1^\circ$ в р-ре 60% диоксана и 40% (по объему) воды, содержащей избыток H_2O^{18} . Масс-спектрометрич. изотопный анализ CO_2 , полученного из триметилбензойной к-ты (II), выделенной после гидролиза, показал, что в II вошел один атом кислорода из воды. Из этого следует, что при гидролизе I рвется ацил-кислородная связь. Было найдено, что I во время гидролиза подвергается изотопному кислородному обмену с средой. Отношение константы скорости гидролиза к константе скорости обмена равно $6,8 \pm 0,5$. Следовательно, при щел. гидролизе I, так же как и при щел. гидролизе этилового эфира бензойной к-ты (III) имеет место образование промежуточного продукта типа $ArC(OH)(OR)O^-$, через который протекает как обмен, так и гидролиз. Гидролиз I идет значительно медленнее, чем гидролиз III, вследствие гораздо большей энергии активации первого процесса, но механизм р-ции не изменяется, несмотря на исключительные пространственные затруднения, имеющиеся в молекуле I. Р. К.

77957. Энергия активации щелочного гидролиза насыщенных алифатических эфиров. Халонен (Activation energies in the alkaline hydrolysis of saturated aliphatic esters. Halonen Eero A.), Acta chem. scand., 1956, 10, № 3, 485—486 (англ.).

Получены следующие значения константы скорости k , энергии активации E и предэкспонента A для р-ции шел. гидролиза насыщ. алифатич. эфиров общей ф-лы RCOOC_2H_5 (перечисляются R , k в л моль⁻¹ сек⁻¹ при 0, 20 и 40°, E в кал, $\lg A$): CH_3 , 0,0177, 0,0764, 0,284, 117900, 7,68; C_2H_5 , 0,0170, 0,0657, 0,206, 10590, 6,71; $n\text{-C}_3\text{H}_7$, 0,00906, 0,0361, 0,111, 10660, 6,49; *изо*- C_3H_7 , 0,00621, 0,0226, 0,0678, 10170, 5,93. Сопоставляя полученные результаты с данными для HCOOC_2H_5 (РЖХим, 1956, 3441), автор подробно рассматривает характер изменения кинетич. констант, принимая, что различие в энергии активации определяется главным образом наличием или отсутствием сопряжения, а разница в характере индуктивных и пространственных влияний обуславливает изменение величины предэкспонента. Г. Б.

77958. Пространственные факторы, облегчающие гидролиз сложных эфиров. Хенбест, Ловелл (Facilitation of ester hydrolysis. Henbest H. B., Lovell B. J., Miss), Chemistry and Industry, 1956, № 15, 278 (англ.).

Правило Бартона (Experientia, 1950, 6, 316), согласно которому сложные эфиры экваториальных спиртов в ряду циклогексана омыляются легче, чем их аксиальные эпимеры, не соблюдается, если между аксиальной сложноэфирной группой и находящимся в мета-положении гидроксильным существует внутримолекулярная водородная связь. Так, при изучении скорости гидролиза 3-ацетатов холестердиола-3 β , 5 (I), холестердиола-3 α , 5 (II), копростандиола-3 α , 5 (III) и копростандиола-3 β , 5 (IV) (в I и III ацетоксигруппа экваториальна, а в II и IV — аксиальна) с NaHCO_3 в водн. CH_3OH (20°, 65 час.) получены следующие результаты (указан выход диола в %): I, 18; II, 70; III, 13; IV, 78. Изучение ИК-спектров I—IV (в CCl_4) указывает на наличие водородной связи в II и IV, так как по сравнению с I и III в II и IV полоса карбонильной группы смещена в сторону больших, а полоса C—O связи — в сторону меньших частот (для I и III $\nu_{\text{макс}}$ 1731, 1236 см⁻¹; для II и IV $\nu_{\text{макс}}$ 1744, 1224 см⁻¹). Водородная связь в II и IV усиливает ненасыщ. характер карбонильной группы и увеличивает ее реакционную способность по отношению к нуклеофильным реагентам. Л. Б.

77959. Пространственные соотношения между ионизацией арилалкилхлоридов и диссоциацией ионов анилина. Части II и III. Баддели, Чадвик, Тейлор (Steric relations between ionisation of aralkyl chlorides and dissociation of anilinium ions. Part II. III. Baddeley G., Chadwick J., Taylor H. T.), J. Chem. Soc., 1956, Febr., 448—450, 451—456 (англ.).

Часть II. Измерены скорости этанолиза ряда хлоридов третичных арилалкилов $\text{C}_6\text{H}_5\text{CRR}'\text{Cl}$ при 0 и 25°. Приведены значения константы скорости р-ции k , энергии активации и предэкспоненциального множителя. Скорости сольволиза хлоридов $\text{C}_6\text{H}_5\text{CR}_2\text{Cl}$ уменьшаются при переходе от $R = \text{CH}_3$ к $R = \text{C}_2\text{H}_5$ ($10^7 k_0$ в сек⁻¹ равно соответственно 147 и 2,82), по-видимому, вследствие внутримолекулярного стерич. взаимодействия третичной метильной группы и бензольного кольца. Сопоставление k с константами диссоциации соответствующих ионов анилина $\text{C}_6\text{H}_5\text{NRR}'\text{H}^+$ и $o\text{-CH}_3\text{C}_6\text{H}_4\text{NRR}'\text{H}^+$ подтверждают найденную ранее (см. часть I, РЖХим, 1955, 34074) закономерность, что в ряду хлоридов и аминов, расположенных в порядке возрастания стерич. препятствий р-циям ионизации хлоридов и диссоциации ионов анилина, наиболее основным аминам соответствуют наименее реакционноспособные хлориды.

Часть III. Измерена скорость сольволиза 1-арил-

циклоалкилхлоридов $\text{C}_6\text{H}_5\text{CCl}(\text{CH}_2)_{n-2}\text{CH}_3$ (I), где $n = 5, 6$ и 7 (Ia, 6, в), и их *о*-метильных производных (IIa, 6, в) в абс. этаноле при 0 и 25° и основность

соответствующих аминов $\text{C}_6\text{H}_5\text{N}(\text{CH}_2)_{n-2}\text{CH}_3$ (III) и их *о*-метильных производных (IV) в 50%-ном водн. этаноле при 0° (10^8 сек⁻¹), энергии активации в ккал и предэкспоненциального множителя (сек⁻¹) для Ia 108, 17,3, 0,37·10¹¹; Ib, 0,160, 23,5, 76·10¹¹; Ic 30,2, 20,8, 105·10¹¹. Скорость сольволиза хлоридов уменьшается в порядке $n=5>7>6$. Реакционная способность хлоридов, по-видимому, обусловлена двумя стерич. факторами: взаимодействием ароматич. и алициклич. половины молекулы и изменением конфигурации алициклич. части молекулы в процессе ионизации. Значения отрицательных логарифмов констант гидролиза соответствующих ионов анилина при 20° (pK_a) для IIIa 3,71, IIIb 4,60; IVa 4,88; IVb 5,20; пирролидина (V) 10,37; 1-метил-V, 9,82; пиперидина (VI) 10,14; 1-метил-VI 9,24; азабициклопентана (VII) 10,30; 1-метил-VII 9,68. Так как основность аминопроизводных повышается в указанном порядке, авторы принимают, что в этом же направлении возрастают стерич. препятствия ионизации хлоридов и диссоциации соответствующих ионов анилина. Аналогичное объяснение выдвинуто взамен предложенного ранее (Brown и др., J. Amer. Chem. Soc., 1939, 61, 2597) и для сольволиза

хлоридов *о*- $\text{C}_6\text{H}_4\text{CHCl}(\text{CH}_2)_{n-3}$. 1-хлорфенилциклогексан получен с выходом 98% (по анализу на хлор) пропусканием HCl (3 часа) через смесь 1-фенилциклогексанола (5 г), безводн. CaCl_2 (10 г) и петр. эфира (50 мл). Так же получены 1-хлор-*о*-толилциклогексан (выход 95%) и 1-хлорфенилциклопентан (выход 98%). Строение хлоридов доказано гидролизом и идентификацией образовавшихся спиртов. Фенилциклопентен-1 получен действием 90%-ной муравьиной к-ты (100 мл) на фенилциклопентанол-1 (20 г), выход 16 г, т. кип. 107—108°/12 мм, т. пл. 22—23°. Аналогично получен *о*-толилциклопентен-1, т. кип. 116—117°/30 мм. Амины были получены восстановлением соответствующих имидов LiAlH_4 . 1-*о*-толилпирролидин (IVa), т. кип. 116—118°/10 мм; пикрат т. пл. 138°. 1-*о*-толилпиперидин, т. кип. 115—116°/10 мм; пикрат т. пл. 150°. Восстановлением *N*-метил-2-капролактама получен 1-метил-VII, т. кип. 146°; пикрат, т. пл. 202°. Г. Б.

77960. Механизм гидролиза циклических сульфидов. Бантон, Мар, Ллуэллин, Пирсон, Притчард (The mechanisms of hydrolysis of cyclic sulphites. Banton C. A., Mare P. B. D., Llewellyn D. R., Pearson R. B., Pritchard J. G.), Chemistry and Industry, 1956, № 22, 490 (англ.).

Изучен гидролиз этиленсульфита (I) водой, содержащей избыток H_2O^{18} , в шел. и кислой средах. В обоих случаях гидролиз протекает с разрывом связей S—O, так как этиленгликоль, выделенный после р-ции, не содержит избытка O^{18} . Изучена кинетика кислого гидролиза 1,2-сульфитов: I, пропиленсульфита (II) и 3-хлорпропиленсульфита (III). Различие в строении сульфитов мало влияет на скорость их гидролиза. На этом основании авторы предполагают, что гидролиз II и III также идет с разрывом S—O связей. Изучение кинетики кислого гидролиза 1,3-сульфитов: 1,3-бутиленсульфита (IV) и триметиленсульфита (V), показало, что скорость гидролиза IV и V больше, чем скорость гидролиза I, II и III.

Р. К. 77961. Влияние природы заместителей на скорость гидролиза ароматических сульфохлоридов. В и з-

герт Р. В., Савчук Е. К., Науч. зап. Львовск. политехн. ин-та, 1956, вып. 22, 39—48

С целью установления влияния характера заместителя, положения и накопления одноименных групп в молекуле ароматика сульфохлоридов на скорость р-ции, изучена кинетика гидролиза 11 замещ. сульфохлоридов общей ф-лы $RC_6H_4SO_2Cl$ в 70 об.-%-ном водн. диоксиде при 30—50° (для 4-нитро- и 3,5-динитро- при 0 и 15°). Получены следующие значения констант ур-ния Аррениуса (перечисляются R, E в кал., lgZ): 4-CH₃O, 14552, 7,98; 4-CH₃, 13813, 7,50; 4-CH₃CONH, 13035, 7,06; 2-NO₂, 13656, 7,51; 2,5-Cl₂, 12873, 7,03; H, 13432, 7,40; 4-Br, 12313, 6,80; 4-Cl, 12313, 6,80; 3-NO₂, 11000, 6,39; 4-NO₂, 10355, 6,34; 3,5-(NO₂)₂, 9112, 5,93. По влиянию на скорость гидролиза заместители располагаются в ряд: 3,5-(NO₂)₂ > 4-NO₂ > 3-NO₂ > 4-Cl > 4-Br > 2,5-Cl₂ > H > 2-NO₂ > 4-CH₃CONH > 4-CH₃ > 4-CH₃O. Группы, обладающие большим сродством к электрону чем H, увеличивают скорость гидролиза, а обладающие меньшим сродством — уменьшают. Сопоставление полученных данных с данными по алкоголизу бензолсульфохлоридов (Tommilla E., Hirsjarvi P., Acta chem scand., 1951, 4, 659) показывает, что влияние заместителей на скорости гидролиза и алкоголиза однотипно. Зависимость скорости гидролиза от положения заместителя показана на примере нитрогруппы: *p*-NO₂ > *m*-NO₂ > H > *o*-NO₂; замедляющее влияние *o*-нитрогруппы, по-видимому обусловлено орто-эффектом. Введение двух нитрогрупп, расположенных симметрично, значительно ускоряет р-цию. 2,5-дихлорбензолсульфохлорид реагирует в 1,5 раза медленнее 4-хлорбензолсульфохлорида, вследствие неравноценного положения Cl в кольце. Скорость гидролиза сульфохлоридов в присутствии диоксида определяется способностью серы давать промежуточный комплекс с р-рителем. Введение электроотрицательных заместителей увеличивает положительный заряд на сере и тем самым способствует образованию комплекса. Энергия активации гидролиза сульфохлоридов уменьшается в ряду вода > водно-ацетоновый р-р > водно-диоксидовый р-р. Существует линейная зависимость между логарифмами констант скорости гидролиза сульфохлоридов и констант диссоциации соответствующих к-т.

Г. Б.

77962. Исследование алифатических сульфосоединений. IV. Неопентилметансульфохлорид. Скотт, Гордон (A study of aliphatic sulfonyl compounds. IV. Neopentylmethanesulfonyl chloride. Scott Robert B., Jr., Gordon Martin J.), J. Organ. Chem., 1956, 21, № 4, 385—387 (англ.)

С целью определения степени пространственного влияния CH₃-группы в зависимости от ее местоположения в молекуле сульфохлоридов синтезировали 2,2-диметилбутан-4-сульфохлорид (I) и определена константа скорости *k* его сольволиза р-ром HCl в спирте при 84°. Близость *k*, равной 0,092 мин⁻¹ к значению *k*, найденному для р-ции октан-1-сульфохлорида (0,089 мин⁻¹) (см. РЖХим, 1955, 26077), показывает, что две CH₃-группы в γ-положении, имеющиеся в молекуле I, не вызывают пространственных затруднений в р-ции этанолиза. Этот вывод подтверждается равенством скоростей р-ции спирт. р-ра HCl с этиловыми эфирами неопентилметансульфокислоты (*k* = 0,051 мин⁻¹, в отсутствие HCl *k* = 0,003 мин⁻¹) и октан-1-сульфокислоты (*k* = 0,051 мин⁻¹). Синтез I осуществлен через 4-хлор-2,2-диметилбутан (II), который был получен из *т*-тет-бутилхлорида (Schmerling, J. Amer. Chem. Soc., 1945, 67, 1152) или из неопентилкарбинола и тионилхлорида. Для синтеза I 4-магнийхлор-2,2-диметилбутан (из 1 моля II) медленно прибавляли при 0—5° и энергичном перемешивании к эфир. р-ру 1,1 моля SO₂Cl₂; выход I 34%, т. пл. 43—44°, т. кип. 60—61°/1 мм. Из I был получен ряд амидов 2,2-диметилбутан-4-сульфокислоты (III) (приведены т. пл. в °C): изопропиламид, 74,5—75; *n*-бутиламид, 76,5—

77,5; изобутиламид, 83—83,5; *n*-пропиламид, 84—85; морфолид, 104,5—105,5; амид, 96—97; циклогексиламид, 118,5—119,5; бензиламид, 121—122. Двухчасовое кипячение I (0,027 моля) с р-ром 0,26 моля KF в 100 мл воды переводит I в сульфотриид с выходом 44%, т. кип. 53—54°/2,3 мм, *n*_D²⁵ 1,4077, *d*₄²⁵ 1,0811. Этиловый эфир III был синтезирован действием C₂H₅J на Ag-соль III, выход 61%, т. кип. 90°/1 мм, *n*_D²⁵ 1,4337, *d*₄²⁵ 1,0276. Сообщение III см. РЖХим, 1956, 61452.

Г. Б.

77963. Исследование алифатических сульфосоединений. Неопентансульфохлорид. Скотт, Мак-Лауд (A study of aliphatic sulfonyl compounds. V. Neopentanesulfonyl chloride. Scott Robert B., Jr., McLeod Harry L.), J. Organ. Chem., 1956, 21, № 4, 388—390 (англ.)

Равенство скоростей р-ции алкоголиза неопентансульфохлорида (I) (*k* = 0,014 мин⁻¹) и ранее изученного октан-2-сульфохлорида (*k* = 0,014 мин⁻¹) кипящим спирт. р-ром HCl (см. РЖХим, 1955, 26077) показывает, что две CH₃-группы в β-положении оказывают, примерно, такое же пространственное влияние на р-цию, как одна α-CH₃-группа. Этиловый эфир неопентансульфокислоты (II, к-та — III) реагирует в этих условиях значительно медленнее этилового эфира октан-2-сульфокислоты (*k* соответственно 0,011 и 0,041 мин⁻¹), что может быть следствием разницы реакционной способности эфиров первичных и вторичных сульфокислот. В отсутствие HCl для р-ции алкоголиза II *k* равно 0,002 мин⁻¹. Для синтеза I 0,33 моля неопентилмагнийхлорида добавляли (—5—0°) к эфир. р-ру 0,30 моля SO₂Cl₂; выход I 21%, т. кип. 43—44°/1 мм, *n*_D²⁵ 1,4556, *d*₄²⁵ 1,1529. I получен также фотохим. сульфохлорированием 1,2 моля неопентана в CCl₄ при —5—0° смесью 0,75 моля Cl₂ и 1,5 моля SO₂ в течение часа, выход 20%. В другом опыте, с 1,1 моля неопентана, при действии избытка хлора из реакционной смеси был выделен I (выход 27%, т. кип. 53—55°/2 мм, *n*_D²⁵ 1,4454) и γ-хлорнеопентансульфохлорид (IV), выход 17% (неочищ.), т. кип. 98—99°/2,8 мм. Из I и IV получен ряд сульфамидов. Из I получены: *n*-бутиламид, т. пл. 54—55°; анилид, 70,5—71,5; бензиламид, 89—91; пиперидид, 90—91; циклогексиламид, 90—91; морфолид, 113—114; амид, 122—123. Из IV получены: бензиламид, 63—64; амид, 85—86; морфолид, 109—110. Т-ра плавления морфолида неопентандисульфокислоты 159—160°. Алкоголизом IV получена соответствующая к-та, которая при нагревании до 160—170° и уменьшенном давлении дала с выходом 52% неопентансульф⁴он, отогнанный при 150—160°/18—20 мм, т. пл. 51,5—52° (из CCl₄). II синтезирован р-цией III с диазотаном (выход 41%) а также действием C₂H₅J на Ag-соль III (выход 69%), т. кип. 62—63°/0,8 мм, *n*_D²⁵ 1,4318, *d*₄²⁵ 1,0567. Нагревание до 100° эквивалентных кол-в безводн. Ag-соли III и I дало ангидрид III, выход 45%, т. пл. 81—82°.

Г. Б.

77964. Исследование алифатических сульфосоединений. VI. Камфан-10-сульфохлорид. Скотт, Гейл (A study of aliphatic sulfonyl compounds. VI. Camphane-10-sulfonyl chloride. Scott Robert B., Jr., Gayle John B.), J. Organ. Chem., 1956, 21, № 4, 391—393 (англ.)

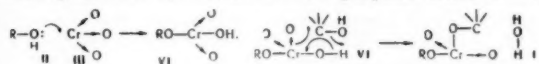
Синтезирован камфан-10-сульфохлорид (I) и определена константа скорости *k* его р-ции с кипящим спирт. р-ром HCl. Сопоставление величины *k* = 0,018 мин⁻¹ со значением *k* = 0,016 мин⁻¹ для неопентансульфохлорида (см. пред. реф.) показывает, что массивная группа, имеющая жесткую бициклич. структуру, оказывает такое же влияние на реакционную способность, как и агаалогично расположенная CH₃-группа в неопентанной системе. Бензолсульфохлорид реагирует быстрее любого алифатич.

— 85;
амид,
книпя-
00 мд
44%,
тило-
1,5 J на
4337,
2.
Г. Б.
ений.
а уд
penta-
6, 21,
исуль-
о ок-
пирт.
о две
такое
—CH₃-
(II,
длен-
ответ-
ствием
ичных
р-ции
моля
эфир.
1 м.м.,
лифо-
5—0°
выход
о дей-
елен I
кип.
ов. Из
70,5,
догек-
—123.
орфо-
ганди-
на со-
—170°
тан-
51,5,
станов
I (вы-
к, d₂₅⁴
вводн.
т. пл.
Г. Б.
ений.
A stu-
me-10-
a y le
—393

сульфохлорида, при этом HCl не катализирует р-цию. Этиловый эфир камфан-10-сульфокислоты (II, к-та — III) реагирует значительно медленнее, чем ранее изученный этиловый эфир октан-1-сульфокислоты (РЖХим, 1955, 26077) (с соответствием 0,016 и 0,051 мин.⁻¹). В отсутствие HCl k р-ции алкогалоза II равна 0,001 мин.⁻¹. Для синтеза I 0,67 моля *dl*-камфор-10-сульфокислоты, 1,4 моля твердого 85%-ного NaOH, 0,9 моля 85%-ного гидроксиацетата и 500 мл диэтиленгликоля кипятят 1 час, затем после отгонки воды и избытка гидразина т-ру повышают до 195—210° и продолжают нагревание 7 час. При охлаждении выпадает Na-соль III, выход 0,62 моля (неочищ.). К 0,42 моля неочищ. Na-соли III добавляют небольшие порции при 10—20° 0,96 моля PCl₅; после гидролиза избытка PCl₅ получают I с выходом 38%, т. пл. 82—84° (из 2,2,4-триметилпентана), морфолл, т. пл. 191—193°, бензилалат, т. пл. 114—115°. II получен кипячением (1 час) 0,086 моля Ag-соли III и 0,25 моля C₂H₅I в 300 мл ацетонитрила, выход 61%, т. пл. 66—68° (из 2,2,4-триметилпентана).

77965. Эфиры хромовой кислоты. I. Сольволиз ди-(2,4-диметил-4-гексил)-хромата. Зейс, Маттьюс (Chromate esters. I. Solvolysis of di-(2,4-dimethyl-4-hexyl) chromate. Zeiss Harold H., Matthews Clifford N.), J. Amer. Chem. Soc., 1956, 78, № 8, 1694—1698 (англ.)

Изучен механизм образования и сольволиза ди-(2,4-диметилгексил-4-)-хромата (I). Показано, что при этерификации оптически активного 2,4-диметилгексанола-4 (II) хромовым ангидридом (III) или хлористым хромом (IV), а также при сольволизе I в абс. CH_3OH конфигурация спиртового радикала сохраняется. При сольволизе I в р-ре CH_3ONa в CH_3OH образуются II, CH_3O и CrO_2 . Первой стадией р-ции, по-видимому, является перэтерификация I с образованием II и несимметричного первично-третьичного хромата (V, $\text{R} = 2,4$ -диметил-4-гексил), который затем претерпевает внутреннее окисление-восстановление. Обе стадии включают разрыв связи $\text{Cr}-\text{O}$, следовательно конфигурация R не должна изменяться. При сольволизе оптически активного I в р-ре абс. CH_3OH также образуются II, CrO_2 и CH_2O . При этом конфигурация R сохраняется на 96% (считая на исходный II), что является подтверждением преимущественного разрыва связи $\text{Cr}-\text{O}$



во время р-ции сольволиза. Это первый пример сохранения конфигурации у третичного атома углерода в сольволитич. р-ции. Первой стадией сольволиза I является присоединение протона к кислороду I и сольватация I молекулой CH_3OH , завершающаяся отщеплением II. Для образования I из II и III предлагается приведенная схема р-ции. Однако р-ция между второй молекулой II и моноэфиром (VI) может протекать по такой же схеме, как р-ция между II и III. Р-ция между II и IV протекает в 2 стадии с последовательным замещением хлора на группу RO. Авторы делают обобщение, что в сложных эфирах общей ф-лы $\text{MO}_n(\text{OR})_m$ (где $n = 1, 2, 3$; $m = 1, 2$ и $\text{M} = \text{Cl}, \text{S}, \text{N}$ или Cr) легкость расщепления по связи $\text{M}-\text{O}$ тесно связана с окисляющей способностью эфира или исходной к-ты. Окисление первичных или вторичных спиртов происходит в том случае, если их эфиры могут расщепляться с разрывом связи $\text{M}-\text{O}$. Другим условием является возможность образующегося остатка к-ты к самостоятельному, хотя бы очень кратковременному, существованию. Для получения хроматов третичных спиртов: II, 3-этил-3-пентанола, 2-метил-2-бутанола, 2-фенил-2-бутанола, 2-фенил-2-пропанола, трифенилкарбинола и $(\text{CH}_3)_3\text{COH}$

разработан новый метод, основанный на взаимодействии спирта с IV в р-ре CCl_4 при $\sim 20^\circ$ в токе чистого N_2 . Чистота эфиров считалась удовлетворительной, если в ИК-спектре отсутствовали линии $2,92 \mu$ (гидроксил), $6,0$ и $11,25 \mu$ (олефин), а линии $10,1$ и $10,3 \mu$ (хромат) имели максим. интенсивность.

77966. Реакция хлордиметилового эфира с этанолом и этоксидами ионами. Баллингер, Мар, Констам, Прест (The reaction of chlorodimethyl ether with ethanol and ethoxide ions. Ballinger P., Mare P. B. de la, Kohnstam G., Prest B. M.). J. Chem. Soc., 1955, Nov., 3341—3647 (англ.)

Изучена кинетика сольволиза хлордиметилового эфира (I) этанолом и смесями этанола и диэтилового эфира в присутствии LiCl , LiOC_2H_5 и NaClO_4 и без добавок. Для сравнения измерены скорости сольволиза CH_3COCl (II) и $(\text{C}_6\text{H}_5)_2\text{CCl}$ (III). Скорость р-ции измерялась по скорости образования HCl (титрованием NaOC_2H_5 в спирте, индикатор лакмод, в ацетоне при -50°). Единственным продуктом р-ции I с этанолом в смесях с эфиром является этоксидиметиловый эфир. Изучена обменная р-ция I с LiCl^{86} . Для электролитов, использованных в кинетич. измерениях, определена электропроводность при различных разбавлениях при 25° . Резкое падение электропроводности при уменьшении содержания этанола в р-ителе связано в основном с уменьшением энергии сольватации, и следовательно, с увеличением образования ионных пар. Коэфф. скорости сольволиза I в чистом этаноле $k_1 \cdot 10^4 = 142 \text{ сек}^{-1}$. Р-ция сольволиза преимущественно мономолекулярна, так как при добавлении основания скорость р-ции возрастает лишь незначительно. Сольволиз I значительно замедляется при переходе от 50%-ного эфира ($k_1 \cdot 10^4 = 12,3 \text{ сек}^{-1}$) к 90%-ному ($k_1 \cdot 10^4 = 0,089 \text{ сек}^{-1}$, при 0°). Показано, что и в менее ионизирующих р-рителях (90%-ный эфир) сольволиз I и III мономолекулярны, II — бимолекулярны. По своей способности ускорять гетеролиз $\text{C}-\text{Cl}$ системы CH_3O -группа приблизительно равна трем фенильным группам и гораздо более эффективна, чем три метильные группы ($m\text{-pm-c-C}_6\text{H}_4\text{OCl}$ реагирует в $5 \cdot 10^6$ раз медленнее с этанолом, чем I). α -Замещ. по сравнению с β -метоксизамещ. активнее в $10^{13} - 10^{14}$ раз. I в 10^{13} раз более активен, чем $n\text{-C}_2\text{H}_5\text{Cl}$, и в 10^4 раз активнее CH_3Cl по $\text{S}_{\text{N}}1$ механизму. Это исключительно

сильное действие CH_3O -группы, вероятно, происходит из-за сопряжения этой группы с образующимся центром иона карбония. Введение еще одной донорной группы $(\text{CH}_3)_2$ непосредственно к реагирующему углеродному атому увеличивает скорость r -ции настолько, что она не поддается измерению даже в 90%-ном эфире при 0°. Относительная скорость сольволиза различных хлорэфиров представлена рядом $\text{CH}_3\text{OCH}(\text{CH}_3)\text{Cl} > 100$, $\text{C}_2\text{H}_5\text{OCH}_2\text{Cl} > 3$, $\text{CH}_3\text{OCH}_2\text{Cl} > 1$, $\text{C}_2\text{H}_5\text{OCH}_2\text{Cl} > 0,003$, $(\text{CH}_3\text{CH}_2)_2\text{O} > 0,0001$. Добавки солей увеличивают скорость пропорционально конц-ии сольволиза в r -рителях с низкой ионизирующей способностью. Влияние LiCl , LiClO_4 и NaClO_4 на скорость r -ции в 90%-ном эфире приблизительно одинаково и объясняется стабилизацией ионной атмосферы переходного состояния ионами добавленных солей. Увеличение скорости r -ции при добавках LiOC_2H_5 и NaOC_2H_5 происходит за счет частичного протекания замещения по $\text{S}_\text{N}2$ (бимолекулярному) механизму. При переходе от чистого этанола к 90%-ному эфиру коэфф. скорости второго порядка уменьшаются, хотя вследствие высокой полярности переходного состояния для i , возникающей от отталкивания электронов от CH_3O -группы, должен наблюдаться противоположный эффект. Уменьшение скорости r -ции при переходе к r -рителям с более низкой ионизирующей способностью вызвано неполной диссоциацией добавленных электролитов. В 90%-ном эфире электролиты, по данным электро-

проводности, должны существовать главным образом как незаряженные частицы и их влияние на скорость р-ции объясняется дипольным взаимодействием реагентов с ионными парами или с нейтр. молекулами. При S_N2 механизме I более чем в 10^5 раз активнее, чем CH_3Cl . Действие метоксильной группы в р-циях с добавками этоксидов объясняется главным образом процессами сопряжения, а уменьшение ее действия по сравнению с S_N1 процессом происходит потому, что отталкивание от нее электронов тормозит присоединение нуклеофильного реагента.

В. Т.

77967. Скорости реакций при перегонке. VI. Этерификация бензилового и родственных ему спиртов. Пратт, Эрикссон (Reaction rates by distillation. VI. The etherification of benzyl and related alcohols. Pratt Ernest F., Erickson Porter W.), J. Amer. Chem. Soc., 1956, 78, № 1, 76—78 (англ.)

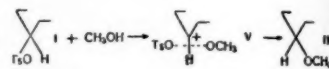
Взаимодействие соответствующих спиртов в присутствии $n-C_6H_5SO_3H$ (I) в среде C_6H_6 с одновременной отгонкой выделяющейся воды (см. также J. Amer. Chem. Soc., 1949, 71, 2846; Balle и др., J. Chem. Soc., 1952, 790) получили следующие простые эфиры (указаны т. кип. в $^{\circ}C/мм$, n_D^{20}): $n-(CH_3)_2NC_6H_5CH_2O-n-C_4H_9$, 131/0,4, 1,5230; $n-CH_3OC_6H_5CH_2O-n-C_4H_9$ (II), 93—96°/0,1 мм, n_D^{20} 1,4978; $n-CH_3C_6H_4CH_2O-n-C_4H_9$, 55/0,15, 1,4871; $n-ClC_6H_4CH_2O-n-C_4H_9$, 121—123/9,5, 1,5010; $n-CH_3OC_6H_5CH_2O-втор-C_4H_9$, 67—69/0,1, 1,4933; $n-CH_3OC_6H_5CH_2O-трет-C_4H_9$, 61—65/0,1, 1,4943; $n-CH_3C_6H_4CH_2OCH_2C_6H_5-n-OCH_3$, 152—158/0,4, 1,5572; $n-CH_3OC_6H_5CH_2OCH_2C_6H_5$ (III), 100—106/0,1, 1,5619; $n-CH_3OC_6H_5CH_2OCH_2C_6H_4-n-Cl$, 122—126/0,9, 1,5689; $n-CH_3OC_6H_5CH_2OCH_2C_6H_4-n-NO_2$, 179—185/0,2, 1,5830; $n-(CH_3)_2NC_6H_5CH_2OCH_2C_6H_4-n-OCH_3$, 135—136/0,001, 1,5842. В аналогичных условиях проведена перегерификация ($n-CH_3OC_6H_5CH_2O$ с помощью $n-C_4H_9OH$ (IV) в II и с помощью $C_6H_5CH_2OH$ в III. Скорость р-ции спиртов $n-RC_6H_5CH_2OH$ (V) с IV выходы эфиров уменьшаются с ослаблением электронодонорных свойств R, а также при переходе от IV к втор- и трет- C_4H_9OH . Вероятно, из-за «дезактивации» катализатора скорость р-ции V с $CH_3OC_6H_5CH_2OH$ (VI) увеличивается с ослаблением электронодонорных свойств R. Р-ция IV и V протекает, очевидно, через расщепление C—O-связи в V, в случае р-ции V и VI рвется C—O-связь в VI. Кинетич. данные по этерификации IV трифенилкарбинола и бензилового спирта при различных конц-ях I и соотношениях взаимодействующих спиртов свидетельствуют о том, что это р-ция первого порядка. Взаимодействие IV и V сопровождается побочным образованием $n-RC_6H_5CH_2C_6H_5$ в результате р-ции II с р-рителем, что можно объяснить блокированием IV при образовании координационного комплекса IV и I. Кипячением р-ра I в $n-C_6H_{13}OH$ получен также ($n-C_6H_{13}O$ (VII), т. кип. 80—83°/5 мм, n_D^{20} 1,4190. Наилучший выход VII (94%) достигается при выделении 75% теоретич. кол-ва воды; при выделении 100% воды выход VII падает до 75%. Сообщение В см. РЖХим, 1954, 39396.

А. Г.

77968. Химическое и кинетическое исследование реакции п-толуолсульфоната холестерина-3β со спиртами и алкохолятами в спиртовых растворах. Паппас, Мешино, Фурнье, Нейс (Chemical and kinetic studies on the reaction of β-cholestanyl p-toluenesulfonate with alcohols and with sodium alkoxides in alcohols. Pappas Nicholas, Meschino Joseph A., Fournier Albert A., Nace Harold R.), J. Amer. Chem. Soc., 1956, 78, № 9, 1907—1909 (англ.)

При действии на п-толуолсульфонат холестерина-3β (I) спиртов или алкохолятов (кипение 72 часа) образуются соответствующие простые эфиры (II) холестерина-3β (III) и смесь (IV) Δ^2 и Δ^3 -холестена в следую-

щих соотношениях (указаны реагент, выход IV и выход II в %): CH_3OH , 17, 73; $CH_3OH + 4 экв CH_3ONa$, 20—21, 67—74; $CH_3OH + 8 экв CH_3ONa$, 19—23, 74—77; $трет-C_4H_9OH$, 34—37, 22—36; $трет-C_4H_9OH + 4 экв трет-C_4H_9ONa$, 41—43, 27—33; $трет-C_4H_9OH + 8 экв трет-C_4H_9ONa$, 39—47, 26—30. Изучение скорости алко-



лизу I показыва-

ет, что р-ция следует ур-нию 1-го порядка по отношению к I. Поскольку скорость р-ции I с CH_3OH не зависит от добавок CH_3ONa , авторы считают, что скорость р-ции определяется сольволизом I с образованием сольватированного карбониевого иона (V). Последний неустойчив и немедленно реагирует с «сольватным» CH_3OH с обращением конфигурации. Р-ция I с $трет-C_4H_9OH$ протекает более сложно. Ее скорость и состав образующихся продуктов зависят от добавки $трет-C_4H_9ONa$. Вероятно, эта р-ция протекает по механизму S_N2 .

Л. Б.

77969. Синтез и свойства 1-фенилаллилхлорида. Брауде, Валанкас, Уэйт (Synthesis and properties of 1-phenylallyl chloride. Braude E. A., Valkanas G., Waite E. S.), Chemistry and Industry, 1956, № 16, 314—315 (англ.)

Установлено, что 1-фенилаллилхлорид (I) при $\sim 20^{\circ}$ количественно изомеризуется в хлористый циннамил (II) за 20 час. (при исходном соотношении I : II = 5 : 1). При -175° изомеризация не наблюдается в течение нескольких недель, разб. р-ры смеси I и II в эфире стабильны. В 0,3 M р-ре I в хлорбензоле при 90° определенное спектротрически значение константы скорости р-ции первого порядка составляет (в мин. $^{-1}$) 0,0039, а в присутствии 0,01 M моно-, ди- и трихлоруксусной к-ты: 0,0146, 0,0230 и 0,0346. Предполагается, что катализируемая р-ция протекает с участием галониевого иона $C_6H_5CH(CI^+)(H)CH=CH_2$ через переходное состояние $[C_6H_5-CH-CH=CH_2 \cdots Cl-H]^+$. I получен при обработке 1-фенилаллилового спирта (0,1 моля) тионилхлоридом (0,1 моля) в присутствии триэтиламина (0,12 моля) в хлороформе при 0° . Быстрой отгонкой получена смесь I : II = 5 : 1, выход 65%, т. кип. 45—50°/0,2 мм, n_D^{20} 1,5460.

И. М.

77970. Исследование углеродных циклов. Сообщение 66. О неклассическом течении реакций замещения и элиминирования в циклических системах. Реакция циклодециламина с азотистой кислотой. Прелог, Урех, Ботнер-Бай, Вюрш (Zur Kenntnis des Kohlenstoffringes. 66. Mitteilung. Über den nichtklassischen Verlauf der Substitutions- und Eliminationsreaktionen bei mittleren Ringverbindungen. Die Reaktion von Cyclo-decylamin mit salpetriger Säure. Prelog V., Urech H. J., Bothner-Bay A. A., Würsch J.), Helv. chim. acta, 1955, 38, № 5, 1095—1113 (нем.)

Для выяснения механизма дезаминирования циклич. аминов использован циклодециламин-1,2- C^{14} (I), синтезированный по схеме: 1,8-дибромоктан (II) $\xrightarrow{2KC^{14}N} NC^{14}(CH_2)_8C^{14}N \rightarrow$ себаценовая-(1,10- C^{14}) к-та (III) \rightarrow диметилловый эфир III (IV) \rightarrow 1-оксикиклодеканон-(2)-(1,2- C^{14}) (V) \rightarrow циклодеканон-(1,2- C^{14}) (VI) \rightarrow оксим VI \rightarrow I. При действии на I HNO_2 идут р-ции элиминирования и замещения с образованием соответственно $цис$ -циклодецена (VII) и циклодеканола (VIII). Посредством ряда последовательных р-ций, проведенных через III с иным расположением C^{14} в молекуле, VII переведен в 1,4-диаминобутан (IX), VIII — в 1,6-диаминогексан (X). Из найденного распределения активностей следует,

выход
0—21,
трет-
трет-
трет-
лого-

м
осн

авторы
изом I
иона
гирует
рации.
о. Ее
сят от
текает
Л. Б.
Бра-
пропер-
Val-
nd In-

~20)
ил (II)
). При
ольких
ильных.
электро-
первого
тствии
0,0146,
а р-ции
H(CI⁺·
eH₂ —

работке
оридом
хлоро-
II =
1,5460.
И. М.
ние 66.
элими-
иклоде-
урех,
Kohlen-
sischen
nen bei
Cyclo-
gesch
Helv.

циклич.
синте-
КС⁺N⁻
→

(III)→
ион-(2)-
оксим
имини-
ственно
средств
х через
переве-
огексан
следует,

что дезаминирование I проходит преимущественно неклассически с внутримолекулярным перемещением водорода, причем частично водород переходит от C₍₁₎ к C₍₅₎ и от C₍₁₎ к C₍₆₎. Обсуждаются возможные механизмы р-ции. Спирт. р-р KCl¹⁸N, полученный из 200 мг BaCl¹⁸O₃ (1 мкюри) по методике, описанной ранее (Сообщение 65, РЖХим, 1956, 19194), кипятят 20 час. с 272 мг II и 20 мг KJ, образующийся динитрил III омыляют кипячением (20 час.) с 0,4 г KOH в 1 мл спирта и 1,5 мл воды; выход III 76% (на исходный карбонат), т. пл. 124,5—129,5°. 305 мг III, разб. неактивной III до активности (а) 9,5·10⁻⁶ имп/моль, этерифицируют эфир. р-ром CH₂N₂, разбавляют неактивным IV и перегоняют в вакууме; выход IV 2,78 г, т. кип. 108—112°/0,04 мм. Ацилиновая конденсация 3,7 г IV в 300 мл сухого ксилола с 1,7 г Na приводит к V, выход 47% (теор.), т. кип. 118—131°/0,1 мм. При восстановлении 1,287 г V 3,27 г Zn в 12 мл конц. HCl и 10 мл лед. CH₃COOH получают VI, выход 83%, т. пл. 79,5—80,5° (из сп.). 1,702 г оксима VI восстанавливают в 60 мл абс. спирта 3,7 г Na, смесь осторожно подкисляют разб. HCl (при 0°), отгоняют спирт в вакууме и встряхивают остаток с пентаном. По отгонке пентана выделяют 0,58 г VI. Смесь р-рителя с HCl подщелачивают KOH (40%-ный р-р), экстрагируют эфиром и выделяют 0,556 г I, т. кип. 117—121°/11 мм. Во всех операциях по выделению I исключают CO₂ воздуха. Из щел. вод после промывки аппаратуры выделяют 0,312 г хлоргидрата I, т. пл. 179,5—181°. Выдерживая VI (0,58 г) 15 час. с 0,5 г CrO₃ в пиридине при ~20°, переводят его в кетон, затем в оксим VI (0,536 г), гидрируют (100°, 100—110 атм) над скелетным Ni-катализатором и получают 0,363 г хлоргидрата I. Суммарный выход I 70,4% (теор.).

Ю. С.

77971. Исследование углеродных циклов. Сообщение 67.

Скорость сольволиза в ледяной уксусной кислоте цикло-*п-толуолсульфонатов* со средними по величине циклами. Хек, Прелог (Zur Kenntnis des Kohlenstoffringes. 67. Mitteilung. Solvolysengeschwindigkeit der Cycloanlyl-*p*-toluolsulfonate mittlerer Ringgröße in Eisessig. Heck R., Prelog V.), Helv. chim. acta, 1955, 38, № 6, 1541—1545 (нем.).

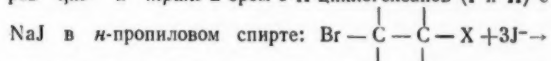
Определены скорости сольволиза в лед. CH₃COOH цикло-*алкил-п-толуолсульфонатов*: циклогептил-(I), циклооктил-(II), циклононил-(III), циклодецил-(IV) (т. пл. 60°), циклододецил-(V) (т. пл. 43—44°), циклододецил-(VI), т. пл. 88—89,5°, и циклоэкозил-(VII) (т. пл. 28—29°). Установлено, что ацетоллиз названных соединений представляет р-цию 1-го порядка. Скорость р-ции сильно зависит от величины цикла, что объясняется различием в энтальпиях активации (ΔH_{акт}), это явление связано с особенностями средних по величине циклич. систем, обладающих так называемым неклассич. напряжением. Ниже приведены исходное соединение, т-ры сольволиза в °C, константы скорости в сек⁻¹ при этих т-рах, энергия активаций ΔE_{акт}, ΔH_{акт} в ккал и энтропия активации: I, 25 и 50, 2,55·10⁻⁶ и 5,94·10⁻⁶, 24,1, 23,5, —5,4; II, 25 и 50, 2,66·10⁻⁶ и 5,44·10⁻⁶, 23,1, 22,5, —4,1; III, 25 и 50, 2,07·10⁻⁶ и 5,08·10⁻⁶, 24,5, 23,9, +0,1; IV, 25 и 50, 4,69·10⁻⁶ и 1,03·10⁻⁵, 23,7, 23,0, —1,1; V, 25 и 50, 4,66·10⁻⁶ и 1,27·10⁻⁵, 25,3, 24,7, —0,2; VI, 50 и 75, 5,86·10⁻⁶ и 1,43·10⁻⁵, 28,6, 27,9, +3,8; VII, 50 и 75, 3,57·10⁻⁶ и 7,52·10⁻⁶, 27,3, 26,6, —1,3. Если принять за 1 константу скорости циклогексил-*п-толуолсульфоната* (изученного ранее), то константы скорости соответственно равны: I 31, II 285, III 266, IV 539, V 67, VI 3,1, VII 1,9 (см. пред. реф.). Значительное отличие в скоростях р-ции связывается с «неклассич.» напряжением в 7—11-членных циклах.

А. Р.

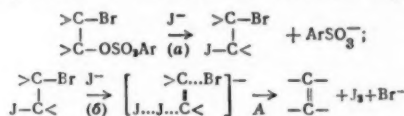
77972. Механизм реакций отщепления. XVI. Реакции нодистого натрия с *цис*- и *транс*-2-бромциклогексил-1-

нитратами и аренылсульфонатами. Кристал, Унбер, Бриделе (Mechanisms of elimination reactions XVI. Reaction of sodium iodide with *cis*- and *trans*-2-bromo-1-cyclohexyl nitrates and arenesulfonates. Cristol Stanley J., Weber John Q., Brindell Margaret C.), J. Amer. Chem. Soc., 1956, 78, № 3, 598—601 (англ.).

Изучена кинетика р-ции отщепления от стереоизомов *цис*- и *транс*-2-бром-1-Х-циклогексанов (I и II) с



→ >C=C< + Br⁻ + I₃⁻ + X⁻. Использованы следующие соединения: *транс*-1,2-дибромциклогексан (IIa), *цис*- и *транс*-2-бромциклогексил-1-*п*-толуолсульфонаты (Ib и IIb, т. пл. 79—80° и 44—45° соответственно), *цис*- и *транс*-2-бромциклогексил-1-*п*-бромбензолсульфонаты (Iв и IIв), *цис*- и *транс*-2-бромциклогексил-1-нитраты (Iг и IIг). При 70° найдены следующие значения констант скоростей *k* для р-ции второго порядка (10⁻⁶ сек⁻¹мол⁻¹) и энергии активации в ккал: IIa, 0,363, 25,9; Iб, 0,0648, 23,1; IIб, 0,768, 24,0; Iв, 0,307, 23,5; IIв, 3,35, 23,0; Iг, 3,91, 31,7; IIг, 3,63, 32,4. Отношения *k*_{II}/*k*_I для различных заместителей X следующие — IIб: : Iб = 62; IIв: Iв = 48; IIг: Iг = 1. Авторы считают, что для аренылсульфонатов определяющей скоростью стадий является обмен аренылсульфоноксигруппы на иод с инверсией по р-ции а далее сопровождаемое отщеплением иода по р-ции б через *транс*-копланарный переходный комплекс А. Данные для бромнитратов (Iг и IIг) объяснены предположением, что в этом случае определяющей скоростью стадий является замена брома на иод. Близкие значения *k* для *цис*- и *транс*-бромидов Iг и IIг объяснены тем, что *цис*-нодосоединения, получающиеся в результате обмена с *транс*-изомерами, эмеризуются с иодид-ионом с относительно большой скоростью в



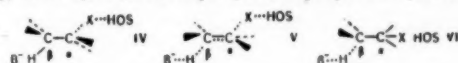
транс-нодосоединения и поэтому не имеет значения, какой изомер получается в первой стадии. Опытные данные не позволяют различить между этой возможностью и возможностью относительно медленного отщепления от *транс*-изомеров и сравнительно медленного обмена с *цис*-изомером. Сообщение XV см. РЖХим, 1956, 68217.

С. Б.

77973. Исследования в области стереохимии. XXV.

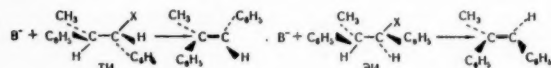
Эффекты групп в реакции E₂. Крам, Грин, Деппи (Studies in stereochemistry. XXV. Eclipsing effects in the E₂ reaction. Cram Donald J., Greene Frederick D., Depuy C. H.), J. Amer. Chem. Soc., 1956, 78, № 4, 790—796 (англ.).

Исследована кинетика р-ции отщепления HX от диастереомерных систем 1,2-дифенил-1-Х-пропана, где X = Cl (I), Br (II) и N⁺(CH₃)₃ (III) в различных р-рителях (C₂H₅OH, *n*-C₆H₁₃CHONCH₃, (CH₃)₃COH, *n*-C₆H₁₇OH, C₂H₅(CH₃)₂COH, C₆H₆) и при действии оснований (C₂H₅ONa, *n*-C₆H₁₃CHONCH₃, (CH₃)₃COK, *n*-C₆H₁₇ONa, C₂H₅(CH₃)₂COK. Р-ция проходит по *транс*-направлению, т. е. *трео*-изомер (III) дает *транс*-олефин (TO), и из *эритро*-изомера (ЭИ) образуется *цис*-олефин



(ЦО). Сбразование ТО и ЦО при 75° в *трет*-C₄H₉OH в присутствии (CH₃)₃СОК объясняется перегруппировкой

ЦО в ТО, которая происходит при этой т-ре. Только в случае III ЭИ дает ТО уже при 35°. Отношение констант скоростей р-ции для пары диастереомеров $k_{E_2 \text{ трео}}/k_{E_2 \text{ эритро}}$ для I возрастает от 1 до 11, для II от 0,7 до 5,4 с увеличением основности В и уменьшением сольватирующей способности среды. Для III $k_{E_2 \text{ трео}}/k_{E_2 \text{ эритро}}$ равно 57 в C_2H_5OH и C_2H_5ONa , а в $(CH_3)_3COH$ и $(CH_3)_3COK$ оно равно единице. Различие в отношениях скоростей р-ции объясняется изменением переходного состояния в зависимости от расположения замещающих групп в исходном в-ве. Авторы рассматри-



вают случаи (IV—VI). Структуры IV и VI обладают тем же геометрич. расположением, что и исходные молекулы, а структура V имеет конфигурацию более близкую к олефину и его термодинамич. устойчивость связана с геометрич. расположением заместителей. Трео-переходное состояние более устойчиво, чем эритро, и поэтому $k_{E_2 \text{ трео}} > k_{E_2 \text{ эритро}}$. Чем больше отношение $k_{E_2 \text{ трео}}/k_{E_2 \text{ эритро}}$, тем большее значение приобретает состояние V. В C_2H_5OH и C_2H_5ONa это отношение для I, II, III растет в ряду 0,7:1,1:57. В этом случае отщепление HX для III идет через состояние V. В смеси C_2H_5OH и C_2H_5OK это отношение для III равно 1,1, что объясняется участием в р-ции структуры VI. Структура VI объясняет также легкую эпимеризацию у β -углерода. ТИ и ЭИ 1,2-дифенилпропил-3-метиламина получены нагреванием р-ров соответствующих 1,2-дифенил-1-пропил-*n*-толуолсульфонатов (0,016 моля) и 10 мл безводн. диметиламина в 60 мл C_6H_6 48 час. при 75° (J. Amer. Chem. Soc., 1952, 74, 1831); ТИ, т. кип. 140°/2 мм, выход 40%, ЭИ, т. кип. 130°/2 мм, выход 35%. Из этих аминов при стоянии с CH_3I при 0° 12 час. получены четвертичные соли: ТИ, т. п. 174—176° (разл.), ЭИ, т. п. 212—213° (разл.). Сообщение XXIV см. РЖХим, 1956, 39415. А. Я.

77974. Пространственные препятствия. II. Скорости дебромирования дибромидов метил- и диметилстиролов. Шварцман, Корсон (Steric hindrance. II. The rates of dehalogenation of methyl- and dimethylstyrene dibromides. Schwartzman L. H., Corson B. V.), J. Amer. Chem. Soc., 1956, 78, № 2, 322—325 (англ.)

Результаты измерений УФ-спектров и молярных фракций (MR) стирола (I) и его моно- и диметилпроизводных сопоставлены со скоростью их образования из соответствующих 1,2-дибромарилэтанов $ArCHBrCH_2Br$ (II) взаимодействием последних с KJ в 99%-ном CH_3OH при 39,6° (молярное соотношение II : KJ = 1:10) по р-ции: $II + 3J^- \rightarrow ArCH=CH_2 + J_3^- + 2Br^-$. Определены MR, $\lambda_{\text{макс}}$ и константы скорости образования следующих I (указан заместитель): H; α -метил, *m*-метил, *o*-метил, *n*-метил, 2,6-диметил, 2,5-диметил, 2,4-диметил, 3,5-диметил. В моногилпроизводных MR и bathochrome смещение $\lambda_{\text{макс}}$ увеличиваются в ряду $n > m > o$, $\lambda_{\text{макс}}$ орто-производного лежит в области более коротких волн, чем у незамещ. I. Большое действие CH_3 -группы в пара-положении вызвано сложением одинаково направленных мезомерного (M) и индуктивного (I) эффектов. В мета-положении проявляется J-эффект и гиперконъюгация первого порядка. В орто-положении на сумму M- и J-эффектов накладываются пространственные препятствия (ПП) капланарному расположению

фенильного кольца с винильной группой, что подтверждается еще более заметным гипсохромным влиянием α -метильной группы, которая создает такие же ПП, но не может проявлять M-эффекта. Наложением ПП объясняется также то, что MR и $\lambda_{\text{макс}}$ наибольшие у 3,5-диметил-I, в котором ПП отсутствуют. Введение метильных групп в фенильное ядро увеличивает скорость р-ции дебромирования, причем M-эффект влияет сильней J-эффекта. Наличие ПП ускоряет р-цию, что видно из того, что K всех орто-замещ. больше, чем у II, не имеющих заместителя в орто-положении. Однако K 2,6-диметил-II меньше K *o*-метил-II. Это, с учетом влияния J- и M-эффектов, дает основание предполагать, что р-ция начинается нуклеофильной атакой иона J^- по α -атому углерода. Эксперим. данные показывают, что взаимодействие II и KJ является р-цией 2-го порядка, идущей по механизму S_N2 . Сообщение I см. РЖХим, 1955, 23579. Н. С.

77975. Стереохимия присоединения тиолов к ацетиленам под каталитическим влиянием щелочи. Трус, Симс, Будакиан (The stereochemistry of base-catalyzed additions of thiols to acetylenes. Truce William E., Simms John A., Boudakian Max M.), J. Amer. Chem. Soc., 1956, 78, № 3, 695—696 (англ.)

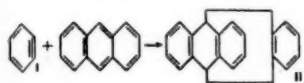
Установлено, что р-ция присоединения тиолов к фенил-ацетилену (I), бутину-2 (II), хлорацетилену (III), *n*-толимеркаптоацетилену (IV) в щел. среде представляет собой транс-присоединение. Кипячение (15 час.) р-ра I с *n*- $CH_3C_6H_4SNa$ (V) приводит к *цис*- ω -стирил-*n*-толилсульфиду, выход 79%, окисленному с помощью H_2O_2 до сульфона (VI), т. п. 76—77°. Транс-изомер VI, т. п. 121°, синтезирован конденсацией транс- ω -стиролсульфохлорида с толуолом по Фриделю—Крафту. Р-ция CH_3SNa с I приводит к метил-*цис*- ω -стирилсульфиду (VII), выход 73%, т. кип. 101,5°/5 мм; сульфид, т. п. 66—67°. Сульфид транс-изомера VII имеет т. п. 78—79°. II реагирует с V в спирт. р-ре с образованием 2-*n*-толимеркапто-транс-бутена-2, выход 65%, т. кип. 83—86°/12 мм, n_D^{20} 1,5634. III дает с IV смесь *цис*-*бис*-(*n*-толимеркапто)-этилена (VIII), выход 77,4%, и *цис*-1-хлор-2-*n*-толимеркаптоэтилена (IX), выход 20,3%, т. кип. 99—102°/2,2 мм, n_D^{20} 1,5901. В присутствии избытка V и C_2H_5ONa IX превращается в VIII значительно быстрее, чем его транс-изомер, синтезированный присоединением *n*- $CH_3C_6H_4SNa$ к ацетилену. Р-ция IV (т. кип. 73—77°/2,5 мм, n_D^{20} 1,5721) с V приводит к VIII с выходом 77%. Описанные нуклеофильные р-ции транс-присоединения к тройной связи могут протекать либо в одну стадию, либо по двухстадийному механизму с образованием промежуточного карбанонового конфигурации (A). Такую конфигурацию следует считать устойчивой, учитывая силы отталкивания между отрицательным зарядом и отрицательной $R'S$ -группой. Л. Б.

77976. Об отсутствии пространственного эффекта при образовании эпоксида из хлоргидрина-1,2. Круазье, Фиренс (Absence d'effet stérique dans la formation d'époxydes, à partir de chlorhydrines 1-2. Croisier P., Fierens P. J. C.), Bull. Soc. chim. belges, 1956, 65, № 1—2, 207—208 (франц.)

Кинетическими исследованиями р-ции 3-хлор-2-метилбутанола-2 и 3-хлор-2,4,4-триметилпентанола-2 (I) с содой в 70%-ном CH_3OH показано, что несмотря на присутствие в I неоптимальной структуры, р-ция протекает без стерич. эффекта. Такое явление объясняется тем, что во внутримолекулярном S_N2 процессе образования эпоксида в случае I атакующий агент соединен ковалентно с α -углеродным атомом, в результате чего энергия сжатия нео-

пентильной группы значительно меньше, чем в случае межмолекулярной S_N2 р-ции. Г. П.

77977. Триптицен изантрацена и дегидробензола. Виттиг, Людвиг (Triptycens aus Anthracen und Dehydrobenzol. Wittig G., Ludwig Renate), Angew. Chem., 1956, 68, № 1, 40 (нем.)



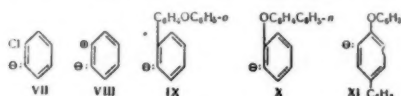
Образующийся из Mg и o -FC₆H₄Br (30 ммоль) o -FC₆H₄MgBr превращается в дегидробензол (I) (РЖХим, 1956, 22331), который вступает в диеновый синтез с антраценом с образованием 11% трифенилена и 28% триптицена (II). М. В.

77978. К изучению дегидробензола («бензина», o -фенилена). Мюллер, Рёшейзен (Zur Kenntnis des Dehydrobenzols (Benzyn, o -Phenylen). Müller Eugen, Röschers Gerd), Chemiker-Ztg., 1956, 80, № 4, 101 (нем.)

При р-ции o -дихлор и o -дибромбензола с 1,2-динатрий-1, 2, 2-тетрафенилэтаном в тетрагидрофуране (I) в присутствии фурана (II) образуется 95% тетрафенилэтилена и 36% нафталина (III). Образование III подтверждает, что р-ция протекает через промежуточное образование дегидробензола (IV) (РЖХим, 1956, 22331), который с II дает 1,4-эндокси-1,4-дигидронафталин, восстанавливающийся далее до III. В отсутствие I образуется смола, C₆H₆ (за счет восстановления IV при р-ции с I) и следы дифенила. Возможно, что в IV имеется равновесие синглетного и триплетного состояния. М. В.

77979. О промежуточных продуктах щелочного гидролиза хлорбензола и химизме их образования. Лютрингхаус, Амброс (Über die Nebenprodukte der alkalischen Chlorbenzol-Hydrolyse und ihren Bildungsschemismus. Lüttringhaus Arthur, Ambros Dieter), Chem. Ber., 1956, 89, № 2, 463—474 (нем.)

При технич. получении фенола гидролизом хлорбензола посредством NaOH (300°) в состав высококипящих фракций входят следующие побочные продукты, идентифицированные с помощью бумажной хроматографии и УФ-спектров: дифениловый эфир (I), o - и p -фенилфенолы (II, III), 2- и 4-феноксифенилы (IV, V), 2,6-дифенилфенол (VI) и небольшое кол-во m -фенилфенола. Последние два компонента обнаружены впервые. Те же соединения получены при взаимодействии I с C₆H₅Na и C₆H₅K (Liebigs Ann. Chem., 1939, 542, 241; 1945, 557, 25). Известно также, что феноксигруппа во многих р-циях играет роль псевдогалогена и, следовательно, хлорбензол может реагировать

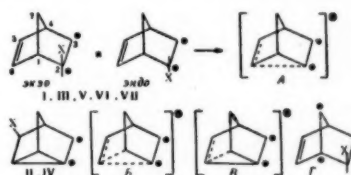


аналогично I. Пользуясь этой аналогией, механизм щел. гидролиза C₆H₅Cl представлен так, что водн. щелочь отнимает протон в орто-или пара-положении у одного из бензольных циклов, причем образуется анион, который осуществляет ряд р-ций. Вероятно, вначале из хлорбензола образуется промежуточный анион (VII), который со щелочью дает фенолят, а с ионами фенолята образует биполярный ион (VIII). Аналогично I дает анион C₆H₅OC₆H₄O⁻, который перегруппировывается в анион II o -C₆H₅C₆H₄O⁻, медленно расщепляется на фенолят и биполярный ион типа VIII, а при взаимодействии с I или с биполярным ионом образует IV, либо IV, o -анионизированный в бифенильной группе (IX); последний перегруппировывается в 2,6-(C₆H₅)₂C₆H₃O⁻ либо расщепляется на II и фенол. p -Анион I, реагируя с I или VIII, дает V. o -Анион V (X) расщепляется

на фенол и III, а o -анион (XI) образует через промежуточное фенильное производное иона VIII m -фенилфенол и III. Для получения 2,6-дифенилбензохинона (XII) прибавляют к 2,5 ϵ VI в лед. CH₃COOH 3,2 ϵ Br₂ в том же р-ителе при 15—20°. Добавляют воду, из выпавшего масла получают (из сп.) оранжево-красные иглы XII (2,2 ϵ), т. пл. 138°. Определены УФ-и ИК-спектры XII. А. К.

77980. Перегруппировки производных дегидронорборнила, меченных C¹⁴, происходящие с образованием иона карбония. Робертс, Ли, Сондерс (Rearrangements in carbonium ion-type reactions of C¹⁴-labeled dehydronorbornyl derivatives. Roberts John D., Lee C. C., Saunders W. H., Jr.). J. Amer. Chem. Soc., 1955, 77, № 11, 3034—3037 (англ.)

При ацетоллизе *экзо*- и *эндо*-дегидронорборнил-2,3-C¹⁴- p -бромбензолсульфонатов (*экзо*-I и *эндо*-I) образуется 3-ацетоксинортрициклен (II) и *экзо*-дегидронорборнилацетат (*экзо*-III): 11% для *экзо*-I и 17% для *эндо*-I. При взаимодействии *экзо*-I с HCOOH образуется формиат нортрициклена (IV) и 4% *экзо*-дегидронорборнилформиата (*экзо*-V). В процессе замещения происходила перегруппировка, в результате которой в *экзо*-III и *экзо*-V C¹⁴ оказывалось не только в положении 2 и 3. Процент перегруппировки (%П): при ацетоллизе *эндо*-I (48 час. при кипении) 30,1; при ацетоллизе *экзо*-I (1 час при 45°) 38,2; при действии HCOOH на *экзо*-I (1 час при 45°) 48,0. При действии на *эндо*-дегидронорборнил-3-C¹⁴-амин (VI) HNO₂ в CH₃COOH образуется II и 17% *экзо*-III, % П (12 час., 20°) 38,5; при проведении этой р-ции в водн. HBF₄ образуется 3-оксинортрициклен и 7% *экзо*-дегидронорборнеола (VII), % П (48 час., 20°) 35,0. Авторы считают, что во время р-ции образуется промежуточный «неклассич. ион дегидронорборния» (A), который может реагировать с анионами среды X⁻ с образованием производных нортрициклена (II или IV) и соответствующих *экзо*замещ. I или превратиться в новые ионы B или B', при взаимодействии которых с X⁻ образуются и продукты перегруппировки типа Г. Так как система CH₃COOH + CH₃COO⁻



I X = n -BrC₆H₄SO₃, II X = CH₃COO, III X = CH₃COO,
IV X = HCOO, V X = HCOO, VI X = NH₂, VII X = OH

более нуклеофильна, чем HCOOH + HCOO⁻, р-ция *экзо*-I и *эндо*-I в CH₃COOH идет как с непосредственным образованием II, так и с перегруппировкой в Г через B и B', а р-ция в HCOOH идет только через B и B'. Процент дегидронорборнильных соединений в продуктах р-ции определяли по кол-ву H₂, пошедшего на гидрирование смеси спиртов, выделенных из эфиров. Для определения местоположения C¹⁴ в норборнеоле, полученном после гидрирования, его окисляли в дикарбоновую к-ту, которую затем превращали в диамин. Методика работы и получение исходных продуктов осуществлялись согласно ранее опубликованным данным (РЖХим, 1955, 42864). З. П.

77981. Стереохимия аллильных перегруппировок. III. Сольволиз *цис*- и *транс*-5-метил-2-циклогексенилового эфира фталевой кислоты в водном ацетоне. Горинг, Силверсмит (Stereochemistry of allylic rearrangements. III. The solvolysis of *cis*- and *trans*-5-methyl-2-cyclohexenyl acid phthalate in aqueous acetone. Goering Harlan L., Silversmith Ernest

F.), J. Amer. Chem. Soc., 1955, 77, № 5, 1129—1133 (англ.)

Определены скорости сольволиза стереоизомеров 5-метил-2-циклогексенилового эфира фталевой к-ты *цис*-(I) и *транс*-(II) в водн. ацетоне по изменению угла вращения (константа 1-го порядка k_a) и по изменению титра фталевой к-ты (константа 1-го порядка k_f). k_a во всех сравнимых случаях больше k_f . Отношение k_a/k_f уменьшается с увеличением ионизирующей силы р-рителя и не зависит от т-ры. Для 90% ацетона оно равно 1,74, а для 50% 1,26. В результате сольволиза образуется смесь *цис*-(III) и *транс*-5-метил-2-циклогексенола (IV) и фталевая к-та. III и IV в условиях опыта изомеризуются в равновесную смесь: 55% III и 45% IV. Установлено, что I и II во время р-ции не изомеризуются один в другой. Различие в константах k_a и k_f объяснено тем, что



сольволиз проходит через промежуточную ионную пару (V), из которого образуется продукт р-ции и рацемич. исходное в-во. Авторы рассматривают превращение оптически активных I и II как внутримолекулярную аллильную перегруппировку.

I и II приготовлены из соответствующих III и IV (см. РЖХим, 1954, 16188). I, т. кип. 66—67°/21 мм, n_D^{20} 1,4402, d_4^{25} 0,8690; II, т. кип. 46—46,5°/10 мм, n_D^{20} 1,4447, d_4^{25} 0,8663. В результате этанолиза I (0,77 ммоль в 80 мл абс. сп.) при 100° за 68,5 часа получена смесь *цис*- и *транс*-изомеров этилового эфира 5-метил-2-циклогексенола в отношении 26:74 и диэтиловый эфир фталевой к-ты. Сообщение II см. РЖХим, 1956, 710.

А. Я. 77982. **Стереохимия аллильных перегруппировок. IV. Стереохимия превращения *цис*- и *транс*-5-метилциклогексен-2-ола в 3-хлор-5-метилциклогексен. Горинг, Невитт, Силверсмит** (Stereochemistry of allylic rearrangements. IV. The stereochemistry of the conversion of *cis*- and *trans*-5-methyl-2-cyclohexenol to 5-methyl-2-cyclohexenyl chloride. Goering Harlan L., Nevitt Thomas D., Silversmith Ernest F.), J. Amer. Chem. Soc., 1955, 77, № 15, 4042—4048 (англ.)

Изучена аллильная перегруппировка, протекающая при обработке *цис*-(I) и *транс*-5-метилциклогексен-2-ола (II) SOCl_2 , PCl_3 или HCl . При действии SOCl_2 в эфире I дает *цис*-3-хлор-5-метилциклогексен (III), а II превращается в *транс*-изомер III (IV). Конфигурация III и IV подтверждена их ИК-спектрами. Оптически деятельные I и II дают при р-ции с SOCl_2 в эфире соответственно оптически активные III и IV. Р-ция III с $\text{CH}_3\text{COON}(\text{CH}_3)_2$ в ацетоне сопровождается вальденовским обращением и приводит к смеси ацетата I (Ia) и ацетата II (IIa), содержащей, судя по ИК-спектру, 85% IIa. Аналогично IV дает смесь, состоящую на 78% из Ia. Р-ция I и II с SOCl_2 в гексане, а также с PCl_3 или HCl при 20° приводит к смесям III и IV следующего состава (указаны: исходный спирт, реагент, р-ритель, содержание III в смеси в %, $[\alpha]_D^{20}$ продукта р-ции): *dl*-I, SOCl_2 , гексан, 59 ± 3, —; *dl*-I, SOCl_2 -пиридин, гексан, 39 ± 3, —; (+)-I, PCl_3 , гексан, 32 ± 3, —65,0° (с 1; сп.); (—)-I, PCl_3 , гексан, 32 ± 3, +71,0° (с 1; сп.); *dl*-II, PCl_3 , гексан, 35 ± 3, —; (+)-II, PCl_3 , гексан, 35 ± 3, +23,0° (с 1,5; CH_3COOH); *dl*-I, PCl_3 , эфир, 32 ± 3, —; *dl*-I, PCl_3 (при —5°), эфир, 32 ± 3, —; *dl*-I, PCl_3 -пиридин, эфир, 32 ± 3, —; (—)-I, HCl , диоксан, 50 ± 3, +109,0° (с 3,7; диоксан). Оптически деятельные III и IV необходимо выделять немедленно по окончании р-ции, так как в противном случае рацемизация завершается уже за 15 мин. Рацемизация катализируется HCl и протекает, по мнению авторов, путем отщепления хлора от III или IV с образованием моно карбония (V). Превращение III в IIa проходит без

рацемизации по механизму $\text{S}_\text{N}2$ и не сопровождается аллильной перегруппировкой. Образование наряду с IIa небольшого кол-ва Ia объясняется наложением механизма $\text{S}_\text{N}1$ с промежуточным образованием V. Обработка (+)-IIa LiAlH_4 приводит к продукту, содержащему, судя по ИК-спектру, 86 ± 2% (+)-II, и дающему при окислении посредством MnO_2 в пентане (+)-5-метил-2-циклогексенон (VI). Окисление (+)-I в тех же условиях приводит к энантиомеру VI (VII) и, следовательно, при превращении



I в III должна иметь место аллильная перегруппировка, поскольку известно, что все остальные стадии процесса (+)-I → (—)-III → (+)-IIa → (+)-II → VI проходят без перегруппировки. Вероятно, р-ция I с SOCl_2 проходит через циклич. переходный комплекс (VIII). Пространственную направленность р-ции I и II с PCl_3 и HCl авторы объясняют одновременным протеканием р-ции по механизмам $\text{S}_\text{N}2$ (обращение) и $\text{S}_\text{N}1$ (рацемизация). Смесь I и II (95:5) (168 г), образующуюся при восстановлении 5-метил-2-циклогексенона LiAlH_4 , превращают в кислый фталат, из которого получают цинхонидиновую соль. Из ацетона кристаллизуется соль, из которой выделяют (—)-I, выход 14%, т. кип. 82°/25 мм, $[\alpha]_D^{20}$ —2,75° (l 10 см). Из маточных р-ров получают кислый фталат, $[\alpha]_D^{20}$ +29° (с 2; хлф.), из которого через бруциновую соль выделяют кислый фталат (+)-I, т. пл. 50,0—50,6° (из ацетона), $[\alpha]_D^{20}$ 60,1° (с 2; хлф.). Из последнего получают чистый (+)-I, т. кип. 83°/25 мм, $[\alpha]_D^{20}$ +6,95° (l 10 см). Аналогично через кислый фталат (—)-II, т. пл. 50—90,2°, $[\alpha]_D^{20}$ —130,4° (с 0,25; хлф.) получают (—)-II, т. кип. 82—83°/24 мм, $[\alpha]_D^{20}$ —163,9° (l 10 см). Из маточных р-ров выделяют кислый фталат (+)-II, т. пл. 90,2—90,5°, $[\alpha]_D^{20}$ +4,0° (с 6,5; хлф.), который превращают в (+)-II, т. кип. 68—69°/24 мм, $[\alpha]_D^{20}$ +127,0° (с 19,4; ацетон). 10 г *dl*-I добавляют при 20° к р-ру 11 г SOCl_2 в 100 мл эфира, по окончании р-ции р-ритель и избыток SOCl_2 удаляют и фракционированием остатка получают III, выход 65%, т. кип. 60—62°/25 мм, d_4^{25} 0,9952, n_D^{20} 1,4730. При 60° III переходит медленно в IV. Аналогично из II синтезируют *dl*-IV, т. кип. 60—61°/25 мм, d_4^{25} 0,998, n_D^{20} 1,4778. Ацетилированием I и II CH_3COCl в пиридине получены соответственно Ia, выход 87%, т. кип. 84°/25 мм, d_4^{25} 0,9667, n_D^{20} 1,4508, и IIa, выход 91%, т. кип. 83°/25 мм, d_4^{25} 0,979, n_D^{20} 1,4532.

Л. Б.

77983. **Стереохимия аллильных перегруппировок. V. Конфигурации оптически активных изомеров в системе 5-метил-2-циклогексенола. Горинг, Силверсмит** (Stereochemistry of allylic rearrangements. V. Configurations of optically active isomers in the 5-methyl-2-cyclohexenyl system. Goering Harlan L., Silversmith Ernest F.), J. Amer. Chem. Soc., 1955, 77, № 19, 5172—5173 (англ.)

Абсолютные конфигурации (АК) оптически активных *цис*- и *транс*-5-метилциклогексен-2-олов (I и II) установлены следующими путем. При окислении (+)-I, $[\alpha]_D^{20}$ +2,24°, оптич. чистота (ОЧ) 32% или (—)-II, $[\alpha]_D^{20}$ —164,7°, ОЧ 100% MnO_2 в пентане образуется (—)-5-метилциклогексен-2-он-1 (III), $[\alpha]_D^{20}$ —84,7°, ОЧ 100%, следовательно данные спирты различаются лишь положением ОН-группы относительно $\text{C}_{(1)}$. Восстановление (+)-I приводит к (—)-*цис*-3-метилциклогексанолю-1 (IV), $[\alpha]_D^{20}$ —9,13°, ОЧ 73%, АК которого известна (РЖХим, 1955, 16434; 1956, 19106). В результате гидрирования III под давлением над Pd/SrCO_3 или окисления IV получается (+)-3-метилциклогексанон (V), $[\alpha]_D^{20}$ +12,5°. Аналогич-

дается
с Па
канни-
зботка
судя
слении

S—O

перуп-
стади
прохо-
SOCl₂
(VIII).
PCl₅
ганием
емиза-

я при
пре-
динхо-
ль, из
25 мм,
учают
того-
(+)-I,
х.ф.).

25 мм,
х.ф.).
163,9°
х.ф.).
4 мм,
вляют
чачни-

ионни-
е. 60—
перехо-
di-IV,
этили-

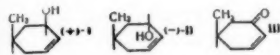
ответ-
9,667,
5 мм,
Л. Б.

с. В.
истеме
верт.
sts. V.

methyl-
L.,
Chem.

ивных
новле-
2,24°,
64,7°,
цикло-
едова-
приво-
9,13°,
16431;
дав-
ается
логич-

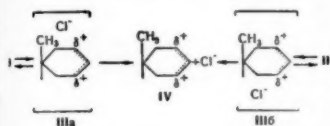
ным образом определена конфигурационная связь между (—)-I и (+)-II. АК этиловых эфиров установлены синтезом их из соответствующих оптически активных спиртов по методу Вильямсона; из (+)-I, $[\alpha]^{25}_D + 6,95^\circ$, получен (—)-цис-этиловый эфир, $[\alpha]^{25}_D - 6,5^\circ$ (с 6,1; ацетон), из (+)-II, $[\alpha]^{25}_D + 63,1^\circ$, получен (+)-транс-эфир, $[\alpha]^{25}_D + 63,3^\circ$ (с 3,4; ацетон). Подобным путем установлены АК *цис-транс-п-нитробензоатов* и *цис* и 2,4-динитробензоата.



становления $LiAlH_4$; метод установления АК хлоргидридов I, описанный ранее (см. пред. реф.), не применим к производным II; конфигурации *транс-хлоридов* определены, исходя из предположения о том, что стереохимия превращения спиртов в хлориды при действии $SOCl_2$ в эфире для II такая же, как и для I.

77984. Стереохимия алильных перегруппировок. VI. Этаноллиз и ацетоллиз хлористых *цис*- и *транс*-5-метил-2-циклогексенолов. Горинг, Невитт, Силверсмит (Stereochemistry of allylic rearrangements. VI. The ethanolysis and acetolysis of *cis*- and *trans*-5-methyl-2-cyclohexenyl chlorides. Goering Harlan L., Nevitt Thomas D., Silver Smith Ernest F.), J. Amer. Chem. Soc., 1955, 77, № 19, 5326—5332 (англ.)

Изучены кинетика и продукты этаноллиза и ацетоллиза хлористых *цис*- (I) и *транс*-5-метил-2-циклогексенолов (II) (см. пред. реф.) при 30 и 50°. В результате этаноллиза I и II образуется бинарная смесь изомерных эфиров того же состава: при ацетоллизе I и II также получается смесь изомерных ацетатов одинакового состава. Предположено, что сольволиз включает обратимое образование

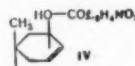


ионной пары (IIIa и IIIb), которая необратимо диссоциирует, переходя в общий 5-метил-2-циклогексенилкарбониевый ион (IV) и, далее, в продукты р-ции. Необратимость диссоциации подтверждается отсутствием заметной изомеризации I и II в ходе сольволиза. Положительный солевой эффект $LiCl$ (концентрация 0,05 M) незначителен и имеет тот же порядок, что и с $LiBr$. Параметры активации сольволиза ($\Delta H_{акт}$ кал, $\Delta S_{акт}$ энтр. ед.) в C_2H_5OH : I, $21,4 \pm 0,5$; $-10,3 \pm 1,7$; II, $22,1 \pm 0,2$; $-7,7 \pm 0,6$; в CH_3COOH с 0,05 M CH_3COONa : I, $21,7 \pm 0,3$; $-10,1 \pm 1,1$; II, $22,7 \pm 0,3$; $-7,7 \pm 0,8$.

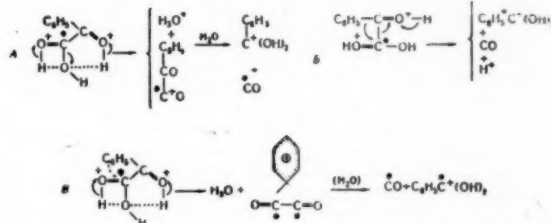
77985. Стереохимия алильных перегруппировок. VII. Кислый гидролиз *п-нитробензоата цис- и транс*-5-метилциклогексен-2-ола-1 в водном ацетоне. Горинг, Силверсмит (Stereochemistry of allylic rearrangements. VII. The acid-catalyzed hydrolysis of *cis* and *trans*-5-methyl-2-cyclohexenyl *p*-nitrobenzoate in aqueous acetone. Goering Harlan L., Silver Smith Ernest F.), J. Amer. Chem. Soc., 1955, 77, № 23, 6249—6253 (англ.)

С целью определения характера промежуточного продукта в р-циях сольволиза и алильных перегруппировок исследована кинетика гидролиза *п-нитробензоатов цис*- (I) и *транс*-5-метилциклогексен-2-ола-1 (II) в 80%-ном водн. ацетоне при 80 и 100°. Гидролиз идет с разрывом связи O—алкил и катализируется $HClO_4$. Р-ция следует 1-му порядку относительно I и II, скорость катализируемой р-ции пропорциональна концентрации $HClO_4$. Эксперим. энергия активации катализируемой р-ции 30,2 ккал. Константа скорости р-ции определялась поляриметрически

(k_a) и титрованием образующейся *п-нитробензойной к-ты* (k_p). В отсутствие катализатора $k_a > k_p$, вследствие рацемизации предшествующей гидролизу и обусловленной внутримолекулярной аллильной перегруппировкой. Механизм р-ции включает (см. схему в пред. реф.) преддиссоциацию I и II до различных *цис*- и *транс*-ионных пар с переходом их в промежуточный симметричный ион карбония (III), что приводит к рацемизации. В присутствии $HClO_4$, $k_a = k_p$, образование ионных пар не имеет места и скорость р-ции определяется скоростью разрыва связи O—алкил сопряженной к-ты (IV) и превращения ее в III. Константа электролитич. диссоциации *п-нитробензойной к-ты* в 80%-ном ацетоне при 25° найдена равной $5,0 \cdot 10^{-7}$.



77986. О механизме декарбонилирования бензоилмуравьиной кислоты под действием кислотного катализатора. Банхольцер, Шмид (Über den Mechanismus der säurekatalysierten Decarbonylierung von Benzoylformic-säure. Banholzer K., Schmid H.), Helv. chim. acta, 1956, 39, № 2, 548—554 (нем.) Для изучения механизма кислотного декарбонилирования проведено декарбонилирование бензоилмуравьиной к-ты, меченной C^{14} в карбоксиле (I) под действием конц. H_2SO_4 . Авторы считали, что механизм р-ции соответ-

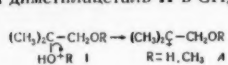


ствует одной из схем (A, B, C). Опыты показали, что C^{14} полностью (99%) находится в CO_2 ; в бензойной к-те C^{14} отсутствует (0,004%). Следовательно, механизм р-ции соответствует схеме A. Для синтеза I взят $C_6H_5C^*N_2$ из KC^*N (выход 87%). Нагреванием (2 часа) при 220° (т-ра сани) $C_6H_5C^*N_2$ и C_6H_5COCl получают $C_6H_5COC^*N$ (II) (выход 65%, т. кип. 208—209°/730 мм. 8,70 г II встраивают 6 дней (20°) с 90 мл конц. HCl , выливают в 300 мл воды. Из эфирной вытяжки получают I, выход 79% (неочищ. продукта), т. пл 62—64° (из CCl_4 и CS_2 сублимацией в вакууме). Декарбонилирование I проводили в специальном приборе под действием 97—98%-ной H_2SO_4 при 30,0°. Образующуюся CO окисляли пропусканием над CrO при 620—625°; CO_2 улавливали в виде $BaCO_3$. Радиоактивность определяли в I, C_6H_5COOH и $BaCO_3$, полученном из CO .

77987. Перегруппировки пинакон-пинаколинового типа 1,2-диокси-2-метилпропана и его производных. Ли, Вернон (Rearrangements of the pinacol-pinacolone type in 1:2-dihydroxy-2-methylpropane and its derivatives. Ley J. B., Vernon C. A.), Chemistry and Industry, 1956, № 8, 146—147 (англ.)

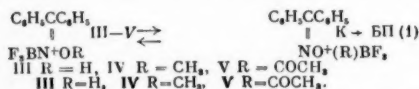
Изучена перегруппировка 1,2-диокси-2-метилпропана (I) в *изо*-бутиральдегид (II) в кислой среде. Скорость р-ции 1-го порядка зависит от кислотной функции и не зависит от стехиометрич. кислотности р-ра. Из этого следует, что стадия, определяющая скорость р-ции, не зависит от кол-ва воды, т. е. р-ция мономолекулярна. При проведении р-ции с 1,86 н. H_2SO_4 в 95%-ной D_2O скорость в 2,2 раза больше, чем при проведении р-ции в обычной воде. Следовательно, присоединение протона от к-ты к I происходит быстро и обратимо не является стадией, определяю-

щей скорость р-ции. Диметиловый эфир **I** также вступает в перегруппировку в кислой среде, давая **II** в водн. р-ре и диметилацеталь **II** в CH_3OH . При проведении этой р-ции



в H_2O^{18} полученный в результате р-ции CH_3OH имел нормальный изотопный состав. Исследование подтверждает схему р-ции, в которой стадией, определяющей скорость, является образование иона карбония **A**. Для определения **II** в ходе р-ции применялся полярографич. анализ в присутствии LiOH .

77988. Бекмановская перегруппировка кетоксимов с фтористым бором. Развитие теоретических представлений и новый метод. Хаусер, Хоффенберг (The Beckmann rearrangement of ketoximes with boron fluoride. Development of the theory and of a new method. Hauser Charles R., Hoffenberg David S.), J. Organ. Chem., 1955, 20, № 11, 1482—1490 (англ.)
При действии на насыщ. р-р оксима в CH_3COOH газообразного BF_3 и последующем нагревании смеси до 115—120° (метод **A**) или при нагревании смеси оксима с комплексом $\text{BF}_3 \cdot \text{CH}_3\text{COOH}$ 10 мин. при 120° (метод **B**) происходит бекмановская перегруппировка (БП). Выходы амидов выше, чем при действии на оксимы обычных агентов (PCl_5 , H_2SO_4). Из бензофеноноксима (**I**) образуется бензанилид (**II**) с выходом 98% (метод **A**), 99% (метод **B**), из ацетофеноноксима ацетанилид 96% (**A**) и 87% (**B**), из циклогексаноксима ϵ -капролактам 98% (**B**), из фенилацетоноксима *N*-бензилацетамид 35% (**A**), 40% (**B**). Авторы считают первым актом р-ции образование имониевых комплексов (**K**) при взаимодействии BF_3 с оксимом и доказывают это положение тем, что полученные и выделенные ими **K** из **I** (**III**), из *O*-метилового эфира **I** (**IV**) и из ацетата **I** (**V**) вступают в БП. Вторым актом р-ции авторы предположительно считают образование оксониевых комплексов (**K'**), получающихся из **K** благодаря внутримолекулярному переходу BF_3 от **N** к **O** через 3- или 5-членные циклы. Образовавшиеся **K'** легко вступают в БП (схема **I**).

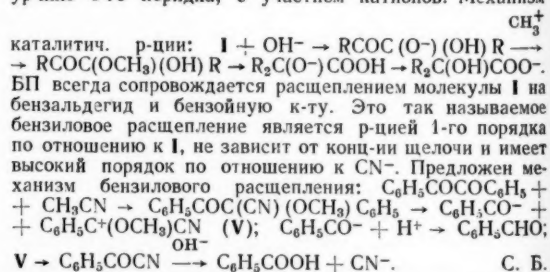


III получен насыщением при 20° газообразным BF_3 р-ра 1,05 моля **I** в 100 мл лигроида, выход 98%, т. пл. 149—150° (разл.). **III** не изменяется при стоянии на воздухе, но за 2 недели разлагается, при действии р-ра NaHCO_3 выделяет **I**. При кипячении 8,6 г **III** в 50 мл лед. CH_3COOH образуется с выходом 96% **II**. *O*-метиловый эфир **I** получен кипячением 3 часа 0,15 моля **I** и 0,64 моля CH_3J при прибавлении порциями по 10 г Ag_2O через каждые 30 мин. (всего 0,4 моля), выход 71%, т. пл. 60—61°. **IV** получен аналогично **III**, выход 50%, т. пл. 45—65°. При нагревании **IV** при 125° образуется **II**, выход 53%. **V** получен насыщением газообразным BF_3 толуольного р-ра *O*-ацетата **I**. Выход **II** из **V** при 0° 95%, при 25—31° 90%. З. П.

77989. К изучению бензильовой перегруппировки и бензильового расщепления. Пфейль, Гейслер, Жакмен, Лёмкер (Zur Kenntnis der Benzilsäureumlagerung und der Benzilsplaltung. Pfeil Emanuel, Geissler Günther, Jacquemin Werner, Lömkker Franz), Chem. Ber., 1956, 89, № 5, 1210—1225 (нем.)

Изучена кинетика бензильовой перегруппировки (БП) $\text{RCOCOR} + \text{OH}^- \rightarrow \text{R}_2\text{C}(\text{OH})\text{COO}^-$ бензила (**II**) и его замещ. в присутствии различных оснований. Скорость р-ции во всех случаях пропорциональна конц-ии **I**. С гидроокисями щел. металлов и четырехзамещ. аммония превращение проходит по у-рнию 2-го порядка; константа скорости k_2 ($\text{л} \cdot \text{моль}^{-1} \cdot \text{мин}^{-1}$) в смеси диоксан-вода (50:50) при 60,5° для 2,2'-дихлор-**II** (**III**) равна 0,20

[одинакова для LiOH , NaOH , KOH , CsOH , $(\text{CH}_3)_4\text{NOH}$], для 3,3'-дихлор-**II** (**IV**) 1,57. В смеси диоксан-вода (60:40) при 60,5° k_2 для **II** 0,0093; **III** 0,233; **IV** 1,67. В смеси диоксан-вода (70:30) k_2 для **IV** 0,352; для 4,4'-дихлор-**II** 0,446. В противоположность этому TiOH дает удовлетворительную константу 3-го порядка, k_3 ($\text{л}^2 \cdot \text{моль}^{-2} \cdot \text{мин}^{-1}$); скорость зависит от квадрата конц-ии TiOH . Добавки NaCl и NaNO_3 к NaOH не оказывают почти никакого влияния, Na_2SO_4 несколько замедляет р-цию. В противоположность NaOH TiOH очень чувствителен к добавке своих солей; k_3 при 60,5° в смеси диоксан-вода (50:50) для **III** с 0,01 н. TiOH равна 17,6, а при добавке 0,30 н. HCOOTi становится равной 62,5. Добавка солей щел. металлов к TiOH уменьшает k_3 ; при 0,02 н. NaOH снижается до 7,7. Исследование электропроводности смесей показало, что она следует катилу аддитивности, поэтому замедление р-ции, катализируемой TiOH , вызывается не влиянием ионов друг на друга. Обычно оксидбензила с водн. щелочами почти не реагируют, но 5,5'-дибром-2,2'-диоксидбензил относительно легко подвергается перегруппировке; наряду с БП происходит разложение на *p*-бромфенол и 5-бром-2-оксифенилглиоксильную к-ту, $\text{HOOC}_6\text{H}_4\text{BrCOCOON}$, бесцветные иглы, т. пл. 101—102°, дает лимонно-желтый гидрат. Выше 100° к-та переходит в лактон, темно-желтый 5-бромкумарандион, т. пл. 179—180°. Перегруппировка 2-фенилиндолон в 3-фенилдиоксиндиол проходит по у-рнию 1-го порядка и не зависит от конц-ии щелочи (константа скорости k_1 растет с увеличением конц-ии KOH от 0,002 до 0,1 н. лишь в 8 раз). Авторы объясняют полученные результаты тем, что БП проходит двумя независимыми путями: некаталитически, бимолекулярно, по схеме Ингольда (J. Chem. Soc., 1928, 371) и каталитически, по у-рнию 3-го порядка, с участием катионов. Механизм



77990. Перегруппировка Шенберга. Кинетика перегруппировки бис-(4-хлорфенил)-тионкарбоната в тиолкарбонат. Пауэрс, Тарбелл (The Schönberg rearrangement. Kinetics of the rearrangement of bis-(4-chlorophenyl) thioncarbonate to the thiocarbonate. Powers Donald H., Tarbell D. Stanley), J. Amer. Chem. Soc., 1956, 78, № 1, 70—71 (англ.)

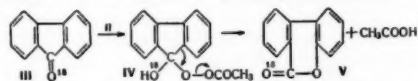
Измерена скорость перегруппировки бис-(4-хлорфенил)-тионкарбоната (**I**) в бис-(4-хлорфенил)-тиолкарбонат (**II**) при т-рах и вблизи 25,0° без р-рителя. Перегруппировка — р-ция первого порядка, энергия активации 38,2 ккал/моль, энтропия активации при 263,8° равна —42,6 ккал/град моль. Хотя р-ция идет почти количественно, содержание **I** и **II** в смеси из-за небольшого разложения измерялось только до 50% превращения по изменению оптич. плотности р-ра смеси при $\lambda = 244 \text{ мμ}$ (приведены УФ-спектры **I** и **II**). Полученные результаты согласуются с высказанным ранее предположением (см. РЖХим, 1956, 61394) о внутримолекулярном механизме р-ции с участием четырехчленного цикла в переходном состоянии, хотя возможность межмолекулярного механизма не исключена.

77991. Изучение перегруппировки перекиси *p*-метоксинитробензола с помощью O^{18} . Деини (An oxygen-

18 tracer study of the rearrangements of *p*-methoxy-*p'*-nitrobenzoyl peroxide. Denney Donald B., J. Amer. Chem. Soc., 1956, 78, № 3, 530–532 (англ.). Перекиси *p*-метокси-*p'*-нитробензоила, меченную O^{18} в анизоильном карбониле (I), кипятили (1,5 часа) с $SOCl_2$. При этом получен *p*-метоксибензил-*p'*-нитробензилкарбонат (II), т. пл. 126–128°. При щелочном гидролизе II образуется *p*-метоксифенол (III), не содержащий избытка O^{18} . Отсутствие избытка O^{18} в III исключает промежуточное образование при перегруппировке I → II положительно заряженного иона $p-CH_3OC_6H_4C(=O)_2^+$ и перегруппировку его в $p-CH_3OC_6H_4OC(=O)O^-$. Автор предполагает, что имеет место одновременное перемещение *p*-метоксифенила к O и гетеролитич. разрыв O—O-связи. Для получения I 0,147 моля анизоилхлорида прибавляют (1 час) к 50 мл воды, содержащей 1,57 ат. % O^{18} , затем смесь нагревают 24 часа. Получают анисовую к-ту, содержащую 0,86 ат. % O^{18} в обоих O карбоксильной группы, выход 97%, т. пл. 182,6–184°. При кипячении к-ты с $SOCl_2$ получают анизоилхлорид, выход 82%, т. кип. 142–144°/17 мм. Его анид имел т. пл. 172–173° и содержал 0,87 ат. % O^{18} . Получение I из анизоилхлорида проводилось по описанной методике (Leffler J. E., J. Amer. Chem. Soc. 1950, 72, 67).

77992. Изучение образования и реакций органических надкислот с помощью меченых атомов. Бантон, Льюис, Лауэллин (Tracer studies in the formation and reactions of organic per-acids. Buntion C. A., Lewis T. A., Llewellyn D. R.), J. Chem. Soc., 1956, May, 1226–1230 (англ.).

С помощью O^{18} изучен механизм образования и гидролиза $HC(O)OOH$ (I) и $CH_3C(O)OOH$ (II) в присутствии H_2SO_4 или $HClO_4$ при $\sim 20^\circ$. Показано, что перекисная связь O—O при этом не затрагивается. При образовании и гидролизе I и II во всех случаях рвется связь C—O. Это

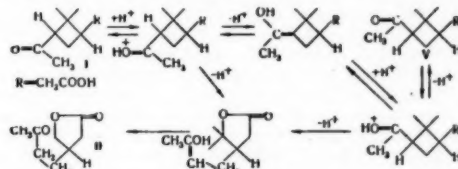


следует из того, что надкислота, выделенная после достижения равновесия в системе $RC(O)OOH + H_2O \rightleftharpoons RC(O)OH + H_2O_2$, имела нормальный изотопный состав кислорода. Изучение кинетики р-ции показало, что взаимодействие между $HC(O)OOH$ и CH_3COOH и H_2O_2 — р-ция бимолекулярная. Далее с помощью O^{18} был изучен механизм окисления флюоренона (III) при действии II. Первой стадией р-ции является присоединение II к III по карбонильной связи. Продукт присоединения (IV) претерпевает перегруппировку и превращается в лактон 2'-оксидифенилкарбонной-2 к-ты (V). Карбонильный атом кислорода в V содержит весь O^{18} из III, а эфирный атом кислорода имеет нормальный изотопный состав. Положение O^{18} в V было доказано переводом его (щел. гидролизом и метилированием) в 2'-метоксидифенилкарбонную-2 к-ту (VI), которая нагреванием с натронной известью превращена в 2-оксидифенил (VII), не содержащий избытка O^{18} . Контрольный опыт щел. декарбоксилирования и деметилирования VI в $NaO^{18}H$ привел к такому же результату. Следовательно, при деметилировании рвется связь O-метил и атом O в VII ранее находился в V в эфирном положении. Другой образец VI нагревался с $HClO_4$ в обычной воде; это привело к нормализации изотопного состава карбонильного кислорода и явилось независимым доказательством того, что эфирный атом кислорода в V не содержит O^{18} . Окисление III надкислотами протекает аналогично окислению бензофенона и *p*-метоксибензофенона (РЖХим, 1955, 40010; 1956, 6685). Полученные результаты показывают, что катион OH^+ не образуется даже в кислой среде, так как если бы он образовался, то при взаимодействии с H_2O^{18} была бы получена $HO^{18}H$, чего в действительности не наблюдается. Выска-

занное ранее предположение (Leffler, Chem. Rev., 1949, 45, 385) о том, что окисление кетонов надкислотами протекает через промежуточное образование катиона типа $RR'(OH)O^+$ (VIII) неверно, ибо если VIII существует достаточно долго, то атомы кислорода в нем должны быть равноценны благодаря легкому переносу водорода. Если исходный кетон помечен O^{18} , то это должно было бы привести к сложному эфиру или лактону, в котором O^{18} был бы равномерно распределен между эфирным и карбонильным положением. Так как в действительности этого не происходит, то либо VIII существует слишком короткое время, либо разрыв кислород-кислородной связи происходит синхронно с миграцией радикала.

Р. К. 77993. Механизм перегруппировки пиноиновой кислоты в гомотерпенилметилкетон. Аркус, Беннетт (The mechanism of the rearrangement of pinonic acid into homoterpene methyl ketone. Arcus C. L., Bennett G. J.), J. Chem. Soc., 1955, Aug., 2327–2632 (англ.).

Перегруппировка (\pm)- и (+)-пиноиновой к-ты (I) в (\pm)- и (+)-гомотерпенилметилкетон (II) катализируется сильными к-тами. Фосфорная, трихлоруксусная к-та и 99%-ная $HCOOH$ при 100° вызывают быструю перегруппировку; CH_3COOH неактивна. Хлоруксусная к-та (III) и 90%-ная $HCOOH$ (IV) занимают промежуточное положение. Добавка к III и IV натриевых солей указанных к-т значительно понижает выходы II. Изучение кинетики перегруппировки I в II в монохлоруксусной к-те при 100° по-

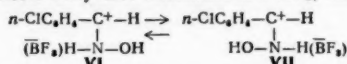


казало, что это р-ция первого порядка ($k_1 = 9,9 \cdot 10^{-2}$ час $^{-1}$). В этих условиях (+)-*транс*-пиноиновая к-та, $[\alpha]_{D^{20}} + 92,4^\circ$, изомеризуется в (–)-*цис*-пиноиновую к-ту (V), $[\alpha]_{D^{20}} - 81,5^\circ$; оксим, т. пл. 199,5–200°, $[\alpha]_{D^{20}} - 34,3^\circ$. В начальной стадии (~ 1 час) константа скорости этой р-ции в два раза больше, чем для р-ции *транс*-кислота → кетолактон. Скорость образования II пропорциональна концентрации суммы *транс*- и *цис*-пиноиновых к-т. Предлагается схема р-ций перегруппировки и изомеризации *транс*- и *цис*-пиноиновых к-т. (\pm)-*транс*-пиноиновая к-та (т. пл. 105°) получена окислением смеси, содержащей 97,5% α - и 2,5% β -пинена, при применении CH_2Cl_2 в качестве экстрагирующего в-ва; семикарбазон, т. пл. 217° ; S-бензилтиуроний-(\pm)-*транс*-пинонат, т. пл. 152° (разл.). Аналогичным путем из (+)- α -пинена получена (+)-*транс*-пиноиновая к-та (т. пл. 68 – 69° , оксим, т. пл. $135,5^\circ$); 2,4-динитрофенилгидразон II, оранжевые иглы (из сп.), т. пл. $163,5^\circ$.

Л. Р. 77994. Син-анти-изомеризация *p*-хлорбензальдоксима фтористым бором. Хаусер, Хоффенберг (Syn-anti isomerism of *p*-chlorobenzaldehyde with boron fluoride. Hauser Charles R., Hoffenberg David S.), J. Organ. Chem., 1955, 20, № 11, 1491–1495 (англ.).

Показано, что син-*p*-хлорбензальдоксим (I) при насыщении его бензольного р-ра BF_3 при 25 – 35° и обработке выпадающего комплекса $NaHCO_3$ превращается в анти-изомер (II). Строение II, полученного этим путем, доказано переводением его в ацетат (III) и разложением III пиридином, получается *p*-хлорбензонитрил (IV). В аналогичных условиях ацетат I (V) не изменяется. II, полученный через HCl-соль, при действии BF_3 образует комплекс, обработка которого $NaHCO_3$ дает II. Изомеризация I в II под влиянием BF_3 идет на 93 – 98% при 25 – 35° , а при 10° получается смесь в-в, из которой было вы-

делено 40% II и 57% I. Однако после нагревания до 135° и обработки р-ром NaHCO_3 осадок, полученный при 10°, превращается в II. В противоположность HCl-соли или комплексу с BF_3 , которые устойчивы в *анти*-конфигурации, свободный альяксим более устойчив в *син*-конфигурации. Авторы считают вероятным, что взаимные переходы I и II происходят через промежуточные ионы карбония (VI и VII), в которых возможно свободное вращение вокруг связи C—N. Р-р I в C_6H_6 насыщает BF_3 -газом и в осадке получают комплекс II с BF_3 , выход 99%,



т. пл. 150—151° (разл.). Из этого комплекса при перемешивании с 5%-ным р-ром NaHCO_3 получают II (в р-ре и, частично, в осадке), выход 93—98%, т. пл. 142—143° при быстром и 129—130° при медленном нагревании. II ацетилируют $(\text{CH}_3\text{CO})_2\text{O}$ и получают III, т. пл. 77—78°. Р-р III в $\text{C}_6\text{H}_5\text{N}$ оставляют на 9 час. при ~20°, разбавляют водой и получают IV, выход 92%, т. пл. 93—94°. В. А. 77995.

Перегруппировка N-окиси 2-метилпиридина под действием уксусного ангидрида. Бокейхейд, Харрингтон (The rearrangement of 2-methylpyridine N-oxide with acetic anhydride. Boekelheide V., Harrington Dorothy L. Miss, Chemistry and Industry, 1955, № 44, 1423—1424 (англ.))

Рассмотрены ионный и радикальный варианты механизма перегруппировки N-окиси 2-метилпиридина (I) в ацетат 2-пиридинметанола (II) под действием уксусного ангидрида (III). Для р-ции характерен индукционный период и последующая за ним бурная экзотермич. стадия, кинетика р-ции мало зависит от полярности р-ителя. При проведении р-ции в присутствии стирола наблюдается полимеризация последнего, хотя она не имеет места в присутствии отдельно I или III и в присутствии III и пиридина. Отмеченные факты рассматриваются, как свидетельство в пользу радикального механизма, первой стадией которого является взаимодействие I и III с образованием ацетат-иона и соответствующего ацетилпиридиниевого иона $\text{CH}_3\text{C}_5\text{H}_4\text{N}^+\text{OCOCH}_3$ (IV), распадающегося на радикал $\text{CH}_3\text{COO}\cdot$ и ион-радикал $\text{CH}_3\text{C}_5\text{H}_4\text{N}^+\cdot$ (V) с свободной валентностью и положительным зарядом при атоме N. V в р-ции с $\text{CH}_3\text{COO}\cdot$ отщепляет протон с образованием радикала α -пиколола $\text{C}_5\text{H}_4\text{NCH}_2\cdot$ (VI). VI в р-ции с IV образует II и регенерирует V. Отмечено, что окиси алифатич. аминов подвержены аналогичным р-циям с II. И. М. 77996.

Перегруппировка и конденсация соединений Рейсета с реактивами Гриньяра. Вулф, Мак-Юэн, Глейзер (The rearrangement and condensation of Reissert compounds with Grignard reagents. Wolf Alfred P., McEwen William E., Glazier R. H., J. Amer. Chem. Soc., 1956, 78, № 4, 861—868 (англ.))

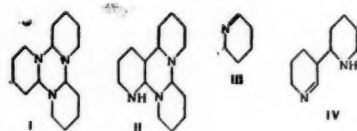
При действии CH_3MgBr (I) на 1-бензоил-1,2-дигидрохинональдонитрил (II) в р-ре диоксана (III) при 60° образуется с выходом 59% метилфенил-2-хинолилкарбинол (IV) и следы 2-бензоилхинолина (V). Из 1-бензоил-6-метоксигидрохинональдонитрила (VI) и 2-бензоил-1,2-дигидрохинональдонитрила (VII) получены с выходом 56 и 32% метилфенил-2-(6-метоксхинолин)-карбинол (VIII) и метилфенил-1-изохинолилкарбинол. Установлено, что присутствие OCH_3 -группы или Cl в пара-положении бензильной группы II снижает выход хинолилкарбинолов (ХК) до 4—10%; в случае 1-*n*-толуил-1,2-дигидрохинональдонитрила (IX), 1-ацетил-1,2-дигидрохинональдонитрила образование ХК не имеет места. Предполагается, что образование ХК протекает через отщепление кислотного H-атома из положения 2 хинолинового кольца анионом CH_2^- с образованием промежуточного карбаниона, изомеризующегося затем с отщеплением CN^- и образованием аналогов V. По мнению авторов, влияние пара-заместителей выра-

жается в том, что электронно-притягивающие заместители повышают скорость присоединения CH_2^- к C-атому карбонильной группы, а электронно-отталкивающие заместители снижают скорость изомеризации промежуточного карбаниона, в обоих случаях скорость образования ХК снижается. При действии фенилмагнибромид на II в кипящем III образуется 8,5% дифенил-2-хинолилкарбинола и 4% V; из VII в этих условиях образуется с выходом 50% дифенил-1-изохинолилкарбинол. Р-ция между II и мезитилмагнибромидом при 60° приводит к образованию следов V, при проведении р-ции в среде *n*-ксилола при 134° образуется 29% хинолина и следы V. Установлено, что II и VI реагируют с I с одинаковой скоростью. Действием I на смесь II-(карбонил- C^{14}) и неактивного VI получен IV, меченный C^{14} , и неактивный VIII, что доказывает внутримолекулярный характер перегруппировки. Получаемые в этих опытах ХК выделялись из реакционной массы хроматографией на Al_2O_3 . Выделение IV или VIII из смеси достигалось добавлением избытка неактивного чистого ХК, подлежащего выделению, к исследуемому образцу и последующей перекристаллизацией из смеси эфир-гексан и абс. эфир. IX получен при р-ции KCN (0,48 моля), хинолина (0,16 моля) и *n*-толуилхлорида (0,32 моля) в 200 мл воды, выход 42,3%, т. пл. 149,5—150,2° (из CCl_4). Действием HCl на IX в водн. р-ре в присутствии 2,4-динитрофенилгидразина (X) получен *n*-толуальдегид-2,4-динитрофенилгидразон, выход 96,3%, и хинолинон-к-та, выход 52,7% 2-*n*-хлорбензоил-1,2-дигидрохинональдонитрил (XI) синтезирован при р-ции KCN и изохинолина с *n*-хлорбензоилхлоридом в воде, выход 11%, т. пл. 155,2—155,8° (из диэтилопропилового эф.). Действием конц. HCl на XI в присутствии X получен *n*-хлорбензальдегид-2,4-динитрофенилгидразон, выход 50%.

И. М.

77997. Механизм реакции превращения α -трипиперидина в изотрипиперидин в водном растворе. Шёпф, Отте (Der Reaktionsmechanismus des Übergangs von α -Tripiperidein in Isotripiperidein in wässriger Lösung. Schöpf Clemens, Otte Kurt, Chem. Ber., 1956, 89, № 2, 335—340 (нем.))

Показано, что превращение α -трипиперидина (I) в изотрипиперидин (II) в водн. р-ре при pH 9 и 25°, протекающее по закону р-ции 1-го порядка, идет через следующие



стадии: А) распад I на 3 мол. α -пиперидина (III); Б) конденсация 2 мол. III в тетрагидроанабазин (IV); В) соединение IV с 1 мол. III в II, устойчивый при этих условиях. Суммарная скорость р-ции при не очень малых конц-ях I определяется мономолекулярной стадией А. Это доказано наблюдением, что выход II во времени при постоянном pH 9 и конц-ях I 0,2 М, 0,1 М и 0,01 М не зависит от конц-и I и при прочих равных условиях равняется 79—80%. Однако при большом разведении I (0,001 М) выход II падает потому, что при этом условии скорость р-ции определяется стадией Б и протекает по бимолекулярному закону. В среде минер. к-т I и II расщепляются на молекулы мономера, который можно отогнать с водяным паром после подщелачивания р-ра.

В. Р. 77998. Исследования механизма реакции Фриделя — Крафта: реакция бромистого этила и бромистого алюминия. Сиксма, Хендрикс (Investigations of the mechanism of the Friedel-Crafts reaction; the reaction of ethyl bromide and aluminium bromide. Sixma F. L. J.,

Hendriks H.), Proc. Koninkl. nederl. akad. wet., 1956, B59, № 1, 61—67 (англ.)

С целью уточнения механизма р-ции Фриделя—Крафтса исследованы методом меченых атомов обмен Br-атомов и изомеризация при взаимодействии C_6H_5Br и $AlBr_3$. Скорость обмена Br-атомов $AlBr_3$ и $C_6H_5Br^{82}$ в р-ре CS_2 при т-ре от 0 до -26° пропорциональна конц-ии $C_6H_5Br^{82}$ и квадрату конц-ии $AlBr_3$ соответственно ур-ниям: $C_6H_5Br^{82} + 2AlBr_3 \rightleftharpoons AlBr_3 + C_6H_5Br + AlBr_2Br^{82}$ (1) или $C_6H_5Br^{82} + 2Al_2Br_6 \rightleftharpoons Al_2Br_6 + C_6H_5Br + Al_2Br_5Br^{82}$ (2). Кинетич. данные не дают возможности решить, реагирует ли бромистый алюминий в форме $AlBr_3$ или Al_2Br_6 . Вычислены константы скорости третьего порядка k_{III} ($л^2 \cdot мол^{-2} \cdot сек^{-1}$) для ур-ния (1): при т-ре $26,3^\circ$, $8,7 \cdot 10^{-3}$; при $-15,1^\circ$, $19,6 \cdot 10^{-3}$; при $0,1^\circ$, $85 \cdot 10^{-3}$. Кажущаяся энергия активации $11,7$ ккал/моль. По мнению авторов, эти результаты показывают, что на основании наблюдения быстрой р-ции обмена нельзя делать заключение об участии в обмене иона карбония. Изомеризация проводилась путем нагревания $C^{14}H_5CH_2Br$ и $AlBr_3$ в течение нескольких часов при $25-50^\circ$. Конц-ия $AlBr_3$ во всех опытах постоянна. Для измерения распределения радиоактивности в С-атомах после р-ции переводят C_6H_5Br в C_6H_5OH и затем в CH_3I и CO_2 , которые превращают в $BaCO_3$. Найдены константы скорости изомеризации $C^{14}H_5CH_2Br$ при постоянной конц-ии $AlBr_3 = k \cdot x$ (сек $^{-1}$): при т-ре 25° , $2,83 \cdot 10^{-6}$; 30° , $4,92 \cdot 10^{-6}$; $40,1^\circ$, $14,4 \cdot 10^{-6}$; $50,2^\circ$, $35,3 \cdot 10^{-6}$. Кажущаяся энергия активации $19,1$ ккал/моль. При изомеризации C_6H_5Br нагреванием с $AlBr_3$ в течение 5 час. при 25° в атмосфере DBr найдено, что после р-ции C_6H_5Br содержит 0,03% избыточного D. Следовательно, изомеризация не происходит путем элиминирования и последующего присоединения HBr.

А. К.

77999. Влияние изменения среды на скорость алкилирования. Видекивист (The effect of changing medium upon the rate of alkylation. Wideqvist S. v. a. d), Arkiv kemi, 1956, 9, № 5, 475—487 (англ.)

Изучена кинетика р-ции CH_3J (I) с Na-производным этилового и метилового эфиров ацетоксусной к-ты (II) соответственно с C_2H_5ONa и CH_3ONa при 25° . Избыток свободного эфира ускоряет р-цию пропорционально повышению конц-ии эфира, но строго второй порядок р-ции указывает на отсутствие алкилирования свободного эфира. Р-ция I с II ускоряется также в присутствии ацетонитрила (10 и 20%) и диоксана (20 и 40%); скорость р-ции возрастает линейно с объемом содержанием добавляемого р-рителя. Автор делает вывод, что изменение диэлектрич. постоянной среды играет незначительную роль, а наблюдаемое ускорение р-ции обусловлено уменьшением конц-ии спирта и сдвигом равновесия: активированный комплекс + спирт \rightleftharpoons сольват + I. Исследована также р-ция I с CH_3ONa в смесях CH_3OH -диоксан. Скорость р-ции значительно возрастает при повышении конц-ии диоксана.

Г. Б.

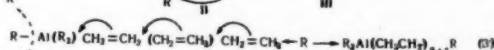
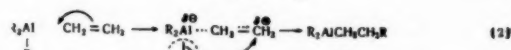
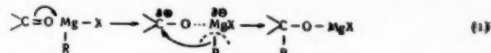
78000. Каталитические реакции простых ароматических соединений с этиленовыми системами. Часть III. Замещенные акриловые кислоты. Диппи, Янг (The catalytic reactions of simple aromatic compounds with ethylenic systems. Part III. Substituted acrylic acids. Dippy J. F. J., Young J. T.), J. Chem. Soc., 1955, Nov., 3919—3923 (англ.)

Рассмотрены конденсация замещ. акриловых к-т (АК) с бензолом и отчасти с C_6H_5Cl в присутствии $AlCl_3$. Фенил присоединяется вообще к β -углеродному атому, кроме случая α -фенилакриловой (I) к-ты, где в определенных условиях присоединение фенила происходит в α -положении. β -Присоединение к $\beta\beta$ -диметилакриловой к-те дает выход 94%, к о-хлоракриловой к-те 18%. Возможен также перенос водорода. Из $\beta\beta$ -дифенилакриловой к-ты получена $\beta\beta$ -дифенилпропионовая к-та (II) с выходом 55%, из β -метил- β -фенилакриловой к-ты — β -метил- β -фенилпропионовая к-та (42%). Такие явления имеют

всегда место в случае $\beta\beta$ -арилзамещ. АК. Возможно также замещение арильного заместителя в АК на другой из р-рителя; так из β -метилкоричной к-ты в C_6H_6 получена $\beta\beta$ -дифенилпропионовая к-та (75—100%). Обратное замещение фенила на толил не происходит. Из β -метоксикоричной к-ты в C_6H_6 с $AlCl_3$ получена $\beta\beta$ -метоксикоричная к-та и β -(β -окси- β -метилфенил)- β -фенилпропионовая к-та (III), строение которой установлено сравнением ее константы электролитич. диссоциации с другими изомерными к-тами. При 25° $k \cdot 10^5$ к-ты III равна 2,15, к-ты II 3,2. β - β -метоксифенил- β -фенилпропионовая к-ты 3,0. β -Нитрокоричная к-та не реагирует, но образует комплекс с $AlCl_3$. Р-ция с коричной к-той в C_6H_6 катализируется $AlBr_3$, но не $SnCl_4$ и $TiCl_4$. Описанные р-ции рассматриваются как нуклеофильные присоединения $Ar-H$ к β -углеродному атому, несущему избыточный положительный заряд вследствие поляризации двойной связи под действием $AlCl_3$. В случае I к β -C присоединяется $AlCl_3$ и местом присоединения Ar становится исключительно α -C. Р-ция обмена Ar с радикалами р-рителя объясняется отщеплением ArH и присоединением молекул р-рителя к образовавшемуся ненасыщ. соединению. Замещение арильных заместителей невозможно у дифенилуксусной к-ты в р-ре C_6H_5Cl , но $\gamma\gamma$ -дифенил- β -масляная к-та дала в C_6H_5Cl $\gamma\gamma$ -ди- β -хлорфенил- β -масляную к-ту. Для замещения необходима гем-диарильная система в β -положении к электроотрицательной группе. Опыты проводили по описанным ранее методикам. Часть II см. J. Chem. Soc., 1952, 1817. В. Э.

78001. Механизм некоторых реакций металлоорганических соединений. Робинсон (Mechanism of some reactions of organo-metallic compounds. Robinson Robert), Chem. Age, 1956, 74, № 1921, 997—999 (англ.)

Рассматривается механизм р-ции Циглера (РЦ). Автор проводит аналогию между РЦ и взаимодействием магниорганич. соединений с карбонилсодержащим соединением. Во втором случае первой стадией р-ции является координация атома магния с атомом кислорода карбонильной группы с образованием промежуточного комплекса (см. схему 1). Затем происходит миграция группы R с парой электронов. Однако связь $Mg-R$ может разорваться и гомолитически, при этом группа R мигрирует в виде радикала. Автор считает вероятным как гетеро-, так и гомолитич. разрыв связи $Mg-R$. В случае р-ции Гриньяра и связи $Al-R$ в случае РЦ. Полярность связи $C-C$ в олефинах на-



много меньше полярности связи $C-O$ в карбонильных соединениях, но, в зависимости от условий, она может оказаться достаточно большой для того, чтобы стала возможной р-ция между олефином и β -вом, являющимся акцептором электронов. По аналогии с изложенными представлениями механизм РЦ может быть представлен схемой (2). Первой стадией этого процесса является атака атома Al активированной молекулой этилена (I). Образующийся при этом комплекс (II) затем перегруппировывается с образованием новой молекулы триалкилалюминия (III). Важным элементом РЦ является обратимое разложение III с образованием α -олефина и диалкилалюминийгидрида: $III \rightleftharpoons R_2AlH + CH_2=CHR$. Равновесие сдвигается вправо при повышении т-ры и в присутствии никеля. Механизм полимеризационной РЦ, идущей в присутствии избытка I или другого олефина, может быть представлен схемой

(3). При этом, если $n=1$ или 2, то перемещение R от атома Al к концу цепи, по-видимому, происходит внутримолекулярно, если n очень велико, то перемещение R идет межмолекулярно, если же n занимает промежуточное значение, то внутри- и межмолекулярные процессы могут идти в различном соотношении. РЦ с успехом может быть проведена в присутствии $TiCl_4$, действие которого сводится к активации I на поверхности $TiCl_4$. Различия между полимеризацией при высоком и низком давлении несущественно, так как истинные давления газов, адсорбированных на твердых поверхностях, очень велики.

78002. Стереохимия реакции кетонизации енолов. II. Зиммерман (The stereochemistry of the ketonisation reaction of enols. II. Zimmermann Howard E.), J. Amer. Chem. Soc., 1956, 78, № 6, 1168—1173 (англ.)

Изучены р-ции 2-метил-3-фенилинданона (I). Цис-I синтезирован гидрированием 2-метил-3-фенилинданона (II) с PtO_2 в нейтр. среде. Гидрирование II с PtO_2 в смеси спирта с этилацетатом в щел. среде приводит к транс-I. При обработке CH_3ONa при 20° цис-I на 79% переходит в транс-I. Бромирование цис-I или транс-I в CH_3COOH приводит к смеси стереоизомерных 2-бром-2-метил-3-фенилинданонов (IIIa) и (IIIb). В то время как цис-I легко бромруется при 20° , бромирование транс-I удается осуществить лишь при 60° в присутствии HBr. При дебромировании с NaI как IIIa, так и IIIb дают один и тот же продукт, из которого удается выделить только цис-I. Образование одного и того же продукта из IIIa и IIIb объясняется тем, что р-ция проходит через енольную форму (Ia). Преимущественное образование цис-I при кетонизации Ia авторы объясняют тем, что донор протонов атакует тригональный α -углеродный атом Ia с менее затрудненной стороны. В соответствии с принципом микроскопии, обратимости цис-I должен енолизироваться легче транс-I, чем и объясняется более быстрое бромирование цис-I. Восстановление II Li в жидком NH_3 приводит к смеси цис-I и транс-I (8:2) наряду с неидентифицированным гидроксилсодержащим в-вом. Стерич. направленность р-ции восстановления II Li в жидком NH_3 зависит от способа разложения Li-комплекса. При добавлении последнего к насыщ. водн. р-ру NH_4Cl образуется преимущественно цис-I, в то время как быстрое добавление твердого NH_4Cl к Li-комплексу приводит главным образом к транс-I. Если допустить, что р-ция восстановления II проходит через Ia, то преимущественное образование цис-I можно объяснить стереоспецифичной кетонизацией Ia. Кетонизация Ia протекает менее стереоспецифично, чем кетонизация енольной формы 1-фенил-2-бензонциклогексана (IV) (см. сообщение I РЖХим, 1956, 64817), так как в случае IV прототропная атака стерически еще более затруднена. При хроматографировании на щел. или нейтр. Al_2O_3 цис-I переходит в транс-I. Цис-I и транс-I дают один и тот же 2,4-динитрофенилгидразон. 9 г II гидрируют в 60 мл этилацетата в присутствии PtO_2 до поглощения 1350 мл H_2 . После фильтрации и удаления р-рителя выделяют цис-I, выход 4,7 г, т. пл. $59-60^\circ$ (из водн. CH_3OH); 2,4-динитрофенилгидразон, т. пл. $196-197^\circ$ (из лигр.). Аналогичный результат получают при гидрировании II в среде C_6H_6 . 10 г II в 50 мл этилацетата и 100 мл спирта гидрируют в присутствии PtO_2 и NaOH (1 г). Продукт р-ции хроматографируют на Al_2O_3 смесью гексана с эфиром (4:1) вымывают транс-I, выход 5,4 г, т. пл. $61-62^\circ$ (из водн. CH_3OH). Смесью 120 мг цис-I, 3 мл CH_3OH , 0,5 мл воды и 10 мг K_2CO_3 кипятят 50 мин., добавляют воду и отфильтровывают транс-I, выход 92 мг. К р-ру C_2H_5ONa (из 46 мг Na и 2,5 мл спирта) добавляют 222 мг цис-I, выдерживают смесь 2,5 часа при 20° , выливают ее в воду, экстрагируют эфиром и выделяют кристаллич. продукт, содержащий, судя по ИК-спектру 79% транс-I. К 310 мг Li в 250 мл жидкого NH_3 добав-

ляют р-р 2,2 г II в эфире, смесь перемешивают 15 мин. и выливают ее тонкой струйкой в суспензию NH_4Cl в 600 мл насыщ. водн. р-ра NH_4Cl . Смесью экстрагируют эфиром, продукт р-ции хроматографируют на H_2SiO_3 . Эфиром под давлением вымывают непрореагировавший II и цис-I, выход 0,35 г. Смесью эфира с гексаном (1:1) вымывают 0,79 г в-ва, содержащего, судя по ИК-спектру, OH-группу. При хроматографировании неочищ. продукта р-ции на Al_2O_3 получают только транс-I. К р-ру 1,2 г цис-I в 5 мл CH_3COOH добавляют 0,91 г Br_2 в 10 мл CH_3COOH , смесь выливают в воду, экстрагируют эфиром и выделяют IIIa, выход 0,5 г, т. пл. $105-106^\circ$ (из лигр.). Из маточных р-ров получают 36 мг IVb, т. пл. $133,0-134,5^\circ$. 1 г цис-II бромруют в CH_3COOH при 100° (45 мин.), смесь выливают в воду, экстрагируют C_6H_6 и выделяют IVa, выход 0,61 г. К р-ру 276 мг транс-I в 2 мл CH_3COOH добавляют 208 мг Br_2 в 1 мл CH_3COOH . Смесью нагревают до 70° и продукт р-ции хроматографируют на H_2SiO_3 . Смесью гексана с эфиром (95:5) вымывают IIIa, выход 320 мг. Смесью 7 г транс-I, 5,6 г Br_2 и 90 мл CH_3COOH , содержащей 3 капли 48%-ной HBr, нагревают 1 час при 55° , выливают в воду, экстрагируют C_6H_6 и выделяют 2,09 г IIIa и 0,62 г IIIb. К р-ру 301 мг IIIa или IIIb в 10 мл ацетона добавляют 10 мл 47%-ной HBr и через 3 мин. воду и $Na_2S_2O_3$. Смесью эфира с пентаном (1:1) извлекают цис-I, выход 76%.

78003. Образование β -алкоксикетонов в щелочной среде и реакционная способность системы $O=C-\overset{1}{C}=\overset{2}{C}-$.

Дюбуа, Луфт (Formation de β -alcoxyketones en milieu basique et réactivité du système $O=C-\overset{1}{C}=\overset{2}{C}-$.

Dubois Jacques-Émile, Luft Robert), C. r. Acad. sci., 1956, 242, № 7, 905—908 (франц.)

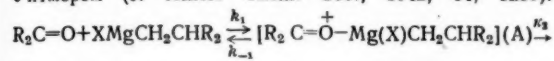
Для изучения механизма р-ции образования β -алкоксикетонов проведены опыты конденсации спиртов с α , β -этиленовыми кетонами строения $O=C-\overset{1}{C}=\overset{2}{C}-$. При действии CH_3OH в присутствии KOH происходит присоединение спирта к связи $-\overset{1}{C}=\overset{2}{C}$. Первичные спирты присоединяются легко, причем выход продукта р-ции уменьшается с удлинением цепи спирта. Спирты изо- строения и этиленгликоль в р-цию не вступают. В случае наличия CH_3 -группы у атома $C_{(1)}$ в исходном кетоне р-ция не протекает.

78004. Новый метод цианэтилирования. Часть III. Механизм реакции. Саймерман-Крейг, Мойл, Николсон, Уэрнер (A novel method of cyanoethylation. Part III. The mechanism of the reaction. Cymerman-Craig J., Moyle M., Nicholson A. J. C., Werner R. L.), J. Chem. Soc., 1955, Nov. 3628—3631 (англ.)

Исследован механизм образования N-2-цианэтиларил-аминов при взаимодействии 2-диэтиламиноэтилцианида (I) с солями арилиминов (J. Chem. Soc., 1951, 3311). Авторы не согласны с Бехли (Ж. общ. химии, 1951, 21, 86), который полагает, что р-ция идет путем разложения соли I на акрилонитрил (II) и соль диэтиламина и последующей конденсации II с арилимином. По их мнению, р-ция заключается в нуклеофильном замещении: $[CN(CH_2)_2N^+H(C_2H_5)_2]X^- + NH_2R \rightarrow [CNCH_2CH_2N^+H(C_2H_5)_2]X^- + NH(C_2H_5)_2$; $III + NH(C_2H_5)_2 \rightarrow CNCH_2CH_2NHR + [N^+H(C_2H_5)_2]X^-$. Эта схема основана на следующих данных: солянокислый I в условиях р-ции стабилен; II не взаимодействует с арилиминами или их солями, но добавка 0,1 моля диэтиламинийбензолсульфоната к смеси I моля II и I моля л-анилидина (IV) приводит к образованию N-2-цианэтил-л-анилидина (V) с выходом 59%; II, диэтиламин и соляно-

кислый IV образуют до 76% V; II, IV и хлорид диэтиламмония образуют 79% V и 7% N,N-ди-(2-цианэтил)-п-ани-
зилина; при взаимодействии 1-дейтеро-2-диэтиламино-
этилцианида (VI) с солью IV получен диэтиламин, в ко-
тором масс-спектрометрич. методом не обнаружено ND-
(C₂H₅)₂, следовательно, группа CH₂CHDCN не изменялась
во время р-ции. Для получения VI NH(C₂H₅)₂ кипятили
0,5 часа с р-ром C₂H₅MgBr (из 9,6 г Mg) в 135 мл эфира,
эфир отогнали, добавили 100 мл диизоамилового эфира и
при охлаждении льдом 12 г D₂O, выход N-дейтеродизтила-
мина (VII) 50%, поглощение в ИК-области при 2434 см⁻¹
(N—D-связь). Р-цией эквимольных кол-в II и VII полу-
чили VI, т. кип. 100—101°/30 мм, n_D²⁰ 1,4350, C—D-связь
обнаружена по ИК-спектру (2192 см⁻¹). 1,5 моля VI ки-
пятили (1,5 часа, 180°) с 1 молем бензолсульфоната-
л-анизидина, с помощью 2 мл ацетона осадили бензолсул-
фонат диэтиламмония, из фильтрата выделили V, т. пл.
62—64°, т. кип. 135—140°/0,001 мм. Часть II см. РЖХим,
1955, 11691.

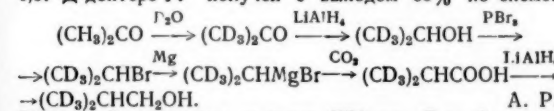
78005. Изотопное исследование восстанавливающего действия реактива Гриньяра. Дани, Уоркентин
(An isotopic study of the reducing action of the Grignard reagent. Dunn G. E., Warkentin John), Canad. J. Chem. 1956, 34, № 1, 75—84 (англ.)
Исследовано восстановление бензофенона (I) в бенз-
гидрол (II) образцами изобутилмагнийбромидом (III), ме-
ченными дейтерием в α-, β- и γ-положениях. На 1 моль
I брали 2 моля III. Р-цию вели при кипячении в сухом
эфире. Выход II 80% с т. пл. 66°. Установлено, что к
карбонильному атому углерода I переходит водород
только из β-положения III. Определена величина кинети-
ч. изотопного эффекта (ИЭ), равная 2,0—2,2. Получен-
ные данные согласуются с механизмом, предложенным
Уитмором (J. Amer. Chem. Soc., 1942, 64, 1239):



$\rightarrow R_2C(OMgX)CH_2CHR_2$; A $\rightarrow R_2CHOMgX + R_2C=CH_2$.
Найденную величину ИЭ авторы объясняют тем, что
комплекс A находится в равновесии с реагентами, при-
чем $k_{-1} > k_2$. Образцы III, меченные в α-, β- и γ-положе-
ниях, были получены из бромидов, приготовленных из
соответствующих дейтеронизобутиловых спиртов (IV).
α-Дейтеро-IV получен восстановлением изомасляного
альдегида LiAlD₄, выход 70%, т. кип. 96—107°. Д-дей-
кон

теро-IV получен по схеме: (CH₃)₂C(COOC₂H₅)₂ $\xrightarrow{H_2O}$
 \rightarrow (CH₃)₂C(COOH)₂ $\xrightarrow{H_2O}$ (CH₃)₂C(COOD)₂ $\xrightarrow{\text{нагревание}}$

\rightarrow (CH₃)₂CDCOOD $\xrightarrow{LiAlH_4}$ (CH₃)₂CDCH₂OH, выход 60%,
т. кип. 96—107°. Попутно была найдена величина ИЭ
при декарбоксилировании диметилмалоновой к-ты, равная
4,5. Д-дейтеро-IV получен с выходом 65% по схеме:



78006. О механизме реакции Дёбнера. Ди-Фонцо
(Sul meccanismo della reazione di Doebner. Di Fonzo M.), Boll. Soc. ital. biol. sperim., 1954, 30, № 8-11,
1080—1082 (итал.)

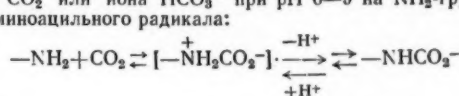
Направление р-ции между ароматическим амином и
привиноградной к-той зависит от величины валентного
угла φ в NH₂-группе и от электронной плотности (ЭП)
при С-атоме в орто-положении. При равных значениях φ
склонность к замыканию хинолинового кольца возра-
стает с увеличением ЭП. При равенстве ЭП она увели-
чивается с уменьшением φ, т. е. происходит превраще-
ние, сопровождающееся наименьшей деформацией

валентных углов, в частности, большее значение φ спо-
собствует замыканию тетрагидропиррольного кольца.

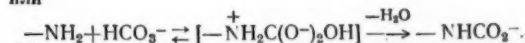
Е. Б.

78007. Об ускоряющем действии угольной кислоты на расщепление S-α-аминоацильных соединений. Виланд, Ламберт, Ланг (Über die beschleunigende Wirkung der Kohlensäure auf die Spaltung von S-α-Aminoacyl-Verbindungen. Wieland Theodor, Lambert Rudolf, Lang Hans Ulrich), Liebigs Ann. Chem., 1955, 597, № 3, 181—195 (нем.)

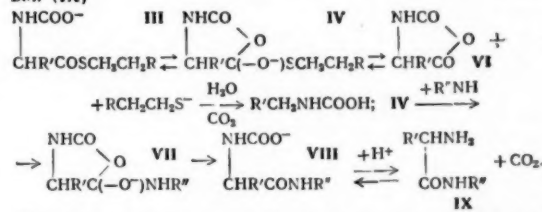
Исследовано явление ускорения разрыва связи S—CO α-аминоацилмеркаптанов под влиянием NaHCO₃ (I) в водн. р-рах при pH 6—9. Действие NaHCO₃ специфично, анионы HPO₄²⁻, SO₄²⁻, HSO₄⁻, HCO₃⁻ не уско-
ряют разрыва связи S—CO. О скорости судили по пони-
жению характерного для связи S—CO максимума погло-
щения (230—240 мμ). Р-ция расщепления проводилась с S-α-аминоацилмеркаптанами строения NH₂CHR'-
COSCH₂CH₂R (II). S-аланилэтилмеркаптан (IIa, R=H, R'=CH₃) сравнительно устойчив в водн. р-рах I; S-ала-
нил-N-этилтиозаноламин (IIb, R=NHCOCH₃, R'=CH₃)
расщепляется легче, чем IIa; S-валил-N-глицилтиозанола-
мин (IIв, R=NHCOCH₂NH₂, R'=CH(CH₃)₂) весьма
быстро подвергается расщеплению благодаря индуктив-
ному эффекту и, особенно, удобному взаимному распо-
ложению S- и NHCO-группы. Значение циклизации пока-
зано на модельной р-ции гидролитич. расщепления
сукцинилтиофенола на янтарный ангидрид и тиофенолат.
У S-валил-N-глицил-N-метилтиозаноламина (IIг, R=
N(CH₃)COCH₂NH₂, R'=H) расщепление замедлено по
сравнению с IIв. Скорость расщепления возрастает с
увеличением конц-ии I. Авторы полагают, что роль I в
процессе расщепления II состоит в воздействии свобод-
ной CO₂ или иона HCO₃⁻ при pH 6—9 на NH₂-группу
α-аминоацильного радикала:



или



Образующийся при этом карбаминат (III) превращается
в непрочный циклич. ангидрид (IV), легко распадова-
щийся на меркаптан (V) и внутрений ангидрид карба-
миновой к-ты (VI), который при 10° быстро гидролизует-
ся с образованием CO₂ и аминокислоты. При действии на IV
амин происходит аминолиз. Продукт (VII) превращается
в крбаминат (VIII), который декарбоксилируется, да-
вая (IX)



Ускоренное расщепление IIв по сравнению с IIг авторы
объясняют легкостью образования промежуточного про-

дукта R'CHNHC(=O)OC(=O)N(CH₂CH₂SH)COCH₂NH₂
из IV (при R=NHCOCH₂NH₂) за счет H при амид-
ном N. Дихлоргидрат IIг синтезирован следующим об-
разом: из N-метилколамина и SOCl₂ в CHCl₃ получен
хлоргидрат β-хлорэтилметиламина (X). При обработке X
(13 г) р-ром 25 г Na₂S₂O₃ в 50 мл воды образуется после
кипания с йодом N-метилцистиламин (XI), выход 21 г,
т. пл. 209°. Амалагмой Na восстанавливают XI в со-
ответствующий меркаптан (крайне гигроскопичный), вы-

ход 60%. Из XI (6,5 г), карбобензоксиглицина (10,5 г), триэтиламина (7 мл) и этилового эфира хлормуравьиной к-ты (5 мл) получен N, N'-дикарбобензоксиглицил-N-метилцистеин (XII), выход 60%. Действием Na в жидком NH₃ на XII образуется N-глицил-N-метилцистеин (XIII), т. пл. 111°. Из XIII (0,5 г) и хлоргидрата валилтиофенола (3 г) в CH₃OH синтезирован II г. Остальные аминокислотные соединения синтезированы по способу Виланда и др. (РЖХим, 1955, 34615, 40272). Сукцинилтиофенол получен из 1,02 г C₆H₅SH и 1 г янтарного ангидрида в тетрагидрофуране в присутствии триэтиламина, выход 2 г, т. пл. 70°.

78008. Декарбоксилирование ацетондикарбоновой кислоты, катализируемое ионами металлов. II. Каталитическое действие ионов меди и алюминия. Тоёма, Кубокава, Йосида (アセトンジカルボン酸の脱炭酸反応に対する金属イオンの触媒作用. 第2報. アルミニウム, 銅イオンの触媒作用. 外山修, 窪川祥, 吉田安雄), Япон. хим. журн., 1954, 75, № 9, 879—881 (япон.).

Описанным ранее методом (см. сообщение I, РЖХим, 1955, 34382) изучено каталитич. действие Al³⁺ и Cu²⁺ и их влияние на кинетику декарбоксилирования ОС(CH₃COOH)₂. Каталитич. действие ионов металлов связывается с образованием неустойчивых промежуточных соединений. Chem. Abstrs, 1956, 50, № 1, 186. T. Katsurai.

78009. О термической диссоциации органических соединений. VIII. Действие заместителей на термическую диссоциацию тризамещенных мочевины. Мукайяма, Одзак, Кобаяси (On the thermal dissociation of organic compounds. VIII. The effects of the substituents on the thermal dissociation of tri-substituted ureas. Mukaiyama Teruaki, Ozaki Shoichi, Kobayashi Yasuhiro), Bull. Chem. Soc. Japan, 1956, 29, № 1, 51—54 (англ.).

Изучена кинетика термич. диссоциации тризамещ. мочевины при 100—150° в к-тах n-каприновой, n-капроновой, фенилуксусной, бензойной) и спиртах (бензиловый, этиленгликоль, глицерин) при соотношении р-ителя и мочевины 100 молей:1 моль. Найдено, что р-ция имеет первый порядок по отношению к мочеvine. Предполагено, что имеет место следующий механизм: R₂¹NCONHR² ⇌ R²NCO + R²¹NH; R²NCO + R²COOH ⇌ R²COOCONHR² → R²CONHR² + CO₂; R²NCO + R⁴CH₂OH ⇌ R²NHCOOCH₂R⁴. Решающими факторами для диссоциации являются основность одного и кислотность другого атома азота. Относительная основность азота в мочеvine определяется основностью соответствующего амина. В тризамещ. мочеvинах основность атома азота больше, чем в дизамещ. и соответственно скорости диссоциации выше. Для тризамещ. мочеvины скорости диссоциации уменьшается в ряду 1,1-дициклогексил-3-фенилмочеvина (I) > 1,1-дициклогексил-3-n-пропилмочеvина (II), 1,1-диизопропил-3-фенилмочеvина (III) > 1,1-диизопропил-3-n-пропилмочеvина (IV) > 1,1-дифенил-3-фенилмочеvина (V) > 1,1-дифенил-3-n-пропилмочеvина (VI). Протонодонорные свойства мочеvины определяются характером заместителя R², так, 3-фенилзамещ. легче отдает протон, чем 3-n-пропилзамещ. мочеvина. Тризамещ. мочеvина диссоциирует в спирте быстрее, чем в к-тах, в противоположность 1,3-дизамещ. Эти различия определяются преобладанием депротонизации с помощью р-ителя и более основными свойствами спиртов. Тетразамещ. мочеvины не имеют подвижного атома водорода и не вступают в р-цию. Авторы отвергают бимолекулярный механизм путем прямой атаки р-ителя. Фенилизотиоанат (VII) и дициклогексилант (VIII) дают I, т. пл. 174,5° (из лигр.), n-пропилзотиоанат (IX) с VIII превращают в II, т. пл. 146° (из сл.), гигроскопичен. Из IX и диизопропиламина (X) получают IV, т. кип. 129°/8 мм, т. пл. 54—56°. VII и X дают III, т. пл. 118° (из лигр.). IX с

дифениламино (XI) превращается в VI, т. пл. 88° (из лигр.). Из VII и XI получают V, т. пл. 124° (из лигр.). В р-р 0,1 моля ди-n-бутиламина и 0,2 моля K₂CO₃ пропускают COCl₂ (3 часа) и получают 4 г 1,1,3,3-тетра-n-бутилмочеvину, т. кип. 177—178°/19 мм. Сообщение VII см. РЖХим, 1956, 25521.

78010. Влияние растворителя на молекулярное комплексобразование n-алкоксидов тантала. Брэдли, Уордло, Уитли (The effect of solvents on the molecular complexities of tantalum n-alkoxides. Bradley D. C., Wardlaw W., Whitley Alice), J. Chem. Soc., 1956, Jan., 5—7 (англ.).

В продолжение предыдущей работы (см. РЖХим, 1956, 9865) были эбулиоскопически определены мол. веса Ta(OR)₅ (R = CH₃, C₂H₅, C₃H₇ и C₄H₉) в различных р-телях. Степень комплексобразования практически не зависит от характера R (исключая CH₃) и равна: в толуоле 1,83, в (изо-C₃H₇)₂O 1,84, в CH₃CN 1,50 и в C₅H₅N 0,99. Основным фактором, влияющим на комплексобразование, является донорная сила р-теля (S), т. е. его способность отдавать неподеленную пару электронов электрофильному атому тантала по ур-нию [Ta(OR)₅] + 2S ⇌ 2S + Ta(OR)₅.

78011. Настоящее и будущее теории органических реакций. Кодзима (有機反應理論の現状と将来, 小島頼男), Япон. хим. журн., 1956, 30, № 2, A15—A20 (япон.).

78012. Механизм органических реакций. Мураками, Юкава (有機化学反應機構. 村上増雄, 湯川泰秀), Япон. хим. журн., 1956, 30, № 2, A15—A20 (япон.).

78013. Симпозиум по механизмам органических реакций. Юкава (有機化学反應機構討論会レポート. 湯川泰秀), Япон. хим. журн., 1956, 30, № 2, 81—83 (япон.).

78014. Механизмы реакций. XV. Реакции присоединения к карбонильной группе. Циангидриновый синтез, образование оксимов и семикарбазонов. Францен (Reaktionsmechanismen. XV. Additionen an die Carbonylgruppe. Cyanhydrinsynthese, Oximibildung, Semicarbazonbildung. Franzen Volker), Chemiker-Ztg, 1956, 80, № 12, 379—382 (нем.).

Обзор. Библ. 33 назв. Сообщение XIV см. РЖХим, 1956, 71599.

78015. Замещение в ряду нафталина. Сунтханкар (Naphthalene-substitution. Sunthakar S. V.), Bombay Technologist, 1955—1956, 6, March, 33—39 (англ.).

Обзор работ по механизмам замещения. Библ. 9 назв.

78016. Предсказание направления реакции двойного разложения. Бек (Voraussage der Richtung einer doppelten Umsetzung. Beck Gunther), Chemiker-Ztg., 1956, 80, № 2, 32 (нем.).

Направление р-ции обменного разложения можно предсказать на основании ряда относительной электроотрицательности атомов и радикалов. Р-ции протекают в направлении образования из 2 соединений средней полярности наиболее гетерополярного соединения с одной стороны и наименее гетерополярного с другой.

78017. Метоксильная группа. Уайлс (The methoxyl group. Wiles L. A.), Chem. Revs, 1956, 56, № 2, 329—385 (англ.).

Подробный обзор свойств группы OCH₃ и ее влияния на р-ции и свойства органич. в-в. Библ. 302 назв.

78018. Применение изотопов в органической химии. Семенова, Робертс (Uses of isotopes in organic chemistry. Semenow Dorothy A., Roberts John D.), J. Chem. Educ., 1956, 33, № 1, 2—14 (англ.).

Обзор. Библ. 41 назв.

78019. Применение спектров поглощения в органической химии. Цзи Жу-юнь (吸收光譜在有機化學上的應用·褚如運), Хуасюэ шицзе, 1956, № 2, 64—68 (кит.)
Обзор. М. В.
78020. О некоторых терминах органической химии. Мовсумзаде (Ба'и узви кимия истилахлары хаггында. Мәвсүмзadə М. М.), Азерб. санәе инст. әсәрләри. Тр. Азерб. индустр. ин-та, 1956, вып. 12, 158—161 (азерб.)
Обсуждаются вопросы номенклатуры органич. соединений на азербайджанском языке. М. В.
78021. Номенклатура органической химии. Роте, Дифини, Силва-Лакас (Nomenclatura da química orgânica. Rothe Otto, Difini Alvaro, Silva Lacaz Paulo da), Engenharia e quim., 1955, 7, № 6, 13—21 (порт.)
Сводка правил номенклатуры органич. соединений, принятых в Льеже в 1930 г. с учетом дополнений, внесенных на последующих сессиях комиссии по номенклатуре Международного Союза чистой и прикладной химии, а также материалов, опубликованных в редакционном обзоре J. Chem. Soc. за 1952 г. Проведена попытка приспособления правил к особенностям португальского языка. В. П.
78022. Об определении понятия «гомологические ряды». Мовсумзаде М. М., Тр. Азерб. индустр. ин-та, 1955, вып. 11, 45—49 (рез. азерб.)
Автор предлагает следующее определение гомологич. ряда: «...ряд органич. соединений, имеющих общую флу, отличающихся друг от друга на одну или несколько групп CH_2 , и каждый последующий член которого может быть выведен от предыдущего замещением атома водорода на метильную группу». М. В.
- 78023 К. Основные начала органической химии. Изд. 5-е. Том I. Чичибабин А. Е. Перев. с русс. (Principiile fundamentale ale chimiei organice. Vol. I. Cicibabin A. E. Trad. din limba rusa după ed. a 5-a, rev. si compl. Bucuresti, Ed. techn., 1955, 669 p., il.) (рум.)
- 78024 К. Органическая химия. Беацкова (Organická chemia. Beřacková Darina), Bratislava, SPN, 1956, 267 s., il., 20.30 Kčs.) (словац.)
- 78025 К. Органическая химия. 2-е изд. Пашковский, Раутенштраух (Chemie organiczna. Wyd. 2. Paszkowski M., Rautenstrauch St. Warszawa, Panstw. Wydawn. Techn., 1956, 314, 2 plb. s., il., 19.30 zł.) (польск.)
- 78026 К. Органическая химия. Часть 2. Карбоциклические соединения. Плажек (Chemia organiczna. Cz. 2: Związki karbocykliczne. Płazek Edwin, Wrocław, Panstw. Wydawn. Nauk, 1955, 136 s., 7.70 zł.) (польск.)
- 78027 К. Органическая химия. 2-изд. Краснец, Хегер (Organická chemia. 2. vyd. Krasnec L'udovít, Heger Jozef. Bratislava, SPN, 1955, 302, il., 26.10 Kčs.) (словац.)
- 78028 К. Курс органической химии. Часть Ia. Анджелеску (Curs de chimie organică. Part. I-a Angelescu Eugen. București, Univ. «С. I. Parhon», 1955, 621 p.) (рум.)
- 78029 К. Органическая химия. Изд. 7-е, перераб. Шмидт, Кемпбелл (Organic chemistry. 7th ed. rev. Schmidt Julius, Campbell Neil. London, Oliver and Boyd, 1955, 9, 936 p., ill., 35 sh.) (англ.)
- 78030 К. Основы органической химии. Оппенгеймер, Негели (Grundriss der organischen Chemie. Oppenheimer Carl, Naegeli Carl. 17. Aufl., Neu bearb. Neuenhoffer Otto. Metz Reinhold. Leipzig, Thieme, 1955, 328 S., 14.50 DM) (нем.)
- 78031 К. Органическая химия. Изд. 3-е. Кирман (Chimie organique. 3 ed. Kirmann Albert. Paris, A. Colin, 1955, 2-eme vol., 250 fr.) (франц.)
- 78032 К. Учебник химии. Том 2. Органическая химия. Изд. 6-е, перераб. Хюккель (Lehrbuch der Chemie. T. 2. Organische Chemie. 6. neubearb. Aufl. Hückel Walter. Leipzig, Geest & Portig, 1955, XIX, 668 S., ill., 18 DM) (нем.)
- 78033 К. Теоретические основы органической химии. Том I. Хюккель Перев. с нем. (Theoretical principles of organic chemistry. Vol. I. Hückel Walter. Transl. from the correct. 7th German ed. Elsevier, Cleaver-Hume, 1955, 904 pp., 15 doll., 77 sh. 6 d.) (англ.)
- 78034 К. Современная органическая химия. (Успехи фармацевтической химии. 3 сборник.) (最近の有機合成 日本薬学会編. (薬学の進歩. 第3集. 醫齒藥出版. 93-頁, 250 圓. Исияку-сюппан, 1954, 93 стр., 250 иен) (япон.)
- 78035 К. Физические аспекты органической химии. Уотерс (Physical aspects of organic chemistry. 5th ed. Waters William Alexander. London, Routledge & K. Paul, 1953, xii, 539 pp., 35 sh.) (англ.)
- 78036 К. Механизмы органических реакций. Барнетт (Mechanism of organic chemical reactions. Barnett Edward of Barry. London, Blackie, 1956, xi, 289 pp., ill., 30 sh.) (англ.)
- 78037 К. Реакции с N^{15} . Строение диазоуксусного эфира. Люти (Reaktionen mit ^{15}N . Zur Konstitution d. Diazoessigesters. Lüthi Ursula Zürich, Brunner & Bodmer, 1954, 42 S., ill.) (нем.)
- 78038 К. Фтористый бор и его соединения как катализаторы в органической химии. Товчиев А. В., Завгородний С. В., Паушкин Я. М., АН СССР, 1956, 356 стр. 16 р. 90 к.
- 78039 Д. О замещенном бензотропилиевом катионе. Шеппи (Über ein substituiertes Benzotropylium-Kation. Schaeppi Wilfried Heinrich. Diss. techn. Wiss. ETH Zürich, 1955, Schweiz. Buch. 1955, B55, № 3, 132 (нем.)
- 78040 Д. Ступенчатое восстановление тетраметилового эфира пурпурогаллина. Синтез и свойства бензотропилиевых катионов. Ренхард (Über eine stufenweise Reduktion des Purpurogallin-Tetramethyl thers. Synthese und Eigenschaften des Benzotropylium-Kations. Renhard Hans Heinrich. Diss. techn. Wiss. ETH, Zürich, 1955), Schweiz. Buch, 1955, B 55, № 6, 273 (нем.)
- 78041 Д. Часть I. Стереонизомерия органических селенидов. Часть II. Новый путь синтеза несимметричных селенидов. Берлант (Part I: The stereochemistry of organic selenoxides. Part II: A new route to unsymmetrical selenides. Burlant William J. Doct. diss. Polytechn. Inst., Brooklyn, 1955), Dissert. Abstrs, 1955, 15, № 7, 1170 (англ.)
Металлированием дибензоселенофена бутиллитием и карбоксилированием получен 4-карбоксидибензоселенофен, окислен в 5-окис 4-карбоксидибензоселенофена (I). Попытка разделения I на стереоизомеры как в водн., так и в безводн. средах не удалась. Также не удалось разделить на *цис-транс*-изомеры симм-диоксид диселенана. Показано, что 5-окис дибензоселенофена обменивает свой кислород с H_2O^{18} . Разработана р-ция получения несимметричных селенидов по схеме: $\text{ArSeCN} + \text{RLi} \rightarrow \text{ArSeR}$. М. В.
- 78042 Д. Полярнографическое изучение ароматических карбонильных соединений. Шмид (Polar graphische Untersuchungen an aromatischen Carbonylverbindungen. Schmid Rudolf. Diss., techn. Wiss., Zürich, 1955), Schweiz. Buch, 1955, B 55, № 6, 273 (нем.)
- 78043 Д. Относительная основность и относительная кислотность амидов. Ласки (The relative basicities and relative acidities of amides. Lasky Jack S. Doct. diss., Univ. Maryland, 1955), Dissert. Abstrs, 1955, 15, № 12, 2413—2414 (англ.)

Относительная основность и кислотность 58 амидов была определена по их влиянию на р-цию этерификации бензгидрола, катализируемую *p*-толуолсульфокислотой (I). Амиды образуют с I комплекс $R'N \cdot H = CR - O - HA$ (II), кислотность которого зависит от относительной способности принимать электроны и от пространственных затруднений, вызванных группами R и R'. Предложенная структура II удовлетворительно объясняет отсутствие каталитич. действия амидов в отсутствие I, а также тот факт, что замена H при азоте на CH_3 -группу заметно понижает скорость р-ции. Для 3 серий бензанилидов $RC_6H_4CONHC_6H_5$, $C_6H_5CONHC_6H_4R$ и $RC_6H_4CONHC_6H_4R'$ (где R и R' = CH_3O , CH_3 , H, Cl или NO_2) была найдена линейная зависимость от кислотности соответствующих бензойных к-т. Подобная зависимость была найдена и для $RC_6H_4CONH_2$, $RC_6H_4CONHCH_3$, $RC_6H_4CON(CH_3)_2$, $RC_6H_4SO_2NHC_6H_5$ и $C_6H_5SO_2NHC_6H_4R$. Разница в наклоне для 8 прямых хорошо объясняется на основе предположения, что наклон стремится к уменьшению по мере возрастания пространственных препятствий. При переходе в $RCO \cdot NHC_6H_5$ от R = CH_3 к C_6H_5 основность анилидов заметно уменьшается, но дальнейший переход до *n*-амила не вызывает никакого изменения. Переход от *n*-амила к *трет*-бутилу или от бензила к фенилу уменьшает основность. Аналогичные изменения R в C_6H_5CONHR вызывают аналогичные, но менее ясно выраженные изменения основности. Диалкилированные бензамиды несколько более основны, чем моноалкилированные соединения; алифатич. амиды более сильные основания, чем ароматич. амиды. Б. Г.

78044 Д. Исследование ароматического и алифатического замещения атомами галоида. Миллер (Studies on aromatic and aliphatic substitution by halogen atoms. Miller Bernard. Doct. diss., Columbia Univ., 1955, Dissert. Abstrs, 1955, 15, № 11, 2016 (англ.)

Измерены относительные скорости фотохлорирования толуолов $RC_6H_4CH_3$ (указаны R, скорость в условных единицах): *p*- CH_3 , 1,6; *p*- C_6H_5 , 1,6; *m*- CH_3 , 1,3; *m*- C_6H_5 , 1,1; H, 1,0; *p*-Cl, 0,72; *m*-Cl, 0,54; *p*-CN, 0,38; *m*-CN, 0,36. Эти данные, за исключением *m*- и *p*- C_6H_5 , удовлетворяют ур-нию Хамметта $\lg k/k_0 = 0,76\sigma + 0,03$ (вероятная ошибка 0,04). Аналогичные результаты получены при р-ции с SO_2Cl_2 в присутствии перекиси бензола. Обмен брома в арилбромиде на хлор является радикальной фотокаталитич. р-цией. Относительные скорости р-ции равны: C_6H_5Br , 1,0; *p*- BrC_6H_4Cl , 0,9; *m*- BrC_6H_4COOH , 0,26; *o*- BrC_6H_4COOH , 0,21 и *p*- $BrC_6H_4SO_2Cl$, 0,17. Фенилсульфонилхлорид в присутствии каталитич. кол-в хлора дает колич. выход арилхлоридов. Радиоактивный бром медленно обменивается при $\sim 20^\circ$ с C_6H_5Br при освещении, но не обменивается в темноте. Г. Б.

78045 Д. Влияние заместителей на нуклеофильные реакции ароматического ядра. Кальберер (Über den Einfluss von Substituenten auf nucleophile Reaktionen am aromatischen Kern. Kalberer Franz. Diss. naturw., Freiburg, 1954), Schweiz. Buch, 1955, B55, № 1, 43 (нем.)

78046 Д. О неклассическом протекании реакций замещения и элиминирования при дезаминировании циклодециламина. Урех (Über den nichtklassischen Verlauf der Substitution und Elimination bei der Desaminierung von Cyclodecylamin. Urech Hansjakob. Diss., naturw. ETH, 1955), Schweiz. Buch, 1955, B55, № 6, 274 (нем.)

78047 Д. Стереохимия реакции галоидных алкилов с нитритом серебра, восстановление оптически активных 2-нитрооктана и α -фенилнитроэтана и термическое разложение оптически активного α -фенилэтилнитрита. Фишбейн (The stereochemistry of the reaction of alkyl halides with silver nitrite and reductions of optically active 2-nitroctane and α -phenyl nitroethane and the thermal decomposition of optically active α -phenyl-

ethyl nitrite. Fishbein Leon. Doct. diss. Purdue Univ., 1955), Dissert. Abstrs, 1955, 15, № 12, 2410—2411 (англ.)

Взаимодействие оптически активного 2-бромоктана (I) с $AgNO_2$ приводит к образованию 2-нитрооктана (II) и 2-октилнитрита (III), сопровождается обращением конфигурации и протекает по механизму S_N2 . Однако при взаимодействии оптически активного α -фенилэтилхлорида с $AgNO_2$ α -фенилэтилнитрит получается с сохранением конфигурации (IV), а этан (V) с обращением конфигурации. Образование IV и V сопровождается значительной рацемизацией. По мнению автора, IV частично получается по S_N2 -механизму и частично с промежуточным образованием карбониевого иона, который быстро реагирует с ионом NO_2^- на кристаллич. поверхности $AgNO_3$, причем ион NO_2^- вступает с той же самой стороны молекулы, с которой уходит ион Cl. Образование V протекает преимущественно по S_N2 -механизму. II и V для установления конфигурации были восстановлены в соответствующие амины. При восстановлении II $LiAlH_4$ амин оказался полностью рацемизованным. Значительная рацемизация происходила при восстановлении II H_2 в абс. C_2H_5OH над PtO_2 . Однако восстановление II порошковым Fe в лед. CH_3COOH или каталитически над PtO_2 в лед. CH_3COOH протекает с сохранением конфигурации. При термич. разложении (—) = IV (100°, 24 часа) получается α -фенилэтиловый спирт с 67%-ным сохранением конфигурации, откуда автором сделан вывод о том, что разложение IV протекает по механизму, предложенному Райсом и Стиси, и что перегруппировка $C_6H_5CH(CH_3)O \rightleftharpoons C_6H_5C(CH_3)OH$ при 100° в жидкой фазе не происходит. Р. К.

78048 Д. Стереохимия аллильной перегруппировки. Изучение аллильной перегруппировки 5-метилциклогексен-2-альной системы. Силверсмит (Stereochemistry of the allylic rearrangement. A study of the allylic rearrangement in the 5-methyl-2-cyclohexenyl system. Silversmith Ernest Frank. Doct. diss., Univ. Wisconsin, 1955), Dissert. Abstrs, 1955, 15, № 12, 2417 (англ.)

Показано, что р-ция оптически активных 5-метилциклогексен-2-илфталатов в CH_3CN или водн. ацетоне и 5-метилциклогексен-2-илхлоридов в CH_3COOH или спирте протекает как по внутримолекулярному (S_N1'), так и по мономолекулярному (S_N1') механизмам через промежуточное образование ионных пар. Сольволиз *цис*- и *транс*-5-метилциклогексен-2-ил-*p*-нитробензоатов в водн. ацетоне протекает по механизму S_N1' . Р-ция изомерных 5-метил-2-циклогексенолов с $SOCl_2$ протекает по механизму S_N1' . М. В.

78049 Д. Исследование 1,3-перегруппировок. Шрайн (A study of 1,3-shifts. Shryne Thomas Michael. Doct. diss., Univ. Washington, 1955), Dissert. Abstrs, 1955, 15, № 10, 1729—1730 (англ.)

Действием NaN на спирты с последующей обработкой $SOCl_2$ в пентане при -60° получены замещ. α -фенилловые эфиры хлоруглеродной к-ты (I) (заместители *p*- CH_3 , *p*-Cl, *p*-F, *m*-Br) и определены скорости их перегруппировки в диоксане при 70° и толуоле при 80°. Из констант скорости k вычислены энтропия и энтальпия ($\Delta H_{акт}$) активизации. Найдена линейная зависимость $\lg k$ от $\Delta H_{акт}$ за исключением незамещ. эфира; значение ρ для диоксана $-3,86^\circ$, для толуола $-3,56^\circ$. Продукт перегруппировки оптически активного I имеет высокую оптич. активность с сохранением конфигурации. В указанных выше условиях бензиловый эфир хлоруглеродной к-ты перегруппировывается медленнее, а неопентильловый эфир не изменяется. Применяя C^{13} , автор установил межмолекулярный характер миграции алкильных групп при пере-

группировке метилбензоата, α -метокси-*p*-метилстирола и *p*-метилформилиминометилового эфира. Г. Б.

78050 Д. Часть I. Синтез и реакционная способность бициклических соединений с заместителем у головы моста. Часть II. Изучение обратимости перегруппировки типа бензильного эфира. Спрекер (Part I. The synthesis and reactivity of bridgehead-substituted bicyclic compounds. Part II. A study of the reversibility of the benzylic ester rearrangement. Sprecher Milton. Doct. diss., Columbia Univ., 1953), Dissert. Abstrs, 1955, 15, № 11, 2021—2022 (англ.)

Показано, что сольволиз 1-бром-3,3-диметилбицикло-[2, 2, 2]-октана (I) в C_2H_5OH , содержащем C_2H_5ONa , приводящий к образованию 1-окси-3,3-диметилбицикло-[2, 2, 2]-октана (II), является р-цией 1-го порядка ($k_1 = 9.9 \cdot 10^{-4} \text{ сек}^{-1}$), а не 2-го, как предполагалось ранее. При сольволизе I в воде. диоксан также получен II; энергия активации 29 ккал. Обсуждаются причины резкого различия в скоростях сольволиза 1, 1-бромбицикло-[2, 2, 1]-гептана и ациклич. третичных бромидов. При декарбонилировании апокамфан-1 под действием перекисей выделен апокамфан, из чего следует, что существование свободнорадикального центра у головы моста в бициклич. системах не является энергетически запрещенным. С целью изучения возможной обратимости перегруппировки типа бензильного эфира синтезирован и разделен на оптич. антиподы метиловый эфир *p*-метилбензильного к-ты (III). При обработке (+)-III алкоholesом в различных условиях не наблюдалось заметного снижения вращения, следовательно, если даже р-ция перегруппировки обратима, то скорость обратной р-ции очень мала. Р. К.

78051 Д. I. Восстановление ароматических углеводородов литием в среде низкомолекулярных аминов. II. Электронные влияния трифенилгерманийной группы. Сов (I. Reduction of aromatic hydrocarbons by lithium in low molecular weight amines. II. The electrical effects of the triphenylgermyl group. Sauve Dale Marvin. Doct. diss., Purdue Univ., 1955), Dissert. Abstrs, 1955, 15, № 10, 1729 (англ.)

Часть I. Li в CH_3NH_2 , $C_2H_5NH_2$ или $n\text{-}C_8H_{17}NH_2$ восстанавливает нафталин и тетралин в $\Delta^{9,10}$ - и $\Delta^{1,9}$ -окталин (50 : 1; выход 50—70%), бензол в циклогексен и циклогексан, дифенил в 1-циклогексил-циклогексен и бициклогексил, этилбензол в этилциклогексен и этилциклогексен (при -78° образуется только последний); мезитилен в 1, 3, 5-триметилциклогексен; циклогексен в циклогексан, 1-этилциклогексен в этилциклогексен.

Часть II. Получены *m*- и *p*-трифенилгерманилбензойные к-ты (I и II) и трифенилдиметиламинофенилгерман (III). Изучена р-ция I и II с CH_3N_2 и III с C_2H_5I и вычислены константы Хамметта σ для трифенилгерманийной группы; показано, что эта группа как в мета-, так и в пара-положении является электронодонорной. М. В.

78052 Д. Реакции пространственно экранированных α , β -замещенных янтарных кислот. Литл (Reactivities of hindered α , β -substituted succinic acid derivatives. Little Randel Quincy, Jr. Doct. diss., Univ. Michigan, 1954), Dissert. Abstrs, 1955, 15, № 4, 500 (англ.)

78053 Д. Пиролиз сложных эфиров. Ли (The pyrolysis of organic esters. Lee Richard Jui-Fu. Doct. diss., Ohio State Univ., 1954), Dissert. Abstrs, 1955, 15, № 7, 1173 (англ.)

Изучен механизм реакции. М. В.

78054 Д. Стереохимия и механизм гидрирования соединений с кратными связями. Стрельцова С. Г. Автореф. дисс. канд. хим. н., Ин-т орган. химии АН УССР, Киев, 1956

78055 Д. Изучение реакции тетраалкилметилениаминов с соединениями, содержащими активный водород. Джонсон (A study of the reaction of tetraalkylme-

thylenediamines with active hydrogen compounds. Johnson Roger Alvin. Doct. diss., Univ. Florida, 1955), Dissert. Abstrs, 1955, 15, № 5, 701 (англ.)

Изучен механизм р-ции Манниха на примере р-ции тетраэтилметилениамина (I) с соединениями, содержащими активный водород. Для изучения применялся также I, меченный C^{14} . М. В.

78056 Д. Механизм образования изоксазолов из халконов и их производных. Блеккер (The mechanism of isoxazole formation from chalcones and their derivatives. Blecker Harry Herman. Doct. diss., Rutgers Univ., 1955), Dissert. Abstrs, 1955, 15, № 12, 2407 (англ.)

На примере р-ции бензаль-*p*-бромацетофенона, *p*-ацетиламинобензальацетофенона, *p*-нитробензальацетофенона, *p*-метоксибензаль-*m*-нитроацетофенона, *p*-метоксибензальацетофенона с NH_2OH изучен механизм образования изоксазолов. Халконы, α -бромхалконы и дибромиды халконов присоединяют NH_2OH в шел. р-ре с образованием продуктов 1,2-присоединения. Ацетиленовые кетоны, 1,3-дикетоны и эфиры их енольных форм присоединяют NH_2OH в шел. р-ре по 1,4-механизму, а в кислом по 1,2-механизму. М. В.

См. также: Строение органич. соед. 77289—77291, 77300, 77309, 77313, 77383—77386, 77482, 77485, 7751, 77940, 77941, 78175, 78179, 78180, 78206, 78208, 78259, 78273—78276. Реакционная способность 78209. Механизмы и кинетика р-ций 77573, 77576—77584, 77586, 77597—77600, 77603, 77604, 77606—77614, 77644, 77652, 78215, 78125, 78162, 78163, 78175, 78177, 78178, 78180, 78188, 78197, 78345, 78351, 78358, 78359, 79778, 79780

СИНТЕТИЧЕСКАЯ ОРГАНИЧЕСКАЯ ХИМИЯ

78057. Органическая химия. Котакэ (有機化学. 小竹無二雄). Ил. Кагаку, Chemistry (Kyoto), 1955, 10, № 3, 10—15 (япон.)

Обзор по алициклич. соединениям за 1953 г. Библ. 23 назв. Окончание. См. РЖХим, 1956, 35761. И. Ц.

78058. Органическая химия. Методы проведения опытов. Кубота (有機化学. 實驗法拾遺. 久保田尚志), Ил. Кагаку, Chemistry (Kyoto), 1955, 10, № 12, 5—10 (япон.)

Обзор за 1954 г. Библ. 28 назв. И. Ц.

78059. Органическая химия. Новые реакции синтеза олифинов по Виттигу. Накагава (有機化学. Wittigの新オレフィン合成反応. 中川正澄), Ил. Кагаку, Chemistry (Japan), 1956, 11, № 1, 12—15 (япон.)

Обзор за 1954 г. Библ. 13 назв.

78060. Успехи в синтезе противотуберкулезных химических препаратов. (합성약성 화합물의 합성성과 (II). 파르와 기술, Квахак ка кисуль, 1955, № 8, 39—48 (кор.)

Обзор. И. Ц.

78061. Реакция Воля—Циглера. Кубота (Wohl-Ziegler 反應. 久保田尚志), Ил. Кагаку, Chemistry (Kyoto), 1955, 10, № 7, 73—77 (япон.)

Обзор. И. Ц.

78062. Применение радикальных реакций в синтетической органической химии. Ода (Radical Reactionの有機合成化学への応用. 小田良平), Ил. Кагаку, Chemistry (Kyoto), 1955, 10, № 7, 78—83 (япон.)

Обзор. Библ. 8 назв. И. Ц.

78063. Физические свойства 14 углеводородов C_9 — C_{14} по данным американского нефтяного института. Кеймин, Россини (Physic properties of 14 american petroleum institute research hydrocarbons, C_9 to C_{14} . Camin David L., Rossini Frederick D.), J. Phys. Chem., 1955, 59, № 11, 1173—1179 (англ.)

Приведены углеводород, т. кип. при 760 мм в $^\circ C$, n_D^{20} и d_4^{20} : *n*-ундекан, 195,890, 1,41725, 0,74024; *n*-три-

декан, 235, 434, 1,42560, 0,75622; *n*-тетрадекан, 253,515, 1,42892, 0,76275; *n*-пентадекан, 270,614, 1,43188, 0,76830; тридецен-1, 232,780, 1,43336, 0,76527; тетрадецен-1, 251,100, 1,43631, 0,77127; пентадецен-1, 268,394, 1,43883, 0,77641; 1-метилнафталин, 244,685, 1,61755, 1,02031; *цис*-декалин, 195,774, 1,48098, 0,89291; *транс*-декалин, 187,273, 1,46932, 0,86971; *цис*-гексагидроиндан, 167,846, 1,47210, 0,88445; *транс*-гексагидроиндан, 161,083, 1,46363, 0,86268 (чистота в-в 99,71—99,98%). Определены d_4^{25} , d_4^{30} , n при 20°, 25°, 30° и семи длинах волн, t -ры кипения и давления паров при 40—730 мм, вычислены значения уд. дисперсии при 20°, 25° и 30°. Для нафталина, t кип. 217,955° / 760 мм, и 2-метилнафталина, t кип. 241,052 / 760 мм, t -ры кипения и давления паров определены также при 40—770 мм. Указаны некоторые другие константы соединений. К. П.

78064. Синтез разветвленных алифатических углеводородов через β -алкенилгалогениды. Петров А. Д., Изв. АН СССР, Отд. хим. н., 1955, № 4, 628—648

α , β -Ненасыщ. галоидопроизводные или кетоны в Mg -органич. синтезе дают лучшие выходы, чем соответствующие насыщ. компоненты, и позволяют получить такие сильно разветвленные продукты r -ции, которые с насыщ. соединениями не образуются вовсе. Галоидопроизводные аллильного типа в конденсациях с ненасыщ. кетонами (r -ция Гриньяра) не испытывают аллильной перегруппировки, которая происходит в случае r -ции с насыщ. кетонами. Конденсация аллил- и метилгалогенидов с предельными третичными галоидопроизводными, имеющими два рядом стоящих четвертичных атома C , идет с малыми выходами, но более высокомолекулярные и асимметричные галоидалькилы этого типа конденсируются с выходами до 40%. Получены: 2,3,4,5,6-пентаметилгептан (I), 4,5-диметил-4,5-диэтилоктан (II), 2,4,6-триметил-4-трет-бутилгептан (III), 2,2,3-триметил-3-этилгексан (IV) и 2,4,4,5,5,7-гексаметилоктан (V). Строение I—V доказано по продуктам их окислительного расщепления. Из 108 г CH_3COCl и 98 г $(CH_3)_2C=CHCH_3$ по Кондакову (ЖРФХО, 1894, 26, 5) получено 72 г $(CH_3)_2C=CHCH_2COCH_3$ (VI), t кип. 146—147°, n_D^{20} 1,4472, d_4^{20} 0,8678. К 50 г Mg в 300 мл эфира прибавляют смесь 94 г 3-хлор-2-метилбутена-1 и 72 г VI в 300 мл эфира, через 70 час. разлагают льдом с NH_4Cl ; выход 2,3,4,5,6-пентаметилгептандиен-1,5-ола-4 (VII) 48%, t кип. 76—77° / 7 мм, n_D^{20} 1,4710, d_4^{20} 0,8833. Кипячение 40 г VII с 69 г $(CH_3CO)_2O$ и 27 г CH_3COONa (30 час.) дает 2,3,4,5,6-пентаметилгептатриен-1,3,5 (VIII), выход 15,3 г, t кип. 55—56° / 7 мм, n_D^{20} 1,4650, d_4^{20} 0,8118. Гидрированием 15 г VII в CH_3OH (169°, 120 ат) над скелетным Ni получен 2,3,4,5,6-пентаметилгептен-3, t кип. 60—68° / 10 мм, n_D^{20} 1,4418, d_4^{20} 0,7862. VIII гидрирован над Pd /силикагелем (163°, 124 ат) в I, t кип. 64—66° / 11 мм, t заст. < -80°, n_D^{20} 1,4392, d_4^{20} 0,7838. К 48 г Mg прибавляют эфир. r -р 100 г 3,4-диметил-3,4-дихлоргексана и 152 г $CH_2=CHCH_2Cl$ (IX) (r -цию начинают при нагревании, затем ведут при -20°); получают 3,4-диметил-4-аллилгексен-2, выход 38%, t кип. 178—180° / 760 мм, n_D^{20} 1,4560, d_4^{20} 0,802, и 4,5-диметил-4,5-диэтилоктандиен-1,7 (X), выход 10%, t кип. 210—215° / 760 мм, n_D^{20} 1,4620, d_4^{20} 0,818, при окислении 1%-ным $KMnO_4$ дающий $HSOON$ и k -ту $OSCH_2CHCH_2-$

$[C(CH_3)(C_2H_5)]_2CH_2COON$. Гидрированием X над скелетным Ni при 190° и 200 ат получен II, t кип. 216—218°, t заст. < -80°, n_D^{20} 1,4440, d_4^{20} 0,798. Взаимодействием 73 г Mg , 100,3 г пинаколина и 135 г изобутилен-

хлорида (XI) получили 142 г 2,2,3,5-тетраметилгексен-4-ола-3 (XII), t кип. 46° / 4 мм, n_D^{20} 1,4502, d_4^{20} 0,8514. Гидрохлорированием XII получен дихлорид $C_{10}H_{20}Cl_2$, гидрированием — 2,2,3,5-тетраметилгексано-3 (XIII), t -ра кипения 84,6—84,8° / 25 мм, n_D^{20} 1,4368. При действии HCl -газа, на XIII при 0°, синтезирован хлорид, t кип. 72,6—73,5° / 28 мм, n_D^{20} 1,4455, d_4^{20} 1,8778. Конденсацией последнего с XI получен олефин $C_{14}H_{28}$, t кип. 92,5° / 12 мм, n_D^{20} 1,4584, d_4^{20} 0,8163, который далее гидрирован в III; t заст. -86°, d_4^{20} 0,7995. Аналогично к 28 г Mg в 500 мл эфира за 6 час. прибавляют 76,6 г IX и 124,2 г 3-хлор-3,4,4-триметилпентана, нагревали 36 час.; выход 4,5,5-триметил-4-этилгексена-1 (XIV) 9%, t кип. 59° / 12 мм, n_D^{20} 1,4403, d_4^{20} 0,7834. Гидрирование XIV над Ni (140°, начальное давл. 130 ат) дает IV, t кип. 176,5° / 739 мм, t заст. -110°, n_D^{20} 1,4386, d_4^{20} 0,7783. HCl -газ пропускают при 0° через 2,4-диметилпентанол-2, получен 2-хлор-2,4-диметилпентан (XV), выход 70%, t кип. 52° / 46 мм, n_D^{20} 1,4180, d_4^{20} 0,8601. К 11 г Mg в 500 мл эфира за 6 час. прибавляют 2 мл C_2H_5Br и 125,9 г XV, нагревают 32 часа; выход V 6%, t кип. 216° / 743 мм, t заст. 2°, n_D^{20} 1,4408, d_4^{20} 0,7902. Полосы спектра комб. расщ. света: 697, 936, 1210 и 1236 cm^{-1} , характерны для двух четвертичных атомов C в центре молекулы. А. О.

78065. Взаимодействие хлорпропиленов с формальдегидом. Фарберов М. И., Уставщиков Б. Ф., Ж. общ. химии, 1955, 25, № 11, 2071—2081

Взаимодействие 3-хлорпропена (I) с CH_2O (II) (см. Price C., Krishnamurti J., J. Amer. Chem. Soc., 1950, 72, 5335) в присутствии конц. H_2SO_4 в среде $(CH_2Cl)_2$ дает 4-хлорметилдиоксан-1,3 (III), в среде лед. CH_3COOH дает III и диацетат 4-хлорбутандиола-1,3 (IV). III в присутствии конц. H_2SO_4 и CH_3OH гидролизует в 4-хлорбутандиол-1,3 (V), который частично циклизуется в 3-окситетрагидрофуран (VI); с $SOCl_2$ (+ $ZnCl_2$) III дает 2-хлорметоксид-1,4-дихлорбутан (VII); каталитич. расщепление III парами воды (250—400°) приводит к γ -хлормасляному (VIII) и винилуксусному (IX) альдегидам. Гидролиз IV дает V и VI. В условиях хлорметилирования (конц. HCl , $ZnCl_2$) I и II образуют 3,4-дихлорбутанол-1 (X), *бис*-3,4-дихлорбутилформаль (XI) и *бис*-3,4-дихлорбутиловый эфир (XII); в отсутствие $ZnCl_2$ вместо XII образуется III. Попытки дегидратировать X с помощью $KHSO_4$ и $ZnCl_2$ приводят к 3-хлортетрагидрофурану (XIII), полученному также из VI и $SOCl_2$. X хлорируется ($SOCl_2$) с образованием 1,2,4-трихлорбутана (XIV); XIV дегидрохлорируется $NaOH$ в 2-хлорбутандиен-1,3 (XV) и 1,2-дихлорбутен-3 (XVI). Авторы предлагают следующий механизм взаимодействия I и II: $I + II \rightarrow H^+ + C^+H_2OH$; $C^+H_2OH + I \rightarrow CH_2ClCH_2CH_2OH$ (XVII); XVII, реагируя с II, H_2O или HCl , дает описанные в-ва. VIII (из III) образуется, возможно, путем изомеризации первоначально образующегося $CH_2ClCHCH_2CH_2O$.

1-хлорпропен (XVIII) с II в присутствии конц. H_2SO_4 в среде лед. CH_3COOH дает 4-метил-5-хлордиоксан-1,3 (XIX) и диацетат 2-хлорбутандиола-1,3 (XX), гидролизующийся в 2-хлорбутандиол-1,3 (XXI); побочно образуются также ацетат 1-хлорпропанола-2 (XXII). В условиях хлорметилирования (HCl , $ZnCl_2$, H_3PO_4) XVIII и II образуют 2,3-дихлорбутанол-1 (XXIII) и его формаль (XXIV), гидролизующийся в XXIII. r -ция 2-хлорпропена (XXV) с II в присутствии H_2SO_4 , протекающая с сильным ослаблением, приводит к β -хлормасляному альдегиду (XXVI), что авторы объясняют енолизацией первоначально образующегося иона $CH_2C^+ClCH_2CH_2OH$ и последующей изомери-

сексен-4
0,8514,
H₂SO₄,
(XIII),
88. При
хлорид,
78. Кон-
с, т. кип.
более гид-
огично к
76,6 г IX
36 час.;
т. кип.
XIV над
т. кип.
0,7783,
танол-2,
д 70%,
11 г Mg
C₂H₅Br и
т. кип.
2. Поло-
236 см⁻¹,
в центре
А. О.
альдегид-
Ф.,
II) (см.
1950,
(CH₃Cl)₂,
H₂COOH
II в при-
4-хлор-
ся в 3-
II дает
расщеп-
хлормас-
м. Гид-
рования
утанол-1
дихлор-
хлорид XII
помощью
офурану
ируется
V); XIV
3 (XV) и
дующий
C₂H₅OH;
II, реа-
ва. VIII
дии пер-

зацией енола. В присутствии конц. HCl (или HCl и ZnCl₂) XXV и II дают 3,3-дихлорбутанол-1 (XXVII), его формаль (XXVIII), гидролизующийся в XXVII, и небольшо-е кол-во XXVI. При обработке XXVII р-ром CaCO₃ вместо гидролиза происходит дегидрохлорирование с образованием 3-хлоркритилового спирта (XXIX). Пропил с II и HCl дает 3-хлорбутанол-1 (XXX), его формаль (XXXI) и 4-метилдиоксан-1,3 (XXXII). На основании кинетич. данных, полученных в сопоставимых условиях, авторы оценивают относительную реакционную способ-ность C₂H₅, XXV, I и XVIII отношением 1000:143:2:1,3, что объясняют с помощью электронных представлений. К 300 г 95%-ного параформальдегида (XXXIII), 150 мл конц. H₂SO₄ и 300 мл (CH₃Cl)₂ добавляют по частям 430 мл I, через 3 часа (40°) выливают в воду, III извлекают (CH₃Cl)₂; выход 50,3%, т. кип. 58,5–59°/8 мм, n_D²⁰ 1,4632, d₄²⁰ 1,2103. Из смеси 255 г III, 175 мл C₂H₅OH и 18,3 г конц. H₂SO₄ отгоняют через колонку образующийся азеотроп метилаля с C₂H₅OH, добавляют 35 г безводн. CH₃COONa и нагревают до кипения; из фильтрата выделяют VI, выход 49,5%, т. кип. 60–60,5°/6 мм, n_D²⁰ 1,4480, d₄²⁰ 1,0916, и V, выход 10,7 г, т. кип. 113,5–114,5°/6 мм, n_D²⁰ 1,4731, d₄²⁰ 1,2250. 95 г XXXIII, 300 мл I, 100 мл конц. H₂SO₄ и 500 мл лед. CH₃COOH встряхивают в автоклаве при 80° 3 часа, выливают в 500 мл воды (0°), выход III 20,6%, выход IV 28,1%, т. кип. 107–108°/7 мм, n_D²⁰ 1,4489, d₄²⁰ 1,1843. Кипятят 40 г III, 70 г SOCl₂ и 5 г ZnCl₂ 4,5 часа, полу-чают 46,4% VII, т. кип. 96,5–97°/8 мм, n_D²⁰ 1,4850, d₄²⁰ 1,3263. 40 г III пропускают над катализатором при 375° (18,6 мл на 40 мл катализатора в 1 час, 3 объема воды на 1 объем III), получают 7,5 г IX, т. кип. 90–100°, n_D²⁰ 1,4300, d₄²⁰ 0,8427; 2,4-динитрофенилгидразон (ДНФ), т. пл. 164° (из сп.); из остатка экстрагируют CHCl₃ VIII, выход 18,5% т. кип. 72–72,5°/57 мм, n_D²⁰ 1,4341, d₄²⁰ 1,0864; ДНФ, т. пл. 94° (из сп.). К смеси 300 мл I, 450 г ZnCl₂ и 200 мл конц. HCl, через ко-торую пропускается HCl (газ), добавляют 150 г XXXIII (3 часа, 25°), все выливают в воду и извлекают CHCl₃, получают 2% X, т. кип. 90–92°/6 мм, n_D²⁰ 1,4823, d₄²⁰ 1,2855, 3,5-динитробензоат с α-нафтиламином, т. пл. 102° (из сп.) и смесь (выход 58,4%) XI и XII (3:2); XII, т. кип. 151–152°/7 мм, n_D²⁰ 1,4904, d₄²⁰ 1,2829; XI, т. кип. 154–157°/4 мм, n_D²⁰ 1,4888, d₄²⁰ 1,2948. Ме-танолизом 180 г смеси XI и XII получают 67,9 г X и 40,7 г XII. 50 г X и 50 г KHSO₄ нагревают на масляной бане, выход XIII 52,5%, т. кип. 129,1–129,2°/751 мм, n_D²⁰ 1,4530, d₄²⁰ 1,1632. Выход XIII из 50 г VI и 42 мл SOCl₂ 10,1 г. 38 г X добавляют к 50 г SOCl₂, выход XIV 28 г, т. кип. 61–62,5°/10 мм, n_D²⁰ 1,4820, d₄²⁰ 1,3175. Нагревают 13,5 г XIV и 11 г NaOH (190°), продукты р-ции отгоняют через колонку, выделяют 1,5 г XV, т. кип. 59–60°, n_D²⁰ 1,4600, d₄²⁰ 0,9590, и 3,1 г XVI, т. кип. 122–123°, n_D²⁰ 1,4635, d₄²⁰ 1,1583. Нагревают в автоклаве 100 г XXXIII, 280 мл XVIII, 100 мл конц. H₂SO₄ и 500 мл лед. CH₃COOH (90°, 3 часа), выход XIX, 25%, т. кип. 79–80°/15 мм, n_D²⁰ 1,4611, d₄²⁰ 1,1964, выход XX 8,5%, т. кип. 92–94°/7 мм, n_D²⁰ 1,4435, d₄²⁰ 1,1724, выход XXII 12,1 г, т. кип. 42–44°/20 мм, n_D²⁰ 1,4375, d₄²⁰ 1,1459. Метанолиз XX дает XXI, т. кип. 100–102°/8 мм, n_D²⁰ 1,4760, d₄²⁰ 1,2406. В смеси 115 г XXXIII, 400 г безводн. ZnCl₂ и 450 г кристаллич. H₂PO₄ непрерывно пропускают HCl (газ) и добавляют 250 мл

XVIII (4 часа, 40°), получают смесь (т. кип. 70–76°/10 мм) XXIII и XIX (выход XXIII 2,3%, XIX 11,7%) и XXIV, выход 41,5%, т. кип. 145–147°/6 мм, n_D²⁰ 1,4790, d₄²⁰ 1,2703. Гидролизом XXIV (H₂SO₄, C₂H₅OH) получают XXIII, выход 57,6%, т. кип. 75–76°/100 мм, n_D²⁰ 1,4731, d₄²⁰ 1,2697. К 50 г XXXIII и 30 мл конц. H₂SO₄ добав-ляют 100 мл XXV (1,5 часа, 10°), выход XXVI 10,2%, т. кип. 56–57°/30 мм, n_D²⁰ 1,4351, d₄²⁰ 1,0826; ДНФ, т. пл. 77–78° (из сп.). Нагревают 150 г XXXIII, 300 мл XXV и 1 л конц. HCl (45°, 3 часа), выделяют XXVI, выход 12,7%, XXVII, выход 2%, т. кип. 73–75°/10,5 мм, n_D²⁰ 1,4650, d₄²⁰ 1,2309, и XXVIII, выход 53%, т. кип. 123–125°/4–5 мм, n_D²⁰ 1,4750, d₄²⁰ 1,2575, гидролизую-щийся (H₂SO₄, C₂H₅OH) в XXVII с выходом 68%. Нагре-вают 25 г XXVII, 35 г осажженного CaCO₃ и 100 мл воды на масляной бане (130°, 4 часа); выход XXIX 27,4%, т. кип. 54–56°/10 мм, n_D²⁰ 1,4620, d₄²⁰ 1,1135. Переме-шивают в автоклаве 57,6 г XXXIII, 400 мл конц. HCl и 310 мл C₂H₅ (25°, 50 мин.), обычным путем выделяют XXXII, выход 18,5%, т. кип. 115,3°, n_D²⁰ 1,4159, d₄²⁰ 0,9758, XXX, выход 4,3%, т. кип. 69°/17 мм, n_D²⁰ 1,4428, d₄²⁰ 1,06415, и XXXI, выход 33,3%, т. кип. 131,5°/16,5 мм, n_D²⁰ 1,4499, d₄²⁰ 1,08075. При гидролизе XXXI количественно дает XXX.

О. О. 78066. Взаимодействие хлорпропенов с формальдегидом.

1. Взаимодействие 3-хлорпропена с формальдегидом. Фарберов М. И., Уставщиков Б. Ф.

2. Взаимодействие 1-хлорпропена и 2-хлорпропена с формальдегидом. Фарберов М. И., Уставщи-ков Б. Ф., Сперанская В. А., Уч. зап. Яро-славск. технол. ин-та, 1956, 1, 61–69, 73–82

См. пред. реферат.

78067. Исследования в области сопряженных систем.

LXI. О присоединении галогеналкилов к диеновым угле-водородам. Петров А. А., Лэзтс К. В., Ж. общ. химии, 1956, 26, № 4, 1113–1121

Исследована р-ция присоединения дивинила (I), изо-прена (II) и диизопропилена (III) к первичным, вторичным и третичным галоидалкилам RX (R — алкил, X — галоид). Скорость р-ции возрастает от первичных RX к третич-ным и в ряду I < II < III. Из I и II *трет-РХ* получены мономерные продукты присоединения (CH₃)₂CCH₂CH=CHCH₂X (IV), строение которых установлено окислением KMnO₄ или озонированием до ClCH₂COOH и (CH₃)₂CCH₂=COOH (V). При действии спирт. щелочи IV дают (CH₃)₂CCH₂CH=CHCH₂OR (VI). В случае р-ции I с пер-вичными и вторичными RX, напр., (CH₃)₂CCHBr, (CH₃)₂CCHJ и C₂H₅Br, получены высококипящие масла и смолы со-става R(C₄H₈)_mX, где m ≈ 6–8. Взаимодействием третичных RX, напр., (CH₃)₃CCl, (CH₃)₃CCHBr, с II и III получены только полимерные продукты R(C_nH_{2n-2})_mX, где m = 2,5–6. На основании литературных данных по реакционной способности RX высказано предположение о ступенчатом характере присоединения RX к диенам. Приведены кривые скорости р-ции (по изменению давле-ния паров смеси) для различных соотношений компонен-тов. Смесь 0,33 моля I, 0,25–0,9 моля (CH₃)₂CX, 0,37 мол. % ZnX₂ + 0,1 мл конц. HX и 0,1 г гидрохи-нона перемешивают в вакууме, эфирный слой промывают водой или р-ром (COOH)₂ (при р-ции с RJ — р-рами (COOH)₂, затем Na₂S₂O₃), перегонкой в атмосфере инерт-ного газа выделяют IV (приведены время р-ции в сут-ках, X, выход в %, т. кип. в °C/10 мм, n_D²⁰, d₄²⁰, R для VI, т. кип. в °C/10 мм, n_D²⁰): 17, Cl, 48, 47–47,5, 1,4456, 0,8790, CH₃, 42–43, 1,4242; 6, Br, 42, 62–62,5, 1,4710, 1,1180, C₂H₅, 54,5–55, 1,4260; 8, J, 38, 77–79, 1,5150,

1,3450, CH_3 , 42—42,5, 1,4234, d_4^{20} 0,7970. В результате р-ции **I** с $(\text{CH}_3)_3\text{CCl}$ получены также $(\text{CH}_3)_3\text{CCCH}_2\text{CH}=\text{CH}(\text{CH}_2)_2\text{CH}=\text{CHCH}_2\text{Cl}$, т. кип. 68—73°/2,5 мм, n_D^{20} 1,4643, d_4^{20} 0,8874 (при окислении дает **V**, ClCH_2COOH и янтарную к-ту) и в-во состава $\text{C}_{16}\text{H}_{27}\text{Cl}$, т. кип. 110—122°/2,5 мм, n_D^{20} 1,4796, d_4^{20} 0,9098. Из 0,32 моля **I**, 0,48 моля $(\text{CH}_3)_2(\text{C}_2\text{H}_5)\text{CCl}$ в присутствии 0,6 г ZnCl_2 , 0,1 г конц. HCl и 0,1 г гидрохинона получено 9,2 г $(\text{CH}_3)_2(\text{C}_2\text{H}_5)\text{CCCH}_2\text{CH}=\text{CHCH}_2\text{Cl}$ (**VII**), т. кип. 66—68°/10 мм, n_D^{20} 1,4557, d_4^{20} 0,8960, и в-во состава $\text{C}_{13}\text{H}_{23}\text{Cl}$, т. кип. 90—95°/2,5 мм, n_D^{20} 1,4706, d_4^{20} 0,9057. **VII** при озонировании дает 3,3-диметилпентановую к-ту, т. кип. 207—213°/755 мм, и ClCH_2COOH . Сообщение **LX** см. РЖХим, 1956, 57925. Е. Ц.

78068. О синтезе хлорметилированных ацетиленовых соединений из α -ацетиленовых эфиров. Маршак, Эпштейн (Sur la synthèse des composés chlorométhylés acétyléniques à partir des éthers α -acétyléniques. Marszak Israël, Epsztein Roland, Bull. Soc. chim. France, 1956, № 1, 160—162 (франц.)). CH_3COCl (**I**) в присутствии ZnCl_2 хлорметилирует $\text{R}'\text{C}\equiv\text{CCCH}_2\text{OR}$ (**II**) (R — алкил), давая $\text{R}'\text{C}\equiv\text{CCCH}_2\text{Cl}$. Расщепление **II** происходит аналогично расщеплению: $\text{C}_6\text{H}_5\text{CH}_2\text{OR}$ (R — алкил) $\xrightarrow{\text{I}}$ $\text{C}_6\text{H}_5\text{CH}_2\text{Cl}$ (**III**). Бензильные эфиры ацетиленовых спиртов типа пропаргилового спирта (**IV** — спирт, **V** — эфир) с **I** образуют **III** и соответствующий ацетат: $\text{C}_6\text{H}_5\text{CH}_2\text{OCH}_2\text{C}\equiv\text{CH} + \text{I} \rightarrow \text{III} + \text{HC}\equiv\text{CCCH}_2\text{OCH}_2\text{C}\equiv\text{CH}$ (**VI**). Из диацетиленовых диэфиров образуются диацетиленовые α - ω -дигалоидопродериваты. Комбинирование р-ции α -ацетиленовых эфиров с **I** с синтезом этих эфиров из ацетиленовых углеводородов (РЖХим, 1955, 42896) позволяет осуществить в две стадии хлорметилирование ацетиленовых углеводородов или, исходя из **IV**, получать хлориды высших гомологов **IV**. К 2 молям **IV** и 4,4 г атома Na в 2 л жидкого NH_3 добавляют по каплям 4,4 моля $\text{C}_6\text{H}_5\text{Br}$; выход 1-пропосигексина-2 55%, т. кип. 70°/15 мм, n_D^{20} 1,4340. Из $\text{C}_6\text{H}_5\text{Br}$ получают 1-бутоксигептин-2 (**VII**), выход 65%, т. кип. 101°/15 мм, n_D^{20} 1,4390. 0,1 моля 1-метоксигептина-2 (из хлорметилового эф. и $\text{N-C}_4\text{H}_9\text{C}\equiv\text{CNa}$ в жидком NH_3) и 0,12 моля **I** нагревают 2 часа при 70° с 0,2 г ZnCl_2 , выход 1-хлоргептина-2 (**VIII**) 90%, т. кип. 57—60°/10 мм, n_D^{20} 1,4575; нагреванием с NaI и последующей обработкой $\text{N}(\text{CH}_3)_3$ получают $\text{N-C}_4\text{H}_9\text{C}\equiv\text{CCCH}_2\text{N}(\text{CH}_3)_2$, т. пл. 131°. 0,1 моля **VIII**, 10 г **I** и 0,2 г ZnCl_2 нагревают 2 часа при 80°, получают **VIII**, выход 75%. В тех же условиях из 0,1 моля **III**, 10 г **I** и 0,2 г ZnCl_2 получают 1-хлоргексин-2, выход 75%, т. кип. 92°/125 мм, n_D^{20} 1,4665. 0,05 моля **V**, 5 г **I** и 0,3 г ZnCl_2 дают **VI**, выход 70%, т. кип. 60—62°/60 мм, n_D^{20} 1,4320, и **III**, выход 70%. 5 г диметоксидекадина (из $\text{NaC}\equiv\text{C}(\text{CH}_2)_4\text{C}\equiv\text{CNa}$ и $\text{CH}_2\text{ClOCH}_2\text{N}$ в жидком NH_3), 5 г **I** и 0,3 г ZnCl_2 дают $(\text{CH}_2)_4(\text{C}\equiv\text{CCCH}_2\text{Cl})_2$, выход 3,9 г, т. кип. 103—105°/0,4 мм, n_D^{20} 1,5130. Последний с NaI и $\text{N}(\text{CH}_3)_3$ образует $(\text{CH}_2)_4[\text{C}\equiv\text{CCCH}_2\text{N}(\text{CH}_3)_2]_2$, т. пл. 161°. Б. М.

78069. Синтез разветвленных триацетиленовых углеводородов. Получение 2, 2, 5, 5, 8, 8, 11, 11-октаметилдодекатриина-3, 6, 9. Захарова А. И., Ильина Г. Д., Мурашов Г. М., Ж. общ. химии, 1955, 25, № 10, 1968—1971

Предложен способ получения триацетиленовых углеводородов с β -положением $\text{C}\equiv\text{C}$ -связей взаимодействием $\text{RC}\equiv\text{CMgBr}$ с третичными ацетиленовыми диалканолами типа $\text{R}'_3\text{CCIC}\equiv\text{CCICR}'_3$ (R и R' — алкилы). Способ показан на примере синтеза 2, 2, 5, 5, 8, 8, 11, 11-октаметилдодекатриина-3, 6, 9 (**I**) из $(\text{CH}_3)_3\text{CC}\equiv\text{CMgBr}$ и 2,5-дихлор-2,5-диметилгексина-3 (**II**). Строение **I** доказано озонированием до $(\text{CH}_3)_3\text{CCOOH}$ и диметилмалоновой к-ты, т. пл. 187°. Окислить **I** при помощи KMnO_4 не удалось. Исчерпываю-

щим гидрированием над $\text{PdCl}_2/\text{CaCO}_3$ **I** превращен в 2, 2, 5, 5, 8, 8, 11, 11-октаметилдодекан (**III**). К $\text{C}_2\text{H}_5\text{MgBr}$ (из 25 г Mg , 119 г $\text{C}_2\text{H}_5\text{Br}$ и 650 мл эф.) прибавляют в течение 7 час. при охлаждении 82 г $(\text{CH}_3)_3\text{CC}\equiv\text{CH}$ в 100 мл эфира, через 36 час. нагревают до окончания р-ции и при 20° прибавляют 2 г Cu_2Cl_2 , 1 г HgCl_2 и 90 г **II** в 300 мл эфира. Через 36 час. нагревают 4 часа и разлагают разб. HCl . Выход **I** 60%, т. кип. 82—104°/14 мм, 62—64°/0,064 мм, т. пл. 47°, n_D^{20} 1,4295, d_4^{20} 0,7715. 2 г $\text{PdCl}_2/\text{CaCO}_3$ в 60 мл спирта насыщают H_2 , вносят 2 г **I**, через 4 часа (присоединилось 986 мл H_2) спирт отгоняют, получают **III**, т. пл. 37—38° (из CH_3OH). Приведен спектр комб. расщ. **I**.

78070. Хлорангидрид 4'-нитроазобензолкарбоновой-4 кислоты как реагент на спирты. Хеккер (4'-Nitroazobenzol-carbonsäure-(4)-chlorid als Reagens auf Alkohole. Hecker Erich, Chem. Ber., 1955, 88, № 11, 1666—1675 (нем.))

Получены эфиры 2'-, 3'- и 4'-нитроазобензолкарбоновых-4 к-т (**I**, **II**, **III**) (НАБК) и азобензолкарбоновой-4 к-ты (**IV**). Установлено, что хлорангидрид **III** является хорошим реагентом на спирты, так как дает кристаллич. эфиры с высокой т-рой плавления. 6,2 г 4-нитроанилина (**V**) в 125 мл воды смешивают с 16,2 г 51%-ной CH_3COOH , встряхивают 72 часа, оставляют на 48 час., осадок маленькими порциями перегоняют с паром, собирая дистиллат по фракциям. Выход 4-нитронитрозобензола (**VI**) (первая фракция) 33%, т. пл. 113—117°; *n*-динитробензола (**VII**) 1,004 г; промежуточная фракция (0,265 г) состоит из смеси **VI** и **VII**. 24 мл 40%-ной CH_3COOH и 50 мл воды, смешивают при охлаждении с 50 мл 1,5 н. NaOH , прибавляют 10 г 3-нитроанилина, встряхивают 55 час., осадок перегоняют с паром. Выход 3-нитронитрозобензола 36%, т. пл. 90—92°. К 5 г $\text{N-O-C}_6\text{H}_4\text{COOC}_2\text{H}_5$ в 50 мл $\text{CH}_2\text{OCH}_2\text{CH}_2\text{OH}$ (**VIII**) и 10 мл CH_3COOH добавляют 4,5 г Zn -пыли и 30 мин. пропускают ток CO_2 , осадок промывают **VIII**. К фильтрату добавляют 25 г $\text{FeCl}_3 \cdot 6\text{H}_2\text{O}$ в 160 мл воды+40 мл спирта, оставляют 30 мин. при 0°, разбавляют водой, осадок перегоняют с паром. Выход *n*- $\text{O-C}_6\text{H}_4\text{COOC}_2\text{H}_5$ (**IX**) 65—70%, т. пл. 83—84° (из сп.). При окислении 10 г *n*- $\text{H}_2\text{C}_6\text{H}_4\text{COOC}_2\text{H}_5$ 24 мл 40%-ной CH_3COOH в 75 мл воды, выход **IX** 35—40%. Равные кол-ва нитронитрозобензола и 4-аминобензойной к-ты нагревают отдельно с 10-кратным кол-вом CH_3COOH до 60°, сливают р-ры, оставляют 3 часа при 60°; выход эфира НАБК 85—90%. 5 г **IX**, 4,2 г **V**, 15 г CCl_3COOH в 100 мл CH_3COOH нагревают 4 часа при 100°, выливают в воду, экстрагируют смесью C_6H_6 -эфир (1:1), упаривают до 250 мл, фильтруют через 100 г Al_2O_3 . Выход этилового эфира **III** 87%, т. пл. 162—163° (из бэл. и смеси сп. с ацетоном). Аналогично получают этиловый эфир **II** (т. пл. 117,5—118° из циклогексана (**X**)) и этиловый эфир **I** (хроматографирован на Al_2O_3 , выход 70%, т. пл. 86,5—87° из **X**). Растворяют 5 г эфира НАБК в 20 мл C_6H_6 или **X**, смешивают с 25 мл **VIII** и эквивалентным кол-вом KOH , через 12 час. осадок высушивают 3 часа при 130°. Выход K -соли НАБК 90%. Продолжительным встряхиванием K -солей с 2 н. HCl получены **I**, т. пл. 287—287,5° (из **VIII**), **II**, т. пл. 268° (из **VIII**), **III**, т. пл. 318° (из **VIII**). Смесь 16 г **III** (или ее K -соль), 16 г Na_2CO_3 , 60 мл SOCl_2 и 60 мл толуола кипятят 2 часа, выход хлорангидрида **III** 94%, т. пл. 162—163° (из бэл.). Аналогично получены хлорангидриды к-т **IV**, т. пл. 94,5—95,5°; **I**, т. пл. 129—131°, **II**, т. пл. 110,5—112°. 0,5 ммоль эфира и 0,725 ммоль хлорангидрида НАБК растворяют в 7 мл C_6H_6 при слабом нагревании, при $\sim 20^\circ$ добавляют 1,5 ммоль пиридина и встряхивают 24 часа, промывают смесью C_6H_6 и эфира (1:1), встряхивают с 25 мл 1 н. H_2SO_4 + 50 мл воды, фильтруют, р-р упаривают до 5 мл и фильтруют через 10 г Al_2O_3 .

вымываемой смесью C_6H_6 и X (1:1). Получены эфиры к-ты IV (перечисляются алкил эфирный, т. пл. в °C): C_2H_5 , 86–87; $n-C_4H_9$, 69–70; $n-C_6H_{13}$, 60,5–61; $n-C_{12}H_{25}$, 66–67. Эфиры I: $n-C_4H_9$, 54,5–55,5; $n-C_6H_{13}$, 55–55,5; $n-C_{12}H_{25}$, 60,5–62. Эфиры II: $n-C_4H_9$, 96; $n-C_6H_{13}$, 56–57; $n-C_{12}H_{25}$, 57–58. Эфиры III: CH_3 , 186–187; $n-C_3H_7$, 144–145; $изо-C_3H_7$, 178–180; $n-C_4H_9$, 131,5–132,5; $n-C_6H_{11}$, 124–125; $n-C_8H_{17}$, 110–111; $n-C_{10}H_{21}$, 111–112; $n-C_{12}H_{25}$, 110–111; $n-C_{14}H_{29}$, 110–111,5; $(CH_3)_2CHCH(CH_3)CH_2CH_2$, 160–161; $(CH_3)_2CHCH_2CH(CH_3)CH_2CH_2$, 117–117,5; бензил, 158–159; β -фенилэтил, 164–165; C_8H_9 -цикло, 153; циклогексил, 164,5–165; 2-метилциклогексил, 126–127; 3-метилциклогексил, 127–128; 4-метилциклогексил, 178–179,5; 4-метилпентен-3-ил-2, 158–160; C_6H_5 , 207–209; $n-C_3H_7C_6H_4$, 168–169; β -нафтил, 209–210,5. Приведены значения ϵ при λ 331–332 мк для эфиров к-ты III. Получены также эфиры III и спиртов: холестерина, т. пл. 178,5–179°; сорбита, т. пл. 118–159°; β , δ -диметилсорбита, 80–81°; гераниола, 107–109°; нерола, 90–91,5°.

И. М.

78071. Конденсация органических галоидосоединений с карбонильными соединениями в присутствии натрия как промотора. Франк, Фостер (Sodium-promoted condensation of organic halides and carbonyl compounds. Frank Charles E., Foster Walter E.), *Industr. and Engng Chem.*, 1954, 46, № 5, 1019–1021 (англ.).

Конденсация галоидопроизводных с карбонильными соединениями проведена в присутствии металлического натрия: $C_6H_5CH_2Cl + 2Na + CH_3COCH_3 \rightarrow C_6H_5CH_2C(CH_3)_2ONa + NaCl$. В 200 мл изоктана (I) вносят 25,4 г 50%-ной дисперсии Na в дибутиловом эфире (размер частиц 5–15 мк) и несколько кристаллов бензофенона. За 20 мин. при 25–30° добавляют 3,2 г $C_6H_5CH_2Cl$ (II) в 30 мл I и за 3 часа р-р 0,25 моля II и 0,25 моля ацетона (III) в 240 мл I. Р-цию ведут при 5°; смесь разлагают 100 мл воды при 10–20° и выделяют толуол (выход 27%) и 2-бензилпропанол-2 (IV), выход 42,5%, т. кип. 83–85°/4,5 мм, n_D^{20} 1,5171. Высококипящий остаток содержит продукты аутоконденсации III и немного дибензила (V). Выход других спиртов колеблется в зависимости от реагентов между 72% (из II и $CH_3COOC_2H_5$ (VI)) и 0% (из вторичных и третичных хлоридов). Получены следующие соединения (перечисляются в-во, исходные реагенты (в скобках), выход в %, т. кип. в °C/мм, n_D (т-ра): 1,3-дифенил-2-метилпропанол-2 (II и VI), 72, 138–139/0,5, 1,5665 (25) и 1,5708 (18); 2,4-диметил-3-бензилпентанол-3 (III и $изо-C_3H_7C_6H_4CO$ (VII)), 65, 99/1, 1,5125 (25); 2,6-диметил-4-бензилпентанол-4 (II и диизобутилкетон (VIII)), 53, 103–105/1, 1,4957 (25); 1-фенилбутанол-2 (II и C_2H_5CHO (IX)), 16, 68–75/1, 1,5233 (16); 2,4-диметил-3-фенилпентанол-3 (C_6H_5Cl и VII), 38, 74–76/0,5, 1,5109 (25) и 1,5140 (20); 1-фенилпропанол-1 (C_6H_5Cl и IX), 10, 77–78/3, 1,5278 (20); n -нитробензоат, т. пл. 55,6°; 6-метилундеканол-6 [$C_5H_{11}Cl$ (X) и VI], 23, 78–83/1,5–2, 1,4386 (20); 2-метил-4-изобутилнол-4 (X и VIII), 12, 77–78/0,2, 1,4419 (25); 2,4-диметил-3-изопропилпентанол-3 ($изо-C_3H_7Cl$ и VII), 6, 94–95/30, 1,4479 (20). CH_2O не конденсируется с C_6H_5Cl в присутствии Na. Для снижения выходов продуктов металлизации р-цию ведут при возможно более низкой т-ре (в пределах –25–+50°). Все стадии р-ции проводятся в атмосфере Na .

Н. С.

78072. Деалкоголизация ряда ненасыщенных диэфиров. Кокер, Бьюрсон, Лондерган, Мартен, Джонсон (The dealcoholation of a series of unsaturated diethers. Coker James N., Bjornson August S., Londergan Thomas E., Martens Ted F., Johnson John R.), *J. Amer. Chem. Soc.*, 1955, 77, № 21, 5546–5549 (англ.).

При отщеплении спиртов от 1,5-диалкоксигексенов-2

общего вида $ClCH_2CH(OR)CH_2C(CH_3)=CHCH_2OR'$ (I) образуются не 1-алкоксигексadiены-2,4, а 5-алкоксигексadiены-1,3 $ClCH_2CH(OR)CH=C(CH_3)CH=CH_2$ (II), строение которых установлено по ИК-спектрам; по такой же схеме протекает отщепление CH_3COOH от эфиров I, $R' = COCH_3$. Деалкоголизация проводилась в присутствии p -толуолсульфокислоты (III), $(COOH)_2$ (хуже) и пиролизом при 150–200° над Al_2O_3 . 0,05 моля гидрата III в 100 мл $C_6H_5CH_3$ кипятят 15 мин., отгоняя воду, прибавляют 0,1 моля I, $R = C_2H_5$, $R' = CH_3$, и кипятят 1,5 часа. Выход II, $R = C_2H_5$ (IV), 65%, т. кип. 35–37°/0,1 мм, n_D^{20} 1,4752. Р-р 0,37 моля I, $R = C_6H_5CH_2$, $R' = CH_3$, и 0,002 моля III в 50 мл $C_6H_5CH_3$ кипятят 4 часа. Выход II, $R = C_6H_5CH_2$ (V), 45%, т. кип. 86–89°/0,2 мм, n_D^{20} 1,5301. В р-цию с III вводились также другие I (перечисляются R, R'): C_2H_5 , $n-C_4H_9$; $изо-C_3H_7$, CH_3 ; $изо-C_3H_7$, $n-C_5H_{11}$; $изо-C_3H_7$, $C_6H_5CH_2$; $изо-C_3H_7$, C_6H_5 ; C_2H_5 , $COCH_3$; $изо-C_3H_7$, $COCH_3$. Получены IV, V и II, $R = изо-C_3H_7$.

К. П.

78073. Синтез и полимеризация 6-окси-4-оксиметилгексаналя диэтилацетата и 5-окси-4-оксиметилпентаналя диэтилацетата. Марвел, Дрисдейл (Synthesis and polymerisation of 6-hydroxy-4-hydroxymethylhexanal diethyl acetal and 5-hydroxy-4-hydroxymethylpentanal diethyl acetal. Marvel C. S., Drysdale John J.), *J. Amer. Chem. Soc.*, 1953, 75, № 18, 4601–4602 (англ.). Синтезирован $HO(CH_2)_nCH(CH_2OH)CH_2CH_2CH(OC_2H_5)_2$

(I) ($n = 2$) по схеме: $CH_3COC(R)(CH_2R)CH_2CH_2CHO \rightarrow CH_3COC(R)(CH_2R)CH_2CH_2CH(OC_2H_5)_2$ (II) $\rightarrow RCH_2CH(R)CH_2CH_2CH(OC_2H_5)_2$ (III) \rightarrow I (R здесь = $COOC_2H_5$). В-ва I ($n = 1$ и 2) полимеризуются в твердые растворимые полимеры. Из продуктов полимеризации выделены

производные тетрагидропирана $HO(CH_2)_nCHCH_2CH_2CH-$

($OC_2H_5OCH_2$ (IV). К р-ру C_2H_5ONa (из 1 г Na и 1 л сп.) прибавляют 0,92 моля $CH_3COC(R)(CH_2R)$ и за 1 час (0°) 1 моль акролена, через 3 часа пропускают сухой HCl, затем разбавляют водой, нейтрализуют $NaHCO_3$, извлекают эфиром 132 г II, т. кип. 157–158°/1,3 мм, n_D^{20} 1,4520, d_4^{25} 1,068. Смесь 132 г II и р-ра C_2H_5ONa (из 3 г Na и 1 л сп.) нагревают ~3 часа, выделен III, выход 50%, т. кип. 157–158°/3,8 мм, n_D^{20} 1,4370–1,4378, d_4^{25} 1,022. Из 0,19 моля III и 10 г $LiAlH_4$ по описанному методу (Marvel C. S., Hill H. W., *J. Amer. Chem. Soc.*, 1951, 73, 481) получен I ($n = 2$), выход 75%, т. кип. 152–153°/1 мм, $131^\circ/0,06$ мм, n_D^{20} 1,4610. После полимеризации I ($n = 1$) ($>100^\circ/1,5$ мм) отогнан IV ($n = 1$), т. кип. 95–97°/1,5 мм, n_D^{20} 1,4563. Аналогично выделен IV ($n = 2$), т. кип. 97°/1,6 мм, n_D^{25} 1,4602. Я. К.

78074. Перегруппировка алифатических оксидов этилена. Хаус (The rearrangement of aliphatic ethylene oxides. House Herbert O.), *J. Amer. Chem. Soc.*, 1955, 77, № 19, 5083–5089 (англ.).

Для проверки закономерностей перегруппировок, происходящих при действии $MgBr_2$ или $RMgBr$ на 1,2-диарилзамещ. производные оксиды этилена (РЖХим, 1956, 74881), изучено действие $MgBr_2$ и $RMgBr$ на *гис*-2,3-эпоксибутан (I), *транс*-2,3-эпоксибутан (II) и 1,2-эпокси-2-метилпропан (III). $MgBr_2$ изомеризует I и II в бутанон-2 (IV). Аналогично *трео*-3-бромбутанол-2 (V) и *эритро*-3-бромбутанол-2 (VI) при действии C_2H_5MgBr (через броммагневые соли) изомеризуются в IV. Перегруппировка броммагневых солей бромалкоголей — производных 1,2-диарилзамещ. оксидов этилена происходит быстрее, чем установление равновесия соответствующих алкоколей с окисями. Это показано путем исследования изомеризации 2-бромпентанол-3 (VII) и 3-бромпентанол-2 (VIII). Броммагневая соль VII превращается в пентанон-3 (IX), содержащий 5% пентанон-2 (X), а соль VIII — в X, содержащий

20% IX. 1-бром-2-метилпропанол-2 (XI) (его броммагниева соль) через промежуточное образование 1,2-эпоксид-2-метилпропана превращается в $(\text{CH}_3)_2\text{CHCHO}$ (XII). I при действии эфира BF_3 изомеризуется только в IV, II дает смесь IV и XII. Изомеризация I и II в последнем случае протекает с более низкими выходами, чем при действии MgBr_2 . Строение XI (Suter, Zook, J. Amer. Chem. Soc., 1944, 66, 738), т. кип. 61—62°/31 мм; фенилуретан XI, т. пл. 75,5—76,5° (из пентана), доказано устойчивостью к CrO_3 (изо- $\text{C}_6\text{H}_5\text{OH}$ окисляется) и сравнением ИК-спектров XI и 1-хлор-2-метилпропанола-2 (XIII). XI при действии р-ра KOH (Wilson, Lucas, J. Amer. Chem. Soc., 1936, 58, 2396) превращается в III, выход 58%, т. кип. 51°/758 мм, n_D^{20} 1,3713. III аналогично получают из XIII, выход 72%. К 0,2 моля 2-бромпентанола-3 (т. кип. 51—52°/12 мм, n_D^{24} 1,4547) в 75 мл CH_3OH прибавляют 0,053 моля NaBH_4 в 40 мл воды при <20°, нейтрализуют разб. H_2SO_4 , разбавляют водой (400 мл), извлекают эфиром, фракционируют, выделяют VII (смесь стереоизомеров), выход 51%, т. кип. 74°/23 мм, n_D^{21} 1,4732. Аналогично 3-бромпентанол-2 восстанавливают NaBH_4 , выход VIII (неочищ.) 36%, т. кип. 58,5—61,5°/12 мм, n_D^{21} 1,4718—1,4733. К 0,0051 моля бромгидрина в 15 мл C_6H_6 прибавляют 5 мл (0,0051 моля) р-ра $\text{C}_2\text{H}_5\text{MgBr}$ (XIV) в C_6H_6 + эфир (1:1), смесь кипятят, обрабатывают 1,2 г 2,4-динитрофенилгидразина (XV) в р-ре 6 мл конц. HCl (к-ты) + ~60 мл спирта. 0,0051 моля эпиксисоединения в 15 мл эфира обрабатывают 1 мл эфира BF_3 и после окончания р-ции 1,2 г XV. К 0,0031 моля эпиксисоединения прибавляют р-р MgBr_2 -эфира в C_6H_6 (из 0,0092 моля Br_2), кипятят, обрабатывают 0,7 г XV. Перечисляются бромгидрин, условия р-ции, время р-ции в мин., выход 2,4-динитрофенилгидразона (ДНФ) XII в %, выход ДНФ IV в %: XI, XIV, кипящий C_6H_6 , 40, 25,5, —; VI, XIV, кипящий C_6H_6 , 45, — 64,6; V, XIV, кипящий толуол, 45, —, 52,3. Перегруппировки XI, VI, V протекают с худшими выходами при действии AgNO_3 или MgBr_2 . III, BF_3 -эфират, ~20°, в эфире, 6, 73,3, —; III, MgBr_2 , C_6H_6 + эфир, 1:1 (по объему), ~20°, 180, 77,3, —; I, MgBr_2 , кипящий C_6H_6 , 30, —, 74,7; II, MgBr_2 , C_6H_6 + эфир, 1:1 (по объему), ~20°, 240, —, 64. 0,0153 моля VII обрабатывают 15 мл (0,0153 моля) XIV в C_6H_6 + эфир (1:1), кипятят 30 мин., выливают в р-р NH_4Cl и экстрагируют эфиром, остаток фракционируют, аликвотную часть фракций обрабатывают XV, выход ДНФ IX 45,3%. ИК-спектр доказано присутствие 5% X. 0,0153 моля VIII обрабатывают XIV, общий выход смеси IX и X 24,4%. ИК-спектр показывает присутствие 20% IX.

Е. К. 78075. О реакции несимметричных органических α -оксидов с ацетоном в присутствии фтористого бора. Пономарев Ф. Г., Докл. АН СССР, 1956, 108, № 4, 648—650

Реакцией α -оксидов CH_3CHRO (I) с ацетоном в присутствии $\text{BF}_3 \cdot \text{O}(\text{C}_2\text{H}_5)_2$ (II) получены циклич. кетали ф-лы $(\text{CH}_3)_2\text{COCH}_2\text{CHRO}$ (III). Реакционная способность

I возрастает с увеличением мол. веса I, что возможно связано с уменьшением их склонности к полимеризации. В 5-кратное кол-во ацетона вносили II (0,5% от суммы реагентов), затем порциями добавляли I при 30°, через 24 часа смесь промывали конц. р-ром K_2CO_3 , при разгонке получили III (приведены R, выход в %, т. кип. в °C/10 мм, n_D^{20} , d_4^{20}): $\text{C}_2\text{H}_5\text{OCH}_2$, 44, 49—50, 1,4164, 0,9606; изо- $\text{C}_3\text{H}_7\text{OCH}_2$, 47, 56—57, 1,4168, 0,9441; n - $\text{C}_4\text{H}_9\text{OCH}_2$, 49, 72—73, 1,4380, 0,9797; изо- $\text{C}_5\text{H}_{11}\text{OCH}_2$, 63,3, 81—82, 1,4260, 0,9305; $\text{C}_6\text{H}_5\text{CH}_2\text{OCH}_2$, —, 59—60, 1,5340, 1,1270. К охлажд. до —5° смеси ацетона и II прибавляли I (—5°), смесь оставляли 2 часа при 0°, затем 24 часа при ~20°, получены III (приведены R, выход в %, т. кип. в °C/10 мм, n_D^{20} , d_4^{20}): HOCH_2 , 30,

70—71, 1,4338, 1,0755; C_6H_5 , 47, 95—96, 1,5273, 1,1101; $\text{CH}_2=\text{CH}$, 26, 121—123/760 мм, 1,4189, 0,9200. Строение III доказано гидролизом 5%-ной H_2SO_4 до ацетона и соответствующего моноэфира глицерина.

И. Ц. 78076. Третьичные трехатомные спирты ацетиленового ряда и их превращения. IX. Дегидратация 2-метил-5-(1-оксидиклогексил)-гексин-3-диола-2,5 и 2,4-ди-(1-оксидиклогексил)-бутин-3-ола-2. Никитин В. И., Хаматов А. Х., Ж. общ. химии, 1956, 26, № 2, 416—423

Дегидратацией 2-метил-5-(1-оксидиклогексил)-гексин-3-диола-2,5 (I) с помощью 20%-ной H_2SO_4 , KHSO_4 или n -толуолсульфокислоты (ТСК) получены 2-метил-5-(1-оксидиклогексил)-гексен-1-ин-3-ол-5 (II) и 2-метил-5-(1-оксидиклогексил)-гексадиен-1,5-ин-3 (III). Гидрирование II и III дало 2-метил-5-(1-оксидиклогексил)-гексен-2-ол-5 (IV) и соответственно 2-метил-5-(1-оксидиклогексил)-гексан (V); исчерпывающее гидрирование II и IV приводит к 2-метил-5-(1-оксидиклогексил)-гексанолу-5 (VI). При нагревании с 25%-ной H_2SO_4 VI не изменяется, но дегидратируется KHSO_4 с образованием, вероятно, 2-метил-5-(циклогексенил-1)-гексена-4 (VII). Дегидратация 2,4-ди-(1-оксидиклогексил)-бутин-3-ола-2 (VIII) с помощью ТСК дает преимущественно 2-(1-оксидиклогексил)-4-(циклогексенил-1)-бутен-1-ин-3 (IX), гидрирующийся в 2-(1-оксидиклогексил)-4-циклогексилбутан (X) и 2-(1-оксидиклогексил)-4-(циклогексенил-1)-бутин-3-ол-2 (XI) (<1%), гидрирующийся в 2-(1-оксидиклогексил)-4-циклогексилбутанол-2 (XII). Разб. H_2SO_4 и KHSO_4 осмоляют VIII. Строение II, III IV и IX доказано окислением их KMnO_4 . 20,5 г I (т. кип. 151—155°/3 мм, т. пл. 87—88°) (см. РЖХим, 1954, 46266) и 150 мл 20%-ной H_2SO_4 нагревают (~100°) 2 часа, II и III извлекают эфиром; III, выход 8,8 г, т. кип. 100—103°/3 мм, т. пл. 47—48 (из петр. эф.); II, выход 2 г, т. кип. 120—125°/3 мм, т. пл. 74—75° (из бзл.). 18,7 г I, 6 г KHSO_4 и 0,1 г пирогаллола нагревают при 140—145°/4 мм; из отгона получают 4,7 г III и 1,9 г II. Аналогично из 25 г I и 5 г ТСК (165—170°/7—8 мм) получают 6,2 г III и 6,5 г II. Гидрируют 10 г III в 60 мл абс. CH_3OH над Pt (из PtO_2) при 22°, выход V 8,5 г, т. кип. 100—102°/3 мм, n_D^{20} 1,4784, d_4^{20} 0,9150. Гидрируют 11 г II в 75 мл абс. CH_3OH над Pd/CaCO₃ при 22°; выход IV 9,4 г, т. кип. 120—122°/3 мм, n_D^{20} 1,4908, d_4^{20} 0,9853. Гидрированием 9,5 г IV в 30 мл лед. CH_3COOH над Pt (из PtO_2) получают 8,2 г VI, т. кип. 115—117°/2,5 мм, n_D^{20} 1,4820, d_4^{20} 0,9707. 8 г VI и 1,7 г KHSO_4 нагревают до 140°/12 мм; из отгона выделяют 4,2 г VII, т. кип. 112—114°/12 мм, n_D^{20} 1,4985, d_4^{20} 0,8812. 20 г VIII (т. пл. 107—109°) (см. ссылку выше) и 5 г ТСК нагревают до 170—180°/3—4 мм, отгоняя продукты р-ции; из фракции с т. кип. 148—150°/2 мм выделяют 0,3 г XI, т. пл. 114—115° (из бзл.), и 8,2 г IX, т. кип. 134—135°/1 мм, n_D^{20} 1,5555, d_4^{20} 1,023. Гидрируют 11,3 г IX в 75 мл абс. CH_3OH над Pt (из PtO_2) при 20°, получают X, выход 8,7 г, т. кип. 148—149°/3 мм, n_D^{20} 1,5030, d_4^{20} 0,9661. Аналогично из 1,7 г XI в 25 мл абс. CH_3OH получают XII, т. пл. 106—107 (из бзл.). Сообщение VIII см. РЖХим, 1956, 50650.

О. О. 78077. Хлорирование кетена. Порай-Кошич Б. А., Эфрос Л. С., Марьяновская К. Ю., Ж. общ. химии, 1956, 26, № 2, 426—431

Взаимодействие кетена (I) и Cl_2 в газовой фазе и в р-ри-телях при любых соотношениях реагентов вопреки литературным данным (Губен, Методы органич. химии, 1930, т. III, вып. 2, 215) приводит к полному смеси ClCH_2COCl (II) и Cl_2CHCOCl (III) наряду с небольшим кол-вом CH_3COCl (IV). CCl_3COCl (V) при этом не образуется. Р-ция протекает, вероятно, по радикальному механизму,

1,4101;
строение
тона и
И. П.
енового
тетил-5-
(1-окси-
И.,
№ 2,
гексин-
О₄ или
ил-5-(1-
этил-5-
рирова-
гексен-
цикло-
не II и
анолу-5
няется,
роотно,
идрата-
VIII) с
ицикло-
рирую-
ган (X)
и-3-ол-2
гексил-
KHSO₄
о окис-
2/3 мм,
150 мм
извле-
3 мм,
т. кип.
е I, 6 г
50/4 мм;
ично из
от 6,2 г
CH₃OH
п. 100—
11 г II
сод. III
вещ. IV
553. Гид-
из PtO₂
1,4820,
°/12 мм;
°/12 мм,
7—109°)
о 170—
фракции
л. 114—
мм, n_D²⁰
мл абс.
а, выход
200,9661.
получают
VIII см.
О. О.
Кошиц
К. Ю.,
и в р-ри-
ки лите-
ни, 1930,
и SiCl₄
и кол-вом
разуется.
механизму,

что подтверждается трудностью хлорирования II. Лишь в случае применения пиридина в качестве катализатора хлорированием II удалось синтезировать III и V. I, полученный пиролизом ацетона, смешивали с сухим Cl₂ при охлаждении. Разгонкой выделена фракция 103—105°, содержащая смесь II и III, которые разделяли в виде метиловых эфиров. Кол-во III в смеси зависит от мол. соотношения I : Cl₂ и колеблется от 15—18% (1 : 1) до 38—50% (1 : 2). Хлорирование I в инертных р-рителях (нитробензол, II) проводили в интервале t-р — 18—+105°. Образование III подтверждено щел. гидролизом до(COOH)₂; V определяли по разложению на CHCl₃ и CO₂. Сокращение времени контакта I и Cl₂, снижение t-ры и уменьшение кол-ва Cl₂ до 0,5 моля на I моль I уменьшает содержание III в смеси, но не < 12—15%. Т-ра и каталитич. добавки на выход и соотношение II : III заметно не влияют. Р-ция I и Cl₂ в кипящем II рекомендована как препаративный метод получения смеси II и III. Через 200 г смеси II и III (42,5% III) пропускали ток Cl₂ (220 г/час) и I (65 г/час) в течение 14,5 часа при —50°, получили 267 г IV и 2,2 кг смеси II и III (45,7% III), которую действием 625 г CH₃OH превратили в SiCH₂COOCH₃, выход 1050 г, т. кип. 128—130°, и Cl₂CHCOOCH₃, выход 900 г, т. кип. 140—142°. В смесь 38,9 г II и 1,1 г пиридина пропустили Cl₂ со скоростью 90 мл/мин. (75—80°, 3,5 часа). Продукт р-ции (48,9 г, т. кип. 106—112°) содержит 31% II, 5,2% III и 65,4% V.

78078. Исследование ϵ -кетолов. Колонж, Декот (Recherches sur les ϵ -cétoles. Colonge Jean. Des-cotes Gérard). C. r. Acad. sci., 1955, 241, № 24, 1788—1789 (франц.).

Конденсацией 1-хлорбутен-2-ола-4 и 1-хлорбутин-2-ола-4 с Na-ацетоуксусным эфиром получены неперегоняющиеся эфиры HOCH₂CH=CHCH₂CH(COCH₃)COOCH₂C₄H₉ и HOCH₂C≡CCH₂CH(COCH₃)COOCH₂C₄H₉, которые были омылены р-ром Na₂CO₃ соответственно в гептен-2-ол-1-он-6 (I), (выход 45%, т. кип. 130—132°/15 мм, d₄²⁰ 1,00; семикарбазон (СК), т. пл. 154°) и гептин-2-ол-1-он-6 (II) (выход 37%, т. кип. 125°/5 мм, d₄¹⁸ 1,043; СК, т. пл. 163°). Каталитич. гидрирование I и II одинаково приводит к смеси гептанол-1-она-6 (т. кип. 133—134°/17 мм, d₄²⁰ 0,965; СК, т. пл. 137°) и гептандиола-1,6 (т. кип. 120—121°/4 мм; дифенилуретан, т. пл. 98°). При восстановлении (изо-C₃H₇O)₂Al I превращается в гептен-2-диол-1,6 (выход 80%, т. кип. 118—120°/3 мм, d₄²⁰ 0,983), а II — в гептен-2-диол-1,6 (60%, т. кип. 124—125°/3 мм, d₄¹⁹ 1,050). При обработке SOCl₂ в присутствии пиридина I дает 1-хлоргептен-2-он-6 (III) (выход 60%, т. кип. 98—100°/15 мм, d₄¹⁵ 1,045); II дает 1-хлоргептин-2-он-6 (50%, т. кип. 110—112°/13 мм, d₄¹⁵ 1,090). Попытка зациклизовать III действием KOH привела только к дву-непредельному кетону, гидрирующемуся в гептанол-2. I и II реагируют с RМgX, сбразую гликоли вида HOCH₂CH=CHCH₂CH₂CR(OH)(CH₃) и HOCH₂C≡CCH₂CH₂CR(OH)(CH₃). Г. К.

78079. Взаимодействие октина-1 с низшими предельными одноосновными кислотами. Большухин А. И., Егоров А. Г., Ж. общ. химии, 1956, 26, № 4, 1121—1124

CH₃COOH (I), C₂H₅COOH (II) и C₃H₇COOH (III) присоединяются к октину-1 (IV) в присутствии соответствующих Hg-солей I—III и эфира BF₃ (V), давая однозамещ. виниловые эфиры и во всех случаях метилгексилкетон (VI). IV получен взаимодействием ацетиленида Na с 1-бромгексаном в N₂ с выходом 81%, т. кип. 124—127°, n_D²⁰ 1,4150, d₄²⁰ 0,7482. К р-ру 2 г HgO в 35 г I и 3,4 г (CH₃CO)₂O прибавляют 1,3 мл V и затем при охлаждении 55 г IV. Смесь перемешивают 1,5 часа (при ~20°), разбавляют эфиром, промывают водой, р-ром соды, выход 2-ацетоксиктена-1 (VII) 21,2%, т. кип. 61,5—62,5°/2 мм, n_D²⁰ 1,4270, d₄²⁰ 0,9012, d₂₀²⁰ 0,8845, d₄²⁰ 0,8832, и 28 г VI в виде семикарбазона, т. пл. 123—124°. Аналогично из II и IV получен 2-пропионилксиктен-1 (VIII), выход 2,5%, т. кип. 73—75°/4 мм, n_D²⁰ 1,4290, d₄²⁰ 0,8965, d₂₀²⁰ 0,8817, d₄²⁰ 0,8809, и 22 г VI; а из III и IV — 2-бутироксиктен-1 (IX), выход 41%, т. кип. 100,5—101,5°/5 мм, n_D²⁰ 1,4318, d₄²⁰ 0,8911, d₂₀²⁰ 0,8759, d₄²⁰ 0,8744, и 15,3 г VI. При гидролизе VII, VIII и IX в присутствии уксуснокислого семикарбазида образуется семикарбазон VI, что подтверждает их строение. Скорость гидролиза на холоду уменьшается от VII к IX.

К. Б.

78080. О синтезе алкилиден- и арилиденгликолевых эфиров акриловой и метакриловой кислот. Арбузова И. А., Плоткина С. А., Ефремова В. Н., Ж. общ. химии, 1956, 26, № 4, 1124—1127

При действии альдегидов на ангидриды акриловой (I) и метакриловой (II) к-т в присутствии ингибиторов полимеризации образуются алкилиден- и арилиденгликолевые эфиры. К 85 г акриловой к-ты, 0,3 г 85%-ной H₃PO₄ и 0,1 г порошка Si добавляют 90 г (CH₃CO)₂O, смесь нагревают на масляной бане, одновременно отгоняя CH₃COOH, выход 168,6%, т. кип. 55—56°/6 мм. Аналогично получен II, выход 59,1%, т. кип. 76—77°/8 мм. К смеси 12,6 г I, 0,08 мл 93%-ной H₂SO₄ и 0,1 г SiCl₂ прибавляют при охлаждении 6,9 г CH₃CHO и оставляют при 20° 24 часа, затем нейтрализуют CH₃COONa, при перегонке в вакууме в присутствии пириновой к-ты (ингибитор) выделяют этилиденгликольдиакрилат, выход 54,6%, т. кип. 61—62°/4 мм. Аналогично получают (приведены выход в %, т. кип. в °C/мм): этилиденгликольдиметакрилат, 24,6, 72—74/5; аллилиденгликольдиакрилат, 38,1, 71—72/5; аллилиденгликольдиметакрилат, 29,3, 98—99/6; бензилиденгликольдиакрилат, 41, 72—74/5. Полученные эфиры легко полимеризуются под влиянием света, тепла, перекисей с образованием неплавких стеклообразных трехмерных полимеров.

К. Б.

78081. Реакция изопропилмагнийхлорида с винилуксусной и кротоновой кислотами. Блик, Зиннес (The reaction of isopropylmagnesium chloride with vinylacetic and crotonic acids. Blicke F. F., Zinnes Harold, J. Amer. Chem. Soc., 1955, 77, № 20, 5399—5401 (англ.))

При взаимодействии изо-C₃H₇MgCl (I) с винилуксусной к-той (II) и последующим добавлением циклогексанона (III) образуется γ -(1-оксидиклогексил)-кротоновая к-та (IV). Предложен следующий механизм р-ции: I + II \rightarrow CH₂=CHCH(MgCl)COOMgCl \rightleftharpoons CH₂(MgCl)CH=CHCOOMgCl $\xrightarrow{+III}$ IV. Р-ция кротоновой к-ты (V) с 2 молями I с последующим добавлением воды, III или фенилизотионата (VI) приводит к образованию соответственно β -изопропилмасляной к-ты (VII), α -(1-оксидиклогексил)- β -изопропилмасляной к-ты (VIII) и α -(фенилкарбамил)- β -изопропилмасляной к-ты (IX). Предполагается, что р-ция протекает по схеме: V + I \rightarrow CH₃CH=CHCOOMgCl \rightarrow I \rightarrow (CH₃)₂CHCH(CH₃)CH=C(OMgCl)₂ \rightleftharpoons (CH₃)₂CHCH(CH₃)CH(MgCl)COOMgCl (X); далее X реагирует с H₂O, III и VI, давая VII, VIII и IX. 8,6 г II в 250 мл эфира прибавляют к I (из 5,4 г Mg и 25 мл изо-C₃H₇Cl в 50 мл эф.), кипятят 18 час., вводят 11,8 г III в 50 мл эфира и кипятят 4 часа; после обычной обработки, выход IV 22%, т. пл. 127—129° [из (изо-C₃H₇)₂O]. 43 г V в 250 мл эфира прибавляют к эфирному р-ру I (27 г Mg и 125 мл изо-C₃H₇Cl), кипятят 18 час., разлагают разб. H₂SO₄, эфирную вытяжку упаривают до 400 мл и извлекают VII р-ром NaHCO₃, выход 48%, т. кип. 209—211°/740 мм,

77—78°/2 мм. Хлорангидрид VII, т. кип. 161—165°/745 мм; амид, т. пл. 137—138° (из петр. эф.), анид, т. пл. 110—111° (из петр. эф.); N,N-диэтиламид (XI), т. кип. 115—116°/11 мм. Идентичный образец XI получен р-цией $\text{изо-C}_3\text{H}_7\text{MgBr}$ с N,N-диэтиламидом кротоновой к-ты. VII также получена гидрированием этилового эфира изопентилденцианукусной к-ты и последующим нагреванием с HBr (к-той). К р-ру I (из 10, 7 г Mg) прибавляют 17,2 г V в 400 мл эфира, затем 23,5 г III в 100 мл эфира, кипятят 4 часа, разлагают NH_4Cl , подкисляют, осадок обрабатывают несколько раз холодным и горячим петр. эфиром, в остатке получают 8,9 г VIII, т. пл. 194—196° (разл.; из $\text{CH}_3\text{COOC}_2\text{H}_5$); из петр. эфира выделяют охлаждением еще 6,4 г VIII с т. пл. 131—135°. К р-ру I (из 5,4 г Mg) прибавляют 8,6 г V в 300 мл C_6H_6 , кипятят 18 час., добавляют 14,4 г VI в 50 мл C_6H_6 , кипятят 4 часа, разлагают разб. H_2SO_4 , из эфирных вытжек извлекают IX 400 мл 10%-ного K_2CO_3 , выделяют подкислением 15 мл конц. H_2SO_4 в 150 мл воды, экстрагируют эфиром, выход 9 г, т. пл. 134° (разл.; из бзл.). IX при нагревании (200°) превращается в анид VII. А. Ф. 78082.

Получение поликарбонновых кислот. Сообщение II. Расщепление α -замещенных тетрагидрофуранов при щелочном плавлении. Рунге, Гютер, Вульф (Darstellung von polycarbonsauren II. Mitteilung. Die Aufspaltung des α -substituierten Tetrahydrofuran-Ringes in der Alkalischmelze. Runge Franz, Hueter Richard, Wulf Horst-Dieter), Chem. Ber., 1954, 87, № 10, 1430—1439 (нем.).

Изучено расщепление тетрагидрофурановых спиртов $\text{O}(\text{CH}_2)_3\text{CH}(\text{CH}_2)_n\text{OH}$ (I) и к-т $\text{O}(\text{CH}_2)_3\text{CH}(\text{CH}_2)_n\text{COOH}$ (II) при сплавлении их со щелочью, приводящее к образованию ω, ω' -дикарбонных к-т $\text{HOOC}(\text{CH}_2)_n\text{COOH}$ (III). Основным продуктом р-ции I и II со смесью KOH и NaOH является III с таким же числом атомов C, что и в исходных I и II. Побочно образуются III с более короткими цепями, непредельные монокарбонные к-ты и непредельные углеводороды. Предполагаемый механизм р-ции: I ($n=3$) (IV) \rightarrow II ($n=2$) \rightarrow $[\text{HO}(\text{CH}_2)_2\text{CH}=\text{CH}(\text{CH}_2)_2\text{COOH}] \rightarrow$ (III, $n=5$). Промежуточное размыкание кольца IV с образованием 1,4,7-триоксигептана (V) не происходит, так как V при сплавлении со щелочами дает не III, а лактон 4-оксимелиновой к-ты, т. кип. 193—196°/0,5 мм, т. пл. 81—82° (из бзл.), который не получается при расщеплении IV. Аналогично I и II реагируют со щелочами тетрагидрофурановые спирты с разветвленной боковой цепью и α -окситетрагидропиран (VI). Наличие среди продуктов щел. плавления к-т с меньшим числом C-атомов, чем в исходном в-ве, объясняется сдвигом двойной связи в молекуле промежуточного олефинового соединения к концу цепи и последующим расщеплением новой непредельной к-ты (см. Varrentrapp, Liebigs Ann. Chem., 1840, 35, 196). 78,5 г I ($n=1$) нагревают с 48 г NaOH и 45 г KOH 6 час. при 220—275° (скорость выделения H_2 200—300 мл/мин), смесь растворяют в воде, подкисляют и экстрагируют эфиром; получают III ($n=3$), выход 59%, 4,5 г ангидрида III ($n=3$), немного $\text{C}_2\text{H}_5\text{OH}$ и CH_3COOH . 100 г I ($n=3$), 48 г NaOH и 45 г KOH дают III ($n=5$), выход 31%, и циклогексен-1-карбоновую к-ту (VII), выход 16%, т. кип. 123—125°/10 мм, дибромид, т. пл. 147°; хлорангидрид VII, т. кип. 78—80°/14 мм; амид т. пл. 126—128° и IV (выделен амид). Кроме III ($n=5$) и VII выделены III ($n=3$) выход 10%, CH_3COOH , гептатриен-1, 3,6 (VIII), т. кип. 115°, $n^{25}D$ 1,4912, d_4^{25} 0,8079, и его димер $\text{C}_{14}\text{H}_{20}$, т. кип. 118/10 мм, гидрирование которого над Ni при 80° и 150 ат дает в-во, т. кип. 112—115°/14 мм, $n^{20}D$ 1,4861, d_4^{20} 0,8583. При щел. плавлении $\text{O}(\text{CH}_2)_3\text{CH}-$

$\text{CH}_2\text{CH}(\text{CH}_3)\text{CH}_2\text{OH}$ выделено 34% $\text{HOOC}(\text{CH}_2)_4\text{CH}(\text{CH}_3)-$

COOH и 29% олефинового углеводорода, а при р-ции $\text{O}(\text{CH}_2)_3\text{CHCH}_2\text{CH}(\text{C}_2\text{H}_5)\text{CH}_2\text{OH}$ 21% $\text{HOOC}(\text{CH}_2)_4\text{CH}-$
 $(\text{C}_2\text{H}_5)\text{COOH}$ и 31% олефинового углеводорода. 0,77 моля VI, 48 г NaOH и 45 г KOH (240°) дали 46,2% III ($n=3$). В тех же условиях из 0,77 моля II ($n=2$), 48 г NaOH и 45 г KOH за 2,5 часа получено 55% III ($n=5$), 13% VII, 10% III ($n=3$) и CH_3COOH . 0,77 моля II ($n=0$), 48 г NaOH и 45 г KOH дали (220—270°, 2,5 часа) 17% III. ($n=3$), 4% III ($n=2$), 21,3 г $\text{C}_2\text{H}_5\text{COOH}$ и 22,6 г CH_3COOH [возврат II ($n=0$) 0,054 моля]. Аналогично III ($n=3$) дает 27% III ($n=6$), 6% III ($n=4$), CH_3COOH и 8% непредельной к-ты. 0,655 моля гептен-3-диола-1,7 (IX), 41 г NaOH. 38 г KOH (220—270°) дали 23% III ($n=3$), 48% VIII и CH_3COOH . Щел. плавлением гептандиола-1,7 получено 79% III ($n=5$). I ($n=3$) с HBr (газом) при 150° дает 90,5% 1,7-дибромгептена-3 (X), т. кип. 138—140°/24 мм, $n^{25}D$ 1,5186. 265 г X и 275 г CH_3COOK в декане (150°, 20 час.) дали 87,5% ди-ацетата IX, т. кип. 154—157°/19 мм, $n^{25}D$ 1,4432, омылением которого спирт. KOH (кипение 5 час.) получают 70,5% IX, т. кип. 156°/19 мм. К кипящему р-ру 61 г NaCN в 80 мл воды + 120 мл спирта прибавляют 132 г X, через 12 час. отгоняют спирт, динитрил омыляют кипячением с водно-спирт. р-ром KOH, выход гептен-3-дикарбонной-1,7 к-ты (XI) 74,5%, т. пл. 67—68°. 5 г XI, 12,2 г $\text{C}_6\text{H}_5\text{COOAg}$, 6,9 г I_2 и 60 мл C_6H_6 встряхивают 2 часа и кипятят; получают 5,53 г 4,5-дibenзоилоксигептандикарбонной-1,7 к-ты. Сообщение I см. РЖХим, 1954, 25180. Г. К. 78083.

Синтез кислых эфиров двухосновных карбонных кислот действием алколята натрия или калия на ангидриды соответствующих кислот. Вейбель, Педерсен (Synthèse des éthers acides d'acides dicarboxyliques par action de l'alcolate de sodium ou de potassium sur les anhydrides d'acide correspondants. Veybel Stig, Pedersen Chr.), Acta chem. scand., 1955, 9, № 10, 1674—1684 (франц.). Разработан метод получения кислых эфиров двухосновных к-т из их циклич. ангидридов. На примере ангидрида хлормалеинового к-ты сделано наблюдение, что наличие электрофильного заместителя приводит к селективному образованию одного кислого эфира из двух возможных. К р-ру или суспензии циклич. ангидрида двухосновной к-ты в 50—100 мл соответствующего спирта прибавляют р-р 0,1 г-атома Na или K в 50—100 мл того же спирта, или 100 мл 1 н. р-ра NaOH или KOH в том же спирте (35—40 мин., перемешивание), через 15 мин. избыток спирта отгоняют в вакууме (т-ра не выше 150°), соль эфира перекристаллизовывают (напр., из сп. + ацетона). Кислый эфир выделяют, разлагая соль 0,1 моля разб. HCl. Твердые эфиры кристаллизуют из разб. CH_3OH или лигроина. При перегонке в вакууме эфиры диспропорционируются. Монометилсукцинат (без выделения соли) 69% (из лигр.); моноклогексилсукцинат выделить не удалось; монометилмалеат, Na-соль (кристаллизуется с 1 H_2O) 80%, K-соль 92%, эфир не кристаллизуется при —10°; моноэтилмалеат, Na-соль 90%, эфир — масло; моноизопропилмалеат, K-соль 82%, эфир — масло; моноклогексилмалеат, K-соль 75%, эфир 67%, т. пл. 63—64° (из петр. эф.); монобензилмалеат, K-соль 82%, эфир 83%, т. пл. 54—55° (из петр. эф.); монометилглутарат, K-соль 93%, эфир — масло; моноизопропилглутарат, K-соль (очень гигроскопична), выход плохой, эфир в чистом виде получить не удалось; монобензилглутарат, K-соль 19% (из абс. сп.), сырой эфир, т. пл. ~ 25°; монометилфталат, Na-соль 85%; моноизопропилфталат, K-соль 90%, эфир 83%, т. пл. 78—80° (из лигр.); монобутилфталат, эфир 73%, т. пл. 75—76° (из сп.); моноклогексилфталат,

Р-цни
I₂, CH₃
17 моля
(n=3),
NaOH
(n=0), 13%
а) 17%,
22,6 г
n=4),
гептен-
р) дали
лением
=3-3
а) 3 (X),
275 г
% ди-
, омы-
полу-
у р-ру
являют
тыляют
плен-3-
5,2 г XI,
кислота
кислуге-
Ж. К. М.
Г. К. М.
оновых
на пе-
dicarbo-
potas-
Vei-
scand.,
основ-
гидрида
иличие
новому
жых.
сновной
являют
спирта,
спирте
збыток
эфира
Кис-
5. HCl.
ти лиг-
и) 69%,
%, (вы-
т. пл.
60—61°
H₂O)
—10°;
онизо-
цикло-
83—64°
р 83%—
К-соль
К-соль
он виде
ы 19%
фталат,
эфир,
эфир,
фталат.

К-соль 97% (разлагается при перекристаллизации), эфир—масло; монометилцитратоканат, К-соль 91%, эфир 0,95 г из 5 г соли, т. пл. 43—45° (из лигр.); каталитич. гидрогенование эфира дает $\text{HOOCCH}_2\text{CH}(\text{C}_6\text{H}_5)\text{COOCH}_3$, откуда следует, что эфиру отвечает строение $\text{HOOCCH}=\text{C}(\text{C}_6\text{H}_5)\text{COOCH}_3$; моноэтилцитратоканат, К-соль 86%, эфир — масло; монобензилцитратоканат, К-соль 70%, эфир 77%, т. пл. 99—102°, монометилхлормалеат, К-соль 97%, эфир 40%, т. пл. 42—44° (эф. + петр. эф.), на основании данных потенциметрич. титрования (pK_s эфира 3,19, для к-ты pK_s 7,72, pK_s 3,86) эфиру приписывается ф-ла $\text{HOOCCH}=\text{CClCOOCH}_3$; моноэтилхлормалеат, К-соль 92%, эфир — масло; монобензилхлормалеат, К-соль 93%, эфир 84%, т. пл. 69—70° (из лигр.), второй изомер не найден, строение эфира (потенциметрич. титрование) $\text{HOOCCH}=\text{CClCOOCH}_2\text{C}_6\text{H}_5$; моноизопропилхлормалеат получить не удалось; монометилфенилсукцинат, эфир 83%, т. пл. 65—67°, смесь изомеров, которую разделить не удалось; моноэтилфенилсукцинат, эфир 62%, т. пл. 70—71° (смесь изомеров); монобензилфенилсукцинат, 62%, т. пл. 102—103° (из лигр.). Фракционным подкислением с последующей очисткой отдельных фракций выделены 2 изомера: $\text{HOOCCH}(\text{C}_6\text{H}_5)\text{CH}_2\text{COOCH}_2\text{C}_6\text{H}_5$, т. пл. 102—103°, pK_s 5,13 (главный продукт), $\text{HOOCCH}_2\text{CH}(\text{C}_6\text{H}_5)\text{COOCH}_2\text{C}_6\text{H}_5$, т. пл. 79—81°, pK_s 5,20. Е. А.

78084. Бутиролактон и его производные. I. Оксидные конденсации — синтез производных бутиролактона. Степанов Ф. Н., Ж. общ. химии, 1955, 25, № 13, 2480—2485

Доказано, что конденсация α -метилацетоуксусного эфира (I) с оксисью этилена (II) сопровождается отщеплением ацетильной группы и образованием α -метилбутиролактона (III) вопреки данным Траубе и Лемана (Ber., 1901, 34, 197), которые утверждают, что в этих условиях получаются ацилированные лактоны. Аналогично I реагируют с II его циклич. аналоги — 2-карботетоксиклопентанон (IV) и 2-карботетоксиклогексанон (V). Смесь 14,4 г I, 4,5 г II и 5 г безводн. CH_3COOK нагревают в запаянной трубке 8 час. при 110° , добавляют 10 мл воды, отделяют III, выход 70%, т. кип. $201-202^\circ$, $94-96^\circ/18$ мм, n_D^{20} D 1,4311, d_4^{20} 1,0500. Выход III из I и II в спирт. р-ре в присутствии $\text{C}_2\text{H}_5\text{ONa}$ 50%. К 200 мл спирт. р-ра $\text{C}_2\text{H}_5\text{ONa}$ (из 6,9 г Na) прибавляют 43 г I и 23 г эпихлоргидрина, встряхивают 4 часа (т-ра $<40^\circ$), отгоняют спирт в вакууме, остаток разлагают льдом и H_2SO_4 , выход α -метил- β -окси- γ -валеролактона (или α -метил- γ -оксис- β -валеролактона?) 5 г, т. кип. $163-167^\circ/17$ мм, n_D^{20} D 1,4548, d_4^{20} 1,1209; 3,5-динитробензоат, т. пл. 112° (из сп.). При -2° смешивают 15,6 г IV, 5 г II и 25 мл спирта с р-ром 2,3 г Na в 40 мл спирта. Через 14,5 часа ($15-20^\circ$) р-ритель отгоняют в вакууме, остаток разлагают 10%-ной CH_3COOH и льдом, экстрагируют C_6H_6 , получают 7 г этилового эфира лактона α -(β -оксизтил)-адипиновой к-ты (VI) (т. кип. $164-166^\circ/15$ мм, n_D^{20} D 1,4562, d_4^{20} 1,1025), 8 г которого омыляются кипячением 30 мин. с 5%-ной H_2SO_4 в 3,4 г лактона α -(β -оксизтил)-адипиновой к-ты (VII — к-та), т. пл. $82-83^\circ$ (из бзл.). Из лактона VII и SOCl_2 при 100° получен хлорангидрид VII, т. пл. $140-141^\circ/0,5$ мм, n_D^{20} D 1,4808. Дифениламид VII, т. пл. $142-143^\circ$. Из Ag-соли VII и CH_3I в C_6H_6 при 100° получен метиловый эфир VII, т. кип. $135-136^\circ/0,2$ мм, n_D^{20} D 1,4583, d_4^{20} 1,1390. Смесь 31 г IV, 8,8 г II и 3 г CH_3COOK нагревают в трубке (1 час., 120°), разбавляют водой, выделяют $\text{C}_2\text{H}_5\text{ONa}/\text{O}(\text{CH}_2)_4\text{COOC}_2\text{H}_5$, выход 14%, т. кип. $132-136^\circ/18$ мм, и VI, выход 37%. 25,5 г V и 14 г II конденсируют в р-ре 3,4 г Na в 60 мл CH_3ON аналогично р-ции I; фракцию т. кип. $120-135^\circ/0,2$ мм (10 г) омыляют кипячением

25 мл 5%-ной H_2SO_4 , получают лактон α -(β -оксипропил)-пимелиновой к-ты (VIII), т. пл. $84-85^\circ$ (из бзл.). Метилированием VIII эфирным р-ром CH_3N_3 получен метиловый эфир VIII, т. кип. $145-146^\circ/0,2$ мм, n_D^{20} 1.4590, d_4^{20} 1.1114. И. М.

78085. Синтезы с помощью нитрила акриловой кислоты. XXVI. Синтез некоторых β -алкоксипропиоамидов. Терентьев А. П., Кост А. Н., Берлин А. М., Ж. общ. химии, 1956, 26, № 3, 719—723

На примере $C_4H_9OCH_2CH_2CN$ (I) исследовалось омыление β-алкоксипропонионитрилов до $ROCH_2CH_2CONH_2$ (II). В кислой среде из I преимущественно получается $C_4H_9OCH_2CH_2COOH$ (III). Хороший выход II [$R = C_4H_9$ (IIa)] получен по Радзисhevскому (Chem. Ber., 1885, 18, 355). Строение IIa подтверждено встречным синтезом. Аналогично синтезирован ряд других II. Гофмановской перегруппировкой IIa получен $C_4H_9OCH_2CH_2NH_2$ (IV). Действием акрилонитрила (V) на бутанол в присутствии 0,5%-ного водн. КОН (1,5 часа, 20° и 2 часа, 80°) получается 83–85% I, т. кип. 91–92°/15 мм, n_D^{20} D 1,4173, d_4^{20} 0,8895. Аналогично из 59 г β-буктоксиэтанола и 26,5 г V с 25 мл 2%-ного водн. КОН (1 час, 70–80°) после подкисления и перегонки получено 66,6% $C_5H_9OCH_2CH_2OCH_2CH_2CN$, т. кип. 111–112°/5 мм, n_D^{20} D 1,4315, d_4^{20} 0,9500. Омыление 10 г I действием 250 мл 3%-ного р-ра H_2O_2 и 0,2–0,3%-ного водно-спирт. р-ра NaOH (4 часа, 50–60°) и последующая точная нейтр-ция H_2SO_4 дает 96% IIa, т. пл. 59° (из бзн.). При замене спирта на ацетон выход IIa падает до 48–60%, без спирта выход 24%. Применение 6%-ного р-ра H_2O_2 дает только III и исходный I. Аналогично получены другие II (приведены R, выход в %, т. пл. в °C (из бзн.): CH_3 , 98,50; C_2H_5 , 97,51; $C_4H_9OCH_2CH_2$, 90, 20–20,5. Аналогично I из V и этиленгликоля в присутствии 40%-ного NaOH (3 часа, 20–30° и 1 час., 50–60°) получен $(CH_2OCH_2CH_2CN)_2$ (VI), выход 58,5%, т. кип. 183–185°/8 мм, n_D^{22} D 1,4468. VI обработкой H_2O_2 превращен в $(CH_2OCH_2CH_2CONH_2)_2$, выход 86%, т. пл. 123° (из абс. сп.); $O(CH_2CH_2CN)_2$ в этих условиях дает $O(CH_2CH_2CONH_2)_2$, выход 80%, т. пл. 146° (из абс. сп.). Нагревание (3 часа, 70–80° и 0,5 часа, 100°) 56 г I со 100 мл конц. HCl приводит к образованию III, выход 63%, т. кип. 116°/9 мм, n_D^{20} D 1,4268, d_4^{20} 0,9933. Действием $SOCl_2$ III превращена в хлорангидрид, выход 77%, т. кип. 62–63°/6 мм, n_D^{20} D 1,4303, d_4^{20} 1,0240, из которого действием NH_3 получен IIa. При гофмановской перегруппировке 10 г IIa (18,72 г NaOH, 150 мл воды и 3,4 мл брома) выделен IV, выход 19%, т. кип. 148–150°/735 мм, n_D^{20} D 1,4186, d_4^{20} 0,865; пикролонат, т. пл. 170° (разл.; из абс. сп.); стифнат, т. пл. 105° (из абс. сп.). Сообщение XXV см. РЖХим. 1956, 78149. А. К.

78086. Взаимодействие эпихлоргидрина с формамидом.
Петренко Л. П., Тр. Воронежск. ун-та, 1956,
42, № 2, 45—47

Эпихлоргидрин (I) реагирует с формамидом (II), давая моно- и димещ. производные формамида: $\text{CH}_3\text{CONHCH}_2\text{CH}_2\text{CONHCH}_2\text{Cl}$ (III) и $\text{CH}_3\text{CON}(\text{CH}_2\text{CH}_2\text{CONHCH}_2\text{Cl})_2$ (IV). Образование III способствует щел., а образование IV — кислые катализаторы. При большом избытке I или II повышается выход полимерных продуктов р-ции. Смесь 2,33 г I и 1,13 г II нагревают при 110—120° 3 часа, перегонкой выделяют III, выход 48,1%, т. кип. 72—76°/7 мм, n_D^{20} 0,4455, d_4^{20} 1,1810; IV, 23,2%, 107—110°/7 мм, n_D^{20} 1,4615, d_4^{20} 1,2190, и 23,5% полимера. Аналогично из 4,64 г I, 1,13 г II и 0,12 г NaOH получены 52% III, 14,8% IV и 30,2% полимера. 1,13 г II, 2,33 г I и 3 капли H_2SO_4 дают 14,9% III, 40,1% IV и 39,9% полимера. И. Ц.

78087. Новый метод получения β-лактамов. Кну-
нянц И. Л., Гамбарян Н. П., Изв. АН СССР,
Отд. хим. н., 1955, № 6, 1037—1042

Амиды β-галоидгидрокориновых к-т (I) под действием
KNH₂ или NaNH₂ в жидком NH₃ превращаются в соответ-
ствующие β-лактамы (II), выходы которых выше при
X=Br, чем при X=Cl. При действии на I калия в жидком
NH₃ получается смесь II и амида гидрокориновой к-ты, а в
присутствии жидкого NH₃ спиртовой щелочи, NaNH₂
в эфире или при нагревании I отщепляют HX, превращаясь
в замещ. амиды коричневых к-т (III). Если R содержит слож-
ноэфирную группу, возможен ее аммонолиз с образова-
нием амида. Гидролиз II приводит к соответствующим β-
аминокислотам (IV): $C_6H_5CHXCH_2CONHR \rightarrow C_6H_5CH=$
 $=CHCONHR$ III; $I \rightarrow C_6H_5CHCH_2CONR \rightarrow C_6H_5CH(NHR)-$

CH_2COOH IV; R=C₆H₅(a); C₆H₁₁(б); CH₁₁C₆H₅ (в); CH₂COO-
C₆H₅ (г); CH₂CONH₂ (д); C(COOC₂H₅)=C(CH₃)₂ (е); CH(CO-
OC₂H₅)CH(CH₃)₂ (ж). 20 г C₆H₅CHBrCH₂COOH (V) кипятят
2 часа с 30 мл SOCl₂, получают C₆H₅CHClCH₂COCl (VI),
выход 86%, т. кип. 130—131°/14 мм. Из V и PCl₅ получен
C₆H₅CHBrCH₂COCl (VII). К р-ру 1 моля VI или VII в
абс. эфире прибавляют при 0° 2 моля амины в абс. эфире.
Получены I (приводятся соединения, выход в %, т. пл. в
°С, р-ритель): Ia, X=Cl, 83, 135—135,5, сп.; Ib, X=Br, 85,
125,5—126, этилацетат (ЭА); Ic, X=Cl, 79, 116—117, ЭА;
Id, X=Cl, 70, 116—116,5, сп.; Ie, X=Br, 75, 117—118, ЭА;
If, X=Cl, 73, 53—55, петр. эф.; Ig, X=Br, 93, 82—83, ЭА;
Ih, X=Cl, 83, 115—116, сп.; Ii, X=Br, 70, 125,5—126, ЭА;
Ij, X=Br, 87, 80—81, гептан. Получение III.а). В жидкий
б) NH₃ вносят I, встряхивают, через 12 час. испаряют NH₃.
К 1 молю спирт. щелочи прибавляют 1 моль I, через 5—
20 мин. добавляют воду. Перечисляются III, т. пл. в °С,
р-ритель: IIIб, 172—173, водн. сп.; IIIв, 103—104, сп.;
IIIд, 171—172, сп.; IIIе, 164,5—165, ЭА; IIIж, 116—117,
водн. сп.; III, R=C(CO₂CH₃)=C(CH₃)₂, т. пл. 144—145° (из
ЭА). К р-ру 1 моля NaNH₂ или KNH₂ в жидком NH₃ до-
бавляют 1 моль I, встряхивают, через 12 час. испаряют
NH₃. Приводятся II, т. пл. в °С, р-ритель: IIб, 52—53,
гептан; IIд, 144—145, сп.; IIе, 51—52, гептан; IIж, т. кип.
167—170°/1 мм. IV а — в получены кипячением II а — в
со спирт. щелочью 1 час; IV ж — нагреванием II ж с 20%-
ной HCl при 60—70° 2,5 часа (приводятся IV, выход в %, т. пл. в °С, р-ритель): IVа, 83, 134—135, ЭА; IVб, (хлор-
гидрат), 79, 187—189, сп.-эф.; IVв, 90, 184—185, бикарбо-
нат, хлоргидрат IVв, т. пл. 189—190°; IVж, 60, 183—185,
сп.; IV, R=CH₂COOH (из Id, 4 часа, 60—70°, 2 н. HCl),
69, 205—206, вода; IV, R=H (хлоргидрат, из IIе, 1 час,
90—95°, 20% HCl), 80, 215—217, сп.-эф. А. К.

78088. Алифатические нитрокетоны. Херд, Нилсон
(Aliphatic nitro ketones. Hurd Charles D., Nilson
M a y E.), J. Organ. Chem., 1955, 20, № 7, 927—936 (англ.)

Изучены свойства нитроацетона (I), 1-нитробутано-2
(II), 3-нитробутано-2 (III), 2-нитропентано-3 (IV); на
основании полученных данных критикуется исследование
Хассе и Хеджии по парфазному нитрованию ацетона
(РЖХим, 1955, 16268). Нитроспирты получены по видоиз-
мененному методу Штауба (Staub, Helv. chim. acta, 1922,
5, 889). К смеси нитроалкана (3 моля CH₃NO₂ или 1 моль
C₂H₅NO₂) и 120 мл воды прибавляют (90 мин.) при переме-
шивании р-р 3 молей альдегида (CH₃CHO, C₃H₇CHO) в
155 мл воды (щел. р-ция поддерживается добавлением
твердого Na₂CO₃). Смесь перемешивают 2 часа, оставляют
стоять 3 часа. Выход в %, т. кип. в °С/мм: 1-нитропропа-
нола-2 (V), 70, 86—89/8, 1-нитробутанола-2, 67, 98—99/9,
3-нитробутанола-2, 65, 80—87/8, 2-нитропентанола-3, 61,
90—96/8. Нитрокетоны (HK) получались по измененному
методу Леви (Levy, Scaife, J. Chem. Soc., 1946, 1103; Ca-
nonica, Cardani, Gazz. chim. ital., 1949, 79, 262). Охлажд.
р-р 98 мл конц. H₂SO₄ в 46 мл воды прибавляют (т-ра 10—
20°) к смеси 100 г V, 150 г Na₂Cr₂O₇ и 100 мл воды, переме-
шивают 2 часа, прибавляют 300 мл воды, выход I 66%,

т. кип. 81—82°/8 мм, т. пл. 47° (из CH₃OH, затем из этил-
ацетата), семикарбазон, т. пл. 164—165° (разл.; из 95%-
ного сп.); 2,4-динитро фенилгидразон (ДНФГ), т. пл.
139—140° (ДНФГ получают кипячением 10 мин. смеси
0,5 г НК, 0,4 г 2,4-динитрофенилгидразина, 0,5 мл конц.
HCl (к-ты) и 25 мл спирта, кристаллизуют из абс. спирта
или смеси 95%-ного спирта и этилацетата); N-нитроизо-
пропилиденанилин, т. пл. 79° (из абс. сп., затем из лигр.).
I очень легко разлагается, его хранят в эфирном р-ре.
II, III, IV получают аналогично I. Выход II 67%,
т. кип. 92—100°/8 мм, т. пл. 12—15°, d₂₀²⁰ 1,156, n_D²⁰
1,4410; ДНФГ II, т. пл. 107—109°; N-(1-нитрометил-
пропилиден)-анилин, т. пл. 47°. Анилы получались на-
греванием (II—3 мин., III—1 мин., IV—12 мин.)
смеси 0,6 г НК, 0,6 г анилина, 0,6 мл конц. HCl (к-ты),
3 мл лед. CH₃COOH. Кристаллизация из C₆H₆ и лиг-
ронна. Выход III 80%, т. кип. 71—75°/9 мм, d₂₀²⁰ 1,156,
n_D²⁰ 1,4349; ДНФГ III, т. пл. 124—125°, N-(2-нитро-1-
метилпропилиден)-анилин, выход 50%, т. пл. 102°.
Выход IV 74%, т. кип. 108°/28 мм, d₂₀²⁰ 1,115, n_D²⁰
1,4378; ДНФГ IV, т. пл. 105—106°; выход N-(нитро-1-
этилпропилиден)-анилина 60%, т. пл. 81—82°. Конден-
сацией I с C₆H₅CHO с 5%-ным р-ром NaOH получен
3-нитро-1-бензилиденациетон, т. пл. 82—83°. NaOH не
может быть заменен на CH₃ONa, бутиламин или пипе-
рин. II, III и IV не конденсируются с C₆H₅CHO.
Кипячением 0,2 моля НК, 0,21 моля (CH₃OH)₂, 0,5 г
п-толуолсульфокислоты и 100 мл C₆H₆ (с удалением
образующейся воды) получают циклич. этиленацетали
(ЭА), которые почти не гидролизуются при 100° с
0,1 M H₂SO₄. ЭА нитрокетонов (время нагревания в ча-
сах, выход в %, т. кип. в °С/мм, d₂₀²⁰, n_D²⁰): ЭА I:
6,74, 116/19, 1,242, 1,4464. ЭА II: 15, 59, 108/8, 1,175,
1,4480 (40 час, 0%). ЭА III: 72, 36, 105—106/7, 1,185,
1,4478. ЭА IV: 48, 39, 112—113/8, 1,136, 1,4490. Броми-
рование Na-солей НК (получены действием C₂H₅ONa
на спирто-эфирный р-р НК) 0,9 M р-ром Br₂ в CCl₄
даст: 1-бром-I (VI), выход 80%, т. кип. 86—88°/10 мм,
n_D²⁰ 1,4903, d₂₀²⁰ 1,817, 1,1-дибром-I (VII), выход 52%,
т. кип. 93—97/14 мм, n_D²⁰ 1,5195, d₂₀²⁰ 2,115; ЭА VI,
выход 22%, т. кип. 126—128/25 мм, n_D²⁰ 1,4800,
d₂₀²⁰ 1,688; 1-бром-II, выход 64%, т. кип. 112—116°/25 мм,
n_D²⁰ 1,4830, d₂₀²⁰ 1,483; 1,1-дибром-II, выход 9%, т. кип.
105—108°/28 мм, n_D²⁰ 1,5150, d₂₀²⁰ 2,003; 3-бром-III, вы-
ход 65%, т. кип. 80—82°/26 мм, n_D²⁰ 1,4749, d₂₀²⁰ 1,634;
2-бром-IV, выход 74%, т. кип. 97—98/27 мм, n_D²⁰ 1,
4722, d₂₀²⁰ 1,536. Гидролиз VI дает бромнитрометан
(83%) и ацетат Na (71%). VII дает дибромнитрометан.
С HCl (к-той) НК дают гидроксимилхлориды. Из I
образуется CH₃COCCl=NON, выход 93%, т. пл.
106—108° (из CCl₄ и лигр.), получены его оксим, ани-
лид; семикарбазон, т. пл. 198° (разл.); о-толуидид,
выход 95%, т. пл. 84—85° (из водн. сп. или бэл.+лигр.);
из II получен C₂H₅COCCl=NON (VIII), выход 73%,
т. пл. 80—81° (из CCl₄ или лигр.). При пропускании
HCl (газа) в р-р 10 г II в 80 мл эфира выход VIII
достигает 97%. VIII оказывает наркотическое действие на
кожу. Выход анилида VIII 59%, т. пл. 87° (из водн. сп.
или бэл.+лигр.); хлоргидрат анилида VIII, т. пл.
105—115°. Т. Н.

**78089. Влияние меркаптана на разложение N-нитрозо-
ациламинов.** Такабаяси, Сингаки, Мацуи
(N-ニトロソアシルアミンの分解におよぼすメルカプタン
の影響。竹林松二・新垣忠男・松井壽), 日本化学雑誌,
Нихон кагаку дзасси, J. Chem. Soc. Japan. Pure Chem.
Sec., 1955, 76, № 10, 1136—1139 (япон.)

Скорость разложения $C_6H_5N(NO)COR$ (I) ($R = CH_3$, C_2H_5 , CH_2Cl) в C_6H_6 при 20 или 35° уменьшается при добавке этилмеркаптана (II) в зависимости от кол-ва II. Р-цию замедляет также введение фецилмеркаптана. Добавки спирта, фенола или воды не влияют на скорость р-ции. С помощью ИК-спектра в продуктах разложения I [$R = CH_3$ (Ia)] в присутствии II (без р-рителя) обнаружены дифенил-, $(C_6H_5)_2S$, C_6H_6 , CH_3COOH , $CH_3COC_2H_5$, $(C_2H_5)_2S_2$. Образование этих продуктов объяснено схемой: $Ia + II \rightarrow CH_3COC_2H_5 + C_6H_5^+ + N_2 + OH^-$; $Ia \rightarrow C_6H_5^+ + N_2 + CH_3COO^-$; $CH_3COO^- + II \rightarrow CH_3COOH + ^-SC_2H_5$; $C_6H_5^+ + II \rightarrow C_6H_6 + ^-SC_2H_5$; $C_6H_5^+ + C_6H_6 \rightarrow C_6H_5C_6H_5 + H^+$; $CH_3COO^- + H^+ \rightarrow CH_3COOH$; $C_6H_5^+ + SC_2H_5 \rightarrow C_6H_5SC_2H_5$; $2C_2H_5S^- \rightarrow C_2H_5S_2C_2H_5$. Л. Я.

78090. Реакции мезитоилнитрата и других пространственно затрудненных ацилнитратов с нуклеофильными реагентами. Фриман, Эммонс, Росс (The reactions of mesityl nitrate and other hindered acyl nitrates with nucleophilic reagents. Freeman Jeremiah P., Emmons William D., Ross Robert M.), J. Amer. Chem. Soc., 1955, 77, № 22, 6062—6064 (англ.)

Вторичные алифатич. амины ($n-C_3H_7$)₂NH (I) и ($iso-C_3H_7$)₂NH превращены в соответствующие N-нитроамины с помощью нитрата 2,4,6-триметилбензойной к-ты (2,4,6-(CH₃)₃C₆H₂COONO₂, мезитоилнитрат) (II). Р-ция протекает наиболее быстро с сильно разветвленными аминами. Пиперидин под действием II нитруется и ацилируется (с образованием трудно разделяемой смеси в-в), первичные амины — только ацилируются; единственным исключением является $(CH_3)_3CNH_2$ (III), превращающийся в N-нитро-трет-бутиламин (IV). Спирты при взаимодействии с II главным образом ацилируются и лишь в небольшой степени нитруются. Октиловый спирт нитруется под действием нитратов триметил- (V) и диэтилуксусной к-ты (VI); выходы октилнитрата 49 и 75%. Амины при взаимодействии с V и VI не нитруются, а лишь ацилируются. 0,1 моля хлористого мезитола в 20 мл эфира прибавляют к 0,12 моля безвод. $AgNO_3$ в 50 мл эфира при 0—10° и перемешивают 1 час при 0°. К полученному р-ру II (при попытке выделения II бурно разлагается), охлажд. до —20°, добавляют за 3 мин. 0,2 моля I, еще через 5 мин. фильтруют, после обычной обработки р-ра испаряют эфир; остаток выдерживают 1 час при 30° с 24 г $(CF_3CO)_2O$ (для удаления ангидрида мезитиловой к-ты), выливают в воду, подщелачивают и экстрагируют эфиром N-нитро-ди-*n*-пропиламин, выход 56%, т. кип. 46—48°/0,06 мм, n_D^{20} 1,4560. Аналогично получают N-нитродизопропиламин, выход 40%, т. пл. 106—109°. Из II и $n-C_4H_9NH_2$ в тех же условиях образуется N-*n*-бутилмезитоламид, выход 15%, т. пл. 83—87° (из лигр.); из II и циклогексилламина — N-циклогексилмезитоламид, выход 25%, т. пл. 171—172° (из сп.). Из II и III получают IV, выход 20%, т. пл. 41—42,5°, 0,1 моля $n-C_4H_9OH$ (VII) быстро прибавляют к эфирному р-ру II при —20°, перемешивают 15 мин., выливают на лед, органич. слой высушивают, удаляют р-ритель, остаток обрабатывают силикагелем в CH_2Cl_2 (для удаления VII), элюат упаривают, обрабатывают $(CF_3CO)_2O$, выделяют гексилнитрат, выход 12%, т. кип. 86—88°/10 мм, n_D^{25} 1,4172. А. Ф.

78091. Каталитические превращения аминов над алюмополибденовым катализатором. Платэ А. Ф., Вольпин М. Е., Реформатская Е. А., Зотова С. В., Ж. общ. химии, 1956, 26, № 3, 684—689

Изучены превращения $C_3H_7NH_2$ (I), $(C_3H_7)_2NH$ (II), $iso-C_3H_7NH_2$ (III) и циклопентилламина (IV) на окисном алюмополибденовом катализаторе при 300—550° и атмосферном давлении. При t -рах < 400° протекают главным об-

разом р-ции диспропорционирования с образованием смесей соответствующих первичных, вторичных и третичных аминов. Выше 400° I подвергается заметной дегидрогенизации с образованием C_2H_5CN (V). При ~500° образовавшийся V частично распадается, давая CH_3CN (VI); так, при 490° катализатор содержит 67% VI и 33% V. II претерпевает те же превращения, что и I с образованием V и VI и значительным газообразованием. III при t -ре > 400° подвергается дегидрогенизации, сопровождающейся крекингом; при 500° образуется 10 мол. % VI, 57 мол. % NH_3 , 32 мол. % пропилена (за счет дезаминирования III), 31 мол. % предельных углеводородов, 79 мол. % H_2 . При пропускании III в токе NH_3 р-ция дезаминирования подавляется и выход VI возрастает до 50% (при 500°). Повышение t -ры > 500° снижает выход VI. Образование

VI из III протекает, вероятно, по схеме: $III \xrightarrow{-H_2} CH_3CH=CHCN \rightarrow VI + CH_4$. Главным направлением р-ции IV при ~500° является дезаминирование с образованием цикlopентана (который диспропорционируется до цикlopентана и цикlopentanедина) и крекинга с образованием больших кол-в газообразных продуктов. I, III и IV получены восстановительным аминированием соответственно C_2H_5CHO , ацетона и цикlopentanона (VII). Приведены кривые зависимости выхода VI при пропускании III и состава газообразных продуктов р-ции (в мол. % к III) от t -ры. Смесь 200 г VII, 360 мл насыщ. при 0° водн. NH_3 гидрировали в автоклаве в присутствии 20 г скелетного Ni при 50—60° и давл. H_2 120—130 ат. Катализатор кипятили 2 часа для удаления избытка NH_3 , насыщали KOH, IV отделяли и перегоняли на колонке в 35 теор. тарелок; выход IV 50%, т. кип. 108,2°/760 мм, n_D^{20} 1,4511, d_4^{20} 0,8683. С. А.

78092. Синтез третичных аминов алифатического ряда из производных тиофена. Гольдфарб Я. Л., Ибрагимов М. Б. Докл. АН СССР, 1956, 106, № 3, 469—472

Разработан метод синтеза третичных алифатич. аминов гидронолизом соединений вида $RC=CHCN=C(CH_2N(C_2H_5)_2)S$

(I) с помощью скелетного Ni. I получены нагреванием (10 час.) соответствующих альдегидов $RC=CHCN=C(CHO)S$,

$(C_2H_5)_2NH$ и 96%-ной HCOOH (молярное отношение 1 : 2 : 2,5). Получены I (приводятся R, выход в %, т. кип. в °C/мм, n_D^{20}): H, 67, 98—100/18, 1,5092, подметилат, т. пл. 151,5—152° (из абс. сп.); CH_3 , 54,7, 94,5—95/8,5, 1,5069, подметилат, т. пл. 125,5—126° (из абс. сп.); C_2H_5 , 50, 109/8—9, 1,5050, пикрат, т. пл. 91,5—92,5° (из водн. сп.); $SCH=CHCN=CC(CH_3)(C_2H_5)$, 50, 151—152/3, 1,5538,

оскалат, т. пл. 77,5—78,5° (осажден из сп. эфиром). К р-ру I в 3-кратном кол-ве абс. спирта прибавляют по частям 7-кратное кол-во Ni в абс. C_6H_6 (отношение I : $C_6H_6 = 1 : 20$), смесь кипятят при перемешивании 80—90 мин., осадок извлекают реакционным р-ром, перегонкой выделяют амин. Приготовление Ni см. Adkins, Billica, J. Amer. Chem. Soc. 1948, 70, 695. Получены амины $R(CH_2)_5N(C_2H_5)_2$ (перечисляются R, выход в %, т. кип. в °C, n_D^{20}): H, 54, 155—157, 1,4197; CH_3 , 45,7, 179—180, 1,4245; оскалат, т. пл. 76,5—77,5°; C_2H_5 , 53,7, 198—200, 1,4289; оскалат, т. пл. 84,7—85,7°; $CH_3(CH_2)_4C(C_2H_5)(C_2H_5)$, 66, 159—162/18 мм, n_D^{22} 1,4473, оскалат, т. пл. 1—112°. Г. К.

78093. Синтез и разделение диастереоизомерных γ -этил- β -аминокаприловых кислот и их производных. Родионов В. М., Зворыкина В. К., Ж. общ. химии, 1956, 26, № 3, 793—797

Конденсацией α -этилгексанала (I) с малоновой к-той (II) в спирт, NH_3 синтезированы два диастереоизомера γ -этил- β -аминокаприловой к-ты (IIIa и IIIб); получены различные производные III: хлоридраты, N-ацильные производные, амиды и эфиры. Дробной кристаллизацией ментилового эфира N-бензоильного производного IIIa (IV —

к-та, V — эфир) получены два изомера (Va и Vb), при омылении которых выделены две оптически активные формы (IVa и IVb). К 20 г охлажд. I постепенно при перемешивании приливают 30 мл 8,5%-ного спирта. NH₃ и затем 16 г II, через 0,5 часа выдержки смесь нагревают (2 часа, 70—80° и 2 часа, 100°), реакционную массу (от 40 опытов) обрабатывают горячей водой, затем 12%-ной HCl, водн. экстракт упаривают, выпадает 125 г IIIa, т. пл. 199—200°; хлоргидрат, выход 92%, т. пл. 192—193°, при конц.-ни водн. маточного р-ра и подкислении HCl выпадает смесь хлоргидратов IIIa и IIIb (промывка эфиром), из которой подщелачиванием (рН 7,5) выделено 95 г IIIa. Из маточного р-ра через 24 часа выпадает IIIb, выход 146 г, т. пл. 167° (разл.); хлоргидрат, выход 86%, т. пл. 186—187°. Выход смеси изомеров 50%; выход IIIa 14,1%, IIIb 15,6% и 15% неразделенной смеси хлоргидратов IIIa и IIIb; N-карбетоксипроизводное IIIa (VIa), выход 73,4%, т. пл. 75°; N-карбетокси-IIIb (VIb), выход 67%, т. пл. 68,5—70° (из сп. + петр. эф.), т. пл. смеси 54—62°. Этиловый эфир VIa, выход 76%, т. кип. 168—170°/8 мм, т. пл. 47°; этиловый эфир VIb, выход 56,7%, т. кип. 174—175°/9 мм, т. пл. 38—39°, т. пл. смеси 28°. К I молно охлажд. III (а или б) в 3 молях 10%-ной щелочи добавляют по каплям C₆H₅COCl, IVa, т. пл. 132°; IVb, выход 80—85%, т. пл. 121° (из водн. сп.). Нагреванием 5 г IV (а или б), 1,25 мл SOCl₂, 10 мл C₆H₆ при 40° (3—4 часа), добавлением 300 мл абс. эфира и насыщением охлажд. р-ра NH₃ получены амид IVa, т. пл. 174—175°, и амид IVb, выход 70%, т. пл. 184—185° (из 90—95%-ного сп.). Этерификацией IIIa получен этиловый эфир IIIa, выход 66%, т. кип. 121—122°/4 мм. Из 5 г IIIa, 2,2 мл SOCl₂ (40—43°, 2 часа), 200 мл эфира и 4,2 г ментола после обработки р-ром NaHCO₃ и извлечения эфиром получают 4,4 г ментилового эфира IIIa, т. кип. 189—190°/5 мм; хлоргидрат, т. пл. 138—139°. Этерификацией 15 г IVa ментолом (10 г) в присутствии 3,75 мл SOCl₂ получено 18,1 г ментилового эфира IV, который кристаллизацией из толуола и водн. спирта разделен на Va, выход 4,7 г, т. пл. 111—112°, [α]_D¹⁸ — 9,64°, и Vb, выход 5,6 г, т. пл. 82—83°, [α]_D¹⁸ — 43°.

Н. Г.

78094. О β- и γ-кетосульфониновых солях и их разложении в водном растворе. Бёме, Хеллер (Über β- und γ-Keto-sulfoniumsalze und ihren Zerfall in wäßriger Lösung. Böhm H., Heller P.), Chem. Ber., 1953, 86, № 3, 443—450 (нем.)

β-Кетосульфониновые соли типа $(\text{RCOCH}_2\text{S}(\text{CH}_3)_2)^+\text{OH}^-$ (I) разлагаются в водн. р-ре при нагревании с 1 экв щелочи с отщеплением воды и внутримолекулярной перегруппировкой по схеме: $\text{I} \rightarrow \text{H}_2\text{O} + \text{RCOCH}(\text{CH}_3)\text{SCH}_3$ (II) (для I и II a R = CH₃, б R = C₆H₅). При избытке щелочи происходит гидролитич. расщепление C—C-связи с образованием карбоновой к-ты RCOOH и $[\text{S}(\text{CH}_3)_2]^+\text{OH}^-$; реинекат, т. пл. 294°. γ-Кетосульфониновые соли типа $[\text{RCOCH}_2\text{CH}_2\text{S}(\text{CH}_3)_2]^+\text{OH}^-$ (III) расщепляются в водн. р-ре по схеме: $\text{III} \rightarrow \text{S}(\text{CH}_3)_2 + \text{RCOCH} = \text{CH}_2$ (IV) + H₂O. S(CH₃)₂ идентифицирован в виде (CH₃)₂SO₂, т. пл. 108—109° (из сп.), IV (R = C₆H₅) — в виде (α,β-дибромэтил)-фенилкетона, т. пл. 53—54° (из сп.). III синтезирован из CH₃Br и соответствующих кетосульфидов, полученных взаимодействием меркаптанов с IV в присутствии катализаторов (K₂CO₃ или ZnCl₂). Большинство кетосульфидов охарактеризованы в виде оксимов сульфонов, полученных окислением кетосульфидов мононафталевой к-той (V) или H₂O₂. Устойчивость I и III зависит от характера заместителей R: скорость разложения IR = алкил < I R = арил; закономерность для III обратная. Скорость разложения определялась по кот-ву выделившейся RCOOH титрованием 0,1 н. NaOH. При р-ции 8 г CH₃COCH₂Cl и 5,3 г (CH₃)₂S получают смесь, из нижнего слоя которой выделяют Ia; реинекат, т. разл. 128—129°. 4,42 г $[\text{CH}_3\text{COCH}_2\text{S}(\text{CH}_3)_2]^+\text{Cl}^-$ в 50 мл

воды нагревают с 57 мл 0,5 н. NaOH (100°, 10 час.), эфиром извлекают IIa, т. кип. 36—38°/12 мм. K C₂H₅ONa (из 2,3 г Na и 50 мл сп.) прибавляют до —15° 10 г CH₃SH и затем 13 г 3-бромбутано-2, нагревают 0,5 часа при 50—60°, отделяют NaBr, при разгонке получают IIa, выход 84%, т. кип. 50—54°/20 мм. 3,5 г IIa в 5 мл CH₃COOH и 9,5 мл 30%-ной H₂O оставляют на 24 часа, затем разбавляют 50 мл воды, фильтруют, разгонкой выделяют CH₃COCH(CH₃)SO₂CH₃, выход 61%, т. кип. 170°/15 мм. K 5,6 г IV (R = C₆H₅), охлажд. до 0°, прибавляют 9 г CH₃SH и 0,5 г K₂CO₃, через 15 мин. фильтруют и перегоняют, выход CH₃COCH₂CH₂SCCH₃ (VI) 77% (неочищ.), т. кип. 75—76°/2,0 мм. K C₂H₅ONa (из 3,3 г Na и 40 мл сп.) при 0° прибавляют 10 г CH₃SH, затем 15 г CH₃COCH₂CH₂Cl, через 3 часа р-р фильтруют, выход VI 61%, т. кип. 80°/27 мм. 2,4 г VI в эфире смешивают с 8,1 г V в эфире при —15°, через 2 дня эфир отгоняют, остаток извлекают горячим CHCl₃, вытжку фильтруют и упаривают, выход CH₃COCH₂CH₂SO₂CH₃ 92%, т. пл. 88—89° (из изо-C₂H₅OH); оксим, выход 76%, т. пл. 107—108° (из изо-C₂H₅OH). Из 1,5 г VI и 2,1 г CH₃Br при 0° получают III (R = CH₃), выделенный в виде реинеката с выходом 28%, т. пл. 126° (разл.; переосаждение из ацетона водой). Аналогично VI получены сульфиды (приведены исходные компоненты, сульфид, выход в %, т. кип. в °C/мм, оксим, выход в %, т. пл. в °C, сульфониновая соль с CH₃Br (CC), выход в %, т. пл. в °C): IV (R = CH₃), C₂H₅SH, CH₃COCH₂CH₂SC₂H₅, 74 (неочищ.), 90—91/20, сульфид, 83, 69—70 (из изо-C₂H₅OH), оксим, 70, 76—77 (из изо-C₂H₅OH); 2-оксиметилциклогексанон (VII), CH₃SH, метил-(циклогексанонил-2-метил)-сульфид, 7,7 г (из 10,8 г VII), 83—84/1; оксим, 45, 75—76 (из C₂H₅OH-воды), CC, 25, 99—100 (из эф.); VII, C₂H₅SH, этил-(циклогексанонил-2-метил)-сульфид, 42, 97—99/2; оксим, 73, 62—63 (из C₂H₅OH-воды), CC, 60, 83—84 (разл.; из ацетона); β-хлорпропиофенон (VIII), CH₃SH, β-метилмеркаптопропиофенон, 64, 153—155/15, т. пл. 35—36° (из петр. эф. или C₂H₅OH), сульфид, выход 88% (с V) и 26% (с H₂O₂), т. пл. 117—118° (из воды), оксим, 81, 53—54 (из C₂H₅OH + вода), CC, 53, 114—115 (из изо-C₂H₅OH); VIII, C₂H₅SH, β-этилмеркаптопропиофенон, 70, 45—46 (из C₂H₅OH), сульфид (с H₂O₂), выход 74%, т. пл. 111—112 (из воды), оксим, 62, 95—96 (из воды); VIII, C₆H₅SH, β-бензилмеркаптопропиофенон, 80, 36—37 (из изо-C₂H₅OH).

Е. Ц.

78095. α, α'-Димеркаптопимелиновая кислота и родственные соединения. Шотте, (α, α'-Dimercaptopimelic acid and related compounds. Schotte Lennart), Arkiv kemi, 1956, 9, № 5, 413—421 (англ.)

Получены диастереомеры CH₂[CH₂CH(COOH)SC(=S)OC₂H₅]₂ (I — мезо-форма, Ia — рац-форма) и CH₂[CH(SH)COOH]₂ (II — мезо-, IIa — рац-), окисление которых дает 1,2-дитацетилгептан-3,7-дикарбоновую к-ту, HOOCCH₂CH₂CH₂CH₂COOH (III — мезо-, IIIa —

рац-). Конфигурация I, II и III доказана разделением IIIa на оптич. антиподы. К 0,0616 моля мезо- или рац-CH₂(CH₂CHBrCOOH)₂ (IV и IVa) в 60 мл воды постепенно добавляют при охлаждении 0,0615 моля Na₂CO₃ в 60 мл воды, тотчас вносят 0,142 моля C₂H₅OSCSK, через 3 дня при ~20° подкисляют разб. H₂SO₄, получают I или Ia, выход и т. пл. (из HCOOH) соответственно 61,9%, 136—137,5° и 56%, 114—115°. 0,0382 моля I или Ia оставляют на 3 дня в 100 мл конц. NH₄OH, удаляют NH₃ в вакууме при 20—30° (атмосфера N₂), подщелачивают р-ром соды, извлекают эфиром, остаток подкисляют 2 н. H₂SO₄ и экстрагируют эфиром II или IIa, выход и т. пл. (из бэл.) соответственно 78%, 81—83° и 55,5%, 106—107°. 0,0038 моля II или IIa нейтрализуют 40 мл (0,015 моля) р-ра KOH,

добавляют 0,00764 моля $2,4-(\text{NO}_2)_2\text{C}_6\text{H}_3\text{Cl}$ в 40 мл спирта, через сутки упаривают, подкисляют разб. H_2SO_4 , получают мезо- или рац- α, α' -бис-(2,4-динитрофенилмеркапто)-пимелиновую к-ту, выход и т. пл. (из сп.) соответственно 94%, 55° и 93%, 68—70°. 0,1 моля IV или IVa быстро нейтрализуют в 200 мл (0,2 моля) р-ра NaHCO_3 , добавляют 0,12 моля Na_2S_2 в 300 мл воды, доводят до 700 мл, через 25 час. фильтруют, подкисляют разб. H_2SO_4 , отделяют полимеры, из водн. слоя извлекают эфиром, III и IIIa, выход и т. пл. (из воды) соответственно 38%, 191—193° и 15%, 171—173°. II или IIa нейтрализуют избытком водн. NaHCO_3 , окисляют J_2 (в водн. KJ), обесцвечивают $\text{Na}_2\text{S}_2\text{O}_3$, подкисляют 4 н. H_2SO_4 , извлекают эфиром III или IIIa, выход соответственно 50 и 34%; окисление при помощи H_2O_2 или O_2 дает худшие результаты; при окислении II выделено небольшое кол-во полимерной к-ты с т. пл. 235—237° (разл.). III рацемизируют нагреванием до 199—200°, получают IIIa, выход 12,5%, регенерируется 47,5% III; IIIa разделяют при помощи бруцина в ацетоном р-ре, получая не вполне чистые (+)-III и (—)-III, т. пл. и $[\alpha]_D^{25}$ (сп.) соответственно: 162—166°, +220° и 150—160°, —382. III разделить не удается. III или IIIa восстанавливаются Zn-пылью в 4 н. NH_4OH до II или IIa, выход 80 и 83% соответственно. Т. А.

78096. Бромирование толуола и кумола. Вейола (Touleenin ja kumeenin bromaus. Veijola Väinö E.), Suomen kem., 1953, 26, № 7—8, 272—274 (фин.). Изучено бромирование (БР) толуола (I) и кумола (II) (ср. РЖХим, 1956, 43071). Сухой N_2 без O_2 пропускают через Br_2 со скоростью 4 л/час, при этом Br_2 испаряется со скоростью 0,5 ммоль/мин; эту смесь вводят в 0,25 моля I или II. БР проводили в темноте без катализатора или с катализатором $(\text{C}_6\text{H}_5\text{CO})_2\text{O}_2$ (III), на свету, в темноте или при слабом освещении в присутствии O_2 . В темноте без активатора при 30° БР I происходит в ядро на 15%, а в боковую цепь (БЦ) на 3%. При комнатном освещении 120 лк реагировал весь Br_2 , причем в БЦ вступал на 87%. При освещении Hg-лампой в БЦ Br_2 входил на 80—90%. При БР II достаточно 5 лк комнатного освещения; при освещенности 5—120 лк БР в БЦ составляет 84—85%; применение Hg-ламп не изменило результаты. Степень освещения оказывала решающее влияние на замещение у α -или β -С-атомах в $(\text{CH}_3)_2\text{CH}$ -группе II. При увеличении освещенности с 5 до 120 лк БР в α -положение уменьшалось с 62 до 33%. Освещение Hg-лампой сильно способствовало замещению у β -атома; α -бромзамещ. II образовывалось только 16—18%. III оказывала сильное влияние на БР I в темноте; если 10 мг III еще не сказывались на БР, то при 50 мг III БР увеличивалось в 2 раза, а при 100 мг — в 7 раз по сравнению с БР без катализатора. При незначительном повышении т-ры БР происходит очень быстро уже с 50 мг III. БР с III, достаточной для превращения всего I в $\text{C}_6\text{H}_5\text{C}_6\text{H}_4\text{Br}$, сопровождается индукционным периодом (ИП), который можно устранить повышением т-ры, значительным увеличением кол-ва III или скорости подачи Br_2 , или с помощью света. II с III бромруется очень легко: при 10 мг III р-ция начинается без ИП; увеличение кол-ва III с 10 до 100 мг при БР II понижает степень БР в БЦ с 91 до 88%, причем процент α -бромзамещ. III падает с 74 до 57. В полной темноте O_2 (1—2 об. % от N_2) не влияет на БР I; при комнатном освещении, не достаточном для полной активации р-ции, O_2 (0,5 об. %) полностью активировал ее, при этом длительность ИП зависела от силы света. В. 3.

87097. Реакция конденсации формальдегида с фенолами. П. 2, 4, 6-триметилфенол. Сэто, Хориуги (フェノール樹脂生成反應に関する研究. 第2報 フェノールトリアルコール (2,4,6-trimethylcol phenol) について. 瀬戸正二, 堀内光), 工業化学雑誌, Корё караку дзасси, J. Chem. Soc. Japan. Industr. Chem. Sec., 1953, 56, № 6, 419—420 (япон.).

К 280 г 37%-ного CH_2O прибавляют 41 г кристаллич. LiOH и 94 г фенола, оставляют на 2 дня, фильтруют, промывают 80%-ным спиртом и сушат. Получают 62 г триметилфенолята I (I). 9,5 г I суспендируют в 70 мл ацетона, нейтрализуют р-ром 3 г CH_3COOH в 30 мл ацетона, упаривают, смешивают с 100 мл C_6H_6 , сушат и выделяют 5 г 2, 4, 6-триметилфенола, т. пл. 77—78,5°. 9,5 г I суспендируют в 100 мл CH_3OH , запаивают в трубку вместе с 10,6 г CH_3J , нагревают 20 час. при 50°, упаривают, растворяют в 100 мл горячей воды, экстрагируют изометил-спиртом и получают 7,5 г желтой сиропообразной жидкости (метильное производное I). Это метильное производное суспендируют в р-ре NaOH и окисляют 5%-ным KMnO_4 , промывают 2%-ным NaOH, нейтрализуют HCl (к-той), концентрируют, сушат, экстрагируют смесью спирта и эфира, перекристаллизовывают из лед. CH_3COOH и выделяют метокситримезиновую к-ту, т. пл. 245—247°. Сообщение 1 см. РЖХим, 1956, 54383.

Chem. Abstrs, 1955, 49, № 10, 6872.

К. J.

78098. Продукты конденсации фенолов и альдегидов.

XVII (2), XVIII (3). Кристаллические продукты, образующиеся в начальный период реакции при использовании аммиака в качестве катализатора. Сёно, Такахаши (フェノールとアルデヒドとの縮合生成物に関する研究. 第 17, 18 報. アンモニアを促進剤とする初期結晶生成物について (その 2, 3). 庄田唯衛, 高橋秋水), 工業化学雑誌. Корё караку дзасси, J. Chem. Soc. Japan, Industr. Chem. Sec., 1953, 56, № 5, 375—376; № 6, 422—423 (япон.).

Сообщение XVII. 200 г фенола, 150 мл 28%-ного NH_4OH и 168 мл 35%-ного CH_2O нагревали 5 час. при 60°; после подкисления CH_3COOH экстрагировали эфиром, экстракт перемешивали с 1 н. H_2SO_4 и разделяли его на три слоя: эфирный, водный и смолу. Эфирный слой экстрагировали 2 н. NaOH, нейтрализовали к-той и снова экстрагировали эфиром, после перегонки получили кристаллы *п*-оксидифенилметана, т. пл. 168°. Из водн. слоя выделили в-во с т. пл. 138°. Смолистое в-во помещали в 5-кратное кол-во спирта и после добавления NaOH, перемешивания с водой, нагревания в C_6H_6 и перекристаллизации из спирта получили в-во $\text{C}_{12}\text{H}_{12}\text{O}_2\text{N}_2$, т. пл. 161°, мол. в. 335, и *о, о'*-диоксидибензилламин, т. пл. 168°.

Сообщение XVIII. Изучался синтез (*о*- $\text{HOC}_6\text{H}_4\text{CH}_3$) $_2\text{N}$ (I) р-цией (*о*- $\text{HOC}_6\text{H}_4\text{CH}_3$) $_2\text{NH}$ (II) и *о*- $\text{HOC}_6\text{H}_4\text{CH}_2\text{OH}$ (III). 1 г II, 0,6 г III и 15 мл спирта 6 час. нагревали при 135—140°. Продукт р-ции экстрагировали теплым C_6H_6 , охлаждали, осадок, желтое в-во, отфильтровывали. Из фильтра через ~12 час. выпадал I, т. пл. 161°. Изучалось также взаимодействие I с Br_2 . В. И.

78099. Реакция расщепления производных дифенилового эфира реактивом Гриньяра. П. Томита, Ватанабэ (Cleavage reaction of diphenyl ether derivatives by Grignard reagent. II. Masao Tomita, Vasuo Watanabe), 薬學雑誌, Якугаку дзасси, J. Pharmac. Soc. Japan, 1953, 73, 1283—1285 (япон.).

Смесь 4,6-г $5\text{-CH}_3\text{-2,3-(CH}_3\text{O)}_2\text{C}_6\text{H}_2\text{Br}$, 2,7 г *п*- $\text{CH}_3\text{C}_6\text{H}_4\text{OK}$ (I), 1 г $(\text{CH}_3\text{COO})_2\text{Cu}$ и 1 г Si в порошке нагревают 5 час. при 220—230° (т-ра бани), экстрагируют эфиром и промывают 25%-ным NaOH; получают *п*-(5- $\text{CH}_3\text{-2,3-(CH}_3\text{O)}_2\text{C}_6\text{H}_2\text{O})\text{-C}_6\text{H}_4\text{CH}_3$ (II), т. кип. 155—160°/0,4—0,5 мм. При использовании вместо I 3,45 г 4- $\text{CH}_3\text{-2-CH}_3\text{OC}_6\text{H}_4\text{OK}$ получают 4- $\text{CH}_3\text{-2-(5-CH}_3\text{-2,3-(CH}_3\text{O)}_2\text{C}_6\text{H}_2\text{O})\text{C}_6\text{H}_2\text{OCH}_3$ (III), т. кип. 177—185°/0,04—0,06 мм. Креозол в эфире вливают 90%-ной HNO_3 ; получают 5- $\text{CH}_3\text{-2-OH-3-CH}_3\text{-OC}_6\text{H}_2\text{NO}_2$ (IV), т. пл. 80,5—81°. Метилирование IV в $\text{C}_6\text{H}_5\text{CH}_3$ при помощи $(\text{CH}_3)_2\text{SO}_4$ дает 5- $\text{CH}_3\text{-2,3-(CH}_3\text{O)}_2\text{-C}_6\text{H}_2\text{NO}_2$ (V); восстановление V в HCl (к-те) приводит к 1- NH_2 -аналогу V (VI); diaзотированием VI и разложением продукта р-ции смесью $\text{H}_2\text{SO}_4\text{-H}_2\text{O}$ (1:1) получают неочищ. 3- $\text{OH-4,5-(CH}_3\text{O)}_2\text{C}_6\text{H}_2\text{CH}_3$; *п*-нитробензоат (VII),

т. пл. 402,5—405°. Смесь $n\text{-C}_4\text{H}_9\text{MgBr}$ (VIII) (из 5, 81 г $n\text{-C}_4\text{H}_9\text{Br}$ и 0,96 г Mg), 0,85 г II и 17 мл тетрагидрофурана обрабатывают CoCl_2 , кипятят 3 часа, охлаждают, продукт р-ции разлагают льдом и HCl (к-той), р-тель удаляют в вакууме, остаток извлекают эфиром, взбалтывают с 2,5%-ным NaOH , щел. р-р подкисляют HCl (к-той) и извлекают эфиром; получают 0,052 г в-ва фенольного характера, которое дает VII, т. пл. 102—104°. При применении в описанной выше р-ции вместо VIII $(\text{CH}_3)_2\text{CMgBr}$ (IX) получено 0,16 г VII, т. пл. 103—105°. Аналогично из III и VIII получены следы VII, а III и IX дают 0,05 г VII, т. пл. 102—105,5°. Сообщение 1 см. РЖХим, 1955, 31571. Chem. Abstrs, 1955, 49, № 1, 213. K. Kitsuta

78100. Эмульсионное окисление цимоло. Вейола, Кирьякка, Хелиё (Symeenin emulsiohapetus. Veijola V., Kirjakka P., Heliö K.), Suomen kem., 1953, 26, № 9, 281—291 (фин.)

Описан аппарат для эмульсионного окисления (ЭО) цимоло (I), позволяющий вести процесс с большей скоростью, чем это было осуществлено ранее. Для ЭО употребляют чистый I, содержащий 0,1% гидроперекиси I; отношение воды к I равно 1 : 2; кол-во эмульгатора (стеарат Na и др.) 0,45—0,5% от веса воды; к эмульсии прибавляют Na_2CO_3 до pH 10, ЭО проводят при 95° и 200 об/мин.; выход гидроперекиси I составляет 10—15% через 2,5—3 часа.

78101. Окислительное расщепление ацилоновой связи III. Окислительное расщепление бензила посредством мезоаммонийных комплексов. Киносита (アチロイン結合の酸化分解に関する研究。第3報。水酸化第二銅アンモニア錯鹽によるベンチルの酸化分解。木下圭三), 日本化学雑誌. Нихон какаку дзасси, J. Chem. Soc. Japan. Pure Chem. Sec., 1955, 76, № 5, 527—530 (япон.)

В продолжение прошлой работы (РЖХим, 1956, 54346) изучено окислительное расщепление бензоина (I), бензила (II), метилбензоина (III), дигидробензоина (IV), бензилмуравьиной (V) и миндальной к-ты (VI) посредством солей Cu в присутствии NH_4OH , пиридина или смеси последних. I расщепляется при действии Cu_2Cl_2 в присутствии NH_4OH (d 0,9) или смеси равных объемов NH_4OH и пиридина (50°) с образованием $\text{C}_6\text{H}_5\text{COOH}$ (VII) и $\text{C}_6\text{H}_5\text{CN}$ (VIII); добавки дифениламина или NaCl не влияют на ход процесса, при введении NH_4Cl или винной к-ты VII и VIII не образуются (наблюдается появление желтого клейкого в-ва); при введении р-ции в водно-пиридиновом р-ре в отсутствие NH_4OH образуется VII и II. При действии Cu_2Cl_2 на III в аммиачно-пиридиновом р-ре также получено желтое клейкое в-во; в случае IV р-ция не идет. II расщепляется подобно I при действии Cu_2Cl_2 в смеси NH_4OH и пиридина (1 : 1) в токе воздуха (50°) с образованием VII и VIII; аналогичная р-ция проходит при замене Cu_2Cl_2 $+$ воздухом на $\text{Sn}(\text{OH})_2$ (р-ция идет не только при 50°, но и при -20°). При замене $\text{Cu}(\text{OH})_2$ на $\text{CuSO}_4 \cdot 5\text{H}_2\text{O}$ образуется желтое клейкое в-во, то же наблюдается в случае $\text{CuSO}_4 \cdot 5\text{H}_2\text{O}$ при добавках диэтиламина или триэтиламина; введение KOH при использовании $\text{CuSO}_4 \cdot 5\text{H}_2\text{O}$ приводит к окислительному расщеплению II; р-ция проходит также при исключении пиридина из реакционной смеси. III образует при действии $\text{CuSO}_4 \cdot 5\text{H}_2\text{O}$ и KOH в NH_4OH -пиридине желтое клейкое в-во; а IV не реагирует в этих условиях. V подвергается окислительному расщеплению с образованием VII при действии Cu_2Cl_2 в пиридине при 40—50° (при пропускании тока воздуха или без него); добавка NH_4OH приводит к исчезновению VII из реакционной смеси и появлению VIII (в небольших кол-вах); то же наблюдается при замене Cu_2Cl_2 на $\text{CuSO}_4 \cdot 5\text{H}_2\text{O}$. При замене Cu_2Cl_2 на $(\text{CH}_3\text{COO})_2\text{Cu}$ р-ция не идет. VI не расщепляется при действии Cu_2Cl_2 в пиридине. Сообщение 11 см. РЖХим, 1956, 68287. Л. Я.

78102. Производные бензоилрезорцина. Ван-Аллан, Тинкер (Derivatives of benzoylresorcinol.

Van Allan J., Tinker J. F.), J. Organ. Chem., 1954, 19, № 8, 1243—1251 (англ.)

Измерены УФ-спектры: 4-окси-(I), 4,4'-диокси-(II), 2,4-диметокси-(III), 2-окси-4-метокси-(IV), 2-окси-4,4'-диметокси-(V), 2-окси-4-метокси-3-метил-(VI)-бензофенонов; бензальдегида (VII); производных резорцина: 4-бензоил-(VIII), 2-бензоил-(IX), 2,4-дibenзоил-(X), 4,6-дibenзоил-(XI), 2, 4, 6-трибензоил-(XII), 4-(4-метоксибензоил)-(XIII), 4-(4-метилбензоил)-(XIV), 4-(4-хлорбензоил)-(XV), 4-(3,4-дихлорбензоил)-(XVI), 4-(2,4-диоксибензоил)-(XVII), 4-(фенаил)-(XVIII). У VIII и его производных полоса поглощения в области длинных волн, по-видимому, обусловлена внутримолекулярной водородной связью между группой OH в орто-положении и карбонильной группой. Эта связь может быть усилена при замещении группами, являющимися донорами электронов, либо ослаблена вследствие стерич. препятствий. Приведены типичные примеры синтеза исследованных в-в. К 0,4 моля $\text{C}_6\text{H}_5\text{COCl}$ и 0,4 моля AlCl_3 в 125 мл $\text{C}_6\text{H}_5\text{NO}_2$ прибавляют 0,2 моля 6-гексилрезорцина, через 2 часа нагревают (80—90°, 3 часа), оставляют на 12 час. и разлагают разб. HCl . После обычной обработки выделяют 2,4-дibenзоил-6-н-гексилрезорцин, растворяют в CH_3OH и осаждают разб. CH_3COOH , выход 52%, т. пл. 68—69° (из CH_3OH). В смесь 0,2 моля резорцина, 0,2 моля анисовой к-ты и 50 мл тетрагидроэтана вводят BF_3 до присвеса 18 г, затем нагревают 4 часа при 100°, выливают в 300 мл воды—55 г CH_3COONa . Осадок растворяют в 400 мл 5%-ного Na_2CO_3 и осаждают XIII током CO_2 , выход 90%, т. пл. 165°. Аналогично получены: XIV, т. пл. 139°; XVI, т. пл. 188°; 4'-втор-амил-2,4-диоксибензофенон, т. кип. 235—240°/0,75 мм; 5-этил-2,4-диоксибензофенон (XIX), т. пл. 109°; 5-н-гексил-2,4-диоксибензофенон, т. пл. 81—82°. 25 г 4-этилрезорцина, 25 г $\text{C}_6\text{H}_5\text{COOH}$ и 200 мл HF (газа) нагревают при 100° под давлением; избыток HF удаляют, остаток обрабатывают разб. щелочью; XIX осаждают CO_2 , извлекают C_6H_6 , выход 21 г, т. кип. 240—250°/1 мм, т. пл. 104° (бэл.-лигр.). Аналогично получены: XIII, XV, т. пл. 151°, 5-циклогексил-2,4-диоксибензофенон, т. пл. 164°. 43 г 4-бензоилрезорцина (XX) медленно прибавляют к 200 г 20%-ного олеума при 15—20°, через 30 мин. р-р выливают в 1500 г льда, смесь нагревают при 40—45° до растворения, фильтруют и осаждают Na-соль 4-бензоилрезорцин-6-сульфокислоты 1000 г насыщ. р-ра NaCl, выход 56 г. Хлоргидрат 4-бензоил-6-диметиламинометилрезорцина получен при нагревании 5 час. 0,1 моля XX, 0,2 моля $(\text{CH}_3\text{O})_2\text{O}$ и 0,2 моля $\text{NH}(\text{CH}_3)_2\text{HCl}$ в 150 мл спирта, выход 21 г, т. пл. 215° (сп.). Аналогично получен хлоргидрат 4-бензоил-6-пиперидинометилрезорцина, т. пл. 222°. Приводятся т-ра плавления в °C соединений: I, 134; II, 206; III, 88; IV, 66; V, 130; VI, 124—125; IX, 135; X, 105; XI, 145; XII, 185; XVII, 193—195; XVIII, 119; 3'-нитро-5-н-гексил-2,4-диоксибензофенон, 85; 3'-нитро-2,4-диметоксибензофенон, 100; 2,4-диоксибензофенон-2'-сульфокислота, разлагается. Л. Ю.

78103. Синтез 2-метил-5-трет-бутилацилбензолов. Ройалс, Прасад (Synthesis of 2-methyl-5-tert-butylacylbenzenes. Royals E. Earl, Prasad Raj Nandan), J. Amer. Chem. Soc., 1955, 77, № 6, 1696—1697 (англ.)

Исследованы различные методы синтеза 2- CH_3 -5-трет- C_4H_9 - $\text{C}_6\text{H}_3\text{COR}$ (I), а R = CH_3 ; 6 R = C_2H_5 ; в R = $\text{CH}(\text{CH}_3)_2$; г R = $\text{C}(\text{CH}_3)_3$. Ацетилирование *n*-трет-бутилголуола (II) CH_3COCl (III) в присутствии AlCl_3 приводит, по-видимому, к 2-метил-4-трет-бутилголуолату (IV), который получается с выходом 57% и при т-ре от -20° до -30° . Хлорметилированием трет-бутилбензола (V) получают *n*-трет-бутилбензилхлорид (VI); реактив Гриньяра, полученный из VI, с $(\text{CH}_3\text{CO})_2\text{O}$ дает Ia, вторичный кетон неизвестного строения (семикарбазон, т. пл. 144—145°) и немного 1,2-ди-(*n*-трет-бутилфенил)-этана, т. пл. 149°, полученного также из Mg-производного VI в присутствии AgBr с выходом 57%. Бромированием II до 2-метил-5-

трет-бутилбромбензола (VII) и взаимодействием Mg-производного VII с $(\text{CH}_3\text{CO})_2\text{O}$ при -35 до -50° получают Ia. Строение Ia подтверждено окислением NaOCl до 2-метил-5-трет-бутилбензойной к-ты (VIII), идентичной с полученной карбоксилированием Mg-производного VII. Наиболее удобным методом получения I является превращение Mg-производных VII в Cd-производные и взаимодействие последних с соответствующими хлорангидридами. В смесь 1 моля V, 120 г формалина, 36 г конц. HCl, 0,5 моля ZnCl_2 и 10 г $(\text{CH}_3\text{CO})_2\text{O}$ пропускают HCl-газ, $75-82^\circ$, 27 час.) выливают в 500 мл ледяной воды, извлекают эфиром VI, выход 70%, т. кип. $88-89/3$ мм, n_D^{24} 1,5194. Окисление VI конц. HNO_3 получают п-трет-бутилбензойную к-ту, т. пл. 64° , идентичную полученной окислением II. Из II по ранее описанному методу (Taylor, Watts, J. Chem. Soc., 1952, 1123) при -8 до -5° получают IV, т. кип. $90/1$ мм, n_D^{25} 1,5191; семикарбазон (CK), т. пл. 197° . Бромированием II получают VII, выход 73%, т. кип. $97-98/4$ мм, n_D^{25} 1,5323. 0,5 моля VI в 300 мл эфира приливают за 4 часа к 0,5 моля Mg в 100 мл эфира, кипятят 3 часа под N_2 и оставляют на 12 час., прибавляют к 1,5 моля $(\text{CH}_3\text{CO})_2\text{O}$ в 200 мл эфира (2 часа) и кипятят 4 часа, обрабатывают разб. HCl при 0° и фракционной разгонкой выделяют 18 г Ia, т. кип. $140/18$ мм, $135/13$ мм, n_D^{24} 1,5127, CK, т. пл. 183° . 60 мл р-ра реактива Гриньяра (из 0,5 моля VII и 0,5 моля Mg в 300 мл эф.) по каплям выливают на избыток твердого CO_2 , выделяют VIII, выход 88%, т. пл. 98° (из водн. сп.). Из этого же реактива Гриньяра р-цией с $(\text{CH}_3\text{CO})_2\text{O}$ при -50 до -35° (Newman M. S., Booth H. T., J. Amer. Chem. Soc., 1945, 67, 154) получают Ia, выход 53%. К реактиву Гриньяра, полученному из 0,5 моля VII и 0,5 моля Mg в 260 мл эфира, прибавляют 0,27 моля CdCl_2 при $< 13^\circ$ 45 мин., эфир отгоняют, прибавляют 200 мл C_6H_6 и медленно поднимают т-ру до 80° , затем охлаждают до 20° , прибавляют за 45 мин. 0,46 моля III в 150 мл C_6H_6 и кипятят 100 мин., выделяют Ia, выход 40%. Аналогично получены следующие I (указаны I, выходы в %, т. кип. в $^\circ\text{C}/\text{мм}$ и n_D^{24}): Ib, 37, $148/18$, 1,5080; Ic, 68, $103/24$, 1,5009; Id, 52, $122-123/3$, 1,4934; CE, 16, т. пл. $146,5-147^\circ$. Т. К.

78104. Производные 1,2-дифенилпропен-2-она-1 и его димера — 2, 5, 6-трифенил-2-бензоил-2,3-дигидропирана. Матти. Первые (Substances dérivant de la diphenyl-1,2 propène-2 one-1 et de son dimère le triphényl-2, 5, 6 benzoyl-2 dihydro-2,3 pyrane. Matti Jean, Perrier Madeleine), Bull. Soc. chim. France, 1955, № 4, 525-530 (франц.)

Дегидратацией $\text{C}_6\text{H}_5\text{COC}(\text{OH})(\text{CH}_3)\text{C}_6\text{H}_5$ (I) получен $\text{C}_6\text{H}_5\text{COC}(\text{CH}_3)\text{C}_6\text{H}_5$ (II), присоединяющий HCl с образованием $\text{C}_6\text{H}_5\text{COC}(\text{CH}_3\text{Cl})\text{C}_6\text{H}_5$ (III), а не изомерного хлоркетона (РЖХим, 1954, 16247). III получен также действием SOCl_2 на I и р-цией $\text{ClCH}_2\text{CH}(\text{C}_6\text{H}_5)\text{COCl}$ (IV) с C_6H_6 по Фриделю-Крафтсу, в последнем случае при нагревании и избытке C_6H_6 образуется $\text{C}_6\text{H}_5\text{CH}_2\text{CH}(\text{C}_6\text{H}_5)\text{COC}_6\text{H}_5$ (V), синтезированный также из III и C_6H_6 . При нагревании II или III с р-ром Na_2CO_3 или с водой в запаянной трубке образуется димер II—2, 5, 6-трифенил-2-бензоил-2,3-дигидропиран (VI) (ср. Burg, J. Amer. Chem. Soc., 1951, 73, 5170), что подтверждено хим. свойствами VI. Перегоняют 5 г I (фенилгидразон, т. пл. 97° (из петр. эф.)) и 3,5 г KH_2SO_4 при 40 мм, выход II 96%, т. кип. $195/20$ мм. Эфир. р-р II насыщают HCl (газом) при охлаждении, после нагревания в вакууме выход III 97%, т. пл. 60° (из абс. сп.). Нагревают 10 г I и 10 г SOCl_2 75 мин., выход III 32%; из первого маточного р-ра при кристаллизации из спирта выделено немного I, 2, 5, 6-тетрафенилгексанол-5-диона-1,6 (VII), т. пл. 250° (из диоксана). К I молю IV и 1 молю C_6H_6 в CS_2 прибавляют 1 моль AlCl_3 , через 24 часа после обычной обработки выделен III, выход 85%. К р-ру 5 г IV в 15 мл C_6H_6 прибавляют 4 г AlCl_3 , нагревают 3 часа при $\sim 50^\circ$, выход V 90%, т. пл. 118° (из сп. или эф.-петр. эф.). Нагревают 2 часа взвесь 1,5 г III в 75 мл 0,06 н.

Na_2CO_3 , выделен VI, т. пл. 110° . После нагревания 1,5 г III и 30 мл воды (110° , 36 час.) экстрагируют эфиром VI, выход 20%; фенилгидразон, т. пл. 162° (из абс. сп.), не растворимый в эфире остаток — VII, выход $\sim 9\%$. Р-р 5 г VI в 160 мл абс. спирта и 30 мл 5 н. HCl или в 200 мл диоксана и 50 мл 5 н. HCl нагревают 1,5-2 часа, при этом при гидролизе VI количественно образуется VII; дифенилгидразон, т. пл. 208° (из $\text{C}_4\text{H}_9\text{OH}$). Нагревают при $190^\circ/2-3$ мм, 4 г VII и 1,4 г KH_2SO_4 12 мин. и затем по охлаждению обрабатывают смесью эфира-петр. эфира; нерастворимый продукт (A) после промывания водой плавится при 153° (из сп.) и изомерен VI; при упаривании вытяжки выделены в-во A, изомер (B) с т. пл. 132° (из сп.), и VI. Не установлено, являются ли A и B геометрич. изомерами или различными формами 1, 2, 5, 6-тетрафенилгексен-4-диона-1,6. Из $\text{C}_6\text{H}_5\text{COC}(\text{CH}_3)(\text{C}_6\text{H}_5)\text{CH}_2\text{N}(\text{CH}_3)_2$ (VIII) получен иодметилат, т. разл. 190° (из абс. сп.-петр. эф.). Из хлоргидрата VIII получен хлоргидрат фенилгидразона, т. пл. 140° (из метилэтилкетона). При этом образуются также трифенилпирозолин, т. пл. 135° , и 1, 4, 5-трифенилпирозол, т. пл. 210° . Я. К.

78105. Исследование в области производные двусосновых карбоновых кислот. Сообщение XIV. Аминофизы п-фенилендикарбоновой и п-фенилендиуксусной кислот и их четвертичные соли. Миджон А. Л., Довлатян В. В., Диванян Н. М. Докл. АН АрмССР, 1956, 22, № 2, 65-69 (рез. арм.).

Для изучения кураеподобных свойств синтезированы аминоэфиры общей ф-лы $\text{p}-(\text{R}_2\text{NXOCOSCH}_2)_2\text{C}_6\text{H}_4$ (I) и $\text{p}-(\text{R}_2\text{NXOCO})_2\text{C}_6\text{H}_4$ (II). Для I перечисляются X, R, выход в %, т. кип. в $^\circ\text{C}/\text{мм}$, n_D^{20} , d_4^{20} , т. пл. в $^\circ\text{C}$ хлоргидрата, нодметилата, иодэтлата: CH_3CH_2 , CH_3 , 40,0, 208-210/2, 1,4968, 0,9668, 177-178, 168, 184; CH_2CH_2 , CH_3CH_2 , 48,8, 240/4, 1,4913, 1,0372, 210-211, 190, 154; $\text{CH}(\text{CH}_3)\text{CH}_2\text{CH}_2(\text{A})$, CH_3 , 58,7, 210/3, 1,4845, 1,0158, 185, 201-202, 175; A, CH_2CH_2 , 53,0, 216/3, 1,4960, 1,0566, —, 205, 190; $\text{CH}_2\text{C}(\text{CH}_3)_2\text{CH}_2(\text{B})$, CH_3 , 50,0, 206-207/3, 1,4882, 1,0258, 184, 213-215, 201-202; B, CH_2CH_2 , 54,0, 216/5, 1,4760, 1,0113, 187, 192, —. Для II перечисляются те же показатели: CH_3CH_2 , CH_3 , 87,1, 192-193/3, 1,5028, 1,0872, 230, 274, 252-253; CH_2CH_2 , CH_3CH_2 , 85,5, 206-208/3, 1,4963, 1,0434, 214, 224-225, 211-212; A, CH_3 , 65,8, 196-198/3, 1,4890, 1,0374, 232-233, —, 208-209; A, CH_2CH_2 , 40, 220/3, 1,4890, 1,0103, —, —, —; B, CH_3 , 66, 214, 215/3 (т. пл. 58°), —, —, 252, 250-251, 221; B, CH_2CH_2 , 60, 233-234/3 (т. пл. 40°), 1,4860, 0,9824, 204-205, 210, —; $\text{CH}(\text{CH}_3)\text{CH}(\text{CH}_3)\text{CH}_2(\text{B})$, CH_3 , 62, 220/3, 1,4920, 1,0220, —, —, —; B, CH_2CH_2 , 58, 224-225/3, 1,4865, 1,0011, —, —, —. Сообщение XIII см. РЖХим, 1956, 74857. Е. Ф.

78106. Применение полифосфорной кислоты в качестве конденсирующего агента. II. Ацилирование в ядро фенола и анизола при помощи карбоновых кислот. (Синтезы 4-окси- и 4-метоксиацилофенонов). Накадзава, Мацуура, Кусуда. III. Ацилирование фенолов бензойной и монооксибензойными кислотами. Накадзава, Мацуура, Баба. IV. Ацилирование в ядро пирокатехина, резорцина, резацилофенонов и их метиловых эфиров. Накадзава. V. Ацилирование ядра флороглюцина и его метиловых эфиров карбоновыми кислотами. Накадзава, Мацуура. VI. Ацилирование ядра α -нафтола карбоновыми кислотами. Накадзава, Цубоути. (綜合剤としてのポリリン酸の應用に關する研究. 第2報. カルボン酸による石炭酸及びフェノールの核アシル化反應) 4-1 ヒドロキシ及び4-メトキシシロフェノンの合成, 中澤浩一, 松浦信, 楠田貞典. 第3報. 安息香酸及びモノヒドロキシ安息香酸によるフェノール化合物のアシル化. 中澤浩一, 松浦信, 馬場茂雄, 第4報. カテコール、レゾルシン、レジアシロフェノンの核アシル化反應. 中澤浩一. 第5

報. カルボン酸によるフ ロロゲルシン及びそのメチルエーテル類の核アシル化反應. 中澤浩一, 松浦信. 第6報, カルボン酸によるα-ナフトールの核アシル化反應. 中澤浩一, 坪内幸恵, 薬學雜誌, Якугаку дзасси, J. Pharm. Soc. Japan, 1954, 74, № 5, 495—497, 498—501; № 8, 836—839; № 11, 1254—1255, 1256—1258 (япон.; рез. англ.).

Сообщение II. Смесь 3 г C_6H_5COOH , 4 г C_6H_5OH (I) и 35 г полифосфорной к-ты (II) нагревают на водяной бане 5 мин., получают $n-HOC_6H_4COR$ (III) ($R = C_2H_5$), выход 58%, т. пл. 147° (из сп.). Аналогично получены другие III (приводятся R, время нагревания в мин., выход в %, т. пл. в °C (из сп.): C_3H_7 , 5, 54, 92; C_4H_9 , 15, 47, 77, семикарбазон, т. пл. 178° C_6H_5N , 20, 41, 62, семикарбазон, т. пл. 149°; $C_6H_5CH_2$, 15, 28, 143; $C_6H_5CH_2CH_2$, 15, 27, 74; $C_6H_5CH=CH$, 13, 20, 172. Применяя анизол вместо I, получают следующие $n-CH_3OC_6H_4COR$ (приводятся R, время нагревания в мин., выход в %, т. пл. в °C или т. кип. в °C/мм, т. пл. семикарбазона в °C): CH_3 , 35, 64, 127/10, 195; C_2H_5 , 23, 64, 136/11, 173; C_3H_7 , 32, 60, 144/9, 176; C_4H_9 , 20, 72, 162/12, 178; C_6H_{11} , 20, —, 38 (т. кип. 165/10), 122; $C_6H_5CH_2$, 5, 73, 75, —; $n-CH_3OC_6H_4CH_2$, 5, 74, 110, —; $C_6H_5CH_2CH_2$, 10, 50, 97, —; $C_6H_5CH=CH$, 15, 45, 103, —. Исходя из вератрола получен 3,4-(CH_3O) $_2C_6H_3COCH_2-C_6H_4(OCH_3)_2$, 2,4,6, 5, 55, 143, —.

Сообщение III. Смесь 1,1 г $o-C_6H_4(OH)_2$, 2,4 г C_6H_5COOH и 25 г полифосфорной к-ты (I) нагревают 30 мин. при ~100°, осадок промывают р-ром $KHCO_3$, получено 1,3 г $o-HOC_6H_4OCOC_6H_5$, т. пл. 128° (из бэл.). Аналогично получены (указаны исходные фенол и к-та или эфир, продолжительность нагревания в мин., продукт р-ции, т. пл. в °C): 1,3,5- $C_6H_3(OH)_3$, C_6H_5COOH , 30, 1,3,5- C_6H_3 ($OCOC_6H_5$), 173; C_6H_5OH , $o-HOC_6H_4COOC_2H_5$ (II), 15, $o-HOC_6H_4COOC_6H_5$, 40; $n-C_6H_4(OH)_2$, II, 20, $n-C_6H_4$ ($OCOC_6H_4OH$)- o , 147. Из 4 г C_6H_5OH , 5,6 г $n-HOC_6H_4COOH$ (III) и 50 г I через 48 час. получено 2,5 г $n-HOC_6H_4COOC_6H_5$, т. пл. 175°; при нагревании смеси 30 мин. и промывании р-ром $KHCO_3$ выделено 1,8 г ($n-HOC_6H_4CO$) $_2$ CO (IV), т. пл. 207°. Из 0,7 г IV, 3 мл $(CH_3)_2SO_4$ и 3 мл 30%-ного NaOH получено 0,2 г $(n-CH_3OC_6H_4CO)_2$ CO (V), т. пл. 143°. К 1,1 г $C_6H_5OCH_3$ и 2 г $AlCl_3$ в 10 мл $C_6H_5NO_2$ прибавляют 1,7 г $n-CH_3OC_6H_4COCl$ в 5 мл $C_6H_5NO_2$, через ~12 час. разлагают разб. HCl, остаток после отгонки с паром — 1,7 г V. Нагреванием 1,1 г $C_6H_5OCH_3$, $n-CH_3OC_6H_4COOH$ (VI) и 15 г I получено 2 г V. Из 10 г C_6H_5OH , 10 г VI и 100 г I через 24 часа после промывания р-ром $KHCO_3$ получено 7,2 г $n-CH_3OC_6H_4COOC_6H_5$ (VII), т. пл. 76° (из сп.). Смесь 3 г C_6H_5OH , 3 г VI и 35 г I нагревают 5 мин., прибавляют воду, 5%-ным KOH извлечено 1,3 г $n-HOC_6H_4COC_6H_4OCH_3$ - n (VIII), т. пл. 151°, кроме того, выделено 1,5 г не растворимого в KOH VII; при нагревании смеси 30 мин. получено 2,5 г VIII и 0,3 г не растворимого в KOH 4- $CH_3OC_6H_4COC_6H_4OR$ -4 (IX, $R = n-CH_3OC_6H_4$), т. пл. 147° (из сп.). Нагревают 2,3 г VII и 20 г I 30 мин., после обычной обработки получено 1 г VIII и 0,3 г IX. Нагревают 1,1 г $C_6H_5OCH_3$, 1,4 г III и 15 г I 20 мин., выделено 0,6 г VIII. К 0,4 г IX в 2 мл конц. H_2SO_4 через 10 мин. прибавляют воду и отделяют 0,2 г VIII. Нагревают 15 мин. 0,6 г VIII, 0,58 г $n-CH_3OC_6H_4COCl$ и 5 мл C_6H_5N , выделено 0,7 г IX. Нагреванием 20 мин. 0,8 г VI, 1,1 г VIII и 15 г I получено 0,5 г IX. Из 1,5 г $n-HOC_6H_4COOCH_3$, 1,5 г VI и 20 г I через 48 час. выделено 1,5 г 4-($n-CH_3OC_6H_4COO$) $C_6H_4COOCH_3$ (X), т. пл. 148° (из сп.). Нагревают 15 мин. 0,8 г $n-HOC_6H_4COOCH_3$, 1 г $n-CH_3OC_6H_4COCl$ и 5 мл C_6H_5N , получено 1,2 г X. Из 1,1 г $o-C_6H_4(OH)_2$, 3 г VI и 30 г I через 48 час. выделено 1 г $o-HOC_6H_4OOCOC_6H_4OCH_3$ - n , т. пл. 133° (из бэл. и разб. сп.). Нагревают 1,1 г гидрохинона, 3 г VI и 30 г I 20 мин., выделено 1,8 г 4-($n-CH_3OC_6H_4COO$) $_2C_6H_4$,

т. пл. 212° (из лед. CH_3COOH). Из 1,1 г резорцина, 3 г VI и 30 г I через 48 час. выделено 1,2 г 3-($n-CH_3OC_6H_4COO$) $_2C_6H_4$, т. пл. 134° (из сп.). 12,2 г фенола и 12,2 г C_6H_5COOH нагревают 10 мин., 5%-ным NaOH извлекают 0,9 г $n-HOC_6H_4COC_6H_5$ (XI), т. пл. 132°. Кроме того, выделено 18,2 г не растворимого в NaOH $C_6H_5COOC_6H_5$ (XII), т. пл. 70°. Из 0,3 г XI, 3 мл $(CH_3)_2SO_4$ и 30%-ного NaOH получено 0,25 г $n-CH_3OC_6H_4COC_6H_5$ (XIII), т. пл. 64°. К 5,4 г анизола, 8 г $AlCl_3$ и 30 мл CS_2 прибавляют по каплям 7 мл C_6H_5COCl , после нагревания и прибавления разб. HCl получено 4 г XIII. Нагревают 30 мин. 2,2 г анизола, 2,4 г C_6H_5COOH и 30 г I, после промывания р-ром K_2CO_3 получено 2,6 г XIII. 5 г XII и 30 г I нагревают 30 мин., 5%-ным NaOH извлечено 0,3 г XI, т. пл. 133°. Chem. Abstrs, 1955, 49, № 12, 8182. K. Kitsuta.

Сообщение IV. Пирокатехин (I), резорцин (II) и их метиловые эфиры легко ацилируются в ядро уксусной и пропионовой к-тами в присутствии полифосфорной кислоты при нагревании при ~100° в течение 10—20 мин. I, гваякол, вератрол превращаются соответственно в ацил-I, ацилованилон, ациловератрон. II и его моно- и диметиловый эфиры образуют резацилофеноны и соответствующие метиловые эфиры. Резацилофеноны образуют 4,6-диацил-II, а 4-метиловый эфир резацилофенона — монометиловый эфир 4,6-диацил-II. Ацилирование в ядро 2-метилового эфира резацилофенона затруднено, а его диметиловый эфир не поддается ацилированию. Описаны следующие новые соединения: пропивианилон, т. кип. 162—168°/11 мм, диметиловый эфир резпропиофенона, т. пл. 78°; 4-ацетил-6-пропионил-II, т. пл. 122°; 1-метиловый эфир 4-ацетил-6-пропионил-II, т. пл. 92°; 3-метиловый эфир 4-ацетил-6-пропионил-II, т. пл. 129°; монометиловый эфир 4,6-дипропионил-II, т. пл. 127°. O. M.

Сообщение V. Проведено ацилирование 1,3,5-(HO) $_3C_6H_3$ (I), его монометилового (II), диметилового (III) и триметилового (IV) эфиров уксусной (V) и пропионовой (VI) к-тами в присутствии полифосфорной к-ты $H(PO_3H)_nOH$ ($n = 2,5$). 0,63 г I, 0,9 г V и 10 г VII нагревают 10 мин. при 100°, получают 0,15 г 2,4,6-(RCO) $_3C_6(OH)_3$, 1,3,5 (VIII) ($R = CH_3$), т. пл. 154° (из сп.). Аналогично из 0,63 г I, 1,1 г VI и 10 г VII получают 0,3 г VIII ($R = C_2H_5$), т. пл. 143°, из 0,7 г II, 0,9 г V и 15 г VII — 0,5 г 2,4,6-(CH_3CO) $_3$ -II, т. пл. 109°; из 0,7 г II, 1,1 г V и 15 г VII — 0,5 г 2,4,6-(C_2H_5CO) $_3$ -II, т. пл. 104°. 0,77 г III, 1 г V и 15 г VII нагревают 15 мин. при 100°, получают 0,6 г 2,4-диацетил-3,5-диметоксифенола, т. пл. 126°; аналогично из 0,77 г III и 1 г VI получают 2,4-дипропионил-3,5-диметоксифенол, т. пл. 101°. 0,84 г IV, 1 г V и 10 г VII дают 0,8 г 2,4,6-(CH_3CO) $_3$ -IV, т. пл. 102°, а 0,84 г IV, 1 г VI и 10 г VII — 0,6 г 2,4,6-(C_2H_5CO) $_3$ -IV, т. пл. 81°. E. F.

Сообщение VI. $C_{10}H_7OH$ -1 (I) ацилируется карбоновыми к-тами (1 моль) в присутствии полифосфорной к-ты (II) главным образом в положение 2. Эфиры I легко ацилируются с образованием 2- и 4-ацилфенолов-1. В случае I и их эфиров при использовании к-т с числом C-атомов больше 3 выходы уменьшаются и вместе с этим увеличивается относительно кол-во 2-ацилфенолов. $C_{10}H_7OCOC_2H_5$ не реагирует в этих условиях. I и RCOOH (по 0,015 моля) нагревают 15 мин. при 100° с 20—30 г II, обрабатывают водой, отфильтровывают, промывают водой, извлекают петр. эфиром 2- $RCOC_{10}H_6OH$ -1 (III), из не растворимого остатка получают 4- $RCOC_{10}H_6OH$ (IV) (даны R, т. пл. в °C и выход в % III, т. пл. в °C (из бэл.) и выход в % IV): CH_3 , 96, 37, 195, 32; C_2H_5 , 86, 42, 185, 1; C_3H_7 , 87, 72, 164, 3; C_4H_9 , 79, 53, —, следы; C_6H_{11} , 64, 46, —, 0. I с 2 молями лед. CH_3COOH дают 2,4- $CH_3COC_{10}H_6OH$ -1, т. пл. 140°, который получают также из III ($R = CH_3$) или IV

(R = CH₃). 0,75 г III (R = CH₃), 0,5 г C₆H₅COOH и 10 г II нагревают 15 мин., получают 0,25 г 2,4-(CH₃CO)(C₆H₅CO)C₁₀H₇ОН-4, т. пл. 119°. Сообщение I см. РЖХим, 1956, 74884. Е. Ф.

78107. Исследование реакций замещения галогена в α-галогенкарбонильных соединениях. V. Реакции α-бромбензилметилкетона с солями триметилуксусной и салициловой кислот. Векслер В. И. Ж. общ. химии, 1955, 25 № 8, 1586—1589

При р-ции C₆H₅CHBr COCH₃ (I) с (CH₃)₃CCOOK (II) получается главным образом C₆H₅CH(COCH₃)OOCCH₃ (III) с незначительной примесью изомерного продукта перегруппировки C₆H₅COCH(CH₃)OOCCH₃ (IV). Строение III подтверждено УФ-спектром, строение IV — встречным синтезом из C₆H₅COCHBrCH₃ (V) и II. При р-ции I с о-НОС₆H₄COONa (VI) образуется только C₆H₅CH(COCH₃)OOCCH₃Н₂ОН-о (VII). Сделан вывод, что направление р-ции I с солями к-т зависит не от силы к-ты (ср. Темникова Т. И., Ж. общ. химии, 1938, 8, 1022), а от их строения, в частности от пространственных факторов. К р-ру 15,5 г II в 100 мл абс. спирта добавляют 17 г I, нагревают 30 мин., после отгонки р-рителя из фильтрата и прибавления воды выпал III, выход 10,2 г, т. пл. 73,5—74° (из бзл.). Нагреванием 9 г V и 9 г II в 50 мл абс. спирта после обычной обработки получено 1,5 г IV, т. кип. 132—142°/5 мм, т. пл. 36—37° (из петр. эф.). Из 25 г I и 25 г VI в 100 мл абс. спирта после нагревания 5 час. и обычной обработки получен VII, т. пл. 123,5—124° (из бзл.). Нагревают 3,5 г VI и 2,5 г V в абс. спирте 10 час., выделяют C₆H₅COCH(CH₃)OOCCH₃Н₂ОН-о, т. пл. 77—78° (из сл.). Я. К.

78108. Перегруппировка гидразонов в аминны. II. О некоторых новых примерах применимости перегруппировки у производных л-толигидразина. Робев С. т., Докл. Болгар. АН, 1955, 8, № 2, 29—32 (рез. нем.)

В продолжение работы (РЖХим, 1955, 40110; 1956, 32431) о перегруппировке альдегидгидразонов ароматич. ряда из ArCH=NNHC₆H₄CH₃-л (Ia — в) (здесь и далее A: Ar=C₆H₅; б Ar=CH₂O₂C₆H₅; в A=β-нафтил) получены ArC(NH₂)=NC₆H₄CH₃-л (IIa — в). Из л-CH₃C₆H₄NNHCH₃-HCl и бензальдегида, пипероналя или β-нафталальдегида в присутствии CH₃COONa получены соответственно Ia, т. пл. 124—125° (из водн. сп.), Ib, т. пл. 120—121° (из сл.), и Ic, т. пл. 204—206° (из пиридина-сп.). 0,01 моля Ia и 0,0075 моля NaNH₂ в 50 мл ксилола нагревают, перемешивая 1 час при 140—150°, прибавляют 50 мл воды, сливают воду, извлекают Ia 50 мл 5%-ной HCl; подщелачиванием получен IIa, выход 61%, т. пл. 98—99° (из водн. сл.), слабо растворим в воде. Из Ib в присутствии NaNH₂ при аналогичной обработке получен IIb, выход 54%, т. пл. 140—143° (из сл.), и из Ic получен IIc, выход 37%, т. пл. 188—189°. Р. С.

78109. Лактоны. Часть I. Новый метод превращения фталидов во фталальдегидокислоты. Блер, Браун, Ньюболд (Lactones. Part I. A novel method for the conversion of phthalides into phthalaldehyde acids. Blair John, Brown J. J., Newbold G. T.) J. Chem. Soc., 1955, March, 708—712 (англ.)

Фталид (I) и замещ. I при действии (CH₃)₂NH переводят в соответствующие о-оксиметил-N, N-диметилбензамиды (II), окислением которых при помощи CrO₃ и последующим гидролизом разб. HCl получают фталальдегидокислоты (III). Разработан метод окисления (метод А): 1 ч. II в 20 ч. лед. CH₃COOH обрабатывают при ~ 20° р-ром 1 ч. H₂CrO₄ в 1 ч. воды, добавляют 20 ч. лед. CH₃COOH, перемешивают еще 5 мин., разбавляют 100 ч. воды и экстрагируют CHCl₃. К 2 г меконина (IV) в 120 мл спирта прибавляют 50 мл (CH₃)₂NH, через 2 суток упаривают при < 35°, получают 89% 6-оксиметил-2,3-диметокс-N, N-диметилбензамид (V), т. пл. 93—95° (из этилацетата + петр. эф.); ацетат V, т. пл. 63—64° (из петр. эф.). При 170—180° V дает 85% IV; кипячение V с 3 н. HCl (30 мин.) или с 3 н. NaOH также приводит к IV. 1 г V окисляют по методу А,

получают 46% опиановой к-ты (VI). 2 г I в 10 мл спирта нагревают с 20 мл (CH₃)₂NH в автоклаве 4 часа при 130°; после окисления и гидролиза выделено 20% о-НО-С₆H₄COOH (из бзл.-петр. эф.). Аналогично получены другие III (даны заместители в I и в соответствующей III, т. пл. в °C III): 5,6-(CH₃O)₂, 4,5-(CH₃O)₂, 185—187 (из воды); 4-CH₃O, 3-CH₃O (IIIa), 155—157 (из бзл.+петр. эф.); pK_a 5,57; 6-CH₃O-5-CH₃, 5-CH₃O-4-CH₃ (IIIб), 162—163 (из бзл.); 5,6,7-(CH₃O)₃, 4,5,6-(CH₃O)₃ (IIIв), 137—138 (из бзл.+петр. эф.). Из 5 г 2-амино-3-метоксибензойной к-ты по Зандмейеру получают 4 г цианокислоты, при омылении которой KOH получают 3,5 г неочищ. 3-метоксифталевой к-ты (VII), т. пл. 169—171° (из этилацетата + петр. эф.). При нагревании 2 г неочищ. VII 10 мин. (180—185°/760 мм и 160—170°/10⁻³ мм) получают 1,8 г 3-метоксифталевой ангидрида (VIII), т. пл. 159—160°, 4,4 г VIII, 13 мл лед. CH₃COOH, 13 мл HCl. (d 1,16) и 11 г Zn-пыли кипятят 6 час.; через ~ 12 час. (при ~ 20°) нейтрализуют водн. р-ром Na₂CO₃, извлекают CHCl₃, сушат, упаривают в вакууме, остаток (3,8 г) кипятят 2,5 часа с 100 мл HBr (d 1,46—1,49) в атмосфере CO₂, упаривают в вакууме, растворяют в воде, кипятят с животным углем, снова упаривают в вакууме досуха, получают 7-оксифталид (IX), т. пл. 134—136° (возгонка при 130—140°/10⁻³ мм; из этилацетата + петр. эф.). 7-метоксифталид (X) получают двумя методами: 1) 5 г 2-амино-3-метоксибензойной к-ты восстанавливают 8 г LiAlH₄ в 250 мл эфира (РЖХим, 1953, 6413); 3,5 г полученного аминспирта превращают по Зандмейеру в соответствующую цианокислоту в виде масла (700 мг), которое кипятят 2 часа с 20 мл 10%-ного KOH, извлекают CHCl₃ 100 мг X, т. пл. 107—109° (из этилацетата + петр. эф.); 2) 650 мг IX метилируют CH₃N₂ (из 6 г нитрозоэтилметилена), получают 570 мг X. 120 мг X в 10 мл спирта охлаждают до 0°, обрабатывают 10 мл (CH₃)₂NH и выдерживают 3 суток при ~ 20°, р-рителем отгоняют при < 35°; получают 140 мг 2-метокс-6-оксиметил-N, N-диметилбензамид, т. пл. 120—121° (из этилацетата + петр. эф.). 100 мг последнего окисляют по методу А, получают 50 мг гидрата 6-метоксифталальдегидокислоты (XI), т. пл. 151—153°, pK_a 5,13; 2,4-динитрофенилгидразон, т. пл. 250—252° (разл.; из сл.). Р-р 5 г I в 100 мл спирта с 200 мл жидкого NH₃ выдерживают ~ 12 час. при ~ 20°, получают о-оксиметилбензамид (XII), выход 75%, т. пл. 149—150° (из этилацетата + петр. эф.). 500 мг XII окисляют по методу А; выделен фталмид, выход 70%. К 5 г IV в 300 мл спирта медленно с перемешиванием прибавляют 200 мл жидкого NH₃, через ~ 12 час. (~ 20°), после отгонки р-рителя извлекают горячим C₆H₆; получено 3,5 г 2,3-диметокс-6-оксиметилбензамид (XIII), т. пл. 140—142° (из этилацетата + петр. эф.); ацетат XIII, т. пл. 159—160° (из бзл.+петр. эф.). 250 мг XIII окисляют по методу А, выделяют 100 мг гемипинимида, т. пл. 225—227° (из сл.). Приведены УФ-спектры V, VI, VII, IX, X, XI, XIII, ацетатов V и XIII, гемипинимида и IIIa, б, в. О. Т.

78110. Использование побочных продуктов производства гексахлорциклопексана. Монометоксилирование 2,4,5-трихлорнитробензола. Кониси, Гон (BHC 副生物の利用研究. 第1報. 2, 4, 5-トリクロロニトロベンゼンのモノメトキシ化に就いて. 五井満寛, 小西謙三.) 有機合成化学協会誌, Юки госэй кагаку кёкайси, J. Soc. Organ. Synth. Chem., Japan 1954, 12, № 5, 189—191 (япон.)

2,4,5-трихлорнитробензол (I) реагирует с CH₃OH в присутствии NaOH, образуя 2,5-дихлор-4-нитроанизол (II) и 4,5-дихлор-2-нитроанизол (III) в отношении 5:4; так как II и III трудно разделить кристаллизацией, полученную смесь восстанавливают до 2,5-дихлор-л-анизамина (IV) и 4,5-дихлор-о-анизамина (V) и разделяют IV и V в виде ацетильных производных. Строение III подтверждено встречным синтезом по схеме: о-дихлорбензол (VI) → 1,2-

дихлор-4,5-динитробензол (VII) → III. Строение II подтверждено превращением в IV, деметилированием IV до 2,5-дихлор-*п*-аминофенола (VIII) и окислением VIII в 2,5-дихлорбензохинон (IX). Смесь 0,2 моля I в 200 мл CH₃OH и 0,22 моля NaOH в 100 мл CH₃OH кипятят 3 часа, фильтруют, разбавляют водой, получают 25 г смеси II и III, из маточного р-ра после упаривания до 1/5 объема выделяют еще 15,5 г смеси II и III; кристаллизацией первой порции (25 г) кристаллов из CH₃OH выделяют чистый II, т. пл. 99°. К 11,1 г II, 12 г Sn и 40 мл воды при 40–50° за 30 мин. добавляют 40 мл конц. HCl, перемешивают 30 мин., фильтруют, подщелачивают 25%-ным NaOH, получают 8,6 г IV, т. пл. 77,5° (из 60%-ного CH₃OH), действием на IV (CH₃CO)₂O получают моноацетильное производное (X), т. пл. 189–190°. 5,3 г IV кипятят с HJ (*d* 1,7) 5 час., получают 4 г VIII, т. пл. 175–176° (из CH₃OH). 2 г VIII окисляют в 20 мл конц. H₂SO₄ + 80 мл воды посредством 3,5 г K₂Cr₂O₇, отгоняют с водным паром 1,2 г IX, т. пл. 158–160°. 20 г VI нитруют при 90° смесью 100 г HNO₃ (*d* 1,50) и 200 г конц. H₂SO₄, получают 1 г VII; последний кипятят с 10 мл CH₃OH и 5,4 мл р-ра CH₃ONa в CH₃OH (0,0018 г/мл), выливают в воду, получают 0,6 г III, т. пл. 86° (из 60%-ного CH₃OH). III восстанавливают посредством SnCl₂ в HCl (кратковременное нагревание), получают 0,4 г V, т. пл. 91° (из CH₃OH); моноацетильное производное (XI), т. пл. 137–138°. Смесь II+III восстанавливают посредством Sn аналогично II, полученную смесь IV и V ацетилируют посредством (CH₃CO)₂O (нагревание в C₆H₆ 30 мин.), X и XI разделяют кристаллизацией из C₆H₆.

Л. Я.

78111. Нитрование диметилового эфира гидрохинона.

Канаанива, Канаанива (Hydroquinone dimethyl ether のニトロ化. 金庭延慶, 金庭照子). 金澤大學薬学部研究年報, Канадзава дайгаку якугакубу кэнкю нэмпо, Annual Rept Fac. Pharmacy Kanazawa Univ., 1955, 5, 63–65 (япон.; рез. англ.).

При нитровании *п*-CH₃OC₆H₄OCH₃ образуется смесь диметилловых эфиров 2,5-(I) и 2,3-динитрохинона (II) в соотношении ~1:2. Приведены данные о т-ре плавления смесей чистых I и II.

Я. К.

78112. Строение веществ, влияющих на вегетативный отдел нервной системы II. Аминовинилкетоны. Хейгер, Ханкер (The structure of substances which affect the autonomic nervous system. II. Aminovinyl ketones. Hager George P., Harker Jacob S.), J. Amer. Pharmac. Assoc. Scient. Ed., 1955, 44, № 3, 138–141 (англ.).

Исходя из арил-β-оксивинилкетонов (I') синтезированы аминovinилкетоны *п*-RC₆H₄COCH=CHNR₂' (II) по схеме: *п*-RC₆H₄COCH=CHONa + R''COCl → *п*-RC₆H₄COCH=CHOCOR'' (III) → II. К суспензии C₂H₅ONa (из 23 г Na) в эфире добавляют 1 моль ацетофенона и 74 г HCOOC₂H₅, охлаждают и отфильтровывают C₆H₅COCH=CHONa, выход 80–90%. Аналогично получают На-соли других I. К суспензии На-соли I в 50 мл диоксана добавляют эквимолярное кол-во R''COCl (или 2 экв (CH₃CO)₂O в случае получения ацетатов I). По окончании экзотермич. р-ции добавляют 500 мл воды и отделяют III (указаны R, R'', выход в %, т. пл. в °C (из CH₃OH или петр. эф.)): H, CH₃ (IIIa), 90, 69–70; CH₃O, CH₃ (IIIб), 84, 97–98; H, CH₂Cl (IIIв), 41, 100,5–101,5; гидрохлорид IIIв, т. пл. 88,5–89°; CH₃O, CH₂Cl (IIIг), 69, 125–126; гидрохлорид IIIг, т. пл. 88,5–89°; H, CH₂CH₂Cl (IIIд), 69, 58–58,5; CH₃O, CH₂CH₂Cl (IIIе), 51, 79–80; III (R=H, R'=CHBrCH₃) и III (R=CH₃O, R'=CHBrCH₃) неустойчивые жидкости. К р-ру 0,1 моля IIIa в 75 мл эфира добавляют при охлаждении 0,2 моля диэтиламина, кипятят 30 мин. и обрабатывают HCl (газом), получают хлоридат (XГ) II (R=H, R'=C₂H₅ (IIa), выход 61%, т. пл. 128–131° (из абс. сп.+эф.); основание, т. пл. 53° (из петр. эф.). Из III в IIIд получают XГ IIa с выходом 75 и 67% соответственно. Аналогично синтезируют из

IIIa XГ II (R=H, R'=CH₃), т. пл. 165–169° (из абс. сп.+эф.), из IIIб (IIIг или IIIе) — XГ II (R=CH₃O, R'=C₂H₅), выход 53, 59 и 61% соответственно, т. пл. 135–139°. К р-ру 4,42 г IIIб в 20 мл диоксана добавляют при 20° 3,4 г пиперидина, по окончании р-ции добавляют лигрон, выделившееся масло растворяют в спирте. р-ре HCl (газа) и эфиром осаждают XГ II (R=CH₃O, NR'=C₆H₁₁N), выход 27%, т. пл. 191–195° (из абс. сп.+эф.). Р-р 4,42 г IIIб в 50 мл CH₃OH обрабатывают при охлаждении морфолином (3,48 г); по окончании р-ции добавляют воду, выделившееся масло обрабатывают спирте. р-ром HCl и получают XГ II (R=CH₃O, NR'=морфолин), выход 39%, т. пл. 112–115° (из абс. сп.+эф.). К р-ру 22,1 г IIIб в 100 мл спирта добавляют при охлаждении 24,6 г *п*-анилидина, перекристаллизацией из спирта выделяют II (R=CH₃O, NR'=4-CH₃OC₆H₄NH), выход 52%, т. пл. 184–185°. Аналогично из IIIa и анилина синтезируют II (R=H, NR'=C₆H₅NH), т. пл. 139–140°, а из IIIa и *п*-фенетидина получают II (R=H, NR'=4-C₂H₅OC₆H₄NH), т. пл. 150–151°. 22,1 г IIIб и 9,4 г 2-аминопиридина в 100 мл CH₃OH нагревают до кипения, продукт р-ции растворяют в спирте. р-ре HCl (газа) и эфиром осаждают ди-XГ II (R=CH₃O, NR'=пиридиламино-2), выход 13%, т. пл. 135–139° (из абс. сп.+эф.). К р-ру 9,5 г IIIa в 60 мл CH₃OH добавляют при охлаждении 4,5 г этилендиамина. По окончании р-ции выпадает N,N'-бис-(бензоилвинил)-этилендиамин, выход 39%, т. пл. 143–144° (из CH₃OH). Аналогично IIIб превращают в N,N'-бис-(*п*-анизоилвинил)-этилендиамин, выход 59%, т. пл. 218–219° (из этилацетата). Сообщение I см. РЖХим, 1953, 9015

Л. Б.

78113. Затрудненное вращение в ариламилах. XVIII.

Расщепление N-карбоксиметил-N-метил-3-броммезидина. Адамс, Бломстром, Сундстром (Restricted rotation in aryl amines. XVIII. Resolution of N-carboxymethyl-N-methyl-3-bromomesidine. Adams S. Roger, Blomstrom Dale C., Sundstrom K. V. Y.), J. Amer. Chem. Soc., 1954, 76, № 21, 5478–5479 (англ.).

Действием BrCH₂COOC₂H₅ (I) на N-метил-3-броммезидин (II) с последующим омылением продуктов р-ции получают N-карбоксиметил-N-метил-3-броммезидин (III). Из III и цинхонидина (IV) образуется лишь одна соль, что указывает на мутаротацию. Нагревают 18 час. 20 г II и 8 г I в 270 мл 75%-ного спирта, прибавляют р-р 20 г NaOH в 30 мл воды, нагревают еще 2,5 часа, после отгонки 175 мл спирта, добавления 250 мл воды и экстрагирования непрореагировавшего II эфиром, подкислением водн. р-ра выделен III, выход 92%, т. пл. 107–108° (из лигр.). Р-р 3,1 г III и 3,20 г IV в ~100 мл CHCl₃ упаривают до ~10 мл, растворяют при нагревании в 150 мл ацетона, при охлаждении выделяется постепенно соль III с IV, выход 90%, т. пл. 156–158°, [α]_D²⁰ –56 до –58°. При обработке соли 20%-ной HCl выделена *d*-III, т. пл. 104–104,5°, полупериод расемизации в кипящем CH₃COOCH₃ (57°) 0,47 часа. Сообщение XVII, см. РЖХим, 1956, 32333.

Я. К.

78114. Получение некоторых 1-(*м*-оксифенил)-2-алкиламиноэтанолов. Гото (數種の 1-(*м*-Hydroxyphenyl)-2-alkylaminoethanol の合成. 後藤俊夫), 薬学雑誌, Якугаку дзасси, J. Pharmac. Soc. Japan, 1954, 74, № 3, 318–319 (япон.).

Смесь 28 мл 40%-ного р-ра амина и 28 мл *изо*-C₃H₇OH обрабатывают 18 г *м*-CH₃COOC₆H₄COCH₂Br при 0°, нагревают 10 мин. при 40°, подкисляют HCl, упаривают до суха, добавляют 150 мл ацетона, отфильтровывают хлоридат *м*-HOOC₆H₄COCH₂R (I), перекристаллизовывают из спирта, R=C₂H₅NH, т. пл. 212–215° (разл.); C₃H₇NH, т. пл. 208–210°; *изо*-C₄H₉NH, т. пл. 215–217° (разл.); *N*-пиперидил, т. пл. 220–225°; (C₂H₅)₂N, т. пл. 173–175°; аналогично получен 1-(*м*-оксифенилметил)-пиридиний бромид, т. пл. 218–219°. 1 г в 5 мл воды обрабатывают при 0° 10%-ным NaOH, добавляют 12 мг NaBH₄, оставляют

на 12 час. при $\sim 20^\circ$, подкисляют HCl, упаривают в вакууме, остаток растворяют в 5 мл спирта, отгоняют спирт, р-р остатка в 5 мл воды подщелачивают NH_4OH , получают $\text{m-HOC}_6\text{H}_4\text{CH}(\text{OH})\text{CH}_2\text{R}$, $\text{R}=\text{C}_2\text{H}_5\text{NH}$, т. пл. 142—143,5°, $\text{C}_6\text{H}_5\text{NH}$, пикрат, т. пл. 149—151; *изо*- $\text{C}_4\text{H}_9\text{NH}$, пикрат, т. пл. 138—140°; пиперидил, т. пл. 84—87°; $(\text{C}_6\text{H}_5)_2\text{N}$, пикрат, т. пл. 259—260° (разл.). 1-[2-(*о*-оксифенил)-2-оксипиридиний]бромид, т. пл. 244—245°.

Chem. Abstrs, 1955, 49, № 6, 3960. K. Kitsuta.

78115. Реакция производных гидразина. IV. Новый синтез бензилгидразина. Грандберг И. И., Кост А. Н. Вестн. Моск. ун-та, 1955, № 12, 119—120

Натрийбензолят изопропилиденацилгидразина (I) реагирует с $\text{C}_6\text{H}_5\text{CH}_2\text{Cl}$ (II) с образованием хлоридрата бензилгидразина (III). 0,22 моля I, 50 мл ксилола и 0,2 моля II нагревают 40 мин., фильтрат упаривают с 150 мл конц. HCl, прибавляют 100 мл спирта, к фильтрату, упаренному до 50 мл, добавляют 250 мл эфира и отделяют III, выход 75,6%. Сообщение III см. РЖХим, 1956, 78166. Я. К.

78116. Синтез 5-оксикинуренина. Такахаси (5-Нидрохукупуренин) 的合成. 高橋等), 生化学, Сэй-какаку, J. Japan Biochem. Soc., 1954, 25, № 6, 436—440 (япон.).

Синтезирован 5-оксикинуренин (I). 100 г *м*-крезола в 100 г лед. CH_3COOH вводят постепенно при t от -5 до -8° в смесь 150 г HNO_3 (d 1,42) и 290 мл лед. CH_3COOH , перемешивают 1 час, выливают на 1,5 кг льда, на другой день перегонкой с паром выделяют 45 г 4- NO_2 -3- $\text{HOC}_6\text{H}_4\text{CH}_3$, в остатке получают 48 г 6- NO_2 -3- $\text{HOC}_6\text{H}_4\text{CH}_3$ (II), т. пл. 127° (из бзл.). К r -ру 9 г Na в 100 мл CH_3OH добавляют р-р 30 г II в 50 мл CH_3OH , перемешивают 1 час, нагревают до кипения, добавляют 50 г $(\text{CH}_3)_2\text{SO}_4$, кипятят 1 час, отгоняют r -ритель, добавляют 200 мл воды, получают 26,5 г 6- NO_2 -3- $\text{CH}_3\text{OC}_6\text{H}_4\text{CH}_3$ (III), т. пл. 54° (из лигр.). 10 г III в 1,5 л воды окисляют нагреванием с 50 г KMnO_4 (10 час.), получают 5 г 6- NO_2 -3- $\text{CH}_3\text{OC}_6\text{H}_4\text{COOH}$ (IV), т. пл. 132° (из сп.); моногидрат, т. пл. 98°. 6,6 г IV кипятят с 10 мл SOCl_2 , отгоняют избыток SOCl_2 , получают хлорангидрид IV (V), т. пл. 34°. К 0,95 г Mg (активирован 0,5 мл CCl_4 и 0,9 мл абс. сп.) добавляют 10,5 мл $\text{C}_6\text{H}_5\text{Cl}$ и 6,3 г малонового эфира (VI) в 6 мл $\text{C}_6\text{H}_5\text{Cl}$ и 4,5 мл абс. спирта, нагревают (65—85°) до растворения Mg, добавляют немного V (из 6,6 г IV) в 10,5 мл $\text{C}_6\text{H}_5\text{Cl}$, нагревают 30 мин., разлагают 3 мл конц. H_2SO_4 + 21 мл воды, из органич. слоя удаляют r -ритель, добавляют 12 мл CH_3COOH , 1,5 мл конц. HCl и 9 мл воды, кипятят 5 час., добавляют 4 мл воды, получают 4,8 г 6- NO_2 -3- $\text{CH}_3\text{OC}_6\text{H}_4\text{COCH}_3$ (VII), т. пл. 67°. 4,8 г VII в 35 мл CH_3COOH броммируют 4 г Br_2 в 12 мл CH_3COOH при 50—55°, перемешивают 15 мин., выливают в воду, получают 6 г 6- NO_2 -3- $\text{CH}_3\text{OC}_6\text{H}_4\text{COCH}_2\text{Br}$ (VIII), т. пл. 90° (из лигр.). К r -ру 0,38 г Na в 20 мл абс. спирта добавляют 3,9 г $\text{CH}_3\text{CONHCH}(\text{COOC}_2\text{H}_5)_2$ (IX) и при охлаждении 4 г VIII, на другой день охлаждают (от -5 до -3°). Через 5 час. получают 2,3 г диэтилового эфира ацетиламино-6-нитро-3-метоксифенилмалоновой к-ты (X), т. пл. 145° (из этилацетата). 9 г X нагревают при 90° (4 часа) с 18 мл лед. CH_3COOH и 18 мл конц. HCl, получают 3,6 г хлоридрата 6-нитро-3-метоксифенилацетилглицина (XI), т. пл. 199°. 915 мг XI гидрируют в 6 мл H_2SO_4 (или 11 мл 0,25 n . H_2SO_4) в присутствии PdO_2 при обычных условиях, получают 81 мг сульфата 5-метоксикинуренина (XII), т. пл. 191°. 1,3 г XII кипятят с 42%-ной HBr 10 час., получают 830 мг сульфата I, т. пл. 250°, $\lambda_{\text{макс}}$ (при pH 4,8) 378 м μ ; (при pH 11,4) 405 м μ . 160 г VI в 180 мл лед. CH_3COOH нитрозируют, добавляя за 10—12 час. насыщ. р-р 207 г NaNO_2 , перемешивают 2 часа, на другой день извлекают эфиром, разгонкой выделяют 100 г $\text{HON}=\text{C}(\text{COOC}_2\text{H}_5)_2$ (XIII), т. кип. 172°/12 мм. 25 г XIII в 350 мл безводн. эфира восстанавливают Al/Hg (из 6 г Al, 2%-ной HgCl_2 в 10%-ном NaOH, промыта сп. и эф.), прибавляя 4—5 час. 35 мл воды, из эфирного слоя выделяют $\text{NH}_2\text{CH}(\text{COOC}_2\text{H}_5)_2$

(XIV), выход 23 г. 16 г XIV ацетируют посредством $(\text{CH}_3\text{CO})_2\text{O}$, получают 15 г IX, т. пл. 95°.

Л. Я. **78117. Синтезы спазмолитиков. Ямада, Окамото, Окамото, Кадоваки. III. IV. Окамото (抗痙攣薬の合成研究. 第2報. 山田肇, 岡本喜八郎, 岡本裕一, 門脇宏和. 第3, 4報. 岡本喜八郎), 薬学雑誌, Якугаку дзасси, J. Pharmac. Soc. Japan, 1953, 73, № 8, 833—837; 1954, 74, № 10, 1069—1072, № 11, 1152—1155 (япон.; рез. англ.).**

Сообщение II. *n*- $\text{C}_6\text{H}_{11}\text{C}_6\text{H}_4\text{OCH}_2\text{CH}(\text{OH})\text{CH}_2\text{OH}$ (I), т. пл. 103,5—104,5°, и его *о*-изомер (I'), т. пл. 76—77°, получены, как описано в сообщении I (J. Pharmac. Soc. Japan, 1952, 72, 1545—1547) 15,5 г КОН в 230 мл воды и 46 г 5,6,7,8-тетрагидронафтаола-2 встряхивают с 30 г эпихлоргидрина, через 50 час. ($\sim 20^\circ$) извлекают эфиром, выделяют перегонкой фракцию с т. кип. 158—170° (II — остаток), которую нагревают 30 мин. с порошком NaOH извлекают эфиром, фракционированием выделяют (глицидил)-(5,6,7,8-тетрагидронафтаолиловый-2)-эфир (III), выход 23%, т. кип. 160—161°/6 мм. Р-р II в горячем спирте при охлаждении дает 10 г кристаллов, которые перегонкой, получая 4 г 1,3-бис-(5,6,7,8-тетрагидронафтаилокси-2)-пропанола-2, т. кип. 254—255°/4 мм, т. пл. 91—93° (из бзл.). 3 г III в 14 г абс. спирта и 7,4 г 25%-ного водн. CH_3NH_2 встряхивают 5 дней, отгоняют CH_3NH_2 в вакууме, добавляют воду, эфиром извлекают 2,8 г масла, которое обрабатывают HCl в сухом эфире, получают 37,5% хлоридрата 1-метиламино-3-(5,6,7,8-тетрагидронафтаилокси-2)-пропанола-2, т. пл. 137—138,5° (из абс. сп.), гигроскопичен. 7 г III и 27 г 30%-ного $(\text{CH}_3)_2\text{NH}$ в C_6H_6 нагревают 12 час. при 100° в запаянной трубке, перегонкой выделяют 68% 1-диметиламино-3-(5,6,7,8-тетрагидронафтаилокси-2)-пропанола (IV), т. кип. 186—187°/6 мм, т. пл. 52,5—53,5° (из сп.); IV · HCl, т. пл. 141,5—142,5°, пикрат, т. пл. 144°. 3 г IV в 40 мл сухого эфира и 1,8 г CH_3J в 20 мл эфира оставляют на 24 часа в запаянной трубке, кипятят 10 мин., охлаждают, получают 55% иолистого триметил-[2-окси-3-(5,6,7,8-тетрагидронафтаилокси-2)-пропил]-аммония (V), т. пл. 134—135 (из сп. + эф. и абс. сп.). 6,4 г NaOH в 24 мл воды прибавляют по каплям к кипящей смеси 30 г *о*- $\text{HOC}_6\text{H}_4\text{OCH}_2\text{CH}(\text{OH})\text{CH}_2\text{OH}$, 45 г $(\text{CH}_2\text{Br})_2$ и 20 мл воды, кипятят 7 час., $(\text{CH}_2\text{Br})_2$ отгоняют с паром, остаток промывают водн. NaOH, масло извлекают CHCl_3 , удаляют CHCl_3 , осадок растворяют в горячем C_6H_6 , охлаждают, осадок (VI) отфильтровывают, C_6H_6 фильтрата удаляют, получают 10% *о*-Br- $\text{C}_6\text{H}_4\text{OCH}_2\text{CH}_2\text{OC}_6\text{H}_4\text{OCH}_2\text{CH}(\text{OH})\text{CH}_2\text{OH}$ (VII), т. пл. 66,5—67,5° (из петр. эф.). Из VI перекристаллизацией из спирта + эфир, затем спирта выделяют 9,3 г бис-[*о*-(2,3-диоксипропокси)-феноксид]-этана, т. пл. 107—108°. 2,3 г VII в 7 мл абс. спирта и 1,22 г 47%-ного $(\text{CH}_3)_3\text{N}$ в спирте оставляют на 10 дней в запаянной трубке, перекристаллизацией продукта из абс. спирта выделяют 36,2% *о*- $\text{CH}_2(\text{OH})\text{CH}(\text{OH})\text{CH}_2\text{OC}_6\text{H}_4\text{OCH}_2\text{CH}_2\text{N}(\text{CH}_3)_2\text{Br}$ (VIII), т. пл. 125—126,5°. 50 г *о*- $\text{HOC}_6\text{H}_4\text{COOCH}_3$ и 36,2 г $\text{ClCH}_2\text{CH}(\text{OH})\text{CH}_2\text{OH}$ прибавляют по каплям к кипящему р-ру 7,55 г Na в 10 мл CH_3OH , кипятят 4 часа, удаляют NaCl и CH_3OH , обрабатывают 300 мл воды, нейтрализуют 5%-ной HCl, избыток *о*- $\text{HOC}_6\text{H}_4\text{COOCH}_3$ отгоняют с паром, остаток извлекают C_6H_6 , получая 48 г неочищ. продукта, 15 г которого оставляют на 10 дней с 85 мл 35%-ного NH_4OH в запаянной трубке, получают 5,6 г *о*- $\text{NH}_2\text{COC}_6\text{H}_4\text{OCH}_2\text{CH}(\text{OH})\text{CH}_2\text{OH}$, т. пл. 138—138,5°. I и VII расслабляют мускулы, причем I оказывает более сильное действие, чем мизанезин, но оба они недостаточно безопасны. Испытание V и VIII в предельной дозе по методу Вазера показало, что хотя они и очень эффективны, однако вызывают смерть вследствие паралича дыхательной системы.

Сообщение III. 45 г *n*- $\text{C}_6\text{H}_{11}(\text{OH})_2$ обрабатывают, как при синтезе $\text{ROCH}_2\text{CHOHCH}_2\text{OH}$ [I, $\text{R}=\text{o-HOC}_6\text{H}_4$ (II)] (Meltzer, Doczi, Chem. Abstrs, 1951, 45, 5658), удаляют NaCl и r -ритель, при перегонке получают I [$\text{R}=\text{n-HOC}_6\text{H}_4$ (III)],

выход 27,6%, т. кип. 214—215°/5 мм, т. пл. 128,5—130°. 0,39 г Na в 45 мл спирта, 3 г II и 2,26 г $C_6H_5CH_2Cl$ кипятят 6 час., выливают в 5-кратный объем воды, фильтруют, получают I [$R=O-C_6H_5CH_2OC_6H_4$ (IV)], выход 55,5%, т. пл. 85—86° (из бзл.). 3 г I [$R=O-C_6H_5CH_2OC_6H_4$ (V)] дают I [$R=O-C_6H_5CH_2OC_6H_4$ (Va)], выход 33,3%, т. пл. 71,5—73,5°; 3 г III дают I [$R=O-C_6H_5CH_2OC_6H_4$], выход 62%, т. пл. 127—128° (из сп.). 0,62 г Na в 50 мл спирта и 5 г II в 50 мл спирта кипятят 15 мин., охлаждают до 5°, добавляют $(CH_3)_2NCH_2CH_2Cl$ (из 6 г хлоргидрата) в 50 мл спирта, нагревают 12 час., удаляют спирт, остаток извлекают $CHCl_3$, получают I [$R=O-(CH_3)_2NCH_2CH_2OC_6H_4$ (VI)], выход 21,7%, т. пл. 134—134,5°. 5 г II в 100 мл сухого ксилола нагревают 3 часа при 110° с 1,1 г $NaNH_2$, добавляют по каплям $(CH_3)_2NCH_2CH_2Cl$ (из 6 г хлоргидрата) в 20 мл ксилола, нагревают 7 час., ксилольный слой сушат над K_2CO_3 , получают VI, выход 43,5%, т. кип. 175—176°/0,05 мм. 1 моль VI и 2 моля CH_3Br нагревают 1 час при 100° в запаянной трубке, промывают эфиром, получают VI- CH_3Br , т. пл. 125—126,5° (из сп.). 0,62 г Na в 40 мл спирта, 5 г II и 5,5 г $(C_2H_5)_2NCH_2CH_2Cl$ нагревают 10 час. при 130—140° в запаянной трубке, удаляют NaCl и спирт, добавляют C_6H_6 , получают I [$R=O-(C_2H_5)_2NCH_2CH_2OC_6H_4$], выход 33,2%, т. кип. 193—195°/5 мм, т. пл. 73,5°; цитрат, т. пл. 96—97°. В толуоле дает I [$R=O-(CH_3)_2NCH_2CH_2OC_6H_4$], выход 20,6%, т. кип. 170—172°/0,015 мм; оксалат, т. пл. 111,5—112,5° (из ацетона сп.). III дает I [$R=O-(CH_3)_2NCH_2CH_2OC_6H_4$ (VII)], выход 14,5%, т. кип. 194—196°/0,25 мм; VII- CH_3J , т. пл. 119,5—121° (из сп.). К 1,52 г Na в 70 мл спирта и 10 г $O-CH_3CONHC_6H_4OH$ добавляют по каплям при кипячении 7,3 г $ClCH_2CHONHC_6H_4OH$, кипятят 6 час., получают I [$R=O-CH_3CONHC_6H_4$ (VIII)], выход 36,9%, т. пл. 143—144°. Смесь 2,23 г KOH в 80 мл 75%-ного спирта, 6 г $n-C_6H_5CONHC_6H_4OH$ и 4,4 г $ClCH_2CHONHC_6H_4OH$ кипятят 8 час., удаляют спирт, остаток извлекают спиртом, добавляют эфир, получают I [$R=n-C_6H_5CONHC_6H_4$ (IX)], выход 34%, т. пл. 137,5—138° (из водн. сп.). 27 г $n-C_6H_5CH=NC_6H_4OH$ в 35 мл воды, кипятят 3 часа с 8,22 г NaOH и 22,7 г $ClCH_2CHONHC_6H_4OH$, получают I [$R=n-C_6H_5CH=NC_6H_4$], выход 9 г, т. пл. 134° (из сп.). VIII кипятят 1 час с 15%-ной HCl, получают хлоргидрат I [$R=O-H_2NC_6H_4$], выход 77%, т. пл. 162—164° (разл.); аналогично IX дает хлоргидрат I [$R=n-H_2NC_6H_4$], выход 92,5%, т. пл. 172—173,5°. 9 г $O-(CH_3)_2NC_6H_4OH$ обрабатывают, как при получении VIII, фильтруют, упаривают, извлекают C_6H_6 , получают I [$R=O-(CH_3)_2NC_6H_4$ (X)], выход 24,5%, т. кип. 126—127°/0,02 мм, т. пл. 84—84,5° (из ацетона + эф.), X- CH_3Br , т. пл. 204,5—205,5° (из CH_3OH + сп., затем сп.). Аналогично из $m-(CH_3)_2NC_6H_4OH$ получают I [$R=m-(CH_3)_2NC_6H_4$ (XI)], выход 20,9%, т. кип. 157—158°/0,07 мм, т. пл. 57—58° (из эф.); XI- C_2H_5Br , т. пл. 112—113,5°, а из $n-(CH_3)_2NC_6H_4OH$ получают I [$R=n-(CH_3)_2NC_6H_4$ (XII)], выход 21,6%, т. пл. 72—74,5° (из бзл., затем сп. + эф.); XII- CH_3Br , т. пл. 164—167° (из сп.). IV и Va обладают противосудорожным действием против воздействия электрич. тока (ПД) более сильным, чем мианезин (XIII), при большей безвредности, но они не растворимы в воде. ПД XI почти равно ПД XIII, а его безвредность наибольшая среди исследованных в-в при хорошей растворимости в воде.

Сообщение IV. C_2H_5ONa (из 1,75 г Na и 45 мл сп.) и 27,5 г $O-C_6H_5CH_2OC_6H_4OH$ кипятят 4 часа с 6,3 г эпихлоргидрина, выливают в воду, перекристаллизуют из спирта, нагревают с этилацетатом, фильтруют, получают $HOCH(CH_2OR)_2$ (I), $R=O-C_6H_5CH_2OC_6H_4$ (II), выход 15 г, т. пл. 66,5—68°; 30 г $m-C_6H_5CH_2OC_6H_4OH$ обрабатывают аналогично, удаляют NaCl и спирт, остаток извлекают C_6H_6 , упаривают, остаток выдерживают в небольшом кол-ве спирта, получают I [$R=m-C_6H_5CH_2OC_6H_4$], выход 15 г, т. пл. 73,5—74,5°; 30 г $n-C_6H_5CH_2OC_6H_4OH$ обрабатывают, как в случае II, выливают в 1%-ный NaOH, получают I [$R=n-C_6H_5CH_2OC_6H_4$], выход 30 г, т. пл. 135,7—138,5°

(из бзл., затем из ацетона). 26 г II в 260 мл 6 н. спирт. HCl кипятят 2 часа, удаляют 1/3 спирта (с паром), получают I [$R=O-HOC_6H_4$ (III)], выход 10 г, т. пл. 170—171° (из сп.); к C_2H_5ONa (из 1 г Na и 30 мл сп.) добавляют 6 г III в 40 мл спирта и $(CH_3)_2NCH_2CH_2Cl$ (из 7,5 г хлоргидрата), кипятят 14 час., спирт отгоняют с паром, остаток подкисляют HCl (к-той), упаривают в вакууме, извлекают спиртом, упаривают, остаток в воде подщелачивают NaOH, извлекают C_6H_6 , получают I [$R=O-(CH_3)_2NCH_2CH_2OC_6H_4$ (IV)], выход 2 г, т. кип. 195—200°/0,025 мм; IV в CH_3OH и CH_3Br нагревают 1 час при 100° в запаянной трубке, упаривают, остаток в воде фильтруют, снова упаривают, получают IV- $2CH_3Br$, т. пл. 159—160° (из сп. + ацетон). Из 14 г $O-CH_3CONHC_6H_4OH$ аналогично II получают I [$R=O-CH_3CONHC_6H_4$ (V)], выход 8 г, т. пл. 161—162,5° (разл., из этилацетата). Аналогично из 8 г $n-C_6H_5CONHC_6H_4OH$ (продукт выливают в разб. щелочь) получают I [$R=n-C_6H_5CONHC_6H_4$ (VI)], выход 3 г, т. пл. 186° (из сп.). 3,5 г V в 45 мл 15%-ной HCl кипятят 1 час, продукт промывают CH_3OH , добавляют немного воды, подщелачивают, маслянистый слой извлекают этилацетатом, добавляют петр. эфир, получают I [$R=O-H_2N=C_6H_4$ (VII)], выход 1,9 г, т. пл. 90—91,5° (из бзл.); аналогично VI дает I [$R=n-H_2NC_6H_4$ (VIII)], т. пл. 112—113°, 6,12 г $O-(CH_3)_2NC_6H_4OH$ обрабатывают, как при синтезе II, выливают в воду, извлекают C_6H_6 , подщелачивают, получают I [$R=O-(CH_3)_2NC_6H_4$ (VIII)], выход 3 г, т. кип. 138—139°/5 мм. Из VIII и CH_3J в CH_3OH кипятят 1 час, затем обрабатывают как в случае IV- $2CH_3Br$, получают VIII- $2CH_3J$, т. пл. 172—174° (разл.). 13,2 г $m-(CH_3)_2NC_6H_4OH$ обрабатывают как при синтезе II, фильтруют, добавляют 3-кратное кол-во воды, получают I [$R=m-(CH_3)_2NC_6H_4$ (IX)], выход 6 г, т. пл. 87° (из сп.); IX- $2CH_3Br$, т. пл. 202—203°. Из 3,7 г $n-(CH_3)_2NC_6H_4OH$ получают (аналогично II) I [$R=n-(CH_3)_2NC_6H_4$ (X)], выход 1,5 г, т. пл. 86—88°. VII, VIII, IX и X обладают более сильным действием, расслабляющим мышцы, и противосудорожным действием при воздействии электрич. тока, чем соответствующие а-моноэфирные эфиры глицерина. У IX действие, расслабляющее мышцы, слабее, а противосудорожное действие сильнее, чем у мианезина, при большей растворимости в разб. HCl и большей безопасности. Четвертичные аммониевые соли исследуемых в-в лишены какой-либо активности.

Chem. Abstrs, 1954, 48, № 16, 9350; 1955, 49, № 17, 11580, № 20, 14667, К. Kitsuta

78118. Синтезы спазмолитиков. V. Новый синтез мианезина. Окамото. (抗痙攣薬の合成研究. 第5報. Myanesin の新合成法. 岡本喜八郎), 薬學雜誌, Якугаку дзасси, J. Pharmac. Soc. Japan 1954, 74, № 11, 1273—1274 (япон.; рез. англ.)

37,1 г глицерина обрабатывают при 170° 11,3 г CaO, выдерживают 30 мин. при 140°, удаляют воду в вакууме при 140°, добавляют 109 г $O-CH_3C_6H_4OH$ при 140°, насыщают CO_2 (8 г), нагревают 3 часа при 200°, перегоняют с паром, регенерируя 84,9 г $O-CH_3C_6H_4OH$, остаток извлекают горячим C_6H_6 , перегоняют, получают $(HOCH_2CHON-CH_2)_2O$, выход 46,21%, т. кип. 153—154°/4 мм, т. пл. 70—71° (из бзл.); регенерируется 21,9 г глицерина.

Chem. Abstrs, 1955, 49, № 20, 14668 К. Kitsuta.

78119. Спазмолитики. IV. Синтез *N*-прет-аминоацетиловых производных α-аминофенилуксусного эфира и β-аминофенилуксусного спирта. Теракава (鎮痙薬の研究 (第4報). α-アミノフェニル酢酸エステル及びβ-アミノフェニルエチルアルコールのN第3級アミノアセチル誘導体の合成. 寺川敏治), 薬學雜誌, Якугаку дзасси, J. Pharmac. Soc. Japan, 1954, 74, № 3, 287—289 (япон.; рез. англ.)

К р-ру 2 молей втор-амина в 10 мл C_6H_6 добавляют по каплям при 0° 1 моль Cl- (или Br) CH_2COOCH_3 , оставляют на 12 час. кипятят 30 мин., подкисляют HCl, водн. слой промывают эфиром, подщелачивают NaOH, извлекают эфиром и перегоняют, получают (приводятся в-во, выход в

%, т. кип. в °C/мм): $(\text{CH}_3)_2\text{NCH}_2\text{COOCH}_3$ (I), 55,8, 50–53/30; $(\text{C}_6\text{H}_5)_2\text{NCH}_2\text{COOCH}_3$ (II), 61,5, 84,5–85,5/57; $(\text{CH}_3)_2\text{CHNCH}_2\text{COOCH}_3$ (III), 61,6, 81–83/21; $\text{RCH}_2\text{COOCH}_3$ (R=пиперидил) (IV), 79,9, 60–62,5/5. Нагревание 4,3 г $\text{C}_6\text{H}_5\text{CH}(\text{NH}_2)\text{COOC}_6\text{H}_{11}$ -изо (V) с 3 г I (4 часа, 190–200°) с последующей перегонкой продукта приводит к 1,5 г $\text{C}_6\text{H}_5\text{CH}(\text{NHCOCH}_2\text{NR}_2)\text{COOC}_6\text{H}_{11}$ -изо (VI) (R=CH₃), т. кип. 167–170°/0,25 мм; перхлорат, т. пл. 127–128°; бромметилат, т. пл. 224–225°. Аналогично 2 г V и 5 г II дают 1 г VI (R=C₆H₅), т. кип. 190–195°/0,4 мм; стифнат, т. пл. 134–135°; бромметилат, т. пл. 167–168°; 4 г V и 6 г III дают 1,3 г VI (R=изо-C₃H₇), т. кип. 179–186°/0,01 мм; стифнат, т. пл. 137–138°; О-пикрат, т. пл. 139,5–140,5°; 10 г V и 9,4 г IV дают 7,1 г VI (R=пиперидил), т. кип. 194°/0,2 мм; оксалат, т. пл. 154–155°; бромметилат, т. пл. 79,5–80,5°. 6 г $\text{C}_6\text{H}_5\text{CH}(\text{NH}_2)\text{CH}_2\text{OH}$ (VII) нагревают 4 часа с 6 г I при 185–195°, получают 6,4 г $\text{C}_6\text{H}_5\text{CH}(\text{NHCOCH}_2\text{NR}_2)\text{CH}_2\text{OH}$ (VIII R=CH₃), т. кип. 184–188°/5,5 мм; пикрат, т. пл. 201° (разл.); ацетильное производное (АП), т. кип. 180°/6 мм; стифнат, т. пл. 142–143°. 7,5 г VII в 50 мл C_6H_6 и 13 г K_2CO_3 обрабатывают 6,1 г ClCH_2COCl в 20 мл C_6H_6 при 0°, кипятят 15 мин., охлаждают, отфильтровывают продукт, промывают водой, выход $\text{C}_6\text{H}_5\text{CH}(\text{NHCOCH}_2\text{C}_6\text{H}_5)\text{CH}_2\text{OH}$ (IX) 5,5 г, т. пл. 112–113° (из бзл.). 5 г IX в 100 мл C_6H_6 и 3,5 г $(\text{CH}_3)_2\text{NH}$ в 20 мл C_6H_6 нагревают 8 час. при 100° в запаянной трубке, охлаждают, отфильтровывают $(\text{CH}_3)_2\text{NH}\cdot\text{HCl}$, из фильтрата получают VIII (R=CH₃); пикрат, т. пл. 200°; 4 г VII и 4 г II дают 4,5 г VIII (R=C₆H₅), т. кип. 200–203°/5,5 мм; пикрат, т. пл. 154°. АП, т. кип. 195–196°/5,5 мм; пикрат, т. пл. 147–148°; 5,5 г III и 5 г VII дают 4,5 г VIII (R=CH₃)CH₂OH, т. кип. 181–183°/0,06 мм; стифнат, т. пл. 192–194° (разл.); АП, т. кип. 169–173°/0,07 мм; пикрат АП, т. пл. 158–160°; О-пикрат, т. пл. 139,5–141,5°; 2 г VII и 2,3 г IV дают 2 г VIII (R=пиперидил), т. кип. 210–214°/5 мм; стифнат, т. пл. 167°; АП, т. кип. 202–205°/5,5 мм.

Chem. Abstr., 1955, 49, № 5, 3071. K. Kitsuta.

78120. Изучение антиметаболитов. V. Улучшенный способ восстановления α -оксимино- β -фенилизоалерановой кислоты. Дёйнтгер, Йёнсзон (Studies on antimetabolites V. Improved reduction of α -oximino- β -phenylisovaleric acids. Duintjer E., Jönsson A.), Acta chem. scand., 1954, 8, № 8, 1492–1493 (англ.).

В связи с имеющейся потребностью в больших кол-вах некоторых α -аминокислот л- $\text{RC}_6\text{H}_4\text{C}(\text{CH}_3)_2\text{CH}(\text{NH}_2)\text{COOH}$ (I), а именно: неофенилаланина I (R=H) и неотириозина I (R=OH) для физиологич. испытаний, изучены условия восстановления промежуточных α -оксиминокислот л- $\text{RC}_6\text{H}_4\text{C}(\text{CH}_3)_2\text{C}(\text{OH})\text{COOH}$ (II) с целью повышения выхода I. Показано, что замена молочной к-ты спирт. HCl для регулирования значения pH при восстановлении II амальгамой Na повышает выход I (R=H) до 80–90%, и выход метилового эфира I (R=OH) до 70–75%, по-видимому, за счет снижения образования побочных продуктов р-ции и улучшения условий выделения I. Найдено, что повышение т-ры р-ции (~ до т-ры кипения смеси) ведет к образованию продукта, не содержащего N; при ~ 20° восстановление протекает очень медленно, при pH > 7 наблюдается значительное выделение NH_3 , а увеличение отношения амальгамированной поверхности к мол-у II, хотя и сокращает время р-ции, но ведет к уменьшению выходов I. 0,1 моля II добавляют к 750 г 2%-ной NaHg в 300 мл абс. спирта и по каплям при 40–50° добавляют 75–80 мл ~ 7 н. р-ра HCl в абс. спирте (до кислой р-ции по бромкрезоловому зеленому). Прибавляют 1 н. HCl, фильтрат упаривают до 100 мл, насыщают H_2S , фильтруют и добавлением NH_4OH доводят до pH 6–6,5. После ~ 12 час. стояния в холодильнике отфильтровывают I, промывают 50 мл воды, 50 мл ацетона и 150 мл эфира. Маточный р-р и промывные воды, полученные в опыте при восстановлении 120 г II (R=OCH₃), подкисляют HCl (к-той) до pH 1–2 и экстрагируют эфиром 17,5 г α -окс-

(л-метоксифенил)-изовалериановой к-ты, т. пл. 127–128° (из воды), Сообщение IV см. РЖХим, 1956, 75068. А. К. 78121.

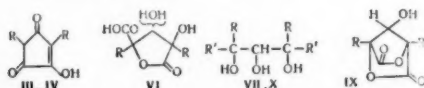
Изучение антиметаболитов. VI. Синтез DL-неотириозина — β , β -диметильного аналога DL-тироксина. Дёйнтгер, Йёнсзон (Studies on antimetabolites. VI. Synthesis of DL-neothroxine, the β , β -dimethyl analogue of DL-thyroxine. Duintjer E., Jönsson A.), Acta chem. scand., 1955, 9, № 2, 203–209 (англ.).

Синтезирован DL- β , β -диметилтироксин (DL-«неотириоксин») (I), исходя из DL-«неотириозина» (II) (РЖХим, 1956, 25822) по методу, описанному для DL-тироксина (Borrows E. T. и др. J. Chem. Soc., 1949, 199; Cholmers J. R. и др., J. Chem. Soc., 1949, 3424) с небольшими изменениями. I не удалось получить, производя защиту аминокислотного остатка II превращением в гидантоиновый цикл действием HCNO . Как оказалось, DL- β , β -диметил-3,5-динод-4-(4'-метокси(или окси)-фенокс)-бензил-гидантоины (III, IV) не гидролизуются до аминокислоты в щел. или кислой среде. 20,9 г II ацетилируют при помощи $(\text{CH}_3\text{CO})_2\text{O}$ в 2 н. NaOH; полученный N-ацетил-DL-«неотириозин» (V) осаждают HCl (к-той). Из маточного р-ра выделяют дополнительное кол-во V, общий выход 83%, т. пл. 178–180°, 18,0 г V в 75 мл конц. H_2SO_4 нитруют постепенным добавлением 10 мл HNO_3 (d 1,42) при – 5°, через 1 час. выливают на лед и получают N-ацетил-3,5-динитро-DL-«неотириозин» (VI), выход 80%, т. пл. 222–225° (из водн. сп.). VI синтезирован также нитрованием II до 3,5-динитро-DL-«неотириозина» (VII), выход 0–89% (опыты невоспроизводимы); т. пл. 222° (разл., из водн. сп.), с последующим ацетилированием. 32 г VI переводят в этиловый эфир (VIII) нагреванием (3 часа, ~ 100°) со смесью 7,0 мл SOCl_2 , 60 мл абс. спирта и 100 мл диоксана, выход 79%, т. пл. 145–145,5° (из водн. сп.). 36 г VIII, 19,5 г $n\text{-CH}_3\text{C}_6\text{H}_4\text{SO}_2\text{Cl}$ и 125 мл пиридина нагревают (0,5 часа, ~ 100°), затем прибавляют 36 г n -метоксифенола и кипятят 1,5 часа, р-ритель отгоняют в вакууме, р-р остатка в CHCl_3 промывают 1 н. NaOH, 2 н. HCl, водой и сушат Na_2SO_4 ; после фильтрования через Al_2O_3 получают этиловый эфир N-ацетил-3,5-динитро-4-(4'-метоксифенокс)-DL-«неофенилаланина» (IX), выход 74%, т. пл. 127–128° (из водн. сп.). 19,5 г IX в CH_3COOH с 2 г 10%-ного Pd/C восстанавливают в диамин, фильтрат упаривают в вакууме под N_2 до ~ 50 мл и после смешения с 25 мл конц. H_2SO_4 диазотируют, выливая в нитрозилсерную к-ту (9 г NaNO_2 , 60 мл конц. H_2SO_4 и 125 мл CH_3COOH), через 1 час добавляя 5 г мочевины и выливают при размешивании в р-р 35 г J_2 и 45 г KJ в 600 мл воды + 150 мл CHCl_3 ; р-р в CHCl_3 промывают водой, насыщают SO_2 , снова промывают водой и упаривают; р-р оставшегося масла в небольшом кол-ве C_6H_6 фильтруют через Al_2O_3 с промыванием C_6H_6 . После отгонки C_6H_6 получают 15,1 г некристаллизующегося динодпроизводного, которое деметилируют кипячением 8 час. со смесью 50 мл 57%-ной HJ и 50 мл CH_3COOH . Р-р упаривают в вакууме, остаток в 75 мл горячего 50%-ного спирта обрабатывают SO_2 и добавляют насыщ. р-р CH_3COONa , продукт растворяют в 50%-ном спирте, содержащем немного HCl, осаждают р-ром CH_3COONa в присутствии небольшого кол-ва Na_2SO_4 3,5-динод-DL-«неотириозина» (X), выход 53% (в расчете на IX), т. пл. 218–220° (разл.). 4,2 г X в 50 мл 33%-ного $\text{C}_2\text{H}_5\text{NH}_2$ иодируют прибавлением 30,5 мл 1,0 н. J_2 в насыщ. р-ре KJ, разбавляют 200 мл воды и I осаждают HCl (к-той) при pH 4–5 (очищают переосаждением из р-ра в водно-спирт. щелочи), выход 80%, т. пл. 192–195°. 31 г IV, 20 г NaCNO в 150 мл воды кипятят 15 мин., добавляют 10 г NaCNO и нагревают еще 1 час, подкисляют конц. HCl, осадок кипятят 1 час с 150 мл 6 н. HCl и получают DL-1,5-(α , α -диметил-4-оксифенил)-гидантоин, выход 69%, т. пл. 290–295° (разл., из водн. CH_3COOH), который (20 г) нитро-

ванием (100 мл HNO_3 , 30—40°) превращают в *p*, *l*-(α , α -диметил-3,5-динитро-4-оксибензил)-гидантоин (XI), выход 63%, т. пл. 234—236°. XI получен также из VII *p*-цией с HClO_4 , т. пл. 236—237° (разл., из сп.). XI, как описано для VI, переводят в *p*, *l*-5-[α , α -диметил-3,5-динитро-4-(4'-метоксифенокси)-бензил]-гидантоин (XII), т. пл. 133—134° (из водн. ацетона). XII гидрируют в диамин (не выделен в чистом виде), который диазометодом превращают в III, т. пл. 258—259° (разл., из CHCl_3). III деметилируют и получают IV, разл. 280—290° (из водн. CH_3COOH). Е. Ф.

78122. Изучение антиметаболитов. VII. По поводу некоторых продуктов реакции, образующихся при окислении 4,6-ди-(α , α -диметилбензил)-пирогаллола щелочным раствором перманганата. Йенссон (Studies on antimetabolites. VII. Note on some reaction products formed in the oxidation of 4,6-di-(α , α -dimethylbenzyl)-pyrogallol with alkaline potassium permanganate. Jönsson Ake, Acta chem. scand., 1955, 9, № 2, 210—215 (англ.))

В продолжение работы (РЖХим, 1956, 25822) изучались побочные продукты окисления $\text{A}_{23}\text{H}_{24}\text{O}_3$, т. пл. 174—175°, и $\text{B}_{23}\text{H}_{26}\text{O}_6$, т. пл. 185—186° (разл.), образующиеся при окислении 4,6-ди-(α , α -диметилбензил)-пирогаллола щел. *p*-ром KMnO_4 наряду с α -кето- β -фенилизовалериановой к-той (I) (главный продукт) и α -фенилизомасляной к-той (II). А приписана как наиболее вероятная структура енола 3,5-ди-(α , α -диметилбензил)-циклопентантриона-1,2,4 (III). Действительно III не растворим в водн. NaHCO_3 , легко растворим в н. NaOH , дает красное окрашивание с FeCl_3 , при действии избытка $(\text{CH}_3)_2\text{SO}_4$ и щелочи дает монометилловый эфир, т. пл. 72,5—73,5° (из биз.); III очень похож на (IV), полученный ранее (РЖХим, 1956, 68285). При действии избытка циклогексиламмина (V) на эфирный *p*-р III образуется циклогексилламмониевая соль, т. пл. 186—188° (разл.; из сп.).



III, VI, VII, IX, X $\text{R}=\text{C}_6\text{H}_4\text{C}(\text{CH}_3)_2$; IV $\text{R}=\text{C}(\text{CH}_3)_2$;
VII $\text{R}'=\text{COONa}$; X $\text{R}'=\text{CH}_2\text{OH}$

Для В принята структура (VI), что подтверждается легкой растворимостью VI в NaHCO_3 , образованием моноциклогексилламмониевой соли, т. пл. 213—215° (разл.), и пиперидиновой соли, т. пл. 141—143° и затем 225—228° (после затвердевания при $\sim 170^\circ$), при действии избытка соответствующего амина на спирт. *p*-р VI; образованием ди-*Na*-соли (VII) при растворении в н. NaOH и затем действии кипящего 6 н. NaOH (VII превращается снова в VI при подкислении), а также метилового эфира (VIII), т. пл. 187—187,5° (из бзл.-бзн.), при действии избытка CH_2N_2 на эфирный *p*-р VI; щел. гидролиз VIII вновь приводит к VI; окисление VI горячим щел. *p*-ром KMnO_4 дает II, выход 58%; нагревание VI при 190—200° дает ангидросоединение (IX) с т. пл. 187—187,5° (из бзн.-бзн.); IX при растворении в бзл. NaOH и последующем подкислении дает VI. Восстановление VIII в эфире посредством LiAlH_4 (кипение ~ 12 час.) приводит к окиссоединению (X), т. пл. 163—164° (из водн. сп.), X образуется также из IX восстановлением LiAlH_4 , этим самым для IX подтверждается структура диактона. Строение VI подтверждено также ИК-спектром. При превращении IX и VIII в VI выделен только один из двух теоретически возможных пар расщепов. Это объяснено тем, что лишь одна из *rac*-форм образует цикл. В отличие от $\text{C}_6\text{H}_5\text{C}(\text{CH}_3)_2\text{CH}(\text{OH})\text{CH}_2\text{OH}$ (XI) VI и X реагируют с HNO_3 очень медленно, что объясняется пространственными затруднениями. XI получен из 20 г I восстановлением LiAlH_4 в эфире (кипение ~ 12 час.), выход 15,4 г, т. пл. 50—51° (из петр. эф.). Л. И.

78123. Изучение антиметаболитов. VIII. Синтез β , β -диметиланалогов триптамина и *D,L*-аспарагиновой кислоты. Йенссон (Studies on antimetabolites. VIII. Synthesis of the β , β -dimethyl analogues of tryptamine and *D,L*-aspartic acid. Jönsson Ake), Svensk. kem. tidskr., 1955, 67, № 4, 188—191 (англ.)

Описан синтез β , β -диметилтриптамина (I), α ,2-индоллизомасляной к-ты (II), 2-изопропилиндол (III) и *D,L*- β , β -диметиласпарагиновой к-ты (IV). I не обладает сокращающим действием на изолированную матку крысы и не нарушает активности 5-окситриптамина (серотонина) или триптамина. К 5,1 г α ,3-индоллизомасляной к-ты в 2 мл пиридина и 25 мл сухого эфира прибавляют по каплям 1,85 мл SOCl_2 при -5° , через 30 мин. выливают в 50 мл конц. водн. NH_3 + 50 г льда, получают амид, выход 69%, т. пл. 180,5° (из воды). 2,9 г амида в 100 г абс. эфира медленно добавляют к *p*-ру 1 г LiAlH_4 в 75 мл абс. эфира, кипятят 1 час., избыток гидрида разлагают $\text{CH}_3\text{COOC}_2\text{H}_5$ и водой, осадок растворяют в 40%-ном NaOH , экстрагируют эфиром (30 час.), эфир отгоняют, масло растворяют в 25 мл абс. спирта и прибавляют к *p*-ру 5 г $(\text{COOH})_2$ в 15 мл абс. спирта, добавляют 400 мл абс. эфира и выдерживают ~ 12 час. в холодильнике, получают оксалат I, выход 52%, т. пл. 202° (разл.), насыщ. водн. *p*-р оксалата I подщелачивают, получают I, т. пл. 103—105° (из воды). 11,3 г 5-бензилоксиндолола, 5,3 г $(\text{CH}_3)_2\text{C}(\text{OH})\text{CN}$, 5 г NaOH в безводн. $(\text{CH}_3)_2\text{CHOH}$ нагревают в автоклаве (135°, 18 час.), выливают в воду, экстрагируют эфиром, получают 2,9 г 2,2-ди-(5-бензилоксиндол)-пропана, т. пл. 182—184° (из бзл.-петр. эф.). К *p*-ру 32 г $\text{CH}_3\text{COC}(\text{CH}_3)_2\text{COOC}_2\text{H}_5$ в 100 мл CHCl_3 прибавляют по каплям *p*-р 32 г Br_2 в 100 мл CHCl_3 , *p*-ритезь удаляют в вакууме при 40°, добавляя небольшими порциями (при охлаждении и перемешивании) 40 г анлина (V), нагревают 4 часа при 140—150°, прибавляют эфир и 1 н. HCl (к-ту), из эфирного экстракта выделяют этиловый эфир II, выход 44%, т. кип. 192—196°/12 мм, т. пл. 83,5—84,5° (из сп.). Из 28 г $\text{BrCH}_2\text{COC}(\text{CH}_3)_2$ и 31 г V получают аналогично 2-трет-бутиллиндол, выход 75%, т. кип. 149—152°/12 мм, т. пл. 73—74° (из водн. CH_3OH). 10 г этилового эфира II кипятят 4 часа с *p*-ром 10 г NaOH в 15 мл воды и 40 мл спирта, выливают в воду, промывают эфиром, *p*-р подкисляют 4 н. HCl , получают 6,2 г II; циклогексилламмониевая соль, т. пл. 140—143° (из сп.-эф.); при хранении II на воздухе, а также после перегонки в вакууме из II образуется III, т. пл. 75—76°, пикрат, т. пл. 125° (из водн. CH_3OH). 30,6 г фенилгидразона диэтилового эфира α -оксо- β , β -диметилэтановой к-ты в 300 мл абс. спирта нагревают до 65—75° с 1200 г 2%-ной NaHg , добавляя небольшими порциями в 1 н. спирт. HCl , через несколько часов спирт удаляют в вакууме, остаток растворяют в 300 мл воды, промывают эфиром, прибавляют 100 мл конц. HCl и кипятят ~ 12 час. Холодный *p*-р вновь промывают эфиром, выпаривают до суха в вакууме, экстрагируют кипящим CH_3OH , упаривают до 100 мл и пересаживанием эфиром выделяют хлоргидрат IV, выход 49%, т. разл. $>250^\circ$. К 7,5 г хлоргидрата IV в 40 мл спирта, добавляя 3,77 мл пиридина и оставляя на ~ 12 час. в холодильнике, получают IV, выход 88%, т. пл. 265—270° (из горячей воды). Л. И.

78124. Получение изомерных тиобензоатов производных аминокислот. Буассье, Мален (Synthèse de thiobenzoates isomères dérivant d'aminoalcools. Boissier Jacques-Robert, Malen Charles), Bull. Soc. chim. France, 1955, № 10, 1216—1219 (франц.)

Синтезированы для фармакологич. испытаний $\text{CaH}_5\text{C}(=\text{S})\text{OCH}_2\text{CH}_2\text{R}$ (Ia — *r*) и изомерные $\text{CaH}_5\text{C}(=\text{O})\text{SCH}_2\text{CH}_2\text{R}$ (IIa — *r*) (везде $\text{a R}=\text{N}(\text{C}_2\text{H}_5)_2$; $\text{b R}=\text{N}(\text{C}_2\text{H}_5)_2$; $\text{c R}=\text{морфоллин-ил}$; $\text{d R}=\text{пиперидил}$). В охлажд. смесь 20 г CaH_5CN и 23,5 г $(\text{C}_2\text{H}_5)_2\text{NCH}_2\text{CH}_2\text{OH}$ пропускают 15 час. сухой HCl (газ), через 12 час. реакционную массу растворяют в 150 мл ледяной воды, подщелоченной 2 н. *p*-ром соли, осадок экстрагируют эфиром, в вытяжку пропускают 15 час. сухой H_2S

и затем насыщают на холоду сухим HCl (газом). Выход хлоргидрата (XГ) **Ia** 22 г, т. пл. 132—133° (из метилэтилкетона). Аналогично получены XГ (указана т. пл. в °C): **Ib** 147—148; **Iв**, 185—186; **Iг**, 168—168,5. 7 г C_6H_5COCl по каплям добавляют за 2 часа к смеси 7 г $HSCCH_2CH_2R$ (**IIa**), 100 г воды и 10 г соли, экстрагируют эфиром, выход XГ **IIa** 10 г, т. пл. 138—139° (из метилэтилкетона). Аналогично получены XГ (указана т. пл. в °C): **IIб**, 164,5—165; **IIв**, 220—221; **IIг**, 196—197. **III** получены взаимодействием этилсульфида (**IV**) и вторичных аминов (0,5 моля **IV** в 20 мл C_6H_6 прибавляют к амину и оставляют стоять во льду 20 дней). Получены следующие **III** (перечисляются выход в %, т. кип. в °C/мм, т. пл. в °C): **IIIб**, 60, 40—45/20, 157; **IIIа**, 60, 65—70/20, 172—175, пикрат, т. пл. 154, n_D^{20} 1,467; **IIIв**, 80, 106—110/20, 144, пикрат, т. пл. 113, n_D^{20} 1,5019; **IIIг**, 60, 90—95/20, 195, пикрат, т. пл. 129, n_D^{20} 1,5019. Н. П.

78125. Дегидратация или Бекмановская перегруппировка альдоксимов под действием фтористого бора. Превращение альдоксимов в соответствующие амиды. Хофенберг, Хаусер (Dehydration or Beckmann rearrangement of aldoximes with boron fluoride. Conversion of aldoximes to corresponding amides. Hoffenberg David S., Hauser Charles R.), J. Organ. Chem., 1955, 20, № 11, 1496—1500 (англ.) Изучено действие BF_3 на син-альдоксимы и термич. разложение описанного ранее (РЖХим, 1956, 77994), N -координационного комплексного соединения *анти*- n - $ClC_6H_4CH=N^+(OH)-BF_3^-$ (*анти*-**I**). При 150° *анти*-**I** превращается в n - ClC_6H_4CN (**II**) и n - $ClC_6H_4CONH_2$ (**III**). Предполагено, что промежуточным продуктом р-ции является O -координационный комплекс, *анти*- n - $ClC_6H_4CH=N-O^+H-BF_3^-$. При термич. разложении *анти*-**I** образуется также 6% n - ClC_6H_4NHCHO , который возникает, вероятно, в результате Бекмановской перегруппировки *син*-**I**, небольшое кол-во которого может находиться в состоянии равновесия с *анти*-**I**. Р-ция *син*- или *анти*- n - $ClC_6H_4CH=N^+(OH)$ (**IV**) с BF_3 в CH_3COOH при 115—120°, при которой, в качестве промежуточного продукта также образуется **I**, приводит к колич. получению **III**. Образование **III** из *анти*-**IV** должно быть отнесено за счет 1,2-сдвига атома Н. При получении **III** из *син*-**IV** происходит предвартельная изомеризация в *анти*-изомер. Кроме того, образование **III** может происходить путем *транс*-дегидратации *анти*-**IV**, сопровождаемой присоединением воды к получающемуся **II**. Другие ароматич. *син*-альдоксимы и *син*-гептальдоксим под действием BF_3 также превращаются в амиды. Получение n -(CH_3)₂ $NC_6H_4CONH_2$ по этому методу может иметь препаративное значение. При нагревании 10 г **I** до 150° начинается бурная р-ция, по охлаждению отгоняют с паром 2,37 г **II** и из остатка выделяют 1,2 г **III**. В другом опыте к остатку после отгонки с паром добавляли 100 мл 20%-ного NaOH и кипятят 12 час., получают 0,4 г n - $ClC_6H_4NH_2$ и 2 г n - ClC_6H_4COOH . 2—3 г альдоксима растворяют в 20 г $BF_3 \cdot 2CH_3COOH$ (**V**), нагревают 10 мин. при 115—120°, охлаждают и подщелачивают, выделяют следующие $RCONH_2$ (перечисляются R, выход в %, т. пл. в °C): C_6H_5 , 98, 124—127; n - ClC_6H_4 , 95, 177—178; n -(CH_3)₂ NC_6H_4 , 95, 207—208; m - $NO_2C_6H_4$, 98, 139—140; o - $NO_2C_6H_4$, 47, 138—139; n - $CH_3OC_6H_4$, 70, 152—154; C_6H_{13} , 74, 92—94. К 20 г **V** добавляли при 115—120° 3 г *син*-**IV** и через 15 сек. смесь выливают в 100 мл 6 н. NaOH + лед., выделяют 5% **II**, т. пл. 90—92°, и 17% **III**. При р-ции **II** с **V** в тех же условиях получают 50% **II** и 47% **III**. П. А.

78126. Синтезы в ряду дифенилового эфира. III. Сульфирование 4-нитро- и 2,4-динитродифенилового эфиров. Хан, Коханский, Тежак-Енни (Sinteze i redu difeniletera. III. O sulfoniranju 4-nitro- i 2,4-dinitrodifeniletera. Hahn V., Kochansky Z.

Težák-Jenić V.), Arhiv kemiju, 1954, 26, № 4, 257—265 (хорв.; рез. англ.)

Показано, что 4- $NO_2C_6H_4OC_6H_5$ (**I**) легко сульфруется конц. H_2SO_4 (**II**), образуя 4- $NO_2C_6H_4OC_6H_4SO_3H$ -4 (**III**) и незначительное кол-во 4- $NO_2C_6H_4OC_6H_4SO_3H$ -2 (**IV**); при сульфировании 2,4-(NO_2)₂ $C_6H_3OC_6H_5$ (**V**) получается исключительно 2,4-(NO_2)₂ $C_6H_3OC_6H_4SO_3H$ -4 (**VI**), строение которой доказано синтезом из 4-хлор-1,3-динитробензола (**VII**) и 4- $KOC_6H_4SO_3K$ (**VIII**). Смесь 0,023 моля **I** и 0,1 моля **II** нагревают 2 часа на водяной бане, выливают на 10 г льда, выпадают кристаллы гидрата **III**, выход неочищ. 10 г, т. пл. 84—85° (очищ. через Ва-соль, из petr. эф.). S-бензилтиурониевая соль, т. пл. 194—195° (из разб. с.); хлорангидрид, т. пл. 85—85,5° (из эф. + petr. эф.); амид, т. пл. 130—131° (из разб. сп.). К водн. р-ру гидрата **III** прибавляют 50%-ный KOH, при охлаждении выпадает K-соль **III**, выход 90,4%; фильтр выпаривают досуха, остаток (1 г) нагревают 1,5 часа с 2 г PCl_5 , смешивают с водой и экстрагируют эфиром, эфир выпаривают и к оставшемуся сульфохлориду (0,12 г) прибавляют 2 мл 25%-ного NH_3 , получают амид **IV**, выход 1,3%, т. пл. 198—200°. Таким же способом (нагревание 30—60 мин.) из **V** и **II** получают моногидрат **VI**, т. пл. 108—110° (из бzl.); **VI** лучше выделять через Ва-соль, выход 84—96%; S-бензилтиурониевая соль, т. пл. 190—191° (из разб. сп.), 0,03 моля **VIII** в 10 мл H_2O размешивают с 0,033 моля **VII** и нагревают 2 часа, охлаждают льдом, кристаллы растворяют в 35 мл воды и охлаждают ~ 16 час, фильтр выпаривают досуха и получают K-соль **VI**, выход 99%. X. Г.

78127. Синтезы в ряду дифенилового эфира. IV. Феноксифенилгидразины. Хан, Шкарич, Милер, Стоянац (Sinteze u redu difeniletera. IV. O fenoksi-fenilhidrazinima. Hahn V., Škarić V., Miler E., Stojanac Z.), Croat. chem. acta, 1956, 28, № 1, 57—65 (хорв.; рез. англ.)

Из *о*-, *м*- и *п*- $NH_2C_6H_4OC_6H_5$ диазотированием и дальнейшей р-цией с $SnCl_4$ и HCl (к-той) получены соответствующие хлоргидраты $NH_2NC_6H_4OC_6H_5$ (**I**) и из них свободные основания (**II**). Конденсацией **I** с C_6H_5COOH синтезированы гидразоны $C_6H_5CH=N^+NHC_6H_4OC_6H_5$ (**III**), при р-ции **I** с KCN образуются семикарбазиды $NH_2CONHNHC_6H_4OC_6H_5$ (**IV**). При конденсации *м*- и *п*-**I** с ацетоуксусным эфиром (с *о*-**II** р-ция не идет) образуются $C_6H_5OC_6H_4NHN=C(CH_3)CH_2COOC_2H_5$ (**V**), которые при нагревании (130—140°, 3,5—4 часа) превращаются с отщеплением C_2H_5OH в пиразолон $C_6H_5OC_6H_4NHNHC(CH_3)=CHCO$ (**VI**). К диазораствору из 9,25 г *о*- $NH_2C_6H_4OC_6H_5$ прибавляют (—5—0°) 40 г $SnCl_4 \cdot 5H_2O$ в 57 мл конц. HCl, осадок растворяют в 400 мл горячей воды, пропускают H_2S , из фильтрата выделяется *о*-**I**, выход 80%, т. пл. 178—179° (разл.; из сп.). Получены следующие в-ва (указан выход в % и т. пл. в °C, в скобках р-ритель при перекристаллизации): *о*-**II**, —, 150—151 (сп.), т. кип. 222—230°/16 мм, пикрат, —, 116—117 (разб. сп.); *о*-**III**, 80, 130—130,5 (сп.); *о*-**IV**, колич., 172—173 (разб. сп.); *м*-**I**, 74,5, 171—173 (разб. сп.); *м*-**II**, —, 60—61 (толуол-птр. эф.), пикрат, —, 106—107 (разб. сп.); *м*-**III**, —, 110 (сп.); *м*-**IV**, —, 153—154 (разб. сп.); *м*-**V**, —, 111—111,5 (сп.); *м*-**VI**, 124—125 (сп.); *п*-**I**, 70, 172—173 (разл., сп.); *п*-**II**, —, 51—52 (толуол-птр. эф.), т. кип. 218—225°/16 мм, пикрат, —, 94—95 (разб. сп.); *п*-**III**, —, 106—107 (сп.); *п*-**IV**, —, 158—159 (разб. сп.); *п*-**V**, —, 107—108 (сп.); *п*-**VI**, 144—145 (сп.). *п*-**I** получен также следующим образом: диазораствор из 9,25 г *п*- $NH_2C_6H_4OC_6H_5$ прибавляют к охлажд. р-ру 31,5 кристаллич. Na_2SO_3 в 128 мл воды, 2,2 г NaOH и 25 г льда, отделяют *п*- $C_6H_5OC_6H_4N^+=NSO_3Na$ (**VII**), выход 91%, т. пл. 185—187° (разл.; вода или разб. сп.). К р-ру 13,65 г **VII** в 130 мл воды и 6 мл лед. CH_3COOH прибавляют 5,5 г Zп-пыли, отделяют *п*- $C_6H_5OC_6H_4NHNHSO_3Na$, выход 49,5%, т. разл.

280° (из воды), который при нагревании 1 час со спиртом-конц. HCl превращается в *n*-I, выход 97,5%. Я. К.

78128. N-(ω-бромалкил)-сахарины и N, N'-ундекаметилендихаарины. Коммерфорд, Донахо (N-(ω-bromoalkyl)-saccharins and N, N'-undecamethylenedisaccharin. Commerford John D., Donahoe Hugh B.), J. Organ. Chem., 1956, 21, № 5, 583—584 (англ.)

Взаимодействием Na-производного сахара (I) с Br-(CH₂)_nBr (II) синтезированы ω-Br-(CH₂)_n — замещ. у N (III); одновременно образуется примесь полиметиленидихааринов. 0,027 моля I, 3 мл HCON(CH₃)₂ и 0,11 моля II нагревают 3 часа при 160—170°, отделяют NaBr, фильтрат выливают в 50 мл холодной воды, извлекают эфиром, отгоняют р-ритель и избыток II, извлекают эфиром III, который перекристаллизуют из петр. эфира и *изо*-C₆H₅OH. Получены следующие III (указаны значение *n*, выход в % и т. пл. в °C): 2, 97, 96; 3, 61, 92, 5; 4, 70, 71—72; 5, 33, 53, 5; 6, 46, 70, 5—71; 7, 64, 47, 5—48; 8, 59, 54; 9, 62, 28; 10, 83, 43—44. Нагревают 1 час. смесь 0,011 моля I, 10 мл HCON(CH₃)₂ и 0,005 моля II (*n*=11), после обычной обработки получен N, N'-ундекаметилендихаарин, выход 42%, т. пл. 68° (из ацетона-сп.). Все т-ры плавления исправлены. Я. К.

78129. Производные флуорена. II. 9-арилиминопроизводные. Тейлор, Флетчер (Derivatives of fluorene. II. 9-arylimino compounds. Taylor Murray E., Fletcher T. Lloyd, J. Organ. Chem., 1956, 21, № 5, 523—527 (англ.))

В связи с карциногенной активностью производных флуорена взаимодействием замещ. флуоренонов (I) с ароматич. аминами (анилином (II), *n*-FC₆H₄NH₂ (III), *n*-CH₃-CONHC₆H₄NH₂ (IV), *n*-C₆H₅C₆H₄NH₂ (V), β-нафталином (VI), *n*-NH₂C₆H₄NH₂ (VII), бензидином (VIII)) получен ряд азометинопроизводных флуорена (IX). В качестве катализаторов применялись ZnCl₂ (A) при 160—190°, AlCl₃ (Б) при 120—130°, CH₃COOH (B) при т-ре кипения, C₆H₅OH (Г) при т-ре кипения и CF₃COOH (Д). В случае нитрозамов I во избежание затруднений с очисткой IX соотношение амин : I = < 2 : 1 и отношение A : I = > 1 : 2 : 0,1 моля. При р-ции 2,5-динитро-1-с II или III образуется смесь двух изомерных IX, отличающихся по кристаллич. форме. В типичном опыте смесь 0,05 моля 2-нитро-I, 10 мл II и 0,2 г Б нагревают 15 мин. при 125±5°, прибавляют небольшое кол-во горячего CHCl₃, упаривают до ~ 30 мл, выделен N-(2-нитрофлуоренилиден)-анилин, выход 73%, т. пл. 142—143° (из хлр.). Смесь 0,05 моля 2-ацетиламинофлуоренона, 0,021 моля VIII и 0,1 моля Г нагревают 20 мин., извлекают 150 мл кипящего ацетона 10,3 г N, N'-ди-(2-ацетиламинофлуоренилиден)-бензидин, т. пл. 379—380° (разл.; из C₆H₅NO₂). 0,061 моля I, 0,028 моля VII и 25 мл лед. CH₃COOH нагревают 10 мин., осадок отделяют, фильтрат упаривают досуха и извлекают горячим спиртом, общий выход N, N'-дифлуоренилиден-*n*-фенилендиамина 70%, т. пл. 293—294°. Из II и I с А получены следующие IX (перечисляются заместители в I, продолжительность р-ции в мин., т-ра в °C, выход в %, т. пл. в °C): Н, 45, 183—185, 81, 88—89 (сп.); 2,7-(NO₂)₂, 45, 177—183, 62, 245,5—246,5 (хлф.); 2,5-(NO₂)₂, 60, 180—183, 20, 247,5—248 (хлф.); и выход 53%, т. пл. 211—212 (хлф.); 2, 4, 7-(NO₂)₂, 60, 185—190, 67, 224—225 (хлф.); 2-CH₃CONH, 45, 183—190, 66, 223—224 (хлф.); 2-C₆H₅CONH, 50, 190—195, 85, 238—239 (хлф.); 2-CH₃NH, 45, 185—190, 59, 141—142 (хлф.-CCl₄); 2-(C₆H₅)₂N, 45, 165—175, 60, 129—131 (хлф.-CCl₄); CF₃CONH, 30, 185—190, 89, 195—205 (разл.; хлф.). Из III и I с А получены следующие IX (те же показатели): Н, 60, 170—175, 87, 142—143 (сп.); 2-NO₂, 30, 170—175, 84, 228—229 (хлф.); 2,7-(NO₂)₂, 45, 175—180, 87, 272—273 (хлф.); 2,5-(NO₂)₂, 60, 175—180, 55, 178—179 (хлф.), и выход 26%, т. пл. 180—181° (хлф.); 2, 4, 7-(NO₂)₂, 70, 190—195, 87, 232,5—233,5 (хлф.); 2-CH₃CONH, 45, 175—180, 83, 205—206 (ацетон). Из IV и I получены IX (те же

показатели, дополнительно указан катализатор): Н, Б, 15, 125—135, 90, 250—251 (хлф.); 2-NO₂, В, 15, 135—140, 42, 314—315 (отмыт хлф.); 2-CH₃CONH, А, 45, 175—185, 89, 253—254 (сп.). Из V получены IX: Н, Д, 90, 190, 60—65, 193,5—194 (сп.); 2-NO₂, Д, 90, 190, 50, 210—211 (бзл.); 2,5-(NO₂)₂, Д, 90, 190, 70, 200—201 (бзл.). Из VI получены IX: Н, катионообменная смола дуолит С-60, 90, 190, 62, 113,5—115 (неиспр.; сп.); 2-NO₂, А, 90, 190, 45, 166—167 (бзл.). Из VII получены IX: 2-NO₂, В, 20, кипение (кип), 86, > 400 (разл.; отмыт сп. и CH₃COOH); 2,7-NO₂, В, 10, кип, 95, 444—448 (разл.; из *o*-CH₃C₆H₄NO₂); 2, 4, 7-(NO₂)₂, В, 25, кип, 85, 404—405 (разл.; отмыт сп. и CH₃COOH); 2-CH₃CONH, Г, 360, кип, 71, 378—380 (разл.; C₆H₅NO₂); 2-NH₂, А, 15, 190—195, 69, 304—305 (разл.; C₆H₅NO₂). Из VIII получены IX: Н, В, 30, кип, 40, 350—352 (хлф.); 2-NO₂, В, 20, кип, 62, 402—404 (разл.; отмыт сп. и CH₃COOH); 2,7-(NO₂)₂, В, 30, кип, 420—422 (разл.; отмыт сп. и CH₃COOH); 2,4,7-(NO₂)₂, В, 20, кип, 75, 390—391 (отмыт сп. и CH₃COOH). Из α-нафталина и незамещ. I в присутствии А (90 мин., 175°) получен флуоренилиден-α-нафталин, выход 45—50%, т. пл. 116—117° (из сп.; неиспр.). Все т-ры плавления исправлены. Сообщение I см. РЖХим, 1956, 46918. Я. К.

78130. Восстановление одной нитрогруппы в 2,5-динитрофлуорене. Уэйсбергер, Уэйсбергер (The monoreduction of 2,5-dinitrofluorene. Weisburger John H., Weisburger Elizabeth K.), J. Organ. Chem., 1956, 21, № 5, 514—515 (англ.)

При восстановлении 2,5-динитрофлуорена (I) H₂S образуется 2-амино-5-нитрофлуорен (II), изомерный 2-нитро-5-аминофлуорен (III), а также немного 2,5-диаминофлуорена (IV). Образование II подтверждено получением 4-нитрофлуорена (V) при дезаминировании продуктов р-ции по описанному методу (РЖХим, 1956, 46919), окислением V в 4-нитрофлуоренон, восстановлением последнего в 4-аминофлуорен (VI) и сравнением УФ-спектров ацильных производных VI и 2-аминофлуорена. Продукт восстановления I, описанный как II (J. Amer. chem. Soc., 1952, 74, 4540), на самом деле является III. В нагретую взвесь 17 г I в 435 мл спирта и 63 мл 15 н. NH₄OH пропускают 3 часа H₂S, добавляя через 1 и 2 часа 12 мл р-ра NH₄OH, вводят р-р 12,5 г NaCl в 500 мл воды, отделяют осадок, который обрабатывают HCl (к-той), при охлаждении выделяется осадок (А), из фильтрата прибавлением р-ра NH₄OH и хроматографированием на Al₂O₃ выделен IV, т. пл. 177—178,5°; к осадку А в 100 мл спирта прибавляют 10 мл NH₄OH и через 30 мин. 500 г льда, осадок (9,5 г) кристаллизуют из CH₃COOH-5,4 н. H₂SO₄ и выделяют свободные основания (8,2 г, осадок Б), из кислого маточного р-ра после нейтр-ции и хроматографирования выделено 255 мг III, т. пл. 164,5—166°. Осадок Б снова кристаллизуют из CH₃COOH-H₂SO₄ и затем выделяют 6,3 г основания II, т. пл. 104,5—105° (из водн. сп. и затем C₆H₆), из кислого маточного р-ра выделено еще 0,5 г III. При кристаллизации смеси II и III из C₆H₆ выделяется только III, II хорошо растворим в C₆H₆. Действием (CH₃CO)₂O на II в C₆H₆ получен 2-ацетиламино-5-нитрофлуорен (VII), выход 75%, т. пл. 235—237° (из сп.-CH₃COOH). При восстановлении I SnCl₂ в кислой среде получены аналогичные результаты. Приведены УФ-спектры II и VII. Я. К.

78131. Алкилтетралины. Часть II. 2- и 6-метил-, *n*-пропил- и *n*-бутилтетралины. Бейли, Стейвли (Alkyltetralins. Part II. The 2- and 6-methyl-, *n*-propyl and *n*-butyltetralins. Bailey A. S., Staveley C. M.), J. Inst. Petrol., 1956, 42, № 387, 97—103 (англ.)

Синтезированы и охарактеризованы 2- и 6-замещ. алкилтетралины, C₁₀H₁₄R (Ia, R = 2-CH₃; Ib, R = 2-C₃H₇; Ic, R = 2-C₄H₉; IIa, R = 6-CH₃; IIb, R = 6-C₃H₇; IIc, R = 6-C₄H₉). Для синтеза Ia — в из α-тетралона (III) и (COOC₂H₅)₂ (IV) получен этиловый эфир тетралон-1-ил-2-гликолевой к-ты (V) и далее 2-карбэтокситетралон-1 (VI). При конденсации VI с галогидными алкилами

и последующем декарбоксилировании образуются 2-алкилтетралон-1, $RC_{10}H_9O$ (VIIa, $R = CH_3$; VIIb $R = C_2H_5$; VIIc $R = C_3H_7$) и после разложения их семикарбазонов Ia — в. Для сравнения Ia также синтезирован из $C_6H_5CH_2CH_2C(CH_3)=C(CN)COOC_2H_5$ (VIII) через $C_6H_5CH_2CH_2CH(CN)CH(CN)COOC_2H_5$ (IX), β -бензилмасляную к-ту (X) и 3-метилтетралон-1 (XI). Из $n\text{-}C_3H_7C_6H_4COCH_2CH_2COOH$ через γ -н-толилмасляную к-ту и 7-метилтетралон-1 (XII) синтезирован IIa. Для получения IIb — в исходили из 6-ацитилтетралинов, $RCOC_{10}H_{11}$ (XIIIa, $R = C_2H_5$; XIIIb, $R = C_3H_7$). К C_2H_5ONa (из 9,5 г Na) в 200 мл C_6H_6 при 0° в N_2 прибавлен р-р 30 г III и 60 г IV в 75 мл C_6H_6 ; после обычной обработки выделен V, выход 87%, т. пл. 47,5–48° (из сп. при –10°). При нагревании V с Na_2CO_3 и порошком стекла (1–3 часа, 180–200°) образуется VI, выход 75–85%, т. кип. 116–120°/0,2 мм, т. пл. 34–36° (из петр. эф. при –10°). К р-ру 100 г VI в 150 мл спирта прибавлен р-р C_2H_5ONa (из 11,6 г Na и 665 мл 130°) и затем смесь 130° CH_3I и 50 мл спирта; после кипячения 1 час и добавления р-ра 50 г KOH в 100 мл воды смесь кипятят 9 час.; получен VIIa, выход 85,5%, т. кип. 126°/12,5 мм, т. пл. 15° (из петр. эф. при –15°), n_D^{20} 1,5541; 2,4-динитрофенилгидразон (ДНФГ), т. пл. 224° (из целлолосльва); семикарбазон (СМ) (XIV), т. пл. 196–197° (из сп.). Смесь XIV (из 53 г VIIa) и 61 г KOH в 450 мл $HOCH_2CH_2OH$ кипятят 0,5 часа, а затем с отгонкой — 4 часа до 194°; получен Ia, выход 76%, т. кип. 219,8°/751 мм, 110,5°/27 мм, т. пл. –43,1°, n_D^{20} 1,5267, n_D^{25} 1,5243, d_4^{20} 0,9432. Аналогично VIIa, из VI и C_3H_7I синтезирован VIIb; выход 61%, т. пл. 43–43,5° (из петр. эф. при –10°). ДНФГ, т. пл. 146,5° (из сп.); СМ, т. пл. 185,5° (из сп.). Аналогично Ia получен Ib, выход 68%, т. кип. 260,1°/750 мм, 112,4°/18 мм, т. пл. –7,5°, n_D^{20} 1,5202, n_D^{25} 1,5182, d_4^{20} 0,9331. Так же получен VIIc, т. кип. 164°/15 мм, т. пл. 11,4–11,8° (из ацетона при –78°); n_D^{20} 1,5358; ДНФГ, т. пл. 144° (из сп.); СМ, т. пл. 150,5° (из целлолосльва). Из этого СМ получен Ic, выход 80%, т. кип. 278,8°/763 мм, 125,5°/8 мм, т. пл. –30,1° n_D^{20} 1,5161, n_D^{25} 1,5141, d_4^{20} 0,9273. Смесь 100 г бензилметилкетона, 84,9 г $CNCH_2COOC_2H_5$, 11,7 г CH_3COONH_4 , 36 г CH_3COOH и 150 мл C_6H_6 кипятят с отгонкой воды 8 час.; получен VIII, выход 57%, т. кип. 120–130°/0,4 мм, n_D^{20} 1,5338. Гидрированием в спирте ($Pd/SrCO_3$, 5 атм H_2) VIII превращен в IX, т. кип. 121–123°/0,5 мм, n_D^{20} 1,4937–1,4999. После нагревания 10 час. IX со смесью CH_3COOH , H_2SO_4 и воды (2:1:1) выделена X, выход 63%, т. кип. 120–130°/0,5 мм, n_D^{20} 1,5120; амид, т. пл. 80,5° (из петр. эф.); анид, т. пл. 103,5° (из водн. сп.). Циклизацией хлорангидрида X (из 60,5 г X и $SOCl_2$) в 165 мл CS_2 действием 50 г $AlCl_3$ (кипение 1,5 часа) получен XI, выход 74,5%, т. кип. 136–138°/15 мм, т. пл. 16,9° (из петр. эф.), n_D^{20} 1,5522; ДНФГ, т. пл. 241° (из целлолосльва); СМ (XV), т. пл. 189° (из водн. сп.). Из XV так же, как и из XIV, получен Ia. СМ XII, т. пл. 228° (из сп.-целлолосльва) превращен, как описано выше, в IIa, т. кип. 229,1°/758 мм, 124,1°/37 мм, т. пл. –38,7°, n_D^{20} 1,5352, n_D^{25} 1,5330, d_4^{20} 0,9529; одновременно образовался азин XII, т. пл. 146° (из петр. эф.). Из тетралина и C_2H_5COCl в CS_2 при действии $AlCl_3$ образуется XIIIa, т. кип. 166–170°/14 мм, т. пл. от –2,5 до –1,6° (из петр. эф. при –78°), n_D^{20} 1,5537; СМ, т. пл. 200° (из сп.); ДНФГ, т. пл. 199° (из сп.). Из XIIIa обычным путем получен IIb, т. кип. 262,1°/748 мм, 117,1°/9 мм, т. пл. –51,7°, n_D^{20} 1,5263, n_D^{25} 1,5242, d_4^{20} 0,9359. Аналогично из XIIIb (т. кип. 170–174°/13 мм, 125°/1 мм, т. пл. 6,5°, n_D^{20} 1,5468; ДНФГ, т. пл. 201°) получен IIc, т. кип. 281,2°/764 мм, 129,9°/8 мм, n_D^{20} 1,5220,

n_D^{25} 1,5200, d_4^{20} 0,9286. Часть I см. РЖХим, 1956, 61512.

78132. Производные замещенных роданилинов и родан-нафтиламинов с точки зрения фармакодинамики. Бу-Хой, Лок, Сы-ён-г (Dérivés des rhodanilines substituées et des rhodanaphthylamines, d'intérêt pharmacodynamique. Buu-Hoi N. P., Loc T. B., Huong N. D.), Bull. Soc. chim. France, 1956, № 5, 790–793 (франц.)

С целью изучения антибактериальных свойств действием $(SCN)_2$ на анилины синтезированы p -роданилин (I), 2-метил-I (II), 3-метил-I (III), 2-хлор-I (IV), 4-роданнафтиламин-I (V) и 1-роданнафтиламин-2 (VI). I–VI реагируют с арил-изотиоцианатами с образованием соответствующих 4'-роданткарбанилидов (TK). Все полученные ТК исследованы на антибактериальную и противовирусную активность. Для сравнения синтезированы аналогичные 4'-роданткарбанилиды (KA). Конденсацией I–VI с p -ацетамидобензолсульфохлоридом (VII) получены соответствующие сульфаниламиды (CA) и из них — продукты деацетилирования. При обработке CA водн. Na_2CO_3 они теряют SCN-группу. Действием $(SCN)_2$ в момент выделения на р-р соответствующего амина в CH_3OH получены I–VI (соответственно выход в %: 70, 75, 60, 72, 70, 92). К конц. спирт. р-ру II при 50–60° добавляют 1 моль n -толилизотиоцианата и нагревают еще несколько минут, выход 4,2'-диметил-ТК 92%, т. пл. 143° (из CH_3OH). Аналогично из II получены следующие ТК (указаны заместители и т. пл. в °C): 4-этокс-2'-метил, 139 (из сп.); 4-фтор-2'-метил, 169; 4-хлор-2'-метил, 175; 4-бром-2'-метил, 195. Из IV получают ТК: 4-этокс-2'-хлор, 161 (из сп.); 4-фтор-2'-хлор, 161 (из сп.); 4,2'-дихлор, 166 (из сп.); 4-бром-2'-хлор, 172 (из сп.). Из I и α -нафтилизотиоцианата получена N-(4-роданфенил)-N'- α -нафтильномочевина, т. пл. 166° (из сп.). К р-ру 15 г II в C_6H_6 при 50–60° добавляют 10,9 г фенилизотиоцианата и нагревают несколько минут, выход 2-метил-КА колич., т. пл. 189° (из сп.). Аналогично из II получены КА (указаны заместители и т. пл. в °C (из сп.)): 4,2'-дихлор, 202; 4-этокс-2'-метил, 198; N-(4-этоксифенил)-N-(4-роданнафтил-1)-мочевина, 235. К р-ру 15 г II в 150 мл C_6H_5N добавляют 21 г VII, нагревают 15 мин. при 70–80°, выливают на лед, подкисляют 1%-ной HCl и отделяют N'-ацетил-N'-(4-родан-2-метилфенил)-сульфаниламид (VIII), выход ~30%, т. пл. 218° (из C_6H_5N). К р-ру VIII в кипящем спирте добавляют 20 мл конц. HCl, кипятят 4 часа, отгоняют спирт, к остатку добавляют воду и $NaHCO_3$, выход N'-(4-родан-2-метилфенил)-сульфаниламида 75%, т. пл. 141° (из сп.). Аналогично получены CA (в скобках т. пл. в °C диацетилированного CA): N'-ацетил-N'-(4-родан-3-метилфенил)-, 216 (123); N'-ацетил-N'-(4-родан-2-хлорфенил), 200 (153); N'-ацетил-N'-(4-роданнафтил-1)-, выход > 50%, 235 (209); N'-ацетил-N'-(1-роданнафтил-2)-, 257 (238).

78133. 3-трет-бутилтиофен. Корсон, Тифен-тал, Атвуд, Хейнцелман, Рейлли (3-tert-butylthianaphthene. Corson B. B., Tiefenthal H. E., Atwood G. R., Heintzelman W. J., Reilly W. L.), J. Organ. Chem., 1956, 21, № 5, 584–586 (англ.)

Алкилированием тиофена (I) получен 3-трет-бутил-I (II), при обессеривании которого образуется α -трет-бутилэтилбензол (III), строение которого подтверждено встречным синтезом. В 1,5 моля I и 50 г 100%-ной H_3PO_4 пропускают при перемешивании (125°) 3 моля изобутилена, извлекают эфиром II, выход 75%, т. кип. 149°/20 мм, n_D^{25} 1,5871, d_4^{25} 1,0578. Нагревают 16 г II и 180 г скелетного Ni в 500 мл абс. спирта, из фильтрата выделен III, выход 85%, т. кип. 91–94°/20 мм, n_D^{25} 1,4915, d_4^{25} 0,8667; ИК-спектр указывает на содержание 5–10% α -трет-бутилстирола (IV). Р-р 0,7 моля

пинаколона в 100 мл эфира прибавляют за 1 час к кипящему р-ру C_6H_5Li (из 1,5 моля Li) и 0,77 моля C_6H_5Br в 150 мл эфира, перемешивают еще 1 час, через ~ 65 час. прибавляют 25 мл спирта и 175 мл воды, выделен 2-фенил-3,3-диметилбутанол (V), выход 78%, т. кип. $128^\circ/20$ мм, $n_D^{25} 1,5157$, $d_4^{25} 0,9705$. V получен также р-цией $C_6H_5COCH_3$ с $(CH_3)_2SMgCl$, выход 9%. Пропусканием V над Al_2O_3 ($275^\circ/150$ мм) получен IV, выход 70%, т. кип. $75^\circ/10$ мм, $n_D^{25} 1,4992$, $d_4^{25} 0,8733$. Гидрированием IV над PtO_2 получен III, выход 80%. Из III по методу Ипатьева и Шмерлинга (J. Amer. Chem. Soc., 1937, 59, 1056) получено п-ацетамидопроизводное, т. пл. $146,5-147,5^\circ$ (из водн. CH_3OH). Приведены кривые ИК-спектров III и IV. Я. К.

78134. Окисление производных антрацена и фенантрена в ядро. Джайн, Сешадри (Nuclear oxidation in anthracene and phenanthrene systems. Jain A. C., Seshadri T. R.), J. Scient. and Industr. Res., 1956, (B—C) 15, № 2, B61—B65 (англ.)

Ализарин (I), 2-метилловый эфир-I (II), пурпуроксантин (III) и его 3-метилловый эфир (IV) не окисляются по Элбсу и Дакину вследствие пониженной реакционной способности этих соединений из-за наличия двух СО-групп и образования внутримолекулярной водородной связи. Существенно двухступенчатое окисление антролов и фенантролов. β -Антрол (V) превращают по Гаттерману или конденсацией с гексаминном (VI) в 2-окси-1-антрагидрид (VII), при окислении которого образуется 1,2-антрадиол (VIII), полученный также из β -антролацетата (IX). Перегруппировкой IX по Фрису получен 1-ацето-2-антрол (X), окисление которого приводит к VIII. Окислением 1,2-диацетоксиантрацена (XI) CrO_3 синтезирован диацетат I (XII), при гидролизе превращающийся в I. Аналогичные р-ции осуществлены в случае 2-(XIII) и 3-фенантролов (XIV). К р-ру 4,8 г I в 8%-ном р-ре Na_2CO_3 добавляют при $60-70^\circ$ 4 мл $(CH_3)_2SO_4$, нагревают еще 2 часа, подкисляют, выделившийся осадок обрабатывают разб. NH_4OH , растворяют в C_6H_6 , добавляют спирт. р-р 1,12 г КОН и отделяют К-соль II, из которой выделен II, выход 3,8 г, т. пл. $228-230^\circ$ (из бзл.). К 2,4 г I в ацетоне прибавляют 1 мл $(CH_3)_2SO_4$ и 5 г K_2CO_3 , через 10—12 час. отгоняют р-ритель, подкисляют разб. HCl, нагревают и отфильтровывают II, выход 2,2 г. Из III или пурпурина (XV) и 1 моля $(CH_3)_2SO_4$, как описано для I, получены с выходом 80% соответственно IV, т. пл. 193° (из CH_3COOH), и 2-метилловый эфир XV, т. пл. $240-241^\circ$ (из сп.). Метилированием хинизарина 4 молями $(CH_3)_2SO_4$ (30 час.) получена смесь моно- и диметилловых эфиров, разделенная осаждением К-соли моноэфира, т. пл. соответственно 190° (из CH_3OH) и $169-170^\circ$ (из бзл.). К кипящему р-ру 5 г 3-метокси-4-окси-9-антранола в 50 мл ацетона и 100 мл воды добавляют амальгаму Al (из 1 г Al), затем добавляют NH_4OH , кипятят 5 мин., декантированный р-р выливают в разб. HCl (0°) и отделяют 4,2 г 2-метокси-1-оксинантрацена, т. пл. $141-142^\circ$ (разл.); очистка через ацетат, т. пл. $151-152^\circ$ (из CH_3COOH). Из 5 г V и 5,5 г $Zn(CN)_2$ (эф. HCl (газ), 3 часа) выделяют полутвердый хлоргидрат альдимида, растворяют его в воде, через 24 часа выделяется VII, выход 4 г, т. пл. 164° (из разб. сп.). 1 г V в 30 мл лед. CH_3COOH и 3 г VI нагревают 6 час., добавляют 20 мл разб. HCl (1:1), нагревают 15 мин. при 80° , отгоняют CH_3COOH , добавляют воду и экстрагируют эфиром 0,2 г VII. 1 моль IX и 2 моля $AlCl_3$ нагревают 1,5 часа при 140° , добавляют 100 г льда и 15 мл HCl и выделяют X, выход 2 г, т. пл. $218-219^\circ$ (из бзл.-лигр.). 1 г VII или X растворяют в 4 мл 5%-ного NaOH и 15—20 мл C_6H_5N , вытесняют воздух N_2 и добавляют при 0° 1 мл 15%-ной H_2O_2 , через 1,5 часа (20°) нейтрализуют по конго и экстрагируют эфиром VIII, выход 0,75 г, т. пл. $160-162^\circ$ (из CH_3OH); диацетат, т. пл. 157° (из этилацетата-пепт. эф.). Р-р 1 г XI в CH_3COOH и 0,8 г CrO_3 кипятят 5—7 мин., добавляют кипящую воду и отделяют XII,

т. пл. $188-190^\circ$ (из этилацетата). XII гидролизуют HCl: CH_3COOH (1:1) и получают I, т. пл. $291-292^\circ$ (возгонка). Из 5 г XIII по Гаттерману или с VI получен 2-окси-1-фенантрагидрид (XVI), т. пл. $170-172^\circ$, выход соответственно 5,5 и 2,8 г, т. пл. $170-172^\circ$ (из бзл.-пепт. эф.); 2,4-динитрофенилгидразон, т. пл. 308° (разл.; из сп.). К р-ру 1 г XVI в 10 мл C_6H_5N добавляют 0,5 мл 70%-ного р-ра КОН и окисляют, как описано для VII, т. пл. $1,2$ -диоксифенантрена 178° , диацетат, т. пл. $146-147^\circ$ (из бзл.-лигр.). XIV обрабатывают $Zn(CN)_2$, как описано выше, выход 3-окси-4-фенантрагидрида 90%; при р-ции XIV с VI выход альдгида 50%, т. пл. 98° (из эф.-пепт. эф.). И. Л.

78135. 3-Окси-9,10-дифенилантрахинон-1,2. Этьенн, Бурдон (L'hydroxy-3 diphenyl-9,10 anthraquinone-1,2. Etienne André, Bourdon Jean), Bull. Soc. chim. France, 1955, № 3, 389—395 (франц.)

Описан синтез 3-метокси-9,10-дифенилантрахинона-1,2 (I) и 3-окси-9,10-дифенилантрахинона-1,2 (II). Сочетанием 2-окси-3-метокси-9,10-дифенилантрацена (III) (РЖХим, 1956, 64920) с $C_6H_5N_2Cl$ получен 1-фенилазо-2-окси-3-метокси-9,10-дифенилантрацен (IV), восстановленный в амин, окисление которого привело к I. Так же, исходя из 2,3-диокси-9,10-дифенилантрацена (V), получен 1-фенилазо-2,3-диокси-9,10-дифенилантрацен (VI), из которого не удалось перейти к II. Проведена попытка получения II гидролизом ацетилиммина 3-окси-9,10-дифенилантрахинона-1,2 (VII) (РЖХим, 1955, 13976). Восстановительным ацилированием VI получен 1-ацетиламино-2,3-диацетокси-9,10-дифенилантрацен (VIII), превращенный шел. гидролизом в 1-ацетиламино-2,3-диокси-9,10-дифенилантрацен (IX). При окислении IX получен с незначительным выходом VII. Синтез II удалось осуществить диспропорционированием 3,9-диокси-2-кето-2,9-дигидро-9,10-дифенилантрацена (X) на II и V (Ср. РЖХим, 1955, 13975; 1956, 64920). При присоединении Br_2 , вероятно, по двойной связи 3,4; при восстановлении II образуется 1,2,3-триокси-9,10-дифенилантрацен, легко окисляющийся на воздухе II. К р-ру 2 г V в 400 мл спирта добавляют р-р 8 г CH_3COONa в 260 мл воды и 4,8 мл CH_3COOH , охлаждают и прибавляют р-р $C_6H_5N_2Cl$ (из 0,5 г $C_6H_5NH_2$); выход IV 53%, т. пл. 274° (из бзл.). Аналогично получают IV, выход 91%, т. пл. 230° (из CH_3COOH). Р-р 0,1 г IV в 10 мл спирта кипятят 1 час с Zn -пылью и конц. HCl, отделяют от Zn , обрабатывают 1 мл конц. водн. р-ра $FeCl_3$, разбавляют водой и извлекают I эфиром, выход 75%, т. пл. $249,5^\circ$ (из эф.); монофенилгидразон, выход 85%, т. пл. $249-250^\circ$ (из эф.-сп.). Небольшие кол-ва I образуются также при самоокислении твердого III. При р-ции I с о-фенилендиаминном в CH_3COOH образуется 1,2-(1'-4'-дифенил-2',3'-нафто)-4-метоксифеназин, выход 95%, т. пл. 288° (из CH_3COOH), полученный также р-цией 1,2-(1',4'-дифенил-2',3'-нафто)-4-оксифеназина (XI) с $(CH_3)_2SO_4$. К кипящему р-ру 0,6 г VI и 1,4 г CH_3COONa в 60 мл $(CH_3CO)_2O$ прибавляют 0,9 г Zn -пыли, кипятят 20 мин. и осаждают VIII водой, выход 89%, т. пл. 252° (из CH_3COOH). Нагревают 0,5 г VIII и 50 мл 0,5%-ного р-ра КОН в CH_3OH , при добавлении 2%-ного водн. р-ра CH_3COOH выпадает термически неустойчивый IX, выход 99%, т. пл. 287° (из эф.). Кипячением 0,1 г IX в 4 мл CH_3COOH получают 1,2-(2'-метил-4',5'-оксазол)-3-окси-9,10-дифенилантрацен (XII), выход 83%, т. пл. 314° (из CH_3COOH). Окисление IX $K_2Cr_2O_7$ в CH_3COOH (15 мин., 70°) ведет к VII, выход 52%, т. пл. $240-241^\circ$ (из бзл.); суспензию 0,25 г X в 2 мл диоксана (XIII), содержащего 1% H_2SO_4 , кипятят 7 мин., по охлаждении выпадает 0,147 г V · 2 XIII; разбавлением р-ра в XIII водой выделяют 84 мг II, т. пл. 268° (из циклогексана); 2-монофенилгидразон (XIV), выход 80%, т. пл. $316-317^\circ$ (из хлф.-эф.); действием Br_2 в CH_3COOH на II получают дигибрид, выход 60%, т. пл. 232° , разлагается с отщеплением Br_2 . Кипятят II с о- $C_6H_4(NH_2)_2$ в CH_3COOH 10 сек. и получают XI, выход 74%, т. пл. 279° . Нагреванием II с $C_6H_5NHNH_2$ (XV) в CH_3COOH получен 2-фенилгидра-

зон 3,4-(2',3'-индоло)-9,10-дифенилантрахинона-1,2 (XVI), выход 42%, т. пл. 311,5° (из ксилола-циклогексана). XVI получают также действием XV на XIV с выходом 47%.

Приведены УФ-спектры I, II, VII, XIV и XVI. П. А. 78136.

Исследование производных аминогидантоина и родственных соединений. III. Соединения фурана I. Уода, Такаи, Йокои. IV. 1-Замещенные бензальные производные. Уода, Танидзак (Aminohydantoin 誘導體並びにその関連化合物に関する研究. 第3報. フラン化合物. その1. 卯尾田秀隆, 高井明, 橋井敏子. 第4報. p-位置換 benzal 化合物. 卯尾田秀隆, 谷崎太吉), 藥學雜誌, Якугаку дзасси, J. Pharmas. Soc. Japan, 1955, 75, № 2, 117—120; № 4, 391—395 (япон.; рез. англ.)

Сообщение III. Синтезированные соединения общей ф-лы $RCH=NN(CH_2COOC_2H_5)CXNH_2$ (I) путем конденсации 0,9 г $H_2NN(CONH_2)CH_2COOC_2H_5$ (II) или $H_2NN(CSNH_2)CH_2COOC_2H_5$ (III) с 1/200 моля фурфурола, 2-фурилакродина или их 5-нитропроизводных; выход I (X-O) 75—85%; выход I (X-S) 80—90%. II получают из 7,8 г хлоргидрата $NH_2NHC_2H_4COOC_2H_5$ и 4,5 г KCN , выход 0,9 г. При нагревании с разб. минер. к-тами I циклизуется с образованием $RCH=NNCXNHCOCH_2$ (IV), выход 75—85% (X-O)

или 80—90% (X-S). Перечисляются для I R, X, т. пл. в °C, и бактериостатич. тормозящее действие (БТД) на *Staph. aureus* и *E. Coli*, для IV т. пл. и БТД: фурил-2, 0, 123—124, 1: 50000, < 1: 5000, 270 (разл.), < 1: 20000, < 1: 20000; 5-нитрофурил-2, 0, 178, 1: 400000, 1: 640000, 261 (разл.); 1: 80000, 1: 160000, $OSN=CHCH=CCN=$

$=CH-$ (V), 0, 132, 1: 5000, < 1: 5000, 2/2 (разл.), < 1: 20000, < 1: 20000; $OC(NO_2)=CHCH=CCN=CH-$ (VI), 0, 204 (разл.), < 1: 160000, 1: 1280000, 265 (разл.), 1: 160000, 1: 160000; фурил-2, S, 142—143, 1: 5000, < 1: 5000, 218, < 1: 20000, < 1: 20000; 5-нитрофурил-2, S, 183—184, 1: 20000, 1: 320000, 232 (разл.), 1: 200000, 1: 160000; V, S, 154, 1: 5000, < 1: 5000, 238 (разл.), < 1: 20000, < 1: 20000; VI, S, 169 (разл.), 1: 40000, 1: 640000, 257 (разл.), 1: 200000, 1: 1600000. IV получают также при действии перечисленных выше альдегидов на 1-аминогидантоин и 1-амино-2-тиогидантоин. Т. А.

Сообщение IV. С целью получения водорастворимых антибактериальных средств синтезированы соединения общей ф-лы $n-R_1C_6H_4CH=NN(CH_2COOC_2H_5)CXNH_2$ (VI) путем конденсации 1/300 моля производных бензальдегида с 0,6 г II или III (см. сообщение III); выход I 80—90%. При нагревании VII с разб. минер. к-тами образуется $n-R_1C_6H_4CH=NNCXNHCOCH_2$ (VIII), выход 80—95%. Далее пе-

речисляются R, X, т. пл. VII и VIII в °C: CH_3CONH , 0, 206—207, 324 (разл.); CH_3CONH , S, 182, 272 (разл.); CH_3O , 0, 131—132, 248—248, 5; CH_3O , S, 137, 5—138, 242—243 (разл.); $C_2H_5SO_2$, 0, 168—169, 312—313 (разл.); $C_2H_5SO_2$, S, 202—203, 269—270 (разл.); $HOOC$, 0, 226—227, 343 (разл.); $HOOC$, S, 257—259 (разл.), 284—285 (разл.); NO_2 , 0, 189—190, 299 (разл.); NO_2 , S, 226—227, 262 (разл.); CH_2CON-

$HCONN=CH-$ (IX), 0, 256 (разл.), 350; IX, S, 241 (разл.),

305 (разл.), $n-SO_2C_6H_4CH=NN(CXNH_2)CH_2COOC_2H_5$ (X), 0, 135, $n-SO_2C_6H_4CH=NNCXNHCOCH_2$ (XI), 285 (разл.);

X, S, 223—224 (разл.), XI, 271 (разл.). VIII получают также из 1-аминогидантоина или 1-амино-2-тиогидантоина и альдегидов. Сообщение II см. РЖХим, 1956, 54478. Т. А. 78137. Исследование веществ полыми. Девейн (Studien über Absinkkörper. D e w e i n H.), Seifen-Öle-Fette-Wachse, 1955, 81, № 19, 547—548 (нем.; рез. англ., франц., исп.).

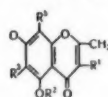
Описан синтез 5-метокси-2-метилкумарона (I) по схеме: резорцин → резацитофенон (II) → пеонол (III) → этиловый эфир

2-ацетил-6-метоксифеноксиуксусной к-ты (IV—к-та) → IV → I.

Аналогично получают многие гомологи и производные I. Сам I, его 5-этоксигомолог (т. пл. 52°) и 5-этоксиг-2-этилкумарон (т. пл. 67°) обладают вкусом полыми и запахом аниса; 3,5-диметокси-2-метилкумарон не имеет ни вкуса ни запаха; 5-метокси- и 5-этоксигкумароны обладают ароматич. запахом (но не аниса). Р-р 110 г резорцина, 109 г $(CH_3CO)_2O$ и 150 мл лед. CH_3COOH при 0° насыщают BF_3 (газ) и оставляют стоять 48 час., смешивают с 500 г льда, отгоняют в вакууме CH_3COOH и остаток промывают холодной водой, получают II, выход 96%, т. пл. 145° (из воды). К р-ру 100 г II в 120 мл 10%-ного водн. NaOH прибавляют 83 г диметилсульфата, нагревают 10 мин. при 90°, подкисляют HCl (к-той), извлекают C_6H_6 и перегонкой в вакууме выделяют III, выход 87%, (из разб. сп.). К р-ру C_2H_5ONa (из 20 г Na и 400 г спирта) приливают (т-ра < 0°) 143 г III. К полученной Na-соли III приливают по каплям 136 г $ClCH_2COOC_2H_5$ и кипятят 12 час., прибавляют р-р 48 г KOH в 500 мл 50%-ного спирта и кипятят еще 2 часа. Спирт отгоняют, остаток подкисляют HCl (к-той) до сильно кислой р-ции, отфильтровывают осадок и вновь растворяют в небольшом кол-ве разб. водн. NaOH, насыщают CO_2 и отфильтровывают и извлекают эфиром невошедший в р-цию III (74 г), после чего подкислением HCl (к-той) выделяют 77 г IV, выход 83% (считая на преореагировавший III), т. пл. 132°. 41 г IV, 410 г $(CH_3CO)_2O$ и 123 г безводн. CH_3COONa кипятят 30 мин., выливают на 1,5 л теплой воды и перегонкой с паром выделяют I, выход 93%, т. пл. 58,5° (из 50%-ного сп.). В. У.

78138. Синтез ангиустифонола. Берн, Эллиотт, Мукерджи, Раджагопалан, Сешадри, Варадараджан (The synthesis of angustifolionol. Birch A. J., Elliott Patricia, Mukerjee S. K., Rajagopalan T. R., Seshanri T. R., Varadarajan S.), Austral. J. Chem., 1955, 8, № 3, 409—412 (англ.).

Синтезирован 5-окси-7-метокси-2, 6, 8-триметилхромон (I, ангиустифонол) двумя методами. А. Диметилфлорацитофенон (II) превращают в 5,7-диацетокси-3-ацетил-2,6,8-триметилхромон (IIIa), который при щел. гидролизе дает 7-ацетокси-3-ацетил-5-окси-2,6,8-триметилхромон (IIIb). При метилировании IIIb с помощью CH_3J (IV) получают 3-ацетил-5-окси-7-метокси-2,6,8-триметилхромон (V), который омыляют в I. Строение I доказано ИК-спектром. При обработке IIIa р-ром Na_2CO_3 получен 5,7-диокси-2,6,8-триметилхромон (VI), который метилированием переведен в I. Б. Конденсацией 5,7-диокси-2,8-диметилхромона (VIIa) с гексаметилентетраминном (VIII) получен 6-формил-5,7-диокси-2,8-диметилхромон (VIIb), который восстановлением переведен в VI. Взаимодействием VIIa с IV и CH_3ONa получена смесь I и VI.

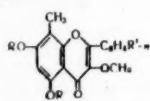


I R'-R''=H, R'''=R''=CH₃; III R'-COCH₃, R''=R'''=CH₃; а R''=R'''=COCH₃; 6 R''=H, R'''=COCH₃; V R'-COCH₃, R''=H, R'''=R''=CH₃; VI R'-R''=R'''=H, R''=R'''=CH₃; VII R'-R''=R'''=H, R''=CH₃, а R''=H; 6 R''=CHO.

Нагревают р-р I в II и 1,2 г CH_3COONa в 10 мл $(CH_3CO)_2O$ (85 час., 150°), выливают в воду, экстрагируют эфиром и разгоняют. Фракцию с т. кип. 195—210°/0,1 мм обрабатывают 9 мл 5 н. HCl и получают IIIa, т. пл. 169° (из сп.). Растворяют 0,6 г IIIa в CH_3OH , содержащем 0,122 г Na, через 14 час. при 10° и 3 часа при 20° подкисляют, экстрагируют эфиром и получают IIIb, выход 60 мг, т. пл. 239° (из сп.). Р-р IIIb в ацетоне кипятят с IV и 0,22 г K_2CO_3 18 час. и получают V, т. пл. 125° (из сп.). Нагревают V с 5 н. HCl, экстрагируют эфиром и получают I, т. пл. 95° (дальнейшую очистку осуществить не удалось). Кипячением 0,8 г IIIa (2 часа) с 10%-ным р-ром Na_2CO_3 получают VI, выход 0,3 г, т. пл. 279°. VI метилируют избытком CH_3N_2 при 0° и получают I, т. сублимации 150—160°/0,2 мм, т. пл. 119° (из сп.). Нагревают 3 часа при ~100° р-р I в

VIIa в 25 мл лед. CH_3COOH с 4 г **VIII**, добавляют 20 мл HCl (1 : 1), кипятят 0,5 часа, разбавляют водой и по охлаждению получают **VIIb**, выход 0,7 г, т. пл. 189—190° (из сп.-хлф.); динитрофенилгидразон, т. пл. > 300° (из $\text{C}_6\text{H}_5\text{N}$). Гидрируют 8 час. р-р 0,5 г **VIIb** в 35 мл лед. CH_3COOH над 1,5 г 10%-ного Pd/C , р-р фильтруют, разбавляют водой и отделяют **VI**, выход 0,3 г, т. пл. 284—286°, (из сп.), ди-ацетат, т. пл. 199—201° (из этилацетата). 0,1 г **VI** в 50 мл ацетона кипятят 1,5 часа с 1 мл **IV** и 2 г K_2CO_3 и получают **I**. Р-р 1 г **VIIa** и 1,4 г Na в 50 мл CH_3OH обрабатывают 5 мл **IV** при $\sim 0^\circ$, кипятят 4 часа, отгоняют CH_3OH в вакууме, к остатку при $\sim 0^\circ$ добавляют HCl (к-ту) и получают **I**, выход 0,4 г, и **VI**, выход 0,15 г, т. пл. 284—286°. Р. Ж. 78139. Синтезы в ряду бензопиранов. Часть LIV. Метилирование ядра простых флавонолов. Джайн, Сешадри (Synthetic experiments in the benzopyrone series. Part LIV. Nuclear methylation of simple flavonoids. Jain A. C., Seshadri T. R.), Proc. Indian Acad. Sci., 1954, A 40, № 6, 249—259 (англ.).

Исследовалась р-ция метилирования ядра у производных флавонола. Показано, что метилирование имеет место в положении 6. При метилировании галаггин-3-метилового эфира (**I**) получены: галаггин-3,7-диметилловый эфир (**II**), галаггин-3, 5, 7-триметилловый эфир (**III**) и 6-метилгалаггин-3,7-диметилловый эфир (**II**), выход $\sim 12\%$. Менее продолжительное метилирование **I** привело к образованию 6-метилгалаггин-3-метилового эфира (**V**), что свидетельствует о том, что р-ция С-метилирования предшествует О-метилированию. При метилировании кемферол-3,4'-диметилового эфира получены: кемферол-3, 7, 4'-триметилловый эфир (**VI**), кемферол-3, 5, 7, 4'-тетраметилловый эфир (**VII**) и 6-метилкемферол-3, 7, 4'-триметилловый эфир (**VIII**). При избытке метилирующего агента и более продолжительном нагревании **VI** и **VIII** не образуются; полученный продукт р-ции содержит **VII** и 6-метилкемферол-тетраметилловый эфир (**IX**). Из 2-окси-3-метил- ω , 4, 6-три-метоксиацетофенона (**X**) конденсацией с ангидридом и Na -солью бензойной или анисовой к-ты или с бензойным или анисовым альдегидом с последующим дегидрированием, получены 8-метилгалаггинриметилловый эфир (**XI**) и 8-метилкемферолтетраметилловый эфир (**XII**). Применение С-метил- ω -метоксиацетофенона (**XIII**) вместо **X** дало смесь 8-метилгалаггин-3-метилового эфира (**XIV**) и 8-метилкемферол-3,4'-диметилового эфира (**XV**) (главные продукты р-ции), а также **V** и 6-метилкемферол-3,4'-диметилового эфира (**XVI**) (в меньших кол-вах). Проведено деметилирование полученных продуктов действием HJ (к-ты). Так как попытки к С-метилированию 7-окси-3-метоксифлавонола, п-оксиацетофенона и изопеонола не удалась, авторы полагают обязательным для данной р-ции наличие двух OH -групп в положении 5 и 7. По аналогии с р-цией метилирования ацетоуксусного эфира предполагается, что 5,7- OH -группы должны обладать способностью к изомеризации с образованием дикетонов. При этом наблюдается прямая зависимость между способностью молекулы к изомеризации и легкостью метилирования ядра. Смесь 3 г **X**, 18 г $(\text{C}_6\text{H}_5\text{CO})_2\text{O}$ и 3,5 г $\text{C}_6\text{H}_5\text{COONa}$ нагревают при 180—184° (4 часа, вакуум), кипятят со спирт. KOH (7%, 150 мл, 30 мин.). Получен **XI**, т. пл. 159—160° (из разб. сп.). 1 г **XI** кипятят 2 часа с 5 мл $(\text{CH}_3\text{CO})_2\text{O}$ и 15 мл HJ (к-ты). Получен 8-метилгалаггин (**XIX**), выход 0,5 г, т. пл. 262—263°; ацетат, т. пл. 183—184°. При кипячении 60 час. **XIX** с избытком $(\text{CH}_3)_2\text{SO}_4$ и K_2CO_3 в ацетоне выделен **XI**.



XI $\text{R}=\text{CH}_3$, $\text{R}'=\text{H}$

XII $\text{R}=\text{CH}_3$, $\text{R}'=\text{OCH}_3$

XIV $\text{R}=\text{R}'=\text{H}$

XV $\text{R}=\text{H}$, $\text{R}'=\text{OCH}_3$

Смесь 5 г **XIII**, 3,0 г $(\text{C}_6\text{H}_5\text{CO})_2\text{O}$ и 6 г $\text{C}_6\text{H}_5\text{COONa}$ нагревают при 180—184° (вакуум), продукт гидролизуют 8%-

ным спирт. KOH , разбавляют водой и насыщают CO_2 . Выделено два продукта: **V**, выход 1 г, т. пл. 274—275°; ацетат, т. пл. 167—168°, а также **XIV**, выход 3,0 г, т. пл. 235—237°; ацетат, т. пл. 185—187°. Метилируют **V** избытком $(\text{CH}_3)_2\text{SO}_4$ с применением K_2CO_3 и ацетона. Получен 6-метилгалаггинриметилловый эфир, т. пл. 160—161°. Р-р **V** (0,2 г) в ацетоне кипятят 12 час. с 0,07 мл $(\text{CH}_3)_2\text{SO}_4$ и 0,5 г K_2CO_3 . Получен **IV**, т. пл. 165—166°; ацетат, т. пл. 183—184°. Деметилированием **V** получен 6-метилгалаггин, т. пл. 228—230°; ацетат, т. пл. 165—166°. **XIV** при деметилировании дал **XIX**. При метилировании **XIX** и **XIV** получен 8-метилгалаггин-3,7-диметилловый эфир, т. пл. 157—158°; ацетат, т. пл. 195—197°. Из **XIV** также получен **XI**. К р-ру CH_3ONa (из 7,5 г Na) в 200 мл абс. CH_3OH добавляют 5 г 5,7-диоксиацетофенола и р-р кипятят 3 часа с 20 мл CH_3J . Получено 0,4 г **V**, 100 мг **IV**, 3,5 г **II** с т. пл. 142—144°, 0,2 г **III** с т. пл. 195—196°. 5 г **I** в 75 мл CH_3OH и 40 мл CH_3J кипятят 2 дня с р-ром 8 г KOH в 40 мл CH_3OH , добавляют еще 2 мл CH_3OH . Получены **III**, **IV** и **II**. Смесь 1,2 г **X** и 0,68 г анисового альдегида растворяют в 40 мл 8%-ного спирт. KOH , оставляют на 48 час. Получен 2-окси-3-метил- ω , 4, 6, 4'-тетраметилхалкон (**XX**), выход 0,8 г, т. пл. 134—135°. Смесь 0,5 г **XX** и 0,5 г SeO_2 обрабатывают 5 мл $\text{C}_6\text{H}_{11}\text{OH}$ и кипятят 15 час. при 140°. Получено 0,3 г **XII**, т. пл. 191—192°. Из 2 г **X**, 15 г анисового ангидрида и 2,5 г Na -соли анисовой к-ты получено 1,5 г **XII**. Кипятят 0,5 г **XII** с 8 мл HJ (к-ты) и 5 мл $(\text{CH}_3\text{CO})_2\text{O}$ 3 часа. Получен 8-метилкемферол, т. пл. 284—286°; ацетат, т. пл. 216—217°. Из 6 г **XIII**, 36 г анисового ангидрида и 6 г Na -соли анисовой к-ты получают **XVI**, выход 0,85 г, т. пл. 276—277°; ацетат, т. пл. 191—192°, и **XV**, выход 2,5 г, т. пл. 228—229°, ацетат, т. пл. 174—175°. 0,1 г **XVI** кипятят 80 час. с 0,8 мл $(\text{CH}_3)_2\text{SO}_4$ и 5 г K_2CO_3 . Получен **IX**, т. пл. 163—164°. 0,24 г **XVI** в 100 мл ацетона кипятят 10 час. с 0,08 мл $(\text{CH}_3)_2\text{SO}_4$ и 0,5 г K_2CO_3 . Получен **VIII**, т. пл. 182—183°; ацетат, т. пл. 199—200°. 0,25 г **XVI** кипятят 2 часа с 10 мл HJ (к-ты) и 5 мл $(\text{CH}_3\text{CO})_2\text{O}$. Получен 6-метилкемферол, т. пл. 290—291°; ацетат, т. пл. 179—180°. При деметилировании **XV** получен **XXI**. Из **XV** метилированием получен **XII**, а также 8-метилкемферол-3, 7, 4'-триметилловый эфир, т. пл. 165—166°; ацетат, т. пл. 153—154°. Р-р 18 г KOH в 70 мл CH_3OH добавляют по 2 мл в течение 12 час. к кипящему метанолу р-ру 10 г кемферол-3,4'-диметилового эфира и 55 мл CH_3J . Кипятят еще 12 час. Получено 3 г **VII**, т. пл. 165—166°, 1 г **VIII**, т. пл. 182—183°, и 4,2 г **VI**, т. пл. 154—155°. Из 10 г 4-бензоилрезацифенона при кипячении с 30 мл CH_3J в ацетоне с 50 г K_2CO_3 получено 5,5 г резацифенона-2-метилового эфира, т. пл. 139—140°. Часть LIII см. РЖХМ, 1956, 6797.

Р. С. 78140. Синтезы в ряду бензопиранов. Часть LV. Синтез 7,7'-диоксихромена-(3', 4', 2, 3)-хромена. Сехгал, Сешадри (Synthetic experiments in the benzopyrone series. Part LV. Asynthesis of 7,7'-dihydroxy chromeno-(3' : 4' : 2 : 3)-chromone. Sehgal J. M., Seshadri T. R.), Proc. Indian Acad. Sci., 1955, A42, № 1, 36—40 (англ.).

Продолжены исследования в области получения хроменохромонов. Синтезирован 7,7'-диоксихромена-(3', 4', 2, 3)-хромен (**I**), для чего 2,4-диоксифенил-2', 4'-диметоксибензилкетон (**II**) (получен гидролизом кетимина, образующегося при р-ции 2,4-диметоксифенилацетонитрила (**III**) с резорцином (**IV**) нагреванием с $(\text{CH}_3\text{CO})_2\text{O}$ и CH_3COONa превращен в 7-ацетокси-2', 4'-диметокси-2-метил-изофлаван (**V**), гидролизованный кипячением с HCl в 7-оксипроизводное (**VI**). Нагреванием **V** с HJ в $(\text{CH}_3\text{CO})_2\text{O}$ или с AlCl_3 в C_6H_6 получен 7, 2', 4'-триокси-2-метил-изофлаван (**VII**), ацетилированный в 7,2', 4'-триацетальное производное (**VIII**), т. пл. 178—180° (из сп. и CCl_4); **VIII** бромирован N-бромсукцинимидом (**IX**) в 7,2', 4'-триацетокси-2-бромметил-изофлаван (**X**), гидролизован-

ный нагреванием с HBr в спир. р-ре в 7, 2', 4'-триокси-2-оксиметилзофлавоны, который циклизуют нагреванием с K_2CO_3 в I. К р-ру 5 г III, т. кип. 167—170°/5 мм, т. пл. 75—76°, и 5 г IV в 150 мл эфира добавляют 2 г плавящего $ZnCl_2$, смесь насыщают HCl (10 час., 0°), оставляют на 24 часа при 0°, нагревают 6 час. при 100° с 100 мл воды и отделяют II, выход 4,5 г, т. пл. 158—159° (из водн. сп.). Смесь 3 г II, 25 мл $(CH_3CO)_2O$ и 6 г CH_3COONa нагревают 18 час. при 170—175°, выливают на 500 г льда, размешивают 2 часа, нейтрализуют р-ром $NaHCO_3$, оставляют на 12 час. при охлаждении и получают V, выход 2,5 г, т. пл. 190—191° (из бзл.-петр. эф.). 0,2 г V в 10 мл спирта гидролизуют 10 мл конц. HCl, приливают 50 мл воды, оставляют в холодильнике на 4 часа и отделяют VI, выход 0,16 г, т. пл. 261—262° (из этилацетата-петр. эф.). Метилированием VI $(CH_3)_2SO_4$ в ацетоне получают триметиловый эфир, т. пл. 192—194° (из этилацетата-петр. эф.). К р-ру 2,5 г V в 100 мл C_6H_6 добавляют 7 г $AlCl_3$, смесь кипятят 2 часа, отгоняют р-ритель, добавляют смесь 100 г льда с 25 мл HCl, кипятят 2 мин., продукт растворяют в 200 мл 2%-ного р-ра NaOH, р-р подкисляют HCl и отделяют VII, выход 1,1 г, т. пл. 254—255° (разл.; из этилацетата-аcetона); смесь 2,5 г V, 5 мл $(CH_3CO)_2O$ и 5 мл HJ (d 1,7) нагревают 2 часа при 140—142°, приливают 100 мл воды, оставляют на 2 часа в холодильнике, в р-р пропускают SO_2 и получают VII, выход 0,1 г. Смесь 0,62 г VIII, 1 моль IX и 0,03 г перекиси бензоила в 100 мл CCl_4 кипятят 20 час., отгоняют р-ритель и из остатка получают X, выход 0,45 г, т. пл. 201—203° (из сп.). 0,4 г I в 20 мл спирта и 20 мл 40%-ной HBr кипятят 2 часа, приливают 100 мл воды, оставляют на 12 час. в холодильнике, продукт растворяют в 50 мл ацетона, кипятят 12 час. с 5 г K_2CO_3 , отгоняют р-ритель, остаток растворяют в 150 мл ледяной воды, р-р подкисляют и получают I, выход 0,8 г, т. пл. 280—282° (из сп.). Д. В.

78141. Синтезы в ряду бензопирионов. Часть LVI. Новый синтез 7-оксихромено-(3', 4', 2, 3)-хромона. Мехта, Сешадри (Synthetic experiments in the benzopyrone series. Part LVI. A new synthesis of 7-hydroxy-chromeno-(3', 4': 2,3)-chromone. Mehta A. C., Seshadri T. R.), Proc. Indian Acad. Sci., 1955, A42, № 4, 192—194 (англ.).

Предложен новый, улучшенный метод синтеза 7-оксихромено-(3', 4', 2, 3)-хромона (I). 2,4-диокси-2-метокси-фенилбензилкетон (II) конденсируют с этоксиацетилхлоридом (III) и выделяют 2-этоксиметил-7-окси-2-метокси-флавоны (IV); действием на IV HBr- CH_3COONa его превращают в 2-бромметил-7,2-диоксизофлавоны (V), дегидробромированием которого получают I. В качестве модели в этом синтезе был использован ω -фенилрезорцин (VI), конденсация которого с III приводит к 2-этоксиметил-7-оксизофлавоны (VII), превращаемому затем в 2-бромметил-7-оксизофлавоны (VIII). 5 г VI в C_6H_5N обрабатывают при 0° 10 мл III. Через 24 часа обрабатывают, как описано ранее (ГЖХим, 1955, 42995), и выделяют некристаллизующийся дикетон, который кипятят 2 часа с 10%-ным р-ром Na_2CO_3 . Фильтрат подкисляют разб. HCl, экстрагируют эфиром и получают VII, выход 3 г, т. пл. 146—147° (из эф.-петр. эф.). 1 г VII в 10 мл лед. CH_3COONa обрабатывают 10 мл смеси HBr (к-та): лед. CH_3COONa (1:1), оставляют при ~20° на 12 час., добавляют еще 10 мл смеси, кипятят 45 мин, добавляют ледяную воду и отделяют VIII, выход 0,8 г, т. пл. 246—247° (из этилацетата-петр. эф.). Аналогично из 5 г II получают IV, выход 3,2 г, т. пл. 168—170° (из эф.-петр. эф.). Из 1 г IV получают V, выход 0,8 г, т. пл. 213—214° (разл.; из этилацетата-петр. эф.). 0,3 г V в 100 мл ацетона и 3 г K_2CO_3 кипятят 4 часа, добавляют еще 3 г K_2CO_3 , кипятят (6 час.), отгоняют ацетон, остаток растворяют в воде, подкисляют разб. HCl и отделяют I, выход 0,2 г, т. пл. 240—242° (разл.; из сп.). И. Л.

78142. Синтезы в ряду бензопирионов. Часть LVII.

Синтез 5, 6, 7, 8, 4'-пентаметоксифлаванона и флавоны. Строение понканетина. Сехгал, Сешадри, Вадехра (Synthetic experiments in the benzopyrone series. Part LVII. Synthesis of 5, 6, 7, 8, 4'-pentamethoxyflavone and flavone. The constitution of ponkanetin: Sehgal J. M., Seshadri T. R., Vadehra K. L.), Proc. Indian Acad. Sci., 1955, A42, № 5, 252—254 (англ.).

Выделенному из *Citrus poonensis* флаванону, понканетину (т. пл. 152°) было приписано строение 5, 6, 7, 8, 4'-пентаметоксифлаванона (I) (Schikawa, Yamashita, J. Chem. Soc. Japan, 1941, 62, 1006). Однако синтезированный I имеет т. пл. 108—109°. Синтез I осуществлен конденсацией пентаметоксифлаванона (II) и хлорангидрида п-метоксикричновой к-ты (III) в присутствии $AlCl_3$ в эфире и циклизацией полученного 2-окси-3, 4, 5, 6, 4'-пентаметоксифлаванона (IV) (в $C_6H_5NO_2$ выход IV уменьшается). Циклизацией IV при помощи SeO_2 получен 5, 6, 7, 8, 4'-пентаметоксифлавоны (V). 5 г II добавляют к охлажд. р-ру 10 г $AlCl_3$ в 100 мл эфира, приливают эфирный р-р 5,5 г III, через ~16 час. отгоняют р-ритель, добавляют к остатку 25 мл HCl и 200 мл воды, нагревают 5 мин. экстрагируют эфиром, эфирный слой промывают разб. HCl и 10%-ным р-ром NaOH, подкислением шел. экстракта выделяют IV, выход 2,7 г, т. пл. 91—92° (из петр. эф.); метиловый эфир IV, т. пл. 105—106° (из петр. эф.). 2 г IV в 100 мл спирта и 2,2 мл конц. H_2SO_4 кипятят 30 час., разбавляют водой, отгоняют спирт, извлекают эфиром и получают I, выход 1,2 г. 2 г IV и 1 г SeO_2 кипятят 40 час. в 25 мл C_6H_5OH , фильтруют, отгоняют с паром р-ритель и получают V, выход 0,8 г, т. пл. 150—151° (из этилацетата-петр. эф.). И. Л.

78143. Синтезы в ряду бензопирионов. Часть LVIII.

Синтез 5,7-диметокси-6-оксизофлавоны и мунгинина. Дхар, Сешадри (Synthetic experiments in the benzopyrone series. Part LVIII. Syntheses of 5:7-dimethoxy-6-hydroxy isoflavone and munginin. Dhar M. L., Seshadri T. R.), Proc. Indian Acad. Sci., 1956, A43, № 2, 79—83 (англ.).

Метилированием 5, 6, 7-триоксизофлавоны (I) в присутствии $NaHCO_3$ получен 7-метокси-5,6-диоксизофлавоны (II). Ацетилирование II пригодит к образованию 7-метокси-6-ацетокси-5-оксизофлавоны (III). При метилировании III получен 5,7-диметокси-6-ацетокси-5-оксизофлавоны (IV), который при омылении дает 5,7-диметокси-6-оксизофлавоны (V). Аналогично из 5, 6, 7, 4'-тетраоксизофлавоны (VI) получены 7-метокси-5, 6, 4'-триоксизофлавоны (VII). 7-метокси-6,4'-диацетокси-5-оксизофлавоны (VIII) и 5,7-диметокси-6,4'-диоксизофлавоны (IX), идентичный природному мунгинину. К р-ру 2 г I в 100 мл ацетона добавляют 1 моль $(CH_3)_2SO_4$ (X) и 5 г $NaHCO_3$, кипятят 24 часа, отгоняют ацетон, остаток обрабатывают разб. HCl и получают II, выход 0,7 г, т. пл. 222—224° (из сп.). Размешивают 7 мин. р-р 1 г II в 8 мл C_6H_5N и 1,5 моль $(CH_3CO)_2O$ (XI), охлаждают до ~0°, разбавляют водой и получают III, выход 0,8 г, т. пл. 184—185° (из $CH_3COOC_2H_5$). Кипятят 40 час. р-р 0,5 г III в ацетоне с 0,4 мл X и 2 г K_2CO_3 и получают IV, выход 0,3 г, т. пл. 265—207° (из сп.). К 0,2 г IV при ~0° 5 мин. прибавляют по каплям 2 мл H_2SO_4 , выливают в воду и получают V, т. пл. 184—186° (из водн. сп.). Аналогично из 2 г VI, 1 моля X и 5 г $NaHCO_3$ получают VII, выход 0,6 г, т. пл. 263—265° (разл.; из CH_3COONa); из 0,5 г VII, 2,5 моля XI и 5 мл C_6H_5N получают VIII, выход 0,4 г, т. пл. 206—208° (из $CH_3COOC_2H_5$); из 0,5 г VIII, 0,5 мл X и 4 г K_2CO_3 — 5,7-диметокси-4'-ацетокси-5-оксизофлавоны (XII), т. пл. 230—232° (из сп.). Смешают 0,2 г XII на холоду с помощью H_2SO_4 и получают IX, т. пл. 285° (разл.; из дуксана). Р. Ж.

78144. Вещества спазмолитического действия. XX. 1,3-диоксаланы и 1,3-диуксаны с основными заместителями. Блик, Той (Antispasmodics. XX. Basic 1,3-dioxalanes and 1,3-dioxanes. Blicke F. F., Toy G. R.), J. Amer. Chem. Soc., 1955, 77, № 1, 31—32 (англ.).

Синтезированы 4-замещенные 2,2-дифенил-1,3-диоксала-ны (I), 5-замещенные 2,2-дифенил-5-метил-1,3-диоксаны (II) и 2-замещенные 4,5-дифенил-1,3-диоксаланы (III); заместители: (1-гексаметиленимино)-метил ($\text{CH}_2\text{NC}_6\text{H}_{12}$), (4-метил-1-гексаметиленимино)-метил ($\text{CH}_2\text{NC}_7\text{H}_{14}$) и пиперидинометил ($\text{CH}_2\text{NC}_5\text{H}_{10}$). Введение заместителей производится взаимодействием 4-бромметил-1, 5-нодметил-II и 2-бромметил-III с соответствующими имидами. 2-бромметил-III получают нагреванием смеси 21,4 г гидробензойна и 19,7 г бромацетата при 135—250° 2 часа с отгонкой спирта, выход 91%, т. пл. 89—90° (из *изо*- $\text{C}_3\text{H}_7\text{OH}$). 0,078 моля 4-бромметил-I в 100 мл толуола и 0,4 моля гексаметилен-имида нагревают под давлением (~100°, 5 дней), промывают р-ром NaOH (10 г в 50 мл воды) и выделяют 2,2-дифенил-4-(1-гексаметилениминометил)-1,3-диоксалан, выход 91%, т. кип. 175—177°/0,01 мм, хлоридрат, т. пл. 183—184°, бромметилат, т. пл. 203—205°; хлоридрат и бромметилат получают добавлением к эфир. р-ру основания рассчитанного кол-ва эфир. р-ра HCl или избытка CH_3Br . Аналогично получены следующие соединения (приводятся заместители, т. кип. основания в °C/мм) типа I: $\text{CH}_2\text{NC}_7\text{H}_{14}$, 183—185/0,01, хлоридрат (IV), т. пл. 173—175° (из метилэтилкетона); типа III: $\text{CH}_2\text{NC}_5\text{H}_{10}$, хлоридрат (V) т. пл. 201—202° (из ацетона); $\text{CH}_2\text{NC}_6\text{H}_{12}$, 178—180/0,05, хлоридрат, т. пл. 163—165° (разл., из *изо*- $\text{C}_3\text{H}_7\text{OH}$), бромметилат, т. пл. 223—225° (разл., из сп.); $\text{CH}_2\text{NC}_7\text{H}_{14}$, 173—175/0,05, хлоридрат, т. пл. 157—159° (из *изо*- $\text{C}_3\text{H}_7\text{OH}$), бромметилат, т. пл. 226—228° (разл., из сп.). Таким же путем из 5-нодметил-II в C_6H_6 получены соединения типа II: с $\text{CH}_2\text{NC}_6\text{H}_{12}$, выход 40,3%, т. пл. 68—70° (из абс. сп.), хлоридрат (VI), т. пл. 215—217° (из *изо*- $\text{C}_3\text{H}_7\text{OH}$), и с $\text{CH}_2\text{NC}_7\text{H}_{14}$, выход 83,3%, т. пл. 66—68° (из CH_3OH), хлоридрат (VII), т. пл. 214—215° (из *изо*- $\text{C}_3\text{H}_7\text{OH}$). При испытании соединений (см. сообщения XIX, РЖХим, 1956, 50739) против спазм, вызванных ацетилхолином и BaCl_2 , показано, что в последнем случае значительной спазмолитич. активностью обладают IV (1 : 1 000 000) V (1 : 500 000), VI и VII (1 : 310 000), папаверин (1 : 100 000).

Т. Г. 78145. Вещества спазмолитического действия XXI.

1,3-диоксаланы с основными свойствами. Блик, Милсон (Antispasmodics. XXI. Basic 1,3-dioxolanes. Blicke F. F., Millson H. E., Jr), J. Amer. Chem. Soc., 1955, 77, № 1, 32—35 (англ.)

Синтезированы 2-замещ. 4,5-дифенил-1,3-диоксаланы (I) взаимодействием 2-бромметил-(II) или 2-(3-хлорэтил)-4,5-дифенил-1,3-диоксала (III) с различными аминами. II синтезированы из гидробензойна (IV) и бромацетата (см. сообщение XX, пред. реф.); III получен нагреванием смеси 20 г IV и 15,5 г β -хлорпропионового альдегида при 120°; во время р-ции отгоняется спирт (~11 мл); горячий остаток растворяют в 50 мл *изо*- $\text{C}_3\text{H}_7\text{OH}$; выход III 44%, т. пл. 85—87° (из сп.). Общий метод получения I: к 0,031 моля II или 0,035 моля III в 50 мл толуола прибавляют 2—5 мол. избытка соответствующего амина, 24 г NaJ и 5 г Na_2CO_3 ; смесь нагревают под давлением (7 дней, ~100°), обрабатывают 5%-ым р-ром NaOH и из органич. слоя выделяют основание, которое в эфире переводят в хлоридрат (или в бутаноне-2 при 0° в бромметилат) и кристаллизуют из абс. спирта или смеси спирта и эфира. Получены следующие I (перечисляются R, X, выход в г, т. кип. в °C/мм, т. пл. хлоридрата и т. пл. бромметилата в °C): I, NHC_2H_5 , 84,141/0,3, 210—211, —; I, NHC_4H_9 , 100, 144—153/0,3, 218—219 (разл.), —; I, $\text{NHC}_6\text{H}_{13}$, 86, 165—169/0,8, 170—171, —; I, $\text{N}(\text{CH}_3)_2$, 99, 137—140/0,5, 211—213, (разл.), 213—214; I, $\text{N}(\text{C}_2\text{H}_5)_2$, 84, 157—163/0,5, 95 и вторая 130—133 (из этилацетата), 164—165; I, $\text{N}(\text{C}_3\text{H}_7)_2$, 78, 167—169/0,5, 179—180, —; I, $\text{N}(\text{C}_4\text{H}_9)_2$, 99, 167—170/0,4, 181—183, 159—160; I, морфолин, 88, 176—180/0,3, 214—216 (разл.), —; I, пиперазин, 59, 202—208/1,0, 213—215 (разл.), —; I, $\text{N}(\text{C}_2\text{H}_5)_2$, 79, 165—170/0,6, 183—184, 215—217; I, $\text{N}(\text{C}_2\text{H}_5)_2$, 84, 175—185/

0,5, 164—166, 219—221; I, $\text{NH}(\text{CH}_2)_2\text{N}(\text{CH}_3)_2$ (V), 80, 181—185/0,3, дихлоридрат, т. пл. 208—209 (разл.), —; I, $\text{NH}(\text{CH}_2)_2\text{N}(\text{C}_2\text{H}_5)_2$, 94, 188—193/0,4, дихлоридрат, т. пл. 206—207, (разл.), дибромметилат, 183—185; I, NHC_2H_5 , 96, 167—169/0,2, 187—189, —; I, $\text{N}(\text{CH}_3)_2$, 81, 154—155/0,3, 171—173, 181—183; I, $\text{N}(\text{C}_2\text{H}_5)_2$, 95, 179—183/0,7, 170—172, —; I, $\text{N}(\text{C}_2\text{H}_5)_2$, 90, 188—193/0,5, 195—198, 186—188; I, $\text{N}(\text{C}_2\text{H}_5)_2$, 85, 196—198/0,3, 202—204 (разл.), 184—186; 2,4-метил-1-гексаметиленимино-, 208—212/0,7, 189—190, 218—210. Р-р 10 г II в 100 мл абс. спирта насыщают NH_3 при 0°, смесь нагревают под давлением при 100° 8 дней и получают 2-аминометил-4,5-дифенил-1,3-диоксалан, выход 64%, т. кип. 145—146°/0,2 мм; хлоридрат, т. пл. 216° (разл., из сп.-толуола). Смесь 10 г II, 23,3 г NaJ и 4,3 г Na_2CO_3 в 100 мл абс. спирта, насыщ. при 0° CH_3NH_2 , нагревают под давлением 7 дней при 100° и получают 2-метиламинометил-4,5-дифенил-1,3-диоксалан (VI), выход 95%, т. кип. 145°/0,4 мм; хлоридрат, т. пл. 244—245° (разл., из абс. сп.). Смесь 3 г V и 5 мл CH_3Br в 30 мл эфира оставляют на 2 дня; осадок, т. пл. 187—189° (из сп.-эф.), растворяют в спирте при 0°, прибавляют 5 г безводн. Na_2CO_3 и 5 мл CH_3Br ; смесь выдерживают 1 день при 0° и выделяют дибромметилат 2-(N-метил-1-N-3-диметиламиноэтиламинометил)-4,5-дифенил-1,3-диоксала, выход 33%, т. пл. 208—210° (разл.). К кипящему р-ру 22 г VI в 200 мл *изо*- $\text{C}_3\text{H}_7\text{OH}$ прибавляют (по каплям) р-р 4 г этиленбромид в 100 мл *изо*- $\text{C}_3\text{H}_7\text{OH}$; смесь кипятят 10 час, отгоняют р-ритель, остаток обрабатывают 50 мл 5%-ного р-ра NaOH, извлекают эфиром, отгоняют в вакууме при 0,01 мм; к остатку прибавляют вычисленное кол-во эфир. р-ра HCl, получают 5 г дихлоридрата N, N'-диметил-N, N'-бис-12-(4,5-дифенил-1,3-диоксаланил)-метил-этилендиамина, т. пл. 240—241° (разл.). Смесь 15 г III, 24 г NaJ и 5 г Na_2CO_3 в 100 мл спирта, насыщ. при 0° NH_3 , нагревают 4 дня при 100°; выход 2-3-аминоэтил-4,5-дифенил-1,3-диоксала 45%, т. кип. 160—162/0,2 мм; хлоридрат, т. пл. 190—192°. Спиродиоксаланы (VII) получают обработкой хлоридрата 1-алкил-4-пиперидона спиртом и IV.

Р-р 26 г хлоридрата

1-метил-4-пиперидона

в 150 мл абс. спирта

кипятят 4 часа, при-

бавляя по каплям

500 мл абс. спирта

и одновременно с такой

же скоростью отгоняя

спирт; затем прибавляют

по каплям 200 мл

кислота; когда весь спирт

отгоняют, снова по каплям

прибавляют 38 г IV

и при кипячении еще 500 мл

кислота, одновременно

отгоняя его. Эта операция

длится 5 час. Добавляют

100 мл 10%-ного р-ра NaOH

и нагревают до растворения

красного осадка, из

кислотного слоя получают

неочищ. 2,3-

дифенил-8-метил-1,4-диокси-8-

азаспиро-4,5-декан (VII,

$\text{R}^2=\text{CH}_3$, $\text{R}^3=\text{H}$), выход 78%,

т. кип. 168—178°/0,2 мм,

который очищают через

хлоридрат (т. пл. 227—229°),

т. кип. 175—178°/0,6 мм,

т. пл. 72—75°; бромметилат

(т. пл. 285—287° разл.),

бромаллилат (т. пл. 200—202°)

и бромбутилат (т. пл. 207—210°)

получают прибавлением

избытка бромалкила к р-ру

основания в метилэтилкетоне

при 0° и выдержкой смеси

в течение 7 дней. Аналогично

получены VII ($\text{R}^2=\text{C}_2\text{H}_5$, $\text{R}^3=\text{H}$),

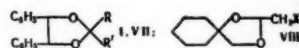
выход 89%, т. кип. 180—

184°/0,7 мм, т. пл. 60—63°;

хлоридрат, т. пл. 107—110°

и вторая 197—199°; бромметилат,

т. пл. 264—268°; бром-



I R=H, R'=(CH₂)_n X;

VII RR'—CH₂CH₂N(R²)C₂H₄C(R³)—

тилдиклогексанола и 41 г бромацетата при 130° с отгонкой спирта; выход 82%, т. кип. 128—130°/14 мм, 15 г диметиламина, 24 г NaI и 5 г Na₂CO₃ в 50 мл толуола; выход 85%, т. кип. 69—71°/0,2 мм; хлоргидрат, т. пл. 150—152° (из сп.-эф.); бромметилат, т. пл. 173—175° (из сп.-эф.). Аналогично получены VIII (X-N(C₂H₅)₂), выход 97%, т. кип. 68—71°/0,2 мм; хлоргидрат, т. пл. 101—102° (из эф.-толуола) и VIII (X-NHCH₂CH₂N(C₂H₅)₂), выход 73%, т. кип. 104—106°/0,4 мм; дихлоргидрат, т. пл. 152—153 (из сп.-эф.). Биологич. испытание I при спазмах, вызванных ацетилхолином и BaCl₂, показало, что некоторые в-ва обладают значительной спазмолитич. активностью. Т. Г.

78146. Гетероциклические соединения. 36. Реакция Манниха с гетероциклическими кетонами (γ-пиперидонами, тетрагидро-γ-пирамидами и тетрагидро-γ-тиопирионами). Назаров И. Н., Головин Е. Т., Ж. общ. химии, 1956, 26, № 2, 483—491

Аминометилированием по Манниху транс-2,5-диметил-(I) или 2,2-диметил-(II) тетрагидро-γ-тиопирионов, или 2,2-диметилтетрагидро-γ-пирона (III) в CH₃OH получены соответственно 2,5-диметил-3-диметиламинометил-(IV) и 2,2-диметил-5-диметиламинометил-(V) тетрагидро-γ-тиопирионы и 2,2-диметил-5-диметиламинометилтетрагидро-γ-пирон (VI). При аминометилировании 1,2,5-триметил-γ-пиперидона (VII) получены 1,2,5-триметил-3-(диметиламинометил)-γ-пиперидон (VIII) и, в меньшем количестве (1,2,5-триметил-3-диметиламинометил-4-кетопиперидил-5)-метан (IX), выход которого повышался до 31% при недостаточном охлаждении реакционной смеси; в одном опыте выделено в-во, т. пл. 237—238,5° (из ацетона), неустойчивого строения; при избытке формальдегида главным продуктом р-ции является 1,2,5-триметил-3-диметиламинометил-5-метил-γ-пиперидон (X). Хлоргидрат (XG) V окислен в лед. CH₃COOH 28%-ной H₂O₂ (7 дней, 20°) в соответствующий сульфоксид, т. пл. 162° (из ацетона-сп.). При аминометилировании II без р-рителя помимо V образуется в-во неустойчивого строения, т. пл. 154,5—155°. Смесь 6 г NH(CH₃)₂·HCl, 7 г I, 7 г 30%-ного формалина (XI) и 5 мл CH₃OH нагревают 6 час. при 100°, подкисляют HCl, извлекают эфиром I, р-р насыщают твердым NaOH и извлекают эфиром IV, выход 61,5%, т. кип. 96—97°/2,5 мм, n_D²⁰ 1,5034, XG, т. пл. 164,5° (из ацетона); пикрат, т. пл. 137—137,5° (из сп.). Аналогично из 6 г NH(CH₃)₂·HCl, 7 г II, 7 г XI и 5 мл CH₃OH (нагревание 1 час при 70—80°) получают V, выход 65%, т. кип. 99—101°/4 мм, n_D²⁰ 1,5027; XG, т. пл. 148° (из ацетона); пикрат, т. пл. 114—114,5° (из сп.); при 20° р-ция не проходит; при 5 час. нагревании реакционной смеси при 100° образуются V, выход 42,5%, и ди-(2,2-диметил-4-кетотетрагидро-1-тиопиририл-5)-диметиловый эфир, т. пл. 117° (из сп.). Из 10 г NH(CH₃)₂·HCl, 12,8 г III, 15 г XI и 5 мл CH₃OH (нагревание 5 час. при 100°) получают VI, выход 60,5%, т. кип. 83—85°/3,5 мм, n_D²⁰ 1,4630 d₄²⁰ 0,9768; XG, т. пл. 144° (из ацетона); пикрат, т. пл. 127,5—128° (из сп.). К 14 г VII приливают по каплям при охлаждении льдом 9 г NH(CH₃)₂·HCl в 10 г XI, размешивают 5 час. при 20° и получают VIII, выход 46,5%, т. кип. 84—85°/4 мм, n_D²⁰ 1,4758, d₄²⁰ 0,9552; дихлоргидрат, т. пл. 151° (из сп.); пикрат, т. пл. 95—96° (из сп.), и XI, выход 16%, т. кип. 170—171/3 мм, n_D²⁰ 1,5005; дикпикрат, т. пл. 127—128° (из сп.). К 9 г NH(CH₃)₂·HCl и 30 г XI приливают по каплям 14 г VII, размешивают 5 час. и выделяют VIII, выход 1,6 г; IX, выход 2,3 г, и X, выход 21%, т. кип. 94—98°/3,5 мм, n_D²⁰ 1,4845, d₄²⁰ 1,0127; пикрат, т. пл. 112—113° (из ацетона-сп.). Сообщение 35 см. РЖХим, 1956, 71708. Д. В.

78147. Гетероциклические соединения. 37. Синтез гетероциклических аминоспиртов и их сложных эфиров.

Назаров И. Н., Головин Е. Т., Ж. общ. химии, 1956, 26, № 3, 832—838

Для изучения фармакологич. активности конденсаций I, 2, 5-триметил-3-(диметиламинометил)-пиперидона-4 (I) и 2,2-диметил-5-(диметиламинометил)-фенилтетрагидро-тиопирана-4 (II) с C₆H₅Li синтезированы 1, 2, 5-триметил-3-(диметиламинометил)-4-фенилпиперидол-4 (III) и 2,2-диметил-5-(диметиламинометил)-4-фенилтетрагидро-тиопиранол-4 (IV) соответственно. Из 2,2-диметил-5-(диметиламинометил)-тетрагидропирана-4 (V) и C₆H₅MgBr получен 2,2-диметил-5-(диметиламинометил)-4-фенилтетрагидропиранол-4 (VI). При действии на III, IV и VI, или на их Mg-алкаголяты пропионил- и бензонлхлорида получены пропионаты и бензоаты, представляющие собой вязкие жидкости. К р-ру C₆H₅Li (из 12,5 г C₆H₅Br и 1 г Li) в абс. эфире приливают р-р 10 г I в 20 мл эфира при —10°. Через 5 час. при 20° и 1 час при 35° подкислением разб. HCl (1:1) выделяют III, выход 61%, т. кип. 150—154°/1 мм, n_D²⁰ 1,5246; пикрат, т. пл. 87—88° (из сп.). Аналогично из 10 г II получают IV, выход 63%, т. кип. 145—150°/1 мм, пикрат, т. пл. 190—191° (из сп.); хлоргидрат бензоата, т. пл. 189—190°. К р-ру C₆H₅MgBr (из 1,8 г Mg и 12,5 г C₆H₅Br) в 20 мл абс. эфира прибавляют р-р 9 г V в 15 мл абс. эфира; выделяют VI, выход 34,5%, т. кип. 126—133°/1 мм. Т. К.

78148. Синтез 5-метоксинидола — промежуточного продукта при получении 5-оксинидола-9-этиламина (этерамина, серотонина). Амороза (Sintesi del 5-metossindolo, intermedio per la preparazione della 5-idrossindolil-β-etilamina (enteramina, serotonina). A m o r o z a M i c h e l e), Gazz. chim. ital., 1955, 85, № 11, 1445—1448 (итал.)

Описан синтез 5-метоксинидола (I) циклизацией 4-метоксифенилгидразона пировиноградной к-ты (II) спирт. р-ром H₂SO₄. Р-р I ч. 4-метоксифенилгидразина в 10 ч. воды и 1 ч. лед. CH₃COOH добавляют к эквимольному кол-ву пировиноградной к-ты в 50 вес. ч. воды, получают II, выход 55—60%, т. пл. 138—139° (разл.; из сп.). Смесь 21 г абс. спирта, 3 г конц. H₂SO₄ и 5 г II кипятят 5 час., выливают в 150 мл воды, выделяют этиловый эфир 5-метоксинидолкарбонвой-2 к-ты (III), выход 30%. III омыляют кипячением с водно-спирт. р-ром NaOH и получают с кол-ч. выходом 5-метоксинидолкарбонвую-2 к-ту, т. пл. 196° (из воды). Последняя декарбоксилируется при 205—210° до I. Л. Я.

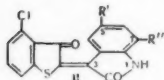
78149. Синтезы с помощью нитрила акриловой кислоты. XXV. Оцианэтировании индола. Терентьева А. П., Кост А. Н., Смит В. А., Ж. общ. химии, 1956, 26, № 2, 557—559

Исследовались условия цианэтилирования индола (I) и α-метилиндола (II). Найдено, что катализатором, кроме бората Си, могут служить также органические комплексы Си. Цианэтилирование протекает непосредственно в β-положение без промежуточного образования N-индол-β-пропионитрила. Смесь 11,7 г I, 21,2 г CH₂ = CHCN, 10 мл C₆H₆, 0,3 г CH₃COOH, 0,2 г Cu(CH₃COO)₂ и 0,07 г H₃PO₃ нагревают в автоклаве 6 час. при 180—190°, получают β-индол-β-пропионитрил (III), выход 81%, т. пл. 67—68° (из бзл.). При повышении т-ры до 210—220° выход снижается на 10—12%. При применении 2 мольев CH₂ = CHCN выход III 73%. Смесь 17 г III с 80 мл 25%-ного KOH кипятят 2 часа и получают β-индол-β-пропионовую к-ту, выход 90%, т. пл. 133°. В аналогичных условиях проводят цианэтилирование I в присутствии салицилальанила Си (IV) и получают III с выходом 80%. При добавлении Cu₂Cl₂ медной фольги или SiO₂ выход III 10—17%. (HCOO)₂Ni, диметилглиоксимат Ni и салицилальанил Со не катализируют р-цию. Без кислотных добавок с IV выход III 52%, с салицилальанином Си 56%, с ацетилацетонатом Си 38%; в последнем случае добавка H₂BO₃ снижает выход III до 15%. Из 9,1 г II, 7,4 г CH₂ = CHCN, 10 мл C₆H₆, 0,2 г CH₃COOH,

0,05 г H_3BO_3 , 0,15 г $(CH_3COO)_2Si$ получают β -(α -метил-индолил)- β -пропионитрил, выход 81%, т. пл. 79,5° (из водн. CH_3OH). Гидролизом последнего 10%-ным KOH получают β -(α -метилиндолил)- β -пропионовую к-ту (V), т. пл. 138° (из воды). При расщеплении N, β -(α -метил-индолил)-ди- β -пропионовой к-ты получена V, выход 80%. Сообщение XXIV см. РЖХим, 1956, 74849. Н. Ш. 78150.

Индигоидные кубовые красители ряда изатина. Часть IX. Производные 3-индол-2'-(4'-хлор)-тионафениндиго. Гуха, Чаттерджи, Синха (Indigoid vat dyes of the isatin series. Part IX. 3-indole-2'-(4'-chloro) thionaphthene-indigos. Guha Sisir Kumar, Chatterjea Jnanendra Nath, Sinha Arun Kumar, J. Indian Chem. Soc., 1955, 32, № 12, 777—781 (англ.).

Конденсацией 4-хлор-3-окситионафена (I) с изатином и его производными получены индигоидные красители (II). К р-ру 20 г $KMnO_4$ в 1 л воды прибавляют 10 г 6-хлор-2-нитротолуола, кипятят 6 час., фильтруют, упаривают и подкисляют; получают 6-хлор-2-нитробензойную к-ту (III), выход 85%, т. пл. 161° (из воды). К 14 г III в 175 мл 15%-ного NH_4OH прибавляют 130 г $FeSO_4$ в 420 мл воды, нагревают на водяной бане 2 часа, размешивают с р-ром 35 г $NaOH$ в 100 мл воды, фильтруют, подкисляют конц. HCl и оставляют на 4—5 час.; получают 9,3 г хлоргидрата 6-хлорантрахиноновой к-ты (IV), т. пл. 195° (из конц. HCl). Р-р 5 г IV в 7,5 мл конц. HCl и 30 мл воды обрабатывают



при 0—5° р-ром 1,75 г $NaNO_2$ в 18 мл воды, диазораствор прибавляют по каплям к р-ру 5 г $KSCOC_6H_5$ в 75 мл воды, содержащему 10 г Na_2CO_3 , дают т-ре подняться до ~ 20°, извлекают продукт р-ции эфиром, кипятят его 5 час. с 6,5 г $NaOH$ в 10 мл воды и 30 мл спирта, постепенно прибавляют нейтрализованный Na_2CO_3 р-р 4,1 г SiH_2COOH , кипятят еще 0,5 часа, подкисляют HCl , извлекают эфиром 2-карбокси-3-хлорфенилтиогликолевую к-ту, отгоняют эфир, остаток нагревают 0,5 часа с 9 г $NaOH$ при 170—180°, разбавляют водой, подкисляют HCl и отгоняют с паром; получают I, т. пл. 117—118,5° (из петр. эф.); 4-нитробензилденное производное, т. пл. 271—272° (из бzl.). Для получения II р-р эквимолекулярных кол-в I и изатина или его соответствующего производного кипятят 20—30 мин. в лед. CH_3COOH в присутствии 2—3 мл конц. HCl . Синтезированы следующие II (приведены R', R'' и выход в %): H, H, 60,4; Cl, H, 84,5; Br, H, 78,7; Br, Br, 86,7; Br, NO_2 , 83,6; NO_2 , NO_2 , 87,7. Синтезированные красители имеют более глубокий оттенок, чем их 6-хлоризомеры и более светлый, чем 5-или 7-хлоризомеры. При окислении 0,65 г I в 40 мл 10%-ного р-ра $NaOH$ 5%-ным р-ром $K_2Fe(CN)_6$ получают 4,4'-дихлортиониндиго, выход 86,5%, не плавится до 310° (из $C_6H_5NO_2$). Часть VIII см. РЖХим, 1956, 54450. А. Т.

78151. О некоторых β -замещенных производных хиноклидина. V. 2-метил-2-(γ -пиридил)-1,3-эпоксипропан. Лукеш, Галик (O některých β -substituovaných derivátů chinuklidinu V. 2-methyl-2-(γ -pyridyl)-1,3-oxidopropan. Lukeš Rudolf, Galík Vlastimil, Chem. listy, 1955, 49, № 12, 1832—1835 (чеш.); Сб. чехосл. хим. работ, 1956, 21, № 3, 620—624 (нем.; рез. русск.).

При р-ции спирт. HCl и $HCHO$ с диметил- γ -этилпиридином (I) образуется ангидроксисоединение (II), которое выделяют также из сырой реакционной смеси после метилолирования γ -этилпиридина (III) (см. сообщение IV, РЖХим, 1954, 25253). Бромгидрат II устойчив по отношению к O_3 , окисление бромгидрата II 3%-ным $KMnO_4$ (4%-ный $NaOH$, 60—65°) дает изоникотиновую к-ту, а восстановление при помощи H_2 ($d=1,7$) (красный Р, кипячение 10 час.) — γ -изопрогенилпиридин. При нагревании II с HBr в лед. CH_3COOH получают бромгидрат

2-метил-2-(γ -пиридил)-3-бромпропанола-1 (IV), который образуется также из I при тех же условиях. На этом основании II приписано строение 2-метил-2-(γ -пиридил)-1,3-эпоксипропана. II не образуется без простой дегидратации I, так как I устойчив по отношению к HCl -и HBr -к-там. При 1 мм I перегоняется без разложения, а при 10 мм отщепляет $HCHO$ и переходит в 2-(γ -пиридил)-пропанол-1 (V). Механизм образования II из I неясен. При гидрировании II получают 2-метил-2-(γ -пиридил)-1,3-эпоксипропан (VI), который действием HBr в лед. CH_3COOH переводят в бромгидрат бромгидрина (VII); последний циклизует в 3-метил-3-оксиметилхиноклидин (VIII), описанный ранее (Lukeš R., Ernest J., Coll. Czechoslov. Chem. Commun., 1949, 14, 665). От смеси 0,5 г I, 1 мл 29%-ного $HCHO$ и 0,5 мл HCl (к-ты) в 5 мл спирта отгоняют спирт, упаривают до кристаллизации, выход хлоргидрата II 90%, т. пл. 241° (разл., из сп.), хлоргидрат II с выходом 81%, получают также нагреванием III с 29%-ным р-ром $HCHO$ (100 час. при 100°), упариванием р-ра и обработкой HCl -к-той и спиртом, как в предыдущем случае. II, т. пл. 78—79° (из сп.), выделяют из хлоргидрата обработкой насыщ. р-ром K_2CO_3 и извлечением эфиром; бромгидрат, т. пл. 240—241°; пикрат, т. пл. 156° (из воды). II и 27%-ную HBr в лед. CH_3COOH нагревают 5 час. при 110—120°, выход IV 58%, т. пл. 180—181° (из сп.); тот же продукт получают из I в описанных условиях (5 час., 130°) с выходом 54%. Гидрирование бромгидрата II в воде над PtO_2 при нормальном давлении дает бромгидрат VI, выход 88%, т. пл. 222—223°; пикрат, т. пл. 194° (из воды). Бромгидрат VI нагревают 5 час. при 130° с 27%-ной HBr в лед. CH_3COOH . HBr и CH_3COOH отгоняют в вакууме, 50%-ным р-ром K_2CO_3 выделяют VII и извлекают эфиром. После отгонки эфира кипятят 1 час со спиртом, получают бромгидрат VIII, т. пл. 310—311° (из сп.). При перегонке I (10 мм, т-ра бани 200—220°) получают V, выход 49%; пикрат, т. пл. 143° (из воды). J. Plešek 78152.

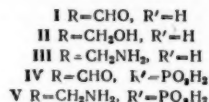
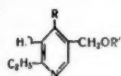
Некоторые эфиры никотинилового спирта. Кало, Белломонте (Alcuni esteri dell'alcool nicotinilico. Calo A., Bellomonte G., Farmaco. Ed. scient., 1955, 10, № 10, 755—759 (итал.; рез. англ.).

В связи с наличием сосудорасширяющего действия у 3-пиридилметанола (I) и спазмолитич. действия у многих аминоалкиловых эфиров синтезирован 3-пиридилметиловый эфир DL-миндальной к-ты (II), ди-(3-пиридилметиловый) эфир янтарной к-ты (III), 3-пиридилметиловый эфир янтарной к-ты (IV) и ди-(3-пиридилметиловый) эфир о-фталевой к-ты (V). 10 г DL-миндальной к-ты, 8 г I, 2 г $n\text{-CH}_3C_6H_4SO_3H$ и 200 мл $CHCl_3$ кипятят 20 час. (с одновременным обезвоживанием р-ра посредством Na_2SO_4), упаривают, обрабатывают Na_2CO_3 и извлекают эфиром II, т. пл. 69—72° (из эф.); пикрат, т. пл. 110—112°. К охлажд. р-ру 10 г I в 60 мл безводн. пиридина прибавляют р-р 7,9 г хлорангидрида янтарной к-ты в $CHCl_3$, перемешивают 2 часа, через 24 часа (~ 20°) удаляют р-ритель, обрабатывают Na_2CO_3 , извлекают эфиром, удаляют эфир, остаток обрабатывают кипящим спиртом и разгонкой в вакууме выделяют III, не имеет характерной т-ры кипения; пикрат III, т. пл. 190—192° (из воды или диоксана). В остатке (после отгонки III) IV, т. пл. 140—142° (из сп.). Аналогично III получают V, т. пл. 70°; пикрат, т. пл. 168—170°. Л. Я. 78153.

Получение и биологическая активность гомологов пиридоксала и пиридоксамина. Икава, Снея (Synthesis and biological activity of homologs of pyridoxal and pyridoxamine. Ikawa Miyoshi, Snell Esmond E., J. Amer. Chem. Soc., 1954, 76, № 3, 637—638 (англ.).

Описан синтез ω -метилпиридоксала (I) окислением ω -метилпиридоксина (II), ω -метилпиридоксамина (III) и соответствующих 5-фосфорных эфиров (IV и V). Смесь 0,915 г хлоргидрата II с т. пл. 188—189°, 22,5 мл 0,67 н. HCl и 8,7 г порошкообразной MnO_2 оставляют на 2 дня при

~20°, фильтруют, к фильтрату прибавляют 8 г CH_3COONa ·3H₂O и 2 г NH_4OH ·HCl и нагревают 2 мин. на водяной бане; получают оксим I (Ia), выход 59% (неочищ.), т. пл. 212—212,5° (разл., из водн. сп.). 0,392 г Ia обрабатывают HNO_3



(см. Harris S. A. и др., J. Amer. Chem. Soc., 1944, 66, 2088), выпаривают досуха в вакууме, отделяют NaCl повторной обработкой абс. спиртом, спирт отгоняют, остаток растворяют в 20 мл 0,3 н. HCl, нагревают 15 мин., фильтруют, концентрируют в вакууме и обрабатывают ацетоном; получают 84% хлоргидрата I, разлагается >150° и дает интенсивно-желтую окраску с р-ром NaOH. Р-р 0,62 г Ia в 50 мл спирта восстанавливают над Pt (из 0,3 г PtO₂), фильтруют, фильтрат испаряют досуха в вакууме, остаток растворяют в спирте и осаждают эфиром. Выход хлоргидрата III 80% (неочищ.), т. пл. 164—166° (из водн. $\text{H}_2\text{C}_2\text{H}_4\text{OH}$); выделяется также в виде неустойчивой формы с т. пл. 99—102°; дает оранжевую окраску с нингидрином. Хроматографированием на бумаге (проявитель — 77%-ный этанол) II ($R_f = 0,63$) может быть легко отделен от пиридоксина ($R_f = 0,55$). II с выходом 53% превращен в V·2H₂O, который действием MnO₂ окислен в IV·2H₂O (56%). I и III по отношению к дрожжам проявляют себя как антагонисты витамина B₆ (VI), но способствуют росту молочнокислых бактерий, хотя и в меньшей степени, чем VI.

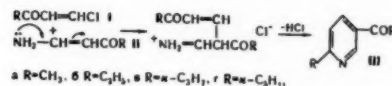
78154. Синтез N-метил-3-циано-4-метоксипиридо-6,8-структурного изомера ризинина. Тейлор, Кроветти, Лу (The synthesis of N-methyl-3-cyano-4-methoxy-6-pyridone, a structural isomer of ricinine. Taylor E. C., Jr., Crovetti Aldo J., Loux Harvey M.), J. Amer. Chem. Soc., 1955, 77, № 20, 5445—5446 (англ.)

Описан синтез N-метил-3-циано-4-метоксипиридо-6(II), структурного изомера ризинина (II). Этиловый эфир 4,6-диоксиникотиновой к-ты (III) нагреванием с NH_3 превращают в амид 4,6-диоксиникотиновой к-ты (IV), который при действии POCl_3 и PCl_5 дает нитрил 4,6-дихлорникотиновой к-ты (V). Действием CH_3ONa на V получают нитрил 4,6-диметоксиникотиновой к-ты (VI), который под действием CH_3I изомеризуется в I. Строение I подтверждено превращением его при действии конц. HCl в N-метил-4-оксипиридон-2, образующийся также при аналогичной обработке II. Смесь 10 г III (Hertog den H. J., Rec. trav. chim., 1946, 65, 129) и 70 мл жидкого NH_3 нагревают 3 часа при 150° (~133 ат), получают 8,4 г IV. Смесь 5,5 г неочищ. IV, 20 г PCl_5 и 75 мл POCl_3 кипятят 3 часа, упаривают в вакууме, выливают в лед, оставляют на 1 час при 0°, экстрагируют эфиром, получают V, выход 67% (на III), т. пл. 134—136° (сублимация при 70°/0,5 мм). Р-р CH_3ONa (из 3 г Na и 500 мл абс. CH_3OH) и 7 г V кипятят 5 час., отгоняют CH_3OH , добавляют 250 мл воды и получают VI, выход 94%, т. пл. 154,7—155,7° (из сп., с последующей сублимацией в вакууме). Смесь 8,2 г VI и 83 мл CH_3I нагревают 5 час. при 130°, выход I 93%, т. пл. 241—242° (из воды). При нагревании VI в запаянной трубке (10 час., 200—225°) также получают I. Ю. В. 78155.

β-Аминовинилкетоны. Сообщение 4. Синтез кетонов ряда пиридина. Кочетков Н. К., Домбровский Януш, Баженова А. В., Северин Е. С., Несмеянов А. Н., Изв. АН СССР, Отд. хим. н., 1956, № 2, 172—176

Показано, что взаимодействие алкил-β-хлорвинилкетона (I) с алкил-β-аминовинилкетонами (II) является удобным методом получения 2-алкил-5-аллилпиридинов (III), строение которых доказано окислением в пиридин-2,5-

дикарбоновую к-ту (IV). По мнению авторов, р-ция образования III проходит через «кетовинилирование» II (с перенесением реакционного центра) и последующей циклизацией (см. схему). Конденсация IIa с диметиловым ацеталем ацетоальдегида (V) протекает в более жестких условиях и с небольшим выходом приводит к IIIa. Смесь 0,137 моля Ia, 0,274 моля IIa выдерживают 2 суток при



~20°, кипятят 5 мин. с избытком 20%-ной H_2SO_4 , охлаждают, извлекают эфиром, водн. слой подщелачивают 40%-ным р-ром NaOH, извлекают эфиром и получают IIIa, выход 50,8%, т. кип. 95—96°/5 мм, n_D^{20} 1,5319, d_4^{20} 1,0661; оксим, т. пл. 183° (из 40%-ного сп.); пикрат, т. пл. 190° (из сп.). Аналогично получают (приводятся выходы в %, т. кип. в °C/мм, n_D^{20} , d_4^{20} , т. пл. в °C оксима): IIIb (время р-ции 3 суток), 80, 113—115/7, 1,5160; 1,0200; 106,5 (из 40%-ного сп.); IIIв (7 суток) 41,13—135/8, 1,5117, 0,9877, 88,5 (из 40%-ного сп.); IIIг (7 суток; кипячение с разб. 1 : 5 HCl к-той), 18,3, 183—184/6, 158—159/3, 1,5010, 0,9464. Смесь 0,20 моля V и 0,29 моля Ia нагревают 70 час. при 135°, охлаждают, извлекают эфиром и получают IIIa, выход 31,5%, т. кип. 85—85,8°/3 мм. IIIб окисляют KMnO_4 в воде и получают IV, выход 54%, т. пл. 243°, диметиловый эфир IV, т. пл. 162° (из абс. CH_3OH). Сообщение 3 см. РЖХим, 1955, 40057.

78156. О синтезе изоникотиновой кислоты и ее производных; процесс декарбоксилирования пиридинполикарбоновых кислот. Палома-Коля (Sobre la preparación del ácido isonicotínico y derivados: proceso de descarboxilación de ácidos piridin poli carboxílicos. Palomo Coll Antonio Luis), Afinidad, 1954, 31, № 139—140, 441—450 (исп.)

Разработан новый метод получения изоникотиновой к-ты (I), заключающийся в окислении синего индиго (II) до изатина (III), конденсации III с пировиноградной к-той с образованием хинолиндикарбоновой-2,4 к-ты (IV), окислении I и декарбоксилировании IV до I. Взаимодействием I с мочевиной получен амид I, кипячение которого с N_2H_4 · H_2O привело к гидразиду I(V), который с глюкозой образовал I-изоникотин-2-D-глюкозилгидразид (VI). Изучался процесс декарбоксилирования пиридинполикарбоновых к-т. Установлено, что отщепление CO_2 происходит в последовательности от α-к β- и γ-положениям COOH -группы; при этом оптимальные т-ры разложения равны 200, 300 и 350° соответственно. γ-COOH-группа затрудняет, а β-COOH-группа облегчает декарбоксилирование α-COOH-группы. К смеси 500 г II, 500 г конц. H_2SO_4 и 1 л воды прибавляют при размешивании и охлаждении 258 г CrO_3 в 400 мл воды; перемешивают 1 час при 50°, 2 часа при 60°, разбавляют 2 л горячей воды, фильтруют, осадок промывают горячей водой, суспендируют в 1 л воды, прибавляют 30%-ный р-р NaOH до растворения (500—650 мл), и горячий фильтрат (после 1 часа нагревания с углем при 50—60°) подкисляют 200—250 г конц. H_2SO_4 , выделяют III, выход 95%, т. пл. 200—201°. К р-ру 100 г К-соли III и 200 г КОН в 500 мл воды прибавляют конц. р-р CH_3COOK (из 80 г $\text{CH}_3\text{COONH}_4$); нагревают 10 час. при 100°, разбавляют равным объемом воды, прибавлением CH_3COOH осаждают IV, которую очищают через Na-соль с последующим осаждением CH_3COOH при 60°, выход 85%, т. пл. 247°. К кипящему р-ру К-соли IV (из 100 г IV) в 1 л воды прибавляют при размешивании порциями 500 г KMnO_4 , горячий р-р фильтруют, нейтрализуют избыток КОН, упаривают до начала кристаллизации и посредством CH_3COOH осаждают тригидрат пиридинтетракар-

боновой-2, 3, 4, 6 к-ты (VII), который очищают через Na-соль, выход 70—75%, т. пл. 236°. 61 г VII в 100 г м-динитробензола нагревают 1,5—2 часа при 300°, охлаждают, смесь растворяют в 250 мл C_6H_6 при 40°, извлекают разб. щелочью упаренный до 100 мл и нейтрализованный фильтрат после нагревания с углем подкисляют CH_3COOH при 80°, получают I, выход 95%, т. пл. 317°. К 100 г I и 0,5 г H_2BO_3 порциями прибавляют 100 г мочевины, нагревают 30 мин. при 200°, охлаждают, обрабатывают 250 мл воды или спирта при 95°, фильтруют от биурета, упаривают при т-ре не выше 115° при сильном перемешивании до появления осадка, взбалтывают с 200 мл этилацетата и отфильтровывают амид I, выход 98—99%, т. пл. 154—155°. К горячему р-ру 100 г амида I в 200 мл спирта приливают 100 г 85% $N_2H_4 \cdot H_2O$, кипятят до прекращения выделения NH_3 (~8 час), получают V, выход 89%, т. пл. 171—172°. 50 г V и 65,7 г глюкозы в 250 мл абс. спирта кипятят до полного растворения (~1 час), фильтрат упаривают досуха, выделяют VI, выход колич., т. пл. 150—160° (разл.). Кипятят 21,7 г IV в 50 г дифенилового эфира до прекращения отщепления CO_2 , извлекают холодным р-ром разб. NaOH, нейтрализуют, упаривают, осаждают CH_3COOH , получают хинолинкарбоновую-4 к-ту (VIII), выход 85%, т. пл. 257—258°. Аналогично кипячением 12 г пиридинтрикарбоновой-2,3,4 к-ты (IX) или VII в 40 г нитробензола получают пиридиндикарбоновую-3,4 к-ту (X), выходы 95 и 87,5% соответственно, т. пл. 259—260° (разл.). При кипячении 25 г пиридиндикарбоновой-2,4 к-ты в 50 г дифенилового эфира образуется I с выходом 95%. 12,5 г X или 20 г IX в 50 г м-динитробензола при 300° дают соответственно 90 и 92%. Смесь 15 г VIII или IV с 5 г H_2SeO_4 и 75 г H_2SO_4 нагревают в запаянной трубке 3 часа при 375—400°, растворяют в 200 мл воды, осаждают SO_3^{2-} посредством $Ba(OH)_2$, избыток Ba^{2+} удаляют при помощи Na_2CO_3 , упаривают, осаждают CH_3COOH ; получают I, выход 40—50%. Смесь 40% γ -пиколина и 60% β -пиколина окисляют посредством $KMnO_4$ (на 200 г смеси 1000 г $KMnO_4$), фильтруют, упаривают до 2 л, подкисляют HCl при 45° до pH 3,7, выделяют I, выход 75%; фильтрат нейтрализуют, упаривают до 750 мл, подкисляют до pH 3,5, получают никотиновую к-ту с выходом 70—75%. Обе к-ты очищают через Na-соль с последующим осаждением при 90° при помощи CH_3COOH . Пропускают озонированный O_2 (10% O_3) при 25—30° со скоростью 40 мл/мин через р-р 100 г 8-оксихинолиндикарбоновой-4 к-ты в 500 мл лед. CH_3COOH , оставляют на 38 час. при ~20°, охлаждают, при размешивании медленно прибавляют 160 г 30% H_2O_2 , кипятят 2—3 часа, остаток (A) после отгонки 450—500 мл растворяют в миним. кол-ве воды при 80°, охлаждают, выпадает полугидрат IX, выход 94%, т. пл. 250° (разл.). Аналогично из 8-оксихинолиндикарбоновой-2,4 к-ты (XI) получают VII с выходом 93%, т. пл. 236—237°. Упариванием при 135° остатка A досуха и кипячением полученного сухого остатка с 200 г нитробензола до прекращения выделения CO_2 получают IX, выход 95,2%. Из соответственного остатка (от окисления XI) после кипячения с м-динитробензолом получают I, выход 91%.

Э. Г.

78157. Исследование ароматических N-оксидов. Действие галогеноводородных кислот на N-оксиды 2-фенилазо- и 2-фенилазосипиридина. Колонна, Ризалити, Серра (Ricerche sugli N-ossidi aromatici. Azione degli acidi alogenici sugli N-ossidi della 2-fenilazo-e 2-fenil-azosipiridina. Colonna, Rinaliti, Amerigo, Serra Renato), Gazz. chim. ital., 1955, 85, № 11, 1508—1519 (итал.).

В продолжение предыдущей работы (РЖХим, 1956, 54458) изучено действие $POCl_3$, SO_2Cl_2 и HCl и HBr на N-оксиды 2-фенил- α -азосипиридина (I) и N-оксиды 2-фенилазосипиридина (II). I реагирует с $POCl_3$ и SO_2Cl_2 с образованием 2-фенил- α -азоксипиридина (III), что под-

тверждено восстановлением III до 2-фенилгидразо-6-хлорпиридина (IV) и восстановительным расщеплением (конц. HCl, порошок Zn, после окончания экзометрич. р-ции кипячение 30 мин.) до анилина и 2-амино-6-хлорпиридина. II реагирует с $POCl_3$, образуя 2-п-хлорфенилазо-6-хлорпиридин (V). Р-ция, по-видимому, проходит в две стадии: сначала $POCl_3$ в ионной форме присоединяется по N-оксидной группе, положительно заряженный атом N-оксидной группы притягивает электроны фенильной группы, причем пара-положение становится наиболее бедным электронами, в связи с чем Cl- присоединяется в пара-положение; образующаяся хиноидная форма стабилизируется, превращаясь в N-оксид 2-п-хлорфенил-азосипиридина (VI); во вторую стадию VI присоединяет еще одну молекулу $POCl_3$ по N-оксидной группе, Cl- переходит к α -C-атому и возникающее промежуточное соединение стабилизируется превращением в V. С этим механизмом согласуется образование V при действии $POCl_3$ на VI или на 2-фенилазо-6-хлорпиридин (VII), получающийся при окислении IV. Строение V подтверждено также образованием его при окислении 2-п-хлорфенилгидразо-6-хлорпиридина (VIII), полученного действием HCl на VII. Строение VIII доказано восстановительным расщеплением до п-хлоранилина. Не изменяется при действии HCl и HBr. II реагирует с HCl и HBr: в первом случае образуется N-оксид 2-п-хлорфенилгидразопиридина (IX), строение которой подтверждено окислением до N-оксиды 2-п-хлорфенилазосипиридина (X) с последующим превращением X действием $POCl_3$ в V; во втором случае образуется N-оксид 2-п-бромфенилгидразопиридина (XI), которая при восстановительном расщеплении дает п-броманилин. Окисление XI приводит к N-оксиды 2-п-бромфенилазосипиридина (XII), которая также реагирует с HBr, образуя N-оксид 2-(2', 4'-дибромфенилгидразо)-пиридина (XIII). Строение XIII подтверждено окислением до N-оксиды 2-(2', 4'-дибромфенилазо)-пиридина (XIV) и восстановительным расщеплением XIII до 2,4-диброманилина. На основе опытов авторы приходят к выводу, что кислород азосигруппы, связанный с тем же атомом, что и арил, препятствует галондированию в ароматич. ядро электронофильным (см. ссылку выше) и нуклеофильным путем. 5 г I нагревают 1,5 часа, при 130—140° с 25 мл $POCl_3$, выливают на лед, получают 4 г III, т. пл. 108—109° (из сп.); III образуется также из I и SO_2Cl_2 (75°, 1 час). Смешивают р-р 6,3 г $SnCl_2 \cdot 2H_2O$, 15 мл спирта и 6 мл конц. HCl с 3 г III в 75 мл спирта, через 4 часа (~20°) подщелачивают водн. NH_3 (охлаждение льдом), извлекают эфиром 2 г IV, т. пл. 126—128° (из лигр.). К суспензии 2 г IV в 25 мл лед. CH_3COOH прибавляют понемногу 1,5 г $NaNO_2$ в 5 мл воды, через 30 мин. выделяют 1,8 г VII, т. пл. 114° (из лигр.). Из 1 г II и $POCl_3$ аналогично III получают 0,8 г V, т. пл. 175° (из лигр.). V образуется также из VII и $POCl_3$ (70—80°, 8 час.) или из VI и $POCl_3$ (120°, 2 часа). Р-р 2 г II в 25 мл CH_3OH насыщают HCl (охлаждение льдом, 2 часа), упаривают до 1/3 объема, получают 1,5 г хлоргидрата IX, т. пл. 163—165°, из которого при действии водн. разб. NH_3 выделяют IX, т. пл. 132° (разл. из бzl.). Хлоргидрат IX аналогично VII дает X, т. пл. 200—202° (из сп.). Из 5 г VII аналогично IX получают 5 г хлоргидрата VIII, 1 г которого при окислении подобно IV образует 0,6 г V. Смешивают 3 г II с 30 мл насыщ. на холоду р-ра HBr в лед. CH_3COOH , при стоянии получают 4,5 г бромгидрата XI, т. пл. 177—178°, из которого действием водн. NH_3 выделяют XI, т. пл. 139° (разл.; из разб. CH_3OH). XI при окислении $NaNO_2$ образует XII, т. пл. 206—207° (из сп.). XII с HBr в лед. CH_3COOH дает XIII, который окисляется $NaNO_2$ в XIV, т. пл. 162—164°.

Л. Я.

78158. Синтезы пиридинсульфогидроксамовых кислот. Талик, Талик (Syntezy kwasow pirydynosulfohydroksamowych. Talik Zofia, Talik Tadeusz), Acta polon. pharm., 1955, 12, № 4, 219—222 (польск.; рез. русск., англ.)

Синтезированы 2-, 3- и 4-пиридинсульфогидроксамовые к-ты (I, II и III). Р-р C_2H_5ONa (из 2 г Na и 30 мл сп.) постепенно добавляют к 7 г $NH_4OH \cdot HCl$ в 5 мл воды при $t-ре < 40^\circ$, к фильтрату постепенно добавляют 2-пиридинсульфохлорид, полученный из 4 г 2-меркаптопиридина (см. РЖХим, 1955, 51938), поддерживая $t-ру < 30^\circ$, через 10 мин. отгоняют спирт в вакууме, добавляют 5 мл воды и охлаждают, получают I, т. пл. 129—130° (разл.; из воды). Аналогично из хлоргидрата 3-пиридинсульфохлорида (р-ция при $t-ре < 40^\circ$) получают II, т. пл. 149—151° (разл.; из воды), из 4-пиридинсульфохлорида при $t-ре < 20^\circ$ —III. I, II и III обладают небольшой туберкулоstatic. активностью in vitro, являясь сильными восстановителями, разлагаются при кипячении с водой. I разлагается и при стоянии.

Т. А. 78159. Противотуберкулезные вещества. IV. Тиоамиды. Мелцер, Льюис, Кинг (Antitubercular substances. IV. Thioamides. Meltzer Robert J., Lewis Arnold D., King John A.), J. Amer. Chem. Soc., 1955, 77, № 15, 4062—4066 (англ.) В продолжение предыдущих работ (см. сообщение III, РЖХимБХ, 1956, 14211), при которых был получен амид тионикотиновой к-ты (I, II к-та), оказавшийся активным к *Mycobacterium tuberculosis*, присоединением H_2S к соответствующим нитрилам в присутствии NH_3 синтезированы следующие тиоамиды (ТА): амид тионикотиновой к-ты (III), амид тиобензойной к-ты (IV), амид тиопролизеовой к-ты (V, VI к-та) и амид тиофентокарбонной-2 к-ты (VII, VIII к-та). Так как I оказался активным in vivo, но не in vitro, то, исходя из предположения о превращении I в результате метилирования или окисления в организме в бактериюстатич. в-во, получены метиламиды. ТА и продукты окисления ТА. Взаимодействием хлоргидрата (XI) хлорангидрида изоникотиновой к-ты (IX, X к-та) с CH_3NH_2 и $(CH_3)_2NH$ синтезированы N-метил-X (XI) и N, N-диметиламид X (XII) и из этилового эфира X (XIII) и из $iso-C_3H_7NH_2$ (XIV) N-изопропиламид X (XV). Действием P_2S_5 XI, XII и XV превращены в N-метил-(XVI), N, N-диметил-(XVII) и N-изопропиламид II (XVIII). Тем же путем из хлорангидрида пирослизеовой к-ты (XIX, XX к-та) получены N-метил-(XXI) и N, N-диметиламид XX (XXII), а далее, N-метил-(XXIII) и N, N-диметиламид VI (XXIV). С лучшим выходом XXIV получен из фурфуrolа (XXV) по р-ции Вильгердта-Киндлера. V превращен действием бензиламина (XXVI) в N-бензиламид VI (XXVII). Нитрил XX (XXVIII) присоединением CH_3SH в присутствии HCl (газа) переведен в ХГ α -фурфуриминотиометилового эфира (XXIX). При попытке выделить основание из XXIX и подвергнуть его метилированию получено в-во (XXX), которое, вероятно, является тримером XXVIII. Взаимодействием XXIII с CH_3I в присутствии C_2H_5ONa получен N-метил- α -фурфуриминотиометилый эфир (XXXI), давший с HJ иодгидрат (ИГ) XXXI (XXXII), идентичный продукту р-ции XXXI с CH_3I в отсутствие C_2H_5ONa . В тех же условиях XXXIV не образует ИГ. Неидентичность XXIV и XXXI доказана также различием их УФ-спектров. Однако при присоединении CH_3I к обоим в-вам получается один и тот же иодметилат XXXI (XXXIII). Окислением иодом V и I получены в-ва, которым авторы придают строение 3,5-ди-(α -фурил)-(XXXIV) и соответственно 3,5-ди-(γ -пиридил)-1, 2, 4-тиодиазола (XXXV). Ни одно из синтезированных в-во по противотуберкулезной активности не превосходит I. По способу Путохина и Егоровой (Ж. общ. химии, 1948, 18, 1866) получен нитрил VIII, т. кип. $74^\circ/10$ мм, $n_D^{25} 1,5620$. Насыщением 10%-ных р-ров соответствующих нитрилов в абс. спирте (при охлаждении) NH_3 , а затем H_2S получены следующие ТА (перечисляются выход в %, т. пл. в $^\circ C$ из воды): I, 81,210—210,5; III, 92, 191,5—192,5; IV, 78, 119,5—120; V, 75, 131,5—132,5; VII, 98, 110—111. Нагревают (3 часа, $\sim 100^\circ$) смесь IX, CH_3NH_2 и пиридина, упаривают досуха в вакууме, остаток подщелачивают, затем слабо подкис-

ляют CH_3COOH и снова упаривают досуха. Экстрагируя остаток горячим этилацетатом, выделяют XI, выход 25%, т. пл. 116,5—117° (из этилацетата). Аналогично получают XII, выход 32%, т. пл. 58,5—59,5° (из петр. эф.). Смесь 0,1 моля XIII и 0,3 моля XIV нагревают 2 часа при 120° и после упаривания получают XV, выход 55%, т. пл. 108,5—110,5° (из CCl_4). К р-ру 1,29 моля CH_3NH_2 в 400 мл эфира добавляют при -30° 0,575 моля XIX, дают $t-ре$ за ночь подняться до 20° , фильтруют и получают XXI выход 50%, т. пл. 62—64,5° (из эф.). Аналогично получают XXII, выход 68%, т. пл. 45—46° (из петр. эф.). 0,024 моля XV тщательно растирают с 0,018 моля P_2S_5 , нагревают (140—150°, 1,5 часа), затем растирают плав с 40 г Na_2CO_3 и 25 мл воды, экстрагируют эфиром в аппарате Сокслета и получают XVIII, выход 44%, т. пл. 145,5—146,5° (из бzl.). Аналогично получают XVI, выход 24%, т. пл. 105—105,5° (из CCl_4); XVII (применяя при нагревании в качестве р-рителя ксилол — 150 мл на 10 г XII), 63%, т. пл. 67,5—68° (из петр. эф.); XXIII (без применения Na_2CO_3), выход при нагревании до 140—150° без р-рителя 14%, в среде ксилола 25%, толуола 60%, т. пл. 71—71,5° (из петр. эф.); XXIV получен аналогично XXIII, выход в среде ксилола 22%, толуола 13%. Р-р 0,15 моля XXV в 58 мл пиридина нагревают до кипения при перемешивании, добавляют 0,225 г атома S и пропускают 30 мин. ток $(CH_3)_2NH$ с такой скоростью, чтобы жидкость кипела без нагревания. Затем кипятят еще 1,5 часа, отгоняют р-ритель в вакууме, экстрагируют остаток петр. эфиром и получают XXIV, выход 31%, т. пл. 34,5—35° (из петр. эф.). При нагревании смеси XXV, $(CH_3)_2NH$ и S до 100° выход XXIV 4%, при нагревании до 150° наблюдается осмоление. Смесь равных кол-в V и XXVI оставляют на 21 день при 20° в атмосфере Na , отгоняют XXVI в вакууме, экстрагируют петр. эфиром и получают XXVII, выход 36%, т. пл. 48,5—50° (из петр. эф.). К охлажд. до 5—10° р-ру 0,43 моля XXVIII в 200 мл эфира добавляют 35 г CH_3SH , насыщают HCl (газом) и оставляют на несколько часов при той же $t-ре$ до прекращения выделения XXIX, выход 87%, т. пл. 178—180° (разл. из CH_3CN). К конц. водн. р-ру XXXIX добавляют при $t-ре < 5^\circ$ конц. водн. р-р Na_2CO_3 и экстрагируют эфиром. К высушенному эфир. р-ру добавляют CH_3I (7 молей: 1 моль XXXIX), оставляют на несколько часов при 20° , фильтруют, упаривают и получают XXX, т. пл. 244,5—245° (из CH_3OH , затем из бzl.). Смесь 0,048 моля XXII и 0,225 моля CH_3I кипятят 0,5 часа и получают XXXII, выход 97%, т. пл. 110—112° (из $iso-C_3H_7OH$). К р-ру C_2H_5ONa (из 0,024 г атома Na и 10 мл спирта) добавляют р-р 0,022 моля XXIII в 10 мл спирта, затем р-р 0,028 моля CH_3I в 10 мл спирта, кипятят 10 мин., оставляют на 2 часа при 20° , упаривают в вакууме, остаток экстрагируют эфиром, упаривают эфир. р-р досуха и получают XXXI в виде не поддающегося кристаллизации масла. При добавлении к спирт. р-ру XXXI HJ и эфира получают 1,8 г XXXII. К р-ру 0,027 моля XXIV в 25 мл ацетона добавляют 0,108 моля CH_3I , кипятят 15 мин. и получают XXXIII, выход 46%, т. пл. 128—128,5° (из ацетона-эф.). К конц. водн. р-ру 0,007 моля XXXII добавляют конц. водн. р-р 0,008 моля Na_2CO_3 , экстрагируют эфиром, упаривают эфир. р-р досуха, растворяют XXXI в 10 мл ацетона, добавляют, 0,048 моля CH_3I , оставляют на 5 дней при -20° и получают 1,3 г XXXIII. К р-ру 0,0157 моля V в 20 мл спирта добавляют р-р 0,0324 моля J_2 в 80 мл спирта, оставляют на 3 дня при -20° , фильтруют, добавляют к фильтрату 415 мл 0,1 н. $Na_2S_2O_3$ до обесцвечивания и получают XXIV, выход 65%, т. пл. 105,5—107° (из петр. эф.). К нагретому р-ру 0,0145 моля I в 50 мл спирта добавляют 0,0435 моля J_2 в 110 мл абс. спирта, причем смесь разогревается почти до кипения, оставляют в течение ночи при -20° , затем кипятят 45 мин. и фильтруют. Выделившийся при -0° темно-красный осадок (4,7 г) отфильтровывают, промывают спиртом, размешивают с 30 мл воды, подщелачивают 2 мл 4 н. $NaOH$, до-

бавляют $\text{Na}_2\text{S}_2\text{O}_3 \cdot 5\text{H}_2\text{O}$ при нагревании до обесцвечивания и получают XXXV, выход 72%, т. пл. 196,5—197° (из фзл.).

78160. 5-формил-8-оксихинолин. Клемо, Хау (5-formyl-8-hydroxyquinoline. Cleme G. R., Howe R.), J. Chem. Soc., 1955, Oct. 3552—3553 (англ.)

В отличие от прежних данных (Sen, Ray, J. Indian Chem. Soc., 1932, 9, 178) при взаимодействии 8-оксихинолина (I) с CHCl_3 в присутствии NaOH получена не смесь 5- и 7-, а лишь один 5-формил-8-оксихинолин (II), что доказано его УФ-спектром, превращением в 8-оксихинолинкарбонную-5-к-ту (III) и конденсацией II с диметиланилином (IV), приводящей к продукту р-ции (V), который был принят ранее (Ray, J. Indian Chem. Soc., 1937, 14, 414) за производное 7-формил-8-оксихинолина. К 20 г I в 80 мл спирта и 40 г NaOH в 50 мл воды при кипячении добавляют за 1 час 27 г CHCl_3 , кипятят 12 час., отгоняют CHCl_3 и спирт, остаток растворяют в воде, подкисляют HCl, осадок обрабатывают петр. эфиром и получают 2,5 г II, т. пл. 173° (из сп.); оксим, т. пл. 196° (из сп.); фенилгидразон, т. пл. 132° (из бзл.); 8-ацетоксис-5-формилхинолин, т. пл. 118° (из сп.). К р-ру 0,5 г оксима II в кислоте добавляют 2 г P_2O_5 , кипятят 3 часа и получают 0,2 г 5-циан-8-оксихинолина (VI), т. пл. 174° (из петр. эф.). При кипячении оксима II с 5 мл $(\text{CH}_3\text{CO})_2\text{O}$ (1 час) получают 0,9 г 5-циан-8-ацетоксисхинолина, т. пл. 150°, гидролиз которого NaOH приводит к VI. Нагреванием 0,5 г VI с 2 мл 80%-ной H_2SO_4 (5 час.) получают III, т. пл. 272—273° (разл.; из сп.); хлоргидрат, т. пл. 239° (разл.; из 10%-ной HCl). Фильтрат по отделению III нейтрализуют NH_4OH и получают амид III, т. пл. 264—265° (разл.; из сп.). 1 г II и 2,5 мл IV нагревают 30 мин., постепенно добавляют 3 мл HCl, подщелачивают, отгоняют с паром, остаток растворяют в HCl, осаждают разб. NH_4OH и получают V, т. пл. 175—177° (из хлф.-сп.). К 0,4 г II в 50 мл HCl добавляют при встряхивании 2,75 г ацетофенона и получают 2-(8-оксихинолил-5)-винилфенилкетон, т. пл. 172° (из сп.); хлоргидрат, т. пл. 247—249° (из HCl).

78161. Иодирование N-метилхинолиниевых солей. Адамс, Саймерман-Крейг, Ралф, Уиллис (Iodination of N-methylquinolinium salts. Adams J. B., Cumerman-Craig J., Ralph C., Willis D.), Austral. J. Chem., 1955, 8, № 3, 392—402 (англ.)

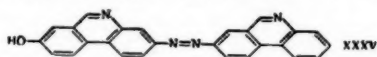
Установлено, что при иодировании иодметилатов хи-нальдина (I) и лепидина (II) образуются трииодиды N-метилхинолиналидина (III) и N-метиллепидина (IV). В отличие от III, образующегося при различных отношениях между I и J_2 , IV образуется только при соотношении $\text{I} : \text{J}_2$ 1 : 1; при избытке J_2 (3 моля и более) продуктом р-ции является октаиодид бис-N-метиллепидина (V). Строение III, IV и V подтверждено данными УФ-спектра (для V также наличием диамагнитных свойств). При действии AgNO_3 с последующей обработкой NaCl III превращается в хинолин-2-альдегид (VI), в форме хлорметилата; предложен механизм этой р-ции. При обработке содержащей VI реакционной смеси щелочью образуется хлористый 2'-карбокис-1,1-диметилизоцианин (VII). В аналогичных условиях из I получен хлористый, 1,1'-диметил-2'-метилизоцианин (VIII). На основании результатов измерения электропроводности полииодидов N-метилхинолиналидина обсуждается вопрос о диссоциации этих соединений. Смесь 10 г хинолиналидина (IX), 50 мл CH_3OH и 12 г CH_3I кипятят 24 часа, прибавляя по 5 г CH_3I каждые 8 час., отгоняют р-ритель и прибавляют эфир; выход 192%, т. пл. 195°. Смесь 2 г I, 3,5 г AgCl и 50 мл абс. спирта кипятят 1 час, упаривают фильтрат и прибавляют эфир; получают хлорметилат IX, выход 92%, т. пл. 148—149° (из смеси CHCl_3 + эф.). Р-р 0,01 моля I и 10 г CH_3COONa в 50 мл воды обрабатывают 0,02 моля J_2 в р-ре KJ и продолжают размешивание еще 0,5 часа; получают III, выход 95%, т. пл. 141,5—142° (из CH_3OH); III полу-

чают также из I действием HJ и NaNO_2 , выход 97%. 0,01 моля III в 350 мл кипящего спирта обрабатывают в токе N_2 р-ром 5,5 г AgNO_3 в 15 мл воды, охлаждают до 0°, прибавляют избыток NaCl, фильтрат упаривают при 40° в токе N_2 , остаток извлекают абс. спиртом, повторяют упаривание и извлечение и добавляют эфир; получают хлорметилат VI, выход 45%, т. пл. 148—149° (из смеси CHCl_3 -эф.); 2,4-динитрофенилгидразон, т. пл. 245—246° (из 90%-ного сп.). При обработке хлорметилата VI р-ром KJ в абс. спирте получен иодметилат VI, т. пл. 177—178° (из сп.); фенилгидразон иодметилата VI (X), т. пл. 244—245° (разл.; из смеси CH_3OH : вода: сп.-1 : 2 : 4). При возгонке X (250—280°/0,001 мм) отщепляется CH_3I и образуется фенилгидразон VI, выход 53%, т. пл. 203—204° (из сп.). К р-ру 1,5 г I и 0,65 г $\text{C}_6\text{H}_5\text{NO}$ в 20 мл кипящего спирта прибавляют 0,25 г CH_3COONa ; получают 1,2 г иодида N-метилфенилминокхинолиналидина (XI), т. пл. 189—190° (из сп.). Смесь 0,44 г XI и 15 мл 1,5 н. HCl взбалтывают до растворения, прибавляют 0,13 г $\text{C}_6\text{H}_5\text{NHNH}_2$, извлекают CHCl_3 и упаривают вытяжку; получают X, выход 70%, т. пл. 244—245° (разл.). Р-р 1,5 г хлорметилата VI в 10 мл 50%-ного спирта обрабатывают 10 г KJ в 12 мл воды и упаривают в вакууме; получают 1,5 г III. К р-ру III в CH_3OH прибавляют конц. р-р пикрата Li (XII) в CH_3OH ; получают пикрат N-метилхинолиналидина (XIII), т. пл. 139° (из CH_3OH); XIII получен также взаимодействием I с XII и III с пикратом Ag. К кипящему р-ру 2 г I в 50 мл спирта прибавляют 2 г AgNO_3 в 10 мл воды и через 1,5 часа — избыток NaCl, отделяют галоидные соли Ag, фильтрат подщелачивают р-ром KOH, осадок промывают водой и кипятят с 50 мл спирта; при выпаривании получают VIII, выход 87%, т. пл. 214—216° (разл.; после промывания кипящими водой и эфиром и хроматографирования на Al_2O_3 в CHCl_3). Аналогично из III получают VII, выход 33%, т. пл. 268—272° (разл.). К р-ру 0,01 моля II в 50 мл воды прибавляют за 30 мин. при размешивании 0,1 моля J_2 в р-ре KJ и размешивают еще 2 часа; получают IV, выход 100%, т. пл. 140°. При обработке IV, как указано выше для получения хлорметилата VI, образуется нитрат N-метиллепидина (XIV), т. пл. 169—171° (разл.). Действием XII на XIV, IV и II получен пикрат N-метиллепидина, т. пл. 159° (разл.). К р-ру 0,02 моля II в 175 мл воды прибавляют за 1 час при ~ 20° 0,065 моля J_2 в р-ре KJ, перемешивают еще 2 часа, фильтруют, промывают водой и эфиром и взбалтывают с сухим эфиром; получают V, выход колич., т. пл. 104—104,5° (из хлф.).

78162. Реакции органических азидов. Часть III. Синтез фенантридинов взаимодействием флуоренолов-9 с азотистоводородной и серной кислотами и механизм перегруппировки промежуточных азидов. Аркус, Кумс (Reactions of organic azides. Part III. The synthesis of phenanthridines by the interaction of fluoren-9-ols with hydrazoic and sulphuric acids, and the mechanism of the rearrangement of the intermediate azides. Arcus C. L., Coombs M. M.), J. Chem. Soc., 1954, Dec. 4319—4329 (англ.)

Реакция HN_3 и H_2SO_4 с 2-нитрофлуоренолом-9 (I) ведет к образованию смеси 2-нитрофенантридина (II) и 7-нитрофенантридина (III). Р-ция 3-нитрофлуоренола-9 (IV) с HN_3 и H_2SO_4 приводит к смеси 3-нитрофенантридина (V) и 6-нитрофенантридина (VI). Последний при восстановлении дает 6-аминофенантридин (VII). Из 2-аминофлуоренола-9 (VIII), HN_3 и H_2SO_4 образуется одво в-во — 7-аминофенантридин (IX). 2-метоксифлуоренол-9 (X) при р-ции с HN_3 и H_2SO_4 дает смесь 2-метоксифенантридина (XI) и 7-метоксифенантридина (XII). Последний при действии HBr (к-ты) превращается в 7-оксифенантридин (XIII); аналогично из XI образуется 2-оксифенантридин (XIV). При взаимодействии 3-метоксифлуоренола-9 (XV) с HN_3 и H_2SO_4 получается небольшое кол-во смеси метоксифенантридинов, очевидно, 3- и 6-замещ. изомеров.

При р-ции 2-метилфлуоренола-9 (XVI) с HN_3 и H_2SO_4 образуется смесь 2-метилфенантридина (XVII) и 7-метилфенантридина (XVIII). В то же время из 3-метилфлуоренола-9 (XIX), HN_3 и H_2SO_4 получается смесь метилфенантридинов, из которой удастся выделить только 3-метилфенантридин (XX). 9-фенилфлуоренол-9 (XXI) при р-ции с HN_3 и H_2SO_4 дает 9-фенилфенантридин (XXII). Из 9-метилфлуоренола-9 (XXIII), HN_3 и H_2SO_4 образуется 9-метилфенантридин (XXIV) и соединение состава $\text{C}_{28}\text{H}_{21}\text{N}$, вероятно, метилфлуоренилметилфенантридин (XXV). 9-бензилфенантридин (XXVI) образуется одинаково легко при действии HN_3 и H_2SO_4 как на 9-бензилфлуоренол-9 (XXVII), так и на 9-бензилиденфлуорен (XXVIII). 9-бензилиден-2-нитрофлуорен не дает фенантридина при р-ции с HN_3 и H_2SO_4 . 9-азидо-2-метоксифлуорен (XXIX), полученный р-цией 9-хлор-2-метоксифлуорена (XXX), с NaN_3 , при действии H_2SO_4 превращается в смесь XI и XII. Нагревание смеси 9-хлор-2-нитрофлуорена (XXXI) с NaN_3 в CH_3OH приводит к образованию 9-имино-2-нитрофлуорена (XXXII). При кипячении сульфата фенантридиндиазония-7 (XXXIII) в CH_3OH образуется фенантридин (XXXIV). Нагревание XXXIII в водн. среде приводит к образованию смеси небольшого кол-ва XIII и, вероятно, азосоединения (XXXV) — продукта сочетания XXXIII с XIII. XII и XIII при нагревании с HJ (к-той), содержащей J_2 , дают 7-окси-2-иодфенантридин (XXXVI). Диазотиро-



ванный 6-аминофенантридин (XXXVII) при нагревании в водн. среде дает 6-оксифенантридин (XXXVIII) с высоким выходом. При окислении KMnO_4 в кислом р-ре VI дает 6-нитрофенантридин (XXXIX), который при р-ции с POCl_3 превращается в 9-хлор-6-нитрофенантридин (XL). Для сравнения синтезированы: V из 2-формамидо-5-нитродифенила (XLI) при нагревании с SnCl_4 и POCl_3 (аналогичная обработка 2-формамидо-4-нитродифенила (XLII) не приводит к ожидаемому продукту — III); II — при щел. гидролизе сульфогидразида, полученного из 9-хлор-2-нитрофенантридина (XLIII) и *л*-толуолсульфогидразида (XLIV). Общий метод получения фенантридинов: к суспензии NaN_3 в CHCl_3 при 0° прибавляют по каплям H_2SO_4 и перемешивают 10 мин. при 0°. Таким образом готовят два р-ра: А) 1,5 моля NaN_3 и по 15 мл CHCl_3 и 4 мл H_2SO_4 на 1 г NaN_3 ; Б) 1,75 моля NaN_3 и по 4 мл CHCl_3 и 2,5 мл H_2SO_4 на 1 г NaN_3 . К смеси при 25° и энергичном перемешивании за 1 час прибавляют флуоренол, перемешивают 1 час, выливают на лед (40 г на 1 мл H_2SO_4), добавляют 2 н. NaOH , получают фенантридины (нитро-, amino- и 9-за-мещ. фенантридины отделяют фильтрованием, другие фенантридины выделяют экстракцией эф.). 28,7 г I обрабатывают р-ром А, получают 26 г смеси фенантридинов (СФ); при фракционной кристаллизации (ФК) из C_6H_6 получают 11,8 г III, т. пл. 180° (из бзл.), и 1,1 г комплекса II и III (1 : 1), т. пл. 158—160° (из сп.). К кипящему р-ру 1 г III в 60 мл 2 н. H_2SO_4 прибавляют за 15 мин. 2 г KMnO_4 , получают 0,6 г 7-нитрофенантридина (XLV), т. пл. 329° (из CH_3COOH). Смесь 0,3 г XLV и 3 мл POCl_3 кипятят 4 часа, выливают на лед, получают 0,2 г 9-хлор-7-нитрофенантридина (XLVI), т. пл. 207—208° (из бзл.). При окислении 1 г III р-ром KMnO_4 получают 0,4 г к-ты, т. пл. 255° (разл.). Суспензию 5 г III и 10 г Fe-порошка в 250 мл 0,06 н. CH_3COOH кипятят 5 час., получают 3,6 г IX, т. пл. 202—203° (из водн. CH_3OH). К кипящему р-ру 2,5 г IX и 3 мл $(\text{C}_6\text{H}_5)_3\text{NCOC}_6\text{H}_5$ в 40 мл 99%-ного спирта прибавляют 1,5 мл $\text{C}_6\text{H}_5\text{OCOC}_6\text{H}_5$, кипятят 30 мин., получают 0,75 г 7-этоксикарбониламинофенантридина, т. пл. 206—207° (из CH_3OH). Из 5 г IV и р-ра А получают СФ — 1,6 г с т. пл. 185—189° и 2,35 г (из хлороформного р-ра) с т. пл. 180—190°; при ФК из C_6H_6 выделяют 3,3 г VI, т. пл. 194°, и 0,25 г V, т. пл. 256—259° (из бзл.). При восстановлении

1 г VI (аналогично III) получают 0,75 г VII, т. пл. 194—195°. Из 9,25 г VIII в 40 мл CHCl_3 и р-ра Б после обработки получают IX. Из 5 г X в 10 мл CHCl_3 и р-ра Б получают СФ, к 6,2 г которой в 10 мл спирта прибавляют р-р 3,75 г $(\text{COOH})_2 \cdot 2 \text{H}_2\text{O}$ в 20 мл спирта; получают 7,2 г смеси кислых оксалатов XI и XII, т. пл. 169° (из сп.), из которой действием 2 н. NaOH получают 4,45 г СФ; при ФК из петр. эфира выделяют 1,95 г XII, т. пл. 90°, и 0,24 г XI, т. пл. 57—58°. Р-р 0,5 г XII в 25 мл 48%-ной HBr кипятят 3 часа в токе CO_2 , подщелачивают NaOH , нейтрализуют CH_3COOH , получают 0,3 г XIII, т. пл. 281—282° (из сп.). Аналогично из 0,5 г XI получают 0,2 г XIV, т. пл. 245° (из водн. сп.). Из 4,25 г XV в 15 мл CHCl_3 и р-ра Б получают 0,23 г СФ, т. кип. 130°/0,1 мм, т. пл. 70—78°. Из 3,9 г XVI и р-ра А получают 3,05 г СФ, при ФК которой из петр. эфира выделяют XVIII, т. пл. 87,5—88°; из более растворимой части через пикрат выделяют XVII, т. пл. 80°. Соотношение XVII и XVIII в исходной СФ равно 53 : 47. Из 1,95 г XIX и р-ра А получают 1,7 г СФ, при ФК которой из петр. эфира выделяют XX, выход 80%, т. пл. 89—89,5°; пикрат, т. пл. 271—272° (из диоксана). Из XXI в CHCl_3 и р-ра А получают XXII, выход 94%, т. пл. 106° (из сп.); пикрат, т. пл. 251° (разл.; из CH_3COOH). Из XXXIII и р-ра А получают XXIV, выход 47%, т. пл. 85° (из петр. эф.); пикрат, т. пл. 249° (из диоксана); из р-ра в CHCl_3 получают XXV, т. пл. 157° (из сп.); пикрат, т. пл. 266—268°. Из 2 г XXVII в CHCl_3 и р-ра А получают XXVI, выход 40%, т. кип. 130°/0,4 мм, т. пл. 112° (из сп.); пикрат, т. пл. 200—202° (разл.; из $\text{C}_6\text{H}_6\text{OH}$). Из XXVIII и р-ра А получают XXVI, выход 49%. Смесь 2 г XXX, 1 г NaN_3 и 15 мл CH_3OH кипятят 3 часа, выливают в воду, получают 1,9 г XXIX, т. пл. 43,5—44,5° (из петр. эф.), застывает и снова плавится при 56—58°. К смеси 2 мл 98%-ной H_2SO_4 и 10 мл CHCl_3 при 25° прибавляют р-р 1 г XXIX в 5 мл CHCl_3 , обрабатывают, как для X, экстрагируют хлорцетил 1 н. HCl ; при ФК из петр. эфира СФ получают XI и XII в отношении 34 : 66. Смесь 2 г XXXI, 1 г NaN_3 и 40 мл CH_3OH кипятят 4 часа, получают 1,4 г XXXII, т. пл. 209° (из бзл.). Смесь 0,5 г XXXII и 15 мл 2 н. H_2SO_4 кипятят 45 мин., получают 0,5 г 2-нитрофлуоренона, т. пл. 222°. К суспензии XXXIII (из 2 г IX и 2 мл 98%-ной H_2SO_4 в 40 мл 99%-ного сп.) прибавляют при 25° 2 г $\text{C}_6\text{H}_{11}\text{ONO}_2$, встряхивают 2,5 часа, осадок промывают спиртом и эфиром, суспендируют в 100 мл абс. CH_3OH , кипятят 1 час и выделяют 0,45 г XXXIV, т. кип. 120°/2 мм, т. пл. 103—104°; пикрат, т. пл. 244—245°. Р-р 1,8 г IX в 20 мл 1,5 н. H_2SO_4 диазотируют при 0° р-ром 0,7 г NaNO_2 в 3 мл воды и после нагревания фильтрата (100°) и подщелачивания получают 1,05 г XXXV, т. пл. 295° (разл.; из CH_3COOH); из нейтрализованного маточного р-ра выделяют в виде хлоргидрата (0,65 г) XIII. Смесь 0,5 г XII и 25 мл HJ (к-ты), содержащей немного J_2 , кипятят 3 часа, получают 0,25 г XXXVI, т. пл. 235° (из диоксана); аналогично из XIII получают XXXVI. Р-р 1,7 г XXXVII в 50 мл 4 н. H_2SO_4 диазотируют, как описано выше, кипятят, подщелачивают, нейтрализуют и получают 0,9 г XXXVIII, т. пл. 271—272° (из сп.). 1 г VI окисляют KMnO_4 (как при получении XLV), получают 0,6 г XXXIX, т. пл. 368°. Из 1 г XXXIX действием POCl_3 (как при получении XLVI) получают 0,7 г XL, т. пл. 218° (из бзл.). 5 г 2-амино-5-нитродифенила кипятят 1 час с 50 мл 90%-ной HCOOH , получают 3,7 г XLI, т. пл. 145—146° (из сп.). Р-р 0,9 г SnCl_4 , 2 г XLI, 10 мл POCl_3 и 20 мл $\text{C}_6\text{H}_5\text{NO}_2$ кипятят 4 часа, получают 0,2 г V. Из 9,3 г 2-амино-4'-нитродифенила получают 6,9 г XLII, т. пл. 176°. Из 10 г 2-нитрофенантридина и POCl_3 (аналогично XLVI) получают 9,6 г XLIII, т. пл. 209° (из бзл.). Смесь 2,6 г XLIII, 2 г XLIV и 135 г CHCl_3 кипятят 21 час, получают 0,5 г II. Предыдущую часть см. РЖХим, 1954, 35777. Г. Ш.

78163. Реакции органических азидов. Часть IV. Превращение 9-алкилфлуоренолов-9 в 9-алкилфенантридины. Аркус, Лаккен (Reactions of organic azides.

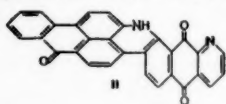
Part IV. The conversion of 9-alkylfluoren-9-ols into 9-alkylphenanthridines. Argus C. L., Lucken E. A., J. Chem. Soc., 1955, May, 1634—1636 (англ.)

Из флуоренона (I) взаимодействием с C_2H_5MgBr (II), $изо-C_3H_7MgBr$ (III) и $трет-C_4H_9MgCl$ (IV) получены соответственно 9-этил-(Va), 9-изо-пропил-(Vb) и 9-трет-бутил-флуоренол-9 (Vc), которые действием HN_3 переведены в соответствующие 9-алкилфенантридины (Via, б, в). При синтезе Via удалось выделить промежуточно образующийся 9-азидо-9-трет-бутилфлуорен (VII). Приведены некоторые соображения по механизму описанных превращений. К р-ру II (из 1,92 г Mg, 5,8 мл C_2H_5Br и 70 мл эфира) добавляют за 1 час 11,2 г I в 25 мл C_6H_6 + 25 мл эфира, кипятят 1 час, выливают на смесь NH_4Cl со льдом, добавляют 200 мл C_6H_6 и выделяют 7,4 г Va, т. пл. 101° (из петр. эф.). Аналогично из 10,8 г I и III (2,1 г Mg, 7,4 мл $изо-C_3H_7Br$) получают 6,1 г Vb, т. пл. 127° (из петр. эф.) и из 18 г I и IV (4,6 г Mg, 21,8 мл $трет-C_4H_9Cl$) — 4 г Vc, т. пл. 96° (из петр. эф.). К суспензии 2 г NaN_3 в 20 мл $CHCl_3$ при 0° добавляют за 30 мин. 8 мл 97%-ной H_2SO_4 и при 25° за 75 мин. — р-р 4,2 Va в 10 мл $CHCl_3$, перемешивают 1 час, выливают в 300 мл холодной воды, хлороформный слой извлекают разб. HCl и вытяжку присоединяют к водн. слою; водн. р-р подщелачивают NaOH и осадок извлекают эфиром, выход Via 3,58 г, т. пл. $55,5^\circ$ (из ацетона), пикрат, т. пл. 211° (разл., из диоксана). По той же методике из 4,48 г Vb в 25 мл $CHCl_3$ получают 3,47 г Vb, т. пл. 55° (из водн. сп.), пикрат, т. пл. 206° (разл., из диоксана). 2,4 г Vc добавляют при 25° в течение 45 мин. к р-ру HN_3 + H_2SO_4 из 1 г NaN_3 , 4 мл H_2SO_4 и 15 мл $CHCl_3$, смесь перемешивают 1,5 часа, $CHCl_3$ декантируют и извлекают 10 н. H_2SO_4 , кислотные слои объединяют, разбавляют водой, подщелачивают и эфиром извлекают 1,58 г основания, из которого при перегонке (т. кип. $>250^\circ/5$ мм) выделяют Vb, т. пл. 74° (из сп.), пикрат, т. пл. 212° (разл., из диоксана); при упаривании хлороформного слоя выделяют 0,5 г VII, т. пл. 69° (из ацетона).

C. Г.

78164. Азасоединения. XI. Синтез азасоединения, подобного индантроновому олигово-зеленому В. Йокотэ, Судзуки, Кобаяси. XII. Синтез 8-бензоил-амино-1-азаантрахинона. Йокотэ, Идэ (アザ化合物に関する研究. 第11報. インダントレン. オリブグリーン B の色素同構体の合成. 構手正夫, 鈴木一成, 小林誠之助. 第12報. 8-ベンゾイルアミノ-1-アザアントラキノン の合成に関する研究. 構手正夫, 井出道明), 工業化学雑誌, Koré kagaku zasshi, J. Chem. Soc. Japan, Industr. Chem., Sec., 1954, 57, № 1, 52—53; № 2, 137—138 (япон.)

Сообщение XI. При конденсации 1 моля 8-аминоазаантрахинона, т. пл. 265° , с 1,4 моля 3-бромбензантрона, т. пл.



167° , образуется 0,27 г в-ва, не растворимого в о-дихлорбензоле (I). При сплавлении этого в-ва с фенолом и щелочью получено 0,051 г серовато-оливкового в-ва, содержащего темносиний краситель, слабо растворимый в I, и серый краситель, не растворимый в I. Первый компонент дает спектрофотометрич. кривую, аналогичную таковой у индантронового олигово-зеленого В, и очевидно, является его азапроизводным (II).

Сообщение XII. 0,5 г 8-амино-1-азаантрахинона (III), т. пл. 258° , и 0,7 г C_6H_5COCl нагревают в 10 г $C_6H_5NO_2$ при 140° 1 час; получают 8-бензамидо-1-азаантрахинон (IV), выход 70%, т. пл. 281° (из сп.). Хлопок и ацетатный шелк окрашиваются IV при кубовом крашении в желтый цвет. Р-ры IV и 1-бензамидоантрахинона имеют почти одинаковые спектры поглощения, с $\lambda_{\max} \sim 4200$ А. При конденсации 1 моля 1-аминоантрахинона, т. пл. $255,5^\circ$, с 1 молем 2-бромбензофенона (V), т. пл. 148° , в при-

сутствии безводн. $NaOOCCH_3$, $CuCl_2$ и нафталина в течение 12 час. при $200—215^\circ$ образуется 1-(1-оксо-1Н-бензоафтен-2-иламино)-антрахинон (VI), выход 80—90% (60—70% после очистки в о-дихлорбензоле), окрашенный в H_2SO_4 в темный зеленовато-желтый цвет и красящий хлопок в оранжево-желтый цвет. При аналогичной конденсации 1 моля III и 1 моля V образуется небольшое кол-во 9-(1-оксо-1Н-бензоафтен-2-иламино)-бензо-[d]-хинолин-5,10-диона (VII), который окрашен в H_2SO_4 в коричневый цвет и красит хлопок в серый цвет. Спектры VI и VII почти идентичны, $\lambda_{\max} \sim 5300—5400$ А. Предыдущее сообщение см. РЖХим, 1956, 58080.

Chem. Abstrs, 1955, 49, № 3, 2075, № 16, 10950.

Katsuya Inouye.

78165. Органические пигменты. V. Производные 1-фенил-3-метилпиразолона-5. Коикэ, Судзуки, Танакадате, Иида, Окава. VI. Синтез пиразолоновых красных. Коикэ, Судзуки, Танакадате, Иида. VII. Окраска производных ди-(нитрофенил)-амина. Коикэ, Иида. VIII. Роль примесей в исходном сырье при синтезе хлорфенилазонафта. Коикэ, Судзуки, Танакадате, Кувабара. IX. Получение пигментов из медного комплекса фталоцианина. Коикэ, Яги. (有機顔料に関する研究. 第5報. 有機顔料に関する研究. 小池榮一, 鈴木茂, 田中館イホ, 飯田博子, 大川勝郎. 第6報. ビラゾロンレッドの合成. 小池榮二, 鈴木茂, 田中館イホ, 飯田博子. 第7報. ジニトロジフェニルアミン誘導体の色について. 小池榮二, 飯田博子. 第8報. クロロフェニルアゾナフトール顔料における原料純度の影響. 小池榮二, 鈴木茂, 田中館イホ, 桑原仁太郎. 第9報. 銅フタロシアニンの顔料化について. 小池榮二, 八木忠翁), 工業化学雑誌, Koré kagaku zasshi, J. Chem. Soc. Japan, Industr. Chem. Sec., 1954, 57, № 5, 411—414; № 6, 452—455; № 8, 546—550, 550—552, 552—555 (япон.)

Сообщение V. 3,3'-дихлорбензидин тетраэтируют и сочетают с 1-фенил-3-метилпиразолоном-5 в светопрозрачный оранжевый пигмент. При введении NO_2 -группы в паразолоновое окрашивание красной и при введении групп OCH_3 , CH_3 и SO_3Na — в сторону желтой (прогрессивно, в порядке приведенного перечисления). Светопрозрачность этих оранжевых пигментов изменяется аналогично светопрозрачности бензидиновых желтых.

Сообщение VI. 3,3'-дихлорбензидин тетраэтируют и сочетают с 1-фенил-3-(карбоксизетил)-пиразолоном-5 в светлый маслоспрозрачный пигмент. Введение заместителей в пиразолоновый цикл влияет на окраску более сильно, чем введение их в фенильный радикал красителя. Светопрозрачность возрастает с увеличением разницы электронного расстояния на 2 сторонах азомистика.

Chem. Abstrs, 1954, № 18, 11079. J. G. Ioshioka.

Сообщение VII. Произведены спектрофотометрич. определения окраски 24 очис. производных ди-(нитрофенил)-амина, взятых в виде сухого порошка, 1%-ного р-ра в пиридине и окрашенного вискозного волокна. Показано, что окраски описанных выше состояний качественно соответствуют окраскам очень тонкого, среднего и толстого слоев р-ра. Длина волны, соответствующая наибольшему поглощению света, для р-ра увеличивается прямо пропорционально уменьшению его прозрачности. Обратные отношения наблюдаются между длиной волны, соответствующей наибольшему поглощению, и показателем отражения для порошка и окрашенной вискозы. Исследована также устойчивость красителей по отношению к солнечному свету.

Сообщение VIII. Спектрофотографически и определением показателя отражения изучено влияние примеси нафта-1 (I) в нафтоле-2 и о-хлоранилине (II) в л-хлоранилине на цвет полученного из них пигмента. Установлено, что максимум содержания I и II, не влияющее на чистоту цвета пигмента, составляет $\sim 0,1$ и $0,5\%$ соответственно.

Сообщение IX. Найдено, что наилучшими условиями для получения этих пигментов являются следующие: Сульфалонин растворяют в 8 ч. 92,4%-ной H_2SO_4 и возможно большее кол-ве воды. Размешивают, фильтруют и несколько раз промывают. Сообщение IV см. РЖХим, 1956, 68304.

Chem. Abstrs, 1955, № 10, 7260, 7261. Katsuya Inouye. 78166. Реакции производных гидразина. III. 3-арилпиразолины. Кост А. Н., Ершов В. В., Вестн. Моск. ун-та, 1955, № 12, 115—117

Показано, что при постепенном внесении хлоргидратов β -диэтиламинопропиофенонов $(C_2H_5)_2NCH_2CH_2COR \cdot HCl$ (I) в избыток NaH_4 и щелочи в водн. CH_3OH образуются с хорошими выходами $CH_2CH_2C(R)=N$ гидразоны пиразолилкетон $CH_2CH_2C(R)=NNCH_2CH_2C-$

$(R)=NNH_2$ (III). II неустойчивы на воздухе, но сохраняются под водой; вызывают полимеризацию акрилонитрила, стирола, метилметакрилата. Исходные I получают кипячением 4—6 час. соответствующих кетонов с параформом и $(C_2H_5)_2NH \cdot HCl$ в спирте. Р-р 19 г I ($R=C_6H_5$) в 50 мл CH_3OH за 15—20 мин. прибавляли к 8 мл 40%-ного $NaOH$, 18 мл $NaH_4 \cdot H_2O$ и 50 мл CH_3OH . После кипячения (3 часа) получен II ($R=C_6H_5$), выход 89%, т. кип. $130^\circ/5$ мм, т. пл. 44° . Аналогично получают другие II и побочно III (приведены последовательно R, выход в % и т. пл. в $^\circ C$ исходного I, выход в % II, т. пл. в $^\circ C$ для II, его нитропроизводного и III): 4- $CH_3C_6H_4$, 60, 110, 93, 77—80, 130 (из CH_3OH -ацетона), 126—127 (из сп.); 4- $CH_3OC_6H_4$, 75,6, 119, 86, 94—98, 169 (из CH_3OH -ацетона), 160—161 (из сп.); 4-изо- $C_6H_7C_6H_4$, 64,7, 138, 74,5,—, т. кип. $151^\circ/4$ мм, 136—137 (из CH_3OH), 106 (из сп.). Сообщение II см. РЖХим, 1956, 74942. А. К.

78167. Синтез и расщепление семикарбазонов некоторых оснований Манниха. Цзи Жу-юнь (The preparation and degradation of some Mannich base semicarbazones. K u i Z u - J o o n g), 中 華 學 報. Чжунго кэсюэ, Acta sci. sinica, 1955, 4, № 2, 297—306 (англ.); 化學專報 Хуахуэ сюэбао, Acta chim. sinica, 1954, 20, № 2, 118—127 (кит.; рез. англ.)

С целью изучения фармакологич. свойств получены семикарбазоны (СК) следующих оснований Манниха: 4-диметиламино-3-фенилбутано-2 (I), 4-пиперидино-3-фенилбутано-2 (II), 4-морфолино-3-фенилбутано-2 (III), 4-диметиламино-1,3-дифенилбутано-2 (IV). Показано, что в шел. среде IV и 4-диэтиламино-1,3-дифенилбутано-2 (V) дают с $NNHCONHNH_2$ (VI) СК 1,3-дифенил-4-семикарбазидобутано-2 (VII). Для всех СК, кроме СК III, действием избытка CH_3I в спирте или $CHCl_3$ получены подметилаты (ИМСК): ИМСК I, выход 76%, т. пл. $202—204^\circ$ (из CH_3OH -сп.); ИМСК II, 72%, $144—146^\circ$ (разл., из CH_3OH); ИМСК IV, 94,5%, $226,5—228^\circ$ (из 90%-ного сп.). Показано, что ИМСК I и ИМСК II при нагревании со щелочью ($60—70^\circ$, 1 час, 5%-ный водн. р-р $NaOH$, спирт. р-р KOH или CH_3ONa в CH_3OH) разлагаются, образуя СК 3-фенилбутен-3-она-2 (VIII), выход — 90%, т. пл. $236—238^\circ$ (из сп.). Действие щелочи на ИМСК IV приводит к СК 1,3-дифенилбутен-3-она-2 (IX), выход 76,5%, т. пл. $148—149^\circ$ (из сп.). Образования циклич. соединений не наблюдалось. Строение непредельных СК подтверждено УФ-спектрами с полосой ~ 260 м μ , характерной для семикарбазонов винилкетонов. Для сравнения приведены УФ-спектры СК насыщ. кетонов: $CH_3C(=NNHCONH_2)CH(C_6H_5)CH_3$, т. пл. $172—173^\circ$, $C_6H_5CH_2C(=NNHCONH_2)CH(C_6H_5)CH_3$, т. пл. $144—145^\circ$. Показано, что конц. H_2SO_4 не вызывает циклизации VIII. Найдено, что IV $\cdot HCl$ при нагревании с CH_3COONa в 80%-ном спирте расщепляется, образуя дибензилкетон, выход 32%, т. кип. $120—125^\circ/0,05$ мм, т. пл. $34—35^\circ$ (из петр. эф.); оксим, т. пл. $122—123^\circ$ (из CH_3OH); СК, т. пл. $140—141^\circ$.

В то же время ИМ IV под действием щелочи образует IX, который сразу димеризуется в соответствующий дигидропиран (X), выделенный в виде своего оксима. Найдено, что I под действием CH_3COONa не образует кетона, но дает 2-ацетил-2,3-дигидро-6-метил-2,5-дифенилпиран (XI). Взаимодействием IV, 4-диметиламино-1,1-дифенилбутано-2 (XII) и 3-пиперидино-1,2-дифенилпропано-1 (XIII) с фенилгидразином (XIV) получены соответствующие пиразолины и изучены их УФ-спектры: 3-бензил-1,4-дифенил- Δ^2 -пиразолин (XV); 3-дифенилметил-1-фенил- Δ^2 -пиразолин (XVI), 1, 3, 4-трифенил- Δ^2 -пиразолин (XVII). Взаимодействием 23 г I $\cdot HCl$ с 22 г VI $\cdot HCl$ в 100 мл воды ($60—70^\circ$, 2 часа, pH 3—4 с помощью периодич. прибавления 10%-ного KOH) получают СК I, выход 64%, т. пл. $147—148^\circ$ (из этилацетата). Тем же способом из 18 г II $\cdot HCl$ и 13 г VI $\cdot HCl$ получают СК II, выход 62,5%, т. пл. $149—151^\circ$ (из сп.). Из 28,5 г III $\cdot HCl$, 22 г VI $\cdot HCl$ и 25 мл пиридина в 150 мл 80%-ного спирта (кипение 1 час) синтезируют СК III, выход 20%, т. пл. $184—186^\circ$ (из CH_3OH). Из 6 г IV $\cdot HCl$ и 4,4 г VI $\cdot HCl$ в 50 мл воды ($60—70^\circ$, 2 часа, pH 3—4) получают СК IV, выход 23%, т. пл. $102—104^\circ$ (из сп.). Кипятят 0,04 моля VI $\cdot HCl$ и 0,06 моля $CH_3COONa \cdot 3H_2O$ в 60 мл CH_3OH (5 мин.). Полученный р-р 2 часа кипятят с 0,02 моля IV $\cdot HCl$ и получают VII, выход 44%, т. пл. $188—189^\circ$ (из CH_3OH). 0,5 г VII получают также из 1 г V $\cdot HCl$. Взаимодействием 30 г ИМ IV с 12 г $NaOH$ в 300 мл воды (20° , 0,5 часа) получают 4,1 г маслянистого продукта, т. кип. $115—118^\circ/0,005$ мм, который быстро димеризуется. При кипячении исходного непредельного кетона или его димера с $NH_2OH \cdot HCl$ и CH_3COONa в 70%-ном спирте (1,5 часа) образуется оксим X, т. пл. $166—167^\circ$ (из сп.-этилацетата), который образуется аналогично ИМ III. Кипячением (3 часа) 16 г I $\cdot HCl$ и 19 г $CH_3COONa \cdot 3H_2O$ в 120 мл 75%-ного спирта получают XI, выход 38%, т. кип. $130—140^\circ/0,03$ мм, т. пл. $77,5—78,5^\circ$ (из петр. эф.). Кипячением (6 час.) р-ра, полученного из 4,5 г IV $\cdot HCl$ и $NaOH$, с 3 мл XIV в 15 мл CH_3COONa и 15 мл спирта синтезируют XV, выход 23,5%, т. пл. $108—110^\circ$ (из сп.). Также из 4,5 г XII $\cdot HCl$ получают XVI, выход 32%, т. пл. $127—127,5^\circ$ (из сп.-этилацетата), а из 3,1 г XIII $\cdot HCl$, выход 31%, т. пл. $211—213^\circ$ (из этилацетата). УФ-спектры полученных пиразолинов сняты в спирт. р-рах. Н. В.

78168. Синтез производных пиридазина. IV. Продукты окисления серусодержащих соединений пиридазина. Такахаэси (ビダチン誘導体の合成. 第4報. 含硫化合物の酸化成績について. 高村昇), 薬學雜誌, Якугаку дзасси, J. Pharmac. Soc. Japan, 1955, 75, № 10, 1245—1248 (япон.; рез. англ.)

Проведено окисление 3-хлор-4 (или 5)-R-6-SR'-пиридазинов (I) в различных условиях. Из I (R' = алкил) получены два изомера сульфоксидов. Далее приводятся: R, R' , т. пл. исходного в-ва в $^\circ C$, окислитель, его кол-во в молях, среда, т-ра р-ции в $^\circ C$ и время в час., продукт р-ции и его т. пл. в $^\circ C$: H, H, 138 (разл.), $FeCl_3$, 10, вода, 80, 0,5 (или $KMnO_4$, 1,5, CH_3COOH , ~ 20 , 0,25), дисульфид, 157,5 (с $KMnO_4$ в воде при 90° р-ция не идет); с избытком дымящей HNO_3 при 80° за 0,25 часа получают сульфокислоту, 249 (разл.); H, CH_3 , 104, $KMnO_4$, 1,5, 5 н. H_2SO_4 , $\sim 20^\circ$, 0,25, сульфоксид, 114, $KMnO_4$, 1,5, CH_3COOH , 90, 1, сульфоксид, 73, H_2O_2 , 1, 1, 40%-ная CH_3COOH , 30, 3, сульфоксид, 198; H, C_2H_5 , 65, H_2O_2 , 1, 1, 40%-ная H_2O_2 , 90, 3, сульфоксид, 144 (с $KMnO_4$ в 5 н. H_2SO_4 р-ция не идет); H, аллил, 66, $KMnO_4$, 1,5, 5 н. H_2SO_4 , $\sim 20^\circ$, 0,25, р-ция не идет; CH_3 , H, 147 (разл.), в предыдущих условиях или в дымящей HNO_3 при 90° р-ция не идет; CH_3 , CH_3 , 98,5, $KMnO_4$, 1, 2, 5 н. H_2SO_4 , 0,25, сульфоксид, 126 (с 30%-ной H_2O_2 р-ция не идет); CH_3 , C_2H_5 , 88, H_2O_2 , 1, 1, 40%-ная CH_3COOH , 90, 3 (или избыток 61%-ной HNO_3 , 90, 2), сульфоксид, 168, с $KMnO_4$ в 5 н. H_2SO_4 р-ция не идет; CH_3 , аллил, 81,5, $KMnO_4$, 1,2, 5 н. H_2SO_4 , 0,25, сульфоксид, 146. Сообщение III см. РЖХим, 1956, 74969. Т. А.

78169. Ультрафиолетовое облучение пириимидиновых производных. Мур, Томпсон (Ultraviolet irradiation of pyrimidine derivatives. Moore A. M., Thompson C. H.), Science, 1955, 122, № 3170, 594—595 (англ.)

Проводилось облучение светом 254 мμ водн. 0,2 М р-ров урацила (I), 1,3-диметил-I (II) и уридиловой к-ты (III), наблюдалось исчезновение в УФ-спектрах выделенных продуктов из I—III максимума поглощения, соответствующего двойной связи 5 : 6 пириимидинового кольца (265 мμ). Сопоставляя хим. свойства, данные ИК-спектра (ОН-группа 2,89 μ) и анализа продукта р-ции из II, т. пл. 102° (хроматография в хлф. на Al_2O_3 ; из хлф-гексана), авторы делают вывод, что фотореакция сводится к присоединению молекулы воды по 5 : 6 двойной связи с образованием 6-или 5-окси-1,3-диметилгидро-I (IV). Последний под действием щелочи (рН 10) или к-ты (рН 1) вновь дает II. Попытки синтеза IV восстановлением 6-окси-5,5-дигром-1,3-диметилгидро-I были unsuccessful. Л. П.

78170. Синтезы гетероциклических пигментов. III. Синтез 2,3-диметил-5,8-диоксихинокалина и влияние света на каталитическое гидрирование. Каван, Танака, Итикава (異環環状色素の合成. 第3報. 2,3-ジメチル 5,8 ジオキシキノキサリンの合成及び接觸還元に対する光の影響についで. 川合眞一, 田中早苗, 市川洋一), 日本化学雑誌, Нихон какаку дзасси, J. Chem. Soc. Japan, Pure Chem. Sec., 1954, 75, № 1, 40—43 (япон.)

К 2 г 2,3-(NH_2)₂-1,4-(OCN)₂- C_6H_2 прибавляют по каплям 1,5 мл $CH_3COCOCH_3$ в 50 мл спирта, нагревают 10 мин., получают 2,3-диметил-5,8-диметоксихинокалин (I), выход 2,2 г, т. пл. 170° (из петр. эф.). 0,5 г I, 50 мл C_6H_5Cl и 1,5 г $AlCl_3$ нагревают 2 часа при ~100°, выливают в смесь льда и HCl (к-ты), отгоняют с паром, остаток извлекают C_6H_6 , кристаллизуют из C_6H_6 ; получают 0,2 г 2,3-диметил-5,8-диоксихинокалина. 2,3-дифенил-5,8-диоксихинокалин (II) при гидрировании над Pt в спирте (с освещением или без него) поглощает 1 моль H_2 , но после обработки регенерируется II. Каталитич. гидрирование 2,3-дифенил-5,8-диметоксихинокалина (III) и 10,13-диокси- и 10,13-диметоксидибензо-[a,c]-феназина дает аналогичные результаты. Ацетилирование III немедленно после гидрирования с Pt в CH_3COOH или восстановления Na в $iso-C_3H_7OH$, или редуктивное ацетилирование с Zn и $(CH_3CO)_2O$ приводит к 1,4-диацетил-2,3-дифенил-5,8-диметокси-1,2,3,4-тетрагидрохинокалону. При гидрировании в спирте без освещения 2,3-дифенилхинокалиндион-5,8 (IV) поглощает 2 моля H_2 ; при обработке образуется II. Однако при гидрировании 0,2 г IV с освещением потребляется 2 моля H_2 , и при последующем ацетилировании в атмосфере H_2 получают 0,1 г соединения с т. пл. 245—247°, соответствующего окта-или гексагидротетраацетату IV. Из маточного р-ра от ацетата выделяют соединение с т. пл. 114—116°, соответствующее гексагидропроизводному IV. Сообщение 11 см. J. Chem. Soc. Japan, Pure Chem. Sec., 1950, 71, 524.

Chem. Abstrs, 1955, 49, № 15, 10314. Koji Nakanishi

78171. Исследование семихинонов группы хиноксалина. Курти, Локки (Ricerche sui semichinoni del gruppo della chinossalina. Curti Renato, Locchi Stelio), Ann. chimica, 1955, 45, № 12, 1244—1252 (итал.)

Исследовано полярографич. поведение хиноксалина (I) диметилхиноксалина (II), диметилбензохиноксалина (III), тетрагидрофеназина (IV) и тетрагидробензофеназина (V) в сильнокислых средах (рН 0,57—4,16): H_2SO_4 - K_2SO_4 , H_2SO_4 -циатрат, смесь по Бриттону—Робинсону. При рН выше 3 I—V образуют одну двухэлектронную волну; в области рН ниже 3 образуются семихиноны (приведены графики зависимости $E_{1/2}$ (рН для I—V и полярограммы для I). На основании результатов полярографич. исследования по ранее разработанному потенциостатич. методу

(Ricerca Sci., 1954, 24, 2053) при плотности тока 5 ма/см² и потенциале —250—340 мв I—III восстановлены до соответствующих семихинонов (контроль за процессом восстановления спектрофотометрич.; приведены спектрофотометрич. кривые восстановления I). Семихинон I, осаждающийся в условиях восстановления в виде порошка, имеет состав $(C_8N_2H_7)_2 \cdot H_2SO_4$, χ_{mol} 1280·10⁻⁴; χ —0,494·10⁻⁶. Семихинон I устойчив в сухом виде, при пропускании воздуха через водн. суспензию семихинона I образуется в-во $(C_8H_8N_2)_2$, т. пл. 278° (из CH_3COOH). Определение χ водно-ацетонового р-ра I при неполном восстановлении (коричнево-зеленая окраска) указывает на содержание 20—25% свободных радикалов. II обнаруживает до 40% свободных радикалов. Л. Я.

78172. Идентичность некоторых 5-замещенных 1,2,4-триазолонов. Маутнер, Камлер (The identity of some 5-substituted 1,2,4-triazolones. Mauthner Henry G., Kumler W. D.), J. Amer. Chem. Soc., 1955, 77, № 15, 4076—4078 (англ.)

При р-циях семикарбазонов α -кетокислот с J_2 и NaOH (Bougault, Popovici, Cr. Akad. sci., 1929, 189, 188), с одной стороны, и при обработке гидразидов к-т CNBr в присутствии $KHCO_3$, с другой (Gehlen, Liebigs Ann. Chem., 1949, 563, 185), получены идентичные в-ва, причем первые авторы приписали им строение 5-замещ. 1,2,4-Δ⁴-триазолонов $R-C=NCONHNH$ (I), а второй считал их гидразидами Nβ-цианокислот $RCONHNHCN$ (II). В настоящей работе установлено, что правильным является ф-ла I. Для подтверждения строения I получены по методу Гелена 5-метил-I (Ia) (выход 55%) и 5-фенил-I (Ib) (выход 92%). Найдено, что Ia и Ib являются слабыми основаниями и константа диссоциации K_b для Ia 2,3·10⁻¹², что совпадает с K_b для 1, 2, 4-триазола, кроме того строение I подтверждается спектрами поглощения в ИК и УФ. Установлено также, что в-во, полученное ранее (Girard, C. r. Acad. sci., 1941, 212, 547) при действии горячей щелочи на Ia, в действительности является 5-метил-1,2,4-Δ⁵-триазолоном (III). Такое строение подтверждается способностью III давать ди-Ag-соли, отсутствием окраски с $FeCl_3$, константой диссоциации K_a 3,7·10⁻¹⁰ и спектрами поглощения III в УФ и ИК. Обсуждается механизм образования I при р-ции Гелена. При этом предполагается, что в первую очередь получаются неустойчивые II, которые циклизируются в I, минуя стадию образования 1-ацилсемикарбазидов, так как последние не циклизируются в I в присутствии $NaHCO_3$, а в случае бензонильного производного даже с NaOH на холоду.

78173. Синтезы органических флуоресцирующих соединений. XXIV. Синтез 6', 6''-замещенной 9-карбоксиметил-3,6-бис-[4'-окси-2'-S-триазил]амино-карбазолдисульфоновой-4,4 кислоты. XXV. Синтезы 9-карбоксиметил-3,6-бис-[4,6-дизамещенных-2-сим-триазиламино]-карбазолдисульфокислот. Йосида, Като, Ода (有機螢光物質の合成に関する研究. 第24報. 9-カルボキシメチル-3,6-ビス(4-ヒドロキシ-6-置換-2-ストリアジラミノ)カルバゾールジスルホン酸の合成. 第25報. 9-カルボキシメチル-3,6-ビス(4,6-ジ置換-2-ストリアジラミノ)カルボゾールジスルホン酸の合成. 吉田善一, 加藤嘉文, 小田良平), 工業化学雑誌, Kogyo Kagaku Zasshi, J. Chem. Soc. Japan, Industr. Chem. Sec., 1953, 56, № 5, 346—348; № 6, 411—413 (япон.)

Сообщение XXIV. 0,01 моля 9-карбоксиметил-3,6-диаминокарбазолдисульфоновой-4,4 к-ты (I) обрабатывают при 0° и рН 6,5 0,02 моля цианурхлорида, фильтруют, полученную жидкость обрабатывают 2,5 часа различными аминами (обычно 0,02 моля) при 35—40° и рН 6,5 перемешивают 2 часа при 90°, выливают, фильтруют, промывают водой, перекристаллизовывают. Получены следующие 6', 6''-замещ. производные I (приводятся заме-

стителю в положении 6' и 6''): $(\text{CH}_3)_2\text{N}$, $(\text{C}_6\text{H}_5)_2\text{N}$, $\text{HO}(\text{CH}_2)_2\text{NH}$, $\text{C}_6\text{H}_5\text{NH}$, $n\text{-NaSO}_3\text{C}_6\text{H}_4\text{NH}$, $o\text{-NaOOC}_6\text{H}_4\text{NH}$, $p\text{-NaOOC}_6\text{H}_4\text{NH}$, $o\text{-CH}_3\text{C}_6\text{H}_4\text{NH}$, $o\text{-CH}_3\text{OC}_6\text{H}_4\text{NH}$, $p\text{-CH}_3\text{OC}_6\text{H}_4\text{NH}$. Интенсивность флуоресценции этих соединений (синяя до синевато-фиолетовой) при освещении Нг-лампы сильнее, чем у производного 3,6-диаминокарбазолдисульфоновой-4,4 к-ты, описанного в сообщении XXIII, РЖХим, 1956, 74943.

Сообщение XXV. Соединения А, в которых $\text{X} = \text{N}(\text{CH}_3)_2$, $\text{N}(\text{C}_2\text{H}_5)_2$, $\text{NH}(\text{CH}_2)_2\text{OH}$, NHC_6H_5 , $\text{NHC}_6\text{H}_4\text{CH}_3$, $\text{NHC}_6\text{H}_4\text{CH}_2\text{N}$, получены взаимодействием карбоксиметил-3,6-диаминокарбазолдисульфокислоты (I) с хлористым циануром (II) с последующим замещением 2 атомов Cl триазиновой группы на алифатич. или ароматич. амы. Для повышения чистоты соответствующих промежуточных соединений титруют ацетоновым р-ром II при 0°.

Исследована интенсивность флуоресценции полученных соединений под действием УФ-излучения как в твердом состоянии, так и в р-рах конц-ии 0,1 и 0,01%. Все соединения имеют флуоресценцию от синей до синевато-фиолетовой с интенсивностью от средней до сильной. Приведена структурная интерпретация наблюдаемой флуоресценции.

Chem. Abstrs, 1954, 48, № 18, 10748; 1955, 49, № 10, 6910.

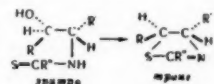
Inouye Katsuya.
78174. Синтез солей 5-(1', 3'-диметилбензимидазоль-2')-2,3-диарилтетразолия. Действие щелочей. Валь (Synthèse des sels de diméthyl-1',3'-benzimidazolium-2')-5 diaryl-2,3 tétrazolium. Action des alcalis. Wahl H e n r i, C. r. Acad. sci., 1955, 241, № 25, 1949—1951 (франц.).

При окислении 2-(бс-фенилазо)-метил-1,3-диметилбензимидазолия (I) (см. РЖХим, 1956, 29035, 39598) выделен динерхлорат 5-(1', 3'-диметилбензимидазоль-2')-2,3-диарилтетразолия (II), т. пл. 316—317°. II превращается в I при восстановлении аскорбиновой к-той в нейтр. среде. Аналогично II получен динерхлорат 5-(1', 3'-диметилбензимидазоль-2')-2,3-ди-л-л-хлорфенилтетразолия (III), т. пл. 310°. При действии спирта. NaOH на II (~100°) получен дифенилформазан, т. пл. 117—118° (из водн. CH_3OH); хлоргидрат, т. пл. 163°, и 1,3-диметилбензимидазолон (IV), т. пл. 113° (безводн.). Аналогично из III получают IV и ди-л-л-хлорфенилформазан, т. пл. 123—124°. Предложен возможный механизм расщепления II и III в щел. среде.

78175. Исследования в области стереохимии. Водная часть. Сихер. I. Стерический ход катализованной кислотами циклизации N-тиобензильных производных 1,2-аминоспиртов. Новая стереоспецифическая реакция. Фаркаш, Сихер (Stereochemické studie. Úvodní poznámky. Sycher Jiří. I. Sterický průběh kyselých katalyzovaných Cyklisace N-thiobensoyllderivátů 1,2-aminoalkoholů: nová stereospecifická reakce. Farkaš Jiří, Sycher Jiří, Chem. listy, 1955, 49, № 9, 1318—1319, 1320—1329 (чеш.); Сб. чехосл. хим. работ, 1955, 20, № 6, 1389—1390, 1391—1401 (англ.; рез. русс.))

В процессе изучения влияния замены ацильной группы на тиоацильную в N-ацил-1,2-аминосписах на ход стереоспецифич. катализуемой к-тами р-ции миграции ацильной группы от N к O (Fodor G., Kiss J., J. Chem. Soc., 1951, 1858) проведена циклизация $\text{RCH}(\text{OH})\text{CH}-(\text{NHCS}_6\text{R})$ R' : $\text{R} = \text{R}' = \text{CH}_3$, *трео* (I), *эритро* (II); $\text{R} = \text{C}_6\text{H}_5$, $\text{R}' = \text{CH}_3$, *трео* (III), *эритро* (IV); $\text{R} = \text{CH}_3$, $\text{R}' = \text{C}_6\text{H}_5$, *трео* (V), *эритро* (VI); $\text{R} = \text{C}_6\text{H}_5$, $\text{R}' = \text{COOC}_2\text{H}_5$, *трео* (VII), *эритро* (VIII); $\text{R} = \text{R}' = \text{C}_6\text{H}_5$, *трео* (IX), *эритро* (X); $\text{R} = \text{C}_6\text{H}_{11}$, $\text{R}' = \text{CH}_3$, *эритро* (XI); $\text{R} = \text{CH}_3$, $\text{R}' = \text{C}_6\text{H}_{11}$, *эритро* (XII) под влиянием спирта. HCl при 100°. *Трео*-эпимеры (I, III, V, VII, IX) циклизуются с сохранением конфигурации, образуя *транс*- Δ^2 -оксазолины,

которые переходят (в случае III, V, VII и IX) в соответствующие *трео*-O-ацильные производные 1,2-аминосписов. *Эритро*-эпимеры (II, IV, VI, VIII, X, XI и XII) в отличие от *трео*-эпимеров и N-ацил-1,2-аминосписов образуют *транс*- Δ^2 -тиазолины с изменением конфигурации и лишь в меньшей мере (20—40%) — *цис*- Δ^2 -оксазолины с сохранением конфигурации. Разница в поведении *эритро*- и *трео*-эпимеров объяснена тем, что механизм р-ции циклизации эпимеров различный. В случае *трео*-эпимеров промежуточно образующийся 2-меркаптооксазолидин может стабилизироваться двумя способами: подобно как в случае N-ацильных производных (см. ссылку выше) с образованием хлоргидратов O-тионовых эфиров или отщепление H_2S и образованием Δ^2 -оксазолинов. В случае *эритро*-эпимеров помимо вышеописанного хода процесса может осуществляться циклизация по схеме:



N-тиобензильные производные аминосписов получены: 1) 0,01 моля 1,2-аминосписа, 10 мл пиридина и 0,011 моля тиобензоилтиогликолевой к-ты (XIII) нагревают 1 час при 100°, добавляют 100 мл эфира, эфирный слой промывают 5%-ной HCl; 1, р-ром NaHCO_3 и выпаривают, остаток растирают с петр. эфиром; 2) р-р 0,01 моля хлоргидрата 1,2-аминосписа в 5 мл воды перемешивают 5 час. при 20° с р-ром 0,01 моля XIII в 15 мл 2 н. NaOH, продукт отделяют фильтрованием; 3) смесь 0,02 моля оксазолина с $(\text{NH}_4)_2\text{S}$ в абс. CH_3OH (250 мл) оставляют на 10 дней, выливают в воду, извлекают эфиром. Получены (в-во, метод синтеза, выход в %, т. пл. в °C): I, 2, 42, 80—81 (из бзл.-петр. эф.); II, 2, 54, 85, (из бзл.-петр. эф.); III, 1 или 3, 23 или 50, 79—80 (из бзл.-петр. эф.); IV, 1, 67, 136 (из бзл.) (при ведении р-ции при 15° 24 часа образуется соль XIII с исходным аминосписом, т. пл. 141—142° (из сп.)); V, 3, 32, 115—116 (из сп.); VI, 1, 30, 132 (из сп.); VII, 1, 46, 89—90 (из бзл.-петр. эф.); VIII, 1, 61, 141—144 (из сп.); IX, 3, 65, 158 (из сп.) (р-цию ведут 20 дней, если превратить р-цию через 7 дней получают аддукт исходного оксазолина с IX, 1:1, т. пл. 118—120°); X, 1, 48, 134—135 (из сп.); XI, 1, 77, 141 (из 80%-ного сп.); XII, 1, 45, 92 (из бзл.-петр. эф.). 0,003 моля I—XII нагревают (1—5 час.) с 5 мл 10%-ного спирта. HCl при 100°, упаривают 2/3 спирта при 15 мм. добавляют 5 мл эфира, выделившийся хлоргидрат O-ацильного производного 1,2-аминосписа отделяют, маточный р-р подщелачивают NH_4OH , извлекают петр. эфиром тиазолиновое производное; из водн. слоя получают N-бензоильное производное 1,2-аминосписа. Получены: из I хлоргидрат *транс*-2-фенил-4,5-диметил- Δ^2 -оксазолина, выход 64%, т. пл. 133—134° (из сп.-эф.); из III, V, VII и IX получены *трео*- $\text{C}_6\text{H}_5\text{OCOC}(\text{H})\text{CH}(\text{R}')\text{NH}_2\text{HCl}$ (R, R' выход в %, т. пл. в °C): C_6H_5 , CH_3 , 62, 198—200 (из водн. сп.) (одновременно образуется *трео*-N-бензоил-1-фенил-2-аминопропанол-1); CH_3 , C_6H_5 , 57, 190—191 (из 5%-ной HCl) (одновременно получен *трео*-N-бензоил-1-фенил-1-аминопропанол-2, т. пл. 147° (из сп.); C_6H_5 , COOC_2H_5 , 41, 190—191 (из 5%-ной HCl); C_6H_5 , C_6H_5 , 73, 210 (из водн. сп.); циклизация II, IV, VI, VIII, X, XI и XII дала *транс*-2-фенил-4-Р-5-Р'- Δ^2 -тиазолины (R, R', выход в %, т. пл. или т. кип. в °C/мм, т. пл. в °C пикрата): CH_3 , CH_3 , 62, 155—158/15, 133 (из CH_3OH); C_6H_5 , CH_3 , 67, 162—167/0,55, 141 (из сп.); CH_3 , C_6H_5 , 50, 135—140/0,3, 144 (из CH_3OH) (одновременно получен хлоргидрат *эритро*-1-фенил-1-амино-2-бензоилпропана, т. пл. 189—190° (из 5%-ной HCl); C_6H_5 , COOC_2H_5 , 55, 175/0,2 и 65—67 (из петр. эф.), —; C_6H_5 , C_6H_5 , 78, 93 (из петр. эф.); —; C_6H_{11} , CH_3 , 63, 125—130/0,2, 147—148 (из CH_3CH); CH_3 , C_6H_{11} , 55, 130/0,2, 169 (из сп.). 7 г хлоргидрата *эритро*-1-фенил-1-аминопропанола-2 гидрируют в 210 мл 99%-ного спирта + 0,2 мл насыщ. спирт. HCl над Pt (из 0,7 г PtO_2), фильтрат выпаривают при

15 мм, остаток растворяют в воде, промывают эфиром, подщелачивают 5%-ным NaOH, извлекают эфиром, добавляют спирт. HCl, получают хлоргидрат *эритро*-1-циклогексил-1-аминопропанола-2, выход 42%, т. пл. 189—190°. *Эритро*-2-бензамидопропанол-3 (XIV), т. пл. 122° (из бзл.), получен бензоилированием *эритро*-2-аминобутанола-3 по Шоттен — Бауману. 1 г XIV растворяют в 3 мл SOCl₂ при 0°, оставляют на 1 час при 15°, получают хлоргидрат *транс*-4,5-диметил-2-фенил-Δ²-оксазолина, выход 86%, т. пл. 133—134° (из сп.-эф.); свободное основание, т. кип. 120°/15 мм (выделено водн. N₂); пикрат, т. пл. 148° (из сп.). К р-ру 0,05 моля *эритро*-1-циклогексил-2-аминопропанола-1 в 20 мл C₆H₆ при 15° за 30 мин. добавляют 2,2 г NaOH в 20 мл воды и 0,055 моля C₆H₅COCl в 15 мл C₆H₆, перемешивают 30 мин., получают *эритро*-1-циклогексил-2-бензамидопропанол-1 (XV), выход 86% т. пл. 126° (из бзл.). 11,21 г XV понемногу добавляют к 30 мл SOCl₂ при 5°, оставляют на 3 часа при 15°, SCCl₂ отгоняют при 15 мм, добавляют к остатку 50 мл воды, нейтрализуют 20%-ным NaOH, извлекают эфиром, разгонкой выделяют *транс*-2-фенил-4-метил-5-циклогексил-Δ²-оксазолин, выход 85%, т. кип. 135—137°/0,15 мм; пикрат, т. пл. 171° (из сп.).

Яг. Куцера

78176. Исследования в области стереохимии. II. Реакция

N-ацильных производных 1,2-аминотиолов в кислой среде. Сихер, Свобода (Stereochemické studie. II. Reakce N-acylderivátů 1,2-aminothiolu v kyselém prostředí. Sicheř Jiří, Svoboda Miroslav), Chem. listy, 1955, 49, № 9, 1330—1335 (чеш.); Сб. чехосл. хим. работ, 1955, 20, № 6, 1402—1408 (англ.; рез. русс.).

Изучена циклизация посредством спирта. HCl *эритро*-(I) и *трео*-(II) S-ацетил-N-бензоил-1-фенил-2-аминопропантиола; *эритро*-(III) и *трео*-(IV) S-ацетил-N-бензоил-1,2-дифениламиноэтантанола; *эритро*-(V) и *трео*-(VI) этилового эфира N-бензоил-β-фенилцистеина; *эритро*-(VII) и *трео*-(VIII) N,S-диацетил-1,2-дифениламиноэтантанола. В качестве промежуточного продукта при циклизации как *эритро*-, так и *трео*-эпимеров образуются 2-окситиазолидиновые производные, которые в случае *трео*-эпимеров (II, IV, VI и VIII) превращаются в соответствующие *транс*-Δ²-тиазолиновые производные; в случае *эритро*-эпимеров (I, III, V и VII) наряду с *цис*-Δ²-тиазолинами образуются хлоргидраты N-ациламинотиолов, образование последних наблюдается в большей мере у VII, чем у III. В случае V за счет эпимеризации получающегося *цис*-2,5-дифенил-4-карботоксид-Δ²-тиазолина (IX) возникает также *транс*-2,5-дифенил-4-карботоксид-Δ²-тиазолин (X). Различия в поведении *эритро*- и *трео*-эпимеров при циклизации объясняются различным механизмом циклизации (см. ссылку выше). Приведены ИК-спектры IX, X, *цис*-2,5-дифенил-4-карботоксид-Δ²-оксазолина и *транс*-2,5-дифенил-4-карботоксид-Δ²-оксазолина. 0,01 моля I и 10 мл насыщ. спирт. HCl нагревают 8 час. при 100°, получают 180 мг хлоргидрата S-бензоил-*эритро*-1-фенил-2-аминопропантиола, т. пл. 190—192° (из сп.-эф.); маточный р-р выпаривают досуха, добавляют воды, извлекают эфиром, из эфирного р-ра выделяют *цис*-2,5-дифенил-4-метил-Δ²-тиазолин, выход 67%, т. кип. 145°/0,8 мм; пикрат, т. пл. 123—124° (из сп.). Из 460 мг II аналогично I получен после выпаривания, обработки остатка водой, извлечения эфиром и хроматографии на Al₂O₃ (р-ритель C₆H₆) *транс*-2,5-дифенил-4-метил-Δ²-тиазолин, выход 86,5%; пикрат, т. пл. 141—142° (из сп.); из 11,5 г III (водяная баня, 6 час.) получен после выпаривания, добавки воды и эфира 1,68 г хлоргидрата S-бензоил-*эритро*-1,2-дифениламиноэтантанола, т. пл. 229° (из сп.-эф.); из маточного р-ра извлечением эфиром и хроматографией (Al₂O₃, р-ритель C₆H₆) выделен *цис*-2,2,5-трифенил-Δ²-тиазолин, выход 51,5%, т. пл. 84—85° (из петр. эф.); из конечных фракций элюата выделено немного S-бензоил-*эритро*-1,2-дифениламиноэтантанола, т. пл. 216—217° (из бзл.);

из 0,005 моля IV (водяная баня 1 час) после выпаривания, добавки воды, извлечения эфиром и хроматографии на Al₂O₃ (р-ритель C₆H₆) получен *транс*-2,4,5-трифенил-Δ²-тиазолин, выход 91,5%, т. пл. 93—94° (из петр. эф.), при кристаллизации выделены также кристаллы с т. пл. 68—69° того же состава; из 0,005 моля V (водяная баня 3 часа) получено после выпаривания, добавки воды, извлечения эфиром, выпаривания эфира и кипячения с петр. эфиром 350 мг IX, т. пл. 93—94° (из эф.); из маточного р-ра выделен X, т. пл. 65—65,5° (из петр. эф.); при ведении р-ции с V в течение 19 час. образовалось только X; из 0,01 моля VI (водяная баня, 6 час.) после выпаривания, добавки воды, извлечения эфиром, выпаривания эфира и кипячения с петр. эфиром получено 150 мг нерастворимого в петр. эфире *транс*-2,5-дифенил-4-карбоксих-Δ²-тиазолина, т. пл. 137—138° (из бзл.); из маточного р-ра выделен X, выход 52%; из 0,004 моля VII (водяная баня, 19 час.) после выпаривания, добавки воды, извлечения эфиром и хроматографии на Al₂O₃ (р-ритель C₆H₆) получен *цис*-2-метил-4,5-дифенил-Δ²-тиазолин, выход 34,5%, т. пл. 67—68° (из петр. эф.); аналогично из 0,003 моля VIII (водяная баня, 4 часа) получен *транс*-2-метил-4,5-дифенил-Δ²-тиазолин, выход 75%, т. кип. 132°/0,15 мм. 0,002 моля этилового эфира *трео*-β-фенилцистеина кипятят с 0,0022 моля бензинино-этилового эфира в 5 мл CHCl₃ 1 час, добавляют эфир, промывают водой, получают X.

Яг. Куцера

78177. Исследования в области стереохимии. III. Стерический ход реакций между N-ацильными производными 1,2-аминоспиртов и хлористым тионом. Сихер, Панкова (Stereochemické studie. III. Sterický průběh reakce N-acylderivátů 1,2-aminoalkoholů s thionylchloridem. Sicheř Jiří, Pánková Magdalena), Chem. listy, 1955, 49, № 9, 1336—1350 (чеш.); Сб. чехосл. хим. работ, 1955, 20, № 6, 1409—1425 (англ.; рез. русс.). Изучена циклизация *эритро*-(I) и *трео*-1-фенил-2-нитробензамидопропанола-1 (II), *эритро*-(III) и *трео*-1-фенил-1-н-нитробензамидопропанола-2 (IV), *эритро*-(V) и *трео*-1-циклогексил-2-н-нитробензамидопропанола-1 (VI) посредством SOCl₂. III—VI образуют при этом с высокими выходами соответствующие Δ²-оксазолины с обращением конфигурации у углерода, связанного с OH-группой. I дает при кратковременном действии SOCl₂ *транс*-2-н-нитрофенил-4-метил-5-фенил-Δ²-оксазолин (VII), а при длительном воздействии SOCl₂ — *эритро*-1-фенил-1-хлор-2-н-нитробензамидопропан (VIII) за счет расщепления оксазолинового кольца. II дает *трео*-1-фенил-1-хлор-2-н-нитробензамидопропан (IX) и VIII, которые образуются первично, а не за счет разложения Δ²-оксазолинов, поскольку последние устойчивы в условиях опыта (5 мин., 0°). При гидролизе продуктов р-ции II с SOCl₂ образуется смесь *трео*- и *эритро*-аминоспиртов в отношении 3:2. Различное поведение III—VI и I—II в р-ции с SOCl₂ объяснено полярным влиянием C₆H₅-группы и разницей в энергии активации р-ции образования Δ²-оксазолинов (РОО) и разложения первоначально возникающих сульфенилхлоридов до β-хлораминов (РСХ). В случае III—VI энергия активации РСХ больше РОО; в случае II, благодаря полярному влиянию C₆H₅-группы в положении I благоприятной конфигурации энергия активации РСХ меньше РОО и образуются β-хлорамины как с обращением, так и без обращения конфигурации; для I энергия активации РОО меньше РСХ, однако эта разница менее значительна, чем в случае III—VI. Изучена скорость гидролиза (75%-ный спирт, кипячение 1,5 часа) VIII, IX, *эритро*-(X) и *трео*-(XI) 2-фенил-1-хлор-2-н-нитробензамидопропана, *эритро*-(XII) и *трео*-(XIII) 1-циклогексил-1-хлор-2-нитробензамидопропана до соответствующих хлоргидратов O-ацил-1,2-аминоспиртов; во всех случаях р-ция проходит с обращением конфигурации; *эритро*-эпимеры более легко гидролизуются чем *трео*-эпимеры. Конфигурация 1-фенил-1-аминопропанола-2

(XIV) с т. пл. 85° как эритро-эпимер доказана превращением в окись *транс*-1-фенил-2-метилэтилена (см. Rabe, Hallensleben, Ber., 1910, 43, 2622) и сравнением ИК-спектра последнего с ИК-спектром синтетич. образца окиси *цис*-1-фенил-2-метилэтилена. I, т. пл. 189—190° (из сп.), получен: а) перемешиванием (20 мин.) р-ра хлоргидрата *эритро*-1-фенил-2-аминопропанола-1 (свободное основание (XV) приготовлено с выходом 41% гидрированием над скелетным Ni при обычной т-ре и 120—150 ат изонитрозопропиофенона в 99%-ном спирте) в 500 мл воды + 0,04 моля NaOH с р-ром 0,02 моля *п*-нитробензоилхлорида (XVI) в 500 мл C₆H₆, выход 84,5%; б) восстановлением 0,03 моля *п*-нитробензамидо-пропиофенона (получен 6 час. кипячением хлоргидрата α-аминопропиофенона с XVI в толуоле, выход 61%, т. пл. 123—124° (из сп.)) посредством 0,045 моля изопропилата Al в 200 мл изопропанола (кипение 2,5 часа, с отгонкой), выход 88,5%. 0,015 моля I растворяют в 15 мл SOCl₂, выпаривают, растворяют в 50%-ном спирте, содержащем 0,018 моля HCl, нагревают 5—10 мин., получают хлоргидрат II, выход 67%, т. пл. 215°, свободное основание выделено подщелачиванием K₂CO₃, выход 58%, т. пл. 170° (из 75%-ного сп.). 0,005 моля II кипятят 8—10 час. с 10%-ной HCl, извлекают эфиром, выпаривают, получают хлоргидрат *трео*-1-фенил-2-аминопропанола-1, выход 75%, т. пл. 169—170°; из эфирной суспензии хлоргидрата посредством NH₃ (газ) выделяют *трео*-1-фенил-2-аминопропанол-1 (XVII), выход 66—67%, т. пл. 71° (из бзл.). Из хлоргидрата α-амино-α-фенилацетона и XV (кипение 4—5 час. в толуоле) получен 1-фенил-1-*п*-нитробензамидопропанон-2 (XVIII), выход 79%, т. пл. 156—157° (из сп.). Восстановлением XVIII по Меервейну и Пондору получено III, выход 68%, т. пл. 154—155° (из бзл.). III получен также *п*-нитробензоилированием XIV (приготовлен гидрированием α-изонитрозо-α-фенилацетона над скелетным Ni, выход 53%) с выходом 80%. Из маточного р-ра после отделения III (при синтезе из XVII) выделен *транс*-2-*п*-нитрофенил-2-*п*-нитрофенил-4-фенил-5-метил-Δ²-оксазолин (XIX), выход 6,6%. Из III аналогично II получен IV, выход хлоргидрата 62%, т. пл. 207—208°; IV, т. пл. 153—154°. Омылением IV получен *трео*-1-фенил-1-аминопропанол-2, выход 55%, т. пл. 90,5—91,5°. Гидрирование 0,056 моля хлоргидрата XV в 300 мл 99%-ного спирта + 0,3 мл насыщ. спирт. HCl над 1 г PtO₂ при обычном давлении и т-ре дало *эритро*-1-циклогексил-2-аминопропанол-1 (XX), выход 91%, т. пл. 82—83° (из петр. эф.); *п*-нитробензоилирование XX обычным способом дало V, выход 53%, т. пл. 163—164° (из 75%-ного сп.). Аналогично XX из XVII получен *трео*-1-циклогексил-2-аминопропанол-1, выход 93%, т. пл. 83—84° (из петр. эф.); а из него *п*-нитробензоилированием приготовлен VI, очищен через хлоргидрат, выход чистого VI 66%, т. пл. 120—121° (из 50%-ного сп.). Кипячение (1 мин.) *транс*-2-*п*-нитрофенил-4-метил-5-циклогексил-Δ²-оксазолина (XXI) с конц. HCl дало хлоргидрат VI, выход 65%, т. пл. 200—201° (из сп.-эф.). Нагреванием соответствующего аминспирта с *п*-нитробензамидоэфиром на водяной бане (2—4 часа) приготовлены 1-*п*-нитрофенил-4-*Р*-5-*Р'*-Δ²-оксазолины (даны R, R', конфигурация выход, в %, т. пл. в °C (из 75%-ного сп.): C₆H₅, CH₃, *цис* (XXII), 93, 142; VII, 64, 77—78; C₆H₅, C₆H₅, *цис* (XXIII), 50, 121—122; XXIV, 81, 125; C₆H₅, CH₃, *цис* (XXIV), 72, 124—125; XXI, 75, 113—114. Δ²-Оксазолины получены также растворением I, III—VI в наименьшем кол-ве SOCl₂ при 18—20° и разложением р-ра через определенное время льдом и этилацетатом (даны исходное в-во, время р-ции, конечный продукт, выход в %: I, 1 мин., VII, 78; III, 1 мин., XIX, 77; IV, 30 мин., XXIII, 53; V, 2 часа, XXI, 60; VI, 4 часа, XXIV, 67. Из II и SOCl₂ (1 мин.) получено 30% IX и 30% хлоргидрата 1-фенил-1-*п*-нитробензоокси-2-аминопропана. Кипячением смеси насыщ. р-ра Δ²-окса-

золина в сухом диоксиде, насыщ. HCl до растворения (метод А); нагреванием (3—5 мин.) при 150—160° остатка после удаления диоксида из р-ра Δ²-оксазолина насыщ. HCl (метод Б) и аналогично, но при использовании эфира вместо диоксида (метод В) получены β-хлорацетилмины (метод синтеза, в-во, выход в %, т. пл. в °C (из бзл.): А, VIII, 60, 132—133; Б IX, 57, 128—129; Б, X, 35, 156—157; Б, XI, 49, 166—167; В, XII, 30, 140; В, XIII, 75, 140—141. Гидролиз β-хлорацетилминов (кипение в 75%-ном сп. 1,5 часа), выпаривание и извлечение C₆H₆ дало *п*-NH₂C₆H₄COOCH(R)CH(NH₂·HCl)R (исходное в-во; конечный продукт, конфигурация, R, R', выход в %, т. пл. в °C): VIII, *трео*, C₆H₅, CH₃, 95, 210; IX, *эритро*, C₆H₅, CH₃, 28, 212; X, *трео*, CH₃, C₆H₅, 62, 198; XI, *эритро*, CH₃, C₆H₅, 33, 202; XII, *трео*, C₆H₁₁, CH₃, 55, 190; XIII не изменяется. Jan. Kováč

78178. Исследования в области стереохимии. IV. Реакция Δ²-оксазолинов с тиоуксусной кислотой. Синтез некоторых 1,2-диациламинотолов. Свобода, Сихер, Фаркаш, Панкова (Stereochemické studie. IV. Reakce Δ²-oxazolinů s kyselinou thiooctovou. Synthesis diacyl-1,2-aminothiols. Svoboda Miroslav, Sacher Jiří, Farkaš Jiří, Pánková Magdaléna, Chem. listy, 1955, 49, № 9, 1361—1362 (чеш.); Сб. чехосл. хим. работ, 1955, 20, № 6, 1426—1438 (англ.; рез. русс.)

С целью синтеза эпимерных 1,2-аминотолов изучена р-ция Δ²-оксазолинов с тиоуксусной к-той (I). *Цис*-(II) и *транс*-(III)-4-метил-2,5-дифенил-Δ²-оксазолин; *цис*-(IV) *транс*-(V)-2,4,5-трифенил-Δ²-оксазолин; *транс*-4-карбэтоксид-2,5-дифенил-Δ²-оксазолин (VI), 2-метил-4-карбэтоксид-5-фенил-Δ²-оксазолин (VII); *транс*-2-метил-4-карбэтоксид-5-*п*-нитрофенил-Δ²-оксазолин (VIII); *транс*-2-метил-4,5-дифенил-Δ²-оксазолин (IX); *цис*-4-метил-2-фенил-5-циклогексил-Δ²-оксазолин (X) и 2,4-дифенил-5-метил-Δ²-оксазолин (XI) реагируют с I, образуя стерически определенные CH₃COSCH(R)CH(R')NHCOR" (XII) (*трео* из *цис* и *эритро* из *транс*). *Цис*-2,5-дифенил-4-карбэтоксид-Δ²-оксазолин; *цис*-2-метил-4-карбэтоксид-5-фенил-Δ²-оксазолин (XIII); *цис*-2-метил-4-карбэтоксид-5-*п*-нитрофенил-Δ²-оксазолин (XIV); *транс*-2-фенил-4-метил-5-циклогексил-Δ²-оксазолин (XV) и *транс*-2,4-дифенил-5-метил-Δ²-оксазолин (XVI) или не реагируют с I или образуют маслянистые смеси, из которых не удалось выделить определенных продуктов. Среди 5-фенил-Δ²-оксазолинов *транс*-производные (III, V, VI, VII и IX) реагируют с I значительно быстрее, чем *цис*-производные (II и IV), это объяснено полярным влиянием C₆H₅-группы, которое проявляется в *транс*-формах (свободное вращение C₆H₅-группы) и подавлено в *цис*-формах благодаря *цис*-расположению заместителя в положении 4, и подтверждено изучением моделей *цис*- и *транс*-форм. *Цис*-2-фенил-4,5-триметил-Δ²-оксазолин (XVII) реагирует с I подобно II и дает S-ацетил-N-бензоил-*цис*-2-аминоциклопентантиол (XVIII). *Цис*-(XIX) и *транс*-(XX)-2-фенил-4,5-тетраметил-Δ²-оксазолин реагируют с I иначе. XIX дает нормальный продукт р-ции S-ацетил-N-бензоил-*транс*-2-аминоциклогексантиол (XXI) и N-ацетил-O-тионбензоил-*цис*-2-аминоциклогексантиол (XXII) примерно в равных кол-вах. XX дает только N-ацетил-O-тионбензоил-*транс*-2-аминоциклогексантиол (XXIII), что подтверждено кислотным гидролизом XXIII до *транс*-2-аминоциклогексантиола (XXIV) и образованием XXI при действии на XXIII Ag₂O (смесь диоксида-воды, 1 : 1, нагревание на водяной бане 1,5 часа) с выходом 81,5%. XXIII образуется, по-видимому, при циклизации промежуточно возникающего путем присоединения CH₃CO- и NH-групп к C = N 2-фенил-2-меркапто-N-ацетил-*транс*-4,5-тетраметил-оксазолидина; аналогично объяснено образованием XXII при р-ции XIX с I, подобный механизм подтвержден литературными аналогиями и рассмотрением пространственной конфигурации XIX и XX. Некоторые аминотолы получены р-цией I с

производными этиленимина. Оксазолины получены: А) нагреванием аминспирта с бензиминоэфиром (100—130°, 4—8 час.), выпариванием р-ра, кристаллизацией или хроматографированием остатка; В) растворением N-бензоильного производного аминспирта в конц. H_2SO_4 , перемешиванием (10 мин.), выливанием на лед, нейтрацией 30%-ным NaOH, извлечением эфиром и C_6H_6 ; С) смешиванием р-ра 0,1 моля аминспирта в $CHCl_3$ (10 мл), с р-ром 0,01 моля хлоргидрата этилацетиминоэфира в $CHCl_3$ (10 мл), нагреванием на водяной бане (30 мин.), разбавлением сухим эфиром, выпариванием фильтрата досуха, кристаллизацией или разгонкой; Д) перемешиванием р-ра 0,01 моля N-бензоильного производного спирта в $SOCl_2$ при 0° в течение 12 час. Получены (оксазолины, метод приготовления, выход в %, т. кип. в °C / мм или т. пл. в °C (p-ритель)): II, А, 87,6, 151/1; IV, А, 88,1—89,3, 83—84 (птр. эф.) и 102—103 (птр. эф.) (диморфные модификации); V, В, 73,5, 83—85 (птр. эф.) и 93—94 (CH_3OH) (диморфные модификации); XIII, С, 67, 130—131/0,5; VII, С, 87, 108—111/1; XIV, С, 78, 132 (сп.); VIII, С, 67, 89—90 (циклогексан); IX, А, 59, 160—161/0,65; X, А, 94, 81—83 (бнз.); XV, А, 91, 128/1; XI, А, 90, 143/0,55; XVI, D,—, 0,01 моля Δ^2 -оксазолина растворяют в 2—4 мл I, перемешивают при обычной т-ре или нагревают на водяной бане, выпаривают в вакууме досуха, получают XII (конфигурация, R, R', R'', т-ра в °C и время p-ции в час., выход в %, т. пл. в °C (p-ритель)): *трео*, C_6H_5, CH_3, C_6H_5 , 100, 5, 75, 133—135 (изопропанол); *эритро*, C_6H_5, CH_3, C_6H_5 , 100, 4 (или 20), 24, 72—79, 128—129,5 (изопропанол); *трео*, C_6H_5, C_6H_5, C_6H_5 , 100, 4, 38, 152 (изопропанол); *эритро*, C_6H_5, C_6H_5, C_6H_5 , 100, 2 (или 20, 12), 95 (или 75), 225 (бзл.); *трео*, $C_6H_5, COOC_2H_5, C_6H_5$, —, —, —; *эритро*, $C_6H_5, COOC_2H_5, C_6H_5$, 100, 4, 72, 96—98 (изопропанол); *эритро*, $C_6H_5, COOC_2H_5, CH_3$, 100, 0,5, 92, 97—98 (бзл.-птр. эф.); *эритро*, $p-NO_2C_6H_4, COOC_2H_5, C_6H_5$, 100, 1,73, 139—140 (бзл.-птр. эф.); *эритро*, C_6H_5, C_6H_5, CH_3 , 100, 41, 167—168 (изопропанол или бзл.); *трео*, C_6H_5, CH_3, C_6H_5 , 100, 5, 35, 125 (изопропанол или птр. эф.); *трео*, CH_3, C_6H_5, C_6H_5 , 100, 5, 54, 126—127 (изопропанол); XVIII, 100°, 1, 62,2, 136—137 (бзл.). 0,05 моля XVIII кипятят в 50 мл абс. спирта с 3 г изопропилата Al 6 час., выливают в 200 мл 5%-ной винной к-ты, извлекают этилацетатом, получают N-бензоил-*транс*-2-аминоциклопентантиол, выход 70%, т. пл. 126—128° (из бзл.). Из XIX и I (100° 2 часа) получают XXIII, выход 51,8%, т. пл. 159—160° (из бзл.-птр. эф.). Аналогично из XX и I получают XXII, т. пл. 139—140° (из бзл., птр. эф.), и XXI, т. пл. 120—121°. XXIV ацетилируют кетеном (вода, охлаждение, 10 мин.), получают N-ацетил-*транс*-2-аминоциклогексанол, выход колич., т. пл. 124—125° (из этилацетата), а из него бензоилированием XXI. К р-ру 0,01 моля циклогексенимина (XXIV) в 20 мл эфира и 25 мл 20%-ного NaOH добавляют (охлаждение льдом) 1,2 мл C_6H_5COCl в 10 мл эфира, из эфирного слоя выделяют N-бензоилциклогексенимин (XXV), выход 72,5%, т. пл. 77—78° (из бзл.-птр. эф.), 0,015 моля XXV смешивают с 0,6 мл I, получают XXI, выход 82,5%. Смешивают 0,01 моля XXIV в 3 мл C_6H_6 с 0,03 моля I в 3 мл C_6H_6 , одновременно кипятят, получают 300 мг N-ацетил-*транс*-2-аминоциклогексантиола, т. пл. 121—122° (из водн. сп.). Из *цис*-дифенилэтиленимина и I (100°, 4 часа) получают N,S-диацетил-*трео*-2-дифениламинтиол, выход 31%, т. пл. 140—141° (из водн. сп.).

Jan Kovář

78179. Исследования в области стереохимии. V. Синтез и конфигурация обоих рацемических β -фенилцистеинов. Сихер, Свобода, Фаркаш (Stereochemické studie. V. Synthesa, a konfigurace obou racemických β -fenylcysteinů. Sicher Jiří, Svoboda Miroslav, Farkaš Jiří), Chem. listy, 1955, 49, № 9,

1363—1374 (чеш.); Сб. чехосл. хим. работ, 1955, 20, № 6, 1439—1451 (англ.; рез. русс.)

Кислотный гидролиз этилового эфира N-бензоил-*трео*-(I) и N-бензоил-*эритро*- β -фенилцистеина (II) приводит к *трео*- β -фенилцистеину (III). Образование III из II объяснено полной изомеризацией промежуточно возникающего *цис*-2,5-дифенил-4-карбэтоксид- Δ^2 -тиазолина (IV) в *транс*-2,5-дифенил-4-карбэтоксид- Δ^2 -тиазолин (V) и подтверждено превращением синтетич. образца IV в V действием к-т и щелочей. Кислотный гидролиз этилового эфира N,S-диацетил-*эритро*-(VI) или N-ацетил-*эритро*- β -фенилцистеина (VII) наряду с III дает *эритро*- β -фенилцистеин (VIII), что объяснено неполной изомеризацией промежуточно образующегося 2-метил-4-карбэтоксид-5-фенил- Δ^2 -тиазолина (IX) из *цис*- в *транс*-форму. Щел. гидролиз V приводит к *транс*-2,5-дифенил-4-карбокси- Δ^2 -тиазолину (X); последний идентичен продукту, образуемому при щел. гидролизе 2-фенил-4-бензилдифенилазола-5 (XI), которому ранее ошибочно приписывалась структура α -тиобензамидокоричной к-ты (Лурье С. И., Гащенко Л. Г., Ж. общ. химии, 1952, 22, 262). Конфигурация III подтверждена превращением в этиловый эфир N,S-дибензоил-*трео*- β -фенилцистеина (XII). Конфигурация VIII подтверждена превращением в VI. 13,3 г 2-фенил-5-*п*-нитробензилдифенилазола кипятят со 100 мл абс. спирта и 5 мл конц. H_2SO_4 до растворения, получают этиловый эфир α -бензамидо-*п*-нитрокоричной к-ты (XIII), выход 80%, т. пл. 165—166° (из сп.). 34 г этилового эфира α -бензамидокоричной к-ты и 25 мл дихлоруксусной к-ты (XIV) нагревают на водяной бане 5 час., добавляют эфир, получают этиловый эфир N-бензоил-S-дихлорацетил-*трео*- β -фенилцистеина (XV), выход 47,1%, т. пл. 128—131° (из сп.); аналогично из XIII и XIV получен этиловый эфир N-бензоил-S-дихлорацетил-*трео*- β -*п*-нитрофенилцистеина, выход 37%, т. пл. 142—143° (из сп.). 0,005 моля XV и 0,005 моля изопропилата Al кипятят 4 часа в 50 мл спирта, выпаривают досуха, добавляют 15%-ный р-р винной к-ты, извлекают эфиром, получают I, выход 70,5%, т. пл. 125—126° (из изопропанола); аналогично из этилового эфира N-бензоил-S-дихлорацетил-*эритро*- β -фенилцистеина получен VIII, выход колич., т. пл. 117—119° (из изопропанола). I ацетилируют посредством $(CH_3CO)_2O$ в пиридине, получают этиловый эфир N-бензоил-S-ацетил-*трео*- β -фенилцистеина, т. пл. 126—128° (из изопропанола). IV кипятят 20 час. с насыщ. на холоду спирт, р-ром HCl, получают V. К спирт. р-ру IV или V добавляют спирт. р-р NaOH, соль разлагают HCl (к-та) и получают X, выход 92,3%, т. пл. 137—138° (из бзл.); Na-соль, т. пл. 262° (из сп.); пикрат, т. пл. 165—167° (из изопропанола); хлоргидрат, т. пл. 165—167° (из смеси изопропанол-эф.). X получен также из хлоргидратов III или VIII действием этилбензиминового эфира в сухом пиридине (перемешивание 24 часа в токе N_2), выход 46%. 1,65 г I кипятят 5 час. с 10%-ной HCl, получают 0,35 г X и 0,17 г хлоргидрата III, т. пл. 198—199° (из сп.-птр. эф.); аналогичные продукты дает II. XI кипятят 4 часа с насыщ. спирт. р-ром HCl, выпаривают досуха, добавляют воды, извлекают эфиром, эфирный слой выпаривают досуха и извлекают кипящим птр. эфиром, получают X, в остатке *цис*-изомер, т. пл. 93—94°. 48 г VI кипятят 10 час. с насыщ. спирт. HCl, получают хлоргидрат этилового эфира VIII, выход 37,2%, т. пл. 180—181° (из изопропанола-эф.); из маточного р-ра выделяют IX, выход 22,8%, т. кип. 125—130°/0,5 мм; кроме того получено 11,2 г неизученного в-ва с т. кип. 165—170°/0,8 мм. Хлоргидрат этилового эфира VIII нагревают на водяной бане с 10%-ной HCl 4 часа, получают хлоргидрат VIII, выход 57,1%, т. пл. 184—185° (из изопропанола-птр. эф.); аналогично из IX (нагревание с 10%-ной HCl 4 часа) получают хлоргидрат III, выход 43%; из VI (10%-ная HCl, нагревание 4 часа) получают также хлоргидрат VIII. VI нагревают с н.

NaOH 30 мин. (водяная баня), получают VII, выход 57%, т. пл. 169° (из воды). Кипятят VI 10 час. с р-ром Ba(OH)₂, получают N-ацетил-трео-β-фенилцистеин, т. пл. 146° (из воды). Хлоргидрат III кипятят 1 час со смесью равных объемов абс. спирта и насыщ. спирт. р-ра HCl, выпаривают в вакууме, досыпают petr. эфира, получают хлоргидрат этилового эфира III, выход 43%, т. пл. 148—149° (из сп.-петр. эф.); аналогично (кипячение 6 час.) получают хлоргидрат этилового эфира VIII. Ацетилированием хлоргидрата этилового эфира III (пиридин-(CH₃CO)₂O, 2:1, 2 часа) получают этиловый эфир N, S-диацетил-трео-β-фенилцистеина, т. пл. 105,5° (из бэл.-петр. эф.); аналогично с выходом 55,7% из хлоргидрата этилового эфира VIII получают VI. Из I и C₆H₅COCl в пиридине получен этиловый эфир N, S-дibenzoил-трео-β-фенилцистеина, т. пл. 180—182° (из сп.); аналогично из хлоргидрата этилового эфира VIII получен этиловый эфир N, S-дibenzoил-эритро-β-фенилцистеина, т. пл. 160—161°.

Jan Kovář.

78180. Исследования в области стереохимии. VI. Конфигурация 1-фенилпропандиола-1,2; стерический ход расщепления *цис*- и *транс*-оксид-1-фенил-2-метилэтилена. Свобода, Зихер (Stereochemische studie. VI. Konfiguration 1-fenylpropan-1,2-diolu; sterický průběh štěpení *cis*- a *trans*-1-fenyl-2-methylethylenoxydu. Svoboda Miroslav, Sicher Jiří) Chem. listy, 1955, 49, № 9, 1375—1378 (чеш.) Сб. чехосл. хим. работ, 1955, 20, № 6, 1452—1455 (англ.; реф. русс.)

Окисление *цис*-(I) и *транс*-ω-метилстирола (II) надмравниной к-той (HCOOH, 38,5%-ная H₂O₂, 40°, 45 мин., обычная т-ра 15 час.) не проходит стерически однородно, восстановление полученных неочищ. моноформатов посредством LiAlH₄(C₆H₅)₂ эфир, нагревание 1 час в обоих случаях приводит к маслянистой смеси эфиров, которую удалось разделить хроматографически на Al₂O₃ (р-тель C₆H₆) на α-(III), т. пл. 53°, и β-(IV) 1-фенилпропандиол-1,2, т. пл. 82—93° (см. Zincke T. Zahn V., Ber., 1910, 43, 849). Гидролитич. расщепление чистых оксидов *транс*- и *цис*-1-фенил-2-метилэтилена (V, VI) также привело к смеси III (80% в случае V) и IV (63% в случае VI). Сравнением III и IV с синтетич. образцами *эритро*- и *трео*-1-фенилпропандиола-1,2, полученных окислением I и соответственно II KMnO₄, установлено, что III принадлежит конфигурации *трео*, IV — *эритро*. V получен окислением II надфталевой к-той (Stevens P. G. и др. J. Amer. Chem. Soc., 1940, 62, 1424), выход 79,8%, т. кип. 93—95°/15—16 мм, n_D²⁰ 1,5118; аналогично из I получен VI, выход 73,5%, т. кип. 78—80°/15 мм, n_D²⁰ 1,000. К 0,044 моля I при —10° за 6 час. добавлен р-р 0,66 моля KMnO₄ и 10 г MgSO₄·7H₂O в 30 мл воды, фильтрат выпарен в вакууме, остаток извлечен эфиром, получен IV, выход 37%; аналогично из III с выходом 51% получен III.

Jan Kovář.

78181. 3-о-толил-2-о-толилиминотиазolidон-4 и его производные. Бхаргава, Каул (3-o-tolyl-2-o-tolylimino-4-thiazolidone and its derivatives. Bhargava P. N., Kaul C. L.), J. Scient. Res. Banaras Hindu Univ., 1955—1956, 6, № 1, 38—45 (англ.)

Конденсацией *симм*-ди-о-толилимочевины (I) с ClCH₂COOH получен 3-о-толил-2-о-толилиминотиазolidон-4 CH₃C₆H₄N=C—N(C₆H₄CH₃)COCH₂S (II). Строение II

подтверждено р-циями на СО-группу, наличием CH₂-группы (конденсации с альдегидами) и гидролизом в 3-о-толилтiazolidиндион-2,4 (III). Конц. спирт. р-р NaOH количественно разлагает II на *симм*-ди-о-толилимочевину и меркаптоуксусную к-ту. Смесью 10 г о-толуидина, 8 мл CS₂, 10 мл 40%-ного р-ра NaCN и 10 мл абс. спирта кипятят 3 часа, отгоняют избыток CS₂ и спирт, неочищ. I промывают разб. HCl, выход 90%, т. пл. 161° (из абс. сп.); нагревание свыше 4 час.

уменьшает выход. При применении вместо NaOH 14 мл 40%-ного р-ра KOH (3—3,5 часа) выход I 93%; с пиридином + J₂ выход 75,7%. Смесью 2,56 г I, 1,5 г ClCH₂COOH, 3,5 г безводн. CH₃COONa и 25 мл абс. спирта кипятят точно 3 часа, отгоняют спирт и выливают остаток в воду, выход II 91,2%, т. пл. 152° (из сп.); семикарбазон, т. пл. 156° (из абс. сп.); фенилгидразон, т. пл. 155° (из сп.); 2,4-динитрофенилгидразон, т. пл. 157—158° (из абс. сп.). Р-р 3 г II, 1,5 г бензальдегида, 4 капель пиридина в 20 мл C₆H₆ кипятят 4 часа. Остаток после отгонки C₆H₆ промывают разб. HCl и горячей водой, получают 5-бензилден-II, т. пл. 95° (из сп.). Аналогично получены следующие 5-замещ.-II (перечисляются альдегид или кетон и т. пл. в °C): *п*-диметиламинобензальдегид (с избытком II), 65; анисовый альдегид, 131; ацетон (ацетон вместо C₆H₅), 141; *п*-хлорацетофенон, 147. 4 г II в 30 мл ацетона обрабатывают (1 час) 2 г CrO₃, кипятят 1 час, отгоняют ацетон, выливают в воду и неочищ. сульфен II растворяют в спирте, т. пл. 134°. Смесью 5,2 г II, 20 мл абс. спирта и 25 мл разб. HCl нагревают 100°, 4 часа, выливают в воду и отфильтровывают III, т. пл. 154° (из бэл.); в фильтрате доказано наличие о-CH₃C₆H₄NH₂·HCl. Б. Д.

78182. Производные тиазола из карбэтокситиомочевин. Росси (Composti tiazolici dalla carbetositiourea. Rossi Silvano), Gazz. chim. ital., 1955, 85, № 7—8, 898—907 (итал.)

При действии S-карбэтокситиомочевин (I) на α, β-дибромэтиловый эфир (II) и α, β-дибромэтилацетат (III) образуются не производные меркаптоимидзола, а соответственно N-карбэтоксид-2-аминотиазол (IV) и 2-ацетаминотиазол (V). Строение IV подтверждено гидролизом разб. HCl до 2-аминотиазола (VI) и образованием IV при ацилировании VI посредством ClCOCC₂H₅ (водн. р-р + NaHCO₃). Образование IV из I и II объяснено предварительным разложением I под влиянием NaHCO₃ на N, N-дикарбэтокситиомочевину (VII) и тисмочевину (VIII) с последующим гидролитич. распадом VII на карбэтокситиомочевину (IX), N,N'-дикарбэтокситиомочевину (X) и карбэтокситиомочевину (XI). Строение X доказано превращением X в спирт. р-ре аммиачного AgNO₃ (12 час.) в N,N'-дикарбэтоксигуанидин. Строение XI подтверждено образованием ω, ω'-дифенилбурета при длительном нагревании XI с 2 молями анилина. При непродолжительном нагревании IX (или VII) с II в воде + NaHCO₃ (30—40°) образуется IV. Аналогичная р-ция между X и II (вода, NaHCO₃, 45—50°, затем 60—70°, 30 мин.) приводит к 3-карбэтоксид-2-тиазолонкарбэтоксинимиду, т. пл. 270—275° (из воды, этилацетат или бэл.), который при кипячении (4 часа) с 10%-ной HCl дает IV и VI (выделен из маточного р-ра после отделения IV). Образование V из I и III объяснено аналогично и подтверждено получением V при взаимодействии III с VIII (вода, 40—50°, NaHCO₃ или водно-пиридиновый р-р). При р-ции I с хлорацетоном (XII) или с-бромацетофеноном образуются 2-амино-4-метилтиазол (XIII) и соответственно 2-амино-4-фенилтиазол (XIV). К смеси 10 г хлоргидрата I, 30 мл воды и 13 г II понемногу прибавляют 14 г NaHCO₃, одновременно нагревают при 30—40°, извлекают этилацетатом, выделяют IV, т. пл. 153° (из этилацетата). Аналогично из I и III (40—50°) получают V, т. пл. 201—203° (из этилацетата и воды). 126 г VII и 4 г воды кипятят 15—20 мин., при охлаждении выпадают 23 г X, т. пл. 108—109°, из маточного р-ра выделяют 13 г IX и XI. К смеси 30 г хлоргидрата I, 100 мл воды, 20 мл спирта и 15 г XIII понемногу прибавляют 27,5 г NaHCO₃, нагревают кратковременно при 60°, извлекают эфиром, удаляют эфир, добавляют 20 мл воды, обрабатывают водн. р-ром HgCl₂, осадок отделяют и весь его в воде обрабатывают H₂S после подкисления несколькими каплями конц. HCl, фильтрат выпаривают досуха в вакууме, р-р остатка в воде подщелачивают K₂CO₃, извлекают эфиром, разгонкой выделяют XIII, т. кип. 70°/0,4 мм,

т. пл. 41—42°; нитрат, т. пл. 182° (из воды); роданид, т. пл. 114—115° (из бзл.). Аналогично получают XIV (выделен экстракцией C_6H_6 после разбавления реакционной смеси), т. пл. 147—148° (из бзл.). Л. Я.

78183. Производные тиазола. VII. β -(2-амино-4-метил-5-тиазолил)-этилизотиурониевая соль. 2. Танида, Тамура, Сава VIII. Синтез дитиазолилсульфида 1. Маэда, Сава (チアツォール誘導體の研究. 第7報. β -(2'-Amino-4'-methyl-5'-thiazolyl)-ethylisothiuronium 鹽に就いて. その2. 谷田博, 田村郁子, 澤芳郎. 第8報. Dithiazolyl sulfide 誘導體の合成. その1 前田豊三, 澤芳郎), 藥學雜誌, Якугаку дзасси, J. Pharmac. Soc. Japan, 1954, 74, № 6, 652—654; 1955, 75, № 6, 656—658 (япон.; рез. англ.)

Сообщение VII. Смесь 5 г $\text{CH}_3\text{COCNCHClCH}_2\text{CH}_2\text{Cl}$ и 5,4 г $(\text{NH}_2)_2\text{CS}$ нагревают на водяной бане, продукт р-ции промывают абс. спиртом, получают 8,8 г β -(2-амино-4-метил-5-тиазолил)-этилизотиурониевой соли (I). Из $\text{CH}_3\text{COCNCHClCH}_2\text{CH}_2\text{OH}$ и $(\text{NH}_2)_2\text{CS}$ получен 2-амино-4-метил-5-(2-оксизтил)-тиазол (II), т. пл. 90—92°; хлоридат, т. пл. 154°; пикрат, т. пл. 209° (разл.). 1,6 г II и 8 г $(\text{CH}_3\text{CO})_2\text{O}$ нагревают 1 час на водяной бане, получают 1,3 г 2-ацетиамидо-4-метил-5-(ацетоксизтил)-тиазола (III), т. пл. 127° (из воды). 10,1 г III растворяют в 5%-ном NaOH, р-р экстрагируют этилацетатом, удаляют р-ритель и остаток перекристаллизовывают из этилацетата, выход 2-ацетиамидо-4-метил-5-(2-оксизтил)-тиазола (IV) 7,2 г т. пл. 161—162°. 4 г IV в 60 мл CHCl_3 обрабатывают 4 г SOCl_2 ; после удаления р-рителя получают 5-хлор-4-метил-5-оксизтилтиазол (V); пикрат, т. пл. 189—190°. V нагревают с 1,5 г $(\text{NH}_2)_2\text{CS}$ 1 час при 100°, продукт р-ции омыляют нагреванием с 80 мл 4%-ной HCl; при упаривании р-ра выделяют 3,9 г I. Chem. Abstrs, 1954, 48, № 18, 10737. K. Kitsuta.

Сообщение VIII. При действии 1,2 моля H_2O_2 на 21 г 2-меркапто-4-метил-5-оксизтилтиазола (I) в среде 20%-ной HCl образуется 4-метил-5-оксизтилтиазол (II), выход 89—93%, т. кип. 127—128°/4 мм. Аналогично из 2-меркапто-4-метил-5-ацетоксизтилтиазола (III) получают II. Р-ция 20 г III с 1,2 моля H_2O_2 в конц. HCl дает 11,6 г II и побочный продукт — 2-хлор-4-метил-5-оксизтилтиазол (IV), т. кип. 144—146°/6,5 мм; при недостаточном кол-ве H_2O_2 (1 моль) из 20 г III в конц. HCl получают II, выход 7,5 г, и бис-(4-метил-5-оксизтилтиазолил-2)-сульфид (V), выход 2 г, т. пл. 127,5—128°. В аналогичных условиях из I и H_2O_2 получают также II и IV или II и V. V синтезируют также из I и IV. При окислении V ($\text{H}_2\text{O}_2 + \text{CH}_3\text{COOH}$) получают бис-(4-метил-5-ацетоксизтилтиазолил-2)-сульфон, т. пл. 104—106°; обработка последнего 2 н. H_2SO_4 приводит к бис-(4-метил-5-оксизтилтиазолил-2)-сульфону, т. пл. 147—148°. Сообщение VI см. РЖХим, 1956, 47011. Т. А.

78184. Исследование соединений, используемых в терапии. XXXV. Синтез гетероциклических производных гидразина и их действие на туберкулезную палочку. 2. Бан, Сиракава, Йонэда. XXXVI. О производных 2-гидразинопиридина (1). Сиракава (治療法藥の研究. 第35報. 異項環ヒドラジン化合物の合成並びにその結核菌に対する作用. その2. 伴彰一, 白川研蔵, 米田雅彦. 第36報. 2-Hydrazinopyrimidine 誘導體について. その1. 白川研蔵), 藥學雜誌, Якугаку дзасси, J. Pharmac. Soc. Japan, 1953, 73, № 6, 601—605; 635—639 (япон.; рез. англ.)

Сообщение XXXV. Получен и испытан на антибактериальную активность ряд гидразиновых производных пиридина, пиримидина и тиазола. К р-ру 2,3 г *п*-ацетиаминбензальдегида (I) в 40 мл 50%-ной CH_3COOH добавляют 1,5 г 2-гидразинопиридина, нагревают до растворения, добавляют 50 мл воды и упаривают в вакууме; фильтрат обрабатывают Na_2CO_3 , получают пиридил-2-гидразон *п*-ацетиаминбензальдегида, выход 84%, т. пл. 270—271° (из 90%-ного сп.). Аналогично из 1,8 г 2-гидразинопиридина (II) в 50 мл 50%-ной CH_3COOH и 1,3 г I (нагревание 20 мин.)

получают пиримидил-2-гидразон *п*-ацетиаминбензальдегида т. пл. 275—277° (из CH_3OH); из 0,6 г 2-гидразино-4-метилпиримидина (III) в 5 мл CH_3COOH и 3 мл воды и 0,8 г I — 4-метилпиримидил-2-гидразон *п*-ацетиаминбензальдегида, т. пл. 228° (из разб. сп., после 6 час. сушки в вакууме при 110°; при 128—130° теряет кристаллизационную воду); из I г 2-гидразино-4-метил-6-оксипиримидина в 10 мл 70%-ной CH_3COOH и 1,2 г I — 4-метил-6-оксипиримидил-2-гидразон *п*-ацетиаминбензальдегида, т. пл. 300° (из сп.). Смесь 1,7 г 2- β -ацетилгидразин-4-метилтиазола и 40 мл 2%-ной HCl нагревают 30 мин., добавляют 1,4 г NaOCOCN_2 и 1,6 г I, нагревают несколько минут, получают 4-метилтиазолил-2-гидразон *п*-ацетиаминбензальдегида (IV), т. пл. 247° (из разб. сп.). IV получают также нагреванием смеси 1,2 г тиосемикарбазона *п*-ацетиаминбензальдегида (V), 30 мл спирта и 0,7 г бромацетона. Смесь 0,34 г I и 0,4 г 2-гидразино-4-фенилтиазола (VI) растворяют при нагревании в 50 мл спирта, добавляют 10 мл CH_3COOH и получают 4-фенилтиазолил-2-гидразон *п*-ацетиаминбензальдегида (VII), т. пл. 250—255° (разл.; из сп. + лед. CH_3COOH , 1 : 1). VII также получают нагреванием смеси 2,4 г V, 50 мл спирта и 2 г α -бромацетона. Смесь (1 : 1) коричневого альдегида и гидразида изоникотиновой к-ты (VIII) нагревают в 50%-ном спирте, получают изоникотинилгидразон коричневого альдегида, т. пл. 198° (из дихлорэтана). Аналогично из фурфурола и VIII (1 : 1) получен изоникотинилгидразон фурфурола, т. пл. 212—213° (из сп. или дихлорэтана). К 1,2 г изоникотиновой к-ты (IX) и 50 мл абс. пиридина при 0° добавляют 1,2 г SOCl_2 и затем р-р 1,1 г II в 30 мл абс. пиридина, охлажд. < 0°, оставляют на 2 дня, отгоняют пиридин в вакууме, остаток обрабатывают NaOH и получают 2-3-изоникотинилгидразинопиридин (X), т. пл. 213—215° (из CH_3OH). X получен также нагреванием 20 мин. при 140—145° смеси 2,6 г фенилизоникотината (XI), 1,5 г II и 2 г безводн. NaOCOCN_2 с последующим разложением продуктов р-ции водой, выход 2 г. Аналогично предыдущему из 1,4 г IX в 10 мл абс. пиридина, 1,5 г SOCl_2 и 1,4 г III в 10 мл абс. пиридина, получают 2-3-изоникотинилгидразино-4-метилпиримидин (XII), выход 80,6%, т. пл. 195—196° (из этилацетата, после сушки 8 час. при 60°; при 130—135° теряет кристаллизационную воду). XII также получают нагреванием 30 мин. при 130° смеси 1,3 г III, 2 г XI и 2 г безводн. K_2CO_3 с последующей обработкой водой. Смесь 2,6 г тиосемикарбазона ацетона, 4,9 г α -бром-*п*-нитроацетона и 50 мл спирта нагревают на водяной бане до выпадения кристаллов 2-изопропилиденгидразино-4-(*п*-нитрофенил)-тиазола, т. пл. 222—224° (разл.; из сп.). 4,5 г тиосемикарбазиди растворяют в 60 мл горячей воды, добавляют 50 мл ацетона, кипятят и добавляют 9 г γ -хлор- γ -ацетопропилацетата, нагревают, отгоняют ацетон, остаток нагревают 30 мин. с 5 мл конц. HCl, нейтрализуют р-ром NH_3 при 0° и получают 2-изопропилиденгидразино-4-метил-5-9-оксизтилтиазол, т. пл. 156—158° (из этилацетата и дихлорэтана). 2-Бензилиденгидразино-4-фенилтиазол получен р-цией тиосемикарбазона бензальдегида (XIII) с α -бромацетона в спирте или р-цией бензальдегида (XIV) с VI в разб. CH_3COOH , т. пл. 190—191° (из сп.). 2-Бензилиденгидразин-4-метил-5-карбозокситиазол получен р-цией XIII и этилового эфира α -хлорацетоуксусной к-ты в спирте или р-цией XIV с 2-гидразин-4-метил-5-карбозокситиазола с разб. CH_3COOH , т. пл. 195—197° (из дихлорэтана или разб. ацетона). На антибактериальную активность испытаны также 2-изопропилиденгидразино-4-фенилтиазол (см. Bose, J. Indian Chem. Soc., 1924—1925, I, 51) и 4,5-замещ. гидразино-2-тиазолы. Из всех соединений некоторой активностью обладают только изоникотинилгидразоны и 2-3-ацетилгидразинотиазол. М. Р.

Сообщение XXXVI. 2-нитрамино-4-метил-6-оксипиримидин (I) синтезирован нагреванием (1,5 часа) спирт. р-ра $\text{C}_2\text{H}_5\text{ONa}$ (из 2,3 г Na и 100 мл сп.), 13 г ацетоуксусного эфира и 8 г нитрогуанидина, выход 19 г, т. пл. 224° (разл.).

2-Амино-4-метил-5-нитро-6-оксипиридин (II) получен прибавлением 5 г I к 10 мл конц. H_2SO_4 (перемешивание 3 часа, 15–20°), выход 4,4 г, т. пл. > 300°; или 28 г азотнокислого 2-амино-4-метил-6-оксипиридина добавлено к 56 мл конц. H_2SO_4 (т-ра 5°), смесь перемешана 1 час при 0° и 30 мин. при 15–20°, получен II (24 г). Электролитич. восстановление 3,4 г II в 50 мл 10%-ной HCl (катод Sn, анод Pt) дало 3,1 г 2,5-диамино-4-метил-6-оксипиридина (III), хлоргидрат, т. пл. 264° (из 70%-ного сп.); перекристаллизацией из воды получен III, т. пл. 281–282°. При нагревании (10 мин., водяная баня) 0,5 г I с 4 мл 80%-ного гидразингидрата получен 2-гидразин-4-метил-6-оксипиридин (IV), выход 0,3 г, т. пл. ~ 240° (разл.); пикрат, т. пл. 226° (разл.). 1,4 г IV нагрето 20 мин. с 40 мл 2%-ного NaOH и 2,5 г $\text{Cu}(\text{OH})_2$, после подкисления CH_3COOH , выпаривания и экстрагирования остатка 150 мл уксусно-этилового эфира, отгонки эфира и вновь экстрагирования 100 мл CHCl_3 получен 4-метил-6-оксипиридин, т. пл. 147–148° (из бзл., потом сп.). При прибавлении р-ра I к бенальдегиду в 5 мл эфира к р-ру 1,4 г IV в 30 мл горячей воды получено 2 г 2-бензильдегидгидразин-4-метил-6-оксипиридина, т. пл. 236–238° (из сп.). При нагревании 3 г IV с 35 мл 20%-ной HCl (5 час.) получено 2,2 г 2,6-диокси-4-метилпиридина, т. пл. 317°, прибавлением к маточному р-ру 30%-ной H_2SO_4 осаждено 2,3 г сернокислого гидразина, т. пл. 263°. Установлено, что в-ва, полученные ранее и названные I и IV (см. J. Chem. Soc. Japan, Pure Chem. Sec. 1952, 73, 862) оказались соответственно II и III. Предыдущее сообщение см. РЖХим, 1956, 44657. С. И. 78185.

Синтезы органических оснований. VIII. Синтезы гетероциклических производных пропиламина. I. С. Унагава, Окада, Хамацу (有機窒素の合成に關する研究. 第8報. 異環環含有プロピルアミン誘導体の合成. その1. 砂川玄俊, 岡田清治, 浜津洋), 薬學雜誌, Якугаку дзасси, J. Pharmac. Soc. Japan, 1953, 73, № 8, 879–882.

22,5 г $(\text{CH}_3)_2\text{CHCH}_2\text{CHO}$ и 40 г SOCl_2 выдерживают 2 часа при 25–28°, выливают в ледяную воду, получают 26 г неочищ. $(\text{CH}_3)_2\text{CHCH}_2\text{Cl}$ (I); 17 г $\text{CS}(\text{NH}_2)_2$. I и 10 мл воды нагревают 3–4 часа на водяной бане, получают 16 г 2-амино-5-изопропилтиазола (II), из которого р-цией Зандмейера получают 6,2 г 2-хлор-5-изопропилтиазола, т. кип. 80–87°/16 мм. К 4,7 г NaNH_2 в 40–50 мл толуола при 0° добавляют 18,8 г $\text{C}_6\text{H}_5\text{CH}(\text{CN})\text{CH}_2\text{CH}_2\text{N}(\text{CH}_3)_2$ и 12,9 г 2-хлор-4-метилпиридина в 50 мл толуола, выдерживают 1 час при ~20°, кипятят 2,5 часа и перегоняют, получают $\text{p-RC}_6\text{H}_4\text{CR}'(\text{CN})\text{CH}_2\text{CH}_2\text{N}(\text{CH}_3)_2$ (III) ($\text{R} = \text{H}$, $\text{R}' = 4$ -метил-2-пиримидил (IV)), т. кип. 184–185°/2 мм. Аналогично получают III ($\text{R} = \text{Cl}$, $\text{R}' = \text{IV}$), выход 32,1%, т. кип. 200–222°/2 мм. К 3,8 г NaNH_2 в 40–50 мл толуола добавляют (0°) 17,8 г $\text{p-ClC}_6\text{H}_4\text{CH}(\text{CN})\text{CH}_2\text{CH}_2\text{N}(\text{CH}_3)_2$ и 50 мл толуола (0–10°), нагревают 1,5–2 часа, охлаждают до 50°, прибавляют по 11,8 г 2-хлор-4,5-диметилтиазола и толуола, смесь кипятят 3–4 часа, перегоняют и получают III ($\text{R} = \text{Cl}$, $\text{R}' = 4,5$ -диметил-2-тиазолил (V)), выход 74,6%, т. кип. 182–183°/2 мм; аналогично синтезированы другие III (приведены R, R', выход в % и т. кип. в °C): Cl, 2-пиримидил (VI), 60, 190–200°/2 мм; H, VI, 61, 180–184°/2,5; Cl, 2-тиазолил (VII), 53,1, 180–194°/2; H, VII, 74,2, 158–159°/1; Cl, 4-метил-2-тиазолил (VIII), 60, 170–172°/1; H, VIII, 71,2, 160–165°/1; Cl, 2,4-диметил-5-тиазолил (IX), 27, 205–210°/2; H, IX, 16,7, 173–174°/2,5; H, V, 52,2, 182–183°/2; Cl, 5-метил-2-тиазолил (X), 63,4, 166–171°/1; H, X, 44,3, 175–179°/2; Cl, 5-этил-2-тиазолил (XI), 54, 180–183°/2; H, XI, 39,5, 160–168°/1,5; Cl, 5-изопропил-2-тиазолил (XII), 57,7, 180–183°/2. 7,7 г α -(5-изопропил-2-тиазолил)- α -(p -хлорфенил)- α -(2-диэтиламиноэтил)-ацетонитрила и 20 мл 75%-ной H_2SO_4 нагревают 1,5 часа при 140°, охлаждают, продукт выливают в ледяную воду, р-р подщелачивают, маслянистый слой экстрагируют бензолом и перегоняют, получен $\text{p-RC}_6\text{H}_4\text{CHR}'\text{CH}_2\text{CH}_2\text{N}(\text{CH}_3)_2$ (XIII), ($\text{R} = \text{Cl}$, $\text{R}' = \text{XII}$), выход 82,5%, т. кип. 162–

163°/2 мм; малеат, т. кип. 134–135°. Другие аналоги XIII (даны R, R', выход в %, т. кип. в °C/мм, т. пл. малеата в °C): Cl, IV, 75, 163–164°/1, 148; H, IV, 75,5, 162–163°/2, 127; Cl, VI, 83,2, 152–153°/2, 153–154; H, VI, 88,3, 152–153°/2, 121; Cl, VII, 92,9, 158–160°/2, 118–119; H, VII, 94,5, 128°/1, 109–110; Cl, VIII, 78,5, 151°/1, 126–127; H, VIII, 93, 141°/1, 99–100; Cl, IX, 22,9, 183–185°/3, 137–138; H, IX, 27, 163–163,5°/1,5, 155–156; Cl, V, 88, 163–165°/2, 150–151; H, V, 89,8, 149–152°/1, 110–111; Cl, X, 65,8, 152–155°/1, 128–129; H, X, 69,9, 148–150°/1, 109–110; Cl, XI, 84,3, 158–159°/1, 122–124; H, XI, 74,5, 146–148°/2, 110–111. Сообщение VII см. Такасаки кэнкюсё нэмпо, 1952, 4, 40.

Chem. Abstrs, 1954, 48, № 15, 8777.

K. Kitsuta.

78186. Циклизация замещенных N-тиокарбамоилглицинов и некоторые мероцианиновые красители, полученные из продуктов циклизации. Джеффрис (The cyclization of substituted N-thiocarbamoylglycines, and some merocyanine dyes derived from the products. Jeffries R. A.), J. Chem. Soc., 1954, July, 2221–2230 (англ.). Исследованы условия циклизации $\text{RNHCSNHCH}_2\text{COOH}$

(I). Найдено, что при воздействии минер. к-т или $(\text{CH}_3\text{CO})_2\text{O}$ I превращаются соответственно в $\text{H}_2\text{CCONRCSNH}$ (II) или 1-ацетил-II (III), при воздействии PBr_3 — в $\text{H}_2\text{CCOSC}(\text{NHR})=\text{N}$ (IV). Из II, III и IV

получен ряд мероцианиновых красителей, имеющих строение $\text{X} = (\text{CHCH})_n = \text{CCONRCSNR}'$ (V) или

$\text{X} = (\text{CHCH})_n = \text{CCOSC}(\text{NHR})=\text{N}$ (VI) соответственно,

где X = N-этил-А-илиден-2 (А означает тиазолидин, бензотиазолидин или другие гетероциклы). По ранее описанному методу (Aubert и др., J. Chem. Soc., 1951, 2185) синтезированы следующие I (приведены R, выход в %, т. пл. в °C (из эф.- CH_3OH , прибавлением петр. эф.): CH_3 , 68, 171 (разл.); C_2H_5 , 72, 170 (разл.); CH_3COOH , 36, 170 (разл.); C_6H_{17} , 20, 125 (из этилацетата-петр. эф.); $\text{C}_6\text{H}_5\text{CH}_2$, 60, 189; цикло- C_6H_{11} , 40, 156 (из этилацетата-петр. эф.). Аналогично получен N-(N'-диметилтиокарбамоил)-глицин, выход 50%, т. пл. 177° (из эф.- CH_3OH , прибавлением петр. эф.). I ($\text{R} = \text{p}$ -толил (Ia) получен гидролизом II ($\text{R} = \text{p}$ -толил) (IIa) (Ghosh, J. Indian Chem. Soc., 1937, 14, 113), т. пл. 148° (из воды). Кипячением (0,5 часа) 5 г I с 25 мл 2 н. HCl и 20 мл спирта получены IIa и другие II (приведены R и т. пл. в °C): CH_3 (IIb), 162; C_2H_5 , 144 (из этилацетата-петр. эф.); CH_3COOH , 212. Смесь 5 г Ia нагревают 30 мин. с 30 мл $(\text{CH}_3\text{CO})_2\text{O}$, получают III ($\text{R} = \text{p}$ -толил, $\text{R}' = \text{CH}_3\text{CO}$) (IIIa), выход 4,4 г, т. пл. 157° (из сп.). К 5,3 г $\text{p-ClC}_6\text{H}_4\text{NCS}$ в 10 мл эфира добавляют при охлаждении в атмосфере N_2 2,5 г $\text{CS}_2\text{NHCH}_2\text{CN}$ в 10 мл эфира; через 1 час отделяют полученное масло, кипятят его 1 час с 50 мл 2 н. HCl; получают III ($\text{R} = \text{p}$ -толил, $\text{R}' = \text{CH}_3$), выход 4,6 г, т. пл. 149° (из $\text{iso-C}_3\text{H}_7\text{OH}$). IIa при ацетилировании дает IIIa; гидролиз III ($\text{R} = \text{CH}_3$, $\text{R}' = \text{CH}_3\text{CO}$) ведет к IIb. К 0,01 моля I в 20–40 мл диоксана добавляют при охлаждении и перемешивании 0,01 моля PBr_3 , затем 20–40 мл эфира; этим способом получают с выходом 90–100% бромгидраты следующих IV (приведены R и т. пл. в °C (разл.): CH_3 , 170; C_2H_5 , 203; CH_3COOH , 138; C_6H_{17} , 192; бензил, 196; цикло- C_6H_{11} , 231; p -толил, 170. Смесь 0,01 моля II или III, 0,01 моля $(\text{C}_2\text{H}_5)_3\text{N}$ и 0,01 моля иодэтлата А, замещ. в положении 2 алкилтио-2'-ацетанилидовинил- или 4-ацетанилидобудиаден-1,3-ил-группой, нагревают в спирте на паровой бане 5–15 мин. Этим общим способом синтезированы следующие V (приведены A, R, R', выход в %, т. пл. в °C): бензотиазолин (VII), 0, C_2H_5 , H, 84, 248 (из пиридина- CH_3OH); VII, 0, C_2H_5 , CH_3CO , 70, 243 (из этилацетата); тиазолидин (VIII), 1, C_2H_5 , H, 90, 205 (из

CH₃OH-этилацетата-пептр. эф.); VIII, 1, C₂H₅, CH₃CO, 61, 179 (из CH₃OH-этилацетата-пептр. эф.); VIII, 1, C₂H₅, COC₂H₅, 47, 160 (из бэл.-пептр. эф.); бензоксазолин (IX), 1, CH₃, H (Va), 67, 304 (разл.; из пиридина-сп.); IX, 1, H, CH₃ (Vb), 85, 310 (из пиридина-CH₃OH); IX, 1, CH₃, CH₃CO, 85, 204 (из пиридина-бэл.-пептр. эф.); IX, 1, C₂H₅, H (Vb), 86, 285 (из бэл.-пептр. эф.); IX, 1, C₂H₅, CH₃CO (Vr), 50, 212 (из бэл.-пептр. эф.); IX, 1, C₂H₅, COC₂H₅ (Vd), 22, 195 (из бэл.-пептр. эф.); IX, 1, CH₃COCH₃, H, 10, 279 (разл.; из CH₃OH-эф.); IX, 1, CH₃COCH₃, COCH₃, 15, 243 (из сп.-эф.); IX, 1, *m*-C₆H₁₇, COCH₃, 25, 176 (из сп.); IX, 1, бензил, COCH₃ (Ve), 66, 220 (из бэл.-пептр. эф.); IX, 1, *p*-толил, H (Vж), 90, 288 (разл.; из пиридина-сп.); IX, 1, *p*-толил, CH₃, 82, 243 (из пиридина-сп.); IX, 1, *p*-толил, COCH₃, 50, 237 (из пиридина-сп.); VII, 1, CH₃, H (Vз), 94, 317 (разл.; из пиридина-CH₃OH); VII, 1, H, CH₃, 90, 284 (из пиридина-пептр. эф.); VII, 1, CH₃, COCH₃, 70, 211 (из пиридина-CH₃OH); VII, 1, C₂H₅, H (Vm), 80, 368 (из пиридина-CH₃OH); VII, 1, C₂H₅, COCH₃ (Vк), 71, 201 (из бэл.-пептр. эф.); VII, 1, CH₃COOH, H, 25, 280 (из пиридина-пептр. эф.); VII, 1, *m*-C₆H₁₇, COCH₃, 30, 180 (из бэл.-пептр. эф.); VII, 1, бензил, COCH₃, 55, 210 (из бэл.-пептр. эф.); VII, 1, циклогексил, COCH₃, 25, 221 (из бэл.-пептр. эф.); бензоксазолин (X), 1, C₂H₅, H, 80, 310 (из пиридина-CH₃OH); X, 1, C₂H₅, COCH₃, 80, 243 (из бэл.-пептр. эф.); нафт-(1':2'—4, 5)-оксазолин, 1, бензил, COCH₃, 60, 320 (из пиридина-CH₃OH); нафт-(1':2'—4:5)-тиазолин (XI), 1, C₂H₅, H, 85, 213 (из бэл.); XI, 1, C₂H₅, COCH₃, 57, 210 (из бэл.-пептр. эф.); 1, 2-дигидрохинолин (XII), 1, C₂H₅, H, 81, 278 (из пиридина-CH₃OH); XII, 1, C₂H₅, COCH₃, 60, 207 (из пиридина-CH₃OH); 1, 4-дигидрохинолин (XIII), 1, C₂H₅, H, 65, 237 (из пиридина-CH₃OH); XIII, 1, C₂H₅, COCH₃, 16, 184 (из бэл.-пептр. эф.); 4, 5-дифенилоксазолин (XIV), 1, C₂H₅, H (Va), 76, 283 (из пиридина-CH₃OH); XIV, 1, C₂H₅, COCH₃, 14, 200 (из бэл.-пептр. эф.); 4, 5-дифенилтиазолин (XV), 1, C₂H₅, H (Vm), 86, 283 (из пиридина-CH₃OH); XV, 1, C₂H₅, COCH₃, 50, 210 (из бэл.-пептр. эф.); VII, 2, C₂H₅, H, 20, 254 (из бэл.-пептр. эф.); VII, 2, C₂H₅, COCH₃, 15, 155 (из бэл.-пептр. эф.). Аналогично из IV (в виде формидатов), применяя 0,02 моля (C₂H₅)₃N, получают VI (приведены A, л, R, выход в %, т. пл. в °C (из бэл.-пептр. эф.)): VII 0, C₂H₅, 59, 170; VII, 0, *m*-C₆H₁₇, 20, 180; VIII, 1, C₂H₅, 30, 184; VIII, 1, циклогексил, 80, 62 (из CH₃OH); IX, 1, CH₃, 85, 207; IX, 1, C₂H₅, 94, 162; IX, 1, CH₃COOH, 32, 195 (разл.; из пиридина-CH₃OH); IX, 1, циклогексил, 68, 158 (из CH₃OH); IX, 1, *p*-толил (Via), 58, 215 (из CH₃OH); VII, 1, CH₃ (Vib), 88, 199; VII, 1, C₂H₅, 60, 105; VII, 1, *m*-C₆H₁₇, 16, 192; VII, 1, бензил, 35, 158; VII, 1, *p*-толил, 52, 190 (из CH₃OH); X, 1, *m*-C₆H₁₇, 15, 217; XI, 1, C₂H₅, 25, 186; XII, 1, циклогексил, 10, 280 (из CH₃OH); XIII, 1, циклогексил, 60, 156 (из CH₃OH); XIV, 1, C₂H₅, 52, 225; IX, 1, диметил, 63, 208; VII, 1, диметил, 75, 217 (последние 2 в-ва получены по Aubert и др., там же). При эцетилировании Vв и Vi получены Vг и Vк, выход 80 и 68% соответственно; в тех же условиях Vж, Vл и Vм дают красители неизвестного строения, т. пл. (из бэл.-пептр. эф.) соответственно 197, 194 и 240°. 1,4 г Ve нагревают 3 часа при 160° с 0,7 г *n*-CH₃C₆H₄SO₃CH₃; получают X=CHCHN=CCON(CH₂C₆H₄)C(SCH₃)=N+COCH₃[*n*-CH₃C₆H₄SO₃CH₃]

(где A = IX), т. пл. 189° (из сп.-эф.). 1,6 г VIб нагревают 0,5 часа при 140° с 0,95 г *n*-CH₃C₆H₄SO₃CH₃, растворяют в 25 мл спирта, выливают в избыток водн. р-ра Na₂CO₃; получают 4-(3-этилбензотиазолидин-2-этилен)-3-метилиминотиазолидон-5 (XVI), т. пл. 181° (из бэл.-пептр. эф.); аналогично синтезированы 4-(3-этилбензотиазолидин-2-этилен)-2-этилин-3-метилиминотиазолидон-5 (XVII), 3-этил-4-(3-этилбензотиазолидин-2-этилен)-2-этилин-3-метилиминотиазолидон-5 и 2-ацетимидо-4-(3-этилбензоксазолидин-2-этилен)-3-метилиминотиазолидон-5

(XVIII), т. пл. 185, 184 и 233° (из бэл.-пептр. эф.) соответственно. VIб (0,5 г) при нагревании на паровой бане (3 часа) с 0,5 г KOH в 40 мл спирта и 30 мл пиридина изомеризуется в Vз; в тех же условиях VIа дает Vж; при нагревании (1 час) 0,2 г XVI или XVII в 10 мл пиридина с 5 мл 2 н. Na₂CO₃ получают Va или Vд соответственно; XVIII (0,3 г) при кипячении 2 часа с 15 мл спирта и 10 мл 1 н. Na₂CO₃ превращаются в Vб. Из VI действием (R'CO)₂O получены X = (CHCHN=CCOSC(=NR)NCOR' (приведены A, л, R, R', выход в %, т. пл. в °C): VII, 0, C₂H₅, CH₃, 96, 211 (из пиридина-CH₃OH); VIII, 1, циклогексил, CH₃, 40, 168 (из CH₃OH); IX, 1, CH₃, CH₃, 62, 250 (из пиридина-CH₃OH); IX, 1, C₂H₅, CH₃, 77, 239 (из пиридина-сп.); IX, 1, *p*-толил, CH₃, 81, 215 (из CH₃OH); IX, 1, циклогексил, C₂H₅, 43, 200 (из сп.); VII, 1, CH₃, CH₃ (XII), 66, 282 (из пиридина); VII, 1, бензил, C₂H₅, 88, 195 (из бэл.-пептр. эф.); XI, 1, C₂H₅, CH₃, 70, 233 (из пиридина-CH₃OH); XIII, 1, циклогексил, CH₃, 50, 127 (из этилацетата-пептр.-эф.); XIV, 1, C₂H₅, CH₃, 57, 240 (из бэл.-сп.-пептр. эф.). XIX при гидролизе дает VIб. К смеси 4,1 г IIа, 1,1 г KOH, 30 мл спирта и 5 мл воды добавляют по каплям при 0° 2,52 г (CH₃)₂SO₄, через 0,5 часа добавляют 15,0 мл воды, получают H₂CCOON(*n*-CH₃C₆H₄)C(SCH₃)=N

(XX), выход 3,9 г, т. пл. 113° (из бэл.-пептр. эф.). 1,1 г XX кипятят 10 мин. с 2,2 г иодэтлата 2,2'-ацетанилидобензоксибензоксазола, 0,7 мл (C₂H₅)₃N и 10 мл спирта; получают 4-(3-этилбензоксазолиниден-2-этилен)-4,5-дигидро-2-метилтио-5-оксо-1-*n*-толилглиоксалин, выход 0,5 г, т. пл. 194° (из бэл.-пептр. эф.). Т. А. 78187.

Синтез цианиновых красителей. XVI. Синтез несимметричных красителей броукеровского типа, содержащих два различных гетероциклических ядра. Та и а б о (チヤニン色素合成に關する研究. 第 16 報. 混成 Brooker 型 Месуанинеの合成. 田邊良久), 薬と雑誌, Якугаку дзасси, J. Pharm. Soc., Japan, 1953, 73, № 8, 860—867 (япон.).

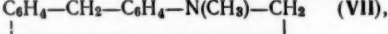
Встряхивают 2 г ClSCCl₃ (I) в 20 мл лигроиона с 0,38 г Na₂CO₃ в 16 мл воды, затем с 0,8 мл анилина (II), слой лигроиона обрабатывают 5,2 г иодэтлата 2-метилбензоксазола (III), 4 мл (CH₃CO)₂O и 2 г CdCO₃, нагревают 20 мин. при ~100°, лигроион декантируют, остаток экстрагируют CH₃OH и получают трихлоргидрат дихлорэтлата 2,2-триметилен-9-анилинооксицианина (IV), выход 1,7 г, т. пл. 203—204° (разл.). Нагревают 15 мин. при 120° 0,5 г IV, 0,34 г иодэтлата 2-(анилиновинил)-бензотиазола (V), 0,5 г CH₃COOK и 1 мл (CH₃CO)₂O, полученный краситель (0,65 г) нагревают 15 мин. с 5 мл NH₄OH и отделяют диноид 1,1',1"-триэтил-9-(2'-бензотиазолил)-винил-2,2'-триметинтиаоксацианина, т. пл. 230° (разл., из CH₃OH). Аналогично получены: из 4 г I, 1,6 г II, 2 г иодэтлата 2-метилбензотиазола (VI) и 2 г III — динодгидрат иодэтлата дихлорэтлата 2,2'-триметилен-мезо-анилинотиаоксацианина (VII), выход 2,5 г, т. пл. 178° (разл.); из 0,5 г VII и 0,25 г V — диноид 1,1',1"-триэтил-9-(2'-бензотиазолил)-винил-2,2'-триметинтиаоксацианина, выход 0,8 г, т. пл. 246—250° (разл., из CH₃OH); из 0,2 г IV и 0,1 г иодэтлата 2-C₆H₅NHCH=NCHC₆H₅ (VIII) — диноид 1,1',1"-триэтил-мезо-(2'-хинолил)-винил-2,2'-триметинтиаоксацианина, выход 0,05 г, т. пл. 282—284° (разл., из CH₃OH); из трихлоргидрата дихлорэтлата 2,2'-триметилен-9-анилинотиаоксацианина (IX) и VIII — динодгидрат 1,1',1"-триэтил-мезо-(2'-хинолил)-винил-2,2'-триметинтиаоксацианина (X), т. пл. 283—284° (разл.); из 4 г I, 1,6 г II, 2 г иодэтлата хиальдина и 2 г VI — динодгидрат хлорэтлата хлорметлата мезо-анилинотриметиленхинотиаоксацианина (XI), выход 2,3 г, т. пл. 185—186° (разл.); из XI и VIII—X; из 0,5 г IX и 0,25 г иодэтлата 2-(анилиновинил)-бензоксазола (XII) — иодгидрат диноида 1,1',1"-триэтил-9-(2'-бензоксазолил)-винил-2, 2'-триметинтиаоксацианина

(XIII), выход 0,7 г, т. пл. 240—242° (из CH_3OH ; разл.); из XIII и NH_4OH — краситель $\text{C}_{22}\text{H}_{21}\text{O}_2\text{N}_3\text{S}_2$, т. пл. 243—244° (разл., из CH_3OH); из 0,5 г VII и 0,25 г XII — XIII, выход 0,7 г, т. пл. 248—250° (разл.). Приведены $\lambda_{\text{макс}}$ полученных красителей. Сообщение XV см. РЖХим, 1956, 886.

Р. Ж.

78188. О расширении и сужении циклов на основе илидоизомеризации. Виттиг, Клосс, Миндерман (Über Ringweiterung und Ringverengerung auf der Basis von Ylidisomerisationen. Wittig Georg, Closs Gerhard, Mindermann Fritz), Liebigs Ann. Chem., 1955, 594, № 2, 91—118 (нем.).

Исследованы превращения некоторых производных изоиндола, в 7-членные гетероциклич. соединения и далее в антрахинон. Иодистый N-метил-N-фенилизондиол (I) в условиях расщепления по Гофману или при действии $\text{C}_6\text{H}_5\text{ONa}$ превращается в N-фенилизондиол (II). При р-ции I с KNH_2 в жидком NH_3 образуется N-метилизондол (III) и N-фенилизондол (IV). Последний получают также при восстановлении N-фенилфталимидина (V) LiAlH_4 (VI) с последующим отщеплением LiOH . При р-ции I с $\text{C}_6\text{H}_5\text{Li}$ получают N-метил-2-аза-2,3:5,6-дифензосиклопентадиен-2,5



строение которого доказано независимым синтезом по следующей схеме: лактам 2-аминобензофенонкарбоновой-2'-к-ты (VIII) гидрируют до лактама 2-аминодифенилметанкарбоновой-2'-к-ты (IX), последний под действием VI образует 1-аза-2,3:5,6-дифензосиклопентадиен-2,5 (X), Li-производное которого при действии CH_3J дает VII. При расщеплении VII сплавом K-Na в среде $\text{CH}_3\text{OCH}_2\text{CH}_2\text{OCH}_3$ получают о- $\text{CH}_3\text{C}_6\text{H}_4\text{CH}_2\text{C}_6\text{H}_4\text{NHCH}_3$ -о (XI), который при метилировании образует о- $\text{CH}_3\text{C}_6\text{H}_4\text{CH}_2\text{C}_6\text{H}_4\text{N}(\text{CH}_3)_2$ -о (XII). Последний синтезируют также из о-толунирила (XIII) и о-($\text{CH}_3\text{CH}_2\text{NCH}_2\text{CH}_2\text{CH}_3$) (XIV) с последующим восстановлением образующегося о- $\text{CH}_3\text{C}_6\text{H}_4\text{COC}_6\text{H}_4\text{N}(\text{CH}_3)_2$ -о (XV) в XII. С $\text{C}_6\text{H}_5\text{Li}$ VII дает Li-производное, которое с $(\text{C}_6\text{H}_5)_2\text{CO}$ образует карбинол $\text{C}_6\text{H}_5\text{CH}(\text{C}(\text{OH})(\text{C}_6\text{H}_5)_2)-\text{C}_6\text{H}_4\text{N}(\text{CH}_3)\text{CH}_2$ (XVI). Из подметилата VII с Na/Hg в при-

сутствии O_2 воздуха получают XII и следы антрахинона (XVII). При действии на подметилат VII $\text{C}_6\text{H}_5\text{Li}$ образуется о- $\text{C}_6\text{H}_5\text{CH}_2\text{C}_6\text{H}_4\text{CH}_2\text{C}_6\text{H}_4\text{N}(\text{CH}_3)_2$ -о (XVIII), строение которого доказано синтезом из 2-цианодифенилметана (XIX) и XIV с последующим гидрированием о- $\text{C}_6\text{H}_5\text{CH}_2\text{C}_6\text{H}_4\text{COC}_6\text{H}_4\text{N}(\text{CH}_3)_2$ -о (XX) до XVIII. При термич. разложении $[\text{C}_6\text{H}_4\text{CH}_2\text{C}_6\text{H}_4\text{N}^+(\text{CH}_3)_2\text{CH}_2]\text{OH}^-$ (XXI), полученного из под-

метилата VII наряду с XVII, образуется 3,4-бис-(о-диметиламино)-1,2:5,6-дифензосиклопентадиен-1,5 (XXII), который под действием сплава K-Na превращается в 2,2'-бис-(о-диметиламинобензил)-дифенил (XXIII). Последний синтезируют из 2,2'-дицианодифенила (XXIV) и XIV с последующим гидрированием. Образование XVII происходит по следующей схеме: XXI под влиянием OH^- теряет протон от CH_2 -группы и превращается в амфотерный ион, который присоединяет O_2 , давая пероксидный ион, при отщеплении воды от последнего образуется промежуточный ирид $\text{C}_6\text{H}_4\text{COC}_6\text{H}_4\text{N}^+(\text{CH}_3)_2\text{CH}^-$. Под действием основания

происходит сужение 7-членного цикла ирида до 6-членного с образованием 9-диметиламиноантраона-10 (XXV), распавшегося в присутствии O_2 воздуха на XVII и $\text{NH}(\text{CH}_3)_2$. Предложенная схема подтверждена синтезом бромметилата N-метил-1-аза-2,3:5,6-дифензосиклопентадиен-2,5-она-4 (XXVI) из о- $\text{CH}_3\text{OCH}_2\text{C}_6\text{H}_4\text{CN}$ (XXVII) и XIV и превращением бромметилата XXVI в присутствии CH_3ONa в XXV. Из 20 ммоль I и 20 ммоль Ag_2O в 40 мл воды после встряхивания 12 час., отгонки в вакууме и нагревании остатка при 200° получают II, выход 80%, т. пл. 170—171° (из сп.); подметилат, т. пл. 172,5—173,5° (разл., из воды и сп.).

II получают также при кипячении I с $\text{C}_6\text{H}_5\text{ONa}$. Из V и VI получают II с выходом 46%; из N-метиланилина и о-ксилилендибромиды выход II 75%. К суспензии 50 ммоль KNH_2 в 100 мл жидкого NH_3 добавляют 20 ммоль I. Через 2 дня разлагают в среде N_2 и выделяют IV, выход 24%, т. пл. 143—143,5°, и III, выход 31%, т. пл. 89—90,5°. IV получают также из V и VI (2 дня при 20° и 2 часа в трубке при 100°), выход 29%. Из N-метилфталимидина и VI получают III, выход 68%. IV присоединяет маленный ангидрид с образованием ангидрида эндо-N-фенилмино-(1,4)-1,2,3,4-тетрагидронафталиндикарбоновой-2,3 к-ты, выход 72%, т. пл. 186—188° (из этилацетата и петр. эф.). При каталитич. гидрировании IV образует II с выходом 82%. К 0,33 моля I в 500 мл эфира при кипении добавляют в течение 10 час. 0,36 моля 1,1 н. р-ра $\text{C}_6\text{H}_5\text{Li}$. Выход VII 48,3%, т. пл. 78—78,5° (из CH_3OH). Из V и CH_3Li получают N-фенил-1-метилизондол (XXVIII), выход 65%, т. пл. 94—95° (из сп.), который с маленным ангидридом дает продукт присоединения с выходом 71%, т. пл. 117—118° (из этилацетата и петр. эф.). При восстановлении XXVIII над скелетным Ni получают N-фенил-1-метилизондиол, выход 92%, т. пл. 77—78° (из CH_3OH), последний дает депрессию т. пл. (58—60°) при смешении с VII. Из N-метилфталимидина и $\text{C}_6\text{H}_5\text{Li}$ получают N-метил-1-фенил-1-оксизондиол-3, выход 29%, т. пл. 182—182,5°, который при восстановлении VI образует N-метил-1-фенилизондиол, выход 48%, т. пл. 58,5—59° (из водн. CH_3OH). При восстановлении VII HJ и P получают о-кислот и анилин. К р-ру 8 ммоль VII в 15 мл абс. $\text{CH}_3\text{OCH}_2\text{CH}_2\text{OCH}_3$ в среде N_2 добавляют сплав K-Na, встряхивают несколько часов и добавляют несколькими порциями 17 ммоль CH_3OH . После разложения CH_3OH и водой подкисляют 2 н. HCl . Выход хлоргидрата XI 84%, т. пл. 185—186° (из 2 н. HCl). Выход XI 72%, т. пл. 42,5—43° (из петр. эф.). При действии $(\text{CH}_3)_2\text{SO}_4$ на XI получают XII, выход 51%; пикрат, т. пл. 148—149° (из CH_3OH). Из о-ксилилендибромиды и N-метиланилина получают N-метил-N-(о-ксилил)-анилин, выход 76%, т. кип. 114—115°/2 мм, который при расщеплении сплавом K-Na дает о-кислот и N-метиланилин. Из 25,5 ммоль XIII и 27 ммоль XIV (24 часа, ~20°) после гидролиза, подкисления и нагревания 1 час при 60° получают XV, выход 47%, т. кип. 137,5—138,5°/0,01 мм. Из 3,6 г XV, 2,5 г 85%-ного $\text{Na}_2\text{H}_4 \cdot \text{H}_2\text{O}$ и 3,2 г KOH в 25 мл $\text{HOCH}_2\text{CH}_2\text{OH}$ (4 часа, 130—140° и отгонка при 190°) получают XII, т. кип. 97—98°/0,01 мм. Из анилида о-толуиловой к-ты и $\text{C}_6\text{H}_5\text{N}(\text{CH}_3)_2$ в присутствии POCl_3 получают 2-метил-4'-диметиламинобензофенон, т. пл. 77—78° (из петр. эф.), который при действии $\text{Na}_2\text{H}_4 \cdot \text{H}_2\text{O}$ образует о- $\text{CH}_3\text{C}_6\text{H}_4\text{CH}_2\text{C}_6\text{H}_4\text{N}(\text{CH}_3)_2$ -п, выход 70%, т. пл. 48—48,5° (из CH_3OH); пикрат, т. пл. 149,5—150° (из CH_3OH). Из 76 г о-бензилбензойной к-ты и 150 мл HNO_3 (d 1,5) при 30° получают с выходом 93% смесь 2- и 3-нитробензилбензойных к-т с т. пл. 132—151°, которую гидрируют над скелетным Ni при 40° и 85 ат; из смеси изомерных аминокислот выделяют VIII, выход 19%, т. пл. 243—245° (из дискана). Из 5 г VIII в 100 мл диоксана при гидрировании 55 мин. при 250° (145—265 см) в присутствии 2 г катализатора медь-окись хрома получают IX, выход 77%, т. пл. 198—199°. IX при нагревании с 10%-ным р-ром KOH в CH_3OH образует 2-аминодифенилметанкарбоновую-2'-к-ту с т. пл. 128—129° (из водн. CH_3OH). При восстановлении IX с помощью VI получают X, выход 46%, т. кип. 129—131°/0,01 мм, т. пл. 130—131° (из CH_3OH). Из 7,5 ммоль X и 7,6 ммоль CH_3Li получают Li-производное X, которое с 7,55 ммоль CH_3J дает с выходом 73% VII. К р-ру 15 ммоль VII в 30 мл эфира добавляют 16 ммоль $\text{C}_6\text{H}_5\text{Li}$ и через 24 часа добавляют $(\text{C}_6\text{H}_5)_2\text{CO}$. Получают XVI, выход 65%, т. пл. 176—178° (разл., из этилацетата- CH_3OH). При дегидратации XVI с H_3PO_4 при 150° получают непредельный амин $\text{C}_{22}\text{H}_{22}\text{N}$ с выходом 46%, т. пл. 167—168° (из этилацетата- CH_3OH). Аналогичным путем из XII и $\text{C}_6\text{H}_5\text{Li}$ после добавления $(\text{C}_6\text{H}_5)_2\text{CO}$ получают α , α -дифенил- β -

о-толил-β-(о-диметиламинофенил)-этанол с т. пл. 186,5—187° (из этилацетата-CH₃OH). Из 5,3 г подметилата VII (т. пл. 182—183°) в 80 мл 96%-ного спирта и 60 г 5%-ной Na/Hg (9 час., 70°) получают с выходом 50% XII и следы XVII. Из иодметилата VII и C₆H₅Li (встряхивание 20 час.) получают XVIII, выход 60%, т. кип. 136—140°/0,01 мм, т. пл. 66,5—67° (из CH₃OH). Из 30 ммоль XIX в 20 мл эфира и 30 ммоль XIV получают хлоргидрат XX, выход 77%, т. пл. 100—102° (из 2 н. HCl); XX — основание т. кип. 168—169°/0,01 мм; пикрат, т. пл. 154—155°. При гидрировании XX над катализатором медь-окись хрома получают с выходом 60% XVIII. Встряхивают 2 часа суспензию 18 ммоль иодметилата VII в 50 мл воды. CH₃OH (1 : 1) с 20 ммольми Ag₂O. После отгонки р-теля в вакууме XXI перегоняют при 180—230°/0,01 мм и после подкисления выделяют XXII, выход 24%, т. пл. 198—200° (из этилацетата-CH₃OH), и небольшое кол-во XVII. Та же р-ция при 100° в среде N₂ дает XXII с выходом 37%. При проведении р-ции в течение 775 час. в присутствии O₂ при 20° с добавкой KOH, выход XVII 95%. При действии на XXII сплава K-Na получают XXIII, выход 52%, т. пл. 126,5—127,5° (из лигн.). Из 6 ммоль XXIV и 12 ммоль XIV получают 2,2'-бис-(о-диметиламинобензил)-дибензил, выход 74%, т. пл. 190—191° (из бэл.). Последний при каталитич. гидрировании дает XXIII с выходом 63%. К р-ру 0,18 ммольа XXV в 80 мл эфира добавляют в течение 2 час. 0,18 ммольа XIV. Выход о-CH₃OCH₂C₆H₄COCH₂N(CH₃)₂ 58%, т. пл. 72—73° (из петр. эф.). Последний в р-ре SnCl₄ при пропускании HBr образует бромметилат XXVI, выход 29%, т. пл. 169—170° (разл., из воды и сп.). При нагревании до 180° бромметилат XXVI теряет CH₃Br с образованием XXVII, выход 78%, т. пл. 112—114° (из CH₃OH). При стоянии 7 час. р-ра 0,5 г бромметилата XXVI в 30 мл 0,1 н. CH₃ONa в CH₃OH получают XXVIII, выход 94%, и NH(CH₃)₂. Из 2 ммоль бромметилата XXVI и 4 ммоль CH₃ONa в CH₃OH в среде N₂ в запаянной ампуле через 15 час. выделяют XXV, т. пл. 93—94° (из петр. эф.); р-р XXV в CH₃OH вследствие окисления O₂ воздуха распадается на XXVII и NH(CH₃)₂. XXV получают также из 9-хлорантрацена и (CH₃)₂NLi. Из 9-бромантрацена и (CH₃)₂NLi получают 9-диметиламиноантрацен, выход 62%, т. кип. 113—114,5°/0,01 мм, т. пл. 36—37°, последний восстанавливают Na/Hg до 9-диметиламино-9,10-дигидроантрацена, выход 67%, т. пл. 72—73° (из петр. эф.), который в отличие от XXV устойчив и не образует XVII.

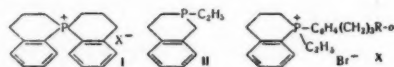
С. И.

78189. Стереохимия органических производных фосфора.

Часть III. Синтез и оптическое разделение спироциклической фосфониевой соли, обладающей молекулярной дисимметрией. Харт, Мани (The stereochemistry of organic derivatives of phosphorus. Part III. The synthesis and optical resolution of a spirocyclic phosphonium salt possessing molecular dissymmetry. Hart F. A., Mann Frederick G.), J. Chem. Soc., 1955, Dec., 4107—4114 (англ.).

Получена и разделена на оптич. антиподы спироциклич. фосфониевая соль (СФС) (I, X = J). Оптич. активность I, связанная с дисимметрией катиона, в р-ре SnCl₄ при 15° в течение 4 дней не изменяется. Из эквимольных кол-в (ЭК) фосфина (C₆H₅)₂PC₂H₅ (II) и Y(CH₂)₂C₆H₄CH₂Z-о (III, Y = Z = Br) в эфире получают бромид [(C₆H₅)₂P(C₂H₅)-CH₂C₆H₄(CH₂)₂Br-о] Br⁻ (IV) в виде масла, которое не удалось закристаллизовать. При нагревании ЭК II и III (Y = Cl, Z = OCH₃) при 150—160° 40 мин. получают [(C₆H₅)₂P(C₂H₅)-CH₂C₆H₄(CH₂)₂OCH₃-о] Cl⁻ (V) в виде стеклообразной массы. При нагревании V (360—370°/0,3 мм) получают II. При действии ЭК Cl₂ в CCl₄ на II получено (C₆H₅)₂P(C₂H₅)Cl₂ (VI) (неочищ., выход 95%), после двух перегонки при 0,0075 мм т. кип. 180—185° (нечистый). Для получения I к 400 г о-BrC₆H₄(CH₂)₂OCH₃ в петр. эфире (VII) добавляют 1765 мл 0,989 н. n-C₄H₉Li в VII при 10°, смесь кипятят 1,5 часа и добавляют 0,5 моля

C₂H₅PCl₂ в VII при охлаждении и далее кипятят 1 час. После разложения водой выделяют [о-R(CH₂)₂C₆H₄]₂PC₂H₅ (VIII, R = OCH₃), выход 65%, т. кип. 215—218°/2 мм. Для VIII (R = OCH₃) получен комплекс (C₂H₅)₂O₂P₂-PdBr₂, т. пл. 165,5—166,5° (из сп.). 89 г VIII (R = OCH₃) добавляют к 1 л 48%-ной HBr и упаривают до 200 мл. Р-р VIII (R = Br) нейтрализуют содой и экстрагируют CHCl₃. Р-тель отгоняют, остаток нагревают 15 мин., растворяют в спирте и высаживают добавлением CH₃COOC₂H₅ (IX) в-во [(C₆H₁₀)₂P(C₂H₅)(C₆H₄CH₂CH₂CH₂R-о)]Br⁻ (X, R = Br) (моногидрат), выход 81%, т. пл. 110—112°, для пикрата т. пл. 83—85° (из сп.). Из X (R = Br) при нагревании (150°, 30 мин. и 200°, 30 мин.) получают [(C₆H₁₀)₂P(C₂H₅)(C₆H₄CH₂CH=CH₂-о)]Br⁻ (XI) (неочищ.); пикрат, т. пл. 130—131° (из сп. и CH₃OH); последний переведен в бромид с HBr (к-той) и далее в гидрид, т. пл. 168—170°. Из X (R = Br) с CH₃ONa в CH₃OH получают X (R = OCH₃), для моногидрата т. пл. 144—146° (высаживание IX из сп.); пикрат, т. пл. 84—96° (из CH₃OH). X (R = OCH₃) нагревают до 320° 1,5 часа; полученный [(C₆H₁₀)₂PC₂H₅(CH₂)₂R-о] (XII) (R = OCH₃) не выделялся



(в дистиллате); последний кипятят с 48%-ной HBr 2 часа. После удаления HBr и действия Na₂CO₃ XII (R = Br) извлекают CHCl₃, р-р упаривают на водяной бане. Стеклообразный остаток — I (X = Br) переведен в I (X = J), выход 24%, т. пл. 294—295° (из сп.); пикрат, т. пл. 128—129° (из сп.). Из I (X = J) с (-)-ментоксиацетатом (MA) серебра в спирте получают (-)-фосфоний-(-)-MA (I, X = MA), т. пл. 78—80° (из IX), [M] — 140° (всп.), из которого получают (-)-I (X = J), т. пл. 246—248°, [M] — 65° (в хлф.). Из маточного р-ра получен также (+)-фосфоний-(-)-MA (I, X = MA), из которого получают (+)-I (X = J), т. пл. 246—248°, [M] + 66° (в хлф.). Получены также I (X = (+)-камфорсульфонат, т. пл. 170—171,5°) из C₂H₅SOCH₃ (XIII), X = (+)-бромкамфорсульфонат, т. пл. 184,5—185,5° из XIII, [M] + 289°, X = (+)-камфоронитронат, т. пл. 150—152°, из XIII, из которых получен неактивный I (X = J). Описаны другие попытки синтеза СФС. К реактиву Гриньяра (из 49,3 г м-бромтолуола) в эфире добавляют р-р 20,5 г C₆H₅PCl₂ (XIV) в C₆H₆, кипятят 1,5 часа и выделяют фенилди-(м-толил)-фосфин-(XV), выход 75%, т. кип. 210—220°/0,5 мм, т. пл. 53—53,5° (из сп.). XV (R = H) переведен в окись бромированием и гидролизом, т. пл. 108,5—109° (из петр. эф.). Получен также ди-(3,5-диметилфенил)-фенилфосфин (XVI), т. кип. 150—195°/1 мм, т. пл. 98° (из CH₃OH). Из XV и Br(CH₂)₂Br (XVII) (100°, 3 часа) получают бромистый ди-(3,5-диметилфенил)-фенил-(3-бромпропил)-фосфоний, выход 98%, т. пл. 190,5—191,5° (из IX). Из XV и Cl(CH₂)₂Br (150°, 40 мин.) получают [(C₆H₅)(C₆H₄CH₃)₂P(CH₂)₂P(C₆H₄CH₃)₂C₆H₅)]Br₂, выход 30%, т. пл. 314—315° (из воды). Из XVI и XVII (соль, т. пл. 203—205° (из сп.-IX). Из α-C₁₀H₇MgBr и XIV получают ди-α-нафтилфенилфосфин, т. пл. 207,5—208,5° (из XIII). Из 8,1 г ментилана и 7,75 г фталевого ангидрида в эфире (кипчение 1 час) получают (-)-N-ментилфосфориновую к-ту, выход 95%, т. пл. 154,5—155,5° (из C₆H₅CO), для Ag-соли (моногидрата) т. пл. 222°. Для Ag-соли (+)-1-метил-н-гексилфталата (моногидрат) т. пл. 130—133°. Часть II см. J. Chem. Soc., 1947, 1634.

В. Г.
78190. Свойства и превращения эфиров пропиленгликоль-фосфористой кислоты. Сообщение 1. Реакции присоединения. Арбузов А. Е., Разумова Н. А., Изв. АН СССР, Отд. хим. н., 1956, № 2, 187—192

Действием спиртов на хлорангидриды пропиленгликоль-фосфористой к-ты (I) в присутствии пиридина син-

тезированы эфиры общей ф-лы $\text{CH}_3\text{CHOP}(\text{OR})\text{OCH}_2$ (II).

К смеси спирта и пиридина в абс. эфире при энергичном перемешивании и охлаждении приливают I (т-ра смеси -5°). Далее при 20° смесь перемешивают 1,5 часа и продукт р-ции перегоняют в вакууме. Получены II (даны R, выход в %, т. кип. в $^\circ\text{C}/\text{мм. рт.ст.}$, d_{20}^{20} , d_4^{20}): $n\text{-C}_6\text{H}_{13}$, 19, 109,5—111,15, 1,4465, 1,0369, 1,0190; $n\text{-C}_7\text{H}_{15}$, 29, 130—132/16, 1,4468, 1,0140, 0,9974; $n\text{-C}_8\text{H}_{17}$, 43, 134—135/10, 1,4470, 1,0031, 0,9858; C_6H_5 , 52, 121—121,5/11, 1,5201, 1,2010, 1,1820. Гидролизом I (-20°) получена к-та, выход 86%, т. кип. $96,5-97,5/1$ мм. рт.ст. Присоединение серы проходит с сильным разогреванием. Получены соединения типа $\text{CH}_3\text{CHOP}(\text{S})(\text{OR})\text{OCH}_2$ (даны

R, т. кип. в $^\circ\text{C}/\text{мм. рт.ст.}$, d_{20}^{20} , d_4^{20}): CH_3 , 136—138/2,5, 1,4930, 1,3001; C_2H_5 , 102—104/0,5, 1,4762, 1,2072; $n\text{-C}_3\text{H}_7$, 99—101/0,2, 1,4662, 1,1221; $\text{iso-C}_4\text{H}_9$, 86,5—88/0,12, 1,4705, 1,1232; $n\text{-C}_6\text{H}_{13}$, 118,5—119/0,15, 1,4725, 1,0891. II (R = C_2H_5) с разогреванием присоединяет Se, давая $\text{CH}_3\text{CHOP}(\text{Se})(\text{OC}_2\text{H}_5)\text{OCH}_2$ выход 4,7%, т. кип.

$107^\circ/0,125$ мм. рт.ст. d_{20}^{20} 1,4923. При стоянии выделяет красную модификацию Se.

З. К.

78191. Синтетические растительные гормоны. Часть III.

Арилоксиметилфосфонаты. Магуайр, Шоу (Synthetic plant hormones. Part III. Aryloxymethylphosphonates. Maguire M. H. (Miss), Shaw G.), J. Chem. Soc., 1955, June, 1756—1760 (англ.).

В поисках растительных гормонов получены фосфорные аналоги феноксиускусной к-ты $\text{ArOCH}_2\text{P}(\text{O})(\text{OC}_2\text{H}_5)_2$ (II) и $\text{ArOCH}_2\text{P}(\text{O})(\text{OH})_2$ (Ia) ($\text{Ar} = 2,4\text{-Cl}_2\text{C}_6\text{H}_3$ (III), $o\text{-ClC}_6\text{H}_4$ (III), $2,4,5\text{-Cl}_3\text{C}_6\text{H}_2$ (IV), $p\text{-ClC}_6\text{H}_4$ (V), $m\text{-ClC}_6\text{H}_4$ (VI), $2,4,6\text{-Cl}_3\text{C}_6\text{H}_2$ (VII)) р-цией ArONa с $\text{JCH}_2\text{PO}(\text{OC}_2\text{H}_5)_2$ (VIII). Сначала протекает деалкилирование VIII с образованием Na-соли $\text{JCH}_2\text{PO}(\text{OC}_2\text{H}_5)_2$ (OH) (IX), которая с ArONa дает Na-соль I. Гидролизом I получают Ia. I ($\text{Ar} = \text{II}$ и III) заметно ускоряет рост гороха, всходов пшеницы. I ($\text{Ar} = \text{IV}$) задерживает рост всходов сурепицы. $2,4\text{-Cl}_2\text{C}_6\text{H}_3\text{ONa}$ (X) с VIII не реагирует в спирте (кипение 24 часа). При кипячении в толуоле 24 часа 20 г VIII и 13,3 г X получают 6,5 г VIII и $2,4\text{-Cl}_2\text{C}_6\text{H}_3\text{OC}_2\text{H}_5$ (XI). При нагревании 5 г X и 5 г VIII (160—170°, 1 час) получают 1,7 г VIII и 2,5 г I ($\text{Ar} = \text{II}$), т. пл. 79—81° (из C_6H_6 -п-тр. эф.), который при кипячении с 8 мл конц. HCl (к-ты) 4 дня дает 0,9 г Ia ($\text{Ar} = \text{II}$); т. пл. 141—143° (из $\text{CH}_3\text{COOC}_2\text{H}_5$ -п-тр. эф.), для соли с 2 $n\text{-C}_4\text{H}_9\text{NH}_2$ (XII) т. пл. 221—223° (из сп.-эф.). При нагревании 7 г $o\text{-ClC}_6\text{H}_4\text{ONa}$ (XIII) с 13 г VIII (160—170°, 1 час) получают 3 г $o\text{-ClC}_6\text{H}_4\text{OC}_2\text{H}_5$ (XIV), 1,3 г VIII и 0,2 г I ($\text{Ar} = \text{III}$), т. пл. 86—88° (из CCl_4 -п-тр. эф.), 1,5 г IX, т. пл. 46—49° (из CCl_4 -п-тр. эф.), который с конц. HCl (к-той) (кипение 2,5 часа) дает $\text{JCH}_2\text{P}(\text{O})(\text{OH})_2$. Для соли с 2 XII т. пл. 162° (из $\text{iso-C}_3\text{H}_7\text{OH}$). 14 г XIII и 13 г VIII в тех же условиях дают 5,5 г XIV и 7,7 г I ($\text{Ar} = \text{III}$), который при гидролизе дает Ia, т. пл. 133—134° (из ацетона- $\text{C}_6\text{H}_6\text{-CCl}_4$). XIII и VIII (1:2) (160—170°, 1,5 часа) дают XIV, IX и VIII. 20,5 г $2,4,5\text{-Cl}_3\text{C}_6\text{H}_2\text{ONa}$ и 13 г VIII (190—200°, 1 час) дают 10,1 г Na-соли I ($\text{Ar} = \text{IV}$) (с 2,5 H_2O), т. пл. 191—193° (из $\text{iso-C}_3\text{H}_7\text{OH}$), из которой получают 9,1 г I ($\text{Ar} = \text{IV}$), т. пл. 97° (из CCl_4), 9,2 г $2,4,5\text{-Cl}_3\text{C}_6\text{H}_2\text{OC}_2\text{H}_5$, т. кип. 256—264°, т. пл. 42—43°. Для Ia ($\text{Ar} = \text{IV}$) (с 0,5 H_2O) т. пл. 179—180° (из ацетона- C_6H_6). Аналогично получены следующие в-ва (перечисляются в-ва, Ar , т. пл. в $^\circ\text{C}$): Na-соль I, V, 286—287 (из $\text{iso-C}_3\text{H}_7\text{OH}$); Ia, V, 155—156 (из ацетона- CCl_4); соль I с $\text{C}_6\text{H}_5\text{CH}_2\text{SC}(\text{NH})(\text{NH}_2)$, VI, 137—138 (из $\text{CH}_3\text{COOC}_2\text{H}_5$ -п-тр. эф.); соль Ia с 2 XII (моногидрат), VI, 160—180 (разл.); из $\text{iso-C}_3\text{H}_7\text{OH}$; I, VII, 167 (из CCl_4 -п-тр. эф.); Ia, VII, 217—218 (из ацетона- CCl_4), 9,2 г $\text{C}_6\text{H}_5\text{ONa}$ и 9,2 г VIII в подобных условиях дают 3,7 г фенола и Ia (с 2,25 H_2O), т. пл. 139—141° (из ацетона- CCl_4), для соли с 2 XII (с 0,5 H_2O) т. пл. 170°

(разл.; из $\text{iso-C}_3\text{H}_7\text{OH}$). Часть II см. РЖХим, 1956, 19341.

В. Г.

78192. Исследования фосфорорганических соединений I.

Хлорирование O,O-диэтилдитиофосфорной кислоты. Ху Би-фан, Ли Шоу-чжэнь, Чэнь Ван-и (有機磷化合物的研究. I. 二硫代磷酸 O,O-二乙酯的氯化反應. 胡裴方, 李首貞, 陳萬義), 化學學報, Хуасюэ сюэбао, Acta chim. sinica, 1956, 22, № 1, 49—54 (кит.).

Обсуждается механизм хлорирования $(\text{C}_2\text{H}_5\text{O})_2\text{PSSH}$ (I) (Fletcher J. H. и др., J. Amer. Chem. Soc., 1950, 72, 2461; Malatesta L., Laverone F., Gazz. chim. ital., 1951, 81, 596), который включает образование промежуточных продуктов $[(\text{C}_2\text{H}_5\text{O})_2\text{PS}]_2\text{S}_2$, $(\text{C}_2\text{H}_5\text{O})_2\text{PSSCl}$ (II) (доказан образованием $(\text{C}_2\text{H}_5\text{O})_2\text{PSSC}_2\text{H}_5$ (III) при р-ции с $(\text{C}_2\text{H}_5)_2\text{Hg}$).

III выделен в виде соли с 2HgCl_2 , выход 20%, т. пл. 114°. Выделено также кристаллич. в-во, которому приписано строение $[(\text{C}_2\text{H}_5\text{O})_2\text{PS}]_2\text{S}_2$ (IV), т. пл. 72°; IV при дальнейшем хлорировании дает $(\text{C}_2\text{H}_5\text{O})_2\text{PSCl}$ (V) и S_2Cl_2 . Образование IV зависит от т-ры р-ции. II разлагается при нагревании, давая V и S. Превращение I в V идет лучше с S_2Cl_2 .

В. Г.

78193. О селеновых кислотах. Сообщение III. Получение

селеновых кислот восстановлением селениновых кислот фосфорноватистой и фосфористой кислотами. Рейнбольт, Гисбрехт (Über Selenensäuren. III. Mitteilung. Bildung von Selenensäuren durch Reduktion von Seleninsäuren mittels Unterphosphoriger und Phosphoriger Säure. Rheinboldt Heinrich, Giesbrecht Ernesto), Chem. Ber., 1955, 88, № 12, 1974—1978 (нем.).

Восстановление ArSeO_2H (I) в ArSeOH (II) с помощью H_3PO_2 (III) и H_3PO_3 (IV) протекает значительно медленнее, чем гидразином и меркаптанами (см. сообщение II, РЖХим, 1956, 29078), и зависит от pH и т-ры. Водн. р-ры $\text{NaH}_2\text{PO}_2 \cdot \text{H}_2\text{O}$ (V), pH 8,47, при многочасовом нагревании не восстанавливают I. Восстановление 2-нитро-4-метилбензол-селениновой к-ты (VI) с помощью III при молярном соотношении 2:1 в солянокислом р-ре (pH 0,74—0,59, 28 час., 20°) приводит к II с выходом в 50%, нагревание (97°) на водяной бане (6—18 час.) увеличивает выход II до 70%. При молярном соотношении 1:1 (pH 0,62, 97°, 6—12 час.) восстановление протекает с выходом II до 93%. Избыток III (1:1,7) не приводит к образованию ArSe-SeAr (VII). Нагреванием (97°, 6 час.) 5 ммоль I с 10 ммольми V в 55 мл HCl (pH 0,62) получены II, даны Ar , выход в %, т. пл. в $^\circ\text{C}$: $2\text{-NO}_2\text{-4ClC}_6\text{H}_3$, 91, 184—185; $2\text{-NO}_2\text{-4BrC}_6\text{H}_3$, 90,6, 171—172; $2,4\text{-(NO}_2)_2\text{C}_6\text{H}_3$, 93, т. разл. 258—260°; $2\text{-NO}_2\text{-4-CH}_3\text{OC}_6\text{H}_3$, 94,3, 168—169; антрахинон, 93,4, т. размягч. 250°. Бензол-(VIII), 2-хлор-2-метоксibenзол-(IX) и 4-нитробензолселениновые (X) к-ты при взаимодействии с III в молярном соотношении 1:1 (pH 1,14—0,59, 20°) восстанавливаются частично до VII. При молярном соотношении 1:1,5 VII образуются с колич. выходом. Из 2 ммоль VIII, IX или X с 3 ммольми V в 50 мл HCl (pH 0,79) при 20° получены VII, даны Ar , выход в %, т. пл. в $^\circ\text{C}$: фенил-(XI), 95,6, 60—62; 2-метоксифенил-, 93,7, 89—90; 4-нитрофенил-(XII), 96,6, 181—182. IV в водн. р-рах (pH 1,43), а также при pH 1,2—0,83 не восстанавливает I. Восстановление VI при молярном соотношении 1:1 (pH 0,79, 97°, 12 час.) протекает с выходом не более 25%. 100%-ный избыток IV повышает выход до 50%, при этом не наблюдается образования VII. Из 2 ммоль VIII или X с 3 ммольми IV в 50 мл HCl (pH 0,78, 97°, 2 часа) получены VII, даны Ar , выход в %, т. пл. в $^\circ\text{C}$: XI, 41,5, 61—62; XII, 42,1, 181—182; Увеличение IV до 6 ммоль не увеличивает выход.

З. К.

78194. О селеновых кислотах. Сообщение IV: 2-бен-

зоилбензолселениновая кислота. Рейнбольт, Гисбрехт (Über Selenensäuren. IV. Mitteilung: 2-Benzoyl-benzol-selenensäure- (I). Rheinboldt Heinrich, Giesbrecht Ernesto), Chem. Ber., 1956, 89, № 3, 631—636 (нем.).

Показано, что $o\text{-C}_6\text{H}_5\text{COC}_6\text{H}_4\text{SeO}_2\text{H}$ (I), так же как $o\text{-NO}_2\text{C}_6\text{H}_4\text{SeO}_2\text{H}$ (II), восстанавливается $\text{NH}_2\text{NH}_2 \cdot \text{H}_2\text{SO}_4$ (III), H_3PO_3 (IV), H_3PO_2 (V) и эквимольным кол-вом $\text{C}_2\text{H}_5\text{SH}$ (VI) только до $o\text{-C}_6\text{H}_5\text{COC}_6\text{H}_4\text{SeOH}$ (VII), и лишь избыток VI пригоден к образованию $(o\text{-C}_6\text{H}_5\text{COC}_6\text{H}_4\text{Se})_2$ (VIII). Такая устойчивость I и II объясняется наличием водородной связи между кислотным Н и CO_2 (у II соответственно NO_2 -группой). В отличие от II, I неустойчива при хранении. Диазотируют обычным методом 0,15 моля $o\text{-NH}_2\text{C}_6\text{H}_4\text{COC}_6\text{H}_4\text{Se}$, устраняют избыток HNO_2 и HCl мочевиной и NaOOCCH_3 , прибавляют р-р 0,16 моля KSeCN в 100 мл ледяной воды, нагревают до 80° , и оставляют на 12 час. Осадок $o\text{-C}_6\text{H}_5\text{COC}_6\text{H}_4\text{SeCN}$ (IX) отфильтровывают и сушат, выход 83,8%, т. пл. $104,5\text{--}105,5^\circ$ (из сп.). Действием Br_2 в CHCl_3 при 0° IX превращают в $o\text{-C}_6\text{H}_5\text{COC}_6\text{H}_4\text{SeBr}$ (X), выход 97,7%, т. пл. $100\text{--}100,8^\circ$ (из петр. эф.). Если р-цию проводить с избытком Br_2 , образуется $o\text{-C}_6\text{H}_5\text{COC}_6\text{H}_4\text{SeBr}_3$ (XI), выход 89,1%, т. пл. $119\text{--}120^\circ$. При нагревании XI превращается в X. 0,025 моля XI обрабатывают р-ром 20 г $\text{Na}_2\text{CO}_3 \cdot \text{H}_2\text{O}$ в 150 мл воды при 40° , затем подкисляют HCl (1:1), получают I, выход 98,2%, т. пл. $184\text{--}185^\circ$ (из $iso\text{-C}_3\text{H}_7\text{OH}$). 10 ммоль измельченной I вносят при размешивании в р-р 5,5 ммоль III в 100 мл воды, оставляют смесь на 24 часа, затем нагревают 15 мин. на кипящей водяной бане, осадок промывают 5%-ным р-ром соды и водой; выход VII 99,6%. VII размягчается при $65\text{--}70^\circ$ и разлагается при 140° . Восстановление I в HCl -среде с помощью V и особенно IV проходит хуже. Взаимодействие 3 ммоль I и 6 ммоль VI дает VII с выходом 98,6%, при соотношении I и VI = 1:5 получается VIII с выходом 92,8%, т. пл. $116\text{--}117^\circ$. VIII был получен так же при 20 мин. пропускании SO_2 в горячий спирт. р-р I, подкисленный несколькими каплями HJ , выход 90,4%. Ф. В.

78195. Действие элементарного фтора на органические соединения. XIX. Новый тип реактора, снабженного соплом для фторирования. Тычковский, Бигелоу (The action of elementary fluorine upon organic compounds. XIX. A new jet fluorination reactor. Tuszkowski Edward A., Bigelow Lucius A.), J. Amer. Chem. Soc., 1955, 77, № 11, 3007—3008 (англ.)

Новый реактор для фторирования представляет собой две пустотелые вертикальные трубы, снабженные сверху термометрами и соединенные между собой узкой трубкой. Первая труба латунная (длина 600 и диам. 62,5 мм) является собственно реактором; снизу, примерно наполовину длины этой трубы вставлена трубка (диам. 25 мм) с раструбом, у основания которого имеются небольшие отверстия и, наконец, в эту трубку вставлена третья (диам. 3 мм), заканчивающаяся соплом (диам. сопла ~ 1 мм, длина ~ 2 мм); сопло расположено чуть выше отверстий раструба предыдущей трубки. Вторая широкая труба (длина 750 и диам. 43,75 мм), сделанная из железа, заканчивается внизу узкой трубкой, к которой последовательно присоединяются 2 приемника (первый охлаждается смесью ацетона и второй жидким воздухом); первая труба обогревается только вверх, вторая по всей длине. Через трубку с соплом, под небольшим давлением подается смесь фторированного соединения и N_2 , а через вторую внутреннюю трубку F_2 ; продукты р-ции конденсируются в приемниках, очищаются от HF и подвергаются ректификации. Процесс протекает спокойно, при низкой т-ре, практически без разрушения углеродного скелета фторированного соединения. Так, при фторировании C_2H_6 , подаваемого со скоростью 0,08 моля в 1 час (отношение $\text{F}_2 : \text{C}_2\text{H}_6 : \text{N}_2 = 6 : 1 : 12$), процесс протекает при 64° и из полученной смеси газобразных продуктов выделен в основном C_2F_6 , выход 83%. Приведен чертеж реактора. Авторы предполагают, что новый реактор может быть использован для фторирования и других летучих органич. соединений. Сообщение XVIII см. РЖХим, 1954, 35886. Р. С.

78196. Химия перфторированных эфиров. III. Синтезы ω -трихлорметилперфторацилхлоридов расщеплением циклических перфторированных эфиров. Тьерс (The chemistry of perfluoro ethers. III. Synthesis of ω -trichloromethylperfluoroacyl chlorides by cleavage of cyclic perfluoro ethers. Tiers George Van Dyke), J. Amer. Chem. Soc., 1955, 77, № 24, 6704—6706 (англ.)

При действии AlCl_3 (I) на $\text{CF}_3(\text{CF}_2)_3\text{O}$ (II) и $\text{CF}_3(\text{CF}_2)_4\text{O}$ (III) получают соответственно $\text{CCl}_3(\text{CF}_2)_3\text{COCl}$ (IV) и $\text{CCl}_3(\text{CF}_2)_4\text{COCl}$ (V). При гидролизе IV получают $\text{CCl}_3(\text{CF}_2)_3\text{COOH}$ (VI). Из Na-соли VI при нагревании в вакууме образуется $\text{CCl}_3\text{CF}=\text{CF}_2$ (VII), строение которого доказано ИК-спектром. 0,1 моля II и 0,1 моля I нагревают 13 час. в автоклаве при 170° . После разгонки получают IV, выход 55%, т. кип. 148° , $n_D^{25} 1,4105$; амид, т. пл. $126,5\text{--}127^\circ$ (из CCl_4). Из 0,075 моля III (т. кип. 34°) и 0,1 моля I (13 час., 180°) получают V, выход 54%, т. кип. 165° , $n_D^{25} 1,3966$; амид, т. пл. $138,3\text{--}138,4^\circ$ (из CCl_4). Из 0,106 моля IV и 0,106 моля воды при стоянии количественно выделяется HCl , получают VI, выход 81%, т. кип. 212° , $n_D^{25} 1,4132$. 0,049 моля Na-соли VI нагревают при $250\text{--}280^\circ$ в вакууме; выход VII 50%, т. кип. $89\text{--}91^\circ$, $n_D^{25} 1,4027$. Сообщение II см. РЖХим, 1956, 68392. С. И.

78197. Окисление полигалогеносодержащих соединений. Часть I. Фотохимическое окисление некоторых фторалканов. Франсис, Хасельдине (Oxidation of polyhalogeno-compounds. Part I. Photochemical oxidation of certain fluoroalkanes. Francis W. C. Haszeldine R. N.), J. Chem. Soc., 1955, July, 2151—2163 (англ.)

Соединения типа $\text{CF}_3(\text{CF}_2)_n\text{CFXY}$ (I) (где X и Y = H, F, Cl, Br, J) легко подвергаются фотохим. парофазному окислению, проводимому путем облучения УФ-светом смеси I и O_2 (без добавок либо в присутствии таковых), помещенной в кварцевые или из стекла пирекс трубки диам. 2—4 см и с толщиной стенок 1,5—2 мм. Источник УФ-света располагался на расстоянии 5—15 см. В указанных условиях CHF_3 , CF_3Cl , CF_3Br , CF_3ClBr , CF_3Br_2 и CF_3J окисляются с образованием COF_2 , CO_2 , свободных Br_2 , J_2 и SiF_4 (последний вследствие взаимодействия промежуточных продуктов р-ции со стеклом). Скорость фотохим. разложения в этом ряду увеличивается в указанном порядке. Фотохим. окисление производных пропана — $\text{C}_3\text{F}_7\text{H}$, $\text{C}_3\text{F}_7\text{Cl}$, $\text{C}_3\text{F}_7\text{Br}$ и $\text{C}_3\text{F}_7\text{J}$, протекает с полным разрушением углеродной цепи и образованием COF_2 , CO_2 , SiF_4 и галогенов; скорость процесса в указанном ряду увеличивается. При незначительном изменении строения исходных в-в этого ряда, а также при проведении р-ции в присутствии Cl_2 , Br_2 , воды и водн. щелочей в значительной степени подавляется разрушение углеродной цепи и образуются производные перфторкарбонных к-т $\text{C}_2\text{F}_5\text{COF}$ (II) и CF_3COF (III) и др. Так, в результате 28 час. облучения смеси 0,00197 моля $\text{C}_2\text{F}_5\text{CFCl}_2$ и 0,008 моля O_2 окисление протекает на 38% и, наряду с COF_2 , CO_2 и др., получены II, выход 21%, т. кип. $26,5^\circ$, и III, выход 2%. С большими выходами II и III образуются при использовании $\text{C}_2\text{F}_5\text{CFClBr}$ (IV) (т. кип. 54°) и особенно $\text{C}_2\text{F}_5\text{CFClJ}$ (V). При облучении 0,0022 моля IV и 0,0088 моля O_2 в течение 10 час. окисление протекает на 40%, получены II, выход 45%, и III, выход 8%. При облучении 0,00242 моля V и 0,0096 моля O_2 в течение 30 мин. окисление протекает на 75%, получены II, выход 65%, и III, выход 3%. Авторы полагают, что этот метод может быть использован для превращения соединений типа $\text{CF}_3(\text{CF}_2)_n\text{CFClJ}$ в перфторкарбонные к-ты. Cl_2 и, особенно, Br_2 являются сенсбилизаторами процесса фотохим. окисления рассматриваемых в-в. Предотвращая, практически полностью, разложение углеродной цепи, они способствуют увеличению скорости р-ции. Особенно эффективно действие Cl_2 и Br_2 в присутствии воды. Для получения оптимальных условий превращения I в R_fCOF (где R_f —

перфторалкильный радикал) необходимо: 1) возможно более низкое начальное давление в реакционном сосуде; 2) относительно большое соотношение $O_2 : I$; 3) использование в качестве сенсибилизаторов р-ции Cl_2 или Br_2 , особенно в присутствии H_2O и 4) наличие в месте окисления CFXY-группы (где X и Y = H, Cl, Br или J). Приведен механизм фотохим. окисления.

Р. С. 78198. ω -Фторацетофенон. II. Замещения во фторметильной группе ω -фторацетофенона. Бергман, Калмус, Вромен (ω -Fluoroacetophenone. II. Substitutions in the fluoromethyl group of ω -fluoroacetophenone. Bergmann Felix, Kalmus Abraham, Vroman Sander, J. Amer. Chem., Soc. 1955, 77, № 9, 2494—2496 (англ.))

Показано, что только один атом водорода CH_2F -группы в $C_6H_5COCCH_2F$ (I) может быть замещен на галогид. $C_6H_5COCCH_2F$ - $C_6H_5COCCHFX$ (II), где X = Cl (а), Br (б), J (в) SCN (г). При взаимодействии II (а и б) с нуклеофильными реагентами происходит замещение только X. II (а, б и в) обладают сильным лакримативным действием и вызывают головную боль. III получен в результате обработки 10 г I SO_2Cl_2 (15 г) (15—16 час., 20°), выход 75%, т. пл. 44,5° (из петр. эф.); дисемикарбазон, т. пл. 236—237° (из бутилацетата-пиридина); диоксим, т. пл. 172—173° (из разб. сп.); ди-2,4-динитрофенилгидразон, т. пл. 280° (из пиридина, разл.); IIб получен при обработке р-ра 13,8 г I и 0,2 г $AlCl_3$ в 20 мл сухого эфира бромом (16 час., 0°), с последующим удалением избытка Br_2 сухим воздухом, выход 100%, т. пл. 54—54,5° (из лигр.). К р-ру 4,3 г IIб в 20 мл спирта добавлено 3,3 г KJ в 3 мл воды и 30 мл спирта; через 12 час. отделился KBr и спирт удален, выход IIв 93%, т. пл. 67—68° (из петр. эф.). IIг получен в результате обработки р-ра 2,5 г NH_4CNS в 20 мл спирта р-ром 5 г IIб в 10 мл спирта (12 час., 20°). Выход IIг 88%, т. пл. 62° (из лигр.). При суспендировании 5 г IIб в 10 мл 40%-ного р-ра $(CH_3)_3N$ в воде с последующим упариванием воды, добавлении второй порции р-ра амина и вторичном упаривании реакционной смеси получены $C_6H_5COCCH_2N^+(CH_3)_3Br$, выход 55%, т. пл. 159—160° (из $CH_3CHONCH_3$); перхлорат, т. пл. 190—191° (из воды). Авторы отмечают, что атом F в II (а — г) обладает известной подвижностью, что подтверждается получением указанных диоксима, дисемикарбазона и ди-2,4-динитрофенилгидразона. Представляет интерес взаимодействие I с C_6H_5CHO , в результате которого получен $C_6H_5COCF = CHC_6H_5$ (III): к 46 мл 10%-ного р-ра NaOH добавлен р-р 10 г I в 20 мл спирта, а затем при $t < 23^\circ$ 10 г C_6H_5CHO . Смесь выдерживалась 16 час. Выпавшее масло отделилось и подвергалось перегонке с паром для удаления C_6H_5CHO . Остаток кристаллизовался из бутилацетата. После удаления 1,6 г кристаллич. в-ва неуставленного строения, т. пл. 184—185° (из бутилацетата), маточный р-р подвергался перегонке в результате которой получен III, выход 40%, т. пл. 59—60° (из CH_3OH); 2,4-динитрофенилгидразон, т. пл. 274—275° (из бутилацетата). Предыдущее сообщение см. РЖХИ, 1956, 908. Р. С. 78199.

Синтезы дейтерированного диметилкарбоната. Рено, Литч (Synthesis of deuterated dimethyl carbonate. Renaud R., Leitch L. C., Canad. J. Chem., 1956, 34, № 2, 181—182 (англ.))

$(CD_3)_2CO_3$ был получен при нагревании в запаянной трубке 10,0 г CD_3Br и 13,8 г Ag_2CO_3 при 60°, 65 час., выход ~100%, т. кип. 89—90°, n_D^{20} 1,3677, содержание D 98 ат. %. При р-ции CH_3J с Ag_2CO_3 выход $(CH_3)_2CO_3$ 75%. З. П. 78200.

Синтез метил- D_3 -формата. Рено, Литч (Synthesis of methyl- d_3 formate. Renaud R., Leitch L. C., Canad. J. Chem., 1956, 34, № 2, 179—180 (англ.))
 $HCOOCD_3$ (I) получен в результате перэтерификации n -бутилформата (4,5 г) и $C_3H_7COOCD_3$ (II) (4,1 г) при перегонке на колонке с 3 каплями H_2SO_4 . Выход I 61%, т. кип. 31—32°, n_D^{20} 1,3431, содержание D 97,6 мол. %. Сравнение масс-спектров I и метилформата говорят о том, что H легче отрывается от формоксигруппы, чем от метильной.

II получен нагреванием в запаянной трубке эквимолекулярных кол-в C_3H_7COOAg и CD_3Br (III) 16 час. при 80°, выход ~100%, n_D^{20} 1,3879. III получен действием р-ра Br в CCl_4 на CD_3COOAg , выход 89,3% при 0°, давление паров 679 мм при 0°; содержание D 97,8 мол. %. З. П. 78201.

Органические дейтеросоединения. XIV. Получение дейтерированных метилбензолов. Рено, Литч (Organic deuterium compounds. XIV. Preparation of deuterated methyl benzenes. Renaud R., Leitch L. C., Canad. J. Chem., 1956, 34, № 2, 98—102 (англ.))

Описан синтез толуола- α - D_3 (I), о-хлортолуола- α - D_3 (II) и м-ксилола- α , α' - D_6 (III) из бензотрихлорида (IV), о-хлорбензотрихлорида (V) и α , α' -гексахлор- m -ксилола (VI) соответственно действием CH_3COOD (VII) и Zn. Установлено, что выход I зависит от изотопной чистоты VII. Лучшая изотопная чистота VII достигается получением из CH_3COCl (VIII). 60 мл VIII, перегоняют над 10 мл $C_6H_5N(CH_3)_2$, затем прибавляют еще 5 мл $C_6H_5N(CH_3)_2$ и перемешивают 2 часа. К перегнанному VIII медленно прибавляют 14,7 мл D_2O (99,6%) при перемешивании. После прибавления D_2O перемешивают еще 2 часа. Выделяющийся DCl собирают в ловушку, охлажд. жидким N_2 . Перегоняют VII, практически свободную от DCl. Выход почти теоретич. Для получения I к суспензии из 45 мл VII, 200 мл безводн. эфира и 30 г Zn-пыли при 3° прибавляют при перемешивании (4 часа) р-р 0,1 моля IV в 100 мл эфира. Затем перемешивают еще 3 часа и прибавляют 200 мл воды. Из эфирного слоя выделяют перегонкой на колонке I, выход 78%, n_D^{20} 1,4953. I содержит в мол. % 95,6 $C_6H_5CD_3$, 4,1 $C_6H_5CHD_2$ и 0,3 $C_6H_5CH_2D$. II и III получены аналогичным способом из V и VI соответственно. Выход III 63%, n_D^{20} 1,4934, содержание $C_6H_4(CD_3)_2$ 94 мол. %. Авторы рассматривают механизм р-ции. Сообщение XIII см. РЖХИ, 1956, 12737. З. П. 78202.

Органические дейтеросоединения. XV. Синтез некоторых дейтерированных алканов. Леблан, Морс, Лич (Organic deuterium compounds. XV. Synthesis of some deuterated alkanes. Leblanc Mary Elaine, Morse A. T., Leitch L. C., Canad. J. Chem., 1956, 34, № 3, 354—358 (англ.))

Разработан метод получения дейтерированных алканов (ДА) дегалогенированием соответствующих галогенидов с помощью Zn-пыли в р-ре D_2O или D_2O -диоксан. Из C_2H_5J , CH_3CH_2Br и CH_3CCl_3 этим методом с высокими выходами получены соответственно C_2H_5D , CH_3CHD_2 и CH_3CD_3 . Аналогично из CH_3J , CH_3Br , $CHCl_3$ и CCl_4 получены соответственно CH_3D , CH_2D_2 , CHD_3 и CD_4 . Изотопная чистота полученных ДА во всех случаях выше 90%. Метод применим для синтеза высших ДА. При получении CH_3CD_3 из CH_3CCl_3 , а также CH_3CHD_2 из CH_3CH_2Br в незначительном кол-ве образуются 2,2,3,3-тетрахлорбутан, т. пл. 173—174° и соответственно 2,3-дибромбутан. Авторами показано, что получение ДА дегалогенированием соответствующих галогенидов с помощью Zn-пыли в р-ре CH_3COOD по ранее описанному методу (Schissler D. O., Thompson S. O., Turkevich I., Discussions Faraday Soc., 1951, № 10, 46) сопровождается побочными р-циями и приводит к ДА с низким содержанием дейтерия. Применение в качестве р-рителя $(CH_3CO)_2O$ или диоксана при дегалогенировании CH_3CCl_3 с помощью Zn и CH_3COOD подавляет нежелательные побочные р-ции и повышает выход CH_3CD_3 до 78%, однако содержание дейтерия в CH_3CD_3 остается невысоким (21—70 мол. % при работе в р-ре $(CH_3CO)_2O$ и 51—81,8 мол. % в р-ре диоксана). К перемешиваемой суспензии 15 г Zn-пыли в 25 мл CH_3CCl_3 прибавляют за 4 часа 4 мл D_2O , образовавшийся дейтерозтан (I) улавливают в ловушке, охлажденной жидким N_2 , и перегоняют, выход I 1,6 мл при -100° , содержание CH_3CD_3 93,5 мол. %. К 5 г Zn-пыли и 15 мл $Br(CH_2)_2Br$, перегнанного в вакууме через трубку с аскаритом $SaCl_2$, прибавляют при перемешивании за 3 часа 3 мл D_2O , выход I 1 мл при -100° ,

содержание CH_3CHD_2 98,7 мол. %. 15 г Zn-пыли и 40 мл $\text{C}_6\text{H}_5\text{I}$ перемешивают до тех пор, пока весь Zn превратится в $\text{C}_6\text{H}_5\text{ZnI}$ и прибавляют D_2O , выход 1,54 мл при -100° , содержание $\text{C}_6\text{H}_5\text{D}$ 97 мол. %. 8 г D_2O прибавляют за 2 часа к кипящей суспензии 35 г Zn-пыли в 60 мл CCl_4 , выход дейтерометана (II) 90% с содержанием 97,5% мол. CD_4 и 2,5 мол. % CHD_4 . Аналогично из 60 мл CHCl_3 , 25 г Zn-пыли и 6 мл D_2O почти с колич. выходом получают II с содержанием 93,2 мол. % CHD_3 , 4,76 мол. % CH_3D_2 и 1,43 мол. % CH_3D ; из 50 мл CH_2Br_2 , 18 г Zn-пыли и 5 мл D_2O почти с колич. выходом образуется II с содержанием 93,1 мол. % CH_3D_2 , 5,9 мол. % CH_3D 1,1 мол. % CH_4 , а из 30 мл CH_3I , 10 г Zn-пыли и 3 мл D_2O почти с колич. выходом получают II с содержанием CH_3D 98 мол. %. Л. Х.

78203. Метод синтеза ацетилсалициловой кислоты, меченной в карбоксиле. Борст, Кристиан (A method of synthesizing C^{14} carboxyl acetylsalicylic acid. Borst Wilbur R., Christian John E.), J. Amer. Pharmac. Assoc. Scient. Ed., 1956, 45, № 1, 23—26 (англ.)

Ацетилсалициловая к-та, меченная C^{14} в карбоксиле (II), получена ацетилированием меченой салициловой к-ты (I). II получают 16 час. взаимодействием C^{14}O_2 (из 860 мг $\text{BaC}^{14}\text{O}_3$ с радиоактивностью 3 мкюри) с 2,5 г сухого $\text{C}_6\text{H}_5\text{ONa}$ при 140° и 5 ат, выход 28,8%, удельная радиоактивность (а) 1,56 мкюри/мг. Наряду с II образуется п-оксibenзойная к-та, выход 41,2 мг, а 2,035 мкюри/мг. II разбавляют нерадиоактивной салициловой к-той до а 0,5 мкюри/мг и ацетилируют, выход 151,5%, а 0,45 мкюри/мг. Из маточных р-ров дополнительно выделяют 30,7% I с а 0,59 мкюри/мг. Описана аппаратура для синтеза II. Л. Х.

78204. Синтез предшественников и продуктов распада лигнина, меченных C^{14} . Крацль, Биллек, Граф, Шверс (Über die Synthese von mit ^{14}C markierten Vorstufen und Abbauprodukten des Lignins. Kratzl K., Billek G., Graf A., Schweers W.), Monatsh. Chem., 1956, 87, № 1, 60—70 (нем.)

Для изучения биогенеза боковой цепи кониферолового спирта (I) синтезированы креозол-[метил- C^{14}] (II), ванилиновый спирт-[карбинол- C^{14}] (III), ванилин-[карбонил- C^{14}] (IV) и ванилиновая к-та-[карбоксил- C^{14}] (V). Все эти соединения, а также их глюкозиды при введении в растения образовали в зоне камбия ярко выраженные, невымываемые следы C^{14} . Синтезирован также гваяцилацетон-[3- C^{14}] (VI), который образуется, как было показано авторами, при этанолизе (по Гибберту) конечного продукта дегидрополимеризации кониферолового спирта-[3- C^{14}] (Ia). Если бы VI удалось обнаружить в продуктах этанолиза II, III, IV и V, то вопрос о биогенезе боковой цепи I был бы, по-видимому, решен. Для изучения химизма биоген. процессов синтезированы также 2-оксипропиогваякон-[3- C^{14}] (VII), 2-этоксипропиогваякон-[3- C^{14}] (VIII) и ванилоилацетил-[3- C^{14}] (IX), являющиеся предполагаемыми конечными продуктами биоген. превращений I. Ia синтезирован по ранее описанному методу (РЖХим, 1954, 41236) по схеме: IV \rightarrow феруловая к-та-[3- C^{14}] (выход 83%, т. пл. 170°) \rightarrow ацетилферуловая к-та-[3- C^{14}] (выход 58%) \rightarrow хлорангидрид ацетилферуловой к-ты (выход колич.) \rightarrow Ia (выход 55%, радиоактивность (а) 0,225 мкюри/ммоль); получение IV также описано ранее (РЖХим, 1954, 30624). II с 55%-ным выходом получен восстановлением IV по Клемменсену, а глюкозид II синтезирован взаимодействием II с пентаацетилглюкозой в р-ре абс. C_6H_6 в присутствии р-ра BF_3 в анизоле с последующим омылением образовавшегося тетраацетилглюкокреозола-[метил- C^{14}], выход 42%, т. пл. $145-147^\circ$ (из сп.), метанольным р-ром CH_3ONa , выход глюкозида II $\sim 80\%$, т. пл. $169-170^\circ$ (из воды), а $31,6 \cdot 10^6$ имп/ммоль мин. III получен гидрированием IV в спирт. р-ре над скелетным Ni при $\sim 20^\circ$ и нормальном давлении, выход 53%, а $31,6 \cdot 10^6$ имп/ммоль мин. Ввиду того, что превращение III в глюкозид обычными методами не удается, последний синтезирован восстановлением глюкозида IV 3%-ной амальгамой Na, выход 60%. V синтезирована из полученной ранее (РЖХим, 1954, 30624) бензилванилинсвой к-ты-[карбоксил- C^{14}] кипячением ее (1,5 часа, 120°) со спирт. р-ром HCl, выход V 66%, т. пл. $202-205^\circ$ (из воды), а глюкозид V получен окислением ацетонового р-ра тетраацетилглюкованилина-[карбонил- C^{14}] шел. р-ром KMnO_4 с последующим отщеплением ацетильных групп от образовавшейся тетраацетилглюкованилиновой к-ты-[карбоксил- C^{14}] (выход 40%, т. пл. $173-178^\circ$) с помощью Ba(OH)_2 , выход глюкозида V 50%, т. пл. $198-204^\circ$. VI синтезирован конденсацией IV с нитроэтаном с последующим восстановлением образующегося 1-гваяцил-2-нитропропена-[1- C^{14}] (X). VII получен по схеме: $\text{CH}_3\text{CH}_2\text{C}^{14}\text{OONa} \rightarrow \text{CH}_3\text{CH}_2\text{C}^{14}\text{OCl} \xrightarrow{\text{вератрол}} \text{RC}^{14}\text{OCH}_2\text{CH}_3$ (XI) $\xrightarrow{\text{Br}_2} \text{RC}^{14}\text{OCHBrCH}_3$ (XII) $\xrightarrow{\text{A}^{14}\text{C}_2\text{H}_5\text{COONa}} \text{RC}^{14}\text{OCH(OCOCH}_3\text{)CH}_3 \xrightarrow{\text{кон}} \text{VII}$, где R = 4-оксис-3-метоксифенил, а R' = 4-ацетоксис-3-метоксифенил. IX получен окислением VII медным купоросом, а VIII кипячением (14 час.) VII со спирт. р-ром HCl, выход 51%, т. кип. $125-130^\circ/0,001$ мм. 250 мг IV оставляют стоять на 5 дней с 0,15 мл $\text{CH}_3\text{CH}_2\text{NO}_2$, 0,25 мл абс. CH_3OH , 10 мг $\text{CH}_3\text{NH}_2 \cdot \text{HCl}$ и 8 мг Na_2CO_3 , выход X 58%, т. пл. $102-103^\circ$ (из сп.). 200 мг X в 2,2 мл спирта и 5,5 мл воды кипятят 5 час. с 450 мг Fe-опилок, 20 мг FeCl_3 и 0,2 мл конц. HCl, отгоняют спирт, экстрагируют C_6H_6 и остаток после отгонки C_6H_6 оставляют стоять для омыления образовавшегося оксима с 4 мл 7 н. H_2SO_4 (24 часа при $\sim 20^\circ$ и 4 часа при 40°), выход X 64%, т. кип. $120^\circ/0,01$ мм. К 710 мг $\text{CH}_3\text{CH}_2\text{C}^{14}\text{OONa}$ (из 1,97 г $\text{BaC}^{14}\text{O}_3$ с а 150 мкюри) в 3 мл CS_2 при -10° прибавляют 0,9 мл оксалилхлорида, выдерживают 15 мин. при 70° , охлаждают, прибавляют 4,2 г AlCl_3 и р-р 1,4 мл вератрола в 2,5 мл CS_2 , кипятят 1 час и оставляют на ночь, выход XI 60%, т. кип. $110-120^\circ/0,001$ мм. К перемешиваемому р-ру 790 мг XI в 70 мл сухого CHCl_3 прибавляют за 15 мин. р-р 0,23 мл Br_2 в 15 мл CHCl_3 , выход XII 94%. 1,062 г XII нагревают 4 часа на кипящей водяной бане с 2,1 г безводн. CH_3COONa и 7,5 мл $(\text{CH}_3\text{CO})_2\text{O}$ и выливают в 80 мл воды, выход XIII (после перекристаллизации из сп.) 42%. Р-р 483 мг XIII в 5 мл абс. CH_3OH кипятят 15 мин. с р-ром 0,5 г KOH в 5 мл CH_3OH , фильтруют, упаривают (в токе N_2), отфильтровывают K-соль VII (411 мг), растворяют ее в 1 мл воды и подкисляют 0,3 мл 40%-ной H_2SO_4 , выход VII 87%, т. пл. 105° , а 14,8 мкюри/ммоль. 180 мг нагревают 2 часа при 100° с р-ром 520 мг $\text{CuSO}_4 \cdot 5\text{H}_2\text{O}$ в 0,8 мл пиридина и 0,4 мл воды, прибавляют 6 мл воды и 2 мл конц. HCl и экстрагируют эфиром; остаток после отгонки эфира перегоняют при 0,005 мм (т-ра бани 120°), выход IX 73%, т. пл. 65° . Л. Х.

78205. 4-ацетиламинофлуорен- N^{15} . Савицкий, Рей, Глокин (4-acetylaminofluorene- N^{15} . Sawicki Eugene, Ray F. E., Glocklin Vera), J. Organ. Chem., 1956, 21, № 2, 243 (англ.)

4-ацетиламинофлуорен- N^{15} (I) получен по схеме: дифеновая к-та (II) \rightarrow 4-карбамилфлуорен- N^{15} (III) \rightarrow метиловый эфир N-4-флуоренилкарбаминной- N^{15} к-ты (IV) \rightarrow 4-аминофлуорен- N^{15} (V) \rightarrow I. II получена окислением фенантрена 30%-ной H_2O_2 в CH_3COOH , выход 55%, т. пл. $229-232^\circ$. Циклизация II в присутствии H_2SO_4 приводит к 4-флуоренонкарбоновой к-те, т. пл. $223-224^\circ$, которая при восстановлении гидразином и NaOH в р-ре этиленгликоля превращается в 4-флуоренкарбоновую к-ту, выход 65%, т. пл. $190-191^\circ$ (из толуола); последняя при обработке SOCl_2 дает хлорангидрид (VI), выход 95%, т. пл. $75-76^\circ$ (из гексана). К охлаждаемой льдом с солью смеси 0,81 г NH_4NO_3 ,

содержащего 64 ат. % N^{15} , 10 мл безводн. диметилформамида и 5 мл триэтиламина прибавляют р-р 2,52 г VI в 10 мл диметилформамида, встряхивают 15 мин. при охлаждении, через 30 мин. при $\sim 20^\circ$ осаждают III р-ром NaOH, выход 86%, т. пл. 218—220° (из сп.). III может быть получен также с 90—95%-ным выходом при прибавлении ацетонового р-ра VI к конц. р-ру NH_3 (d 0,9). Горячий р-р 1,2 г III в 60 мл CH_3OH приливают при перемешивании к р-ру CH_3ONa (из 1,6 г Na и 100 мл CH_3OH), прибавляют по каплям 0,64 мл Br_2 , кипятят 20 мин. упаривая до 2/3 первоначального объема, и выливают в 800 мл воды, выход IV 91%, т. пл. 124—125° (из гексана). При кипячении IV со спирт. р-ром KOH образуется V, выход 96%, т. пл. 115—116° (из гексана), ацетилирование которого $(CH_3CO)_2O$ в C_6H_6 приводит к I, выход 90—95%, т. пл. 200—201° (из гептана-бвл.). Л. Х.

См. также раздел: Промышленный органический синтез и рефераты: Соединения алифатич. 77954, 77962, 77963, 77967, 77975, 78009, 78703, 78997, 79123, 79124, 79393, 79397, 79433, 79558, 79724, 79839, 79842, 79869; алициклич. 77644, 77938, 77970, 77982, 78702; ароматич. 77653, 77849, 77937, 77947, 77948, 77969, 77973, 77981, 77988, 77991, 77994, 78002, 78004, 78704, 79121, 79122, 79296, 79308—73310, 79396, 79399—79402, 79404, 79702, 79703; гетероциклич. 77996, 79395, 79405, 79408—79410, 79412, 79414; элементарганич. 77845, 78700; с мечеными атомами 78249, 78254

ПРИРОДНЫЕ ВЕЩЕСТВА И ИХ СИНТЕТИЧЕСКИЕ АНАЛОГИ

78206. Установление строения фенилгидразонов сахаров. Мештер, Майор (Cukorfenilhidrazonok szerkezetének bizonyítása. Mester László, Major Ádám, Magyar tud. akad. kém. tud. oszt. közl., 1955, 6, № 1-2, 189—200 (венг.))

Для установления строения фенилгидразонов (ФГ) сахаров и ацетилированных ФГ сахаров использована формазановая р-ция (ФР). В ФР участвуют ФГ альдегидной формы. Циклич. ФГ в ФР не участвуют. ФР проводится в мягких условиях в смеси спирта (I) и пиридина (II) при -5° действием р-ра диазобензола (III). При этом строение ФГ не изменяется. ФР дает возможность определять наличие циклич. и кол-во альдегидной формы ФГ. Рассмотрена мутаротация ФГ сахаров и определено содержание альдегидной формы при определенных $[\alpha]_D$. 9,3 г анилина (IV) растворяют в смеси 25 мл конц. HCl и 25 мл воды и при $0-5^\circ$ диазотируют р-ром 7,5 г $NaNO_2$ в 15 мл воды. Полученный диазотированный р-р IV разбавляют до 93 мл. 3,36 г р-галактозофенилгидразона (V) растворяют в смеси 30 мл I и 30 мл II, при -5° и перемешивая прибавляют по каплям р-р III, приготовленный из 1,3 г IV; через 10 мин. смесь выливают в 5 объемов ледяной воды; через сутки осадок отсасывают и получают р-галактодифенилформазан (VI), выход 2,84 г, т. пл. 167—168° (из C_6H_5OH). α -D-глюкозофенилгидразон (VII) не конденсируется с III. Р-р 3 г β -D-глюкозофенилгидразона (VIII) в 18 мл I и 18 мл II смешивают с р-ром III из 1,2 г IV, выход р-глюкодифенилформазана (IX) 1,8 г, т. пл. 177—178° (из C_6H_5OH). Р-глюкозофенилгидразон типа Скраупа (X) с III не конденсируется. Р-р 5 г р-маннозофенилгидразона (XI) в 30 мл I и 170 мл II смешивают с р-ром III из 1,85 г IV, выход р-маннодифенилформазана (XII) 3 г, т. пл. 174—175° (из C_6H_5OH). 2,54 г L-рамнозофенилгидразона (XIII) в 25 мл I и 25 мл II конденсировали с III из 1 г IV, выход L-рамнодифенилформазана 78% (неочнц.), т. пл. 175° (из C_6H_5OH). 3 г VI растворяют в 18 мл II и 12 мл $(CH_3CO)_2O$; через 2 дня ($\sim 20^\circ$) смесь выливают в 300 мл воды; выпавшее красное масло промывают водой до его

затвердевания и сушат над P_2O_5 ; выход пентаацетил-D-галактодифенилформазана (XIV) 3,65 г, т. пл. 142,5° (из сп.). XIV получен также конденсацией III с пентаацетил-D-галактозофенилгидразоном, выход 90%. Ацетилированием 0,5 г XII 3 мл $(CH_3CO)_2O$ в 5 мл II ($\sim 20^\circ$, 24 часа) получают 0,6 г пентаацетил-D-маннодифенилформазана (XV), т. пл. 95° (из абс. сп.). Ацетат ангидроманнозофенилгидразона не конденсируется с III. Конденсацией ацетата аль-маннозофенилгидразона с III получено в-во, не кристаллизующееся даже от затравки XV. Приготовлены р-ры ФГ сахаров в смеси II и I, измерены изменения их вращательной способности, и при отдельных величинах $[\alpha]_D$ из основных р-ров отобраны пробы (0,001 моля) ФГ и конденсированы с 0,001 моля + 7,5% избытка III для определения кол-ва альдегидной формы. Приведены таблицы зависимости кол-ва выделенного формазана (в г и %) от величины $[\alpha]_D$ для V, VII, VIII, X, XI и XIII. В. С.

78207. Химия рибозы и ее производных. Часть IV. 2,3-диметил-D-рибоза. Баркер, Смит (The chemistry of ribose and its derivatives. Part IV. 2: 3-d-O-metnyl-D-ribose. Barker G. R., Smith D. C., J. Chem. Soc., 1955, Apr., 1323—1326 (англ.))

Из метил- α , β -D-рибофуранозидов (I), через метил-5-тритил- α , β -D-рибофуранозид (II), получен 2,3-диметил-D-рибоза (III). Положение 2,3 метильных групп установлено окислением III в γ -лактон 2,3-диметил-D-рибоновой к-ты (IV), превращением III в фенилозид с потерей одной метильной группы и в метил-2,3-диметил- α , β -D-рибоспиранозид (V), который после метилирования и гидролиза дал 2,3,4-триметил-D-рибоспиранозу (VI), 5,4 г I (Barker, J. Chem. Soc., 1948, 2035) и 9,9 г $(C_6H_5)_3CCl$ в 100 мл пиридина выдерживают 7 дней (15°); выход II 12,1 г, стекловидная масса. 11,9 г II метилируют CH_3I ($35\text{ мл} \times 4$) + Ag_2O ($32\text{ г} \times 4$), кипячение по 1 часу; сироп очищают молекулярной перегонкой; выход 2,3-диметил-II (VII) 90%. Р-р 11,2 г VII в 250 мл $CHCl_3$ насыщают HCl (газом), через 2 часа (0°) выпаривают в вакууме, растирают с водой, к фильтрату прибавляют 1 н. NaOH до pH 7, выпаривают, извлекают CH_2OH , выпаривают, кипятят с 75 мл 2%-ного р-ра HCl в CH_3OH , взбалтывают с Ag_2O , фильтруют через уголь, выпаривают; выход V 3,3 г, т. кип. 130° (т-ра бани)/0,01 мм, n_D^{20} 1,4557. Р-р 0,51 г V в 5 мл 0,2 н. H_2SO_4 нагревают ($95-100^\circ$) до постоянного вращения, фильтруют через Амберлит IR-4B(OH) («А»), выпаривают, подвергают молекулярной перегонке, получают III, сироп, $[\alpha]_D^{17}$ $-16,6^\circ$ (с 6,48; вода), n_D^{16} 1,4750; т. пл. п-толуолсульфонилгидразона 139—140°. 72 мг III, 175 мг фенилгидразина, 170 мг CH_3COOH и 5 мл воды нагревают (80° , 5 час.), выпаривают в вакууме досуха, растворяют в миним. кол-ве эфира, хроматографируют на Al_2O_3 (80 э), получают 22 мг фенилозидона 3-метил-D-рибозы, аморфный, т. пл. 135—140°. 11,4 г VII гидрируют с Pd/C (0,7 г; 12% Pd), фильтрат выпаривают, остаток извлекают смесью 50 мл воды и 50 мл C_6H_6 , водн. слой выпаривают в вакууме; выход метил-2,3-диметил- α , β -D-рибофуранозид (VIII) 1,3 г, сироп, т. кип. 110° (т-ра бани)/0,01 мм, n_D^{20} 1,4554, 0,862 г V гидролизуют 1 н. H_2SO_4 (5 мл, $95-100^\circ$, 7 час.), фильтруют через «А», упаривают до 20 мл, окисляют Br_2 (1 мл, $\sim 20^\circ$, 4 дня). Br^- удаляют Ag_2O , Ag^+ удаляют H_2S , фильтрат выпаривают, остаток (0,758 г) возгоняют в высоком вакууме; выход IV 0,670 г; т. пл. $77,5^\circ$ (из этилацетата + эф., 1:1), $[\alpha]_D^{19}$ $-31,5^\circ$ (начальное) $\rightarrow -14,3^\circ$ (381 мин.; с 17,39; вода). IV, через Na-соль, превращен в 2,3-диметил-D-рибоную к-ту. На окисление 1 моля III (6,5 часа) расходуется 1,01 моля $NaIO_4$ и образуется 0,95 моля CH_2O . 1,0 г V метилируют $(CH_3)_2SO_4$ и NaOH (в N_2 , 60°); выход рибозидона 0,88 г, т. кип. 100° (т-ра бани)/15 мм, n_D^{20} 1,4451; его гидролизуют 1 н. HCl ($95-100^\circ$, 3 часа). В гидролизате, хроматографией на бумаге ($m-C_6H_4OH + H_2O$) найдены

VI (R_f 0,62) и немного 2,3,5-триметил- β -рибозы (R_f 0,65); выход VI 13 мг, т. пл. 88,5—91° (из эф.-птр. эф.); т. пл. анилида 57,5—58,5° (из птр. эф.). 94 мг VI, 253 мг фенилгидразина и 260 мг CH_3COOH в 4 мл воды нагревают 2 часа (95—100°), выпаривают досуха; после двукратного хроматографирования получают фенилозозон 3,4-диметил- β -рибозы, т. пл. 141° (из водн. CH_3OH); аморфный, кристаллизуется при 140°. Часть III см. РЖХим, 1955, 16426. Е. А.

78208. Аммонолиз метил-2,3-ангидро- β -ликофуранозидг. Андерсон, Персивал (The ammonolysis of methyl 2:3-anhydro- β -lyxofuranoside. Anderson J.M., Percival Elizabeth), J. Chem. Soc., 1955, March., 1042—1043 (англ.)

Аммонолизом метил-2,3-ангидро- β -ликофуранозид (I) с последующим ацелированием получены α -(II) и β -(III)-изомер метил-3-ацетамидо-3-дезоксид- β -арабофуранозидов. II и III в подтверждение ранее высказанному мнению (РЖХим, 1956, 975) являются производными 3-амино-3-дезоксид- β -арабинозы (IV), а не 2-амино-2-дезоксид- β -ксилозы (V), так как ни II, ни III не конденсируются с ацетоном, тогда как V легко образует 3,5-изопропилиденпроизводное. Фуранозидное строение II и III доказано получением α -(VI) и β -(VII)-изомеров метил-3-ацетамидо-3-дезоксид-2,5-ди- β -тозил- β -арабофуранозидов и последующей заменой β -тозилосигруппы при $\text{C}_{(5)}$ на J. В контрольных опытах с 2,3,4-трибензоил-6- β -тозил- α - β -маннопиранозидом (VIII) и β -толуолсульфамидом (IX) из VIII получен β -толуолсульфонат Na (X) с таким же выходом, как из VI и VII, из IX же X не получен, откуда следует, что в VI и VII β -тозилльная группа не связана с аминогруппой сахара. 0,9 г α -I растворяют в 40 мл β -ра NH_3 в CH_3OH и нагревают (120°, 48 час.), упариванием получают 0,85 г сиропа, т. кип. 150—170°/0,01 мм, который растворяют в 20 мл воды и 2 мл CH_3OH и перемешивают (5°, 90 мин.). с 24 мл амберлита IR-400 (бикарбонатная форма) и 0,6 мл $(\text{CH}_3\text{CO})_2\text{O}$; фильтрованием и упариванием получают II, выход 0,52 г, т. пл. 120—121° (из ацетона), $[\alpha]^{22}_D +124^\circ$ (с 0,7; сп.); $+134^\circ$ (с 1,0; вода). 2,8 г α , β -I в 75 мл β -ра NH_3 в CH_3OH обрабатывают, как выше, к β -ру 1,01 г полученного сиропа в 20 мл сухого CH_3OH прибавляют 2,5 мл $(\text{CH}_3\text{CO})_2\text{O}$, смесь оставляют на 18 час. (18°), разбавляют 10 мл воды, нейтрализуют NaHCO_3 , фильтруют, упаривают досуха и извлекают CHCl_3 ; 0,76 г сиропа растворяют в смеси CH_3OH и ацетона (1:1) и осаждают эфиром III, выход 0,16 г, т. пл. 156°, $[\alpha]^{18}_D -165^\circ$ (с 1,0; сп.) —120° (с 1,2; вода). 91 мг II нагревают (100°, 60 мин.) с 10 мл 3 н. HCl и упариванием β -ра досуха выделяют хлоргидрат IV, т. пл. 161° (разл., из CH_3OH), $[\alpha]^{18}_D -109^\circ$ (с 0,3; вода). Т. К.

78209. Енолизация глюкозы в присутствии щелочи (Сообщение 2-е). Нахманович М. И., Тр. Вологод. молоч. ин-та, 1955, вып. 13, 183—192

Проведены опыты по выяснению роли конц-ни щелочи, продолжительности ее действия и β -ры на енолизацию глюкозы (I), имеющую важное биологич. и технологич. значение, так как образование енольных форм сахаров связано с вопросами потерь сахара в пищевых произ-вах. Результаты опытов подтверждают образование ендиолов при действии щелочей на сахара. Однако среди редуцирующих группировок возможны ендиолы с меньшим, чем у I, числом углеродных атомов. Нагревают 0,5 М β -р I с 0,2—1 н. NaOH (40°, 0,5—7 час.). Содержание енолов определяют титрованием 0,01 н. J_2 нагретавшегося щел. β -ра после быстрого охлаждения его до $\sim 1^\circ$. Кол-во разложившейся I в % вычисляют из отношения $A = 100 (\Delta S/Z)$, где ΔS кол-во образовавшихся при действии щелочи на I органич. к-т (допуская, что образуются к-ты с 3 атомами S со средним мол. в. 90), Z — кол-во I в исходном β -ре в г. Отношение ендиолов к неразложившейся I в % $B = 100$

[кол-во енолов/($Z - \Delta S$)]. Приводится таблица результатов опытов. С 0,2 н. NaOH за 3 и 7 час. соответственно A 1,5 и 6,5, B 0,02 и 0,6; с 1 н. NaOH соответственно A 29,0 и 46,0; B 3,0 и 6,4. Разложение глюкозы в принятых условиях (кроме 1 н. NaOH) следует закону мономолекулярных р-ций. Дается таблица констант скорости распада I в присутствии 0,2, 0,4, 0,6, 0,8 и 1 н. NaOH . Изучено длительное действие щелочи на I при 20°. Найдено, что максим. B 2,02% (достигается за 96 час.) соответствует A 35%. Далее B падает до 1,27% (за 264 часа), A возрастает до 42,3%. Проведена серия опытов при 75—95° и продолжительность нагрева 8—63 сек.; при 95° и 60 сек. содержание енолов возрастает до 25%; при этом A 8%. Разработан новый способ определения содержания ендиолов, заключающийся в определении свободной щелочи в β -ре до и после титрования β -ра иодом, так как на каждую енольную группировку при титровании иодом выделяется 2 мол. HJ , нейтрализующей щелоч. Результаты определения удовлетворительно совпадают с таковыми по прежнему методу определения ендиолов. Сообщение I см. Тр. Киевск. Технол. Ин-та, 1948, № 7, 135. В. З.

78210. Синтез глюкозидов. V. Такахаши (配糖體合成の研究・第5報・高橋三雄), 藥學雜誌, Якугаку дзасси, J. Pharm. Soc. Japan, 1954, 74, № 7, 706—708 (япон.; рез. англ.)

K 10 г пентаацетил- β -D-глюкозы (I) и 10 г о-крезола (II) при 120—130° прибавляют в 2 приема 2,5 г ZnCl_2 , нагревают 90 мин. в вакууме (20—30 мм), затем охлаждают. Продукт β -ции экстрагируют 2 раза 200 мл C_6H_6 , промывают водой, щелочью и снова водой. Сушат CaCl_2 , удаляют C_6H_6 . Остаток кристаллизуют из спирта. Получают 2,8 г тетраацетил- α -толил- β -D-глюкозида (III), т. пл. 144°, $[\alpha]^{20}_D -53,6^\circ$ (с 2,4; хлф.). Из маточного β -ра от III перекристаллизацией при 0°, получают 0,7 г тетраацетил- α -толил- α -D-глюкозида (IV), т. пл. 101—102°, $[\alpha]^{20}_D +158,4^\circ$ (с 2,8; хлф.). Если в приведенной выше β -ции взять 10 г $\text{C}_6\text{H}_5\text{OH}$ вместо II, получают 2,3 г тетраацетил- α -фенил- β -глюкозида (V), т. пл. 114°, $[\alpha]^{20}_D +161,2^\circ$ (с 3,0; хлф.); и 1,2 г тетраацетил- α , β -фенил- β -глюкозида (VI), т. пл. 126°, $[\alpha]^{20}_D -21^\circ$ (с 3,0; хлф.). Аналогично из I, пентаацетил- α -D-глюкозы (VII) и II получают 0,7 г тетраацетил- α -толил- α -D-глюкозида и 2 г III; 1 г β - $\text{CH}_3\text{C}_6\text{H}_4\text{SO}_3\text{H}$ (VIII) 10 г I и 10 г II дают 2,8 г III; из 10 г VII, 1 г VIII и 10 г II получают 0,5 г IV и 2,1 г III; из 10 г VII, 10 г $\text{C}_6\text{H}_5\text{OH}$ и 2,5 г ZnCl_2 получают 2 г тетраацетил- α -фенил- β -глюкозида. Максим. выход V из 1 г I или VII, 1 г $\text{C}_6\text{H}_5\text{OH}$ с 2 г ZnBr_2 составляет 45%, а с ZnCl_2 35%, независимо от применяемого α -или β -пентаацетилсоединения, удлинения времени β -ции до 60—90 мин. и применяемого фенола. Кол-во образовавшегося побочного β -соединения зависит от сорта применяемого фенола. Сообщение IV см. РЖХим, 1956, 54544.

Chem. Abstrs, 1955, № 17, 11565. К. Kitsuta.

78211. Синтез глюкозидов. VI. Инфракрасные спектры поглощения сахаров и глюкозидов. Такахаши (配糖體合成の研究・第6報・糖並びに配糖體の赤外線スペクトルについて・高橋三雄), 藥學雜誌, Якугаку дзасси, J. Pharm. Soc. Japan, 1954, 74, № 2, 320—321 (япон.; рез. англ.)

α -D-глюкоза или ее глюкозиды (за исключением β -толуол- α -D-глюкозида) дают характерный спектр поглощения в частотах 11,6—11,9 μ , их β -изомеры не имеют такого спектра. β -D-манноза и α -D-галактоза так же обладают характерным спектром поглощения при частотах 11,6—11,9 μ . Эти данные могут быть использованы для определения *цис*- и *транс*-положения OH-групп у $\text{C}_{(1)}$ и $\text{C}_{(2)}$.

Chem. Abstrs, 1954, 48, № 13, 7436. К. Kitsuta.

78212. Превращение D-аллозы в 1,6-ангидро- β -D-аллопиранозу в кислом растворе. Пратт, Рихтмайер

(Transformation of D-allose to 1,6-anhydro- β -D-allopyranose in acid solution. Pratt James W., Richtermyer Nelson K.), J. Amer. Chem. Soc., 1955, 77, № 7, 1906—1908 (англ.)

При нагревании с 0,2 н. HCl D-аллоза превращается в 1,6-ангидро- β -D-аллопиранозу (I), равновесие устанавливается при ~14% I, $C_6H_{10}O_5$, т. пл. 179—180°, $[\alpha]^{20}_D - 75,8^\circ$ (с 0,6; вода). Триацетил-I $C_{12}H_{16}O_8$, т. пл. 88—89° (из эф.-хлф.- C_5H_{12}), $[\alpha]^{20}_D - 70,8^\circ$ (с 1; хлф.). Три-*п*-тозил-I $C_{27}H_{28}O_{11}S_3$, т. пл. 157—158°, $[\alpha]^{20}_D - 35,0^\circ$ (с 0,9; хлф.). Окисление I $NaIO_4$ показало наличие трех смежных вторичных OH-групп; полученный при этом диальдегид окислен Br_2 в двусоедную к-ту (II), которая выделена в виде Sr-соли, $[\alpha]^{20}_D + 26,0^\circ$ (с 0,4; вода); при сушке в вакууме (100°, 4 часа) соль теряет 22,3% веса, $[\alpha]^{20}_D + 33,4^\circ$. Конденсацией Na-соли II с *п*-фенилфенилбромидом получают ди-*п*-фенилфенил-циловый эфир 4-D-глицеро-1,3-диоксолан-цис-дихарбоновой-2,4 к-ты, т. пл. 145,5—147,5° (из сп.-ацетона), идентичный полученному из левоглюкозана. (РЖХим, 1956, 35961, 50859).

78213. α - и β -Метил-L-фукофуранозиды. Уоткинс (α - and β -Methyl-L-fucofuranosides. Watkins W. ifred M.), J. Chem. Soc., 1955, June, 2054—2055 (англ.)

По известному методу (РЖХим, 1954, 15074) синтезируются α - и β -метил-L-фукофуранозиды (I и II соответственно), необходимые для изучения ферментативного расщепления мукоидов групп крови. 1 г L-фукозы кипятят в 50 мл CH_3OH , содержащего 0,012% HCl, до отрицательной р-ции с р-ром Фелинга (6 час.), нейтрализуют $PbCO_3$, выпаривают р-р до сиропа (III), в котором методом хроматографии на бумаге (р-рителе CH_3COCH_3 , насыщ. водой; бумагу смачивают $NaIO_4$, затем реактивом Шиффа) обнаруживают 4 в-ва: α -метил-L-фукопиранозид (IV) (зелено-красное пятно), I и II (ярко-синие пятна) и последнее, движущееся медленнее остальных (красно-голубое пятно). III в CH_3COCH_3 пропускают через целлюлозную колонку (50×2 см), промывают тем же р-рителем (36 мл/час), собирают фракции по 3 мл. Фракции 35—48 после сушки Na_2SO_4 содержат (+) II, фракции 55—64—(—) I фракции 48—55—смесь компонентов, фракции 75—78 содержат IV, т. пл. 153°, $[\alpha]_D - 196^\circ$ (с 1; вода), 120—150— β -метил-L-фукопиранозид, т. пл. 121°, $[\alpha]_D + 10^\circ$ (с 1; вода). II не кристаллизуется из этилацетата даже через 6 месяцев при -18° , $[\alpha]_D + 113^\circ$ (с 2; вода). Однородность доказана хроматографией. I при выпаривании кристаллизуется, т. пл. 125—126° (из сухого этилацетата), $[\alpha]_D - 108^\circ$ (с 2; вода); 0,2%-ный водн. р-р I гидролизует 1 н. HCl при 20° за 24 часа, II за 100 час. на 50%, III и IV не гидролизуются в этих условиях.

78214. Действие йодной кислоты и α -галактозидазы на галактозиды сахарозы, выделенные из корней коровяка. Эррисе, Флэри, Викстром, Куртуа, Ле-Дизе (Action de l'acide periodique et de l' α -galactosidase sur les galactosides du saccharose isolés des racines de bouillon blanc. Hérissay Henri, Fleury Paul, Wickstrom Alf, Courtois Jean-Emile, Le Dizet Paul), Bull. Soc. chim. biol., 1954, 36, № 11-12, 1519—1524 (франц.)

Для выяснения строения ряда галактозидов сахарозы, ранее полученных из корней коровяка *Verbascum thapsiforme* (I) (РЖХимБх, 1955, 15248), изучали действие на них HIO_4 и действие α -галактозидазы. При действии HIO_4 на вербаскозу, тетрагалактозидсахарозу, пентагалактозидсахарозу, гексагалактозидсахарозу образуется HCOOH в кол-ве $n+1$ молей на 1 моль окисляемого галактозида, где n число молекул галактозы, входящих в состав исследуемого галактозида. HIO_4 расходуется в кол-ве $2n+3$ молей на 1 моль галактозида. Это ука-

зывает, что все альдогексозы в галактозидах I соединены связями 1—6. При действии α -галактозидазы из кофе на галактозиды происходит частичный гидролиз с отщеплением 1 моля галактозы и образованием более низкого члена гомологич. ряда.

А. Г. 78215. Сложноэфирные и лактонные связи в кислых полисахаридах. Часть II. Лактоны D-глюкозаминовой кислоты.

Хоуп, Кент (Ester and lactone linkages in acidic polysaccharides. Part II. Lactones of D-glucosaminic acid. Hope D. B., Kent P. W.), J. Chem. Soc., 1955, June, 1831—1833 (англ.)

На примере производных D-глюкозаминовой к-ты (I) изучено влияние 2-аминогрупп на ход лактонизации гексоновых к-т. Отсутствие лактонизации у I объясняется образованием биполярного иона, которое является экзотермич. р-цией и, вероятно, стабилизирует I. N-замещ. I, у которых такая ионизация невозможна, лактонизируются как гексоновые к-ты. Р-р 10 г хлоргидрата D-глюкозамина в 100 мл воды смешивают с суспензией 30 г желтой HgO в 400 мл воды, нагревают с перемешиванием (100°, 25 мин.), Hg удаляют H_2S , фильтрат упаривают при 50° (вакуум) до кристаллизации, разбавляют равным объемом горячего CH_3OH , выход I 6,7 г, т. разл. 250° (из водн. CH_3OH), $[\alpha]^{20}_D \pm 2^\circ$ (с 0,83; вода), $[\alpha]^{21}_D - 16,5^\circ \rightarrow -14^\circ$ (с 1,64; 2,5%-ная HCl, 48 час). 4,6-бензилден-D-глюкозаминовая к-та (II): р-р 2 г I и 3 мл C_6H_5CHO в 15 мл асб. спирта насыщают HCl (газ) (~20°), быстро затвердевшую смесь промывают 100 мл эфира, получают 2,9 г хлоргидрата II; кристаллизуется с 1 мол. спирта, $C_{13}H_{24}O_7NCl$, т. пл. 129° (из абс. сп.), $[\alpha]^{25}_D - 54,4^\circ$ (с 0,65; CH_3OH), $-30,2^\circ$ (с 0,86; вода). Из CH_3OH с 5% C_5H_5N (или NH_3 или NH_4OH) кристаллизуется II, $C_{13}H_{17}O_6N$, т. пл. 214—220° (разл.). Р-р 3 г II в 10 мл спирта насыщают HCl (газ), через 3 часа прибавляют 1 объем эфира и получают 2,6 г хлоргидрата этилового эфира 4,6-бензилден-D-глюкозаминовой к-ты (III), т. пл. 168° (из абс. сп.), $[\alpha]^{23}_D - 31,7^\circ$ (с 0,98; вода). 3 г III растворяют (0°) в 20 мл воды, содержащих 1,8 г $NaHCO_3$, и прибавляют (30 мин.) 1,2 мл C_6H_5COCl (по 0,1 мл с встряхиванием; выделяются 3,5 г этил-N-бензил-4,6-бензилден-D-глюкозамината (IV), $C_{22}H_{35}O_7N$, т. пл. 167—168°, $[\alpha]^{23}_D - 81,3^\circ$ (с 1,92; хлф.). 0,5 г III обрабатывают 0,8 г $C_6H_5CH_2OCOC_1$ в 5 мл воды и 0,3 г $NaHCO_3$, получают 0,62 г этилового эфира 4,6-бензилден-N-бензил-оксикарбонил-D-глюкозаминовой к-ты, т. пл. 141—142° (из сп.), $[\alpha]^{22}_D - 56,4^\circ$ (с 1,12; хлф.). 3 г IV кипятят с 5 мл ацетона, 10 мл CH_3J и 10 г сухой Ag_2O 4 часа, добавляют еще 5 мл CH_3J и 5 г Ag_2O и снова кипятят 4 часа, р-р выпаривают, снова метилируют и выделяют жидкое диметильное производное IV, $n^{20}_D 1,5480$, 0,5 г которого нагревают (100°, 24 асб.) с 10 мл 60%-ной CH_3COOH , упаривают (вакуум, 80°), подщелачивают 1 н. NaOH; через 3 часа (~20°) нейтрализуют H_2SO_4 , сгущают (вакуум) до выделения масла, растворяют его добавкой спирта, охлаждают (0°) и получают 0,08 г 2-бензамидо-2-дезоксис-3,5-диметил-D-глюконол-1,4-лактона (V), т. пл. 186°, $[\alpha]^{20}_D + 76,9^\circ \rightarrow +70^\circ$ (с 1; 50%-ный сп., 10 дней). 0,05 г 2-бензамидо-2-дезоксис-D-глюконол-1,5-лактона (VI) нагревают с 0,5 мл 50%-ного водн. NH_4OH и миним. кол-вом спирта; выделяют 0,046 г 2-бензамидо-2-дезоксис-D-глюконогидразида, т. пл. 196—197° (из сп.). 2,06 г I в 30 мл 1 н. NaOH взбалтывают с 2 г *п*-тозилхлорида в 25 мл эфира; через 3 часа водн. слой нейтрализуют 6 мл 5 н. H_2SO_4 и получают 2,8 г 2-дезоксис-2-*п*-толуолсульфамидо-D-глюконолактона (VII), т. пл. 172—173° (из сп.), $[\alpha]^{20}_D - 24,7^\circ$ (с 0,19; 50%-ный сп.). 0,06 г VII нагревают (100°, 30 мин.) с 0,04 г $C_6H_5NHNH_2$ (VIII) в 3 мл CH_3OH , получают 0,052 г 2-дезоксис-2-*п*-толуолсульфамидо-D-глюконофенилгидразида, т. пл. 178—179° (из сп.). 1 г I в 10 мл 1 н. NaOH обрабатывают 1-фтор-2,4-динитробензолом, через 2 часа

извлекают эфиром, водн. слой подкисляют 2,5 мл 5 н. HCl и получают 0,3 г 2-дезоксид-2-(4-динитроанилино)-D-глюконолактона, т. пл. 193—194° (из сп.). 2 г I в 25 мл 0,8 н. NaOH обрабатывают 1,2 мл C_6H_5COCl (0°), подкисляют 5 н. HCl, выделяют 0,6 г VI, т. пл. 192—193° (из сп.), $[\alpha]^{21}_D + 118^\circ \rightarrow +42^\circ$ (с 0,57; вода; постоянное вращение через 36 час.). 0,05 г VI с 0,03 г VIII в 4 мл горячего спирта дают 0,052 г 2-бензамидо-2-дезоксид-D-глюконофенилгидразид, т. пл. 200—201° (из водн. CH_3OH). Ацетилирование I кетеном приводит к жидкому продукту, обладающему свойствами лактона. Часть I см. РЖХим, 1954, 12762. В. З.

78216. Мальтопентаоза и кристаллический октадекаацетилмальтопентаит. Уислер, Даффи (Maltopentaose and crystalline octadeca-O-acetylmaltopentaite. Whistler Roy L., Duffy John H.), J. Amer. Chem. Soc., 1955, 77, № 4, 1017—1019 (англ.).

Из содержащихся в кукурузном сиропе мальтоолигосахаридов ранее были выделены мальтоза (I), мальтотриоза (II) и мальтотетраоза (РЖХим, 1955, 18822). Мальтопентаоза (III) выделена хроматографированием сиропа на угле (вымывание 20%-ным спиртом), а затем очищена хроматографированием на целлюлозе. При гидролизе III редуцирующая способность увеличивается в 5 раз, а на окисление 1 моля III расходуется 7,8 моля NaO_4 с образованием 3 молей $HCOOH$ и 1,4 моля $HCOH$. β -Амилаза расщепляет III на I и II. Следовательно, III состоит из пяти D-глюкопиранозных остатков, связанных линейно четырьмя α -D-(1→4) глюкозидными связями. При восстановлении III получен мальтопентаит (IV), выделенный в виде кристаллич. октадекаацетата. 1,75 г III гидрированы по описанному ранее методу (см. предыдущую ссылку); после удаления катализатора р-р выпарен; получены 1,78 г аморфного порошка, который хроматографирован на целлюлозе (вымывание смесью бутанол-спирт-вода, 3:2:1); выход IV 88%, $[\alpha]^{25}_D + 158,5^\circ$ (с 0,6; вода). 0,5 г IV ацетилированы кипячением с 5 мл $(CH_3CO)_2O$ и 0,3 г CH_3COONa ; после очистки хроматографированием на смести магнезол-целит (из CaH_6 , проявление смесью *трет*-бутанол- CaH_6 , 1:75) получено 0,538 г октадекаацетата IV, закристаллизовавшегося после обесцвечивания углем, т. пл. 197—197,5° (из сп.), $[\alpha]^{25}_D + 132,7^\circ$ (с 0,9; хлф.). И. Л.

78217. Получение и характеристика 1-C¹⁴-амилотриозы. Пейжер (The preparation and characterization of 1-C¹⁴-amylotriose. P a z e r J o h n H.), J. Amer. Chem. Soc., 1955, 77, № 4, 1015—1017 (англ.).

Для определения специфичности действия ферментов на глюкозидные связи с концевыми глюкозными остатками (ГО) в олигосахаридах синтезирована амилотриоза (I), содержащая C¹⁴ в концевом ГО (α -D-глюкопиранозил-(1→4)- α -D-глюкопиранозил-(1→4)-D-1-C¹⁴-глюкоза). 2 мг 1-C¹⁴-глюкозы (5 мкюри) и 12 мг циклогексаамилозы в 0,1 мл воды смешивают с 0,1 мл р-ра амилазы (*B. tacegans* (1,5 ед/мл) (Filden, Hudson, J. Bact., 1942, 43, 527), через 18 час. (37°) инактивируют фермент кипячением. Смесь полученных олигосахаридов обрабатывают 0,2 мл р-ра β -амилазы, причем олигосахариды с четным числом ГО расщепляются до мальтозы (II), а с нечетным числом ГО — до I и II, которые разделяют хроматографией на бумаге с использованием радиоавтографии. I охарактеризована в виде 1-фенилфлавазолового производного. И. Л.

78218. Электрофоретическая подвижность и фракционирование комплексов, образованных продуктами гидролиза амилазы с йодом и йодистым калием. Моулд, Синг (The electrophoretic mobility and fractionation of complexes of hydrolysis products of amylase with iodine and potassium iodide. Mould D. L., Synger R. L. M.), Biochem. J., 1954, 58, № 4, 585—593 (англ.).

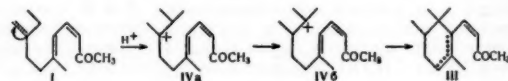
С помощью электрофореза можно фракционировать продукты кислотного и ферментативного гидролиза амилазы. Электрофорез проводили в агар-агаре в присутствии сла-

бых конц-ий йода и КJ в ацетатном буфере. Продукты гидролиза давали с йодом и КJ окрашенные комплексные соединения, которые обнаруживали подвижность в электрич. поле прибора. Удалось выделить и идентифицировать 4 фракции: 1) очень слабоокрашенную со степенью полимеризации <10; 2) с оранжевой окраской (степень полимеризации 10—25); 3) с красной окраской (степень полимеризации 25—40); 4) с синей окраской (степень полимеризации 40—130). Визуально отличимые зоны этих фракций в приборе были значительно шире в случае продуктов кислотного гидролиза, чем ферментативного. Это связано с большей разнородностью продуктов кислотного гидролиза. Авторы считают, что внутри полисахаридных спиралей образуются комплексы $3J_2 - yJ^-$ (синее окрашивание) или $2J_2 - y'J^-$ (красное окрашивание), которые сообщают подвижность частям полисахаридов. С. П.

78219. Исследование растительных летучих веществ.

CXXXV (1.) Синтез иронов, исходя из туйацетона Валлаха. Нав, Ардицио, Фавр (Études sur les matières végétales volatiles. CXXXV (1). Sur la synthèse d'irones à partir de la thuyacétone de Wallach. Naves Yves-René, Ardizio Pierre, Favre Claude), Bull. Soc. chim. France, 1954, № 7-8, 968—977 (франц.).

Изучена циклизация *изо*-псевдоионов (I), полученных исходя из туйацетона (II) Валлаха, в ироны (III) под



влиянием кислых агентов. Предполагается, что р-ция проходит через образование промежуточного иона карбония (IVa), переходящего под влиянием среды и гем-метильных групп в изомерный ион (IVb), который и циклизуется. Эту схему подтверждает образование продуктов параметного типа, способных образовываться только из псевдоиона (V) через тот же ион IVb (см. сообщение CXXXIV, РЖХим, 1954, 30636). Показано, что при циклизации I при помощи BF_3 получается до 20% *цис*- α -ионов (VI); при циклизации с H_2SO_4 или H_3PO_4 VI образуется в незначительных кол-вах. Приложенные диаграммы, характеризующие отдельные фракции III на основании d^{20}_4 и n^{20}_D , а также кривые ИК-спектров говорят за то, что наиболее полно циклизация проходит с BF_3 . Исходный туйон выделен из эфирного масла (VII) *Thuya occidentalis* L., n^{20}_D 1,4570, d^{20}_4 0,9147, $[\alpha]_D - 12,12^\circ$; содержание кетонов (определены методом Перрета) 61%. Из VII выделено 77% фракций, содержащих туйон, т. кип.: 46—48°/2,2 мм, n^{20}_D 1,4518—1,4550, d^{20}_4 0,911—0,920, $[\alpha]_D - 17^\circ$ до —25,90°; общее содержание кетонов 79%. При окислении 8464 г этих фракций получено: 1574 г нейтр. фракций, 4317 г α -туйацетоновой к-ты (VIII), т. пл. 74—76° (из эф.-петр. эф.), и 925 г жидких к-т и лактонов. Декаброксированием 4300 г VIII при 275—325° и последующей разгонкой получено: 1424 г II, т. кип. 40—42°/20 мм, n^{20}_D 1,43645, n^{20}_D 1,43920, n^{20}_D 1,44564, d^{20}_4 0,8539; 108 г промежуточных фракций, n^{20}_D 1,4400—1,4500, содержащих 2,3-диметилгептен-2-он-6, т. кип. 43—45°/2 мм; 640 г фракций, содержащих лактон енола β -туйацетоновой к-ты; 290 г фракции с т. кип. 144—149°/2,4 мм, из которых выделено 204 г кетокислоты $C_{14}H_{16}O_4$, т. пл. 48—49° (из петр. эф.); бензилтируновая соль, т. пл. 139—139,5 (из 30%-ного сп.); семикарбазон, т. пл. 207,5—208° (разл., из сп.). Метилэтил-нил-(2-метил-3-метенамил)-карбинол (IX) получен по методу, описанному для дегидро-3-метиллиналола, выход 76,2%, т. кип. 63—64°/20 мм, n^{20}_D 1,45624, d^{20}_D 1,45920,

$n^{20}F$ 1,46637, d_4^{20} 0,8756, наряду с соответствующим симметричным гликолем, выход 7,7%, т. кип. 170—171°/2 мм, $n^{20}D$ 1,4816—1,4824. Гидрирование IX с Pd/C до поглощения 1 моля H_2 привело к *изо*-3-метиллиналоолу $C_{11}H_{20}O$ (X), т. кип. 61—62°/1,8 мм, $n^{20}C$ 1,45589, $n^{20}D$ 1,45888, $n^{20}F$ 1,46614, d_4^{20} 0,8614; фенилуретан, т. пл. 77—78° (из сп.). Гидрированием 20 г X в 60 мл спирта с 2 г скелетного Ni получен дигидроизо-3-метиллиналоол (Xa), т. кип. 72—73°/2,5 мм, $n^{20}C$ 1,44721, $n^{20}D$ 1,45080, $n^{20}F$ 1,45707, d_4^{20} 0,8524. Окисление X (по методу окисления 3-метиллиналола) привело к *изо*-3-метилцитралю (XI), выход 52,6%, т. кип. 88—90°/2,1 мм, $n^{20}D$ 1,4818—1,4832, d_4^{20} 0,8902—0,8920; из 2,95 г смеси семикарбазонов кристаллизацией из спирта и C_6H_6 выделены: 0,85 г, т. пл. 133—146° (плавится частично), 0,6 г, т. пл. 126—134° (неполно охарактеризованный), и 0,6 г с т. пл. 179,5—181°; 2,4-динитрофенилгидразон (получен из семикарбазона с т. пл. 179,5—181°), т. пл. 129,5—130,5° (из сп.); из 1 г семикарбазона с т. пл. 143—144° получены: 0,3 г динитрофенилгидразона, т. пл. 129,5—130,5°, и 0,7 г с т. пл. 105—108°. Конденсацией 460 г XI с 800 г ацетона в присутствии 60 г 30%-ного NaOH (4 часа, 25—30°) и последующей разгонкой получено 340 г I, т. кип. 125—128°/2,2 мм, $n^{20}D$ 1,5200—1,5231, d_4^{20} 0,8232—0,8948; озонолизом выделено 94,3% и 96,9% CH_2O . Из смеси семикарбазонов кристаллизацией из спирта получены фракции с т. пл. 115—125° (не полностью охарактеризованные), и менее растворимый семикарбазон, т. пл. 160,5—161°; 2,4-динитрофенилгидразон, т. пл. 148—149°. Повторной разгонкой высококипящих фракций I выделено 4,5% продукта $C_{14}H_{22}O$, т. кип. 146—148°/2,4 мм, $n^{20}C$ 1,52226, $n^{20}D$ 1,52976, $n^{20}F$ 1,54789, d_4^{20} 0,9322. Циклизацию I проводили по описанному методу (РЖХим, 1954, 430635). Регенерировать не вошедший в р-цию I не удалось. Продукт циклизации (XII) очищали перегонкой с перегретым (135—140°) паром в вакууме (30—35 мм) и последующей вакуум-разгонкой. Циклизацией при помощи BF_3 получено 97,5% XII, содержание иронов 82,7%, $n^{20}D$ 1,5028, d_4^{20} 0,9347, из них 10,3% β -ирона (XIII) (на основании λ_{\max} (в сп.) 295 мμ), 18% (VI на основании ИК-спектра 880 cm^{-1}). Из головных фракций получен семикарбазон оксидигидроизоирона (XIV), т. пл. 196—197° (из сп.). Частичным гидрированием 30 г XII в 120 мл спирта в присутствии 3 г скелетного Ni и последующей разгонкой выделено 27,9 г гидрированного продукта (XV), т. кип. 112—116°/2,8 мм, $n^{20}C$ 1,47838, $n^{20}D$ 1,48122, $n^{20}F$ 1,48811, d_4^{20} 0,9269. Из 10 г XV получено 10,2 г смеси семикарбазонов, кристаллизацией которых из спирта и C_6H_6 выделены: 1,9 г семикарбазона дигидро-*изо*- α -ирона, т. пл. 172,5—173°, и 5,8 г семикарбазона дигидро-*изо*- α -ирона, т. пл. 145—146°. Циклизацией при помощи H_2SO_4 выделено 94% XII, содержащего 63,4% иронов, $n^{20}D$ 1,4990, d_4^{20} 0,9360; из них 10% XIII, 1—2% VI. Из головных фракций также получен семикарбазон XIV. Частичной циклизацией I (H_2SO_4 прибавляли при т-ре от —5 до —6°, затем быстро поднимали до 45° и заканчивали р-цию) и последующей разгонкой выделены не вошедшие в р-цию I. Циклизацией при помощи H_2PO_4 получено 88% XII, содержащего 69,4% иронов, $n^{20}D$ 1,4983, d_4^{20} 0,9361; из них 6% XIII и 1—2% VI. Все т-ры плавления исправлены. Приведены данные ИК-спектров для производных I и XI, а также для X, Xa, XI, XV. Сообщение СХХХIV см. РЖХим, 1956, 53669. Е. С.

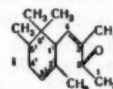
78220. Исследование растительных летучих веществ. СХХХVI. (I). Инфракрасные спектры ментонон и менто-

толов. Нав, Леконт (Études sur les matières végétales volatiles. СХХХVI (I). Sur les spectres d'absorption infrarouge des menthones et des menthols. Naves Yves-René, Lecomte Jean, Bull. Soc. chim. France, 1955, № 6, 792—797 (франц.))

Разработан метод анализа смесей ментона (I) с изоментоном (II), а также смесей ментола (III), изоментола (IV), нео-ментола (V) и нео-изоментола (VI), основанный на различиях в ИК-спектрах этих соединений. Изучение ИК-спектров III—VI между 2,8—15 μ в CCl_4 и CS_2 (даны кривые), показало, что нет заметной разницы между поглощением рацематов и соответствующих активных соединений, следовательно III—VI в р-ре (по крайней мере при взятых конц-ях) существуют не в виде настоящих рацематов, а в виде смеси антиподов. Установлено, что для III—VI поглощение в области 2850—2950 cm^{-1} ($C-H$) одинаково во время как линии, соответствующие ОН-группе, различны (3343 cm^{-1} для III и IV и 3489 и 3497 cm^{-1} для V, VI), что объясняется стерич. взаимодействием ОН- и *изо*- C_3H_7 -групп в V и VI. Дана интерпретация ИК-спектров и спектров комбинац. циклогексана, *цис*- и *транс*-1,4-диметилциклогексанов, *цис*- и *транс*-*n*-ментанов и *цис*- и *транс*-*n*-ментанов. Исходные в-ва: I [α] ^{20}D —28,55°, получен окислением *d,l*-III или *l*-III смесью Бекмана; II, [α] ^{20}D +93,85°, получен окислением *d,l*-IV; *l*-III, т. пл. 43°, т. заст. 35,2°, [α] ^{20}D —49,44° (*c* 4, в 95,5%-ном сп.), [α] ^{20}D —44,64° (*c* 4, в бэл.); *d*-IV, т. пл. 82,5—83°, [α] ^{20}D +26,16° (*c* 4, в сп.), [α] ^{20}D +23,80° (*c* 4, в бэл.); *d,l*-IV, т. пл. 53—54°; *d,l*-V, т. пл. 52°; *d,l*-VI, т. пл. 13—13,5°. Приведены кривые ИК-спектров I—VI.

Е. С. 78221. Изучение растительных летучих веществ. СХХХVII (I). 3-метил- α -ираны. Нав, Ардицио (Études sur les matières végétales volatiles. СХХХVII (I). Sur les méthyl-2- α -irones. Naves Yves-René, Ardisio Pierre, Bull. Soc. chim. France, 1955, № 11-12, 1479—1493 (франц.))

Описан синтез стереоизомерных 3-метил- α -иранов (I) и нео-3-метил- β -ирона (II) циклизацией 9-метилсескви-иранов (III). I образуются при действии на III BF_3 , а II при циклизации III с H_2SO_4 . III синтезированы конденсацией 3-метилдигидролиналоола (IV) с α -метилацетоксиусным эфиром (V). Гидрированием I и II получены 3-метил-3,4-дигидроираны (VI) и *транс*-тетрагидро-3-метилираны (VII). Смесь I моля IV и 3 молей V нагревают (180—185°, 55 час.) с одновременным удалением спирта и CO_2 ; последующей перегонкой выделяют смесь III, выход 62%, т. кип. 85—95°/0,1—0,15 мм, $n^{20}D$ 1,5342, d_4^{20} 0,9059. Из смеси III получают семикарбазон (СК) *транс*-III (VIII-кетон), т. пл. 221—222° (из сп.-петр. эф.); СК *цис*-III (IX-кетон), т. пл. 178—178,5° (из 95%-ного сп.-петр. эф.). Фенилсемикарбазон (ФСК) VIII, т. пл. 167—168° (из сп.-петр. эф.); ФСК IX, т. пл. 151—152° (из сп.-петр. эф.). Динитрофенилгидразон (ДНФГ) VIII, т. пл. 166—167° (из CH_3OH); ДНФГ IX, т. пл. 166,5—167,5° (из этилацетата). Гидролизом СК VIII (с фталевой к-той, в присутствии пропиленгликоля), последующей перегонкой с перегретым паром (135—140°/30—35 мм) и ректификацией над Si в атмосфере N_2 получают VIII, т. кип. 126—127°/1,6—1,7 мм, $n^{20}C$ 1,52796, $n^{20}D$ 1,53570, $n^{20}F$ 1,55446, d_4^{20} 0,9048. Аналогично получают IX, т. кип. 120—122°/1,6—1,7 мм, $n^{20}C$ 1,52602, $n^{20}F$ 1,55254, d_4^{20} 0,9034. Циклизацией 200 г III (смесь 60% VIII и 40% IX) в присутствии BF_3 (Naves, Helv. chim. acta, 1948, 31, 1108), последующей перегонкой с перегретым паром (135—140°/30—35 мм) и ректификацией выделяют 165 г I, т. кип. 104—108°/2,2 мм, $n^{20}D$ 1,5018—1,5040, d_4^{20} 0,934—0,939, давшего 46,5% СК



транс-I (X-кетон), т. пл. 214—216° (из сп.-петр. эф.), и 40% смеси СК X и **цис-I (XI-кетон)**, т. пл. 189—190° (из сп.-петр. эф.); ФСК X, т. пл. 199—200° (из CH₃OH); ФСК XI, т. пл. 177—178° (из CH₃OH); ДНФГ X, т. пл. 146—147° и 164—165° (преобладает); ДНФГ XI, т. пл. 165,5—166°. Гидролизом СК X и XI получают чистые X и XI (константы XI приведены в скобках): выход 91% (88%), т. кип. 113—114°/2,2 мм (114—115°/2 мм), n_D^{20} 1,49890 (1,49932), n_D^{20} 1,50288 (1,50330), n_D^{20} 1,51253 (1,51296), d_4^{20} 0,9336 (0,9363). Циклизацей III в присутствии H₂SO₄ (100 г III, 416 г H₂SO₄, 245 г CH₃COOH, при 5—15°) получают 36,8 г II, т. кип. 70—72°/0,12 мм, n_D^{20} 1,50628, n_D^{20} 1,51077, n_D^{20} 1,52166, d_4^{20} 0,9427; СК, т. пл. 186—187° (из сп.); ФСК, т. пл. 177—178° (из сп.); ДНФГ, т. пл. 157,5—158,5° (из CH₃OH). Частичным гидрированием I в присутствии скелетного Ni (7 час., 60°) получают **транс-α-VI** в виде двух стерео-изомеров (XII) и (XIII), возможно, различающихся конформацией циклогексенового кольца; СК XII, т. пл. 190,5—191,5° (из CH₃OH); СК XIII, т. пл. 149,5—150,5° (из CH₃OH); ДНФГ XII, т. пл. 124—125° (из CH₃OH); ДНФГ XIII, т. пл. 129—130° (из CH₃OH). Гидролизом СК XII и XIII получают XII и XIII (константы XIII приведены в скобках): т. кип. 104—105°/1,8—1,9 мм (105—105,5°/1,8—1,9 мм), n_D^{20} 1,47670 (1,47685), n_D^{20} 1,47966 (1,47980), n_D^{20} 1,48682 (1,48695), d_4^{20} 0,9191 (0,9205). При таком же гидрировании XI (11 час.) получают **цис-α-VI**; СК, т. пл. 190—191° (из сп.-бзл.), и 2',3'-дигидро-**цис-(1',5')-3-метил-α-ирон (XIV)**; СК, т. пл. 189—190° (из сп.-бзл.); ДНФГ **цис-α-VI**, т. пл. 140—141° (из CH₃OH); ДНФГ XIV, т. пл. 163—164° (из CH₃OH). Аналогичным гидрированием получают **цис-β-VI (XV)**; СК, т. пл. 157,5—158,5° (из CH₃OH-петр. эф.). VII и соответствующие иролы получают исчерпывающим гидрированием X (20 г) в присутствии скелетного Ni (100—110 ат., 120—130°). Перегонкой выделяют две фракции (константы второй фракции даны в скобках): выход 10,4 г (8,8 г), т. кип. 118—120°/2 мм (120—122°/2 мм), n_D^{20} 1,47841 (1,48024), n_D^{20} 1,48105 (1,48290), n_D^{20} 1,48744 (1,48936), d_4^{20} 0,9247 (0,9217). Из продукта окисления этих фракций хромовой смесью получают смесь СК, из которой выделяют СК VII, т. пл. 199—200° (из CH₃OH), и СК ст. пл. 188,5—189,5° (из CH₃OH); ДНФГ (соответствующий первому СК), т. пл. 110,5—111,5° (из CH₃OH). Приведены данные об ИК-спектрах полученных в-в. Е. С.

78222. Изучение составных частей китайского лечебного препарата «Кандзуй» VI. Об идентичности кандзуйола и тирукаллола. Мураками, Такэтомо, Инагаки (漢藥甘遂の成分研究. 第6報. Kanzui et Tirucallol の一致について. 村上信三, 竹本常松, 稻垣端穂), 藥學雜誌, Якугаку дзасси, J. Pharm. Soc. Japan, 1955, 75, № 9, 1171—1172 (япон.; рез. англ.). Сравнением кандзуйола (I), выделенного наряду с γ-эйфорболом из *Euphorbia* (см. сообщение V, РЖХим, 1956, 58148), и его производных: ацетата (II), ацетата дигидрокандзуйола (III) и дигидрокандзуйола (IV) с тирукаллолом (V) (РЖХим, 1956, 3972, 3976) и его аналогичными производными доказано, что I и V идентичны, это подтверждено также ИК-спектром II и ацетата V. II, т. пл. 163° (из сп.), $[\alpha]_D^{25}$ —18° (с 1; бзл.) (выделен из продуктов ацетилирования неочищ. эйфорбола, см. сообщение V), омыление II в спирт. р-ре 3%-ным спирт. КОН (кипячение 4 часа) дало I, т. пл. 133,5—134°, $[\alpha]_D^{25}$ +4,6° (с 2; бзл.); гидрирование II (над Pd/C в сп.) привело к III, т. пл. 144—144,5° (из сп.), $[\alpha]_D^{25}$ —20,8° (с 2; бзл.); омыление III (аналогично II) дало IV, т. пл. 146—147° (из сп.), $[\alpha]_D$ +8,6° (с 3; бзл.). Л. Я.

78223. Стерины морских моллюсков. IV. Δ⁷-Холестенол, главный стерин *Chiton tuberculatus* L. Кайнд,

Meÿrc (Sterols of marine mollusks. IV. Δ⁷-Cholestenol, the principal sterol of *Chiton tuberculatus* L. Kind C. Albert, Meigs Robert A.). J. Organ. Chem., 1955, 20, № 8, 1116—1118 (англ.)

Показано, что основным стеринном, выделенным из морских моллюсков *Chiton tuberculatus* L., является Δ⁷-холестенол (I), который идентифицирован изомеризацией в Δ¹⁴-холестенол (II), превращенный гидрированием в холестеранол (III). 25,8 кг измельченных сухих моллюсков обрабатывают (48 час.) ацетоном и экстракт омыляют спирт. р-ром КОН, получают 33 г неомыляемого продукта, который кристаллизуют из CH₃OH. С помощью дигитонина выделяют 2 г I, т. пл. 121—123° (из абс. CH₃OH), $[\alpha]_D^{25}$ +4,3° (с 40,4 мг в 5 мл хлф., α +0,07°); ацетат I, т. пл. 116—118° (из CH₃OH), $[\alpha]_D^{25}$ +0,92° (с 49 мг в 5 мл хлф., α +0,018°); бензоат I, т. пл. 153—155° (из абс. сп.), $[\alpha]_D^{25}$ +9,1° (с 47,7 мг в 5 мл хлф., α +0,174°). 110 мг I гидрируют в лед. CH₃COOH-этилацетате (1:1) над Pt, продукт омыляют спирт. р-ром КОН и получают Δ⁸⁽¹⁴⁾-холестенол (IV), т. пл. 118—119° (из абс. CH₃OH); ацетат IV, т. пл. 73—74°; бензоат IV (V), т. пл. 118°. V обрабатывают (0°, 5 час.) HCl (газом) в CHCl₃. Полученный бензоат II с т. пл. 163—165° (из этилацетата) гидрируют над Pt в лед. CH₃COOH-этилацетате (1:1), продукт омыляют спирт. КОН и выделяют III, т. пл. 140—141,5° (из CH₃OH), $[\alpha]_D^{25}$ +28,9° (с 31,2 мг в 5 мл хлф., α +0,36°); ацетат III, т. пл. 109—110°, $[\alpha]_D^{25}$ +18,3° (с 32,3 мг в 5 мл хлф., α +0,237°). Сообщение III см. РЖХим, 1954, 14747. С. Г.

78224. Стерины морских организмов. II. 24-метилхлестерин. Фейгерланд, Идлер (Marine sterols. II. 24-Methylencholesterol in molluscs. Fagerlund U. H. M., Idler D. R.). J. Organ. Chem., 1956, 21, № 3, 372—373 (англ.)

Описанный ранее (сообщение I см. РЖХим, 1956, 35969) 24-метилхлестерин (I) выделен из моллюсков *Pecten caurinus*, *Cardium corbis* и *Modiolus demissus*. Хроматограмма п-фенилазобензильных эфиров стеринов из указанных сходна с хроматограммой стеринов из устриц и *Saxidomus giganteus*. Смесь 6,58 кг мускулов из *P. caurinus* и 6,58 кг Na₂SO₄ экстрагируют петр. эфиром (т. кип. 65—110°, 2 раза по 15 л), получают 8 г жиров. Экстрагирование тем же объемом CHCl₃ дает еще 32,8 г жиров. Последние омыляют 10%-ным спирт. р-ром КОН, неомыляемую часть (9,4 г) растворяют в CH₃OH и при охлаждении выделяют стерины (II), выход 6,49 г (69%), т. пл. 132—133°, $[\alpha]_D^{25}$ —37,7°. При добавлении воды к маточному р-ру неомыляемой части выделяют 390 мг стерина, т. пл. 124—126°. 278 г *S. corbis* экстрагируют ацетоном (3 раза по 1 л), оставшуюся после удаления р-рителя водн. суспензию экстрагируют эфиром и получают 7,5 г жиров. Добавлением MgCl₂ к ацетонному р-ру жиров осаждают фосфатиды. При омылении 10%-ным спирт. КОН 2 часа выделяют II, выход 390 мг, т. пл. 129—131° (из CH₃OH), $[\alpha]_D^{25}$ —30,6°. п-Фенилазобензильные эфиры II из *P. caurinus*, *S. corbis* и *M. demissus* хроматографируют на кремнекислоте-целите (приведены данные хроматограммы). Эфир II из *P. caurinus* содержит 34,6% I, из *S. corbis* —53,3% I, из *M. demissus* —5,4% I. Чистый азонильный эфир I (III), выделенный из *P. caurinus*, имеет т. пл. 197° (из бзл.-водн. сп.). Гидролиз III и последующее ацетилирование дают ацетат I (IV): после очистки от примесей Δ^{5,7}-стерина р-цией с малеиновым ангидридом IV имеет т. пл. 136°, α_D^{25} —42,9°. Гидролиз IV дает I, т. пл. 141° (из CH₃OH), α_D^{25} —35,7°; бензоат, т. пл. 147°, α_D^{25} —14,2°. При озонировании IV в смеси CH₃COOH-(CH₃CO)₂O: 1:1, получают ацетат 24-кетохлестерина, т. пл. 127°; оксим, т. пл. 169° (из водн. сп.); 2,4-динитрофенилгидразон, т. пл. 169° (из сп.).

При аналогичной обработке азонловых эфиров II из *C. corbis* и *M. demissus* получают аналогичные результаты.

78225. Нерешенные проблемы строения в химии стероидов и стероидов. IV. О возможном строении некоторых стероидов, выделенных из природных соединений. Георг (Problèmes de structure en suspens dans la chimie des stéroïdes et des stéroïdes. IV. Sur la structure probable de quelques stéroïdes artificiels. G e o r g A.), Arch. sci., 1954, 7, № 2, 112—114 (франц.)

На основании обзора литературных данных (библ. 11 назв.) о строении спинастеринов $C_{29}H_{48}O$, из которых α -изомер представляет собою $\Delta^{7,22}$ -стигмастадиенол-3 β (I), β - и δ -изомеры отличаются от I, по-видимому, лишь положением двойной связи в боковой цепи, γ -спинастерин (II) отличается от остальных трех изомеров положением двойной связи в ядре. Выдвинута гипотеза, согласно которой II, т. п. 160°, $[\alpha]_{D}^{20} 0^\circ$ (в хлф.), представляет собою $\Delta^{8(14),22}$ -стигмастадиенол-3 β ; отмечено, что в случае правильности этой гипотезы возникает вопрос, существует ли II уже в гликозидах, из которого он был выделен, или в этом соединении содержится I, двойная связь которого изомеризуется в условиях гидролиза (HCl в кипящем $C_5H_{11}OH$). По мнению автора, изоспинастерин (III), т. п. 150°, $[\alpha]_D + 5^\circ$ (в хлф.), идентичен II, причем некоторая разница их физ.-хим. свойств отнесена за счет того, что II может содержать следы неизомеризованного I, а в III может содержаться $\Delta^{14,22}$ -стигмастадиенол-3 β как конечный продукт изомеризации под влиянием HCl. Сообщение III см. РЖХим БХ, 1955, 3868.

78226. Дегидратация 17 α -окси-20-кетопрегнанов. Шпильфогель, Геррис (Dehydration of 17 α -hydroxy-20-ketopregnanes. Szpilfogel S. A., Gerris V.), Recueil trav. chim., 1955, 74, № 11, 1462—1466 (англ.). Показано, что при дегидратации 17 α -окси-20-кетопрегнанов с $POCl_3$ в пиридине легко образуются Δ^{16} -20-кетосоединения. С меньшей скоростью в этих условиях отщепляется 11 β -ОН-группа. В охлажд. при минус 10—15° р-р 1 г 3-ацетата прегнандиол-3 α , 17 α -диона-3,20 (I) в 5 мл сухого пиридина добавляют 2 мл $POCl_3$ и оставляют на 4 дня при 20°. После хроматографирования получают 6 г 3-ацетата Δ^{16} -прегненол-3 α -диона-3,20 (II), т. п. 170—171° (из CH_3OH), $[\alpha]_D + 104^\circ$. При гидрировании II в этилацетате над Pd/BaSO₄ получен 3-ацетат прегнанол-3 α -диона-11,20 (III), т. п. 137°. Дегидратация 3-ацетата прегнантриола-3 α , 17 α , 11 β -она-20 (IV) (2,5 г) осуществлялась, как описано выше, но р-р был оставлен на 24 часа. Получено 1,9 г 3-ацетата $\Delta^{8(11)}$ -прегнендиол-3 α , 17 α -она-20 (V), т. п. 191—193° (из бнл.-петр. эф.). При омылении 350 мг V р-ром 300 мл KOH в 8 мл *трет*-C₄H₉OH в атмосфере N₂ получено 200 мг $\Delta^{8(11)}$ -прегнендиол-3 α , 17 α -она-20 (VI), т. п. 218—218,5°, $[\alpha]_D + 57^\circ$. При дегидратации 2 г IV описанным выше методом (5 дней) получают 1,07 г 3-ацетата $\Delta^{9(11),16}$ -прегнадиенол-3 α -она-20 (VII), т. п. 151—152,5° (из ацетона). Дегидратация 2 г 3-этиленкеталь-4-хлорпрегнандиол-11 β , 17 α -диона-3,20 (VIII) (20 час.) дала 0,75 г 3-этиленкеталь- $\Delta^{8(11)}$ -4-хлорпрегненол-17 α -диона-3,20, т. п. 176°, $[\alpha]_D + 53^\circ$, и 3-этиленкеталь- $\Delta^{9(11),16}$ -4-хлорпрегнадиенол-3 α -она-20 (IX), т. п. 208—210°, $[\alpha]_D + 155^\circ$. При взаимодействии (48 час) VIII с $POCl_3$ получен только IX. При омылении 850 мг IX смесью 15 мл CH_3COOH 0,08 г H₂SO₄ и 4,5 мл воды (110—120°, 1 час.) получают 550 мг $\Delta^{9(11),16}$ -4-хлорпрегнадиенол-3 α -она-20 (X), т. п. 182—184°. Р-р 500 мг X в 2 мл $CHCl_3$ перемешивают 30 мин. в атмосфере N₂ с 300 мг семикарбазида в 1 мл CH_3COOH , разбавляют водой, экстрагируют $CHCl_3$, после удаления последнего добавляют 1 мл

CH_3COOH и 1 мл пировиноградной к-ты и нагревают 30 мин. при 90°. Получают 315 мг $\Delta^{4,9(11),16}$ -прегнатриенодиона-3,20 (XI), т. п. 199—201° (из хлф.- CH_3OH), $[\alpha]_D + 196^\circ$. Для II, VII, IX и XI приведены данные УФ-спектра.

И. З.

78227. Частичное восстановление стероидных гормонов и родственных соединений. Часть II. Новый синтетический путь к стероидным 20,21-кетонам. Нормбергский (Partial reduction of steroid hormones and related substances. Part II. A new synthetic route to steroid 20:21-ketols. N o r m b e r s k i J. K.) J. Chem. Soc., 1956, March, 517—519 (англ.)

Описан метод превращения 17 α ,21-диокси-11,20-дикетостероидов в 21-окси-11,20-дикетостероиды. При обработке прегнантриол-3 α , 17 α , 21-диона-11,20 (I) Zn в кипящей CH_3COOH с последующим ацетилированием образуется диацетат прегнандиол-3 α , 21-диона-11,20 (II). 21-ацетат I (Ia) и диоксипрегнандиол-3 α , 17 α -дион-11,20 в указанных условиях не реагируют, а кортизон (III) и кортизол (IV) при этом дают, соответственно, ацетат 11-дегидрокортикостерона (V) и ацетат кортикостерона (VI). Все в-ва перед анализом сушат в высоком вакууме, при 80—100° 4—16 час., т-ру плавления определяют в блоке Кофлера, $[\alpha]_D$ определяют при 15—20° в $CHCl_3$. Хроматографируют на нейтрализованной Al_2O_3 в смеси бензола с этилацетатом. Ацетилирование проводят при помощи $(CH_3CO)_2O$ в пиридине, при ~20°. Методика восстановления заключается в обработке 0,02—0,03 M р-ра стероида в 50%-ной CH_3COOH 40—80 молями чистой Zn-пыли при кипячении 60—90 мин. Горячий р-р фильтруют, к фильтрату добавляют лед и 3 н. NaOH в кол-ве, необходимом для нейтр-ции 90% всего кол-ва CH_3COOH , и экстрагируют эфиром- $CHCl_3$. 100 мг I обрабатывают, как описано выше, ацетируют, хроматографируют и получают известный II, выход 63%, т. п. 107—109° (из эф.-бнз.), $[\alpha]_D + 127^\circ$ (с 2,15). При обработке 120 мг Ia, аналогичной описанной выше, образуется 3 α ,21-диацетат I, выход 85 мг, т. п. 228—231° (из CH_3OH и ацетона-гексана), $[\alpha]_D + 112^\circ$ (с 1,31), +89° (с 0,82; ацетон). 300 мг IV обрабатывают Zn, как описано выше, продукт р-ции ацетируют, хроматографируют и получают VI, выход 37%, т. п. 145—146° (из ацетона-гексана) и, после застывания, 152—153° $[\alpha]_D + 221^\circ$ (с 0,67). При окислении VI CrO_3 получен V, т. п. 178—180°, $[\alpha]_D + 247^\circ$ (с 0,78). При аналогичной обработке 250 мг III получают V, выход 26%, т. п. 177—180° (из ацетона-гексана), $[\alpha]_D + 242^\circ$ (с 0,57). Приведены данные УФ-спектров для V и VI. Предыдущую часть см. РЖХим, 1956, 39684.

М. Б.

78228. 21-Производные соединения S, кортизона и гидрокортизона. Борреванг (21-Derivatives of compounds S, cortisone and hydrocortisone. B o r r e v a n g P o u l), Acta chem. scand., 1955, 9, № 4, 587—594 (англ.)

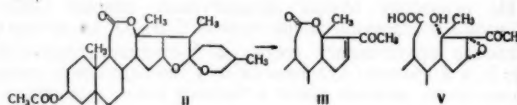
Исходя из соединения S (I), кортизона (II) и гидрокортизона (III), автор получил ряд производных, в которых ОН-группа в положении 21 заменена другими группами, именно *n*-толуолсульфонилом, галоидами, CN и SCN. Р-р 1 г I в 10 мл сухого пиридина смешивают при —70° с р-ром 600 мг *n*-толуолсульфохлорида (IV) в 6 мл CH_2Cl_2 , выдерживают при —70° 2 часа и затем 18 час. при +2°. После обычной обработки получают 21-*n*-толуолсульфонат Δ^4 -прегнендиол-17 α , 21-диона-3,20 (V), выход 69,2%, т. п. 159—160° (из CH_3OH); сольват V- CH_3OH , т. п. 97—98°; сольват V- C_2H_5OH , т. п. 160—161°. При обработке I ангидридом *n*-толуолсульфокислоты (VI) при —70° или 20° выход V составляет 41,5%, кипячение реагентов (2,5 часа) понижает выход V до 17,3%. При обработке II с IV, как это описано выше, и выдерживании р-ра при —18° (18 час.) получен *n*-толуолсульфонат Δ^4 -прегнендиол-17 α , 21-триона-3,11,20 (VII), вы-

ход 73%; сольват VII- C_6H_6 , т. пл. 108—109°; сольват VII- CH_3OH , т. пл. 141—143°; с VI выход VII 15,2%, по Шоттену — Бауману выход 48,6%. При обработке III (18 час. при —18°) получают *m*-толуолсульфонат Δ^4 -прегнендиол-11 β , 17 α , 21-диона-3,20 (VIII); сольват VIII- CH_3OH , т. пл. 119—121°. Р-р 1 г V в 5 мл ацетона и р-р 1 г NaI в 7 мл ацетона кипятят 7—8 мин. После обычной обработки получают 21-иод- Δ^4 -прегнендиол-17 α -дион-3,20 (IX), выход 95,4%, т. пл. 135—136° (разл.). Обработка VII и VIII таким образом дает соответственно 21-иод- Δ^4 -прегнендиол-17 α -трион-3,11,20 (X), выход 98,3%, т. пл. 155—156° (разл.), и 21-иод- Δ^4 -прегнендиол-11 β , 17 α -дион-3,20 (XI), выход 87,1%, т. пл. 148—149°. Р-р 0,5 г V в 5 мл CH_3OH и р-р 350 мг NaBr в 10 мл CH_3OH кипятят 3 часа, получают 21-бром- Δ^4 -прегнендиол-17 α -дион-3,20, выход 43,4%, т. пл. 223—224°. Из VII аналогичным образом получен 21-бром- Δ^4 -прегнендиол-17 α -трион-3,11,20, выход 85%, т. пл. 249—250° (разл.). Р-р 0,5 г V и 1 г $CaCl_2$ в 25 мл абс. спирта кипятят 5 час., получают 21-хлор- Δ^4 -прегнендиол-17 α -дион-3,20, выход 96%, т. пл. 234—235°. Из VII аналогичной обработкой получен 21-хлор- Δ^4 -прегнендиол-17 α -трион-3,11,20 (XII), (выход 93,9%, т. пл. 282—284°). При замене $CaCl_2$ на NH_4Cl выход XII составляет 86%. Р-р 0,5 г IX и 0,5 г KCN в 70 мл CH_3OH кипятят 10 мин., получают 21-циан- Δ^4 -прегнендиол-17 α -дион-3,20, выход 38,5%, т. пл. 249—251°. Аналогичным образом из X получен 21-циан- Δ^4 -прегнендиол-17 α -трион-3,11,20, выход 19,1%, т. пл. 236—237°. В р-р 0,5 г IX в 40 мл сухого ацетона добавляют 0,5 г сухого KSCN и кипятят 5 час., получают 21-тиоциан- Δ^4 -прегнендиол-17 α -дион-3,20, выход 94,2%, т. пл. 188—189°. При аналогичной обработке X получен 21-тиоциан- Δ^4 -прегнендиол-17 α -трион-3,11,20 (XIII), выход 98,4%, т. пл. 193—194°. Из VII при такой же обработке получен также XIII. Р-р 1 г IX в 50 мл сухого ацетона и 650 мг CH_3COSK кипятят 2,5 часа, получен 21-ацетат Δ^4 -прегнендиол-17 α , 21-тиоциан-диона-3,20, выход 84,6%, т. пл. 219—222° (из сл.). В аналогичных условиях из X получен 21-ацетат Δ^4 -прегнендиол-17 α , 21-тиоциан-диона-3,11,20 (XIV), выход 73%, т. пл. 224—226°. Из VII этим же путем также получен XIV, выход 70,8%. Р-р 0,5 г V в 50 мл сухого ацетона и 250 мг CH_3COOK кипятят 4,5 часа, получают 21-ацетат Δ^4 -прегнендиол-17 α , 21-диона-3,20, выход 77,3%, т. пл. 228—231°.

78229. Стероидные сапогенины. XXI. Превращение ацетата гекололактона в производные 12,13-лактона 12, 13-секо- Δ^{16} -аллопрегнендиол-3 β , 13 α -он-20-карбоновой-12 кислот. Ротман, Уолл (Steroidal sapogenins. XXI. Degradation on hecololactone acetate to derivatives of 12,13-seco-16-allopregnene-3 β ,13 α -diol-12-carboxy-20-one 12,13-lactone. Rothman Edward S., Wall Monroe E., J. Amer. Chem. Soc., 1955, 77, № 8, 2228—2229 (англ.).

Ранее (РЖХим, 1955, 55215) было показано, что при окислении гекогенина надбензойной к-той (I) образуется семичленный лактон — гекололактон (II). Превращение ацетата II в 3-ацетат 12,13-лактона 12,13-секо- Δ^{16} -аллопрегнендиол-3 β , 13 α -он-20-карбоновой-12 к-ты (III) проведено аналогично превращению стероидных сапогенинов в производные Δ^{16} -прегнена-20 (Marker R. E. и др., J. Amer. Soc., 1947, 69, 2167), но на 3-й стадии гидролиз в сильной щел. среде заменен обработкой смесью *трет*- C_4H_9OH -вода-NaHCO₃. При этом легко выделяется нерастворимый в эфире III, обладающий аномально низким максимумом УФ-поглощения при 227 м μ и левым вращением. Двойная связь Δ^{16} в III инертна по отношению к I, но при действии H_2O_2 в щел. среде получается 16,17-оксис 3-ацетата 12,13-лактона 12,13-секо-аллопрегнендиол-3 β , 13 α -он-20-карбоновой-12 к-ты (IV), образующая также в результате замыкания под действием $(CH_3CO)_2O$ лактоного кольца в 16,17-оксис 3-ацетата 12,13-сек-аллопрегнендиол-3 β , 13 α -он-20-карбоновой-12

к-ты (V), которая получается при частичном омылении III. IV получен также действием I на 3-ацетат Δ^{16} -аллопрегнендиол-3 β -диона-12,20 (VI). При гидрировании III дает 3-ацетат 12,13-лактона 12,13-секо-аллопрегнендиол-3 β -он-20-карбоновой-12 к-ты (VII). 24,4 г II в 75 мл $(CH_3CO)_2O$ нагревают 19 час. в запаянной трубке (185°), после охлаждения отделяют 5 г II и остаток окисляют CrO_3 при 15°. После перемешивания 100 мин. при 20° смесь выливают в воду, стероиды извлекают эфиром, отгоняют



р-ритель в вакууме. Остаток растворяют в 125 мл *трет*- C_4H_9OH , добавляют 125 мл 5%-ного водн. р-ра NaHCO₃ и встряхивают в течение ~12 час. При добавлении воды и эфира выделяется III, выход 65%, двойная т. пл. 173,5° и 203—205°, $[\alpha]^{25}_D$ — 26°. Р-р 9,8 г III в 660 мл CH_3OH обрабатывают 37 мл 30%-ного р-ра H_2O_2 при 10°, добавляют р-р 4,1 г NaOH в 21 мл воды и оставляют на 12 час. при 10°. После нейтрации извлекают $CHCl_3$, получают V, т. пл. 210—213,5°, $[\alpha]^{25}_D$ + 33,4° (CH_3OH). При действии на V $(CH_3CO)_2O$ в C_6H_5N образуется IV, выход 38%, т. пл. гексагональной формы 265—267° (эф.), т. пл. октагональной формы 269—270°, $[\alpha]^{25}_D$ + 17,8°. К смеси 5,37 ммоль (2 г) VI и 21,48 ммоль I в 44,32 мл $CHCl_3$ при 5° добавляют 1 мл 10%-ного р-ра H_2SO_4 в CH_3COOH и оставляют на 2 недели. Получено после обработки реакционной смеси 350 мг IV; т. пл. 266—270° (ацетон). ИК-спектр аналогичен спектру IV из III. 2 г III в 75 мл тетрагидрофурана гидрируют с 1 г 5%-ного Pd/C (3 ат, 6 час.). Получают VII выход 0,4 г, двойная т. пл. 172,5° и затем 184—189° (ацетон), $[\alpha]^{25}_D$ + 60,4°. Сообщение XX, см. РЖХим, 1955, 18851.

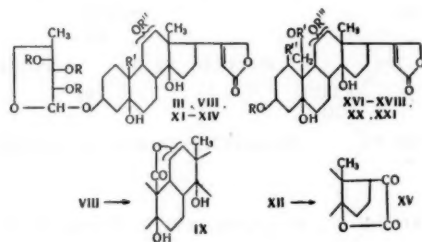
78230. Гликозиды и агликоны. Сообщение 150. Гликозиды Antiaris toxicaria Lesch. Дольдер, Тамм, Рейхштейн (Die Glykoside von Antiaris toxicaria Lesch. Glykoside und Aglykone. 150. Mitteilung. Dolder F., Tamm Ch., Reichstein T., Helv. chim. acta, 1955, 38, № 6, 1364—1396 (нем.).

Описано выделение активных сердечных гликозидов из 1 л млечного сока *Antiaris toxicaria* Lesch. (Moraceae) (Индонезия), стабилизированного прибавлением 1,5 л смеси C_2H_5OH и $CHCl_3$. Исследовался верхний жидкий слой, слитый с выделившейся на дне сосуда вязкой резиноподобной массы, которая была промыта 500 мл смеси $CHCl_3$ - C_2H_5OH (1:1). Соединенный с промывной жидкостью верхний слой (общий объем = 3 л) обрабатывали сначала спиртом, потом $Pb(OH)_2$, фильтрат подкисляли разб. H_2SO_4 до pH 6, упаривали в вакууме до небольшого объема и остаток извлекали фракционно р-рителем. Полученные экстракты подвергали распределительному хроматографированию, причем выделены 5 кристаллич. гликозидов: А (I), В (II), С (III), Е (IV) и F (V), из которых I, II, IV и V оказались новыми в-вами. Хроматографированием на бумаге обнаружено присутствие гликозидов D и G (VI), не выделенных в чистом виде. VI очень трудно отделяется от II и, по-видимому, идентичен с α -антиарином (VII), выделенным ранее (Kilian H., Ber., 1913, 46, 2179). IV, I и II выделены в очень малом кол-ве. IV, $C_{29}H_{44}O_{11}$, т. пл. 264—272° (испр.; из CH_3OH - H_2O -ацетона), $[\alpha]^{25}_D$ — 45,0° \pm 3° (с 1,226; CH_3OH); потеря при высушивании 2,78% (5 час., 110°). I, $C_{29}H_{42}O_{11}$, т. пл. 236,5—239° (испр.; из CH_3OH -эф.), $[\alpha]^{25}_D$ + 0,8° \pm 4° (с 0,6473; CH_3OH); потеря при высушивании 9,4% (3 часа, 110°); не содержит OCH_3 , V, $C_{29}H_{44}O_{10}$, антиоксид, не содержит OCH_3 ;

двойная т. пл. $\sim 191-210^{\circ}/242-252^{\circ}$ (испр.; из CH_3OH -эф.), $[\alpha]_D^{21} D - 7,5^{\circ} \pm 2^{\circ}$ (с 0,912; CH_3OH); потеря при высушивании 9,45% (5 час.; 110°). О-ацетилацетиозид (триацетат или тетрацетат), $\text{C}_{35}\text{H}_{50}\text{O}_{13}$ или $\text{C}_{37}\text{H}_{52}\text{O}_{14}$ (т. пл. $238-239^{\circ}$) (испр.; из ацетона-эф.). $[\alpha]_D^{25} D + 1,7^{\circ} \pm 3^{\circ}$ (с 0,877; хлф.), потеря при высушивании 0,2% (3 часа; 100°); устойчив к CrO_3 в лед. CH_3COOH (3 часа, 20°).

II, борогрозид, $\text{C}_{29}\text{H}_{42}\text{O}_{11}$, т. пл. $257-263^{\circ}$ (испр.; из воды-ацетона), $[\alpha]_D^{25} D - 4,6^{\circ} \pm 2^{\circ}$ (с 1,098; CH_3OH - H_2O ; 1:1); потеря при высушивании 1,55% (6 час., 110°); очень близок к **VII**, но отличается от него большей растворимостью в воде, по т-ре плавления и по величине R_f .

III, $\text{C}_{29}\text{H}_{42}\text{O}_{11}$, т. пл. $240-245^{\circ}$ (испр.; из CH_3OH - H_2O), $[\alpha]_D^{20} D + 2,2^{\circ} \pm 2^{\circ}$ (с 0,9333; CH_3OH - H_2O ; 1:1); потеря при высушивании 2,99% (5 час., 110°); не содержит OCH_3 -группы. **III** идентифицирован с выделенным ранее β -антиригоном (см. ссылку выше). По аналогии с **VII**, для которого ранее (Doebel K., Schlitter E., Reichstein T., *Helv. chim. acta*, 1948, **31**, 688) была предложена частичная ф-ла, авторы предлагают гипотетич. частичную ф-лу для **III**.



III $R=R''=H$, $R'=CHO$; **VIII** $R=COC_6H_5$, $R'=CHO$, $R''=H$;
XI $R=R''=H$, $R'=CH_2OH$; **XII** $R=R''=COCH_3$, $R'=CH_2COCH_3$;
XIII $R=H$, $R'=CH_2COCH_3$, $R''=COCH_3$; **XIV** $R=R''=COCH_3$,
 $R'=CH_2COCH_3$; **XVI** $R=R'=R''=H$; **XVII** $R=R''=COCH_3$,
 $R'=R'''=H$; **XVIII** $R=R'=COCH_3$, $R''=R'''=H$; **XX** $R=R'=R'''=$
 $=COCH_3$, $R''=OH$; **XXI** $R=R'=R''=COCH_3$, $R'''=OSO_2CH_3$

Ацетилированием **III** получена смесь в-в, из которой после хроматографирования на Al_2O_3 выделены два ацетата: с т. пл. $147-150^\circ$ (испр.) и с т. пл. $175-178^\circ$ (испр.; из ацетона-эф.). О-бензоил- β -антиарин (**VIII**) является, по-видимому, трибензоатом, хотя его анализ близок также к тетрабензоату ($\text{C}_{50}\text{H}_{54}\text{O}_{14}$ или $\text{C}_5\text{H}_5\text{O}_{15}$), т. пл. $292,5-293,5^\circ$ (испр.; разл.; из ацетона-эф.), $[\alpha]^{25}_D + 80,6^\circ \pm 2,3^\circ$ (с 1,09; ацетон). Окислением **VIII** CrO_3 в лед. CH_3COOH (16 час. стояния) получен нейтр. продукт (**IX**), который очищали хроматографированием (Al_2O_3), $\text{C}_{50}\text{H}_{52}\text{O}_{14}$, т. пл. $240-244,5^\circ$ (испр.; из ацетона-эф.), $[\alpha]^{25}_D + 81,8^\circ \pm 3^\circ$ (с 0,58; ацетон); потеря при высушивании 0,76% (3 часа, 100°). Следовательно, **VIII** имеет свободную вторичную OH-группу. Для **IX** предложена гипотеза, ф-ла строения по аналогии с соответствующим производным бензоата **VII**. После гидролитич. расщепления **III** конц. HCl в смеси ацетона с диоксаном (12 дней в темноте, 20°) выделен только углевод, идентифицированный с L-рамнозой (**X**). С лучшими результатами проведено расщепление **III** после предварительного восстановления CO-группы. К р-ру **III** в смеси диоксан-вода (3:1) прибавляли по каплям при перемешивании (30 мин.) р-р NaNH_4 в той же смеси и оставляли стоять (5 час.; 20°). Получен гликозид, названный « α 1-дигидро- β -антиарин» (**XI**) по аналогии с восстановленным **VI**, $\text{C}_{39}\text{H}_{44}\text{O}_{11}$, т. пл. $248-257^\circ$ (испр.; разл.; из CH_3OH -эф.), $[\alpha]^{25}_D - 6,7 \pm 2^\circ$ (с 1,085; CH_3OH); потеря при высушивании 4,85%, 4,98% (5 час.; 110°). Получен О-пентаацетил- α 1-дигидро- β -антиарин (**XII**).

$C_{25}H_{34}O_{16}$, т. пл. 260—262° (испр., из ацетона-эф.), $[\alpha]^{25}_D + 6,1 \pm 2^\circ$ (с 1,017; ацетон); потеря при высушивании ~0,70%, 2,36% (3 часа; 100°). Омылением HCl $KHCO_3$ получен диацетат **XI** (**XIII**), т. пл. 190—195° (испр.; из CH_3OH -эф.), $[\alpha]^{25}_D + 11,9 \pm 2^\circ$ (с 1,541; CH_3OH). Получен О-пентабензоил- α -дигидро- β -антирин (**XIV**), $C_{64}H_{64}O_{16}$, т. пл. 182—191° (испр.; из ацетона- CH_3OH); $[\alpha]^{21}_D + 71,0 \pm 3^\circ$ (с 0,732; хлф.); потеря при высушивании 1,67% (3 часа, 100°). **XII** и **XIV** устойчивы к CrO_3 в лед. CH_3COOH . Опыты дегидратации **XI** с конц. HCl и **XII** с $POCl_3$ не дали положительных результатов. Окислением **XII** $KMnO_4$ в ацетоне при встряхивании (4,5 часа) получен нейтр. продукт, представляющий собой по УФ-спектру кетокетолан (**XV**), т. пл. 153—158° (испр.; из ацетона-эф.), $[\alpha]^{24}_D - 29,2^\circ \pm 2^\circ$ (с 1,13; хлф.). Гидролитич. расщеплением **XI** конц. HCl в ацетоне (13 дней, 20°) получены **X** и α -дигидроантиригенин (**XVI**), $C_{25}H_{34}O_7$, т. пл. 161—162° (испр.; из ацетона-эф.), $[\alpha]^{25}_D + 37,4^\circ \pm 2^\circ$ (с 1,17; CH_3OH); потеря при высушивании 0,66%, 4,77% (3 часа, 120°); О-триацетат **XVI** (**XVII**), т. пл. 214—215,5° (испр.; из ацетона-эф.), $[\alpha]^{21}_D + 46,2 \pm 2^\circ$ (с 0,992; CH_3OH); потеря при высушивании 0,29% (3 часа, 100°); О-трибензоат **XVI** (**XVIII**), т. пл. 223—225° (испр.; из ацетон-эф.); $[\alpha]^{25}_D + 32,8^\circ \pm 2^\circ$ (с 1,53; хлф.); потеря при высушивании 0,4%, 0% (5 час.; 100°). **XVII** и **XVIII** устойчивы к CrO_3 в лед. CH_3COOH . На основании молекулярных вращений **XVI** и углеводной части **III** представляет α -L-рамнозид. Так как в настоящее время трудности получения материала препятствуют дальнейшему исследованию строения **XVI**, авторы провели предварительные опыты, взяв в качестве модели легко доступный убагенин (**XIX**). Действием CH_3SO_3Cl на О-триацетат **XIX**, имеющий, по-видимому, частичную ф-лу (**XX**) (3 часа, 0°; затем 16 час., 20°) получен мезилат **XX** (**XXI**), $C_{30}H_{42}O_{18}S$, т. пл. 175—178° (испр.; разл., из CH_3OH -эф.), $[\alpha]^{20}_D - 11,0^\circ \pm 2^\circ$ (с 1,591; CH_3OH). При нагревании **XXI** с NaI количественно выделился Na-мезилат. Получено в незначительном кол-ве в-во, не содержащее I и дающее желтое окрашивание с тетранитрометаном. Даны кривые УФ-спектров, хроматограммы на бумаге, таблицы результатов распределительного хроматографирования, таблицы цветных р-ций с 84%-ной конц. H_2SO_4 и сравнительные данные биологич. испытаний. Сообщение 149 см. РЖХим, 1956, 32611. В. М.

78231. Гликозиды и агликаны. Сообщение 151. О гликозидах из *Bowiea volubilis* Harvey. 7 сообщение. Катц (Über die Glykoside von *Bowiea volubilis* Harvey. 7. Mitteilung. Glykoside und Aglykone, 151. Mitteilung. Katz A.), Helv. chim. acta, 1955, 38, № 6, 1565—1572 (нем.)

Из люковид *Bowiea volubilis* Harvey (I), кроме ранее обнаруженного бовозида (II) (РЖХим, 1955, 26317), выделены: моноацетильное производное II (III), агликон $C_{24}H_{42}O_8$, названный набогенином (IV) и боназид (V), новый гликозид, состав которого еще не установлен. По ИК-спектру и цветной р-ции с 84%-ной H_2SO_4 IV близок к ситиллаукозидину; по токсичности IV примерно на 50% превосходит уабанин (VI). V не дает цветной р-ции с 84%-ной H_2SO_4 , дает отрицательную р-цию Келлера-Килиани и при кипячении с 0,05 н. H_2SO_4 отщепляет сахар, что указывает на наличие Δ^2 -двойной связи. Токсичность V соответствует $\frac{1}{3}$ токсичности VI. Измельченные I подвергают самоферментации (37°, 24 часа в атмосфере N_2) и экстрагируют, как описано для *Bowiea kilimandscharica* (РЖХим, 1956, 16205). Первый эфирный экстракт отбрасывают. Из второго — пятого эфирных экстрактов получают после отгонки р-теля 2,28 г сухого остатка, который хроматографируют на 70 г нейтр. Al_2O_3 . Смесью $CHCl_3$ - C_6H_6 (1:1) и первой порцией $CHCl_3$ вымывают 638 мг некристаллич. смеси в-в. Из второй и третьей $CHCl_3$ -фракции после

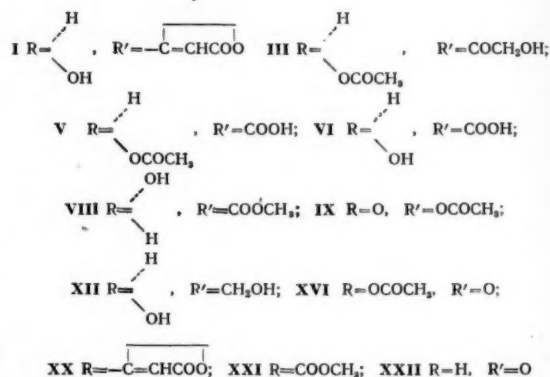
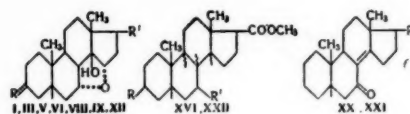
перекристаллизации из ацетона-эфира выделяют **IV**, выход 95 мг, т. пл. 250—256° (из CH_3OH), $[\alpha]^{25}_D + 34,5 \pm 3^\circ$ (с 0,868; в CHCl_3 - CH_3OH ; 1:1); ацетильное производное (пиридин, $(\text{CH}_3\text{CO})_2\text{O}$, 20°, 45 час.), т. пл. 224—244° (из ацетона-эф.), $[\alpha]^{25}_D + 19,7 \pm 3^\circ$ (с 0,674; в хлф.). При вымывании хроматограммы смесью $\text{CHCl}_3 + 0,5\% \text{CH}_3\text{OH}$ получают **III**, выход 235 мг, т. пл. 165—182°, $[\alpha]^{25}_D - 74,6 \pm 3^\circ$ (с 0,865; в хлф.). При ацетилировании (пиридин, $(\text{CH}_3\text{CO})_2\text{O}$, 35°, 45 мин.; 65—67°, 60 мин.) **III** переходит в ди-(или три?)-ацетильное производное **II** (**VI**), т. пл. 220—231° (из ацетона-эф.), после растирания кристаллов, т. пл. 215—228°, $[\alpha]^{25}_D - 87,1 \pm 2^\circ$ (с 0,861; в CHCl_3). Из CHCl_3 -экстракта **I** (после кристаллизации из ацетона и CH_3OH) выделяют **II**, выход 950 мг, т. пл. 298—304°. При хроматографировании маточных р-ров на Al_2O_3 вымывают (CHCl_3 и $\text{CHCl}_3 + 0,5\% \text{CH}_3\text{OH}$) 395 мг **III**. Искрывающее ацетилирование **II** приводит к **IV**, т. пл. 221—228° (из ацетона-эф.), $[\alpha]^{25}_D - 87,7 \pm 2^\circ$ (с 0,958; в хлф.). Из CHCl_3 -спиртового экстракта **I** после кристаллизации из CH_3OH -эфира и из ацетона получают **V**, т. пл. 305—313° (из CH_3OH); ацетильное производное (пиридин, $(\text{CH}_3\text{CO})_2\text{O}$, 65—70°, 1 час.), т. пл. 219—224°, $[\alpha]^{25}_D + 29,4 \pm 4^\circ$ (с 0,612; в хлф.). Ацетилирование бовогенина **A** (пиридин, $(\text{CH}_3\text{CO})_2\text{O}$, 70°, 1 час) приводит к ацетилбовогенину **A** (**VIII**), т. пл. 256—276° (из ацетона); $[\alpha]^{25}_D - 10,8 \pm 8^\circ$ (с 0,231; в CH_3OH). Приведены кривые ИК-спектров **III**, ацетата сциллитлаукозидина и **VIII**. Сообщение 6 см. РЖХим, 1955, 52041. Л. Б.

78232. Гликозиды и агликоны. Сообщение 152.

Расщепление тангингенина. Зигг, Тамм, Рейхштейн (Abbau des Tanghinigenins. Glykoside und Aglykone, 152. Mitteilung. Sigg H. P., Tamm Ch. Reichstein T.), Helv. chim. acta, 1955, **38**, № 7, 1721—1748 (нем.)

Полностью установлено строение тангингенина (**I**). Озонирование 3-ацетата **I** (**II**) приводит к кетолу (**III**), который при окислении CrO_3 переходит главным образом в кетолактон (**IV**) наряду с небольшим кол-вом к-ты (**V**). Факт образования **IV** доказывает, что заместители при C_{17} и 14-ОН-группа *цис*-ориентированы. Вероятно, они занимают β -положение к стероидному скелету, так как 17 α -изомеры физиологически неактивны. Окислением **III** HJO_4 получают главным образом **V**, которая при омылении дает оксикислоту (**VI**). Озонирование 3-ацетата эпигангингенина (**VII**) приводит к метиловому эфиру оксикислоты (**VIII**). Последний при обработке CrO_3 дает 3-кетометиловый эфир (**IX**), полученный также окислением метилового эфира **VI** (**X**). Восстановлением метилового эфира **V** (**XI**) LiAlH_4 синтезируют триол (**XII**), который при окислении CrO_3 дает **IX**. Каталитич. гидрированием 3-ацетата **VIII** (**XIII**) при 100° из 120 ат над Pt в лед. CH_3COOH получают продукт $\text{C}_{29}\text{H}_{42}\text{O}_4$ (**XIV**) невыясненного строения. Дегидратация **XI** и последующее гидрирование над Pt приводят к метиловому эфиру 3 β -ацетокси- Δ^8 (9)-этиеновой к-ты (**XV**) и известному кетозэфиру (**XVI**). Аналогично из **XIII** получают 3-эпимер **XV** (**XVII**). Показано, что метиловый эфир 3 α -ацетокси- Δ^7 -этиеновой к-ты в условиях гидрирования над Pt в лед. CH_3COOH изомеризуется в **XVII**. Дегидратация с SOCl_2 **XIII** приводит к метиловому эфиру 3 α -ацетокси-7 α -окси- $\Delta^{14,15}$ -этиадиеновой к-ты (**XVIII**) (положение двойных связей окончательно не установлено), окисляющемуся под влиянием CrO_3 в соответствующий 7-кетозэфир (**XIX**). Р-цией мезилата **I** с NaI и последующим дегалондированием Zn в $\text{C}_2\text{H}_5\text{OH}$ -лед. CH_3COOH получают кетолактон (**XX**). Аналогично мезилат **X** дает кетозэфир (**XXI**). Омыление **XXI**, восстановление полученной кетокислоты Li в жидком NH_3 и *n*- $\text{C}_3\text{H}_7\text{OH}$ с последующим метилированием CH_3N_2 и окислением CrO_3 приводит к предельному кетозэфиру (**XXII**). На основании

изучения ИК-спектров показано, что CH_3COO -группа в **II**, **III**, **IV**, **XI** и **XVI** находится в полосном, а в **XIII** и **XVIII** — в экваториальном положении. З **II**, т. пл. 240—242°, озонируют ранее описанным методом (Mayer K., Helv. chim. acta, 1947, **30**, 1976), омылением про-



дукта получают 2,48 г **III**, т. пл. 165—174° (из эф.-ацетона), $[\alpha]^{22}_D + 6,6 \pm 2^\circ$ (с 1,137). 2,07 г **III** окисляют HJO_4 (см. ссылку выше) до **V**, выход 1,75 г, т. пл. 219—221° (из ацетона-птр. эф.), $[\alpha]^{24}_D - 1,3 \pm 2^\circ$ (с 1,514). **V** существует также в модификации с т. пл. 160—161°. При обработке **V** CH_3N_2 с последующим ацетилированием получают **XI**, т. пл. 147—148° (из эф.-птр. эф.), $[\alpha]^{24}_D + 21,9 \pm 2^\circ$ (с 0,9602). При окислении CrO_3 в лед. CH_3COOH 0,3 г **IX** дают 90 мг **V** и 190 мг **IV**, т. пл. 280—282° (из эф.-ацетона). Озонирование 1,28 г **VII** приводит к 1,03 г 3 α -эпимера **III**. Последний при окислении HJO_4 дает 0,995 г к-ты, метилированием которой получают **XIII**, т. пл. 138—140° (из эф.-птр. эф. и сублимация при 125°/0,01 мм), $[\alpha]^{21}_D + 40 \pm 2^\circ$ (с 1,175). Омылением **V** или **XI** приготавливают **VI**, т. пл. 232—234° (из хлф.-эф.), $[\alpha]^{24}_D + 4,1 \pm 2^\circ$ (с 0,9814; CH_3OH), который с CH_3N_2 дает **X**, т. пл. 102—108° (из эф.-птр. эф.), $[\alpha]^{24}_D + 15,2 \pm 2^\circ$ (с 1,385). 80 мг **XIII** обрабатывают (14 час., 20°) 1%-ным р-ром HCl (газ) в CH_3OH и продукт р-ции хроматографируют на Al_2O_3 . Смесью эфир- CHCl_3 вымывают 18 мг **VIII**, т. пл. 78—80° (из эф.-пентана), $[\alpha]^{25}_D + 28,3 \pm 2^\circ$ (с 0,9179). **X** окисляют CrO_3 в лед. CH_3COOH и продукт хроматографируют на Al_2O_3 . Смесью C_6H_6 - CHCl_3 (9:1) вымывают **IX**, т. пл. 76—77° и 114—116° (из эф.-пентана), $[\alpha]^{25}_D + 12,8 \pm 2^\circ$ (с 1,251). **IX** синтезируют также окислением **VIII**. 225 мг **XIII** гидрируют (18 час., 120 ат, 100°) над Pt в лед. CH_3COOH и продукт хроматографируют на Al_2O_3 . Птр. эфиром- C_6H_6 (1:1) вымывают 15 мг **XIV**, т. пл. 132—134° (из эф.-пентана), $[\alpha]^{25}_D + 140,4 \pm 2^\circ$ (с 1,012). Восстановлением 82 мг **XI** LiAlH_4 в кипящем эфире приготавливают 44 мг **XII**, т. пл. 202—204° (из ацетона-эф.), $[\alpha]^{25}_D - 8,1 \pm 2^\circ$ (с 1,037; CH_3OH). Окислением 26 мг **XII** CrO_3 в лед.

CH_3COOH получают продукт, который метилируют CH_2N_2 и хроматографируют на Al_2O_3 , а затем повторно окисляют CrO_3 ; выделяют 7 мг IX. 615 мг XI нагревают (1 час, 130° , при 80° р-ция не идет) с 4 мл POCl_3 в 15 мл абс. пиридина. Полученное масло хроматографируют на Al_2O_3 . C_6H_6 и его смесью с петр. эфиром или CHCl_3 вымывают 186 мг фракции А, CHCl_3 вымывают 182 мг фракции Б. Фракцию А гидрируют над Pt в лед. CH_3COOH и хроматографируют на Al_2O_3 . Петр.-эфиром- C_6H_6 (1:1) вымывают 8 мг XV, т. п. л. $123-125^\circ$ (из CH_3OH при -10°), $[\alpha]^{27}_D + 79,1 \pm 4^\circ$ (с 0,5335). Аналогично из фракции Б получают 18 мг XVI, т. п. л. $139-141^\circ$ (из эф.-пентана), $[\alpha]^{26}_D 15,7 \pm 4^\circ$ (с 0,4459). Дегидратация XI с SOCl_2 протекает гораздо легче (0°) и приводит к аналогичным результатам. 150 мг XIII дегидратируют SOCl_2 в пиридине и продукт хроматографируют на Al_2O_3 . С помощью C_6H_6 вымывают 3 мг в-ва неизвестного строения с т. п. л. $213-214^\circ$ (из эф.-пентана). Смесью C_6H_6 - CHCl_3 вымывают 35,5 мг XVIII, т. п. л. $172-174^\circ$ (из ацетона-эф.), $[\alpha]^{20}_D 270,5 \pm 2^\circ$ (с 0,9612). Дегидратация 317 мг XIII с последующим гидрированием над Pt в лед. CH_3COOH и хроматографированием на Al_2O_3 (вымывают C_6H_6 -петр.-эф.) приводит к 58 мг XVII, т. п. л. $125-127^\circ$ (из CH_3OH при -10°), $[\alpha]^{22}_D + 97,1 \pm 2^\circ$ (с 1,177). 40 мг XVIII окисляют CrO_3 в пиридине и продукт хроматографируют на Al_2O_3 . С помощью C_6H_6 и C_6H_6 - CHCl_3 вымывают в-во XIX, выход 14 мг, т. п. л. $180-190^\circ$ (из ацетона-эф.), $[\alpha]^{25}_D + 341,8 \pm 3^\circ$ (с 0,8484). 121 мг I обрабатывают $\text{CH}_3\text{SO}_2\text{Cl}$ в пиридине. Продукт нагревают (80° , 6 час.) с 145 мг NaI в ацетоне, а затем обрабатывают 0,6 г Zn в 20 мл спирта и 1,5 мл лед. CH_3COOH и хроматографируют на Al_2O_3 . С помощью C_6H_6 вымывают 28 мг XX, т. п. л. $175-181^\circ$ (из ацетона-эф.), $[\alpha]_D - 104,4 \pm 3^\circ$ (с 0,6974, ацетон). 330 мг VI метилируют CH_2N_2 и обрабатывают аналогично предыдущему. Возгонкой продукта при $135^\circ/0,01$ мм получают 33 мг XXI, т. п. л. $137-141^\circ$ (из эф.-пентана), $[\alpha]^{27}_D - 112,2 \pm 2^\circ$ (с 1,0025). 32 г XXI омыляют KOH, полученную к-ту, т. п. л. $218-222^\circ$ (испр.; из эф.), восстанавливают Li в жидком NH_3 и $n\text{-C}_4\text{H}_9\text{OH}$. После метилирования CH_2N_2 и окисления CrO_3 в лед. CH_3COOH смесь хроматографируют на Al_2O_3 . С помощью C_6H_6 вымывают продукт, который перегоняют при $100-130^\circ/0,01$ мм. Получают 8 мг XXII, т. п. л. $168-172^\circ$ (из эф.-пентана), $[\alpha]^{25}_D + 16,6 \pm 3^\circ$ (с 0,6638). Аналогичное восстановление 45 мг 3-кетогидро- Δ^4 -этиновой к-ты приводит после метилирования, окисления CrO_3 и хроматографии на Al_2O_3 (вымывают C_6H_6 -петр. эф., 1:1) к метиловому эфиру 3-кетогидро-5- α -этиновой к-ты, выход 25 мг, т. п. л. $182-185^\circ$ (из эф.-пентана). Приведены кривые ИК-спектров III, IV, IX, XI, XIII, XVI, XVII, XVIII, XXI и XXII, а также метилового эфира 3 β -ацетоксиэтиновой к-ты, кетолактона (XXIII) из 3-ацетилдигитоксигенина; УФ-спектров III, IV, IX, XI, XIV, XV, XVI, XVII, XVIII, XIX, XX, XXI и XXII, а также XXIII, кетолактона из периплогенина и кетолактона из буфотанина. Г. С.

78233. Гликозиды и агликоны. Сообщение 153. Открытие гликозидов и агликонов типа Scilla-Bufo на хроматограммах на бумаге с помощью непосредственной фотографии. Бернасconi, Зигг, Рейхштейн (Nachweis von Glykosiden und Aglykonen vom Scilla-Bufo-Typ auf Papierchromatogrammen durch direkte Photokopie. Glykoside und Aglykon. 153. Mitteilung. Bernasconi R., Zigg H. P., Reichstein T.), Helv. chim. acta, 1955, 38, № 7, 1767-1775 (нем.).

Вследствие того, что проявление хроматограммы на бумаге (для гликозидов типа Scilla-Bufo), имевшимися до сих пор методами дает недостаточно хорошие результаты при низкой чувствительности, авторы предлагают свой метод. Хроматограммы на бумаге просвечиваются УФ-светом с $\lambda_{\text{макс}} 280-320$ м μ , который затем попадает на фотобумагу, на которой отпечатываются светлые пятна разделяемых в-в.

Чувствительность метода 0,005 мг. Источником света служит ртутно-кварцевая лампа (приведена спектральная характеристика ее световой эмиссии). Приведены характеристики проникаемости различных светофильтров, хроматограммы на бумаге, их фотокопии, а также прибор для проз-ва опыта. Фильтровальную бумагу (ватман № 1, полосы 45×12 см) дважды смачивают смесью 16 мл пропиленгликоля, 4 мл воды и 80 мл CH_3COCH_3 и выжимают между листами свежей бумаги. Р-р 0,003-0,03 мг смеси в-в в 0,02 мл CH_3OH наносят в исходную точку. Полосу затем выдерживают (16 час.) в камере, насыщ. водой и пропиленгликолем. Хроматограмму помещают на контрастную фотобумагу и прижимают толстой пластинкой плексигласа (на основе метилметакрилата). Фотографирование производят при расстоянии источника света от фотобумаги, равном 905 мм. Г. С.

78234. Гликозиды и агликоны. Сообщение 154. Гликозиды семян Calotropis procera R. Br. Раджагопалан, Тамм, Рейхштейн (Die Glykoside der Samen von Calotropis procera R. Br. Glycoside und Aglykone. 154. Mitteilung. Rajagopalan S., Tamm Ch., Reichstein T.), Helv. chim. acta, 1955, 38, № 7, 1809-1824 (нем.).

Из семян растений *Calotropis procera* R. Br. (*Asclepiadaceae*) (I), произрастающего в Эритрее, после ферментативного расщепления выделены корглаукигенин (II) (0,437%, считая на необезжиренные высушенные семена), фругозид (III) (0,0224%), коротоксигенин (IV) (0,0065%), новое кристаллич. в-во, названное соединением В (V) (0,00103%) и некристаллич. фракция, содержащая новое в-во D (VI). Общее содержание кристаллич. в-в в этом образце I 0,476%. Из образца семян I, произрастающего в Ниассаленде, после ферментации выделены III (0,231%), V (0,00082%) и в-во, вероятно идентичное калотропину (VII) (0,00094%), общее содержание кристаллич. в-в 0,233%. По значениям R_f V и VI отличаются от в-в, выделенных ранее из листьев и стеблей I и *Calotropis gigantea* (Hesse G., Campp H. W., Chem. Ber., 1952, 85, 933). При хроматографировании на бумаге экстрактов семян I (из Эритреи), не подвергнутых предварительной ферментации, наряду с указанными соединениями обнаружено растворимое в воде в-во, названное в-во А (VIII), вероятно представляющее собой глюкозидофругозид. Высказано предположение, что выделенный ранее из листьев и стеблей I ушаридин (см. ссылку выше) имеет кетогруппу, связанную с C_{10} и обладает транс-соединением колец А и В. 130 г измельченных семян I из Эритреи, обезжиренных петр. эфиром, оставляют с водой и толуолом 3 дня при 37° и экстрагируют 10 раз водн. спиртом (с постепенным повышением конц. н.сп. от 50 до 95%). Экстракт упаривают в вакууме при $35-40^\circ$, остаток экстрагируют эфиром (остаток (а) 2,7 г), CHCl_3 (остаток (б) 2,4 г) и смесью CHCl_3 со спиртом, 2:1 (остаток (в) 0,42 г). Р-р а в 120 мл 70%-ного CH_3OH экстрагируют петр. эфиром (3×120 мл), водно-метанольный р-р упаривают, остаток (430 мг) хроматографируют на Al_2O_3 . CHCl_3 вымывают последовательно IV, выход 11 мг (неочищ.), т. п. л. $224-227^\circ$ (из CH_3OH -эф.), $[\alpha]^{25}_D 40,7 \pm 3^\circ$ (с 0,5973; в CH_3OH), и смесь IV и II (12 мг). Дальнейшим вымыванием CHCl_3 и смесью CHCl_3 - CH_3OH (99:1) выделяют II, выход 64 мг (неочищ.), т. п. л. $236-243^\circ$ (из CH_3OH -эф.), $[\alpha]^{22}_D + 27,6 \pm 2^\circ$ (с 1,256; в CH_3OH), $\lambda_{\text{макс}} 218$ м μ , $\lg \epsilon 4,21$ (в сп.); диацетат, т. п. л. $215-217^\circ$ (из ацетона-эф.), $[\alpha]^{20}_D + 6,2 \pm 1,5^\circ$ (с 1,567; в хлф.). Остаток б экстрагируют теплым CH_3OH , фильтруют, фильтрат упаривают, остаток разделяют на фракции растворимую (г) и нерастворимую (д) в CHCl_3 . Фракцию г (0,67 г) хроматографируют. Вымывание CHCl_3 и смесью CHCl_3 - CH_3OH (99:1) приводит к II, выход 185 мг (неочищ.). При хроматографировании 1 г фракции д на Al_2O_3 смесью CHCl_3 - CH_3OH (9:1) вы-

мывают 385 мг II, а вымыванием CH_3OH выделяют 369 мг студнеобразной фракции, содержащей VI. При хроматографировании вымыванием смесью $\text{CHCl}_3\text{-CH}_3\text{OH}$ (99:1) выделяют II (21 мг); вымывание смесью $\text{CHCl}_3\text{-CH}_3\text{OH}$ (95:5) дают V, выход 17 мг (неочищ.), т. п. 247—249° (из ацетона-эф.), $[\alpha]^{20}_D + 23,6 \pm 3^\circ$ (с 0,7561; в CH_3OH), $\lambda_{\text{макс}}$ 218 мμ, $\lg \epsilon$ 4,21 (в сп.). Анализ V не производился. Смесями $\text{CHCl}_3\text{-CH}_3\text{OH}$ (8:2 и 1:1) вымывают III, выход 37 мг (неочищ.), т. п. 228—238° (из CH_3OH -эф.), $[\alpha]^{20}_D - 12,9 \pm 2^\circ$ (с 1,0404; в CH_3OH). 426 г обезжиренных семян I из Ниасаленда экстрагируют (после ферментации в вышеуказанных условиях) водн. спиртом. Экстракт концентрируют, встряхивают с петр. эфиром и затем 15 мин. с $\text{Pb}(\text{OH})_2$ (из 425 г $(\text{CH}_3\text{COO})_2\text{Pb} \cdot 3\text{H}_2\text{O}$), фильтруют через кизельгур, упаривают в вакууме при 40—45° до 220 мл и экстрагируют CHCl_3 (остаток (е) 1,5 г) и смесью $\text{CHCl}_3\text{-CH}_3\text{OH}$ (остаток (ж) 3,5 г). Остаток е хроматографируют. Вымыванием смесью $\text{CHCl}_3\text{-CH}_3\text{OH}$ выделяют VII, выход 4 мг, т. п. 198—212° (из CH_3OH -эф.), а затем III, выход 331 мг, т. п. 160—162° и 241—243° (из CH_3OH -эф.), $[\alpha]^{20}_D - 14,1 \pm 2^\circ$ (с 1,0788; в CH_3OH); тетрабензоат, т. п. 160—162°, $[\alpha]^{20}_D + 15,7 \pm 2^\circ$ (с 1,1886; в хлф.). При хроматографировании остатка ж CHCl_3 и смесями $\text{CHCl}_3\text{-CH}_3\text{OH}$ (99:1 и 98:2) вымывают 69 мг аморфного в-ва. Фракцию, вымнутую смесью $\text{CHCl}_3\text{-CH}_3\text{OH}$ (95:5), обрабатывают CH_3OH , фильтруют, из фильтрата выделяют 2 мг V. Смесями $\text{CHCl}_3\text{-CH}_3\text{OH}$ (9:1, 8:2 и 7:1) вымывают 372 мг неочищ. III. Л. Б.

78235. Гликозиды и агликоны. Сообщение 155. Гликозиды семян *Strophanthus schuchardtii* Pax. Эдельман, Тамм, Рейхштейн (Glukoside und Aglykone. 155. Mitteilung: Die Glykoside der Samen von *Strophanthus schuchardtii* Pax. Edelmann O., Tamm Ch., Reichstein T), Helv. chim. acta, 1956, 39, № 1, 16—33 (нем.)

Экстракцией семян *Strophanthus schuchardtii* и *S. gossweileri* после ферментации, как описано ранее (Reichstein T., Helv. chim. acta, 1951, 34, 1821) извлекают смесь, из которой с помощью хроматографии выделяют сарверозид (I), интермедозид (II), инертозид (III), лептозид (IV), панстрозид (V) и в небольшом кол-ве амбозид (VI), квиленгозид (VII), «кристаллизат № 800» (VIII) и два, вероятно, новых гликозида Ed 1 (IX) и Ed 2 (X). По видимому, IX является изомером V, содержащим в качестве агликона лептогенина, а X является изомером III, содержащим в качестве углеводного компонента d-сарментозу. Из 720 г семян после измелчения, обезжиривания и ферментации эфиром извлекают 12,84 г фракции А, а затем CHCl_3 —30,33 г фракции Б. Кристаллизация фракции А из CH_3OH -эфира приводит к 3,02 г I, т. п. 118—126°, $[\alpha]^{20}_D + 11,7 \pm 2^\circ$ (с 1,137; ацетон). Остаток разделяют, хроматографируют, как описано ранее (РЖХим, 1953, 6530); выделяют еще 662 мг I; II, выход 0,288%, т. п. 194—198° (из CH_3OH -эф.), $[\alpha]^{20}_D + 19,2 \pm 2^\circ$ (с 1,055; ацетон); X, выход 0,01%, т. п. 166—170° и 238—256° (рзл., из CH_3OH -эф.), $[\alpha]^{21}_D - 41,4 \pm 3^\circ$ (с 0,761; CH_3OH -хлф.; 1:1); V, выход 0,026%; VIII, выход 0,012%, т. п. 260—268° (из CH_3OH -эф.), $[\alpha]^{21}_D - 25,5 \pm 3^\circ$ (с 0,791; CH_3OH); IX, выход 0,018%, т. п. 188—195° (из CH_3OH -эф.), $[\alpha]^{21}_D + 16,6 \pm 2^\circ$ (с 1,247; CH_3OH); а также смесь III, IV и VI. Кристаллизация фракции Б из CH_3OH -эфира приводит к 7,07 г фракции В с т. п. 214—222° (испр.) и 23,26 г аморфной фракции Г. Фракцию В хроматографируют на Al_2O_3 . Смесью $\text{C}_6\text{H}_6\text{-CHCl}_3$ (1:4) вымывают II, выход 0,33%; CHCl_3 вымывают V, выход 0,57%, т. п. 223—232° (из CH_3OH -эф.), $[\alpha]^{22}_D + 29,1 \pm 2^\circ$ (с 1,137; CH_3OH), и III, выход 0,0275%, т. п. 144—150° (из CH_3OH -эф.), $[\alpha]^{21}_D - 50,7 \pm 2^\circ$ (с 1,099; CH_3OH). Фракцию Г хроматографируют на кизельгуре. Выделяют 304 мг I, 4,25 г II,

55 мг X, 234 мг III, 1,34 г IV, т. п. 195—197° (из ацетона-эф.), $[\alpha]^{21}_D + 42,7 \pm 2^\circ$ (с 1,212; CH_3OH); 80 мг VI; т. п. 190—194° (из CH_3OH -эф.), $[\alpha]^{18}_D + 23,9 \pm 2^\circ$ (с 0,963; CH_3OH); 366 мг VII, т. п. 138—148° (из CH_3OH -эф.), $[\alpha]^{21}_D - 35,2 \pm 2^\circ$ (с 1,083; CH_3OH), т. п. 140—148° (из водн. CH_3OH), и 200—226° (из ацетона-эф.); 1,751 г V и 168,5 мг VIII. Приведены кривые УФ-спектров IX (предположительная ф-ла $\text{C}_{30}\text{H}_{48}\text{O}_{11}$, содержит $\text{CH}_3\text{O-}$ и CO- группы) и X (содержит CO- группу). Г. С.

78236. Гликозиды и агликоны. Сообщение 156. Гликозиды семян *Strophanthus congoensis* Franch. Шиндлер, Рейхштейн (Die Glykoside der Samen von *Strophanthus congoensis* Franch. Glykoside und Aglykone. 156. Mitteilung. Schindler O., Reichstein T.), Helv. chim. acta, 1956, 39, № 1, 34—45 (нем.)

Экстракцией семян *Strophanthus congoensis* Franch. ранее описанным методом (Reichstein T. и др., Helv. chim. acta, 1951, 34, 1821) получают сарверозид (I) (0,39%), интермедозид (II) (0,41%) и панстрозид (III) (0,48%). Кроме того, выделяют смесь, из которой после гидролиза в мягких условиях получают смесь 2-дезоксисахаров и смесь генинов. Из последней выделяют сарверогенин (IV) и новое в-во OS 379 (V) неизвестного строения. Из 130 г семян извлекают: эфиром 2,6 г фракции А; CHCl_3 2,55 г фракции Б и CHCl_3 -спиртом (2:1) 0,45 г фракции В. Хроматографированием на Al_2O_3 из фракции А выделяют 402 мг I (вымывают смесью $\text{C}_6\text{H}_6\text{-CHCl}_3$; 1:1), т. п. 130—137° (из CH_3OH), $[\alpha]^{21}_D + 11,3 \pm 2^\circ$ (с 1,2939; ацетон), и 455 мг аморфной фракции Г (вымывают CHCl_3). Омылением фракции Г получают смесь генинов, которую хроматографируют на Al_2O_3 . Смесью $\text{C}_6\text{H}_6\text{-CHCl}_3$ (1:4) вымывают 14 мг IV, т. п. 229—232° (из CH_3OH -эф.), $[\alpha]^{21}_D + 49,1 \pm 3^\circ$ (с 0,6658; CH_3OH). Смесью $\text{CHCl}_3\text{-CH}_3\text{OH}$ (99:1) извлекают 5 мг V, т. п. 226—232° (из CH_3OH -эф.), $[\alpha]^{23}_D + 22,2 \pm 6^\circ$ (с 0,2295; CH_3OH). Хроматографированием на Al_2O_3 из фракции Б выделяют 431 мг II (вымывают смесью $\text{C}_6\text{H}_6\text{-CHCl}_3$; 1:4), т. п. 205—209° (из ацетона-эф.), $[\alpha]^{21}_D + 14,8 \pm 2^\circ$ (с 1,3587; ацетон), и 617 мг III (вымывают CHCl_3), т. п. 239—243° (из CH_3OH -ацетона), $[\alpha]^{21}_D + 25,1 \pm 2^\circ$ (с 0,9729; CH_3OH). Хроматографированием на Al_2O_3 из фракции В получают 8 мг III (вымывают смесью $\text{CHCl}_3\text{-CH}_3\text{OH}$; 98:2). Г. С.

78237. Гликозиды и агликоны. Сообщение 157. Гликозиды семян *Strophanthus amboensis* (Schinz) Engl. et Pax. Сообщение 2. Шиндлер (Die Glykoside der Samen von *Strophanthus amboensis* (Schinz) Engl. et Pax. 2. Mitteilung. Glykoside und Aglykone. 157. Mitteilung. Schindler O.), Helv. chim. acta, 1956, 39, № 1, 64—79 (нем.)

Из семян *Strophanthus amboensis* выделены следующие гликозиды: сарверозид (I) 0,064%, интермедозид (II) 2,59%, инертозид (III) 0,11% лептозид (IV) 0,005%, амбозид (V) 0,12%, квангозид (VI) 0,049%, панстрозид (VII) 0,94%, амбострозид (VIII) 0,16%, новый гликозид $\text{C}_{31}\text{H}_{44}\text{-48O}_{11}$ (IX) 0,01%. Кроме того, в неочищ. VII хроматографированием на бумаге обнаружено присутствие неизвестного в-ва J, а из неочищ. V после гидролиза в мягких условиях и ацетилированием выделен ацетат нового генина $\text{C}_{27}\text{H}_{36}\text{-38O}_7$ (X). Соответствующий IX гликозид назван в-вом F (XI). При испытании на кошках смертельная доза VI составляет $0,3276 \pm 0,0249$ мг/кг (внутривенно). 1,2 кг сухих обезжиренных семян подвергают экстракции по ранее описанному методу (см. Reichstein T. и др., Helv. chim. acta, 1951, 34, 1821). С помощью CHCl_3 извлекают 104,8 г смеси, которую хроматографируют на Al_2O_3 . Смесью $\text{C}_6\text{H}_6\text{-CHCl}_3$ вымывают II, т. п. 203—207° (из ацетона-эф.), $[\alpha]^{23}_D + 23,6 \pm 2^\circ$ (с 1,253; CH_3OH); вымыванием смесью $\text{CHCl}_3\text{-CH}_3\text{OH}$ (98:2) получают VII, т. п. 236—242°

(из ацетона-CH₃OH), $[\alpha]^{25}_D + 24 \pm 2^\circ$ (с 1,138; CH₃OH); смесью CHCl₃-CH₃OH (94:6) вымывают VIII, т. пл. 233—242° (из ацетона-CH₃OH), $[\alpha]^{25}_D + 24 \pm 3^\circ$ (с 0,881; CH₃OH). Остаток хроматографируют на влажном кизельгуре. C₆H₆ вымывают сначала I, т. пл. 127—130° (из ацетона-CH₃OH), $[\alpha]^{25}_D + 8,6 \pm 2^\circ$ (с 1,238; CH₃OH), а затем последовательно II, III, т. пл. 160—162° (из ацетона-CH₃OH), $[\alpha]^{25}_D - 39,9 \pm 2^\circ$ (с 1,407; CH₃OH), IV, т. пл. 164—170° (из эф.-ацетона), $[\alpha]^{25}_D + 45,3 \pm 1^\circ$ (с 2; CH₃OH), и V, т. пл. 196—198° (из хлф.), $[\alpha]^{25}_D + 29,8 \pm 2^\circ$ (с 0,99885; CH₃OH). Смесью C₆H₆-CHCl₃ (4:1) вымывают технич. XI, а также VI, т. пл. 222—228° (из CH₃OH-ацетона), $[\alpha]^{25}_D + 5,2 \pm 2^\circ$ (с 0,973; хлф.). Вымыванием CHCl₃ выделяют VII, содержащий следы в-ва J. Смесью CHCl₃-н-бутанол (85:15) вымывают VIII, а затем IX, т. пл. 278—282° (из CH₃OH-ацетона), $[\alpha]^{25}_D - 47 \pm 2^\circ$ (с 1,172; CH₃OH). Технич. V гидролизуют в CH₃OH в присутствии 0,1 н. H₂SO₄. Выделяют сарментогенин (XII), т. пл. 257—261° (из CH₃OH-ацетона), 3,12-диацетат XII, т. пл. 252—256° (из CH₃OH-ацетона). Остаток от XII ацетируют и хроматографируют на Al₂O₃. Смесью C₆H₆-CHCl₃ (8:2) вымывают X, т. пл. 205—207° (из ацетона-эф.), $[\alpha]^{25}_D + 5,1 \pm 2^\circ$ (с 1,15; ацетон). Гидролиз VI приводит к d-дигинозе, т. пл. 85—90° (из абс. эф.), $[\alpha]^{25}_D + 88,2 \pm 2^\circ$ (через 5 мин.), +63,4 ± 2° (через 12 час.) (с 1,0858; вода), и сарментогенину (XIII), т. пл. 283—288° (из CH₃OH-эф.), $[\alpha]^{25}_D + 19,4 \pm 2^\circ$ (с 1,0029; CH₃OH). Ацетат XIII, т. пл. 150—165° (из CH₃OH-эф.), $[\alpha]^{27}_D + 5,8 \pm 2^\circ$ (с 0,991; хлф.). При окислении XIII с помощью CrO₃ в лед. CH₃COOH получают кетон с т. пл. 232—237° (из ацетона-эф.), $[\alpha]^{24}_D + 16,5 \pm 2^\circ$ (с 0,953; диоксан). Приведены кривые УФ-спектров VI, IX, X и XIII.

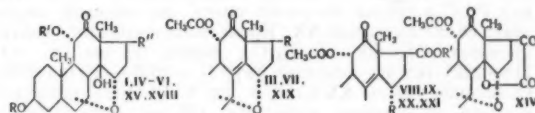
78238. Гликозиды и агликоны. Сообщение 158. Гликозиды семян *Strophanthus sarmentosus* var. *major* Dewèvre. Эйв, Мор, Шиндлер, Рейхштейн (Die Glykoside der Samen von *Strophanthus sarmentosus* var. *major* Dewèvre. Glykoside und Aglykone. 158. Mitteilung. Euv J., v., Mohr K., Schindler O., Reichstein T.), Helv. chim. acta, 1956, 39, № 1, 326—330 (нем.)

Экстракцией семян *Strophanthus sarmentosus* var. *major* Dewèvre по ранее описанному методу (Reichstein T., Helv. chim. acta, 1951, 34, 1921) получают смесь гликозидов, из которой выделяют сарверозид (I) и панстрозид (II). Из незрелых семян удается выделить известное в-во № 752 (III) (Reichstein T. и др. Helv. chim. acta, 1950, 33, 465). 400 г зрелых семян экстрагируют эфиром и CHCl₃, получают соответственно 2,64 г фракции А и 1,61 г фракции Б. Из фракции А кристаллизацией выделяют 831 мг I, т. пл. 125—146° (из CH₃OH-ацетона), из фракции Б получают 387 мг II, т. пл. 226—232° (из CH₃OH-эф.; 1:4). Аналогично из эфирного экстракта 490 г незрелых семян выделяют 1,45 г III, т. пл. 290—310° (разл., из CH₃OH). Маточный р-р хроматографируют на Al₂O₃. С помощью CHCl₃ вымывают 164 мг I. Из CHCl₃-экстракта незрелых семян после хроматографирования на Al₂O₃ выделяют 123 мг II, $[\alpha]^{17}_D + 26,1 \pm 2^\circ$ (с 1,075; CH₃OH). Г. С.

78239. Гликозиды и агликоны. Сообщение 159. К строению сарверогенина. Шиндлер (Zur Konstitution von Sarverogenin. Glykoside und Aglykone. 159. Mitteilung. Schindler O.), Helv. chim. acta, 1956, 39, № 2, 375—394 (нем.)

Авторы в основном подтверждают ф-лу сарверогенина (I), предложенную Тейлором (РЖХИМ, 1953, 416), но считают, что окисный мостик, возможно, находится в положении 9,15. 3β,11α-диацетат I (II) устойчив по отношению к CrO₃, следовательно, третья OH-группа в I является третичной. Дегидратация II SOCl₂ в пиридине приводит (с сохранением окисного мостика) к диацетату

моноангидросарверогенина (III). Озонированием II получают кетол (IV), который при окислении H₂O₂ дает к-ту (V). Дегидратацией метилового эфира V (VI) приготавливают метиловый эфир диацетата ангидросарверогенинэтиокислоты (?) (VII). Последний при гидрировании переходит в метиловый эфир 3,11-диацетата 3β,11α,15α-окси-12-кето-Δ⁸⁽¹⁴⁾-этиновой к-ты (VIII). Окислением VIII CrO₃ синтезируют метиловый эфир диацетата 3β,11α-диокси-12,15-дикето-Δ⁸⁽¹⁴⁾-этиновой к-ты (?) (IX). При обработке VIII CH₂SO₂Cl получают смесь Δ⁸⁽¹⁴⁾,15-диена (X) и неизвестного в-ва OS 389, C₂₅H₃₂₋₃₄O₃ (XI). При действии HCl (газа) на VI образуется метиловый эфир 3,11-диацетата 3β,11α,15α-окси-6-(или 7)-хлор-12-кето-Δ⁸⁽¹⁴⁾-этиновой к-ты (XII), который при окислении дает соответствующий 12,15-дикетон (XIII). Обработкой Zп в спирте XIII переводят в IX. При окислении IV CrO₃ образуется лактон (XIV), что подтверждает наличие третьей OH-группы в I у C₁₄. При попытке дегидратировать V получена к-та (XV), отличающаяся от V конфигурацией при C₁₇. Поэтому для получения непредельных продуктов был разработан другой путь, начальная стадия которого проверена предварительно на модельном примере: 3-ацетокси-Δ⁸-этиновая к-та (XVI) при действии (C₆H₅)₂CN₂ в изопропиловом эфире (в диэтиловом эфире р-ция не идет) дает бензгидриловый эфир (XVII). Аналогично V переводят в эфир (XVIII). Последний легко дегидратируется



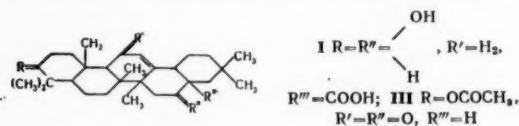
I R=R'-H, R''=—C—CHCOOCH₃; III R=—C—CHCOOCH₃; IV R=—R'=COCH₃, R''=COCH₂OH; V R=R'=COCH₃, R''=COOH; VI R=R'=COCH₃, R''=COOCH₃; VII R=COOCH₃, R''=OH; R'=CH₃; IX R=O, R'=CH₃; XV R=R'=COCH₃, R''=COOH; XVIII R=R'=COCH₃, R''=COOCH(C₆H₅); XIX R=COOCH(C₆H₅); XX R=OH, R'=H; XXI R=O, R'=H

SOCl₂ в пиридине в непредельный эфир (XIX). Гидрирование XIX с последующим гидролизом приводит к оксикислоте (XX), которая при действии CH₂N₂ дает VIII, а при окислении CrO₃ превращается в кетокислоту (XXI). Метилированием XXI получают IX. 0,3 г II обрабатывают (2 часа, 15°; 16 час., 0° и 1 час 20°) SOCl₂ (0,3 мл) пиридина (3 мл). Получают 315 мг III, т. пл. 245—255° (из ацетона-эф.), $[\alpha]^{25}_D - 25,8 \pm 2^\circ$ (с 1,164). Аналогично из 50 мг 3-ацетоксидигитоксигенина синтезируют 36 мг β-ангидро-3-ацетоксидигитоксигенина, т. пл. 186—188° (из ацетона-эф.), а из 0,2 г VI приготавливают 191 мг VII, очн. хроматографированием на Al₂O₃, т. пл. 171—172° (из ацетона-эф.), $[\alpha]^{21}_D + 20,74 \pm 1^\circ$ (с 2,2474). 50 мг VII гидрируют над Pd/C в спирте и продукт р-ции хроматографируют на Al₂O₃. Смесью C₆H₆-эфир вымывают 23 г VIII, т. пл. 169—170,5° (из ацетона-пентана), $[\alpha]^{21}_D - 9,5 \pm 3^\circ$ (с 0,8017). VII и VIII не дают оксима. Окисление 40 мг VIII CrO₃ в лед. CH₃COOH (2 часа, 20°) приводит к продукту, который хроматографируют на Al₂O₃. Смесью C₆H₆-эфир вымывают 21 мг IX, т. пл. 168—169,5° (из эф.-пентана), $[\alpha]^{20}_D - 76,7 \pm 2^\circ$ (с 1,2344). 169 мг VIII обрабатывают CH₂SO₂Cl в пиридине (0°, 22 часа), а продукт р-ции хроматографируют на силикагеле. Смесью C₆H₆-эфир вымывают 13 мг X, т. пл. 158—161° (из эф.-пентана), $[\alpha]^{25}_D + 18,6 \pm 2^\circ$ (с 1,4732), а вымыванием смесью C₆H₆-эфир (1:1) выделяют 14,5 мг XI, т. пл. 171—174° (из эф.-пентана), $[\alpha]^{25}_D + 25,2 \pm 3^\circ$

(с 0,76584). Через р-р 50 мг VII в CHCl_3 пропускают при 0° сухой HCl . Выделяют 37 мг XII, т. пл. 186—190° (разл., из эф.-пентана), $[\alpha]^{20}_D -38,4 \pm 2^\circ$ (с 1,1393). Окислением 50 мг XII CrO_3 в лед. CH_3COOH (20°, 2 часа) синтезируют 39 мг XIII, т. пл. 201—206° (из ацетона-эф.-пентана), $[\alpha]^{21}_D -135,6 \pm 3^\circ$ (с 0,8361). 74 мг XIII обрабатывают Zn в спирте (20°, 24 часа) и продукт р-ции хроматографируют на силикагеле. Смесь C_6H_6 -эфир (3:1) вымывают 40 мг IX. 70 мг IV окисляют CrO_3 в лед. CH_3COOH . После обычной обработки выделяют 25 мг XIV, т. пл. 300—304° (разл., из ацетона-эф.), $[\alpha]^{22}_D -26,7 \pm 4^\circ$ (с 0,5884). Взаимодействием 0,1 г V с SOCl_2 в пиридине (0°, 16 час.) и последующим метилированием CH_3N_3 синтезируют 22 мг метилового эфира XV, т. пл. 122—128° (из эф.-пентана), $[\alpha]^{25}_D -26,58 \pm 1,5^\circ$ (с 1,6782). Р-р 0,5 г XVI в 10 мл диоксана кипятят 24 часа с р-ром 508 мг $(\text{C}_6\text{H}_5)_2\text{CN}_2$ в 13 мл изопропилового эфира. После хроматографирования на Al_2O_3 (вымывают смесью петр. эф.- C_6H_6 ; 3:1 и 1:1) получают 636 мг XVII, т. пл. 150—152° (из эф.-пентана), $[\alpha]^{26}_D -37,03 \pm 1^\circ$ (с 1,9528). Аналогично из 1 г V после хроматографирования на Al_2O_3 (вымывают C_6H_6), получают 352 мг препарата OS 401, т. пл. 172—175° (из ацетона-эф.-пентана), $[\alpha]^{22}_D +3,86 \pm 1,5^\circ$ (с 1,8388). Дальнейшим вымыванием смесью C_6H_6 -эфир выделяют 657 мг XVIII, т. пл. 227—228,5° (из ацетона-эф.-пентана), $[\alpha]^{24}_D +7,4 \pm 2^\circ$ (с 1,0363). Дегидратация 90 мг XVIII SOCl_2 в пиридине (0°, 16 час.) приводит к 82 мг XIX, т. пл. 206—209° (из эф.-пентана), $[\alpha]^{21}_D +2,7 \pm 2^\circ$ (с 1,3107). Гидрированием 150 мг XIX над Pd/C в спирте получают смесь, из которой выделяют 68 мг аморфной XX. Кроме того выделяют нейтр. препарат OS 406, $\text{C}_{27}\text{H}_{42}\text{O}_6$, выход 13 мг, т. пл. 218—222° (из эф.-пентана), $[\alpha]^{26}_D -23,6 \pm 2^\circ$ (с 1,078). Окисление 193 мг XX CrO_3 в лед. CH_3COOH приводит к смеси, из которой выделяют 136 мг кристаллов с т. пл. 175—196°. Эту фракцию растворяют в ацетоне-эфире и встряхивают с кизельгуром. После декантации к р-ру прибавляют пентан. Выпадает XXI, т. пл. 218—221° (из ацетона-эф.-пентана), $[\alpha]^{23}_D -29,2 \pm 2^\circ$ (с 1,0201). Метилирование XXI CH_3N_3 приводит к IX. Получен также оксим 3β-ацетоксихолестана-7, т. пл. 203—205° (испр., из хлф.-эф.- CH_3OH). Приведены кривые УФ-спектров III, VI, VIII, IX, X, XI, XII, XIII, XIV и XXI. $[\alpha]_D$ определены в CHCl_3 . Г. С.

78240. Гликозиды и агликоны. Сообщение 160. Идентификация вещества № 752 с эхиноцистовой кислотой. Бартон, Мор, Рейхштейн, Шиндлер (Identifizierung von Substanz Nr. 752 mit Echinocyst-säure. Glykoside und Aglykone. 160. Mitteilung. Barton D. H. R., Mohr K., Reichstein T., Schindler O.), Helv. chim. acta, 1956, 39, № 2, 413—417 (нем.)

Показано, что выделенное ранее из некоторых видов строфанта в-во 752 (I) (Reichstein T., Helv. chim. acta, 1950, 33, 465, 2153) идентично с эхиноцистовой к-той. Оба продукта имеют одинаковый ИК-спектр и дают одни и те же производные. После сублимации



(240°/0,01 мм) I имеет т. пл. 320—322° (разл., из CH_3OH), $[\alpha]^{16}_D +39,6 \pm 3^\circ$ (с 0,933; CH_3OH). Метил-эфир I (II), т. пл. 220—223° (из CH_3OH), $[\alpha]^{21}_D +39,4 \pm 4^\circ$ (с 0,571; сп.). Дипацетат II, т. пл. 206—209° (из пентана), $[\alpha]^{21}_D -12,4 \pm 2^\circ$ (с 1,21; хлф.). При об-

работке (36°, 16 час.) I $(\text{CH}_3\text{CO})_2\text{O}$ в абс. пиридине образуется смешанный ангидрид I с CH_3COOH , т. пл. 257—267° (разл., из эф.-петр. эф.), $[\alpha]^{17}_D -2,2 \pm 2^\circ$ (с 0,91; ацетон). При окислении 30 мг последнего CrO_3 в лед. CH_3COOH получают дикетон (III), выход 12 мг, т. пл. 267—275° (из CH_3OH) $[\alpha]^{20}_D +69 \pm 2^\circ$ (с 1,225; ацетон). Г. С.

78241. Алканолamines. I. Синтез хлоргидрата N-метил-3,4-диоксифедрина и его производных. Ивао, Самэдзима. II. Синтез N-метилэфедрона и его производных. Применение реакции Фойгта. Ивао, Ковачи, Какэми (Алканоламин類の研究. 第1報. N-Methyl-3,4-dihydroxyephedrine 鹽酸鹽及び誘導體の合成. 岩尾順一, 岐島政義. 第2報. N-Methylephedrone 及び類似化合物の合成 (Voigt) 反應の應用). 岩尾順一, 幸廣主税, 掛見英夫), 藥學雜誌, Якаугу дасси, J. Pharm. Soc. Japan, 1954, 74, № 5, 548—550; 551—554 (япон.; рез. англ.)

Сообщение I. Из пиперонилпропиофенона получены 3 алканолamina: 3,4-диоксис-3,4-диметоксис- и 3,4-метилendioксис-N-метилэфедрины. Из последнего с безвод. AlCl_3 (20—30°) в $\text{C}_6\text{H}_5\text{NO}_2$ получают 3,4-диоксипропиофенон с хорошим выходом. 100 г 3,4- $\text{CH}_2\text{O}_2\text{C}_6\text{H}_3\text{COC}_2\text{H}_5$ в 33 мл $\text{C}_6\text{H}_5\text{NO}_2$ добавляют по каплям к 167 г AlCl_3 в 500 г $\text{C}_6\text{H}_5\text{NO}_2$ (20—25°), размешивают 3 часа, выливают в ледяную воду с HCl , $\text{C}_6\text{H}_5\text{NO}_2$ отгоняют с водяным паром. Остаток экстрагируют эфиром и получают 3,4-($\text{HO})_2\text{C}_6\text{H}_3\text{COC}_2\text{H}_5$ (I), выход 84,2%, т. пл. 146° (из воды). 10 г I в 7,5 мл 35%-ного КОН встряхивают с 4,6 мл $(\text{CH}_3)_2\text{SO}_4$ и 30%-ным КОН попеременно (расход КОН 30 мл и $(\text{CH}_3)_2\text{SO}_4$ 13,8 мл), экстрагируют эфиром. Выход 3,4-($\text{CH}_3\text{O})_2\text{C}_6\text{H}_3\text{COC}_2\text{H}_5$ (II) 84%, т. кип. 154—156°/2 мм. К 9,2 г II в 50 мл CHCl_3 (20—30°) добавляют по каплям 8 г Br_2 в 15 мл CHCl_3 , размешивают 30 мин., промывают водой и р-ром Na_2CO_3 - CHCl_3 удаляют и выделяют неочищ. 3,4-($\text{CH}_3\text{O})_2\text{C}_6\text{H}_3\text{COCHBrCH}_3$ (III), т. пл. 82,5°. III в 50 мл C_6H_6 добавляют к 27 г $(\text{CH}_3)_2\text{NH}$ в C_6H_6 (5°, 3 часа). Через 12 час. фильтруют, фильтрат перегоняют. Получают 3,4-($\text{CH}_3\text{O})_2\text{C}_6\text{H}_3\text{COCH}[\text{N}(\text{CH}_3)_2]\text{CH}_3$ (IV), выход 59%, т. кип. 157—160°/2 мм; IV · $\text{HCl} \cdot 2\text{H}_2\text{O}$, т. пл. 137—140° (разл.). 5 г I в 35 мл лед. CH_3COOH кипятят 20 мин. с 4,8 г Br_2 в 5 мл CH_3COOH ; упаривают в вакууме и экстрагируют эфиром. Эфир удаляют, остаток экстрагируют C_6H_6 . Выход 3,4-($\text{HO})_2\text{C}_6\text{H}_3\text{COCHBrCH}_3$ (V) 73,4%, т. пл. 151—152° (из разб. сп.). К 5 г I в 11 г $\text{C}_6\text{H}_5\text{N}$ прибавляют по каплям 7,2 г $(\text{CH}_3\text{CO})_2\text{O}$ (15°). Через 12 час. нейтрализуют 10%-ной HCl , экстрагируют эфиром, промывают р-ром NaHCO_3 , водой и перегоняют, получают 3,4-($\text{CH}_3\text{COO})_2\text{C}_6\text{H}_3\text{COC}_2\text{H}_5$ (VI), выход 69%, т. кип. 177—178°/4 мм. 6 г VI в 45 мл CHCl_3 с 4 г Br_2 в 11 мл CHCl_3 (50°) дают 3,4-($\text{CH}_3\text{COO})_2\text{C}_6\text{H}_3\text{COCHBrCH}_3$ (VII), выход 83,6%, т. пл. 83—85° (из петр. эф.). 7 г IV · $\text{HCl} \cdot 2\text{H}_2\text{O}$ и 70 мл конц. HCl нагревают в запаянной трубке (3Т) (160—170°, 3 часа). Фильтрат упаривают в вакууме. Через несколько дней выделяется 3,4-($\text{HO})_2\text{C}_6\text{H}_3\text{COCH}[\text{N}(\text{CH}_3)_2]\text{CH}_3$ · $\text{HCl} \cdot \text{H}_2\text{O}$ (VIII), выход 86,4%, т. пл. 108—110° (из сп.-эф.), или 4,7 г V в 50 мл диоксана и 3,8 г $(\text{CH}_3)_2\text{NH}$ в C_6H_6 размешивают несколько часов. После удаления р-рителя экстрагируют 10%-ной HCl , упаривают и для затравки добавляют кристаллы VIII; получают VIII, выход 31,6%, т. пл. 108—110°; или 4 г VII в 20 мл CHCl_3 и 2,5 г $(\text{CH}_3)_2\text{NH}$ в 30 мл C_6H_6 через 12 час. фильтруют, фильтрат упаривают в вакууме, остаток нагревают с 10%-ной HCl (100°, 30 мин.). Р-р упаривают в вакууме и получают 1,3 г VIII. 5 г VIII в 60 мл спирта гидрируют над 0,2 г PtO_2 . Фильтрат упаривают, через несколько дней выделяется хлоргидрат 3,4-($\text{HO})_2\text{C}_6\text{H}_3\text{CH}(\text{OH})\text{CH}[\text{N}(\text{CH}_3)_2]\text{CH}_3$ (IX), выход 82,3%, т. пл. 157—158° (из сп.-эф.). 1 г IV · $\text{HCl} \cdot 2\text{H}_2\text{O}$ в 15 мл абс. спирта над 0,1 г PtO_2 гидрируют за 2,5 часа в хлоргидрат 3,4-($\text{CH}_3\text{O})_2\text{C}_6\text{H}_3\text{CH}(\text{OH})\text{CH}[\text{N}(\text{CH}_3)_2]\text{CH}_3$ (X), выход 80%, т. пл. 211—213° (из сп.). 10,2 г 3,4- $\text{CH}_2\text{O}_2\text{C}_6\text{H}_3\text{COCHBrCH}_3$ смешивают с 42,5 г 33%-ного $(\text{CH}_3)_2\text{NH}$ в CH_3OH . Через несколько часов удаляют CH_3OH , подщелачивают,

экстрагируют эфиром и отгоняют масло, т. кип. 164—168°/10 мм. После обработки его в эфире HCl (газом) получают 3,4-CH₂O₂C₆H₃COCH₂N(CH₃)₂CH₃·HCl (XI), выход 71,8%, т. пл. 253—254° (разл.; из CH₃OH). 1,2 г XI гидрируют над 0,1 г PtO₂ (3 часа) в 3,4-CH₂O₂C₆H₃CH(OH)·CH₂N(CH₃)₂CH₃·HCl, выход 84%, т. пл. 217—218,5° (из сн.).

Сообщение II. Нагреванием фенилацетилкарбинола и метилбензонилкарбинола или их ацетатов с вторичными аминами, напр., диметиламино, диэтиламино, бензилметиламином, пиперидином или N-метилпиперазином в ЗТ (150—180°), получают α-втор-аминопропиофеноны с выходом 10—44%. Эти синтезы являются практич. применением р-ции Фойтта. 16,6 г C₆H₅CHBrCOCH₃, 15 г CH₃COONa и 50 мл лед. CH₃COOH кипятят 3 часа; CH₃COOH отгоняют в вакууме, остаток извлекают водой, экстрагируют эфиром и перегоняют. Выход C₆H₅CH(OCOCH₃) (XII) 55%, т. кип. 132—134°/10 мм. Из 10 г XII в 35 мл 70%-ного CH₃OH и 10 г K₂CO₃ (12 час.; после удаления CH₃OH экстрагируют эф.) получают C₆H₅CH(OH)COCH₃ (XIII), выход 60%, т. кип. 98—102°/5 мм; оксим, т. пл. 115—117°; семикарбазон, т. пл. 195. 50 г C₆H₅COCHBrCH₃, 40 г CH₃COONa и 200 мл CH₃COOH кипятят 6 час., упаривают в вакууме, добавляют воду, экстрагируют эфиром. Выход C₆H₅COCH(OCOCH₃)CH₃ (XIV) 65%, т. кип. 128—130°/9 мм. 57,5 г XIV в 200 мл 70%-ного CH₃OH и 57,5 г K₂CO₃ превращают в C₆H₅COCH(OH)CH₃ (XV), выход 78%, т. кип. 125—126°/14 мм. 5 г XIII и 20 г 30%-ного (CH₃)₂NH в CH₃OH нагревают в ЗТ (170—180°, 3 часа); избыток (CH₃)₂NH и CH₃OH удаляют, добавляют HCl, экстрагируют эфиром. Кислый слой подщелачивают K₂CO₃ и экстрагируют эфиром. Получают хлоргидрат C₆H₅COCH₂N(CH₃)₂CH₃ (XVI), выход 18,3%, т. пл. 202—204°. Аналогично XV с (CH₃)₂NH превращают в XVI, выход 10,6% а из XIV выход XVI 31,2%. XIII с (C₂H₅)₂NH дает 21,3% C₆H₅COCH₂N(C₂H₅)₂·HCl, т. пл. 175—178°, а XIV дает следы. XIII, XII и XV с пиперидином превращают в C₆H₅COCH₂NR₂·HCl (R = N-пиперидил) с выходами: 45,6, 27,2 и 29,5%, т. пл. 213—216°. Из 4-метилпиперазина (XVIIa) и XIII, XV и XIV синтезируют C₆H₅COCH₂NR₂·2HCl (XVIII) (R = 4-метил-1-пиперазинил), выходы: 23,0, 33,0 и 44,0%, т. пл. 235—239°. 2 г XII, 5 г C₆H₅CH₂NHCH₃ и 5 г CH₃OH нагревают в запаянной трубке (170—180°, 3 часа), далее аналогично XVI и получают 2,3-г C₆H₅COCH(NCH₂CH₂C₆H₅)CH₃·HCl (масло), который гидрируют над Pd/C в хлоргидрат dl-эфедрина, выход 43%, т. пл. 185—186°. 1 г XV и 2 г XVIIa кипятят 1 час (170—180°) (далее как для XVI), выход XVII 29,5%, т. пл. 235—237°. 5 г C₆H₅COCHBrCH₃, 2,8 г XVIIa, 25 мл C₆H₆ и 1,6 г K₂CO₃ 12 час. экстрагируют 10%-ной HCl, поглощают эфиром и отгоняют. Получают свободное основание XVII, т. кип. 130—140°/10 мм (XVII, т. пл. 235—239°). 27 г 3,4-CH₂O₂C₆H₃COCHBrCH₃, 120 мл CH₃COOH и 18 г CH₃COONa кипятят 5—6 час., фильтруют, упаривают в вакууме, поглощают водой, экстрагируют эфиром и перегоняют 3,4-CH₂O₂C₆H₃COCH(OCOCH₃)CH₃ (XVIII), выход 64%, т. кип. 165—170°/5 мм. 2 г XVIII, 1,6 г (CH₃)₂NH и 10 мл CH₃OH нагревают в ЗТ (170°, 3 часа); (CH₃)₂NH и CH₃OH удаляют, экстрагируют эфиром, обрабатывают HCl (газом) и получают 0,9 г XI, т. пл. 253—254° (разл.; из CH₃OH). 2 г XVIII и 4,1 г C₆H₅CH₂NHCH₃ в ЗТ (170°, 3 часа, избыточный амин удаляют в вакууме, экстрагируют эфиром, пропускают HCl (газ), превращают в 3,4-CH₂O₂C₆H₃COCH₂N(CH₃)₂CH₃·HCl, масло, гидрируют над Pd/C в хлоргидрат 3,4-CH₂O₂C₆H₃CH(OH)·CH₂N(CH₃)₂CH₃ (XIX), выход 26,5%, т. пл. 207—209° (из CH₃OH и эф.); пикрат, т. пл. 173°. 5 г 3,4-CH₂O₂C₆H₃COCHBrCH₃ в 30 мл C₆H₆ добавляют по каплям к 3 г CH₃NH₂ в 5 мл C₆H₆ (5°). Через 12 час. бензольный слой промывают водой, отгоняют C₆H₆. Остаток в эфире насыщают HCl и получают 3,4-CH₂O₂C₆H₃COCH₂N(CH₃)₂CH₃·HCl (XX), выход 46,5%, т. пл. 225—227° (разл.). 1 г XX в спирте гидрируют над 0,05 г PtO₂ в XIX, выход 70%,

т. пл. 207—209°. 3,4-(CH₃COO)₂C₆H₃COCHBrCH₃ (23 г), 100 мл CH₃COOH и 12 г CH₃COONa кипятят 8 час.; CH₃COOH удаляют, остаток поглощают водой, экстрагируют эфиром. Получают 3,4-(CH₃COO)₂C₆H₃COCH(OCOCH₃)CH₃ (XXI), выход 30%, т. кип. 200—210°/5 мм. 2 г XXI, 1,2 г (CH₃)₂NH и 10 мл CH₃OH нагревают в ЗТ (150—160°, 3 часа), упаривают в вакууме, экстрагируют 10%-ной HCl и упаривают досуха. Получают 0,5 г сиропа с таким же R_f, как у VIII. Из 2 г C₆H₅COCH₂OCOCH₃, 2 г (CH₃)₂NH и 5 мл CH₃OH (ЗТ, 150—170°, 3 часа) после удаления CH₃OH и обработки в эфире HBr (газом), получают C₆H₅COCH₂N(CH₃)₂·HBr, выход 55%, т. пл. 185—188° (из CH₃OH-сн.).

Chem. Abstrs, 1955, 49, № 12, 8174.

K. Kitsuta.

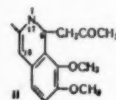
78242. Синтез цефарантина. VIII. Кондо, Катаока, Баба (Cepharanthine の合成研究. 第8報. 近藤平三郎, 片岡英世, 馬場義雄), 卯研究所年報, Ииуу кэнкюсё Нэмпо, Annual Rept ITSUU Lab., 1955, № 5, 5—7 (япон.); 55—58 (англ.)

Изучалась циклизация диамида (I) по Бишлеру — Напиральскому. Применение в качестве циклизующих агентов POCl₃ и SOCl₂ дало отрицательные результаты. Из I действием PCl₅ получено 2 продукта (II и III), неустоенного строения. Обсуждаются возможные структуры II и III: а) моно- и бисдигидроизохинолиновые производные, б) соответствующие кетодигидроизохинолиновые производные. II и III с CH₃J не дают ожидаемых йодметилатов. 1 г PCl₅ прибавляют к р-ру 0,7 г I (т. пл. 197—200°) в 14 мл сухого CHCl₃, через 4 дня (~20°) смесь обрабатывают водой, слой CHCl₃ отделяют, остаток подщелачивают 5%-ным KOH и экстрагируют CHCl₃, р-ритель удаляют, масло (0,3 г) хроматографируют, выход II 0,05 г, т. пл. 286—289° (разл.), выход III 0,1 г, т. пл. 250—253° (разл.). 0,03 г II и 1 г CH₃J в 2 мл CH₃OH (3 часа, 50—60°) дают кристаллы, т. пл. 215—220° (разл.). 0,1 г III с 1 г CH₃J в 1 г CH₃OH (2 часа, 80°) дают в-во, т. пл. 273—275° (разл.; из CH₃OH). Сообщение VII см. РЖХим, 1956, 75061.

E. Ц.

78243. О производных берберина. Сообщение XI. Производные берберина с кислородом в боковой цепи при C₉. Аве, Хертель (Berbinderivate mit sauerstoffhaltiger Seitenkette am C₉ (XI. Mitteilung über Derivate des Berberins). Awe Walther, Hertel Otto), Arch. Pharmazie, 1955, 288/60, № 11-12, 516—520 (нем.)

Из соли берберина (I) и ацетона в сильном щел. среде образуется, как известно, 9-(2'-оксипропил)-дезоксистерберин (II). При гидрировании II над скелетным Ni получают 16,17-дигидродезоксистерберин (III). Взаимодействием II с LiAlH₄ синтезируют 9-(2'-оксипропил)-дезоксистерберин (IV), при восстановлении (Zn, CH₃COOH) которого получают смесь устойчивых стереоизомерных 9-(2-оксипропил)-16,17-дигидродезоксистерберинов; выделен и охарактеризован один из изомеров (V). При действии на V дегидрирующих агентов (J₂, (CH₃COO)₂Hg, Pd) получают четвертичное производное берберина, которое при восстановлении переходит частично в исходный берберин и образует ненасыщ. соединение. 1 г II, 300 мл абс. спирта и 2,5 г скелетного Ni, активированного H₂PtCl₆ или PdCl₂, встряхивают в токе H₂, получают III, выход 0,8 г, т. пл. 171°. 5 г II восстанавливают 0,16 г LiAlH₄ в эфир. р-ре, выход IV 4,5 г, т. пл. 138°. 4 г IV, 100 мл 30%-ной CH₃COOH, 10 мл HCOOH и 10 г Zn кипятят до обесцвечивания, получают V, выход 90%, т. пл. 204° (из эф.), обнаружены также следы в-ва с т. пл. 198°. 1 г V, 33 мл CH₃COCl и 33 мл (CH₃CO)₂O нагревают 1 час, получают уксуснокислый эфир V, выход 0,7 г,



т. пл. 131°. К 600 мг V в 10 мл абс. C_6H_5N прибавляют при охлаждении 1,5 г $n\text{-NO}_2C_6H_4COCl$, через 6 час. получают эфир, выход 400 мг, т. пл. 166° (из сл.-эф.). Сообщение X см. РЖХим, 1955, 55225.

Ю. М. 78244. **Алкалоиды Magnoliaceae. 10. Синтез dl-магнокурарина из dl-коклаурина.** Томита, Ямагути (モクレン科植物アルカロイドの研究. 第10報. dl-Coclaurine dl-magnocurarine の合成. 富田真雄, 山口秀夫), 薬学雑誌, Якугаку дзасси, J. Pharmac. Soc. Japan, 1953, 73, № 5, 495—497 (япон.).

0,2 г dl-N-метилкоклаурина (I) в 2 мл CH_3OH нагревали 2 часа с 0,5 мл CH_3J ; избыток CH_3OH и CH_3J удаляли. Получено 200 мг I- $CH_3J \cdot H_2O$ (II), т. пл. 148° (из CH_3OH -ацетона). К р-ру II в 50%-ном CH_3OH добавляли насыщ. р-р пикриновой к-ты; получен пикрат dl-магнокурарина $C_{19}H_{24}O_5N \cdot C_6H_3O_7N_3 \cdot H_2O$, т. пл. 174° (из водн. ацетона, затем из ацетона).

Chem. Abstr., 1954, 48, № 6, 3375.

К. Kitsuta

78245. **Аконитовые алкалоиды. Сообщение V. К структуре оксонитина. Шнейдер (Aconitum-Alkaloide. V. Mitteilung. Zur Struktur des Oxonitins. Schneider Woldemar), Chem. Ber., 1956, 89, № 3, 762—767 (нем.)**

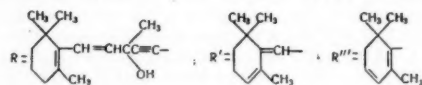
Работы по выяснению структуры дельфинина (I) распространены на аконитин (II). ИК-спектр II (приведена кривая) подтверждает структурную аналогию с I. На основании образования оксонитина (III) как при окислении II, так и из мезаконитина, автор приходит к выводу, что наряду с образованием лактама происходит отщепление алкильной группы от азота. При окислении II наряду с III (выход не более 16%) образуется, как известно, оксоаконитин (IV). По данным ИК спектров III и IV (приведены кривые) являются 6-членными лактамами. III ацетируется CH_3COCl (8 дней при 38—40° в запаянной трубке) в тетраацетилоксонитин (V) (т. пл. 177° (из CH_3OH), что наряду с ИК-спектром V (N-ацетил 5,67 м и O-ацетил 5,76 м) указывает на отсутствие алкильной группы у азота III. При омылении III получен оксонин (VI) с т. пл. 172°, выход 52%. Восстановление III и VI $LiAlH_4$ приводит к нораконину (VII), а II к аконину (VIII). Алкилирование VII C_2H_5J приводит к VIII. Подтверждены ф-лы для III $C_{22}H_{41}O_{12}N$ и для VI $C_{22}H_{39}O_{12}N$. Приведенные реакции подтверждают наличие группы $N-C_2H_5$ в II. Сообщение IV см. РЖХим, 1956, 61652.

Л. Ш.

78246. **Синтезы в ряду каротиноидов. XXXII. Полный синтез 3,4,3',4'-бисдегидро-β-каротина. Инхоффен, Распе (Synthesen in der Carotinoid-Reihe. XXXII. Totalsynthese des 3,4,3',4'-Bisdehydro-β-carotins. Inhoffen Hans Herloff, von, Raspe Gerhard), Liebigs Ann. Chem., 1955, 594, № 2, 165—176 (нем.)**

Осуществлен полный синтез транс-3,4,3',4'-бисдегидро-β-каротина (I). Действием α-метилакролеина (II) на гриньяров реагент из ацетиленового спирта (III) получен β- C_{10} -диол (IV), последний при нагревании с разб. H_2SO_4 изомеризуется и дегидрируется до ретро-бисдегидро- C_{19} -спирта (V). Окисление V посредством MnO_2 приводит к ретро-бис-дегидро- C_{19} -альдегиду (VI), частичное гидрирование которого дает 10,11-цис-ретро-дегидро- C_{19} -альдегид (VII). Конденсация VII с ацетиленимагнийбромидом приводит к C_{40} -диолу (VIII), последний превращается при обработке $n\text{-CH}_3C_6H_4SO_3H$ в 3,4,—15,15',—3'4'-трис-дегидро-β-каротин (IX) с выходом 5%. (См. схему.) Гидрирование IX проходит в должной степени только с катализатором Линдлара, отравленного хинолином, и дает 15,15'-цис-3,4,3',4'-бисдегидрокаротин (X), последний изомеризуют до I нагреванием. Приведены УФ-кривые для I, VI, его семикарбазона, VII (цис- и транс), IX и X; данные УФ-спектров для I, IV, V, эфира V, VI, VII (цис- и транс), VIII, IX,

X, семикарбазонов VI и VII. Гриньяров реагент из 13,4 г Mg, 60 г C_2H_5Br в 100 мл абс. эфира добавляют за 1 час к р-ру 50,5 г III в 100 мл абс. эфира, кипятят 1 час, охлаждают, вводят 17,6 г II в 50 мл эфира, кипятят 1 час, выход IV 60 г (масло). 55 г IV нагревают (4 часа, 70°) с 1250 мл диоксана и 700 мл 5%-ной $H_2SO_4 + 2$ г гидрохинона, разбавляют водой, извлекают CH_2Cl_2 , выпаривают, остаток растворяют в 300 мл CH_3OH , добавляют 9 мл воды, извлекают гексаном из метанольного слоя, получают 28,5 г V; антрахион-β-карбонный эфир V, т. пл. 58—80°. 20 г V встряхивают в 1 л ацетона с 100 г MnO_2 2 часа; VI очищают фильтрованием р-ра в C_6H_6 через Al_2O_3 , затем кристаллизацией из петр. эфира (—20—40°), выход VI 7,5 г, т. пл. 62°; семикарбазон, т. пл. 213—215° (из ацетона). Гидрируют 10 г VI в 150 мл C_6H_6 над катализатором Линдлара (3 + 5 г) до поглощения 920 мл H_2 , полученное масло в 200 мл гексана выдерживают с 100 мг йода 12 час. (обычная т-ра, темнота), хроматографируют из петр. эфира на Al_2O_3 , проявляют петр. эфиром- C_6H_6 (7:3), вырезают и вымывают светложелтую зону, получают 6,3 г VII, т. кип. 155—160/0,05 мм; семикарбазон транс-формы, т. пл. 194,5—197° (из CH_3OH) и вторая полиморфная форма, т. пл. 182—186° (из CH_3OH).



RH III- $RCH(OH)C(CH_3)=CH_2$ IV- $R'CH=C(CH_3)C\equiv CCH=C(CH_3)R''$ (V $R''=CH_2OH$, VI $R''=CHO$) $R'CH=C(CH_3)CH=CHCH=C(CH_3)CHO$ VII- $[R'CH=C(CH_3)CH=CHCH=C(CH_3)CH(OH)C\equiv C]_2$ VIII- $[R'CH=CHC(CH_3)=CHCH=CHC(CH_3)=CHC\equiv C]_2$ IX

К 0,08 моля $BrMgC\equiv CMgBr$ в 200 мл абс. эфира (—5°) добавляют 10 г VII в 50 мл абс. эфира, перемешивают 1 час при охлаждении, 3 часа при обычной т-ре, 15 мин. при кипячении, разлагают, удаляют р-ритель, остаток растворяют в CH_3OH , обрабатывают как V, получают 8 г VIII (масло). От смеси 8 г VIII, 500 мл C_6H_6 и 1 г $n\text{-CH}_3C_6H_4SO_3H$ за 15 мин. отгоняют 150 мл C_6H_6 , промывают р-ром $NaHCO_3$, обрабатывают как VII (проявление смесью петр. эф.-бэл.; 4:1), выход IX (оранжевая зона) 540 мг, т. пл. 169° (испр., из бэл.- CH_3OH). 500 мг IX гидрируют в 50 мл C_6H_6 на 1 г катализатора Линдлара, отравленного 0,1 мл хинолина; при —20° (48 час.), осадок растворяют в 5 мл CH_2Cl_2 и смешивают с 10 мл CH_3OH , выпадает X, выход 50 мг, т. пл. 193° (испр., из $CH_2Cl_2 + CH_3OH$). 30 мг X кипятят в 100 мл циклогексана + немного C_6H_6 12 час., хроматографируют на Al_2O_3 в смеси петр. эфир- C_6H_6 (4:1), проявляют петр. эфиром- C_6H_6 (7:3), получают I (красная зона), выход 22 мг, т. пл. 196—197° (испр., из $CH_2Cl_2 \cdot CH_3OH$). I получают также при нагревании X до 145—150° (5 мин.). Все опыты проводили в атмосфере N_2 . Сообщение XXXI см. РЖХим, 1956, 75069.

Л. Я.

78247. **Аналоги хлорамфеникола. III. Синтез dl-трео-1-(3,5-динитрофенил)-2-дихлорацетилапропандиол-1,3. Судзуки, Симицу. IV. Синтез dl-1-(4-метил-5-тиазолил)-2-ацетилапропандиола-1,3. Судзуки, Нагава (クロラムフェニコール類似体の合成研究. 第3報. dl-threo-1-(3,5-Dinitrophenyl)-2-dichloroacetamido-1,3-propanediol の合成. 鈴木 敏, 清水 文治. クロラムフェニコール類似体の合成研究. 第4報. de-1-[4-methylthiazolyl-(S)]-2-acetamido-1,3-propanediol の合成. 鈴木 敏, 名川 方敏), 薬学雑誌, Якугаку дзасси, J. Pharmac. Soc. Japan, 1953, 73, № 4, 392—394, 394—396 (япон.).**

Сообщение III. 62 г 3,5-(NO_2) $_2C_6H_3COOH$ и 67 г PCl_5 кипятят до прекращения выделения HCl ; получают $RCOCl$ (I) (здесь и всюду далее $R = 3,5-(NO_2)_2C_6H_3$).

выход 71,6%, т. кип. 211—213°/16 мм, т. пл. 66—67°. $(C_5H_9O)_2Mg$ (из 7,9 г Mg) вводят в р-цию с 36 г $CH_3(COOC_2H_5)_2$ при 65°, р-р охлаждают до 25° и при 35° добавляют 46 г I в 100 мл $CHCl_3$, смесь обрабатывают р-ром 13 мл конц. H_2SO_4 в 87 мл воды, $CHCl_3$ -р-р упаривают досуха, остаток кипятят 6 час. с 60 мл CH_3COOH , конц. H_2SO_4 и 40 мл воды, выливают в 250 мл ледяной воды, продукт промывают $NaHCO_3$, выход CH_3COR (II) 88,1%, т. пл. 74—76° (из сп.). К 15 г II в смеси 60 мл эфира и 60 мл $CHCl_3$ прибавляют по каплям при 10° 12 г Br_2 и 0,2 г $AlCl_3$ и перемешивают 20 мин. при 30—35° на солнечном свете, выход $RCOCH_2Br$ (III) 84%, т. пл. 110—111°. 77 г $(CH_2)_6N_4$ в 20 мл $CHCl_3$ и 14 г III в 140 мл $CHCl_3$ и 60 мл C_6H_5Cl выдерживают 3 часа при 30—35°, отфильтровывают осадок III, выход 87%; III· $(CH_2)_6N_4$ (IV), т. пл. 165—166°. IV (из 14 г III) вводят понемногу в смесь 60 мл CH_3OH и 25 мл конц. HCl (при 25°); оставляют на ~12 час., перемешивают 8 час. и продукт отфильтровывают при 0°; выход $RCOCH_2N_2 \cdot HCl$ (V) 85%, т. пл. >250°. К 6 г V в 25 мл воды прибавляют 5,2 мл $(CH_3CO)_2O$, перемешивают с 4 г $NaHCO_3$ 1 час при 10° и 1 час при ~20°; фильтруют при 0°, выход $RCOCH_2N_2HCOCH_3$ (VI) 67%, т. пл. 134—135°. К 4 г VI в 16 мл спирта и 2,8 мл 35%-ного CH_3O прибавляют 5,2 г CH_3COONa , перемешивают 1 час при 30—40°, затем при 0° отфильтровывают $RCOCH(NHCOCH_3)CH_2OH$ (VII), выход 67,7 г, т. пл. 148—149° (из этилацетата). 3 г VII, 3,6 г $(iso-C_3H_7O)_3Al$ и 30 мл $iso-C_3H_7OH$ нагревают 7 час. на водяной бане, ацетон и $iso-C_3H_7OH$ отгоняют, остаток фильтруют с 7 мл воды, осадок и фильтрат обрабатывают 80%-ным $iso-C_3H_7OH$, р-ритель отгоняют, остаток обрабатывают этилацетатом; выход $RL-treo-RCH(OH) = CH(NHCOCH_3)CH_2OH$ (VIII) 1,2 г, т. пл. 167—169°, 2,2 г VIII и 23 мл 5%-ной HCl нагревают 1 час при 80—100°, р-р нейтрализуют 8 мл 20%-ного $NaOH$; выход $RL-treo-RCH(OH)CH(NH_2)CH_2OH$ (IX) 85%, т. пл. 147—148° (из разб. CH_3OH). 0,7 г IX в 6 мл CH_3OH обрабатывают 0,65 г $CHCl_2COOCH_3$, перемешивают 1 час при 55°, CH_3OH отгоняют; выход $RL-treo-RCH(OH)CH(NHCOCH_3)CH_2OH$ (X) 0,9 г, т. пл. 149—150°. X не активен против *Salmonella typhi*.

Сообщение IV. К 50 г $(CH_3CO)_2CH_2$ при 0—5° добавляют по каплям за 2 часа 67,5 г SO_2Cl_2 , перемешивают 2 часа при $t < 10^\circ$, продукт выливают в 100 мл воды, выпавшее масло извлекают 100 мл эфира; выход $(CH_3CO)_2CHCl$ (I) 82,1%, т. кип. 154—156°. К 100 мл эфира и 100 г P_2S_5 прибавляют 100 г $HSCONH_2$, перемешивают 8 час., выдерживают 2 дня, эфирной сл. перегоняют, выход $HCSNH_2$ (II) 40%. К 40 г I в 22,5 мл этилацетата и 22,5 мл C_6H_5N приливают при 10° р-р 5 г II в 22,5 г этилацетата, перемешивают 2 часа и оставляют на ~12 час.; нагревают 7 час. при 60—65° и 1 час при 80—85°, отгоняют этилацетат, добавляют 120 мл 20%-ного $NaOH$ и р-р экстрагируют $CHCl_3$; после отгонки $CHCl_3$ получают $RCOCH_3$ (III) (здесь и

далее всюду $R = SCH = NC(CH_3) = C-$), т. кип. 107—108°/13 мм. 1 г III в 10 мл CH_3OH обрабатывают 3,3 г $NH_2OH \cdot HCl$, 8 мл воды и 3,8 г CH_3COONa , оставляют на ~12 час., р-ритель отгоняют; получают оксим III (IV), выход 74,5%, т. пл. 143° (из 80%-ного CH_3OH). К 10 г IV в 50 мл CH_3COOH добавляют по каплям при 10° 12 г Br_2 , оставляют на ~12 час., продукт отфильтровывают и промывают $CHCl_3$; выход $RCOCH_2Br \cdot HBr$ (V) 80%, т. пл. 190—192° (разл.; из CH_3OH). 5 г V в 15 мл воды обрабатывают 1,5 г $NaHCO_3$, экстрагируют 20 мл $CHCl_3$, р-ритель отгоняют; выход $RCOCH_2Br$ (VI) 87,6%, т. пл. 66°. 10 г V в 30 мл воды обрабатывают 3 г $NaHCO_3$, экстрагируют 40 мл $CHCl_3$, экстракт смешивают с р-ром 6 г $(CH_2)_6N_4$ в 30 мл $CHCl_3$, выдерживают 2 часа, осадок отфильтровывают и промывают $CHCl_3$; выход $RCOCH_2Br \cdot (CH_2)_6N_4$

(VII) 77%, т. пл. 150—152° (разл.). 30 г VII в 100 мл CH_3OH и 36 мл конц. HCl оставляют на 3 дня, неорганич. соли отделяют, р-р концентрируют; выход $RCOCH_2N_2 \cdot 2HCl$ (VIII) 89,5, т. разл. >250°. 17 г VIII в 80 мл воды и 16 г $(CH_3CO)_2O$ обрабатывают при 10° 20 г $NaHCO_3$, перемешивают 1 час при 10° и 1 час при 20°; выход $RCOCH_2N_2HCOCH_3$ (IX) 55%, т. пл. 105° (из этилацетата). 5 г IX, 15 мл CH_3OH , 5 г 35%-ного CH_2O и 0,3 г $NaHCO_3$ нагревают 2 часа при 35°, CH_3OH удаляют, осадок отфильтровывают и промывают водой и эфиром; выход $RCOCH(NHCOCH_3)CH_2OH$ (X) 87%, т. пл. 167° (разл.; из этилацетата). 4 г X в 60 мл 50%-ной CH_3COOH обрабатывают при 30° Zn -пылью (1 час), затем нагревают 3 часа при 50°, р-р фильтруют, фильтрат доводят водой до объема 150 мл и пропускают H_2S ; осадок отфильтровывают, фильтрат концентрируют; выход $RL-RCH(OH)CH(NHCOCH_3)CH_2OH$ 40 г, т. пл. 185° (разл.; из этилацетата).

Chem. Abstrs, 1954, 48, № 6, 3294—3295.

K. Kitsuta

78248. Антибиотики из актиномицетов. Сообщение XXXII. Изородомидин A, новый антибиотик из *Streptomyces purpurascens*. Родомидин. Сообщение III. Брокман, Патт (Iso-rhodomyacin A, ein neues Antibioticum aus *Streptomyces purpurascens*, Rhodomycin, III. Mitteilung. Antibiotica aus Actinomyceten, XXXII. Mitteilung. Brockmann Hans, Patt Peter), Chem. Ber., 1955, 88, № 9, 1455—1468 (нем.)

Из фракции родомидина A (I), полученной из мицелия *Streptomyces purpurascens* при помощи 550-ступенчатого противоточного разделения (бутанол (II), фосфатный буфер (III) pH—6,0) и последующего кольцевого хроматографирования на бумаге (подвижная фаза II, стационарная — III или 10%-ная CH_3COOH), удалось выделить I и новый антибиотик изородомидин A (IV). I и IV при мягком кислотом гидролизе разлагаются с образованием хромофор-родомидинона (V) и изородомидинона (VI). Родомидин B (VII), выделенный из культурального р-ра, выделяют при помощи кольцевого хроматографирования на бумаге системой формамид-II-вода. Хлоргидраты I, IV, VII подавляют рост *St. aureus* в следующих разбавлениях: I — 1:3,10⁷, IV — 1:4,10⁷, VII — 1:5,10⁶. Хлоргидрат IV выделяют также фракционный кристаллизацией фракции I из спирта с конц. HCl . 2,1 кг мицелия экстрагируют 0,5 н. р-ром HCl в ацетоне, нейтрализуют конц. р-ром NH_4OH , упаривают в вакууме при 30° до 2 л, экстрагируют эфиром, водно-ацетоновую фазу при pH 8,5 смешивают с конц. р-ром $(CH_3COO)_2Pb$ в CH_3OH , фильтрат при pH 8,0 экстрагируют $CHCl_3$ -спиртом (3:1), упаривают в вакууме и разделяют, как описано ранее (см. сообщение II, РЖХим, 1954, 49775). Хлоргидрат фракции I, т. пл. 198° (из $iso-C_3H_7OH$ -сп.; 1:1 с 1 каплей конц. HCl). 680 мг фракции I в 75 мл II встряхивают с 75 мл M/15 р-ра III (pH 6,0) и наполняют первые три сосуда автоматы. аппарата 25 мл каждой фазы (остальные заполнены III). Полученные противоточным разделением 300 мг аморфного в-ва (из первых 79 сосудов) в 10 мл II хроматографируют на бумаге (30 час. ≈ 200 мл II), высушивают при 30°, вырезанные на бумаге зоны вымывают водн. CH_3OH , упаривают в вакууме до 5 мл, экстрагируют $CHCl_3$ - CH_3OH (4:1) и упаривают в вакууме. Получают 90 мг IV, 16 мг I и 150 мг VII и V. К р-ру IV в спирте прибавляют 1 каплю конц. HCl . Получают хлоргидрат, т. пл. 220°, $[\alpha]_D^{25}$ (при λ 606—760) +268 ± 30° (с 0,1, CH_3OH); перхлорат, т. пл. 177° (из 50%-ного сп.), 250 мг фракции I хроматографируют на бумаге аналогично IV, получают 120 мг I, 4 мг IV и 90 мг смеси VII и V. Хлоргидрат I, т. пл. 205°, $[\alpha]_D^{25}$ (при λ 606—760) +178 ± 10° (с 0,13, CH_3OH). Перхлорат I, т. пл. 188° (из 50%-ного CH_3OH), 100 л культурального р-ра при pH 8,5 экстрагируют 70 л $CHCl_3$ - CH_3OH

(5:2), упаривают в вакууме до 2 л, экстрагируют 3,4 л 10%-ной CH_3COOH , встряхивают с эфиром, смешивают при pH 8,5 с конц. р-ром $(\text{CH}_3\text{COO})_2\text{Pb}$, фильтрат экстрагируют CHCl_3 -спиртом (4:1), упаривают в вакууме. Получают 1 г в-ва, р-р которого (0,43 г) в II хроматографируют на бумаге (система вода — формамид — II) и выделяют 200 мг VII. Р-р VII в небольшом кол-ве CHCl_3 оставляют в эксикаторе рядом с конц. HCl. Получают хлоридрат VII, выход 103 мг, т. пл. 180° (из $\text{iso-C}_8\text{H}_7\text{OH}$), $[\alpha]^{18}$ (при λ 606—760) $+174 \pm 10^\circ$ (с 0,05, CH_3OH). Предыдущее сообщение см. РЖХим, 1956, 973.

М. Л. 78249. Цитоактивные аминокислоты и пептиды.

Часть II. Разделение пара-замещенных фенилаланинов и синтезы *п*-ди-(2-хлорэтил)-амино-*п*-фенил-($\beta^{14}\text{C}$)-аланина. Бергель, Берноп, Сток (Cytoactive amino-acids and peptides. Part II. Resolution of para-substituted phenylalanines and synthesis of *p*-di-(2-chloroethyl)-amino-*p*-phenyl ($\beta^{14}\text{C}$)alanine. Bergel F., Burnop V. C. E., Stock I. A.), J. Chem. Soc. 1955. Apr. 1223—1230 (англ.)

Наиболее удобным методом синтеза *п*-(ди-(2-хлорэтил)-амино)-*п*-фенилаланина (I-I), обладающего противоопухолевой активностью (часть I см. РЖХим, 1956, 50926), является малоновый синтез, приводящий, однако, к *п*-изомеру. Поэтому сделаны многочисленные попытки разделения изомеров на различных стадиях синтеза I. N^{α} -ацетил-*п*-нитро-*п*-фенилаланин (II) разделяется на изомеры бруцином в спирте. Однако этиловый эфир N^{α} -ацетил-*п*-ди-(2-оксипропил)-амино-*п*-фенилаланина (III) не превращается в I-I без рацемизации, в противоположность этиловому эфиру N^{α} -фталил-*п*-ди-(2-оксипропил)-амино-*п*-фенилаланина (IV). Поэтому либо II омыляют до *п*-нитро-*п*- или *р*-фенилаланина, который превращался через IV в I, либо вначале получают диэтиловый эфир α -4-нитробензил- α -фталимидомалоновой к-ты (V), который гидролизуют до *о*- α' -карбоксибензоил-*п*-нитро-*п*-фенилаланина (VI), циклизуют до *п*-нитро- N^{α} -фталил-*п*-фенилаланина (VII) и разделяют на изомеры. Попытки разделить иные промежуточные продукты синтеза I неудачны. I не удается разделить на изомеры, так как в щел. среде отщепляется хлор, а N^{α} -ацетил-*п*-ди-(2-оксипропил)-амино-*п*-фенилаланин не образует кристаллич. соли с бруцином или стрихнином. N^{α} -ацетил-*п*-амино-*п*-фенилаланин образует кристаллич. соль с α -бромкамфор- π -сульфокислотой, однако выделить из нее изомеры не удается. Этиловый эфир N^{α} -ацетил-*п*- α -карбоксибензоиламино-*п*-фенилаланина дает кристаллич., но трудно очищаемую соль с бруцином. Для изучения действия I *in vivo* синтезированы *п*-фенил-($\beta^{14}\text{C}$)-аланин (VIII) и *п*-ди-(2-хлорэтил)-амино-*п*-($\beta^{14}\text{C}$)-аланин (IX). 50 г диэтилового эфира α -ацетамидо- α -*п*-нитробензилмалоновой к-ты кипятят 24 часа с 50 г Na_2CO_3 в 500 мл воды и подкисляют, выход *п*-II 78%, т. пл. 207—209° (из воды). Из 23,55 г *п*-II, в 200 мл горячего спирта и 36,9 г бруцина в 200 мл горячего спирта получают бруциновую соль *п*-II(X), т. пл. 207—209,5° (из сп.), $[\alpha]^{21} D +19,2 \pm 0,5^\circ$ (с 1,59; вода-диоксан 1:1). После обработки X аммиаком или NaOH выделяют *п*-II, т. пл. 206—209° (из воды), $[\alpha]^{24} D +49,7 \pm 1^\circ$ (с 1,55; сп.). Из маточного р-ра выделяют *п*-X, пентагидрат, т. пл. 98—99°, $[\alpha]^{21} D -37,6 \pm 0,5^\circ$ (с 1,6; вода-диоксан, 1:1), и из нее *п*-II, т. пл. 205—206°, $[\alpha]^{23} D -44 \pm 0,5^\circ$ (с 1,45; сп.). *п*-II действием 2 н. спирт HCl превращают в этиловый эфир *п*-II (L-XI), т. пл. 115—117° (из воды), $[\alpha]^{19} D +13,0 \pm 0,5^\circ$ (с 1,33; сп.), соответственно получают *р*-XI, т. пл. 116—118°, $[\alpha]^{22} D -11,0^\circ \pm 1$ (с 1,58; сп.). *п*- и *р*-XI получены также ацетилированием хлоридрата этилового эфира *п*- и *р*-*п*-нитрофенилаланина, выход 75%. *п*-XI восстанавли-

вают в CH_3OH H_2 над 1%-ным Pd/CaCO_3 , продукт *р*-ции — смолистое в-во, из которого получают этиловый эфир N^{α} -ацетил-*п*-2,4-динитрофенил-амино-*п*-фенилаланина (L-XII), т. пл. 153—156° (из сп.), $[\alpha]^{23} D +54 \pm 1^\circ$ (с 0,86; диоксан). Соответственно получают *п*-L-XII, т. пл. 155—159°, $[\alpha]^{23} D -54,5 \pm 1,0^\circ$ (с 0,88; диоксан). α -Бромкамфор- π -сульфонат *р*-L-XII, т. пл. 236—238° (разл., $[\alpha]^{21} D +53 \pm 1^\circ$ (с 0,94; вода), разделить на изомеры не удается, 0,84 г *п*-L-XII с 0,5 г фталевого ангидрида кипятят 15 мин. в 10 мл этилацетата, упаривают и выделяют этиловый эфир VI, выход 97%, т. пл. 177—179° (из сп.). Этиловый эфир VI с бруцином дает кристаллич. соль, т. пл. 131—132, из которой не удается выделить *п*-изомер. Из этилового эфира N^{α} -ацетил-*п*-амино-*п*-*п*- и *р*-фенилаланина и окиси этилена получают соответственно *п*-L-III, масло, *п*-L-III, т. пл. 142—144°, $[\alpha]^{25} D +43 \pm 1^\circ$ (с 1,76; сп.), *р*-L-III, т. пл. 140—142°, $[\alpha]^{24} D -36 \pm 1^\circ$ (с 1,65; сп.). *п*-L-III в р-ре C_6H_6 или CHCl_3 кипятят с POCl_3 , затем с конц. HCl и получают *п*-L-I. Частичная рацемизация наблюдается также при *р*-ции *п*-L-III с SOCl_2 и 6 н. HCl *п*-L-I получается также при взаимодействии *п*-L-III с PCl_5 и 6 н. HCl. 0,5 г *п*-L-II омыляют 6 н. HCl (2,5 часа), упаривают в вакууме досуха, остаток кипятят с 2 н. HCl. Выход хлоридрата этилового эфира *п*-нитро-*п*-фенилаланина (L-XIII) 0,44 г, т. пл. 204—205° (разл.; из ацетона- CH_3OH), $[\alpha]^{20} D +11,7 \pm 0,5^\circ$ (с 2,3; вода); соответственно получают *р*-L-XIII, т. пл. 208—209°, $[\alpha]^{23} D -10,3 \pm 0,5^\circ$ (с 2,2; вода). К 6,52 г диэтилового эфира натрифталимидомалоновой к-ты в 80 мл кипящего метилэтилкетона прибавляют 3,44 г *п*-нитробензилхлорида в 20 мл метилэтилкетона, 0,5 г NaI в 10 мл кетона, кипятят 1,5 часа, фильтруют и упаривают в вакууме, выход V 88%, т. пл. 104—105° (из сп.). 70 г V, 70 г Na_2CO_3 в 700 мл воды кипятят ~12 час., подкисляют и кипятят 40 мин., выход *р*-VI 49,5 г, т. пл. 198—200° (из водн. сп.). 2,7 г VI кипятят 30 мин. с 10 мл $(\text{CH}_3\text{CO})_2\text{O}$, упаривают досуха, нагревают с водой и выделяют VII, т. пл. 184—186° (из метилэтилкетона-петр. эф. или водн. сп.). Из *п*-VII и диэтилового эфира получают соответствующую соль (XIV); *р*-XIV, т. пл. 211°, $[\alpha]^{21} D +82 \pm 1^\circ$ (с 0,84; диоксан), а разложением *р*-XIV н. NaOH получают *р*-VII, т. пл. 207—208°, $[\alpha]^{20} D +240 \pm 2^\circ$ (с 1,01; сп.); этиловый эфир *р*-VII, т. пл. 82—83°, $[\alpha]^{20} D +206 \pm 1^\circ$. Из маточного р-ра выделяют *п*-L-XIV, т. пл. 192,5—194°, $[\alpha]^{20} D -170 \pm 1^\circ$ (с 1,32; сп.), и *п*-L-VII, т. пл. 209—211°, $[\alpha]^{21} D -233 \pm 2^\circ$. (Карбокси- ^{14}C)-бензойную к-ту восстанавливают (5%-ным LiAlH_4 в эф.) в (α - ^{14}C)-бензилловый спирт и превращают действием ZnCl_2 в конц. HCl в (α - ^{14}C)-бензилхлорид. Последний прибавляют к 1,09 г диэтилового эфира ацетамидомалоновой к-ты в 5 мл н. $\text{C}_2\text{H}_5\text{ONa}$ и 10 мл спирта, нагревают 6 час. при 75—80°, упаривают, остаток экстрагируют CHCl_3 и упаривают вновь, выход диэтилового эфира ацетамидо-[(α - ^{14}C)-бензил]-малоновой к-ты (XV) 67% (на ^{14}C). Гидролизом XV (~20% HCl, кипячение 5 час.) получают VIII, выход 70%, уд. активность 1,96 *кюри/ммоль*. К 611 мг XV в 1,6 мл $(\text{CH}_3\text{CO})_2\text{O}$ прибавляют 15 мин. 0,4 мл дымящей HNO_3 при 0°, а через 2 часа лед, выход диэтилового эфира *п*-нитро-[(α - ^{14}C)-бензил]-ацетамидомалоновой к-ты (XVI) 231 мг, 458 мг XVI восстанавливают над Pd/BaCO_3 в диэтиловый эфир ацетамидо-*п*-амино-[(α - ^{14}C)-бензил]-малоновой к-ты (XVII), выход 87% (из этилацетата-петр. эф.). К 368 мг XVII в 1 мл лед. CH_3COOH прибавляют 20%-ный р-рокиси этилена в 3 мл воды, через 24 часа прибавляют 10 мл воды и нейтрализуют NaHCO_3 , осадок экстрагируют CHCl_3 , фильтруют через Na_2SO_4 , отгоняют половину р-рителя, прибавляют 0,5 мл SOCl_2 и кипятят 10 мин., прибавляют тотчас 5 мл конц. HCl и кипятят 3 часа, при разрывании отгоняя CHCl_3 , упаривают досуха в вакууме, остаток растворяют в воде и осаждают IX р-ром

CH_3COONa , выход 89%, т. пл. 177—178°, уд. активность 1,28 кюри/ммоль; общий выход 22% (на C^{14}O_2).

C. A.

78250. Производные β-аланинамида, содержащие систему 4-фенилпиперидина. Кьяварелли, Марини-Беттоло (Derivati della β-alaninamide contenenti il sistema della 4-fenilpiperidina. Chiavarelli S., Marini Bettolo G. B.), Rend. Inst. super sanità, 1955, 18, № 11, 1014—1022 (итал.; рез. франц., англ., нем.)

В продолжение прошлых работ (РЖХим, 1954, 27005) на основе 4-фенил-4-аминометил-1-метилпиперидина (I) получен ряд производных глицинамида и β-аланинамида. Полученные препараты обладают гипотензивным действием, наиболее активен N'-этил-N-(4-фенил-1-метилпиперидил-4-метил)-β-аланинамид. Бисодезилат N, N-диметил-N-(4-фенил-1-метилпиперидил-4-метил)-β-аланинамида обнаружил курареподобное действие. 2 моля I смешивают с 1 молем алкиламида хлоруксусной или β-хлорпропионовой к-ты, после окончания экзотермич. р-ции нагревают 6 час. при 100°, добавляют воды, подщелачивают р-ром

K_2CO_3 , извлекают CHCl_3 , разгонкой выделяют $\text{CH}_3\text{CH}_2\text{N}-$

$(\text{CH}_3)_2\text{CH}_2\text{CH}_2\text{C}(\text{C}_6\text{H}_5)_2\text{R}$ (II) (R, т. кип. в °C/мм. n_D^{20} D, пикрат., т. пл. в °C): $\text{NCH}_2\text{CH}_2\text{CON}(\text{C}_2\text{H}_5)_2$, 159/0,02, т. пл. 71°; $\text{CH}_2\text{NHCH}_2\text{CON}(\text{CH}_3)_2$, 175/0,1.205; $\text{CH}_2\text{NHCH}_2\text{CON}(\text{C}_2\text{H}_5)_2$, 180/0,1 —; $\text{CH}_2\text{NHCH}_2\text{CH}_2\text{CONHCH}_3$, 185/0,1, 1,5364, 209; $\text{CH}_2\text{NHCH}_2\text{CH}_2\text{CONHC}_2\text{H}_5$, 182/0,15, 1,5289, т. пл. 77°, 228; $\text{CH}_2\text{NHCH}_2\text{CH}_2\text{CON}(\text{CH}_3)_2$, 168/0,1—, 217; $\text{CH}_2\text{NHCH}_2\text{CH}_2\text{CON}(\text{C}_2\text{H}_5)_2$, 172/0,1; 1,5270, 188 $\text{CH}_2\text{N}-$

$\text{NHCH}_2\text{CH}_2\text{CONHC}_2\text{H}_5$, 188/0,1, 1,5432, 229. К 40 г I и 100 мл 8%-ного NaOH добавляют 25,4 г CH_2ClCOCl или $\text{CH}_2\text{ClCH}_2\text{COCl}$ (—5——2,5°), извлекают CHCl_3 , к сухому экстракту добавляют 100 мл диэтиламина (10°), через несколько часов перемешивают 4 часа при ~20°, отгоняют р-ритель, подщелачивают 8%-ным NaOH, извлекают CHCl_3 , разгонкой выделяют II (R, т. кип. в °C/мм.): $\text{CH}_2\text{NHCOCH}_2\text{N}(\text{C}_2\text{H}_5)_2$, 180/0,15; $\text{CH}_2\text{NHCOCH}_2\text{CH}_2\text{N}(\text{C}_2\text{H}_5)_2$, 165/0,2, n_D^{20} D 1,5250, бисодезилат, гигроскопичен. К р-ру 20 г брома в р-ре 28 г KOH в 400 мл воды добавляют постепенно 26 г амида 1-метил-4-фенилпиперидинкарбоновой-4 к-ты, через 2 часа нагревают 48 мин. на кипящей водяной бане, добавляют лед, подщелачивают 40%-ным NaOH, извлекают эфиром и разгонкой выделяют 4-амино-4-фенил-1-метилпиперидин (II), т. кип. 96—110°/0,15 мм; пикрат, т. пл. 213° (из сп.); пикролат, т. пл. 201—202°. 9,5 г II, 10 г 35%-ного CH_2O и 30 г 85%-ной HCOOH нагревают до начала р-ции, затем 18 час. на кипящей водяной бане, извлекают эфиром до и после подщелачивания, разгонкой выделяют 1-метил-4-фенил-4-диметиламинопиперидин, выход 5 г, т. кип. 110—113°/0,2 мм; пикрат, т. пл. 214° (из воды). Действием на II $\text{C}_6\text{H}_5\text{COCl}$ в присутствии 25%-ного NaOH получают 1-метил-4-фенил-4-бензаминопиперидин (III), т. пл. 164—165° (из бэл.). Восстановлением III LiAlH_4 в C_6H_6 и эфире (кипение 6 час.) получают 1-метил-4-фенил-4-бензиламинопиперидин, т. пл. 101—102°; йодметилат, т. пл. 216—217° (из абс. сп.). 0,1 моля II и 0,5 моля N, N-диэтил-β-хлорпропионамида, нагревают осторожно на водяной бане, а затем 12 час. при 100°, добавляют воды, подщелачивают 20%-ным NaOH,

извлекают эфиром, разгонкой выделяют 9 г $\text{H}_2\text{CCH}_2\text{N}(\text{CH}_3)_2$

$\text{CH}_2\text{CH}_2\text{C}(\text{C}_6\text{H}_5)_2\text{NHCH}_2\text{CH}_2\text{CON}(\text{C}_2\text{H}_5)_2$, 12 г этилового эфира 1-метил-4-фенилпиперидинкарбоновой-4 к-ты восстанавливают LiAlH_4 (эф., кипение 10 час.), получают 6 г 1-метил-4-фенил-4-оксиметилпиперидина, т. пл. 136° (из сп.-эф.).

И. Я.

78251. Изучение аминокислот. 8. Синтез DL-3,4-оксикинурина. Сэно, Сакаму (アミノ酸の研究. 8. dl-3,4 hydrohinurenine の合成. 妹尾四郎, 目武雄),

日本化学雑誌 Нихон кагаку дзасси, J. Chem. Soc., Japan. Pure Chem. Sec., 1953, 74, № 3, 200—202 (япон.)

К 11 г 2,3,4- $\text{NO}_2(\text{C}_6\text{H}_3\text{O})_2\text{C}_6\text{H}_2\text{COOH}$ прибавляют 11,5 г PCl_5 в CS_2 ; POCl_3 и CS_2 отгоняют в вакууме, хлорангидрид растворяют в 40 мл толуола, 20 мл этого р-ра вводят по каплям при перемешивании и охлаждении льдом в смесь 7,5 г $\text{CH}_3\text{COCH}_2\text{COOC}_2\text{H}_5$ и 20 мл р-ра 2,6 г Na в 40 мл абс. спирта; после этого добавляют остаток $\text{C}_2\text{H}_5\text{ONa}$, затем остаток р-ра хлорангидрида, смесь перемешивают 3 часа при ~20°, оставляют на ~12 час., разлагают льдом +HCl, продукт экстрагируют эфиром; выход этилового эфира 2-(2-нитро-3,4-диметоксibenzoил)-ацетоксусной к-ты (I) ~100%, т. пл. 64—66° (из сп.). Из 7,5 г I действием спирта р-ра NH_3 при ~20° получают 6,5 г этилового эфира (2-нитро-3,4-диметоксibenzoил)-уксусной к-ты (II), т. пл. 94—94,5°. К 0,8 г Na в 11 мл спирта добавляют по каплям 9 г II в 15 мл абс. спирта и 20 мл C_6H_6 , затем вводят 6,1 г $\text{CH}_2\text{BrCOOC}_2\text{H}_5$, через 48 час. смесь выливают в воду, подкисляют, экстрагируют C_6H_6 , последний отгоняют; получают 11,6 г этилового эфира 2-(2-нитро-3,4-диметоксibenzoил)-янтарной к-ты (III), масло; III расщепляют 70 мл CH_3COOH и 70 г кони. HCl, добавляют 140 мл воды, получают 7,2 г 3-(2-нитро-3,4-диметоксibenzoил)-пропионовой к-ты, т. пл. 161—162° (из воды). Бромруют в CH_3COOH (водяная баня, УФ-освещение) и выливают в ледяную воду, выход 3-бромпроизводного (IV) 96%, т. пл. 162—163°. Нагревают 4,5 г IV на водяной бане с 5 г безводн. CH_3COONa и 20 мл CH_3COOH , затем разбавляют водой; получают 2,6 г 3-(2-нитро-3,4-диметоксibenzoил)-акриловой к-ты, т. разл. 208°, переходящей при стоянии с 15%-ным NH_4OH (2 дня) в трудноочищаемый 3-(2-нитро-3,4-диметоксibenzoил)-аланин; неочищ. продукт (1,9 г) прибавляют к 6 г холодного SnCl_2 в 20 мл кони. HCl, нагревают 20 мин. на водяной бане, оставляют на 2 дня при 0° для кристаллизации двойной Sn-соли, суспендируют в 50 мл воды, разлагают H_2S , фильтрат концентрируют; выпадает сначала побочный продукт, затем 0,755 г хлоргидрата 3,4-диметоксикинурина (V), т. разл. 181—183°; последний кипятят (7 час.) с 48%-ной HBr в атмосфере N_2 , добавляют воду и упаривают в вакууме в атмосфере CO_2 ; получают хлоргидрат дигидроксильного аналога V (Va), выход 60%, т. пл. 149°, т. разл. 197°. 100 мг Va при взаимодействии с водой ледяют 50 мг DL-3,4-диоксикинурина, т. разл. 277°; дает положительные р-ции с нингидрином и FeCl_3 , а также диазореакцию; легко окисляется на воздухе в шел. р-рах; не является промежуточным в-вом в процессе образования красящих в-в насекомых из 3-оксикинурина. Сообщение 7 см. РЖХим, 1955, 31771.

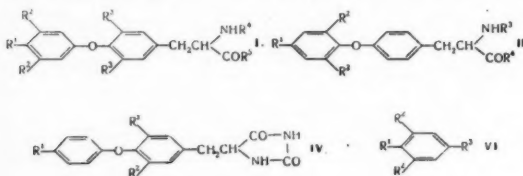
G. G. Evans

78252. Синтез тироксина и родственных соединений. XIII.

Новые аналоги тироксина. Барнс, Куксон, Диксон, Элкс, Пул (Synthesis of thyroxine and related substances. XIII. Further analogs of thyroxine. Barnes J. H., Cookson R. C., Dickson J. T., Elks J., Poole, V. D.), J. Chem. Soc., 1953, May, 1448—1464 (англ.)

Разработан метод получения следующих в-в в общей ф-лы (I) (приведены конфигурация $\text{R}^1, \text{R}^2, \text{R}^3, \text{R}^4, \text{R}^5$, т. пл. в °C): $\text{DL}, \text{CH}_3\text{CONH}, \text{H}, \text{NO}_2, \text{CH}_3\text{CO}, \text{OC}_2\text{H}_5$, 178; $\text{DL}, \text{NH}_2, \text{H}, \text{NO}_2, \text{H}, \text{OH} \cdot 2\text{HCl}$, т. разл. ~250°; $\text{DL}, \text{CH}_3\text{CONH}, \text{H}, \text{J}, \text{CH}_3\text{CO}, \text{OC}_2\text{H}_5$, 224—225°; $\text{DL}, \text{NH}_2, \text{H}, \text{J}, \text{H}, \text{OH} \cdot 2\text{HCl}$, т. разл. ~250°; $\text{L}, \text{CH}_3\text{O}, \text{NO}_2, \text{J}, \text{CH}_3\text{CO}, \text{OC}_2\text{H}_5$, 167—168, $[\alpha]_D^{22} +19,5^\circ$; $\text{L}, \text{OH}, \text{NO}_2, \text{J}, \text{CH}_3\text{CO}, \text{OC}_2\text{H}_5$, 115, затем 161—163, $[\alpha]_D^{19} +17,6^\circ$; $\text{L}, \text{OH}, \text{NO}_2, \text{J}, \text{H}, \text{OH}$, 270 (разл.); $\text{L}, \text{p-CH}_3\text{C}_6\text{H}_4\text{SO}_3, \text{NO}_2, \text{J}, \text{CH}_3\text{CO}, \text{OC}_2\text{H}_5$, ~85 (некристаллич.); $\text{DL}, \text{H}, \text{NO}_2, \text{NO}_2, \text{CH}_3\text{CO}, \text{OC}_2\text{H}_5$, 183—184; $\text{DL}, \text{H}, \text{J}, \text{NO}_2, \text{CH}_3\text{CO}, \text{OC}_2\text{H}_5$, 201; $\text{DL}, \text{H}, \text{J}, \text{NO}_2, \text{H}, \text{OH}$, 227 (разл.); $\text{DL}, \text{H}, \text{J}, \text{NO}_2, \text{CH}_3\text{CO}, \text{OH}$, 223—225 (разл.); $\text{DL}, \text{OH}, \text{J}, \text{H}, \text{OH}$, 202—203 (разл.); $\text{DL}, \text{OH}, \text{CH}_3, \text{NO}_2, \text{CH}_3\text{CO}, \text{OC}_2\text{H}_5$, 161; $\text{DL}, \text{C}_6\text{H}_5\text{CH}_2\text{O}, \text{OH}, \text{NO}_2, \text{CH}_3\text{CO}, \text{OC}_2\text{H}_5$, 118—121; $\text{DL}, \text{H}, \text{CH}_3, \text{NO}_2, \text{H},$

ОН, 200—216 (разл.); *нл.* OCH₃, CH₃, NO₂, CH₃CO, OC₂H₅, 116—120, *нл.* OCH₃, CH₃, J, CH₃CO, OC₂H₅, 149—151; *нл.* OH, CH₃, J, H, OH, 230—233 (разл.); L, OCH₃, H, CN, CH₃CO, OC₂H₅, 139—140, [α]_D +58°; L, OH, H, COOH, H, OH, —, [α]_D +19°; общей ф-лы (II) приведены конфигурация, R¹, R², R³, R⁴, т. п. в °C): L, OCH₃, NO₂, CH₃CO, OC₂H₅, 134—135 (или 160—161), [α]_D +64,1°; L, OCH₃, NHCOCH₃, CH₃CO, OC₂H₅, 193, [α]_D +53,8°; L, OCH₃, J, CH₃CO, OC₂H₅, 171,5—172,5, [α]_D +148°; L, OH, J, H, OH, 245—246 (разл.), [α]_D +6,5°; *нл.* OCH₃, J, CH₃CO, OC₂H₅, 149—151; *нл.* OH,



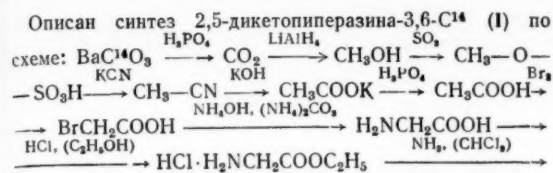
J, H, OH (III), 235 (разл.); в-в общей ф-лы (IV) (приведены конфигурация, R¹, R², т. п. в °C): *нл.* CH₃CONH, NO₂, 275 (разл.); *нл.* CH₃CONH, J, 290 (спекание при 160°); *нл.* NH₂, J (V) 261—264; V × 0,5 C₂H₅OH, 210; в-в общей ф-лы (VI) (приведены R¹, R², R³, т. п. в °C): *нл.* CH₃OC₆H₄, NO₂, COOCH₃, 133—135; *нл.* CH₃OC₆H₄, NO₂, COOH, 250—253; *нл.* CH₃OC₆H₄, NH₂, COOCH₃, 166,5—168° (диацетиловое производное, т. п. 253,5—254°); *нл.* CH₃—OC₆H₄, J, COOCH₃, 175—176; *нл.* CH₃OC₆H₄, J, COOH, 223—225; *нл.* HOCH₂CH₂, J, COOH (VII), 268—271; 3,5-J₂-4-HOCH₂CH₂, J, COOH, 264—265; *нл.* CH₃OC₆H₄, J, CH₂OCOCH₃, 117—119; *нл.* CH₃OC₆H₄, J, CH₂C(NHCOCH₃) (COOCH₃)₂, 205—209; *нл.* HOCH₂CH₂, J, CH(NH₂)COOH, т. разл. 196—199°; 3,5-J₂-4-HOCH₂CH₂, J, CH₂C(NH₂)COOH, 202—203 (разл.); *нл.* CH₃OC₆H₄, NH₂, CH₂OH, 150—151°; *нл.* CH₃OC₆H₄, J, CH₂OCOCH₃, 116—119; *нл.* CH₃OC₆H₄, J, CH₂OH, 101; CH₃, OH, OSO₃K, —; C₆H₅CH₂O, CH₃, OH, 87—88; OCH₃, CH₃, OH, 83. Получены также смешанные соединения: 4-CH₃-2,6-(NO₂)₂C₆H₃SCOCH₃, т. п. 132—134°; 2,5-диметил-7-нитробензотриазол, т. п. 136—138°; (4-CH₃-2,6-(NO₂)₂-C₆H₃)₂S, т. п. 274—275°; 3,5-J₂-C₆H₃OCH₃, т. п. 83—84°; 3,5-J₂-C₆H₃OH, т. п. 102—104°; 2,6-(CH₃)₂-C₆H₃(OH)₂-1,4, т. п. 151—152°; 3,5-J₂-2-CH₃ (*нл.* CH₃OC₆H₄)C₆H₄COOH, т. п. 184—185°; *нл.* (2,6-(CH₃)₂-C₆H₃)C₆H₄OH, т. п. 41,8—42,5; этиловый эфир (сложный) N-ацетил-L-тирозина, т. п. 84—87, [α]_D +24°. III и VII проявляют слабую антиревматоидную активность. Сообщение XII см. РЖХим, 1954, 32468.

Chem. Abstrs 1954, 48, № 9, 5150. E. H. Kaplan 78253. Синтезы глюкозилпроизводных замещенных тиомочевин и гуанидина. Микель, Брунхорст (Synthese von Glucosylverbindungen substituierter Thioharnstoff- und Guanidinderivate. Michael Fritz, Brunckhorst Wilhelm), Chem. Ber., 1955, 88, № 4, 481—486 (нем.)

Взаимодействием 2,3,4,6-тетраацетил-β-D-глюкозил-1-изотиоцианата (I) с алифатич. и ароматич. аминокислотами или их эфирами получают производные тиомочевин (II), которые путем омыления ацильных групп могут быть переведены в ПТ свободной глюкозы. Метилирование ПТ (CH₃)₂SO₄ превращает их в S-алкильные производные изоформы. Для получения гуанидиновых производных (ГП) ПТ обессеривают действием HgO: образовавшиеся карбонимиды реагируют затем с NH₂-группами аминокислот или аминов с образованием ГП. 1,95 г I и 0,695 г хлоргидрата метилового эфира *нл.*-аланина растворяют в 25 мл CHCl₃ и 2 мл пиридина, кипятят 3 часа, сгущают в вакууме до сиропа, обрабатывают 50 мл теплой воды, охлаждают (0°); выход ме-

тилового эфира N-(2,3,4,6-тетраацетил-β-D-глюкозил-аминотиоформил)-*нл.*-аланина C₁₁H₂₀O₁₁N₂S 34%, т. п. 132° (из 50%-ного сп.), [α]_D +5° (с 1; хлф.); этиловый эфир, т. п. 152°, [α]_D +13,5° (с 1; хлф.); метиловый эфир N-(2,3,4,6-тетраацетил-β-D-глюкозил-аминотиоформил)-L-тирозина C₂₅H₃₂O₁₂N₂S, выход 48%, т. п. 186° (из 50%-ного сп.), [α]_D +80,7° (с 1,0; хлф.); этиловый эфир, т. п. 114—115°, [α]_D +53,0° (с 1; хлф.); диэтиловый эфир N-(2,3,4,6-тетраацетил-β-D-глюкозил-аминотиоформил)-L-глутаминовой к-ты C₂₄H₃₆H₁₂N₂S, выход 70%, т. п. 121° (из абс. сп.), [α]_D +6,6° (с 1; хлф.). Из 3,89 г I и 1,65 г этилового эфира *нл.*-аминобензойной к-ты (II) тем же способом получают: N-(2,3,4,6-тетраацетил-β-D-глюкозил)-N'-(4-карбэтоксифенил)-тиомочевину или этиловый эфир N-(2,3,4,6-тетраацетил-β-D-глюкозил)-тиоуреидо-4-аминобензойной к-ты (III) C₂₄H₃₀O₁₁N₂S, выход 90%, т. п. 175° (из CH₃OH), [α]_D -30° (с 1; хлф.). Омылением II CH₃ONa получают N-β-D-глюкозил-N'-(4-карбэтоксифенил)-тиомочевину (IV) C₁₆H₂₂O₇N₂S, т. п. 148—150° (из CH₃OH-эф.), [α]_D -44°. Р-р 2,77 г III и 0,63 г (CH₃)₂SO₄ в 60 мл абс. CHCl₃ кипятят 20 мин., промывают насыщ. р-ром Na₂CO₃ и водой, пересаждают петр. эфиром из эфира N-(2,3,4,6-тетраацетил-β-D-глюкозил)-N'-(4-карбэтоксифенил)-S-метилизотиомочевину (V), [α]_D -47°; пикрилат V, т. п. 152—153° (из абс. сп.), 0,77 г III и 0,252 г (CH₃)₂SO₄ в 15 мл абс. CH₃OH кипятят 30 мин., осаждают эфиром N-β-D-глюкозил-N'-(4-карбэтоксифенил)-S-метилизотиомочевину (VI); стекло, [α]_D -47°; пикрат VI, т. п. 69—70° (из воды); VI может быть получен омылением V CH₃ONa. Нагреванием 1,94 г I и 0,765 г *нл.*-аминосалициловой к-ты (VII) в 35 мл пиридина (70°, 4 часа) получают N-(2,3,4,6-тетраацетил-β-D-глюкозил)-N'-(3-окси-4-карбэтоксифенил)-тиомочевину (VIII), выход 12%, т. п. 115—116° (из 50%-ного сп.), [α]_D -29°. Метиловый эфир VIII получают из I и метилового эфира VII в CHCl₃, выход 62%, т. п. 177—178° (из CH₃OH), [α]_D -32°. Из 3,89 г I и 1,37 г гидразид изоникотиновой к-ты в 60 мл пиридина (70°, 4 часа) получают 1-изоникотиноил-4-(2,3,4,6-тетраацетил-β-D-глюкозил)-тиосефиркарбазид, выход 80%, т. п. 166—167° (из CH₃OH), [α]_D +3,5° (с 1; хлф.). Р-р 2,5 г II в 100 мл CHCl₃ взбалтывают 7—8 мин. с 22 мл водн. взвеси HgO (2,5 моля); полученный р-р N-(2,3,4,6-тетраацетил-β-D-глюкозил)-N'-(4-карбэтоксифенил)-карбонимид (IX) в CHCl₃ сушат CaCl₂ и сразу смешивают с аминном или эфиром аминокислоты. IX с 0,42 г C₆H₅NH₂ дает N'-(2,3,4,6-тетраацетил-β-D-глюкозил)-N'-(4-карбэтоксифенил)-N''-фенилгуанидин (X), аморфный, [α]_D -54°; дихлоргидрат X, т. п. 103° (разл.; из эф.), [α]_D -57,5°; пикрат X', аморфный, т. п. 121°. 25 мл р-ра IX в CHCl₃ взбалтывают 1 час с 2 мл воды, выход N-(2,3,4,6-тетраацетил-β-D-глюкозил)-N'-(4-карбэтоксифенил)-мочевин 86%, т. п. 114° (из CH₃OH) [α]_D -27°. В 50 мл р-ра IX в CHCl₃ пропускают ток CH₃NH₂, N'-(2,3,4,6-тетраацетил-β-D-глюкозил)-N'-(4-карбэтоксифенил)-N''-метилгуанидин осаждают в виде монохлоргидрата, выход 72%, порошок, [α]_D -24°. В 50 мл р-ра IX в CHCl₃ вносят 0,465 г метилового эфира *нл.*-аланина, через 1 час выпаривают, выход метилового эфира N-[N'-(2,3,4,6-тетраацетил-β-D-глюкозил)-N'-(4-карбэтоксифенил)-гуанил]-*нл.*-аланина 78%, [α]_D +7°; хлоргидрат, [α]_D +10°. Из IX и II получают N'-(2,3,4,6-тетраацетил-β-D-глюкозил)-N'', N''-бис-(4-карбэтоксифенил)-гуанидин, аморфный, [α]_D -42°; хлоргидрат, [α]_D -44°. Уд. вращение, где нет особых указаний, определено в CH₃OH, с 1, при 20°.

Р. Ш. 78254. Биохимия дикетопиперазина. I. Синтез 2,5-дикетопиперазина-3,6-C¹⁴. Муничио (Bioquímica de dicitopiperacinas. I. Síntesis de 2,5-dicitopiperacina-3,6-C¹⁴. M. unicio A. M.), An. real soc. española fis. y quim., 1955, B51, № 7—8, 469—476 (исп.; рез. англ.)



→ $\text{H}_2\text{NCH}_2\text{COOC}_2\text{H}_5 \xrightarrow{\text{циклизация}} \text{I}$. Для синтеза $\text{C}^{14}\text{H}_3\text{O}_3\text{N}$ (II) было взято 1 мюри $\text{BaC}^{14}\text{O}_3$, разб. 3 г неактивного BaCO_3 и большой избыток LiAlH_4 в тетрагидро урф урил-окситетрагидропиранин; выход II ~100%; $\text{C}^{14}\text{H}_3\text{CN}$ получен действием 1,283 г SO_3 на II с последующей обработкой 10 мл конц. р-ра KCN. Приведены схема и описание прибора для получения II из $\text{BaC}^{14}\text{O}_3$. Л. П. 78255. Полиацетиленовые соединения. Сообщение XII.

Синтез циктута. Больман, Фиэ (Polyacetylenverbindungen. XII. Mitteilung: Synthese des Cicutols. Bohlmann Ferdinand, Viehe Heinz-Günter), Chem. Ber., 1955, 88, № 9, 1347—1351 (нем.)
Осуществлен синтез полиацетиленового спирта циктута $\text{HO}(\text{CH}_2)_3(\text{C} \equiv \text{C})_2(\text{CH} = \text{CH})_2 - \text{CH}_2\text{C}_6\text{H}_5$ (I), выделенный ранее (РЖХим, 1953, 3137) из *Cicu a tirosa*, чем окончательно установлено его строение. К р-ру $\text{C}_6\text{H}_5\text{MgBr}$ (из 6 г Mg и 34,2 г $\text{C}_6\text{H}_5\text{Br}$) в 150 мл абс. эфира при 0° добавляют 14 г акролеина в 50 мл эфира, обрабатывают р-ром NH_4Cl , извлекают эфиром $\text{CH}_2 = \text{CH} - \text{CH}(\text{OH})\text{C}_6\text{H}_5$, выход 42%, т. кип. 60—63°/12 мм. Смесь полученного спирта с 50%-ным избытком PBr_3 , 3 капли пиридина и 50 мл эфира нагревают до кипения 1 час, разлагают льдом, извлекают эфиром, выделяют два продукта: $\text{BrCH}_2\text{CH} = \text{CHC}_6\text{H}_5$, выход 7,5 г, т. кип. 58—65°/15 мм, и $\text{CHCHBrC}_6\text{H}_5$, выход 5,5 г, т. кип. 65—80°/15 мм. Из обоих бромидов с трифенилфосфинном получают фосфоневую соль $(\text{C}_6\text{H}_5)_3\text{P} \cdot \text{CHCH} = \text{CHC}_6\text{H}_5$ (II), выход 70%, т. пл. 156°. 10 г $\text{HC} \equiv \text{CCH} = \text{CHCH}_2\text{OH}$ в 200 мл эфира встряхивают со 100 г активной MnO_2 3 часа, отсасывают $\text{Mn}(\text{OH})_2$ и перегонку выделяют $\text{HC} \equiv \text{CCH} = \text{CHCHO}$ (III), выход 38% т. кип. 40°/12 мм. Динитрофенилгидразон взрывает при 150°. 8,8 г II суспендируют в 50 мл абс. эфира, добавляют 14 мл 1,2 н. р-ра LiC_4H_9 , перемешивают 2 часа, добавляют 1,6 г III в 10 мл абс. эфира, через 1 час отсасывают р-ритель, I перемешивают с новой порцией эфира 2 часа. Собранные фильтраты промывают и выделяют разгонкой $\text{HC} \equiv \text{C}(\text{CH} = \text{CH})_2\text{C}_6\text{H}_5$ (IV), выход 60%, т. кип. (т-ра бани) 65—70°/0,02 мм. К 1,19 г IV, 3 г $\text{HOCH}_2\text{CH}_2\text{CH}_2\text{C} \equiv \text{CH}$ в 100 мл CH_3OH добавляют р-р 10 г Cu_2Cl_2 , 30 г NH_4Cl , 0,5 мл HCl (к-ты) в 75 мл воды встряхивают 3 часа с O_2 , экстрагируют эфиром, отгоняют эфир, остаток хроматографируют на Al_2O_3 . Петр. эфиром вымывают $[\text{H}_6\text{C}_4(\text{CH} = \text{CH})_2\text{C} \equiv \text{C}]_2$ (V), т. пл. 81° (из Петр. эф.). Колонку промывают смесью Петр. эфира и C_6H_6 (1:1), и идентичные по УФ-спектру зоны вымывают эфиром; из жирной вытяжки получают *транс*-I, выход 1,5 г (сырого), т. пл. 67,5—68,5° (из Петр. эф.). Даны ИК-спектры I, IV, V. Сообщение XI см. РЖХим, 1956, 75073. Н. Г. 78256. Полиацетиленовые соединения. Сообщение XIII.

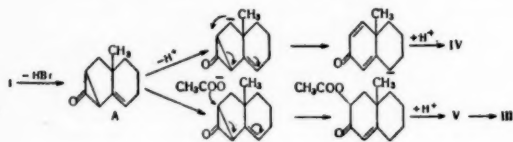
К строению фенилтрииндиена из видов Coreopsis. Больман (Polyacetylenverbindungen. XIII Mitteilung: zur Konstitution des Phenyl-triin-diens aus Coreopsis-Arten. Bohlmann Ferdinand), Chem. Ber., 1955, 88, № 11, 1755—1761 (нем.)

Для выяснения строения фенилполилина (I), выделенного из различных видов *Coreopsis*, синтезирован *транс*-*транс*-1-фенилддекатрин-1,3,5-диен-7,9 (II). Из сравнения свойств I и II сделан вывод, что I представляет собой, вероятно, моно- или ди-*цис*-изомер II. 23,4 г 1-фенилбутин-2-диола-1,4 превращают в дихлорид, из которого действием NaNH_2 в жидком NH_3 получают фенилди-ацетил (III), выход 85%, УФ-спектр $\lambda_{\text{макс}}$ 219, 231, 242, 254, 268, 283 мк (ε 36 600, 3400, 7600, 17 200, 26 700,

20 500). К 15 г III и 25 г пентен-4-ин-3-ола-1 в 500 мл CH_3OH и 200 мл ацетона прибавляют 50 г Cu_2Cl_2 , 150 г NH_4Cl и 5 мл HCl (к-ты) в 500 мл воды, одновременно пропуская ток пузырьков O_2 в течение 12 час., затем пропускают O_2 еще 3 часа, экстрагируют эфиром, испаряют, остаток обрабатывают CHCl_3 , испаряют, растворяют в 50 мл C_6H_6 и хроматографируют на Al_2O_3 , выделяя 1-фенилдиоксин-1,3,5-диен-7-ол-9 (IV), выход 5,5 г, т. пл. 103° (из эф.-Петр. эф.), ИК-спектр OH 3300, $\text{C} \equiv \text{C}$ 2210, $-\text{CH} = \text{CH}-$ 947, C_6H_5 753, 638 cm^{-1} , УФ-спектр 223, 234,5, 256, 261, 275,5, 291, 309,5, 331, 355 мк (ε 33 300, 35 800, 70 000, 66 800, 14 000, 24 100, 32 400, 22 500). Окислением 4 г IV при помощи 40 г MnO_2 в эфире (4 часа) получен 1-фенилдиоксин-1,3,5-диен-7-аль-9 (V), выход 53%, т. пл. 75° (из Петр. эф.). 50 мг V в 5 мл Петр. эфира прибавляют к $\text{C}_6\text{H}_5\text{MgBr}$ в 20 мл эфира (из 5 г $\text{C}_6\text{H}_5\text{Br}$), через 3 мин. разлагают р-ром NH_4Cl , выделяют неочищ. продукт р-рии (карбинол), который дегидратируют *p*-толуолсульфокислотой в C_6H_6 (10 мл насыщ. р-ра) в течение 5 мин. Р-р нейтрализуют, упаривают, остаток хроматографируют на Al_2O_3 , выделяя II, выход 60%. II получен также р-цией V с $(\text{C}_6\text{H}_5)_3\text{P} \cdot \text{CHCH}_3$ (выход 5%). В последнем опыте, наряду с кристаллич. II, т. пл. 64° (из Петр. эф.), ИК-спектр $\text{C} \equiv \text{C}$ 2200, 2180, $(\text{CH} = \text{CH})_2$ 978, C_6H_5 1960, 1885, 1815, 755, 695 cm^{-1} , образуется смесь жидких изомеров, в ИК-спектре которой дополнительно имеется линия 743 cm^{-1} , приписываемая *цис*-конфигурации. Эта же линия есть в спектре I. Кроме того, ИК-спектры I и II отчетливо различаются в области 10—15 м; в I имеется линия между 10 и 11 м, также приписываемая *цис*-конфигурации. УФ-спектр II $\lambda_{\text{макс}}$ 279, 298, 311, 324, 332, 347, 373,5 мк, отличается от УФ-спектра I. Из полученных результатов следует, что I является 7,9-ди-*цис*-или 7-моно-*цис*-изомером II. Из II и маленького ангидрида (VI) получен аддукт (VII), который по т. пл. 173° (из бэл.-Петр. эф.) и УФ-спектру $\lambda_{\text{макс}}$ 241, 253, 276, 293, 312, 333,5 отличается от аддукта I и II. Приведены кривые УФ-спектров IV, V, II. VII в эфире и ИК-спектра V в CCl_4 . А. Ф. 78257. Сантонин и родственные соединения. V. Ацетоллиз 5-бром-3-кето-8-метил-Δ⁴-октагидронафталина. Янагита, Ямакава (Santonin and related compounds. V. Acetolysis of 5-bromo-3-keto-9-methyl-Δ⁴-octahydronaphthalene. Yanagita Masaiti, Yamakawa Koji), J. Organ. Chem., 1955, 20, № 11, 1473—1481 (англ.)

Ацетоллиз 5-бром-3-кето-9-метил-Δ⁴-октагидронафталина (I) кипячением (4 часа) с CH_3COOK в р-ре лед. CH_3COOH приводит не к соответствующему 5-ацетоксикетону, а к 3-кето-9-метил-Δ⁴,5-гексагидронафталину (II) (образует три 2,4-динитрофенилгидразона (ДНФГ): т. пл. 198—200° (из сп.), 193—195° (из сп.) и 180—183° (из сп.)), две последние модификации легко превращаются в более устойчивую первую), 2,3-дикето-9-метил-Δ⁴-октагидронафталину (III); глиоксим, т. пл. 218—220° (из сп.), и очень незначительному кол-ву 3-кето-9-метил-Δ⁴-гексагидронафталина (IV); ДНФГ, т. пл. 133—135° (из сп.). Образование III свидетельствует, по-видимому, о том, что ацетоллиз протекает через 2-ацетоксикетон (V). Гидролиз продуктов ацетоллиза (после отделения III) р-ром КОН в CH_3OH приводит, кроме II, к 3,5-дикето-9-метилдекалину (VI); *бис*-ДНФГ, т. пл. 252—254° (из хлф.-сп. или хлф.-бэл.). При обработке продуктов ацетоллиза HCl в CH_3OH VI не образуется. Кипячение I с CH_3OH или HCl в CH_3OH приводит к III и незначительному кол-ву VI. Строение III подтверждено получением его из 2-ацетокси-*транс*-9-метилдекалона-3 (VII) бромированием последнего в CHCl_3 с последующим дегидробромированием (кипчение 20 мин. с-у-коллиндином в атмосфере N_2) и обработкой водно-метанольным р-ром КОН; при этом наряду с III, т. пл. 145—146,5° (из сп.),

образуется 2-метил-2-карбокси-метилциклогексилден-1-уксусная к-та, т. пл. 196° (из этилацетата), которая после гидрирования над Pd/C превращается в 1-метил-транс-циклогексан-1,2-диуксусную к-ту, т. пл. 195—196° (из этилацетата), полученную также с 67%-ным выходом при окислении VII 30%-ной H_2O_2 в метанольном р-ре КОН. I и VII получены по ранее описанному методу (РЖХим, 1955, 431), т. кип. VII 135—143°/5 мм, при стоянии из VII выделяется незначительное кол-во кристаллов с т. пл. 140° (из сп.); семикарбазон VI, т. пл. 187—190° (из сп.). Авторы считают, что образование IV и III при ацетоллизе I протекает в обоих случаях через промежуточное образование циклопропанового соединения (A), которое превращается далее в

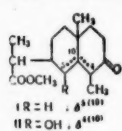


II и III по приведенному механизму. Приведены УФ-спектры II—IV и VI.

Сообщение IV см. РЖХим, 1956, 32651.

78258. Синтез изомера дигидросантонина. Датт, Датт (Synthesis of an isomer of dihydrosantonin. Dutt Pranbandhu, Dutta Phanindra Chandra, Chemistry and Industry, 1956, № 4, 99 (англ.)).

Метиловый эфир ненасыщ. к-ты (I), описанный ранее (РЖХим, 1955, 25335), превращен в енолацетат (т. кип. 150—155°/0,2 мм) и последний окислен моноадфталевой к-той в эфирном р-ре на холоду до кетол-эфира (II), строение которого установлено на основании ИК-спектра. $\lambda_{\text{макс}}$

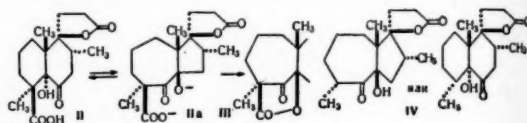


245 мк, $lg \epsilon = 3.9$. После кипячения II с K_2CO_3 в CH_3OH получен лактон с т. пл. 134—136° (ИК-спектр: 5,7; 6,0 м). Бромированием и дегидрогалогенированием он превращен в сантонин D, т. пл. 190°. 2,4-динитрофенилгидразон, т. пл. 196—197° (ссылку см. выше) идентичен с полученным из ненасыщ. кетокислоты, т. пл. 125° (РЖХим, 1956, 25836).

78259. Таутомерия кольцо-кольцо при некоторых реакциях расщепления маррубинна. Коккер, Эдуард, Холи, Уилер (Ring-ring tautomerism in some degradation reactions of marrubiin. Cocker Wesley, Edward, J. T., Holley T. F., Wheeler D. M. S.), Chemistry and Industry, 1955, № 46, 1484—1485 (англ.)).

Окисление кетолактонокислоты $C_{17}H_{24}O_5$ (I), полученной из маррубинна (РЖХим, 1954, 49764; 1955, 40286; 1956, 19395) перманганатом в условиях Гиджи (РЖХим, 1954, 19883) с последующей обработкой р-ра SO_3 , дает к-ту $C_{17}H_{24}O_6$ (II), т. пл. 205°, $[\alpha]^{20}_D +101^\circ$ (с 0,8; хлф.), метиловый эфир (II, CH_3N_2), т. пл. 109°. При обработке II HCl (к-та) образуется кетодилактон $C_{17}H_{22}O_5$ (III), т. пл. 214°, $[\alpha]^{21}_D +46,5^\circ$ (с 2,1; хлф.); оксим, т. пл. 265°; $[\alpha]^{19}_D -21,5^\circ$ (с 0,5; хлф.); строение III подтверждено ИК-спектром. При нагревании со щелочами II теряет свободную $COOH$ -группу, образуя оксикетобутанолид (IV), т. пл. 162°, $[\alpha]^{17}_D -92^\circ$ (с 1,3; сп.); оксим, т. пл. 225°, $[\alpha]^{19}_D -178,8^\circ$ (с 0,6; хлф.); является ли IV продуктом декарбоксилирования II или таутомерной формы иона (IIa), не выяснено. Восстановление IV над Pt (из PtO_2) дает диол, т. пл. 199°, $[\alpha]^{18}_D -23,4^\circ$ (с 1,58; хлф.), дает только моноацетат, т. пл. 138°, $[\alpha]^{16}_D -51,3^\circ$ (с 0,56; хлф.). III получают также непосредственно из смеси после окисления I подкислением HCl (к-та) по Гиджи (см. ссылку выше)

и, очевидно, идентичен в-ву A, для которого автор ошибочно принял брутто-формулу $C_{14}H_{20}O_3$. IV получен также при действии щелочей на III и идентичен в-ву B Гиджи, ошибочно принятому за $C_{13}H_{22}O_3$. Конфигурация в-в дана предположительно. Л. Я.



78260. О природных дубильных веществах. Сообщение XX. О поведении и роли гексаоксидифеновой кислоты в дубильных экстрактах. Шмидт, Демлер (Über das Verhalten und die Rolle der Hexaoxydiphensäure in Gerbstextrakten. XX. Mitteilung über natürliche Gerbstoffe. Schmidt Otto Th., Demmler Kurt), Liebigs Ann. Chem., 1954, 587, № 1, 75—80 (нем.)).

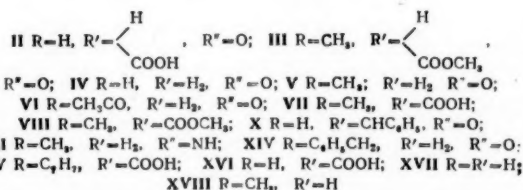
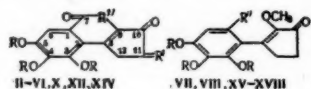
Исследован ряд экстрактов эллаговых дубильных в-в с целью выяснения встречается ли в них в свободном состоянии 2,3,4,2', 3', 4'-гексаоксидифенилдикарбоновая-6,6'-к-та (I). Для этого изучены бумажные хроматограммы водн., метанольных и ацетонных экстрактов миробалана (плоды растений из рода *Terminalia* (II), дивидивы (плоды *Caesalpinia Coriaria* Willd (III), альгаробиллы (семена *Prosopis pallide*) (IV), валонеи (чашечек желудей левантского дуба) (V), дубовой и еловой коры и молодых побегов каштана. Хроматограммы проявлялись смесью $n\text{-}C_4H_9OH$, CH_3COOH , воды и $(CH_3OH)_2$, затем высушивались и рассматривались в УФ-свете. Присутствие I обнаруживалось по светло-голубой флуоресценции пятна на бумаге, которая после окуривания NH_3 переходит в желто-зеленую, а через несколько дней в видимом свете цвет пятна становится коричневым (чувствительность р-ции 10 γ). Не обнаружена I в экстрактах дубовой и еловой коры, побегов каштана и IV. Нахождение I в экстрактах III и V строго доказать не удалось. Отчетливо установлено присутствие I в водн. и иногда в метанольных экстрактах II. Устойчивость I в этих экстрактах ограничена: через 4 дня после приготовления в метанольном экстракте II уже нельзя доказать ее присутствия. При прибавлении к водн. экстракту II равного объема 2н. HCl I не обнаруживается уже через 5 мин. Для выяснения происхождения I в экстрактах сравнивались водн., метанольные и ацетонные экстракты неочищ. и освобожденного от ферментов II. Ацетонные экстракты не содержали I и эллаговой к-ты (VI) не выпадала из них даже через 14 дней, в то время как в свободных от ферментов метанольных экстрактах II легкий осадок VI показывается через 5 дней. В водн. экстрактах неочищ. II обнаружено присутствие I и обильный осадок VI появляется уже через 24 часа, что указывает на ферментативное расщепление эллаговых дубильных в-в как на причину появления I и образования и осадка VI. Это доказывается также тем, что после прибавления к свободному от ферментов водн. экстракту II равного объема 1%-ного водн. р-ра танназы через 8 час. в нем обнаруживается I, а через 24 часа выпадает осадок VI. На процесс осаждения VI из дубильных экстрактов решающее влияние оказывают ферментативное и гидролитич. расщепление дубителей и «пептизация» VI р-рителем. Авторы полагают, что эллаговые дубильные в-ва — корилагин (VII) и хебулаговая к-та (VIII) образуются в природе путем взаимодействия глюкозы с VI, приводящего к гексаоксидифеноилглюкозе и что при этом не происходит предварительного образования свободной I, а в поли- и олигогалактоилглюкозах при действии дегидразы I возникает только из тех молекул галактовой к-ты, которые связаны с остатком сахара. Эта гипотеза подтверждается тем, что в VII и VIII молекула I присоединена к 3,6-положениям глюкозы, т. е. к тем OH-группам сахара, с которыми в хебулиновой к-те (IX) связаны две мо-

декулы галловой к-ты. Вероятно, что VIII возникает из IX посредством ферментативного дегидрирования. Для приготовления экстрактов 3 г дубильного в-ва встраивают 20 час. с 10 мл р-рителя. Сообщение XIX см. РЖХим, 1956, 58206.

В. А. 78261. О природных дубильных веществах. Сообщение

XXI. Бревифолин и бревифолинкарбоновая кислота. Шмидт, Бернауэр (Brevifolin und Brevifolin-carbonsäure. XXI. Mitteilung über natürliche Gerbstoffe. Schmidt Otto Th. von, Bernauer Karl), Liebig Ann. Chem., 1954, 588, № 3, 211—230 (нем.).

Из альгаробиллы (плоды растения *Caesalpinia brevifolia* сем. мотыльковых) фракционированной экстракцией при различных pH получены фенольная и кислотная фракции, которые разделялись методом противоточного распределения. Присутствие хебулаговой к-ты и корилагина в альгаробилле не обнаружено, но из фенольной фракции методом противоточного распределения выделено неизвестное ранее дубильное в-во — бревифагин (I), $[\alpha]_D +146,6^\circ$ (с 2; сп.). При гидролизе I получены эллаговая к-та, глюкоза и бревифолинкарбоновая к-та (II), которая была также изолирована методом противоточного распределения из кислотной фракции альгаробиллы. II образует 2,4-динитрофенилгидразон и при действии CH_2N_2 переходит в метиловый эфир триметилбrevифолинкарбоновой к-ты (III). При нагревании в воде, 2 н. H_2SO_4 или в диметиламинне II отщепляет CO_2 и дает новое в-во — бревифолин



(IV), которое можно также изолировать прямо из ацетонного экстракта альгаробиллы. Так как с CH_2N_2 I. образует триметилбrevифолин (V), с $(\text{CH}_3\text{CO})_2\text{O}$ в присутствии $\text{C}_6\text{H}_5\text{N}$ — триацетилбrevифолин (VI), а с FeCl_3 дает зеленовато-синее окрашивание, то в нем должны быть три стоящие рядом фенольные OH-группы. При нагревании с водн. щелочью V переходит в р-р и осаждается из него только при подкислении, при действии $(\text{CH}_3)_2\text{SO}_4$ и щелочи он образует тетраметилбrevифолевою к-ту (VII), которая с CH_2N_2 дает метиловый эфир VIII (VIII). Следовательно, молекула IV содержит лактонное кольцо. При длительном нагревании с разб. HCl VII превращается в V, что указывает на присутствие в VII группировки простого эфира енола, а в V — енолактонной группировки. V и VII образуют один и тот же 2,4-динитрофенилгидразон. При окислении щел. $\text{K}_3\text{Fe}(\text{CN})_6$ (Haworth Robert D., de Silva Leslie B., J. Chem. Soc., 1951, 3511) V дает ангидрид 3,4,5-триметоксигалловой к-ты (IX), при окислении KMnO_4 образует $(\text{CH}_3\text{COOH})_2$, а VII не гидрируется с Pd/BaSO_4 , IV реагирует с $\text{C}_6\text{H}_5\text{CHO}$, давая бензальбrevифолин (X). Показано, что кетогруппа IV расположена в α -положении к енольной группе (у C_{10}). Для доказательства этого из V был приготовлен амид (XI), который, однако, не удалось превратить в хиноксалиновое производное. XI также не присоединял Br_2 и с л-нитрофенилгидразином вместо ожидаемого озаона дал л-нитрофенилгидразон лактама (XII-лактама). Присутствие α -дикетонной группировки в IV удалось установить окислением V щел. H_2O_2 , которое привело к α -(2-карбоксии-4,5,6-триметоксифенил)-глutarовой

к-те (XIII). Чтобы окончательно доказать, что COOH -группа в IV находится в ароматич. кольце, IV был переведен в трибензиловый эфир IV (XIV), который действием $(\text{CH}_3)_2\text{SO}_4$ и щелочи переведен в трибензилметилбrevифолевою к-ту (XV). При гидролизе XV получена метилбrevифолевая к-та (XVI), из которой получен продукт декарбоксилирования (XVII). Действием CH_2N_2 XVII переведен в триметильное производное (XVIII), которое при окислении щел. $\text{K}_3\text{Fe}(\text{CN})_6$ гладко образовало 2,3,4-триметоксигалловую к-ту (XIX). XVIII дает 2,4-динитрофенилгидразон, а в сильноокислительной среде дает озон соответствующего дикетона. Строение II как β -кетокарбоновой к-ты предположено на основании большой ее способности к декарбоксилированию. Оптич. неактивность II авторы объясняют близостью асимметрии. С-атома к кетогруппе у C_{10} вследствие чего имеет место енолизация, вызывающая быструю рацемизацию активных форм. Размолотые высушенные стручки альгаробиллы (500 г) экстрагируют безводн. ацетоном 2—3 дня в аппарате Сокслета при 150 мм и т-ре бани 40°. Экстракт высушивают и экстрагируют 7 дней сухим этилацетатом при 40° (90 мм), новый экстракт растворяют в 600 мл воды, доводят р-цию р-ра до pH 5,8 и 14 дней экстрагируют этилацетатом при 30° (80 мм), прибавляют разб. HCl до pH 2,7 и экстрагируют еще 3 недели. Экстракт (25—30 г) подвергают противоточному распределению между равными объемами этилацетата и воды (13 фракций). Из фракций 6—11 получают кристаллоидный II, выход 150 мг (из 20 г кислотного экстракта). Безводн. II очень гигроскопична, не имеет определенной т-ры плавления, растворяется в $\text{C}_6\text{H}_5\text{NH}_2$ с красным окрашиванием, при хроматографировании на бумаге образует двойное пятно (R_f 0,49 и 0,58), с Al^{3+} и Ni^{2+} дает желтый лак. Р-р 27 мг II в 2 мл воды нагревают 7 дней при 80° (контроль хроматографированием на бумаге), осадок растворяют в ацетоне, обрабатывают CH_2N_2 и получают V. Аналогичная р-ция с 61,5 мг II при 100° закончилась через 114 час; выход неочищ. IV 49,0 мг. Декарбоксилирование II в 1 н. H_2SO_4 (кипячение) заканчивается через 3 часа; намного быстрее проходит процесс в $\text{C}_6\text{H}_5\text{NH}_2$ или $\text{C}_6\text{H}_5\text{N}(\text{CH}_3)_2$. Р-р безводн. II в CH_3OH обрабатывают CH_2N_2 и получают III, т. пл. 164° (из CH_3OH). 500 г измельченной альгаробиллы замешивают с водн. ацетоном в тестообразную массу, оставляют стоять 3 часа и перколируют ацетоном. Экстракт нагревают с 1 л воды 70 час. при 100°, фильтруют горячим и остаток высушивают при 100°. Этот продукт 80 час. экстрагируют спиртом в аппарате Сокслета, многократно меняя р-ритель и после охлаждения получают осадок, который снова экстрагируют спиртом в аппарате Сокслета; горячий р-р отфильтровывают от кристаллов и после 2 дней стояния фильтрата получают из него IV, выход 10,5 г. IV не имеет определенной т-ры плавления, из 90%-ного CH_3OH кристаллизуется в виде тригидрата и с небольшим кол-вом $\text{C}_6\text{H}_5\text{N}$ легко образует продукт присоединения (микрореакция). 7,5 г IV обрабатывают эфирным р-ром CH_2N_2 , оставляют на 20 час. при 0°, осадок отфильтровывают и снова обрабатывают CH_2N_2 , фильтруют, остаток экстрагируют CH_3OH в аппарате Сокслета и из р-ра получают V, выход 80%, т. пл. 213—214°. 1 г V нагревают с 20 мл 1 н. KOH и полученный р-р обрабатывают избытком $(\text{CH}_3)_2\text{SO}_4$ сначала при ~20°, а затем при 50° (до нейтр. р-ции), получают VII, выход 0,5 г, т. пл. 150—151° (из воды). VII обрабатывают эфирным р-ром CH_2N_2 и получают VIII, т. пл. 96—97° (из циклогексана). 100 мг IV нагревают с 5 мл $(\text{CH}_3\text{CO})_2\text{O}$, прибавляют 0,2 мл $\text{C}_6\text{H}_5\text{N}$, р-р оставляют на 45 час. в эксикаторе (H_2SO_4 , KCH), и получают VI, выход 85 мг, т. пл. 321° (из лед. CH_3CCl_3). К р-ру 42 мг VII в 5 мл горячей воды прибавляют 1 мл конц. HCl, нагревают 16 час. при 100° и получают V, выход 28 мг. 2,4-динитрофенилгидразон V, т. разл. 302—304° (из диоксана). К нагретому до 80—90° р-ру 35 г KOH в 1,5 л воды при перемешивании прибавляют 1 г V и 200 г $\text{K}_3\text{Fe}(\text{CN})_6$, через 14, 24 и 38 час. к смеси прибав-

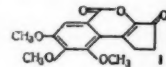
влияют по 35 г КОН и по 200 г $K_3Fe(CN)_6$, перемешивают смесь еще 34 часа при 80—90°, размешивают с 1 л воды, фильтруют, осадок вновь обрабатывают 500 мл воды, фильтрат объединяют, подкисляют 200 мл 50%-ной H_2SO_4 и нагревают 8 час. при 100°. Охлажд. смесь насыщают эфиром, оставляют на 8 час. при 0°, фильтруют и фильтрат 42 часа экстрагируют эфиром. Экстракт растворяют в небольшом кол-ве CH_3OH , отгоняют р-итель, возгоняют при 150—160°/0,6 мм и получают IX, выход 520 мг, т. пл. 144—145° (из эф.). Смесь 1 г V и 200 мл 0,1 н. $KMnO_4$ нагревают при 100° и затем прибавляют твердый $KMnO_4$, получают $(CH_3COON)_2$. В смесь 550 мг IV, 100 мл абс. CH_3OH и 5 мл CaH_5CHO 10 мин. пропускают сухой HCl (газ), затем кипятят ее 6,5 часа, разбавляют 50 мл CH_3O I, нагревают, фильтруют горячей и в остатке получают X. Из фильтрата при 0° получают еще некоторое кол-во X; в-во не имеет определенной т-ры плавления, при хранении поглощает влагу. Смесь 800 мг V и 100 мл CH_3OH , насыщ. NH_3 -газом при —10°, в запаянной трубке оставляют на 4 дня при —20°, получают XI; в-во не имеет определенной т-ры плавления. К р-ву 104 мг XI и 119 мг п-нитрофенилгидразина в 10 мл спирта прибавляют 2 капли лед. CH_3COOH , кипятят смесь 1,5 часа и после охлаждения получают п-нитрофенилгидразин XII, выход 110 мг, т. разл. >270° (из сл.). 710 мг V растворяют при нагревании в 10 мл 1 н. КОН, охлаждают, прибавляют 2 мл 30%-ной H_2O_2 и нагревают до начала выделения O_2 . Порциями по 2 мл за 100 мин. прибавляют всего 12 мл H_2O_2 (периодически нагревая). Затем р-р подкисляют конц. H_2SO_4 и 24 часа экстрагируют эфиром и получают XIII, выход 69%, т. пл. 160—161° (из эф.-пентр. эф. или эф.). XIII обрабатывают эфирным р-ром CH_2N_2 и получают триметиловый эфир XIII, т. кип. 190—200°/0,1 мм. 4 г сухого IV, 16 г безводн. K_2CO_3 , 0,8 г чистого KJ, 120 мл ацетофенона и 16 мл $C_6H_5CH_2Cl$ помещают в нагретую до 145—150° колбу и перемешивают 10 час., фильтруют в горячем состоянии, промывают остаток ацетофеноном и фильтрат упаривают при 120—130° в вакууме. Остаток растирают до наступления кристаллизации с петр. эфиром, получают немного XIV. Нерастворившийся в эфире остаток кипятят с небольшим кол-вом спирта, фильтруют, получают XIV, выход 3—4 г, т. пл. 172—174° (из сл.). 4 г XIV растворяют при нагревании в р-ре 25 г КОН в 500 мл воды, охлаждают до 20°, прибавляют 60 мл $(CH_3)_2SO_4$ и смесь перемешивают до кислой р-ции. Затем прибавляют 40 г КОН и 50 мл воды и смесь при перемешивании кипятят 6 час. в токе N_2 . По охлаждении отделяют К-соль XV, суспендируют в небольшом кол-ве воды, подкисляют 20 мл 2 н. H_2SO_4 , нагревают при 80° с 300 мл $(C_6H_5)_2O$, упаривают до объема ~200 мл и р-р 7 раз встряхивают с Al_2O_3 (порции по 10 г). Адсорбент счат 10 мин. при 100° и затем экстрагируют 50 час. CH_3OH в аппарате Сокслета и получают XV, выход 2,6 г, т. пл. 138—139° (из $(C_6H_5)_2O$). Р-р 3 г в 25 мл абс. CH_3OH гидрируют над Pd (из 112 мг $PdCl_2$) получают XVI, т. пл. 194° (разл.). Р-р продукта гидрирования 9 г XV в 135 мл CH_3OH разделяют на 9 порций и каждую декарболируют отдельно. Р-итель отгоняют, к остатку прибавляют 10 мл $C_6H_5N(CH_3)_2$ и небольшое кол-во Si-порошка, смесь нагревают 20 мин. при 180° в токе N_2 , затем встряхивают с 100 мл 2 н. H_2SO_4 , фильтруют и экстрагируют эфиром. Р-итель отгоняют, остаток возгоняют в вакууме и (из 9 оптов) получают 1,64 г XVII, после кристаллизации из C_6H_5OH , выход 27,7%, т. пл. 211—212° (испр.). Р-р 1 г XVII в 50 мл CH_3OH обрабатывают эфирным р-ром CH_2N_2 и получают XVIII в виде некристаллизующегося масла; 2,4-динитрофенилгидразон XVIII, т. пл. 150° (испр.). К смеси XVIII и 2,4-динитрофенилгидразина в спирте прибавляют 5 мл конц. HCl, кипятят 9 час. и получают 2,4-динитрофенилгидразон дикетона, образовавшегося при омылении XVIII, выход 50 мг, т. пл. 215—217° (из $C_6H_{11}OH$). Из 1 г XVII получают XVIII, окисляют его $K_3Fe(CN)_6$, как описано выше, продукт р-ции возгоняют в вакууме

и получают XIX, выход 153 мг, т. пл. 98—99° (из воды).

В. А.

78262. О природных дубильных веществах. XXII. Синтез триметилового эфира бревифолина. Бернауэр, Шмидт (Die Synthese des Brevifolin-trimethyläthers. XXII. Mitteilung über natürliche Gerbstoffe. Bernauer Karl, Schmidt Otto Th.), Liebigs Ann. Chem., 1955, 591, № 3, 153—155 (нем.).

Описан синтез триметилового эфира бревифолина (I), подтвердивший предположенную для него ф-лу. Соль диазония, приготовленную из метилового эфира 2-амино-3,4,5-триметоксibenзойной к-ты (II), обрабатывают в среде HCl метиловым эфиром енола циклопентандиона-1,2 (III) в присутствии $(CH_3COO)_2Cu$, причем происходит присоединение соли диазония к двойной связи III с одновременным выделением N_2 и с последующим отщеплением HCl, гидролизом сложнэфирной и енолэфирной группировок и замыканием лактонного кольца; сразу образуется I. Попытки получить I из метилового эфира триметилового эфира бромгалловой к-ты (IV) и 3-хлорциклопентандиона-1,2 по р-ции Ульмана или взаимодействием IV с К-или Na-солью дитилового эфира циклопентандион-4,5-дикарбоновой-1,3 к-ты были безуспешны. К р-ру 8 г хлоргидрата II в 200 мл 2 н. HCl прибавляют 200 г льда и диазотируют 3%-ным р-ром $NaNO_3$, избегая избытка $NaNO_3$. Затем прибавляют 16 г CH_3COONa , 2 г $(CH_3COO)_2Cu$ и 3,5 г III (Hamburg A. M., Monatsh. Chem., 1898, 19, 600) и смесь оставляют при 35° на 50 час. Выделяющиеся кристаллы I промывают CH_3OH , а из водн. фильтрата через 4 дня (при ~20°) выделяют еще небольшое кол-во I. Полученный I (1,2 г) растворяют в 100 мл горячего 2 н. р-ра КОН, обрабатывают активированным углем и подкисляют, т. пл. 213—214° (из бзл. с карборатином и из CH_3OH с карборатином), 2,4-динитрофенилгидразон, т. пл. 302—304° (разл.).



В. А.

78263. Строение альпинона. Грипенберг, Хонканен, Силандер (The structure of alpinone. Gripenberg Jarl, Honkanen Erkki, Silander Kaj), Acta chem. scand., 1956, 10, № 3, 393—396 (англ.).

Установлено, что содержащееся в семенах *Alpinia japonica* Миг наряду с альпиноном (I) в-во $C_{18}H_{16}O_6$ (II) (см. РЖХим., 1956, 19398) является 3-ацетатом I. Синтезирован 3-окси-5,7-диметокси-2-метилфлаванон (III). Семена *A. japonica* экстрагируют 6 час. петр. эфиром с т. кип. 40—60°. После удаления р-ителя отгоняют с паром летучие в-ва. Дробной кристаллизацией высушенного остатка из толуола выделяют I, т. пл. 179—180°, $[\alpha]_D^{20} +91^\circ$ (с 3,46; C_6H_5N); -12° (с 2,64; хлф.), дифензоат, т. пл. 208—210°, Rf 0,42 (лигр. вода: CH_3OH , 100:50:1), и II, Rf 0,76. 330 мг II кипятят 1 час в атмосфере N_2 с 9 мл HJ в 1,5 мл абс. спирта, добавляют воду и получают I, аналогичные результаты получены при гидролизе HCl и 42%-ной H_2SO_4 . К 18,1 г $C_6H_5(OCH_3)_3$ и 19,5 г $C_6H_5CH=CHCOCl$ в 100 мл $C_6H_5NO_2$ добавляют 14 г $AlCl_3$ (2 часа при 0°, 3 часа при 20°). Отфильтрованный осадок промывают безводн. эфиром и осторожно вносят в HCl (к-ту) при 0°. Получают 2',4',6'-триметокси-β-метилхалкон (IV), выход 50%, т. пл. 127—128° (из CH_3OH). К 15,6 г IV в 100 мл безводн. C_6H_6 добавляют 14,5 г $AlBr_3$ в 100 мл C_6H_6 (привлечение 30 мин.; 100°, 2 часа). После отгонки р-ителя в вакууме остаток обрабатывают HCl (к-той) (0°). Выход 2'-окси-4',6'-диметокси-β-метилхалкона (V) 81%, т. пл. 75—77° (из CH_3OH). В кипячении с $(CH_3CO)_2O$ в C_6H_5N или в присутствии безводн. CH_3COONa превращают в ацетат, т. пл. 87—88°. К 6,0 г V в 100 мл горячего спирта добавляют 50 мл 2 н. NaOH и выливают в 400 мл холодной воды. Через

24 часа осаждается 5,7-диметокс-2-метилфлаванон (VI), выход 85%, т. пл. 135—136°, 3,0 г VI в 50 мл лед. CH_3COOH нагревают с 4,7 г (CH_3COO)₂Pb (85—90°, 3 часа) и выливают в 200 мл холодной воды. К полученному осадку в 100 мл спирта добавляют конц. HCl, нагревают в токе CO_2 (100°, 30 мин.) и выливают в 200 мл воды. Через 24 часа отфильтровывают III, выход 0,06 г, т. пл. 166—167° (из CH_3OH). Г. Ч.

78264. Красящие вещества коры сосны *Ponderosa*. Керт, Раманатхан, Венкатараман (The colouring matters of *Ponderosa* pine bark. Kurth E. F., Ramathan V., Venkataraman K.), Current Sci., 1955, 24, № 5, 157 (англ.).

Красящие в-ва (KB) коры (т. пл. 275—285°) содержат 2% воска и кверцетин (I); метилированием остатка $(\text{CH}_3)_2\text{SO}_4 + \text{K}_2\text{CO}_3$ в ацетоне получены пентаметилловый эфир кверцетина (II) и пентаметилловый эфир нового флавонона — пиноквертина (III), т. пл. 164°. Хроматографированием KB на целлюлозе выделен новый флавонол "пинмирицетин" (IV); гексацетат, т. пл. 228—230°; гексаметиловый эфир (V), т. пл. 178°. При непосредственном метилировании KB получены II, III и V. Расщепление III и V сплавлением с щелочами приводит к 2-окси-4,6, ω-триметокси-5-метил-ацетофенону; кроме того, III дает вератровую к-ту, а V — триметилгалловую к-ту. Сделан вывод, что пиноквертин представляет собой 6-метил-I, а V — 6-метилмирицетин (ср. РЖХим, 1955, 9505, 31539, 48933; 1956, 61536). Р. Т.

78265. Химия фумагилина. III. Тарбелл, Гофман, Аль-Казими, Пейдж, Росс, Вогт, Уоргоц (The chemistry of fumagillin. III. Tarbell D. S., Hoffman P., Al-Kazimi H. R., Page G. A., Ross J. M., Vogt H. R., Wargoltz B.), J. Amer. Chem. Soc., 1956, 77, № 21, 5610—5617 (англ.). Спирт $\text{C}_{16}\text{H}_{26}\text{O}_4$ (I), полученный омылением фумагилина (II), гидрированием переводят в тетрагидропроизводное (III), изомеризующееся в карбонильное соединение при обработке 10%-ной H_2SO_4 , HCl (к-той) и ионообменной смолы дауэкс-50. Образование изокпроновой к-ты при окислении III KMnO_4 и ацетона при озонировании I доказывает присутствие в I и II группы $-\text{CCH}_2-\text{CH}=\text{C}(\text{CH}_3)_2$. Обработка I и III CrO_3 в пиридине приводит к кетону $\text{C}_{16}\text{H}_{24}\text{O}_4$ (IV) и оксикетону $\text{C}_{16}\text{H}_{22}\text{O}_4$ (V). Наличие в последнем OH - и некоъюгированной CO -групп (обнаружено спектроскопически), а также образование $(\text{C}_8\text{H}_5)_2\text{COH}$ при взаимодействии III с $(\text{C}_6\text{H}_5)_3\text{CCl}$, свидетельствуют о присутствии в III вторичной и третичной OH -групп. III не изменяется при действии 10%-ного NaOH (при кипячении), KMnO_4 в р-ре Na_2CO_3 и LiAlH_4 . I не дает твердых производных с α-нафтилизонадианом, п-нитробензоилхлоридом, 3,5-динитробензоилхлоридом, п-фенилазобензоилхлоридом, 3-нитрофталевым ангидридом, 3,5-динитробензидом, HNCО и $\text{CH}_3\text{SO}_2\text{Cl}$. Предположено, что изомерит (VI), получаемый из I обработкой NaOH и дающий при окислении CrO_3 в пиридине кетон состава $\text{C}_{16}\text{H}_{24}\text{O}_4 \cdot \frac{1}{2}\text{H}_2\text{O}$ (VII), т. кип. 180—185° (1,5 мм), является смесью продуктов изомеризации и гидратации I, соотношение которых зависит от продолжительности взаимодействия и конц-ии NaOH. Гидрированием II и VI переводят соответственно в декагидрофумагиллин (VIII) и дигидроизомерит (IX). Дигидроизомерит (X), получаемый из VIII наряду с себашиновой к-той (XI), а также гидрированием I, превращают обработкой NaOH в IX, а окислением CrO_3 — пиридином в оксикетон $\text{C}_{16}\text{H}_{22}\text{O}_4$ (XII). Установлено, что при взаимодействии I, II и VIII с H_2SO_4 в спирте происходит перестерификация. При этом VIII дает этиловый эфир XI (XIII), I образует спирт (XIV), а II — кислотное в-во $\text{C}_{22}\text{H}_{40}\text{O}_8 \cdot \frac{1}{2}\text{H}_2\text{O}$ (XV) и нейтр. в-во $\text{C}_{22}\text{H}_{40}\text{O}_8 \cdot \frac{1}{2}\text{H}_2\text{O}$ (XVI). Последнее превращают в XV обработкой 0,15 н. NaOH. XV и XVI, взаимодействуя с 0,4 н. NaOH, дают XIV и декатетраэтиловую к-ту (XVII), а продукты гидрирования XV и XVI дают XI и XIV. Последний, по мнению

авторов, является смесью продуктов гидратации и взаимодействия I со спиртом. Дегидрированием III с Se (300—330°, 8 час.) получают CH_3OH (переведен в CH_2O), в-ва фенольного характера и, возможно, 3,5-диметилбензофуран (n_D^{25} 1,5355; переведен в 3,5-диметил-2,3-дигидробензофуран (скелетный Ni, 2 ат, 48 час.), т. кип. 100—104° (24 мм, n_D^{25} 1,5269). Р-р 40 г неочищ. II (содержит 45% сахарозы, 42% II, 10% пенеудалющихся в-в и 3% других примесей) в 150 мл CHCl_3 упаривают досуха при ~20°, промывают 20 мл CH_3OH , перекристаллизуют из CH_3OH , кипятят с эфиром. Смесью полученного кристаллич. продукта (10 г), 150 мл 0,2 н. NH_4OH и 150 мл CHCl_3 обрабатывают 1 н. HCl (до pH 4). Упарив, очищают, как описано выше, и получают II, выход 6,5 г, т. пл. 194—195° (из CH_3OH). $[\alpha]_D^{25} -26,2^\circ$ (с 4,5, сп.); метиловый эфир (0,5 г II, 25 мл CH_2Cl_2 , эфир. р-р CH_2N_2 , 1 час, 0°, выход 0,44 г), т. пл. 149—150° (из водн. CH_3OH после хроматографирования р-ра в C_6H_6 на нейтр. Al_2O_3). Смесью II и 0,3 н. NaOH (2 экв) нагревают 1 час при 100° в атмосфере N_2 , экстрагируют эфиром, перегоняют при 10—2 мм и т-ре бани 120—130° и получают I, $[\alpha]_D^{25} -46$ —59° (1—5%-ный р-р в сп.). Р-р 8,24 г I ($[\alpha]_D^{25} -54^\circ$) в 50 мл спирта гидрируют при Pt; продукт хроматографируют (в петр. эф.) на Al_2O_3 , смесью петр. эфира с эфиром вымывают III, выход 4,8 г, т. пл. 89—90°, $[\alpha]_D^{25} -68,9^\circ$. Смесью 3,64 г III в 35 мл сухого пиридина и 1,5 г CrO_3 в 15 мл пиридина выдерживают 24 часа при ~20°; перегонкой продукта при 5·10⁻⁴ мм и т-ре бани 81—84° получают V, выход 80%, $[\alpha]_D^{25} -95,7^\circ$ (с 3,85) и $-128,5^\circ$ (с 1,46; хлф.). Аналогичное окисление 5,4 г I ($[\alpha]_D^{25} -52^\circ$) приводит к IV, выход 2,06 г, т. кип. 120—130° (т-ра бани)/10⁻⁴ мм, $[\alpha]_D^{25} -53,9^\circ$ (с 0,96). Р-р 3,4 г I ($[\alpha]_D^{25} -55,4^\circ$) в 30 мл спирта и 30 мл 10%-ного NaOH нагревают 3 часа при 100° в токе N_2 , упаривают, экстрагируют эфиром, перегоняют продукт при 10⁻³ мм и т-ре бани 135—145° и получают VI, выход 70%, $[\alpha]_D^{25} 10,6$ (с 0,98), $[\alpha]_D^{25} 7,4^\circ$ (с 0,45). Обработкой I 20%-ным NaOH (8 час.) получают VI с $[\alpha]_D^{25} 12,0^\circ$ (с 3,4). Р-р 2,12 г VI, $[\alpha]_D^{25} 10,6^\circ$ (в сп.) в 25 мл спирта гидрируют с Pt и продукт хроматографируют в петр. эфире на Al_2O_3 и, смесью петр. эфира с эфиром и CH_3OH вымывают IX, выход 1,18 г (после перегонки при 10⁻⁴ мм), $[\alpha]_D^{25} 18,4^\circ$ (с 1,65). 10,1 г II в 250 мл спирта гидрируют при ~20° и 3,16 ат с Pt, продукт нагревают 1 час при 100° с р-ром 1,67 г NaOH в 250 мл воды и экстрагируют эфиром. Из водн. р-ра выделяют XI, выход 3,32 г, т. пл. 132—133°, а из эфир. р-ра — X, выход 5,98 г (неочищ.), т. кип. 125—130° (т-ра бани)/10⁻² мм, $[\alpha]_D^{25} -24,1^\circ$ (с 3,7). 7,23 г I ($[\alpha]_D^{25} -49^\circ$) в 50 мл спирта гидрируют с Pt и продукт хроматографируют (в эф.) на Al_2O_3 ; эфиром вымывают III, выход 425 мг, т. пл. 88—89°, $[\alpha]_D^{25} -66,6^\circ$ (с 1,70); а вымыванием смесью спирта с эфиром и CH_3OH получают X, выход 5,11 г, т. кип. 123—128° (т-ра бани)/10⁻² мм, $[\alpha]_D^{25} -32,3^\circ$ (с 2,29). Окислением X CrO_3 и перегонкой продукта при 3·10⁻⁴ мм и т-ре бани 137—143° получают XII, выход 65%, $[\alpha]_D^{25} -19,1^\circ$ (с 0,93). Р-р 2,53 г I ($[\alpha]_D^{25} -50^\circ$) в 25 мл спирта и 25 мл 2 н. H_2SO_4 нагревают 2 часа при 100° в атмосфере N_2 и получают XIV, выход 1,41 г (неочищ.), т. кип. 150° (т-ра бани)/10⁻³ мм, $[\alpha]_D^{25} +1,9^\circ$ (с 1,22). Аналогично из 20 г II получают XVI, выход 7,92 г, $[\alpha]_D^{25} -26,5^\circ$ (с 0,81), и XV, выход 11 г, $[\alpha]_D^{25} -38,4^\circ$ (с 0,29). Р-р 4,01 г XVI в 10 мл спирта обрабатывают 45 мл теплого 0,35 н. р-ра NaOH, экстрагируют смесью 15 мл спирта и 25 мл диоксана, кипятят 3 часа в атмосфере N_2 с 0,15 н. NaOH и выделяют XV, $[\alpha]_D^{25} -27,0^\circ$ (с 0,38). Смесью 4,17 г XVI с 8 мл спирт. р-ра 0,66 г NaOH нагревают в атмосфере N_2 , через 0,5 часа, отгоняют р-ритель, добавляют 40 мл воды и нагревают 2 часа при 100°. После обычной обработки получают XVII, выход 69%, т. пл. 292—294°.

(разл.), и XIV, выход 44%, т. кип. 130—135° (т-ра бани) / $2 \cdot 10^{-4}$ мм, $[\alpha]_D^{20} -1,7^\circ$ (с 4,34). Р-р 5 г XV в 5 мл спирта и 5 мл спирт. р-ра 0,84 г NaOH кипятят, 0,5 часа в атмосфере N_2 , отогнав р-ритель, разбавляют 50 мл воды, нагревают 2,5 часа при 100° и выделяют XVII, выход 80%, и XIV, выход 45%, $[\alpha]_D^{20} -5,4^\circ$ (с 5,68), т. кип. 128—136° (т-ра бани) / $2 \cdot 10^{-4}$ мм, 2,11 г XVI в 20 мл спирта гидрируют с Pt, продукт хроматографируют (в смеси эф. с CH_3OH (1:1)) на Al_2O_3 , кипятят 2 часа с 19 мл 0,35 н. NaOH в атмосфере N_2 и получают XI и XIV, т. кип. 135—145° (т-ра бани) (10^{-4} мм, $[\alpha]_D^{20} -1,4^\circ$ (с 1,25)). Смесь 3 г XV, 15 мл спирта 27 мл 0,35 н. NaOH гидрируют с Pt, продукт

нагревают 1 час с 7 мл 0,35 н. NaOH и получают XI выход 600 мг, и XIV, выход 315 мг. Сообщение II см. РЖХим, 1956, 65115. С. К.

См. также: Углеводы и родств. соед. 79417; 23116Бх. Терпены 77964, 77980, 77993, 79257. Стероиды 77968, 79422, 79429; 22816Бх, 23082Бх, 23260Бх. Алкалоиды 78536, 79406, 79415, 79416, 80142; 22823Бх, 22851Бх, 22988Бх, 23257Бх, 23258Бх. Витамины 79419; 22815Бх, 23008Бх, 23015Бх. Антибиотики 79430, 79432, 79436; 23146Бх, 23149Бх, 23165Бх. Аминокислоты и белки 78007, 79235—79238; 22884Бх, 22887Бх, 23051Бх. Др. природы. в-ва 22960Бх, 23005Бх, 23120Бх, 23302Бх

ХИМИЯ ВЫСОКОМОЛЕКУЛЯРНЫХ ВЕЩЕСТВ

78266. Развитие исследований по высокомолекулярным соединениям (Конференция в Ленинграде). Волькенштейн М. В., Вестн. АН СССР, 1956, № 6, 125—127

Сообщение о докладах, сделанных на VIII конференции по высокомолекулярным соединениям, состоявшейся 25—28 января 1956 г. Ю. Л.

78267. Конференция по макромолекулярной химии в Израиле. Ставерман (Symposium over macromoleculaire chemie in Israël. Staverman A. J.), Plastica, 1956, 9, № 6, 339—344 (голл.)

Сообщение о конференции по высокополимерам, состоявшейся в Израиле 3—9 апреля 1956 г. Ю. Л.

78268. Развитие макромолекулярной химии. Керн (Zur Entwicklung der makromolekularen Chemie. Kern W.), Chemiker-Ztg, 1956, 80, № 11, 335—337 (нем.)

Речь по случаю 75-летия Г. Штаудингера. Х. Б.
78269. Взаимодействие между полиэлектролитами. Качальский, Спитник (Interactions entre polyélectrolytes. Katchalsky A., Spitnik P.), Ciolloq. internat. Centre nat. rech. scient., 1955, 57, 103—125 (франц.)

Обзор. Библ. 78 назв. А. П.
78270. Физические состояния высокополимерных веществ. Германс (Les états physiques de la matière macromoléculaire. Hermans J. J.), Colloq. internat. Centre nat. rech. scient., 1955, 57, 37—44 (франц.)

Свойства твердых полимеров, разбавленных р-ров полимеров и полимерных гелей. А. П.

78271. Рентгенографическое исследование фибрина шелка. Краткий (An X-ray investigation of silk fibroin. Kratky O.), Trans. Faraday Soc., 1956, 52, № 4, 558—570 (англ.)

Обзор. Библ. 29 назв. О. И.
78272. Соответствие электронномикроскопических и рентгенографических данных для волокон коллагена. Бердж, Рандалл (The equivalence of electron-microscope and X-ray observations on collagen fibres. Burge R. E., Randall J. T.), Proc. Roy. Soc., 1955, A 233, № 1192, 1—16 (англ.)

На электронномикроскопич. снимках коллагена наблюдаются поперечнополосатые фибриллы, с расстоянием между полосами ~640 А. Рентгенографич. данные, полученные для коллагена под малыми углами, свидетельствуют также о наличии у волокон коллагена одномерной периодичности в 640 А. Исследовано соответствие между интенсивностями рентгенограмм и специфич. характером распределения плотности фибрилл коллагена, наблюдаемым с помощью электронного микроскопа. Объектами исследований были коллаген сухожилий хвоста крысы и сухожилий шейки курицы. Электронномикроскопич. и рентгеногра-

фич. исследования проводились на объектах, подвергнутых миним. обработке и находящихся по возможности в одинаковых условиях. Электронномикроскопич. исследования указывают на существование некоторых колебаний плотности в пределах одного периода в 640 А. Эти колебания имеют характер 2 дополнительных максимумов. Их резкость меняется от фибриллы к фибрилле вплоть до полного сглаживания. Построена функция распределения плотности $\Lambda(u)$ для фибрилл с наиболее резкими максимумами для обоих образцов. Рентгенографич. данные получены в камере для съемки под малыми углами при использовании линейного источника излучения. Функция $\Lambda(u)$, полученная при электронномикроскопич. исследованиях, использована для расчета теоретич. относительных интенсивностей рефлексов рентгенограмм, и полученные результаты сравнены с экспериментальными. При расчете интенсивностей вводился дополнительный «модулирующий множитель», учитывающий сглаживание максимумов плотности при переходе от фибриллы к фибрилле. Расчетные данные для обоих образцов в основном удовлетворительно совпали с экспериментальными. Н. А.

78273. Конфигурация полипептидной цепи коллагена. Кауан, Мак-Гавин, Норт (The polypeptide chain configuration of collagen. Cowan Pauline M., McGavin Stewart, North A. C. T.), Nature, 1955, 176, № 4492, 1062—1064 (англ.)

Проанализирована серия моделей молекулы коллагена. Основным критерием правильности модели являлось совпадение эксперим. и расчетных интенсивностей рефлексов рентгенограмм. При расчете предполагалось, что молекулы расположены по принципу гексагональной упаковки. Наилучшее соответствие было получено для модели молекулы, состоящей из трех цепей, образующих одну спираль, в предположении, что каждая цепь содержит ~10 остатков на 3 оборота. Такая конфигурация оказалась весьма близкой к конфигурации цепи поли-L-пролина. На сходство структуры поли-L-пролина и коллагена указывает также их высокое ул. левое оптич. вращение. Поскольку в коллагене остатки иминокислот составляют ~1/3 от общего числа остатков, полагается, что такая специфич. конфигурация характерна для одной цепи молекулы. Она обуславливает структуру двух других цепей. Схема допускает образование $NH...O$ водородных связей, соединяющих цепи одной молекулы, приблизительно перпендикулярных оси волокна. Если считать направление $NH...O$ за направление водородной связи, то возможны 2 схемы, в которых они располагаются либо по часовой, либо против часовой стрелки. Схема, в которой связи располагаются против часовой стрелки, допускает образование дополнительных водородных связей типа $NH...O$ и связей оксиминокислот с карбонильным кислородом и кажется наиболее приемлемой. Н. А.

78274. Исследования коллагена. I. Структура белков группы коллагена. Рамачандран, Кархта (Studies on collagen. I. Structure of the collagen group of proteins. Ramachandran G. N., Kartha Gopinath), Nature, 1955, 176, № 4482, 593—595; Proc. Indian Acad. Sci., 1955, A42, № 5, 215—234 (англ.)

Дается детальное описание модели структуры, предложенной для коллагена. Модель основывается на следующих положениях. 1. Приблизительно $\frac{1}{3}$ аминокислотных остатков коллагена составляет глицин и $\frac{1}{3}$ — остатки иминокислот. Характерна последовательность $\text{gly} - \text{pro} - \text{hypo}$. 2. Водородные связи типа $\text{NH} \dots \text{O}$ перпендикулярны оси волокна. Имеются водородные связи оксиаминокислот с карбонильным кислородом. 3. Цепь имеет структуру спирали. Спираль содержит либо 10 остатков на 3 оборота, либо 7 остатков на 2 оборота. 4. Молекулы коллагена расположены друг относительно друга по принципу гексагональной упаковки. 5. Для коллагена характерен большой период вдоль оси волокна около 640 Å. Предлагаемая модель молекулы состоит из трех полипептидных цепей. Каждая цепь — это левая спираль с внутренним диам. 1 Å. Цепь содержит 3 и $\frac{1}{3}$ остатка на оборот спирали. Боковая группа каждого третьего остатка направлена внутрь к оси. Такая спираль возможна, если $\frac{1}{3}$ остатков составляет глицин. Три такие спирали завернуты вокруг цилиндра диам. 2,5 Å по правилу правого винта, образуя главную спираль молекулы. Цепи сдвинуты по оси главного цилиндра по отношению друг к другу на 28,6 Å. В одном обороте главной спирали содержится 30 остатков одной цепи. Проекция остатка на ось главной спирали 2,86 Å. Схема допускает образование внутримолекулярных водородных связей типа $\text{NH} \dots \text{O}$, приблизительно перпендикулярных оси волокна, с валентным углом $\sim 30^\circ$. Карбонильные кислоты, не связанные с NH -группами за счет остатков иминокислот, при наличии последовательности $\text{gly} - \text{pro} - \text{hypo}$ — gly оказываются на поверхности главной спирали. Они могут образовывать межмолекулярные водородные связи с остатками оксипролина соседних молекул или другими оксиаминокислотами. Для образования максим. числа таких связей требуется небольшая деформация молекул. Она приводит к появлению гексагональной симметрии у молекул, при этом возникает большой период около 620 Å. Предложенная структура согласуется с хим., оптич., рентгенографич. и электронномикроскопич. данными, а также объясняет зависимость т-ры сваривания коллагена от содержания оксипролина. Н. А.

78275. Структура поли-L-пролина. Кауан, МакГавин (Structure of poly-L-proline. Cowan Pauline M., McGavin Stewart), Nature, 1955, 176, № 4480, 501—503 (англ.)

Проведено рентгенографич. исследование ориентированных и неориентированных образцов поли-L-пролина, полученных полимеризацией в диоксане (степень полимеризации ~ 20). Наблюдаемые на рентгенограммах рефлексы проиндифицировались в гексагональной ячейке с параметрами a 6,62, c 9,36 Å. Анализ погасаний указывает на наличие винтовых осей 3-го порядка в структуре. Число мономерных единиц в ячейке по измерениям плотности равно 3. Проведена попытка нахождения моделей поли-L-пролина, согласующихся с полученными данными. Показано, что *цис*-конфигурация амидных групп поли-L-пролина возможна лишь в случае, если иминный азот является пирамидальным. Детально рассмотрены модели с *транс*-конфигурацией пептидных групп и найдено расположение структурных элементов цепи, согласующееся с экспериментальным. Это левая спираль с тремя остатками в одном обороте. При этом допускается некоторое искажение валентных углов и межатомных расстояний при α -углеродном атоме. Н. А.

78276. Структура полиглицина. Бамфорд, Браун, Кант, Эллиот, Хэнби, Малкольм (Structure of polyglycine. Bamford C. H., Brown L., Cant E. M., Elliott A., Hanby W. E., Malcolm

colm B. R.), Nature, 1955, 176, № 4478, 396—397 (англ.)

Известны 2 модификации полиглицина: 1) получаемая при разложении N-карбоксиглицинангидрида в присутствии пиридина и 2) получаемая при осаждении из р-ров в LiBr. Показано, что модификация (1) дает на рентгенограммах отражения с периодами 4,4, 3,45 и 1,16 Å, а модификация (2) — экваториальный рефлекс с периодом 4,15 Å и кольцо с расстоянием 3,8 Å. ИК-спектры поглощения модификации (1) (для связи $\text{C} = \text{O}$) соответствуют вытянутой β -форме (1,630 и 1,530 cm^{-1}). ИК-спектры модификации (2) имеют полосы поглощения связи $\text{C} = \text{O}$ при 1,648 и 1,558 cm^{-1} . Кроме этого наблюдаются полосы поглощения при 1,015 и 1,026 cm^{-1} . Анализ полученных данных показывает, что 2 модификации имеют разную структуру. Для (2) возможны 2 структурные схемы — спиральная модель 2,2 и модель полярного слоя. Более удовлетворительное соответствие с эксперим. данными дает спиральная модель с внутримолекулярными водородными связями. Н. А.

78277. Структура гемоглобина. III. Прямое определение Фурье — трансформации молекулы. Перуц (The structure of haemoglobin. III. Direct determination of the molecular transform. Perutz M. F.), Proc. Roy. Soc., 1954, A., 225, № 1161, 264—286 (англ.)

В предшествующих работах по исследованию структуры кристаллов метгемоглобина лошади сообщалось, что эти кристаллы могут набухать и сокращаться в средах различного состава (Boyes-Watson J., Davidson E., Perutz M. F., Proc. Roy. Soc., 1947, A191, 83). Структурные амплитуды $F(h0l)$ этих кристаллов являются действительными (гостранственная группа $C2$). Свойство кристаллов изменять размеры элементарной ячейки было использовано для нахождения значений $|F(h0l)|$ в большем числе точек на линиях $h = \text{const}$ плоскости ($h0l$) обратного пространства. Так как интенсивности рефлексов низших порядков зависят от колебаний в содержании солей в жидкости, входящей в кристалл, в качестве $|F(h0l)|$ использовались значения, полученные экстраполяцией к соответствующим величинам для кристаллов, не содержащих солей. Были построены кривые $|F(h0l)|$ в функции от l вдоль каждой линии $h = \text{const}$. На построенных таким образом кривых выделяются узлы, в которых $|F| = 0$ и структурные амплитуды меняют знак. Линии от $h = 0$ до $h = 16$ удалось разбить на участки, в которых знаки структурных амплитуд противоположны, однако не во всех случаях в таком разбиении можно быть уверенным. По ориентировочным размерам молекул был найден знак F_{001} , что дало возможность найти знаки остальных F_{00l} -амплитуд. Таким же образом удалось найти знаки некоторых амплитуд типа $20l$. Для определения знаков всех $98F(h0l)$ рефлексов в области $(\lambda/d) < 0,24$ осталось выяснить знаки трансформации Фурье в 13 точках, что позволит свести 2^{26} комбинаций к одной. Сообщение II см. РЖХимБх, 1956, 13267. Н. А.

78278. Инфракрасный спектр пептидной группы в близкой области. Хект, Вуд (The near infra-red spectrum of the peptide group. Hecht K. T., Wood D. L.), Proc. Roy. Soc., 1956, A235, № 1201, 174—188 (англ.)

На ИК-спектрометрах с призмами NaCl и LiF в области 8000—3500 cm^{-1} исследованы спектры ряда в-в, содержащих пептидные группы. Дано отнесение частот пептидных групп амидов: N-метилформамида, дейтеро-N-метилформамида, N,N'-диметилформамида, N-метилацетамида, N-этилацетамида, N-пропилацетамида, N-бутилацетамида, N-метилпропионамида, N-пропилпропионамида, N-бутилпропионамида, γ -бутиролактама, 6,6-наилона, протеинов, нити шелкопряда, волоса слона, ствола орлиного пера, иглы дикобраза, желатин, рога (бычьего) и коллагена (из хвостового сухожилия кенгуру). При отнесении частот использованы следующие основные колебания (в cm^{-1}): 1250

группы — NHCO —; 1300—1460 деформационные колебания CH_2 ; 1550 группы — NHCO ; 1650 валентные колебания $\text{C}=\text{O}$ (водородная связь); 2853 симм. групп CH_2 и 2925 асимм. групп CH_2 ; 3280 NH (водородная связь). В области 3500—8000 cm^{-1} обортона и основные тона, связанные с колебаниями пептидных групп, интерпретированы следующим образом (в cm^{-1} ; первая цифра для N-монозамещенных амидов, вторая для нейлона, третья для протеинов; в скобках дихроизм): 4030—4460, 4000—4350 (\perp), 3950—4400 (\parallel) CH_2 у 2900 + CH у 1300—1460; 4550—4600, 4530 (\perp), 4590 (\parallel вытянутый) $\text{C}=\text{O}$ у 1650 $\times 2$ + NHCO — у 1250; 4910—4940, 4850 (\parallel), 4850 (\parallel вытянутый, \perp свернутый) NH у 3280 + NHCO — у 1550; 5135 — 5175, 5130, 5130—5140 H_2O OH у 3400 + деф. OH у 1645; 5700—6000, 5700—5800 (\perp), 5700—5850 $\text{CH} \times 2$ у 2925 и 2853, CH у 2925 + CH у 2853; 6360 и 6580—6665, 6300—6680 (\perp), 6250—6536 $2 \times \text{NH}$ у 3280; 6900, 6900, 6900 H_2O $2 \times \text{OH}$ у 1645 + OH у 3400; 8400, 8300 (\perp), 8100 $3 \times \text{CH}$ у 2900. Приведены полученные ИК-спектры поглощения исследованных в-в и подробно обсуждено предложенное отнесение частот. Полоса поглощения 5140 cm^{-1} использована для колич. определения воды, содержащейся в анализируемых образцах при конц-ях H_2O 0,5—20%. Е. П. 78279. Остаточная энтропия линейных полимеров.

Темперли (Residual entropy of linear polymers. Temperley H. N. V.), J. Res. Nat. Bur. Standards, 1956, 56, № 2, 55—66 (англ.)

Обсуждается возможность приписать полимеру определенную энтропию (S), учитывая термодинамич. неравновесность его состояния. Подробно рассмотрено влияние на S конфигурации цепи. Показано, что при низких T -рах ($T \rightarrow 0$) следует принимать во внимание только S, связанную с конфигурацией цепи. Для вычисления S предлагается новая модель, в которой ориентации мономерных единиц в цепи дискретны. Вычисленная на основе предложенной модели теплоемкость хорошо согласуется с эксперим. данными. А. П.

78280. Вычисление термодинамических функций многоатомных молекул. Вулл (Calculation of thermodynamic functions for polyatomic molecules. Woolley Harold W.), J. Res. Nat. Bur. Standards, 1956, 56, № 2, 105—110 (англ.)

Выведены ф-лы для вычисления суммы состояний (СС) многоатомных молекул, через которую могут быть выражены все термодинамич. функции. Подробно рассматривается член СС, учитывающий взаимодействие колебания и вращения и ангармоничность 1- и 2-порядка. Для линейных молекул при наличии 2-кратного вырождения дополнительно учитывается расщепление колебательного уровня из-за ангармоничности и влияние на вращение колебательного момента кол-ва движения. Полученные ф-лы дают лучшее приближение, чем принятое в настоящее время. А. П.

78281. Жидко-кристаллические структуры в растворах полипептида. Робинсон (Liquid-crystalline structures in solutions of a polypeptide. Robinson Conmar), Trans. Faraday Soc., 1956, 52, № 4, 571—592 (англ.)

На наличие жидко-кристаллической структуры в исследованных двоякопреломляющих r -рах поли- γ -бензилглутаминового эфира (I) в хлористом метиле и диоксане, со скоростью полимеризации 100—500, указывает появление равноотстоящих линий (РЛ), видимых в естественном свете. При наблюдении в специально сконструированной прямоугольной ячейке в параллельном или слегка сходящемся свете двоякопреломляющей фазы (ДПФ), диспергированной в изотропной фазе и имеющей форму сферолитов, РЛ имеют форму спирали, причем в структуре каждого сферолита видна радиальная линия дислокации, предполагающая наличие слоистой структуры. При наблюдении заключенной в капилляр сплошной ДПФ (отделенной от изотропной) или образованной при более высокой конц-ии полипептида) периодичность высоких и низких показателей преломления

имеет вид параллельных линий, что указывает на наличие равноотстоящих концентрич. цилиндрич. слоев, параллельных стенкам капилляра. Расстояние между линиями или витками спирали зависит от конц-ии ДПФ и r -рителя и может превышать 100 000 А. Оно возрастает с уменьшением конц-ии. При наблюдении структуры сплошной ДПФ в прямоугольной ячейке через скрещенные николи видны небольшие светлые, однородного цвета области, как бы диспергированные в системе РЛ, обусловленные высокой дисперсией вращательной способности структуры. На существование слоев в ДПФ указывает также сильное уменьшение вязкости при переходе от изотропной к ДПФ, вероятно, вследствие сравнительной легкости скольжения слоев друг относительно друга. Исследованные структуры характеризуются очень высокой оптич. вращательной способностью. Для всех исследованных длин волн вращение положительно и возрастает с уменьшением длины волны. Двоякопреломляющие r -ры I имеют много общего с жидкими кристаллами производных холестерина. Автор выдвигает возможную модель структуры, состоящую из слоев, толщина которых близка к толщине молекулы, с предпочтительной ориентацией молекул внутри слоя. Направление ориентации изменяется на небольшой постоянный угол ($2-3^\circ$) вокруг оси, перпендикулярной к плоскости, всегда в том же направлении в каждом последующем слое. О. И.

78282. Теория растворов высокомолекулярных веществ.

Имото, Оцу (高分子化学. 高分子溶液論. I 井本 稔, 大津隆行), 化学, Karaku, Chemistry (Japan), 1956, 11, № 1 18—21 (япон.)

Обзор. Библ. 62 назв. Ю. Л.

78283. Расчет изменения конфигурационной энтропии атермических смесей с использованием модели решетки. Кригбаум (Lattice model calculation of the configurational entropy change for athermal mixtures. Krigbaum W. R.), J. Polymer Sci., 1956, 19, № 91, 159—170 (англ.; рез. нем., франц.)

Сравнение полученного Флори (Flory P. J., J. Chem. Phys., 1942, 10, 51) ур-ния для изменения конфигурационной энтропии при атермич. смешении полимерных молекул с низкомолекулярной жидкостью и соответствующего ур-ния Хаггинса (Huggins M. L., Ann. N. Y. Acad., Sci., 1942, 43, 1), при выводе которого учитывалось, что положение каждого последующего звена молекулярной цепи в определенной степени зависит от положения предыдущего, с данными опыта показывает, что оба ур-ния дают примерно одинаковое приближение. Из анализа автора следует, что усложнения, введенные Хаггинсом, имеют смысл лишь при рассмотрении разб. r -ров палочкообразных молекул; в случае же свернутых в клубок молекул или при значительных конц-ях r -ров целесообразней пользоваться более простым ур-нием Флори. И. П.

78284. Сравнительное исследование регенерированного геля шелка методами рентгенографии и ультрафиолетовой спектроскопии. Краткий, Шауэнштейн, Секора, Пилз, Рёслер (Vergleichende röntgenographische und ultraviolett-spektroskopische Untersuchungen an renaturierten Seiden-Gelen. Kratky O., Schauenstein E., Sekora A., Pilz I., Röhler K.), Z. Elektrochem., 1956, 60, № 1, 61—67 (нем.)

Исследование УФ-спектров поглощения тонких срезов (10—60 μ) регенерированного геля шелка в пределах рН среды 3,1—13,0 показало, что наблюдаемая до рН 11 задержка фенольной диссоциации тирозина может быть объяснена блокированием оксифенильных групп водородными мостиками (до 85%) или другими побочными связями, поскольку при дальнейшем повышении рН степень диссоциации непрерывно возрастает, и при рН 13 происходит растворение агрегата и исчезновение блокирования тирозина. Полоса поглощения фенолятной формы смещена в красную область примерно на 200 $\text{m}\mu$. Степень сшивки

межпептидными мостиками (дополнительное поглощение при 4000 мкм^{-1}) является наибольшей для исследованного геля по сравнению с препаратами шелка, подвергнутыми сильному механич. воздействию. Согласно рентгенографич. анализу под малыми углами спиртового и водн. геля шелка частицы его имеют пластинчатую форму толщиной 40 Å . На основании проведенного исследования авторы делают заключение о важной роли тирозина в ассоциации белковых частиц.

О. И. 78285. Молярный объем полистирола в растворе. Месичука, Мацуи (Molar volume of polystyrene in solution. Meshitsuka Gisuke, Matsui Yoshiki), Bull. Chem. Soc. Japan, 1954, 27, № 5, 245—246 (англ.)

Измерялось осмотич. давление р-ров полистирола в $\text{C}_6\text{H}_5\text{CN}$, C_6H_6 и $\text{CH}_3\text{COOC}_2\text{H}_5$ при 20° . Максим. мол. объем вычислялся по формуле $A_2 = b_{\text{макс}}/M^2$ (A_2 — второй вириальный коэфф. осмотич. давления, M — мол. вес). Принимая молекулу сферической, авторы вычислили ее радиус из $b_{\text{макс}}$ и определили величину α (Флори). Величины α лежат между 0,5 и 0,6 в соответствии с теорией.

78286. Рассеяние света. VI. Замечания об экстраполяционных методах при изучении рассеяния света. Седлачек. VII. Турбидиметрическое определение показателя преломления коллоидных частиц. Матоушек, Седлачек. VIII. Определение величины частиц экстраполяцией по методу известного разбавления. Седлачек (Rozptyl světla. VI. Několik poznámek ke studiu o extrapolacích metodách rozptylu světla. Sedláček B. VII. Turbidimetrické stanovení indexu lomu koloidních částic. Matoušek L., Sedláček B. VIII. Úhlové extrapolacní stanovení velikosti částic pomocí metody známého zředění. Sedláček B.), Chem. listy, 1956, 50, № 1, 154—156; 156—157, № 2, 304—305 (чеш.).

VI. Обсуждено предыдущее сообщение (см. РЖХим, 1956, 58237) и показано, что коэфф. преломления р-ра является функцией величины и формы частиц высокомолекулярных в-в.

VII. Предложен новый метод определения показателя преломления колл. частиц путем измерения мутности р-ра в двух различных р-рителях с известными показателями преломления. Метод проверяется экспериментально.

VIII. Показано, что метод экстраполяции Цимма (Zimm B. N., J. Chem. Phys., 1948, 16, 1093) можно применить для определения ряда физ. характеристик частиц, не зная конц-ии, также в случае, когда инкремент приведенной интенсивности постоянен. L. Matoušek 78287. Изучение вязкости и рассеяния света растворами поливинилацетата. Варадайя (Light scattering and viscosity studies of polyvinyl acetate solutions. Varadiah V. V.), J. Polymer Sci., 1956, 19, № 93 477—484 (англ.; рез. нем., франц.).

Для определения мол. веса и размера молекул поливинилацетата по светорассеянию был использован фотозлектр. фотометр, предварительно прокалиброванный с помощью узких фракций полистирола; мол. вес последних определялся вискозиметрически. Полученные результаты хорошо совпадали с рассчитанными по литературным данным (Nakajima A., Chem. High Polymers (Japan), 1949, 6, 451) из вязкости. Размеры молекул, найденные по асимметрии светорассеяния, оказались гораздо меньше, чем рассчитанные по ф-ле Фокса и Флори.

Е. С. 78288. Определение распределения масс в фракционированном и нефракционированном полиметилметакрилате ультрацентрифугированием и фракционным осаждением. Эрикссон (Mass distributions of unfractionated and fractionated polymethyl methacrylates determined by ultracentrifugation and fractional precipi-

itation. Eriksson A. Fredrik V.), Acta chem. scand., 1956, 10, № 3, 360—377 (англ.)

Усовершенствован метод анализа кривых седimentации высокополимера в ультрацентрифуге, позволяющий определять распределение масс по величинам константы седimentации S в полидисперсном препарате. Полидисперсность вызывает расширение кривой седimentации. Автор обращает внимание на большое влияние высокого давления (200—400 атм), возникающего у дна ячейки, на вязкость и плотность р-рителя и, следовательно, на величину S . Учет влияния давления производился с помощью ур-ния $S = (1/\omega^2 r) \int_0^x (dx/x) f(x)$, $f(x) = \eta_p (1 - V_{p1}) / \eta_1 (1 - V_p s_p)$, где ω — скорость вращения центрифуги; x — расстояние от центра вращения; η_p и η_1 — вязкости, s_p и s_1 — плотности р-рителя при p атм и при 1 атм; V_p и V_1 — парц. уд. объемы растворенного в-ва при p атм и при 1 атм. Кроме того, учитывалось влияние изменения т-ры ротора. Построены интегральные кривые распределения для ряда образцов фракционированного и нефракционированного полиметилметакрилата. Распределение, полученное анализом кривой седimentации, удовлетворительно совпадает с распределением, полученным фракционным осаждением. Распределение, экспериментально найденное для смеси двух фракций, хорошо совпадает с распределением, рассчитанным по кривым для каждой фракции. И. С.

78289. Определение молекулярного веса из вязкости и диффузии раствора полимера. II. Измерение вязкости и диффузии растворов камелиевого масла. Канэко, Китакура, Хосокава (高分子溶液の粘度及び擴散と分子量との關係に関する研究. 2 報. 椿油溶液の粘度擴散について. 金子曾政, 北村一夫, 細川幸雄), 工業化學雜誌, Korē kagaku dzassi, J. Chem. Soc., Japan. Industr. Chem. Sec., 1953, 56, № 11, 865—866 (япон.).

Определены коэфф. вязкости и диффузии р-ров очищ. камелиевого масла в CS_2 (конц-ия 1—6%, 15°) и в ацетоне (20°). Объемный фактор Φ , вычисленный из ур-ния: $\eta = 2,5 \text{ сФ} (100 - \text{сФ}) + 4,4 \{ \text{сФ} / (100 - \text{сФ}) \}^2$ (с — конц-ия р-ра и η — относительная вязкость) равен для ацетона 1,52, для CS_2 1,30. Коэфф. диффузии вычислен по методу, описанному ранее (РЖХим, 1956, 49753). Мол. вес M вычислен по ур-нию: $M = R^2 T^3 / (162 \pi \Delta^2 \eta^2 D^2 \Phi)$. Величины M , определенные в р-ре CS_2 , лежат в пределах 780—940, определенные в р-ре ацетона возрастают от 990 (1%-ный р-р) до 2160 (6%-ный р-р), что говорит о межмолекулярной ассоциации в ацетоне. Часть I см. J. Chem. Soc. Japan. Industr. Chem. Sec., 1952, 55, 616—617.

Chem. Abstr., 1954, 48, № 22, 13345. Katsuya Inouye 78290. Методы турбидиметрического титрования для определения полидисперсности. Хенгстенберг (Trübungstitrations-Methoden zur Bestimmung der Polydispersität. Hengstenberg J.), Z. Elektrochem., 1956, 60, № 3, 236—241, Diskuss. 241—245 (нем.).

Изложены принципиальные основы методов турбидиметрич. и гравиметрич. титрования применительно к быстрой оценке полидисперсности в условиях заводской лаборатории. Обсуждены границы применения оптич. метода, стандартные условия измерений и описан конкретный вариант измерительного устройства.

С. Ф. 78291. Анализ и молекулярные размеры некоторых нитроацетилцеллюлоз. Джуа, Манчини (Analisi e grandezza molecolare di alcune nitroacetilcellulose. Giua Michele, Mancini Corrado), Ann. chimica, 1956, 46, № 1-3, 3—20 (итал.).

Разработан точный метод хим. анализа нитроацетилцеллюлоз (II), основанный на определении ацильных групп путем гидролиза I в 50%-ной фосфорной к-те с последующей дистилляцией уксусной к-ты в токе водяного

пара в присутствии нескольких дециграмм симметричной диэтилдифенилмочевины, связывающей азотную к-ту. Титрование дистиллата производится 0,5 н. NaOH с фенолфталеином в качестве индикатора. Нитрогруппы определяются независимо на нитрометре Лунге. Подробно описаны промышленное приготовление и свойства порошков I, применяемых в качестве стабилизаторов нитроглицерина. I можно получить либо одновременным ацелированием и нитрованием целлюлозы, либо проводя эти операции раздельно, в любой последовательности; описано приготовление пентанитротриацетил-(II) и гексанитродиацетилцеллюлозы (III) путем нитрования двух ацетилцеллюлоз различного мол. веса и физ. свойств. II и III не растворимы в бензоле, хлороформе, CCl_4 , CS_2 и петр. эфире; растворимы в ацетоне, этилацетате, метиловом спирте и пиридине. Измерена характеристич. вязкость $[\eta]$ с целью определения мол. веса M полученных образцов. Для II $[\eta] = 0,1177$ (100 мл/г), а для III 0,0854 при 25°. Оценка M по этим данным (произведенная довольно сомнительным методом.—Прим. р. е. ф.) дает для II и III соответственно $M = 21730$ и 3860. С. Ф.

78292. Вязкость высокомолекулярных веществ. Имото, Оцу (高分子化学. 粘度. 井本稔, 大津隆行), 化学, Кагаку Chemistry (Japan), 1956, 11, № 2, 14—16 (япон.) Обзор. Библ. 55 назв. Ю. Л.

78293. О концентрационной зависимости вязкости поливинилхлоридов вплоть до очень малых концентраций. Менчик, Ланикова (Über die Konzentrationsabhängigkeit der Viskositätszahl von Polyvinylchloriden bis zu sehr kleinen Konzentrationen. Menčík Zdeněk, Láňková Jitka), Makromolek. Chem., 1954, 14, № 2—3, 118—121 (нем.; рез. англ.)

Исследована вязкость η_{sp}/c р-ров эмульсионных полимеризатов поливинилхлорида — образца с нормальной кривой распределения и технич. полимера, имеющего вторичный максимум в области высоких значений мол. веса, обладающего, таким образом, фракцией микрогеля и, следовательно, разветвленными структурами. Измерения производились в р-ре тетрагидрофурана и циклогексанона. Во всех случаях найдена строгая линейная зависимость η_{sp}/c от конц-ии с, вплоть до $2 \cdot 10^{-2}$ г/100 мл в противоположность сделанному ранее (РЖХим, 1956, 61764) наблюдению. В. А.

78294. Зависимость вязкости полимеров со свернутыми молекулами от скорости сдвига. Бьюк, Вуд Рей (Variation of viscosity of coiled polymers with shear rate. Bueche F., Wood J. K., Wray J. R.), Chem. Phys., 1956, 24, № 4, 903 (англ.)

На р-рах нефракционированного полистирола (мол. в. 224 000) при различных т-рах проверена теория неньютоновского поведения свернутых полимерных молекул, развитая ранее (РЖХим, 1956, 25867), и показано, что вычисленные из полученных данных по зависимости вязкости от скорости сдвига мол. веса совпадают с вычисленными на основании теории. Ю. Л.

78295. Вязкость разбавленных растворов полиэлектролитов при низких скоростях течения. Мок, Маршалл (Viscosity of dilute polyelectrolyte solutions at low flow velocities. Mock Richard A., Marshall Charles A.), J. Polymer Sci., 1954, 14, № 74, 217—222 (англ.)

Для проверки установленной ранее (РЖХим, 1956, 65154) связи между вязкостью и ионными свойствами р-ров сульфокислоты сополимера винилтолуола со стиролом исследована вязкость разб. водн. р-ров стирола (степень полимеризации $N = 800$) при различных градиентах G , включая очень маленькие. В интервале давлений 0,3—3 г/см² не обнаружено зависимости вязкости от G . На основании собственных и литературных данных авторы заключают, что при $N < 1000$ вязкость разб. р-ров полиэлектролитов слабо зависит от G при $G \rightarrow 0$. Описывается

методика измерения и предложенная автором теория поправки на кинетич. энергию. О. П.

78296. Вязкость псевдопластических жидкостей. Чжу Жу-цзинь, Берридж, Браун (The viscosity of pseudo-plastic fluids. Ju Chin Chu, Burridge K. C., Brown Frank), Chem. Engng. Sci., 1954, 3, № 6, 229—247 (англ.)

Дано подробное определение псевдопластич. жидкостей. Описан видоизмененный вискозиметр Оствальда, дающий возможность проводить измерения при малых скоростях сдвига и точно поддерживать разность давлений. Приведены таблицы результатов точных измерений вязкости, проведенных с этим вискозиметром над тремя псевдопластич. жидкостями: водн. р-рами Na-карбоксиметилцеллюлозы (0,25%), поливинилового спирта (2,5%) и Na-соли полиметакриловой к-ты (0,025 %) при т-рах 40—70°. Работа проведена с целью получения данных о вязкости, необходимых для расчета теплопроводности псевдопластич. жидкостей (РЖХим, 1955, 54143). Е. С.

78297. Псевдопластическое течение: вискозиметрия, соотношения между напряжением и скоростью сдвига и условия ламинарного течения в трубках. Меррилла (Pseudoplastic flow: viscometry, correlations of shear stress vs shear rate, and prediction of laminar flow in tubes. Merrill Edward W.), J. Colloid Sci., 1956, 11, № 1, 1—14 (англ.)

С помощью коаксимально-цилиндрического вискозиметра исследована зависимость напряжения τ от скорости D сдвига в 10—25%-ных р-рах низкомолекулярного полиизобутилена в циклогексане при 10—40°. Эта зависимость хорошо выражается ф-лой $\tau = bD^s$, где b и s — эмпирич. константы, зависящие от т-ры T и конц-ии C . Показано, что $\ln b$ линейно зависит от $V\sqrt{C}$ и от $1/T$, и предложено использовать b для характеристики подобных псевдопластич. жидкостей вместо обычной вязкости. Выведены и проверены условия ламинарности течения в прямых цилиндрич. трубках жидкостей с подобной зависимостью τ от D . Е. С.

78298. О вязкости растворов полимеров в тонких капиллярах. Лифсон (On the viscosity of polymer solutions in fine capillaries. Lifson Shneur), J. Polymer Sci., 1956, 20, № 94, 1—6 (англ.; рез. франц., нем.)

Вычислено возрастание характеристич. и уд. вязкости р-ров полимеров в тонких капиллярах, возникающее благодаря неоднородности течения в пределах макромолекулы. Расчеты проведены для случая цилиндрич. и бесконечно широкого плоского капилляра. Показано, что изменения вязкости зависят от отношения размеров сечения капилляра и макромолекулы, исчезают, когда последнее стремится к бесконечности, и не зависят от скорости, пока гидродинамич. силы не искажают сферич. симметрию макромолекулы. Е. С.

78299. Вязкое течение через эластичную трубку. Принс, Херманс (Viscous flow through an elastic tube. Prins W., Hermans J. J.), Recueil trav. chim., 1953, 72, № 2, 157—165 (англ.)

Теория вязкого течения в эластичных капиллярах, развитая ранее (Hermans J. J. Deformation and flow in biological systems. Amsterdam, North. Publ. Co., 1952), сравнена с результатами опытов, проведенных на р-рах Na-карбоксиметилцеллюлозы в воде; в качестве капилляра была применена резиновая трубка. Теория распространена также на случай неньютоновского течения. Совпадение теории с экспериментом вполне удовлетворительное. Из резюме авторов

78300. Исправление к статье: Саито «Взаимодействие между синтетическими полимерами и смачивателями. Часть II. Комплексообразование между полимером и детергентом». (Berichtigung. Saïto S.), Kolloid-Z., 1955, 142, № 2/3, 192 (нем.)
К РЖХим, 1956, 25873.

78301. Замечание к теории двулучепреломления в потоке растворов цепных молекул. Серф (A remark on the theory of flow birefringence of solutions of chain molecules. Cerf Robert), J. Polymer Sci., 1956, 20, № 94, 216—218 (англ.).

Сравниваются результаты предсказаний теорий двулучепреломления в потоке р-ров полимеров, основанных на упрощенных моделях упругой гантели и упруго-вязкой сферы. Вторая из этих теорий предсказывает, что прямая $RT \lg \alpha M [\eta] \eta_0(l)$ (η — угол экстинкции; остальные обозначения имеют обычный смысл) отсекает на оси ординат небольшой положительный отрезок, величина которого зависит от внутренней вязкости макромолекул. Показано, что этот же результат можно получить и из первой теории, если несколько усовершенствовать метод расчета. Проведенные автором расчеты динамооптич. свойств улучшенной макромолекулярной модели, состоящей из N упругих гантелей, показывают, что для цепных молекул имеет место непрерывный переход от ориентационных к деформационным эффектам при изменении вязкости р-рителя η_0 , т. е. получаются основные результаты теории упруго-вязких сфер для α , но с более точными значениями молекулярных параметров. Приводятся кривые экстинкции (1) для простой и сложной гантальной модели. В асимптотич. области расхождения между кривыми очень велики (кривая для простой модели проходит значительно выше), причем кривая для сложной модели гораздо лучше согласуется с опытом. С. Ф.

78302. Динамическое двойное лучепреломление растворов полиметилметакрилата в различных растворителях и форма макромолекул. Цветков В. Н., Фрисман Э. В., Мухина Л. С., Ж. эксперим. и теор. физики, 1956, 30, № 4, 649—660

Исследовано двулучепреломление в потоке Δl для двух фракций полиметилметакрилата с мол. весами $3.5 \cdot 10^5$ и $4.2 \cdot 10^6$ в различных р-рителях (хлороформ, хлорбензол, бромоформ, бромбензол, этилацетат, толуол, ацетон). Получены данные по зависимости Δl от градиента скорости g ; приведены значения динамооптич. постоянной $[n] = \lim_{c \rightarrow 0} (\Delta l / g \eta_0 c)$ (c — конц-ия, η_0 — вязкость р-рита-

теля) и ее составляющих $[n]_f$ и $[n]_e$, обусловленных соответственно анизотропией формы и внутренней анизотропией макромолекул. Полученные результаты сравниваются с теориями, основанными на молекулярной модели анизотропных эллипсоидальных клубков и на модели упругих сфер Серфа. Эксперим. данные лучше согласуются с первой из этих моделей. С. Ф.

78303. Диэлектрические свойства разбавленных растворов поливинилацетата в толуоле. Брауккерс, Бек (Dielectric properties of dilute solutions of polyvinyl acetate in toluene. Brouckère Lucia de, Beek L. K. H., van), Recueil trav. chim., 1956, 75, № 4, 355—370 (англ.).

Измерена комплексная диэлектрич. постоянная в толуольных р-рах 4 образцов поливинилацетата с мол. весами M 22, 65, 100 и 200 (все $\times 10^4$) в интервале конц-ий 5—11 г/100 мл и т-р 235—261° К. Показано, что дипольные моменты молекул пропорциональны $M^{1/2}$ и среднеквадратичному расстоянию между концами цепочки. Частота, соответствующая максимуму диэлектрич. потерь, не зависит от M , в противоположность теоретич. предсказаниям (Kirkwood J. G., Fuoss R. M., J. Chem. Phys., 1941, 9, 329; Kuhn W. G., Helv. chim. acta, 1948, 31, 1259; 1950, 33, 2057). Аналогичный результат получен и для полиметилметакрилата. Согласие с опытом получается, если отказаться от классич. модели цепи, состоящей из независимых статистич. элементов, и рассматривать возможные взаимные перемещения диполей, последовательно соединенных упругими нитями. Время релаксации, соответствующее

максимуму потерь, равно при этом $\tau_0 = \zeta^2 / 3kT$, где ζ — коэф. трения одного сегмента (диполя), l^2 — средний квадрат длины нитей между диполями, k и T имеют обычный смысл. Если подобрать значения ζ и l , соответствующие ~ 25 мономерным единицам в сегменте, эта ф-ла в указанном интервале M дает численное согласие с опытом ($\tau_0 = 1 \times 10^{-8}$ сек $\pm 10\%$). Таким образом, релаксационный спектр обусловлен не поляризуемыми группами различных форм и размеров, а исключительно числом возможных способов взаимных перемещений соединенных нитями диполей. С. Ф.

78304. Набухание белковых молекул в растворе и α - β -превращение. Хилл (Swelling of protein molecules in solution and the α - β -transformation. Hill Terrell L.), J. Phys. Chem., 1956, 60, № 3, 358—361 (англ.).

Обсуждается предположение (см. РЖХимБх, 1956, 85), согласно которому набухание молекул бычьего сывороточного альбумина при низких рН (2—4) обусловлено α — β -переходом в полипептидных цепях макромолекулы. Глобула бычьего сывороточного альбумина представляется в виде небольшой сферы («капли») изотропного геля с 16 поперечными S — S-связями; при набухании этого геля р-ритель, содержащий ионы электролитов, свободно проникает во внутренние части сферы. Для такой модели составляется приближенное ур-ние свободной энергии A одной глобулы, состоящее из трех членов, учитывающих связывание водородных ионов, $\alpha \rightarrow \beta$ -деформацию цепей и электростатич. взаимодействие звеньев. Далее находится «равновесный объем» v глобулы, соответствующий минимуму A . Полученная таким образом теоретич. зависимость v от рН позволяет предсказать фазовый переход 1-го рода, который можно связать с α — β -превращением (на опыте такой переход не наблюдался). Таким образом, механизм набухания теоретически вполне обоснован, хотя произведенные расчеты и не могут служить прямым доказательством его существования. Теория предсказывает солевой эффект противоположного знака, чем наблюдаемый на опыте. По-видимому, уточнение теории (в части, касающейся расчета электростатич. члена A) позволит устранить это расхождение. С. Ф.

78305. Образование внутренних сшивок в нитевидных молекулах. Кун, Майер (Die Selbstvernetzung von Fadenmolekülen. Kuhn W., Majer H.), Makromolek., Chem., 1956, 18—19, 239—253 (нем.; рез. англ.).

Рассмотрен вопрос о влиянии введения сшивающего агента на свойства р-ров полимеров различной конц-ии. Предполагается, что с уменьшением конц. р-ров эффект внутреннего сшивания в данной макромолекуле начинает преобладать над сшиванием молекул друг с другом, ведущим к гелеобразованию. Показано, что сшивание внутри макромолекул даже при наличии одного узла на молекулу, т. е. образовании простых колец, приводит к заметному изменению вязкости р-ра. На основании расчета вероятности образования кольца из K статистич. элементов и соответственно среднего значения \bar{K} найдена колич. зависимость характеристик. вязкости р-ров макромолекул, состоящих из N_m элементов от числа статистически введенных узлов сшивки v . Для малых v это соотношение имеет вид: $[\eta]_v = [\eta] (1 - v \sqrt{2} / (\sqrt{N_m})^{-1})$, где $[\eta]_v$ — характеристич. вязкость исходного полимера, $[\eta]$ — то же для полимера, содержащего сшитые молекулы. Теоретич. выводы качественно согласуются с эксперим. результатами ряда авторов, исследовавших поведение очень разб. р-ров полимеров при введении смешивающего агента. И. П.

78306. Инфракрасные спектры поглощения пленок поливинилового спирта, набухших в воде. Нитта, Саки, Тадокоро (膨潤したポリビニルアルコールフ

イルムの赤外吸収スペクトル. 仁田勇, 關集三, 田所宏行), 高分子化学, 高田勇, 關集三, 田所宏行, Chem. High Polymers, 1956, 13, № 129, 45—46 (япон.; рез. англ.)
Получены ИК-спектры поглощения пленок поливинилового спирта, набухавших в воде при 25° в течение двух дней. Пленки, приготовленные из порошков, не подвергались предварительной термообработке (I), выдерживались 30 мин. при 100° (II), 15 мин. при 160° (III). Интенсивность полосы поглощения 1146 см^{-1} , чувствительной к изменению кристалличности, увеличивается при высушивании образцов I и II. В III интенсивность указанной полосы мало зависит от степени набухания. Эти данные согласуются с результатами рентгеноструктурного анализа, который показывает, что молекулы воды проникают через кристаллич. области поливинилового спирта при комнатной т-ре, если он не подвергнут сильной термообработке.

Резюме авторов

78307. Структура кристаллов фибрина шелка. Уорвиккер (The crystal structure of silk fibroins. Warwick J. O.), Trans. Faraday Soc., 1956, 52, № 4, 554—557 (англ.)

Сравнение данных рентгеновского анализа восьми препаратов фибрина шелка различного биол. происхождения с ранее исследованным фибрином *Bombyx mori* (I) (РЖХим, 1955, 42749) позволяют выделить 3 группы в соответствии с классификацией Бока (Bock, Technologie der Textilfasern. Berlin, Springer, 1938), которые характеризуются одинаковыми параметрами орторомбич. элементарной ячейки b 9,44 и c 6,95 Å и различной величиной a , равной 9,3 для I, 10,0 и 10,6 Å для типичных представителей групп *Anaphe moloneyi* и *Antheraea mylitta*, соответственно. Автор предполагает, что увеличение параметра a возможно вследствие нарушения регулярной последовательности аминокислотных остатков или появления в кристаллич. областях полипептидной цепи аминокислоты с боковой цепью, чем оксиметилная. Приведены общие для трех типичных фибринов наблюдаемые и вычисленные межплоскостные расстояния, соответствующие различным рефлексам.

О. И.

78308. Картинки электронной дифракции от микрофибрилл целлюлозы *Valonia*. Престон, Рипли (Electron diffraction diagrams of cellulose microfibrils in *Valonia*. Preston R. D., Ripley G. W.), Nature, 1954, 174, № 4419, 76—77 (англ.)

Методом электронной дифракции исследована структура микрофибрилл целлюлозы водоросли *Valonia*. Экваториальные дуги на электронограммах обусловлены наличием межплоскостных расстояний 3,9; 5,4 и 6,1 Å. Сопоставление электронограмм препаратов с соответствующими электрономикроскопич. снимками позволяет заключить, что молекулярные цепи целлюлозы расположены вдоль длины микрофибрилл.

Ю. Л.

78309. Рассеяние рентгеновских лучей под малыми углами искусственным шелком, набухшим в растворах гидроксида лития. Херманс, Вейдингер (Small angle X-ray scattering of rayons swollen in lithium hydroxide solutions. Hermans P. H., Weidinger A.), J. Polymer Sci., 1954, 14, № 76, 397—401 (англ.; рез. франц., нем.)

Кривые рассеяния рентгеновских лучей под малыми углами различных образцов искусств. шелка, подвергнутых после набухания в воде дополнительному набуханию в 1—3 н. LiOH, характеризуются смещением максимума в область меньших углов по мере увеличения конц-ии LiOH. Набухание в 5 н. LiOH сопровождается уменьшением степени набухания, исчезновением максимума и появлением на кривых рассеяния точки перегиба, что, возможно, связано с внутрикристаллич. набуханием, не наблюдаемым для 3 н. LiOH. Однако в случае волокна Super Cordura исчезновение максимума происходит уже при 1 н. LiOH при отсутствии внутрикристаллич. набухания. Построе-

ние кривой по методу Гинье для образцов, не показывающих ни максимума, ни точки перегиба на кривых рассеяния не дает прямых линий.

О. И.

78310. Определение формы корпускулярных и цепевидных макромолекул методом рассеяния рентгеновских лучей под малыми углами. Краткий (Bestimmung der Gestalt von korpuskularen und fadenförmigen Makromolekülen nach der Röntgen-Kleinwinkelmethode. Kratky O.), Z. Elektrochem., 1956, 60, № 3, 245—258. Diskuss. 258—261 (нем.)

Обзорный доклад и дискуссия по докладу. Библ. 50 назв.

О. И.

78311. Об ориентации кристаллитов полиэтилена в направлении a -оси. Ли Цзи-де, Волунгис, Стейн (On a -axis orientation of polyethylene crystallites. Li Tsi Tieh, Volungis Richard J., Stein Richard S.), J. Polymer Sci., 1956, 20, № 94, 199—201 (англ.)

Для выяснения ориентации кристаллов полиэтилена (I) при кристаллизации его из ориентированного расплава определялось изменение двойного лучепреломления (ДЛП) с т-рой на образцах пленки сшитого I толщиной в 1 мм, подвергнутой растяжению при т-ре 170° и последующему охлаждению до комнатной т-ры со скоростью 5 град/час при постоянной нагрузке. При 170° ДЛП имеет положительное значение. Увеличение ДЛП по мере снижения т-ры возрастает в интервале 120° (т-ры кристаллизации)—100°, после чего ДЛП резко уменьшается, достигая отрицательного значения при 90° и продолжая снижаться вплоть до комнатной т-ры. Отрицательное ДЛП при комнатной т-ре указывает на то, что a -ось кристаллов ориентирована параллельно направлению растяжения, что подтверждается также рентгенографически; c -ось кристаллов (ось цепи) расположена перпендикулярно направлению вытяжки аморфного полимера.

О. И.

78312. О тонкой структуре мономзамещенных производных полиоксэтилена. Керен, Рёш (Zur Feinstruktur monosubstituierter Polyäthylenoxyderivate. Keren M., Rösch M.), Melland Textilber., 1956, 37, № 4, 434 (нем.)

Приведены соображения, позволяющие объяснить большие межплоскостные расстояния и расстояния d_1 при рентгенографич. анализе мономзамещ. полиоксэтиленов под малыми углами.

О. И.

78313. О морфологии молекул фибрина шелка. Краткий (Zur molekularen Morphologie des Seidenfibroids. Kratky O.), Monatsh. Chem., 1956, 87, № 2, 269—280 (нем.)

Обзор. Библ. 23 назв.

О. И.

78314. Исследование кристалличности некоторых полимеров при помощи инфракрасной спектроскопии. Покровский Е. И., Котова И. П., Ж. техн. физики, 1956, 26, № 7, 1456—1460

Получены ИК-спектры поглощения политетрафторэтилена (I), полирифторхлорэтилена (II) и полиэтилентерфталата (III) при т-рах от ~20 до 370°. Обнаружено, что интенсивности определенных полос (640, 657 и 791 см^{-1} соответственно для I, II и III) изменяются с т-рой по S-образной кривой, точки перегиба которой соответствуют т-рам начала и конца плавления исследованных полимеров. На основании измерений интенсивности указанных полос определена степень кристалличности. Получены также спектры полистирола, полиметилметакрилата и полиизобутилена; показано, что при т-рах ниже т-ры стеклования изменения в спектрах отсутствуют, а выше этой т-ры изменения весьма незначительны.

Ю. Л.

78315. Инфракрасные спектры полиэтилена и n -парафинов с длинной цепочкой. Фергусон (Infrared spectra of polyethylene and long chain n -paraffins. Ferguson E. I. D. O.), J. Chem. Phys., 1956, 24, № 5, 1115 (англ.)

Указывается на трудности интерпретации данных, по-

лученных из наблюдения ИК-спектров поглощения кристаллич. полиэтилена и *n*-парафинов. К ним относятся: неожиданное отсутствие полосы поглощения деформационных колебаний групп CH_2 у $1300\text{--}1400\text{ см}^{-1}$ в кристаллич. состоянии, т. к. полосы поглощения 1310 , 1355 и 1370 см^{-1} относятся к аморфной фазе, а $1380\text{--}1400\text{ см}^{-1}$ к колебаниям групп CH_3 ; ряд равноотстоящих полос поглощения в области $1180\text{--}1300\text{ см}^{-1}$, отнесенных к деформационным колебаниям групп CH_2 , для которых в кристаллах эйкозановой к-ты поляризация соответствует колебаниям перпендикулярно углеродной цепочке, имеет такую же поляризацию, как и полосы поглощения групп CH_2 у 720 см^{-1} . Е. П.

78316. Независимое измерение содержания аморфной фазы в полимерах. Миллер, Уиллис (An independent measurement of the amorphous content of polymers. Miller R. G. J., Willis H. A.), J. Polymer Sci., 1956, 19, № 93, 485—494 (англ.; рез. нем., франц.)

Описан метод колич. определения при помощи ИК-спектров поглощения процента аморфной фазы в полимерах. Для анализа используются полосы, исчезающие при 100%-ной кристаллизации полимера и появляющиеся при его плавлении. В полиэтилентерефталате использовались полосы поглощения 790 , 898 и 1020 см^{-1} в полиэтилене — полосы поглощения 1305 см^{-1} в политетрафторэтилене 770 см^{-1} . В полиэтилене (толщина пленок $150\text{--}250\text{ мк}$) для колич. измерений определялась толщина образцов, а в политетрафторэтилене (толщина 4 мк) использовался внутренний эталон для избежания нагревания образцов выше t -ры плавления полимера. Результаты измерений хорошо согласуются с данными, полученными путем рентгеноструктурного анализа и дилатометрич. методом. Измерения на ориентированных пленках показали, что содержание аморфной фазы и кристаллической (измеренное рентгенографически) одновременно уменьшается или увеличивается. Это, по мнению авторов, свидетельствует о том, что длинно аморфная часть и кристаллиты не представляют всего полимера, присутствующего в пленке. Е. П.

78317. Об определении содержания метильных групп в полиэтиленах. Словинский, Уолтер, Миллер (On the determination of methyl content in polyethylenes. Slowinski E. J., Jr., Walter H., Miller R. L.), J. Polymer Sci., 1956, 19, № 92, 353—358 (англ.; рез. нем., франц.)

Разработана методика колич. определения соотношения числа групп CH_3 и CH_2 в полиэтилене. Определения производились на инфракрасном двулучевом спектрометре Перкин — Эльмер 21 с призмой NaCl в области $7\text{--}7.6\text{ мк}$ по полосе поглощения 1378 см^{-1} , соответствующей деформационным колебаниям групп CH_3 . При измерениях учитывалось наложение полосы поглощения групп CH_2 у 1370 см^{-1} . Для определения соотношения коэфф. поглощения были использованы эталонные *n*-парафины: $\text{C}_{28}\text{H}_{58}$ — октаноан; $\text{C}_{36}\text{H}_{74}$ — гексатриактан; $\text{C}_{38}\text{H}_{78}$ — октапентакозан. Было определено кол-во групп CH_3 в ряде образцов и найдена связь между плотностью и степенью разветвленности полиэтилена. При увеличении мол. веса от $10\,000$ до $100\,000$ разветвленность уменьшается прямо пропорционально ему. Описан метод синтеза октапентакотана. Е. П.

78318. Интервал плавления поликристаллических полимеров и сополимеров. До л (The melting range of semicrystalline polymers and copolymers. Do l e M a l c o l m), J. Polymer Sci., 1956, 19, № 92, 347—352 (англ.; рез. нем., франц.)

Исходя из представлений о том, что большой интервал t -ры плавления кристаллич. полимеров связан с различиями в размерах кристаллитов и, следовательно, с различиями в поверхностной энергии на границе раздела, развита теория t -ры плавления кристаллитов, весовая доля для которых в полимере, составленном из кристаллизующихся единиц А и некристаллизующихся единиц В, наибольшая. Это отличает развитую теорию

от теории Флори (Flory P. J. Principles of polymer chemistry. New York, Cornell University Press, Ithaca, 1953, p. 567) рассматривающей t -ры плавления кристаллитов наибольшей длины. Исходя из ур-ния Релея, примененного Досталем для объяснения t -ры плавления НК (Dostal H., Oesterr. Chem. Ztg., 1938, 41, 20) $dT = -(\gamma T / \Delta H_f) dA$, где A — площадь поверхности раздела, T — абс. t -ра, γ — напряжение на границе раздела и ΔH_f — теплота плавления, и пренебрегая температурной зависимостью γ и ΔH_f , автор получил ур-ние для изменения t -ры плавления полимера в предположении, что кристаллиты имеют форму цилиндра, диаметр сечения которого равен их длине ζ : $\ln(T_m/T_0) = -6\gamma / \Delta H_f \rho \zeta (T_m - t\text{-ра плавления полимера}, T_0 - \text{то же для полимера}^a, \text{ имеющего площадь поверхности раздела, которыми можно пренебречь}, \rho - \text{плотность полимера})$. Введение в полимер единиц В вызывает необходимость подстановки в полученное ур-ние средневесовой длины кристаллита, даваемой ур-нием:

$$\bar{\zeta}_w = \zeta_0 \sum_{i=1}^A i \bar{w}_i \quad (\zeta_0 - \text{длина единицы } A, i - \text{число единиц } A, \text{ способных к кристаллизации в последовательности единиц } A \text{ и } B, \bar{w}_i - \text{весовая доля среди единиц } A \text{ групп } A, \text{ длиной } i):$$

$$\bar{w}_i = (A-1)! (A+B-1-i)! \times \\ \times i! B (B+1) / (A-i)! (A+B)!,$$

А и В — число единиц А и В в молекуле. Отсюда получается $\bar{\zeta}_w = \zeta_0 [1 + 2A/B] = \zeta_0 [(1 + N_A)/(1 - N_A)]$ (N_A — молярная доля кристаллизующихся единиц). Принимая, что длина цилиндрич. кристаллита равна ζ_w , можно получить ур-ние

$$\ln(T_m/T_0) = 6\gamma (N_A - 1) / \rho \zeta_0 \Delta H_f (N_A + 1) \quad (1),$$

позволяющее вычислить понижение t -ры плавления благодаря уменьшению размеров кристаллитов, когда понижается молярная доля кристаллизующихся единиц. Применение ур-ния проиллюстрировано на полиэтилентерефталате, для которого дана зависимость T_m от молярной доли кристаллизующихся единиц. Понижение t -ры плавления, предсказываемое ур-нием (1), совпадает с понижением t -ры по ур-нию Флори $(1/T_m) - (1/T_0) = -(R/\Delta H_f) \ln N_A$. Это указывает на то, что нельзя пренебрегать эффектами, связанными с изменением свободной поверхностной энергии. Пренебрежение этими эффектами приводит к тому, что теплота плавления, вычисленная по ур-нию Флори из зависимости $1/T_m$ от $\ln N_A$, дает значение $11,5\text{ кал/г}$, в то время как эксперим. значение теплоты равно 30 кал/г . Ю. Л.

78319. Аномальное увеличение объема в области плавления для полиэтилентерефталата. Иберрейтер, Хольвег, Ортман (Anomale Volumendilatation im Aufschmelzbereich von Polyäthylenterephthalat. Ueberreiter Kurt, Hohlweg Elmah, Orthmann Hans-Joachim), Kolloid-Z., 1956, 147, № 1-2, 82—83 (нем.)

Показано, что при нагревании полиэтилентерефталата, полученного быстрым охлаждением из расплава, на кривых зависимости уд. объема от t -ры, полученных при различных скоростях нагревания, в области $100\text{--}120^\circ$ наблюдается незначительное уменьшение объема, связанное с рекристаллизацией. В области $160\text{--}200^\circ$ уд. объем резко увеличивается до значений, во много раз превышающих объем расплава при 280° ; при $>280^\circ$ уд. объем возвращается к обычным значениям. Ю. Л.

78320. Плотность аморфного полиэтилентерефталата. Томпсон, Вудс (Density of amorphous polyethy-

lene terephthalate. Thompson A. B., Woods D. W.), Nature, 1955, 176, № 4471, 78—79 (англ.)

Показано, что степени кристалличности вытянутого при нагреве полиэтилентерефталата, оцененные по изменению плотностей и методом ИК-спектров, не совпадают между собой. В первом случае степень кристалличности заметно ниже, чем во втором. Автор объясняет указанное расхождение влиянием микропустот, образующихся в волокне при высоких степенях вытяжки, на значения плотности. Исходя из значений степени кристалличности, определенной спектроскопич. путем, плотности изучаемого образца и плотности кристаллич. фазы, авторы рассчитали для ряда образцов соответствующие значения плотностей аморфной области. Показано, что плотность аморфной области падает с увеличением степени кристалличности. Увеличение скоростей прядения и применение термообработки для вытянутых волокон замедляют снижение плотности аморфной области. Авторы делают вывод о постепенном изменении характера аморфных областей с увеличением кристалличности. Э. Ф.

78321. Приведенное уравнение вязкоэластического поведения аморфных полимеров в области перехода. Тобольский, Катсифф (Reduced equation for viscoelastic behavior of amorphous polymers in the transition region. Tobolsky A. V., Catsiff E.), J. Amer. Chem. Soc., 1954, 76, № 16, 4204—4208 (англ.)

Предложено ур-ние соответственных состояний для описания вязко-эластических свойств аморфных полимеров в области перехода, отличающееся от предложенного ранее (Baschoff J., Catsiff E., Tobolsky A., J. Amer. Chem. Soc., 1952, 74, 3378) наличием вместо пяти трех параметров: $Y = [\lg E_{r,r}(t) - (1/2) \lg \times \times E_1 E_2] / [(1/2) \lg (E_1/E_2)] = -\operatorname{erf}[(100/T_d)(\lg t + 1,45) - (T/T_d)]$. Здесь: $E_{r,r}(t)$ — отношение напряжения к деформации для образца, поддерживаемого при постоянной деформации в момент времени t при t -ре T ; E_1 и E_2 — квазистатич. модули в стеклообразном и эластич. состояниях; T_d — характеристик. t -ра, связанная с t -рой стеклования или равная ей; $\operatorname{erf} x = 2\pi^{-1/2} \int_0^x \exp(-x^2) dx$ — интеграл ошибок. Из ур-ния можно для любого момента времени вычислить релаксационный модуль, если известны T_d , E_1 и E_2 . Рассмотрено построение зависимости модуля в момент t от t -ры, для чего составлены таблицы значений величин, входящих в ур-ние, и определение T_d из эксперим. данных по температурной зависимости модуля. На основании ур-ния установлена связь максимальной кажущейся энергии активации релаксации с T_d вида:

$$(\Delta H)_{\max} = 1,657 T_d^2.$$

78322. Влияние приложенных сил на переходы второго рода в каучуках. Уолл, Миллер (Applied Force and Second Order Transitions of Rubber. Wall F. T., Miller Donald G.), J. Polymer Sci., 1954, 13, № 68, 157—165 (англ.)

Определены переходы t -ры второго рода (T) трех видов натурального каучука в зависимости от удлинения (т. е. приложенного напряжения) путем определения зависимости длины образца от t -ры. Показано, что T понижается с увеличением приложенной к образцу силы и для данной силы возрастает с увеличением степени сшитости. Исходя из представлений о том, что переход 2-го рода связан с началом вращения сегментов полимерной цепи, авторы считают, что приложение напряжений приводит к выпрямлению цепи и увеличению расстояний между соседними цепями; в результате этого цепи или их существенные участки получают большую свободу перемещения, чем в нерастянутом состоянии. Поэтому при t -рах, близких к t -рам начала вращения сегментов, собственное тепловое

движение цепи способствует началу вращения при более низкой t -ре. Распутывание цепей и снижение T возрастает с ростом напряжений до определенного предела; далее влияние напряжений сказывается значительно меньше. Влияние поперечных связей между цепями сказывается в увеличении затруднений вращения сегментов и повышении модуля, затрудняющего распутывание цепей. Гипотеза о вращении сегментов обсуждена также в связи с данными о влиянии набухания на t -ры перехода. Ю. Л.

78323. Свойства некоторых пластмасс при динамическом растяжении. Максвелл, Харрингтон, Моника (Tensile impact properties of some plastics. Maxwell Bryce, Harrington T. P., Monica Robert E.), Plastics, 1953, 18, № 188, 88—91 (англ.)

В развитие ранее опубликованной работы (Maxwell B., Harrington J. T., Trans. ASME, 1952, 74, № 4) изучены механич. свойства образцов полиметилметакрилата, винилхлоридацетатного сополимера, этилцеллюлозы и нейлона при динамич. растяжении (ударных нагрузках). Построены теоретические кривые нагрузка — деформация для различных скоростей испытания. Показано, что предел текучести растет линейно с логарифмом скорости деформации. С ростом t -ры предел текучести уменьшается. На кривых зависимости энергии разрыва от скорости растяжения наблюдаются два резких спада, связанных соответственно с максим. скоростью скольжения цепей и максим. скоростью разрывания цепей полимера. Прибавление пластификатора увеличивает энергию, поглощаемую при разрыве. Сделан вывод, что для характеристики свойств пластмасс необходимо проведение испытаний в широком интервале скоростей деформаций и при всех t -рах, при которых будет производиться эксплуатация изделий. И. С.

78324. Течение поливинилхлорида под действием больших сил. Каргин В. А., Соголова Т. И., Докл. АН СССР, 1956, 108, № 4, 662—664

Показано, что поливинилхлорид при исследовании в лаборатор. условиях не обладает истинной текучестью; в то же время известно, что при технологич. обработке он проявляет текучесть. С целью объяснения этого явления изучены свойства поливинилхлорида, подвергнутого прогреву при 180° и вальцеванию при этой же t -ре в течение того же времени. В первом случае исследованные образцы уже через час обработки теряют растворимость, в то время как во втором случае растворимость их не меняется. Приведенная вязкость образцов также не меняется в течение первых нескольких часов вальцевания. Поскольку при вальцевании, несмотря на структурирующее действие прогрева, образцы остаются растворимыми, авторы заключают, что сильные механич. воздействия вызывают в поливинилхлориде деструктивные процессы. При этом процесс структурирования компенсируется процессом деструкции. В этих условиях течение может осуществляться не за счет перемещения отдельных молекул, а за счет вызываемых большими силами разрывов цепных молекул или образованных ими пространственных структур. В результате деструкции возникает возможность необратимого перемещения отдельных, ранее взаимно связанных, элементов структуры. Однако, поскольку деструкция компенсируется структурированием, полимер способен к течению только в моменты воздействия больших сил, т. е. процесс течения, названный авторами «хим. течением», есть сопряженный процесс механич. деструкции и структурирования, связанного с окислением полимера. Ю. Л.

78325. Термомеханическое исследование процесса образования и строения неплавких и нерастворимых α -крезолноформальдегидных смол. Игонин Л. А., Красулина Н. А., Каргин В. А., Коллоид. ж., 1956, 18, № 1, 34—37

При помощи динамометрич. весов исследованы механич. свойства α -крезолноформальдегидных смол различной степени поликонденсации, полученных при нагревании

смесей новолачных *n*-крезольных смол с различными кол-вами гексаметилентетрамина (I). По мере увеличения содержания I т-ра стеклования смолы T_g повышается и при 10% I достигает 180—190°. Т-ра вязкого течения смолы лежит выше т-ры ее хим. стойкости. По мере протекания поликонденсации T_g смол повышается, пока не достигнет т-ры, при которой осуществляется поликонденсация, и в силу резкого возрастания вязкости системы р-ция прекращается. Введение 10% диоктилсебагината (II) в исходную смолу снижает T_g до 140—145° и превращает образец в низкомолекулярное стекло; при 20% II и более в смоле проявляются все три физ. состояния аморфных линейных полимеров.

Н. П. 78326. О разрывности температурного коэффициента скорости ультразвуковых волн в полимерных материалах. Уорк (On the discontinuity in the temperature coefficient of the velocity of ultrasonic waves in polymeric materials. Work Richard N.), J. Appl. Phys., 1956, 27, № 1, 69—72 (англ.)

Разрывное изменение температурного коэф. скорости звука (v) объясняется скачкообразным изменением коэф. термич. расширения β в-ва при т-ре стеклования (T_g). Это объяснение согласуется с наблюдаемой зависимостью объема v -ва от т-ры (T), с одной стороны, и скорости звука от т-ры и давления (p), с другой. Особенности температурной зависимости скорости звука обусловлены в основном зависимостью модуля упругости (M) от плотности v -ва. При отсутствии релаксационных эффектов и равенстве нулю величины $(\partial v/\partial T)_p$ можно выразить зависимость M v -ва от уд. объема (V) через температурный коэф. скорости звука и коэф. термич. расширения (β): $V/M (\partial M/\partial V)_T = 2/\beta (\partial v/\partial T)_p - 1$.

Б. К. 78327. Применение смол арамид D для исследования фотоэластичности. Рао (The suitability of araldite D resin in photoelastic investigations. Rao C. L. A m b a), Brit. J. Appl. Phys., 1956, 7, № 6, 229 (англ.)

Рассмотрены преимущества смол типа арамид D перед смолами арамид B при изучении фотоэластич. свойств.

Ю. Л.

78328. Механизм поляризации поликапролактама при различных температурах. Арьев А. М., Новосильцев Н. С. Тр. н.-и. физ.-матем. ин-та Ростовск. н/Д ун-та, 1955, 27, № 6, 105—110

Путем осциллографии. снятия кривых разряда в интервале т-р 20—85° изучены диэлектрич. свойства различных неэкстрагированных образцов поликапролактама, взятых в виде ленты и пленки. Отклонение от прямолинейности кривых разряда, по мнению авторов, свидетельствует об одновременном протекании в полимерных v -вах нескольких процессов с различными временами релаксации. С увеличением т-ры активное сопротивление падает, а емкость увеличивается. На основании значений емкости и активного сопротивления было вычислено время релаксации τ . Вследствие очень резкого снижения сопротивления с повышением т-ры время релаксации τ с ростом т-ры также уменьшается. Диэлектрич. свойства поликапролактама и характер их температурной зависимости в значительной мере определяются влиянием низкомолекулярных примесей и, в особенности, мономера.

Э. Ф.

78329. Химия высокомолекулярных соединений. Химия кремния. Имото, Кумада (高分子化学. シリコンの化学. 井本 稔, 熊田 誠), 化学, Kagaku, Chemistry, 1955, 10, № 6, 15—18 (япон.)

Обзор за 1954 г. Библ. 26 назв.

Ю. Л.

78330. Механизм образования высокополимерных молекул. II. Имото, Оцу (高分子化学. 高分子の生成機構. II. 井本 稔, 大津 隆行), 化学, Kagaku, Chemistry (Kyoto), 1955, 10, № 8, 18—21 (япон.)

Обзор. Библ. 54 назв.

Ю. Л.

78331. Механизм полимеризации. Имото, Такэмото (高分子化学. 重合反應の機構. 井本 稔, 竹本 吉一), 化学, Kagaku, Chemistry (Kyoto), 1955, 10, № 7, 15—17 (япон.)

Обзор. Библ. 51 назв.

Ю. Л.

78332. Прививочная сополимеризация. Имото (グラフト重合. 井本 稔), 有機合成化学協会誌, Юки госэй какаку кёкайси, J. Soc. Organ. Synth. Chem. Japan, 1956, 14, № 1, 10—19 (япон.)

Обзор. Библ. 28 назв.

А. З.

78333. Теломеризация. Асахара, Окадаки (テロメリゼーション. 浅原 照三, 岡崎 英博), 有機合成化学協会誌, Юки госэй какаку кёкайси, J. Soc. Organ. Synth. Chem. Japan, 1956, 14, № 1, 42—47 (япон.)

Обзор. Библ. 66 назв.

И. Ц.

78334. Химия каучука в 1954 году Имото, Минoura, Кирияма (高分子化学. 1954 年のゴム化学. 井本 稔, 箕浦 有二, 桐山 茂), 化学, Kagaku, Chemistry (Kyoto), 1955, 10, № 11, 16—18 (япон.)

Обзор. Библ. 61 назв.

Ю. Л.

78335. Производные сульфиновок кислот как ускорители полимеризации метилметакрилата. Брауэр, Бернс (Sulfinic acid derivatives as accelerators in the polymerization of methyl methacrylate. Brauer G. M., Burns F. R.), J. Polymer Sci., 1956, 19, № 92, 311—321 (англ.; рез. франц., нем.)

Из *n*-толуолсульфиновой к-ты и ряда алифатич., ароматич. и гетероциклич. аминов получены соответствующие соли, которые ускоряют полимеризацию метилметакрилата, инициированную перекисью бензоила, под действием ультразвука при 37°. При этом получается менее окрашенный полиметилметакрилат (I), чем с применением системы перекись — амин. Эффективность действия солей в зависимости от амина уменьшается в ряду: ароматич. — алифатич. — гетероциклический. Увеличение длины углеводородной цепи в алифатич. аминах повышает эффективность действия соответствующих солей. В случае солей ароматич. аминов получается окрашенный I, в случае алифатич. — бесцветный. В случае соли метиламина и *n*-толуолсульфиновой к-ты получается I, физ.-мех. свойства которого (сопротивление надавливанию и упругое восстановление) приближаются к свойствам I, полученного с применением аминов.

И. Т.

78336. Исследования окислительно-восстановительной полимеризации винилацетата. IV. Полярографическое определение перекиси бензоила и его применение к рассмотрению механизма редокс-катализаторов. V. Промотирующий эффект различных аминов. VI. Механизм инициирования системой: дифениламинсульфиновая кислота — перекись бензоила. VII. Промотирующее влияние диметиламина. Укита (酢酸ビニルの Redox 重合に関する研究. 第 4 報. 過酸化ベンゾイルのポラログラフによる定量ならびに Redox) 觸媒機構の考察に對する應用. 第 5 報. 各種アミン類の重合促進効果について. 第 6 報. ジフェニルアミン—スルフィン酸—過酸化ベンゾイル系觸媒機構について. 第 7 報. ジメチルアニリンの重合促進効果について. 浮田 純二), 高分子化学, Кобунси какаку, Chem. High. Polymers, 1953, 10, № 101, 371—386; № 102, 441—447 (япон.)

Сообщение IV. Полярографич. методом изучалось разложение $(C_6H_5COO)_2$ (I) в среде различных редокс-катализаторов. Скорость разложения I *n*-хлорбензолсульфиновой к-той очень мала и более высокая в системе Fe-сульфиновая к-та — I. Скорость пропорциональна кол-ву Fe^{3+} -иона. Каталитич. действие этой системы приписывается в основном редокс-реакции, в которой ион Fe является промежуточным соединением. Порядок эффективности металлов при разложении I в системах металл — сульфидная к-та — I: $Cu > Fe \gg Mn > CO$.

Сообщение V. Обнаружено, что следы различных аминов промотируют полимеризацию винилацетата в р-ре в присутствии окислительно-восстановительной смеси *n*-хлор-

бензолсульфиновая к-та (II) + перекись бензоила (III). При промотировании дифениламино (IV) при 40° наиболее эффективна смесь IV : III = 0,07 : 1. Удаление II из каталитич. смеси приводит к исчезновению каталитич. активности, в то время как добавление солей железа увеличивает активность. Изучено промотирующее действие N, N', дифенилбензидина.

Сообщение VI. Доказано наличие тетрафенилгидразина (V) в продуктах р-ции IV с III путем конверсии V в N-нитрозодифениламин, определявшийся полярнографически. Сравнительные опыты по полимеризации винилацетата показали, что V и IV оказывают одинаковое ускоряющее влияние в окислительно-восстановительных системах. В окислительно-восстановительной системе: IV — сульфидиновая к-та — III, последняя распадается с образованием бензоатных и дифениламинных радикалов.

Chem. Abstrs, 1955, 49, № 3, 8688—8689. T. Katsurai

Сообщение VII. Исследовано влияние $C_6H_5N(CH_3)_2$ VI на редокс-полимеризацию винилацетата. Для высокой конверсии наиболее эффективный катализатор — эквивалентная смесь VI с II и III. Смесь VI и II также эффективна, но смесь VI и III менее эффективна. На эти катализаторы оказывают промотирующее влияние р-рителли CH_3OH и C_2H_5OH , не влияя CH_3COCH_3 и $C_2H_5OCH_2CO$, ингибирующее действие оказывает O_2 . Сообщение III см. РЖХим, 1955, 51696.

Chem. Abstrs, 1955, 49, № 13, 9321. K. Inouye.

78337. Процессы обрыва при заторможенной полимеризации. Аньон (Termination processes in retarded polymerization. Onyon P. F.), Chemistry and Industry, 1955, № 38, 1180 (англ.)

Анализируя данные по заторможенной полимеризации стирола (РЖХим, 1956, 22630) и винилацетата (РЖХим, 1956, 16315), автор делает вывод о том, что при полимеризации стирола, ингибируемой фенольными соединениями, константа скорости р-ции между радикалами различной природы намного больше среднегеометрич. из констант скоростей р-ции между одинаковыми радикалами. Т. Г.

78338. О кинетике полимеризации в среде осадителей. Мага (Sur la cinétique de polymérisation en milieu precipitant. Mogat Michel), J. Polymer Sci., 1956, 19, № 93, 583—585 (франц.)

Автор считает, что аргументы, приводимые Брейтенбахом и Шиндлером (РЖХим, 1956, 47191), против предложенной им схемы полимеризации хлорвинила (РЖХим, 1956, 10005) не противоречат этой схеме, а в ряде случаев подтверждают ее. А. П.

78339. Диффузионная кинетика при полимеризации метилметакрилата и стирола. Робертсон (Diffusion control in the polymerizations of methyl methacrylate and styrene. Robertson E. R., Miss), Trans. Faraday Soc., 1956, 52, № 3, 426—437 (англ.)

Исследована кинетика полимеризации метилметакрилата в массе и в р-ре этилацетата и стирола в массе при различных глубинах превращения (т-ра полимеризации 40—120°, инициаторы — перекись бензоила, динитрил азодизомасляной к-ты, трет-бутилперекись и перекись лаурилола) и определены мол. веса образующихся полимеров. Ур-ния, выведенные для начальной стадии р-ции, применимы только до глубины превращения 10—20%; при большей глубине, вследствие уменьшения константы скорости р-ции обрыва и эффективности иницирования, наблюдается возрастание и скорости полимеризации и мол. веса полимера; при глубине превращения >50%, в результате уменьшения константы скорости роста цепи, скорость реакции и мол. вес полимера понижаются. Указывается, что кинетич. особенности при большой глубине превращения (гель-эффект) могут быть охарактеризованы произведением: $(V_x/V_0) \cdot (P_x/P_0)$ (V_0 и P_0 — скорость полимеризации и средняя степень полимеризации в начальной стадии р-ции; V_x и P_x — те же величины при глубине превра-

щения x). Полученные результаты рассмотрены в свете представлений о кинетике бимолекулярных р-ций, скорость которых определяется скоростью диффузии реагирующих молекул (Rabinowitch, Trans. Faraday Soc., 1937, 33, 1225).

78340. О гель-эффекте при эмульсионной полимеризации стирола. Герренс (Über den Geleffekt bei der Emulsionspolymerisation von Styrol. Gerrens H.), Z. Elektrochem., 1956, 60, № 4, 400—404 (нем.)

Исследована кинетика эмульсионной полимеризации стирола при 40—60°; инициатор — K_2SO_8 . После исчерпания капелек мономера (глубина превращения 45%) скорость полимеризации уменьшается по ур-нию 1-го порядка относительно конц-ий мономера; однако после достижения глубины превращения 65% уменьшение скорости р-ции происходит медленнее, чем это требует ур-ние 1-го порядка. Полученные результаты автор объясняет увеличением конц-ий свободных радикалов в полимерно-мономерных частицах при достаточно большой глубине превращения вследствие того, что благодаря высокой вязкости в частицах возрастает время между моментом попадания радикала в частичку и моментом его взаимодействия с другим радикалом, ранее находившимся в частичке. Показано, что изменение конц-ий радикалов в частицах в зависимости от условий полимеризации может быть описано ур-нием $\lg(C-0,5) = \lg\{(V \cdot P/t_1) \cdot \exp[18500/RT]\} - 4,44 + 5,09 \cdot 10^{-2} U$, (C — конц-ия радикалов в полимерно-мономерной частице, V — объем частицы, P — средняя степень полимеризации полимера, t_1 — время между моментами попадания 1-го и 2-го радикалов в частичку, U — глубина превращения). А. П.

78341. Исследование относительной реакционной способности мономеров при совместной полимеризации. Кубоути (Research on relative reactivities of monomers in copolymerization. Kubouchi Yoshihiko), Repts Electr. Commun. Lab., Nippon Telegr. and Teleph. Public Corp., 1955, 3, № 7, 25—33 (англ.)

Из состава полимеров, образующихся при совместной полимеризации винилхлорида с метилакрилатом и винилденхлорида с метилакрилатом и винилацетатом в массе и в р-ре ацетона при 50°, рассчитаны константы совместной полимеризации r_1 и r_2 . Показано, что значения этих констант зависят от исходных конц-ий мономеров и глубины превращения. Рассмотрены возможные причины этого явления. А. П.

78342. Совместная полимеризация двуокиси серы и 1-гексадецена в растворе хлороформа. Дейнтон, Айвин, Шэрд (The copolymerization of sulphur dioxide and 1-hexadecene in chloroform solution. Dainton F. S., Ivin K. J., Sheard D. R.), Trans. Faraday Soc., 1956, 52, № 3, 414—425 (англ.)

Исследована кинетика совместной полимеризации 1-гексадецена и SO_2 в р-ре $CHCl_3$ при 20—40°; инициаторы — перекись бензоила и β -излучение Sr^{90} + Y^{90} . Обнаружено явление предельной т-ры — т-ры, выше которой, при данном соотношении конц-ий мономеров, скорость полимеризации равна нулю. Из данных по зависимости предельной т-ры от конц-ий мономеров рассчитан тепловой эффект р-ции образования 1:1-сополимера $\Delta H = -19,2 \pm 1,2$ ккал/моль; значение для ΔH , найденное с помощью изотермич. калориметра, равно $-20,05 \pm 0,1$ ккал/моль. Энтропия р-ции равна $-66,7 \pm 0,5$ энтр. ед. (стандартное состояние 1 моль/л для каждого мономера). Высказано предположение об образовании в ходе р-ции комплекса олефин — SO_2 (1:1). А. П.

78343. Совместная полимеризация винилсиланов. Томпсон (Copolymerizations of vinyl silanes. Thompson B. R.), J. Polymer Sci., 1956, 19, № 92, 373—377 (англ.; рез. нем., франц.)

Исследована совместная полимеризация различных винилсиланов с монохлорстиролом (смесь о-и п-изомеров)

(I), винилхлоридом (II) и акрилонитрилом (III) в р-ре ацетона при 50°; инициатор — перекись диацетила. Определены константы совместной полимеризации винилсиланов с II и III. Для r_1 (индекс 1 относится к мономеру II (первая цифра) или соответственно III) получены следующие значения: винилметилэтоксид 0,8, 6,0, винилтриэтоксид 0,9, 4,5, винилтриизопропоксид 0,8, 6,5, винилметилдиэтоксид 1,2, 6,0, винилэтилдизетоксид 1,0, 9,0, винилфенилдизетоксид 0,7, 8,3, аллилтриэтоксид 2,0, 1,7, пропенилтриэтоксид 8,0, 20,0, 2-бутенилтриэтоксид 0,4, 10,0, Δ^3 -циклогексенилтриэтоксид 0,4, 12,0, 6-триэтоксисилилбицикло-(2,2,1)-гептен-2 1,6, 0,7, α -хлорвинилтриэтоксид 0,2, 0,7; константа r_2 во всех случаях равна нулю. С I исследованные винилсиланы совместных полимеров не образуют. А. П.

78344. Полимеризация в твердом состоянии, инициируемая быстрыми электронами. Лотон, Грабб, Балунт (A solid state polymerization initiated by high-energy electrons. Lawton E. J., Grubb W. T., Balwit J. S.), J. Polymer Sci., 1956, 19, № 93, 455—458 (англ.; рез. нем., франц.)

Исследована полимеризация гексаметиленхлорисилоксана (I) (т. пл. 64°) под действием быстрых электронов (800 кэ) при 10—100°. Показано, что при т-рах ниже т-ры плавления I скорость р-ции возрастает с т-рой, а при т-рах выше т-ры плавления — резко уменьшается практически до нуля, что, по мнению авторов, связано с особой пространственной ориентацией молекул в твердом в-ве, благоприятствующей р-ции роста цепи. Отмечается, что скорость р-ции тем выше, чем ниже интенсивность излучения (при данной дозе). Под действием динитрила азодизомасляной к-ты (60°) и перекиси бензоила (80°) I не полимеризуется. А. П.

78345. Ионная полимеризация. V. Молекулярный обрыв при катионной полимеризации стирола, катализированной четыреххлористым оловом. Эндрес, Овербергер (Ionic polymerization. V. Molecular termination in the cationic polymerization of styrene catalyzed by stannic chloride. Endres Gerard F., Overberger C. G.), J. Amer. Chem. Soc., 1955, 77, № 8, 2201—2205 (англ.)

Исследовано влияние анизол (I), тифена (II), *n*-ксилола (III), *n*-хлоранизол (IV) и бензола (V) на мол. веса полимеров, образующихся при полимеризации стирола под действием SnCl_4 в р-ре $\text{CCl}_4 + \text{C}_6\text{H}_5\text{NO}_2$ при 0°; мол. веса рассчитывались из вискозиметрич. данных по уравнению $[\eta] = 4,37 \cdot 10^{-4} M_n^{0,68}$. Найдено, что добавка в систему I, II, III и IV уменьшает мол. вес полимера; V на мол. вес полимера не влияет. Исходя из предположения о том, что р-ция обрыва при катионной полимеризации протекает как по мономолекулярному механизму, так и при взаимодействии иона карбония с молекулой стирола, и принимая, что введенные в систему ароматич. соединения реагируют с карбониевым ионом, обрывая молекулярные цепи, авторы вывели уравнение для средней степени полимеризации образующегося при р-ции полимера: $1/P = (k_0/k_p)(1/M) + k_m/k_p + (k_r/k_p)(R/M)$, где k_p , k_0 и k_m — константы скоростей р-ций роста, мономолекулярного обрыва и обрыва на мономере, k_r — константа скорости р-ции взаимодействия карбониевого иона с ароматич. соединением, R и M — конц-ии добавленного ароматич. соединения и мономера соответственно. Показано, что выведенное уравнение хорошо описывает полученные эксперим. данные. Рассчитаны значения k_r/k_p для I $1,62 \pm 0,02$; II $0,98 \pm 0,07$; III $(1,05 \pm 0,01) \cdot 10^{-2}$; IV $(8,2 \pm 0,2) \cdot 10^{-2}$. Сообщение IV, РЖХим, 1956, 68281. А. П.

78346. Мгновенная полимеризация стирола трифторуксусной кислотой. Тросселл, Суд, Шварц, Станнетт (The instantaneous polymerization of styrene by trifluoroacetic acid. Throssell J. J.,

Sood S. P., Szwarc M., Stannett V.), J. Amer. Chem. Soc., 1956, 78, № 6, 1122—1125 (англ.)

При добавлении каплями стирола (I) к чистой трифторуксусной к-те (II) мгновенно образуется белый рыхлый полимер с выходом 100%; мол. вес его с повышением т-ры р-ции падает экспоненциально в соответствии с кажущейся энергией активации — 3,0 ккал/моль. При добавлении к I р-ра II в этилбензоле образуется низкомолекулярный продукт, имеющий строение сложного эфира, в котором к одной молекуле II присоединена одна или, возможно, несколько молекул I. Результаты объясняются различием протон-донорных свойств II в среде II, где анионы II значительно стабилизируются ассоциацией с окружающими молекулами, и в углеводородной среде, где стабилизация не имеет места. Т. Г.

78347. Стабилизирующее действие сажи на полимерные материалы. Шварц (The action of carbon black in stabilizing polymeric materials. Szwarc M.), J. Polymer Sci., 1956, 19, № 93, 589—590 (англ.)

Частицы сажи имеют молекулярную структуру графита или поликонденсированных углеводородов. Поэтому они должны обладать способностью присоединять свободные радикалы (РЖХим, 1955, 45502). Этим можно объяснить стабилизирующее действие сажи, присутствующей в полимере, при воздействии радиации. Х. Б.

78348. Термическая деструкция поливинилхлорида. Грасси (The thermal degradation of polyvinyl chloride. Grassie N.), Chemistry and Industry, 1954, № 6, 161 (англ.)

Исследована кинетика термич. деструкции поливинилхлорида при 208—223°. Скорость выделения HCl возрастает линейно с глубиной р-ции. Полученные результаты рассмотрены в свете развитых ранее (РЖХим, 1955, 23479) представлений о механизме термич. деструкции поливинилхлорида: отщепление молекулы HCl от полимерной молекулы приводит к с... занию группировки $\sim\text{CH} = \text{CHCH}_2\text{CHCl}\sim$; в дальнейшем, в результате последовательного отщепления молекул HCl , в полимерной цепи возникает система сопряженных двойных связей. Энергия активности р-ции отщепления HCl от группировки $\sim\text{CH} = \text{CHCH}_2\text{CHCl}\sim$ 28 ккал/моль. А. П.

78349. Действие ионизирующей радиации на длинноцепочечные олефины и ацетилены. Чарльсби (Effect of ionizing radiation of long-chain olefins and acetylenes. Charlesby A.), Radiation Research, 1955, 2, № 1, 96—107 (англ.)

Исследовано поведение молекул углеводородов с различной длиной цепи, с различной степенью ненасыщенности и с различным положением двойной и тройной связей под действием излучения реактора. Доза облучения выражалась в «единицах реактора» R (поток медленных нейтронов, равный 10^{17} нейтронов на 1 см^2 , производящий такой же эффект, как $45 \cdot 10^6$ рентген γ -излучения). Наблюдавшееся сшивание молекул исследовалось описанным ранее способом по изменению точки плавления (РЖХим, 1956, 71239). Сравнение парафиновых, олефиновых и ацетиленовых углеводородов с одинаковой длиной цепи показало, что с увеличением ненасыщенности энергия, требующаяся на одно сшивание, уменьшается, но р-ция не переходит в цепную. При передвижении двойной связи к центру молекулы дозу облучения, необходимая для сшивания, возрастает. Более длинные молекулы сшиваются легче. Транс-изомеры превращаются в цис- и наоборот. Первый процесс приблизительно в 2 раза более вероятен, чем второй. Облучение сначала снижает т-ру плавления, которая после достижения некоторой дозы снова увеличивается. Последнее автор объясняет тем, что транс-изомеры имеют более высокую т-ру плавления, чем цис-изомеры. При дозе 10 R мол. вес, определяемый эбуллиоскопически, изменялся для цис-2-октадецена от 258 до 594, для цис-7-октадецена от 260 до 510, для транс-3-окта-

децена от 259 до 485. Вводя индекс сшивания γ , равный отношению числа сшитых молекул к первоначальному их числу, автор выводит ϕ -лу для среднего мол. веса: $M_{cr} = M_0/(1-0,5\gamma)$, где M_0 — начальный мол. вес. M_{cr} для указанных в-в при дозе 10 R равен 462. Энергия, необходимая для образования свободной валентности у углеродных атомов, для предельных углеводородов равна 16, для олефиновых 9,7, для ацетиленов 6,5 эв. Для смешивания двух молекул необходима энергия, которая в 2 раза больше указанной.

В. С.

78350. Радиационная химия углеводородных полимеров.

Полиэтилен, полиметилден и октакозан. Миллер, Лотон, Балунт (The radiation chemistry of hydrocarbon polymers: polyethylene, polymethylene and octacosane. Miller A. A., Lawton E. J., Balwit J. S.), J. Phys. Chem., 1956, 60, № 5, 599—604 (англ.)

Исследовано действие быстрых электронов (800 кэ) на полиэтилен (I), полиметилден (II) и октакозан (III). Число поперечных связей оценивалось по набуханию, ненасыщенность — бромированием и с помощью ИК-спектроскопии, мол. веса (в случае III) — криоскопически. Найдено, что в случае I выходы r -ций образования поперечных связей $G_{nc} = 3,4-4,6$, водорода $G_{H_2} = 5,7$, углеводородов (C_2-C_8) $G_y = 1,0$, двойных связей (транс-виниленовых) $G_{C=C} = 2,2$; в случае II $G_{H_2} = 5,4$, $G_{C=C} = 2,2$; в случае III $G_{nc} = 3,1$, $G_{H_2} = 4,3$, G_y (C_1-C_8) = 0,5, $G_{C=C} = 1,9$. Предложена следующая схема процессов, приводящих к образованию поперечных связей при облучении углеводородов: $-CH_2CH_2CH_2- \rightarrow -CH_2\dot{C}HCH_2- + H\cdot$, атом H отрывает водород от ближайшего к нему углеродного атома $-CH_2CH_2CH_2- + H\cdot \rightarrow -CH_2CHCH_2- + H_2$, рекомбинация двух полимерных радикалов приводит к образованию поперечных связей. На основании полученных данных о составе газообразных продуктов и строении концевых группировок, образующихся при облучении II и III, высказано предположение, что при радиолитическом разрыве этих соединений не происходит разрыва связей C—C в главной цепи.

А. П.

78351. Высокомолекулярные стабильные свободные N-полирадикалы, возникающие при реакции α, α' -дифенил- β -пикрил — гидразила с высокомолекулярными веществами под действием γ -излучения. Хенглейн, Бойзен (Makromolekulare stabile freie N-Poly-Radikale aus der Reaktion des α, α' -Diphenyl- β -pikryl-hydrazyls mit makromolekularen Stoffen unter Einfluß von Gamma-Strahlen. Henglein Arnim, Boyesen Martin), Makromolek. Chem., 1956, 20, № 1, 83—85 (нем.)

Кинетические исследования деструкции поливинилацетата, полиметилметакрилата и полистирола в p -ре C_6H_6 , содержащем α, α' -дифенил- β -пикрилгидразил (I), под действием γ -излучения в отсутствие O_2 (определялось кол-во I, вошедшее в полимер) приводят авторов к выводу, что причинами деструкции являются как непосредственное возбуждение макромолекул вторичными электронами, так и передача им энергии возбуждения от молекулы r -ителя. Интенсивность деструкции полимеров уменьшается в перечисленном выше порядке. Полимеры приобретают желтую окраску, не исчезающую при многократном пересаживании, переходящую в фиолетовую при окислении посредством PbO_2 в $CHCl_3$ и восстанавливающуюся снова при действии гидрохинона. На основании спектроскопич. и хим. исследований авторы считают окрашенные полимеры продуктами присоединения высокомолекулярных радикалов к бензольному кольцу α -N-атома I (РЖХим, 1956, 25896), а продукты окисления их посредством PbO_2 — стабильными высокомолекулярными поли-N-радикалами.

Р. М.

78352. Деградация полимеров в растворе под действием γ -излучения. Шапиро, Дюрю, Фокс, Мага (Degradations des polymères en solutions sous l'action des rayons. Chapiro A., Durup J., Fox M., Magat M.), Ricerca scient., 1955, 25, Suppl., 207—221 (франц.; рез. англ., нем., итал.)

Деградация разб. p -ров полистирола в $CHCl_3$ под действием γ -излучения (Co^{60}) в присутствии воздуха исследовалась вискозиметрически. Число осколков, вычисленных теоретически из характеристик. вязкости (РЖХим, 1955, 16106) пропорционально дозе излучения и для данных доз не зависит от интенсивности (8—300 рентген/мин). Скорость дегградации пропорциональна конц-ии p -ра и не зависит от исходного мол. веса (10^5-10^6). Авторы наблюдали падение вязкости после облучения (эффект последствия). Исследовано также влияние в-в, ингибирующих как процесс, происходящий при облучении, так и эффект последствия, а также в-в, ингибирующих только дегградацию при облучении. В отсутствие O_2 скорость дегградации очень мала.

Р. М.

78353. Характеристическая вязкость и степень сшивания политаена, облученного электронами с энергией 31 Мэв. Мусса (Variazioni di viscosità intrinseca e gradi di reticolazione indotti nel politene irradiato con elettroni da 31 MeV. Mussa I. V. Carlo), Ricerca scient., 1956, 26, № 4, 1177—1182 (итал.; рез. англ., нем., франц.)

Исследовано действие быстрых электронов (31 Мэв) на различные образцы политаена и показано, что данные о степени сшивания, полученные из измерений кол-ва и характеристик. вязкостей растворимых фракций, хорошо согласуются с данными о средневесовых мол. весах исходных полимеров.

А. П.

78354. Реакция озона с натуральным и бутадиенил-нитрильным каучуками. Кендалл, Манн (Reaction of ozone with natural hevea and acrylonitrile-butadiene rubbers. Kendall F. H., Mann J.), J. Polymer. Sci., 1956, 19, № 93, 503—518 (англ.; рез. франц., нем.)

Изучалось действие O_3 на нерастянутые пленки из НК толщиной 40—200 А, мономолекулярные пленки бутадиенил-нитрильного каучука, полученные на поверхности воды, и на нерастянутые вулканизаты этих каучуков. При экспозиции вулканизатов в воздухе с 0,01% O_3 наблюдается потуснение и потеря прозрачности. При экспозиции вулканизатов в воздухе с 0,4% O_3 в течение 3 час. в ИК-спектрах появляется широкая полоса при 3000 cm^{-1} (группы OH) и при 1720 cm^{-1} (карбонильные группы). В присутствии неозона эти полосы не появляются. Интенсивность полосы при 840 cm^{-1} (группа $-C(CH_3)=CH-$) в процессе озонирования уменьшается. Возникновение карбонильных групп при озонировании объясняется распадом озонида по месту двойной связи с образованием альдегида (или кетона) и перекисного бирадикала. Возникновение гидроксильных групп объясняется протеканием цепной r -ции с отщеплением атома Н α -метиленовой группы и участием молекулярного O_2 . Ингибиторы окисления не предотвращают растрескивания, но ингибируют r -цию, приводящую к возникновению гидроксильных групп, т. е. последняя r -ция не является ответственной за растрескивание.

И. Т.

78355. Ингибирование окисления вулканизатов в процессе набухания. Новикова Е. Н., Коллонд. ж., 1956, 18, № 2, 227—232

Изучалось влияние аминов и фенолов на степень набухания вулканизатов из НК, СКБ или СКН-26, не наполненных или наполненных газовой сажой, в дипентене при 20° весовым методом. Степень набухания после 6 и 29 дней уменьшается при наполнении, введении ZnO , а также в зависимости от типа каучука в ряду: НК—СКБ—СКН=26. Ингибиторы окисления снижают степень и скорость набухания, причем в случае вулканизатов НК и СКБ эф-

фективность действия ингибиторов уменьшается в ряду: неонзон D > пирогаллол > пирокатехин > о-толуидин, а в случае вулканизаторов СКН-26 в ряду: пирогаллол > пирокатехин > неонзон D > β-нафтиламин. Действие ингибиторов объясняется ингибированием окисления каучука, а также их влиянием на межмолекулярное взаимодействие вследствие блокирования полярных групп каучука.

И. Т. 78356. Некоторые аспекты поликонденсации. Флори (Quelques aspects de la polycondensation. Flory P.), Colloq. internat. Centre nat. rech. scient., 1955, 57, 33—36 (франц.)

78357. Химия поликонденсированных смол. Имото, Оива, Хуан, Цин-юнь (高分子化学. ポリ縮合樹脂の化学. 井本珍, 大谷正芳, 黄雲雲), 化學, Кагаку, Chemistry (Kyoto), 1955, 10 № 9, 10—14 (япон.)

78358. Теоретический анализ кинетики полимеризации N-карбокси-α-аминокислот. Катчальский, Шалитин (Theoretical analysis of the polymerization kinetics of N-carboxy-α-amino acid anhydrides. Katchalski Ephraim, Shalitin Yechiel, Gehatia Mataiah), J. Amer. Chem. Soc., 1955, 77, № 7, 1925—1934 (англ.)

На основании предложенного ранее (РЖХим, 1956, 61679) механизма полимеризации ангидридов N-карбокси-α-аминокислот выведены уравнения для скоростей полимеризации и образования CO₂ для распределения по мол. весам и для средней степени полимеризации растущих цепей (оканчивающихся на аминогруппу) и неактивных пептидных цепей (содержащих на конце карбоксильную группу). Рассмотрены различные частные случаи.

А. П. 78359. О механизме и кинетике полимеризации ε-капролактама в присутствии воды. Сообщение 5. Измерение кинетики образования поли-ε-капролактама в нейтральной среде. Вилот, Дитрих (Über den Mechanismus und die Kinetik der ε-Caprolactam-Polymerisation in Gegenwart von Wasser. 5. Mitteilung. Messungen zur Kinetik der Bildung des Poly-ε-Caprolactams in neutralem Medium. Wiloth Fritz. 6. Mitteilung: Messung der elektrischen Zeitfähigkeit während der Polymerisation von ε-Caprolactam in neutralem Medium. Wiloth Fritz, Dietrich Werner. 7. Mitteilung. Die Bildung des Poly-ε-caprolactams als Kondensationspolymerisation, eine reaktionskinetische Analyse von Versuchsdaten. Wiloth Fritz), Kolloid-Z., 1955, 143, № 3, 129—144; 144, № 1—3, 58—74 (нем.)

Сообщение 5. Исследована кинетика термич. полимеризации ε-капролактама (I) при 220° в присутствии 0,01—0,08 моля H₂O и 0,01 моля ε-аминокапроновой к-ты (II) на 1 моль I. Степень полимеризации определялась методом титрования конечных групп кондуктометрически и потенциометрически. Параллельно измерялась вязкость р-ром поли-ε-капролактама в HCOOH. В присутствии H₂O зависимость глубины и степени полимеризации от времени выражается S-образными кривыми с отчетливо выраженным индукционным периодом, в присутствии II указанная зависимость выражается монотонными кривыми, вогнутыми к оси абсцисс. Зависимость числа конечных групп от времени в присутствии H₂O проходит через максимум, который с повышением конц-ии H₂O становится выше и уже и смещается в область малых времен. В присутствии II число конечных групп в начале р-ции значительно выше, чем в присутствии такого же кол-ва H₂O. При достаточно долгом времени глубина полимеризации достигает одинакового значения как в присутствии разных дозировок H₂O, так и II.

Сообщение 6. Измерялась электропроводность реакци-

онной массы в процессе полимеризации I. Кондуктометрич. и аналитич. методы дают совпадающие результаты по определению числа конечных групп до больших времен р-ции (3,5 часа), после чего резкое возрастание вязкости реакционной массы снижает результаты, определенные методом электропроводности. Преимуществом последнего метода является возможность непрерывных измерений без отбора проб.

Сообщение 7. Термическая полимеризация I в присутствии H₂O рассматривается как совокупность процессов конденсации ε-аминокапроновой к-ты, образующейся при гидролизе I, ступенчатой полимеризации I и р-ции между линейными макромолекулами с переносом амидной связи. Сформулированы дифференциальные уравнения для каждой стадии процесса. Кинетич. анализ эксперим. данных (Сообщение 5) показывает, что в области больших времен р-ции наблюдается удовлетворительное совпадение теории с опытом. Ниже максим. значения числа цепей возникают отклонения теории от опыта, которые объясняются тем, что значения кинетич. констант сильно изменяются в связи с резким изменением вязкости среды в процессе р-ции. Сообщение 4 см. РЖХим, 1956, 71870.

И. Т. 78360. О сшивании линейных полиэфиров с помощью эпиксидных соединений. Рейххерцер, Роснер (Über die Vernetzung linearer Polyester mittels Epoxydverbindungen. Reichherzer R., Rosner R.), Osterr. Chem.-Ztg., 1956, 57, № 9—10, 126—128 (нем.)

Полиэфир, полученный конденсацией эквивалентных кол-в адипиновой к-ты (I) и 1,4-бутандиола (II), нагревали сначала с I при 180°, вследствие чего увеличивалось содержание карбоксильных групп в полимере, а затем — с диэпиксид-1,4-бутилэфиром (III) при 125° (введение в полимер эпиксид-групп). При нагревании обработанного таким образом полимера с ангидридом янтарной к-ты при 180° образуются поперечные связи в результате р-ции между ангидридом и эпиксидными группами. III получен нагреванием смеси II и эпихлоргидрина в бензоле в присутствии BF₃ с обработкой продукта р-ции конц. р-ром КОН.

А. П. 78361. Фенолформальдегидные смолы. XXXII. Синтез полиоксиметилфенолов и анализ резоловых компонентов при помощи бумажной хроматографии. Ямада, Ки (ホルムアルデヒド・石炭酸樹脂に関する研究. 第32巻. ポリメチロールフェノール類の合成及びベーパークロマトグラフィーによるレゾール構成成分の決定. 山崎太郎). 工業化学雑誌, Koré какаку дзасси, J. Chem. Soc. Japan. Industr. Chem. Sec., 1954, 57, № 4, 307—309 (япон.); J. Inst. Polytechn. Osaka City Univ., 1953, с 4, № 2, 257—262 (англ.)

2,4-диоксиметилфенол (т. пл. 92—93°) синтезирован из м-ксилола через диметил-4-ацетоксизофталат с последующим восстановлением с помощью LiAlH₄. 2,6-диоксиметилфенол (т. пл. 94—96°) получен подобным образом через диметил-2-ацетоксизофталат или восстановлением 2,6-диоксиметил-4-бромфенола при помощи Na и жидкого NH₃. 2,4,6-триоксиметилфенол (т. пл. 76—78°) получали восстановлением триэтилэтокситримезата при помощи LiAlH₄. Эти в-ва идентифицированы сравнением их бумажных хроматограмм с хроматограммой резоло, полученного при р-ции 1 моля C₆H₅OH с 2 молями HCHO в присутствии MgO (распределитель р-ритель — смесь C₆H₆, CH₃COOH и H₂O, 6 : 4 : 1). Сообщение XXXI см. РЖХим, 1956, 51019.

Chem. Abstr., 1955, 49, № 6, 4326.

К. I. 78362. Химическая структура ацетицеллюлозы. I. Жербо (Sur la structure chimique des acétates de cellulose. I. Gerbaux R.), Bull. Soc. chim. belges, 1956, 65, № 3-4, 270—290 (франц.)

В смесях метилглюкозида с C₂H₅OH (5—35%) определялась вязкость вторичных ацетицеллюлоз (I) с разным содержанием групп OH. Вязкость определялась в виско-

зиметрах Убеллоде при конц-ии 1 2—5%. Все изученные I по характеру изменения вязкости с ростом процента C_6H_5OH в смеси р-рителей могут быть разделены на 2 группы: а) вязкость непрерывно поднимается с ростом процента C_6H_5OH в смеси р-рителей и б) вязкость проходит через минимум при составе смеси $\sim 85 : 15$. Такое же явление наблюдается для ацетобутиратов целлюлозы и для ацетокарбаматов. Для всех I и их производных (содержание ацильных групп от 2,65 до 2,95 на 1 глюкозный остаток) были определены: общее содержание групп OH, содержание первичных групп OH и, по разности, содержание вторичных (гликолевых) групп OH. Оказалось, что I, полученные медленным ацелированием, отличаются повышенным содержанием вторичных групп OH сверх наиболее вероятного кол-ва по расчетам Паркса и имеют кривые вязкости с минимумом при содержании 15% спирта в смеси р-рителей. Наоборот, I, содержащие меньшее кол-во гликолевых групп-OH, имеют кривые, характеризующие непрерывный рост вязкости с увеличением содержания спирта в смеси р-рителей. Высказано предположение, что кривые с минимумом вязкости являются признаком неравномерного распределения групп OH по длине макромолекул. Значительное кол-во групп OH распределено по концам цепей, из-за чего в р-ре между группами OH возникают водородные связи. При наличии определенного кол-ва полярного р-рителя в смеси (спирта) эти связи между макромолекулами слабеют и вязкость уменьшается. При дальнейшем увеличении кол-ва спирта в смеси происходит вновь увеличение вязкости р-ра, так же как у «нормальных» I с равномерным распределением групп OH по длине цепи.

А. П.

78363. Влияние состава гидратов едкого натра на рентгенограммы различных натронных целлюлоз. Бартунек (Über den wechselnden Gehalt der Natronlauge an NaOH-Hydraten und die Ausbildung verschiedenartiger Röntgendiagramme von Natronzellulosen. Bartunek Richard, Kolloid-Z., 1956, 146, № 1—3, 35—44 (нем.).)

Различным гидратам NaOH соответствуют различные натронные целлюлозы: натронная целлюлоза I (7 H_2O на 1 NaOH, 23% NaOH), натронная целлюлоза II (2 H_2O на 1 NaOH, 52, 6% NaOH) (эта форма образуется только при 60—100° и высокой конц-ии мерсеризационной щелочи), натронная целлюлоза III ($\sim 4 H_2O$ на 1 NaOH, 40% NaOH), натронная целлюлоза IV — гидратцеллюлоза, не содержащая гидратов NaOH, но содержащая ионы Na^+ (при конц-ии NaOH ниже 8%) и натронная целлюлоза V (5 H_2O на 1 NaOH), образующаяся при т-ре $< 0^\circ$ и 30,8% NaOH. За исключением натронной целлюлозы IV остальные натронные целлюлозы являются производными дигидратов. При увеличении конц-ии щелочи целлюлоза набухает, причем на кривой набухание — конц-ия NaOH имеет несколько максимумов, точно соответствующих различным гидратам NaOH и натронным целлюлозам I, II, III, V.

А. П.

78364. Взаимодействие этиленimina с целлюлозой и гидроксизетилцеллюлозой. Монтгюде (Sur la réaction entre l'éthylène-imine et la cellulose ou l'hydroxy-éthylcellulose. Montgudet Gilles, C. r. Acad. sci., 1956, 242, № 16, 1998—2000 (франц.).)

Так как при pH $< 2-3$ происходит полимеризация этиленimina, то с целлюлозой или ее производными р-ция должна производиться при pH $\sim 4,5$, т. е. в условиях, когда целлюлоза мало набухает. Показано, что в этих условиях ни целлюлоза, ни гидроксизетилцеллюлоза с этиленимином не реагируют, и азот, найденный в продуктах р-ции, содержится в полиэтиленiminaх, отсутствующих в целлюлозе. Эти продукты постепенно вымываются из целлюлозы водой, и содержание азота падает до нуля. Выражается сомнение в возможности непосредственного реагирования этиленimina с целлюлозой и прямого введения в целлюлозу аминэтильных групп.

А. П.

78365 Д. Изучение зависимости между распределением по молекулярным весам и механическими свойствами поливинилового спирта. Леви (A study of the relation between molecular weight distribution and mechanical properties of polyvinyl alcohol. Levi David Winton. Doct. diss., Virginia, Polytechn. Inst., 1954), Dissert. Abstrs, 1955, 15, № 9, 1505 (англ.).)

При исследовании механич. свойств различных образцов пленок из поливинилового спирта, обладающих разным распределением по мол. весам (M), найдено соотношение: $T = (8200 - 10^{6,97 - 0.0047 P_m}) + (2,786 \cdot 10^6 \times H^{4,767} - 1000) + (1450 - 10,4 B)$, где T — растягивающее усилие на пленку, P_m — степень полимеризации в максимуме дифференциальной кривой распределения M , H — высота этого максимума, B — площадь отклонения от нормального распределения M . При $H > 0,190$ 2-й член опускается, а при $B = 0$ — третий. Это соотношение, выраженное графически, хорошо соблюдается при небольшой степени полимеризации для поливинилового спирта, нитроцеллюлозы, ацетилцеллюлозы и поливинилацетата.

Н. П.

78366 Д. Полиамиды из α -аминокислот. Кёниг (Polyamides from α -amino acids. Koenig Paul Edward. Doct. diss., State Univ. Iowa, 1955), Dissert. Abstrs, 1955, 15, № 8, 1312 (англ.).)

78367 Д. Применение внутрикомплексных мономеров для изучения реакции полимеризации. Аспи (Chelated monomers for polymerization studies. Aspi Stacy Alan. Doct. diss., Univ., Illinois, 1955), Dissert. Abstrs, 1955, 15, № 11, 2008 (англ.).)

См. также разделы: Каучук натуральный и синтетический. Резина и Синтетические полимеры. Пластмассы и рефераты: Физ. св-ва высокополимеров 77581. Кинетика и механизм полимеризации 77601, 77602. Природн. высокомогл. в-ва 22772, 23312

АНАЛИТИЧЕСКАЯ ХИМИЯ

ОБЩИЕ ВОПРОСЫ

78368. Современные методы химико-аналитического контроля в заводских лабораториях. Клячко Ю. А. В сб.: Соврем. методы испытаний материалов в машиностроении. М., Машгиз, 1956, 125—140
Обзор состояния химико-аналитического контроля производства. Библ. 29 назв.

В. С.

78369. Уточнение к вопросу обработки результатов химического анализа. Оницю (Precizări privind prelucrarea rezultatelor analizei chimice. Onițiu F. I., Rev. chim. 1955, 6, № 10, 553—554 (рум.).)

Автор согласен с опубликованными ранее критич. замечаниями (РЖХим, 1956, 51035) по поводу статьи Литяну К., «Обработка результатов хим. анализа и любого определения вообще» (РЖХим, 1956, 25900) и указывает, что Литяну К. допустил в статье ряд неточностей, в том числе в отношении понятий «точность метода» и «точность результата».

М. Б.

78370. Гидроксид тетрабутиламмония в качестве титрующего реактива для кислот в неводных растворах. Кандифф, Маркунас (Tetrabutylammonium hydroxide as titrant for acids in nonaqueous solutions.

Cundiff Robert H., Markunas Peter C.), *Analyst. Chem.*, 1956, 28, № 5, 792—797 (англ.)

Гидроокись тетрабутиламмония (I) получают обработкой иодистого тетрабутиламмония в метаноловом или этаноловом р-ре избытком окиси серебра. В качестве титрующего реактива используют 0,1 н. р-р I в смеси бензола с метанолом с отношением компонентов 10 : 1. Р-рителем для титруемых к-т служит пиридин (II) или диметилформамид (III), причем при использовании первого получают более устойчивые потенциалы индикаторного электрода (ИЭ) при потенциометрич. титровании. В качестве ИЭ применяют стеклянный электрод, в качестве электрода сравнения — каломельный электрод, в который вместо водного вводят насыщ. метаноловый р-р KCl. Поскольку р-рителем обычно содержат кислотные загрязнения, введение поправки на контрольный опыт является обязательным. Потенциометрич. титрование с успехом использовано для колич. определения р-ров фенола, α -толуолтиола, салицилальдоксима, имида янтарной к-ты, ацетилацетона и 2-меркаптобензотиазола в II. Р-ры ди- и триоксисбензолов в II или III титруются р-ром I как одноосновные к-ты. Р-ры м- и п-оксисбензойных к-т в II титруются как двухосновные к-ты, а о-оксисбензойная к-та ведет себя как одноосновная. На кривых потенциометрич. титрования р-ров серной и янтарной к-т в II обнаруживаются 2 очень четко выраженные точки перегиба, что дает возможность раздельно оттитровать каждый эквивалент этих к-т. При титровании р-ра этилендиаминтетрауксусной к-ты в III, а также р-ров лимонной или фосфорной к-т в II наблюдаются 3 перегиба. Четко выражены перегибы и при титровании смесей сильной, слабой и очень слабой к-т, что дает возможность их определения при одновременном присутствии. С хорошими результатами применяются также визуальное титрование р-ром I. В качестве индикатора при титровании слабых одноосновных к-т применяют р-р 0,3 г тимолового синего в 100 мл изопропилового спирта. Слабые двухосновные к-ты и очень слабые к-ты титруют по азофиолетовому, который применяют в виде насыщ. бензольного р-ра. Н. П.

78371. К вопросу титрования кислот в безводном пиридине. Вацек, Крачмар (Přspěvek k titracím kyselín v bezvodém pyridinu. Vacek Jan, Kráčař Josef), *Českosl. farm.*, 1956, 5, № 2, 80—84 (чеш.; рез. рус., англ., нем.)

Описан метод определения различных лекарственных средств при помощи титрования их р-ров в безводном пиридине (~0,13% воды) 0,1 н. метилатом натрия (3 г Na растворяют в 50 мл безводн. CH_3OH и прибавляют 75 мл CH_3OH и 750 мл безводн. бензола). Титрования производят в атмосфере, свободной от CO_2 , в присутствии 0,2%-ного р-ра фенолфталеина в CH_3OH , за исключением определения Са-соли N-бензоил-L-аминосалициловой к-ты (I), в случае которой применяют 0,2%-ный р-р фенолового красного. Для титрования берут 50 мг пробы. Точность определения I составляет +5%; Са-солей салициловой и ацетилсалициловой к-т $\pm 0,3\%$. Люминал можно титровать прямо в смесях с кофеином, а также экстрактом белладонны или валерианы. Холевая к-та может быть определена в смеси с уротропином. Приведен анализ хлористоводородного кокаина, салицилата физостигмина, сульфата атропина, хлористоводородных коденна, оксикоденнона и пилокарпина, нитрата пилокарпина, бромистоводородного скополамина, сульфатамида (сульфапила), сульфанилкарбамида (урсульфана), сульфизоксазола, а также L-аминосалициловой, изоникотиновой, фенилцинонниновой, пикриновой и сульфаниловой к-т. Погрешность определений $\pm 0,3\%$. Результаты анализов сравнены с титрованиями в диметилформамиде, а также в бензоле или смеси бензола с CH_3OH . Н. Т.

78372. Замена H_2S и $(\text{NH}_4)_2\text{S}$ органическими сульфидами при качественном анализе. II. Блумендал, Веркамп (Vervanging van H_2S en $(\text{NH}_4)_2\text{S}$ bij de

kwalitatieve analyse door organische sulfiden. II. Bloemendal H., Veerkamp Th. A.), *Chem. weekbl.*, 1955, 51, № 53, 943—945 (голл.)

Обсуждение преимуществ и недостатков тиоацетамида, предложенного в качестве заменителя H_2S и $(\text{NH}_4)_2\text{S}$ в качественном анализе. Продолжение дискуссии с автором опубликованной ранее статьи (РЖХим, 1956, 29268). Сообщение I см. РЖХим, 1953, 1954.

Т. Л. 78373. Физико-химический анализ систем, имеющих значение в аналитической химии. XXV. Исследование соосаждения сульфатов щелочных металлов с BaSO_4 . Тананаев И. В., Ульянов А. И., Тр. Комис. по аналит. химии АН СССР, 1956, 7(10), 3—20

Предлагаемая методика изучения соосаждения позволяет максимально приблизиться к равновесию в системе осадок — р-р и обеспечивает постоянство конц-ии соосаждаемого в-ва, несмотря на изменения объема во время опыта. В стакан с р-ром соосаждаемой соли, помещенный в термостат, при помешивании стеклянной мешалкой со скоростью 250 об/мин одновременно вводят из бюреток эквивалентные кол-ва 0,2 М р-ров $\text{Ba}(\text{OH})_2$ и H_2SO_4 , а также такой объем более конц. р-ра соосаждаемого сульфата щел. металла (M_2SO_4), который необходим для поддержания постоянной конц-ии M_2SO_4 в сосуде, где производится осаждение. Приливание р-ров длится ~10 мин., после чего смесь перемешивают еще 30 мин., центрифугируют осадок, промывают его центрифугатом и высушивают до постоянного веса сначала при 110, а затем при 200—240°. По потере веса при высушивании определяют кол-во воды, а следовательно, и кол-во маточного р-ра, оставшегося с осадком. Выпариванием центрифугата и взвешиванием остатка определяют конц-ию маточного р-ра и, таким образом, находят вес M_2SO_4 , увлеченного маточным раствором. Вычитая этот вес и вес чистого BaSO_4 из веса загрязненного осадка, высушенного при 200—240°, находят кол-во соосажденного M_2SO_4 . Величина соосаждения растет с конц-ией M_2SO_4 в р-ре, причем по убывающей соосаждаемости в вес. % соли исследованных М образуют следующий ряд: $\text{K} > \text{Rb} > \text{Cs} > \text{Na} > \text{NH}_4 > \text{Li}$. Наиболее соосаждаемый K_2SO_4 (из 8,80%-ного р-ра K_2SO_4 осадок BaSO_4 захватывает при 25° 4,85 вес. % K_2SO_4) имеет из всех исследованных сульфатов М наименьшую растворимость. Захват M_2SO_4 авторы связывают с образованием твердых р-ров и доказывают это предположение следующими фактами: 1) после промывки осадка водой большая часть соосажденного K_2SO_4 удерживается BaSO_4 , 2) показатель преломления BaSO_4 с соосажденным K_2SO_4 меньше, чем для чистого BaSO_4 , 3) объем осадка BaSO_4 с соосажденными K_2SO_4 или Li_2SO_4 , как правило, закономерно увеличивается с конц-ией соосаждаемых сульфатов в р-ре. Сообщение XXIV см. РЖХим, 1955, 29089.

Н. П. 78374. Изучение соосаждения с применением оксалата тория в качестве носителя. Колл (Cocprecipitation studies with thorium oxalate as carrier. Kall Harold Lee), *Dissert. Abstr.*, 1955, 15, № 12, 2403—2404 (англ.)

Изучено соосаждение $\text{Mn}(2+)$, $\text{La}(3+)$ и $\text{Ti}(4+)$ с $\text{Th}(\text{C}_2\text{O}_4)_2$ из гомог. р-ра. $\text{Th}(\text{C}_2\text{O}_4)_2$ осаждался в процессе гидролиза диметилосалата. Установлено, что вместе с $\text{Th}(\text{C}_2\text{O}_4)_2$ соосаждается $< 1\%$ Ti (при значительном начальном пересыщении—4% Ti), $< 2\%$ Mn (опыты вели с радиоактивным Mn). При осаждении $> 50\%$ Th соосаждалось небольшое кол-во La (при опытах употребляли La^{140}). Вычислены коэфф. гетерог. и гомог. распределения. При осаждении $> 95\%$ Th $(\text{C}_2\text{O}_4)_2$ имело место гетерог. распределение. Установлена частичная растворимость $\text{Th}(\text{C}_2\text{O}_4)_2$ в р-рах солей аммония. Для полноты осаждения $\text{Th}(\text{C}_2\text{O}_4)_2$ рекомендуется добавлять редкоземельные элементы, служащие коллекторами.

Т. Л. 78375. Применение обменных реакций осаждения в аналитической химии. I. Баньян, Эрдэн (Anwendung von Fällungsaustauschreaktionen in der analytischen

Chemie. I. Bányaei É., Erdey L.), Acta chim. Acad. sci. hung., 1956, 8, № 4, 383—394 (нем.; рез. русс., англ.)

Обменные р-ции осаждения (ОРО) сводятся к необратимому обмену ионов труднорастворимого в-ва на другие ионы из р-ра, приводящему к образованию еще менее растворимого в-ва. Возможность использования ОРО для аналитич. целей определяется величиной коэфф. превращения η , который представляет собой отношение конечной конц-ии вытесняемого из исходного осадка аниона $[Ox^*]_v$ к начальной конц-ии определяемого аниона $[A^*]_h$: $\eta = Y [Ox^*]_v / Z [A^*]_h$, где Y и Z — валентности Ox^* и A^* . Величина η определяется значениями произведений растворимости (ПР) обоих осадков ($L_{hm} Ox_n$ и $L_{hf} As$) и молярной конц-ией р-ра $[Ox^*]_v$:

$$\eta = Y [Ox^*]_v / \left[Y \left\{ [Ox^*]_v - \frac{n}{m} \sqrt{\frac{L_{hm} Ox_n}{[Ox^*]_v^n}} \right\} + z \sqrt{\frac{L_{Kf} As}{L_{Khm} Ox_n} \cdot [Ox^*]_v^{rn}} \right]$$

Если $ОРО Ag_2CrO_4 + 2Cl^- \rightleftharpoons 2AgCl + CrO_4^{2-}$ протекает в точном соответствии с этим стехиометрич. ур-нием, то $\eta = 1$ (100%). Однако, при изменении $[Cl^-]_h$ от 2 до 120 ммоль/л, η варьирует от 103,14 до 99,98%. Отрицательные ошибки определения означают неполноту превращения Ag_2CrO_4 в $AgCl$ и определяются в основном соотношением ПР обоих осадков. Положительные ошибки определяются собственной растворимостью осадка, обменивающего с р-ром свои анионы (в данном случае Ag_2CrO_4). Растворимость осадка — ионообменителя зависит от ионной силы р-ра, константы диссоциации соответствующей к-ты и в особенности от pH р-ра. Математич. ф-ла для учета влияния pH р-ра на растворимость ионообменителя и величину η приводится. Подкисляя р-р и тем самым увеличивая растворимость ионообменителя, элиминируют отрицательные ошибки определений с помощью ОРО. Н. П.

78376. Титановый желтый как адсорбционный индикатор для меркурометрии. Воробейчиков В. А., Завод. лаборатория, 1956, 22, № 6, 645—648

При меркурометрич. определении галогенидов в качестве индикатора применим краситель титановый желтый (I); при титровании Cl^- и Br^- I ведет себя как адсорбционный индикатор; изменение окраски обратимо. I применяли в форме 0,2%-ного р-ра аммонийной соли. Резкость окраски при титровании Cl^- увеличивается при добавлении р-ра декстрина (2 мл 2%-ного р-ра на 10 мл титруемого р-ра Cl^-). Добавление C_2H_5OH ($\geq 50\%$) при титровании Cl^- и Br^- увеличивает резкость перехода окраски (окраска осадка переходит из желтой в розовую) и ее яркость. При титровании 10—100 мл р-ров 0,1 или 0,025 н. р-рами $Hg_2(NO_3)_2$ на 10 мл титруемого р-ра вводили 2—3 капли 0,2%-ного р-ра I и 1 каплю 0,1%-ного водн. р-ра кристаллич. фиолетового (для уменьшения интервала промежуточных цветов). В присутствии H_2SO_4 и HNO_3 переход окраски менее резок и наступает с опозданием; при конц-ии $HNO_3 > 0,5$ н. или $H_2SO_4 > 0,2$ н. титрование невозможно. Присутствие CH_3COOH влияет благоприятно; конец титрования отчетлив; в конц. р-рах CH_3COOH результаты завышены (на $\leq 2\%$). Более 0,1% солей Ca , солей $NaCO_3$ и H_2PO_4 мешают; рекомендуется добавлять $\geq 50\%$ CH_3COOH или C_2H_5OH ; погрешность $\leq +5\%$. При титровании Br^- солевая ошибка больше,

чем при титровании Cl^- . Титрование J^- вообще невозможно. Описанный метод применен для массовых анализов р-ров SO_3 в хлорсульфоновой к-те. Т. Л.

78377. Изучение фенил-2-оксина и его внутрикомплексных соединений. III. Получение и свойства фенил-2-оксинатов. Бокке, Пари (Étude de la phényl-2 oxine et de ses chélates III. Préparation et propriétés des phényl-2 oxinates. Bocquet Georges, Paris René A.), Analyt. chim. acta, 1956, 14, № 3, 201—208 (франц.; рез. англ., нем.)

Изучены кривые потенциометрич. титрования кислот р-ров, содержащих 2-фенил-8-оксикинолин и катионы металлов, р-ром $NaOH$ в разбавл. спирт. среде. Путем термогравиметрич. анализа установлено число молекул воды и области стабильности для гидратов и безводн. соединений Al^{3+} , Ni^{2+} , Co^{2+} , Zn^{2+} , Cd^{2+} , Cu^{2+} , Mn^{2+} , Hg^{2+} , Pb^{2+} , Fe^{3+} и Mo . Полученные результаты сравнены с данными исследования оксинатов и метил-2-оксинатов. Сообщение II см. РЖХим, 1956, 64576. М. П.

78378. Применение внутрикомплексобразующих соединений. Эйкен (Applications of chelating agents. Aiken J. K.), Industr. Chemist, 1956, 32, № 372, 3—7 (англ.)

Обзор применения соединений металлов с этилендиаминтетрауксусной к-той. Библ. 40 назв. А. Б.

78379. Неорганические комплексы в объемном анализе. Часть II. Использование фосфатного комплекса трехвалентного железа для определения иодида. Раманджанеюлу, Шукла (Inorganic complexes in volumetric analysis. Part II. Use of ferric phosphate complex in the estimation of iodide. Ramanjaneulu J. V. S., Shukla B. K.), Z. analyt. Chem., 1956, 151, № 1, 34—36 (англ.)

Установлено, что вместо оксалатного комплекса $Fe(3+)$, используемого для определения J^- (Сообщ. I, РЖХим, 1956, 75345), можно применить фосфатный комплекс $Fe(3+)$. Небольшое кол-во оксалата добавляют лишь для ускорения р-ции между $H_2C_2O_4$ и HJ . Б. Т.

78380. Комплексометрический объемный анализ. Херберли (Komplexometrische Maßanalyse. H e r b e r l i), Chemiker-Ztg, 1956, 80, № 11, 338—343 (нем.; рез. франц., англ., итал.)

В обзоре рассмотрены общие основы комплексометрии, различные типы комплексометрич. титрования, указаны индикаторы и приведены общеизвестные примеры применения метода в металлургий, фармацевтич. анализе, в физиологич. лабораториях и для определения жесткости воды. Н. П.

78381. Технический анализ. Уэст (Analysis for industry. West T. S.), Industr. Chemist, 1956, 32, № 373, 82—83; № 374, 128—128 (англ.)

Обзор индикаторов для комплексометрич. титрования. Библ. 11 назв. В. С.

78382. Сульфатоцерат диэтилететраммония как объемный реактив. II. Метод с одноклористым иодом. Косвенные определения. Сингх, Сингх (Diethylene-tetra-ammonium sulphatocerate as volumetric reagent. II. Iodine monochloride method. Indirect determinations. Singh Balwant, Singh Surjit), Analyt. chim. acta, 1956, 14, № 5, 405—408 (англ.; рез. франц., нем.)

Сульфатоцерат диэтилететраммония (I) в присутствии 4—6 н. HCl применим как реактив для косвенного объемного определения KJO_3 , KJO_4 , $K_2C_2O_7$, $KBrO_3$, $Se(SO_4)_2$, H_2O_2 и хлорамина В. Избыток KJ , прибавляемый к каждому в-ву в кислой среде, оттитровывают стандартным р-ром $I. CHCl_3$, являющийся индикатором, окрашен во время титрования за счет J_2 в фиолетовый цвет и в конечной точке становится бледно-желтым за счет образования JCl . Сообщение I см. РЖХим, 1956, 75217. Ф. Л.

78383. Влияние некоторых щелочных агентов и pH на развитие и устойчивость окрасок, получаемых с помощью реактивов Вавеле, Фолина и Дени, Фолина и Кьокальте. Виньоли, Кристо, Пфистер (Influence de quelques agents d'alcalinisation et du pH sur le développement et la stabilité des colorations obtenues à partir des réactifs de Wavelet, de Folin et Denis, de Folin et Ciocalteu. Vignoli L., Cristau B., Pfister A.), Bull. Soc. pharmacie Bordeaux, 1955, 94, № spécial, 61—68 (франц.)

Изучено влияние различных щел. агентов (NaOH , Na_2CO_3 , NaHCO_3 , $(\text{NH}_4)_2\text{CO}_3$, Na_2HPO_4) на развитие и устойчивость синей окраски, получаемой восстановлением гетерополиоксидот. С тремя реактивами (фосфомолибдатом, фосфовольфрамомолибдатом и фосфовольфрамомолибдатом) можно получить устойчивые окраски в присутствии Na_2CO_3 при pH 6,1. Фосфовольфрамомолибдат (Folin O., Ciocalteu, J. Biol. Chem., 1927, 73, 627) дает значительно более устойчивую окраску, чем 2 других реактива. Фосфовольфрамат дает устойчивую окраску в более широком интервале pH, чем фосфомолибдат. Ф. Л.

78384. Аналитическое применение некоторых азокрасителей хромотроповой кислоты: объемные, весовые и спектрофотометрические определения. Датта (Analytical use of some azo dyes of chromotropic acids: volumetric, gravimetric and spectrophotometric determinations. Datta Sachindra Kumar), Naturwissenschaften, 1956, 43, № 11, 250—251 (англ.)

Азокраситель, полученный ранее описанным методом, взаимодействием сульфаниламида с хромотроповой к-той (Магидсон О., Рубиов М., Ж. общ. химии, 1940, 10, 756), образует с катионами Th (4+) и Zr (4+) окрашенные осадки, которые можно использовать для весового определения этих элементов. Кроме того, краситель дает окрашенный осадок с Fe^{3+} . Другие азокрасители, полученные взаимодействием хромотроповой к-ты с мононафтионовой, ди-нафтионовой, нитрозоафтионовой, 1-нафтиламин-5-сульфоновой, 1-нафтиламин-6-сульфоновой, 1-нафтиламин-8-сульфоновой, α -аминосалициловой к-тами и некоторыми другими N-содержащими к-тами, дают цветные р-ции с Zr (4+), Th (4+) и Fe (3+). Некоторые из этих р-ций использованы для спектрофотометрич. определения Th (4+) и Zr (4+). Кроме того, выполнены объемные определения этих элементов с применением азокрасителей хромотроповой к-ты, комплексона III и фтор-иона. Н. П.

78385. Хлорметилирование 8-оксихинолина. Фернандо, Лудекенс, Гнанасуриан (Chloromethylation of 8-hydroxyquinoline. Fernando Quintus, Ludekens W. L. W., Gnanasoorian K.), Analyt. chim. acta, 1956, 14, № 4, 297—299 (англ.; рез. нем., франц.)

К р-ру 8-оксихинолина в конц. HCl (7,3 г в 8 мл) прибавляют формальдегид (8 мл 37%-ного р-ра) и пропускают газообразный HCl 2—3 часа. Выход желтого кристаллич. хлоргидрата 7-хлорметил-8-оксихинолина (I) 60%; аналогично получают хлоргидрат 7-хлорметил-8-оксихинальдина (выход 58%). Методом порошкового рентгеноструктурного анализа определены межплоскостные расстояния для 12 наиболее интенсивных линий. Из I путем нейтр-ции получен 7-оксиметил-8-оксихинолин, а бромированием — 5-бром-7-бромметил-8-оксихинолин. 1%-ный водн. р-р I использован для изучения р-ций с Co^{2+} , Fe^{3+} , Ni^{2+} , Cd^{2+} , Zn^{2+} , Cu^{2+} , Mn^{2+} , Bi^{3+} , Ag^+ , Pb^{2+} , Al^{3+} , Ca^{2+} , Ba^{2+} , Mg^{2+} , Cr^{3+} , VO^{2+} и UO_2^{2+} . При pH 1 Fe^{3+} и VO^{2+} образуют с I зеленые внутрикомплексные соединения. При pH 4,6 (ацетатный буфер) Fe^{3+} , Co^{2+} , Ni^{2+} , Cd^{2+} , Zn^{2+} , Cu^{2+} , Mn^{2+} , Bi^{3+} , VO^{2+} , UO_2^{2+} , Ag^+ и Pb^{2+} образуют с I осадки или дают цветные р-ции. Миним. конц-ции при pH 1 соответствуют для Fe^{3+} 0,25; VO^{2+} 0,16; при pH 4,6 Co^{2+} 5,8,

Fe^{3+} 0,8, Ni^{2+} 5,8, Cd^{2+} 5,8, Zn^{2+} 6,6, Cu^{2+} 4,2, Pb^{2+} 5,8, VO^{2+} 0,16, UO_2^{2+} 2,5 γ/мл. Т. Л.

78386. К синтезу дипикриламины. Ощеповский В. В., Занько А. А., Науч. зап. Львовск. политехн. ин-та, 1956, № 22, 103—106.

Уточнен способ получения чистого дипикриламины, пригодного для аналитич. целей. В. С.

78387. 5,6-бензохиноальдиновая кислота как аналитический реактив. II. Определение титана. Маджумдар, Банерджи (5:6-benzoquinaldinic acid as an analytical reagent. II. Determination of titanium. Majumdar Anil Kumar, Banerjee Siddheswar), Analyt. chim. acta, 1956, 14, № 5, 427—429 (англ.; рез. франц., нем.)

5,6-бензохиноальдиновая к-та (I) полностью осаждает Ti^{4+} из р-ра при pH ≥ 3 . К 250 мл р-ра $\text{Ti}(\text{SO}_4)_2$, содержащего ~27 мг TiO_2 , прибавляют избыток 1%-ного спирт. р-ра I, кипятят, прибавляют 2 н. NH_4OH до pH 3—5 и выдерживают 20—30 мин. на горячей плитке. Осадок отфильтровывают, промывают горячим 1%-ным р-ром NH_4NO_3 , высушивают и прокалывают до TiO_2 . От Mg, щел-зем. и редкоземельных элементов Ti отделяют в присутствии 5 г NH_4Cl . В присутствии Th, Zr и Fe^{3+} к р-ру, содержащему Ti, прибавляют 10 г NH_4Cl , несколько мл 10%-ного р-ра комплексона III, несколько мл р-ра $\text{MgSO}_4 \cdot 7\text{H}_2\text{O}$ (10 г в 100 мл), р-р I до полного осаждения Ti, несколько капель смешанного индикатора (метилловый оранжевый + индикатор кармина) и разбавляют до 250 мл. Р-р кипятят, приливают к нему 2 н. NH_4OH до перехода окраски индикатора в зеленую, выдерживают 15 мин. на горячей плитке, фильтруют, промывают горячим 1%-ным р-ром NH_4NO_3 , прокалывают и взвешивают в форме TiO_2 . Отделение от Al невозможно ввиду его соосаждения с Ti. Сообщение I см. РЖХим, 1956, 1975. Ф. Л.

78388. Применение однохлористого нода в аналитической химии. II. Определение мышьяка, сурьмы и олова. Чигалик Я., Сб. чехосл. хим. работ, 1956, 21, № 1, 181—191 (рез. нем.)

См. РЖХим, 1956, 39839

78389. К вопросу о качестве индикаторов. Сообщение I. Сульфоталениновые индикаторы. Кошелева Г. Н., Тр. Всес. н.-и. ин-та хим. реактивов, 1956, вып. 21, 57—61.

Для определения действующего начала (ДН) сульфоталениновых индикаторов (СИ) рекомендуется колориметрически сравнивать окраски р-ров СИ с окраской р-ров стандартных СИ. Спектрофотометрич. определение достаточно точно, колориметрическое — много проще; погрешность его составляет 5%. Для очистки фенолового красного 42 г препарата растворяли в р-ре 15,4 г NaHCO_3 в 400 мл воды, фильтровали, к фильтрату при 75° добавляли HCl до кислотной р-ции (по конго). Осадок отфильтровывали, промывали водой и сушили при 120°. Препарат крезолового красного (7 г) растворяли в р-ре 2,5 г NaHCO_3 в 66 мл воды; к фильтрату при 70° добавляли HCl; осадок промывали водой и сушили при 120°. К препарату тимолового синего (50 г) добавляли 500 мл $\text{C}_2\text{H}_5\text{OH}$, 15 мин. кипятили, охлаждали, осадок сушили при 110°. 5 г препарата бромфенолового синего нагревали с 20 мл CH_3COOH , 30 мл ацетона и активированным (или животным) углем, из фильтрата отгоняли ацетон, выпавший индикатор отфильтровывали, промывали CH_3COOH и сушили при 120°. 5 г препарата бромкрезолового пурпурового растворяли в смеси из 20 мл CH_3COOH и 45 мл ацетона и далее вели очистку, как для бромфенолового синего. Бромкрезоловый зеленый и бромтимоловый синий очищали, как бромкрезоловый пурпуровый. Р-ры очист. индикаторов употребляли в качестве стандартных при определении ДН СИ. Опыты вели с фотоэлектроколориметром ФЭК-М1. Приведены кривые светопоглощения перечисленных индикаторов в водн. р-рах. Т. Л.

78390. О применении некоторых органических веществ в качестве восстановителей. Симон, Зыка (O použití některých organických látek jako redukto-metrických činidel. Simon Vladimír, Zýka Jago-slav), Chem. listy, 1956, 50, № 3, 360—363 (чеш.); Сб. чехосл. хим. работ, 1956, 21, № 3, 571—575, (нем.; рез. русс.)

В качестве восстановителей предложены 0,1 н. р-ры *п*-метиламинофенола (метола) (I), *п*-фенилендиамина (II) и *п*-аминофенола (III). Р-ры I и III подкисляли H_2SO_4 и титр устанавливали при помощи 0,1 н. р-ра $K_2Cr_2O_7$ с дифениламино в качестве индикатора или при помощи 0,1 н. $Ce(SO_4)_2$ с применением феррона. Установлено, что нормальность I не изменяется 2 месяца, изменение нормальности II и III через 3 недели весьма незначительно. Потемнение титрованных р-ров не оказывает влияния на их нормальность. Все определения выполнены потенциометрич. способом в тех же условиях, как при титровании р-ром гидрохинона (РЖХим, 1956, 54763). J_2 определяют в среде $NaHCO_3$ с помощью I. При применении 0,001 н. I возможно определить $\geq 20 \gamma J_2$. Активный Cl ($\geq 1 \gamma$) определяют при помощи всех реактивов в среде HCl или H_2SO_4 . BrO_3^- определяют при помощи III в 15%-ной HCl. Определены $Fe(CN)_6^{3-}$, $Cr_2O_7^{2-}$, VO_3^- и Ce^{4+} при помощи всех реактивов; лучшие результаты дал I. Более чем при 200-кратном избытке Fe его маскируют с помощью H_3PO_4 . Au^{3+} восстанавливается I и III при pH 6 и при 80° мгновенно и количественно до металла. II восстанавливает Au^{3+} до металла в среде 0,5—1%-ной HCl; при pH 6 наблюдают 2 скачка потенциала, соответствующих р-циям: $Au^{3+} \rightarrow Au^+$, $Au^+ \rightarrow Au$. Более чем при 10-кратном избытке Fe его маскируют фторидом. Ir не мешает до соотношения $Au:Ir = 1:1$ и Pt до соотношения $Au:Pt = 5:1$. Pd мешает. Соединения, замещенные в *м*- и *о*-положениях, не пригодны для титрования.

Jiří Horáček

78391. Титрование ионов серебра или йодида с применением обратимых адсорбционных окислительно-восстановительных индикаторов. II. Богнар, Надь (Az erüst-, illetve jodid-ion titrálása reverzibilis redoxszorpciós végpontjelzéssel. II. Bognár János, Nagy Lajos), Magyar kém. folyóirat, 1956, 62, № 2, 43—45 (венг.; рез. нем.); Acta chim. Acad. sci. hung., 1956, 10, № 1—3, 259—265 (англ.; рез. русс., нем.)

В качестве обратимого окислительно-восстановительного индикатора при титровании р-ров J^- или Ag^+ в присутствии небольшого кол-ва J_2 предложен патентованный голубой V (кислотный трифенилметановый краситель). Адсорбированный на AgI индикатор окисляется при наступлении конечной точки титрим. кол-вом J^+ или JON. Обратимый окислительно-восстановительный процесс происходит на поверхности осадка; в растворенном состоянии JON не окисляет красителя. При употреблении 0,1 н. титрованного р-ра конечная точка титрования совпадает с определенной потенциометрич. методом; необходимые при титровании J^- небольшое кол-во J_2 выделяется при добавлении I капли 0,1 н. р-ра KJO_3 ; при титровании Ag^+ добавляют I каплю спирт. 0,1 н. р-ра J_2 . Присутствие сильных неорганич. к-т и больших кол-в посторонних солей не мешает. Сообщение I см. РЖХим, 1956, 54745 Т. Л.

78392. Изучение экстракции комплексов металлов. XIII. Комплексообразование между четырехвалентным ураном и ацетилацетоном. Рюдберг, Рюдберг (Studies on the extratction of metal complexes. XIII. The complex formation between U (IV) and acetylacetone. Rydberg Jan, Rydberg Britta), Arkiv. kemi, 1956, 9, № 1, 81—94 (англ.)

Для выполнения экстракции в водн. фазе, находящейся в атмосфере аргона, добавляют $HClO_4$, $NaClO_4$, $U(4+)$, ацетилацетон (I) и необходимое для достижения желаемого pH

кол-во NaOH или $NaHCO_3$. К полученному р-ру, окончательная конц-ия $NaClO_4$ в котором составляет 0,1 моль/л, добавляют бензол и взбалтывают фазы в атмосфере Ar 30 мин. при 25°. Если водн. фаза нейтрализовалась $NaHCO_3$, то получают меньшие значения коэфф. распределения (KP) $U(4+)$ между водн. р-ром и бензолом, чем при нейтр-ции р-ром NaOH. По мнению авторов, при нейтр-ции бикарбонатом образуются карбонатные комплексы $U(4+)$, что снижает KP. Конц-ия I в интервале 0,072—0,144 М не влияет на KP. Следовательно, $U(4+)$ комплексов с недиссоциированными молекулами I или ионами OH^- не образует. Конц-ия $U(4+)$ в водн. фазе в интервале 0,001—0,0033 М также не влияет на KP, что указывает на отсутствие многоядерных комплексов в исследуемой системе. Поскольку в исследуемой системе образуются только комплексы типа UA_n^{4-n} , их полные константы устойчивости (χ_n) вычислены с помощью кривых образования ($\lg KP = f(\lg [A^-])$). Найдено: $\chi_1 = 4 \cdot 10^8$; $\chi_2 = 1,0 \cdot 10^{17}$; $\chi_3 = 2,5 \cdot 10^{23}$ и $\chi_4 = 3,2 \cdot 10^{22}$. KP UA_n между водн. фазой и C_6H_6 равен $4,2 \cdot 10^8$. С помощью найденных констант вычислено процентное распределение различных комплексов UA_n^{4-n} в зависимости от конц-ии ацетилацетонат-иона в водн. фазе. Присутствие $U(5+)$ в исследованной системе авторы считают невероятным. Сообщ. XII см. РЖХим, 1956, 29274. Н. П.

78393. О разделении смесей неорганических веществ методом распределения. XIII. Распределение неорганических фторидов между водными растворами HF и органическими растворителями. Бок, Герман (Über die Trennung anorganischer Stoffgemische durch Verteilung XIII. Die Verteilung anorganischer Fluoride zwischen wäßrigen HF-Lösungen und organischen Lösungsmitteln. Bock Rudolf, Hermann Manfred), Z. anorgan. und allgem. Chem., 1956, 284, № 4-6, 288—304 (нем.)

При $20,0 \pm 0,5^\circ$ определены коэфф. распределения ($\alpha = C(\text{орган})/C(\text{водн.})$ — при взбалтывании равных объемов органич. р-рителя и водн. р-ров HF (1, 5, 10, 15 и 20 н.). При начальных конц-иях HF, равных 1 и 20 н., величины α , соответственно, *н*-пентанол 0,388 и 0,378; метилизобутилкетон 0,315 и 0,414; диэтиловый эфир 0,220 и 0,611; ди-*н*-бутиловый эфир 0,011 и 0,135; амилацетат 0,140 и 0,238; $C_6H_5NO_2 < 0,003$ и 0,012; анизол $< 0,002$ и 0,010; метилэтилкетон (1 н. HF) 1,102 (уже при 5 н. HF фазы полностью смешиваются); в C_6H_6 и $CHCl_3$ извлекается $< 0,1\%$ HF. При той же т-ре и различных конц-иях HF определены α ряда фторидов между равными объемами диэтилового эфира и водн. HF, величины α растут с увеличением конц-ии HF. Для фторидов I, II, III и IV групп α малы; в V группе хорошо извлекаются Nb (5+) и Ta (5+), хуже — P (5+), As (3+), As (5+), V (3+) и V (5+) и Sb (3+), очень плохо — Sb (5+); в VI группе умеренно хорошо извлекаются Se (4+), Te (4+) и Mo (6+), плохо — Cr (3+), W (6+) и U (6+). Элементы VII и VIII групп, за исключением Re (7+), извлекаются плохо. Приведены приближенные величины процентного извлечения ряда элементов в эфирную фазу при однократном встряхивании с равным объемом эфира. Часть XII см. РЖХим, 1956, 19569, И. Р.

78394. Новый аналитический принцип: помехи экстракции. Сабо, Бек, Тот (A new analytical principle: Hindrance of extraction. Szabo Z. G., Beck M. T., Tóth K.), Naturwissenschaften, 1956, 43, № 7, 156 (англ.)

Повышение чувствительности определения анионов достигается путем измерения изменений светопоглощения органич. р-рителей, экстрагирующих окрашенные в-ва, вследствие обесцвечивания последних под действием определяемых анионов. Здесь используются помехи экстракции со стороны определяемых анионов. Так, по обесцвечиванию системы $Fe^{3+} - SCN^-$ удается определить до 30γ

фторида в 50 мл р-ра. Если же экстрагировать роданидный комплекс Fe^{3+} из 50 мл р-ра с рН 2,8 и конц-ией Fe^{3+} и роданида соответственно $2,5 \cdot 10^{-2}$ и $1,6 \cdot 10^{-6}$ с помощью 15 мл *n*-амилового спирта, то чувствительность р-ции повышается до $10 \gamma \text{ F}^-$ на 50 мл. В тех же условиях можно определить до $70 \gamma \text{ SiF}_6^{2-}$ в 50 мл р-ра.

Н. П. 78395. Ионообменивающие вещества в аналитической химии. Применение и проблемы. Шульц (Ion exchangers in analytical chemistry: Applications and problems. Schultz Otto-Erich), J. Pharmacy and Pharmacol., 1956, 8, № 6, 382—396 (англ.) Обзор. Библ. 108 назв.

78396. Комплексонодержателе смолы, их приготовление и аналитическое применение. Блау-Ольбрих (Komplexon Austauscherharze, Herstellung und analytische Verwendung. Blasius E., Olbrich G.), Z. analyt. Chem., 1956, 151, № 2, 81—90 (нем.)

Комплексонодержателе смолы сочетают свойства комплексонов и ионообменителей, что может благоприятно сказываться на эффективности разделения смесей с помощью этих смол. С применением конденсата из антганил-диуксусной к-ты, резорцина (I) и формальдегида (II) с отношением компонентов 1 : 3 : 5 возможно разделение аналитич. кол-в Li и Mg. Для многих аналитич. разделений пригодны смолы, в состав которых в качестве комплексона введена *m*-фенилдиаминтетрауксусная к-та (III). III получают взаимодействием солянокислого *m*-фенилдиаминна с нейтрализованной NaOH монохлоруксусной к-той. III — бесцветное или слабобелое в-во с т. пл. 203—206°, значительно растворимое в горячей воде. В р-ре III отщепляет 4 протона, каждые 2 почти одновременно. Со щел. металлами III не образует комплексов. Тенденция к комплексообразованию III со щел.-зем. металлами в ряду Ba — Sr — Mg — Ca увеличивается. В ряду Mn — Cd — Co — Ni — Zn — Cu прочность комплексов с III увеличивается. Взаимодействием III с I и II получают комплексонодержателю смолу, в состав которой входит 22—26% III. Ее емкость в расчете на сухое в-во составляет 0,5 мэкв/г. Эта смола с успехом использована для отделения щел. металлов от Cu или Ni, щел.-зем. металлов от Cu и Co от Ni. Для колич. отделения Co от Ni р-р, содержащий по 1 мэкв солей обоих металлов, пропускают через колонку со смолой длиной 95 и диам. 1,1 см, а затем элюируют Co 0,01 н. HCl, а Ni — 2 н. HCl.

Н. П. 78397. Анализ неорганических анионов методом упрощенной электрохроматографии на бумаге. Охара, Нагаи (簡易通電クロマトグラフによる二、三の無機陰イオンの分析. 大原英一, 永井英夫), 日本化学雑誌, Нихон какаку дзасси, J. Chem. Soc. Japan. Pure Chem. Sec., 1955, 76, № 3, 291—293 (япон.)

Изучена электрохроматография на бумаге KCl, KBr и KJ в 0,1—2,5 М р-ре молочной к-ты.

К. У. 78398. Газожидкостная хроматография. Метод разделения и идентификации летучих материалов. Джеймс (Gas-liquid chromatography. A method of separation and identification of volatile materials. James A. T.), J. Pharmacy and Pharmacol., 1956, 8, № 4, 232—240 (англ.) См. РЖХим, 1955, 48631

78399. Кверцетин в качестве реактива для обнаружения неорганических веществ в хроматографии. Михал (Kvercetin jako detekční činidlo v chromatografii anorganických látek. Michal Jan), Chem. listy, 1956, 50, № 1, 77—80 (чеш.); Сб. чехосл. хим. работ, 1956, 21, 576—580 (нем; рез. русс.)

Изучена возможность использования окрашенных соединений кверцетина с ионами Ag, Hg, Cu, Bi, Sb, Sn, Fe, Al, Ni, Co, Mg, Li, Mo, Be, Ga, In, Pr, Nd, Sm, U, V, W, Ti, La, Th, Zr и AsO_3^{3-} для обнаружения последних на хроматограммах. Установлены открываемые минимумы

и чувствительность р-ций; комплексы кверцетина с отдельными ионами образуются при соотношении 2 : 1 для 2-валентных 3 : 1 для 3-валентных и 4 : 1 для 4-валентных металлов. Полученные результаты противоречат данным некоторых работ по применению кверцетина (РЖХим, 1955, 16524). Предложена ф-ла строения образующихся комплексов, которая не противоречит данным Гримальди и Уайта (РЖХим, 1954, 48537). U. Ružicka

78400. Разделение титана (4+), циркония (4+) и тория (4+) методом хроматографии на бумаге. Качественная и количественная оценка хроматограмм. Ала-машши, Надь (A titán (IV), cirkon (IV) és tórium (IV) papírkromatográfiás elválasztása. A kromatogrammok kvalitatív és kvantitatív kiértékelése. Almássi Gyula, Nagy Zoltán), Magyar kém. folyóirat, 1954, 60, № 7, 206—209 (венг.; рез. нем.); Acta chim. Acad. sci. hung., 1955, 7, № 3-4, 325—332 (англ.; рез. русс., нем.)

Раствор, содержащий наряду с Zr^{4+} , Ti^{4+} или Th^{4+} ($< 5 \gamma$) еще $100 \gamma \text{ Fe}^{3+}$, наносит на фильтровальную бумагу Macheery-Nagel № 62 (диам. пятна 5 мм), хроматографируют в восходящем потоке при 18° и сушат при $60-70^\circ$. Ti^{4+} , Zr^{4+} и Th^{4+} определяют в отдельных пробах. Состав р-рителя: в случае Ti^{4+} 20 мл конц. HCl + 80 мл спирта; в случае Zr^{4+} 20 мл конц. HCl + 75 мл спирта + 5 мл воды; в случае Th^{4+} 20 мл конц. HCl + 79 мл спирта + 1 мл воды. Проявление: в случае Zr^{4+} опрыскивают хроматограмму 0,1%-ным спирт. р-ром ализарина, подвергают в течение ~ 5 мин. действию паров NH_3 и сушат при $60-70^\circ$; Zr^{4+} выделяется в виде красно-фиолетового пятна; в случае Ti^{4+} и Th^{4+} опрыскивают 0,2%-ным спирт. р-ром морина и сушат; Fe^{3+} выделяется в виде зелено-коричневого пятна, Ti^{4+} — в виде красного пятна, пятно Th^{4+} флуоресцирует в УФ-лучах. Чувствительность метода $0,01 \gamma \text{ Ti}^{4+}$ на $0,1 \text{ мл}$, $0,1 \gamma \text{ Zr}^{4+}$ на $0,1 \text{ мл}$ и $0,25 \gamma \text{ Th}^{4+}$ на $0,1 \text{ мл}$. Определению Ti^{4+} не мешают Fe^{3+} , Sn^{2+} , Mo^{6+} , Bi^{3+} , Cd^{2+} , Zn^{2+} , ионы щел. и щел.-зем. металлов, Cl^- , NO_3^- , небольшое кол-во, SO_4^{2-} , а также (до 100-кратного избытка) Zr^{4+} , Th^{4+} , Co^{2+} , Cr^{3+} , Al^{3+} , Ni^{2+} , Mn^{2+} , Cu^{2+} , V^{5+} , U^{6+} . Определению Zr^{4+} и Th^{4+} не мешают Ti^{4+} , Fe^{3+} , Co^{2+} , Cr^{3+} , Al^{3+} , Mn^{2+} , Cu^{2+} , Sn^{2+} , V^{5+} , Mo^{6+} , U^{6+} , NO_3^- , SO_4^{2-} , в случае Zr^{4+} не мешают также Ni^{2+} , Cd^{2+} , Zn^{2+} , Bi^{3+} , Ca^{2+} , Mg^{2+} . Метод пригоден и для полуколич. оценки Ti^{4+} , Zr^{4+} , Th^{4+} с точностью $\pm 20\%$, для чего сравнивают величину пятен на хроматограмме с серией стандартных хроматограмм, полученных с известными кол-вами исследуемых ионов. В случае отсутствия Fe^{3+} к нанесенному пятну добавляют $0,01 \text{ мл}$ 1%-ного р-ра Fe^{3+} (в виде FeCl_3).

И. А. 78401. Хроматермографический метод разделения водорода, окиси углерода, метана и смеси редких газов. Туркельштауб Н. М., Золотарева О. В., Латухова А. Г., Каримова А. И., Кальнина Е. Р., Ж. аналит. химии, 1956, 11, № 2, 159—166 (рез. англ.)

Описан хроматермографич. метод анализа смеси H_2 , CO и CH_4 при $18-20^\circ$ и метод разделения и анализа редких газов, позволяющий с большой точностью определять содержание суммы $\text{He} + \text{Ne}$, Ar , Kr и Xe . Анализ продолжается 30 мин. и требует всего $0,1 \text{ см}^3$ в-ва. При применении хроматермографа модели № 4 (РЖХим, 1954, 40041) погрешность определения 0,3%, а при применении хроматермографа № 5 погрешность для He 0,01%, а для тяжелых инертных газов — до 0,001%. Приведены схема хроматермографа № 4 и выходные кривые различных газовых смесей.

Б. Т. 78402. Аскорбинометрия. I. Дифференциальный и потен-

циометрическое титрование трехвалентного железа, ванадата и двухвалентной меди. Йосимура, Фудзитани (Асכולبين酸による還元滴. その 1. 共存する鉄, バナジウム, 銅の定量ならびに電圧滴定. 吉村長蔵, 藤谷卓巳), 日本化学雑誌, Нихон кагаку дзасси, J. Chem. Soc., Japan. Pure Chem. Sec., 1955, 76, № 3, 304—306 (япон.)

К смесям Fe-V, Fe-Cu или Fe-V-Cu прибавляют KJ и выделившийся J₂ определяют стандартным р-ром аскорбиновой к-ты. Fe маскируют при помощи NaF, а Cu — при помощи дифениламина. Комбинируя эти маскирующие в-ва, можно анализировать смеси из 3 компонентов.

Chem. Abstrs, 1956, 50, № 7, 4717 К. Yamasaki

78403. Четырехвалентный уран как восстановитель в потенциометрическом титровании. I. Определение солей железа и церия. Исса, эль-Шериф (Quadrivalent uranium as a reducing agent in potentiometric titrations. I. Estimation of ferric and ceric salts. Issa I. M., El Sherif I. M.), Analyt. chim. acta, 1956, 14, № 5, 466—473 (англ.; рез. франц., нем.)

U⁴⁺ применим в качестве восстановителя при потенциометрич. определении солей Fe(3+) и Ce(4+). Устойчивость реактива возрастает с увеличением кислотности и в присутствии HCl; H₃PO₄ на устойчивость не влияет. Zn²⁺ и CO²⁺ способствуют окислению; аналогично действует свет в присутствии O₂ воздуха. Окислительно-восстановительный потенциал системы U(6+)/U(4+) увеличивается от 0,3 в в среде 0,1 н. HCl или H₂SO₄ до 0,53 в или 0,61 в в среде 1—7 н. HCl или 1—9 н. H₂SO₄, а затем возрастает до ~1 в. Возможно титрование смесей Fe³⁺ с Ce⁴⁺, V(5+) с Fe³⁺ и V(5+) с Ce⁴⁺ и Fe³⁺.

78404. Тенденции в полярографическом анализе. Гейровский (Trends in polarographic analysis. Heyrovsky J.), Chem. Age, 1956, 74, № 1929, 1449—1452 (англ.)

Обзор. Библ. 14 назв.

78405. Изучение полярографического анализа. XXI. Об I. F.-дифференциальном полярографе. 4. Фудзинага (ポーログラフによる分析化学の研究. 第21報. I. F. 示差ポーログラフ法. IV. 藤永太一郎.), 電気化学, Дэнки кагаку, J. Electrochem. Soc. Japan, 1955, 23, № 11, 588—590 (япон.; рез. англ.)

Высота максимума тока восстанавливающегося иона в дифференциальной полярографии не зависит от других ионов, присутствующих в р-ре. Для измерения конц-ий восстанавливающихся ионов описан прибор (концентрациометр), состоящий из потенциометра, гальванометра и дифференциатора. С помощью этого прибора выполнено прямое и точное определение Zn в присутствии Cu или Cd. Поэтому концентрациометр можно использовать и для определения Zn в латуни. Большие кол-ва Ni²⁺ мешают определению Zn²⁺. Отсчет на концентрациометре связан с конц-ией Zn²⁺ в р-ре линейной зависимостью. Часть XX см. РЖХим, 1956, 75326.

78406. Полярографическое определение на твердых электродах тяжелых металлов в воздухе промышленных предприятий. Сообщение I. Коган И. Б., Ж. аналит. химии, 1956, 11, № 3, 313—318 (рез. англ.)

Разработаны полярографич. методы колич. определения малых конц-ий Cu, Zn, Cd, Mn, хроматов в воздухе с применением твердых вращающихся серебряных амальгамированных катодов и анода. Чувствительность составляет 1—2 γ в 2 мл р-ра.

78407. Успехи в области амперометрического титрования. Конопик (Neue Fortschritte auf dem Gebiete der amperometrischen Titrations. Konopik Nelly), Österr. Chem.-Ztg, 1956, 57, № 13-14, 181—193 (нем.)

Обзор. Библ. 80 назв.

78408. Амперометрическое определение тяжелых металлов меркаптобензтиазолом. Чигаик, Кудр-

новская-Павликова (Polarometrische Bestimmung von Schwermetallen mit Mercaptobenzthiazol. Čiňhalík J., Kudrnovská-Pavliková E.), Сб. чехосл. хим. работ, 1956, 21, № 3, 718—724 (нем.; рез. русс.)

См. РЖХим, 1956, 65214.

78409. Высокочастотное титрование с помощью Q-метра. Хонда, Накано, Сацука (Q-メータによる高周波滴定の研究. 本田雅純, 中楚邦夫, 佐塚昭人), 日本化学雑誌, Нихон кагаку дзасси, J. Chem. Soc. Japan. Pure Chem. Sec., 1954, 75, № 12, 1299—1302 (япон.)

Изучен механизм высокочастотного титрования с применением Q-метра. Обсуждены соотношения между Q, емкостью и концентрацией р-ра.

Chem. Abstrs, 1955, 49, № 19, 12882. К. Yamasaki

78410. Метод и теоретическое обоснование спектрального анализа по линиям, расположенным в разных областях спектра. Ковалев И. А., Ж. аналит. химии, 1956, 11, № 2, 123—128 (рез. англ.)

Две линии с резко различными длинами волн, но равной интенсивности и гомологичные вызывают на фото-пластинке разные почернения из-за неоднородности эмульсии и из-за измерения контрастности (γ) с длиной волны. При γ=const S = rS' (1), где r — коэфф. неоднородности. При r = 1 S₁ = γ₁ lg I₁ — γ₁ и S₂ = γ₂ lg I₂ — γ₂. Тогда γ₂ lg (I₂/I₁) = S₂ — (γ₂/γ₁) S₁ (2). Величина γ₂/γ₁ есть коэфф., учитывающий изменение почернения с длиной волны. Ур-ние γ₂ lg (I₂/I₁) = S₂ — r (γ₂/γ₁) S' (3) написано с учетом обоих рассматриваемых факторов. Член r (γ₂/γ₁) S' есть почернение линии 1 на неоднородной пластинке с контрастностью γ₁, приведенное к контрастности γ₂. Из общезвестных ур-ний для аналитич. пары линий: I₁ = a₁c₁^b и I₂ = a₂c₂^b следует, что lg (I₂/I₁) = b lg (c₂/c₁) + lg (a₂/a₁) (4).

Подставляя ур-ние (4) в (3) получают: S₂ — r(γ₂/γ₁) S' = γ₂ b lg (c₂/c₁) + γ₂ lg (a₂/a₁) (5). Эта ф-ла применяется для анализа по методу трех эталонов, если аналитич. линии находятся в разных областях спектра. Ф-ла проверена на определении отношения конц-ий Na и K в р-рах по линиям 3302,3 и 4044,1 Å. Величины γ₁ и γ₂ определялись по характеристич. кривым для линий Cu, расположенным рядом с линиями Na и K. Из ф-лы (1) следует: r = S_{Cu1}/S'Cu₂ и r = (S_{Cu2} — ΔS_{Cu2, Cu1})/S'Cu₁ (6), члены S'Cu₁ и S_{Cu2} определяют непосредственно. Для определения ΔS_{Cu2, Cu1} фотометрируют линии Cu₂3290,5 и Cu₁4022,7 Å, находят ΔS, из многих спектрограмм усредняют эту величину, считая ее истинной для однородной эмульсии и вычисляют по ур-нию (6) r. По ур-нию (5) можно построить постоянный график, записав ур-ние в виде: S₂/γ₂ — rS₁/γ₁ = lg (I₂/I₁) = b lg (c₂/c₁) + lg (a₂/a₁). Постоянный график в координатах (S₂/γ₂ — rS₁/γ₁), lg (c₂/c₁) не зависит от свойств фотопластинки и прямолинеен в пределах нормальных почернений.

Г. К.
78411. О некоторых источниках ошибок при спектрографическом анализе сталей. Морелло (Su alcune cause di errore nell'analisi spettrografica degli acciai. Morello Bartolomeo), Metallurgia ital., 1956, 48, Suppl. № 1, 15—20 (итал.; рез. англ., нем. франц.)

Исследованием установлено, что ошибки анализа, вызванные различной обработкой поверхности электродов, незначительны и могут не приниматься во внимание. Такой же вывод получен при изучении влияния термич. обработки проб.

М. П.
78412. Абсорбционная спектрометрия. Меллов, Болец (Light absorption spectrometry. Mel-

Ion M. G., Boltz D. F.), *Analyt. Chem.*, 1956, 28, № 4, Part 2, 559—576 (англ.)

Подробный обзор литературы за период с августа 1953 до 1956 г. Обзор содержит 3 раздела: применение спектрометрии для хим. исследований, для решения физ. вопросов и аналитич. применение метода. В 1-м разделе рассмотрены работы по изучению каталитич. р-ций и р-ций между металлами и неметаллами. Много работ относится к изучению структуры молекул, органич. реактивов, предварительного обогащения и разделения в-в. Во 2-м разделе описана литература по законам поглощения света, по спектрометрич. измерениям и освещены вопросы аппаратуры. Третий раздел, помимо обзора, содержит подробные таблицы с указанием символов элементов, ф-л в-в и порядковых номеров литературных источников. Библ. 696 назв. Г. К.

78413. Спектрофотометрия в УФ-области. Херт (Ultraviolet spectrophotometry. Hirt Robert C.), *Analyt. Chem.*, 1956, 28, № 4, Part 2, 579—583 (англ.) Обзор литературы за 1954—1955 гг. Отмечены книги, библиографии, издания, указатели, картотеки спектров, статьи по вопросам аппаратуры. Описаны работы по исследованию применимости закона Бера, по спектрофотометрич. титрованию и по спектроскопии в вакуумной области. Много работ относится к анализу органич. и неорганич. в-в. Есть ссылки на литературу предыдущих лет. Библ. 138 назв. Г. К.

78414. Инфракрасная спектроскопия. Гор (Infrared spectroscopy. Gore Robert C.), *Analyt. Chem.*, 1956, 28, № 4, Part 2, 577—578 (англ.) Краткий обзор литературы за 1954—1955 гг. В обзоре отмечены работы, относящиеся к аппаратуре и технике получения спектров, к изучению при помощи спектроскопии процессов сорбции и установлению структуры молекул. Описаны работы по изучению водородной связи, процессов полимеризации и по применению спектров поглощения в биологии. Отмечены исследования по интенсивности полос поглощения и некоторым теоретич. вопросам. Библ. 37 назв. Г. К.

78415. Каталиметрический анализ. IV. Полуколичественные определения с использованием хемилюминесценции. Браун (Analiză catalimetrică. IV. Determinări semicantitative prin utilizarea fenomenului de chemiluminiscentă. Braun T.), *Rev. chim.*, 1956, 7, № 2, 118—120 (рум.; рез. русс., нем.)

Некоторые ионы — Fe^{3+} , Mn^{2+} , Ni^{2+} и в особенности Co^{2+} , Co^{3+} , Cu^{2+} , а также природные железо-органич. соединения (гемин, гемоглобин, железо-хлорофилловые производные и др.) каталитически действуют на процесс окисления циклогидразидов фталевой к-ты. Этот процесс сопровождается явлением хемилюминесценции, интенсивность которой зависит от конц-ии ионов катализатора в р-е. Гидразид 3-аминофталевой к-ты (люминол) дает с H_2O_2 в щел. среде слабую люминесценцию, интенсивность которой значительно увеличивается в присутствии катализаторов. Для анализа применяют р-р, содержащий 1 г люминола и 20 г NaOH на 1 л воды. Реактив вносят в пробирку, обернутую в светочувствительную бумагу, разбавляют равным объемом 1%-ного р-ра H_2O_2 и добавляют р-р анализируемого катализатора. Через 40 сек. пробирку вынимают из бумаги и степень почернения фотобумаги сравнивают с эталонами. Сообщение III см. РЖХим, 1956, 75215. Б. М.

78416 К. Теоретические обоснования и расчеты в аналитической химии [Учеб. пособие для хим.-технол. вузов и фак.]. Изд. 2-е, перераб. и доп. Надениский Б. П. М., „Сов. наука“, 1956, 447 стр., илл., 9 р. 25 к.

78417 К. Количественный анализ (Учеб. пособие для студентов мед. ин-тов). Изд. 2-е, испр. и доп. Селезнев К. А. М., Медгиз, 1956, 224 стр., илл., 4 р. 35 к.

78418 К. Ртуть и амальгамы в электрохимических методах анализа. Козловский М. Т. Алма-Ата, Изд-во АН КазССР, 1956, 186 стр., илл., 11 р. 80 к.

См. также: Спектральный анализ 77316; 22868Бх. Полярография 77729, 77734. Хроматография 77776—77779. Радионуклиды 77500. Др. вопр. 77781, 77864, 77890

АНАЛИЗ НЕОРГАНИЧЕСКИХ ВЕЩЕСТВ

78419. Пламеннофотометрический метод определения лития. Иванов Д. Н., Каплан Б. Я., Завод. лаборатория, 1956, 22, № 5, 569—570

Навеску горной породы 0,2—2 г разлагают $\text{HF} + \text{H}_2\text{SO}_4$, выпаривают досуха, растворяют остаток в 5%-ной H_2SO_4 и доводят до 200 мл 5%-ным р-ром H_2SO_4 . Фильтруют через сухой фильтр в сухие стаканчики и подвергают р-р анализу на пламенном фотометре с интерференционным светофильтром (РЖХим, 1953, 3488). Для регистрации излучения используют Se-фотоэлемент с зеркальным гальванометром чувствительностью порядка 10^{-10} а/мм/м. Наименьшая определяемая конц-ия 0,25 мг Li на 1 л р-ра. При использованном светофильтре и фотоэлементе конц-ии различных ионов, дающие одинаковый фототок следующие: 1 мг/л Li^+ ; 640 мг/л Na^+ ; 2 мг/л Ba^{2+} ; 100 мг/л Ca^{2+} ; 1200 мг/л Mg^{2+} ; 2000 мг/л Fe^{3+} . Ионы Al^{3+} , K^+ , Mn^{2+} и Rb^+ не вызывают появления фототока. На излучение спектра Li не влияет даже 50-кратный весовой избыток ионов K^+ , Na^+ , Rb^+ , Ca^{2+} , Mg^{2+} , Fe^{3+} , Al^{3+} . Типовые р-ры готовят растворением х. ч. Li_2CO_3 в 5%-ном H_2SO_4 . Излучение Ca^{2+} компенсируют по ранее указанному методу. Среднее расхождение не превышает 7,6%. М. П.

78420. Определение калия с помощью тетраборатрия. Тандий (Dosage du potassium par le t traphenyl borate de sodium. Tendille C.), *Ann. Inst. nat. rech. agron.*, 1955, A6, № 6, 1055—1058 (франц.)

Применив ранее описанный метод осаждения калия в виде $[\text{B}(\text{C}_6\text{H}_5)_4]\text{K}$ (Wittig G. и др., *Annalen*, 1949, 563, 110), автор показал невозможность его использования для определения K при конц-ии $< 20 \gamma/\text{мл}$. При конц-ии $\text{K} < 80 \gamma/\text{мл}$ ошибки определения положительны и возрастают от 2 до 7% по мере понижения конц-ии до $30 \gamma/\text{мл}$. Эти ошибки могут быть связаны с разложением реактива при комнатн. т-ре. Разложение не имеет места, если осаждение производят из кислых растворов при 0° или же отфильтровывают осадок через 1 мин. после осаждения при комнатной т-ре. Значительные кол-ва Ca не мешают определению K. Описан метод определения K в присутствии иона аммония. Н. П.

78421. Применение β -оксинафтольного альдегида в аналитической химии. Сообщение 2. Новый весовой микрометод определения меди. Гусев С. И., Кузов В. И., *Ж. аналит. химии*, 1956, 11, № 3, 303—306 (рез. англ.)

Получена внутрикомплексная соль меди и β -оксинафтольного альдегида и изучены некоторые ее свойства. Разработан быстрый полумикрогравиметрич. метод определения Cu в сплавах и минералах взвешиванием в виде $\text{C}_{12}\text{H}_7\text{O}_2\text{Cu}$ (фактор пересчета 0,1566). Fe, Mn, Al и другие элементы удерживаются в р-ре винной к-той. Сообщение I см. 1956, 29308 В. С.

78422. Объемное определение меди при помощи рез-ацетофенона. Рамануджам (Volumetric estimation of copper with resacetophenone. Ramanujam V. V.), *J. Scient. and Industr. Res.*, 1956, (B—C)15, № 4, B212 (англ.)

Медь осаждают рез-ацетофеноном при pH 5,6—6,2 по описанному ранее методу (РЖХим, 1954, 34647). Промытый осадок растворяют в теплой смеси $\text{CH}_3\text{COOH}-\text{HCl}$. Р-р разбавляют до определенного объема и титруют аликвот-

ные порции бромат-бромидным р-ром по индикатору метиловому оранжевому. 1 атом Си в осадке $(C_8H_7O_8)_2Si$ эквивалентен 8 атомам Вг. Погрешность определения 0,3%.

М. П.

78423. О реакционной способности бензидинсульфоновых кислот и их применении в анализе. Буска-ронс Ньетто (On the reactivity of benzidinesulfonic acids and their applications in analysis. Buscaróns F., Nieto F.), *Analyt. chim. acta*, 1956, 14, № 5, 401—404 (англ.; рез. франц., нем.)

Для открытия Si^{2+} 2 капли разб. (в таком отношении, чтобы было устранено осаждение Си под действием SCN^-) испытуемого р-ра наносят на пластинку, прибавляют 3 капли 1 н. р-ра KSCN и 1 каплю р-ра бензидин-о-моносульфокислоты (I) (15 г реактива и 5 мл NH_4OH в 1 л). В присутствии Si^{2+} появляется синяя окраска или осадок. Последний растворим в разб. минер. к-тах и NH_4OH ; при последующем прибавлении щелочей или к-т осадка не образуется. Осадок не растворяется в обычных органич. р-рителях; при нагревании он становится зеленым, при прокаливании превращается в SiO_2 . Чувствительность р-ции соответствует 1 : 500 000; она специфична для Si^{2+} и может быть использована, чтобы отличить I от бензидин-о-о'-дисульфокислоты и бензидин-м-м'-дисульфокислоты. Механизм р-ции объясняется, по-видимому, процессом окисления.

Ф. Л.

78424. Отделение малых количеств меди от никеля и кобальта экстрагированием салицилаллимината меди. Алимарин И. П., Коренева В. В., Завод. лаборатория, 1956, 22, № 4, 402—405

При взаимодействии соли Си с салициловым альдегидом (I) в присутствии аммонийного буфера образуется малорастворимый в воде салицилаллиминат Си, экстрагируемый $CHCl_3$. Полное извлечение Си при конц-ии 0,001 мг/мл достигается из водн. р-ра, содержащего 0,1% I; при конц-ии Си 0,01 мг/мл конц-ия I должна составлять 0,2%. Полное извлечение Си достигается при $pH \geq 7$. Для разделения Си и Ni к анализируемому р-ру прибавляют 1 мл 2%-ного спирт. р-ра I, 8 мл 2,5%-ного NH_4OH и 10 мл $CHCl_3$; объем водн. фазы доводят до 15 мл и встряхивают 1 мин. Си извлекают из органич. слоя 5 мл 4 н. р-ра HCl и определяют колориметрически. Метод применим при соотношении Си : Ni = 1 : 2000. В присутствии окислителя (H_2O_2) весь Со остается в водн. фазе (соотношение Со : Си \leq 20 000). Описанный метод применим для определения Ni и Си из одной навески в Со-содержащих рудах, сплавах или солях.

Т. Л.

78425. Разработка специфического метода анализа меди в воздухе. Анашкина Н. П. В сб.: Вопр. гигиены труда профессиональной патологии и токсикологии в пром-сти Свердлов. обл. Свердловск, 1955, 249—254

Для колич. определения паров Си в присутствии паров Pb, Zn, Sn и других металлов использована ранее описанная р-ция с 4-фенил-1,2-дитиол-3-тионом (Воронков М. Г., Ципер Ф. П., Ж. аналит. химии, 1951, 6, № 6, 331). Для выполнения определения через алонж со стеклянной ватой, смоченной 3—5 мл 3%-ной HNO_3 , со скоростью 10 л/мин пропускают 500—1000 л загрязненного парами Си воздуха. Поглощенную Си смывают с ваты 3%-ной HNO_3 и водой, если нужно, упаривают р-р и наносят каплю полученной жидкости на сухую реактивную бумажку, пропитанную насыщ. спирт. р-ром 4-фенил-1,2-дитиол-3-тиона. После высушивания в присутствии Си получаются розовые пятна, интенсивность которых сравнивают со стандартной шкалой, приготовленной аналогично с применением р-ров с конц-ией Си 0,001; 0,0025; 0,005; 0,0075 и 0,01 мг/мл. Колориметрирование возможно еще при конц-ии Си 1 γ/мл. Pb, Zn, Mn при конц-иях до 0,1 мг/мл в аналогичных условиях не дают окрашивания с реактивом. Для изготовления реактивной бумажки лучше использовать фильтр с синей лентой, чем с белой. При повышении

конц-ии HNO_3 до 10% пятно приобретает сероватый оттенок.

Н. П.

78426. Фотометрическое определение меди в сыворотке крови.

Руждич, Блажевич (Die spektrometrische Bestimmung des Kupfers im Serum. Ruždić Ibrahim, Blažević Kata), *Mikrochim. acta*, 1956, № 1-3, 288—298 (нем.; рез. англ., франц.)

При определении небольших кол-в Си в сыворотке при помощи диэтилдитиокарбамата Na применяют в качестве защитного коллоида пектин. Окраска медного комплекса устойчива 12 час. Закон Ламберта — Бера соблюдается в пределах 0,5—7 γ Си на 15 мл р-ра. Измерения проводят при 440 мμ. Ошибки при определении Си в водн. р-рах и р-рах сыворотки невелики. Описанный простой метод обладает высокой чувствительностью и точностью, пригоден для серийных анализов.

В. С.

78427. Комплексометрическое определение кальция и магния в стекле. Фридрих, Фаборский (Komplexometrické stanovení vápníku a hořčíku ve skle. Friedrich Nikoláš, Fáborský Miloslav), *Sklár a keramik*, 1956, 6, № 5, 114—116 (чеш.)

Описан метод определения Са и Mg титрованием комплексом III (I) в присутствии смеси мурексидов (II) и нафтолового зеленого (III), а также отдельно в присутствии эриохромного Т (IV). ~1 г пробы (~7,5% CaO) выпаривают с HF и H_2SO_4 , остаток растворяют в небольшом кол-ве HCl и разбавляют водой до 250 мл. 25 мл приготовленного р-ра смешивают с 10—15 мл буферного р-ра (pH 12,25 по Сёренсену), разбавляют водой до 100 мл и доводят прибавлением 3 н. NaOH до pH 12. Титруют Са при помощи 0,05 М I в присутствии смешанного индикатора (1 ч. II и 4 ч. III, смешанных с NaCl 1 : 100) до неизменяющегося синего окрашивания. Отдельно к 10—15 мл буферного р-ра (pH 10 по Шварценбаху) прибавляют 4 мл 5%-ного р-ра триэтанолamina, несколько кристалликов $NH_4OH \cdot HCl$ или аскорбиновой к-ты, 3—5 капель 10%-ного р-ра KCN, воду до 100 мл и, наконец, 25 мл подготовленного для анализа р-ра. Смесь доводят до pH 10 и титруют сумму Са + Mg при помощи I в присутствии IV (1 ч. IV растягивают с 100 ч. NaCl) от красного до синего окрашивания.

Н. Т.

78428. Мурексид (пурпурат аммония) — реактив для колориметрического определения кальция. Каранович Г. Г., Тр. Всес. н.-и. ин-та хим. реактивов, 1956, вып. 21, 48—51

При взаимодействии между Ca^{2+} и мурексидом (в водн. р-ре) возникает окраска (от розовой до оранжевой); чувствительность р-ции при pH 6 соответствует 20 γ Са в 5 мл р-ра, при pH 12—13 соответствует 1 γ Са в 5 мл р-ра. Максим. интенсивность окраски достигается через 1 мин. Устойчивость окраски комплекса зависит от кол-ва введенной щелочи; максим. устойчивость наблюдается при содержании в 5 мл р-ра 0,25 мл 1 н. NaOH; в присутствии 1 мл 1 н. NaOH в 5 мл р-ра, содержащего 5 γ Ca^{2+} , допустимо ≤ 400 γ Mg^{2+} . Установлено, что ≥ 12 γ Fe^{3+} , 1—3 γ Cu^{2+} , Zn^{2+} , Cd^{2+} , Ni^{2+} , Cr^{3+} и Mn^{2+} и ≤ 25 γ Hg^{2+} мешают. При помощи NaF можно маскировать ≤ 50 γ Fe^{3+} ; Mg^{2+} мешает маскировке. При соотношении Са : Mg = 1 : 200 Fe^{3+} и тяжелые металлы связывают в комплексы диэтилдитиокарбаматом и экстрагируют окрашенные соединения $iso-C_8H_{11}OH$. Водн. слой разбавляют до 50—100 мл и в аликвотной порции 2—5 мл определяют Са в форме комплекса с мурексидом при pH 12—13. Присутствие Al, Pb, Ba, As, Pt и Na в соотношении Са : М соответственно 1 : 50, 1 : 50, 1 : 25; 1 : 12,5; 1 : 250 и 1 : 1000 практически не мешает. Метод применен для определения примеси Са в солях щел. металлов; определение Са в аммониевых солях возможно только после удаления NH_3 .

Т. Л.

78429. Быстрое и точное определение окиси кальция в малых количествах осадочных отложений. Коци, Титце (Eine rasche Präzisionsbestimmung von Kalk

in kleinen Sedimentmengen. Koczny F., Titze H.), Z. analyt. Chem., 1956, 150, № 2, 100—120 (нем.)

Метод титрования CaCO_3 в ацетатном буферном р-ре (рН 5) 1,0 н. Ba(OH)_2 (Gripenberg S., Meddelanden Kungl. Oceanografiska Institutet i Göteborg, 22. Göteborgs Kungl. Vet. Vitterh.—Samhälles Handl., 7. Följden 1953, Ser. B. Bd. 6. № 9. Acidimetric Carbonate Analysis) дополнен введением поправки p_k на отклонения от стандартных условий. p_k является линейной функцией расхода Ba(OH)_2 . Кривые строят по р-рам CaCO_3 . Установка титра Ba(OH)_2 обрабатывают 15 мл 0,2 н. CH_3COOH (разб. лед. CH_3COOH титруют при нагревании 0,1 н. р-ром NaOH в присутствии фенолфталеина) и 5 мл 2 н. р-ра $(\text{CH}_3\text{COO})_2\text{Ba}$, пропускают — 10 мин. воздух (без CO_2) со скоростью 5 пузырьков в 1 сек. и, не прекращая подачи воздуха, добавляют 10 мл р-ра $(\text{CH}_3\text{COO})_2\text{Ba}$. Через 5 мин. смесь титруют в широкогорлой колбе с двумя боковыми отводами (приведен рис.) 0,1 н. Ba(OH)_2 , содержащим 1 экв $(\text{CH}_3\text{COO})_2\text{Ba}$ (127,7 г/л). Р-р должен оставаться прозрачным 20 мин. после определения. Метод проверен на образцах каолинита и монтмориллонита. Погрешность за счет ионного обмена исключается. Л. А.

78430. Комплексометрическое определение цинка и кадмия в цианистых электролитах. Чернуха Г. Н., Гуркина К. М., Завод. лаборатория, 1956, 22, № 6, 656—657

CN⁻ переводят при помощи CH_2O в аминитрил, и Zn или Cd определяют прямым титрованием 0,1 М р-ром комплексона III в присутствии индикатора эриохромчерного Т. При определении Zn в электролите латунирования в качестве индикатора употребляют кислотный хромтемносиний К. Необходимое значение рН (9—10) создают добавлением буферного р-ра (54 г NH_4Cl + 350 мл NH_4OH в 1 л воды). При анализе электролитов цианистого цинкования и кадмирования на 1 мл электролита употребляют 1—2 мл 10%-ного р-ра CH_2O ; при анализе электролита латунирования на 5 мл электролита добавляют 2 мл 10%-ного р-ра CH_2O . Определение продолжается 8—10 мин. Т. Л.

78431. Ультрамикродетерминация цинка. Лакур, Хейндрикс (Ultramicro-determination of zinc. Lascourt Melles A., Heyndrickx P.), Chem. Age, 1956, 74, № 1925, 1225—1226 (англ.)

Метод основан на измерении светопоглощения окрашенным пятном комплекса дитизоната Zn на фильтровальной бумаге ватман № 4. Этим способом определяют 0,1—3 γ Zn; воспроизводимость результатов 0,29—0,09%. Для фотометрирования употребляют пятно на хроматограмме или пятно р-ра Zn^{2+} на фильтровальной бумаге без вымывания или разбавления. Максимум кривой светопоглощения дитизоната Zn лежит при ~ 520 мμ. Результат контрольного опыта хорошо воспроизводим и может служить для серии определений. Кривую снимают при ширине щели 0,28 мм, W-лампе, 1-см кювете. Концентрация дитизона составляет 15 мг на 100 г р-рителя. Предварительное хроматографирование способствует получению более точных результатов. М. П.

78432. Трилонометрическое определение окиси цинка в цинковых белилах и катализаторе метанола. Белавская Ю. И., Завод. лаборатория, 1956, 22, № 4, 422—423

Навеску Zn-белил (3 г) растворяют при кипячении в 100—150 мл воды и 15—20 мл конц. HCl . Р-р разбавляют до 500 мл, 25 мл полученного р-ра нейтрализуют NH_4OH по бумажке конго красной с избытком в несколько капель, добавляют 25—30 мл воды, 10 мл хлоридно-аммиачного буфера, 5—8 капель 0,5%-ного спирт. р-ра кислотного хромтемносинего и титруют 0,1 н. комплексом

III до перехода окраски в голубовато-синюю. Для определения ZnO в катализаторе навеску ~ 1 г смешивают в тигле с 5 г KClO_3 , присыпают слоем KClO_3 (1—2 г) и сплавляют. Плав выщелачивают 100—150 мл воды и 5 мл конц. HCl , р-р разбавляют до 500 мл и далее ведут анализ, как описано выше. Расхождение результатов описанного метода и ГОСТ объясняются неточностью последнего. Т. Л.

78433. Открытие иона кадмия дробным методом. Шуб Н. С., Ж. аналит. химии, 1956, 11, № 2, 251 (рез. англ.)

Для открытия Cd^{2+} в пробирку вводят ~ 3 мл смеси, содержащей катионы III, IV, V аналитич. групп (без As), добавляют по 0,1—0,2 г KCl , K_2SO_4 , KNO_3 и ~ 0,5 г порошкообразного Fe. Смесь кипятят ~ 1 мин., горячий р-р фильтруют, к 2 мл прозрачного фильтрата добавляют 2 мл 1 н. HCl и 2 мл свеженасыщ. сероводородной воды. При наличии Cd^{2+} образуется желтый осадок или желтая муть CdS . Открываемый минимум 100 γ Cd в 2 мл р-ра. Предельное разбавление 1 : 20 000. Продолжительность опыта 2—3 мин.; Fe не восстанавливает в присутствии NO_3^- ионы Ag^+ и Pb^{2+} . Ag можно отделить в форме хлорида, Pb — в форме сульфата. Количественно восстанавливаются катионы IV и V аналитич. групп. Sn(4+) восстанавливается Fe до Sn(2+) , но в присутствии NO_3^- при кипячении р-ра с Fe-порошком Sn полностью переходит в осадок. А. Р.

78434. Поиски органических реагентов для цветных реакций на алюминий. Кузнецов В. И., Драпкина Д. А., Тр. Всес. н.-и. ин-та хим. реактивов, 1956, вып. 21, 18—25

На примере 17 азосоединений изучено отношение к Al различных атомных группировок и установлено, что по контрастности и чувствительности р-ций наилучшими являются азосоединения, образуемые пирокатехином в частности стильбен-2,2'-дисульфокислота-4,4-бис-[< азо-1 > -3,4-диоксисбензол] (стильбазо) (I) и 8-оксинафталин-3,6-дисульфокислота- < 1-азо-1 > 3,4-диоксисбензол (II), синтезируемые из доступного сырья и достаточно устойчивые. I и II пригодны для открытия и определения Al в присутствии 100-кратных кол-в Be. Очистка и синтез I выполняются легче, определение Al в присутствии Be при помощи I несколько удобнее. Предельное разбавление при использовании обоих реагентов 1 : 100 000 000. Описанные реагенты эффективнее, чем алюминон и эриохромцианин R. Т. Л.

78435. Комплексометрическое определение алюминия в силикатах и шлаках. Черников Ю. А., Добкина Б. М., Херсонская Л. М., Завод. лаборатория, 1955, 21, № 6, 638—642

Образцы бокситов и Ti-шлаков подвергают щел. сплавлению при 600—700° в течение 15—20 мин. для отделения Fe и Ti. Остатки р-ре Fe, Mn и Ni выделяют в форме сульфидов с помощью 5%-ного р-ра Na_2S . Титрование Al ведут при рН 3,5 0,05 М р-ром трилона Б (I). Избыток I оттитровывают 0,05 М р-ром $\text{Th(NO}_3)_4$ с индикатором алizarин S. Наличие в титруемом р-ре ≤ 10 г NaCl не мешает. При избытке Na_2S происходит выделение колл. S, на которой адсорбируется Al(OH)_3 ; это ведет к заниженным результатам. Наличие 50 мг SiO_2 титрованию Al не мешает. Для снижения кол-ва переходящего в р-р Ti, который может образовывать комплексы с I, при сплавлении добавляют CaO . Cr, находящийся в форме Cr(6+) , титрованию Al не мешает. Проверка метода на образцах бокситов и Ti-шлаков показала хорошую сходимость результатов с данными определения Al в форме Al_2O_3 весовым методом. Г. З.

78436. Гематоксилин (окисленный) — колориметрический реактив на лантан и иттрий. Сарма. Рагхава-Рао (Haematoxylin (oxidized) — a colorimetric reagent for lanthanum and yttrium. Sarma T. P.,

Raghava Rao S. V.), J. Scient. and Industr. Res., 1955, (B — C) 14, № 9, B450 — B453 (англ.)

Метод колич. определения La и Y основан на измерении оптич. плотности (D) лаков, образуемых этими элементами с окисленным гематоксилином (I). При $pH < 5$ лаки еще не образуются, но при pH 6,2 катионы La и Y полностью связываются с I в комплекс. Поэтому для измерения D при 600 или 650 $m\mu$ используют р-ры с pH 6,2. В этих условиях закон Бера для обоих лаков выполняется. Относительная погрешность определения 0,0335—0,2500 mg Y_2O_3 и 0,1600—0,3200 mg La_2O_3 составляет $\sim 2\%$. Добавление 1 mg Y_2O_3 к 10 ml реактива с последующим разбавлением р-ра до 100 ml вызывает увеличение D р-ра при 600 и 650 $m\mu$ соответственно на 0,82 и 0,41. Соответствующее увеличение D при добавлении 1 mg La_2O_3 составляет 0,16 и 0,14. При введении смеси X mg Y_2O_3 и Y mg La_2O_3 D возрастает при 600 $m\mu$ на $0,82X + 0,16Y$, а при 650 $m\mu$ — на $0,41X + 0,14Y$. Решением этой системы двух ур-ний можно определить La и Y при их одновременном присутствии. Оба элемента могут быть определены при конц-ии 0,5 (La) и 0,2 (Y) mg/l (в расчете на окислы). Для приготовления реактива 0,4 g перекристаллизованного из спирта гематоксилина растворяют при умеренном нагревании в 100 ml 1 n . HCl, добавляют к р-ру разб. аммиака до появления красной окраски, а затем 6 ml 20%-ной H_2O_2 и 100 ml 1%-ной CH_3COOH . Смесь нагревают 2 мин. на водяной бане, охлаждают и разбавляют до определенного объема. Аликвотные пробы полученного р-ра после регулировки pH до нужного значения разбавляют водой с тем же pH и доводят конц-ию I до $2,341 \cdot 10^{-3}$ M . Природа I не выяснена. Отношение $La(Y)$ к I в образующихся лаках, по данным метода непрерывных изменений, равно 1 : 2.

Н. П. 78437. Весовое определение церия периодатным методом. Александров Г. П., Тихонова В. С., Укр.-хим. ж., 1956, 22, № 3, 379—382

Описано отделение Ce от 750-кратного кол-ва редкоземельных элементов (PЗЭ) и определение его в форме периодата. Установлено, что Ce^{4+} количественно осаждается насыщ. р-ром KJO_4 при pH 4. Для отделения PЗЭ от Ce использована растворимость их периодатов в 0,08—0,13 n . HNO_3 . Для полноты отделения Ce осаждение повторяют. Определение Ce не мешает дальнейшему определению PЗЭ, которые осаждают из р-ра в 0,3 n . HNO_3 в форме оксалатов. Точность определения Ce описанным методом не уступает точности броматного и иодатного методов.

В. Л. 78438. Соосаждение таллия (I) с хлоридом серебра. Осаждение из гомогенных растворов. Гордон, Питерсон, Берт (Cocprecipitation of thallium (I) with silver chloride. Precipitation from homogeneous solution. Gordon Louis, Peterson J. I., Burr V. B.), Analyt. Chem., 1955, 27, № 11, 1770—1774 (англ.)

Исследовано осаждение $AgCl$ (I) из гомог. р-ров и соосаждение Tl^+ с I. В качестве осадителей иона Ag^+ применен ряд органич. в-в, при гидролизе дающих ионы Cl^- . Соосаждение (РЖХим, 1955, 9630, 14144) I и Tl^+ проводилось из р-ра аммиачного комплекса Ag (0,1 g на 100 ml р-ра). Для перевода Ag в ионное состояние (разрушение комплекса) применялся β -оксипропионат. Отношение Tl/Ag в осадке было порядка $5 \cdot 10^{-2}$. Приводится методика радиохи. анализа Tl^+ в р-ре и осадке. Показано, что на отношение Tl/Ag практически не влияет доля осажденного Ag при конц-ии Tl^+ 76 $\gamma/100$ ml р-ра и t -ре 25°. При 60° наблюдался рост отношения Tl/Ag с увеличением доли осажденного Ag . Различие объясняется разной структурой осадков при этих t -рах. На основании полученных данных рассчитаны коэфф. гомог. (D) и гетерог. (λ) распределений по соответствующим ур-ниям и показано, что явление соосаждения I и Tl^+ этими ур-ниями не описывается. При конц-ии Tl^+ 10^{-4} M доля его, перешедшая в осадок, мала, и соосаждение описывается ур-нием $(Tl/Ag)_{крст.} = K_2$.

Предполагается, что кажущееся гомогенное распределение внутри кристалла I наблюдается вследствие адсорбции каждым кристаллизующимся слоем I равных кол-в Tl^+ при практически постоянной конц-ии последнего.

М. Ж.

78439. Титрование галлия ферроцианидом. Применение метода титрования до остановки. Феттер, Суайнхарт (Titration of gallium with ferrocyanide. Application of dead-stop end point. Fetter Neil L., Swinehart D. F.), Analyt. Chem., 1956, 28, № 1, 122—123 (англ.)

Метод основан на образовании осадка ферроцианида галлия $Ga_3[Fe(CN)_6]_2$ (I) при титровании Ga^{3+} р-ром $K_4Fe(CN)_6$ (II). Титрование $Ga(NO_3)_3$ выполняют при 50° и разности потенциалов между Pt-электродами 230 mV . Хотя р-ция образования I при 50° проходит не очень быстро, повышение t -ры не имеет смысла, так как уже при 75° определить конечную точку титрования правильно не удастся. Добавлением K -ты к анализируемому р-ру поддерживают pH 2 во время титрования. При использовании для регулировки pH серной, соляной или хлорной K -ты Ga^{3+} взаимодействует с II в одинаковых стехиометрич. отношениях, и конец титрования во всех случаях определяется очень точно. Однако при титровании р-ров Ga^{3+} , 0,75 M относительно H_2SO_4 или 1,2 M относительно $HClO_4$, точность определения конца титрования уменьшается. При титровании р-ров Ga^{3+} , 0,02 M относительно NH_4^+ , получают ошибки порядка $\pm 5\%$.

Н. П.

78440. Микрохимическое открытие индия. Барло (Determination microchimique de l'indium. Barlot J.), Mikrochim. acta, 1956, № 1-3, 179—183 (франц.; рез. нем., англ.)

Для открытия In (3+) в форме двойных солей, образующихся при взаимодействии $InCl_3$ с хлоридом щел. металла, рекомендуется пользоваться только хлоридами Rb и Cs; кристаллы, образующиеся при употреблении соли Cs мельче и хуже растворимы, чем кристаллы, образующиеся при употреблении соли Rb. К капле солянокислого р-ра In добавляют кристаллик $RbCl$ или $CsCl$; мгновенно образуются сильно преломляющие кристаллы хлорида индия. Чувствительность 0,0001—0,0002 mg In ; $\leq 50\%$ Zn , Al и Ga не мешают. При избытке в испытуемом р-ре HCl хлориды Rb и Cs могут быть заменены нитратами. Для идентификации In в присутствии Sn к полученным октаэдрич. кристаллам добавляют 1 каплю р-ра сульфида щел. металла; окраска кристаллов хлорида индия переходит в желтую, хлоростанноват в коричневую. In может быть вытеснен из р-ров своих солей металлич. Zn , Al и Mg . Рекомендуется пользоваться металлич. Zn и производить опыт под микроскопом. В нейтрализованный солянокислый р-р вводят кусочек чистого перегнанного Zn ; образующиеся дендриты In легко отличить от таковых для Pb или $Sn(2+)$; осадок промывают и обрабатывают разб. HNO_3 ; Sn образует нерастворимый осадок окислов, Pb идентифицируют в форме нитрата. Чувствительность составляет $\sim 0,0001$ mg In .

Т. Л.

78441. Радиоактивационное определение микроколичеств индия в цинке и в галлии. Хосте, Берге (Determination of micro-amounts of indium in zinc and in gallium by radioactivation. Hoste J., Berghen H. van den), Mikrochim. acta, 1956, № 4-6, 797—803 (англ.; рез. нем., франц.)

При радиоактивационном методе определения микроколичеств In в цинке и галлии в качестве источника тепловых нейтронов использовали 1 g $Ra-Be$. В пробе цинка 10 g определяют 0,004—0,16% In со средней погрешностью 2,3% (без разделений). При определении In в галлии необходимо предварительное хим. разделение. Иодид индия экстрагируют диэтиловым эфиром из р-ра, 2 M по HJ . При навеске галлия 0,5 g , определяют $\geq 0,2$ mg In со средней погрешностью $\sim 5\%$.

Т. М.

78442. Волюметрическое микроопределение таллия периодатом. Симон Б., Сб. чехосл. хим. работ, 1956, 21, № 3, 775—777 (рез. нем.)
См. РЖХим, 1956, 68679.

78443. Определение малых количеств тория методом нейтронного активационного анализа. Ледикотт Г. В., Мальман Х. А. В сб.: Применение радиоактивных изотопов в пром-сти, медицине и с. х., М., Изд-во АН СССР, 1956, 166—174

Метод определения микрограммовых и субмикрограммовых кол-в Th в синтетич. материалах, рудах, глинах и иле речного дна основан на использовании следующей ядерной р-ции: $\text{Th}^{232} (\alpha, \gamma) \text{Th}^{233} \xrightarrow[23.3 \text{ мин.}]{\beta \gamma} \text{Pa}^{233} (27,4 \text{ дня})$.

Через 4,5 часа после удаления анализируемого образца из реактора активность Th^{233} практически нацело исчезает, а Pa^{233} измеряют с помощью γ -сцинтилляционных счетчиков с кристаллом NaI, активированного TI. Скорость счета с помощью этих счетчиков составляла $\sim 10^5$ имп/мин на 1 г Th. При анализе твердых в-в взвешенные кол-ва анализируемого образца и стандарта (напр. $\text{Th}(\text{NO}_3)_4$) помещают в небольшие кварцевые пробирки, закрывают их пробками с Al-обертками и вводят в контейнер для облучения, длительность которого зависит от конц-ии Th и размера образцов. Большинство исследованных образцов облучалось 4 часа в нейтронном потоке $6 \cdot 10^{11}$ нейтронов на $1 \text{ см}^2 \text{ сек.}$ Для анализа жидких проб аликвотные части р-ра образца и стандарта вводят в полиэтиленовые сосуды, которые помещают в контейнер для облучения. Через 4,5 часа после окончания облучения отделяют Pa^{233} от активных примесей экстракцией диизобутилкарбинолом. Метод с успехом проверен на синтетич. р-рах и рудных смесях из монацита + дуннита, на речном иле и глине. Н. П.

78444. Ализарин S как реактив на торий. Изучение весовым, колориметрическим и спектрофотометрическим методами. Сарма, Рао (Alizarin-S, a reagent for thorium. A gravimetric, colorimetric, and spectrophotometric study. Sarma D. V. N., Rao B. H. S. V. Raghava), Analyst. chim. acta, 1955, 13, № 2, 142—149 (англ.; рез. франц., нем.)

Ализарин S, видимо, непригоден для отделения Th от редкоземельных элементов цериевой группы и весового определения Th. Уточнен ранее описанный (Murthy T. K. S., Rao B. H. S. V. R., Current Sci. (India), 1949, 18, 248) фотометрич. метод определения Th при помощи ализарина S. Оптич. плотность р-ров (рН 2,8) измеряют при 520 мк. Метод применим для 0,0095—6,3 мг ThO_2 в 50 мл р-ра. Изучена абсорбция Th-комплекса при различных рН (0,7—4,7). Оптич. методами и хим. анализом установлено, что в образующемся комплексе молярное отношение между Th и ализарином S приближается к единице. Обсуждается вопрос о природе комплекса. Константа диссоциации комплекса при рН 2,7 $< 1 \cdot 10^{-8}$. В. К.

78445. Экстракция циркония трибутилфосфатом. Левитт, Фрэйнд (Solvent extraction of zirconium with tributyl phosphate. Levitt Arnold E., Freund Harry), J. Amer. Chem. Soc., 1956, 78, № 8, 1545—1549 (англ.)

Для экстракции Zr были использованы солянокислые р-ры $\text{ZrOCl}_2 \cdot 8\text{H}_2\text{O}$, полученной в процессе гидролиза ZrCl_4 после неоднократной перекристаллизации его из 8,2 М HCl. Экстракции производили экстрахиванием 25 мл трибутилфосфата (I) в течение часа при $25 \pm 0,2^\circ$ с 25 мл р-ра ZrOCl_2 определенной конц-ии. В выделенной после расслоения водн. фазе определяли Zr весовым способом, посредством выпаривания аликвотного объема жидкости с H_2SO_4 или осаждения мандаловой к-той или NH_4OH и последующим сжигании ZrO_2 . Колориметрич. метод с кверцетином использовали для определения микроколичеств Zr. В водн. фазе определяли Cl^- методом Фоль-

гарда. Органич. фазу центрифугировали для отделения капелек воды, затем аликвотную порцию экстрагировали 4 порциями 2 М HCl. В солянокислой вытяжке определяли Zr одним из указанных способов. Cl^- извлекали из аликвотного объема органич. фазы 4 порциями 2М HNO_3 и определяли по методу Фольгарда. Установлено, что $\text{ZrCl}_4(\text{I})_2$ присутствует в органич. фазе. Снижение D при увеличении начальной конц-ии Zr при постоянной конц-ии HCl в водн. фазе и постоянной конц-ии I в органич. фазе указывает на большую полимеризацию Zr в водн. фазе, по сравнению с органической. Б. Т.

78446. Определение циркония в сплавах методом радиометрического титрования. Алимари И. П., Гибало И. М., Завод. лаборатория, 1956, 22, № 6, 635—636

Метод радиометрич. титрования Zr основан на быстром осаждении осадка стехиометрич. состава при прибавлении к р-ру циркония H_3PO_4 . В качестве радиоактивного индикатора использовали P^{32} в форме р-ра $(\text{NH}_4)_2\text{HP}^{32}\text{O}_4$, добавляемого к H_3PO_4 . Активность р-ров H_3PO_4 составляла 20 000—50 000 имп/мин на 1 мл. К аликвотной порции р-ра Zr (0,1, 0,05 и 0,01 М р-р ZrOCl_2) 10—25 мл в центрифужной пробирке приливали р-р H_3PO_4 . После прибавления каждой порции к-ты (1—1,5 мл) осадок центрифугировали, отбирали 1 мл прозрачного р-ра и измеряли его активность. Конечную точку титрования определяли экстраполированием отрезков кривой титрования (построенной в координатах активность р-ра—кол-во прибавленной H_3PO_4) до пересечения. Установлено, что на осаждение 1 моля ZrOCl_2 требуется 1 моль H_3PO_4 . Состав осадка соответствует ZrOHPO_4 ; Fe^{3+} , Al^{3+} , Co^{2+} , Ni^{2+} , Cu^{2+} не мешают; Ti^{4+} удерживают в р-ре при помощи H_2O_2 . Описанный метод применен для определения Zr в сплавах на Fe-основе. Результаты радиометрич. титрования и весового фосфатного метода хорошо совпадают. Т. Л.

78447. Колориметрическое определение циркония с реагентом арсеназо. Кузнецов В. И., Буданова Л. М., Матросова Т. В., Завод. лаборатория, 1956, 22, № 4, 406—412

Арсеназо [представляет собой соединение $\text{O} = \text{H}_2\text{O}_2\text{AsC}_6\text{H}_4 = \text{N} = \text{N} - \text{C}_{10}\text{H}_7 = (\text{OH})_2 = 1,8 = (\text{SO}_3\text{H})_2 = 3,6$ (I)] содержит остаток AsO_3 и вследствие этого взаимодействует с Zr в более кислой среде, чем ализарин S, и быстрее. Для определения Zr в Al- и Mg-сплавах навеску $\sim 1 \text{ г}$ ($\approx 0,05 \text{ мг Zr}$) обрабатывают 25 мл HCl (1:1), если р-р не прозрачен, добавляют 1—2 мл HNO_3 , удаляют кипячением окислы азота и разбавляют р-р до 250 мл. Аликвотную порцию 5 мл (или 10 или 50 мл) разбавляют до 30—40 мл, прибавляют насыщ. водн. р-р β -динитрофенола и 10%-ный NH_4OH до появления желтой окраски. Затем приливают 10 мл 1 н. HCl, 5 мл 0,5%-ного р-ра желатини, 5 мл 0,02%-ного р-ра I, разбавляют до 100 мл и колориметрируют в 50-миллиметровой кювете с фильтром 550—572 мк. Определение можно заканчивать колориметрич. титрованием: р-р контрольной пробы титруют р-ром Zr в 0,1 н. HCl (50 γ /мл Zr) до совпадения окрасок анализируемого и контрольного р-ров. Fe^{3+} не мешает при соотношении $\text{Zr} : \text{Fe} = 1 : 100$; Al, K, Ca, Mg, Mn, Na, Ce ($3+$) и Zn не мешают; Nb и Ta не дают цветной р-ции при добавлении реагента к предварительно подкисленным ниобатом и танталатом; при рН 1,5—1,8 р-ции с I не дают Bi , Fe^{2+} , Co , Cu , Ni , Sn ($4+$), Cr ($3+$), Ce^{3+} . При соотношении $\text{Zr} : \text{Ti} = 1 : 1$ окраска соединения Ti с I в 10 раз менее интенсивна, чем окраска для Zr. При большем содержании Ti ($\text{Zr} : \text{Ti} = 1 : 5$) в р-р контрольного опыта добавляют Ti. Т. Л.

78448. Об открытии свинца в рудах методом растирания. Ожигев Е. П., Рафиенко М. А., Иваненко Л. К., Ж. аналит. химия, 1956, 11, № 3, 361—362 (рез. англ.)

Уточнен метод открытия Pb растиранием с KHSO_4 , а затем KJ применительно к сложным полиметаллич.

и флюоритовым рудам. Метод обладает высокой специфичностью и чувствительностью. В. С.

78449. Количественное определение олова посредством аrosoвых кислот. Портнов (用苯胍酸化合物作砷的容量分析. 波蘭諾夫 А. Е.). 化學世界, Хуасюэ шицзе, 1956, № 1, 48—49 (кит.). См. РЖХим, 1955, 624.

78450. Амперометрическое определение ванадия. Ралфс, Лаговский, Бахор (Amperometric determination of vanadium. Rulfs Charles L., Lagowski Joseph J., Bahor Raymond E.). *Analyt. Chem.*, 1956, 28, № 1, 84—86 (англ.).

Метод основан на титровании $V(5+)$ стандартным p -ром Fe^{2+} и на измерении высоты анодной волны окисления Fe^{2+} по мере дальнейшего добавления титрующего реактива по достижении эквивалентной точки. Амперометрич. титрование 10^{-2} — 10^{-4} н. $V(5+)$ выполняют с вращающимся индикаторным Pt-электродом при потенциале $+0,65$ в по отношению к насыщ. к. э. Последний используют в качестве электрода сравнения. Если анализируемый образец содержит $> 5\%$ V , то $0,2$ г анализируемого в-ва растворяют в 10 мл 50% -ной H_2SO_4 (I). При содержании $V < 0,5\%$ берут 2 г в-ва и растворяют его в 50 мл 50% -ной I. В полученном p -ре $V(4+)$ окисляют добавлением небольшого избытка 1% -ного $KMnO_4$, восстанавливая последний избытком 2% -ного KNO_2 . Непрореагировавший KNO_2 восстанавливают добавлением 3 — 4 г мочевины. Полученный p -р разбавляют до определенного объема, чтобы концы $V(5+)$ составляла $5 \cdot 10^{-4}$ — 10^{-2} н., а концы I 5 — 10% . Этот p -р титруют амперометрически таким p -ром Fe^{2+} в 5% -ной I, чтобы его концы по Fe^{2+} примерно в 10 раз превосходила концы V в титруемом p -ре. Метод с успехом применен для определения $0,33$ — $2,64\%$ V в сталях и сплавах на основе Ti , Cu , Mg , Al , Mn , Cr и O не мешают определению V . Эквивалентные кол-ва Mo и W почти не мешают определению V , если по достижении эквивалентной точки титрующий реактив добавляют небольшими порциями, чтобы эксперимент. точки ложились на небольшом расстоянии одна от другой. Если же приходится удалять отфильтровыванием WO_3 (при содержании $> 2\%$ W), то при определении V получают заниженные результаты. Н. П.

78451. Объемное определение ванадия в сталях. Зеронейт, Лилиэ (Titrimetrische Vanadinbestimmung in Stahl. Seroneit Artur, Lilliehelm utt). *Chem. Technik*, 1956, 8, № 5, 295 (нем.).

Для определения V навеску ($0,5$ — 2 г) растворяют при нагревании в 40 мл разб. H_2SO_4 (1:4) с добавкой 5 мл 40% -ной HF . К горячему p -ру добавляют по каплям конц. HNO_3 и после удаления окислов азота кипячением добавляют 70 мл воды. К кипящему p -ру добавляют по каплям $\sim 3\%$ -ный p -р $KMnO_4$ до выпадения MnO_2 . Охлажд. p -р восстанавливают $0,2$ н. p -ром соли Мора и вводят 5 мл избытка. Затем при $\leq 25^\circ$ к p -ру по каплям прибавляют $0,2$ н. p -р $KMnO_4$ до устойчивой фиолетовой окраски, вводят избыток 3 — 5 мл и через 2 — 3 мин. восстанавливают 2% -ным p -ром $NaNO_2$; избыток $NaNO_2$ удаляют прибавлением 3 г $CO(NH_2)_2$. Через 3 мин. добавляют 5 мл HF , 50 мл 5% -ного p -ра NaF , 2 капли p -ра индикатора (1 г дифениламина в 100 мл конц. H_2SO_4) и титруют $0,51$ н. p -ром соли Мора. Расчет ведут по ф-ле $\% V = A \cdot 0,1/B$, где A — кол-во $0,51$ н. соли Мора (в мл), B — навеска. Определению не мешают W , Mo , Ti и другие металлы. Содержание Cr не должно превышать 4% . При $0,1\%$ V погрешность $\pm 0,005\%$. Е. Ч.

78452. Отделение тантала от титана экстракцией. Черников Ю. А., Трам Р. С., Певзнер К. С. Завод. лаборатория, 1956, 22, № 6, 637—639

Для разделения Ta и Ti рекомендуется производить экстракцию фторидов циклогексаном (I); Ta извлекается из среды, $2M$ по H_2SO_4 . Удержанию Ti в водн. фазе способ-

ствует присутствие в p -ре $(NH_4)_2SO_4$. Степень извлечения контролировали при помощи Ta^{182} . Установлено, что после 3-кратной экстракции I фторидного комплекса Ta (общий объем I равен объему исходного p -ра) в водн. фазе остается $\leq 0,4\%$ Ta . Для реэкстракции Ta производят 3-кратное встряхивание экстракта с 7 мл p -ра, содержащего 4 г $(NH_4)_2C_2O_4$ и 4 г H_2BO_3 в 100 мл. После 3-кратной экстракции в органич. фазе остается $\leq 0,07\%$ Ta . Для разрушения I, иногда попадающего в реэкстракт, рекомендуется выпаривание последнего с H_2SO_4 в присутствии H_2O_2 . Для очистки от Ti экстракт промывают $0,1$ н. p -ром HF . Описанный метод применим при анализе различных объектов; он позволяет осуществлять отделение малых кол-в Ta от больших кол-в Ti в присутствии больших кол-во Nb . Продолжительность анализа — несколько часов. Т. Л.

78453. Об определении мышьяка в пиритах. Живанович (Prilog određivanju arsena u piritu. Živanović Dušan). *Croat. chem. acta*, 1956, 28, № 1, 69—71 (серб.; рез. англ.). См. РЖХим, 1956, 51, 131.

78454. Исследования в области аналитического применения оиневых соединений. VII. Полярографическое поведение хлорида тетрафенилфосфония по отношению к иону висмута. Синагава, Мацуо, Нэдзу (分析化学におけるオニウム化合物の適用に関する研究. 第7報. テトラフェニル. フォスフォニウム. クロライドの銑鉛イオンに対するポーログラフ的挙動. 山川睦明, 松尾博, 根津弘幸). 分析化学, Бунсэй какаку, Japan analyst, 1956, 5, № 1, 20—23 (япон.; рез. англ.). Синтезирован хлорид тетрафенилфосфония $(C_6H_5)_4PCl$ (I) и изучено его полярографич. поведение. I дает одноступенчатую волну восстановления с максимумом примерно при $-1,85$ в (насыщ. к. э.), подавление которого затруднительно. При употреблении соответствующих агентов сбраживания комплексных ионов I осаждает Hg^{2+} , Cu^{2+} , Cd^{2+} , Bi^{3+} , Sn^{2+} , Sn^{4+} , Sb^{3+} , Co^{2+} , Mn^{2+} , Fe^{2+} , Ni^{2+} , Zn^{2+} и т. д. и анионы I_3^- , SCN^- , ClO_4^- , JO_4^- , BF_4^- , MnO_4^- , $S_2O_8^{2-}$, WO_4^{2-} , MoO_4^{2-} , $Cr_2O_7^{2-}$, VO_4^{3-} , $Fe(CN)_6^{3-}$, $Fe(CN)_6^{4-}$ и $Fe(C_2O_4)_3^{3-}$ и реагирует с различными гетерополикислотами с образованием осадков. Р-ция с Bi^{3+} является особенно чувствительной; достигнуто полное полярографич. осаждение. Осуществлено амперометрич. титрование Bi^{3+} p -ром I; погрешность определения $\pm 1\%$; Сообщение VI см. РЖХим, 1956, 65182. Т. Л.

78455. О восстановлении шестивалентного хрома глюкозой в сернокислых растворах хромпика. II. Анализ растворов, восстановленных глюкозой. Кюнцель, Монсхеймер (Über die Chrom-VI-Reduktion mit Glukose in schwefelsauren Dichromatlösungen. II. Die Analyse von Glukosereduktionsbrühen. Küntzel A., Monsheimer R.). *Leder*, 1956, 6, № 7, 150—157 (нем.; рез. англ., франц., исп.).

3- и 6-валентный Cr в частично восстановленном глюкозой p -ре определяли следующим образом: устанавливали общее кол-во Cr общ. хим. лабор. способом после окисления $Cr(3+)$ H_2O_2 в щел. p -ре и 30 — 40 -минутного кипячения для удаления перекиси. Остаточный $Cr(6+)$ определяли иодометрически в сильноразб. p -ре; при этом окраска Cr^{3+} не мешала наблюдению за изменением окраски индикатора. Непрореагировавшую глюкозу определяли после отгонки с паром летучих компонентов и удаления Cr в форме гидрата окиси путем окисления фелинговым p -ром. Для определения свободной и связанной CO_2 применяли газоволуметрич. метод. При отгонке с паром определяли $HCOOH$ и CH_2O , но не CH_3COOH . Рекомендуется ряд добавочных обработок для устранения препятствий, вызываемых наличием избытка сахара и продуктов его окисления. Полученные результаты авторы считают ориентировочными. Сообщение I см. РЖХим, 1956, 70467. Б. Т.

78456. Кинетические методы количественного анализа. Сообщение 3. Определение малых количеств молибдена. Яцимирский К. Б., Афанасьева Л. П., Ж. аналит. химии, 1956, 11, № 3, 319—322 (рез. англ.).

Метод основан на использовании катализа молибденом р-ции окисления йодида перекисью водорода. Метод проверен в области конц-ий от $1,8 \cdot 10^{-7}$ до $9,1 \cdot 10^{-7}$ М. Изучено влияние посторонних в-в на точность определения. Сообщение 2 см. РЖХим, 1956, 51046.

78457. Фазовый анализ соединений молибдена. Заблоская В. Л., Тр. Северо-Кавказск. горно-металлургич. ин-та, 1956, вып. 13, 113—120

Предлагаемый метод фазового анализа предназначен для определения состава обожженного концентрата, отвала и других Мо-содержащих материалов. Определению MoO_3 мешают водорастворимые соединения железа, которые предварительно удаляются полчасовым кипячением анализируемой пробы с водой. К кипяченому и промытому осадку добавляют 20 мл 0,1 н. AgNO_3 и 25 мл аммиака. Смесь взбалтывают в темной склянке 8—8 час. и отфильтровывают. По разности содержания Ag^+ в исходном р-ре и в фильтрате определяют кол-во Ag^+ , израсходованное на окислении MoO_3 . Все окисленные соединения Мо, кроме MoO_3 , растворимы в NaOH . Поэтому сумму Мо, связанного в MoO_3 и молибденит, определяют вычитанием из общего содержания Мо кол-ва Мо, перешедшего в р-р при кипячении пробы с 20%-ным NaOH . Молибдат меди определяют (после выщелачивания из пробы CuSO_4) растворением в 2%-ном гидразине (I) при кипячении. Полученный р-р для окисления I обрабатывают при кипячении азотной к-той, выпаривают до выделения SO_3 , а затем определяют медь обычными способами. Молибдат свинца переводят в р-р кипячением пробы в 20%-ном NaOH и определяют затем Pb дитизоновым методом. Эту обработку выполняют после растворения PbSO_4 и PbO в р-ре NaCl на холоду. Определению молибдата Са предшествует выщелачивание из анализируемой пробы карбоната Са, которое осуществляется ее взбалтыванием с 10%-ным цитратом натрия. Затем из пробы растворяют молибдат Са кипячением с 100 мл 5%-ного р-ра I и в р-ре определяют Са. Для определения молибдата железа пробу сначала освобождают от Fe(OH)_3 . С этой целью пробу взбалтывают на холоду 1,5 часа с 200 мл 2%-ного сернокислого или солянокислого I, осадок отфильтровывают и промывают р-ром I. Из промытого осадка молибдат железа извлекают кипячением в течение 1 часа с 100 мл 3%-ного цитрата Na. Нерастворившийся остаток отфильтровывают, промывают 5%-ным NH_4Cl , в фильтрате действием 10%-ного KMnO_4 разрушают лимонную к-ту и аммиаком осаждают Fe(OH)_3 . Для окончательного удаления Мп переосаждают Fe(OH)_3 в присутствии 2 г NH_4Cl , а затем определяют железо объемным методом. MoO_3 , присутствующую в недостаточно выщелоченных отвалах, определяют по разности кол-ва окисленного Мо, растворимого в щелочи, и кол-ва Мо в составе молибдатов Pb, Са, Fe, а также не полностью отмытого Мо.

78458. Определение содержания урана по флуоресценции. Бурек (Fluorescencyjne oznaczanie zawartości uranu. Burek Jerzy), Przegl. geol., 1956, № 6, 258—262 (польск.).

Обзор. Библ. 16 назв. **78459. Анализы проб, содержащих уран, ниобий и цирконий. Эвлинг, Олсон (Analysis of samples containing uranium, niobium, and zirconium. Elving Philip J., Olson Edward C.), Analyt. Chem., 1956, 28, № 3, 338—342 (англ.).**

Разработаны методы анализа смесей, содержащих А) U и Zr; Б) U, Nb и Zr и В) Nb-руды. Для приготовления р-ров: А) к сернокислому р-ру (кол-во H_2SO_4 , эквивалентное 10 мл) добавляют 10 мл воды, ~0,001 н. KMnO_4 (до исчезновения окраски) и 2 мл конц. HCl ; Б) добавляют

конц. H_2SO_4 (общее содержание H_2SO_4 10 мл), в присутствии оксалата прибавляют 25 мл конц. HNO_3 ; В) пробу сплавляют с K_2CO_3 и плав растворяют в воде с добавкой KOH , фильтруют, подкисляют 10%-ной H_2SO_4 и добавляют по 5 мл конц. H_2SO_4 и HCl . Каждый р-р выпаривают до паров SO_3 , добавляют 1 мл 1%-ного р-ра желатин и разбавляют до 100 мл (в случае В при помощи конц. HCl). Zr определяют амперометрич. титрованием купфером (РЖХим, 1955, 23942): для А) при —1,0 в (насыщ. к. э.); для Б) аликвотную порцию (~0,1 мм Zr) предварительно центрифугируют с 50 мл 10%-ной H_2SO_4 , 3 мл 30%-ной H_2O_2 и 25 мл 10%-ной H_2SO_4 насыщ. $(\text{NH}_4)_2\text{P}_2\text{O}_7$ (смесь I) (~25 г на 100 мл к-ты), промыв несколько раз осадок (при центрифугировании) смесью из 50 мл I, 50 мл 10%-ной H_2SO_4 и 3 мл 30%-ной H_2O_2 . Вместе с суспендированным фосфатом Zr титруется Ni . В другой порции всех анализируемых р-ров определяют полярографически после удаления O_2 , U (6+): А) от 0,0 до —0,5 в (насыщ. к. э.); Б) от —0,3 до —0,4 в (насыщ. к. э.) и Nb (5+): Б) по высоте волны, без учета остаточного тока, В) по значению i_d , пользуясь калибровочной кривой, одновременно полярографируются незначительные кол-ва Sn (4+). Погрешность составляет: А) для Zr $\pm 0,6\%$, для U $\pm 1,1\%$; Б) для U, Nb и Zr соответственно $\pm 1,0$, $\pm 1,0$ и $\pm 0,5\%$. Среднее содержание Nb_2O_5 в рудах по В) $35,1 \pm 0,3\%$ (против 34,9%). Ионы, восстанавливаемые в сернокислых р-рах (Б) в интервале от —0,1 до —0,4 в мешают определению U.

78460. Полярографическое определение двух- и трехвалентного железа в минералах до керамики. Бин, Голдберг (Polarographic determination of ferrous and ferric iron in refractory minerals. Rien George S., Goldberg Edward D.), Analyt. Chem., 1956, 28, № 1, 97—98 (англ.).

Метод определения Fe^{2+} и Fe^{3+} при их одновременном присутствии основан на измерении катодной волны восстановления Fe^{3+} и анодной волны окисления Fe^{2+} в цитратосодержащем р-ре. 0,1—0,2 г измельченного анализируемого в-ва смешивают в Рт-тигле с 6-кратным по весу кол-вом метафторобората натрия. Рт-тигель прикрывают перевернутым глиняным тиглем, через который в течение 5 мин. пропускают N_2 . Смесь нагревают в атмосфере N_2 до плавления при 1000—1050° и выдерживают при этой т-ре ~5 мин. до получения однородного расплава. Тигель охлаждают в токе N_2 и взвешивают, плав извлекают, измельчают под азетомом и высущивают в токе N_2 , аликвотную пробу весом 0,3—0,4 г растворяют в 50 мл свободного от O_2 индифферентного электролита (ИЭ), не прекращая пропускания N_2 . ИЭ имеет рН 4,00 и содержит 0,25 моль/л цитрата натрия, 0,25 моль/л лимонной к-ты и 0,50 моль/л KNO_3 . Во избежание фотохим. восстановления цитратного р-ра его помещают в сосуд из цветного стекла или же полярографируют в отсутствие сильного света. Полярографирование выполняют в интервале от +0,15 до —0,35 в. Результаты полярографич. и перманганометрич. определений 5—20% FeO в составе различных силикатов удовлетворительно согласуются между собой. Mn^{2+} не мешает полярографич. определению Fe^{2+} и Fe^{3+} . Ур-ние Ильковича выполняется и для катодной и для анодной волн.

78461. Быстрое и точное гетерометрическое определение железа с алюминомом в присутствии избытка посторонних металлов. Бобтальский, Бен-Бассат (A quick and precise heterometric determination of iron with aluminon in excesses of foreign metals. Bobtalsky M., Ben-Bassat A.), Analyt. Chim. acta, 1956, 14, № 5, 439—445 (англ.; рез. франц., нем.).

Гетерометрический метод определения Fe^{3+} основан на образовании нерастворимого соединения Fe^{3+} с алюминомом. Анализируемый р-р подкисляют HNO_3 , разбавляют до конц-ии Fe 0,0004—0,001 М (0,2—0,5 мг Fe). В отсутствие избытка посторонних металлов к 10 мл р-ра Fe^{3+}

прибавляют 1 мл 1 М CH_3COOH , 1 мл 0,1 М р-ра $\text{Cr}(\text{NO}_3)_3$ и титруют гетерометрически 0,003—0,006 М водн. р-ром алюминоана. Так же ведут титрование в присутствии избытка ($\approx 99,5\%$) ионов Cr^{3+} , Al^{3+} , Pb^{2+} , Cd^{2+} , Cu^{2+} , Co^{2+} , Ni^{2+} , Mn^{2+} , Zn^{2+} , Mg^{2+} , Ba^{2+} и Ca^{2+} ; к анализируемому р-ру предварительно добавляют 1—2 мл 1 М р-ра $\text{Cr}(\text{NO}_3)_3$. Продолжительность титрования 10—15 мин., погрешность $\leq 2\%$. Ф. Л.

78462. Цветные реакции на феррицианиды с диметиламиноантипирином и тетраметилдиаминодифенилметаном. Крешков А. П., Вильборг С. С., Филиппова К. И., Дроздов В. А., Ж. аналит. химии, 1956, 11, № 2, 212—215 (рез. англ.)

Предложены 2 новые качеств. р-ции на $\text{Fe}(\text{CN})_6^{3-}$. Первая р-ция основана на получении окрашенного в фиолетовый цвет продукта, образующегося при окислении диметиламиноантипирина (пирамидона) (I) $\text{Fe}(\text{CN})_6^{3-}$.

I легко окисляется $\text{Fe}(\text{CN})_6^{3-}$ в присутствии Zn^{2+} , Cu^{2+} , Mn^{2+} , Pb^{2+} , Co^{2+} , Ni^{2+} , Bi^{3+} , которые увеличивают потенциал системы $[\text{Fe}(\text{CN})_6]^{3-} \rightleftharpoons [\text{Fe}(\text{CN})_6]^{4-}$ за счет уменьшения конц-ии $[\text{Fe}(\text{CN})_6]^{3-}$. Выполнение р-ции возможно в широком интервале рН. В аммиачной среде р-ция специфична для $\text{Fe}(\text{CN})_6^{3-}$, так как большинство других окислителей взаимодействуют с I только в кислой среде. Для выполнения р-ции к 1 мл испытуемого р-ра приливают 1 мл 2%-ного р-ра I и 2 капли насыщ. р-ра соли Zn. В присутствии $\text{Fe}(\text{CN})_6^{3-}$ появляется сине-фиолетовая окраска или того же цвета осадок. Чувствительность р-ции 10 γ . Разведение 1 : 120 000. Р-ция может быть выполнена капельным методом на фарфоровой пластинке. Вторая р-ция $\text{Fe}(\text{CN})_6^{3-}$ основана на получении окрашенного в синий цвет р-ра с тетраметилдиаминодифенилметаном (основанием Арнольда) (II) в присутствии солей Zn. К 1 мл исследуемого р-ра добавляют 1 каплю 2%-ного р-ра II в ацетоне и каплю 1%-ного р-ра ZnSO_4 ; при этом появляется синяя или голубая окраска. Чувствительность 5 γ . Предельная конц-ия 1 : 200 000. Указанные р-ции позволяют открывать $\text{Fe}(\text{CN})_6^{3-}$ в присутствии $\text{Fe}(\text{CN})_6^{4-}$, ClO_3^- , BrO_3^- , JO_3^- и других окислителей. А. Р.

78463. Открытие следов никеля методом осадочной хроматографии. Ощеповский В. В., Ж. аналит. химии, 1956, 11, № 2, 170—176 (рез. англ.)

Лучшими поглотителями для Ni и для разделения пар $\text{Ni}^{2+} - \text{Co}^{2+}$, $\text{Ni}^{2+} - \text{Fe}^{2+}$ и $\text{Ni}^{2+} - \text{Cu}^{2+}$ являются: диметилглиоксим (I) и смесь 10% I и 90% стеклянного порошка. Поглотители готовят растиранием в фарфоровой ступке сухих носителя и осадителя. Микроколонки представляют собой стеклянные трубки (высота 50—70, диам. 5—8 мм), оттянутые с одной стороны в капилляр с отверстием 1—2 мм. Высота слоя поглотителя в колонке 5—6 мм. Применяют как сухие, так и мокрые колонки. I плохо смачивается нейтр. р-рами, поэтому перед применением такие колонки обрабатывают каплей NH_4OH (1 : 1) и 1—2 каплями воды. В готовую колонку вносят 1 каплю (0,05 мл) испытуемого р-ра. Через 2—5 мин. колонку промывают 10—20 каплями воды до получения бесцветного фильтрата. Хорошо растворимые и окрашенные комплексы ионов Co^{2+} , Co^{3+} , Fe^{2+} , Cu^{2+} вымываются водой; остается одна, окрашенная в розовый цвет зона Ni. Чувствительность р-ции открытия Ni зависит от отношения Ni : Co (Fe, Cu) и от состава поглотителя. С уменьшением отношения Ni : Co чувствительность снижается. Так, в р-рах соли Ni открываемый минимум соответствует 0,075 γ Ni в капле; при отношении Ni : Co = 1 : 50 0,125 γ ; Ni : Co = 1 : 400 0,25 γ , а при отношении Ni : Co = 1 : 5000 только 0,5 γ Ni. При открытии Ni в присутствии Fe в качестве комплексообразователя применяют сегнетову соль; рН р-ра 8—10; 0,15 γ Ni открывают в присутствии 2300-кратного колва Fe. Комплексообразование с NH_4OH и тартратом оказывает положительное влияние на процесс разделения пары $\text{Ni}^{2+} - \text{Cu}^{2+}$. При рН р-ра 7—8 0,25 γ Ni в капле р-ра открывают в присутствии 2000-кратного колва Cu. Разработан метод открытия следов Ni в Со-солях и предложен простой способ определения квалификации Со-препаратов. В соответствии с данными ГОСТ готовят р-ры испытуемых препаратов с миним. конц-ией Ni, открываемой при данном отношении Ni : Со. Р-ры испытывают на колонках с I и сравнивают результаты испытаний. Если капля р-ра из большей навески дает положительную р-цию, а из меньшей — отрицательную, то препарат отвечает квалификации, соответствующей меньшей навеске. А. Р.

78464. Определение малых количеств никеля экстракцией диметилглиоксимата никеля хлороформом. Применение метода к определению никеля в медных солях. Нильш (Zur Extraktion und Bestimmung kleinster Mengen Nickeldimethylglyoxim mit Chloroform Anwendung des Verfahrens zur Bestimmung von Nickel in Kupfersalzen. Nielsch Walter, Z. analyt. Chem., 1956, 150, № 2, 114—118 (нем.))

Для определения Ni к 2 мл р-ра ($\geq 2 \gamma/\text{мл}$) в делительной воронке емк. 100 мл добавляют 2 мл 10%-ного р-ра тартрата Na (I). При рН смеси 6,5 ее обрабатывают 3 мл буферного р-ра (II) (30%-ный р-р CH_3COONa , доведенный CH_3COOH до рН 6,5) и 5%-ным р-ром $\text{NH}_4\text{OH} \cdot \text{HCl}$ (III), при рН 8—9 4 каплями р-ра NH_4OH (1 мл NH_4OH , уд. в. 0,96, разбавленный до 100 мл) + 1 мл 5%-ного р-ра III. Смесь встряхивают, добавляют 2 мл 1%-ного спирт. р-ра диметилглиоксима и 6 мл CHCl_3 и встряхивают 1 мин. Органич. слой фильтруют в кювету и фотометрируют на фотометре Elko II с Hg-лампой при 366 мμ или лампой накаливания при 380 мμ. Для определения Ni в солях Cu (0,004—0,018% Ni) 1 г соли растворяют в 10 мл воды в делительной воронке, добавляют 0,5 г I + 5 г $\text{Na}_2\text{S}_2\text{O}_8$, обрабатывают 5 мл II и 5 мл сухого III. После каждого добавления реактивов р-р встряхивают. Далее поступают, как указано выше. Калибровочная кривая, построенная по р-рам 25, 30 и 80 γ Ni, имеет форму прямой. Л. А.

78465. О дробной реакции на кобальт. Попов М. А., Ж. аналит. химии, 1956, 11, № 3, 357—358 (рез. англ.)

Отмечены неточности, допущенные Г. С. Гольбергом (РЖХим, 1954, 29322) при описании дробной р-ции на Co^{2+} . Открытию Co^{2+} мешают соединения одновалентной ртути, Hg_2O , хлористые и сернокислые соли железа никеля. Видимый цветовой эффект р-ции зависит от аниона, с которым связан открываемый катион. В приложении к качеств. анализу методом растирания порошков мешающие в-ва следует показывать не в виде ионов, а в виде солей известного хим. состава. В. С.

78466. Определение кобальта с помощью анодного электровыделения. Использование метода изотопного разбавления. Сальер, Сунт (Determination of cobalt by anodic electrodeposition. Utilization of isotope dilution method. Salyer Darnell, Sweet Thomas R., Analyt. Chem., 1956, 28, № 1, 61—63 (англ.))

Метод основан на анодном выделении окиси кобальта (I) из меченого Co^{60} р-ра, взвешивании выделившегося осадка и измерении его активности. К определенному объему анализируемого р-ра добавляют 10 мл р-ра Co^{60} с активностью 0,5 мкюри/л. Р-р забуферивают боратной смесью, добавляют 0,1 М р-р NaOH до рН 7,6—7,8 и разбавляют дистиллятом до 50 мл. В случае образования осадка гидроокисей или основных солей фильтруют и из фильтрата выделяют I при 1,5—1,8 в течение 40 мин. В качестве анода используют Pt-диск, одна из поверхностей которого подвергалась пескоструйной обработке.

Перед выполнением анализа анод очищают от окисного осадка действием кислого р-ра иодида или оксалата, высушивают 15 мин. при 40° и взвешивают с точностью до 0,002 мг. По окончании электровыделения осадок 1 промывают бидистиллатом, фильтром удаляют капельки воды, высушивают на воздухе, а затем 2—2,5 часа при 40° и взвешивают. Активность измеряют с Al-экраном толщиной 70 мг/см², отфильтровывающим β-излучение Со⁶⁰. Определив по линейному калибровочному графику содержание Со в исследованном р-ре, вводят поправку на коэф. стабильного Со, внесенного с Со⁶⁰. Наилучшие результаты метод дает при определении 5—15 мг Со. Высушенный анодный осадок представляет собой тригидрат I. Равные кол-ва Fe, Cu, Cr (в виде Cr₂O₇²⁻), Zn, Bi, Ag, Al, Ba, Ca, Sr, Mg, Pb или Cd не мешают определению Со. Наиболее мешает Mn, от которого Со предварительно отделяют кобальтинитритным методом. Арсениты и мышьяковистая к-та тормозят выделение осадка и поэтому должны быть предварительно удалены при помощи Fe(OH)₃ при pH 3. Ртуть выделяют из кислого р-ра действием Со.

78467. Новый метод колориметрического определения кобальта с помощью монометилового эфира о-нитрозорезорцина. Торий (Олсух. Нитрозоэтилсинтез), *日本化学雑誌*, Нихон какаку дзасси, J. Chem. Soc. Japan. Pure Chem. Sec., 1955, 76, № 3, 328—333 (япон.).

Метилловый эфир о-нитрозорезорцина образует окрашенный комплекс с Fe²⁺ и Fe³⁺, Cu, Ni, Co и Pd. С помощью CCl₄ при pH 1,5—10 экстрагируется только комплекс Со. Интенсивность оранжево-красного окрашивания можно измерять при 375 мμ. Присутствие 5000 ч. Fe и 1000 ч. Ni не мешает определению 1 ч. Со.

Chem. Abstrs., 1956, 50, № 7, 4717. K. Yamasaki

78468. Фотометрическое определение палладия α-фурилдиоксидом. Менис, Рейнс (Colorimetric determination of palladium with alpha-furildioxide. Menis Oscar, Rains T. C.), *Analyt. Chem.*, 1955, 27, № 12, 1932—1934 (англ.).

При взаимодействии небольших кол-в Pd²⁺ с α-фурилдиоксидом в кислой среде появляется желтое окрашивание р-ра, которое переходит в CHCl₃. На этом основаны новые методы колориметрич. определения Pd. Волн. р-ры, содержащие до 15 γ Pd в 25 мл, устойчивы 2 часа; р-ры, содержащие относительно большие кол-ва Pd, устойчивы 20 мин. Окраска р-ра в хлороформе устойчива 24 часа. Если кислотность р-ра > 1,4 н. по HCl, то наблюдается понижение оптич. плотности волн. р-ра. Не следует добавлять реактив к сильноокислому р-ру, так как происходит коагуляция соединения. Коагуляция не препятствует определению, если затем производится экстракция хлороформом. Комплекс Pd²⁺ с α-фурилдиоксидом осаждается при конц-ии > 30 γ Pd в 25 мл. Чтобы расширить область рабочей конц-ии, рекомендуется определять Pd в волн. р-рах в присутствии 10% (по объему) этилового спирта. Избыток спирта понижает полноту извлечения хлороформом. В волн. р-рах для достижения максим. окраски необходим 20-кратный избыток реактива. Необходим также большой избыток реактива при экстрагировании хлороформом. Для построения калибровочной кривой к р-ру соли Pd в колбе емк. 25 мл добавляют 1 мл конц. HCl и 2,5 мл 100%-ного этилового спирта и столько воды, чтобы общий объем был равен 20 мл. Затем прибавляют 1 мл 1%-ного водно-спиртового р-ра реактива и разбавляют водой до метки. Оптич. плотность р-ров измеряют при 420 мμ. Р-ры подчиняются закону Бера. При изменении конц-ии от 12 до 74 γ Pd в 25 мл коэфф. экстинкции изменяется на 2%. При экстракции окрашенного комплекса Pd²⁺ с α-фурилдиоксидом применяется следующая методика: к р-ру Pd в делительной во-

ронке прибавляют 1 мл конц. HCl, 1 мл 1%-ного водно-спиртового р-ра α-фурилдиоксима и 10 мл CHCl₃. Р-р взбалтывают 20 сек. и хлороформный слой собирают в колбу емк. 25 мл. Экстракцию производят дважды. Органич. слой освобождают от следов влаги добавлением 0,5 г Na₂SO₄. Р-р в колбе доводят до метки хлороформом и измеряют оптич. плотность при 380 мμ. Р-ры подчиняются закону Бера. В пределах от 15 до 74 γ Pd в 25 мл коэфф. экстинкции изменяется в пределах 1%. Платиновые металлы, Au и другие элементы не создают затруднений при определении Pd. Если определение ведут в волн. р-рах, то окрашенные ионы вводят в р-р для сравнения или производят экстрагирование хлороформом. Анионы не мешают, за исключением CN⁻. Относительная ошибка определения составляет 1—2%.

B. III.

78469. Весовой метод определения двухвалентных палладия и ртути в форме тетраидомеркурата бис-этилендиаминпалладия. Уотт, Соуардс, МакКарли (Gravimetric determination of palladium (II) and mercury (II) as bisethylenediaminepalladium (II) tetraiodomercurate (II). Watt George W., Sowards Donald M., McCauley Robert E.), *Analyt. Chem.*, 1956, 28, № 4, Part 1, 556 (англ.).

Метод определения Pd(2+) и Hg(2+) основан на образовании нерастворимой при pH 6—8 соли тетраидомеркурата бис-этилендиаминпалладия (II), [Pd(En)₂](HgI₄). Необходимый для осаждения соли реактив Pd(En)₂Br₂ (II) готовят посредством многократного выпаривания смеси из Pd(NO₃)₂ или PdCl₂ с HBr, нагревания сухого продукта с незначительным избытком воды. р-ра этилендиамина и осаждения II добавлением 10-кратного объема C₂H₅ОН. Осадок отфильтровывали, промывали абс. C₂H₅ОН и сушили в вакууме при 18—20°. Для приготовления стандартного р-ра 0,8052 г полученного продукта растворяли в воде и разбавляли до 100 мл. Для осаждения I использовали ~ 0,05 М р-р II. При определении Pd устанавливали в аликвотных объемах стандартного р-ра II pH 6—8, добавляли по каплям р-р K₂HgI₄, содержащий в 100 мл р-ра 0,3239 г HgI₂ и 1 г KJ, до осаждения I. После 10-минутного коагулирования осадок отфильтровывали через взвешенный стеклянный пористый тигель, промывали водой и сушили до постоянного веса при 115°. Состав осаждаемой соли подтвержден прокаливанием пробы до PdO. При определении Hg устанавливали pH 6—8 в аликвотных объемах стандартного р-ра K₂HgI₄ в указанных пределах, добавляли незначительный избыток р-ра II и обрабатывали осадок, как описано выше. Метод дает удовлетворительные результаты.

B. T.

78470. Химическое определение бора. IV. Отделение бора от серебра, ртути и свинца методом хроматографии на бумаге. 2. Муго (ホウ素の分析化学的研究. 第4報. 銀, 水銀, 鉛とホウ素のベーパー・クロマトグラフィー. その2 武藤 覺.), *日本化学雑誌*, Нихон какаку дзасси, J. Chem. Soc. Japan. Pure Chem. Sec., 1955, 76, № 3, 294—297 (япон.).

В качестве проявителя наиболее подходящим является смесь H₂O и C₂H₅ОН в отношении 1 : 4. В обнаруживают прибавлением куркумы и NaOH, а металлы — водн. р-ром H₂S. Величины R_f располагаются в следующем порядке: B > Ag > Pb > Hg₂²⁺. Часть III см. РЖХим, 1956, 10112

Chem. Abstrs., 1956, 50, № 7, 4711. K. Yamasaki

78471. К вопросу о титриметрическом определении борной кислоты. Сообщение II. Шулек, Сакач, Сакач (Beiträge zur titrimetrischen Borsäure-Bestimmung. II. Mitteilung. Schulek E., Szakács O., Szakács M.), *Z. analyt. Chem.*, 1956, 151, № 1, 1—15 (нем.).

Метод отделения H₃BO₃ (I) от сравнительно больших кол-в фторидов, нитратов, шел. и шел.-зем. металлов основан на отгонке борнометилового эфира (II) с заменой

обычно применяемой H_2SO_4 на р-р $ZnCl_2$. Для определения содержания I в солях 2—5 г анализируемого в-ва растворяют в 5—10 мл воды, смешивают в дистилляционной колбе перегонного аппарата с 2 мл 2%-ной HCl и 5 мл р-ра $ZnCl_2$ с конц-ней 1 г/мл. Затем начинают отгонку и прекращают ее, как только т-ра кипения достигнет 120° . Жидкость охлаждают, смешивают с 30 мл CH_3OH и отгоняют II до достижения т-ры кипения 110° . При первой отгонке I удаляется лишь частично и потому добавление новых порций CH_3OH с последующей дистилляцией повторяют еще 4 раза. Дистиллят улавливают 5%-ным $NaOH$, полученную жидкость разбавляют равным объемом воды, упаривают досуха, остаток сплавляют с 0,5—1 г KOH и плав растворяют в небольшом кол-ве воды. Р-р подкисляют, кипятят для удаления CO_2 , нейтрализуют 0,01 н. р-ром $NaOH$ по α -нафтолфталеину, приливают 5 мл пентана для защиты от атмосферного CO_2 , добавляют на каждые 10 мл р-ра 1 г маннита и титруют 0,01 н. едким натром по тому же индикатору. Описанный метод титрования по одному индикатору дает особенно хорошие результаты при определении малых кол-в В. Использование общепринятого метода двухиндикаторного титрования с предварительной нейтр-цией р-ра по метиловому красному в таких случаях связано с большими ошибками. Если же анализируемая проба содержит $> 2,3$ мг I, то более точные результаты дает двухиндикаторный метод, хотя и его применение связано с небольшими положительными ошибками. Значительно большие положительные ошибки, наблюдаемые в присутствии фторидов, легко элиминируют добавками $AlCl_3 + KCl$. Следы нитритов разрушают введением добавок глюкозы перед сплавлением с KOH . Метод применим для анализа минеральных солей, природных вод, стекол, ферробора и т. д. Предыдущее сообщение см. Z. analyt. Chem., 1952, 137, 5. Н. П.

78472. Об определении малых концентраций углерода в сталях и ферросплавах. Сапир А. Д., Завод. лаборатория, 1956, 22, № 4, 508

При определении $\leq 0,25\%$ С в стали по методам ГОСТ 2331—43 и 2604—44 аппаратом Вюртца — Штролейна необходимо пользоваться эвдиометром, градуированным на 0—0,25% С; комплект из трех эвдиометров предусмотрен также ГОСТ 2887—45 при хим. анализе ферросплавов. Т. Л.

78473. Быстрый метод объемного определения углерода (графита, активного угля, каменного угля и т. д.) окислением йодноватой кислотой. Кибя, Охаси, Такаги, Хироэ (Rapid volumetric method for the determination of carbon (graphite active carbon, charcoals, etc.) by the decomposition with iodic acid. Kiba Toshio, Ohashi Shigeru, Takagi Tomoo, Hirose Yasuo), 分析化学, Бунэки какаку, Japan Analyst, 1953, 2, 446—451 (Япон.)

Метод основан на выделении J_2 при нагревании С с KJO_3 в конц. H_3PO_4 . 5—15 мг пробы помещают в пробирку с термометром и трубкой для подачи CO_2 . Добавляют 3—4 мл конц. H_3PO_4 и 0,2—0,4 г KJO_3 . Соединяют реакционную пробирку с абсорбционной, содержащей 20 мл 0,1 М р-ра As_2O_3 . Заполняют аппарат CO_2 , нагревают до 2500° до осветления р-ра, быстро охлаждают, добавляют к реакционной пробирке 10 мл 1 н. H_2SO_4 , хорошо взбалтывают и нагревают для отгонки J_2 в абсорбционную пробирку. Избыток As_2O_3 оттитровывают 0,05 н. J_2 . Определению мешают MnO_2 , $NaCl$, KCl , $BaCl_2$, $NaNO_3$, KNO_3 , $K_2Cr_2O_7$, $KMnO_4$, $KClO_4$, соли NH_4 и все металлы. Chem. Abstrs, 1954, 48, № 11, 6317. Keihei Ueno

78474. Определение двуокиси кремния в известково-натриевом стекле. Колобова К. К., Герасимова В. А., Завод. лаборатория, 1956, 22, № 3, 286—287

На поверхность образцов стекла в специально сделанные парафиновые лунки помещают по 2 капли плавиковой к-ты и выдерживают 5 мин. при помешивании. За-

тем в лунку добавляют 5—6 капель воды, переносят полученные р-ры в мерные колбы, промывают лунки 4—5 раз водой, присоединяя промывные воды к основному р-ру. К р-ру в колбе добавляют 5 капель H_2SO_4 (1 : 3) и разбавляют до 250 мл. Аликвотные части этого р-ра вносят в цилиндры емк. 10 мл, прибавляют по 1 капле H_2SO_4 (1 : 3), по 2 капли 2%-ного р-ра $(NH_4)_2SO_4$ и по 5 капель 5%-ного свежеприготовленного р-ра $(NH_4)_2MoO_4$. После появления желтой окраски кремнемолибденового комплекса прибавляют 5 капель 5%-ной винной к-ты и 1%-ного р-ра аскорбиновой к-ты. Рассчитывают содержание SiO_2 в стекле. Продолжительность анализа 30—35 мин. Т. М.

78475. Определение иона аммония кондуктометрическим титрованием. Пасовская Г. Б., Ж. аналит. химии, 1956, 11, № 2, 237—240 (рез. англ.)

Предложен метод определения NH_4^+ в присутствии посторонних солей кондуктометрич. титрованием $NaOH$. При помощи р-ра $NaOH$, 0,00583 мл которого эквивалентны 1 мг NH_4^+ , можно титровать р-ры, содержащие $> 4,5$ мг NH_4^+ в 50 мл р-ра. Р-ры с меньшим содержанием NH_4^+ титруют более разб. р-рами $NaOH$. Минимально определяемое кол-во составляет 0,54 мг NH_4^+ в 50 мл р-ра. Титрование мешает присутствие в р-ре SiO_3^{2-} , большие кол-ва K , Na , NO_3^- , SO_4^{2-} , Cl^- . Для удаления CO_3^{2-} и HCO_3^- р-р нейтрализуют HCl по метиловому оранжевому и кипятят 2 мин. Для устранения влияния Ca , Mg , Fe и Al к исследуемому р-ру перед титрованием добавляют небольшое кол-во сухого NaF . Осадок CaF_2 не мешает титрованию. Из р-ров фторидного комплекса $Fe NaOH$ осаждает $Fe(OH)_3$. Кривая титрования в этом случае имеет 2 точки перегиба и состоит из двух отрезков. Один из них соответствует расходу $NaOH$ на осаждение Fe в форме гидроксида, другой соответствует кол-ву $NaOH$, израсходованного на титрование NH_4^+ . А. Р.

78476. Спектральное определение малых примесей азота в газообразном аргоне. Дианов - Клоков В. И., Завод. лаборатория, 1956, 22, № 4, 444—447

Спектр возбуждают в гейслеровой трубке, питающейся от сети через повышающий трансформатор. Исследуемая смесь при постоянном давл. 10 мм рт. ст. непрерывно пропускается через трубку. При визуальной оценке почернений линий определяют N_2 в пределах 0,1—1%. Наиболее удобно использовать для сравнения близко расположенные головы полос N_2 и линии Ar : Ar 3949 N—3943 A (при конц-ии 0,1—0,2%) и Ar 4044,42 — N 4059,4 A (при конц-ии 0,4—0,5%). Для объективного контроля применен простой фотозлектр. анализатор, содержащий 2 фотоумножителя ФЭУ-19, нагрузки которых непосредственно присоединены к взаимно перпендикулярным отклоняющим пластинкам электроннолучевой трубки. По углу наклона светящейся линии на экране непосредственно отсчитывают конц-ию в пределах 0,01 ± 0,5%. Питание фотоумножителей производят нестабилизированным выпрямителем от общего делителя. Ошибка анализа 10—20%. Продолжительность анализа при применении анализатора 1—2 мин. В. Д.-К.

78477. Новый весовой метод определения нитрит-иона при помощи нитрита Б (о-аминоанилида бензолсульфоновой кислоты). Комарь Н. П., Мартыненко И. У., Ж. аналит. химии, 1956, 11, № 3, 259—263 (рез. англ.)

Установлено, что при взаимодействии NO_2^- с о-аминоанилидом бензолсульфоновой к-ты (I) при рН 1,5—2,8 образуется осадок бензолсульфанил-о-фенилендиазимида (II), который удовлетворяет требованиям весового анализа. Для полноты осаждения 1 г NO_2^- употребляют 1,5 М р-р I. При нагревании на воздухе до 75° II устойчив, но при

90—100° постепенно окисляется, превращаясь в в-во, растворимое в 0,1 н. NaOH. Растворимость II, определенная колориметрически (на основе способности II образовывать окрашенные р-ры с окислителями) равна $(3,0 \pm 0,3) \cdot 10^{-6}$ М. Предлагаемый метод весового определения NO_2^+ применен в присутствии многих других ионов. В. Л.

78478. Определение окислов азота методом инфракрасной спектроскопии. Бальгери, Клайс (Méthode spectrophotométrique infrarouge de dosage des oxydes d'azote. Balgairies E., Claeys C.), Arch. malad. profess., 1956, 17, № 3, 259—260 (франц.).

В окислительной атмосфере NO , NO_2 и ее полимеры находятся в равновесии между собой и потому для выполнения анализа достаточно определить один из компонентов смеси. ИК-спектр поглощения такой смеси в атмосфере (в интервале 2—15 μ) имеет дублеты при 3,4 и 4,3 μ , интенсивную полосу поглощения между 5,8 и 6,3 μ , полосу при 7,3 μ и широкие полосы при 7,7 и 12,9 μ . Для выполнения анализа пользуются ИК-лучами с длиной волны 6,29 μ ; в этом случае обычные составные части атмосферного воздуха не мешают определению. Метод пригоден для определения окислов азота в газовом потоке. Используя кювету длиной 1 м, определяют окислы азота при концентрации до $5 \cdot 10^{-4}$. Н. П.

78479. Определение нитратов в гидратах окиси алюминия. Сокол, Тымпль (Stanovení dusičnanů v hydrátech kyslíčníku hlinitého. Sokol L., Tuupl M.), Chem. průmysl, 1956, 6, № 5, 215 (чеш.).

Описан метод определения небольших кол-в нитратов в гидратах окиси алюминия, применяемых в качестве катализаторов или носителей для смешанных катализаторов. 0,25 г хорошо измельченной пробы растворяют при нагревании в 5 мл 20%-ного р-ра КОН и дополняют водой до 50 мл. 1 мл таким образом полученного р-ра смешивают с 10 мл уранилацетатного р-ра (85 мг $(\text{CH}_3\text{COO})_2\text{UO}_2$, 7,5 г KCl и 110 мл 1 н. HCl в 1000 мл) и полярографируют в атмосфере N_2 . Потенциал полувысолы — 1,0 в. Относительная погрешность метода $\pm 2\%$. Н. Т.

78480. Колориметрическое микроопределение фосфора. Карль (Microdosage colorimétrique du phosphore. Carles Jules), Bull. Soc. chim. biol., 1956, 38, № 1, 255—257 (франц.; рез. англ., нем.).

К 4 мл р-ра, содержащего $\leq 10 \mu\text{г}$ P, приливают 1 мл 3 н. H_2SO_4 , 1 каплю р-ра ализаринсульфоната Na (200 мг в 100 мл воды), 1 мл 3,6 н. NaOH и 1 н. H_2SO_4 до перехода окраски. Жидкость нагревают в кипящей водяной бане и прибавляют через 5 мин. 1 мл реактива (0,11 н. молибденовой сини, установленного по KMnO_4 : перед употреблением р-р разбавляют водой 1 : 9). Через 20 мин. смесь быстро охлаждают, разбавляют до 10 мл и фотометрируют с красным фильтром при 650—700 м μ по сравнению с водой. Чувствительность метода $\sim 0,1 \mu$. За 1 час можно произвести до 20 испытаний. М. Ш.

78481. Применение тиомочевины для колориметрического определения фосфорной кислоты. Мещеряков А. М., Почвоведение, 1956, № 3, 88—90

Колориметрическое определение PO_4^{3-} ведут двумя методами: 1) с $\text{CS}(\text{NH}_2)_2$ (I) при нагревании или 2) с I и SnCl_2 без нагревания. 1) Р-р, содержащий 0,01—0,06 мг P_2O_5 , нейтрализуют H_2SO_4 , HCl или NaOH в присутствии 3—4 капель насыщ. р-ра α -динитрофенола. Добавляют 2 мл молибденового реактива (II) (3,762 г MoO_3 растворяют при кипении в 75 мл H_2SO_4 уд. в. 1,785; остывший р-р вливают тонкой струей в колбу с 300 мл воды и после охлаждения разбавляют до 500 мл), 2 мл 5%-ного р-ра I и разбавляют до 40—45 мл. После добавления каждого реактива р-р перемешивают. Одновременно с одноименного фосфата К приготавливают стандартные р-ры. Все образцы выдерживают на водяной бане при 80—90° 30 мин., охлаждают до 18—20°, разбавляют до 50 мл и изучают на колориметре. При появлении муты или осадка р-ры до до-

бавления воды фильтруют через 0,5 см³ асбестового волокна или оставляют на 24 часа. Гумусовые в-ва мешают определению и для их окисления к исходному р-ру (20—40 мл вытяжки из почвы 1%-ным р-ром $(\text{NH}_4)_2\text{CO}_3$ или K_2CO_3) добавляют 3—5 мл 10%-ного р-ра H_2SO_4 , нагревают до кипения, добавляют 2—4 мл 0,1 н. KMnO_4 и кипятят 2 мин. В дальнейшем анализ ведут, как указано выше. 2) После нейтрин к р-ру добавляют 2 мл II, 2 мл I и разбавляют до 40—45 мл. К анализируемому и стандартным р-рам добавляют по 0,5 мл свежеприготовленного р-ра SnCl_2 (70 мг стружек Sn растворяют в 2 мл HCl уд. в. 1,19, разбавляют 2 мл той же к-ты и водой до 25 мл), перемешивают, разбавляют до 50 мл, еще раз перемешивают и через 1 мин. изучают на колориметре. В присутствии гумусовых в-в их окисляют вышеописанным способом. М. П.

78482. Определение фосфата титрованием раствором хлористого магния. Заваров Г. В., Житарев Г. А., Карабанов Н. Т., Завод. лаборатория, 1956, 22, № 6, 650—652

Тринатрийфосфат (6 г) растворяют в горячей воде, р-р охлаждают, вводят в колбу с обрезками стеклянных палочек (диам. 2, длина 50 мм), добавляют 20 мл аммиачно-аммонийной смеси (смесь насыщ. р-ра NH_4Cl с 25%-ным р-ром NH_4OH , 1 : 1), индикатор (р-р 0,1 г эриохромчёрного Т в 10 мл 10%-ного NH_4OH) и титруют р-ром MgCl_2 (р-р 145 г/л $\text{MgCl}_2 \cdot 6\text{H}_2\text{O}$ разбавляют таким образом, чтобы 1 мл р-ра MgCl_2 соответствовал 1 мл р-ра PO_4^{3-}). При добавлении 2—3 мл р-ра MgCl_2 р-р приобретает розовую окраску; при взбалтывании р-ра до перехода окраски в синюю Mg осаждается в форме MgNH_4PO_4 . Затем р-р MgCl_2 добавляют порциями по 0,5—1 мл при сильном взбалтывании после посинения р-ра. Взбалтывают до розовой окраски, добавляют 0,5—1 мл р-ра MgCl_2 и оттитровывают р-ром PO_4^{3-} (252 г $\text{Na}_2\text{HPO}_4 \cdot 12\text{H}_2\text{O}$ и 68 мл конц. HCl в 1 л р-ра) до перехода окраски в синюю, усиливающуюся при взбалтывании. Присутствие Na_2CO_3 ($\leq 10\%$ из расчета на вес Na_2HPO_4), NaCl (1 г на р-р 1 г Na_2HPO_4) и Na_2SiF_6 ($\leq 0,3$ г на 2 г Na_2HPO_4) не мешают. Na^+ , Cl^- и NO_3^- понижают расход MgCl_2 ; SO_4^{2-} и K^+ повышают его, что вызывает необходимость правильного выбора реактива для нейтрин при анализе щелочков, т. е. такого, при котором образуется соль, не искажающая результатов анализов. Т. Л.

78483. Заметка об определении фосфата натрия. Батлер, Ингл (A note on the determination of sodium phosphate. Butler C. G., Ingle P. H. B.), J. Pharmacy and Pharmacol., 1956, 8, № 4, 264—265 (англ.).

Для определения фосфата натрия 6 г анализируемого в-ва растворяют в 100 мл воды, добавляют 1 мл р-ра индикатора из смеси 4 ч: бромкрезолового зеленого (I) и 1 ч: метилового красного (II) и титруют 0,5 н. р-ром HCl со свидетелем. В качестве свидетеля применяют 120 мл буферного р-ра с pH 4,5 с добавкой 1 мл р-ра индикатора указанного состава. Если в качестве индикатора использовать смесь I + II с отношением компонентов 1 : 1, то наблюдаются отрицательные ошибки определения фосфата порядка 2%. Н. П.

78484. Аналитическое исследование полифосфатов. II. Кривые амперометрического титрования никеля при помощи трифосфата натрия. Кобаяси (ボリリン酸に関する分析化学的研究. 第2報. トリリン酸ナトリウムによるニッケルイオンの電流滴定曲線. 小林正光), 日本化学雑誌, Нихон какаку дзасси, J. Chem. Soc. Japan. Pure Chem. Sec., 1955, 76, № 7, 796—799 (япон.). При излучении амперометрич. титрования р-ров Ni^{2+} с конц-ией порядка 10^{-2} моля р-рами трифосфата натрия с конц-ией $0,2 \cdot 10^{-2}$, $0,4 \cdot 10^{-2}$, $0,6 \cdot 10^{-2}$, $0,8 \cdot 10^{-2}$, $1 \cdot 10^{-2}$, $1,2 \cdot 10^{-2}$ и $1,4 \cdot 10^{-2}$ моля при различных значениях pH (0,7; 3,0; 5,0; 7,5) получены кривые, отлича-

шнися наклоном прямолинейного участка к оси ординат; кривая титрования при pH 7,5 прямолинейна при концентрации трифосфата натрия $\leq 1 \cdot 10^{-2}$ моля и расположена под углом 45° к оси ординат. Сообщение 1 см. РЖХим, 1956, 71894.

Т. Л. 78485. Применение окислительных методов для объемного определения гипофосфата, фосфита и гипофосфита. Карлайон (Oxidation methods or the volumetric determination of hypophosphate, phosphite, and hypophosphite. Carlyon Stanley J.), Dissert. Abstrs, 1955, 15, № 12, 2401—2402 (англ.)

$P_2O_4^{4-}$, $H_2PO_2^-$ и фосфит (I) количеств. окисляют до PO_4^{3-} избытком стандартного р-ра $K_2Cr_2O_7$ в 12 н. H_2SO_4 при т-ре кипения водной бани. Окисление продолжается 1 час. Избыток $Cr_2O_7^{2-}$ определяют йодометрич. методом (после доведения конц-ии H_2SO_4 до ~ 3 н. добавлением р-ра NaOH) или добавлением стандартного р-ра соли Мора и оттитровывания избытка Fe^{2+} р-ром $Cr_2O_7^{2-}$. Необходимо вводить поправку на потери $Cr_2O_7^{2-}$ при окислении (0,01—0,03 мл 0,1 н. р-ра). Для окисления $P_2O_4^{4-}$, $H_2PO_2^-$ и I можно употреблять $NaClO$.

$P_2O_4^{4-}$ окисляют избытком $NaClO$ в р-ре, нейтрализованном $NaHCO_3$; через 30 мин. добавляют избыток арсенита Na и оттитровывают арсенит стандартным р-ром $NaClO$ в присутствии индикатора бордо, потенциометрически или методом заторможенной конечной точки. I окисляют небольшим избытком $NaClO$ (в р-ре, содержащем HCO_3^- или Br^-) или $NaBrO$. Возможно прямое титрование I р-ром $NaClO$ в указанных условиях; применяют метод заторможенной конечной точки, $H_2PO_2^-$ окисляют избытком ClO^- в среде 1 н. H_2SO_4 ; окисление продолжается 10 час. I и $H_2PO_2^-$ окисляют избытком Ce^{4+} в р-ре разб. H_2SO_4 в течение 1 часа при т-ре кипения. Параллельно ведут контрольный опыт.

Т. Л. 78486. Фотокolorиметрическое определение фосфора в жароупорных сталях. Нечаева Е. А., Лапидус Э. С., Завод. лаборатория, 1956, 22, № 4, 418. Описанный ранее метод (Кокорин А. И., Завод. лаборатория, 1946, 12, 1) выделения P из жароупорных сталей в форме $FePO_4$ после окисления Cr до Cr^{6+} упрощен путем применения в качестве катализатора соли Co. 0,2 г стали растворяют в 10 мл смеси конц. HCl и конц. HNO_3 (1:1), охлаждают, добавляют 3 мл H_2SO_4 (уд. в. 1,84), упаривают до паров SO_3 , охлаждают, добавляют 40 мл горячей воды и фильтруют. Фильтрат разбавляют до 250 мл, нагревают до кипения, добавляют 5 мл 0,5%-ного р-ра $CoSO_4$ или $Co(NO_3)_2$, 20 мл 20%-ного р-ра $(NH_4)_2S_2O_8$ и нагревают до появления малиновой окраски (MnO_4^-). Добавляют 2 капли HCl (1:1) и осаждают $Fe(OH)_3$ и $FePO_4$ при помощи NH_4OH . Промытый осадок смывают с фильтра 2—3 мл горячей HCl (1:1), упаривают до 40 мл, фильтруют, фильтрат разбавляют до 50 мл и далее ведут анализ обычным способом. При анализе сталей с 0,015—0,035% P получают точные и воспроизводимые результаты. Продолжительность анализа 2 часа.

Т. Л. 78487. Реакция образования молибденовой сини и определение фосфора в водах, содержащих мышьяк, кремний и германий. Левин, Роу, Гримальди (Molybdenum blue reaction and determination of phosphorus in waters containing arsenic, silicon, and germanium. Levine Harry, Rowe J. J., Grimaldi F. S.), Analyt. Chem., 1955, 27, № 2, 258—262 (англ.)

Изучены условия р-ции образования молибденовой сини для P, As, Si, Ge; в качестве восстановителя испытаны $SnCl_2$ и 1-амино-2-нафтол-4-сульфокислота. Установ-

лены условия, при которых фосфаты, арсенаты, силикаты и германаты могут быть дифференцированы по р-ции образования молибденовой сини. Разработан метод определения микрограммовых кол-в P в водах, содержащих ≤ 10 мг/л GeO_2 , As_2O_3 и SiO_2 с предварительным соосаждением фосфатов на $Al(OH)_3$; увлеченные в осадок и мешающие последующему определению P примеси As, Si и Ge удаляют путем обработки осадка смесью $HF-HCl-HBr$. Определение заканчивают спектрофотометрически. Проверка влияния каждой из примесей в отдельности на искуств. смесях (по 0,01—0,10—1,0 мг As_2O_3 , SiO_2 , GeO_2) и всех вместе показала хорошую степень увлечения вводимого кол-ва (5,0—30,0 γ) P_2O_5 (определение P производили по разработанному методу). Найденное кол-во, в основном, превышало взятое кол-во P_2O_5 : на 0,2—0,7 γ в смесях с содержанием 5,0—10,0 γ P_2O_5 и на 0,4—1,6 γ при 30,0 γ P_2O_5 ; введенное в смесь кол-во 20,0 γ P_2O_5 было найдено, в основном, заниженным на 0,2—1,5 γ. Определен P в 5 образцах морской воды следующим методом: 100 мл морской воды выпаривали досуха и прокаливали при 600° 30 мин.; охлаждали, прибавляли 6 мл HCl (1:1) и выпаривали. К сухому остатку прибавляли 35 мл воды и кипятили до растворения солей. Прибавляли 10 мл р-ра $AlCl_3$, нагревали до слабого кипения и прибавляли NH_4OH до слабощел. р-ции в присутствии метилового красного. Выдерживали на бане несколько минут и охлаждали. Смесью в центрифужной пробирке центрифугировали 10 мин. при 1500—2000 об/мин. Прозрачный р-р удаляли, осадок промывали, дважды центрифугируя с двумя 15-мл порциями 0,1%-ного р-ра NH_4Cl . Осадок переносили в Pt-чашечку, прибавляли несколько капель HCl и 1 мл HF, выпаривали досуха, приливали 5 мл HCl и вновь выпаривали. Затем прибавляли 1—2 мл HCl и 5 мл воды и нагревали до растворения солей. Приливали 1 мл NH_4Br и 0,2 мл H_2SO_4 , выпаривали до паров SO_3 , нагревая затем еще несколько минут, и охлаждали. Добавляли 2 мл HCl и разбавляли до 30 мл. После выдержки к прозрачному р-ру добавляли 5 мл р-ра молибдата аммония, разбавляли до 45 мл, прибавляли 0,3 мл р-ра $SnCl_2$ и разбавляли до 50 мл. Спектрометрировали через ≤ 30 мин. Установлено, что содержание общего P в водах Мексиканского залива составляет 0,018—0,059 мг/л в пересчете на P_2O_5 .

В. Б. 78488. Серный метод определения кислорода (окислов) в металлах. Сообщение I. Определение кислорода в окислах железа, марганца, кобальта, никеля, мышьяка, свинца, кадмия, сурьмы и меди. Бабко А. К., Клейнер К. Е., Маркова Л. В., Завод. лаборатория, 1956, 22, № 6, 640—645

Изучен температурный режим и другие условия колич. превращения окислов ряда металлов в соответствующие сульфиды и SO_2 . При обработке пробы парами S при 500—1000° металл связывается в сульфид, а SO_2 определяют йодометрически. Описан прибор для определения O, состоящий в основном из реакционного сосуда из кварцевого стекла, установки для очистки N_2 и склянок с титрованным щел. р-ром J_2 . Для нагрева S и окиси металла (вносимой в лодочке) пользуются электронагревателями; т-ру измеряют Pt—Pt-Rh-термопарами. Установлено, что практически полное взаимодействие в S происходит для Fe_2O_3 при 700° (быстрее при 1000°), для Mn_2O_3 при 500° (быстрее при 900°), для Co_3O_4 , NiO , As_2O_3 , PbO и CdO при 600° (быстрее при 700 — 800°), для Sb_2O_4 при 500° (быстрее при 600°), для SiO_2 при 400° (быстрее при 500°). При определении O в свинце и меди чувствительность соответствует результату контрольного опыта (при навеске 1 г ± 2 —0,5·10⁻³% O).

Т. Л. 78489. Прибор с электронным контролем для определения серы и галогенов. Коно, Сато, Судзуки, Исобэ (電子管制式硫黄及びハロゲン分析装置. 河野哲郎, 佐藤恵子, 鈴木瑞枝, 磯部育子), 日本農薬化学会誌, Нихон ногэй кагаку кайсн, J. Agric. Chem.

Soc. Japan, 1955, 29, № 7, 560—565 (япон.; рез. англ.)

Микроопределение галогенов и серы основано на использовании автоматически контролируемого сжигания (см. РЖХим, 1956, 75369). Анализируемый образец сжигают в токе O_2 в присутствии платиновых катализаторов и определяют содержание галогенов и S по привесу двух серебряных сеток длиной 5 см каждая, свернутых в ролик. Для определения галогенов сетку нагревают до 400—450°; после р-ции сетка покрывается галогенидами Ag. Сера определяется при той же т-ре, применяя сетку длиной 10 см или 2 сетки длиной 5 см каждая. Если применяют одну сетку длиной 5 см, то т-ру поднимают до 550°, а скорость тока O_2 снижают до 5 мл/мин; после р-ции сетка покрывается налетом Ag_2SO_4 . Обычно скорость O_2 при сжигании составляет 10 мл/мин. Перед взвешиванием сетку охлаждают на подставке из хромированной Cu. После окончания анализа сетки восстанавливают электролитически, используя в качестве электролита 3%-ную H_2SO_4 (по объему). После каждых 50 анализов, Pt-катализаторы активируют горячим 20%-ным р-ром HNO_3 . Определение Cl в 2,4-динитро-Cl-бензоле выполнено с относительной погрешностью ~1,4%. Относительная погрешность определения S в сульфотазоле не превышает 1,4%. Раздельное определение галогенов и S возможно, но затруднительно. Относительная погрешность раздельного определения Br в бромцетанилиде и серы в *n*-толуолсульфонамиде достигает соответственно 2,3 и 3,8%. Н. П.

78490. Определение небольших количеств серы. Чута, Гейтманек, Кучера (Stanovení malých množství síry. Čůta František, Hejtmánek Miloš, Kučera Zdeněk, Chem. listy, 1956, 50, № 3, 370—372 (чеш.); Сб. Чехосл. хим. работ, 1956, 21, № 4, 886—889 (нем.); рез. рез. русск.)

Метод колориметрич. определения небольших кол-в S (Scherer P. C., Jr, Sweet W. W., Industr. and Engng., 1932, 4, 103) видоизменен за счет превращения S в образце путем гидролиза или восстановления в H_2S , который струей инертного газа количественно удаляют из реакционного р-ра и поддают в поглотительный р-р (р-р 5% $Pb(NO_3)_2$ и 20 г лимонной к-ты разбавляют до 100 мл). Оптич. плотность колл. PbS измеряют фотометрич. путем с применением флуоресцентного светофильтра. Разложение осуществляют в колбе, в которой находятся 2 Al-пластинки (1 × 4 см), поверхность которых травлена кипячением с 1%-ной HCl. В колбу прибавляют порциями по 50 мл 10%-ную HCl; образующийся H_2 вместе с H_2S поступает в колбу с 1 мл поглотительного р-ра и 20 мл NH_4OH (уд. в. 0,91), разб. в отношении 1 : 2. Перед выполнением анализа весь прибор заполняют H_2 . По окончании поглощения H_2S р-р в колбе разбавляют NH_4OH до 25 мл и определяют его оптич. плотность. Кол-во S, превращающейся в определяемый H_2S , составляет 3—40 γ; при большем содержании S выделившийся PbS нельзя сохранить в колл. форме. Превращение S в H_2S для Na_2S и $CS(NH_2)_2$ практически количественное, для NH_4SCN степень превращения составляет 91%, для аллилизотионаната 40%, для $Na_2S_2O_3$ 80,5% и для истинна 76,5%. Средняя погрешность определения для $Na_2S \pm 3,6\%$, для остальных перечисленных в в $\pm 6,4$ —7,6%. Результаты, полученные для SCN^- и $S_2O_3^{2-}$, не совпадают с литературными (Feld W., Schillings J. Gasbeleuchtung, 1903, 46, 604). Определение S в сульфитах описанным способом не выполнимо. К. Kámen

78491. Замечания по поводу модифицированного метода Тутвилера для определения H_2S и SO_2 в газах. Стратен (Comments on a modified Tutwiler method for the determination of H_2S and SO_2 in gases. Straten H. A. C. van, Analyt. chim. acta, 1956, 14, № 4, 325—328 (англ.; рез. нем., франц.)

Обсуждены результаты, полученные при применении модифицированного метода Тутвилера (Sawyer F. G. и др., Industr. and Engng Chem., 1950, 42, 1938) в пром-сти. При

использовании указанного метода для определения H_2S в азоте, иодометрич. титрование дает правильные результаты. Ашидиметрич. титрование образовавшегося HJ дает заниженные результаты, возможно, за счет окисления HJ . При определении SO_2 в азоте результаты как иодометрич. так и ашидиметрич. титрования занижены из-за готер SO_2 при введении образца в пипетку за счет растворения в р-ре крахмала. Потери SO_2 зависят от скорости истечения р-ра крахмала из пипетки. Рекомендуется помещать поверх р-ра крахмала слой керосина. При анализе газов, содержащих одновременно SO_2 и H_2S , получают ошибочные результаты; даже при наличии слоя керосина при подаче газа образуется элементная S за счет р-ции между H_2S и SO_2 . При отборе пробы газа сухой пипеткой в условиях вакуума получают более точные результаты, но способ этот сложнее. Сделан вывод, что модифицированный метод Тутвилера применим для определения только SO_2 или H_2S ; для анализа газов, содержащих оба компонента, рекомендуется пользоваться другим методом (Straten H. A. C. van, Craats F. van de, L'analyse des gaz dans L'industrie de récupération du soufre selon le procédé Claus. Vol. II, Brussels, Proc. 27^e Congr. Chim. Ind., 1954, Sept., 612 p.), основанным на селективном окислении H_2S и SO_2 в щел. и кислом (или нейтр.) р-рах H_2O_2 . Т. Л.

78492. Химический анализ при помощи ультрафиолетового фильтр-фотометра. I. Определение малых количеств иона сульфата. Като, Номидзо, Синра (紫外部用口光度計による化学分析の研究. 第1報. 少量の硫酸イオンの定量. 加藤武, 野崎靖雄, 新良宏一郎), Япон. хим. журн., Япон. какаку дзасси, J. Chem. Soc. Japan. Pure Chem. Sec., 1955, 76, № 4, 373—376 (япон.)

Ионы SO_4^{2-} в воде осаждают при помощи $BaCrO_4$, освободившиеся анионы CrO_4^{2-} определяют измерением абсорбции при 366 или 405 мμ. Таким способом можно определить 2—120 γ/мл SO_4^{2-} .

Chem. Abstrs, 1956, 50, № 7, 4720.

К. У.

78493. К вопросу об определении сульфатов трилонометрическим методом. Стюнкель Т. Б., Якимец Е. М., Завод. лаборатория, 1956, 22, № 6, 653—656. Проверены описанные в литературе методы определения остаточного Ba^{2+} с хромовыми индикаторами; показано, что осадок $BaSO_4$ может растворяться при титровании избытка $BaCl_2$ комплексом III. Наличие равновесных соотношений конц-ий компонентов неблагоприятно для комплексометрич. определения SO_4^{2-} . В случае неравновесных систем результаты могут быть завышены вследствие усиления адсорбции Ba^{2+} осадком $BaSO_4$ при увеличении конц-ии Ba^{2+} . При правильно выбранном избытке $BaCl_2$ (при 48 мг/л SO_4^{2-} 1,5-кратное кол-во $BaCl_2$ по отношению к теоретическому, при ~55 мг/л SO_4^{2-} 4-кратное) можно получить удовлетворительные результаты. Погрешности возрастают при малых и больших кол-вах $BaSO_4$; необходима предварительная оценка содержания SO_4^{2-} для правильного выбора пробы. Прямое титрование Ba^{2+} с дезавлением после конечной точки Mg^{2+} и подбора т-ры и скорости титрования не дает отчетливого перехода окраски р-ра в конечной точке; метод обратного титрования, при котором конечная точка более отчетлива, ведет к погрешностям за счет взаимодействия избытка комплексона III с осадком. Ввиду необходимости установления оптимальных условий для каждого отдельного случая метод комплексометрич. определения SO_4^{2-} нельзя считать пригодным для точного контроля и его можно применять лишь в качестве ориентировочного. Т. Л.

78494. Быстрый метод определения серы в серном колчедане и его огарках. Хереску (Metoda rapidă pentru

determinarea sulfului din pirită și cenușă de pirită. Herescu F.), Rev. chim., 1956, 7, № 3, 172—173 (рум.)

Навеску тонкоизмельченного колчедана или огарка сжигают в фарфоровой лодочке в трубчатой электрич. печи с подачей воздуха. SO_2 поглощают 3—5%-ным р-ром H_2O_2 (предварительно нейтрализованном) и образовавшуюся H_2SO_4 титруют 0,15 н. р-ром NaOH в присутствии фенолового красного. При этом определяется только сульфидная S, т. е. та S, которая имеет значение для произ-ва H_2SO_4 . Т-пу сжигания повышают постепенно до 920° .

Б. М.

78495. Спектрохимическое определение фтора по спектральной полосе фторида бария. Фува (BaF の電スペクトルによるフッ素の分光分析. 不破敏一郎), 日本化学雑誌. Нихон кагаку дзасси, J. Chem. Soc. Japan. Pure Chem. Sec., 1955, 76, № 1, 14—17 (япон.) Полосу спектра BaF при 4650,8 и 5000,6 Å можно использовать для определения F.

Chem. Abstrs, 1955, 49, № 20, 13828 К. Yamasaki **78496. Открытие фтора в минералах и рудах методом растирания.** Ожигов Е. П., Ж. аналит. химии, 1956, 11, № 3, 363—364 (рез. англ.)

Соль или минерал растирают с KHSO_4 , после чего добавляют немного FeCl_3 , а затем 2—3 кристаллика KSCN или NH_4SCN . В присутствии F наступает обесцвечивание роданида железа. Добавление небольших кол-в воды ускоряет обесцвечивание. Р-ция весьма чувствительна. Большие кол-ва сульфидной S в минералах также вызывают обесцвечивание.

В. С.

78497. Замещение гидроксильной группы в оксипатите на фторид как ионообменная реакция и ее применение для микроопределения фтора. Кнаппост (Fluor-Hydroxyl-Substitution am Hydroxylapatit als Ionenaustauschreaktion und ihre Anwendung für die Mikrofluoranalyse. Knapprorst A.), Angew. Chemie, 1956, 68, № 11, 371—373 (нем.; рез. англ., франц.)

F⁻ реагирует с оксипатитом (I) по обратимой ионообменной р-ции $\text{Ca}_{10}(\text{PO}_4)_6(\text{OH})_2 + \text{F}^- \rightleftharpoons \text{Ca}_{10}(\text{PO}_4)_6(\text{OH}, \text{F}) + \text{OH}^-$, которую используют для определения F⁻. Определенный объем исследуемого р-ра, содержащего $\leq 250 \text{ } \gamma \text{ F}^-$, кипятят с 200 мг I при pH 6,8—7,2. Через 20 мин. практически весь F⁻ связывается с I, который собирают на беззольный фильтр, предварительно промытый (5 раз) $\sim 1 \text{ н. H}_2\text{SO}_4$, затем промывают 40 мл $\sim 1 \text{ н. H}_2\text{SO}_4$ и ополаскивают фильтр еще 10 мл к-ты. Перегонку ведут в длиннотрубной колбе Кьельдала; к 10 мл исследуемого р-ра добавляют 2 мл воды, 9 мл конц. H_2SO_4 (уд. в. 1,84), 100 мг кварцевой муки и несколько кусочков пемзы. Постоянное содержание воды в смеси поддерживают введением пара. Т. кип. 125° , скорость перегонки 30 мл дистиллата за ~ 15 мин. Перегонку производят 5 раз и используют весь фильтрат. Полученную H_2SiF_6 можно определить любым известным путем, напр. титрованием р-ром $\text{Th}(\text{NO}_3)_4$ по свидетелю. Кол-во найденного F пропорционально кол-ву, находящемуся в р-ре, и может быть найдено по калибровочной кривой. Средняя погрешность определения $\pm 0,8\%$.

М. П.

78498. Комплексометрический способ определения фторидов. Ласловский (Komplexometriás eljárás a fluorid ion meghatározására. Laszlovsky József), Gyógyszerész, 1955, 10, № 5, 84—86 (венг.) Для определения малых кол-в F⁻ предложен косвенный комплексометрич. метод, основанный на осаждении аниона металлом и определении металла, присутствующего в осадке в кол-ве, эквивалентном кол-ву аниона, комплексометрич. способом. F⁻ осаждают в виде PbClF 0,75%-ным р-ром PbCl_2 , фильтруют осадок, растворяют в HNO_3 и подщелачивают. Pb^{2+} титруют р-ром комплексона III в присутствии индикатора эриохрома черного Т. F⁻ комплексометрич. титрование не мешает. При 0,2—2 мг F⁻ максим. погрешность 1,5—2%. И. К.

78499. Титрование галогенидов электролитически выделенными ионами одновалентной ртути. Де-Форд, Хорн (Titrations of halides with electrolytically generated mercurous ion. DeFord Donald D., Horn Hans), Analyst. Chem., 1956, 28, № 5, 797—798 (англ.)

Не массивном Hg-аноде ионы Hg_2^{2+} выделяются с эффективностью по току 100%. Титрование галогенидов электролитически выделенными ионами Hg_2^{2+} выполняют в стаканчике на 100 мл, содержащем слой Hg высотой 5 мм. Контакт с анодом осуществляется Pt-проволочкой, вплавленной в стаканчик. В качестве катода применяют Pt-спираль, помещенную в трубку диам. 10 мм с дном из пористого стекла. Катодное пространство заполняют 0,1 М р-ром H_2SO_4 . В качестве индифферентного электролита (ИЭ) при титровании хлоридов и бромидов используют 0,5 М HClO_4 . При титровании иодидов в качестве ИЭ служит 0,4 М KNO_3 в 0,1 М HClO_4 . В этом последнем случае Hg-анод не может быть использован как индикаторный электрод из-за невозможности точного определения эквивалентной точки (ЭТ). Поэтому при титровании иодидов используют электрод из Ag-фольги. При титрованиях хлоридов или бромидов Hg-анод служит также индикаторным электродом. Во всех титрованиях в качестве электрода сравнения применяют насыщ. к. э. Средняя ошибка титрования 0,2—2,0 мкв хлоридов положительна и не превышает нескольких сотых процента. Бромиды определяют с большей точностью. Ошибка при титровании иодидов из-за малой скорости установления потенциала достигает от +0,1 до +0,3%. Благодаря меньшей растворимости галогенидов Hg_2^{2+} в сравнении с соответствующими солями Ag^+ , при титровании ионами Hg_2^{2+} ЭТ определяют с большей точностью, чем при титровании ионами Ag_2^+ . Н. П.

78500. Меркуриметрический метод определения связанного хлора в бетоне. Кульберг Л. М., Борзова Л. Д., Завод. лаборатория, 1956, 22, № 4, 419 Пробу бетона измельчают до прохождения через сито с 500 ота/см², квартованием отбирают среднюю пробу 10—20 г. К последней добавляют 25 мл 10%-ного NH_4OH , 10 мин. взбалтывают, нейтрализуют HNO_3 по лакмусу, разбавляют до 250 мл и фильтруют. К 20 мл фильтрата добавляют 1 мл 6 н. HNO_3 , 0,15 мл насыщ. р-ра β -нитрозо- α -нафтаола и титруют 0,05 н. $\text{Hg}(\text{NO}_3)_2$ до появления красной мути. Содержание Cl^- (в г) вычисляют по ф-ле $x = N \cdot a \cdot 35,46 \cdot 250 / 1000B$, где N — нормальность р-ра $\text{Hg}(\text{NO}_3)_2$, а — кол-во р-ра $\text{Hg}(\text{NO}_3)_2$, израсходованное на титрование (в мл), B — кол-во фильтрата, взятое для титрования (в мл).

Т. Л.

78501. Меркуриметрический метод определения йодидов. Заманов Р. Х., Ж. аналит. химии, 1956, 11, № 3, 329—331 (рез. англ.)

К 1,0 мл анализируемого р-ра, содержащего 0,13—0,15 г иона I^- на 100 мл, прибавляют 5,0 мл 96%-ного этилового спирта, 2 капли 1%-ного р-ра дифенилкарбазона, 1—2 капли 1 н. HNO_3 и титруют 0,01 н. р-ром $\text{Hg}(\text{NO}_3)_2$ до появления слабой фиолетово-розовой окраски. Метод дает точные результаты.

В. С.

78502. Межлабораторные испытания методов определения кварца в пыли, размеры частиц которой достаточно малы для попадания в дыхательные пути. Нейгелшмидт (Interlaboratory trials on the determination of quartz in dusts of respirable size. Nagelschmidt G.), Analyst, 1956, 81, № 961, 210—219 (англ.)

Установлено, что хим. метод определения кварца (Kf) в пыли, так же как и рентгенографич. метод, дает наиболее точные результаты. Для определения K хим. способом нагревают до кипения 0,15 г высушенного ≥ 1 часа при 105° образца с 9 мл 0,25 н. HCl в закрытой часовым стеклом Pt-чашке для удаления CO_2 . Охлажд. жидкость деканти-

руют в пробирку и центрифугируют 15 мин. со скоростью 3000 об/мин (радиус 14,5 см). После декантирования жидкости остаток из пробирки смывают в чашку миним. кол-вом воды, выпаривают на водяной бане и к сухому остатку добавляют 6 мл 9 н. H_2SO_4 . Смесь нагревают 40 мин. при 200°, затем охлаждают, добавляют 30 мл воды, перемешивают и центрифугируют, как указано выше, наполняя пробирку 2—3 раза. Остаток вновь смывают в чашку, выпаривают и повторяют обработку H_2SO_4 . После центрифугирования жидкость декантируют, а остаток переводят в чашку, добавляют 1 каплю р-ра метилового красного и по каплям р-р Лунге (37 г Na_2CO_3 и 10 г NaOH в 1 л р-ра) (I) до изменения окраски индикатора, затем добавляют еще 9 мл р-ра I и нагревают до кипения жидкости. Охлажд. жидкость центрифугируют, декантируют, остаток переводят в чашку, выпаривают, охлаждают, добавляют 15 мл конц. HCl, кипятят 5 мин., охлаждают, разбавляют 15 мл воды и после центрифугирования декантируют жидкость. Остаток переводят в чашку и после выпаривания нейтрализуют р-ром I, добавляют 4,5 мл р-ра I и нагревают до кипения. Охлажд. р-р центрифугируют, остаток переводят в чашку и после выпаривания добавляют 6 мл конц. HCl. После 5-минутного кипячения и охлаждения добавляют 6 мл воды и фильтруют через фильтр ватман № 540. Осадок после 2-кратной промывки в чашке 5 н. HCl переводят на фильтр струей воды, сушат в Рт-тигле при 105°, прокалывают в муфельной печи до постоянного веса. Прокаленный остаток (А) обрабатывают 6 каплями 10%-ной H_2SO_4 и 5 мл 40%-ной HF, нагревают на кипящей водяной бане до удаления летучих в-в, затем на плитке до удаления H_2SO_4 и вновь прокалывают до постоянного веса. Процент $SiO_2 = (A - 2B) \cdot 100/n$, где n — навеска, B — кол-во неразложившихся силикатов. Б. Т. 78503.

Об определении обменных катионов в почвах, в частности в почвах Сардинии. Часть 2. Общая обменная емкость и степень насыщенности основаниями. Джованнини (Sulla determinazione dei cationi scambiabili nei terreni con particolare riguardo ai terreni della Sardegna. Nota 2. Capacità totale di scambio grado di saturazione basica. Giovannini E. m. i. n. i. o., Studi sassaresi, 1953, Ser. 3, 1, 123—131 (итал.))

Определена общая обменная емкость и степень насыщенности основаниями для 22 образцов неизвестных почв, освобожденных от растворимых солей, с pH в интервале 6,0—7,0; пробы почв были взяты в восточных районах Сардинии. На основании полученных результатов и данных механич. анализа почвы подразделены на 3 группы: 1) песчаные с общей обменной емкостью 1,5—4 мэкв на 100 г почвы, 2) песчано-илстые и песчано-глинистые с общей обменной емкостью 4—12 мэкв на 100 г почвы и 3) вязкие, глинистые и илстые почвы с общей обменной емкостью 12—28 мэкв на 100 г почвы. Степень насыщенности основаниями (S-1000/T) (по Hissink) для указанных типов почв колеблется в интервале 60—87. Часть 1 см. РЖХим, 1956, 75257.

78504. Дублетная адсорбция красителей как основа спектрофотометрического метода исследования глин. Веденеева Н. Е., Вopr. минералогии осадок. образований. Кн. 3—4. Львов, Львовск. ун-т, 1956, 641—646

Глинистые минералы адсорбируют на поверхности окрашенные органич. катионы. Изменение прочности ионной связи сопровождается смещением полосы поглощения красителя. Если адсорбированный катион удерживается только ионной связью, то смещение полосы поглощения невелико. Если же наряду с ионной связью имеется еще другая связь, не имеющая типичного ионного характера, то сдвиг полосы поглощения может быть значительным. Вторая связь с поверхностью осуществляется при помощи другого активного атома катиона. Дублетная адсорбция метиленового голубого позволяет на основе спектрофотометрии разбить глинистые минералы на три основных

типа. Тип К. Устойчивая дублетная адсорбция, слабая ионная связь (мало измененные каолиниты и гидрослюда). Тип М. Неустойчивая дублетная связь, прочная ионная связь (монтмориллониты). Тип Б. Отсутствие дублетной связи, прочная ионная связь (типичные бейделлиты). Между этими типами имеются переходные. Т. М. 78505.

Карбонатный метод определения кислотности алюмосиликатов. Миессеро К. Г., Ж. прикл. химии, 1956, 29, № 6, 851—855

Карбонатный метод позволяет определять истинную величину гидролитич. кислотности природных и синтетич. алюмосиликатов. Содержание обменных ионов Na^+ в алюмосиликатах может быть определено с большой точностью методом обработки образцов титрованным р-ром к-ты. Активированный бентонит способен к молекулярному поглощению $BaCl_2$. Следовательно, существуют глины, к которым метод определения обменной способности (Бобко Е. В., Аскинази Д. Л., Тр. науч. ин-та по удобрениям, 1925, 25) не применим. Если алюмосиликат обрабатывается р-ром NaCl в присутствии $BaCO_3$, то кол-во появляющегося в фильтрате Ba^{2+} значительно превышает и растворимость $BaCO_3$ в данном р-ре и содержание ионов Ba^{2+} в образце, вместе взятые. Указанное явление было объяснено тем, что в присутствии алюмосиликатов повышается роль CO_2 в образовании $Ba(HCO_3)_2$. В. С. 78506.

Фазовый анализ железных руд. I. Морачевский Ю. В., Пинчук Н. Х., Вести. Ленингр. ун-та, 1956, № 10, 60—67

Найдены удовлетворительные условия отделения магнетита от гематита путем использования различной скорости растворения их в H_3PO_4 . В р-ре H_3PO_4 и 1%-ной HCl (1:1) при перемешивании на кипящей водяной бане магнетит полностью растворяется, а гематит почти не растворяется; в присутствии магнетита растворение гематита в тех же условиях сильно увеличивается. Причиной, ускоряющей растворение гематита в присутствии магнетита, является наличие в р-ре Fe (2+); при прибавлении окислителя к р-ру H_3PO_4 растворение гематита сильно замедляется. Найдены оптимальные условия селективного разделения магнетита и гематита: 1,5-часовая обработка смеси минералов при 40° р-ром H_3PO_4 (уд. в. 1,70) и 1%-ной HCl, взятых в равных объемах, с добавлением $KMnO_4$ до слабо-розового цвета. В этих условиях при полном растворении магнетита происходит миним. растворение гематитов (в среднем ~1% железа от всего кол-ва в навеске переходит в р-р). В. С. 78507.

Химический анализ сухого свинцового сурика. — (Chemical analysis of dry red lead. —), Offic. Digest, 1956, 28, № 374, 173—177 (англ.)

Влажность определяют сухой пробой 2 часа при 105°, органич. окрашенные в-ва — последовательным кипячением одного образца с 95%-ным спиртом, с водой и с разб. NH_4OH (1:4); другого — с $CHCl_3$. Общее кол-во Pb и нерастворимые в-ва определяют обработкой образца HNO_3 (1:1) и H_2O_2 до растворения всего PbO_2 при нагревании. К р-ру или фильтрату от нерастворимых в-в добавляют H_2SO_4 (уд. в. 1,84) и выпаривают до паров SO_3 . Охлаждают, добавляют воду и 95%-ный спирт, фильтруют, сушат при 105—110° и взвешивают $PbSO_4$. В присутствии Ca или Mg пробу кипятят с р-ром HNO_3 и H_2O_2 до полного превращения Pb в нитрат и определяют Pb в форме $PbCrO_4$. Если сурик содержит растворимые соединения Ba, Ca или Mg, то после их определения осадок PbS растворяют в горячей разб. HNO_3 и определяют Pb в форме $PbSO_4$. Фильтрат кипятят до удаления H_2S , добавляют бромную воду для окисления Fe, кипятят до удаления Br_2 и осаждают Ba^{2+} разб. H_2SO_4 (1:3). К фильтрату добавляют NH_4OH и отфильтровывают осадок $Fe(OH)_3 + Al(OH)_3$. Мл можно осадить Bg_2 и NH_4OH при нагревании и после прокалывания определить в форме Mn_2O_3 . Объединенные фильтраты подкисляют CH_3COOH , нагревают до кипения, насыщают NH_4Cl и пропускают

H_2S ; осадок ZnS растворяют в разб. HCl и определяют Zn титрованием p -ром $K_4Fe(CN)_6$ или в форме $Zn_3P_2O_7$. Для определения PbO_2 и Pb_3O_4 к образцу добавляют p -р $CH_3COONa + KJ$ в CH_3COOH при $18-20^\circ$ (если проба была экстрагирована из красочной пасты, то вместо воды применяют смесь $CHCl_3$ -лед. CH_3COOH (7:3)); добавляют p -р CH_3COONa и титруют $0,1$ н. $Na_2S_2O_3$ при добавлении p -ра крахмала и $0,1$ н. J_2 . Рассчитывают по ф-ле: $PbO_2 = S \times 0,942$ и $Pb_3O_4 = PbO_2 \times 2,86616 = S \times 2,7$, где S — йодное число p -ра $Na_2S_2O_3$. Водорастворимые v -ва определяют кипячением с водой, выпариванием и сушкой при $105-110^\circ$. Для определения общего кол-ва SiO_2 пробу обрабатывают HCl и HNO_3 (1:1), фильтруют, промывают горячим кислым p -ром CH_3COONH_4 , разб. HCl , горячей водой и прокалывают SiO_2 . CO_2 определяют с помощью разб. HCl и $SnCl_2$. Растворимые сульфаты переводят в $BaSO_4$. Fe_2O_3 определяют колориметрически. Б. Ш.

78508. Экспресс-анализ бессемеровской стали методом измерения термоэлектродвижущей силы. Юферов В. М., Кузнецов М. П., Никитская А. В., Новачок А. И., Шаргородский И. И., Завод. лаборатория, 1955, 22, № 4, 397—401

Для экспресс-анализа стали на С методом термо-э. д. с. описанная ранее установка (Корж П. Д., Завод. лаборатория, 1945, 11, 4) несколько видоизменена. В качестве горячего электрода применен массивный Si -стержень; весь стержень, кроме конусной части, помещают в зону нагрева электропечи. Для измерения t -ры применен контактный термометр и электромагнитное реле. Вместо игольчатого холодного электрода применен плоский Fe -электрод в виде коробки, заполненной водой. Термоток измеряют нуль-гальванометром типа ГМП с микроскопом от прибора Бринеля. Разность t -ры между электродами составляет 100° . Для анализа употребляют закаленные скрапины, отбираемые при повалке конвертора. Зависимость между содержанием C в закаленной и незакаленной стали и термотоком выражается прямыми с различным углом наклона. Для введения поправки на Si из пробы одновременно отливают 2 скрапины; первую, толщиной 1,5—2,5 мм, после отливки закаливают в проточной воде и употребляют для определения C ; вторую, толщиной 0,5—1 мм, охлаждают на воздухе и используют для определения Si . Составлена таблица поправок: положительных при $<0,05\%$ Si и отрицательных при $>0,05\%$ Si . Показания прибора зависят от t -ры отпуски, т. е. от изменения микроструктуры образцов, что обуславливает необходимость правильного отбора скрапины для анализа и правильной их термообработки. Т. Л.

78509 Д. Определение алюминия, железа и титана при совместном их присутствии. Рамонайте С. Автореф. дисс. канд. хим. н., Ин-т химии и хим. технол. АН ЛитССР, Вильнюс, 1956

См. также: Технич. анализы 78931, 78950; 22864Бх, Др. вопр. 77926, 79788; 22796Бх, 22835Бх, 22845Бх, 22846Бх, 22857Бх, 22865Бх

АНАЛИЗ ОРГАНИЧЕСКИХ ВЕЩЕСТВ

78510. Усовершенствования в методе анализа при помощи меченого углерода и при химическом анализе органических соединений путем сухого сжигания. Кристман. Дей. Ханселл, Андерсон (Improvements in isotopic carbon assay and chemical analysis of organic compounds by dry combustion. Christian David R., Day Nancy E., Hansell Patricia R., Anderson R. Christian), *Analyt. Chem.*, 1955, 27, № 12, 1935—1939 (англ.)

Прибор и метод сжигания органич. соединений (Anderson R. C., Delabarre Yvette, Bothner-By A. A., *Analyt.*

Chem., 1952, 24, 1298) усовершенствованы путем изменения трубки для сжигания и ее насадки по описанному ранее способу (РЖХим, 1953, 3528; *Mikrochimie ver. Mikrochim. Acta*, 1950, 35, 217). Для удаления окислов азота пользуются ловушкой MnO_2 , помещенной между ловушками для H_2O и CO_2 . Ловушка с MnO_2 имеет длину 15 см, внешний диам. 22 мм, внешний диаметр внутренней трубки ~ 12 мм. Во внутреннюю трубку помещают $\sim 2,5$ г MnO_2 (10—20 меш), прокладку из стеклянной ваты и слой ангидрона (5—6 см). Для улавливания CO_2 и H_2O применяют V-образные ловушки (Buchanan D. L., Nakao A., *J. Amer. Chem. Soc.*, 1952, 74, 2389). Для измерения давления пользуются манометрами с двумя жидкостями (Hg и дибутокситетразилглицоль). Для устранения погрешностей счета C^{14} O_2 пропускают через трубку с $SnCl_2$, через V-образную ловушку с твердой CO_2 и собирают в ловушке с жидким азотом. В качестве газа-наполнителя употребляют $P-10$ (90% Ar , 10% CH_4). Необходимо предусмотреть эффективное смешение $C^{14}O_2$ и газа-наполнителя: заполнение трубки отключают от линии вакуума, нижний конец их охлаждают 1 мин. в жидком азоте, переворачивают и выдерживают в зажиме предпочтительно ~ 18 час. При описанном способе смешения скорость счета не меняется во времени. Т. Л.

78511. Скоростные методы микроэлементарного анализа. Сообщение IX. Одновременное определение углерода, водорода и кремния в кремнийорганических соединениях. Климова В. А., Коршун М. О., Березницкая Е. Г., *Ж. аналит. химии*, 1956, 11, № 2, 223—232 (рез. англ.)

Навеску твердых соединений или нелетучих жидкостей 3—12 мг вносят на дно кварцевого стаканчика длиной 60—80 мм и диам. 7—8 мм. Летучие жидкости помещают в капилляры. Добавляют 100—200 мг катализатора на 3/4 длины стаканчика и снова взвешивают. Для приготовления катализатора 1—2 г $(NH_4)_2 CrO_4$ или $(NH_4)_2 Cr_2O_7$ слабо нагревают в тигле емк. 50 мл. Полученный порошок Cr_2O_3 смешивают с волокнистым асбестом, предварительно прокаленным при 1200° в течение 4—6 час., просеивают через сито в диам. отверстие 23 мм и прокалывают в токе O_2 в трубке для сжигания при $900-950^\circ$. К концу трубки присоединяют наполненный ангидроном аппарат Прегля, который взвешивают каждый час до достижения постоянного веса (3—4 часа). Если навеска взята в капилляр, то его вдвигают в стаканчик с катализатором и ломают в нем. Стаканчик помещают в трубку для сжигания, к которой присоединены аппараты для поглощения H_2O , CO_2 и окислов азота. Сжигание ведут в трубке без наполнения при скорости тока O_2 35—50 мл/мин, t -ре $900-950^\circ$ шумящим пламенем горелки, которую постепенно поднимают от открытого конца стаканчика к закрытому против тока кислорода. Погрешность определения $\pm 0,3\%$ для C и H и $\pm 0,4\%$ для Si . Сообщение VIII см. РЖХим, 1955, 34759. Э. Н.

78512. Полумикроопределение фтора, хлора и азота в органических соединениях. II. Применение катионообменивающих смол. Банкс, Катбертсон, Масгрейв (The semi-micro determination of fluorine, chlorine, and nitrogen in organic compounds, II. The use of cation exchange resins. Banks R. E., Cuthbertson F., Musgrave W. K. R.), *Analyt. chim. acta*, 1955, 13, № 5, 442—448 (англ.; рез. франц., нем.)

Навеску органич. v -ва (~ 10 мг определяемых элементов) сплавляют 1—1,5 часа с избытком металла. На при $600-700^\circ$ в Ni -бомбе. Избыток Na разлагают водой в токе N_2 в спец. приборчике и в нем же переводят элементы в водн. p -р нагреванием при 50° . Твердые v -ва отфильтровывают через стеклянный фильтр № 1 или № 2. В присутствии только Cl или только F 10 мл полученного p -ра вводят в стеклянную (или полиэтиленовую) колонку диам. 2×27 см с ~ 20 г катионита (амберлит IR 120) в H -форме

и промывают 70 мл кипяченой дистилл. воды. Вытекающий р-р нагревают до кипения, охлаждают и титруют 0,02 н. NaOH по индикатору метиловый красный + бромкрезоловый зеленый или метиловый голубой. Если Cl и Br присутствуют одновременно, то после определения общего содержания галогенов в первой аликвотной порции р-ра вторую аликвотную порцию пропускают через колонку, нейтрализуют установленным объемом 0,02 н. NaOH и выпаривают до содержания Cl ~ 2 мг на 10 мл. Этот р-р титруют 0,01 н. AgNO₃ в присутствии 10 капель р-ра адсорбционного индикатора, дихлор-Р-флуоресцеина (0,1 г в 100 мл 70%-ного спирта). Конец титрования узнают по исчезновению зеленой флуоресценции р-ра и появлению коричневатой окраски на коллоидальном осадке AgCl. Можно также определить Cl и в первой аликвотной порции р-ра (после нейтрализации ее по смешанному индикатору) — по методу Бельчера (РЖХим, 1955, 31946) титрованием нейтр. насыщ. р-ром HgCNO с индикатором метиловый красный + метиловый голубой. Если одновременно с Cl и F присутствует N, то последний (в отсутствие O) определяют в первой аликвотной порции (25 мл) р-ра после сплавления в форме CN⁻ по методу Дениже (обработка 7 мл 6 н. NH₄OH двумя каплями 0,1 н. KJ и титрование 0,01 н. AgNO₃ до не исчезающей мутн.). Cl и F определяют в другой аликвотной порции (10 мл) р-ра после сплавления (обработка 3 мл 0,1 М CH₃CO, выдержка 30 мин. при 18—20° для разрушения CN⁻, пропускание через ионит и далее, как описано выше). При этом необходимо вводить поправку на контрольный опыт с р-ром CH₃CO, так как последний содержит заметные кол-ва HCOOH. Сообщение I см. РЖХим, 1955, 37586. А. Г.

78513. Сульфирование и сульфокислоты ацидофобных соединений. XXV. Применение диоксан-сульфотриоксида для определения моно- и полиоксисоединений. Терентьев А. П., Куплетская Н. Б., Ж. общ. химии, 1956, 26, № 2, 451—454

Р-ция сульфатирования полиоксисоединений предложена для определения OH-групп. Реактивом служит 1,5—2,0 н. р-р SO₃ в диоксане (диоксан-сульфотриоксид (I); избыток I гидролизуют водой и оттитровывают Na₂CO₃ с индикаторами конго красным, бромфеноловым синим или метиловым оранжевым. Параллельно ведут контрольный опыт. Определение продолжается ~ 10 мин. Средняя погрешность ± 2—3%. Метод применим для определения активного Н в одно- и многоатомных спиртах, сахарах и кетоксимах; фенолы и альдоксими не определяются. Нитрильная, сложнэфирная, амидная и нитрогруппы титра I сульфотриоксида в условиях опыта не меняют. Приведен метод приготовления р-ра I. Сообщение XXIV см. РЖХим, 1954, 23381. В. К.

78514. О реакции Либермана на нитрозогруппу. Ван-наг Г. Я., Лукевич Э. Я., Ж. общ. химии, 1956, 26, № 5, 1400—1401.

Р-ция Либермана не является специфичной на нитрозогруппу; это р-ция на HNO₂, отщепляющуюся от нитрозосоединения. Положительную р-цию дают также и те нитросоединения, которые могут отщепить HNO₂ при действии H₂SO₄. Вместо фенола для р-ции на отщепляющуюся HNO₂ удобнее применять резорцин. Немного испытуемого в-ва и резорцина обливают конц. H₂SO₄. Последняя скоро окрашивается в красный цвет обыкновенно без нагревания. При разбавлении водой получается розовый р-р. От прибавления избытка щелочи р-р окрашивается в красно-фиолетовый цвет и появляется характерная красно-коричневая или красно-оранжевая флуоресценция, которая заметна еще при разбавлении 1 : 44 000. В. С.

78515. Применение йодной кислоты для открытия и определения местоположения этиленовых связей. Чаттерджи, Маджумдар (Use of periodic acid for detecting and locating ethylenic unsaturation. Chatterjee Asima, Majumdar Subhendu

G h o s h), *Analyt. Chem.*, 1956, 28, № 5, 878—879 (англ.)

HJO₄ испытана в качестве реактива для открытия и определения концевых и внеядерных двойных связей в органич. молекулах. Подобно O₃, эта надкислота окисляет ненасыщ. соединения с отщеплением группы —C = C—. Получаемые продукты представляют собой карбонильные производные, которые можно легко охарактеризовать и определить в форме 2,4-динитрофенилгидразонов или диметонов. Выход альдегидных или кетонных осколков соответствует рассчитанному по числу двойных связей. Для окисления коричной к-ты 1 г к-ты растворяют в 250 мл воды, к которой было добавлено 6 г HJO₄. Реакционную смесь оставляют при 18—20° на 4 часа и затем перегоняют с паром; получают бензальдегид (выход 98%) и J₂. Бензальдегид экстрагируют из дистиллата при помощи 100 мл эфира, промывают р-ром Na₂SO₃ и водой до удаления J₂ и извлекают из вытяжки упариванием в атмосфере N₂. Выход 2,4-динитрофенилгидразона 1,899 г (98% от теории, т. пл. 234°). Для окисления хинина 1 г хлоргидрата хинина добавляют к 6,09 г HJO₄ в 250 мл воды. Смесь оставляют на 4 часа при 18—20° и затем перегоняют с паром; дистиллат, содержащий CH₂O, обрабатывают, как описано выше; вытяжку из дистиллата упаривают, обрабатывают спирт. р-ром димедона до выделения диметона (выход 0,76 г). Диметон кристаллизуется из спирта в виде бесцветных игл (т. пл. 188—189°). CH₂O, выделившийся из хинина, идентифицируют в форме его 2,4-динитрофенилгидразона (т. пл. 155°). При окислении хлоргидратов хинидина, цинхонина, цинхонидина и купренина образуется CH₂O (выход 94—95%). Из хлоргидрата гликозина в тех же условиях выделяется бензальдегид. Б. Ш.

78516. Раздельное определение этилового и бутилового спиртов в смеси с толуолом и водой. Крешков А. П., Сявильло С. В., Шемятенкова В. Т., Нешумова А. М., Завод. лаборатория, 1956, 22, № 6, 660—661

Метод определения C₂H₅OH и C₄H₉OH в смеси с толуолом и водой основан на определении суммарного содержания групп OH ацетилированием и определении C₂H₅OH из отдельной навески в форме этилацетата. Для определения C₂H₅OH к 8—10 г исследуемой смеси добавляют по 25 мл (CH₃CO)₂O и пиридина, нагревают на водяной бане 2 часа и отгоняют этилацетат (т-ра паров ≤ 80°) со скоростью 1 капля/сек. Дистиллат собирают в 2 последовательно соединенные колбы с водой (1/3 объема). Объединенный дистиллат нейтрализуют р-ром NaOH по метиловому красному, омыляют 100—150 мл 1 н. NaOH и оттитровывают избыток щелочи. Для ацетилирования (навеска 0,5—0,8 г) употребляют по 5 мл (CH₃CO)₂O и пиридина. Метод применен для анализа техн. продуктов. Т. Л.

78517. Разделение 3,5-динитробензоатов алифатических спиртов методом хроматографии на бумаге. Черный (Dělení 3,5-dinitrobenzoanu alifatických alkoholů papírovou chromatografií. Černý J.), Chem. listy, 1955, 49, № 12, 1899 (чеш.)

3,5-Динитробензоаты (I) алифатич. спиртов были разделены нисходящей хроматографией на бумаге ватман № 4, импрегнированной силикагелем (бумагу дважды погружают в р-р силиката натрия уд. в. 1,14, затем в разб. HCl 1 : 3 и промывают водой 30 мин.). Для разделения I низших спиртов применяют 10%-ный р-р диэтилового эфира в petr. эфире (т. кип. 40—60°), а в случае I высших спиртов такой же 4%-ный р-р. Хроматограммы проявляют опрыскиванием 10%-ным спирт. р-ром диэтилового эфира малоновой к-ты, а затем 10%-ным р-ром NaOH и 5-минутным нагреванием при 100°. Определены R_f для I метилового (0,15), этилового (0,36), n-пропилового (0,45), n-бутилового (0,50), n-гексилового (0,58) и n-октилового (0,67) спиртов. Jiří Yaněček

78518. Адсорбция полярных молекул линейными полиамидами. Сообщение III. Хроматографическое разделение алифатических кислот. Карелли, Ликьюри, Меле, Петранджели (Assorbimento di molecole polari da parte di poliammidi lineari. Nota III. Separazione cromatografica, di acidi alifatici. Carrelli Vincenzo, Liguorri Alfonso M., Mele Aldo, Petrangeli Benedetto), *Ricerca scient.*, 1955, 25, № 10, 2812—2816 (итал.; рез. франц., англ., нем.)

Описано разделение пропионовой (I), масляной (II) и капроновой (III) к-т методом сорбционной хроматографии на полигексаметиленадипамиде. В качестве р-рителя употребляли циклогексан (IV); опыты вели с р-ром, содержащим 1,58% I, 1,53% II и 1,48% III; в колонке находилось 6,7 г полиамида. Кривая, построенная на основании результатов фронтального хроматографич. анализа, дает три скачка, соответствующих трем полосам: первая состоит из чистой III, вторая из смеси III + II, третья из смеси III + II + I. При употреблении для вытеснения CH_3COOH (в форме 2%-ного р-ра в IV) и проведении опытов со смесью 78 мг I, 77 мг II и 74 мг III, с колонкой с 6,9 г полиамида достигнуто разделение смеси на отдельные компоненты. Присутствующие к-ты сорбируются полиамидом в последовательности $\text{CH}_3\text{COOH} > \text{I} > \text{II} > \text{III}$. Сродство алифатич. к-т по отношению к полигексаметиленадипамиду уменьшается с увеличением числа углеродных атомов в парафиновом остатке. Метод применим для выделения компонентов из смеси с выходом < 96%. Сообщение II см. РЖХим, 1956, 43578. Т. Л.

78519. О хроматографии анилидов жирных кислот. Йонге (De chromatografie van vetzuuraniliden en samenhangende problemen. Jonge A. P. de), *Chem. weekbl.*, 1956, 52, № 3, 37—43 (голл.; рез. англ.)

Хроматографическое разделение анилидов жирных к-т (АЖК) C_1 — C_{10} осуществлено на бумаге Шлейхер и Шюль № 2040 в восходящем потоке; проявление вели ранее описанным методом (РЖХим, 1956, 26041); циклогексан употребляли в качестве неподвижной фазы в системе: М с 80% CH_3OH , Е с 50% $\text{C}_2\text{H}_5\text{OH}$ и Р с 20% $\text{C}_3\text{H}_7\text{OH}$. Значения R_f при применении системы М для АЖК C_2 — C_{10} соответственно равны: 0,04; 0,11; 0,19; 0,31; 0,51; 0,65; 0,81; 0,85; 0,95; при системе Е для АЖК C_2 — C_6 : 0,07; 0,23; 0,49; 0,81; 0,88; —; 0,98; при системе Р для АЖК C_1 — C_6 : 0,33; 0,29; 0,58; 0,87; 0,94; 1,0. Для колич. определения АЖК применен метод УФ-спектрофотометрии (Tennent D. M. и др., *Analyt. Chem.*, 1951, 23, 1748). Установлена прямолинейная зависимость между мол. коэфф. экстинкции АЖК C_4 — C_{18} в среде CH_3OH - H_2O и содержанием CH_3OH в смеси (в об. %). Кривая зависимости между молярным коэфф. экстинкции (в среде $\text{C}_2\text{H}_5\text{OH}$) и мол. весом АЖК вогнута по отношению к оси абсцисс (мол. вес) на участке C_1 — C_6 и параллельна ей на участке C_6 — C_{18} ; кривая зависимости между уд. коэфф. экстинкции и мол. весом выпукла по отношению к оси абсцисс по всей своей длине. Т. Л.

78520. Изучение органических кислот, содержащихся в рисовой водке. IV. Определение пировиноградной и кетоглутаровых кислот хроматографией на бумаге и открытие неизвестных кетокислот. V. Превращение кетокислот в процессе брожения суэла и изомеры пировиноградной кислоты. Кавабата, Кавано (酒清中の有機酸の研究. 第4報. 酒清中のKetoacidsの定量及び未知Ketoacidsの検出. 第5報. 酒母及び清酒醗中のKetoacidsの消長並びにPyruvic acidの異性體に就いて. 川端修一, 川野義男), *醸酵工學雜誌*, Хакко когаку дзаси, J. Ferment. Technol., 1954, 32, № 10, 410—416, 40 (япон.; рез. англ.)

IV. Определение кетокислот в рисовой водке (саке) производили по видоизмененному методу Зелингсона (Seligson David, Shapiro Bernard, *Analyt. Chem.*, 1952, 24,

754—555), применяя смесь CHCl_3 -этилацетат (30%) как экстрагент и 10%-ный р-р Na_2SO_4 для высаливания. Этим методом из саке было выделено > 95% кетокислот. В высококачеств. саке содержалось больше кетокислот; термич. обработка не отражалась на его составе. Кол-во α -кетоглутаровой к-ты (I) было в 10 раз меньше, чем пировиноградной (II). Открыта неизвестная кетокислота (2,4-динитрофенилгидразон) с R_f 0,92, метод восходящей хроматографии, р-ритель $\text{C}_4\text{H}_9\text{OH}$, насыщ. NaHCO_3 . Указанный гидразон был получен быстрым окислением II NaOH и AgNO_3 .

V. Во время брожения саке содержание II через 8—9 суток после добавления дрожжей быстро повышается и снижается через 4—5 суток; максим. содержание II 0,1%. Со снижением окислительно-восстановительного потенциала содержание молочной к-ты (III) увеличивается, что свидетельствует о превращении II в III. Параллельно потенциалу уменьшается содержание свободной H_3PO_4 . Содержание I увеличивается параллельно II, но достигает максимума позднее. Получен и подвергнут хроматографированию 2,4-динитрофенилгидразон II. Получены два пятна: А с большим и В с меньшим значениями R_f . После вымывания участка пятна В, полученный р-р в CHCl_3 подвергали 6 час. действию УФ-лучей; при последующей хроматографии обнаружены пятна А и В; кол-во А больше. Обычная II содержит больше В, чем А. Установлено, что гидразон II к-ты имеет как *цис*-, так и *транс*-форму и что II присутствует в суэла как в кето-, так и в энольной форме. Предшествующая обработка II влияет на соотношение между обеими формами. Сообщение III, РЖХим, 1956, 29410.

Chem. Abstrs, 1955, 49, № 3, 2023. Shozaburo Kitaoka

78521. Определение содержания ди- и трихлоруксусной кислот в монохлоруксусной кислоте. Беллен, Юровская-Вернерова (Oznaczenie zawartości kwasów dwu- i tróchloroocetowego w kwasie jednochloroocetowym. Bellen N., Jurowska-Wernierowa M.), *Przem. chem.*, 1955, 11, № 9, 526—527 (польск.)

78522. Потенциометрические исследования барбитуратов. I. К аналитической характеристике серебряных солей диэтилбарбитуровой кислоты (веронала). Перельман Я. М., Ж. аналит. химии, 1956, 11, № 2, 241—247 (рез. англ.)

25 мл р-ра веронала (I), содержащего 0,02—0,06 м I, титруют 0,1 н. AgNO_3 в присутствии 1 г безводн. Na_2CO_3 . Для измерения э. д. с. применяют потенциометр «эталон»; нуль-инструментом служит зеркальный гальванометр. Электроды — гладкая Ag-проволока. Цепь: Ag — насыщ.

+ к. э. или Ag/Ag при промежуточном р-ре KNO_3 . Конечную точку оценивают по отчетливому максимуму. Погрешность $\pm 1,2\%$. Состав получаемой соли I Ag_2 , константа неустойчивости комплекса $4,7 \cdot 10^{-8}$ при 20°. Описанным методом можно определить I и Вг⁻ при их совместном присутствии: сначала обнаруживается скачок, соответствующий концу титрования Вг⁻, а затем I. Погрешность определения Вг⁻ $\pm 1\%$, I $\pm 2\%$. В присутствии Cl^- оттитровывается сумма ингредиентов. При титровании I в присутствии Na_2CO_3 образующаяся муть обусловлена выпадением в осадок I Ag_2 ; только по окончании этой р-ции появляется второй скачок потенциала, после которого титруется карбонат. Произведение растворимости для соли I Ag_2 составляет $6,2 \cdot 10^{-12}$. М. П.

78523. Качественное и полуквантитативное определение хлоргидратов аминов на бумажных хроматограммах. Ногар (Qualitative and semiquantitative tests for amine hydrochlorides on paper chromatograms. Nogar Stephen Dal), *Analyt. Chem.*, 1956, 28, № 5, 903 (англ.)

Испытаны два способа, основанные на взаимодействии

Cl⁻ с Ag⁺, для открытия и полуколич. определения хлоридов аминов на бумажных хроматограммах. Качеств. пробой можно открывать < 3 γ Cl⁻. Полуколич. определение, основанное на титровании Cl⁻, дает результаты, составляющие 88% от теории. Необходимо, чтобы амины присутствовали в форме хлоридов; структура амина, по-видимому, не влияет на результаты определения. Для открытия амина проявленную хроматограмму подсушивают (на воздухе или при слабом нагревании) и опрыскивают 1%-ным аммиачным р-ром AgNO₃; влажную хроматограмму сначала погружают в 10%-ную CH₃COOH, а затем в воду. При выдержке в УФ-свете в пятнах хлоридов аминов наблюдаются отложения черного металлического Ag. Для полуколич. определения участки пятен хлоридов аминов вырезают из хроматограммы, применяя контрольную пробу на образование Ag-пятна на 2-й хроматограмме (можно руководствоваться значениями R_f, но они не дают указаний на площадь или форму пятна). Вырезанный участок обрабатывают 5 мл 0,1 M KNO₃ при перемешивании слабой струей N₂. Для титрования Cl⁻ пользуются ~ 5·10⁻⁴ н. AgNO₃. Для потенциометрич. титрования применяют Ag—AgCl-электрод в качестве индикаторного и насыщ. к. э. в качестве электрода сравнения; контрольный опыт с бумагой проводят аналогичным образом. Б. Ш.

78524. Алкалометрическое определение солей органических оснований в виде тетрафенилбор-производных. I. Соли четвертичного аммония с длинной цепью. Готье, Рено, Пельерн (Dosage alcalimétrique des sels de bases organiques après précipitation sous forme de tétraphénylborures. I. Sels d'ammoniums quaternaires à longue chaîne. Gautier J.-A., Renault J., Pellerin F.), Ann. pharmac. franç., 1955, 13, № 12, 725—730 (франц.)

Метод основан на осаждении катионов солей четвертичных аммониевых оснований р-ром тетрафенилборнатрия (I), на растворении образующейся соли сильного основания и слабой к-ты в диоксане (II) и титровании полученного р-ра хлорной к-той. Для получения хорошо фильтрующихся осадков к анализируемому р-ру добавляют несколько капель 10%-ного AlCl₃, доводят pH смеси до 4—5 и приливают по каплям полторакартвый избыток 1%-ного р-ра I. Смесь выдерживают 30 мин. при 60°, отстаивают, охлаждают, отсасывают маточный р-р и промывают осадок 5—6 раз 1%-ной CH₃COOH. Осадок высушивают, растворяют в ацетоне, р-р упаривают под вакуумом, высушивают остаток в термостате при 60°, а затем растворяют его при нагревании в 10 мл безводн. II. Р-р титруют по метиловому фиолетовому 0,05 н. р-ром HClO₄. С 10 мл II с добавкой индикатора делают контрольный опыт. Метод применен для определения солей триметилалкоиламмония, диметилбензилалкоиламмония, алкоилпиридиния и алкоилизохинолина. Даже в случае анализа разб. р-ров солей ошибки не превышает 3%. Н. П.

78525. Цериметрия. IV. Окисление углеводов. Шарма (Cerate oxidimetry. IV. Oxidation of carbohydrates. Sharma N. N.), Analyt. chim. assa, 1956, 14, № 5, 423—426 (англ.; рез. нем., франц.)

Для определения сахаров рекомендуется окисление Ce(SO₄)₂, ведущее к образованию HCOOH. В случае кетосахаров кетогруппа окислится до CO₂. Р-р сахара обрабатывают 15 мин. избытком (до 100%) Ce(SO₄)₂, который затем определяют. Приведены результаты определения глюкозы, фруктозы, сахарозы, лактозы и ксилозы. Сообщение III см. 1956, 51209. В. П.

78526. Скоростной анализ раствора Швейцера титрованием комплексом III. Полчин ((R⁺chly rozbor kuoxamu (Schweizerovho roztoku) titráciou komplexónom III. Polčín Ján), Papír a celuloza, 1956, 11, № 5, 103—104 (словац.; рез. русс., нем., англ.)

Описаны весовой, йодометрич., электролитич. и комплексометрич. методы колич. определения Cu в р-ре Швейцера. Наиболее быстрым и точным является комплексометрич. способ (продолжительность определения 5—10 мин. при других методах 1—2 часа). Для анализа 5 мл пробы титруют при помощи 0,1 или 0,05 M комплексона III в присутствии мурексида (0,25—0,40 г смеси с NaCl 1:100) до фиолетового окрашивания. Погрешность определения ± 0,065 г Cu/л. Н. Т.

78527. Метод хроматографического разделения углеводов бензольного ряда. Клайс (Méthode de séparation chromatographique des carbures benzéniques. Claeys C.), Arch. malad. profess., 1956, 17, № 3, 260—262 (франц.)

Хроматографическое разделение углеводов бензольного ряда производят на колонке из пемзы, пропитанной парафиновым маслом, длиной 3,65 м. Колонка окружена рубашкой, в которой циркулируют пары воды, нагревающие внутреннюю часть до 100°; внутри колонки проходит газ N₂, предварительно прошедший через сосуд с р-ром анализируемой газособразной смеси в парафиновом масле. Из колонки газ попадает непосредственно в кювету ИК-фотометра, установленного на длину волны 3,45 м, соответствующую колебаниям связи C—H. Самописец регистрирует кривую, непосредственно характеризующую зоны различных углеводов. Осуществлено разделение бензола и толуола и трех ксилолов. М. П.

78528. Определение пириновой кислоты методом кулометрии при контролируемом потенциале. Мейтс, Мейтс (Assay of picric acid by coulometry at controlled potential. Meites Louis, Meites Thelma), Analyt. Chem., 1956, 28, № 1, 103—106 (англ.)

Определение числа эквивалентов электровосстанавливающихся в-в в 1 г анализируемой пириновой к-ты (I) основано на измерении расхода тока на восстановление солянокислых р-ров I. Число эквивалентов замещающихся ионов H⁺ определяют обычным алкалометрич. титрованием. Восстановление I выполняют с применением рабочего ртутного электрода (25 мл Hg), который поляризуют потенциалом (E)—0,40 в по отношению к насыщ. каломельному электроду. В качестве вспомогательного электрода используют спираль из Pt-проволоки. Для получения точных результатов очень важно полное удаление растворенного O₂, который окисляет промежуточные продукты восстановления I. Если конц-ия I не превышает 0,2 ммоль/л в 0,1 M HCl, 1 ммоль/л в 1 M HCl или 1,5 ммоль/л в 3 M HCl, то I восстанавливается до 2,4,6-триаминифенола с потреблением 18 фарадеев на 1 моль I. Это же кол-во I содержит 1 экв. замещающегося H⁺. Следовательно, для чистой I, содержащей в качестве примесей только воду, отношение числа окислительно-восстановительных эквивалентов в I к числу эквивалентов замещающегося H равно 18. Для динитрофенола (II) это отношение равно 12, что можно использовать для определения примесей II в I. Для получения точных результатов E рабочего электрода должен быть в интервале от —0,20 до —0,60 в, а конц-ия HCl должна укладываться в пределах 0,3—3 M. При более отрицательных E и при больших конц-иях HCl получают значительные положительные ошибки. Если конц-ия I в солянокислых р-рах превышает вышеуказанные величины, то расход тока на восстановление I моля I может быть меньше 18 или даже 17 фарадеев. Н. П.

78529. Хроматография 2,4-динитрофенилгидразонов альфа-кетокислот и продуктов их гидрирования. Мейстер, Абендшейн (Chromatography of alpha-keto acid 2,4-dinitrophenylhydrazones and their hydrogenation products. Meister Alton, Abend-schein Patricia A.), Analyt. Chem., 1956, 28, № 2, 171—173 (англ.)

Получены и изучены 2,4-динитрофенилгидразоны (I) 35 α-кетокислот (II) (в том числе аналоги II большинства

существующих в природе аминокислот). I, выделенные вымыванием из хроматограмм на бумаге (40—200 γ), гидрировали 16 час. при 24° под давл. 2,8 кг/см² на катализаторе окись Pt. Гидрирование I, за исключением цистеина, дает соответствующие аминокислоты, причем иногда один I дает несколько к-т. При исследовании пользовались восходящей хроматографией на бумаге ватман № 4. Р-рители служили 77%-ный C₂H₅OH, сжиженный фенол, насыщ. 10%-ным водн. р-ром Na₂CO₃; C₃H₇OH-28%-ный NH₄OH-H₂O (60 : 30 : 10); C₄H₉OH-H₂O-C₂H₅OH (50 : 40 : 10) и CH₃OH-C₆H₆-C₄H₉OH-H₂O (40 : 20 : 20 : 20). I наносили на бумагу в кол-ве 0,1—5 γ. В УФ-свете можно было обнаружить 0,01—0,1 γ I. Судя по полученным значениям R_f хроматография на бумаге недостаточна для идентификации II, но удобна для выделения некоторых гидразонов II и способствует идентификации ряда II. М. П.

78530. Изучение применимости измерения отражательной способности для анализа. II. Определение поверхностной отражательной способности 2,4-динитрофенилгидразонов. Ямагути, Фукусима, Табат, Ито (分光反射率測定の分析的應用に關する研究. 第2報. 各種2,4-ジニトロフェニルヒドラゾンの表面色の測定. 山口孝, 福島清吾, 太田利一, 伊藤みよ子), 藥學雜誌, Якугаку дзасси, J. Pharm. Soc. Japan, 1954, 74, № 12, 1327—1332 (япон.; рез. англ.)

Из трех алифатич. и 8 терпеноидных карбонильных соединений, фуруурола, 5-нитрофуруурола, 11 ароматич. альдегидов и 8 ароматич. кетонов синтезированы 2,4-динитрофенилгидразоны 32 типов. Поверхностную окраску полученных соединений сравнивали методом измерения отражательной способности в интервале 400—700 мμ. Для измерений пользовались спектрофотометром Бекмана с устройством для светорассеяния. На основании полученных данных сравнены соотношения между отражательной способностью при различных длинах волн и максим. отражательной способностью. Сравнением характеристик наклона и длины волны в определенной точке кривых отражательной способности возможно дифференцировать незначительные различия в тонах окраски. Сообщение I см. РЖХим, 1956, 70432. Т. Л.

78531. Открытие феруловой кислоты в водных экстрактах соломы и отходов зерновых культур методом хроматографии на бумаге. Бэриер (Der papierchromatographische Nachweis von Ferulasäure in wässrigen Extrakten von Getreidestroh und Getreiderückständen. Börner H.), Naturwissenschaften, 1956, 43, № 6, 129—130 (нем.)

Экстракцией холодной водой соломы ржи, пшеницы и ячменя и последующим хроматографированием на бумаге (проявитель — смесь C₄H₉OH-NH₃-H₂O, 80 : 10 : 10) выделено производное коричной к-ты. После наблюдения в УФ-свете участок с указанным производным (обнаруживаемым р-циями с диазотированной сульфаниловой к-той и по флуоресценции в парах NH₃) вырезали, вымывали CH₃OH и изучали спектр поглощения полученного р-ра в УФ-области. Пользуясь для сравнения чистым препаратом, установлено, что указанное производное коричной к-ты является феруловой к-той. Т. Л.

78532. Выделение и разделение смеси формальдегида и ацетальдегида с помощью димедона. Дуковников в А. Ф., Ж. аналит. химии, 1956, 11, № 3, 299—302 (рез. англ.)

Уточнена методика разделения формальдегида и ацетальдегида с помощью димедона. В. С.

78533. О микрохимической идентификации β-фенилизопропиламина. Сандри (Sul riconoscimento microchimica della β-fenil isopropilamina. Sandri Gilda Cavicchi), Mikrochim. acta, 1956, № 1—3, 244—251 (итал.; рез., нем., англ., франц.)

При взаимодействии β-фенилизопропиламина (I) в слабых кислых среде с р-ром иодвисмутата К образуются два

вида кристаллов: при недостатке реактива на холоду — блестящие желто-оранжевые пластиночки состава BiI₃·2HJ·C₆H₅N; при избытке реактива (нагрев) через некоторое время выпадают темно-красные призмы состава: BiI₃·HJ·C₆H₅N·4H₂O. Фенил-2-метилизопропиламин (II) образует лишь один вид кристаллов — длинные призмы гранатово-красного цвета, состава BiI₃·HJ·C₁₀H₁₃N·2H₂O. При использовании р-ра бромвисмутата К только I образует осадок — кубич. кристаллы тускло-желтого цвета, состава BiBr₃·3HBr·3C₆H₅N·3H₂O. Найдено, что эфедрин образует с р-ром иодвисмутата К темно-красные тонкие иглы, а с р-ром бромвисмутата К — золотисто-желтые пластинки состава BiBr₃·2HBr·2C₁₀H₁₃NO·3H₂O. Изученные р-ции позволяют идентифицировать и дифференцировать I и II в р-рах и терапевтич. препаратах. Д. К.

78534. О применении йодоформенной реакции для анализа некоторых виниловых соединений. Шостаковский М. Ф., Сидельковская Ф. П., Зеленская М. Г., Изв. АН СССР. Отд. хим. н., 1956, № 5, 615—621

Многие виниловые соединения (виниловые эфиры, виниллактамы) дают йодоформенную р-цию, что может быть использовано в качестве анализа этих соединений. Установлено, что виниллактамы практически не гидролизуются в присутствии щелочи. Предложен механизм образования йодоформа при действии щелочи и J₂ на указанные виниловые соединения. Разработана методика колич. определения винилкапролактама, винилпирролидинона и винилпиперидона методом йодоформенного титрования. В. С.

78535. Определение гризеофульвина в пробах сброженного бульона. Часть I. Спектрофотометрическое определение. Аштон, Браун. Приложение к части I. Способ расчета поправки по семи точкам. Аштон, Туттл. Часть II. Метод изотопного разбавления. Аштон (Determination of griseofulvin in fermentation samples. Part I. Spectrophotometric assay. Ashton G. C., Brown A. P. Appendix to part I. Seven-point correction procedure. Ashton G. C., Toottill J. P. R. Part II. Isotope — dilution assay. Ashton G. C.), Analyst, 1956, 81, № 961, 220—224, 225—227; 228—231 (англ.)

I. Не менее 80% гризеофульвина (I) присутствует в сброженном бульоне в форме мицелля; аликвотную порцию анализируемого бульона экстрагируют 2 раза 4-кратным объемом бутилацетата (II) при встряхивании в течение 2 мин. Объединенные экстракты разбавляют II до 100 мл и фильтруют. Аликвотную порцию профильтрованного экстракта разбавляют для получения р-ра с конц-ией 15—15 γ/мл и спектрофотометрируют при 288, 290, 293, 294, 296, 298 и 300 мμ в 1-см кварцевых кюветках, употребляя в качестве р-ра сравнения II. Оптич. плотность при каждой из указанных длин волн умножают на соответствующий коэфф. и полученные произведения складывают; сумму делят на 0,2585 и получают содержание I в порции р-ра, использованной для спектрофотометрич. измерений.

Приложение к части I: при спектрофотометрич. определении I, в показателе оптич. плотности р-ра I в бутилацетате необходимо внести поправку на оптич. плотность, обусловленную присутствием других компонентов. Для этой цели пользуются способом, основанным на определении формы кривой светопоглощения I + посторонних компонентов, построенной по семи точкам, отличающимся друг от друга на 2 мμ в интервале 278—302 мμ. Приведена таблица и расчетная ф-ла для вычисления коэфф. привязки (Fisher R. A., Yates F., Statistical tables for biological, agricultural and medical research. 4 ed. Edinburgh, Oliver and Boyd, 1953, p. 80).

II. Для проверки результатов спектрофотометрич. определения I, а также для самостоятельного использования

разработан метод изотопного разбавления, при котором пользовались I , меченным Cl^{36} . Пробу обрабатываемого бульона, содержащего 100—150 мг I , экстрагировали 4 раза равным объемом эфира; объединенные экстракты фильтровали, растворяли ~50 мг I , меченного Cl^{36} , в 5 мл диметилформамида; к полученному р-ру добавляли 100 мл экстракта, отгоняли эфир на водяной бане, к остатку прибавляли 8—10-кратный объем воды. Через ~18 час. фильтровали, осадок сушили при 100° и растворяли в C_6H_6 . В отсутствие дехлоргризеофульвина р-р I пропускали через колонку с активированной Al_2O_3 , вымывали смесью $C_6H_6-C_2H_5OH$ (9:1), вытекающий р-р испаряли при 18—20°, остаток растворяли в диметилформамиде, высаживали водой, сушили при 150°, измельчали и определяли активность (по сравнению с эталоном) на торцевом счетчике. Сходимость результатов обоих методов хорошая. В присутствии дехлоргризеофульвина применяли метод хроматографич. разделения. Т. Л.

78536. Распределительная хроматография алкалоидов, главным образом алкалоидов опия, в забуференных растворах. Бетшарт, Флюк (*Verteilungschromatographie von Alkaloiden, besonders von Opiumalkaloiden, in gerufferten Systemen. Bettschart A., Flück H., Pharmaz. acta helv.*, 1956, 31, № 5, 260—283 (нем.; рез. англ., франц., итал.)

Разделение алкалоидов (A) с близкими значениями растворимости основано на различии величин их констант диссоциации и вытекающем отсюда различии коэфф. распределения при соответствующих pH. Для разделения A используют метод хроматографии на бумаге ватман, импрегнированной буферными смесями и высушенной на воздухе. Качество хроматограммы на бумаге, насыщенной водой путем предварительного кондиционирования в атмосфере камеры для хроматографирования, ухудшается с возрастанием поверхностного натяжения на границе вода — подвижный р-ритель (ПР). Поэтому для разделения A бензол непригоден совсем, а $CHCl_3$ может быть использован в особых условиях. Хорошие результаты дает использование таких ПР как эфир, этилацетат, а особенно бутанол. Наиболее эффективное разделение наркотина и папаверина достигается при pH 3—4.5 с использованием эфира в качестве ПР. Бумага для разделения таких смесей должна быть импрегнирована цитрат-фосфатной буферной смесью (pH 3.8) и кондиционирована в атмосфере ванны для хроматографирования в течение 15 час. Значения R_f для наркотина и папаверина соответственно равны 0,63 и 0,18; такие A как морфин, кодеин, тебанин, нарценин, лауданозин, лауданин, криптопин и продукт разложения папаверина остаются на месте нанесения капли анализируемого р-ра. Для разделения морфина, кодеина, нарценина и тебанина в качестве ПР применяют бутанол. Значения R_f для этих A при использовании бумаги, импрегнированной цитрат-фосфатной смесью с pH 6,8 и кондиционированной 13—14 час., соответственно равны 0,39; 0,57; 0,76 и 0,85. Графики зависимости R_f различных A от pH приводятся. Для идентификации A использован иод-нодидный реактив, который уступает по чувствительности реактиву Драгендорфа, но дает с исследованными A различные окраски. Н. П.

78537. Использование хроматографии и электрофореза при исследовании медикаментов растительного происхождения. Пари (*Utilisation de la chromatographie et de l'électrophorèse pour l'étude des médicaments d'origine végétale. Paris R., J. pharmaz. Belgique*, 1956, 11, № 1-2, 9—12 (франц.; рез. фламанд.)

78538. Фотометрическое определение хлоранила в фунгицидных препаратах. Джонсон (*Colorimetric determination of chloranil in fungicide preparations. Johnson Delwin P., J. Assoc. Offic. Agric. Chemists*, 1955, 38, № 4, 946—949 (англ.)

Метод основан на превращении хлоранила (I) в хлор-

аннловую к-ту (II) и спектрофотометрировании II при 545 мμ. Препарат, содержащий ~0,15 г I , взбалтывают со 100 мл C_6H_6 и после отстаивания отбирают 1 мл, добавляют к нему 10 мл охлажденного до 25° 2%-ного р-ра NaOH и смесь взбалтывают точно 15 сек. Увеличение времени взбалтывания и т-ры ведет к уменьшению оптической плотности р-ра. По окончании обработки щелочью, в результате которой I переходит в водорастворимую II , пробу быстро подкисляют добавлением 1 мл 40%-ной CH_3COOH , разбавляют до 45 мл водой и отстаивают. Смесь разбавляют водой таким образом, чтобы бензольный слой находился выше метки мерной колбы емк. 50 мл, энергично взбалтывают и отстаивают 10 мин. Бензольный слой, содержащий примеси к I в фунгицидном препарате, сливают, а часть водн. р-ра спектрофотометрируют при 545 мμ. Введя поправку на контрольный опыт, с помощью прямолинейного калибровочного графика находят содержание I в анализируемом р-ре. Н. П.

78539. К вопросу о бихроматном методе определения пиперазина. Чемерисская А. А., Ж. аналит. химии, 1956, 11, № 3, 356, (рез. англ.)

Уточнен ранее описанный метод (РЖХим, 1954, 18653). На основании элементного анализа и изучения ИК-спектров наиболее вероятная следующая ф-ла бихромата пиперазина: $C_4H_{10}N_2 \cdot H_2CrO_7$. Фактор пересчета на безвод. пиперазин равен 0,2832, на гексагидрат пиперазина 0,6386. При осаждении 10%-ного р-ра гексагидрата пиперазина добавлением 2 мл р-ра 40 г CrO_3 в 100 мл воды и охлаждением реакционной массы на льду продолжительность выдержки может быть сокращена с 6—7 час. до 15 мин. В. С.

78540. Полярографический метод контроля синтеза флороглюцина и амидола. Вайнштейн Ю. И., Дятлова Н. М., Тр. Всес. н.-н. ин-та хим. реактивов, 1956, № 21, 67—71

Изучен процесс восстановления хлористого пикрила (I), являющегося исходным материалом для синтеза флороглюцина (II), на капельном Hg-электроде, в 25%-ном C_2H_5OH , в присутствии 0,01 н. HCl и нескольких капель 0,1%-ного р-ра желатини. $E_{1/2}$ I составляет 0,25 в (насыщ. к. э.). Высота волны пропорциональна конц-ии I в р-ре. Fe, присутствующее в реакционной смеси в качестве восстановителя при синтезе II , осаждают NH_4OH . В аммиачной среде полярограмма I состоит из трех волн с $E_{1/2}$ 0,44, $E_{1/2}$ 0,65 и $E_{1/2}$ 1,08 в. Навеску I (1—3 г) или реакционной смеси (2—5 г) растворяют в 8—10 мл C_2H_5OH , прибавляют NH_4OH (1:1) до полного осаждения Fe, 4 капли 0,1%-ного р-ра желатини и разбавляют до 25 мл цитратно-фосфатным буферным р-ром с pH 7. Пропускают 15 мин. ток H_2 или N_2 и полярографируют методом добавок. Для определения 2,4-динитрофенола (III), применяемого в качестве исходного материала при синтезе амидола, в качестве фона применяют смесь NH_4OH-NH_4Cl (к разб. (1:1) р-ру NH_4OH прибавляют 0,1 н. NH_4Cl до pH 8); i_d пропорционален конц-ии III в р-ре. $E_{1/2}$ III 0,56, $E_{1/2}$ III 0,78 в. Т. Л.

78541. Амперометрическое титрование вискозы. Вронский (*Amperometric titration of viscose. Wronski Mieczyslaw, J. Polymer Sci.*, 1956, 19, № 91, 213—214 (англ.)

При анализе вискозы методом амперометрич. титрования в качестве титрованного р-ра употребляют 0,04 н. $Pb(NO_3)_2$; титруют в присутствии 0,1 н. NaOH. Потенциал восстановления капельного Hg-электрода 1,2—1,5 в (по отношению к донной Hg). Установлено, что результаты амперометрич. определения Na_2S и $Na_2S + Na_2CS_3$ совпадают с данными иодометрич. титрования. По данным иодометрии на 1 экв Na_2CS_3 расходуется 1,5 экв Pb в шел. р-ре и 1 экв Pb при pH 8. Кривая амперометрич. титрования $Na_2S + Na_2CS_3$ дает 2 точки перегиба: 1) конец осаждения $PbCS_3$ и начало осаждения $PbCS_3$ и 2) конец осаж-

дения $\text{PbCS}_3 \cdot \text{Na}_2\text{SO}_3$, $\text{Na}_2\text{S}_2\text{O}_3$ и ксантогенат не мешают амперометрич. титрованию р-ром $\text{Pb}(\text{NO}_3)_2$ в щел. среде. При 20° константа равновесия K_1 р-ции $\text{CS}_3^{2-} \rightleftharpoons \text{CS}_2 + \text{S}^{2-}$ в р-ре насыщ. $\text{CS}_3^{2-} \approx 0,5$; константа равновесия K_2 р-ции $\text{CS}_3^{2-} \rightleftharpoons \text{CS}_2 + \text{S}_2^{2-}$ много меньше. Т. Л.

78542. Полярографический метод определения тетраметилтиурамдисульфида и применение его для контроля тиурамных паст в резиновом производстве. Калачева А. В., Завод. лаборатория, 1956, 22, № 4, 420—422

На фоне р-ра CH_3COONa в $\text{C}_2\text{H}_5\text{OH}$ (рН 8,2—8,4) тетраметилтиурамдисульфид (I) восстанавливается на капельном Нг-электроде и дает правильную полярографич. кривую. $E_{1/2}$ I в р-ре дихлорэтана на указанном фоне составляет —0,6 в (насыщ. к. э.). Между величиной i_d и конц-ией I в р-ре существует прямая зависимость. При опытах с пастами на основе I $E_{1/2}$ I остается без изменений. 0,025 г пасты растворяют в 25 мл дихлорэтана, 5 мл полученного р-ра разбавляют фоном (60 мл 0,5 М CH_3COONa разбавляют $\text{C}_2\text{H}_5\text{OH}$ до 1 л) до 50 мл, 10 мл р-ра вносят в ячейку, пропускают 15—20 мин. H_2 и полярографируют, определяя высоту волны по пересечению касательных. Метод применим для определения I в пастах в производственных условиях. Т. Л.

78543. Высокочастотное титрование. III. Аналитический контроль в производстве пластических материалов. Ершов В. П., Покровская В. Л., Заринский В. А., Кошкин Д. И., Ж. аналит. химии, 1956, 11, № 2, 139—143 (рез. англ.)

Опыты по кислотно-щелочному ВЧ титрованию проводили на установке, разработанной ранее (сообщение II, РЖХим, 1955, 34652); установка отличалась лишь конструкцией ячейки — она предусматривала доступ ко всем деталям, смонтированным на наружной стороне стаканчика (обкладка, дроссель, детектор). Для определения к-т и щелочей аликвотный объем анализируемого р-ра разбавляли в стаканчике для титрования до 50 мл с тем, чтобы уровень жидкости был выше верхнего края электрода, что устраняло возможность влияния изменения объема р-ра на показания микроамперметра. Добавляемые кол-ва 0,1 или 0,01 н. HCl (в мл) и показания микроамперметра записывали в таблицу и наносили на график. Конечные точки определяли по пересечению двух прямых на кривой титрования. Расхождения с результатами титрования по фенолфталеину не превышали $\pm 0,4\%$. Результаты титрования темноокрашенных искусств. р-ров, близких по составу к промышленным, ничем не отличались от полученных для чистых р-ров к-т и щелочей. Метод применим для определения к-т и щелочей в темноокрашенных р-рах и определения фенола и крезолов в технич. продуктах. Б. Т.

78544. Бесстружковый метод определения красителей стекла. Тананаев, Ганаго (玻璃中着色劑の快速測定法. 達納耶夫 Н. А., 甘納哥 Л. И.), 化學世界, Хуасюэ шицзе, 1956, № 7, 376—377 (кит.) См. РЖХим, 1956, 19597.

78545. Полярографический контроль за содержанием стабилизатора и метилметакрилата в мономере. Боброва М. И., Матвеева А. Н., Александров А. Т., Кобылянская Т. В., Соколова Л. А., Завод. лаборатория, 1956, 22, № 6, 658—659

Разработан быстрый полярографич. способ определения метилметакрилата (I) и гидрохинона (II) в мономере. I (10^{-2} — $4,5 \cdot 10^{-2}$ М) полярографируют на фоне водно-спиртового р-ра хлористого тетраэтиламмония или индистого тетраметиламмония. При потенциале от —1,8 до —2 в I восстанавливается; образуются четкие волны, высота которых пропорциональна конц-ии I. II полярографируется на аноде на фоне смеси фосфатного буферного р-ра, рН 7, с р-рителем для I — этиловым спиртом. Высота волны пропорциональна конц-ии II. Константа

диффузионного тока в указанных условиях для I составляет 2,37, для II 1,7.

78546. Минерализация при помощи смеси серной и азотной кислот в полумикроанализе. Пьен (Minéralisation sulfonitrique en semi-micro analyse. Pien Jean), Ann. falsific. et fraudes, 1955, 48, № 561—562, 420—421 (франц.)

Описанный ранее прибор для мокрой минерализации (РЖХим, 1956, 24273) модифицирован для осуществления минерализации в полумикромасштабе; емкость реакционной колбы снижена до 100 мл, холодильник и отделение для рекуперации соответственно уменьшены. Кол-ва реактивов значительно снижены: на навеску 1 г сухого в-ва употребляют 2 мл H_2SO_4 и 30 мл HNO_3 ; продолжительность сожжения составляет ~20 мин. Использование новой модели прибора значительно сокращает продолжительность сожжения и ведет к экономии реактивов. Т. Л.

78547. Определение α -, β -ненасыщенных соединений при помощи реакции с морфолином. Критчфилд, Фанк, Джонсон (Determination of alpha, beta-unsaturated compounds by reaction with morpholine. Critchfield Frank E., Funk Gregory L., Johnson James B.), Analyt. Chem., 1956, 28, № 1, 76—79 (англ.)

Установлено, что α -, β -ненасыщ. соединения количественно реагируют с морфолином (I) с образованием трет-аминов в присутствии CH_3COOH в качестве катализатора. Избыток I реагирует с $(\text{CH}_3\text{CO})_2\text{O}$ до нейтр. амида, трет-амин титруют р-ром HCl в CH_3OH с индикатором. В немногих случаях, когда трет-амин плохо титруется, применяют метод кондуктометрич. титрования. Индикаторный метод с успехом применен для определения 15 соединений. При использовании индикаторного метода в каждую из двух конич. колб с пробками вводят по 10 мл I. Одну колбу оставляют для контрольного опыта, в другую вводят образец, содержащий ≤ 23 мкгв ненасыщ. соединения. В каждую колбу добавляют по 7 мл CH_3COOH (1:1) и соразворитель (обычно CH_3OH). После выдержки (т-ра и время зависят от определяемого соединения) в каждую колбу добавляют по 50 мл ацетонитрила и при непрерывном встряхивании — по 20 мл $(\text{CH}_3\text{CO})_2\text{O}$; колбы закрывают пробкой, после охлаждения до 18—20° добавляют 5—6 капель смешанного индикатора метиловый оранжевый — кисленовый цианол FF и титруют стандартным спирт. 0,5 н. р-ром HCl до исчезновения зеленой окраски. При использовании кондуктометрич. метода для анализа употребляют 10 мкгв ненасыщ. соединения. Контрольную пробу титруют по индикаторному методу. Количественно переносят содержимое колбы с образцом в высокий стакан, добавляют CH_3OH до такого уровня, чтобы были покрыты электроды, и титруют стандартным 0,5 н. р-ром HCl в CH_3OH ; электропроводность измеряют в 6—8 точках и определяют конечную точку графически. Б. Ш.

78548. Определение α -, β -ненасыщенных соединений при помощи реакции с сульфитом натрия. Критчфилд, Джонсон (Determination of alpha, beta-unsaturated compounds by reaction with sodium sulfite. Critchfield Frank E., Johnson James B.), Analyt. Chem., 1956, 28, № 1, 73—75 (англ.)

В результате исследования хим. методов определения α -, β -ненасыщ. соединений, разработан ацидиметрич. способ, основанный на взаимодействии этих соединений с Na_2SO_3 . Оптимальная конц-ия H^+ достигается добавлением известного кол-ва H_2SO_4 . При р-ции расходуются стехиометрич. кол-во к-ты, избыток последней определяют титрованием стандартным р-ром основания с применением в качестве индикатора ализарина желтого R — кисленового цианол FF. Получены удовлетворительные результаты при определении степени чистоты 8 соединений. Обсуждены преимущества и ограничения сульфитного ме-

тогда по сравнению с морфологическим и приведены рекомендации по выбору лучшего метода определения соединения данного класса, исходя из его структурных особенностей. В конич. колбы со стеклянными пробками вводят по 25 мл ~ 2М р-ра Na_2SO_3 , 25 мл 1 н. H_2SO_4 , 15 мл $\text{iso-C}_6\text{H}_5\text{OH}$, наполняют колбы Na_2 и закрывают. 2 колбы отставляют для контрольного опыта, а в каждую из 2 других колб вводят образец, содержащий ≤ 15 мкг ненасыщ. соединения. Р-цию ведут при определенной температуре и в течение определенного времени, зависящих от типа соединения. Затем все колбы помещают на 10 мин. в ванну при -10° , добавляют 5—6 капель смешанного индикатора и титруют 0,5 н. NaOH до исчезновения зеленой окраски. Для ненасыщ. к-т необходимо, кроме того, определять кислотность образца титрованием стандартным р-ром NaOH с индикатором фенолфталеином. Процесс определения степени ненасыщенности к-т идентичен описанному выше. В большинстве случаев сульфитный метод более точен, чем морфологический, так как конечная точка титрования выражена более отчетливо. Б. Ш.

78549. Исследование быстрых методов определения паров органических растворителей в воздухе. II. Быстрый метод определения паров эфира. Кобаяси (有機

溶媒蒸気の迅速定量法の研究. 第2報. エーテル蒸気の迅速定量法. 小林義隆), 有機合成化学協会誌, Юки госэй кагаку кёкайси, J. Soc. Organ. Synth. Chem., Japan, 1954, 12, № 3, 112—115 (япон.)
Сообщение 1 см. РЖХим, 1956, 51207.

78550 К. Методы идентификации органических соединений. Заключительный том. Фунакубо (有機化合物確認法. 下巻. 船久 保英一・森賢堂, 322頁, 280圖), Ёкоэндо, 1954, 690 стр., 800 иен (япон.)

78551 К. Стабильные методы органического анализа. Мидзуно (有機定性分析法. 水島善久. 版出, 274頁, 30圖), Кёрицу-сюппан, 1955, 274 стр., 380 иен (япон.)

См. также: Полярография 22801Бх. Хроматография 7311; 22802Бх, 22803Бх, 22809Бх, 22811Бх, 22812Бх, 22817Бх, 22818Бх, 22820Бх. Технич. анализ 79080, 79391; 22834Бх, 22837Бх, 22850Бх, 22864Бх. Др. вопр. 22789Бх, 22798Бх, 22800Бх, 22814Бх, 22827—22833Бх, 22835Бх, 22836Бх, 22839Бх, 22841Бх, 22846Бх, 22848Бх, 22852Бх, 22853Бх, 22855Бх, 22857—22861Бх, 22863Бх, 22865Бх, 22867Бх.

ОБОРУДОВАНИЕ ЛАБОРАТОРИЙ. ПРИБОРЫ, ИХ ТЕСТИРОВАНИЕ, КОНСТРУКЦИЯ, ПРИМЕНЕНИЕ

78552. Измерение интенсивности в 180° β -спектрографе посредством подсчета электронных треков на фотопластинках для ядерных исследований. Клейнхейнс (Intensitätsmessungen im 180° - β -Spektrographen durch Auszählen der Elektronenspur in Kernspurplatten. Kleinheins Peter), Z. Naturforsch., 1956, 11a, № 3, 252—253 (нем.)

Применен метод подсчета электронных треков при помощи стереомикроскопа Leitz — Ortholux на фотопластинках для ядерных исследований Илфорд G5, экспонированных в 180° β -спектрографе с максим. силой магнитного поля 2500 э и максим. радиусом пути частиц 9,5 см. Метод позволяет регистрировать как часть спектра, так и весь спектр. Проведено измерение интенсивности конверсионных линий Cs^{137} (энергия частиц 30—700 кэв, активность источника 20 μCi), Co^{60} (8 μCi) и Te^{127} (400—800 кэв, 0,05 μCi). Разрешение, полученное из полуширины конверсионных линий Cs^{137} , составляло 5—6%. Найдено, что наименьшая измеряемая энергия электронов составляет 20 кэв (треки состоят из 2—3 зерен). А. Л.

78553. Направления в спектрофотометрии. Алерс (Trends in spectrophotometry. Ahlers N. H. E.), Chemistry and Industry, 1956, № 4, 93—96 (англ.)
Обзор. Библ. 13 назв. К. Л.

78554. Приборы и принципы спектрофотометрии пламени. Многоканальный спектрометр для анализа пламени. Валии, Маргошес (Instrumentation and principles of flame spectrometry. Multichannel flame spectrometer. Vallee Bert L., Margoshes Marvin), Analyt. Chem., 1956, 28, № 2, 175—179 (англ.)
Описан прибор с фотоэлектрич. регистрацией света для одновременного определения конц-ий 5 элементов с использованием кислородно-водородного пламени в качестве источника возбуждения. Излучение пламени разлагается в спектр монохроматором с решеткой. Линии Na (5890 Å), Ca (5498 Å), Sr (4607 Å), Mg (3705 Å) выделяются щелями в фокальной плоскости монохроматора и регистрируются фотоумножителями типа 1Р28, линия K (7664 Å) регистрируется фотоумножителем типа 1Р22. Приведена схема блока усилителей и выпрямителей фотоумножителей. Сигналы на

выходе усилителей регистрируются микроамперметрами с точностью до $\pm 1\mu\text{A}$. Прибор позволяет за 1 час работы производить колич. анализ 5 элементов в 25 р-рах. Одновременный анализ 5 элементов требует 1 мл р-ра. Нижний предел чувствительности прибора составляет 0,002 γ для Na в 1 мл H_2O . Верхний предел конц-ий анализируемых элементов в 1000 раз больше нижнего предела. Точность определения конц-ий анализируемых элементов составляет 1—2%. В. Л.

78555. Оптические проблемы использования интерференции в определении спектроскопических волновых чисел. Петтерссон (Optical problems concerning the use of interference in the determination of spectroscopic wave-numbers. Pettersson A. Vilhelm), Arkiv fys., 1956, 10, № 2, 109—112 (англ.)
Обзор. Библ. 7 назв. В. Л.

78556. Мощная запаянная рентгеновская трубка для спектрального анализа. Нарбутт, К. И., Фридман Е. М., Изв. АН СССР, сер. физ., 1956, 20, № 1, 136—141

Разработана мощная рентгеновская трубка с масляным охлаждением для рентгеноспектрального анализа по методу флуоресценции. Охлаждаемый анод имеет прямоугольное W-зеркало, расположенное под углом 60° к оси трубки. Выходное окно закрыто пластинкой Be толщиной 1 мм. Размер фокусного пятна 30×5 мм. Допустимая нагрузка при длительной работе 200 ма при 50 кэв (или 150 ма при 70 кэв). Чувствительность определений при колич. рентгеноспектральном анализе с данной трубкой 0,01%. А. Л.

78557. Вакуумный интерферометр и кадмиевая печь. Адамс, Бернс (Vacuum interferometer and cadmium oven. Adams Kenneth B., Burns Keivn), J. Opt. Soc. America, 1956, 46, № 1, 36—38 (англ.)

Интерферометр Фабри — Перо с пластинами из плавного кварца, кристаллич. кварца или стекла диам. 42 и толщиной 10 мм помещается в вакуумную камеру. Конструкция камеры позволяет производить юстировку интерферометра, не нарушая вакуума. Давление в камере $< 10^{-2}$ мм рт. ст. поддерживается механич. вакуумным насосом. Корпус камеры обмотан Cu -трубкой, по которой на

циркулирует вода из термостата. Применение описываемого интерферометра позволяет полностью исключить влияние изменений т-ры и атмосферного давления на разрешающую способность интерферометра. Также описана разрядная лампа, наполненная стабильным изотопом Cd^{114} . Кадмиевая лампа помещается в печь, которая позволяет получать т-ру в пределах от комнатной до 315° . Вакуумный интерферометр использован для сравнения спектра Hg^{98} и Cd^{114} . В. Л.

78558. Инфракрасная микроспектроскопия. IV. Двухлучевой инфракрасный микроспектрометр. Блаут, Аббат (Infrared microspectroscopy. IV. A double-beam infrared microspectrometer. Blout E. R., Abbott E. M. J.), J. Opt. Soc. America, 1955, 45, № 12, 1028—1030 (англ.)

В дополнение к описанной ранее конструкции и применению однолучевого ИК-микроспектрометра (МС) (предыдущие сообщения см. J. Opt. Soc. America, 1950, 40, 304; 1951, 41, 547; 1952, 42, 966) приводится описание конструкции двухлучевого ИК-МС. Описываемый МС построен на основе обычного двухлучевого ИК-спектрометра, в основном луче которого используется оптич. система отражательного микроскопа, а в луч сравнения вводится газовая кювета для компенсации поглощения атмосферной H_2O и CO_2 . Поглощение H_2O компенсируется с точностью до 2%. МС позволяет получать спектр-в в кол-ве $<1 \mu\text{g}$. Приводится спектрограмма р-ра CaH_2 в CCl_4 , полученная с образца весом 10^{-6} г. Спектральное разрешение МС во всей области спектра лежит между 200 и 300. В. Л.

78559. Приспособление к гониометру диффрактометра Нэрелко, преобразующее его в двукристалльный спектрометр. Малюф (Double-crystal spectrometer attachment to the wide-range goniometer of the Norelco X-ray diffractometer. Rev. Scient. Instrum., 1956, 27, № 3, 146—147 (англ.)

Кратко описаны основные черты приспособления, преобразующего гониометр диффрактометра Нэрелко в двукристалльный спектрометр, приспособленный для изучения совершенства кристаллов. Приспособление рассчитано на 2 кристалла диам. 31,7 мм и толщиной 15,9 мм. Каждый кристаллодержатель имеет 3 степени свободы: полное вращение на 360° в его собственной плоскости, наклон относительно оси, перпендикулярной оси вращения и вращения вокруг оси, лежащей в плоскости кристалла и перпендикулярной оси наклонов. Шкалы с верньерами имеют 5-минутные отсчеты. Отсчет поворота второго кристалла с помощью системы передач возможен с точностью до 1 сек. Всего возможна регистрация углов 2θ в интервале $10-135^\circ$. Время настройки работы в параллельном или антипараллельном положении требует менее 1 часа. Приведены примеры кривых отражения для полированных и травленных монокристаллов Ge (полуширина максимума $23''$) и Si ($12''$). Результаты хорошо сходятся с подсчетами по динамич. теории Дарвина для идеального кристалла. М. У.

78560. Рентгеновская камера с независимым эталоном для измерения интенсивности интерференционных линий. Тэйт В. П., Тр. Ленингр. метал. з-да, 1955, № 2, 112—115

Сконструирована камера с эталоном, выполненным в виде 4-лопастной крыльчатки из требуемого материала. Эталон насажен на ось электромотора и вращается со скоростью 120 об/мин. При своем вращении во время съемки эталон перекрывает через равные промежутки времени рентгеновский пучок и дает на пленке эталонные линии. Перекрывание эталонных и исследуемых линий исключается возможностью изменения расстояния эталон — пленка. Размеры эталона выбираются так, чтобы отношение интенсивностей эталонных и исследуемых линий было близко к единице. Приспособление для установки образцов сконструировано по принципу гониометрич. головки. Касета рассчитана на 8 кадров. Максим. погрешность рентгенографирования, включая погрешности проявления, съемки и

фотометрирования, $\leq 3-5\%$. Рентгенограмма от стального образца на Со-излучении при напряжении на трубке 35 кВ и токе 8 мА снималась за 15 мин. А. Л.

78561. Опыт применения рентгеновского гониометра ЛИТМО-1. Яворский И. В. Сб. статей Ленингр. ин-та точной механ. и оптики, 1955, вып. 18, 82—92

Указана возможность применения рентгеногониометра ЛИТМО-1 для развертывания n -й слосевой линии рентгенограмм вращения, регистрации максимумов на бльших брегговских углах ($65-90^\circ$) и для изучения нарушений структуры кристаллич. решеток. А. Л.

78562. Порошковые камеры с переменным радиусом. Эфендиев Г. А., Ж. техн. физики, 1956, 26, № 3, 646—648

Для съемки линий, отвечающих $d > 4 \text{ \AA}$, кстрые в обычных камерах не удается снять, предлагается сместить образец в сторону входной диафрагмы. Дается ф-ла для нахождения θ при определенном смещении образца. А. Е.

78563. О монохроматизации рентгеновских лучей с помощью дифференциальных фильтров. Цветков В. П. Физ. збірник. Львівськ. ун-т. Физ. сб. Львовск. ун-т, 1955, вып. 1 (6), 15—21

Проверена возможность получения фотографич. методом монохроматич. кривых интенсивности с помощью Ni — Со дифференциальных фильтров на трубке БСВ-4Си с острофокусной трубке. Разработана методика изготовления и балансировки фильтров. Получены кривые интенсивности на Си-излучении с различными способами монохроматизации, и кривая атомного распределения стеклообразного селена. Применение дифференциальных фильтров с острофокусной трубкой снижает экспозицию в 40 раз. Проведены сравнительные съемки на Си-излучении, монохроматизованном отражением от кристалла каменной соли. А. Л.

78564. О чувствительности интерференционного и свелевого метода полсе при изучении слоистости листового стекла. Ханнес (Über die Empfindlichkeit der Interferenz- und Schlierenverfahren bei der Untersuchung der Schichtung des Tafelglases. Hannes Hellmut), Glastechn. Ber., 1956, 29, № 3, 83—89 (нем.; рез. англ., франц.)

При изучении слоистости стекла оптич. методами используются вырезанные из листа стекла образцы в виде пластинок с отполированными боковыми сторонами. При рассмотрении поперечного сечения этих образцов определяется разница в показателях преломления отдельных слоев стекла порядка $10^{-3}-10^{-4}$. Чувствительность методов изменяется в широких пределах при изменении толщины образца в направлении прохождения пучка света. Однако при увеличении толщины сверх некоторого значения наблюдается искажение интерференционной картины. Дана ф-ла для вычисления максимально допустимой толщины образца в зависимости от величины неоднородностей и разницы показателей преломления (по отношению к основному стеклу). Приведены примерные расчеты толщины образцов. А. К.

78565. Проекционный прибор для определения температур мезоморфных и полиморфных превращений. Грей, Ибботсон (A projection instrument to aid in the determination of mesomorphic and polymorphic transition temperatures. Gray G. W., Ibbotson A.), Nature, 1955, 176, № 4494, 1160—1161 (англ.)

Изготовлен прибор по конструкции, аналогичный обычному проекционному микроскопу. Осветителем служит 500-вт лампа. Между конденсорной и проекционной линзами помещен нагреватель, допускающий нагрев тонкого образца до 380° . В вертикальной оптич. системе предусмотрены два поляроида для возможности исследования образцов в поляризованном свете, стеклянный тепловой экран и зеркала, служащие для направления света от осветителя в оптич. систему и для отброса изображения на вертикаль-

ный экран. Прибор пригоден также для определения т-р плавления.

78566. Установка для непрерывного наблюдения эффекта Киркендалла. Каргер (Beschreibung einer experimentellen Methode zur kontinuierlichen Beobachtung des Kirkendall-Effekts. Karger Wolfgang W.). Z. phys. Chem. (BRD), 1956, 7, № 1—2, 119—121 (нем.)
Описана установка для непрерывного измерения перемещения границы раздела двух металлов в процессе диффузионного отжига при т-ре до $\sim 920^\circ$. На W-проволочке, впаянной по границе раздела, висит W-груз. Перемещение границы и груза нарушает равновесие весов с магнитной компенсацией и оптич. указателем. Чувствительность установки $5 \cdot 10^{-6}$ см. Вся система находится в атмосфере Ar.

78567. Измерение электросопротивления кремния. Кример (The measurement of the electrical resistivity of silicon. Creamer R. H.). Brit. J. Appl. Phys., 1956, 7, № 4, 149—150 (англ.)

Описан способ уменьшения контактных сопротивлений в методе, описанном ранее (Bruckshaw J. M., Proc. Geog. Assoc., 1948, 59, 113).

78568. Калориметр для измерения мощности рентгеновского излучения с большой энергией. Мак-Элхинни, Зендле, Домен (A calorimeter for measuring the power in a high-energy X-ray beam. McElhinney John, Zendle Bernard, Domen Steve). J. Res. Nat. Bur. Standards, 1956, 56, № 1, 9—16 (англ.)

Калориметр для измерения мощности рентгеновских лучей с энергией 1—18 Мэв состоит из двух Pb-цилиндров diam. 4 и длиной 7,5 см, помещенных в вакуумную камеру, которая находится в ванне с водой. Т-ра воды регулируется с точностью $\pm 0,005^\circ$. Рентгеновское излучение поглощается в измерительном цилиндре, вызывая его нагревание. В цилиндрах находятся термисторы с большим отрицательным температурным коэфф. (смесь оксидов Co, Mn, Ni), которые включаются в мостик Уитстона для измерения сопротивления нагреваемого термистора. Калибровка калориметра производится путем искусст. нагревания измерительного цилиндра электрич. током. Вероятная ошибка при измерении мощности излучения составляет $\pm 1\%$.

78569. Измерение радиоактивности слабых β -излучателей. Коренман И. М., Барышникова М. Н., Завод. лаборатория, 1956, 22, № 4, 413—416
Исследована зависимость самопоглощения в образцах, содержащих β -излучатель с малой энергией (Cd^{115} , Hg^{203}), от порядкового числа Z, валентности, кол-ва примеси, плотности фильтровальной бумаги (ФБ) и влажности исследуемого образца. Найдено, что эффективность счета (ЭС) (относительная скорость счета образца в % по отношению к контрольной пробе) понижается с увеличением Z и валентности постороннего катиона. Катионы с одинаковой валентностью снижают ЭС тем больше, чем выше их грамм-эквивалент. Понижение ЭС наблюдается при введении в образец различного кол-ва Pb (в виде нитрата), влаги или в присутствии гигроскопич. в-в. Изменение толщины ФБ заметно сказывается при уменьшении энергии β -излучателя. Отмечено, что на ЭС большое внимание оказывает способ нанесения р-ра на ФБ. Последовательное нанесение р-ра на ФБ большими порциями приводит к понижению ЭС.

78570. Техника измерений при определении радиоактивных изотопов различных энергий в твердом и жидком состоянии. Мейснер (Die Meßtechnik zur Bestimmung radioaktiver Isotope unterschiedlicher Energie in festen Substraten und Flüssigkeiten. Meissner J.). Arbeitstag. Biophys. 1954. Berlin, 1955, 73—82 (нем.)
Изучено изменение характеристик Г.—М.-счетчика для измерения β -излучений с энергиями 1,7; 0,6 и 0,17 Мэв.

Счетчик наполнялся Ag (80—90 мм рт. ст.) и парами алкоголя (10 мм рт. ст.) в качестве гасящего газа. Стандартным препаратом служила окись урана. Счетчик через 0,5 гсда после наполнения имел плато со спадом $\sim 1\%$ на 100 в в интервале 1260—1460 в. Обнаружено увеличение спадом плато до 10% на 100 в после 2,5 лет работы и необходимо было вносить в показания счетчика поправку 9%. Повышение рабочей т-ры счетчика с 20 до 30° повышает нижнюю границу плато на 100 в. Этот эффект отсутствует у галоидонаполненных счетчиков. Указано, что удачный выбор геометрии образца и взаиморасположения образца и счетчика снижает ошибку измерений до 1%. Измерение радиоактивности жидкостей проводилось в медных хромированных чашках с внутренним diam. 35 мм и высотой 14,5 мм. Абсорбционные потери контролировались путем постановки „глухих“ опытов. Найдено, что для измерения P^{32} достаточно 5 см³ р-ра, меченного P^{32} .

78571. Приготовление источников La^{140} с интенсивностью в тысячи кюри. Хаммонд Р. П., Шульте Д. В. В сб.: Дозиметрия ионизирующих излучений. М., Гостехтеоретиздат, 1956, 579—585

Кратко описан процесс дистанционного управления, применяемый для отделения ст Pa^{40} получаемого при расщеплении урановых блоков из реактора, значительных кол-в La^{140} , свободного от носителя и упаковки его в капсулы для использования в качестве точечного источника. Из одного „материнского“ в-ва можно приготовить ряд источников уменьшающихся размеров (разной активности). Показано, что за один прием можно приготовить источник в 2000 кюри из La^{140} и сопутствующего ему церия. Процесс отделения, изготовление и упаковка источника производятся в подземной камере размерами 3,4 \times 6,8 \times 2,8 м, облицованной нержавеющей сталью. Защитой служит бетонная стена толщиной 1,7 м, за которой находится операторская комната. Основными механизмами камеры являются: подвижный поворотный кран, по стреле которого движется тележка, несущая стержневой механизм с вертикальным и вращательным движениями, мотор с мешалкой, нагреватель, устройства для внесения химикалий в камеру, фильтровальный аппарат, машина для приготовления таблеток и др. Управление движением крана осуществляется посредством моторов и гибких приводов. Контроль за работой механизмов — визуальный с применением индикаторов послужей. Вся операция по изготовлению источника занимает ~ 10 час.

78572. Усовершенствование химических дозиметров с непосредственной регистрацией для измерения рентгеновских и гамма — лучей и быстрых нейтронов. Тэплин Дж. В. В сб.: Дозиметрия ионизирующих излучений. М., Гостехтеоретиздат, 1956, 248—259

Разработаны 3 типа хим. дозиметров на основе хлорированных углеводородов, стабилизированных бромкремнезолом, с водными р-рами цветных pH-индикаторов: бромкремнезола, пурпурного, красного фенсала и хлорфенола. Двухфазная система, хлорсформ — цветной индикатор, имеет линейную зависимость кол-ва образовавшейся к-ты от дозы в пределах от 0 до 10^6 рентген и спектральную зависимость чувствительности от энергии излучения. Однфазная система, водный р-р цветного индикатора, насыщ. хлорсформанным углеводородом, имеет одинаковую спектральную чувствительность в интервале 35—1200 кэ и постоянный выход к-ты в интервале т-р 2—50°. Однфазные системы с трихлорэтиленом более чувствительны и термически устойчивее систем с хлорсформом. Двухфазные системы в 5 раз менее чувствительны к быстрым нейтронам, поэтому при комбинации двух дозиметров можно сменить долю γ -компоненты в смешанном нейтрон- γ -излучении. Данные дозиметры могут применяться для калибровки мощных источников рентгеновских и γ -лучей, для определения дозы быстрых нейтронов и γ -компоненты в циклотронных пучках и в каналах ядерных реакторов.

78573. Портативные приборы для дозиметрии бета-лучей. Рёш В. К., Дональдсон Е. Е. В сб.: Дозиметрия ионизирующих излучений. М., Гостехтеоретиздат, 1956, 121—131

Для измерения тканевой дозы β -лучей использовалась экстраполяционная камера (ЭК), подобная камере Фаилла (Failla G., Radiology, 1937, 29, 202). Принято, что пластинка люцита (Л) имитирует поверхностные ткани человеческого тела. Измерение дозы β -излучения, поглощенного Л, проводится путем определения ионизации единицы массы газа в исчезающе малой полости П. Камера имеет подложку из люцита, толщина которой больше пробега наиболее быстрых электронов и позволяет изменять расстояния между электродами и глубины камеры от нескольких мг/см^2 , вплоть до полного пробега исследуемого излучения. Найдено, что измеряемая ионизация постоянна в большом телесном угле вокруг перпендикуляра к окошку камеры. Проведено исследование работы камеры на двух различных источниках электронов. Сформулированы условия, которым должен удовлетворять любой радиометр. В соответствии с этими условиями видоизменен стандартный радиометр (СР). Глубина камеры из феноловой трубки толщиной 0,3, диам. 20 см с доньком из люцита толщиной 1,3 см и с окном 7 мг/см^2 меняется от 1 до 8 см. При глубине 2,2 см СР обладает той же угловой зависимостью как и ЭК. Чувствительность СР падает с уменьшением энергии электронов. Изготовлена камера, в которой в качестве имитатора ткани взят сцинтиллятор — антрацен. Найдено, что угловая зависимость камеры с тонким (25 мг/см^2) сцинтиллятором близка к ЭК, с более толстым — к СР. Описанные приборы регистрируют смешанную мощность дозы β - и γ -лучей. А. Б.-З.

78574. Разработка и конструирование серии точных детекторов для измерения радиоактивных аэрозолей и применения их в целях дозиметрического контроля. Энтон Н. В. сб.: Дозиметрия ионизирующих излучений. М., Гостехтеоретиздат, 1956, 287—324

Установлено, что большая доля радиоактивности, обусловленной аэрозолями, приходится на частицы $0,001—0,04 \text{ м}$ при концентрации <100 частиц в 1 см^3 . Дан перечень источников и допустимых уровней активности аэрозолей (АА) с различными размерами частиц. Критически рассмотрены различные сорта бумаги для фильтрации аэрозолей. Кратко сформулированы требования, которым должны удовлетворять детекторы для регистрации АА. Описана конструкция установки для измерения АА, содержащей Na^{24} , которая состоит из воздухоподводящей системы, втягивающей воздух через ленту из асбесто-целлюлозного фильтра; из системы, приводящей в движение ленту экранированного интегратора, служащего детектором γ - и β -лучей; электронной системы для усиления сигнала и аварийной сигнализации. Экранированный интегратор обеспечивает на выходе среднюю величину тока, пропорционального интенсивности излучения. В качестве гасящего в-ва использовались галогены. Прибор обеспечивает точность 5%. Для определения АА, содержащих естественный U, повышена чувствительность прибора за счет увеличения емкости воздухоподводящей системы, создания детектора типа Anton-1007 с большим окном и работающего по методу сваявания: применения фотоумножителя и кристалла Na (Т) и многоканальных установок с общим усилением. Сконструирован прибор для регистрации малой α -активности в присутствии γ -фона на 2-3,4 счетчиках Anton-1008, собранных по схеме совпадений. Кратко описана установка для определения активности воды. А. Б.-З.

78575. Автоматический контроль расхода газа по методу «меченых молекул». Шумиловский Н. Н., Мельцер Л. В., Приборостроение, 1956, № 3, 8—10

Предложен метод контроля расхода газа при помощи регистрации ионных «меток» («меченых молекул»), образующихся в газе под действием модулированного радиоактив-

ного излучения от источника, расположенного снаружи газопровода. Метод применим для случаев, когда время процесса не превышает времени полной рекомбинации ионной метки. Ионизирующее излучение выбирается в зависимости от толщины стенок и диаметра трубопровода и от давления газа. Применение β -излучения позволяет не делать тонких окошек в стенке трубопровода и позволяет применить электромагнитную модуляцию ионизирующего пучка. Ионные метки улавливаются коллектором, включенным на вход усилителя. Импульс, поступающий с усилителя на устройство отсчета времени, задержан по отношению к импульсу, поступающему от модулятора, на величину, пропорциональную скорости газового потока. Шкала указывающего прибора отградуирована в единицах расхода газа и почти линейна. Погрешность измерений расхода газа при наличии схемы калибровки, исключающей влияние колебаний питающего напряжения и параметров ламп, не превышает 1,5—2%. А. Л.

78576. Электроннооптический метод изучения динамики термических процессов в непрозрачных средах. Спивак Г. В., Домбровская Т. Н., Докл. АН СССР, 1956, 106, № 1, 39—41

Метод позволяет визуально наблюдать распространение фронта тепловой волны в непрозрачных средах. Прибором служит микроскоп со вторичной эмиссией, магнитной фокусировкой и особым устройством катода. На катоде создается электроннооптич. контраст, обусловленный локальными магнитными полями. Наблюдение распространения фронта тепловой волны становится возможным благодаря свойству ферромагнетиков резко менять свои свойства в точке Кюри. В работе исследовано несколько типов катода. Ю. В.

78577. О влиянии некоторых факторов на характер термографической записи. Берг Л. Г., Ягфаров М. Ш. Тр. 1-го совещания по термографии. Казань, 1953. М.—Л., Изд-во АН СССР, 1955, 53—58

Рассмотрен ряд факторов, влияющих на запись и величину площади пика (ПП) при проведении колич. термографич. измерений. Выявлены причины, оказывающие влияние на ПП при изменении положения спаев термопар в в-ве. В случае полиморфных превращений изменение скорости нагрева не сказывается на ПП; при измерении тепловых эффектов диссоциации, сопровождающихся выделением газообразных продуктов, увеличение скорости нагрева ведет к возрастанию ПП. Уменьшение ПП при образовании в в-ве жидкой фазы объяснено возникновением конвекции, влияние которой авторам удалось устранить путем добавки индифферентных в-в к исследуемому образцу. Отмечено существенное влияние теплопроводности исследуемой среды на величину ПП. Ю. З.

78578. Некоторые усовершенствования в методе термографических исследований. Берг Л. Г., Ганелина С. Г., Рассонская И. С., Тейтельбаум Б. Я. Тр. 1-го совещания по термографии, Казань, 1953. М.—Л., Изд-во АН СССР, 1955, 42—47

Описаны усовершенствования в практике термографирования, связанные главным образом с уменьшением навесок исследуемых в-в. Малые навески (0,1 г и менее) позволили удобно осуществить термографирование в вакууме и при высоких давлениях, а также скоростное термографирование. Приведены конструкция и описание автоклава, позволяющего проводить исследования при давл. до 100 атм и t -ре до 1000° . Для сопоставления t -р и характера эффектов, фиксируемых при нагреве со скоростью 800—100 град/мин и 3—6 град/мин, получен ряд термограмм индивидуальных в-в и минералов. Сравнение показало незначительное отклонение t -р и неизменность общего вида кривых при сокращении времени исследования с 2—3 час. до нескольких минут, что делает возможным широкое применение термографии для массовых анализов горных пород. Ю. З.

78579. Дифференциально-термический и микроструктурный анализ веществ при низких температурах. Вольнова В. А. Тр. 1-го совещания по термографии. Казань, 1953. М.—Л., Изд-во АН СССР, 1955, 121—125. Разработана конструкция нагревательного столика для проведения микроструктурного анализа низкоплавких в-в в области от -150 до $+300^\circ$ с охлаждением жидким азотом. Скорость охлаждения от $0,5$ до 20° в мин., скорость нагревания от $0,5$ до 40° в мин. Образцы помещаются в стеклянные микрокуветы, образованные покровными стеклами; стенками кувет являются стеклянные волоски diam. $0,1$ и длиной 15 мм. В одну из кувет помещается эталон с дифференциальной термодарой, в другую — в-во с простой термодарой. Наблюдение микроструктуры ведется у спая простой термодары, и в момент начала фазового перехода включается сигнализатор, отмечающий начало процесса световым знаком на термограмме. Фотографирование микроструктуры в момент фазового перехода помогает однозначно расшифровывать процесс. Л. Р.

78580. Термографическая калориметрия в простейшем оформлении. Барский Ю. П., Фридман Н. Г., Ивницкая Р. Б. Тр. 1-го совещания по термографии. Казань, 1953. М.—Л., Изд-во АН СССР, 1955, 87—92.

Описана схема установки для определения тепловых эффектов по данным термографич. исследования. Блок с эталоном и образцом заменяется калориметром с диатермич. оболочкой. Калориметр калибровался по теплотам разложения NaHCO_3 , KHCO_3 , CdCO_3 , MgCO_3 и CaCO_3 в интервале 100 — 1000° . Ошибки измерений $<3\%$. Указывается, что обработкой термограмм может быть получена величина теплотемкости. Л. Р.

78581. Заметка о технике регистрации быстрых изменений. Майснер, Кроу (Note on a convenient recording technique for rapid changes. Misener A. D., Crowe C., Canad. J. Technol., 1956, 34, № 1, 41—43 (англ.))

Прибор для регистрации быстрых изменений т-ры при изучении неустановившихся тепловых процессов состоит из преобразователя постоянного тока в переменный и усилителя, включенного в цепь термодары. Напряжение на выходе усилителя подается на вертикальные пластины электроннолучевой трубки осциллоскопа и регистрируется фотографически. Приводятся кривые записи теплового процесса, протекающего за 2 сек., с записью через интервалы в $1/30$ сек. и за период $1/6$ сек. с записью через интервалы в $1/60$ сек. В. Л.

78582. Криостат, регулируемый без подвода тепла (лабораторные заметки) Ландае (Sur la réalisation d'un cryostat à régulation sans apport de chaleur (note de laboratoire). Landais Jean), Bull. Soc. chim. France, 1956, № 3, 465—466 (франц.)

Криостат состоит из двух сосудов, которые соединены с помощью двух отверстий, расположенных в верхней и нижней части. В меньшем сосуде находится змеевик, через который пропускается хладагент. Так как в меньшем сосуде жидкость несколько холоднее, то между сосудами устанавливается конвекционный поток жидкости. Перекрывая и вновь открывая отверстия с помощью электромагнита, управляемого от температурно-чувствительного элемента, можно устанавливать в большем сосуде т-ру с точностью до $0,1^\circ$. А. Л.

78583. Компаратор термометров. Робертсон (Design and operation of a thermometer comparator. Robertson G. Ross), J. Chem. Educ., 1956, 33, № 1, 40—41 (англ.)

Для калибровки термометров в учебных лабораториях, связанной с частыми поломками дорогостоящих стандартных термометров, предложен компаратор для т-р 20 — 90° , удобный в обращении и практически проверенный в лаборатории в течение нескольких лет. Подробно опи-

сано обращение с компаратором и приложены его чертежи Ю. В.

78584. Ультрафиолетовое излучение для фотохимических исследований. Веннер (UV-Strahler für photochemische Untersuchungen. Venner H.), Arbeitstag. Biophys., 1954, Berlin, 1955, 8—13 (нем.)

Исследованы оптимальные условия проведения фотохим. р-ции на примере получения витамина D_2 из эргостерина. Фотохим. р-ция рассматривается как р-ция второго порядка. Указано, что выход фотохим. р-ции тем выше, чем выше дисперсность и конц-ия исходного в-ва и интенсивность УФ-излучения. Поэтому выгоднее вести фотохим. р-цию в р-ре спогруженной в него УФ-лампой, защищенной вакуумным кварцевым кожухом. Весьма существенно сохранять постоянными конц-ию реагирующего в-ва и интенсивность УФ-излучения. А. Л.

78585. Ультрафиолетовые облучатели из кварца для фотохимических целей. Берг, Бейер (UV-Bestrahlungseinheiten aus Quarz für photochemische Zwecke. Berg Hermann, Beyer Werner), Chem. Technik, 1956, 8, № 4, 235 (нем.)

Описаны конструкции погружных охлаждаемых ртутных УФ-облучателей высокого давления с расстоянием между электродами 400 мм и падением напряжения 10 в/см. Облучаемая жидкость (1000 см³) перемешивается током инертного газа. А. Л.

78586. Прибор для записи развертки во времени полярнографических токов. Валента (Ein Gerät für die Aufzeichnung des zeitlichen Verlaufes polarographischer Ströme. Valenta P.), Сб. чехосл. хим. работ, 1956, 21, № 2, 498—501 (нем.; рез. русс.) См. РЖХим, 1956, 10221.

78587. RC-титрование. Новый метод безэлектродного измерения проводимости. Хубер, Крузе (Die RC-Titration. Ein neues Verfahren zur elektrodenlosen Leitfähigkeitsmessung. Huber R., Cruse K.), Angew. Chem., 1956, 68, № 5, 178—181 (нем.; рез. англ., франц.)

Развит метод высокочастотного безэлектродного титрования, в котором электроды не находятся в гальванич. контакте с измеряемым р-ром. Предложено включить измерительную ячейку (ИЯ) в плечо моста Вина, питаемого от RC-или RL-генератора. Дана теория расчета максимально допустимого сопротивления ИЯ и коэфф. обратной связи генератора, необходимого для компенсации потерь в ИЯ. Указано, что отношение емкостей или индуктивностей в плечах моста для обеспечения необходимого усиления должно составлять ~ 100 . Методика позволяет проводить титрование по изменению емкости или индуктивности ИЯ или по изменению частоты генератора. Применение данного метода позволяет измерять изменение диэлектрич. констант до нескольких десятков процентов. А. Л.

78588. О применении промышленных образцов автоматических самопишущих электронных потенциометров в качестве прецизионных приборов в физико-химических исследованиях. Махлис А. И., Макушенко В. М., Губанов В. П., Ж. физ. химии, 1956, 30, № 1, 202—203

Анализ работы автоматич. потенциометров дает возможность значительно повысить чувствительность к напряжению путем уменьшения напряжения на реохорде дополнительным шунтированием последнего. Это шунтирование вызывает перераспределение напряжений на элементах моста, которое нужно компенсировать соответствующими изменениями величин сопротивлений плеч моста. Чтобы уменьшить время установления теплового баланса сопротивлений моста, от которого зависит стабильность нулевого отсчета, необходимо сопротивление, служащее для компенсации изменения т-ры свободного конца термодары и выполненное из медной (или никелевой) проволоки, заменить манганиновым. Эти изменения превращают про-

мышленный образец самопишущего потенциометра в высокочувствительный самопишущий микровольметр. Г. Б. 78589. Устройство для автоматического потенциометрического титрования. Оудран, Дайтон (Devices for automatic potentiometric titration. Audran R., Dighton D. T. R.), J. Scient. Instrum., 1956, 33, № 3, 92—95 (англ.)

Описаны два автоматич. устройства для титрования, содержащих электромагнитные запирающие клапаны. Оба прибора используют принцип непрерывного измерения разности потенциалов испытуемого и контрольного р-ров. Когда эта разность оказывается равной нулю, электронная схема включает электромагнитный клапан, закрывающий бюретку. В случае электродов с малым (~ 2000 ом) внутренним сопротивлением для включения клапана применялось чувствительное электромагнитное реле без предварительного усиления сигнала. Приведены электрические схемы обеих установок и также эскизы электромагнитного клапана. В. Д.-К.

78590. Усовершенствованная ячейка для изучения переноса ионов. Найтингейл (Improved migration cell. Nightingale E. R., Jr.), Analyt. Chem., 1956, 28, № 2, 281—282 (англ.)

Описана ячейка, состоящая из U-образной трубки с перегородками из пористого стекла в каждом колене. Нижняя часть трубки посредством тройника соединена с сосудом, содержащим испытуемый р-р. В коленах над перегородками находится электролит с электродами. В. М.

78591. Прибор для отбора проб жидкости в хроматографическом анализе. Чмутаев К. В., Авуль В. Т. Завод. лаборатория, 1956, 22, № 2, 247

Прибор для отбора проб жидкости, вытекающей из хроматографич. колонки, основан на принципе гидростатич. весов. Установка может отбирать фракции объемом до 5 мл с точностью до 1—2 капель жидкости. И. Л.

78592. Быстродействующее автоматическое приспособление для анализа бумажных электрофореграмм и хроматограмм. Силвер, Букман (Rapid automatic scanning device for paper electrophoresis and chromatography. Silver Donald Z., Bookman Ralph), Analyt. Chem., 1956, 28, № 4, Part 1, 558 (англ.)

Описана специальная приставка к спектрофотометру Бекмана мод. В, которая в сочетании с самопишущим гальванометром позволяет производить запись кривых светопоглощения окрашенных пятен серийных хроматограмм и электрофореграмм со скоростью подачи 5 см/мин. Какой-либо предварительной подготовки бумажных полос или подбора специальных сортов бумаги не требуется. В. А.

78593. Катафоретическое отложение окиси тория на тантале. Хадли (Cataphoretic deposition of thorium on tantalum. Hadley C. P.), Rev. Scient. Instrum., 1956, 27, № 3, 177 (англ.)

Для изготовления термоионных нитей с высокой эмиссией рекомендуется катафоретически осаждать ThO_2 на Та-нити из ванны состава 7 г ThO_2 , 0,15 г хлорида Th, 130 мл этанола. Анодом служит никелевый золоченный цилиндр, коаксиально которому натягивается Та-нить; напряжение осаждения 15—50 в. При осаждении ThO_2 из ванны, содержащей нитраты вместо хлоридов, эмиссия нити оказывается значительно пониженной, очевидно, вследствие известного подавляющего эмиссию действия окислов Та, не удаляемых при обработке в р-рах нитратов. В. А.

78594. Самопишущий прибор для определения плотности дыма. Джейсон (A recording smokemeter. Jason A. C.), Instrum. Practice, 1956, 10, № 2, 133—134 (англ.)

Плотность дыма определялась из соотношения $S = D/L$, где D — оптич. плотность дыма, L — длина пути света в дыме. От осветителя свет направляется по двум путям: через дым и по трубе, свободной от дыма. Каждый

из световых пучков через серый клин попадает на фотоэлемент (ФЭ). ФЭ соединены навстречу один другому. Различная освещенность ФЭ приводит к возникновению разности потенциалов, которая усиливается электронным усилителем и приводит в действие серво-мотор, поворачивающий серый клин. Угол поворота указывает величину S . Воспроизводимость результатов измерений лежит в пределах $\pm 3\%$. А. Б.-З.

78595. Ротационный вискозиметр с непрерывным потоком для осаждающихся суспензий. Ивсон, Холл (A continuous-flow rotational viscometer for use with downward-settling suspensions. Iverson G. F., Hall E. W.), J. Scient. Instrum., 1956, 33, № 3, 110—112 (англ.)

Описан ротационный вискозиметр типа Куэтта, предназначенный для измерения кажущейся вязкости суспензий с размерами частиц < 100 мш и скоростью их осаждения из среды $\leq 0,2$ см/сек. Особенностью прибора является наличие резервуара в его верхней части, в который через буферную воронку насосом непрерывно подается исследуемая жидкость. Последняя сквозь отверстия в дне резервуара попадает в зазор между цилиндрами и по выводной трубке поступает обратно в насос. Наружный цилиндр приводится во вращение синхронным мотором; система шкивов обеспечивает различные скорости вращения. Внутренний цилиндр подвешен на проволоке из фосфористой бронзы и частично заполнен ртутью для сохранения осевого положения и для уменьшения угла закручивания. Отсчет последнего производится оптически, по шкале. Охранное кольцо над внутренним цилиндром выравнивает поступающий поток жидкости, а также уменьшает влияние концевых эффектов. Приводятся результаты испытания на водн. р-ре глицерина и суспензиях с размерами частиц 200—300 мш. А. К.

78596. Вискозиметр для растворов высокополимеров. Киллинг, Дол (A viscometer for solutions of high polymers. Keeling C. D., Dole Malcolm), J. Polymer Sci., 1954, 14, № 73, 105—111 (англ.; рез. франц., нем.)

Описан герметически закрытый капиллярный вискозиметр для р-ров высокополимеров. Нижний уровень жидкости в вискозиметре определяется перетеканием ее во вспомогательный сосуд, в котором производится растворение и разбавление. Вискозиметр был применен для исследования р-ров облученного полиэтилена в толуоле и бензоле. Е. С.

78597. Лабораторный стеклянный сосуд для изучения полимеризационных процессов. Сатерленд, Мак-Кензи (Glass polymerization vessel for small scale studies. Sutherland J. D., McHenzie J. P.), Industr. and Engng Chem., 1956, 48, № 1, 17—19 (англ.)

Описан полимеризационный реактор из боросиликатного стекла емк. $\sim 1,9$ л, пригодный для полимеризационных процессов в пределах -20 — 150° и давлений от вакуума до 21 ат с возможностью турбулентного перемешивания. В. М.

78598. Определение молекулярного веса при помощи термисторов. Кинцл (Určování molekulové váhy pomocí termistorů. Kincel F. A.), Chem. listy, 1956, 50, № 1, 143—144 (чеш.)

Описано видоизменение метода (McGee C. G., Iyengar B. R. Y., Indian J. Phys., 1952, 26, 61) определения мол. веса при помощи термисторов. Применение термисторов с уд. сопротивлением 20 000 ом дает возможность определять в водн. р-рах мол. веса до 2000, а при применении органич. р-рителей — до 5000. Luboš Matoušek

78599. Изучение и конструкция лабораторной высокочастотной печи. Ру (Étude et réalisation d'un four à haute fréquence pour laboratoire. Roux Yves), J. rech. Centre nat. rech. scient., 1955, № 33, 404—407 (франц.)

Сконструирована ВЧ-печь для плавления полупроводников, частота лампового генератора которой может изме-

няться в пределах 0,5—2 м.ц. Отдаваемая мощность ~15 кВт. Приведены основные соображения по выбору основных деталей, частоты печи и электрич. схема. В. Д.-К. 78600. Конструкция вакуумной электрической печи с графитовым нагревателем. Куцев В. С., Ормонт Б. Ф., Эпельбаум В. А., Завод. лаборатория, 1956, 22, № 2, 244—245

Описана компактная конструкция кварцевой вакуумной печи объемом ~0,5 л с водяным охлаждением. Графитовый нагреватель при мощности в 5—6 кВт создает в центральной части печи т-ру до 2000°, которая измеряется оптич. пирометром. При этой т-ре в печи удается достичь вакуум порядка 10^{-3} — 10^{-4} мм рт. ст. А. Р.

78601. Универсальный реактор-кристаллизатор-осушитель для объединения некоторых операций. Уэндленд (Universal reactor-crystallizer-dryer for unitized handling of several operations. Wendland Ray), *Analyt. Chem.*, 1956, 28, № 2, 282—283 (англ.)

Описан прибор для очистки в-в кристаллизацией и методика работы с ним. Три основные операции: растворение и кристаллизация в-ва, фильтрование и промывка осадка, удаление последних следов р-ра испарением или осушением последовательно совершаются в одном и том же аппарате в атмосфере инертного газа. Такое усовершенствование уменьшает потери в-ва и улучшает степень чистоты получаемого в-ва. Описано также устройство резервуара для контроля постоянства давления в установке, которое поддерживается наличием свободного выхода газа в сосуд с маслом. Давление газа при этом равно гидростатич. давлению столба масла. Проведенные эксперименты показывают надежность прибора в работе. Л. В.

78602. Лабораторный восходящий пленочный испаритель. Деннис, Шипп (A laboratory climbing film evaporator. Dennis P. O., Shipp H.), *Chemistry and Industry*, 1956, № 7, 131—132 (англ.)

Даны чертеж и описание испарителя, применяемого для выпаривания сильно пенящихся р-ров под уменьшенным давлением. В. М.

78603. Приспособление для фильтрования под разрежением непосредственно в мерную колбу. Гинсбург, Гордон (Adapter for suction filtration directly into a volumetric flask. Ginsburg Leonard, Gordon Louis), *Analyt. Chem.*, 1955, 27, № 12, 2021 (англ.)

Приспособление состоит из цилиндрич. воронки с боковым отводом, которая вставляется из шлифа в мерную колбу и служит для создания разрежения. В эту воронку с помощью резиновой пробки вставлена воронка для фильтрования под разрежением. В. М.

78604. Высокочувствительный двухжидкостный дифференциальный микроанометр. Басин Г. Л., *Измерит. техника*, 1956, № 2, 31—33

Добавление к керосину 15% CCl_4 повышает точность отсчета разности уровней рабочей жидкости дифференциальных микроанометров в 33 раза по сравнению с пьезометрами. Описана методика определения оптимальной разности уд. весов воды и рабочей смеси, соответствующей наименьшей относительной погрешности для данной разности давлений. А. Л.

78605. Кран с игольчатым клапаном. Перрин (Needle valve stopcock. Perrine Theodore D.), *Analyt. Chem.*, 1956, 28, № 2, 286—287 (англ.)

Описан простой игольчатый вентиль, который может быть использован при медленных добавлениях реагента с помощью капельной воронки для управления течением жидкости в хроматографии и ионообменных колонках. Устройство представляет собой обычный лабор. кран, проб-

ка которого выполнена из тефлона. По оси пробки до хода крана высверлено отверстие, в которое помещен имеющий конусообразное окончание винт из монель-металла или нержавеющей стали. Для предотвращения возможности натекания отверстие имеет размеры, несколько меньшие соответствующих размеров винта. Поворачивая винт и изменяя тем самым степень закрытия хода крана, можно добиться желаемой пропускной способности. Недостатком устройства является трудность достижения герметичности между обоймой и тефлоновой пробкой. Предлагаются три конструкции игольчатого вентилля Л. А.

78606. Калибровка микропипеток. Суэйи, Ли (The calibration of micro-pipettes. Swain T., Lee F. A.), *Lab. Practice*, 1956, 5, № 5, 179 (англ.)

78607 Д. Радиочастотный масс-спектрометр с параболическим распределением потенциала. Ким Гиль Хо н. Автореф. дисс. канд. техн. н. Моск. энерг. ин-т, М. 1956

78608 П. Прибор для количественного и качественного анализа газообразных углеводородов и других газов (газовый хроматограф). Янак (Přístroj ke kvantitativní a kvalitativní analýze uhlovodíkových a jiných plynů. (Plynový chromatograf). Janák Jaroslav), *Чехосл. пат.* 83991, 1.02.55

Прибор состоит из адсорбционной колонки, наполненной адсорбентом с размерами зерен 0,25—1 мм, устройства для получения и очистки CO_2 , в токе которого происходит разделение, мерной термостатированной микробюретки для измерения объема анализируемых газов с точностью до 0,001 мл, сосуда с р-ром КОН, поглощающим CO_2 , и нескольких бюреток, в которых собираются разделенные газы. Исходный объем анализируемых газов составляет 1—3 мл. Ток CO_2 , увлекающий анализируемые газы, подается в колонку под давл. 100 мм рт. ст. со скоростью 0,7 мл/сек. Непоглощенный р-ром КОН газ собирается в первой бюретке. После окончания выделения хуже всего адсорбирующегося газа размер пузырьков, проходящих сквозь р-р КСН, уменьшается, что соответствует появлению второго компонента, который может быть собран отдельно. Для качеств. определения газов можно использовать соотношение $\Delta\lambda = RT \ln V_2/V_1$, где λ — энергия адсорбции соответствующего компонента, V_1 и V_2 — характеристич. элюционные объемы, т. е. объемы носителя, по прохождении которого сквозь адсорбент появляется данный газообразный компонент в максим. конц-ии. Время анализа 5—30 мин. В качестве адсорбентов пригодны: активированный уголь для анализа инертных газов, H_2 , N_2 , CO , CO_2 и низших углеводородов; силикагель для высших газообразных парафинов, олефинов, ацетилена, галондопроизводных углеводородов, фреонов; Al_2O_3 ; вместо CO_2 применяют NH_3 . В. С.

См. также: Измерение давления и расхода 80383. Прибор для контроля т-ры 79537. Измерение теплопроводности малых образцов жидкости 77481. Опред. малых кол-в газов 77890. Вискозиметр 79540. Измерение конц-ии легкой воды с помощью ядерного резонанса 77498. Изучение скорости быстрой реакции сульфата четырехвалентного церия с сульфаниловой кислотой 77647. Метод срав. изучения пенообразующих в-в в водной среде 77815. Анализ: неорганич. в-в 78489; органич. в-в 78543, 78546. Получение фруктовых эссенций 80061. Опред. уд. вязкости соков 80062. Измерение релаксации напряжения сжатия 79518. Прибор для опытов по всасыванию и отложению железа в организме животных 22782Бх

ХИМИЧЕСКАЯ ТЕХНОЛОГИЯ. ХИМИЧЕСКИЕ ПРОДУКТЫ И ИХ ПРИМЕНЕНИЕ

ОБЩИЕ ВОПРОСЫ

78609. Химическая промышленность Бретани. I. Галло (Les industries chimiques Bretonnes. I. Gallo A.), Ind. chim., 1956, 43, № 466, 155—158 (франц.)

Рассматриваются сырьевые ресурсы произ-ва серной к-ты, удобрений, неорганич. и органич. хим. продуктов, жиров, мыла, красок, продуктов переработки морских водорослей (иода, альгинатов и др.), бумаги. Г. Р.

78610. Новые химические продукты, материалы, средства защиты от вредных газов, а также некоторое лабораторное оборудование на выставке АХЕМА XI. Кирстен (Neue chemische Stoffe, Werkstoffe, Unfallverhütung und Arbeitsschutz sowie Forschung und Literatur auf der ACHEMA XI. Kirsten Wolfgang), Chem. Technik, 1955, 7, № 12, 734—736 (нем.)

78611. Совместная работа нескольких агрегатов, обеспечивающая минимальную себестоимость [продукции]. Майер (Joint operation of multiunit complexes for minimum cost. Mayer Karl M.), Industr. and Engng Chem., 1954, 46, № 6, 1247—1255 (англ.)

Приводится график. метод расчета работы нескольких агрегатов, машин и т. п. на хим. з-дах для получения продукции с миним. стоимостью. Г. Р.

78612. Планирование и внутренний хозрасчет на предприятиях химической промышленности Чехословакии. Карский (Planowanie i rozrachunek wewnątrzzakładowy w przemyśle chemicznym ČSR. Karší R.), Przem. chem., 1956, 12, № 4, 187—191 (польск.)

78613. Некоторые устаревшие процессы. Вильямс (Some obsolete processes. Williams Trevor I.), Industr. Chemist, 1954, 30, № 357, 469—471 (англ.)

Дан обзор процессов: произ-ва соды по Леблану и использование отходов этого произ-ва для получения H_2S и сжигания его в S; произ-во Cl_2 по Вельдону и Дикону; произ-во O_2 из BaO_2 по Бринсу; получение Al восстановлением $AlCl_3$ натрием по Кастнеру; получение фосфора восстановлением H_3PO_4 ; произ-во хлоратов хлорированием известкового молока. Указывается, что изменившиеся условия, напр. применение ядерной энергии, могут вызвать изменения технологич. процессов, подобно тому как в свое время их вызвало применение электрич. энергии. Г. Р.

СЕРНАЯ КИСЛОТА, СЕРА И ЕЕ СОЕДИНЕНИЯ

78614. Новые конструкции питателя для печи ВХЗ. Синявский В. В., Хим. пром-сть, 1956, № 3, 167—169

Приведено описание и чертежи 2 новых конструкций питателя для подачи колчедана в печь ВХЗ, более герметичных по сравнению с питателями старых конструкций. Г. Р.

78615. Новый завод серной кислоты из ангидрита. — (New sulphuric acid plant using anhydrite.), Chem. Prod., 1954, 17, № 12, 464—466 (англ.)

Описан з-д в Уиднесе (Англия) (РЖХим, 1956, 13384). Г. Р.

78616. Производство серной кислоты контактным способом: выбор печей. Хаймовичи (Produzione di acido solforico per contatto: scelta dei forni. Haymovici Milia n), Ingegneria chim., 1954, 3, № 6, 3—7 (итал.)

Приведена сравнительная характеристика печей для обжига сернистых руд: многэтажных, вращающихся, со сплелением (Дуайт-Ллойда для цинковой обманки) и для обжига в распыленном состоянии (Никольс-Фримена с циркуляцией газа и Горбата без циркуляции газа). Печи последнего типа дают газ, содержащий SO_2 14% и SO_3 0,1% с т-рой до 1100° (что позволяет лучше использо-

вать теплоту газа), а также дают огарок, содержащий 0,5—1,5% SO_2 . Недостатки печей: флотационный концентрат должен быть высушен до содержания влаги $<1\%$ и измельчен до размеров, при которых 90% проходит через сито 0,16 мм; большой унос пыли. Подробно описана печь Горбата, представляющая собой камеру высотой 12 м, разделенную на 3 зоны. Колчедан подается в середину камеры через 4 форсунки, расположенные так, что в зоне сгорания колчедан приводится в вихревое движение; в стенках зоны сгорания имеются трубки, охлаждаемые водой. Нижняя зона служит для охлаждения огарка, а в верхней расположены трубки котла-утилизатора и пароперегревателя. Движение газа осуществляется с помощью головного вентилятора, подающего первичный и вторичный воздух в форсунки и для охлаждения огарка. Исследования, проведенные для изучения проблемы удаления огарка и уменьшения уноса пыли, показали, что т-ру в зоне сгорания надо поддерживать такой, чтобы огарок спекался и получался в гранулированной форме, не увлекаемой газом. Частицы обожженной окиси железа ($Fe_2O_3 + Fe_3O_4$) представляют собой мельчайшие полые сферы с содержанием 1—0,1% S. Г. Р.

78617. Производство серной кислоты из сероводорода. — (Sulphuric acid production from hydrogen sulphide.), Chem. Ind. and Engng, 1956, 6, № 4, 53—58 (англ.)

Обзор произ-ва 78%-ной H_2SO_4 из H_2S по методу мокрого катализа. На Берлинском газовом з-де сырьем служит газ, содержащий (в %): H_2S 40—50, HCN 4 и S, загрязненную смолой; получаемая H_2SO_4 содержит до 0,2% HNO_3 и применяется для произ-ва $(NH_4)_2SO_4$. Приведена схема з-да в Лимбурге (Голландия), получающего 98%-ную H_2SO_4 по более сложной схеме: газы, полученные при сжигании H_2S , охлаждаются, сушатся, подогреваются, проходят 2-ступенчатую конверсию и поступают в абсорбционную башню. Г. Р.

78618 П. Обжиг сульфидов (Roasting of sulphides) [Dorr. Co.]. Англ. пат. 721402, 5.01.55

Измельченная Fe-сульфидная руда поступает для обжига в верхнюю часть печи в псевдоожиженный слой (ПС), создаваемый поступающим снизу газом, содержащим O_2 . При этом получается газ, содержащий SO_2 и S, который направляется в циклон, где при добавлении вторичного воздуха S сжигается в SO_2 . Выходящий из циклона газ почти не содержит SO_2 и S. Частицы огарка, содержащего минимально 2% S (предпочтительно 4—6%), из верхней части печи по перетоку и из циклона по трубопроводу поступают в нижнюю часть печи в ПС, создаваемый поступающим снизу воздухом, причем происходит полный обжиг; газ из нижней части ПС поступает через решетку в верхнюю. В другом варианте вместо нижней части слоя применяют обычную агломерационную машину, напр. с движущейся решеткой; полученный газ, содержащий пары S и SO_2 , применяется для создания ПС обжигаемого материала. Охлаждение слоя, в котором происходит неполный обжиг, производится pulverизацией воды или с помощью змеевика. Г. Р.

78619 П. Способ извлечения и получения серы. Сато Кимура, Мисака (硫黄の抽出回収法. 佐藤武四郎, 木村頼基, 三崎剛), Япон. пат. 4606, 26.07.54 [Chem. Abstrs, 1955, 49, № 17, 11970 (англ.)]

S-руды с размером частиц $<0,85$ мм, содержащую 19% S, перемешивают с 2 объемами 15%-ного водн. р-ра $(NH_4)_2S$, фильтруют и промывают остаток водой. Фильтрат (р-р полисульфида NH_4) вместе с промывной водой нагревают в течение 30 мин. при $95—97^\circ$, отфильтровывают осадок S и сушат его; выход S 99%, чистотой 99,5%. H_2S , выделяющийся из $(NH_4)_2S$, улавливают водой, содержащей 2—3% NH_4OH , и возвращают в цикл. Г. Р.

78620 П. Извлечение серы из газов (Recovery of sulphur from gases) [North Thames Gas Board]. Англ. пат. 722038, 19.01.55

Для непрерывного получения S из содержащего H_2S газа последний пропускают после частичного сжигания через контактный аппарат (КА) 1-й ступени при т-ре, выше т-ры конденсации S, а затем конденсируют S и пропускают газы через КА 2-й ступени при такой т-ре, чтобы S конденсировалась на катализаторе. Одновременно в другом КА 2-й ступени регенерируют катализатор, пропуская через него газ при такой т-ре, чтобы S испарялась; газ с парами S присоединяется к основному потоку газов, перед конденсатором S. Соотношение $H_2S : SO_2$ в газе после конденсатора S перед КА 2-й ступени определяется непрерывно и регулируется кол-вом воздуха, подаваемым на частичное сжигание. Желательно, чтобы это соотношение обеспечивало оптимальный выход S во всем процессе; его определяют экспериментально, находя миним. конц-ию SO_2 и (или) H_2S в газе, выходящем из КА 2-й ступени. В качестве катализаторов КА 2-й ступени предпочтительно применяют глинозем и соединения Ti. Можно применять неподвижный слой катализатора и формованных кусочков или дробленых гранул размером 3—10 мм. Для регенерации катализатора используется газ, не содержащий O_2 , напр. газ из основного процесса после конденсатора S, или газ, содержащий O_2 . В последнем случае часть S сгорает, выделяющаяся теплота способствует испарению остальной S, а полученный газ возвращается в основной процесс перед КА 1-й ступени. Слой катализатора при регенерации нагревается электрич. нагревателем или с помощью теплоносителя. В последнем случае используется теплота, выделяющаяся в КА 1-й ступени. Циркуляция газов при регенерации производят с помощью инжектора, используя часть энергии газов, выходящих из КА 1-й ступени. Г. Р.

78621 П. Способ очистки сырой серы от неорганических загрязнений. Д и т р и х (Verfahren zur Entreinigung anorganischer Verunreinigungen aus Rohschwefel. Dietrich Alfred) [Duisburger Kupferhütte]. Пат. ФРГ 940112, 8.03.56

Сырую расплавленную S, находящуюся в аппарате, работающем без давления, смешивают с сухой измельченной смесью окиси (или гидроокиси) щел.-зем. металла с карбонатом или бикарбонатом щел. металла, причем одновременно (или после добавления указанных в-в) через расплав пропускают перегретый водяной пар в кол-ве $\leq 2\%$ от веса S, который перемешивает расплав с добавками и способствует флокуляции гигроскопичных продуктов р-ции, напр. т-иоарсенатов щел. или щел.-зем. металлов, и увлечению ими в осадок колл. частиц, напр. FeS. Целесообразно добавлять $Ca(OH)_2$ в кол-ве ≤ 120 вес. % от всех примесей и $Na_2CO_3 < 1/3$ кол-ва $Ca(OH)_2$. Г. Р.

78622 П. Способ снижения содержания сероводорода и (или) элементарной серы в отходящих газах (Process for reducing the hydrogen sulphide and/or free sulphur content of effluent gases) [Naamlooze Vennootschap de Bataafsche Petroleum Maatschappij]. Англ. пат. 733060, 6.07.55

H_2S и (или) S, находящиеся в газах, отходящих из установок для получения S или H_2S , окисляют в SO_2 кислородом при $150-400^\circ$, в частности при $150-300^\circ$ ($225-275^\circ$), над катализатором, состоящим из осажденного Al_2O_3 , напр. продажного активированного Al_2O_3 , с поверхностью $280 \text{ м}^2/\text{г}$. Газы можно предварительно пропустить при $150-400^\circ$ над бокситом, содержащим Fe. Г. Р.

См. также: 80336, 80414

АЗОТНАЯ ПРОМЫШЛЕННОСТЬ

78623. Осушка азото-водородной смеси, идущей на синтез аммиака. Ганз С. Н., Тр. Днепропетр. хим.-тех. хол. ин-та, 1955, вып. 4, 33—39

Автор предлагает очищать $N_2 + 3H_2$ смесь (ABC) от паров H_2O взаимодействием этих паров с NH_3 и CO_2 , при этом образуются твердые карбонат и бикарбонат NH_4 . Для этого необходимо: 1) добавлять стехиометрич. кол-во CO_2 к ABC перед 1-й или 3-й ступенью компрессора (в худшем случае до содержания 0,23% CO_2) и NH_3 — в фильтр или маслоотделитель предкатализа; в случае избытка CO_2 образуется NH_4HCO_3 , избыток H_2O поглощается твердыми солями, избыток NH_3 не вредит катализатору; 2) снабдить фильтр матерчатой фильтровальной тканью (для предотвращения уноса твердых солей в колонну предкатализа) и электронагревателем для повышения т-ры в фильтре до $100-110^\circ$, что достаточно для полного разложения солей на NH_3 , CO_2 и H_2O , которые удаляются из фильтра продувкой водяным паром через дроссель и утилизируются. Метод дает тонкую очистку от H_2O и CO_2 , соответствующую охлаждению ABC до $-60, -64^\circ$. Приведены данные о длительности работы фильтров без переключения. Г. Р.

78624. Производство закиси азота путем непрерывного разложения азотнокислого аммония. Сойка (Výroba kysličníku dusného nepřetržitým rozkladem dusičnanu amonného. Sojka Jaroslav), Chem. průmysl, 1956, 6, № 2, 45—49 (чеш.; рез. русс., англ.)

Разработан технологич. процесс произ-ва N_2O путем непрерывного разложения NH_4NO_3 (I) в полувосковом масштабе. Разложение I, осуществляемое в хромоникелевой разборной реторте в пределах т-р $270-310^\circ$, протекает вполне нормально в присутствии защитной пленки, состоящей из смеси KNO_3 и $NaNO_3$. Состав выделяющегося при р-ции газа (в объеме. %) приблизительно следующий: N_2O 96, N_2 3,2, O_2 0,7, NO 0,05 и NO_2 0,3. Потери NH_4NO_3 , уносимого газами, составляют $\sim 18\%$. Описана схема произ-ва. Библ. 27 назв. И. Л.

78625. Гидразин и его промышленное получение. Гарле (L'hydrazine et sa préparation industrielle. Garlet R.), Chimie et industrie, 1956, 75, № 4, 748—754 (франц.; рез. англ., исп.)

Обзор физ. и хим. свойств гидразина, его физиологии, действия, способов произ-ва, применения и техники безопасности при работе с ним. Г. Р.

78626 П. Удаление кислорода или водорода из смеси газов (The removal of oxygen or hydrogen from mixtures) [The Commonwealth Industrial Gases Ltd]. Австрал. пат. 166023, 1.12.55

К смеси инертного газа или газов (Г) с O_2 или H_2 добавляют соответственно H_2 или O_2 в таком кол-ве, чтобы смесь содержала H_2 и O_2 приблизительно в стехиометрич. соотношении, необходимом для образования H_2O . Затем подвергают Г 2-ступенчатой очистке: в 1-й ступени происходит максимально возможная конверсия H_2 и O_2 в H_2O , а во 2-й — окончательная конверсия и удаление возможного избытка O_2 или H_2 , для чего к Г после 1-й ступени добавляется автоматически регулируемое кол-во необходимого H_2 или O_2 . Г. Р.

78627 П. Способ и аппаратура для получения азотной кислоты из газов, получающихся при окислении аммиака. Шнур (Verfahren und Vorrichtung zur Herstellung von Salpetersäure aus Ammoniak-Verbrennungsgasen. Schnur Friedrich) [Ruhrchemie A.-G.]. Пат. ФРГ 940978, 29.03.56

Полученные при окислении NH_3 нитрозные газы после достаточного охлаждения проходят окислительную башню, затем небольшую (по сравнению с абсорбционными) укрепляющую башню, орошаемую к-той из 1-й абсорбционной башни (без циркуляции к-ты), и поступают в обычные абсорбционные башни. Укрепляющая башня отличается тем, что она имеет несколько слоев насадок, расположенных каждый на трубчатом холодильнике; в нижний холодильник подается охлаждающая жидкость с наиболее низкой т-рой, напр. рассол с т-рой 5° . Нижняя часть башни с од-

ним слоем насадки и собственным циклом орошения через выносной холодильник может служить для абсорбции окислов азота, выделяющихся при разложении р-ра NaNO_2 который получается при щел. абсорбции. Из нижней части газы проходят в верхнюю через динше с колпачком и присоединяются к главному потоку нитрозных газов. Продукционная к-та отводится с динша верхней части башни. Г. Р. 78628 П.

Способ обработки аммиачной воды, содержащей H_2S . Гросскинский, Умбах (Verfahren zur Verarbeitung von Schwefelwasserstoff enthaltendem Ammoniakwasser. Grossinsky Otto, Umbach Helmut) [Bergwerksverband zur Verwertung von Schutzrechten der Kohlentechnik G. m. b. H.]. Пат. ФРГ 874000, 6.06.55

Для получения $(\text{NH}_4)_2\text{SO}_4$ и чистого NH_3 , исходную аммиачную воду пропускают через колонну с насадкой из наполнителя с большой поверхностью (напр., активированный и древесный угли, кокс и т. д.) при повышенной т-ре ($>100^\circ$) и давлении ($>25 \text{ ат}$). Противотоком к ней направляют воздух, кислород или кислородсодержащий газ. Из полученного р-ра $(\text{NH}_4)_2\text{SO}_4$ отделяют свободный NH_3 , а оставшийся р-р перерабатывают на твердую соль. Перед окислением под давлением к сырой аммиачной воде целесообразно добавлять небольшие кол-ва солей тяжелых металлов (CuCl_2 , NiCl_2 , CoCl_2). Э. К.

78629 П. Способ регенерации благородных металлов, в частности металлов платиновой группы, из реакционных газов, образующихся при каталитическом превращении на этих металлах. Бальц, Дикман, Хеллер (Verfahren zur Wiedergewinnung von Edelmetallen, insbesondere Metallen der Platingruppe, aus den bei katalytischen Umsetzungen an solchen Metallen gebildeten Reaktionsgasen. Balz Otto, Diekmann Heinrich, Heller Richard) [Badsche Anilin- & Soda-Fabrik A.-G.]. Пат. ФРГ 938908, 9.02.56

Реакционные газы, полученные при каталитич. разложении на благородных металлах (напр., окислы азота и HNO_3 из NH_3 и O_2 воздуха), пропускают при повышенной т-ре над металлич. поверхностями наполнителей, которые имеют многочисленные отверстия в стенках и выполнены преимущественно в виде колец. В качестве наполнителей применяют позолоченную проволочную ткань. В. Ш.

См. также: 78964, 79004, 80385

МИНЕРАЛЬНЫЕ СОЛИ. ОКИСЛЫ. КИСЛОТЫ. ОСНОВАНИЯ

78630. Перборат и перкарбонат натрия. Ремон (Percarbonate et percarbonate de sodium. Remond J.). Rev. prod. chim., 1954, 57, № 1207, 401—404 (франц.)

Перборат Na выпускают в двух формах: более распространен тетрагидрат (I) $\text{NaBO}_3 \cdot 4\text{H}_2\text{O}$ или $\text{NaBO}_2 \cdot \text{H}_2\text{O}_2 \cdot 3\text{H}_2\text{O}$, менее — моногидрат (II) $\text{NaBO}_3 \cdot \text{H}_2\text{O}$ или $\text{NaBO}_2 \cdot \text{H}_2\text{O}_2$. Перкарбонат Na (III) изготавливают в виде $2\text{Na}_2\text{CO}_3 \cdot 3\text{H}_2\text{O}_2$. Содержания активного кислорода (в %): в I 10, II 15, III 12. Приведены данные о свойствах твердых продуктов и водн. р-ров, стабилизаторах, условиях хранения, материалах для аппаратуры и о применении для белизны в текстильной пром-сти, в произ-вах воска и клея, слоновой кости, в прачечных и для выведения жирных пятен; в моющих составах; для окисления и фиксации кубовых и сернистых красителей; в гальванопластике; в органич. синтезе для получения перкислот и т. д. Г. Р.

78631. Влияние калийных руд на азотирование карбида кальция. VI. Опыты с применением калийного липарита. VII. Влияния фторида и фосфата. VIII. Азотирование смеси карбида, калийной руды и хлористого кальция. Нагаи, Канадзава, Исидо (カライドの

窒化に対するカリ 礬石添加の影響. (第6報). カリ 石英 粗面岩による比較実験. (第7報). 弗化物および磷酸鹽の影響について. (第8報). カルシウムカ ーバイド. カリ 礬石. 礬石灰配合物の窒化. 永井彰一郎, 金澤孝 文, 石田寛), 工業化学雑誌, Koré кагаку дзасси, J. Chem. Soc. Japan, Industr. Chem. Sec., 1953, 56, № 4, 241—242, 242—243; № 5, 321—323 (япон.)

Часть VI. 100 ч. карбида в смеси с 25 ч. липарита, содержащего 9,83% K_2O , азотировали при $900-1050^\circ$ и определяли кол-ва связанного N и улетучившегося K. Результаты показали, что способность фиксировать N и ускорять р-цию азотирования в данном случае (при применении липарита) выше, чем у калийного полевого шпата.

Часть VII. Исследовано влияние добавления 3 ч. CaF_2 , NaF, AlF_3 или Na_3AlF_6 на азотирование 100 ч. CaC_2 с 25—40 ч. калийного полевого шпата. CaF_2 не оказывает влияния на р-цию при 950° , а NaF, AlF_3 или Na_3AlF_6 влияет при т-ре ниже 900° . При р-ции 100 ч. CaC_2 с 30 ч. фосфорита из Ангаура при 1050° получают взрывчатый продукт, содержащий, вероятно, Ca_3P_2 .

Часть VIII. CaC_2 (100 ч.) с калийным полевым шпатом (25—40 ч.) и CaCl_2 (2,8—9,1 ч.) азотировали при $900-950^\circ$ в течение 3—4 час. При добавлении CaCl_2 летучесть K уменьшалась, напр., при CaC_2 100 ч., полевого шпата 40 ч. и CaCl_2 9,1 ч. при 900° и 200 мин. улетучилось 4,2% K_2O . В продукте K находился в виде KCl и растворялся полностью в 2%-ном р-ре лимонной к-ты. Ионы CN^- не были обнаружены. Скорость разложения CaC_2 была почти такая же, как и без CaCl_2 .

(Часть V см. J. Chem. Soc. Japan. Industr. Chem. Sec., 1952, 55, 431—433 Г. Р.)

78632. Лабораторный метод получения окиси магния из морского рассола и доломита для производства магnezитовых огнеупоров. Дяковская, Козарев (Лабораторен метод за получаване на магнезитов окис от морска луга и доломит за изработване на магнезитови огнеупори. Дяковска Цв., Козарев Хр.), Тежка промишленост, 1955, 4, № 10, 45—52 (болг.)

Для получения MgO используется рассол (Р) после получения NaCl из морской воды, имеющий плотность $28-29^\circ$ Ве и содержащий 62—68 г/л SO_4^{2-} и 35—40 г/л Mg^{2+} . В Р добавляют конц. р-р CaCl_2 (с 10%-ным избытком от стехиометрич. кол-ва) для связывания SO_4^{2-} . После фильтрования получается прозрачный Р, который обрабатывается известковой водой. Осадок отстаивается, и р-р сливается через сифон. После тщательной промывки осадок высушивается при 110° , размалывается и обжигается до получения безводн. MgO . Полученный продукт содержит 2,12—0,66% СаО. Лучшие результаты (по выходу MgO) получают при использовании вместо известкового молока, обожженного при $1000-1060^\circ$ доломита. Доломит вводится в Р в виде 10%-ного молока при постоянном перемешивании. Полученная MgO помещается в графитовые тигли и обжигается при $1400-1600^\circ$. Готовый материал имеет уд. в. 3,5—3,6, что соответствует превращению MgO в периклаз. В. Р.

78633. Использование отхода извести, получаемой при производстве карбида кальция. Стивенсон (Utilisation de la chaux résiduaire du carbure de calcium Stephenson A.), Soudure et techn. connexes, 1954, 8, № 1—2, 41—42 (франц.)

Шлам, получаемый при мокром способе произ-ва C_2H_2 из CaC_2 , вначале содержит $\sim 20\%$ $\text{Ca}(\text{OH})_2$ и 80% воды; после обработки на фильтр-прессах — 42—45% воды, после сушки горячим воздухом — 2—3% воды. Применяется и другой метод сушки — в силосах слоями попеременно с негашеной известью, причем происходит гашение последней и выделяется теплота, благодаря чему подогрев не нужен. Отход извести используется для произ-ва цемента и штукатурки, для нейтр-ции сточных вод после травления стали, для золения кож и т. д. Шлам, получае-

мый при сухом способе произ-ва C_2H_2 , не так тонок и обладает худшими связующими свойствами, чем получаемый при мокром способе.

Г. Р.
78634. Фундаментальное исследование феррита цинка. Хиракосо, Ватанабэ, Баба, Нагаи (Fundamental studies on zinc ferrite. Hirakoso Keinosuke, Watanabe Katsuya, Baba Riichi, Nagai Tadao) Хоккайдо дайгаку когакубу киё, Mem. Fac. Engng. Hokkaido Univ., 1955, 10, № 1, 39—57 (англ.)

Исследована система $ZnO - Fe_2O_3$ (в виде прокаленных при различных т-рах обжига (ТО) прессованных таблеток из смесей ZnO с Fe_2O_3) при помощи выщелачивания ее при 96° р-рами H_2SO_4 , а также посредством измерения магнитных свойств и снятия рентгенограмм. Найдено, что т-ра образования феррита цинка $ZnO \cdot Fe_2O_3$ (I) составляет 530°. С повышением ТО кол-во извлеченного Zn уменьшается, а Fe увеличивается до $TO=800^\circ$; при $TO > 800^\circ$ кол-во переходящего в р-р Fe уменьшается. Избыток ZnO не влияет на выщелачивание I, но избыток Fe_2O_3 увеличивает растворение Zn и уменьшает растворение Fe из I. Для образцов с отношением $Fe_2O_3 : ZnO = 2$, начиная с $TO = 950^\circ$, $\gamma-Fe_2O_3$ растворяется в I, что вызывает линейное увеличение интенсивности намагничивания (ИН) вплоть до 1100° , при $TO > 1200^\circ$ кривая ИН сильно растет, вероятно, вследствие образования магнетита. Исследования с помощью рентгеновского спектрометра подтвердили, что в этой системе образуется лишь одно соединение — I. Выполнены точные измерения постоянных решеток а. Для $Fe_2O_3 : ZnO \leq 1$ а сохраняет постоянное значение, а в богатой Fe_2O_3 области для $TO = 1100^\circ$ а проходит через минимум при $Fe_2O_3 : ZnO = 1,4$. С прибавлением Fe_2O_3 кол-во растворенного $\gamma-Fe_2O_3$ в I линейно увеличивается до границы твердого р-ра ($Fe_2O_3 : ZnO = 1,4$); с этой границей совпадает максимум ИН и минимум а. Уменьшение ИН для $Fe_2O_3 : ZnO > 1,4$ объясняется разбавлением образца избыточной $\alpha-Fe_2O_3$ и уменьшением растворимости $\alpha-Fe_2O_3$ в I с увеличением избытка Fe_2O_3 .

В. Ш.
78635. О режиме и технологическом контроле при варке обожженного каолина с серной кислотой в производстве $Al_2(SO_4)_3 \cdot 18H_2O$. Виденов, Монеv, Димитрова (Върху режима и технологичния контрол при варката на печен каолин със сярна киселина в производството на $Al_2(SO_4)_3 \cdot 18H_2O$. Виденов Н., Монеv Георги, Димитрова Лиля, Тежка промишленост, 1955, 4, № 9, 41—47 (болг.)

Приведены данные для получения повышенного выхода $Al_2(SO_4)_3 \cdot 18H_2O$: конц-ия H_2SO_4 при варке каолина 350 г/л; отношение $Al_2O_3 : H_2SO_4$ соответствует 87% кислоторастворимого $Al_2O_3 + 4-7\%$ избытка каолина; длительность варки 1,5 часа (выход сульфата 84—87%); процесс варки контролируется метиловым фиолетовым и заканчивается, когда индикатор дает чистосиний цвет (при конц-ии сульфата 500 г/л и рН 1,5). Проверка при помощи индикатора начинается через час после начала варки, повторяется каждые 15 мин. и занимает 2—3 мин.

З. Б.

78636. Извлечение урана в качестве побочного продукта при переработке фосфатов. Барр, Рач, Борлик (Recovering uranium as by-product in phosphate processing. Barr James A., Jr, Ruch John W., Borlik Ralph F.), Rock Prod., 1955, 58, № 10, 96, 98, 100, 102 (англ.)

Рассмотрены вопросы произ-ва уранового концентрата в США. В заводском масштабе его производят экстракцией из H_3PO_4 , полученной мокрым способом из фторидского фосфорита. Ведутся также опытные работы по извлечению урана из суперфосфата и из фторидского фосфорита (так называемой «зоны выщелачивания»), содержащих повышенные кол-ва фосфата Al, а также при процессах переработки природных фосфатов.

Е. Б.

78637. Метод определения пригодности растворов мышьякованатриевой соли при очистке газа от сернистых соединений. Гербер М. И., Теодорович В. П., Бродская, Н. И., Ипатъев В. В. (Metoda określania właściwości roztworów arsenowo-sodowych przy oczyszczaniu gazu ze związków siarki. Gerber M. I., Teodorowicz W. P., Brodskaja N. I., Ipatiew W. W.), Gaz, woda i techn. sanit., 1954, 28, № 1, 31—32 (польск.)

Перевод. См. РЖХим, 1954, 27693.

78638 П. Способ получения перекиси водорода. Шмидт (Verfahren zur Gewinnung von Wasserstoffperoxyd. Schmidt Heinrich). Пат. ФРГ, 941 543, 12.04.56

Перекись водорода получают электрохим. окислением р-ров $(NH_4)_2SO_4$, которые наряду с $(NH_4)_2SO_4$ содержат один или более других сульфатов, образующих персульфаты более растворимые, чем $(NH_4)_2S_2O_8$. Эти сульфаты вместе с соответствующим кол-вом H_2SO_4 (на 1 моль сульфата < 1 моля H_2SO_4) электрохимически окисляют в персульфаты (в р-ре) и перерабатывают на H_2O_2 .

В. Ш.
78639 П. Способ очистки боргидрида натрия. Гангль, Кёниг (Verfahren zur Reinigung von Natriumborhydrid. Gangl Klara, König Josef) [Farbwerke Hoechst A.-G., vormals Meister Lucius & Büning]. Пат. ФРГ, 939147, 16.02.56

Для очистки сырого $NaBH_4$ (I), полученного из NaH р-цией с эфирами борной к-ты, экстрагируют I каким-либо эфиром (напр., диэтиловым) и затем отделяют эфир, содержащий примеси, от очис. I.

В. Ш.
78640 П. Способ переработки получающихся в производстве растворимого стекла разбавленных щелочных калиевых и натриевых растворов (Verfahren zur Aufarbeitung der bei der Wasserglaserstellung anfallenden Natron- und Kalidünnlagen) [Silinwerk van Baerle & Co., G. m. b. H.], Пат. ФРГ 938965, 9.02.56

В разбавленных Na- и K-щелоках отношение щелочи к кремнекислоте доводят до величины от 1:1 до 1:1,5. Полученный р-р разлагают к-тами (лучше при нагреве). Для этого применимы жидкие к-ты или к-ты, содержащие отходящие газы плавильных и обжиговых печей.

В. Ш.
78641 П. Электрическое определение чистоты соли. Суги, Огава (Electrical detection of purity of salt. Sugi Jiro, Ogawa Teruo) [Nippon Monopoly Corp.]. Япон. пат. 2950, 27.05.54 [Chem. Abstrs, 1955, 49, № 7, 4428 (англ.)]

Чистоту соли определяют измерением ее электрич. сопротивления и сравнением его со стандартной кривой для $NaCl$, содержащей различные кол-ва воды. Патентуется также аппарат.

Е. Б.
78642 П. Кристаллический борат натрия (Crystalline sodium borate) [Borax Consolidated, Ltd.]. Англ. пат. 737925, 5.10.55

Моногидрат бората Na (I) производится нагреванием в присутствии бората Na (или смеси боратов Na) с молекулярным отношением $Na_2O : B_2O_3 = 0,4-0,7$ в закрытом сосуде при т-ре $> 115^\circ$ до достижения равновесия или до выделения из р-ра достаточного кол-ва кристаллов I. Затем фильтруют и промывают продукт. Отношение $0,4-0,7$ достигается путем добавок $NaBO_2$, H_3BO_3 или $NaOH$. Лучшие результаты получаются при молекулярном отношении $Na_2O : B_2O_3 = 0,52$, содержании H_2O 35% от веса исходных материалов и т-ре 170° .

В. Ш.
78643 П. Способ получения солей гидроксиламмония. Винтерсбергер, Йоккерс, Мейер (Verfahren zur Herstellung von Hydroxylammoniumsalzen. Wintersberger Karl, Jockers Kurt, Meier Hermann) [Badische Anilin- & Soda-Fabrik A.-G.]. Пат. ФРГ 920963, 6.12.53 [Chem. Zbl., 1955, 126, № 24, 5624 (нем.)]

Способ получения солей гидроксиламмония каталитич. восстановлением NO водородом в кислой среде отличается

тем, что в качестве катализатора применяют сплавы Pt, не растворимые в присутствующих разб. к-тах. В частности, применяют сплавы Pt, полученные при совместном восстановлении соединений компонентов сплава в твердом виде или из р-ров (в данном случае в присутствии носителя). В качестве носителя применяют графит. Пригодными оказались сплавы Pt с Ag, Au, Ir или Pd.

78544 П. Способ получения гидросиламмонийсульфата. Иоккерс, Мейер, Винтерсбергер (Verfahren zur Herstellung von Hydroxylammoniumsulfat. Jockers Kurt, Meier Hermann, Wintersberger Karl) [Badische Anilin- & Soda-Fabrik A.-G.]. Пат. ФРГ 921145, 6.12.54 [Chem. Zbl., 1955, 126, № 21, 4908 (нем.)]

Способ получения гидросиламмонийсульфата каталитич. восстановлением NO водородом в разб. H_2SO_4 отличается тем, что H_2SO_4 предварительно обрабатывают окислителями, напр. $KMnO_4$, HNO_3 , H_2O_2 или $(NH_4)_2S_2O_8$.

78645 П. Удаление железа из растворов в виде берлинской лазури. Хюни (Entfernung von Eisen aus solchen enthaltenden Lösungen in Form von Berlinerblau. Hühn Werner) [Badische Anilin- & Soda-Fabrik A.-G.]. Пат. ФРГ 923006, 16.06.55

В р-ры (Al-солей), содержащие Fe (в основном Fe^{3+}), вводят растворимые соли $H_4Fe(CN)_6$ при доступе воздуха. При этом Fe переводится в растворимую форму берлинской лазури. Р-р обрабатывают при повышенной т-ре адсорбентом. Пример: р-р (100 л), содержащий (в кг) 250 $AlCl_3$ и 2,08 соли Fe^{3+} (в пересчете на Fe_2O_3) смешивают с 11 $K_4Fe(CN)_6$. Полученный р-р синего цвета короткое время кипятят с ~1 кг активированного угля, взмучивают еще с ~1,3 кг активированного угля и подвергают горячему фильтрованию.

78646 П. Способ получения чистого кремния (Procédé de préparation de silicium pur) [W. C. Heraeus G.m.b.H.]. Франц. пат. 1094760, 24.05.55 [Chimie et industrie, 1956, 75, № 5, 960 (франц.)]

В реакционной камере из кремнезема или карбида Si приводят во взаимодействие прошедший предварительную очистку более или менее чистый Si с тетрагалогенидами (напр., $SiCl_4$, $SiBr_4$ или SiI_4) под давл. 0,01—10 атм при т-ре между 1000° и т-рой плавления Si. При этом образующиеся низшие галогениды Si разлагаются при более низкой т-ре с образованием тетрагалогенидов и чистого Si.

78647 П. Способ приготовления кристаллов германия. Кох (Verfahren zum Herstellen von Germaniumkristallen. Koch Werner) [LICENTIA Patent-Verwaltungs-G.m.b.H.]. Пат. ФРГ 913676, 18.06.54 [Chem. Zbl., 1955, 126, № 24, 5620 (нем.)]

Для облегчения образования границ кристаллов (ГК) на чистую поверхность кристалла Ge наносят порошок Ge, быстро его расплавляют (электронными лучами) и посредством охлаждения с подложки кристаллизуют. Чтобы получить ГК с противоположно направленной проводимостью, по сравнению с остальным кристаллом, перед нанесением порошка Ge наносят посредством адсорбции из газовой фазы в-ва, повышающие проводимость (смесь H_2 и PH_3) или понижающие ее (смесь H_2 и GaH_3).

78648 П. Способ получения крупнозернистой окиси титана. Родан, Ольбан (Préparation d'oxyde de titane à gros grains. Rohden Charles de, Holbein Raymond) [Fabriques de Produits Chimiques de Thann et de Mulhouse]. Франц. пат. 1092310, 20.04.55 [Chimie et industrie, 1956, 75, № 5, 960 (франц.)]

Р-р сернокислого Ti, полученный из ильменита и очищ. обычным способом, подвергают гидролизу, вводя этот р-р в теплую воду, кол-во которой берется большим, чем при получении пигментов.

78649 П. Извлечение сульфата титана из титансодержащих шлаков (Werkwyze voor het winnen van titaan in oplosbare sulfaatvorm uit slakken) [American Cyanamid

Co.]. Голл. пат. 73894, 15.01.54 [Chem. Zbl., 1955, 126, № 25, 5868 (нем.)]

Шлаки, содержащие $\geq 65\%$ TiO_2 и 1—16% Fe (в пересчете на FeO), измельчают так, что большая часть их зерен имеет размер $< 74 \mu$ и не более 30% — размер $< 10 \mu$. Шлак разлагают 85—98%-ной H_2SO_4 , взятой в 2—2,6-кратном кол-ве по весу от веса шлака.

78650 П. Способ очистки четыреххлористого титана. Исицука (四氯化チタン精製法. 石塚博). Япон. пат. 971,25.02.54 [Chem. Abstrs, 1954, 48, № 22, 14139 (англ.)]

Сырой $TiCl_4$ (3 л), содержащий 2% $VOCl_2$ и S_2Cl_2 , нагревают при 136° и пропускают пары через 1 кг медной сетки в течение 2,5 час. При конденсации получают 2,9 л чистого белого $TiCl_4$. Вместо медной сетки можно применять цинковую.

78651 П. Получение безводного солевого расплава, содержащего хлорид двухвалентного олова, бедного окислом и оксихлоридом. Гебхард, Шраг (Process for the manufacture of an anhydrous salt melt poor in oxide and oxychloride and containing stannous chloride. Gebhardt Erich, Schrag Gerhard) [Meinecke Metallurgie G. m. b. H.]. Канад. пат. 515908, 23.08.55

Для нанесения Sn-покрытий на изделия из Fe, Cu (или сплавов Fe, Cu или Zn) их без предварительной обработки погружают в расплав, состоящий из смеси двойной соли $KCl \cdot SnCl_2$ (60%) с KCl или другой галлонидной солью щел., щел.-зем. металла или Zn. Такая смесь плавится при 224—600°; расплав беден оксидом. Изделие выдерживают в ванне при 300—500° до получения на поверхности металла слоя диффузного Sn-покрытия. $KCl \cdot SnCl_2$ рекомендуют получать нагреванием р-ра, содержащего 112,8 кг $SnCl_4 \cdot H_2O$ с 37,3 кг KCl , до получения ~132 кг $KCl \cdot SnCl_2$.

78652 П. Способ получения тиохлорида фосфора. Ватанабэ (チオ塩化磷の製造法・渡邊市郎). [保土谷化学工業株式会社. Ходогая Караку Корэ Кабусики Кайся]. Япон. пат. 3319, 9.06.54 [Chem. Abstrs, 1955, 49, № 9, 6556 (англ.)]

Смесь из S_2Cl_2 54 г и S 32 г нагревают до 120—130°, добавляют по каплям 137,5 г PCl_3 и кипятят 1—2 часа, затем нагревают некоторое время с 8,5 г P, дистиллируют продукт и получают 195 г (выход 91%) $PSCl_3$, т. кип. 124—126°.

78653 П. Способ получения бромоксида фосфора. Абэ, Китакава, Исимура (オキシ臭化磷の製造法. 阿部久二, 北川康生, 石村明). [田邊製薬株式会社. Танабэ сэйяку кабусики кайся]. Япон. пат. 5076, 14.08.54 [Chem. Abstrs, 1955, 49, № 20, 14285 (англ.)]

5 г $KClO_3$ обрабатывают постепенно 32 г PBr_3 , нагревают 3 часа с обратным холодильником при 170—190°, дистиллируют продукт и получают 27,3 г (выход 80%) $POBr_3$, т. кип. 180—190°.

78654 П. Процесс для выделения вольфрама. Уэйнер (Process for recovery of tungsten values. Wainer Eugene) [Sylvania Electric Products Inc.]. Пат. США 2735748, 21.02.56

Патентуется процесс выделения W из спец. инструментальных сталей, содержащих от 6 до 30% W. Сплав нагревается при 1100—1300° в карбонизирующих условиях (т. е. с углем, в восстановительной атмосфере), пока большая часть W не превратится в карбид, затем подвергается быстрому охлаждению и обрабатывается 20—60%-ной H_2SO_4 при т-ре ~100° в течение 6—12 час., в результате чего Fe (в виде $FeSO_4$) и часть W (не в виде карбида) переходят в р-р, а карбид W осаждается в виде сильно измельченного черного порошка — шлама. Р-р отделяется, и к нему добавляют 10—30% HNO_3 по весу (в расчете на безводн. HNO_3), кипятят 2—3 часа, вследствие чего Fe переходит в состояние высшей валентности, а W образует нерастворимую H_2WO_4 . Последняя осаждается, фильтруется, просушивается и смешивается со шлаком карбида.

Эта смесь подвергается обжигу при 750—850° в окислительной атмосфере, затем обработке в р-ре NaOH при 100°, благодаря чему W переходит в р-р в виде Na_2WO_4 , который отделяется от нерастворимого осадка и поступает в дальнейшую переработку. Смесь шлама карбида W с H_2WO_4 может быть также обработана небольшим кол-вом конц. HNO_3 , затем выпарена с NaOH, и W, перешедший в р-р, выделяется оттуда в виде паравольфрамата. Д. Т. 78655 П. Уран (Uranium) [Centre National de la Recherche Scientifique and Lab. Central des Poudres]. Австрал. пат. 166003, 1.12.55

Для получения расплавленного окисла U с высокой плотностью (≥ 11) расплавляют кислородсодержащее соединение U (любой степени окисления) в окислительной среде посредством концентрирования на нем тепловых лучей (лучи солнца или лучи от электр. дуги высокой интенсивности). В. Ш.

78656 П. Осаждение урана из растворов карбоната щелочного металла. Фойурд, Халперн (Precipitation of uranium from alkali metal carbonate solutions. Forward Frank A., Halpern Jack) [National Research Council]. Канад. пат. 517199, 4.10.55

Для осаждения U из водн. р-ров карбоната щел. металла в р-р, находящийся в закрытой зоне р-ции, вносят катализатор гидрогенизации и при перемешивании вводят свободный H_2 под давл. 1—34 атм, затем нагревают массу до 38—176°. При этом осаждается окисел U, который отделяют. В. Ш.

78657 П. Способ получения фтористого водорода. Фаббер (Verfahren zur Herstellung von Fluorwasserstoff, Faber Walter) [Riedel-de Haën A.-G.]. Пат. ФРГ 939867, 8.03.56

HF получают нагреванием эквимолекулярной твердой смеси плавикового шпата и конц. H_2SO_4 . Смесь готовят при нормальной или слегка повышенной т-ре, измельчают (фрмуируют) и нагревают в печи в псевдооживленном слое. Для поддержания смеси в псевдооживленном состоянии применяют HF (газ.). К смеси перед нагреванием добавляют инертные в-ва, напр. ангидрит. В. Ш.

78658 П. Способ получения двуокиси хлора. Ито (二酸化塩素の製造法. 伊藤卓 嗣) [日本電気株式会社. Ниссин дэнки кабусики кайся]. Япон. пат. 1978, 14.04.54. Chem. Abstr., 1955, 49, № 2, 1292i

Р-р 0,5 кг NaClO_3 и 0,5 кг MnSO_4 в 2 л 50%-ной H_2SO_4 нагревают до 90°. Выход 100%-ного ClO_2 90%. Такую же ClO_2 с тем же выходом можно получить нагревая до 90° р-р 0,29 кг $\text{Ca(ClO}_3)_2$ и 0,89 кг Mn(OH)_2 в 2 л 50%-ной H_2SO_4 . Г. Р.

78659 П. Способ получения двуокиси хлора. Севон, Сундман (Verfahren zur Herstellung von Chlordioxyd. Sevón Johan, Sundman Frey Viking) [Runar Mauritz Rafaeelsson Örnholm und Lilly Elvira Sevón]. Пат. ФРГ 940893, 29.03.56

Для более полного использования хлоратов ClO_3 получают действием SO_2 на твердые (с добавлением небольшого кол-ва воды) или пастообразные хлораты или на их смесь с хлоридами. К хлоратам можно добавить в-ва, связывающие влагу (гипс, Na_2SO_4), а также инертные неорганич. (песок) или органич. разбавители для предупреждения комкования. Р-цию проводят в аппарате с мешалкой или еще лучше с устройством для измельчения. Г. Р.

78660 П. Способ охлаждения хлорных газов. Шмидт, Кольбе (Verfahren zum Kühlen von Chlorgasen. Schmidt Heinz, Kolbe Ernst) [Farbwerke Hoechst A.-G. vormals Meister Lucius und Brüning]. Пат. ФРГ 937044, 29.12.55

Охлаждение хлорных газов производится при непосредственным их контакте с охлаждающей жидкостью (ОЖ) в насадочных аппаратах. В качестве материала для холодильников, в которых циркулирует ОЖ (хлорная вода), предложено использовать импрегнированный графит, обладающий высокими антикоррозионными свойствами при

достаточном коэфф. теплопроводности. Одновременно предложено вводить в ОЖ электролит, содержащий ион Cl^- (водный р-р NaCl или HCl подводящей конц-ии) для сдвига равновесия р-ции $\text{Cl}_2 + \text{H}_2\text{O} \rightleftharpoons \text{HCl} + \text{HOCl}$ в сторону образования хлора. В. Г.

78661 П. Способ переработки руд. Мак-Кормик (Procédé de traitement des minerais. McCormick Walter R. Jr) [Titan Co Inc]. Франц. пат. 1048406, 22.12.53 [Chem. Zbl., 1955, 126, № 15, 3479 (нем.)]

Для извлечения ценных металлов (Cu, Ni и Co) Fe-руды или Fe-содержащий концентрат растворяют в присутствии воздуха или O_2 и получают сульфатный р-р концентрата, содержащий свободную H_2SO_4 вследствие наличия избытка S в загружаемой шихте. Этот р-р выдерживают в течение 1—3 часа при 200—260°, давл. 28—42 атм и отделяют выпавший осадок основного сульфата Fe. Оставшийся р-р содержит ценные металлы. Исходные материалы могут применяться в виде пасты. Л. Х.

78662 П. Способ конденсации паровых галогенидов металлов. Краус (Process for condensing vaporized metal halides. Kraus Philip B.) [E. I. du Pont de Nemours and Co.]. Пат. США 2718279, 20.09.55

Пары непрерывно пропускают над охлаждающей твердой поверхностью, т-ра которой достаточна для превращения в твердое состояние хотя бы части паровозного в-ва. По поверхности непрерывно движется тонкий слой жидкости, предохраняя поверхность от прилипания капель конденсата. Л. Х.

См. также: Элементарные в-ва 77823. Окислы 79005. Соли 77827, 77829, 77835

УДОБРЕНИЯ

78663. Исследования природных фосфатов различного происхождения. Различия между мягкими и твердыми природными фосфатами. Гизигер, Пульфер (Untersuchungen an Rohphosphaten verschiedener Herkunft. Beitrag zur Unterscheidungsfrage der weichen und harten Rohphosphate. Gisiger L., Pulver H.), Landwirtschafts. Jahrb. Schweiz, 1955, 69, № 8, 941—960 (нем.; рез. франц.)

Определены физ.-хим. свойства и проведены вегетационные опыты с северо-африканскими и флоридскими фосфоритами и кольскими апатитами. Установлено, что относительная растворимость (ОР) природных фосфатов (ПФ) (% P_2O_5 , растворимой в 2%-ной лимонной к-те, от P_2O_5 общей) понижается при увеличении уд. веса и размера кристаллов и повышается при увеличении содержания CO_2 , Mg и Na; зависимость между ОР и содержанием F не установлена. Вегетационные опыты показали, что из ПФ одинаковой тонины наиболее эффективен фосфорит Гафса (Тунис), далее следуют алжирский, марокканский, флоридский фосфориты; эффективность кольского апатита в 5 раз меньше, чем фосфорита Гафса. ОР в 2%-ной лимонной к-те, а также в 2%-ной муравьиной к-те, может служить критерием для определения применимости ПФ в качестве непосредственного удобрения. Предложена следующая номенклатура ПФ: ОР (при навеске 5 г на 500 мл 2%-ной лимонной к-ты) 35 и выше — мягкие; 35—25% — полутвердые; 25—15% — твердые, <15% — очень твердые. Пригодность ПФ в качестве удобрения на кислых почвах можно определять по ОР и содержанию P_2O_5 общей; эффективность последней можно принять ~80% при ОР 35%, 60—80% при ОР 25—35% и ~50% при ОР <25%. Е. Б.

78664. Исследования фосфорных удобрений. Часть I. Реакции трикальцийфосфата с бисульфатами щелочных металлов. Часть II. Монокальцийтетранатрийфосфат и монокальцийтетракалийфосфат. Мохаджир, Датар (Studies on phosphate fertilizers. Part I. Reactions of tricalcium phosphate with alkali bisulphates. Part II. Monocalcium tetrasodium phosphate and monocalcium

tetrapotassium phosphate. Mohajir Akhtar, Datar D. S.), J. Indian Chem. Soc. Industr. and News Ed., 1955, 18, № 1, 13—16; № 4, 199—202 (англ.)

I. Исследования р-ции чистого $\text{Ca}_3(\text{PO}_4)_2$ с RHSO_4 (R — Na или K) при перемешивании в воде. При малом кол-ве RHSO_4 образуются CaHPO_4 и R_2HPO_4 , при увеличении кол-ва RHSO_4 — R_2HPO_4 и $\text{R}_2\text{H}_2\text{PO}_4$. Обсуждается механизм р-ции. Предложен метод получения сложных удобрений разложением природного фосфата действием NH_4HSO_4 или KHSO_4 , или их смеси в воде, кол-во которой регулируют так, чтобы получался сухой порошковидный продукт, содержащий P_2O_5 в цитратно- и водорастворимой формах.

II. При нагревании природного фосфата с Na_2CO_3 или K_2CO_3 (при 900° — выше т-ры плавления карбоната), NaOH (при 360—400°) и KOH (при 380—500°) получены продукты с большим содержанием усвояемой P_2O_5 в виде водорастворимого R_2PO_4 (за исключением случая применения K_2CO_3 , при котором R_2PO_4 почти не образуется) и цитратнорастворимого $\text{CaR}_4(\text{PO}_4)_2$. Последний не гидролизует и не выщелачивается водой. Оптимальные молярные соотношения для его получения: $\text{Ca}_3(\text{PO}_4)_2 : \text{R}_2\text{CO}_3 = 1 : 2$ и $\text{Ca}_3(\text{PO}_4)_2 : \text{RON} = 1 : 4$. Е. Б.

78665. Хлорирование природных фосфатов. Часть I. Обесфторивание. Часть II. Улетучивание фосфора. Дадапе, Рао (Chlorination of phosphatic minerals: Part I—De-fluorination. Part II—Volatilization of phosphorus. Dadape V. V., Rao M. R. A.), J. Scient. and Industr. Res., 1955, (B—C)14, № 11, A577—A583; A583—A586 (англ.)

I. Лабор. опыты показали, что при действии Cl_2 на природные и синтетич. фосфаты и фториды при 400—600° удаляются следующие кол-ва F (в % от начального кол-ва): 1) из желваковых фосфатов Тричинополи (измельченных и брикетированных), содержащих (в %): P_2O_5 25, F 3, SiO_2 4,4, Fe_2O_3 2,8, —3, а при добавлении к ним 15% C практически весь F; 2) из фторалпатита — 19, при добавлении к нему 15% C — 40, а при 15% C + 2,75% SiO_2 — практически весь F; добавление одного SiO_2 не оказывает влияния; 3) из осадочного CaF_2 или из его смеси с 40% SiO_2 — 1, из его смеси с 15% C — 5,7, а из его смеси с 15% C + 40% SiO_2 — 50; 4) из плавикового шпата — на 50% меньше, чем в одинаковых условиях из CaF_2 ; 5) из синтетич. смеси $\text{Ca}_3(\text{PO}_4)_2$ + CaF_2 + SiO_2 + C — аналогично смеси CaF_2 + SiO_2 + C; 6) из фосфатов Косснер, содержащих (в %): P_2O_5 30,6, F 3,16, SiO_2 4,35, Fe_2O_3 1,71, и Макатеа, содержащих P_2O_5 38,5, F 2,86, SiO_2 0,39, Fe_2O_3 1,26, при 500° соответственно 75 и 35, а при 600° — 87 и 80. Обесфторивание (O) одного CaF_2 объясняется р-цией $\text{CaF}_2 + \text{Cl}_2 \rightarrow \text{CaFCl} + \text{ClF}$, а увеличение степени O в присутствии SiO_2 + C — образованием SiF_4 . Более легкое замещение F хлором в апатите, чем в CaF_2 , объясняется структурой кристаллич. решетки апатита. Смесь C + SiO_2 увеличивает O, вероятно, ввиду образования SiCl_4 .

II. При действии Cl_2 на фосфаты Тричинополи в присутствии 15% C образуется POCl_3 ; при 500° за 5 час. улетучивается ~82% P, а затем р-ция замедляется; образовавшийся CaCl_2 не плавится и реакционная смесь не прирастает к стенкам. Она содержит часть P_2O_5 в водорастворимой форме; в холодной части реакционной трубки обнаружен красный осадок $\text{FeCl}_3 \cdot \text{POCl}_3$. Фосфаты Макатеа и Косснер в присутствии 15% C хлорируются с достаточной скоростью только при 600°. Низкая т-ра хлорирования фосфатов Тричинополи объясняется их микроструктурой. Библ. 35 назв. Е. Б.

78666. Исследование физического строения природных фосфатов кальция. Карбона (Contribution à l'étude de la texture physique des phosphates naturels de chaux. Carbone F.), Ind. chim., 1956, 43, № 463, 41—46 (франц.)

Для различных северо-африканских и флоридского фосфоритов и кольского апатита приведены: хим. состав,

растворимость в нейтр. цитратном р-ре и в 2%-ных р-рах лимонной, молочной и муравьиной к-т, гранулометрич. состав, уд. общая и внешняя поверхности, плотность истинная и кажущаяся. Максимум уд. общую поверхность ($22 \text{ м}^2/\text{г}$), измеренную методом адсорбции N_2 при минус 195°, имеет фосфорит Гафса, миним. ($1,2 \text{ м}^2/\text{г}$) — кольский апатит. Растворимость природных фосфатов зависит не только от величины частиц и состава, но и от уд. общей поверхности. При различной степени измельчения одного и того же фосфата эта поверхность или не изменяется или изменяется очень мало. Внешняя поверхность одного и того же фосфата, измеренная методом проницаемости для воздуха, увеличивается при уменьшении величины частиц; при этом кажущаяся плотность уменьшается. Е. Б.

78667. Экономические проблемы производства термофосфатов. Гдыня (Ekonomiczne problemy produkcji termofosforatów. Gdynia J.), Przem. chem., 1956, 12, № 3, 130—135 (польск.)

Приведено технико-экономич. сравнение произ-ва термофосфатов, суперфосфата и супертомашина из польских и североафриканских фосфоритов и из кольского апатита. Е. Б.

78668. Азотные растворы. Латроп (Nitrogen solutions. Lathrope Howard R.), Agric. Chemicals, 1956, 11, № 3, 51—52 (англ.)

Приведены данные о применении жидких удобрений: «урана 32» — р-ра, содержащего N в форме нитрата и мочевины, без давления паров; «нитраны» — р-ра, содержащего N в форме нитрата и NH_3 (37—49% N), с давлением паров 0,07—3,4 атм.

78669. Новое усовершенствование производства сульфата аммония, получаемого в качестве побочного продукта. Кеннавей, Вуд, Бокс (A new development in the production of by-product ammonium sulphate. Kennaway T., Wood C. W., Box P. L.), Gas World, 1956, 143, № 3733, suppl. 49—54, 56, 58 (англ.)

Приведены схемы, описание оборудования и технологич. режим. способа произ-ва $(\text{NH}_4)_2\text{SO}_4$ (I), применяемого на 3 английских з-дах производительностью 6, 25 и 40 т/сутки. Коксовый газ проходит барботажный или 2-ступенчатый оросительный абсорбер, где NH_3 поглощается циркулирующим р-ром, содержащим 38—40% I и 3% H_2SO_4 ; содержание H_2SO_4 в р-ре, поступающем в 1-ю и 2-ю ступени оросительного абсорбера, I и 12% соответственно. В выходящем р-ре поддерживают конц-ию H_2SO_4 0,8—1%. Часть этого р-ра направляется в выпарной вакуум-аппарат (медный с трубными решетками из фосфористой бронзы), из которого р-р с кристаллами отделяется в солеотделитель. Кристаллы I отделяют на центрифуге и сушат.

78670. Значение учения о фазах в производстве искусственных удобрений на примере нитрофосфата. Плюше (De betekenis van de phasenleer voor de kunstmeststoffenindustrie toegelicht aan de bereiding van nitrofosfaat. Plusje M. H. R. J.), Chem. weekbl., 1955, 51, № 23, 416—419 (голл.)

Описаны равновесные фазовые диаграммы системы $\text{CaO} - \text{P}_2\text{O}_5 - \text{N}_2\text{O}_5 - \text{H}_2\text{O}$ и некоторые другие и их применение для процесса получения нитрофосфата. К. Г.

78671. Дробление известняков для известкования почв. Блан (La fabrication des amendements calcaires crus. Blanc E. C.), Equipem. méc., 1954, 33, № 302, 9—11, 32 (франц.)

Дан анализ энергоемкости процессов дробления мягких и твердых известняков, предназначенных для известкования почв. Е. А.

78672 П. Способ обогащения природного фосфата. Дейвидсон (Process for the concentration of phosphate in rock phosphate. Davidson S.) [Fertilizers & Chemicals, Ltd]. Англ. пат. 731999, 15.06.55

Природный фосфат, содержащий кальцит, обжигают, напр. во вращающейся печи при 900—950° или в шахтной

печи. Обожженный материал, предпочтительно после сухого гашения, т. е. водой в стехиометрич. кол-ве для превращения CaO в Ca(OH)_2 , подвергают сухой сепарации, напр. воздушной классификации, для отделения фосфата от CaO или Ca(OH)_2 . Для получения более чистого фосфата воздушную классификацию можно повторить. Е. Б. 78673 П. Дикальцийфосфат (Di-calcium phosphate) [Chemical Construction Corp.]. Австрал. пат. 167122, 15.03.55

Природный фосфат разлагают H_2SO_4 , взятой в кол-ве, необходимом для полного превращения $\text{Ca}_3(\text{PO}_4)_2$ в H_3PO_4 и CaSO_4 и растворения всех примесей, в присутствии окислителя растворимых соединений металлов. Затем отделяют CaSO_4 , охлаждают и разбавляют H_3PO_4 водой до т-ры $\leq 38^\circ$ и содержания 8—12% P_2O_5 , добавляют известковое молоко до pH 2,6—3,2 и перемешивают при т-ре $\leq 43^\circ$ для осаждения некоторого кол-ва дикальцийфосфата (I) и всех соединений F и прочих примесей. Осадок отфильтровывают, а к р-ру при перемешивании и т-ре $\leq 43^\circ$ добавляют известковое молоко до pH 6,0—6,3 для осаждения кормового I, который отфильтровывают и сушат. Е. Б.

78674 П. Способ производства удобрения, состоящего в основном из дикальцийфосфата. Кудерк-де-Сен-Шаман (Procédé de fabrication d'engrais à base de phosphate bicalcique. Couderc de St Chamant Henri) [Comptoir des Phosphates de l'Afrique du Nord]. Франц. пат. 1085999, 8.02.55 [Ind. chim., 1955, 42, № 461, 398 (франц.)]

Тонкоизмельченный природный фосфат обрабатывают в закрытом сосуде при $120\text{--}160^\circ$ к-той (H_3PO_4 , H_2SO_4 , HNO_3 и т. п.) в таком соотношении, чтобы не менее половины $\text{Ca}_3(\text{PO}_4)_2$ перешло в $\text{CaH}_2(\text{PO}_4)_2$. Полученный продукт высушивают при т-ре ниже 150° ; при этом смесь $\text{CaH}_2(\text{PO}_4)_2$ и $\text{Ca}_3(\text{PO}_4)_2$ переходит в CaHPO_4 . Я. К. 78675 П. Способ получения плава сульфат-нитрата аммония. Шматлох (Verfahren zur Herstellung von Ammonsulfatsalpeter-Schmelzen. Schmatloch Adolf) [Ruhchemie A.-G.]. Пат. ФРГ 936510, 15.12.55

Способ получения плава сульфат-нитрата аммония р-цией NH_3 с H_2SO_4 и HNO_3 последовательно в сатураторе (С) и нейтрализаторе (Н) с почти полным испарением воды, введенной с к-тами, отличается тем, что окончательную нейтр-цию плава, содержащего 2,5—3,5% к-ты, проводят в цилиндрич. Н с ситчатыми тарелками и паровой рубашкой. Плаз поступает в Н над нижней тарелкой, а NH_3 под нижнюю тарелку; готовый плаз выходит из верхней части Н с содержанием 0,1—0,2% свободной к-ты и 2—3% воды. Можно подавать NH_3 в таком кол-ве, чтобы добавленные к сульфат-нитрату аммония соли металлов осаждались в виде окисей, в частности, при добавлении сульфата Fe до появления коричневой окраски плава, по которой можно судить о ходе нейтр-ции. Емкость Н составляет от 2 до 10% емкости С, а поперечное сечение — от 3 до 5% поперечного сечения Н. Выходящий из Н избыток NH_3 и водяные пары можно пропускать через конденсатор, из которого конденсат возвращается в С. Г. Р.

78676 П. Способ опудривания гранулированных удобрений, в частности известковоаммиачной селитры. Шауб, Шматлох (Verfahren zur Einpuderung von körnigen Düngemitteln, insbesondere von Kalkammonsalpeter. Schaub Franz, Schmatloch Adolf) [Ruhchemie A.-G.]. Пат. ФРГ 941195, 5.04.56

Опудривание гранулированных удобрений, в частности известковоаммиачной селитры, проводят в 2 приема: в конце произ-ва (напр., при охлаждении или сушке продукта) и перед отправкой продукта потребителю (напр., при упаковке в мешки). При 1-м опудривании можно применять измельченный известняк, при 2-м — инфузорию землю или, наоборот, причем можно добавлять краску. Г. Р.

78677 П. Удобрения, содержащие молибден. Стильман (Molybdenum-containing fertilizers. Stillman Albert L.) [Fuel Research Corp.]. Канад. пат. 513134, 24.05.55

К 1 т угля добавляют соединения Mo в кол-ве, соответствующем 14—85 г MoO_3 , нерастворимую калийную руду и природный фосфат в таких кол-вах, чтобы зола после сжигания угля содержала 2—8% солей K и 3—8% фосфата, растворимых в почве. Напр., после сжигания угля с золейностью 5,5% с указанными в-вами получается удобрение, состоящее из 55 кг золы, 28 г MoO_3 и растворимых в почве 2,2 кг солей K и 3,3 кг фосфата. Г. Р.

См. также: 80365

ПЕСТИЦИДЫ

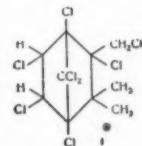
78678. Влияние инсектицидов на рост корней кукурузы.

Болл (Effect of insecticides on corn root growth. Ball Harold J.). J. Econ. Entomol., 1956, 49, № 2, 230—233 (англ.)

В лабор. (на питательном р-ре (ПР) и песке) и полевых условиях испытывалось действие ГХЦГ, альдрина (I) и гентахлора (II) на рост корней кукурузы. При дозе ~1 кг/га ГХЦГ на ПР и песке уменьшает среднюю длину корней более чем в 2 раза, а при дозе 0,5 кг/га в 1,5 раза. Вес корней, выращенных на ПР, обработанном ГХЦГ в дозе 1 кг/га уменьшился в 3 раза. I и II в дозе 0,5 кг/га вызывают незначительное уменьшение длины; при дозе 1 кг/га длина уменьшается в 1,3 раза от обоих препаратов, а вес от I в ~2 и от II в 1,4 раза. В полевых опытах при дозе до 2 кг/га I и ГХЦГ вызвали незначительное уменьшение длины корней, а II слегка увеличивал ее. З. Н.

78679. Сведения о токсафене, возможности и область его применения. Мессинг (Wissenswertes über Toxaphen, Möglichkeiten und Grenzen des Einsatzes. Mässi n g W.). Mitt Biol. Bundesanst. Land- und Forstwirtschaft, 1955, № 83, 44—48 (нем.)

Предложена одна из возможных структурных ф-л токсафена (I) и показано сходство в строении I и других инсектицидов группы хлорированных углеводородов. Технич. I, содержащий 67—68% Cl, желтоватое воскообразное в-во; т. пл. $70\text{--}95^\circ$, уд. в. ~1,6. I устойчив в нормальных условиях, но при воздействии сильных щелочей отщепляет HCl. I не растворяется в воде, в ароматич. р-рителях растворяется лучше, чем в алифатич. Острая токсичность I для крыс LD_{50} 40—60 мг на 1 кг живого веса, хронич. токсичность I не велика: при скормлении в течение 2 месяцев токсична пища, содержащая >0,12% I. Кумулятивным действием I не обладает. I не токсичен для пчел и диких животных, но чрезвычайно токсичен для рыб. I применяют на растениях, в особенности в период цветения, в борьбе с вредителями рапса, люцерны и хлопчатника, пилильщиками, тлей, колорадским и майским жуками, а также в борьбе с эктопаразитами и вшами домашнего скота. Ю. Б.



78680. Различия в скоростях обмена ГХЦГ в устойчивых и восприимчивых комнатных мухах. Оппенорт (Differences between rates of metabolism of benzene hexachloride in resistant and susceptible houseflies. Oppenorth F. J.). Nature, 1955, 175, № 4446, 124—125 (англ.)

Методом инъекций нетоксичных кол-в α - и δ -изомеров ГХЦГ установлено существование различий в скоростях распада этих изомеров у устойчивых (УМ) к γ -ГХЦГ и ДДТ (быстрый распад) и восприимчивых (ВМ) мух (медленный распад). Распад δ -изомера в обоих случаях идет значительно медленнее, чем α -изомера. Авторы предпо-

78688. Дальнейшие наблюдения по борьбе с тлей на грецком орехе. Микелбакер (Further observations on the control of the walnut aphid. Michelbacher A. E.), J. Econ. Entomol., 1955, 48, № 5, 504-509 (англ.)

В борьбе с тлей *Chromaphis juglandicola* (Kltb.) на грецком орехе изучены малотон, никотин, сикстоки (I) и шрадан (II). Прекрасные результаты дали I и II. При обработке в мае II в дозе 2,24 кг/га на деревьях практически не было тлей даже в сентябре месяце. I в дозе 0,56 кг/га дал несколько худшие результаты. Обработку II нужно проводить пока листья молодые. I повреждает листья и поэтому обработку им не следует проводить до полного распускания листьев. При хим. обработках грецкого ореха необходимо учитывать роль естественных врагов тлей, играющих важную роль в регулировании их численности. См. также РЖХим, 1955, 4114.

Ю. Ф. 78689. Обмен гексахлорциклогексана и его количественное определение. Асперен, Оппенорт (Kwantitatieve bepaling en stofwisseling van hexachlorocyclohexaan. Asperen K. van, Oppenoorth F. J.), Chem. weekbl., 1954, 50, № 20, 353-356 (голл.).

Количественное определение ГХЦГ проводится по способу, предложенному Рейтом (РЖХим, 1955, 32124). При кол-ве материала, большем I, его сушат, растирают с безводн. Na_2SO_4 , извлекают CHCl_3 и определяют ГХЦГ в плотном остатке экстракта, применяя Zn-паль для восстановления ГХЦГ в C_6H_6 , выход при определении γ -изомера 86% и, принимая последний за 100, выход β -изомера составил 98, δ -изомера 95, α -изомера 100. Применение для анализа гранулированного Zn значительно понизило выходы. В организме мыши и домашней мухи ГХЦГ быстро разрушался. После подкожного введения мыши 1 мг γ -изомера, содержание его в теле мыши убывало равномерно по 230 мк в день; ГХЦГ, введенный мухам, исчезал из организма через 24 часа.

К. Г. 78690. Колориметрическое и радиометрическое определение ДДТ и его метаболитов в устойчивых комнатных мухах. Перри, Дженсен, Пирс (Colorimetric and radiometric determinations of DDT and its metabolites in resistant houseflies. Perry A. S., Jensen J. A., Pearce G. W.), J. Agric. and Food Chem., 1955, 3, № 12, 1008-1011 (англ.)

Изучены продукты разложения ДДТ (меченного C^{14}) в семи разновидностях комнатных мух, устойчивых к ДДТ. Показано, что единственным продуктом метаболизма ДДТ, получающимся в значительных кол-вах, является ДДЭ. Для опыта применяли 20-50 мух 3-4-дневного возраста, которым после анестезии CO_2 вводили в область грудной клетки 11-13 μC -ДДТ в 1 мл бензольного р-ра. После обработки мух помещали в стаканы на 400 мл и снабжали их питанием и водой. Через 9-10 дней после обработки инсектицидом мух растирали в ступке, помещали в аппарат Сокслета и экстрагировали 24 часа. Стаканы, содержащие экскременты, споласкивали эфиром. Общий экстракт анализировали на содержание ДДТ и ДДЭ по методу Шехтера и Галлера, а также радиометрич. (ДДТ). Отношение ДДЭ к ДДТ возрастает с течением времени. См. также РЖХим, 1956, 58688.

Л. В. 78691. Определение паратиона в оливковом масле. Рамос (Determinazione del parathion nell'olio d'oliva. Ramos Virgilio P.), Olivicoltura, 1955, 10, № 8, 7-10 (итал.)

Для определения паратиона (I) в оливковом масле использован видоизмененный метод Аверелла и Норриса (Averell P. R., Norris M. V., Analyt. Chem., 1948, 20, 753-756). 20 г масла из сливок, промытых предельно бензином (экстракция материала проведена также бензином), растворяют в 100 мл *n*-гексана и экстрагируют 300 мл ацетонитрила (порциями по 75 мл по 3 мин.). Г-ригель удаляют на водяной бане, остаток промывают спиртом, I восстанавливают Zn по методу Аверелла и Норриса, разделяют на две части по 25 мл,

далее поступают по методу Аверелла и Норриса: диазотируют NaNO_2 , удаляют избыток NaNO_2 сульфатом аммония, добавляют диэтилохлорид N -(1-нафтил)-этилендиамина, фотоколориметрируют или спектрофотометрируют при 555 м μ и выдают эксперим. поправку. Л. Я. 78692. Исследование органических фунгицидов. Х. Накопление пировиноградной кислоты и ее связь с явлением инверсии роста, происходящим под действием диметилдитиокарбамата натрия. Сейпестейн, Керк (Investigations on organic fungicides. X. Pyruvic acid accumulation and its relation to the phenomenon of inversion growth as effected by sodium dimethyldithiocarbamate. Sijpesteijn A. Kaars, Kerk G. J. M. van der), Biochim. et biophys. acta, 1956, 19, № 2, 280-288 (англ.; рез. нем., франц.)

В опытах использовались споры и мицелий *Penicillium italicum* и *Aspergillus niger*, выращенные на агаровой среде или в жидкой среде при глубинном росте. Добавление диметилдитиокарбамата Na (I) в конц-ии 0,2-100 мг/л вызывало накопление пировиноградной к-ты (II). Максимум накопления наступал при конц-иях I, вызывающих инверсию роста. По мнению авторов, имеется близкое соотношение между фактором, ведущим к накоплению II, и инверсии роста. Предполагается, что это накопление обусловливается внимательством I в коферментную функцию в пировиноградном цикле. Сообщение IX см. РЖХим, 1955, 24173.

Е. А. 78693. Испытания фунгицидов для борьбы с пятнами сока на сосновых сеянцах. II. Полевые опыты. Гибсон (Trials of fungicides for the control of damping-off in pine seedlings. II-Field trials. Gibson I. A. S.), E. Afric. Agric. J., 1956, 21, № 3, 165-166 (англ.)

Фунгициды, отобранные в результате опытов в теплицах (см. сообщение I, РЖХим, 1956, 36504): дитан Z = 78 (I), перенос (II), 63%-ный тирам (III), фелам (IV), лейтозол в (V) и краг 658(VI), испытывались в полевых условиях. Активность всех препаратов очень сильно зависела от т-ры, влажности, состояния почвы и т. п. I и II давали в зависимости от этих условий самые различные результаты, III был почти неактивен, но фитотоксичен. VI наряду с высокой активностью против заболевания был высоко фитотоксичен, а IV и V в некоторых опытах слабо, а в других не активны.

З. Н. 78694. Опыты по инактивации гербицидов адсорбцией на угле. Хольц, Блашик (Versuche zur Inaktivierung wuchsstoffhaltiger Herbizide durch Adsorption an Kohle. Holz W., Blaszyk P.), Angew. Bot., 1956, 30, № 1-2, 45-52 (нем.)

Проверен метод предпосадочного покрытия семян моркови (М), гороха (Г), салата (С), шпината (Ш), бобов (Б), сахарной свеклы (СС), лука (Л), клевера (К) и льна (ЛН) слоем активированного угля с целью предохранения семян и всходов от токсич. действия эфиров 2,4-Д и изопропил-N-3-хлорфенилкарбамата. Полное подавление всхожести или сильные повреждения всходов наблюдались в случае Б, Ш, Л, М, СС, С, К. Только Г и ЛН оказались устойчивыми в условиях обработки. Метод инактивации гербицидов с помощью адсорбции их углем в том виде, как он предложен Ортом (РЖХим, 1955, 21710), не может быть рекомендован для практики.

Ю. Б. 78695. Опыты по промывке сосудов и насосов, загрязненных 2,4-Д. Чиферри (Prove circa il lavaggio di recipienti e pompe contaminati con il 2,4-D. Ciferri Orio), Notiz. malatt. piante, 1956, № 34, 3-11 (итал.)

Для полного удаления остатков 2,4-Д из сосудов, содержащих р-ры или суспензии 2,4-Д в форме Na-соли или этилового эфира, рекомендуются 2-кратные промывки 5%-ным р-ром соды, 2,5%-ным кипящим р-ром NaOH и водой. В случае использования циклогексиламинной соли 2,4-Д промывать загрязненные сосуды следует бензином или керосином, а затем водой.

Л. Я.

78696 К. Проблемы борьбы с вредителями растений.

Успехи сельскохозяйственной науки (вып. 11). Ред. Галецкая, Кмитовая (Zagadnienia zwalczania szkodników roślin. Postępy nauki rolniczej. Z. 11. Red. Galecka Barbara, Kmitowa Krystyna. Warszawa, Państw. Wydawn. Roln. i Leśne, 1954, 230 s., il., 24.70 zł.) (польск.)

78697 Д. Химия мышьяка в почве. Томас (Chemistry of soil arsenic. Thomas James Richard. Doct. diss., State College Washington, 1955), Dissert. Abstrs, 1955, 15, № 12, 2379—2380 (англ.)

Проведены опыты с целью идентификации As-соединений, заражающих почву при опрыскивании плодовых деревьев, и определения факторов, влияющих на растворимость и распределение As в почвах. As проникает в почву на большую глубину, чем это может быть вследствие культивации. Движение As зависит от природы катона; глубина проникновения увеличивается по ряду $H < Ca < Na$. Наклон кривых pH — растворимость для загрязненных As почв и для почв с добавками H_2AsO_4 , $Ca_3(AsO_4)_2$ и $Pb_3(AsO_4)_2$ одинаков. Нагревание почвы увеличивает растворимость остаточного As в лимонной к-те. Максимумы растворимости наблюдаются после нагревания до 320, 600 и 780°. Такой эффект имеет место и в случае введения в почву $Pb_3(AsO_4)_2$. As в почве содержится, вероятно, в виде $Fe(Al)$, Pb -арсенатного комплекса. Растворимость почвенного As возрастает с увеличением pH. Небольшие конц-ии $CaCl_2$ и $NaCl$ снижают растворимость. Л. Х.

78698 П. Обработка гексахлорциклогексана. Дональдсон, Хетрик (Treatment of benzene hexachloride. Donaldson William T., Hetrick James C.) [Ethyl Corp.]. Пат. США 2723684, 3.01.56

Для разделения смеси изомеров ГХЦГ, получающейся при хлорировании C_6H_6 в % α 65, β 8, γ 13, δ 10 и ϵ 1 и выделения γ -изомера ГХЦГ применена кристаллизация из C_6H_6 путем концентрирования последнего и добавления к нему осаждающих р-рителей (петр. эфир (I), другие легкие углеводородные фракции, фенолы, крезолы и т. д.), с последующей перекристаллизацией из низших спиртов, напр. метанола. Пример: C_6H_6 хлорировали при 40° и при активном освещении, отношение $C_6H_6 : Cl_2 = 7:1$. После достаточной для полного введения Cl_2 в р-цию выдержки получался 17%-ный р-р (по весу) ГХЦГ. Затем C_6H_6 упаривали до соотношения ГХЦГ: $C_6H_6 = 1:8:1$, причем выкристаллизовывалось и отделялось от р-рителя центрифугированием 48,7% первоначального кол-ва ГХЦГ. В осадке содержались в основном α - и β -изомеры. Фильтрат упаривали до отношения ГХЦГ: $C_6H_6 = 3:1:1$. В этот упаренный р-р добавляли 21 вес. ч. I и после кристаллизации при 30° отделяли 0,315 вес. ч. осадка, содержащего 80% γ -изомера ГХЦГ. Осадок растворяли при 65° в метаноле (3 вес. ч.) и охлаждали до 30°. Выпавшая масса представляла собой 96%-ный γ -ГХЦГ, выход 90%. Увеличивая конц-ию ГХЦГ в р-ре перед осаждением и кол-во I для осаждения, можно повысить общий выход ГХЦГ. З. Н.

78699 П. Способ обработки сырого гексахлорциклогексана для обогащения его γ -изомером. Берл, Смит, Гриском (Process of treating crude benzene hexachloride to derive therefrom a product having enhanced gamma isomer content. Berl Leo, Smith William Frederick, Griscom Richard William) [Tennessee Products and Chemical Corp.]. Пат. США 2718531, 20.09.55

Гексахлорциклогексан (II) обогащают обработкой его по циклич. методу р-рителем, в котором γ -изомер растворим больше, чем α - и β -изомеры. I извлекают р-рителем (низший насыщ. алифатич. спирт или низший насыщ. алифатич. простой эфир с т. кип. ~ 54 — 120°) при т-ре, близ-

кой к т-ре кипения. Уже в начале обработки неочищ. I р-рителем последний практически насыщается α -изомером, хотя все еще обладает заметной способностью растворения γ -изомера; осадок разрыхляется, что способствует дальнейшему действию р-рителя. Охлаждение смеси р-рителя и нерастворимого остатка благоприятствует отделению р-рителя, который применяют в кол-ве, недостаточном для растворения всего γ -изомера. По отделении от нерастворившегося остатка р-р концентрируют так, что остается значительная часть неспаренной жидкости, и из конц. р-ра выделяются кристаллы I, обогащенного γ -изомером. Нерастворенный остаток экстрагируют относительно свежей порцией р-рителя, после чего используют этот обогащенный р-р для обработки (извлечения) свежей порции неочищ. I. В. У.

78700 П. Бензил-три-(диалкиламины) фосфонийгалониды. Дай (Benzyltris (dialkylamino) phosphonium halides. Dye William T., Jr) [Monsanto Chemical Co.]. Пат. США 2730547, 10.01.56

Соединения общей ф-лы $R'R''C_6H_4-CH_2-P(NY_2)_3X$ (I) где R' и $R'' = H, Cl, Br$ или C_1-C_{18} -алкил, $Y = C_1-C_4$ -алкил, а $X = Cl$ или Br , обладающие инсектицидными и гербицидными свойствами, получают взаимодействием соответствующих гексаалкилтриамида фосфористой к-ты и бензилхлорида или -бромиды по р-ции $R'R''C_6H_4-CH_2X + P(NY_2)_3 \rightarrow$ I путем простого смешения реагентов в инертном р-рителе (II-диоксан) или без него при обычной или повышенной т-ре. Пример 1: смесь 40,7 г гексаметила триамида фосфористой к-ты (III), 31,6 г свежеперегнанного хлористого бензила и 150 мл высушенного над Na II кипятят с перемешиванием 2,5 часа, охлаждают, добавляют 500 мл II и фильтруют. После промывки II осадок растворяют в $CHCl_3$ и пересаживают горячим. Выход I, где $R' = R'' = H, Y = CH_3$ и $X = Cl$ (IV), 33 г, т. пл. 203—210°. Аналогично из такого же кол-ва III получены следующие I (приведены R' и R'' , т-ра плавления и выход в %): H, 2-Cl (V), 233,5°, 60; H, 4-Cl (VI), 211—212°, 46. Пример 2: 24,7 г гексаэтилтриамида фосфористой к-ты, 23,2 г 3,4-дихлорбензилхлорида (VII) и 100 мл II кипятят 5 час. и оставляли на ночь. Осадок отфильтровывали, промывали II и эфиром и дважды перекристаллизовывали из II и эфира, выход I, где $R' = 3-Cl, R'' = 4-Cl, Y = C_2H_5$ и $X = Cl$ 22,5 г, т. пл. 145—160°. Аналогично получен (время кристаллизации 3 недели) I, где $R' = 2-Cl, R'' = 4-Cl, Y = CH_3$ и $X = Cl$ (VIII), т. пл. 203—209°. Пример 3: 34,1 г VII смешивали с 25,4 г III и по каплям приливали в нагретую на бане до 120° колбу, нагревали еще 15 мин., охлаждали до 100° и приливали 50 мл II. В осадке 40 г I, где $R' = 3-Cl, R'' = 4-Cl, Y = CH_3$ и $X = Cl$ (IX), т. пл. 240—242°. Пример 4: Смесь додецилбензилхлорида (X) и III (по 0,33 моля) нагревали в атмосфере N_2 до 120°; т-ра самопроизвольно повышалась до 170°, затем смесь охлаждали до 135—140° и выдерживали 1 час; получали относительно чистый I, где $R' = H, R'' = X$ -додецил (XI). Аналогично получали I, где $R' =$ додецил, $R'' = CH_3, Y = CH_3$ и $X = Cl$ (XII). Испытана физиол. активность полученных в-в. Небольшое кол-во XI растворяли в небольшом кол-ве ацетона, добавляли эмульгатор твин-20 и разбавляли водой до желаемой конц-ии XI. Полученную эмульсию испытывали против нематоды *Panagrellus redivivus*. Получены следующие результаты (приведены смертность нематод через 10, 30 и 60 мин. и через 24 часа при конц-иях XI 0,1 и 0,01%): 85,20; 93,50; 99,75; 100,100. Смертность в контроле отсутствовала. Испытания XII против этой же нематоды дали аналогичные результаты. Для испытаний на гербицидную активность готовили эмульсию IV (эмульгировали в воде р-р IV в циклогексаноне с эмульгатором — смесью полиалкиленовых производных и алкилбензолсульфоната). Бобы, опрыснутые 0,1 и 0,3%-ными эмульсиями, через 1 неделю были убиты и полностью дефолированы, кукуруза, опрыснутая 0,1%-ной эмульсией, имела высушенную ли-

ству, а 0,3%-ной — различные повреждения. Действие в-в на прорастание семян огурцов было следующим (приведены соединения в конце-ни 100 мг/кг и процент роста): IV 29, V 13, VI 24, VIII 13 и IX 9. В аналогичных опытах гексаалкилтриамиды фосфористой к-ты не проявляли гербицидных свойств: гекса-*n*-бутилтриамид 73, гексаэтилтриамид 73, диэтил-*N*-диметилфосфамид 104. Кроме указанных получены аналогичные соединения из 3-хлор-, 2-, 3- и 4-бром-, 2,3-дихлор-, 3,5-дибром-, 2,4-дибром-, 2-хлор-3-бром-, 2-хлор-5-бром-, 2-метил-4-хлор-, 2-, 3- и 4-амил-, 4-гексил-, 2-гептил-, 4-(2-этилгексил)-, нонил- (тример пропилен), 2-*n*-децил-, 2-, 3- и 4-додецил-, тетрадецил-, тридецил-, 2-, 3- и 4-*n*-октадецилбензилхлоридов, 4-бром-, 4-хлор-, 2,4-дибром-, 2-, 3- и 4-этил-, 3-*n*-октил-, 4-додецил-2-метилбензилбромидов и гекса-*n*-пропил-, гексаизопропил- и гекса-*n*-бутилтриамидов фосфористой к-ты. З. Н.

78701 П. Способ получения смеси фосфорорганических соединений, в которой основными компонентами являются октаметилтетраамиды пирофосфорной кислоты. **Чемберс, Пянка** (Frengangsmadde til fremstilling af en blanding af organiske, phosphorholdige forbindelser, i hvilken bis-(bis-dialkylamino)-phosphinsyreanhydrid er de væsentlige bestanddele. Chambers Victor Horace, Pjanka Max) [The Murphy Chemical Co., Ltd]. Дат. пат. 79071, 4.04.55

Способ состоит в том, что на 2 молекулы бис-диалкиламида галондифосфорной к-ты (алкилы содержат 1—5 С-атомов), напр. на бис-диметиламид галондифосфорной к-ты, в органич. р-рителе при 70—200° действуют 2 экв. МОН (М — щел. металл) или другого соединения, способного образовывать свободные ОН⁻ в высокой конц-ии, причем во время р-ции непрерывно удаляют воду. Пример: 84 вес. ч. тонкоразмолотого NaOH чистой 95,5% кипятят 4 час. с 1260 ч. толуола (I), непрерывно отделяя воду от конденсирующегося I, затем, добавив 340 ч. бис-диметиламида хлорфосфорной к-ты, продолжают нагревание на масляной бане 5³/₄ часа, непрерывно отделяя воду, после охлаждения фильтруют от NaCl и отгоняют I под давл. 75 мм рт. ст., поднимая т-ру до 115°, в остатке смесь, содержащая главным образом октаметилтетраамид пирофосфорной к-ты (II); сравнение инсектицидности сырого продукта р-ции и чистого препарата показало, что выход II равен 64%. К. Г.

78702 П. Способ получения 2-диметиламиноэтил-4-циклогексилциклогексанона или его солей, обладающих фунгицидным действием. **Вальтер** (Förlärande för framställning av 2-dimetylaminometyl-4-cyklohexylcyklohexanon och ett salt av denna med fungicid verkan. Walter M.) [F. Hoffmann-La Roche & Co. Akt.-Ges.]. Швед. пат. 151613, 27.09.55

4-Циклогексилциклогексанон обрабатывают формальдегидом (или его полимером) и диметиламином (или его солью). Образующийся 2-диметиламинометил-4-циклогексилциклогексанон в случае надобности превращают в соответствующую соль. Б. Ф.

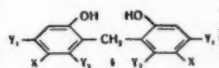
78703 П. Эфиры жирных тиоцианкислот и циангидринов метилалкилкетонов и содержащие их инсектицидные составы (Thiocyano fatty acid esters of cyanhydrins of methyl alkyl ketones and insecticidal compositions containing same) [Cilag, Ltd]. Англ. пат. 718780, 17.11.54

Соединения ф-лы $\text{CH}_3\text{CR}(\text{CN})\text{OCOC}_n\text{H}_{2n+1}\text{SCN}$ (R — алкил с 1—5 атомами С, *n* = 1—5) получают р-цией хлорангидрида жирной галондзамещ. к-ты (или самой галондзамещ. к-ты или другого ее реакционноспособного производного) с циангидрином метилалкилкетона в присутствии пиридина и инертного р-рителя. Образующийся галондэфир обрабатывают KSCN или NH_4SCN . Указанным методом получены эфиры циангидрина ацетона с хлор- или тиоциануксусной к-тами. Приведены р-ции галонданигидридов α - и β -галондпропионовых и α -галондмасляной к-т с циангидринами метилэтилкетона, метил-*n*-пропилкетона, метил-

изопропилкетона, метил-*n*-бутилкетона, метилизобутилкетона и метил-*n*-амилкетона. И. Ш.

78704 П. Гермицидные дифенилметановые соединения. **Шетти, Модель** (Germicidal diphenyl methane compounds. Schetty Guido, Model Ernst) [J. R. Geigy A. G.]. Пат. США 2735554, 10.01.56

Соединения общей ф-лы (I), где X — галоид, Y — галоид, N или CF_3 -группа, получаемые конденсацией соответствующих фенолов, у которых свободны 2- и 6-положения, с формальдегидом (II) или в-вами, выделяющими II, обладают сильной гермицидной активностью и большой широтой действия. В качестве фенолов применяют 3,4-дихлор- (III), 3,4,5-трихлор- (IV), 3,4-дибром-, 3-хлор-4-бром-, 3-бром-4-хлор- и, в особенности, 3-трифторметил-4-хлорфенол (V). В противоположность галондированным 2,2'-диоксидифенилметанам, не имеющим свободного о-положения, I обладают большей активностью и широтой действия и действуют на неко-



которые грамотрицательные бактерии. I представляют собой белые кристаллич. в-ва, мало растворимые в воде, но хорошо — в органич. р-рителях. Соли I с одним атомом щел. металла плохо, а с двумя — хорошо растворяются в воде. Для дезинфекции применяют I в виде р-ров в воде и органич. р-рителях, в виде дисперсий, а также мыл, кремов и т. д. Пример 1. 16,3 ч. III растворяли в 16 ч. CH_3OH и прибавляли к 250 ч. 80%-ной H_2SO_4 при 0—5°, затем при этой же т-ре — 1,5 ч. II (в виде формалина). Через 24 часа смесь выливали на лед, осадок отделяли, промывали водой и очищали пересаживанием из щел. р-ра и дважды кристаллизацией из бензола; получен бис-(2-окси-4,5-дихлор)-метан, т. пл. 194—196°. Пример 2. 16,3 ч. III растворяли в 65 ч. лед. CH_3COOH и медленно добавляли при 0—5° к 160 ч. 93%-ной H_2SO_4 . Затем к полученному р-ру добавляли 1,5 ч. II и перемешивали 16 час. при 5—10°. Далее обрабатывали, как в примере 1. Вместо 16,3 ч. III можно брать 19,8 ч. IV, получая при этом бис-(2-окси-4,5,6-трихлор)-метан, т. пл. 198—200°. Пример 3. Из 19,7 ч. V, 200 ч. 93%-ной H_2SO_4 и 4,1 ч. 37%-ного II получили бис-(2-окси-4-трифторметил-5-хлор)-метан, т. пл. 181—182°. Бактерицидная активность I испытывалась по стандартной методике путем сравнения интенсивности помутнения суспензии микроорганизмов в присутствии гермицида. Миним. бактерицидная конц-ия $1 \cdot 10^{-6}$ моля. З. Н.

78705 П. Пестицидные составы и их применение. **Ньюкамер** (Pesticidal compositions and their use. Newcomer Jack S.) [The Pennsylvania Salt Manufacturing Co.]. Пат. США 2731381, 17.01.56

Для борьбы с микроорганизмами применено соединение общей ф-лы $\text{R}'\text{—CO—C}(\text{X})\text{=CH—CO—R}''$ (I), где X — Cl или Br, R' и R'' — фенильные дифенильные, терфенильные или нафтильные радикалы, которые могут иметь до 3 заместителей (Cl, Br, $\text{C}_1\text{—C}_8$ -алкилы). I получают при конденсации по Фриделю — Крафту соответствующего арильного в-ва с дигалондангидридом галондфумаровой к-ты с AlCl_3 в качестве катализатора (указаны также AlBr_3 , ZrCl_2 , HF, BF_3 , BeCl_2 , ZnCl_2 , BCl_3 , PF_5 , AsF_5 , TiCl_4 , SbF_5 и SnCl_2). Пример: 187,5 г дихлорангидрида хлорфумаровой к-ты добавлялись в течение 1 часа при 20—22° к смеси 1700 мл C_6H_6 и 398 г AlCl_3 . Через 1,5 часа после прибавления всего C_6H_6 смесь выливалась на лед, бензольный слой сушился и упаривался. Выпадал 1,4-дифенил-2-хлорбутен-2-дион-1,4 (II), выход 110 г, т. пл. 73—74°. Были получены также следующие 1,4-дифенил-бутен-2-дионы-1,4: 2,3-дихлор-, 2,3-дибром-, 2-окси-, 2-ацетокси-, 2-амино-, 2-диэтиламино-, 2-*N*-пиперидил-, 2-*N*-фениламино-, 2-*n*-хлор-*N*-фениламино-, 2-хлор-3-амино и 2-хлор-3-диэтиламино. Фунгицидная активность полученных соединений испытывалась на грибах *Sclerotinia fru-*

cticola и *Glomerella oingulata*. II полностью подавлял развитие спор этих грибов при конц-ии действующего начала в водн. эмульсии 0,001%. Остальные соединения неэффективны даже в конц-ии 0,1%. 1,4-дифенилбутен-2-дион-1,4 эффективен в конц-ии 0,01%, что совпадает с эффективной конц-ией хлоранила. II в конц-ии 0,1—1% может применяться для предохранения от грибов семян растений, а также текстиля.

См. также: Инсектициды: производство 78110, 79244—79250; токсикология 23849Бх, 23951Бх. Бактерициды и фунгициды: анализ 78535, 78538, 78542; антисептики 79474; обеззараживание воды 78952; краски 79665, 79673; консервир. древесины 78731, 79734, 79736; консервир. пищи 80107, 80109, 80130, 80133, 80136, 80155, 80156. Регуляторы роста: синтез 78191; 23284Бх, 23305Бх; анализ 23281Бх, 23282Бх, 23285Бх; действие на растения 23283Бх, 23288Бх, 23289Бх; обзор 23286Бх; механизм действия 23280Бх

ЭЛЕКТРОХИМИЧЕСКИЕ ПРОИЗВОДСТВА.

ЭЛЕКТРОСАЖЕНИЕ.

ХИМИЧЕСКИЕ ИСТОЧНИКИ ТОКА

78706. О применении магния в гальванических элементах. Кузьмин Л. Л., Фара П. П., Тр. Ивановск. хим.-технол. ин-та, 1956, вып. 5, 115—122

Для выяснения возможности использования Mg в качестве отрицательного электрода гальванич. элементов исследовалась коррозия Mg и сняты поляризационные кривые в ряде р-ров при D 0,76 $адм^2$ и t -ре 25+0,05°. Исследовались следующие р-ры составов (в %): Na_2CO_3 17,5; NaOH 10; CrO_3 28, насыщ. $KMnO_4$; насыщ. $K_2Cr_2O_7$; насыщ. $KClO_4$; Na_2SO_4 10 с добавкой 1 и 2% $KClO_4$ и без добавок, $NaNO_3$ с добавкой $KClO_4$ и без нее, и др. Для Mg-элементов рекомендуется электролит состава (в г/л): $NaCl$ 150, NaOH 50—150, а также электролиты с KBr. При анодном растворении Mg в предложенных электролитах наблюдается небольшая поляризация, так что гальванич. элементы с их применением могут разряжаться сильными токами.

78707. Анодное растворение ферромарганца в растворах фосфорнокислых солей натрия и калия. Агладзе, Грдзелишвили (ფერომანგანუმის ანოდური გახსნა ფოსფორმჟავისა და კალიუმის ფოსფატების ხსნოვით). *Хим. зап.* 1956, 16, № 7, 531—538 (груз.) См. РЖХим, 33074

78708. Новый способ получения электролитического серебра в Звечане. Милинкович (Nova elektroliza srebra u Zvečanu. Milinković Milan), Tehnika, 1956, 11, № 1, 62—63 (серб.)

78709. Подготовка поверхности черных металлов. Лиже (Préparation superficielle des métaux ferreux. Liger J.), *Métallurgie et constr. méch.*, 1955, 87, № 2, 119, 121, 122 (франц.)

Описаны методы пескоструйной дробеструйной очистки поверхности металла. Предыдущее сообщение см. РЖХим, 1956, 14905.

78710. Методы удаления прокатной окалины в Германии [ФРГ]. Кёгель (Wire rod descaling in Germany. Koegel A. O.), *Wire and Wire Prod.*, 1955, 30, № 12, 1494—1496, 1526—1527 (англ.)

78711. Очистка металлов. Спринг (Metal cleaning. Spring S.), *Metal Finish. Guidebook-Directory*, 1956, 24, Westwood, N. J. Finish. Publ. Inc., 1955, 200, 202, 204, 206, 208, 210—212, 214, 216—218 (англ.)

Рассматривается природа жировых в-в, загрязняющих поверхность металлов, и очистка ее в щел. и органич. средах различными способами (разбрызгиванием, электро-

литически и т. д.). Обсуждаются преимущества каждого способа и отмечаются условия его применения в зависимости от природы металла и характера загрязнений. З. С. **78712.** Обезжиривание парами растворителя. Уолтер (Solvent vapor degreasing. Walter G. W.), *Metal Finish. Guidebook-Directory*, 1956, 24, Westwood, N. J. Finish. Publ. Inc., 1955, 189—196 (англ.)

Рассматривается процесс обезжиривания металлич. поверхностей органич. р-рителями, в частности, природа применяемых р-рителей, последовательность циклов процессов, оборудование, методы экономии органич. р-рителей и их стабилизирование, преимущества способа, а также использование метода в сочетании с ультразвуковым обезжириванием.

78713. Регенерация и хранение растворителей. Рандалл (Solvent recovery and conservation. Randall M. A.), *Metal Finish. Guidebook-Directory*, 1956, 24, Westwood, N. J. Finish. Publ. Inc., 1955, 198, 200 (англ.)

Описаны способы регенерации трихлорэтиленовых и перхлорэтиленовых р-рителей, применяемых для обезжиривания поверхностей металлов путем дистилляции. З. С.

78714. Обработка в барабанах. Вейт (Barrel finishing. Veit Peter L.), *Metal Finish. Guidebook-Directory*, 1956, 24, Westwood, N. J. Finish. Publ. Inc., 1955, 166, 168, 170, 172—174, 176—188 (англ.)

Подробно рассматривается процесс механич. обработки металлов во вращающихся барабанах: теория процесса, полирующие материалы (каменные, органич., металлич.), выбор их размеров, конструкция барабанов и их типы, последовательность циклов процесса и его преимущества и недостатки.

78715. Травление и кислотное глянцевание. Холл (Pickling and acid dipping. Hall Nathaniel), *Metal Finish. Guidebook-Directory*, 1956, 24, Westwood, N. J. Finish. Publ. Inc., 1955, 218—226 (англ.)

Описаны условия матового и блестящего травления Al и его сплавов, Cd, Cu и ее сплавов, Fe и стали, Mg и его сплавов, Ni и его сплавов, Ag, нержавеющей стали, Ti, Zn и его сплавов и Zr.

78716. Обработка поверхности магния. Диггин (Surface treatments for magnesium. Diggin Myron B.), *Metal Finish. Guidebook-Directory*, 1956, 24, Westwood, N. J. Finish. Publ. Inc. 1955, 443—463 (англ.)

Описан процесс механич. и хим. очистки поверхности Mg и его сплавов и приведен ряд составов р-ров для травления Mg и соответствующий материал оборудования. Рассматриваются условия тонкой механич. отделки Mg-поверхности для покрытия ее лаком (тип и размер абразивных материалов, скорости вращения и т. д.). Описан ряд методов хим. обработки Mg-поверхности с целью образования на ней пленок, защищающих Mg при хранении и образующих окрашенную основу, и указываются условия их применения в зависимости от сорта покрываемой поверхности (хим. состава и способа получения). Рассматриваются различные способы электрохим. обработки Mg-поверхности (состав р-ров и режимы) и ее применение и условия хим. обработки для получения блестящей поверхности, а также способы нанесения различных органич. покрытий в зависимости от условий эксплуатации Mg-изделий.

78717. Электролитическое покрытие магниевых сплавов. Диггин (Electroplating on magnesium alloys. Diggin Myron B.), *Metal Finish. Guidebook-Directory*, 1956, 24, Westwood, N. J., Finish. Publ. Inc., 1955, 243—249 (англ.)

Описан способ подготовки поверхности Mg-сплавов к нанесению Cu-Ni-Cr-покрытий и приведены условия активирования поверхности и нанесения покрытий Zn, Cu, Ni, Ag и Cr, а также способы снятия осадков с поверхности Mg-сплавов. Рассматриваются также конструкции под-

вешивающих приспособлений при покрытии Mg-сплавов.

3. С.
78718. Твердое золочение. Федотьев Н. П., Остроумова Н. М., Вячеславов П. М., Ж. прикл. химии, 1956, 29, № 4, 489—492

Исследовано влияние добавок Со на твердость Au-покрытий. Состав р-ра (в г/л): Au_{металлич} 4, KCN_{свобод} 16, Со 0—16; $D_k = 0,15$; 1; 2; 3 а/дм², т-ра 70°, аноды — Pt. Со повышает твердость Au-покрытия до 200 кг/мм² при содержании его 10—14 г/л при $D_k = 2$ а/дм². Хим. анализ покрытий показал полное отсутствие Со в Au-покрытиях. Рентгенографич. анализ показал, что добавка Со способствует уменьшению размеров кристаллов в Au-покрытиях, что приводит к увеличению микротвердости на 80% по сравнению с покрытиями из ванны без добавки Со. Скорость осаждения возрастает в 2 раза, износостойкость в 3 раза. Л. П.

78719. Осаждение серебра на бериллиевую медь. Хас (Silver plating beryllium copper. Haas Joseph), Metal Finishing, 1956, 54, № 3, 48—50, 61 (англ.)

Описан способ нанесения электролитич. покрытий Ag на сплав Cu-Be (98% Cu и 2% Be), обеспечивающий получение качеств. осадков. Поверхность Cu-Be, подвергавшаяся термич. обработке, травится для снятия окиси в р-ре следующего состава (см³/л): конц. H₂SO₄ 31,2, H₂O₂ (30%-ная) 39, уксусная к-та (99,5%-ная) 31,2, время 2—5 мин. После промывки следует блестящее травление в р-ре CrO₃ 360 г/л + H₂SO₄ 46,8 см³/л, время 20—30 сек. Детали, не подвергавшиеся термич. обработке, обезжириваются органич. р-рителем, щел. р-ром и после промывки в воде обрабатываются в р-ре H₂SO₄ 20 об.% при 66° в течение 2 мин., а после промывки погружаются в р-р HNO₃ 25 об.% при комнатной т-ре на 15 сек. Для получения хорошей сцепляемости Ag-осадков с Cu-Be последняя покрывается сначала тонким слоем Cu в цианистой ванне (при 43—50° и напряжении 2,5—3 в в течение 10—15 сек. до видимого закрытия поверхности), а затем слоем Ni в течение 3—5 мин. при 2—2,5 в. Непосредственно на Ni осаждается Ag. Показано, что без Ni-подслоя Ag-покрытия вспучиваются при пайке, и спай получается неудовлетворительным. Высказывается мнение, что благоприятное влияние Ni на пайку Be-Cu-деталей покрытых Ag, связано с малой теплопроводностью Ni, по сравнению с Ag. З. С.

78720. Покрытие блестящим никелем. Собестр (Bright nickel plating. Saubestre E. B.), Metal Finish. Guidebook-Directory, 1956, 24. Westwood, N. J. Finish. Publ. Inc., 1955, 330, 332—338 (англ.)

Рассматриваются условия электроосаждения блестящего Ni из различных ванн (с органич. добавками, добавками металлов, реверсивным током и т. д.), подготовка поверхности к блестящему никелированию и структурные свойства блестящих осадков Ni. З. С.

78721. Ускоренный метод проверки и корректирования кислотности никелевых электролитов. Молдавер Т. И. (檢查和校準鍍銀電解液的快速方法. 莫里達維爾 T. U.), 化學世界, Хуасюэ шицзе, 1955, № 11, 541 (кит.)
Перевод. См. РЖХим, 1955, 49464.

78722. Окрашенные хромовые покрытия. Дробанцева Н. Т., Вестн. машиностроения, 1956, № 5, 68
Черное Cr-покрытие получается в р-ре 200—250 г/л CrO₃ + 0,70 г/л HBF₄ (в виде 39%-ного р-ра). CrO₃ не должен содержать SO₄²⁻. $D_k = 20—25$ а/дм², т-ра 40—50°, время 20—30 мин. Для получения более глубокого цвета покрытые детали погружаются в 10%-ный р-р Co(CH₃COO)₂ и 2,5%-ный р-р KMnO₄, промывают, сушат и пропитывают маслом. Золотисто-бронзовое покрытие получается в р-ре CrO₃ (200—250 г/л) без добавки анионов, $D_k = 20—25$ а/дм², т-ра 35—50°, время 10 мин. В зави-

симости от материала подложки пленка получается различных оттенков. Л. П.

78723. Осаждение железа в хромовой ванне. Бороzdина М. С., Верещинская В. А., Сб. рац. предл. М-во электротехн. пром-сти СССР, 1956, вып. 1 (59) 11—12

Предлагается осаждать избыток железа в хромовой ванне путем добавки железистосинеродистого калия. $3K_4Fe(CN)_6 + 2Fe_2(SO_4)_3 = Fe_4(Fe(CN)_6)_3 + 6K_2SO_4$. Необходимое кол-во K₄Fe(CN)₆ растворяют в небольшом объеме воды и порциями вливают в ванну, помешивая р-р. Затем р-ру дают отстояться и осторожно сливают. Л. П.

78724. Химический анализ растворов для нанесения покрытия. Холл (Chemical analysis of plating solutions. Hall Nathaniel), Metal Finish. Guidebook-Directory 1956, 24. Westwood, N. J. Finish Publ. Inc., 1955, 509—525 (англ.)

Описаны методы хим. анализов р-ров для анодирования, осаждения Cd, Cr, латуни, бронзы, As, Au, Cu, Fe, Pb, Ni, Ag, Sn и Zn на содержание в них основных компонентов. З. С.

78725. Быстрый метод определения цинка и кадмия в цианистых ваннах. Значительное облегчение работы благодаря непосредственному титрованию с комплексом III. Мюллер (Schnellbestimmung von Zink und Kadmium in cyanidischen B. dern. Bedeutende Arbeitserleichterung durch direkte Titration mit Komplexon III. Müller Werner), Metallwaren-Ind. und Galvanotechn., 1956, 47, № 5, 195—197 (нем.)

В качестве р-ров для титрования при определении содержания Zn и Cd в цианистых гальванич. ваннах используется 0,02 М р-р динатриевой соли этилендиаминтетрауксусной к-ты комплексон III. Индикатор — эрохромчерный Т. Метод отличается достаточной простотой и точностью. Ю. П.

78726. Контроль pH. Холдес (pH control. Hodges Everett A.), Metal Finish. Guidebook — Directory, 1956, 24. Westwood, N. J. Finish. Publ. Inc., 1955, 503—504, 506—508 (англ.)

Рассматривается роль pH при электроосаждении металлов и способы его определения (колориметрич. и электрометрич.). З. С.

78727. Перемешивание растворов для нанесения покрытия. Рубинштейн (Agitation of plating solutions. Rubinstein Marv), Metal Finish. Guidebook-Directory, 1956, 24. Westwood, N. J. Finish. Publ. Inc., 1955, 96—101 (англ.)

Рассматриваются различные типы перемешивания р-ров (воздушное, механич., циркуляционное) в процессах гальваностегии, расчет диаметра труб для перемешивания воздухом, их материал и расположение в ваннах. Обсуждаются требования, предъявляемые к насосам и фильтрам при циркуляции р-ров, а также рассматриваются практич. вопросы при перемешивании механич. и ультразвуковым способом. З. С.

78728. Фильтрация растворов для покрытия. Фейнт (Filtration of plating solutions. Faint Harold W.), Metal Finish. Guidebook-Directory, 1956, 24. Westwood, N. J. Finish. Publ. Inc., 1955, 387, 390, 392, 394, 396 (англ.)

Рассматриваются оборудование и материалы, применяемые в процессах фильтрации р-ров для электроосаждения, и возможные неполадки в работе фильтрационных линий. З. С.

78729. Деионизация в гальваностегии. Моррисон (Deionization for electroplaters. Morrison W. S.), Metal Finish. Guidebook-Directory, 1956, 24. Westwood, N. J. Finish. Publ. Inc., 1955, 404, 406, 408—409 (англ.)
Рассматривается способ удаления различных ионов из р-ра (деионизация) путем ионного обмена и применение его для гальваностегич. целей, а также описаны различные

методы осуществления ионного обмена (катионный, анионный и смешанный). З. С.

78730. Основы процесса нанесения покрытий в барабанах. Стракхофф (Barrel plating fundamentals. Struckhoff H. J.), Metal Finish. Guidebook-Directory, 1956, 24. Westwood, N. J. Finish. Publ. Inc., 1955, 376, 378, 380 (англ.)

Обсуждается процесс нанесения электролитич. покрытий в барабанах, рассматриваются типы применяемых барабанов (конструкция и материалы) и основные факторы, влияющие на процесс (скорость вращения, величина тока, загрузка и т. д.). З. С.

78731. Оборудование помещений гальванического цеха. Мартин (Plating room layout. Martin J. J., Jr), Metal Finish. Guidebook-Directory, 1956, 24. Westwood, N. J. Finish. Publ. Inc., 1955, 11, 14, 16, 18, 20 (англ.)

Рассматривается оборудование помещений гальванич. цехов, в частности барабаны для электроосаждения, подвески и ванны, их размеры в зависимости от формы покрываемых изделий и установка в цехе. З. С.

78732. Коррозионностойкие ванны и их обкладки. Нейдел (Corrosion resistant tanks and linings. Nadel Milton), Metal Finish. Guidebook-Directory, 1956, 24. Westwood, N. J. Finish. Publ. Inc., 1955, 77—78, 80, 82, 84, 86—87 (англ.)

Рассматриваются гальванич. ванны из различных материалов (из дерева, пластики, стекла, керамики, бетона и стали), их особенности и условия работы в зависимости от т-ры и природы р-ров, а также природа и коррозионная стойкость обкладок гальванич. ванн. Приведены данные о типичных стойких материалах, применяемых для различных кислых р-ров. З. С.

78733. Нагревание электролитов. Хогабум (Heating plating solutions. Hogaboom G. B., Jr), Metal Finish. Guidebook-Directory, 1956, 24. Westwood, N. J. Finish. Publ. Inc., 1955, 87—88 (англ.)

Описан способ расчета электроэнергии, газа или пара, необходимых для нагревания р-ров в процессах гальваностегии. З. С.

78734. Охлаждение электролитов. Рубинштейн (Cooling of plating solutions. Rubinstein Marvin), Metal Finish. Guidebook-Directory, 1956, 24. Westwood, N. J. Finish. Publ. Inc., 1955, 90, 92—95 (англ.)

Рассматриваются способы охлаждения р-ров в процессах гальваностегии, метод расчета диаметра охлаждающих трубок и скорости потока охлаждающей воды и приводится ряд практич. рекомендаций по вопросу охлаждения различных р-ров. З. С.

78735. Механическая вытяжка для гальванических помещений. Постман (Mechanical exhaust for plating rooms. Postman B. F.), Metal Finish. Guidebook-Directory, 1956, 24. Westwood, N. J. Finish. Publ. Inc., 1955, 25—26, 28, 30, 32, 34, 36—41 (англ.)

Описано устройство механич. вытяжки для горячих щел. и кислых ванн различного состава (HNO_3 , HF и т. д.), гальванич. ванн хромирования, анодирования, меднения, никелирования, кадмирования и цинкования, материалы, применяемые для изготовления вытяжки, моторы и уход за ними. З. С.

78736. Конструкция пола в гальваническом помещении. Мерсер (Plating room floor construction. Mercer Robert S.), Metal Finish. Guidebook-Directory, 1956, 24. Westwood, N. J. Finish. Publ. Inc., 1955, 20, 22—25 (англ.)

Рассматриваются требования, предъявляемые к полу помещений гальванич. цехов, их конструкция и применяемые для них коррозионностойкие материалы (состав цемента основного пола, материал непроницаемых прослоек и защитных слоев). З. С.

78737. Новое в вопросе использования энергии при электролизе алюминия. Молнар (Adalékok az alumíni-

umelektrolízis energiaszolgáltatásának kérdéséhez. Molnár Imre), Kohász. Lapok, 1956, 11, № 3, 123—128 (венг.; рез. русск., англ.)

Расход электроэнергии на 1 т Al зависит от величины теплопотерь. Возможности сокращения этих теплопотерь: увеличение теплоизоляции подины и глиноземного слоя на твердой корке электролита. Указывается на возможность увеличения производительности ванны путем повышения силы тока и выхода по току, выбора оптимальной D . Выход по току может быть повышен за счет снижения т-ры электролиза («холодного хода» ванны), поддержания высокого уровня металла и уменьшения молярного отношения электролита. Обсуждено влияние D на выход по току и влияние сгорания Al на тепловой баланс ванны. В. З.

78738. Попытки получения металлического бария электролизом. Агладзе Р. И., Авалиани А. Ш., Тр. Груз. политехн. ин-т, 1955, № 5 (40), 147—158 (рез. груз.)

Описаны лабор. опыты по выяснению возможности и условий выделения Ba электролизом расплавленного BaCl_2 и смеси его с BaO , KCl , NaCl и LiCl . Примененные методы: «соприкасающегося катода», «прикрытого» колпаком катода, выделение Ba под защитным слоем Al и между слоями двух металлов Pb и Al — не привели к положительным результатам вследствие интенсивного образования субхлорида Ba . В. З.

78739. О получении вольфрама электролизом его минералов в расплавленных ваннах. Барбье-Андріе (Sur la préparation du tungstène par électrolyse de ses minéraux dans les bains fondus. Barbier-Andrieux M. J. M-me, Andrieux J. L.), Colloq. nat. Centre nat. rech. scient., 1955, № 10, 193—200; discuss. 201 (франц.)

Изучено электроосаждение W из чистых расплавов WO_3 и Na_2WO_4 в присутствии чужеродных окисей, содержащихся в природных минералах. Показано, что W чистотой 99,8% осаждается из расплава, содержащего (в мол. долях): $\frac{1}{4} \text{Na}_2\text{B}_4\text{O}_7 + \text{NaCl} + \frac{1}{4} \text{Na}_2\text{WO}_4$, при 800° , напряжении 3,0 в с выходом по току (ВТ) 85%. Электроды — графитовые. Преимущество ванны заключается в более низкой т-ре, уменьшении испарения, достаточной подвижности расплава, умеренной кислотности (не образуются W -бронзы и не растворяется осажденный на катоде продукт) и легкости отделения кристаллов W , хотя W кристаллизуется хуже, чем из расплава $\text{Na}_2\text{B}_4\text{O}_7$ без NaCl . При введении в расплав Fe_2O_3 на катоде осаждается сплав W-Fe . Максимально допустимое кол-во Fe_2O_3 для осаждения чистого W соответствует молярному соотношению $\text{Fe}_2\text{O}_3 : \text{WO}_3$ в расплаве $< \frac{1}{4}$, ниже которого Fe не выделяется на катоде. Допустимое содержание MnO_2 в расплаве гораздо больше, так как W выделяется преимущественно перед Mn . Лишь при большом соотношении $\text{MnO}_2 : \text{WO}_3$ (10—12) на катоде наряду с W осаждается Mn . Ca не дает сплавов с W и при атомарном соотношении в расплаве $\text{Ca} : \text{W} = 5—6$ на катоде осаждается чистый W , хотя при высоком содержании Ca в расплаве повышается т-ра плавления ванны. Добавки силикатов не мешают получению чистого W , так как даже из расплава, содержащего $\frac{1}{2} \text{Na}_2\text{SiF}_6 + \frac{1}{2} \text{WO}_3$, осажденный W не содержит Si . При наличии SnO_2 в расплаве в одинаковом кол-ве с W на катоде осаждается лишь Sn . При меньшем содержании SnO_2 на катоде начинает осаждаться и W наряду с Sn , так что для получения чистого W следует избегать присутствия SnO_2 в ванне. При введении в расплав наряду с Na_2WO_4 добавок Na_2MCO_4 на катоде осаждается W-Mo , причем, чем больше Mo в расплаве, тем больше его в осадке и при конц-ии Na_2MCO_4 в 2 раза превышающей конц-ию Na_2WO_4 , осадок содержит 60,2% Mo и 39,8% W (т-ра 800° , ВТ > 80%). Таким образом, для осаждения чистого W в расплаве не должно содержаться примесей Fe , Sn и Mo , в то время как примеси окисей Ca , Si и Mn могут присут-

ствовать. Показано, что электроосаждение чистого W (>99%) непосредственно из расплавов его минералов возможно лишь экспериментально, когда отсутствуют значительные кол-ва окисей Fe, Si и Mo. По мере электролиза и добавления в расплав свежих порций минералов происходит накопление вредных примесей в ванне, повышающих т-ру плавления и уменьшающих степень чистоты W.

78740. Влияние условий электролиза на выход по току при получении кадмиево-бариевых сплавов. Агладзе Р. И., Авалиани А. Ш., Тр. Груз. политехн. ин-т, 1955, № 5(40), 135—146 (рез. груз.)

Показана возможность получения Ba-Cd-сплавов электролизом расплавленной смеси хлоридов Ba и Cd при концентрации BaCl_2 37—75 вес.%. Исследовано и обсуждено влияние т-ры, D, расстояния между электродами, состава электролита и степени насыщения сплава Ba на выход по току. В проведенных укрупненных опытах выход по энергии достигал 61,3%, т. е. расход электроэнергии равен 2,16 кв-ч/кг Ba. Выход по току 52,0—99,3% (по Ba).

В. З.

78741 К. Свинцовые аккумуляторы. Теория и практика. Изд. 7-е. Гартен (Der Blei-Akkumulator. Praxis und Theorie. 7. Aufl. Garten Wilhelm. München, Oldenbourg, 1956, 88 S., ill., 5.80 DM) (нем.)

78742 К. Электролизные алюминиевые заводы. Эпштейн. Перев. с русс. (Az elektrolízis kohászata (Elektrolízis alumíniumvűh zavodov). E p s t e j n A. M. Bp., Nehézip. kiadó, 1953, 192 l., 18.50 ft.) (венг.)

78743 П. Аноды (Anodes) [Union Carbide and Carbon Corp.]. Австрал. пат. 200345, 5.01.56

Анод гальванич. элемента состоит из мелкодисперсного металлическ. порошка с термореактивной смолой в качестве связующего, кол-во которого по весу не превышает 12% от кол-ва порошка.

В. Л.

78744 П. Обработка поверхности Mg и его сплавов. Де-Лонг (Surface treatment of magnesium and its alloys. De Long Herbert K.) [The Chemical Co.]. Канад. пат. 518473, 15.11.55

Патентуется метод травления Mg и Mg-сплавов (по крайней мере 85% Mg) в водн. р-ре, содержащем 85—165 г/л AlCl_3 , т-ра 10—60°, время 5 сек.—30 мин. М. М.

78745 П. Метод и устройство для травления и регенерации отработанных кислых растворов. Франсис, Линч (Method and apparatus for pickling and for recovering spent acid solutions. Francis Charles B., Lynch Edmund) [United States Steel Corp.]. Пат. США, 2709143, 24.05.55

Патентуемый метод регенерации отработанного травильного р-ра (I) при непрерывном травлении стали включает удаление I из начала травильной линии, охлаждение I на воздухе до т-ры ниже 61°, затем охлаждение до т-ры ниже 11° сжатом воздухом с т-рой —56°, отстаивание и отделение р-ра от выпавших кристаллов соли, нагрев и возвращение р-ра в конец травильной линии. Приводится схема и перечисляется оборудование, применяемое в устройстве для непрерывного травления стали.

Е. Д.

78746 П. Полировка никеля. Зелли (Brightening nickel. Zellely Walter G.) [Aluminum Co. of America]. Канад. пат. 519128, 6.12.55

Метод хим. полировки Ni заключается в обработке его в р-ре состава (в вес.%): H_3PO_4 45—60, H_2SO_4 15—25, HNO_3 8—15, H_2O 10—20, т-ра р-ра 65—90°, время 1—3 мин. М. М.

78747 П. Метод полировки цинковых поверхностей. Миясима (亜鉛の表面研究磨法. 宮島全世), Япон. пат. 8007, 7.12.54

Цинковое изделие полируется в водн. р-ре, содержащем CrO_3 , $\text{Al}(\text{NO}_3)_3$, HNO_3 , H_2SO_4 , CH_3COOH или CH_3COONa . Для удаления слабого желтоватого блеска на отполиро-

ванной поверхности изделие обрабатывается в водн. р-ре одного или двух следующих соединений: NaOH , KOH , Na_2O_2 , K_2O_2 , Na_2SiO_3 , Na_2CO_3 , K_2CO_3 , $(\text{NH}_4)_2\text{CO}_3$; конц-ия этих р-ров: NaOH 1—5%, т-ра нормальная, 5—30 сек.; Na_2CO_3 3—10%, 30—70°, 5—30 сек.; $(\text{NH}_4)_2\text{CO}_3$ 5—10%, 20—40°, 30—60 сек.; Na_2CO_3 3—6%; $(\text{NH}_4)_2\text{CO}_3$ 5—10%; т-ра 20—60°, время погружения 1—2 мин. Состав полировального р-ра (в г/л): CrO_3 120, CH_3COONa 60, $\text{Al}(\text{NO}_3)_3$ 10, HNO_3 (уд. в. 1,38) 100 мл, H_2SO_4 (66Be) 30 мл. Т-ра р-ра 40°, время обработки 5 сек. Н. К.

78748 П. Способ электрополировки металлических изделий. Окамото, Ирисака (金屬部品の電解研磨法, 岡本宏章, 入坂頼勝), [東京芝浦電気株式会社, [Токио сибатура дэнки кабусики кайся]. Япон. пат. 1464, 20.03.54

Патентуется устройство для электрополировки металлич. изделий сложной формы (штырьки радиоламп). Электролит и материал для анода выбираются с таким расчетом, чтобы на поверхности анода образовалась коррозионно-стойкая пленка, необходимая для постоянного хорошего контакта пластинки анода с полируемым изделием. Напр., при слабом р-ре H_2SO_4 для анода подойдет Ta или W, а при слабых водн. р-рах H_3PO_4 или ее солей—Al. Для предохранения от разрушения такой пленки напряжение не должно превышать 30 в. При 50%-ной H_2SO_4 и силе тока 4а время электролиза должно составлять ~20 сек.

Н. К.

78749 П. Процесс гальванического разделения металлов под действием поля высокой частоты. Пфоз, Хауснер (Procédé pour la séparation galvanique de métaux sous l'influence de champs à haute fréquence. P f o z H., Hausner H.). Франц. пат. 1068360, 24.06.54 [Chem. Zbl., 1955, 126, № 37, 8705 (нем.)]

Для электролитич. разделения различных металлов из р-ров их ионов электролиз осуществляется постоянным током, на который накладывается по крайней мере 2 ВЧ-поля, длины волн которых очень мало отличаются друг от друга, так что разница между ними имеет порядок размера молекул. Это вызывает явление резонанса, который частично нейтрализует заряд ионов и таким образом способствует разделению металлов.

З. С.

78750 П. Арматура для нанесения покрытий. Клейн (Plating fixture. Klein Frank J.) [General Motors Corp.]. Пат. США 2727858, 20.12.55

Патентуется арматура для заезвшивания множества изделий для покрытия, представляющая собой удлиненный контейнер, в котором помещаются детали. Контейнер имеет плоскую стенку, снабженную продолговатым отверстием, и два параллельных контактных стержня, продольно закрепленных параллельно стенке, причем по крайней мере один из стержней соединяется с источником тока и на него помещаются непрерывным рядом детали. Один из стержней вращается вокруг своей продольной оси и имеет радиально-эксцентричное приспособление, расположенное вдоль стержня, которое при вращении стержня в одном направлении заезвшивается деталями другого стержня и таким образом перемещает детали к стенке контейнера. Пружина, соединенная с вращающимся стержнем, способствует ее вращению, воздействуя на движение деталей и поднимая приспособление против вращающегося усилия пружины на стержень.

З. С.

78751 П. Поплавковый держатель деталей. Кларк (Float-actuated work carrier. Clark Chester G.) [The Udylyte Crp.]. Пат. США 272513, 1.11.55

Патентуется поплавокный держатель, используемый для загрузки изделий в гальванич. ванну. Держатель состоит из поддерживающей штанги, находящейся над ванной, и подвижно соединенной с ней угловой штанги. По обе стороны угловой штанги расположены жестко связанные с ней поплавки и спец. приспособления — «пальцы» — для монтажа деталей.

И. Е.

78752 П. Метод и аппаратура для электролитической обработки скользящих застеек типа «молиния». Кон (Method and apparatus for electrolytic treatment of slide fasteners. Cohn Charles C.). Пат. США 2715095, 9.08.55

Патентуется метод и аппаратура для электролитической обработки металлич. замков застеек типа «молиния», скрепленных с матерчатой тесьмой. Тесьма с металлич. частями протягивается при помощи роликов через электролит в ванне между плоскими анодами, расположенными параллельно движению тесьмы по обе стороны от нее. Для подвода тока к металлич. частям застеек «молинии» применяется особое приспособление, состоящее из системы роликов.

И. Е. См. также: Источники тока 77698. Электроосаждение металлов 77709, 77710, 77712. Электрохим. произ-ва без выделения металлов 77693, 77708, 77716

СИЛИКАТЫ. СТЕКЛО. КЕРАМИКА. ВЯЖУЩИЕ МАТЕРИАЛЫ

78753. Поверхностное натяжение, плотность, вязкость и электрическое сопротивление расплавленных двойных щелочно-земельных боратов. Шаррис, Шермер (Surface tension, density, viscosity, and electrical resistivity of molten binary alkaline-earth borates. Sharriss Leo, Shermer H. F.). J. Amer. Ceram. Soc., 1954, 37, № 11, 544—551 (англ.)

Исследованы физ.-хим. свойства 54 составов системы $B_2O_3 - RO$. Установлено, что расплавы, отвечающие по составу двум расслаивающимся жидкостям, близки по величинам поверхностного натяжения к чистому B_2O_3 . При более высоких конц-ях щел.-зем. окислов поверхностное натяжение расплавов резко возрастает при увеличении содержания RO . По степени влияния на поверхностное натяжение расплавов при 1100° щел.-зем. катионы могут быть расположены в следующем порядке: при содержании RO 30 мол. % $Ba > Sr > Ca$; при содержании RO 50 мол. % $Ca > Sr > Ba$. Введение щел.-зем. окислов заметно увеличивает плотность боратов при комнатной т-ре и в расплавленном состоянии при расположении катионов в следующем порядке: $Ba > Sr > Ca$. По указанным выше свойствам щел.-зем. бораты аналогичны щел. Изотермы вязкости, полученные для боратов бария при $850-950^\circ$, обнаруживают максимумы при $22-23$ мол. % BaO . Вязкость щел.-зем. боратов выше вязкости соответствующих щел. боратов. Электропроводность расплавленных боратов возрастает при повышении содержания $RO(Ba > Sr > Ca)$.

В. Б.

78754. Газовая печь для температур до 2200° . Мекер (Un four à gaz à 2200° . Méker G.). Ind. céram., 1956, № 474, 90—91 (франц.)

Описана конструкция высокотемпературной печи с рекуператором, работающим на городском газе (франц. пат. 613126). Размеры тигля, помещаемого в рабочее пространство диам. 95 мм, высотой 125 мм; в печи этого типа, футерованной ZrO_2 , достигнуто 2200° . Рекуператор выполнен из труб из жаропрочной стали (до 1000°); воздух подогревается до $600-900^\circ$. В течение 20 лет построено примерно 15 печей этого типа, некоторые из них работают при т-рах $>1800^\circ$, при емкости тигля 330 дм^3 ; печи могут также работать на пропане и чистом кислороде с применением спец. горелок.

В. З.

78755. Расчет рационального состава сырья на основании химического анализа. Вендлер (Výpočet racionálního analyzy z analyzy chemické. Wendler L.). Sklár a keramik, 1956, 6, № 4, 82—84 (чеш.)

78756. Отчет о работе в лаборатории и об опытах в производстве. Шрейнер (Report No. 16 of the Ceramics Research Association, Schreiner P.), Bull.

Ceram. Res. Ass., 1955, № 7, 25—30 (иврит; рез. англ.)

Об исследовании сырьевых материалов в Израиле для произ-ва канализационных труб.

М. С.

78757. Возможности применения невянянских каолинов с низкой температурой спекания. Рыбников В. А., Стекло и керамика, 1956, № 6, 15—18

В Невьянском районе Свердловской области имеются богатые залежи каолинов, хорошо спекающихся при низких т-рах обжига ($1200-1320^\circ$). В сыром виде эти каолины — рыхлые порошки белого цвета, иногда с различными оттенками. Они грубозернисты и содержат до 32,2% примесей. Каолины содержат (в %): кремнезема 61—64,4, окиси железа 0,5—1,0, щелочей 2,96—5,26, п. п. 3,1—5,4. Основная масса исследованных проб представлена тонкозернистым минералом, близким к пиррофиллиту и серпенту. Пластичность по Аттербергу колеблется от 5 до 8, а связность 5,4—10,6 кг/см^2 . При обжиге на 1200 и 1320° образцы имеют усадку 10,2—20,1%. Огнеупорность находится в пределах $1570-1650^\circ$, а у отдельных образцов $1660-1690^\circ$. Невьянские каолины с низкой т-рой спекания представляют собой почти универсальное сырье для произ-ва различных керамич. и огнеупорных изделий.

Г. М.

78758. Обогащение гранитов и полевошпато-кварцевых песков для тонкой керамики. Вартанян К. Т., Луценко В. И., Стекло и керамика, 1956, № 6, 19—23

Приводятся результаты работы по обогащению гранитов и полевошпато-кварцевых песков некоторых месторождений Украины и Закавказья. Исследованные пробы гранитов представлены гранит-аплитом, состоящим из плагиоклаза, калиево-натриевого полевого шпата, кварца и незначительного кол-ва биотита. Обогащение осуществлялось двумя способами: магнитной сепарацией измельченных исходных проб при интенсивности поля 10 000 э и флотацией в пенный продукт железосодержащих компонентов с последующей магнитной сепарацией непенного продукта. В результате получены концентраты гранит-аплитов, отвечающие требованиям ГОСТ 7030-54 на полевошпатовое сырье. Выход кондиционного керамич. концентрата при обогащении 50—60%. Изучение аркозовых песков Грузии позволило предложить технологию, критерий для их классификации: к типу кварцевых относятся пески, содержащие $SiO_2 \geq 96\%$ и $Al_2O_3 \leq 2\%$. Предложена схема обогащения полевошпато-кварцевых песков, позволяющая получить полевошпато-кварцевые концентраты с кондиционным содержанием Fe_2O_3 0,2—0,3%.

Г. М.

78759. Отходы озокеритовой руды — сырье для производства строительных материалов. Тихонов В., Борымская Е., Строит. материалы, изделия и конструкции, 1956, № 6, 31

Результаты исследования отходов озокеритовой руды одного из месторождений западной Украины в лабор. условиях показали полную возможность использования их для произ-ва изделий строительной керамики путем формовки пластич. способом и обжига их при 1000° , а также безобжиговых строительных материалов путем прессовки с последующей запаркой изделий из смеси, состоящей из отходов и извести в определенных соотношениях.

Д. Ш.

78760. Исследование вермикулита, добываемого в Японии. I. Влияние обжига на физические свойства вермикулита. Танака, Цубаки, Уэсима, Камикэ (膨脹蛭石の物理的諸性質に及ぼす焼成条件の影響. 本邦産蛭石に関する研究. 第1報. 田中雅美, 橋隆行, 植嶋稔郎, 上池修). 窯業協会誌, 1956, 64, № 722, 83—89 (япон.; рез. англ.)

Изучалось влияние обжига на плотность, хрупкость и теплопроводность вермикулита. По мере повышения т-ры с 20 до 1100° об. вес понижался с 1,170 до 0,130.

рез.

для
С.
инов
А.,ются
низ-
поли-
ными
2,2%,
64,4,
3,1—
еленатуп и
от 5
1200
ность
браз-
грой
выре
слий.
С. М.
евых
Т.,
№ 6,итов
горо-
гра-
агно-
и не-
лось
иных
пота-
ентов
дук-
итов,
лато-
раты
сков
для
ески,
хема
ляю-
кон-
Г. М.
роиз-
В.,
ия ируды
абор-
ания
путем
000°,
путем
меси,
отно-
Ш.
Япо-
рми-
и и-
影響
隆行,
и, J.
3—89
сть и
ления
1,130.

Хрупкость расширяющегося вермикулита повышалась по мере увеличения т-ры. Продолжительный обжиг при $t < 1000^\circ$ не влияет на об. вес и хрупкость. С увеличением продолжительности обжига на $1/4$ мин. при 1100° материал становится черноватым и увеличивает хрупкость. Это наблюдается и при t -рах $> 1100^\circ$. Максим. расширение материала получается резким (за несколько сек.) повышением т-ры от 1000 до 1100° . Теплопроводность уменьшается с понижением об. веса. Величины теплопроводности расширенного продукта с об. в. $0,175$ были $0,045$ при 100° и $0,078$ ккал/м час град при 300° . М. С. 78761. **Обработка и обогащение каолинов. Шаррен** (Le traitement et la purification du kaolin. Charrin V.), Génie civil, 1956, 133, №11, 208—211 (франц.)

Рассматриваются применяемые во Франции методы обработки и обогащения каолинов. Обращается внимание на необходимость применения дифференцированного подхода к выбору методов обогащения в зависимости от строения материнской породы. В. 3.

78762. **Проблемы стекольной технологии. Франк** (Probleme der Glastechnologie. Frank Heinrich), Silikattechnik, 1956, 7, № 5, 179—182 (нем.)

Описывается существующий способ варки стекла. Указывается, что, по сравнению с расплавлением шихты при кучевой загрузке, изолированная частица шихты плавится в 12 раз быстрее. Описываются опыты варки стекла в электрич. печи, давшей за 21 день $10,5$ т стекломассы; при этом расход электроэнергии составил $2,3$ кат-ч/кг стекла, а при замене в шихте сульфата содой — $1,6$ кат-ч/кг стекла. Основными технич. принципами электроплавки стекла являются: применение высоких температур тепла в небольшом плоском пространстве, где находится шихта, с целью ее более быстрого и интенсивного нагревания до 1500° ; быстрая гомогенизация полученного расплава с целью удаления газов и ускорения процесса осветления стекломассы. Была создана новая конструкция газовой печи, состоящей из стеклоплавильной ванны поверхностью 1 м², высотой 30 см с тремя горелками в передней стене и боковой загрузкой шихты, охлаждаемого моста и выпускного устройства в виде четырехступенчатого каскада в выработочную ванну. Установлено, что каскад не является необходимым для осветления, так как при этом способе варки расплавленное стекло уже перед переливом осветлено и прозрачно. Благодаря широкому фронту загрузки и распределению ее в тонком слое при 1400 — 1420° , в варочном пространстве может вырабатываться ~ 1550 кг в течение 24 час. Шихта состояла из 100 кг песка, 36 кг соды и 24 кг извести и в пылевидном состоянии увлажнялась до $11,5\%$. Получена достаточно однородная стекломасса для изготовления хозяйственной посуды. См. также РЖХим, 1955, 24259.

В. М. 78763. **О теплоемкости стекол. Швите, Циглер** (Beitrag zur spezifischen Wärme der Gl ser. Schwiete Hans Ernst, Ziegler Günther), Glas-techn. Ber., 1955, 28, № 4, 137—146 (нем.)

Обсуждены различные ф-лы, которыми выражаются энтальпия твердых тел. Указано, что эксперим. данные об уд. теплоемкостях (Т) технич. стекол лучше всего согласуются с интерполяционной ф-лой Майера — Келли (Maier, Kelley). Описана установка, применявшаяся для измерения Т 2-компонентных и 3-компонентных стекол. Результаты измерений приведены в виде графиков и таблиц. Вычислены коэфф. ф-лы Майера — Келли для каждого из рассмотренных видов стекла. Т стекла можно считать равным сумме парц. Т окислов, составляющих стекло. На этом основании из интерполяционных ф-л для Т рассмотренных стекол были получены путем последовательного вычитания аналогичные ф-лы для Т отдельных компонент. Полученные таким образом выражения для Т окислов CaO , MgO и Al_2O_3 хорошо совпадают с аналогичными данными других авторов. Для окислов K_2O и Na_2O

совпадение хуже в силу существенной зависимости парц. Т этих компонент от их конц-ии.

Л. Э. 78764. **Исправление к статье «О прозрачности в инфракрасной области кварцевых стекол, сплавленных в печи солнечного излучения в различных атмосферных условиях». Фокс** (Errata. Foex M.), Bull. Soc. chim. France, 1954, № 7-8, 1030 (франц.)

К РЖХим, 1955, 26860.

78765. **Определение общего светопропускания стекла для солнечных лучей. Сондй** (Pomiar współczynnika przepuszczalności szkła na promieniowanie słoneczne ca'kowite. Sondij Franciszek), Szkło i ceramika, 1955, 6, № 7, 143—147 (польск.)

Определение производится на основании сравнения кривых нагревания твердого тела большой теплопроводности и изучаемого стекла, нагреваемых солнечным излучением. Этот метод можно применить для других материалов и источников излучения. Е. С.

78766. **Микротвердость стекол в отношении к их прочности и структуре. Часть II. Силикатные стекла. Эйнсворт** (The diamond pyramid hardness of glass in relation to the strenght and structure of glass. Part II. Silicate glasses. Ainsworth L.), J. Soc. Glass. Technol., 1954, 38, № 185, 501T—535T (англ.)

Показано, что плавильный кварц имеет высшую микротвердость, а значит и более высокий предел текучести, чем другие исследованные стекла. Добавление Na_2O и K_2O к плавленому кварцу ведет к начальному уменьшению силы связи, затем к некоторому увеличению при введении крит. кол-ва щелочей и последующему уменьшению. В натрий-калий-силикатных стеклах, в которых общее кол-во щелочи постоянно, но изменяется их соотношение, введение двух щелочей дает более прочные стекла, чем в случае только одной щелочи. Замещение SiO_2 на двух или большей валентности металл в $\text{Na}_2\text{O-SiO}_2$ -стеклах, в которых отношение Na_2O и SiO_2 составляет $1:4$, ведет к увеличению общей силы связи до крит. композиции, после которой прочность уменьшается. В двойных и четверных $\text{Na}_2\text{O-SiO}_2$ -стеклах микротвердость имеет крайнее значение при крит. составе с суммой модифицирующих окислов ~ 33 мол.%. В двойных $\text{K}_2\text{O-SiO}_2$ -стеклах минимум соответствует 18 мол.%. Различия в результатах определения микротвердости или предела текучести и обычных испытаний прочности объясняются влиянием микротрещин. 2-валентные окислы в порядке уменьшения влияния на силу связи располагаются в ряд $\text{CaO} - \text{SrO} - \text{BaO} - \text{ZnO} - \text{MgO} - \text{PbO}$. Положение окислов в ряду определяется зарядом катиона, его размерами и его участием в структуре стекла. Замещение Na_2O и CaO в $\text{Na}_2\text{O-CaO-SiO}_2$ -стеклах ведет к непрерывному увеличению силы связи. Часть I см. РЖХим, 1956, 55197. А. П.

78767. **К проекту государственного стандарта на химическую стойкость стекла. Вольф** (Uvodem k návrhu státní normy pro chemickou odolnost skla. Volf Miloš B o h.), Sklář a keramik, 1956, 6, № 4.76—78 (чеш.)

Предлагается применять стандартный метод выщелачивания порошка, дополненный испытанием поверхности стекла. Для лабор. и других видов стекла определение кислото- и щелочноточивости дополняется испытанием на водостойкость, для подвергаемого стерилизации — испытанием в автоклаве, для нейтр. стекло — спец. испытаниями в соответствии с условиями применения стекол. Е. С.

78768. **Сопоставление данных по кристаллизации и вязкости промышленных стекол наиболее рационального состава, применяемых для вертикального вытягивания листового стекла. Охотин М. В., Левина Р. С., Тр. Всес. н.-и. ин-та стекла, 1956, № 36, 3—19** В результате обработки эксперим. данных выявлено, что в промышленных стеклах, содержащих (по синтезу в %): SiO_2 72,5, Al_2O_3 1—2, CaO 8, Na_2O 15, при увеличении

MgO от 2,5 до 4 взамен CaO, наблюдается понижение кристаллизации. Дальнейшее увеличение MgO повышает кристаллизацию. Из исследованных составов стекол с постоянным содержанием по синтезу (в %): Na_2O 15, MgO 4, SiO_2 72,5, наименьшая кристаллизация наблюдается в стеклах, содержащих CaO 7,5 и Al_2O_3 1,0; CaO 7, Al_2O_3 1,5; CaO 6,5 и Al_2O_3 2. Из сопоставления данных по кристаллизации и вязкости изученных стекол следует, что стекла, содержащие MgO 4%, имеют более низкую температуру начала кристаллизации при сравнительно повышенной вязкости. Для повышения хим. устойчивости рекомендуется вводить до 2% Al_2O_3 за счет CaO, причем сумма CaO и Al_2O_3 должна быть $\leq 8,5\%$.

Н. П. 78769. Образование нозеана в шамотных камнях, находящихся в стекле. Кёппен (Noseanbildung bei Schamotte-Steinen. K ö p p e n N i n a), Glastechn. Ber., 1956, 29, № 1, 16—17 (нем.)

Новообразования оптич. изотропного минерала нозеана $\text{Na}_2[\text{SiO}_4(\text{AlSiO}_4)]$ обнаружены в камнях, находящихся в стекле, сваренном из шихты, содержащей большое кол-во сульфата, при этом нозеан имел вид дендритов с показателем преломления $1,487 < n < 1,500$. В камнях, кроме нозеана, обнаружены также кристаллы муллита, корунда и нефелина. В шихтных камнях обнаруженный нозеан не является новообразованием, так как попадает туда в результате своей слабой растворимости в стекломассе из фонолита, входящего в состав шихты, совместно с лейцитом и нефелином.

А. П. 78770. Окраска никелем различных стекол и соображения относительно структуры стекла. Часть I. Типы спектров поглощения при добавках никеля в стекла. Часть II. Детальное изучение кривых поглощения при добавках никеля в стекла и некоторые спеченные массы. Часть III. Исследование спектра поглощения никеля в различных растворах и в определенных органических соединениях, а также магнитных свойств никеля в различных экспериментальных стеклах в связи с состоянием никеля в отдельных стеклах. Мур, Уинкелман (The colours of nickel in glasses of various types and their implications concerning glass structure. Part I. The types of absorption spectra given by nickel in glass. Part II. Detailed study of the absorption curves given by nickel in glasses and certain sintered masses. Part III. Studies of the absorption spectra of nickel in various solutions and in certain organic compounds, also of the magnetic properties of nickel in the various experimental glasses, in relation to the state of nickel in the different glasses. Moore H., Winkelmann H.), J. Soc. Glass Technol., 1955, 39, № 190, 215T—249T; 250T—286T; 287T—313T (англ.)

Было изучено влияние Ni на окраску различных стекол: бинарных ($\text{Na}_2\text{O} - \text{SiO}_2$), тройных ($\text{Na}_2\text{O} - \text{CaO} - \text{SiO}_2$), боратных, боросиликатных, а также нешел. и несиликатных, состоящих из CaO, B_2O_3 и Al_2O_3 . Составы этих стекол варьировались путем изменения кол-ва R_2O , B_2O_3 , SiO_2 . Кривые пропускания эксперим. стекол были получены для области длин волн 300—2300 м. Боратные и боросиликатные стекла, содержащие некоторое кол-во щелочи, имеют 4 полосы поглощения и окрашены в зеленый цвет. Бинарные шел. силикаты и тройные силикаты типа $\text{Na}_2\text{O} - \text{CaO} - \text{SiO}_2$ дают полосы поглощения 1, 2, 4, 5 и 6. Окраска силикатных стекол зависит от относительной интенсивности полос поглощения 1 и 2 и от их положения в спектре. Напр., содовые стекла имеют кирпичную окраску, а поташные — голубовато-фиолетовую. Ni может существовать в стеклах в 3 различных формах, которые зависят от состава стекла и от положения Ni в структурной решетке. Поглощение не пропорционально содержанию Ni даже в стеклах идентичного состава. Боратные и боросиликатные стекла дают кривую пропускания «зеленого» типа, если содержание щелочей выше содержания NiO, но менее, чем отношение $\text{R}_2\text{O} : \text{B}_2\text{O}_3 = 1 : 3$. Для получения сведений относительно

но состояния, в котором Ni может существовать в стеклах, были исследованы спектры поглощения Ni-солей и p-ров, а также некоторых комплексных соединений. Кроме того, исследовались магнитные свойства Ni в различных эксперим. стеклах. Установлено, что Ni встречается в стеклах как Ni^{2+} , который может вступать в структуру стекла по трем различным путем, характеризующимся шестью полосами поглощения. Форма кривой пропускания, которая описана как «коричневый» тип, характеризуется полосами 1,5 и 6 при длинах волн 430, 820 и 1400 м. соответственно. Этот тип кривой определяется ионом Ni^{2+} , который через ион O_2 связан с основным структурным элементом стекла. При этом Ni^{2+} занимает переходное положение между структурообразующими элементами стекла. Комплексная группа в форме $\text{Ni}(\text{O}Li)^{2+}$, $\text{Ni}(\text{ONa})^{2+}$ связана со структурообразующими элементами через два иона O_2 .

Н. П. 78771. Получение авантюриновых стекол. — (Die Herstellung von Aventuringlas. —), Sprechsaal Keramik-Glas-Email, 1955, 88, № 3, 48—49 (нем.)

Дан литературный обзор по авантюриновым стеклам (медным и хромовым) и приведено 14 составов этих стекол.

С. И. 78772. Определение борной кислоты в стекле. Адхья Лахири (Estimation of boric acid in glass. Adhya Biman Behari, Lahiri D.), Trans. Indian Ceram. Soc., 1955, 14, № 4, 203—207 (англ.)

Предлагается при определении борной к-ты по методу Wherry добавлять к p-у к-ты избыток NaOH (больше, чем требуется для полной нейтр-ции B_2O_3), препятствующий потере B_2O_3 при выпаривании p-ра до малого объема.

В. Т. 78773. Дискуссия по статье: Шарцис, Капс, Спиннер «Плотности и расширение щелочных боратов и некоторых других двойных стекол». Гудинг, Тернер. — Ответ авторов (Discussion of paper: «Density and expansivity of alkali borates and density characteristics of some other binary glasses» by L. Shartsis, W. Capps, S. Spinner. Gooding E. J., Turner W. E. S. — Author's reply), J. Amer. Ceram. Soc., 1954, 37, № 12, 612 (англ.) См. РЖХим, 1953, 7247.

78774. Текучесть стекол при постоянном напряжении и постоянной деформации. Мижотт, Вандекатель (The flow of glass under constant stress and under constant strain. Migeotte P. G., Vandecapelle H. P. C.), Proc. Internat. Comm. Glass, 1954, 1; June, 110—120 (англ.)

Проведено исследование для определения степени точности законов, с помощью которых рассчитывается релаксация напряжений в стеклах при сравнительно невысоких т-рах, как функция времени. В процессе опытов контролировалось состояние стабильности образцов и поддерживалась постоянная т-ра. Это давало возможность отделить чисто механич. явления от остаточных структурных изменений. 1-я часть опытов проводилась при постоянной нагрузке с регистрацией удлинения образца, 2-я при изменяющейся нагрузке с тем, чтобы длина образца оставалась постоянной. Опыты проводились с образцами из оконного стекла размером $150 \times 25 \times 50$ мм. Вязкость стекла при 400° была равна 10^{19} л/вз. Кривые деформации — время при условии постоянной нагрузки определяют упругую деформацию, остаточную деформацию и вязкое течение. Результаты опытов показывают, что законы релаксации Адамса и Вильямсона, а также Максвелла, не применимы для всего периода релаксации. Для начальной нагрузки $5,60 \text{ кг/мм}^2$ при 500° предложена эмпирич. зависимость.

Н. П. 78775. Новая техника в составных цехах стекольных заводов. Маркус (Nová technika v misírních sklárské vsázky. Markus J an), Sklár a keramik, 1956, 6, № 4, 78—82 (чеш.)

Основными современными типами составных цехов являются: механизированная составная с одноэтажным расположением бункеров над конвейером, подающим шихту в смеситель; составная башенного типа круг. сго сечения с круговым расположением бункеров над смесителем. Сравнительные технико-экономические данные показывают преимущество составной последнего типа. Е. С.

78776. Варка тридцатипроцентного свинцового стекла в горшках. Рес (Tavení třicetiprocentního olovnatého skla v pánvi. Res Miroslav), Sklár a keramik, 1955, 5, № 10, 224—226 (чеш.).

Разбирается вопрос влияния гранулометрич. состава песка, сурика и других компонентов шихты на скорость плавки (П) стекла. Максимум скорости П достигается применением песка однородной фракции размером 0,1—0,4 мм. Использование же песка с содержанием разных фракций (<0,1 и >0,5 мм) резко повышает продолжительность П (с 3,5 до 6 час.). Приведены данные о благоприятном действии на качество стекла сурика, осаждающегося после взмучивания в течение 3 мин. Тонкие фракции, замедляющие осаждение сурика до 24 час., отрицательно влияют на качество стекла. Описан быстрый метод производственного контроля скорости осаждения взмученного сурика. При наличии в шихте селитры не рекомендуется производить П в сильно окислительной среде, так как находящаяся в топливе S переходит в SO_2 , образующий на поверхности стекла сернистую накипь. Кроме того, сильно окислительная среда затрудняет выдержку низкой т-ры в процессе П. Приведены данные о резком снижении стойкости горшков в случае применения шихты с большим содержанием Рb. Осуществление попеременных П бессвинцовых и свинцовых стекол дало возможность резко повысить стойкость горшков. Описаны технология проведения таких П и положительный производственный опыт П высокопроцентного свинцового стекла с отношением боя к шихте от 1 : 2 до 1 : 4. Д. Ш.

78777. Влияние окиси лития на физико-химические свойства алюмосиликатных стекол. Дуброво С. К., Шмилт Ю. А., Ж. прикл. химии, 1956, 29, № 4, 557—560

В целях снижения вязкости расплава и начальной т-ры размягчения в состав алюмосиликатных стекол следует вводить небольшие кол-ва щел. окислов, вызывающих значительное увеличение коэфф. расширения стекла. Наиболее целесообразно вводить окись лития, которая является также очень эффективным плавнем. Окись лития вводится в виде природных минералов — лепидолита, сподумена или в виде искусств. карбоната лития. За основу были взяты составы системы $CaO - MgO - Al_2O_3 - SiO_2$. Для обеспечения высокой кислотостойкости стекол молярное отношение в них SiO_2/Al_2O_3 было не менее семи. Исходное стекло имело следующий состав (в мол.%): SiO_2 71, Al_2O_3 10, CaO 11, MgO 6, Na_2O 2. На этих составах было исследовано влияние Li_2O на вязкость и т-ру начала размягчения стекол. Варка стекол производилась в силитовой печи в платиновом тигле при 1460—1480°. В качестве исходных материалов служили природные каолин, доломит и сподумен, остальные материалы — SiO_2 , B_2O_3 , $CaCO_3$, $MgCO_3$, Na_2CO_3 и K_2CO_3 были реактивной чистоты. Определение вязкости производилось на торзионном вискозиметре ГОИ с автоматич. записью. Т-ра начала размягчения определялась по прогибу палочек длиной 125 мм и diam. 2 мм. Получены следующие результаты: замена 2 мол.% Na_2O на Li_2O дает значительное снижение вязкости и т-ры начала размягчения алюмосиликатных стекол. Резко снижается вязкость стекла и при замене K_2O на Li_2O . Заметное снижение вязкости и т-ры начала размягчения достигается увеличением содержания Li_2O за счет Al_2O_3 . Введение в стекло больше 2 мол.% Li_2O повышает его склонность к кристаллизации. В. М.

78778. Испытание листового стекла на чувствительность к климату. Лёфлер (Prüfung von Tafelglas auf Klimaemp-

findlichkeit. Löffler Johannes), Glastechn. Ber., 1956, 29, № 4, 131—137 (нем.).

Описываемый метод испытания основан на том, что при взаимодействии листового стекла с влагой воздуха кремнекислота и щелочи переходят в растворимое состояние, и стекло мутнеет. Метод дает возможность измерить кол-во водорастворимых щелочей, образующихся при р-ции, и время, в течение которого наступает заметное выщелачивание. Устанавливается качеств. шкала степеней выщелачивания, отличающихся по толщине химически измененных слоев. Прибор для определения чувствительности к климату состоит из водяного термостата и погруженных в воду климатич. сосудов, представляющих собой эксикаторы, в которых поддерживаются постоянная относительная влажность и т-ра. Исследуемое стекло разрезается на пластинки, помещается на неделю в обычный эксикатор, а затем в климатич. эксикатор. Эксикатор со стеклом выдерживается в термостате 14 дней, после чего стекла вынимают и помещают на 15 мин. в сосуд с дистилл. водой. Перешедшая в р-р щелочь титруется $1/10$ н. HCl ; затем стекла высушивают и определяют изменение их отражающей способности. Щелочность можно определять по pH или электропроводности р-ра. Предлагается классификация стекол по чувствительности к климату. В. М.

78779. Электродвижущая сила в паре стекло — соль. Рид (Electromotive effects in glass-salt pairs. Reed Leonard), J. Amer. Ceram. Soc., 1955, 38, № 4, 131—135 (англ.).

Найдены жидкие и твердые металлич. соли, которые в контакте со стеклом дают э. д. с., причем поверхность стекла — соль со временем разрушается. Исследовано изменение потенциала со временем для покрытых Pt трубок из стекла, содержащего нитраты Li, Na и K. Наилучшие результаты отмечаются в том случае, где наружный Pt-контакт сваривается со стеклянной трубкой, содержащей нитрат K или Na. Основные факторы, влияющие на значение потенциала: хим. и физ. природа стекла, т-ра и пределы ее изменений; продолжительность испытаний. Механизм возникновения потенциала связывается с перепадом т-ры, внутренней диффузией ионов, поглощением или выделением воды с поверхности стекла. Г. М.

78780. Изготовление фильтрующих материалов из стеклянных волокон. Уэнт, Лукас (Formation of filter materials from glass fibers. Went Van A., Lucas Robert T.), Industr. and Engng Chem., 1956, 48, № 2, 219—222 (англ.).

Найдено, что поверхность стеклянных волокон, отнесенная к единице веса, почти пропорциональна способности стеклянной бумаги отделять от роздуха мелкие частицы при фильтрации аэрозоль. В соответствии с этим для характеристики фильтрующих свойств различных образцов стеклянного волокна предложено применять средний диаметр волокон, который может быть вычислен по ур-нию: $d_{vs} = \sqrt{4 \pi / R}$, где d_{vs} — средний диаметр в м и R — сопротивление слоя стеклянной бумаги толщиной 0,025 мм в мм вод. ст. Отмечено, что d_{vs} в процессе изготовления стеклянной бумаги может изменяться, в особенности при наличии связующих или поверхностно-активных в-в. Поэтому рекомендовано при изготовлении стеклянной бумаги совершенно исключать или по возможности ограничивать применение таких в-в. Ю. Д.

78781. Возможность применения изоляции из перлитов в холодильной промышленности. Блатнер (Insulation potentialities of perlite in the refrigeration industry. Blatner R. H.), World Refrig., 1955, 6, № 8, 435—436 (англ.).

Перлиты (I) представляют собой кремнеземистую лаву (стекло), в которой в большом кол-ве растворена вода (этим обуславливается их высокая пористость). Типичный состав перлитов (в %): SiO_2 69,79, Al_2O_3 14,72, Fe_2O_3

2,07, MgO 1,08, CaO 1,49, Na₂O 2,75, K₂O 3,98, H₂O 4,00 (включая п. п. п.), Cl — следы, SO₃ — следы. При 20—40° их теплопроводность 0,16 ккал/м град час, а при —10 до +10° 0,136 ккал/м град час. При —180° теплопроводность I изменяется следующим образом в зависимости от об. веса: при об. в. 0,13 г/см³ она составляет 0,02 ккал/м град час, а при об. в. 0,08—0,018. Преимуществом этого материала является также то, что он негигроскопичен, огнестоек, химически инертен, не обладает запахом, не поражается грызунами. Он широко применяется в США для изоляции как холодильных, так и тепловых установок, а также при «вакуумной изоляции» (напр., для жидкого кислорода). А. П.

78782. Шлаковая шерсть. Хечко (La laine de laitier. Heczko A.), Silicates industr., 1955, 20, № 11, 419—423 (франц.)

Приведен краткий обзор произ-ва шлаковой шерсти в США и описана установка производительностью 8 м/сутки, сооруженная по предложению автора. И. С.

78783. Легкие пористые материалы из местного сырья. Железовская М., Стронт. материалы, изделия и конструкции, 1956, № 4, 19—20

Описываются 2 способа произ-ва легкого пористого заполнителя (пеноцебня) и технология изготовления литых пористых блоков. 1-й способ получения пеноцебня из горных пород, отвалных шлаков и зол заключается в плавлении шихты в ванной печи или вагранке, вспенивании расплава паром или газообразователем (CaSO₄) и последующем медленном охлаждении вспененной массы. 2-й способ заключается во вспенивании расплава огненножидких металлургич. и котельных шлаков газообразователем, 0,5—1% которого вводится в расплав в виде эмульсии CaSO₄ в воде. Об. вес пеноцебня 180—750 кг/м³, предел прочности на сжатие 20—200 кг/см²; обладает огнестойкостью, атмосферостойкостью и долговечностью, может быть использован как теплоизоляционный материал, а также в качестве заполнителя для легких бетонных и железобетонных изделий и конструкций. Литые пористые блоки изготавливаются при заливке вспененного расплава в металл. и керамич. формы, после чего изделия поступают в туннельную печь для кристаллизации и отжига. Об. вес блоков 400—1250 кг/м³, предел прочности на сжатие 30—200 кг/см². А. Б.

78784. Работа стекловаренных печей, отапливаемых генераторным газом. Броул (Zabezpečení provozu sklářských pecí vytápěných generátorovým plynem. Broul Julius), Sklár a keramik, 1955, 5, № 11, 254—256 (чеш.)

Способ подачи генераторного газа предохраняет стекловаренные печи от аварий. Подвод газа к печи и его отключение осуществляются при наличии двух водяных затворов. Способ дает возможность быстро и надежно включать и отключать газ, что позволяет в случае угрозы аварии осуществить необходимые мероприятия не только у печи, но и на газогенераторной станции. Приведены схемы подачи при включенном и выключенном положении газопровода. Д. Ш.

78785. Экстренные горячие ремонты ванн стекловаренных печей. III. Шульц (Zur Behebung akuter betriebsgf. hender Defekte an Glasschmelzwannen unter Feuer. III. Schulz Ernst O.), Sprechsaal Keramik-Glas-Email, 1953, 86, № 12, 292—294 (нем.)

Описывается конструкция протока в ваннах печах с разделенными бассейнами, а также схема и порядок ее ремонта. Перечисляются срочные мероприятия при разрыве протока (вытекание стекломассы наружу). Приводится устройство загрузочного кармана ванной печи, его рациональное крепление (обвязка). Особо разбирается вопрос об устойчивости арочного свода кармана и применение искусств. его охлаждения. Предыдущее сообщение II см. РЖХим, 1955, 4260. М. С.

78786. Тепловое хозяйство средневековых стекловаренных печей. Калерт (Die Warmewirtschaft mittelalterlicher Glasschmelzöfen. Kahlert Wolfgang), Glastechn. Ber., 1955, 28, № 12, 483—485 (нем.; рез. англ., франц.)

В своих исследованиях старых стекол Гейльман указал на то, что составы масс для варки средневековых стекол требовали т-ры порядка 1300—1350°. В связи с этим возник вопрос, можно ли в старых печах получить столь высокие т-ры. Определение производственной т-ры для стекловаренной печи Теофилауса проведено двумя путями. В первом случае вычисляли теоретич. т-ру сгорания и, задавшись отношением теоретич. т-ры сгорания к действительной, вычисляли последнюю. Во втором случае определяли тепловое излучение пламени. В обоих вычислениях получились совпадающие результаты, примерно между 1400 и 1500°. Этот расчет позволил доказать, что расход тепла на 1 кг стекла у средневековых печей был в 20 раз больше.

См. также РЖХим, 1956, 47747.

Н. Ф.

78787. Металлизация стекловых форм специальными сплавами. — (Armstrong uses fusion-bonded alloy castings on glass blank molds. —), Glass Ind., 1955, 36, № 3, 145, 169 (англ.)

Металлизация чистовых стекловых форм спец. сплавами повышает срок службы форм в 5—6 раз; при этом снижается расход смазки, благодаря чему на стенках форм отлагается меньше углерода и повышается качество поверхности бутылок. Толщина наносимого на форму первоначального слоя металлизации ~0,5 мм, при окончательной обработке снимается ~0,25 мм; после чего на форме остается непористый износостойкий защитный слой. Такую защищенную форму достаточно смазывать один раз в 7 час., обыкновенная форма смазывается каждые 20 мин. Сплав № 4 состоит из Ni, Cr и В и имеет твердость 35—40 по Роквеллу, уд. вес 8,22 и т. пл. 1107°, а также обладает большой прочностью на удар и на истирание. Разработаны защитные сплавы для плунжеров и быстро изнашивающихся деталей дробилок для боя; некоторые сплавы могут наноситься методом дуговой сварки; сплав может также наноситься в виде пасты, которая затем наваривается на поверхность металла при помощи гольтовой дуги. Для работы пистолета-распылителя необходимо иметь баллон с кислородом или ацетиленом и сжатый воздух под давлением 4,2 кг/см², расходуемый в кол-ве 0,28 м³/мин. С. И.

78788. Влияние поверхностной пленки на процесс шлифовки стекла. Троицкий А. В., Стекло и керамика, 1956, № 5, 3—7

Исследовано влияние на процесс шлифовки пленок значительной толщины, образованных на двухкомпонентном натриевом стекле при обработке р-рами различных солей (KCl, CaCl₂, Cu₂Cl₂, NaCl) и водой при повышенных т-рах. Шлифовка образцов стекла площадью 10 см² производилась на станке при давл. 210 г/см² песком с размерами зерен 200—150 м. Длительность каждого опыта составляла 1 мин. Поверхность стекла, предварительно обработанная водой и р-рами солей (кроме NaCl), сошлифовывается быстрее, чем необработанная. Причину этого автор усматривает в выщелачивающем и растворяющем действии воды и р-ров солей. Вторая серия опытов проводилась при добавлении в абразивную суспензию различных кол-в солей CaCl₂·6H₂O и NaCl. Установлено, что при увеличении концентрации этих солей в суспензии до известного предела производительность процесса шлифовки двухкомпонентного, а в случае NaCl и многокомпонентного стекла увеличивается, что связано с уменьшением в этих условиях толщины поверхностной пленки. Поверхностная пленка тормозит процесс шлифовки стекла. А. К.

78789. Процесс полировки стекла. Каллер (Der Polierprozess von Glas. Kaller Adolf), Naturwissenschaften, 1956, 43, № 7, 156 (нем.)

В соответствии с результатами своих исследований автор рассматривает процесс полировки как сложный комплекс хим. взаимодействий между поверхностью стекла, водой, смоляным или войлочным полировальником и полирующим порошком. Первичное воздействие зерен полирующего порошка на стекло заключается в истирании последнего с удалением частиц величиной от 10^{-7} до 10^{-4} см. В результате наступающего при этом измельчения кристаллов полирующего порошка образуются или обнажаются уже имеющиеся в кристаллич. решетке дефектные места, напр. в виде «катионных или анионных дыр», обладающие большой хим. активностью. В дальнейшем при взаимодействии частиц полирующего порошка со стеклом в процессе полировки они прочно связываются с поверхностными молекулами, способствуя их удалению. А. К.

78790. Проблема цеза. Вильямсон (The problem of crazing. Williamson W. O.), Brit. Clayworker, 1955, 64, № 763, 236—238 (англ.)
См. РЖХим, 1956, 33205.

78791. Годовой отчет Нидерландского керамического общества за 1955 г. Гейн (Jaarverslag 1955 van de Nederlandse Keramische Vereniging. Gijn G. van), Chem. weekbl., 1956, 52, № 23, 413—415 (голл.)

78792. Керамические сырые материалы. IV. Сравнительное изучение восстанавливающей способности адсорбированных оснований. Чаттерджи, Дас-Гупта. V. Сравнение CaO , Ca(OH)_2 и CaCO_3 как составных частей керамических изделий. VI. Влияние температуры и давления на катионообменную емкость различных глин. Чаттерджи (Ceramic raw materials. IV. Comparative study of the reducing power of adsorbed bases. Chatterjee Saroj Kumar, Das Gupta N. H. V. A. comparison of lime, calcium hydroxide and carbonate as constituents for ceramic wares. VI. Effect of temperature and pressure of the base-exchange capacity of different clays. Chatterjee Saroj Kumar), J. Indian Chem. Soc., Ind., and News Ed., 1953, 16, 201—206; 1954, 17, 164—170, 1955, 18, № 1, 17—21 (англ.)

IV. Изучалась восстанавливающая способность катионов Na^+ , K^+ , Ca^{2+} и Mg^{2+} в глинах при различных атмосферных условиях. Сравнение относительной восстанавливающей силы этих катионов по отношению к Fe^{3+} различных насыщ. основаниями свободными от примесей глин показывает, что ион K^+ обладает большей и ион Mg^{2+} меньшей активностью. Установлено, что ион K^+ более активен, чем ион Na^+ . Порядок восстанавливающей способности катионов: $\text{K}^+ > \text{Na}^+ > \text{Ca}^{2+} > \text{Mg}^{2+}$. Степень активности шел. металлов резко выражена в случае каолина и менее — в огнеупорной глине (особенно в иле).

Chem. Abstrs, 1954, 48, № 21, 13190 a. V. R. Power.

V. Керамич. смесь, содержащая Fe_2O_3 , показала частичное восстановление Fe_2O_3 до FeO при обжиге с Ca(OH)_2 при 400, 900, 1350°. CaO или CaCO_3 были менее эффективны в восстановлении Fe_2O_3 , чем Ca(OH)_2 . Быстро охлажд. образцы показали большее восстановление, чем образцы охлажд. медленно. Во всех случаях чем выше отношение $\text{FeO}:\text{Fe}_2\text{O}_3$, тем светлее окраска черепка керамич. изделия. Механизм р-ции не объясняется, но органич. составные части глин не являются важным фактором в восстановлении Fe_2O_3 .

Chem. Abstrs, 1955, 49, № 22, 16376 g. Walter Clavan).

VI. Установлено, что обменная емкость керамич. глин, определяемая по поглощению Ba^{2+} из р-ров ацетата Ва при нагревании, проходит через максимум при 60°, после чего гадает, опускаясь (при 90°) ниже исходного значения. Увеличение давления выше $1,4 \text{ кг/см}^2$ постепенно снижает емкость, которая почти исчезает при $2-3 \text{ кг/см}^2$. Влияние давления сказывается сильнее при повышенной т-ре. III часть см. J. Indian Chem. Soc. Ind. and News, 1952, 15, 189—191. В. А.

78793. Контроль качества. II. Симкок (Quality control — 2. Simcock J. H.), Ceramics, 1955, 7, № 73, 18—22 (англ.)

Приводятся особенности и возможности применения статистич. контроля в керамич. произ-ве. Сообщение I см. РЖХим, 1956, 65727. В. Я.

78794. Свойства пьезоэлектрической керамики в системах твердых растворов титанат свинца — цирконат свинца — окись свинца: окись олова и титанат свинца — гафнат свинца. Джаффе, Рот, Марцукло (Properties of piezoelectric ceramics in the solid-solution series lead titanate—lead zirconate—lead oxide: tin oxide and lead titanate—lead hafnate. Jaffe B., Roth R. S., Marzullo S.), J. Res. Nat. Bur. Standards, 1955, 55, № 5, 239—254 (англ.)

Рассмотрены диэлектрич. и пьезоэлектрич. свойства составов в системах: $\text{PbTiO}_3\text{—PbZrO}_3\text{—PbTiO}_3\text{—PbO}$: SnO_2 , $\text{PbTiO}_3\text{—PbZrO}_3\text{—PbO}$: SnO_2 , $\text{PbTiO}_3\text{—PbHfO}_3$ и $\text{PbZrO}_3\text{—PbO}$: SnO_2 . Показано, что из материалов, по составу близких к границам морфотропных превращений между двумя сегнетозлектрич. фазами твердых р-ров, могут быть получены керамики, преобразователи энергии со свойствами, устойчивыми в широком интервале т-р. Все рассмотренные составы обладают т-рой Кюри $>175^\circ$. Ромбоэдрич. состав $\text{Pb}(\text{Ti}_{0.45}\text{Zr}_{0.55})\text{O}_3$ при т-рах $\sim 275^\circ$ имеет высокий радиальный коэф. связи, превышающий 0,3, и самую высокую (при комнатной т-ре) константу g_{31} , равную $11,7 \cdot 10^{-8}$ в м/ньютон . Из ряда составов в тройной системе $\text{PbTiO}_3\text{—PbZrO}_3\text{—PbO}$: SnO_2 , содержащих 30% $\text{PbO}:\text{SnO}_2$, тетрагональный состав, ближайший к морфотропной границе, имеет самую высокую величину d_{31} , равную $74 \cdot 10^{-12}$ к/ньютон . Ромбоэдрич. состав, ближайший к морфотропной границе, показал наименьшее изменение частотной константы с т-рой в интервале $25-225^\circ$, не превышавшей 2%. Свойства твердых р-ров в системах $\text{Pb}(\text{Ti}, \text{Hf})\text{O}_3$ и $\text{Pb}(\text{Ti}, \text{Zr})\text{O}_3$ оказались подобными. А. Ч.

78795. Применение керамики в вакуумных электронных лампах. Манфреды, Нолт (Applications of ceramics to vacuum tubes. Manfredi R. E., Nolte H. J.), Amer. Ceram. Soc. Bull., 1956, 35, № 3, 105—107 (англ.)

Керамические цилиндры и диски (из форстерита или спеченного глинозема), как детали вакуумных оболочек электронных ламп, по сравнению со стеклянными цилиндрами и дисками обеспечивают работу электронных ламп при значительно больших частотах, мощностях и т-рах. Они также отличаются большей прочностью, меньшими диэлектрич. потерями при низких т-рах и меньшим повышением этих потерь с повышением т-ры. Керамич. детали механически легко обрабатываются и могут быть получены с большей точностью размеров; благодаря их более высокой т-ре размягчения весь процесс изготовления электронных ламп значительно упрощается. Описана методика спайивания керамики с металлом с применением смеси порошков молибдена и марганца. А. Ч.

78796. Применение керамических деталей в импульсных клистронах большой мощности. Ла-Фордж (Application of ceramic sections in high-power pulsed klystrons. La Forge Louis H. Jr.), Amer. Ceram. Soc. Bull., 1956, 35, № 3, 117—122, 127 (англ.)

По своим электромеханич. свойствам обычные стекла не выдерживают жестких условий работы в качестве окон волноводов в импульсных клистронах высокой мощности (до 30 Мвт). Применение для этих целей окон из спеченного высокоглиноземистого материала обеспечивает достаточную вакуум-плотность системы. Такие окна хорошо противостоят резким изменениям т-ры при изготовлении и сборке клистрона и менее резким — при его эксплуатации. Детально рассмотрено спайивание высокоглиноземистой керамики с металлом на основе системы Mo—Mn . А. Ч.

78797. Явление старения в титанате бария. Мак-Куорри, Бьюссем (The aging effect in barium titanate. McQuarrie M. C., Buessem W. R.), J. Amer. Ceram. Soc. Bull., 1955, 34, № 12, 402—406 (англ.)

Исследовано старение (понижение диэлектрич. проницаемости со временем) поликристаллич. титаната бария в зависимости от исходных материалов, режима обжига и некоторых добавок. Показано, что явление старения свойственно только сегнетоэлектрич. модификации титаната бария, при этом первоначальная емкость образца после определенного промежутка времени (старения) может понизиться примерно на 20%. Нагревание «состарившегося» образца выше t -ры Кюри восстанавливает емкость образца до его прежнего уровня. Чем ближе t -ра при которой измерено старение, к t -ре Кюри (на восходящей кривой емкость — t -ра), тем выше скорость старения. Показано также, что старение зависит от степени тетрагональности сегнетоэлектрика, то есть скорость старения тем больше, чем ближе отношение c/a к единице. Описана методика измерения старения. А. Ч.

78798. Двойникование доменов в керамическом титанате бария. Кук (Domain twinning in barium titanate ceramics. Cook William R., Jr), J. Amer. Ceram. Soc., 1956, 39, № 1, 17—19 (англ.)

Рассмотрены некоторые особенности двойникования в доменной структуре титаната бария. А. Ч.

78799. Микроисследование титаната бария. Контолеон, Томлинсон (Micro-examination of barium titanate. Kontoleon D., Tomlinson J.), Metal Progr., 1956, 69, № 5, 98, 100, 102 (англ.)

Метод получения непрозрачных шлифов поликристаллич. титаната бария состоит в последовательной шлифовке образцов наждачной бумагой № 240, 400, 600 во влажном состоянии, грубой и тонкой полировке (фетровый круг, умеренно ворсистое сукно) и последующем травлении поверхности образца в разб. смеси K -т (вода + $1/2$ объема) смеси, состоящей из 1 ч. конц. HF и 2 ч. конц. HNO_3 . А. Ч.

78800. Использование угля, генераторного и городского газов или мазута как топлива в печах для обжига электрофарфора. Ридер (Einiges über den Einsatz von Kohle, Generatorgas, Stadtgas oder Öl als Brennstoff bei keramischen Öfen für Elektroporzellan. Rieder M.), Sprech saal Keramik, Glas, Email, 1956, 89, № 7, 140—142 (нем.)

Рассматриваются различные топлива с точки зрения использования их для обжига электрофарфора в горнах и туннельных печах. При выборе горючего определяющими являются два фактора: калорийность и стоимость. Для сравнения затраты горючего на обжиг 1 т электрофарфора выражаются в калориях, а стоимость 1000 калорий, полученных от сгорания того или иного материала, в немецких марках. Указывается, что при обжиге в крупных горнах затраты при использовании жидкого или газообразного топлива снижаются на 30% по отношению к углю. При обжиге в туннельных печах наиболее успешно используется городской газ, хотя наиболее экономичным является генераторный. Проблема использования горючих масел в керамич. пром-сти находится в стадии разрешения. Г. М.

78801. Влияние агрессивных вод на разрушение кирпича в кладке. Рысь Н., Строит. материалы, изделия и конструкции, 1956, № 6, 30—31

Образцы кирпича, выдержавшие 15-кратное замораживание, периодически помещались на 1 час в 2%-ный р-р солей $MgSO_4 \cdot 7H_2O$, $NaCl$, Na_2S , а также для сравнения в чистую воду. Затем сушились 3,5 часа. Проведено 100 циклов испытаний с высушиванием образцов до постоянного веса через каждые 10 циклов. Причиной разрушения кирпича в кладке под действием растворимых солей является капиллярный подсос агрессивных вод, содер-

жащих $MgSO_4$ и Na_2SO_4 , и образование кристаллогидратов в капиллярах. $NaCl$ и Na_2S не разрушают кладку, а дают на поверхности кирпича только выцветы. И. Б.

78802. О морозостойкости изделий грубой керамики. Шлегель (Beitrag zur Frostbeständigkeit grobkeramischer Erzeugnisse. Schlegel Hans), Tonind.-Ztg., 1955, 79, № 15—16, 236—239 (нем.)

Приведено подробное описание дилатометра (Д) и методики определения морозостойкости (М) изделий грубой керамики, разработанных в Горной академии (Клаусталь, ФРГ), описанных ранее (РЖХим, 1956, 65747). Получены дилатометрич. кривые для 4 групп изделий, отличающихся по М. Приведена таблица испытаний на Д 18 видов черепицы. Из табл. видно, что совпадение показателей М, определенных на Д и по коэфф. насыщения, наблюдается редко. С. Г.

78803. Повышение морозостойкости черепицы обработкой ее силиконом. Бергман (Kann man durch Silicon-Behandlung die Frostbeständigkeit von Dachziegeln verbessern? Bergmann K.), Ziegelindustrie, 1956, 9, № 2, 47—50 (нем.)

Изучалось влияние обработки черепицы с различной структурой черепка р-ром силикона (С) на ее морозостойкость в зависимости от способа обработки и t -ры окружающей среды. Для исследования использована черепица различной формы, изготовленная из тощих и жирных глин, покрытая или не покрытая с одной стороны ангобом. Пропитывание черепицы С производилось обрызгиванием и погружением ее в С из 3,6 и 8 мин. Приведена методика испытания на морозостойкость: пропитанные образцы черепицы, нагретые до 150° , обрызгивались в течение 6 час. водой при t -ре 8° , после чего замораживались в течение 8 час. при -15° . Исследования показали, что морозостойкость черепицы повысилась. Лучшим способом пропитки является погружение черепицы в р-р С. Показана глубина проникновения С в зависимости от способа обработки. Д. Ш.

78804. Формование изделий из илистых глин. Альвизе (L'ètrage à la mouléuse des terres franches. Alviset L.), Terre cuite, 1954, № 30, 28—35 (франц.)

Исследованные глины имели следующий хим. состав (в %): Al_2O_3 9—12, SiO_2 68—80, Fe_2O_3 3—5, CaO 0—1,5, R_2O 3, п. п. 3—4. Для улучшения рН таких глин необходима обработка их р-ром Na_2CO_3 . Опыты в производственных условиях показали, что лучшие результаты (отсутствие драконова зуба при формовке) получают при определенных условиях обработки. Если глина, поступающая из карьера, может принять $\leq 5\%$ воды по отношению к весу в сухом состоянии, то берется р-р, содержащий 150 г/л Na_2CO_3 ; если же глина такого кол-ва воды не принимает, то используется более конц. р-р (~ 400 г/л). В обоих случаях надо следить за тем, чтобы t -ру р-ра держать $\sim 35^\circ$, что соответствует лучшей растворимости Na_2CO_3 в воде. Na_2CO_3 следует применять только беззольн. Необходимо строго соблюдать указанные условия, так как при недостатке соли не получается никакого потожительного эффекта, а при избытке ее происходит коагуляция глины или «тиксотропия», т. е. флюидификация глины в формовочной машине или фильтре под воздействием механич. усилий. Л. Д.

78805. Практические коррективы к теории сушки. Синоп (Practical modifications of drying theory. Seapog J. George), Brick and Clay Rec., 1956, 128, № 5, 98—99, 106 (англ.)

Даны рекомендации по видоизменению методов сушки применительно к конкретным условиям. Размеры изделия влияют на режим сушки, поэтому рекомендуется не экономить на сушке. Свойства глины и влажность сырья являются важными факторами, влияющими на сушку. Уменьшение высоты садки с 14 до 12 кирпичей сокращает брак. В. З.

78806. Обжиг сырца-кирпича повышенной влажности.

Шапошников Д. А., Стр-во предприятий нефт. пром-сти, 1956, № 3, 23—24

Описан метод обжига сырца-кирпича повышенной влажности (16—18% вместо 6—8%) путем ввода в массу добавок угольного шлама, опилок и шамота в различных соотношениях. Этим ускоряется влагоотдача и приобретает достаточная прочность сырца для загрузки его в печь. Этот метод обжига успешно освоен Салаватским кирпичным з-дом № 2. Разработан и внедрен ряд мероприятий по садке и обжигу кирпича. Описанный метод позволил повысить производительность сушиль в два раза и обеспечить сьем с 1 м³ обжигового канала 2000 шт. кирпичей в месяц. Приведен температурный режим обжига сырца в 22-камерной печи. Д. Ш.

78807. Обжиг сырца формовочной влажности. Михальчиков Н., Строит. материалы, изделия и конструкции, 1956, № 6, 25—27

Описывается опыт освоения обжига сырца формовочной влажности на Ивановском кирпичном з-де, где осуществлены мероприятия по обеспечению печи свежепресованным вакуумированным сырцом и по устройству в ней дополнительного жарового канала с перекидными железными коробами. Рассматривается метод садки с использованием 38,6% свежеформованного сырца. Приводятся режим и температурная кривая обжига. Переход на обжиг сырца формовочной влажности значительно увеличил время работы печи в году. Д. Ш.

78808. Производство римского кирпича. Бруэр (Maufacture of Roman Brick. Brewer Robert C.), Amer. Ceram. Soc. Bull., 1954, 33, № 4, 117—119 (англ.).

Излагается опыт изготовления римского кирпича (К) из очень плотного глинистого сланца. К после обжига имеет коричневый цвет различных оттенков. Изготавливается пластич. способом и методом полусухого прессования. Другие цвета получаются погружением К в соответствующий р-р перед обжигом или pulverизацией р-ра на уже обожженный К. От способа размещения римского К в печи зависит получение цвета темно-красного, светло-красного и желто-оранжевого. Для получения светлых оттенков обжиг К ведут в печах с верхней топкой. И. М.

78809. Производство кирпича в Швеции. Шпиесс (Die schwedische Ziegelindustrie. Spiess H. G.), Ziegelindustrie, 1956, 9, № 2, 58—62 (нем.).

Лицевой поверхности облицовочного кирпича путем соответствующих приспособлений при формовке придается шероховатость. Д. Ш.

78810. Технология производства плиток «Кервит». Корак (Theorie und Technologie der Kervitplattenherstellung. K o r a c h M.), Acta techn. Acad. sci. hung., 1956, 14, № 3—4, 439—462 (нем.; рез. русс., англ., франц.). См. РЖХим, 1956, 40342

78811. Бескапельный обжиг облицовочных плиток в Венгрии. Романов П. Р., Стекло и керамика, 1956, № 6, 26

Для бескапельного бисквитного обжига плиток в Венгрии применяют вагонетки с канализованным подом. Под вагонетки выстилается шамотными плитами, на каждую из которых устанавливается стопка сырых плиток по 100 шт. Сверху стопки плиток перекрываются снова шамотными плитами, на которые устанавливаются изделия строительного фаянса. Обжиг производится в полумуфельной туннельной печи системы Дресслера при 1200°. Продолжительность обжига ~54 часа при цикле толкания вагонетки 70 мин. Г. М.

78812. Глазуурованные каменно-керамические трубы. Сингер (Salt-glazed vitreous clay pipes. Singer Felix), Corros. Technol., 1956, 3, № 5, 147—150 (англ.). Дренажные и канализационные керамич. трубы, по сравнению с бетонными, отличаются значительно большей устойчивостью против корродирующего влияния воды и растворенных в ней соединений. Бетонные трубы разрушаются ничтожными конц-иями угольной к-ты (0,001%),

р-рами различных органич. и неорганич. к-т, солей и соединений, даже чистая вода, действующая в течение длительного периода, вызывает коррозию. Данные эксплуатации и лабор. испытания показали, что керамич. трубы являются самым надежным материалом для подземной транспортировки чистых и сточных вод. М. Ф.

78813. Туннельная печь в кирпичном производстве. Шпоркенбах (Der Tunnelofen für die Ziegelindustrie. Sporkenbach), Ziegelindustrie, 1954, 7, № 16, 633—634, 636, (нем.).

Наиболее простыми и пригодными для обжига кирпича являются туннельные печи, работающие на твердом топливе. Мнение о росте производительности при увеличении плотности садки является ошибочным. Н. Ф.

78814. О применении туннельной печи в кирпичном производстве. Фростерус (Gesichtspunkte für die Verwendung des Tunnelofens in der Ziegelindustrie. Frosterus Erik G.), Ziegelindustrie, 1954, 7, № 22, 911—914 (нем.).

Различают 2 типа туннельных печей (ТП): 1) отопляемые сверху и 2) отопляемые сбоку. ТП 2-го типа имеют следующий недостаток: средние слои садки нагреваются меньше боковых; это ограничивает ширину туннеля, а также производительность ТП. В ТП 1-го типа можно использовать любое топливо (мазут и разнообразные сорта угля). Общие затраты тепла при обжиге красного кирпича 460 ккал на 1 кг готовой продукции. Вычисление затрат капиталовложений показало большую рентабельность ТП по сравнению с камерными. Н. Ф.

78815. Обжиг генераторным газом в непрерывнодействующих печах. Итнер (Brennen mit Generatorgas in kontinuierlichen Ofen. Ittner P.), Ziegelindustrie, 1954, 7, № 9—10, 382—384 (нем.).

78816. Обжиг кирпича в кольцевой печи. Хёфер (Das Ziegelfbrennen im Ringofen. Höfer E.), Ziegelindustrie, 1954, 7, № 23, 955—956 (нем.).

В результате приведенного подробного расчета потребления угля для обжига кирпича в кольцевой печи, затраты его составляют 134,5 кг на 1000 кирпичей. Однако имеются предприятия, где расход угля достигает 250 кг. Это указывает на работу с большим избытком воздуха и на неполноту сгорания углерода. Сгорание углерода до СО соответствует 69,4% потери тепла. Поэтому надо стремиться к полноте сгорания при миним. избытке воздуха. Для этого необходимо: ограничивать колебания т-ры во время засыпки; уменьшать порции угля; стремиться к увеличению площади горения угля и равномерному распределению воздуха для горения; сила тяги должна быть такова, чтобы не увеличивать избыток воздуха. Все эти требования нельзя полностью удовлетворить при ручной засыпке топлива. Н. Ф.

78817. Использование отходящего тепла кольцевых печей. Гёц (Verwertung der Abwärme von Rundöfen. Götz M.), Keram. Z., 1954, 6, № 5, 222—224, 223 (нем.).

78818. О соблюдении разделения на зоны кольцевой и «зигзаг» печей, с учетом резервной зоны. Дюрре (Betrachtung über das Einhalten der Zoneneinteilung im Ring- und Zick-Zack-Ofen unter besonderer Berücksichtigung der Reservezone. Dürre Artur), Silikattechnik, 1955, 6, № 10, 443—444 (нем.).

Неравномерность садки и выгрузки кирпича при равномерной скорости огня неизбежно ведет к изменению размеров отдельных зон и к увеличенному расходу топлива. Большое значение имеет также рациональная величина отдельных зон печи, в особенности резервной. Тот факт, что многие печи дают <1000 шт. кирпича с 1 м³ печного объема в месяц, часто объясняется неравномерностью работы печи. Вышеприведенные замечания служат основой для составления плана садки, выгрузки и продвижения огня. При график. разработке этого плана кольцевая печь изображается в виде кольца, на котором обозначаются положения камер и положение зон в течение недели. Н. Ф.

78819. Управление газовыми потоками в кольцевой и „зигзаг“ печах. Жуковский (Die Strömungsführung im Ring- und Zickzackofen. Z u k o w s k i H a n s), Ziegelindustrie, 1954, 7, № 23, 957 (нем.)

Управление газовыми потоками является одной из основных проблем обжига. Печные газы и воздух должны двигаться с одинаковой скоростью по всему сечению печи. Более быстрое продвижение огня вызывает большее кол-во дымовых газов и поэтому при подсосывании паразитного воздуха уменьшается производительность. Для достижения максим. производительности при миним. затратах необходимо соблюдать определенное соотношение между плотностью садки, кол-вом газов (дымовые газы и избыток воздуха) и продвижением огня. На этой основе возможно более легкое продвижение огня и одновременное сокращение зоны охлаждения и снижение брака. Н. Ф.

78820. Улучшение условий и повышение производительности труда в кольцевых печах керамического производства. Рихтер, Хёнингхаус (Ein Weg zur Verbesserung der Arbeitsbedingungen in Ringöfen der keramischen Industrie und zur Erzielung einer Leistungssteigerung. Richter W., Höninghaus W.), Ziegelindustrie, 1956, 9, № 12, 440—442 (нем.)

Описана конструкция установки, позволяющая резко улучшить условия труда при выгрузке обожженной продукции из кольцевых печей. При помощи форсунок в пустых камерах печи создается водяной туман, который превращается в пар, охлаждая при этом окружающую среду в течение 13 час. работы с 138 до 38°. Относительная влажность в зоне выгрузки повышается от 4 до 50—60%.

Д. Ш.

78821. Конструктивное развитие ленточного шнекового пресса в Германии. Фогт (100 Jahre Schneckenstrangpresse — Von der „Tohnschraube“ zum Vakuummaggregat. Vogt Erdmann), Silikattechnik, 1956, 6, № 11, 491—493 (нем.)

78822. Сухое смешивание сырья на заводе полустеклованной хозяйственной посуды. Дейвис (Dry mixing in a semi-vitreous dinnerware plant. Davis Harry E.), Amer. Ceram. Soc. Bull., 1956, 35, № 4, 159—160 (англ.)

Описаны устройство и шестилетний опыт эксплуатации установки сухого смешивания сырьевых материалов в произ-ве полустеклованных керамич. изделий. По сравнению с обычным мокрым шликерным способом применение установки сухого смешивания позволяет сэкономить $\geq 50\%$ рабочей площади и 20% стоимости оборудования. Согласно данному методу, сухую шихту увлажняют заранее приготовленным шликером. Вода в глиномешалку, как правило, не подается. Увлажнение шликером следует проводить возможно более быстро — в течение 1,5 мин. Медленное увлажнение приводит к прилипанию массы к бегунам и скольжению ее по дну смесителя. Шликерный р-р поддерживается при миним. плотности 1,47. В качестве разжижителя шликера применялся спец. препарат, приготовленный из натриевого полифосфата, обезвоженного силиката натрия и небольшого кол-ва сульфированного углеводорода. Электролит вводился в кол-ве 0,1%. Содержание же его в готовой шихте составляет только лишь 0,03%.

А. Б.

78823. Новое в обработке сортовой посуды. Паничкин С. Е., Игнатов Н. Н., Баранов Т. М., Стекло и керамика, 1956, № 6, 24—25

Рационализатор-шлифовщик С. Е. Паничкин предложил наносить на сортовую посуду широкую грань вместо двух за один прием, исключая грубую шлифовку. Для этого на станок устанавливается мелкозернистый песчаниковый или алундовый круг необходимой толщины, соответствующий профилю грани обрабатываемого изделия. Введение этого способа позволяет улучшить качество изделий и дает большую экономию времени.

Г. М.

78824. О прогрессе в области кольцевых печей для обжи-

га фарфора. Хербст (Über einen Fortschritt auf dem Gebiet der Rundöfen für Porzellan. Herbst Heinrich), Silikattechnik, 1954, 5, № 12, 526 (нем.)

Среди специалистов распространено мнение, что качество изделий возрастает с длительностью обжига. Но длительный обжиг, помимо затягивания всего процесса произ-ва, ведет к увеличению расхода топлива. Г. Барчик разработал ускоренный режим обжига фарфора в кольцевой печи. Этот метод основан на переходе к газовому обжигу и на отыскании оптимальных скоростей обжига. Опробование метода дало весьма удовлетворительные результаты. Продолжительность обжига сокращена на 28%, экономия угля достигла 25%.

Н. Ф.

78825. Опыты с керамическими туннельными печами. Эгбертс (Erfahrungen mit Keramik-Tunnelöfen. Egberts B.), Elektrizitätswirtschaft, 1954, 53, № 4, 106—107 (нем.)

На потребление энергии туннельными электропечами влияют длина печи, время обжига, подвод воздуха и др. Однако основной причиной повышенного потребления электроэнергии является неправильный подвод воздуха. В новых печах часть отсасываемого воздуха вновь вдувается сверху в зону подогрева печи, что приводит к ликвидации перепада т-р по верху и низу садки. Посредством усовершенствования садки на вагонетки достигнута экономия в потреблении электроэнергии, расход которой в результате вышеуказанных мероприятий снизился более чем в два раза. Для регулировки т-ры в печи предусматривается как изменение напряжения, так и выключение отдельных нагревательных элементов. При этом конденсируется улетучившаяся часть глазури (окислы Pb, В и Са), которая в соединении с кремнекислотой футеровки образует массу, сильно влияющую на продолжительность существования нагревательных спиралей. Исходя из экономич. соображений, электропечи целесообразно применять только для обжига тонкой и художественной керамики.

Н. Ф.

78826. Регулирование мощности туннельных печей в керамической промышленности. Эгбертс (Leistungsregelung für Keramik-Tunnelöfen. Egberts B.), Elektrizitätswirtschaft, 1955, 54, № 5, 137—138 (нем.)

Для экономич. эксплуатации туннельных электропечей (ТЭ) в произ-ве тонкой и художественной керамики определяющим являются в первую очередь конструкция и физ. свойства строительных материалов ТЭ и стоимость тока. Стоимость тока пытаются снизить путем увеличения времени использования ТЭ (3 смены). Регулирование мощности ТЭ решает следующие задачи: нагревательные элементы должны быть нагружены током возможно равномерно, а напряжение сохраняется стабильным. Если ТЭ снабжены регулирующими трансформаторами, эти требования выполнимы. Регуляторы напряжения могут одновременно использоваться для prolongации срока службы нагревательных элементов при увеличении сечения их и снижении напряжения.

Н. Ф.

78827. Задачи огнеупорной промышленности в свете решений XX съезда КПСС. Огнеупоры, 1956, № 2, 49—53

Намечены задачи огнеупорной промышленности в свете решений XX съезда КПСС на шестой пятилетний план. Необходимо развить промышленное произ-во электроплавляемых огнеупоров (О), увеличить выпуск карборундовых, углеродистых, графитошамотных, легковесных О и организовать произ-во спец. О из чистых окислов, а также обеспечить значительное повышение качества различных специализированных О и увеличить мощности по произ-ву О на Востоке. Должно быть расширено конструирование новых машин и усовершенствованы конструкции существующих прессов и печей. Необходимо перейти от механизации и автоматизации отдельных участков к комплексной механизации и автоматизации процессов в целом и шире внедрять автоматику в контроль произ-ва. В. З.

78828. Химия огнеупоров. Флод (Trek av ildfastmaterialenes kjemi. Flood H.), Tidsskr. kjemi, bergves. og metallurgi, 1956, 16, № 3, 44—50 (норв.)

Обзорный доклад. Библ. 12 назв. К. Г. 78829. Огнеупоры. Часть I, II, III, IV. Николсон (Refractories — I, II, III, IV. Nicholson O. P.), Metal Ind., 1956, 88, № 9, 165—167; № 10, 189—192; № 11, 209—212; № 12, 230—232 (англ.)

I. Дано общее понятие об огнеупорах, их классификации и сформулированы проблемы, стоящие перед технологией произ-ва огнеупоров.

II. Критически рассмотрены известные методы определения свойств огнеупоров: хим. анализ, определения при комнатной т-ре и то же — при высоких т-рах. Вследствие широкого разброса данных этих определений наибольшее значение в настоящее время приобретает применение методов математич. статистики для расчета средних значений свойств огнеупорных изделий.

III. Обосновываются целесообразность, необходимость и области применения петрографич. и рентгеноструктурного анализов для изучения строения и свойств огнеупоров.

IV. Рассмотрены и описаны достоинства и недостатки дифференциально-термич. анализа огнеупорного сырья, способы определения коэфф. термич. расширения, теплоемкости и теплопроводности огнеупорных материалов. В. З. 78830. Ответственные огнеупорные изделия на основе новоселицкого каолина. Жихаревич С. А., Крушель Л. Е., Огнеупоры, 1956, № 3, 97—102

Изучены свойства новоселицкого каолина (НК), месторождение которого находится вблизи станции Россоховатка, Киевской области. Хим. состав сырого НК (в %): SiO_2 43,32, Al_2O_3 38,60, TiO_2 1,52, Fe_2O_3 0,60, CaO 0,66, MgO следы, R_2O 0,38, п. п. 14,92; огнеупорность 1790° , он относится к числу тонкодисперсных вторичных каолинов с содержанием частиц $< 1 \mu$ 41%; уже при 1400° водопоглощение спекшегося НК равно 3,38%, кол-во муллит составлял 63%. Шамот из НК готовили пластич. способом с обжигом брикета при 1480° с выдержкой в течение 4 час. Образцы с миним. пористостью (8,8%) получены из полусухих масс, содержащих 80% шамота и 20% часов-ярской глины при т-ре обжига 1450° . На опытным з-де пластичным формованием и полусухим прессованием изготовлены опытные партии кирпичей при т-ре обжига 1450° . Опытные кирпичи из новоселицкого каолина обладали следующими свойствами: содержание основных окислов SiO_2 51,3—52,6%, Al_2O_3 44,9—42,8, огнеупорность 1770 — 1780° , пористость 8,9—15,0, об. в. 2,25—2,43 г/см³, предел прочности при сжатии 205—660 кг/см², деформация под нагрузкой 2 кг/см² при 1560 — 1580° , 4%-ное сжатие 1590 — 1610° , дополнительная усадка при 1600° 1,2—1,9%. Опытными кирпичами выкладывали первые 2 ряда от дна ковша, в котором производилась разливка агрессивной Мп-стали в течение 60—65 мин; остальные ряды стенок выкладывались из шамотного ковшевого кирпича Часов-Ярского з-да. Кол-во плавок в ковшах с опытными кирпичом составляло 8—12 за кампанию вместо 5—8 при обычном кирпиче. Разъединение кирпича из НК составляло в среднем за плавку 4,25—4,87 мм против 13,9 в среднем для обычного шамотного, т. е. было < 3 раза. Высокая ценность НК как сырья для огнеупоров ответственного назначения указывает на необходимость организации его промышленной добычи. В. З. 78831. Взаимодействие динаса и хромомagnesита в смешанной кладке свода мартеновской печи. Прохаска (Vzájemný vliv dinasu a chrommagnesitu ve smíšených klenbách peci S. M. Prochaska), Hutnické listy, 1955, 10, № 8, 484 (чеш.)

Макроскопические и микроскопич. исследования образцов соседних кирпичей из свода показали, что динас с хромомagnesитом не реагирует и диффузии SiO_2 в поверхностный слой хромомagnesита из динаса не обнаружено. Д. III.

78832. О малой реконструкции малотоннажных газокammerных печей для обжига динаса. Циглер В. Д., Каминский В. К., Кушнерик Н. И., Панкратов Д. И., Ларенков А. П., Эйсмонт М. В., Огнеупоры, 1956, № 3 107—114

На Красногоровском з-де им. Ленина была проведена рационализация обжига динаса (изготавливаемого из овручских кварцитов) в газокammerных печах № 5 и 7. Изучение фактич. режимов обжига до рационализации показало, что средние скорости подогрева динаса непостоянны и ниже норм, рекомендуемых Ин-том огнеупоров, а т-ра подогрева ниже, чем на других з-дах. Проведенная рационализация (без больших капитальных затрат) охватывала: 1) применение новых вариантов конструкций горелок, обеспечивающих лучшее смешение газа с воздухом; 2) улучшение канализации пода; 3) применение сажки сырца елками шириной 460 мм вместо применяемой сажки шириной 460—575—690 мм. Рационализация обеспечила ускорение обжига на 6—12 час. В печи № 5 т-ра подогрева динаса повысилась с 1015 — 1020 до 1080 — 1090° , разрежение на поду уменьшилось на 0,2 мм; выход недопала уменьшился вследствие более равномерного прогрева сажки. Проведенные работы по малой реконструкции должны быть применены на других печах, особенно в части создания подовой решетки с правильной канализацией и в целях улучшения сажки изделий. В. З.

78833. Разъединение огнеупоров стекломассой с высоким содержанием щелочноземельных окислов. Соломин Н. В., Гадынина Н. М., Стекло и керамика 1956, № 5, 1—3
См. РЖХим, 1955, 19438.

78834. Магнезитные породы и огнеупорные материалы: жиобертит (магнезит). Шаррен (Les roches magnésiennes et les produits réfractaires: la giobertite. Charrin V.), Chaleur et ind., 1956, 37, № 368, 73—74 (франц.)

78835. Микроскопические исследования магнезитового огнеупора из стекловаренной печи для бесцветного стекла. Тройер (Mikroskopische Untersuchungen eines gebrauchten Magnesitsteins aus einer Weißglaswanne. Trojer E.), Radex-Rundschau, 1955, № 1, 327—332 (нем.; рез. англ., франц.)

Проведены микроскопич. исследования контактных явлений в магнезите, уложенном на поду стекловаренной печи. Стекло на границе контакта растворяет периклаз и Fe_2O_3 , образуя защитный слой форстерита. Феррит Mg является более стойким, чем MgO, и способствует образованию второго защитного слоя. Это увеличивает срок службы магнезитового огнеупора, так как защитные слои вследствие роста слоя зеленого стекла не исчезают. Н. Ф. 78836. Специальные огнеупоры в верхнем строении ванных печей и фидерах. Часть II. Нойф (Special refractories in super-structure and feeder. Part II. Knauft Robert W.), Ceramic Ind., 1954, 63, № 3, 59, 99 (англ.)

Предыдущее сообщение см. РЖХим, 1956, 47814; см. РЖХим, 1956, 44004. С. Г.

78837. Влияние температуры и длительности нагревания на сцепление спекшегося доломита с подиной мартеновской печи. Павловский (Wpływ temperatury i czasu ogrzewania na przyleganie spieczonego dolomitu do trzonu pieca martenowskiego. Pawlowski S.), Prace inst. Min-wa hutn., 1956, 8, № 2, 65—70 (польск.; рез. русс., англ.)

В Польском институте огнеупоров было проведено изучение спекания намертво обожженного доломита (ОД), используемого для наварки подины мартенеских печей. Хим. состав ОД (в вес. %): CaO 56,5; MgO 33,6; SiO_2 2,4; Fe_2O_3 6,2; Al_2O_3 1,2; размеры зерен $\leq 3 \mu$. К ОД добавляли 2,4 или 6% мартеновского шлака (МШ), содержащего CaO 35,4; FeO + MnO 24,7; Fe_2O_3 4,6; SiO_2 15,6; MgO 12,2; Al_2O_3 4,6; P_2O_5 2,5, или 2,4 и 6% окалины (74,3% Fe_2O_3), или такое же кол-во стальных опилок,

и изучали т-ру спекания, об. вес, пористость и т-ру начала и 4%-ного сжатия под нагрузкой цилиндрич. образцов, высотой и диам. 50 мм, обожженных в криптоловой печи при 1200, 1300 и 1400°. Кроме того, в стену газовой камерной печи, работавшей при 1600°, вставляли цилиндрич. образцы из ОД в железной обойме длиной 250 и диам. 80 мм и выдерживали их в течение 15, 30 или 60 мин. В результате исследования было установлено, что т-ра спекания чистого ОД при указанных условиях >1400°; с добавкой 4% МШ или 2% окислы 1300°; при 6% МШ или 4—6% окислы 1200°; однако >4% МШ, 2% окислы или 2% опилок добавлять к ОД не следует из-за излишнего снижения т-ры его размягчения. При добавке к ОД 4% МШ или 2% опилок толщина спекшегося слоя ОД достигает 50 мм, а при добавке 2% окислы 100 мм. Длительность спекания такого наварного слоя подины должна быть ≥60 мин. С. Г.

78838. Служба водоустойчивого доломитового кирпича в кладке мартеновской печи. Шишкин В. И., Бабин П. Н., Карлышев Б. Н., Изв. АН КазССР. Сер. горн. дела, металлургии и обогащения стройматериалов, 1956, № 8, 119—128 (рез. казах.)

Изложены результаты испытания водоустойчивого доломитового кирпича (ВДК) в вертикальном канале мартеновской печи Казметаллзавода. Для изготовления ВДК были использованы доломит и змеевик месторождений Центрального Казахстана; для стабилизации вводили до 2% каратауского фосфорита. Шихту обжигали на клинкер, который подвергали тонкому измельчению. Формование сырца производили методом полусухого прессования. Изделия обжигали при 1450° с 4-часовой выдержкой; хим. состав ВДК (в %): SiO₂ 12,8; CaO 41,4; MgO 38,6; Al₂O₃ 1,3; Fe₂O₃ 4,5; P₂O₅ 0,65; КН 0,99. Свойства ВДК: об. в. 2,65—2,7 г/см³, σ_{сж} 630 кг/см², т-ра начала деформации под нагрузкой 2 кг/см² 1520°, 4% —1630°. Для испытаний ВДК был уложен в кладку торцевой стены вертикала на высоту 7 рядов с внутренней стороны на толщину 1½ кирпича и снаружи на 0,5 кирпича обкладывался магнезитом. Основная часть вертикального канала была выложена хромомагнезитом. После 278 плавов при холодном ремонте ВДК был отобран и на нем изучалось изменение керамич. свойств, хим. и минералогич. состава. ВДК приобретает после службы зональное строение, его рабочая часть уплотняется и обогащается окислами Fe и в меньшей степени Al и Mn; подвижные железистые расплавы легко проникают вглубь огнеупора, причем имеет место разложение 3CaO·SiO₂ с образованием 2CaO·SiO₂ и минер. фаз, входящих в состав цемента; в дальнейшем расплав взаимодействует преимущественно с периклазом. ВДК может успешно применяться в кладке вертикальных каналов мартеновской печи; в условиях работы печи Казметаллзавода разницы в поведении доломитового, магнезитового и хромомагнезитового кирпича при службе не отмечено. В. З.

78839. Проблема огнеупоров для разлива стали. Альм (Le problème des réfractaires de coulée d'acier. Halm Louis), Silicates industr., 1954, 19, № 5, 189—206 (франц.)

Рассматриваются требования, предъявляемые к различным видам сталеразливочного огнеприпаса (сифоны и пр.), и приводятся составы и физ.-технич. свойства огнеупорных материалов, удовлетворяющих условиям производства стальных отливок. Кроме того, описываются пороки стальных отливок, обусловленные разрушением огнеупоров, и самый процесс разрушения последних. Библ. 35 назв. М. С.

78840. Об устойчивости различных видов хромитосодержащих огнеупоров против воздействия окислов железа. Зубаков С. М., Балах И. К., Изв. АН КазССР. Сер. горн. дела, металлургии и обогащения стройматериалов, 1956, № 8, 103—113 (рез. казах.)

Изучено воздействие окислов Fe на смеси кемпирсайского хромита с добавками шпинелей (MgO·Al₂O₃, MgO·Cr₂O₃, MgO·Fe₂O₃), окислов (Al₂O₃, Cr₂O₃), форстерита, SiO₂, ZrO₂ и доломитового клинкера. В качестве эталона сравнения была принята грубозернистая хромомагнезитовая шихта из 70% хромита (фракции 2—0,5 мм) и 30% х. ч. MgO (фракция 1—0 мм), предварительно обожженной при высокой т-ре. Синтез добавок к хромиту производили из х. ч. в-в (полный проход через сито 10 000 от/см²), перемешанных и увлажненных сульфитцеллюлозным щелоком; после вылеживания прессовали при давл. 1000 кг/см² цилиндрики размером 38 × 20 мм и обжигали при 1650° с выдержке 4 часа; образцы измельчали до зерен <1 мм. Из хромита (70%) и добавок (30%) изготовляли по той же методике цилиндрики размером 38 × 20 мм. Испытание обожженных образцов на устойчивость против воздействия х. ч. окислов Fe производили плоскостно-контактным методом при 1650° с 4-часовой выдержкой. Оценку устойчивости образцов производили по состоянию их контактной поверхности и степени увеличения объема, причем не всегда удавалось получить воспроизводимые результаты. Фазовый состав образцов до и после испытания изучали под микроскопом в проходящем и отраженном свете. В результате исследования установлено: 1) устойчивость хромитосодержащих огнеупоров зависит от состава шихты; в порядке повышения устойчивости против окислов Fe огнеупоры располагаются в следующий ряд: хромито-окисные, хромитоспинельные, хромитопериклазовые, хромитофорстеритовые, хромитодоломитовые, хромитокремниевые и хромитокремнеземистые; 2) при воздействии окислов на хромитосодержащие огнеупоры происходят сложные хим., физ.-хим. и механич. процессы. В хромитоокисных и хромитоспинельных огнеупорах происходит проникновение окислов Fe в поры и трещины крупных зерен хромита с последующей там кристаллизацией игл магнетита, в результате чего происходит разрушение крупных зерен хромита на отдельные участки, сопровождающееся увеличением объема зерен. Добавки SiO₂, ZrO₂, доломита, форстерита и периклаза способствуют защите хромита от воздействия окислов Fe, так как последние в основном диффундируют в составляющие. В. З.

78841. Хромомагнезитовые огнеупоры и их свойства. Репенко К. Н., Сб. науч. тр. Всес. н.-и. ин-та огнеупоров, 1955, (1956), № 1 (48), 97—118

Обзор. Библ. 11 назв. Т. Р.

78842. Огнеупоры для известковой и цементной промышленности. — (Refractories for the lime and cement industries.) — (Ceramics, 1956, 7, № 84, 490, 492, 494 (англ.))

78843. Заметки об огнеупорных материалах из чистых окислов. Бос (A note on oxide refractories. Bose A. G. and Kumar), Sci. and Culture, 1956, 21, № 10, 606—609 (англ.)

Рассмотрены известные методы получения, области применения и свойства огнеупорных материалов из чистых окислов Al₂O₃, ZrO₂, BeO, ThO₂, MgO. В. З.

78844. Высокоогнеупорные и специальные материалы, их свойства и применение. Попов (Los materiales refractarios super y especiales. P. P. P. K.), Ind. minera, 1954, 13, № 152, 24—30 (исп.)

Рассматриваются свойства и области применения высокоогнеупорных и спец. материалов в индукционных печах для плавки стали и цветных металлов (графито-шамотные огнеупоры), дуговых электропечах (шпинельные огнеупоры), доменных печах (углеродистые огнеупоры), в термич. и коксовых печах (карбундовые огнеупоры), вращающихся печах цементной пром-сти (высокоглинозистые, форстеритовые), в произ-ве стекла, в энергетич. пром-сти, теплоизоляционных и электроизоляционных материалов для радиотехники и электротехники. Свойства шпинельных, теплоизоляционных, стабилизированных доломитовых огнеупоров, спец. радиокарамики и электрокарамики приведены в 4 таблицах. Рассмотрен вопрос о возможности

организации произ-ва высокоогнеупорных и спец. материалов в Аргентине. Здесь имеются богатые месторождения доломита, хромита с содержанием от 38 до 45% Cr_2O_3 , оливин, серпентина, талька и др. ископаемых; высокоглиноземистого сырья пока в Аргентине не обнаружено. Предыдущее сообщение см. РЖХим, 1956, 65753. С. Г. 78845.

Специальные огнеупоры для температур выше 1700°. Уитмор (Special refractories for use above 1700° C. Whitmore O. J., Jr), Industr. and Engng Chem., 1955, 47, № 12, 2510—2512 (англ.).

Со времени второй мировой войны широкое развитие получили исследования и процессы произ-ва спец. огнеупоров (СО) для $t-p > 1700^\circ$. СО изготавливаются или из чистых окислов, или из карбидов, боридов и нитридов. Приведены свойства СО из чистых Al_2O_3 , BeO , CaO , MgO , $\text{MgO} \cdot \text{Al}_2\text{O}_3$ (шпинель), ThO_2 , UO_2 и стабилизированной ZrO_2 , а также из карбидов SiC , ZrC , TiC , TaC , WC , MoC , NbC , VC , B_4C , боридов TiB_2 , ZrB_2 , TaB_2 , NbB_2 и нитридов BN , TiN , ZrN и TaN . Сравнительно широкое применение в промышленной практике получили следующие СО: 1) Al_2O_3 (плавненный) в произ-ве C_2H_2 из природного газа, для изготовления труб высокотемпературных печей сопротивления, в качестве теплоизоляционных огнеупоров при t -рах $> 1700^\circ$; 2) MgO в печах для синтеза HNO_3 из N_2 воздуха при t -ре $\sim 2200^\circ$, для плавки металлов и других целей; 3) ZrO_2 , стабилизированная 5% CaO , для синтеза в газовой фазе при t -рах $> 2200^\circ$, в виде тиглей для плавки Pt , Pa , Ru , Rh , в виде стаканов при непрерывной разливке стали, в качестве подкладки при произ-ве изделий из титанов Ba и Sr , которые теперь широко используются в электронике; 4) BeO для тиглей при плавке металлов (недостаток — летучесть при t -ре 1350° в присутствии паров H_2O); 5) ThO_2 и UO_2 для плавки металлов, включая Ti ; 6) SiC в качестве электронагревательных стержней 7) B_4N для изготовления абразивов и в последнее время в атомной технике в защитных чехлах как поглотитель нейтронов; 8) BN как смазывающее в-во при высоких t -рах. С. Г.

78846. Некоторые вопросы теории прессования огнеупоров. Бережной А. С., Сб. науч. тр. Всес. н.-и. ин-та огнеупоров, 1955 (1956), № 1, (48), 276—302

Для выяснения некоторых вопросов теории прессования огнеупорных изделий из непластичных масс использовано ранее выведенное ур-ние прессования: $\epsilon_1 = a_1 - b_1 \lg P$ (1), где ϵ_1 — истинная пористость необожженных изделий, P — давление прессования, кг/см^2 , a_1 и b_1 — константы прессования. Зависимость ул. объема тела V_0 из твердого горшка (включая поры) от давления прессования определяется ур-нием: $V_0 \approx 1.2 (A_1 + 4) / (A_1 + \lg P)$ (2). При высоких влажностях это ур-ние не применимо, так как не учитывает упругих деформаций. Приводится анализ зависимости давления воздуха в порах при прессовании от зернового состава масс и их влажности. В результате обработки полученных данных многочисленных (> 90) измерений зависимости пористости от давления прессования различных материалов установлено, что наибольший разброс значений имеет константа прессования a_1 . Введена зависимость пористости огнеупорных изделий σ от давления прессования: $\sigma = \sigma_0 \times e^{-C\epsilon}$ (3), где σ_0 — предел прочности при пористости, равной нулю, C — константа, ϵ — пористость. С учетом ур-ния (1), $\sigma = \sigma_0 P^{0.434bC} / 10^{0.434aC} = AP^B$ (4), где a и b — константы прессования, $A = \sigma_0 / 10^{0.434aC}$; $B = 0.434bC$. Справедливость ур-ний (3) и (4) подтверждается эксперим. данными. Используя известную зависимость теплопроводности λ от пористости $\lambda(\epsilon) = \lambda_0 - k\epsilon$ (РЖХим 1956, 13617), установлена зависимость λ от P : $\lambda(P) = A(K + \lg P)$ (5), где $A = kb_2$, $K = (\lambda_0 - ka_2) / kb_2$, в которых k — константа в ур-нии $\lambda(\epsilon)$, a_2 и b_2 — константы прессования, λ_0 — теплопроводность при пористости, равной нулю. Приведенные зависимости позволяют проанализировать

изменение наиболее важных свойств огнеупорных изделий в зависимости от давления прессования и от величины их пористости и выяснить взаимосвязь этих свойств. При пористости, равной нулю, все величины, характеризующие свойства огнеупоров, достигают максимума. Поэтому существенно важно получать огнеупоры с миним. пористостью. По приведенным ф-лам (по ориентировочным данным) рассчитаны свойства магнетитовых, хромомангнетитовых (при 30% хромита), форстеритовых, диносовых и шамотных огнеупоров при пористости, равной нулю. В. З.

78847. О линейных изменениях шамотных масс при обжиге и повторном нагревании. Келер Э. К., Веселова З. И., Огнеупоры, 1956, № 3, 114—122

Усадка определялась прибором (см. РЖХим, 1955, 21837); точность отсчета линейных измерений при длине образца 50 мм составляет 0,02%. При выборе оптимальной t -ры обжига глины на шамот основным признаком должна быть не кажущаяся пористость шамота, а максим. усадка (U), соответствующая и максим. об. весу. Чрезмерно высокая t -ра обжига латненской глины на шамот (1420 — 1480°) отрицательно влияет на постоянство линейных размеров изделий; оптимальной t -рой является 1300° , дальнейшее повышение t -ры обжига шамота вызывает увеличение огневой и дополнительной усадки (DU) изделий; особенно из многотопочных масс. Наименьшей DU обладают пластичные, наибольшей — многотопочные массы; массы полусухого прессования с отношением $\sim 60\%$ занимают промежуточное положение. Наименьшей DU при 1450° обладают массы на низкоожженном шамоте, достигающие высокой U и степени уплотнения уже в исходном обжиге. Для достижения миним. DU многотопочных масс (0.4 — 0.3% при 1450°) на связке из латненской глины их следует обжигать при t -ре $\sim 1430^\circ$, на часов-ярской связке при 1380 — 1400° . В. З.

78848. Данные о карбиде кремния. V, VI, VII. — (Facts about silicon carbide: V, VI, VII.—), Industr. Heat., 1954, 21, № 9, 1834, 1836; № 10, 2075, 2076, 2078, 2080, 2082, 2084, 2086, 2088, 2090, 2092; № 11, 2206—2208, 2357 (англ.)

V. Обсуждаются разнообразные абразивные изделия и использование SiC в металлургич. пром-сти. И. М.

VI. Обзор физ. данных по вопросам свойств огнеупорных материалов с высоким содержанием SiC и о видах изготавливаемых из них огнеупорных изделий. Описаны свойства и область применения огнеупорных обзоров на основе SiC . В. З.

VII. Нагревательные стержни из карбида Si изготавливаются длиной 101,6—2463,8 мм с длиной нагревательной части 50,8—1676,4 мм различного диаметра, что определяет их различное сопротивление. Изготавливаются также нагреватели, внутренняя полость которых является печной камерой, длина 1524 мм, внешний диам. 76,2 мм, внутренний диам. 50,8 мм; подобная печь хорошо работает до 1500° . Эти печи просты в эксплуатации, долговечны. В зависимости от t -ры окружающей среды, электрич. нагрузки, рода работы (периодич. и постоянной) нагреватели работают 1500—9000 час. Нагреватели из карбида Si являются источником ИК-излучения, используемого для сушки и в качестве источника света при минералогич. исследованиях. Из карбида Si изготавливаются электрич. сопротивления для использования их в качестве компенсаторов в счетчиках; эти сопротивления имеют свойство снижать сопротивление при перенапряжениях, что используется для защиты соленоидов от индуктивных толчков, а также для стабилизации токов, создаваемых выпрямителями. Из карбида Si изготавливаются разрядники. Сообщение IV см. РЖХим, 1956, 23155. В. К.

78849. Теплопроводность шихты для получения карбида кремния. Згонник Н. П., Плят Ш. Н., Абразивы, 1955, 12, 31—44

Произведена разработка методики определения коэфф. теплопроводности (КТ) шихты, применяемой для электротермич. получения SiC в насыпном и уплотненном видах, в зависимости от т-ры в пределах 100—900°. С этой целью сконструирован прибор для определения КТ сыпучих материалов по методу стационарного потока тепла (приведены описание и чертеж). Продолжительность одного определения 12 час., с точностью 8% при низких и ~3% при высоких т-рах. Произведены также определения КТ шихты (в %): кварцевого песка 56—61, антрацита 19—30, кокса нефтяного 9—17, поваренной соли 8. Исследованиями установлено, что КТ насыпной шихты с об. в. 1,06—1,14 г/см³ в интервале т-р 200—800°, в зависимости от различных физ.-хим. факторов, находится в пределах 0,14—0,35 ккал/м град час; уплотнение шихты до об. в. 1,4—1,6 г/см³ повышает КТ до 0,34—0,48 ккал/м град час; КТ возвратных материалов (силоксикон и «аморф») находится в пределах 0,20—0,95 ккал/м град час. В. К. 78850.

Обзор огнеупоров, изготавливаемых в электропечах. I. Окислы (прод.), II. Карбиды. III. Силикаты. Паолони (Revue des produits réfractaires fabriqués au four électrique. I. Oxydes (suite), II. Carbures. III. Silicates. Paoloni Arturo), J. four électr. et inds électrochim., 1954, 63, № 4, 115—117; № 5, 147—149; № 6, 183—186 (франц.)

I (прод.) Обзор о свойствах электроплавненных магнетитов и стабилизированной окиси циркония.

II. Описываются получение и свойства карбидов кремния и бора. Отмечается, что в произ-ве карбида кремния в настоящее время разрешаются следующие проблемы: рекуперация и утилизация окиси углерода, образующейся в кол-ве 1,4 кг на каждый кг SiC, и переход процесса обжига на непрерывный. Карбид бора получался в результате следующей р-ции: $2B_2O_3 + 7C = B_4C + 6CO$; т-ра пл. ~2400°, твердость B_4C выше, чем SiC, B_4C применяется в качестве абразива в алмазной пром-сти.

III. Рассматривается получение в электропечах муллита и силиката магния — форстерита. В 1-м случае исходят из плавления смеси Al_2O_3 и SiO_2 в соотношениях, которые отвечают составу каждого из указанных минералов, или смеси безводн. каолинита, угля и железа по следующей р-ции: $Al_2O_3 \cdot 2SiO_2 + 2C + Fe = Al_2O_3 \cdot SiO_2 + 2CO + FeSi$; во втором случае исходят из талка или серпентина и магнезита, или из магнезита и чистого кварца для получения чистого форстерита. Часть I (начало) см. РЖХим, 1956, 58884. С. Т. 78851.

Туннельная печь с подвижным подом для обжига огнеупоров. Аше (Four à sole mobile pour produits réfractaires. Hachet L.), Ind. céram., 1956, № 473, 60—63 (франц.)

Приведены примеры расчетов теплового баланса туннельных печей для обжига огнеупоров с нефтяным отоплением. Повышенный расход топлива (до 80—85 кг мазута на 1 м) может быть вызван следующими причинами: недостаточной длиной печи, неудовлетворительной теплоизоляцией стен, плохой организацией горения мазута, плохой рекуперацией тепла из зоны охлаждения, садкой чрезмерно влажного сырья. Потребление мазута с теплотворной способностью 10 400 ккал/кг для обжига шамотных (50% шамота) и многошамотных (85% шамота) по расчету автора должен составлять 61 и 54 кг/м. Предыдущее сообщение см. РЖХим, 1956, 69176. В. З. 78852.

Короткая туннельная печь для обжига шамотных изделий. Иванов С. М., Оборин Б. Н. (Ein kurzer Tunnelofen zum Brennen von Schamotteerzeugnissen. Iwanow S. M., Oborin B. N.), Silikattechnik, 1956, 7, № 4, 154—158 (нем.)

Перевод. См. РЖХим, 1956, 29841.

78853. Изучение реакций между окисью кальция и активным кремнеземом при температурах ниже 1000°. Бурриель-Мартин, Гаспар-Тебар (Contribucion al estudio de las reacciones entre el oxido calcico

y compuestos silicicos activados a temperaturas inferiores a 1000° C. Burriel-Martí F., Gaspar-Tebar D.), An. Real soc. española fis. y quim., 1955, B51, № 2, 101—116 (исп.; рез. англ.)

Исследовалась при нормальном и гидротермальном режимах реакционная способность смесей, состоящих из природного известняка и кремнеземистых материалов. Реакционная способность определялась методом хим. анализа. Продукты р-ции идентифицировали с помощью дифференциального термич. анализа, исследования шлифов в отраженном свете и рентгеноструктурного анализа. В пробах, твердевших при гидротермальной обработке, обнаружено повышенное содержание SiO_2 , растворимого в крепкой HCl, пониженное содержание Al_2O_3 и постоянное содержание Fe_2O_3 ; CaO отсутствует. В образцах, твердевших в воде или в условиях постоянной влажности, обнаружен гелеобразный гидросиликат Ca состава 1 : 1. В пробах, твердевших в атмосфере пара под давлением, образуются микрокристаллы гидросиликата Ca состава 1 : 1. Обнаружено также соединение $3CaO \cdot Al_2O_3 \cdot nH_2O$. Сообщение I см. РЖХим, 1956, 65687. И. С. 78854.

Получение нормально обожженной извести (без пережога) в шахтных печах удвоенной производительности. Эйген (Weichbranntkalk-Erzeugung bei verdoppelter Schachtofenleistung. Eigen H.), Zement-Kalk-Gips, 1955, 8, № 11, 381—386 (нем.; рез. англ., франц.) Излагаются теоретич. соображения и практич. данные о работе известеобжигательных печей (П) с двумя друг над другом расположенными зонами обжига. Указывается, что шахтные П, работающие на коксе, в которых дополнительно сжигается газ, обеспечивают получение нормально обожженной извести и длительную службу футеровки. В этих П достигается примерно вдвое большее напряжение по объему, чем в обычных П, отапливаемых коксом, поскольку процесс декарбонизации протекает значительно интенсивнее. Приводятся данные об объеме удаляющейся CO_2 и глубине процесса диссоциации по сечению куска известняка. Описывается практика обжига извести в новых П Азбе, в швейцарских П с двойной зоной обжига и в комбинированных П, отапливаемых коксом и газом. Преимуществами П с двойной зоной обжига являются возможность ведения обжига извести даже при несортированном коксе при т-ре значительно меньшей 1150°, что позволяет производить даже слабый обжиг доломита; возможность получения хорошо обожженной извести; обеспечение 5—7-летней службы футеровки; возможность использования мелкрикусового кокса; возможность значительного уменьшения полезной высоты П; удвоение производительности П; значительное уменьшение капиталовложений и эксплуатационных расходов; возможность обжига известняка с размерами кусков от 20 до 50 мм. Е. И. 78855.

Состав гидравлической извести. Робертс (The constitution of hydraulic lime. Roberts M. H.), Cement and Lime Manufact., 1956, 29, № 3, 27—36 (англ.)

Исследования методами рентгеноסקопии и микроскопии нескольких товарных проб английской гидравлич. извести показывают, что основными ее составляющими являются β - $2CaO \cdot SiO_2$, CaO , $Ca(OH)_2$, $2CaO \cdot Al_2O_3$, SiO_2 , $CaCO_3$ и кварц. Было также обнаружено присутствие γ - $2CaO \cdot SiO_2$, $3CaO \cdot 2SiO_2$, α - и β - $CaO \cdot SiO_2$ и $4CaO \cdot Al_2O_3 \cdot Fe_2O_3$. Гидравлич. свойства извести обусловлены в большей мере β - $2CaO \cdot SiO_2$ и в небольшой степени кальциевыми алюминатами и $4CaO \cdot Al_2O_3 \cdot Fe_2O_3$. Силикаты γ - $2CaO \cdot SiO_2$, $3CaO \cdot 2SiO_2$, α - и β - $CaO \cdot SiO_2$ и $2CaO \cdot Al_2O_3 \cdot SiO_2$ не обладают цементирующими свойствами. Установлено, что увеличение длительности обжига известняка в печи и т-ры может в некоторых случаях привести к получению инертного материала. П. З. 78856.

Тепловые свойства гипса. Олейник Б. Н., Емченко М. П. В сб.: Исследования в обл. тепловых измерений. М. — Л., Машгиз, 1956, 108—111

Уд. теплоемкость определялась методами: «двух альфа», акалориметра и лямбдакалориметра, «многих точек» (камера спокойного воздуха и вынужденный поток воздуха). Гипсовый камень с об. в. 554—1190 кг/м³ характеризовался уд. теплоемкостью от 0,221 до 0,228 ккал/кг град (среднее значение 0,225 ккал/кг град). Коэфф. теплопроводности гипса (λ), измеренный методом «многих точек», совпадает с данными метода акалориметра и «двух альфа».

78857. Дискуссия по статье: Кальех «Определение сроков схватывания высокоалюминатных цементов измерением величин электрического сопротивления». Уотерс.— Ответ автора (Discussion on «Determination of setting and hardening time of high-alumina cements by electrical resistance techniques» by J. Calleja. Waters E. H.— Author reply), J. Amer. Concrete Inst., 1954, 26, № 4, Part 2, 256—257 (англ.)

Ватер, возражая Кальеху, считает, что все существующие методы определения окончания схватывания цемента (погружением иглы в тесто или определением максим. т-ры) условны и не дают одинакового ответа, поэтому не представляется возможным отделить процессы схватывания и твердения. Ватер полагает, что наименьшая величина электрич. сопротивления цементного теста должна обнаруживаться ранее, чем будет достигнута в нем наибольшая т-ра. Для высокоалюминатных цементов (ВЦ) эта разница будет незначительной, для глиноземистых цементов (ГЦ) большей. Наблюдаемая разница между изменениями электрич. сопротивления цементного теста, приготавливаемого на ВЦ и ГЦ, отражает лишь степень различия поведения этих цементов при схватывании и твердении, а характер этих процессов остается тем же. Кальех, отвечая Ватеру, указывает, что данное им в его статье объяснение процессов схватывания и твердения ВЦ и ГЦ является рабочей гипотезой. Кальех разъясняет, что различие в процессах твердения ВЦ и ГЦ обусловлено различными физ.-хим. свойствами этих цементов. Основное различие в процессах гидратации ВЦ и ГЦ заключается в том, что для первых, вследствие наличия силикатов и алюминатов, имеют место два противоположных явления — отщепление свободной извести и адсорбция ее, а для ГЦ характерно последнее явление. В контакте с водой ВЦ образует пересыщ. р-р извести, который постепенно превращается в насыщ. В процессе гидратации ГЦ различные исследователи наблюдали наличие двух максимумов конц-ии Al в р-ре. См. РЖХим, 1954, 50410. П. 3.

78858. Гейзерит как добавка к цементу. Симата, Комаки (セメント混合材としてのケイ華について. 島田欣二, 小牧高志), 工業化学雑誌, Kōgō Kagaku Zasshi, J. Chem. Soc. Japan. Industr. Chem. Sec., 1955, 58, № 3, 230—231 (япон.)

Для опытов брали измельченный гейзерит. Для определения поглощения извести материал обжигался 2 часа при 100, 300 и 500°. К 250 мл насыщ. известкового р-ра добавляли 2,5 г материала и хранили его при 25°, изолировав от воздуха. Через определенные промежутки времени отбирали 10 мл р-ра и титровали его 50 мл HCl (к-той). Установлено, что чем выше т-ра обжига гейзерита, тем меньше поглощение извести. М. Г.

78859. Цемент для дорожного строительства. Хосои (道路用セメント. 細井潤三), 窯業協会誌, Kōgō kōkai zasshi, J. Ceram. Assoc., Japan, 1956, 64, № 720, C47—C54 (япон.)

В результате проведенных исследований автор считает, что цемент для дорожного строительства должен иметь меньше Al_2O_3 и несколько больше Fe_2O_3 . Соотношение $Fe_2O_3 : Al_2O_3$ должно быть равным 0,90—0,93. Содержание СаО должно быть несколько выше, чем в обычном цементе. Кол-во отдельных клинкерных минералов должно колебаться в следующих пределах (в %): $3CaO \cdot SiO_2$ 58—63; $2CaO \cdot SiO_2$ 23—27; $3CaO \cdot Al_2O_3$ 3—4; $4CaO \cdot Al_2O_3 \cdot Fe_2O_3$ 12—13. М. Г.

78860. Роль вредных солей в стабилизации грунта с использованием цемента и без него. II. Влияние карбоната натрия. Чадда, Радж (Role of detrimental salts in soil stabilization with and without cement — 2. The effect of sodium carbonate. Chadda L. R., Raj H. E. m), Indian Concrete J., 1955, 29, № 12, 401—402 (англ.)

Исследование проведено на четырех типах суглинисто-глинистых грунтов, из которых изготавливались блоки с уплотнением массы трамбованием. Изучалось влияние на свойства блоков изменений температурно-влажностных условий, переменного увлажнения, капиллярного подсоса воды и последующего высушивания. Разрушающее влияние Na_2CO_3 обусловлено объемными изменениями вследствие попеременной гидратации и дегидратации соли при переменных атмосферных условиях. Результаты опытов показали, что наличие в грунтах соли Na_2CO_3 в кол-ве $< 3\%$ вызывает небольшие объемные изменения в отформованных грунтоблоках. Наличие соли $> 3\%$ при отсутствии добавки в грунтовую смесь портландцемента вызывает деформации расширения и приводит к разрушению блоков. Миним. содержание цемента в смеси 5%. Природа грунта также оказывает влияние. Наиболее благоприятным грунтом является глинисто-суглинистый. При одинаковых конц-иях содержание солей Na_2CO_3 в грунте по сравнению с солями Na_2SO_4 является менее опасным. При содержании в грунте солей Na_2CO_3 до определенного предела и при обеспечении надлежащих температурных и влажностных условий окружающей среды можно избежать вредного воздействия этих солей на грунт. Сообщение I см. РЖХим, 1956, 70483. П. 3.

78861. Пластичный шлаковый цемент. Рошак (Cement żużlowy plastyczny. Roszak Wojciech), Cement. Wapno. Gips, 1956, 12, № 6, 144—150 (польск.) См. также РЖХим, 1955, 2559.

78862. Таблицы расчета состава бетона (при удельном весе заполнителей 2,65 и 2,60). Такаэда (コンクリート配合計算表. (骨材比重2,65と2,60の場合). 武田英吉) セメントコンクリート. Сэмэнто конкүрүто, Cement and Concrete, 1955, № 1, 23—25 (япон.)

78863. Дискуссия по статье: Вудс «Наблюдения за сопротивлением бетона замораживанию и оттаиванию». Бакстром, Берроуз.— Ответ автора (Discussion on «Observations on the resistance of concrete to freezing and thawing» by H. Woods. Backstrom J. E., Burrows R. W.— Author's reply), J. Amer. Concrete Inst., 1955, 27, № 4, Part 2, 352—352-10 (англ.)

Бакстром и Берроуз, возражая Вудсу, приводят данные испытаний, проведенных на 25 пробах цемента, из которых видно, что содержание щелочей в цементах и тонкость их размола оказывают влияние на степень морозостойкости бетона. В их опытах использовались цементы двух типов, содержащих 0,25 и 0,93% щелочей. Цементы размалывались до пяти различных тонин помола и смешивались между собой в разных пропорциях с тем, чтобы для каждой тонины помола были получены пять цементов с различным содержанием щелочей. Заполнителем бетона были материалы из полевого шпата, реагирующие с цементом. Бетон приготавливался с использованием воздухововлекающих добавок. Вудс, отвечая Бакстрому и Берроузу, соглашается с их выводами в том, что для заполнителя, реагирующего с цементом, содержание щелочей и тонина размола цемента имеют значение, так как в этом случае менее морозостойкими бетонами являются те, в которых деформации расширения, приводящие к образованию трещин, являются наибольшими (в опытах же Вудса использовались заполнители, не реагирующие с цементом). Опыты Бакстрома и Берроуза показали, что высказанное Вудсом предположение о возможности получения морозостойкого бетона при $V/C < 0,40$ без введения в него воздухововлекающих добавок справедливо лишь при условии, если

бетон не подвергается высыханию, а затем насыщению водой. Вудс указывает, что в большинстве случаев легче вводить в бетон воздухововлекающие добавки, чем готовить бетон без них с небольшой величиной В/Ц. См. РЖХим, 1956, 1570. А. З.

78864. Устранение вредного влияния солей на бетонные дороги. Де (Elimination of deleterious effects of salts from concrete pavements. De G.), Bull. Nat. Inst. Sci. India, 1955, № 6, 218—220 (англ.)

Описаны исследования, проведенные на двух аэродромах, площадки которых выложены бетонными плитами, изготовленными на портландцементе с заполнителем из боя кирпичного щебня. В почве, на которую были уложены бетонные плиты, имелись соли; в одном случае сульфаты натрия, а в другом нитраты натрия. Появлявшиеся на поверхности бетона налеты солей удалялись ливневыми водами, и со временем на поверхности плит образовывались впадины. На стартовых дорожках, где производились посадка и взлет самолетов, от повторных нагрузок на плиты бетонная поверхность разрушалась. Проверялось влияние на прочность различной длительности выдерживания образцов в 5%-ном р-ре NaNO_3 и последующих условий хранения: высушивание на воздухе, попеременное высушивание и увлажнение. Исследованиями установлено, что трещины на образцах появлялись лишь в случае удаления налета соли с поверхности образцов р-ром HCl и последующего погружения их в 5%-ный р-р NaOH . Трещиноватость в этом случае, по-видимому, вызвана образованием кристаллов CaCl_2 при р-ции HCl с мельчайшими частицами известняка, имеющимися в кирпиче. Проведены опыты на пустотелых бетонных блоках, отверстия которых покрывались битумом с добавкой к нему смолы, а затем заполнялись р-рами солей NaNO_3 и Na_2SO_4 . Блоки изготовлялись с заполнителем из гравия и боя кирпичного щебня. Установлено, что сульфат натрия является намного более агрессивной солью, чем нитрат натрия, который оказывает незначительное влияние на бетон, если в нем используется крепкий хорошо обожженный кирпич; бетон на кирпичном щебне подвергается значительно большему разрушению от воздействия сульфатов, чем бетон на гравии. Приведены рекомендации по защите бетонных плит от воздействия на них агрессивных солей (надлежащее устройство дренажей, прокладка битума и крафт-бумаги между слоями почвы и бетона, применение в бетоне пуццолановых и воздухововлекающих добавок). П. З.

78865. Бетон и железобетон в качестве строительных материалов.— (Beton und Stahlbeton als Baustoffe.—), Bau und Holz, 1956, 7, № 5—6, 61—67 (нем.)

Описываются основные свойства бетонов, требования к сырью и полевые методы испытаний последнего. Е. Ш.

78866. Алюминат натрия в качестве специальной добавки для гидротехнических и гидроизоляционных бетонов и растворов.— (Aluminatul de sodiu ca adaos special la betoanele și mortarele folosite la lucrări hidrotehnice și lucrări de etanșări.—), Ind. construcțiilor și mater. constr., 1956, 7, № 4, 242—250 (рум.; рез. русс., нем.)

При отделочных работах на водоподводящей галерее гидроэлектростанции Саду V (Румыния) применялись бетоны и р-ры с добавкой NaAlO_2 6—15%, сокращающей сроки схватывания смеси и повышающей стойкость бетонов и р-ров в проточных водах. На основании результатов эксперим. работ и производственного опыта рекомендуется применение NaAlO_2 в гидротехнич. строительстве и при гидроизоляционных работах. Е. Ш.

78867. Дискуссия по работе: Грин «Испытание ударом молотка — новый метод оценки прочности затвердевшего бетона». Андерсон, Блом, Говард, Клигер, Шлинц. — Ответ автора (Discussion of a paper by Gordon W. Greene: Test hammer provides new method of evaluating hardened concrete.

Anderson Arthur R., Bloem Delmar L., Howard E. L., Klieger Paul, Schlitz Harold.— Author's reply, J. Amer. Concrete Inst., 1955, 27, № 4, Part 2, Disc. 51—11 (англ.)

Метод основан на резком ударе молотка по затвердевшему бетону, прочность которого определяется размером полученного отпечатка. Эмпирическое соотношение, между величиной отпечатка, сделанного ударным молотком, и прочностью на сжатие зависит от влажности бетонных изделий во время испытания и типа наполнителя. Результаты, полученные на верхней и нижней поверхностях бетонной призмы, на 5—10% ниже результатов, на боковых сторонах, что объясняется неравномерным распределением наполнителя в бетоне. Лучшие соотношения между показаниями ударного молотка и прочностью на сжатие найдены на образцах в форме куба. Отмечены заниженные показатели прочности на краях бетонных изделий по сравнению с прочностью в их центральной части. См. РЖХим, 1955, 52662. В. Г.

78868. Вакуумная обработка бетонных покрытий дорог. Такабаяси (舗装コンクリートの真空施工・高林利秋), セメントコンクリート, Сэмэнто конкүрито, Cement and Concrete, 1955, № 98, 37—41 (япон.)

Обработка проводится при помощи вакуумного щита для отсасывания воды в течение 10—20 мин. со степенью вакуума 600—750 мм рт. ст. В результате 10-минутной обработки под вакуумом получен бетон такой твердости, что на нем совершенно не оставалось следов пешеходов. Вакуумная обработка повышает прочность бетонных покрытий на 30—40%, уменьшает В/Ц и их усадку, а также удлиняет срок службы. М. Г.

78869. Бетон с примесью солей для работы в зимних условиях при температуре —20°. Харада (鹽類を加えた寒中コンクリート 20°C 以内の場合・原田三三), 建築技術, Кэнтику гидзюцу, Build. Engng, 1955, № 44, 41—45 (япон.)

Рассмотрены вопросы приготовления бетона в зимних условиях и успехи, достигнутые в этой области рядом стран в частности Советским Союзом. Отмечается, что хлориды, в частности хлорид кальция и хлорид натрия, ускоряют схватывание бетона и повышают его прочность и морозостойкость. CaCl_2 , вступающий в соединение с $3\text{CaO} \cdot \text{Al}_2\text{O}_3$, $4\text{CaO} \cdot \text{Al}_2\text{O}_3 \cdot \text{Fe}_2\text{O}_3$ и $3\text{CaO} \cdot \text{SiO}_2$, образует $3\text{CaO} \cdot \text{Al}_2\text{O}_3 \cdot n\text{CaCl}_2 \cdot 10-12\text{H}_2\text{O}$, $3\text{CaO} \cdot \text{SiO}_2 \cdot n\text{CaCl}_2 \cdot 8-10\text{H}_2\text{O}$. NaCl не вступает во взаимодействие с клинкерными минералами, но понижает точку замерзания воды, придает пластичность и регулирует схватывание бетона. Дается расчет солей на 100 кг воды при —5, —10 и —20°. Автор останавливается на результатах изучения бетона, изготовленного в зимних условиях из цемента советских марок, а именно портландцемента 300 и 400 3-д «Большевик», из пуццоланового портландцемента 300 и 400 3-дов «Красный Октябрь» и «Комсомолец» и из пластичного портландцемента 500 Белгородского 3-да. М. Г.

78870. Материалы (хлорвиниловые), применяемые для предупреждения преждевременного высыхания бетонного покрытия дорог. Кондо (舗装コンクリートの養生剤 (主としてビニール剤)・近藤泰夫), セメントコンクリート, Сэмэнто конкүрито, Cement and Concrete, 1955, № 98 32—35 (япон.)

Предлагается использовать синтетич. смолы — сополимеры хлорвинила и винилиденхлорида, которые представляют собой устойчивую водн. эмульсию. Недостатки каждого из компонентов сополимера компенсируются положительными качествами другого. Уд. вес сополимера 1,18—1,20; рН 6,0—8,0; вязкость 3—5 стгуз; поверхностное натяжение 32—36 дин/см; диаметр зерен 0,1—0,2 м; устойчив по отношению к неорганич. солям; прочность на растяжение при 25° 150—170 кг/см²; эластичность при 25° 40—50%; не воспламеняется. М. Г.

78871. Влияние соотношения крупного и мелкого заполнителей на свойства бетона. Такеда (コンクリ

ートの性質に及ぼす粗細骨材の影響。武田英吉), 土木技術, Добоку гидзю, 1954, 9, № 9, 26—28 (япон.)

Испытано 4 образца бетона с различным содержанием цемента (350, 400, 450 и 500 кг/м³). Кол-во воды составляло 160—180 кг/м³. Соотношение крупных зерен (КЗ) и мелких зерен (МЗ) заполнителей КЗ/МЗ было 1,0; 1,5 и 2,0. Осадка конуса у бетонной смеси с большим КЗ/МЗ больше, чем у бетонной смеси с меньшим КЗ/МЗ. Прочность бетона изменяется в зависимости от величины КЗ/МЗ, хотя и незначительно. Точно степень изменения установить не удалось. Увеличить осадку конуса, не уменьшая прочности, можно путем увеличения отношения КЗ/МЗ. Для увеличения прочности бетона рекомендуется увеличить кол-во цемента при постоянном кол-ве воды и изменить отношение КЗ/МЗ. В этом случае осадка конуса изменится в незначительной степени. При постоянном кол-ве цемента для увеличения прочности бетона рекомендуется увеличить КЗ/МЗ, уменьшив кол-во воды. Осадка конуса почти не изменяется. М. Г.

78872. Свойства бетона, приготовленного с использованием карбидных отходов в качестве мелкого заполнителя. Мидзуно (カーバイト滓を細骨材として代用したときのコンクリートの性質・水野俊), 生産研究, Сэйсан кэнкю, 1955, 7, № 5, 6—8 (япон.)

Исследование возможности использования карбидных отходов (КО) в качестве заполнителя бетона (Б) показало, что они отличаются весьма большим содержанием воды, которое довольно сильно меняется, поэтому при добавлении к Б КО необходимо знать точно содержание в них воды. КО следует хранить под навесом и только за два дня до их использования нужно взять пробу и, поместив ее в сушильный аппарат, определить содержание влаги. Б с заполнителем из КО обладает большой вязкостью и почти не поддается разрыву, однако на его поверхности, соприкасающейся со стенками формы, образуются сравнительно большие раковины. Если к Б с содержанием 250—350 кг цемента на 1 м³ Б добавить 140 кг/м³ КО (обычно содержание песка в Б ~20%), то его прочность понижается на 10%. При добавлении отходов свыше 140 кг/м³ прочность Б резко снижается. У Б, содержащего <210 кг/м³ цемента, добавление КО даже до 250 кг/м³, особого влияния на прочность не оказывает. Добавление к Б, содержащему КО, в-ва АЕ очень сильно снижает его прочность. Вес Б при добавлении 100 кг/м³ КО снижается на 50 кг/м³ (~2,2%). Стоимость Б снижается на 2—4%. М. Г.

78873. Эффективность использования хлористого кальция в производстве бетонных изделий. Диккинсон (Benefits of using calcium chloride in concrete products. Dickinson William E.), Pit and Quarry, 1956, 48, № 8, 190, 192 (англ.)

Приводятся результаты опытов по изучению влияния добавки СаСl₂ в бетонную смесь при изготовлении бетонных блоков. Образцы приготавливались из бетона состава 1 : 3 при В/Ц = 0,35 и 1 : 5,5 при В/Ц = 0,50 с добавкой СаСl₂ (2% от веса портландцемента) и без нее. Образцы твердели в нормальных воздушно-влажностных условиях, а также подвергались пропариванию по 2 режимам: а) медленный подъем пара до 100° (6 час.) и б) быстрый подъем пара (2 часа). Во избежание появления трещин, изделия не должны подвергаться обработке паром до наступления начала схватывания цемента. Введение в бетонную смесь СаСl₂ эффективно как в случае нормального твердения блоков, так и при пропаривании их. В последнем случае сокращаются срок выдержки изделий до загрузки их в камеру пропаривания (в связи с ускорением схватывания цемента) и длительность пропаривания. Прочность пропариваемых блоков без введения в бетон СаСl₂ обычно составляет 85% от прочности таких же блоков, твердевших в нормальных (влажностных) условиях 14 суток. Введение в бетонную смесь СаСl₂ возмещает эту потерю. Добавка СаСl₂ более эффективна в составах с меньшим В/Ц. П. З.

78874. Использование доменных шлаков как заполнителя в бетоне. Фаррингтон (The use of blast-furnace slag as a concrete aggregate. Farrington Eric Francis), Proc. Instn Civil Engrs, 1956, Part 1, 5, № 1, 56—59 (англ.)

78875. Зарубежный опыт применения легких бетонов и развитие их производства в СССР. Скрамтаев Б. Г. Элинон М. П., Бетон и железобетон, 1956, № 4, 123—125

78876. Свойства и применение шлаков в производстве строительных деталей. Пражак (K vlastnostem a použití skvār ve výrobě stavebních dílcu. Pražák J.), Stavivo, 1954, 32, № 12, 420—422 (чеш.) См. также РЖХим, 1956, 1575.

78877. Свойства и применение шлаков для производства строительных деталей. Вавржин (Vlastnosti a použití skvār přívýrobě stavebních dílcu. Vavřín F.), Stavivo, 1955, 33, № 3, 97—98 (чеш.)

78878. Свойства и применение шлаков для производства строительных деталей. Матоушек (Vlastnosti a použití skvār při výrobě stavebních dílcu a jejich posuzování. Matoušek M.), Stavivo, 1955, 33, № 10, 341—343 (чеш.; рез. русс., нем.)

Предлагается производить исследование шлаковых отходов с использованием геологоразведочных методов. Сообщается о проекте стандарта на шлаки для изготовления шлакобетона, приводится сравнение свойств по новому и действующему стандартам. Описаны методы обработки шлака. Д. Ш.

78879. Метод исследования руд на содержание в них асбеста. Рубидж (A works method of assaying an ore for asbestos fibre. Rubidge E. A. D.), S. Afric. Industr. Chemist, 1955, 9, № 1, 17 (англ.)

78880. Исследование микроструктуры натуральных и синтетических сортов асбеста рентгенографическим методом. Шибольд (Röntgenographische Feinstrukturuntersuchungen an natürlichen und synthetischen Asbestarten. Schiebold E.), Acta techn. Acad. sci. hung., 1955, 13, № 3—4, 393—396 (нем.; рез. русс., англ., франц.)

Исследовалась структура синтетич. асбеста. Доказана его идентичность с натуральным амфибол-асбестом. Л. З.

78881 К. Стекло. Апелът (Glas. Apelt Gerhard. Murnau-München-Innsbruck, Lux, 1953, 71 S., ill., 1.50 DM) (нем.)

78882 К. Кварцевое стекло. Прянишников В. П. М., Промстройиздат, 1956, 80 стр., илл., 2 р. 75 к.

78883 К. Химический контроль производства стекла. Панасюк В. И. Изд. 2-е. М., Гизлегпром, 1955, 296 стр. с илл. 11 р. 70 к.

78884 К. Советский опыт в области производства стекла и керамики для строительства. Репа, Ботвинкин, Тарасов. Перев. с русс. (Cercetări sovietice în domeniul industriei sticlei și a ceramicii de construcții. Repe A. G., Botvinkin O. K., Tarasov B. V. Trad. din limba rusă. București, Acad. R. P. R., 1955, 178 p., ill., 6 lei) (рум.)

78885 К. Производство строительной керамики в Чехословацкой Республике (Из опыта работы чехословацких заводов строит. керамики). Хошель А. Н. Киев, Гостехиздат УССР, 1956, 95 стр., илл., 1 р. 70 к.

78886 К. Автоклавные материалы и изделия. Сб. статей. Ред. Волженский А. В., Шварцзаль М. С. М., Гостройиздат, 1956, 128 стр., илл., 6 р. 25 к.

78887 К. Карманный справочник по цементу (Zement-Taschenbuch. Hrsg. Verein Dt. Zementwerke, 1956. Wiesbaden, Bauverl., 1955, 864, 64 S., ill., 6.50 DM) (нем.)

78888 К. Крупнопористый или беспесчаный бетон и перспективы применения его на Дальнем Востоке.

- Адамчик К. А. Владивосток, Примор. книгоиздат, 1956, 95 стр., илл., 2 р. 50 к.
- 78889 К. Минеральные заполнители для гидротехнического бетона. Виктор А. М. М.—Л., Госэнергоиздат, 1956, 144 стр., илл., 4 р. 50 к.
- 78890 К. Менилитовые сланцы — сырье для промышленности строительных материалов. Порфирьев В. Б., Грибберг И. В., Ладыженский Н. Р., Галабутская Е. А., Линецкий В. Ф., Сваричевский Л. В. Киев, АН УССР, 1956, 39 стр., илл., 1 р. 55 к.
- 78891 К. Вяжущие вещества, цементные растворы и бетоны. Ред. Райну (Liant, mortare și betoane. Red. Rainu Aurel. București, Ed. stat. architect. construct., 1955, 350 p. il., 15, 10 lei) (рум.)
- 78892 К. Вяжущие вещества, цементные растворы и бетоны. Т. 2. (Lian ti, mortare și betoane. Vol. 2. București, Ed. stat. architect. construct., 1955, 361 p., il., 22, 60 lei) (рум.)
- 78893 Д. Исследование некоторых западноукраинских бентонитовых глин и получение на их основе облицовочного фаянса. Полуэктова Е. Ф. Автореф. дисс. канд. техн. н. Белорус. политехн. ин-т, Минск, 1955.
- 78894 П. Приготовление слюды. Эйхенауэр (Preparation of mica. Eichenauer F.). Англ. пат. 725434, 2.03.55
Куски слюды, предварительно пропитанные водой, расщепляются на чешуйки замораживанием. Механическая обработка может предшествовать или следовать за замораживанием. Предварительная обработка может быть проведена нагреванием до 300°. Замораживание может последовательно повторяться. Изоляционные материалы могут быть получены прессованием чешуек или с помощью связующего. в-ва, соединяющего чешуйки между собой. М. С.
- 78895 П. Листовое стекло, содержащее полупрозрачные линейные полосы. Стюки (Glass sheet containing translucent linear strips. Stookey Stanley D.) [Corning Glass Works]. Канад. пат. 511781, 12.04.55
Отдельные прямоугольные участки стекловидного листа, содержащего NiO (0,01—0,3) и CaO (0,001—0,03) в отношении $\text{NiO}/\text{CoO} = 10/1$, облучаются УФ-лучами. Затем лист подогревают, причем развивающиеся светорассеивающие кристаллиты образуют непрозрачные полосы в стекле. В. Т.
- 78896 П. Способ и приспособление для обработки стекла или аналогичных силикатных материалов емкостным нагревом для целей фриттования, спекания и соединения между собой указанных материалов (Verfahren und Vorrichtung zur Behandlung von Glas oder anderen sich ähnlich verhaltenden siliziumhaltigen Stoffen durch kapazitive Erwärmung, zwecks Herstellung gefritteter und gesinterter Gegenstände und zum Verbinden von Körpern aus solchen Stoffen durch Schweißen) [Stölzle Glasindustrie A.-G.]. Австр. пат. 181383, 10.03.55 [Keram. Z., 1955, 8, № 4, 17 (нем.)]
Частицы указанных материалов подвергаются действию ВЧ-поля, причем образующееся от диэлектрич. потерь тепло, в зависимости от длительности его воздействия, фриттует или спекает материалы. Установка состоит из ВЧ-генератора и ВЧ-печи соответствующей конструкции. С. Т.
- 78897 П. Способ и аппаратура для получения волокон из волокнообразующих веществ. Слейтер, Сноу, Филиппс (Verfahren und Vorrichtung zur Herstellung von Fasern aus faserbildenden Werkstoffen. Slayter Games, Snow Henry J., Philipps Samuel D.) [Owen-Corning Fiberglass Corp.]. Пат. ФРГ 941384, 12.04.56
Способ получения волокон из волокнообразующих в-в заключается в том, что на струю расплавленного в-ва направляется газовый поток, окруженный защитной средой для образующихся волокон. В качестве газового потока используется пар, а в качестве защитной среды для волокон применяются нефтяные масла. Защитная среда вводится таким образом, что изолирует струи стекла от атмосферного воздействия во время вытягивания из них волокон. Защитная зона, окружающая струи, не должна пропускать водосодержащих в-в. Рекомендуется применять в качестве защитной среды испаряющуюся жидкость. Приводится описание установок. М. А.
- 78898 П. Способ получения стеклянных нитей. Ридель (Verfahren zur Gewinnung von Glasfäden. Riedel Walter) [Hans Christoph Riedel]. Пат. ФРГ 941152, 5.04.56
Рекомендуется способ получения стеклянных нитей и стеклянной пряжи с развитой поверхностью и высокой адсорбционной способностью (для фильтрования газов и жидкостей, для применения в качестве носителя контактных в-в и катализаторов, для применения в качестве изоляции). Способ заключается в том, что стеклянные нити или пряжа обрабатываются водяным паром или р-рами кислот, щелочей или солей при повышенном давлении. Р-ры к-т, щелочей или солей, после их нанесения на стеклянное волокно, удаляются последующей обработкой водой, а затем с помощью тепловой обработки удаляется р-ритель и влага из нитей и пряжи. Образующееся в-во обработки нитей и пряжи спец. р-ром солей осаждается в порах стеклянных волокон после их выщелачивания. Предлагается применение стеклянных волокон, обработанных одним из указанных способов, в качестве устойчивой высокотемпературной изоляции. М. А.
- 78899 П. Асфальтовая эмульсия для покрытия матов из стеклянного волокна. Фаррис (Asphalt emulsion and a process of coating a glass fiber mat with it. Faris Robert W.) [Owens-Corning Fiberglass Corp.]. Пат. США 2712506, 5.07.55
Для произ-ва матов из стеклянного волокна предлагается водн. эмульсия, содержащая 1—60 вес.% асфальта (30—60 вес.%), 0,005—0,5 вес.% анионового гидрофильного соединения, напр. ди-(2-этилгексил) фосфата аммония или щел. металла и 1—5 вес.% тонкодисперсной глины. М. Ш.
- 78900 П. Способ изготовления пористых плит. Ангер (Verfahren zur Herstellung poröser Platten. Anger Hermann) [Wilhelm Schuber G. m. b. H.]. Пат. ФРГ 900332, 21.12.53 [Chem. Zbl., 1954, 125, № 47, 10789 (нем.)]
Фильтровальные и диафрагмовые пористые плиты изготавливаются из двух или более слоев, соединенных вместе посредством нагрева и давления и состоящих из материалов, поверхность которых при достаточном нагреве размягчается, напр. стекло и кварц. И. К.
- 78901 П. Метод выполнения соединения литых труб. Джонстон (Method of making a molded pipe joint. Johnston James C.) Пат. США 2721159, 18.10.55
Патентуется метод соединения секции глазурированной глиняной трубы, конец которой заходит в раструб другой. Наружная поверхность этого конца трубы шлифуется для удаления глазури и придания ей пористости, после чего она вплотную подгоняется к внутренней поверхности раструба другой трубы. Пористая поверхность покрывается тонким однородным слоем уплотняющего материала в жидком состоянии, который пропитывает эту поверхность и затвердевает. Для размягчения внутренней поверхности раструба и уплотняющего покрытия применяется р-ритель, который после подгонки и соединения обеих поверхностей улетучивается. А. Б.
- 78902 П. Способ изготовления эмалей и глазурей. Шультхейс, Шультхейс (Verfahren zur Herstellung von Emails und Glasuren. Schultheis Peter, Schultheis August) [Fa. Schultheis & Söhne]. Пат. ГДР 10269, 23.08.55
В состав шихт для эмалей и глазурей вводятся хлориды

в кол-вах $>1\%$ (или в-ва, образующие хлориды в процессе варки). Введение хлоридов повышает белизну титановых эмалей.

78903 П. Способ изготовления сшивных эмалированных изделий. Берг, Хершельман, Демель (Verfahren zur Herstellung gefalteter, emaillierter Erzeugnisse. Berg Alfred, Herschelmann Wilhelm, Dehmel Fritz). Пат. ГДР 9991, 30.06.55

На места соединения деталей котлов, ведер и т. п. наносится слой шликера и высушивается. Затем производится соединение деталей на обычной фальцовочной машине. В процессе эмалирования эмаль внутри фальца оплавляется, получается прочный шов, пузыри и поры не образуются.

78904 П. Керамический диэлектрик и процесс его изготовления. Дей, Кали (Ceramic dielectric and process of preparing it. Day Jean, Calis Micheline) [Compagnie Generale de Telegraphie Sans Fil]. Пат. США, 2730150, 10.01.56

Для получения керамич. диэлектрика с диэлектрич. постоянной в пределах 25—30 и термич. коэфф. $\sim 25 \cdot 10^{-6}$ рекомендуются следующие соотношения компонентов (в %): TiO_2 34—45, 37—42, 45, ZrO_2 40—27, 35—30, 37 BaO 7—5, 7—5, 6,4; ZnO 4—3, 4—3, 3,6; SnO_2 1—10 3—8, 5; глины 12—18, 11—9, 10. Компоненты смешиваются на воде в фарфоровой шаровой мельнице. Полученная паста сушится, дробится и затирается с органич. связкой для получения однородных изделий, которые обжигаются $\sim 1320^\circ$. Диэлектрич. потери при 1 кг/гц.кв. составляют $<0,2\%$.

78905 П. Электроизоляторы из керамических в-в для поддержания и изоляции независимых от температуры колебательных контуров и подобных сооружений (Elektrischer Isolierkörper aus keramischem Stoff für die Halterung und Isolierung temperaturunabhängiger Schwingungskreise und ähnlicher Einrichtungen) [Steatit-Magnesia A.-G.]. Пат. ФРГ 905388, 8.05.54 [Keram. Z., 1956, 8, № 4, 177 (нем.)]

Изоляционные тела в основном состоят из смеси компонентов $\text{MgO-Al}_2\text{O}_3\text{-SiO}_2\text{-TiO}_2$, большей частью содержащих 35% TiO_2 и соотношение $\text{MgO} : \text{Al}_2\text{O}_3$ лежит между 3 : 2 и 1 : 9. Спекание смеси из глины, талька и TiO_2 создает известные трудности. Это обходится тем, что Al_2O_3 вводят не в виде глины, а в виде алюмосиликатов, напр. андалузита ($\text{Al}_2\text{O}_3\text{-SiO}_2$). Введение Al_2O_3 в виде корунда также облегчает спекание. Замена части TiO_2 на ZrO_2 усиливает компенсацию термич. расширения. Добавление ZrO_2 уменьшает диэлектрич. потери. Вполне подходящие массы могут быть изготовлены полной заменой TiO_2 на ZrO_2 . Из разных масс и их комбинаций можно изготовить изоляторы с небольшим термич. расширением, с незначительно повышенной диэлектрич. постоянной (10 и меньше), с положительным коэфф. термич. расширения.

78906 П. Диэлектрик на основе титаната бария (Barium titanate dielectric) [Eric Risor Corp.]. Австрал. пат. 200715, 23.02.56

С высокой диэлектрич. постоянной на основе BaTiO_3 керамич. диэлектрик содержит менее чем 4% по весу Fe и Ca, но каждого из этих составляющих не должно быть $<0,3\%$.

78907 П. Ферромагнитные керамические материалы, обладающие прямоугольной петлей гистерезиса. Алберс-Шонберг (Ferromagnetic ceramic materials with hysteresis loops of rectangular shape. Albers-Schoenberg Ernst) [Steatite Research Corp.]. Пат. США 2715109, 9.08.55

Введение добавок некоторых окислов к магний-марганцовому ферриту улучшает прямоугольность петли гистерезиса. К числу таких добавок относятся окислы Ca, Cd и Y, ионные радиусы которых соответственно равны 1,06, 1,03 и 1,06 А. Предполагается, что вхождение ионов,

радиусы которых заключены в интервале 1,0—1,1 А, способствует появлению в кристаллах умеренных внутренних напряжений, которые улучшают прямоугольность гистерезисной петли. Смесь исходных компонентов размалывается, кальцинируется и снова размалывается. После добавки 1% органич. связки и 5% воды масса размешивается и просеивается через сито с 64 отв/см^2 , образовавшаяся крупка прессуется в стальных формах в требуемые изделия, которые обжигаются при $1290\text{—}1315^\circ$. Магний-марганцовые ферриты, обладающие прямоугольной петлей гистерезиса получают обжигом смеси, содержат (в мол.%): MnO 5—60, MgO 8—50, Fe_2O_3 25—50 с добавкой окисла металла 0,5—7,0, ионные радиусы которых находятся в интервале 1,0—1,1 А. Ферриты могут содержать в качестве добавок окиси следующих 2-валентных металлов (в %): CaO 0,5—5,0, CdO 1,0—7,0, Y_2O_3 , 1—6,0.

78908 П. Способ изготовления ферромагнитных масс. Хек (Verfahren zur Herstellung ferromagnetischer Massen. Heck Carl) [Süddeutsche Apparate-Fabrik G. m. b. H.]. Пат. ФРГ 917726, 9.09.54 [Chem. Zbl., 1955, 126, № 10, 2271 (нем.)]

Масса обрабатывается до образования магнетита (Fe_3O_4); другие ферромагнитные порошки и (или) порошкообразные окислы металлов (ZnO , Mn_2O_3 , CuO , MgO) добавляются.

78909 П. Ферромагнитный керамический элемент (Element céramique ferromagnétique) [Steatit-Magnesia A.-G.]. Франц. пат. 1100710, 23.09.55 [Ind. céram., 1955, № 470, d15 (франц.)]

Патентуется способ, позволяющий изменять форму кривой гистерезиса в результате появления в детали остаточных напряжений, которые создаются резким охлаждением после отжига.

78910 П. Полупроводниковый материал (Partially conductive compositions) [Soc. Le Carbone-Lorraine]. Англ. пат. 710079, 9.06.54

Полупроводниковый материал, обладающий отрицательным температурным коэфф., получают путем формирования из смеси окислов Ti и Al и последующего восстановления в среде чистого H_2 . Для увеличения механич. прочности изделие пропитывают смолой, напр. фенолформальдегидной, нейлоном или силиконом, вводимой в кол-ве до 10%. Примененные окислы Ti отвечают составу $\text{TiO}_{1,67}\text{—TiO}_{1,99}$; содержание Al_2O_3 в смеси составляет 0,5—99%.

78911 П. Электропроводные пористые материалы (Electrically conducting porous materials) [Compagnie Generale D'Electro Ceramique]. Англ. пат. 713645, 18.08.54

Электропроводный пористый материал состоит из агломератов керамич. зерен, металлизированных с поверхности. Металлизация осуществляется пропитыванием металлизующей смесью или осаждением паров или катодным распылением. Агломераты получают эмалированием или сваркой при расплавлении металлич. покрытия. Пористость увеличивается при добавке сгорающих масс, таких как опилки, выделяющих газ при выгорании в процессе обжига. Напр., осажденный металл — Ag, Au или окись меди может быть использован после погружения массы в щел. р-р и приведения ее в контакт с Al до удаления всех черных пятен.

78912 П. Керамические строительные изделия и способ их изготовления. Нейман (Keramische Baukörper und Verfahren zu dessen Herstellung. Neiman Waldemar). Пат. ФРГ 919397, 21.10.54 [Chem. Zbl., 1955, 126, № 22, 5155 (нем.)]

Фракционированный бой кирпича с зернами крупностью до 4 мм формируется совместно с 12—25% глины, затем полученный сырец обжигается. К глине может быть добавлено до 5% пылевидных отходов от дробления боя кирпича.

Е. Ш.

78913 П. Способ производства пористых керамических изделий. Глук (Procédé pour la fabrication de masses ou de corps poreux en céramique. Gluck P.). Франц. пат. 1108527, 13.01.56 [Ind. céram., 1956, № 474, 99 (франц.)]

К керамич. сырому материалу, напр. к глине, каолину и т. п., добавляется в качестве выгорающей добавки (во влажном или сухом состоянии) смесь тонкодисперсного древесного угля (ДУ) и тонкоизмельченных древесных опилок (или торфа). ДУ образует пористые каналы для удаления газа из внутренних зон изделия и для подвода к ним воздуха, что обеспечивает полное выгорание добавок при обжиге. Содержание ДУ в смеси 20—80%. В. З.

78914 П. Способ приготовления пористых изоляционных материалов. Шнейдер (Verfahren zur Herstellung von porösen Isoliermaterialien. Schneider Josef) [Deutsche Gold- und Silber-Scheideanstalt vormals Roessler]. Пат. ФРГ 928039, 23.05.55

Способ основан на применении разлагающихся при нагревании материалов с выделением газообразных продуктов. Эти материалы замешиваются в водн. суспензию высокодиспергированных минер. волокнистых материалов асбеста, шлаковой ваты. Напр., в суспензию из 500 см³ воды, 50 г асбестового волокна, 50 г гипса, 170 г огнеупорной глины 20 г легкоплавкой глины добавляется 21 см³ белилной известки (с 10% активного хлора) и 3 см³ 40% H₂O₂ с 0,25 г сапонина. Отформовка из этой смеси вначале высушивается при 80—100° и затем обжигается при 600°. Получается исключительно стабильный пористый изоляционный материал с объемным весом в пределах 0,3—0,35 кг/л. Обожженный изоляционный материал пропитывается эмульсией следующего состава: 200 г битума, плавящегося при 35—40°, пасты из 200 г глины и 150 г воды. С. Т.

78915 П. Производство прозрачного фарфора. Иноуэ (透光性磁器の製造方法・井上時), Япон. пат. 9334, 21.12.55 (япон.)

Для произ-ва прозрачного фарфора берется смесь 25—33%-ной серицитовой глины состава (в %): SiO₂ 74,86, Al₂O₃ 17,38, Fe₂O₃ 0,54, CaO 0,27, MgO 0,21, K₂O 1,92, Na₂O 0,36, каолина и полевого шпата. Эта смесь обладает хорошей связностью и пластичностью. После формовки и сушки изделие покрывают глазурью и обжигают в окислительной атмосфере. Процесс превращения смеси в фарфор полностью завершается при 1160—1180°. Если содержание серицитовой глины <25%, то пластичность смеси будет недостаточной для формования, изделия же из такой смеси после их обжига будут такими же твердыми, как и из обычного фарфора. Если же содержание серицитовой глины в смеси выше 33%, то и пластичность будет весьма большой, в результате чего при формовке будет происходить большая усадка и возможное появление трещин. М. Г.

78916 П. Производство фарфора, покрытого глазурью. Като (霜状肌面を有する陶磁器の製造方法・加藤左治), Япон. пат. 9335, 21.12.55

Берется смесь (в вес. ч.): полевого шпата 28, глины «амакуса» 30, глины «гайром» 22, каолина 12, кремня 8. Затем смесь формуют, просушивают и обжигают. Берут отдельно (в вес. ч.): кремня 4,5 и полевого шпата 3, талька 0,4, извести 0,05, глины «амакуса» 0,5, глины «гайром» 1 и каолина 0,5, все смешивают и добавляют аравийской камеди ≤0,5, водорослей Gloiopeltis furcata, клей папоротника и воды 2 и этой смесью глазуруют. После нанесения глазури изделия обжигаются при 1300—1350°. М. Г.

78917 П. Производство фарфора. Хирабаяси (陶磁器製造法・平林正也) [松風工業株式会社. Мацукадзэ когё кабусики кайса]. Япон. пат. 4541, 30.06.55

Патентуется состав фарфора (в %): ZrO₂ 18—70, SiO₂ 9—60, Al₂O₃ 0,5—40, Li₂O, Na₂O, K₂O 0,04—7, BaO, ZnO, CaO, MgO 0,2—13, TiO₂, ThO₂, BeO 10. Состав обжигается при 1200°. Указанный состав предназначается глав-

ным образом для изготовления опорных изоляторов, используемых при сборке электроннолучевых трубок (трубок Брауна), ранее изготавливаемых из стеатитового и кордиеритового фарфора. Сопротивление разрыву под нагрузкой после резкого охлаждения фарфора, нагреваемого предварительно в течение 10 минут при 300°, 1,54 кг. При обжиге фарфора при разрежении в нейтр. газовой среде можно получить материал с весьма низкой газоотдачей. Опыты по определению газоотдачи проводились в электронной трубке при t-ре ~800° путем обработки патентуемого фарфора водородом 10 мин. М. Г.

78918 П. Метод производства кислых огнеупорных масс и кирпича. Штейнхофф (Verfahren zur Erzeugung kieselurehaltiger feuerfester Massen und Steine. Steinhoff Eduard) [Didier-Werke A.-G.]. Пат. ФРГ 934280, 13.10.55

Патентуется метод изготовления огнеупорного кирпича и масс кислого характера, состоящих из грубоизмельченного кварцита (I) от 90 до 10% и тонкоизмельченного ZrSiO₄ (II) 10—90% на связке из сульфитного шелока. При содержании II <20% в шихту вводят в качестве связки гашеную известь. Содержание Al₂O₃ в I не должно быть >0,2, во II >0,4%; размер зерен I 0,5—4 мм, II <0,1 мм, часть зерен II может иметь размеры 0,1—4 мм. Огнеупорные изделия, содержащие >20% II, обжигают при t-ре ~1600°, <20% II и с добавкой CaO при t-ре ~1450° или могут использоваться без обжига. Изделия и массы обладают малым коэфф. термич. расширения (при 1000° <0,3%) и постоянством объема при высоких t-гах. С. Г.

78919 П. Керамический материал и способ его изготовления (Matériau céramique et procédé pour la fabrication de ce matériau. France) [Compagnie Générale de Télégraphie sans Fil]. Швейц. пат. 296599, 1.05.54 [Chem. Zbl., 1955, 126, № 24, 5627, (нем.)]

Смесь из огнеупорного основного окисла такого, как MgO и металла, такого, как Ni, затем одного из таких окислов, как SiO₂, ZrO₂, TiO₂ или Al₂O₃ и летучего органич. связующего такого, как церезит, прессуется под давлением. Отпрессованное изделие обжигается в среде N₂ при 400°, t-ра медленно поднимается до 900°. Изделие снова обжигается в печи с угольным сопротивлением при 1400° в среде N₂ и охлаждается в той же среде. Примерный состав (в %): MgO 54, Ni 40, Al₂O₃ 6. Изделия отличаются огнеупорностью, хорошей теплопроводностью и термостойкостью. С. Г.

78920 П. Огнеупорные материалы. Хьюэр (Refractory products. Heuer R. P.). Австрал. пат. 162407, 28.04.55

Основной необожженный огнеупорный материал, пригодный для использования в необожженном состоянии, состоит главным образом из MgO и 3—15% порошкообразного железа с тонинной помола в 28 меш. И. М.

78921 П. Огнеупорный связующий материал и способ его получения (Refractory bonding material and process for making same) [Kaiser Aluminum & Chemical Corp.]. Англ. пат. 732590, 29.06.55

Для получения субмикроскопич. кристаллич. форстерита тонкодисперсное соединение Mg, способное превращаться при обжиге в MgO, смешивают с 20—60% SiO₂. SiO₂ может быть в виде диатомовой земли или дымки и должна иметь уд. поверхность >6000 см²/г и уд. в. <0,4 г/см³; полученную смесь обжигают. Образовавшийся форстерит обладает уд. в. 0,72—1,36 г/см³ при зернистости — 200 меш. В. З.

78922 П. Керамическая смесь. Браунштейн (Ceramic mixture. Braunstein E.). Австрал. пат. 167141, 15.03.56

Две керамич. композиции, одна порошкообразная, состоящая из окиси Zn, окиси Mg, силикатата Na, бората Na, жировика, и другая из водн. р-ра хлоридов Zn, Mg, NH₄ и Na, смешиваются в пропорции 40—70% 1-й композиции и 60—30% 2-й. С. Т.

78923 П. Огнеупор для разливочного стакана и пробки, содержащий хром. Накахара и др. (Refractory nozzle and stopper composition containing chromium. Nakahara Fumio, et al.) [Yawata Iron Manuf. Co.]. Япон. пат. 640, 4.02.54 [Chem. Abstrs, 1954, 48, № 22, 14150 (англ.)]

Смесь состоит из (в %): хромовой руды (диам. <1,5 мм) 65, содержащей Cr_2O_3 28—32, обожженной хромовой руды (диам. <3 мм) 22, содержащей Cr_2O_3 23—8, клинкера MgO (диам. 0,3 мм) 8, содержащего MgO >85, глины (диам. 0,3 мм) 5, содержащей SiO_2 65 и Al_2O_3 25 и рапы 6. Смесь формируется, сушится и обжигается при 1410—1500°. А. М.

78924 П. Способ замедления разрушения огнеупорного кирпича и изделий из него. Шей (Method of retarding disintegration of fire-brick and product thereof. Shea James A.) [United States Steel Corp.]. Пат. США 2724887, 29.11.55

Способ состоит из покрытия огнеупора хлористым литием и затем выкладки им на огнеупорном цементе футеровки доменной печи. С. Т.

78925 П. Способ производства высокоогнеупорных изделий (Verfahren zur Herstellung höchstfeuerfester Stoffe. Rey Marcel) [Soc. des Electrodes et Refractaires Savoie]. Пат. ГФР, 922696, 20.01.55

Высокоогнеупорные термостойкие изделия, устойчивые к воздействию окислительной и восстановительной среды, изготавливают из смеси кристаллич. Al_2O_3 и SiC . Отношение Al_2O_3 : SiC в шихте должно быть >4, размеры зерен (вес. %): <0,1 мм 30, от 0,5 до 1 мм 70. Изделия прессуют полусухим способом на водн. р-ре декстрина с введением 5% (по отношению к весу жидкости) фторидов щел., щел.-зем. металлов, алюминия, криолита или смеси фторидов. После сушки изделия обжигают в окислительной атмосфере при 1800°. С. Г.

78926 П. Производство абразивных шлифовальных кругов. Кос (Abrasive and grinding wheel. Coes Loring, Jr) [Norton Co.]. Пат. США 2725286, 29.11.55

Шлифовальный круг готовится из абразивного материала, полученного обжигом боксита с последующим помолом его до тонкости пудры и прессованием в формах. Полученные изделия подвергаются вторичному обжигу при 1550° в течение 2 час. Абразивный материал имеет следующий состав (в %): Al_2O_3 65—97, SiO_2 3—16, Fe_2O_3 4—35, TiO_2 ≤12, CaO ≤1,5, MgO ≤1, другие окислы составляют менее 2%, присутствие кристаллизационной воды не допускается. Полученный абразивный материал имеет твердость по шкале Мосса, близкую к девяти, тонкую кристаллич. структуру и прочность, превышающую прочность плавного глинозема. В качестве связующего материала используется термостойкая фенолформальдегидная смола. В. Г.

78927 П. Метод спайивания металла с керамикой. Кнохель, Эбер, Эрингер (Method for forming metal to ceramic seal. Knochel William J., Eber Mortimer, Ehringer Hermann J.) [Westinghouse Electric Corp.]. Пат. США 2724892, 29.11.55

Метод состоит в прокаливании подлежащей спайиванию керамич. детали в течение 30 мин. при 1000° в воздушной среде для сжигания на ее поверхности всех загрязнений, последующем нанесении на нее с подходящим связующим смеси гидридов таких металлов, как Ti, Zr, Ta, V, Sm, Th, покрытии серебряным припоем, наложении на поверхность спаиваемого металла и обжиге в защитной атмосфере. Гидриды металлов при этом восстанавливаются и образуют с Ag стойкий неактивный сплав. С. Т.

78928 П. Метод спайивания металла с керамикой (Methods of producing ceramic to metal seals) [British Thomson-Houston Co., Ltd]. Англ. пат. 726647, 23.03.55

Поверхность керамич. материала металлизруется путем ее покрытия металлич. порошком с последующим спеканием. Металлич. порошок состоит из Mn и Ni в пор-

порции, дающей эвтектику и Mo в кол-ве 30—50% от веса порошка. С. Т.

78929 П. Способ обжига и (или) спекания различных материалов (Method of calcining and or sintering material) [Metallges A.—G.]. Англ. пат. 714851, 1.09.54

Предлагается метод обжига окислов, сульфатов или силикатов щел.-зем. металлов, глини, бокситов, фосфатов и их смесей на аглорешетке путем добавки к обжигаемому материалу (М) топлива. Толщина обжигаемого слоя М 50—300 см. Воздух принудительно подается сверху, поджигает смесь, а газы просасываются вниз. Более грубые фракции М располагаются ближе к решетке. Недождог отделяется от хорошо спеченного М просеиванием или по об. весу. С. Г.

78930 П. Агрегат для разработки глин, каолинов, мела и подобных минералов. Бауман, Брейтлинг (Abbaugerat für Tone, Kaoline, Kreide und ähnliche Mineralien. Baumann Karl, Breitling Kurt) [Institut für angewandte Mineralogie]. Пат. ГДР, 11009, 20.12.55

Агрегат отличается наличием вращающейся цилиндрич. щетки, снабженной проволочными или врубными зубцами и систематич. промывкой щетки водой. Между указанными зубцами имеются отверстия, через которые из полого вала подводится вода. В полом валу щетки может быть устроено шибберное устройство, позволяющее направлять воду на нужный участок цилиндрич. щетки. В этой щетке могут быть предусмотрены разбрызгивающие сопла. Цилиндрич. щетка, разбрызгивающее устройство и привод монтируются на раме, имеющей возможность горизонтального и вертикального перемещения по отношению к направлению разработки породы. Рама опирается на подвижную станину, движение которой независимо от поворота цилиндрич. щетки. Приводится схематич. чертеж. Е. Ш.

78931 П. Метод и устройство для исследования дымовых газов. Барцик (Verfahren und Einrichtung zur Prüfung von Rauchgasen. Barzik Heinrich). Пат. ГДР 10694, 26.10.55

Описывается метод исследования дымовых газов, особенно для керамич. печей, отличающийся тем, что из дымового боровы отходящие газы по спец. трубопроводу отсасываются вентилятором, охлаждаются и подаются с определенной скоростью в подогревательное устройство, где эти газы нагреваются до т-ры воспламенения; при этом по величине и характеру пламени судят о наличии в отходящих газах горючих компонентов. М. С.

78932 П. Производство штукатурки. Сига (壁材料製造方法.志賀淺水), Япон. пат. 3235, 14.05.55

В известковый р-р добавляют MgCl_2 , MgSO_4 , $\text{Al}_2(\text{SO}_4)_3$ и рапу перемешивают и получают пасту, смешиваемую с негашеной известью, которую затем гасят. Полученную массу смешивают с 2—4 ч. гашеной извести. М. Г.

78933 П. Состав для строительного блока. Франз (Composition for a building block. Franz Carl L.). Канад. пат. 514498, 12.07.55

Строительный блок готовится из (в вес. %): порошкообразного обожженного гипса 30, порошкообразной пихтовой смолы 5, наполнителя, состоящего из кусочков волокнистого материала растительного происхождения 65. Все тщательно перемешивается с достаточным кол-вом воды для получения пластичной массы, подвергается давлению для удаления излишней влаги и покрывается шеллаком. И. М.

78934 П. Производство огнеупорного цемента. Судзуки (耐火セメント製造法.鈴木信一), Япон. пат. 2039, 26.03.55

К отходам алюминиевой или дюралюминиевой пром-сти (остаточная зола) добавляют огнеупорную глину (можно и не добавлять) и фосфорную кислоту. Затем к р-ру добавляют сульфат аммония или же сульфат натрия и аммоний. Полученный огнеупорный цемент весьма хорошо твердеет на воздухе. При добавлении та-

кого цемента к шамоту, магнезиальному клинкеру, цирконии и глинозему получается цемент с высокой пластичностью и незначительной остаточной огневой усадкой.

М. Г.

78935 П. Производство огнеупорного цемента. Судзуки (耐火セメント製造法. 鈴木信一), Япон. пат. 983, 17.02.55

К обычной или обожженной глине добавляют сульфитный шлох и фосфорную к-ту или же ее кислые соли. Смесь подогревают (можно и не подогревать) и измельчают. Полученный таким образом цемент может быть использован для изготовления огнеупоров, не требующих дальнейшего обжига.

М. Г.

78936 П. Производство доломитового клинкера Мада (ドロマイトクリンカ製造法. 眞田義彰), 磐城セメント株式会社 [Иваки сэменто кабусики кайся]. Япон. пат. 980, 17.02.55

К смеси доломита и $\text{FeSO}_4 \cdot 7\text{H}_2\text{O}$ добавляют некоторое кол-во воды и H_2SO_4 и перемешивают. При этом $\text{FeSO}_4 \cdot 7\text{H}_2\text{O}$ полностью растворяется и хорошо покрывает поверхность зерен доломита. Затем вся эта смесь обжигается при 1600° во вращающейся печи.

М. Г.

78937 П. Производство теплоизоляционного бетона. Махо (断熱コンクリート製造法. 眞保義郎. Япон. пат. 2286, 5.04.55

К измельченной смеси диатомовой земли и пемзы добавляют силикат натрия. После того как порошок адсорбирует достаточное кол-во силиката натрия, его подогревают и из него изготавливают клинкер, который вновь дробят и получают теплоизоляционный цемент. К полученному цементу в качестве заполнителя добавляют крупные и средние зерна диатомовой земли и пемзы. Затем вводят некоторое кол-во фторсиликата натрия, хорошо перемешивают и добавляют воду.

М. Г.

78938 П. Изготовление бетонных блоков для построек облегченного типа. Сато (軽量建築用コンクリートブロックの製造方法. 佐藤善八), Япон. пат. 443, 27.01.55

К 1000 объемн. ч. опилок добавляют 500 ч. 5%-ного р-ра хлористого магния или же хлористого кальция, все перемешивают и после того как опилки достаточно хорошо пропитываются этим р-ром их сушат. Затем добавляют смешанный р-р из 5%-ного р-ра силиката натрия (350 ч.), 5%-ного р-ра сульфата хрома (150 ч.) Опилки вновь хорошо пропитывают, смешивают их с 350 или 400 ч. цемента, добавляют воду, тщательно перемешивают и формируют. После обработки блоки из этой массы вновь пропитывают смешанным р-ром из 20%-ного р-ра силиката натрия и 20%-ного р-ра сульфата хрома. Вследствие пропитки бетонных блоков с заполнителем из опилок солями щел. металлов, опилки становятся негорючими. Блоки обладают высокой водонепроницаемостью и хорошими теплоизоляционными свойствами.

М. Г.

78939 П. Огнеупорный бетон. Йосики, Мацумото (複結合材配合耐火コンクリート. 吉本文字, 松元邦治). [旭硝子株式会社. [Асахи гарасу кабусики кайся]. Япон. пат. 2991, 30.04.55

Шамот с содержанием 50—70% крупных и 50—30% мелких зерен смешивают с 15—30% смеси из глинозема цемента и альбита, взятых в пропорции 4 : 1 или 1 : 1. Бетон из этой смеси применяется как огнеупорный материал для кладки печей, работающих при высоких температурных режимах. Внутренние детали печи футеруются сырым необожженным бетоном. При т-ре в печи $\sim 900^\circ$ происходит обезвоживание продуктов гидратации глинозема цемента, и прочность бетона снижается до $70—90 \text{ кг/см}^2$. По мере повышения т-ры в печи свыше 1000° происходят связь альбита с другими компонентами бетона и повышение прочности до $120—150 \text{ кг/см}^2$. Коэфф. усадки не превышает 0,3%. Образования трещин не наблюдается.

М. Г.

78940 П. Асбестовый кровельный войлок и методы приготовления его. Кларво (Asbestos roofing felt and method of manufacture. Clargoe George W.) [Johns-Manville Corp.]. Канад. пат. 513307, 31.05.55 Многослойный гибкий кровельный материал готовится из асбестового волокна с последующей пропиткой асфальтом. Верхний покровный слой состоит из асбестовой бумаги, поры которой пропитаны стеариновой к-той, взятой в кол-ве 0,5—10% для образования тонкой водонепроницаемой и несмачивающейся водой пленки, одновременно являясь прочным связующим материалом между верхним и нижним слоями. Стеариновая к-та может быть растворена в легко испаряющейся жидкости, которая удаляется при сушке верхнего листа, после чего верхний и нижний слои склеивают прессованием.

В. Г.

См. также: Силикаты 78435, 79663. Стекло 78427, 78474. Вязущие материалы 77550, 78500, 80345

ПОЛУЧЕНИЕ И РАЗДЕЛЕНИЕ ГАЗОВ

78941. Использование кислорода в технологических процессах за рубежом. Васильев Ф. Ф., Тр. Всес. н.-и. ин-та кислород. машиностр., 1956, № 1, 110—123

78942. Удаление кислорода из смеси с инертными газами при помощи меди. Торочешников Н. С., Бродянский В. М., Портной Р. И., Захаров В. Г., Хим. пром-сть, 1956, № 4, 224—230

Исследована очистка сырого Ar от O_2 связыванием O_2 активной гранулированной Cu (I) при $450—500^\circ$. При объемной скорости 150 остаточное содержание не превышало порядка тысячных долей процента. Восстановление окислов Cu (главным образом CuO) осуществлялось смешанным (городским), коксовым, генераторным или другим многокомпонентным газом (II). Установлено, что процесс восстановления начинается при 280° и наиболее интенсивно протекает при $330—550^\circ$; наличие в II CO способствует полноте восстановления. Крекирования II с образованием на поверхности I аморфного углерода не происходит. Степень использования I падает в течение первых четырех циклов и затем составляет: при очистке газа с начальным содержанием $x_0 = 20\% \text{ O}_2$ 6%, а при $x_0 = 40\% \text{ O}_2$ 3%. Разбавление сырого Ar с $x = 20\% \text{ O}_2$ водяным паром до содержания $x_0 = 20\%$ увеличивает степень использования I до 8%. Приведена схема и некоторые данные установки для очистки от O_2 $30—35 \text{ м}^3/\text{час}$ аргона с $x_0 = 10—14\% \text{ O}_2$.

А. Р.

78943. Применение дунита для тонкой очистки инертных газов от кислорода. Есенберлин Р. Е., Хим. пром-сть, 1956, № 4, 244—245

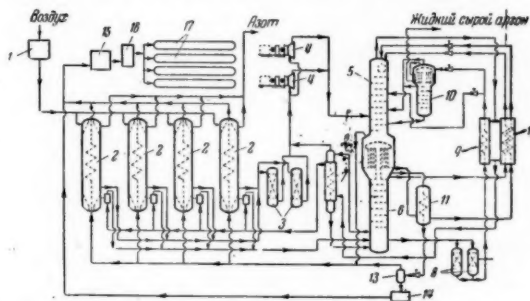
Исследована эффективность дунита (I) в качестве катализатора в процессе тонкой очистки N_2 и Ar , содержащих до 3% O_2 . Кол-во H_2 , вводимого в каталитич. печь, на 5—10% превышало кол-во, необходимое для полного связывания O_2 . Найдено, что каталитич. действие I начинается при 300° и достигает наибольшей активности при 550° ; при этой т-ре остаточное содержание Ar в газе не обнаруживается аммиачным р-ром полухлористой Cu . Каталитич. активность I при 550° не снижается с течением времени.

А. Р.

78944. Производство больших количеств чистого кислорода. (High-purity oxygen heads for big volume.) Chem. Engng, 1956, 63, № 2, 122, 124 (англ.)

Для получения высококачественной стали по методу Брассерта используются конвертеры типа бессемеровских, куда вдувается O_2 чистотой $\geq 99,5\%$. Металлургич. з-д обслуживается воздухообразовательной установкой, производящей $\sim 4700 \text{ м}^3/\text{час}$ O_2 чистоты 99,5%. Воздух сжимается турбокомпрессором I до давл. $5,8 \text{ атм}$; мощность привода (паровая турбина) 2200 квт . Для охлаждения воздуха служат четыре регенератора 2, в каждом из которых имеется самостоятельный змеевик

для вывода O_2 , благодаря чему не происходит загрязнения его CO_2 и влагой; 2 загружены дробленным камнем. Часть воздуха выводится из средней части 2, подвергается дополнительной очистке в адсорберах 3 и направляется на расширение в турбодетандеры 4, а отсюда — в верхнюю колонну 5 воздухоразделительного аппарата. Холодный воздух из 2 направляется в нижнюю колонну 6; часть воздуха отсюда поступает в теплообменник-ожижитель 7, охлаждаемый N_2 , сжижается и возвращается в 6; некоторое кол-во воздуха направляется



из 7 в 4. Жидкость из куба 6 проходит через адсорберы 8 (для поглощения ацетилена), азотный переохладитель 9 и распределяется по двум направлениям: одна часть ее направляется в 5, а другая — в конденсатор аргоновой колонны 10; отсюда пары поступают в 5. Жидкий N_2 отбирается из карманов конденсатора воздухоразделительного аппарата, а также образуется в выносном конденсаторе 11; оба потока жидкого N_2 проходят переохладитель 12 и подают на орошение в 5. Сырой аргон чистоты $\geq 90\%$ отбирается из 10 в жидком состоянии. Газообразный O_2 отбирается непосредственно из 5, а также образуется при испарении в 11; неиспарившийся O_2 отделяется в сепараторе 13, испаряется в испарителе 14 и поступает в компрессор 15, а основное кол-во O_2 проходит через 2 и также поступает в 15, где сжимается до давл. 26 кг/см^2 . Для сжатия O_2 применены четырехступенчатые поршневые компрессоры (3 шт.) с графитовыми кольцами; для нормальной работы колец O_2 должен быть влажным, для чего во всасывающую линию инжектируется вода. Сжатый O_2 подвергается осушке в аппарате 16 и направляется в ресиверы 17, каждый из которых характеризуется внутренним диам. $2,4 \text{ м}$ и длиной $21,5 \text{ м}$. Ю. П.

78945. Низкипящие сжиженные газы. Эмс (Tief-siedende ferflüssigte Gase in der Industrie. E m s H e r m a n n), Kältetechnik, 1956, 8, № 2, 49—51 (нем.) Кратко изложена техника хранения, транспортировки и газификации жидкого кислорода. Приведены характеристики стационарных и транспортных танков для жидкого O_2 (от 500 до 50 000 л), а также холодных, теплых газификаторов и насосов. В. Г.

78946. Исправление к статье „Анализ кинетических данных по превращению сероводорода в пароводород.“ Роджерс (Correction. Rogers J. D.), Industr. and Engng Chem., 1953, 45, № 11, 2576 (англ.) К РЖХим, 1956, 23235.

78947. Новый источник получения сухого льда. (Dry ice from a new source.—), Chem. Engng, 1956, 63, № 5, 114—115 (англ.)

Организовано произ-во сухого льда из газов, богатых углекислотой, выделяющихся в процессе нейтр-ции фосфорной к-ты содой. Образующаяся CO_2 охлаждается до 38° ; при этом конденсируется и отделяется основное кол-во влаги. Между ступенями компрессора CO_2 прсмывается р-ром перманганата для удаления запаха. После окон-

чательного сжатия газ фильтруется от масла и сушится алюмогелем. В дальнейшем применяются обычные установки для получения твердой CO_2 , которая прессуется в кубики размером 250 мм. Схема отличается простотой и экономичностью. А. Р.

78948. Определение удельных объемов углекислоты, пропана и метана. Динглингер (Ermittlung der spezifischen Volumen für Kohlensäure, Propan und Methan. Dinglinger Günter), Chemiker-Ztg., 1956, 80, № 5, 135—138 (нем.)

На диаграммах давление—т-ра для CO_2 , C_3H_8 и CH_4 нанесены изохоры, позволяющие определять при заданном давлении и т-ре уд. объем указанных в-в. Область насыщ. пара на диаграмме давление—т-ра отвечает линия давления пара. Приведены примеры пользования диаграммами для определения требуемых объемов сосудов при заданных т-ре и давлении. Указаны максимально допустимые уд. объемы в стальных баллонах: $1,34 \text{ л/кг}$ жидкой CO_2 , $2,35 \text{ л/кг}$ жидкого CH_4 , хранение C_3H_8 при 200 атм и 15° . Э. Н.

78949 П. Устройство для очистки редких газов от примесей азота. Мюллер (Verfahren zum Reinigen von Edelgasen von Stickstoffspuren. Müller Erwin) [Stabilovolt G. m. b. H.]. Пат. ФРГ 937824, 19.01.56

Для тонкой очистки от примесей N_2 редкие газы смешиваются с избыточным кол-вом H_2 и пропускаются через аппарат, где в газе возбуждается электрич. разряд между электродами из шел. или шел.-зем. металлов. Связывание N_2 происходит быстро и нацело и образуются соединения в форме свободных радикалов, которые затем легко отделяются. А. Р.

См. также: 79005, 79018, 74801, 79915, 77590

ПОДГОТОВКА ВОДЫ. СТОЧНЫЕ ВОДЫ

78950. Колориметрический специфический метод определения следов хлора в хлорированной водопроводной воде. Кульберг Л. М., Борзова Л. Д., Укр. хим. ж., 1956, 22, № 1, 100—105

При воздействии Cl_2 на смесь $C_6H_5NH_2$ и C_6H_5OH в шел. среде образуется индофенолят Na, окрашенный в синий цвет. На основе этой р-ции разработаны два варианта определения Cl_2 . 1. При $>1 \text{ γ/мл}$ Cl_2 к 100 мл исследуемой воды при помешивании добавляют в указанной последовательности 1 г NaOH, 1,5 мл $C_6H_5NH_2$ и 3 г C_6H_5OH . При 1—25 γ/мл Cl_2 выполняется закон Бера. Абс. погрешность $\pm 0,5 \text{ γ}$. 2. При $<1 \text{ γ/мл}$ Cl_2 к 200 мл исследуемой воды добавляют 30 мл $CHCl_3$ и 2 капли 5 н. HCl; после 5—6 встряхиваний органич. слой отделяют и экстрагируют 3 мл 1 н. NaOH в течение 1 мин. К шел. экстракту прибавляют 1 каплю $C_6H_5NH_2$ и 0,1 г C_6H_5OH и через 20 мин. фотометрируют при 610 мμ в 5-мм кювете. Абс. погрешность $\pm 0,02 \text{ γ}$. Закон Бера выполняется при 0,1—1 γ/мл Cl_2 . Fe^{3+} , Mn^{IV} , NO_2^- и хлорамины не мешают р-ции. Т. Л.

78951. Токсичность кадмия и шестивалентного хрома в питьевой воде. Деккер, Хопперт, Байеррум (Chronic toxicity of cadmium and hexavalent chromium in drinking water. Dekker C. F., Hopper C. A., Byerrum R. U.), J. Amer. Water Works Assoc., 1956, 48, № 1, 89—90 (англ.)

Приведены предварительные результаты опытов по хронич. воздействию (6 месяцев) на белых крыс и собак Cd^{2+} (0,1—10 мг/л питьевой воды) и CrO_4^{2-} (1—25 мг/л). Прирост веса животных и морфологич. состав периферич. крови при этом не изменились. В конц-ии 25 мг/л CrO_4^{2-} вызывал незначительное уменьшение кол-ва гемоглобина в крови у крыс. Г. Д.

78952. Обеззараживающее действие четырехзамещенных оснований. Клаймек, Бейли (Sanitizing effect

of quats. Klimek John W., Bailey John Hays), Soap and Chem. Specialties, 1954, 30, № 7, 129, 131, 133, 136, 155 (англ.)

Четырехзамещенное основание — хлористый бензалконий (I) обладает резко выраженным бактерицидным действием (БД). Ряд авторов считает, однако, что БД I сильно снижается в присутствии солей жесткости, ионов Al и Fe и некоторых органич. примесей. Экспериментально было показано, что в синтетич. воде с конц-ией I 200 мг/л и жесткостью 450 мг/л по отношению к *Esc. coli* при времени экспозиции 2 мин. БД I не снижается. При уменьшении времени экспозиции до 30 сек. убывало до 99,92% организмов при некотором затормаживании бактерицидного процесса. Присутствие Fe и Al в конц-иях до 5 мг/л (при pH > 7,8) в воде с той же жесткостью также не снижало БД I. Введение 1—2 мг/мл трилона Б или Na_2PO_4 в воду с конц-ией I 200 мг/л и с жесткостью 450 мг/л при 30 сек. экспозиции не ослабляло БД I. Показана большая эффективность БД I при обеззараживании питьевых вод по сравнению с получившимися распространение комплексными соединениями мода. С. К.

78953. Обработка воды совместным Н — ОН — ионированием. Кентар (Traitement des eaux par échangeurs d'ions, selon le principe des échanges alternés. Quintard Nicole), Chim. analyt., 1956, 38, № 3, 96 (франц.)

Указываются преимущества совместного Н-ОН-ионирования (высокая степень обессоливания, большое постоянство свойств обработанной воды). Ввиду чувствительности анионитов к Fe рекомендуется отделять его предварительно, пропуская воду через слой спец. сорбента «Магно». В. А.

78954. О возможности применения ионитов в текстильной промышленности. Сапгир (Les possibilités d'emploi des échangeurs d'ions dans l'industrie textile. Sargir S.), Monit. text., 1954, 16, № 9, 91, 93, 95 (франц.)

Отмечена целесообразность применения ионитов для обессоливания воды и освобождения ее от солей Fe и Mn, очистки сточных вод, утилизации поташа из вод шерсто-моек и т. д. Л. Б.

78955. Задачи подготовки воды для питания паровых котлов на сахарных заводах. Грудман (Speise- und Kesselwasserprobleme in Zuckerfabriken. Grundmann P.), 1956, Zucker, 9, № 4, 75—82 (нем.)

Особенностью водоподготовки на сахарных з-дах является то обстоятельство, что во время кампании сахароварения конденсат имеется в большом кол-ве, в период же переработки сахара загрузка котлов снижается, но одновременно потери конденсата резко возрастают. Рекомендуется применять при подготовке добавочной воды горячее содоизвесткование с присадкой фосфатов в котлы, производить непрерывную продувку котлов и термич. дезаэрацию или вести катионирование воды. Отмечено удобство и универсальность комбинированного катионирования с предварительным известкованием. Разобраны различные методы внутрикотловой обработки воды. Произведено сравнение стоимости различных методов обработки для разных вод. При общей жесткости > 3 мг/экв/л наиболее дешевым оказывается катионирование с предварительным известкованием. Г. К.

78956. Влияние периодичности подачи сточных вод на производительность биофильтров. Томлинсон, Холл (Tests show how sewage dosing cycle affects filter performance. Tomlinson T. G., Hall H.), Munic. J., 1955, 63, № 3236, 519, 521 (англ.)

В результате опытов, проводившихся на четырех круглых биофильтрах (Б) в течение пяти лет, выяснилось, что наилучшая работа Б достигается в условиях, когда период вращения распределителя составляет 12 мин. При этом Б или совершенно не зарастают или зарастают лишь в малой степени; не обнаружено также сезонных изменений

толщины биологич. пленки. На двух контрольных Б, на которых скорость вращения распределителя зависела от расхода сточных вод (СВ), зарастания были в 2—3 раза большими. На опытных Б с постоянной скоростью вращения распределителя конц-ия NO_3^- в очищ. СВ была в 2—3 раза большей, чем на контрольных Б. А. С.

78957. Влияние 2,4-динитрофенола на активный ил. Рич, Йейтс (The effect of 2,4-dinitrophenol on activated sludge. Rich Linvil G., Yates Oscar W., Jr., Appl. Microbiol., 1955, 3, № 2, 95—98 (англ.)

В лабор. условиях исследовалось влияние 2,4-динитрофенола (I) на активный ил в процессе очистки искусственно приготовленных бытовых сточных вод (СВ) (БПК 250 мг/л, ХПК 530 мг/л). I добавлялся в конц-ии 4—35 мг/л. Время аэрирования менялось от 1,5 до 6,5 час. При периоде аэрирования ≤ 2 час. I стимулировал извлечение органич. примесей из СВ. Эффект повышался с увеличением конц-ии I. При 2,5 час. аэрирования I в конц-ии 4 мг/л не оказывал тормозящего влияния на очистку, в конц-ии же 5 мг/л тормозил активность ила даже после 6,5 час. аэрирования. Тормозящий и стимулирующий эффекты I являются обратимыми, особенно в пределах конц-ий, с которыми проводились опыты. С. К.

78958. Проектирование сооружений для очистки сточных вод. Джонсон (Sewage disposal works design. Johnson D.), J. Instn Munic. Engrs, 1953, 80, № 7, 343—356 (англ.)

78959. Сооружение и эксплуатация небольших установок с активным илом. Финч (The setting to work and operation of a small activated sludge plant. Finch John, J. and Proc. Inst. Sewage Purific., 1954, № 4, 410—412 (англ.)

Описана установка для очистки бытовых сточных вод (БПК₅ 600 мг/л, грубодисперсные примеси 400 мг/л) от 4400 жителей. Установка состоит из 2 параллельных песколовок, 2 дробилок, первичного радиального отстойника (диам. 12,2 м, глубина цилиндрич. части 1,83 м, снабжен механич. устройствами для удаления ила и плавающих в-в), аэротенка с поверхностным аэрированием (аэрационные конуса высокой интенсивности снабжены устройствами для изменения глубины их погружения) и вторичного отстойника (того же размера, что и первичный, но с 6 жеманги для удаления ила сифонным устройством). При эксплуатации установки было отмечено сильное пенообразование, обусловленное присутствием детергентов в конц-ии 40—50 мг/л. Попытки сбить пену различными типами разбрызгивателей не дали положительных результатов. Проблема была разрешена за счет увеличения конц-ии грубодисперсных примесей в аэротенке. Такое решение, однако, не может быть рекомендовано для всех случаев. А. Ф.

78960. Способ Ланси — новый путь для обезвреживания ядовитых промывных вод на предприятиях гальванического покрытия металлов. Петерс (Das Lancy — Verfahren, ein neuer Weg zur Verhütung giftiger Abwasser in Galvanik-Betrieben. Peters Werner), Metallwaren-Ind. und Galvanotech., 1956, 47, № 1, 12—19 (нем.)

Приведены соображения об экономичности обезвреживания сточных вод способом Ланси. (См. РЖХим, 1956, 16942). З. С.

78961. Сточные воды сульфатцеллюлозного производства и их обезвреживание. Зелинский (Scieki z produkcji celulozy siarczanowej i ich unieszkodliwianie. Zieliński Jerzy), Przegl. papir., 1954, 10, № 4, 103—108; № 5, 149—153 (польск.)

Указаны способы снижения кол-ва загрязнений сточных вод (СВ) и кол-ва СВ, спускаемых в водоем, путем рационализации водн. хозяйства: тщательная промывка целлюлозной массы в диффузорах для возможно полного удаления черного щелока, использование скипидарной фракции

варочных конденсатов, использование Na-мыл жирных и смольных к-т, устранение перебросов черного шелока, улавливание волокна из СВ и др. Возможны следующие методы очистки рассматриваемых СВ: выдерживание в прудах, коагуляция (посредством $\text{Ca}(\text{OH})_2$, H_2SO_4 , NaHSO_4), хлорирование, обработка дымовыми газами и биохим. очистка (на биофильтрах). Рекомендуется применять механ., физ.-хим. и биохим. методы ввиду более низких монтажных и эксплуатационных затрат, чем при хим. методах. Перед выбором метода следует предварительно провести лабор. и полупроизводственные испытания.

S. A. Sommer

78962 К. Промышленные сточные воды. Часть I. Шолн (Průmyslové odpadní vody. I. část. Šolín V a c l a v, Praha, SNTL, 1956, 123 с., ил., 7 Кис.) (чеш.)

См. также: Анализ: Ca^{2+} 78428; Al^{3+} 78434; PO_4^{3-} 78481, 78487; SO_4^{2-} 78492, 78493. Адсорбция пузырьков воздуха водой 77543. Иониты: коэффициент избирательности катионов 77783; равновесие 2-валентных ионов 77784; адсорбция солей неионогенными смолами 77787; ионитовые мембраны 77788, 77790; комплексонсодержащие иониты 78396; обзор 79573. Коррозия систем горячего водоснабжения 80229; конденсаторов 80238; паро- и конденсаторов 80286; паровых котлов 80233, 80255. Утилизация и удаление отходов целлюлозно-бумажной про-сти 79750, 79753. Реагенты: известь от произ-ва CaC_2 78633; получение ClO_2 78658, 78659

ПЕРЕРАБОТКА ТВЕРДЫХ ГОРЮЧИХ ИСКОПАЕМЫХ

78963. Опыт хранения углей в штабелях на ледяном основании. Исаченко Л. М., Изв. АН КазССР, Сер. хим., 1956, № 9, 127

Лучшим методом длительного хранения угля является хранение его в штабелях на ледяном основании. В обычных штабелях самонагревание угля происходит в нижней части штабеля, в то время как в штабелях на ледяном основании т-ра повышается в верхней половине штабеля, если штабель высокий, или вовсе не повышается, если штабель низкий. Хим. анализ угля, пролежавшего 35 месяцев, показал полную возможность его дальнейшего хранения.

М. Л.

78964. Комплексное производство углеводородных и азотистых продуктов из угля. Добровольский (Skojarzona produkcja węglu i azotopochodnych. Dobrowolski Romuald), Chemik, 1956, 9, № 3, 66—70 (польск.)

В связи с составлением пятилетнего плана развития хим. про-сти Польши рассмотрен вариант комплексной технологии. схемы переработки углей: полукоксование, газификация полугокса в водяной газ, синтез углеводородов по методу Фишера — Тропша, синтез аммиака, с утилизацией всех побочных продуктов. Показана технико-экономическая эффективность комплексного использования углей в народном х-ве Польши.

К. 3.

78965. Национальные ресурсы топлив и потребность в них. Фоксуэлл (National fuel resources in the light of national fuel requirements. Foxwell G. E.), J. Inst. Fuel, 1955, 28, № 178, 551—560 (англ.)

78966. Коксо-газовый завод в Джерси (США). — (New carbonising plant at Jersey.—), Gas Times, 1954, 79, № 822, 522—524 (англ.)

78967. О винилировании подмосковного угля. Шостаковский М. Ф., Титов Н. Г., Смирнов Р. Н., Ж. прикл. химии, 1956, 29, № 3, 463—467

Для винилирования взят рядовой уголь шахты «Рыб» треста «Тулауголь», содержащий 3,31% СО-групп, которые предварительно были восстановлены в гидроксиль-

ные, в результате чего уголь, подвергавшийся винилированию, содержал 4,86% ОН-групп и 0,47% СО-групп. Р-ция винилирования проводилась в автоклаве, заполненном ацетиленом под давл. 16 атм при 170—175°. Определение кол-ва присоединившихся винильных групп производилось посредством гидрогалондирования с последующим гидролизом α-галондэфинов. Показано, что угли, содержащие 20—30% кислорода, могут быть про-винилированы по р-ции Фаворского-Шостаковского; в проведенных опытах к углю присоединилось 10,8% винильных групп. Винилированный уголь представлял собой темнокоричневый порошок с запахом виниловых эфиров. Продукты винилирования угля, вследствие их большей растворимости и летучести, являются более доступными для исследования природы угля, чем исходный уголь.

Г. М.

78968. Равновесная влажность бурых углей. Рамлер, Кнофе (Über den Gleichgewichtswassergehalt von Braunkohlen. Rammeler Erich, Knopfe Erich), Freiburger Forschungsh., 1955, A, № 44, 60—79 (нем.)

Определена равновесная влажность 9 образцов мягких бурых углей ГДР и 12 образцов твердых бурых углей Чехословакии; определение велось по видоизмененной стандартной методике. Показано, что для бурых углей, в отличие от каменных, равновесная влажность не может служить критерием для классификации. С. Г.

78969. О характере капиллярнохимических и химических изменений молодых топлив (торфов) при нагреве под давлением в водной среде. Ланге (Zur Kenntnis der kapillarchemischen und chemischen Veränderungen junger Brennstoffe (Torfe) bei der Druckerhitzung im wäßrigen Medium. Lange G.), Chem. Technik, 1955, 7, № 5, 273—280 (нем.)

Исследовались три вида торфа: Polytrichum (I), Sphagnum (II) и Carex (III). 100 ч. сырого торфа взбалтывались в 100 ч. дистилл. воды и нагревались затем в автоклаве 15, 30 и 60 мин. от 150 до 300°. Торфяной гель претерпевал при этом значительные изменения и частично разрушался с выделением «свободной» влаги. О характере изменений геля после термич. обработки под давлением судили на основании кинетич. анализа снятием кривых сушки. Проба помещалась в эксикатор с P_2O_5 и по изменению веса во времени строились кривые сушки. На первом участке наблюдается прямая пропорциональность между уменьшением веса и увеличением т-ры (удаление «свободной» влаги). Затем наблюдается перегиб (переходная область к выделению колл. влаги) и затем кривая переходит в линию постоянного веса. Выделение колл. влаги для торфа I заканчивается при 240—260°, для II — 250—280°, для III — 290—300°. Для достижения максим. эффекта разложения геля достаточно 30 мин. Обработанный в автоклаве торф вследствие разрушения геля и растительной структуры хорошо брикетуется. Брикеты имеют блестящую поверхность. Уменьшается гидрофобность полученного торфа и брикетов. При т-ре $>160^\circ$ пентозаны болотных торфов циклизируются в фурфурол, одновременно протекает декарбоксилирование и дегидратация. При т-ре $>300^\circ$ и выдержке 60 мин. наблюдается увеличение содержания углерода на 15—20% за счет потери кислорода.

Г. С.

78970. Определение оптимальных показателей процесса обогащения. Баюла А. Г., Сообщ. Дальневосточ. филиала им. Комарова АН СССР, 1954, № 6, 16—24

Рассмотрены недостатки кривых обогатимости Анри и показано, что по ним невозможно найти оптич. значения показателей обогащения, соответствующих данным условиям процесса. Для определения оптим. показателей обогащения рекомендовано рассчитывать показатели $E_{\text{тех.}}$, соответствующие различным значениям показателей β

и ε , пользуясь предложенной автором ф-лой:

$$E_{\text{техн.}} = (\beta_{\text{фракт.}} / \beta_{\text{мин.}}) \cdot \varepsilon\%, \text{ где}$$

$\beta_{\text{фракт.}}$ — содержание угля (металла) в концентрате, получаемом при определенном состоянии процесса обогащения, $\beta_{\text{мин.}}$ — содержание угля (металла) в минерале, ε — величина достигаемого извлечения угля (металла) в данный концентрат. Применение показателей $E_{\text{техн.}}$ показывает явно выраженный оптимум, с помощью которого легко могут быть найдены все остальные оптим. показатели обогащения. Г. С.

78971. Значение флотации для расширения сырьевой базы коксохимической промышленности. Ельшешевич М. Г., В сб.: Флотация углей, М., Углетехиздат 1954, 47—56, Дискус., стр. 232

Исследовались донецкие и кузнецкие угли. При флотации (Ф) кузнецких углей с сульфированным керосином 0,4 кг/т в водн. среде при применении регуляторов NaCl и Na_2SO_4 получено, что скорость Ф увеличивается в 2—3 раза (для получения хвостов с зольностью 45% с 6 до 2 мин.). Выход флотационного концентрата (ФК) увеличивается до 85—90%. Ф является методом петрографич. обогащения. В течение 1 мин. извлекается 50% угольной мелочи блестящих компонентов с зольностью 4,5%. Ф можно получить для коксования 10—12% концентрата от добычи пласта Мощного (Кузбасс). При анализе ленточных углей установлено, что введением при Ф минер. солей или содовой воды можно изменять свойства ФК. При использовании регулятора 0,5% NaCl содержание серы в ФК снижается на 0,58%. Значительная часть S переходит в флюэновый продукт и породу (содержание 5,6—4,1%; содерж. в исх. продукте 2,5%). Г. С.

78972. Получение энергетического газа из углей месторождения Ангрэн в генераторах фонтанного типа. Дружинин И. Г., Таскаев Н. Д., Изв. АН Кирг. ССР, 1955, № 1, 37—46

78973. Опыты сухой перегонки газово-пламенных углей в печах газовых заводов. Киевский, Начинский, Рудзинская, Тромшинский (Badania nad odgazowaniem węgla gazowo-plamiennych w piecach gazowniczych. Kijewski W., Naczynski J., Rudzinska J., Tromszczyński J.), Koks, smoła, gaz, 1956, 1, № 1, Biul. inst. chem. prz. robki w gła, 3—4 (польск.)

Сообщается о результатах четырех серий опытов сухой перегонки газово-пламенных и пламенных углей Польши в ретортах и камерах газовых заводов с целью расширения ассортимента применяемых на этих заводах углей. Установлена определенная возможность использования этих углей для произ-ва газа при условии решения проблемы утилизации получающегося кокса ухудшенного качества. К. З.

78974. Сухая перегонка шотландских углей. Поулсон (Distillation of scottish coals. Poulson C. A.), Gas J., 1954, 279, № 4765, 792, 794, 797 (англ.)

Рассматриваются вопросы наиболее экономичной переработки шотландских углей на газовых заводах. Получение бытового газа проводится в вертикальных ретортах с применением пара и без него. Для определения теплотворности газа в зависимости от производительности реторт составлена номограмма для различных шотландских углей, характеризующихся лишь различной теплотворностью. Кокс газовых заводов используется как бездымное топливо. Рассматриваются свойства получаемого кокса (влажность, размер кусков и др.). Н. К.

78975. Исследование влияния предварительного окисления некоторых австралийских углей на выходы продуктов их полукоксования. Маршалл, Дрейкотт (Preliminary study of the effects of atmospheric oxidation on the yields of primary carbonization products of certain Australian coals. Marshall C. E., Dreycott A.), Fuel, 1954, 33, № 1, 26—41 (англ.)

Исследовалось в лабор. условиях влияние медленного окисления образцов австралийских углей (содержание летучих в-в 22,3—38,2%) на качество и выходы продуктов их полукоксования. Окисление велось током кислорода до 250 час. при $\sim 20^\circ$; в процессе окисления образцы подвергались полукоксованию в реторте при 600° . Показано, что: 1) прочность полукокса с увеличением длительности окисления снижается, достигает миним. значения после 25 час. окисления, а затем после 200 час. окисления возрастает; 2) выход полукокса вначале окисления увеличивается, достигает после 75—100 час. максим. значения (увеличение на 1,7—2,2%) и затем снижается; 3) выход смолы уменьшается в первые 75—125 час. окисления на $\sim 40\%$, а затем остается постоянным; 4) выход подсмоленной воды и аммиака после 250 час. окисления увеличивается соответственно на 25—55% и 2—12,4%; 5) выход газа увеличивается на 4—6%. Отмеченные изменения выходов продуктов полукоксования объяснены развитием поверхностных процессов окисления угля по схеме: физ. сорбция O_2 , образование газообразных продуктов, образование комплексов уголь — кислород. В. К.

78976. Бурые угли как сырье для коксования. Пахалок И. Ф., Познанская В. С., Уголь, 1955, № 3, 32—35

Технологический процесс получения буроугольного кокса (БК) включает: а) получение угольных брикетов без связующих из угля 0,5—1 мм при 1000—2000 ат, б) осторожную предварительную подсушку до 8% W, в) медленный процесс коксования при 350—500°, г) быстрый подъем т-ры до 900—1000°, д) создание в процессе коксования миним. механич. напряжений, е) сухое тушение брикетов. БК представляет собой скелетосбразное в-во, пронизанное весьма большим кол-вом микропор и не имеющее ячеистой структуры, характерной для каменного кокса. БК обладает более низкой пористостью и повышенной реакционной способностью. Приведены данные по БК из углей Ангрэнского месторождения. $V^p = 27,2\%$, $A^c = 15,91$, $V^c = 31,4\%$. Показатели углебрикета: изгиб 16,1 кг/см², сжатие 189 кг/см², истирание 97,3%. Выход коксобрикетов > 40 и < 10 мм до испытания 100% — 0, после 150 оборотов барабана 55,0—15, после 300 оборотов барабана 42,0 и 24,0. Исследованы коксобрикетки из бурых углей Башкирии. Г. С.

78977. Новые пути получения бездымного топлива. Джонс (New paths in smokeless fuel production. Jones W. Idrijs), Chem. and Process Engng, 1955, 36, № 4, 147—151 (англ.)

Приведены описание и результаты опытов получения бездымного бытового топлива (кокса) из низксертных слабоспекающихся углей на установке производительностью по углю 1 м³/час в Англии по новому способу, включающему: 1) окислительное полукоксование измельченного угля в псевдоожиженном слое с высоким выходом смолы; 2) брикетирование полукокса с добавкой в качестве связующего плавкого угля при повышенной т-ре ($\sim 500^\circ$), что снижает расход тепла при последующем коксовании брикетов; 3) коксование брикетов с помесью горячего песка в качестве теплоносителя, что сокращает время коксования до 30—45 мин. Даны схемы процесса и установки. В. К.

78978. Влияние рециркуляции на качество обогрета коксовых печей ПК-2К. Кулаков Н. К., Кустов Б. И., Сталь, 1954, № 11, 967—974

В результате исследования промышленных батарей печей ПК-2К с рециркуляцией (ПСР) и без рециркуляции (ПБР) установлено, что кол-во продуктов горения (ПГ), рециркулирующих через канал в разделительной стенке вертикалов, составляет $\sim 33\%$. Описана методика определения кратности рециркуляции, основанная на том, что по кварцевой трубке длиной в 4 м в один из вертикалов выпускали CO_2 из баллона, из верхней части этого верти-

кала и соседних кварцевыми трубками длиной 2,5 м отбирали пробы ПГ до и после ввода CO_2 . По приращению содержания CO_2 в ПГ рассчитывали кол-во рециркулирующих ПГ. Отмечено, что равномерность обогрева камер по высоте заметно лучше в ПСР; при равном периоде коксования в контрольных вертикалах можно поддерживать т-ры на 30—40° ниже, чем в ПБР. Качество кокса в ПСР выше.

78979. Смолы из индийских каменных углей. Часть II. Басу, Бхатнагар, Рой (Indian coal-tars: Part II. Basu A. N., Bhatnagar J. N., Roy A. K.), J. Scient. and Industr. Res., 1954, 13, Sec. A, № 5, 217—220 (англ.)

Ранее была показана зависимость выхода и состава смолы (С) от природы угля, условий коксования и каталитич. эффекта минер. примесей смолы (РЖХим, 1955, 14934). Обсуждаются лабор. эксперименты, связанные с влиянием этих факторов. Роль природы угля выяснялась при коксовании (900°) его фракций различного уд. веса (1,35—1,60). Для двух углей (коксуемого I и не коксуемого II) определялся выход С из различных фракций. Для I выход С почти неизменен. Для II, несмотря на примерно одинаковый выход летучих в различных фракциях (39,7—44,9%), выход смолы растет с увеличением уд. веса (2,73% при <1,35, 4,66% при <1,55); это объясняется высоким содержанием кислорода и втрена во фракциях малого уд. веса. При понижении т-ры коксования выход С увеличивается равно, как и при добавлении (между 400—900°) перегретого пара. При 1000° уголь без добавок дает 5,6—6,2% смолы, содержащей 13,18—14,23% кислых соединений. С паром (0,37—0,41 г/г) получают соответственно 5,2—5,8% и 13,80—15,56%, со сланцем и паром 5,8—6,0% и 14,34—15,17%. Каталитич. эффект минер. в-в на выход С исследован при разложении фенолов в токе азота над сланцем, огнеупором, кварцем, коксом и Si-Al-катализатором ($\text{SiO}_2 : \text{Al}_2\text{O}_3 = 2 : 1$). При времени контакта ~3 мин. конверсия фенола в разных условиях составила 15—99%.

78980. Идентификация некоторых углеводородов в каменноугольной смоле полукочкования. I. Исследование фракций нейтрального масла. Егер, Катвинкель (Identifizierung einiger Kohlenwasserstoffe im Steinkohlenschwelter. I. Problemstellung — Untersuchung der Neutralfraktionen. J. eger Alfred, Kattwinkel Günter), Erdöl und Kohle, 1955, 8, № 9, 629—636 (нем.)

Исследован состав нейтр. фракций каменноугольной смолы полукочкования с т. кип. 20—56° (фр. А), 56—100° (фр. Б), 100—136° (фр. В) и 200—240° (фр. Г), разогнанных на перегонной колонке на узкие фракции. Для каждой серии фракций строились кривые на основании разгонки, определялись и. ч., n_D^{20} и плотности. Затем фракции подвергались детальному исследованию, с применением дополнительных фракционировок, путем анализа по спектрам комбинационного рассеяния (некоторые также спектроскопией в УФ и ИК-областях), хроматографич. разделения на SiO_2 , гидрирования с последующей разгонкой, в некоторых случаях обработки H_2SO_4 , пириновой к-той и мочевиной. Были найдены нижеперечисленные углеводороды: во фр. А пентен-1 и циклопентен (в основном), 2-метилбутен-1 (предположительно), 2-метилбутен-2, циклопентадие и пентадиен-1,3; 2-метилбутан, *n*-пентан, циклопентан (I) и как примесь 2-метилпентан (II). Кроме того, путем извлечения водой были найдены ацетон и бутанон-2. Во фр. Б были найдены как основные компоненты метилциклопентадие, гексен-1, гептен-1, C_8H_{18} и как второстепенные 2-метилпентен-2, 3-метилпентен-3, метилциклопентен, II, I как примесь, *n*-гексан, метилциклопентан, циклогексан, 2-метилгексан, *n*-гептан и метилциклогексан (III). Во фр. В найдены толуол, *m*- и *p*-ксилолы, октен-1, в качестве примеси 2-метилпентен-2, изоолефины ближе не определенные, III (с примесью *n*-геп-

тана), 2-метилпентан, 3-метилпентан и *n*-октан. Во фр. Г найдено 40% нафталина, выпадающего в кристаллич. виде, *n*-додекан, *n*-тридекан, α - и β -метилнафталины, додецен-1, тридецен-1 и метилированные гомологи $\text{C}_{14}\text{H}_{30}$.

Е. П.

78981. Обезвоживание смолы в отделителе, работающем под давлением. Плоппа (Teerentwässerung durch Druckscheider. Ploppa Martin), Gas- und Wasserfach, 1956, 97, № 1, 37—39 (нем.)

Приводится схема и описание установки по обезвоживанию смолы, использующей отделитель, работающий под давлением.

Б. Э.

78982. Влияние уплотнения угольной шихты на механические параметры кокса. Калиновский, Гросман, Ковальский (Wplyw zagęszczania wsadu w gólowego na parametry wytrzymałościowe koksu. Kalinowski B., Grossman A., Kowalski B.), Hutnik (Staliność), 1955, 22, № 7—8, 247—252 (польск.)

78983. Влияние толщины брикета на прочность буроугольного кокса. Раммлер, Герлах, Билькенрот (Über den Einfluß der Brikettstärke (Steinstärke) auf die Festigkeit von Braunkohlenkoks. Rammler Erich, Gerlach Gottfried, Bilkentrot Georg), Freiburger Forschungs., 1955, A, № 35, 93—105 (нем.)

Экспериментально показано, что с увеличением толщины буроугольного брикета его прочность на сжатие (П) уменьшается. Еще более резко падает П полученного из брикетов кокса и полуккокса, что объясняется ослаблением структуры материала при коксовании за счет образования более глубоких пор для выхода летучих. Первая серия опытов проведена с брикетокосом из Нидерландии с кусками диам. 50 мм, толщиной 16, 24, 33, 40 мм, полученным из фракции 0—1 мм, $W = 10,3$ —11,5%, при давл. 1400 kg/cm^2 , t 60°. Брикетки коксовались в электротопке при t 1100°. Время коксования 11,5 часа и выдержка при t 1100°—1 час. Для брикетов указанных выше размеров, П была соответственно 277,7; 238,6; 211,4; 219,5 kg/cm^2 , а для полученного кокса П равнялась 357,3; 262,0; 167,0; 156,6 kg/cm^2 . Даются также значения П брикетов и кокса для приведенной толщины h_n , приводятся ф-лы пересчета. Вторая серия опытов была проведена с брикетами и коксом, полученными из бурых углей с примесью песка. Для указанных выше размеров получено П—брикетов: 312,8; 246,0; 217,5; 212,2, для кокса 100,0; 73,8; 53,6; 50,0 kg/cm^2 . Установлено, что буроугольный брикет 32 мм и коксовый брикет 40 мм толщины имеют одинаковую П.

Г. С.

78984. Оценка способов определения механических свойств и реакционной способности кокса. Гросман (Ocena i interpretacja sposobów oznaczania odporności mechanicznej koksu i jego reaktywności. Grossman Andrzej), Hutnik (Staliność), 1955, 22, № 7—8, 240—246 (польск.)

78985. О скорости выделения летучих веществ при полукочковании мелкозернистых сланцев с газовым теплоносителем. Казаков Е. И., Малащенко Л. П., Тр. Ин-та горючих ископаемых АН СССР, 1955, 6, 198—206

Изучалась по разработанной методике динамика процесса полукочкования сланцев в потоке газа-теплоносителя (азота). Найдены зависимости скорости разложения сланца от размеров частиц (в пределах 0,25—13 мм), времени полукочкования (в пределах 30—180 сек.), т-ры теплоносителя (в пределах 450—600°), скорости теплоносителя (в пределах 0,5—1,25 м/сек). Показано, что процесс разложения органич. эстонских и каширских сланцев с размерами зерен до 13 мм при т-ре теплоносителя 450—600° и интервале его скорости 0,75—1,25 м/сек заканчивается в течение 2—4 мин.; увеличение относительной скорости теплоносителя ускоряет процесс.

В. К.

78986. О скорости выделения летучих веществ при полукочковании мелкозернистого сланца в криволинейном потоке. Казаков Е. И., Малащенко Л. П., Тр. Ин-та горючих ископаемых АН СССР, 1955, 6, 207—211

Приводятся результаты изучения скорости полукочкования эстонского сланца в лабор. реакторе циклонного типа. Показано, что полное выделение летучих в-в из сланца с размерами зерен 0,5—7 мм, при входной скорости газа-теплоносителя 120 м/сек, т-ре 550° (расход газа-теплоносителя 2,6—3,2 м³/кг) достигалось за 60 сек., т. е. вдвое скорее, чем при полукочковании в неподвижном слое с газовым теплоносителем. В. К.

78987. Оценка твердого топлива как сырья для газификации. Михеев А. П., Пухликова Р. В., Ярослав Т. Е., Газовая пром-сть, 1956, № 2, 11—15

Приводится характеристика лабор. способов определения термич. стойкости, шлакообразующей способности и активности топлив по отношению к кислороду воздуха. Дается оценка отдельных видов топлив с помощью приведенных способов и классификация топлив на группы для определения способа их газификации. Б. Э.

78988. Проблема газификации отечественных лигнитов для химической промышленности, в частности, для синтеза аммиака. Ненадович (Problem gasifikacije na ih lignita i njihova primena u hemijskoj industriji, prvenstveno za sintezu amonijaka. Nenađović Milija), Tehnika, 1956, 11, № 6, 885—887 (сербо-хорв.; рез. франц.)

Отмечая, что запасы отечественных лигнитов составляют >50% общих угольных запасов, автор рассматривает вопрос об их газификации. Показана необходимость эксперим. работ по газификации лигнитов в водяной газ для синтеза аммиака и получения показателей, позволяющих определить экономич. эффективность развития этого направления использования лигнитов. К. З.

78989. Газификация угля месторождения «Чукурово». Ценков (Газификация на въглицата от ДМП «Чукурово»). Ценков Ц. В., Техника (Бълг.), 1956, 5, № 2, 7—11 (болг.)

Сообщаются результаты двух промышленных опытов газификации многозольного угля месторождения «Чукурово» в полумеханизированном газогенераторе диам. 3 м. Показана возможность успешной газификации фракции 20—40 или 20—50 мм этого угля с получением газа, имеющего теплотворность 1300 ккал/м³, выход газа 1,3 м³/кг рабочего топлива, при производительности газогенератора 250 кг/м³ в 1 час. К. З.

78990. Исследования смол для дорожного строительства. Франк (Die neuere Entwicklung der Straßen-teerforschung. Frank Heinz-Gerhard), Bitum, Teere, Asph., Pechе und verw. Stoffe, 1953, 4, № 10, 273—281 (нем.)

Приведены ф-лы для определения: процентного содержания в смолах среднего, тяжелого, антраценового масла и пека, зависимости между составом и скоростью затвердевания дорожных смол. Описаны свойства дорожных мягких пеков, смол с добавками битумов, а также влияние состава и вязкости на прочность сцепления смол с каменным материалом. И. Н.

78991. Выбор связующего для производства электродов и электроугольных изделий. Крылов В. Н., Ж. прикл. химии, 1955, 28, № 10, 1063—1070

Приводятся результаты эксперим. исследования влияния соотношения летучих в-в (Л), коксового остатка (К) и свободного углерода (У) в связующем (каменноугольный пек) на его качество в зависимости от объема пустот (ОП) исходной сухой смеси, а также исследования по выбору метода воздействия на связующее, позволяющего изменять соотношение Л, К и У в нем. Установлено, что выбор пека необходимо производить по соотношению

Л : К : У, причем это соотношение различно для связывания пеком обычных сухих угольных смесей с различным ОП. При повышении ОП должен применяться пек с повышенным выходом свободного У. Сплавлением пека с серой можно произвольно изменять соотношение Л : К : У в пеке в сравнительно широких пределах, при этом наибольший выход У и самая низкая т-ра размягчения пека соответствует 20% серы. Выплавление пека с йодом позволяет изменять соотношение Л : К : У иным образом нежели его сплавление с S. Мнение о том, что хорошими связывающими свойствами обладают пеки с высокой т-рой размягчения, не подтверждается для сухих угольных смесей с малым и средним объемами пустот. Б. Э.

78992. Определение общей серы в угле по методу Роте. Самек, Скледар (Opredelba celokupnega zvepla v premogu po rothejevi metodi. Samec M., Skledar S.), Razpr. Slov. akad. znani. in umetn. Razr. mat., fiz. in tehn. vede, 1953, 5, № 3, 45—51 (словен.; рез. англ.)

Исследована возможность определения содержания общей S в высокосернистом отечественном угле по методу Роте, применяемому при определениях S в минер. маслах и заключающемуся в обработке испытуемого в-ва конц. азотной к-той, в присутствии окиси магния, при нагревании; метод был соответственно модифицирован. Показано, что он пригоден для таких анализов и дает равнозначные с другими методами (Эшка, Деншtedт) результаты, но вследствие значительных продолжительности анализа и расхода реактивов может быть рекомендован только в случаях неприемлемости других методов, как напр., при высокой сернистости углей. К. З.

78993. Германий в угольной золе. Ийер, Сундарам (Germanium in coal ash. Iyer V. G., Sundaram N.), Indian Mining J., 1955, 3, № 9, 182—183 (англ.)

Качественный метод определения Ge в угольной золе основан на том, что подкисленный р-р германата реагирует с молибдатом NH₄ с образованием водонерастворимой германо-молибденовой к-ты H₂Ge(Mo₂O₇)₂. При взаимодействии последней с бензидином в присутствии буфера-ацетата Na — образуется продукт окисления бензидина, окрашенный в синий цвет. В тщательно контролируемых условиях эта р-ция является чувствительной специфич. р-цией на Ge. Колич. метод определения Ge состоит в том, что извлеченный из угольной зола тетрагидрид Ge осаждается H₂S, и образовавшийся сульфид Ge после фильтрации и отмывания обрабатывается последовательно NH₄OH и избытком 30%-ного р-ра H₂O₂ при кипячении — для превращения в германат NH₄. После удаления избытка H₂O₂, к р-ру добавляют равные объемы сульфатов Mg и NH₄, затем смесь при перемешивании нагревают до кипения и оставляют на 12 час. Выпавший осадок ортогерманата Mg фильтруют, отмывают и прокаливают в электрич. муфельной печи при 900—950° для превращения в GeO₂. С помощью разработанного колич. метода было обнаружено в образце угольной пыли 0,04% Ge, в пыли доменного газа 0,0018% Ge и в шлаке из доменной печи, выплавляющей ферромарганец, 0,0029%. М. Л.

78994 К. Проблемы химической переработки угля. Материалы научн.-технического съезда, Гливице 23—25. IX. 1953 г. (Zagadnienia chemicznej przeróbki węgla. Materiały ze zjazdu nauko-technicznego, Gliwice 23—25 IX. 1953 г. Warszawa, PWN, 1955, 355 s., 35 zł) (польск.)

78995 К. Исследование углей. Ковалевский (Badanie węgli. Kowalewski Wiktor. Warszawa, Wydawn. Komunik., 1955, 104 s., il., 12 zł) (польск.)

78996 Д. Техничко-экономическая эффективность обогащения шлама и пыли коксующихся углей Донбасса. Левин С. А. Автореф. дисс. канд. экон. н., Харьковск. ниж.-экон. ин-т, Харьков, 1956

78997 Д. Поведение этилена, пропана и бутана при нагревании применительно к образованию олефинов и бензола в процессе коксования. Шмидт (Das thermische Verhalten von Äthen, Propan und Butan hinsichtlich der Olefin- und Benzolbildung beim Kokereiprozess. Schmidt K.-H. Diss. Technische Hochschule. Braunschweig, 1954), Z. Vereines dtsh. Ingr., 1954, 96, № 32, 1116 (нем.)

78998 Д. Выделение воднорастворимых соединений из продуктов газификации низинного торфа. Маль С. С. Автореф. дисс. канд. техн. н. АН БССР, Минск, 1956

78999 Д. Изолирование и идентификация основных компонентов масла, получаемого при гидрогенизации углей. Фрейтаг (Isolierung und Identifizierung von basischen Bestandteilen aus dem Kohlehydrierungsöl. Freytag Johannes. Diss. Math.-naturwiss. F. Halle, 1953), Dtsch. Nationalbibliogr., 1955, В, № 1, 66 (нем.)

79000 П. Обессеривание и обогащение углей. Сиддикуи, Ахмед (Desulphurisation and upranking of coals. Siddiqui S., Ahmed M. N.), Австрал. пат. 166471, 19.01.56

Предложен способ обессеривания и обогащения углей, с одновременным извлечением из них смол и восков, заключающийся в обработке угля перегретым водяным паром в присутствии щел. катализатора при т-ре ниже т-ры карбонизации угля. В. К.

79001 П. Обработка углей для коксования. Круппа, Ринкхофф (Processed coking coals. Kруппа W. J., Rinckhoff J. B.), Австрал. пат. 166525, 26.01.56

Предложен способ обработки плохо коксующихся углей в угли, пригодные для коксования, заключающийся в быстром окислении их в пылевидном состоянии при 260—430° и быстром их охлаждении. В. К.

79002 П. Способ и аппаратура для получения горючих газов из мелкозернистых топлив. Лон (Verfahren und Vorrichtung zur Herstellung von Brenngasgemischen aus feinkörnigen Brennstoffen. Loon Willem von) [Der Niederländische Staat, vertreten durch De Directie van de Staatsmijnen in Limburg]. Пат. ФРГ 908516, 5.04.54 [Chem. Zbl., 1955, 126, № 17, 4000—4001 (нем.)]

Способ газификации мелкозернистого топлива в двух реакционных объемах: большом (БО) и малом (МО) (из которых БО в несколько раз больше МО), соединенных между собой так, что газообразные и твердые продукты из МО вводятся в БО и отличающийся тем, что в МО происходит газификация окисляющим газифицирующим агентом при т-ре выше т-ры плавления шлака; в БО твердые частицы, после примешивания исходного топлива, газифицируются таким же образом в вихревом слое при более низкой т-ре, чем в МО; полученный газ выводится из БО. В. К.

79003 П. Получение водяного газа. Горин (Manufacture of water gas. Gorin Everett) [Pittsburgh Consolidation Coal. Co.]. Пат. США 2705672, 5.04.55

Предложен метод получения водяного газа, по которому пар и твердое топливо вводятся в реакционную зону (РЗ), где в псевдоожиженном состоянии поддерживается взвесь окиси кальция: т-ра в РЗ 815—950° и давл. от 15 до 50 ат, причем величина этого давления в зависимости от т-ры устанавливается из выражения: $p = 3,40 - 1,89 \times 10^{-2} (t - 1430) + 4,48 \times 10^{-4} (t - 1430)^2$, где p — давление в ат, t — т-ра в °F. Перц. давление пара в РЗ поддерживается < 13 ат. Окись кальция находится в РЗ в условиях и кол-ве, обеспечивающих полное поглощение образовавшегося CO₂. Дана схема установки. Н. К.

79004 П. Получение аммиака и его соединений из горючих газов. Шефер (Verfahren zur mittelbaren Gewinnung von Ammoniak und Ammoniakverbindungen aus Brennstoffgasen. Schäfer Josef) [F. J. Collins A.-G. zur Verwertung von Brennstoffen und Metallen]. Пат. ФРГ 922908, 27.01.55

При способе улавливания NH₃ и его соединений из горючих газов, по которому газы охлаждаются непосредственным орошением в барильете, а затем в трубчатых газовых холодильниках, причем конденсат от первичного охлаждения циркулирует между барильетом и первым смолоотделителем, предложено конденсат из трубчатых холодильников, после пропуска через второй смолоотделитель, для полного испарения летучих соединений NH₃ вводить в барильет, а затем, после пропуска через первый смолоотделитель, выводить из цикла, охлаждать и направлять в последний по ходу газа NH₃-скруббер; этот конденсат, практически не содержащий летучих соединений NH₃, обеспечивает улавливание из газа следов NH₃. Дана схема процесса. Н. К.

79005 П. Способ извлечения двуокиси углерода. Эдвардс, Эмори (Carbon dioxide recovery process. Edwards John F., Emory James H.). Пат. США 2726930, 13.12.55

Предложен процесс извлечения CO₂ из газовых смесей, содержащих CO₂ и окислы азота. Газ контактирует со щел. р-ром, содержащим карбонат щел. металла, напр. Na₂CO₃. Из отработанного р-ра CO₂ удаляют нагреванием, затем р-р подвергают очистке электролизом, чтобы разложить на катоде нитратные и нитритные соли, после чего р-р возвращают в процесс. Пример. Газ из печи промывают водой в скруббере для удаления пыли и растворимых примесей, после чего прокачивают через абсорбер с колпачковыми тарелками, орошаемый в противотоке 8%-ным р-ром Na₂CO₃; р-р поступает в абсорбер при т-ре ~60°. Р-р затем поступает на верх тарельчатого десорбера, внизу которого имеется змеевик, нагреваемый паром высокого давления; CO₂ удаляется сверху десорбера. После отпарки CO₂ р-р поступает в первый из 42 последовательно включенных электролизеров (Э); Э размещены с уклоном для обеспечения перетока жидкости и выполнены из 12%-ной хромистой нержавеющей стали. Диаметр электродов ~1 см; плотность тока 0,08 а/см² поверхности электрода при напряжении 125 в. Скорость движения жидкости в Э 5 см/сек; рабочая т-ра 75—85°. Из Э выделяется смесь O₂, H₂, CO₂ и NH₃. Очищ. р-р отводится в емкость, из которой возвращается на очистку. Дана схема процесса. Н. К.

79006 П. Метод очистки газов, в частности газов сухой перегонки, из коксовых или газовых печей. (Verfahren zur Reinigung von Gasen, insbesondere von Destillationsgasen aus Koks- oder Gasöfen) [Schäfer Josef]. Пат. ФРГ 928786, 10.06.55

По предложенному методу на орошение барильета (Б) подается вода, циркулирующая через водяной холодильник, газовый оросительный холодильник (ГХ), NH₃-скруббер и H₂S-скруббер (С). Патентуются также варианты этой схемы: 1) выходящая из Б горячая вода, пройдя смолоотделитель, перед ее охлаждением в открытом оросительном холодильнике (Х) пропускается через закрытый теплообменник для подогрева промывной воды, направляемой из С на отпарку H₂S; 2) вода из Х направляется в ГХ для непосредственного охлаждения горячего газа; 3) газ и оросительная вода вводятся в С путем инъекции; 4) промывная вода после С выводится из цикла и направляется на NH₃-дистилляционную установку; 5) ввод охлаждающей воды в Б осуществляется инъекцией для отсоса газов из камер печей; 6) выходящая из С промывная вода полностью или частично нейтрализуется и освобождается от H₂S, после чего снова вводится в цикл для орошения Б; 7) обескисленная и отогнанная от H₂S, без добавки извести, промывная вода из С концентрируется с целью выделения связанного NH₃ в виде NH₄Cl. Н. К.

См. также: Номенклт. углехимич. соед. 78020—78022.

Исслед. тверд. горюч. ископ. 77547. Сероочистка газов 78620, 78637. Применен. генераторн. газа. 78800. Анализ газов 78948

ПЕРЕРАБОТКА ПРИРОДНЫХ ГАЗОВ И НЕФТИ. МОТОРНОЕ ТОПЛИВО. СМАЗКИ

79007. Итоги Всесоюзного совещания по изучению состава нефтей и нефтепродуктов. Панов В. В., Химия и технол. топлива, 1956, № 2, 68—72

Краткая характеристика докладов, представленных на совещании в январе 1956 г., и перечень намеченных основных мероприятий. Б. Э.

79008. IV Международный нефтяной конгресс в Риме. Топчиев А. В., Вестн. АН СССР, 1955, № 11, 72—79

Краткое сообщение о конгрессе, происходившем с 6 по 15 июня 1955 г. На конгрессе были заслушаны обзорные доклады по важнейшим проблемам нефтяной пром-сти. Основная работа конгресса происходила в 9 секциях: геология и геофизика; бурение и добыча; переработка нефти; выработка химикатов из нефти, свойства и применение; состав нефти, анализ и испытание, измерение и контроль; использование нефтяных продуктов; конструирование оборудования, материалы, коррозия; транспорт, хранение и распределение; экономика, статистика и подготовка кадров. На секциях было заслушано 233 доклада. Одновременно с конгрессом была открыта Международная нефтяная выставка в Неаполе. Г. М.

79009. Об организации исследований по нефти. Миронов С. И., Вестн. АН СССР, 1955, № 9, 10—13

79010. Тридцать лет исследовательской работы в области нефти. Стратфорд (Thirty years in petroleum research. Stratford R. K.), Chem. in Canada, 1954, 6, № 9, 23—27 (англ.)

79011. Пути использования атомной энергии в химической технологии нефти. Колбановский Ю. А., Лавровский К. П., Химия и технология топлива, 1956, № 1, 7—17

Обзор по применению меченых атомов при анализе состава нефтепродуктов и использованию энергии излучения в хим. превращениях углеводородов нефти. Библ. 31 назв. Б. Э.

79012. Ближайшие задачи в области изучения состава нефтей и нефтепродуктов. Федоров В. С., Химия и технол. топлива, 1956, № 2, 1—8

Рассматриваются вопросы улучшения качества автотракторных топлив и масел, повышения антидетонационных свойств бензинов, снижения содержания S и парафина в дизельном топливе, улучшения вязкостных и эксплуатационных свойств автолов и дизельных масел, а также произ-ва хим. продуктов на базе нефтяного сырья. Б. Э.

79013. Применение легких углеводородов для лучшего извлечения нефти. Хок (Use of light hydrocarbons for better oil recovery in North Louisiana. Hock Ralph L.), Oil and Gas Compact Bull., 1955, 14, № 1, 55—62 (англ.)

Приведены опытные и расчетные данные по изменению физ.-хим. свойств нефти при закачке легких углеводородов в пласт с целью увеличения ее выработки на месторождениях Северной Луизианы (США). Н. К.

79014. Снижение температуры застывания и вязкости нефти термической обработкой. Поль (Obniżanie temperatury krzepnięcia i lepkości ropy parafinowej na skutek jej termicznej obróbki. Pohl Julian), Nafta (Polska), 1956, 12, № 2, 44—47 (польск.)

Для устранения эксплуатационных затруднений при транспорте и хранении польских парафинистых нефтей проведены лабор. исследования зависимости т-ры их застывания и вязкостей от условий термич. обработки. На

примере термич. обработки многих образцов нефтей показано, что положительные результаты дают только парафинисто-асфальтовые нефти и что в зависимости от типа таких нефтей их термич. обработка должна вестись при 40—50°, т. е. при т-рах, легко достижимых в промысловых нефтесборниках, если они оборудованы обогревающими устройствами. При проектировании обогревающих устройств рекомендуется пользоваться полученными при исследовании диаграммными зависимостями изменений т-ры застывания и вязкостей от т-ры обработки. К. З.

79015. Об унификации нефтепродуктов и методов их испытаний. Сидоров В. Г., Потапенков В. М., Стандартизация, 1956, № 2, 77—78

Рассмотрены недостатки в области унификации нефтепродуктов и методов их испытаний. Б. Э.

79016. Перекачка вязких нефтей с подогревом. Черникин В. И., Нефт. х-во, 1956, № 4, 61—68

Приводится расчет нефтепроводов для перекачки вязких нефтей с подогревом. Рассматриваются вопросы нормальной эксплуатации таких нефтей в различных условиях. Дается пример по нахождению потери напора на трение в "горячем" нефтепроводе. Б. Э.

79017. Транспорт и хранение жидкого пропана при передаче его по магистральному трубопроводу. Бойд, Ричардсон, Роч (How to transport and store propane on a products pipe-line system. Boyd J. W., Richardson J. O., Roach D. A.), Oil and Gas J., 1953, 52, № 28, 220—222, 320 (англ.)

Описан магистральный трубопровод для транспорта жидкого пропана на расстояние 1525 км, по которому можно транспортировать также и бензины. Минимально допустимое давление в трубопроводе и хранилищах 11,5—14,0 ат. Приведены сведения о надземных и подземных хранилищах для газа на промежуточных и начальном пунктах. В. К.

79018. Водород из нефти. Шервуд (Hydrogen from petroleum sources. Sherwood P. W.), Ind. chim. belge, 1954, 19, № 11, 1197—1203 (англ.; рез. франц., голл., нем.)

79019. Химические продукты из нефти. Уэйл (Do you know these words? Weil B. H.), Petrol. Process., 1955, 10, № 5, 708 (англ.)

Краткое популярное описание получения, свойств и применения различных хим. продуктов на нефтяной основе. Г. М.

79020. Химические продукты из нефти. Эглов (Chemikalien aus Erdöl. Egloff Gustav), Erdöl und Kohle, 1954, 7, № 11, 710—717 (нем.)

79021. Химическая переработка нефтяных углеводородов в Канаде. Хатчисон, Стивенс (Petrochemicals in Canada. Hutchison A. W., Stevens R. G.), Petrol. Refiner., 1956, 35, № 1, 161—163 (англ.)

Описано развитие пром-сти хим. переработки нефтяных углеводородов в Канаде, где в настоящее время производится до 50 наименований продуктов. В качестве сырья используются газы нефтепереработки и природные газы; указана производительность заводов. Н. Д.

79022. Нефтехимические производства испанской нефтяной компании CEPSA. Уайт (CEPSA enters petrochemical field. White Carl B.), World. Petrol., 1955, 26, № 12, 87—90 (англ.)

Краткий обзор нефтяной и нефтехим. пром-сти в Зап. Европе, в частности, в Испании, где в последние годы получили развитие каталитич. реформинг, юнифайнинг, а также произ-во удобрений и инсектицидов. CEPSA, существующая с 1929 г., имеет установки платформинга, удекс-процесса и производит наряду с высокооктановыми бензинами ароматич. углеводороды. Г. М.

79023. Английские нефтехимические производства. Сваминатхан (England's petrochemical giant. Swaminathan V. S.), Petrol. Process., 1955, 10, № 5, 703—706 (англ.)

Описаны хим. предприятия в Уилтоне (Англия), вырабатывающие из легкого дистиллятного масла этилен, пропилен и бензин с дальнейшей переработкой их в различные продукты. К концу 1956 г. здесь будут работать 16 заводов, каждый из них может в год переработать 190—290 тыс. т легкого дистиллятного масла, причем выпуск бензина составляет от одной до двух третей от этого количества.

Л. П.

79024. Новый нефтеперегонный завод в Канаде. Оливиль (Canada's newest refinery. Haulleville P. de), World Petrol., 1955, 26, № 5, 77—82 (англ.)

79025. Конструктивные особенности установок в нефтяной промышленности США. Зенген (Konstruktive Merkmale von Anlagen der Erdölindustrie in den USA. Söhngen Rudolf), Chem. Ingr.-Techn., 1954, 26, № 11, 593—598 (нем.)

79026. Характеристика нефтепродуктов. Мартин (Progress review No. 36: The characteristics of oil fuels. Martin C. W. G.), J. Inst. Fuel, 1955, 28, № 178, 560—567 (англ.)

Обзор основных типов тяжелых нефтяных топлив, под которыми автор подразумевает остаточное жидкое топливо, газойль, дизельное топливо, а в отдельных случаях керосин и нефть. Показано, как менялись в разных странах характеристики тяжелых жидких топлив за последние 30 лет в связи с развитием новых каталитич. процессов переработки нефти и вовлечением в переработку сернистых нефтей. Приведены основные константы (уд. вес, т-ра вспышки, вязкость при 38°, содержание воды и серы) типичных сортов газойля, флотского дизельного топлива, топлива для бытовых нужд, легкого и среднего жидкого топлива и флотского мазута.

Г. М.

79027. Нафтенные кислоты туркменских нефтей. Ниязов А., Замятина З. П., Сообщения 1., Изв. АН ТуркмССР, 1955, № 6, 49—55

Из заводских шел. отбросов (ЩО) от переработки туркменских нефтей были выделены и, после удаления неомыляемых, очищены через этиловые эфиры нафтенные к-ты (НК), которые разделялись фракционнойровкой. Из ЩО от очистки легких нефтепродуктов были выделены четыре НК. Из них две нонафтенные $C_{19}H_{38}O_2$: т. кип. 127—130°/11 мм и 132—135°/11 мм, MR 43,29 и 43,58, кислотные числа (КЧ) 353 и 340, d_4^{20} 0,9489 и 0,9524, n_D^{20} 1,4413 и 1,4453, мол. в. (по КЧ) 178 и 165; две декафтенные к-ты $C_{20}H_{40}O_2$: т. кип. 130—132°/11 мм и 135—139°/11 мм, MR 47,79 и 47,49, КЧ 326 и 324, d_4^{20} 0,9490 и 0,9551, n_D^{20} 1,4435, и 1,4465, мол. в. (по КЧ) 172 и 172. Из ЩО более тяжелых светлых продуктов были выделены две додекафтенные к-ты $C_{22}H_{42}O_2$: т. кип. 133—135°/8 мм и 130—133°/5 мм, MR 56,52 и 56,27, КЧ 293 и 279, d_4^{20} 0,9455, и 0,9448, n_D^{20} 1,4505 и 1,4520, мол. в. (по КЧ) 201 и 191,5.

Г. М.

79028. Форма частиц нефтяного кокса. Бэрн, Хатчен (The shape of ground petroleum coke particles. Beirne T., Hutcheon J. M.), Brit. J. Appl. Phys., 1954, Suppl., № 3, S76—S81 (англ.)

Устанавливался коэфф., определяющий форму мелких частиц кокса размером 0,56—0,071 м. Кокс подвергался дроблением до 6 м и последующим измельчением в лабор. мельнице. Коэфф., определяющий форму, вычислялся как отношение диаметра шара, равного с частицей объема к диаметру круга, с площадью, равной площади проекции при устойчивом положении куска кокса. Последнее определялось путем ослабления светового пучка точно фиксированной яркости, проходящего через осажденный слой частиц; яркость измерялась фотозаписью. Число частиц в пробе определялось автоматич. счетчиком по принципу пересечения пучка света в микроскопе. Под объективом микроскопа в капилляре проходит поток

частиц, взвешенных в жидкости. После подсчета 10^4 — 10^5 частиц они взвешивались (перед этим частицы отфильтровывались и сушились). Результаты эксперимента дали значение коэфф., определяющего форму в зависимости от размера частиц (в м): 0,524—71, 0,566—100, 0,507—138, 0,489—182, 0,556—253, 0,558—358, 0,575—560. Н. К. 79029.

Теплота сгорания углеводородных смесей различного химического строения. Чертков Я. Б., Зрелов В. Н., Рудаков В. В., Новости нефт. техники, Нефтепереработка, 1956, № 2, 11—14

Приводятся данные по низшим весовой и объемной теплотам сгорания парафиновых, нафтенных и ароматич. углеводородов, выделенных хроматографич. путем из 50° фракций, полученных разгонкой топлив различного происхождения, выкипающих в пределах 100—300°. На основе установленной взаимосвязи между строением углеводородов и их теплотами сгорания делается вывод, что для получения топлив с высокой объемной теплотой сгорания необходимо исходить из нафтенных углеводородов. Б. Э.

79030. Краткое обсуждение статьи Петровой Ю. Н. и Карповой И. П. о химическом составе углеводородов рассеянного органического вещества осадочных пород. Чилингар (Chemical composition of hydrocarbons of dispersed organic matter in sedimentary rocks, by I. N. Petrova and I. P. Karpova. Chilingar George V.), Bull. Amer. Assoc. Petrol. Geologists, 1955, 39, № 7, 1417—1419 (англ.)

Обсуждаются результаты, полученные советскими исследователями Петровой и Карповой, изучавшими хим. состав и свойства масляных фракций битумов из осадочных пород, а также углеводородов из угля (РЖХим, 1955, 9413). На основании этих данных и материалов американских исследователей, изучавших углеводороды из нефтей различных месторождений, автор делает вывод о том, что хим. состав углеводородов отражает тип геохим. среды; на том основании, что углеводороды в диспергизованном органич. материале осадочных пород подобны таковым из нефти, высказывается предположение о существовании генетич. связи между различными битумами. Г. М.

79031. Некоторые данные о соотношении сульфидной и общей серы во фракциях ромашкинской и туймазинской нефтей. Лукьяница В. Г., Гальперн Г. Д., Тр. Ин-та нефт. АН СССР, 1956, 8, 76—83

Показано, что общее содержание S, определявшееся стандартным ламповым методом, и содержание сульфидной S, определявшееся потенциометрич. методом, в керосиновых фракциях туймазинской девонской и ромашкинской (миннибаевской) нефтей возрастает с увеличением среднего мол. веса. Сернистые соединения головных фракций керосинов состоят преимущественно из сульфидов. Концентрация сульфидной S относительно общего содержания S падает в головных фракциях со 100 до 40—50% при достижении мол. в. 220—200 соответственно для туймазинского и ромашкинского керосинов. Высшие фракции туймазинской девонской нефти характеризуются повышением общего содержания S и некоторым ростом относительной концентрации сульфидной серы. Г. М.

79032. Исследование поведения нефтяных эмульсий в электрических полях. Джуварлы Ч. М., Климова Н. В., Уч. зап. Азерб. ун-та, 1955, № 7, 9—23 (рез. азерб.)

Исследована эффективность разрушения высокодисперсных, стойких нефтяных эмульсий (Э) ряда нефтепромысловых предприятий в различных электрич. полях. Наблюдения за поведением Э в электрич. поле велось с помощью микроскопа. Показано, что в переменном электрич. поле разрушение Э происходит более равномерно, чем в постоянном поле, где разрушение наблюдается в основном у электрода. Более интенсивное разрушение Э происходит в неравномерных электрич. полях. Как в переменном, так и в постоянном поле не удается полностью разрушить Э при градиентах поля 3,2 к/см. Дальнейшее же повышение

градиента невозможно из-за короткого замыкания между электродами, вызываемого образованием водяных цепочек вдоль силовых линий поля. Показано, что полное разрушение Э происходит только в поле импульсного напряжения. Кратковременное действие импульсов лимитирует образование водяных цепочек, что дает возможность повысить градиент поля до требуемой величины 10 кВ/см. Сделан вывод, что исследования по разрушению Э должны проводиться в неравномерных полях с использованием импульсного напряжения. М. Л.

79033. Принцип работы вертикального деэмульсатора.— (Asi funciona un tratador vertical de emulsion.—), Petróleo interamer., 1955, 13, № 10, 56—57 (исп., англ.)

Приведены схема и описание принципа работы деэмульсатора фирмы National Tank Co. (США). Эмульсионная нефть, к которой добавлен деэмульсатор, поступает в трубчатый теплообменник, где предварительно подогревается за счет тепла очищ. нефти. Дальнейший нагрев производится при помощи 2-ходового подогревателя, погруженного в горячую воду. Подогретая нефть направляется в газотеплообменную камеру, в которой выделившиеся газы осушаются и выводятся, а нефть, увлеченная газами, поступает для последующей очистки в первую отстойную камеру и там отделяется от уже выделившейся воды. Затем нефть проходит через горячую воду в камере промывки. Далее она поднимается в верхнюю отстойную камеру, где за счет прохождения нефти по отбойным перегородкам и фильтрации она окончательно очищается от эмульсии, а затем охлаждается в теплообменнике до 84°. Описанная модель деэмульсатора удобна в условиях холодного климата, при высокой вязкости нефти, при большом содержании газов, в случае, если вода, входящая в состав эмульсии, содержит мало солей и потому трудно отстаивается. А. Г.

79034. К вопросу о расходе тепла при перегонке нефти. Лозгачев П. М., Химия и технол. топлива, 1955, № 4, 65—68

Проведены тепловые расчеты расхода тепла для перегонки эхабинской, покровской, бавлинской и северокамской нефтей, содержащих различное кол-во легких фракций, на перегонных установках с однократным (I) и двукратным (II) испарением. При одном и том же конечном весовом отгоне (45%) и предварительном нагреве нефти до 180° с понижением содержания низкокипящих фракций в нефти общий расход тепла увеличивается на обоих типах установок. При перегонке нефтей с большим или умеренным содержанием низкокипящих фракций для достижения одной и той же степени отгона расход тепла на установке II меньше, чем на I. Б. Э.

79035. Предварительная обработка водородом сырья каталитического реформинга. Стивенсон, Милс (Hydropretreatment of catalytic reformer feed. Stevenson D. H., Mills G. A.), Petrol. Refiner, 1955, 34, № 8, 117—121 (англ.)

Описан процесс предварительной обработки водородом сырья, поступающего на реформинг с Pt-содержащим катализатором (гудриформинг) с целью продлить срок службы катализатора. При этом гидрируются олефины и удаляются S, N, O в виде H₂S, NH₃, H₂O. Показано, что на этом катализаторе при 510° и 21 атм C₄H₉SH, C₆H₅SH, (C₂H₅)₂S, C₄H₄S, C₂H₅—S—S—C₂H₅ обессериваются на 97,5—99%, а также гидрируется свободная S. Обессеривание и гидрирование олефинов лигроина из различных нефтей протекало на 92—95% при 371—399°; 28 атм; мол. отношении H₂: лигроин = 0,5—1,5, объемн. скорости 10—20, причем сырье было богато тиофеновой серой. По схеме процесса сырье (лигроин) в смеси с H₂ поступает в реактор предварительной обработки, где над Pt-содержащим катализатором Гудриформинга (тип 3) идет гидрирование олефинов и удаление S, N, O; затем в отпарной колонне отпариваются образовавшиеся H₂S, NH₃, H₂O. Очищ. сырье поступает на реформинг. Выде-

ляющегося в секции реформинга H₂ с избытком хватает на очистку сырья. Выход жидкого продукта после очистки 99,6—100%. В настоящее время все установки для гудриформинга высокосернистого сырья в США снабжаются секциями предварительной обработки H₂, что авторы считают экономически выгодным при содержании S в сырье >0,02%. А. Л.

79036. Развитие процесса гидроформинга. Раштон (The evolution of hydroforming. Rushton J. Henry), Chem. in Canada, 1955, 7, № 3, 31—35 (англ.)

Дан обзор 9 типов работающих в США установок гидроформинга, история их развития, схемы, сравнительные данные на январь 1954 г. Предыдущее сообщение см. РЖХим, 1955, 50030. Библ. 54 назв. Г. М.

79037. Влияние карбондов на свойства крекинг-остатков. Геллер З. И., Энерг. бюлл., 1956, № 4, 16—20

Изучено влияние карбондов в крекинг-остатках на качество последних при длительном хранении, а также при сжигании в топках паровых котлов. Определено содержание карбондов в крекинг-остатках и их физ.-хим. характеристики для установления влияния коксовых частиц на процесс горения. Сравнивались различные методы определения содержания карбондов в крекинг-остатках. Наиболее достоверные результаты дает методика Гроз-НИИ. Наличие карбондов в крекинг-остатках существенно не снижает их теплотворную способность. Малый размер частиц карбондов и высокий выход летучих в-в позволяют экономично и эффективно сжигать крекинг-остатки, содержащие обычное кол-во карбондов (2—3%), и не могут привести к нарушению режима работы механич. форсунок большой и средней производительности. Приведены данные по содержанию карбондов в различных крекинг-остатках и перечень мер, препятствующих осаждению карбондов. Б. Э.

79038. Цикловариант каталитического процесса. Эдуардс (Cycloverversion. Edwards O. D.), Petrol. Engr, 1954, 26, № 4, C-15—C-16, C-18 (англ.)

Цикловариант каталитического процесса дает возможность осуществлять в одной установке: а) обессеривание прямогонного и крекинг-бензина, керосина и дизельного топлива; б) реформинг бензина или лигроина прямой гонки; в) крекинг газойля для получения высокооктанового бензина. Указаны режимы технологич. процессов, выходы продуктов, их свойства. Первая установка была построена в 1940 г. А. Ч.

79039. Изучение термического крекинга газойля для получения газовых смесей, богатых этиленовыми углеводородами. Блури (Contribution à l'étude du cracking autothermique du gas-oil en vue de l'obtention de mélanges gazeux riches en hydrocarbures éthyliques. Blouri Youk, J. rech. Centre nat. rech. scient., 1954, № 27, 367—388 (франц.))

79040. Влияние глубины превращения на выход продуктов. Мурман (How conversion level affects product distribution. Moorman J. W.), Oil and Gas J., 1954, 52, № 35, 76—77 (англ.)

Рассмотрено влияние глубины превращения газойля с концом кипения 220° на выход кокса, дебутанизированного бензина и бутана при каталитич. крекинге. Показано, что повышение выхода кокса с увеличением глубины превращения мало сказывается на улучшении октановой характеристики бензина. При прочих равных условиях повышение т-ры на 5,5° увеличивает степень превращения на 0,7—1%. Увеличение соотношения объемных скоростей катализатора и сырья (называемого «фактор жесткости») на 25% повышает глубину превращения приблизительно на 3%, что эквивалентно повышению т-ры на 17—25°. Увеличение активности катализатора (по выходу дистиллата) с 25 до 30% снижает фактор жесткости на 112,5%, с 25 до 40% на 685%. В. Ш.

79041. Получение нефтяных продуктов повышенного качества. Неммерс (Building better petroleum

products. Nemmers R. J.), Compressed Air Mag., 1956, 61, № 2, 45—51 (англ.)

Популярно изложена история развития произ-ва высокооктаных бензинов и современных методов реформинга. Кратко описаны процессы платформинга (реформинга с помощью Pt-катализатора), «юнифайнинга» (удаление серы, азота, кислорода и металлов из нефтяных дистиллатов), «юдекса» (выделение ароматич. углеводородов с помощью селективного р-рителя) и «рексформинга» (удаление парафинов с прямой цепью с применением селективного р-рителя). Приведены принципиальные схемы «платформинга» и «юнифайнинга».

Н. Д. 79042. **Переработка нефти в камерах гидрирования завода фирмы Scholven. Урбан** (Erdölverarbeitung in der Scholven 300 at-Kombi-Hydrierkammer. Urban Wilhelm), Erdöl und Kohle, 1955, 8, № 11, 780—782 (нем.)

Усовершенствован процесс переработки нефтяных остатков. Без существенного охлаждения горячая смесь водорода с парами продуктов, образовавшихся при жидкофазном гидрировании сырья, подается на последующее гидрирование. Такая переработка, получившая название комбинированной системы гидрирования или сокращенно «комбикамер» (К), позволяет увеличить выход бензина и дизтоплива и улучшить их качество. При гидрировании вакуумного остатка в жидкой фазе выход бензина составляет 14%, а дизельного топлива — 30%, в то время как в К соответственно — 30 и 45%. Содержание серы в первом случае составляет (в %): 0,05 в бензине, 0,8 в дизельном топливе и 1,0 в тяжелом масле, а во втором соответственно — 0,02, 0,15 и 0,3. При каталитич. крекинге тяжелого масла, полученного жидкофазным гидрированием, вследствие высокого содержания в нем азотсодержащих соединений происходит интенсивное образование кокса, и выход бензина составляет только 10% против 31% при крекинге тяжелого масла, полученного в комбинированной системе.

Б. Э. 79043. **Природные катализаторы для крекинга нефтепродуктов. Широла, Оршич** (Prirodni katalizatori za kreiranje naftnih derivata. Širola Josip Oršić Ivan), Nafta (Jugosl.), 1956, 7, № 1, 10—17; Nafta (Zagreb), 1955, 6, № 12, 392—396 (хорв.; рез. англ.)

На основании проведенного исследования состава, физ.-хим. и каталитич. свойств восьми сортов отечественных бентонитовых глин, пригодных в качестве катализаторов для крекинга нефтепродуктов, два сорта (глины месторождений в Боснии, Герцоговине и в Македонии) показали удовлетворительную каталитич. активность. Показано, что глины обоих месторождений требуют удаления из них окислов железа. Приведены сопоставления адсорбционных свойств этих глин и зарубежных катализаторов как природных, так и синтетич., установлена общность структуры и состава глин указанных двух месторождений с зарубежными, а также практически одинаковая начальная активность и селективность катализаторов, приготовленных из этих глин и синтетических.

К. З. 79044. **К вопросу о химической природе и действии алюмохромового катализатора. Пигузова Л. И.**, Химия и технол. топлива, 1956, № 4, 56—59

Исследована активность алюмохромовых катализаторов различного состава в р-ции дегидроциклизации *n*-гептана. Рассмотрен механизм действия катализатора. Каталитич. действие этого катализатора обуславливается его основными свойствами.

Б. Э. 79045. **Применение пластиков в нефтяной промышленности. Торнтон** (Plastic solves scrubbing problems. Thornton D. P., Jr), Petrol. Process., 1953, 8, № 9, 1328—1330 (англ.)

Описано применение пористых пластиков для очистки H_2 от жидких примесей в установке каталитич. реформинга, а также для удаления воды из бензина.

А. Е.

79046. **Изменение активности молибденоалюминиевого катализатора гидроформинга в реакции ароматизации циклогексана. Рудерсхаузен, Уотсон** (Variables affecting activity of molybdena-alumina hydroforming catalyst in aromatization of cyclohexane. Ruderhausen C. G., Watson C. C.), Chem. Engng Sci., 1954, 3, № 3, 110—121 (англ.)

Изучали изменение активности технич. катализатора, содержащего 10% MoO_3 на Al_2O_3 в р-ции ароматизации циклогексана. Рассмотрен механизм осаждения кокса на катализаторе и регенерации последнего.

Ю. Г. 79047. **Ослабление водородной коррозии. Кинг** (How to reduce hydrogen attack. King Gordon R.), Petrol. Refiner, 1956, 35, № 1, 124—128 (англ.)

При каталитич. крекинге тяжелого сырья образуется большое кол-во азотистых соединений, в том числе дианид аммония, усиливающий водородную коррозию. Было установлено, что атмариный водород в момент выделения является активной формой коррозионного водорода; он может образоваться при р-циях коррозии металла сернистыми соединениями и как продукт конверсии углеводородов. В настоящее время не имеется радикальных мер для борьбы с водородной коррозией, однако существуют следующие методы, позволяющие уменьшить разрушение аппаратуры, вызываемое проникновением водорода: 1) применение легированных сплавов, содержащих хром (12%), хромоникель или никель-медь (монель). 2) применение хим. ингибиторов, образующих защитную пленку на внутренней поверхности оборудования. Недостатком этого метода является значительный промежуток времени между моментом впрыска ингибитора и образования защитной пленки (от 30 до 60 дней). 3) удаление дианидных соединений, являющихся ускорителями водородной коррозии. Для последней цели газовая струя каталитич. крекинга сернистого сырья инжектируется воздухом и прсмывается водой. Химизм процесса заключается в том, что H_2S и NH_3 , присутствующие в газах, образуют гидросульфид аммония NH_4HS , который под влиянием кислорода воздуха дает дисульфид аммония $[4NH_4HS + O_2 \rightarrow 2(NH_4)_2S_2 + 2H_2O]$ или гидросульфид аммония со свободной серой, за счет окисленного H_2S , дает полисульфид аммония. Последний, реагируя с дианидным аммонием, образует сульфиды и роданистый аммоний $[(NH_4)_2S_x + NH_4CN \rightarrow (NH_4)_2S + NH_4CNS]$, вымываемые водой. Образующиеся полисульфиды аммония вместе с тем ингибируют коррозию от сероводорода.

З. В. 79048. **Установка гидрообессеривания на заводе Стенлоу.** — (The Stanlow hydrodesulphurisation unit.) Huid Handling, 1955, № 67, 217—218 (англ.)

Описана работа установки гидрообессеривания, пущенной в апреле 1955 г. Процесс отличается от обычного процесса в паровой фазе тем, что требует пониженного кол-ва H_2 и циркулирующих газов, при этом большая часть сырья подается на твердый катализатор (К) в жидком виде, что, однако, не влияет на его активность. Наряду с высокой степенью обессеривания сырья процесс отличается экономичностью вследствие пониженного расхода H_2 , энергии на работу компрессоров и тепла для подогрева сырья. Применяемый алюмокобальтмолибденовый К отличается селективностью и очень незначительно гидрирует ароматич. углеводороды при высокой степени обессеривания. Установка предназначена для обессеривания легких продуктов каталитич. крекинга, но может применяться для сырья различного типа. Приведена схема работы установки и экономич. показатели.

З. Б. 79049. **Обзор промышленных каталитических процессов обессеривания бензина. Липовшак** (Industrijski postupci katalitičke desulfuracije benzina. Lipovšak Radovan), Nafta (Zagreb), 1955, 6, № 10, 333—338 (хорв.; рез. англ.)

Кратко описаны основные технологич. достижения процессов каталитич. обессеривания — цикловаранта Перко,

автофайнинга, гидроочистки, гидрообессеривания и юнифайнинга. Библ. 32 назв. З. В.

79050. Получение осветительного керосина из дистиллятов сернистых нефтей методом гидроочистки без ввода водорода извне. Лобеев М. В., Сулимов А. Д., Агафонов А. В., Нефть. х-во, 1956, № 1, 59—61

Исследована возможность получения осветительного керосина из сернистых дистиллятов восточных нефтей методом автогидроочистки на алюмокобальтомолибденовом катализаторе. Исходным сырьем служили фракция 150—300° и смесь фракций 120—240° и 240—320° в соотношении 70 и 30 (об. %). Установлено, что при 370—400° и давл. 20 атм для 97—99% обессеривания парц. давление H_2 должно составлять ≥ 9 атм. Содержание кокса на катализаторе после 600 час. работы составляло 5—7 вес. %. Полученные осветительные керосины полностью удовлетворяли требованиям ГОСТ 4753—49. Приведены режимы и материальные балансы процесса автогидроочистки.

Б. Э.

79051. Некоторые «случайные» реакции очистки. Мэпстон (Some «accidental» sweetening reactions. Mapstone George E.), Petrol. Engr., 1955, 27, № 12, C35, C37 — C38, C40 (англ.)

При хранении и процессах обработки бензинов происходят р-ции, которые понижают содержание меркаптанов. Исследования показали, что испарение легких фракций при хранении бензинов сопровождается уменьшением содержания низкокипящих меркаптанов; окисление растворенным воздухом части меркаптанов ведет к их выпадению с образованием элементарной S; фотохим. р-ции не оказывают значительного влияния на разложение меркаптанов при хранении бензина в производственных условиях, но могут заметно уменьшать содержание меркаптанов при хранении лабор. образцов; при обработке бензина докторским р-ром возможно извлечь часть меркаптанов избытком PbO и PbS и этим понизить общее содержание S в бензине, в то же время р-ции окисления свинцовых меркаптидов атмосферным воздухом могут вызвать образование и выделение сложных основных нерастворимых меркаптидов, окисление же меркаптанов до дисульфидов не вызывает уменьшения общего содержания S в бензине; хемосорбционные р-ции, происходящие при обработке бензина окислами металлов и их сернистыми соединениями, могут сопровождаться уменьшением содержания меркаптанов; MnO_2 может окислить меркаптаны до дисульфидов, но в олефиносодержащем бензине дисульфиды не образуются, так как происходит каталитич. присоединение меркаптанов к олефинам.

З. В.

79052. О механизме деасфальтизации нефтяных продуктов пропаном (теория растворимости). Богданов Н. Ф., Химия и технол. топлива, 1956, № 3, 42—50

Основой процесса деасфальтизации жидким пропаном является различная растворимость в пропане компонентов обрабатываемого продукта, но не их коагуляция. Это положение является основным принципом «теории растворимости» (ТР), предлагаемой автором для объяснения механизма процесса деасфальтизации. На основании опытов фракционировки жидким пропаном концентрата грозненской парафинистой нефти, проведенных при давл. 50—55 атм и т-ре 96—100° и ниже, а также авиамасла МС-20, предварительно деароматизированного и освобожденного от смол обработкой адсорбентом, автор приходит к ряду выводов: согласно ТР процесс деасфальтизации нефтяных продуктов пропаном является одним из видов процесса экстракции и объясняется избирательной растворяющей способностью пропана по отношению к различным компонентам обрабатываемого сырья. ТР объясняет наличие оптимумов разбавления сырья пропаном и различное действие изменения кратности обработки на результаты деасфальтизации в зависимости от условий про-

цесса, что не находит должного объяснения с позиций теории коагуляции. См. РЖХим, 1956, 30110. Г. М.

79053. Гидрообессеривание газойля с большим содержанием серы при высоком давлении в присутствии различных катализаторов. Себеньи (Nagy kénartalmú gázolajparlat nagy nyomású hidrokéntelenítése különbozo katalizatorokkal. Szabényi Imre), Magyar kém. folyóirat, 1956, 62, № 3, 73—76 (венг.; рез. англ.)

Изучено влияние различных катализаторов (К) на гидрообессеривание тяжелого моторного топлива при высоком давлении (100 атм). Установлено, что молибдат Co и H_2WO_4 при 420° являются наиболее эффективными К (94% обессеривания). Сернистый W , помимо обессеривания (на 89%), повышает дизельный индекс фракции с 53 до 67. $Cu(NO_3)_2$ и $AlCl_3$ незначительно влияют на обессеривание, при их применении преобладает действие т-ры и высокого давления H_2 . Результаты опытов показали, что в случае испытанных К применение галоидов менее эффективно, чем окисей тех же металлов. Можно предположить, что галоиды металлов не превращались в реакционной зоне в сульфиды металлов, имеющие более высокую активность в присутствии избытка H_2S (эффект Варга). Х. ч. К — сульфиды W , Mo и Ni , оказались менее эффективными, чем окислы этих металлов, превращающиеся в сульфиды в реакционной зоне под влиянием H_2S . Увеличением исходного давл. с 100 до 124 атм не было достигнуто дальнейшего повышения эффективности гидрообессеривания.

З. В.

79054. Новый способ очистки топлив. Мак-Гуайр, Прайс (New way to clean up fuels. McGuire P. J., Price H. A.), Petrol. Refiner, 1956, 35, № 2, 125—126 (англ.)

Разработан процесс очистки топлив от взвешенного парафина, смол, механич. частиц, осадков от хранения, а также от влаги, оставшейся после защелачивания и промывок и вызывающей помутнение топлив. Три ступени процесса осуществляются в отдельных зонах, объединенных в одной установке. В скрубберной зоне (С) происходит укрупнение и оседание частиц парафина, смол и грязи и унос их водой. Зона коалесценции (К) состоит из фильтрующих элементов, обеспечивающих низкую скорость фильтрации и предупреждающих диспергирование образовавшихся крупных частиц. Конструкция фильтровальных листов рассчитана на быстрое и полное отделение влаги от углеводородов, которые переходят в третью зону окончательной очистки и сушки (О). Последняя представляет камеру, наполненную осушительными солями. Малейшее кол-во образующегося соляного р-ра автоматически возвращается в зону С или К и удаляется. При очистке бензина первого сорта пропускная способность установки составляет 4500—5500 л/мин. В зоне С удаляется 80% примесей, в зоне О — очень незначительное кол-во их. Авиационные бензины и другие типы топлив, испытанные после трехступенчатой очистки, дали хорошие результаты.

З. В.

79055. Обессеривание газойлей путем каталитической гидрогенизации. Зейлл — Лангхаут, Стейнтьес, Ватерман (Desulphurization of gas oils by catalytic hydrogenation. Zijl-Langhout W. C. van, Stijntjes G. J. F., Waterman H. I.), J. Inst. Petrol., 1955, 41, № 380, 263—272 (англ.)

Опыты по применению обессеривания с катализатором Co — Mo — Al_2O_3 , проведенные при 375° и времени контакта ~9 сек. над газойлями из нефтей Среднего Востока, показали, что повышение парц. давления H_2 увеличивает степень обессеривания. При постоянном давлении H_2 уменьшение скорости пропускания способствует глубине обессеривания; применение свежеперегнанного газойля способствует более полному обессериванию и уменьшению крекинга (который вообще идет в незначительной степени). Гидрирование ароматич. углеводородов идет в незначительной степени. Библ. 49 назв. Е. П.

79056. Способы обессеривания дизельного топлива. Ласло (How to desulfurize diesel fuel. Laszlo Tibor S.), Petrol. Refiner, 1955, 34, № 1, 115—116 (англ.).

В переработку вовлекается большее кол-во сернистого сырья, тогда как современные дизельные двигатели требуют топлив с низким содержанием серы, поэтому необходимы спец. методы для получения малосернистого топлива из высокосернистого сырья. Имеются два основных способа обессеривания топлива: 1) селективная экстракция сернистых соединений и 2) каталитич. обессеривание. Идеальный селективный р-ритель должен был бы извлекать сернистые соединения и совсем не извлекать углеводороды. Но такие р-рители неизвестны. В качестве селективных р-рителей для обессеривания рекомендуются двуокись серы, фтористый водород и фугуrol. Наибольшей селективностью обладает фтористый водород, он извлекает алифатич., наftenовые и ароматич. сернистые соединения, но его эффективность снижается по мере возрастания молекулярного веса сернистых соединений. Двуокись серы извлекает главным образом ароматич. сернистые соединения, а также хорошо извлекает и ароматич. углеводороды, и поэтому получаются низкие степени обессеривания в случае неароматич. сульфидов и низкие выходы рафината в случае ароматич. дизельного топлива. Фугуrol занимает по эффективности обессеривания промежуточное положение между двумя вышеназванными р-рителями. Каталитич. обессеривание имеет принципиальное преимущество, так как серусодержащие молекулы не удаляются, как при селективной экстракции, а происходит разрыв C—S связи в молекуле с образованием молекулы углеводорода и восстановлением серы до H_2S . Совместное действие катализатора и высокой т-ры в атмосфере водорода оказывается особенно эффективным. Процессы каталитич. обессеривания дизельного топлива испытываются в ползаводских условиях, а некоторые из них используются в крупнозаводских масштабах. В большинстве случаев в качестве катализатора применяются окись кобальта — окись молибдена и различный режим процесса. От условий процесса зависят: выход гидрогенизата, скорость обессеривания и экономичность процесса. На примере газойлевого дистиллата с содержанием 0,7 % серы показана высокая экономичность каталитич. процесса по сравнению с селективным обессериванием. Качество продукта при экстракционном и каталитич. обессеривании изменяется различно. В первом случае повышается т-ра кристаллизации за счет удаления природных депрессантов, улучшается дизельный индекс, а пределы кипения не меняются. При каталитич. обессеривании т-ра кристаллизации не меняется, нет улучшения дизельного индекса и несколько снижается т-ра конца кипения, вследствие чего иногда требуется дополнительная отгонка легких фракций для получения требуемой т-ры вспышки.

79057. Способ обессеривания нефтяных дистиллатов «Дисульфуринг». Одаз, Шелфилд (Desulfurizing... Husky Oil Co.'s desulfurization process. Odaş F. B., Sheffield J. V.), Oil and Gas J., 1955, 53, № 46, 203—204 (англ.).

Предложен процесс «Дисульфуринг», разработанный нефтяной компанией Husky, при помощи которого из высокосернистого сырья получают керосин и дизельное топливо с низким содержанием S, хорошим цветом и запахом, а также повышенными цетановыми числами. Наряду с S из топлива удаляются кислород и азот. Процесс заключается в том, что дистиллатное сырье и водород нагреваются предварительно за счет потоков, идущих из реакто-^{ра}, затем смешанное сырье нагревается в небольшой печи до 343—371° и проходит сверху вниз через камеру с неподвижным слоем катализатора (K), аналогичную реакторам Кетформер. Отделение сероводорода и легких фракций от очищ. топлива осуществляется путем

отпаривания катализата и дополнительной фракционировкой головных погонов, отобранных с верха колонны. Повышение т-ры процесса и более высокое парциальное давление водорода в газах рецикла улучшает результаты очистки. Рецикл газов, содержащих водород, понижает устойчивость пленки, адсорбированной на поверхности K, и повышает скорость диффузии продукта и катализата на поверхности K. За счет рециркуляции газов удается применять более низкие давления и более высокие скорости подачи сырья, чем без рецикла. Для процесса применяется весьма активный и стабильный K с диаметром таблеток 0,3 мм. В установке предусмотрена регенерация K, без выгрузки (на месте), смесью пара и воздуха при 537°, хотя K на установке работает без регенерации 19 месяцев. Приведенные данные показывают, что содержание S в дизельных дистиллатах после дисульфуринга понижается на 79—84% (с 1,8 до 0,3%), а цетановые числа повышаются на 3 ед. Приведена схема процесса.

79058. Окисление вазелинового масла и керосина кислородом воздуха и азотной кислотой. Лосев И. П., Смирнов Р. Н. В сб.: Пробл. окисления углеводородов. М., Изд-во АН СССР, 1954, 152—166

Проведено окисление O_2 воздуха и HNO_3 вазелинового дистиллатного масла и керосина в присутствии катализаторов (нафтенат марганца и смесь $KMnO_4 + Na_2CO_3$ (8:1,5)). В случае окисления вазелинового масла (скорость воздуха 10 л/мин) т-ра 115°, % нафтената марганца 1) выход смеси к-т составлял (в % на масло): 51—38, из них 35—50 карбоновых и 65—50 оксикислот. При окислении керосина в тех же условиях выход к-т (в % на керосин) составлял: 15—21, из них 15—30 карбоновых и 85—70 оксикислот. Из смеси «летучих» к-т фракционировкой были выделены (в %): муравьиная 37,3, уксусная 24,8, пропионовая 4,6, масляные 3,2 и валериановая 6. Дополнительное окисление окисленного вазелинового масла HNO_3 (уд. в. 1,36—1,39) при 70—80° дает продукт, содержащий многоосновные к-ты и к-ты, имеющие одновременно карбоксильную, карбонильную и гидроксильную группы. Продукты окисления фракций нефти могут иметь важное значение для приготовления олифы, лаков, пластификаторов, добавок при вулканизации каучука, для варки различного типа смол и т. п.

79059. Разложение топочных нефтепродуктов в печах газовых заводов. Цанкль (Weiterer Bericht über Versuche zur Ölsplattung im Gaswerksfen nach dem in Baden-Baden entwickelten Verfahren. Zankl Wilhelm), Gas- und Wasserfach, 1955, 96, № 19, 632—633 (нем.).

На газовом з-де в Баден-Бадене проводилась газификация котельного топлива с использованием частичек кокса в качестве носителя. Для обеспечения достаточной нагрузки насоса нефтепродуктом и желательного времени р-ции для образования газа, необходимо применять предварительно хорошо высушенный кокс. Кроме того, рекомендуется работать в печах при средних или низких температурах.

79060. Получение и применение микрокристаллических парафинов в США. Кронер (Mikrokristalline Paraffine in USA, ihre Herstellung und Verwendung. Kroner Alfred), Seifen-^ule-Fette-Wachse, 1954, 80, № 25, 675—677 (нем.; рез. англ., франц., исп.).

79061. Новый метод очистки озокеритов. Солдак Ю. В., Нефт. х-во, 1954, № 12, 67—68

Новый метод очистки озокеритов пригоден для любых озокеритов, в том числе высокосмолистых, и парафинистых пробок. Сернокислотная очистка, нейтрция и контактирование с отбеливающими глинами проводятся в мягких условиях, отличных от общепринятых для очистки озокеритов. Фильтрация заменена экстракцией бензином в два приема: сначала при низкой т-ре извлекаются вазелины — смесь низкоплавких твердых углеводородов

и масел, затем т-ра экстракции повышается, в р-р переходят высокоплавкие церезины. Смолы и асфальтены остаются на поверхности адсорбента. Церезиновая и вазелиновая мицеллы освобождаются от механич. примесей фильтрацией через минер. фильтр или ткань. Р-рител из церезинов и вазелинов отгоняется и поступает снова в процесс. Отделение вазелина от масел осуществляется холодной фракционировкой. Л. П.

79062. Получение стабильного термоустойчивого синтетического церезина. Хейфец Е. М., Липовская К. С., Новости нефт. техн. Нефтепереработка, 1956, № 3, 13—16

Проведена работа по подбору искусств. ингибиторов с целью получения стабильного термически устойчивого синтетич. церезина, удовлетворяющего современным требованиям, предъявляемым к высококачественным дизелектрикам. Наиболее эффективным оказался ингибитор 702, добавляемый при 115—120° к расплавленному церезину в кол-ве 0,05—0,2%. Г. М.

79063. Новая схема получения мылонафта. Подольский М. А., Иванова З. М., Новости нефт. техн. Нефтепереработка, 1956, № 1, 16—17

Приводится принципиальная схема и описание работы непрерывно действующей установки колонного типа для упаривания керосиновых и дизельных шел. отходов с очистных установок с целью получения мылонафта. Б. Э.

79064. Роль битума в строительной промышленности. Шолтес (A bitumen jelentése az építőiparban. Soltész Gáspár), Magyar Kenikusok Zapsa, 1953, 8, № 7, 213—217 (венг.)

Обзор свойств и условий применения в строительстве битумов и битуминозных строительных материалов (биту-мокартона, грунтовок, мастик и эмульсий). Библ. 5 назв. И. Н.

79065. Реология битуминозных материалов. Мантон (Rheology of bituminous materials. Manton B. G.), Highways and Bridges, 1953, 20, № 1006, 6—7 (англ.)

79066. Физические константы битумов.— (Weitere physikalische Konstanten von Bitumen.—), Bitum., Teere, Asph., Peche und verw. Stoffe, 1954, 5, № 12, 396—397 (нем.)

79067. Выделение битуминозного вяжущего материала из асфальтовых смесей или природных асфальтов. Дерунгс, Родель (Extraktion des Bindemittels bituminöser Beläge aus Mischgut sowie aus Mastix oder Naturasphalten. Derungs L., Rodel W.), Strasse und Verkehr, 1953, 39, № 8, 278—280 (нем.)

Описана предложенная лабораторией по испытаниям и исследованию материалов («ЕМРА») центрифуга для выделения битуминозного вяжущего из асфальтовых смесей и природных асфальтов. И. Н.

79068. Изучение процесса твердения битумных материалов. Полс, Уэлборн (Studies of the hardening properties of asphaltic materials. Pauls Jarl T., Welborn J. York), Public Roads, 1953, 27, № 8, 187—199; Roads and Engrg Constr., 1953, 91, № 9, 100, 102, 104, 106, 108—110 (англ.)

Исследованы американские нефтяные битумы, полученные из нефти при различных технологич. процессах, а также жидкие битумы для оценки способности твердеть при нагревании и при воздействии атмосферных факторов. Определяли: сопротивление истиранию стандартной асфальтовой смеси; временное сопротивление сжатию смеси; свойства битума после извлечения его из предварительно нагретой в стандартных условиях асфальтовой смеси; погодостойкость; свойства битума после нагрева в тонкой пленке. Последний метод признан наиболее пригодным, так как он требует меньше времени. Найдено, что способность битумов твердеть зависит как от происхождения нефти, так и от способа произ-ва. Битумы, полученные путем глубокого крекинга, скорее твердеют

при испытании на погодостойкость. Способность к твердению тем выше, чем глубже был крекинг. А. К.

79069. Причины образования пузырей при покрытии кровель. Дискуссионное сообщение. Рик (Blasenbildung und ihre Ursachen. Ein Diskussionsbeitrag. Rick Anton W.), Bitum., Teere, Asph., Peche und verw. Stoffe, 1956, 7, № 3, 107—108 (нем.)

Рассмотрены причины образования пузырей при покрытии кровель битуминозными материалами. Б. Э.

79070. Механизм расщепления газообразных и жидких углеводородов с целью получения промышленных газов. Часть I. Термическое расщепление без применения катализаторов. Герхольд (Beitrag zur Aufklärung des Reaktionsmechanismus der Spaltung von gasförmigen und flüssigen Kohlenwasserstoffen zur Herstellung von Industriegasen. I. Thermische Zersetzung gasförmiger und flüssiger Kohlenwasserstoffe ohne Anwendung von Katalysatoren. Gerhold Max), Erdöl und Kohle, 1956, 9, № 1, 24—29 (нем.)

Рассмотрен механизм р-ций дегидрогенизации, распада, изомеризации, полимеризации и конденсации, происходящих при термич. расщеплении газообразных и жидких углеводородов без применения катализаторов. Приведены данные по поведению парафиновых, олефиновых, циклич. и ароматич. углеводородов при расщеплении и по влиянию хим. состава исходного сырья на продукты р-ции при пиролизе. Библ. 40 назв. Б. Э.

79071. Замена муст газа в городах центральной Голландии.— (Gaswisseling in Centraal Nederland.—), Het gas, 1955, 75, № 8, 133—134, 136, 137—140 (голл.; рез. англ.)

Показано, что путем крекинга природного газа, нефтяного газа и пропана может быть получен газ, по составу и свойствам близкий к коксовому газу, на основании чего предложено в летние и зимние месяцы года газоснабжение городов центральной Голландии базировать на различных видах газа, используя при этом газопроводы для подачи газов в различных направлениях. В. К.

79072. Переработка природных и попутных газов в химические продукты. Анисония А. А., Кренцель Б. А., Газовая пром-сть, 1956, № 4, 26—30 Кратко рассмотрены методы окисления, хлорирования и нитрования предельных углеводородов C₁—C₄ природных и попутных газов. И. Р.

79073. Поддержание давления при хранении газа. Джонстон, Фейт (Pressure maintenance at abqaiq. Johnston J. J., Fate D. R.), Oil and Gas J., 1954, 53, № 34, 180—184 (англ.)

79074. Новый «сухой» процесс получения сажи. Балка (Here are details of a new dry-furnace carbon-black process. Balka W. H.), Oil and Gas J., 1955, 54, № 1, 120—122 (англ.)

Процесс получения сажи типа «фурматик», предложенный Линном, разделяется на 4 этапа: 1-й этап в горелке, 2-й в зоне диссоциации, 3-й в зоне крекинга и 4-й в первичном холодильнике. Кожух печи прямоугольного сечения вверху переходит на конус, горелка для газа имеет форму цилиндра с рядом отверстий. Опытная установка производительностью 850 м³ в сутки газа работает в районе Сан-Андреа (США). (Сведений о работе промышленных установок нет.) 1-й этап процесса происходит в горелке, внутрь которой вводится газ, а снаружи подается предварительно подогретый воздух. Отношение воздуха: газ может изменяться от 4:1 до 8:1, т-ра процесса меняется в пределах 1150—1370°. Здесь образуется около 9% всего кол-ва весьма дисперсной сажи, часть которой при вторичном горении сгорает. Неизрасходованный в горелке воздух проходит в зону диссоциации (2-ой этап), где газ термически разлагается. Т-ра в печи возрастает от нижней части к верхней, где она должна достигать 1540° и где происходит собственно термич. крекинг (3-й этап). В первичном холодильнике сажегазовая смесь охлаждается, примерно,

до 540° (4-й этап), затем проходит серию циклонов, где улавливается 60—70% саж, которая после молотковой мельницы поступает на упаковку или гранулирование. Газы с оставшейся сажой после циклонов охлаждаются в холодильнике II ступени до 135° и направляются в мешчатые фильтры, где улавливается 99% саж. Холодильники I и II ступени применены трубчатые, с охлаждением принудительно подаваемым воздухом. Образование в печи, при получении саж, миним. кол-ва паров воды, замена взрывгающих холодильников поверхностными и сухое гранулирование дают основание называть процесс сухим. Управление установкой полностью автоматизировано, что позволяет ограничиться одним человеком для ее обслуживания. При прекращении горения в печи автоматически прекращается газ и включается звуковой сигнал.

М. Р.

79075. Методы оценки склонности углеводородных топлив к окислению. Чертков Я. Б., Зрелов В. Н., Завод. лаборатория, 1954, 20, № 8, 925—928

Для оценки склонности углеводородных топлив к окислению, т. е. их стабильности при хранении, разработаны два метода. 1-й метод, основанный на изменении кислотности и содержания фактических смол, заключается в окислении 50—75 мл топлива кислородом воздуха, подаваемым со скоростью 40 л/час, при $125 \pm 0,5^\circ$ в течение 0,5; 1,0; 1,5; 2,0 и 2,5 час. Кривые, показывающие кислотность и содержание смол, характеризуют стабильность топлива величиной угла наклона к оси абсцисс. 2-й метод основан на измерении кол-ва O_2 , поглощенного топливом, окисляющимся в тонком слое в статич. условиях. Окисление проводят в спец. стеклянном реакторе, куда загружают 5 мл топлива. Всю систему продувают 2—3 л кислорода, после чего давление выравнивают. Окисление лигроино-керосиновых фракций проводят при 125°. Время с начала установления т-ры и давления до начала снижения давления принимают за индукционный период. Давление, выраженное в мм вод. ст., с момента начала понижения давления, записывают через 15 мин.; полученные точки наносят на график. Опыт длится 2—2,5 часа. Метод требует небольшой затраты времени, и полученные характеристики стабильности топлива хорошо согласуются с результатами длительного хранения.

З. В.

79076. Простой метод определения влажности нефти и ее продуктов. Самитов Ю. Ю., Горшенникова Т. В., Уч. зап. Казанского ун-та, 1956, 116, № 1, 127—131

Разработан метод определения влажности нефти и нефтепродуктов по измерению диэлектрич. проницаемости с помощью обычного кварцевого генератора. Анализ одного образца занимает 5—10 мин., точность определения выше полумассовой по методу Дина и Старка. Прибор удобен для использования в полевых условиях.

Г. М.

79077. Изучение разделения нефтяных углеводородов и компонентов каменноугольного дегтя методом хроматографической адсорбции. Сакикава, Сато, Кавасуги (石油およびター成分のクロマトグラフ法による分離. 崎川竜行, 佐藤進, 川村満等子), 燃料協会誌, Нэнрё кёкайси, J. Fuel. Soc. Japan, 1954, 33, № 328, 424—433 (япон.; рез. англ.)

Изучалось разделение низкокипящих нефтяных углеводородов, а также некоторых простых ароматич. соединений методом хроматографич. адсорбции. Установлено, что посредством прямой адсорбции в колонках с алюмосиликагелем или активированным древесным углем легко достигается отделение парафинов от ароматич. углеводородов или олефинов. Отделение олефиновых углеводородов от ароматич. и введение отдельных компонентов достигается с большим трудом.

И. Р.

79078. Хроматографический адсорбционный анализ в применении к исследованию сернистых соединений керосина туймазинской девонской нефти. Соснина А. С., Тр. Ин-та нефти АН СССР, 1956, 8, 68—75.

Хроматографическое исследование керосиновой фракции (d_{40}^{20} 0,8424, n_D^{20} 1,4730, пределы разгонки по Энглеру 183—312°, S 1,03%) туймазинской девонской нефти, проводившееся в стеклянных колонках с использованием силикагеля марки МСМ крупностью 80—200 меш, показало, что при помощи хроматографич. метода можно полностью отделить сернистые соединения от метано-нафтовых углеводородов. Полное отделение сернистых соединений от ароматич. углеводородов в обычных лабор. условиях не удается. Значительную часть сернистых соединений можно сконцентрировать в последних фракциях, десорбированных из силикагеля. В самых последних фракциях концентрируются сернистые соединения, содержащие в своих молекулах не более одного ароматич. цикла. Г. М.

79079. Выделение сернистых соединений при помощи хлорного олова. Караулова Е. Н., Некрасов А. С., Тр. Ин-та нефти АН СССР, 1956, 8, 60—67

Изучено действие хлорного олова (I) на туймазинский керосин (K), содержащий 0,75% S, и показано, что на холоду I почти не удаляет сернистые соединения из K, при нагревании же можно удалить до 70% S. Исследовалось осаждение сернистых соединений из искусств. смесей в виде комплексов с I. Смес. готовили растворением двух сернистых соединений (выбранных из диизоамилсульфида, диизоамилдисульфида, дибензилсульфида, дибензилдисульфида, тиофана) в обессеренном (деароматизированном) туймазинском K или в ароматич. части карачухурского K. Установлено, что полнота осаждения комплексов сернистых соединений из смесей уменьшается в ряду: циклич. сульфид > жирноароматич. сульфид > жирноароматич. дисульфид > алифатич. сульфид > алифатич. дисульфид. Получен не описанный в литературе комплекс дибензилдисульфида с I.

Г. М.

79080. Метод двойного сожжения для определения серы в нефтепродуктах. Волюнский Н. П., Чудикова И. К., Тр. Ин-та нефти АН СССР, 1956, 8, 88—91

Метод «двойного сожжения» для быстрого и точного определения S в нефтепродуктах (нефтях, керосинах, мазутах, смолах, битумах и т. п., за исключением бензинов) заключается в введении паров и продуктов пиролиза навески в-ва в пламя, создаваемое бессернистым р-рителем, и последующем поглощении продуктов горения поглотителем, количественно связывающим окислы S. Прибор для двойного сожжения состоит из горелки для создания должного пламени, лампового стекла, абсорбера и кварцевого стаканчика для взятия навески. Метод дает результаты, хорошо согласующиеся как между собой, так и с результатами, полученными другими методами.

Г. М.

79081. Методы испытания битумных эмульсий. Рауденбуш (Prüfverfahren für Bitumenemulsionen nach deutschen und ausländischen Vorschriften. Raudenbusch H.), Bitume, Teere, Asph., Pechе und verw. Stoffe, 1954, 5, № 8, 235—238 (нем.)

79082. Эксплуатационное значение химии авиационных горюче-смазочных материалов. Чивера (Contributi attuali della chimica alla sicurezza del volo. Civera Marco), Riv. aeronaut., 1955, 31, № 2, 157—168 (итал.)

79083. Реологические свойства сложных твердых ракетных топлив. Блэц (Rheology of composite solid propellants. Blatz P. J.), Industr. and Engng Chem., 1956, 48, № 4, 727—729 (англ.)

Описываются применяемые приборы и результаты исследования реологич. свойств синтетич. линейных полимеров связующего в-ва и твердого ракетного топлива, содержащего кристаллич. неорганич. окислитель, в частности, деформации на растяжение, ползучести (крип) и влияния на эти свойства различных компонентов топлива. А. С.

дефектов в конструкции ракеты и в заряде твердого топлива с помощью переносных рентгеновских аппаратов, с флюорографированием или наблюдением на флуоресцирующем экране. В камерах больших размеров, где невозможно применение рентгеновской техники, применяются источники γ -излучения, напр. Со-60, подвешиваемые в полости зерен заряда.

А. С. 79091. Топлива, применяемые в реактивной технике. Часть I. Вахаль (Paliwa w technice odrzutowej. Cześć I. Wachal Andrzej), Techn. lotnicza, 1956, 11, № 2, 43—50 (польск.).

Обзорная статья по технич. требованиям, предъявляемым к топливам для авиационных реактивных двигателей. Библ. 17 назв. **К. З.**

79092. Метод расчета камеры сгорания на основе общих исследований стабильности пламени и распределения топлив. Бьеркли (A combustor analysis method evolved from basic flame stability and fuel distribution research. Bjerklie John W.), Jet. Propuls., 1955, 25, № 5, 227—231, 234 (англ.).

Рассматривается метод расчета пределов стабильности (ПС) по составу смеси в прямоточных реактивных камерах и камерах дожигания на различных типах стабилизаторов и различном распределении топлива по камере на основе соотношений: для зависимости ПС от давления, т-ры и гидравлич. диаметра стабилизатора (De-Zubay E. A., Aero Digest, 1950, 61, 54—56, 102—104); для зависимости распределения топлива по камере от скорости подачи топлива и воздуха и коэфф. диффузии (РЖХим, 1954, 28576). Этим определяется общий состав смеси на ПС, соответствующий составу в месте расположения стабилизатора и заданному профилю скоростей в камере.

А. С.

79093. Общие вопросы теории горения потока топлива. Канторович Б. В., Тр. Ин-та горючих ископаемых АН СССР, 1955, 5, 73—107

Обзорная статья по опубликованным работам автора, посвященным процессу сгорания пылевидных топлив в воздушном потоке, определению закона выгорания вдоль потока, влиянию на длину зоны горения коэфф. избытка воздуха. Библ. 19 назв. **А. С.**

79094. Применение к контрольным испытаниям статистических методов исследования сгорания в двигателях. Сале, Пертю (Application aux essais de controle de méthodes statistiques d'étude de la combustion dans les moteurs. Salé B., Perthuis E.), Rev. Inst. franç. pétrole, 1955, 10, № 7, 805—810 (франц.).

Описываются методы статистич. исследования процесса сгорания для большого числа последовательных циклов в двигателе с искровым зажиганием с целью установления влияния на процесс сгорания качеств топлива или условий воспламенения. С помощью уравновешенной мембраны и электронного счетчика определяется число циклов, в которых в данной фазе давление в цилиндре превосходит заданное противодавление на мембране, и усредненное давление. Аналогичным образом определяют усредненную длительность сгорания, измеряя с помощью ионизационного датчика и электронного счетчика число циклов, в которых момент прохождения пламени через ионизационный датчик меньше заданного угла.

А. С.

79095. О связи между составом и свойствами горючих. Григорьев С. М., Тр. Ин-та горючих ископаемых АН СССР, 1954, 3, 41—51

79096. Возможные топлива для дизель-мотора. Сюби (Combustibles possibles pour un moteur diesel. Point de vue du constructeur. Subit M.), J. Soc. engrs autom., 1955, 28, № 8, 363—372 (франц.).

Основные характеристики дизельных топлив рассматриваются в связи с конструктивными особенностями двигателя. Отмечается возможность обращения порядка расположения топлив по детановому числу при замене впрыскивающей аппаратуры; резкого снижения корро-

зионных свойств топлив, содержащих до 2% S при повышении т-ры рубашки и масла до 80°; использования тяжелых топлив и топлив растительного происхождения. Приводится дискуссия.

А. С.

79097. Определение допустимого срока хранения нефтяных топлив, содержащих крекинг-компоненты. Чертков Я. Б., Зрелов В. Н., Новости нефт. техники, Нефтепереработка, 1956, № 2, 21

Приведены графич. зависимости между индукционным периодом по методу ПК (поглощение кислорода) и сроком хранения топлив, содержащих крекинг-компоненты, при исходном содержании смол в кол-ве 5 ± 2 и 10 ± 2 мг на 100 мл. Допустимое конечное содержание смол составляет 15 мг на 100 мл. Зависимость получена на основании данных по опытным хранению топлив с различным индукционным периодом.

Б. Э.

79098. Окисление углеводородных топлив при длительном хранении. Чертков Я. Б., Зрелов В. Н., Новости нефт. техники. Нефтепереработка, 1956, № 2, 19—20

Рассматриваются окислительные процессы, происходящие при хранении углеводородных топлив. Установлено, что основная масса образующихся кислородных соединений состоит из ароматич. спиртов — первичных, вторичных и третичных, имеющих боковую ненасыщ. цепь с 3—7 атомами С и образующихся в результате окисления ароматич. углеводородов с ненасыщ. боковой связью.

Г. Э.

79099. Точность оценки антидетонационных свойств топлив с 1947 по 1953 гг. Гулинг, Клэнтон (The precision of fuel rating, 1947 to 1953. Gooding Richard M., Cleaton Roberta B.), ASTM Bull., 1955, № 203, 51—61 (англ.).

Доклад представляет собой обобщение результатов семилетних испытаний антидетонационных свойств топлив по 5 различным методам. Автомобильные топлива оценивались по исследовательскому (Д 9(8)) и моторному (Д 357) методам, авиационные топлива — по авиационному (Д 614) и по методу с наддугом (Д 9(9)), дизельные топлива — по методу цетановых чисел (Д 613). Точность методов определялась на 294 образцах топлив, всего сделано ~20 000 определений.

И. Р.

79100. Механизм действия вязкостных присадок. Семенидо Е. Г. Нефт. х-во, 1954, № 3, 38—41

Исследовалась возможность применения показателя η_{sp}/C_{100} для оценки изменения вязкостно-температурных свойств масел, загущенных полиизобутиленом в интервале 50—100°, а также в области отрицательных т-р. Найдено, что отношение вязкости загущенного масла к вязкости соответствующей основы при 100° и при 50° практически постоянно и не зависит ни от уровня вязкости основы загущенного масла, ни от показателя η_{sp}/C_{100} , а зависит только от кинетич. полиизобутилена в маслах. См. РЖХим, 1955, 12535.

С. Т.

79101. Смешиваемость моторных масел различного происхождения. Сватос (Mischbarkeit von Motorenölen verschiedener Herkunft. Swatosch Leo), Kraftfahrzeugtechnik, 1955, 5, № 4, 119—122 (нем.).

Проведено более 60 вариантов смешения масел различного происхождения с последующим искусств. старением смесей на аппарате Баадера в течение 144 час. Старение проводилось в присутствии Fe-Cu-Pb-катализатора в виде спирали и 2% воды с разным рН, полученной в результате сгорания различных топлив. Установлено, что смеси масел после старения образовывали творожистую эмульсию, а также твердый осадок и налет на металлич. спирали. Поэтому не рекомендуется смешивать моторные нефтяные масла с синтетич., синтетич. между собой, регенерированные масла с синтетич. и с нефтяными.

Б. Э.

79102. Влияние низких температур на смазочную способность минеральных масел. Матвеевский Р. М., Докл. АН СССР, 1956, 106, № 3, 494—496

На четырехшариковой машине Имаш с отожженными шариками из стали ШХ-9 проводились испытания масел МВП и МС (Грозненское) с целью выяснения влияния низких t -р на их смазочную способность. Результаты испытания показали, во-первых, полное отсутствие влияния вязкости масла на коэфф. трения в данных условиях испытания, во-вторых, увеличение смазочной способности масел с понижением t -ры. При повышении t -ры коэфф. трения постепенно возрастает до достижения критич. t -р (80° для МВП и 160° для МС), после чего возникает трение прерывистого характера. Полученные результаты свидетельствуют о том, что минер. масла обладают смазывающей способностью от t -ры их затвердевания до критич. t -ры, когда разрушается связь граничного слоя масла с металлом. Б. Э.

79103. Способность моторных масел зимних сортов фильтроваться. Степек, Урбанчик (Zdolność filtracji zimowych olejów napędowych. Stepek Zdzisław, Urbanczyk Stanisław), Nafta (Polska), 1956, 12, № 2, 49—52 (польск.)

Проведены исследования критич. t -р фильтрации моторных масел зимних марок. Показано, что этот параметр оценки качества зимних масел должен быть введен наряду с определениями t -р помутнения и застывания этих масел. Установлено, что присутствие небольших кол-в воды в масле не снижает его способности фильтроваться; применяемые в Польше депрессоры не снижают критич. t -ры фильтрации и поэтому при морозах ниже -30° необходимо поддерживать на фильтре более высокую температуру. К. З.

79104. Обезвоживание авиамасел. Саранчук Л., Постникова Н., Гражд. авиация, 1956, № 3, 26
Описание методов обезвоживания авиамасел и определения в них воды. Б. Э.

79105. Образование поверхностной пленки и процесс смазки. Ланкастер (Surface film formation and lubrication. Lancaster J. K.), Research, 1955, 8, № 7, S33—S35 (англ.)

Рассматривается вопрос о влиянии образования твердых изолирующих пленок на поверхностях металла на процесс возникновения гидродинамич. смазки при применении различных смазочных в-в. На основании эксперим. данных (дано описание прибора и условий испытаний) сделан вывод, что хотя образование твердых поверхностных пленок не является обязательным для возникновения гидродинамич. смазки, однако наличие этих пленок облегчает последнюю, т. е., чем легче данная пара металл — смазка образует защитную пленку, тем лучше антифрикционные свойства этой пары. В. III.

79106. Консистентные смазки. — (Strojne masti.) Nafta (Zagreb), 1955, 6, № 10, 356—358 (хорв.)

Общие сведения о составе и физ.-хим. свойствах различных консистентных смазок. К. З.

79107. Сернистый молибден в современной смазочной технике. — (Molybdendisulfid in der modernen Schmier-technik.) Schweiz. Mech.-Z., 1955, 26, № 22, 354—357 (нем.)

Общая характеристика MoS_2 как высококачественного смазочного средства, с указанием областей применения. Б. Э.

79108. Применение высококипящих органических теплоносителей при варке консистентных смазок. Бас С. М., Новости нефт. техники. Нефтепереработка, 1956, № 1, 19—21

Приводятся схемы и описание работы установки с естественной циркуляцией для обогрева парами дифенильной смеси мешалок для варки консистентных смазок. Б. Э.

79109. Растворение газа в масле при заполнении трансформаторов. Франклин (The solution of gas in oil during transformer filling. Franklin E. B.), Proc. Instn Electr. Engrs, 1955, A102, № 6, 829—832 (англ.)

Рассмотрен вопрос о пропитке изоляции трансформатора маслом и устранении газовых или воздушных мешков, образующихся вследствие растворения газа в масле. Дан обзор существующих методов заполнения трансформаторов маслом и преимущества применения при заполнении CO_2 вместо N_2 . Основным требованием новейшей техники является применение дегазированного масла. Библи. 16 назв. П. Б.

79110. Регенерация трансформаторных масел. Дрысь (Regeneracja obiegowa olejów transformatorowych. Drys Boleśław), Prace Inst. elektrotechn., 1956, 5, № 16, 13—18 (польск.; рез. русс., англ., франц.)

Разработан процесс непрерывной регенерации трансформаторного масла гранулированной отбеливающей землей отечественного месторождения. Описан способ ее подготовки; установлено, что расход земли составляет 1—2% от веса регенерируемого масла. Разработана конструкция термосифонного фильтрующего устройства при трансформаторе 4 мва для осуществления процесса регенерации. Отмечается, что это устройство пригодно для проведения регенерации также на других адсорбентах (напр., на силикагеле). К. З.

79111 К. Поведение смесей минерального масла — F 12 в холодильных машинах. Бамбах (Das Verhalten von Mineralöl — F 12 — Gemischen in Kältemaschinen. Diss. Bambach Gerhard. Karlsruhe, C. F. Müller, 1955, 104 S., ill., 5.50 DM) (нем.)

79112 Д. Исследование химического состава лигроино-керосиновых фракций ромашкинской и туймазинской нефтей по спектрам поглощения в ультрафиолетовой области. Шишкина М. В. Автореф. дисс. канд. хим. н., Ин-т нефти АН СССР, М., 1956

79113 Д. Термический и каталитический крекинг алифатических углеводородов. Бальцер (Über die thermische und katalytische Cracking von aliphatischen Kohlenwasserstoffen. Balzer Hans. Diss. techn. Wiss. ETH Zürich, 1954, IV, 96 S. ill.), Schweiz. Buch., 1955, V 55, № 1, 47 (нем.)

79114. Д. Исследование влияния параметров процесса на деструктивную гидрогенизацию нефтяных остатков под невысоким давлением. Куркова Н. С., Автореф. дисс. канд. хим. н., Ин-т нефти АН СССР, М., 1956

79115 П. Удаление ванадия и натрия из нефти (Vanadium and/or sodium from petroleum) [Anglo-Iranian Oil Co. Ltd]. Австрал. пат. 162283, 21.04.55

Для снижения содержания V и Na в сырой нефти и нефтепродуктах их приводят в контакт с материалом, состоящим в основном из окиси Fe и Al_2O_3 в присутствии H_2 и при повышенных t -рах и давлении, причем V и Na отлагаются на контактом материале. З. С.

79116 П. Удаление ванадия и (или) натрия из нефти и нефтяных углеводородов. Хайд, Портер (Removal of vanadium and/or sodium from petroleum and hydrocarbons of petroleum origin. Hyde J. W., Porter F. W. B.) [British Petroleum Co., Ltd]. Англ. пат. 729301, 4.05.55

Na и (или) V удаляют из сырой нефти и нефтяных углеводородов контактированием с бокситом при таких условиях t -ры и давления, чтобы Na и (или) V отлагались на боксите или соединялись с ним. Присутствие H_2 желательно в случае удаления Na и необходимо для удаления V. Оптимальными условиями для удаления Na и V являются t -ра 415° и давл. 7—14 и 56—70 атм, соответственно. В процессе удаления V расходуется H_2 , избыток которого может поступать на рециркуляцию. Так как Na и V отравляют катализаторы гидрофайнинга и крекинга, то возникает необходимость предварительной обработки сырья для этих процессов. Сырая нефть и нефтяные остатки должны быть освобождены от Na и V перед гидрофай-

нингом, а нефтяные парафиновые дистиллаты — перед крекингом. В примерах сырую нефть, нефтяной остаток или нефтяные парафиновые дистиллаты контактируют с бокситом так, чтобы Na и V отлагались на боксите или соединялись с ним. Показано, что некоторая часть V удаляется даже в отсутствие H_2 и что процесс обеспечивает удаление некоторой части S. Г. М.

79117 П. Каталитическое обессеривание нефтяных углеводородов. Портер, Айситт (Catalytic desulfurization of petroleum hydrocarbons. Porter F. W. B., Isitt J. S.) [British Petroleum Co., Ltd]. Англ. пат. 729303, 4.05.55

Нефтяное топливо, содержащее V и (или) Na, в частности сырую нефть или нефтяные остатки, контактируют с бокситом при повышенных т-ре и давлении для удаления V и (или) Na и затем подвергают гидрофайнингу в присутствии катализатора, состоящего из окисей Co и Mo, на носителе, напр. Al_2O_3 . Обработку боксита проводят в 2 ступени, сначала в отсутствие H_2 для удаления Na, а затем с H_2 для удаления V. Обработку проводят в колонне, содержащей один слой боксита, куда подается рециркулирующий H_2 (в промежуточной точке) для обеспечения максим. удаления V и Na. Гидрофайнинг проводят при 370—455° и давл. 56—70 атм. Отработанный боксит используют для каталитич. обессеривания, окончательной обработки керосинов или для выделения V или S. Приведены цифры, показывающие потерю активности катализатора гидрофайнинга при пропитке V или Na и удлинении срока службы его предварительной обработкой бокситом. Г. М.

79118 П. Конверсия тяжелых углеводородных фракций (Conversion of heavy hydrocarbon oils) [Universal Oil Products Co.]. Австрал. пат. 166985, 1.03.56

Процесс превращения тяжелой углеводородной фракции (ТУФ) включает: крекинг ТУФ в крекинг-зоне в присутствии катализатора (содержащего HF) под давлением, достаточным для поддержания HF и ТУФ в основном в жидкой фазе; разделение полученных продуктов крекинга на углеводородную фазу, содержащую растворенный HF, и фазу катализатора (ФК) (бывшего в употреблении), содержащую разбавитель, в котором растворен катализатор; выделение из углеводородной фазы углеводородов, кипящих в температурном интервале, характерном для бензина, часть из которых подвергается реформингу в зоне реформинга, в которой при этом получают некоторое кол-во свободного H_2 ; контактирование хотя бы части ФК со свободным H_2 в реакторе для гидрирования катализатора, где производится гидрирование части разбавителя; отделение полученной очисти. ФК от гидрированной части разбавителя и возврат очисти. ФК в зону крекинга. Г. М.

79119 П. Крекинг высокосернистых нефтяных фракций над магний-силикатным катализатором. Хантер, Сегура (Conversion of high-sulfur oil over silica-magnesia catalyst. Hunter Edward A., Segura Marnell A.) [Esso Research and Engineering Co.]. Пат. США 2722503, 1.11.55

Предложено усовершенствование в процессе крекинга нефтяных фракций (НФ), имеющих 1,5—5 вес. % S, в присутствии синтетич. катализатора (К), содержащего 65—75 вес. % SiO_2 и 35—25 вес. % MgO . НФ пропускается через зону крекинга при 455—565° в присутствии паров NH_3 , добавляемых в кол-ве 0,1—0,2 вес. % от перерабатываемого сырья. NH_3 можно вводить в виде водн. 5—30%-ных р-ров или в виде сухого газа. Добавлять пары NH_3 в кол-ве 0,1—0,2 вес. % от сырья предложено также в процессе крекинга НФ, выкипающих при 232—593° и имеющих 2—5 вес. % S, когда НФ пропускается в зоне крекинга при 455—565° через плотный псевдоожиженный слой размельченного синтетич. К, содержащего 65—70 вес. % SiO_2 и 35—30 вес. % MgO . К непрерывно циркулирует между зонами крекинга и регенерации; в последней угле-

родистые отложения выжигаются из частиц К в атмосфере O_2 -содержащего газа при т-ре ниже т-ры дезактивации К. Н. К.

79120 П. Крекинг и реформинг углеводородов. Нордэйн (Cracking and reforming of hydrocarbons. Nordyn J. A.) [Shell Development Co.]. Канад. пат. 516814, 20.09.55

Процесс получения нефтяных дистиллатов с улучшенными антидетонационными свойствами, низкой непредельностью, пригодных для применения в качестве авиабензина, состоит из: некаталитич. крекинга лигроиновой фракции прямой гонки при 545—565° (при давл. 21 атм) таким образом, что каждый продукт крекинга, кипящий в тех же пределах, что и исходная фракция прямой гонки, составляет <80 вес. % от исходной фракции), не сопровождаемого чрезмерным коксованием; фракционированной перегонки полученных крекинг-продуктов для выделения второй бензино-лигроиновой фракции, кипящей в основном в пределах 80—225° или 100—200°; повторного некаталитич. крекинга при 530—560° или при 550—555° и давл. 42 атм смеси, состоящей из выделенной второй фракции 5—15 или 10 об. % (считая на вторую фракцию) сырья, содержащего по преимуществу насыщ. углеводород Са, в основном свободный от олефинов; фракционированной перегонки продуктов повторного крекинга для выделения третьей фракции, кипящей в пределах 90—225° или 105—200° и имеющей более высокую антидетонационную характеристику и более низкое бромное число, чем упомянутая вторая фракция. Г. М.

79121 П. Получение ароматических углеводородов (Herstellung aromatischer Kohlenwasserstoffe) [Standard Oil Development Co.]. Пат. ФРГ 924382, 3.03.55

При каталитич. превращении углеводородов, в основном состоящих из нормальных парафинов и нафенов, содержащих ≥ 6 атомов С, в ароматич. углеводороды с тем же числом атомов С в молекуле, смесь 1 моля исходного углеводорода в пареообразном состоянии (в частности, $n-C_8H_{18}$ и циклогексана или $n-C_7H_{16}$, метилгексана и метилциклогексана) и 0,5—20 молей разбавителя, состоящего в основном из парафиновых углеводородов с ≤ 4 атомами С в молекуле, пропускают при повышенной т-ре над обычными катализаторами ароматизации и дегидрирования с последующим разделением продуктов р-ции на жидкость, богатую ароматич. углеводородами, и газообразный углеводородный поток, богатый H_2 . В частности, смесь из 1 моля исходного продукта, богатого $n-C_8H_{18}$, и 1—4 молей разбавителя, в основном состоящего из CH_4 и небольших кол-в C_2H_6 и C_3H_8 , пропускают при 482—566° и давл. $\leq 3,4$ атм над катализатором с объемной скоростью 2, в результате чего получают богатую C_8H_8 жидкость и углеводородный газ, богатый H_2 . Аналогично при 538—621° и давл. ≤ 3 атм из смеси парафиновых углеводородов и нафенов с 6-членным кольцом, разб. C_4H_{10} , в основном свободным от выкипающих примесей, получают наряду с жидкостью, богатой ароматич. углеводородами, газ, в основном состоящий из $iso-C_4H_{10}$, когда разбавитель богат $iso-C_4H_{10}$, и из n - и $iso-C_4H_{10}$, когда разбавитель богат $n-C_4H_{10}$. Приведена схема установок. Я. К.

79122 П. Дегидрирование нафенов при помощи сернистого ангидрида. Данфорт (Dehydrogenation of naphthenes by means of sulfur dioxide. Danforth Joseph D.) [The Trustees of Iowa College]. Пат. США 2720550, 11.10.55

Ароматические углеводороды получают дегидрированием нафеновых углеводородов сработкой SO_2 в присутствии катализатора, состоящего в основном из активированного угля, при 440—600° под давл. 0,25—500 атм. Указанные нафеновые углеводороды применяют в молярном избытке по отношению к SO_2 для предотвращения образования S. Приведена схема технологич. процесса. В. У.

79123 П. Процесс парофазной изомеризации. Уэлти, Перри (Vapor phase isomerization process. Welty Albert B., Jr, Perry Stephens F.) [Esso Research and Engineering Co.]. Канад. пат. 515486, 9.08.55. Изомеризацию *n*-бутана в паровой фазе проводят при 95–190° пропуская 0,5–2 объема жидкого бутана на 1 объем катализатора (К) в час под давл. 10–21 ат. Пары (в присутствии 2–8 вес.% HCl) поступают через слой К, состоящего из 12 вес.% $AlCl_3$, сорбированного на частично дегидратированном абсорбирующем глиноземе, и содержащего 1–4% воды; из реакционной массы выделяют изобутан. Необходимо поддерживать т-ру на нижнем пределе, когда К находится в состоянии наибольшей активности, и постепенно поднимать т-ру до высшего предела по мере падения первоначальной активности К; одновременно добавлять пары $AlCl_3$ к К в кол-ве, достаточном для поддержания постоянной степени конверсии *n*-бутана в изобутан (35–50%) и регулировать т-ру в связи с повышающейся активностью К; т-ру можно поддерживать фактически постоянной в течение жизни контактной массы введением в нее паров $AlCl_3$ в достаточном кол-ве и с определенной скоростью. Остальные условия р-ции поддерживаются постоянными. Непрерывный процесс изомеризации *n*-пентана проводится при непрерывном контактировании *n*-пентана в паровой фазе в присутствии повышенных кол-в HCl в описанных выше условиях изомеризации *n*-бутана. Уровень конверсии можно поддерживать постоянным (30–55%) введением 0,02–0,04 вес.% паров $AlCl_3$ с парами *n*-пентана. Г. М.

79124 П. Метод конверсии углеводородов. Данфорт (Verfahren zur Umwandlung von Kohlenwasserstoffen. Danforth Joseph Davis) [Universal Oil Products Co.]. Пат. ФРГ 930325, 14.07.55.

Конверсию углеводородов, напр. *n*-бутана, с образованием разветвленных насыщ. углеводородов производят в присутствии катализатора (К) Фриделя — Крафта, напр. $AlCl_3$, причем поток сырья проходит через слой К в первой контактной зоне (ПКЗ) и уносит часть К; в ПКЗ практически не происходит р-ции, а конц-ия К поддерживается выше, чем в выходящем потоке, содержащем К. Выходящий из ПКЗ поток (в некоторых случаях добавляют HCl или другие галогенпроизводные) поступает во вторую контактную зону (ВКЗ), в которой насыщ. углеводороды подвергаются каталитич. изомеризации при 35–150° и (или) алкилированию газообразными олефинами при т-ре от –20° до 120°. Скорость К-содержащего потока углеводородов, поступающего из ПКЗ в ВКЗ, поддерживается постоянной и достаточной, чтобы обеспечить процесс каталитич. конверсии. В. К.

79125 П. Конверсия нефтяных остатков в присутствии частиц кокса. Доринг, Ворис (Hydrocarbon conversion of reduced crudes in the presence of coke particles. Doering Felix F., Jr, Voorhies Alexis, Jr) [Esso Research and Engineering Co.]. Пат. США 2717866, 13.09.55.

Предложен непрерывный процесс конверсии смесей углеводородов, содержащих дистиллируемые и недистиллируемые углеводородные компоненты, в дистиллатные масла и кокс; смеси подвергаются атмосферной и вакуумной дистилляции с получением лигроина, газойлей и тяжелого остатка. Последний подвергается коксованию в присутствии измельченного кокса с размером частиц <250 м и разбавителя — лигроина с т. кип. 120–230°, часть которого получается при атмосферной дистилляции. Зона коксования состоит из змеевика с огневым нагревом и реакционной камеры, в которой продукты выдерживаются в течение от 2 до 18 мин. при т-ре 400–454° и давл. 70–120 ат; в этих условиях образуются в определенной пропорции кокс и дистиллатные масла. Чтобы предотвратить выделение кокса в змеевике, в последнем поддерживаются высокие скорости движения нагреваемых продуктов (1,2–3,0 м/сек), обеспечивающие турбулентный характер

потока. Суспензия кокса в жидком продукте удаляется из зоны коксования и подвергается испарению, причем выделяющиеся пары возвращаются в зону атмосферной дистилляции, а из охлажденной суспензии, вводимой снизу испарителя, выделяются кокс и жидкий продукт. Часть выделенного жидкого продукта возвращается в зону атмосферной дистилляции. Часть выделенного кокса измельчается до частиц размером <250 м, смешивается в требуемом соотношении с лигроиновой фракцией, выкипающей при т-рах 120–230°, и полученная суспензия добавляется к тяжелому остатку дистилляции, поступающему на коксование. Н. К.

79126 П. Процесс переработки нефти, сланцевых масел и т. п. Хенниг (Process for refining of petroleum, shale oil, and the like. Hennig Harvey) [Pure Oil Co.]. Пат. США 2727853, 20.12.55.

Процесс получения бензина высокого качества включает деасфальтирование пропаном отбензиненной нефти или сланцевого масла с получением рафината и тяжелого остатка, коксование последнего, причем образуются кокс и фракция газойля, парофазную гидрогенизацию фракции газойля в присутствии катализатора и каталитич. крекинг насыщ. продукта в условиях, обеспечивающих получение высокооктанового бензина. Процесс может осуществляться также введением рафината или газойля прямой гонки в зону крекинга в смеси с продуктом гидрогенизации газойля. Тяжелые фракции газойля после гидрогенизации могут быть направлены на рециркуляцию в зону деасфальтирования. Пример: выход бензина при использовании комбинации процессов составил 91,1 об.% против 72,5 об.%, полученного при исключении процессов коксования остатка и парофазной гидрогенизации. Октановое число бензина увеличилось на 1 пункт. С. Г.

79127 П. Усовершенствованный процесс восстановления платинового катализатора гидроформинга. Уэбб (Procédé perfectionné pour r'nover les catalyseurs d'hydroforming du groupe du platine. Webb Glenn M.) [Standard Oil Co.]. Франц. пат. 1080184, 07.12.54. [Chimie et industrie, 1955, 74, № 6, 1203 (франц.)].

Pt-катализатор, нанесенный на глинозем, контактируют при т-ре >510° с кислородсодержащим газом в течение периода времени, достаточного для существенного восстановления активности, избирательности и стабильности катализатора. М. Л.

79128 П. Приготовление катализатора из каолина и силикагеля. Симпсон, Брантон, Планк (Preparation of catalyst from kaolin and silicagel. Simpson Thomas P., Branton Peter D., Plank Charles J.) [Socony Mobil Oil Co. Inc.]. Пат. США 2727868, 20.12.55.

Способ приготовления пористого каталитич. материала для процесса крекинга углеводородов состоит в активировании каолина прокаливанием при т-ре ≥ 427° с последующим смешением его (в кол-ве ≥ 50 вес. % суммы твердых в-в в высушенном продукте) с водн. гелем SiO_2 , полученным при pH < 5 и высушивании готовой смеси. Смешивание прокаленного каолина и водн. геля SiO_2 может производиться в шаровой мельнице. Вместо геля SiO_2 может быть применен силикат щел. металла с последующим подкислением смеси до pH ≥ 5. Приготовление катализатора крекинга осуществляется при pH 3–5 в таком весовом соотношении, чтобы в конечном продукте SiO_2 : Al_2O_3 составляло 2,5:1 — 10:1. Пример: 110 г каолина, прокаленного при 788°, смешивают в шаровой мельнице в течение 4 час. с водн. гелем SiO_2 , полученным смешением 490 мл силиката натрия (0,221 г SiO_2 и 0,069 г Na_2O), 385 мл воды и 350 мл 19н. H_2SO_4 при 5–10°. Полученную смесь промывают водой, высушивают при 138° и прокаливают при 566°. Содержание в ней Al_2O_3 составляет 25 вес.%. С. Г.

79129 П. Реактивация титано-фосфорных катализаторов. Циммершид (Reactivation of titanium-

phosphorus catalysts. Zimmerschied Wilford J.) [Standard Oil Co.]. Пат. США 2727010, 13.12.55

Предлагается метод реактивации катализатора (К), потерявшего активность при использовании его в процессах обессеривания углеводородных масел, полимеризации непредельных углеводородов или др. К приготавливался путем нагревания галонидной соли Ti (хлоридов или бромидов), напр. $TiCl_4$, с орто- или пиррофосфорной к-той, напр. H_3PO_4 , при 175–250°, лучше 200°, до момента прекращения выделения галонводорода. Отношение галоида к активному H_2 в к-те составляло 0,4 : 1 — 1 : 1. В качестве активатора к К может добавляться окисел металла V или VI групп, 0,5–20 вес.%, считая на безводн. к-ту. Дезактивированный К обрабатывается 0,5–24 часа (напр., 18 час.), при т-ре 350–500° (напр., 400°), под давлением H_2 35–140 kg/cm^2 (напр., 112 kg/cm^2). Пример: 1 моль безводн. H_3PO_4 смешивается с 0,4 молями $TiCl_4$ и нагревается при 200° до прекращения выделения HCl . Образовавшееся твердое в-во формируется в 3 мм таблетки. 45 мл таблеток помещается в трубчатый реактор, который нагревается до 200°. Через него под давлением в 21 kg/cm^2 пропускается пропан-пропиленовая смесь 50 : 50. Часовая объемная скорость жидкости составляет ~1,2. Конверсия ~55%. После падения конверсии до 7,4% дезактивированный К 18 час. обрабатывали при 400° H_2 под давл. 112 kg/cm^2 и испытывали в тех же условиях. Активность его превысила активность свежего К, конверсия равна 59%.

Л. П.

79130 П. Процесс обессеривания углеводородных дистиллятов в присутствии прокаленного продукта реакции галогена титана и фосфорной кислоты. Циммершид, Шалит (Hydrocarbon desulfurization process with calcined reaction product of titanium halide and phosphoric acid. Zimmerschied Wilford J., Shalit Harold) [Standard Oil Co.]. Пат. США 2726991, 13.12.55

Удаление серы из нефтяных фракций производят контактированием указанных продуктов при 200–500° и объемной скорости 0,5–4 в присутствии твердого катализатора, приготовленного смешением фосфорной к-ты (орто- или пиро-) с галогеном титана (хлорид или бромид) таким образом, что отношение галоида к активному водороду к-ты составляло 0,4 : 1 — 1 : 1, и нагреванием полученной смеси при т-ре >175° до удаления галонводородной к-ты. Этот процесс может осуществляться под давлением H_2 и с применением промоторов, представляющих окислы металлов V и VI групп. Пример: (в г) безводн. ортофосфорную к-ту 151,5 смешивают с $TiCl_4$ 194,5 и медленно нагревают при 100° в течение 18 час. Затем при 230° 4 часа. Продукт р-ции сушат в вакууме при 120°, измельчают и формируют в зерна 0,3 см. Катализатор испытан при паровом обессеривании тяжелого бензина, содержащего 0,355% S. В продуктах р-ции содержание серы снижено на 68–73%.

С. Н.

79131 П. Окисление кислых сернистых соединений. Бонд (Oxidation of acidic sulfur compounds. Bond Donald C.) [The Pure Oil Co.]. Канад. пат. 511017, 15.03.55

Способ очистки нефтяных фракций, содержащих меркаптаны, состоит в обработке их O_2 -содержащим газом в присутствии р-ра щелочи и небольшого кол-ва катализатора окисления. Указанный катализатор представляет из себя диоксид-алкоксид бензол, со смежными гидроксильными группами, напр. пропоксид-пирокатехин, 3-изопроксидпирокатехин. Процесс окисления регулируется таким образом, чтобы не происходило окислительного распада катализатора.

Л. П.

79132 П. Каталитическое обессеривание бензола и бензолсодержащих моторных топлив. Портер, Хайд (Catalytic desulphurization of benzole and motor fuels containing same. Porter F. W. B., Hyde

J. W.) [British Petroleum Co., Ltd]. Англ. пат. 728755, 27.04.55

Бензол или моторное топливо, состоящее из смеси бензола и прямогонного бензина, каталитически обессеривают пропусканием в паровой фазе в смеси с H_2 над дегидрирующим-гидрирующим катализатором, при таких т-ре и давлении, чтобы дегидрирование нафтенов обеспечивало достаточное кол-во H_2 для превращения органически связанной S в бензоле или топливе в H_2S и для поддержания паровой фазы в реакционной зоне. Газ, богатый H_2 , отделяют от обработанного сырья и возвращают в реакционную зону как основной источник H_2 . Процесс можно проводить при 400–425° и давл. 7 атм. В качестве катализатора применяют окиси Co и Mo или Al.

Г. М.

79133 П. Способ улучшения качества серусодержащих легких углеводородов. Кухта (Verfahren zur Verbesserung schwefelhaltiger leichter Kohlenwasserstoffe. Kuchta Paulus) [Deutsche Vacuum Oel A.-G.]. Пат. ФРГ 925058, 10.03.55

Улучшение качества S-содержащих легких углеводородов, в частности содержащих маркаптаны, производится посредством активированного угля, пропитанного щелочью. Легкие углеводороды до или во время обработки приводят в соприкосновение с воздухом или O_2 . Пример: бензин с содержанием 0,020% S в виде меркаптанов пропускают над активированным углем, пропитанным Na-щелочью. Если 25 кг бензина обрабатывать 1 кг угля, то содержание S составит 0,006%. В том же бензине после обработки его в резервуаре в течение двух дней воздухом и очистки активированным углем содержание S составило 0,001%. Бензин не вызывал коррозии. Б. Э.

79134 П. Удаление меркаптанов из углеводородных фракций (Process for removing mercaptans from hydrocarbon fractions) [Esso Research & Engineering Co.]. Англ. пат. 734707, 3.08.55

Содержащая меркаптаны углеводородная фракция (УФ) очищается контактированием с гидроокисью Cu, основным карбонатом Cu или Cu-солью органич. к-ты, содержащей в молекуле >5 атомов S, при этом меркаптаны образуют комплекс с соединениями Cu (СМ), затем УФ перегоняют и комплекс удаляют. УФ представляет собой лигроиин, бензин, уайт-спирит, керосин, легкий и тяжелый газойль; применяемой Cu-солью органич. к-ты является нафтенат, который может быть либо растворен в УФ, либо добавлен к УФ в виде р-ра в углеводородах. Если применяемое СМ является твердым и нерастворимым в углеводородах, то УФ можно с ним встряхивать, а избыток СМ последовательно удалять, напр. декантацией. УФ может быть отфильтрована через слой СМ. Можно также пропустить УФ вместе с водн. р-ром СМ через смеситель и затем разделить две фазы в отстойнике. УФ может быть очищена 96–98%-ной дымящей H_2SO_4 до или после обработки СМ, после чего следует перегонка. Примеры: 1) бензин обрабатывают H_2SO_4 , нейтрализуют NaOH, промывают водой, контактируют с основным карбонатом Cu и отгоняют от образовавшихся комплексов; 2) бензин обрабатывают нафтенатом Cu, отгоняют от образующихся комплексов и окончательно очищают дымящей H_2SO_4 .

Г. М.

79135 П. Активация ионообменного продукта и очистка им нефтепродуктов от меркаптанов. Кунрадт, Лиман (Activation of ion exchange material and process for sweetening petroleum therewith. Coonradt Harry L., Leaman Wilbur K.) [Socony Mobil Oil Co., Inc.]. Пат. США 2718489, 20.09.55

Для удаления слабых органич. соединений, напр. меркаптанов, из жидкой смеси углеводородов, напр. бензина, лигроиина, керосина и др. фракций нефтепродуктов, жидкий продукт контактируют с анионообменной смолой в целях сорбции указанных слабых соединений, так чтобы смола прореагировала хотя бы частично. Смолу отделяют и обрабатывают водн. р-ром гидрата

окиси металла для удаления сорбированных кислых продуктов (меркаптанов, удаляемых в виде меркаптитов) и регенерации. Для улучшения способности анионообменной смолы извлекать меркаптаны из нефтепродуктов смолу в ее гидроксильной форме перед обработкой нефтепродукта контактируют со спиртом или смесью спиртов с числом атомов $C \leq 5$, напр. C_2H_5OH или смесью C_2H_5OH и C_4H_9OH . В варианте процесса при регенерировании смолы ее обрабатывают гидратом окиси металла и газом, содержащим свободный O_2 для растворения сорбированных меркаптанов в виде меркаптитов и превращения их в неионизирующиеся полисульфиды.

Е. П.
79133 П. Гидросероочистка (Hydrodesulphurisation) [Sasolyn-Vacuum Oil Co., Inc.]. Австрал. пат. 164729, 8.03.55

Предложен процесс сероочистки, в котором сернистые нефтяные фракции контактируются с катализатором. Последний содержит 0,05—20 вес. % металла, имеющего порядковые номера от 44 до 46 и от 76 до 78 включительно, нанесенного на инертный носитель. Сероочистку проводят при 260—455° в присутствии водорода, давл. 7—210 ат, часовой объемной скорости в жидкой фазе 0,1—10, молекулярном отношении водорода к углеводородам 1—80.

Н. К.
79137 П. Обессеривание крекинг-бензинов (Desulphurization of cracked naphthas) [The British Petroleum Co. Ltd.]. Австрал. пат. 163177, 16.03.55

Патентуется процесс гидрокаталитич. обессеривания, в котором крекинг-бензин смешивается с прямогонным бензином, выкипающим в том же интервале. Смешивание производится в такой пропорции, чтобы при пропускании смеси над S-стойким катализатором дегидрогидрогенизации при т-ре 400—445° и давл. $< 10,5 \text{ кг/см}^2$ кол-во водорода, получающегося при дегидрогенизации нафенов, содержащихся в смеси, практически не превышало бы того кол-ва H_2 , которое необходимо для превращения органич. соединений S в H_2S . Кол-во образующегося H_2S также должно быть достаточным, чтобы поддерживалась его циркуляция, смесь находится в паровой фазе и не было необходимости в добавке H_2 со стороны. М. П.

79133 П. Обессеривание углеводородов. Эйри, Кимберлин (D sulfuration of hydrocarbons. Arey William F., Kimberlin Charles N., Jr.). Франц. пат. 1054811, 18.05.54 [Chem. Zbl., 1955, 126, № 25, 5341 (нем.)]

Обессериваемый продукт контактируется с нафтеновым соединением в присутствии глиноземо-ванадиевого катализатора при т-ре 400—510° и повышенном давлении. Напр., тяжелый бензин (0,63% тиофеновой S) и до 40 об. % нафтеновых углеводородов пропускают над глиноземо-ванадиевым катализатором, содержащим 10% V_2O_5 при 420° и давл. 14 ат. После промывки р-ром NaOH полученное топливо содержит 0,17 вес. % серы. З. В.

79139 П. Удаление асфальтовых веществ из остаточных масел. — (Process for the removal of asphaltic constituents from residual oils) [Standard Oil Development Co.]. Англ. пат. 733862, 20.07.55

Остаточное масло, содержащее асфальтовые в-ва, смешивают с углеводородной циркулирующей фракцией (ЦФ), кипящей несколько выше 370° и получаемой при каталитич. крекинге, и подвергают деасфальтизации с помощью углеводородного деасфальтирующего агента. Деасфальтированный продукт пригоден для использования в качестве сырья для каталитич. крекинга или для получения смесочных масел. Деасфальтирующим агентом могут быть низкокипящие углеводороды, содержащие 2—5 атомов S в молекуле, или смесь их; наиболее пригодными являются пропан и бутан. Описан процесс, в котором: 1) сырую нефть отгоняют для получения газов, легкого и тяжелого бензина, газойля и отбензинного остатка; 2) последний смешивают с ЦФ и деасфальтируют пропаном; 3) деасфальтированный продукт, смешанный с частью газойле-

вой фракции, упомянутой в 1, подвергают каталитич. крекингу с псевдооживленным катализатором (подвергающимся после отработки регенерации); 4) крекинг-продукты фракционируют для получения газа, бензина, топлива, легкой и тяжелой ЦФ и 5) часть последней рециркулирует для использования в стадии 2. Дан перечень катализаторов, применяемых в стадии 3.

Г. М.
79140 П. Очистка масел (Refining of hydrocarbon oils) [Foster Wheeler, Ltd.]. Англ. пат. 735333, 17.08.55

Остаточные масла, полученные при перегонке сырой нефти, деасфальтируют жидким пропаном и полученный при этом асфальт обезмасливают жидким бутаном. Аппарат для деасфальтизации и обезмасливания состоит из вертикальных колонн, в которых при повышенной т-ре стекает вниз поток обрабатываемого продукта или асфальта противотоком к пропану или бутану; последние затем выделяют для повторного использования. Асфальт из деасфальтирующей колонны поступает с некоторым содержанием пропана в обезмасливающую колонну.

Г. М.
79141 П. Способ очистки углеводородных масел. Шварц (Verfahren zur Raffination von Kohlenwasserstoffölen. Schwarz Fritz). Пат. ФРГ 929631, 30.06.55

Масло подвергают совместной обработке сильнощел. р-ром мыла, напр. Na-солями рицинолевой или хаульмугровой к-т и селективными р-рителями, такими как фурфурол. Пример: 1 кг отработанного трансформаторного масла при 20° перемешивают с 10 г Na-соли рицинолевой или хаульмугровой к-т. При дальнейшем перемешивании добавляют 15 г фурфурола и такое кол-во 20% Na OH, которое обеспечивает отделение щел. р-ра от масла. Выпадающий шлам отделяют и масло обычным способом очищают отбеливающей землей.

Б. Э.
79142 П. Белые масла (White oil) [Standard Oil Development Co.]. Англ. пат. 734047, 20.07.55

Процесс получения стабильных белых масел состоит в контактировании нефтяного дистиллата, кипящего в пределах 120—250°, с H_2 и с катализатором гидроочистки (молибдат Co на Al_2O_3) при 260—370° под давл. 3,2—32 атм, и в последующей обработке масла PbO при 120—205°. Затем масло перегоняют с паром для удаления H_2S . PbO может применяться в виде водн. р-ра с ацетатом Pb или без него или может быть растворен в CH_3COOH или в водн. едкой щелочи, напр. NaOH; обработанное масло должно быть промыто NaOH и водой. Процесс сравнивается с другими способами обработки NaOH, гипохлоритом и оксидипропионитрилом и с обработкой, в которой масло повторно перегоняется над Cu.

Г. М.
79143 П. Гидроочистка тяжелых масел. Николсон (Hydrodesulfurization of heavy oils. Nicholson Edward W. S.) [Esso Research and Engineering Co.]. Пат. США 2717855, 13.09.55

Предложен процесс обессеривания и повышения качества тяжелых, кипящих выше 565°, нефтяных фракций, содержащих золу. Продукт предварительно нагревают до 371—482°, выдерживают в жидкой фазе при давл. 7—70 ат в зоне тепловой обработки в течение 0,5—5 час., для коагуляции и термич. осаждения в отсутствие H_2 растворенных металлоорганич. соединений, мелких компонентов зоты и неустойчивых высокомолекулярных соединений. После термич. обработки продукт, содержащий в виде суспензии коагулированные и осаждаемые теплые в-ва, переводят в зону гидрогенизации (т-ра 315—538°, давл. 7—70 ат), куда подается газ, содержащий H_2 и катализатор гидроирования (боксит, пиритная зота или молибдат Co на Al_2O_3) в кот-ве 0,15—22,7 кг на 159 л продукта. Вытекающий из этой зоны поток нагревают в зону горячего фильтрования, нагретую до 93—260°, и получают жидкую нефтяную фракцию со значительно сниженным содержанием S и зоты. Катализатор для гидроирования может подаваться в виде пасты в обессеренном продукте; в зоне подерживается большая скорость и часть выходящего про-

дукта и пасты катализатора поступает на рециркуляцию в зону гидрирования.

Е. П.
79144. П. Разделение масел и парафина. Бейкер (Separation of oil and wax. Baker Landis C.) [Sun Oil Co.]. Пат. США 2726990, 13.12.55

Способ отделения парафинов от масел (М) состоит в обработке смеси парафинов и М р-рителем, охлаждении полученного р-ра, причем выпадает $\geq 10\%$ парафинов, в виде шлама. Смешивают полученные шламы, фильтруют для отделения парафинов от М и р-рителя и разделяют последние. Процесс также может осуществляться путем отгонки из парафинового сырья фракции 370—455° и раздельного растворения дистиллата и остатка в р-рителе, охлаждении р-ров до -23° и совместного фильтрации выделенного парафина. Р-рителем служит смесь метилэтилкетона и бензола или др. (ацетона, толуола). В примере дано описание работы установок разделения масел и парафинов с отгонкой дистиллата с т. кип. 370—455°. Введение предварительного смещения обоих образовавшихся шламов позволило ускорить фильтрацию, уменьшить расход р-рителя на 23%, повысить выход масел с 75% до 83% и снизить содержание масел в парафине с 30 до 15%.

С. Г.
79145. П. Депарафинизация углеводородных масел хлорзамещенными углеводородами. Фишер, Зассе (Verfahren zur Entparaffinierung von Kohlenwasserstoffölen mit Hilfe von Chlorkohlenwasserstoffen. Fischer Karl, Sasse Ernst) [Edelmann G. m. b. H.]. Пат. ФРГ 920329, 2.12.54 [Chem. Zbl., 1955, 126, № 24, 5702 (нем.)]

Остаточное масло, очищ. от смолистых, асфальтовых и других нежелательных компонентов, депарафинируют смесью дихлорэтана и хлористого метилена, состоящей в бóльшей своей части из дихлорэтана.

Г. М.
79146. П. Экстракционная перегонка о-ксилолов из нефтяной фракции. Джонсон (Extractive distillation of o-xlenes from a petroleum fraction. Johnson Virgil A.) [Sinclair Refining Co.]. Пат. США 2721170, 18.10.55

Нефтяную фракцию, содержащую изомеры ксилола, подвергают фракционной перегонке при 154—165,5°; отбирают головную легкую фракцию с пределами т-ры кипения бóльшей части изомеров ксилола, оставляют в остатке составные части, кипящие выше о-ксилола. Концентрат ксилолов направляют в паровую фазу при 149—160° в зону экстракционной контактной перегонки с селективным жидким органич. р-рителем, кипящим выше о-ксилола и нагретым до ~171—182°; отбирают в головной фракции рафинатную паровую фазу, содержащую м- и л-изомеры, а в остатке высококипящий ксилол и р-ритель; о-ксилол выделяют из фракции, богатой растворителем.

З. В.
79147. П. Выделение нафталина. Браун, Шмидт (Recovery of naphthalene. Brown Russell H., Schmidt Walter D.) [Standard Oil Co.]. Пат. США 2727854, 20.12.55

Способ выделения нафталина (Н), отличается тем, что нефтяную фракцию, содержащую I, алкилбензолы и нафтен, кипящие близко к т-ре кипения I, обрабатывают р-рителем, обладающим селективными свойствами в отношении ароматич. и нафеновых углеводородов. Рафинат отдают от экстракта, содержащего указанные углеводороды, которые из него и выделяют. «Нафталиновую фракцию» (НФ), кипящую в пределах 196—235°, отдают дистилляцией от проэкстрагированных углеводородов. НФ подвергают каталитич. крекингу. Жидкие продукты крекинга дистилляцией отдают от НФ. Для получения I высокой степени чистоты фракцию подвергают кристаллизации. НФ может выкипать в пределах 204—226°. Газойль, полученный после каталитич. крекинга, для выделения экстракта, содержащего I, обрабатывают жид-

кой SO₂; полученный экстракт подвергают дистилляции для выделения НФ с пределами кипения 196—235°; указанную фракцию крекируют при 427—533°, жидкие продукты крекинга перегоняют для получения фракции, близкой по т-ре кипения к I, который выкристаллизовывается из нее в чистом виде. Крекинг НФ можно проводить в присутствии силикоглиноземистого катализатора при 482°. Приведена схема процесса.

Л. П.
79148. П. Тонкоизмельченная способная к диспергированию асфальтовая смесь и способ ее получения. Дей (Finely divided dispersible asphaltic composition and method of making the same. Day Edward J.) [Lukon, Inc.]. Пат. США 2714582, 2.08.55

Сухая асфальтовая смесь в виде тонкоизмельченного порошка, характеризующаяся самопроизвольной диспергируемостью в воде, имеет следующий состав (в вес. ч.): 100 ч. асфальтового материала, 3—25 ч. диспергирующего агента (ДА) из числа органич. сульфоновых к-т и их солей, солей сульфоглицина (СЛ), растворимых в воде мыл, полиоксипентилстеарата, тристеарата сорбиновой к-ты, сульфированных алифатич. спиртов и сульфированных алкилфеноксиэтанолов и 2—10 ч. защитного коллоида (ЗК). Смесь должна проходить через сито 300 меш. ДА может представлять собой смесь 0—25 ч. СЛ и 2 ч. растворимого в воде мыла. Приведены примерные составы смеси: а) 100 ч. асфальтового материала, 7 ч. ДА (состоящего из 8 ч. бентонита, 2 ч. Na-соли СЛ, 5 ч. резината Na), 2—10 ч. органич. ЗК; б) 100 ч. асфальтового материала, 3—25 ч. ДА (состоящей из 3 ч. бентонита, 0,25 ч. Na-соли СЛ и 2 ч. резината Na) и 2—10 ч. органич. ЗК. Для получения указанных составов асфальтовый материал предварительно измельчают до 100—150 меш, смешивают его с органич. ЗК и ДА из числа вышеуказанных и полученную смесь измельчают до 300—325 меш.

Е. П.
79149. П. Битумные покрытия. Хардман (Bituminous covering material and method of making. Hardman Harley F.) [The Standard Oil Co.]. Пат. США 2721146, 18.10.55

Для получения битумного покрытия листовый абсорбирующий материал пропитывают одним битумом (Б), затем покрывают другим, более твердым Б. Вязкость первого Б при 20° превышает вязкость второго Б при той же т-ре на ≤ 500 пуаз.

Г. М.
79150. П. Битумные композиции. Калиновский, Мак-Ларен (Asphalt compositions. Kalinowski Mathew L., MacLaren Frederick H.) [Standard Oil Co.]. Пат. США 2720466, 11.10.55

Предложена битумная композиция, в которую кроме парафинсодержащего битума входит 0,1—10% продукта конденсации ароматич. соединений, представляющего собой ароматич. углеводород, фенол или хлорированный парафин. Конденсацию проводят в присутствии катализатора Фриделя — Крафта.

Н. К.
79151. П. Глинистый раствор на масляной основе (Werkwijze voor het bereiden van een spoelvoelstof voor boortechniek, bestaande uit een water-in-oil-emulsie) [N. V. De Bataafsche Petroleum Maatschappij]. Голланд. пат. 76028, 15.10.54 [Chem. Abstr., 1955, 49, № 11, 7844 (англ.)]

Предлагается эмульсия (Э) 10—40 об.% воды в минер. масле (дизельном, топочном), сырой нефти, керосине, содержащая утяжелитель, желательнo в тонкоизмельченном или порошкообразном виде, напр., глину, барит, специально обработанную смачиваемую маслом окись железа, селективно смачиваемые маслом сульфиды металлов (Fe, Zn, Pb и т. п.) и материалы, смачиваемые маслом в мелкодробленном виде, напр., гематит. Э содержит окисленный битум в качестве вяжущего агента и эмульгатор, представляющий собой растворимую в масле соль высокомолекулярной органич. неароматич. карбоновой к-ты с 12—18 атомами С (I) (напр., лауриновой, пальмитиновой, стеариновой) лучше с одной и двумя двойными связями

(напр., олеиновой и особенно линолевой и линоленовой) и многовалентного металла (напр., 2- или 3-валентного) предпочтительно Mg. При добавлении к Э этих солей или соли I с щел. металлом или NH_4 и растворимого в воде сульфата, хлорида, бромида Mg, Ca, Al или Fe^{2+} получается *in situ* I и электролит, растворяющийся в водн. фазе. Особенно эффективны как эмульгатор смеси смоляных и жирных к-т, напр., Na-соль таллового масла. Тяжелые Э для бурения с равными или близкими плотностями масляной и водн. фаз получают при добавлении достаточного кол-ва соли, напр., CaCl_2 , в водн. фазу.

M. III.

79152 П. Выделение сажи из газов. Вуд (Recovery of carbon black. Wood James Q.) [Phillips Petroleum Co.]. Пат. США 2719135, 27.09.55

Метод извлечения и сбора сажи из газов, отходящих из печей в произ-ве сажи, состоит в контактировании газового потока с твердым материалом, представляющим собой высушенные мелкие кусочки каучука и в последующем раздельном удалении этих кусочков с налипшей на них сажей и газов с уменьшенным содержанием сажи.

Г. М.

79153 П. Производство сажи и синтез-газа (Production of carbon black and synthesis gas) [Godfrey L., Cabot Inc.]. Австрал. пат. 164754, 8.09.55

Предложен непрерывный процесс произ-ва сажи и синтез-газа для получения искусств. жидкого топлива, включающий подачу в камеру горения смежных потоков жидкого углеводорода, свободного от азота рециркулирующего газа и технического чистого кислорода. Т-ра р-ции поддерживается частичным сгоранием указанной смеси. Образуются сажа, синтез-газ и рециркулирующий газ, возвращаемый в процесс. Сажа отделяется от газообразных продуктов.

И. Р.

79154 П. Извлечение ацетилена из газов диэтилфосфитом. Трементоззи (Solution of acetylene in diethyl phosphite. Trementozzi Quirino A.). Пат. США 2726206, 6.12.55

Патентуется композиция, представляющая собой р-р C_2H_2 в диэтилфосфите, и способ извлечения C_2H_2 из содержащих его газов путем обработки их диэтилфосфитом.

С. Г.

79155 П. Газообразное топливо для двигателя. Уэрц (Gas engine fuel. Woertz Byron B.) [The Pure Oil Co.]. Пат. США 2727588, 20.12.55

Метод получения горючего углеводородного газа практически постоянного состава из смеси газов, поступающих после дегметанизации и дегтаанизации с бензиновой установки, состоит в том, что названная смесь контактируется с абсорбирующей средой в абсорбере таким образом, что абсорбирующая среда насыщается смесью газов в условиях равновесия. Абсорбирующая среда возвращается в абсорбер без регенерации, а из абсорбера удаляется горючий газ постоянного состава.

Г. М.

79156 П. Моторное топливо со стабилизированной антидетонационной добавкой. Хилл (Stabilized fuel antiknock. Hill Eugene F.) [Ethyl Corp.]. Пат. США 2722477, 1.11.55

Предложены композиции моторных топлив со следующими добавками: 1) $\text{Pb}(\text{C}_2\text{H}_5)_2$ как основной антидетонатор, стабилизированный 2-аминодифениламином (I) в кол-ве 0,05—1,0 вес. ч. на 100 ч. $\text{Pb}(\text{C}_2\text{H}_5)_2$; 2) тот же состав с добавкой алифатич. кетона (K) в кол-ве 20—100 вес.% от I; 3) смесь $\text{Pb}(\text{C}_2\text{H}_5)_2$ и стабилизирующих добавок I и K, причем содержание I в добавке составляет 10—50 вес.%. В качестве кетона рекомендуется ацетон. Предложен также состав моторного топлива с добавкой 1,6 мл $\text{Pb}(\text{C}_2\text{H}_5)_2$ на 1 л и до 3,0 вес.% I от кол-ва $\text{Pb}(\text{C}_2\text{H}_5)_2$.

Н. К.

79157 П. Смазочные составы (Lubricating compositions) [Shell Refining & Marketing Co. Ltd.]. Австрал. пат. 166952, 1.03.56

Загущенные смазочные масла и консистентные смазки получают при смешении гидрогеля неорганич. коллоида со смазочным маслом и с таким кол-вом общего р-рителя для смазочного масла и воды, чтобы получить гомог. жидкую фазу при нагревании смеси, если нужно то под давлением. Смесь подвергают действию т-ры и давления для получения гомог. жидкой фазы, отгоняют воду и, если желательно, р-ритель, поддерживая в то же время жидкую фазу гомогенной.

Г. М.

79158 П. Присадка к смазочным маслам. Масселман (Lubricating oil additive. Musselman John M.). [The Standard Oil Co.]. Канад. пат. 511892, 12.04.55

Продукт р-ции 15—44 вес. ч. P_2S_5 и 25—75 вес. ч. сложного эфира: гидрированного спермацетового масла, пальмового (бабасу) масла или дегры и 25—75 вес. ч. полиолефина: полипропилена, полибутилена с мол. в. 145—940 или их смеси (либо полимербензин, от которого отгоняны легкие фракции). Все взятые компоненты реагируют одновременно при 120—175° с образованием диспергируемой в масле добавки, улучшающей свойства минер. смазочного масла.

Г. М.

79159 П. Стабилизация органических серусодержащих соединений. Татуйлер, Фишл, Сайферс (Stabilization of organic sulfur containing compounds. Tutwiler Thomas S., Fischl Fred B., Cyphers Elmer B.) [Esso Research and Engineering Co.]. Пат. США 2706177, 12.04.55

Для стабилизации осеренных органич. соединений (напр., полученных из органич. соединений обработкой элементарной S или сульфидами P), используемых главным образом как присадки к смазочным маслам, против выделения H_2S предлагается применение простых (главным образом алифатич.) эфиров общей ф-лы ROR, где R — углеводородные радикалы (содержащие от 2 до 20, лучше 2—10, атомов C), из которых хотя бы один имеет одну двойную связь (напр., винил, аллил). Подобные эфиры (напр., дифениловый, винилэтиловый, винилн-изобутиловый, винил-2-этилгексильный, аллилэтиловый, аллилн-изоамиловый, аллилкрезилловый, фенилвиниловый, фенилаллилловый и т. п.) добавляются в качестве присадки в кол-ве 0,1—20%, чаще 1—10%, считая на S-содержащий материал, в стабилизируемый продукт при т-ре ~20°, иногда при нагревании до 177° в течение 0,5—5 или больше часов.

В. III.

79160 П. Эмульсии алкилфенолов и способы их получения. Салибан (Alkyl phenol emulsions and process for preparing the same. Sullivan Robert D.). [Shell Development Co.]. Пат. США 2717880, 13.09.55

Для ингибирования окисления смазочных материалов и других продуктов патентуется стабильная эмульсия алкилфенола (полиалкилфенола), напр., 2,6-дигретичн. бутил-4-метил-фенола (I). Алкилфенол диспергируют в водн. дисперсионной среде в присутствии 0,5—20 вес.% (на алкилфенол) эмульгирующего агента и 0,5—15% хотя бы одного не растворимого в воде в-ва, сплавляющегося при нагревании и представляющего собой микрокристаллич. парафин или высокомолекулярные полимеры стирола, стиролбутадиена, этилена и изобутилена. Масляно-водн. эмульсию образует также алкилфенол, напр. I, с добавлением перечисленных в-в в вышеуказанных количествах.

Е. П.

79161 П. Консистентные смазки. Парри, Маттьюс (Lubricating greases. Parry G. A., Matthews J. B.) [Shell Refining & Marketing Co., Ltd.]. Англ. пат. 718391, 10.11.54 [Fuel Abstrs, 1955, 17, № 4, 76 (англ.)]

Предложен способ произ-ва консистентных смазок, заключающийся в нагревании смеси смазочного масла, мыла щел. или щел.-зем. металла и неорганич. нитрата до т-ры выше той, при которой смесь приобретает структуру смаз-

ки, и последующего охлаждения смеси, для получения такой структуры. В. К.

См. также: Происхождение нефти 77908, 77909. Номенклатура нефтехимич. соед. 78020—78022. Св-ва нефтепрод. 77907, 78063, 78347, 80419, 80446, 80452. Анализ газов 78948. Сероочистка газов 78620, 78637. Катализаторы нефтепереработки 77645. Синтет. масла и смазки 78329, 79552, 79553. Горение углеводородов (в двигателях) 77615—77623. К.-и. приборы в нефтеперераб. 80404, 80405, 80407. Применение нефтепрод. 78800

ПРОМЫШЛЕННЫЙ ОРГАНИЧЕСКИЙ СИНТЕЗ

79162. Промышленная органическая химия. Способы введения сульфогрупп. Новые методы синтеза виниловых соединений и их химические свойства. Успехи синтеза на базе жирных кислот. Некоторые новые особенности органических реакций. Ода (有機工業化學, 直接及び間接にスルフォン基を導入する新しい諸法. ビニル化合物の新合成法及びその化学的舉動. 油脂脂肪酸を原料とする合成化學の進歩, 新規性のある有機化學反應. ラジカル反應. 小田良平), 化學, Караку, Chemistry (Japan) 1955, 10, № 4, 11—14; № 5, 9—13; № 6, 8—11; № 7, 11—15 (япон.)

Обзор за 1954 г.

Б. Ф.

79163. Промышленная органическая химия. Реакции, протекающие по радикальному механизму. Ода (有機工業化學, ラジカル反應. 小田良平), 化學, Караку, Chemistry (Japan), 1955, 10, № 8, 11—14; № 9, 710; № 10, 18—23; 1956, 11, № 5, 326—329 (япон.)

Обзор. за 1954 г.

Б. Ф.

79164. Промышленная органическая химия. Реакции конденсации и реакции обменной конденсации. Ода (有機工業化學, 連結反應及び交換連結反應. 小田良平), 化學, Караку, Chemistry (Japan), 1955, 10, № 11, 11—16; № 12, 13—17; 1956, 11, № 1, 15—18 (япон.)

Обзор. Библ. 3 назв.

Б. Ф.

79165. Синтезы на основе нефтепродуктов. Эглоу (Productos petroquímicos. Egloff Gustav), Scientia (Valparaíso), 1955, 22, № 2, 70—91 (исп.)

Краткий обзор синтезов, осуществляемых на основе продуктов, получаемых из нефти.

И. Г.

79166. Получение бутадиена из *n*-бутана и *n*-бутиленов. Литвин О. Б., Фридштейн И. Л., Хим. пром-сть, 1955, № 8, 486—494

Обзор способов получения бутадиена каталитич. дегидрированием *n*-бутана (I) и *n*-бутиленов. Приведены схемы дегидрирования I в трубчатом реакторе на движущемся катализаторе или неподвижном, а также схемы процесса дегидрирования *n*-бутиленов и первичного разделения газов; схема каталитич. батареи в одностадийном процессе дегидрирования I. Библ. 76 назв.

И. Г.

79167. Гидратация этилена и пропилена. (Hydration of ethylene and propylene.—), Oil in Canada, 1955, 7, № 17, 34—36, 38, 40 (англ.)

Описаны методы промышленной гидратации C_2H_4 и пропилена, принятые в Англии и США для получения этилового и изопропилового спиртов, а именно, способ синтеза этих спиртов в жидкой фазе и метод прямой гидратации в паровой фазе. Жидкофазный метод основан на присоединении H_2SO_4 к олефину с образованием соответствующих сернокислых эфиров и последующем гидролизе их при нагревании после разбавления H_2SO_4 . Приведены условия, способствующие абсорбции олефинов H_2SO_4 и гидролиза их сернокислых эфиров: конц-ия H_2SO_4 , т-ра и давление; в частности, указано, что поглощение C_2H_4 лишь конц. H_2SO_4 , пропилену 85%-ной H_2SO_4 и бутилена уже 65%-ной H_2SO_4 позволяет осуществить разделение смесей олефинов. Описан процесс прямой парофазной гидратации олефинов с применением H_3PO_4

(на носителе) и промотированной окиси W в качестве катализаторов. Указано применение получаемого C_2H_5OH для синтеза CH_3CHO и $CH_3COOC_2H_5$ и в качестве составной части антифриза, а также применение *изо*- C_3H_7OH для получения ацетона и в качестве сырья при произ-ве фенола через кумол. Приведены статистич. данные о выработке и использовании полученных спиртов в США. В. У.

79168. Опыты получения алилового спирта в полупромышленном масштабе. Экштейн, Надольский (Próby półtechniczne otrzymywania alkoholu alilowego. Eckstein Z., Nadolski J.), Przem. chem., 1955, 11, № 7, 371—375 (польск.; рез. русск., англ.)

Разработан полупромышленный способ получения алилового спирта (I) из 75%-ного глицерина и 80,4%-ного р-ра технич. муравьиной к-ты, основанный на термич. разложении муравьинокислого моноэфира глицерина. Получают 70,9—72,8%-ный р-р I со средним выходом 59—60,5% (в случае применения аппаратуры из Al). Содержание I в продукте определяют бромометрически, применяя азеотропно кипящий водн. р-р HBr.

A. Roniewicz

79169. Винилирование спиртов при нормальном давлении. Михантьев Б. И., Тарасова А. В., Тр. Воронежск. ун-та, 1956, 42, № 2, 55

Спирты, кипящие при $t_{\text{ре}} > 150^\circ$, легко реагируют с C_2H_2 при обычном давлении. Через 5—10%-ный р-р KOH в спирте при перемешивании непрерывно пропускают C_2H_2 (в 4—5 раз больше теоретически необходимого кол-ва). Наилучший выход получают при т-ре, равной т-ре кипения получаемого эфира. Р-ция протекает в жидкоазеотропной фазе. Виниловый эфир в небольшом кол-ве реагирует со спиртом, при этом образуется ацеталь, который также может образоваться в фазе C_2H_2 —спирт. Разгонку реакционной смеси ведут в вакууме. Выход простого винилового эфира до 90%, ацетала 1—3%. Винилирование при нормальном давлении не требует спец. оборудования, но протекает в 10—15 раз медленнее, чем под давлением. Способ можно применять для винилирования одноатомных спиртов и других соединений, содержащих OH-группу. И. Г.

79170. Получение кислот и ангидридов из нефти. Хатч (Acids and anhydrides from petroleum. Hatch Lewis F.), Petrol. Refiner, 1955, 34, № 10, 121—124 (англ.)

Краткое описание произ-ва к-т, их ангидридов и других сопутствующих продуктов, получаемых при окислении алифатич. (пропана, бутана и жидких парафиновых) углеводородов, нафтенов и ароматич. (бензола, алкилбензолов и нафталина) углеводородов нефти. Приведены технологич. схема произ-ва CH_3COOH окислением бутана, распределение по составу алифатич. к-т, содержащихся в венесуэльской нефти, подвергнутой крекингу, а также данные о выработке в 1950—1954 гг. и использовании для различных целей в США фумаровой к-ты и малеинового ангидрида.

В. У.

79171. Четыре способа получения уксусного ангидрида. Шервуд (Acetic anhydride—four times a petrochemical. Sherwood Peter W.), Petrol. Engr., 1954, 26, № 9, C—31—C—34, C—36, C—38, C—40 (англ.)

Обзор промышленных методов получения уксусного ангидрида. Библ. 10 назв.

Е. П.

79172. О некоторых реакциях тиогликолевой кислоты и тиогликолятов. Бёсс (Über einige Reaktionen von Thioglykolsäure und Thioglykolaten. Böß Julius), Seifen-Öle-Fette-Wachse, 1956, 82, № 12, 335—336; № 13, 362—363 (нем.; рез. англ., франц., исп.)

Для изучения р-ций тиогликолевой к-ты (I) проведен ряд опытов с различными реагентами. Для исследований применялись 80%-ная I и р-ры NH_4 -соли I с добавлением Na_2SO_3 и без него. Наиболее характерной оказалась р-ция с Fe-солями и нитропруссидом Na. Составлена таблица

действия различных реагентов на I и тиогликоляты. В. У.

79173. Опыты этерификации в присутствии ионообменников как катализаторов. Фалль, Коман, Шнайдер (Próby estyfikacji wobec wymieniaczy jonowych stosowanych jako katalizatory. Komunikat wstępny. Fall U., Kohman Z., Sznaider J.), Przem. chem., 1955, 11, № 6, 294 (польск.).

Изучалась этерификация $n\text{-C}_4\text{H}_9\text{OH}$ и $изо\text{-C}_4\text{H}_9\text{OH}$ уксусной к-той в присутствии следующих ионообменников (I): эскарбо (II), КР 38 (III), вофатит (III) и вофатит Р (IV). Установлено, что при использовании II, III и IV выход эфира достигает 99,5%. И можно употреблять без регенерации в 10 опытах, р-ция продолжается 4 часа. I употребляли в кол-ве 25% от веса CH_3COOH , а II, III и IV в кол-ве 5–16%. Каталитич. активность I, II, III, IV и V прямо пропорциональна их ионообменной способности, но не зависит ни от поверхности I, ни от содержания S в нем. Необходимо присутствие в I воды в кол-ве 10–25%.

W. Tuszkó

79174. Цианистый водород. Часть II. Акрилаты, метакрилаты и адипонитрил. Шервуд (Hydrogen cyanide. Part 2. Acrylates, methacrylates and adiponitrile. Sherwood Peter W.), Petrol. Process., 1954, 9, № 4, 548–553 (англ.).

Описана принятая на одном из заводов США технология произ-ва метилакрилата (I) и акриловой к-ты и дан обзор литературы (в том числе и патентной) по получению метакрилатов из ацетона и HCN и адипонитрила из бутандиена и HCN. Исходные в-ва для получения I — этиленциангидрин, 85%-ный водн. метанол (II) и 70–80%-ная H_2SO_4 в соотношении 1 : 2 : 2; рабочая т-ра 150°. Реакционная аппаратура — куб с внутренней Рв-облицовкой, куда поступают пары II, над ним колонна (с кислотоупорной внутренней облицовкой и кольцами Рашига), в верхнюю часть которой поступают этиленциангидрин и H_2SO_4 , и дефлегматор (с Рв-змесевиком в нижней кислотостойкой части), где продукт р-ции (погон I с примесью II, $(\text{CH}_3)_2\text{O}$, SiH_2O и др.) охлаждается до 80°. Очистку I производят в отпарной колонне водой (75°) с добавкой 0,1% метиленового голубого (ингибитор полимеризации), причем погон поступает в куб с т-рой 95°, а вода — в верхнюю часть колонны. Из куба отводится 3–5%-ный водн. II, а пары из колонны конденсируются в медном дефлегматоре (55°) с образованием двух слоев, из которых органич. содержит 75% I (93–94%-ной конц-ии). После отмывки II холодной водой неочищ. I направляют в сборный чан. Парообразные продукты в дефлегматоре содержат остаток I с примесью II, $(\text{CH}_3)_2\text{O}$ и воды. После конденсации (кроме $(\text{CH}_3)_2\text{O}$) II вымывают холодной водой и очищ. I также направляют в вышеуказанный сборный чан, откуда неочищ. I поступает на дистилляцию. Свободную акриловую к-ту получают гидролизом этиленциангидрина 78%-ной H_2SO_4 при одновременном пропускании через реактор острого пара; реактор — с Рв- или стеклянной внутренней облицовкой; рабочая т-ра 175°. Кон-ция конденсата обычно $\leq 50\%$; выход 85% (теор.). Часть I см. РЖХим, 1956, 10671.

Я. К.

79175. Производство и применение акрилатов. Ридл (Acrylates: their manufacture and uses. Riddle E. H.), Canad. Chem. Process., 1954, 38, № 2, 44, 46, 48, 50 (англ.).

Популярная статья.

Я. Р.

79176. 2,2-диметил-4-оксиметилдиоксолан-1,3-новый растворитель. Тейбер (2-Dimethyl-1,4-oxymethyl-1,3-dioxolan, ein neues Lösungsmittel. Teuber W. o l f g a n g) Seifen-Fette-Wachse, 1955, 81, № 16; Pharmazie, 1956, 11, № 1, 49–50 (нем.).

2,2-Диметил-4-оксиметилдиоксолан-1,3, $\text{C}_6\text{H}_{10}\text{O}_3(\text{CH}_3)_2\text{OC}\text{-}\text{HCN}_2\text{OH}$ (при обычной т-ре бесцветная прозрачная нейтр. жидкость, т. кип. 82–83°/10–11 мм, 106°/31 мм,

182°/760 мм, n_D^{20} 1,4383, d_4^{20} 1,064, коэфф. парообразования ~ 660 (коэфф. для эфира—1), т. воспл. $\sim 90^\circ$, вязкость при 20° 11 сПз) запатентован под названием солькатель как р-ритель. Он совместим в любых соотношениях с водой, а также со спиртами, эфирами, бензольными углеводородами, хлоруглеводородами и другими органич. р-рителями. Благодаря его невоспламеняемости при т-ре $\sim 20^\circ$, он менее опасен (по сравнению с другими р-рителями, в пожарном отношении и в отношении взрыва его паров), а благодаря низкому давлению последних, его потери вследствие испарения незначительны, а рекуперация его не представляет затруднений. Лишенный запаха и вкуса он особенно применим в фармацевтич. и косметич. пром-сти. Он обладает гермицидными свойствами, весьма мало токсичен, а при подкожных или внутривенных инъекциях токсичная доза его почти та же, что и этилового спирта. У морских свинок, в течение 3 недель подвергавшихся ежедневно по 1 часу действию аэрозоля солькателя, после вскрытия не обнаружено никаких явлений воспаления слизистых дыхательных путей и никаких повреждений паренхиматозных органов. Он хорошо растворяет тетрацилин, стрептомицин, пенициллин, сульфатиазол, сульфанилид, сульфациламид, а также натуральные и синтетич. эфирные масла. Наряду с солькателем выпускается и менее чистый продукт под названием имнулит, который применим в качестве р-рителя природных и синтетич. смол, восков и пластификаторов, причем в жидком состоянии эти продукты совместимы с имнулитом в любых соотношениях, а в твердом состоянии их растворимость составляет 10–15%. Имнулит не действует на резину и может применяться для мытья резиновых изделий. Он применим для получения аэрозолей дезодорантов, противостарителей, шампуней и дезинфицирующих средств, для изготовления малярных красок и протрав, а также средств ухода за полами, мебелью и кожей, для удаления пятен и чистки оконных стекол.

Я. К.

79177 К. Производство метакрилатов и производных метакриловой кислоты. Крепушка (Metakrilátok és metakrilátszármazékok előállítása. Krepuska János. Budapest, 1955, 87 l., 18 Ft) (венг.).

79178 Д. Исследование окислов азота, выделяющихся при окислении замещенных толуолов разбавленной азотной кислотой. Рязанцев М. Д. Автореф. дисс. канд. техн. н., Всес. н.-и. хим.-фармацевт. ин-т, М., 1956

79179 П. Способ каталитического восстановления. Урусибара, Накадзима, Вата, Оки (還元法津原義之, 中馬操, 和田修洋, 大木道則). Япон. пат. 3064, 9.05.55

Разработан способ приготовления нового катализатора (К) восстановления, представляющего собой порошок Ni в щел. р-ре. Предлагаемый способ восстановления имеет большие преимущества, благодаря простоте приготовления К. Порошок Ni, полученный действием Zn, Mg или Al на водн. р-ры Ni-солей, обрабатывают р-ром щелочи и применяют в присутствии или в отсутствие щелочи для восстановления различных органич. в-в. Присоединение H_2 легко происходит при обычных т-ре и давлении. К горячему р-ру 0,15 г $\text{NiCl}_2 \cdot 6\text{H}_2\text{O}$ в 50 мл воды при перемешивании постепенно прибавляют Zn-пыль до исчезновения окраски NiCl_2 , осадок Ni промывают водой, затем погружают в 50 мл 10%-ного KOH и нагревают 1,5 часа на водяной бане; после промывания водой до нейтр. р-ции и промывания спиртом полученный К прибавляют к р-ру 50 мг эстрола в 50 мл спирта; при встряхивании с H_2 в течение 13 час. при обычных т-ре и давлении получают эстрадиол с колич. выходом. Добавляя полученный аналогичным образом К к р-ру 300 мг холестерина (I) в 30 мл спирта и встряхивая 2 часа с H_2 , получают холестерин (II). К 5 г Zn-пыли в 2–3 мл воды при нагревании до 80–

90° и перемешивании прибавляют горячий р-р 2 г $\text{NiCl}_2 \cdot 6\text{H}_2\text{O}$ в 10 мл воды, немедленно отфильтровывают осадок, промывают горячей дистилл. водой и быстро погружают в 100 мл 10%-ного NaOH , промывают теплой водой 20—30 мин., декантируют, многократно промывают горячей дистилл. водой и, наконец, спиртом; полученный К прибавляют к р-ру 0,3 г I в спирте; при встряхивании с H_2 восстановление в II заканчивается через 10 мин. Нагревают смесь $\text{Ni}(\text{HCO}_3)_2 \cdot 2\text{H}_2\text{O}$ с парафином до 250°, отмывают парафин; образующийся мелкий порошок Ni вносят в 10%-ный р-р NaOH , прибавляют 0,15 г I и выдерживают при 80—100° 1 час, заканчивают восстановление, пропуская 20 мин. H_2 при обычных т-ре и давлении получают II с колич. выходом. Порошок Ni , полученный восстановлением NiO при нагревании в токе H_2 , нагревают 1 час с 10%-ным NaOH при 80—100°, прибавляют спирт. р-р I и пропускают H_2 при т-ре ~20°, при этом получают II. К 10 г Zn -пыли в 3—4 мл воды при нагревании до 100° и сильном перемешивании прибавляют горячий р-р 4,04 г $\text{NiCl}_2 \cdot 6\text{H}_2\text{O}$ в 10 мл воды, осадок немедленно отфильтровывают и помещают в 160 мл 10%-ного NaOH , нагревают 15—20 мин. на водяной бане при 50—60°, затем многократно промывают горячей дистилл. водой. С полученным К в спирт. р-рах были восстановлены: циклогексанон — в циклогексанол; ацетфенон — в метилфенилкарбинол; ацетон в изо- $\text{C}_6\text{H}_7\text{OH}$; бензофенон — в бензгидрол; $\text{C}_6\text{H}_5\text{CHO}$ в $\text{C}_6\text{H}_5\text{CH}_2\text{OH}$, этиловый эфир коричной к-ты — в этиловый эфир гидрокоричной к-ты; циклогексен — в циклогексан; циклогексаноноксим — в циклогексиламин; бензонитрил — в бензиламин и дибензиламин; адипонитрил в гексаметилендиамин; хинолин — в тетрагидрохинолин; нитробензол — в анилин; о-нитротолуол — в о-толуидин; п-нитротолуол в п-толуидин, пропаргиловый спирт — в н- $\text{C}_6\text{H}_7\text{OH}$; гексадиндиол — гексаниол; коричноокисный Na — в гидрокоричноокисный Na . В. К.

79180 П. Получение углеводородов из окиси углерода и воды в присутствии молибдитовых катализаторов. Фосетт (Conversion of carbon monoxide and water to hydrocarbons in the presence of metal molybdate catalysts. Fawcett Frank S.) [E. I. du Pont de Nemours and Co.]. Пат. США 2714583, 02.08.55

Твердые при нормальных условиях углеродсодержащие получают р-цией CO с водой при 125—350° и давл. ≥ 200 ат в присутствии металлич. солей к-т общей ф-лы H_2MO_n , где M — Mo или W , n —2—3. Ионы металла, являющегося катионом в применяемой соли, при р-ции с водн. р-ром NH_3 должны образовывать окись или гидроксид металла, растворимую в избытке водн. NH_3 или в воде. Ю. Г.

79181 П. Димеризация ненасыщенных углеводородов. Циглер, Геллерт (Dimerization of unsaturated hydrocarbons. Ziegler Karl, Gellert Hans Georg). Пат. США 2695327, 23.11.54

Метод димеризации ненасыщ. углеводородов с прямой цепью, содержащей ≥ 2 атомов C , заключается в нагревании этих углеводородов при 80—250° в присутствии активатора процесса димеризации, имеющего общую ф-лу $\text{M}(\text{R})_n$, где M — атом металла (Be , Al , Ga или In), R — по крайней мере один заместитель, представляющий собой H , 1-валентные насыщ. алифатич. углеводородные радикалы или 1-валентные ароматич. радикалы, n — валентность металла. И. Ш.

79182 П. Способ димеризации олефинов или их смесей. Циглер, Цозель (Verfahren zur Dimerisation von Olefinen bzw. olfinischen gemischen. Ziegler Karl, Zosel Kurt). Пат. ФРГ 925291, 17.03.55

Доп. к пат. ФРГ 878560 (см. РЖХим. 1956 30676). Олефины, содержащие ≥ 2 атомов C , особенно α -олефины, димеризуют в присутствии катализаторов полимеризации, указанных в пат. ФРГ 878560. Димеризацию проводят в среде р-рителя или непрерывным способом, при 250—350° (лучше 250—300°). Для проведения димери-

зации требуется лишь небольшое давление, скорость димеризации высока, димер получают с хорошим выходом. Из бутилена получают 1-этил-1-бутилэтилен. Н. А.

79183 П. Очистка олефинов полимеризацией (в производстве синтетических спиртов). Арчибалд, Моттерни (Purification of olefins by polymerization in an alcohol process. Archibald Francis M., Mottern Henry O.) [Standard Oil Development Co.]. Канад. пат. 513183, 24.05.55

Способ касается выделения нормальных моноолефинов из их смесей с третичными моноолефинами и полиолефинами и превращения их во вторичные алифатич. насыщ. спирты и состоит в том, что смесь олефинов обрабатывают разб. минер. к-той, напр. серной к-той, содержащей 62—70 вес.% H_2SO_4 , в результате чего большая часть третичных моноолефинов и полиолефинов полимеризуется. Остаток после отделения полимеров и к-ты пропускают над твердым катализатором полимеризации (H_3PO_4 на инертном носителе) для полимеризации остаточных третичных моноолефинов и полиолефинов и после отделения второй партии полимеров и катализатора остаток, состоящий из нормальных моноолефинов, обрабатывают конц. минер. к-той, напр. серной к-той, содержащей 83—92 вес.% H_2SO_4 , и гидролизуют. Этим путем получают, в частности, втор- $\text{C}_4\text{H}_9\text{OH}$ соответствующей обработкой смеси, состоящей из n -бутиленов, изобутилена и бутадиена; втор- $\text{C}_6\text{H}_{11}\text{OH}$ получают обработкой смеси, состоящей из n -пентена и пентадиена. Я. К.

79184 П. Дегидрирование бутиленов. Грин (Dehydrogenating butylenes. Green Arthur D.) [Standard Oil Development Co.]. Канад. пат. 509316, 18.01.55

Способ дегидрирования бутиленов (I) состоит в нагревании I до т-ры (~593°) ниже т-ры их активного дегидрирования; пар перегревают отдельно выше последней т-ры, после чего I и перегретый пар вводят в необогреваемую реакционную зону в таких соотношениях, что I нагревается до т-ры активного гидрирования. В этих условиях смесь I и пара пропускают через реакционную зону над катализатором, в основном состоящим из MgO и в меньшей части — из окислов Fe , Cu и K . I находится в реакционной зоне в течение очень короткого времени (напр., 0,01—0,1 сек.), после чего из нее выводят продукты р-ции, быстро охлаждают их ниже т-ры р-ции и выделяют полученный бутадиен. В частности указано нагревание I до т-ры ~595°, а пара до т-ры ~985—1095° и смешение их в реакционной зоне в соотношении 12 молей пара на 1 моль I. Приведена технологич. схема. В. У.

79185 П. Усовершенствование способа использования смесей ацетилен и этилена. Миллард (Perfectionnements à l'utilisation des mélanges d'acétylène et d'éthylène. Millard Ernest H., Jr). Франц. пат. 1078743, 23.11.54 [Chimie et industrie, 1955, 74, № 5, 981 (франц.)]

Смесь C_2H_2 и C_2H_4 пропускают вместе с HCl через реакционную зону, заполненную катализатором (активированный уголь, пропитанный ZnCl_2) при 140—200°. Из продуктов р-ции выделяют $\text{C}_2\text{H}_3\text{Cl}$ из оставшихся газов, обогащенных C_2H_2 , выделяют C_2H_2 . С. Г.

79186 П. Метод получения хлорированных алифатических углеводородов. Хенниг, Бандтель (Verfahren zur Herstellung von Chlorverbindungen aliphatischer Kohlenwasserstoffe. Hennig Bruno, Bandtel Otto) [VEB Elektrochemisches Kombinat Bitterfeld]. Пат. ГДР 4719, 9.09.54

Хлорированные алифатич. углеводороды (УВ) получают пропуская смесь, состоящую из алифатич. УВ (или уже хлорированного УВ) и Cl_2 , а также в смеси с инертными газами при т-ре ~250—600° над солями слабосвязанных металлов (Al , Fe , Mg , Cr , Co , Ga , Zn , Co , Ni и т. д.) и O -содержащих минер. к-т (H_3PO_4 , H_2SiO_3 , H_3AsO_4 , H_2WO_4 , H_2MoO_4 и др.). Эти соли имеют продолжительную каталитич. активность при 400—500°. 1600 г безводн. AlCl_3

и 1000 г FeCl_3 растворяют в воде и смешивают с водн. р-ром 8,5 кг $\text{Na}_2\text{HPO}_4 \cdot 7\text{H}_2\text{O}$, осадок промывают водой, отсасывают, формируют и сушат при 200°. Над 1 л этого катализатора (К) при 450° пропускают 1000 г $(\text{Cl}_2\text{CH})_2$ (I) и 280 г Cl_2 в 1 час. Продукт хлорирования после охлаждения конденсируют, а HCl -газ улавливают водой. Неочищ. продукт содержит (в %): дихлорэтилена 1, трихлорэтилена 18, перхлорэтилена 78, исходного I и высокохлорированных УВ 3. Выход хлорированного этилена 95%. В случае применения на 1 моль I > 2 молей Cl_2 получают весьма чистый C_2Cl_6 . Аналогично готовят К из 800 г $\text{CrCl}_3 \cdot 6\text{H}_2\text{O}$, 500 г безводн. FeCl_3 и рассчитанного кол-ва насыщ. р-ра Na_2PO_4 ; при хлорировании 1,2-дихлорэтана (200 г на 1 л К в 1 час, 420°, 265 г Cl_2 в 1 час) получаемый продукт содержит (в %): винилхлорида 3, дихлорэтилена 25, трихлорэтилена 28, перхлорэтилена 42 и высококипящих хлорированных УВ 2. С катализатором, приготовленным из 800 г безводн. AlCl_3 , 500 г безводн. FeCl_3 и рассчитанного кол-ва конц. р-ра Na_2AsO_4 , хлорируют винилхлорид (36 л на 1 л К в 1 час, 400°, 30 л Cl_2 в 1 час.) Неочищ. продукт содержит (в %): дихлорэтилена 65, трихлорэтилена 6, перхлорэтилена 27, высококипящих хлорированных УВ 2.

79187 П. Производство хлоралканов. Терман, Дауниг (Production of chlorinated aliphatic compounds. Thurman Peter J., Downing John) [Carnegie Dreyfus]. Канад. пат. 515945, 23.08.55

Ациклические трихлоруглеводороды, в которых 2 атома Cl находятся при одном атоме С, а третий атом Cl при соседнем атоме С (напр., 1,1,2-трихлорэтан) получают р-цией дихлоруглеводородов, в которых атомы Cl находятся при соседних атомах С (напр., 1,2-дихлорэтан) с Cl_2 в присутствии 1—5% (считая на исходный дихлорид) хлорида фосфора (напр., PCl_3) при 70—120° (предпочтительно 80—105°) и атмосферном давлении.

79188 П. Галонирование. Мак-Би (Halogenation. McBee Earl T.) [Purdue Research Foundation]. Канад. пат. 516572, 13.09.55

1,1,1-Тригаллоидалканы, содержащие 2—3 атома С и ≥ 2 атомов F, в частности CF_3CH_3 , CF_3ClCH_3 и $\text{CF}_3\text{CH}_2\text{CH}_3$ (I), реагируя в газовой фазе с галогеном (Cl_2 или Br_2) в течение 2,7—30 сек. при 365—400° и объемных соотношениях галлоидалкан: галоген от 0,8 : 1 до соотношений, существующих в насыщ. р-ре галоида в галлоидалкане при 45°, образуют продукты замещения H на соответствующий галоген. CF_3 или CF_2ClCH_3 пропускают через жидкий Br_2 со скоростью 6 л в 1 час, смесь паров пропускают в реактор из инертного материала при 400° и времени контакта 20—30 сек; получают смесь моно- и дибромзамещ. фторалканов. I нагревают с Cl_2 в паровой фазе в отсутствие воды в реакторе из инертного материала при 365—390°, объемное соотношение Cl_2 : I = ~0,8 : 1, время контакта 2,7 сек.

79189 П. Производство фторхлоруглеродов. Вульф (Manufacture of chlorofluorocarbons. Woolf Cyril) [Allied Chemical & Dye Corp.]. Пат. США 2714618, 2.08.55

В реакционную зону, нагретую до ~300—600° и содержащую уголь, активированный ZrF_4 , (катализатор), вводят в газовой фазе $\text{Cl}_2\text{C}=\text{CCl}_2$, HF и Cl_2 , в кол-вах, необходимых для образования $\text{FCl}_2\text{CCCl}_2\text{F}$, который образуется с почти колич. выходом.

79190 П. Получение фторсодержащих соединений. Фарлоу, Мьютертис (Preparation of fluorine-containing compounds. Farlow Wendell Mark, Muettterties Earl Leonard) [E. I. du Pont de Nemours and Co.]. Пат. США 2725410, 29.11.55

Фторуглероды получают нагреванием С при т-ре $\geq 1500^\circ$ с в-вом, содержащим С, F и по крайней мере еще один элемент (H, Cl, Br), причем атомарное соотношение F к другим элементам (кроме С), входящим в это в-во, должно быть $\geq 1:1$. Дана аппаратурная схема.

79191 П. Производство фторэтиленов. Джонстон (Production of fluoroethylenes. Johnston Howard) [Dow Chemical Co.]. Пат. США 2722558, 1.11.55

Cl_2 и CH_3CHF_2 пропускают в молярном соотношении 1 : 1—3,5 : 1 через зону р-ции при 500—700° с такой скоростью, чтобы время контакта было $\geq 0,1$ сек.; образуются $\text{CH}_2=\text{CF}_2$, $\text{CHCl}=\text{CF}_2$ и $\text{Cl}_2\text{C}=\text{CF}_2$.

79192 П. Производство фторолефинов. Лайтант, Миллер (Production of fluoroolefinic compounds. Litant Irving, Miller Charles B.) [Allied Chemical & Dye Corp.]. Пат. США 2723296, 8.11.55

Дифторолефины получают р-цией (в газовой фазе) 1 моля 1,1-дифторэтана с 1,2—2,6 молями Cl_2 при 550—700° в присутствии CCl_2F_2 .

79193 П. Производство фторуглеродов при высоких температурах. Фарлоу, Мьютертис (Fluorocarbon production at high temperatures. Farlow Mark W., Muettterties Earl L.) [E. I. du Pont de Nemours & Co.]. Пат. США 2722559, 01.11.55

Фторуглероды получают р-цией углерода с неорганич. оксидфторидом, содержащим 3 элемента, при т-ре $\geq 900^\circ$.

79194 П. Способ обезвоживания низших ненасыщенных алифатических карбинолов азеотропной перегонкой. Лоренц, Зодман (Verfahren zur Entwässerung niederer ungesättigter aliphatischer Carbinole durch azeotrope Destillation. Lorenz Alfred, Sodoman Heinrich) [VEB Chemische Werke Buna.]. Пат. ГДР 9322, 19.03.55

Для обезвоживания низших ненасыщ. алифатич. карбинолов [преимущественно, пропаргильового спирта (I)] путем азеотропной перегонки применяют вспомогательную жидкость (ВЖ), кипящую при 77—80° и состоящую из смеси 25—75% C_6H_6 и 75—25% этилацетата, после чего обезвоженный спирт перегоняют. 1000 г азеотропа из 55% воды и 45% I смешивают с ВЖ (смесь 50% C_6H_6 и 50% этилацетата): сначала при ~63° отгоняют тройной азеотроп из 7,6% воды, 92,2% ВЖ и 0,2% I. Этот азеотроп разделяют отстаиванием на органич. слой, возвращаемый в ректификационную колонну, и водн. фазу, содержащую 98% воды, 2% ВЖ и <0,1% I. По окончании отгонки этого азеотропа т-ра быстро поднимается до 77°, когда в кубе остается безводн. смесь I, C_6H_6 и этилацетата; дальнейшей перегонкой этой смеси выделяют I с т. кип. 115°/атм с содержанием <0,1% воды; ВЖ возвращают в ректификационную колонну. Описана аналогичная перегонка смеси 72% аллилового спирта с 28% воды, а также смеси 45% I с 55% воды.

79195 П. Способ получения высших спиртов. Рёлен (Verfahren zur Herstellung hochmolekularer Alkohole. Roelen Otto) [Chemische Verwertungsgesellschaft Oberhausen m.b.H.]. Пат. ФРГ 923009, 31.01.55

Высшие спирты, содержащие ≥ 6 атомов С, получают конденсацией смеси алифатич. оксосоединений в присутствии основных средств и последующим гидрированием продуктов конденсации, причем в качестве исходной применяют смесь продуктов, полученную каталитич. присоединением водяного газа к ненасыщ. (в особенности, содержащим олефины) углеводородам, содержащим большое кол-во парафинов. Получаемые продукты можно применять в качестве пластификаторов, смазочных материалов, гидравлич. жидкостей, а также для получения сульфированных моющих и смачивающих средств. 5 л фракции с т. кип. 150—230°, полученной гидрированием СО и содержащей 50% олефинов, обрабатывают водяным газом при 120°/180 атм в присутствии смешанного Со-катализатора. Продукты р-ции смешивают с р-ром 100 г Na в 2 л CH_3OH (экзотермич. р-ция). Продукты конденсации промывают большим кол-вом воды и удаляют катализатор; их константы: d_4^{20} 0,825, n_D^{20} 1,4462, гидроксильное число 87, число нейтр-ции 3. Затем их гидрируют

2 часа при 140°/150 атм в присутствии смешанного Катализатора, удаляют катализатор, промывают разб. HNO_3 и водой, отгоняют парафиновые углеводороды и получают 1580 мл масла (d_4^{20} 0,868, n_D^{20} 1,4592, гидроксильное число 256, число нейтр-ции О, вязкость при 30° 9,01°Е, при 50° 3,60°Е, высота полюса вязкости 2,34, точка помутнения —40°, точка затвердевания —43°), являющегося пригодным для смазки холодильных машин. В. У.

79196 П. Способ получения триметиловых соединений, содержащих не менее пяти атомов углерода. Рихтер (Verfahren zur Herstellung von Trimethylverbindungen mit mindestens 5 Kohlenstoff-Atomen. Richter Robert) [Deutsche Gold-und Silber-Scheideanstalt vormals Roessler]. Пат. ФРГ 933387, 14.07.55

Способ дает высокие выходы чистых продуктов и состоит в щел. конденсации альдегидов, содержащих ≤ 3 атомов С, предпочтительно с 3 молями CH_2O в водн. среде при t -ре $< 0^\circ$, предпочтительно при t -ре от -5 до -10° , с последующим завершением р-ции непродолжительным нагреванием при 60° и обработкой смеси при этой же t -ре к-той для нейтр-ции щел. агента. В смесь 1172 г 30%-ного р-ра CH_2O и 1500 мл воды вводят в течение 3 час. при -5° и непрерывным перемешиванием 930 г 24,4%-ного $\text{C}_2\text{H}_5\text{CHO}$ и 150 г $\text{Ca}(\text{OH})_2$, перемешивают дополнительно 10 мин. при -5° , после чего смесь нагревают до 50°, при этой t -ре, незадолго до точки перемены окраски смеси, доводят рН смеси с помощью 50%-ной H_2SO_4 до 6,5, отделяют CaSO_4 и фильтрат выпаривают в вакууме досуха. Твердый белый остаток метилтриметилметана перекристаллизуют из ацетона с 3% CH_3OH и 1% активированного угля, для чего смесь кипятят 20 мин. и после отделения осадка фильтрат упаривают до половины объема. Из маточного р-ра повторным упариванием выделяют дополнительное кол-во чистого продукта. Выход (после промывки холодным ацетоном и сушки) составляет 377 г (80,1%). Из маточных р-ров упариванием и вакуумной перегонкой при 3 мм можно выделить дополнительно 9,4 г чистого продукта. Общий выход 986,4 г (82,1%), т. пл. 192—197°, зольность 0,35%, кислотность 0,04%. Я. К.

79197 П. Получение перекиси водорода окислением вторичных спиртов. (Hydrogen peroxide). [N. V. de Bataafsche Petroleum Maatschappij.]. Аустрал. пат. 166026 01.12.55

H_2O_2 получают окислением вторичного спирта в жидкой фазе O_2 или газом, содержащим O_2 , при 70—160° в присутствии в-ва, которое в условиях р-ции способствует разложению органич. перекисей. И. Ш.

79198 П. Способ получения простых эфиров, применяемых в качестве растворителей и пластификаторов. Релен, Мартин (Verfahren zur Herstellung von als Lösungs- und Weichmachungsmittel dienenden Äthern. Roelen Otto, Martin Friedrich) [Ruhchemie A. G.]. Пат. ФРГ 933389, 22.09.55

Простые эфиры, применяемые в качестве р-рителей и пластификаторов, получают этерификацией спиртов (получаемых или непосредственным каталитич. взаимодействием СО и H_2 с олефинами, содержащими на 1 атом С меньше, чем в спиртах, или последующим восстановлением оксидов, полученных каталитич. присоединением водяного газа к олефинам). Этерификацию ведут по известному способу при нагревании спиртов. Можно применять только один спирт, полученный из продуктов присоединения водяного газа к олефинам. В. У.

79199 П. Способ получения простых полиэфиров производных уксусной кислоты. Хофер (Method for the preparation of polyether acetic acids, and functional derivatives thereof. Hofer Kurt) [Sandoz A.-G.]. Канад. пат. 517218, 04.10.55

Простые полиэфиры производных уксусной к-ты получают р-цией в-в общей ф-лы $\text{ROH} \cdot \text{MOH}$ (R — органич. остаток, в котором по крайней мере один атом С в положе-

нии 3, 4 или 5 связан с эфирным атомом О; M — щел. металла) с в-вом общей ф-лы XCH_2COOY (X — галоген; Y — H или катион). В частности, в качестве в-в общей ф-лы $\text{ROH} \cdot \text{MOH}$ указано применение: а) $\text{C}_{12}\text{H}_{25}(\text{OCH}_2\text{CH}_2)_2\text{OH} \cdot \text{MOH}$; б) $\text{C}_{16}\text{H}_{33}(\text{OCH}_2\text{CH}_2)_2\text{OH} \cdot \text{MOH}$; в) $n\text{-C}_8\text{H}_{17}\text{C}_6\text{H}_4(\text{CH}_2\text{CH}_2\text{O})_5\text{OH} \cdot \text{MOH}$. В. У.

79200 П. Полиэфиры полиэпоксидов. О'Бойл (Polyether polyepoxides. O'Boyle Charles J.) [Devoc & Reynolds Co., Inc.]. Канад. пат. 513388, 31.05.55

Полиэфиры полиэпоксидов, содержащие Cl, получают через эфиры полихлоргидринов с многоатомными спиртами р-цией этих полихлоргидриновых эфиров в ацетоновом р-ре с р-ром твердого NaOH в ацетоне. При этом NaOH берут примерно в эквивалентном кол-ве и не больше хлоргидринового эквивалента полихлоргидрина. Применяют небольшой избыток NaOH, который затем нейтрализуют к-той, а ацетон испаряют из полученного нейтр. р-ра. Полихлоргидриновый эфир глицерина, полученный р-цией 3 молей эпихлоргидрина с 1 молем глицерина, подвергают обработке для удаления HCl, при этом образуется Cl-содержащий полиэфир полиэпоксидов. В. У.

79201 П. Каталитический процесс окисления олефинов и ненасыщенные альдегиды. Хадли, Никол (Oxidation of olefines to unsaturated aldehydes by a catalytic process. Hadley David J., Nichol Robert J.) [The Distillers Co. Ltd.]. Канад. пат. 513393, 31.05.55

Олефины общей ф-лы $\text{RC}(\text{CH}_3)=\text{CHR}'$ (R и R' — H или алкилы), в частности технич. изобутилен, окисляют в паровой фазе O_2 при 200—400° в присутствии Se и, в качестве твердого катализатора, Si-силиката, полученного обработкой силиката щел. металла избытком Cu^{2+} -соли. Я. К.

79202 П. α -Алксоксипропиональдегиды и способ их производства. Бриттон, Вандер-Уил (Alpha-alkoxy-propionaldehydes and method of making same. Britton Edgar C., Vander Weele John C.) [Dow Chemical Co.]. Канад. пат. 517127, 4.10.55

Соединения ф-лы $\text{H}_2\text{CCH}(\text{OR})\text{CHO}$, где R — алкил, получают пропусканием смеси паров 2-алкоксипропанола-1 и O_2 -содержащего газа (соотношение компонентов смеси таково, что на 1 моль спирта приходится < 1 моля O_2) при 350—550° над Ag. В частности, указанной обработке подвергают смесь воздуха и паров 2-изопропоксипропанола-1 из отходящей газовой смеси конденсируют органич. компоненты. При фракционной разгонке конденсата выделяют непрореагировавший 2-изопропоксипропанола-1 и собирают фракцию, обогащенную α -изопропоксипропиональдегидом. Получен также α -метоксипропиональдегид. И. Ш.

79203 П. Фторсодержащие альдегиды и их гидраты. Хастед, Албрехт (Fluorocarbon aldehydes and their monohydrates. Husted Donald K., Ahlbrecht Arthur H.) [Minnesota Mining and Manufacturing Co.]. Канад. пат. 510530, 1.03.55

Восстанавливая LiAlH_4 нецикл. фторкабоновые к-ты с 2—18 атомами С, общей ф-лы $\text{C}_n\text{F}_{2n+1}\text{COOH}$, получают гидраты фторальдегидов общей ф-лы $\text{C}_n\text{F}_{2n+1}\text{CH}(\text{OH})_2$ [в частности, $\text{CF}_3\text{CH}(\text{OH})_2$], которые затем дегидратируют до фторальдегидов общей ф-лы $\text{C}_n\text{F}_{2n+1}\text{CHO}$. Л. Г.

79204 П. Очистка кетонев перегонкой. Драут (Purification of ketones by distillation. Draut William M., Jr) [Esso Research and Engineering Co.]. Канад. пат. 516521, 13.09.55

Способ получения чистого сухого кетона из водн. кетона (метилэтилкетона, метилпропилкетона или метилбутилкетона), содержащего высококипящие примеси (том числе спирты), состоит в следующем: а) водн. кетон вводят в 1-ю зону перегонки и перегоняют под давл. 1,4—14 ат, причем происходит образование высококипящих продуктов разложения; б) выше точки введения водн. кетона удаляют

пар азеотропной смеси (АС) кетона с водой, содержащей больше воды, чем при давл. 1 атм; в) уходящий пар вселят в зону фракционирования, где подвергают ректификации при давл. 1 атм; из верхней части зоны удаляют АС кетона с водой, содержащую меньше воды, чем при перегонке под давлением, а из нижней части удаляют избыток воды; г) полученную АС кетона с водой возвращают в 1-ю зону перегонки, где из нижней части удаляют сухой кетон, содержащий высококипящие примеси (включая спирты и высококипящие продукты разложения, полученные при перегонке под давлением); д) этот сухой кетон передают во 2-ю зону перегонки, где кетон отделяют от высококипящих примесей. В частности, описано применение способа к метилэтилкетону при давл. 4,2—5,6 ат в 1-й зоне перегонки. Приведена технологич. схема. В. У.

79205 П. Способ регенерации уксусной кислоты из ее водных растворов экстракционным методом. Хартли (Verfahren zur wiedergewinnung von Essigsäure aus wässrigen Essigsäurelösungen durch extraktive Destillation. Hartley George Anthony Rathbone) [Curtaulds Ltd]. Пат. ГДР 9323, 10.03.55

CH_3COOH выделяют из ее водн. р-ров экстрактивной дистилляцией с применением диметокситетраэтиленгликоля (I) в качестве экстрактивного р-рителя. В частности указано: а) поддержание соотношения I к воде, присутствующей в воде. CH_3COOH , равным $\sim 1-5:1$; б) водн. р-р CH_3COOH и I непрерывно вводят в 1-ю ректификационную колонну, в основном вся вода из всесмеси внутри колонны смеси отгоняется, а остающуюся смесь CH_3COOH и I отводят из нижней части колонны и вселяют во 2-ю ректификационную колонну, где отгоняют CH_3COOH , а остаток I возвращают в 1-ю ректификационную колонну для экстрактивной дистилляции. Способ особенно пригоден для регенерации CH_3COOH из ее 10—15%-ных р-ров. Приведена схема процесса. В. У.

79206 П. Производство пропиенового ангидрида. Ситцлер (Production of propionic anhydride. Sitzler Richard R.) [Camille Dreyfus]. Канад. пат. 513211, 24.05.55

Пропионовый ангидрид, не содержащий скрашивающих примесей, получают из продажной пропионовой к-ты, загрязненной примесями, окисляющимися конц. H_2SO_4 в розовый (до бурого) цвет. Для этого пропионовую к-ту последовательно обрабатывают водн. H_2O_2 (1—10 вес.% водн. р-ра, содержащего 3—30 вес.% H_2O_2) и эквивал. кол-вом или избытком ($\text{CH}_3\text{CO}_2\text{O}$ в частности, в течение 0,5—24 час. при 25—150°), отгоняя CH_3COOH из реакционной смеси. Я. К.

79207 П. Получение дикарбоновых кислот и их солей. Хаусман, Греффингер (Herstellung von Dicarbonsäuren und deren Salzen. Haussmann Hans, Graffinger Gerhard.) Badische Anilin- & Soda-Fabrik A.-G.). Пат. ФРГ 919167, 14.10.54 [Chem. Zbl. 1955, 126, № 36, 8511 (нем.)]

Дикарбоновые к-ты простых эфиров или тиоэфиров получают обработкой лактонов или лактонообразных в-в, содержащих ароматич. кольцо, водн. р-рами шел. или шел.-зем. гидроокисей или сульфидов (в кол-ве не больше эквивалентного) с отгонкой воды, затем реакционную смесь нагревают при $\sim 150-200^\circ$ до окончания отщепления воды и, в случае надобности, выделяют из полученной соли свободную дикарбоновую к-ту. К 8600 ч. γ -бутиролактона при 120° медленно с отгонкой воды приливают 5700 ч. 35%-ного NaOH , прибавляют 200 ч. прокаленного Al_2O_3 и нагревают $\sim 8-10$ час. до окончания отщепления воды, остаток вносят в воду, подкисляют ~ 6000 ч. конц. HCl до кислой на конго р-ции, извлекают эфиром и после отгонки эфира и избыточной воды перегонкой при $\sim 180^\circ/15$ мм выделяют γ,γ' -дикарбоновую к-ту дипропилового эфира, выход 55%, т. пл. 81° (из эфира + лигрои). Получаемые дикарбоновые к-ты пригодны в качестве промежуточных продуктов для получения пластич. масс. В. У.

79208 П. Способ выделения полупродуктов при синтезе адипиновой кислоты. Голдбек, Джонсон (Process for separating adipic acid precursors. Goldbeck Martin, Jr, Johnson Franklin C.) [E. I. du Pont de Nemours and Co.]. Пат. США 2703331, 1.03.55

Предложено улучшение в способ получения адипиновой к-ты окислением циклогексана в жидкой фазе действием O_2 до первичных продуктов окисления, состоящих главным образом из циклогексанола и циклогексанона, и последующим окислением этих первичных продуктов действием HNO_3 (I) до адипиновой к-ты. Это улучшение состоит в применении для окисления I масляного отгона, получаемого введением воды в жидкую фазу, вытекающую из реактора для окисления циклогексана. Образующуюся водн. и углеводородную фазы полученной смеси разделяют, из водн. фазы отгоняют с паром масла и присоединяют к углеводородной фазе, от полученной смеси отгоняют практически все углеводороды и исчерпывающей перегонкой остатка с паром получают масло, пригодное для окисления I. Приведена схема процесса. В. У.

79209 П. Очистка пимелиновой кислоты. Лонг (Purification of pimelic acid. Long D. J. G.) [Distillers Co., Ltd]. Англ. пат. 715481, 15.09.54 [J. Appl. Chem., 1955, 5, № 3, i 407 (англ.)]

Неочищенную пимелиновую к-ту (I), полученную нагреванием 1,2,5,6-тетрагидробензойной к-ты с водн. щелочью при $250-400^\circ$, обрабатывают к-той, более сильной, чем I. От осадка отгоняют низкокипящие примеси, остаток растворяют в горячей воде, масло отделяют (декантацией либо экстракцией р-рителем) и очищ. I выделяют из водн. р-ра. Водн. р-р 1,2,5,6-тетрагидробензойной к-ты (1 моль) и 2 моля NaOH нагревают 3 часа при $340-350^\circ$, продукт р-ции (165 ч.), содержащий NaOH (11,5 ч. на 100 ч. воды) охлаждают. Масло (2,5 ч.) отделяют, водн. слой подкисляют 32%-ной HCl (70 об.м. ч.) и перегоняют с водным паром до т-ры паров $\sim 105^\circ$. Охлаждением водн. р-ра (290 об.м. ч.), освобожденного от твердой смолы, выделяют 31 ч. I, т. пл. $96-98^\circ$. Л. Г.

79210 П. α -Окисислоты, их внутренние эфиры и их производные. Полли, Каннингем (Alpha-hydroxy acids and estolides and their derivatives. Polly Orville L., Cunningham Orin D.) [Union Oil Co. of California]. Пат. США 2721188, 18.10.55

Нерастворимую в воде, незамещ., ненасыщ. α -оксимоникарбоновую к-ту нормального строения с 6—30 атомами С, ее внутренний эфир или их смесь нагревают при $100-200^\circ$ с насыщ. незамещ. алифатич. спиртом (1 моль последнего на 0,5—2 моля к-ты) в присутствии 0,05—20 молей (на 1 моль к-ты) кислого, не вызывающего желатинизации агента, напр. органич. к-ты, содержащей сопряженную диеновую группу, в течение времени, достаточного для этерификации при удалении воды, образовавшейся в процессе р-ции. Указанный метод является производственным способом получения соответствующих сложных эфиров. И. Ш.

79211 П. Способ получения сложных эфиров. Бройх, Кёнен (Verfahren zur Herstellung von Estern. Broich Franz, Coenen Alfred) [Chemische Werke Hils A.-G.]. Пат. ФРГ 939807, 01.03.56

Сложные эфиры получают из карбоновых к-т и спиртов с применением растворимых в воде солей металлов, способных к образованию амфотерных гидроокисей, вместе с шел. в-вами. 148 ч. фталевого ангидрида, 500 ч. 2-этилгексанола (I), 2,35 ч. 50%-ного р-ра NaOH и р-р 2,1 ч. (Al_2SO_4) \cdot 18 H_2O (II) в 5 ч. воды кипятят 2 часа при 200° с удалением реакционной воды, получают ди-(2-этилгексильный эфир) фталевой к-ты, выход 98,4%, кислотное число (КЧ) 0,5, окраска по сравнению с окраской чистого р-ра (ОЧ) I. Приведено еще 4 примера близких вариантов получения этого эфира. 284 ч. стеариновой к-ты, 350 ч. I, р-р 4,05 ч. II в 7 ч. воды и 3,75 ч. 50%-ного р-ра NaOH кипятят 2 часа с отгонкой реакционной воды, получают 2-этилгек-

силловый эфир стеариновой к-ты. КЧ 0,36, 196 ч. маленового ангидрида, 928 ч. I, p-p 8,1 ч. II в 14 ч. воды и 7,5 ч. 50%-ного p-ра NaOH кипятят 2,5 часа с отгонкой реакционной воды, получают 2-этилгексилловый эфир маленовой к-ты, выход 97%, КЧ 0,23, ОЧ 2. 202 ч. технич. себадиновой к-ты, 500 ч. I, p-p 4,05 ч. II в 10 ч. воды и 3,76 ч. 50%-ного p-ра NaOH кипятят при 205° 3,5 часа с азотропной отгонкой воды, получают ди-(2-этилгексилловый эфир) себадиновой к-ты, выход 95%, КЧ 0,17, ОЧ 6. Получаемые эфиры пригодны в качестве пластификаторов.

В. У.

79212 П. Способ получения сложных виниловых эфиров. Хорн, Кремер (Verfahren zur Herstellung von Vinylestern. Horn Otto, Krämer Robert) [Farbwerke Hoechst A.-G. vormals Meister Lucius & Bräuning]. Пат. ФРГ 933689, 29.09.55

Виниловые эфиры алифатич. карбоновых к-т получают пропусканьем паров этих к-т и C_2H_2 над катализаторами (K), полученными пропиткой в-в с активной поверхностью водн. p-рами практич. нейтр. Zn-солей и содержащими ~12—24% Zn от веса носителя отношение носитель: Zn \approx 100 : 12—100 : 24). Преимущества указанных K: длительный срок службы, возможность применения простой аппаратуры и небольших скоростей реагирующих в-в, незначительное образование побочных продуктов (напр., эфиров этиленгликоля), а в случае применения K с высоким содержанием Zn-солей — отсутствие явлений возгонки этих солей и связанных с этим побочных р-ций и неполадок в произ-ве. Растворяют 100 вес. ч. кристаллич. $(CH_3COO)_2Zn$ в 500 вес. ч. воды, прибавляют при перемешивании 200 вес. ч. нагретого в сушильном шкафу активированного угля, отгоняют, не прекращая перемешивания избыточную воду (энергичное перемешивание в конце упаривания), остаточную массу высушивают досуха в вакуумном сушильном шкафу и в таком виде применяют в качестве K. При соответствующем отводе теплоты р-ции, напр. при применении такой же системы теплообменников, как в процессе Фишера — Тропша, выход винилацетата из CH_3COOH и C_2H_2 при t-ре ~180° в присутствии этого K составляет 95%. Производительность K 200 г винилацетата в 1 час на 1 кг K.

Я. К.

79213 П. Способ получения эфиров α -оксикарбоновых кислот. Реппе, Паседех (Verfahren zur Herstellung von α -Oxycarbons ureestern. Reppe Walter, Pasedach Heinrich) [Badische Anilin- & Soda-Fabrik A.-G.]. Пат. ФРГ 936035 1.12.55

Способ состоит в нагревании алкиндолов при 150—400° (предпочтительно 200—250°) и обычном или повышенном давлении с насыщ. алифатич., циклоалифатич., арилатич. или олефиновым спиртами (в частности, с CH_3OH , C_2H_5OH , n - C_4H_9OH гликолем, аллиловым спиртом циклогексанолюм, $C_6H_5CH_2OH$) в присутствии соединения Zn или Cd-формата, ацетата, стеарата, нафтената, а также окиси или карбоната, в особенности нанесенных в тонкодисперсном виде на носитель с большой поверхностью. Р-цию можно проводить в закрытом сосуде над неподвижным катализатором. Предпочтительно проводить р-цию лишь с частью загруженного или пропускаемого алкиндолоа с последующей отгонкой полученного эфира и рециркуляцией непрореагировавшего алкиндолоа. Смесь 600 ч. бутиндиолоа-1,4 с 1500 ч. n - C_4H_9OH и 30 ч. безводн. $(HCOO)_2Zn$ нагревают в автоклаве 6 час. при 200° и после охлаждения подвергают перегонке. При этом сначала отгоняется избыточный n - C_4H_9OH и вода (~120 ч.), а потом при 90—91°/15 мм бутиловый эфир α -оксимасляной к-ты (~450 ч.), т. кип. 200—202°/750 мм. Аналогично получены эфиры: метиловый, т. кип. 64°/20 мм, этиловый, т. кип. 167—169°/750 мм, ацетиловый, т. кип. 85—88°/20 мм, циклогексилловый, т. кип. 145—150°/37 мм, бензиловый, т. кип. 170—175°/33 мм, а также бутиловый эфир α -оксиналериановой к-ты, т. пл. 84—90°/2,5 мм.

Я. К.

79214 П. Присоединение 1,1-алкоксисложных эфиров к олефинам. Копенхейвер (Addition of 1,1-ether-esters to olefins. Copenhagen John W.) [General Aniline & Film Corp.]. Пат. США 2723287, 8.11.55
Смешанные 1,3-алкоксисложные эфиры получают р-цией при 0°—35° соединений общей ф-лы $HC(OR)(R')OCOR''$, где R, R' и R'' — алкил, арил, аларкил или циклоалкил, содержащий ≤ 8 атомов C, с соединением, содержащим этиленовые связи (стирол, изобутилен или диизобутилен), в присутствии кислого конденсирующего агента.

Ю. Г.

79215 П. Парофизическое получение N-замещенных акриламидов. Кувер, Ширер (Vapor phase preparation of N-substituted acrylamides. Coover Harry W., Jr., Shearer Newton H., Jr.) [Eastman Kodak Co.]. Пат. США 2719175, 27.09.55

N-Замещенные акриламиды ф-лы $CH_2=C(X)CONRR'(X=H; CH_3; R \text{ и } R' \text{ — низший алкил, циклогексил, C}_6\text{H}_5; R \text{ — может быть также атомом H) получают р-цией эфира ф-лы } CH_2=C(X)COOR''(R''=CH_3 \text{ или } C_2H_5) \text{ с амином } NH_2R' \text{ в паровой фазе при } 300\text{—}550^\circ \text{ в присутствии катализатора, состоящего в основном из } Al_2O_3. \text{ Время контакта } < 10 \text{ сек.}$

И. Ш.

79216 П. Алкилламиды (Alkylol amides) [Johnson & Johnson]. Австрал. пат. 203500, 26.01.56

Способ очистки продуктов конденсации алканоламинов с жирными к-тами с длинной цепью, содержащих ионные примеси, заключается в доведении гомог. водн. p-ра указанного продукта конденсации до pH ~7—9 и нагревании водн. p-ра до превращения его в гетерог. систему, состоящую из масляной и водн. фазы, после чего масляную фазу отделяют от водн. фазы.

В. У.

79217 П. Способ получения амидов лактиллактонной кислоты. Пакеи (Verfahren zur Herstellung von Lactylmilchsäureamiden. Paquin Alfred Max) [Cassella Farbwerke Mainkur A.-G.]. Пат. ФРГ 936746, 22.12.55

Смеси млочной к-ты с моно- или полиаминами или аминолактатами, в частности в соотношении 2 моля к-ты на 1 аминогруппу, нагревают при 50—150°. Полученные амиды [в простейшем виде имеют общую ф-лу $CH_3CH(OH)COOCH(CH_3)CONHR$], в особенности продукты односторонней р-ции ди- или полиаминов, могут, в качестве бифункциональных соединений, служить для получения пластификаторов или высокомолекулярных поликонденсатов. 1 моль 70%-ной млочной к-ты обрабатывают при охлаждении (15—20°) и перемешивании 1 молем бензиламина, в результате чего образуется нейтр. взвесь лактата бензиламина, которую нагревают при 80—100° до постоянной щелочности (45—50 мин.); в этом случае 50% бензиламина снова находится в свободном состоянии. После охлаждения кристаллы отсасывают, промывают эфиром и перекристаллизовывают полученный лактиллактобензиламид из 96%-ного спирта. Аналогично получены лактиллактобутил-, лактиллактоаминоэтил- и лактиллактоаминогексиламид.

Я. К.

79218 П. Способ получения кетиминнов. Брус, Бломберг (Verfahren zur Herstellung von Ketiminen. Bruce William Fausset, Blomberg Richard Nelson) [American Home Products Corp.]. Пат. ФРГ 922887, 27.01.55

Способ получения кетиминнов состоит в конденсации кетона общей ф-лы $RCOR'$ где R и R' — алкил, аларкил, замещ. аларкил или алициклич. остаток) с первич. алкиламином ф-лы H_2NR'' , где R'' — CH_3 или C_2H_5 , при t-ре несколько ниже t-ры кипения наиболее низкокипящего компонента и давлении, при котором амин находится в жидком состоянии. Из полученного в шел. среде в отсутствие O_2 продукта р-ции при обработке шел. дегидрирующим средством $[KOH \text{ или } Ca(OH)_2]$ при 5—80° удаляется 80—90% H_2O , вывальной затем из реакционной смеси. Дегидратацию производят в авто-

клаве в инертной или восстановительной атмосфере. Продукт р-ции перегоняют в отсутствие O_2 . В качестве кетона применяют ацетон 4-метилгексанон-2, гептанон-2, 4-метилгептанон-2, 6-метилгептанон-2, фенилацетон, п- или м-толилацетон, анизилацетон, ванилилацетон и пиперонилацетон. К 9 молям ацетона добавляют 3 моля жидкого CH_3NH_2 при -10° . Полученный продукт выкристаллизовывается из смеси при -30° ; к массе добавляют 75 г КОН и выдерживают 65 час. в автоклаве при 25° под давлением N_2 (2,8 ат). Разделяют слои, из которых водн. слой содержит 76% выделившейся H_2O . Перегонкой органич. слоя получают N-метилизопропилиденимин, т. кип. $30-40^\circ/160$ мм, $65-66^\circ/760$ мм, n_D^{25} 1,4069, n_D^{20} 1,4023, d_4^{25} 0,7659, d_4^{20} 0,7536. Имин хранят в запаянном сосуде под N_2 с добавкой 0,2% гидрохинона. К 1 молю циклопропилметилкетона добавляют 70 г СаО и 2 моля CH_3NH_2 при 0° (в автоклаве) поднимают т-ру до 25° и оставляют на 12 дней. Из реакционной смеси отгоняют N-метил-1-циклопропилидениден-2-имин, т. кип. $56^\circ/60$ мм; n_D^{20} 1,4529. Аналогично получены: N-метилимин фенилацетона, т. кип. $63-66^\circ(?)$, n_D^{20} 1,5270, d_4^{20} 0,9631; N-метилгептилиден-2-имин, т. кип. $82-84^\circ/50$ мм, n_D^{20} 1,4300, d_4^{20} 0,7922; N-метил-1,2-диметилпропилиденимин, т. кип. $56^\circ/138$ мм; N-метилциклогексидилиденимин, т. кип. $78-82^\circ/48$ мм, n_D^{20} 1,4747, d_4^{20} 0,9046; N-метил-1,3'-дифенилпропилиденимин-2, т. кип. $137-138^\circ/0,9$ мм, n_D^{20} 1,5838; N-метил-8-пентадецилиденимин, т. кип. $109-110^\circ/0,5$ мм, n_D^{20} 1,4494; N-метил-н-пентилиден-3-имин, т. кип. $113^\circ/20$, D 1,4220. Получаемые кетимины можно применять как полупродукты при синтезе аминов и их производных, обладающих терапевтич. свойствами, для получения продуктов полимеризации, в качестве антиоксидантов и полупродуктов.

И. Ш

79219 П. Продукт присоединения нитрозилхлорида к изобутилену. Мартин (Isobutylene-nitrosyl chloride addition. Martin Andrew J.). [Allied Chemical and Dye Corp.]. Канад. пат. 512856, 17.05.55

Усовершенствование способа произ-ва твердого продукта присоединения NOCl (I) или NOBr к изобутилену (II) состоит в том, что р-цию проводят в присутствии активированного угля при т-ре кипения реакционной смеси: начальное молярное отношение $II:I \geq 3:1$. Р-цией II и I (чистота применяемого $I \geq 90$ мол.%) в указанном соотношении при т-ре от -15 до 0° и давл. 1 атм в присутствии активированного угля получают твердый продукт присоединения I к II, который отфильтровывают от жидких побочных продуктов, промывают, экстрагируют р-рителем (для отделения от угля) и выделяют продукт присоединения.

И. Ш

79220 П. Диоксим β-метилглутарового диальдегида. Хейвуд, Грин (Organic intermediate. Heywood Basil J., Green Maurice B.). [May and Baker Ltd.]. Канад. пат. 512294, 26.04.55

Указанное соединение получают, обрабатывая $CH_3CH(SH)CH_2CHO$ гидроксиламином или его солью в некисл. водн. среде.

И. Ш

79221 П. Способ получения алифатических аминов. Нёске, Коллинг (Verfahren zur Herstellung von aliphatischen Aminen. Noeske Heinz, Kolling Helm t) [Ruhchemie A.-G.]. Пат. ФРГ. 936211 7.12.55

Альдегиды (А) в частности ненасыщ. А, оксиальдегиды, диальдегиды или содержащие А продукты оксосинтеза, предпочтительно разб. низкокипящими углеводородами или спиртами (CH_3OH) в кол-ве 0,5—4 ч. растворителя на 1 ч. А, обрабатывают при т-ре $<0^\circ$ газообразным NH_3 (до поглощения 1—5 молей NH_3 на 1 моль А) или первичными или вторичными аминами и смесь гидрируют в жидкой фазе при $80-200^\circ$ и $50-200$ ат в присутствии катализатора (в частности, Со- или Ni-катализатора), напр. непрерывным пропусканием полученной при т-ре $<0^\circ$

смеси вместе с H_2 через вертикальный реактор с неподвижным катализатором при указанных т-ре и давлении. Способ особенно применим для низкокипящих А; он исключает образование альдеидов, благодаря чему повышается выход аминов. Так, 465 ч. C_2H_5CHO и 790 ч. CH_3OH охлаждают до -15° и при охлаждении пропускают 260 ч. NH_3 , добавляют 30 ч. Ni-катализатора, смесь вводят в охлажд. до -5° автоклав с мешалкой, нагнетают H_2 до 70 ат, нагревают до 130° и при давлении H_2 100 ат перемешивают до прекращения поглощения H_2 . После отделения катализатора $C_2H_5NH_2$ (I) выделяют в виде хлоргидрата; выход 82%. При гидрировании смеси C_2H_5CHO с CH_3OH , обработанной NH_3 при т-ре, препятствующей лишь улетучиванию C_2H_5CHO , выход I составляет лишь $\sim 20\%$; остаток состоит из $C_6H_{13}NH_2$ и других более высокомолекулярных, частично осмоленных продуктов. Из 833 ч. продукта оксосинтеза, содержащего 62% А с 7 атомами С и 38% С-углеводородов, получают 395 ч. первичного амина с 7 атомами С и 48 ч. дигептиламина; из 258 ч. этилакролена 160 ч. 2-метилпептиламина и 35 ч. I; из 500 ч. пропиональдола—320 ч. гексаноламина и 178 ч. I. Описано получение $(C_3H_7)_2NH$, выход 90%; проведение непрерывного процесса для синтеза I (92%) и $(C_3H_7)_2NH$ (8%).

Я. К.

79222 П. Способ каталитического получения нитрилов из первичных алифатических спиртов и аммиака. Нёске, Коллинг (Verfahren zur katalytischen Herstellung von Nitrilen aus primären aliphatischen Alkoholen und Ammoniak. Noeske Heinz, Kolling Helm t) [Ruhchemie A.-G.]. Пат. ФРГ. 932606, 5.09.55

Нитрилы получают пропусканием первичных алифатич. спиртов вместе с избытком NH_3 в газовой фазе при $300-470^\circ$ (лучше при $360-420^\circ$) над катализатором (К), состоящим в значительной части из Fe и (или) его оксидов. Эти К получают: а) осаждением р-ров Fe-солей, б) сплавлением или спеканием смесей, содержащих Fe и (или) его оксиды, в) с применением носителей (преимущественно кизельгура, пемзы, Al_2O_3 , отбеленных земель, керамич. масс), г) с применением смесей Fe и его оксидов, активированных небольшим кол-вом (преимущественно, 1—5% окисей шел. металлов, д) смесей Fe и (или) его оксидов с 10—30% Cu, е) с применением смесей Fe и (или) его оксидов с SiO_2 в кол-ве до 30%. В вертикальную стеклянную трубку (внутренний diam. 23 мм) вводят 280 мл сплавленного К из 100 ч. Fe и 1,5 ч. K_2O , предварительно восстановленного в струе H_2 при нагревании. Через этот К при 400° пропускают 100 мл гексанола и 100 л NH_3 , выходящие пары конденсируют, получают капронитрил (II) с выходом за один проход 80%. Приведены аналогичные примеры получения I с применением следующих К, восстановленных NH_3 : 100 ч. Fe, 5 ч. Cu и 2 ч. K_2O , выход I 82%; 100 ч. Fe, 5 ч. Cu, 5 ч. K_2O и 100 ч. кизельгура, выход 83%; 100 ч. Fe, 25 ч. Cu, 2,5 ч. K_2O и 10,5 ч. SiO_2 , выход 87%; 100 ч. Fe, 5 ч. Cu, 5 ч. K_2O и 25 ч. SiO_2 , выход 88%. Аналогично пропусканием 50 мл бутилового спирта и 100 л NH_3 в час (катализатор: 100 ч. Fe, 5 ч. Cu, 5 ч. K_2O и 25 ч. SiO_2) получают бутиронитрил, выход 84%; пропусканием 80 мл спиртов с ~ 10 атомами С (получены гидрированием продуктов оксосинтеза) и 70 л NH_3 в час при 380° (восстановленный или невосстановленный К, состоящий из 100 ч. Fe, 5 ч. Cu, 5 ч. K_2O и 25 ч. SiO_2) получают нитрил каприновой к-ты, выход 90%.

В. У.

79223 П. Производство нитрилов из окисей олефинов и аммиака. Спиллейн, Кайзер (Production of nitriles from olefin oxides and ammonia. Spillane Leo J., Kayser William G., Jr) [Allied Chemical and Dye Corp.]. Канад. пат. 510465, 01.03.55

Нитрилы получают пропусканием NH_3 и окисей олефинов (окиси пропилена или изобутилена) в соотношении 1—3:1 через слой катализатора с высокоразвитой поверхностью (гель окиси Cr или нанесенная на кизельгур окись Mo)

при 475—700° (500—625°) в наиболее нагретой части слоя катализатора и т-ре <400° в начале слоя. Объемная скорость прохождения реагентов, считая на объем вводимых NH_3 и паров окиси олефина при стандартных условиях и на I объем слоя катализатора, должна составлять ~300 час⁻¹.

И. Ш.

79224 П. Способ производства акрилонитрила. Карпентер (Method of producing acrylonitrile. Carpenter Erwin L.) [American Cyanamid Co.]. Канад. пат. 511735, 12.04.55

Акрилонитрил получают каталитич. дегидратацией этилендиангидрина при 160—240° в присутствии HCOONa и 2—10% (от веса катализатора) водорастворимого противопенного в-ва ф-лы $\text{RO}(\text{CH}_2\text{CH}_2\text{O})_n\text{R}'$, где R — алкил, R' — H или алкил, $n > 1$, с т. кип. >200° (напр., моноэтилового эфира триэтиленгликоля).

И. Ш.

79225 П. Ненасыщенные нитрилы (Unsaturated nitriles) [The Distillers Co. Ltd.]. Австрал. пат. 162562 5.05.55

В доп. к австрал. пат. 158414 и 160012 (см. РЖХим, 1955, 47173, 43451) развитием способа произ-ва акрилонитрила является метод получения ненасыщ. нитрилов при 250—600° в присутствии катализатора окисления действием NH_3 и O_2 на ненасыщ. альдегиды, иные, чем акролен, или на соединения, которые в условиях р-ции образуют ненасыщ. альдегиды, в частности акролен.

И. Ш.

79226 П. Способ получения 1,4-дицианбутилена-1. Нагасавы, Такаги, Мацумото (1,4-ジシアベン-1-ブテンの製造方法. 長澤不二男, 高木鏡一, 松本哲朗 [三菱化成工業株式会社, Мицубиси Касэй Корё Кабусики Кайсэй]). Япон. пат. 6424, 9.10.54

1,4-дицианбутилен-1 (I) получают изомеризацией 1,4-дицианбутилена-2 (II) при нагревании II с небольшим количеством хинолина, гомологов пиридина или смеси их в присутствии р-рителя или без него. 10,6 г II и 1 г коллидина (III, т. кип. 170—175°) смешивают и нагревают 1 час при 180°, отгоняют в вакууме III и перегонкой остатка выделяют 9,9 г I, т. кип. 150—165°/12 мм, n_D^{20} 1,4711. Аналогично из 10,6 г II с применением смеси 1 г III и 0,5 г лутидина при нагревании 2 часа при 170° получают 9,7 г I; с применением 1 г III и 1 г хинолина (5 час., 190°) — 9 г I; с применением 0,5 г лутидина в 10 г бутандиола-1 (2 часа, 180°) — 8,7 г I, т. кип. 106—132°/2 мм, n_D^{20} 1,4655; с применением 0,5 г а-пиколоина в 10 г амилowego спирта (8 час., 150°) — 8,7 г I.

В. У.

79227 П. Способ получения ацетилированных нитрилов α - и β -оксикарбоновых кислот. Хорн, Краузе (Verfahren zur Herstellung von acetylierten α - und β -Oxycarbonyl-nitrilen. Horn Otto, Krause Walter) [Farbwerke Hoechst A-G vormals Meister Lucius & Brüning]. Пат. ФРГ 935484, 24.11.55

Способ состоит в проведении р-ции при т-ре от —20 до +100° (предпочтительно 40—50°) между α - или β -циангидринами и кетеном в присутствии (в качестве катализатора) конц. H_2SO_4 или олеума с 50% свободного SO_3 или же в присутствии неорганич. или органич. производных H_2SO_4 общей ф-лы XSO_2Y (X—OH, галогид, алкил, алкоксил, группа $\text{R}'\text{COO}$ или $\text{R}'\text{CO—NH—}$ (R' — алкил) и $\text{R}''\text{N—}$ (R'' — R' — одинаковые или различные алкилы) или же ароматич. группа, Y—OH, группа — CH_2COOH или ее высшие гомологи) в кол-ве 0,05—10%, предпочтительно 1%, от веса циангидрина. В качестве катализаторов пригодны, в частности сульфокислоты, хлорсульфокислоты, формил-, ацетил-, бутирил- и бензильсульфокислоты к-ты, п-толуол- и амилотолуолсульфокислоты; предпочтительна ацетилсульфокислоты к-та. В шлифную колбу емк. 2 л с четырьмя горлами, снабженную мешалкой, газоподводящей трубкой, термометром и обратным холодильником, вводят 630 г (7,4 моля) ацетондиангидрина и 6,5 г ацетилсульфокислоты к-ты и при непрерывном перемешивании

пропускают 311 г (7,4 моля) кетена со скоростью 2 моля/час. При этом т-ра смеси быстро повышается до 40°; эту т-ру держат до завершения р-ции. При перегонке продукта р-ции получают 890 г (94,7%) α -ацетоксинизобутиронитрила, т. кип. 72—73°/8 мм. Аналогично получены (в скобках указаны т-ра кипения и выход в процентах: α - и β -ацетоксипропионитрилы (44—45°/3 мм, 96,3) и (89—91°/4 мм, 94,9) соответственно: α -ацетоксидиэтилацетонитрил, (86—87°/6 мм, 95,5); α -ацетокси-н-бутиронитрил (64—65°/6 мм, 97,6); α -ацетоксинизобутиронитрил (66°/6 мм, 69°/7 мм, 73°/8 мм, 89—95,8%); α -ацетокси- α -метилбутиронитрил (78—79°/4 мм, 98,3); α -ацетокси-н-валеронитрил (80—81°/4 мм, 95,5).

Я. К.

79228 П. Способ очистки α -амино- γ -метилмеркаптобутиронитрила. Холланд (Verfahren zur Reinigung von α -Amino- γ -methylmercapto-butyronitril. Holland David Oliver) [Beecham Research Lab. Ltd.]. Пат. ФРГ 933030 15.09.55

Для очистки α -амино- γ -метилмеркаптобутиронитрила (метионинитрила) от примесей, которые при кислотном гидролизе его (с целью превращения в метионин) осмоляются и сильно затрудняют очистку метионина, технич. продукт растворяют в низшем алифатич. спирте (CH_3OH , $\text{C}_2\text{H}_5\text{OH}$, $\text{iso-C}_3\text{H}_7\text{OH}$, $\text{n-C}_4\text{H}_9\text{OH}$), ацетоне или моноалкильных эфирах простых гликолей (напр., β -этоксизитанол), р-р обрабатывают H_3PO_4 или H_2SO_4 и выпавший фосфат или сульфат подвергают гидролизу. CH_3OH целесообразно применять лишь в случае осаждения нитрила в виде сульфата: в случае же осаждения его в виде фосфата CH_3OH применим лишь в смеси с р-рителем, в котором фосфат трудно растворим, напр. в смеси с эфиром, лучше всего в объемном соотношении 1 : 1. К р-ру 5 г метионинитрила в 30 мл безводн. спирта прибавляют при перемешивании и т-ре ~20° по каплям 1,05 мл конц. H_2SO_4 , оставляют на несколько часов на холоду, после чего светло-желтый осадок сульфата отфильтровывают, промывают сначала ~20 мл спирта, потом эфиром и высушивают; выход ~75%, т. пл. 175 (разл.).

Я. К.

79229 П. Получение полиизоцианатов. Морнингстар, Шолленбергер, Стюбер (Preparation of polyisocyanates. Morningstar Marion G., Schollenberger Charles S., Stueber Grant E.) [The B. F. Goodrich Co.]. Канад. пат. 512272, 26.04.55

Органические полиизоцианаты получают смешением первичных полиаминов (или их солей с к-тами) в закрытой системе с избытком карбонилдигалогенида (в частности, с COCl_2 при 10—30°) и нагреванием смеси при повышенных т-ре и давлении (в случае COCl_2 при 100—200° и давл. от 4 ат до давления паров при т-ре р-ции) с отгонкой летучих побочных продуктов р-ции (галоидоводородной к-ты) по мере образования и последующим отделением непроагировавшего карбонилгалоиденида. п-Фенилен- и 1,6-гексаметилендиизоцианаты получены обработкой в указанных для применения COCl_2 условиях р-ра $\text{n-C}_6\text{H}_4(\text{NH}_2)_2$ в C_6H_6 или смеси $\text{H}_2\text{N}(\text{CH}_2)_6\text{NH}_2 \cdot 2\text{HCl}$ с C_6H_6 избытком COCl_2 .

Я. К.

79230 П. Способ получения тиосемикарбазида. Тейлор (Method of making thiosemicarbazide. Taylor G. E.) [Monsanto Chemical Co.]. Англ. пат. 711619, 7.07.54 [J. Appl. Chem., 1954, 4, № 12, ii 760 (англ.)]

Тиосемикарбазид получают перегруппировкой родани стоводородного гидразина. Смесь последнего, воды в кол-ве $\geq 5\%$ и кислого в-ва в кол-ве, достаточном для поддержания $\text{pH} < 6,0$, суспендируют при нагревании в органич., не смешивающемся с водой р-рителе, инертном как к исходным в-вам, так и к конечным продуктам. Р-р 92 ч. ($\text{N}_2\text{H}_4)_2 \cdot \text{H}_2\text{SO}_4$ и 88 ч. $\text{NH}_4\text{CN S}$ в 341 ч. воды доводят до pH 5,0 и нагревают при уменьшенном давлении до образования практически безводн. остатка. Остаток суспендируют в ~385 ч. керосина (т. кип. 115—205°, d_4^{20} 0,770)

и кипятят при пониженном давлении 2 часа при t -ре $\sim 120-122^\circ$ и pH 5,0—5,5. Суспензию охлаждают и фильтруют. Осадок суспендируют в воде, отмыывают от сульфатов и высушивают. Выход 80%.

79231 П. Получение этиленсульфонатов. Парк (Preparation of ethylene sulfonates. Park Harold F.) [Monsanto Chemical Co.]. Пат. США 2727057, 13.12.55

Эфиры и соли этиленсульфокислоты получают ρ -цией ацетилена с сульфитом аммония или щел. металла или алкильным эфиром сернистой к-ты, алкильная группа которого содержит 1—8 атомов C, в водн. среде при t -ре от -10 до 200° в присутствии водорастворимого, образующего свободные радикалы катализатора, который медленно добавляет к реакционной смеси во время реакции. И. Ш.

79232 П. Способ получения β -фторированных этансульфотригидов. Шерер, Хан (Verfahren zur Herstellung von in β -Stellung fluorierten Äthansulfotrioxiden. Scherer Otto, Hahn Helmut) [Farbwerke Hoechst A.-G. vormals Meister Lucius & Brüning.], Пат. ФРГ 936030, 7.12.55

Способ получения указанных в-в заключается в том, что β , β , β -трифторэтансульфогалогениды обрабатывают HF в присутствии $SbCl_5$. В автоклаве нагревают 431 г $Cl_3CCH_2SO_2F$, 120 г HF и 50 г $SbCl_5$ до $100-120^\circ \sim 4$ часа, поддерживая давл. 30 атм путем выпуска образующегося HCl-газа. Продукт ρ -ции промывают водой, сушат, перегоняют и получают 280 г (76,5%) $CF_3CICH_2SO_2F$, т. кип. 132° . Из 431 г $Cl_3CCH_2SO_2F$, 180 г HF и 70 г $SbCl_5$ при 103° (1 час.) и затем при $150-180^\circ$ (2 часа) получают 236 г (71%) $CF_3CH_2SO_2F$, т. кип. 105° ; из 443 г $CH_3CCH_2SO_2Cl$, 250 г HF и 50 г $SbCl_5$ (100— 120° , 5 час.) получают 220 г $CF_3CICH_2SO_2F$, т. кип. 158° . В-ва можно применять как инсектициды и полупродукты для красителей. Б. Д.

79233 П. Способ получения глицидных эфиров сульфокислот. Кёлер, Пич (Verfahren zur Herstellung von Glucidestern von Sulfonsäuren. Köhler Rudolf, Pietsch Helmut) [Henkel & G. m. b.H.]. Пат. ФРГ 935433, 17.11.55

Глицид (I) или его гомологи, не имеющие при атомах C эпоксиного кольца O-содержащих функциональных групп, нагревают при t -ре от -10 до $+100^\circ$ (предпочтительно $0^\circ-30^\circ$) с хлорангидридами сульфокислот, в частности многоосновных к-т, в среде инертного ρ -рителя как для реагирующих в-в, так и для образующегося эфира, в присутствии связывающего HCl агента, предпочтительно, агента, растворимого в применяющемся ρ -рителе; ρ -цию можно проводить также и в многофазной системе, причем следует избирать как сильно щел., так и сильно кислой среды, развешивая эпоксицидную группу. К смеси 0,25 моля I, 0,27 моля $(C_2H_5)_3N$ и 100 мл сухого толуола (II) добавляют по каплям при $25-30^\circ$ с перемешиванием ρ -р 43,8 г n - $CH_3C_6H_4SO_2Cl$ в 50 мл II, оставляют смесь на 12 час, после чего стабилизируют смесь нейтрализуют ρ -ром лед. CH_3COOH в II, отфильтровывают $(C_2H_5)_3N \cdot HCl$ (30 г), фильтрат промывают водой, сушат над Na_2SO_4 , отгоняют в вакууме II и остаток перекристаллизуют из CH_3OH на холод; выход 36 г (50% теор.) чистого n -толуолсульфоглицидного эфира, т. пл. $37,2-37,8^\circ$. Из 18,5 г I, 27,5 г $(C_2H_5)_3N$ в 100 мл II и 51,5 г C_{12} -алкилсульфохлорида, полученного действием Cl_2 и SO_2 при УФ-облучении на смесь C_{12} -парафина, при $0-5^\circ$ получают глицидный эфир, содержащий 6,53% Cl, 9,6% S, 4,52% эпоксидного O; мол. в. 300, кислотное число 1,18. Описано получение глицидных эфиров из I и хлорангидрида m -бензойдисульфокислоты и из I хлорангидрида дифенилсульфон- n - p' -дисульфокислоты. Полученные эфиры служат полупродуктами в производстве пластификаторов, стабилизаторов, пропиточных составов, клеев и т. п. Я. К.

79234 П. Способ получения фторуглеродных ацилсерных кислот. (Fluorocarbon acyl sulphuric acids and methods of making same) [Minnesota Mining & Manufacturing Co.]. Англ. пат. 719574, 14.12.54

Алифатические фторуглеродные ацилсерные к-ты (I) ф-лы $C_nH_{2n+1}COOSO_3H$, где $n=1-3$, получают ρ -цией насыщ. фторуглеродных монокарбоновых к-т (II) с SO_3 . Прибавляют II к жидкому SO_3 , смесь нагревают, охлаждают и перегоняют в вакууме. Таким образом получают перфторацетил- и перфторбутирилсерную к-ты; упомянуто получение перфторпропионилсерной к-ты. I бурно реагируют с H_2O и C_2H_5OH с образованием, соответственно, к-т или сложных эфиров и H_2SO_4 . ρ -цией I с II получают ангидриды перфторкарбоновых к-т. Для получения этих ангидридов нет необходимости обязательно выделять I; для этого достаточно прибавить 1 моль SO_3 к 2 молям II. Можно применять непрерывный способ. Б. Д.

79235 П. Получение α -аминокислот. Хейлбром, Кук (Preparation of α -amino acids. Heilbron Ian M., Cook Arthur H.) [Beecham Research Lab. Ltd.]. Канад. пат. 516077, 30.08.55

α -Аминокислоты ф-лы $RR'CHCH(NH_2)COOH$ (R —H или алкил, R' —алкил, арил, аралкил или имидазолил, R и R' могут быть также членами циклоалкильного радикала) получают восстановлением соединений ф-лы $RR'C=CNHC(=S)SCO$ в кислой среде с помощью восстанавливающих агентов (смеси P и HJ или Zn и CH_3COOH) при t -ре кипения реакционной смеси. И. Ш.

79236 П. Разделение аминокислоты. Эммик (Resolution of amino acid. Emmick Robert D.) (E. I. du Pont de Nemours and Co.). Канад. пат. 513125, 24.05.55

Реакцией L (+)-глутаминовой к-ты или L (+)-глутамата аммония (I) с водн. ρ -ром смеси L (+)-лизина и D (-)-лизина получают смесь глутаматов лизина ф-лы $[H_2N(CH_2)_4CH(NH_2)COOH] \cdot [HOOC(CH_2)_4CH(NH_2)COOH]$. Фракционно кристаллизуют соль L (+)-лизина и L (+)-глутаминовой к-ты (II) из смеси I объема воды и 1,5—5 объемов CH_3OH при t -ре $\leq 40^\circ$. Нагревают водн. ρ -р I и смесь L (+)- и D (-)-лизина для удаления NH_3 , затем к ρ -ру добавляют CH_3OH (1,7—4,5 объемов последнего на 1 объем воды, присутствующей в ρ -ре), при t -ре $\leq 40^\circ$ отделяют кристаллы II от маточного ρ -ра, который превращают в ρ -р I и возвращают его в ρ -цию со смесью L (+)- и D (-)-лизина. И. Ш.

79237 П. Рацемизация аминокислоты. Эммик, Хамброк, Роджерс (Racemization of amino acid. Emmick Robert D., Hambrock Kenneth O., Rogers Arthur O.) [E. I. du Pont de Nemours and Co.]. Канад. пат. 517134, 4.10.55

Смесь L (+)- и D (-)-лизина разделяют на оптич. изомеры, выделяют желаемый изомер [L (+)-лизин], пропускают оставшийся маточный ρ -р через катионообменное в-во, содержащее сульфогруппу, и вымывают агент, с помощью которого разделяли смесь оптич. изомеров. Нагревают катионит, связанный с лизином, который преимущественно состоит из D (-)-изомера; при этом происходит рацемизация аминокислоты. Обрабатывают катионит ρ -ром NH_3 , и из ρ -ра выделяют смесь L (+)- и D (-)-лизина. И. Ш.

79238 П. Производные глутаминовой кислоты (Glutamic acid derivatives.) [International Minerals and Chemical Corp.]. Австрал. пат. 166442, 19.01.56

Патентуются соединения ф-лы $XOCH_2CH_2CH(NHCOOCH_2CR=CH_2)COOH$ (I), где X — NH_2 или алкоксил, R —H, алкил или C_6H_5 . Восстановлением амида N-карбонил-оксид- L -глутаминовой к-ты (II, X — NH_2 , R —H, алкил или C_6H_5) получают L -глутамин. И. Ш.

79239 П. Алкоксиминокислоты. Хартунг (Alkoxymino acids. Hartung Walter H.). Канад. пат. 516858, 27.09.55

Хлорангидриды α -алкоксиминокислот общей ф-лы $RC(=NOR')COCl$, где R' и R^0 —алкилы или аралкилы, получают действием $SOCl_2$ на к-ты ф-ты $RC(=NOR')COOH$. Из $C_6H_5CH_2C(=NOCH_2C_6H_5)COOH$ получен α -бензил-оксиминно-3-фенилпропионилхлорид, т. кип. $170-175^\circ/1-2$ мм. И. Ш.

79240 П. Метилсиликат. Клапхаке, Требиш (Methyl silicate. Klaphake W., Trebitsch F.) Австрал. пат. 166820, 23. 02.56

Для получения метилсиликата (I) к 100 г CH_3OH , содержащего 0,5 г воды, прибавляют 100 г SiCl_4 и смесь сразу же медленно фракционируют при 1 атм, избегая образования полисилоксанов. Фракцию с т. кип. 130—160°, содержащую I, собирают отдельно. Выход I 30—40% от общего выхода продуктов.

79241 П. Производство кремнийорганических соединений. Бидо, Дюмон (Production of organo-silicon derivatives. Bidaud Auguste F., Dumont Pierre) [Usines Chimiques Rhône-Poulenc]. Канад. пат. 517226, 4.10.55

Реакцией смеси, состоящей по крайней мере из двух метилхлорсиланов (мометилтрихлорсилана, диметилдихлорсилана, триметилхлорсилана), с безводн. солью CH_3COOH получают смесь соответствующих метилсиликатов, которую разделяют на индивидуальные в-ва селективной дистилляцией, благодаря разнице в т-рах кипения компонентов указанной смеси.

79242 П. Способ разделения смесей алкилгалондсиланов. Мертенс, Клеберг (Verfahren zur Trennung von Alkylhalogen-silan-Gemischen. Mertens Willi, Kleberg Wolfgang) [Siemens & Halske A-G.]. Пат. ФРГ 936038, 1.12.55

Способ состоит в обработке смеси алкилгалондсиланов (в частности, смеси метилхлорсиланов, получаемой по контактному способу Рохова) этиленгликольмоноэтиловым эфиром (этиленгликолем) с последующей дробной перегонкой продуктов р-ции, т-ры кипения которых сильно отличаются при давл. 10—15 мм (в случае метилхлорсиланов на ~50°). Покидающую реактор смесь метилхлорсиланов (в процессе Рохова) пропускают в распыленном виде через перегонный технич. этиленгликоль, после чего реакционную смесь нагревают с обратным холодильником в течение нескольких часов при 120—180° и перегоняют при давл. 12 мм. В результате получают $(\text{CH}_3)_2\text{Si}(\text{OCH}_2\text{CH}_2\text{OC}_2\text{H}_5)_2$, т. кип. 108—112°/12 мм, n_D^{20} 1,4076, $\text{CH}_3\text{Si}(\text{OCH}_2\text{CH}_2\text{OC}_2\text{H}_5)_3$, т. кип. 155—160°/12 мм, n_D^{20} 1,4210 и $\text{Si}(\text{OCH}_2\text{CH}_2\text{OC}_2\text{H}_5)_4$, т. кип. 210—214°/12 мм, n_D^{20} 1,4228. Полученные продукты пригодны для получения (путем полного гидролиза) полисилоксановых смол определенного состава и для получения (путем частичного гидролиза) прочных покрытий на твердых телах или для нанесения полисилоксановой пленки толщиной в несколько молекулярных слоев для придания влагонепроницаемости.

79243 П. Метод получения фторсиланов. Саммер (Method of preparing fluorosilanes. Sommer Leo H.) [Dow Corning Corp.]. Пат. США 2713063, 12.07.55

Фторсиланы получают р-цией в-в общих ф-л $\text{R}_x\text{SiO}_{(4-n)/2}$ или $\text{R}_m\text{Si}(\text{OR}')_{4-m}$ или $\text{R}_x\text{Si}(\text{OH})_{4-x}$, где R — остаток насыщ. алифатич. углеводорода (УВ), насыщ. галондированного УВ, ароматич. УВ, галондированного ароматич. УВ; R' — i-валентный остаток УВ, $n = 1-3$, $m = 0-3$, $x = 1-2$, с эфиром BF_3 в среде $(\text{C}_2\text{H}_5)_2\text{O}$.

79244 П. Производство тетраэфиров пирофосфорной кислоты. Ланем, Смит (Production of tetraesters of pyrophosphoric acid. Lanham William M., Smith Percy L.) [Union Carbide and Carbon Corp.]. Пат. США 2718524, 20.09.55

Эфиры общей ф-лы $(\text{RO})_2\text{P}(\text{O})\text{X}$, где R — алкил, галондалькил, моноциклич. арил или аракил, а X — Cl или Br, взаимодействуя с безводн. солями органич. к-т, содержащих 1—3 группы —C(O)O—, образуют тетраэфиры пирофосфорной к-ты общей ф-лы $(\text{RO})_2\text{P}(=\text{O})\text{OP}(=\text{O})(\text{OR})_2$.

79245 П. Способ получения эфиров фосфорсодержащих кислот. Майер-Бодэ, Кёц (Verfahren zur Herstellung von Estern Phosphor enthaltender Säuren. Maier—Bode Hans, Kötzt Gottfried

(VEB Farbenfabrik Wollen) Пат. ГДР 7290, 01.12.55

Эфиры Р-содержащих к-т получают р-цией в-в общей ф-лы $(\text{R}')(\text{R}^2)(\text{R}^3)\text{P}=\text{X}(\text{R}^1 \text{ и } \text{R}^2 \text{ — одинаковые или различные алкоксил, арилоксил, аралкоксил или замещ. углеводородный остаток; } \text{R}^3 \text{ — алкоксил или алкилмеркаптогруппа с } \leq 6 \text{ атомами С; } \text{X} \text{ — О или S) с в-ами общей ф-лы } \text{R}^4\text{Y}(\text{R}^4 \text{ — замещ. углеводородный или гетероциклич. остаток; } \text{Y} \text{ — реакционноспособный галоид) при нагревании, а также в присутствии катализаторов. 20 ч. О, О, О-триэтилтиофосфата (I), 13 ч. β-хлорэтилсульфида, 0,3 ч. Си-порошка (II) и 100 ч. $\text{C}_6\text{H}_5\text{Cl}$ (III) кипятят 20 час., по охлаждении фильтруют, от фильтрата при 5—10 мм рт. ст. отгоняют III, избыток I и β-хлорэтилэтилсульфида, в остатке получают 16 ч. О, О, О-диэтил-β-этилмеркаптоэтилового эфира IV (IV — тиофосфорная к-та), d^{20}_4 1,228. Аналогично получают из 32 ч. О, О, О-триметилтиофосфата, 22 ч. β-хлорэтилметилсульфида (V), 0,5 ч. II и 150 ч. III (18 час., кипение) — 28 ч. О, О, О-диметил-β-метилмеркаптоэтилового эфира IV, d^{20}_4 1,245; из 36 ч. триэтилфосфата, 26 ч. V, 0,6 ч. II и 200 ч. III (20 час., кипение) — 8 ч. диэтил-β-метилмеркаптоэтилового эфира фосфорной к-ты, d^{20}_4 1,150; из 32 ч. триметилтиофосфата, 22 ч. изоамилоксида, 0,6 ч. II и 150 ч. $\text{C}_6\text{H}_5\text{Cl}$ (50 час., кипение) — диметилизоамиловый эфир IV, d^{20}_4 1,052; из 40 ч. I, 25 ч. $\text{C}_6\text{H}_5\text{CH}_2\text{Cl}$, 0,8 ч. II и 150 ч. III (20 час., кипение) — 34 ч. диэтилбензилового эфира IV, d^{20}_4 1,135; из О, О, О-трибутилтиофосфата, $\text{C}_6\text{H}_5\text{CH}_2\text{Cl}$, II и III — дибутилбензиловый эфир IV; из 23 ч. О-фенил-О, О-диэтилтиофосфата, 13 ч. V, 0,5 ч. II, 100 ч. III — 21 ч. О-фенил-О-этил-О-метилмеркаптоэтилового эфира IV, d^{20}_4 1,200; из 26 ч. О, О-дифенил-О-этилтиофосфата, 13 ч. β-хлорэтилэтилсульфида, 0,6 ч. II, 100 ч. III — 24 ч. О, О-дифенил-О (β-метилмеркаптоэтил)-ового эфира IV, d^{20}_4 1,140; из 22 ч. О, О-диметил-О-фенилтиофосфата, 13 ч. V, 0,6 ч. II, 100 ч. III — 23,2 ч. О-метил-О-фенил-О (β-метилмеркаптоэтил)-ового эфира IV, d^{20}_4 1,155. Полученные эфиры пригодны в качестве лечебных и флотационных средств, для борьбы с вредителями и как пластификаторы: преимуществом является их нейтр. характер.$

79246 П. Внутримолекулярные сложные эфиры и амиды окси- или аминфосфиновых кислот. Смит (Intramolecular esters and amides of hydroxy or amino phosphinic acids. Smith Curtis W.) [Shell Development Co.]. Канад. пат. 516818, 20.09.55

Внутримолекулярные сложные эфиры или амиды углеводородфосфиновых к-т получают нагреванием соответствующих углеводородфосфиновых к-т, имеющих окси- или аминогруппу, содержащую по крайней мере 1 атом Н и связанную с атомом С, входящим в открытую насыщ. углеродную цепь, заканчивающуюся атомом Р, отделенным 2—3 атомами С от атома С, связанного с заместителем. В частности, приведены внутримолекулярный сложный эфир Р-(углеводород)-3-оксикалканфосфиновой к-ты и внутримолекулярный амид 2-метил-3-аминопропанфосфиновой кислоты.

79247 П. Алкильные эфиры фосфон-бис- (β-цианэтил)-уксусной кислоты и фосфон-бис- (β-цианэтил)-ацетонитрила. Ладд (Alkyl esters of phosphonobis- (betacyanoethyl) acetic acid and of phosphonobis- (betacyanoethyl) acetonitrile. Ladd Elbert C.) [Dominion Rubber Co., Ltd.]. Канад. пат. 512237, 26.04.55

Реакцией 2 молей акрилонитрила с 1 молем алкильного эфира фосфонуксусной к-ты или фосфонацетонитрила получают, соответственно, триалкильный эфир фосфон-бис- (β-цианэтил)-уксусной к-ты или диалкильный эфир фосфон-бис- (β-цианэтил)-ацетонитрила.

79248 П. Получение ангидридов фосфинодитиокислот путем нагревания соответствующих кислот. Крейг, Миллер (Preparation of phosphindithioic acid

anhydrides by heating the corresponding acids. Craig Willis G., Miller Clark O.) [The Lubrizol Corp.] Пат. США 2727067, 13.12.55

Ангидриды фосфинотионокислот получают путем нагревания по крайней мере одной фосфинотионокислоты общей ф-лы $R'(R)P(S)SH$ (R и R' — одинаковые или различные органич. остатки, не имеющие функциональных групп и связанные с атомом P через атом S) выше t -ры $\sim 100^\circ$, но ниже t -ры разложения составных частей реакционной смеси; при r -ции выделяется H_2S .

В. У.
79249 П. О, О, О', О'-Тетраалкил- S, S' -оксидиалкилен-бис-тиофосфаты. Флетчер, Флетчер (O, O, O', O'-tetraalkyl S, S'-oxydialkylene bis (thiophosphates). Fletcher John H., Fletcher Beatrice, S.) [American Cyanamid Co.]. Канад. пат. 515666, 16.08.55

О, О, О', О'-Тетраалкил- S, S' -оксидиалкилен-бис-(тиофосфаты), имеющие общую ф-лу $[(RO)_2P(X)S(CH_2)_n]_2X$ (R — алкил или арил; X — S или O ; $n \leq 3$), получают r -цией фосфорнокислых эфиров общей ф-лы $(RO)_2P(X)SY$ (Y — щел. металл) с галоидозамещ. в-ами общей ф-лы $[Z(CH_2)_n]_2X$ (Z — Cl или Br). Получены О, О, О', О'-тетраэтил- S, S' -тиодиметилен- и О, О, О', О'-тетраэтил- S, S' -оксидипропилен-бис-(дитиофосфат).

В. У.
79250 П. S-(1,2-Дикарбалкоксиэтил)-О, О-диалкилдитиофосфаты. Кассадди (S-(1,2-dicarbalcoxyethyl)-O, O-dialkyl dithiophosphates. Cassada Jack T.) [American Cyanamid Co.]. Канад. пат. 515664, 16.08.55

S-(1,2-Дикарбалкоксиэтил)-О = О-диалкилдитиофосфаты общей ф-лы $R'O(R'O)P(S)SCH(COOR^1)CH_2COOR^2$ (R^1 и R^2 — алкил или арил; R^1 и R^2 — H , алкил или арил) получают r -цией кислого эфира дитиофосфорной к-ты общей ф-лы $R'O(R'O)P(S)SH$ с ненасыщ. в-ом общей ф-лы $R^1OOCCH=CHCOOR^2$. Приведено в частности: а) получение S-(1,2-дикарбалкоксиэтил)-О, О-диэтилового эфира дитиофосфорной к-ты и б) проведение r -ции в присутствии третичного алифатич. амина (катализатор).

В. У.
79251 П. Способ непрерывного или полунепрерывного получения смесей магнийорганических соединений. Го (Procédé de préparation en semicontinu ou en continu des dérivés organomagnésiens mixtes. Gault H.) [Centre National de la Recherche Scientifique]. Франц. пат. 1047330, 14.12.53 [Chem. Zbl. 1955, 126, № 36, 8497 (нем.)]

Вещество в жидком виде (напр., эфир. p -р органич. галоидсодержащего соединения) понемногу смешивают с Mg и удаляют продукт r -ции по мере его образования.

В. У.
79252 П. Способ получения органических соединений алюминия и бериллия. Циглер, Геллерт (Verfahren zur Darstellung organischer Verbindungen des Aluminiums und Berylliums. Ziegler Karl, Gellert Hans-Georg). Пат. ФРГ 917006, 23.08.54 [Chem. Zbl., 1955, 126, № 22, 5179 (нем.)]

Органические соединения Al или Be получают r -цией в-в общей ф-лы $M(R)_n$ (M — атом Al или Be , n — валентность металла; R — H или углеводородный остаток), а также в форме комплексов их с гидридами или алкилами щел. металлов или с эфиром, амином или тиоэфиром, при r -ции их с олефинами, которые имеют одну или несколько двойных связей и могут содержать ароматич. или гидроароматич. заместители или содержать двойную связь в изоциклич. кольце. R -цию можно проводить в присутствии или в отсутствие r -рителя, а также при нагревании под давлением, причем выбирают такую t -ру, чтобы избежать вторичных превращений исходных или конечных в-в. Кол-ва реагирующих в-в и длительность r -ции выбирают так, чтобы в образующиеся продукты присоединения компоненты r -ции вступали в соотношении, соответствующем низшему кратному их валентностей. 30 г 65%-ного AlH_3 , содержащего эфир, в атмосфере N_2 подвергают r -ции с 200 г $(CH_3)_2C=CH_2$ при 60 — 65° в течение 6—8 час., после отдувки избытка $(CH_3)_2C=CH_2$ перегонкой в вакууме получают две

фракции: $Al(изо-C_4H_9)_3$, t . кип. 33 — $35^\circ/0,1$ — $0,15$ мм., и при увеличении вакуума — $Al(изо-C_4H_9)_3$ -эфират, t . кип. 58 — $59^\circ/10^{-3}$ мм.; выход обоих в-в 81%.

В. У.
79253 П. Получение метиловохлоридов. Смит (Preparation of methyl tin chlorides. Smith Frederick A.) [Union Carbide and Carbon Corp.] Канад. пат. 517018, 27.09.55

Метиловохлориды получают r -цией CH_3Cl с Sn . В частности указаны: применение CH_3Cl в парообразном состоянии, применение Sn в расплавленном виде и проведение r -ции при 300 — 500° .

В. У.
79254 П. Способ получения тетраэтилсвинца. Шапиро, Де-Уитт (Verfahren zur Herstellung von Bleitetraäthyl. Shapiro Hymin, De Witt Earl George) (Ethyl Corp.) Пат. ФРГ 937350, 05.01.56

$Pb(C_2H_5)_4$ получают r -цией 3-компонентного сплава из 5—35% Na , 0,1—5% (1—2%) K (всего 48—52 ат. % Na и K в сумме) и Pb с C_2H_5Cl в присутствии катализатора (типа ацетона) при t -ре $< 100^\circ$ (60 — 100°) под давлением, при котором C_2H_5Cl при t -ре r -ции находится в жидком состоянии, в течение < 8 час. ($0,25$ — 8 час.) В аппарат с приспособлением для регулирования давления вводят 100 ч. 3-компонентного сплава, содержащего равные атомные части Pb и щел. металлов, в том числе 1,5% K , 193 ч. C_2H_5Cl и 1 ч. ацетона, нагревают 2 часа при 80° под давл. 5,6 ат.; получают $Pb(C_2H_5)_4$, выход 97%. Приведены табличные данные о выходах $Pb(C_2H_5)_4$ в зависимости от состава сплава, t -ры и примененного катализатора. Максим. выход 98% достигается при применении сплава из Pb , Na и 1,5% K при 100° в присутствии ацетона; известные выходы получаемые обычно с применением $NaPb$ -сплава, составляют $\sim 88\%$. Приведен график влияния t -ры на выход $Pb(C_2H_5)_4$ с применением катализатора и без него.

В. У.
79255 П. Усовершенствование способа выделения тетраалкилсвинца. Блицер, Браун (Mejoras en el procedimiento para la recuperacion de compuestos de plomo tetraalquilico. Blitzer Sidney Milton, Brown Orland Morgan) [Ethyl Corp.]. Мекс. пат. 55295, 14.03.55

Для выделения тетраалкилсвинца из сухой реакционной массы ее подвергают действию воды. Тетраалкилсвинец тут же удаляют. Приведена схема аппарата.

И. Г.
79256 П. Производные цикlopentадиена. (Cyclopentadiene compounds) [Younghusband, Barnes & Co., Ltd]. Австрал. пат. 166837, 23.02.56

Взаимодействием диклoпeнтaдиeнa (II) или дициклопентадиена, расщепленного до I, в жидко-газовой фазе с высыхающими или полувсыхающими маслами получают производные I; при этом I образует газовую фазу, а масло — жидкую фазу.

В. У.
79257 П. Производство β -ионилденкротоновой кислоты. Шварцкопф (Production of beta-ionylidene crotonic acid. Schwarzkopf Otto) [William R. Warner and Co., Inc.]. Канад. пат. 515936, 23.08.55

Продукт, образующийся при r -ции 1 моля β -ионона с 1,7—2,3 моля (2 молями) эфира ω -галондкротоновой к-ты (напр., метилового или этилового эфира ω -бромкротоновой к-ты или метилового эфира ω -иодокротоновой к-ты) в безводн. среде в присутствии 1,7—2,5 g -атомов (2 g -атомов) Zn , обрабатывают в-вом, являющимся донором протонов (n -толуолсульфокислотой). Получающийся эфир β -ионилденкротоновой к-ты, имеющий $УФ \lambda_{max} \sim 318$ м μ (гексан), гидролизуют и выделяют β -ионилденкротоновую кислоту.

И. Ш.
79258 П. Каталитический синтез ароматических углеводородов из CO и H_2 . Силиг, Уэк (Catalytic synthesis of aromatic hydrocarbons from CO and H_2 . Seelig Herman S., Weck Herman I.) [Standard Oil Co.]. Пат. США 2727055, 13.12.55

Ароматические углеводороды (АУ) получают из CO и H_2 при 400 — 510° в присутствии Al_2O_3 -катализатора, практи-

чески свободного от окисла щел. металла и полученного обработкой амальгамированного Al подкисленной водой. Золь Al_2O_3 осаждают р-ром электролита, не содержащего атомов щел. металла, и сушат. Приведен график зависимости выхода АУ от т-ры процесса и содержания Na_2O в катализаторе. Выход 54, 39 и 10 г АУ из 1 мм³ получен при 477, 427 и 483° и содержании Na_2O 0,04, 0,1 и 0,5% соответственно.

79259 П. Способ получения л-ксилола. Шефер (Verfahren zur Herstellung von p-Xylol. Schäfer Georg) [Chemische Werke Hüls A.-G.]. Пат. ФРГ 933984, 6.10.55

л-Ксилол получают пиролизом галондпроизводных изобутана и (или) изобутилена общих ф-л $CH_3CH(CH_3)CH_2Y$ или $CH_3CH(CH_3)CH=CHY$ (X—галонд; Y—H или галонд) в парообразном состоянии, а также при разбавлении H_2 или инертными газами. Пары металлхлорида (I) при 490—500° пропускают над гранулированным $CaCl_2$ со скоростью 800 г/л катализатора в 1 час, в р-цию входит 49,5% I, выход л-ксилола ~45%, считая на прореагировавший I. Через кварцевую трубку (диам. 40 мм, длина 1 м) с электрич. обогревом при 480—500° пропускают 180 г паров I в 1 час; из 465 г полученного I получают 366 г темной жидкости, перегонкой которой выделяют 274 г I, 72 г ксилольной фракции и 18 г высококипящих масел; из ксилольной фракции обработкой 3 мл 96%-ной H_2SO_4 нагреванием с тонзиллом (алюмосиликатный катализатор) до т-ры кипения и перегонкой выделяют 64 г л-ксилола, выход 57%, т. кип. 138°, d_{40}^{20} 0,862. Аналогично пропусканием I над измельченным Al_2O_3 (величина зерна 3—5 мм) при 510° со скоростью 400 г/л реакционного пространства в 1 час получают л-ксилол, выход 47,4%, превращение 57,5%.

79260 П. Способ концентрирования ксилолов. Шумейкер (Xylenes concentration process. Shoemaker Bernard H.) [Standard Oil Co.]. Пат. США 2727078, 13.12.55

Патентуется улучшение способа выделения м-ксилола (I) из смеси углеводородов, ароматич. часть которых содержит в основном I и по крайней мере еще один изомерный ксилол (ИК), путем образования р-ра комплексных соединений этих ксилолов с жидким HF и BF_3 . Улучшение состоит во введении в указанный р-р I жидкости, не содержащей значительного кол-ва BF_3 , причем одновременно вводят р-ритель, избирательно освобождающий ИК из его комплекса с HF и BF_3 . Освобожденный таким образом ИК переводят в жидкую фазу, нерастворимую в указанном р-ре, и отделяют ее. Приведена схема процесса.

79261 П. Изомеризация о-дихлорбензола. Маттано (Isomerization of ortho-dichlorobenzene. Mattano Leonard A.) (Standard Oil Co.). Пат. США 2727075, 13.12.55

о-Дихлорбензол нагревают с 5—10 вес.% $AlCl_3$ при 100—200° (179—200°) и давлении, достаточном для поддержания реакционной массы в жидком состоянии; получают смесь изомерных дихлорбензолов со значительным содержанием м-изомера.

79262 П. Производство фенола. Бьюли (Manufacture of phenol. Bewley Thomas) [Hercules Powder Co.]. Пат. США 2727074, 13.12.55

При получении фенола (I) каталитич. разложением гидроперекиси кумола I отделяют от $C_6H_5COCH_3$, экстрагируя реакционную смесь водн. р-ром щелочи, содержащим $<0,15$ г/мл $NaOH$. Из водн. фазы (р-р фенолята Na) выделяют I, из органич. фазы перегонкой выделяют практически чистый $C_6H_5COCH_3$. Приведена схема процесса.

79263 П. Диалкилфенолы (Dialkylated phenols.) [Wingfoot Corp.] Австрал. пат. 166019, 01.12.55

Реакцией фенола одновременно с двумя олефинами (один олефин — *трет*-октен или *трет*-нонен, другой

изобутилен или *трет*-пентен) получают алкилированный фенол, преобладающими заместителями в котором являются *трет*-октил и *трет*-нонил. Указанным методом получен 2,4-ди-*трет*-октил-6-*трет*-бутилофенол. Продукты используют для предотвращения старения резины.

79264 П. Получение *трет*-бутилгидрохинона. Янг, Роджерс (Preparation of tertiary butyl hydroquinone. Young De Walt S., Rodgers George F.) [Eastman Kodak Co.]. Пат. США 2722556, 1.11.55

Моно-*трет*-бутилгидрохинон получают р-цией (в присутствии фосфорной к-ты, при повышенной т-ре и перемешивании) гидрохинона с изобутиленом или *трет*- C_4H_9OH , смешанным с ароматич. углеводородом, имеющим 6—8 атомов C.

79265 П. Производство гидроперекисей диизопропилбензола. Хоккинс, Куни, Солт (Manufacture of diisopropylbenzene hydroperoxides. Hawkins Edwin George Edward, Quin Denis Cheldsen, Salt Francis Edward) [Hercules Powder Co.]. Пат. США 2715646, 16.08.55

Гидроперекиси диизопропилбензола (I—диизопропилбензол) получают, вводя I в практически homog. жидкой фазе при 110—140° в тесный контакт с газами, содержащими O_2 . При этом не применяют других катализаторов окисления, кроме органич. гидроперекисей. К реакционной смеси прибавляют щел. в-ва (для нейтр-ции кислых в-в, образующихся в процессе окисления). Дигидроперекиси л-I и м-I выделяют из жидкой реакционной смеси, остаток обрабатывают водн. р-ром $NaOH$ (кон-ция $>15\%$), при этом выпадает Na-соль моногидроперекиси л-I. Моногидроперекись м-I выделяют из ее р-ра в неизменном I.

79266 П. Способ выделения галондиметил-(4-оксифенил)-кетонов. Винтерхальдер (Verfahren zur Isolierung von Halogenmethyl-(4-oxy-phenyl)-ketonen. Winterhaldler Ludwig) [Byk-Gulden Lomberg, Chemische Fabrik G. m. b. H.]. Пат. ФРГ 935363, 17.11.55

Для выделения галондиметил-(4-оксифенил)-кетона из смесей, содержащих также 2-оксизомер и незамещ. фенол (в р-циях фенолов с галондангидридами α -галондускусных к-т по Фризу в присутствии катализатора Фриделя—Крафта) смесь обрабатывают галондированным алифатич. углеводородом с 1—4 атомами C, в частности 1,1,2,2- $C_2H_5Cl_2$, $CHCl=CHCl$, C_2H_5Br , $CHCl=CCl_2$, CCl_4 , $CHCl_3$, C_2H_5Br , C_2H_5Br , *изо*- C_3H_7Br , C_3H_7Cl , 1,2,3- $C_3H_5Cl_2$, 2,3- $C_4H_9Br_2$ или 1,1,2,2- $C_4H_9Cl_2$, в которых 2-оксисоединение очень легко растворимо, а 4-оксисоединение практически нерастворимо при т-ре ~20° и выделяется в виде кристаллов; для завершения кристаллизации смесь охлаждают до 0—10°. Кристаллы очищают перекристаллизацией из того же р-рителя. Из маточного р-ра выделяют 2-оксисоединение обработкой р-ра незамещ. алифатич. углеводородом, в частности петр. эфиром или гентаном, или отгонкой р-рителя и перекристаллизацией остатка из петр. эфира. Можно также проводить р-цию конденсации по Фризу в среде галондированного алифатич. углеводорода; в этом случае продукт р-ции освобождают от катализатора промывкой к-той. Смесь из равных частей о- и л-окси- ω -хлорцетифенона и небольшого кол-ва фенола обрабатывают при 30—40° 2,5-кратным кол-вом (по весу) CCl_4 и охлаждают при перемешивании. Через некоторое время выделяются количественно почти чистые кристаллы пара-изомера, т. пл. 147°. Из маточного р-ра после упаривания и охлаждения выделяются кристаллы орто-изомера, т. пл. 73° (из сп.). К смеси о- и л-окси- ω -иодацетифенона добавляют равное кол-во трихлорэтлена, р-р охлаждают при перемешивании; л-окси- ω -иодацетифенон выпадает в виде бледножелтых кристаллов, т. пл. 130°. о-Окси- ω -иодацетифенон выделяют из маточного р-ра удалением р-рителя, т. пл. 65° (из сп.).

79267 П. Усовершенствования в области получения бромфенилдианакриловых кислот и их производных. Лиджетт, Вулф (Ameliorations concernant les acides bromo-ph-nyl-cyanoacryliques et leurs dérivés. Ligett Waldo B., Wolf Calvin N.) [Ethyl Corp.]. Франц. пат. 1081262, 17.12.54 [Chimie et industrie, 1955, 74, № 6, 1221 (франц.)]

м- или п-Бромобензальдегид конденсируют с соединением общей ф-лы $\text{NCCS}_2\text{CO}_2\text{YZ}$, где Y—O или S, a Z—H, группа, образующая сложный эфир, группа или элемент, образующие соль. Продукт р-ции можно вводить в р-цию с в-вом, образующим сложный эфир или соль. Р-цию проводят в водн. среде при повышенной т-ре, предпочтительно при перемешивании. Я. К.

79268 П. Способ получения фталимидометильных соединений. Бутенандт, Реннер, Хенека, Тимлер (Verfahren zur Herstellung von Phthalimido-methylverbindungen. Butenandt Adolf, Renner Ulrich, Henecke Hans, Timmler Helmut) [Farbenfabriken Bayer A.-G.]. Пат. ФРГ 933339, 22.09.55

Указанные соединения получают р-цией четвертичных солей оснований Манниха из кетонов, гетероциклич. в-в или фенолов с фталимидом (I) в присутствии молярного кол-ва щелочи и органич. р-рителя. При приливании 57,5 г 1-диметиламинобутанона-3 к р-ру 70 г диметилсульфата в 300 мл абс. диоксана при охлаждении льдом выпадает четвертичная соль, ее быстро нагревают до 50°, дают остыть (при перемешивании) до 20° и в течение 2 час. прибавляют 93 г К-фталимида (II), затем нагревают 20—24 часа при 80—90° (пока т-ра плавления осадка, получаемого при разбавлении пробы водой, не достигнет ~108—112°) и выливанием в 2 л воды выделяют γ-кетобутилфталимид, выход 71,2%, т. пл. 111—112° (из разб. CH_3OH). 30 г сульфометилата гаммина длительно кипятят с 18,5 г II в 150 мл спирта, по охлаждению выделяют 20 г β-фталимидометиллиндола, т. пл. 182° (из сп.). К 78 г α-(N-диметиламинометил)-циклогексанона в 500 мл спирта при 0° прибавляют 63 г диметилсульфата и быстро нагревают до 60°, по охлаждению прибавляют 73,5 г I и р-р 12,5 г Na в 250 мл спирта, несколько часов кипятят при размешивании, отфильтровывают непрореагировавший I, маточный фильтрат упаривают, экстрагируют эфиром и после промывки разб. NaOH и испарения эфира получают 1-фталимидометилциклогексанон-2, выход 54,5%, т. пл. 134° (из разб. сп.). Аналогично из α-(N-диметиламинометил)-циклопентанона получают 1-фталимидометилциклопентанон-2, выход 42,3%, т. пл. 109—111° (из ацетона+петр. эф.). Из 17,9 г 2-диметиламинометил-4,6-диметилфенола и 15 г CH_3J в 100 мл эфира при 20° получают соответствующую четвертичную соль, т. пл. 172°. Кипячением 32,1 г этой соли с 18,5 г II в 100 мл спирта 16 час. получают 2-фталимидометил-4,6-диметилфенол, выход 64%, т. пл. 156° (из сп.). Получаемые фталимидометильные соединения пригодны в качестве промежуточных продуктов. В. У.

79269 П. Усовершенствование способа получения трихлординитробензола. Лигетт, Вулф, Дитмар (Mejoras en o relacionadas con el trichlorodinitrobenzeno. Ligett Waldo Buford, Wolf Calvin Newton, Dittmar Harry Richard) [Ethyl Corp.]. Мекс. пат. 55258, 14.03.55

Трихлординитробензол получают нитрованием трихлорбензола смесью HNO_3 и H_2SO_4 , содержащей 3—10% воды. И. Г.

79270 П. Замещенные аминодифениламины. Уэйнемейр (Substituted aminodiphenylamines. Weinmayer Viktor) [E. I. du Pont de Nemours & Co.]. Пат. США 2714614, 02. 08. 55

4-Аминодифениламины общей ф-лы $4\text{-AC}_6\text{H}_4\text{NHC}_6\text{H}_4\text{X}$ (X—Алкил или алкоксигруппа с 1—4 атомами С, а—амино-, фениламино-, моноалкиламино-, диалкиламино-

или п-алкилфениламиногруппа с 1—4 атомами С в каждом алкиле) получают гидрированием в р-ре с $\text{pH} > 4$ и в присутствии катализатора (Pd или Pt) смеси из соединения ф-лы $\text{YC}_6\text{H}_4\text{X}$ и соединения ф-лы п- $\text{AC}_6\text{H}_4\text{X}'$, где Y—нитро- или гидроксиламиногруппа, X'—H или алкоксигруппа с 1—4 атомами С. Я. К.

79271 П. Стабилизация алкилированных фенилдиаминов. Тейлор, Дейвис, Уорд (Stabilization of alkylated phenylene diamines. Taylor Arthur W. C., Davies Ivor A., Ward Stanley) [Imperial Chemical Industries, Ltd.]. Англ. пат. 717680, 03.11.54 [J. Appl. Chem., 1955, № 5, 1768 (англ.)]

Диамины, напр. п-(амор- $\text{C}_6\text{H}_4\text{NH}_2$) C_6H_4 , п-(изо- $\text{C}_3\text{H}_7\text{NH}_2$) C_6H_4 или п-(изо- $\text{C}_3\text{H}_7\text{NH}_2$) $\text{C}_6\text{H}_4\text{N}(\text{CH}_3)_2$, предохраняют от окисления и окрашивания при хранении обработкой основаниями, напр. алкогоятами или гидроокисями щел. металлов, гидроокисями тетраалкиламмониев или триалкиламмониев (или перегонкой в присутствии одного из этих оснований) в кол-ве ≤ 1 вес. %. 500 г неочищ. п-(амор- $\text{C}_6\text{H}_4\text{NH}_2$) C_6H_4 обрабатывают р-ром 10 г NaOH в 30 мл воды и 15 мл CH_3OH и перегоняют. Полученный продукт не меняет окраску в течение 4 недель (в атмосфере N_2), в то время как необработанный продукт краснеет через одну неделю. Л. Г.

79272 П. Получение эфиров ароматических сульфокислот. Уолдрон, Франклин (Process for preparing aromatic sulfonic esters of branched chain aliphatic alcohols. Waldron William R., Franklin Richard C.) [E. I. du Pont de Nemours & Co.]. Пат. США 2728788, 27. 12. 55

Соответствующие эфиры ароматич. сульфокислот получают р-цией алкогоятов щел. металлов первичных или вторичных спиртов, имеющих разветвленное строение и содержащих 3—6 атомов С, с хлорангидридами ароматич. сульфокислот при 10—30° в присутствии органич. разбавителя. Л. Г.

79273 П. Стабилизация 4,6-диаминометаниловой кислоты. Тулагин (Storage stable 4,6-diamino methanolic acids. Tulagin Vsevolod) [General Aniline & Film Corp.]. Пат. США 2727062, 13. 12. 55

Устойчивый при хранении продукт получают кристаллизацией 4,6-диаминометаниловой к-ты из водн. р-ра, содержащего сульфит и бисульфит щел. металла. Л. Г.

79274 П. Способ получения β-хлорэтилсульфонов. Хейна, Рименшнейдер (Verfahren zur Herstellung von β-Chloräthylsulfonen. Heyna Johannes, Riemenschneider Wilhelm) [Farbwerke Hoechst, vormals Meister Lucius & Brüning.]. Пат. ФРГ 887505, 24.08.53 [Chem. Zbl., 1955, 126, № 22, 5181 (нем.)]

β-Хлорэтилсульфоны общей ф-лы $\text{RSO}_2\text{CH}_2\text{CH}_2\text{Cl}$ (R—алкил или циклич. остаток; группа— $\text{SO}_2\text{CH}_2\text{CH}_2\text{Cl}$ может содержаться в молекуле один или несколько раз) получают обработкой Cl_2 или Cl_2 -выделяющими средствами β-оксизтилсульфида или β-оксизтилсульфида в присутствии HCl. Из бензол-β-оксизтилсульфида обработкой NaOCl и HCl при 10—20° получают бензол-β-хлорэтилсульфон, выход 90%, т. пл. 54—55°. Из 4-метилбензол-1-(β-оксизтилсульфида) 4-метилбензол-1-(β-хлорэтилсульфон), т. пл. 77—78°. Из 2-нитробензол-1-(β-оксизтилсульфида) 2-нитробензол-1-(β-хлорэтилсульфон), т. пл. 97°. Получены 4-нитробензол-1-(β-хлорэтилсульфон) т. пл. 129—130°; 2,4-динитробензол-1-(β-хлорэтилсульфон), т. пл. 122°; 4-хлорбензол-1-(β-хлорэтилсульфон), т. пл. 98—99°; 2-нитро-4-трифторметил-1-(β-хлорэтилсульфон), т. пл. 100—101°. Из 2-нафтил-(β-оксизтилсульфида) получен 2-нафтил-(β-хлорэтилсульфон), т. пл. 97—98°; из 2-нитробензол-4-(β-оксизтилсульфида)-1-(β-оксизтилсульфида) (т. пл. 107°) 2-нитробензол-4-(β-хлорэтилсульфон)-1-(β-хлорэтилсульфон), т. пл. 138°; из бензол-1,3-бис-(β-оксизтилсульфида) — бензол-1,3-бис-(β-хлорэтилсульфон), т. пл. 119°; из 3-(β-оксизтилсульфид)-бензойной

к-ты
190°;
этилс
этиль
этиль
Полу
тов л
тельн
вреди
79275
тов
SiH
[De
Си.
CH₃
к-той
OCH₃
кини
желат
эфир
уоло
OCH₃
соед
ф-лы
фено
пред
цепт
232
толу
тыва
филь
бавля
ного
2 час
точно
окис
(CH₃
пред
зуют
н-С₂F
лы С
SiC₂F
после
получ
лан,
пред
трим
0,935
этан
пред
т. ки
лени
79276
рир
рил
аго
а р
С г
[Th
Со
или р
связа
хлор
79277
сул
of
J о
Ani
Ук
нафта

к-ты — 3-(β-хлорэтилсульфон)-бензойная к-та, т. пл. 189—190°; из бензил-β-оксипропилсульфида — бензил-β-хлорэтилсульфон, т. пл. 96°; из 1-аминоантрахинон-2-(β-оксипропилсульфида) — 4-хлор-1-аминоантрахинон-2-(β-хлорэтилсульфон), красные иголки, т. пл. 236° (из ксилола). Полученные сульфоны пригодны в качестве полупродуктов для получения красителей, текстильных вспомогательных в-в, пластич. масс и средств для борьбы с вредителями. В. У.

79275 П. Способ получения новых силлфеноксиспиртов. Спейер (Verfahren zur Herstellung von neuen Silylphenoxyalkoholen. Speier John Leopold) [Dow Corning Corp.]. Пат. ФРГ 930754, 25.07.55

Силлфеноксиспирты общей ф-лы $(\text{CH}_3)_3\text{SiC}_6\text{H}_4\text{OCH}_2\text{CH}_2\text{R}'\text{OH}$ (R' — Н или CH_3) получают гидролизом разб. к-той (водн. HCl) эфиров общей ф-лы $(\text{CH}_3)_3\text{SiC}_6\text{H}_4\text{OCH}_2\text{CH}_2\text{R}'\text{OSiR}_3$, где R — алкил, арил, алкенил, алкинил, аракил или нафтил; продуктами р-ции являются желаемый спирт и гексаорганич. дисилоксан. Исходные эфиры получают кипячением $(\text{CH}_3)_3\text{SiCl}$ (I) и Na в толуоле с соединениями общей ф-лы $\text{R}_3\text{SiOCH}_2\text{CH}_2\text{R}'\text{CH}_2\text{OC}_6\text{H}_4\text{Cl}$, которые, в свою очередь, получают р-цией соединений ф-лы R_3SiCl , в частности I, со спиртами ф-лы $\text{C}_6\text{H}_4\text{OCH}_2\text{CH}_2\text{R}'\text{OH}$, напр., 2-[*n*-(или *o*-)хлорфенокси]-этанолом или 1-(*n*-хлорфенокси)-пропанолом-2, предпочтительно в отсутствие воды и присутствии акцептора HCl , напр. $\text{C}_6\text{H}_5\text{N}$ или NH_3 . К охлажд. р-ру 232 г 1-(*n*-хлорфенокси)-пропанола-2 в 200 мл сухого толуола и 99 г $\text{C}_6\text{H}_5\text{N}$ медленно добавляют при взбалтывании 150 г I, отделяют выпавший $\text{C}_6\text{H}_5\text{N} \cdot \text{HCl}$. Фильтрат смешивают со 150 г I, смесь медленно добавляют при энергичном перемешивании к 62 г плавленого Na в кипящем толуоле, дополнительно кипятят 2 часа, фильтруют и, после отгонки толуола и избыточного I, получают 1-(*n*-триметилсиллфенокси)-2-пропокситриметилсилан, *n*-(CH_3)₃SiC₆H₄OCH₂CH(CH₃)OSi(CH₃)₃, т. кип. 176°/24 мм, n_D^{25} 1,4772, d_4^{25} 0,924, уд. преломление 0,3057. 123 г полученного эфира гидролизуют в водн. спирте, продукт р-ции растворяют в $\text{m-C}_6\text{H}_{14}$, высушивают и охлаждают; выделяются кристаллы 1-(*n*-триметилсиллфенокси)-пропанола-2, *n*-(CH_3)₃SiC₆H₄OCH₂CH(CH₃)OH, выход 72 г, т. пл. 57—59°, после перекристаллизации т. пл. 62—63°. Аналогично получены: 2-(*o*-триметилсиллфенокси)-этокситриметилсилан, т. кип. 166°/24 мм, n_D^{25} 1,4818, d_4^{25} 0,9449, уд. преломление 0,3016; 2-(*n*-триметилсиллфенокси)-этокситриметилсилан, т. кип. 172°/26 мм, n_D^{25} 1,4827, d_4^{25} 0,935, уд. преломление 0,3053; *o*-триметилсиллфеноксиэтанол, т. кип. 106°/0,8 мм, n_D^{25} 1,5157, d_4^{25} 1,012, уд. преломление 0,2983; *n*-триметилсиллфеноксизтанол, т. кип. 128°/0,7 мм, n_D^{25} 1,5151, d_4^{25} 1,001, уд. преломление 0,3013. Я. К.

79276 П. Получение диарилтреххлористого фосфора хлорированием дитиофосфиновой кислоты или ее хлорангидрида. Крейг, Хиггинс (Preparation of di-aromatic trichlorophosphoranes by the chlorination of a phosphinodithioic acid or a phosphinodithioic chloride. Craig Willis G., Higgins William A. [The Lubrizol Corp.]. Пат. США 2727073, 13.12.55

Соединения ф-лы $\text{RR}'\text{PCl}_3$, где R и R' — одинаковые или разные ароматич. радикалы, каждый из которых связан с P через атом S бензольного кольца, получают хлорированием в-в ф-лы $\text{RR}'\text{P}(=\text{S})\text{SH}$ или $\text{RR}'\text{P}(=\text{S})\text{Cl}$. И. Ш.

79277 П. Производство 4-амино-1,8-нафталимида-3-сульфокислот. Малван, Шрейдер (Production of 4-amino-3-sulfo-1,8-naphthalimides. Mulvane John F., Shrader Marvin O.) [General Aniline & Film Corp.]. Пат. США 2715126, 9.08.55

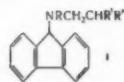
Указанные в-ва получают, сульфуря 4-амино-1,8-нафталимида, в котором имидный атом N связан с алкилом

аралкилом или арилом, HOSO_2Cl при 95—125° в присутствии инертного растворителя. Л. Г.

79278 П. *N*-Флуоренил-*N*-алкил-β-галоалкиламины.

Ривеш (N-fluorenyl N-alkyl β-haloalkyl amines. Rieveschl George, Jr) [Parke, Davis and Co.]. Канад. пат. 511248, 22.03.55

Галондгидраты *N*-флуоренил-*N*-алкил-β-галоалкиламинов общей ф-лы (I) (R — низший алкил или низший алкенил; R' — H или метил; R'' — X , HX ; где $\text{X} = \text{Cl}$ или Br) получают обработкой соответствующих *N*-флуоренил-*N*-алкил-β-оксипропиламинов общей ф-лы I (R'' — оксигруппа) хлорирующими или бромлирующими средствами, напр. HBr — к-той с постоянной т-рой кипения. В. У.



79279 П. Соединения ряда тетрагидрофурана и методы их производства. Бейкер, Мак-Эвой (Tetrahydrofuryl compounds and methods of making the same. Baker Bernard R., McEvoy Francis J.) [American Cyanamid Co.]. Канад. пат. 516690, 20.09.55

Соединения ф-лы $\text{OCH}_2\text{CH}_2\text{CH}_2\text{CH}(\text{X})\text{CH}_2\text{COOY}$ ($\text{X} = \text{NH}_2$ или ацилированная аминогруппа, $\text{Y} = \text{катион}$) и их соли получают р-цией соединений ф-лы $\text{OCH} =$

$\text{CHCH} = \text{CCH}(\text{X})\text{CH}_2\text{COOY}$ с H_2 в присутствии металла VII группы периодической системы, служащего катализатором; р-цию ведут до тех пор, пока не поглотится $\leq 2\text{ экв. H}_2$. Патентуются псевдо-β-тетрагидрофурил-β-аланин и псевдо-β-тетрагидрофурил-β-бензоиламинопропионовая кислота. И. Ш.

79280 П. Получение 2,5-диалкокси-2,5-дигидрофуранов электролизом. Клаусон-Кос, Лимборг (Electrolytic preparation of 2,5-dialkoxy-2,5-dihydrofurans. Clauson-Kaas Niels Konrad Friedrich Wilhelm, Limborg Franz) [Sadtin and Holmblad A/S]. Пат. США 2714576, 2.08.55

Способ произ-ва 2,5-диалкокси-2,5-дигидрофуранов ф-лы $\text{OC}(\text{OR})\text{R}^1\text{C}(\text{R}^2) = \text{CR}^3\text{CR}^4(\text{OR})$ (R — алкил с 1—5 атомами C ; $\text{R}^1, \text{R}^2, \text{R}^3$ и $\text{R}^4 = \text{H}$ или алкилы с 1—4 атомами C) без образования замещ. производных состоит в электролизе р-ра, содержащего производное

фурана ф-лы $\text{OC}(\text{R}^1) = \text{CR}^2\text{C}(\text{R}^3) = \text{CR}^4$, спирт ф-лы ROH и электролит, растворимый в этом р-ре, при достаточно низкой т-ре, необходимой для получения указанного продукта. И. Ш.

79281 П. Получение ненасыщенных сернистых органических соединений. Гринсфелдер, Мур (Production of unsaturated organic sulfur compounds. Greensfelder Bernard S., Moore Robert J.) [Shell Development Co.]. Канад. пат. 511265, 22.03.55

Ненасыщенные органич. соединения, содержащие тиофеновый цикл (напр., тиофен), получают пропусканьем углеводорода, имеющего ≥ 4 атомов C , содержащего алифатич. олефиновый атом C , связанный простой связью с ненасыщ. атомом C (напр., бутадиена) вместе с молярным избытком H_2S при ~ 400 — 750° над катализатором, состоящим в меньшей части из элемента 1-го переходного ряда периодической системы, в соединении с большим кол-вом активированной Al_2O_3 . Бензотиофен получают пропусканьем стирола с молярным избытком H_2S при ~ 575 — 650° над катализатором из Fe -окиси и активированной Al_2O_3 ; алкилзамещ. бензотиофен получают из алкилзамещ. стирола, содержащего в ядре незамещ. атом H в орто-положении к олефиновой боковой цепи, в присутствии катализатора из элемента 1-го переходного ряда периодической системы, нанесенного на адсорбирующий материал, при т-ре ~ 400 — 750° . В. У.

79282 П. Способ получения *N*-(2'-теонил)-метилгекса-метилентетраммонийбромида. Герман (Procedimiento

para preparar bromuro de N-(2'-tenoil) metil hexametileno tetraminio. Herman Edward C.) [E. I. du Pont de Nemours and Co.]. Мексик. пат. 55596, 21.07.55

Продукт присоединения уротропина к ω -бром-2-ацетилтиофену получают следующим образом: 2-ацетилтиофен бромруют Br_2 в среде лед. CH_3COOH при освещении УФ-лучами, перемешивании и 15—20°; смесь выливают в холодную воду, масло отделяют, водн. слой извлекают CHCl_3 . Экстракт объединяют с отделенным маслом, промывают р-ром NaHCO_3 (до нейтр. р-ции), затем водой и сушат над Na_2SO_4 . Сухой р-р прибавляют к смеси уротропина с CHCl_3 и перемешивают 4 часа при т-ре ~60°. Реакционную массу охлаждают, отделяют осадок, промывают его абс. спиртом, затем эфиром и сушат на воздухе.

И. Г.
79283 П. Способ получения соединений ряда 3-аминопропана. Эрхарт, Ледичке (Process of preparing 3-amino-propane compounds. Ehrhart Gustav, Leditschke Heinrich) [Farbwerke Hoechst A.-G., vormals Meister Lucius and Brüning]. Канад. пат. 513131, 24.05.55

Реакцией RMgX с алкильным эфиром α -цианакриловой к-ты ф-лы $\text{R}'\text{CH}=\text{C}(\text{CN})\text{COOR}$, где R и R'—замещ. или незамещ. ароматич. или гетероциклич. радикалы (по крайней мере один из R и R' является индолилом), R'—алкил, X—галонд, получают эфир β , β -дизамещ. α -цианпропионовой к-ты, при гидролизе и декарбоксилировании которого образуется соответствующий нитрил. Восстановлением последнего получают амин ф-лы $\text{RR}'\text{CHCH}_2\text{CH}_2\text{NH}_2$.

И. Ш.
79284 П. Способ получения новых четвертичных солей. Зутер (Procedimiento para la obtención de nuevas sales cuaternarias. Suter Hans) [Cilag Ltd.]. Мексик. пат. 55023, 03.01.55

Новые четвертичные соли N-оксиметиламида никотиновой к-ты получают р-цией четвертичной соли амида никотиновой к-ты с CH_3O или в-вом, выделяющим CH_3O .

И. Г.
79285 П. Получение меламин. Марш (Preparation of melamine. Marsh Nat H.) [American Cyanamid Co.]. Канад. пат. 513245, 31.05.55

Меламин или замещ. меламины получают нагреванием СО в закрытом реакторе при 270—452° с NH_3 , первичными или вторичными аминами в присутствии свободного от окиси Fe катализатора. Меламин получают нагреванием СО и NH_3 в указанных условиях или при 350° и 210 ат в присутствии Ni. Патентуется непрерывный способ получения меламин из СО и NH_3 пропусканьем их при 270—425° над катализатором с рециркуляцией непрореагировавших NH_3 и СО после выделения их из газов, покидающих реактор.

Я. К.
79286 П. Способ получения меламин из цианамид. Куртье (Verfahren zur Herstellung von Melamin aus Cyanamid. Courtier Argmand-Jean) [Soc. An. des Manufactures des Glaces et Produits Chimiques de Saint-Gobain]. Пат. ФРГ 933866, 6.10.55

Меламин (I) получают внесением цианамид (II) при 150—350° (лучше при 190—250°) в сравнительно большое кол-во инертной жидкости [напр., тетрагидронафталина (III), дифенилового эфира или высших насыщ. алифатич. углеводородов]. В частности указано: а) осуществление процесса непрерывным путем; б) применение р-ра II, полученного извлечение его водн. р-ра органич. р-рителем; в) применение в качестве исходных в-в смеси II и дициандиамид (IV). В 50 кг III, нагретого до 200°, в течение 2 час. вносят 23 кг расплавленного II, нагретого до 45°, и нагревают при 200° еще 30 мин., фильтрованием выделяют I, выход 95%. В 50 кг кипящего бутилглицольдиэцетата в течение 2 час. вносят одновременно 8 кг кристаллич. II и 16 кг кристаллич. IV, поддерживая при загрузке соотношение II:IV = 1:2, кипятят еще 10—15 мин. и охлаждением выделяют I, выход 95%. I с выходами 91—95% получают аналогично, применяя 90 кг технич. смеси м-н л-крезолов (т. кип. 160°) и 45 кг II, растворенного в 40 кг

этой смеси (несколько часов, 195—200°); из 100 кг 50%-ного р-ра II в этилацетате и 200 кг дифенилового эфира (с отгонкой этилацетата, 1 час., 230°). В обогреваемую трубку, наполненную кипящим III, непрерывно вводят 10 кг в 1 час 40%-ного р-ра II в этилацетате (с отгонкой и конденсацией этого р-рителя и обратным применением его для растворения II), образующийся I механически измельчают, осаждают в нижней части трубы и выводят на фильтр, выход 95%.

В. У.
79287 П. Меламин. Инаба, Уэсуги (Melamine. Inaba Eiya, Uesugi Shintaro.) [Shinetsu Chemical Industries Co.]. Япон. пат. 2974, 29.05.54 [Chem. Abstrs, 1955, 49, № 7, 5026] (англ.)

2 кг $(\text{CNNH}_2)_2$ прибавляют по каплям в реактор, нагретый до 400°, для полимеризации и одновременной сублимации. Продукт содержит 1,23 кг меламин и 0,6 кг остатка и дезаминированного в-ва. Описана аппаратура.

В. У.
79288 П. о-Оксиарилдигалондтриазины. Маиро, Харди, Джойс (o-Hydroxyaryl dihalotriazines. Muirgo Wendell P., Hardy William B., Joyce Asa W.) [American Cyanamid Co.]. Канад. пат. 513249, 31.05.55

о-Оксиарилдигалондтриазины общей ф-лы $\text{N}=\text{C}(\text{X})\text{N}=\text{C}(\text{X})\text{N}-\text{CAOR}$ (I), где А—о-арилен, X—Cl или Br, R—H,

получают дезалкилированием о-алкоксиарилдигалондтриазинов общей ф-лы I (R'—низший алкил) обработкой галондводородом в инертном органич. р-рителе при 100—200°. В частности, приведены соединения, у которых группа AOR является о-оксифенилом или 2-окси-5-хлорфенилом.

В. У.
79289 П. Производство 5-(4-оксипентил)-гидантоина. Кофман, Фарлоу (Production of 5-(4-hydroxybutyl) hydantoin. Coffman Donald D., Farlow Mark W.) [E. I. du Pont de Nemours & Co.]. Пат. США 2728777, 27.12.55

Указанное в-во получают гидрированием 5-(2-фурил)-гидантоина при повышенных т-ре и давлении в присутствии Ni- или Co-катализатора.

Л. Г.
79290 П. Способ получения гетероциклических соединений, содержащих аминогруппу. Хитчингс, Элион (Amino heterocycles and method of making. Hitchings George H., Elion Gertrude B.) [Wellcome Foundation, Ltd.]. Канад. пат. 516168, 30.08.55

6-аминопурины, в частности аминопурин ф-лы $\text{N}=\text{CHN}=\text{C}(\text{NR}'\text{R}'')\text{C}=\text{CN}=\text{CHNH}$, где R'—H или алкил, а R''—

акрил или арил или же R' и R'' вместе образуют остаток

пирролидина, пиперидина или морфолина) получают р-цией 6-алкилмеркаптопурина с аминами ф-лы $\text{NHR}'\text{R}''$.

Я. К.
79291 П. Производные пиразина и методы их получения. Далалиан, Кушнер (Pyrazine derivatives and methods of preparing the same. Dalalian Harry P., Kushner Samuel) [American Cyanamid Co.]. Канад. пат. 515971, 23.08.55

Соединения ф-лы $\text{N}=\text{CHCH}=\text{NCH}=\text{CC}(=\text{O})\text{SR}$ (I), где R—алкил, арил, аракил, карбалкоксиалкил или тиокарбалкоксил, получают р-цией хлорангидрида пиразинкарбоновой к-ты с меркаптаном ф-лы RSH или соответствующим меркаптидом Pb или щел. металла. Получены в-ва ф-лы I, где R— C_2H_5 и о-карбоксибензил.

И. Ш.
79292 П. Производные акриламидов и N-алкил-N,N'-алкиленмочевин и их полимеры. Ханкинс, Мелмед (Acrylamides of N-aminoalkyl alkylene-ureas and their polymers. Hankins Elinor M., Melamed Sidney) [Rohm & Haas Co.]. Пат. США 2727016, 13.12.55

Соединения ф-лы $\text{CH}_2=\text{CRCONH}(\text{CH}_2)_n\text{N}(\text{CH}_3)_n\text{NHC}=\text{X}$, где R — H или CH_3 , X — O или S, $n = 2$ или 3, получают р-цией хлор- или бромангидрида акриловой или метакриловой к-ты с производным мочевины ф-лы $\text{H}_2\text{N}(\text{CH}_2)_n$

$\text{N}(\text{CH}_3)_n\text{NHC}=\text{X}$ при т-ре от -20 до $+50^\circ$ в присутствии в-ва, связывающего галогеноводород.

И. Ш.
79293 П. Хлористые N,N-диалкилморфолинии. Эрикссон (N,N-di-fatty morpholinium chlorides. Eriksson John G.) [General Mills, Inc.]. Канад. пат. 516942, 27.09.55

Хлористые N,N-диалкилморфолинии общей ф-лы $\text{CH}_2\text{OCH}_2\text{CH}_2\text{N}(\text{R})_2\text{Cl}$ (R — алкил с 8—12 атомами C) получают р-цией амина общей ф-лы R_2NH с 2-хлорэтиловым эфиром при т-ре ~ 60 — 200° ($\sim 100^\circ$) до окончания р-ции (~ 15 — 20 час.). Указано также проведение р-ции в присутствии избытка амина, а также неорганич. щел. средства.

В. У.
79294 П. Способ получения м-тиазинов. Уилер, Гаш (Process for producing meta-thiazines. Wheeler Keith W., Gash Virgil W.) [Wm. S. Merrell Co.]. Канад. пат. 516795, 20.09.55

м-Тиазины общей ф-лы $\text{SCXNR}^1\text{C}(\text{O})\text{C}(\text{R}^2)(\text{R}^3)\text{C}(\text{R})\text{R}^1$, где R, R^1 , R^2 , и R^3 — H, алкил, аларкил, алкенил, арил, алициклич. или гетероциклич. остаток, причем не больше трех из них являются атомами H; R^4 — H или низший алкил; X — иминный или алкилиминный остаток, получают конденсацией β-бромопропионовой к-ты с незамещ. или алкилзамещ. тиомочевинной.

В. У.
См. также: 77979, 78015, 78038, 78063, 78096, 78100, 78110, 78195

ПРОМЫШЛЕННЫЙ СИНТЕЗ КРАСИТЕЛЕЙ

79295. Промышленная органическая химия. Красители. Поверхностноактивные вещества. Препараты для сельского хозяйства. Ода (有機工業化学. 染料, 農薬, 表面活性剤など小田良平) Kagaku, Chemistry (Japan), 1956, 11, № 3, 13—17 (япон.) Обзор. Библ. 29 назв. К. Т.

79296. О новом методе получения N,N'-алкилированных индигоидных красителей из технических индигозелей. Сообщение IV. Об индигоидных красителях. Пуммерер, Мейнингер (Über eine neue Methode zur Darstellung von N, N'-alkylierten Indigo-farbstoffen mittels technischer Indigosole. 4. Mitteilung über Indigo-farbstoffe. Pummerer Rudolf, Meininger Fritz), Liebigs Ann. Chem., 1954, 590, № 3, 173—194 (нем.)

Особенностью индиго (II) является неспособность его алкилироваться. Синтез N, N'-диалкилпроизводных индигоидных красителей обычно осуществляют из N-алкилантрапиловых к-т. Однако NH-группы I могут быть алкилированы и непосредственно, при условии исключения влияния СО-групп. При алкилировании дисернокислого эфира лейкосоединения I в горячем 42%-ном р-ре NaOH при pH 14,5—15 диметил- или диэтилсульфатом или хлористым бензолом образуются дисернокислые эфиры лейкосоединения N,N'-диалкил-I, которые в слабосильном р-ре в присутствии Fe^{3+} -солей переходят в N,N'-диалкил-I. N,N'-диалкил-I способен к окислительному дезалкилированию под действием Cl_2 , перекиси бензоила или O_3 воздуха. Р-ция алкилирования зависит от величины pH; метилирование при pH 4—5 приводит к образованию небольших кол-в монометилпроизводного, при pH 8—9 и т-ре 60— 65° образуются моно- и диметилпроизводные, которые разделяют фракционной кристаллизацией из 10%-ного р-ра NaCl или хроматографией. Галондированные индигозоли

легче алкилируются, чем незамещ. Индигозоли, полученные из 5,7, 5',7'-тетрабром-I (антразол 04 В) (II) из 4,4'-дихлор-5,5'-дибром-I (антразол 04 Г) (III) и 4,5,7 4',5',7'-гексабром-I (антразол 06 В) можно метилировать, этилировать и бензоилировать. N,N'-диалкилгалондированные I являются зелеными красителями, а моноалкилпроизводные — синими красителями. Этим способом могут быть алкилированы также и несимметричные индигозоли с одной NH-группой. Предложенный метод удобен для получения индигоидных красителей с заранее определенной цис-структурой; N, N'-этилинидиго (IV) и N, N'-триметилинидиго (V) получают из дисернокислого эфира лейкосоединения I (антразола 0) (VI) и $\text{BrCH}_2\text{CH}_2\text{Br}$ или триметиленбромида. Окислительное расщепление N,N'-алкилированных индигозелей проводят в кислой среде в условиях, принятых для неалкилированных индигозелей, но в течение более продолжительного времени. Для окисления применяют 5%-ный р-р FeCl_3 , подкисленный HCl (к-той), или р-р Ругли (железоаммонийные квасцы разб. H_2SO_4) при 20° . N,N'-диалкилindiгозоли, галондированные в ядре, очень стойки и их можно окислять не только FeCl_3 , но и HNO_3 или $\text{K}_2\text{Cr}_2\text{O}_7$ в кислой среде при 50— 70° . Несимметричные N-алкилindiгозоли с одним индоксильным остатком расщепляются очень легко, теряя алкильный остаток в виде соответствующего альдегида. Из N,N'-диалкилindiгоидных красителей только диметилпроизводные можно очистить хроматографией в темноте; диэтил- и дибензил-I очищают кристаллизацией из C_6H_6 или из петр. эфира в отсутствие влаги и воздуха. Чистые алкилированные красители получают также кристаллизацией индигозелей из воды или из смеси спирта с эфиром и последующим окислением в краситель. При окислении N-алкилированных индигонов HNO_3 в лед. CH_3COOH образуются N-алкилированные изатины. Введение N-алкильных групп в индигоидные красители, а также атомов Br в 4- и 6-положение ослабляет выбираемость хлопком индигозоли и лейкосоединений; выкраски имеют низкую прочность к свету, стирке и переокрашиванию. Изученные индигозоли хорошо выбираются шерстью, однако при крашении плохо омыляются и окисляются. N-алкилindiгозоли являются бесцветными или светложелтыми кристаллич. в-вами и в виде Na-солей, образуют кристаллогидраты с 2—4 молекулами воды. К р-ру 20 г 48%-ного IV в 70 мл горячей воды добавляют по каплям 70 мл 42%-ного р-ра NaOH; при 45— 50° приливают 200 мл диметилсульфата и 170 мл 42%-ного р-ра NaOH, перемешивают 2—3 часа при 45— 50° и 1 час при 50— 60° ; кристаллы Na_2 -соли N, N'-диметил-VI + $4\text{H}_2\text{O}$ отфильтровывают и кристаллизуют из воды; получены также его соли с анилином и пиридином. 5 г Na_2 -соли N, N'-диметил VI в 300 мл дистилл. воды окисляют 250 мл р-ра Ругли при 50— 60° в течение 20 мин. и после 1 час. стояния при 20° отфильтровывают и промывают 500 мл воды N, N'-диметил-I, выход 95%, т. пл. 182— 183° ; при окислении последнего на холоду HNO_3 в лед. CH_3COOH (1 : 15) образуется N-метилизатин, т. пл. 131°. Метилированием VI при pH 8—10 и последующим окислением и хроматографией получают N-монометил-I, т. пл. 254° и $>300^\circ$ (из петрол. эфира). Аналогично получают N, N'-диэтил-VI из VI и диэтилсульфата; при окислении N, N'-диэтил-VI FeCl_3 образуется N, N'-диэтил-I, выход 92%, т. пл. 161°; N-этилизатин, т. пл. 94,5°. 20 г 48%-ного VI в 100 мл воды этилируют 60 мл диэтилсульфатом и 100 мл 35%-ного р-ра NaOH при 70° , затем 1 час при 90° , по охлаждении отфильтровывают N, N'-диэтилindiгозоли; фильтрат подкисляют при 20° HCl (к-той, 1:1) и смешивают с 5%-ным р-ром FeCl_3 ; выделившийся осадок промывают 500 мл горячей воды, сушат при 100° , растворяют в C_6H_6 , фильтруют и хроматографией на Al_2O_3 выделяют 3 г N-моноэтил-I, т. пл. 245°. Бензилирование VI $\text{C}_6\text{H}_5\text{CH}_2\text{Cl}$ получают N, N'-добензил-VI, окислением которого FeCl_3 получают N, N'-добензил-I, выход 61%, т. пл. 165°; N-бензилизатин, т. пл. 131° (испр.).

Дибензил-1 при продувании воздухом в течение 1 час. в кипящей лед. CH_3COOH переходит в монобензил-1, т. пл. 210° ; это превращение в р-ре C_6H_6 при $60-65^\circ$ происходит в течение 5 час. К р-ру $20 \pm 48\%$ -ного VI в 80 мл воды добавляют в течение 1 часа при 70° и хорошем перемешивании 40 мл $\text{BrCH}_2\text{CH}_2\text{Br}$ и 200 мл 42%-ного р-ра NaOH, р-р продавливают N_2 и нагревают еще 3 часа, через 24 часа фильтруют, осадок промывают эфиром и сушат в вакууме, получают 4,3 г N,N'-этилен-VI, последний хроматографией из воды на Al_2O_3 и окислением переводят в N,N'-этилен-I, выход 40% (очистка хроматографией из пиридина на Al_2O_3). Аналогично из VI и триметиленбромидом получают N,N'-триметилен-I, выход 64,7%, т. пл. $220,5^\circ$ (испр.); при окислении его HNO_3 в лед. CH_3COOH образуется триметилендиизатин, выход 84,4%, т. пл. 239° (из лед. CH_3COOH). Р-р $20 \pm 90,88\%$ -ного II в 100 мл воды метилируют 30 мл 42%-ного р-ра NaOH и 230 мл диметилсульфата 1,5 часа при $50-55^\circ$ и 2 часа при $60-65^\circ$. Полученный диметилтетраброминдигозол окисляют FeCl_3 и HCl (к-той, 1:1), почти количественно в N,N'-диметил-5,7,5',7'-тетрабром-I, т. пл. 220° (разл., из пиридина). N-метил-5,7-дибромизатин, т. пл. $182-183^\circ$; 3-анилинпроизводное последнего, т. пл. 158° (разл.). При кипячении 1,3652 г N,N'-диметил-5,7,5',7'-тетрабром-I в 100 мл лед. CH_3COOH в течение 4 час. при пропускании воздуха образуется N-монометил-5,75', 7'-тетрабром-I, выход 30,63%, т. разл. 300° (из $\text{C}_6\text{H}_5\text{NO}_2$). Этилированием II диэтилсульфатом получают N,N'-диметил-5,7,5',7'-тетрабром-VI + $4\text{H}_2\text{O}$, т. разл. 121° (из водн. сп.); его очищают хроматографией и окисляют 5%-ным р-ром FeCl_3 в N,N'-диэтил-5,7,5',7'-тетрабром-I; дезалкилированием последнего получают моноэтил-5,7,5',7'-тетрабром-I, т. пл. 225° , и CH_3CHO ; N-этил-5,7-дибромизатин, т. пл. $128-129^\circ$. Бензилированием II и последующим окислением получают N,N'-дибензил-5,7,5',7'-тетрабром-I, выход 87,6%, т. пл. $163-164^\circ$ (в атмосфере N_2); N-бензил-5,7-дибромизатин, т. пл. $149-150^\circ$. Из III синтезированы: N,N'-диметил-4,4'-дихлор-5,5'-дибром-I, выход 95%, т. пл. 209° (из $\text{C}_6\text{H}_5\text{NO}_2$ + петр. эф.); N,N'-диэтил-4,4'-дихлор-5,5'-дибром-I, т. пл. 169° (из пиридина + эф.); N-моноэтил-4,4'-дихлор-5,5'-дибром-I, т. пл. $>300^\circ$; NN'-дибензил-4,4'-дихлор-5,5'-дибром-I, т. пл. 130° . При окислении HNO_3 в лед. CH_3COOH образуются соответственно N-метил-4-хлор-5-бромизатин, т. пл. 256° (из лед. CH_3COOH), N-этил-4-хлор-5-бромизатин, т. пл. $179-180^\circ$ и N-бензил-4-хлор-5-бромизатин, т. пл. $211-212^\circ$. При метилировании дисернокислого эфира лейкосоединения 5,7-дихлортионафен-2-(4'-метил-5'-хлор-7'-метоксиндол)-2'-индигго образуется индигозол, который при окислении теряет метильную группу; бензилированный индигозол аналогично дает дезалкилированный краситель. Метил- и этилиндигозоли, полученные из дисернокислого эфира лейкосоединения 4-хлорнафталин-2-(4'-метил-5'-хлор-7'-метоксиндол)-2'-индигго при окислении дезалкилируются. Из дисернокислого эфира лейкосоединения антрацен-2-(5',7'-диброминдол)-2'-индигго (VIII-краситель) синтезированы: N-метил-VIII, т. пл. 271° (с разл., из пиридина + эф.); N-этил-VIII, выход 84,9%, т. пл. 258° ; N-бензил VIII, т. пл. 205° (из CCl_4 + эф.). А. Е.

79297. Химические свойства индантеновых и сирису-красителей. Бао Гуань-ди (士林和錫利染料の化學鑑別-包光迪), 染化, Жаньхуа, 1954, № 8, 36-37 (кит.)

79298 Д. Влияние комплексообразования на субстан-тивность. Изучение азокрасителей, образующих комплексы. Буркхард (Über den Einfluss der Komplexbildung auf die Substantivität. Ein Beitrag zur Kenntnis komplexbildender Azofarbstoffe. Burkhard Hermann. Diss. phil.—naturwiss., Basel, 1955, 124 S.), Schweiz. Buch. 1956, B56, № 1, 39 (нем.)

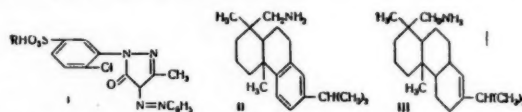
79299 П. Способ получения азокрасителей, нерастворимых в воде. Лангбейн (Verfahren zur Herstel-

lung von wasserunlöslichen Azofarbstoffen. Langbein Gerhard) [Farbwerken Hoechst A.—G. vormals Meister Lucius und Brüning]. Пат. ФРГ 920267, 18.11.54 [Chem. Zbl., 1955, 126, № 30, 7090 (нем.)]

Нерастворимые в воде азокрасители получают сочетанием диазотированного аминоазосоединения общей ф-лы (I) (R — арил, гидроарил, алкил или гетероцикл. остаток; R' — алкил или арил; R'' — алкил) с ариламидами II (II — 2,3-оксинафтойная к-та) непосредственно или на материале, применяемом в качестве основы, при этом диазо- и азосоставляющие не должны содержать групп, способствующих растворению в воде. Азокраситель, полученный из хлоргидрата анилида α -(4'-амино-2',5'-диметоксibenзолазо-1')-ацетоуксусной к-ты (III) и анилида II, обрабатывают в присутствии NaOH ализариновым маслом, получают зеленовато-синий пигмент с хорошей светопрочностью. Хлопчатобумажную пряжу обрабатывают анилидом II, а затем погружают в проявительную ванну, содержащую диазотированный III, получают синне-зеленую окраску. Хлопчатобумажную ткань плюссуют р-ром о-толуида II, содержащего NaOH и монополибриллант-масло, сушат и печатают р-ром диазотированного III в форме пасты; при последующей обработке в содовой ванне получают синне-зеленую набивку с хорошими прочностями к свету и мыркам обработкам. В. У.

79300 П. Азокрасители, растворимые в масле и спирте. Лонг, Грин, Фисс (Oil and spirit soluble azo dyestuffs. Long Robert S., Green Walter P., Jr., Fiess Norman W.) [American Cyanamid Co.]. Пат. США 2721111, 18.10.55

Патентуются красящие в-ва общей ф-лы (I), где R — амин ф-л (II или III), а связь между амино- и сульфогрупп-



пой является обычной связью, образующейся при образовании соли. В. У.

79301 П. Функциональные производные азокрасителей, содержащих сульфогруппы, и способ их получения (Dérivés fonctionnels de colorants azoïques comportant des groupes sulfoniques et procédé pour leur préparation) [Ciba Akt.-Ges.] Франц. пат. 1094126, 13.05.55, [Teintex 1955, 20, № 12, 1001 (франц.)]

Способ получения функциональных производных азокрасителей, содержащих сульфогруппы, состоит, в основном, в р-ции в инертном р-рителе или разбавителе (преимущественно, органич.), галондных производных R^{5+} , содержащих ≥ 3 атомов галоида (напр., PBr_3 и PCl_5) с ацилированными производными (преимущественно ацетилированными или ди-о-бензоилированными), о, о'-диоксиназокрасителей (преимущественно, моноазокрасителей), содержащих 2 или лучше 1 сульфогруппу, и последующего превращения полученных галондангидридов сульфокислот в эфиры сульфокислот или, предпочтительно, в сульфамиды, обработкой фенолами, нафтолами, NH_3 или аминами. О. С.

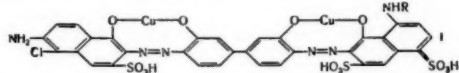
79302 П. Металлосодержащие азокрасители, их получение и применение в крашении и печати (Nouveaux colorants azoïques métallifères, leur préparation, procédé de teinture et d'impression à l'aide desdits colorants et matières teintées ou imprimées par ce procédé) [Ciba Akt.-Ges.]. Франц. пат. 1094127, 13.05.55 [Teintex, 1955, 20, № 12, 1001 (франц.)]

Металлосодержащие азокрасители получают обработкой

в-ами, отдающими Cr или Co , моноазокрасителей, не содержащих сульфо- или карбоксильных групп, общей ф-лы $\text{R}'\text{N}=\text{NR}$ (R' — нафтил, связанный в положении 1 с азогруппой и содержащий в положении 2 оксигруппу и в положении 4 сульфамидную группу; R — остаток азосоставляющей, содержащий оксигруппу и связанный с азогруппой в орто-положении к оксигруппе) или O -ацелированных производных этих красителей. Обработку проводят так, чтобы в получаемых металл. комплексах красителей на 1 атом металла приходилось >1 моля моноазокрасителя. Красители окрашивают шерсть, шелк, кожу, полиамидные и полиуретановые волокна в красный, бордо, синий, коричневый и серый цвета, прочные к свету, мокрым обработкам, карбонизации и декатировке.

79303 П. Медьсодержащие красители (Copper containing dyestuffs) [Imperial Chemical Industries Ltd]. Австрал. пат. 166922, 23.02.56

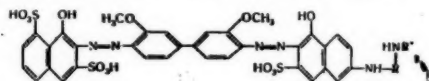
Патентуются Cu -содержащие дисазокрасители, соответствующие в форме свободных к-т общей ф-ле (I) ($\text{R}-\text{H}$,



бензил, бензилзамещенный в фенильном остатке метилом, галондом или алкоксилем, или ацил с ≤ 4 атомами C).

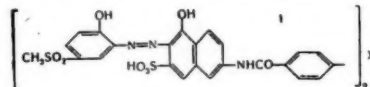
79304 П. Медьсодержащие дисазокрасители. Келлер (Copper-containing disazo dyestuffs. Keller Ernst) [J. R. Geigy Akt.-Ges.]. Пат. США 2714588, 2.08.55

Патентуются Cu -комплексы дисазокрасителей общей



ф-лы (I) ($\text{R}-1,4$ -фениленовый X остаток; R' — алифатич. ацил.).

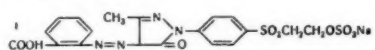
79305 П. Омедняемые полиазокрасители. Боссар, Биттерлин (Copperable polyazo dyestuffs. Bossard Werner, Bitterlin Otto) [J. R. Geigy A.-G.]. Пат. США 2727887, 20.12.55



Патентуются полиазокрасители общей ф-лы (I) ($\text{X}-\text{NH}-\text{CO}-\text{NH}$ или азогруппа).

79306 П. Азокрасители пиразолонового или пиразолонового рядов. Хейна, Хензель, Шнорренберг (Azo-dyestuffs of the pyrazolone and pyrazole series. Heyna Johannes, Hensel Otto, Schnorrenberg Werner) [Farbwerke Hoechst A.-G. vormals Meister Lucius und Brüning]. Пат. США 2728762, 27.12.55

Патентуется краситель ф-лы (I)



79307 П. Выпускные формы красных лаков азокрасителей. Ханиум (Tinctorial form of a red azo lake. Hanum Chester. W.) (E. I. du Pont de Nemours and Co.). Пат. США 2727888, 20.12.55

Улучшение красящих свойств Ca -лака 4-(5'-хлор-4'-метил-2'-сульфопенилазо)-3-окси-2-нафтойной к-ты состоит в нагревании водн. суспензии этого лака при $70-100^\circ$ в присутствии гидроокиси или карбоната щел. металла или $\text{Ca}(\text{OH})_2$ до тех пор, пока происходит изменение ок-

раски лака от первоначального желтовато-красного до синевато-красного цвета. При этом лак применяют в форме 2—25% водн. суспензии, pH которой $\geq 9,5$.

79308 П. Способ получения основания фталоцианина меди. Брукс (Procédé de préparation d'un composé de base pour l'obtention de phthalocyanine de cuivre. Brooks Robert A. [E. I. du Pont de Nemours and Co.]. Франц. пат. 1094376, 20.05.55 [Teintex, 1955, 20, № 12, 1001 (франц.)])

Способ получения лейкосоединения Cu -фталоцианина, напр. лейкосоединения Cu -*tempra*-(4,5)-бензофталоцианина состоит в р-ции Cu -соли с 1,3-диниоизоиндолином или с 4,5-бензогомологом последнего (преимущественно, в соотношении ~ 6 молей диниоизоиндолина на 1 моль Cu -соли) при $55-95^\circ$ в инертном органич. р-рителе. Если органич. р-ритель смешивается с водой, как CH_3OH , $\text{C}_2\text{H}_5\text{OH}$, низшие алкиловые эфиры этиленгликоля или диметилформамид, то лейкосоединение фталоцианина (I) выделяют разбавлением водой; если же органич. р-ритель не смешивается с водой (напр., нитробензол, *o*-дихлорбензол или 1,2,4-трихлорбензол), то I выделяют разбавлением продукта р-ции петр. эфиром.

79309 П. Способ получения галондопроизводных фталоцианинов. Мюльбауэр (Verfahren zur Herstellung von Halogenphthalocyaninen. Mühbauer Fritz) [Badische Anilin- und Soda-Fabrik, A.-G.]. Пат. ФРГ 929081, 20.06.55

Галондопроизводные I (I — фталоцианины) получают растворением комплексных соединений I с тяжелыми металлами в ClSO_3H (лучше в присутствии катализаторов — переносчиков галондов) при t -ре до $\sim 70^\circ$, после чего р-р обрабатывают галондом при t -ре до $\sim 150^\circ$. Получаемые галондопроизводные I представляют собой красители, устойчивые к органич. р-рителям и не теряющие своей красящей способности в лаках, а также при длительном хранении. 150 ч. Cu -комплекса I(II) растворяют в 460 ч. ClSO_3H , прибавляют 10 ч. SbCl_5 и при размешивании вводят 2,6—3,2 ч. сухого Cl_2 при $50-60^\circ$, по охлаждению разбавляют 200 ч. ClSO_3H или 100%-ной H_2SO_4 , затем медленно выливают на лед или в горячую воду, фильтруют, промывают водой, сушат и после размалывания получают синий порошок. Зеленовато-синий краситель, содержащий $\sim 3,6$ атома Cl , получают хлорированием II в ClSO_3H при 90° в присутствии SbCl_5 до насыщения и кипячением в течение 1 часа выделенного красителя в 5% диспергатора. В р-р 50 ч. II в 500 ч. ClSO_3H постепенно вносят в 120 ч. Br_2 и 5 ч. Sb_2S_3 и реакционную смесь нагревают 10 час. при $\sim 60^\circ$, удаляют непрореагировавший Br_2 и медленно выливают смесь в 10 000 ч. воды при 60° . Осадок обрабатывают обычным способом и затем измельчают в порошок, получают 94 ч. устойчивого к р-рителям зеленовато-синего красителя, содержащего 6 атомов Br . Хлорированием Cl_2 р-ра 150 ч. II, 400 ч. ClSO_3H и 15 ч. S (1 час при 60° , а затем 10 час. при 115°) или р-ра 150 ч. II, 300 ч. ClSO_3H и 15 ч. SbCl_5 (1 час при 60° , 2 часа при 115° и 2 часа при $135-140^\circ$) получают синевато-зеленый краситель, содержащий ~ 9 атомов Cl . Если же хлорирование Cu -I, растворенного в ClSO_3H , начинать сразу при $130-135^\circ$, то происходит разложение красителя. Синевато-зеленые красители, содержащие ~ 9 атомов Cl , получают аналогичным образом из Ni-I и других комплексов I, металлы которых не удаляются ClSO_3H .

79310 П. Способ получения кубовых красителей (Procédé de préparation de colorants de cuve) [Badische Anilin & Soda Fabrik Akt.-Ges.]. Франц. пат. 1086576, 14.02.55 [Bull. Inst. text. France, 1955, № 55, 173 (франц.)]

Кубовые красители получают р-цией диалкоксисбензол-и-или *n*-дикарбоновых к-т с 2 ароматич. аминами, по крайней мере один из которых способен переходить в куб для получения амидов к-т и превращения их, в случае необходимости, в азолы. В качестве дикарбоновых к-т можно при-

менять 2,5-диметокси-, 2,5-диэтокси- или 2,3-диметокси-терефталевую к-ту и т. д. Для р-ции с этими к-тами можно использовать различные соединения, способные восстанавливаться, в частности амины антрахинонового ряда. Р-цию осуществляют в диспергаторах или инертных р-рителях (хлор, дихлор-, трихлор- или нитробензоле) при нагревании (130—170°). Полученные красители весьма пригодны для крашения и печатания растительных волокон, как хлопок, лен, а также вискозного шелка или в качестве пигментов. Они дают оттенки от чисто-желтого до оранжевого. О. С.

См. также: 78384, 78444, 78504

КРАШЕНИЕ И ХИМИЧЕСКАЯ ОБРАБОТКА ТЕКСТИЛЬНЫХ МАТЕРИАЛОВ

79311. Исследование изменений поперечного сечения на различных участках волокон хлопка. Луц, Кювелье (Étude sur les variations de section des fibres de coton. Lutz C., Cuvelier G.), Bull. Inst. text. France, 1955, № 56, 25—38 (франц. рез. англ.). С помощью метода Хонеггера (Honegger, Textil Rundschau, 1949, 11, 385) и микрометрич. денситометра фибрографа Устера исследованы изменения поперечного сечения волокон хлопка в зависимости от их длины и веса. Исследованы 3 образца G. barbadense (ашмуни, поиза 27, сакель) и 2 образца G. hirsutum (аллен и триумф). Величина поперечного сечения различна на разных участках вдоль волокна. Получены кривые вариации этой величины для хлопковых волокон в зависимости от длины и положения на семени. Максим. плотность волокон при уменьшающейся длине смещается в сторону основания; при равных длинах максим. плотность у египетских хлопков располагается ближе к основанию волокна, чем у американских. Эти свойства не изменяются при хим. обработках (беление) и могут быть использованы для различения сортов хлопка. Л. Б.

79312. Изменения некоторых свойств хлопкового волокна в результате микробиологических воздействий. Марш, Болленбейчер, Батлер, Мерола (The relative responsiveness of certain properties of cotton fiber to microbial action. Marsh P. B., Bollenbacher K., Butler M. L., Merola G. V.), Text. Res. J., 1954, 24, № 1, 31—38 (англ.).

Необработанное хлопковое волокно и небеленая хлопчатобумажная ткань подвергались в течение 28 дней в атмосфере, насыщенной водяным паром, воздействию трех разновидностей плесени при последовательном отборе образцов для соответствующих испытаний. Установлено, что значение pH водн. вытяжек из хлопка постоянно повышается, а содержание в-в, проявляющих восстановительные свойства, все время снижается. Степень набухания в 18%-ном р-ре NaOH, длина волокон, содержание восковых в-в и прочность изменяются незначительно. Действие *Cladosporium* вызывает заметное потемнение волокон, а также последовательно повышает способность мерсеризованного хлопка к адсорбции прямого красителя «хлорантин прочно зеленого». При воздействии микроорганизмов в условиях некоторого снижения влажности атмосферы (95% относительной влажности) указанные изменения хлопка проявляются более медленно и в менее заметной форме. З. П.

79313. Свойства хлопка, обработанного β-пропиолатом. Рейнхардт, Рид, Доу (The properties of cotton reacted with β-propiolactone. Reinhardt Robert M., Reid J. David, Daul George C.), Text. Res. J., 1956, 26, № 1, 1—9 (англ.).

Обработка хлопчатобумажной ткани β-пропиолатом не улучшает заметно каких-либо ее свойств, а потому практически нецелесообразна. В. Ш.

79314. Определение содержания лигнина в волокне льна. Кучман (The determination of lignin in flax fibre. Couchman Jean F.), J. Text. Inst., 1955, 46, № 12, T735—T741 (англ.).

Выяснено влияние конц-ии р-ра H₂SO₄, длительности и т-ры растворения анализируемых образцов лубяных волокон на результаты определения в них содержания лигнина (Л). Для образцов, не содержащих восков, а также для образцов, экстрагированных щелочью, достаточно вести обработку навески (1g) 20 мл H₂SO₄ (71,8—72%, уд. вес. при 15° 1,638—1,640) при 20° в течение двух часов, если процесс растворения контролируется и предотвращается образование комков (размешивание). Выделенный Л может быть разделен на две фракции путем обработки кислым 0,7%-ным р-ром NaClO₂, что отличает его от Л джута. Фракция, растворимая в NaClO₂, содержит почти все метоксильные группы. Сделано предположение, что эта фракция состоит в основном из Л из серединных ламелл; нерастворимая же фракция представляет Л, извлеченный из клеточных стенок волокна. Незначительная часть Л остается растворенной в H₂SO₄. Л. Б.

79315. Влияние ядерного излучения на шерстяное волокно. Керби, Ратерфорд (The effect of nuclear radiation on wool fiber. Kirby Rosa D., Rutherford Henry A.), Text. Res. J., 1955, 25, № 6, 569—570 (англ.).

Шерсть подвергали воздействию ядерного излучения с последующим исследованием ее свойств. Дозировки <10¹⁶ нейтрон/см² не вызвали заметных изменений шерсти. При указанной интенсивности воздействия отмечено некоторое повышение растворимости шерсти в щелочи и значительное ухудшение физ.-мех. свойств. При дальнейшем увеличении дозировки наблюдается резкое повышение растворимости в щелочи, достигающее при 10¹⁷ нейтрон/см² 92%. Одновременно содержание цистина уменьшается с 9,4 до 7,6%, а способность к связыванию к-т с 0,80 до 0,64 мэкв на 1 г шерсти при отсутствии изменений в общем содержании серы и азота. Облучение при 10¹⁸ нейтрон/см² вызывает полное разрушение шерсти. Сопоставление с результатами параллельно проведенных опытов по выявлению изменений шерсти, вызываемых обработками р-рами HCl, а также H₂O₂, показало более заметное сходство облученных образцов с обработанными H₂O₂. Это указывает, что облучение шерсти в атмосфере с содержанием кислорода и влаги вызывает в первую очередь окисление цистина. Не исключается также возможность частичного разрыва амидных связей. Е. Т.

79316. Пластичность шерсти. Ру, Спикмен (Plasticity of wool. Roux P. L. Le, Speakman J. B.), Nature, 1955, 176, № 4480, 510 (англ.).

Отдельные волокна двух образцов новозеландской шерсти Ромней подвергали растяжению в воде на 55% при 22,2° под нагрузкой 700 кг/см², а затем обратному сокращению после освобождения от нагрузки. По кривым изменения удлинения во времени расчетным путем определяли пластичность. Параллельно в отдельных волокнах с высокой и низкой пластичностью определяли содержание тирозина путем обработки J¹³¹. Сопоставление результатов показало, что волокна с более высокой пластичностью содержат большее кол-во тирозина. Это указывает также, поскольку более пластичные волокна отличаются более аморфным строением, что, как и в случае фибрина шелка, боковые радикалы тирозина нарушают упорядоченность расположения полипептидных цепей кератина шерсти. Е. Т.

79317. Получение микробиологически устойчивой шерсти путем ее химического модифицирования. III. Взаимодействие с монофункциональными соединениями. IV. Реакции с 1-фтор-2,4-динитробензолом. Цан, Вюрц, В. Реакции с бифункциональными соединениями. VI. Хинон, нингидрин и соли тяжелых металлов. Цан, Вюрц, Рэйхле, (Preparation of microbiologically resistant

wool by chemical modification. Part III. Reaction with monofunctional compounds. Part IV. Reaction with 1-fluoro-2,4-dinitrobenzene. Zahn Helm ut, Würz Albrecht. Part V. Reaction with bifunctional compounds. Part VI. Quinone, ninhydrin and heavy metal salts. Zahn Helm ut, Würz Albrecht, Rauchle Adolf, Text. Res. J., 1955, 25, № 2, 111—124 (англ.)

Опыты хим. модифицирования шерсти действием монофункциональных ацилирующих в-в, блокирующих ее функциональные группы, напр. уксусного ангидрида, хлористого бензоила, хлористого толуолсульфоната, хлористого *п*-нитробензоила и др., показали, что обработки кипящими *р*-рами уксусного ангидрида или хлористого толуолсульфоната в среде ацетон-вода придают шерсти высокую фунгицидность. Другие реагенты не дали положительного эффекта, за исключением эпихлоргидрина и хлористого бензоила, вызвавших незначительное повышение устойчивости к микроорганизмам. Применение 1-фтор-2,4-динитробензола и более дешевого 1-хлор-2,4-динитробензола (50% от веса шерсти; среда — водно-спиртовая или водн., t -ра 80—100°) дает положительные результаты. Из числа полифункциональных соединений заслуживают внимания: фторхлординитробензол, дифтординитробензол, бис-хлорметилдиметилбензол, *п*-бром- ω -бромацетофенон. Обработка бис-хлорметилдиметилбензолом представляется наиболее перспективной, как обеспечивающая наряду с устойчивостью к микроорганизмам пониженную растворимость в щелочах, а также высокую стойкость к действию света и погоды. Высокая фунгицидность придают шерсти также действием хинона (0,5%-ный *р*-р; 100°, 1 ч.) и нингидрина (1,2%-ный *р*-р, 100°, 15 мин.). Одновременно достигается повышенная стойкость к *к*-там и щелочам, что указывает на образование дополнительных поперечных связей между полипептидными цепями кератина. Пропитывание динитрофенилом, а также *р*-цами с солями хрома и уксуснокислой ртутью приводит к заметному повышению устойчивости шерсти к микроорганизмам. Наиболее интересны обработки комбинированного действия (напр., воздействие бис-хлорметилбензола, создающее защиту шерсти от бактерий, моли и щелочи). Часто II см. РЖХим. 1955, 10481.

79318. Снятие красителей с шерсти. Фришман, Гарри с (Stripping dyes from wool. Frishman D., Harris M.), Text. J. Australia, 1955, 30, № 4, 510—512 (англ.)

Применяемые для обесцвечивания шерстяного лоскута восстановители снижают прочность волокна, разрушая дисциновые поперечные связи между полипептидными цепями кератина. Это разрушение можно устранить, если одновременно с обесцвечивающим действием восстановить создать условия образования новых поперечных связей в кератине за счет вводимых в применяемое *р*-ры спец. в-в. Эффективность их действия оценивают по достигаемому относительно уменьшению растворимости шерсти в щелочах, а также по увеличению значения 20%-ного показателя (отношение работы, необходимой для растяжения волокна в воде на 20% после и до обработки) для образцов после обесцвечивания и повторного крашения. При обесцвечивании шерсти, окрашенной кислотно-хромовыми красителями, должно быть достигнуто разрушение цветного комплекса и удаление с волокна образовавшихся бесцветных соединений, содержащих хром, для предупреждения их влияния в последующем крашении. В этом случае рекомендуется перед обесцвечиванием проводить обработку шавелевой *к*-той, приводящую хромовый комплекс на волокне в состояние, при котором хром оказывается растворимым в обесцвечивающем растворе.

Е. Т.

79319. Атмосферные и другие окислительные воздействия в процессах шерстяного производства. (Atmospheric and other oxidation effects in wool processing.—)

Wool Rec. and Text. World, 1955, 87, № 2384, 156—157 (англ.)

Кислород воздуха вызывает окисление жировых в-в замасливателей, применяемых в шерстяном произ-ве. Для оценки склонности замасливателя к окислению при хранении необходимо подвергать замасленный материал длительному (60—80 дней) выдерживанию на воздухе. Экспозиция образцов в федометре позволяет сократить продолжительность опыта с нескольких месяцев до нескольких дней. Окисление замасливающих жиров приводит не только к повреждению волокон вследствие саморазогревания, но и к трудностям вымывания с волокна пленки окисленного жирового в-ва. Для проверки окисленности жиров и масел проводят определения йодного числа и *т*-ры саморазогревания в аппарате Маккея.

Е. Т.

79320. Крашение копрантиновых красителями в железной аппаратуре. Шён и (Färben mit Coprantinfarbstoffen auf Eisenapparaten. Schön Wolfgang), Textil- und Faserstofftechnik, 1956, 6, № 1, 24—26 (нем.)

Бензомеднопрочные или копрантиновые красители обладают высокой прочностью к мокрым обработкам, но имеют тот недостаток, что при их применении в железной аппаратуре создается ряд трудностей. Однако опытами показана возможность такого крашения без ухудшения прочности и лишь с небольшим изменением оттенка при использовании содово-щел. красильных *р*-ров. Добавление Na_2CO_3 необходимо даже в случаях применения мягкой воды. При крашении хлопка необходимо, чтобы он был хорошо отварен во избежание восстанавливающего действия пектиновых в-в на краситель. Особое внимание следует обращать на растворение красителя, применяя в требующихся случаях добавки 10—50% от веса красителя 30%-ного *р*-ра NaOH . При крашении следует поддерживать до конца процесса *рН* ванны ~9—10. Кол-во добавляемой в ванны Na_2CO_3 равно 1,5—3% в зависимости от глубины оттенка; кроме того, рекомендуется добавление вспомогательных в-в — воллизина К, перватол или перала О — в кол-ве 1 г/л. После крашения проводят 30-минутную обработку при 60—70° копрантиновой солью II (50% от веса красителя). Для улучшения прочности окрасок рекомендуется последующая обработка 2 г/л вофапона АН конц. и 1 г/л Na_2CO_3 в течение 30 мин. при 50—60°. Лучшую прочность дает последующая обработка после тщательной промывки 1—2% лиофика SB конц. или 2% Вофафика WWS в течение 30 мин. при 20°. Хорошие потребительские прочности копрантиновых красителей позволяют применять их в тех случаях, где до сих пор допускались лишь кубовые красители.

О. С.

79321. Ослабление тканей, окрашенных красителем сернистым черным. Цзоу Кэ-и (硫化元色布變質發脆問題-鄭克毅), 染化, Жаньхуа, 1954, № 91, 23—24 (кит.)

Для устранения возможного при хранении снижения прочности тканей, окрашенных красителем сернистым черным, проведена обработка окрашенной и промытой ткани *р*-ром Na_2CO_3 для нейтрации *к*-ты, образующейся в результате окисления серы, содержащейся в красителе. Для проверки склонности к такому окислению образцы окрашенной и подготовленной к крашению ткани выдерживаются 2 час. в электрич. термостате при 140° и затем испытываются параллельно на прочность. Описывается способ определения необходимого для нанесения на ткань кол-ва Na_2CO_3 , основанный на окислении белильной известью серы, содержащейся в ткани, в серную *к*-ту и весовым определении последней в виде BaSO_4 . М. К.

79322. Усовершенствование способа крашения тканей ледяными красителями. Гралинский (Usprawnienie sposobu barwienia tkanin barwnikami lodowymi. Graliński Mirosław), Przem. włókienniczy, 1955, 9, № 3, 91—95 (польск.)

Требующиеся для образования нерастворимых азокрасителей на волокне кол-ва азо- и диазосоставляющих и других реагентов, а также добавок, необходимых для под-

крепления р-ров в условиях крашения по непрерывному методу, могут быть рассчитаны по соответствующим ф-лам. Введение в р-р диазосоставляющей препарата пете-пон G (3 г/л) позволяет снизить конц-ию этого р-ра без ухудшения колористич. эффекта.

W. Tuszko
79323. О хроматографических испытаниях новых 1:2 комплексов. Вебер (Weitere chromatographische Hinweise bei der Prüfung neuer 1:2-Komplexe. Weber F.), Prakt. Chem., 1955, 6, № 3, 69—70 (нем.)

Следует различать смешанные красители, получаемые смешением готовых красителей, от красителей, в процессе произ-ва которых получается смесь сложных комплексов. Напр., в случае 1:2 комплексов возможно образование следующих вариантов: А—металл—В, А—металл—А, В—металл—В (А и В—радикалы красителей), соотношение которых между собой трудно строго гарантировать. Определение таких смешанных сложных комплексов хроматографич. способом не всегда удается. Поэтому в подобных случаях рекомендуется произ-вам, выпускающим красители, указывать их состав.

З. П.
79324. Новые способы крашения полушерстяных тканей. Шванцер (Nové způsoby barvení polovlny. Schwanzer Pavel), Textil, 1955, 10, № 8, 243—244 (чеш.)

Для крашения изделий из смесей шерсти с целлюлозными волокнами применяют красители: медианоловые, медиозоловые, медиохромовые, сатурновые, купрофениловые, офталановые, метахромовые. Для регулирования рН ванны рекомендуется $(\text{NH}_4)_2\text{SO}_4$. В качестве электролита применяют NaCl, а в качестве выравнивателя — синтефикс (2% от веса целлюлозных волокон при 30°). Т-ра крашения при медиохромовых красителях 40—50°, с повышением до 80°; при нейтр. медьсодержащих (купрофенил, купрофикс, бензокупрол) от 60° до слабого кипения; при офталановых >60°, с подщелачиванием ванны содой.

З. Б.
79325. Крашение волокон „грилон“ и его смесей с шерстью. Ховс (Einiges über das Anfärben von Grilon-Fasern unter besonderer Berücksichtigung des Anfärbens von Wolle-Grilon-Mischungen. Hovs H. v.), SVF Fachorgan Textilveredlung, 1955, 10, № 8, 400—412 (нем.)

Отличия в показателях кислотной емкости грилона (I) и других волокон характеризуются следующими цифрами (в гэкв/100 г волокон): I — 0,004—0,005, нейлона 0,004—0,006, перлона 0,006—0,008, шелка 0,02—0,03, шерсти 0,08—0,1. Крашение I весьма сходно с крашением шерсти, нейлона и перлона, и трудности возникают только при крашении смесей грилон-шерсть. Для этих целей применяют красители: кислотные, кислотно-хромовые, металлсодержащие в зависимости от требующихся яркости и прочности окраски. Металлсодержащие красители проявляют повышенное сродство к грилону, что может служить причиной неровноты окраски, но при глубоких расцветках шерсть окрашивается ими полнее. Для получения однотонных окрасок на таких смесях пригодны следующие методы: 1) окрашивание сначала I металлсодержащими красителями в нейтр. или в шел. среде с последующим окрашиванием шерсти кислотными или кислотно-хромовыми красителями, в той же или в отдельной ванне; 2) комбинированное крашение неопалатиновыми красителями совместно с неолановыми или палатиновыми, или кислотно-хромовыми; 3) крашение (особенно в светлые цвета) после предварительной короткой обработки смеси волокон в кипящем р-ре к-ты в отсутствие красителя, что повышает сродство шерсти к кислотным красителям.

В. Ш.
79326. Крашение смесей акрила с шерстью однованным способом. Кук (Dyeing acrilan-wool blends by one-bath process. Cook A. A.), Text. Age, 1956, 20, № 1, 46 (англ.)

Новое вспомогательное в-во декамин обеспечивает полную однородность крашения смесей из акрила и шерсти и отличный колористич. эффект. Продукт представляет

смесь катионактивных и неионогенных в-в в виде жидкости янтарного цвета, которая дает прозрачные нейтр. р-ры в воде при любой т-ре, устойчивые к H_2SO_4 в процессе крашения. Расход препарата 1—4% от веса волокна. Для светлых тонов обработка на декамине в течение 10—15 мин. при 40—50° предшествует введению красителей, $(\text{NH}_4)_2\text{SO}_4$ и H_2SO_4 (4—8%). При крашении в темные тона металлсодержащими красителями декамин вводится после завершения крашения шерсти, и крашение продолжается при кипячении до получения однородной окраски на акрилановых волокнах. Чтобы обеспечить прочность окраски к трению рекомендуется промывка неионогенными препаратами (1% от веса волокна) в присутствии 2% аммиака при 50°.

А. Б.
79327. Новые достижения в крашении трикотажных изделий. Уамсли (New developments in tricot dyeing. Walmsley L. L.), Amer. Dyestuff Reporter, 1955, 44, № 15, P490—P493 (англ.)

Расширение области применения трикотажных изделий привело к значительному развитию этой отрасли промышленности, потребляющей в настоящее время, кроме вискозного и ацетатного волокон, значительные кол-ва нейлона и других синтетич. волокон. В области крашения крупным достижением является использование новой красильной машины Бэрлингтон с циркуляцией р-ра через окрашиваемый материал. Материал в расплавленном виде замачивают в открытом баке, затем накатывают на перфорированный стержень и помещают в машину. После заполнения ее р-ром красителя, последний нагревают до 85° в течение 30—45 мин. и проводят крашение при этой т-ре 20—30 мин. По достижении нужного оттенка р-р охлаждают добавлением холодной воды при непрекращающейся циркуляции. Материал пропускают через вакуум—отсасывающую машину и высушивают. Большое значение имеют также подбор волокон и их смесей, заправочные данные для пряжи, метод стабилизации и др.

П. М.
79328. Исследование процесса крашения гидрофобных волокон. II часть. Применение вспомогательных веществ в крашении. Виккерстафф (Recherches sur la teinture des fibres hydrophobes. II-me partie. Emploi des produits auxiliaires de teinture. Vickerstaff T.), Rev. text., 1955, 54, № 8, 385—391 (франц.); Tintoria, 1955, 52, № 8, 305—310 (итал.)

Для объяснения механизма действия применяемых при крашении орлона и терилена спец. вспомогательных в-в (ВВ) предложены 4 гипотезы: 1) ВВ увеличивают растворимость красителей в водн. фазе путем образования комплекса более растворимого, чем исходный дисперсный краситель; конц-ия красителя на поверхности волокна увеличивается, что повышает скорость крашения; 2) ВВ с малым объемом и некоторым сродством к волокну, напр., фенол, быстро диффундируют внутрь волокна, фиксируются в нем за счет сил Ван-дер-Ваальса гидрофобными частями своих молекул и притягивают воду своими гидрофильными группами. Благодаря этому волокно набухает, что облегчает проникновение красителя внутрь волокна. По этой гипотезе взаимодействие между красителем и ВВ отсутствует; 3) ВВ действуют как молекулярные смазочные в-ва, фиксируясь на молекулах полимера и разрушая поперечные связи. Молекулы легко скользят по отношению друг к другу, и молекула красителя легко проникает внутрь волокна; 4) ВВ имеет сильное сродство к красителю и к волокну; благодаря малому размеру молекул оно быстро диффундирует в волокно, абсорбируется молекулой полимера и образует новые группы, абсорбирующие краситель. Эксперим. проверка этих гипотез показала, что первая из них маловероятна. Показано, на основании измерений зависимости удлинения от нагрузки, что ВВ повышают растяжимость волокна, т. е. уменьшают жесткость структуры волокна и облегчают подвижность молекулярных цепей относительно друг друга. Сравнение ВВ, растворимых и нерастворимых в воде показало, что послед-

ние в ~50 раз более эффективны. Это объясняется тем, что они имеют сродство к волокну и растворимы в нем, вследствие чего более полно абсорбируются. Кроме того, они окружают волокно слоем в-ва, в котором краситель хорошо растворим. Это создает условия крашения в конц. р-ре красителя, а не в разб. водн. суспензии, что увеличивает скорость процесса. Угледороды с малым мол. весом более эффективны, но они практически неприменимы в открытых аппаратах вследствие своей летучести при т-рах, близких к кипению. Действие ВВ идентично действию повышенной т-ры и равно повышению т-ры на 10—20°. Применение высоких т-р является наиболее удовлетворительным методом крашения новых волокон и позволяет достигнуть наибольших скоростей крашения. — Ч. I, см. РЖХим, 1956, 26854.

О. С. 79329. Подцвечивающие составы для маркировки партий. Мейтнер, Тейлор (Fugitive tinting. Meitner W., Taylor J. E.), J. Text. Inst., 1954, 45, № 8, P369—P379 (англ.)

Применяемые для маркировки подцвечивающие составы должны отличаться: устойчивостью к обработкам при высокой т-ре (напр., горячей водой или паром); светостойкостью, легкой вымываемостью при обычных моющих обработках (без фиксирования на волокне), отсутствием способности мигрировать и окрашивать другие волокна смесей. Применяемые для этих целей красители — пигменты, водорастворимые красители из числа обладающих слабым сродством к волокнам, высокополимерные окрашенные комплексы — имеют ряд недостатков. Так, пигменты плохо выбираются, вследствие относительно большой величины частиц, загрязняют машины; большинство из них состоит из кристаллич. частиц с абразивными свойствами, что вызывает повреждения частей машин и волокон. Невосстановленные кубовые красители, применяемые в качестве пигментов, могут восстанавливаться при мокрых обработках и постепенно фиксироваться на волокнах. Водорастворимые красители, напр., хорошо эгализирующие кислотные красители, применимы для маркировки целлюлозных волокон, но трудно смываются с шерсти и загрязняют уксусное волокно. Высокополимерные соединения, применяемые в крашении в качестве выравнивающих в-в, образуют с красителями соединения, не имеющие сродства к волокну и пригодные для легкосмываемых окрасок. Таковы комплексы некоторых красителей с альбигеном А (поливинилпирролидоном). Однако их недостатком является способность к миграции при сушке. Таким же недостатком обладают комплексы с казеином. Установлено, что этот недостаток устраним, если к р-ру комплекса казеина с красителем добавить в присутствии защитного в-ва, напр., хлоркрезола, небольшое кол-во CaCl_2 . При этом комплекс получается в форме тонкодисперсного пигмента, легко растворимого в обычно применяемом для промывки р-ре (2 г/л олеата Na и 0,3 г/л Na_2CO_3 ; pH 10,5). Устойчивые комплексы с казеином дают красители: дуразоль рубиновый В, дуразоль фиолетовый 2В, дуразоль синий 2GN и хлорантин прочнорубиновый GNLL. Из них первые 3 содержат Си в молекуле, чем объясняется их способность к взаимодействию с казеином. Р-р, содержащий 0,12 г красителя, 0,8 г казеина и 0,3 г CaCl_2 в 100 мл обеспечивает интенсивную маркировку вискозы, шерсти, ацетатного шелка и нейлона, но хорошо смывается, не фиксируется и не мигрирует. При разбавлении в 40 раз этот р-р дает слабое, но отчетливое подцвечивание.

О. С. 79330. Кинетика контактной сушки хлопчатобумажных тканей. Залманзон Я. С., Чижов В. Н., Науч. исслед. тр., Ивановск. н.-и. ин-т хлопчатобум. пром-сти, 1955, 20, 109—173

На основе эксперим. исследования процесса контактной сушки хлопчатобумажных тканей, выполненного на специально изготовленной установке, проведен анализ полученных результатов и выявлено влияние отдельных факто-

ров процесса сушки тканей на сушильных барабанах. Установлено, что действующие барабанные сушилки имеют большие резервы, позволяющие в 3—4 раза повысить их производительность и довести выработку на одно полотно до 250 кусков в час. Так, производительность сушильных барабанов может быть повышена: при увеличении давления пара в барабанах с 1 до 3 атм на 50%; при применении обдувания ткани воздухом на 35%; при создании автоматич. системы удаления конденсата из сушильных цилиндров на 150%. Даются выводы и предложения по дальнейшему изучению кинетики сушки, рекомендации проектным организациям по расчетам контактной сушки тканей и систем теплоснабжения отделочных ф-к, а также основные положения по конструированию высокопроизводительных и экономичных установок. Подчеркивается, что создание конструкции высокопроизводительных сушильных барабанов откроет возможности включения их в агрегаты и поточные линии отбельных цехов с ликвидацией ящиков для межоперационного хранения ткани после ее отбеливания. П. М.

79331. Исследование повреждения белых тканей химическими туберкулоцидными дезинфицирующими средствами. Аренс (Untersuchungen zur Frage der Schädigung von Wäschefasern durch tuberculocide chemische Desinfektionsmittel. Ahrens C. B. F. Walther), Arch. Hyg.-und Bakteriol., 1955, 139, № 4, 305—313 (нем.; рез. англ., франц.)

Были исследованы хим. дезинфицирующие средства (хлорамин, мелезол, мерпин D-40, вофасепт Tbc, ультрафен), применяемые для дезинфекции зараженного туберкулезными бактериями нательного и постельного белья, в отношении их разрушающего действия на волокно. Результаты микроскопич. изучения, а также испытаний прочности ткани (из хлопка, крапивы и льна) после 50-кратной дезинфекции (по 4 часа в 5%-ном р-ре) не обнаружили повреждения волокон ни для одного из испытанных средств. В некоторых случаях наблюдалось даже повышение прочности, объясняемое автором мерсеризирующим действием соответствующих средств. О. С.

79332. Проблемы в области аппретирования тканей синтетическими смолами. Силвер (Problems in resin-finishing fabrics. Silver Arnold), Amer. Dyestuff Reporter, 1954, 43, № 21, P697—P700 (англ.) Обзор. З. П.

79333. Синтетические смолы в отделке целлюлозных тканей. Янежич (Sintetičke smole u apreturi celuloznih tkanina. Janežić Žitomir), Tehnika, 1955, 10, № 4, 564—567 (серб.; рез. англ.)

Процесс взаимодействия мочевиноформальдегидных смол с целлюлозой рассматривается как физ. проникновение продукта начальной стадии конденсации во внутримолекулярные пространства целлюлозы, что возможно только для молекулярных, но не для колл. р-ров. Рассмотрено значение катализаторов (NH_4Cl , HCl , NH_4 -солей органич. к-т) и предложены некоторые новые типы их (Zn -, Sb -, Sn -соли), дающие хорошие результаты при более низких т-рах (90—110°). Разъяснено действие обработки смолами, а также причины повышения гибкости, эластичности и повышенной истираемости. На ф-ке в Белграде для умягчения тканей и предупреждения уменьшения сопротивления износу применяют глицерилстеараты. З. Б.

79334. Обработка хлопчатобумажных тканей силиконами для придания водоупорности. Кук, Шейн (Application of silicone water repellents to cotton. Cook Alton A., Shane Nat C.), Text. Res. J., 1955, 25, № 1, 105—110 (англ.)

Перед обработкой силиконами ткань должна быть тщательно очищена от природных примесей хлопка, шлихты, поверхностноактивных в-в, которые снижают эффект водоупорности, а также от щелочей с доведением pH до 6—7. Силиконы применяют в виде водн. эмульсий с последую-

щим отжимом ткани и термич. обработкой при 160° в течение 5—8 мин. Рекомендуется применение катализаторов (солей Sn и Zn различных алифатич. к-т). Действие гипохлорита в кол-вах, обычно используемых при стирке тканей, не влияет на устойчивость достигаемого эффекта. Обработка к-той после стирки снижает придаваемую водоупорность. Оптимальное значение водоупорности достигается при нанесении на ткань 0,75—1,25% силикона. Термоактивные смолы (напр., меламиноформальдегидные) повышают устойчивость обработки к стирке, однако при этом снижается прочность ткани. При обработке хлопчатобумажных тканей силиконами наблюдается некоторое снижение разрывной прочности ткани, в то же время сопротивление ее истиранию повышается в 2—5 раз. Добавка силикона повышает устойчивость к истиранию тканей, обработанных термоактивными смолами. В. З.

79335. Усадка тканей, ее причины и меры ее предупреждения. Архангельский Н. А., Сб. науч. работ, Моск. ин-т нар. х-ва, 1956, № 8, 160—170

Рассматривается механизм усадки тканей и устанавливается, что усадка тканей из различных волокнистых материалов при их замочке или стирке обуславливается различными факторами, а именно: усадкой волокон, которые имеют величину остаточного удлинения 1—2%, усадкой пряжи, доходящей до 2,5%, и, наконец, структурными изменениями самой ткани, проявляющимися в увеличении изгибов нитей, в результате чего усадка тканей для ряда артикулов достигает 10—12% и даже более (в частности, для некоторых хлопчатобумажных и штапельных тканей). Структура ткани также влияет на величину ее усадки, причем часто сравнительно малоплотные ткани характеризуются меньшей усадкой, чем более плотные. Малоусадочные ткани могут быть получены путем уменьшения вытяжки их в процессах отделки, путем применения спец. видов аппретов (АМД-1 и др.), а также главным образом путем обработки при заключительной отделке на машинах, вызывающих принудительную усадку. П. М.

79336. К вопросу о причинах усадки льняных тканей. Зелтынь В. М., Науч. исслед. тр. Центр. н.-и. ин-т льняных волокон, 1955, 9, 208—237

Усадка готовой ткани, выражающаяся в уменьшении размеров ткани по основе и утку при увлажнении или при стирке ее, представляет собой сложное явление, зависящее от комплекса следующих факторов: свойств волокна, структуры пряжи и ткани, характера и степени физ.-мех. и хим. воздействий, которым подвергаются волокна, пряжа и ткань в ходе технологич. процессов обработки. Основной причиной усадки льняных тканей является проникновение влаги в межмолекулярные пространства целлюлозы волокна. Величина усадки ткани в первую очередь определяется ее структурой. Процесс усадки разделяется на ряд этапов, основными из которых являются замочка и сушка. Усадка при замочке проявляется в основном в результате изменения изгиба нитей при их набухании. Усадка определяется величиной и характером деформаций, приобретенных волокном в прядении, ткачестве и отделке; величина этих деформаций зависит в значительной степени от плотности ткани по утку. Для снижения усадки льняных тканей необходимы: снижение деформаций на всех переходах производства; подбор структуры ткани; применение гидрофобизирующих отделочных препаратов; конструктивное изменение оборудования при обоснованном расчете скорости движения ткани. П. М.

79337. Способы обработки шерсти и шерстяных тканей, снижающие способность к усадке и сводящему. — (O nekim postupcima obrade vune i vunelih tkanina protiv filcanja i skupljanja.—). Tekstil. ind., 1955, 3, № 4-5, 48—50 (серб.)

Обзор. Библ. 5 назв.

З. Б.

79338. Актуальные вопросы развития новых текстильных материалов. Э к к е р (Aktuelle Fragen zur Entwick-

lung neuer Textilien. Ecker J.), Reyon, Zellwolle und and. Chemiefasern, 1955, № 6, 387—390 (нем.)

Общие положения о создании новых текстильных изделий путем повышения пушистости ленты, изготовления мехоподобных материалов, создания изделий из склеенных волокон и т. п. А. П.

79339. Применение латекса для получения нетканых текстильных изделий. Штоккер (Verwendung von Latex zur Herstellung ungewebter Textilien. Stocker E.), Prakt. Chem., 1955, 6, № 10, 278—281 (нем.)

Все ранее применяемые для получения нетканых текстильных изделий склеивающие в-ва (казеин, крахмал, поливиниловый спирт, поливинилацетат, поливинилхлорид, H_2SO_4 , $ZnCl_2$ и др.) не давали удовлетворительных результатов. Лишь появление каучукообразных латексов позволило удовлетворить предъявляемые к этим материалам требования. Волокнистую массу после кардочесания пропитывают эмульсией латекса на двухваловой плесовке, один вал которой частично погружен в корыто с латексом. Для снижения высокого поверхностного натяжения латекса, уменьшения его водоотталкивающих свойств и лучшего проникновения в волокно применяют смачиватели. Положительный электрич. заряд многих волокнистых в-в вызывает коагуляцию противоположно заряженных частичек каучука, вследствие чего необходимо добавление стабилизаторов. Латекс может быть применен также в виде густой пасты, получаемой либо применением высокой концентрации каучукового латекса, либо добавлением загустителей — казеина, трагаканта, желатины, клея, эфиров целлюлозы и т. д. Пропитанный материал сушат и вулканизируют горячим воздухом или ИК-излучением, причем он сохраняет воздухопроницаемость. Материал может быть далее окрашен, набит и отделан обычными способами. Нетканые материалы могут найти разнообразное применение. Мягкие изделия хорошо драпируются и пригодны для скатертей, гардин, полотенец, для обивки мебели; жесткие материалы пригодны для обивки автомобилей, компактные — для нервушихся обоев, электроизоляционных материалов, пластин для аккумуляторов, приводных ремней, для обкладки отжимных валов и т. д. О. С.

79340. Применение радиоактивных изотопов в текстильной промышленности. Кромптон (Radioactive Isotopes, Textilien und Du. Crompton Charles E.), Textil-Praxis, 1955, 10, № 10, 971—979 (нем.; рез. англ., франц., исп.)

Обзор аппаратуры, техники и методов использования радиоактивных изотопов для исследования и контроля технологич. процессов и качества продукции (дифференциальное измерение толщины перемещающегося полотна; изучение движения меченых шерстяных волокон в процессе вытяжки; предупреждение «захаживания» печатных красок; устранение электростатич. заряда; изучение процессов крашения и промывки с помощью меченых атомов). Библ. 34 назв. Л. Б.

79341. Применение погружения в масло для анализа полос, появляющихся на тканях вследствие неравномерной пигментации текстильных волокон. (Матированные и белесые волокна). Иванов, Шнейдер (L'emploi de l'immersion dans l'huile pour l'analyse des stries apparaissant sur tissus par suite de différences de pigmentation dans les fibres textiles. (Fibres laiteuses et fibres matées). Iwanow N., Schneider R.), Bull. Inst. text. France, 1955, № 56, 39—43 (франц. рез. англ.)

Для выявления причин появления полос на тканях из матированного вискозного штапельного волокна образец ткани или волокон из нее погружают в парафиновое масло и рассматривают под микроскопом. Участки волокна с неравномерным распределением пигмента становятся отчетливо видными. З. Б.

79342. Исследование методов определения содержания в шерсти растворимых в эфире примесей, проведенное техническим комитетом Международной организации шерстяной промышленности. Робинс (Studies on the determination of the ether-soluble extract of wool carried out by the Technical Committee of the I. W. T. O. Robinet M.), J. Text. Inst., 1955, 46, № 3, S47—S50 (англ.)

Сопоставление результатов проведенных экспериментов и наблюдений при обследовании отдельных лабораторий, выполнявших параллельные исследования одинаковых образцов по заданию Международной организации шерстяной промышленности выявило необходимость проверки полноты обезжиривания филтра, применяемого при экстрагировании шерсти в аппарате Сокслета. Для этого убеждаются в отсутствии остатка жира на часовом стекле, после испарения капли р-рителя, пропущенного через фильтр. Важно также обеспечить полноту удаления остатков воды, растворенной в эфире, для чего рекомендуется при выпаривании эфирного экстракта колбу нагревать непосредственно паром кипящей водяной бани.

79343. Определение содержания жировых веществ в промытой шерсти и в шерстяной ленте. Грин, Харкер, Хауитт (The determination of fatty matter in scoured wool and wool tops. Green T., Harker R. P., Howitt F. O.), J. Text. Inst. Trans., 1956, 47, № 2, T110—T126 (англ.)

Для разработки наиболее точного метода определения содержания жировых в-в в проведено экстрагирование образцов шерстяного волокна и ленты двумя методами: в аппарате Сокслета (диэтиловым эф., этанолом, хлористым метилом, азетропич. смесью бензол-метанол) и (хлористым метилом) в специально сконструированном аппарате для ускоренного экстрагирования типа аппарата Диккинсона и Палмера (J. Text. Inst., 1951, 42, T6). Исследовано влияние на результаты экстрагирования кондиционной влажности, условий гребнечесания, кол-ва замасливателя, повторной промывки, вида и качества р-рителя. Установлено: 1) для кондиционированной шерсти результаты экстрагирования получаются несколько более высокие, чем для сухой; 2) замасливающие в-ва легко экстрагируются эфиром или хлористым метилом; 3) степень извлечения мыла и шерстяного жира зависит от характера их распределения и вида применяемого р-рителя; 4) экстрагированная эфиром шерсть при повторном действии эфира после промежуточной обработки р-ром к-ты обнаруживает содержание дополнительных кол-в жира и жирных к-т; 5) общее кол-во экстрагируемых хлористым метилом по ускоренному методу в-в близко к извлекаемому эфиром в аппарате Сокслета; 7) наиболее точные данные обеспечивает применение смеси бензол-метанол с последующим детальным анализом экстракта.

79344. Пиролиз трихлорэтилена в аппарате Сокслета, применяемом для экстрагирования жира из текстильных изделий. Илиш (Pirroliza trihloretilena u soxletovom aparatu prilikom ekstrakcije masnoce iz tekstilija. Илиш В. Г. а. п. к.), Tekstil. ind., 1955, 3, № 4-5, 53—55 (серб.) $100 \text{ г CCl}_2 = \text{CHCl}$, очн. от HCl и H_2O путем отстаивания с CaO и дистилляции при 86—88°, перегоняли в аппарате Сокслета 5, 8, 10, 12, 14, 16, 18 и 20 раз. После каждого ряда циклов образованная вследствие пиролиза HCl извлекалась дистилл. водой и титровалась 0,1 н. NaOH в присутствии метилового оранжевого. Результаты, сведенные в таблицу и график, показывают, что 3-часовой пиролиз в аппарате Сокслета дает столько же HCl, сколько фотоллиз в течение 15 дней, и что поэтому $\text{CCl}_2 = \text{CHCl}$ для лабор. экстрагирования непригоден.

79345. Пути единой оценки окрасок. Постановка вопроса и его решение. Смиате (Der Weg zur einheitlichen Farbabmusterung. Problemstellung und Lösung.

Smiatsek G.), SVF Fachorgan Textilveredlung, 1955, 10, № 12, 663—672 (нем.)

Рассматриваются различия в оценке окрасок в зависимости от условий освещенности испытуемых образцов (дневной свет разной интенсивности, искусств. источники света). Для правильной оценки окрасок рекомендуется применение ксеноновой лампы высокого давления марки HBO 162.

79346. Исследование некоторых методов оценки прочности окраски текстильных материалов к свету и погоде. Баттерворт, Гатри (An investigation into some methods for the assessment of the weathering fastness of dyed textiles. Butterworth E., Guthrie J. C.), J. Soc. Dyers and Colourists, 1955, 71, № 10, 587—592 (англ.)

Серия образцов ткани и пряжи была подвергнута сравнительным испытаниям на прочность окраски к свету и погоде по двум методам: а) непосредственной экспозицией на солнце (без стекла) на крыше лабор. здания (район Дройлсдена) под углом 45° к горизонту на южной стороне и б) освещением дуговой лампой с одновременным увлажнением образцов. Установлено, что окраски при испытаниях к свету и погоде оказываются менее прочными, чем при испытаниях к свету; в связи с этим синие эталоны светостойкости (непрочные к воде) оказываются непригодными для испытаний к свету и погоде. Предложено для таких испытаний впрямь до разработки серии спец. эталонов, лишенных указанного недостатка, экспонировать увлажненные образцы перед дуговой лампой параллельно с обычными синими эталонами, помещаемыми под стеклом. При этом устраняются случайные влияния разнообразных посторонних загрязнений, неизбежных в условиях наружной экспозиции.

79347 П. Удаление инкрустирующих веществ с волокнистых материалов (Disincrustation of fibrous materials) [M. H. Treadwell Co. Inc.]. Австрал. пат. 162922, 2.06.55

Способ удаления инкрустирующих в-в с растительных волокон состоит в тщательной пропитке их хлоратом шел. или шел.-зем. металла или их смесью, HClO_2 или ее смесью с HCl, взятых в таких соотношениях, чтобы не могли протекать р-ции между HCl и хлоратом или HClO_2 . Образующаяся в пропитанном материале ClO_2 и Cl_2 реагируют с инкрустирующими в-вами в момент выделения, что способствует полному удалению последних.

79348 П. Составы для обработки текстильных волокон и методы их применения. Скалкеас (Compositions and methods for processing textile fibres. Skalkeas Basil G.) [Monsanto Chemical Co.]. Канад. пат. 516799, 20.09.55

Состав для обработки целлюлозных текстильных волокон перед кардочесанием состоит из стабильной смеси: 1) 5—45%-ного шел. колл. золя силиката, 2) 15—75% от веса силиката замасливающего в-ва, растворимого или эмульгируемого в воде и 3) 15—75% от веса силиката органич. гигроскопич. в-ва. Щелочность золя силиката поддерживается в пределах pH 8—11. В замасливающее в-во входит минер. масло, растительное масло и шел. соль нефтяной сульфокислоты. Гигроскопич. в-вом является диэтиленгликоль.

79349 П. Составы для замасливания смесей (Lubricant for use in spinning fibres) [Anorgana Co.]. Англ. пат. 710859, 23.06.54 [J. Text. Inst., 1955, 46, № 1, A 21 (англ.)]

Устойчивая белая эмульсия для замасливания смесей перед кардочесанием типа «масло в воде» готовится смешением алифатич. амина, содержащего >6 атомов C (после р-ции с окисью этилена и превращения обработкой фосфорной к-той в фосфат), с олеином или минер. маслом. Добавляется вода, и смесь перемешивается до образования эмульсии.

79350 П. Антистатические составы для текстильных материалов. Хьюз (Antistatic compositions for textiles. Hughes Lehman E.) [E. I. du Pont de Nemours and Co.]. Пат. США 2694688, 16.11.54

Водная суспензия, придающая материалам антистатич. свойства и предупреждающая образование электростатич. зарядов, состоит из ~15 вес. ч. водорастворимого полимера четвертичной соли акрилоксиалкилтриалкиламина, в котором каждый алкил содержит 1—4 атома С; ~2—10 вес. ч. водорастворимой соли сульфозифра алифатич. спирта, содержащего 8—20 атомов С; ~5—10 вес. ч. одного или нескольких насыщ. алифатич. спиртов, содержащих 2—12 атомов С, а по отношению к весу их в среднем 3—5 атомов С; ~2—20 вес. ч. смеси моноцикл. терпеновых углеводородов и воды до 100 вес. ч.

79351 П. Обработка шерсти (Treating wool) [Institut Textile de France and Centre de Recherches Textiles]. Австрал. пат. 165767, 10.11.55

Шерсть на холоду обрабатывают р-ром хлорита в кислой среде, в условиях, исключающих образование ClO_2 , до получения на волокне розового оттенка; затем шерсть обесцвечивают действием р-ра восстановителя.

79352 П. Способ и аппарат для частичного отжима текстильных и аналогичных им материалов (Procédé et appareil pour l'essorage partiel des fibres textiles et matières analogues.) [Mezzera S. p. A.]. Франц. пат. 1098477, 27.07.55 [Teintex, 1956, 21, № 2, 155 (франц.)]

Способ частичного отжима текстильных волокон и аналогичных изделий после мокрых обработок, напр., промывки и крашения, состоит в том, что их накладывают вокруг центральной перфорированной колонны. Масса волокон отделена эластичной мембраной от кольцеобразной непроницаемой камеры, ограниченной от внешней среды жестким цилиндрич. кожухом. В эту камеру подают жидкость под давлением, вследствие чего объем кольцеобразной камеры увеличивается и масса волокна или других изделий — сжимается вокруг центральной колонны. При этом вода, пропитывающая материал, отжимается и выходит через отверстия центральной колонны. Предусмотрена установка для применения этого способа.

79353 П. Способ получения на ацетатном, полиамидном и полиуретановом волокнах окрасок, устойчивых к повторному крашению (Procédé d'obtention de teintes solides à la surteinture sur de l'acétylcellulose, ainsi que sur des polyamides ou polyuréthanes linéaires) [Naphtol-Chemie-Offenbach]. Франц. пат. 1070860, 18.08.54 [Teintex, 1955, 20, № 4, 311 (франц.)]

Для получения на полиамидном или ацетатном волокне окраски, устойчивой к повторному крашению, производятся следующие операции: 1) обработка водн. р-ром, содержащим: а) соединения, имеющие общую ф-лу $\text{NH}_2-\text{C}_6\text{H}_4-$

$\text{—XN} \begin{matrix} \text{R}_1 \\ \text{R}_2 \end{matrix}$, где X — SO_2 — или —CO— ; R_1 и R_2 — атомы

водорода или алкильные, арилалкильные, арильные или гидроароматич. группы, причем R_1 и R_2 не могут быть оба

атомами водорода, если радикал $\text{—XN} \begin{matrix} \text{R}_1 \\ \text{R}_2 \end{matrix}$ находится

в орто-положении к аминогруппе, но могут образовывать с атомом N гетероцикл. ядро; б) шел. соединения арил-амидов 2-оксикарбазол-3-карбоновых; 3-оксидибензофуран-2-карбоновых или 3-оксидибензотиофен-2-карбоновых к-т; 2) диазотирование на волокне; 3) сочетание в теплой ванне. Получается прочная окраска зеленовато-оливкового или коричневого цвета.

79354 П. Способ крашения и печатания целлюлозных материалов и красильные растворы для этого способа (Procédé pour la teinture et l'impression de matières cellulosiques et solutions tinctoriales pour sa mise en

oeuvre) [Ciba A.-C.]. Франц. пат. 1066588, 1066589, 8.06.54 [Teintex, 1955, 20, № 2, 139 (франц.)]

Способ крашения и печатания целлюлозных материалов состоит в применении нейтр. или шел. красильных ванн или печатных красок, содержащих, в основном, следующие в-ва: а) краситель, мало растворимый в воде, содержащий ≥ 2 азогрупп, способный образовывать металлсодержащие комплексы; б) амин, преимущественно, алифатич., содержащий ≥ 1 аминогруппы, отделенной от группы OH двумя атомами С; в) анионы к-т, содержащих ≥ 2 атомов Р, напр. к-ты $\text{H}_{m+2}\text{P}_m\text{O}_{m+1}$, где m — целое число ≥ 2 ; г) соединение, устойчивое к щелочам, производное металла с атомным номером 27, 28 или 29. По другому варианту краситель (а) содержит ≥ 1 о,о'-диоксиназо- или о-окси-о'-карбоксиназо-группы, и вместо анионов (в), р-р (или краска) содержит анионы $(\text{PO}_4)^{3-}$.

79355 П. Способ печатания и крашения текстильных материалов (Procédé d'impression et de teinture notamment pour matières textiles.) (Ets Blin et Blin). Франц. пат. 1088921, 24.03.55 [Bull. Inxt. text. France, 1955, № 55, 169 (франц.)]

Способ состоит в том, что на соответствующие рисунку участки ткани наносят протраву, затем всю ткань окрашивают, так что на ней получаются различные оттенки окраски в непокрытых и предварительно покрытых протравой участках. Протраву наносят в составе шел. печатной краски с рН 8,5—9,5. В качестве загустителя применяют карбоксиметилцеллюлозу, не содержащую металлич. солей; щелочность регулируется этаноламином. В печатную краску добавляют тиоэтилен- или диэтиленгликоль, а также ионы хрома в виде бихромата Na или K. Желаемую вязкость получают добавлением воды. После сушки протрава фиксируется коротким запариванием. Затем тщательной промывкой удаляют загуститель и вспомогательные в-ва. Далее проводят крашение в ванне с рН 3,5—5 в присутствии CH_3COOH , Na_2SO_4 кристаллич. и вспомогательных в-в (мочевина, амида триглицероловой к-ты). Для улучшения смачивания добавляют небольшое кол-во полиоксиэтилена, устойчивого в кислой среде при нагревании. Затем производят крашение кислотнокромовыми красителями, которые выбирают на участках, содержащих протраву. Одновременно вводят кислотные красители, не чувствительные к хрому, для окрашивания фона. После крашения ткань обрабатывают как обычно. Этот способ применим для шерстяных и смешанных тканей, напр. из шерсти и шелка.

79356 П. Способ фиксирования пигментов на текстильных волокнах и получаемые при этом новые изделия. Иваницкий (Procédé de fixation de pigment sur les fibres textiles et produits industriels nouveaux en résultant. Ivanitzky Victor) [Cie Française des Matières Colorantes.]. Франц. пат. 1098747, 18.08.55 [Teintex, 1956, 21, № 2, 155 (франц.)]

Способ фиксирования пигментов на текстильных волокнах, сообщающий окраскам особую прочность к стирке и трению, состоит в применении путем плесования или печатания эмульсий, содержащих в основном следующие в-ва: а) по крайней мере одну внешнюю водн. фазу, содержащую в р-ре аммонийную соль сополимера стирола и малеиновой к-ты, полученного, напр., сополимеризацией смесей стирола и малеинового ангидрида, взятых в различных соотношениях, с последующим действием аммиака на полученные сополимеры, преимущественно, при 60°; б) органич. р-ритель, нерастворимый в воде, напр., ксилол; в) термопластич. смолу, напр. поливиниловую, полиакриловую, полиметакриловую, полиаллиловую или полнаткиленовую, образуемую гомополимером или гетерополимером, добавляемую в виде водн. эмульсии, в которую может быть введен также пластификатор или гелеобразователь; г) пигмент, напр. полихлорированного фталоцианина меди; д) иногда соединение, способное обра-

зывать поперечные связи между группами $-\text{CO}-\text{NH}-$, напр. CH_2O , диметилмочевину, диацетат метилена, гексаметилолмеламин, триакрилоформальдегид или динизоцианат гексаметилен. Оплосованные или напечатанные текстильные материалы затем подвергают термич. обработке при $>90^\circ$. О. С.

79357 П. Способ получения на ацетатном, полиамидных и полиуретановых волокнах окрасок, прочных к повторному крашению (Procédé d'obtention de teintes solides à la surteinture sur de l'acétylcellulose ainsi que sur des poly-amides ou poly-uréthanes linéaires.) [Farbwerke Höchst A.-G. Vormalis Meister Lucius & Brüning]. Франц. пат. 1085971, 8.02.55 [Bull. Inst. text. France, 1955, № 55, 171—172 (франц.)]

Очень прочные по всем показателям и, в частности, к повторному крашению окраски от оранжевого до красного и бордо на ацетатном, полиамидных и полиуретановых волокнах можно получить, обрабатывая их в водн. р-рах аминированными соединениями ф-лы: $\text{NH}_2-\text{C}_6\text{H}_4-\text{XR}$ и щел. соединениями ариламинов 2,3-оксинафтойной к-ты, содержащими в ариламидном остатке алкоксил, один или связанных с другими заместителями. Далее следует диазотирование на волокне и сочетание в горячей ванне. В вышеуказанной ф-ле бензольный радикал может содержать другие заместители (алкилы, алкоксилы, атомы галогена); $\text{X} = -\text{CO}-$, $-\text{CO}_2-$, $-\text{SO}_2-$ или $-\text{SO}_3-$; R — алкил, аралкил, арил или гидроароматич. остаток. О. С.

79358 П. Способ крашения синтетических волокон, вспомогательные вещества для проведения этого крашения и получаемые окрашенные материалы. Уайзмэн (Procédé pour la teinture de fibres synthétiques, agents auxiliaires de teinture appropriés pour la mise en oeuvre de ce procédé et matières teintes par ce procédé. Wiseman George) [Ciba Akt.-Ges.]. Франц. пат. 1097399, 5.07.55 [Teintex, 1956, 21, № 2, 153 (франц.)]

Способ крашения синтетич. волокон, в частности полиэфиров ароматич. двусосновных к-т или сополимеров полиакрилонитрила дисперсными красителями основан на введении в красильную ванну следующих в-в: а) ализаринового масла, сульфированного на ~50%, б) в-ва, вызывающего набухание, преимущественно, оксидифенила, напр. 2-оксидифенила, в) спирта, мало растворимого в воде, напр., соснового масла, при соотношении а : б : в = 3 : 4 : 3. О. С.

79359 П. Способ крашения и красильные растворы для окраски изделий из полиакрилонитрила. Эггли (Verfahren zum Färben von Gebilden aus Polyacrylnitrilen und Färbeflochten hierfür. Egli Hermann) [Sandoz Akt.-Ges.]. Пат. ФРГ 936263, 7.12.55

Способ крашения изделий из полиакрилонитрила или из смешанных полимеризатов из акрилонитрила и других ненасыщ. соединений водорастворимыми органич. красителями по медноонному методу отличается тем, что в красильную ванну или в коммуникации для циркулирующего красильного р-ра вводят металлич. медь в форме фольги, отрезков проволоки, сеток и др. и крашение проводят в присутствии водорастворимого соединения окисной меди. Можно крашение проводить также в сосуде, омедненном или состоящем полностью или частично из меди. В красильный р-р можно добавлять слабый восстановитель типа сахаров. Способ основан на образовании Cu^+ согласно ур-нию р-ции: $\text{Cu} + \text{Cu}^{2+} \rightleftharpoons 2\text{Cu}^+$. Пример: 100 ч. пром. полиакрилонитрилового штапельного волокна вносят при 70° в красильную ванну, в которой находится 20 ч. медной сетки из проволоки диам. 0,2 мм. Состав ванны: 1 ч. 1-амино-4-фениламиноантрахинон-2-сульфоокислого Na, 1 ч. CuSO_4 кристаллич., 4 ч. конц. HCOOH и 4000 ч. воды. Р-р нагревают до кипения, кипятят 80 мин. до полного выбирания красителя. Текстильный материал окрашивается в яркий синий прочный цвет. Если ванна содержит только

металлич. медь или только CuSO_4 , то при тех же условиях материал остается почти неокрашенным.

О. С.
79360 П. Способ крашения фасонных изделий из полиакрилонитрила или из смесей, содержащих полиакрилонитрил (Procédé pour teindre des objets façonnés constitués par, ou contenant, du polyacrylonitrile.) [Farbenfabriken Bayer Akt.-Ges.]. Франц. пат. 1097960, 13.07.55 [Teintex, 1956, 21, № 2, 153 (франц.)]

Способ крашения волокон или других изделий из полиакрилонитрила или из смесей, содержащих полиакрилонитрил, анионными красителями в присутствии солей Cu и восстановителей предусматривает применение в качестве восстановителя гидразина или некоторых его солей, напр. сульфата дигидразина, бисульфата, нитрата, формата или ацетата гидразина. О. С.

79361 П. Способ повышения прочности окрасок природных и синтетических волокон (Procédé d'amélioration de la solidité des matières colorantes fixées sur des matières d'origine naturelle ou synthétique) [The Bradford Dyers' Association Ltd.]. Франц. пат. 1059717, 26.03.54 [Teintex, 1954, 19, № 12, 951 (франц.)]

Способ повышения прочности окрасок и набивок к мокрым обработкам и трению состоит в том, что окрашенный материал обрабатывают 3—15 мин. при $100-200^\circ$ продуктом р-ции NaHSO_3 и изоцианата (напр., толуилен-2,4-динизоцианата или хлорфенилен-2, 4-динизоцианата), преимущественно в присутствии амида, амидина или аминотриазина. Предварительно можно провести фиксирующую обработку окраски катионактивными (для анионактивных красителей) или анионактивными (для катионактивных красителей) веществами. О. С.

79362 П. Способ изготовления цилиндрических обочек для печатных валов при нанесении рисунка фотохимическим путем и валы, получаемые по этому способу (Procédé de préparation de caches cylindriques continus photogravés pour impression de tissus et matières diverses en feuille et caches cylindriques obtenus par ledit procédé) [Tintoria Comense S. p. A.]. Франц. пат. 1080260, 8.12.54 [Teintex, 1955, 20, № 8, 649 (франц.)]

Ткань навивают на цилиндр, ролик и наносят на поверхность образующегося рулона в-во, способное переходить в присутствии сенсibilизатора под действием света в нерастворимое состояние. После сушки рулон погружают в воду для смывки в-ва, оставшегося неизмененным на неподвергнутых экспозиции участках, в результате чего образуется выпуклая фотогравюра. Затем рулон снимают с ролика и закрепляют на оси с двумя боковыми фланцами. Л. Б.

79363 П. Печатная краска (Pâte d'impression.) [Farbenfabriken Bayer Akt.-Ges.]. Франц. пат. 1086904, 17.02.55 [Bull. Inst. text. France, 1955, № 55, 167—168 (франц.)]

Для получения прочных к стирке набивок или окрасок пигментами, в особенности на изделиях из штапельного волокна, применяют как связующее, с одной стороны, эмульсии пленкообразующих полимеров, нерастворимых или мало растворимых в воде, с водой в качестве внешней фазы, и, с другой стороны, соединения, растворимые или диспергируемые в воде, содержащие в молекуле ≥ 2 метилолкарбамидных групп или их функциональных производных общей ф-лы $-\text{CONR}'-\text{CH}_2\text{OR}''$ ($\text{R}' = \text{H}$ или какой-нибудь органич. остаток, $\text{R}'' = \text{H}$ или алкил). Из указанных выше соединений можно указать: шавелевую, малоновую, янтарную и глутаровую к-ты, ацетиленимочевину, этиленмочевину и др.; в качестве пленкообразующих нерастворимых или плохо растворимых в-в: полиакрилаты, полиакрилонитрил, полистирол, полиэтилен, винилхлорид и др. Можно также добавлять аппретирующие продукты (крахмал, декстрин, клей) и водоотталкивающие в-ва (метилоламид стеариновой к-ты). Применяемые пигменты могут быть окрашены или бесцветны, органич. или неорганич. (красители ряда фталоциан-

нинов, пигменты ряда азотола А., кубовые красители и др.). О. С.

79364 П. Усовершенствование способа приготовления ледяных красителей при печати тканей (Perfectionnement au procédé de production de couleurs à la glace dans l'impression textile) [Farbenfabriken Bayer A.-G.]. Франц. пат. 1071815, 6.09.54 [Teintex, 1955, 20, № 4, 313 (франц.)]

Для крашения хлопка, штапельного вискозного и медно-аммиачного волокна в фиолетовый, синий и зеленый цвета применяют р-ры и печатные краски, содержащие нейтр. соли щелочей с диазоминосоединениями, полученными из оснований, содержащих группы, позволяющие получить голубую, зеленую и фиолетовую окраски, и стабилизаторов, являющихся алифатич., гидроароматич., гетероциклич. или ароматич. соединениями, образующие вторичные основания; а также соли щелочей с азосоставляющей. Эти в-ва наносят на изделия плюсованием или печатанием, после чего проводят проявление в нейтр. зрельнике. С. С.

79365 П. Способ печатания сетчатыми шаблонами (Procédé d'impression au cadre à la lyonnaise) [Stoffel & Cie]. Франц. пат. 1087858, 1.03.55 [Bull. Inst. text. France, 1955, № 55, 168 (франц.)]

Способ печатания сетчатыми шаблонами состоит в том, что ткань приклеивают к бесконечному полотну, расположенному между шаблоном и стационарным печатным столом и перемещаемому на расстояние, равное, по крайней мере, 2-кратной длине рамки шаблона, и затем пропускают через сушильную камеру таким образом, что набивка ткани производится в периоды останова полотна. Особенностью этого способа является то, что на ткани сначала печатают только одну повторяющуюся часть рисунка, а остальные части в других расцветках набивают последовательно при последующих циклах перемещения полотна. Этим достигается более продолжительная сушка и отпадает необходимость делать при набивке пропуски более чем для одного раппорта или замедлять ритм работы машины. Установка состоит из нескольких рамок и печатных столов, сушильной камеры, в которой помещены приспособления для просушивания воздуха и вентилятор, приводных и направляющих валов для перемещения полотна с приклеивкой к нему тканью. Вся система приводится в движение мотором с пультом управления. О. С.

79366 П. Способ образования на волокне нерастворимых в воде азокрасителей (Procédé et préparations pour la production de colorants azoïques insolubles dans l'eau sur la fibre) [Cassella Farbwerke Mainkur]. Франц. пат. 1059610, 26.03.54 [Teintex, 1954, 19, № 12, 951 (франц.)]

Способ печатания путем образования на волокне нерастворимых в воде азокрасителей предусматривает добавление к печатным краскам, содержащим азосоединения и стабилизированные диазосоединения, смесей солей галлонидированных и негаллонидированных жирных к-т в эквимолекулярных соотношениях. Этот способ позволяет осуществлять быстрое сочетание лишь обработкой водяным паром без добавления кислоты. О. С.

79367 П. Способ обработки тканей (Procédé de traitement de tissus) [Teintureries Laval]. Франц. пат. 1086380, 11.02.55 [Bull. Inst. text. France, 1955, № 55, 178—179 (франц.)]

Для улучшения свойств мебельных и обивочных тканей из высокопрочного или обычного вискозного шелка, из вискозного штапельного волокна или его смесей с хлопком, ацетатным, полиамидными волокнами эти ткани пропитывают, высушивают и подвергают термич. обработке, повторяя эти операции несколько раз до получения желаемого результата. Обработка заканчивается горячим каландрированием под сильным давлением, повышающим сцепление волокон между собой. При пропитке применяют следующие в-ва: для придания твердости поливиниловый спирт; для придания водоупорности — $ZrOCl_2$ и эмульгированные воска; для придания огнестойкости — синтетич.

смолы и аммиачные соли. Обработка сохраняет свою эффективность при действии обычных органич. р-рителей, масел животных и растительных, ароматич. углеводородов и др., а также при стирке. Д. К.

79368 П. Составы для пропиток. (Agents d'imprégnation) [Farbenfabriken Bayer A.-G.] Франц. пат. 1086807, 9.02.55 [Bull. Inst. text. France, 1955, № 55, 180 (франц.)]

Текстильные изделия пропитывают р-рами или водн. дисперсиями карбаминовых к-т, содержащих радикалы высших алифатич. углеводородов, иногда с добавкой парафина, смол, восков, солей металлов, мыл и др., и подвергают сушке при t -ре $>100^\circ$. Получаемый эффект водоупорности устойчив к стирке и р-рителям. Добавка к указанному составу диметилмочевины или метилольных производных меланина способствует также снижению сминаемости и способности к усадке. Д. К.

79369 П. Способ получения устойчивых механических эффектов на креповых тканях (Procédé pour l'obtention d'effets mécaniques permanents sur les tissus crépés et tissus conformes à ceux obtenus) [Heberlein et Cie A.-G.]. Франц. пат. 1085547, 3.03.55 [Bull. Inst. text. France, 1955, № 55, 179 (франц.)]

Ткань (креп-де-шин или креп-марокен) из вискозного волокна, хлопка или из их смесей пропитывают пластификатором, затем ее обрабатывают р-ром, образующим при конденсации синтетич. смолу, подвергают механич. обработке, создают условия полимеризации и, наконец, подвергают обработке, сообщающей ей креповый эффект. В качестве в-в, подвергаемых полимеризации с образованием синтетич. смол, берут полимеризаты CH_2O с мочевиной, тиомочевинной, этиленмочевинной, дициандимидом и т. п. иногда с добавкой красителей или пигментов, а также металлч. порошков. При m -ре: отбеленный вискозный креп-де-шин пропитывают р-ром пластификатора. Затем ткань печатают составом, содержащим: продукт конденсации на основе метилолмеланина, воду, катнонактивный продукт конденсации жирной к-ты, аммиак, муку плодов рожкового дерева, роданистый аммоний, синий краситель. Далее ткань сушат при 35° , пропускают через каландр при 180 — 200° , подвергают термич. обработке при 140° в течение 4 мин., промывают и сушат. Получают блестящие рисунки на белом креповом ф-се. О. С.

79370 П. Способ нанесения на ткани синтетических смол для получения имитации кожи со свойствами воздухо- и газопроницаемости, и изделия, полученные по этому способу (Procédé pour appliquer des résines synthétiques sur des tissus, pour obtenir des imitations cuir qui sont perméables à l'air et aux gaz, et produits obtenus par ce procédé) [Stabilimenti di Ponte Lambro S. p. A.]. Франц. пат. 1085317, 31.01.55 [Bull. Inst. text. France, 1955, № 55, 177 (франц.)]

Патентуется способ нанесения на ткань слоя смолы с интервалами, при чередовании участков, покрытых и непокрытых смолой. На обработанной ткани создаются, образуемые смолой, более или менее широкие, имеющие определенную ориентированность прожилки или полосы. Обработка может быть осуществлена путем каландрирования или другими способами. Д. К.

79371 П. Способ изготовления текстильных изделий типа бархата и новые изделия, выработанные по этому способу. Перони (Procédé pour obtenir une matière de revêtement ou de recouvrement semblable au velours et produit industriel nouveau obtenu par un tel procédé. Peroni C.). Франц. пат. 1088514, 8.02.55 [Bull. Inst. text. France, 1955, № 55, 180 (франц.)]

Текстильное изделие из искусств. или синтетич. волокон в нагретом состоянии приклеивают к листу из термостойкого материала при t -ре, не превышающей примененную для предварительного нагрева изделия. Затем проводят начесывание его поверхности. Напр., нагревают полиамидные нити при 150° в течение 20 мин., затем их проклеивают каучуком между собой, а получаемое пр-

лотно, образованное рядом параллельно расположенных нитей, накладывают на лист каучука и подвергают вулканизации при 145° в течение 15 мин. После этого проводят начесывание лицевой поверхности изделия. Д. К. 79372 П. Обработка текстильных материалов (Traitement de textiles) [Chemische Fabrik Theodor Rotta.] Франц. пат. 1082946 4.01.55 [Teintex, 1955, 20, № 7, 585, 587 (франц.)]

Для облагораживания текстильных материалов из природной или регенерированной целлюлозы их обрабатывают составом, содержащим: а) монозоль; б) многоатомные альдегиды типа глиоксала; в) кислые катализаторы или в-ва, выделяющие к-ты; г) до 50% от веса продуктов, находящихся в ванне, диметилполмочевины или продуктов ее замещения; д) гидрофобные в-ва, содержащие парафин; е) 50%-ную эмульсию винилацетата; ж) 10% от веса продуктов, находящихся в ванне, гликолята целлюлозы; з) до 5% кислой эмульсии, содержащей 30—50% олеиновой к-ты; и) около 3% пластификатора. Такая обработка значительно повышает эластичность изделий и снижает более чем на 30% способность адсорбировать воду. С. С. 79373 П. Придание несминаемости хлопчатобумажным тканям. Мак-Интайр (Art of imparting crease resistance to cotton fabrics. MacIntyre William R.) [Joseph Bancroft & Sons Co.] Канад. пат. 508517, 28.12.54

Процесс придания хлопчатобумажной ткани несминаемости отличается тем, что ткань пропитывают водн. р-ром смеси метилолмеламина и метилированного метилолмеламина в соотношении от 80 к 20% до 20 к 80%, считая на сухой вес. Можно применять ди-, три-, и тетраметилолмеламин, причем метилированный метилолмеламин должен иметь ≥ 1 метилированной метилольной группы и ≥ 3 метилольных групп, из которых ≥ 2 метилированы. Концентрация р-ра смолы 3—20%; отжим при пропитке до оставления на ткани 100% р-ра от ее веса. После пропитки ткань высушивают и подвергают термич. обработке в кислой среде. З. П.

79374 П. Непромокаемые воздухопроницаемые ткани и способ их получения (Tissu imperméable aéré et son procédé de fabrication.) [Ets Georges Boët et Cie.] Франц. пат. 1098421 26.07.55 [Teintex, 1956, 21, № 2, 159 (франц.)]

Новые непромокаемые воздухопроницаемые ткани отличаются тем, что они пронизаны множеством малых отверстий с диаметром достаточно малым для того, чтобы возникающие капиллярные силы препятствовали пропуску через них воды, не затрудняя вместе с тем прохода газов, напр., сухого или влажного воздуха. Способ придания непромокаемой газонепроницаемой ткани воздухопроницаемости предусматривает пропуск ее между двумя валами под небольшим давлением. Наружная поверхность одного из этих валов снабжена множеством малых очень острых игл, наружная поверхность второго вала покрыта сукном. Когда непромокаемая ткань проходит между валами, иглы первого вала пронизывают ее, проникая в суконное покрытие второго вала. О. С.

79375 П. Способ нанесения на волокнистые материалы волостойких покрытий, пропиток, печати. Кремер, Хельшер (Verfahren zur Herstellung naßfester Überzüge, Imprägnierungen, Drucke u. dgl., auf faserigem Material. Craemer Karl, Hölscher Friedrich) [Badische Anilin- & Soda-Fabrik A.-G.] Пат. ФРГ 906568, 15.03.54 [Chem. Zbl., 1954, 125, № 39, 8943 (нем.)]

Ткани или другие текстильные материалы пропитывают водной (в случае необходимости содержащей пигмент) дисперсией, которая наряду с продуктом полимеризации, имеющим подвижный атом галогена и кислотно-амидные группы, содержит продукт предварительной конденсации, а также соответствующие катализаторы. Пригодны, напр., сополимеры дихлорэтилена и амида акриловой к-ты

или винил-β-хлорэтилового эфира и амида метакриловой к-ты и как продукты предварительной конденсации — мочевино-, меламино-, уретано- или феноальдегидные смолы. З. С.

79376 П. Способ придания тканям водоупорности. Деннетт (Proc. de hydrofugation des tissus. Denett Firth L.) [Dow Corning Corp.] Франц. пат. 1097016, 28.08.55 [Teintex, 1956, 21, № 2, 155 (франц.)]

Способ придания тканям водоупорности с сохранением требующейся мягкости, несминаемости и драпируемости состоит в пропитке ткани продуктом совместного гидролиза смеси, содержащей в основном следующие в-ва: а) 65—95 мол. % соединения общей ф-лы: $(CH_3)_2SiX_2$ (X — Cl или алкоксил) и б) 5—35 мол. % соединения общей ф-лы: $HSiX_3$, затем пропитанную ткань нагревают при $t_{ре} > 38^\circ$ (напр., в течение 18 мин. в сушилке при 150°). О. С.

79377 П. Новые составы для придания органическим волокнистым материалам водоупорности (Nouvelles compositions pour l'hydrofugation des matières organiques fibreuses.) [Soc. des Usines Chimiques Rhône-Poulenc] Франц. пат. 1087484, 24.02.55 [Bull. Inst. text. France, 1955, № 55, 176—177 (франц.)]

Для придания текстильным изделиям устойчивой к стирке водоупорности пользуются эмульсиями, составляемыми из органич. р-ра масла и метилполисилоксановой смолы (I), с добавкой водн. р-ра титаната триэтанол-аминна (II). Все это превращают в водн. эмульсию с помощью эмульгатора. I должна характеризоваться отношением $CH_3 : Si = 1,3—1,7$. Ее получают гидролизом смесей метилхлорсиланов. Метилполисилоксановое масло (III) должно характеризоваться отношением $CH_3 : Si = 1,9—2,1$ и кинематич. вязкостью 50—30 000. II готовят р-цией между сложным эфиром титаната и триэтанол-амином. В состав эмульсии вводят: 15—60% I; 5—35% II и 15—50% III. Обработку проводят замочкой при перемешивании с последующим каландрированием при доведении остаточного содержания продукта на ткани (считая на сухой вес) до 0,5—0,6% от ее веса. Ткань затем подвергают термич. обработке при 100—120° в течение 1—30 мин. Д. К.

79378 П. Состав для придания огнестойкости (Fire retardant) [Titan Co., Inc.] Австрал. пат. 162651, 19.05.55

Способ приготовления устойчивых р-ров, придающих огнестойкость целлюлозным материалам, отличается тем, что готовят смесь монокарбонной к-ты, воды, HCl и Sb_2O_3 , к которой при 30—50° добавляют $TiCl_4$. На 1 л воды берут 200—267 г Ti, считая на TiO_2 . На каждый моль Ti вводят 1,0—3,0 моля монокарбонной к-ты, 0,6—1,0 моля сурьмы, 1—3 моля хлоридов, считая на хлорид титана и HCl вместе, и на каждый моль сурьмы — дополнительно 3,0 моля хлорида. З. П.

79379 П. Огнестойкая ткань, способ и раствор для ее получения. Салливан, Паник (Tissu ignifugé et procédé et solution pour sa fabrication. Sullivan William F., Panik Irene M.) [Titan Co. Inc.] Франц. пат. 1097603, 7.07.55 [Teintex, 1956, 21, № 2, 157 (франц.)]

Для придания тканям огнестойкости проводятся следующие операции. I Пропитка ткани водн. р-ром, содержащим: а) элементы Ti и Cl и радикалы уксусной, муравьиной или пропионовой к-т, в связанном и ионизованном состоянии, причем кол-во Ti эквивалентно 65—250 г/л TiO_2 , а отношение хлора и радикалов к-т — соответственно 0,5—1,5 и 1—3 г-моль на 1 г-атом Ti, в результате чего эти элементы и радикалы находятся в виде ацетохлористого титана, образованного при р-ции тетрахлористого титана с уксуснокислым свинцом; б) 0,4—1,2 г-моль треххлористой сурьмы на 1 г-атом Ti в связанном состоянии. 2. Обработка пропитанной ткани щел. в-вом при pH 7,5—12. 3. Неполная сушка в течение 1—1,5 часа при $\leq 60^\circ$ с целью желатинизирования р-ра внутри волокна. Придаваемая

огнестойкостью не снижается после 6 стирок в мыльном р-ре при 70°.

79380 П. Способ придания целлюлозным материалам огнестойкости. Малован (Methods for rendering cellulosic materials fire-resistant and products produced thereby. Malowan John E.) [Monsanto Chemical Co.] Канад. пат. 515267, 2.08.55

Для придания целлюлозным материалам огнестойкости их обрабатывают водорастворимым продуктом конденсации мочевины и CH_2O , меламина и CH_2O или меламина с фурфуролом, смешанным с водорастворимым продуктом конденсации хлорокиси фосфора с безводн. аммиаком, характеризуемым отношением N к P 2,1—2,3; мол. в. 200—250 и pH водн. р-ра 7—8,5. Далее следует термич. обработка при 100—200°.

79381 П. Текстильное изделие и способ его обработки. Джефферсон, Файн III (Textile process and product. Jefferson George D., Fine Richard D., III) [Atlas Powder Co.]. Канад. пат. 509647, 1.02.55

Текстильный материал из филаментарного или штапельного искусств. волокна обрабатывают продуктом, содержащим 50—97,5% удаляемого в промывке текстильного замасливающего в-ва, состоящего из 1) неполных сложных эфиров нейтр. органич. полиоксисоединений с 2—6 атомами C и насыщ. жирных к-т с 12—30 атомами C, 2) сложных диэфиров гексидов и насыщ. к-т с 12—30 атомами C, 3) нерастворимых в воде сложных эфиров полиоксисилкиленовых простых эфиров нейтр. полиоксисоединений с 2—6 атомами C и насыщ. жирных к-т с 12—30 атомами C и 4) нерастворимых в воде полиоксисилкиленовых простых эфиров неполных сложных эфиров нейтр. органич. полиоксисоединений с 2—6 атомами C и насыщ. жирных к-т с 12—30 атомами C, напр., моностеарата диэтиленгликоля или смеси моноальфилитата сорбитана и тристеарата полиоксизилсорбитана, в котором содержится в среднем 16 оксизилэтиленовых групп на моль, и 50—2,5% четвертичного морфоллинииевого соединения ф-лы: $\text{CH}_2=\text{CH}_2-\text{N}(\text{R})(\text{R}')(\text{R}'')-\text{CH}_2-\text{CH}_2-\text{O}$ (R — анион алкилсульфата,

содержащего 1—2 атома C, R' — алифатич. остаток, содержащий 12—30 атомов C и R'' — алкил с 1—2 атомами C), напр. N-цетил-, N-этилморфоллинийтосульфат. О. С.

79382 П. Стабилизация текстильных изделий из белковых волокон. Кайн (The stabilization of protein-containing textiles and the resulting products. Kine Benjamin B.) [Rohm & Haas Co.]. Пат. США 2719072, 27.09.55

Для снижения способности к усадке изделия пропитывают водн. эмульсией сополимеров, содержащих: 1) 2—10 вес. % акрилата или метакрилата этилмочевины и 2) 90—98% алкилэфиров акриловой или метакриловой к-ты, в которых алкильные радикалы содержат 1—8 атомов C. Затем проводят сушку и термич. обработку изделий при $t\text{-ре} \geq 116^\circ$, не допуская их обугливания. С. С.

79383 П. Аппретирующий состав для изделий из стеклянного волокна. Дирдерф (Size composition and fibrous glass articles coated therewith. Dearduff Lawrence R.) [Owens-Corning Fiberglass Corp.]. Пат. США 2684309, 20.07.54

Аппретирующий состав содержит 30—50 вес. % терфенила и ~50—70 вес. % гидрогенизированного терфенила.

79384 П. Термометрический метод и аппаратура для определения количества пропитывающих веществ в ткани. Джонсон, Уэнер (Thermometric method and apparatus for determining the amount of impregnate in cloth. Johnson Warren C., Wehner Philip) [United States of America as represented by the Secretary of the Navy.]. Пат. США 2672403, 16.03.54

Импрегнированную ткань помещают в аппарат, содержащий термочувствительный состав, на определенном рас-

стоянии от последнего, и добавляют определенное кол-во в-ва, вступающего в экзотермич. р-цию с в-вом пропитки. Выделяющаяся при этом теплота р-ции пропорциональна содержанию пропитывающего в-ва в ткани. Аппарат предварительно градуируют по образцам ткани, содержащим определенное кол-во пропитки. Л. Б.

См. также: Структуры фибрина шелка 78271, 78284, 78307, 78313. Св-ва волокон 79797, 79798. Дерматиты, вызываемые тканями 80422.

ВЗРЫВЧАТЫЕ ВЕЩЕСТВА. ПИРОТЕХНИЧЕСКИЕ СОСТАВЫ

См.: Чувствительность азида свинца 77511. Горение пороха 77628

ЛЕКАРСТВЕННЫЕ ВЕЩЕСТВА. ВИТАМИНЫ. АНТИБИОТИКИ

79385. Суспендирующая способность силиката алюминий-магния. Пьянта, Маркус, Бентон (The suspending capacity of colloidal aluminum magnesium silicate. Pienta Joseph J., Jr., Marcus Arnold D., Benton Byrl E., J. Amer. Pharm. Assoc. Pract. Pharmacy Ed., 1954, 15, № 7, 414—415, 427 (англ.))

Выпущенный под названием «Veegum» силикат алюминий-магния (I) превосходит по своей суспендирующей способности многие другие применяющиеся в фармации для этой цели препараты, как то метоцел, бентонит, альгинат натрия. Изучение производилось на суспензиях 10% BaSO_4 , 20% каолина, 6% $\text{Ca}(\text{OH})_2$, 8% ZnO , к которым прибавлялся 5% I. Высокая защитная активность I объясняется способностью I при стоянии образовывать тиксотропные гели. О. М.

79386. Устойчивость эфедрина в жидком препарате эфедрина Н. Ф. Пернаровский, Чаттен (The stability of ephedrine in compound ephedrine spray N. F. Pernarowski M., Chatten L. G., J. Amer. Pharm. Assoc. Scient. Ed., 1955, 44, № 9, 526—529 (англ.))

Хранение препаратов эфедрина Н. Ф. IX в течение одного года показало их устойчивость — потери эфедрина незначительны. Для предотвращения значительных потерь эфедрина при хранении необходимо тщательно контролировать качество материалов, входящих в препарат. В качестве р-рителя для этого препарата наиболее целесообразно применять устойчивый легкий жидкий парафиновый углеводород; приводятся методы контроля чистоты указанного р-рителя. Ю. В.

79387. Облицовка таблеток, не содержащая сахара. Голод, Хейк (Sugar-free tablet coating. Golod William H., Huysck C. Lee), Drug and Cosmetic Industry, 1955, 77, № 5, 620, 621, 700—701 (англ.)

В результате опытов облицовки таблеток с NaHCO_3 водн. р-ром карбоксиметилцеллюлозы, смешанным с карбоваксом 6000 и изопропиловым спиртом, установлено, что скорость растворения облицованных таблеток в искусств. желудочном соке почти не отличается от таковой необлицованных. Ю. В.

79388. Мазевые основы из полиглицеринстеарата.

Часть IV. Эмульсионные основы масла — в воде. Бхируд, Кхорана (Ointment bases with polyglycerol stearates. Part IV. Oil — in — water emulsion bases. Bhirud S. D., Khorana M. L., Indian J. Pharmacy, 1955, 17, № 2, 26—31 (англ.))

Изучались в отношении способности образовывать эмульсионные мазевые основы два полиглицеринстеарата: № 5 (КЧ 2,6, ЧО 104,7, число ОН 216, ИЧ 1,2, т. пл. 43°) и № 6 (КЧ 2,1, ЧО 99,3, число ОН 314; ИЧ 0,9, т. пл. 41°). В результате испытания целого ряда разных составов с их участием установлено, что наиболее удовлетворитель-

ный результат в отношении стабильности при разных т-рах и pH, совместимости и выделения лекарственного препарата *in vitro* и *in vivo*, и наименьшей способности вызывать раздражение, дает следующая ф-ла: полиглицеринстеарат № 5—30 г, твердый парафин—40 г, белый вазелин—30 г, дистилл. вода—200 мл. Часть III см. РЖХИ, 1956, 69719

Л. М. 79389. Спектрофотометрическое определение терпингидрата. Платт, Джеймс (A spectrophotometric assay for terpin hydrate. Platt Herbert, James Arthur E.), J. Amer. Pharmac. Assoc. Scient. Ed., 1955, 44, № 11, 666—668 (англ.)

Применение спектрофотометрич. метода (с фосфоромолибденовой к-той) показало возможность точного определения терпингидрата в его препаратах: микрораспредел. суспензии в ментоле и эвкалиптовом масле; в таблетках, содержащих коден, беладону, NH_4Cl , тартраты К и Sb и в различных экстрактах и жидких препаратах, за исключением содержащих глицерофосфаты Na и K. Ю. В.

79390. Спектры абсорбции антигистаминных веществ в ультрафиолетовом свете. Клекнер, Озол (Ultraviolet absorption spectra of antihistaminic agents. Kleckner Lewis J., Osol Arthur), J. Amer. Pharmac. Assoc. Scient. Ed., 1955, 44, № 12, 762—765 (англ.)

Определены спектры абсорбции в УФ-свете HCl-антазолина, HCl-хлорциклизина, цитрата хлоротена, HCl-метопирилена, тартрата фениндамина, малеата пириламидина, HCl-тенилдиамин и HCl-трипеленамина в водн. р-рах при различных значениях pH и в р-рах в спирте; приведены спектрограммы и характеристики абсорбции, пригодные для идентификации указанных в-в и определения их в таблетках. Для экстракции из таблеток и последующего спектрофотометрич. исследования р-ров спирт следует предпочесть воде. Ю. В.

79391. Новый метод определения фармацевтических препаратов с помощью распределительной хроматографии. Бейнс (A new partition chromatographic procedure for the assay of pharmaceuticals. Banes Daniel), J. Amer. Pharmac. Assoc. Scient. Ed., 1954, 43, № 10, 580—584 (англ.)

Подробно описан способ быстрого определения дигитоксина, колич. разделения стрихнина и хинина и анализа смеси аспирина, фенацетина и кофеина. Метод применим для определения эстрогенных препаратов, барбитуратов, сердечных глюкозидов и сульфамидов, а также для анализов пищевых экстрактов, крови и других биологич. жидкостей. М. К.

79392 П. Лечебные смеси кремнийорганических соединений. Хатчер, Баннелл (Curable organo-silicon compositions. Hatcher David B., Bunnell Raymond H.), Allied Chemical & Dye Corp., Канад. пат. 507920, 7.12.54

Смеси Si-органич. соединений получают конденсацией продуктов гидролиза в-в: а) в-ва, содержащего атом Si, связанный с четырьмя одновалентными остатками, из которых 1—3 могут быть эвальными группами и 3—1 гидролизующимися остатками и б) в-в обих ф-л $\text{R}^5[\text{Si}(\text{R}^4)(\text{R}^6)]_n\text{Si}(\text{R}^2)(\text{R}^3)\text{R}^4$ или $\text{R}'(\text{R}^2)\text{SiCH}_2\text{Si}(\text{R}^4)$

$(\text{R}^5)\text{CH}_2\text{Si}(\text{R}^7)(\text{R}^8)\text{CH}_2$ (R—2-валентный углеводородный остаток, могущий содержать атомы Cl; $\text{R}^7, \text{R}^8, \text{R}^4, \text{R}^5, \text{R}^6, \text{R}^7$ и R^8 —гидролизующиеся остатки; n—1 или 2); молярное соотношение в-в а:б=от 99:1 до 55:45. В частности, приведена смесь продуктов гидролиза дитрихлорсилана и 1,6-бис-(трихлорсил)-2,5-диметилгексана, взятых в указанных выше соотношениях. В. У.

79393 П. Способ получения производных сукцинимидов. Миллер, Лонг (Procédé de préparation de compo-

sés de la succinimide. Miller Charles A., Long Loren M.) [Parke Davis Co.], Франц. пат. 1079805, 2.12.54 [Prod. pharm., 1955, 10, № 7, 439 (франц.)] α, β -Диметилантарный ангидрид вводят в р-цию с м-пропиламином и нагревают полученный промежуточный продукт при 100—350°.

Ю. В. 79394 П. Новые аминосоединения и способ их получения (Nouvelles bases aminées et leur procédé de préparation) [Cilag Soc. An.], Франц. пат. 1079665, 1.12.54 [Prod. pharm., 1955, 10, № 7, 439 (франц.)]

Производные amino-5-метилпиримидина общей ф-лы (I): $\text{H}_2\text{NCH}_2\text{CHC}(\text{R}^2)\text{N}=\text{C}(\text{R}')\text{N}=\text{C}(\text{R}^3)$ вводят в р-цию с со-

единениями, которые могут выделять радикал ф-лы R^1 — R^4 — $\text{CH}=(\text{II})$, причем в ф-лах I и II; R^1 —H, алкил, арил, алкил, или amino-, алкиламино-, алкокси-, аралкокси-, тиоалкил-, аралкилтио-, ацил-, или ариолтиогруппа, R^2 —гидроксил или аминогруппа, R^3 —H или алкил, R^4 —алкил или алкилен прямой или разветвленный или непосредственная связь C—C и R—насыщ. изоциклич. или гетероциклич. остаток, или ароматич. радикал, который может быть замещен гидроксильным, алкилом, алкоксильным, нитро-, amino-, ациламино-, алкиламино-, диалкиламино-, уреидо-, N-алкилуреидогруппой, а также с солями указанных соединений с нетоксичными органич. или минер. к-тами. Ю. В.

79395 П. Способ получения N-ациламинодиолов (Procédé de préparation de N-acylamino-diols) [Lepetit S. p. A.], Франц. пат. 1073389, 24.09.54 [Prod. pharm., 1955, 10, № 1, 36 (франц.)]

Патентуется способ получения внутреннего ангидрида N-ацилглицина и конденсация Клайзена между активным N в 4-положении 2-фенил- (или алкил)-оксазол-5-она и бензойным ангидридом, замещ. или незамещ. или хлористым бензоном замещ. или незамещ. Эти р-ции могут быть осуществлены без какой-либо заметной деструкции, если применяют в качестве катализатора органич. основание или если р-цию проводят в присутствии щел. ацетата или щел. соли N-ацилглицина, или же, предпочтительно, вводят в р-цию щел. соль N-ацилглицина и бензойный ангидрид, замещ. или незамещ. в присутствии органич. основания (напр., пиридина). Полученное промежуточное производное оксазол-5-она превращается в кетон, который подвергают формилированию и затем восстанавливают известными способами в N-ациламинодиол. О. С.

79396 П. Способ получения терапевтически активных галондородородных солей аминоэфиров (Verfahren zur Herstellung von therapeutisch wirksamen halogenwasserstoffsauren Salzen von Aminoäthern) [N. V. Koninklijke Pharmaceutische Fabrieken v/h Brocades-Stheeman & Pharmacia], Пат. ФРГ 927689, 16.05.55

Для получения галондородородных солей аминоэфиров общей ф-лы: $\text{R}^1\text{R}^2\text{R}^3\text{C}=\text{O}=\text{R}^4\text{N}(\text{R}^5\text{R}^6)\text{X}$ [R^1 и R^2 —углеводородные остатки, из которых по меньшей мере один является циклич. преимущественно ароматич., R^3 —углеводородный остаток или H, R^4 —алкилен, R^5 и R^6 —углеводородные остатки, которые вместе с N могут образовывать цикл, а X—галонд] компоненты $\text{R}^1\text{R}^2\text{R}^3\text{C}=\text{O}$ вводят в р-цию с $\text{HO}-\text{R}^4=\text{NR}^5\text{R}^6$ в молекулярных отношениях без прибавления в-в, связывающих к-ты, в среде индифферентного полярного р-рителя, напр. нитро-, хлор-, дихлор-бензола или их смесей. Смесь обоих компонентов может быть медленно прибавлена к кипящему р-рителю. Смесь 1010 г дифенилхлорметана и 445 г диметиламиноэтанола (I) в течение 1,5 час. прибавляют к кипящей смеси 2,5 л нитробензола и 1 л хлорбензола, затем кипятят еще 30 мин. и оставляют в холодильнике на 12 час. Получают 700 г хлоргидрата диметиламиноэтилового эфира бензгидрола (II), а из маточника еще 235 г, т. пл. 159—164° (из этилалтатаспирта 6:1); общий выход 70%. Аналогично 202,5 г дифенилхлорметана и 89 г I в 200 мл о-дихлорбензола

дали выход 85% II; 0,1 моля метил-4-дифенилхлорметана и 0,1 моля I в 20 мл о-дихлорбензола дали 80% 4-метил-II, т. пл. 150—152°, 0,1 моля 2-этилдифенилхлорметана и 0,1 моля I в о-дихлорбензоле дали 80% 2-этил-II, т. пл. 116—117°, т. кип. основания 172—175°/2 мм; 0,1 моля 2,6-диметилдифенилхлорметана и 0,1 моля I в о-дихлорбензоле дали 75% 2,6-диметил-II, т. пл. 164—165°, т. кип. основания 168—175°/5 мм; 8-хлортеофиллинат основания, т. пл. 113—117°. Соединения эти обладают противогистаминным и спазмолитич. действием. О. М.

79397 П. Способ получения хлорсодержащих уретанов. Вейе, Гофман (Verfahren zur Herstellung von chlorhaltigen Urethanen. Weihe Adolf, Hoffmann Ulrich) [Deutsche Gold-und Silber-Scheideanstalt vormals Roessler]. Пат. ФРГ 926549, 21.04.55

Нагревают ClCN с в-вами, содержащими ≥ 2 оксигруппы (по пат. ФРГ 919168, РЖХим, 1956, 1796), с тем отличием, что р-цию проводят под давлением (а также в инертном р-рителе). В автоклав, покрытый внутри Ag, загружают охлажденный до -25° р-р 242 г ClCN в 500 г CH_2Cl_2 , нагревают до $60^\circ/5$ ат и вводят под давлением при $60-65^\circ$ в течение 2,5 час. 360 г 1,4-бутандиола и пазмешивают еще 2 часа. По охлаждению прибавляют 600 г CH_2Cl_2 , нагревают до кипения и отфильтровывают 176 г бутанолиуретана, охлаждением фильтрата выкристаллизовывают 332 г $\text{Cl}(\text{CH}_2)_4\text{OCONH}_2$ и из р-ра выделяют 122 г 1,4-дихлорбутана. Аналогично из 300 г ClCN в 400 г CH_2Cl_2 и 248 г безводн. $\text{NOCH}_2\text{CH}_2\text{OH}$ получают хлорэтилкарбамат, $\text{Cl}(\text{CH}_2)_2\text{OCONH}_2$, выход 86%. В. У.

79398 П. Диаминосоединения и способ их получения (Composés de diammonium et leur procédé de préparation) J. R. Geigy Soc. Anl. Франц. пат. 1080464, 9.12.54 [Prod. pharm., 1955, 10, № 7, 438 (франц.)]

α, ω -Бис-карбадицилоксалканы (ацил-остаток алифатич. ряда) общей ф-лы $\text{R}'\text{C}_n\text{H}_{2n}\text{COO}(\text{CH}_2)_m\text{OOC}\text{C}_n\text{H}_{2n}\text{R}'$ вводят в р-цию с 2 молекулами вторичных аминов ф-лы (R)(R')NH. Полученные дитретичные α, ω -бис-аминоацилоксалканы обрабатывают алкилирующими агентами общей ф-лы RR'' ; в приведенных ф-лах R — алкильные остатки с низким мол. весом, одинаковые или разные, причем два R могут образовывать с атомом N гетероциклич. ядро из 5—6 атомов, напр. остаток пирролидина, пиперидина, 2-метилпиперидина или морфолина. R' — Cl, Br или J; R'' — атом Cl, Br или J или группы — OSO_2OCH_3 , — $\text{OSO}_2\text{OC}_6\text{H}_5$ или — OSO_2 -арил. В данном случае анион R'' может быть заменен другим одновалентным анионом или R'' представляет собой эквивалент по тивалентного аниона; m 6—14; n 1—4. Ю. В.

79399 П. Тиосемикарбазоны, обладающие лечебным действием (Chemotherapeutische thiosemicarbazones) [Farbenfabriken Bayer A.-G.]. Англ. пат. 709942, 2.06.54 [J. Appl. Chem., 1954, 4, № 12 ii 775 (англ.)]

Тиосемикарбазоны общей ф-лы $\text{H}-\text{C}_6\text{H}_4\text{X}-\text{C}_6\text{H}_4\text{CH}=\text{NNHCSNH}_2$, где X— NO_2 , NH_2 , NH — ацил, а Y — зено, связующее два ароматич. кольца: —CO—, —S—, — SO_2 —. Тиосемикарбазид дает с 4-п-нитрофенилбензальдегидом (т. пл. 127°) в кипящем спирте, содержащем немного CH_3COOH , тиосемикарбазон, т. пл. $\sim 250^\circ$. Описаны следующие тиосемикарбазоны 4-альдегидов: 4-нитробензофеноно-, т. пл. 232—233° (разл.), 4'-аминодифенилсульфидо-, т. пл. 216°, 4'-нитродифенилсульфо-, т. пл. 245° (разл.), 4'-ацетамидодифенилсульфо-, т. пл. 185°. О. М.

79400 П. 1-(3',4'-диоксифенил)-1-оксо-2-аралкиламиноэтаны и способ их получения. Бумм 1-(3',4'-dihydroxyphenyl)-1-oxo-2-aralkyl-amino-ethanes and process for the production thereof. Вумм Е.) [Tropenwerke Dinklage & Co]. Англ. пат. 707360, 14.04.54 [J. Appl. Chem., 1954, 4, № 11, ii646 (англ.)]

Указанные соединения общей ф-лы $\text{C}_6\text{H}_3(\text{OH})_2\cdot\text{COCH}_2\text{NHR}^1\text{C}_6\text{H}_5$ ($\text{R} = -\text{CH}_2\text{CH}_2-$ или другой нормальный или разветвленный 2-валентный алифатич. углеводородный радикал с 2—6 атомами С) и их соли с к-тами получают гидролизом соединений общей ф-лы $\text{C}_6\text{H}_3(\text{OR}')\text{COCH}_2\text{NHR}^1\text{C}_6\text{H}_5$ ($\text{R}' = \text{SO}_3\text{H}$ или $\text{C}_6\text{H}_5\text{CH}_2$) к-той или щелочью, когда $\text{R}' = \text{HSO}_3$, или же нагреванием с к-той или гидрированием в присутствии Pd, когда $\text{R} = \text{C}_6\text{H}_5\text{CH}_2$. 3,4-Дибензилоксиацетофенон р-цией с 1 молем Br_2 в CHCl_3 дает 2-бром-1-кето-1-(3',4'-добензилоксифенил)-этан (т. пл. 91—92°), дающий с избытком $\text{C}_6\text{H}_5\text{CH}_2\text{NH}_2$ и последующей обработкой $\text{HBr} + \text{CO}(\text{CH}_3)_2$ (1:1) 1-(2'-фенилэтиламино)-2-кето-2-(3',4'-добензилоксифенил)-этанбромгидрат (т. пл. 220°), который каталитически дегензилируют в 1-(2'-фенилэтиламино)-2-кето-2-(3',4'-диоксифенил)-этанбромгидрат, т. пл. 195—196°. Описано также получение 1-(3'-фенилпропиламино)-2-кето-2-(3',4'-диоксифенил)-этанхлоргидрата (т. пл. 224—226°) 2-(3'-фенилпропиламино)-1-кето-1-(3',4'-добензилоксифенил)-этана (т. пл. 208°), 2-(3'-фенилпропиламино)-1-кето-1-(3',4'-диоксифенил)-этанбромгидрата, 2-(4'-фенил-2'-бутиламино)-1-кето-1-(3',4'-диоксифенил)-этанхлоргидрата (т. пл. 225—226°), 2-(2'-фенилэтиламино)-1-кето-1-(3',4'-ди-п-толуолсульфонил-диоксифенил)-этана (кислый оксалат, т. пл. 183—184°), 2-(2'-фенилэтиламино)-1-кето-1-(3',4'-диоксифенил)-этанбромгидрата (т. пл. 193—195°), 2-бром-1-кето-1-(3',4'-ди-п-толуолсульфонил-диоксифенил)-этана (т. пл. 89—91°) и 3,4-ди-п-толуолсульфонил-диоксифенила, т. пл. 144—145°. Продукты применимы в качестве спазмолитич. средств. Я. К.

79401 П. Способ получения п-аминосалицилатов антигистаминных оснований. Эрхарт, Аумюллер, Бестман, Ледичке (Verfahren zur Herstellung von p-Aminosaliacylaten von Antihistaminbasen. Ehrhart Gustav, Aumüller Walter, Bestman Walter, Leditschke Heinrich) [Farbwerke Hoechst A.-G. vormals Meister Lucius & Brüning]. Пат. ФРГ 928530, 2.06.55

Эквимолекулярные кол-ва п-аминосалициловой к-ты (I) и соединений общей ф-лы $\text{R}^1\text{C}_6\text{H}_3\text{CH}(\text{CH}_2)_2\text{NR}^2\text{R}^3$ (II) или $\text{R}^4(\text{CH}_2)_n\text{NR}^2\text{R}^3$ (III), где R' и R² — метил или NR²R³ — остаток пирролидина, R³ — пиридил или тиазолил, а R⁴ — остаток фентиазина, вводят в р-цию обмена. Те же соединения получают двойным обменом эквимолекулярных кол-в шел. или шел.-зем. солей I и солей неорганич. к-т II или III. Получены следующие п-аминосалицилаты (IV): 1-фенил-1-пиридил-(2')-3-диметиламинопропан-IV, т. пл. 144—145° (разл.); 1-фенил-1-тиазолил-(2')-3-пирролидинпропан-IV, т. пл. 161—162° (разл.); 1-фенил-1-пиридил-(2')-3-пирролидинпропан-IV, т. пл. 171—172° (разл.); 10-диметиламиноэтилфентиазин-IV, т. пл. 159—160° (разл.); 10-пирролидиноэтилфентиазин-IV, т. пл. 162—163°. Полученные соединения в 1,5—2 раза активнее соответствующих фосфатов и хлоргидратов. Ю. В.

79402 П. Способ получения 3,4-диокси- α -изопропиламинопропиофенона и его солей с кислотами. Энгелхардт (Verfahren zur Herstellung von 3,4-Dioxy- α -isopropylaminopropiophenon und seinen mit Säuren gebildeten Salzen. Engelhardt Edward Louis) [Merck & Co., Inc.]. Пат. ФРГ 924985, 10.03.55

3,4-Дибензилокси- α -бромпропиофенон вводят в р-цию с изопропиламиноном и полученный 3,4-добензилокси- α -изопропиламинопропиофенон, предпочтительно в виде бромгидрата, гидрируют при обыкновенном или повышенном давлении в присутствии Pd/C в растворителе, не реагирующем с H_2 . Так, 21,2 г (0,05 моля) 3,4-добензилокси- α -бромпропиофенона и 9,3 г (0,157) моля изопропиламина растворяют в 300 мл абс. спирта, нагревают ~ 3 часа с обратным холодильником на паровой бане, упаривают до 50 мл, обрабатывают смесью 10 мл 48%-ной HBr и 90 мл воды и, после выпадения кристаллич. осадка, доводят объем водой до ~ 1 л и отфильтровывают осадок.

После перекристаллизации из спирта — эфира получают с 81%-ным выходом 3,4-дибензилокси- α -изопропиламинопропиофенонбромгидрат, т. пл. 192—193 (с разл.); 16,75 г (0,0346 моля) бромгидрата и 5 г 10%-ного Pd/C суспендируют в 100 мл абс. спирта и взбалтывают 3 часа в атмосфере H_2 при $\sim 20^\circ$ и давл. 2,5 ат. После поглощения 2 молей H_2 отфильтровывают катализатор, отгоняют спирт под пониженным давлением при ~ 55 — 60° , остаток (сырой 3,4-диокси- α -изопропиламинопропиофенонбромгидрат) перекристаллизуют из смеси 95% спирта и эфира и высушивают в вакууме при 110° . Для получения свободного основания 3,04 г (0,010 моля) бромгидрата растворяют в 30 мл воды, охлаждают р-р льдом, после чего при непрерывном перемешивании в атмосфере N_2 добавляют по каплям 2,5 мл водн. 4,98 н. NH_4OH ; после выпадения светложелтого осадка дополнительно перемешивают 15 мин., отделяют осадок свободного основания, последовательно промывают его холодной водой, абс. спиртом и сухим эфиром и высушивают в вакуум-эксикаторе над конц. H_2SO_4 и нагретой известью. При предварительном нагревании до 170° и дальнейшем повышении т-ры пробы $\sim 2^\circ$ мин., т-ра плавления основания 174— $174,5^\circ$ (с разл.). Описано также получение хлоргидрата и сульфата; т-ра плавления последних 218—219 (с разл.). Продукты являются весьма активными бронхолитаторами, оказывают значительно меньшее действие на сердце и легко всасываются. Я. К. 79403 П. Способ получения замещенных дифенилтиомочевин. Хюбнер, Шольц (Procédé de préparation de nouvelles diphénylthiourées substituées. Huebner Charles F., Scholz Caspar R.) [Ciba A.-G.]. Франц. пат. 1080728, 13.12.54 [Prod. pharmac., 1955, 10, № 7, 438 (франц.)]

Для получения соединений общей ф-лы $n-RC_6H_4NHCS-NHC_6H_4R'$ (n), где каждый из R и R' — n-бутил или пентил или алкоксилалкил, содержащий в сумме 4—5 атомов C и O, причем R и R' связаны с фенильными ядрами с помощью метиленовых групп, входящих в их состав, применяют известные способы получения 1,3-дизамещ. тиомочевин. Ю. В.

79404 П. Способ получения производных пирролидина, обладающих спазмолитическим действием. Херлбут (Verfahren zur Herstellung von spasmolytisch wirksamen Pyrrolidinverbindungen. Hurlbut Eugene) [The Upjohn Co.]. Пат. ФРГ 923915, 24.02.55

Указанные соединения, одновременно совмещающие в себе действие атропина и папаверина, получают р-цией обмена α, α' -двузамещ. алифатич. карбоновых к-т (напр., двузамещ. уксусной к-ты) общей ф-лы $RR'R''COOH$ (R — H или алкил, R' — арил, аралкил, циклоалкил или циклоалкенил, R'' — алкил или имеет значения R') или галоидангидридов таких к-т с пирролидил-1-алканолами общей ф-лы $HOC_nH_{2n}R'''$ (R''' — остаток пирролидила-1-, монометилпирролидила-1-, или диметилпирролидила-1-, а n = 2, 3 или 4) или р-цией обмена щел. соли указанной карбоновой к-ты с пирролидил-1-галоидалкилом общей ф-лы $XC_nH_{2n}R'''$, где X — галоид, а R''' имеет указанные выше значения. Полученные основные эфиры общей ф-лы $RR'R''COOC_nH_{2n}R'''$ переводят в соли с помощью минер. или органич. к-ты или в соединения четвертичного аммония р-цией обмена с галоидалкилами. Напр. 42,4 г дифенилуксусной к-ты нагревают 1 час с 71,4 г хлористого тioniла, избыток последнего и бензол, добавляемый в 3 приема по 50 мл, отгоняют на водяной бане в вакууме, к охлажд. дифенилацетилхлориду прибавляют 100 мл сухого ксилола и 23 г 3-(пирролидил-1)-этанола в 50 мл кислоты, нагревают смесь 0,5 часа и оставляют на ночь в холодном шкафу, декантируют кислоту с нижней твердой части, которую растворяют в 250 мл воды и экстрагируют эфиром; водн. слой подщелачивают Na_2CO_3 и повторно обрабатывают эфиром; эфирные вытяжки сушат, отгоняют

эфир, оставшееся масло перегоняют в вакууме и получают 3-(пирролидил-1)-этиловый эфир дифенилуксусной к-ты (I), т. кип. 168 — $176^\circ/0,08$ мм; обработка р-ра I в абс. спирте сухим HCl дает HCl-I, т. пл. 126 — 127° (сп.-этилацетат), хорошо растворим в воде. Аналогично получены: 3-(пирролидил-1)-этиловый эфир (II) α -фенил- α' -(Δ^2 -циклопентенил)-уксусной к-ты, т. кип. 140 — $150^\circ/0,04$ мм, хлоргидрат, т. пл. $106,7$ — 107° (из этилацетата); моноцитрат, т. пл. $95,5$ — 97° (из этилацетата); II α -фенил- α' -циклопентилуксусной к-ты, т. кип. 135 — $141^\circ/0,04$ мм, хлоргидрат, т. пл. 101 — 102° (этилацетат); II α -фенил- α' -циклогексилуксусной к-ты, т. кип. $125^\circ/0,06$ мм, n^{25}_D 1,5204, хлоргидрат, т. пл. 129 — 130° ; γ -(пирролидил-1)-пропиловый эфир (III) α -фенил- α' -циклогексилуксусной к-ты, т. кип. $145^\circ/0,06$ мм, n^{25}_D 1,5177, хлоргидрат, т. пл. 123 — $124,5^\circ$; II α -фенил- α' -(Δ^2 -циклогексенил)-уксусной к-ты, т. кип. $137^\circ/0,07$ мм, n^{25}_D 1,5295, хлоргидрат, т. пл. 132 — 134° ; III α -фенил- α' -(Δ^2 -циклогексенил)-уксусной к-ты, т. кип. $139^\circ/0,07$ мм, n^{25}_D 1,5260, хлоргидрат, т. пл. 129 — 133° ; 3-(пирролидил-1)-изопропиловый эфир (IV) α -фенил- α' -(Δ^2 -циклогексенил)-уксусной к-ты, т. кип. $120^\circ/0,03$ мм, n^{25}_D 1,5219, хлоргидрат, т. пл. 177 — 186° ; III α, α' -дифенилуксусной к-ты, т. кип. $148^\circ/0,01$ мм, n^{25}_D 1,5492, хлоргидрат, т. пл. $142,5$ — $143,5^\circ$; IV α, α' -дифенилуксусной к-ты, т. кип. $119^\circ/0,01$ мм, n^{25}_D 1,5455, хлоргидрат, т. пл. 166 — 167° ; 3-(пирролидил-1)-n-пропиловый эфир (V) α, α' -дифенилуксусной к-ты, т. кип. $146/0,01$ мм, n^{25}_D 1,5493, хлоргидрат, т. пл. $117,5$ — 120° ; II α -n-пропил- α' -(Δ^2 -циклопентенил)-уксусной к-ты, т. кип. $100^\circ/0,03$ мм, n^{25}_D 1,4761, хлоргидрат, т. пл. 67 — 71° ; III α -n-пропил- α' -(Δ^2 -циклопентенил)-уксусной к-ты, т. кип. $120^\circ/0,05$ мм, n^{25}_D 1,4758, хлоргидрат, т. пл. 83 — 85° ; IV α -n-пропил- α' -(Δ^2 -циклопентенил)-уксусной к-ты, т. кип. $105^\circ/0,025$ мм, n^{25}_D 1,4719, хлоргидрат, т. пл. 97 — 99° ; III α -фенил- α' -циклопентилуксусной к-ты, т. кип. $125/0,03$ мм, n^{25}_D 1,5146, хлоргидрат, т. пл. 130 — $131,5^\circ$; IV α -фенил- α' -циклопентилуксусной к-ты, т. кип. $112^\circ/0,03$ мм, n^{25}_D 1,5103, хлоргидрат, т. пл. 120 — 125° ; III α -фенил- α' -(Δ^2 -циклопентенил)-уксусной к-ты, т. кип. $129^\circ/0,04$ мм, n^{25}_D 1,5220, хлоргидрат, т. пл. 117 — 120° ; IV α -фенил- α' -(Δ^2 -циклопентенил)-уксусной к-ты, т. кип. $119^\circ/0,05$ мм, n^{25}_D 1,5175, хлоргидрат, т. пл. 184 — 187° ; II α -(Δ^2 -циклопентенил)- α' -(Δ^2 -циклогексенил)-уксусной к-ты, т. кип. $110^\circ/0,01$ мм, n^{25}_D 1,5054, хлоргидрат, т. пл. $105,5$ — $106,5^\circ$; III α -(Δ^2 -циклопентенил)- α' -(Δ^2 -циклогексенил)-уксусной к-ты, т. кип. $124^\circ/0,01$ мм, n^{25}_D 1,5043, цитрат, т. пл. $120,5$ — 122° ; IV α -(Δ^2 -циклопентенил)- α' -(Δ^2 -циклогексенил)-уксусной к-ты, т. кип. $125^\circ/0,03$ мм, n^{25}_D 1,5008, хлоргидрат, т. пл. 147 — 158° ; V α -(Δ^2 -циклопентенил)- α' -(Δ^2 -циклогексенил)-уксусной к-ты, т. кип. $114^\circ/0,01$ мм, n^{25}_D 1,5065, цитрат, т. пл. 127 — 129° ; II α -n-пропил- α' -циклопентилуксусной к-ты, т. кип. $95^\circ/0,01$ мм, n^{25}_D 1,4686, хлоргидрат, т. пл. 102 — 104° ; III α -n-пропил- α' -циклопентилуксусной к-ты, т. кип. $101^\circ/0,01$ мм, n^{25}_D 1,4690, хлоргидрат, т. пл. $115,5$ — $116,5^\circ$; IV α -n-пропил- α' -циклопентилуксусной к-ты, т. кип. $87^\circ/0,008$ мм, n^{25}_D 1,4648, хлоргидрат, т. пл. 107 — 109° ; II α -n-бутил- α' -циклопентилуксусной к-ты, т. кип. $104^\circ/0,01$ мм, n^{25}_D 1,4683, хлоргидрат, т. пл. 88 — 90° ; III α -n-бутил- α' -циклопентилуксусной к-ты, т. кип. $104^\circ/0,009$ мм, n^{25}_D 1,4688, хлоргидрат, т. пл. $98,5$ — 102° ; IV α -n-бутил- α' -циклопентилуксусной к-ты, т. кип. $100^\circ/0,01$ мм, n^{25}_D 1,4649, хлоргидрат, т. пл. 103 — 108° ; V α -n-бутил- α' -циклопентилуксусной к-ты, т. кип. $110^\circ/0,03$ мм, n^{25}_D 1,4700, хлоргидрат, т. пл. 77 — 81° ; II α -n-бутил- α' -(Δ^2 -циклопентенил)-уксусной к-ты, т. кип. $100^\circ/0,02$ мм, n^{25}_D 1,4752, цитрат, т. пл. 88 — 89° ; III α -n-бутил- α' -(Δ^2 -циклопентенил)-уксусной к-ты, т. кип. $99^\circ/0,005$ мм, n^{25}_D 1,4750, хлоргидрат, т. пл. 76 — 78° ; цитрат, т. пл. 117 — 118° . Соли четвертичных аммониевых оснований: 7,5 г II α -фенил- α' -(Δ^2 -

циклопентил)-уксусной к-ты смешивают с 2,5 мл C_2H_5J , нагревают 1 час при 100° , охлаждают, фильтруют, осадок перекристаллизуют из смеси этилацетата и метанола и получают иодэтилат β -(пирролидил)-этилового эфира α -фенил- α' -(Δ^2 -циклопентенил)-уксусной к-ты, т. пл. $127,5-129^\circ$. Аналогично получены следующие четвертичные соли: аллилбромид II α -фенил- α' -(Δ^2 -циклопентенил)-уксусной к-ты, т. пл. $117-119^\circ$; иодметилат II α -фенил- α' -(Δ^2 -циклопентенил)-уксусной к-ты, т. пл. $112,5-114,5^\circ$; бромэтилат II α -фенил- α' -(Δ^2 -циклопентенил)-уксусной к-ты, т. пл. $129-131^\circ$; бромметилат II α -фенил- α' -(Δ^2 -циклопентенил)-уксусной к-ты, т. пл. $103,5-105,5^\circ$. Ю. В.

79405 П. Способ получения двузамещенных амидов никотиновой кислоты (Verfahren zur Herstellung eines neuen disubstituierten Nicotinsäureamids) [Cilag A.-G.]. Швейц. пат. 297721—297727, 1.0.6.54 [Chem. Zbl., 1955, 126, № 10, 2256 (нем.)]

В доп. к швейц. пат. 294511 (РЖХим, 1956, 30457) амиды никотиновой к-ты (I), обладающие спазмолитич. действием напр., N-(1,2-дифенилэтил)-N-(2'-пиперидинэтил)-I, т. кип. $250-260^\circ/0,8$ мм, получают взаимодействием пиперидинэтилхлорида с N-(1,2-дифенилэтил)-амидом никотиновой к-ты (II) в присутствии $NaNH_2$; N-(1,2-дифенилэтил)-N-(N'-метил-N'-бутиламиноэтил)-I получают взаимодействием N-метил-N-бутиламиноэтилхлорида с II в присутствии $NaNH_2$; аналогично получены N-(1,2-дифенилэтил)-N-(N'-метил-N'-бутиламинопропил)-I; N-(1,2-дифенилэтил)-N-(N'-диизопропиламиноэтил)-I; N-(1,2-дифенилэтил)-N-(N'-диизопропиламинопропил)-I; N-(1,2-дифенилэтил)-N-(γ -2,6-диметилпиперидинопропил)-I; N-(1,2-дифенилэтил)-N-(γ -2,6-диметилпиперидинопропил)-I. Ю. В.

79406 П. Способ получения амидов N-метилтриметилколхициновой кислоты и их солей. Шлитлер, Уффер (Verfahren zur Herstellung von neuen N-Methyl-trimethyl-colchicinsäureamiden und ihren Salzen. Schlitler Emil, Uffer Andreia) [Ciba A.-G.]. Пат. ФРГ 936268, 7.12.55

Производные N-метилтриметилколхициновой к-ты (I) — амиды I и их соли получают взаимодействием I или ее функциональных производных или их изомеров напр. N-метилдезацетилколхицина (II) или его изомеров, с NH_3 , первичными и вторичными аминами (особенно низкомолекулярными алкил-, алкенил-, алкилен- и циклоалкиламины) под давлением, при повышенной т-ре. Получаемые основания можно превращать в соли. Патентуемые соединения, как показали биол. испытания, значительно препятствуют разрастанию опухолей (тормозят деление клеток) и, в отличие от колхицина, применяемого для той же цели, обладают в 50—100 раз меньшей токсичностью. Примеры: 0,5 г II растворяют в 2 мл 3, 5 М спирт. р-ра метиламина, нагревают в запаянной трубке 4 часа на кипящей водяной бане; по охлаждению отфильтровывают получаемые с колич. выходом желтые кризлы монометиламида-I, т. пл. $213-214^\circ$ (из смеси эф.-пентана), $[\alpha]_D^{25} - 80 \pm 4^\circ$ (хлф.); аналогично получены диметиламид-I, т. пл. $127-128^\circ$ и $155-156^\circ$ (эф.-пентан), $[\alpha]_D^{25} + 326 \pm 4^\circ$ (хлф.); аллиламид-I, т. пл. $141-142^\circ$ (эф.-пентан), $[\alpha]_D^{25} - 70 \pm 4^\circ$ (хлф.); β -бутиламид-I, т. пл. $128-129^\circ$ (эф.-пентан), $[\alpha]_D^{25} - 58 \pm 4^\circ$ (хлф.); α -октиламид-I, изобутиламид-I. Полученные соединения представляют собой аморфные в-ва; хроматограмма на бумаге показывает их однородность; N,N-тетраметил(1,4)-амид-I, т. пл. $172-174^\circ$ (эф.), $[\alpha]_D^{25} + 534 \pm 4^\circ$ (хлф.); N,N-пентаметил(1,5)-амид-I, т. пл. $151-152^\circ$ (пентан), $[\alpha]_D^{25} + 76 \pm 4^\circ$ (хлф.); циклогексиламид-I, т. пл. $166-168^\circ$ (эф.), $[\alpha]_D^{25} - 76 \pm 4^\circ$; β -оксиэтиламид-I, т. пл. $94-96^\circ$ и $147-149^\circ$ (эф.), $[\alpha]_D^{25} - 86 \pm 4^\circ$ (хлф.); изопропиламид-I, т. пл. $159-160^\circ$ (эф.), $[\alpha]_D^{25} - 80^\circ$ (хлф.), амид-I, т. пл. $198-200^\circ$ (уксусный эф.) и $120-125^\circ$ (вода), $[\alpha]_D^{25} - 17 \pm 3^\circ$ (хлф.);

этиламид-I, т. пл. $125-126^\circ$ (эф.), $[\alpha]_D^{25} - 70 \pm 3^\circ$ (хлф.); диэтиламид-I, т. пл. $137-138^\circ$ (эф.), $[\alpha]_D^{25} - 450 \pm 4^\circ$ (хлф.) и N,N-диметил(1,2)-амид-I, т. пл. $146-147^\circ$ (эф.), $[\alpha]_D^{25} - 90 \pm 4^\circ$ (хлф.). Исходные в-ва — II и I, наряду с колхицином, выделяют из экстракта клубней осеннего безвременника (*Colchicum autumnale* L.) или получают известными синтетическими способами. Ю. В.

79407 П. Пиримидины. Фрейзер (Pyrimidines. Frazer G. H.). Австрал. пат. 164054, 28.07.55

Патентуются соединения общей ф-лы (I): $NH_2C=NCH=$
 $=C(CH_2C_6HRR'R'')C(NH_2)=N$, (R — метокси или этокси, R' — этокси, Cl или Br, R' и R'' — H, метокси, этокси, Cl или Br) и соли к-т и I. Ю. В.

79408 П. Производное пиримидина и его получение (Pyrimidine compound and the manufacture thereof) [Soc. Des Usines Chimiques Rhône-Poulenc]. Англ. пат. 718689, 17.11.54

2-Амино-4-диметиламинопроизводное 5-(4'-хлорфенил)-6-этилпиримидина (I), его соли и препараты получают р-цией 2-амино-4-галонд-I или соответствующего 2-аминаминопроизводного с диметиламином (II) или его солями при т-рах предпочтительно выше 100° и под давлением, если применяют свободный II; или II пропускают в р-р I в высококипящем р-рителе, нагретом до $120-150^\circ$. В примерах описаны р-ции, осуществляемые нагреванием в запаянной трубке или в автоклаве до $160-180^\circ$ 2-ацетиламин-4-хлор-I с II и спиртом; пропусканием II в р-р 2-ацетиламин-4-хлор-I в феноле и выливанием продукта р-ции в р-р NaOH; пропусканием II в суспензию 2-ацетиламин-4-хлор-I в пропиленгликоле или 2-этоксизетаноле и нагреванием HCl-II с 2-амино-4-хлор-I. Исходный 2-амино-4-хлор-I получают конденсацией гуанидина с этил-2-(4'-хлорфенил)-3-пентаноатом в 15—40%-ном олеуме и хлорирование образовавшегося 2-амино-4-окси-I или его ацетильного производного с помощью $POCl_3$. Ю. В.

79409 П. 5-Окси-3, 4, 5, 6-тетрагидропиримидины. Дорнфелд (5-Hydroxy-3, 4, 5, 6-tetrahydropyrimidines. Dornfeld Clinton A.) [G. D. Searle Co.]. Пат. США 2704757, 22.03.55

Патентуются соединения общей ф-лы: $CH_2CH(OH)CH_2N=$
 $=CRNH$, где R — бензил, дифенил, пиридил, а также

их соли с нетоксич. к-тами. Соединения эти получают конденсацией фенилуксусной, дифенилуксусной, пиколиновой, никотиновой и изоникотиновой к-т с 1,3-диамино-2-пропанолом при $85-200^\circ$ в присутствии инертного органич. р-рителя. О. М.

79410 П. Способ получения новых производных гексапиримидинонов-4,6. Вейс (Verfahren zur Herstellung von neuen Hexahydropyrimidin-4,6-dionderivaten. Vasey Charles Henry) [Imperial Chemical Industries Ltd]. Пат. ФРГ 925524, 24.03.55

Указанные соединения общей ф-лы $R(R')CCONR''CH_2-$

NHCO (I) (R — галоидфенил, R' — алкил или алкилен — не более, чем с 3 атомами С, R'' — H или алкил не более, чем с 4 атомами С, получают по первому способу р-цией в-в ф-лы $R(R')C(CONHR'')(CONH_2)$ (II) с $HCOOH$ (III) или $HCONH_2$ (IV); вместо II, III и IV могут применяться соединения, образующие указанные в-ва в условиях получения I. В качестве р-рителя применяют циклогексанол, метилциклогексанол, N-метил-, N-этил- и N-диметилформамид (V), форманил, N-метил- и N-фенилформанил, дихлорбензол, нитробензол и моноклорнафталин. Второй путь синтеза I состоит в том, что в-ва ф-лы $R(R')CCO-$

$NR''C(A)=N-CO(A-H, OH, SH, OAl$ к или SAI к) восста-
 навливают в условиях, при которых не происходит отщепления галоида. Производные барбитуровой к-ты вос-

становливают электролитически, О-алкилбарбитуровые, тиобарбитуровые и S-алкилтиобарбитуровые к-ты гидрируют в нейтр. среде в присутствии Pd/SrCO₃, скелетного Ni или скелетного Ni-катализатора W5. Восстановление производных тетрагидропиримидиндиона-4,6 осуществляют Zn в CH₃COOH, а также III или IV в присутствии V или без него. Кроме того, I могут быть получены нитрованием 5-фенил-5-алкилгексагидропиримидиндиона-4,6 с последующим введением галоидо. Патентуемые соединения обладают противоспазматич. действием. 60 ч. II (R = n-Cl C₆H₄; R' = C₂H₅ и R'' = H) (VI) нагревают 2 часа с 250 ч. IV и получают I (R, R' и R'' те же, что в VI) (VII), т. пл. 303° (из 80%-ного сп.). Аналогично синтезируют следующие I (последовательно указаны R, R' и R'', в скобках приведены т-ры плавления): n-Cl C₆H₄, C₂H₅, H (271°); m-ClC₆H₄, C₂H₅, H (281°) (VIII); n-BrC₆H₄, C₂H₅, H (309°); m-BrC₆H₄, C₂H₅, H (273°); n-ClC₆H₄, CH₃, H (310°); n-ClC₆H₄, CH₂=CH-CH₃, H (300°); n-ClC₆H₄, C₂H₅, CH₃ (159°); 3,4-Cl₂C₆H₃, C₂H₅, H (281°); 3,5-Cl₂C₆H₃, C₂H₅, H (272°). 4 ч. VI нагревают с 10 ч. V и 1 ч. 98%-ной III, 2 часа прибавляют еще 4 ч. III и через 30 мин. выделяют VII. Из 2 ч. 2-метоксипроизводного VI (IX) и 50 ч. IV синтезируют VI. Это же соединение получают восстановлением 1 ч. IX в 125 ч. CH₃OH, 5 ч. Zn-пыли и 20 ч. 2 н. HCl (10 мин., 50°). Охлажд. до 0° р-р 10 ч. 5-фенил-5-этилгексагидропиримидиндиона-4,6 в 74 ч. 98%-ной H₂SO₄ нитруют 1 час 3,3 ч. HNO₃ (d = 1,5) и 18,4 ч. H₂SO₄ и выделяют 5-м-нитропроизводное, т. пл. 248—249° (из 80%-ного сп.). 10 ч. нитросоединения в 200 ч. лед. CH₃COOH восстанавливают с 0,1 ч. Pt (из PtO₂) до соответствующего амина, т. пл. 299—30° (разл., из водн. сп.), 23 ч. которого диазотируют в разб. HCl р-ром 7 ч. NaNO₂ в 10 ч. воды, обрабатывают 100 ч. Cu₂Cl₂ в 400 ч. HCl и получают VIII. (Кол-ва реагентов даны в весовых частях).

М. К.

79411 П. Способ получения соединений пиперидина. Гольдберг, Ямпольский (Procédé pour la préparation de composés de pipéridinium. Goldberg Moses W., Jampolski Lester M.) [F. Hoffmann-La Roche & Cie]. Франц. пат. 1072511, 14.09.54 [Chimie et industrie, 1955, 73, № 5, 958 (франц.)]

Соединение общей ф-лы (I) вводят в р-цию с галоидпроизводным общей ф-лы: R'X; в указанных ф-лах X — галоид, n — 2—8, один из R и R' — низший алкил, — а другой — алкарил, фенильное ядро которого содержит отрицательный заместитель, а алкильная цепь не более 3 атомов C.

Ю. В.

79412 П. Способ получения 4-(N-фенил-N-бензил)-амино-1-алкилпиперидинов или их производных, содержащих заместитель в ароматическом остатке. Каллишнигг (Verfahren zur Herstellung von 4-(N-Phenyl-N-benzyl)-amino-1-alkylpiperidinen bzw. ihren in den aromatischen Resten substituierten Derivaten. Kallischnigg Rolf) [Knoll A.-G., Chemische Fabriken]. Пат. ФРГ 903213, 10.01.55

1-Алкилпиперидон-4 обрабатывают анилином или его алкильными или алкоксильными производными, образовавшиеся шиффовы основания восстанавливают до вторичных аминов и последние обрабатывают хлористым бензолом или его алкильными или алкоксильными производными; получают третичный амин. 80 г 1-метилпиперидона 4, 70 г C₆H₅NH₂, 250 мл C₆H₅CH₃ и несколько капель лед. CH₃COOH кипятят с применением водоотделителя до образования теоретич. кол-ва воды (12,7 мл). C₆H₅CH₃ отгоняют, остаток фракционируют в вакууме, при 156°/133 мм отбирают 118 г анила 1-метилпиперидона-4 (бледножелтое масло). 100 г анила кипятят 8 час с 30 г активированных Al-стружек в 300 мл CH₃OH и 60 мл воды. Осадок отделяют, р-ритель отгоняют, остаток фракционируют в вакууме. При 163—165°/15 мм отбирают 95 г

4-N-фениламино-1-метилпиперидона (II) в виде бесцветного масла, которое быстро кристаллизуется; т. пл. 87° (из дибутилового эф.), дихлоргидрат, т. пл. 146; 95 г I нагревают в 300 мл C₆H₆ с 22 г порошкообразного NaNH₂, пропускают ток N₂ до прекращения выделения NH₃. К кипящей реакционной массе прибавляют по каплям 64 г C₆H₅CH₂Cl, затем кипятят ~1 часа. Охлажд. р-р взбалтывают с водой, органич. слой сушат K₂CO₃, р-ритель отгоняют, 4-(N-фенил-N-бензил)-амино-1-метилпиперидин быстро кристаллизуется, выход 128 г, т. пл. 115° (из дибутилового эф.), дихлоргидрат, т. пл. 189°. Из 1-метилпиперидона-4 и п-анидина получают 4-(4'-метоксифенил)-амино-1-метилпиперидин, т. кип. 172—173°/8 мм, т. пл. 46,5° (из петр. эф.), дихлоргидрат, т. пл. 248°, основание превращают в 4-(N-4'-метоксифенил-N-бензил)-амино-1-метилпиперидин, т. пл. 83° (из петр. эф.), дихлоргидрат, т. пл. 194°. Указанные в-ва обладают сильным противоаллергич. действием и хорошей совместимостью в лекарственных формах.

В. К.

79413 П. Способ получения нового анальгетика — производного 1-фенилпиперазола. Крафт (Verfahren zur Herstellung eines neuen analgetisch wirksamen 1-Phenylpyrazolderivates. Kraft Helmut) [Knoll A.-G., Chemische Fabriken]. Пат. ФРГ 928286, 31.05.55

Указанные соединения, характеризующиеся незначительной токсичностью, и их неорганич. и органич. соли получают р-цией фенилкетон-ф-лы C₆H₅CCR, где R — CH=CHOH, C≡CH, или CH=C(OH)CCCC', (R' — низший алифатич. остаток) с 4-сульфофенилгидразином (II), причем эфир пиперазолкарбоновой к-ты, полученный с применением C₆H₅COCH=C(OH)COOR', омыляют и декарбоксилируют. Образующийся 1-(4'-сульфофенил)-3-фенилпиперазол (II) переводят в соли с помощью нетоксичных неорганич. или органич. оснований; II получают взаимодействием натрийбензолацетальдегида с I. Фенилэтинилкетона с I или этилового эфира бензилпиперидиноградной к-ты с I. Действием на водн. р-р II ацетата Na и выливанием в спирт получают Na-соль II. Получена легко растворимая соль II с диметиламинофенилдиметилпиперазолом, применяемая для инъекций.

Ю. В.

79414 П. Способ получения производных 6-окси-2-аминобензтиазола. Шрадер (Verfahren zur Herstellung von Derivaten des 6-Oxy-2-aminobenzthiazols. Schrader Gerhard) [Farbenfabriken Bayer A.-Q.]. Пат. ФРГ 927507, 9.05.55

Указанные в-ва получают р-цией 6-окси-2-аминобензтиазола (I) с галоидангидридами карбоновых к-т или эфирами хлормуравьиной к-ты в присутствии агентов, связывающих к-ты. 16,5 г I растворяют в 100 мл 1 н. NaOH при 20°, к р-ру, охлажд. до 10—15°, при перемешивании прибавляют по каплям 14,5 г C₆H₅COCl. Выпадает 6-бензонлкси-2-бензтиазол (II), который отсасывают, промывают водой и для очистки кипятят со спиртом. Нерастворившийся бесцветный II имеет т. пл. 176°, после перекристаллизации из ацетона т. пл. 178; выход теоретич. Из 16,5 г I и 14 г ClCOOC₂H₅ получают 12 г 6-(карбэтокс)-окси-2-аминобензтиазола, т. пл. 244°; из 16,5 г I и II г хлорангидрида диметилкарбаминной к-ты получают 12 г 6-(диметилкарбаминил)-окси-2-аминобензтиазола, т. пл. 244°; из 16,5 г I и 12 г метансульфохлорида получают 15 г 6-метилсульфонилокси-2-аминобензтиазола, т. пл. 192° (из CH₂Cl₂); из 16,5 г I в ацетоне (в присутствии K₂CO₃) и 19 г хлорангидрида 0,0-диэтилтиофосфорной к-ты получают 21 г 0,0-диэтилтиофосфорнокислого эфира I, который применяется как средство для защиты растений. Продукты могут найти применение как лекарственные в-ва, так как некоторые из них обладают сильным туберкулоостатич. действием.

В. К.

79415 П. Способ получения оптически активных 3-окси-N-метилморфинанов (Fremgangsmåde til fremstilling af optisk aktive 3-oxsy-N-metyl-morfinaner) [F. Hoffmann-La Roche & Co. A.-G.]. Дат. пат. 79447, 27.06.55

Рацемический 1-(*п*-метоксибензил)-2-метил-1,2,3,4, 5, 6, 7, 8-октагидроизохинолин после взаимодействия с оптически активной *к*-той (преимущественно с α -(+)-винной *к*-той) разделяют обычным способом на оптические антиподы, которые далее, каждый в отдельности, при обработке *к*-той, в частности фосфорной, циклизуют в соответствующие оптически активные 3-окси-*N*-метилморфинаны и выделяют последние в виде тартратов.

М. Н. 79416 П. Способ получения 14-оксидигидроморфина.

Луэнштейн, Уэйсс (Verfahren zur Herstellung von 14-Oxydihydromorphin. Lewenstein Mozes Juda, Weiss Ulrich). Пат. ФРГ 926132, 7.04.55

Способ получения 14-оксидигидроморфина (I), обладающего сильным болеутоляющим действием, состоит в дегидрировании 14-оксидигидрокодеина (II) (напр., конц. HBr, водн. р-ром HBr, содержащим H_3PO_3 , хлоргидратом пиридина, HBr в CH_3COOH , KOH в диэтиленгликоле, $AlCl_3$, H_3PO_3 , $AlBr_3$, $ZnCl_2$ в пиридине и BF_3) с последующей экстракцией непрореагировавшего II и побочных продуктов несмешивающимися с реакционной массой *р*-рителем и выделении I из щел. р-ра. 9 г II кипятят с 90 мл конц. HBr, разбавляют водой, охлаждают до 5°, подкисляют разб. NaOH и экстрагируют $CHCl_3$. Водн. слой, подкисленный HCl, обрабатывают водн. NH_3 и экстрагируют эфиром; выход I 2,3 г, т. пл. 245–247° (из сл.); I образует кристаллы. соли с HCl, HBr, HJ, H_2SO_4 , HPO_3 , H_3PO_4 , HNO_3 , CH_3COOH , C_2H_5COOH , C_6H_5COOH , винной, салициловой, терфталевой, фталевой, лимонной *к*-тами и камфореульфокислотой. Строение I, имеющего брутто-формулу $C_{17}H_{19}NO_4$, подтверждено превращением I в II при обработке CH_3N_2 .

М. К. 79417 П. Способ извлечения из осеннего безвременника изого гексаэдрического глюкозида, названного „колхикозидом“. Белле (Verfahren zur Gewinnung eines neuen kristallisierten Glukosids der Herbstzeitlose, „Colchicosid“ genannt. Bellet Paul) [Soc. Uclaf]. Пат. ФРГ 925183, 18.04.55

Осенний безвременник *Colchicum autumnale* (I) экстрагируют (также с добавкой минер. солей или инертных в-в) р-рителем, извлекающим все действующие составные части I, кроме колхикозида (II), в частности низкомолекулярными галогеналкилами, напр. хлф., C_2H_5Cl , $C_2H_5Cl_3$, после чего остаток обрабатывают р-рителем для I, — водой, низкомолекулярными спиртами или их водн. р-рами, смесями низкомолекулярного спирта и низкомолекулярного галогеналкила, напр. сп. + хлф., C_6H_5N и подобными основаниями. Можно также получать сначала жидкий или сухой экстракт, содержащий все действующие составные части, в том числе и II, а потом обрабатывать экстракт р-рителем, растворяющим все действующие компоненты, кроме II. Так, 10 кг I, измельченного в порошок, экстрагируют сначала р-рителем для жиров (углеводородом или эф.), потом хлф., растворяющим колхицин и сопутствующие ему примеси, и наконец смесью сп. + хлф. (1 : 3). Хлорэфирные р-ры экстрагируют трижды водой (по 0,3 л) и из водн. фазы путем отгонки воды получают сырой II, который несколько раз перекристаллизуют из спирта; выход 23,5 г, брутто-формула $C_{27}H_{45}O_{11}N$, т. разлаг. 193°, т. пл. 216–218°, $[\alpha]_D^{25} - 360 \pm 3^\circ$ (с 1; вода). В другом примере 20 кг измельченного и обезжиренного I экстрагируют сп. + хлф. (1 : 3) или смесью спирта и C_2H_5Cl или $C_2H_5Cl_3$, отгоняют р-ритель, остаток растворяют в 2 л воды, р-р 4 раза по 1 л экстрагируют хлф., экстракт обрабатывают активированным углем и выпаривают досуха. Остаток после перекристаллизации из спирта дает чистый II. В опытах с мышами он оказался, по меньшей мере, в 10 раз менее ядовит, чем колхицин, и может находить то же биологич. и промышленное применение, что и колхицин.

Я. К. 79418 П. Выделение каротина из растительных масел, содержащих каротин или прокаротин. Болдинг (Werkwijze ter afscheiding van caroteen uit caroteen

bevattende oliën en/of haar derivaten en/of mengsels daarvan. Boldingh Jan). Голл. пат. 74349, 15.04.54 [Chem. Abstr., 1954, 48, № 22, 14132 (англ.)]

Способ выделения каротина из пальмового или морковного масла путем адсорбции каротина при помощи свободного кислорода, активированного адсорбента. Адсорбент предварительно обрабатывается восстановительными агентами (гидрохинон, растворенный в бензоле, или CO , CO_2 , азотом или водородом при 400–500°). Масла применяются как таковые, так и в виде жирных *к*-т, или растворенными в ацетоне или петр. эфире. Каротин получается с высоким выходом. Напр., норит PC_3 обрабатывается 30 мин. H_2 при 400°, помещается в адсорбционную колонну и промывается петр. эфиром. Через колонну пропускают смесь, состоящую из 2 вес. ч. красного пальмового масла и 1,5 ч. петр. эфира, промывают 5 ч. петр. эфира. Экстрагирование каротина из колонны 20 ч. бензола дает 72%, 12 ч. толуола — 79%, 8 ч. ксилола — 85% каротина от находящегося в исходном масле. Оставшееся масло практически бесцветно. Если адсорбент не свободен от атмосферного O_2 , каротин также адсорбируется, но бензольный экстракт содержит также измененный каротин.

В. Е. 79419 П. Способ получения нуклеотидного соединения, одного из факторов комплекса витамина В. Раскин (Verfahren zur Herstellung einer Nucleotidverbindung eines Faktors des Vitamin-B-Komplexes. Ruskin Simon R.). Швейц. пат. 235568, 16.12.53 [Chem. Zbl., 1954, 125, № 49, 11250 (нем.)]

Для получения производных адениловой *к*-ты, имеющих терапевтич. применение, 1 моль адениловой *к*-ты конденсируют с 2 молями амида никотиновой *к*-ты, водн. р-р продукта *р*-ции выпаривают в вакууме и получают диникотилмададенилат, т. пл. 103°.

Ю. В. 79420 П. Способ очистки и разделения витаминов группы В₁₂ с помощью хроматографии. Бернхауэр, Фридрих (Verfahren zur Reinigung und Trennung der Vitamine der B₁₂-Gruppe durch Verteilungschromatographie. Bernhauer Konrad, Friedrich Wilhelm) [Schaffenerberger Zellstoffwerke A.-G.]. Пат. ФРГ 930551, 21.07.55

Для изготовления применяемых для указанных целей хроматографич. колонок последние наполняют целлюлозной кашкой, для чего бумажную или древесную целлюлозу в виде порошка или хлопьев замешивают с *n*-бутанолом, насыщенным водой, в однородную кашку и насыщают путем адсорбции ионами CN, в качестве проявителя применяют *n*-бутанол с содержанием воды $\leq 10\%$ и ионов CN в кот-ве 0,001 моль/л.

Ю. В. 79421 П. Способ приготовления водных растворов стероидных гормонов. Эрхарт, Кросс, Пельниц Рушиг (Verfahren zur Herstellung wägriger Lösungen von Steroidhormonen. Ehrhart Gustav, Krohs Walter, Pölnitz Wolfgang Frhr. von, Ruschig Heinrich) [Farbwerke Hoechst A.-G. vormals Meister Lucius & Brüning]. Пат. ФРГ 930171, 11.07.55

Для получения водн. р-ров стероидных гормонов применяют в качестве в-в, повышающих растворимость, Na-соли оксистероидной *к*-т (I), содержащих одну или несколько OH-групп в бензольном ядре, причем одна группа OH может быть этерифицирована. Применение I не вызывает побочных действий и повышает фармакологию. активность гормонов. Можно добавлять другие, трудно растворимые в воде лекарственные в-ва, напр. 1-фенил-2,3-диметил-4-диметиламин-5-пиразолон (II) или Na-соль 3-диметиламино-4-метилфенилфосфиновой *к*-ты (III). Следующие в-ва растворяют в воде при 20° или при нагревании и доводят до 3 мл: 60 мг ацетата кортизона (IV) и 1,5 г салицилата Na (V); 15 мг IV и 900 мг V; 15 мг IV, 900 мг V и 300 мг VI; 15 мг ацетата дезоксикортикостерона (VI) и 800 мг V; 15 мг VI, 800 мг V и 60 мг VII; 30 мг прогестерона и 800 мг V; 30 мг прогестерона и 800 мг 2-окси-4-

этоксibenзоата Na, 15 мг дезоксикортикостерона и 500 мг гентизиновокислого Na. Ю. В.

79422 П. Получение производных холановой кислоты (Production of cholanolic acid derivatives) [Schering Corp.]. Англ. пат. 695520, 12.08.53 [Chem. Abstrs, 1954, 48, № 22, 13733 (англ.)]

Стероидные кетокислоты получают обработкой насыщ. или ненасыщ. 3,12-диоксихолановых к-т в присутствии гетероциклич. оснований: пиридина, хинолина, или третичного ароматич. амина, напр. $C_6H_5N(CH_3)_3$, достаточным кол-вом ацилирующего агента (уксусного или янтарного ангидрида). Полученный реакционный р-р 3-эфира обрабатывают окислителем, предпочтительно CrO_3 в CH_3COOH для окисления 12—ОН-группы в СО-группу. Смесь из 19,6 г деоксихолевой к-ты, 5,25 г янтарного ангидрида и 15 мл безводн. пиридина кипятят 30 мин., охлаждают, разбавляют р-ром 9,5 мл H_2SO_4 в 200 мл CH_3COOH , вновь охлаждают до 13—15°, прибавляют 3,83 г CrO_3 в 5 мл воды, смесь оставляют стоять 1 час, поднимают т-ру до 15—20° за 30 мин.; затем смесь выливают в 2,5 л воды и белый продукт собирают, промывают и сушат. Получают 23,8 г (97%) 12-кетосоединения, т. пл. 230—235°. Приведены другие примеры, включающие использование а) холевой к-ты в качестве 3,12-диоксихолановой к-ты, б) примерно эквимольные кол-ва холановой к-ты и янтарного ангидрида, в) $(CH_3CO)_2O$ вместо янтарного ангидрида и г) конц. HCl вместо H_2SO_4 . Л. М.

79423 П. Способ получения стероидов, содержащих семициклическую двойную связь (Manufacture of steroids having a semicyclic double bond) [Ciba Ltd.]. Англ. пат. 711210, 30.05.54 [J. Appl. Chem., 1954, 4, № 12, ii775—ii776 (англ.)]

При получении указанных стероидов из вторичных pregnанов-20, содержащих Н у атома $C_{(17)}$ и алкилиденную группу у атома $C_{(21)}$ происходит непосредственная или косвенная потеря воды с образованием двойной связи. Постепенной перегонкой р-ра 20-кето-3 α , 12-диацетокси-21-бензилиденpregнана и А1-изопропилата в изопропиловом спирте получают ацетон и 3 α , 12 α , 20-триокси-21-бензилиденpregнан, т. пл. 148—150° [триацетат, т. пл. 185—187°, $[\alpha]^{25}_D + 47^\circ$ (в диоксане)], превращающийся при кипячении в лед. CH_3COOH , $HCOOH$ или C_2H_5COOH в 12 α -окси-3 α -ацетокси-21-бензилиденpregнен-17, т. пл. 220—223°, $[\alpha]^{25}_D + 78^\circ$ (в $CHCl_3$). Обработкой последнего п-толуолсульфохлоридом и пиридином при ~30° в течение 7 дней получают 3 α -ацетокси-12 α -(п-толуолсульфонил)-21-бензилиденpregнен-17, двойная т. пл. 101—104° и 125—126° (разл.), $[\alpha]^{25}_D + 140^\circ$ (в $CHCl_3$). Кипячением 12 α -окси-3 α -ацетокси-21-бензилиденpregнена-17 в смеси пиридина с $(CH_3CO)_2O$ получают 3 α , 12 α -диацетокси-21-бензилиденpregнен-17, т. пл. 162° (в предварительно нагретом блоке) и 164—167° (после отвержения), $[\alpha]^{25}_D + 100^\circ$ (в $CHCl_3$). Получены следующие производные 21-бензилиденpregнадена-3,17 [указаны замещающая группа, т. пл. в °С и $[\alpha]_D$ в $CHCl_3$]: 33-ацетокс-, 185—187°, $[\alpha]^{25}_D - 93^\circ$; 33-окс-, 184—185°, $[\alpha]^{25}_D - 99^\circ$; 3-кето-, 179—181° и 194—198°, $[\alpha]^{25}_D + 37^\circ$; а также 33, 20-диокси-21-бензилиденpregнен-5, т. пл. 169—172°, $[\alpha]^{25}_D 62^\circ$ (в $CHCl_3$). В. У.

79424 П. Способ получения кислот триснорланостанового и триснорланостанового ряда и их производных. Егер, Ружичка (Verfahren zur Herstellung von Säuren der Trisnornorlanosten- und Trisnornorlanostenreihe und ihren Derivaten. Jeger Oskar, Ruzicka Leopold) [Ciba A.-G.]. Пат. ФРГ 927093, 28.04.55
Изохолестерин или его производные, в частности его сложные или простые эфиры, ступенчатно обрабатывают окислителями (напр., CrO_3) непосредственно или после временной защиты реакционноспособной двойной связи в боковой цепи (напр., присоединением галондов или гало-

идоводорода) с последующим гидрированием двойной связи ядра в продуктах окисления на любой ступени с помощью H_2 в момент выделения (напр., Zn в CH_3COOH). Так, к р-ру 50 г изохолестеринацетата в 50 мл хлф. добавляют при энергичном перемешивании 1000 мл лед. CH_3COOH и в течение 1 часа без охлаждения р-р 100 г CrO_3 в 600 мл 90%-ной CH_3COOH . Т-ра смеси быстро поднимается до ~45° и остается длительное время на этом уровне. После ~14 час. стояния при ~20° избыток окислителя разлагают метанолом, отгоняют часть р-рителя в вакууме при ~60°, остаток разбавляют водой, желтый осадок растворяют в эфире, промывают р-р водой и слабым р-ром $NaHCO_3$, добавляют осторожно 2 н. NaOH и отделяют выпавшие Na-соли, которые после обычной обработки дают не менее 21 г аморфной оранжевой смеси, из которой перекристаллизацией из эфира и смеси $CH_2Cl_2 + C_6H_{14}$ получают чистую триснорацетоксиланостендионовую к-ту [т. пл. 192—194°, метиловый эфир (посредством диазометана), т. пл. 140—142° (тонкие иглы) и 154—155° (грубые иглы)], при омылении переходящую в оксикислоту, оранжево-желтые иглы с т. пл. 198—199°, метиловый эфир (посредством диазометана), т. пл. 177—178°. Для получения триснорацетоксиланостандионовой к-ты оранжевую аморфную смесь к-т обрабатывают диазометаном, метиловые эфиры растворяют в бэл. + петр. эф. (1 : 1), фильтруют через колонку из 200 г Al_2O_3 , обрабатывают 500 мл бэл. + петр. эф. (1 : 1) и 350 мл бэл., выпавшие желтые кристаллы (~14 г или 26% от исходного изохолестеринацетата), т. пл. 125—145°, растворяют в 550 мл кипящей лед. CH_3COOH , обрабатывают 14 г Zn-пыли, кипятят 1 час и после отделения Zn упаривают немного в вакууме и обрабатывают р-р известным образом. После одной перекристаллизации из $CH_2Cl_2 + CH_3OH$ получают продукт с т. пл. 201—204°, который после нескольких перекристаллизаций из той же смеси дает метиловый эфир триснорацетоксиланостандионовой к-ты, $C_{28}H_{46}O_6$, с постоянной т. пл. 203—205°; $[\alpha]_D + 59$ (с 1,02; хлф.). Нагревание 1,4 г этого эфира в течение 2 час. с 60 мл спирт. КОН дает триснорланостандионовую к-ту $C_{27}H_{44}O_6$, т. пл. 227—229° (из ацетона), метиловый эфир (посредством диазометана), $C_{28}H_{46}O_6$, т. пл. 190—191,5° (из $CH_2Cl_2 + CH_3OH$). Описано также получение дибромизохолестеринацетата, т. пл. 120—123°, дибромланостендиолацетата, т. пл. 187—188° (разл.), $[\alpha]_D + 100^\circ$ (с 1,31; хлф.) и ацетоксиланостендиона, т. пл. 203—204° (из $CH_2Cl_2 + CH_3OH$), $[\alpha]_D + 58^\circ$ (с 1; хлф.), λ_{max} 285 мμ ($lg \epsilon = 1,9$). Я. К.

79425 П. Получение продуктов окисления стероидов, содержащих семициклическую двойную связь. (Manufacture of oxidation products of steroids having a semicyclic double bond) [Ciba Ltd.]. Англ. пат. 711258, 30.06.54 [J. Appl. Chem., 1954, 4, № 12, ii776 (англ.)]

17-кетоны ряда андростана или этиохолена и pregnен-17-аль-21 получают окислением 21-алкилиденpregненов-17. Путем одновременного прибавления в отсутствие O_2 и влаги 3 α -ацетокси-12 α -(п-толуолсульфонил)-21-бензилиденpregнена и H_2O_2 в безводн. эфире к разбавляемой смеси Na_2SO_4 и OsO_4 в сухом эфире и обработкой смеси через 24 часа Na_2SO_4 , а затем продукта смесью $(CH_3CO)_2O$ и C_6H_5N при 20° получают 3 α -ацетокси-12 α -(п-толуолсульфонил)-pregнен-17-аль-21, т. пл. 150—151° (разл.), $[\alpha]^{25}_D + 150^\circ$ (в хлф.). Аналогичным способом получены 3 α , 12 α -диацетоксизтиохоланон-27, т. пл. 152—153°, $[\alpha]^{25}_D + 180^\circ$ (в ацетоне), и андростен-4-дион-3,17, т. пл. 169—171°, $[\alpha]^{25}_D + 198^\circ$ (в хлф.). В. Л.

79426 П. Способ получения насыщенных и ненасыщенных 17-окси-20-кетонхв pregnанового ряда. Эрхарт, Рушиг, Шмидт-Томе, Хеле, Фрич (Verfahren zur Herstellung von gesättigten und ungesättigten 17-Oxy-20-ketonen der Pregnanreihe. Ehrhart Gustav, Ruschig Heinrich, Schmidt-

Thomé Josef, Haede Werner, Fritsch Werner) [Farbwerke Hoechst A.-G. vormalis Meister Lucius & Brüning]. Пат. ФРГ 932796, 8.09.55

Указанные оксикетоны, могущие содержать в положении 21 ацилированную или свободную оксигруппу, получают р-цией соответствующих 16,17-оксидов-20-кетон с иодистыми солями, достаточно растворимыми в применяемых р-рителях, и органич. к-тами, выделяющими HI из этих солей; полученные йодгидриды гидрируют в присутствии тяжелых металлов 8-й группы периодич. системы в качестве катализатора. 1 г ацетата 16,17-оксидо- Δ^5 -прегненол-3 β -она-20 (I=оксисоединение), 15 мл лед. CH_3COOH и 5 г NaI нагревают 90 мин. при 100°, выливают в 200 мл воды и извлекают эфиром, обесвечивают I_2 в эфирном р-ре тиосульфатом, р-р промывают, сушат и перегонкой выделяют 1,17 г 3 β -ацетата-16-йод- Δ^5 -прегненидиол-3 β , 17а-она-20 (II; II=оксисоединение), т. пл. 184°. 2 г II в 80 мл спирта кипятят 2 часа с 8 г скелетного NI, по охлаждению разбавляют 100 мл CH_2Cl_2 и удаляют катализатор; испарением р-рителя выделяют 1,4 г 3 β -ацетата- Δ^5 -прегненидиол-3 β , 17а-она-20, т. пл. 232° (из сп. + ацетон); такие же результаты дает восстановление H_2 при нормальном давлении в присутствии Pd/CaCO₃ в спирте. Аналогично из I получено II, т. пл. 226—230°, и Δ^5 -прегненидиол-3 β , 17а-он-20, т. пл. 268—271°; из ацетата 16,17-оксидо- Δ^5 -прегненол-21-дионо-3,20—21-ацетат 16-йод- Δ^5 -прегненидиол-17а, 21-дионо-3,20, т. пл. 185—187° и 21-ацетат Δ^5 -прегненидиол-17а, 21-дионо-3,20, т. пл. 237—238° (из ацетона); из 16,17-оксидопрегестерона-16-йод-17а-оксипрегестерон, т. пл. 188° и 17а-оксипрегестерон; из 16,17-оксидо- Δ^5 -прегненидиол-3 β , 21-она-20—16-йод- Δ^5 -прегненидиол-3 β , 17а, 21-он-20, т. пл. 180—190° (разл.), и Δ^5 -прегненидиол-3 β , 17а, 21-он-20, т. пл. 204—205° (из ацетона; неспр.). Полученные в-ва применяют в качестве гормонов коры надпочечников или промежуточных продуктов для их синтеза.

В. У.
79427 П. Способ получения 17-оксипрегнен-5-ол-3-она-20. Каспар, Шенк (Verfahren zur Herstellung von 17-Oxypregnen-(5)-ol-(3)-on-20). Kaspar Emanuel, Schenck Martin) [Schering A.-G.]. Пат. ФРГ 931770, 16.08.55

Для получения указанного оксипрегненолона (I) из прегнадиен-5,16,ол-3-она-20 (II) 3-ацильное производное II превращают обычным образом в 16,17-эпоксипрегнен-5-ол-3-он-20 (III) или 3-ацил-III (IV). Действием HBr в CH_3COOH из III и IV получают соответственно 5,16-дибромпрегнанидиол-3,17а-он-20 (V) или 3-ацил-V (VI); если двойную связь при C⁵ предварительно защищают присоединением Br, при раскрытии эпиксидного цикла получают 5,6,16-трибромпрегнанидиол-3,17а-он-20 (VII) или его 3-ацильное производное (VIII). Каталитич. дебромированием V, VI, VII и VIII (с последующим деацетилированием в случае VI и VIII) превращают в I. К р-ру 9 г III в 80 мл CH_2Cl_2 прибавляют 26 мл 32%-ного р-ра HBr (газ) в лед. CH_3COOH и размешивают короткое время при ~20°; получают 11,9 г V, т. пл. 119—120° (с разл.). Р-р 4,9 г V в 200 мл CH_3OH , после прибавления 2,1 г CH_3COOH , гидрируют в присутствии 4,9 г 2%-ного Pd/CaCO₃ до поглощения 1 эквивалента H_2 ; получают 2,95 г I, т. пл. 254—257° (из CH_2OH), $[\alpha]_D^{25} - 33^\circ$ (с=1; диоксан: спирт=1:2). К р-ру 372 мг III в 4 мл CH_2Cl_2 прибавляют при ~20° и размешивают 160 мг Br в CH_2Cl_2 , после обесвечивания прибавляют 1 мл 32%-ного р-ра HBr (газ) в лед. CH_3COOH и через 0,5 часа отгоняют в вакууме р-ритель; получают VIII; выход 550 мг, т. пл. 155—156° (с разл.). Гидрированием VIII, как описано выше, получают 3-ацетил-I (IX), выход 75%, т. пл. 226—227,5° (из бзл.), $[\alpha]_D^{25} - 38,8^\circ$ (с=1; диоксан); омылением IX получают I. При 5-часовом кипячении 170 мг V с 1,7 г скелетного NI в 20 мл спирта также образуется I. А. Т.

79428 П. Циклопентаофанантеновые соединения. Кайзер, Сварз (Cyclopentanophenanthrene compounds. Kaiser E., Svarz J.) [Armour & Co]. Англ. пат. 706873, 7.04.54 [J. Appl. Chem., 1954, 4, № 11, i1648 (англ.)]

Циклопентаофанантеновые соединения, содержащие заместитель —CHR'—COOR у атома C₍₃₎ (R—H или алкил с 1—6 атомами C; R'—H, COOH или COOR'; R''—алкил с 1—6 атомами C) получают р-цией эфира органич. сульфокислоты и спирта циклопентаофанантенового ряда с эфиром карбоновой к-ты, содержащим группу CHM (M—металл), и в случае надобности получения свободной карбоновой к-ты гидролизом полученного эфира циклопентаофанантенового ряда. Холестерил-л-толуолсульфонат в теплом ксилоле постепенно прибавляют к р-ру Na в $\text{CH}_2(\text{COOC}_6\text{H}_5)_2$ и ксилоле при 90°, смесь нагревают 12 час. при 105—110° и отгонкой ксилола с водяным паром выделяют диэтиловый эфир холестерилмалоновой к-ты. Получены также следующие в-ва: холестерилмалоновая к-та (начинает разлагаться при >202°, нерастворима в холодном бензине); диметиловый эфир холестерилмалоновой к-ты, т. пл. 87—88°; холестерилуксусная к-та, т. пл. 212—213°; диметиловый, диэтиловый и д-бутиловый эфиры эргостерилмалоновой к-ты, дигексилловый эфир стигмастерилмалоновой к-ты.

В. У.

79429 П. Способ получения $\Delta^8(9)$ -7,11-диоксисоединений циклопентаполигидрофанантенового ряда. Чеймберлин, Чемерда (Verfahren zur Herstellung von $\Delta^8(9)$ -7, 11-Dioxyverbindungen der Cyclopentanopolhydrophenanthrenreihe. Chamberlin Earl Martin, Chamerda John Martin), [Merck & Co., Inc.]. Пат. ФРГ 932795, 8.09.55

Эпоксиды $\Delta^7(8),9(11)$ -циклопентаполигидрофанантена подвергают перегруппировке путем обработки кислотным катализатором (лучше кислотным твердым абсорбентом). В качестве катализатора можно применять глинозем или SiO₂. Р-р 13 г эпоксиацетата эргостерина-D (I) в 200 мл C_6H_6 хроматографируют на 390 г глинозема, промытого к-той, и вымывают последовательно смесями петр. эфира с C_6H_6 (1500 мл в соотношении 4:1, 2000 мл 3:2, 2500 мл 2:3 и 2000 мл 1:4), 4500 мл эфира, 1500 мл CH_3OH , 4500 мл этилацетата, 1500 мл ацетона и 1500 мл CHCl_3 ; из метанольной и последующих фракций выделяют 8 г 3-ацетокси-7,11-диокси- $\Delta^8(9),22(23)$ -эргостадиена (II), т. пл. 245—247° (из ацетона), $[\alpha]_D^{25} + 80^\circ$; 3,7,11-триацетат, т. пл. 171—173°. II получают при хроматографировании I на SiO₂, а также при окислении 309 г ацетата эргостерина-D в 1876 мл C_6H_6 при 10—15° р-ром 107,6 г надбензойной к-ты в 1775 мл C_6H_6 ; смесь оставляют стоять 16 час. при 20°, бензольный р-р промывают дважды по 630 мл 5%-ного водн. KOH и 3 раза по 1000 мл воды, сушат MgSO_4 и хроматографируют, аналогично указанному выше. По описанному способу получены также следующие в-ва: из эпоксиметилового эфира 3-ацетокси- $\Delta^7(8),9(11)$ -биснораллохолодиеновой к-ты получен метиловый эфир 3-ацетокси-7,11-диокси- $\Delta^8(9)$ -биснораллохолодиеновой к-ты, т. пл. 225—251° (из ацетона), 237—248° (из этилацетата), 218—230° (из CH_3OH), $[\alpha]_D^{25} + 92,4^\circ$ (в CHCl_3); из эпоксиметилового эфира 3-ацетокси- $\Delta^7(8),9(11)$ -холодиеновой к-ты — метиловый эфир 3-ацетокси-7,11-диокси- $\Delta^8(9)$ -холодиеновой к-ты, т. пл. 193—197° (из ацетона); из эпоксиацетата $\Delta^7(8),9(11)$ -дегидротигогенина — 3-ацетокси-7,11-диокси- $\Delta^8,9$ -тигогенин, т. пл. 250—254° (из CH_3OH), $[\alpha]_D^{25} + 21^\circ$ (в CHCl_3); из эпокси-3-ацетата- $\Delta^7(8),9(11)$ -аллопрегнадиенол-3-она-20 — 3-ацетат- $\Delta^8(9)$ -аллопрегненидиол-3,7,11-она-20, т. пл. 188—200° (из CH_3OH), $[\alpha]_D^{25} + 141^\circ$ (с 0,336, в CHCl_3).

Получаемые в-ва пригодны в качестве промежуточных продуктов для синтеза фармацевтич. препаратов. В. У. 79439 П. **Аминные соли пенициллина** (Amine salts of penicillin) [Lab. Français de Chimiothérapie]. Англ. пат. 710149 9.06.54 [J. Appl. Chem., 1954, 4, № 12, ii 774 (англ.)]

Указанные соли, обладающие длительным действием после инъекции, представляющие собой продукты взаимодействия пенициллина (I) с органич. основаниями ф-лы $\text{NH}_2\text{-CHRR}'$, где $\text{R} = \text{C}_6\text{H}_5$ или CH_3 , $\text{R}' = \text{C}_6\text{H}_5$ или насыщ. алифатич. цепь, содержащая CH_3 -группу и в общей сложности 6 атомов C, получают или двойным разложением соли I с солью основания в водн. среде, или при непосредственном взаимодействии свободной пенициллиновой к-ты и свободного основания в органич. р-рителе. При обработке кристалл. I (К-соль) при помощи $\text{CH}(\text{C}_6\text{H}_5)_2 \cdot \text{NH}_2\text{HCl}$ в водн. $\text{CO}(\text{CH}_3)_2$ получают бензилпенициллинат амидофенилметана, $\text{C}_{16}\text{H}_{18}\text{O}_4\text{N}_2\text{S} \cdot \text{C}_{13}\text{H}_{13}\text{N}$, т. пл. 159°, $[\alpha]_{\text{D}}^{18} + 206^\circ$ (с—); в н-сп. стойкий при 100° в течение 48 час. Т-ра плавления бензилпенициллината 2-амино-6-метилгептана 117°, $[\alpha]_{\text{D}}^{18} + 223^\circ$ (в сп.). Л. М.

79431 П. **Пенициллиновая соль 2-аминотетрагидропиридина**. Янг (Penicillin salt of 2-aminotetrahydropyridine. Young Vernon V.) [Commercial Solvents Corp.]. Пат. США 2713578, 19.07.55

Патентуется указанная соль пенициллина. М. К.

79432 П. **Способ получения труднорастворимых соединений пенициллина**. Эрхарт, Рушиг, Штейн, Аумюллер (Verfahren zur Herstellung von schwerlöslichen Penicillinverbindungen. Ehrhart Gustav, Ruschig Heinrich, Stein Leonhard, Aumüller Walter) [Farbwerke Hoechst A.-G. vormals Meister Lucius & Brüning]. Пат. ФРГ 908249, 5.04.54 [Chem. Zbl., 1954, 125, № 48, 11039 (нем.)]

Для получения труднорастворимых соединений пенициллина действуют на пенициллин или его соли эфирами аминокислот и замещ. в 2-положении 4-аминобензойных к-т, в частности, 2-хлор-, 2-метил- или 2,4-диаминобензойной к-ты или же солями этих эфиров. Описаны пенициллиновые соли: диэтиламиноэтилового эфира 2,4-диаминобензойной к-ты, т. пл. 131° (разл.) диэтиламиноэтилового эфира 2-хлор-4-аминобензойной к-ты, т. пл. 119° (разл.) диэтиламиноэтилового эфира 2-метил-4-аминобензойной к-ты, т. пл. 130° (разл.). Соединения применяются в качестве терапевтич. депо-препаратов. О. М.

79433 П. **Способ получения эфиров аминопропандиолов** (Fremgangsmåde til fremstilling af estre af aminopropandiolforbindelser) [Parke, Davis & Co.]. Дат. пат. 79403, 20.06.55

Указанные соединения общей ф-лы $\text{p-NO}_2\text{C}_6\text{H}_4\text{-CH}(\text{OH})\text{CH}(\text{NHCOCH}_2\text{R})\text{CH}_2\text{OOCR}$, где R — алифатич. углеводородный радикал, содержащий от 7 до 19 атомов C, получают р-цией п-нитрофенил-2-дихлор-ацетиламино-1,3-диола с хлорангидридом карбоновой к-ты ф-лы $(\text{RCO})\text{X}$, или ее ангидридом (X — галоген; R имеет указанное выше значение). Процесс можно проводить в присутствии основного катализатора. Из р-(—)-*трео*-1-*п*-нитрофенил-2-дихлорацетиламино-1,3-диола стеарилхлорида и палимитилхлорида получают соответственно р-(+)-*трео*-1-*п*-нитрофенил-2-дихлорацетиламино-3-стеарилхлорпропанол-1, т. пл. 91—92° $[\alpha]_{\text{D}}^{20} + 5,75^\circ$ (в этилацетате), и р-(+)-*трео*-1-*п*-нитрофенил-2-дихлорацетиламино-3-пальмитилхлорпропанол-1, т. пл. 90°, $[\alpha]_{\text{D}}^{20} + 5,1^\circ$ (в этилацетате). М. Н.

79434 П. **Хлортетрациклин** (Chlortetracycline) [American Cyanamid Co.]. Австрал. пат. 164120, 28.07.55

Хлортетрациклин получают в условиях аэробной ферментации *Streptomyces aureofaciens* в питательной среде, содержащей в прокипяченном водн. р-ре 30—80 г крахмала, 10—40 г органич. N-содержащего в-ва в 1 л

и смесь нетоксичных соединений, образующих в р-ре ионы NH_4^+ , Ca, Co, Fe^{2+} , Mg, Mn, K, Zn, CO_3 , Cl, PO_4 и SO_4 ; перед началом ферментации прибавляют 5—30 г глицеридного масла. Ю. В.

79435 П. **Получение эритромицина**. Хуксема, Руланд (Herstellung von Erythromycin. Hoeksema Herman, Ruland Lionel Edward) [The Upjohn Co.]. Пат. ФРГ 936411, 936412, 15.12.55

Для повышения выходов получаемого биологич. путем эритромицина (I) предлагается добавлять к питательной среде 0,05—1% растворимого в воде амида пропионовой к-ты (пат. ФРГ 936411) 0,05—1% 1-алканолов с нормальной цепью, содержащих ≤ 4 атомов C напр., метанола, спирта, *n*-пропанола или *n*-бутанола, или пропанола (пат. ФРГ 936412). Суспензию культуры *Streptomyces erythreus* NRRL 2338 прибавляют к 100 мл питательной среды, содержащей на 1 л воды 10 г декстрозы, 10 г мясного экстракта, 5 г NaCl и 5 г бактопептона и выдерживают при взбалтывании 3 дня при 23,5°, после чего по 5 мл полученной культуры переносят в колбы, содержащие по 100 мл питательной среды (25 г декстрозы, 25 г частично обезжиренной соевой муки, 5 г пивных дрожжей, 5 г NaCl, 2 г CaCO_3 на 1000 мл воды), и выдерживают 7 дней при 28,5°, отбирая пробы на 5-й, 6-й и 7-й день для определения содержания I. Начальная рН среды 6,5—6,6 поднимается к концу выращивания до 9,5. Параллельно ставят опыты с добавлением к питательной среде 0,4% пропионамида (II) (или другого, растворимого в воде амида пропионовой к-ты — моно- и ди-N-замещ. низшими алкилами) или 0,4—0,6% указанных выше спиртов (III). Сопоставление результатов опытов показывает, что выход I (в г/мл) при добавлении II повышается на 7-й день с 184 до 390 или с 145 до 285, а при добавлении одного из III — с 182 до 248—392 или с 340 до 390—938 (наибольшее повышение выхода I дает прибавление *n*-пропанола). Ю. В.

79436 П. **Соли фумагиллина с аминами**. Шок (Amine salts of fumagillin. Schock Richard U.) [Abbott Labs.]. Пат. США 2718488, 20.09.55

Патентуются соли фумагиллина (I) с алифатич. и циклоалифатич. аминами и способ их получения. I ($\sim \text{C}_{27}\text{H}_{36}\text{O}_7$), обладающий антибиотич. активностью в отношении *Endamoeba histolytica* и *Nosema apis*, имеет мол.в. 475—488, $\text{pK} \sim 6,5$, т. пл. 190°—191°, $[\alpha]_{\text{D}}^{25} \text{D} - 26,6^\circ$ (0,25%-ный р-р в CH_3OH) и содержит карбокс- и алкоксигруппы. Возможность применения I для инъекций ограничивается неустойчивостью водн. р-ров I, в то время как его соли устойчивы и в водн. р-рах и обладают высокой активностью против *Nosema apis*. Твердые водорастворимые соли I получают р-цией I с эквимолекулярным кол-вом децил-, додецил-, дициклогексил- или диамиламина. Напр., к 1 г I в 50 мл кипящего ацетона медленно прибавляют 0,7 дециламина, осадок отфильтровывают и промывают ацетоном; выход дециламинового соли I 1,24 г, т. пл. 163—165° (из 50%-ного водн. CH_3OH). Аналогично получены соли I и следующих аминов (в скобках указаны выход в г и т. пл.): дициклогексилламина (1,39; 147—148°), диамиламина (т. пл. 143—144°: выход ниже вследствие растворимости в ацетоне); додециламина (0,91; 147—149°). М. К.

79437 П. **Получение антибиотика актинохризина**. Брокман, Боне, (Herstellung des antibiotischen Wirkstoffes Actinochrysin. Brockmann Hans, Bone Arnold) [Farbenfabriken Bayer A.-G.]. Пат. ФРГ 912010, 24.05.54 [Chem. Zbl., 1954, 125, № 48, 11009 (нем.)]

Для получения антибиотика актинохризина применяют штамм грибов из группы актиномицетов, который способен вырабатывать краску, окрашивающую культуральную жидкость в желтый цвет, и которую можно

изолировать в виде кирпично-красного продукта с т. пл. 254°, особенно пригоден штамм *Streptomyces (Actinomyces chrysomallus)*. Ферментация производится глубинным способом. Актинохризин извлекается из культурных сред при помощи экстракционных и адсорбционных методов, обогащается и выделяется в чистом виде. Описана морфология, условия выращивания и культура микроорганизма. О. М.

79438 П. Способ получения релаксина (Fremgangsmåde til udvinding af relaksin) [Warner-Hudnut, Inc.]. Дат. пат. 79418, 20.06.55

Яичники порошой свиньи экстрагируют разб. к-той; к экстрагированной смеси добавляют соль и нерастворенную часть отфильтровывают; к экстракту прибавляют трихлоруксусную к-ту и выделившийся осадок отделяют; из него экстрагируют релаксин (I) обработкой водн. ацетоном; I очищают осаждением из экстракта при увеличении конц-ии ацетона. Из остатка после экстрагирования можно получить еще некоторое кол-во I путем экстрагирования подкисленным водн. ацетоном. М. Н.

79439. П. Способ приготовления веществ, тормозящих свертывание крови. Братфиш (Verfahren zur Herstellung von Hemmstoffen des Blutgerinnungssystems. Bratfisch Gerhard) [Schering A.-G.]. Пат. ФРГ 926085, 7.04.55

Получение гепарина (I) и гиалуронсерной к-ты (II), блокирующих образование свертывающей крови фермента—тромбина, ограничено сырьевыми источниками (легкие, печень, пуповина). Предложено повышать активность I и II обработкой последних ферментами типа гиалуронидазы (III), причем в процессе обработки отбирают пробы и прекращают действие III в момент оптимального тормозящего действия препарата путем кратковременного нагревания до 90°. К р-ру I в 0,1 н. ацетатном буферном р-ре с pH 6,5 прибавляют большой избыток препарата III и, контролируя момент максим. действия на тромбин, выдерживают при 30°~6 час., после чего разрушают активность фермента нагреванием до 90° и выделяют I обычными способами. Аналогично обрабатывают посредством III р-р II в 0,1 н. ацетатном буфере с pH 4,5 с добавлением 3% NaCl в течение ~20 час. Оба препарата снижают активность тромбина значительно больше, чем исходные I и II. Ю. В.

79440 П. Парентерально вводимые водные растворы сульфамидных препаратов и способ их получения. Бениш, Кларер (Parenterally administrable aqueous solutions of sulfacompounds and process of preparation thereof. Behnisch Robert, Klarer Josef) [Schenley Industries, Inc.]. Пат. США 2696454, 7. 12.54 Практически нейтр., водн. р-р для указанных целей содержит в растворенном состоянии сульфамидное соединение ф-лы $n\text{-H}_2\text{NC}_6\text{H}_4\text{SO}_2\text{NH}(\text{NHCH}_2\text{C}_6\text{H}_4\text{SO}_2\text{N}_2\text{H}_2\text{-}n)\text{-CS-NH}_2$ (I). Содержание I в р-ре существенно превышает кол-во, могущее быть растворенным в объеме воды, соответствующем объему р-ра. Указанный р-р на 1 моль I содержит 0,5 моля продукта конденсации сульфопириимидина с 1 молем продукта присоединения альдегида (коричного или кротонового альдегида или акролена) с бисульфитом щел. металла, взятых в молярном соотношении 1:2. В. У.

79441. П. Антигистаминные препараты. Уорн (Antihistaminic compositions. Worne Howard Edward) [The Robinson Foundation, Inc.]. Пат. США 2707696, 3.05.55

Указанные препараты (II) содержат одно из следующих антигистаминных в-в: N-метил-N'-(4-хлорбензгидрил)-пиперазин (хлорциклизин); 1-(n-хлорфенил)-1-(2-пиридил)-3-диметиламинопропан (хлорпрофенпиридамин); 2-бензгидрилокси-N,N-диметилаэтиламин (дифенгидрамин); N,N-диметил-N'-фенил-N'-(2-тенил)-этилендиамин (метапирилен); 2-метил-9-фенил-2,3,4,9-тетрагидро-1-пиридинен (фендинамин); 1-фенил-1-(2-пиридил)-3-диметиламинопропан

(профенпиридамин); N, N-диметил-N'-(n-метоксibenзил)-N'-(2-пиридил)-этилендиамин (пиранизамин); N, N-диметил-N'-(n-метоксibenзил)-N'-(2-пиримидил)-этилендиамин (тонзиламин); N, N-диметил-N'-бензил-N'-(2-пиридил)-этилендиамин (трипеленнамин). В состав II, кроме вышеперечисленных в-в в форме оснований (напр., профенпиридамин) или их солей (хлоргидратов, сульфатов, фосфатов, малеатов, тартратов и др.) входит Na-, K- или Ca-соль аскорбиновой к-ты (I). Отношение в-ва к соли I зависит от терапевтич. активности в-ва; оптимальным является отношение в-во: соль $1 \leq 1:2$ (напр., 25—50 мг в-ва и 100—250 мг соли I). Высокоактивные в-ва, такие как хлорпрофенпиридамин, применяют в кол-ве ~4 мг для взрослых и ~2 мг для детей; соответственно уменьшают и кол-во соли I. Дозирование II осуществляют смешением в-ва с солью I и включением их в желатиновую капсулу. Кроме того, II применяются в таблетках, ампулах и т. д., а также в сочетании с витаминами, антипиретиками и др. В состав II могут входить несколько в-в и солей I, напр. 4 мг хлорпрофенпиридамина, 10 мг хлоргидрата N-(2'-диметиламино-2'-метилэтил)-фентиазина, 50 мг Na-соли I и 50 мг Ca-соли I. М. К.

79442. П. Препараты, содержащие кальций (Calcium composition) [Sterling Drug Inc.]. Австрал. пат. 165203, 29.09.55

Для получения сухого состава, предназначенного для приготовления из него р-ра, содержащего Са в конц-иях более высоких, чем конц-ии, получаемые в конц. р-рах глюконатов Са или леулинов Са, вводят в состав Са-соль хинной к-ты и глюконат или леулинат Са в кол-вах, достаточных для получения желаемых высоких конц-ий Са в водн. р-рах. Ю. В.

79443 П. Хлористый d-тубокурарин в инъекционной суспензии нерастворимого в воде мыла в масле. Джурист, Берк, Гонт (D-tubo-curarine chloride in suspension of water-insoluble soap in injectable oil. Jurist Alfred E., Burke John C., Gaunt William E.) [Olin Mathieson Chemical Corp.]. Пат. США 2719103, 27.09.55

Безводный нестабилизированный терапевтич. препарат для инъекций состоит из хлоргидрата тубокурарина (I), диспергированного в суспензии физиологически приемлемого нерастворимого в воде мыла, напр., стеарата Са в пригодном для инъекции невиссыхающем масле. Присутствие суспензии мыла оказывает протрагирующее действие. Приведены примеры, получения препаратов, в состав которых входит р-р гидрированного масла земляного ореха в негидрированном масле, в качестве мыла — стеараты, пальмитаты, олеаты, линолеаты, лаураты Са, Mg, Zn и Al, которые растворяются в масле при высокой т-ре и выпадают в виде тончайшей суспензии при охлаждении. В качестве активных в-в, помимо I названы Na-пенициллин G, HCl-стрептомицин, β-диэтиламиноэтил-n-этоксibenзоат, Нагепарин и инсулин. Ю. В.

79444 П. Композиции ароматических оксикарбоновых кислот с адсорбирующими смолами. Гастус (Hydroxy aromatic carboxylate-resin adsorption composition. Gustus Edwin L.). Пат. США 2697059, 14.12.54

Терапевтические композиции, пригодные для лечения ревматоидного воспаления суставов, содержат адсорбирующие смолы на основе полиаминокислот, на которых адсорбирован анион к-ты, обладающей противовоспалительным действием. К-та содержит бензольное ядро, имеющее до 2 оксигрупп, и боковую цепь не менее чем с 2 атомами С, содержащую карбоксильную группу; при этом по крайней мере одна оксигруппа ядра находится рядом с указанной боковой цепью. В. У.

79445 П. Способ получения гранулированного препарата из сухих дрожжей. Кюхенмейстер (Verfahren zur Herstellung eines aus getrockneter Hefe bestehenden pharmazeutischen Präparates in stückiger Form. Kü-

henmeister Heinrich J.) (Ges. für Agrikultur und Technik m. b. H.). Пат. ФРГ 924444, 3. 03.55

Для получения лечебного дрожжевого препарата для диабетиков, не имеющего неприятного вкуса, к порошку сухих дрожжей прибавляют, в качестве связующего и вкусового в-ва, сгущенный сок, содержащий инулин, и полученный из клубней земляной груши, георгин или цикория. Кроме того, формованные тела из порошка дрожжей и связующего можно покрывать смесью, в состав которой входит указанный сгущенный сок. 10 кг порошка сухих пивных дрожжей смешивают с 2 кг упаренного в вакууме до 50%-ной конц-ии сока, выжатого из клубней земляной груши и гранулируют. 5 кг этих гранул покрывают 0,5 кг указанного сока.

В. У. 79446 П. Дезинфекционные препараты для применения в ветеринарии. Дарсиссак (Produits désinfectants à usages vétérinaires. Darcissac M.). Франц. пат. 1064188, 11. 05. 54 [Chimie et industrie, 1954, 72, № 5, 997 (франц.)]

Указанные препараты для борьбы с ящуром, применяемые путем пульверизации внутрь полости рта животного, представляют собой водн. р-ры глицерина с очень низким рН, содержащие 1,5—3% трихлоруксусной к-ты (I); препарат для пульверизации пораженных частей представляет р-р с 1,5—3% I и ~1% метилфталата в масле.

Ю. В. 79447 П. Дезинфицирование и разжижение мокроты, содержащей муцины. Миддендорф, Шмидт (Verfahren zur Verflüssigung mucinhaltiger Schleime. Middendorf Leonhard, Schmidt Heinz) [Farbwerke Hoechst A.-G. vormals Meister Lucius & Brünig]. Пат. ФРГ 936289, 7. 12. 55

Для указанных, в частности противотуберкулезных, целей предложено применение водн. р-ров амидосульфокислоты HOSO_2NH_2 , бесцветной, лишенной запаха, устойчивой и безопасной в обращении, сжигающее действие которой частично усиливается добавлением дезинфицирующих в-в. Применяют, напр. 3—4 объемн. ч. 10%-ного водн. р-ра амидосульфокислоты, содержащего 0,5% 6-хлор-3-крезола.

См. также: Общие вопросы 78034, 79176, 79551, 79555, 79830. Огранич. синтез. лек. в-ва 78060, 78105, 78112, 78117—78124, 78129, 78132, 78136, 78144, 78145, 78147, 78152, 78153, 78156, 78159, 78167, 78184, 78249, 78250, 78257, 79218, 79245, 79331, 79474, 23800Бх, 23838Бх, 23839Бх, 23847Бх, 23869Бх, 23880Бх, 23894Бх, 23904Бх, 23905Бх, 23934Бх, 23963Бх, 23971Бх. Алкалоиды 78244, 78245; 22823Бх, 22851Бх, 22853Бх, 23295Бх, 23973Бх. Глюкозиды 78230—78240. Витамины 78246, 79492; 22815Бх, 23008Бх, 23012Бх, 23015Бх, 23020Бх, 23026Бх. Гормоны 78191, 78223—78229, 79492, 79866; 23050Бх, 23051Бх, 23064Бх, 23082Бх. Антибиотики 78247, 78248; 23219Бх, 23924Бх. Методы анализа 78371, 78522, 78533, 78536, 78537

ФОТОГРАФИЧЕСКИЕ МАТЕРИАЛЫ

79448. Введение в фотографическую химию. IV. Проявляющие вещества. V. Процесс проявления. Хорнсби (An introduction to photographic chemistry. V. The developing agents. V. The development process. Hornsby Keith M.). Brit. J. Photogr., 1955, 102, № 4960, 276—279; № 4961, 288—290, № 4962, 300—303 (англ.)

Описана хим. природа неорганич. проявляющих в-в (I); практич. значение имеет лишь шведовоежелезный проявитель. Запатентованные фирмой Колак проявляющие р-ры с солями Ti, V и другие имеют практич. значение лишь при условии непрерывной электролитич. регенерации. Приведена принятая классификация органич. I, описаны

наиболее распространенные в-ва и даны рекомендации по их применению. Кратко описаны свойства патентованных I — «фенидона» (1-фенил-3-пиразолидон) и «меритола» (продукт соединения *n*-фенилендиамина и пирокатехина). Высказано предположение, что основой сухого проявителя «Промикрол» служит 2-(β -оксизтил)аминофенол-сульфат и «Микродол» — 2-У-4- $\text{N(R)}(\text{C}_2\text{H}_4\text{NHSO}_2\text{CH}_3)$ -6-Х-анилин, где R — алкильная, обычно C_2H_5 -группа; X или Y (или оба) — алкоксигруппы (напр., CH_3O -, $\text{C}_2\text{H}_5\text{O}$ -). Рассмотрено действие составных частей проявляющего р-ра (щелочь, сульфит, KBr, антиуалирующие в-ва). Приведен состав ряда проявляющих р-ров и дана их фотографич. характеристика. Описаны некоторые спец. виды проявления: двухрастворное, физ. и др.. Сообщение 1—111 см. РЖХим, 1956, 48559.

С. Б. 79449. Свойства проявляющих веществ. IV. Ускорение действия слабых проявляющих веществ комбинацией с фенилпиразолидоном. Хенни, Кинг ((Properties of developing agents. VI. Acceleration of weak agents by combination with phenylpyrazolidone. Henn R. W., King J. R.). Photogr. Sci. and Techn., 1954, 1, № 4, 126—130 (англ.))

Скорость проявления малоактивными проявляющими в-вами с большим зарядом может быть значительно ускорена комбинацией с 1-фенил-3-пиразолидоном. В этих условиях аскорбиновая к-та, галловая к-та, редуктор и гидролизованная глюкоза энергично проявляют. Меньшее влияние получено с гентизиновой к-той, иминоглюкоаскорбиновой к-той, дигидропирагалолом, фурином и тиокарбостролом. Аналогичное ускорение было получено с другими пиразолидонами и с четвертичными солями аммония. Активность некоторых из этих проявителей достигает активности метологидрохиноновых проявителей, применяемых в тех же условиях. Часть V см. РЖХим, 1956, 76236.

А. Р. 79450. Влияние растворимого бромиды в мелкозернистых метологидрохиноновых и фенидоногидрохиноновых проявителях. Аксфорд, Кендалл (The effect of soluble bromide on fine grain MQ and PQ developers. Axford A. I., Kendall J. D.). Brit. J. Photogr., 1956, 103, № 5012, 272—274 (англ.)

Исследовались следующие проявляющие р-ры (ПР): метологидрохиноновый — ID-11B (ПР-I); метола 2 г, сульфита натрия безводн. 100 г, гидрохинона 5 г, бурой 8 г, борной к-ты 8 г, воды до 1 л; рН 8,8, и фенидоногидрохиноновый — PQ-FGF (ПР-II); сульфита натрия безводн. 100 г, гидрохинона 5 г, бурой 3 г, борной к-ты 3,5 г, фенидона 0,2 г, бромистого калия 1 г, воды до 1 л; рН 8,95. Для исследования влияния KBr были изготовлены те же ПР, но с добавлением различных кол-в KBr; максим. кол-во 5,5 г/л, значительно больше обычно применяемых в мелкозернистых ПР. Сенситограммы на пленке Илфорд HP-3 проявляли при различной продолжительности в испытываемых ПР при 20° и определенных условиях перемешивания. Установлено, что влияние KBr на коэфф. контрастности γ и светочувствительность гораздо меньше в случае фенидоногидрохинонового ПР. В ПР-II без KBr для получения γ 0,65 требуется 12 мин. проявления, а с KBr (5,5 г/л) 17 мин.; в ПР-I без KBr γ 0,65 достигается также через 12 мин., а с KBr (3,5 г/л) через 30 мин. При больших конц-иях KBr время проявления превышает практически приемлемые сроки. В отношении светочувствительности установлено, что при проявлении в ПР-II светочувствительность даже при конц-ии KBr 5,5 г/л больше, чем в ПР-I без KBr. В ПР-II светочувствительность достигает максим. величины при конц-ии KBr 1 г/л; γ при 12 мин. проявления уменьшается в случае ПР-I с 0,65 (KBr отсутствует) до 0,2 (KBr 5,5 г/л), а в случае ПР-II соответственно с 0,65 до 0,58. Значительно меньшее влияние KBr в фенидоногидрохиноновых проявителях представляет чрезвычайно важное преимущество, в особенности для кинолабораторий в отношении постоянства свойств проявителя и в экономич. отношении. К. М.

79451. Щелочные вещества и их использование в фотографии. Кюизинье (Les principales bases et leur emploi en photographie. Cuisinier A. H.), Photographie, 1956, 46, № 863, 187—188; № 864, 222—223 (франц.)

Рассматриваются свойства и применение в фотографии следующих основных в-в, ускоряющих проявление: едкого натра, едкого кали, соды, поташа, трехзамещ. фосфорнокислого натрия, формалина, параформальдегида (гидроксиметилена), буры, метабората натрия, ацетона. Приводятся типичные рецепты проявителей с применением этих в-в. Рассматриваются, кроме использования в проявителях, другие случаи применения некоторых из этих в-в: поташа — для ускорения сушки негативов, формалина — для дубления, ацетона — для составления лака. Вместо метабората натрия можно использовать буру и едкий натр; 70 г буры и 15 г едкого натра соответствуют по своему действию 100 г метабората натрия; можно использовать также кодалк, готовый препарат фирмы Кодак. К. М.

79452. Фотографическое проявление с образованием серебра. Кребс (Die photographische Silberentwicklung. Krebs Karl-Heinz), Polygraph, 1956, № 10, R18—R20 (нем.)

Изложены сведения о сущности физ. и хим. проявления, о природе скрытого изображения, о составных частях проявителя и их роли в процессе проявления, о проявителях мягко и контрастно работающих, проявителе с параформальдегидом, применяемом в репродукционной технике, мелкозернистых проявителях, о проявлении по способу обращения, проявителе для коллоидных эмульсий, о фотореактивах для проявителей и технике составления проявителей. К. М.

79453. Исправление к статье Хилла «Новые проявляющие вещества» (Erratum. Hill Thomas T.), Photogr. Engng, 1955, 6, № 1, 54 (англ.)

К РЖХим, 1955, 10336. В связи с утверждением, что «фенидон при использовании образует сульфонаты», Кендалл, по выходе журнала, сообщил, что фенидон в процессе проявления не подвергается сульфированию, потому что не происходит потери фенидона, и фенидоногидрохиноновый проявитель истощается медленнее, чем метологидрохиноновый. Другая причина медленного истощения состоит в суперрадикальности свойств фенидона и моносulfоната гидрохинона; можно изготовить пригодный для практич. целей проявитель с фенидоном и моносulfонатом гидрохинона в качестве проявляющих веществ. К. М.

79454. Использование солей таллия в фотографических фиксирующих растворах. Уэллвер (Use of thallium in photographic fixing baths. Welliver L. G.), Photogr. Engng, 1955, 6, № 3, 203—207 (англ.)

Краткий обзор исследований о применении солей Тl в фотографии. эмульсиях, проявителях и фиксажах (Ф). В результате эксперим. исследования получены следующие выводы: 1) прибавление ионов Tl^{+} в малых количествах (100—400 мг/л) значительно увеличивает скорость фиксирования и продолжительность действия Ф при фиксировании эмульсий, содержащих AgI ; 2) ионы Tl^{+} не эффективны в Ф, содержащих значительные кол-ва $(NH_4)_2S_2O_8$; 3) при введении ионов Tl^{+} в больших кол-вах скорость фиксирования не увеличивается, фиксированные пленки имеют налет вследствие осаждения комплексных солей Тl. Практич. применение солей Тl в Ф в сильной степени ограничивается его высокой ценой и токсичностью. К. М.

79455. Удаление тиосульфата натрия из негативных фотоматериалов польского производства. Зоммер, Винченц (Wymywanie tiosiarczanu sodowego z emulsji negatywowych produkcji polskiej. Sommer Stanisław, Vincenz Alina), Fotografia, 1954, 2, № 5, 6—7 (польск.)

Проявленные негативы произ-ва «Польский фильм»: репродукционные пластинки G 5,5 (РП), ультрапан супер (УС), фотопан (ФП) 6 × 9 см, ФП 24 × 36 мм фиксируют

в кислом фиксаже произ-ва «Польский фильм» в течение 10 мин., затем промывают в водопроводной воде. Содержание тиосульфата натрия в промывной воде определяют методом с хлорной ртутью. Установлено, что при промывании проточной водой достаточна следующая продолжительность промывания: УС—25 мин., РП—20 мин., ФП—25 мин.; в случае периодич. смены воды: УС—7 смен воды каждые 5 мин. или 9 смен каждые 2 мин.; РП—6 смен каждые 5 мин. или 7 смен каждые 2 мин.; ФП—12 смен каждые 5 минут. W. Tuszk.

79456. Химический контроль в лабораториях обработки кинолент. Уэст (The role of the chemist in the processing laboratory. West Lloyd E.), J. Soc. Motion Picture and Telev. Engrs., 1956, 65, № 3, 133—136 (англ.)

Приводятся сведения об анализах, проводимых в лабораториях обработки цветной киноленты: определения концентрации проявляющих в-в и продуктов их разложения, сульфита, растворимого бромид, бензилового спирта, составных частей отбеливающего р-ра, квасцов, формалина, тиосульфата (в пленке), серебра (в фиксаже), тиоционата, тиосульфата; измерения pH и уд. веса. Для составления р-ров рекомендуются баки из нержавеющей стали (тип. 316) с пропеллерными мешалками, с соотношением высоты к диаметру от 1,5 : 1 до 1 : 1. Баки для хранения р-ров снабжаются плавающими крышками. Изменения, происходящие в р-рах при работе машины, отличаются от тех, которые возникают при перерыве работы с суббита до понедельника; эти изменения устанавливаются на основании многократных анализов и в соответствии с их результатами определяется состав освежающих р-ров. К. М.

79457. Обозначение чувствительности и контрастности на упаковке польских светочувствительных материалов.

Илинский (Oznaczenia czułości i kontrastowości na opakowaniach polskich materiałów światłoczułych. Iliński M.), Fotografia, 1955, 3, № 3, 6—7 (польск.)

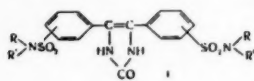
Излагаются способы выражения величин светочувствительности (СЧ) и контрастности, приводимых на упаковке польских светочувствительных материалов (основанные на ведомственных нормах RN-53/CUK-P.0002, RN-53/CUK-P.0003 и RN-53/CUK-P.0007). СЧ негативных материалов обозначается $S_{5000} = 64$ CUK ($\gamma = 0,8$) или $S_{2850} = 44$ CUK ($\gamma = 0,7$). S — символ СЧ, а индекс указывает цветовую т-ру, к которой относится величина СЧ. Числа 64 и 44—величины СЧ материалов по арифметич. шкале. В скобках указывается коэфф. контрастности (гамма), при котором определяется СЧ. Число СЧ фотобумаги равно обратному значению экспозиции, соответствующей верхней точке полезной шкалы экспозиций в лк/сек, умноженному на 1000. В качестве единицы измерения контрастности принята полезная широта фотобумаги (I_g), умноженная на 40. СЧ катушечной пленки изопан F Afpa равна 64 CUK. СЧ фотобумаги для контактной печати равна 8—16, γ контрастной фотобумаги в указанных единицах равна 32°, нормальной 42°, мягкой 58°. S. Sommer.

79458. Новая цветофотографическая лаборатория Гемфри. Хорнсби (Humphries' new colour laboratory. Hornsby Keith M.), Brit. J. Photogr., 1956, 103, № 5011, 262—264 (англ.)

Описание новой цветофотографич. лаборатории фирмы George Humphries & Co., размещенной в 6-этажном здании с полным кондиционированием воздуха (18°, относительная влажность 70%). В лаборатории установлены негативные и позитивные проявочные машины. Непрерывно циркулирующие обрабатывающие р-ры фильтруют и подвергают центрифугированию для удаления твердых примесей. Проявление проводится погруженными струями. За исключением цветных проявителей, все р-ры общие для всех машин, негативных и позитивных. Печать проводится контактными аппаратами Дебри, Матипо и оптическими Гемфри и Оксбери. Для установки света применяется спец. прибор для печати проб с различными комбинациями коррекционных светофильтров. К. М.

79466 П. Галоидосеребряные эмульсии для черно-белых отпечатков, содержащие вещества для повышения белизны. **Либби, Фрейермут** (Silver halide emulsions for black and white prints containing brightening agents. Libby William H., Freyermuth Harlan B.) [General Aniline & Film Corp.]. Пат. США 2723197, 8.11.55

Патентуется светочувствительный материал для черно-белых фотографий, отпечатков, галоидосеребряный слой которого содержит в-во (I), способное повышать белизну



светлых участков проявленного серебряного изображения. В ф-ле для I R означает H, алифатич., ароматич. или гетероциклич. остаток; R' — алифатич., ароматич. или гетероциклич. остаток. Один из остатков R или R' содержит алкильную группу не менее чем с 6 атомами C и карбокси- или сульфогруппу для придания в-ву растворимости в воде. С. Б.

79467 П. Способ внедрения в гидрофильные слои и пленки недиффундирующих растворимых в воде соединений (Procédé pour incorporer dans des couches et pellicules hydrophiles de composés hydrosolubles de façon qu'ils résistent à la diffusion) [Farbenfabriken Bayer A.-G.]. Франц. пат. 1061880, 15.04.54 [Chem. Zbl., 1955, 126, № 21, 4983 (нем.)]

Для закрепления этих соединений, в большинстве имеющих кислый характер, в слои или пленки вводят высокомолекулярные органич. основания в форме их солей или четвертичных производных, стойких в отношении диффузии. Эти основания имеют общие ф-лы: а) $[-X-N(R)-Y]_n$ (X и Y — 2-валентные органич. группировки атомов); б) $[-CH[CO-N(R')-X-N(R'')-(R''')]_n$ (R, R', R'' и R''' — H, алкил, арил или гетероциклич. остаток); или в) $\{-CH(COOH)-CH[CO-N(R')-X-N(R'')-(R''')]_n$ (Z — H, алкил, арил или арилалкил; n > 10). В. У.

79468 П. Фотографический материал с обесцвечиваемыми фильтровыми красителями, образующими серебряные соли. **Херц, Киз** (Photographic element containing silver salt-forming bleachable filter dyes. Herz Arthur H., Keyes Grafton H.) [Eastman Kodak Co.]. Пат. США 2719088, 27.09.55

Патентуется фотографич. материал, состоящий из подложки, по крайней мере одного галоидосеребряного эмульсионного слоя и несветочувствительного фильтрового слоя, содержащего удаляемую серебряную соль красителя строения $CO-N(R)-C(S)-NH-CO-C=(CH-CH)_n-$

$-CH-N-Y-C(Z)$, где R — H, алкил или фенил; Y — C или N; Z — атомы для заполнения органич. кольца из группы 1-фенил-3-пиррола и 1-(1,2,3,4)-тетрагидрохинолины; n = 0—2. Т. Т.

79469 П. О применении светочувствительного материала с диазосоединениями. **Шмидт, Нейгебауэр, Ребеншток** (Unter Verwendung von Diazoverbindungen herstelltes lichtempfindliches Material. Schmidt Maximilian Paul, Neugebauer Wilhelm, Rebenstock August) [Kalle & Co. A.-G.]. Пат. ФРГ 918848, 7.10.54 [Chem. Zbl., 1955, 126, № 30, 7132 (нем.)]

Светочувствительные слои, содержащие диазоангидриды, напр. хинондиазиды, имеют защитный слой из пленкообразующих растворимых в воде в-в, напр. из гуммиарабика, декстрина, производных крахмала или целлюлозы, благодаря чему на копиях получаются более чистые света. К. М.

79470 П. Фотомеханические процессы и светочувствительные диазотипные материалы (Photomechanical processes and lightsensitive diazotype materials therefor) [Kalle & Co., A.-G.]. Англ. пат. 715663, 15.09.54

В качестве светочувствительного материала патентуются водонерастворимые или труднорастворимые хинон-(1,4)-диазиды, особенно ряда бензола или нафталина, содержащиеся в молекуле по крайней мере одну сульфозфирную, сульфамидную, карбалкокиси- или карбамидную группу. Эти в-ва применяют растворенными в органич. р-рителе для получения тонкого слоя на бумаге и стеклянных или металлических пластинках. Механич. придание шероховатости поверхности металла обеспечивает хорошее сцепление слоя с подложкой. Кристаллизация в слоях предотвращается введением щелочнорастворимых фенолформальдегидных смол или применением смешанных хинон-(1,4)-диазидов. Печать — обычная. Проявление водн. р-ром разб. к-ты или кислых солей дает негативное изображение, но материалы с такими в-вами, как нафтохинон-(1,4)-диазиды, содержащие несколько эфирных или сульфонамидных групп, при проявлении щел. р-рами, не содержащими р-рителей, дают позитивное изображение. В примере описано получение слоя из бензохинон-(1,4)-диазид-(4)-2-сульфонанилида, растворенного в гликольномометилловом эфире, экспонирование его под позитивом светом дуговой лампы и проявление протиранием ватным тампоном, смоченным в воде, с последующей обработкой фосфорной к-той, дающее негативное изображение, которое впитывает жирную типографскую краску. В примере позитивного процесса продукт р-ции нафтохинон-(1,4)-диазид-(4)-сульфохлорида-(2) и 4,4'-диаминодифенилметана [ди-4,4'-(нафтохинон-(1'',4''))-диазид-(4'')-2''-сульфамино)-дифенилметан] в гликольномометилловом эфире наносят на окисленную с поверхности высушенную алюминиевую пластинку, которую экспонируют под позитивом и проявляют р-ром 3-замещенного фосфорнокислого натрия с образованием позитивного изображения, впитывающего жирную типографскую краску. Т. Т.

79471 П. Диазотипные процессы и материалы для получения фотомеханических отпечатков (Diazotype processes and materials for producing photomechanical printing plates) [Kalle & Co., A.-G.]. Англ. пат. 711808, 14.07.54 [J. Soc. Dyers and Colourists, 1954, 70, № 9, 425 (англ.)]

Доп. к англ. пат. 699413 (РЖХим, 1955, 6544). Патентуются диазосоединения эфиров или амидов карбоновых или сульфокислот о-диазофенолов бензольного ряда (о-хинондиазидов) для полной или частичной замены производных 2-диазоафта-1 или 1-диазоафта-2. Указанные соединения не растворимы в воде, растворимы в органич. р-рителях и дают красновато-коричневые изображения на светло-желтом фоне. В. У.

79472 П. Бензоилацетанилидные компоненты для цветной фотографии. **Мак-Кроссен, Виттум, Уэйсбергер** (Benzoyl acetanilide couplers for color photography. McCrossen Fred C., Vitum Paul W., Weissberger Arnold) [Eastman Kodak Co.]. Пат. США 2728658, 27.12.55

Фотографич. галоидосеребряная эмульсия содержит компоненту из класса замещ. анилидов α-хлор-о-метоксибензоилуксусной к-ты (I), напр. 4'-бензоиламино-2' (4'-трет-амилфенокси)-4'-ацетаминно-2' (2'', 4''-ди-трет-амилфенокси)-, 3'-или 4'-α-(2'', 4''-ди-трет-амилфенокси)бутироиламино-анилид-I или 3,5'-дикарбметоксанилид 3-α (4''-α-хлор-о-метоксибензоилацетаминфенокси) ацетаминно-4 (2'', 4''-ди-трет-амилфенокси) бензойной кислоты. Т. Т.

См. также: Сенсibilizаторы 77665, 77667

ДУШИСТЫЕ ВЕЩЕСТВА. ЭФИРНЫЕ МАСЛА. ПАРФЮМЕРИЯ И КОСМЕТИКА

79473. О содержании в тмине эфирного масла, его количественном определении, а также о некоторых внешних факторах, влияющих на химический состав лекарственных растений. Оксала (Kuminan haihtuvan öljyn pitoisuudesta ja sen kvantitatiivisesta määrittämisestä sekä eräistä ulkoisista lääkekasvien kemiallisen kokoomukseen vaikuttavista tekijöistä. Oksala T. O.), Suomen apteekkarilehti, 1956, № 9, 145—216 (фин.)

79474. О бактериостатической антисептической способности эфирных масел. Фено (Studio sul potere batteriostatico ed antisettico degli olii essenziali. Fesne a Max), Riv. ital. essenze profumi, piante offic. olii veget., saponi, 1955, 37, № 12, 641—648 (итал.)

Историч. обзор ароматерапии. Применение эфирных масел в терапии. Влияние отдельных компонентов. Библ. 52 назв. Л. Ф.

79475. Метод определения эфирного масла цветов *Rosa damascena* Mill. при селекции. Иванов, Иванов, Мареев, Огнянов (Sur une methode de dosage de l'huile essentielle des fleurs de la *Rosa damascena* Mill. en vue de sa selection. Ivanoff D., Ivanoff Chr., Marécoff N., Ognianoff II.), Докл. Болгар. АН, 1955, 8, № 2, 57—60 (франц.; рез. русск.); Inds. parfum., 1955, 10, № 10, 418—420 (франц.)

Проверка метода Бобылева хранения розы (лепестков, чашечки и целого цветка) в течение 144 час. показала, что кол-во розового масла остается постоянным. Авторы считают возможным применение этого метода при определении содержания эфирного масла розы в цветках одного куста путем консервирования ежедневного урожая цветов, пока его кол-во не достигнет 200—300 г. Е. С.

79476. Усовершенствованный бориозфирный метод для выделения алкогелей. Оуэн, Сатерленд (An improved boric ester method for isolation of alcohols. Owen W. R., Sutherland M. D.), J. Sci. Food and Agric., 1956, 7, № 1, 88—92 (англ.)

Усовершенствование метода отделения спиртов от других летучих в-в путем этерификации бутилборатом, состоящее в применении в качестве р-рителя метилциклогексана, образующего с бутиловым спиртом азотропную смесь. Описано применение этого метода для выделения спиртов из некоторых эфирных масел. Б. А.

79477. Синтетический родиол.—(A new synthetic rhodinol. Perfume manufacturer's patent new process.—), Manufact. Chemist, 1954, 25, № 8, 344—345 (англ.)

79478. Синтетические душистые вещества на основе каменноугольного дегтя. Сабо (Šintetski mirisi na bazi kafranskih sirovina. Sabo Stjepan), Kemija u industriji, 1955, 4, № 11, 227—229 (хорв.; рез. франц. англ., нем.)

79479. Духи. Фулон (Parfüm — eine Betrachtung. Foulon A.), Parfüm und Kosmetik, 1956, 37, № 5, 243 (нем.)

Обращается внимание на различное физиологич. действие духов на человека, а также на применение их в различных областях пром-сти как средства для облагораживания запаха (текстильных товаров, искусств. кож, пищевых продуктов и др.). Н. Ф.

79480. Парфюмерные материалы. Часть I. Бедукин (Progress in perfumery materials. Part I. Bedoukian P. A. L.), Amer. Perfumer and Arom., 1956, 67, № 2, 31—34 (англ.)

Обзор (природа запаха, отдушки, методы анализа душистых в-в, исследование компонентов амбры и мускуса, ирон и монон, мятное и розовое масло.) Библ. 89 назв. И. В.

79481. Последние достижения в области душистых веществ. Джейкобс (Recent flavor developments.

Jacobs Maris B.), Amer. Perfumer and Essent. Oil Rev., 1955, 66, № 4, 60, 62 (англ.)

Обзор. Э. С.

79482. Связь между запахом и вкусом. Форман (The relation of odor and flavor. Forman Victor G.), Amer. Perfumer and Arom., 1956, 67, № 1, 25—27 (англ.)

Обзор. Библ. 13 назв. Г. М.

79483. Синтетические органические соединения, применяемые в парфюмерии. Шмитт (Synthèses organiques appliquées à la parfumerie. Schmitt F.), Inds. parfum., 1956, 11, № 2, 47—50 (франц.)

Описаны способы получения, свойства и применение в парфюмерии изоборниацетата, амилацетата, этилацетата, линилацетата, гераннола, родинола, геранилацетата и метилантранилацетата. С. К.

79484. Парфюмирование туалетных мыл. Уэлс (Perfuming of toilet soaps. Wells F. V.), Soap and Chem. Specialities, 1955, 31, № 2, 33—36, 106; № 3, 50—52; № 4, 51, 52, 114 (англ.)

Описан личный опыт автора по подбору и испытанию душистых в-в для отдушивания туалетных мыл. Ф. Н.

79485. Органолептические исследования. I и II. Миранда (Organoleptic research. I.—II. Miranda H.), Indian Soap J., 1955, 21, № 2, 39—44, № 6, 132—135 (англ.)

79486. Новое об аэрозольных препаратах в США. Швейсхеймер (Neues über Aerosolpräparate in USA. Schweisheimer W.), Seifen-Öle-Fette-Wachse, 1955, 81, № 19, 549—550 (нем.)

79487. Яйцо и яичный белок в косметике. Шварц (Ei und Eiweiß in der Kosmetik. Schwarz Hans), Parfüm. und Kosmetik, 1955, 36, № 8, 386 (нем.)

Яичное масло (т. пл. 36—39°, число омыления 194, ИЧ 72,9—74,6, невысыхающее), применяют в кремах для лица. К искусств. яичному маслу, получаемому из 2 г желтого пчелиного воска, 5 г масла какао, 0,3 г оливкового масла, добавляют немного каротина, холестерина и лецитина. В пром-сти готовят, напр., продукт конденсации олеиллиз-альбиновокислого калия с высшими жирными к-тами, введение которого придает мылу защитные свойства в отношении разъедающего действия щелочей, задерживает обезжиривающее действие алкил- и алкиларилсульфонатов, диспергирует Са- и Mg-мыла, образует на поверхности кожи тонкую пленку, в 50%-ом спирт.-р-ре не дает помутнения, имеет рН~6. Белковый конденсат рекомендуется вводить в средства для волос. Кислый белковый конденсат и триэтаноламин эмульгируют жирные масла с образованием водорастворимой эмульсии. А. В.

79488. Пальмитиновая и стеариновая кислоты как стабилизаторы эмульсий. Козин Н. И., Ключева Т. К., Сб. науч. работ. Моск. ин-та нар. х-ва, 1953, № 3, 65—70

Установлено стабилизирующее действие пальмитиновой и стеариновой к-т при получении эмульсий типа «вода в масле». Пальмитиновая и стеариновая к-ты, растворенные в растительном жидком масле, образуют вокруг диспергированных капелек воды кристаллич. мембрану, число слоев которой по мере охлаждения эмульсии увеличивается. Наибольшей прочностью обладают 70%-ные эмульсии (считая на водн. фазу), содержащие 4—5% свободных жирных к-т. Эмульсии с пальмитиновой к-той обладают большей прочностью, что обусловлено иной кристаллич. структурой защитных оболочек вокруг капелек диспергированной воды. Эмульгатор Т-1 (смесь моно- и диглицеридов) не обеспечивает получения прочных эмульсий при их изготовлении на жидких маслах. Прочность эмульсии испытывалась при хранении и центрифугировании. А. В.

79489. Теория и практика составления косметических аэрозолей. Ардеманьи (Teoria e pratica nella formulazione degli aerosol cosmetici. Ardegnani M.), Boll. chim. farmac., 1956, 95, № 5, 198—206 (итал.)

79490. Крем для рук. Яновиц (Handcremes. J a n o w i t z Herbert C.), Seifen-Ole-Fette-Wachse, 1956, 82, № 5, 111 (нем.)

Описаны некоторые глицириновые препараты, желе и эмульсионные кремы для рук. Рекомендуется вводить в эмульсионные кремы мочевины, производные мочевины, аммонийные производные с нейтр. моностеаратом глицерина или цетиловым спиртом и некоторым кол-вом борной к-ты (для достижения pH 6,5). Глицерин заменяют смесью глицерина с сорбитом или пчелиным медом. Рецептúra крема для рук (в вес. ч.): 2%-ный р-р метилцеллюлозы 730, лаурилсульфат Na 10, нипагин 1,5, глицерин 80, цетиловый спирт 80, стеарин тройного отжима 80.

79491. Жидкие румяна. Калиш (Liquid rouges. K a l i s h Joseph), Drug and Cosm. Ind., 1956, 78, № 2, 176—177, 274—275 (англ.)

79492. Преждевременное выпадение волос и обработка волос серой, витаминами и гормонами. Ковальчик (Der vorzeitige Haarausfall und seine Behandlung mit Schwefel, Vitaminen und Hormonen. K o w a l c z y k Willi), Parfüm. und Kosmetik, 1955, 36, № 6, 259—261 (нем.; рез. англ., франц.)

Обсуждаются причины, вызывающие преждевременное выпадение волос, и указано на физиологич. действие дистина, витаминов (A, B₁, H и D₂) и гормонов (фолликулин, эстрогены), положительно влияющих на рост волос.

79493. Новейшие средства и методы против выпадения волос. Ротман (Neuzeitliche Mittel und Methoden gegen den Haarausfall. R o t m a n n K a r l), Parfüm. und Kosmetik, 1956, 37, № 2, 67—68, 71 (нем., рез. англ., франц.)

Указаны причины выпадения волос. Рекомендуются для укрепления волос новейшие средства — экстракты растений, содержащих тонкоизмельченные серу и кремневую к-ту; против перхоти — серусодержащие аминокислоты (метионин и его эфиры), инозит и цистин; против преждевременного поседения — в-ва, способные репигментировать седые волосы и комплексы действенных в-в, способствующих усиленному кровообращению в коже. Рекомендуется применять внутри 1 раз в день по одной ложке 14%-ной колл. суспензии чистой кремневой к-ты в воде (аэрозоль K 314). Приводятся рецептуры средств для волос.

79494 К. Парфюмерия. Изд. 2-е перераб. и доп. Фридман Р. А., М., Пищепромиздат, 1955, 528 стр., илл., 19 р. 80 к.

79495. Д. Бромометрия эфирных масел. Гранжан (Bromometrie ätherischer Öle. G r a n d j e a n H a n s H u g o. Diss. Phil. F., Kiel, 1953, 64 Bl. — Maschinenschr.), Dtsch. Nationalbibliogr., 1955, B, № 7, 494 (нем.)

79496 П. Бесцветный крем для загара (Farblose bräunende Hautcreme) [Kukirol-Fabrik Kurt Krisp K. G.]. Пат. ФРГ 928318, 31.05.55

Патентуется крем, содержащий аллоксан и трикетогидриндигидрат. При мер: 100 кг основы, приготовленной обычным способом, напр. смеси высших спиртов (цетиловый и октадециловый), смешивают с 4 кг аллоксана и 400 г трикетогидриндена, растворенных в 10 кг дистилл. воды. К смеси добавляют 1 кг парфюмерного масла.

79497 П. Состав для полоскания рта (Oral compositions) [Colgate-Palmolive Co.]. Австрал. пат. 200692, 23.02.56

Патентуется состав, содержащий водорастворимое соединение хлорофилла и высший алифатич. амид аминокислотной к-ты, ф-лы RCON·(R') CH₂COOH.

79498 П. Составы для обработки волос (Hair treatment compositions) [Union Française Commerciale et Industrielle]. Австрал. пат. 166919, 23.02.56

Патентуются составы для крашения и подкрашивания

волос, содержание: 1) соединение с общей ф-лой C₂H₂(OH)₂ X (X — H, галоген, алкил, алкоксильная или оксильная группа, свободная от сульфогруппы или карбоксильного заместителя); 2) восстанавливающий агент — сульфиты, гидросульфиты или меркаптан, с общей ф-лой SH — R — X (R — двувалентный алифатич. остаток, X — H или карбоксильная группа) и 3) измельченные листья.

79499 П. Средство для разбивки вьющихся волос (Produit de défrisage pour cheveux crépus) [Soc. Parco Sny Inc.]. Франц. пат. 1060086, 30. 03. 54 [Chem. Zbl., 1955, 126, № 15, 3506 (нем.)]

Средство состоит (в вес. %): из 2—16 сернистошел. соли (напр., Na₂SO₄) или 1—12 тиогликолевой к-ты или ее соли (напр., NH₄-тиогликолевой), NH₄OH или амина (напр., триэтанолamina), 1—15 закрепителя (напр., трагант, гуммиарабик, алкилцеллюлоза, альгинат, поливиниловый спирт), воды и духов.

См. также: Эфирные масла, состав 78220, 78221, 79473, 79482, 79425

КАУЧУК НАТУРАЛЬНЫЙ И СИНТЕТИЧЕСКИЙ. РЕЗИНА

79500. Полимерная структура натурального каучука. Бейтман, Уотсон (The polymeric structure of natural rubber. B e i t m a n L., W a t s o n W. F.). Rubber Chem. and Technol., 1954, 27, № 2, 321—332 (англ.)

Молекулы свежеполученного НК являются неоднородными как в отношении размера и формы, так и в отношении хим. строения. Они содержат небольшое кол-во аномальных связей (одну на 10 000 изопреновых единиц), возможно являющихся остатками функциональных групп или катализирующих молекул при биологич. синтезе. Эти связи слабы и разрушаются при повышенных т-рах, независимо от присутствия O₂. Они также, по-видимому, обуславливают образование в каучуке макрогеля. Пластичность НК на вальцах связана с одновременно идущими механич. разрывом полимерных цепей и их окислительной деструкцией. Первый процесс интенсивно идет при небольших т-рах, когда имеется возможность получить при механич. обработке каучука большие сдвиговые напряжения, приводящие к разрыву молекулярных цепей. Окислительная деструкция идет интенсивнее при т-рах >100°. Эти представления подтверждаются различным влиянием на процесс пластикации акцепторов радикалов (бензохинон) и противокислителей (гидрохинон). Вальцевание НК с бензохиноном в атмосфере N₂ при 55° способствует резкому увеличению пластичности, что связано с взаимодействием бензохинона с обрывками цепей — радикалами, в результате чего исключается возможность обратного связывания обрывков цепей, поэтому мол. вес каучука уменьшается. Гидрохинон в этих условиях мало влияет на пластикацию, однако резко ее замедляет на воздухе при высоких т-рах (140°). Свойства каучука и резины существенно зависят от структуры полимерных цепей (их формы и длины), которая может характеризоваться функцией распределения длин цепей. Эта функция в общем виде выражается ур-нием: $N_x/N = \gamma e^{-\gamma x}$ (— γx), где N_x — число цепей с длиной в x мономерных единиц, N — общее число цепей, γ — обратная величина средней длины цепей, выраженной числом мономерных единиц (в случае вулканизата обратное расстояние между узлами). Распределение длин цепей не меняется от способа пластикации (различные среды и т-ры) или от способа вулканизации (различные вулканизирующие агенты).

79501. Структурирование каучука под действием излучения атомного котла. Чарльсби (La réification du caoutchouc par le rayonnement d'une pile. C h a r l e s b i).

by Arthur), Rev. gén. caoutchouc, 1955, 32, № 1, 39—46 (франц.)

Образцы каучука (К) помещались внутри атомного котла, излучавшего медленные и быстрые нейтроны, а также γ -кванты. Определялась степень набухания и модуль эластичности облученного К. Излучение оказывает на К действие, подобное вулканизации. Число поперечных связей, образующихся в К, пропорционально дозе облучения. Поперечные связи образуются под воздействием всех трех типов излучений. Непосредственно измерялась интенсивность потока медленных нейтронов. Единица радиации, принятая в работе, соответствует прохождению через площадку в 1 см^2 10^{17} медленных нейтронов. Доза облучения в одну единицу дает сшивание 1,1% всех изопреновых звеньев или один мостик на 90 мономерных групп. Густота образующейся сетки характеризуется степенью сшивания v , измеряемой числом поперечных связей на одну макромолекулу. Побочным эффектом облучения является выделение из К H_2 , CH_4 , этана, возможно H_2O , O_2 и др. Состав выделяющихся газов указывает, что при облучении не происходит разрыва главных цепей. Это подтверждается тем, что с увеличением дозы радиации содержание золь-фракции уменьшается до нуля. Сшивание под действием излучений больших энергий не сопровождается присоединением O_2 к К и идет одинаково с успехом на воздухе и в вакууме. Такое сшивание представляет собой не только средство для вулканизации без применения хим. либо термич. обработки, но может быть использовано для определения величин мол. веса и характера его распределения в исходном К. На основании развитой теории в работе предложены три метода определения мол. веса: по величине дозы радиации, необходимой для образования геля, по изменению содержания голь-фракции в зависимости от полученной дозы радиации и по вязкости золь-фракции. Все эти методы дают близкие результаты. Мол. вес для непластицированного К (смокед-шит) $\sim 610\ 000$ и для пластиката $\sim 180\ 000$. Мол. веса распределены по закону случая. Набухание образцов с известной степенью сшивания сопоставляется с набуханием, вычисленным по ур-нию Флори-Хиггинса. Это ур-ние дает удовлетворительное согласие с экспериментом только для слабо сшитых сеток $\nu < 0,2$.

79502. Рост и агломерация частиц в латексе GR-S низкотемпературной полимеризации. Браун, Хауленд (Growth and agglomeration of particles in low-temperature GR-S type of latex. Brown R. W., Howland L. H.), Rubber World, 1955, 132, № 4, 471—477, 486 (англ.)

Показана возможность получения текучих высококонцентрированных латексов (Л) введением в Л средней концентрации значительного кол-ва р-рителя с последующей его отгонкой и концентрированием Л. При введении в 50%-ный Л GR-S низкотемпературной полимеризации 75 об. % бэл. число частиц уменьшается вследствие агломерации в 25 раз с соответствующим снижением вязкости Л и возрастанием его полидисперсности. При недостаточной растворимости полимера наступает частичная коагуляция Л. Эффект агломерации тем выше, чем больше соотношение между кол-вами углеводородной и водн. фаз в исходной эмульсии; т-ра и наличие избыточного эмульгатора влияют мало. Электронномикроскопич., нефелометрич. и кинетич. изучение процесса эмульсионной полимеризации показало, что при средних степенях конверсии мономеров (25—35% для Л типа X-753) происходит аналогичное явление агломерации частиц, особенно сильной при высоком отношении кол-ве углеводородной фазы, приводящее к снижению вязкости и уменьшению скорости процесса полимеризации.

79503. Сополимеризация бутадиена и стирола. Влияние примесей при использовании производственных низкотемпературных рецептов. Юрейнек, Фоллетт, Костас (Copolymerization of butadiene and styrene.

Effects of impurities in commercial low temperature recipes. Ura-neck Carl A., Follett Archie E., Kostas George J.), Industr. and Engng Chem., 1955, 47, № 9, Part 1, 1724—1729 (англ.)

Исследовалось влияние основных примесей к технич. бутадиену—димера бутадиена (I), ацетальдегиду (II), винил-ацетилену (III), бутена-1 (IV), бутена-2 (V), бутена-1 (VI), бутена-2 (VII), пропина (VIII), ацетона (IX) и аммиака (X) — на скорость полимеризации (П) при 5° по рецептам (P) GR-S-100, GR-S-101 и X-636 и на мол. вес получаемых полимеров. IV, V, VI, VII, VIII, и IX в кол-вах, обычно присутствующих в технич. сырье, мало влияют на процесс П по указанным P. II уже в кол-ве $< 0,01\%$ сильно замедляет П по пероксидному P (по-видимому, за счет взаимодействия II с полиамином) и снижает мол. вес полимера. 0,2—0,4% I увеличивает продолжительность П в среднем на 10%. III в кол-ве 0,03—0,04% и выше вызывает значительное возрастание мол. веса каучука. Присутствие X $\sim 0,1\%$ и выше сильно замедляет П по первым двум (железо-пирофосфатным) P, в особенности по P GR-S-101.

79504. Применение GR-S низкотемпературной полимеризации для изоляции проводов. Хауленд, Браун, Лосон (Cold GR-S polymers for wire insulation. Howland L. H., Brown R. W., Lawson C. W.), Wire and Wire Prod., 1955, 30, № 4, 440—443, A464—B464 (англ.)

На основе GR-S низкотемпературной полимеризации разработан ряд рецептов резин для изоляции проводов и кабелей и изготовления кабельных оболочек. Все образцы не выцветают и не меняют цвета при старении под действием солнечного света. В качестве стабилизатора применен полигард. Катализатор полимеризации — пероксамин. Выбор коагулянта и хорошая промывка весьма важны для получения продукта с высокими электроизоляционными свойствами. В настоящее время свыше 50% GR-S, применяемого для изоляции проводов, получают низкотемпературной полимеризацией. Резины из них имеют более высокое сопротивление разрыву, но несколько меньшую морозостойкость по сравнению с резинами из обычного GR-S. Приведены рецепты разработанных резин и их физ.-мех. свойства, а также изменение этих свойств после старения в кислородной бомбе.

79505. Клеи из бутылкаучука. Шлихт (Klebstoffe aus Butylkautschuk. Schlicht Rolf), Kautschuk und Gummi, 1956, 9, № 3, WT 72, WT 74 (нем.)

Обзор применения в США бутылкаучука марок Enjay-Butyl 268, 218 и 150, отличающихся противостарением и содержанием изопрена (в последнем уменьшено). Бутылкаучук лучше обрабатывать при 150° с добавлением полидинитробензола («полиак»). При этом процесс пластикации занимает 5 мин. Приведена подробная рецептура клеев (с расшифровкой торговых названий), применяемых при сборке резиновых изделий, в обувной пром-сти, а также клеев для спец. целей — для привулканизации вентиля автокамер и самовулканизирующихся клеев. Вулканизирующий агент—S, ускоритель—тиурам, либо диэтилтиокарбамат Se («селикат»). Все смеси содержат смолы типа фенолформальдегидных или терпеновых. В качестве р-рителей применяют алифатич. (с т. кип. 60—110°), ароматич. и хлорированные углеводороды. Конц-ия клеев 40—60%. Прочность связи после вулканизации порядка 2—4 кг/см.

79506. О сопротивлении разрыву вулканизированного каучука. Нисиды, Фурукава (加硫ゴムの強度について. 西政三, 古川淳二), 日本ゴム協会誌, Нихон гому кёкайси, J. Soc. Rubber Ind. Japan, 1954, 27, № 6, 381—384, 422 (япон.; реф. англ.)

Наличие максимума на кривой зависимости сопротивления разрыву резин из НК от степени вулканизации, определяемой числом поперечных связей, объясняется тем, что на первой стадии увеличение густоты пространственной

сетки влияет на прочность благоприятно, поскольку увеличивается кол-во цепей, эффективно сопротивляющихся деформирующей силе. Сгущение сетки затрудняет ориентацию и кристаллизацию, что приводит к уменьшению сопротивления разрыву. Таким образом, максимум по прочности объясняется без привлечения представлений о молекулярной деструкции. Максим. прочность ($CR_{\text{макс}}$) достигается при некотором критич. значении густоты сетки, определяемом числом поперечных связей $\nu_{\text{макс}}$. Полученное авторами ранее (J. Soc. Rub. Ind Japan, 1953, 26, № 3) соотношение:

$$CR_{\text{макс}} = K/(N/M_0 - 2\sqrt{2N^2\beta/MM_0})$$

(где K — сопротивление разрыву образующих сетку молекулярных цепей, M_0 — мол. вес. изопрена, M — мол. вес. исходного сырого каучука, β — кол-во мономерных единиц (изопрена), кристаллизация которых исключается при образовании одной поперечной связи) использовано для определения зависимости β от состава вулканизирующей группы. Применение в качестве ускорителей смеси меркаптобензотиазола и дифенилгуанидина приводит к значению β , равному 5. Вулканизация с применением указанной смеси ограничивает кристаллизацию меньше, чем вулканизация с одним меркаптобензотиазолом, что объясняется с точки зрения влияния ускорителей на соотношение между содержанием связанной S и числом поперечных связей. М. Р.

79507. Некоторые свойства и применение резины в отопительных и вентиляционных конструкциях. Коттон (Some properties and applications of rubber in heating and ventilating design. Cotton F. H.), J. Instn Heat. and Ventilat. Engrs, 1955, 23, October, 274—279 (англ.)

Кратко рассмотрены теплопроводность, электропроводность, эластичность, сопротивление истиранию, поглощение вибраций и звука, аутогезия, адгезия и хим. стойкость резины из НК и СК. М. Х.

79508. Алкиламаты, как пластификаторы для эластомеров. Кемпбелл (Alkyl amates as plasticizers of elastomers. Campbell Arthur William), Industr. and Engng Chem., 1955, 47, № 6, 1213—1216 (англ.)

Синтезирован и испытан в качестве пластификаторов (для НК, поливинилхлорида, GR-S и хайкара OR-15) ряд алкиламатов (А) — производных двухосновных органич. к-т, в которых одна карбоксильная группа этерифицирована, а другая переведена в N-замещ. амид. По пластицирующему действию (оцениваемому по изменению пластичности полимеров по Муни), они, как правило, превышают ди-2-этилгексилфталат и другие эфиры, применяемые в настоящее время в качестве мягчителей. Наилучшие результаты показали А на основе к-т, спиртов и аминов с длинными цепями. Резиновые смеси на основе бутадиен-нитрильного каучука обнаруживают в присутствии некоторых А преждевременную вулканизацию, что обусловлено наличием следов диамидов. По повышению морозостойкости полихлорвинила лучшие результаты получены с *n*-бутил-N, N-ди-*n*-бутилазеламатом. Влияние молекулярного строения на свойства А как мягчителей различно для разных каучуков. А. Л.

79509. Применение жидких смол из скорлупы орехов анакардия. Эванс (Applications of cashew nut shell liquid resins. Evans E. M.), Rubber and Plast. Age, 1955, 36, № 5, 277—279, 281 (англ.)

Жидкие смолы (I), экстрагируемые при нагревании из скорлупы орехов тропич. дерева *Anacardium occidentale*, состоят преимущественно из декарбоксилированной анакардовой к-ты (2-карбокси-3-пентадекадиенилфенола) и других близких по составу к-т, а также некоторого кол-ва кардолола, главной составной частью которого является м-пентадекадиенилрезорцин. Так как в молекулах этих соединений содержится фенольные группы и имеются нена-

сыщ. боковые цепи, то они легко полимеризуются при нагревании или реагируют с альдегидами, образуя жидкие или жесткие каучукоподобные продукты. В молекуле I и их производных имеется длинная углеродная цепь, обеспечивающая внутреннюю пластификацию продуктов конденсации с альдегидами, и, следовательно, их достаточную гибкость, очень хорошую растворимость, совместимость с другими смолами, термопластичность и гидрофобность. Продукты полимеризации и конденсации I с альдегидами применяют в произ-ве высококачественных тормозных лент для автомобилей, клеев для металлов, кислото- и щелочестойких покрытий хим. аппаратуры, нехрупких слоистых материалов, а также для усиления каучуков (особенно нитрильных) и повышения их сопротивления старению, хим. стойкости и маслостойкости. Они находят ограниченное применение в различных покрытиях, в качестве пластификаторов фенолформальдегидных смол и, в форме этиловых эфиров, служат пластификаторами для морозостойких резин. Ю. Д.

79510. Новый критерий для определения скорости старения резины. Касэ (ゴム老化度 測定 の 規 準 の と り 方 に つ い て. 加瀬 滋 男), 應用物理, Оё буцур, J. Appl. Phys. Japan, 1955, 24, № 4, 151—154 (япон.; рез. англ.)

Для улучшения метода обработки данных испытания на старение применена теория конечного частного. Принимается, что сопротивление разрыву резины описывается двойным экспоненциальным распределением. Наиболее разумную меру скорости старения дает арифметич. среднее из частных пар произвольных значений сопротивления разрыву после и до старения. М. Х.

79511. Контроль и регулирование температуры резины при смешении на вальцах. Рот, Деккер, Стилер (Temperature control during mixing of rubber compounds. Roth Frank L., Decker George E., Stiehler Robert D.), Rubber World, 1955, 132, № 4, 482—486 (англ.)

В Национальном бюро стандартов США сконструированы лабор. вальцы (с размером валков 6×12 дюймов), позволяющие автоматически поддерживать т-ру поверхности валков около заданного значения с точностью $3-4^\circ$ во время всего процесса смешения. Валки имеют 12 продольных каналов, диам. 9,4 мм, расположенных по окружности, отстоящей на 15,5 мм от наружной поверхности вала, и центральный канал на его оси, связанный с периферич. радиальными канавками. По этой системе каналов циркулирует теплоноситель. Приспособление для измерения и контроля т-ры состоит из термомпары, расположенной в одном из периферич. каналов, на расстоянии 4 мм от поверхности вала, коллекторного устройства и скользящих контактов, термографа и автоматически действующего мембранного клапана, управляющего подачей и нагревом теплоносителя. Применение таких вальцев значительно улучшает контроль смешения и качество смесей и вулканизатов. Е. В.

79512. Предварительная обработка корда в производстве автомобильных шин. Штрауб (Gewebebehandlung für die Herstellung von Kraftfahrzeugreifen. Straub Wilhelm), Gummi und Asbest, 1956, 9, № 4, 163—164, 166 (нем.)

Описаны принципиальная схема и устройство пропиточного агрегата с электрич. схемой питания моторов и автоматич. регулирования, работающего в комплексе с обкладочным каландром, питание моторов осуществляется постоянным током по схеме Леонарда (мотор-генератор). Е. В.

79513. Испытание шин при низких температурах. Бантон, Дандаро (Low-temperature evaluation of tires. Banton C. W., Jr., Dandareau C. F., Jr.), Rubber World, 1955, 132, № 6, 758—761 (англ.)

Массивные и различные пневматич. шины (Ш) испытывались на стенде при т-рах до -75° . Ш замораживалась под нагрузкой 3—672 час. и затем обкатывалась на глад-

жом барабана или барабана с клидами до исчезновения с поверхности Ш (из-за ее разогревания) плоской вмятины. Максимум скорости обкатки при -55° была 20 км/час, а при -40° 65 км/час. Одновременно проводились испытания вырезанных из Ш образцов на хрупкость и свободное сокращение. Массивные Ш, изготовленные из пластифицированного каучука GR-S низкотемпературной полимеризации с т-рой хрупкости -60 — -67° , при обкатке при -52° оказывались более стойкими против разрушения, чем Ш, изготовленные из GR-S высокотемпературной полимеризации с т-рой хрупкости -40 — -43° . Камеры из бутылкаучука при обкатке со скоростью 65 км/час при -40° быстро разрушались вследствие изломов, которые появлялись быстрее, если внутреннее давление понижалось. При -55° камеры из бутылкаучука были гибки, однако обладали низкой ударной прочностью. Увеличение толщины стенок и эластичности каучука за счет пластификации способствовало повышению работоспособности камер. Пневматич. Ш обкатывались при -55° со скоростью 20 км/час. Пассажирские Ш с вискозным кордом при -55° оказывались более выносливыми, чем с хлопковым кордом. При -18° Ш с хлопковым кордом имели большую работоспособность, чем Ш с вискозным кордом. Сопротивление качению у замороженных Ш в начале обкатки оказалось в несколько раз больше, чем у незамороженных (вследствие понижения внутреннего давления от охлаждения). Длительная обкатка (до 35 мин.) увеличивала внутреннее давление и уменьшала сопротивление качению до нормального значения. Понижение т-ры хрупкости Ш из GR-S приводило к увеличению их работоспособности. Полное размягчение таких Ш достигалось за 14 мин. обкатки. Спец. «арктические» Ш в аналогичных условиях обкатки размягчались за 3 мин. Тяжелая Ш из НК повышенной проходимости, охлаждавшаяся 30 дней при -25° (т-ра максим. скорости кристаллизации НК), размягчалась за 14 мин. 2-часовая обкатка при -55° повышала т-ру внутри этой шины до 0° . Камеры, массивные и пневматич. Ш, пригодные для эксплуатации при низких т-рах, могут быть изготовлены из обычных серийных каучуков и других материалов, применяемых при произ-ве Ш.

79514. Теоретические и практические вопросы производства ячеистых и пористых эластомеров. I. Ручинский, Кшивицкий (Teoretyczne i praktyczne zagadnienia produkcji komórkowych i porowatych elastomerów. I. Rucinski Jerzy, Krzywicki Janusz), Przegl. skórzan., 1955, 10, № 8, 173—176 (польск.).

Обзор произ-ва резиновых и полихлорвиниловых губок. Классификация губчатых полимеров. В. Л.

79515. Резиновая тара. Паттерсон (Rubber containers. Patterson P. D.), Corros. Prevent. and Control, 1955, 2, № 9, 34—36 (англ.).

Резиновая тара, изготовленная из смесей каучука с фенольными смолами, обладает высокой прочностью, хорошо противостоит ударам, износу, не корродирует, удобна при транспортировке и пр. Стоимость ее несколько выше металлической, однако это перекрывается ее преимуществами и более продолжительным сроком службы. М. Х.

79516. Улучшенный стандартный пластометр. Николлинский (Подобрен стандартен пластометър. Николлински П. Др.), Изв. Хим. ин-т Българ. АН, 1955, 3, 223—236 (болг.; рез. русс., нем.).

Осуществлено усовершенствование конструкции стандартного пластометра. Вместо всего прибора термостатируются только испытываемые образцы. Применение балансовой измерительной системы позволило измерять высоту образцов в термостате всегда при одной и той же т-ре, при этом уменьшена возможность произвольных деформаций, связанных с операциями измерения. Приведены схемы и фотографии усовершенствованного пластометра, а также сравнительные данные по пластичности

смесей и каучуков, измеренной на усовершенствованном пластометре и на других приборах. М. Х.

79517. Метод определения пластичности каучука путем деформации растяжения. Николлинский (Метод за определяне пластичността на каучука чрез деформация при опън. Николлински И.), Изв. Хим. ин-т Българ. АН, 1955, 3, 237—254 (болг.; рез. русс., нем.).

Прессованные при 70° полоски каучука или резиновой смеси длиной ~ 140 мм (рабочий участок 100 мм), шириной 10 мм, и толщиной 2 мм растягиваются с помощью чувствительного динамометра со скоростью 4 мм/сек до заданного удлинения или до заданной силы. Образец растягивается до длины $l_1 = 200$ мм, выдерживается 3 мин. в растянутом состоянии и после 3 мин. свободного сокращения измеряется длина l_2 . Твердость по Дефо определяется силой, необходимой для растяжения образца на 100%. Пластичность определяется из опытов на растяжение до заданной силы и рассчитывается по ф-ле $p = (l_2 - l_0) / (l_0 + l_1)$. Могут быть вычислены также эластичность и пластичность по Дефо и др. Метод дает результаты, близкие к полученным другими методами. Метод позволяет вести испытания в условиях, отвечающих большому числу производственных операций. М. Х.

79518. Релаксометр лаборатории материалов Морского министерства США. Эллер, Чаттен (Material laboratory compression stress relaxation apparatus. Eller S. A., Chatten C. K.), Rubber World, 1955, 132, № 4, 478—481, 486 (англ.).

Описан прибор для измерения релаксации напряжения сжатия. Прибор отличается применением электрич. сигнализационной системы для поддержания равновесия между деформирующей внешней нагрузкой и напряжением в образце (возвращающей силой) в условиях фиксированной деформации сжатия. Испытывались образцы резин из НК и GR-S. Образец (высотой 12,7 мм и диам. 28,6 мм) медленно сжимался со скоростью 1,25 мм/мин, до деформации 20%. После 10-минутной выдержки определялась возвращающая сила, которая принималась равной миним. внешней нагрузке, вызывающей нарушение электрич. контакта между сжимающим приспособлением и одной из частей фиксирующего деформацию устройства. После этого образец выдерживался 1 час при $\sim 20^{\circ}$, а затем старился в печи Гира 46 час. при 90° и остывал 5 час. Снова измерялись возвращающая сила и остаточная деформация. Релаксация напряжения для НК составляла 38,3%, остаточная деформация 36%, для GR-S, соответственно, 67,8 и 70%. Прибор дает хорошую воспроизводимость. Е. В.

79519. Контроль качества исполнения лабораторных испытаний. Мартин (Controlling quality of compounding laboratory results. Martin B. J. A.), Trans. and Proc. Instn. Rubber Ind., 1954, 30, № 3, 57—68 (англ.).

Для контроля лабор. операций смешения, вулканизации, испытания на различных приборах и подсчета результатов, а также для оценки погрешностей, вносимых в тот или иной показатель указанными операциями, использована система статистич. качеств. контрольных диаграмм. Ежедневно изготовлялась протекторная смесь в одно и то же время и одним и тем же оператором в кол-ве двух бетчей. Вулканизация проводилась в одних и тех же формах, а различные контрольные испытания сырых смесей и вулканизованных резин осуществлялись по возможности одновременно и в одинаковых условиях. Для каждого вида испытаний имелась своя диаграмма, на которой в ежедневной последовательности в течение более 120 недель отмечались среднее из двух бетчей значение того или иного показателя (СЗ) и разность между показателями одного и другого бетча (Р). Различие между СЗ определяет погрешности различных опытов или групп опытов в течение продолжительного времени. Р характеризует погрешности в операциях в ходе одного опыта (различие между бетчами и другие кратковременные погрешности). Применение такой

системы дает возможность судить о качестве работы, выявить причины отклонений, связанные с изменением материалов, дефектами работы испытательных машин, неточностями в операциях рабочего персонала и пр. и уменьшает ошибки и всякого рода погрешности. М. Х.

79520. Номограммы для определения прочности резин. Касе (Nomographs for evaluation of tensile data of rubber. Kase Shigeo), Canad. J. Technol., 1955, 33, № 6, 409—412 (англ.)

Приведены номограммы для определения среднего сопротивления разрыву (СР) резин из данных испытаний пяти образцов. Номограммы даются без детального обсуждения и основаны на представлении о прочности резин как статистической характеристике, подчиняющейся двойному экспоненциальному распределению. Поскольку распределение является несимметричным, то среднее СР, определенное по моде, медиане или как среднее арифметическое, в каждом случае имеет разные значения. Указывается способ построения всех трех номограмм по приведенным таблицам координат и дается пример определения средней СР по этим номограммам. Различие между определенными значениями СР не превышает 5%. М. Х.

79521 П. Фенолсульфиды в качестве стопперов полимеризации. Данбрук, Бебб, Стрит (Phenol sulfides as shortstops. Dunbrook Raymond F., Bebb Robert L., Street John N.) [The Firestone Tire & Rubber Co.]. Канад. пат. 508797, 4.01.55
Для обрыва процесса эмульсионной полимеризации конъюгированных диолефинов, а также смесей бутадиена со стиролом (при произ-ве СК) вводят небольшие кол-ва фенолсульфида, дифенолсульфида, *n*-трет-амилфенолсульфида или ди-3-метил-4,6-ди-трет-бутилфенолсульфида. А. Л.

79522 П. Синтез каучуков эмульсионной полимеризацией в присутствии альдегид- или кетонсульфоксидата. Браун (Synthetic rubber emulsion polymerizations in the presence of an aldehyde or ketone sulfoxylate. Brown Robert W.) [United States Rubber Co.]. Пат. США 2716107, 24.08.55

Бутадии или его смеси с соединениями, содержащими одну группу $\text{CH}_2=\text{C}<$, полимеризуют в эмульсии в присутствии органич. перекиси, соли Fe, соли щел. металла и этилендиаминтетрауксусной к-ты и 0,0002—0,02 г-экв альдегид- или кетонсульфоксидата (на 100 г мономера). А. Л.

79523 П. Защитное покрытие для бескамерной шины. Брандау, Шуц (Tubeless tyre sealant coating. Brandau K. W., Schutz J. M.) [Firestone Tire & Rubber Co.]. Англ. пат. 731214. 1.06.55 [Rubber J., 1955, 129, № 8, 251 (англ.)]

Для уменьшения затвердевания и растрескивания герметизирующих слоев (ГС) воздушнонаполненных изделий, особенно бескамерных шин, при эксплуатации на него наносится резиновое покрытие из материала, совместимого с ГС. В случае шин, камер и других изделий резиновое покрытие может быть нанесено в виде клея после вулканизации. После вулканизации бескамерная шина приводится в положение, удобное для радиальной обработки покрытия, на которое наносится клей. Пример: (в случае НК) НК 100, ZnO 5, S 0,5, CaCO_3 20, мягчитель 5,25, борная к-та 0,5, ускоритель 1,5. Требуемая вязкость регулируется кол-вом бензина. Нанесенный клей высушивается до получения мягкого защитного покрытия. М. Х.

См. также: Латекс 77793, 79339; р-ция с O_2 78354; окисление 78355, 79538. Силиконовый каучук 79552, 79553. Хайпалон 79538. Полиизобутилен 79539. Полиизоцианаты 79546, 79547. Переход второго рода в натуральном каучуке 78322. Смеси с пластмассами 79529. Ускорители 78542. Противостаритель 79263. Применение искусств. волокна 79792.

СИНТЕТИЧЕСКИЕ ПОЛИМЕРЫ. ПЛАСТМАССЫ

79524. Синтетические термопластические смолы. Недде (Les résines synthétiques thermoplastiques. Nedde G.), Ingers et techniciens, 1953, № 61, 57, 59, 61 (франц.)

Рассмотрены методы получения, свойства и применение полиэтилена, кумароновых и кумаронинденовых смол, производных каучука (хлорированного, окисленного и циклизированного). Часть I см. РЖХим, 1955, 1302. Л. П.

79525. Усовершенствования в технологии пластических масс. Синтон (Improvements in plastics technology. Sinton J. S.), Engng. and Foundryman, 1954, 19, № 8, 59—62 (англ.)

Описаны новые улучшенные типы некоторых пластиков, выпускаемых в США и Европе. Соплимеры стирола с бутадиеном и акрилонитрилом, выпускаемые под маркой «Kralastic», совмещают в себе эластичность и жесткость. Они легко перерабатываются и обладают высокой хим. и термостойкостью. Описано также применение полистирола с различным. мол. весом., пенополистирола, материалов из виниловых пластиков и новых пластификаторов. Т. Ф.

79526. Производство смол и пресспорошков. Томсон (Manufacture of resins and moulding powders. Thomson A. G.), Chem. Age, 1955, 73 № 1903, 1405—1410 (англ.)

Описан 3-д фирмы «British Resin Products Ltd», производящий спирто- и маслорастворимые смолы, термоактивные и термопластичные пресспорошки. В. Г.

79527. Новые высокополимеры в США. Марк (Neuartige Hochpolymere in Amerika. Mark H.), Kunststoffe, 1954, 44, № 12, 541—542 (нем.)

Кратко рассмотрено получение смол из $\text{P}(\text{CH}_2\text{OH})_4\text{Cl}$ (получается из PH_3 и CH_2O в среде HCl), который вводят в соконденсацию с фенолами, мочевиной. Образующиеся продукты обладают огнестойкостью. Описано получение полимеров из высокофторированных алкилакрилатов, а также основные закономерности образования и свойства блок-сополимеров. Кратко изложены результаты работ по облущению пластиков γ -лучами и частицами с высокой энергией. И. Р.

79528. Пластмассы, выпускаемые фирмой BASF. Синтетические смолы в виде дисперсий и растворов. Сояма (BASF のプラスチック. 分散液および溶液. 曾山進), プラスチックス. Пурасуттикуску, Japan Plastics, 1956, 7, № 3, 23—26 (япон.)

Краткая характеристика выпускаемых фирмой BASF синтетич. смол., изготавливаемых в виде дисперсий и растворов. В. И.

79529. Каучукоподобные пластические массы. Шастный (Weichgummiähnliche Kunststoffe. Stastny Fritz), Gummi und Asbest, 1954, 7, № 3, 122—123, 125—129; № 4, 179—181; № 6, 296—301; № 7, 335—336; № 8, 392—396; 1955, 8, № 4, 182 (нем.)

Описано общее состояние произ-ва эластичных пластиков в ФРГ и подробно рассмотрены методы переработки и области применения отдельных классов полимерных соединений. Часть I. Поливинилхлорид, поливинилиденхлорид и полиизобутилен. Часть 2. Полиэтилен, полистирол. Часть 3. Полиакриловые и полиметакриловые смолы и их сополимеры; новые смолы в лакокрасочной пром-сти; полиуретановые смолы; поливинилацетат, полиэфир и кремнийорганические полимеры. Описаны также свойства смесей каучуков с пластич. материалами — поливинилхлоридом и полиизобутиленом. Часть 4. Свойства смесей каучуков с полиэтиленом, полистиролом, полиакрилатами, полиметакрилатами и поливинилацетатом. Приведены составы и механич. свойства некоторых композиций каучуков с полистиролом. Часть 5. Приведены свойства пенопластич. материалов и поропластов на основе эластичных пластиков — поливинилхлорида, полиуретанов, полиэтилена, полистирола и других полимеров. Описано приме-

нение пластич. масс как вспомогательных материалов при переработке и применении каучука. Часть 6. Использование полиорганосилоксановых смазок при прессовании резины и жесткого поливинилхлорида как прокладочного материала. М. М.

79530. Проект норм DIN 7708 на пластмассы. Формовочные массы. Поливинилхлорид жесткий. — (Plaste (Kunststoffe). Formmassen. Polyvinylchlorid (PVC) — Formmassen für Hartverarbeitung. Typentafel. DIN 7708.—), Kunststoffe, 1954, 44, № 8, 350—352 (нем.)

Проект норм DIN 7708 на эмульсионный поливинилхлорид для переработки без пластификаторов. Регламентируются следующие показатели: термостойкость ≥ 45 мин. при нагревании образца при $170 \pm 0,5^\circ \text{C}$ с улавливанием паров $0,1 \text{ н. AgNO}_3$; содержание щелочи в пересчете на $\text{NaOH} \leq 0,4\%$; константа Фикенчера $60-70$; сопротивление разрыву $\geq 450 \text{ кг/см}^2$; уд. ударная вязкость надразанных образцов $\geq 10 \text{ кг/см}^2$, теплостойкость по Вика $\geq 80^\circ$ (по Мартенсу 65°), уд. сопротивление $\geq 10^{14} \text{ ом см}$; водопоглощаемость $\leq 60 \text{ мг}$. Приведены методики определения термостойкости, содержания щелочи и константы Фикенчера. И. Р.

79531. Пояснения к нормам DIN 7708, лист 6. Краузе (Erläuterungen zu DIN 7708 Blatt 6. Krause A.), Kunststoffe, 1954, 44, № 8, 352 (нем.)

Пояснения к проекту норм DIN 7708, содержащие описание методик определения водопоглощаемости, изготовления образцов для определения физ.-мех. свойств, и мотивировку выбора отдельных методов. Проект норм см. пред. реф. И. Р.

79532. Проект норм DIN 7708 на пластмассы. Ацетобутират целлюлозы для литья под давлением. — (Plaste (Kunststoffe) Formmassen. Celluloseacetobutyrat (CAB) — Spritzgußmassen. Typentafel. DIN 7708.—), Kunststoffe, 1954, 44, № 8, 353—354 (нем.)

Приведены три типа литьевых масс (Р 411, Р 412, Р 413), для которых соответственно регламентируются следующие показатели: сопротивление изгибу при 20° (кг/см^2): ≥ 550 ; ≥ 500 ; ≥ 450 ; уд. ударная вязкость при 20° (кг см/см^2): ≥ 90 ; ≥ 80 ; ≥ 70 ; то же при -40° (кг см/см^2): ≥ 18 ; ≥ 15 ; ≥ 12 ; уд. ударная вязкость образцов с надразом при 20° (кг см/см^2): $\geq 2,5$; ≥ 4 ; ≥ 10 ; то же при -40° (кг см/см^2): $\geq 1,3$; $\geq 1,6$; $\geq 1,9$; теплостойкость по Вика: $\geq 100^\circ$; $\geq 85^\circ$; $\geq 70^\circ$; водопоглощаемость относительно воздушно-сухого состояния (мг): ≤ 80 ; ≤ 75 ; ≤ 55 ; потери в весе при выдерживании в воде (мг): ≤ 7 ; ≤ 15 ; ≤ 25 ; потери в весе при $80^\circ(\%)$: $\leq 0,5$; $\leq 1,2$; $\leq 3,5$. Приведены методики определения отдельных показателей. И. Р.

79533. Пояснения к нормам DIN 7708. Хофмейер, Рём (Erläuterungen zu DIN 7708 Blatt 7. Hofmeier H., Röhm W.), Kunststoffe, 1954, 44, № 8, 355 (нем.)

Пояснения к проекту норм DIN 7708 (ацетобутират целлюлозы для литья под давлением). Мотивировка выбора показателей, включенных в нормы. Нормы DIN 7708 см. пред. реф. И. Р.

79534. Проект норм DIN 53381, июль 1955, на испытание пленок из пластмасс. Определение склонности к отщеплению хлористого водорода из пленок на основе поливинилхлорида. — (Prüfung von Kunststoff-Folien. Bestimmung der Neigung zur Chlorwasserstoffabspaltung von Vinylchloridpolymerisat-Folien. Normen-Entwurf, Juli, 1955, DIN 53381. Erläuterungen von Krause A.), Kunststoffe 1955, 45, № 8, 347—348 (нем.)

Проект норм DIN 53381 на определение термостойкости поливинилхлоридных пленок с применением индикаторной бумажки дает более надежные результаты, чем способ с AgNO_3 . 1 г ($\pm 10 \text{ мг}$) пробы помещают в стандартную пробирку, закрываемую пробкой с прорезью, через которую вводят универсальную индикаторную бумажку (рН I—II), свешивающуюся внутрь пробирки на 20 мм. Пробирку помещают в масляную баню ($170 \pm 0,5^\circ$) на глубину 30 см.

Время до появления окрашивания бумажки, соответствующего $\text{pH} < 7$, характеризует термостойкость пленки. Л. П.

79535. Замечания к нормам DIN 53381, июль 1955, на испытание пленок из пластмасс. Определение склонности к отщеплению хлористого водорода из пленок на основе поливинилхлорида. — (Prüfung von Kunststoff-Folien. Zu DIN 53381 Bestimmung der Neigung zur Chlorwasserstoffabspaltung von Vinylchloridpolymerisat-Folien (Entwurf Juli 1955). Kautschuk und Gummi, 1955, 8, № 10, 256 (нем.)

См. пред. реф.

79536. Критический очерк аналитического определения гексаметилентетрамина в промышленных фенопластах. Амар, Жакке (Étude critique du dosage de l'hexaméthylène-tétramine dans les phénoplastes industriels. Hamard P., Jacques L.), Chimie et industrie, 1954, 71, № 5, 915—918 (франц.)

Определение содержания гексаметилентетрамина (I) в пресспорошках и изделиях титрованием воды. вытяжки $0,1 \text{ н. H}_2\text{SO}_4$ в присутствии метилоранжа дает повышенное содержание азота по сравнению с методом Кьельдаля. Причиной ошибки является наличие в воде. вытяжке основных в-в типа аминов, получающихся при взаимодействии I с фенолами. Для получения более точных результатов предлагается определять содержание азота (в пересчете на NH_3) в аликвотной части воды. вытяжки (экстракция 3 часа при $\sim 20^\circ$; полумикрометод Кьельдаля или титрование) и содержание азота в остатке после экстракции (полумикрометодом Кьельдаля). Сумма полученных значений хорошо сходится с общим содержанием азота в продукте, определяемым по Кьельдалю. Н. А.

79537. Эмульсионная полимеризация при непрерывном введении реагентов. Получение в лабораторном масштабе латекса с высоким содержанием сухого остатка. Фрам, Стюарт, Шляхтун (Emulsion polymerization by continuous feed of reactants. Laboratory scale production of high solids latex. Fram Paul, Stewart Graham T., Szlachetun Andrew J.), Industr. and Engng Chem., 1955, 47, № 5, 1000—1005 (англ.)

Одно из преимуществ полунепрерывного способа полимеризации (непрерывное введение мономеров в водн. фазу, находящуюся в реакторе) — более легкий контроль т-ры, что особенно важно при сильно экзотермич. процессе. На примере сополимеризации бутилакрилата (I) с акрилонитрилом (II) показана принципиальная возможность применения в лабор. масштабе полунепрерывного процесса, который особенно пригоден для изготовления высококонцентрированных латексов. Приведены рецептуры, условия полимеризации и свойства сополимера, полученного полунепрерывным методом при весовом соотношении $\text{I} : \text{II} = 70 : 30$. Этот метод дает сополимеры более однородные по составу, чем те, которые получают при периодич. методе, однако результаты исследований свойств полимеров не дают возможности сделать окончательные выводы об однородности сополимеров, полученных различными способами. Полунепрерывный способ показал определенные преимущества по равномерности хода процесса и более высокой скорости р-ции. Были исследованы условия полимеризации для получения сополимеров близкого мол. веса полунепрерывным и периодич. методами. Описана лабор. установка для получения сополимеров полунепрерывным методом и аппаратура для контроля температуры. С. Ш.

79538. Новые данные о гипалоне. Свэрд (Nya erfarenheter om hypalon. Sward Gunnar), Plastvården, 1954, 4, № 19, 350—353 (швед.)

Гипалон (хлорсульфированный полиэтилен) — эластомер, который повышает стойкость НК и СК к окислению, а также термостойкость неопрена. Из гипалона можно изготавливать изделия методом литья под давлением. Р-ры гипалона в ксилоле, содержащие малеинат Pb, можно применять для нанесения антикоррозийных покрытий, стой-

ких к действию 30%-ной H_2CrO_4 , 85%-ной H_3PO_4 , 50%-ной H_2SO_4 , 20%-ного $NaClO$ и 50%-ного $NaOH$. Гипалон наносят также на ткани из хлопчатобумажных и синтетич. волокон; образцы хлопчатобумажной ткани, покрытой гипалоном, после трехлетней атмосферной экспозиции во Флориде оказались в хорошем состоянии. Л. П.

79539. Нефть — первичное сырье для органической химии. Боден (Le pétrole matière première de la chimie organique. Baudin Jacques), Techn. et appl. pétrole, 1955, 10, № 108, 3596—3598 (франц.)

Физические свойства и области применения полиизо-бутилена зависят от его мол. веса: низкомолекулярные полимеры — твердые смолы, высокомолекулярные — каучуко-подобны и используются в произ-ве автопокрышек, электро-кабелей, в бумажной пром-сти, для изготовления тары под коррозионно-агрессивные жидкости. Применение поли-этилена (политена) основано на его высоких диэлектрич. свойствах и на стойкости к действию водяного пара и хим. реагентов. В последнее время расширяется его применение для изготовления различных сосудов и труб. См. РЖХим, 1956, 59592. С. Г.

79540. Текучесть пластизолов из поливинилхлорида. Северс, Остин (Flow properties of vinyl chloride resin plastisols. Severs E. T., Austin J. M.), Industr. and Engng Chem., 1954, 46, № 11, 2369—2375 (англ.)

Описана конструкция вискозиметра для определения текучести пластизолов из поливинилхлорида и приведены данные, характеризующие вязкость композиций с различными пластификаторами. Н. А.

79541. Органозолы — пластизолы и пластигели. Получение, свойства и применение. Бедюно (Organosols — plastisols et plastigels. Préparation — propriétés et emplois. Beduneau H.), Rev. prod. chim., 1954, 57, № 1197, 24—28; № 1198, 69—73 (франц.)

Описаны методы переработки пластизолов, оптимальные условия желатинизации, методы нанесения пластизолов на непористые материалы и ткани, а также способы получения формованных изделий окунанием или литьем. Описаны различные применения пластизолов для изготовления пленок, пенопластов, звукоизоляции, амортизаторов и форм для литьевых смол. Рассмотрена роль отдельных компонентов, входящих в состав композиций. Приведены примеры использования пластигелей, получаемых добавлением загустителей, напр. металлич. мыл, к пластизолам. Начало см. РЖХим, 1955, 56791. Л. П.

79542. Вопросы технического применения новых типов поливинилхлорида, не содержащих эмульгаторов и электролитов. Клейн (Anwendungstechnische Betrachtungen über neue emulgator- und elektrolytfreie Polyvinylchlorid-Typen. Klein W.), Kunststoffe, 1954, 44, № 11, 498—503 (нем.)

Поливинилхлорид (ПВХ) получают полимеризацией в эмульсии или в суспензии. Преимущество последнего способа — отсутствие эмульгаторов и электролитов в материале. Однако до сих пор при полимеризации в суспензии получались более высокомолекулярные продукты с константой Фикенчера (K_F) 70—80. В настоящее время в результате применения спец. активаторов при полимеризации в суспензии удается получать ПВХ с K_F 55,60 и 65. Этот продукт (ПВХ - С) обладает большей термич. стабильностью и лучшими электроизолирующими свойствами, чем эмульсионный ПВХ (ПВХ - Э). При переработке хорошо стабилизированного ПВХ - С в шнековом прессе т-ра у выхода из пресса может быть повышена до 200°. В качестве стабилизаторов рекомендуются оловоорганич. соединения и стеараты металлов. Важнейшая область применения ПВХ - С — изоляция кабелей. Состав кабельного пластика: 63—75% ПВХ - С и 37—25% пластификатора. Из пластифицированного ПВХ - С переработкой на каландрах можно получать прозрачный листовой материал. Не-

пластифицированный ПВХ - С, по сравнению с ПВХ - Э, кроме повышенных электрич. характеристик, имеет несколько более высокую механич. прочность и лучшую хим. стойкость. Для переработки на шнековых прессах и каландрах рекомендуется ПВХ - С с K_F — 65. Из непластифицированного ПВХ - С можно изготавливать трубы и профильные материалы, прозрачные листы и плиты, а также различные изделия методом литья под давлением. Кроме того, листовые материалы и различные полые изделия можно также получать методом выдувания. С. Ш.

79543. Изучение продуктов винилирования. Часть III. Получение сополимеров n-винилбутилового эфира и акрилонитрила. Аритомни, Хата (Аセチレンによる加壓ビニル化反応生成物に関する研究. 第3報. n-ブチルビニルエーテルとアクリロニリルとの共重合, 有富勇美, 泰弘), 高分子化学, Кобунси кагаку, Chem. High Polymers, 1953, 10, 104, 540—543 (япон.)

Изучалась эмульсионная сополимеризация акрилонитрила и n-винилбутилового эфира. В качестве инициатора применялась перекись бензоила или перекись водорода. Р-цию проводили при 70° и начальном pH 7,0. Скорость и степень полимеризации, а также выход полимера уменьшались при увеличении кол-ва винилбутилового эфира. Результаты опытов приведены в таблицах. В. И.

79544. Литьевые смолы и их переработка. Бернхард (Giessharze und ihre Verarbeitung. Bernhard Paul), Techn. Rundschau, 1955, 47, № 46, 25, 27, 29, 31 (нем.)

Описана технология литья эпоксидных смол (ЭС). ЭС размягчаются при 50—60° и переходят в жидкое состояние при 120—130°. Плавление ЭС производят при 130—140°. На 10 ч. ЭС прибавляют 3 ч. отвердителя, после растворения которого ЭС отливают в формы из различных металлов при 125—130°. Отверждение должно происходить без выделения летучих; т-ра отверждения составляет 100—200°, а усадка при охлаждении 0,5—2,3%. ЭС для литья применяют в чистом виде и с наполнителями (до 250% от веса смолы) — кварцем, тальком, графитом. Наименьшая толщина изготовляемых из ЭС плит составляет 1 мм, а диаметр стержней ≥ 3 мм. Формы для литья изготовляют из листового железа. Описана установка для литья ЭС под вакуумом (0,1—10 мм рт. ст.). Трубы из ЭС отливают центробежным способом при 200—240°. ЭС можно усиливать стеклотканями. ЭС, отверждаемые на холоду, применяют для изготовления инструмента, форм, моделей и т. д. Отверждение ЭС при 20° происходит в течение 24 час, но деталь готова к употреблению только после 6—8 дней. Описано изготовление набора инструмента для обработки жести. Приведены механич. и электрич. свойства литьевых ЭС. В. Г.

79545. Термореактивные этеноидные смолы. Кларк, Фармер (Thermosetting ethenoid resins. Clark K. A., Farmer S. N.), Industr. Chemist, 1954, 30, № 355, 387—392 (англ.)

Описаны основные свойства термореактивных нена-сыщ. полиэфирных смол, принципы их получения и применения для литьевых композиций, слоистых пластиков и пластиков с наполнителем из стекловолокна. Рассмотрены основные типы катализаторов и промоторов, применяемых для полимеризации смол, а также методы обработки стекла для повышения адгезии смолы. С. И.

79546. Соединения полиэфиров и изоцианатов. Сигтерманс (Polyester-isocyanat-verbindingen. Sigtermans A. A. I.), Chem. courant., 1955, 54, № 1751, 297 (голл.)

Эластомеры, получаемые при р-ции изоцианатов с поли-эфирами из адипиновой к-ты и гликолей, обладают высокой стойкостью на износ; гарантированный пробег автошин из эластомеров этого типа составляет 150 000 км. Пенопласты на основе полиэфиров и изоцианатов с плотностью 25 г/дм³ имеют предел прочности на разрыв 7—35

кг/см², водопоглощение (за 24 часа) 1% и теплопроводность 0,04 ккал/час·м²·град·м.

Л. П. 79547. Эластомеры из изоцианатов. Керфи (Isocyanate elastomers. C. J. R. P. H. E. G.), Brit. Plastics, 1954, 27, №10, 407—409 (англ.)

Эластомеры из полиэфиров, содержащих изоцианаты, обладают высокой маслостойкостью и стойкостью на истирание. Термопластичные полиэфиры после обработки полифункциональными органич. изоцианатами или изотиоцианатами превращаются в эластичные или жесткие материалы. Ход р-ции зависит от природы концевых групп в молекуле полиэфира и характера изоцианата. Для обработки изоцианатами наиболее пригодны полиэфиры с гидроксильным числом 50—60 и кислотным числом <12. При изготовлении типичного полиэфира соотношение между двусосновой к-той и гликолем составляет 1:1,19; смесь нагревают при 130—160° до окончания выделения воды и затем при 200° и 20 мм рт. ст. в токе N₂ до образования вязкого сиропообразного или воскообразного продукта. На физ.-мех. свойства материала большое влияние оказывает природа применяемого гликоля и изоцианата. Для получения эластомера с хорошими механич. свойствами кол-во применяемого изоцианата должно быть ограниченным. Скорость р-ции изоцианатов с полиэфирами может регулироваться катализаторами. Для получения изделий методом центробежного литья применяют полимер с миним. вязкостью, методом прессования — с максим. и методами выдавливания и каландрирования — с промежуточной. Модифицированные изоцианатами полиэфиры применяются в сочетании с поливинилацетатами для произ-ва прокладок, манжет, шлангов, диафрагм для насосов. В сравнении с резиновыми изделиями они обладают лучшей газонепроницаемостью и стойкостью к растворителям.

С. Ш. 79548. Аминопласты. Бурштин (Aminoplasty. B. u. r. z. s. t. y. n. L.), Przegl. eketrotechn., 1955, 31, №10-11, 636—638 (польск.)

Приведены таблицы показателей мочевино- и меламиноформальдегидных прессматериалов, выпускаемых в Польше, а также параметры переработки аминопластов в изделия. Отмечено, что ≥40% изделий, в том числе электро-технических, изготавливаемых в настоящее время из фенопластов, могут быть успешно заменены на изделия из аминопластов.

Л. П. 79549. Формовочные материалы из мочевиновых смол и гипса. П. Кувата, Тани (尿素樹脂, 石膏硬化物. 第2報. 桑田勉, 谷敏行), 工業化學雜誌, Koré kagaku zasshi, J. Chem. Soc. Japan Industr. Chem. Sec., 1953, 56, №1, 40—42 (япон.)

Для изготовления формовочных материалов применялась смола, приготовленная конденсацией мочевины и фенола (вес. отношение 2:1) с формалином. Полученную смолу смешивали с гипсом и отверждали при 90°. Кол-во смолы в композиции составляло 30 вес. %, при этом предел прочности материала на сжатие составлял 257 кг/см² и на растяжение 60 кг/см². Часть I. см. Корё кагаку засси, 1951, 54, 389.

В. И. 79550. Детали для механического оборудования. Бойер, Майерс (Components for mechanical equipment. Boyer J. R., Myers W. R.), Industr. and Engng Chem., 1955, 47, №7, 1324—1328 (англ.)

Описывается применение пластмасс для изготовления подшипников, шестерен, роликов, направляющих колец и уплотняющих элементов механич. оборудования. Подробно рассмотрено изготовление подшипников, шестерен из нейлона и уплотняющих деталей из тефлона. Последний применяется для работы в агрессивных средах при т-рах от —60 до 300° в чистом виде или со стеклянными и асбестовым волокном в качестве наполнителя, который снижает хладотечность материала. Для снятия внутренних напряжений, появляющихся в процессе изготовления деталей, и стабильности их размеров рекомендуется последующий отпуск. Нейлон нагревают в кипящей воде или масле, в за-

висимости от температурных условий работы детали; тефлон нагревают в течение 1 часа при 325—350°. Нагретые детали медленно охлаждают. Подшипники из нейлона и тефлона могут работать с водяной смазкой. При конструировании деталей из нейлона для работы во влажных условиях (напр., с водяной смазкой) следует учитывать гигроскопичность материала и давать соответствующий допуск или вырезать деталь из насыщ. водой материала. При изготовлении шестерен из нейлона допустимый предел усталостной прочности составляет при 25° 210 кг/см² и при 100° 140 кг/см².

С. П. 79551. Шприц из нейлона для подкожных инъекций. Лефо (La seringue hypodermique en nylon. L. e. f. a. u. x. R. e. n. é), Prod. pharm., 1955, 10, №10, 620—625 (франц.)

Описаны прочные, небьющиеся, стойкие к удару и изменению т-ры и водонепроницаемые шприцы из нейлона, применяемые для инъекций любых р-ров, независимо от природы р-рителя. Они легко очищаются мыльной водой или кипячением с 5%-ным р-ром соды; стерилизуются обычными классич. методами, включая автоклав при 120°.

Ю. В. 79552. Силиконы. Бомби-Ллопис (Siliconas. B. o. m. b. i. L. l. o. p. i. s. J.), Ion, 1954, 14, №161, 707—712, 720 (исп.)

Обзор методов получения, свойств и применения кремнийорганич. полимеров: масел, смол, каучуков, смазок и пленкообразующих в-в. Начало см. РЖХим, 1955, 19781.

Л. П. 79553. Полиорганосилоксаны (кремнийорганические масла, смолы и каучуки). Стефанов [Силикони (масла, изкуствени смоли и каучук от пясък). Стефанов Стефан], Природа (София), 1955, 4, №5, 19—23 (болг.)

Приведен обзор методов получения и свойств полиорганосилоксанов.

Л. П. 79554. Полиорганосилоксаны экономят средства. Крейн (Silicones-savings. K. r. a. n. e. W. G.), Canad. Bever. Rev., 1956, 26, №1, 22—25 (англ.)

Обработка полиорганосилоксаном стеклянной посуды, применяемой для упаковки пищевых продуктов, значительно улучшает ее качество. Для обработки посуду ополаскивают разб. р-ром (1:2000—4000) препарата Z-4141 и высушивают. Благодаря образованию поверхностной пленки из полиорганосилоксанов, обработанная поверхность стекла получает меньше микроскопических повреждений в сравнении с необработанной, благодаря чему бой посуды (бутылок) при мытье и разливе на поточных линиях значительно снижается (от 0,52% для необработанных до 0,037—0,001% для обработанных). Обработанная посуда обладает повышенной прочностью при испытании гидростатич. давлением (на 11—87% в сравнимых образцах), а также большей устойчивостью к удару и падению.

А. Ж. 79555. Полиорганосилоксаны в производстве упаковок. Тиккоцци (I siliconi nell'imballaggio. T. i. c. o. z. z. i. R. i. c. c. a. r. d. o.), Imballaggio, 1956, 7, №32, 2—5 (итал.)

Для обработки различной упаковки используют полиорганосилоксаны в виде водн. эмульсий. Эмульсия EF 4010 рекомендуется для обработки внутренней поверхности флаконов для лекарств или посуды с пищевыми продуктами. Обработка бумаги производится жидкостью DC 1107. Для закрепления пленки на поверхности бумаги последнюю нагревают при 120° в течение 30 сек. Стеклянную посуду нагревают в течение 15 мин. при 150°. Наружную поверхность посуды (бутылок) обрабатывают составом F4141. После обработки предмет необходимо высушить (24 часа при ~20° или 10 мин. при 100°). Подобная обработка снижает загрязняемость упаковочной бумаги, уменьшает бой стеклянной тары и позволяет извлекать содержимое сосуда с меньшими потерями на стенках, что важно для точной дозировки лекарств.

А. Ж.

79556. Синтез органических флуоресцирующих соединений. Часть XX. Синтез некоторых флуоресцирующих смол. Йосида, Иноуэ, Ода (有機螢光物質の合成に関する研究. 第20報. 二, 三の螢光樹脂の合成. 吉田善一, 井上茂樹, 小田良平), 工業化學雜誌, Koré кагаку дзасси, J. Chem. Soc. Japan. Industr. Chem. Sec., 1953, 56, № 1, 44—45 (япон.)

Часть XIX см. Koré кагаку дзасси, 1952, 55, 782—787.

79557. Пластификаторы. Суэрн (Plasticizers. Swern D a n i e l), J. Amer. Oil Chemists' Soc., 1954, 31, № 11, 574—578 (англ.)

Описаны основные свойства и механизм действия пластификаторов, применяемых в произ-ве пластмасс. В последнее время, кроме обычных пластификаторов, в произ-ве поливинилхлорида применяют пластификаторы на основе растительных масел, являющиеся одновременно стабилизаторами и представляющие собой эпоксициклизированные масла. Эти в-ва получают действием надуксусной к-ты на масла, содержащие двойные связи. При дальнейшем действии CH_3COOH на эпоксициклизированные масла или на их жирные к-ты образуются ацетоксипроизводные (напр., диацетоксибутилстеарат), не являющиеся стабилизаторами, но являющиеся хорошими пластификаторами. Приведены данные по выпуску большинства типов пластификаторов 1952 г. в США.

79558. Эфиры аконитовой и трикарбаллиловой кислот как пластификаторы винильных соединений. Робертс, Мартин, Мань, Мод (Aconitic and tricarballic acid esters as vinyl plasticizers. Roberts E. J., Martin L. F., Magne Frank C., Mod Robert R.), Rubber World, 1954, 130, № 6, 801—804 (англ.)

Описаны получение эфира аконитовой (I) и трикарбаллиловой (II) к-т: а) непосредственно этерификацией I с последующим гидрированием до трикарбаллилата в присутствии Pd и б) непосредственной этерификацией дикальций-магнийаконитата (III) (отход сахарной пром-сти). Получены три-2-этилгексилтрикарбаллит с выходом 96% (теор.) и т. кип. $181^\circ/0,1 \text{ мм}$ и три-н-бутилаконитат с выходом 82% (теор.) и т. кип. $126^\circ/0,1 \text{ мм}$, а также смешанные эфиры с выходом 32% (теор.), т. кип. $174—176^\circ/10 \text{ мм}$. Получен и охарактеризован по физ.-хим. свойствам ряд эфиров от пропилового до октилового, испытания которых для пластификации сополимера винилхлорида с винилацетатом (95 : 5) показали, что некоторые из этих эфиров могут заменить ди-2-этилгексилфталат.

79559. Водные числа пластификаторов для виниловых смол. Дейдон (Water tolerance values of vinyl plasticizers. D a i d o n e Philip C.), Mod. Plast., 1955, 32, № 8, 159, 160, 162 (англ.)

Для оценки степени гидрофобности пластификаторов предложено определять их водн. числа титрованием до помутнения р-ров 2,5 г пластификатора в 25,0 мл ацетона. У исследованных 50 типов пластификаторов уд. водн. числа (отнесенные к 1 г пластификатора) варьировали от 0,74 [глицерилтри(ацетоксистерат)] до 8,78 (трибутоксилфосфат). Пластификаторы с высокими уд. водн. числами лучше совмещаются с поливинилхлоридом.

79560. Красители для пластмасс (Kleurstoffen voor kunststoffen. М. М.), Plastica, 1955, 8, № 9, 482—484 (голл.)

Голландский з-д Ferro Enamels изготавливает минер. пигменты для эмалей, полный ассортимент которых насчитывает 6000 оттенков 28 основных цветов. Более 100 наименований этих пигментов имеют весьма тонкий помол (проходят через сито 325 меш) и применяются для окраски полистирола, полиэтилена, полиамидов, фторопластов и целлюлозных пластиков. Для окраски полиэфирных стеклопластиков разработано 25 видов красок в виде паст.

Л. П.

79561. Сушка гигроскопичных пластмасс. Хас (Die Trocknung hygroskopischer Kunststoffe. Haas Heinz), Kunststoffe, 1955, 45, № 10, 435—438 (нем.; рез. англ., франц., исп.)

Капролактан, ацетилцеллюлоза и другие гигроскопичные пластики сорбируют влагу посредством сольватации полярных групп и капиллярной конденсации в зависимости от парц. давления водяного пара. При прядении поликапролактама влажность материала должна быть $\leq 0,2\%$, а при литье под давлением $\leq 0,5\%$. Сушку материала необходимо производить в вакууме; остаточная влажность определяется по изотерме сорбции высушенного тела. Достижение меньшей конечной влажности возможно за счет повышения т-ры сушки, повышения вакуума или снижения парц. давления пара. Приведена схема вакуум-сушильной установки.

79562. Эластомеры. Литьевые материалы. Феррари (Elastomers. Casting plastics. Ferrari Edward), Mod. Plast., 1954, 32, № 1A, 163—164 (англ.)

Кратко описан метод изготовления форм из поливинилхлоридного пластизола для литья полиэфирных и фенольных смол.

79563. Основные факторы, влияющие на процесс литья под давлением. Гаспар (Facteurs principaux intéressant le moulage par injection. Gaspard E.), Ind. plast. mod., 1953, 5, № 7, 35—38 (франц.)

Приведена методика эксперим. исследования процессов нагнетания пластмассы через капилляр с осциллографич. регистрацией изменений давления; указано на влияние конфигурации литников и объяснены причины возникновения внутренних напряжений в отливках. Обращено внимание на значение контроля за т-рой прессформ. Дана характеристика отдельных стадий процесса литья под давлением пластмасс. Предыдущее сообщение см. РЖХим, 1956, 59669.

79564. Стеклопластики. Дюфло (Pour bien concevoir une pièce en stratifiés tissus de verre résines basse pression. Duflou J.), Ind. plast. mod., 1953, 5, № 10, 22—25 (франц.)

Приведены сравнительные данные технологич. процессов при получении одинаковых изделий из дерева, металла и пластмасс (квалификация рабочей силы, требуемое оборудование, подготовительные операции, механич. обработка, окончательная отделка и др.) как в мелкосерийном, так и в массовом произ-ве. В отношении пластмасс эти данные указаны в зависимости от формовочного материала (армированный или неармированный^а), способа прессования (низкое или высокое давление) и характера изделий (сложной формы, листовые, трубчатые, крупногабаритные). Предыдущее сообщение см. РЖХим, 1956, 69903.

79565. Применение слоистых стеклопластиков на основе эпихидных смол для изготовления штампов. Делмонт (Why epoxy resins for laminated tooling? Delmonte John), Mater. and Methods, 1954, 40, № 2, 93—95 (англ.)

Слоистые стеклопластики на основе эпихидных смол (ЭС) обладают малой усадкой и высокой прочностью, благодаря чему они могут с успехом применяться для изготовления штампов, которые подвергаются большому ударным нагрузкам и давлениям. Высокая адгезия ЭС к стеклоткане характеризуется прочностью стеклопластиков на сжатие вдоль слоев, достигающей 3500—4200 кг/см². Можно получать ЭС с различной степенью вязкости; обычно применяют ЭС с вязкостью 2000—4000 *спуаз*, но в отдельных случаях используют более вязкие смолы (20 000—40 000 *спуаз*). В последнее время удалось добиться значительного повышения стабильности ЭС, что позволяет сохранять их длительное время без охлаждения. Перед употреблением ЭС в них вводят отвердители (обычно полиамини). Время отверждения ЭС определяется соотношением смолы и отвердителя, конц-ей отвердителя и т-рой окружающей среды. При $\sim 20^\circ$ время отверждения ЭС составляет 20—45

мин.; процесс отверждения сопровождается выделением тепла, причем t -ра может повыситься до $177-204^{\circ}$. Физ.-мех. свойства стеклопластиков на основе ЭС, применяемых для изготовления штампов, следующие (при $21-24^{\circ}$ в кг/см^2): сопротивление изгибу — 2590; после выдерживания в воде в течение 24 час. — 2450; модуль упругости при изгибе — $0,147 \cdot 10^6$; сопротивление разрыву — 2170; водопоглощение после 24 час. $< 0,2\%$; уд. в. $1,6 \text{ г/см}^3$; содержание смолы 48—50%. Приведены кривые, характеризующие зависимость вязкости ЭС от t -ры, а также твердости стеклопластиков на основе ЭС от t -ры и времени.

С. И. 79566. Обзор по армированным стеклопластикам. Смолы и технология. Паркин (Symposium on glass-fibre reinforced plastics Resins and techniques. Parkin B.), Trans. and. J. Plast. Inst., 1954, 22, № 48, 99—112 (англ.)

Подробно рассмотрены требования, предъявляемые к смолам для армированных стеклопластиков, способы изготовления изделий и области их применения. Несмотря на относительно высокую стоимость армированных стеклопластиков, их произ-во в США достигло 10 000 т в 1951 г., что составляет $\sim 1\%$ от всего кол-ва АИ, изготовленного в США.

С. И. 79567. О применении конструкционных пластиков на нефтяных промыслах.— (Summary of data on use of structural plastic products in oil production. A status report of NACE technical committee T—1J on oilfield structural plastics.—), Corrosion, 1955, 11, № 6, 59—69 (англ.)

Приведены результаты исследований свойств термопластич. и терморезистивных пластиков применительно к условиям их работы в нефтяной пром-сти. На нефтяных промыслах испытывались трубопроводы из термопластичных материалов (сополимеров стирола, поливинилхлорида и ацетобутирата целлюлозы) общей протяженностью $> 33 \text{ км}$, а также трубопроводы из стеклопластиков на основе терморезистивных (полиэфирных и эпоксидных) смол протяженностью $> 750 \text{ м}$. Кроме того, проводились испытания цистерн из стеклопластиков емк. 30 и 60 м³. После 2 лет службы цистерны из стеклопластиков на основе полиэфирных смол еще обнаруживали признаки ползучести, причем их объем изменялся до $0,152\%$ вследствие разности t -ре-том и зимой, а изменение объема цистерн из стеклопластиков на эпоксидных смолах составляло при тех же условиях $\sim 0,10\%$. Эксплуатация труб из стеклопластиков, изготовленных способом центробежного литья, показала, что кол-во поврежденных трубопроводов составляло 57% и что эти трубы особенно сильно повреждались при повышенных t -рах и давл. $> 7 \text{ кг/см}^2$. Срок службы этих труб составлял 6—16 месяцев.

С. И. 79568. К вопросу о методе испытания на изгиб стеклянных лакотканей. Касимура (ワニガラスクロスの手軟性試験方法について. 櫻村壽雄), 電気試験所彙報, Дэнки сикэнсё ихо, Bull. Electrochem. Lab., 1954, 18, № 7, 551—553, 556 (япон.; рез. англ.)

Приводятся метод испытания и результаты опытов по изучению сопротивления на изгиб стеклянных лакотканей в различных условиях. Автор исследовал эластичность стеклолакотканей при различных t -рах и в атмосфере с относительной влажностью от 50 до 80%.

М. Г. 79569. Опыты по диффузии водяных паров через листы (пленки) целлофана и полиэтилена. Ван-Итербек, Верхеген, Ван-Памел (Essais sur la diffusion de la vapeur d'eau à travers des feuilles de cellophane et de poly-éthylène. Van Iterbeek A., Verhaegen L., Van Paemel O.), Commun. Inst. internat. froid, 1953, avril, 203—213 (франц.)

79570. Пенопласты и их развитие. Зальцман (Schaumkunststoffe und ihre Entwicklung. Salzmann G.), Gummi und Asbest, 1955, 8, № 7, 360, 362, 364—369; № 8, 426—431; № 9, 482—484 (нем.)

Способы произ-ва пено- и поропластов можно классифи-

цировать следующим образом: 1) механич. вспенивание в присутствии пенообразователей, 2) удаление из формованных изделий легко растворимых или разрушаемых органич. и неорганич. в-в, 3) введение органич. или неорганич. в-в, разлагающихся выделением газов при термообработке, 4) введение металлч. порошков (алюминия и магния) и органич. к-т с последующим выделением H_2 , 5) увлажнение порошкообразных смол не растворяющими их низкокипящими жидкостями с последующей термообработкой в автоклаве, 6) введение инертных газов в смолы под давлением извне. Приведены методы регулирования величины и характера пор и описаны новые органич. пенообразователи типа азодинитрилов, сульфогидразидов, карбонил-азидов, динитрозопентаметилентетрамина и т. д. Рассмотрены способы вспенивания различных полимеров — ацетилцеллюлозы, конденсационных смол, виниловых пластиков, полиэфиров, полиуретанов, полиамидов, силоксанов. Приведены некоторые механич. свойства пенопластов. Отмечена стойкость ацетилцеллюлозы к действию термитов.

М. М. 79571. Пороцелл — твердый пенопласт, производимый австрийской промышленностью пластмасс. Фитцек (Porozell — Hartschaum eine Bereicherung der österreichischen Kunststoffindustrie. Fitzek Herbert), Österr. Plastic-Rundschau, 1955, № 5, 6, 46—47 (нем.)

Приведены характеристики полистирольного пенопласта пороцелл, произ-во которого налажено в Австрии. Пенопласт имеет уд. в. 0,015, предел прочности на сжатие и на изгиб соответственно $1,0 \text{ кг/см}^2$ и $3,0 \text{ кг/см}^2$, водопоглощаемость за 24 часа 1,0—1,3%, теплостойкость 70° .

Л. П. 79572. Стиропор — новый пенопласт. Часть 1 и 2. Шастный (Styropor — ein neuer, poröser Kunststoff. 1.2. Teil. Stastny Fritz), Kunststoffe, 1954, 44, № 4, 173—180; № 5, 221—226 (нем.)

Часть 1. В ФРГ начал выпуск пенополистирола, поставляемого в виде смеси полимера со вспенивателем — легко летучим в-вом, двух типов: гранул и блоков — цилиндров диам. 10 см и высотой 26 см, в запаянных банках. Для получения пористой структуры из блоков нарезают диски толщиной 10—15 мм и помещают их (отделяя друг от друга перфорированными металлч. пластинками) на 20 мин. в воду при $93-97^{\circ}$; при этом диаметр возрастает до 30—36 см и толщина до 30—45 мм, после быстрого охлаждения и выдержки 7—10 суток при $\sim 20^{\circ}$ процесс вспенивания повторяют (преимущественно за счет расширения воздуха в закрытых порах); объем дисков дополнительно увеличивается на 50—100%. Пенопласт из блоков имеет уд. в. 0,025, предел прочности на статический изгиб 2,5—3,5 кг/см^2 , на сжатие 1—1,2 кг/см^2 , ударную вязкость 0,2—0,4 кг.см/см^2 , теплостойкость 65° и привес в воде за 7 суток 0,5%. Этот материал применяют главным образом в электротехнике в качестве кабельной изоляции, нарезаая диски на ленты. Гранулированный полистирол с насыщенным весом 480—520 г/л (хранящийся при $0-10^{\circ}$ в закрытых банках) подвергают предварительному вспениванию в воде при 95° или в паровой камере при $100-107^{\circ}$ в течение 5—10 мин. Из предварительно вспененного материала формуют изделия в перфорированных формах, применяя водяной или паровой обогрев.

Часть 2. Для склейки изделий из пенополистирола применяют 9%-ный р-р деструктурированного каучука (содержащий также некоторое кол-во канифоли) в р-рителе (90% петroleйного эфира, 7% полистирола и 3% метилхлорида). Для разрезанных или строганных поверхностей могут быть применены водн. клен (кауцит W) холодного отверждения (отвердители наносят на одну из склеиваемых поверхностей, клен на другую), а также битумные эмульсии и др. Лакировку производят спиртовыми лаками, водн. лаками воздушной сушки, водн. дисперсиями полимеров. Для упрочнения изделия прогревают в формах при $140-170^{\circ}$. При этом образуется корка на поверхности материа-

ла. Стиропор применяют для изготовления спасательных кругов, теплоизоляции, предметов домашнего обихода строительных и мебельных панелей.

Л. П. 79573. Промышленная органическая химия. Ионнообменные смолы. Ода (有機工業化学. イオン交換樹脂. 小田良平), 化学, Katak, Chemistry (Japan), 1956, 11, № 2, 12—14 (япон.)

Обзор. Библ. 37 назв.

Н. Л. 79574. Клей и склеивание. Части 23—31. Хайлер (Glues and gluing. Part 23—31. Hyler John E.), Southern Lumberman, 1953, 187, № 2342, 49—50, 52, 54, 66; № 2343, № 2344, 31, 32 34; № 2345, 247—248, 250, 252; 1954, 188, № 2346, № 2347, № 2348, 41—42, 44, 67; № 2349, 51—52, 54—55; № 2350, 41—42, 44, 46 (англ.)

Описаны мочевино- и меламиноформальдегидные клеи, их свойства, методы применения в фанерном и деревообрабатывающем произ-вах, а также методы испытания их на прочность клеевых швов. Кратко описан поливинилацетатный клей и его свойства. Дан обзор преимуществ и недостатков клеев в сопоставлении с их стоимостью. Указаны абразивные свойства клеев по отношению к инструментам, которыми обрабатывают склеенные изделия. Особенности строения склеиваемой древесины и характер склейки. Обсуждаются форма и размеры смесителей для приготовления клеевых р-ров, характер перемешивающих устройств, скорость перемешивания и устройства, позволяющие ее регулировать. Приведены разные типы мешалок и смесителей. а также методы выгрузки клеев из смесителей и транспортировки клея к месту хранения или применения. Описана технология фанерного и деревообрабатывающего произ-ва. Часть 22 см. РЖХим, 1956, 5226.

И. Э. 79575. Склейка антисептированной под давлением древесины клеями резорцинового типа. Генри, Гарднер (Gluing pressure treated wood with resorcinol type adhesives. Henry W. T., Gardner Richard E.), T. Forest. Prod. Res. Soc., 1954, 4, № 5, 300—303 (англ.)

Исследовалась склеиваемость образцов красного дуба, белого дуба, дугласовой пихты и южной желтой сосны, пропитанных под давлением девятью типами водо- и маслярастворимых антисептиков. В качестве антисептиков применялись креозот, пентахлорфенол, нафтенат Cu, кислый хромат Cu, мышьяквистокислый Cu-NH₄, хлорохромат Zn, смесь ZnCl₂, CuCl₂ и Na₂Cr₂O₇, смесь ZnCl₂ и Na₂Cr₂O₇, смесь Na₂Cr₂O₇, CuSO₄ и As₂O₅, а также смесь NaF, Na₂AsO₄, Na₂CrO₄ и динитрофенола. Установлено, что подобную древесину можно прочно склеить чисто резорциновым клеем и резорциновым клеем, модифицированным фенолом.

И. Р. 79576. Эмульсии поливинилацетата для склейки древесины. Флетчер (Polyvinyl acetate emulsions as wood glues. Fletcher W. E.), Woodwork, Ind., 1955, 12, № 9, 530—532 (англ.)

Описаны свойства поливинилацетата и эмульсий, содержащих поливинилацетат, применительно к склейке древесины.

З. И. 79577. Метод склейки деталей из поливинилхлорида в произвольной обуви и кожаной гала-терен. Коллинский (Spojování PVC dílů v obuvnictví a brašnářství. Lepení. Kolínský Alfred), Kožářství, 1955, 5, № 12, 225—226 (чеш.)

Эффективными клеями для поливинилхлоридного пластика являются полиизоцианатные клеи типа десмодура или десмоколлы. В качестве вспомогательного клея можно успешно применять р-ры хлоропренового каучука в толуоле, смеси толуола и ацетона или этилацетата с бензином, с вулканизующими добавками или р-ры каучука чехословацкого произ-ва типа свитпен N или NS, не содержащего фенол-⁶-нафтиламина или других окрашенных антиоксидантов. Хлоропреновый клей целесообразно использовать с добавкой нитрильного каучука в соотношении 2:1, что

увеличивает прочность склейки; стабильность готовой смеси невелика, поэтому ее приготавливают непосредственно перед применением, в расчете на сменную потребность.

Л. П. 79578. Опасность повреждения древесины при холодной склейке фенолформальдегидными клеями. Мюллер (Die Gefahr der Holzschädigung bei Phenolharz-Kaltleimen. Müller A.), Z. Vereines Dtsch. Ingr., 1954, 96, № 14, 410—411 (нем.)

Холодная склейка древесины фенолформальдегидным клеем дает высококачественное соединение, но так как отверждение клея ускоряется прибавлением к-т, последние при высокой т-ре помещения могут влиять на прочность склейки. Для улучшения качества склейки рекомендуется добавление отвердителей, которые при высокой т-ре образуют нейтрализующее щел. в-во. Рассмотрены различные клеи и отвердители для различных сортов древесины и описаны их испытания в различных условиях.

Т. И. 79579 П. Получение нитрилов. А б б и (Production of nitriles. A b b e y A.) [Armour & Co.] Англ. пат. 697293, 16 09.53

Насыщенные, мононенасыщ. или полиеновые жирные к-ты, содержащие ≥ 6 атомов С в углеводородном радикале, их ангидриды или эфиры (лауриновую, пальмитиновую, стеариновую, олеиновую, рицинолевою, линолевою, линоленовую или олеостеариновую к-ты, а также к-ты таллового масла и к-ты, полученные гидролизом льняного, хлопкового, соевого и касторового масел, или смеси с высоким содержанием полиеновых к-т, получаемые, напр., дробной перегонкой или дробной кристаллизацией смесей к-т льняного или касторового масла) обрабатывают в жидкой фазе NH₃ при повышенной т-ре в присутствии (в качестве катализатора) красного или аморфного фосфора. В случае полиеновых к-т получают преимущественно полимерные нитрилы. Процесс может быть прерывным или непрерывным. Через смесь к-т дегидратированного касторового, льняного или перегнанного соевого масла и красного фосфора пропускают струю NH₃ при 310—315° (в случае к-т дегидратированного касторового масла также при 320—350°) или же смесь к-т дегидратированного или недегидратированного касторового масла и красного фосфора нагревают при 310—315° в струе NH₃ с последующим выделением мономерных нитрилов перегонкой в вакууме (в остатке полинитрилы). Полинитрилы и получаемые из них полиамины применяют в качестве пластификаторов для синтетич. смол. Полиамины получают гидрированием полинитрилов H₂ при 120—170° и 3.5—35 ат в присутствии Ni или Pt. Они могут быть конденсированы с поликарбонатами к-тами с образованием полиамидов, применяемых для покрытий.

Я. К. 79580 П. Способ полимеризации олефиновых соединений. Плас, Дейк (Process of polymerizing olefinically unsaturated compounds. Plas Franciscus Johannes Fredericus van der, Dijk Christian Pieter van) [Shell Development Co.] Пат. США 2716641, 30.08.55

Для получения поливинилиденных соединений мономеры, которые только частично смешиваются с водой, непрерывно вводят в виде капель при т-ре полимеризации в колонну, содержащую жидкую воду, среду, в которой растворены перекисный инициатор и эмульгатор. Кол-во вводимого мономера поддерживается таким, что он в основном остается в мономерной форме и образует фазу, находящуюся в контакте с водн. средой. Движение капель мономера осуществляется благодаря разности уд. весов. Отличие способа состоит в том, что в водн. среду непрерывно вводят также значительное кол-во водн. эмульсии винилиденных соединений. Водн. среда при этом не подвергается механич. перемешиванию.

Б. К. 79581 П. Полимеризация этилена в присутствии щелочного металла и окисла металла VIa группы. Мошер

(Polymerization of ethylene with alkali metal and group VI a metal oxide. Mosher Robert A.) [Standard Oil Co.]. Пат. США 2725374, 29.11.55

Способ получения полиэтилена с мол. в. >300 состоит в том, что этилен контактируют со щел. металлом и окислом металла VIa группы периодической системы при $75-325^\circ$ в присутствии безводн. HX (X — галоген), взятого в такой конц-ии, которая бы не превышала кол-ва щел. металла, но была бы достаточна для ускорения полимеризации.

А. Ж.

79582 П. Получение низкомолекулярных полиизобутиленов. Шнейдер, Брейкли (Production of low-molecular weight isobutylene polymers. Schneider Helmut G., Brakeley Paul W., Jr) [Standard Oil Development Co.]. Канад. пат. 508867, 4.01.55

Способ получения полиизобутиленов с мол. в. 10 000—20 000 состоит в том, что легкую фракцию крекированной нефти, состоящую из углеводородов, имеющих 4 атома С в молекуле, и содержащую изобутилен в смеси со значительными кол-вами бутена-1 и бутена-2, обрабатывают для удаления избытка бутена-2 и полимеризуют обратанную фракцию при $t \leq 0^\circ$ в присутствии катализаторов — галогенидов металлов (BF_3 и $AlCl_3$), также в присутствии 0,1% простого эфира. Обработка фракции нефти состоит в повторном фракционировании для выделения 50—90% погона, используемого для полимеризации и имеющего отношение изобутилена к вторичным олефинам $\geq 1:1$ и содержание бутена-2 $\leq 20\%$ от бутена-1.

Б. К.

79583 П. Способ проведения экзотермической блочной полимеризации. Эймос, Франк, Стобер (Process of conducting exothermic bulk polymerization. Ames L., Frank Joseph C., Stober Kenneth E.). [The Dow Chemical Co.]. Пат. США 2714101, 26.07.55

Способ полимеризации стирола в блоке отличается тем, что процесс проводят в реакторе, через который проходит ряд обогревательных труб таких размеров, что их наружная поверхность нагрева внутри реактора составляет 0,01—0,1 м²/л стирола. Трубы расположены таким образом, что лобная точка полимеризуемого материала находится в пределах 5 см от наружной стенки обогревательной трубы. После загрузки стирола через трубы пропускают теплоноситель, нагревая стирол до т-ры полимеризации, после чего ток теплоносителя приостанавливают и периодически в различных точках реактора, расположенных таким образом, что на каждую точку приходится не более 170 л стирола, измеряют т-ру реакционной смеси; в тех случаях, когда в какой-либо точке т-ра окажется выше т-ры полимеризации, через все трубы пропускают жидкий хладагент с т-рой ниже т-ры полимеризации. Приведена схема реактора.

Я. К.

79584 П. Способ пластификации полимеризованного стирола. Уорнер, Нью (Verfahren zum Weichmachen von polymerisiertem Styrol. Warner Arthur James, New Archibald Alan) [International Standard Electric Corp.]. Пат. ФРГ 923332, 10.02.55

Для пластификации полистирола, используемого для высокочастотной изоляции коаксиальных кабелей, применяют углеводороды с двумя или тремя конденсированными бензольными ядрами, имеющие т. кип. $>240^\circ$ и малый дипольный момент. Эти в-ва могут иметь боковую цепь, содержащую ≤ 5 атомов С. Пластификатор вводят в мономер до полимеризации или при одновременном вальцевании и нагревании полистирола и пластификатора; полистирол и пластификатор можно растворять в общем р-рителе (бензоле), который затем испаряют. В качестве пластификаторов вводят 4—20% фенантрена, 1—20% изоамилнафталина, 4—15% α -пропилнафталина или 5—25% смеси октагидрофенантрена и октагидроантрацена. Значения $t_{\text{гг}}$ для пластифицированного полистирола составляют 0,0006—0,0008.

Б. К.

79585 П. Способ изготовления листовых изделий, состоящих, по крайней мере, частично из политетрафтор-

этилена (Verfahren zur Herstellung von mindestens teilweise aus einem Polymerisationsprodukt des Tetrafluoräthylens bestehenden blattförmigen Gegenständen) [Rolls-Royce Ltd.]. Швейц. пат. 292165, 16.10.53 [Kunststoffe, 1955, 45, № 5, 201 (нем.)]

При прессовании изделий из порошка политетрафторэтилена изделия формуют, нагревают до т-ры спекания частиц и охлаждают; медленное охлаждение дает материал с кристаллич. структурой, быстрое охлаждение — материал с аморфной структурой, отличающийся более высокими сопротивлением разрыву и удлинением. Во избежание образования изделий со слабыми хрупкими участками вследствие неравномерного спекания частиц полимера из-за неравномерного распределения давления в прессформе (особенно для листов толщиной $< 3,8$ мм) предлагается прессовать указанные изделия через лист из эластичного материала, напр. из резины толщиной ~ 3 мм и твердостью (по Шору) 60; разделительным листом может служить также полотняная калька. Формованное изделие медленно нагревают до т-ры спекания ($150-390^\circ$), после чего быстро охлаждают до 327° . Полученный материал однороден и обладает аморфной структурой.

Я. К.

79586 П. Эмульсионная полимеризация винилхлорида (Emulsion polymerisation of vinyl chloride) [N. V. de Bataafsche Petroleum Maatschappij]. Австрал. пат. 161494, 10.03.55

Эмульсию винилхлорида (или смеси винилхлорида с другим олефиновым мономером, взятым в кол-ве ≤ 25 вес. % от смеси) в водн. фазе непрерывно вводят в реактор, удаляя часть эмульсии с такой скоростью, что состав реакционной смеси остается постоянным. Мономер находится в эмульсии в виде капелек с диам. $\leq 0,02$ мм. Отношение конц-ий мономера и полимера в реакторе поддерживается в пределах 0,12—0,30.

Ю. В.

79587 П. Полимеризация винилхлорида в присутствии N-хлорфталимида как модификатора. Симор (Polymerization of vinyl chloride with N-chlorophthalimid modifier. Seymour Dexter C.) [United States Rubber Co.]. Пат. США 2716110, 23.08.55

Винилхлорид полимеризуют при $25-60^\circ$ в присутствии радикального инициатора и 0,1—8 вес. % (от винилхлорида) N-хлорфталимида.

Б. К.

79588 П. Полимеризация винилхлорида в присутствии бензолсульфохлаорида как модификатора. Симор (Polymerization of vinyl chloride with a benzenesulfonyl chloride modifier. Seymour Dexter C.) [United States Rubber Co.]. Пат. США 2716111, 23.08.55

Винилхлорид полимеризуют при $25-60^\circ$ в присутствии радикального инициатора и 0,1—8 вес. % (от винилхлорида) бензолсульфохлаорида, его монометил- или монобром-производных.

Б. К.

79589 П. Полимеризация винилхлорида в присутствии 1,1,1-трибром-2-метилпропан-2-ола как модификатора. Симор (Polymerization of vinyl chloride with 1,1,1-tribromo-2-methylpropanol-2 modifier. Seymour Dexter C.) [United States Rubber Co.]. Пат. США 2716112, 23.08.55

Винилхлорид полимеризуют в водн. эмульсии при $25-60^\circ$ в присутствии радикального инициатора и 0,1—8 вес. % (от винилхлорида) 1,1,1-трибром-2-метилпропанола-2.

Б. К.

79590 П. Композиции из поливинилхлорида. Ньюби (Polyvinyl chloride compositions. Newby H.). [Chemische Werke Huls]. Англ. пат. 723059, 2.02.55 [Rubber Abstr., 1955, 33, № 5, 201 (англ.)]

Работоспособность пластика, содержащего поливинилхлорид, улучшается при использовании сополимера винилхлорида со стиролом в процессе переработки поливинилхлорида.

А. Д.

79591 П. Производство и обработка поливинилхлорида. Кондо, Виноград (Production and treatment of vinyl chloride polymer. Condo Fred E., Vingo

grad Jerome R.) [Shell Development Co.]. Пат. США 2674593, 6.04.54

Способ получения поливинилхлорида для произ-ва пласти-золей, сохраняющих текучесть при хранении в течение длительного времени, состоит в том, что винилхлорид эмульгируют в водн. среде, содержащей 0,1—5 вес. % эмульгатора, и полимеризуют при перемешивании и 30—60°. Незаполимеризованный винилхлорид удаляют из эмульсии, которую затем нагревают при 90—160° в течение времени, недостаточного для коагуляции полимера (10 сек.—10 мин.). Коагулирование полимера осуществляется при непрерывном контакте полимера с водой. Применяемый винилхлорид содержит ~5 вес. % другого моноолефинового полимеризующего соединения и перекисный инициатор, растворенный в смеси мономеров. Б. К.

79592 П. Способ получения кумароновых смол. Зей-лер, Каффер (Verfahren zur Herstellung von Cumaronharzen. Seidler Christian, Kaifer Hans) [Ges. für Teerverwertung m. b. H.]. Пат. ФРГ 902974, 1.02.54 [Chem. Zbl., 1955, 126, № 4, 935 (нем.)] Доп. к пат. ФРГ 899356 (РЖХим, 1956, 20777). Способ состоит в том, что р-цию смолообразования проводят в присутствии или с добавкой воды. Можно применять содержащую воду или (за исключением моногидрата) смешанные с водой исходные материалы. Так, можно исходить из освоенной от фенолов и оснований тяжелой бензольной фракции, смешанной с анилином или лутидинами, с добавкой воды. Напр., к исходному материалу, содержащему 0,5% воды, добавляют неорганич. или органич. основания, смешанные с водой в соотношении 1 : 2. Полученные кумароновые смолы отличаются высокой твердостью. Я. К.

79593 П. Способ получения термостабильного поливинилового спирта. Хекмайер, Бергмейстер (Verfahren zur Herstellung thermisch stabiler Polyvinylalkohole. Heckmaier Josef, Bergmeister Eduard) [Wacker-Chemie G. m. b. H.]. Пат. ФРГ 928558, 2.06.55

Для получения термостабильного поливинилового спирта (I) суспензию или р-р технич. I в спирте (напр., в CH_3OH), полученного щел. перэтерификацией или омылением, точно нейтрализуют сильной к-той, напр. разб. р-ром минер. к-ты в CH_3OH . Контроль нейтр-ции осуществляют потенциметрически. Отфильтрованный и высушенный продукт содержит ~0,65% Na_2SO_4 и после 10 мин. нагревания при 220° остается совершенно белым. Б. К.

79594 П. Продукты полимеризации (Polymerization products) [Dental Fillings Ltd]. Англ. пат. 714868, 1.09.54

Метилметакрилат полимеризуют в блоке в смеси с метилметакрилатом в присутствии меркаптановых ускорителей (третичного додецил- или третичного гексадецил-меркаптана), перекисных инициаторов (перекисей бензоила или лаурила) и следов соединений меди (окиси, сульфата, метакрилата или олеата Cu). Скорость полимеризации может быть увеличена введением к-т (желательно полимеризующихся — акриловой, метакриловой, или β , β -диметакриловой к-ты). Метилметакрилат может содержать в качестве стабилизатора гидрохинон. Для блочной полимеризации можно применять метилметакрилат в смеси с небольшим кол-вом винилиденных мономеров (винилацетата, стирола, α -метилстирола, хлорстирола, винилметакрилата, диметакрилового эфира гликоля, акрилонитрила или винилиденхлорида). Кроме полиметилметакрилата, для полимеризации могут использоваться сополимеры метилметакрилата с небольшим кол-вом других соединений, содержащих винилиденные группы (стирол, хлорстирол). Б. К.

79595 П. Процесс полимеризации смешивающихся паст (Process of polymerizing kneadable pastes) [Lonza Elektrizitätswerke und Chemische Fabriken A.-G.]. Англ. пат. 709983, 2.06.54

Твердые изделия получают полимеризацией паст, изготовленных из смеси гранулированных полимеров (поли-

метилметакрилата) и мономеров (метилметакрилата, содержащего небольшое кол-во метакриловой к-ты) в присутствии катализатора (диметиланилина), инициирующего полимеризацию при низкой т-ре. Смесь содержит гранулы различной величины. Средние диаметры гранул двух составляющих относятся друг к другу, как 1 : ≥ 6 , а отношение мономера к полимеру не превышает 1 : 2. В состав паст могут входить гранулы третьего составляющего, имеющие частицы диаметром, равным $\frac{1}{6}$ размера наименьших гранул. Б. К.

79596 П. Соплимеризация алилфталатов с алиловым спиртом. Тони (Copolymerization of allylic phthalates and allylic alcohols. Tawney Pliny O.) [Dominion Rubber Co., Ltd]. Канад. пат. 509031, 11.01.55

Растворимый в ацетоне плавкий сополимер получают при сополимеризации смеси диаллилфталата и алилового (или метиллилового) спирта. Содержание алилового спирта в смеси составляет ≥ 10 вес. % от диаллилфталата. Процесс полимеризации останавливают при образовании полимера, имеющего ненасыщ. связи и способного к дальнейшей полимеризации. Б. К.

79597 П. Полимеры винилизола и их получение (Polymers of vinylisole and preparation thereof) [Rohm & Haas Co.]. Англ. пат. 718309, 10.11.54

Непрозрачный, неплавкий сополимер с анионообменными свойствами получают хлоро- или бромалкилированием (напр., хлорметилловым эфиром с AlCl_3) сополимера винилизола и полиолефина, в котором двойные связи находятся в алифатич. части (напр., дивинилбензола, изопрена, бутадиена, диметаллила, тривинилбензола, дициклопентадиена, винилаллилового эфира и др.). Продукт галоалкилирования подвергают набуханию в бzl., толуоле, дихлорэтилене, три- или тетрахлорэтаноле и обрабатывают третичным амином (триметиламином, диметилбензиламином, диметиланилином, N-метилморфолином и др.); образующееся соединение имеет на 15 ароматич. ядер сополимера по крайней мере одну замещающую группу ф-лы: $-\text{C}_6\text{H}_4\text{N}(\text{R}')(\text{R}'')(\text{R}''')$ Y, где $n = 1-4$, R' , R'' и R''' — одновалентные органич. радикалы и Y — анион. Смолу очищают перегонкой с водяным паром и переводят в гидроокись четвертичного аммонийного основания, обработкой водн. р-ром гидроокиси щел. металла. Исходный сополимер получают сополимеризацией в блоке, р-ре или суспензии при 50—100°, лучше в среде инертного газа в присутствии или органич. перекисей (перекиси бензоила) или неорганич. перекисных солей. Ю. В.

79598 П. Очистка мономерных α -хлоракрилатов методом хроматографии. Анспон (Chromatographic purification of monomeric α -chloroacrylates. Ansporn Harry D.) [General aniline & Film Corp.]. Пат. США 2704770, 22.03.55

Метод хроматографич. очистки от ингибитора заключается в обработке безводн. эфира α -хлоракриловой к-ты твердым безводн. в-вом, являющимся адсорбентом для ингибитора. Обработка проводится в атмосфере инертного газа при т-ре от —35 до 25° в течение времени, достаточного для удаления примесей. Обработанный таким образом мономер дает при полимеризации неокрашенные полимеры. Ю. В.

79599 П. N-(p -циннамоилфенил)-уретаны из гидроксил-содержащих полимеров. Смит, Унру (N-(p -cinnamoyl-phenyl) urethanes of hydroxyl-containing polymers. Smith Albert G., Jr, Unruh Cornelius C.) [Eastman Kodak Co.]. Пат. США 2728745, 27.12.55

Способ получения указанных в-в состоит в том, что гидроксилсодержащий полимер (поливиниловый спирт, поливинилацеталь или -бутираль, этилцеллюлозу или сложные карбоновые эфиры целлюлозы) обрабатывают n -ацетофенонизотионатом с образованием полимера с n -ацетофенилуретановой группой в боковой цепи, на который затем действуют альдегидом ф-лы: $(\text{R})_n\text{C}_6\text{H}_5\text{CHO}$, где $n =$

целое число ≤ 2 и $R - H, Cl, Br$, алкил (1—4 атома C), алкоксигруппа (1—4 атома C), ацетамидная группа или группа $COOR'$, в которой $R' - H$, атом шел. металла или группа SO_3R'' , где $R'' -$ то же, что и R' или группа NR''' ($R''' -$ алкил, содержащий 1—4 атома C). Образующийся полимер имеет боковые группы ф-лы $OC(=O)NHC_6H_4C(=O)CH = CHC_6H_5-n$ (R_n), где n и R имеют вышеуказанные значения.

А. Ж.
79600 П. Раствор высокополимеров. Ранс (Solution of High polymers. R a n s e G. H.). Австрал. пат. 163553, 7.07.55

Способ получения р-ров высокополимеров состоит в том, что полиакрилонитрил или сополимер, содержащий $\geq 85\%$ связанного акрилонитрила и $\leq 15\%$ другого винильного соединения, растворяют при $10-45^\circ$ в водн. р-ре соли, имеющей анион, стоящий в лиотропном ряду солевых р-рителей полимера на одном уровне с катионом этой соли. Р-р содержит также небольшое кол-во (5—25%) другой соли, имеющей анион, стоящий в лиотропном ряду ниже катиона этой второй соли. Конц-ия первой соли составляет $\geq 30\%$ от суммарного веса воды и солей, но менее конц-ии полимера в р-ре. Общая конц-ия солей по отношению к р-ру полимера ≥ 55 вес. %.

Б. К.
79601 П. Сульфирование сополимеров моновинил- и поливинилароматических соединений. Бойер (Sulphonation of copolymers of monovinyl and polyvinyl aromatic compounds. B o y e r R a y m o n d F.). [The Dow Chemical Co.]. Канад. пат. 510943, 15.03.55

Способ сульфирования набухающего в бзл. сополимера моно- и поливинилароматич. углеводородов (напр., сополимера стирола или хлорзамещ. (в ядре) стирола и дивинилбензола) отличается тем, что гранулы сополимера размером 10—60 меш обрабатывают сначала органич. жидкостью (≥ 5 вес. % от сополимера), способной вызывать набухание сополимера благодаря абсорбции, и затем конц. серной к-той при $100-200^\circ$. Кол-во серной к-ты приблизительно равно весу полимера. Конц-ию к-ты в смеси после сульфирования постепенно снижают, разбавляя смесь водой до конц-ии к-ты $< 5\%$, затем гранулы отделяют и промывают водой. В сополимере содержится в хим. связанной форме 3—20 вес. % (или 3—11%) поливинилароматич. соединений.

Б. К.
79602 П. Способ получения сополимеров. Пинкни, Прайт, Уэйн (Verfahren zur Herstellung von Mischpolymerisaten. P i n k n e y P a u l S m i t h i n, P r a t t B u r t C a r l t o n, W a y n e W i n s t o n J o e). [E. I. Pont de Nemours and Co.]. Пат. ФРГ 914326, 1.07.54 [Chem. Zbl., 1955, 126, № 7, 1621—1622 (нем.)]

Способ получения сополимеров отличается тем, что этилен сополимеризуют с эфиром акриловой к-ты и с моноалкиловым эфиром этилен- α, β -дикарбоновой к-ты, конечный продукт формуют в виде пластин или пленок, вводя в-ва, образующие поперечные связи. Для этой цели применяют соединения, реагирующие большей частью с $COOH$ -группами, напр. окиси или гидроокиси поливалентных металлов, изоцианаты, амины, полифункциональные соединения, содержащие этиленоксидные группы или спирты. В качестве исходных продуктов применяют метилакрилат, монометилмалеинат, трет-бутиловый спирт и α, α -азодиизобутиронитрил, смесь которых полимеризуют вместе с этиленом при $73-76^\circ$ и 1000 атм в течение 8 часов. З. З.

79603 П. Процесс полимеризации (Polymerisation process) [Standard Oil Development Co.]. Англ. пат. 710899, 23.06.54 [J. Appl. Chem., 1955, 5, № 2, i 181 (англ.)]

Сополимеры, пригодные в качестве добавок, снижающих т-ру застывания, получают из эфиров ненасыщ. поликарбиновых к-т этиленового ряда (фумаровой, малеиновой, цитраконовой, мезаконовой, итаконовой и аконитовой) и сополимеризующихся мономеров (винилацетата, винилхлорида, винилпиперидина, стирола и т. п.) нагреванием реагентов до т-ры сополимеризации в присутствии перекиси

новых инициаторов (перекиси бензоила) и инертного разбавителя, причем т-ра р-ции поддерживается близко к заданной т-ре сополимеризации в течение заданного периода введением в реакционную смесь O_2 или смеси газов, содержащей O_2 . Смесь 600 г эфира малеиновой к-ты и спиртов, полученных при гидрогенизации кокосового масла (содержащих в цепи в среднем 13,5 атома C) и 320 г сырой нефти из средних районов континента, продувают воздухом в течение 20 мин., добавляют 150 г винилацетата, нагревают до 69° и полимеризуют в присутствии 12 г перекиси бензоила. Через 3 часа т-ра увеличивается. Когда т-ра повысится на 3° , через смесь в течение 20 мин. продувают воздухом со скоростью 2 л/час до снижения т-ры до 69° . Продукт после 10-часовой полимеризации хорошо понижает т-ру застывания (по методике ASTM).

А. Д.
79604 П. Полимеризуемые композиции, содержащие ненасыщенный карбонат, и получаемые полимеры. Прайс, Падбери (Polymerizable compositions containing an unsaturated carbonate and polymerization products thereof. P r i c e J o h n A., P a d b u r y J o h n J.). [American Cyanamid Co.]. Пат. США 2722255, 1.11.55

Композиция состоит (в мол. %) из 91,0 акрилонитрила, 5,3 винилкарбоната, 3,2 акриламида и 0,5 аллил- γ -стеарилидопропилморфолинийбромида.

Ю. В.
79605 П. Способ получения тонкодисперсных пластифицированных полимеров и материалов на их основе. Томас (Method of preparing finely divided plasticized polymerized materials and products thereof. T o m a s W a l t e r M.). [American Cyanamid Co.]. Канад. пат. 510895, 15.03.55

Способ получения гранульного сополимера этилакрилата (I) и акрилонитрила (II), пластифицированного эфиром глицерина и о-крезола, состоит в том, что сначала готовят дисперсию малых кол-в (1,25 вес. ч.) колл. диспергатора (бентонита или монтмориллонита) в 1000 вес. ч. воды; дисперсию нагревают до $60-70^\circ$ и вводят в нее при перемешивании р-р 5—100 вес. ч. (напр., 50 вес. ч.) эфира глицерина и крезола и 0,05—4 вес. % (напр., 1 вес. %) от мономеров перекиси бензоила в смеси 35—65 вес. ч. I и 65—35 вес. ч. II (напр., при соотношении I : II = 1 : 1). Реакционную массу нагревают с обратным холодильником при $75-76^\circ$ в течение ~ 3 час. при перемешивании до получения гранул пластифицированного полимера, затем оставляют стоять в течение ~ 16 час., фильтруют для отделения гранул, промывают гранулы водой и сушат при 90° .

Б. К.
79606 П. Изготовление формолитовых смол с использованием водного раствора фтористого бора. Гордон, Келли (Making formolite resins using aqueous solution of boron fluoride. G o r d o n L e o n B., K e l l y J o e T.). [Pan American Refining Corp.]. Пат. США 2713571, 19.07.55

Ароматический углеводород, имеющий ≥ 1 незамещ. атома C в ядре, и формальдегид реагируют при $10-200^\circ$ в присутствии катализатора — водн. р-ра BF_3 с конц-ией 10—60 вес. %. Полученную смолу отделяют от побочных продуктов.

Б. К.
79607 П. Способ получения отверждающихся смол конденсацией эпихлоргидрина или дихлоргидрина с многоатомными спиртами или полифенолами для применения их в качестве клеев (Werkwijze voor de bereiding van tot harsachtige producten te harden mengsels, welke als hoofbestanddeel condensaten bevatten, wegegen door inwerking van epichloorhydrien of dichloorhydrien op veelwaardige alcoholen of phenolen, in welke condensaten het gemiddelde aantal epoxygroepen per molecuul meer dan 1,0 bedraagt. Voorrang vanaf 11—3:0, voorzover condensaten worden gebruikt, verkregen door inwerking van epichloorhydrien op veelwaardige phenolen, eventueel te zamen met condensaten, verkregen door inwerking van epichloorhydrien op veelwaardige alcoholen) [N. V. De Bataafsche Petroleum Maatschappij J.]. Голл. пат. 75293, 15.07.54 [Chem. Abstrs, 1955, 49, № 4, 2783 (англ.)]

N-монозамещ. углеводородным радикалом моноалканоламинов с одной вторичной аминогруппой, гликолей или их смесей, содержащих фенилдиэтаноламин в кол-ве, соответствующем в среднем одной группе $\text{ArN} < (\text{Ar} - \text{арил})$ на каждые 100 атомов полимерной цепи, соединяющей эти группы; в тех случаях, когда кол-во фенилдиэтанолamina в среднем < 1 группы $\text{ArN} <$ на 50 атомов цепи, связывающих эти группы в полимере, реакционная смесь должна содержать, по меньшей мере, небольшое кол-во нециклизующегося моноалканолamina с первичной аминогруппой; в тех же случаях, когда смесь дикарбоновых к-т содержит значительное кол-во к-т, способных легко образовывать циклич. амиды, реакционная смесь не должна вовсе содержать нециклизующиеся первичные моноалканоламины. В составе применяемых дикарбоновых к-т содержится $\geq 80\%$ к-т, имеющих ≥ 4 атомов С в цепи, не содержащих сопряженных ненасыщ. связей и имеющих COOH -группы, связанные с различными атомами С, и $\leq 20\%$ малеиновой, фумаровой, итаконовой или цитраконовой к-т, либо продукта присоединения малеинового ангидрида к диену с сопряженными связями.

79617 П. Способ производства полимочевины и основных полиуретанов (Procédé de production de polyurées et de polyuréthanes basiques) [Fabenfabriken Bayer]. Франц. пат. 1049443, 29.12.53 [Bull. Inst. text. France, 1954, № 47, 163—164 (франц.)]

Высокомолекулярные полимочевины и основные полиуретаны, пригодные для прядения и применения в качестве анимализирующих добавок и гидрофобных агентов, а также в качестве связующих при набивке пигментами, получают взаимодействием сильно разб. спиртовых р-ров почти эквимолекулярных кол-в диизоцианатов или бис-хлоругольных эфиров гликолей с алифатич. первичными диаминами, содержащими в цепи одну или несколько вторичных аминогрупп. В качестве р-рителя применяют этанол и другие низшие алифатич. спирты, которые могут быть частично заменены другими р-рителями ($\text{C}_6\text{H}_5\text{Cl}$, бзл., тетрагидрофураном). Эта же р-ция может применяться и для удлинения цепи полиамидов. Получающиеся полимеры, растворимые в разб. CH_3COOH , способны «сшиваться» под действием щавелевокислых эфиров CH_2O , причем полученные соединения могут быть «спшиты» различным образом, в зависимости от выбранного агента и его количества.

79618 П. Получение сополимеров, содержащих кремний. Баннелл (Preparation of silicon-containing heteropolymers. Bunnell Raymond H.) [Allied Chemical and Dye Corp.]. Канад. пат. 515840, 23.08.55

Полимеризующаяся композиция содержит малеиновый ангидрид или сложные эфиры 1,2-этилендикарбоновой к-ты и аллилового (металлилового, 1-хлор-2-пропилового, 2-хлорэтилового, бензилового, тетрагидрофурурилового, циклогексилового) спирта, фенола, крезола или первичного или вторичного спирта с алкильной группой, содержащей 1—8 атомов С; вторым компонентом композиции является в-во ф-лы $\text{CH}_2 = \text{C}(\text{CH}_3)\text{CH}_2\text{Si}(\text{A})'(\text{A}')\text{R}$ или $\text{CH}_2 = \text{C}(\text{CH}_3)\text{CH}_2\text{Si}(\text{B})(\text{B}')\text{R}$, где R — алкоксигруппа (1—4 атома С) первичного или вторичного спирта, A и A' — аллил, металл или алкил, содержащий 1—8 атомов С (причем атом С, связанный с атомом Si, является первичным или вторичным), или же одновалентный ароматич. углеводородный радикал, связанный с атомом Si ядерным атомом С и содержащий ≤ 2 бензольных ядер, в составе которых содержится ≤ 10 атомов С; этот радикал может иметь 6—25 атомов Si ≤ 3 боковых алкильных групп (≤ 5 атомов С каждая), или радикал той же ф-лы, что и R. B — одновалентный, циклоалифатич. углеводородный радикал с одиным ядром, имеющим 5—6 атомов С, причем атом С, связанный с Si, соединен также с атомом Н, соседний с ним атом С связан с двумя атомами Н, а каждый из остальных атомов С связан по крайней мере с 1 атомом Н. Этот радикал может иметь 5—16 атомов С и ≤ 2 боковых алкильных

групп (≤ 5 атомов С каждая); B' — то же что и B, или R; молекулярное соотношение первого компонента ко второму составляет ≥ 1 , но не более числа металлilных радикалов в молекуле второго компонента. В частности, патентуются сополимеры эфиров 1,2-этилендикарбоновой к-ты и первичного или вторичного спирта (1—8 атомов С) и в-ва ф-лы $[\text{CH}_2 = \text{C}(\text{CH}_3)\text{CH}_2]_n\text{Si}(\text{OC}_2\text{H}_5)_4-n$, где n — целое число от 1 до 3, при указанных выше соотношениях компонентов.

А. Ж.

79619 П. Эмалированный обмоточный провод (Coated magnet wire) [Dow Corning Ltd]. Англ. пат. 718921, 24.11.54

Композиция для эмалирования обмоточных проводов содержит р-р смолы, полученной нагреванием глицерина или пентаэритрита с терефталевой (изофталевой, дифеновой, толилдикарбоновой или дибензилдикарбоновой) к-той. Строение моноциклич. ароматич. к-т должно быть таким, чтобы COOH -группы не находились в орто-положении друг к другу. Спирт и к-та берутся в таких кол-вах, чтобы отношение групп OH к группам COOH было в пределах от 4 до 1,001 к 1. После удаления воды из продукта р-ция его обратывают силианом или силоксаном ф-лы $\text{R}_m\text{SiX}_n\text{O}_{(4-m-n)/2}$, где R — алкил, моноциклич. арил, алкокси- или арилоксигруппа, m — число от 0 до 3, n — число от 0,05 до 4 (при этом сумма $m + n \leq 4$), X — алкокси- или арилоксигруппа, OH , Cl или Br. Силан или силоксан присутствует в кол-ве от 0,1 до 85 вес. % от общего кол-ва реагентов. Р-ция проводится в присутствии р-рителя — эфира жирной к-ты, простого или сложного диэфира, простых или сложных эфиров этилен- или полиэтиленгликоля, третичного амина, кетона, диалкилзамещ. амида, крезола. Р-ритель должен иметь т. кип. $> 190^\circ$ и применяться в кол-ве, достаточном для предотвращения желатинизации смолы. Смола может быть модифицирована введением в реакционную смесь алифатич. дикарбоновой к-ты (или ее ангидрида), напр. адипиновой, янтарной, себаиновой, фумаровой или азелаиновой к-ты в кол-ве 0,1—35% от веса глицерина и ароматич. к-т. Употребительными р-рителями являются хинолин, изохинолин, трибутиламин, изофорон, ацетофенон, ацетониллацетон, диметил- или диэтилформамид, диметилацетамид, 2-этилгексилацетат или -бутират, лаурилатетат, бутилцеллозольацетат, диэтиленгликольди-пропионат, феноксиэтиленгликольацетат и крезол. Более низкокипящие р-рители, напр. толуол и ксилол, также могут применяться при изготовлении смолы и как р-ритель в эмалилаке. Лаки воздушной сушки могут быть изготовлены сухой основы распылением и повторным растворением сухой смолы в летучих р-рителях, напр. ацетоне, бутилацетате и других низкокипящих кетонах, сложных эфирах и третичных аминах. Применяемые кремнийорганич. соединения представляют собой производные силана или частично гидролизованные производные силана (т. е. силоксаны, еще содержащие способные гидролизоваться группы), частично конденсированные силоксаны и их сополимеры.

С. Ш.

79620 П. Способ получения искусственных смол. Шленкер (Verfahren zur Herstellung künstlicher Harze. Schlenker Felix) [Chemische Werke Albert]. Пат. ФРГ 918836, 7.10.54 [Chem. Zbl., 1955, 126, № 35, 8274—8275 (нем.)]

Способ получения искусств. смол отличается тем, что NiSO_4 нагревают (лучше под вакуумом или непосредственно после вакуумирования) с таутомерно реагирующими соединениями, которые могут существовать в энольной или кетонной форме, напр. с эфирами кетокислот или β -дикетонами, взятыми в кол-ве ≥ 1 моля на 1 г атом металла. Напр.: смешивают 281 ч. $\text{NiSO}_4 \cdot 7\text{H}_2\text{O}$ в 900 ч. H_2O , 170 ч. NH_4Cl в 600 ч. H_2O , 260 ч. ацетоуксусного эфира и 135 ч. NH_4OH (25%-ного); образовавшийся осадок отсасывают и сушат, а к фильтрату добавляют 130 ч. ацетоуксусного эфира и 30 ч. NH_4OH . Из 400 ч. полученного сое-

динения Ni и ацетоуксусного эфира при нагревании с 1500 ч. ацетоуксусного эфира получают 500 ч. темно-зеленой высоковязкой смолы, которая образует прозрачные твердые пленки. З. 3.

79621 П. Изделия из регенерированной целлюлозы, содержащие наполнитель. Уоррен, Хиггинс (Regenerated cellulose container closure. Warren Almon V., Higgins Thomas J., Jr.) [American Viscose Corp.]. Пат. США 2691600, 12.10.54

Патентуется новый вид изделий из регенерированной целлюлозы, содержащей 10—30% от веса целлюлозы тонко измельченного стекла и 10—30% тонко измельченной слюды. Ю. В.

79622 П. Способ получения растворов полиамидов. Крумбейн (Verfahren zur Herstellung von Polyamid-lösungen. Krumbeyn Edgar) [Kalle & Co. A.-G.]. Пат. ФРГ 929092, 20.06.55

Доп. к пат. ФРГ 908067 (РЖХим, 1956, 8307). В качестве р-рителей для полиамидов применяют смеси трихлорэтанола и (или) хлоральгидрата с водой (до 40%). Напр., 20 ч. полигексаметиленадипинамида перемешивают до образования прозрачного р-ра (1 час) со смесью 60 ч. хлоральгидрата и 20 ч. воды или смесью 40 ч. хлоральгидрата, 20 ч. трихлорэтанола и 20 ч. воды; последний р-р может быть переработан на пленки. Я. К.

79623 П. Неэлектризующиеся пресскомпозиции. Букдал, Бер (Non-electrostatic resinous molding compositions. Buchdahl Rolf, Baer Massimo) [Monsanto Chemical Co.]. Пат. США 2707709, 3.05.55

Композиция представляет собой гомогенную смесь 70—50 ч. полистирола и 30—50 ч. соли амина и сульфированного полистирола с т. размягч. $\leq 225^\circ$. Ю. В.

79624 П. Получение термопластичных композиций. Хогг, Эванс, Кантор (Manufacture of thermoplastic compositions. Hogg W. H., Evans T. R., Cantor R.) [Dunlop Rubber Co., Ltd.]. Англ. пат. 723643, 9.02.55 [Rubber Abstrs, 1955, 33, № 5, 201 (англ.)]

Специальные композиции получают из пасты, состоящей из термопластика (поливинилхлорида или сополимеров его с винилацетатом и (или) винилиденхлоридом) тонко диспергированного в пластификаторе. Пасту наносят тонким слоем на основу и нагревают в неподвижном состоянии для абсорбирования пластификатора и превращения пасты в хрупкий твердый лист. Материал измельчают, смешивают при неограниченной с наполнителями и пигментами и формируют при нагревании под давлением. Смешением крупных частиц можно получать мраморные расцветки. Ю. В.

79625 П. Смеси из каучуков и поливинилацетальных смол (Mixtures of gum plastics and polyvinyl acetal resins) [United States Rubber Co.]. Англ. пат. 725404 2.03.55 [Rubber Abstrs, 1955, 33, № 6, 254, (англ.)]

Добавление 5—15 вес. ч. полиизобутилена или бутилкаучука к 85—95 вес. ч. поливинилацетальных смол дает значительное улучшение прочности на удар. Напр., образцы из смеси 90 ч. формвара и 10 ч. СК (типа GR-1-15) имели высокую прочность на удар (по Изоду с надрезом), модуль изгиба 27300 кг/см^2 и твердость по Шору D 81. Материал мутный, но просвечивает и может быть использован для изготовления механич. и электрич. деталей и как обычный конструктивный материал. А. Д.

79626 П. Формуемые композиции и изделия из них (Mouldable masses and moulded bodies produced therefrom) [Farbenfabriken Bayer] Англ. пат. 716590, 6.10.54

Композиции содержат твердые сополимеры бутадиена (имеющие $\leq 40\%$ связанного бутадиена, 2-метил-, 2,3-диметил- или 2-хлорбутадиена) и акрилатов или метилметакрилата, полимеризуемые жидкие соединения, в которых эти сополимеры растворяются или набухают (в частности, акрилаты, метакрилаты, дивинилбензол, диметакрилат этиленгликоля или триметилопропана), и катализатор полимеризации (перекись бензоила); исходные сополимеры

могут содержать также в качестве третьего компонента акрилонитрил, метакрилонитрил, дивинилбензол, или диакрилат гександиола и стабилизаторы, в частности, фенил- β -нафтиламин, метилен-бис-(2-окси-3-изобутил-5-метилбензол), 1-окси-2,5-диизобутил-4-метилбензол или метилен-бис-(2-окси-3-изобутил-5-метилбензол), 1-окси-2,5-диизобутил-4-метилбензол или метилен-бис-(2-окси-3-циклогексил-5-метилбензол). Эти сополимеры получают сополимеризацией в блоке, р-ре, эмульсии или в дисперсии. Композиции формуют и полимеризуют при повышенной т-ре под давлением и используют для зубных протезов и п.омб. Я. К.

79627 П. Жесткие упругие композиции из поливинилхлорида и каучукоподобного сополимера диолефина и акрилового эфира. Тони, Снайдер, Эймидон (Tough, rigid composition of vinyl chloride polymer and rubbery diolefin acrylic ester copolymer. Tawney Pliny O., Snyder Robert H., Amidon Roger W.) [United States Rubber Co.]. Пат. США 2719137, 27.09.55

Патентуется жесткая, упругая термопластичная композиция, полученная сплавлением 65—97 ч. поливинилхлорида (или сополимера винилхлорида с 1—15% моноолефинового сополимеризующегося с ним мономера) и 3—35 ч. каучукоподобного сополимера диолефина с сопряженными связями и акрилового эфира ф-лы $\text{CH}_2 = \text{C}(\text{X})\text{COOR}$ (X — H, CH_3 или Cl, R — алкил, алкоксилалкил или хлоралкил). Смесь имеет модуль изгиба $\geq 7000 \text{ кг/см}^2$ и ударную вязкость по крайней мере вдвое большую, чем чистый поливинилхлорид. А. Ж.

79628 П. Смесь поливинилацетальных смол с резиноподобным синтетическим полиизопреном (Mixtures of polyvinyl acetal resins with rubbery synthetic polyisoprene) [United States Rubber Co.]. Англ. пат. 724743, 23.02.55 [Rubber Abstrs, 1955, 33, № 6, 254 (англ.)] Твердая, вязкая, упругая и пластичная смесь состоит из 4—15 вес. ч. полиизопрена и 85—96 вес. ч. поливинилацетала со степенью замещения $\geq 80\%$. Напр., композиция состоит из 90 ч. формвара 7,90 (из поливинилацетата со стандартной вязкостью 7 ст.уэ, гидролизованного и обработанного формальдегидом до замещения 90%) и 10 ч. полиизопрена (полученного эмульсионной полимеризацией при 50° и имеющего вязкость по Муни 41) и имеет при 25° ударную вязкость 180 кг/см и модуль изгиба 27300 кг/см^2 . Б. К.

79629 П. Композиции, содержащие пробку, и способ их получения (Cork compositions and method of making same) [Armstrong Cork Co.]. Англ. пат. 687735, 18.02.53 Небольшое кол-во (10—35% от всего кол-ва) пробковых гранул, спрессованных так, что они потеряли способность вернуть первоначальные размеры, смешивают с неспрессованными пробковыми гранулами, после чего их покрывают связующим и дают затвердеть под давлением. В качестве связующего применяют клей, фенолформальдегидные или мочевиноформальдегидные смолы резорцинформальдегидную смолу с глицерином, диэтиленгликолем и параформальдегидом. Отходы от предыдущей операции можно добавлять к свежему сырью. Я. К.

19630 П. Конденсация и полимеризация масла семян *Anacardium Occidentale*, содержащегося в скорлупе. Немир (Cashew oil condensation and polymerization in the shell. Nemir Clarence T.) [K. N. H. Corp.]. Канад. пат. 507792, 30.11.54

Пресс-композиция имеет в качестве наполнителя мелко-раздробленную скорлупу семян *Anacardium Occidentale* и смолу, равномерно распределенную в частицах скорлупы в соответствии с природным распределением масла, содержащегося вначале в скорлупе. Смолы получаются взаимодействием частично полимеризованного в порах скорлупы масла с альдегидами (формальдегидом) в присутствии катализатора нагреванием при $80\text{—}300^\circ$ в течение ≤ 2 часов. Б. К.

79631 П. Композиция, содержащая воск (Wax composition) [Standard Oil Development Co.]. Англ. пат. 725992, 16.03.55 [Rubber Abstrs, 1955, 33, № 6, 243 (англ.)]

Композиция содержит микрокристаллический воск, 1—10 об. % полиэтилена (мол. в. 7000—25 000) и 1—25% сополимера из 20% стирола и 80% бутадиена с внутренней вязкостью 0,08—0,3.

А. Д.

79632 П. Композиции из поливинилных производных для получения формованных изделий. С. о. л. Уинггинс, Линли (Polyvinyl compositions suitable for the production of moulded products. Saul W. Wiggins T. J., Linley E.) [Semtex Ltd]. Англ. пат. 722505, 26.01.55 [Rubber Abstrs, 1955, 33, № 5, 189 (англ.)]

Алебастр или гидравлический цемент смешивают с водной дисперсией из 25 вес. ч. поливинилацетата, 30—40 ч. пластификатора (сложного эфира) и 80—120 ч. пека, полученного из водяного газа. Смесь формуют и оставляют схватываться. Композиции указанного состава можно смешивать при более низких температурах, чем обычно требующиеся для подобных составов; материал можно применять для настила полов. Пигменты или наполнители могут быть введены в смесь.

А. Д.

79633 П. Метод получения пластической массы для длительно сохраняющихся уличных знаков (Verfahren zur Herstellung einer plastischen Kunstmasse für dauerhafte Straßenmarkierungen) [Kurt Vogelsang A.-G.]. Швейц. пат. 301822, 1.12.54 [Chem. Zbl., 1955, 126, № 35, 8272 (нем.)]

Способ получения пластич. искусств. массы для долговечных уличных знаков отличается тем, что сухую смесь кварцевого песка и небольшого кол-ва пигмента (мела, TiO_2 хромового желтого) вносят в свободный от воды сплав, содержащий по крайней мере одну смолу. Масса, напр., содержит (в вес. ч.): 600 кварцевого песка, 130 мела, 80 TiO_2 , 155 канифоли и 35 вазелинового масла.

З. С.

79634 П. Пластичные, очень медленно твердеющие массы для оттисков из модельного гипса. Холер (Plastische, sehr langsam erhärtende Abdruckmasse aus Modellgips. Holer Robert). Австр. пат. 181015, 10.02.55 [Chem. Zbl., 1955, 126, № 28, 6595 (нем.)]

Предлагаемые массы состоят из модельного гипса и альгината Na в соотношении 45 : 1 (причем преимущественно применяется смесь альгинатов Na с различной вязкостью, полученных из морских водорослей), бора или карбоната Na (в качестве замедлителей отверждения), наполнителей (бентонита, инфузорной земли, силикагеля), стабилизаторов, дезинфицирующих в-в, красителей и душистых в-в. Продукт применим для зубоорудочных, ортопедических, хирургических целей и в качестве добавки к строительным материалам. Для получения формы для оттиска берут 100 г модельного гипса и 60 г р-ра, состоящего (в ч.): из 5 альгината Na, 3,5 безводн. Na_2CO_3 , 0,5 бора Na, 0,02 р-ра C_2H_5O и 900 воды; гипс добавляют к р-ру медленно при помешивании. Продукт отвердевает через несколько часов. Формы, полученные из этой массы, практически не подвержены усадке.

М. А.

79635 П. Слоистые материалы и методы их изготовления. Цуккерман (Laminated materials and methods of manufacture thereof. Zuckermann K.). Англ. пат. 711050, 23.06.54

В произ-ве слоистых материалов, наружные слои которых изготовлены из пластиков или пропитаны смолами, рекомендуется покрывать внешние поверхности наружных слоев в-вами, предохраняющими от прилипания пластика к применяемым при прессовании горячим плитам. Эти в-ва могут наноситься на внешний слой куска материала, который можно хранить до применения в намотанном виде. В качестве противосклеивающих в-в применяют парафин, озокерит, церезин, пчелиный, канделильский, карнаубский или шеллачный воски, стеариновую к-ту, стеарат аммония, силиконовые смазки или другие синтетич. воски, которые применяют, напр. в р-ре или в расплавленном виде,

при температуре, достаточно низкой для того, чтобы не допустить отверждения пластика. Так обрабатывают, напр. бумагу, пропитанную НК или СК, термопластами или термореактивными (феноло-, резорцино-, мочевино- или меламино-альдегидными) смолами. Основа слоистого пластика может состоять из древесины, фанеры, твердого картона, прессованных отходов древесины, бумаги, пропитанных смолами слоев бумаги или ткани.

С. Ш.

79636 П. Способ производства технической ткани (Tissu industriel et son procede de fabrication) [Les Successeurs de J. Rogue-Piotet]. Франц. пат. 1069509, 8.07.54 [Teintex, 1955, 20, № 3, 235 (франц.)]

Способ произ-ва ткани из стеклянного волокна с очень редким переплетением состоит в том, что по обе стороны ткани накладывают слой каучука или искусств. смолы, таким образом, чтобы слои склеивались между собой в местах отверстий. Такие ткани пригодны для произ-ва транспортерных лент, трансмиссионных ремней и т. п.

С. С.

79637 П. Способ получения многослойных прессованных плоских изделий (Verfahren zur Herstellung mehrschichtiger Preßstücke) [Süd-West-Chimie G. m. b. H.]. Пат. ФРГ 931783, 18.08.55

Для получения многослойных слоистых изделий, применяемых в электротехнике, между двумя штампованными или плоскими листами из электроизоляционных материалов (поливинилхлорида, полимеров эфиров акриловой к-ты, поливинилацетата, ацетилцеллюлозы, полистирола и др.) запрессовывают под давлением и при нагревании промежуточный токопроводящий, полупроводящий слой или слой с магнитными свойствами. Он представляет собой массу, обладающую хорошей текучестью под давлением при нагревании, и состоит из связующего (поливинилхлорида, поливинилацетата или других полимеров) и металлич. порошка, если слой должен быть токопроводящим, или графита для материала с полупроводящими свойствами. Облицовочные слои имеют повышенную термостойкость. Возможно получение многослойных изделий, промежуточные слои которых обладают различными свойствами.

Б. К.

79638 П. Слоистые материалы из «винилированного» стекла. Егер (Composé et article stratifié en verre et vinyle. Yaeger Luther L.) [Bjorksten Research Lab., Inc.]. Франц. пат. 1075020, 12.10.54 [Verres et réfract., 1955, 9, № 1, 23 (франц.)]

Для лучшего сцепления смолы и стекла последнее обрабатывают винилгалогенидом. В результате гидролиза и конденсации винильные группы химически связываются с поверхностью стекла, но сохраняют способность реагировать с частично конденсированными или полимеризованными смолами. В результате сополимеризации смола химически связывается со стеклом. Получаемые изделия устойчивы к воде и в вакууме. Этот способ особенно пригоден для заделки смотровых стекол электроизмерительных приборов, используемых при полетах на большой высоте.

Ю. В.

79639 П. Способ получения пленок из полиамидов. Вер (Verfahren zur Herstellung von Folien aus Polyamiden. Wehr Wilhelm) [Dynamit-A.-G. vormals Alfred Nobel & Co.]. Пат. ФРГ 926042, 4.04.55 [Kunststoffe, 1955, 45, № 8, 349 (нем.)]

Непрерывный способ получения полиамидных пленок с повышенными механич. свойствами состоит в том, что полиамид расплавляют при достаточно высокой температуре и затем вытягивают массу на вальцах с температурой на 20—50° ниже, чем нижний предел температуры плавления полиамида. Полученные пленки по прочности не уступают вытянутым прессованным пластинам.

Я. К.

79640 П. Усовершенствование способа и оборудования для получения материалов на основе термопластичных пленок. Массе (Perfectionnements relatifs à un procédé et à un appareil pour la formation de pellicules en matières thermoplastiques et produits en resultants. Ma s-

sey P. J.). Франц. пат. 1050753, 11.01.54 [Kunststoffe, 1955, 45, № 8, 350 (нем.)]

Для получения упаковочного материала пленки из полиэтилена, полистирола или поливинилденхлорида наносят на бумагу на приспособлении, состоящем из станины, на которой расположен рулон с бумагой. Бумага с рулона проходит через 7 валков и попадает на нагретый полированный валок, куда одновременно подводится свежизготовленная пленка из полиэтилена, которая предварительно протягивается через зазор между сильно нагретыми валками. Пленка каландрируется затем на бумагу между хорошо полированными валками, проходит через участок, где обрабатывается водяным паром и наматывается на приемный вал. При использовании дополнительного рулона бумаги можно получить трехслойный материал.

Б. К.

79641 П. Получение листов или пластин из волокнистой массы и искусственных смол. Стангаллини (Procédé pour la fabrication de produits fibreux en bandes on feuilles. Stangalini L.). Франц. пат. 1048866, 24.12.53 [Chem. Zbl., 1955, 126, № 28, 6657 (нем.)]

Для получения листов, пластин и искусств. кожи из растительных или животных волокон последние смешивают в роле с небольшим кол-вом в-в, образующих смолы (стирола, винилацетата, этиленмина, диметилмочевина, метилакрилата Na). Массу формуют на бумажных машинах, отжимают, сушат и подвергают обработке для полимеризации или поликонденсации смол. Для этой цели иногда в роле вводят также катализаторы. Можно также готовую бумагу или подобные материалы из животных волокон пропитать сначала в-вами, образующими смолы, затем обработать катализаторами, высушить и прессовать. А. П.

79642 П. Способ изготовления рулонного термопластичного материала «под мрамор». Хесс, Карпентер, Хорстемейер (Verfahren zum Herstellen von Bahnen aus thermoplastischen Kunststoffen mit marmorartiger Musterung. Hess Raymond Charles, Carpenter Louis Linden, Horstemeier Waldemar) [Union Carbide and Carbon Corp.]. Пат. ФРГ 923036, 31.01.55 [Kunststoffe, 1955, 45, № 9, 393—394 (нем.)]

Изготовление рулонного термопластичного материала, имитирующего мрамор, производится на 4-валковом каландре. Горячие цветные гранулы термопластичного материала подвигаются с помощью направляющего листа к одному из валков верхней пары; на другой валок накладываются короткие, узкие полоски термопластичного материала, окрашенного в другой цвет, так что длинная ось этих полосок располагается параллельно оси валка. Эти полоски после каландрирования расплющиваются, образуя в материале полосатость параллельно направлению вальцевания. Перед второй парой валков материал образует утолщение (валик) с большим кол-вом складок, которые при втором каландрировании расплющиваются параллельно оси валков; при этом достигается желательный узор.

Е. Х.

79643 П. Упрочненное покрытие для труб. Кеннеди (Reinforced covering for pipes. Kennedy T. E.) [The Trenton Corp.]. Пат. США 2713551, 19.07.55

Прочное покрытие для труб состоит из гибкой слоистой полосы, пригодной для обматывания трубы. Эта полоса имеет первый слой, состоящий из прочной, эластичной полиэтиленовой пленки, и второй — упрочняющий слой из гибких высокопрочных стеклянных волокон, расположенных с промежутками и соединенных непосредственно с пленкой (впавленных в нее). Третий слой изготавливают из асбестовых волокон, которые располагаются поверх второго слоя и непосредственно связаны с пленкой между прямыми из стеклянных волокон. Этот слой защищает трубу от механич. повреждений при засыпке трубы землей. Асбестовые волокна пропитываются для водостойкости парафиновой эмульсией.

Б. К.

79644 П. Настил для полов или облицовочный материал для стен и способ его изготовления. Трепп (Floor or wall covering or the like and method of manufacturing same. Trepp Samuel G.) [Bird & Son, inc.]. Пат. США 2696452, 7.12.54

На листовой подложке из органоэзола отливают тонкий слой стойкой к истиранию прозрачной виниловой смолы, который после отверждения нагреванием и соответствующей декоративной разрисовки покрывают пигментированным виниловым органоэзолом. Пигментированный слой также отверждают нагреванием и склеивают пигментированной стороной с гибким пропитанным асфальтом войлочным основанием. Листовой носитель затем удаляют с готового изделия, которое отличается стабильностью размеров.

Я. К.

79645 П. Копировальный трафарет и способ изготовления его (Method of making a duplicating master from an original and the duplicating master resulting from said method) [Dick Co., A. B.]. Англ. пат. 696563, 2.09.53

На оригинал накладывают пленку из непроницаемого для типографских красок термопластика и подвергают через пленку действию ИК-лучей, которые, поглощаясь темными местами изображения на оригинале, превращаются в тепло, вызывающее образование в лежащей сверху пленке соответствующих отверстий, куда может проникать типографская краска. Для этой цели предпочтительны весьма чувствительные к теплу высокоориентированные пленки из поливинилденхлорида и сополимеров его с винилхлоридом или винилацетатом (пластифицированных полихлордифенилом, полихлорбензолом, полихлордифенилоксидами, дибензиловым эфиром, алкиловыми эфирами, трикрезилфосфатом, гексахлорэтиленом, феноксипропиленоксидом или окисью стирола); полистирола (мол. в. 25 000—65 000), пластифицированного трикрезилфосфатом, хлорированным дифенилом или дибутилфталатом; нейлона, пластифицированного *n*-толуолсульфамидом; полихлортрифтор- или политетрафторэтилена; полиэтилена; гидрохлорида каучука; сополимеров стирола с изобутиленом или акрилонитрилом; поливинилацетата или поливинилбутирала; сложных и простых эфиров целлюлозы, напр. этилцеллюлозы или пропионата-бутирата целлюлозы; поливинилхлорида или сополимера винилхлорида и винилацетата, пластифицированных дибутил-, диамил-, диоктил- или дибутилцеллюлозэффталатом, трикрезилфосфатом или триглицоль-ди-(2-этилгексаноатом), а в случае сополимера, также сложными эфирами глицерина или камфарой. Пластификаторы прибавляют для снижения т-ры размягчения пленки.

Я. К.

79646 П. Способ производства формованных изделий низкого удельного веса с плотным наружным слоем из термопластов (Procédé de fabrication à partir de matières thermoplastiques, de corps moulés de faible poids spécifique et à couche externe compacte) [Badische Anilin & Soda-Fabrik]. Франц. пат. 1070147, 19.07.54 [Rev. gén. caoutchouc, 1955, 32, № 2, 191 (франц.)]

Формованные пористые изделия, стойкие против сильного давления и предназначенные для применения в качестве буев (поплавков), получают так, что сначала изготавливают черновую заготовку из материала с уд. в. < 0,5, содержащего порообразователь, разлагающийся при относительно высокой т-ре, покрывают заготовку слабо сцепляющимся с ней слоем измельченного термопласта (с величиной зерна 1—2 мм) и нагревают в закрытой форме при т-ре выше т-ры размягчения измельченного термопласта и т-ры разложения порообразователя. Так получают изделия из пористого и гранулированного полистирола или из смеси, состоящей из 80 ч. измельченной пробки и 20 ч. 50%-ной дисперсии сополимера винилацетата и бутилакрилата, и гранулированного полистирола.

Я. К.

79647 П. Способ нанесения термопластичных клеев на заготовку и применяемое оборудование (Methods of applying a thermoplastic adhesive along a workpiece and

apparatus suitable for use therein) [British United Shoe Machinery Co., Ltd]. Англ. пат. 705208, 10.03.54.

Для нанесения термопластичного клея на перемещающуюся заготовку клей в форме твердого стержня вводит в камеру, направляющую его на заготовку. Из камеры клей проходит через цилиндрич. трубку, связанную с блоком, имеющим электрич. обогрев, где плавится, и попадает на заготовку. Скорость движения клея в камере и скорость перемещения заготовки определяют кол-во наносимого клея. Клей в виде стержня, смотанного в рулон, до попадания в камеру проходит через направляющий канал между питающими (тянущими стержень) валками. Движение питающих валков связано с поступательным движением заготовки. Кол-во наносимого клея может также регулироваться размером питающих валков. Б. К.

79648 П. Фенольный клей и способ его изготовления. Аш, Ламбут (Phenolic adhesive and method of making same. Ash Jacob R., Lambuth Alan L.) [Monsanto Chemical Co.]. Пат. США 2727869, 20.12.55

Способ получения хорошо наносимого на поверхность воды, термореактивного клея состоит в том, что 125 ч. измельченных твердых остатков при получении фурфурола кислотным гидролизом шелухи овса или сердцевин кукурузных початков, проходящих через сито 100 меш, смешивают с 300 ч. воды при 10—20°, вводят 25 вес. ч. NaOH, растворенного в 25 вес. ч. воды, добавляют 25 вес. ч. Na₂CO₃, перемешивают ~20 мин., и вводят при перемешивании 500 вес. ч. фенолформальдегидной смолы и 25 вес. ч. соснового масла, после чего перемешивают еще ~10 мин. Смолы имеет вязкость 15—75 при 20° (по Мак-Майклу, номер проволоки 26d). А. Ж.

79649 П. Водорастворимый клей и способ его получения. Шейн (Water soluble adhesive and a process of making it. Schoen William) [Masonite Corp.]. Пат. США 2716613, 30.08.55

Улучшенный сухой водорастворимый клей состоит из водорастворимого аммонийного производного, полученного из продуктов гидролиза лигноцеллюлозы при повышенных т-ре и давлении. Клей содержит связанный азот в кол-ве 1—2,5%. А. Я.

79650 П. Диффузионная перегородка топливного отсека. Рид, Бест (Fuel cell diffusion barrier. Reid Robert J., Best Chris E.) [The Firestone tire & Rubber Co.]. Пат. США 2713549, 2713550, 19.07.55

Внутренняя часть стенки неметаллич. топливного отсека имеет соприкасающийся с топливом слой из сополимера бутадиена с акрилонитрилом, за которым находится диффузионная мембрана из сополимера 30—80 вес. % винилхлорида и 20—70 вес. % акрилонитрила; этот сополимер содержит ≤ 5% фракций, отклоняющихся от указанного выше состава. Далее расположен герметизирующий слой. По пат. 2713550 диффузионная мембрана изготовлена из сополимера 10—40 вес. % изобутилена и 60—90 вес. % акрилонитрила. На приложенном чертеже схема стенки (от топлива к наружным слоям) имеет следующую конструкцию: внутренний слой, нанесенный на киперную ткань из нейлона, диффузионная мембрана, слой из сополимера бутадиена с акрилонитрилом, нанесенный на корд из нейлона, герметизирующий слой на основе НК, усиливающий слой, наружная оболочка. Для последних двух слоев материал не указан. Б. К.

79651 П. Электрический проводник, имеющий изоляцию, содержащую поливиниловую смолу и пластификатор — дибутират-дикаприлат пентаэритрита. Гринхалш, Мартенс (Electrical conductor having insulation containing a polyvinyl chloride resin and a pentaerythritol dibutyrate dicaprylate plasticizer. Greenhalgh Milton S., Martens Stanton C.) [General Electric Co.]. Пат. США 2708173, 10.05.55

Изолированный проводник, предназначенный для работы при 90° и обладающий улучшенными характеристиками

по сопротивлению изоляции во влажных условиях при 60°, имеет металлич. сердечник и изоляцию, которая состоит из винильной смолы (поливинилхлорид или сополимер винилхлорида с винилацетатом) и пластификатора — дибутирата-дикаприлата пентаэритрита. Пластификатор содержит 0,1—0,5% ОН-групп и применяется в кол-ве 30—70% от веса винильной смолы. С. Ш.

79652 П. Материал для оболочек высокочастотных кабелей. Каганов (Jacketing material for high frequency cables. Kaganoff Solomon) [International Telephone and Telegraph Corp.]. Пат. США 2708215, 10.05.55

Высокочастотный коаксиальный кабель имеет расположенный в центре проводник, металлич. оплетку, окружающую этот центральный проводник, и слой диэлектрика (полиэтилена), расположенного между центральным проводником и оплеткой и плотно прилегающего к тому и другому. Поверх металлич. оплетки плотно накладывается наружная оболочка из неразрушающего полиэтилен термопластичного материала. Этот материал представляет собой способную шприцеваться пластик. композицию, состоящую из полимера (поливинилхлорида или сополимера винилхлорида с ≤ 10% винилацетата) и полиэфира, который представляет собой продукт р-ции 1,3-бутандиола и себаценовой к-ты. При получении полиэфира р-цию проводят до образования жидкого продукта с n_{D20}^{25} 1,4686—1,4696. Материал оболочки имеет т-ру хрупкости (определяемую по стандартной методике) ≤ —40°. С. Ш.

См. также: Общие вопр. 78330. Исходные продукты 79207, 79242, 79274. Физ.-хим. исслед. 78285, 78287, 78288, 78293, 78294, 78302, 78303, 78306, 78311, 78314—78317, 78319, 78320, 78336, 78348, 78350—78352, 78365. Анализ 78543, 78545. Полимеризац. смолы: получение 78331, 78332, 80187; процессы полимеризации 78337—78341, 78345, 78346, 79776; св-ва 78323, 78324; применение 79356, 79363. Конденсационные смолы: общие вопр. 78356, 78357; строение 78325; синтез 77613, 78097, 78098, 78361, 79694; применение 78327, 79332, 79333. Полиэфиры 78360. Полиамидные смолы 78366. Кремнийорганич. смолы 78329, 78343, 78344, 79334. Вспомогат. материалы 78335, 79198. Пористые материалы 79045, 79514. Анионообменные смолы 77786, 78395, 78396. Получение эфиров фосфорсодержащих кислот 79245

ЛАКИ. КРАСКИ. ЭМАЛИ. ОЛИФЫ. СИККАТИВЫ

79653. Лакокрасочная промышленность Финляндии (Maaliteollisuuden näkaloja), Tekn. kemian aikakauslehti, 1954, 11, № 8, 207—208, 211 (фин.; рез. англ.). Краткий обзор успехов финской лакокрасочной промышленности за 1953 г. М. С.

79654. Жирные кислоты для производства алкидных смол. Часть I. II.— (Fatty acids for the alkylid industry. Part I, II.—), Paint, Oil and Chem. Rev., 1955, 118, № 13, 18—20, 22; № 14, 19—22, 24, 46 (англ.)

Часть I. Рассмотрены различные масла, пригодные для произ-ва жирных к-т, применяемых при синтезе алкидных смол. Описан состав и св-ва жирных к-т. Для алкидной пром-сти представляют интерес жирные к-ты со степенью ненасыщенности, обеспечивающей высыхание, не вызывая пожелтения и хрупкости пленки. Этим свойством обладают к-ты хлопкового и соевого масел. После очистки эти масла имеют йодные числа 130—140, содержат около 50% линолевой и миним. кол-во нежелательной линоленовой к-ты с тремя двойными связями, вызывающей изменение окраски пленки. Высокое содержание линоленовой к-ты в льняном масле делает его непригодным для алкидной пром-сти. В противоположность твердым животным жирам, жирные к-ты рыбьих жиров обладают слишком высокой степенью ненасыщенности, в связи с чем приме-

нение их ограничивается лишь для низших сортов алкидов. Жирные к-ты дегидратированного касторового масла не применяются главным образом из-за высокой цены. Жирные к-ты сафлорового масла, содержащие большое кол-во линолевой к-ты, а также жирные к-ты кокосового масла, представляющие смесь к-т C_{16} — C_{18} , представляют интерес для синтеза смол. Важным источником пригодных для алкидов жирных к-т является талловое масло, состоящее из равных кол-в линолевой и олеиновой к-т и незначительного кол-ва ($\sim 10\%$) ненасыщ. к-т. Рекомендуются к-ты с содержанием 40—60% линолевой, $\leq 5\%$ линоленовой к-ты с тремя двойными связями и незначительным кол-вом олеиновой, стеариновой и пальмитиновой к-т, играющих роль пластификаторов. Допускаются также 1—2% смоляных к-т. Обсужден вопрос о влиянии на свойства алкидов положения двойных связей в жирных к-тах.

Часть II. Описаны методы анализа жирных к-т (определение иодного и кислотного чисел, числа омыления, показателя преломления, уд. веса и т. п.). М. В.

79655. О нафталино-формальдегидных смолах. Ра-
никова К. И., Душкина В. Г., Тр. Харьков-
ского Политехн. ин-та, 1954, 4, 181—187

Получены нафталино-формальдегидные смолы (I) дей-
ствием CH_2O (формалина) на нафталин (II) в присутствии
0,5—1 моля H_2SO_4 на 1 моль II при эквимолекулярном от-
ношении CH_2O к II. Полученные I обладают более высокой
светопрочностью, водо- и щелочестойкостью, чем ново-
лачные фенольные смолы, а также высоким пробивным
напряжением (от 30 до 69 мм²), хорошо растворимы
в ароматич. углеводородах, эфире, дихлорэтаноле и скипид-
аре. Авторы рекомендуют применять их для мебельных
лаков. Л. П.

**79656. Терфталевоглицериновые полиэфиры — плен-
кообразователи.** Коган А. И., Китайгород-
ский М. М., Ж. прикл. химии, 1956, 29, № 4, 628—
632

Исследовалось применение терфталевой к-ты (I) для
синтеза пленкообразователей. Синтезировали терфталев-
оглицериновый полиэфир (II) из I и глицерина (III) при
избытке III (мол. соотношение I : III от 1 : 2 до 1 : 10)
при т-ре 230—250° и осаждении водой из такого р-ра поли-
эфира в глицерине, плавкого и растворимого продукта.
I получали окислением л-ксилола (т. пл. 13,5°) р-ром
 $KMnO_4$. При растворении полиэфира в двойном весовом
кол-ве р-рителя (смесь C_6H_6 с CH_3OH 1 : 1, или диоксан)
приготовляли лак. Р-р II наносили тонким слоем на стек-
ляные и Al-пластинки, нагревали 1—2 часа при 150—
160° и определяли хим. и механич. свойства пленок. Ис-
следования показали, что пленки полиэфиров переходят
при термич. обработке в неплавкое и нерастворимое со-
стояние, причем пленки имеют значительную упругость
и твердость. Проведены также опыты по прямой конденса-
ции I с III при темп. смеси до 230—250° в течение 1,5—
2 часа. При мол. соотношении I : III = 1 : 1,8 получается
плавкая и растворимая алкидная смола, переходящая
в неплавкое состояние при дальнейшем нагревании, при
мол. соотношении I : III = 1 : 1,6 полная однородность
не достигается, пленки водостойкие. Свойства полиэфиров
в этих случаях были подобны свойствам полиэфиров,
получавшихся по первому способу, небольшое кол-во
жирных к-т подсолнечного масла повышало упругость по-
лиэфиров, не уменьшая их твердость и уменьшая тангенс
угла диэлектрич. потерь; увеличение кол-ва к-т или мас-
сел увеличивало значение последнего и уменьшало твер-
дость пленок. Б. Ш.

**79357. Использование эпоксидных смол в поверхност-
ных покрытиях.** Хоппер (The use of epon resins in
surface coatings. Hopper T. R.), Paint, Oil and
Chem. Rev., 1954, 117, № 14, 15—18 (англ.)

Эпоксидные смолы (I) используются тремя способами:
1) как термореактивные, в сочетании с фенолформаль-

дегидными (I/II) или мочевиноформальдегидными (I/III)
смолами; 2) в виде эфиров одноосновных, или некото-
рых двuosновных к-т или канифоли; 3) в сочетании с ами-
нами, или некоторыми амидами (напр., полиамидными
смолами) в покрытиях, отверждающихся как при комнат-
ной, так и при повышенной т-ре. ЭС с т. пл. 127—133°
и 145—155° и мол. в. 2900 и 3750 («эпон 1007 и 1009»)
применяются по первому способу, смолы с т. пл. 95—105°
и 127—133° («эпон 1004 и 1007») — по второму и смола
с т. пл. 64—76° и мол. в. 900 («эпон 1001») — по третьему.
I/II и I/III стойки к щелочам, к-там, моющим средствам,
р-рителям, многим химикатам, употребляющимся в пром-
сти, и к воде. I/II придают лучшую стойкость, но темнее
и требуют более высоких т-р отверждения, чем I/III.
В I/II требуется небольшая добавка H_3PO_4 , как катализа-
тора полимеризации, а также бутара или силиконо-
вой смолы для улучшения текучести (розлива). Эти добавки
вводят в виде 10%-ного бутанольного р-ра. Промежуточ-
ные слои покрытия сушат 10 мин. при 149°, а последний
слой — 1 час при 177°. I/III не требуют при изготовлении
добавок и позволяют готовить на них белые эмали. Эфиры
I с канифолью окрашены в бледно-янтарный цвет и имеют
т. пл. 130—140°; применяются для изготовления масля-
ных лаков. Жирные к-ты образуют с ЭС связующие, ана-
логичные алкидным смолам, но более химически стойкие.
Интерес представляют также эфиры уксусной, *n*-трет-
бутилбензойной к-ты, димеризованной канифоли, малеи-
нового ангидрида. С увеличением жирности эфиров умень-
шается твердость, глянец, хим. стойкость пленок. Жирные
к-ты тугоплавкого масла и фталевой ангидрид для модифи-
цирования эфиров не пригодны из-за склонности получае-
мых продуктов к желатинированию. Указаны соотноше-
ния отдельных компонентов составов на основе I и области
их применения. М. Г.

79658. Эпоксид-модифицированные эфиры канифоли.
Остин, Дрю (Epoxy modified rosin esters. Au-
stin R. O., Drew John), Paint, Oil and Chem.
Rev., 1954, 117, № 11, 15—17, 35—37 (англ.)

Описаны смолы под названием «эплекс» (I), представ-
ляющие собой продукты взаимодействия эпоксидных смол
с канифолью, или с ее производными. Пленки I имеют хо-
рошую адгезию и эластичность, имеют низкую кислот-
ность, хорошо совмещаются с разнообразными смолами
и высыхающими маслами и, в отличие от обычных эпок-
сидных смол, лучше (или полностью) растворяются в неф-
тяных р-рителях. I 10 и 14 могут применяться для изго-
товления как летучих, так и масляных лаков, I 16 — толь-
ко для летучих, а I 15 и 17 — только для масляных лаков.
Приведены характеристики отдельных смол I. Летучие лаки,
изготовленные на этих смолах, очень хороши в эксплуата-
ции, образуют пленки стойкие к растрескиванию, под-
даются шлифовке, хорошо сохраняют окраску и сравни-
тельно дешевы. Масляные лаки требуют непродолжитель-
ного времени варки и после высыхания образуют прочные
водо- и щелочестойкие пленки. I хорошо смачивают ча-
стицы пигментов. В таблицах приведены составы, ре-
жимы варки и результаты испытаний лаков. М. Г.

**79659. Сырьевые материалы для новых связующих для
латексных красок.** Пьюфал (Raw materials for new
latex paint vehicles. Puffall A. E.), Amer. Paint, J.
1954, 39, № 3, 76, 78, 80, 82—84, 96; Paint and Var-
nish Prod., 1955, 45, № 1, 23—27, 68 (англ.)

Сообщение фирмы о крупнотоннажном выпуске дешевых
мономеров: винилацетата, бутадиена, стирола, акрило-
нитрила, хлорвинила и винилденхлорида, пригодных
в качестве исходных материалов для изготовления связую-
щих для водоземulsionных красок. Получение необ-
ходимых пленкообразующих свойств (хорошей адгезии
эластичности, водо- и щелочестойкости) достигается сопо-
лимеризацией указанных мономеров с другими, напр.,
винилацетата с этиловым, бутиловым и 2-этилгексил-
эфирами акриловой и малеиновой к-т, или виниловыми

эфирами пропионовой, масляной и 2-этилгексановой к-т. Заметное увеличение адгезии вызывают добавки 2—5% ледяной акриловой или 5% кротоновой к-т. Повышение химстойкости обеспечивается введением до 1% винилкроноата, являющегося активным сшивающим агентом. Отмечается возможность успешного применения, без модификации, индивидуальных полимеров этилакрилата и винилизобутилового эфира.

К. Б. 79660. Использование новых поливинилацетатных эмульсий при изготовлении красок. Хауэлл (Utilization of new polyvinyl acetate emulsions in paints. Howell D. D.), Amer. Paint J., 1955, 40, № 12, 34, 36 (англ.)

Отличительной особенностью нового вида поливинилацетатных (I) эмульсий является малый размер частиц, приближающий их по свойствам к связующим, способным полностью покрывать частицы пигмента. Наиболее мелкодисперсный пигмент TiO_2 имеет диам. частиц $\sim 0,2 \mu$, инертные же пигменты — $30\text{--}50 \mu$. Частицы новых I эмульсий имеют диам. $\sim 0,1 \mu$, благодаря чему значительное кол-во их окружает частицы пигмента. Испытаниями свободных пигментированных пленок I эмульсий на растяжение было установлено значительное повышение прочности красочных покрытий при наличии частиц малых размеров. Увеличение кол-ва пигмента в эмульсии повышает прочность пленки на растяжение до определенного предела, после которого прочность падает. Было найдено, что эмульсии с мелким размером частицы нанесенных на старую краску, обладают большей атмосферостойкостью по сравнению с обычными эмульсиями. Предполагено, что мелкие частицы, проникая в поры мелеющей пленки, образуют под ней новое покрытие на свежей поверхности. Наличие частиц малого размера обеспечивает компактность и, создавая сплошность пленки, повышает прочность и эластичность ее. I эмульсии обладают светлой краской и могут быть использованы для изготовления красок светлых тонов. По сильному блеску и гладкости поверхности подобны эмалевым покрытиям. Благодаря хорошей водостойкости могут быть использованы для наружных работ. Указанные свойства резко отличают новый вид эмульсий от обычных I эмульсий.

М. В. 79661. Опыты по использованию барита из Румынской Народной Республики для получения минеральных пигментов. Савул, Абаби, Браниште, Идричану (Incerări de valorificarea baritinei din R. P. R. în vederea obținerii de pigmenți minerali. Savul M., Ababi V., Braniște C., Idrișeanu Tr.), Studii și cercetări științ., 1953, 4, № 1-4, 197—212 (рум.; рез. русс., франц.)

Исследована возможность использования местных баритов (I) с низким содержанием BaSO_4 ($\sim 73\text{--}80\%$), высоким содержанием SiO_2 (до 9,64%) и значительным содержанием CaF_2 (до 4,58%) для получения BaS . I подвергался восстановлению различными углями при т-рах $650\text{--}850^\circ$ в течение 1,5—2 часа. Установлено, что максим. выход BaS ($\sim 90\%$) дает древесный уголь в кол-ве $30\text{--}40\%$ при $750\text{--}800^\circ$ и длительности восстановления ~ 2 час. Полученный BaS использовался для приготовления литопона, для которого была установлена оптимальная т-ра прокаливания — $800\text{--}900^\circ$ в течение 1,5 час. Продукт отличался белым цветом, мелкозернистостью, хорошим масляным показателем (20,86 г) и покрывной силой. Остаток, полученный после извлечения BaS из I, наряду с углем содержит 36,8% BaSO_4 и 15,75% других солей Ba в виде BaSO_3 , BaCO_3 , BaSiO_3 , легко растворимых в HCl . Последние могут быть использованы для получения BaCl_2 .

Я. М. 79662. Цинковая пыль в качестве защитного пигмента. Родер (Zinkstaub als Schutzpigment. Roder O.), Farbe und Lack, 1956, 62, № 2, 51—58 (нем.)

Описаны свойства, произ-во и возможность применения различных типов краски на Zn-пыли, которую получают

путем расплавления и возгонки металлич. Zn в атмосфере инертного газа и тщательного регулирования т-ры, или при помощи атомизации металлич. Zn или в качестве побочного продукта при произ-ве Zn. Рекомендуются Zn-пыль смешивать со связующим и другими компонентами незадолго до применения, для получения покрытия лучшего качества. Zn-пыль реакционноспособный пигмент, возможны хим. р-ции с другими компонентами, кол-во разбавителя должно быть максимально ограничено. Для распыления, дополнительное кол-во разбавителя следует вводить непосредственно перед наполнением пистолета-распылителя. При выборе соответствующего связующего красочные составы на Zn-пыли получаются легко, они не требуют особого перетира, необходим подходящий тип смесителя. Для сушки нужно добавлять обычные сиккативы, за исключением случаев применения связующих, которые высыхают в процессе испарения разбавителей. Краску на Zn-пыли при соблюдении соответствующих условий можно смешивать с другими пигментами. Среднее содержание в Zn-пыли металлич. Zn $95\text{--}97\%$, размер частиц стандартного сорта $\sim 44 \mu$, высокодисперсного $2,4 \mu$. Для металлич. конструкций получила применение пигментная смесь, состоящая из 80% Zn-пыли и 20% ZnO ; для грунтовки применяют 78—81% пигмента и 19—22% связующего на льняном масле (89—91% льняного масла, 4—5% разбавителя и 5—6% сиккатива) или на фенольной смоле. Другой пример: 61—65% пигмента, 35—39% связующего (алкидные смолы). Покрытия очень прочны, имеют хорошую адгезию, легко наносятся кистью или распылением даже на оцинкованную поверхность, стойки к истиранию, очень укрупнены, имеют хороший внешний вид, совершенно светонепроницаемы, нетоксичны, предохраняют от ржавчины железо и сталь. Высокопигментированные Zn-пылью краски на полистироле, изомеризованном каучуке или хлоркаучуке все более широко применяются в качестве защитных покрытий для металлов и особенно для подводных покрытий, Zn-пыль применяется для грунтовочных покрытий по дереву.

Б. Ш. 79663. Бентоны и их применение в лакокрасочной промышленности. Хофштадт (Die Bentone und ihre Verwendung in der Farben-und Lackindustrie. Hofstadt Carl Ernst), Farbe und Lack, 1956, 62, № 3, 96—100 (нем.)

Описаны получение и применение в лакокрасочной промышленности нового класса хим. соединений, названных бентонами или органофильными бентонитами, которые получают при р-ции ионного обмена органич. солей с бентонитом — алюмосиликатной глиной, напр. монтмориллонитом, общей ф-лы $\text{Al}_2\text{O}_3 \cdot 4\text{SiO}_2 \cdot x\text{H}_2\text{O}$. Выдающиеся свойства их заключаются в возможности набухания в органич. жидкостях и образовании тиксотропных щелей. Приведена схема произ-ва бентонов. Последние для приобретения свойства оптим. набухаемости в органич. среде должны быть очень хорошо диспергированы; для этого применяют шаровые и колл. мельницы. Бентоны улучшают кислото-, щелочестойкость и другие защитные свойства покрытий вследствие понижения способности пленок смачиваться. Они не влияют ни на процессе пленкообразования, ни на адгезию пленок с подложкой. Между конц-ней бентона и долговечностью его гелеобразной структуры существует строго ограниченное соотношение в виде критич. конц-ии, при которой гель бентона способствует получению хорошей, устойчивой пигментной суспензии и которая, как правило, в типовых красочных составах для покрытий составляет $350\text{--}400 \text{ г}$ на 100 л краски. Сольватация пигментных частиц связующим с помощью бентонового геля приостанавливает их мигрирование в сырой пленке и благодаря этому предотвращается оседание или всплытие их.

Б. Ш. 79664. Защитная окраска металлических конструкций. Берруто (Verniciatura e protezione delle installa-

zioni fisse. Berruto Bartolomeo), Pitture e vernici, 1955, 11, № 9, 575—580 (итал.)

Рассмотрены различные виды противокоррозионных красок, содержащих Pb и Zn, их сравнительные достоинства и недостатки, механизм действия и методика испытаний. Вкратце рассмотрены также покрытия на основе SrCrO_4 и Al, в которых противокоррозионные свойства сочетаются со светозащитными (блестящей поверхностью). З. Б. 79665. Современное развитие противообрастающих красок. Александр (Recent developments in antifouling paints. Alexander Allen L.), Organ. Finish., 1955, 16, № 9, 5—10, 12 (англ.)

Статья обзорного характера. Б. Ш. 79666. Красочные составы, образующие узорчатые покрытия. Олсбрук (Paints with patterns. Allsebrook W. E.), Paint Manufact., 1956, 26, № 3, 73—76 (англ.)

Покрывные составы, придающие поверхности неровный, узорчатый вид, называют текстурными. Морщинистые лаки горячей сушки ($t_{\text{ра}} > 120^\circ$) получили широкое распространение. Лаки получают на основе алкидов, содержащих дегидратированное касторовое или тунговое масло, или из смесей алкидов с сырым тунговым маслом, при добавлении 0,2% Со-сиккатива. Белые морщинистые лаки получают из алкидов со слабо полимеризованным (49%) дегидратированным касторовым маслом и рутила TiO_2 . Цветные составы обычно получают на основе масляных алкидов (смесь тунгового масла с льняным, 1:3) модифицированных фенольными смолами. Матовые лаки применяются реже, чем блестящие, так как более высокое содержание пигмента препятствует образованию морщинистости и в то же время это требует введения сырого тунгового масла. Более толстые покрытия способствуют большей морщинистости. Составы для покрытий часто проявляют склонность к уменьшению образования морщинистости в процессе хранения под влиянием сиккативов; поэтому рекомендуется смешивать сиккативы с лаком непосредственно перед применением. Полихроматич. составы для отделок пигментируют металл. порошками, коричневыми — газовой сажей и красной окисью железа. Дальнейшим развитием этих покрытий явились «кованые» покрытия узорчатого типа, лучшими из которых являются составы, содержащие светлые красящие в-ва. Покрытия наносят при помощи автоматич. распыления в электростатич. поле. Для деревянных и других поверхностей применяют составы воздушной сушки. Кратко сообщается о многоцветных структурных покрытиях (мульти-окрашенные покрытия), о лаках, дающих эффект кристаллизации, о вуалевых покрытиях типа паутины хорошо имитирующих мрамор и получаемых при распылении высокомолекулярных в-в растворенных в очень летучих р-рителях, напр., ацетоне, о лаках, образующих сетку искусств. трещин. Покрытия с перламутровым, жемчужным блеском получают на основе кристаллов гуанина из рыбьей чешуи, которые до применения сохраняют в виде 11%-ной дисперсии в нитролаке. Б. Ш.

79667. О влиянии различных хлоридов металлов на тунговое масло. Пти, Каз (Note de laboratoire. Action de divers chlorures minéraux sur une huile d'aleurites. Petit Jean, Cazes Loë), Bull. Soc. chim. France, 1954, № 11—12, 1428—1429 (франц.)

Изучение действия различных хлоридов металлов (AlCl_3 , SnCl_4 , TiCl_4 , SbCl_3 , FeCl_3 , ZrCl_4 , BiCl_3), а также AsCl_3 , SiCl_4 , PCl_5 , BF_3 на тунговое масло показало, что соединения, катализирующие р-цию Фриделя — Крафта, вызывают полимеризацию масла. М. С.

79668. Алюминий- и цинкстеарат в производстве красящих веществ. Мейер (Aluminium- und Zinkstearate in Anstrichmitteln. Meyer G.), Chem. Rundschau, 1954, 7, № 13, 252—253 (нем.)

Дано краткое описание получения металл. солей высших жирных к-т, указаны их свойства и ценные качества

алюминийстеаратов (I) и цинкстеаратов (II): малая величина частиц (часто в пределах немногих μ), большой насыпной объем, хорошая кроющая способность, гидрофобность, способность некоторых типов к гелеобразованию, нерастворимость в полярных р-рителях. Описано применение I и II в качестве противосажающих средств, в особенности в отношении тяжелых пигментов, и средств для сообщения матовости покраскам. В первом случае частицы пигмента окружаются легкой оболочкой геля стеарата, препятствующей осаждению пигмента, или дающей возможность легкого перевода пигмента во взвешенное состояние в случае образования осадка при хранении. Во втором случае необходимо получение геля I в виде мельчайших частичек, которые при покраске должны находиться на верхней поверхности пленкообразующего, обеспечивая светорассеяние (матовость) пленки. Г. Ш. 79669. Адгезия поверхностноактивных молекул к металлической поверхности. Уотерхаус, Шулман (The adhesion of amphipathic molecules to metal surfaces. Waterhouse R. B., Schulman J. H.), J. Oil and Colour Chemists Assoc., 1955, 38, № 10, 646—654 (англ.)

Изучалась структура простых молекул поверхностно-активных в-в и их адгезия к меди, алюминию и железу по измерению краевых углов и изменению коэфф. трения. Выявлено, что адгезия связана с различными типами адсорбции пленки к металл. поверхности и зависит от природы конечных групп в молекуле. Механич. свойства пленок также различны. Т. Ф.

79670. Основные принципы нанесения лакокрасочного покрытия. Джонсон (Principles of paint application. Johnson E.), Electroplat. and Metal Finish, 1955, 8, № 12, 438—439 (англ.)

Общие сведения о технологии окрасок металла. М. В. 79671. Об образовании пузырей на лакокрасочных покрытиях. Рик (Zur Blasenbildung in Anstrichstoffen. Rick Anton W.), Dtsch. Farben-Z., 1956, 10, № 4, 122—125 (нем.)

Рассматриваются причины пузырения лакокрасочных покрытий. Почти во всех случаях оно происходит под влиянием давления газа, развивающегося под пленкой; источником газообразования может быть воздух, пары воды, образующиеся вследствие сырого грунта, пары р-рителей и процесс разложения покрытия состава. Большая часть случаев пузырения происходит от воздействия воздуха, заключенного в массе покрытия. Пузырение предполагается у в-в пластич. типа, в непластич. пленках оно почти не наблюдается, в этом случае наступает растрескивание покрытий. Пузырение, являющееся следствием повышения газового давления под пленкой, или в массе пленки, связано с режимом процесса сушки. Давление водяных паров в смеси с воздухом насыщенным ими может повысить общее давление почти на 0,5 атм при $t_{\text{ре}} 50^\circ$, при более высокой $t_{\text{ре}}$ развивается еще большее избыточное давление. Обсуждается влияние различных р-рителей на пузырение покрытий. Б. Ш.

79672. Нанесение жидких составов для покрытий. Заи (The flow coatings of organic finishes. Zahn E. A.), Plating, 1955, 42, № 10, 1266—1267 (англ.)

Обсуждение метода нанесения покрытий из жидких составов распылением под низким давлением. Б. Ш.

79673. Окись меди в противообрастающих покрытиях. Монторфано (L'ossido rameoso nelle pitture antivegetative. Montorfano N.), Pitture e vernici, 1955, 11, № 9, 587—788 (итал.)

Защитные свойства окраски судовых корпусов зависят от кол-ва красной Cu_2O ; примесь CuO безразлична, а примесь металл. Cu вредна, т. е. медь может образоваться с железом корпуса гальванич. парю и разрушить металл. Хороший рыночный продукт должен содержать 90—97% Cu_2O ; содержание CuO определяется по изменениям в восстановительной способности закиси. З. Б.

79674. Органические покрытия для гальванически покрытых изделий. Фуллер (Organic coatings for electroplaters. Fuller Wayne R.), Plating, 1955, 42, № 10, 1271—1272 (англ.)

Обзорная статья о типах прозрачных лаковых покрытий, бесцветных и окрашенных, наносимых на не железные поверхности для защитных и декоративных целей. Б. Ш. **79675. Скрипичный кремонский лак. Оберберг** (Der Cremoneser Geigenlack. Oberberg Woldemar), Instrumentenbau-Z., 1954, 8, № 12, 318—319; 9, № 2, 36—39 (нем.)

Кратко описан процесс механич. обработки скрипичной древесины перед лакировкой. При действии солнечных лучей на пленку кремонского скрипичного лака, нанесенного на деку соснового дерева, пленка приобретает золотистый оттенок. Особенно красивого золотистого оттенка удастся добиться на клене. Пленки скрипичного лака гигроскопичны благодаря присутствию водорастворимой краски, получаемой из крапового корня (*krappwurze*). В некоторых случаях перед применением кремонского лака инструменты покрывают тонким слоем масляного лака на скипидаре или грунтуют горячим маслом. Приводятся также другие возможные составные части итальянских скрипичных лаков и их свойства. Начало см. РЖХим, 1955, 53746.

79676. Применение электронной микроскопии для жиров и масел. Часть I. Исследование лаковых пленок. Кауфман, Гулинский (Anwendungen der Elektronen-Mikroskopie auf dem Fettgebiet I. Die Untersuchung von Anstrichen. Kaufmann H. P., Gulinsky E.), Fette und Seifen, 1955, 57, № 12, 1007—1010 (нем.: рез. англ., франц. исп.)

Обсуждаются вопросы применения электронной микроскопии для исследования лакокрасочных материалов и покрытий. Электронный микроскоп позволяет наблюдать незначительную морщинистость, пористость, коллоидальные масляные частицы, первичную и вторичную стадии процесса пленкообразования, влияние облучения, влажности, пигментирования, процессы полимеризации, изменения пленок от атмосферных влияний, воздействия химикалиев и т. д. Предварительные опыты определили дальнейшее направление исследований. Б. Ш.

79677. Об анализе металлических мыл. Марведель (Ein Beitrag zur Analyse von Metallseifen. Marwedel Georg), Farbe und Lack, 1956, 62, № 3, 92—96 (нем.)

Предложен простой метод прямого колич. осаждения оксалатов металлов из р-ров металлич. мыл в углеводородах — резинах, нафтенатах, линолеатах и изооктанатах. 50%-ные р-ры анализируемых мыл в тестбензине, ксилоле, толуоле или бутаноле набрызгивают на тонко распыленную шавелевую к-ту и нагревают 10—20 мин. до 100° для ускорения полного образования оксалатов. Осажденные мылообразующие к-ты с частично испаряющимися р-рителями поглощаются избытком порошка шавелевой к-ты. Оксалат или смеси оксалатов выделяются непосредственно на фильтре или фильтровальном тигле при промывке 50 см³ спирта, толуола или их смесью, которые приливают отдельными, нагретыми до кипения порциями, по 10 см³. В фильтрате, кроме избытка шавелевой к-ты, находятся мылообразующие к-ты, которые можно идентифицировать после удаления р-рителей и шавелевой к-ты. Оксалат, находящийся на фильтре, напр., PbC₂O₄, образовавшийся из октаната свинца, высушивают и взвешивают; оксалаты свинца и бария, находящиеся на фильтровальном тигле, рекомендуется превращать в сульфаты при помощи горячей разб. H₂SO₄. Посредством более или менее сильного прокалывания можно получать карбонаты и оксиды из оксалатов Ba, Ca, Ce, Co, Mg, Mn, Pb и Zn. Метод неприемлем для р-ров Al-, Fe- и Zn-мыл. Можно легко разделять выпавшие из р-ров металлич. мыл смеси оксалатов, напр. Pb-Co-оксалат, Ca-Co-оксалат и другие. Б. Ш.

79678. Утрата способности к высыханию в процессе старения. Нейс, Уокер (Loss of drying on aging. Nace Donald M., Walker William C.), Industr. and Engng Chem., 1954, 46, № 4, 769—773 (англ.)

Установлено, что типографские краски, пигментированные красочными лаками (фарблаками) (I), с гидратом окиси алюминия в качестве субстрата, могут утратить способность к высыханию в процессе старения вследствие высокой кислотности I, влажности воздуха, введения в качестве смачивающего агента ализаринового масла и высокой кон-ции в I красителей, являющихся солями сложных ароматич. сульфокислот. Утрата способности к высыханию может происходить согласно одному из двух механизмов: гидрат окиси алюминия содержит довольно много воды, которая образует тонкую пленку вокруг частиц I на границе их с связующим. Эта пленка растворяет в себе к-ты, содержащиеся в пигменте, и при достижении большой кислотности может экстрагировать из органич. связующего кобальт, сиккативирующий масло. Несмотря на предварительную сушку гидрата окиси алюминия с целью уменьшения в нем содержания воды красочные лаки снова легко поглощают ее, если находятся во влажной атмосфере, 2) сульфокислоты, получающиеся из смачивающих агентов, напр. ализаринового масла или при закреплении красителей на субстрате, растворяются в масляном связующем и реагируют с тяжелыми металлами, в частности с кобальтом, образуя нерастворимый продукт, осаждающийся на поверхности пигмента. Закрепление красителей происходит особенно слабо, если кон-ция их в лаке велика. Указаны мероприятия, позволяющие избежать утраты способности типографских красок к высыханию. М. Г.

79679. О применении защитных покрасок. Кучер (Über die Anwendung von Schutzanstrichen. Kuchtscher Ulrich), Brauerei, 1955, 9, № 29—30, 171—172; Branntweinwirtschaft, 1955, 77, № 8, 144 (нем.)

Защитные покраски подразделяются на 4 группы: 1) масляные (в настоящее время на рафинированном рыбьем жире), 2) лаки на искусств. смолах (фенол и виниловые смолы), 3) лаки из хлорированного каучука, 4) смеси из первой и второй групп. Для защиты стали от коррозии наилучшим покрытием оказалось виниловая смола, а поetch грунтовки применялась виниловая смола, а поetch краской служила та же смола в виде пленки толщиной в 0,125 мм. Хорошими оказались смеси деревянного масла с феноловыми смолами. Для борьбы с вредителями к краскам добавляются Cu, B, A, Co, а также органич. в-ва: крезол, триоксиметилен, сернистый хлорамин, о-окси-хинолин и другие дезинфицирующие в-ва. Некоторые из них непригодны для пищевой пром-сти из-за передачи запаха продуктам. Во избежание плесневения рекомендуется добавление 2,5% фтористого аммония (для холодильных установок) и 1,5% фтористого натрия в водн. растворах. Л. Ш.

79680. Упругая деформация лакокрасочных покрытий в зависимости от времени и температуры. Брант (The linear visco-elastic behaviour of paint films as a function of time and temperature. Brunt N. A.), J. Oil and Colour Chemists' Assoc., 1955, 38, № 10, 624—643, Discuss. 643—645 (англ.)

См. РЖХим, 1956, 37745.

79681. Оценка органических покрытий, применяемых для катоднозащитных бытовых резервуаров для горячей воды. Бранд, Финк, Хадсон, Миллер (An evaluation of organic coatings for use in cathodically protected domestic hot-water tanks. Brand B. G., Fink F. W., Hudson G. A., Mueller E. R.), Paint and Varnish Prod., 1956, 46, № 1, 25—32 (англ.)

Основными требованиями, предъявляемыми к органич. покрытиям катоднозащитных бытовых резервуаров для

горячей воды, являются щелочестойкостью и водонепроницаемостью (особенно — первая). При нанесении органич. покрытия на катодную подложку вода способна проникать через него, переводя в р-р ионы и образуя шел. р-р. Достаточно конц. р-р разрушает щелочечувствительные материалы; выделение водорода на катодных участках не влияет на покрытия. Покрытия на основе очень щелочестойких эпоксиэфенольных смол можно применять на катодозащищенных поверхностях резервуаров для горячей воды. Пузырение в этом случае не оказывает заметного влияния на электр. стойкость пленок, но пузырение щелочестойких покрытий прогрессирует со временем и может привести к полной потере адгезии покрытия. Определялась возможность разработки системы покрытий для применения в случаях с высокой плотностью тока. Испытаны покрытия на основе бутадиевстирола, окисленного асфальта, эфиров эпоксиэпоксиэфира, непигментированных и пигментированных всплывающим (склонном к лифину) Al-порошком для повышения щелочечувствительности покрытия, на основе эпоксиэфенольных смол (в том числе пигментированных TiO_2), фенольных смол и поливинилхлорида. Все покрытия, избранные для оценки, были известны, как покрытия очень стойкие к воздействию горячей воды. Стиролбутадиев показал сильное пузырение в горячей воде, фенольные покрытия и эпоксиэфирные, пигментированные Al-порошком, имели плохую щелочестойкость и полностью разрушались после испытания в течение 200 час. Непигментированные покрытия на основе эфиров эпоксиэпоксиэфира только слегка подвергались шел. воздействию так же, как окисленный асфальт. Бутадиевстирольная система покрытия является щелочестойкой, подобно эпоксиэфенольным и винилхлоридным покрытиям. Исследовали пигментирование для возможности максим. уменьшения пузырения, при щелочестойкости покрытия. Проницаемость покрытий, пигментированных TiO_2 в кол-ве $> 20\%$ по объему, сильно увеличивается, но при 50% TiO_2 несколько уменьшается пузырение, сравнительно с покрытиями, пигментированными TiO_2 в кол-ве 30 и 40% .

Б. Ш.

79682. Экспрессные методы химического анализа материалов с нитропокрытиями. Хорошая Е. С., Ковригина Г. И., Егорова Н. И., Дридзе С. Г., Н.-и. тр. Центр.-н.-и. ин-та заменителей кожи, 1954, 6, 95—101

Описаны экспрессные методы определения кол-ва пленкообразующих и содержания пластификатора в нитропокрытиях, нанесенных на материалы, применяемые в переплетном произ-ве. Кол-во пленкообразующих на 1 м^2 материала определяют обработкой окрашенного образца ацетоном путем взбалтывания его совместно со стеклянными шариками в банке с притертой пробкой. Обработка производится 2 мин. и повторяется еще раз для материалов с большой толщиной покрытия. После обработки производится ополаскивание чистым ацетоном. Обработку окрашенной бумаги производят в течение 1 мин. Содержание пластификатора определяют трехкратной 10-минутной обработкой бензолом или спиртом. Все определения производятся при $\sim 20^\circ$.

М. Г.

79683. Соотношение между блеском и шероховатостью поверхности лакокрасочных пленок. Хесс (The relationship between gloss and surface roughness of paint films. Hess M.), J. Oil and Colour Chemists' Assoc., 1956, 39, № 3, 185—192 (англ.)

Показано, что существует измеримая взаимосвязь между шероховатостью поверхности и степенью блеска или матовостью лакокрасочных пленок. Исходя из этого предложен метод, который особенно пригоден для предопределения срока службы пленок в зависимости от увеличения шероховатости их поверхности. Описан новый тип прибора, с помощью которого исследовали шероховатость, неровности поверхности. Таким прибором служит механич. электронный прибор «профилометр», который позволяет

легко и быстро получать объективные результаты исследования разрушения покрытий в атмосферных условиях, независимые от наблюдателя.

Б. Ш.

79684. Оценка светопрочности пигментов. Варли (Measurement of the light fastness of pigments. Varley D.), Australas. Manufacturer, 1955, 40, № 2070, 58—59, 61—62, 65—66 (англ.)

Кратко обсуждаются вопросы разработки стандартных шкал, применения 10-балльной и других шкал для сравнительной оценки светопрочности пигментов, особенно органических.

Б. Ш.

79685. Исследование поведения красочных покрытий с белыми пигментами в пяти разных климатических условиях. Герет (Versuche über das Verhalten von Anstrichen mit verschiedenen Weisspigmenten an fünf klimatisch verschiedenen Standorten. Geret H.), Schweiz. Arch. angew. Wiss. und Techn., 1954, 20, № 1, 18—24 (нем.)

Опыты велись с разными комбинациями белых пигментов: с двумя видами титановых белил, одним — сурьмяных и двумя — цинковых белил. В качестве связующих использовали алкидную смолу (50% фталата и 50% жирных к-т льняного масла) с вязкостью 50%-ного р-ра 2000 *спуаз* и стандартль (85% полимеризованного льняного масла и 15% уплотненного древесного масла) с вязкостью 4500—5000 *спуаз*. Климатич. зоны были взяты следующие: у Давоса на высоте 1667 м над уровнем моря, у Бадена — на высоте 432 м, в Базеле — 273 м, в Беллинзоне — 232 м и в Люцерне — 439 м. Определялись следующие показатели: степень меления, потеря блеска и общее ухудшение внешнего вида покрытия. В результате испытаний выявились наиболее благоприятные комбинации пигментов и связующих. Оказалось также, что высокогорный климат оказывает меньшее разрушающее влияние на покрытие, чем среднеклиматич. зона. Наибольшее разрушение оказали климатич. условия городов Базеля и Люцерна.

79686. Изучение иризирующего вещества из рыбных чешуек. III. Обата, Марутани (魚鱗の研究 - III. 小橋 太郎, 丸谷 貞次郎), 日本水産学会誌, Нихон суйсан гаккайси, Bull. Japan Soc. Scient. Fisheries, 1953, 19, № 5, 639—642 (япон.)

Жемчужную эссенцию готовят из блестящего иризирующего (радужного) материала, отделяемого от чешуек некоторых видов рыб типа сельди. Путем микроскопич. исследования показано, что эссенция, приготовленная из чешуи сельди Тахи-уо и Хоккайдо, после очистки додецилбензолсульфонатом натрия или полиэтиленгликолем (в качестве эмульгирующего агента) не уступает как средство для имитации жемчуга эссенции из чешуек сельди американского атлантического побережья. Часть II, см. Bull. Japan Soc. Scient. Fisheries, 1950, 16, 141—144 (япон.)

М. Г.

79687. Силиконовые полировочные составы для мебели. Рейлли, Браун (Silicone furniture polishes. Reilly Thomas H., Brown Donald V.), Soap and Chem. Specialties, 1955, 31, № 7, 137—140, 165 (англ.)

Указано на высокое качество мебельных силиконовых полировочных составов.

Ф. Н.

79688. Цвет в процессе многоцветного печатания. Кук (Color by overprinting. Cooke Donald E.), Paper. Film and Foil Converter, 1955, 29, № 4, 24—25; Print. Equipm. Engr, 1954, 85, № 1, 49, 50, 52 (англ.)

Кратко описан процесс многоцветного печатания, состоящий в основном в последовательном наложении двух или более слоев просвечивающих, прозрачных типографских красок. Сообщается об издании книги «Цвет в процессе многокрасочной печати».

Б. Ш.

79689. Специальные чернила для автоматических ручек. Гулд (Specialty ball point inks and pens. Gould David E.), Amer. Ink. Maker, 1955, 33, № 7, 32—35, 67 (англ.)

Развитие автоматич. (шариковых) ручек и общие технич. условия на чернила для них. Спец. сине-черные или сине-фиолетовые чернила. Применение светопрочных фталониновых голубых красителей; недостаточно интенсивный цвет с зеленоватым оттенком улучшают добавлением черных красителей. Введение в состав чернил для их модифицирования кислотных и спирторастворимых красителей фиолетового оттенка. Быстросохнущие красные чернила; красные красители не отвечают требованиям свето- и водопрочности, улучшение качества чернил может быть достигнуто наиболее правильным смешиванием красных красителей. Быстросохнущие зеленые чернила наименее распространены, могут производиться из спирторастворимых зеленых красителей, в том числе из фталониана голубого и при смешивании его с непрочным, но интенсивным красителем викария зеленым. Быстросохнущие чернила глубокого черного цвета можно получать при смешивании красителей зеленого и красного, черного и фиолетового цветов. Возможность производства удовлетворительных чернил при применении железных солей красителей. Черные краски для карандашей. Черные краски для бельевых меток, основаны на крезоле или окисляющихся маслах и содержат жирорастворимые красители. Флуоресцентные быстросохнущие краски сине-зеленых или красных оттенков. Предыдущее сообщение см. РЖХим, 1956, 17658. Б. Ш.

79690 К. Краски во Франции. Национальный ежегодник по краскам, лакам и смежным производствам (France-peinture. Annuaire national de la peinture, des vernis et industries annexes. 1955, 2 ed. Paris, Soc. Créations éd. et product. publ., 1955, 415 p.) (франц.)

79691 К. Справочник по лакам и краскам. Иван (岩井信次. 塗料ハンドブック. 産業圖書, 783頁, 1200圓). Сангё-тошэ, 1954, 783 стр., 1200 иен (япон.)

79692 К. Лаки, замазки, наполнители, мастики и клеи из асфальта и дегтя. Трибенекр (Asfaltové a dehtové laky, tmely, zálivky, mastixy a lepidla. 2 obnov. vyd. Vyprac. Triebenekr Josef. Praha, Vyzkum. úst. výstavby a arch., 1954, 65, 1, s.) (чеш.)

79693 К. Технология лакокрасочных покрытий. Перев. с русс. Дринберг, Снедзэ, Тихомиров (Technologia peliculelor de lacuri si vopsele. Drinberg A. Ia., Snedze A. A. Tihomirov A. V., Trad. din limba rusă. București, Ed. tehn., 1955, 561 p., il., 28, 20 lei) (рум.)

79694 П. Мочевинформальдегидные продукты конденсации для красок и лаков и процесс их приготовления. Тале (Urea-formaldehyde condensation syrups for paints and varnishes and process of making them. Talet Pierre Alfred) [Societe Nobel Francaise]. Пат. США 2718510, 20.09.55

Мочевинформальдегидный продукт конденсации для лаков и красок, имеющий высокую вязкость и совместимый с углеводородными р-рителями, получают нагреванием с обратным холодильником бутилированного мочевинформальдегидного конденсата, содержащего избыток бутилового спирта в качестве р-рителя, пентаэритрит и малеиновую к-ту; кол-во последних двух компонентов не превышает вместе 1,5% от конденсированного бутилированного мочевинформальдегидного продукта конденсации. М. В.

79695 П. Способ разрушения остатков катализатора. Лири (Method of destroying catalyst residues. Leary Robert F.) [Easo Research and Engineering Co.]. Пат. США 2714620, 2.08.55

Остатки катализатора после полного протекания р-ции в процессе получения высыхающего масла (сополимеризации 60—95 ч. бутадиена с 40—5 ч. стирола при т-ре 20—100°, в присутствии 1,5—10 ч. тонко раздробленного металлич. Na и 50—100 ч. инертного углеводородного

разбавителя, кипящего при т-ре 20—200°), удаляют путем обработки продукта р-ции 2—3 мол. эквивалентами CH_3COOH не менее 85%-ной конц-ии для полного разрушения катализатора и получения легко фильтрующегося продукта. Б. Ш.

79696 П. Лаки и покрытия. Герлих (Lacke oder deren Auftrage. Gerlich Hans) [Badische Anilin- & Soda-Fabrik Akt.-Ges.]. Пат. ФРГ, 925905, 31.03.55. Полученные согласно патенту 901829 (РЖХим, 1955, 50639) лаки или покрытия, содержащие полистирол в виде мельчайших шариков или бисера, обладают особенно хорошими отражательными свойствами в случае применения в качестве связующего гидроксилсодержащих полиэфиров на основе многоатомных спиртов (напр., гексантириола, бутантириола, триметилпропана, 1,4-бутиленгликоля, 1,3-бутиленгликоля) и многоосновных к-т (напр., фталевой, адипиновой, себадиновой) в соединении с полиизоцианатами, напр., толуилендиизоцианатом, гексаметилендиизоцианатом или хлорфенилендиизоцианатом. В качестве подложки применяют алюминий или алюминиевую фольгу. Можно применять и другие подложки, покрытые нитроцеллюлозным лаком воздушной сушки, или лаком горячей сушки на основе мочевиновой смолы. Пример: на алюминиевую поверхность наносится бесцветный лак, состоящий из 10 ч. сухой нитроцеллюлозы и 15 ч. мочевиновой смолы. Сверху наносят лак, состоящий из 40 ч. полиэфира, полученного из 3 молей адипиновой к-ты, 1 моля гексантириола и 3 молей 1,3-бутиленгликоля, а также 16 ч. толуилендиизоцианата и 4 ч. сополимера винилхлорида и винилизобутилового эфира. В качестве р-рителя применяют смесь метилглицольацетата и этилацетата в соотношении 1:4. После испарения р-рителя на липкую пленку напыляют ~ 100 г/м² бисерного полистирола и производят запрессовку. Н. А.

79697 П. Композиции для покрытий (Compositions d'endusage de surfaces). Франц. пат. 1066409, 4.06.54 [Dtsch. Farben, 1955, 9, № 2, 49 (нем.)]

Покрытие состоит из смеси фенолформальдегидной смолы с поливинилметиловым или поливинилэтиловым эфиром, растворенным, напр. в ацетоне. Степень полимеризации эфира должна соответствовать характеристической вязкости 5—20. Ю. В.

79698 П. Состав водонерастворимой краски. Уэндт (Water insoluble paint compositions. Wendt Arthur S.) [Fred Fear & Co] Пат. США 2719091, 27.09.55

Водонерастворимая краска, характеризующаяся нетоксичностью и способностью диспергироваться на водн. поверхности состоит из алюминиевого красочного лака, вводимого в связующее; последнее получают из нетоксичной смолы (типа очищ., гидрированной канифоли и ее эфиров, смолы даммара, кумарониленовых, терпеновых и алкидных смол, пентаэритриттетраабетата и их смесей) и 2) пищевого масла, типа мятного или цедратного масел, их фракций и смесей. Б. Ш.

79699 П. Пластичные составы для покрытий. Агеттен, Фукс (Plastische Massen. Agethen Karl-Heinz, Fuchs Herbert) [Industrielackwerke G. m. b. H.]. Пат. ФРГ 922793, 9.12.54 [Rubber Abstrs, 1955, 33, № 11, 471 (англ.)]

В составе, особенно пригодном для покрытий, содержится один или более продуктов конденсации многоосновной органич. к-ты и продуктов замещения циклич. карбинола, общей ф-лы $\text{R}_1\text{R}_2\text{CCH}(\text{OH})$, CR_3R_4 (где число атомов С, образующих кольцо, равно 5—7, а кол-во R_1 — R_4 , представляющих собой преимущественно метильные группы, составляет во всяком случае половину этого значения; до двух R могут быть H). Продукт конденсации смешивают с совместимым, растворимым в органич. р-рителе пленкообразующим в-вом, напр. хлоркаучуком. Б. Ш.

79700 П. Изоляционное покрытие. Андерсон (Insulating coating. Anderson Mauritz L.) [Raytheon Manufacturing Co.]. Пат. США 2722491, 1.11.55

Композиция изоляционного покрытия для провода содержит ~ 62 вес. % Al_2O_3 в 38 вес. % связующего, состоящего в основном из нитрата алюминия, гидрата окиси алюминия, метанола и воды. М. В.

79701. П. Получение пигмента. Грейди (Pigment production. Grady Frank A.). Пат. США 2719092, 27.09.55

Пигмент состоит из ламповой сажи (I), азинового соединения (II) (из класса дигидроксилнафтольного азина, дифурфуролгидразина, двукоричного гидразинальдегида, N-[2,4-диокси-1,3,5-триацил (6)]-дегидро-тио-толуидин-сульфокислоты или бис-[2,4-диокси-1,3,5-триацид (6)]-диамино-дифенилметанодисульфокислоты) и желтого пигмента (III) типа бледно-желтого, лимонного или среднего Рb-крона, желтой окиси железа, Cd-желтого, Ас-желтой, неаполитанской желтой или ауреолина. Весовое соотношение I : (II + III) составляет от 2 : 3 до 3 : 2, весовое соотношение II : III — от 5 : 1 до 1 : 5. Б. Ш.

79702 П. Желтый пигмент. Пиццарелло, Шнейд (Yellow pigment. Pizzarello Roy A., Schneid Alfred F.) [Interchemical Corp.]. Пат. США 2727044, 13.12.55

Ярко-желтый органич. пигмент — продукт конденсации 1 моля симметричного дихлорангидрида о-фталевой к-ты с 2 молями 1-аминоантрахинона — получают в р-теле, инертном по отношению к реагирующим в-вам; он характеризуется преобладающей длиной волны 576, яркостью 70 и чистотой 71,5 при определении на стекле прозрачной пробы 45%-ной дисперсии пигмента, затертого на полимеризованном льняном масле. Б. Ш.

79703 П. Способ получения основной соли цинка и салициловой кислоты. Кебрич, Питерсон (Verfahren zur Herstellung von basischem Zinksalicylat. Kebrich Leonard M., Peterson Edwin P.) [National Lead Co.]. Пат. ФРГ 926849, 25.04.55

Способ получения Zn-соли ф-лы $ZnO \cdot Zn[C_6H_4(OH)COO]_2 \cdot 3H_2O$ заключается в том, что ZnO вводят в р-цию с салициловой к-той (I), перемешивая смесь при ~ 20° до окончания р-ции; продукт р-ции сушат при 40—80°. При проведении р-ции на 2 моля I берут > 1 моля (до 2 молей) ZnO. Смесь из 130,4 г ZnO, 220,8 г измельченной I и 2000 мл воды помещают в фарфоровую шаровую мельницу, куда добавляют 1,36 кг шариков. Мельницу вращают 16 час. Реакционную массу, которая представляет собой суспензию тонких игольчатых кристаллов, не отфильтровывая, помещают в противень и сушат при 60°. Получают Zn-соль указанного состава, которая имеет уд. вес 1,87. Кристаллы соли оптически анизотропны (коэфф. рефракции 1,604 и 1,675). Продукт применяют в качестве пигмента. Краски, содержащие относительно небольшое кол-во этого пигмента, обладают значительно большей устойчивостью к атмосферным влияниям, чем обычные краски. В. К.

79704 П. Алюминиевая пигментная паста. Аллен (Aluminum paste pigment Allen Everett R.) [Metals Disintegrating Co., Inc.]. Канад. пат. 515262, 2.08.55

Алюминиевая пигментная паста с улучшенной сохранностью способности всплывать (лифтинга) содержит алюминиевый чешуйчатый пигмент, жидкую углеводородную фазу (I), в-во, способствующее всплыванию пигментных частиц и 0,2—5,0% от веса металлч. чешуек алифатич. амида ф-лы $C_nH_{2n+1} - CONH_2$ (где $n = 13-20$) растворимого в I. Паста более стойка, лучше сохраняется, чем паста, не содержащая амида. Б. Ш.

79705 П. Состав покрытия. Уилер (Coating compositions. Wheeler Gordon K.) [R. T. Vanderbilt Co., Inc.]. Канад. пат. 509785, 1.02.55

Пленкообразующая основа, применяемая в лаках,

красках, эмалях, типографских красках и печатных красках для линолеума, в качестве заместителей содержит остатки жирных к-т высыхающего или полувсыхающего масла, а в качестве сиккатива в-ва типа о-фенантролина, моногидрата о-фенантролина и α, α' -дипиридила. В качестве пигментов применяются TiO_2 и сажа (газовая). Пленкообразующей основой могут быть глифталы, модифицированные льняным маслом. Б. Ш.

79706 П. Пигментная паста. Хантер (Paste pigments. Hunter Samuel N.) [Hunter Metallic Products Corp.]. Пат. США 2713006, 12.07.55

Патентуется состав содержащий тонкораздробленные частицы черного металла, смоченные и слипшиеся (коалесцированные) со смачивающим в-вом — 25—80%-ным жидким хлорированным полифенилом, содержащим не > 60% Cl. Смачивание производят до образования мягкой или пластичной пигментной пасты. Б. Ш.

79707 П. Способ получения пигментных дисперсий. Вес (Verfahren zur Herstellung von Pigmentdispersionen. Vesce Vincent Charles) [The B. F. Goodrich Co.]. Пат. ФРГ 924481, 3.03.55

Способ получения пигментных дисперсий улучшенного качества в виде окрашенных пластич. или смолистых смесей, которые можно применять для произ-ва красок, лаков, эмалей, типографских красок путем простого смешивания пигментированных материалов в подходящих р-телях, состоит в том, что смесь пигмента и пластич. в-в — производных целлюлозы (напр. ацетилцеллюлозы), виниловых, чистых и модифицированных алкидных или естественных смол, восков, продуктов конденсации альдегидов, перетирают до получения равномерного диспергирования в присутствии смеси (I) воды с водосмешивающимся р-рителем. Вода вводится в кол-ве $\geq 10\%$ от веса I, достаточном для перевода твердых в-в в жидкотекучее состояние, р-ритель — в кол-ве, придающем пластич. в-вам способность воспринимать пигмент — пигментироваться. Производное целлюлозы применяется в весовом соотношении твердых в-в с жидкостью приблизительно порядка от 1 : 3 до 1 : 10. Готовый продукт — пигментированную пластич. массу отфильтровывают, промывают, сушат и измельчают в порошок. Приведены типовые составы и примеры получения пигментных дисперсий. Б. Ш.

79708 П. Способ получения пигментированного порошка смолы. Дженсен, Уолтон (Method for producing coloring pigment. Jensen Otto, Walton William T.) [Seidlitz Paint and Varnish Co.]. Пат. США 2722485, 1.11.55

Способ получения состоит в том, что к р-ру тонкоизмельченной водонерастворимой смолы в водорастворимом органич. р-рителе порциями при перемешивании добавляют отжатый на фильтрпрессе осадок пигмента (фильтрпрессную лепешку). При легком перемешивании массы пигмент переводится из водн. фазы в смоляной р-р и гомогенно диспергируется в нем. Путем добавления к р-ру ~ 5-кратного объема воды и турбулентного перемешивания водоразбавленной массы р-ритель извлекается из р-ра смолы. Шлам состоит из гомогенной смеси тонкораздробленных частиц смолы и пигмента, он удаляется из разб. водной массы, высушивается и просеивается. Готовый продукт представляет собой порошок пигментированной смолы. Б. Ш.

79709 П. Сополимеры винилароматических соединений, олефиновых кислот и высыхающих масел или их кислот. Бобалек (Copolymers of vinylaromatics, olefinic acids and drying oils or drying oil acids. Bobalek Edward G.) Канад. пат. 516246, 6.09.55 /Ar-co Co.].

Патентуется процесс сополимеризации (при нагревании в пределах 100—180°) мономера моновинилароматич. соединений (напр., стирола в кол-ве 10—60%), монокарбонной олефиновой к-ты и одного (или более) ненасыщ. высыхающего масла, или соответствующей жирной к-ты.

Процесс проводят до получения нежелатинизирующего смоляного состава, содержащего углеродные цепи длиной до 4 атомов С, не считая атомов С в карбоксильных группах.

Б. Ш.

79710 П. Производство обработанных масел типа льняного. Уайтсайд (Production of modified oils, such as linseed oil. Whiteside H.) Англ. пат. 718236, 10.11.54 [Paint Manufact., 1955, 25, № 1, 35 (англ.)].

Масло обрабатывают тонкодисперсным металл. Zn (напр., цинковой пылью) при 82,2—93,3° в течение 24 час., или при ~ 20° в течение 4—6 дней. После выдержки масло сливается и может быть дополнительно осветлено фильтрованием или центрифугированием. Масло используют для изготовления алкидных смол с низкой кислотностью.

М. Г.

79711 П. Процесс модифицирования стиролизованных полиэфиров жирных кислот (Process for the modification of styrenized fatty acid polyesters) [Chemische Werke Albert]. Англ. пат. 721938, 12.01.55 [Paint, Oil and Colour J., 1955, 127, № 2943, 665 (англ.)]

Стиролизованые эфиры ненасыщ. жирных к-т улучшенного качества отличаются повышенной стойкостью к р-рителям и т-ре. Это достигается путем соединения эфиров с алкоголями ди- или поливалентных металлов или стабилизацией их путем добавления эфиров β-кетоканонической к-ты (напр., ацетоканонической), β-дикетон (формиллацетона) или эфиров малоновой к-ты. Предотвращается также вспучивание многослойного автолакового покрытия. Приведены некоторые составы лаков, напр. стиролизованная глифталевая смола и льняные масла.

М. Г.

79712 П. Ускорители высыхания лакокрасочных покрытий. Эрбе (Trocknungsbeschleuniger in Anstrichmitteln. Erbe Friedrich) [Farbwerke Hoechst Akt.-Ges. vormals Meister Lucius & Brünig]. Пат. ФРГ 935689, 24.11.55

Для улучшения высыхания покрытий воздушной сушки предлагается добавлять в покрывной состав ~ 0,05—1,0% кетонов (I), имеющих строение $R_1CH = C(R_2)C(=O)C(R_3)CH_2R_4$ где R_1 и R_2 могут быть, напр. C_6H_5 —, C_6H_5 — $CH = CH$ —, а R_3 и R_4 — H или углеводородные остатки, способные образовывать циклич. структуру. В качестве I могут быть дибензальдегид, п-динитробензальдегид, дисалицилалкилоксанон, дицинамонилциклогексанон (II) ди-(п-диметиламинобензаль)-ацетон, 2,6-дицинамонил-4-метилциклогексанон. I применимы для всех составов покрытий полностью или частично высыхающих под воздействием O_2 воздуха, а также для связующих, не имеющих двойных сопряженных связей. I можно применять один, но предпочтительно вместе с незначительным кол-вом известных металлсодержащих сиккативов. Напр., пленки из льняного масла без сиккативов высыхают в течение 75 час., с 0,1% II — через 33—34 часа, с 0,09% Мп — через 32—46 час., с I + 0,009% Мп — через 10—22 часа, с 0,01% Со — через 24 часа, с I + 0,01% Со — через 9—10 час. I, непосредственно или в смеси с металлсодержащими сиккативами, можно вводить в готовый состав перед его применением или смешивать с одним из компонентов покрывного состава, напр., со связующим или пигментом.

Б. Ш.

79713 П. Процесс регенерации красочной пыли. Шамп (Process for inhibiting the deterioration of coating composition over spray. Champ John E.) Пат. США 2702282, 15.02.55

Процесс регенерации собранной красочной пыли, образующейся при распылительной окраске лакокрасочными материалами, состоит в том, что водн. шлам красочной пыли помещают в закрытый сосуд, добавляют к шламу, в кол-ве 1% от его объема, летучий органич. р-ритель, способный растворять пленкообразующую часть краски и предохранять ее от сгущения или гелеобразования, ре-

генерируют краску из указанного шлама путем отделения от него воды и растворения в летучем органич. р-рителе того же типа, что и р-ритель, содержащиеся в покрывном составе, из которого получен распыл.

М. Г.

79714 П. Полирующая и очищающая смесь и метод ее приготовления. Траслер (Polishing and cleaning compound and method of making. Trusler Ralf B.) [The Davis-Young Soap Co.]. Канад. пат. 513117, 24.05.55

Жидкий состав для полирования представляет собой 20%-ный р-р этиленгликолевого эфира монтановой к-ты (кислотное число эфира 20—50) в нефтяном р-рителе (т. всп. 50—90°). Для получения тонкой суспензии добавляется 2—4 ч. воска на 100 ч. р-рителя.

О. С.

79715 П. Красочный состав, пригодный для применения в копируемых красках. Уэббер (Coloring composition adapted for use in duplicating inks. Weber Thomas Gray (E. I. du Pont de Nemours & Co.). Пат. США 2727825, 20.12.55

Патентуемый красочный состав состоит по большей части в основном из водонерастворимых, спирторастворимых солей различных основных красителей типа триарилметановых, роданиновых и сафраниновых красителей. Соли последних получают при взаимодействии красителей с нафталинсульфокислотой (типа нафталин ди- и нафталинтрисульфокислоты) или ее окси-, амино- и аминооксипроизводными, а так же их солями щел. металлов.

Б. Ш.

79716 П. Типографская краска, содержащая пигмент TiO_2 . Анкрам (Titanium dioxide pigment and printing inks containing the same. Ancrum Robert W.) [National Lead Co.]. Канад. пат. 512314, 26.04.55

Прочная «невыцветающая» типографская краска содержит маслянистое связующее, в котором диспергированы частицы улучшенной, особенно пригодной для типографских красок, прокаленной пигментной TiO_2 . Пигмент получают совместным прокаливанием TiO_2 и Sb_2O_3 (или соединения, дающего при прокаливании Sb_2O_3). Кол-во Sb в прокаленном продукте, рассчитанное на Sb_2O_3 , составляет 1% (или находится в пределах 0,1—10,0% от веса TiO_2). Пигмент обрабатывают в водн. среде $Al(OH)_3$ в кол-ве 1% или 0,2—5,0% в расчете на Al_2O_3 от содержания TiO_2 и прокалывают.

Б. Ш.

79717 П. Типографская краска (Printing ink.) [Interchemical Corp.]. Австрал. пат. 164256, 4.08.55

Краска содержит флуоресцирующий на дневном свете краситель, растворимый в летучем органич. р-рителе, и р-р совместимой смеси нитроцеллюлозы с алкидной смолой, модифицированной ароматич. монокарбоновой к-той. Кол-во красителя должно быть достаточным для флуоресцирования (под влиянием дневного света) пленки высохшей краски.

Б. Ш.

См. также: Пигменты 79560; анализ 78507. Методы испытания покрытий 80267, 80268. Техника безопасности при окраске 80423

ЛЕСОХИМИЧЕСКИЕ ПРОДУКТЫ. ЦЕЛЛЮЛОЗА И ЕЕ ПРОИЗВОДНЫЕ. БУМАГА

79718. Распределение целлюлозы и гемицеллюлоз в клеточных стенках ели, березы и хлопка. Часть VII. Асунимо, Ланге (The distribution of «cellulose» and «hemicellulose» in the cell wall of spruce, birch and cotton. VII. Asunmaa Saara, Lange Paul W.). Svensk. papperstidn., 1954, 57, № 14, 501—516 (англ.; рез. нем.)

Холоцеллюлоза распределяется в клеточных стенках ели и березы сравнительно равномерно. Наблюдается тенденция к увеличению в-в углеводного характера около внешней области клеточной стенки. Целлюлоза наиболее плотно упакована вокруг полости клеток в ели и березе, с относительно вдвое меньшей плотностью упаковки в самых

внешних слоях. Гемиллюлозы составляют половину или более всех углеводов в наружной области клеточных стенок ели и березы. Вокруг полости клеток содержание углеводов, состоящих из гемиллюлоз, составляет 10—20%. В хлорке целлюлоза примерно равномерно распределена в клеточной стенке. Небольшое кол-во «доступного» материала распределяется по внешней области стенок волокна. Часть VI. См. РЖХим, 1955, 44796. М. Ч. 79719.

Фракционирование и идентификация составных частей гемиллюлозы черной ели. Клермон (Fractionation and identification of the hemicellulose components of black spruce. Clermont L. P.), Pulp and Paper Mag. Canada, 1955, 56, № 11, 107—114 (англ.)

Холоцеллюлоза черной ели последовательно экстрагировалась горячей водой, 5%-ным и 16%-ным р-ром КОН. Полученные фракции, в свою очередь, фракционировались путем растворения водорастворимых фракций в воде, а растворимых в щелочах — в формамиде и осаждением постепенным прибавлением спирта, причем было получено всего 20 фракций, в состав которых входят одинаковые сахара — ксилоза, арабиноза, манноза, галактоза и глюкоза, но различных соотношениях. Фракции резко отличаются друг от друга мол. весом. Хим. состав и вязкость показывают, что каждая фракция является сложной смесью полисахаридов, из которой удалось выделить 2 преобладающих полимера; основой одного из них является манноза, другого — ксилоза. Ю. В.

79720. Альдобуируновые кислоты гемиллюлозы В овсяной шелухи. Фокнер, Адамс (The aldobioouronic acids of hemicellulose B of oat hulls. Falconer E. L., Adams G. A.), Canad. J. Chem., 1956, 34, № 3, 338—344 (англ.)

Овсяная шелуха, освобожденная от экстрактивных в-в и пектина, последовательно экстрагирована 2%-ным р-ром воды, 5%-ным р-ром NaOH и 10%-ным р-ром NaOH. Фракции, в свою очередь делились на гемиллюлозу А, осаждаемую слабым подкислением экстрактов уксусной к-той, и на гемиллюлозу В, остающуюся растворенной в подкисленных экстрактах и осаждаемую из них 4 объемами спирта. При частичном гидролизе гемиллюлозы В выделены альдобуируновые к-ты: 2-О-(4-О-метил- α -D-глюкопируронозил)-D-ксилоза (идентифицированная с помощью хроматографии на бумаге) и 2-О-(α -D-глюкопируронозил)-D-ксилоза. Кроме того, выделены две альдотриуируновые к-ты, одна из которых превращается после гидролиза в ксилозу и 4-О-метилглюкуроновую к-ту, а другая — в ксилозу, галактозу и глюкуроны. Ю. В.

79721. Хроматографическое исследование на бумаге конденсатов от пропаривания красного бука. Плат, Плат (Papierchromatographische Untersuchungen an Dampfkondensaten von Rotbuche. Plath Erich, Plath Lore), Holz Roh- und Werkstoff, 1955, 13, № 6, 226—237 (нем.)

Проведены опыты пропаривания красного бука при 80—110°, в течение 100 час. Конденсаты исследовали методом хроматографии на бумаге. Для проявления хроматограммы редуцирующих сахаров применяли р-р анилинфталата в бутаноле, содержащем воду. Для проявления хроматограммы кетоз применяли нафторезорцин — трихлоруксусную к-ту. В качестве р-ригелей были исследованы: буганол — уксусная к-та — вода (4 : 1 : 5); буганол — пикилин — вода (6 : 4 : 3); фенол, насыщ. водой, + 1% аммиака; бутанолдиметилформамид — вода. Даже при 100-часовом пропаривании древесины при 80° в конденсатах найдены лишь следы l-арабинозы и галактозы (а также и галактуроновой к-ты). С повышением т-ры содержание указанных в-в увеличивается, но главная часть состоит из l-арабинозы, что объясняется образованием ее из галактуроновой к-ты за счет вторичных р-ций. Ксилозы в конденсатах меньше, чем арабинозы, манноза отсутствует. Найдены глюкоза, ксилоза, рамноза, сопровождающие пектины плодов. Установлено присутствие небольших

кол в глюкуроновой к-ты. При пропаривании древесины при 100° в р-р переходит 0,05—0,07% гемиллюлоз. Удаление наиболее легко растворимых набухающих пектинов и некристаллических гемиллюлоз улучшает технологич. свойства древесины, в частности, состояние гигроскопич. равновесия. С. Е.

79722. Окисление метанол- и этанолигнинна сосновой древесины. Вацек, Лимончев (Oxydationsversuche an einigen Methanol- und Äthanol-Ligninen des Fichtenholzes. Wacek A., Limontschew W.), Monatsh. Chem. 1953, 84, 3, 453—460 (нем.)

Этанол- или метанолигнинны, полученные по Гибберту, окислены CrO_3 в лед. уксус. к-те, и после удаления к-т омылены. Выделены ванилиновые к-ты. Т. И.

79723. Этанализ 3-окси-1- (4-окси-3-метоксифенил)-2-пропанола в связи с химией лигнина. Гарднер (The ethanalysis of 3-hydroxy-1-(4-hydroxy-3-methoxyphenyl)-2-propanone in relation to lignin chemistry. Gardner J. A. F.), Canad. J. Chem., 1954, 32, № 5, 532—537 (англ.)

Показано, что при этанолизе получают те же 4 производных (4-окси-3-метоксифенил)-пропана: $\text{RCOCH}(\text{OC}_2\text{H}_5)_2$, CH_3 , $\text{RCOCH}(\text{OC}_2\text{H}_5)_2$, $\text{RCH}(\text{OC}_2\text{H}_5)_2$, $\text{RCH}_2\text{COCH}_3$ ($\text{R} = 4$ -окси-3-метоксифенил), которые были получены Гиббертом при этанолизе древесины. Суммарный выход в среднем в 5 раз больше, чем при этанолизе различных образцов лигнина. Приведены способы выделения и идентификации указанных в-в. Е. К.

79724. Производство уксусной кислоты. Шостаковский М. Ф., Кононов Н. Ф. Химия в школе, 1954, № 6, 15—23

Популярная статья. Рассмотрены биохим., лесохим. и синтетич. методы. М. С.

79725. Таксономия и химия белой сосны (секция *Haploxylo*). Милов (Taxonomy and chemistry of the white pines. Mirov N. T.), Madrono, 1953, 12, № 3, 81—89 (англ.)

Приведены данные о составе скипидаров сосен секции *Haploxylo* и их видовом родстве. А. Х.

79726. Опыт перегонки в крупнозаводском масштабе живицы сосны *Pinus caribaea* из Британского Гондураса. Ковни, Излип, Маттьюс (Large-scale distillation trial of slash pine oleo-resin from British Honduras. Coveney R. D., Islip H. T., Matthews W. S. A.), Colon. Plant and Animal Prod., 1954, 4, № 3, 235—239 (англ.)

При перегонке живицы *P. caribaea* получено в среднем 18,5% сырого скипидара и 77,8% канифоли темного цвета, обусловленного присутствием в ней Fe, так как живица перевозилась в железных барабанах. Скипидар, полученный после перегонки сырого скипидара, отличался исключительно высоким содержанием α -пинена (n_D^{20} 1,468; $d_{15,5}^{15,5} = 0,8614$). Физ. показатели канифоли за исключением кислотного числа и цвета близки к показателям американской канифоли. Я. К.

79727. Об объемном весе древесины пневного соснового осмола. Медников Ф. А., Тюльпанова Т. Н., Махова Г. С. Техн. информ. по результатам научн.-исслед. работ. Ленингр. лесотехн. акад., 1956, № 38, 27—32

При определении стереометрич. методом об. вес древесины осмола при влажности 7,14% и смолистости 16,16% (осмол средней смолистости) равен 0,649 г/см³; при влажности 8,17% и смолистости 27,6% (жирный осмол) — 0,771 г/см³. Об. вес обессмоленной и абсолютно сухой древесины осмола (после экстракции серным эфиром и высушивания до постоянного веса составил 0,436 г/см³. Более высокие значения об. веса) осмола получены методом погружения древесины в воду. Осмол мелкой разделки имеет более высокий об. вес, чем крупной. А. Х.

79728. Получение продуктов реверсии глюкозы и определение среднего числа глюкозных остатков в их молекуле. Одинов П. Н., Преображенский А. И., Latvijas PSR zinātņu akadēmijas Vēstis, Изв. АН ЛатвССР, 1956, № 2, 73—80 (рез. латыш.)

Изучались продукты реверсии глюкозы, получающиеся при воздействии на нее (в 40 об. % и 30 об. % р-рах) концентрированной (75 вес %) H_2SO_4 при 20° в течение 50 час. Описана методика выделения семи фракций продуктов реверсии, в которых определялись их средние мол. веса (по Вильштеттеру — Шудлю) и уд. вращение. Результаты определений сведены в таблицу. Одновременно кол-во глюкозных остатков в продуктах реверсии определялось брожением. Для проведения опытов был взят прибор Кюйвера-Итерсона. Установлено, что в условиях опыта среднее кол-во глюкозных остатков в молекулах продуктов реверсии равно 5 с колебанием их кол-ва в отдельных фракциях от 2 до 18. Сравнение полученных результатов с данными Фрама, изучавшим продукты реверсии глюкозы при воздействии на нее 40.8% HCl , показывает, что H_2SO_4 дает более полную реверсию глюкозы, чем сверж. концентрированная HCl . Н. Б.

79729. Использование древесных отходов для производства сахара. Швенцон (Využití dřevního odpadu k zskávání cukru. Schwenzon K.), Papír a celulóza, 1955, 10, № 9, 173—175 (чеш.; рез. русс.)

Описаны два метода переработки древесных отходов путем кислотного гидролиза. По 1-му методу применяется 0.4%-ная H_2SO_4 при 170°; из 100 кг древесины получается 16—20 л 96%-ного C_2H_5OH и 3—4 кг кормовых дрожжей. По 2-му методу гидролиз ведется с конц. HCl , при обычных т-ре и давлении (дана технологич. схема); из 100 кг древесины получается 31 кг кристаллич. виноградного сахара + 16,7 кг сиропа, содержащего 50% сахара. Сироп используется как корм или для сбраживания. Из гидролизата получают также бутанол, ацетон, сорбит и пр. З. Б.

79730. Количественное определение сахаров хроматографией на бумаге в целлюлозной промышленности. Рентц (Quantitative papierchromatographische Zuckerbestimmung in der Zellstoffindustrie. Rentz Arpold), Das Papier, 1956, 10, № 9-10, 192—200 (нем.; рез. англ., франц.)

Показана непригодность колич. определения сахаров (С) хроматографированием на бумаге путем измерения величины пятен. Для колич. определения С предложен следующий метод: точную навеску воздушно-сухой целлюлозы, отвечающей 0,5 г абс. сухой целлюлозы, смачивают 5 мл 72 %-ной H_2SO_4 (по весу), часто помешивают в течение 4 час. при 20°, прибавляют 160 мл воды и кипятят 6 час. с обратным холодильником, после чего нейтрализуют в чашке суспензией 17,5 г $BaCO_3$ в воде до слабощелочной р-ции на лакмус (конго не должно синеть). Осадок $BaSO_4$ фильтруют, промывают 5 раз по 20 мл кипящей воды, к фильтрату прибавляют 5 мл 10%-ной CH_3COOH , упаривают в вакууме, фильтруют в колбу на 100 мл и доводят водой до метки; рН р-ра 5. Общий гидролиз других целлюлозных сырых материалов проводят аналогично, но при высоком содержании лигнина, удваивают навеску исходного в-ва и кол-во реактивов. Выход С почти теоретич. (111%). Смесь *n*-бутанола, CH_3COOH и воды (4:1:5) или *n*-бутанола, пиридина и воды (6:4:3) для хроматограф. разделения С дает хорошие результаты при наличии 3 С, напр. глюкозы, маннозы и ксилиты, но не пригодна для разделения, если присутствует пять С, как это имеет место в случае древесины и отработанных сульфитных щелоков. Найдено, что для разделения всех С быстрые и точные результаты дает смесь пиридина, этилацетата и воды (1:2,5:3,5). Приведены некоторые подробности для анализа древесины, волокнистых материалов, отработанных сульфитных щелоков и т. п. Метод пригоден также для контроля всех стадий вискозного процесса и произ-в ацетил- и нитроцеллюлозы. Ю. В.

79731. Консервирование древесины. I. Санчис-Баталья (Preservación de la madera. I). Sanchis Batalla Adelardo), Ion, 1956, 16, № 174, 11—16 (исп.)

Обзор. Библ. 19 назв.

К. Г.

79732. Давление паров в ядре западного гемлока при кипячении его под вакуумом в креозоте. Брамхолл, Коннерс (Vapor pressures in western hemlock heartwood during boiling under vacuum in creosote. Braham G., Connors W. M.), Forest Prod. J., 1955, 5, № 4, 267—271 (англ.)

Определялось давление паров в ядре древесины западного гемлока различной влажности (9—24%) при кипячении под вакуумом в креозотном масле при разной т-ре. Оно увеличивалось с увеличением влажности и при любой влажности с повышением т-ры. Давление паров в древесине колебалось от 0,049 до 0,399 kg/cm^2 . Д. Л.

79733. Сравнительные опыты по выщелачиванию образцов древесины, вырезанных из пропитанных солями отрезков еловых столбов. Херинг (Vergleichende Auslaugversuche an Holzproben aus salzgetränkten Fichtenmastabschnitten. Herzog Julius), Holz Roh- und Werkstoff, 1955, 13, № 1, 1—5 (нем.)

Проводились опыты по определению времени, необходимого для полного закрепления антисептика на волокнах древесины с целью уменьшения его выщелачиваемости. Испытывались 6 водорастворимых неорганич. антисептиков: UA , FEU , HUZ , U , HUX , FES ; первые 5 содержат соли хрома, UA содержит также мышьяк. Пропитанные еловые столбы выдерживались перед испытанием от 1 до 10 недель при 18—20° и влажности 60—70%. Из них вырезались образцы толщиной около 2 см, которые испытывались на выщелачиваемость в течение 6 дней; вода менялась через сутки. Установлено, что с увеличением времени выдержки от пропитки до использования древесины выщелачиваемость антисептика уменьшается. Микологич. исследования образцов показали (визуальная оценка), что после выщелачивания они сохраняют достаточную токсичность. Антисептики UA , FEU , HUZ рекомендуются для пропитки древесины, используемой под открытым небом, FEU и HUZ для подземных построек и жилых помещений, эксплуатируемых при повышенной влажности; FES , U и HUX — для пропитки древесины жилых помещений и в условиях работы со средней опасностью выщелачивания. Е. А.

79734. Испытание действия защитных (противогрибковых) средств древесины разными лабораторными способами. Реннерфельт (Prüfung der pilzwidrigen Wirksamkeit von Holzschutzmitteln mit verschiedenen Laboratoriumsverfahren. Rennerfelt Erik), Holz Roh- und Werkstoff, 1954, 12, № 8, 304—306 (нем.)

Испытано различными способами (DIN 52170, землей и др.) защитное действие 6 разных каменноугольных масел, солей Бюлидена и Вольмана; К 55; S 25. Г. Б.

79735. Пропитка древесины хвойных под высоким давлением. Эллуд (Softwood impregnation at high pressures. Ellwood E. L.), Timber Technol., 1955, 63, № 2198, 644, Forest products newsletter., 1955, № 205 (англ.)

При пропитке древесины хвойных креозотом при 59° и давлении ~ 70 ат в течение 1 часа образцы дугласовой пихты (*Abies douglasii*) поглощали ~ 88 kg/m^3 креозота, наблюдалось искривление и сплющивание; образцы новозеландской сосны (*Pinus radiata*) в тех же условиях поглощали ~ 689 kg/m^3 без заметных изменений (искривление, сплющивание). Н. Р.

79736. Борьба с микроорганизмами в целлюлозно-бумажной промышленности. Вильямс (Micro-organism control in the pulp and paper industry. Williams A. E.), World's Paper Trade Rev. 1953, November, 38, 40, 42, 45—46, 48, 50 (англ.)

Описано действие фенилмеркуриацетата, пентахлор-фенолята-Na, их применение и устройство автоматич. дозаторов, используемых при даче консервирующих средств (жидких и порошкообразных) и в процессе консервирования. А. Х.

79737. Новые исследования по горючести древесины. Енцш (Neuere Untersuchungen zur Klassifizierung der Brennbarkeit von Holz. Jentzsch H.), Holz, Roh- und Werkstoff, 1954, 12, № 5, 197—198 (нем.)

Описана аппаратура, предназначенная для колич. характеристики горючести древесины, а также для определения «интенсивности тления» (укорочение бруска под действием определенного источника тепла). Отмечается хорошая воспроизводимость измерений и относительно низкая затрата средств. Е. А.

79738. Исследовательская работа на целлюлозной фабрике в Вальдгофе. Заксе (Über die Forschungsarbeit der Zellstofffabrik Waldhof. Sachsse H. n. s.), Das Papier, 1956, 10, № 7-8, 123—134 (нем.; рез. англ., франц.)

Доклад на собрании объединения химиков и инженеров целлюлозно-бумажной промышленности по использованию древесины бука для получения целлюлозы для вискозы и другого искусств. волокна; усовершенствованию методов отбелки, проклейки, сушки бумаги и различных для нее покрытий. Разрабатываются вопросы, связанные с выработкой полуцеллюлозы из хвойных и лиственных пород и древесных отходов, а также способы получения синтетич. смол на основе лигнина. Большое внимание уделяется синтезу новых органич. препаратов на основе в-в, выделенных из отработанных щелоков. Дрожжи, получаемые при сбраживании щелоков, используются для получения различных витаминов (В₁, В₂, В₆, пантотеновая к-та, фолевая и др.), гормонов, антибиотиков, азотсодержащих в-в типа аденозинмоно-(ди- или три)-фосфорная к-та и др. Ведутся исследования и в области усовершенствования аппаратуры бумажного произ-ва и разработки физ. методов контроля. Высказано мнение, что весь цикл исследований от лабор. работ до ползаводских испытаний следует проводить под руководством одного лица. Отмечается необходимость экономич. расчетов при суждении о перспективности данного направления в исследовательских работах. Н. Р.

79739. Изготовление древесного волокна. Фосс (Zur Frage der Aufbereitung von Holzfaserstoff. Voß K. I. a. u. s.), Wochenbl. Papierfabr., 1954, 82, № 23, 954, 956—958, 960 (нем.)

Описаны способы измельчения отходов лесопильного произ-ва и дана характеристика древесного волокна, идущего на изготовление древесноволокнистых плит. Обычно применяется волокно со степенью помола 8—15° ШР. Н. Р.

79740. Древесные опилки в промышленности искусственного волокна и пластмасс. Палаццо (La segatura di legno nell'industria dei tessuti artificiali e delle materie plastiche. Palazzo F. C.), Chimica e industria, 1955, 37, № 5, 343—344 (итал.; рез. франц., англ., нем.)

Целлюлоза, полученная методами кислотных или щел. варок из древесных отходов, включая опилки, может быть обогоржена и переработана на вискозу, ацетилцеллюлозу и т. д. З. Б.

79741. Сульфидность при варке крафтцеллюлозы из южной сосны. Чесли, Гилмонт (Sulphidity in southern pine kraft pulping. Chesley K. G., Gilmont P. L.), Tappi, 1955, 38, № 5, 279—282 (англ.)

Сульфидность щелоков при варке крафтцеллюлозы различна на разных ф-ках. Приведено следующее практич. выражение для процента сульфидности (считая на всю щель): процент сульфидности $\pm 2 = 12,85 + 0,0175K + 0,06Y$, где $X = 1$ кг сульфата, а $Y = 1$ кг серы на 1 т целлюлозы (Ц). В результате лабор. и производственных исследований установлено, что качество Ц

из древесины южной сосны не снижается при уменьшении сульфидности с 30 до 20%. Некоторое ухудшение физ.-мех. свойств Ц наблюдалось при снижении сульфидности с 19 до 11%. Признано возможным работать при 17—19% сульфидности вместо 26%, как это считалось раньше. М. Н.

79742. Делигнификация древесины эвкалипта едким натром и сульфидом натрия. Бланд, Баттерем (Delignification of the wood of *Eucalyptus regnans* F. Muell. by sodium hydroxide and by sodium sulphide. Bland D. E., Batterham Audrey), Austral. J. App. Scil., 1954, 5, № 1, 41—50 (англ.)

Изучен процесс делигнификации древесины эвкалипта (*Eucalyptus regnans* F. Muell.) с 0,5 н. NaOH и 0,5 н. сульфидом натрия при 130, 150, 170°. Скорость делигнификации с 0,5 н. NaOH и удаление других составных частей древесины возрастали с повышением т-ры: при 150° она была примерно вдвое больше, чем при 130°, а при 170° вдвое больше, чем при 150°. Сульфид натрия удалял лигнин более быстро, чем NaOH при тех же условиях. Увеличение конц-ии ускоряло действие сульфида в большей степени, чем NaOH. Зависимость кол-ва лигнина (в %), удаляемого сульфидом (2 часа при 150°), была примерно линейной от конц-ии. Опыты со щепой различной формы показали, что направление волокна не влияет на удаление лигнина щелочью, но в тех же условиях опыта сульфид лучше удалял лигнин в продольном направлении. М. Ч.

79743. О производстве целлюлозы. Суллилу (Sur la route de la cellulose. Soullilou A.), Rev. bois, 1953, 8, № 11, 14—18 (франц.)

79744. Оценка беленой крафтцеллюлозы для картона, применяемого в производстве коробок. Хиггинс, Льюис (Evaluation of bleached kraft pulps for boxboard. Higgins J. J., Lewis R. L.), Fibre Containers, 1953, 38, № 9, 110, 112, 114 (англ.)

79745. Рентгенографическое исследование термически обработанных древесной целлюлозы и холоцеллюлозы. Сергеева В. Н., Иевнищ А. Ф., Янсон Э. Ю., Latvijas PSR zinātņu akadēmijas Vēstis, Изв. АН ЛатвССР, 1956, № 2, 81—86 (рез. латыш.)

Образцы для исследования готовили из поздней березовой древесины в виде пластинок (срез острой бритвой) 1—2 см длиной и 1—2 мм шириной. Для получения холоцеллюлозы (Х) эти пластинки обрабатывали в темной склянке 0,3%-ным р-ром ClO₂ из расчета 3 л на 1 г древесины. К р-ру добавляли 56 мл 30%-ного водн. р-ра пиридина. Смесь оставляли на 30 дней при частом взбалтывании. Остаток отфильтровывали и тщательно промывали. Обратку повторяли 18 дней, если обнаруживали лигнин. Х сохраняли в виде пластинок. Целлюлозу (Ц) готовили гидролизом Х 2,5%-ной HCl при нагревании на водяной бане в течение 10 час. Образцы сушили до воздушно-сухого состояния и готовили препараты 13—15 мм длиной и 0,2—0,3 мм шириной для термич. обработки, которую осуществляли в стеклянных трубках (10 см длины, 1—2 мм диаметром), суженных с одного конца до 0,5 мм. Рентгенограммы исходных Ц и Х идентичны. Рентгенограммы препаратов (березовой) Ц и Х, обработанных до 105, 155, 234°, не изменяются, при нагревании до 260° в препаратах наблюдается некоторое повышение степени ориентированности. При нагревании до 300° текстура древесной Ц и Х, как и в случае хлопковой Ц, исчезает. Сделан вывод, что в березовой Х кристалличность присуща только Ц. А. Х.

79746. О новом щелочном растворителе целлюлозы: система целлюлоза—Fe(OH)₃—винная кислота—NaOH. Яйме, Фербург (Über ein neues alkalisches Lösungsmittel für Cellulose: das System Cellulose—Eisen (III)—hydroxyd—Weinsäure—Natriumhydroxyd. Jayme G., Verburg W.), Reyon, Zellwolle und and. Chemiefasern, 1954, 32, № 5, 275—279 (нем.)

Наибольшая растворимость целлюлозы (I) в комплексном р-рителе получается, если состав содержит (на сухое в-во) 5,5—8% Fe(OH)₃, 39—46% винной к-ты и 48—56% NaOH при конц-ии его в водн. р-ре ~ 350 г/л. Образующийся при растворении I комплекс [(C₄H₅O₆)₃Fe]Na₃ обуславливает образование в р-ре «свободного NaOH» 2—3 н. конц-ии. Максим. конц-ия I в р-ре достигает 7,5% (чего нельзя осуществить с Na-цинкатами). I может быть выделена из р-ра в виде прозрачных пленок и нитей. Попытки замены в комплексе Na на K и Li, а винной к-ты — другими соединениями, содержащими COOH и OH-группы, не привели к положительным результатам. Возможности применения нового р-рителя ограничиваются р-циями I в щел. среде (мерсеризация, ксантогенирование, образование простых эфиров и т. п.). См: РЖХим, 1956, 59888. Ю. В.

79747. К вопросу о влиянии молекулярной неоднородности вискозной сульфитной целлюлозы на ее реакционную способность. Комаров Ф. П. Бум. пром-сть, 1954, № 2, 14. См. РЖХим, 1956, 66790.

79748. Влияние содержания азота в нитратах целлюлозы на вязкость растворов. Рибер (Der Einfluss des Stickstoffgehaltes auf die Viskositätszahl des Cellulosenitratates. R i b e r O d d), Norsk skogind., 1955, 9, № 6, 204—207 (нем.; рез. англ.)

При нитровании целлюлозы в мягких условиях смесью азотной и фосфорной к-ты и фосфорного ангидрида можно перевести ее в нитроцеллюлозу (I) без изменения степени полимеризации (СП) целлюлозы. С повышением содержания N в полученной I повышается также характеристическая вязкость η , вычисленная по ур-ниям: $СП = K_1 \eta$ или $СП = K_2 \eta^a$. Для определения η можно пользоваться ур-нием $\eta_{13,8\%N} = A_N \eta_N$, где A_N — пересчетный коэфф. для перевода величин η , полученных для р-ров I (при любом проценте) N на I с 13,8% N ($\eta_{13,8\%N}$). Для I хлопковой A (12% N) = 1,93—1,97, для I из сульфитной целлюлозы A (12% N) = 1,90; с повышением содержания N величина A падает с 1,90—2,0 до 1,0 (при N = 13,8%). Приведены графики для расчета величин A. А. П.

79749. Изучение реакции сероуглерода с едким натром методом абсорбционной спектрографии. Трейбер, Ланг, Мадер (Absorptionsspektrographische Beiträge zur Kenntnis der Reaktion von Schwefelkohlenstoff mit Natronlauge. T r e i b e r E., L a n g W., M a d e r E.), Holzforschung, 1954, 8, № 4, 97—103 (нем.; рез. англ.)

Приведены результаты исследования продуктов взаимодействия NaOH и CS₂, образующихся при ксантогенировании целлюлозы. Особое внимание обращено на образование солей надтиугольной к-ты. Н. Р.

79750. Успехи в области переработки и регенерации отработанных щелоков целлюлозно-бумажной промышленности за период с 1939 по 1954 г. Матагрэн (Nouveautés et progrès, de 1939 à 1954, dans les traitements et récupérations sur lessives résiduelles de papeterie. M a t a g r e n A m.), Papeterie, 1954, 76, № 5, 305, 307, 309; № 6, 381, 383, 385, 387, 389; № 7, 449, 451, 453, 455, 457; № 8, 502—506; № 9, 567, 569, 571, 573, 574; № 10, 637, 639, 641—643; № 11, 697, 699, 701, 703, 705, 707; № 12, 803 805, 807; 1955, 77, № 1, 45, 47, 49—51; № 2, 115, 117, 118, 120, 121; № 3, 187, 189, 191, 193, 195; № 4, 265, 266, 268, 269; № 5, 331, 333, 335, 337; № 6, 425, 427, 429 (франц.)

Обзор по вопросу использования и очистки отработанных щелоков (сульфитные различными основаниями, сульфатные, натронные, от переработки макулатуры, от производства целлюлозы хлорным способом) в разных странах (США, Канада, Скандинавские страны и др.). Приведен состав щелоков. Библ. 396 назв. Н. Р.

79751. Термодинамика процесса сжигания щелоков целлюлозного производства, содержащих Na-соединения. Бауэр, Дорленд (Thermodynamics of the combustion of sodium-base pulping liquors B a u e r T h o m a s W., D o r l a n d R o d g e r M.), Canad. j. J. Technol., 1954, 32, № 3, 91—101 (англ.)

Приведены термодинамич. данные сжигания сульфатных щелоков. А. Х.

79752. Усовершенствование конструкции кулачковой коробидки «Тампелла». Агеев И. К., Красильников В. М., Бум. пром-сть, 1956, № 4, 18—19

79753. Установка для концентрирования сульфитных щелоков, работающая на паре среднего давления. II. О'Донoghю, Годдард, Эллер (Medium pressure steam concentration of waste sulphite liquor — II. O'Donoghue J. P., Jr. Goddard H. O., Helleur D.), Pulp and Paper Mag. Canada, 1953, 54, № 3, 230—238 (англ.)

Часть I см. Pulp and Paper Mag. Canada, 1950, 51, № 3, 134—141

79754. Исследования по разработке метода определения конца сульфитной варки для целлюлоз, предназначенных для химической переработки. Протекта, Рутковский, Синдер-Лопинская (Badania nad opracowaniem metody ustalenia końca procesu warzenia siarczynowego dla mas celulozowych przeznaczonych do przerobu chemicznego. P r o t e k t a J e r z y, R u t k o w s k i J a n, S i n d e r - L o p i n s k a I r e n a), Prace Inst. celul.-papiern., 1955, 4, № 2, 24—33 (польск.; рез. русск., англ.)

Произведен в заводских условиях контроль сульфитной варки с целью правильного определения конца этого процесса по цвету щелока, по вязкости и по коэфф. рефракции щелока. За критерий оценки результатов принята зависимость вышеупомянутых показателей варочного щелока от вязкости целлюлозы и степени ее провара в конечной стадии варки. Определение конца варки на основании фотометрич. исследований цвета щелока дает возможность получить целлюлозу с требуемой вязкостью (точность ± 5 ст/уз) и степенью провара. Методы, основанные на использовании коэфф. рефракции и вязкости щелока, не дали в современных производственных условиях положительных результатов. А. Х.

79755. Анализ Na-карбоксиметилцеллюлозы титрованием в безводной среде. Сидери, Озол (A nonaqueous titration assay for sodium carboxymethylcellulose. S i d e r i C a t h e r i n e N., O s o l A r t h u r J.), Amer. Pharmac. Assoc. Scient. Ed., 1955, 44, № 12, 759—760 (англ.)

Приведены 2 варианта метода определения Na в Na-карбоксиметилцеллюлозе (I) титрованием надхлорной к-той (II) в лед. уксусной к-те (III): а) 500 мг I нагревают с 80 мл III в течение 20 мин. на кипящей водяной бане, охлаждают до ~20° и титруют 0,1 н. р-ром II в диоксане, определяя конец титрования потенциометрически; 1 мл 0,1 н. II эквивалентен 2,299 мг Na; б) 500 мг I осторожно озоляют в платиновом тигле, после охлаждения остаток растворяют в III и далее поступают, как описано выше. Оба варианта метода проверены на 3 образцах I параллельно с методом осаждения Si-соединения и применяемым в произ-ве методом озоления с последующим превращением в сульфат Na. Последний метод дал наиболее высокие результаты (в Na₂SO₄ найдено Fe), наиболее низкие результаты — вариант а), очевидно, часть I не входит в р-цию в образующейся дисперсной системе. Ю. В.

79756. Новый австрийский способ переработки макулатуры. Бер (New Austrian waste paper recovery method. B e r F. H.), Paper Ind., 1955, 37, № 5, 435, 465 (англ.)

Макулатура загружается в герметич. стальной бак, в котором создается вакуум, а затем подается воды. р-р, содержащий хим. реагенты (названия не указаны) для

размягчения и набухания. Вакуумирование способствует равномерной пропитке бумаги, продолжающейся 20 мин. После этого макулатура ленточным транспортером, погруженным в воду, подается в гидроразбиватель, снабженный вертикальной мешалкой. Благодаря различному уд. весу и объему волокна и посторонних включений волокно уносится водой на очистку, а включения (клей, смола, типографская краска и др.) сбрасываются в сток. Узлы волокон размалываются на 12-ступенчатом микродезинтеграторе. Затем масса обезвоживается, сортируется и прессуется. В рулонах или мешках она отправляется потребителю. Скорость движения массы в установке 3,7—9,8 м/сек; т-ра обработки 20—30°; конц-ия хим. реагентов 0,5 об. %. Производительность установки 20 м/с/утки (6000 м/год). Стоимость полученной целлюлозы всего на 20% превышает стоимость макулатуры. На установке можно регенерировать как волокно, так и каолин.

Н. Ц. 79757. Отделка бумаги на суперкаландах. Юй Чан-цзин, Бум. пром-сть, 1956, № 5, 10—14

Опыты проводились с документной бумагой (Б) (вес 75 г/м²) на семивальном эксперим. суперкаландре (рабочая ширина 400 мм) и линейных давл. 61 и 106 кг/см при $n=2$ (число захватов); 66 и 111 кг/см при $n=4$; 70 кг/см, 115 и 165 кг/см при $n=6$; скоростях 30, 130 и 160 м/мин. Каландрирование производилось короткое время. Гладкость лицевой стороны возрастает пропорционально повышению давления, увеличение числа захватов также влияет на гладкость Б, но при скорости 30 м/мин увеличение числа захватов выше 5 не повышает гладкости Б. Гладкость лицевой стороны Б уменьшается с возрастанием скорости суперкаландра; в этих же условиях гладкость сеточной стороны Б также понижается, но понижение гладкости сеточной стороны Б невелико. Показатели лоска Б вдоль и поперек хода полотна близки между собой.

Г. Б. 79758. Опыты по определению прочности бумаги на разрыв. Ломм (Essais d'éclatement. Lhomme H.), Papeterie 1953, 75, № 11, 731, 733, 735 (франц.)

79759. Долговечность целлюлозы, определяемая по искусственному старению. Недервеен, Ройен (La durabilité des pates chimiques jugée par le vieillissement artificiel. Van Norderveen G., Van Royen A. H. N.), Papeterie, 1953, 75, № 12, 797, 799, 801, 803, 805, 807, 808 (франц.)

Приведены результаты опытов, проведенных с бумагой из хлопковой, тряпичной, древесной, полученной различными способами, и соломенной целлюлозы.

А. Х. 79760. Стеаратохромихлорид для проклейки бумаги. Павлин (Stearat chromic chloride as a sizing agent for paper. Pavlin R. J.), Paper Mill News, 1953, 76, № 49, 76, 78, 80, 82, 92 (англ.)

79761. О применении продуктов, получаемых из кукурузы, для производства картона и коробок. Льюис (How corn products are used in paperboard and boxes. Lewis Floyd A.), Fibre Containers 1953, 38, № 9, 66, 68, 70, 72 (англ.)

Описаны типы крахмала, их свойства и применение.

А. Х. 79762. Крахмальный клей для производства гофрированного картона. Хонш (Starch for the manufacture of corrugated board. Honsch W. M.), Starke, 1955, 7, № 12, 299—305 (англ.; рез. нем.)

Для склеивания 3—5-слойного гофрированного картона, получаемого на машинах, работающих со скоростью ~150 м/мин, взамен жидкого стекла предложена композиция крахмального клея, состоящая из обычного и набухающего крахмалов с добавкой NaOH. Дана рецептура приготовления клея и исследована его вязкость при различных конц-иях и т-рах. Одновременно проведено сравнительное испытание клея Бауера с большими добавками химреагентов. В результате исследований рекомендуется метод приготовления и новый рецепт клея, состоящего из 9% набухающего крахмала, 91% обычной крахмальной пудры и 0,2—0,3% NaOH. Клей может быть приготовлен

в резервуаре с обычной мешалкой. Исследования были проведены с пшеничным крахмалом.

Н. Б. 79763. Замечания относительно повреждений серого картона из-за несоответствующего его хранения. Видерман (Observații asupra degradărilor prin depozitarea necorespunzătoare a muclei de cenușii. Wiedermann A.), Ind. lemn. celul. și hirt., 1956, 5, № 2, 90—92 (рум.; рез. русс., нем.)

Указаны потери при произ-ве серого картона по данным, полученным в условиях произ-ва картонной ф-ки «Старунница». Потери из-за длительного хранения мокрого картона достигают 28%. Происходят они в основном в результате биохимич. повреждения листов при их хранении в мокром состоянии. Даны средства для устранения биохимич. повреждения картона.

А. Х. 79764. Зависимость между весом одного квадратного метра картона и его номером. Гут (Rechnerische Zusammenhänge zwischen dem g/m² — Gewicht und der Papernummer. Gut Hermann), Wochenbl. Papierfabrik, 1955, 81, № 19, 711—714 (нем.)

79765. Лак этиноль как средство повышения прочности и водостойкости древесноволокнистых плит. Федорович Г. П., Бум. пром-сть, 1955, № 10, 25—26

Лак этиноль (ЛЭ), дешевый побочный продукт произ-ва синтетич. каучука, представляет собою р-р смеси производных ацетилена (главным образом дивинилацетилена) в кислотной фракции с т. кип. 120—150°. При изготовлении древесноволокнистых плит (П) на 1 м волокна добавляют 1000 л эмульсии ЛЭ (17% ЛЭ, 0,8% NaOH, 20% глины и 62,2% воды) и 160 л 6%-ной парафиноглиняной эмульсии; осаждение производят сернокислым глиноземом при pH среды 4,5. Технологич. режим обычный. Прочность получаемых П не ниже 400 кг/см², водопоглощение не больше 4%. П повышенной прочности получают путем пропитки обыкновенных твердых П способом погружения и последующей термообработки. В результате обработки получаем П с объемным весом не менее 1000 кг/м³, водопоглощение 1,5—2,0%, механич. прочность не менее 600 кг/см², вместо соответственно 800—900 кг/м³, 10—12% и 291 кг/см² до пропитки.

В. В. 79766. Кислотоупорные и неметаллические материалы для целлюлознобумажной промышленности. Гаврилеску (Holendrul pentru înălbirea celulozei privit din punct de vedere termic. Gavrilescu Gh.), Ind. lemn., celul. și hirt., 1956, 5, № 2, 85—89 (рум.; рез. русс., нем.)

Дан общий обзор кислотоупорных неметаллич. материалов, употребляемых в целлюлозно-бумажной пром-сти, в частности кислотоупорных бетонов в цементов, кислотоупорных материалов из пластик. масс. Уточнены их физ.-мех. характеристики.

А. Х. 79767. Защитные футеровки и обмуровки оборудования целлюлознобумажной промышленности VI. Свечковский (Wykładziny i obmurza ochronne w przemyśle celulozowopapierniczym. VI. Świeczkowski Czesław), Przegl. papiern., 1953, 9, № 11, 345—348 (польск.)

Сообщение V см. РЖХим, 1954, 47036

79768. Усовершенствование счетчика метража бумаги. Ярцев Н. Н., Бум. пром-сть, 1956, № 4, 25

79769. Регулятор системы Ски и Стратвейт. Ски (Régulateur de Siccité système Schie et Straatveit. Schie Arne J.), Papeterie, 1954, 76, № 4, 215, 217, 219—222; № 5, 324—328; № 6, 371—373, 376—377, (франц.)

Описаны устройство и работа регулятора для автоматич. определения содержания воды в разных точках бумажного полотна.

Н. Р. 79770. О сортировке бумаги. Мацейко, Нерыхлевский (O sortowaniu papieru. Maciejko Maria, Nieruchlewski Tadeusz), Przegl. papiern., 1954, 10, № 11, 341—344 (польск.)

Высокой чистотой поверхности должны обладать следующие бумаги: писчая высшего качества, печатная, чертежная, фотографическая, папиросная и электротехническая. В 1953 г. приняты с незначительными изменениями новые нормы согласно ГОСТу, существующему в Советском Союзе. Намечена разработка единой для производителя и потребителя методики определения сортности бумаги.

Е. Г.

79771 К. Сахародобывающее и очистное отделение гидролизного завода. Эпштейн Я. В., М.—Л., Гослесбумиздат, 1956, 64 стр., илл., 1 р. 45 к.

79772 П. Переработка таллового масла. Фарбер (Processing tall oil. Farber Edward) [Polyxor Chemical Co., Inc.]. Канад. пат. 511431, 29.03.55

Талловое масло обрабатывают неорганич. щел. в-вом в кол-ве, недостаточном для полной нейтрализации содержащейся в нем к-ты, но более чем 1/10 от кол-ва, необходимого для полной ее нейтрализации, затем фракционируют с получением кислого и нейтр. дистиллата; последний обрабатывается конц. H_2SO_4 .

79773 П. Способ стерилизации бумаги и изделий из целлюлозы и получаемый продукт. Камлет (Product and process for sterilizing paper and pulp products. Kamlet Jonas) [The Kamlet Lab.]. Пат. США 2719787, 4.10.55

Патентуется фенилртутное производное карбоксиметилцеллюлозы и стерильная бумага (в которую введена в незначительном в качестве основной компоненты кол-ве) фенилфосфоксисульфат к-та в фитоцидных конц-ях. Ю. В.

См. также: Лигнин, продукты распада, его биосинтез, хим. превращения 78204; 23263Бх, 23364Бх. Механизм р-ции окисления метанола, отделение формальдегида от др. альдегидов 77583, 78532. Укрепление разбавленной уксусной к-ты 79205. Окисление цимбола 77100. Экстрактивные в-ва древесины 78264, 80170. Теоретич. вопр. по целлюлозе 77785, 78308, 79778. Метод определения нитроацетилцеллюлоз 78291. Использование отходов целлюлозного произ-ва 80173, 80182. Сточные воды бум. произ-ва 80455. Гигиена труда 80421

ИСКУССТВЕННОЕ И СИНТЕТИЧЕСКОЕ ВОЛОКНО

79774. Искусственные и синтетические волокна. Этьенн (Les fibres textiles artificielles et synthétiques. Estienne Victor), Rev. questions scient., 1955, 16, Janvier, 75—92 (франц.)

Обзор мирового произ-ва искусств. и синтетич. волокон по сравнению с натуральными волокнами. Библ. 13 назв.

79775. Искусственные и синтетические волокна. Рогожин С. В., Химия в школе, 1954, № 1, 8—23

Популярный обзор способов получения.

79776. О полимеризации акрилонитрила. Сообщение II. О полиакрилонитриловых волокнах. Хуньяр, Рейхерт (Über die Polymerisation von Acrylnitril. II. Mitteilung über Acrylfasern. Hunyár Andreas, Reichert Hans), Faserforsch. und Textiltechnik, 1954, 5, № 1, 1—18 (нем.)

Приводится большой эксперим. материал по изучению процесса полимеризации акрилонитрила различными методами при применении окислительно-восстановительных систем (ОВС). Исследовалось влияние различных факторов на процесс полимеризации, в частности влияние конц-ии ОВС, условий перемешивания и т-ры на продолжительность р-ции, выход полимера и его мол. вес. В качестве инициатора применялись ОВС, состоящие из персульфата и метасульфата калия, в качестве регулятора добавлялась соль Мора. Показано, что при низких конц-ях ОВС незначительное повышение конц-ии приводит к резкому сни-

жению мол. веса, дальнейшее увеличение конц-ии ОВС практически не влияет на мол. вес получаемого полимера. Миним. значение мол. веса при этом составляет ~20 000. При повышении интенсивности перемешивания уменьшается время полимеризации и увеличивается выход и мол. вес полимера, однако получаются труднорастворимые продукты. Поэтому авторы предлагают новый метод проведения полимеризации акрилонитрила без перемешивания и без охлаждения. В этом случае понижение конц-ии ОВС, обусловленное ходом полимеризации, компенсируется повышением т-ры за счет выделяемой теплоты полимеризации. Описанным выше методом были получены сополимеры акрилонитрила с другими мономерами, напр. акрилоамидом, винилацетатом, метилметакрилатом, акрилатом и акриловой к-той, а также полимеры других мономеров. Сообщение 1 см. РЖХим, 1955, 30531.

79777. Получение смолы и волокна на основе акрилонитрила. Котина В. Е., Клименков В. С. Науч.-исслед. тр. Всес. н.-и. ин-та искусств. волокна, 1955, № 2, 109—114

Приводятся эксперим. данные по исследованию влияния различных иницирующих систем полимеризации акрилонитрила на свойства полимера. На основании полученных результатов разработан метод окислительно-восстановительной полимеризации с применением персульфата калия и гидросульфита натрия. Формование волокна проводилось из конц. р-ров полиакрилонитрила в диметилформамиде. В качестве прядильной ванны применялись различные реагенты: глицерин, синтетич. жирные к-ты и спирты, стеариновая и олеиновая к-та и другие в-ва. Приводятся физ.-мех. показатели волокон, полученных на различных прядильных ваннах, а также изменение свойств волокна в процессе вытягивания, сушки и терморелаксации.

79778. К вопросу о реакционной способности вискозных целлюлоз. Корчемкин Ф. И., Жеребов Л. П., Ж.-прикл. химии, 1955, 28, № 8, 827—876

Различные исследователи связывают реакционную способность целлюлозы с различными ее свойствами — морфологией, структурой волокна, состоянием наружной оболочки волокна, формой макромолекул, кол-вом водородных связей, наличием пентозанов и гемицеллюлоз и рядом других свойств. Реакционная способность вискозных целлюлоз определяется по способности давать фильтрующиеся р-ры. Исследование процесса набухания вискозных, а также более жестких целлюлоз и хлопковой ваты в реактиве Швейцера показало, что волокна вискозных целлюлоз не образуют четок, в то время как на волокнах более жестких целлюлоз четки образуются; это объясняется тем, что наружные слои волокна вискозных целлюлоз ослаблены настолько, что не могут образоваться местные перетяжки. При уменьшении конц-ии реактива Швейцера давление набухания становится меньше и на волокнах вискозных целлюлоз появляются четки. При набухании грубого целлюлозного волокна, предварительно истертого в ступке, образования четок не происходит, что также связывается с разрушением наружных слоев волокна. В процессе получения вискозных целлюлоз происходит не только разрушение наружных слоев волокна, но и ряд других изменений, напр. изменение хим. состава волокна, поэтому было бы неправильным связывать реакционную способность вискозных целлюлоз исключительно с состоянием наружных слоев волокна.

79779. Растворители для полиакрилонитрила. Хэм (Spinning solvents for polyacrylonitrile. Ham George E.), Industr. and Engng Chem., 1954, 46, № 2, 390—392 (англ.)

Для полиакрилонитрила (I) предложено большое число р-рителей: H_2SO_4 , водн. р-ры $ZnCl_2$, $NaCNS$ и другие соли, четвертичные аммониевые соединения, бутиролактон, 2-пирролидон, амиды, динитраты, дитиоцианаты, сульфоны, сульфоксиды, циклич. ангидриды, нитросоеди-

нения, фосфиты, фосфаты, амидофосфаты, диоксанон и ряд др. Однако не все эти соединения пригодны для получения стабильных прядильных р-ров I, H_2SO_4 и четвертичные аммониевые соединения омыляют и разрушают I; бутиролактон и 2-пирролидон неприемлемы ввиду их неустойчивости. Малениновый ангидрид и сукциновый ангидрид выкристаллизовываются при охлаждении р-ров I и требуют для формирования волокна прядильной ванны, содержащей спирт или NaOH. Недостатком $\text{NCCH}_2\text{CONH}_2$ является высокая т. пл. 118—119°. $\text{CH}_3\text{CON}(\text{CH}_3)_2$ растворяет сополимер $\text{CH}_2=\text{CHCN}$ и $\text{CH}_2=\text{CHOCOCN}$ и I, полученный в присутствии SO_2 . Безводн. CH_3NO_2 растворяет сополимер $\text{CH}_2=\text{CHCN}$ и $\text{CH}_2=\text{CHOCOCN}$. I хорошо растворим в CH_3NO_2 , содержащем 6% H_2O , при t -рах $>50^\circ$. Однако формирование волокна из р-ров I в CH_3NO_2 не может быть осуществлено по водн. способу. Диметилфосфит дает стабильные р-ры I, но при формировании волокна по водн. способу быстро гидролизуются. Диэтилфосфит и тетра-*кис*-диметиламидофосфит растворяют сополимеры $\text{CH}_2=\text{CHCN}$ и $\text{CH}_2=\text{CHOCOCN}$. Прядимость р-ров I и скорость диффузии р-рителя из волокна при формировании волокна по водн. способу зависит от коэф. распределения р-рителя между водой и волокном. Растворы I в р-рителях, содержащих NO_2 , CN, ангидридные и лактонные группы, не могут быть переработаны на волокно по водн. способу. Волокно из р-ров I в $\text{HCON}(\text{CH}_3)_2$, этиленкарбонате, диметилфосфите, диметиламидофосфате и диоксаноне можно формировать по водн. способу. Несмотря на то, что бутиролактон, малениновый ангидрид полностью, а CH_3NO_2 , $\text{NCCH}_2\text{CONH}_2$ и ClCH_2CN заметно растворимы в воде, формирование полиакрилонитрилового волокна из р-ров I в этих р-рителях по водн. способу не представляется возможным. Уолкером предложено ур-ние для определения когезионной энергии плотности (КЭП) органич. р-рителей $\text{KЭП} = (L_{20} - \mu RT)/V_{20}$, где L_{20} — скрытая теплота парообразования при 20° , V_{20} — молекулярный объем при 20° и $\mu = PV/RT$. По Уолкеру, в-ва, имеющие значения КЭП, близкие к значению КЭП для I, являются р-рителями для I. Однако целый ряд хороших р-рителей для I, напр. $\text{HCON}(\text{CH}_3)_2$, имеет значения КЭП, сильно отличающиеся от значения КЭП для I, поэтому применение этого правила ограничено.

Ю. В. 79780. Исследования в области получения синтетических карбоцепных волокон. 1. Влияние молекулярного веса сополимера «санив» на условия формирования и свойства волокна. 2. О механизме процесса терморелаксации карбоцепных волокон. Зазулина З. А., Роговин З. А., Текстильная пром-сть, 1956, № 2, 18—20; Коллоид, ж., 1955, 17, № 5, 343—346.

I. Исследовалось влияние мол. веса сополимера акрилонитрила и винилиденхлорида на свойства получаемого из него волокна, «санив». Формование волокна проводилось из эквивалентных ацетоновых прядильных р-ров фракций сополимера с мол. в. 620 000, 290 000 и 130 000. Конц-ия сополимера в р-ре соответственно составляла для I фракции 6,5%, II фракции 12,5% и III фракции 22%. Формование волокна проводилось по мокрому способу на бобинной прядильной машине в одинаковых условиях: прядильная ванна 4—6%-ный водн. р-р ацетона, t -ра 52° , путь нити в ванне 130 см. Показано, что с понижением мол. веса сополимера «санив» (с 620 000 до 290 000) и соответствующим повышением конц-ии полимера в р-ре значительно улучшаются условия формирования волокна: увеличивается максим. возможная скорость прядения и степень вытягивания на прядильной машине, улучшается внешний вид волокна, повышается прочность и удлинение и особенно устойчивость к многократным деформациям. Последующие процессы упрочнения и терморелаксации сглаживают разницу в прочности и удлинении волокон вследствие повышения равномерности структуры волокна, однако сохраняется резкое различие в устойчивости к многократным деформациям. Дальнейшее снижение мол. веса

сополимера «санив» (до 130 000), несмотря на повышение конц-ии полимера в р-ре, приводит к ухудшению мех. свойств волокна.

2. Исследовался процесс терморелаксации волокна «санив», подвергнутого вытягиванию в среднегоющего воздуха на 150—500%. Терморелаксация проводилась при 40 — 160° в течение различного времени как на жесткой паковке, так и в мотках — в условиях свободной усадки волокна при прогреве. Показано, что максим. улучшение комплекса механ. свойств волокна при терморелаксации достигается при прогреве волокна в условиях свободной усадки при 120° и в течение 60 мин. На основании параллельных структурных и термхим. измерений установлено, что в процессе терморелаксации как на жесткой паковке, так и в условиях свободной усадки происходит отчетливое снижение степени ориентации макромолекул в волокне. Однако в процессе релаксации волокна понижение степени ориентации сопровождается одновременным повышением интенсивности межмолекулярного взаимодействия. Приведены возможные объяснения полученных данных.

З. З. 79781. Волокна из поливинилхлорида. Кох (Fils et fibres de chlorure de polyvinyle. Koch P. A.), Teintex, 1955, 20, № 10, 775, 776, 779, 781, 782, 785, 787 (франц.)

Обзор способов получения, свойств и применения волокон из полимеров и сополимеров винилхлорида. Библ. 86 назв. С. С.

79782. Промышленное производство синтетического волокна терилен. — (Large scale production of terylene begins. —) Times Rev., Ind., 1955, 9, № 97, 10—11 (англ.)

Краткие сведения о 3-де терилового волокна в Вильтоне (Англия) производительностью 5 тыс. т волокна в год, о технологич. процессе, оборудовании и аппаратуре для получения полиэтилентерефталата, формирования и вытягивания волокна, а также об ассортименте выпускаемой 3-дом продукции (2 вида шелка различных номеров, штапельное волокно — блестящее и матированное в резаном виде и в жгуте).

Ю. В. 79783. Формование и свойства полиамидных волокон. Микок (Production of fibres from 6,6- 6,10- and 6-polyamides. Meacock G.), J. Appl. Chem., 1954, 4, № 4, 172—177 (англ.)

Различие физ. и хим. свойств полиамидов 6,6- 6,10- и 6 обуславливает различие в условиях формирования и свойствах получаемых волокон. Т-ра плавления 6- и 6,10-полиамидов 214° , т-ра плавления 6,6-полиамида 264° , поэтому формирование волокна из 6- и 6,10-полиамидов осуществляется при более низкой т-ре расплава; кроме того, термостойкость 6,6-полиамида ниже, чем полиамидов 6,10 и 6. Основным моментом, усложняющим процесс формирования волокна из 6-полиамида, является наличие в полимере в равновесном состоянии ~10% мономера. Волокна, сформованные из 6,6-, 6,10- и 6-полиамидов, поглощают в нормальных условиях соответственно 4,1; 4,2 и 2,6% влаги. Волокно из 6-полиамида обладает сравнительно низким начальным модулем.

Ю. В. 79784. Новый способ получения вязкозных растворов. Могилевский Е. М., Хим. наука и пром-сть, 1956, 1, № 1, 38—44

Описаны преимущества нового способа получения вязкозных р-ров в одном аппарате перед старым стандартным и усовершенствованным полупрерывным. Основными недостатками стандартного способа являются: большое кол-во разотпигного производственного, транспортного и вспомогательного оборудования, требующее больших площадей хим. корпуса, неравномерность и продолжительность основных стадий технологич. процесса — мерсеризации, предзрелвания и кантогенерирования. При усовершенствованном способе осуществляются непрерывный процесс получения цел. целлюлозы и совмещенные в одном аппарате, типа «Симплекс», или вакуумксантат-смесители, канто-

генирование и растворение. При этом сохраняются все операции предварительного созревания, разделяющие эти две стадии технологич. процесса. Из приведенных схем видно, что основное оборудование хим. цехов для обоих процессов остается громоздким и составляет не менее десяти типов аппаратов. По новому способу получения вискозных р-ров в одном вискозном аппарате (ВА) проводятся следующие процессы: 1) совмещенный процесс мерсеризации рассчитанным кол-вом р-ра NaOH и разрушения цел. целлюлозы с применением окислителей и повышенной т-ры; 2) ксантогенирование и разбавление ксантогената. Продолжительность всего процесса в аппаратах ВА составляет 6—8 час. при загрузке целлюлозы 1100—1400 кг. Полученная масса поступает в дорастворитель и дальше проходит обычные операции подготовки прядильных р-ров. При работе с аппаратом ВА отпадают операции загрузки, выгрузки и транспортирования полупродуктов, возрастает производительность труда, снижается вредность произ-ва, уменьшаются размеры капиталовложений. Р. Н.

79785. Исследование процесса образования гидратцеллюлозных нитей из вискозы. Кларе, Грöße (Untersuchungen über die Bildung von Cellulose regenerat-fäden aus Viskose. Klare Hermann, Größe Anneliese), Faserforsch. und Textiltechnik, 1955, 6, № 3, 97—105 (нем.)

Путем наблюдений с помощью микроскопа исследовался физ.-хим. процесс формирования вискозной нити на пути от фильеры (Ф) до выхода из прядильной ванны. Приведены фотографии и подробное описание аппаратуры и конусообразной стеклянной Ф для прядения одиночной нити. Подача вискозы, прядильная ванна с микроскопом и приспособление для приема нити смонтированы на 3 отдельных подставках во избежание сотрясений микроскопа. Опыты проводились серийно с переменными диаметрами отверстия Ф, конч-ней к-ты в ванне и скоростью прядения (соответственно в пределах 0,12—0,06 мм, 125—600 г/л и 5—25 м/мин). Экспериментально установлены оптимальные места и кол-во микроскопич. замеров поперечника нити на протяжении 40 см от Ф до выхода из ванны. Диаметр нити на расстоянии 0,05 мм от Ф, в зависимости от соотношения скорости приема на галету — v_2 к скорости истечения вискозы — v_1 (v_2/v_1), может быть больше или меньше диаметра отверстия Ф, постепенно уменьшается на пути нити 200—300 мм, а дальше становится постоянным. Исследовались изменения отношения площадей (Q_B) конечного поперечного сечения нити, измеряемого на расстоянии 400 мм от Ф, в зависимости от величины v_2/v_1 , размера отверстия Ф и конч-ни H_2SO_4 в ванне. Показано, что зависимость $Q_B = K(v_1/v_2)$ выражается прямой линией и характеризует набухание волокна. Величина Q_B возрастает с уменьшением размера отверстия Ф и с увеличением конч-ни к-ты в прядильной ванне. Р. Н.

79786. О получении упрочненного вискозного штапельного волокна высоких номеров. Меос А. И., Сорокин Я. З., Гайлевский Л. И., Текстильная пром-сть, 1955, № 12, 23—25

В полупроизводственных условиях разработаны основные предварительные технологич. параметры режима упрочнения штапельного волокна № 6000—7500. Получено волокно с разрывной длиной 23—24 км и удлинением 15—16%. Повышение прочности достигается вытягиванием свежеспряденного жугта в пластификационной ванне между триовальцами. Для получения устойчивой пластификационной вытяжки и ликвидации обрыва элементарных волокон необходимо увеличить остаточный ксантогенат в свежеспряденном волокне перед первыми триовальцами до 30—40 м. 0,1 NJ_2 (йодометрический метод определения). Это возможно осуществить путем снижения т-ры осадительной ванны до 38—40°. Рекомендуются следующие параметры осадительной ванны для получения упрочненного штапельного волокна высоких номеров:

содержание H_2SO_4 120—125 г/л; Na_2SO_4 300—310 г/л; $ZnSO_4$ 16—18 г/л, т-ра ванны 30—40°.

79787. Совмещение операции отбели и отделки вискозного волокна. Могилевский Е. М., Хорькова О. Г., Научн.-исслед. тр. Всес. н.-и. ин-та искусств. волокна, 1955, 2, 71—76

Проведение процесса беления вискозного волокна $NaClO_2$ без последующей промывки дает возможность совместить операцию отбели и отделки и сократить ряд операций, которые являются обязательными при существующих методах отделки шелка. Проведена эксперим. проверка возможности совмещения указанных операций на машинах непрерывного процесса и при отделке в мотках. Отделка на машинах непрерывного процесса проводилась $NaClO_2$ при содержании активного Cl 0,5—1,2 г/л в присутствии органич. к-ты, в частности CH_3COOH при pH 3,5—4,0, т-ре 68—72° и продолжительности обработки 20—25 сек. При отделке шелка в мотках применялись отбельные ванны с содержанием активного Cl 1,7—0,3 г/л при pH 3,5—4,0 и 3 г/л авирила. Т-ра р-ра 73—78°, время обработки 5—10 мин. Физ.-мех. показатели и степень полимеризации волокна, определенные непосредственно после обработки и после длительного хранения (110 суток и 3-часовой прогрев при 105°), практически не меняются. Однако необходимо отметить, что воздухопроводы и вентиляторы сушилок должны быть стойки к действию ClO_2 , который выделяется при разложении хлорита в кислой среде. З. З.

79788. Быстрый метод определения сульфатов в осадительной ванне. Ионеску (Dozarea rapidă a sulfatilor din baie de filat a mătășii viscoză. Ionescu Maria), Ind. textilă, 1955, 6, № 1, 19—26 (рум.; рез. рус.)

Испытано несколько методов определения сульфатов в осадительной ванне. Установлено, что наиболее удобным является метод осаждения сульфатов $BaCl_2$ и титрования избытка $BaCl_2$ пальмитатом калия. С. С.

79789. Упрочнение хлоринного волокна. Геллер Б. Э., Текстильная пром-сть, 1956, № 3, 29—31

Изучался процесс упрочнения хлоринного волокна путем вытяжки в различных условиях. Вытягивание при набухании полимера в водноацетоновых смесях различных т-р не дает упрочнения. Положительные результаты получены в процессе «горячей» вытяжки в атмосфере нагретого воздуха. Исследовалось влияние т-ры, степени вытяжки и ступенчатых вытяжек на изменение прочности, удлинения, теплостойкости, числа двойных изгибов, рентгенограммы и других свойств волокна. Из приведенной кривой относительная деформация — т-ра следует, что величины упругой, высокоэластической и пластической деформаций при одинаковых скорости и напряжении определяются температурными условиями, от которых в значительной мере и зависит эффект упрочнения при вытягивании. Наилучшие результаты достигаются при 4—5-кратной вытяжке и т-ре 95—105°, близкой к т-ре вязкого течения, но не выше ее. Применение многоступенчатых вытяжек нецелесообразно, так как приводит лишь к незначительному улучшению физ.-мех. показателей. Р. Н.

79790. Вопросы отделки изделий из синтетических волокон. Часть II. Фитца (Die Situation der Chemiefaserausrüstung. II. Fitza Erich), Reyon, Zellwolle und and. Chemiefasern, 1955, № 11, 747—748 (нем.)

Приводятся данные по состоянию машинного парка пром-сти хим. волокон, и по финансированию машиностроительной пром-сти, выпускающей оборудование для произ-ва хим. волокон в Германии. Часть I см. РЖХим, 1956, 55804. З. З.

79791. Применение холода при получении и переработке синтетических и искусственных волокон. Хейнц (Kälteanwendungen bei der Herstellung und Verarbeitung synthetischer Fasern. Heins Georg), Kältetechnik, 1955, 7, № 2, 44—46 (нем.)

При получении искусств. и синтетич. волокон на ряде стадий технологич. процесса возникает необходимость в применении холодильных установок для отвода образующегося тепла. В статье описаны технич. устройства и машины для получения холода.

79792. Искусственные волокна в резиновой промышленности. Часть 2. Иллингворт (Man-made fibres in the rubber industry. Part 2. Illingworth J. W.), *Fibres*, 1954, 15, № 12, 395—399 (англ.)

При нагревании синтетич. волокон при 100° терилон полностью сохраняет свою прочность в течение 20 дней, орлон — 80 дней. Хлопок в таких условиях сохраняет соответственно 92 и 68%, а нейлон 82 и 43% первоначальной прочности. При нагревании волокон при 130° в течение 20 дней терилон сохраняет 95% прочности, орлон 91%, хлопок 38%, а нейлон 21%. Увеличение крутки хлопкового корда, хотя и снижает его прочность, но повышает сопротивление утомлению. То же наблюдается для корда из синтетич. волокон: нейлона, вискозы, терилена и др. Текстильные волокна после растяжения имеют остаточные деформации. Чем больше удлинение полученной из них пряжи, тем менее стабильны ее размеры. Повышение стабильности путем снижения крутки приводит к снижению усталостной прочности. Поэтому удлинение вискозного кордного волокна снижают соответствующим подбором натяжения при его пропитке и последующей сушке: удлинение вискозного кордного волокна без предварительного натяжения составляет 19% при 4,1 кг и снижается до 5% после натяжения в 3,6 кг. Вытягивание корда из нейлона производится при повышенных т-рах (235°) под натяжением 2,85 кг на денье корда структуры 3/3/210. Описана машина для обработки пряжи нейлона, обеспечивающая требуемое удлинение волокна, пропитку и сушку. Термопластичные волокна нейлона и терилена дают усадку при нагревании. Наиболее перспективными волокнами в резиновой пром-сти являются вискозный корд, нейлон и терилон. Часть I см. РЖХим, 1956, 52425

79793. Волокна из сополимеров. (Таблицы волокон). Кох [Mischpolymerisat-Faserstoffe. (Faserstoff Tabellen). Koch Paul-August], *Textil-Rundschau*, 1955, 10, № 9, 486—490 (нем.)

Получение и свойства волокон из сополимера, состоящего из 60% винилхлорида и 40% акрилонитрила, известных под названиями как «айнел» (штапельное волокно) и «виньон N» в виде нити бесконечной длины. Библ. 48 назв. А. В.

79794. Производство волокон винилон из поливинилового спирта. Томонари (The development of vinylon. Tomonari T.), *Text. Weekly*, 1954, 53, № 1369, 1762, 1764, 1766 (англ.)

Краткий обзор свойств волокна винилон и областей его применения.

79795. Новое полиамидное волокно энант. Стрелихев А. А., Топчибаева В. Н., Шейн Т. И. *Текстильная пром-сть*, 1956, № 1, 33—34

В последние годы получена новая полиамидная смола энант, которая по многим физ.-мех. показателям аналогична смоле капрон, но выгодно отличается от нее тем, что не содержит мономерного лактама и обладает большей термостабильностью при повышенных т-рах (260—300°); физ.-мех. свойства смолы энант при 260° остаются неизменными даже после продолжительного нагревания. Т-ра плавления смолы энант 225°, смола растворяется в конц. минер. и органич. (НСООН, СН₃СООН) к-тах, феноле, крезоле; гигроскопичность составляет 2,4% при влажности воздуха 60%. Волокно энант различных номеров по физ.-мех. показателям не уступает волокну капрон; модуль упругости волокна энант выше, чем у капрона. Волокно энант обладает также и более высокой светостойкостью. Приводятся сравнительные данные по испытанию волокна энант и капрон.

79796. Свойства и промышленное использование волокна терилон. Марвин (The industrial uses «Tery-

lene» polyester fibre. Marvin D. N.), *Instn Prod. Engrs. J.*, 1955, 34, № 4, 231—238 (англ.)

Полиэфирное волокно терилон (Т) формируется из расплава полиэтилентерефталата и выпускается в виде шелка высокой и средней прочности и штапельного волокна. Т имеет следующие физ.-мех. показатели (для шелка высокой и средней прочности и штапельного волокна соответственно): разрывная прочность 6—7, 4,5—5,5 и 3,5—4,0 г/дене, разрывное удлинение 7,5—12,5, 15—25, 25—40%, начальный модуль ~120, ~100 и 50—55 г/дене. Уд. в. Т—1,38. Т обладает высокой устойчивостью к истиранию, к действию многократных деформаций. Т гидрофобен, не теряет прочности в мокром состоянии и при 65% относительной влажности воздуха и 25° поглощает 0,4% влаги. Т устойчив к действию органич. р-рителей (ацетон, бэл, трихлорэтан, четыреххлористый углерод), органич. и минер. к-т, в том числе и HF. Его устойчивость к действию щелочей несколько ниже, чем к действию к-т. По светостойкости Т не уступает природным волокнам. Волокно, прогретое при 150° в течение 100 час., сохраняет 50% начальной прочности. Т термопластично; при повышенных т-рах снижается прочность волокна и увеличивается удлинение. При т-ре 180° прочность Т составляет 50% от начальной. При действии высоких т-р Т претерпевает усадку, при этом возрастает разрывное удлинение и снижается начальный модуль волокна. Однако, если Т предварительно прогреть при 200—220° в условиях, препятствующих свободной усадке волокна, то при последующем прогреве волокна при 150° в течение 20 мин. значения разрывного удлинения и начального модуля почти не изменяются. Благодаря комплексу ценных свойств Т может найти широкое применение в хим., металлургич., текстильной, шинной пром-сти, электропромышленности, морском деле и других отраслях техники.

79797. Сопоставление синтетических волокон с шерстью и хлопком. Риго (Les textiles synthétiques face a la laine et au coton. Rigot Hubert), *Bull. techn. Suisse romande*, 1955, 81, № 21—22, 425—428 (франц.)

79798. Анизотропия набухания. I. Ее значение и связь с поведением волокон при крашении. Пенте, Роша (La notion d'anisotropie de gonflement. I. Recherches expérimentales sur sa validité et ses relations avec le comportement en teinture des rayones. Pinte le Ch., Rochas Paul), *Bull. Inst. text. France*, 1954, № 46, 7—19 (франц. рез. англ.)

Исследование стенозированных вискозных волокон показало, что если при введении СН₂О набухание волокна по весу снижается с 80 до 45%, вследствие образования метиленовых мостиков, то анизотропия набухания при этом заметно не изменяется (с 5,2 до 5,5). Объясняется это тем, что при стенозировании ориентация молекул целлюлозы не изменяется. Исследование крашиваемости волокон с различной степенью вытяжки показало, что для таких красителей с большими молекулами, как голубой диаминовый FF, изменение ориентации молекул влияет как на кинетику, так и на равновесное состояние при крашении. В случае применения красителей с меньшими молекулами, как бензопурпурин 4В, ориентация молекул влияет только на кинетику и не влияет на кол-во выбранного красителя в равновесном состоянии.

79799. Изучение усталостной прочности высокополимеров. Мовиссо (Contribution a l'etude de la résistance a la fatigue des hauts polymères fibreux. Mavisseau Pierre), *Bull. Inst. text. France*, 1955, № 51, 47—78 (франц.; рез. англ.)

Подробно изучены процессы «усталости» и течения кордного волокна при статич. и повторной динамич. нагрузках. Установлено, что кривые деформации волокна 400-го денье во времени при статич. нагрузке, равной 65% от разрывной, почти полностью совпадают с кривыми, полу-

ченными при повторной динамич. нагрузке (750 циклов/мин.), равной 4—7% от разрывной для трощенного корда (3×3). Для характеристики усталостной прочности волокон автор рекомендует пользоваться двумя показателями: 1) отношением модуль эластичности/разрывная нагрузка, которое характеризует интенсивность течения волокна (модуль эластичности вычисляется в области, близкой к разрыву); 2) временем, необходимым для разрыва нити при статич. нагрузке, равной 65% от разрывной. Сравнение образцов вискозного корда, спряженных в ванну, содержащую 2, 35 и 70 г/л $ZnSO_4$ (I) показало, что с увеличением содержания I резко возрастает усталостная прочность волокна. Исследование структуры этих образцов путем определения поглощения воды, скорости гидролиза, наличия ориентационной рубашки и рентгенографическим методом показало, что с увеличением концентрации I возрастает плотность ориентационной рубашки, а структура волокна становится более аморфной. Автор объясняет это тем, что I оказывает сильное коагулирующее действие и в то же время замедляет разложение кантогената. Этим создаются условия для вытяжки и для высокой ориентации волокна без кристаллизации. Исследование корда из нейлона показало, что повышенную усталостную прочность имеет образец, нагретый в течение 36 час. при 130° и в атмосфере N_2 , затем быстро охлажденный. После обработки разрывная нагрузка и удлинение образца не изменяются, но модуль эластичности понижается. Исключительная усталостная прочность нейлона объясняется низким значением отношения модуль эластичности/разрывная нагрузка. С. С.

79800. Влияние света на синтетические полиамидные волокна. Вина (Despre influența luminii asupra fibrelor sintetice poliamidice. Vinea E.), *Ins. textilă*, 1956, 7, № 1, 22—29 (рум.; рез. русс., нем.)

Под действием света снижается разрывная прочность и удлинение полиамидных волокон. Матированный капрон теряет крепость в 3 раза больше, чем блестящий. Крашение капрона протравными красителями не улучшает его стойкости к свету. Применение хромирования после или во время крашения кислотными протравными красителями улучшает прочность к свету как волокна, так и самой окраски. С. С.

79801. Нейлон и хлопчатобумажная пряжа — материалы для рыболовных сетей. Штефанеску (Nylonul și bumbacul, materiale textile pescărești. Ștefănescu A.), *Bul. Inst. cercetări piscicole*, 1955, 14, № 3, 81—84 (рум.)

В результате испытаний рыболовных сетей из нейлона и хлопчатобумажной пряжи в различных условиях установлено следующее: прочность сетей из нейлона в 2—3 раза больше хлопчатобумажных сетей; сети из нейлона в воде через 18 час. при 15 — 18° теряют 9,9—12% прочности, после чего прочность остается постоянной; сети из хлопчатобумажной пряжи в этих же условиях через 18 час. увеличивают прочность на 7,5—19,3%, но через 5 дней прочность падает вследствие гниения; удлинение нейлоновых нитей в 2 раза выше хлопчатобумажных; нейлон гораздо труднее связывается в узлы, причем узел, связанный из сухих нитей, легко развязывается (вследствие чего их рекомендуется связывать в мокром состоянии); прочность нейлона с узлом падает на 10,8—47,6% в сухом и на 7,7—48,5% в мокром состоянии, а крепость хлопчатобумажной пряжи с узлом падает на $\leq 12,6\%$ в сухом и на 22,4% в мокром состоянии. С. С.

79802. Качественное определение синтетических волокон. Швенкедель (Die qualitative Bestimmung der synthetischen Fasern. Schwenkedel Siegfried), *Textil-Praxis*, 1955, 10, № 9, 918—920 (нем.; рез. англ., франц., исп.)

Описаны методы качеств. определения различных видов синтетич. волокон (из поливинилхлорида, полиамидных, полиэфириных, полиакрилонитриловых), а также их сме-

сей. К этим методам относятся: 1) методы хим. анализа (обработка различными хим. реагентами или р-рителями, методы окрашивания, сухой дистилляции, проба на сжигание); 2) разделение с помощью р-рителей; 3) микроскопич. испытания и 4) спец. р-ции. Приводятся ряд сводных таблиц по качеств. определению волокон различными методами. 3. 3.

79803. Микрохимические реакции распознавания синтетических волокон. Кунце (Mikrochemische Reaktionen zur Unterscheidung von synthetischen Fasern. Kunze W.), *Reyon, Zellwolle und and. Chemiefasern* 1955, № 6, 386—387 (нем.)

Описаны методы микрохимич. анализа синтетич. полиакрилонитриловых и полиэфириных волокон. Анализ полиакрилонитрилового волокна основан на определении CN-групп. При действии на волокно р-ра дифениламина в H_2SO_4 через 1/2—3/4 мин. волокно постепенно окрашивается в синий цвет. Полиэфирное волокно типа дакрон, диолон, терилон подвергается щел. гидролизу. При этом после нейтр-ции выпадает терефталевая к-та в виде белого кристаллич. порошка, которая и определяется микро-реакцией на дикарбоновые ароматич. к-ты. Приводятся методики приготовления реактивов, необходимых для анализа. 3. 3.

79804. Рентгеновский метод исследования волокон. Херл (Looking at fibres with X-rays. Hearle J. W. S.), *Skinnek's Silk and Rayon Rec.*, 1955, 29, № 7, 760—763 (англ.)

С помощью рентгенографич. метода можно выяснить ряд вопросов, связанных со структурой волокон, и составить представление о степени упорядоченности макромолекул, о степени кристалличности волокна, о колич. соотношении фаз в волокне, о форме и характере упаковки макромолекул в кристаллич. участках, о размере элементарной ячейки, а также легко осуществить распознавание различных видов волокон. Приводятся рентгенограммы 22 волокон. Ю. В.

79805. Переработка синтетического волокна перлон в смеси со штапельным волокном на оборудовании хлопкопрядильных фабрик. Вледуц (Prelucrarea fibrelor sintetice «Perlon» în amestec cu celofibră pe utilajul din filatura de bumbac. Vlăduț N.), *Ind. textilă*, 1955, 6, № 10, 347—351 (рум.; рез. русс.)

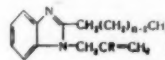
Описаны технологич. процесс и меры по переработке оборудования хлопкопрядильных фабрик, которые необходимо принять для переработки синтетич. волокон в смеси со штапельным волокном. Приводится характеристика пряжи, полученной из смеси, содержащей 15, 33 и 50% перлона. С. С.

79806. Дополнение к статье «О свойствах, переработке и потребительской ценности волькрилового волокна». (Ergänzung zum Aufsatz «Über Eigenschaften, Verarbeitung und Gebrauchswert der Wolcrylgarne bzw. Wolcrylmischgarne».), *Textil- und Faserstofftechnik*, 1955, 5, № 5, 300 (нем.)

Вследствие возможного применения полиакрилонитрилового волокна волькрилон для технич. целей необходимо изучить термостойкость этого волокна. Приведены сравнительные данные об изменениях прочности и удлинения волькрилового, перлонового и хлопкового волокон в результате 1-часовой термообработки их при t -ре 100—200°. См. РЖХим, 1956, 41554. А. В.

79807 П. Волокнообразующий сополимер. Крей, Хэм (Fiber forming copolymer. Craig Alfred B., Ham George E.), [The Chemstrand Corp.]. Пат. США 2716640, 30.08.55

Патентуется композиция, состоящая из 85—98 вес.% полиакрилонитрила и 2—15 вес.% соединения, имеющего структурную ф-лу (I), где R—H, Cl или CH_3 , а n — целое число от 0 до 4. Б. К.



70808 П. Получение окрашиваемых волокон из сополимеров акрилонитрила с амидами кислот. Кувер, Дикки (Verfahren zur Herstellung von zu Textilfasern verspinnbaren Polymerisationsprodukten. Coover Harry Wesley, Dickey Joseph Benjamin) [Eastman Kodak Co.]. Пат. ФРГ, 925734 28.03.55

Для облегчения крашения полиакрилонитриловых волокон в макромолекулу полимера вводятся амидные группы путем сополимеризации акрилонитрила (60—90%) и амида алкиленкарбонной к-ты с 3—5 атомами С в кислотном радикале (10—40%). В качестве подобных амидов могут быть использованы: $\text{CH}_2=\text{CHCONHR}$, $\text{CH}_2=\text{C}(\text{CH}_3)\text{CONHR}$, $\text{CH}_2=\text{C}(\text{CH}_3)\text{CONR}_2$, $\text{CH}_2=\text{C}(\text{CH}_2\text{CONHR})\text{CONHR}$. Для этой же цели могут быть использованы поли-N-акриламид, поли-N-N'-диметилметакриламид и др. Так, напр., для получения волокнообразующего сополимера растворяют 2 г поли-N-метилакриламида в 100 мл воды, содержащей 0,1 г $(\text{NH}_4)_2\text{S}_2\text{O}_8$, 0,1 г KHSO_4 и 8 г акрилонитрила. После 16 час. из р-ра выделяется сополимер (выход 8,7 г), содержащий 19 вес. ч. N-акриламида. Этот полимер растворяется в диметилформамиде и образует волокна с прочностью 3 г/текст и разрывным удлинением — 16%. Волокна размягчаются при 190° и усаживаются при этом на 12%. Частичная замена (70%) метилакриламида на акриламид изменяет свойства волокна, повышая т-ру размягчения до 200°, и улучшает его крашиваемость.

79809 П. Способ получения линейных полиамидов.

Шлак (Verfahren zur Herstellung von linearen Polyamiden. Schlack Paul) [VEB Film-und Chemiefaserwerk Agfa Wolfen]. Пат. ГДР 4742, 8.10.54

Патентуется способ поликонденсации аминотрифилов или динитрилов с диаминми, заключающийся в следующем: смесь, содержащая избыток аминогрупп по отношению к нитрильным группам, конденсируется под давлением, затем вода и образовавшийся NH_3 удаляются и добавляется дикарбонная к-та или соль, состоящая из не образующей ангидриды к-ты и летучего третичного основания в кол-ве, соответствующем избытку аминогрупп. **Пример:** 1 моль ϵ -аминокапронитрила и 1 моль соли Ag^+ конденсируют в присутствии 30% воды при добавке 1/15 моля ди- γ -аминопропилтетраметилденгликолевого эфира в течение 6 час. под давлением при 230°. Затем NH_3 и воду удаляют через холодильник, (при т-ре 120°), и в нижнюю часть автоклава под давлением вливают 1/15 моля адипинохлорид триметиламина в виде 10%-ного водн. р-ра. Нагревание продолжают еще 1 час при 230°, затем спускают давление и конденсацию продолжают еще 4 часа при 250°. Готовый продукт продавливают через фильеру в холодную воду и наматывают в виде ленты. С. С.

79810 П. Метод получения полиуретанов, обладающих сильноосновными свойствами (Verfahren zur Herstellung von stark basischen Polyurethanen) [VEB Filmfabrik Agfa Wolfen]. Пат. ГДР 5379, 20.10.54

Патентуется метод получения полиуретанов (II), обладающих сильноосновными свойствами, из гликолей и диизоцианатов, отличающийся тем, что применяются первичные гликоли, содержащие один или более атомов третичного азота, одна из валентностей которого насыщена алкильной группой. Содержание атомов С в алкильной группе не превышает их содержания в самой короткой углеводной цепи между гидроксильными группами и третичным основным азотом. Напр., применяются следующие дигликоли: N-метилдизаноламин, N-метил-N-ди-[ϵ -оксамил]-амин, N-этил-N-ди-[ϵ -оксамил]-амин, N-метил-N-окси-этил-5-аминопентанол-(I), NN'-диметил-NN'-ди-[5-оксамил]-1,2-диаминоэтан, NN'-диметил-ди-[5-оксамил]-1,6-диаминогексан. Из диизоцианатов применяются тетраметилдендиизоцианат, гексаметилендиизоцианат, октаметилдендиизоцианат, дипропилисульфид-3,3'-диизоцианат, циклогексан-1,4-диизоцианат, 1,4-диэтилбензол-2,2'-диизо-

цианат, бензол-1,4-диизоцианат. Процесс поликонденсации проводится в присутствии или в отсутствие р-рителей или разбавителей, напр. хлорбензола, о-дихлорбензола, диоксана, анизола, диметилформамида, N-метил- α -пирролидона. Полимер переосаждают из р-ров в разб. к-тах в разб. р-ры аммиака. Из расплава или из р-ров полимера можно получить волокна и пленки, обладающие значительной прочностью. Однако полимер растворим в разб. к-тах, для снижения растворимости пленки или волокна подвергают дублированию или получают труднорастворимые соли I (напр., нитраты, оксалаты и т. д.). Особенно ценным качеством I, обладающих основными свойствами, является их совместимость с нейтр. и кислыми р-рами белков (желатин, зеина, альбумина, глобулина, глютеина). Из таких смешанных р-ров получают разнообразие пленки и волокна, обладающие ценными свойствами. Эти изделия подвергаются дублированию. Напр.: 1 моль N-метилдизаноламина и 1 моль гексаметилендиизоцианата нагревают в 3-кратном кол-ве безводн. хлорбензола в течение 2,5 часа в среде Na_2 до 130°. После охлаждения с образовавшегося твердого студня сливают р-ритель. Студень дважды обрабатывают Н. р-ром H_2COOH и из кислого р-ра разб. р-ром аммиака высасывают I в форме вязкой волокнистой массы. Высушенный I размягчается при 70° и плавится при 120°. Из расплава формируются высокоэластичные волокна. I растворяется в низших спиртах, напр. метаноле. Из р-ров в метаноле при формовании в воду может быть получено волокно со значительной прочностью. 10%-ный р-р I в н. р-ре CH_3COOH смешивается с 10%-ным р-ром желатини при 50° без помутнения. При понижении т-ры до ~20° р-р остается текучим и почти прозрачным. При сушке р-ра, нанесенного на стекло, через 40 мин. получается прозрачная эластичная пленка, после обработки ее 10%-ным р-ром NaCl , содержащим 2% формальдегида, пленка твердеет; пленку можно вытянуть на 200%. Если выдержать такую желатино-полиуретановую пленку 12 час. при 60° и 75% относительной влажности, при конц-ии паров эпихлоргидрина, равной 20%, то пленка становится нерастворимой в кипящей воде, однако при кипячении прочность пленки снижается.

79811 П. Усовершенствования в области изготовления волокон, нитей и аналогичных искусственных изделий (Perfectionnements à la fabrication de filaments, de fils, et de produits artificiels analogues) [Courtaulds Ltd]. Франц. пат. 1085769, 07.02.55 [Bull. Inst. text. France, 1955, № 55, 154 (франц.)]

Патентуется способ получения модифицированных вискозных волокон, практически не обладающих различием поперечного среза оболочки и сердцевины. Можно выпрывать незрелую вискозу. Способ состоит в выдавливании вискозы в осадительную ванну, содержащую H_2SO_4 , ZnSO_4 и флуоресцен в кол-ве от 1/4 до 12 тысячных г на 100 г вискозы. Флуоресцен можно добавлять либо к осадительной ванне, либо к вискозе, либо к тому и другому. В процессе прядения расстояние между фильерой и точкой, где нить нейтрализуется, значительно увеличивается.

79812 П. Способ производства целлюлозной шерсти (Procédé de préparation de laine cellulosique) [Glanzstoff Courtaulds G. m. b. H.]. Франц. пат. 1047154, 11.12.53 [Bull. Inst. text. France, 1954, № 47, 162 (франц.)]

Патентуется способ резки вискозного жгута во время его обработки. Жгут сначала промывается от к-ты, десульфировается, отбеливается, затем режется, после чего подкисляется и отделяется на транспортных лентах. Для равномерной отделки волоконца в отбельную ванну добавляются карбонаты или бикарбонаты, выделяющие CO_2 , который разъединяет волокна в штапельках.

79813 П. Метод получения известного полиакрилонитрилового шелка или штапеля (Procédé de préparation de fibres frisées à résistance élevée de polymérisats ou de polymérisats mixtes de l'acrylonitrile ou de ses homolo-

gues) [Phrix Werke A.-G.]. Франц. пат. 1050581, 8.01.54 [Chem. Zbl., 1955, 126, № 28, 6656 (нем.)]

Волокна после вытяжки нагревают очень короткое время до высокой т-ры (100—250°) в свободном состоянии до полной релаксации при уменьшении длины минимально на 15%. Нагрев можно проводить в атмосфере пара, газа или в жидкости при 80—200°. Волокна с вытяжкой 1:15 вытягиваются при коротком нагревании и быстром охлаждении в соотношении 1:4, режутся, приобретают извиток в глицериновой ванне при 125°.

79814 П. Получение извитой текстильной нити (Manufacture of crimped textile yarn) [Heberlein & Co. A.-G.]. Англ. пат. 710802, 16.06.54 [J. Text. Inst., 1955, 46, № 1, A21 (англ.)]

Способ получения извитой полиамидной нити, включающий высокую крутку нити и обработку ее паром, последующее раскручивание и даже кручение в противоположном направлении, после чего нить вытягивается до увеличения ее длины на 10—70% и обрабатывается паром под давл. 1—3 ат в течение 30 мин. Извитая нить имеет относительно низкое удлинение. Способ применим для полиэфирных и полиакрилонитриловых волокон.

79815 П. Пористые пленки, подобные тканям. Ноттебом (Fibrous, non-woven textile-like sheet material. Nottebohm Carl Ludwig) [Pellon Corp.]. Пат. США [2719802, 04.10.55]

Пористые, воздухопроницаемые и гибкие пленки получают из волокнистого слоя, в толще которого равномерно распределены частицы твердого и гибкого цементирующего в-ва. Кол-во в-ва, скрепляющего волокнистую массу, составляет 30—75% от веса всей пленки.

79816 П. Способ получения на изделиях рисунков путем механической деформации (Procédé de traitement d'articles et matériaux à surface étendue comportant des dessins obtenus par déformation mécanique) [Akt.-Ges. Cilander]. Франц. пат. 1080787, 13.12.54 [Teintex, 1955, 20, № 7, 582 (франц.)]

Участки термопластич. материала, не деформированные механически, подвергаются воздействию хим. агентов, вызывающих их усадку. При этом механически деформированные участки приобретают волнообразную форму. В качестве агентов, вызывающих усадку, можно применять щел. р-р фенола или крезола, смесь CH_3COOH или H_2SO_4 с H_2O_2 , HCl или HNO_3 .

См. также: Сырье для произ-ва искусств. синт. волокон 78359, 79614, 79615, 79617, 79622, 79749. Вспомогательные в-ва 79205. Произ-во волокон 79600, 79749. Контроль произ-ва 78541. Св-ва волокон 78271, 78328, 79569

ЖИРЫ И МАСЛА. ВОСКИ. МЫЛА. МОЮЩИЕ СРЕДСТВА. ФЛОТОРЕАГЕНТЫ

79817. Масло табачного семени. Балу, Муртхи (Tabacco seed oil. Balu V., Murthi M. N. Krishna), Oils and Oilseeds J., 1955, 8, № 3, 14—15 (англ.)

Обзор данных по получению, обработке, применению масла из семян табака и продуктов переработки этого масла.

79818. Изменения состава индийского масла семян табака. Чакрабурти, Чакрабурти (The variation in composition of indian tobacco seed oils. Chakrabarty Saroj Ranjan, Chakrabarty Monindra Mohan), Sci. and Culture, 1955, 20, № 11, 555—556 (англ.)

На примере 15 образцов показано, что масло семян табака различных областей Индии почти не отличается по свойствам и составу.

79819. Экстракция соевых бобов. Теория и механизм. Отмер, Агарвал (Extraction of soybeans theory

and mechanism. Othmer Donald F., Agarwal Jagdish C.), Chem. Engng Progr., 1955, 51, № 8, 372—378 (англ.)

79820. Использование центрифуги для извлечения масла из высокомаслянистых отходов. Елченко (Использование на центрифуге за обезмасляване на отпадъци с високо маслено съдържание. Елченко С. И.), Лека промишленост, 1956, 5, № 1, 40 (болг.)

79821. Обработка масел из оливок выжимок. Сантелли (Traitement des huiles de grignons. Santelli Emilio), Oléagineux, 1956, 11, № 85—88 (франц.)

Описаны шесть разных технологич. схем обработки экстрагированного (разными р-рителями) оливкового масла (в зависимости от его кислотности) из оливковых выжимок, применяемых для получения ректифицированного масла.

79822. О непрерывной рафинации рапсового масла. Жарский А. М., Романова Т. Е., Масл.-жир. пром-сть, 1955, № 8, 12—13

Проведена непрерывная рафинация рапсового масла (кислотное число 3,5—4,5), заключающаяся в обработке масла (подача со скоростью 4,5 м/час) 11,5%-ным р-ром щелочи (со 100%-ным избытком) в смесителе с мешалкой (80 об/мин.); нейтр-ции (промывке) 1%-ным водн. р-ром NaCl при 95°, сушке и отбелке масла активированной землей (влажность 14,2%, маслосмкость 23%) в кол-ве 2% от веса масла при 98° и перемешивании. Для хорошего обесцвечивания масла влажность его должна быть 0,5—1,5%. Перед рафинацией масло подвергали паровой гидратации и отстаиванию в течение 2 час. Рапсовое масло имело кислотное число после промывки (нейтр-ции) 0,22—0,38, после отбеливания 0,47—0,87. Гидрированное без угля рафинированное рапсовое масло дает саломас белого цвета и хорошего качества. Показаны преимущества непрерывной рафинации перед периодической.

79823. Переработка соевых семян с получением пищевых жмыха и масла. Ржехин В. П., Погонкина Н. И., Чукаева В. Н., Масл.-жир. пром-сть, 1955, № 6, 9—13

Ввод пищевой соевой муки, получаемой из пищевого соевого жмыха или шрота, в рецептуру пшеничного хлеба увеличивает содержание лизина в последнем почти вдвое, содержание витамина В₁ на 10%, витамина РР на 20% и витамина В₁ приблизительно на 7%. Оптимальный технологич. режим, обеспечивающий получение высококачественного жмыха для выработки пищевой соевой муки, установлен на основе изучения условий заводской переработки сои по схеме 2-кратного прессования на прессах ФП и ЕП и по схеме 1-кратного прессования на прессе МПЗ-1. Рекомендуется после очистки сои производить ее увлажнение до 12,5—13% с последующим выжиманием ≥ 4 час., не допускать выработку пищевого жмыха без отделения оболочки и мучки, смягчить температурный режим подготовки мезги к форпрессованию (до 95°) и к окончательному прессованию (до 105°), а во избежание сильного разогрева материала в процессе его прессования производить охлаждение и обмывку маслом зерновых цилиндров шнековых прессов. При более высоких т-рах подготовки мезги к прессованию и при сильном разогреве материала в прессе происходит значительное уменьшение свободных сахаров вследствие образования меланоидиновых соединений, которое сопровождается обычно выделением CO₂, H₂O, NH₃ и различных альдегидов и которое, вероятно, является одной из причин высоких потерь сухого в-ва при переработке сои (при т-ре готовой мезги 100—105° зарегистрированы потери сухого в-ва 0,36%, а при т-ре 116—125° — 2,6%). Предлагается установить 2 сорта пищевого соевого жмыха со следующими показателями: для жмыха I сорта, идущего на выработку соевой муки, пригодной для введения в пшеничную муку I и II сортов, — цвет светло-желтый или кремовый (интенсивность окраски по фотометру до 60 ед.), содержание (на

сухое в-во) сырой клетчатки до 4,5% и сырого протеина $\geq 45\%$; для жмыха II сорта — цвет от желтого до бурого (интенсивность окраски по фотометру ≤ 70), содержание сырой клетчатки до 5,5% и сырого протеина $\geq 43\%$. Г. Ф. 79824. За дальнейшее сокращение потерь на жироперерабатывающих предприятиях. Товбин И. М., Файнберг Е. Е., Масл.-жир. пром-сть, 1955, № 7, 6—7.

Жировые балансы в произ-ве мыл, олеина, стеарина строятся из расчета выхода 95% жирных к-т при расщеплении жиров. Однако этот учитываемый выход занижен. Так, теоретич. выход жирных к-т составляет 95,57—95,69% (для козосового масла 94,01% вместо принятого переводного коэфф. от масла к жирным к-там в 0,9). Указанными расхождениями создаются неучитываемые потери жиров, иногда равные величине планируемых. При гидрогенизации планируются нормы безвозвратных потерь 2 кг/т, но при этом не учитывается, что за счет присоединения водорода происходит привес жира, который в 2—3 раза превышает учитываемые и планируемые нормы потерь. Рекомендуется в порядке исследовательской работы составить полный продуктовый баланс жироперерабатывающих предприятий с учетом современной технологии, в частности повышения т-ры расщепления жиров и снижения т-ры гидрогенизации, поскольку температурный фактор имеет существенное влияние на величину потерь от деструктивного распада жиров. Г. Ф.

79825. Расход основных и вспомогательных материалов при переработке подсолнечных семян. Бабачев (Разход на основни и спомагателни материали при преработката на слънчогледово семе. Бабачев Н.), Лека промишленост, 1954, 3, № 6, 29—31 (болг.).

Обсуждаются результаты изучения расхода материалов, проведенного на нескольких болгарских предприятиях по фазам произ-ва. А. М.

79826. Пути усовершенствования техники производства жиров. Либерман С., Мясная индустрия СССР, 1956, № 1, 5—8

79827. Технические достижения в промышленности жиров. Пако (Techniques récentes dans les industries des corps gras. Paquot C.), Rev. ferment. et inds. aliment., 1953, 8, № 4, 139—150 (франц.).

79828. Опыт использования парогенераторов ВОТ на Казанском жиркомбинате. Щербаков Н. Г., Гусев В. С., Масл.-жир. пром-сть, 1956, № 3, 32—33

79829. Изучение пигментов китового жира. IV. О разделении красящих веществ. Мукаи (鯨油色素に関する研究. IV. 色素の分別について. 向井克憲). 日本水産学会誌. Нихон суйсан гаккайси, Bull. Japan Soc. Scient. Fisheries, 1954, 20, № 2, 136—139 (япон.; рез. англ.).

Красящие в-ва китовой ворвани адсорбировали на японской кислой глине, промывали петр. эфиром до удаления масла, экстрагировали органич. р-рителями, напр. эфиром, CH_3OH , $\text{C}_2\text{H}_5\text{OH}$, ацетоном, CHCl_3 , C_6H_6 и т. д., и затем 3%-ным шел. р-ром для разделения их. При качеств. испытании и при помощи хроматографии на бумаге во всех красящих в-вах было обнаружено железо. Установлено, что оно получается из сырья — китовой ворвани, интенсивность окраски которой увеличивается при увеличении содержания железа. Часть III см. РЖХИМ, 1956, 30807. Б. Ш.

79830. Копытное масло. Ланге (Oleum pedum tauri Binder-Klaurencl. Lange Heinz), Seifen-Öle-Fette Wachse, 1955, 81, № 11, 333—334 (нем.).

Обсуждаются вопросы, связанные с получением копытного масла и применением его для фармацевтич. промышленности. А. Б.

79831. Метод получения костного жира центрифугированием. Шухова Г. В., Михайлу Н. Г., Дрогайцева А. М., Любушкина З. С., Алек-

санова В. Ф. Сб. студ. работ Моск. технол. ин-та мясной и молоч. пром-сти 1955, № 3, 49—50

Центрифугированием (2 мин., 1000 об/мин) измельченных костей, высушенных (2 час. 15 мин. (А) и 3 час. 15 мин. (Б) при 90° под ИК-лампами, получено масло, выход 9,3% (А) и ~10% (Б), кислотное число 2,17. Описано устройство сушилки. С. К.

79832. Пересмотр технических условий для жиров и их производных (предложения технической комиссии). (Revisione delle norme grassi a derivati — proposte della Commissione tecnica.—), Olii miner., grassi e saponi, colori e vernici 1953, 30, № 9, 153—160 (итал.).

79833. Влияние продолжительности вытапливания на выход и показатели технического дельфиньего жира, полученного из подкожного сала черноморского дельфина (*Delphinus delphis* L.), Ранков, Йовчев (Über den Einfluß der Dauer des Ausschmelzens auf die Ausbeute und die Kennzahlen des technischen Öls aus dem Unterhautspeck von *Delphinus delphis* L. Rankoff G., Jovtscheff A.), Докл. Болгар. АН, 1954 (1955., 7, № 3, 49—52 (нем.; рез. русс.).

Описан применяемый в Болгарии способ вытапливания технич. дельфиньего жира: отделение жировой ткани от кожи (последняя подвергается посолу) → измельчение жировой ткани вместе с предлапниковой частью хвоста и нижней челюстной частью кожножирового слоя → вытапливание глухим паром в открытом котле, снабженном паровой рубашкой и мешалкой, при т-ре жира 105—115° → передача жира и шквары в резервуар с ситом в верхней части → фильтрация жира, прошедшего через сито, на фильтр-прессе → прессование шквары для дополнительного выделения жира и смешение его с основной частью вытопленного жира. При переработке одного лишь подкожного жирсырья, очищенного от частей мускулов и промытого водой, можно получить технич. жир светложелтого цвета без неприятного запаха. Спец. опытами показано, что вытапливание подкожного жира следует вести в течение 1—2 час. при 105—115°, так как при удлинении продолжительности процесса до 6 час. выход жира существенно не возрастает. Г. Ф.

79834. Окисление и дегидратация жира антарктического кита. Плисов А. К., Томсон Е. Г., Тр. Одесск. технол. ин-та пищ. и холодильн. пром-сти, 1955, 6, 73—77

Изучалось окисление продуванием воздуха и термич. полимеризация жира антарктич. кита, что выполнялось в присутствии местной зеленой глины в качестве катализатора. Глина была активирована нагреванием в течение 2 час. при 300° и в другом варианте нагреванием в присутствии NaCl и H_2SO_4 . Окисленный жир подвергался затем дегидратации в присутствии тех же катализаторов. Даны аналитич. характеристики окисленного жира. Сообщено, что жир антарктич. кита может быть превращен в пленкообразующий продукт. А. В.

79835. Порча жиров и антиоксиданты. Рейтель (Fettverderb und Antioxydantien. Raeithel H.), Fette-Seifen-Anstrichmitt., 1955, 57, № 10, 799—806 (нем.).

Описаны различные виды порчи жиров, некоторые антиокислители (А) (токоферол, галловая к-та, гваяковая смола, нордигидрогваретовая к-та, бутилтоксанизол, *трет*-2,6-бутил-4-метилфенол), синергисты (лимонная аскорбиновая, фосфорная к-ты, кефалин) и рассмотрены их свойства. Синергисты усиливают действие фенольных ингибиторов и инактивируют действие металлов. Кефалин применяют в сладких жиросодержащих продуктах в конц-ии 1%, лимонную к-ту — 0,001—0,005% только вместе с фенольными А. При наличии в жире перекисей рекомендуется обработать его в вакууме при несколько повышенной т-ре с добавкой А и далее хранить со свежим А. Библ. 36 назв. А. В.

79836. Повышение стойкости жиров антиоксидантами. Бауэр (Die Haltbarmachung der Fette durch Anti-

oxydantien. Bauer Oskar), Dtsch. Lebensmitt.-Rundschau, 1954, 50, № 6, 146—149; № 7, 175—179; № 8, 192—200; № 9, 218—225; № 10, 259—266 (нем.).

Описаны противокислители, относящиеся к жирорастворимым природным красителям, токоферол, получаемые из растений не растворимые в жирах в-ва, а также дан подробный обзор применяемых для стабилизации жиров противокислителей, относящихся к различным классам соединений (спирты, альдегиды и кетоны, карбоновые к-ты и их эфиры, серные и фосфорные соединения, хиноны, нитро-, амина- и другие азотсодержащие соединения, фенолы с одной, двумя и тремя OH-группами, металлоорганич. и неорганич. соединения). Описаны синергисты — лимонная, аскорбиновая к-ты, аминокислоты, фосфатиды, неорганич. соединения фосфора. Библ. 335 назв. Начало см. РЖХим, 1956, 49060. А. В.

79837. О стабилизации пищевых жиров аскорбиновой кислотой. Черутти (Sulla stabilizzazione delle sostanze grasse alimentari con acido ascorbico. Cerutti Giuseppe), Olii miner., grassi e saponi, colori e vernici, 1956, 33 № 2, 25—28 (итал.)

На основании обзора литературы, а также собственных работ автора признается полезность добавки аскорбиновой к-ты для стабилизации пищевых жиров. Л. Ф.

79838. Безреактивное расщепление жиров в автоклавах непрерывным способом. Иродов М. В., Пароло Л. В., Судаков В. М., Маслоб.-жир. пром-сть, 1955, № 8, 16—19

Предложена установка непрерывного действия для безреактивного расщепления жиров производительностью 1 т жира в час. Глубина расщепления после первого периода 80—82%, после второго периода 94—95% (для саомаса); конц-ия глицериновых вод соответственно 16—17% и 5%. Описана технологич. схема установки и показаны преимущества ее перед периодической. О. С.

79839. Проблемы производства жирных кислот и синтетических жиров. Едлинский (Problemy produkcji kwasów tłuszczowych i tłuszczów syntetycznych. Jedliński Z.), Przem. spożywczy, 1955, 9, № 6, 233—235 (польск.).

Обзор технич. методов произ-ва синтетич. жирных к-т и синтетич. жиров. Библ. 37 назв. С. В.

79840. Фракционирование смеси моноэфиров жирных кислот экстракцией растворителями. Риус, Креспи (Fraccionamiento de mezclas de monoésteres de ácidos grasos por extracción con disolventes. Riús A., Crespi A. Licia), An. Real soc. española fis. y quim., 1953, B49, № 1, 63—80 (исп.; рез. англ.)

79841. Светлые жирные кислоты из soapstokов хлопкового и арахисового масел. Ачая, Балига, Салеторе, Захир (Pale fatty acids from cotton-seed and groundnut oil foots. Achaya K. T., Baliga B. P., Saletore S. A., Zaherr S. H.), J. Scient. and Industr. Res., 1955, (B—C)14, № 12, B665—B667 (англ.)

Описан метод выделения светлых жирных к-т (ЖК) из soapstokов хлопкового и арахисового масел, основанный на способности ЖК вступать в р-цию с мочевиной. В-ва, обуславливающие окраску ЖК, в р-цию с мочевиной не вступают. И. В.

79842. Получение высших жирных кислот окислением жидких парафинов. Цысковский В. К., Щеглова Ц. Н., Солтан С. Г., Фрейдин Б. Г., Маслоб.-жир. пром-сть, 1955, № 3, 17—20

Показана возможность применения для получения высших жирных к-т жидких углеводородов, содержащих 12—20 атомов С в молекуле. В качестве сырья использовались жидкие парафины определенной фракции искусств. жидкого топлива, содержащей в среднем 15 атомов С в молекуле и имеющей броминое число 2,6; фракционный состав: 220—250° 40%; 250—303° 55%, 303—311° 3%; содержание па-

рафиновых углеводородов нормального строения 77,55% (определено SbCl_5); мол. в. 213,6; эмпирич. ф-ла $\text{C}_{14}\text{H}_{30}$; кт. пл. $+0,6^\circ$; содержание непредельных 3,51. Окисление производилось непрерывным методом при т-ре в реакторе $125 \pm 2^\circ$ и скорости воздуха в сечении реактора 0,18 м/сек при постоянном выводе жирных к-т из зоны р-ции. В качестве катализатора применялся нафтенат марганца. Время пребывания к-т и углеводородов в зоне р-ции 10 мин. Параллельно проведено окисление периодич. способом в течение 8 час. К-ты, полученные в обоих процессах, в виде 20%-ного мыльного р-ра подвергались термич. обработке при давл. 130 кг/см² и 320° для разрушения оксикислот и уменьшения кол-ва неомыляемых. В результате дистилляции жирных к-т при 3 мм рт. ст. получено (состав фракции, выход фракции при непрерывном окислении, при периодич. окислении): до C_8 33,0, 42,58; C_8 — C_9 14,56, 12,88; C_{10} — C_{14} 22,04, 6,8; C_{14} — C_{17} , 6,34, 1,52; $>\text{C}_{17}$ 10,1, 3,23; кубовый остаток 9,4, 9,11. Указано, что лучшим способом получения высших жирных к-т из жидких парафинов является непрерывное окисление. В. К.

79843. Автоматизация — средство анализа. Молтер (Automation-instrumental analysis. Malter Lewis), J. Amer. Oil Chemists' Soc., 1955, 32, № 11, 662—664 (англ.)

Описание применения автоматич. приборов для измерения расхода жидкости, pH и цвета различных объектов. В. Б.

79844. Рефрактометр РМ для жиров. Мединец Б. М. Заторницкий А. С., Маслоб.-жир. пром-сть, 1956, № 1, 23—25

Описано устройство и дана технич. характеристика рефрактометра (выпущенного Киевским з-дом в конце 1954 г.), позволяющего определять рефрактометрич. методом маслянисть семян, жмыхов и шротов. В качестве р-рителей применяются монобромнафталин и монохлорнафталин, пределы определения показателя преломления 1,6150—1,6600, что соответствует конц-ии жира в р-ре от 0 до 10%. Точность определения $\pm 0,0001$. А. Б.

79845. Свойства некоторых характеристических чисел и коэффициентов, применяемых в количественном жировом анализе. Молчанов И. В., Тр. Краснодарск. ин-та пищ. пром-сти, 1955, № 12, 109—114

На основе анализа стехиометрич. соотношений между компонентами р-ции неизбирательно протекающего гидролиза жира даны ф-лы, связывающие число нейтр-ции жирных к-т с молярными и весовыми долями, а также теоретич. числами омыления (ЧО) компонентов смеси (моно-, ди- и триглицеридов). Обнаруженное расхождение между ЧО, рассчитанным и найденным, может указать на суммарное содержание в смеси неполных глицеридов. Эта же величина может быть определена по гидроксильному числу пробы на основе данной автором ф-лы. Показано, что соотношение между разностью ЧО, рассчитанного и найденного гидроксильным числом, зависит только от мол. веса жирных кислот. А. В.

79846. Об определении иодного числа в пищевых жирах Лагони, Замхаммер (Ein Beitrag zur Bestimmung der Jodzahl in Nahrungsfetten. Lagoni Hans, Samhammer E.), Milchwissenschaft, 1956, 11, № 4, 132—133 (нем.; рез. англ. франц., исп.)

Результаты определения иодного числа зависят в значительной степени от условий р-ции, причём особенное значение имеет колич. соотношение между реагирующими в-вами. Указывается способ, позволяющий по коэфф. преломления жира довольно точно определить предвзятую ожидаемую величину иодного числа и рассчитать необходимое кол-во иода, потребное для определения, и этим гарантировать постоянство условий р-ции. В. Г.

79847. Замечания относительно иодометрических способов определения перекисного числа в пищевых жирах. Францке (Bemerkungen über die jodometrischen Verfahren zur Bestimmung der Peroxyzahl in Nahrungsfe-

ten. Franzke C.I.), Z. Lebensmittel-Untersuch. und-Forsch., 1956, 103, № 2, 108—112 (нем.)

Исследовались 9 видов растительных сильно окислившихся масел по методу Ли, Тойфеля — Роте, Хадорна — Юнгкунда и Сулли. Определенные по этим методам перекидные числа (ПЧ) значительно отличались, уменьшаясь в порядке применения методов Тойфеля — Роте, Ли, Сулли, Хадорна — Юнгкунда. Предложено улучшение метода Тойфеля — Роте: навеска жира растворяется после начавшегося кипения смеси CHCl_3 — CH_3COOH . В методе Сулли рекомендуется применение реакционной колбы Эрленмейера на 200 мл с обратным холодильником. КJ и жир вводятся, когда пары CHCl_3 достигнут нижнего конца холодильника, обдуваемого при анализе воздухом. Установлено, что кол-ва КJ, применяемые при анализе, сильно влияют на величину ПЧ, которые растут с увеличением КJ, достигая предельного значения при 1 г, после чего величина их практически не изменяется. Лучшими, по мнению автора, являются методы Тойфеля — Роте и Сулли. Подробно описаны как оригинальные методы, так и изменения, внесенные автором.

Г. Ш. 79848. О значении реакции Тортелли — Яффе для определения наличия гидрогенизированных жиров морских животных в масле. Оливари (Sulla attendibilità della reazione Tortelli-Jaffe per la ricerca dei grassi idrogenati di animali marini nel burro. Olivari Luigi), Boll. lab. chim. provinc., 1955, 6, № 4, 116—119 (итал.)

Обзор работ о значении р-ции Тортелли — Яффе для возможности определения наличия гидрогенизированных жиров морских животных (напр., дельфинов) в саломасе. Автор считает ее пригодной главным образом для тех случаев, когда окраска приобретает зеленый тон, вскоре переходящий в темно-зеленый и, наконец, в темно-коричневый. Библ. 14 назв.

Л. Ф. 79849. Спектрофотометрическое изучение оливковых масел в ультрафиолетовом свете. Его применение для оценки качества масла и для исследования смесей с рафинированными маслами. Иззанн (Étude spectrophotométrique dans l'ultra-violet des huiles d'olives. Son application pour l'appréciation de la qualité de l'huile et la recherche des mélanges avec des huiles raffinées. Uz z a n A.), Rev. franc. corps gras, 1956, 3, № 1, 9—17 (франц.)

Исследовали поглощение различных образцов оливкового масла при 232 мμ (K_{232}), 270 мμ (K_{270}) и их отношение (R) как метод классификации масла по его качеству и обнаружения различных примесей. Исследовались 0,2—2%-ные р-ры масла в циклогексане. Найдено, что качество масла находится в обратном соотношении с величиной кислотности, K_{270} , R и перекисного числа. На основании полученных данных автор делит масла на 3 класса (приведены: кислотность, K_{270} , R и перекисное число): 1 класс—1,0; 0,16—0,17; 13; 120; 2 класс—1,5; 18—0,20; 15; 150; 3 класс—2,0; 0,20—0,22; 15,200. Установлено, что по величине K_{270} , R и кислотности можно судить о наличии в масле даже нескольких процентов примеси рафинированного масла различной степени очистки.

А. В. 79850. Определение состава триглицеридов жиров. Риемшнейдер (Determination of triglyceride composition of fats. Riemenschneider R. W.), J. Amer. Oil Chemists' Soc., 1955, 32, № 11, 678—684 (англ.)

Обзор существующих методов колич. определения полностью насыщ. и смешанных триглицеридов: окислением KMnO_4 , в ацетоне, кристаллизацией из CH_3COCH_3 (в некоторых случаях с последующим гидрированием и омылением). Дана сравнительная характеристика точности методов, приведены данные о содержании полностью насыщ. и смешанных глицеридов в наиболее важных жирах. Приведены соображения и данные, касающиеся распределения жирных к-т в молекулах глицеридов животных и растительных жиров.

Е. С.

79851. О производстве пищевого саломаса по непрерывной схеме на Харьковском жировом комбинате. Жарский А. М., Новикова Т. М., Тесленко Г. И., Копыленко С. Д., Маслоб.-жир. пром-сть, 1954, № 7, 18—20

Описана непрерывная схема произ-ва пищевого саломаса. При работе по этой схеме производительность увеличилась (5 м/час пищевого саломаса), снизилась себестоимость. Резко улучшилось качество саломаса: кислотное число (КЧ) снизилось с 0,8—1 мг до 0,33—0,4 мг, КЧ и твердость саломаса стали стабильными, саломас хорошо дезодорируется, получаемый из него маргарин, как правило, имеет высшую оценку.

А. Я. 79852. Осветление хлопкового масла джабелской и азкомарской глинами. Кац Б. А., Глушенкова А. И., Магдамов А. С., Мишина В. Н., Тр. Среднеаз. политехн. ин-та, Ташкент, Госиздат УзССР, 1955, 322—326

См. РЖХим, 1956, 14645.

79853. Воска и их применение. Шалон (Les cires et leurs utilisations. Chalon Georges), Papeterie, 1955, 77, № 11, 759, 761, 763, 765, 767, 769; № 10, 697, 699, 701, 703, 705 (франц.)

79854. Эмульсии для придания блеска полам. Оль (Selbstglanz-Emulsionen für Fussböden. Ohl Fritz), Chem. Rundschau, 1955, 8, № 22, 473—475 (нем.)

Описаны восковые эмульсии и приведены их рецепты.

Т. Р. 79855. Успехи и проблемы в области химии моющих средств. Штюпель (Fortschritte und Probleme auf dem Gebiet der Waschmittelchemie. Stüpel H.), Chimia, 1955, 9, № 8, 175—185 (нем.)

Обзор современного состояния теории колл. электролитов, синтеза моющих средств, методов анализа и оценки их. Проблемы в области моющих средств: изучение механизма действия карбоксиметилцеллюлозы; коррозия; комбинирование синтетич. моющих средств с мылом и др. Библ. 322 назв.

Ф. Н. 79856. О производстве современных моющих средств. Науменко П. В., Маслоб.-жир. пром-сть, 1956, № 2, 17—20

Дан краткий обзор произ-ва современных моющих средств и назначение различных добавок к ним. Описаны: схема работы сушилки французской фирмы Кестнер; технология получения моющих средств из олефинов, полученных в результате крекирования парафина; схемы сульфирования серной и хлорсульфоновой кислотами.

О. С. 79857. О явлении поверхностной активности и его применениях. Каянне (Pinta — aktiivisuusilmiöstä ja sen sovellutuksista. Kajanne Paavo), Tekn. kemian aikakauslehti, 1955, 12, № 4, 107—110 (фин.; рез. англ.)

79858. Активирующие вещества. Часть I. Моющие средства для кожи человека и их значение для медицины. Гофман, Болланд (Waschaktive Substanzen. I. Teil: Die Hautreinigungsmittel und ihre Bedeutung für die Medizin. Hofmann H., Bolland E.), Pharmazie, 1955, 10, № 5, 307—310 (нем.)

С медицинской точки зрения моющие в-ва следует разделить на следующие группы: механически действующие (М), растворяющие (Р) и эмульгирующие (Э). М служат для удаления грубых загрязнений (посредством добавок к моющим средствам песка, пемзы и других тонко измельченных в-в), Р — для растворения масляно-лаковых и прочих загрязнений, Э объединяет собственно моющие средства для кожи, куда входят натронные, калийные и аммиачные мыла. Последняя группа применяется в медицине из-за способности хорошо проникать вглубь кожи человека, увлекая одновременно добавленные к мылам терапевтич. и другие медикаменты. Это свойство часто используется в дерматологии, где больной участок кожи

покрывается вспененным медицинским мылом и в случае надобности продолжительного действия оставляется на коже до высыхания. Этим достигается эффективное действие фармакопейных препаратов (серных, ихтиоловых, дегтярных и др.). С той же целью в дерматологии применяется β-нафтол, резорцин и пирогаллол. В хирургии применяются мыла, содержащие фенол, крезол и формалин. К категории медицинских мыл относятся также появившиеся в последнее время витаминные и радиоактивные мыла.

Г. Ш.
79859. Современные синтетические детергенты и эмульгаторы. Часть III и IV. Мак-Катчен (Synthetic detergents and emulsifiers up to date. Part III, IV. McCutcheon John W.), Soap and Chem. Specialties, 1955, 31, № 9, 52—67 (англ.)

Описываются еще ~300 различных синтетич. моющих, смачивающих, диспергирующих и эмульгирующих средств с указанием их хим. природы, конц-ии активного в-ва, товарного вида, области применения, торговой марки и фирм-производителей. Часть I, II см. РЖХим, 1956, 41615.

Г. Ф.
79860. Пенообразующая способность моющих средств и определение ее с помощью нового прибора. Кауфман, Бальтес, Дуддек (Über die Schaumfähigkeit von Waschmitteln und ihre Bestimmung mit einem, neuartigen Gerät. Kaufmann H. P., Baltés J., Duddek E.), Fette, Seifen, Anstrichmittel, 1954, 56, № 8, 596—603, (нем.; рез. англ., франц., исп.)
Обзор предложенных в разное время способов для характеристики пенообразующей способности и устойчивости пены. Кратко описан вибрационный прибор для вспенивания р-ров моющих средств. Приведены эксперим. данные по определению пенообразующей способности р-ров различных моющих средств.

Ф. Н.
79861. По вопросу промышленного облагораживания нафтенных кислот. Анастасиу (Contribuții asupra înnoobilării industriale a acizilor naftenici. Anastasiu St.), Rev. chim., 1955, 6, № 9, 493—496 (рум.; рез. русс.)

Критическая оценка статьи Дримуша (см. РЖХим, 1956, 37109), особенно в отношении вопроса очистки и обесцвечивания нафтенных к-т для промышленного получения высококачественных детергентов.

А. М.

79862 К. Химия стирки (Laundry chemistry. London, Brit. Launderers' Res. Assoc., 1955, vii, 152 pp., 12 sh. 6d.) (англ.)

79863 П. Способ получения маргарина и подобных эмульсий типа вода в масле. Борк (Stätt att framställa margarin och liknande vatten-i-fett-emulsioner. Bork A. E. G.), [AB Separator]. Швед. пат. 152004, 18.10.55
Жидкую смесь, содержащую жир, воду и эмульгатор, обеспечивающий образование эмульсии типа вода в масле, подают в виде струй под давлением в аппарат типа циклона. В нем происходит образование эмульсии с размером шариков от 2 до 7μ, что зависит от режима работы аппарата, в частности давления в нем.

Б. Ф

79864 П. Разделение масла и воска. Бенедикт (Separation of oil and wax. Benedict Bruce C., Jr) [Phillips Petroleum Co.]. Пат. США 2696459, 7.12.54

Патентуется процесс (приведена схема) отделения воска от фракции воск — масло, кипящей при 371—454° и содержащей 20—50% воска, состоящий в прибавлении к этой фракции в объемном соотношении 1:10 и 1:5 фракции нефти, кипящей при 93—204°, охлаждении смеси при медленном перемешивании и отделении выпавших кристаллов воска.

О. С.

79865 П. Матики для натирания полов, ваксы и способы их производства (Produits d'entretien tels qu'encastiques et cirages et leur procédé de fabrication) [Soc. Gle des Cires Françaises]. Франц. пат. 1065419, 25.05.54 [Chimie et industrie, 1954, 72, № 6, 1228 (франц.)]

Продукты представляют собой смесь воска и р-ра виниловой или полиамидной смолы. Воск служит носителем смолы, которая сообщает нанесенной пленке матовости или ваксы большую водостойкость, лучшее сопротивление износу и хороший блеск.

Я. К.

79866 П. Экстракция сапониниз из Yucca baccata. Ротман, Уолл (Extraction of saponins from Yucca baccata. Rothman Edward S., Wall Monroe E.) [United States of America as represented by the Secretary of Agriculture]. Пат. США 2715122, 9.08.55
Для выделения стероидного сапонина из водн. р-ра экстракта листьев Yucca baccata, содержащего сапонин, извлекают бензолом загрязнения, а сапонин экстрагируют из водн. фазы не смешивающимся с водой спиртом, имеющим 4—6 атомов С, и выделяют сапонин из спирт. фазы.

Г. М.

79867 П. Моющее средство (Produit détergent et lixiviel) [Union Chimique Industrielle]. Франц. пат. 1087515, 24.02.55 [Chimie et industrie, 1956, 75, № 1, 109 (франц.)]

Некоторое кол-во щел. фосфата растворяют в воде и прибавляют анниоактивный, неионогенный детергент или их смесь.

Е. К.

79868 П. Моющее средство (Detergent) [Unilever Ltd.] Австрал. пат. 163554, 7.07.55

Патентуется моющее средство, в состав которого входят ионный органич. не содержащий мыла детергент и соединение с общей ф-лой $R-R_n-OR'-CO-NH_2$ (R — бензольное ядро, $n = 0$ или 1; R' — алкиловый радикал, содержащий ≤ 6 атомов С; алкильный радикал, содержащий 4—12 атомов С при $n = 1$, а при $n = 0$ имеющий прямую цепь из ≥ 4 атомов С или 8—16 атомов С, из них ≥ 8 атомов С составляют неразветвленную цепь, присоединенную посредством простой эфирной связи).

О. С.

79869 П. Детергент, содержащий сульфированный спирт. Бейнс, Фиц-Джералд, Нелсон (Sulfated alcohol detergent. Banees Fred W., Fitz Gerald William P., Nelson Joseph F.) [Esso Research and Engineering Co.]. Канад. пат. 515505, 9.08.55

Патентуется процесс получения детергента, включающий взаимодействие одноатомного спирта (1—4 атомов С) с этиленом, в присутствии перекисного активатора (дитрет-бутиловой перекиси и др.) при 70—225° и 17,5—105 атм; выделение продукта конденсации (содержащего одноатомные спирты с 10—18 атомами С); сульфирование его олеумом или другими сульфлирующими агентами и выделение детергента, содержащего продукты сульфирования. При взаимодействии этанола с этиленом при 125—135° и 68 атм в качестве сульфлирующего агента применяется хлорсульфоновая кислота.

О. С.

79870 П. Немылные детергенты. Гендерсон, Либби (Non-soapy detergents. Henderson Lloyd F., Libby Louis H.). (Lever Brothers and Unilever Ltd) Канад. пат. 510742, 08.03.55

Патентуется легко сыпучий порошок детергента, содержащий смесь 7,5—50 вес.% алкиларилсульфоната гуанидина общей ф-лы $R-Ar-SO_3H(H_2NC(=NH)NH_2)$ (R — алкил, содержащий 6—8 атомов С, а Ar — бензольное ядро) и 92,5—50 вес.% натрийалкиларилсульфоната или 10—50 вес.% алкиларилсульфонатов.

Г. М.

79871 П. Составы моющих средств. Колгейт, Дригер (Detergent compositions. Colgate Robert B., Dreger Emil E.) [Colgate-Palmolive Co.]. Канад. пат. 512897, 17.05.55

Патентуются детергенты, состоящие из 40—65% мыла, 2—15% соли щел. металла серноокислого эфира моноглицерида жирных к-т (напр., к-т кокосового масла), 5—40% водорастворимой соли фосфорной к-ты (напр., 30% тетра-натрийпирофосфата) или 30% карбоната, силиката и сульфата щел. металла. Соотношения ингредиентов в указанных пределах выбираются таким образом, чтобы в воде при полоскании не образовывалось прочной пены.

О. С.

79872 П. Полиоксиэтиленовые эфиры и детергенты, содержащие их (Polyoxyethylene ethers and detergent compositions containing same) [Atlas Powder Co.] Австрал. пат. 164603, 1.09.55

Патентуется полиоксиэтиленовый эфир насыщ. спирта с сильно разветвленной цепью (11—15 атомов С), имеющий углеводородную структуру олефиновых полимеров (C_{10} — C_{14}) пропилена, изобутилена или смеси пропилена и изобутилена и содержащий 10—20 оксиэтиленовых групп на молекулу. О. С.

79873 П. Предотвращение потускнения металлов, вызываемого моющими смесями. Кендалл и др. (Inhibition of the tarnishing of metals by detergent compositions. Kendall J. D., and others) [Ilford, Ltd.] Англ. пат. 722331 [Prod. Finish, 1955, 8, № 3, 114 (англ.).]

Для предотвращения потускнения металлич. поверхностей к моющим смесям, содержащим, напр., анионное поверхностноактивное в-во и щел. фосфат, добавляют в определенном соотношении меркаптотриазол, полученный по англ. пат. 573105. А. Я.

79874 П. Нерасслаивающееся масло. Джейкобсен (Non-break oil. Jakobsen Jakob L.) [General Mills, Inc.] Канад. пат. 538363, 21.12.54

Растительное масло (РМ), содержащее компоненты (К), выпадающие при нагревании в осадок (по Гарднеру), обрабатывают небольшим кол-вом галоидзамещ. низкомолекулярной алифатич. к-ты в присутствии воды, либо с последующей добавкой воды; при этом образуются две фазы: масляная, в основном свободная от К, и водная, содержащая к-ту и К. Эти фазы затем разделяются. РМ можно предварительно гидратировать и отделять выпавшую в осадок часть К. В качестве алифатич. к-ты берут моноили полихлоруксусную к-ту; первую вводят в кол-ве 0,1—1% от веса РМ.

См. также: Физ. хим. св-ва детергентов 77803, 77804. Методы определения загустителей и связывающих средств 80047. Питательная ценность жиров 23735Бх, 23752Бх, 23775Бх

УГЛЕВОДЫ И ИХ ПЕРЕРАБОТКА

79875. Из опыта эксплуатации ротационных непрерывно действующих диффузионных аппаратов. Габович М. О., Цветинский С. В., Сахарная пром-сть, 1956, № 3, 24—31

На основе опыта эксплуатации непрерывно действующих диффузионных аппаратов ротационного типа системы Мандрыко на сахарных з-дах «Большевик» и им. Куйбышева даются рекомендации по улучшению работы таких аппаратов. Г. Б.

79876. Об аналитическом построении экстракционных кривых и о поле концентрации сахара в свекловичной стружке. Лысянский В. М., Тр. Киевск. технот. ин-та пищ. пром-сти, 1956, № 15, 265—272

Рассмотрена общая методика применения полученного ранее решения задачи экстракции сахара из свеклы для теоретич. и практич. расчетов, связанных с работой противоточного диффузионного аппарата; экстракционную кривую рекомендуется строить по отдельным участкам диффузионного аппарата при условии, что в пределах участка изменение конц-ии сока считается линейным; показано, что распределение конц-ии сахара в свекловичной стружке геометрически описывается сложной кривой поверхности, а не линейной. Г. Б.

79877. Деминерализация сока на опытной установке. Морини (La demineralizzazione del sugo leggero in impianto pilota. Morini Marcello), Ind. saccharif. ital., 1954, 47, № 9—10, 353—359 (итал.)

Опыты уваривания сока, деминерализованного при помощи ионообменных смол, показали, что он варится так же, как обычный сок. Выход сахара повышается пропор-

ционально кол-ву удаленных несахаров. Применение деминерализованного сока дает преимущества при эксплуатации аппаратуры сахарных з-дов, уменьшая потребность в ее очистке. Б. А.

79878. Влияние разных факторов при очистке соков на состав сиропов. Сообщение 3. Дёрфельдт (Einfluß verschiedener Faktoren der Saftreinigung auf die Zusammensetzung der Dicksäfte. 3. Mitteil. Dörfeldt W.), Z. Zuckerind., 1954, 4, № 11, 477—481 (нем.; рез. англ., франц.)

Исследовано влияние кол-в добавляемой извести (1, 2, 3%) и способа дефекации (с холодной или горячей предварительной дефекацией или без таковой). Варианты с предварительной дефекацией и без таковой не дали заметной разницы содержания в сиропе золы, СаО, азота, щелочности и pH. Холодная предварительная дефекация всегда показывала лучшее разрушение инверта, чем горячая. Уменьшение дачи извести с 2 до 1% всегда давало заметное ухудшение качества сока, увеличение же с 2 до 3% мало отражалось на его улучшении (Сообщение 1, 2 РЖХим, 1955, 50789). Л. Ш.

79879. Контроль производства на сахаро-рафинадных заводах. Овчинников М. П., Сахарная пром-сть, 1956, № 2, 35—37

Для определения содержания сахарозы в сахаре-песке рекомендуется косвенный метод, основанный на зависимости поляризации P от цветности y ; $P = (998 - 2y)/10$, кол-во несахаров x рассчитывается по ф-ле: $x = 99,85 - P$; эти ф-лы предусматривают соотношение между компонентами сахара-песка в соответствии с ГОСТ при цветности, равной единице. Для установления правильности анализов сиропов и патоки в продуктовом отделении рафинадных з-дов предлагается ф-ла: $D = (100 B + 0,8 bd)/(B + 0,8b)$, где D — расчетная доброкачественность сиропов, приготовленных только из сахара-песка, B — выход рафинада по весу введенной сахарозы, b — выход рафинадной патоки, d — доброкачественность рафинадной патоки. Г. Б.

79880. Полярнографическая оценка рафинада. Введение новой шкалы. Часть II. Бурнанек, Чиж, Вальтер (Polarografické hodnocení rafinád. Zavedení nové stupnice. II. Část. Buriánek Josef, Číž Karel, Valter Vladimír), Listy cukrovarn., 1955, 71, № 6, 149—151 (чеш.; рез. русс., англ.)

Полярнографический метод с новой шкалой сопротивления был применен для оценки качества сахара-рафинада с содержанием поверхностноактивных в-в >200 мг% мелассы. Для пересчета величин стандартного сопротивления в процентах на 1 мг мелассы предлагаются 2 ур-ния: одно для 1 н., второе для 0,25 н. р-ра сахара в 0,002 н. K_2SO_4 . Навеска сахара для анализа зависит от качества сахара и, стало быть, от величины сопротивления. 0,25 н. р-ра сахара рекомендуется брать в том случае, когда при анализе 1 н. р-ра стандартное сопротивление превышает 94,5 кΩ соответствующих 200 мг% мелассы. Часть I см. РЖХим 1956, 21109. Е. Ш.

79881. Летучие кислоты в мелассе. Андерсен (Volatile acids in molasses. Andersen Erik), Internat. Sugar J., 1956, 58, № 689, 133—134 (англ.)

Наличие летучих жирных к-т в мелассе ухудшает процесс брожения при использовании ее для произ-ва спирта и дрожжей. Наблюдения, проведенные на сахарных з-дах Дании, показали, что при возврате отбросных вод для гидравлич. транспортировки свеклы и на диффузию содержание масляной к-ты в мелассе увеличивается; кроме того, масляная к-та может образовываться в диффузионной батарее в результате микробиологич. процессов. Г. Б.

79882. О коэффициентах насыщения. Каганов И. Н., Твердохлебов Л. С., Сахарная пром-сть, 1956, № 3, 53—54

По данным анализа кормовой патоки, истощенной при различных конц-иях (83,2—87,0% сухих в-в) в термостате

в течение 9 суток при 40°, вычерчена кривая в координатах: по оси абсцисс отношение несахар H_c — вода B_d H_c/B_d , а по оси ординат значения коэфф. насыщения K_n ; кривая оказалась прямой, описываемой ур-нием $y = a + b x$, или для исследуемой патоки $K_n = 0,49 + 0,385 H_c/B_d$. При $K_n = 1$ отношение H_c/B_d , обозначаемое через c , будет равно 1,32; при заданном значении c коэфф. насыщения для определенной патоки имеет определенное значение, одинаковое при любой т-ре. Результаты подсчетов, сделанных для различных пато, показали, что малая величина коэфф. b и большая величина коэфф. c соответствуют более слабой патокообразовательной способности несахара той или иной патоки. Г. Б.

79883. Извлечение сахара из патоки баритовым способом. Могильный Е. А., Сахарная пром-сть, 1956, № 3, 32—36

Описан по литературным источникам процесс извлечения сахара из кормовой патоки баритовым способом с применением для обжига $BaCO_3$ электродпей и способа Дегида, предусматривающего обжиг $BaCO_3$ в смеси с SiO_2 во вращающихся печах при т-ре 1150°, вместо т-ры 1800°, необходимой для разложения $BaCO_3$ в электродпечах. Г. Б.

79884. Влияние содержания сухих веществ, pH и длины волны на коэффициент абсорбции растворов сахара-сырца. Самара, Келлер (Effects of brix, pH, and wave length on the absorbency index of a raw cane sugar solution. Samara P. L., Keller Arthur G.), Sugar J., 1956, 18, № 8, 20—22 (англ.)

На величину коэфф. абсорбции (А) р-ров сахара-сырца оказывает влияние ряд факторов. Опыты показали, что при постоянных содержании сухих в-в и pH А уменьшается с увеличением длины волны (в пределах 400—775 мμ), при постоянных pH (9) и длине волны А с увеличением содержания сухих в-в (в пределах 10—70%) уменьшается незначительно; при постоянных содержании сухих в-в и длине волны А увеличивается с повышением pH р-ра, причем наиболее резкое увеличение А происходит в пределах 6—9 pH. Опыты проводились с р-рами, приготовленными из сахара-сырца «турбиндо», и с применением универсального спектрофотометра. Г. Б.

79885. Номограмма для определения содержания кристаллов сахара в утфеле. Яромолинский М. Б., Терешин Б. Н., Сахарная пром-сть, 1956, № 3, 64

Для вычисления процентного содержания кристаллов (К) в утфельной массе составлена номограмма, заменяющая необходимость пользования формулой: $K = (P_y - P_n) / 100 / 100 - P_n$, где P_y и P_n — соответственно содержание сахара в утфеле и межкристаллической патоке. Г. Б.

79886. Электрический процесс при производстве белого сахара. Гхош (Electrical process of white sugar manufacture. Ghosh Dharendra Nath), Assam Rev. and Tea News, 1956, 44, № 12, 964—967 (англ.)

Отсутствие достаточного кол-ва серы для получения SO_2 , применяемого для очистки тростниковосахарного сока на 3-дах Индии, способствовало разработке новых схем очистки сока, без сульфитации. Ин-т технологии сахара в Канпуре предложил схему очистки сока с применением электричества: сырой сок нагревают, нейтрализуют небольшим кол-вом CaO и подвергают воздействию электрич. тока низкого напряжения в электролизаторе, оборудованном железными электродами; полученный после электролиза сок нейтрализуют суперфосфатом, нагревают, фильтруют и выпаривают. Лабор. опыты показали хорошие результаты — выход сахара увеличивается, выход мелассы уменьшается и легко можно получать в качестве побочного продукта воск. Г. Б.

79887. Успехи исследований в области сахарной технологии в Индии. Рао (Progress of sugar technological research in India. Rao S. N. Gundu), Indian Sugar, 1956, 5, № 10, 521—528 (англ.)

Обзор исследований, проведенных за 23 года. Рассмотрены процессы и аппараты по переработке тростника,

очистке и выпариванию сока, варке и фуговке утфелей, обессахариванию мелассы, использованию отходов произ-ва (багассы, фильтпрессной грязи, мелассы); приведены работы по анализу продуктов и контролю произ-ва. Библ. 79 назв. Г. Б.

79888. Количественное определение аминокислот в тростниковосахарном соке. Робертс, Мартин (Quantitative determination of the amino acids of sugar cane juice. Roberts E. J., Martin L. F.), Sugar, 1956, 51, № 1, 32—33 (англ.)

Приводятся результаты колич. определения 16 аминокислот и амидов, найденных в соке 2 новых сортов сахарного тростника, выращенного в Луизиане (США). Для колич. определения указанных азотсодержащих в-в применялись колонки с ионообменной смолой, в элюате которых кол-во к-т устанавливалось хроматографич. путем. Г. Б.

79889. Очистка решоферов сырого сока от накипи. Добронравов Ф. Н., Сахарная пром-сть, 1956, № 1, 37—40

Лабораторные опыты показали, что очистка решоферов диффузионного сока нефилтрованным соком 1-й сатурации приводит к некоторому ухудшению качества сока 2-й сатурации за счет пептизации вредных для произ-ва азотистых, пектиновых и колл. в-в накипи. В целях предотвращения ухудшения качества сока 2-й сатурации рекомендуется применять для очистки решоферов диффузионного сока 3—5%-ный р-р соды. Накипь, с которой велись опыты, имела хим. состав: органич. в-в 82,5%, в том числе азотистых 6,9%, пектиновых 0,7%; минер. в-в 17,5%, в том числе SiO_2 3,2%, $Fe_2O_3 + Fe_2O_4$ 8,3%, CaO 4,2%, MgO 0,3%, CO_2 0,5%, SO_3 1,0%. Г. Б.

79890. Применение быстроходных центрифуг для фуговки утфелей последней кристаллизации. Терешин Б. Н., Сахарная пром-сть, 1956, № 2, 23—26

Описана импортная быстроходная центрифуга, барабан которой имеет емк. 250 л (370 кг утфеля), диам. 1016 мм, высоту 610 мм; привод от двухскоростного короткозамкнутого электродвигателя с 1430/715 об/мин.; при фуговке утфеля 2-го продукта продолжительность полного цикла работы такой центрифуги была 14 мин., желтый сахар получался с цветностью 50 ед. и доброкачественностью 94—95 ед.; на обычной центрифуге ПМ-1200 при этих же условиях продолжительность цикла достигала 23 мин. Рекомендуется форсировать изготовление и испытание быстроходной центрифуги отечественной конструкции. Г. Б.

79891. Теплоотдача при конденсации пара в утфельных вакуум-аппаратах. Попов В. Д., Тр. Киевск. технол. ин-та пищ. пром-сти, 1955, № 15, 202—211

Расчет коэфф. теплоотдачи от конденсирующегося, насыщ. пара к поверхности нагрева (α_1) при варке утфеля 1-го продукта показал, что в аппаратах вертикального типа α_1 возрастает к концу варки, в противовес аппаратам с горизонтальными трубками, где к концу варки α_1 уменьшается; абс. значения α_1 для горизонтальных аппаратов в среднем меньше (нижний предел 2000—4000 ккал/м² час град), чем для вертикальных (нижний предел 6500 ккал/м² час град). С точки зрения улучшения теплоотдачи при конденсации предпочтение отдается аппаратам с вертикальными элементами поверхности нагрева. Г. Б.

79892. Различия в химическом составе саго, вырабатываемого заводами из крахмала тапиока, и рекомендуемые технические условия для продукта. Субрахманьян, Рамо-Рао, Нараяна-Рао, Сваминахан (Variations in the chemical composition of sago prepared commercially out of tapioca starch and proposed specifications for the product. Subrahmanyan V., Rama Rao G., Narayana Rao M., Swaminathan M.), Food Technol. Res. Inst. Mysore, 1955, 5, № 4, 77—80 (англ.)

В целях установления технич. условий на саго, выра-

батываемого из крахмала тапиоки, были произведены анализы 21 образца этого продукта. Определялись влажность, общая зола, зола, не растворимая в к-те, азотистые в-ва, окрашенные примеси, клетчатка, pH и набухаемость при варке. Предложены для саго следующие технич. условия (в %): влажность $\leq 12,5$, общая зола $\leq 0,35$, зола, растворимая в к-те, $\leq 0,10$, азота $\leq 0,025$, мезги и клетчатки $\leq 5,0$, pH водн. вытяжки саго в пределах 4,0—7,0, набухание $\leq 25\%$ и окрашивающие загрязнения (цвет пудры саго, разб. р-ром NaOH) ≤ 1 красной + 3 желтых ед. Ловибонда.

Н. Б.

79893. Изучение возможности извлечения части кормовых веществ из сточных вод картофельно-крахмальных заводов. Гошпес, Дудаш (Výsledky snah o záchranu alespoň určité části krmné hodnotných obsahu, ztracených dosud odpadní škrobárenskou vodou při zpracování bramboru na škrob. Hošpes B., Dudaš F.), Sbor. Vysoké školy zeměd. a lesn. fak. Brně, 1955, A, № 2, 59—69 (чеш.; рез. рус., нем.)

На двух з-дах проведены опыты по утилизации отходов картофельнокрахмального произ-ва. Установлено, что использование сухих в-в картофеля может быть повышено с 78 до 88—95%. Малые з-ды с-х. типа, перерабатывающие 60 т картофеля в сутки, могут выпускать жидкий корм для немедленной раздачи или силосования в виде смеси прессованной мезги и клеточного сока после треншлейдера в холодном или горячем состоянии, что даст использование сухого в-ва до 95%. Крупные или находящиеся в городах з-ды могут проводить термич. коагуляцию соковой воды и, после спуска частично очищ. воды, осажденный белковый шлам смешивать с прессованной мезгой; в этом случае часть сухих в-в будет потеряна, но общее использование их достигнет 88%. З-ды, перерабатывающие 200 т в сутки, могут выпускать указанные корма и в сухом виде.

Н. Б.

79894. Влияние сырья на биологическое качество кукурузного экстракта. Валентин, Ганула, Арпай (Vplyv suroviny na biologickú kvalitu kukuričného výťahu. Valentin F., Hanula P., Arpaj J.), Chem. zvesti, 1956, 10, № 1, 52—62 (словац.; рез. рус., нем.)

Исследовалась замочка 9 различных сортов кукурузы в условиях, отвечающих заводскому произ-ву. В полученных экстрактах качественно определялся белковый комплекс и зола, и затем они подверглись микробиол. оценке для произ-ва антибиотиков. Установлено, что ценность экстракта для выработки антибиотиков определяется не только хим. составом зерна, но и ее сортовым типом, который в основном определяет динамику замочки, качество экстракта. Проведенная работа дает возможность сделать выбор сортов кукурузы, наиболее эффективных как для промышленной переработки, так и для сельского хозяйства.

Н. Б.

79895. Основы качественных норм и технического анализа картофельной муки. Бжиский (Podstawy norm jakościowych i technicznej analizy mączki ziemniaczanej. Brzyski Władysław), Techn. przem. spożywc., 1956, 5, № 5, 176—178 (польск.)

Перечень качеств. показателей картофельной муки, предусматриваемых стандартами ряда стран, а также способов определения упомянутых показателей. * Г. О.

79896. Переработка корней маниоки. Фюльграбе (Maniokawurzelverarbeitung. Füllgrabe A.), Stärke, 1956, 8, № 2, 27—37 (нем.; рез. англ.)

Приводятся классификация, места произрастания, ботанич. описание корней маниоки (М) и излагаются требования к нему как сырью для произ-ва крахмала. Даны средний состав сырых корней М и выход их после обработки в поле (65—52% после очистки и промывки). Показаны хим. составы сухой муки М и полученного из нее крахмала. При влажности продуктов в 12% содержание углеводов в муке достигает 84,13%, а в крахмале 87,42%.

При выработке крахмала из муки сильно снижается содержание клетчатки (с 2,1 до 0,14%), протеина (с 0,64 до 0,14%) и золы (с 0,58 до 0,18%). Приведена технологич. схема произ-ва крахмала из М и описаны основные приемы обработки корня в поле и на з-де. Даны фото корней М и установок.

Н. Б.

79897. К вопросу о технологии крахмальных клеев. Мак-Айвер (Some aspects of the technology of adhesives derived from starch. Mc Iv e r H.), Adhesives and Resins, 1956, 4, № 4, 50—53, 55—57, 59 (англ.)

Обзорная статья, посвященная вопросам структуры крахмала и произ-ву клеев из его модификаций (шел. и окисленные крахмалы и декстрины). Дана диаграмма вязкости в зависимости от конц-ии для обычного, боратного и метабортного декстринов.

Н. Б.

79898. Пектин. Гелар (Nos matières premières usuelles: la pectine. Guelard Jean), 9-e art franç., 1956, 3, № 23, 17, 19—20 (франц.)

Дается хим. характеристика пектина. Рассматривается процесс закономерности студнеобразования. Показывается значение пектина как студнеобразователя при изготовлении варенья, мармелада, пата, повидла, желе и отмечается значение его в качестве эмульгатора и стабилизатора при произ-ве мороженого и кремов.

А. Ф.

79899. О пектине и его свойствах. 2. Гаррикс (Pectin: its distribution and properties. 2. Garrick P.), Chem. Prod., 1954, 17, № 12, 455—457 (англ.)

Описаны методы и приборы для определения способности к студнеобразованию пектина (П). Даны понятия о низкомолекулярных П и о П медленной и быстрой садки. Изложена характеристика пектиновых ферментов, их современная классификация и условия их деятельности. Рассмотрены применяемые методы определения содержания П в растительном сырье, указаны недостатки существующих методов. Приведены данные о распространении П в растениях и о содержании его в различных фруктах, ягодах и овощах. В общем виде изложена технология произ-ва П из яблочных выжимок и из отходов цитрусовых. Указаны способы получения П быстрой и медленной садки. Перечислены различные направления применения П нормального и низкомолекулярного. Библиограф. 37 назв. Часть 1, см. РЖХим, 1956, 45331.

Л. С.

79900. Об определении ацетильных групп в пектиновых веществах. Кертес, Лавин (On the determination of acetyl groups in pectic substances. Kertesz Z. J., Lavin M. I.), Food Res., 1954, 19, № 6, 627—632 (англ.)

Присутствие ацетильных групп (АГ) в свекловичном пектине оказывает отрицательное влияние на его студнеобразующую способность. Почти все методы колич. определения АГ основаны на обработке пектина щелочью с последующей отгонкой уксусной к-ты, образующейся при омылении уксуснокислого эфира. Опыты обработки пектина пектолитич. препаратом «пектиноль 100 Д» дали отрицательные результаты. Необходимо при шел. обработке омыления пектина обеспечить удаление АГ без дополнительного образования HCOOH (I) и CH₃COOH (II). При усиленной обработке пектина щелочью в шел. вытяжке обычно появляется I, а затем II, которая получается независимо от отщепляющихся АГ. Поэтому отсутствие I в вытяжке после омыления пектина является показателем правильной обработки щелочью. Хроматографич. метод для обнаружения I оказался достаточно чувствительным. После испытаний были подобраны оптимальные условия шел. обработки пектина, обеспечивающие полное удаление АГ без образования дополнительных кол-в I и II: обработка 0,2 н. NaOH при 20—25° в течение 3 час. Вместо отгонки получаемой П предложен извлекать ее из шел. вытяжки спец. р-рителем, не смешивающимся с водой: хлороформом с 10% n-бутанола. В этом р-рителе галактуроновая к-та практически нерастворима. Опытами установлено, что при выбранных условиях работы в этот р-ри-

тель переходят 88,5% всей П, характеризующей содержание АГ в пектине и для пересчета истинного содержания П в вытяжке принят фактор 1,13. Предложен простой метод определения АГ без дистилляции проверен и дал хорошие результаты. Л. С.

79901 П. Глюкозиды гликолей и их производные. Гриффин (Glycol glucosides and derivatives thereof. Griffin William C.) (Atlas Powder Co.). Канад. пат. 510472, 01.03.55

Сахар, содержащий 5—6 атомов С (напр., глюкозу), нагревают с гликолем, содержащим 2—3 атома С (напр., пропиленгликолем) и двусновными внутренними эфирами гликолей, содержащих ≤ 6 атомов С в эквимолекулярных соотношениях, в присутствии крепкой минер. к-ты (или воды) в качестве катализатора и в условиях, при которых летучие реагирующие в-ва и летучие продукты р-ции остаются в реакционной смеси до наступления равновесия р-ции. После этого продолжают нагревание реагирующей смеси при удалении летучих в-в до тех пор, пока останется $\leq 5\%$ непрореагировавшего сахара (в частности, редуцирующего сахара). Полученный продукт обрабатывают оксидирующим средством (алкиленоксидом). Глюкозиды гликолей гигроскопичны, растворимы в воде, имеют вязкую или воскообразную консистенцию. В. Г.

79902 П. Обработка маточных растворов, получаемых при производстве глюкозы (Perfectionnements aux procédés de fabrication de glucose de pureté élevée) [Holding Luxembourgaise «Inventax»]. Франц. пат. 1046623, 8.12.53 [Chem. Zbl., 1955, 126, № 37, 8756 (нем.)]

Получаемые при произ-ве кристаллич. глюкозы маточные р-ры (зеленая патока), богатые минер. солями, подвергаются очистке на катионообменниках («Zeo-Carb», «Dusarit» и др.). Образующиеся к-ты дополнительно осаживают патоку, причем к последней прибавляются свежие крахмалосодержащие в-ва. Если зольность патоки выше 2%, то соли удаляют анионитом и катионитом (напр., «Asmit», «Duolit» и «De-Acidit»). В этом случае к смеси очищ. патоки и крахмалосодержащего в-ва перед гидролизом необходима добавка кислоты. Н. Б.

79903 П. Пектиновая композиция. Лео, Тейлор (Pectin composition. Leo Herbert T., Taylor Clarence C.). Пат. США 2703759, 8.03.55

Порошкообразная смесь состоит в основном из недемоксилированного пектина, полученного путем промывания пектиноалюминиевого комплекса подкисленным спиртом при рН от 0,5 до 2,0 с последующим приведением рН до $\sim 3,3$. Пектин смешивают с пищевой солью щел. металла органич. оксикислоты в кол-ве, эквивалентном 2—10% цитрата натрия к весу пектина (100-градусного). Пектин и соль имеют одинаковые размеры частиц в пределах от 30 до 80 меш. 7,1 г этой смеси растворяют полностью в 224 г обыкновенной водопроводной воды; полученный р-р имеет рН 3,5—4,4 и способность студнеобразования 6,25 градуса. Л. С.

79904 П. Способ кислотного гидролитического расщепления протопектиносодержащих частей растений. Винклер (Verfahren zur sauren hydrolytischen Aufschlußbehandlung protopektinhaltiger Pflanzenteile. Winkler Gerhard) [Pomosin-Werke G. m. b. H.]. Пат. ФРГ 917709, 9.09.54 [Chem. Zbl., 1955, 126, № 10, 2326 (нем.)]

При кислотном гидролитич. расщеплении растительного материала, содержащего протопектин, для получения пектина любой степени этерификации устанавливают требуемую кислотность в гидролизуемом материале посредством р-ра сульфаминовой кислоты. В. Н.

79905 П. Получение маннитола из бурых морских водорослей. Судзуки (Mannitol from brown sea algae. Suzuki Shinichi). Япон. пат. 2975, 29.05.54 [Chem. Abstr., 1955, 49, № 8, 5872 (англ.)]

Для получения маннитола из водорослей *Kajime* заме-

шивают 100 кг водоросли, 1000 кг воды и 5 кг $\text{Ca}(\text{OH})_2$, оставляют стоять на ночь и фильтруют. Фильтрат обезцвечивают с помощью кизельгура и угля (по 5 кг), фильтруют, добавляют к фильтрату 40 кг стеарата натрия, 5 кг CaCl_2 , перемешивают. Оставляют смесь на ночь, отфильтровывают осадок и обрабатывают его HCl для расщепления его и выделения свободной стеариновой к-ты. Нейтрализуют фильтрат, продувают его CO_2 для осаждения CaCO_3 , фильтруют, фильтрат концентрируют для получения маннитола — сырья с выходом 80%. Л. С.

79906 П. Этерифицированные углеводные камеди. Мо (Etherified carbohydrate gums. Моe Owen A.) [General Mills, Inc.]. Канад. пат. 511204, 22.03.55

Патентуется способ произ-ва продукта, представляющего эфир водорастворимого производного камеди, напр. галактоманнана и глюкоманнана. Эфир является продуктом р-ции производного камеди и этерифицирующего в-ва, содержащего несколько этерифицирующих групп (в частности, 2-хлорэтилового эфира). Водорастворимой группой получаемого продукта является группа карбоксилатного эфира, содержащая щел. металл. Для освобождения от водорастворимых электролитов полученный эфир растворяют в воде, осаждают эфирное производное, промывают его метанолом и еще раз растворяют в воде и осаждают метанолом. Водн. р-ры полученного продукта, не содержащего водорастворимых электролитов, обладают улучшенной вязкостью: 0,75%-ный водн. р-р его имеет вязкость 50 000 *спуз*. Г. Н.

См. также: Глюкоза 78209; колич. опред. 22839. Окисление углеводов 78525. ИК-спектры сахаров 78211. Извест., получение и использование отходов 78633, 78854. Подготовка воды на сахар. з-дах 78955. Структура полисахаридов 22772

БРОДИЛЬНАЯ ПРОМЫШЛЕННОСТЬ

79907. Брожение. Биш, Шалл (Fermentation. Beesch Samuel C., Shull G. M.). Industr. and Engng Chem., 1955, 47, № 9, Part 2, 1857—1875 (англ.)

Обзор литературы по вопросам брожения в различных отраслях произ-ва, по разделам: общие вопросы и развитие произ-в, р-рители, органич. к-ты, витамин, декстран, стероиды, антибиотики, антибиотик нефармацевтич. назначения, микроорганизмы пищевых и кормовых продуктов, микробиологич. синтез жиров и стирола, ферменты промышленного значения, технология брожения. Библ. 299 назв. Г. О.

79908. Национальная коллекция культур дрожжей. Керсон (The National collection of yeast cultures. Kirsop Barbara), J. Inst. Brew., 1954, 60, № 3, 210—213 (англ.)

Собрание культур непатогенных дрожжей, частично входившее в Национальное собрание культур дрожжей, бактерий и плесеней, передано институту пивоварения. Приводятся перечисление имеющихся культур, методы систематизации, приемы хранения. И. Б.

79909. Акролеин в спиртных напитках. Розенталер, Вегацци (Acrolein in spirituous. Rosenthaler L., Vegezzi G.), Z. Lebensmittel-Untersuch. und Forsch., 1955, 102, № 2, 117—123 (нем.)

Акролеин (А) найден в самых разнообразных спиртных напитках, в том или другом кол-ве; в изделиях высокого качества установлены лишь следы А. Исследовалось влияние различных в-в на образование А и рассмотрены способы удаления А из спирта. И. Б.

79910. Осахаривание крахмалистого сырья ферментами солода и плесени в спиртовом производстве. Деккенброк (Zur Frage der Verzuckerung stärkehaltiger Brennerrohstoffe durch Getreidemalz- und Pilzenzyme. Deckenbrock Walter), Stärke, 1954, 6, № 3, 41—44 (нем.)

Проведенные опыты показали, что заторы, осажаренные

ферментами плесеней, сбраживаются быстрее, чем ферментами солода.

79911. Определение начальной плотности сусла из могоара на спиртовых заводах. Рамчандер (Determination of the initial gravity of mohwa worts in distilleries. Ramchander G.), Indian Sugar, 1954, 4, № 4, 197—198 (англ.)

Указывается на неизбежность ошибок при определении плотности броющей жидкости, когда могоар задан в бродильные чаны, и даются указания по проведению перегонки в лабор. масштабе.

79912. Потери спирта и пути их снижения при перегонке на аппаратах коньячного производства. Маслов В. А., Бюл. науч.-техн. информ. Укр. н.-и. ин-т виноградарства и виноделия, 1955, № 2, 20—23

При перегонке (П) виноматериалов потери спирта (ПС) происходят за счет: уноса спирта (I) с бардой — до 56%; окисления и улетучивания I в процессе П — до 45% в летнее время; ПС через воздушник спирт. фонаря — 12—14% и ПС через воздушный краник при спуске нагретого до 60° виноматериала в куб, — 1,4—2% от общих ПС. При фракционированной П сырца ПС за счет окисления и улетучивания в процессе П возрастают до 70%, а за счет барды снижаются до 22% от общих ПС. В летнее время ПС при обычной П (0,4—0,5 л/мин) выше на 70%, а при форсированной П (0,7—0,8 л/мин) — на 26% предельно допустимых норм. В зимнее время ПС при П виноматериалов ниже на 33%, а при П сырца — на 16,8% допустимых норм, причем снижение ПС при форсированной П больше, чем при обычной, однако с меньшей разницей, чем в летнее время. В отличие от обычной П новообразования альдегидов и ацеталей при форсированной П незначительны или вообще отсутствуют. Для снижения ПС при П рекомендуется: обеспечить герметичность аппаратов, избежать работы в теплое время года, добиваться т-ры I в фонаре не выше 16—18°, устанавливать оросительные спиртоловушки для воздушников, вести спгонку конечной части погона с умеренной скоростью (0,3—0,45 л/мин) и заканчивать спгонку только при 0° крепости погона. Г. О.

79913. Влияние системы перегонных аппаратов на качество коньячного спирта и исследование процесса перегонки коньячного спирта в коньячных кубах. Нушев (Влияние на системные дестилационни апарати върху качеството на коняния спирт и изследване процеса на изпаряването на коняния спирт с коняните казани. Нушев Илия Христов), Лозарство и винарство, 1956, 5, № 1, 48—57 (болг.)

При сравнении перегонки коньячных виноматериалов на шарантском аппарате (ША) двойной сгонки, на односгонном коньячном аппарате и на непрерывно действующем (состоящем из виноподогревателя, дистилл. колонки высотой 3 м, шириной 60 см с 13 тарелками, трех дефлегматоров и холодильника) получены следующие результаты: летучих к-т больше всего в отгоне непрерывно действующего, меньше в отгоне ША. В содержании эфиров и высших спиртов разницы между тремя аппаратами почти не было. Альдегидов больше в ША, меньше всего в непрерывно действующем. Аналогично распределяется и фурфурол. Наилучшее качество дает ША, затем коньячный одной сгонки и хуже всех непрерывно действующий. При исследовании динамики перегонки различных компонентов в односгонном коньячном аппарате показано, что наибольшее кол-во альдегидов и эфиров переходит в «головку», в дальнейшем их кол-во снижается и остается довольно постоянным и близким к вину. Наибольшее кол-во высших спиртов переходит в «головку» и «середку». Содержание летучих к-т и особенно фурфурола, наоборот, увеличивается при дальнейшей перегонке.

79914. Грузинский коньяк. Сирбиладзе А. Л. (გაბიშვილი კონიაკი. სირბილაძე ა. ლ.). Тр. Ин-та виноградарства и виноделия. АН ГрузССР, 1956, 9, 163—175 (груз.; рез. русс.)

Приведены характеристики грузинских коньяков, способы их приготовления и требования, предъявляемые к исходному сырью и способам переработки последнего. Г. О.

79915. Образование углекислоты при выдержке коньячных спиртов. Джанполадян Л. М., Мнджоян Е. Л., Докл. АН АрмССР, 1955, 20, № 5, 177—180 (рез. арм.)

Исследовалась зависимость образования CO₂ от состава древесины при выдержке коньячных спиртов в дубовых бочках. Установлено, что наибольшее кол-во CO₂ выделил араксинский дуб (*Quercus araxina*), в котором содержание полиуроновых к-т равно 0,33%, т. е. в 9,5 раза меньше, чем в грузинском дубе (*Quercus iberica*). Следовательно, образование CO₂ происходит не за счет декарбоксилирования полиуроновых к-т древесины, а является результатом окисления. Отмечено, что образцы дуба, выделяющие больше CO₂, сообщают коньячному спирту лучший букет и вкус (араксинский дуб). Исследования окислительных р-ций древесины с коньячным спиртом показали, что они обусловлены действием кислорода воздуха на древесину или ее экстракт и протекают настолько глубоко, что одним из продуктов окисления является CO₂. А. Е.

79916. Помутнение синтетического сакэ. Саруно, Мацура, Сасаки (合成清酒の濁濁について. 猿野珠次郎, 松浦松雄, 佐々木喜代) 日本醸造協會雜誌, Нихон дзёдо кёкай дзасси, J. Soc. Brew., Japan, 1955, 50, № 8, 466—464 (япон.; рез. англ.)

Помутнение сакэ вызывается размножением дрожжей, которое стимулируется некоторыми витаминами группы В. Добавление 0,2% этилбромометана предотвращает дрожжевое помутнение синтетич. сакэ. Г. О.

79917. Механизация производства веществ для улучшения качества синтетического сакэ. Саруно, Ано, Нодзиро (香味液製造法 (清酒仕込式) の機械化. 合清酒に関する研究. 第 1 報. 猿野珠次郎, 阿部勝一, 阿部芳明), 能率工學雜誌, Хакко когаку дзасси, J. Ferment. Technol., 1953, 31, № 8, 321—325 (япон.; рез. англ.)

Изучалось произ-во сакэ (в-в для улучшения качества синтетич. сакэ) с использованием рисовой койи и бактериальной амиллазы. Содержание спирта в сусле получено >16—19 об.%. Значительно повышался коэфф. полезного использования сырья. Определено кол-во глюкозы, мальтозы и несбраживающихся сахаров в сусле. Содержание мальтозы в сусле, осахаренном при высокой т-ре, незначительно, на последней стадии брожения сусла оно снижается до 1%. При использовании бактериальной амиллазы для рисового затора наблюдалось увеличение содержания аминокислот в сусле, осахаренном при высокой т-ре. Время для осахаривания 6—7 час. В. Г.

79918. Кетокислоты сакэ. Эноки, Мута (酒母及びろみの中のケトン酸長について. 榎徹, 武藤告), 日本醸造協會雜誌, Нихон дзёдо кёкай дзасси, р. Soc. Brew., Japan, 1955, 50, № 8, 469—466 (япон.; рез. англ.)

Определение кетокислот сусла в процессе брожения производилось методом Clift—Cook. Установлено, что исследуемые кетокислоты состоят в основном из пировиноградной к-ты, содержание которой возрастает в периоде главного брожения и затем постепенно снижается. Наличие этих к-т не является качеств. признаком сакэ. Г. О.

79919. Успехи исследований в пивоваренной промышленности. Смайлн (The progress of brewing research. Smiley N. B.), Canad. Bever. Rev., 1954, 24, № 1, 45—46 (англ.)

Научно-исследовательский ин-т зерна и ин-т агротехнич. ботаники в Кембридже вывели первоклассный сорт пивоваренного ячменя «Проктор»; отмечаются успехи в изучении механизма распада крахмала, образовании помутнения пива. Освоены приемы гибридизации дрожжей; изучены ингибиторы прорастания ячменя; освоен метод конц-ни пива применением холода. И. Б.

79920. Успехи в производстве пива, выпускаемого в стеклянной таре. Грей (Advances in the packaging of beer since relegalization. Gray Philip P.), *Brewers Digest*, 1953, 28, № 4, 111—113, 124 (англ.)
Обзорная статья о прогрессе техники произ-ва за 20 лет. И. Б.

79921. Помутнение бутылочного пива. Грин (Heaz in bottled beer. Green J. W.), *Brewers' Guardian*, 1955, 84, № 10, 22—30 (англ.)

Изучение показало, что основной причиной помутнения пива является разрушение белков; мероприятия, обуславливающие стабильность белков и их производных, будут задерживать появление муты; это достигается добавлением протеолитич. ферментов, в частности нового препарата «кристаллазы»; приводятся результаты различных способов и примеров применения кристаллазы, давших положительные результаты. И. Б.

79922. Современные взгляды на белковые вещества пива. Нортгейт (Moderne aspecten van de bierproteïnen. Van den Noortgaete C. H.), *Fermentatio*, 1955, № 3, 143—159 (голл.)

Обзор литературы (до 1953 г.) о белках ячменя и суслу и стойкости белковых коллоидов в пиве. Библ. 49 назв. А. Е.

79923. Пиво верхового брожения. Деврё (Nos bières hautes. Devreux André), *Petit j. brasseur*, 1956, 64, № 2593, 296—299 (франц.)

В Бельгии за последние годы повышается спрос на пиво верхового брожения. Рекомендуются следующие приемы его произ-ва: варить не светлое, а темное пиво, изготовляя солод на манер монахенского (т-ра сушки 100—105°); добавление карамели не рекомендуется; что касается несоложенного зерна, категорич. указаний относительно его пропорции не дается; хмель необходимо брать «мягкий» типа «кент»; даются указания по подготовке воды; варку необходимо проводить в ускоренных темпах и т-рах несколько повышенных, заканчивая ее, приближаясь к 75°; даются подробные указания по фильтрации, учитывая ее влияние на качество пива, в частности на стабильность пениобразования. И. Б.

79924. О разведении чистых культур. Кох (Natürliche Reinzucht einst und jetzt. Koch R.), *Brauerei*, 1954, 8, № 6/7, 29—31 (нем.)

Рассмотрены условия получения пива, стойкого при хранении, и значение применения чистых культур дрожжей в пивоварении. Установлено, что некоторые расы дрожжей выделяют антибиотич. в-ва, обладающие бактериостатич. или бактерицидным действием в отношении пивных педиококков. А. Ж.

79925. Об американском способе производства пива. Глэцль (Was sagen uns amerikanische Bierherstellungsmethoden. Glöetzl J.), *Brauwelt*, 1955, 895, № 45/46, 748—750 (нем.)

Кратко изложены основы технологич. процесса, применяемого в пивоварении США. На з-дах часто применяют гипсование воды, поступающей на затирание, все большее распространение приобретают ионообменники. Наряду с несоложенным сырьем (рис, кукурузная крупа) применяют сахар. Каждый з-д выпускает 2—3 сорта пива, применяя однотипный режим затирания. Осахаренный и прокипяченный затор несоложенного сырья смешивают с солодовым при 68—70°. Варочное устройство отличается от европейского, оно состоит из 5 аппаратов: одного заторного чана с поверхностью нагрева, котла для обработки несоложенного сырья, двух фильтр-чанов и одного суслотарного котла. Тарелки заменены осадочными чанами, главное брожение проводится в закрытых чанах. Начиная с охлаждения суслу, принимаются меры по предохранению суслу и пива от соприкосновения с воздухом. При перекачке зеленого пива в танки применяется спец. насадка для предохранения первых порций пива от аэрации. Пиво, предназначенное для отправки на большое расстоя-

ние, фильтруют через диатомит после 2—4 недель выдержки и охлаждения до —2° и карбонизируют. В отфильтрованное пиво добавляют стабилизатор и мета-бисульфит калия для связывания кислорода. После выдержки этого пива в течение 8—14 дней при 0° производится еще раз глубокое охлаждение, карбонизация и двойное фильтрование через фильтрмассу. Разлив пива проводят под давлением углекислоты. Отмечается, что пиво, изготовленное при таком режиме при короткой выдержке его, часто бывает лучше, чем пиво, изготовленное при длительном холодном брожении и выдержке. Н. Л.

79926. Пиво из древесной коры. Хубер (Bier aus Baumrinde. Huber Heinrich), *Brauwelt*, 1954, № 37 B, 525 (нем.)

79927. Изучение солода и пива из кафрского сорго I. Производство кафрского пива в Южной Америке. Шварц.

II. Микробиологическое изучение кафрского пива. Вальт (Kaffircorn malting and brewing studies. I. The kaffir beer brewing industry in South Africa. Schwartz H. M. II. Studies on the microbiology of kaffir beer. Walt J. P. van der), *J. Sci. Food. and Agric.*, 1956, 7, № 2, 101—105; 105—113 (англ.)

1. Кафрское пиво вырабатывают в Южной и Центральной Африке из разновидности сорго (*Sorghum caffrorum* Beauv) с крепостью 1—8% спирта. Сорго насыпают слоем 8—12 см, увлажняют и проращивают 4—5 дней, затем высушивают на солнце. Солод смешивают с водой (50°), производят выдержку в течение 6—48 час. при 45—50° (так называемое «прокисание»), при которой происходит развитие *Lactobacillus Delbrückii* и накопление молочной к-ты. Затем прибавляют воду и кипятят сусло. После охлаждения до 40—60° добавляют солод и производят осахаривание. Брожение на современных з-дах производят одним из штаммов *Sacch. cerev.*, выделенным из кафрского пива. После 4—8 час. брожения пиво готово для потребления.

II. При «прокисании» солода из сорго перед его осахариванием выделены *Lactobacillus Delbrückii*, *Lb. plantarum*, *Lb. brevis*, *Lb. fermenti*, *Pediococcus damnosus*, *Leuconostoc mesenteroides* и *Leuconostoc dextranicum*. Под влиянием этих бактерий pH понижается с 6 до 4 (температурный оптимум 45°). При спиртовом брожении суслу основными дрожжами оказались *Saccharomyces cerevisiae*, *Candida krusei* и *Kloeckera apiculata*. При продолжительном хранении кафрского пива происходит его порча, обусловленная развитием различных штаммов *Acetobacter*. И. С.

79928. О редуцирующих веществах в пивоварении. Шабот (Réductones, réducto-réducteurs et réducteurs en brasserie. Chabot G. L.), *Fermentatio*, 1953, № 2, 35—48 (франц.)

Исследованы в-ва, восстанавливающие J: 1) в кислотной (редуктоны). 2) в слабощел. (редукто-редукторы) и в сильнощел. (редукторы) средах в различных образцах солодового экстракта, суслу и пива. А. Е.

79929. Зависимость качества ячменя от его сорта.

Гёпп (Die Sorte als Faktor für die Qualität der Gerste. Göpp K a g l), *Braufelt*, 1954, B, № 40, 568—570 (нем.)

Рассмотрены различия физ. свойств и хим. состава ячменя разных сортов. А. Е.

79930. Исследование разновидностей пивоваренного ячменя. Гертнер (Sörárpajták vizsgálata. G ä r t n e r K á r o l y), *Élelm. ipar*, 1954, 8, № 3, 81—83 (венг.)

Экстрактивность солода для венгерских сортов ячменя можно определить по ф-ле: $82,7 - 0,88 F + 0,15 G$, где F — содержание сухих белков в процентах и G — вес 1000 высушенных зерен ячменя в г. Отклонения от вычисленных данных не превышают 1%. Авторы предполагают, что низкое качество ячменя, полученного при опытных посевах, является следствием неправильного севооборота. Г. Ю.

79931. Производство солода. — (The malting of barley. — *Brewers' J.* (London), 1955, 91, № 1076, 161—166 (англ.)

В Англии для обогрева солодосушилок стали использовать газ. Переустройство солодосушилок, обогреваемых углем, осуществляется установкой горелок в топках. Приводится отчет о работе на опытной конвекционной солодосушилке. На основе полученных данных спроектирована солодосушилка с газовым обогревом, приводятся основные технологич. параметры. Применение газового обогрева для сушки солода дает экономию 40—45% по сравнению с применением угля. Л. Г.

79932. Современный комбинированный барабан для ращения и сушки солода в солодовне в Норфолке (Англия). — (Modern combined germinating and kilning drum at ryburgh maltings, Norfolk. — *Brewers Guardian*, 1955, 84, № 6, 29—35 (англ.)

Кратко описана оригинальная конструкция солодовенного барабана, в котором солод проращивается в течение 8 дней, а затем один день сушится; батарею из 9 барабанов снабжает теплом одна печь. Указывается на сокращение расходов на топливо и обслуживающий персонал. И. Б.

79933. Об аналитическом определении разрыхления солода. Салач, Главачек (Beitrag zur analytischen Bestimmung der Malzaufloesung. Salač V., Hlaváček I. v o), Brauwelt, 1955, № 66, 1069—1075; № 67, 1098—1100 (нем.)

На основе обширного исследовательского материала, приведенного в ряде таблиц, дана критич. оценка способов аналитич. определения растворения солода (определение показателя разницы в выходе экстракта в тонком и грубом помоле, определение числа Кольбаха, вязкости, определение числа Гартонга). На основе проделанной работы предлагается улучшение метода определения вязкости и упрощение метода определения числа Гартонга. Л. Г.

79934. Образование стекловидности солода при сушке. Рупперт (Über die Darrfestigkeit der diesj. hrigen Malze. Ruppert Albin), Brauwelt, 1954, № 40 B, 571—573 (нем.)

79935. О применении несоложеного сырья в пивоварении. Гокар (Le pourquoi et le comment de l'emploi des grains crus en brasserie. Goscar M.), Petit J. brasseur, 1954, 62, № 2508, 556—557 (франц.)

Краткий обзор истории развития пивоварения. Применение несоложеного сырья стали уделять внимание из экономич. соображений. Из числа крахмалсодержащих культур: риса, ржи, картофеля, проса, — предпочтительнее отдается кукурузе не только по экономич. расчетам, но и потому, что сусло получается хорошего качества. В Америке обезжиренная кукуруза нашла применение в пивоварении около 100 лет назад, отсюда распространилась в Англии и Бельгии. Во Франции упоминание о применении кукурузы относится к 1890 г. Применение кукурузы рассматривается как прогрессивное явление с точки зрения экономики. Приводится содержание жира в различных злаках: ячмень 1,5—2,5%, кукуруза 3,5—4,5%, рис 0,5—1,8%, пшеница 1,5—2,5%, овес 6,0—7,0%. П. В.

79936. Химия горьких веществ хмеля, в частности изогумулона. Кухинке (Beitrag zur Chemie der Hopfenbitterstoffe, insbesondere des Isohumulsus. Kuchinke E. d. u. a. r. d.), Brauwissenschaft, 1955, № 11, 246—253 (нем.); рез. англ.)

В процессе работ по получению маслянистого изогумулона и испытаний ряда синтетич. соединений для туберкулостатич. исследований была выделена новая разновидность кристаллизующегося изогумулона. Выделение осуществлялось путем смешивания маслянистого изогумулона с 1,2-пропиленгликолем, или выдержкой маслянистых продуктов в холодильнике в течение 3—4 месяцев для перегруппировки гумулона. Кристаллизующийся изогумулон не обладает туберкулостатич. действием и не имеет горького вкуса. Туберкулостатич. действием (гормонение роста при 1:20 000) и горькими свойствами

обладают только маслянистые компоненты изогумулона. Из синтетич. продуктов 2,10-диметилдэцен-9-дион-4,6 при разведении 1:5000 показал очень сильную горечь; напротив, циклич. соединения типа 5-фенилциклопентантрион-1,3,4 имели слабо кислый вкус. Дается подробный обзор литературы по химии горьких в-в хмеля. Библ. 37 назв. Л. Ш.

79937. О физиологически активных веществах хмеля. Кнорр (Über die physiologischen Wirkstoffe des Hopfens. Knorr Fritz), Brauwelt, 1954, № 77 B, 1149—1151 (нем.)

Обзор работ (до 1953 г.) о бактерицидном действии горьких в-в хмеля. Библ. 17 назв. А. Е.

79938. Изучение хмеля. Батсле (Études sur le houblon. Baetsle R.), Fermentatio, 1954, № 4, 173—190; № 5, 244—257 (франц.)

Приведены аналитич. данные (содержание SO_2 , pH, гумулона и лупулона), относящиеся к образцам окуреного SO_2 хмеля после 30-дневного хранения при 0°; содержание горьких к-т в хмеле в зависимости от т-ры хранения, изменение в содержании гумулона в пиве в различных условиях хранения, хим. изменения зеленого хмеля при хранении. На основании обширного эксперим. материала даны практич. указания о применении хмеля в пивоварении. См. РЖХим, 1956, 63556. А. Е.

79939. О некоторых факторах, влияющих на охмеление сусла и пива. Гилиссен, Ван-Гелюве, Фрайс (Sur quelques facteurs qui influencent le houblonnage du moût et de la bière. Gilissen M., Van Gheleuwe J., Fraeys P.), Fermentatio, 1954, № 1, 31—40 (франц.)

Применение ф-лы Вельмера для расчета степени «горечи» (процент α -смол + процент β -смол/9) дает возможность дозировать хмель различного качества для получения одинаковой горечи в пиве. Повышенная т-ра и влажность при хранении снижают в хмеле кол-во гумулона, в этом случае ежегодно теряется до 10% α - и β -смол. Хмель хорошо сохраняется в спрессованном виде при 0° в атмосфере ацетилена, азота, водорода. Лупулон хмеля менее растворим, чем гумулон. При кипячении гумулон переходит в более растворимое соединение — изогумулон. Смоли хмелевого экстракта более растворимы, чем смолы свежего хмеля. Применение экстракта хмеля позволяет экономить хмель, так как значение величины «горечи» экстракта из 100 кг хмеля соответствует, по исследованиям Кольбаха, горечи из 120 кг этого хмеля. В. П.

79940. Обработка лагерного пива активированным углем для улучшения стойкости его на холоду. Боллос (Carbon treatment of cellar beer for improved chill stability. Ballos C. James), *Brewers' Digest*, 1955, 30, № 8, 53—55, 62 (англ.)

Проведенные заводские испытания по обработке различных сортов пива активированным углем показали эффективность ее для увеличения стойкости пива на холоду. Лучшие результаты получены при добавлении 2,2—2,7 кг активированного угля на 76 л пива в конце периода лагерного хранения, до предварительной фильтрации. Обработка не оказывает отрицательного влияния на вкус, цвет, стойкость пены пива; не изменяются и содержание белков, величина экстракта и степень сбраживания. Пиво, обработанное таким методом, оставалось прозрачным 220 дней, тогда как контрольное — 111 дней. Л. Г.

79941. Влияние степени осветления пивного сусла на процесс брожения и качество пива. Великая Е. И., Мальцев П. М., Тр. Киевск. технол. ин-та пищ. пром-сти, 1955, № 15, 89—101

В связи с тем, что применение сепараторов для осветления пивного сусла оказалось весьма эффективным, оказалось необходимым выяснять следует ли полностью удалять тонкую муть и сепарировать охлажд. сусло, или же тонкие муты должны быть сохранены и нужно сепарировать горячее сусло. Проведенные исследования показали: тонкие

высокодисперсные взвеси пивного сусла приводят к незначительному замедлению сбраживания в его конце и заметного влияния на размножение дрожжей не оказывают; оседание дрожжей в таком сусле наступает на 2—3-и сутки; скорость брожения такая же, как и осветленного сусла; наличие тонких взвесей положительно отзывается на вкусовых качествах пива и в 2—3 раза увеличивает его пенокуюсть; помутнения такого пива при хранении на холоду не замечалось. Пиво из осветленного сусла или содержащего только грубые взвеси имело «пустой» вкус с пониженной пеноустойчивостью. Рекомендуется охмеленное пивное сусло сепарировать в горячем состоянии.

И. Б.

79942. О ведении главного брожения и дображивания пива в одном аппарате. Мальцев П. М., Заирная М. В., Тр. Киевск. технол. ин-та пищ. пром-сти, 1955, № 15, 76—79

Главное брожение и дображивание пивного сусла представляют аналогичные биохим. процессы и характер главного брожения предопределяет процесс дображивания, которое отличается меньшей интенсивностью брожения. Хотя вследствие наличия этих условий оба процесса могли бы с успехом проводиться в одном аппарате, в заводской практике оба брожения проводятся не только раздельно, но даже в разных помещениях, что влечет ряд различных расходов и потерь. Авторы считают своевременным на основе прежней практики, сделанных новых предложений и бескислородного режима брожения провести необходимые исследования и решить вопрос брожения пивного сусла в одном аппарате.

И. Б.

79943. Активация пивных дрожжей путем кислотной обработки. Соченова З. И., Сб. работ студ. науч. о-ва. Ленингр. технол. ин-т пищ. пром-сти, 1956, № 1, 35—37

Опытным сбраживанием охмеленного пивоваренного сусла установлено, что предварительная обработка пивных дрожжей H_2SO_4 в течение 40 мин. способствует повышению их бродильной способности и ускоряет процесс главного брожения не менее чем на одни сутки. Активность дрожжей в первом пассаже сохраняется при повторном их использовании.

Г. О.

79944. Спектрофотометрическая оценка способа снижения расхода хмеля. Барта (Egy komlómegetakarítási eljárás spektrofotometriai értékelése. Barta György), Élelm. ipar., 1955, 9, № 10, 317—321 (венг.; рез. русс., англ. нем.)

Рекомендуется применение изооктана вместо хлороформа для извлечения горьких в-в из хмеля, при пользовании спектрофотометрич. методом определения. Этим методом установлено, что предварительная обработка хмеля щелочью сокращает его расход на 20—22%, а при pH 8—8,2 до 25%. Содержание горьких в-в в пастеризованном бутылочном пиве, приготовленном с применением предварительно обработанного щелочью хмеля, снижается в ходе многомесячной выдержки.

Г. О.

79945. Действие перекиси водорода и надуксусной кислоты при замачивании ячменя. Грин, Сангер (Effect of hydrogen peroxide and of peracetic acid in maltouse steep liquor. Green J. W., Sanger M. J.), J. Inst. Brew., 1956, 62, № 2, 170—179 (англ.)

В опытах с ячменем (урожае 1954 г.) показано, что H_2O_2 обладает более сильным стимулирующим действием на прорастание зерна при его замочке, чем надуксусная к-та. Последняя в конц-ях $<0,003\%$ и $>0,1\%$ действует подавляюще на прорастание зерна.

И. С.

79946. Об охлаждении пива после пастеризации. Некола (The economics of pasteurizer end cooling. Nekola William), Brewers Digest, 1955, 30, № 12, 45—46, 48—49 (англ.)

Качество пива в значительной степени зависит от т-ры, при которой оно выходит из пастеризатора (П). В современной практике США т-ра охлад. после пастеризации

пива $\leq 35^\circ$, а лучшей считается 13—15,5°. Требование к снижению т-ры пива привело к значительным изменениям в проектировании и строительстве П. Так, из 103 построенных в последнее время П лишь 10% рассчитаны на разность между выходной т-рой пива и т-рой водопроводной воды в 9—11°, в то время как до 1945 г. практически все П работали при такой разности. Рассматриваются различные способы снижения т-ры пива, выходящего из П, и меры к снижению расхода воды. Приводятся различные варианты циркуляции воды в установке с использованием тепла пастеризации для предварительного подогрева пива, а также низкой т-ры поступающего в П пива для охлаждения пива, выходящего из П.

С. С.

79947. Промывание и уничтожение горечи пивных дрожжей. Ней (Washing and debittering brewer's yeast. Nay Eugene V.), Brewers Digest, 1954, 29, № 5, 51—52, 54, 64 (англ.)

Подробно описан способ промывки дрожжей размешиванием в весьма холодной воде после процеживания через частое сито (100 ниток на 1 см); промытые дрожжи должны быть осаждены, а вода декантирована; в случае плохой осаждаемости дрожжи центрифугируются или отфильтровываются. Освобожденные от примесей дрожжи для удаления горечи обрабатываются в шел. р-рах, тщательно промываются и высушиваются на барабанных или распылительных сушилках.

И. Б.

79948. Из практики мойки бутылок. Юричек (Betrachtungen und Betriebserfahrungen auf dem Gebiet der Flaschenreinigung. Juricek G.), Mitt. Versuchsstat. Garungsgew., 1955, 9, № 7—8, 100—101 (нем.)

Рекомендуется применение «сульфон-концентрата» при мойке оборотной посуды, поступающей на пивоваренные заводы.

И. Б.

79949. К исследованию кизельгура. Кнорр (Ein Beitrag zur Untersuchung von Kieselgurarten. Knorr Fritz), Brauwissenschaft, 1955, 8, № 12, 284 (нем.)
При исследовании различных образцов кизельгура (I) применен прибор Цейса для определения мутности р-ров: 1 г I взбалтывают в 1000 мл воды. Из болтушки берут 40 мл и производят определение мутности при 20°. Приведены кривые определения мутности взвесей различных сортов I в зависимости от времени (до 90 мин.). См. РЖХим, 1956, 45366.

А. Е.

79950. Пастеризация—ее назначение и результаты. Вильямс (Pasteurization—purpose and effect. Williams O. B.), Brewers p. (Chicago), 1954, 111, № 5, 33 (англ.)

79951. Достижения в пастеризации пива в токе.— (Recent advances in bulk pasteurization of beer.—), Brewers Digest., 1955, 30, № 2, 62 (англ.)

При пастеризации в токе пиво, сохраняемое при 0°, перекачивают под давлением до 6 атм через теплообменник, где его в течение 40 сек. нагревают до 70—74°, а затем охлаждают до 6°, после чего перекачивают в стерильный танк. Система замкнута, что обеспечивает сохранение углекислоты, растворенной в пиве. Для обеспечения стерильности бочкового разлива используются автоматич. устройством, которое стерилизует паром бочку и трубопровод, охлаждает бочку и создает противодавление углекислоты перед поступлением пастеризованного пива. Для достижения стойкости пива необходима полная стерильность бутылки и колпачка, которая достигается спец. обработкой (шприцевание после мойки р-рами, содержащими 0,1—0,4% хлора, обработка сернистым газом и др.). Однако известно, что некоторые скандинавские з-ды пастеризуют светлые сорта пива, пользуясь пластичным теплообменником высокого давления, после чего разливают пиво обычным путем. В этом случае стойкость пива может быть практически увеличена до 6—9 недель.

Л. Г.

79952. Хранение пива в подвалах торговых предприятий в Шотландии. Миллер (Public house cellar ma-

nagement in Scotland. M I l e r J. L. H. R.), Brewers, Guardian, 1955, 84, № 5, 74—80 (англ.)

Хранящееся в подвальных помещениях пиво подается из боченков к буфетам давлением воздуха. Приведены практические правила и указания по хранению пива в боченках и их опорожнению. И. Б.

79953. Об определении протеолитической активности солода по методу Хартонга в заторе при 45°. Кольбах (Zeigt die 45°-Maische nach Hartong die proteolytische Kraft des Malzes an? Kolbach P.), Wiss. Beilage «Braueri», 1954, 7, № 9, 90—91 (нем.)

По Хартонгу величина экстракта при 1-часовом затирании солода зависит от деятельности протеолитич. ферментов. На основании расчетов и аналитич. данных доказано, что выход экстракта при 45° не является мерой протеолитич. активности солода, а характеризует кол-во α -амилазы и степень растворения солода. Л. Ш.

79954. «Число Бишопа» вместо определения экстракта ячменя и солода. Куттер («Bishop-Zahl» statt Gersten- bzw. Malzextrakt. Kutter F.), Schweiz. Brauer.—Rundschau, 1955, 66, № 8, 159—161 (нем.)

В Швейцарии проводились исследования образцов ячменя, в которых параллельно определялись «число Бишопа» (экстракт-84,5—0,75% белков + 0,1 веса 1000 зерен) и содержание экстракта аналитич. путем. При этом выяснялась разница между обоими показателями. Как показывают данные приведенных таблиц, в разнице между этими величинами не удалось установить определенной закономерности. Это объясняется тем, что «число Бишопа» является ориентировочной величиной, зависящей от содержания белков и толщины зерна. Оно может служить только мерой ожидаемого выхода экстракта, но не определяет величины содержания экстракта. Л. Г.

79955. Спектрофотометрическое определение комплекса гумулона и лупулона в хмеле. Олдертон, Бейли, Льюис, Ститт (Spectrophotometric determination of humulone complex and lupulone in hops. Alderton Gordon, Bailay G. F., Lewis J. C., Stitt Fred), Analyst. Chem., 1954, 26, № 6, 983—992 (англ.)

Разработан новый спектрофотометрич. метод определения комплекса гумулона (Г) и лупулона (Л) в хмеле, основанный на получении хмелевого экстракта экстракцией петр. эфиром, разбавлении его шел. метанолом и определении абсорбции полученного р-ра в УФ-области спектра при 3 длинах волн: 325 м μ максимум спектра для шел. Г; 355 м μ для Л и 275 м μ для прочих в-в экстракта, оказывающих влияние на величину абсорбции Г и Л при 325 и 355 м μ . В мерный цилиндр помещают 5 г измельченного хмеля и наливают низкокипящий петр. эфир до 100 мл. Смесь при т-ре ~20° перемешивают 30 мин., выдерживают до оседания осадка и осветления жидкости над ним. К аликвотной части осветленной жидкости добавляют абс. CH₃OH в кол-ве, необходимом для спектрофотометрич. определения, и 0,2 н. NaOH (водн. р-р) в кол-ве 1% от объема разведенного р-ра, после чего производят отсчет величины абсорбции при 355, 325 и 275 м μ . Производится слепой опыт на р-ритель. Расчет ведут по ф-лам: кол-во Г в разведенном р-ре (в мг/л) $C_H = -51,56 A_{355} + 73,19 A_{325} - 19,07 A_{275}$. Кол-во $C_L = 55,57 A_{355} - 47,59 A_{325} + 5,10 A_{275}$, где А — абсорбция при соответствующей длине волны. Л. Ш.

79956. Регулирование температуры во время брожения. Заллер (Die Temperaturregelung während der Gärung. Saller Walter), Kälte, 1955, 8, № 11, 387—388 (нем.)

Брожение является экзотермич. р-цией; 1 л виноградного сусла выделяет 26 ккал, что повышает т-ру сока до 30° и более; повышение т-ры ведет к бурному брожению; за два-три дня сусло выделяет большую часть CO₂. Искусств.

понижение т-ры необходимо не только для нормализации брожения, но и для улучшения органолептич. свойств вина. Автоматизированное регулирование т-ры дает лучшие результаты при брожении в герметизированных чанах, при этом используется давление CO₂, действующее на мембрану. Движение мембраны через электр. регулятор передается магнитному клапану, открывающему вход охлаждающему агенту в змеевик бродительного чана. Автоматика может быть устроена и без применения электричества — с регуляторами давления газа. И. Б.

79957. Новые методы контроля для лабораторий пивоваренных заводов. Пирацкий (Neuere Untersuchungsmethoden für das Betriebslaboratorium. Piracki W.), Dtsch. Genußmitt.-Z., 1953, 5, № 12, 318—319 (нем.)

79958. Об определении цвета сусла и пива. Финк, Вегер (Zur Problematik der Farbbestimmung von Würze und Bier. Fink Hermann, Wöger Kurt) Brauwissenschaft, 1953, № 5, 71—78 (нем.)

Рассмотрено применение метода Ловибонда. А. Е.

79959. Пивные сарцины — бактериальный вредитель пивоварения. Клинкаммер (Biersarcinen — bakterielle Schädlinge im Bier. Klinkhammer F.), Mikrokosmos, 1955, 44, № 8, 172—174 (нем.)

Пивные сарцины — тетракокки (встречаются и в виде моно- и диплококков, что затрудняет их обнаружение при микроскопировании) вызывают помутнение пива, придают ему запах и вкус сельдерея. Систематич. положение сарцин еще неизвестно, неясно их происхождение и возникновение инфекции на з-де. Высказывается предположение о нахождении сарцин в пиве в виде авизуальной латентной формы, спонтанно превращающейся в видимые вирулентные тетрады под влиянием внешних условий. В устойчивости пива против сарцин играют роль два фактора: рН пива и наличие расщепленных белков. При солоде со сниженной активности протеаз расщепление белков остается на стадии альбумоз и пептонов, легко ассимилируемых сарциной. Борьба с сарциной на произ-ве состоит в соблюдении чистоты, проведении биологич. контроля, поддержании необходимого рН, хорошем сбраживании, отсутствии отмирающих и автолизующихся дрожжей, применении ферментативно сильного солода, хорошем осушаривании при варке сусла. Обнаружение сарцин возможно в течение 4—6 дней при применении закрытых броильных проб сусла с NH₃, то же без NH₃ по методу Беттес — Геллера и по методу Гольцхаузера. А. Ж.

79960. Оценка по листовому зародышу при анализе солода. Кернбах (Zur Bewertung der Blattkeimentwicklung in der Malzanalyse. Kernbach K.), Braueri, 1954, 8, № 56/57, 353—355 (нем.; рез. англ., франц. исп.)

Проведены массовые определения равномерности солода по величине листового зародыша с применением для расчета ф-л Куттера и Ламбера. Сравнение полученных результатов привело к выводу о преимуществах ф-лы Ламбера, которая лучше характеризует солод на основе измерения длины листка. Для получения однородных результатов следует пользоваться одной из этих формул. Л. Г.

79961. Опыт классификации горьких веществ сусла и пива. Салач, Ванкура, Котрла-Хапалова (Essais de classification analytique des substances amères du mout et de la bière. Salac V., Vancura M., Kotrla-Hapalova M.), Petit j. brasseur, 1953, 61, № 2465, 725—727 (франц.)

79962. Улучшение результатов работы на фильтрах с активированным углем. Гаррис (Improving operating results from activated carbon filters. Harris John P.), Brewers Digest, 1954, 29, № 4, 61—63, 66 (англ.)

Указания по технич. обслуживанию фильтров с активированным углем, применяемых в пивоварении для повышения качества воды, очистки воздуха и углекислоты. С. С.

79963. К истории развития сепараторов. Олбрих (Zur Entwicklung und Konstruktion der Separatoren. Olbrich Hubert), Branntweinwirtschaft, 1954, 76, № 8, 159—161 (нем.)

Краткий исторический очерк. И. Б.
79964. Осветление сусла на сепараторах. Гаида (Some observations on centrifugal wort clarification. Gaida Kurt), Brewers Digest, 1955, 30, № 2, 55—58, 60 (англ.)

Рассмотрены техника применения и преимущества осветления сусла при помощи сепараторов. Отмечено, что при этом отпадает потребность в фильтрационных танках и фильтрующих материалах. Обработка проводится в горячем состоянии. Траты пива уменьшаются против других способов осветления на 5—2%. Приведены записи о сепараторах как периодич., так и непрерывного действия. И. Б.

79965. Влияние производственной мощности на установление технических норм выработки в варочном отделении пивоваренного завода. Воинова Н. В., Тр. Киевск. технол. ин-та пищ. пром-сти, 1955, № 15, 278—280

Существующие методы расчета производительности варочного отделения пивоваренного з-да не учитывают требований, предъявляемых к прогрессивным нормам, и не дают импульса к повышению производительности труда. Выводится ф-ла определения производительности варочного отделения, учитывающая полное использование емкостей оборудования. Предлагаются нормы выработки устанавливать по кол-ву сваренного сусла, а не по кол-ву варок, с учетом прогрессивной работы новаторов производства. И. Б.

79966. О скандинавском пивоваренном оборудовании и методах пивоварения. Дейви (Some impressions of Scandinavian brewing plant and methods. Davie A.), J. Inst. Brew., 1955, 61, № 6, 500—512 (англ.)

Описание оборудования пивоваренных з-дов Швеции и методов очистки, замачивания и рашения ячменя, сушки пивоваренного солода и приготовления пива. С. С.

79967. Новый пивоваренный завод на острове Куба. Бош (Unique new Cuban brewery. Bosch Jorge J.), Amer. Brewer, 1955, 88, № 5, 33—36, 64 (англ.)

Новый з-д оригинальной конструкции запроектирован на произ-во 120 000 гл, но может быть расширен до выпуска 1 000 000 гл пива. Все заводские постройки одноэтажные; высота внутри помещения 9,3 м; расстояния между опорными колоннами 20 м; высота помещений позволила разместить цилиндрич. горизонтальные танки для выдержки пива в два этажа. И. Б.

79968. Новый пивоваренный завод в Торонто (Канада). Толс (Molson's new Toronto plant. Toles George E.), Amer. Brewer, 1955, 88, № 10, 47—50 (англ.)

Завод с производительностью 360 000 гл в год отличается оригинальной постройкой: некоторые стены во всю высоту сплошь стеклянные; все технологич. и транспортирующее оборудование, подлежащее дезинфекции, объединено одним трубопроводом, получающим дезинфекционные средства из одного центрального танка. Все оборудование, обслуживающее подвалы, также сконцентрировано в одном помещении первого этажа. И. Б.

79969. Новый канадский пивоваренный завод. Ньюэлл (Molson's — the brewery that was planned. Newell J. Geoffrey), Food in Canada, 1955, 15, № 10, 15—16, 18, 30 (англ.)

79970. Развитие производства лимонной кислоты. Фенцл (Vývoj výroby kyseliny citronové. Fencel Zdeněk), Kvasný průmysl., 1956, 2, № 3, 59—61 (чеш.; рез. русск., нем., англ., франц.)

Обзор промышленных способов произ-ва лимонной к-ты брожением. Подробно описан способ сбраживания мелассы, применяемый в Чехословакии. Библ. 20 назв. А. П.

79971. Танноидные вещества вин. Физиологические наблюдения. Фланзи (Les matières tannoides dans les

vins. Incidences physiologiques. Flanz Michel), Vignes et vins, 1956, № 46, pratique, 9—10 (франц.)
Рассмотрено по литературным данным физиологич. и технологич. значение танноидных в-в (совокупность красящих в-в и бесцветных таннидов вина), в частности таннина вина. Г. В.

79972. Марочные вина Российской Федерации. Осипов Н. В., Виноделие и виноградарство СССР, 1956, № 3, 13—17

Описывается краткая технология следующих марочных вин РСФСР: Саперави Левокумское, Кубань крепкое, Тамань десертное, Ркацители Геджух, Семилон Геджух, Гимра, Дербент, Портвейн Кизляр, Терское десертное и Кизлярское десертное. И. С.

79973. Пути получения стабильных полусладких столовых вин. Герасимов М. А., Виноделие и виноградарство СССР, 1956, № 3, 4—7

Рассматриваются различные способы получения стабильных столовых полусладких вин, в том числе применение антибиотиков, удаление питательных в-в для дрожжей многократным брожением, фильтрация через обесполивающие фильтры, ИК- и УФ-лучи, ультразвук, использование горчичного жмыха и т. д. Однако практически для произ-ва полусладких вин могут использоваться только пастеризация и сульфитация. В последнем случае сусло сульфитируют при отстое 100 мг/л SO₂, затем для остановки брожения добавляют 120—150 мг/л SO₂, вино фильтруют и через некоторое время снова сульфитируют (100 мг/л) и фильтруют. И. С.

79974. Изучение алкогольных напитков. II. Сравнительное изучение различных вин и разных способов их выработки. Фланзи, Козре, Иго, Герийо (Contribution à l'étude des boissons alcooliques. II. Étude comparée de différents vins et de diverses techniques oenologiques. Flanz Michel, Causeret Jean, Hugot Denise, Guerillot Jacqueline), Ann. Inst. nat. rech. agron., 1955, E4, № 4, 359—380 (франц.)

Опытами, проведенными с белыми мышами, установлено влияние на живой организм различных вин и разных способов их обработки. Вина, сброженные или настоянные на мезге и гребнях, действуют на организм мышей менее вредно, чем вина, приготовленные без настоя и сброженные без мезги. Очевидно, в мезге и гребнях имеются в-ва (по-видимому, таннины), влияющие на физиологич. действие вина. Вина из европейских сортов винограда оказывают на организм более благоприятное действие, чем вина из гибридных сортов. Наличие в винах SO₂, особенно в свободном состоянии, оказывает неблагоприятное физиологич. действие на организм (замедление роста молодых мышей и увеличение печени). Вина, обработанные ферроцианидом калия в дозировке 8 г на 1 гл, также вызывают замедление роста и увеличение печени и особенно надпочечников. При сравнении физиологич. действия на организм вин различного возраста (с выдержкой в полгода и полтора года) установлено, что с выдержкой вина увеличивается его вредное действие. Часть I, см. Ann. Technol. Agric., 1952, 1, 227. Г. В.

79975. Об образовании этилацетата винными дрожжами.

Пено (Sur la formation d'acétate d'éthyle par les levures de vin. Peynaud E.), Inds. aliment. et agric., 1956, 73, № 4, 253—257 (франц.)

Опытным сбраживанием виноградного сусла различными дрожжами установлено, что все винные дрожжи обладают эфиروобразующими свойствами. За исключением *Saccharomyces ludwigii* все дрожжи образуют заметно больше эфиров в анаэробных условиях брожения, чем в аэробных. Дрожжи *Saccharomyces*, *Torulaspora* и *Torulopsis* образуют значительно меньше эфиров, чем дрожжи *Kloeckera apiculata*, *Saccharomyces ludwigii*, *Fichia* и *Hansenula*. Содержание эфиров в молодых винах всецело зависит от микрофлоры брожения, а при

старении оно, во всех случаях, возрастает с продолжительностью выдержки и при наличии бактериального воздействия. Порог ощущения по отношению к этилацетату колеблется в пределах 180—200 мг в 1 л, однако даже в меньших кол-вах он оказывает заметное влияние на органолептич. качества вин, которые понижаются с возрастанием его содержания. Высказывается предположение, что эфиробразование происходит либо ферментативным путем под действием эстеразы, содержащейся в дрожжах, либо биосинтетич. путем в процессе дыхания дрожжей.

79976. Опыты стабилизации виноградного сусла пспениванием. Дезальбр, Лауркад (Essais de stabilisation des jus de raisin par la technique du moussage. Desalbres L., Lahourcade B.), Chimie et industrie, 1955, 75, № 6, 1169—1172 (франц.)

Лабораторные опыты по пспениванию свежего виноградного сусла показали, что пена, образующаяся при продувании сусла воздухом, увлекает с собою необходимые для питания дрожжей азотистые в-ва, в результате чего заметно замедляется процесс брожения. Добавление пенообразующих в-в усиливает интенсивность пенообразования воздухом, но подавляет влияние последнего на ход брожения, поскольку эти в-ва, в качестве более капиллярно-активных, приостанавливают увлечение пеной азотистых в-в сусла; добавление терпенового спирта тормозит жизнедеятельность дрожжей и снижает пенообразование; замена воздуха CO₂ заметно снижает последнее и не оказывает влияния на ход брожения, что опровергает мнение об осветляющем действии переливающейся при сбраживании виноградного сусла пены; добавление хлористого додецилбензилдиметиламмония не оказывает отрицательного влияния на дрожжи. Установлено, что пенообразование вина уменьшается со снижением содержания редуцирующих сахаров.

79977. Влияние высокой температуры сусла на характеристику цвета красных вин. Берг, Марш (Effect of heat treatment of musts of the color characteristics of red wine. Berg H. W., Marsh G. L.), Food Technol., 1956, 10, № 1, 4—9 (англ.)

Производился фотометрич. анализ сусла после нагревания в пределах 65,6—90,6° и полученного из него вина (в течение 41 месца). Интенсивность окраски возрастала с увеличением т-ры. Вкус вин, полученных из нагретого сусла, сброженного на мезге, значительно хуже, чем из ненагретого. При этом качество вина ухудшалось с возрастанием т-ры. Почти нет различий в окраске необработанного теплом сусла, сброженного на мезге, и нагретого, но сброженного без мезги. С увеличением выдержки на мезге нагретого сусла интенсивность окраски возрастает до некоторого предела (до 72 час.), потом она может уменьшаться вследствие начавшегося брожения. Окраска вин, полученных из самотека, мало отличается от пресованного сусла, но качество последних заметно хуже. Обработка пектинолом дала противоречивые результаты. При выдержке вина окраска и плотность, определяемая оптич. методом, уменьшались.

79978. Об изменении содержания железа в винах, в связи с наличием или отсутствием частиц почвы, содержащей железо. Фланзи, Дейбнер (Sur la variation des teneurs en fer dans les vins, obtenus en présence ou en absence d'une terre ferrugineuse. Flanz y Michel, Deibner Léonce), Ann. Inst. nat. rech. agron., 1956, E5, № 1, 69—73 (франц.)

При произрастании винограда на почвах, богатых железом, частицы этой почвы, попадая с виноградом в сусло, увеличивают содержание Fe в винах. Это обогащение идет в основном за счет 2-валентного Fe. Соли 3-валентного Fe восстанавливаются в процессе переработки в 2-валентное Fe под действием микроорганизмов почвы или спиртовых дрожжей, или обоих видов сразу. Восстановительное действие первых сильнее, чем вторых.

79979. Минеральный состав вина. Часть II. Железо. Витальяно (I costituenti minerali del vino. Nota II. Il ferro. Vitagliano Michele), Ann. sperim. agrar., 1956, 10, № 2, 659—668 (итал.; рез. англ.)

При исследовании источников железа, обнаруженного в сусле и вине Южной Италии, установлено: 1) если сусло, полученное лабор. путем, содержит Fe (в мг на 1 л) 9, то после обычного пресования 11—12, а после пресса непрерывного действия 20—22; 2) вино всегда содержит Fe больше, чем первоначальное сусло. В 29 образцах вина, сброженных и выдержанных в дубовой таре, содержание Fe (в мг на 1 л) колебалось от 3 до 18. В 21 образце вина, приготовленного в цементных резервуарах, найдено 22—114 мг Fe в 1 л, что обусловлено их плохим покрытием. Для марочных вин выдержка в дубовой таре обязательна.

79980. Превращение флороглюциновых и пирогалловых ядер при созревании и старении вина. Хачидзе О. Т. (ფლოროგლუცინის და პიროგალლის ბირთვების გარდაქმნა ღობის მომწიფება დაძველების პირობებში. ხაჩიძე ო.), Тр. Ин-та виноградарства и виноделия. АН ГрузССР, 1956, 9, 187—191 (груз.; рез. русс.)

Установлено, что в процессе старения вина происходит превращение дубильных в-в в сложные конденсированные соединения с пониженными флороглюциновыми числами и уменьшается общее кол-во танина. Вина кахетинского типа менее богаты флороглюциновыми и пирогалловыми ядрами, чем вина европейского типа.

79981. Значение древесины дубовой клепки в процессе мадеризации вина. Казумов Н. Б. (Importanța materialului lemnos (al doagelor de stejar) în procesul de maderizare a vinului. Kazumov N. B.), Rev. ind. aliment. prod. vegetale, 1956, № 1, 15—16 (рум.)

Перевод с русс. См. РЖХим, 1956, 67002

79982. Режимы тепловой обработки вин. Герасимов М. А. (Regimul condiționării tehnice a vinurilor. Gherasimov M. A.), Rev. ind. aliment. prod. vegetale, 1956, № 5, 20—21 (рум.)

Перевод с русс. См. РЖХим, 1956, 41695.

79983. Свободные аминокислоты в винах. Прокопью, Кале (Les amino-acides libres dans les vins. VII-e Congrès international de la vigne et du vin. Procopio M., Calé M. T., M me), Bull. Office internat. vin, 1955, 28, № 295, 208 (франц.)

Для идентификации свободных аминокислот в итальянских винах применен метод 2-мерной хроматографии на бумаге. В качестве р-рента применяли: фенол и воду в соотношении 3':4, 1':4 (аммиак и цианистый калий на дне кюветы) и коллидин, лютидин и воду в соотношении 1:1:1. Хроматограммы опрыскивали 0,1%-ным р-ром нингидрина в *n*-бутаноле и высушивали 5 мин. при 85°. Вина, предназначенные для хроматографирования, концентрировали примерно в 2) раз и освобождали от солей с помощью аппарата Кондена, Кордона и Мартина, модифицированного Дентом и Шиллингом (Biochem. J., 1949, 44, 318).

79984. О методе определения сахара по Шорлю. Иванов, Молдованская (Върху метода на Шорля за определяне на захар. Иванов И. Д., Молдованска И. в.), Лозарство и винарство, 1956, 5, № 1, 57—58 (болг.)

Предложена модификация метода Шорля (объем реактивов уменьшен в 10 раз) для определения сахаров в вине: 1 мл фелингового р-ра, 1 мл испытуемого р-ра и 2 мл воды нагревают 2 мин. в 50-мл колбе. После охлаждения добавляют 1 мл 20% р-ра нитрата калия, подкисляют 1 мл серной к-ты (1:5) и выделившийся иод титруют 0,1 н. гипосульфитом из микробюретки на 2—5 мл. Предложенный микрометод дал хорошее совпадение с макрометодом Шорля.

79985. Прямое фотометрическое определение железа в винах с помощью «Феррона». Рубер (Dosage photomé-

trique direct du fer dans les vins à l'aide du «Ferron». Roubert Jean), Chim. analyt., 1956, 38, № 4, 134—137 (франц.)

Для определения Fe^{2+} смешивают 1 см³ вина; 4 мл бумажного р-ра с рН 3 (8,85 мл 0,2 н. HCl, доведенные до 100 мл 0,05 н. фталатом калия); 1 мл спирта 95°; 1 мл 0,2%-ного водн. р-ра «Феррона» (7-йод-8-гидрохинолин-5-сульфокислота). Смесь нагревают 2 мин. без кипения, охлаждают и фотометрируют. Содержание железа находят по калибровочной кривой. Аналогично описанному производится определение общего Fe, однако перед нагреванием добавляют некоторое кол-во кислого сернокислого калия. Fe^{2+} определяют по разности между общим Fe и Fe^{3+} . Точность метода ± 1 мг/л. Высказано предположение, что Fe^{2+} существует в вине только в виде комплекса в составе аниона или катиона и практически не существует в форме катиона. Г. В.

79986. Рефрактометрическое определение спирта и экстракта в винах. Минарик (Refraktometrické stanovenie alkoholu a extraktu vo vinach. Minárik Erich), Kvasný průmysl., 1956, 2, № 4, 90—91 (словац.) Приводится способ расчета содержания спирта и экстракта в винах по величинам уд. веса, установленным пикнометром, и показателю преломления, определяемому погружным рефрактометром. Точность 0,1—0,2% по спирту и 0,15—0,30% по экстракту. Даны ф-лы и расчетные таблицы. И. С.

79987. Об определении посторонних антоцианов в красных винах. Брито-да-Консейсан (Quelques considérations sur la recherche d'anthocyanosides étrangers dans les vins rouges. Brito da Conceição A.), Bull. Office internat. vin, 1956, 29, № 299, VII Congr. internat. vigne et vin, 357—363 (франц.)

Для фальсификации окраски красных вин применяют красящее в-во ягод бузины (*Sambucus nigra* L.) самбуцин, близкое по составу к энину (красящее в-во винограда) и к амплепсидину (красящее в-во американских сортов и гибридов винограда). Указаны способы разделения разных антоцианов и реактивы для качеств. их определения. Отсутствие в дианидине метильных групп может послужить основанием для установления фальсификации окраски. Г. В.

79988. Современные данные по процессам окисления виннокаменной кислоты и хроматографическому подразделению органических кислот вина. Дейбнер (Données actuelles sur les processus de l'oxydation de l'acide tartrique et sur la séparation chromatographique des acides organiques du vin. Deibner Léopold), Ann. Inst. nat. rech. agron., 1956, E5, № 1, 141—157 (франц.)

Обзор работ по вопросам: значение комплексов железа и органич. к-т при окислении виннокаменной к-ты; химизм процессов окисления и качеств. и колич. определение к-т вина методами хроматографии на бумаге. Библ. 57 назв. Г. О.

79989. Применение электронных приборов для учета и регулирования производственных процессов в пивоварении. Пасмор (Electronic instrumentation to achieve efficient measure and control during the brewing process. Passmore L. W.), Brewers Digest, 1955, 30, № 7, 68—74 (англ.)

Излагаются основы действия электронных приборов и дается описание простейших из них. Указываются возможности их использования и приводятся примеры применения их в практике пивоваренных заводов. И. Б.

79990. Аппарат для уваривания сусла. Кучеренко Ф. Т., Садоводство, виноградарство и виноделие Молдавии, 1956, № 2, 58—59

Аппарат производительностью 50—55 дкл бекмеса в сутки работает на отработанном паре. Он состоит из вертикального трубчатого испарителя, напорного резервуара для сусла, регулятора уровня сусла в испарителе и уловителя брызг кипящего сусла. Дается схема аппарата. И. С.

79991. Оборудование для перегонки вина. Петцольдт (Einrichtungen zur Destillation von Wein. Petzoldt Hans), Brantweinwirtschaft, 1956, 78, № 8, 157—158, 160—165 (нем.)

Обзор применяемого в ФРГ оборудования для перегонки вина. Даны чертежи перегонных кубов, непрерывно действующих колонн, дефлегматоров и холодильников. И. Б.

79992. Непрерывно действующий аппарат для извлечения спирта из отходов ликеро-водочного производства и виноделия (Основные этапы развития конструкций). Бартенев Е. Н., Тр. Ленингр. технол. ин-та пищ. пром-сти, 1955, 12, 188—194

Описана конструкция универсального аппарата непрерывного действия, установленного на Ленинградском ликеро-водочном з-де и состоящего из мезговой колонны, диам. 400 мм и высоты — 1800 мм; спиртовой колонны, диаметром выварной части — 250 мм, а укрепляющей части — 200 мм; ситчатых тарелок выварной части — 10, а укрепляющей части — 8. По сравнению с показателями работы типового кубового аппарата производительность универсального аппарата мезговой колонны повышается в 2,5—3 раза, несмотря на то, что ее диаметр в 3 раза меньше; расход пара на извлечение спирта из мезги снижается в 4—5 раз; крепость спирта отгона повышается с 12—20 до 70—90%. Универсальный аппарат может быть также использован для получения ароматного спирта из твердых отходов производства. Г. О.

79993. К биологии безалкогольных напитков. Кучер (Zur Biologie der alkoholfreien Getränke. Kutscher U.), Brauerei, 1955, 9, № 51, 325—326 (нем.)

Наиболее подвержены биол. загрязнению фруктовые соки, лимонады и другие безалкогольные напитки. Источником инфекции является производственное оборудование, особенно моечные, разливные, дозировочные устройства и сырье: вода, фруктовые соки, сахар. Фруктовые соки часто содержат значительное кол-во микроорганизмов (дрожжи, плесневые грибы и бактерии), распознавание которых в начальной стадии затруднительно. Сахар может служить источником загрязнения главным образом спорообразующими почвенными бактериями, трудно устранимыми обычными средствами очистки, а также пленчатыми дрожжами и представителями рода *Candida*. Замочные ванны, при отсутствии надлежащего ухода, превращаются в источник загрязнения бутылок микроорганизмами, использующими для питания клеящее в-во этикетки (декстрин) и небольшие кол-ва растворенных сахаров. А. Ж.

79994. Факторы, влияющие на сбраживание яблочного сока. Кларк, Уоллес, Дейвид (Factors affecting the fermentation of apple juice. Clark D. S., Wallace R. H., David J. J.), Appl. Microbiol., 1954, 2, № 6, 344—348 (англ.)

Изучено влияние возраста посевного материала, конц-ии дрожжевого экстракта и присутствия несбраживающих дрожжей на интенсивность брожения сока диких яблоск с уд. в. 1,0613. Интенсивность брожения оценивали по кол-ву спирта, определяемому бихроматно-сернокислотным методом. Наиболее медленное образование спирта наблюдалось при заражении 20-часовой культурой *Saccharomyces cerevisiae* и наиболее интенсивное при заражении 50-часовой культурой. При внесении 30- и 40-часовых культур скорость брожения была промежуточной. 30-часовой посевной материал обеспечивал наибольшую конечную конц-ию спирта. Скорость образования спирта обратно пропорциональна увеличению кол-ва жизнеспособных клеток в посевном материале. Возраст посевного материала *S. oviformis*, а также добавление несбраживающих дрожжей не оказывали заметного влияния на интенсивность брожения. Г. Н.

79995 К. Приготовление плодовой водки. Кекес (Gyümölcspálinkafőzés. Kekesz Lajos. Budapest, Műszaki Kiadó, 1955, 98 л., 7,50 Ft) (венг.)

79996 К. Производство пива. Чукмасова М. А., Лазарев Н. М., М., Цуцпроиздат, 1956, 107 стр., 1 р. 60 к.

См. также: Опред. этил. и бутыл. спирта 78519. Органич. к-ты сакэ 78520. Летуч. к-ты в мелассе 79881. Влияние вакуума на ректификацию 80332. Сушки солода 23791. Произ-во укусной к-ты 79724

ПИЩЕВАЯ ПРОМЫШЛЕННОСТЬ

79997. Перспективы развития пищевой промышленности. Бельтран (Futuras orientaciones sobre la industria de la alimentación. Beltran R.), An. bromatol., 1956, 8, № 1, 123—143 (исп.; рез. англ.) Рассмотрено произ-во пищевых продуктов с точки зрения их потребления, технич. и экономич. факторов. Дается анализ состояния питания в Испании в социальном разрезе и сравнение с уровнем питания населения в других странах. Обращено внимание на необходимость увеличения произ-ва продуктов, богатых минер. солями, витаминами (молоко и цитрусовые субпродукты), белковыми в-вами (мясо и рыба), а также на хранение пищевых продуктов на холодильниках. Показана технич. возможность увеличения белковых пищевых ресурсов за счет использования дешового сырья и отходов произ-ва и экономич. целесообразности развития этих отраслей промышленности. А. Е. 79998. О новых источниках сырья для пищевой промышленности. Балу (Better food for India's millions. Balu V.), Food Manufacture, 1955, 30, № 10, 403—405 (англ.)

Отмечается пятилетие Центрального н.-и. технологич. пищевого ин-та в Майсуре (Индия) и дается краткий обзор его научной деятельности, в частности по произ-ву новых пищевых продуктов (искусств. рис, молоко из земляных орехов, диетич. белковые продукты). Л. В.

79999. 10-й съезд Японского общества по вопросам пищи и питания (第10回栄養・食糧学会総会). 栄養と食糧, 1956, 9, № 1, 12—32 (япон.)

80000. Сохранение пищевых продуктов при помощи ионизирующих излучений. Ханнан (Preservation of foodstuffs with ionizing radiations. Hanan R. S.), Times Sci. Rev., 1955, № 17, 6, 8; Nature, 1954, 173, № 4408, 752—754 (англ.)

Рассматривается способ инактивации живых клеток, сопровождающийся ничтожным повышением т-ры. Хим. изменения при этом малы, но могут при стерилизующих дозах вызывать изменения органолептич. свойств и структуры продукта, которые можно уменьшить, облучая продукт замороженным или в отсутствие O_2 или с применением защитных в-в, или с последующей варкой. Облучение не исключает порчи продукта, вызываемой другими причинами, поэтому его рационально применять в комбинации с легкой термообработкой или хранением на холоду. Стерилизация требует доз порядка 2 000 000 фер, однако для облучения мяса практически достаточно 50 000 фер, при этом инактивируются организмы вида *Pseudomonas*, вызывающие порчу мяса в холодильнике, а изменения органолептич. показателей незначительны. Дозы 10 000—50 000 фер уничтожают насекомых — вредителей зерна. Для предотвращения прорастания картофеля достаточно 40 000 фер. Описаны источники излучений. Г. Н.

80001. Применение энергии ультракоротких волн для приготовления пищи. Копсон (Microwave energy in food procedures. Copson D. A.), IRE Trans. Med. Electronics, 1956, 4, Febr., 27—35 (англ.)

Описаны лабор. опыты по использованию энергии УКВ для приготовления пищи. Различные пищевые про-

дукты обрабатывались в «электронной печи», получающей энергию от двух магнетронов при частоте 2450 Мгц с выходной мощностью каждого 8 квт. Опыты проводились для установления режима изготовления пищи в этих печах. Проникновение теплоты в продукты характеризовалось по температурным градиентам поджариваемых кусков мяса различных размеров и формы. Были изготовлены также образцы с применением агар-агара, правильной геометрич. формы в виде шара, диам. 14,5 см и цилиндров различных размеров (с диаметром основания до 18 см). Испытания показали, что максим. т-ра в этих образцах наблюдается в их центре при прямом проникновении УКВ к центру. Важное значение для завершения процесса изготовления пищи имеет теплопроводность в направлении к центру изготавливаемых продуктов большой массы, после того как прекращено нагревание УКВ. В малых по размеру образцах приращение т-ры при обычном поверхностном нагревании противоположно по направлению и температурные градиенты больше по величине, чем при нагревании УКВ. Сравнительно с обычными методами приготовления пищи применение УКВ предпочтительно, когда требуется лишь подогревание пищи, оно менее удовлетворительно для приготовления малых изделий, требующих поджаренной поверхности, и вполне пригодно для получения удовлетворительного вида поверхности в больших образцах, требующих 20—40 мин. для их готовности. Время изготовления пищи и производительность нагревания УКВ являются функцией от размера нагрузки печи, в то время как при поверхностном нагревании для небольших нагрузок время изготовления не зависит от величины нагрузки. Приведены диаграммы, иллюстрирующие результаты опытов; дана методика измерения т-ры внутри испытываемых образцов. С. С.

80002. Повышение питательной ценности пищевых продуктов обогащением их дефицитными веществами. Шигел (Podnoszenie wartości odżywczej artykułów żywnościowych za pomocą wzbogacania ich w składniki deficytowe. Szczygiel Aleksander), Przem. spożywczy, 1955, 9, № 12, 493—497 (польск.)

Обзор проблемы обогащения пищевых продуктов витаминами и минер. в-вами. Обсуждается обогащение витаминами молока, маргарина и муки, а также обогащение хлеба и муки минер. в-вами. Библ. 19 назв. Я. Ш.

80003. Замороженные продукты для Аравийской пустыни. Шлапфер (Frozen foods for the Arabian Desert. Schlaffer William), Industr. Refrig., 1956, 130, № 4, 28—24, 47 (англ.)

Описано устройство ж-д. вагона-рефрижератора, отличающееся холодильной установкой с компрессорами 2-ступенчатого сжатия. При т-ре наружного воздуха 52° в вагоне возможно хранить, напр., замороженную землянику при —18°. Приводится фотография вагона, схема 2-ступенчатого сжатия и термодинамич. расчеты. А. Е.

80004. Определение каротинов и аксирофтола в пищевых продуктах. Блатна, Челиковский, Фрагнер, Грдый, Пекине (Stanovení karoténů a axeroftolu v potravinovém materiálu (Postupy doporučené pro jednotné analytické metody). Blatná J., Čelíkovský J., Fragner J., Hrdý O., Pěknice J. R.), Průmysl potravin, 1955, 6, № 4, 195—197 (чеш.)

Описаны методы определения аксирофтола (I) и каротина в биологич. материале и витаминизированных пищевых продуктах, рекомендованные в качестве единых аналитич. методов. Навеску продукта с содержанием 200—400 мкг. I обрабатывают спирт. р-ром KOH, и на кипящей водяной бане в атмосфере азота проводят омыление, после чего смесь охлаждают, количественно переводят в делительную воронку, разбавляют водой до конц-ии спирта ≤30%. Неомыленную часть подвергают 4-кратной экстракции эфиром. Эфирные экстракты смешивают, промыв-

вают сперва 0,1 н. р-ром КОН, затем дистилл. водой до исчезновения щел. р-ции по фенолфталеину. После удаления слоя воды экстракт сушат добавлением к нему 5—10 безводн. Na_2SO_4 , фильтруют, фильтрат переводят в мерную колбу и доводят до метки. Определенное кол-во эфирного экстракта выпаривают на водяной бане в атмосфере азота досуха. Остаток растворяют в высушенном хлороформе, переводят в колбочку на 10 мл и доводят до метки. К 1 мл р-ра добавляют 4 мл р-ра SbCl_3 (22 г SbCl_3 в 100 мл хлороформа, фильтруют, добавляют 2 мл ацетилхлорида) и полученную синюю окраску измеряют фотоколориметром при длине волны 620 мμ. По калибровочной кривой величин экстинкции, полученной при фотоколориметрировании в аналогичных условиях р-ров различной концентрации 1 (кристаллич. или стандартного концентрата), вычисляют содержание I в продукте. Эфирный экстракт делят на 2 части, 1-ю часть выпаривают, остаток растворяют в петр. эфире, хроматографируют на колонке активной окиси алюминия. Поглощенный каротин десорбируют петр. эфиром и в полученном р-ре колориметрически определяют каротин. Во 2-й части определяют I, как было указано. Часть I см. РЖХим, 1955, 42007. Е. Ш. 80005. Определение SO_2 в сухенных пищевых продуктах.

Шиптон (Estimation of sulphur dioxide on dried foods. Shipton P.), Austral. Food Manufact., 1955, 25, № 1, 24 (англ.)

Предложена модификация метода определения SO_2 АОАС: 15 мл и 3 мл 3%-ного р-ра H_2O_2 вносят соответственно в 2 сосуда аппарата, соединяемые с холодильником. В колбу, соединяемую с трубкой, подводимой N_2 , отмеривают 400 мл воды и 20 мл 10 н. HCl . Сюда же помещают навеску предварительно тонко размельченного сухого продукта, содержащую ориентировочно 3—15 мг SO_2 . Колбу с навеской немедленно соединяют с холодильником и через систему пропускают N_2 со скоростью 6—12 пузырьков в 1 мин., отмечаемых в 1-м сосуде. После 30 мин. отгонки продукта в кислой среде систему разъединяют, содержащее 2-го сосуда переносят в 150 мл эрленмейеровскую колбу 1-го сосуда и оттитровывают 0,1 н. NaOH с 3 каплями бромового синего. Полученные результаты исправляют на содержание свободной к-ты в 20 мл 3%-ного р-ра H_2O_2 , определяемой титрованием реактива (1 мл 0,1 н. NaOH = 3,2 мг SO_2). Приводятся сравнительные данные анализов. В. М. 80006.

Методы органолептической пробы. I. Треугольный интенсивности (Т-1) и соответствующие системы проб для органолептического анализа. Дейвис, Хансон. II. Влияние предыдущих проб на оценку продукта потребителем. Хансон, Дейвис, Кемпбелл, Андерсон, Лайнувер (Sensory test methods. I. The triangle intensity (T-I) and related test systems for sensory analysis. Davis J. H. Gorton, Hanson Helen L. II. Effect of previous tests on consumer response to foods. Hanson H. L., Davis J. G., Campbell A. A., Anderson J. H., Lineweaver Hans), Food Technol., 1954, 8, № 7, 335—339; 1955, 9, № 2, 56—59 (англ.)

I. Предлагается новый способ оценки результатов органолептической пробы трех образцов продуктов при определении интенсивности качеств. различия образцов; разработана терминология указанной оценки с учетом вероятности случайности частично или вполне правильных оценок. 3-кратная проба (треугольный интенсивности), включающая 3 образца, из которых 2 дубликата, широко применяется для установления вероятности существования различия между этими дубликатами и 3-м образцом. Метод может быть использован для определения уровня значимости при повторных оценках 2 или большего кол-ва образцов, отличающихся не больше чем одним различием. Эффективность метода возрастает, если включаются средневзвешенные значения частично правильных оценок.

II. На оценки продуктов при органолептической испытаниях

оказывает влияние качество ранее дегустированных образцов даже в тех случаях, когда между дегустациями был перерыв в два дня. Тенденция оценивать последующие образцы ниже предыдущих сильнее, чем обратная тенденция более высокой их оценки. А. Е.

80007. Эффективность охлаждения для предупреждения роста микрококков. Миллер, Смалл (Efficiency of cooling practices in preventing growth of micrococci. Miller W. A., Smull Mary L.), J. Amer. Diet Assoc., 1955, 31, № 5, 469—473 (англ.)

Кремы для тортов и картофельный салат (3 и более кг) после изготовления охлаждали: в водопроводной воде (17°), в проточной воде (17°), в домашнем холодильнике (5°) и при 28,9°. Из-за медленности охлаждения повышалось кол-во бактерий. В креме для тортов исходное кол-во *Micr. pyogenus* var. *aureus* равнялось 25 тыс. в 1 г; через 8 час. оно увеличилось, соответственно, до 6, 0,7, 2,5 и 78 млн. и через 24 часа — до 300, 100, 2,6 и 700 млн. Для сокращения срока охлаждения до $t_{\text{ры}} < 15^\circ$ такие продукты рекомендуется охлаждать в малых объемах или тонким слоем. Г. Н.

80008. Об оценке гигиенических качеств пищевых продуктов. Значение непатогенных микробов. Хюкстедт (Zur Beurteilung der hygienischen Beschaffenheit von Lebensmitteln: Die Bewertung apathogener Keime. Hückstadt J.), Fette, Seifen, Anstrichmittel, 1955, 57, № 4, 241—244 (нем.; рез. англ., франц., исп.)

При оценке качества пищевых продуктов колич. определение непатогенных микробов применяется только для молока, мороженого и питьевой воды. Микробы, кол-во которых в молоке и мороженом ограничено санитарными нормами, по современным взглядам близки, если не идентичны, облигатной микрофлоре человеческого тела и поэтому менее всего опасны для здоровья. Бактерии группы *Coli-aerogenes* повсеместны и в особенности в летнее время в большом кол-ве в пищевых продуктах. Автор возражает против переоценки их гигиенич. значения и считает, что продукты, в которых обнаружены бактерии этой группы, не должны признаваться вредными для здоровья. М. Г.

80009. Вода. Бюре (L'eau. Bure Jean), Techn. meunière, 19.6, № 55, 2—7 (франц.)

Рассмотрены вопросы: 1) содержание воды в зернах: изменения в содержании влаги при созревании и гигроскопичность зерен; 2) природа воды зерен: связанная и свободная вода; 3) содержание влаги в товарном зерне и муке; 4) роль воды, теплота гидратации муки. А. Е.

80010. Влияние на сушку пшеницы влажности продуваемого через нее воздуха. Мак-Юэн, О'Каллахан (The effect of air humidity on through drying of wheatgrain. McEwen Ewen, O'Callaghan J. R.), Trans. Instn. Chem. Engrs, 1955, 33, № 2, 135—154 (англ.)

С помощью сконструированной сушилки, описание которой приводится, изучено влияние относительной влажности воздуха (в пределах 0—80%) на показатели сушки пшеницы. Излагаются материалы дискуссии, подводящей итоги работам по сушке зерна (см. РЖХим, 1956, 34449, 60208). Подробно рассмотрена теория сушки зерна и обсуждены найденные закономерности. А. Е.

80011. Об улучшении качества муки из пшеницы, поврежденной клопом-черепашкой. Часть II. Зубовский (Essais sur recherches de palliatifs en vue de l'amélioration des farines punaisées. Часть II. Zubovskiy P.), Bull. Ecole franc. meunerie, 1955, № 147, 127—132 (франц.)

Описаны опыты по выяснению возможности улучшения качества муки (59%-ного выхода лабор. помола) из пшеницы, поврежденной клопом-черепашкой, добавлением некоторых препаратов, применяемых в молочной и других отраслях пищевой пром-сти. Было исследовано влияние на физ. свойства теста из этой муки, определяемые на альвеографе — W, P и G (после 20- и 180-минутной

отлежки теста) — препаратов «Maxipan», «Nerfarine», «Nervitex» повышающих хлебопекарные свойства муки из неповрежденных пшениц. Кроме того, были проведены опыты с УФ-облучением муки. Полученные результаты показали, что «Максипан» в кол-ве 3% улучшает физ. свойства теста и хлебопекарные качества муки, однако хлеб приобретает посторонний привкус. Остальные препараты и облучение УФ-лучами не дали положительных результатов. Часть I см. РЖХим, 1956, 41742. Б. З.

80012. Определение хлебопекарных свойств муки физическими методами. Часть II. Пагенштедт (Determination of the baking value of wheat by means of physical testing methods. Pagenstedt Bernd, Australas. Baker and Millers' J., 1955, 58, № 698, 37, 38 (англ.))

Рассмотрено применение фаринографа, экстенсографа, ферментографа и амилографа (все приборы Брабендера) в анализе хлебопекарных свойств пшеничной муки. Часть I см. РЖХим, 1956, 76702 А. Е.

80013. Метод определения муки из проросших зерен. Кайзер (Über eine weitere Methode zur Erkennung auswuchsgeschädigter Mehle. Kaiser Liselotte, Backer und Konditor, 1956, 10, № 6, 24 (нем.))

Описан простой метод, проверенный в течение ряда месяцев с хорошими результатами. 5 г муки энергично взбалтывают с 50 мл дистилл. воды (ДВ) в колбе Эрленмейера (200 мл). Отфильтровывают, фильтрат (Ф) разбавляют ДВ в 4 комбинациях: 1) 1,5 мл Ф + 0,3 мл ДВ; 2) 1,0 мл Ф + 1,0 мл ДВ; 3) 0,5 мл Ф + 1,5 мл ДВ; 4) 0,25 мл Ф + 0,75 мл ДВ. Ко всем пробам добавляют 5 мл крахмального р-ра (~3 г крахмала смешивают с небольшим кол-вом ДВ, разбавляют 500 мл горячей воды и нагревают 5 мин., охлаждают до 20° и разбавляют ДВ до 1 л), взбалтывают и нагревают 30 мин. при 55°. Снимают с водяной бани и охлаждают до ~20°. Добавляют 1 каплю 0,05 н. J (6,35 г кристаллич. йода растворяют в 100 мл 20%-ного р-ра KJ и доводят ДВ до 1 л) и наблюдают за окрашиванием. При отсутствии проросших зерен все пробы принимают синий до фиолетово-красного цвет; при небольшой примеси проросших зерен р-р окрашивается в светло-розовый цвет. В этом случае наблюдается значительное влияние их на качество теста и готового хлеба. Наличие одной или нескольких проб, не изменивших первоначального цвета, свидетельствует о значительном содержании проросших зерен тем больше, чем больше проб не окрасилось. А. Е.

80014. Определение интенсивности цвета пшеничной муки. Крус (Over kleurmetingen bij tarwebloem. Groes A. W., Chem. weekbl., 1956, 52, № 24, 431—432 (голл.; рез. англ.))

Измерение цвета четырех сортов пшеничной муки цветометром Кент-Джонса и Мартина показало, что фотометрич. яркость является только одним из показателей белизны. Большое значение имеет также определение степени желтизны муки. А. Е.

80015. Бестарная транспортировка сахара и муки. Фокс, Олдем (Bulk handling of sugar and flour. Fox Michael S., Oldham S. C., Milling, 1955, 125, № 11, 316—318, 320 (англ.))

Краткое содержание доклада об организации бестарного хранения муки. Описано оборудование, состоящее из бункеров с транспортерами и элеваторами для перемешивания муки. Перечислены преимущества и недостатки бестарной транспортировки и хранения муки и сахара. Транспортировка осуществляется в танках из дуралюминия, емк. 13—14 т, с пневматич. разгрузкой в течение 40 мин. через гибкий шланг, диам. 75 мм. На предприятиях устраивают бетонные, железные и деревянные бункера с гладкой внутренней поверхностью, высотой 15—18 м, площадью 18 м² и емк. 12—13 т. Л. Т.

80016. Характеристика условий сушки риса сорта Colusa 1600 из западных штатов США. Томпсон, Браун, Рамидж, Робертс, Кестер (Drying

characteristics of western rice.— Colusa 1600 variety. Thompson J. H., Brown A. H., Ramage W. D., Roberts R. L., Kester E. B.) Rice J., 1955, 58, № 11, 14, 16, 18—19, 52 (англ.)

Исследовались условия сушки короткозерного риса для уменьшения кол-ва битых зерен при шелушении сухого риса. Опыты проводили с рисом-сырцом сорта Colusa 1600 и рано-созревающими сортами в сушильных камерах, в которых через слой риса (50 мм) продувался воздух со скоростью 27,5 м³/м в 1 мин. При сушке 2,7 кг зерна, слоем 50 мм, с относительной влажностью 20—61%, нагретым до разных т-р в пределах 24—60°; при одном, трех и пяти проходах. Сушка одним проходом продолжалась непрерывно от начальной влажности зерна 23,6% до 13,0%; при 3 проходах за каждый проход удалялась треть подлежащей удалению влаги, при 5 проходах — одна пятая. Т-ра поддерживалась постоянной. Между проходами зерно темперировалось в закромах 20—24 часа при 32°. Через 20 дней после сушки производились испытания зерна на шелушение с расчетом общего выхода и выхода целых зерен. На основе эксперим. данных, показавших связь между т-рой сушильного воздуха, выходом цельного (после шелушения) зерна и продолжительностью сушки, была составлена диаграмма сушильных характеристик для данных условий, ориентирующая в выборе параметров сушки риса. В. Б.

80017. К вопросу о снижении содержания лецитина в продуктах, приготовленных из теста с добавкой яиц. Гофман (Beitrag zur Frage des „Lecithinrückganges“ in Eierteigwaren. Hoffmann E., Dtsch. Lebensmittel-Rundschau, 1956, 52, № 6, 133—134 (нем.))

Исследовались изменения в содержании лецитинфосфорной к-ты в торговых образцах вермишели и макарон, приготовленных из теста с добавлением яиц, при их хранении в течение 5 лет в комнатных условиях. Примерно каждые полгода определяли содержание воды и лецитинфосфорной к-ты. Кол-во последней уменьшилось за 5 лет хранения: в вермишели на 59,4%, а в макаронах на 71,7%. Промежуточные определения не установили какой-либо закономерности в снижении содержания лецитина в зависимости от времени хранения. А. Е.

80018. Хлебопекарная промышленность. Аксфорд, Беннетт, Куксон, Коплок (The baking industry. Axford D. W. E., Bennett Ruth, Cookson M. A., Coppock J. B. M.), Food Manufacture, 1956, 31, № 4, 142—147 (англ.)

Обзор вопросов хлебопекарной промышленности Англии в 1955 г.: о нормировании применения пищевых красителей и содержания мышьяка, о случаях обнаружения сальмонелл в замороженных яйцах и сухом яичном альбумине, о недостатке лизина в хлебе, о качестве муки и других ингредиентов хлебопечения и произ-ва мучных кондитерских изделий, о применении глубокого замораживания и облучения γ-лучами для удлинения сроков хранения хлеба и о результатах проведенных н.-и. работ за год. Библ. 54 назв. А. Е.

80019. Требования к муке грубого помола для хрустящих хлебцев. Густафсон (Anforderungen an Schrote für die Knackbrotherstellung. Gustafson, Brot und Gebäck, 1955, 9, № 9, 156—158 (нем.))

Применяется ржаная мука, тонко размолотая с отрубями больших размеров, равномерно распределенными в муке. Рекомендуется производить сухую очистку ржи с последующим кондиционированием для лучшего отделения оболочек. Для хрустящих хлебцев, приготовляемых холодным способом (сбивание со льдом без брожения), требуется мука с высоким содержанием белков. Для дрожжевых хрустящих хлебцев содержание белков в муке не имеет такого значения. Приводятся диаграмма ситового анализа и схема помола. Л. Л.

80020. Значение липидов в хлебопечении. Часть III. Некоторые хлебопекарные и другие свойства обезжирен-

ной муки и липидов муки. Куксон, Коппок (The role of lipids in baking. III. Some breadmaking and other properties of defatted flours and of flour lipids. Cookson M. A., Coppock J. B. M.), J. Sci. Food and Agric., 1956, 7, № 1, 72—87 (англ.)

Определено содержание и хим. свойства липидов (I), экстрагированных из пшеничной муки (70, 80, 85 и 100%), неотбеленной и отбеленной (ClO_2 или NCl_3) спиртом, эфиром, петр. эфиром, уксусом, смесью спирта и эфира (1:1) и CCl_4 . Кроме определений кислотности, иодных чисел и чисел омыления, кол-ва неомыляемых в-в, перекисных чисел, кол-ва моностеарата глицерина, НиР проведено исследование I методом противоточного распределения и установлены их спектры поглощения УФ-лучей. Изучен состав, хлебопекарные и физ. свойства обезжиренной муки (ОМ). Опытные выпечки проведены с добавлением и без добавления порошка (действующего аналогично штерингу), содержащего 30% моностеарата глицерина. Исследовалось также влияние хранения ОМ и необезжиренной муки в течение 32 недель при $\sim 18^\circ$, а также влияния бромата калия на ее хлебопекарные качества. Установлены различия в хим. свойствах I и ОМ в зависимости от р-рителей, с помощью которых осуществлялась экстракция. Обезжиренная неотбеленная мука дала тесто, подобное полученному из отбеленной муки. Удаление жира из свежей и недолго хранившейся муки повысило ее хлебопекарные качества. Действие отбеливающих в-в изменило хим. свойства I, по сравнению с теми, которые выделены из неотбеленной муки. Исследование муки установило, что I являются очень сложными смесями, включающими компоненты как снижающие, так и повышающие хлебопекарные свойства муки. Добавление указанного порошка к ОМ не дает того эффекта, как при его добавлении к обычной муке. Рассмотрена теория действия улучшителей и высказано предположение, что отбеливающие в-ва реагируют не только с белковыми в-вами, но и с липидами муки, вызывая улучшение цвета муки и ее хлебопекарных свойств. Приведен подробный обзор литературы. Библ. 78 назв. Часть II см. РЖХим, 1956, 60236. А. Е.

80021. Опыт укороченного тестоведения на закваске.

Виссинг (Meine praktischen Erfahrungen mit der Berliner Kurzsauferführung. Wissing Oskar), B. cker und Konditor, 1955, 9, № 7, 25—26 (нем.)

Приводятся данные по применению однофазного способа кислого тестоведения в заводских условиях. См. также РЖХим, 1956, 70310 А. Е.

80022. О производстве хлеба с применением «жидкого фермента». Мейнс (What we've discovered about the liquid ferment process. Mapes Jones E.), Baking Ind., 1955, 103, № 1301, 47—48, 102 (англ.)

Описывается опыт безопасного приготовления хлеба на жидком ферменте (разводка дрожжей с минер. подкормкой, сахаром и сухим обезжиренным молоком). Приводятся данные о кол-ве дрожжей, соли, сахара и других ингредиентов, вносимых в жидкий фермент и тесто. В. Б.

80023. Действие жиров и жировых эмульсий в процессе изготовления хлеба. Шулеруд (Studien über die Wirkung von Fett und Fettemulsionen beim Backprozeß. Schulerud Arne), Brot und Gebäck, 1954, 8, № 11, 172—175 (нем.)

Опытными выпечками хлеба с добавлением в тесто смесей китового и арахисового жиров в различных пропорциях установлено, что объемный выход хлеба уменьшается при увеличении в смеси кол-ва арахисового масла. Добавление маргарина, содержащего растительный жир, не улучшает качества печеня, как это наблюдается при добавлении в тесто животных жиров. Для выяснения значения полярных групп молекулы жиров в связывании липоидов сырой клейковины проведены опыты с отвержденным китовым жиром и жировой эмульсией. Найдено связывание жира клейковиной, несмотря на то, что был взят жир с значительной полярностью. Измерения, приведенные с фа-

ринографом, установили уменьшение показателей консистенции теста по мере увеличения кол-ва добавляемого жира и, в особенности, эмульсий. Приведены данные об увеличении объемного выхода и замедлении черствения хлеба при добавлении нейтральных жиров и эмульсий. А. Е.

80024. Влияние стеарил-2-лактата кальция на качество хлеба с сухим обезжиренным молоком различного хлебопекарного достоинства. Бектел, Хаммер, Понт (Effect of calcium stearyl-2 lactylate in bread made with nonfat milk solids of varying baking quality. Bechtel W. G., Hammer G. E., Ponte J. G., Jr), Cereal Chem., 1956, 33, № 3, 206—212 (англ.)

Хлебопекарные свойства стеарил-2-лактата кальция (I) исследовались: 1) опытными выпечками хлеба из теста, приготовленного из пшеничной муки опарным способом с добавлением к нему 3, 4, 6 и 8,5% (к весу муки) обезжиренного сухого молока с хорошими и плохими хлебопекарными оценками и 0,5% I; время замеса варьировало от 1,5 до 8 мин., качество хлеба оценивалось по 100-балльной шкале; 2) изучением влияния I на клейстеризацию крахмала и на свойства клейковины в опытных выпечках из искусств. муки, приготовленной из клейковины и крахмала яровой пшеничной муки. Установлено, что добавление I улучшило качество хлеба во всех вариантах, причем лучшие результаты получили при увеличении времени замеса в 2,7 раза. Исследования с фаринграфом и амилографом показали, что добавление I в тесто задерживает набухание и клейстеризацию крахмала и изменяет структуру клейковины, что улучшает качество мякиша и увеличивает объемный выход хлеба. А. Е.

80025. Применение в хлебопечении полиоксиметиленомоностеарата. Лоуэр, Кресси (Polyoxyethylene monostearate in the bakery. Lower E. S., Cressey S. C.), Food Manufacture, 1956, 31, № 7, 277—279 (англ.)

На основании литературных данных рассмотрен вопрос о применении полиоксиметиленстеарата (I) в хлебопечении. I, продукт р-ции окиси этилена и стеариновой к-ты, в котором на один стеарил приходится восемь оксизетиленовых групп, белого цвета, воскообразной консистенции; т. пл. 35—37°, кислотность ≤ 5 мг; число омыления 96—99 мг; иодное число 2—2,5. При добавлении в тесто I в кол-ве 0,1—1,0% улучшает структуру мякиша и цвет корки. Увеличивает объемный выход хлеба, задерживает его черствение. Авторы считают, что применение I в хлебопечении облегчило бы работу пекарей и улучшило качество хлеба, если не будет возражений против его употребления в пищу. Библ. 13 назв. А. Е.

80026. Опыт замораживания хлебо-булочных изделий. (Besuch bei Bäckermeister Huwald in Goslar.—), B. cker und Konditor, 1956, 10, № 6, 11—12 (нем.)

Описано применение глубокого замораживания теста и штучных изделий на одном из предприятий ФРГ. А. Е.

80027. О применении глубокого замораживания хлебо-булочных изделий в ФРГ. Роч (Der heutige Stand des Tiefgefrierens von Backwaren in Deutschland. Rotsch A.), B. cker und Konditor, 1956, 10, № 6, 13—15 (нем.)

Для сохранения свежести хлебо-булочных изделий необходимо быстро заморозить их ниже -7° , так как при 0° процесс черствения ускоряется. В произ-ве применяют также глубокое замораживание теста. Для замораживания пользуются спец. холодильными шкафами различных размеров с т-рой от -18 до -25° . Отмечено, что в ФРГ, в отличие от США, замораживают только штучные хлебо-булочные изделия. Приведены фотографии холодильных шкафов. А. Е.

80028. Замороженный хлеб. Уэберпалс (Frozen baked bread. Weberpals Fred W.), S. Afric. Baker and Miller, 1954, 22, № 9, 15—16; Australas. Baker and Miller's J., 1954, 57, № 685, 25—26, 29, 31, 33 (англ.)

Результатами работ различных исследователей установлено, что замороженный и сохраняемый при пониженных температурах после оттаивания остается свежим: при $-14,5^{\circ}$ — $-15,5^{\circ}$ в течение 3 недель; после 3 месяцев он соответствует хлебу суточного хранения. Хлеб, замороженный и хранившийся при -23° , сохраняет свежесть 30 дней; при $-34,5^{\circ}$ 70 дней. Лучшие результаты дает быстрое замораживание.

В. Б.

80029. О наличии ацетонна и диацетила в хлебе, пораженном тягучей болезнью. Тейфель, Поглодек-Фабини (Das Auftreten von Acetoin und Diacetyl im fadenziehenden Brot. Taufel K., Pohloдек-Fabini R.), Z. Lebensmittel-Untersuch. und Forsch., 1956, 103, № 6, 430—437 (нем.).

Исследовано содержание ацетонна (I) и диацетила (II) в пшеничном хлебе, здоровом и пораженном тягучей болезнью. Установлено, что I и II являются нормальными компонентами пшеничного хлеба. Кол-во их зависит от ряда факторов; при хранении оно возрастает. *Bacillus mesentericus*, не образующая в культурах I и II, вызывает заметное увеличение содержания I в свежеспеченном хлебе. В пшеничной муке и дрожжах, использованных для приготовления хлеба, найдена лимонная к-та, но не обнаружено I и II. При тестоведении происходит образование небольшого кол-ва I, но не II; кол-во лимонной к-ты, напротив, снижается. При развитии тягучей болезни кол-во I и II возрастает быстрее и скачкообразно; параллельно с этим, но не регулярно, уменьшается содержание лимонной кислоты.

А. Е.

80030. Замороженные торты и пирожные. Гюнтер (Eistorten, Eisiegel und Eisdesserts. Günther Otto), Backer und Konditor, 1956, 10, № 5, 22 (нем.).

Описаны способы приготовления замороженных тортов и пирожных. В качестве основы тортов могут применяться бисквит, безе и песочные полуфабрикаты. Для отделки изделий служат большей частью сбитые сливки, заварные массы, вафли и фрукты. Рекомендуется перед замораживанием основу покрывать желе или пропитывать ликером. Приводятся рисунки тортов.

Л. Л.

80031. Глазури. Липман (Icings. Lipman Harry J.), Baker's Digest, 1956, 29, № 5, 56—59 (англ.).

Изучались условия получения хорошей глазури и способ нанесения ее на поверхность мучных кондитерских изделий. Глазурь готовилась при разных соотношениях сахара и воды, условиях растворения сахара (в холодной воде, горячей и при кипячении). К глазури добавлялись стабилизаторы (гуммиарабик, камедь бобов рожкового дерева, агар, альгинат натрия и др.), предотвращающие ее прилипание, растрескивание и отскакивание. Глазурь наносилась на поверхность свежеспеченных изделий в горячем и холодном виде. Установлена возможность получения хорошо сохраняемой глазури с добавлением стабилизаторов и с наименьшим содержанием влаги. Глазурь должна наноситься на поверхность изделий в теплом состоянии. Описаны два типа непрерывно действующих глазурированных машин. Даны рисунки изделий и схема перемещения влаги внутри изделий.

Л. Т.

80032. Применение крахмального сиропа для экономии жира. Вейсс (Hoher Fettkonsum kann durch Starke-sirup gemildert werden; Fettkrems und Fettfüllungen als Beispiele. Weiss H.), Stärke, 1956, 8, № 1, 12—13 (нем.).

Предлагается для экономии жира заменять в креме, пралине и жировых начинках для вафель 20—25% жира осахаренным крахмальным сиропом (мальтознокрахмальным). Приводятся рецептуры и способы приготовления начинок и кремов.

Л. Л.

80033. О пороках мучных кондитерских изделий на химических разрыхлителях, их происхождении и способах их предупреждения. Лампрехт, Шустер (Backpulverkuchen-Fehler, ihre Entstehung und Verhütung.

Lamprecht F., Schuster J.), Brot und Gebäck, 1956, 10, № 4, 77—82 (нем.).

Проведенными опытными выпечками установлены причины наблюдаемых в произ-ве пороков сдобных пшеничных хлебцев, выпеченных из теста с пекарным порошком по рецептуре (в г): пшеничной муки 1000, сахара 400, маргарина 300, яиц 3 шт., цельного молочного порошка 100, пекарного порошка (с пирофосфатом натрия) 30 и воды 550. Рассмотрены в отдельности пороки корки, мякиша и причины недостаточного объемного выхода хлебцев, а также особенности приготовления песочного теста.

А. Е.

80034. Сохранение свежести кондитерских изделий.

Применение сорбита. Лейтон (Keeping «The freshness of candy». Leighton Alfred E.), Indian Sugar, 1955, 5, № 4, 185—188 (англ.).

Приведены сравнительные характеристики ряда в-в (глицерина, инвертного сахара, пропиленгликоля, сорбита), применяемых в кондитерской пром-сти для сохранения свежести изделий, благодаря способности этих в-в притягивать или связывать воду. Равновесная влажность при $\sim 20^{\circ}$ для глицерина и пропиленгликоля $\sim 30\%$, для безводн. инвертного сахара $\sim 14\%$, для сорбита 21% . Обсуждаются свойства увлажнителей — способность отдавать или притягивать влагу при изменении относительной влажности, летучесть, способность инвертировать сахарозу при нагревании, а также их вкус и стоимость. Установлено преимущество сорбита перед другими увлажнителями и рекомендуется применение его (в %) для сбитых конфет и помадок в кол-ве 6, для маршмеллоу, жевательной нуги — 10, шоколадных помадок — 15, молочной нуги — 10—15. Применение сорбита $< 7\%$ не требует изменения рецептуры.

В. Н.

80035. Улучшение качества и продолжительности хранения кондитерских изделий сорбитом. Грефе (Verbesserung der Qualität und Lagerfähigkeit von Süßwaren durch Sorbit. Graefe Ger d), Rev. internat. chocolat, 1955, 10, № 6, 241—243 (нем.).

Рассмотрены физ. и хим. свойства сорбита (I). Указаны способы получения I из *d*-глюкозы, *d*-фруктозы и *l*-сорбозы. Сорбитан или сорбинд — продукт, образующийся при нагревании I в присутствии к-ты. Эфиры сорбитана с жирными к-тами (стеариновой, пальмитиновой, олеиновой) применяются в кондитерской пром-сти как эмульгаторы. Добавление 5—15% I в кондитерские изделия улучшает качество, сохраняет аромат и удлиняет сроки хранения продукта (относительная влажность не влияет на кол-во связанной воды в изделиях; изделия с I практически не высыхают). Приводятся рецептуры для изделий.

В. Н.

80036. Дилатометрия в кондитерской промышленности. Гудхейм (Dilatometry for the confectionery industry. Gudheim A.), Manufact. Confectioner, 1956, 36, № 3, 27—28, 30—31 (англ.).

Дилатометрический метод позволяет определять коэфф. расширения или сжатия жиров в зависимости от *t*-ры. Разобраны кривые расширения для гипотетич. жира, состоящего из одного триглицерида, масла какао и жира типа шортенингов. Метод может быть применен для характеристики заменителей масла какао с целью приближения их к натуральному маслу какао и для обнаружения примесей к последнему.

М. А.

80037. Изготовление английских фруктовых таблеток. Лэон (The manufacture of English fruit tablets. Leon Simon J.), Food, 1956, 25, № 295, 158—161 (англ.).

Описан способ и рецептура для изготовления различных «фруктовых таблеток» (лимонных, апельсиновых, клубничных, банановых и др.). Сахар, вода и патока (или инвертный сахар) увариваются до 160° (*t*-ры кипения), после некоторого охлаждения масса подкисляется и ароматизируется соответствующей эссенцией. По достижении требуемой *t*-ры масса поступает на таблеточную машину. Характерной рецептурой может служить следующая: сахара 15,85 кг; патоки 2,26 кг, воды 3,17 кг, лимонного

масла 21,3 г, виннокаменной к-ты 113,2 г. Выход ~17,2 кг.

В. Р.

80038. О кажущейся потере жира при обжарке бобов какао. Дитмар, Райман (Über scheinbare Fettverluste bei der Kakaobehandlung. Dittmar Hans F. K., Raimann Egon Z.), Gordian, 1956, 56, № 1331, 15—16 (нем.)

Экспериментально доказывается, что обычно получаемое при анализе некоторое уменьшение кол-ва жира («сырого») в бобах какао после обжарки их происходит не от разрушения жира, а от трудности растворения неомыляемой части экстракта, которая в сырых бобах извлекается сравнительно легко.

В. Р.

80039. Изучение физических свойств шоколада. Сообщения 3. Жидде, Эгли (Etudes des propriétés physiques du chocolat. Giddey C., Egli R. H.), Rev. internat. chocolat., 1956, № 5, 218—223 (франц.; нем.)

Описывается методика изучения влияния т-ры и других факторов (напр., кристаллизации) на изменение объема жиров и, в особенности, масла какао, при помощи дилатометра Варбурга, наполненного чистым сухим азотом. Изменение объема наблюдается по манометрич. U-образной трубке с парафиновым маслом. Даются рисунки прибора и расчетные ф-лы. Приводятся кривые и микрофотографии, доказывающие полиморфизм масла какао. Сообщения 1, 2 см. РЖХим, 1956, 60259.

В. Р.

80040. Использование лецитина в шоколадном производстве. Морис (De l'utilisation de la lécithine dans la fabrication du chocolat. Maurice), 9-e art franç., 1956, 3, № 23, 8—10 (франц.)

Сообщаются известные свойства лецитина и условия применения его в шоколадном произ-ве. Указывается, что лецитин обладает сильно выраженными противоокислительными свойствами.

В. Р.

80041. Условия приготовления какао напитка. Хильбург (Ist die Erhitzung fertigen Kakaotranks erforderlich und auch durchführbar? Hilburg W.), Arch. Lebensmittelhyg., 1956, 7, № 7—8, 80—81 (нем.)

Рекомендуется при изготовлении какао напитка готовить смесь, содержащую молоко, какао и сахар, подвергать нагреванию при 62—65° в продолжение 30 мин. или 12 мин., считая время повышения т-ры от 62 до 82°. При поточном произ-ве допускается нагрев смеси до 90—93°.

В. Р.

80042. Определение какаовеллы в какао продуктах. Шетти (Le dosage des coques dans les produits contenant du cacao. Schetty O.), Rev. internat. chocolat., 1956, 11, № 4, 138—142 (франц., нем.)

Предлагается способ, принцип которого состоит в следующем: определенный вес обезжиренного и обессахаренного в-ва обрабатывают реактивом Bellucci (смесь из 36 мл уксусной к-ты, 5 мл конц. азотной к-ты и 9 мл воды), фильтруют и остаток разбавляют 10 г глицерина. В 10 мл гомог. суспензии под микроскопом подсчитывают группы клеток склеронхимы, 4 группы их соответствуют 1% какао шелухи в обезжиренном и обессахаренном в-ве. Приведены указания по выполнению и эксперим. данные для различных какао продуктов.

В. Р.

80043. Применение «Нурупана» в кондитерской промышленности («Nurupan» im Dienste der Schokoladen und Zuckerwaren-Industrie. F. P.), Gordian, 1956, 55, № 1330, 32—34 (нем.)

«Нурупан» (Nurupan), представляющий собой полноценную соевую муку улучшенного качества, получаемую из соевых бобов, освобожденных от шелухи и горечи, состоит из (в %): воды 6,4, белковых в-в 42,8, жира 22,6, лецитина 2,5, углеводов 21,8, минер. в-в 4,6, клетчатки 1,5. Он обладает эмульгирующей способностью и действует как противоокислитель. Указывается, что добавка его в небольших кол-вах (1—5 %) к какао порошку, шоколаду,

пирлине и другим кондитерским изделиям улучшает их качество.

В. Р.

80044. Новые рецептуры для изготовления английских конфет «тоффи» для предприятий малой и средней мощности. Леон (New formulas for english toffees from the small to medium-sized factory. Leon Simon I.), Food Inds S. Africa, 1956, 8, № 12, 29, 31—32 (англ.)

Предлагается 11 рецептов для изготовления конфет «тоффи» и методы приготовления каждого сорта.

В. Р.

80045. Марципан. Морис (La pâte d'amandes. Techniques de fabrication. Maurice M.), 9-e art franç., 1956, 3, № 21, 16—17 (франц.)

Описывается технология произ-ва изделий из заварного марципана. Ошпаренный горячей водой и освобожденный от кожицы на спец. очистительной машине миндаль смешивается в определенном соотношении с горячим сахаропаточным р-ром. Полученная масса после охлаждения подвергается многократной обработке на вальцовке с постепенным уменьшением расстояния между вальками и последующей формовке в пласт, разрезаемый на корпуса, или в отдельные фигурки путем отливки в спец. формочки. Считают, что наилучшие результаты получаются в случае применения гипсовых форм с внутренними вкладышами, изготовленными из серы. Описывается сорт марципановых изделий, получаемых отливкой в крахмальные формы.

А. Ф.

80046. Современные достижения в получении полиоз для кондитерской промышленности. Савур (Recent advances in polyose confectionery. Savur G. R.), Indian Food Packer, 1956, 10, № 2, 11—13; № 3, 7—8 (англ.)

Исследовались различные образцы полиоз и их производных из семян тамаринда для установления возможности замены ими пектина в произ-ве жележных кондитерских изделий. Получены удовлетворительные результаты. Приводятся данные хим. изучения этих соединений.

А. Е.

80047. Новые методы открытия растворимых в воде связывающих и загущающих средств. Летцинг (Neuere Nachweismethoden für wasserlösliche Bindemittel und Verdickungsmittel. Letzing, E.), Dtsch. Lebensmittel-Rundschau, 1955, 51, № 2, 41—47 (нем.)

Приведена характеристика связывающих средств и загустителей (СЗ), применяемых при получении пищевых продуктов, косметич. и фармацевтич. препаратов: 1) природных (агар, трагант, гуммиарабик, пектин), 2) полусинтетич. (метилцеллюлозы, натрийглицолаты целлюлозы, амилпектины и крахмальные комплексы) и 3) синтетич. (поливинилалкоголи, поливиниловый эфир, полиакрилат натрия, эфир полнакриловой к-ты). Групповое различие чистых р-ров СЗ не представляет трудностей; определение их в пищевых продуктах, где их кол-во < 1%, весьма затруднительно. Приводится график вязкости водн. р-ров исследуемых в-в в зависимости от конц-ии (поваренная соль, спирт, к-ты пищевые, фруктоза, мальтоза, глюкоза, сахароза, пептон, ахродекстрин, гликоген, гуммиарабик, карайагумми). При малых конц-иях СЗ дают высокую вязкость, на которую почти не влияет вязкость растворимых пищевых продуктов при той же конц-ии. Для определения отдельных СЗ рекомендуется применять электролиты и электролиз для отделения высокомолекулярных соединений. Прибегают также к обработке р-ров ферментами и к изменению вязкости водн. вытяжек разбавлением их равными объемами 0,1 н. H₂SO₄ или 0,1 н. КОН. Приводятся таблицы поведения водн. р-ров различных СЗ при воздействии на них УФ-лучей, кипячения, встряхивания и различных реактивов. Дается хроматограмма на бумаге различных продуктов и СЗ. Б. К.

80048. Производство муки из крекера. Энджелл, Ковач (Flour to product in 17 minutes. Angell Paul, Kovacs George M.), Food Engng, 1955, 27, № 12, 81—83, 161 (англ.)

Приводятся описание и фотоснимки поточного произ-ва спец. муки, получаемой размолотым выпеченного крекера и предназначенной для диетич. продуктов и заправки супов.

Л. Т. 80049. **Оптимальные условия для хранения в холодильнике некоторых столовых сортов винограда. Поппаринов, Фикин** (Най-подходящи условия за хладилно съхраняване на грозде от някои десертни сортове. Поппаринов П., Фикин А. Г.), Науч. тр. Висш. ин-т хранит. и вкус. пром-ст., Пловдив, 1955, 2, 203—210 (болг.; рез. русс.)

Изучалось хранение столового винограда сортов Болгар, Димят, Мускат Гамбургский при $+1, 0, -1$ и -2° . Показано, что оптим. условиями являются т-ры -1 и -2° и относительная влажность 85—90%. Органолепич. качества винограда сохраняются 4—5 месяцев. Отмечается, что вследствие испарения воды содержание сахара возрастает (на 1—2,2%), а кол-во к-т уменьшается, причем степень распада к-т зависит от сорта (наименьшая у Муската и наибольшая у Димята). Т-ра замедления винограда у сорта Болгар от $-3,2$ до $-4,2^\circ$, у Муската Гамбургского от $-2,8$ до $-3,7^\circ$.

И. С. 80050. **Новые в сушке плодов и овощей. Треслер** (New developments in the dehydration of fruits and vegetables. Tressler Donald K.), Food Technol., 1956, 10, № 3, 119—124 (англ.)

Рассмотрены результаты н.и. работ, проведенных в США и Англии за 1942—1955 гг., основная задача которых состояла в установлении условий сушки плодов, овощей и фруктовых соков, при которых качество их сохранялось бы при длительном хранении. Эта задача разрешена в отношении яблок, апельсинового порошка, сока грейпфрута, томатного порошка, картофельной крупы («гранулированного» картофеля), картофельных кубиков, лука, перца, зеленых бобов и сладкой кукурузы. Разработанные способы сушки этих продуктов сохраняют их вкус, аромат, цвет и консистенцию при хранении в течение 2 лет при 21° или 6 месяцев при $32-38^\circ$. Разобрано значение бланширования, сульфитации, сушки в две стадии, досушивания в высоком вакууме или в таре с водоотнимающими средствами. Особо отмечена необходимость досушивания продуктов до содержания влаги 1% и ниже, так как при этом предупреждается неферментативное потемнение и потери витаминов при хранении сушеных овощей, плодов и соков. Библ. 22 назв.

А. Е. 80051. **Обезвоживание плодов под вакуумом методом контактной плиты. Сообщение I. Джойс** (The vacuum contact plate method of fruit dehydration. I. Joyce Alan E.), Food Manufacture, 1956, 31, № 1, 18—20 (англ.)

Для предупреждения порчи свежих плодов вследствие автолиза перед сушкой и в начале ее производят инактивацию ферментов хим. и термич. методами. Яблоки и груши перед сушкой сульфитуют. Бланширование паром применяют для многих видов плодов. Для предупреждения потемнения поверхности среза яблок, груш, слив, персиков перед бланшированием нарезанные плоды опрыскивают 0,1%-ным р-ром бисульфита натрия или аскорбиновой к-ты. Приведены опытные данные по установлению режима бланширования (т-ра и время), предупреждающего их потемнение и не вызывающего излишнего размягчения ткани и потери сока. Ошпаривание плодов с высокой кислотностью обычно ведет к сильному размягчению ткани.

А. К. 80052. **Поглощение воды в процессе набухания сушеных плодов и овощей. Симпсон, Чжан, Аппел, Болман** (Water absorption during reconstitution of dehydrated fruits and vegetables. Simpson Jean I., Chang Irene C. L., Appel Evelyn C., Bollman Marion C.), Food Technol., 1955, 9, № 12, 608—612 (англ.)

Изучена набухаемость сушеных картофеля, лука, фран-

цузских зеленых бобов, сахарной кукурузы и яблок. Согласно стандартному методу определения набухаемости картофель в 7-кратном по весу кол-ве воды с начальной т-рой 24° доводили до кипения за 30 мин. и кипятили 15 мин.; лук в 7-кратном кол-ве воды при 24° доводили до кипения за 12 мин. и кипятили 18 мин.; зеленые бобы в 15-кратном кол-ве воды при 24° после 15-минутного набухания доводили до кипения за 25 мин. и кипятили 15 мин.; сахарную кукурузу в 5-кратном кол-ве воды при 60° выдерживали 25 мин., доводили до кипения за 25 мин. и кипятили 20 мин.; яблоки в 7-кратном кол-ве воды при 60° выдерживали 15 мин., доводили до кипения за 8 мин. и кипятили 8 мин. С каждым продуктом были проведены опыты, в которых варьировали начальная т-ра воды и отношение кол-ва воды к кол-ву продукта. Повышение начальной т-ры воды вызывало некоторое увеличение набухаемости картофеля, кукурузы и яблок, особенно в начальных стадиях набухания. 1) кой же эффект вызывало увеличение отношения кол-ва воды к кол-ву продукта. В пределах условий опыта кол-во поглощенной воды незначительно влияло на вкусовые качества продукта после набухания.

Г. Н. 80053. **Сушка сладкой кукурузы. I. Фаза досушивания. Гарнер, Нелсон, Говард** (Sweet corn dehydration. I. The falling-rate phase. Garner K. G., Nelson A. L., Howard L. B.), Food Technol., 1955, 9, № 11, 547—552 (англ.)

На опытной сушилке исследовалось влияние на скорость досушивания (с 47,5 до 4,1% влажности) частично обезвоженной сахарной кукурузы т-ры ($43,3-82,2^\circ$), относительной влажности (5—25%), скорости воздуха ($15,2-76,2$ м/мин) и толщины слоя зерна ($50,8-200,2$ мм). Установлено, что в основном различия в ходе сушки зависят от т-ры продуваемого воздуха и толщины слоя зерна. Скорость воздушного потока и относительная влажность воздуха в данных условиях не оказали существенного влияния. Относительная влажность воздуха приобретает значение, когда влажность зерна приближается к равновесной.

А. Е. 80054. **Сравнительная сушка сладкой кукурузы в первой стадии продуванием воздуха через и вдоль слоя зерна. Нелсон, Стейнберг, Леголт, Нортон, Фрицше** (A comparison of through-air-flow and cross-air-flow methods for the initial dehydration of sweet corn. Nelson A. L., Steinberg M. P., Legault R. R., Norton H. W., Fritzsche H. W.), Food Technol., 1955, 9, № 5, 254—259 (англ.)

В опытах предварительной сушки сладкой кукурузы, проведенных в 5 различных условиях с двумя вариантами хранения, не обнаружено значительной разницы в качестве кукурузы и стойкости ее в хранении при сушке продуванием воздуха через и вдоль слоя зерна. Однако в первом случае требуется на сушку только 0,25% времени, затрачиваемого во втором.

А. Е. 80055. **Неферментативное потемнение и сульфитный привкус сушеного картофеля. Влияние содержания сульфита и способа сульфитации. Хендел, Берр, Богс** (Nonenzymatic browning and sulfite flavor in dehydrated white potato. Effects of sulfite level and method of sulfite application. Hendel Carl E., Burr Horace K., Boggs Mildred M.), Food Technol., 1955, 9, № 12, 627—629 (англ.)

Изучена зависимость интенсивности ферментативного потемнения и сульфитного привкуса от способа сульфитации картофеля, содержания влаги и SO_2 . Очищ. и нарезанный картофель ($9,5 \times 9,6 \times 4,8$ мм) бланшировали паром, помещали на лотки и подвергали сушке и сульфитованию. Не наблюдалось значительного различия в интенсивности сульфитного привкуса между пробами, сульфитированными опрыскиванием перед сушкой и обработкой газообразной SO_2 в процессе сушки. Некоторое значение имела дозировка SO_2 . Предварительное опрыскивание

несколько лучше предотвращало потемнение, чем опрыскивание или обработка газом в процессе сушки. Повышение содержания SO_2 с 400 $\gamma/\text{г}$ до 1000 $\gamma/\text{г}$ повышало стойкость картофеля к потемнению, но большее защитное действие имело понижение содержания влаги с 7 до 4%.

Г. Н. 80056. Досушивание в таре сухих пищевых продуктов. Брукс (In-package desiccation of dehydrated foods. Brooks Dennis), Food, 1955, 24, № 287, 278—279 (англ.)

Для дальнейшего снижения содержания влаги в сухих продуктах (овощи, плоды, фруктовые соки), предохраняющего их от потери аскорбиновой к-ты и сульфитов и от неферментативного потемнения, в банки, герметически укупориваемые, вместе с сухими продуктами помещают водоотнимающие средства (ВС) в пакетах из крепкого материала или в картонных цилиндрах с металлич. концами. Происходит перемещение паров воды из продукта в атмосферу банки, затем к контейнеру, содержащему ВС, и к самому ВС. Каждый из этих компонентов оказывает известное сопротивление перемещению влаги, которое измеряют в характерных условиях, выражая результаты «коэфф. передачи» влаги. Показано, что наиболее активным ВС в этих условиях является окись кальция и что толщина слоя продукта влияет на скорость водоотдачи. Так, влажность сушеной капусты снизилась с 4 до 2% при толщине слоя 76 мм за 6,5 дней; при 152 мм за 13 дней и при 305 мм за 25 дней. Влажность сушеного лука снизилась с 3,9 до 1,9% за 10,23 и 59 дней при толщине продукта соответственно 76,152 и 305 мм. Некоторые продукты (напр., морковь) обнаруживают большую устойчивость к влагоотдаче. Установлено также, что повышение т-ры на 10° увеличивает примерно в два или в три раза величину высушивания. Величина абсорбции кислорода сухими овощами при досушивании в таре снижается при 49°, но повышается при 24°. При 38° установлено ее уменьшение в сухеных свекле, луе, бататах и капусте. Для некоторых продуктов рекомендована упаковка в инертном газе.

А. Е. 80057. Стерилизация консервов из половинок абрикосов с водой. Патрон (L'appertisation des oreillons d'abricot au naturel. Patron A.), Fruits, 1956, 11, № 4, 153—161 (франц.)

В результате ползаводских опытов предложено: 1) заливать абрикосы в банках водой, нагретой до 90°; 2) открытые банки с абрикосами предварительно нагревать на водяной бане при 85°, пока т-ра мякоти плодов в центре банки не достигнет 70°; 3) стерилизацию герметически закатанных банок проводить в водяной бане при 86°, пока мякоть половинок в центре банок не нагреется до 80°. Рекомендуется охлаждать банки не сразу после стерилизации, а спустя 10 сек. Для менее зрелых плодов, имеющих прозелень, можно увеличить т-ру воды при стерилизации до 92° с тем, чтобы внутри плодов она поднялась до 85°. В этих условиях абрикосы сохраняют консистенцию свежих плодов.

А. Е. 80058. Быстрый способ извлечения сахара при анализе засахаренных плодов, джема и свежих плодов. Китсон, Строн, Кейн (Rapid sugar extraction procedure for analysis of candied fruits, jams, and fresh fruits. Kitson J. A., Strachan C. C., Cain R. F.), J. Agric. and Food Chem., 1955, 3, № 10, 862—864 (англ.)

Предлагаемый способ извлечения сахаров исключает осветление, нейтрацию и кипячение пробы. Для получения вытяжек применяют работающее на высоких скоростях перемешивающее устройство Waring Blendor. 50 г измельченного продукта переносят в предварительно охлажд. сосуд из боросиликатного стекла емк. 950 мл при помощи 250 мл холодной дистилл. воды, прибавляют 60—70 г льда из дистилл. воды, 2—3 капли каприлового спирта и перемешивают 2,5 мин. с плотно закрытой крышкой. Добавляют еще 60—70 г льда, крышку и стенки со-

суда обмывают несколькими мл воды и перемешивают смесь еще 2,5 мин. Переносят смесь в мерную колбу на 500 мл, встряхивают для удаления воздуха и доводят до метки при 20°. Сосуд прибора дважды ополаскивают жидкостью из мерной колбы, переливают ее содержимое в сосуд и перемешивают в течение 1—2 сек. с длиноволокнистым, промытым к-той, асбестом, после чего фильтруют через грубый стеклянный фильтр, в случае надобности, при отсасывании. 20—100 мл фильтрата разбавляют до 500 мл для определения редуцирующих сахаров методом Лейна и Эйнона. Для определения общего кол-ва сахаров такой же объем фильтрата кипятят 10 мин. с 5% лимонной к-ты. Метод дает результаты, близкие к получаемым при приготовлении вытяжки стандартным методом АОАС.

Г. Н.

80059. Изучение производства сока цитрусового плода натсумикана. IX. О механизме потемнения сока. I. Аскорбиновая кислота и потемнение. X. О механизме потемнения 2. Аминокислоты и потемнение. XI. Кислород, растворенный в соке. Номура (夏蜜柑果汁製造に關する基礎的研究. 第9報. 果汁の褐變の機構について. (其の1). アスコ ビン酸と褐變. (第10報). 果汁の褐變機構について (其の2). アミノ酸と褐變 (第11報). 果汁中の溶存酸素について. 野村男次), 醸酵工學雜誌, Хакко когаку дзасси, J. Ferment Technol., 1953, 31, № 10, 398—403, № 11, 429—434; Нихон ногэй кагаку кайси, J. Agric. Chem. Soc. Japan., 1954, 28, № 2, 98—102 (япон.; рез. англ.)

IX. Изучены изменения хим. состава сока из натсумикана при хранении. Установлено, что ухудшение вкуса сопровождается потемнением сока и потерей аскорбиновой к-ты, распадающейся в присутствии других к-т до фурфурола (I) и CO_2 . I обнаруживается при помощи полярографа. Из потемневших сока и I получено несколько летучих органич. к-т, но их природа не установлена. С увеличением степени побурения сока значение pH падает. Предполагают, что полимеризация I, наблюдаемая в процессе расщепления аскорбиновой к-ты, является причиной побурения сока.

X. В соке натсумикана хроматографией на бумаге обнаружены аминокислоты (II): аспарагиновая, глутаминовая, аланин, оксипролин, фенилаланин и серин. Добавление некоторых II увеличивает потемнение окраски сока, действие различно для каждой II. В процессе потемнения содержание в соке общего азота и аминокислот азота уменьшается, а аммиачного, амидного и гуминового возрастает. В соке мандаринов сорта унши найдены: аспарагиновая, глутаминовая к-ты, серин, глицин, аргинин, аланин, пролин, триптофан, β -аланин и аспарагин. Сок мандаринов унши темнеет быстрее, чем сок натсумикана, что объясняется наличием II, в частности триптофана.

XI. Молекулярный кислород ускоряет потемнение сока цитрусовых. Для изыскания метода колич. определения O_2 , растворенного в соке, применен полярографич. метод, основанный на определении диффузионного потока при потенциале $-0,4$ в. Метод дает точные результаты, длительность определения 1 мин. Часть VIII, см. РЖХИМ, 1956, 76777.

В. Г.

80060. Технология розлива и упаковки фруктовых соков. Капуано (Tecnologia dell'inscatolamento, imbottigliamento ed imballaggio dei succhi di frutta. Capuano Giuseppe), Ind. conserve, 1955, 30, № 4, 261—266 (итал.; рез. англ., нем., франц.)

Обзорная статья по жестяной и стеклянной таре для фруктовых соков, технологии розлива и упаковки и коррозии внутренней и наружной поверхностей жестянок. Библ. 36 назв.

М. Г.

80061. Лабораторная установка для получения фруктовых эссенций. Уокер, Паттерсон (A laboratory fruit-essence recovery unit. Walker L. H., Pat-

terson D. C.), Food Technol., 1955, 9, № 2, 87—89 (англ.)

Дается подробное описание и схема небольшой, но эффективной лабор. установки для получения фруктовых эссенций. Установка была применена при исследовании ароматич. летучих в-в, входящих в состав фруктовых соков, и для определения режима выпаривания, потребного для извлечения ароматич. летучих в-в из различных фруктовых соков.

80063. Быстрое составление рецептуры фруктового желе. Вьеру (Cum am realizat o bună rețetă pentru fabricarea gelelei din fructe. Vieru Raul), Rev. ind. aliment. prod. vegetale, 1956, № 3, 27—28 (рум.)

Установлена прямая пропорциональность между содержанием пектина в фруктовых соках и их вязкостью. Предлагается прибор для быстрого определения уд. вязкости соков (η), зная которую можно установить кол-во сахара, нужное для получения желе. Экспериментально установлено (перечисляются η и необходимое кол-во сахара на 100 кг сока): 4—55; 5—70; 6—80; 7—100; 8—105; 9—112; 10—120; 11—125; 12—129; 13—133; 14—138. Приводится описание прибора и даны указания по его применению.

80063. Новый способ получения фруктового желе. Хувер, Нелсон, Стейнберг (Development of a new concept for processing fruit jelly. Hoover W. J., Nelson A. J., Steinberg M. P.), Food Technol., 1955, 9, № 8, 377—380 (англ.)

Рекомендуется способ получения фруктового желе с сохранением летучих в-в, придающих изделиям вкус и аромат свежих плодов, миним. снижением гелирующей силы и миним. потемнением продукта. Фруктовый сок делят на 2—3 части. Одна из этих частей используется для растворения сахара и пектина при t -ре $\leq 82^\circ$, другая — уваривается при атмосферном давлении до содержания сухих в-в $\leq 25\%$; третья часть (если она применяется) не обрабатывается. Все три части смешивают, уваривают до t -ры $\leq 82^\circ$ и разливают. Приведена кривая зависимости кол-ва сока, необходимого для растворения сахара и пектина, от кол-ва концентрируемого сока.

80064. Изготовление фруктового желе.—(Die Herstellung von Fruchtgelees.—), Gordian, 1956, 56, № 1331, 29—31 (нем.)

Даются общие указания по получению фруктовых соков для изготовления из них желе с использованием пектина в качестве студнеобразователя. Приводится основной рецепт для приготовления фруктового желе и сводная таблица, показывающая содержание в различных фруктах к-ты и пектина с одновременным указанием наиболее характерных и ценных составных частей для данного рода фруктов. Даются практич. указания общего характера по варке желе и дополнительные данные по отдельным видам фруктов (яблоко, абрикосов, ежевики, клубники, малины, вишни).

80065. Молочная промышленность в ГДР. Шульц, Навратил, Шиман (Mlékařský průmysl v NDR. Šulc J., Navrátil J., Šiman H.), Průmysl. potravin, 1956, 7, № 6, 279—284 (чеш.)

Начало см. РЖХим, 1956, 73555

80066. Некоторые усовершенствования в технологии молочных продуктов. Кроссли (Some general developments in dairy technology. Crossley E. L.), Dairy Inds, 1955, 20, № 6, 514—518; Irish Agric. and Creamery Rev., 1955, 18, № 261, 18—19 (англ.)

Описаны новые методы произ-ва стерилизованного молока с применением трубчатых аппаратов для нагревания в тонком слое под давлением до $126,5$ — $148,5^\circ$; длительность нагрева 1 — 2 сек., выдержка 3 сек. Используют пластинчатые аппараты для стерилизации молока при 135° в течение 2 сек. Для устранения накипи на поверхности нагрева применяют предварительный нагрев молока перед стерилизацией в теплообменнике до 85° с выдержкой 6 — 7 мин. Тре-

тний метод произ-ва, разработанный в Швейцарии, заключается в том, что продукт сначала обрабатывают в вакуум-камере при $48,8^\circ$ для удаления из молока летучих запахов и 80 — 90% растворенного кислорода и затем молоко нагревают пароконтактным способом в спец. устройстве до 150° в течение $0,75$ сек. После этого молоко поступает в камеру с нормальным давлением, где из него выпаривается конденсат при одновременном охлаждении до $93,3^\circ$. По окончании стерилизации молоко разливают в бутылки или банки и подвергают дополнительной стерилизации в течение 15 мин. или же расфасовывают в тару в асептич. условиях, что исключает последующую тепловую обработку. Описан также новый способ произ-ва полностью и быстро растворимого сухого обезжиренного молока распылительной сушки в США. Сухой молочный порошок подвергают спец. обработке, заключающейся в увлажнении его для кристаллизации лактозы, находящейся в аморфном состоянии, и последующей сушке продукта в шкафах сушилках. В результате образуется пористая структура, облегчающая растворение порошка в воде.

80067. Рассеянное отражение света молоком. Берджесс, Херрингтон (The diffuse reflection of light by milk. Burgess W. H., Herrington B. L.), J. Dairy Sci., 1955, 38, № 3, 250—255 (англ.)

Схематическое описание нового прибора и результаты его применения для исследования способности отражения света с различной длиной волны обезжиренным, цельным и гомогенизированным молоком. При действии желтого цвета (λ 5780 Å) молоко отражает 70% поглощенного света, а ультрафиолетового (λ 2534 Å) — 9% . В первом случае свет проникает в молоко на 2 см, а во втором на $0,1$ см.

80068. Точка замерзания, процент сухих веществ и удельный вес пастеризованного молока как показатели разбавления молока водой. Далберг (The freezing point, the percentage of solids, and the specific gravity of pasteurized milk as indices of added water. Dahlberg A. C.), J. Milk and Food Technol., 1955, 18, № 2, 37—43 (англ.)

Официальный метод обнаружения добавки воды к молоку базируется на определении точки замерзания молока (ТЗ) и вычислении процента добавленной воды, пользуясь простой ф-лой. В качестве стандартной принимают ТЗ $-0,550^\circ$. Для проверки правильности этой величины были проведены исследования молока в ряде штатов США. Одновременно с ТЗ в молоке определяли сухой обезжиренный остаток (СО) и уд. вес лактоденсиметром. Отклонения ТЗ от среднего в процентах вычисляли по ф-ле: (наблюдаемая ТЗ $-0,54$) $\times 100/0,54$. Отклонения составляли от $+2,4$ до $-0,9\%$. При аналогичных вычислениях отклонения СО от среднего ($8,62$) были в пределах от $+3,4$ до $-2,6\%$, а уд. в. от $+2,2$ до $-2,5\%$ (на отдельных предприятиях от $+3,4$ до $-4,7\%$).

80069. Более устойчивая гваяковая реакция для определения высокотемпературной пастеризации молока. Ланг (Eine über längere Zeit haltbare Guajakreaktion zur Prüfung der Milch auf Hoherhitzung. Lang K. A.), Milchwissenschaft, 1955, 10, № 4, 128—129 (нем.)

Описана капельная гваяковая р-ция для исследования молока на нагревание. На фильтровальную бумагу № 2040а ($6,5 \times 6,5$ см) фирмы Шлейхер и Шюлькепальной пипеткой наносят каплю гваякового реактива. На середину образованного каплей кремового или светло-серого пятна соломинкой наносят каплю исследуемого молока. В присутствии пероксидазы появляется характерное кокардообразное пятно: светлый центр пятна окружен широкой синесинезеленой полосой, окаймленной кремовой или серой полосой. При отрицательной р-ции на пероксидазу пятно остается окрашенным в кремовый цвет. Проба дает возможность обнаружить добавление к пастеризованному молоку 4 — 6% сырого молока. При положительной р-ции на пероксидазу интенсивность окраски кокардообразного пятна

сохраняется без изменения минимум 100 дней, при отрицательной р-ции — 150 дней. Е. Ж.

80070. Пастеризованное молоко. Лебланши (Le lait pasteurisé certifié. Quelques propos dictés par l'expérience. Lablanchy André), Rev. gén. lroid, 1955, 32, № 2, 181—187 (франц.)

Практические соображения с экономич. расчетами по организации розлива молока в бутылки, пастеризации, контроля его качества, распределения и потребления. А. О. **80071. Роль психрофильных бактерий в сохранении качества продажного пастеризованного и гомогенизированного молока. Бойд, Смит, Траут (The role of psychrophilic bacteria in the keeping quality of commercially pasteurized and homogenized milk. Boyd J. C., Smith C. K., Trout G. M.), J. Milk and Food Technol., 1955, 18, № 2, 32—36 (англ.)**

Срок хранения продажного пастеризованного и гомогенизированного молока, определяемый микробной психрофильностью бактерий (не выше 50 000 в 1 мл), длился при 4,4° в июле 11 дней, в сентябре 9,2, в ноябре 10,2 и в декабре 8,2 дня; при 0,55° в ноябре 28 и в декабре 22,5 дня. При определении качества молока по органолептическим показателям (не ниже 37 баллов по американскому стандарту) срок хранения при 4,4° длился в июле 18, в сентябре 1,8, в ноябре 17 и в декабре 12,8 дня и при 0,55° в сентябре 42, в ноябре 31,5 и в декабре 24,5 дня. Качество молока ухудшалось в соответствии с увеличением кол-ва психрофилов, но при 0,55° ухудшение наступало при более низком их содержании. Г. Н.

80072. Разработка метода определения окисленного вкуса молока и молочных продуктов при помощи 2-тиобарбитуровой кислоты. I. Применение метода для определения окисленного вкуса молока и молочных продуктов. Танака, Куриива, Икегами (2-thioarbituric acid (TBA) 試薬に依る牛乳及び乳製品の脂肪酸化度測定に關する研究 1. 牛乳及び全脂粉乳の脂肪酸化度測定に對する (TBA) 法の適用性について. 田中清一, 栗谷治雄, 池上安), 日本畜産學會報. Нихон тикун гаккайхо, Japan. J. Zootech., 1955, 26, № 2, 64—66 (япон.; рез. англ.)

Установлена корреляция интенсивности окраски, развивающейся при добавлении к молоку реактива, содержащего 2-тиобарбитуровую к-ту, с интенсивностью окисленного вкуса в пастеризованном молоке и цельном сухом молоке. Присутствие С усиливало интенсивность окисления молочного жира, особенно велико окисляющее действие H_2O_2 , которое возрастало с повышением т-ры. Витамин С не оказывал замедляющего действия на окисление молочного жира. Окисляющее действие солнечных лучей было значительным, зависимость степени окисления от интенсивности освещения выражалась почти прямой линией. Стойкость сухого молока зависела от условий хранения, низкая т-ра обеспечивала лучшую сохранность его. Г. Н.

80073. Определение лактозы в молоке, изменившемся вследствие ферментации лактозы. Условия количественного гидролиза лактозы в сыворотке. Сазен-Ласкано-Руис (Le dosage du lactose dans les laits altérés par fermentation lactique. Les conditions d'hydrolyse quantitative du lactose dans un lactosérum. Saenz Lascano Ruiz I., m-me), Ann. falsific. et fraudes, 1954, 47, № 545—546, 167—174 (франц.)

При частичном разложении лактозы в молоке на глюкозу и галактозу определение лактозы методом Бертрана или поляризметрически не дает верных результатов. При внесении поправочных коэфф., найденных по определенной восстановительной способности глюкозы и галактозы или по вращению плоскости поляризации с учетом, что эти гексозы находятся в эквивалентных кол-вах, также не получаются правильные данные. Н. Б.

80074. Исследование способности молока к сычужному свертыванию. Полити (Ricerche sulla coagulazione presamica in rapporto alle proprietà casearie del latte.

Politi Isidoro), Ann. sperim. agrar., 1954, 8, № 3, 929—945 (итал.; рез. англ.)

Изучено сычужное свертывание молока и влияние на него т-ры и добавления молочной к-ты и $CaCl_2$. Значительные различия в способности к сычужному свертыванию разных образцов молока не могут быть объяснены лишь различной конц-ией солей в них, и зависят, вероятно, от различной структуры колл. белковых в-в. Б. А.

80075. Кумыс из коровьего молока, его приготовление и свойства. Дубровская Р., Сб. студ. науч.-исслед. работ. Моск. с.-х. акад. им. К. А. Тимирязева, 1956, № 6, 180—187

Изучалась зависимость накопления спирта от вида дрожжей, их кол-ва и других факторов при приготовлении кумыса из коровьего молока. Установлено, что кол-во вносимых дрожжей должно быть ≥ 10 и ≤ 20 тыс. Качество кумыса и содержание в нем спирта повышались при созревании его в укупоренных бутылках. Применение при изготовлении кумыса шампанских дрожжей, шато-лягранж, ЛБД и токайских показало, что наибольший процент спирта дают шампанские дрожжи, затем ЛБД и токайские. Винные дрожжи обуславливают характерный винный привкус и приятный аромат кумыса. Кумыс с ЛБД менее ароматен и грубее. Пленчатые дрожжи способствуют накоплению спирта, но разные виды по-разному влияют на вкус кумыса. В. Г.

80076. Масло. Нери (Il burro. Neri Antonio), Latte, 1953, 27, № 2, 87—88; № 3, 143—144; № 4, 203—204; № 5, 271—272; № 6, 331—332; № 7, 379—380; № 8, 435—436; № 9, 499—500; № 10, 559—560; № 11, 613—614; № 12, 681—682, 685; 1954, 28, № 1, 33—34; № 2, 99—100; № 3, 155—156; № 4, 217—218 (итал.)

Изложены природа и причины прогоркания масла, хим. и микробиологич. методы определения качества масла. Особенное внимание обращено на его фальсификацию. Начало см. Latte, 1952, 26, № 11, № 12; 1953, 27, № 1. Н. С.

80077. Физическая структура масла. Часть I. Кинг (The physical structure of butter. Part I. King N.), Dairy Inds, 1955, 20, № 4, 311—314 (англ.)

Изложение известных теорий распределения в масле составных частей, создающих его физ. структуру. Подробное рассмотрение теории Кинга, базирующейся на наличии в масле двух форм жира: в виде непрерывной фазы, находящейся частично в жидком, частично в кристаллич. состоянии, и в виде жировых шариков. Приведены материалы, демонстрирующие распределение в непрерывной жировой фазе капель воды и жировых шариков, не разрушенных в процессе производства. А. Г.

80078. Масло и сыр в 1953 г. (Канала). Часть I. Результаты оценки качества. Новые усовершенствования. Исследования. Часть II. Фибровые ящики. Промытые и непромытые масло. Неотморожная окраска. Битти (Butter and cheese in 1953. Part I. Grading results — New developments — Research. Part II. Fibre boxes — Washed and unwashed butter — Ureyn colour. Beattie D. M.), Canad. Dairy and Ice Cream J., 1954, 33, № 1, 30—32; № 2, 28—30, 51 (англ.)

80079. Дозревание сыра в межрайонном сырохранилище. Флейшман А., Молоч. пром-сть, 1955, № 2, 13—14
Описан опыт работы межрайонного сырохранилища, организованного при холодильнике Кировоградского треста, куда 3-ды отгружают сыр различного возраста, начиная от только что посоленного до полуторамесячного. Принятый сыр раскладывают на стеллажах хранилища по датам выработки, учитывая его состояние: т-ра в камере 12—13°, относительная влажность 87—88%. Сыр регулярно моют и переворачивают. Сыр с трудно наводящейся коркой, пораженной красной слизью, подвергают тепловой обработке водой. Применяется раннее парафинирование (в месячном возрасте). За 10 месяцев 1954 г. 54% сыра, принятого условно первым сортом, благодаря хоро-

шему уходу после хранения оценено высшими сортами. Межрайонные сырохранилища должны быть оборудованы сыромоечной машиной и электропарашером. Л. К.

80080. Возможность применения радиологического исследования для установления качества сыра пармезан. Боллини, Читта (La possibilità dell'indagine radiologica nell'accertamento delle qualità del formaggio grana (nota preventiva a contributo della tirografia). Bollini V., Citta D.), Mondo latte, 1954, 8, № 7, 429—432, 435—437 (итал.; рез. франц., англ.) Исследовалась возможность применения радиологич. метода для определения качества. показателей сырного теста, в основном его консистенции и гомогенности. Приводится описание метода и фотографии. А. Е.

80081. Изучение восстановления тетразола молочнокислыми бактериями. II. Связь процесса восстановления красителя с окислительно-восстановительным потенциалом. Лаксминараяна, Ия (Studies on the reduction of tetrazolium by lactic acid bacteria. Part. II. Oxidation reduction potentials in relation to dye reduction. Lakshminarayana N., Iya K. K.), Indian J. Dairy Sci., 1955, 8, № 1, 32—38 (англ.) См. РЖБиол. 1956, 52777.

80082. Влияние продолжительности и температуры инкубации на определение психрофильных бактерий в молоке чашечным методом на агаре. Бойд, Смит, Траут (The effect of the incubation time and temperature on the determination of psychrophilic bacteria in milk by the agar plate method. Boyd J. C., Smith C. K., Trout G. M.), J. Milk and Food Technol., 1954, 17, № 12, 365—368 (англ.)

Количество бактерий в пастеризованном молоке определяли через 7, 10, 15, 20 суток при т-ре инкубации 5 и 10°. Кол-во бактерий при т-ре инкубации 10° в несколько раз превышало число бактерий в том же образце молока при т-ре инкубации 5°. Инкубация при 10° способствовала прорастанию дополнительной группы бактерий, не относившихся к психрофилам и не прораставших при 5°. Подсчет колоний при т-ре инкубации 5° через 7 суток практически невозможен ввиду чрезвычайно малых размеров колоний. А. О.

80083. О влиянии породы на качество говядины. Даль (Über den Einfluss der Rasse auf die Qualität von Rindfleisch. Dahl Olle), Fleischwirtschaft, 1956, 8, № 2, 67—69 (нем.; рез. англ., франц., исп.)

Приводятся сравнительные данные боенских показателей и качества мяса двух пород крупного рогатого скота. Исследовалась антрекотная часть быков, волов, коров и телок на содержание воды, депозитной и межмышечного жира. Кроме того, установлены убойный вес, выход мяса и содержание костей. А. Е.

80084. Качественная оценка мяса свиней, которым скамливался пенициллин. Грау (Über Versuche zur Qualitätsbeurteilung von Schweinen, die mit Penicillin gefüttert wurden. Grau R.), Fleischwirtschaft, 1956, 8, № 1, 20—23 (нем.; рез. англ. франц., исп.)

Исследовалось влияние пенициллина (П), задаваемого в корм свиньям, на органолептич., хим. и технологич. показатели качества свинины. Установлено, что мясо животных, принимавших П, лучше удерживает сок, чем контрольные образцы; содержание воды в нем меньше, а белковых в-в больше. Вкус консервированной ветчины, приготовленной из подопытной свинины, лучше, чем из контрольной. Желеобразование и содержание соли в консервированной ветчине находятся, по-видимому, в связи с сокоудерживающей способностью мускулатуры. Содержание жира во всех жировых тканях у азалось выше у свиней, которым давали П, что соответствовало и органолептич. оценке соотношения мяса и жира. А. Е.

80085. Влияние антибиотиков, добавляемых в корм животным, на качество мяса. Грау (Die Beeinflussung der Fleischqualität durch Antibioticaufütterung.

Грау R.), Fleischwirtschaft, 1956, 8, № 2, 73—75 (нем.; рез. англ., франц., исп.)

Описаны опыты с добавлением в корм аурамицидина (препаратов ауофака и бифосфорала) и пенициллина при откорме свиней. В мясе откормленных животных определяли содержание воды, жира, белковых в-в, рН и свободной воды (по Кульмбаху). Установлено, что добавление в корм антибиотиков увеличивает отложение жира и понижает содержание воды в мясе. Несколько снижается и содержание белковых в-в. Содержание свободной воды в одном случае увеличилось, в других уменьшилось. Отмечено незначительное улучшение качества консервов из ветчины, приготовленных из подопытных животных. Значительного изменения в качестве мяса при скармливании свиньям антибиотиков в общем не установлено. А. Е.

80086. Влияние пастбищного и стойлового откорма животных на водосвязывающую способность мяса. Похья, Нинниваара (Der Einfluss von Weide- und Stallfütterung auf das Wasserbindungsvermögen des Fleisches. Pohja M.S., Niinivaara F. P.), Fleischwirtschaft, 1956, 8, № 1, 19—20 (нем.)

Изоэлектрическая точка белковых в-в мяса находится при пастбищном кормлении животных в области рН 5,1—5,5, а при кормлении в стойле в области рН 4,8—5,1. Сдвиг изоэлектрич. точки влияет на водосвязывающую способность мяса, которая, как показали исследования, понижается при пастбищном содержании животных и повышается при содержании их в стойлах. А. Е.

80087. Об улучшении естественного цвета мяса никотиновой или аскорбиновой кислотами. Масс (In welcher Weise verbessern Nicotinsäure und/oder Ascorbinsäure die natürliche Fleischfarbe? Maas Heinrich), Dtsch. Lebensmitt.-Rundschau, 1955, 51, № 1, 23—25 (нем.)

Для предупреждения изменения цвета мяса и мясного фарша при хранении вследствие окисления миоглобина и гемоглобина до метмиоглобина и метгемоглобина применяют обработку его никотиновой (I) или аскорбиновой (II) к-тами или их смесью. Хорошие результаты получены при добавлении 0,3 г I или 0,05 г II к 450 г мяса; при употреблении смеси этих к-т исходят из указанных кол-в. Для измельчения мяса процесс диффузии длится несколько часов, при обработке кусков мяса требуется несколько дней. Пример: свежее говяжье мясо пропускают через мясорубку. С 450 г фарша смешивают 0,3 г I и 0,05 г II. Для сравнения из обработанного и необработанного к-тами фарша формуют плитки (7,5 × 7,5 × 2,0 см), которые завертывают в бумагу и оставляют для диффузии к-т на 4 часа при 4,5°, а затем замораживают их при —19°. На следующее утро после обработки плитка фарша будет иметь светло-красный цвет как снаружи, так и внутри, а необработанная будет с поверхности темно-красной, а внутри темно-пурпуровой. А. Е.

80088. Влияние минеральных веществ мяса на его качество. Значение кальция, магния и цинка для водосвязывающей способности и цвета мяса. Гамм (Fleischmineralien und Fleischqualität. Calcium, Magnesium und Zink und ihre Bedeutung für Wasserbindung und Farbe des Fleisches. Hamm Reiner), Fleischwirtschaft, 1956, 8, № 5, 266—271 (нем.; рез. англ., франц., исп.)

Рассмотрены данные о содержании в мясе К, N, Mg, Ca, Zn и Fe и их связи с белковыми в-вами мускулов. Определено Ca, Mg, Zn и Fe в мышечной ткани установило влияние сезонных кормов на минер. состав мяса. На основе современных методов определения прочности связей поливалентных катионов в мускульной ткани с применением ионообменников показано, что в белковых в-вах, образующих мышечные волокна, а также находящихся в водорастворенном состоянии, ионы располагаются в следующий возрастающий ряд по прочности их связей с белком $Mg < Zn < Ca < Fe$. Показано также, что содержащиеся

в мясе Са и Zn (но не Mg) понижают его гидратацию; после удаления их из мышечной ткани ионообменниками связывание воды мясом значительно повышается. Fe не поддается ионообмену вследствие прочной связи в миоглобине. На мясо, из которого удаляют ионообменниками Mg, Са и Zn, фосфаты не оказывают более значительного гидратирующего действия, как на контрольное мясо. Ионообмен не вызывает заметного изменения в общем заряде белковых в-в мяса. При высоком pH (6,5—7) связь ионов в мясе значительно прочнее, чем при низком pH (5,5), при котором ионообмен не оказывает влияния на связывание мясом воды. Это объясняется изoeлектрич. состоянием белковых в-в мускула. Оксимиоглобин мяса, обработанного ионообменниками, окисляется в метмиоглобин медленнее, чем контрольные образцы. Возможно влияние ферментативной системы — сукцинодегидразы. С увеличением времени обработки ионообменниками связь ионов слабеет как в структурных, так и в водорастворенных белках мышечной ткани. Денатурирование мяса при нагревании имеет такое же действие. Исследована также зависимость экстрагированных водой из структурного белка мышц Mg, Са, Zn и Fe от кол-ва воды, pH, времени обработки. Сравнением опытами на моделях показано, что в мясе, обработанном ионообменниками, Mg находится в ионизированном или в очень слабо ионизирующемся состоянии, Са и Zn, напротив, относительно прочно связаны с белком (но не с фосфатами). Еще прочнее связано Fe в миоглобине.

А. Е. 80089. Методы определения свежести мяса и жира птицы. Щенников С. Т., Петровская Е. А., Кустова Л. И., Красницкая К. М., Тр. Всес. н.-и. ин-та птицепром-сти, 1956, 6, 57—72

Исследовалась применимость хим.-бактериологич. методов определения степени свежести мяса животных к анализу битой птицы. При сопоставлении результатов органолептич. оценки и качеств. р-ций установлено отсутствие полного совпадения, особенно в образцах птицы подозрительной свежести. Рекомендуются при оценке степени свежести мяса и жира птицы пользоваться одновременно: 1) органолептич. исследованием; 2) бактериоскопич. анализом; 3) р-цией на аммиак (по Несслеру); 4) р-цией на пероксидазу с бензидином; 5) определением кислотного числа в жире; 6) определением перекисного числа в жире. Бактериологич. исследование проводить по методике ГОСТ 7269—54 с соответствующими изменениями в части отбора образцов для исследования.

А. Е. 80090. Электрические характеристики мясопродуктов при обработке их в переменном поле высокой частоты. Телишевский Б., Шишкина Н., Мясная индустрия СССР, 1956, № 3, 13—14

Определялись величины диэлектрич. проницаемости мяса говяжьего (соленого и несоленого), шпига (соленого и несоленого), трех видов колбасных фаршей и свиной шкурки на четырех частотах: 300—470 кг⁻¹; 1,5 кг⁻¹; 3,4—4 Мг⁻¹; 10—12 Мг⁻¹. Измерение производили при 20°. Кроме того, проверена селективность повышения т-ры шпига и мяса при более высоких частотах (>0 Мг⁻¹). Установлено, что диэлектрич. проницаемо т-мясопродуктов при прочих равных условиях зависит от содержания в них влаги. Нагревание шпига в в-сокочастотном поле происходит более интенсивно, чем нагревание мышечной ткани.

А. Е. 80091. Электрокопчение по методу Н. Е. Федорова и И. А. Рогова и хранение мясных и рыбных продуктов. Федоров Н. Е., Рогов И. А., Тр. Моск. технол. ин-та мяс. и молоч. пром-сти, 1956, № 6, 23—34

Предложен новый метод копчения пищевых продуктов в электрич. поле высокого напряжения. Продукт помещают между двумя разноименными электродами, из которых один соединен с источником постоянного тока высокого напряжения (0—60 кат), а другой заземлен; в это же пространство подают копильный дым. На коронирующем электроде образуется тихий разряд, ионизирующий

компоненты дыма и направляющий их на продукт, находящийся между электродами, вызывая диффузию компонентов дыма в толщу продукта. Озонирование воздуха, сопутствующее электроразрядам, способствует стерилизации поверхности продукта. Устройство в межэлектродном пространстве движущегося конвейера создает условия для непрерывного действия установки и поточности произ-ва. Проведенными опытами копчения и последующего хранения мясных (колбасы, окорока, солонина, свежее мясо) и рыбных (сельдь, треска) продуктов установлено: 1) сокращение времени копчения до 30 сек. — 2,5 мин. в зависимости от вида продукта и густоты дыма; 2) продукты, копченные указанным способом, оказались хорошей консистенции (сочные, нежные) с запахом и вкусом, свойственным копченостям; более стойкими при хранении, чем продукты обычного копчения. Отмечена экономич. эффективность электрокопчения (сокращение сроков копчения, расхода энергии и топлива, производственной площади, увеличение выхода копченостей), а также возможность выработки новых продуктов: малосольных мясных копченостей и копченого свежего мяса.

А. Е. 80092. О повышении водосвязывающей способности колбас добавлением веществ, неспособных к набуханию. Зедльмейер, Коттер, Грубер, Шмидхофер (Über die Erhöhung der Wasserbindfähigkeit des Wurstgutes durch selbst nicht quellfähige Stoffe. Sedlmeier H., Kotter L., Gruber R., Schmidhofer Th.), Lebensmitteltierarzt, 1954, 5, № 1, 9—11; № 2, 17—23 (нем.)

Исследовалось влияние различных оболочек и величины давления при шприцевке колбас на водосвязывающую способность вареных колбас, а также потери в весе последних с различными добавками к фаршу (фосфатов, цитратов, тартратов, обезжиренного молочного порошка и сухой кровяной плазмы) при хранении в течение 132 час. Установлено, что водосвязывающая способность колбас может быть значительно повышена добавлением в фарш в-в, которые сами по себе не набухают (фосфатов, цитратов и тартратов). Приводится подробный обзор литературы. Библ. 59 назв.

А. Е. 80093. Содержание жира в полукопченых колбасах и его оценка. Грау (Der Fettgehalt der Mettwurst und seine Bewertung. Grau R.), Fleischwirtschaft, 1956, 8, № 2, 61—63 (нем.; рез. англ., франц., исп.)

Химический анализ и органолептич. пробы 110 образцов полукопченых колбас из различных городов ФРГ показали, что при вкусовой оценке нельзя ограничиваться только содержанием жира. В двух образцах колбас, с одинаковым содержанием жира, в одном случае может преобладать вкус мяса, в другом сала. Содержание жира в отдельных сортах колбас определяет их вкусовые особенности, так же как и вид жира. Говяжий жир в кол-ве >5% сильно ухудшает вкус колбас. Для полукопченых колбас можно считать нормальным содержание жира в кол-ве 40—60%, при котором лучше всего выражены их вкусовые качества.

А. Е. 80094. Разложение фарша сыровяленых колбас с сильным газообразованием вследствие неправильного копчения. Вальц (Kernzersetzung in Fohwurst mit starker Gasbildung infolge unsachgemäßer Abrauchung. Walz E.), Lebensmitteltierarzt, 1954, 5, № 19/20, 222—223 (нем.)

См. РЖХим, 1956, 49280.

80095. К дискуссии о «сырой колбасе для жарения» на рынках. Нидерез (Zur Diskussion «frische Bratwurst» auf Wochenmärkten. Niederer H.), Arch. Lebensmittelhyg., 1956, 7, № 7—8, 83—84 (нем.)

Обсуждается вопрос о допустимости продажи на рынке колбас, приготовленных из сырого рубленого мяса с пряностями, предназначенных для жарения. Автор ссылается на свою, ранее опубликованную, статью (Lebensmitteltierarzt, 1951, 2, 165) и отклика на нее в печати.

А. Е.

80096. О допустимости применения и определении фосфатов в вареных колбасах. Венкер (Über rechtliche und analytische Fragen bei Fremddosphaten in Brühwürsten. Wenker K.), Dtsch. Lebensmitt.-Rundschau, 1956, 52, № 6, 134—139 (нем.)

Указывается на необходимость ограничения или запрещения полифосфатных препаратов в колбасном произ-ве, поскольку они являются чуждыми организму в-ами и снижают качество колбас, повышая возможность введения в фарш лишнего кол-ва воды и жира. При аналитич. определении фосфатов, добавленных к колбасе, следует в каждом случае учитывать содержание фосфора белковых в-в фарша (по белкам кровяной плазмы). При установлении излишнего кол-ва P_2O_5 проверяют, нет ли добавления к колбасе мозгов, определяя дополнительно содержание Р в липоидной фракции, осаждаемой ацетоном.

А. Е.

80097. Роль микроорганизмов в созревании сырокопченых колбас. Коретти (Rohwurstkeime und Wurstreifung. Coretti K.), Fleischwirtschaft, 1956, 8, № 5, 260—261 (нем.; рез. англ., франц., исп.)

Постоянно обнаруживаемые в сырокопченых колбасах жизнеспособные микроорганизмы имеют большое значение для ферментативного расщепления углеводов, жиров и белков, в результате которого происходит покраснение фарша, окисление и образование вкусовых в-в, хим. природа которых еще мало изучена. Указывается на необходимость более детального исследования участия микроорганизмов в созревании колбас для возможного применения чистых культур в колбасном производстве.

А. Е.

80098. Об обсемененности микроорганизмами пряностей, применяемых в колбасном производстве. Вальц (Ein eindrucksvolles Beispiel von Verkeimung (Bazillen- und Schimmelpilzbehaftung) in der Fleischwirtschaft verwendeter Gewürze. Walz E.), Arch. Lebensmittelhyg., 1956, 7, № 11—12, 138—143 (нем.)

Сообщается о результатах микробиологич. анализа различных образцов зернового перца, горчицы и тмина, отобранных с колбасного произ-ва. Обнаружены спорообразующие аэробные и анаэробные бактерии и плесневые грибки. Отмечена опасность для качества колбас сильного обсеменения микробами пряностей.

А. Е.

80099. Желатина и качество консервов из ветчины. Спанзаро (Gélatine et qualité des jambons en boîtes. Spanzaro G.), Rev. conserve France et Union, 1955, 10, № 2, 81—84 (франц.)

Подробно изложены результаты исследования Козевской (Kosewska, Przem. Rolnyi Spozyczy, 1953, № 10) о влиянии желатины на высушивание и изменение окраски поверхности кусков ветчины, консервированной в банках. Ос. арируется предлагаемое Козевской предварительное набухание желатины, поскольку она добавляется в консервы для поглощения воды, выделяемой ветчиной при стерилизации. В случаях повышенного содержания и выделения воды при нагревании ветчины возможно разжижение предварительно набухшей желатины без образования желе.

А. Е.

80100. Изменение цвета мясopодуlктов от добавки желатины. Лейстнер (Verfärbung von Fleischwaren nach Gelatinezusatz. Leistner L.), Fleischwirtschaft, 1956, 8, № 3, 118 (нем.; рез. англ., франц., исп.)

При добавлении желатины к вареной ветчине и другим мясopодуlктам для получения желе наблюдалось исчезновение красного и появление серо-зеленоватого цвета. Исследованием данной желатины установлено присутствие в ней перекисей, определяемых различными методами.

А. Е.

80101. Изучение химизма обесцвечивания пигмента в консервированном мясе. Драудт, Детеридж (Studies on the chemistry of cured meat pigment fading. Draudt H. N., Deatherage F. E.), Food Res., 1956, 21, № 1, 122—132 (англ.)

Исследованием влияния кислорода и света на денатурированный нагреванием пигмент (П) соленого мяса установлено, что в присутствии видимого света и воздуха или только воздуха по крайней мере часть NO, содержащаяся в П, окисляется далее, образуя ионы нитрита и нитрата. NO может быть выделена из пигмента в газообразном состоянии как NO или NO₂. При окислении гемахрома на воздухе или при сильном освещении происходит выделение газа, поглощаемого KOH (предположительно CO₂). Адсорбция кислорода приводит к потере пигментом NO и окислению гемахрома. При смешивании с жирными к-тами наблюдается потемнение П. Высказано предположение, что изменение цвета солонины вызывается окислением гемахрома. Рассмотрены возможные причины потери NO, имеющие практич. значение для предупреждения обесцвечивания солонины.

А. Е.

80102. Анаэробы в мясоконсервном производстве. Лейстнер (Die Anaeroben im Fleisch verarbeitenden Betrieb. Leistner L.), Fleischwirtschaft, 1956, 8, № 5, 255—256 (нем.; рез. англ., франц., исп.)

Для уст.новления видов *Clostridium*, имеющих значение в произ-ве мясных консервов, прсведено бактериол. изучение большого кол-ва бомбейных банок консервированной ветчины, вздувшихся при термостатной выдержке. Примерно в 66% банок установлено присутствие *Clostridium perfringens*; *Cl. srgrogenes* встречался относительно редко. Из сопутствующих микробов примерно в 60% банок найдены диплостретококки и в 41% — факультативно анаэробные бактерии. Открытие микробов или *Bact. coli* свидетельствовало о недостаточной стерилизации консервов. При подсчете установлено большое кол-во вегетативных форм анаэробов и очень незначительное число их спор. Отсюда делается вывод, что кол-во анаэробных видов на произ-ве мясных консервов ограничено, а поэтому бактериологич. контроль произ-ва должен быть дифференцирован в отношении анаэробов.

А. Е.

80103. Газообразующие мезофильные Clostridia в консервированном мясе и техника их определения. Бьюто, Беренс (Gas-producing mesophilic Clostridia in canned meats, with improved techniques for their identification. Buttiaux R., Beerens H.), J. Appl. Bacteriol., 1955, 18, № 3, 581—590 (англ.)

Изучено поведение газообразующих *Clostridia* в среде, близкой по своему составу к консервированному мясу, названной «микро-ветчиной» и состоящей из желатины, мяса, нитратов, железа, глюкозы и томатного экстракта. Подробно описана техника определения *Clostridia* и результаты исследования влияния различных конц-ий поваренной соли (0,5—7%) и нитрата натрия (0,1—2,5%) на рост семи видов *Clostridia* и газообразование в компонентах «микро-ветчины». Отмечено, что некоторые культуры *Cl. perfringens* оказались неспособными к газообразованию при конц-иях, применяемых при посоле мяса, в тех же условиях *Cl. histolyticum* продуцировал много газа.

А. Е.

80104. Значение банок из белой жести для мясоконсервного производства. Неринг (Die Weissblechdose in der Fleischwirtschaft. Nehrting E. u. d. Fleischwirtschaft, 1956, 8, № 3, 107—108, 129 (нем.; рез. англ., франц., исп.)

Из 224 800 т белой жести в 1954 г. израсходовано пищевой пром-стью ФРГ 171 800 т, в том числе на произ-во мясных консервов 14 300 т; последнее непрерывно растет в связи с экспортом консервированной ветчины, повышением спроса на консервы из сосисок и паштетов. В ФРГ вырабатывают белую жечь горячего лужения с содержанием олова с двух сторон листа 25—40 г на м². При изготовлении консервов из соленого мяса необходимо учитывать корродирующее действие нитратов и нитритов, а также ржавление наружной поверхности банок вследствие конденсации воды при колебаниях т-ры. Лакировка внут-

ренней поверхности банок должна быть прочной, без пор и устойчивой к действию консервированного продукта.

А. Е.

80105. Сравнительная проверка методов оценки качества яиц. Харис, Саутер, Мак-Ларен, Стейделман (A comparison of several methods for evaluation of quality in eggs. Harns Vivian J., Sauter E. A., McLaren Barbara A., Stadelman W. J.), Poultry Sci., 1964, 33, № 5, 1022—1028 (англ.)

Свежие яйца высокого качества, разделенные на 4 партии, хранили: 1) 7 недель при 22° и относительной влажности воздуха 65%; 2) 6 месяцев в холодильнике при 0°; 3) то же после обработки вазелином; 4) 1 неделю при 12,8°, затем обрабатывали вазелином и 6 месяцев хранили при 0°. В процессе хранения определяли белковый индекс, цвет и индекс желтка, pH белка. Кроме того были проведены опытные выпечки меренг и драчен, варка яиц и взбивание белков. Полученные результаты показали, что изменения белкового индекса совпали с изменением других показателей, за исключением цвета яичного желтка. Различные способы оценки качества яиц соответствовали результатам оценки качества меренг и драчен. Вкусовая оценка вареных яиц совпадала с физ. показателями их качества. Пенообразование белка в условиях опыта не было показателем для оценки качества яиц.

А. Е.

80106. Испытание лакированного целлофана для упаковки сухих яичных продуктов. Панкова Ф. И., Минакова Т. Ф., Тр. Всес. н.-и. ин-та птицепром-сти, 1956, 6, 34—42

Сравнительными опытами хранения порошков из цельных яиц, яичного желтка и яичного белка, упакованных различным способом с применением внутренней прокладки из подперга-ента (П) и лакированного целлофана (Ц), установлено, что при повышенной относительной влажности воздуха качество сухих яичных продуктов при месячном хранении сохранилось лучше в упаковке с прокладкой из Ц. Хранение при повышенной т-ре (37°) ухудшало (2—3 месяца) качеств. показатели, особенно цельного яичного порошка и порошка из яичного желтка, независимо от вида тары и способа их упаковки. При ± 2° (в холодильной камере) все образцы порошка мало изменились за 6 месяцев хранения. При хранении при —20° в течение 4 месяцев образцы, упакованные в Ц, изменились менее, чем упакованные в П. Влажность образцов, упакованных в Ц, почти не изменялась в процессе хранения, а в упаковке в П изменялась в зависимости от относительной влажности воздуха.

А. Е.

80107. Новые данные о действии бактерицидных веществ, добавляемых ко льду при хранении свежей рыбы. Партман (Neuere Ergebnisse zur Wirksamkeit von bactericiden Zusätzen für die Fischbeisung. Partmann W.), Fette und Seifen, 1954, 56, № 7, 505—512 (нем.; рез. англ., франц., исп.)

Наиболее активным антисептиком является формальдегид в конц-ии 0,01% и некоторые сульфамидные препараты: рекомендация их для практич. целей требует глубокой фармакологич. проверки. Четвертичные аммониевые основания оказались мало эффективными. Триптафлин (0,005%) и выделяющий хлор препарат «галазон» вызывали изменение внешнего вида рыбы. Рекомендуется добавление Na-нитрита в конц-ии 0,02%.

В. М.

80108. Содержание окиси триметиламина в морской рыбе. Венкатараман, Чари (Trimethylamine oxide content of marine fishes. Venkataraman R., Chari S. T.), Indian J. Fish., 1955, 2, № 1, 37—40 (англ.)

Изучено содержание окиси триметиламина (ОТ) в морской рыбе, выловленной вблизи Калькутты. Приведены данные содержания ОТ в 21 виде рыб. (159,6 и 202 мг % на сухое в-во). Наибольшее кол-во ОТ обнаружено в мышцах ската и акулы, наименьшее (17,8 мг %) — в Arius dissimulieri.

Г. Н.

80109. Изучение процесса порчи водных промысловых.

XI. Действие антисептиков на мышечную ткань рыбы. Симидазу, Кирияма (水産物の腐敗に関する研究. XI. 防腐試薬の効果について. 清水直, 桐山彦文). 日本水産学会誌, Нихон суйсан гаккайи, Bull. Japan. Soc. Scient. Fisheries, 1954, 20, № 1, 33—35 (япон.; рез. англ.)

Установлено, что толуол, хлороформ и тимол (каждый в отдельности) оказывают незначительное антисептич. действие в отношении мяса рыбы. Более эффективное действие оказывает тимол, смешанный с толуолом или хлороформом. Часть X см. РЖХим, 1956, 76826.

В. Г.

80110. Морозильный аппарат с вертикальными плитами для замораживания целой рыбы. Юл, Эдди (A vertical plate freezer for whole fish. Yule P. A. A., Eddie G. C.), Mod. Refrig., 1953, Ivi, № 669, 44—144 (англ.)

80111. О режиме подсушки и бланшировки рыбы при изготовлении консервов типа сардин из салаки и кильки. Пожогина П. М., Рыб. х-во, 1956, № 3, 30—32

Подтверждено, что при необходимости частичной подсушки рыбы (остаточная влажность 55—65%) целесообразнее применять краткое воздействие высокими т-р, чем ступенчатое, как это принято в пром-сти. Рекомендовано применение т-ры 110—120° в начале процесса сушки при относительной влажности среды в 5—7%, скорости движения воздуха 2,5—5 м/сек и при загрузке рыбы на рейках на расстоянии 15—20 мм друг от друга и 30—40 мм между рядами. При этом время сушки резко сокращается, мясо рыбы в консервах приобретает нежную сочную консистенцию, водн. отстой невелик. Для сохранения кожного покрова сушеной рыбы в местах соприкосновения с соседними рыбами в консервах следует применять бланшировку в масле для весенней салаки при 105—110°, для осенней салаки при 95—100° в течение 5 мин. При бланшировке рыба теряет 2—6% воды и впитывает 3—4% масла.

В. Г.

80112. Способ предохранения рыбопродуктов от порчи, вызываемой окислением жира. I. Применение антиоксидантов для сохранения солено-сушеной макреле-сушки. Саруя, Тояма, Андо (水産物の油焼防止に関する研究 I. 鹽乾サンマに對する酸化防止劑の適用に就いて. 猿谷九萬, 外山健三, 安藤一夫), 日本水産学会誌, Нихон суйсан гаккайи, Bull. Japan. Soc. Scient. Fisheries, 1954, 20, № 1, 58—65 (япон.; рез. англ.)

Изучено действие следующих антиоксидантов с добавлением и без добавления синергистов: бутилгидроксанизол (I); смесь бутилгидроксанизола (67%), пропилгаллата (20%) и лимонной к-ты (13%) (II); нордигидрогвайаретовая к-та (III); смесь нордигидрогвайаретовой (75%) и лимонной к-ты (25%) (IV); этилпрокатехат (V); аскорбиновая к-та (VI), древесная смола (Pix liquida) (DC). Дефростированные пробы рыбы выдерживали в рассоле с антиоксидантами 16 час., сушили на воздухе при естественном освещении, завертывали в бумагу и хранили при ~20°. Лучшие результаты получены при введении в 12%-ный р-р NaCl для посола рыбы следующих кол-в антиоксидантов (в %): I 0,010, II 0,010; III 0,025; IV 0,025; V 0,0; DC 0,005—0,010. При этих дозировках рыба не приобретала постороннего запаха. Добавление синергистов усиливало действие антиоксидантов.

Г. Н.

80113. Углекислотное хранение некоторых рыбопродуктов. Габриэльянц М. А., Сб. науч. работ. Моск. ин-та нар. х-ва, 1956, № 8, 140—147

Проведено опытное хранение копченой рыбы в герметич. контейнерах, оборудованных для выпуска и выпуска CO₂ при различных конц-иях CO₂ и т-рах (0—3, 10 и 20°). Установлено, что сроки хранения рыбы горячего копчения, копченого балыка из усаца, вареной и жареной рыбы при конц-ии CO₂ 30—60% увеличиваются в 2 раза. Хранение в CO₂ уменьшает скорость накопления жирных к-т и перекисей в жире копченого балыка почти вдвое по сравнению с хранением в воздухе. Общее кол-во к-т и переки-

сей в жире тем меньше, чем выше конц-ия CO_2 в атмосфере и ниже температура.

В. Г.

80114. Содержание соли в лососевых консервах, приготовленных из рыбы, замороженной в рассоле. Мияути, Хирдт (Salt content of salmon canned from brine-frozen fish. Miyauchi D. T., Heerdts M. Jr., *Commerc. Fisheries Rev.*, 1954, 16, № 1, 8—10 (англ.).

Исследовалось влияние различных способов хранения и размораживания нерки, замороженной в рассоле, на содержание в ней соли при консервировании. Показано, что кол-во соли в рыбе при сухом хранении и последующем размораживании в проточной или стоячей воде или на воздухе, не превышало обычных норм (1,6%). В рыбе, замороженной в рассоле и хранившейся в нем две недели при -15° , а затем оттаянной в проточной воде, кол-во соли $\leq 0,5\%$. В этом случае следует добавлять при изготовлении из нее консервов 50—80% соли, положенной по раскладке.

А. Е.

80115. Изучение сохранности рыбопродуктов типа паштетов. I. Химическое определение качества рыбопродуктов. II. Определение летучих кислот в рыбопродуктах методом хроматографии на бумаге. Утияма, Йокояма (ぬり製品の保存の研究 I. ぬり製品の腐敗判定について. II. ぬり製品の腐敗に伴う揮発性のペーパークロマトグラフによる検出について. 内山均, 横山和吉), *日本水産学会誌*, Ниппон сэйсан гаккайси, *Bull. Japan. Soc. Scient. Fisheries*, 1953, 18, № 12, 51—59, 60—64 (япон.; рез. англ.).

I. Исследована возможность оценки качества рыбопродуктов типа паштетов по хим. показателям (титруемая кислотность, рН и азот летучих оснований). Установлено, что буферность вытяжек из рыбопродуктов, обусловленная присутствием растворимого белка, непостоянна, поэтому истинную кислотность определить невозможно. Значение рН может оставаться неизменным при разложении продукта. Содержание азота летучих оснований варьирует в зависимости от вида рыбы. Таким образом, по этим показателям нельзя судить о свежести продукта. В процессе разложения рыбопродуктов возрастает содержание летучих к-т и этот показатель может быть использован для оценки качества продукта.

II. Исследована возможность колич. определения летучих к-т в рыбопродуктах типа паштетов (из акулы), содержащих сахар и крахмал, методом хроматографии на бумаге с применением гидрокамата. Перед началом порчи обнаружена только уксусная к-та. В процессе разложения продукта, кроме уксусной, были обнаружены пропионовая, масляная и муравьиная к-ты, причем преобладала уксусная к-та. В продукте, изготовленном из рыбы пониженной свежести, все эти к-ты обнаружены даже на такой стадии, когда не наблюдалось заметной его порчи. В этом случае присутствие летучих к-т не может служить критерием свежести продукта.

Г. Н.

80116. Изучение возможности полной утилизации рыбы.

I. Производство рыбной пасты I. Такэй, Кавата, Хино, Такахаси (魚體完全利用に関する研究. I. フイッシュペーストの製造. 1. 竹井俊郎, 川口寛, 日野徳夫, 高橋喬), *日本水産学会誌*, Ниппон сэйсан гаккайси, *Bull. Japan. Soc. Scient. Fisheries*, 1955, 20, № 9, 797—800 (япон.; рез. англ.).

Изучены условия утилизации рыбы путем самопереваривания. Рыбу размягчали самоперевариванием при 50° , после чего центрифугированием выделяли кости, жир, неподдающиеся самоперевариванию мясо и азотсодержащую жидкость. Разработаны основы технологии произ-ва рыбной пасты из не поддающегося самоперевариванию мяса рыбы.

Г. Н.

80117. Опыт работы Калининградского цеха белкового препарата. Вайнберг В. М., Швабская Н. А., *Рыб. х-во*, 1954, № 7, 18—22

Описаны результаты 4-месячной опытной работы цеха белкового препарата проектной производительностью 100 кг в сутки. Указана необходимость улучшения технологии произ-ва для обеспечения большей однородности выпускаемой продукции по всем хим. показателям, в том числе по зольности и пенообразованию.

Л. К.

80118. Состав рообос-чая. Кутзе, Мерве, Бюргер (The composition of rooibos-tea. Coetzee W. H. K., Merwe H. C. van der, Burger J. J.), *Farming S. Africa*, 1953, 28, № 324, 95—99, 106 (англ.).

Описана технология приготовления рообос-чая из дикорастущего кустарника, произрастающего в Южной Африке. Приведены результаты определения дубильных в-в, экстрактивности, белкового азота и рН водн. настоев различных образцов чая. Указано, что оценка качества чая не может быть осуществлена на основании хим. анализа.

М. З.

80119. Кофеинсодержащие вкусовые средства. Линднер (Koffeinhaltige Genussmittel. Lindner M. W.), *Planta med.*, 1956, 4, № 3, 80—88 (нем.).

Подробное описание растительных вкусовых продуктов, содержащих кофеин: кофе, чай, орехов-кола, листьев мате (история их применения, распространение, хим. состав, физиология, действие и применение в медицине).

А. Е.

80120. О табаке и его вредности. Часть I. Клоппе (Über Tabak und Tabakgefahren. I. Teil. Kloppe Wolfgang), *Ärzt. Wochenschr.*, 1954, 9, № 43, 1013—1016 (нем.).

Изложена история открытия и применения табака для курения, хим. состав его и изменения при ферментации, состав табачного дыма и физиологич. действие никотина, возможность снижения вредного влияния табака путем спец. обработки и применения фильтров.

Г. Д.

80121. Хлорогеновая и кофейная кислоты в отдельных стандартных сортах табаков США 12-го типа. Уинкинсон, Филлипс, Бейкот (Chlorogenic and caffeic acids in certain standard grades of U. S. type 12 tobacco. Wilkinson Frank B., Phillips Max, Bacot Aubrey M.), *Chemists*, 1954, 37, № 4, 1034—1032 (англ.).

Дан обзор литературы и описаны примененные способы анализов для определения содержания в табаках хлорогеновой и кофейной к-т по методике Слотта и Нейсера. Приведены результаты анализов 21 образца пяти групп табака двенадцатого типа, выращенного в Северной Каролине, трубо-огневой сушки, которые показали, что имеется выраженная зависимость между содержанием хлорогеновой и кофейной к-т и группой, согласно которой классифицируются табаки по федеральной сортовой системе. Содержание в отдельных образцах табака хлорогеновой к-ты колеблется в пределах 7,4—2,31%, а кофейной к-ты 1,02—0,2%. Чем выше качественная группа табака, тем больше в табаке содержание хлорогеновой и кофейной к-т.

Г. Д.

80122. О повышении выходов никотина и лимонной кислоты из табака. Эгри, Олтвэньи (Kapadohányval vészett kísérletek a holdankénti nikotin- és citromsavhozam növelésére. Egri László, Oltványi Ferenc), *Élelm. ipar.*, 1954, 8, № 10, 304—308 (венг.).

Рассчитывается зависимость выходов никотина и лимонной к-ты с I га от способа обработки табака.

Г. Ю.

80123. О вязкости белого соуса, получаемого в производственных условиях. Лонггре (Viscosity of white sauces prepared in quantity. Longrée Karla), *J. Amer. Diet. Assoc.*, 1953, 29, № 10, 997—1003 (англ.).

Описаны различные методы произ-ва белого соуса, используемого в качестве основы для приготовления салатов, супов-пюре, подливок и соусов. Установлено, что пшеничная мука мягкого помола имеет большую способность к загустеванию, чем другие сорта пшеничной муки.

Описан метод применения сухого молока для приготовления белого соуса. Д. С.

80124. Противоокислительные свойства приностей, применяемых в пищевой промышленности. Чипаулет, Мидзун, Лундберг (The antioxidant properties of spices in foods. Chipault J. R., Mizuno G. R., Lundberg W. O.), Food Technol., 1956, 10, № 5, 209—211 (англ.)

Исследовано противоокислительное действие (ПОД) 17 видов приностей в фарше из свинины (40% влаги и 50% жира) в двух сортах майонеза и во французской приправе. Ямайский перец, гвоздика, шалфей, орегано, розмарин и тимьян повысили стабильность всех жировых продуктов, в которых их испытывали, хотя степень их ПОД изменялась в зависимости от последних. В отношении лярда особенно эффективными оказались шалфей и розмарин. Гвоздика показала сильное ПОД в образцах жира-водной эмульсии и в свином фарше, орегано — в майонезе и французской приправе. А. Е.

80125. Значение свинцового числа для оценки качества ванили. Бродрик (Lead number and vanilla quality. Broderick James J.), Coffee and Tea Inds., 1954, 77, № 3, 57—58 (англ.)

Определение свинцового числа (СЧ), представляющего кол-во Pb, осажденного из р-ра ацетата свинца, в данном случае экстрактами (с помощью различных р-рителей) ванили, было применено в анализах мексиканской и таитянской ванили. Найдено, что для смол мексиканской ванили СЧ составляет 18,1% общего СЧ, для таитянской — 13,6%. По мнению автора, это отношение представляет интерес для оценки ванили, поскольку оно характеризует ее цвет — один из важных показателей ее качества. См. также РЖХим, 1955, 20311. А. Е.

80126. О применении химических веществ для улучшения вкуса пищевых продуктов. Часть II. Яновский (Chemical edditives, flavors and logic. Part II. Janovsky Harold L.), Coffee and Tea Inds., 1955, 78, № 10, 159 (англ.)

Соображения о применении вкусовых в-в с точки зрения их возможной токсичности. Часть I см. РЖХим, 1956, 49320. А. Е.

80127. Выделение и разделение синтетических красителей из пищевых продуктов. Грейхен, Склар, Эттельштейн, Фриман (Isolation and separation of coal-tar colors in foods. Graichen Charles, Sclar Rachel N., Ettelstein Nathan, Freeman Kenneth A.), J. Assoc. Offic. Agric. Chemists, 1955, 38, № 3, 792—796 (англ.)

Предлагаются следующие схемы анализа красителей: 1) В пищевых продуктах, содержащих растворимые в воде красители, образец растворяют или диспергируют в воде и добавляют при помешивании NaCl до 20—25%. При наличии в образце заметных кол-в эфирных масел или спиртов последние извлекают эфиром, который затем промывают небольшим кол-вом воды, и промывные воды соединяют с р-ром NaCl. Из полученного р-ра красители разделяют и очищают хроматографией на целлюлозе. Идентифицируют при помощи спектрофотометра. 2) В пищевых продуктах, содержащих только растворимые в жирах красители, образец растворяют или диспергируют в органич. р-рителе (напр., в петр. или диэтиловом эфире). Разделение и очистку производят хроматографией на Al_2O_3 , силикагеле или других адсорбентах. 3) В не растворяющихся пищевых продуктах, содержащих растворимые в воде и (или) растворимые в жирах красители, так как последние не могут быть выделены экстракцией водой, извлечение проводят 80%-ным спиртом. Если красители полностью не переходят в спиртовый р-р, извлекают повторно, добавляя 1% NH_4OH . Растворимые в жирах красители извлекают петр. эфиром. Для выделения растворимых в воде красителей к спиртовому р-ру добавляют в кол-ве 0,1 его объема р-р 20%-ного NaCl и 1%-ного NaOH, извлекают тремя пор-

циями эфира, каждый раз в объеме, равном объему спиртового р-ра, соединяют водносолевые фазы и, после промывки спирто-эфирных слоев небольшими кол-вами р-ра 20%-ного NaCl и 1%-ного NaOH и соединения промывной жидкости с водносолевым р-ром, определяют растворимые в воде красители. А. Е.

80128. Новые заверточные слабогазопроницаемые материалы. Кулеша (New wrap combinations maintain low gas transmission rate. Kulesza C. P.), Candy Ind., 1956, 24, № 4, 10, 26 (англ.)

Рассматривается алюминиевая фольга как заверточный материал для кондитерских изделий. Она обладает рядом преимуществ: не имеет запаха, вкуса, не токсична, не поглощает жира, предохраняет изделия от плесени и микроорганизмов, способствует сохранению аромата и свежести. В. Н.

80129. Новый вид тары. — (Le cubitainer.—), Techn. emballage, 1956, № 22, 519 (франц.)

Описание кубич. ящика из гофрированного картона, внутри которого помещают полиэтиленовый пакет, в котором можно хранить и перевозить жидкие пищевые продукты. Отмечается, что стоимость новой тары не превышает принятой для перевозки и хранения жидкостей, а вес ее меньше. Приведены фотографии. А. Е.

80130. Обзор дезинфекционных средств, применяемых в пищевой промышленности. Бабичка (Přehled desinfekčních prostředků používaných v potravinářském průmyslu. Babicka J.), Přemysl potravin, 1955, 6, № 8, 412—414 (чеш.)

Доклад о дезинфекции в пищевой пром-сти на семинаре, организованном Чехословацкой Академией наук. Е. Ш.

80131 К. Технология пищевых продуктов и лабораторный контроль. Эйлуорд (Food technology processing and laboratory control. Ed. Aylward Francis. London, Newnes 1955, viii, 303 pp., ill., 21 sh.), (англ.)

80132 К. Справочник по макаронному производству. Пшенников Н. В., Макаровский Б. Ф., Поляков Е. С., Никольский М. И., М., Пищепромиздат, 1956, 474 стр., 13 р. 85 к.

80133 К. Успехи в технологии консервирования плодов и овощей. Хейсс (Fortschritte in der Technologie des Konservierens von Gemüse und Obst. Heiss Rudolf, Braunschweig, Dr. Serger & Hempel, 1955, 227 S., ill., 16.20 DM) (нем.)

80134 К. Технохимический контроль плодоовощного производства. Скробанский Г. Г., Выщепан А. Г., Мельман М. Е. Киев, Гостехиздат УССР, 1955, 300 стр., илл. 7 р. 35 к.

80135 К. Ежегодник по молочной промышленности. 1955, Том I. Производство (Annuaire de l'industrie laitière. 1955, Année 30. T. I. Production. Paris, Ed. Sully, 1955, 504 (20) p., ill.) (франц.)

80136 К. Консервирование рыбы: история переработки рыбы с древних лет до настоящего времени. Каттинг (Fish saving: a history of fish processing from ancient to modern times. Cutting Charles Latham. London, L. Hill., 1955, xv, 372 p., il., 42 sh.) (англ.)

80137 Д. Применение мембранных электродов из ионообменных смол для изучения неорганического баланса молока. Афспранг (The use of ion exchange resin membrane electrodes in the study of the inorganic equilibria of milk. Affsprung Harold Edwin. Doct. diss., Univ. Missouri, 1954), Dissert. Abstrs, 1955, 15, № 1, 23 (англ.)

80138 Д. Исследование затхлого запаха в стерилизованном и сухом цельном молоке. Ломбард (Investigations of the stale flavor in sterile and dried whole milk. Lombard Samuel Hendrik. Doct. diss.,

- Univ. Illinois, 1955), Dissert. Abstrs, 1955, 15, № 10, 1828 (англ.)
- 80139 Д.** Основы улучшения качества подсырного масла. Гофман (Grundlagen zur qualitativen Verbesserung der Kaseibutter. Hofmann Fritz. Diss. techn. Wiss. ETH Zürich, 1954, 118 S.), Schweiz. Buch, 1955, B55, № 2, 98 (нем.)
- 80140 Д.** Разработка спектрофотометрического метода для определения состава пигментов мяса. Браунд (The development of a spectrophotometric method for estimation of the pigmented compounds of meat. Brown and Hormoz. Doct. diss. Rutgers Univ., 1955), Dissert. Abstrs, 1955, 15, № 12, 2396 (англ.)
- 80141 Д.** Изучение природы летучих компонентов сушеной в вакууме свинины методом аэрации и хроматографии. Бернетт (The nature of the volatile components of vacuum-stored dehydrated pork as determined by aeration techniques and chromatographic methods. Burnett Marvin Clifton, Doct. Diss., Univ. Missouri, 1954), Dissert. Abstrs, 1955, 15, № 2, 196 (англ.)
- 80142 Д.** Исследование алкалоидов табачного дыма при помощи хроматографии на бумаге. Шик (Papierchromatographie der Tabakrauchalkaloide. Schick Karl. Diss. phil. Wien, 1955, 82 Bl.), Oesterr. Bibliogr., 1955, № 11, 9 (нем.)
- 80143 П.** Метод стерильного хранения пищевых продуктов и других скоропортящихся товаров. Штрамман (Verfahren zur sterilen Aufbewahrung von Lebensmitteln und anderen verderblichen Gütern. Strattmann Wolf). Пат. ФРГ 934216, 13.10.55
Предлагается для создания стерильных условий хранения помещать пищевые или другие скоропортящиеся продукты в пену или обволакивать их пеной, выделяющей бактерицидный газ (напр., пена мочевиноформальдегидной смолы или шавелевой к-ты). Можно для этого пользоваться также и хлопьями или пластинками, сформованными из этой пены. А. Е.
- 80144 П.** Способ обработки мороженых продуктов. Дюккер (Fremgangsmåde ved behandling af frosne varer. Dyekjaer Jens Christian Christensen). Дат. пат. 79469, 27.06.55
Патентуется способ обработки мороженых продуктов расплавленным термопластич. в-вом, которое при затвердевании образует вокруг продукта защитную оболочку. Поверхность замороженных продуктов обрабатывают расплавленным полимеризатом, точка плавления которого $> 100^\circ$; применяемый полимеризат состоит преимущественно или полностью из полиэтилена. Расплавленный полимеризат при $\sim 160^\circ$ быстро наносят на поверхность замороженного продукта путем опрыскивания или погружения в ванну (на несколько секунд); при этом некоторое кол-во содержащейся в клетках продукта жидкости испаряется и затем превращается в тонкую ледяную корочку на поверхности (глазуровка); вокруг этой корочки застывает нанесенный полимеризат, образуя надежное покрытие. Л. К.
- 80145 П.** Сигнальное приспособление для контроля замороженных упакованных пищевых продуктов. Беккетт, Маренус (Telltale for frozen food packages. Beckett John S., Marenus William J.) [Aseptic Thermo Indicator Co.]. Пат. США 2716065, 23.08.55
Приспособление состоит из полутвердой ионной диффузионной среды, содержащей в-во, являющееся индикатором для определения pH, и воду, и сообщаемого с ней резервуара с р-ром сильного электролита, ионы которого расположены на поверхности в соприкосновении с полутвердой диффузионной средой и при диффузии их в эту массу вызывают изменение цвета индикатора. С. С.
- 80146 П.** Производство или обработка продуктов питания для людей и животных (Production or treatment of substances for human and animal consumption) [National Research Development Corp.]. Англ. пат. 734520, 3.08.55
Для предупреждения порчи пищевых продуктов и напитков (за исключением молока и сыра), напр. овощей, зерна, мяса, рыбы, спиртных напитков, вызываемой микроорганизмами, продуцирующими к-ты без газообразования или устойчивыми к нагреванию, образующими H_2S или ядовитые в-ва (напр., бактерии типа *Clostridium*), предлагается добавлять к ним низин (I). Продукты, ухудшающиеся в качестве при нагревании, напр. зеленый горошек, сардины, томат-паста, можно после добавления I нагревать на $3-5,5^\circ$ ниже, чем принято. I можно добавлять, предварительно размешав с пищевыми продуктами, напр. с мясным бульоном, творогом, рыбным порошком и другими. А. Е.
- 80147 П.** Способ приготовления высокопитательного продукта из зародышей или ростков хлебных злаков. Комм (Verfahren zur Herstellung nährstoffreicher Produkte aus Cerealienkeimen bzw. -keimlingen. Komm Ernst) Пат. ФРГ 922323 13.01.55
Способ отличается тем, что после удаления горечи из покоящихся или проросших зародышей последние высушивают и снова затирают с водой, посл: чего обрабатывают продуктами, содержащими ферменты (гидролазы, как-то: эстеразы, протеазы, пептидазы, липазы и карбогидразы) сначала при $45-50^\circ$ (целесообразно при 45°), а затем при 75° . Пример: 100 кг зародышей или ростков зерновых злаков затирают с примерно трехкратным (по весу) кол-вом воды и нагревают до кипения. Для удаления горьких в-в через кипящий затор пропускают водяной пар, после чего его высушивают на вальцевой сушилке. Измельченный сухой продукт затирают снова с 100 кг солодового шрота и 2000 кг воды, затор нагревают до 45° и при этой т-ре оставляют при помешивании 30-60 мин. Затем т-ру доводят до $63-65^\circ$ и поддерживают ее в течение 1-1,5 час. для основного осахаривания. Наконец, нагревают для окончательного осахаривания при $73-75^\circ$ в течение 0,5 час. Целесообразно затем еще прогреть затор при 100° . Остаток отделяют фильтрованием. Из сусла получают после выпаривания богатый витаминами и белками мальц-экстракт в сиропобразном виде. А. Е.
- 80148 П.** Продукт из кукурузы. Кавер (Cream style corn. Cover Ralph) [The United Products Co.]. Канад. пат. 507847, 30.11.54
Продукт состоит из срезанных с початков, тщательно очищенных от примесей, зерен кукурузы, причем 20-40% из них должны быть цельными или размером не менее $1/3$ цельного зерна; 35-55% зерен в более зрелом виде, чем предыдущие, освобождают от зародышей и измельчают так, чтобы частицы их проходили через сито 8 меш. А. Е.
- 80149 П.** Способ повышения пищевой ценности отрубей (Verfahren zur Erhöhung des Nährwertes von Kleie) [Herbert Richter]. Пат. ФРГ 929828, 4.07.55
К замешанным с водой до кашеобразной консистенции отрубям добавляют $\sim 0,5$ об.% разб. молочной к-ты и нагревают их сначала до $48-52^\circ$, затем до $56-62^\circ$, вдерживая в обоих случаях при указанных т-рах по 20 мин., и, наконец, до $\sim 80^\circ$ в течение 10 мин. Полученную массу высушивают и тонко размалывают. А. Е.
- 80150 П.** Способ двукратной выпечки хлеба в отдельных пекарных камерах. Кленк (Verfahren zum zweistufigen Brotbacken in getrennten Backräumen. Klenk Willy) [Werner & Pfleiderer]. Пат. ФРГ 935061, 10.11.55
Для получения хлеба, близкого по качеству к прежнему «деревенскому», предлагается 2-кратная выпечка его в отдельных пекарных камерах. В 1-й камере атмосфера приводится в движение нагнетаемыми снизу и сверху токами горячего воздуха, проходящими через сформованное тесто, уложенное на сетчатый или решетчатый конвейер.

Во 2-й пекарной камере хлеб допекают в обычных условиях.

80151 П. Способ и аппарат для консервирования жидкостей. Егер (Verfahren zur Konservierung von Flüssigkeiten und Apparat zur Ausübung des Verfahrens. J. eger Kurt). Швейц. пат. 300007, 16.09.54 [Chem. Zbl. 1955, 126, № 22, 5205 (нем.)]

Жидкости, напр. плодовые соки и экстракты, подвергают краткосрочному нагреванию, отсасывают из них газы, быстро охлаждают и под вакуумом разливают в предназначенную тару. Все операции следуют непосредственно одна за другой.

80152 П. Способ гомогенизации питьевого молока (Procédé pour l'homogénéisation du lait de consommation) [Soc. Bergerdorfer Eisenwerk A.-G. Astra-Werke]. Франц. пат. 1069971, 15.07.54 [Lait, 1955, 35, № 347, 449 (франц.)]

Способ заключается в том, что гомогенизируют не цельное молоко, а лишь отсепарированные от него при 60° сливки, содержащие < 10% жира.

80153 П. Способ быстрого и полного оттаивания сливок в питьевоом молоке (Procédé pour l'obtention d'une rapide et complète remontée de crème du lait de consommation) [Soc. Bergerdorfer Eisenwerk A.-G. Astra-Werke]. Франц. пат. 1069972, 15.07.54 [Lait, 1955, 35, № 347, 449 (франц.)]

Молоко сепарируют при 40—60°, получая обезжиренное молоко и сливки 30%-ной жирности. После гомогенизации последних под давлением, несколько превышающим давление, применяемое при гомогенизации цельного молока, сливки и обезжиренное молоко смешивают и пастеризуют при 71—72°.

80154 П. Сброженный сыр, выдерживающий продолжительное хранение. Бернар (Fromage fermenté à grande durée de conservation. Bernard A.). Франц. пат. 1075087, 12.10.54 [Lait, 1955, 35, № 347, 451 (франц.)]

Патентуемый способ относится к произ-ву тощих сыров и предусматривает приготовление хорошо измельченной и обсушенной массы, которую, по окончании процесса брожения, вновь тонко размельчают и подвергают почти полному высушиванию.

80155 П. Способ консервирования яиц обработкой бактерицидными дезодорированными минеральными маслами. Перушон-и-де-Брошар (Procédé de conservation des oeufs par application des huiles minérales bactéricides désodorisées. Peruchon de Brochard J.). Франц. пат. 1053705, 4.02.54 [Chem. Zbl., 1955, 126, № 36, 8522 (нем.)]

Яйца погружают на 10 сек. в баню с дезодорированным при помощи хлорофилла р-ром алкилдиметилбензиламонийхлорида в этиловом эфире, ацетоне или гликоле при 40° летом и 27—38° в холодное время года, затем их сушат на воздухе.

80156 П. Консервирование яиц. Ульзенхеймер, Кодуро (Conservierung von Eiern. Ulsenheimer Gottfried, Coduro Erich) [Tensora G. m. b. H. für technische und industrielle Erzeugnisse]. Пат. ФРГ 935470, 17.11.55

Яйца хранят в спец. транспортабельных контейнерах с гнездами, соответствующими форме яйца. Тара изготовлена из адсорбирующих газы материалов, в частности из натуральных волокон (напр., картона) или из пористых пластмасс, полученных, напр., на основе высокополимерных продуктов конденсации полиуретанов с изоцианатами, и предварительно подвергнута вакуум-дезинфекции. Для консервирования используют отщепляющие HCOH соединения, напр. триоксиметилен. Перед загрузкой на хранение, в целях ограничения усушки, яйца погружают на короткое время в масляную баню.

80157 П. Метод и прибор для определения содержания влаги в табаке. Шёнбаум, Ашуэрт (Method of and apparatus for determining moisture content of tobacco.

Schoenbaum Alexander W., Ashworth John T.) [American Tobacco Co.]. Канад. пат. 515423, 9.08.55

Прибор состоит из двух вертикальных ведущих деталей, соединенных с двумя поперечными деталями; цилиндра для воздуха, установленного на поперечных деталях и снабженного поршнем; штока поршня, выступающего за край цилиндра; двух групп электродов, закрепленных в коробке, имеющей плоскую нижнюю поверхность для соприкосновения с испытываемым материалом, причем каждый электрод выступает вниз из коробки; электропроводки, соединяющей каждую группу электродов.

80158 П. Ароматизация порошков. Бленч (Aromatization of powders. Blench R. O.). Англ. пат. 716867, 13.10.54

Распыленный высушенный водн. экстракт деароматизированного кофе (или чая) ароматизируют путем пропуска воздуха, установленного на поперечных деталях и снабженного поршнем; штока поршня, выступающего за край цилиндра; двух групп электродов, закрепленных в коробке, имеющей плоскую нижнюю поверхность для соприкосновения с испытываемым материалом, причем каждый электрод выступает вниз из коробки; электропроводки, соединяющей каждую группу электродов.

80159 П. Упаковка пищевых продуктов под вакуумом. Махаффи (Vacuum packaging of food products. Mahaffy Reid A.). [Standard Packaging Corp.]. Пат. США 2714557, 2.08.55

Скорпортящиеся пищевые продукты помещают в специально изготовленную упаковку, которую после удаления воздуха герметически укупоривают в условиях вакуума. Для изготовления упаковки склеивают листы целлофана и полиэтиленовой пленки. Два таких склеенных листа образуют внешние стенки упаковки, причем полиэтиленовая пленка находится внутри; между этими листами в местах их соприкосновения помещают соответствующих размеров прокладку из полиэтиленовой пленки, образующую внутреннюю стенку, разделяющую упаковку на два отделения. Нижний и боковые края внешних стенок и внутренней прокладки в местах их соприкосновения запрессовывают при нагревании. После заполнения упаковки продуктами и удаления воздуха верх упаковки запечатывают таким же образом, как дно и боковые стенки.

См. также: Применение антибиотиков 78248; 23797Бх. Желатинизация 77808—77810. Пектин 79898—79900. Пищевая ценность молоч. продуктов 23726Бх, 23732Бх, 23734Бх. Состав сыра 23792Бх, 23793Бх. Ферменты 23790Бх, 23796Бх. Сушки 80327, 80342. Тара 79554, 79555, 80246. Автоматизация процессов 80298, 80378, 80381, 80389, 84410

КОЖА. МЕХ. ЖЕЛАТИНА. ДУБИТЕЛИ. ТЕХНИЧЕСКИЕ БЕЛКИ

80160. Реакция между п, п'-дифтор-м, м'-динитродифенилсульфоном и коллагеном из сухожилий. Цан, Вегерле (Reaktion von p, p'-Difluor-m, m'-dinitrodiphenylsulfon mit Sehnenkollagen. Zahn Helmut, Wegerle Dieter), Leder, 1954, 5, № 6, 121—129 (нем.; рез. исп., франц., англ.)

Изучалась р-ция между коллагеном из сухожилий рогатого скота и п, п'-дифтор-м, м'-динитродифенилсульфоном (I). Описывается методика получения и очистки коллагена. Кинетика р-ции изучалась хроматографич. анализом и определением кислотной емкости; дубящий эффект —

определением влагоемкости, сорбции водяных паров при 65% относительной влажности воздуха, содержания растворимых в щелочи в-в и т-ры сваривания. Установлено, что I оказывает дубящее действие на коллаген. Усадка после сваривания «дубленого» препарата обратима (аналогично коже формальдегидного дубления) при помещении сваренного образца в хо одну воду. Из полностью гидролизированных продуктов р-ции были выделены и идентифицированы три «мостиковых» бис-аминокислоты, в которых 2 остатка лизина, 2 остатка оксидлизина или остаток лизина и оксидлизина связаны I через ϵ -NH₂-группу. Обсуждается значение полученных результатов для объяснения строения коллагена и для теории дубления. И. Э.

80161. Пористость коллагена и кожи. Стромберг, Свердлов (Pores in collagen and leather. Stromberg Robert R., Swerdlow Max). J. Amer. Leather Chemists' Assoc., 1955, 50, № 7, 336—354 (англ.)

С помощью порозиметра (принцип действия основан на изотонном соотношении между уд. давлением при пропитывании материала ртутью и диаметром пор) и электронного микроскопа изучали расположение и размер пор радиусом 100—20 000 А в сухожилиях хвоста кенгуру, в шкуре и готовой коже. Установлено, что наибольший объем занимают поры с радиусом менее 1000 А. Поры в интервале 1000—18 000 А распределены более или менее равномерно. В интервале 100—1000 А чем меньше диаметр пор, тем больший объем они занимают. Кривые распределения пор в сухожилиях хвоста кенгуру, в готовой подожженной коже, в дерме неотделанной кожи, в сырых шкурах имеют одинаковый характер. Электронно-микроскопич. исследования показали, что в фибриллах, пропитанных ртутью, имеются периодически повторяющиеся темные участки, которые рассматриваются как места расположения пор с диаметром 150 А. Отмечено, что поры диаметром более 20 000 А расположены между волокнами кожи, а остальной объем пустот распределен между более мелкими элементами структуры кожи. Распределение крупных пор, более 10⁴ А, может зависеть от процессов произ-ва кожи, распределение более мелких пор не меняется заметно в процессах произ-ва. Дубление оказывает мало влияния на распределение пор 500—20 000 А. Пары воды проникают в кожу, главным образом через поры, заключенные во внутрифибриллярные пространства. И. Э.

80162. Изучение распределения пор разных размеров в коллагене и коже при помощи порозиметра. Стромберг (Pore-Size distribution in collagen and leather by the porosimeter method. Stromberg Robert R.), J. Res. Nat. Bur. Standards, 1955, 54, № 2, 73—81 (англ.)

См. пред. реф.

80163. Определение пор в коллагене с помощью электронного микроскопа. Свердлов, Стромберг (Collagen pores determined by electron microscopy. Swerdlow Max, Stromberg Robert R.), J. Res. Nat. Bur. Standards, 1955, 54, № 2, 83—90 (англ.)

См. пред. реф.

80164. Замена сульфид натрия сульфидратом натрия в кожевенной промышленности. Румынской Народной Республики. Маркус (Inlocuirea sulfurii de sodiu cu sulfhidrat de sodie in industria de fabricare din R. P. R. Marcus Sergiu), Ind. usoara, 1956, 3, № 1, 10—12 (рум.; рез. русс.)

Основное преимущество использования сульфидрата натрия (II), являющегося отходом вискозного произ-ва, вместо сульфида натрия (I) в процессе золеника кож заключается в том, что при гидролизе I в известковом р-ре образуется в два раза меньше NaOH и значительно увеличивается растворимость известки. Благодаря более низкой щелочности золеника значительно улучшается качество получаемой кожи. Кроме того, исключается процесс растворения II. Для золеника применяют р-р, содержащий 0—4% NaCl, 10% известки, 2,5—3,5 г/л I при т-ре 20—25°.

Кол-во I регулируется в зависимости от вида кожи и может быть снижено при повышении т-ры до 27° и увеличении длительности перемешивания. Пасту для намазного обезволаживания готовят прибавлением известки к р-ру I (30—40 г/л) до необходимой конц-ии и перемешиванием до получения однородной массы. Г. М.

80165. Кфть хромраствительного дубления. Кшивицкий (Skry juchtowe chromowo-ro linne. Krzywicki E.), Przegl. skrzany, 1955, 10, № 2, 28—31 (польск.)

Хромраствительное дубление юфтовых кож можно проводить по 2 вариантам: с легким хромированием и интенсивным дублением хромовыми солями. Хромовое дубление производится однованное или двухванное. В зависимости от интенсивности хромирования получается юфть, близкая по свойствам к юфти чисто растительного дубления или к хромовой коже. Эффект хромраствительного дубления зависит от подготовки голья и в первую очередь от пикелевания (слабого поверхностного или интенсивного до полного удаления известки, связанной с коллагеном). В последнем случае кожи получают светлые, пухлые, мягкие, с повышенной промокаемостью, пригодные в основном для выработки галантерейных изделий. Кожы хромраствительного дубления отличаются прочностью к механич. воздействиям и устойчивостью к солнечному свету. Описаны методики выработки юфти хромраствительного дубления, включающие 4-дневное золение в чанах или 2—3-дневное в тиходонных барабанах (без сохранения шерсти), обеззолку и пикелевание органич. к-тами, двухванное хромирование, соково-сыпчное или соково-баранное дубление и жирование животными жирами вручную. М. Л.

80166. Приготовление хромовых солей заданной основности восстановления бихромата. Дьяконеску (Cum se poate ajunge, prin reducerea bicromatului, direct la bazicitatea propusă, evitând corecturile ulterioare. Diaconescu C.), Ind. usoara, 1956, 3, № 2, 53—57 (рум.; рез. русс., нем.)

Для достижения заданной основности р-ра при восстановлении бихромата (I) необходимо учитывать следующие факторы: 1) кол-во H₂SO₄ на 100 г Na₂Cr₂O₇ следует вычислять не по ф-ле 133,3— В (В— заданная основность р-ра), правильной для K₂Cr₂O₇, а по исправленной ф-ле (133,3 — В)·0,987, учитывающей разность мол. весов; 2) кол-во H₂SO₄ для восстановления I, как правило, учитывается по замеру жидкости в сборниках при помощи таблиц, рассчитанных для определенной конц-ии (92,93 или 94%) с пересчетом объема на вес. При работе с H₂SO₄ другой конц-ии необходимо вводить поправки на уд. вес, т-ру и конц-ию р-ра. Показано, что при учете этих факторов расхождение между фактической основностью р-ра и расчетной не превышает 0,5—1%. Г. М.

80167. Производство лаковых кож. Пектор (Viroba lakovych. usni. Pektor Vladimir), Kozařství, 1955, 5, № 8, 149—150 (чеш.)

Подробно описана технология выработки лаковых кож. Подготовку голья ведут так, чтобы кожи получились возможно более плотными, равномерно окрашенными и прожированными. Для окраски применяют прямые красители, для жирования — чистое сульфированное касторовое масло. С поверхности кожи жирующие в-ва удаляют бензином. Лак варится на чистом, рафинированном льняном масле (плотность 0,925—0,935 г/см³, йодное число 170—180, неомыляемых в-в не более 1,5%), при 220—280° в присутствии сиккатива (окислов Pb, Fe, Co, Mn) и следов минеральных к-т. При нанесении покрытия на кожу (в несколько слоев, тщательно высушивая каждый) нужно следить за чистотой материалов и воздуха. Лак наносится шеткой, а последний слой — мягкой кистью или пульверизацией при 25° и 2 ат; для лучшего высыхания в конечной стадии сушки можно применить УФ-лучи. З. Б.

80168. Белковые отделочные материалы для кожи. Пиллар (Protein type finishes. Pilar Anthony J.,

J r), Leather Manufact., 1956, 73, № 3, 18, 20 (англ.)
Краткое описание состава белковых (казенных) покрывных красок для кожи и их свойств. И. Э.

80169. Химия растительных дубильных веществ. XI Мангрове. Патнам, Боулс (The chemistry of vegetable tannins. XI Mangrove. Putnam Robert C., Bowles Agnes V.), J. Amer. Leather Chemists Assoc., 1955, 50, № 1, 42—46 (англ.)

Для очистки таннидов мангрове (I) 100 г сырого препарата растворяют в 2 л воды, фильтруют при 100°, к фильтрату добавляют 0,5 л 12%-ного р-ра $Pb(CH_3COO)_2$. Осадок промывают водой и Pb удаляют в виде соли щавелевой к-ты. Полученный продукт последовательно очищают эфиром, этилацетатом и CCl_4 . Очищ. препарат I ($C_{10}H_{12}O_{12} \cdot 1,5 H_2O$) подвергали затем ацетилированию и метилированию. Полученный осадок ацетил-I ($C_{10}H_7O_4 (CH_3COO)$) темнеет при 280°. I метилировали диметилсульфатом в метаноле и водн. щел. р-ре в атмосфере N_2 . Элементарный состав метил-I соответствует ф-ле $C_{10}H_{12}O_4 (OCH_3)_6 \cdot 2H_2O$ (т. пл. > 270°). Протокатеховая к-та (II) выделена из I растворением в 5 г в горячем сплве 15 г NaOH и 15 г КОН. Холодный сплав растворяют в воде, добавляют HCl до pH 5 и фильтруют. Фильтрат экстрагируют этилацетатом, полученный после упаривания остаток растирают с эфиром, после удаления которого добавляют $CHCl_3$. Декантируют верхний слой, из которого после охлаждения кристаллизуется II (т. пл. 155—158°), которая идентифицирована с помощью хроматограммы и ИК-спектра. Из сплава метил-I с КОН после растворения в воде, подкисления H_2SO_4 , экстракции эфиром и кристаллизации в блз. также выделили II. Для выделения флороглюцина водн. р-р сплава I с КОН после фильтрования подкисляют, экстрагируют эфиром, осадок высушивают и растворяют в 5%-ном $NaHCO_3$, к фильтрату добавляют эфир и насыщают CO_2 . Из эфирного слоя выделен и идентифицирован с помощью хроматограммы флороглюцин. Часть X см. РЖХим, 1956, 56796. У. Х.

80170. Уточнение метода определения содержания дубящих веществ в древесине дуба. Жураковский, Висневский (Próby ustalenia właściwości metodyki oznaczania pozostałości garbnika w strucie poekstrakcyjnej drewna dębowego. Żurkowski Mieczysław, Wiśniewski Wojciech), Przegl. skor. zany, 1955, 10, № 4, Biul., 5—7 (польск.)

Отмечены недостатки метода определения содержания дубящих в-в в растительных дубильных материалах с помощью экстрактора Коха и описаны опыты по уточнению этого метода. Показана необходимость проводить экстракцию с увеличенным кол-вом воды и упаривать затем р-р до объема 1 л; навеска дубильного материала при анализе стружки дубовой древесины ~ 600 г (сухого в-ва). К. З.

80171. Официальный метод определения SO_2 в отбеленных экстрактах. Бертон (Proposed official methods. Determination of sulphur dioxide in bleaching extracts. Burton D.), J. Soc. Leather Trades' Chemists, 1956, 40, № 3, 89—90 (англ.)

Метод основан на выделении SO_2 при действии к-ты, окислений SO_2 в серную к-ту перекисью водорода и титровании 0,1 н. NaOH. И. Э.

80172. Строение синтетических дубителей. Страхова (Konstituce syntetických trísiliv. Strachota Jaroslav), Kožářství, 1955, 5, № 8, 154—157 (чеш.)

Определяли мол. вес несulfированной части синтана SN-25 (I) по методу Раства: 1 вес. ч. I и 10 вес. ч. камфоры расплавляли в пробирке при размешивании; после 24-часового стояния пробу растирали и определяли т-ру плавления. Из 12 определений рассчитана средняя величина мол. веса (728±8,6), т. е. несulfированная часть состоит из 6—7 ядер. Определяли также содержание свободной H_2SO_4 (II) при sulfировании перед нейтр-цией, экстрагированием водн. n-бутанолом (III): 15,001 г I (сухой остаток 56,33%) растворяют в 100 мл дистилл.

воды, насыщенной III. Р-р переносят в делительную воронку (250 мл) и экстрагируют 100 мл III, насыщенного водой; водн. слой экстрагируют 3 раза 50 мл III, насыщенного водой, затем сливают и переносят в мерную колбу (250 мл) и 50 мл р-ра титруют 0,1 н. КОН с метиловым оранжевым. Среднее содержание II 3,8±0,15%. При многократном экстрагировании водн. слоя часть II переходит в III. Для определения II предложено экстрагирование смесью 60% III и 40% эфира, а также метод диализа; 10,001 г I растворяют в 100 мл дистилл. воды, в эту 1-р помещают пергаментный патрон, содержащий 16,5 г слабо основного анионита MI D (предварительно обработанного 5%-ным р-ром аммиака). После 24-часового стояния содержимое патрона переносят в сосуд, анионит смывают 50 мл 5%-ного р-ра аммиака и 600 мл воды. Профильтрованный р-р нейтрализуют HCl по метиловому оранжевому. Содержание II определяют весовым методом. Начало см. РЖХим, 1956, 56800. В. С.

80173. Зависимость между содержанием фенолов в лигносульфонатах и их дубящими свойствами. Маршалл, Ньюком (The relationship between the phenolic content of lignin sulphonates and their tanning properties. Marshall H. Borden, Newcombe Alan G.), Pulp. and Paper Mag. Canada, 1955, 56, № 1, 101—105 (англ.)

Дубящие свойства лигносульфонатов (I) можно улучшить, повышая в них содержание фенольных гидроксидов. Хлорирование с последующим омылением щелочью несколько улучшает дубящую способность I. Однако способ не является экономически выгодным. Экономически целесообразнее конденсация I с фенолами в водн. р-ре. При конденсации лигносульфоновой к-ты (II), освобожденной от Са катионитом, с фенолом содержание фенольных гидроксидов в II увеличивается прямо пропорционально кол-ву присоединенного фенола. Дубящие свойства продуктов конденсации увеличиваются пропорционально содержанию в них фенольных гидроксидов. Лучшие условия проведения р-ции для получения растворимого в воде дубителя заключаются в нагревании 30%-ного р-ра II с равным кол-вом фенола, считая на сухую II, в течение 3,5 часов при 125°. При этом 40 г фенола соединяются со 100 г сухой II. Избыток фенола удаляется экстракцией. Для получения продуктов с хорошими дубящими свойствами рекомендуется смешение квебрахо с продуктами конденсации II с фенолом. Продукты конденсации двух- и трехатомных фенолов с II обладают дубящими свойствами, аналогичными природным дубителям. Возможно также получение дубящих продуктов конденсацией II с крезолом. Дана технологич. схема процесса конденсации I с фенолом для получения дубителей. Т. И.

80174. Действие озона на желатину. Бичихин, Галамек, Лячик, Немец (Působení ozonu na želatinu. Byčichin, Halámek, Láček, Němec), Průmysl. potravin, 1953, 4, № 5, 224—225 (чеш.)

Экспериментально доказано, что при озонировании воздуха в помещениях для хранения пищевой и фотографич. желатины (конц-ия O_3 — 1 мг/м³) последняя лишается затхлого запаха, но р-ры ее приобретают неприятный «лекарственный» привкус. По насыщению желатины озоном ее стойкость повышается, но через несколько недель этот эффект постепенно исчезает. На фотографич. свойства желатины озонирование не влияет. З. Б.

80175. Влияние температуры и времени на физико-химические свойства растворов желатины и ее фракций. Кретины С. А., Аброськина С. А., Тр. Воронежского ун-та, 1953, 28, 83—84

Путем измерения вязкости (в вискозиметре Убеллоде) исследовалось старение р-ров желатины (конц-ия от 0,1 до 1%). Хранение р-ров производилось при 0° и 16°. Вязкость 1%-ных р-ров сначала растет, через 16—17 дней

достигает максимума и затем падает ниже первоначального значения. Вязкость 0,1, 0,25 и 0,5%-ных р-ров падает с начала хранения. О. М.

80176 К. Технология кожи. Т. И. Чернов, Шестакова, Лечицкий, Михайлов (Technologie kůže. I. d.l. Černov N. V., Šestakovova I. S., Lečický I. M., Michajlov N. A. Z. rus. Praha, SNTL, 1955, 301, (2) s., il., 25, 60 Kčs) (чеш.)

80177 К. Роль поверхностноактивных веществ в технологии меха и шубной овчины. Пчелин В. А. Материалы совещания по обмену опытом применения поверхностноактивных веществ в процессах выделки и крашения меха и шубной овчины. М., Гизлегпром, 1955, 67 стр.

80178 П. Жидкость для отмоки шкур (Softening liquor for hides) [Bohme Fettchemie G. m. b. H.]. Австрал. пат. 162836, 26.05.55

Жидкость для отмоки шкур содержит по крайней мере одно антибиотически активное в-во для подавления развития и роста вредных бактерий. Предложен также способ обработки шкур. Л. М.

80179 П. Средства для обезоливания голяя. Гофман, Бёме (Entkalkungsmittel für geäscherte tierische Hautblößen. Hoffmann Ulrich, Böhme Erich) [Deutsche Gold- und Silber Scheideanstalt vormals Roesler]. Пат. ФРГ 926025, 4.04.55

Для обезоливания голяя применяют слабые неорганич. или органич. к-ты или их смеси с аммонийными солями с добавкой пентаэритрита, дипентаэритрита или маточных р-ров, получаемых в произ-ве указанных в-в (шел. конденсацией ацетальдегида с формальдегидом) после отделения кристаллич. пентаэритрита. В настоящее время эти маточные р-ры не используются. Пример: 100 кг зеленого и промытого голяя обрабатывают в гашеле смесью 0,5 кг CH_3COOH , 0,2 кг аммиака (технич.) и 0,1 кг пентаэритрита. Получают очень светлое голье с гладким и мягким лицевым слоем. Содержание CaO в этом голье 16,5% от исходного; без применения пентаэритрита обезоленное в таких же условиях голье содержало 38,5% CaO (от исходного его содержания). М. Л.

80180 П. Обезоливающие средства. Руди (Entkalkungsmittel. Rudy Hermann) [Joh. A. Benckiser G. m. b. H. Chemische Fabrik]. Пат. ФРГ 925605, 24.03.55

Для обезоливания голяя можно применять сырую (неочищенную) лимонную к-ту, маточный р-р, получаемый при сбраживании углеводов, маточный р-р после выделения из него лимонной к-ты в виде ее кальциевой соли или р-р, полученный после кристаллизации в произ-ве винной или лимонной к-ты и их солей. Пример: обычным образом прозеленное и промытое голье опойка обезоливают в течение 1 часа р-ром, содержащим 10 г/л сырой лимонной к-ты и 3 г/л $(\text{NH}_4)_2\text{SO}_4$. Из этого голяя получается кожа с очень нежным и гладким лицевым слоем. М. Л.

80181 П. Метод получения порошкообразного продукта конденсации с дубящими свойствами (Procédé de préparation de produits de condensation pulvérulents à effet tannant) [Badische Anilin- und Soda-Fabrik A.-G.]. Франц. пат. 1076850, 29.10.54, [Rev. Techn. inds cuir, 1955, 47, № 10, 235 (франц.)]

Полученный в процессе произ-ва синтетич. дубителей жидкий продукт нейтрализуют аммиаком или аминами, высушивают и смешивают с жидкими органич. к-тами. Пример: сульфировать обычным способом 500 вес. ч. крезоло, 500 вес. ч. 98%-ной серной к-ты, добавляют 266 вес. ч. мочевины, растворенной в таком же кол-ве воды, и конденсируют с 500 вес. ч. 30%-ного формальдегида при 30—35°; продукт нейтрализуют р-ром аммиака

и выпаривают досуха. Полученный порошок смешивают с 6% от его веса ледяной уксусной к-ты. Дубитель содержит ~70% дубящих. При растворении его в воде можно получить, напр., 10%-ный прозрачный р-р с pH 3,4. И. Э.

80182 П. Способ получения дубителей из сульфитных щелоков. Штагер, Рейх (Verfahren zur Herstellung von Gerbs. offen aus Sulfitleauge. Stather Fritz, Reich Günter). Пат. ГДР 9949, 8.12.55

Очищенные сульфитные щелока (ЩШ) нагревают при нормальном давлении с таким небольшим кол-вом щелочи, чтобы во время процесса реакционная масса оставалась жидкой; дубитель осаждают из р-ра известным образом подкисленным р-ром соли. Пример: 1000 г очищ. щелочью ЩШ (32°Bé) смешивают с 100 г NaOH и нагревают 5 час. при 100° при перемешивании. Затем еще горячий р-р выливают в насыщ. р-р $(\text{NH}_4)_2\text{SO}_4$ и подкисляют 50%-ной H_2SO_4 до pH 3,5. Выпавший зернистый продукт отфильтровывают и растворяют в двойном кол-ве воды. Получают сироп, к которому добавляют 3% CH_3COOH . Полученный продукт хорошо растворяется в воде и имеет хорошие дубящие свойства. Обработанная им кожа обладает средней мягкостью и равномерной окраской. В. К.

80183 П. Метод получения казеина. Трекслер (Method of producing casein. Trexler Philip C.) [Amino Acids, Inc.]. Канад. пат. 513472, 7.06.55

Казеин осаждают из охлажд. до т-ры 2—16° снятого молока добавлением к-ты до pH 4,4—4,8, полученную смесь осажденного казеина и сыворотки нагревают до 65—75°, затем отделяют сыворотку, промывают осадок водой и высушивают его. Е. Ж.

80184 П. Метод приготовления бесцветного казеинового клея. Хагенмюллер (Verfahren zur Herstellung nichtfärbender Kaseinleime. Hagenmüller Kurt) [KAFO Kasein-Forschungs-Ges. m. b. H.]. Пат. ФРГ 925787, 31.03.55

Для приготовления бесцветного легкорастворимого клея 50 ч. тонкоизмельченного казеина (размер зерен 0,2 мм) смешивают с 30 ч. мочевины, 70 ч. карбоната кальция и 100 ч. воды. Процесс приготовления клея занимает 1/2—3/4 часа. Клей пригоден к употреблению длительное время. Е. Ж.

80185 П. Выделение тирозина (Recovery of tyrosine) [International Mineral & Chemical Corp.]. Австрал. пат. 200499, 26.01.56

Из гидролизата белка, полученного гидролизом белка неорганич. к-той, не являющейся окислителем в применяемых условиях, отделяют при pH 0,5—4 и т-ре 40—100° гумин, доводят pH свободного от гумина гидролизата до 5,5—10 и осаждают тирозинсодержащее вещество. И. Ш.

80186 П. Способ получения оксикалкилпроизводных. Монсон, Диксон (Process for preparing oxyalkylated derivatives. Monson Louis T., Dickson Woodrow J.) [Petrolium Corp.]. Пат. США 2727027, 13.12.55

Предложен способ получения безводн. неразб. оксикалкилпроизводных из способных оксикалкилироваться безводн. твердых белковых в-в, несплавких, частично или полностью разлагающихся в течение 15 мин. при т-ре начала плавления в присутствии катализатора оксикалкилирования, и нерастворимых в разделяемых перегонкой и стойких против оксикалкилирования р-рителей. Способ состоит в приведении указанных белковых в-в во взаимодействие с этилен-, пропилен-, бутилен-, оксипропилен-или оксибутиленкарбонатом или их смесями в присутствии безводн. катализатора оксикалкилирования при т-ре бурного выделения CO_2 и в течение времени, достаточного для образования оксикалкилпроизводного, причем оксикалкиленкарбонат берут в кол-ве, достаточном для образования продукта, жидкого при т-ре оксикалкилирования окисью этилена, пропилена или бутилена, глицидным или метилглицидным спиртом или их смесями. Я. К.

80187 П. Состав для окраски искусственной кожи и других изделий на основе пластических масс. Гаргани (Colorant pour produits aux vinyles, pour cuirs, ou autres produits à base de matière plastique. G a r g a n i M.). Франц. пат. 1096900, 27.06.55 [Teintex, 1956, 21, № 2, 151 (франц.)]

Жидкий состав для окраски тканей с покрытиями из виниловой смолы, искусств. кожи или других изделий на основе синтетич. смол содержит, в основном: а) ацетон, метилпропионат, пропилпропионат, изобутилпропионат, амилпропионат, изопропилпропионат, диацетоновый спирт, окись мезитила или ацетонового масла, б) один или несколько красителей типа «органоль».

О. С.

См. также: Строение коллагена 78273, 78274. Св-ва желатины 77810. Восстановление хрома глюкозой 78455. Природные дубильные в-ва 78260—78262; 22849Бх, 22980Бх, 23265Бх

ПРОЧИЕ ПРОИЗВОДСТВА

80188. Радиоактивные изотопы и химическая промышленность. Сайто (放射性同位元素と化学工業・齋藤信房), 化学工業, Karaku korē, Chem. Ind. (Tokyo), 1955, 6, № 9, 814—817, 824 (япон.)

Обзор. Библ. 27 назв.

Н. М.

80189. Химическая обработка элементов из атомного реактора.— (Chemical processing of nuclear reactor elements.—), Rhodesian Mining J., 1954, 26, № 322, 59 (англ.)

Описаны методы разделения урана, плутония и продуктов деления: классический с химическим разделением элементов, экстракционный и метод, основанный на ионном обмене. Рассмотрены недостатки и преимущества каждого метода.

В. Ш.

80190. Термический метод концентрирования тяжелой воды. Черрай, Маркетти, Ренцони, Розео, Сильвестри, Виллани (Un metodo termico per la concentrazione dell'acqua pesante. Cerrai E., Marchetti C., Renzoni R., Roseo L., Silvestri M., Villani S.), Energia nucleare, 1955, 2, № 14, 257—271 (итал.; рез. англ.)

Обзор методов концентрирования тяжелой воды. Разработан новый метод, основанный на значительной зависимости от т-ры константы равновесия р-ции: $\text{HD} + \text{H}_2\text{O} (\text{пар}) \rightleftharpoons \text{HDO} (\text{пар}) + \text{H}_2$. Приведены 2 схемы установок с применением этого метода, а также результаты опытов на полупромышленной установке. Эксперим. данные и расчеты стоимости подтверждают возможность концентрирования тяжелой воды этим методом. Библ. 10 назв.

Г. Р.

80191. Основные особенности баварского пластификатора «карандашная глина» и возможности его замены местными глинами. Стангачилович (Osnovne osobine bavarskog, plastifikatora Bleistiftton-a i mogućnosti njegove zamene domaćim glinama. Stangacilović Dusan), Tehnika, 1956, 11, № 3, 393—395 (серб.-хорв.; рез. нем.)

Химический анализ и физ.-хим. испытания баварской карандашной глины показывают, что она может быть заменена для пластификации графитных сердечников другими глинами при условии, что граница их пластичности и начало деформации лежит выше т-ры обжига графитных масс.

Е. С.

80192 П. Частицы силикагеля (Silica gel particles) [Universal Oil Products Co.]. Англ. пат. 736642, 14.09.55. Золь SiO_2 получают из водн. р-ра силиката щел. металла действием к-ты в присутствии гексаметилентетрамина (I) в соотношении I: SiO_2 от 0,02 : 1 до 0,25 : 1, H_2O : SiO_2 от 5 : 1 до 20 : 1 и к-ты в кол-ве, необходимом для созда-

ния рН 4—5. Можно применять силикат Na и H_2SO_4 при т-ре $< 10^\circ$. Для получения частиц геля золь в тонкодисперсном состоянии пропускают при 10—105° через дисперсионную среду (напр., керосин и тяжелое парафиновое масло). Можно применять инертные газы, напр. воздух. Капельки золя можно получать с помощью сопла или на вращающемся диске. Частицы геля можно отделить из зоны их образования потоком воды, протекающей под дисперсионной средой. Эти частицы подвергаются созреванию в воде при 35—105° в течение > 15 мин. Гель может применяться в качестве адсорбента, очистителя, осушителя или катализатора. В последнем случае его пропитывают р-ром со динения каталитически активного металла (Al, Mg, Zr, Ti, Th, V, Cr, Mo, W, Pt, Pd, Ni, Co, Fe), обрабатывают NH_3 , промывают, выдерживают в разб. к-те (CH_3COOH , HCl или HNO_3), опять промывают, сушат и прокачивают. При присутствии алюмосиликатных катализаторов Al_2O_3 осаждают одновременно с SiO_2 .

Г. Р.

80193 П. Получение шариков силикагеля. Накадзава, Одзава, Кубота Сугахара (球型珪酸ゲルの製造法・中澤忠久, 大澤祥成, 桑田勉, 菅原勇次郎), Япон. пат. 5622, 6.09.54 [Chem. Abstrs, 1955, 49, № 20, 14233 (англ.)]

200 мл 25%-ного р-ра силиката Na обрабатывают 90 мл 25%-ной H_2SO_4 и получают золь SiO_2 (рН 3), который оставляют на 10 час. для созревания, а затем, перед самой коагуляцией, его добавляют по каплям к 5%-ному водн. р-ру NH_4OH . Полученный гель промывают водой, сушат и получают продукт в виде шариков.

Г. Р.

80194 П. Способ производства фет мованных изделий. Тайтус, Ван-Лонен (Met ods for making shaped articles. Titus Leslie Van Loenen William F.) [Kaiser Aluminum & Chemical Corp.]. Пат. США 2729855, 10.01.56

Предлагаемый способ особенно рекомендуется для произ-ва брикетов (или шариков) из гидратированной окиси алюминия, идущих на получение фторида. За счет создания на прессующей поверхности водяной пленки обеспечивается значительное увеличение числа целых брикетов, повышение их прочности, и исключается налипание материала на прессующую поверхность. Вместо воды может применяться любой р-р. Т-ра в зоне прессования до начала сжатия не должна превышать т-ру кипения смазывающей жидкости при атмосферном давлении. Развивающаяся при прессовании т-ра должна превосходить эту т-ру кипения (необходимый температурный режим может поддерживаться путем охлаждения или нагревания). В момент снятия давления жидкость испаряется и брикет легко освобождается. На прессование может подаваться нагретый $\leq 94^\circ$ материал непосредственно после сушки. Применимо различное прессовое оборудование, обеспечивающее давление, достаточное для получения прочных брикетов. Наиболее удобной является установка, состоящая из двух вращающихся в разные стороны дисков, на поверхности которых имеются формирующие штампы. Таблетки прокачивают при 200—800° с целью удаления конституционной воды и активации Al_2O_3 .

Л. Х.

80195 П. Способ получения поверхностей, покрытых веществами, действующими в качестве катализаторов и пригодными для получения синильной кислоты. Вендландт, Кокерт (Verfahren zur Herstellung von mit Katalysatorsubstanzen überzogenen, zur Blausäureerzeugung geeigneten Wandungen. Wendlandt Rudolf, Kokert Erich) [Deutsche Gold- und Silber-Scheideanstalt vormals Roessler]. Пат. ФГР 919768, 4.11.54 [Chem. Zbl., 1955, 126, № 30, 7082 (нем.)]

Огнеупорную керамич. трубу наполняют горячими конц. р-рами каталитически действующих Pt-металлов. Р-ры при равномерном медленном вращении трубы выпаривают досуха несколько раз (в частности, 3 раза). Каждый раз после выпаривания р-ров трубу прокачивают до

темнокрасного каления. При этом образуется однообразный тонкодисперсный слой покрытия, плотно пристающий к стенке. В. У.

80196 П. Люминесцентный состав и способ его изготовления. Надь (Phosphor and method of making. Nagy Rudolph) [Westinghouse Electric Corp.]. Канад. пат. 516832, 20.09.55

Люминесцентный состав, излучающий в длинноволновой УФ-области, представляет собой смешанный силикат Са и Zn, активированный Pb с общей ф-лой $w\text{CaO} \cdot x\text{ZnO} \cdot y\text{SiO}_2 \cdot z\text{Pb}$, где: w от 2,5 до 1, x от 0,5 до 2 (причем $w+x=3$), y от 2,5 до 4 и z от 0,003 до 0,06. Люминофор получают смешением SiO_2 , соединения Pb и соответствующих окислов Са и Zn или соединений, распадающихся на окислы, причем 2,5% соединения (от его кол-ва) вводят в виде сульфата. Смесь нагревают при 700° , затем при 1000° и, наконец, прокачивают при 1050° . Б. Г.

80197 П. Люминесцентный состав. Уэхара, Обуи (螢光體. 上原康夫, 小夫家良正) [東京芝浦電氣株式會社, Токио Сибaura Дэнки Кабусики Кайся] Япон. пат. 4414, 19.07.54 [Chem. Abstrs, 1955, 49, № 15, 10088 (англ.)]

Комплексную соль силикат-сульфата Са в качестве основания активируют Pb и Mn. Г. Р.

80198 П. Люминесцентные материалы (Luminescent materials) [Westinghouse Electric International Co.]. Англ. пат. 732885, 29.06.55

Люминесцентная суспензия для покрытия поверхностей люминесцентных ламп представляет собой взвесь люминофора в водн. р-ре метилцеллюлозы (0,8 вес. % с вязкостью 1500 *спуаз*), в который добавляют для растекания алифатич. спирт, напр. 5 об. % $\text{C}_4\text{H}_9\text{OH}$ или 30 об. % $\text{C}_2\text{H}_5\text{OH}$. В суспензию добавляют смачиватель в кол-ве 1 вес. % по отношению к люминофору, напр. лаурил сульфат натрия и анти вспениватели в кол-ве 0,1 об. % (трибутилфосфат). Суспензию приготавливают смешиванием сухих люминофора и метилцеллюлозы с последующим добавлением воды и спирта, или растворяют метилцеллюлозу в водн. р-ре $\text{C}_4\text{H}_9\text{OH}$ при 85° при перемешивании, постепенно охлаждая р-р до $5-10^\circ$. Затем добавляют анти вспениватель, смачиватель и люминофор и все размалывают в шаровой мельнице. Б. Г.

80199 П. Способ получения люминесцентных материалов на основе силиката кальция (Procédé pour la fabrication de matières luminescentes a base de silicate de calcium) [Supralux Leuchtstoff G. m. b. H.]. Франц. пат. 1046830, 9.12.53 [Chem. Zbl., 1955, 126, № 15, 3457 (нем.)]

К силикату кальция, активированному редкоземельным металлом (Ce) с величиной зерна $< 2 \mu$, добавляют в качестве других активаторов 2 или более солей тяжелых металлов (напр., Pb, Bi, Mn) и нагревают в нейтр. или восстановительной атмосфере при повышенном давлении до 1150° . Возможно во время прокалывания добавлять один или несколько раз фториды Pb (или) Bi и (или) U и нагревать до 1200° . В качестве плавней добавляют еще фториды 1 и 2 группы периодич. системы. Полученные люминесцентные в-ва могут быть применены для изготовления телевизионных и рентгеновских экранов, а также в газоразрядных трубках. М. Ш.

80200 П. Люминесцентные составы. Каваи, Идэ (螢光體. 河合登, 井手平三郎) [三菱電氣株式會社, Мицубиси Дэнки Кабусики Кайся]. Япон. пат. 3766, 28.06.54 [Chem. Abstrs, 1955, 49, № 12, 7922 (англ.)]

Смесь, содержащую (в г): $\text{Ca}_3(\text{PO}_4)_2$ 930, CaF_2 38, AlCl_3 67, Sb_2O_3 23 и $\text{Mn}_2(\text{PO}_4)_2$ 10, нагревают в течение 1 часа при $1000-1050^\circ$. Продукт обладает белой люминесценцией, в которой синяя окраска усиливается при добавлении большого кол-ва Sb, а красная — при увеличении кол-ва Mn. Г. Р.

80201 П. Люминесцентные составы. Аоги, Матида (螢光體. 青木米作, 町田充作) [株式會社日立製作所,

日本電氣化學株式會社, Кабусики Кайся Хитати Сэйсакусё, Нихон Дэнки Кагаку Кабусики Кайся]. Япон. пат. 4769, 3.08.54 [Chem. Abstrs, 1955, 49, № 16, 10749 (англ.)]

Смесь, содержащую (в г): $\text{Ca}_3(\text{PO}_4)_2$ 931, MgF_2 31,2, CaCl_2 55,5, MnHPO_4 30 и Sb_2O_3 30, нагревают в течение 3 час. при $900-1150^\circ$ и получают белое люминесцентное в-во $3\text{Ca}_3(\text{PO}_4)_2 \cdot 0,5\text{CaCl}_2 \cdot 0,5\text{MgF}_2$, активированное Mn и Sb. В примерах указаны другие соединения, состоящие из 3 молей ортофосфатов Mg, Zn или Cd, 1—3 моля галогенидов Mg, Zn или Cd и активаторов, напр. Sb, Pb, As, Sn, W, Mo, Cu и Mn. Г. Р.

80202 П. Усовершенствование способов получения люминесцентных составов (Perfectionnements aux procédés de fabrication de substances luminescentes) [Soc. An. Pour les Applications de l'Electricité et des Gaz Rares, ets Claude Paz & Silva]. Франц. пат. 1088619, 9.03.55 [Chimie et industrie, 1956, 75, № 5, 948 (франц.)]

После обжига исходных в-в, входящих в люминесцентный состав, полученный продукт измельчают и промывают метиловым или этиловым спиртом. Ю. М.

80203 П. Усовершенствование состава люминесцирующих слоев (Perfectionnements à la composition des dépôts luminescents) [British Thomson-Houston Cny Ltd]. Франц. пат. 1065249, 21.05.54 [Chem. Zbl., 1955, 126, № 30, 7054 (нем.)]

Для увеличения прочности сцепления люминесцентного материала со стенками светящихся трубок к нему добавляют $\text{V}(\text{OH})_3$ или B_2O_3 . Кол-во добавки зависит от рода светящегося в-ва, качества стекла, последующей обработки и других воздействий и в среднем составляет $\sim 0,75\%$ от веса люминофора. Пример: 100 г $\text{V}(\text{OH})_3$, 120 см^3 амилацетата и 180 см^3 р-ра нитроцеллюлозы в амилацетате. Нанесение суспензии на внутренние стенки трубки производится по известным методам. М. Ш.

80204 П. Способ улучшения структуры почвы. Беккер, Шмидт, Байер (Verfahren zur Verbesserung der Bodenstruktur. Becker Wilhelm, Schmidt Fritz, Bayer Otto) [Farbenfabriken Bayer A.-G.]. Пат. ФРГ 941374, 12.04.56

В качестве добавок к почве применяют эфиры кремневой к-ты или алкоколяты многовалентных металлов (Al, Ti, Zr). Значительное улучшение структуры почвы достигается уже при внесении 50—100 г/м² метилового эфира поликремневой к-ты. И. С.

80205 П. Метод получения прочных галогеносеребряных покрытий на алюминии. Шмидт (Verfahren zur Erzeugung haltbarer Halogensilberschichten auf Aluminium. Schmidt Gerhard). Пат. ФРГ 931692, 16.08.55

Прочные слои галогенидов серебра на Al или Al-сплавах получают обработкой анодно-окисленного Al-материала (пропитанного известным способом галогенидом Ag) окислителем в присутствии галогенида. Перед окислением слой активируют к-той. Окислительный процесс повторяют после тщательного промывания водой. Пример: Al-материал, пропитанный галогенидом Ag, погружают в р-р H_2SO_4 или HNO_3 конц-ии $\leq 9\%$ для активации слоя на время ≤ 5 мин. и промывают водой до удаления к-ты. Затем погружают в р-р окислителя (0,2%-ный р-р KMnO_4 , содержащий HCl (к-ту) и KBr; 15%-ный р-р $\text{K}_2\text{Fe}(\text{CN})_6$ и KBr). Промывают водой или погружают в раствор-восстановитель, напр. 3%-ный р-р NaHSO_3 или 5%-ный р-р H_2CrO_4 , после чего операции могут повторяться. С. Т.

80206 П. Метод получения изолирующих слоев на электрически нагреваемых сопротивлениях (Method of producing insulating layers on electric heating resistances) [Loewe Opta A.-G.]. Англ. пат. 709955, 2.06.54

Спиралевидная нить накала катодно-лучевой трубки или электронной лампы покрывается изолирующим слоем окисла Al, Mn или Be со связующим в-вом $\text{Al}(\text{OH})_3$ ($\sim 20\%$). Дополнительно могут быть добавлены $\text{Mg}(\text{OH})_2$ или

Be(OH)₂. Покрытие изолирующим слоем можно наносить электрофоретическим методом. В. Б.

80207 П. Порошок для нанесения твердого металла на детали, особенно на полотна пил, применяемых для обработки камня, и способ его применения. Бальхаузен (Mélange pulvérulent pour l'application de métal dur sur des matériaux de support, en particulier sur des lames de scies pour le sciage des pierres, et procédé d'application. Ballhausen Carl) [Deutsche Edelstahlwerke]. Франц. пат. 1071101, 25.08.54 [Chem. Zbl., 1955, 126, № 28, 6614 (нем.)]

Порошок (П) состоит из 5—30% CrBr₂ (остальное Fe, Ni, Co). П может наноситься на детали pulverизатором или после добавки пластификаторов в виде пасты. Деталь доводится до или после нанесения П до высокой т-ры, лучше до т-ры сплавления смесей CrBr₂ с металлами (1000—1300°). В. Ш.

80208 П. Способ приготовления отбеливающего вещества. Пемзель (Verfahren zur Herstellung von Bleichstoff. Pemsel Hermann). Пат. ФРГ 921445, 20.12.54 [Chem. Zbl., 1955, 126, № 25, 5869 (нем.)]

Al-квасцы, содержащие наряду с K также Fe, Co, Cr, Ni, Mn или другие тяжелые металлы, образующие квасцы, растворяют в воде, осаждают р-ром силиката, отделяют р-р и сушат осадок. Можно также подавать квасцы в твердом виде в р-р силиката. К р-ру солей, осаждаемых р-ром силиката, можно добавить соединения Mg. Осадки нагревают при т-ре значительно > 100° или прокалывают. Сухой осадок можно просеять на фракции по величине зерен. Г. Р.

См. также: Люминофоры 77414, 77416.

КОРРОЗИЯ. ЗАЩИТА ОТ КОРРОЗИИ

80209. Программа практической работы по коррозии. Филиберт (A practical corrosion service program. Philibert B. J.), Corrosion, 1956, 12, № 4, 36—38 (англ.)

Общие соображения по методике изучения явлений коррозии. Т. П.

80210. Коррозия и коррозионные испытания. Везер (Korrosion und Korrosionsprüfung. Waeser Bruno), Werkstoffe und Korrosion, 1956, 7, № 5, 256—261 (нем.)

Обзор по коррозионной стойкости промышленных строительных материалов, цветных и черных металлов в обычных условиях службы. Рассматриваются некоторые принятые способы антикоррозионной защиты. Библ. 51 назв. А. Ш.

80211. Замечания по статье Хадсона, Станнера «Защита железа и стали металлическими и неметаллическими покрытиями». П. Хор (Correspondence on the paper «The protection of iron and steel by metallic and non-metallic coatings — II», by Hudson J. G., Stanners J. F.) Haas T. P., J. Iron and Steel Inst. (London), 1954, 177, № 2, 246—248 (англ.)

К РЖХим, 1954, 33595.

80212. Потенциалы активирования сплавов Fe-Cr и их связь с химической стойкостью в серной кислоте. Роха, Леннарц (Die Aktivierungspotentiale von Eisen-Chrom-Legierungen und ihre Beziehungen zu der chemischen Beständigkeit in Schwefelsäure. Rocha Hans-Joachim, Lennartz Gustav), Arch. Eisenhüttenwes., 1955, 26, № 2, 117—123 (нем.)

Были изучены Fe-Cr-сплавы с содержанием Cr в 2,5—25%, литой и электролитич. Cr, значения E_a которых измерялись в р-рах H₂SO₄ разной конц-ии, охватывающие область pH 0—5. Дополнительно были использованы данные (Бониффер Франк Z. Elektrochem, 1951, 55, 180) для чистого карбонильного Fe. Потенциал активирования E_a отвечает переходу пассивного состояния в активное при понижении плотности анодного поляризующего тока или же катодной поляризации. Установлено, что E_a зависит от состава р-ра и самого сплава. Для любых сплавов Fe = Cr и чистых Fe и Cr справедливо уравнение: $E_a = E_a^0 + 0,058/n \lg a_{H^+}$. У чистых Fe и Cr значения E_a^0 различаются почти на 0,9 в. Для Fe E_a^0 имеет высокое положительное значение, которое понижается по мере увеличения процента Cr в сплаве, следуя S-образной кривой. Наибольшие изменения E_a^0 претерпевает при содержании 11—12% Cr. Одновременно и одинаковым образом изменяется фактор n от 1 для Fe до 0,5 для Cr.

Соответственно у сплавов Fe-Cr наклон прямой E_a — pH больше, чем для H-электрода. Этот факт, по мнению авторов, служит причиной существования границы, которой область активного, нестабильного состояния при $E_a < E_h$ отделена от промежуточной области метастабильного состояния, когда $E_a > E_h$ (E_h — равновесный потенциал H-электрода). Метастабильная область с другой стороны, граничит с областью устойчивого пассивного состояния, переход к которому происходит в том случае, когда при увеличении pH стационарный потенциал сплава приближается к E_a и вследствие так называемого самопассивирования скачком достигает высоких положительных значений. А. Ш.

80213. Влияние действия длинного проводника, являющегося замкнутым гальваническим элементом, на работу местной пары. Поп (Effect of long cell action on local cells. Pope Robert), Corrosion, 1956, 12, № 4, 31—32 (англ.)

Установлено, что в зависимости от местоположения местной пары по отношению к длинному проводнику последний может как усилить, так и уменьшить коррозию. Коррозия усиливается, если местная пара расположена в анодной зоне, и уменьшается, если она находится в катодной зоне электролита, примыкающего к длинному проводнику. Влияние последнего иллюстрируется при помощи поляризационных диаграмм. И. Л.

80214. Пассивация хромистых сталей в 6,5%-ной HNO₃, сернистым растворе CuSO₄ и водопроводной воде. Кариус (Passivierung von Chromstählen in 6,5-prozentiger Salpetersäure, schwefelsaurer Kupfersulfatlösung und Leitungswasser. Carius Carl), Arch. Eisenhüttenwes., 1955, 26, № 12, 769—776 (нем.)

Рассматривается вопрос о возможности посредством систематич. измерений скорости коррозии (СК), стационарных потенциалов $E_{ст}$ и потенциалов перехода от пассивного состояния к активному E_p точно установить миним. содержание Cr в малоуглеродистой стали, необходимое для полной пассивации последней. Исследование сплавов с содержанием 2—27% Cr в 6,5%-ной HNO₃, подкисленном р-ре 1 н. CuSO₄, водопроводной воде и 2 н. H₂SO₄ дало следующие результаты: СК в 6,5%-ной HNO₃ зависит от кол-ва Cr, а также изменяется со временем, образуя максимум в течение 1 часа после погружения. При увеличении содержания Cr до 8—10% СК резко снижается, достигая в интервале 10,1—11,9% весьма малых, но уже постоянных значений 1,5—3,7 г/м² час. Эту область автор называет промежуточной между активным и пассив-

ным состоянием. Граница полной коррозионной стойкости в 6,5%-ной HNO_3 лежит между 13,45 и 15,9% Cr и отодвигается в сторону менее легированных сплавов при увеличении продолжительности испытаний или в более конц. р-рах HNO_3 . С электрохим. точки зрения поверхность пассивированной Cr-стали вследствие адсорбции O_2 обладает свойствами кислородного электрода. Кривые зависимости $E_{\text{ст}}$ от процента Cr в интервале 13,95—14,45% Cr обнаруживают скачок в сторону положительных значений, которому соответствует излом в противоположную сторону кривой $E_{\text{п}}$ — процент Cr. Устойчивое пассивное состояние, как это вытекает из сопоставления кривых $E_{\text{ст}}$ и $E_{\text{п}}$ наступает при $E_{\text{ст}} > E_{\text{п}}$, поэтому его граница определяется точкой пересечения указанных кривых. Эта точка соответствует 14,45% Cr для ферритной стали с содержанием до 0,1% C. Отмечено также влияние содержания C в стали и условий термообработки: с увеличением процента S способность к пассивации Cr-сталей понижалась. Закалка от 980° (масло) способствует пассивации по сравнению с отожженными образцами. А. Ш.

80215. Метод пассивирования ферросплавов для электродных покрытий. Иванишко С. А., Сб. рац. предл. М-во электротехнич. пром-сти СССР, 1956, № 3 (61), 9—10

Для предотвращения р-ции между ферромарганцем и ферросилицием, с одной стороны, и Na_2SiO_3 , вводимым в сухую шихту для получения замеса электродных покрытий, с другой, к Na_2SiO_3 добавляется $\text{K}_2\text{Cr}_2\text{O}_7$ в кол-ве 2 г/л воды, идущей на разбавление жидкого стекла. При этом методе отпадает необходимость в прокаливании электродов и повышается степень пассивации при отсутствии потерь ферросплавов, имеющем место при прокаливании. Выказано предположение о механизме процесса пассивации. И. Л.

80216. Коллоидно-химические явления на поверхности металлов и торможение коррозии в солевых растворах. XIII. Химический и фазовый состав продуктов окисления железа в растворах бикарбоната и карбоната калия. Ошис З., Леппин Л., Изв. АН ЛатвССР, 1955, № 7, 119—126 (рез. лат.)

Установлен следующий состав продуктов коррозии (ПК) Fe в р-рах K_2CO_3 (I) и KHCO_3 (II). В 0,01 н. р-рах I: смесь $\text{FeCO}_3 + \alpha\text{-FeO(OH)}$; в более разб. р-рах в состав ПК входит в основном $\gamma\text{-FeO(OH)}$. В р-рах II ПК является $\alpha\text{-FeO(OH)}$ при конц-ии $> 0,01$ н. в более разб. — смесь $\alpha + \gamma\text{-FeO(OH)}$. Сделан вывод о торможении скорости коррозии Fe в карбонатных р-рах вследствие образования отрицательно заряженных колл. частичек FeCO_3 электрофоретич. блокировкой анодных участков. Сообщение XII см. РЖХим, 1955, 36388. А. Ш.

80217. Защита молибдена от окисления. Херзиг, Бланчард (Protecting molybdenum from oxidation. Herzig Alvin J., Blanchard James R.), Metal Progr., 1955, 68, № 4, 109—114 (англ.)

Рассматриваются методы защиты молибдена от окисления, которое особенно быстро происходит при т-рах $> 675^\circ$. Гальванич. покрытия Cr и Cr-Ni-сплавами на изделия сравнительно сложной формы пригодны лишь для т-р не $> 1100^\circ$. Предположительно для изделий простой формы можно будет применить металлич. обкладку, что даст возможность использования Mo при т-рах $> 1000^\circ$. Разрабатываются покрытия сложных составов, наносимые методом напыления, для т-р до 1315° . Эти покрытия обладают меньшей хрупкостью, чем керамич., но они менее пластичны, чем металлич. Наилучшие результаты были получены со сплавами (в %): I. Si 40,55, Cr 55,96, Al 0,44 и Fe 1,40; II. Si 4,01, Cr 12,07, Ni 79,16, B 2,36, Fe 4,13, C 0,46; III. Si 4,33, Cr 15,29, Ni 72,19, B 2,77, Fe 4,41, S 1,02 и IV. Si 3,5, Ni 93,25, B 2,25, C 1,00. Для т-р $> 1315^\circ$ в условиях отсутствия термич. и механич. ударов и высоких механич. напряжений перспективными яв-

ляются керамич. покрытия и покрытия из дисилицида молибдена. И. Л.

80218. Коррозия в напряженном состоянии и релаксация высокоуглеродистой стальной проволоки, применяющейся для предварительно напряженного железобетона. Швир (Stress corrosion and relaxation of high carbon steel wire for prestressed concrete. Schwier Fritz), Wire and Wire Prod., 1955, 30, № 12, 1473—1479, 1519—1521 (англ.)

Исследование стойкости против коррозионного растрескивания и релаксации нескольких марок проволоки, которые изготовлены из высокоуглеродистой нелегированной стали легированной, предназначенной для предварительно напряженного железобетона, показало, что проволока, отпущенная в масле, обладает значительно меньшей стойкостью, чем обычно применяющаяся проволока со снятыми внутренними напряжениями. Основными причинами этого являются наличие высоких напряжений и большой протяженности границ зерен в проволоке, отпущенной в масле. Такую проволоку можно рекомендовать только для условий, в которых коррозионное растрескивание не может происходить. Исследование релаксации после 1000-часового воздействия различных напряжений на проволоке после протяжки и на проволоке, у которой после протяжки были сняты внутренние напряжения, показало, что при напряжениях, не превышающих 70% предела прочности, наилучшие результаты дает проволока со снятыми внутренними напряжениями. Поведение проволоки из высокоуглеродистой стали, легированной Mn (0,8—1,0%) и Si (0,75—0,85%), со снятыми внутренними напряжениями при испытаниях на ползучесть было особенно благоприятным. И. Л.

80219. Способы повышения коррозионноустойчивости прочности стали. Рябченков А. В. В сб.: Повышение долговечности машин. М., Машгиз, 1956, 41—49

Исследование на машине ЦК-2 влияния комбинированных способов повышения коррозионноустойчивости прочности (КУП) стали 45, состоявших из поверхностного упрочнения (наклеп дробью, обкатка роликами и поверхностная закалка с нагревом ВЧ-током) и одного из дополнительных методов: электролитич. хромирование, протекторная защита, анодное покрытие (в качестве коррозионной среды применялся 3%-ный NaCl), показало, что поверхностное упрочнение и последующее электролитич. хромирование резко повышает КУП стали. Этот комбинированный способ имеет большое практич. значение для деталей, подвергающихся в эксплуатации одновременно износу, переменным нагрузкам и коррозии. Zn-протекторы и Zn-покрытия также повышают КУП стали, причем покрытие более эффективно в этом отношении. И. Л.

80220. Коррозионное разрушение сварных соединений нержавеющей стали типа 18-8 по линии сплавления. Медовар Б. И., Лангер Н. А., Автомат. сварка, 1955, № 6, 85—95

Указывается, что в сварных образцах с односторонними автоматными швами без термич. обработки после сварки ножевая коррозия (НК) обнаруживается очень редко; при двусторонних односторонних швах НК, как правило, не поражает основного металла со стороны шва, сваренного во вторую очередь, но может быть обнаружена на границе первого шва. НК, наблюдаемая в некоторых средах (HNO_3 , 10% $\text{H}_2\text{SO}_4 + \text{CuSO}_4$, H_2SO_4) на сталях 1X18H9T, 1X18H11Б и 1X18H12M2T, имеет межкристаллитный характер. В образцах с аустенитными швами НК основного металла сопровождается разрушением рядом лежащего сварного шва. В образцах с аустенитно-ферритными швами такое разрушение металла шва не происходит. НК может развиваться независимо от степени изъятия аустенитной стали. При нагреве стабилизированных сталей до высоких т-р начинается растворение карбидов стабилизирующих компонентов. После быстрого

охлаждения остается аустенитная структура с повышенной концент-цией С на границах зерен. При последующем отпуске на границах зерен происходит распад аустенита, сопровождающийся выпадением карбидов Cr. Высказывается соображение, что неоднородность, заключающаяся в наличии в зернах аустенита ферритных участков дендритной формы, способствует НК. Диффузия С и стабилизирующих элементов из стали в шов также оказывает влияние на появление склонности к НК. Для предотвращения НК авторы рекомендуют повышение содержания стабилизирующих элементов в стали, применение 2-фазовых аустенитно-ферритных сталей со строчечным расположением первичного феррита, применение режимов сварки, при которых околосварочная зона близ рабочего шва не подвергается воздействию опасных т-р при сварке других швов, и стабилизирующий отжиг сварных соединений сталей типа 18-8.

И. Л. 80221. Коррозионная стойкость и механические свойства хромо-никеле-марганцевистых нержавеющей сталей. Льюла, Реншоу (Corrosion resistance and mechanical properties of Cr-Ni-Mn stainless steels. Lula R. A., Renshaw W. G.), Metal Progr., 1956, 69, № 2, 73—77 (англ.)

Исследования свойств хромо-никеле-марганцевистых нержавеющей сталей марок 201 ($C \leq 0,15$, $Mn 5,5-7,5$, $Cr 16-18$, $Ni 3,5-5,5$, $N \leq 0,25\%$) и 202 ($C \leq 0,15$, $Mn 7,5-10,0$, $Cr 17,0-19,0$, $Ni 4,0-6,0$, $N \leq 0,25\%$) показали, что при т-рах прокатки они обладают аустенитной структурой. С повышением в стали содержания Cr необходимо дальнейшее увеличение содержания Ni. При холодной обработке давлением сталь марки 201 легко приобретает высокую механич. прочность, вследствие образования как мартенсита, так и наклепа. Относительное удлинение, ударная вязкость, сопротивление усталости и технологич. свойства сталей 201 и 202 такие же, как и у обычных сталей типа 18-8. Mn не оказывает значительного влияния на стойкость рассматриваемых сталей в кипящей 65%-ной HNO_3 . Для повышения коррозионной стойкости Cr-Mn-Ni-сталей можно увеличить содержание Cr в них до 20%. Увеличение содержания Ni также способствует повышению коррозионной стойкости. По стойкости в CH_3COOH , H_2SO_4 и H_3PO_4 стали марок 201 и 202 не уступают сталям типа 18-8. Mn ухудшает стойкость сталей против язвенной коррозии, напр., в р-рах хлоридов. Рассматриваемые стали, как и стали типа 18-8, подвержены коррозионному растрескиванию. Cr-Mn-Ni-нержавеющие стали менее склонны к межкристаллитной коррозии в результате кратковременного нагрева в зоне опасных т-р, чем стали 18-8. Так, содержание С в Cr-Ni-Mn-сталях может доходить до 0,065%; при этом в упомянутых условиях склонность к межкристаллитной коррозии не наблюдается.

И. Л. 80222. Избирательная коррозия алюминия в алюминиевой бронзе. Шасслер, Наполитан (Dealumination of aluminum bronze. Schussler Mortimer, Napolitan D. S.), Corrosion, 1956, 12, № 3, 25—30 (англ.)

Описан случай избирательного растворения Al из гайки вентиля цилиндра, изготовленной из Al-бронзы и находившейся в контакте с водн. р-ром HF. Лабор. опыты, проводимые в 48%-ной HF с однофазной и двухфазной Al-бронзами с различными относительными содержаниями α - и β -фаз, показали, что только α -бронза является стойкой против избирательного выщелачивания из Al. Изготовление вентиля из α -Al-бронзы и изменение конструкции вентиля таким образом, что необходимость в соединительной гайке отпала, ликвидировали случаи выщелачивания Al из бронзовых вентилях, соприкасавшихся с HF.

И. Л. 80223. Влияние нагартовки и термической обработки на скорость растворения чистого и загрязненного алюминия в растворах кислот и щелочей. Страуманис,

Ван (The effect of cold work and heat treatment on the rate of dissolution of pure and of impure aluminum in acids and bases. Straumanis M. E., Wang Y. N.), Corrosion, 1956, 12, № 4, 39—44 (англ.)

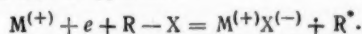
Исследования скорости растворения (CP) Al (99,99%), прокатанного в холодном состоянии и рекристаллизованного при 400—575° в 1 н. HF, показали, что CP отличаются между собой лишь незначительно. Также нет разницы в CP между образцами, вырезанными под различными углами к направлению проката. Аналогичные результаты были получены при испытаниях Al (99,998%) в 0,5 н. $Ba(OH)_2$. Более высокая CP наблюдалась только в случае образцов, обработанных в холодном состоянии под молотом. CP Al, содержащего 1 или 2% Cu, зависит от режима термич. обработки. Если при нагартовке в Al не образуются трещины, то нагартовка, по-видимому, не оказывает влияния на CP Al в р-рах HF и $Ba(OH)_2$.

И. Л. 80224. Исследования в области коррозии металлов. Картледж (Studies in corrosion. Cartledge G. H.), Scient. Amer., 1956, 194, № 5, 35—40 (англ.)

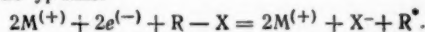
Исследования водородной воды, содержащей пертехнециат калия ($KTeO_4$) в очень малых кол-вах, показали, что последний является активным замедлителем коррозии Fe, превышающий защитные свойства хроматов. Он эффективен при 230° при содержании пертехнециата в кол-ве 0,0005%. Радиоактивность Tc дает возможность использовать его для решения теоретич. вопросов. При защите Fe от коррозии пертехнециатом на поверхности металла выделяется TcO_2 в кол-вах значительно меньших, чем требовалось бы для образования монооксида. Это кол-во не зависит от времени пребывания в р-ре. По мнению автора, механизм замедляющего действия пертехнециата, а также хромата заключается в том, что в ионе пертехнециата (TcO_4^-) некоторые из электронов атома Tc от него отделились и перешли к атомам кислорода, т. е. центр иона оказывается сильно заряженным; будучи адсорбированным на металлич. поверхности, он может притягивать к себе свободные электроны и, таким образом, дезактивировать эту поверхность. Критически рассмотрен взгляд Эванса и Хора, а также взгляд Юлига о механизме замедляющего действия хроматов на коррозию металлов.

И. Л. 80225. Коррозия конструкционных материалов, вызываемая галогенпарафином. Долежал (Korose konstrukčních materiálů halogenparafíny. Doležel B.), Chem. průmysl, 1956, 6, № 4, 167—168 (чеш.)

Опытные данные показали, что хлористые и бромистые производные метана и этана (ГП): метилхлорид, метилбромид, хлороформ, четыреххлористый углерод, трихлорэтилен, четыреххлористый этан разрушают Al и его сплавы. Эти соединения в соприкосновении с Al взрывоопасны. Фтористые производные метана и этана к Al более инертны. Действие ГП на легированные стали 18-8 Cr—Ni, 18-8 Cr—Mo и 18-9 Cr—Ni—Mo незначительно. Ag, Ni, Pb, Sn и Cu при нормальной т-ре достаточно устойчивы к ГП. При т-ре кипения ГП эти металлы нестойки. Низкоуглеродистая сталь, Mg и Zn неустойчивы к ГП. Механизм р-ции металла с ГП теоретически можно объяснить способностью атома углерода ГП легко вступать в р-цию и замещаться другими металлами или элементами. В основном р-ция, в случае поглощения углеродом одного электрона, идет по ур-нию:

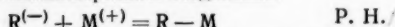


В случае поглощения углеродом двух электронов р-ция идет по ур-нию:



Полученный органич. анион вступает в р-цию с катионом

металла, образуя металлоорганич. соединение:



80226. Изучение коррозии контейнеров для аэрозоля.

Фултон (Corrosion studies on aerosol containers. Fulton R. A.), Soap and Chem. Specialties, 1956, 32, № 2, 163, 165, 193 (англ.)

Рассмотрены причины коррозии (К) контейнеров под действием аэрозолей. Так, сталь корродирует при действии р-ра аэрозоля в CH_3Cl при содержании в нем влаги 0,05%. Содержание в р-ре ДДТ вызывает отщепление из последнего HCl и образование в металле глубоких язв. Органич. фосфористые инсектициды (тетраэтилпирофосфат и паратон) в р-ре CH_3Cl корродирующие действуют на сталь, в особенности при содержании $\text{H}_2\text{O} > 0,05\%$. В ряде случаев К контейнеров ускорялась вследствие разложения NH_4Cl -флюса, применявшегося при пайке. Наличие в дихлордиформатане $> 250\text{--}450 \text{ мг/л}$ H_2O вызывало К верхней части контейнеров. Замена части экстракта пиретрума на ДДТ также усилила К. Отменена К контейнеров, загружаемых в сырую погоду, и отсутствие ее в сухую погоду. Для борьбы с К испытаны лаки и проведено лужение внутренней поверхности контейнеров. Клапаны из Al , стали и латуни защищались никелированием, хромированием. Al подвергался анодированию. Установлено, что во всех случаях поверхность контакта металла с паровой фазой подвергалась сильной К. При хранении контейнеров вентилями книзу К клапанов не наблюдалась; при обратном положении всегда клапаны корродировали. Бронзовые клапаны почти не подвергались К, даже при содержании $> 200 \text{ мг/л}$ H_2O . Al -корпуса клапанов сильно разъедались при $> 140 \text{ мг/л}$ H_2O . Стальные клапаны разъедались при $> 150 \text{ мг/л}$ H_2O . Хорошую защиту стали дает Zn , даже если он переходит в р-р, рН которого при этом повышается до 8,5. Широко применяются лужение контейнеров и (за последнее время) органич. покрытия. Перечислены рекомендуемые методы коррозионных испытаний контейнеров в условиях воздействия аэрозолей. А. М.

80227. Влияние трикрезилфосфата на отложение свинца на свечах авиационных моторов. Максимович, Радакович (Uticaj trietraftilfosfata na taloženje olova na svećice avio-motora. Maksimovič Radakovič, Radakovič Ilinka), Tehnika, 1956, 11, № 3, 421—426 (серб.; рез. франц.)

Указывается, что добавка бромистого и хлористого этила к тетраэтилсвинцу уменьшает отложение Pb на 95% на некоторых деталях бензиновых двигателей. Добавка трикрезилфосфата (I) уменьшает отложение Pb до минимума. Образующийся осадок из соединений с малой электропроводностью легко удаляется с поверхности. Испытания бензина В-95 с I дали лучшие результаты, чем для бензина 100/130. Оптимальная концентрация I соответствует теоретич. эквиваленту 0,2. Однако результаты с теоретич. эквивалентом 0,13 не дают заметной разницы. Для окончательных выводов рекомендуется определить влияние конц-ии I на разные типы моторов, провести опыты по применению различных материалов для улучшения сохранения и уменьшения осадков при употреблении бензина В-67. Т. Ш.

80228. Коррозия некоторых конструкционных материалов для ядерных реакторов. Бегушевский (Korozyja niektórych konstrukcyjnych materiałów reaktorowych. Bieguszeński Z.), Przem. chem., 1956, 12, № 4, 191—194 (польск.)

Рассмотрены вопросы применения графита, Be и Zr при изготовлении ядерных модераторов и рефлекторов. Положительными свойствами графита являются высокая прочность при высоких т-рах, исключительно высокая т-ра плавления и отсутствие структурных изменений под влиянием термич. напряжений. Его недостатки: низкая стойкость против облучения (особенно при низких т-рах), а также низкая коррозионная стой-

кость при высоких т-рах против ряда материалов (O_2 , H_2 , F , H_2O -пар, CO_2). Особый интерес представляет коррозионное действие на графит жидкого Na и K - Na -сплава, которые могут применяться для охлаждения стержня реактора. При $450\text{--}900^\circ \text{C}$ NaC не образуется, но расплав Na вызывает коррозию графита. Для отделения Na от графита рекомендуются ограждения из Zr . Облучение графита в реакторе вызывает изменение его проводимости, параметров пространственной решетки и физ. размеров. Вредное влияние облучения можно уменьшить тепловой обработкой облученного графита. Более пригодным материалом признан Be благодаря низкой активности поглощения термич. нейтронов ($0,009 \text{ барн}$ на 1 атом), высокой активности рассеивания, невысокому уд. весу и достаточной теплопроводности. Недостатки Be : незначительная ковкость, сложность произ-ва, дороговизна, токсичность и плохие коррозионные свойства в ряде реагентов. В ядерной технике могут быть использованы BeO и BeC_2 , которые отличаются хрупкостью, но устойчивы по отношению к термич. напряжениям и обладают хорошими коррозионными свойствами. Для улучшения коррозионных свойств BeC_2 рекомендуется керамич. покрытие, покрытие глазурью или Pt . Достоинствами Zr являются: низкая активность поглощения тепловых нейтронов ($0,18 \text{ барн}$ на 1 атом), высокая т-ра плавления, высокая коррозионная стойкость, а также хорошие механич. и пластич. свойства. Основной недостаток Zr заключается в постепенном снижении механич. прочности и коррозионной стойкости с ростом т-ры. Кроме того, на ядерные свойства Zr вредно влияют примеси Hf , которые следует в процессе произ-ва удалять. Для улучшения коррозионных свойств Zr , содержащего вредные примеси, применяют электролитич. покрытия Fe и Ni . Полезно также термодиффузионное введение таких металлов, как Cu , Mo , Pt , Ag и Ta . Прекрасной коррозионной устойчивостью в большом интервале т-р обладает сплав Zr состава (в %): Sn 1,5, Fe 0,12, Cr 0,1, Ni 0,05, с содержанием меньше $60\text{--}10\text{--}4\%$ азота. В. Л.

80229. Борьба с накипеобразованием и коррозией в установках для отопления и горячего водоснабжения. Ко й-ман (Stein- und Korrosionsbekämpfung in Heizungs- und Warmwasserversorgungsanlagen. K o y e m a n H. E.), Chem. Rundschau, 1956, 9, № 7, 163—165 (нем.)

С целью борьбы с коррозией и накипеобразованием в установках (У) для отопления тепловой водой со стальными радиаторами рекомендуется поддерживать содержание в воде хроматов в пределах 0,2% CrO_3 (в начальный период — 0,6% CrO_3) при $\text{pH} \leq 6,5$. При этом постепенно растворяется и старая накипь. В У горячего водоснабжения с замкнутым циклом рН поддерживается в пределах 8,5—9, при одновременном хим. обескислороживании воды гидразином или Na_2SO_3 при избытке последнего в 10 мг/л SO_2 , а гидразина — 2 мг/л . В У со смешивающим паровым подогревом воды рекомендуется подщелачивание и дозировка Na_2H_4 или Na_2SO_3 . В отопительных У низкого давления следует применять добавку Na_3PO_4 и термич. или хим. дегазацию воды. На крупных У применяют для предотвращения накипеобразования докотовую обработку воды. В У горячего водоснабжения при т-ре воды $< 80\text{--}85^\circ \text{C}$ рекомендуется добавлять к воде 2 г/м^3 полифосфатов при более высокой т-ре и большой продолжительности пребывания воды в системе; дозировку фосфатов удваивают. Для защиты от коррозии в этом случае можно применять ортофосфаты (напр., Na_2HPO_4) и силикаты или оцинкованные стальные трубопроводы. Для защиты стальных трубопроводов рекомендуется обескислороживание воды Na_2SO_3 и гидразином и, в случае надобности, подщелачивание NaOH или фильтрование воды через магнолассу. Связывание кислорода каталитически ускоряется добавкой небольшого кол-ва KMnO_4 . А. М.

80230. Коррозия танкеров. II. Методы борьбы с коррозией. Джапп (Corrosion in tankers. II. Methods of corro-

sion control. Jupp William B.), Shippl. World, 1954, 130, № 3167, 284—285 (англ.)

Сообщение I см. РЖХим, 1954, 44146.

80231. Обобщение данных по коррозии металлов под воздействием сероводорода при высоких температурах.— (Collection and correlation of high temperature hydrogen sulfide corrosion data.—), Corrosion, 1956, 12, № 5, 33—54 (англ.)

Обобщенные выводы спец. комиссии Национальной ассоциации инженеров-коррозионистов США по вопросам коррозии металлов под воздействием H_2S при высоких т-рах сводятся к следующему. Слой сульфида, образующийся на сталях, полупроницаем и поэтому мало замедляет скорость коррозии (СК). Скорость образования сульфида, по-видимому, определяется диффузионными процессами. Основными факторами, влияющими на СК в атмосфере, содержащей H_2S , являются т-ра и парц. давление H_2S . Продолжительность пребывания металла в атмосфере H_2S играет роль лишь в первые дни, когда СК очень велика. По истечении недели СК стабилизируется. Чередующийся нагрев и охлаждение, а также пребывание металла в окислительных и восстановительных условиях крайне вредно для металла. В газовых смесях, в которых основной агрессивной составляющей является H_2S , СК углеродистой и Cr-Mo-сталей одинаковы. Стали с 12% Cr обладают несколько большей стойкостью. Нержавеющие Cr-Ni-стали обладают высокой стойкостью, хотя их стойкость неабсолютна. Очень высокая стойкость в рассматриваемых условиях у Al, Fe-Al-сплавов и у различных покрытий, богатых Al. В большинстве установок по серочистке газ содержит ~ 5% H_2S . Для тех участков серочистки, где требуется повышенная стойкость, обычно применяют нержавеющую сталь типа 18-8. В некоторых случаях требуются стали с более высокой коррозионной стойкостью. В этих случаях использование сталей типа 18-8 предпочтительнее применения сталей с 12% Cr. Al-покрытия на углеродистых и легированных сталях, наносимые различными методами, себя хорошо зарекомендовали.

80232. Коррозия упакованных изделий. Пейн (Corrosion of packaged articles. Paine F. A.), Corros Tech., 1956, 3, № 6, 191—193 (англ.)

При выборе способа упаковки изделий как средства временной защиты при хранении и транспортировке автор рекомендует учитывать следующие 5 факторов: 1) стоимость упаковки не должна превышать стоимости изделий; 2) изделие должно быть освобождено от загрязнений до упаковки; 3) упаковка не должна применяться там, где необходима постоянная защита; 4) следует принимать во внимание склонность изделия к коррозии, климат, продолжительность хранения; 5) упаковочные материалы не должны содержать в-в, обладающих агрессивными свойствами (соли и др.).

80233. Применение новых методов для исследования коррозионных явлений в котельной стали. Ханлон (Modern analytical techniques control corrosion of boiler steel. Hanlon R. T.), Mod. Power and Engng, 1956, 50, № 3, 82—87 (англ.)

Обзор по исследованию отложений в котлах, характера и причин изменений в структуре котельной стали (сфероидизация, обезуглероживание), а также причин разрушений стали (образование закаленной структуры, межкристаллитное окисление при высоких т-рах, шел. хрупкость, усталость). Приводятся общие сведения по влиянию отложившихся солей и железных окислов на теплопередачу, возможность ускорения и замедления коррозии и др.

80234. Коррозия железа под воздействием натрия, загрязненного кислородом. Хорсли (Corrosion of iron by oxygen-contaminated sodium. Horsley G. W.), J. Iron and Steel Inst. (London), 1956, 182, № 1, 43—48 (англ.)

Изучение коррозии Fe, вызванной наличием Na_2O в расплавленном Na при 800°, показало, что для образования значительного кол-ва продуктов коррозии содержания в Na 0,03% O_2 недостаточно. При испытаниях в Na, содержащем 5% O_2 , наблюдалась интенсивная коррозия Fe. При помощи рентгеноструктурного анализа образовавшейся окалины выяснено, что продуктом коррозии, образующимся на Fe, является $(Na_2O)_2 \cdot FeO$, стабильность которого в расплавленном Na зависит от активности кислорода, растворенного в металле. Возможно образование соединений с более высоким содержанием FeO, чем в $(Na_2O)_2 \cdot FeO$, но чем выше содержание FeO в соединении, тем в присутствии расплавленного Na оно менее стабильно.

И. Л.

80235. Исследование влажности обмазок для электродов из аустенитных модифицированных сталей типа 18-8. Джоханнес, Смит, Райнхарт (Coating moisture investigations of austenitic electrodes of the modified 18-8 type. Johannes K. P., Smith D. C., Rinehart W. G. Weld. Res. Council Bull. Ser., 1955, № 21, 18 pp.) (англ.)

Исследование скорости поглощения влаги обмазками для электродов из аустенитных модифицированных сталей типа 18-8 в зависимости от относительной влажности окружающей среды и т-ры показало, что поглощение влаги у различных обмазок разное, что зависит от характера сырья и методов приготовления обмазок. На логарифмич. кривых зависимости поглощенной влаги от времени имеется прямолинейный участок. В результате одночасовой сушки в хорошо вентилируемой печи при 150° обеспечивается удаление влаги в степени, достаточной для получения удовлетворительных результатов сварки. Длительная сушка при меньшей т-ре или сушка при более высокой т-ре может вызвать хрупкость обмазки и образование трещин. Хранение электродов при ~ 20° при относительной влажности ≤ 50% не приводит к избыточному поглощению влаги. По результатам исследования влажности большой разницы между обмазками с содержанием $TiO_2 < 8$ и $> 16\%$ не наблюдается. Опыты по сварке показали, что в случае применения обмазки с большим содержанием TiO_2 пористость в шве образуется при меньшем содержании влаги, чем в случае применения обмазки с меньшим содержанием TiO_2 .

И. Л.

80236. Коррозия легких сплавов. Круликевич (Korozja stopów lekkich. Królikiewicz T.), Wojskowy przegl. lotn., 1956, 10, № 7, 77—81 (польск.)

Обзор.

В. Л.

80237. Коррозия алюминия. Годард (The corrosion behavior of aluminum. Godard Hugh P.), Corrosion, 1955, 11, № 12, 54—64 (англ.)

Рассматриваются общие вопросы коррозии Al и способы защиты его в эксплуатационных условиях. Описаны явления коррозионного растрескивания Al, точечной и межкристаллитной коррозии, подземной коррозии и пр.

Т. И.-К.

80238. Коррозия цветных металлов в теплообменниках и вспомогательном оборудовании. Кемпбелл (The corrosion of non-ferrous metals in heat-exchange systems and ancillary equipment. Campbell Hector S.), J. Instn. Heat. and Ventil. Engrs, 1956, 23, March, 469—475 (англ.)

Рассматриваются коррозии Cu, латуни, Al и оцинкованной стали в условиях воздействия горячей и холодной воды, конденсата, продуктов сгорания и пр., а также условия предотвращения точечной коррозии Cu естественными замедлителями коррозии воды или добавкой к воде химически родственных в-в в кол-ве 1—2 ч. на 1 млн. Указаны оптимальные условия применения оцинкованной стали в водн. системах, условия точечной коррозии Al и оцинкованной стали при наличии в системе Cu-трубопроводов. Рассмотрены вопросы ударной коррозии и при-

входятся данные по средней скорости воды, допустимой для различных металлов.

80239. Выветривание бронз в песчаных почвах. Гейльман (Verwitterung von Bronzen in Sandböden. Geilmann W.), *Angew. Chem.*, 1956, 68, № 6, 201—211 (нем.; рез. англ., франц.)

Исследование процесса растворения бронз различного состава в гумусовых песчаных почвах показало, что конечным продуктом выветривания бронз является более или менее чистая оловянная к-та, содержание которой доходит до 78%. Содержание Си постоянно уменьшалось и в некоторых образцах составляло только десятки процента. Pb, Zn и Ni почти полностью растворялись и, если они обнаруживались, то только в ничтожных кол-вах. Установлено присутствие заметных кол-в окислов Sb и As. Сульфаты находились в небольших кол-вах или совсем отсутствовали. Содержание CO_2 обнаруживало заметные колебания. Исследования показали, что на скорость растворения бронзы в первую очередь, очевидно, влияет содержание в почвенных водах CO_2 и O_2 . Различия в составе одинаковых бронз, находившихся в различных почвах, должно быть отнесено главным образом за счет состава почвенных вод. р-ров.

80240. Стойкость твердых сплавов в газовой среде. Бош (Die Beständigkeit von Hartstoffen gegen Gase. Boos H.-J.), *Metall*, 1956, 10, № 3-4, 130—136 (нем.)

Исследовано поведение SiC, TiC, TiN, ZrC, ZrN, TaC, TaN, Cr_3C_2 , CrN и WC в среде H_2O (пар), CO , CO_2 , HCl (газ), O_2 и N_2 , а также поведение WC в среде H_2 . Подсчитана энтальпия указанных р-ций и приведены графики зависимости ее от т-ры. Рассмотрены условия обезуглероживания, окисления и образования нитридов, а также цементации окислов в присутствии N_2 . Библ. 57 назв.

80241. Очистка металлов. Удаление окалины с поковок. Льюис (Metal cleaning with special reference to the removal of scale from forgings. Lewis K. G.), *Metal Treatm. and Drop. Forging*, 1954, 21, № 107, 377—386 (англ.)

Обзор очистки поверхности металлов механич. методами. Рассматриваются процессы обдужки дробью, обработки абразивными в-вами, зернами риса и ореховой скорлупой. Описано оборудование для обдужки дробью с применением сжатого воздуха или использования центробежной силы. Положительные результаты были получены при применении дробы, изготовленной из термически обработанной и наклепанной проволоки, содержащей 0,6—0,7% С, предел прочности которой равен $\approx 175 \text{ кг/мм}^2$. В результате обдужки дробью достигается, помимо снятия окалины, повышение предела усталости на 5 кг/мм^2 . Жидкостно-абразивную обработку поверхности осуществляют под давлением $\approx 8 \text{ кг/см}^2$. Отмечается целесообразность удаления окалины при помощи гидрида Na. Библ. 27 назв. Предыдущее сообщение см. РЖХим, 1956, 27789.

80242. Обработка поверхности алюминия. Линикс, Крикел (Surface treatment of aluminium. Linicus W., Krickel P.), *Metal. Ind.*, 1956, 88, № 10, 185—187 (англ.)

Обзор применяемых в настоящее время способов обработки поверхности Al. Описаны следующие способы: механич. обработка в барабанах, обработка струей из мельчайших гранул (порошка) Al, глубокое травление, хим. окисление, фосфатирование, обработка в хроматных р-рах, анодирование и последующее наполнение анодных пленок органич. синтетич. в-вами, непрерывное анодирование проволоки, лент, твердое хромирование, окраска, эмалирование, покрытие резиной.

80243. Металлизация в вакууме. Джерлетти (Metallizzazione sotto vuoto. Il Gerletti Marco), *Galvanotecnica*, 1953, 4, № 4, 87—92 (итал.)

Сообщение I см. РЖХим, 1956, 49461.

М. М.

80244. Некоторые замечания о свойствах и применении покрытой электролитически листовой стали. Смит, Тапп (Some aspects of the properties and uses of electrolytically coated sheet steel. Smith F. H., Tapp T. G.), *Sheet Metal Inds*, 1956, 33, № 346, 99—106. Discuss. 106, 113 (англ.)

В машиностроительной пром-сти США широко используется листовая сталь, покрытая электролитически Zn, Sn, Cu, латунью или Ni (блестящим и матовым). Средняя толщина покрытий $\sim 4 \mu$.

80245. Диффузионное силицирование железа и стали. Ордина З. Г., Тр. Ленингр. технол. ин-та пищ. пром-сти, 1955, 12, 290—307

Исследовался процесс силицирования поверхности железа ВИТ и углеродистых сталей марок Ст10, Ст40, У7, У12 в порошкообразных смесях (твердое силицирование) и в среде SiCl_4 (газовое силицирование). На основании проведенных опытов была выбрана силицирующая смесь оптимального состава (в %): FeSi 80, шамота с размером частиц 0,5—1,0 мм, 15 и NH_4Cl 5. Смесь подвергалась предварительному прокаливанию. Т-ра процесса 1000—1200°, продолжительность 6—12 час. При газовом силицировании в качестве источника кремния использовался SiCl_4 , который получался воздействием хлора на FeSi. Скорость процесса силицирования зависит от скорости диффузии Si в металл и от скорости выделения атомов Si на поверхности образца. Установлено, что скорость подачи атомов Si при газовом силицировании наибольшая, так как содержание SiCl_4 в газовой фазе в течение опыта сохраняется постоянным. При этом получается максимально возможная толщина силицированного слоя. Глубина силицированного слоя растет с повышением т-ры и продолжительности силицирования, причем температурный фактор имеет большее влияние, чем фактор времени. Зависимость глубины слоя от т-ры выражается экспоненциальной кривой. Глубина силицированного слоя с увеличением содержания С в стали уменьшается. Микротвердость силицированных слоев на некоторой глубине или остается постоянной, или падает незначительно, а затем это падение принимает более резкий характер (у линии раздела). Изменение микротвердости по толщине слоя имеет прямую связь с изменением конц-ии Si в слое. Силицированные образцы железа ВИТ и Ст10 показали хорошую стойкость против газовой коррозии до 800° и высокую стойкость против коррозии в р-рах HNO_3 и H_2SO_4 при высоких т-рах (до т-ры кипения), что можно объяснить образованием на поверхности образцов защитной пленки SiO_2 .

80246. Коррозия луженых консервных банок. Часть II. Диккинсон (Corrosion of tinplate by foods packed in cans. Part 2. Dickinson D. E.), *Corros. Technol.*, 1955, 2, № 2, 49—51 (англ.)

Рассматриваются вопросы коррозии различными консервированными фруктами луженых консервных банок; влияние следов некоторых примесей, напр. серы; значение защитного лакокрасочного слоя и технологии производства. Часть I см. РЖХим, 1955, 36400.

80247. Защита оцинкованных деталей от коррозии. Холл (La protection des pieces galvanisees. Hall W. L.), *Galvano*, 1955, 24, № 226, 27—28 (франц.)

Обзор методов, применяемых для дополнительной защиты оцинкованных деталей от коррозии.

80248. Применение двух новых алюминиевых покрытий. Смит (Two new aluminium coatings in use. Smith Arthur Q.), *Industr. Gas (USA)*, 1955, 33, № 10, 3—4, 22—23 (англ.)

Первый способ (известный под названием «Alumibond»), применяемый в авиационной и машиностроительной пром-сти для покрытия Al и Al-сплавов чугуна, углеродистых и легированных сталей, в том числе нержавеющей стали, предусматривает образование промежуточного слоя интерметаллич. соединения Al и основного металла. Ребристые цилиндры авиационных моторов воздушного охла-

ждения сначала погружают в расплавленный Al, затем быстро переносят в изложницу, которую заполняют расплавленным Al. Глубина диффузионного слоя при этом $\sim 25-38 \mu$, предел прочности промежуточного слоя $\sim 12 \text{ кг/мм}^2$, сопротивление срезу $\sim 5 \text{ кг/мм}^2$. Промежуточный слой обладает газонепроницаемостью и устойчивостью в условиях воздействия вибрационных нагрузок. Второй способ «Alumicoat» позволяет получить покрытие, защищающее основной металл от коррозии, в особенности в условиях воздействия высоких т-р. Этот процесс применяют для покрытия деталей самолетных реактивных двигателей, судовых котлов и экономайзеров, выхлопных патрубков дизель-моторов, оборудования крекин-г-заводов и др. Толщина образующегося на поверхности изделия слоя чистого Al $15-180 \mu$. Такое покрытие защищает изделия из малоуглеродистой стали при т-рах $> 1038^\circ$.

Е. З.

80249. Исправление к статье «Стали, плакированные никелем или монелем, как материалы для химической промышленности». Брадбери (Errata. Bradbury E. J.), Usine belge, 1954, 31, № 1396, 13 (франц.) К РЖХим, 1956, 11722.

80250. Никелирование без наложения тока. Уэст (Electroless nickel. West Harry J.), Metal Finish. Guidebook-Directory, 1956, 24. Westwood, N. J. Finish. Publ. Inc., 1955, 414-415 (англ.) См. РЖХим, 1954, 38985.

З. С.

80251. Никелирование без наложения тока. Хас (Electroless nickel plating evaluated. Haas Joseph), Amer. Machinist, 1955, 99, № 6, 158-159 (англ.)

80252. Практические способы предупреждения коррозии. — (Practical means of preventing corrosion. —), A. D. A. Inform. Bull., 1955, № 21, 12-17 (англ.)

Рассмотрены различные способы борьбы с коррозией металлов, главным образом Al. К числу этих способов относится нанесение защитных покрытий (битумных, синтетич. смол). В конструкции должно быть предусмотрено отсутствие зазоров, карманов и т.п., в которых может скапливаться влага. Рекомендуется сверление спец. дренажных отверстий в конструкции, придание ей некоторого уклона, способствующего стеканию влаги, усиленная вентиляция. Коррозия металлов при складском хранении может быть сильно уменьшена поддержанием достаточной т-ры, предупреждающей конденсацию. Коррозию Al в замкнутых циркуляционных системах предупреждает или уменьшает добавление фосфатов или хроматов. Для защиты Al-радиаторов охлаждающих систем самолетов-работавших на гликоле или смеси гликоля с водой, применяется NaMBT-меркаптобензотиазол натрия. Эффективно также покрытие Al горячим битумом и различными красками на битуминозной основе. При контакте двух разнородных металлов в конструкции используются прокладки обычно из пластмассы, резины и др. Во многих случаях применяется катодная защита главным образом при помощи гальванич. анодов (Mg и Zn). Защита ряда Al-сплавов осуществляется иногда плакированием. Так, высокопрочный сплав Cu-Al защищается чистым Al. Толщина плакировки обычно бывает равна 5% толщины основного материала для каждой стороны. Плакировка высокопрочных сплавов Al-Zn-Mg, применяющихся в воздушном флоте, осуществляется сплавом Al с 1% Zn. Плакировка все больше используется для сплавов Al-Mn и Al-Mg-Si. На отдельные детали защитные сплавы могут наноситься и методом металлизации. В. П.

80253. Дискуссия по статье Дэйвиса «Угльные аноды, устанавливаемые в каналах электрических кабелей» (Discussion on «Carbon anode installed in electric cable conduit» by Howard L. Davis, Jr.), Corrosion, 1955, 11, № 12, 68 (англ.)

См. РЖХим, 1956, 18123

80254. Коррозия, вызванная охлаждающими жидкостями. Бижон (La corrosion par les fluides de trans-

fert négatif ou refroidisseurs. Bignon J.), Corros. et anticorros., 1956, 4, № 4, 139-145 (франц.)

Рассматриваются способы предохранения от коррозии, вызываемой действием различных охлаждающих составов. Указывается на эффективность применения различных замедлителей коррозии. Даны рекомендации соответствующих замедлителей для каждого случая.

Я. М.

80255. Борьба с коррозией паровозных котлов при их консервации. Сэкимото, Сибанума (休止機関車ボイラの腐食防止. 関本謙吾. 柴沼七郎), 鉄道業務研究資料, Тэцудо гёму кэнкё сирё, J. Railway Engng Res., 1955, 12, № 23, 20-31 (япон.; рез. англ.)

Исследованием в лабор. условиях и непосредственно на котлах некоторых замедлителей коррозии (ЗК) (обычные котельные присадки, смесь $\text{K}_2\text{Cr}_2\text{O}_7$ и Na_2CO_3 , смесь гексаметафосфата натрия и Na_2CO_3 , NaOH, смесь NaOH и Na_2SO_4 и летучий ЗК) выяснено, что обычная котельная присадка в кол-ве 0,3% в открытом сосуде не давала полной защиты от коррозии, а в закрытом защита была полной. При испытаниях на котлах полной защиты не достигалось. При совместном действии $\text{K}_2\text{Cr}_2\text{O}_7$ и Na_2CO_3 при конц-ии каждого из компонентов (0,05%) коррозия имела место, и увеличение конц-ии этих соединений до 0,1% приводило к полному предотвращению коррозии. При недостаточном кол-ве этого ЗК образовывались глубокие язвы. Присадка 0,001% гексаметафосфата натрия при наличии 0,02, 0,04, 0,06% Na_2CO_3 не давала удовлетворительных результатов. Присадка 0,02% NaOH хорошо защищала все участки котла, за исключением тех, которые находятся в контакте с Cu-сплавами. Смесь 0,01% NaOH и 0,05% Na_2SO_4 давала удовлетворительные результаты, и в этом случае при недостаточной конц-ии ЗК имела место язвенная коррозия. Коррозионные испытания при 100% относительной влажности показали положительное влияние летучего ЗК, но защита при этом не была полной. С экономич. и санитарной точек зрения из всех испытанных ЗК для защиты котлов от коррозии при их консервации наилучшие результаты дала NaOH.

И. Л.

80256. Коррозия линий пара и конденсата. Пьерре (Corrosion des circuits de vapeur et d'eau condensée. Pierrey J.), Corros. et anticorros., 1956, 4, № 6, 225-230 (франц.)

Описаны причины и методы борьбы с коррозией коммуникаций паровых линий пара и конденсата паросиловых установок. Вместо полностью устраняющих коррозию смесей летучих алифатич. аминов (моно- и ди-этанол-амин, бензиламина, циклогексиламина) в комбинации с физ. или хим. дегазацией (с помощью катализированного бисульфита натрия) в США и Германии с успехом применяются пленкообразующие замедлители коррозии типа полярных алифатич. аминов с длинной цепью. Водн. р-р аминов вводится в коммуникации дозирующими насосами. На металле образуется мономолекулярная гидрофобная пленка, для устойчивости которой необходим избыток замедлителя порядка $2-10 \text{ г/м}^2$. Поверхность металла свободна от солевых и окисных отложений; теплообмен не уменьшен. Качество обработки ежемесячно проверяется по контрольным образцам.

Т. Ш.

80257. Электрохимическая защита от ржавления. Хебберлинг (Elektrochemischer Rostschutz. Heberling Hans), Wärme-Luft- und Gesundheits-techn., 1956, 8, № 5, 122-123 (нем.)

Описаны два способа предотвращения коррозии — катодная защита и пассивация металла окислителями. Среди последних особенно рекомендован Pb-сурик.

А. Ш.

80258. Исправление к статье «Защита от коррозии литыми магниевыми анодами». Заутнер (Korrosionsschutz durch gegossene Magnesium-anoden. Sautner K.), Z. Vereines dtsh. Ingr, 1954, 96, № 34, 1161 (нем.)

К РЖХим, 1955, 25355.

80259. Защита от коррозии газопроводов. Канфилд (Corrosion control pays off. Canfield T. L.), Amer. Gas. J., 1956, 183, № 3, 11—13 (англ.)

Рассматривается метод защиты газопровода (ГП) наложенным током небольшой величины. Путем определения значений потенциалов на отдельных участках ГП можно установить наиболее опасные зоны, подвергающиеся коррозии, и места утечки газа. Наиболее полная защита от коррозии достигается также дополнительным покрытием ГП и обмоткой ГП прочной бумагой, войлоком или фиброй.

80260. Катодная защита оправдывает свое применение. Уэбстер (Cathodic protection gains acceptance. Webster H. A.), Canad. Gas. J., 1956, 49, № 4, 34—35, 37 (англ.)

Краткие основы электрохим. теории коррозии и катодной защиты. История организации борьбы с коррозией в Америке. Схемы разрушения металла коррозией и устройства катодной защиты. Защита гальванич. анодами и наложенным током. Экономич. данные по катодной защите.

В. П.

80261. Предупреждение коррозии силовых кабелей со свинцовой оболочкой в бетонных туннелях. Перри (Preventing corrosion of lead sheathed power cables in concrete tunnels. Perry R. I.), Corrosion, 1956, 12, № 5, 27—32 (англ.)

Изучение коррозии подземных силовых кабелей в США показало, что кабели, имеющие Pb-оболочку и заключенные в бетонные каналы, подвергались сильной коррозии, особенно в городских условиях, гидроокисью кальция, выделяющейся из бетона, не имевшего достаточного схватывания. Исследованные кабели работали при напряжениях 120—132 000 в. Оболочки кабелей имели потенциал постоянного тока на 0,1—0,2 в отрицательней окружающей земли (вблизи генераторных станций) и на 0,5—1,0 в отрицательней окружающей земли (в более удаленных участках). Оболочки высоковольтных однопроводных кабелей находились под потенциалом переменного тока, который при расчетах был ограничен значениями 17 в. Образцы воды из каналов показали значения pH 10,9—12,2, а содержание гидроокиси кальция и натрия 100—1008 ч. на 1 млн. Для предупреждения коррозии предпринята промывка каналов чистой водой, для удаления воды сильно загрязненной гидроокисью кальция. Описывается применяемый порядок очистки каналов перед укладкой в них кабелей со Pb-оболочкой. Современной практикой является проверка воды из каналов на щелочность. Опыт показал, что коррозия становится опасной для Pb-оболочек кабелей, когда р-ры гидроокиси кальция имеют значения pH от 11,4 и выше. Обычно р-ры, имеющие содержание гидроокиси кальция между 150 и 200 ч. на 1 млн., показывают значения pH ~ 11,4. При помещении в каналы больших высоковольтных кабелей практикуется покрытие их жировым слоем толщиной ~ 1,6 мм.

В. П.

80262. Заключительный отчет по четырем ежегодным обследованиям анодов.— (Final report on four annual anode inspections.—), Corrosion, 1956, 12, № 1, 63—74 (англ.)

Приведены окончательные результаты 4-годового испытания различных заземлений на установках, работавших при наложенном токе, проведенного Комитетом Т-28 Национальной ассоциации коррозионных инженеров США. Применялись угольные, графитовые и стальные аноды как в естественных почвах, так и в спец. углеродистой засыпке. Отмечается, что фактич. потери веса анодов всегда отличались заметно от теоретич. (большей частью меньше теоретич.). Полученные результаты позволили сделать рекомендации по выбору и методам применения анодов. Наилучшие результаты дали графитовые аноды в углеродистой засыпке (коксовая мелочь или коксовая мелочь в смеси с известью). Такие заземления при правильном их проектировании должны дать лучшие резуль-

таты как по технич., так и по экономич. показателям. При этом рекомендуется, чтобы плотность тока на поверхности анодов была не более 10,75 а/м² поверхности. Аноды должны на всей своей длине находиться постоянно во влажной почве. Указывается также, чтобы на площадках, почвы которых содержат заметные кол-ва бромидов или фторидов, преимущественно применялись угольные аноды, а не графитовые. Существует мнение, что площадки с почвами, содержащими существенные кол-ва сульфатов, не должны применяться во избежание ускоренного разрушения анодов. Полевые испытания показали, что засыпка графитовой мелочью, обожженной коксовой мелочью или другим углеродистым материалом, смешанным с гидратированной известью в соотношении 6:1 по весу, создающей щел. р-цию, заметно улучшает работу угольных и графитовых анодов. Спротивление коксовой мелочи не должно быть больше 25 ом см. Материал засыпки должен быть хорошо уплотнен около стержня анода. Толщина засыпки должна равняться по крайней мере диаметру самого анода. Засыпка должна быть на 0,3 м ниже низа анода и на 0,3 м выше верха анода. Поверх засыпки до самой поверхности земли рекомендуется помещать В. П.

80263. Катодная защита внутренней поверхности танков на нефтяных танкерах. Лам, Матайас, Уэйт (Kathodische bescherming van het inwendige van ladingcompartimenten in olietankers. Lamb John, Mathias E. V., Waite Godfrey W.), Schip en Werf, 1955, 22, № 2, 31—37 (голл.)

Предыдущее сообщение см. РЖХим, 1955, 45017.

80264. Заземление положительной полярности необходимого питания постоянным током на системах шахтной тяги. Гибсон (Positive-polarity grounding of direct current supply requirements in mining traction systems. Gibson Sidney A.), Corrosion, 1956, 12, № 3, 37—40 (англ.)

На основании выводов спец. подкомитета TP-12 Национальной ассоциации инженеров-коррозионистов США следует считать, что для устранения опасности электролиза токами утечки (ТУ) на системах шахтной тяги необходимо осуществление отрицательной полярности заземленных систем питания энергией постоянного тока; новые установки должны иметь систему снабжения постоянным током, заземленную отрицательным полюсом. Во всех возможных случаях системы, имеющие положительную полярность заземленного оборудования, должны быть переведены на отрицательную полярность этого оборудования. При исследованиях и наблюдениях, проведенных над троллейным проводом и троллейными изоляторами, установлено, что коррозионное влияние электролиза проявляется в образовании хим. соединений, которые в виде капель падают с потолка на троллей, что связано с образованием сталактитов, которые могут вызвать короткое замыкание троллейного провода. Хим. действие вызывает полное разрушение изолятора, вследствие чего последний не может уже поддерживать троллей. Разрушается также и скальная порода на потолке, соприкасающаяся с поддерживающим болтом. Первоначально ТУ бывают небольшими, возникающими вследствие загрязняющего осадка и наличия влаги на изоляторах, а затем, когда соли отлагаются вследствие электролиза на верхней части держателя контактного провода, они увеличиваются и вызывают усиленное нагревание. Затем начинается образовываться металл. На или К между опорой и скальной породой. Такие металл. элементы при взаимодействии с водой взрывоопасны. Исследования показали, что ТУ в шахтах отвечают потреблению ~ 1100 кат-ч в день. Практически оказалось невозможным полностью предупредить появление ТУ. Это происходит из-за большой гигроскопичности изоляторов, что резко снижает их сопротивление. Отмечается возможность пожарной опасности, возникающей из-за присутствия металл. На или К. П. В.

80265. Катодная защита. Защита подземных кабелей. Госден, Баджетт (Cathodic protection. Protecting buried cables. Gosden J. H., Budgett F. I. A. T.), Electr. Times, 1955, 127, № 3313, 749—755 (англ.)

Общие вопросы по катодной защите на основе электрохим. теории коррозии. Приведены данные по глубине коррозии для Fe и стали, Cu, Pb, Al, Mg и Zn при D_a 1 $\mu\text{a}/\text{cm}^2$ и 1 ma/cm^2 . Рассмотрена техника проведения измерений. При измерениях электрод должен помещаться возможно ближе к поверхности металла. Для характеристики коррозии и условий защиты весьма показательны поляризационные кривые. Указывается, что коррозия кабелей происходит как от характера почвы, так и от воздействия главным образом блуждающих токов. Миним. защитный потенциал Pb в почве должен быть — 550 мВ по медно-сульфатному электроду. Приведены экономич. данные по выбору той или другой системы катодной защиты: гальванич. аноды предпочтительней при малых токах и хорошем изоляционном покрытии и необходимости предупреждения вредного влияния на соседние сооружения, имеется преимущество в экономии расхода тока для большого кол-ва маломощных станций перед немногими станциями большой мощности.

80266. Борьба с коррозией днищ резервуаров методом электрохимической защиты. Вилкова Т. Ф., Уткин В. К., Тр. Всес. н.-и. ин-та по переработке нефти и газа и получению искусств. жидк. топлива, 1956, № 5, 168—177

Лабораторные исследования электрохим. защиты резервуаров в условиях воздействия коррозионной среды (речной песок с добавкой 0,3% NaCl и 0,15% Na_2SO_4) проводились с применением в качестве протектора главным образом Mg-сплава марки МЛ-4 с 6% Al и 3% Zn. Mg-протекторы устанавливались на равных интервалах по окружности днища на расстоянии от края в 50 мм, что было признано оптимальным размещением. Протекторы были установлены также в спец. заполнителе, состоящем из 30% MgSO_4 , 30% CaSO_4 и 40% глины. Соотношение поверхности протектора и поверхности днища составляло 1 : 20, а защитная D значительно превышала необходимую. Катодная защита наложенным током питалась от выпрямителя ИСП-2 с напряжением 4 в и силой тока 0,65 а. Потенциалы по краям днища всегда были более отрицательными, чем в центре. Расстояние анодных заземлителей от днища не играло заметной роли. Один из резервуаров защищался током постоянной плотности в 14 ma/cm^2 , другой при среднем значении потенциала в центре днища приблизительно — 700 мВ по отношению к медно-сульфатному электроду. В результате проведенной работы установлено, что электрохим. методом можно осуществить полную защиту днищ резервуаров от почвенной коррозии; при катодной защите поляризуемость краев днища больше, чем в центре (эта разность поляризации может быть уменьшена путем изменения числа анодов); в песчаной почве с влажностью до 5% полная защита днищ резервуаров достигается при потенциалах более положительных (около — 750 мВ), чем принятая в настоящее время величина в — 850 мВ по отношению к медно-сульфатному электроду. Авторы считают, что сделанные ими выводы необходимо проверить на практике.

80267. О капельном методе определения толщины покрытий. Молдавер Т. И., Баранова А. Б., Завод. лаборатория, 1956, 22, № 5, 613

Капельный метод является одним из методов определения толщины гальванич. покрытия. При этом толщина покрытия вычисляется по ф-ле: $h = (N - 1)k$, где N — число капель, K — коэфф., показывающий толщину слоя в μ , снимаемую одной каплей. Опыты по определению толщины Cu-покрытий показали, что величина капли влияет на результат измерения. Капли наносились из трубок диам. 3,9 и 1,04 мм (вес капель соответственно 0,084 и

0,026 г); во всех опытах для обнажения основного металла потребовалось меньше капель, выпущенных из трубки диам. 3,9 мм. Для повышения воспроизводимости измерений и снижения величины ошибки при капельном методе определения толщины покрытий необходимо пользоваться трубками или пипетками строго одинакового диаметра.

80268. Ускоренные методы исследования непроницаемости защитных покрытий для химической аппаратуры. Фреден, Михалку (Metode expeditive pentru cercetarea impermeabilității acoperirilor protectoare a vaselor utilizate în industria chimică. Frehden O., Mihalcu M.), Rev. chim., 1955, 6, № 2, 107—108 (рум.; рез. русс.)

Краткий обзор методов определения непроницаемости защитных покрытий для хим. аппаратуры. Наиболее подробно описан электрохим. метод, позволяющий обнаружить местонахождение порок в покрытии.

80269. Бетатрон с энергией 15 МэВ для испытания материалов без разрушения. Шиттенхельм (Ein 15-MeV-Betatron für zerstörungsfreie Werkstoffprüfung III. Die Gesamtanlage und ihre Leistung. Schittenhelm R.), Arch. techn. Messen., 1955, № 239, 275—276 (нем.)

Описан бетатрон с энергией 15 МэВ, отличающийся малогабаритностью, небольшим весом, возможностью подвешивания в любом положении с помощью крана и гибких кабелей. 1-я установка была разработана лабораторией Сименса в Исследовательском институте Маннесмана и находится в эксплуатации с 1954 г. Излучающее устройство вместе с охлаждающим агрегатом и пневматич. баллоном смонтировано на тележке, которая может подвигаться по рельсам для испытания, напр. сварных швов котлов, работающих под высоким давлением. Чтобы избежать необходимости защиты от излучений, применяется длинный кабель (10 м) с легко разъемными соединениями. Вся установка может перевозиться на грузовике. Приведены данные по времени облучения в зависимости от толщины стали для немецких пленок при диаметре поля облучения 30 см и фокусном расстоянии 75 см.

80270. Коррозия и защита от коррозии. Ред. Тёдт (Korrosion und Korrosionsschutz. Hrsg. Tödt Fritz. Berlin, de Gruyter, 1955, XXXII, 1102, [38] S., 169 DM) (нем.)

80271. Активизация и устранение коррозии металлов. Ковач (Fémek korrózióaktivitása és passzivitása. Kovács Klára. Budapest, Mérnöki Továbbképző Int. előadásorozatából, 1955 (1956), 58 l., 12 ft.) (венг.)

80272. Влияние химического состава железных сплавов на их стационарные потенциалы. Хейс (The effect of composition on the corrosion potential of iron alloys. Hayes John Clifford. Doct. diss., Vanderbilt Univ., 1955), Dissert. Abstrs, 1955, 15, № 11, 2005 (англ.)

Получены кривые потенциал — время для сплавов пяти систем: Fe — Cr, Fe — Ti, Fe — Cr — Ti, Fe — Si, Fe — Ti — Si в 1 н. NaCl. Было изучено также влияние различных методов полировки электродной поверхности на стационарный потенциал. Электроды для измерения потенциалов изготавливались из отожженных при 955° брусков. Потенциалы железных сплавов, определяющиеся в р-ре хлорида, отличаются от их потенциалов в состоянии пассивности. Исследования показали, что в отношении изученных сплавов существует зависимость между хим. составом и потенциалом. По-видимому, для данной системы сплавов существует зависимость между потенциалом сплава и его коррозионной стойкостью. В сплавах систем Fe — Cr и Fe — Cr — Ti с увеличением содержания Cr потенциал повышается. В сплавах систем Fe — Si, Fe — Ti и Fe — Si — Ti с увеличением конц-ии легирующего

элемента потенциал сплава понижается. Повышение значения стационарного потенциала сплава в 1 н. NaCl в данной системе сплавов указывает на увеличение коррозионной стойкости. Полировка водн. суспензией Al_2O_3 приводила к понижению значения потенциала, что говорит о снижении коррозионной стойкости поверхности сплава. В отдельных случаях величина этого понижения доходила до 0,2 в. Предполагается, что причиной такого изменения потенциала является наклеп поверхности. И. Л.

80273 П. Коррозионностойкие медные сплавы. Та-вара, Иноки (耐蝕銅合金. 依信次, 猪木四郎), Япон. пат. 8156, 11.12.54

Патентуется коррозионностойкий медный сплав, содержащий (в %): Cu 83—90, Ni 0,2—1,5 и Zn—остальное. Сплав имеет желто-золотой цвет. При содержании Ni < 0,2% коррозионная стойкость будет плохой, при содержании > 1,5% теряться золотой блеск. Изделие, изготовленное из этого сплава, долго сохраняет блеск и не поддается коррозии в водных парах. Так как сплав является однофазным, то он не подвержен электрохим. коррозии. При сравнении данного сплава с другими подобными сплавами, известными под названием «новое золото» состава (в %): Cu 84,78, Ni 0,0 Zn 15,22 и Cu 85,43, Ni 0,07, Zn 14,50, оказалось, что все сплавы при погружении на 22 часа в 0,1%-ный р-р молочной к-ты теряют блеск, однако патентуемый сплав очень мало изменяет цвет; при погружении на 22 часа в 3%-ный р-р мочевины все сплавы не изменяют своего цвета; при погружении на 22 часа в 1%-ный р-р NaCl все сплавы приобретали пепельно-зеленый цвет с красным оттенком. Н. К.

80274 П. Коррозионностойкий медный сплав. Ямагучи, Икэмура, Накамура, Мацуда, Мидзоба (耐蝕性銅合金. 山口秀夫, 池村恭一, 中村壽雄, 松田正美, 溝部義宣), [神鋼金屬工業株式會社, Синко Киндзоку Когё Кабусики Кайся]. Япон. пат. 5603, 6.09.54

Патентуется Cu-сплав, обладающий высокой коррозионной стойкостью, высокой механич. прочностью при сравнительно высоких т-рах и легко обрабатываемый. Состав сплава (в %): Zn 20, Al 2, As 0,03, Cr 0,02, Mg 0,1, Ti 0,15, Cu — остальное. Al образует на поверхности сплава пленку Al_2O_3 , которая предохраняет изделие от коррозии. Увеличение коррозионной стойкости за счет увеличения кол-ва Al в сплаве приводит к уменьшению механич. прочности сплава, поэтому в сплав вводится небольшое кол-во Ti, который образует вместе с Al сложное соединение в пленке Al_2O_3 , обладающее высокой коррозионной стойкостью, и который увеличивает одновременно механич. прочность сплава. As вводится в сплав с целью предупреждения обесцинкования. Средняя величина твердости сплава, отпускаявшегося 30 мин., выведенная из 5 испытаний при различных т-рах, составила, (по Роквеллу, B) 200°—95,3; 300°—95,2; 350°—95,2; 400°—94,3; 450°—87,7; 500°—81,1; 550°—76,5; 600°—70,9; 700°—46,7; 800°—34,3. Н. К.

80275 П. Коррозионностойкие изделия из железных сплавов. Хак, Бер, Веренкемп (Corrosion resistant ferrous products. Hack Carl H., Behr Gustave E., Vahrenkamp George J.) [National Lead Co.]. Канад. пат. 516138, 30.08.55

Патентуемый метод защиты подверженной коррозии металлик. поверхности отличается тем, что, помимо нанесения на поверхность покрытия из Pb или его сплавов с Sn и Sb толщиной 0,005—0,025 мм, изделие погружается в водн. р-р гидрата окиси, сульфата и бихромата щел. металла при 50—95° на срок от 10 сек. до 5 мин. Кол-во каждого из соединений по отношению к общему содержанию твердых в-в в р-ре должно быть ≥ 15 и $\leq 40\%$. Общая конц-ия растворенных в-в 30—120 г/л. После выгрузки изделия из р-ра оно подвергается сушке. После сушки

можно дополнительно нанести пленкообразующее покрытие. И. Л.

80276 П. Способ и состав для обработки алюминия. Спруанс (Method of and composition for coating aluminum. Spruance Frank P.) [American Chemical Paint Co.]. Канад. пат. 513376, 31.05.55

Патентуется способ нанесения защитного слоя на Al и его сплавы. Р-р, применяемый для этой цели, содержит (в г/л): PO_4^{3-} 1,5—300, $Cr_2O_7^{2-}$ 3,5—150 и F—0,75—95. Отношение $Cr_2O_7^{2-}/F^-$ колеблется от 1:0,375 до 1:5,45. рН р-ра 3,2—7,0. Предлагается также добавлять в р-р соединения фосфора, фтора и хрома, дающие при растворении ионы PO_4^{3-} , F^- и $Cr_2O_7^{2-}$. И. Е.

80277 П. Антикоррозионное покрытие стальных труб. (Coating steel tubing-process and apparatus) [General Motors Corp.]. Австрал. пат. 163818, 21.07.55

Патентуется способ нанесения защитного антикоррозионного покрытия на стальные трубы, заключающийся в электрополировке труб в разб. р-ре H_2SO_4 , обработке их флюсом (водн. р-ром $ZnCl_2$) и последующем нанесении покрытия из расплава. Я. Л.

80278 П. Антикоррозионное покрытие стальных изделий. Хаякава, Ивасаки (鉄鋼類に防護皮膜を形成する方法. 早川數馬, 岩崎一布), Япон. пат. 2013, 26.03.55

Поверхность стального изделия перед нанесением антикоррозионного покрытия предварительно промывается р-ром к-ты, а затем покрывается р-ром Al-порошка в жидком масле или в теплой воде. После просушки на слой Al наносится слой густого водн. р-ра буры и $NaNO_3$, и изделие нагревается в печи при 700—800°, при этом бура (при 350—400°) теряет кристаллизационную воду и при дальнейшем повышении т-ры сплавляется и становится бесцветной. $NaNO_3$, плавящийся при 316°, защищает слой Al от окисления, благодаря чему при высокой т-ре на поверхности соприкосновения стали и Al происходит их взаимная диффузия и образуется Fe-Al-сплав. Расплавленная смесь буры и $NaNO_3$ образует стеклообразную пленку, с которой сплавляется часть порошкообразного Al, создавая хорошее сцепление Al-пленки и стеклообразного слоя. Полученное покрытие обладает высокой кислотостойкостью, щелочестойкостью и стойкостью против различного рода солей. При разрушении стеклообразного слоя Al-слой может быть окрашен, и коррозия будет предупреждена. Пример покрытия: в 1 л жидкого масла размешивается 2 кг тонкого Al-порошка. Поверхность стального изделия, промытая р-ром к-ты, покрывается смесью и затем просушивается. После этого изделие покрывается смесью: 1 кг буры, 0,7 кг $NaNO_3$ на 0,5 л воды и помещается примерно на 3 часа в печь с т-рой 750°. В результате получается слой стекла 0,5 мм, слой Al 0,1 мм и слой Fe-Al-сплава 0,05 мм. Н. К.

80279 П. Метод нанесения покрытия из свинца или свинцового сплава на стальную поверхность. Вата (鉄鋼表面に鉛及び鉛合金被覆を形成せしめる方法. 和田次郎), Япон. пат. 608, 4.02.54

На стальную поверхность предварительно наносится подслои из такого металла, который сплавляется как с Fe, так и с Pb. Подслои наносятся из водн. р-ра, содержащего на 1 л воды: 100—500 г $ZnCl_2$, 100—300 г NaCl, 0—20 г солей винной к-ты, 1—100 г $SbCl_3$, 0—20 г квасцов, 15—300 мл конц. HCl. При погружении в этот р-р стали на ее поверхности образуется слой Sb или ее соединения. Перед нанесением подслоя поверхность стали очищается от ржавчины, обезжиривается и обязательно обрабатывается HCl (к-той), после чего промывается водой. Р-р для подслоя хорошо размешивается и нагревается до 60—90°. Время погружения в него 1—3 мин. Приводится типичный р-р (в г): $ZnCl_2$ 150, NaCl 150, $SbCl_3$ 5, виннокислый Na 5, $Al_2(SO_4)_3$ 5, конц. HCl 80 мл, H_2O 1 л.

Т-ра р-ра 90°. Время погружения 3 мин. При этих условиях образуется пленка Sb и ее соединений толщиной 1 м. Изделие погружается в ванну с расплавленным Pb или его сплавом, нагретым до 330—450°. Для предупреждения окисления пленки Pb на нее наносится небольшое кол-во $ZnCl_2$. Толщина слоя Pb достигает 20 м и больше.

80280 П. Метод нанесения тонких сплошных поверхностных слоев благородных металлов. Аувертер (Method for the production of thin continuous surface layers precious metals. Auwärter Max) [Alois Vogt] Пат. США 2719097, 27.09.55

Процесс придания электропроводности диэлектрикам при произ-ве электрич. конденсаторов состоит в нанесении на диэлектрик тонкого сплошного слоя Cu, конденсирующей из паров Cu, испаряемой при высоком вакууме, и последующего осаждения на слой Cu слоя Ag — из паров Ag. При непрерывном поддержании высокого вакуума (при проведении последней операции) образуется тонкий поверхностный слой Ag, не имеющий сцепления со слоем Cu.

80281 П. Одна из операций процесса лужения. Нелсон (Art of tin plating. Nelson John Walter) [Sinclair Refining Co.]. Пат. США 2721149, 18.10.55

Патентуется новая операция в процессе горячего лужения. Сразу после лужения изделие погружается в спец. горячую масляную ванну, содержащую смесь высокомолекулярных микрокристаллич. парафиновых к-т, полученных окислением микрокристаллич. парафиновых углеводородов, содержащих от 34 до 55 атомов C в молекуле. Среди к-т преобладают монокарбоновые к-ты, молекула которых содержит цепочку из 18 и более атомов C. И. Е.

80282 П. Антикоррозионные покрытия черных металлов. Мак-Брайд (Rust inhibitive finishes for ferrous metals. McBride Byron V.) [Westinghouse Electric Corp.]. Пат. США 2725310, 29.11.55

Способ нанесения стойких коррозионных покрытий на черные металлы состоит в обработке поверхности металла кислотными очищающими р-рами (рН 3 и ниже), содержащими в основном H_2PO_4 , реагирующую с окислами Fe. H_2PO_4 берется в избытке из расчета 100 мг свободной H_2PO_4 на 0,1 м² поверхности. Водн. р-р, нанесенный на поверхность, высушивается без удаления H_2PO_4 и покрывается слоем грунтовки толщиной 0,03 мм, состоящей из 100 ч. по объему ингредиентов, образующих смолистую пленку, и 80 — 250 ч. по объему твердого тонкоизмельченного наполнителя, реагирующего с H_2PO_4 . Твердым наполнителем могут служить окиси, гидроокиси, хроматы, основные силикаты и карбонаты металлов: Zn, Pb, Ca, Mg, Mn, Fe, Sb, Cd, Al. Кол-во твердого наполнителя должно быть достаточным для р-ции со всей H_2PO_4 . Грунтовка высушивается и на образовавшуюся плотно приставшую пленку наносится завершающее органич. покрытие.

80283 П. Антикоррозионное покрытие алюминия и его сплавов. Соги (アルミニウム及びその合金の防蝕法, 曾木隆次), 神鋼金属工業株式会社 [Синко Киндзюку Когэ Кабусики Кайся]. Япон. пат. 4610, 26.07.54

Патентуется способ нанесения антикоррозионного покрытия на Al и его сплавы путем погружения их в водн. р-р состава (в г/л): CrO_3 или бихроматы ($K_2Cr_2O_7$ или $Na_2Cr_2O_7$) 1—20, фторид, содержащий в-во, диссоциирующее (KF или NaF) под действием Al 1—20, сульфаминовая к-та 1—20; т-ра р-ра 15—20°; время погружения от 30 сек. до 10 мин. При погружении Al или его сплава в данный р-р под действием ионов бихроматов на их поверхности образуется пленка Al_2O_3 . Одновременно с этим присутствующие в большом кол-ве HF и F⁻ образуют AlF_3 , а вместе с Cr^{6+} они образуют сложные соединения в пленке Al_2O_3 . Под действием HF поверхность пленки становится шероховатой, что способствует проникновению р-ра под пленку и образованию толстой пленки желтого цвета.

Пример: состав р-ра (в г/л): CrO_3 2,5, NaF 2,5, сульфаминовая к-та 2,5; т-ра р-ра 20°; время 30 сек.

80284 П. Метод обработки поверхности оцинкованных изделий. Кояма, Кояма (亜鉛メッキ製品の表面処理法. 小川喜代一, 小山明) [日本電気株式会社. [Нихон Дэнки Кабусики Кайся]. Япон. пат. 5609, 6.09.54

Для обработки поверхности оцинкованных изделий используются два р-ра. I р-р состоит из H_2CrO_4 и H_2SO_4 и добавленной к ним HNO_3 . При погружении изделия в этот р-р на его поверхности образуется пленка с металлич. блеском. В случае образования на поверхности окрашенной пленки, что может быть вызвано истощением р-ра, изделие погружается во II р-р, состоящий из бихромата и H_2SO_4 , который восстанавливает металлич. блеск. Блеск поверхности придается HNO_3 , однако, если ее конц-ия в р-ре превысит 80 г/л при 250 г CrO_3 , то пленка может исчезнуть и Zn начнет растворяться. Добавлением небольшого кол-ва H_2SO_4 улучшаются полирующие свойства HNO_3 . Состав I р-ра CrO_3 80—250 г/л, H_2SO_4 1—15 мл (или 1—50 сульфатов NH₄, Mg, Al, Fe и др.), HNO_3 1—80 мл. Состав II р-ра: на 1 л воды 5—100 г бихромата и 2—50 мл H_2SO_4 . Пример: оцинкованное изделие погружается при 20° на 3—10 сек. в р-р состава: CrO_3 150 г/л, H_2SO_4 5 мл, $(NH_4)_2SO_4$ 10 г/л, HNO_3 30 мл. Если после этой обработки изделие подвергнуть 10-минутной термообработке при 130°, то образовавшаяся на поверхности пленка приобретает большую твердость и будет еще более стойкой против действия химикатов. Одного л I р-ра достаточно для обработки 8 м² поверхности. При дальнейшем использовании этого р-ра на поверхности образуется радужная пленка, для удаления которой и восстановления металлич. блеска изделие погружается на 2—3 сек. в р-р II, состоящий из 20 г/л $K_2Cr_2O_7$ и 20 мл/л H_2SO_4 .

80285 П. Способ нанесения антикоррозионного покрытия на внутреннюю поверхность паровых котлов. Ватанабэ Онага (罐内に防蝕被膜を附着する方法. 渡邊猪之助, 大永幸隆) [社団法人日本ボイラ協会 [Сядан Ходзин Нихон Бойра Кёкай]. Япон. пат. 3955, 3.07.54

Во время промывки котла, после удаления накипи механич. или хим. путем, он наполняется питательной водой, в которую добавляется 0,01—0,1 M $Zn(H_2PO_4)_2 \cdot 2H_2O$ и альгинат натрия в кол-ве 0,325 г на 0,1 M $Zn(H_2PO_4)_2 \cdot 2H_2O$. Т-ра воды в котле поднимается до 70—90° и поддерживается на этом уровне в течение 15 мин.—1 часа до момента прекращения выделения пузырьков со стенок котла. В это время стенки котла покрываются пленкой пепельно-лилового цвета, являющейся продуктом р-ции между Fe и $Zn(H_2PO_4)_2 \cdot 2H_2O$, в которой альгинат натрия играет роль катализатора. Полученная пленка увеличивает коррозионную стойкость поверхности металла в три раза. Предлагаемый р-р очень эффективен при применении в паровозных котлах и его рекомендуется применять при каждой промывке котлов.

80286 П. Составы против ржавления. Ромберг (Rust preventive compositions. Romberg Joseph W.) [Texaco Development Corp.]. Канад. пат. 513529, 7.06.55

Патентуется три состава для предохранения металла от ржавления. 1. Быстросохнущий жидкий состав состоит приблизительно из 40—50 вес. % воскового в-ва, образованного из омыленных к-т окисленного парафина и неслих примесей, ~5 вес. % нефтяного цилиндрического масла в качестве пластификатора и 0,001—0,1 вес. % жидкого диметилсиликона для ускорения сушки нанесенного состава. Состав дает нелипкую пленку. 2. Тот же состав, что и в пункте 1, с той разницей, что в состав воскового в-ва входит масло. 3. То же состав, что и в пункте 1, с той разницей, что восковая часть в-ва образована из свинцово-кальцевых мыл к-т окисленных отходов воска. Кроме того, в состав входит 45—55 вес. % нефти (нафта).

См. также: Теоретич. вопр. 77717, 77720

ПРОЦЕССЫ И ОБОРУДОВАНИЕ ХИМИЧЕСКИХ ПРОИЗВОДСТВ

ПРОЦЕССЫ И АППАРАТЫ
ХИМИЧЕСКОЙ ТЕХНОЛОГИИ

80287. Пенный способ взаимодействия газов с жидкостями. Позин М. Е., Мухленов И. П., Тумаркина Е. С., Тарат Э. Я. (Pianowy reizm reagowania gazów z cieczami. Pozin M. E., Muchlenow I. P., Tumarkina E. S., Tarat E. J.), Nafta (Polska), 1956, 12, № 5, 135—138 (польск.) Перевод. См. РЖХим, 1954, 51001.

80288. Механизм установившегося процесса вытеснения однофазной жидкостью из пористой среды. Розенберг (Mechanics of steady state single-phase fluid displacement from porous media. Rosenberg D. U. von), A. I. Ch. E. Journal, 1956, 2, № 1, 55—58 (англ.) Исследован процесс вытеснения однофазной жидкостью, насыщающей пористую среду, другой жидкостью, обладающей одинаковыми уд. весом и вязкостью и смешивающейся во всех отношениях с первой. Опыты проводились в трех стеклянных колоннах диам. 38 мм и высотой 300, 600 и 1200 мм, заполненных песком при пористости 35—40%. Осуществлялось вытеснение бензола (C₆H₆) этилн-бутиратом (I), вязкость которого на 0,03 ст. выше, чем у C₆H₆; уд. веса обеих жидкостей различаются на 0,001 г/см³. Песок предварительно насыщался C₆H₆, после чего в колонну инжестировался (I) с постоянной скоростью v (0,15; 1,2 и 9 см³/сек); на выходе периодически отбирались пробы жидкостей и устанавливался их состав. Во всех опытах концы выходящей жидкости достигала 0,5 мол. доли в тот момент, когда объем прошедшей вытесняющей жидкости соответствовал объему пор. Длина фронта смешения l , т. е. расстояние, измеренное в направлении потока, где происходит изменение концы вытесняемой жидкости от 0 до 100%, увеличивается с возрастанием v : так, при увеличении v в 6 раз значение l удваивается. Опытные данные хорошо согласуются с результатами, полученными из ур-ния, описывающего процесс вытеснения в капиллярных каналах и предполагающего отсутствие диффузии в направлении потока. На величину l должны оказывать влияние коэфф. диффузии и геометрич. характеристика пор; в настоящей работе влияние этих факторов не изучалось. Ю. П.

80289. Распределение скоростей и критерий Рейнольдса псевдопластичных жидкостей. Хасэгава, Хираи (擬塑性流体の速度分布とレイノルズ数について. 長谷川猛虎, 平井英二), 化学工学, Кагаку когаку, Chem. Engng (Japan), 1956, 20, № 1, 15—23 (япон.; рез. англ.)

Приводятся результаты опытов по определению перепада давления и средней скорости движения p -ров завяренного крахмала в трубе диам. 12,5 мм. Полученные результаты показывают, что изменение скорости по сечению трубы приблизительно описывается ур-нием $-du/dr = (g_c \tau)^n / \eta_{nc}$, где u — скорость, см/сек; r — радиус, см; g_c — коэфф. пересчета, г-см/Г-сек²; τ — напряжение сдвига на радиусе r , Г/см²; n — константа; η_{nc} — вязкость псевдопластичной жидкости, г/см² сек²ⁿ⁻¹. Получено следующее ур-ние, выражающее связь между n и η_{nc} : $4\bar{u}/(g_c R) = 4g_c^{-1} \tau_w^n / (n+3) \eta_{nc}$, где R — радиус трубы, см; \bar{u} — средняя скорость, см/сек, и τ_w — напряжение сдвига у стенки трубы, Г/см². Критерий Рейнольдса Re_{nc} определяется ур-нием:

$$Re_{nc} = 8D^{1/n} u^{(2-1/n)} \cdot \rho / [2(n+3) \eta_{nc}]^{1/n},$$

где $D = 2R$ и ρ — уд. вес, г/см³. При обработке опытных данных в виде зависимости коэфф. трения от Re_{nc}

в логарифмич. координатах точки ложатся на прямую линию, совпадающую с прямой для вязких жидкостей. В. К.

80290. Течение кипящей воды через серии отверстий с острыми краями. Монро (Flow of saturated boiler water through knife-edge orifices in series. Monroe E. S., Jr), Trans. ASME, 1956, 78, № 2, 373—376, discuss 376—377 (англ.)

При истечении нагретой жидкости в среду с меньшим давлением происходит самоиспарение, что делает непригодными обычные ф-лы для расчета скорости истечения жидкости через отверстия. Были проведены опыты по определению скорости истечения нагретой до t -ры кипения воды через одно или несколько (до 4) отверстий диам. 6 ÷ 16 мм. Расстояние между отверстиями изменялось от 15 до 143 см, давление на входе от 2 до 10,5 atm и на выходе от 1 до 4,5 atm . На основании обработки опытных данных получено следующее ур-ние: $G = 25300 (P_1 - P_2)^{0,8} (\mu^{1,4} / N^{0,75} (T/1000)^{2,4} \rho^{1,2})$, где $P_1 - P_2$ — перепад давлений, фунт/дюйм²; μ — вязкость, фунт/час. фут; T — абс. t -ра; ρ — плотность жидкости, фунт/фут³; N — число последовательных отверстий и G — весовая скорость, фунт/сек. фут². Это ур-ние справедливо при условии, что давление за отверстием не сильно отличается от атмосферного. Результаты исследования показывают, что наличие в воде небольшого кол-ва твердых частиц, расстояние между отверстиями и тип отверстий не оказывают заметного влияния на скорость истечения. Фактором, определяющим скорость истечения, является самоиспарение. В. К.

80291. Газовые пузыри в жидкостях. Часть II. Подъем газовых пузырей в жидкостях. Зимес (Gasblasen in Flüssigkeiten. Teil II: Der Aufstieg von Gasblasen in Flüssigkeiten. Siemes W.), Chem., Ingr.-Techn., 1954, 26, № 11, 614—630 (нем.)

Проведено исследование по изучению движения пузыря (П) в слое жидкости. Отмечено, что в зависимости от размера П меняется его форма: П с радиусом $r \leq 0,6$ мм имеют форму шара, с $r = 0,6 \div 10$ мм — форму сплюсненного эллипсоида вращения, а при $r \geq 10$ мм — форму шарового сегмента. Для П, имеющих форму эллипсоида, выведено ур-ние, позволяющее определить скорость их подъема: $t(e) \cdot \sigma/r + j(e) \cdot \rho_F \cdot r \cdot g - f(e)^2 \cdot \rho_F U^2/2 = 0$, где σ — коэфф. поверхностного натяжения; r — радиус шара, объем которого равен объему П; ρ_F — плотность жидкости; u — скорость подъема П; e — отношение осей эллипса; g — ускорение силы тяжести. Функции $t(e)$, $j(e)$ и $f(e)^2$ определяются по приведенным графикам. Опытные данные хорошо согласуются с упомянутым ур-нием при $r = 0,66 \div 3,62$ мм. Отмечено, что обновление поверхностных пленок у П зависит от Re . Найдено, что при $Re > 12$ (при обновлении поверхностной пленки) сопротивление при подъеме П (W) будет равно: $W = 4\pi \cdot \rho_F \cdot U c f(e)$, где ρ_F — динамич. вязкость жидкости, c — большая полуось эллипса. Изучались траектории движения П и отмечалось, что при больших скоростях зигзагообразная траектория движения П возникает из-за наличия завихрений. На опытной установке изучалось также движение серии пузырей. Установка представляла полую трубу с диам. 9,2 см и длиной 160 см. Опыты велись на системе вода — воздух при ламинарном и турбулентном режимах движения П. При больших расходах воздуха обнаружена неоднородность распределения воздуха в слое жидкости. Часть I см. РЖХим, 1956, 27877.

В. Р.
80292. Исследование процесса псевдооживления твердых частиц газом. Хасэгава (流動層における流體およ

び固体粒子的流動特性。長谷川猛虎), 金澤大學工學部紀要, Канадзава дайгаку когакубу кийё, Мет. Фас. Technol. Kanazawa Univ., 1955, 1, № 4, 65—72 (япон.; рез. англ.)

Исследован процесс псевдооживления частиц морского песка и угля воздухом в стеклянной колонне диам. 4 см и длиной ~1 м. При обработке опытных данных использован метод построения кривых в координатах коэфф. трения — число Re, аналогичный методу, применяемому при исследовании свободного осаждения. Выведено эксперим. ур-ние: $C_m (Re_m)^{2,02} = 1,1 \cdot 10^{14} (D_p)^{3,03}$, где C_m — модифицированный коэфф. трения, равный $D_p g e^2 (\rho_s - \rho_a) / (\rho_a u_0^2)$; Re_m — модифицированное число Re, равное $D_p u_0 \rho_a / (\mu e)$; здесь: D_p — средний диаметр частиц, м; g — ускорение силы тяжести, м/сек²; e — доля пустот в псевдооживленном слое; ρ_s — средний уд. вес частиц, кг/м³; ρ_a — уд. вес воздуха, кг/м³; u_0 — линейная скорость воздуха, отнесенная ко всему сечению колонны, м/сек; μ — вязкость воздуха, кг/м·сек. Найдено, что полученное ур-ние применимо для исследованных другими авторами случаев псевдооживления стеклянных шариков в потоке воздуха или воды. Г. Ф.

80293. Турбулентное движение в цилиндрической трубе. Доу-Го-жень, Сб. науч. работ. Студ. науч. о-во. Ленингр. ин-т ниж. вод. трансп., 1956, № 1, 28—33

Для определения скоростей при турбулентном режиме движения в цилиндрич. трубе найдены ур-ния: $v_x = v_0 [1 - r^2 / (2l_0 + r_0^2)]$ и $v_{cp} = v_0 [1 - r_0/2 (2l + r_0)]$, где v_x — осевая компонента скорости в м/сек на расстоянии x мм от центра сечения, v_0 — скорость в центре трубы в м/сек, v_{cp} — средняя скорость в м/сек, l — шороховатость в мм. Выведенные ур-ния дают хорошее совпадение с опытными данными. З. Х.

80294. Методы визуализации потока. Робертс (Flow visualisation techniques. Roberts A. G.), Monthly Bull. Brit. Coal Utilis. Res. Assoc., 1956, 20, № 5, 189—200 (англ.)

Обзор методов и оборудования для визуализации потоков в моделях и промышленных установках. Библ. 58 назв. З. Х.

80295. Использование газогидравлической аналогии для целей газовой динамики. Броуде Б. Г., Ж. техн. физики, 1956, 26, № 7, 1579—1594

80296. Новые высокоэффективные методы улавливания пыли. Кочаньи, Видьязо (Neue Methoden der Staubabscheidung mit hohem Wirkungsgrad. Kocsanyi L., Vigyazo G.), Energietechnik, 1955, 5, № 6, 257—260 (нем.)

См. РЖХИМ, 1955, 42121.

80297. Очистка и сушка сжатого воздуха. — (Déshydratation et épuration de l'air comprimé.), Ind. franç.-achats et entretien, 1956, 5, № 51, 613, 615, 617 (франц.; рез. англ.)

Описаны схемы для грубой и тонкой очистки сжатого воздуха от механич. примесей и влаги. З. Х.

80298. Автоматическое управление процессом центрифугирования. Ганз С. Н., Тр. Днепропетр. хим.-тех. ин-та, 1955, № 4, 186—190

Дается описание конструкции автомата центрифуги, имеющей ряд конструктивных достоинств: автомат компактен, что достигается применением кривошипно-планетарного редуктора; конструкция автомата дает возможность широко изменять передаточные числа без вмешательства в кинематику, что делает эту конструкцию почти универсальной для процессов центрифугирования. Предлагаемый автомат предназначен для автоматич. управления продолжительностью и чередованием процессов центрифугирования (наполнения, промывки и выгрузки), причем режим центрифугирования данного продукта опреде-

ляется в каждом отдельном случае лабор. исследованиями. Для определения технико-экономической целесообразности данной конструкции приведен расчет к. п. д. планетарной передачи. М. Л.

80299. Лабораторное испытание насоса с целью выявления возможных повреждений. — (Pump lab spots potential trouble.), Chem. Engng., 1956, 63, № 5, 242, 244 (англ.)

Рассмотрены вопросы по выбору насоса и диаметра коммуникаций для различных густых суспензий. З. Х.

80300. Работа цилиндров компрессора без подачи охлаждающей воды в рубашку цилиндра. Галлагер, Эванс (Operation of compressor cylinders without cooling water. Gallagher J. L., Evans E. W.), Pipe Line News, 1955, 27, № 10, 37—39 (англ.)

Описан опыт эксплуатации газовых компрессоров без подачи охлаждающей воды в рубашку цилиндров. Р. Т.

80301. Упрощенные способы расчета нестационарного теплового потока. Гранет, Гулд (Shortcuts for transient heat flow. Granet Irving, Gould Robert M.), Chem. Engng., 1956, 63, № 2, 183—186 (англ.)

Изложены методы графич. определения одномерного температурного поля в плоской пластине в предположении независимости физ. свойств материала пластины от т-ры. На одном примере сопоставляется точность решения при пользовании обычным способом Шмидта и более сложными способами. Э. Н.

80302. Теплопередача в сосуде с мешалкой. Рукенштейн (O teorie pentru coeficientul de transport de căldură într-un vas cu agitator. Ruckenstein E.), Rev. chim., 1956, 7, № 6, 337—338 (рум.; рез. русс., нем.)

Выведено ур-ние для определения коэфф. теплопередачи от жидкости к стенке сосуда с мешалкой: $Nu \sim Re^{0,65-0,7} Pr^{1/6} D / (d^{1/6} V^{1/6})$, где D — диаметр сосуда, d — размах лопастей, V — объем жидкости в сосуде. Первые два множителя правой части соответствуют эмпирич. ф-ле $Nu \sim Re^{2/3} Pr^{1/6}$. Зависимость Nu от комплекса $D / d^{1/6} V^{1/6}$ требует опытной проверки. З. Х.

80303. Исследование теплопередачи в условиях естественной конвекции. Шмидт (Versuche zum Wärmeübergang bei natürlicher Konvektion. Schmidt Ernst), Chem.-Ingr.-Techn., 1956, 28, № 3, 175—180 (нем.; рез. англ., франц.)

Описаны методика проведения опытов и эксперим. установка для определения теплопередачи (Т) при естественной конвекции (ЕК), обусловленной равномерным нагреванием полого шара из меди или латуни, заполненного исследуемой жидкостью, конденсирующимся паром. Опыты проводились с водой, метиловым и бутиловым спиртами и этиленгликолем в шарах диам. 500, 250, 175, 150 и 100 мм при различных значениях температурного перепада, что позволило получить зависимость в очень большом диапазоне изменения критериев Прандтля (Pr) и Грасгофа (Gr). В исследованной области изменения комплекса Pr·Gr от 10^8 до 10^{12} Т при ЕК определяется ур-нием: $Nu = 0,098 (Pr \times Gr)^{0,345}$. Для менее точных расчетов можно использовать приближенное ур-ние для непосредственного определения коэфф. теплоотдачи α . На установке с прозрачными стенками исследовался визуально процесс нагревания и охлаждения жидкости в горизонтально расположенном цилиндре, и приведены теневые фотографии процесса. Описана установка по изучению Т через горизонтальные слои жидкости. Исследовалась Т через слои гептана, воды и глицерина толщиной 1,5—10 мм при температурных перепадах $0,4 \div 30^\circ$. Получена эксперим. зависимость в диапазоне изменения $(Pr \times Gr)$ от 10^2 до 10^6 и даны фотографии процесса Т. При $Pr \times Gr \leq 1700$ ЕК не влияет на теплопроводность слоя жидкости. Перегородки, параллельные направлению теплового потока, при Т через вертикальные воздушные прослойки увеличивают кол-во

передаваемого тепла; наиболее целесообразно размещать перегородки на расстоянии, равном толщине воздушного слоя; при дальнейшем сближении перегородок T снова уменьшается.

Э. Н. 80304. Теплоотдача и падение напора при ламинарном и турбулентном движении смесей масла и воздуха в горизонтальной трубе. Джонсон (Heat transfer and pressure drop for viscous-turbulent flow of oil-air mixtures in a horizontal pipe. Johnson H. A., Trans. ASME, 1955, 77, № 8, 1257—1263, discuss. 1263—1264 (англ.))

Экспериментально определены падение напора Δp и коэффициент теплоотдачи α при движении двухфазного потока (масло — воздух) в медной горизонтальной трубе, обогреваемой снаружи паром; аппаратура и методика эксперимента описаны ранее (Johnson H. A., Abou-Sade A. H., Trans. ASME, 1952, 74, 977—987). Опытные данные обрабатывались по ур-нию Локкарта и Мартинелли (Lockhart R. W., Martinelli R. S., Chem. Engng Progr., 1949, 45, 39—48) и показано, что при малых расходах воздуха, когда соотношение между падением напора масла Δp_L и воздуха Δp_G составляет $\sqrt{\Delta p_L / \Delta p_G} > 2$ (при изотермич. и неизотермич. течениях), отклонение опытных данных от вычисленных по ур-ниям увеличивается с возрастанием расхода воздуха и масла; наибольшее отклонение составляет $\pm 50\%$. С повышением давления это отклонение сначала уменьшается, а затем меняет знак. При высоких скоростях воздуха, когда $\sqrt{\Delta p_L / \Delta p_G} < 2$, опытные данные резко отличаются от рассчитанных по ур-нию, которое при этом не отображает закономерностей изменения Δp . Найдено, что при движении двухфазного потока α растет с увеличением расхода масла. При возрастании скорости потока значение α проходит через максимум и затем уменьшается. Повышение давления потока приводит к уменьшению максим. значения α .

А. Р. 80305. Исправление к статье «Испарение жидкости в газе при высокой температуре». Питерских Г. П., Хим. пром-сть, 1955, № 6, 381
К РЖХим, 1956, 27951.

80306. Теплоотдача при поперечном омывании двухфазным потоком нагретой цилиндрической трубы. Алимов Р. З., Ж. техн. физики, 1956, 26, № 6, 1292—1305
Исследована теплоотдача горизонтальных цилиндров (диам 12—40 мм, длина 240—290 мм) при поперечном омывании их потоком воздуха, содержащего мельчайшие капли воды. Средний диаметр капель $d = 130 \pm 200 \mu$, расход воды $G = 12 \pm 1200 \text{ кг/час}$ m^3 сечения потока воздуха; скорость двухфазного потока была невелика, значение Re составляло 300—5000. Показано, что в зависимости от т-ры поверхности цилиндра существует два различных режима обтекания и теплообмена: пленочный и сухой. Пленочный режим, который имеет место при т-рах поверхности, незначительно превышающих т-ру кипения жидкости или ниже, помимо теплоотдачи к воздуху, сопровождается испарением жидкости с поверхности цилиндра и этот процесс может быть описан ур-нием $Nu_D = 0,32 Re^{0,6} (P_c/P_{г,м})^{0,33}$, где $Nu_D = \beta_p d / k_p$ — диффузионный критерий Нуссельта, β_p и k_p — коэфф. массоотдачи, $\text{кг/см}^2 \text{ час ат}$, и диффузии, $m/\text{час}$; P_c и $P_{г,м}$ — полное давление смеси воздуха и пара и среднее логарифмич. значений давления воздуха у поверхности пленки и в потоке. Пленочный режим отличается высоким суммарным значением коэфф. теплоотдачи α и может быть использован для охлаждения сильно нагреваемых поверхностей. Так, при небольших $Re = 300 \div 5000$ и умеренных расходах воды был получен $\alpha \approx 1700 \text{ ккал/м}^2 \text{ час град}$, т. е. в 30—35 раз больше, чем при обтекании одним воздухом. Найдено, что при этом основная часть тепла ($> 80\%$) отводится лобовой частью цилиндра, поэтому

неполное смачивание тыловой части цилиндра оказывало незначительное влияние на средний коэфф. массоотдачи с поверхности пленки. При т-ре выше т-ры кипения орошающей жидкости наблюдается исчезновение жидкостной пленки на поверхности цилиндра, сопровождающееся резким снижением α , которое в этом случае может быть определено по ур-нию $Nu = 0,34 Re^{0,6}$.

А. Р. 80307. Теплообмен при изменении агрегатного состояния одного из теплоносителей. Славичек (Výměna tepla v 1—2 výměniku při změně fáze jedné látky. Slavíček E. M., Chem. listy, 1955, 49, № 8, 1101—1106 (чеш.))

Предложен метод расчета нагревателя, в котором происходит охлаждение и конденсация пара, переохлаждение конденсата в межтрубном пространстве и нагревание жидкости в трубах, образующих две последовательные секции.

М. Р. 80308. Исследование теплоотдачи при кипении бинарных смесей. Чернобыльский И. И., Лукач Ю. Е., Изв. Киевск. политехн. ин-та, 1956, 17, 45—60

Экспериментально исследована теплоотдача при кипении бинарных смесей (этиловый спирт-вода и бензол-толуол) в большом объеме и при вертикальном расположении трубчатой теплоотдающей поверхности. Опыты проводились на окисленных стальных поверхностях при тепловых нагрузках $q = 16\,000 \div 130\,000 \text{ ккал/м}^2 \text{ час}$. Данные опытов, обработанные в координатах «коэфф. теплоотдачи $\alpha - q$ », представлены в логарифмич. анаморфозе и для каждой конц-ии получены и приведены в таблице значения s и n в ур-нии $\alpha = cq^n$. Установлено, что для изученных смесей при всех значениях q величины α располагаются между соответствующими значениями α для чистых компонентов, причем α для смесей не являются аддитивными величинами. Найдено, что для смесей n изменяется в зависимости от состава и имеет миним. значение при такой конц-ии, которой отвечает наибольшее различие составов жидкости и пара. Во всех случаях интенсивность теплоотдачи в конуре была приблизительно на 20% выше, чем при кипении в большом объеме. Величина оптимального пьезометрич. уровня при кипении воды, спирта и их смесей составляет 20—35% от длины кипяtilной трубы, в зависимости от q . Результаты опытов представлены также в трех системах обобщенных критериальных координат: 1) на основании ур-ния В. И. Толубинского (Тр. ИТЭ АН УССР, 1950, № 2 и 1952, № 5) $Nu \cdot Pr^{0,3} = 54 k_p^{0,6}$; 2) на основании ур-ний М. А. Кичигина и Н. Ю. Тобилича (Тр. Киевск. фил. ЦИО, 1950) $Nu = 3,25 \cdot 10^{-4} Re^{0,6} Ga^{0,125} K^{0,7}$ и $Nu = 1,04 \cdot 10^{-4} Re^{0,7} Ga^{0,125} K^{0,7}$; 3) на основании ур-ния Г. Н. Кружилина (Изв. АН СССР, ОТН, 1949, № 5) $Nu = C Pr^{-0,5} K^{0,7} K_u^{1/2}$.

А. Р. 80309. Исследование теплоотдачи к кипящей воде в кольцевом пространстве при умеренных тепловых потоках. Чернобыльский И. И., Тананайко Ю. М., Изв. Киевск. политехн. ин-та, 1956, 17, 61—74

Исследована теплоотдача при кипении воды с умеренными тепловыми нагрузками ($q = 20\,000 \div 110\,000 \text{ ккал/м}^2 \text{ час}$) в кольцевом пространстве с шириной щели $\delta = 1,25 \div 14 \text{ мм}$ на стальной и медной поверхности с внешним и внутренним нагревом. Обогрев водяных трубок производился водяным паром при давл. $P = 1,28 \div 2,46 \text{ атм}$, причем разности т-р менялись от 3 до 16° . Предварительные визуальные наблюдения показали, что уменьшение δ приводит к изменению характера кипения, которое при этом происходит более равномерно, и уменьшению размеров паровых пузырей, причем поток сильно турбулизируется и паросодержание его повышается. Это устраняет местные перегревы жидкости и обуславливает снижение т-ры стенки, а также существенное

повышение коэфф. теплоотдачи α ; так по сравнению с обычной трубой при $\delta = 2,75$ мм α возрастает на 20%, а при $\delta = 1,25$ — на 50%. Установлено, однако, что при малых δ и больших q водосодержание эмульсии в щели внезапно резко уменьшается и α снижается; для воды при $\delta = 1,25$ мм это наступает при $q = 45\,000$ ккал/м² час. Найдено, что расположение щели относительно источника тепла (внутренний или наружный обогрев), а также материал поверхности не оказывают влияния на процесс кипения. Для подсчета α при кипении воды в щели с $\delta < 3$ мм может быть применено видоизмененное ур-ние В. И. Толубинского (Тр. Киевск. политехн. ин-та, Юбилейный сб., 1948) $Nu = 26,4 \cdot K^{0,6} Pr^{-0,3} b^{0,46}$ или видоизмененное ур-ние М. А. Кичигина и Н. Ю. Тобиличевича (Сб. работ Киевск. филиала ЦИНС, 1946—1949, 1951) $Nu = 1,63 \cdot 10^{-4} \cdot Re^{0,6} Ga^{0,125} K_p^{0,7} b^{0,46}$, где $b = (D + d)/(D - d)$ — безразмерный симплекс, представляющий отношение смоченного периметра к эквивалентному диаметру канала, D — внутренний диаметр кипятильной трубки и d — наружный диаметр вставки. А. Р. 80310.

Критеральные зависимости для теплообмена при кипении жидкостей в большом объеме. Сорокин А. Ф., Тр. Моск. энерг. ин-та, 1956, № 24, 30—40

Экспериментально исследован процесс кипения воды и водн. р-ров сахара в большом объеме на горизонтальной латунной трубе. Тепловые нагрузки q менялись от 8000 до 35 000 ккал/м² час, давление P — от 1 до 3 атм и конц-ия сахара — от 0 до 50%. Опытные данные автора, а также данные из других источников использованы для проверки и уточнения ранее предложенных обобщенных критеральных зависимостей. При обработке данных в свете зависимости Кружильни Г. Н. (Изв. АН СССР, Отд. техн. н., 1948, № 7, 967—980; 1949, № 5, 701—712) получено расчетное ур-ние: $Nu = 0,0877 Pr^{-0,5} K_q^{0,7} K^{0,25}$, где $Nu = (\sigma/\gamma')^{0,5} \alpha \lambda^{-1}$, $Pr = \nu/a$, $K_q = r\gamma''q/(AT_n \lambda \gamma')$ и $K = (A \cdot T_n \cdot c/r^2)(\gamma'/\gamma'')^2 (\sigma/\gamma')^{0,5}$. При сопоставлении данных в свете критеральной зависимости Кутеладзе С. С. (Теплопередача при конденсации и кипении. М., Машгиз, 1952) получено расчетное ур-ние: $Nu = 6,25 \cdot 10^{-4} \cdot Pr^{0,2} Re^{0,7} K_p^{0,8}$, где $K_p = p \cdot 10^3 (\sigma\gamma')^{-0,5}$ и

$Re = [q/(r \cdot \gamma' \cdot \nu)] (\sigma/\gamma')^{0,5}$. Найдено также, что процесс кипения в большом объеме удовлетворительно описывается критеральной зависимостью, предложенной Кичигиным М. А. и Тобиличевичем Н. Ю. (Сб. работ Киевск. филиала ЦИНС, 1946—1949). При обработке опытных данных в свете этой зависимости получено третье расчетное ур-ние: $Nu = 4,9 \cdot 10^{-6} Re^{0,7} K_p \cdot Ga^{0,2}$, где $Re = [q/(r \cdot \gamma' \cdot a)] (\sigma/\gamma')^{0,5}$ и $Ga = (g/\nu^2) (\sigma/\gamma')^{1,5}$. Сопоставление полученных ур-ний показало, что при расчетах предпочтение следует отдавать первым двум зависимостям. В приведенных выражениях α — коэфф. теплоотдачи при кипении, λ , r , c , ν , σ — теплопроводность, теплота парообразования, теплоемкость, кинематич. вязкость и поверхностное натяжение жидкости, γ' и γ'' — плотности жидкости и пара, a — коэфф. температуропроводности, T_n — т-ра кипения, $g = 9,81$ м/сек² и $A = 1/427$ ккал/кг м. А. Р. 80311.

Теплоотдача к кипящим бинарным смесям. Вейк, Вос, Стрален (Heat transfer to boiling binary liquid mixtures. Wijk W. R. van, Vos A. S., Stralen S. J. D. van), Chem. Engng Sci., 1956, 5, № 2, 68—80 (англ.)

Исследована теплоотдача к смесям воды (I) и метилэтилкетона (II) в области конвективного теплообмена и пузырькового кипения в большом объеме жидкости при атмосферном давлении. Найдено, что в некоторой области конц-ий II максим. тепловая нагрузка q_{\max} , отвечающая кризису пузырькового кипения, имеет значение, намного

превышающее q_{\max} для I, причем при одинаковых q разность между т-рами стенки и жидкости меньше у этих смесей, чем у I. Это же явление обнаружено в некоторых смесях органич. жидкостей (диоксан-метанол, 2-хлорэтанол-диизопропиловый эфир и др.). С увеличением числа углеродных атомов в молекулах спиртов и кетонов наибольшее значение q_{\max} смещается в сторону уменьшения конц-ий этих компонентов. Качественно явление увеличения q_{\max} может быть объяснено тем, что при определенных конц-иях компонентов т-ра точки росы образующегося пара становится равной т-ре окружающей перегретой жидкости; при этом теплоотдача к пузырям прекращается и рост их происходит только за счет диффузии. В этих условиях средний размер пузырьков несколько меньше, чем обычно, и это приводит к увеличению q_{\max} . А. Р.

80312. Теплоотдача от нагретых горизонтальных труб к дихлордифлуорметану. Бейкер (Heat transfer rates from heated horizontal tubes to dichlorodifluoromethane. Baker Merl), Refrig. Engng, 1956, 64, № 1, 35—37 (англ.)

Экспериментально исследована теплоотдача при кипении фреона-12 в горизонтальной трубе; аппаратура и методика исследования детально описаны ранее (РЖХим, 1955, 17929). Опыты проводились в следующем диапазоне изменения параметров процесса: т-ра хладагента $14,4 \div 29,4^\circ$; разность т-р между стенкой и жидкостью $\Delta t = 5 \div 8,9^\circ$; расход жидкости $18 \div 90$ кг/час; тепловая нагрузка $q'' = 7580 \div 22\,600$ ккал/м² час. Полученные данные удовлетворительно отображаются ур-нием: $c_L \Delta t \times r^{-1} = 0,0125 [q'' \cdot \mu_L^{-1} \cdot r^{-1} \{\sigma \cdot g^{-1} (\gamma' - \gamma'')^{-1}\}^{0,5}]^{1,2} \cdot [c_L \times \mu_L \cdot \lambda_L^{-1}]^{1,7}$, где c_L , r , μ_L , λ_L^{-1} , σ и γ' соответственно — теплоемкость, теплота парообразования, вязкость, теплопроводность, поверхностное натяжение и плотность жидкости, γ'' — плотность пара, $g = 9,81$ м/сек². А. Р. 80313.

Теплопроводность внутренней термозоляции аппаратуры высокого давления. Клиг (Die Wärmeübertragung in Innenisolationen von Hochdruckapparaten. Kling G.), Chem.-Ingr.-Techn., 1955, 27, № 8/9, 513—523 (нем.; рез. англ., франц.)

Изложены основные требования, предъявляемые к теплоизоляционным материалам (ТМ), и характеристика некоторых ТМ (асбоцементные, шамотные, диатомитовые, фарфоровые камни, стекловидные и др.). Теплопроводность λ пористых ТМ зависит от размеров, формы и расположения пор. Передача тепла через поры происходит при малых размерах пор главным образом путем чистой λ через газ, а при порах больших размеров также за счет конвективных течений внутри пор. Круглые поры больших размеров хорошо передают тепло, так же как и горизонтальные прослойки газа, параллельные направлению теплового потока. С возрастанием давления газа влияние λ через поры увеличивается, и хороший при нормальном давлении пористый ТМ может оказаться неудовлетворительным при давлениях порядка 600 атм. Приведены зависимости изменения коэфф. λ различных сортов ТМ от давления газа и разности т-р; изучены λ диатомитовых шамотных, фарфоровых и асбоцементных камней в среде N_2 , H_2 и CO_2 при давлении до 1000 атм и т-рах от 50 до 500°. Полученное на основании теории подобия и данных обработки опытов ур-ние, представляющее отношение конвективного коэфф. теплопроводности λ_k ТМ и коэфф. чистой теплопроводности газа λ_0 , позволяет вычислить теплопроводность различных сортов ТМ при любом давлении и т-ре по нескольким эксперим. величинам для более низких давлений одного какого-либо газа. Подчеркивается, что ТМ для высоких давлений должен быть очень мелкопористым, а при переходе к сверхвысоким давлениям целесообразно в качестве ТМ применять гомогенные твердые вещества с низким коэфф. λ . Э. Н.

80314. Предварительная оценка характеристик теплообменника. Ауро, Андреас (Make your heat exchanger design estimates more complete. Auro Michael A., Andres Edward A.), Chem. Engng, 1956, 63, № 3, 208, 210 (англ.)

Составлена номограмма для предварительной оценки основных характеристик кожухотрубных теплообменников, связывающая между собой следующие величины: поверхность теплопередачи (при длине трубок 4,9 и 2,5 м), диаметр трубок (19—38 мм) и их число (10—1000), внутренний диаметр кожуха (0,2—1,2 м). Номограмма учитывает также число последовательных ходов (1, 2, 4, 6, 8) и способ расположения трубок в решетках (шахматное и коридорное).

80315. Данные для расчета термосифонных испарителей. Ли, Дорси Мур, Мейфилд (Design data for thermosiphon reboilers. Lee D. C., Dorsey J. W., Moore G. Z., Mayfield F. Drew), Chem. Engng Progr., 1956, 52, № 4, 160—164 (англ.)

Экспериментально определены общий коэфф. теплопередачи k и тепловые нагрузки q в вертикальных трубчатых испарителях с естественной циркуляцией жидкости (термосифонные испарители). Опыты проводились на одиночной трубке с наружным диам. 25 мм и длиной ~3 м, обогреваемой водяным паром при 17 атм и включенной в циркуляционный контур. Получены данные по кипению воды (при давл. $p = 0,26 \div 9$ атм) и шести органич. жидкостей (при $p = 0,14 \div 12,6$ атм). Найдено, что для всех жидкостей k линейно растет с увеличением общей разности $t - \Delta t$ до некоторого максим. значения, отвечающего наибольшей тепловой нагрузке $q_{\text{макс}}$. С дальнейшим возрастанием q в кипятильной трубке образуются паровые пробки и возникает прерывистое, волнообразное движение жидкости, сопровождающееся падением k . Наибольшие значения $q_{\text{макс}} = 270\,000$ ккал/м² час и $k = 12\,200$ ккал/м² час град получены для воды при 9 атм, наименьшие — $k = 980$ ккал/м² час град — для этилолгола при 0,138 атм. Визуальными наблюдениями установлено, что для устойчивой работы кипятильника необходимо, чтобы q было по крайней мере на 10% ниже $q_{\text{макс}}$. Данные по $q_{\text{макс}}$ и коэфф. теплоотдачи α при кипении представлены графически в виде обобщенной зависимости между комплексами, включающими физ. свойства жидкостей и параметры процесса, с помощью которой могут быть определены $q_{\text{макс}}$ и при заданных условиях работы испарителя.

80316. Применение натрия и натриево-калиевого сплава в качестве теплоносителей. Холл, Крофтс (Use of sodium and sodium-potassium alloy as a heat-transfer medium. Hall W. B., Crofts T. I. M.), Fluid Handling, 1956, № 73, 45—48 (англ.)

Дана характеристика Na и Na-K-сплава как теплоносителей (Т), которые менее агрессивны к металлам, чем Hg и сплав Pb-Bi, дешевле и не ядовиты. Отмечены трудности при использовании этих Т: возможность их окисления внутри контура и опасность воспламенения при соприкосновении с атмосферным воздухом. Описана эксперим. установка со сплавом Na-K, состоящая из 2 контуров, связанных трубчато-канальным теплообменником. Принудительная циркуляция Т осуществляется в каждом контуре отдельным однофазным электромагнитным насосом. Интенсивность теплового потока в трубчато-канальном теплообменнике может достигать 1 кат/см². Термич. напряжения, возникающие при температурном перепаде 250° в стенке трубы толщиной 0,5 мм, имеют порядок 62 кг/мм². Даны основные сведения о примененных конструкционных материалах, технике монтажа, конструкции вентилей, насосов, способах хранения рассматриваемых Т. Измерение уровня жидкого металла осуществляется электроконтактным способом, причем в качестве контактов использовались обычные свечи зажигания, а при более

высоких т-рах цикла успешно применялся указатель уровня с γ -лучами. Высоту столба металла в манометрич. трубках определяли измерением сопротивления их участков или по изменению индуктивности катушки при перемещении вдоль трубки. Уровень в баке измерялся магнитным указателем уровня. Расход металла измерялся соплами или трубой Вентури. Для измерения давления применялись обычные пружинные манометры с трубкой Бурдона, при этом разделительной жидкостью являлось силиконовое масло, а при более высоких т-рах — эвтектика Na—K. Манометры с диафрагмой могут применяться при непосредственном контакте с жидким металлом. Для обеспечения бесперебойной работы установки необходимо удалять образующиеся окислы, что осуществляется в спец. ловушке, через которую непрерывно проходит 1—2% общего потока Т; окислы выпадают вследствие понижения т-ры в ловушке от 250 до 150°.

80317. Вопросы эксплуатации градирен с принудительной циркуляцией воздуха. Часть II. Тоу (Maintenance problems with mechanical-draught cooling towers. Part 2. Tow D. J.), Chem. and Process Engng, 1956, 37, № 1, 8—12 (англ.)

В градирнях с принудительной конвекцией воздуха наиболее целесообразно применять деревянную решетчатую насадку, которая вызывает разбрызгивание воды на мелкие капли. Хордовая насадка, предназначенная для стекания воды в виде пленки, обладает рядом недостатков: наличие в воде масла приводит к неполному смачиванию насадки, она быстрее загрязняется минер. отложениями, малодоступна для осмотра и замены, требует большего расхода дерева. Встречаются три системы распределения воды по сечению градирни. 1. Система сопел с отверстиями, обращенными вверх; сопла устанавливаются на 1,8—2,5 м ниже сепараторов капель, давление на выходе из сопла 0,35—0,4 кг/см²; система обеспечивает равномерное распределение воды в виде мелких капелек, работает надежно и подлежит освидетельствованию через каждые 9—12 месяцев. 2. Система сопел с отверстиями, обращенными вниз; сопла устанавливаются возможно выше, работают при давлении на выходе ~0,1 кг/см², причем вода направляется на спец. разбрызгивающие тарелки; система проверяется через каждые 3—6 месяцев. 3. Система открытого типа с напорным резервуаром, в дне которого выполнены отверстия с направляющими патрубками; под каждым из них расположена разбрызгивающая тарелка; система наименее надежна и требует непрерывного наблюдения, так как весьма склонна к засорению. Бассейн градирни чаще всего выполняется из бетона, иногда покрытого защитным слоем битуминозного материала; деревянные бассейны негерметичны — часть воды всегда теряется; иногда бассейны выполняются из стали. В деревянных бассейнах уровень воды должен быть всегда выше анкерных болтов и плит, так как в противном случае они быстро корродируют. Для привода вала применяются спец. редукторы, которые чаще всего соединяют горизонтальный вал приводного мотора с вертикальным валом вентилятора. Большое внимание уделяется смазке редуктора: ежемесячно проверяется уровень масла в ванне, и если он повышается, то из нижней части ванны берется проба масла; независимо от этого анализ масла производится один раз в каждые три месяца. Ежегодно проверяются подшипники, масляные уплотнения. Лопасти вентиляторов изготавливаются из литой или нержавеющей стали, литого алюминия и по своей конструкции подобны крылу самолета. Ежегодно лопасти тщательно осматриваются для выявления дефектов. Лопасти из углеродистой стали или алюминия покрываются защитным слоем путем металлизации, напр. цинком, а затем окрашиваются. Каждые 3—4 года производится балансировка вентилятора. Приводные моторы — закрытого типа с воздушным охлаждением, двухскоростные. Сделаны некоторые рекомендации по эксплуатации градирен в зимнее время. Часть I см. РЖХим, 1956, 53323.

Ю. П.

80318. Лаборатория для испытания холодильного оборудования. Фаркуар (UL facilities for testing refrigeration equipment. Farquhar W. A.), Industr. Refrig., 1956, 130, № 5, 33—34, 58 (англ.)

Описана лаборатория для испытаний небольших холодильных установок и установок для кондиционирования воздуха. Основной частью лаборатории являются три камеры общей площадью 45 м², в каждой из которых может автоматически поддерживаться заданный режим по т-ре и влажности. Для гидравлич. испытаний аппаратуры используются два насоса, один из которых развивает давление воды до 460 кг/см², а другой — до 1400 кг/см². Имеется спец. дождевальная установка для испытаний электроаппаратуры.

80319. Определение расходных коэффициентов для одноступенчатой абсорбционной холодильной установки (отнесенных к $Q_0 = 100\,000$ ккал/час). Номограмма (Verbrauchszahlen einstufiger Absorptionskälteanlagen (bezogen auf $Q_0 = 100\,000$ kcal/h). Arbeitsblatt, Kältetechnik, 1956, 8, № 5, вкладыш (нем.)

Номограмма для определения расходов греющего пара, охлаждающей воды и энергии перекачивания р-ра в зависимости от т-ры испарения (10—60°) для установки, работающей на водо-аммиачном р-ре.

80320. Характеристики конденсаторов и холодильников, охлаждаемых воздухом. Шулленберг (Betriebsverfahrungen mit luftgekühlten Kondensatoren und Kühlern. Schulenberg F.), Chem.-Ingr. Techn., 1955, 27, № 5, 262—268 (нем.; рез. англ., франц.)

Описаны конструкция и технологич. параметры наиболее распространенных видов охлаждаемых воздухом холодильников (ОВХ) для жидких теплоагентов и конденсаторов (ОВК) для углеводородов (метанола, кротонового альдегида). ОВХ характеризуются простотой конструкции и высокими теплосъемами (до 600 000 ккал/час). При повышении т-ры охлаждающего воздуха (в летнее время) работу ОВК можно улучшить повышением его относительной влажности; это осуществляется распылением воды спец. соплами на входе охлаждающего воздуха в ОВК. Приведены данные об экономичности ОВХ и ОВК для различных охлаждаемых сред и температурных условий в сравнении с холодильниками и конденсаторами, охлаждаемыми водой.

80321. Выбор наиболее экономичной холодильной установки и зависимости между мощностью компрессора и величиной поверхности охлаждения. III. Миллер (Wahl der wirtschaftlichsten Kälteanlage und Zusammenhänge zwischen Kompressorleistung und Kühlflächenengröße. III. Miller Alfred), Brauwelt, 1953, 93, № 45, 572—575 (нем.)

Рассматриваются затраты, определяющие стоимость эксплуатации и экономичность холодильника. Нормальная продолжительность работы холодильника 14—16 час. в сутки; при хранении сухих продуктов она может быть увеличена до 20 час. Длительное время работы установки является в производственном и экономическом отношениях более выгодным, чем короткое. Сообщение II РЖХИм, 1956, 38381.

80322. О применении ангидридов. Бруке (Regard sur les anhydrides. Brouquet J.-P.), Rev. prat. froid, 1956, 12, № 31, 34—38 (франц.)

Рассмотрены возможности более рационального использования CO₂ и SO₂ в качестве хладагентов и указано, что их замена аммиаком и фреоном не всегда обоснована.

80323. Термодинамические свойства карена 7 (азеотропная смесь CCl₂F₂ и CH₃CNF₂). Часть I. Пеннингтон (Part I. Thermodynamic properties of Carrene — 7. An azeotropic mixture of CCl₂F₂ and CH₃CNF₂). Pennington W. A.), World Refrig., 1956, 7, № 5, 255—258 (англ.)

Экспериментально определены термодинамич. свойства нового хладагента, представляющего собой азеотропную смесь CCl₂F₂ и CH₃CNF₂. Установлена зависимость между давлением нас. паров и т-рой по опытным данным в интервале т-р 7—42°.

80324. Таблицы термодинамических свойств воды и водяного пара для давления до 400 атм и температуры до 750° С. Ривкин С. Л., Сирота А. М., Теплоэнергетика, 1956, № 8, 52—54

80325. Применение центробежных компрессоров для сжатия аммиака. Шедд (The centrifugal compression of ammonia. Shedd Harry W.), Industr. Refrig., 1955, 129, № 3, 13—17 (англ.)

Рассмотрены особенности применения центробежных компрессоров для сжатия аммиака в холодильных установках. Приведены сравнительные данные по монтажным и эксплуатационным затратам для компрессорных установок поршневого и центробежного типа.

80326. Тепло- и массопередача в зернистом слое. I. II. Аэров М. Э., Умник Н. Н., Ж. техн. физики, 1956, 26, № 6, 1233—1242; 1243—1250

1. Исследована массопередача при возгонке с поверхности гранул нафталина (Н) в поток воздуха или водорода. Сферич. зерна Н укладывались в один или два ряда в слое засыпки из металлических зерен такого же размера и кол-во сублимировавшего Н определялось взвешиванием. В предварительных опытах определено равновесное парц. давление Н в области т-р 20—34°, и по наклону прямых в системе координат $p-1/T$ теплота возгонки определена равной 129 ккал/кг, что на 10% ниже теплоты возгонки в вакууме. Экспериментально определен коэфф. диффузии D_r паров Н при 25° и давл. 745 мм рт. ст., который оказался равным: для системы Н—воздух 0,02155 м²/час и для системы Н—водород 0,055 м²/час. Результаты опытов по возгонке Н в поток газов представлены графически в системе координат $Nu_D / Sc^{1/4} = Re_s$ и установлено наличие трех областей с различными соотношениями между критериями: а) при $Re_s > 30$ $Nu_D / Sc^{1/4} = 0,395 Re_s^{0,64}$; б) при $Re_s = 30 \div \div 2$ $Nu_D / Sc^{1/4} = 0,725 \cdot Re_s^{0,47}$; в) при $Re_s < 2$ $Nu_D / Sc^{1/4} = 0,515 \cdot Re_s^{0,85}$. В этих выражениях $Nu_D = \beta \cdot P_{иг} \cdot d_s \times \times M / (D_r \cdot \gamma)$ — диффузионный критерий Нуссельта; $Sc = 3600 \mu g / (D_r \cdot \gamma)$ — критерий Шмидта; $Re_s = 4G / (3600 a \times \times \mu \cdot g)$ — критерий Рейнольдса для зернистого слоя; β — коэфф. массопередачи, кг-моль/м²·(кг/м²)·час; $P_{иг}$ — среднее парц. давление инертных газов (воздуха или водорода), кг/м²; d_s — эквивалентный диаметр зернистого слоя, м; M — мол. вес. газовой смеси; μ — вязкость газа, кг сек/м²; $g = 9,81$ м/сек²; γ — уд. вес. газа, кг/м³; a — поверхность зерен на единицу объема слоя, 1/м; G — весовая скорость газа, кг/м²·час.

II. Приведен критич. обзор работ других авторов по тепло- и массопередаче в твердой поверхности. Сопоставление данных по массопередаче в зернистом слое и по теплообмену в шахматно-расположенном поперечно-обтекаемом пучке труб подтвердило общность этих процессов. Показано, что при $Re > 50$ тепло- и массопередача от зернистого слоя и трубочки, а также от отдельного шара и цилиндра в свободном потоке (при тех же значениях Re) приблизительно равны между собой.

80327. Тепло- и массопередача в распылительных сушилках. Маршалл (Heat and mass transfer in spray drying. Marshall W. R., Jr), Trans. ASME, 1955, 77, № 8, 1377—1385 (англ.)

Коэфф. массопередачи k_g и теплопередачи α_c при испарении капли жидкости в потоке газа в распылительной сушилке могут быть подсчитаны по следующим

ур-нием: $k_g = (k_g)_0 \cdot [1 + 0,3Re^{0,5}Sc^{1/3}]$ и $\alpha_c = (\alpha_c)_0 \times [1 + 0,3Re^{0,5}Pr^{1/3}]$, где $(k_g)_0$ и $(\alpha_c)_0$ — коэф. массо- и теплопередачи при отсутствии относительного движения капли и газа; $Re = v_a \cdot x \cdot \rho_a / \mu$; $Sc = D_v \rho_a / \mu$; $Pr = c_p \cdot \mu / \lambda$; c_p , μ , λ и ρ_a — теплоемкость, вязкость, теплопроводность и плотность газовой пленки, окружающей каплю; v_a — относительная скорость между каплей и газом; D_v — коэф. диффузии пара в газовой пленке; x — диаметр капли. Для случая испарения в потоке воздуха ур-ние для α_c упрощается и принимает вид $\alpha_c = (0,028/x) \cdot [1 + 0,27Re^{0,5}]$. Время, необходимое для уменьшения диаметра капли от x_0 до x при отсутствии относительного движения фаз, $\theta = \rho_L \cdot r_s (x_0^2 - x^2) / (8\lambda \cdot \Delta t_m)$, где ρ_L — плотность жидкости, r_s — скрытая теплота парообразования, x_0 — начальный диаметр капли и Δt_m — средняя разность между t -рами воздуха и капли. Детально изложен метод ступенчатого расчета скорости изменения размера капель при наличии относительного движения воздуха и жидкости. Рассмотрены также некоторые особенности испарения капель р-ров твердых в-в.

80328. Упрощенные расчеты равновесия пара и жидкости. Ворвейк (Vapor-liquid values made easy. Voogwijk J. F.), Chem. Engng, 1956, 63, № 5, 201—202 (англ.)

Построена номограмма, позволяющая определять равновесные составы жидкости и пара для бинарных систем, следующих закону Рауля, а также переводить весовые доли в молярные или объемные, а объемные доли в молярные для бинарных систем.

80329. Непрерывная ректификация. I. Основные зависимости. II. Бинарные смеси Коимбра (Retificação continua. I. Relações fundamentais. II. Misturas binárias. Coimbra Alberto L.), Engenharia e quim., 1955, 7, № 6, 1—5; 6—12 (порт.)

I. Приводятся расчеты для непрерывно действующих ректификационных колонн: материальный и тепловой балансы (в упрощенном виде), влияние термич. условий питания колонны и др.

II. Описан графич. метод расчета процесса непрерывной ректификации бинарных смесей с использованием диаграммы Мак-Кэба и Тиле.

80330. Массообмен в процессе пленочной ректификации. Турбулентный поток пара. Малюсов В. А., Умник Н. Н., Жаворонок Н. М., Докл. АН СССР, 1955, 105, № 5, 1057—1059

Исследован процесс пленочной ректификации в колоннах с орошаемой полостью трубкой диам. 6,5; 10 и 22 мм при турбулентном потоке пара. Опыты выполнены со смесями бензол-дихлорэтан, бензол-четырёххлористый углерод, этиловый спирт-вода и n -гептан-толуол. При обработке опытных данных предполагалось, что основное сопротивление массообмену сосредоточено в газовой фазе так же, как и при ламинарном потоке пара (см. РЖХим, 1956, 53338). Установлено, что существенное влияние оказывает диаметр колонны. Опытные данные авторов, а также ряда других исследователей, хорошо отображаются ур-нием: $h_{ог} = 11,1 d^{0,61} Re^{0,23} Pr^{0,6}$, где высота единицы переноса массы $h_{ог} = v d / 4k_r$; v — скорость газа, d — диаметр колонны, k_r — коэф. массопередачи, Re , и Pr критерии Рейнольдса и Прандтля для газовой фазы. Ур-ние рекомендуется для значений $Re_g = 1000 \div 15000$.

80331. О разделении жидких смесей частичной конденсацией их паров. Герман (Über die Zerlegung von Flüssigkeitsgemischen durch teilweise Kondensation

ihrer Dämpfe. Hermann E. R. I. C. H.), Chemiker-Ztg, 1956, 80, № 4, 102—104; № 5, 131—134; № 6, 169—173 (нем.; рез. англ., франц., итал.)

I. В работе дефлегматора (Д) возможны два предельные режима (А и В): А — сопротивление переносу в-ва в паровой фазе отсутствует, содержание легколетучего компонента в ядре потока (X_D) и на поверхности раздела фаз (X_{D_s}) равны; разделительное действие J обусловлено лишь степенью конденсации и формой кривой фазового равновесия. В — $X_{D_s} > X_D$ и состав конденсата на границе раздела фаз (X_{F_s}) равен, в рассматриваемом поперечном сечении X_D . Приведены ур-ния, характеризующие J в режимах А и В, и предложено ур-ние, определяющее J при частичной конденсации в промежуточных режимах: $J = \int_{y_e}^{y_a} dy / (y - x) = \ln(v+1) f(x'_e 3F/C_g)$, где

x , y — равновесные концентрации жидкости и пара, y_e и y_a — молярные доли низкокипящего компонента в парах на входе и выходе из Д, v — степень конденсации, x'_e — наклон кривой равновесия в точке x_e , β — коэф. массопередачи, F — поверхность массопередачи, C_g — кол-во конденсата, образующегося в единицу времени на поверхности F ; для режима А значение $f(x'_e 3F/C_g) = 1$, а для режима В эта функция равна $x'_e 3F/C_g$.

II. Описана установка и приведены результаты опытов по противоточной конденсации смесей ацетон — метанол и этанол — вода в трубках различных длин и диаметров при внешнем охлаждении их водой. В трубках одинакового диам. (23 мм), но разной длины (35—185 см) J приближается к значению, соответствующему режиму А в длинных трубках, и режиму В в коротких. В трубках одинаковой длины (45 см), но разного диам. (6—39 мм) режим А наблюдается в узких трубках (6 мм) при малых тепловых нагрузках, а режим В в широких трубках в области больших тепловых нагрузок. J в сильной степени зависит от отношения длины трубки L_g к ее диаметру d , что иллюстрируется приведенными графиками. В трубке $d = 23$ мм, L_g 35 см проведены опыты на системе этанол — вода при давл. 50—760 мм рт. ст.; изменение давления не влияет на J .

III. Приведены результаты опытов по определению J при частичной конденсации смесей ацетон — метанол в вертикальных, охлаждаемых снаружи трубках ($d = 23$ мм, L_g 35, 105, 145 см) при прямоточном движении пара и пленки конденсата; в этом случае J меньше, чем при противотоке, и составляет 0,78 для трубки $L_g = 35$ см и 0,66—0,67 для трубок $L_g = 105—145$ см от значения J при противотоке. Описаны результаты опытов по испытанию моделей змеевикового конденсатора (с конденсацией на наружной поверхности) и аппарата, в котором конденсация протекала на поверхности трубки Филда, вставившейся внутрь трубки с изолированной наружной поверхностью. Установлено, что конструкция Д и состав смесей существенно влияют на J . Для получения наибольшего J рекомендуется: применение противотока пара и жидкости, перемешивание пара; увеличение L_g/d ; обеспечение равномерной работы поверхности охлаждения; уменьшение тепловой нагрузки.

80332. О влиянии вакуума на ректификацию. Робу (Asupra influenței vidului în fracționare. Robu I. V.), Rev. chim., 1956, 7, № 5, 263—267 (рум.; рез. русск., нем.)

Рассмотрено влияние вакуума на процесс ректификации. Выведено ур-ние, связывающее фактик. число тарелок с абс. давлением и определяющее оптимальное давление.

80333. Новый тип насадки для промышленных ректификационных и абсорбционных колонн. Мак-Вильямс, Прайт, Делл, Джонс (Spraypak: a new industrial distillation and absorption tower packing. McWilliams J. A., Pratt H. R. C., Dell F. R., Jones D. A.), Trans. Instn Chem. Engrs, 1956, 34, № 1, 17—43 (англ.)

Исследованы гидродинамич. характеристики и разделительное действие сетчатой насадки (СН) нового типа для контактных колонн. СН выполняется из однослойной листовой металл. сетки, которая гофрируется и после сборки образует пакет с сотовой структурой, аналогичной описанной в работе Скофилда (Scofield R. C., Chem. Engng. Progr. 1950, 46, 405). Действие СН основано на многократном образовании и слиянии большого числа струй текущей вниз жидкости, которые при этом приходят в тесное соприкосновение с газом. Определение гидродинамич. характеристик СН (распределение жидкости, сопротивление газовому потоку, удерживающая способность, унос жидкости, предельная нагрузка) для различных размеров и модификаций СН производилось в колонне прямоугольного сечения 685×380 мм, выполненной из орг. стекла, при высоте пакета насадки 1200 мм. Условия, отвечающие захлебыванию колонны, с точностью ±10% отображаются в график. форме зависимости $(L/G)(\rho_g/\rho_l)^{1/2} = \varphi[(v_{gf}^2 \cdot \rho_g \cdot S^{0.2} \gamma \times \rho_l^{0.25})/(\rho_l \cdot h)]$, где L, G — весовые скорости жидкости и газа, ρ_g, ρ_l — плотности газа и жидкости, v_{gf} — линейная скорость газа в условиях захлебывания, γ — поверхностное натяжение, S — ширина металл. полосок, ограничивающих отверстия в сетке, p — расстояние между соседними выступами СН, h — высота выступов. Опыты проводились с водой и воздухом. Разделительное действие СН определялось на установке с металл. колонной прямоугольного сечения с теми же размерами при высоте пакета 6 м; производилась ректификация воды с целью получения тяжелой воды, а также ректификация смесей четыреххлористого углерода и бензола. Для наиболее удачной конфигурации СН высота, эквивалентная теоретич. тарелке (ВЭТТ), установлена равной 380 мм в условиях захлебывания и 610 мм при скорости, составляющей 60% критич. Работа СН устойчива как в области нагрузок, лежащих ниже критич. (соответствующей захлебыванию), так и при более высоких нагрузках; в последнем случае несколько возрастает унос жидкости. Пропускная способность СН в 2,5—3 раза выше, чем для наиболее эффективных колпачковых тарелок при расстоянии между ними 450 мм; учитывая значения ВЭТТ, характерные для СН, можно считать, что объем колонны уменьшается вдвое по сравнению с колонной, снабженной колпачковыми тарелками. Это приводит к значительному уменьшению затрат при изготовлении колонн с СН.

Ю. П.

80334. Сопротивление, удерживающая способность и к. п. д. большой колпачковой тарелки. Гарнер, Фрешуотер (Pressure drop, hold-up, and efficiency of a large bubble cap plate. Garner F. H., Freshwater D. C.), Trans. Instn Chem. Engrs, 1955, 33, № 4, 280—288 (англ.)

Изучена гидродинамика колпачковой тарелки диам. 1525 мм. Число колпачков 36 шт., диаметр колпачка 125 мм, число прорезей 20 шт. Опыты проводились с водой и воздухом на установке, описанной ранее (РЖХим, 1954, 4:889). На основании анализа опытных данных установлено, что жидкость на тарелке движется по сложному спиральному пути, постоянно вспениваясь, причем пена отбрасывается в обратном направлении воздухом, выходящим из прорезей в колпачках. Сопротивление колпачка h_f см непрерывно растет с увеличением расхода воздуха G . Однако при увеличении расхода

воды h_f вначале растет, достигая максимума, а затем начинает уменьшаться, что, по-видимому, объясняется возникновением обходных потоков светлой жидкости, не подвергающейся вспениванию. Кол-во воды, образующей пену Q_f , должно рассматриваться как мера длительности контакта газа и жидкости; величина Q_f мало зависит от G в области $G > 28$ м³/мин, но быстро увеличивается с возрастанием расхода воды L . Зависимость к. п. д. E от G типична для колпачковых тарелок: в определенной области значений $28 < G < 84$ м³/мин величина E мало меняется; при дальнейшем уменьшении и увеличении G значение E падает. Зависимость E от L выражена отчетливо и для исследованной тарелки достигает максимума при $L \approx 90$ л/мин.

Ю. П.

80335. Теория молекулярной дистилляции и ее применение. — (Molecular distillation — its theory and uses.), Canad. Chem. Process., 1954, 38, № 10, 29—30, 32, 34, 36 (англ.)

Рассмотрены принцип действия и устройство установок для молекулярной дистилляции с поверхности стекающей пленки и с вращающегося испарителя для разделения триглицеридов, концентрирования витамина А и других произв., а также миниатюрных дистилляторов для аналитич. целей.

А. Р.

80336. Обоснование расчетного уравнения скорости абсорбции окислов азота серной кислотой. Малин К. М., Бухман А. С., Ж. прикл. химии, 1956, 29, № 3, 330—334

При абсорбции окислов азота (I) серной к-той конц-н > 78—79% скорость сорбции I практически не зависит от конц-н к-ты и контролируется сопротивлением газовой пленки, как и в случае физ. абсорбции хорошо растворимых газов; ее следует рассчитывать по ур-нию $N_A = K_G \cdot \Delta P_G$, где ΔP_G — разность парц. давлений I и K_G — коэфф. абсорбции.

А. Р.

80337. Применение адсорбции в технике. Часть 2. Мателл С. Л. (Adsorption as an engineering tool. Part 2. Matell C. L.), Chem. in Canada, 1955, 7, № 6, 60, 62, 66, 68 (англ.)

Обзор по применению адсорбции в пром-сти (очистка воды, приготовление различных медицинских препаратов, очистка природного газа, гиперсорбция и т. д.). Библ. 11 назв. Часть 1 см. РЖХим, 1956, 38404.

Н. К.

80338. Метод расчета гиперсорбционных колонн. Эсаиян (Metoda de calcul a coloanelor de hipersorbție. Esaiyan M. A. R. I. A. N.), Rev. chim., 1956, 7, № 4, 198—205 (рум.; рез. русск., нем.)

Описаны схема и метод расчета гиперсорбционной колонны (К) для разделения газообразных углеводородов в движущемся потоке активированного угля. Расчет гиперсорбционной К идентичен расчету ректификационной К. Часть десорбированного продукта, возвращаемого в К, рассматривается как флегма, а адсорбированная и неадсорбированная фазы — как жидкая и паровая фазы в ректификационной К.

З. Х.

80339. Экстракция в системе жидкость — жидкость. Часть VII. Скорости захлебывания и данные по массопередаче для ротационных кольцевых колонн. Торнтон Прайт. Часть VIII. Экстракция уранилнитрата в колонне со смоченными стенками. Мердок, Прайт (Liquid — liquid extraction. Part VII. Flooding rates and mass transfer data for rotary annular columns. Thornton J. D., Pratt H. R. C. Part VIII. The extraction of uranyl nitrate in a wetted wall column. Murdoch R., Pratt H. R. C.), Trans. Instn Chem. Engrs, 1953, 31, № 4, 289—306, 307—326 (англ.)

VII. Исследованы скорости, соответствующие захлебыванию, и коэфф. массопередачи в ротационно-кольцевых экстракционных колоннах диам. 50,8; 101,6; 152,4 мм, высотой ~ 480 мм (при диам. 50,8 мм) и ~ 900 мм при

кольцевом зазоре между стенкой и ротором от 6,3 мм до ~40 мм. Исследование проводилось для систем вода—растворитель (толуол, сутилацетат, этилацетат, метилизобутилкетон и изоктан). В качестве растворимого в-ва в опытах использовался ацетон. Для случая отсутствия нераспределенного между фазами ацетона выведены уравнения для определения скоростей захлебывания сплошной и дисперсной фаз в функции от «характеристич.» скорости, т. е. средней скорости капель при нулевой скорости потоков. Выведено также уравнение зависимости «характеристич.» скорости от физ. свойств системы, размеров колонны и числа оборотов ротора. При наличии ацетона в фазе р-рителя и переходе растворенного в-ва от р-рителя к воде предельная нагрузка колонны повышается на 200—300%; при переходе же в-ва в обратном направлении эта нагрузка, наоборот, снижается на 10%. Скорость массопередачи определялась для систем толуол—вода—ацетон и бутилацетат—вода—ацетон и выражалась высотой единицы переноса (НТВ). Установлено, что основная часть сопротивления массопередаче для всех исследованных систем приходится на фазу р-рителя. Значения НТВ для сплошной фазы могут быть приняты примерно постоянными величинами. Значения НТВ для дисперсной фазы изменяются с изменением физ. свойств системы, размеров колонны, числа оборотов ротора и направления массопередачи. Указывается на возможность конструирования колонн такого типа любой производительности при условии постановки лабор. опытов для получения некоторых величин по массопередаче для рассматриваемой системы.

VIII. Исследован процесс массопередачи для систем уранилнитрат—вода—р-ритель (метилизобутилкетон или дибутоксиэтиловый эфир). Опыты проводились в стеклянной трубке внутренним диам. 25 мм и высотой 1246 мм. Указывается, что скорость исследованных процессов массопередачи в аппарате пленочного типа определяется скоростью прямой и обратной диффузии экстрагируемого в-ва относительно поверхности раздела фаз (ПР) и сопротивлением на самой ПР, т. е. скоростью гетерогенной хим. р-ции. Найдено, что сопротивления пленочных пленок являются величинами одного порядка, но сопротивление на ПР для метилизобутилкетона составляет 10—35% от общего сопротивления, а для дибутоксиэтилового эфира 5—20%. Относительные значения сопротивления на поверхности раздела фаз возрастают с увеличением скоростей потоков за счет уменьшения диффузионных пленочных сопротивлений. Для исследованных систем, а также на основе данных других исследователей для систем уксусная к-та—метилизобутилкетон—вода и фенол—керосин—вода получено следующее уравнение массопередачи через пленку р-рителя $K_s/V_s = 9,0 (dV_s \rho_s / \mu_s)^{-0,4} [\mu_s / (\rho_s D_s)]^{-1/2}$, где K_s —коэфф. массопередачи для пленки р-рителя, см/сек, V_s —скорость р-рителя, см/сек, d —диаметр трубки, см, ρ_s —плотность, г/см³, μ_s —вязкость, г/см·сек, D_s —коэфф. диффузии, см²/сек. Указывается, что экстрагирование для данной системы сопровождается хемосорбцией. Были подсчитаны значения констант скоростей р-ции, исходя из величин сопротивления на ПР. Часть VI см. РЖХим, 1956, 34788. С. К.

80340. Экстракция из шламов с помощью ионообменных смол. Суинтон, Уэйсс (Extraction from slurries by ion-exchange resins. Swinton E. A., Weiss D. E.), Austral. J. Appl. Sci., 1956, 7, № 1, 98—112 (англ.)

Через ионообменную смолу (ИС), минуя фильтры, пропускали суспензию сернокислого р-ра U_3O_8 (2,5 г/л). Опыты проводили на стеклянной колонке диам. 10 см, высотой 91 см, содержащей слой ИС высотой 84 см. Перемещение суспензии осуществлялось пульсатором (диафраг-

менным насосом с эксцентриком), такой способ перемещения суспензий легко осуществим и приближается к обычно применяемому методу пропускания прозрачного р-ра. Целесообразнее осуществлять последующую регенерацию ИС после прохождения суспензии, исключив фильтры. К. С.

80341. Определение числа идеальных ступеней для сложной экстракционной системы жидкость—жидкость. Питерсон, Бейер (Prediction of ideal-stage requirements in complex liquid-liquid extraction systems. Peterson H. C., Beyer G. H.), A. I. Ch. E. Journal, 1956, 2, № 1, 38—41 (англ.)

Излагается методика построения равновесных и рабочих линий для определения необходимого числа теоретич. ступеней, пригодная для сложных систем с независимым распределением компонентов. Методика иллюстрируется расчетом и эксперим. данными по разделению циркония и гафния в азотнокислой среде с использованием в качестве р-рителя смеси, состоящей из 60% трибутилфосфата и 40% n-гептана. К. С.

80342. Современное состояние теории и практики сушки. Маршалл (The current status of the theory and practice of drying. Marshall W. R.), Chem. in Canada, 1955, 7, № 11, 62, 64, 66, 68, 70, 72 (англ.)

Описаны новые методы сушки: вымораживание и дисперсионная сушка (распылительная, пневматич. и в псевдооживленном слое). Приведены комбинированные схемы сушки. Дан анализ факторов влияющих на скорость распылительной сушки. Приводятся диаграммы для определения времени испарения самых крупных капель. Изучению подлежат важные проблемы: рационального распределения и регулирования скорости потока в прямых сушильках; разработки более совершенных методов расчета периода падающей скорости сушки; влияния массопередачи на теплопередачу (методы расчета); закономерности испарения (изучены только законы испарения единичной капли). Предыдущее сообщение см. РЖХим, 1956, 53346. Н. Б.

80343. Применение перегретых паров в качестве сушильного агента при сушке. Лейн, Стерн (Application of superheated-vapor atmospheres to drying. Lane A. M., Stern Stuart), Mech. Engng, 1956, 78, № 5, 423—426 (англ.)

Сушильные установки, в которых в качестве сушильного агента используется перегретый пар жидкости, извлекаемой из обрабатываемого материала (М), имеют следующие преимущества перед воздушными сушильками: 1) резко снижается расход тепла, так как отработанный пар конденсируется и его тепло практически полностью утилизируется; 2) значительно увеличивается коэфф. теплоотдачи к М ввиду отсутствия газовой пленки на его поверхности, что позволяет уменьшить габариты сушилки; 3) уменьшается объем пропускаемой через М газовой среды, что существенно сокращает унос пыли; усеченная с паром пыль легко фильтруется от конденсата; 4) предотвращается воздействие кислорода воздуха на окисляющиеся М при повышенных т-рах; 5) устраняется опасность взрыва в случае удаления из М органич. паров или пыления горючего М. Приведены две схемы сушилки с перегретым паром: с радиационным нагревом и внешней рециркуляцией. А. Р.

80344. Экономия топлива в сушильных камерах. Джонсон (Fuel economy in stoving operations. Johnson F. D.), Prod. Finish., 1956, 9, № 2, 54—60 (англ.)

Рассмотрены пути экономии топлива в камерах для сушки окрашенных изделий. Описана производственная аппаратура для контроля расхода воздуха. Ю. П.

80345. Механика шаровой мельницы. Неронов Н. П., Зап. Ленингр. горн. ин-та, 1956, 33, № 3, 37—53. Дан критич. анализ существующих теорий расчета мощности шаровой мельницы. Рекомендуется пользоваться методом Левенсона-Кантаровича с поправками автора на

скольжение шаров, их трение во время падения и радиальное давление шаровых слоев один на другой. З. Х.

80346. Хранение и транспортировка сжиженных газов без давления. Прайль (Drucklose Lagerung und Beförderung verflüssigter Gase. Prahle K.), Chem.-Ing.-Techn., 1956, 28, № 1, 56—57 (нем.; рез. англ., франц.) Рассмотрены преимущества хранения и транспортировки газов в охлажденном состоянии без давления в теплоизолированных резервуарах с двойными стенками. Отсутствие давления повышает безопасность их хранения и удешевляет аппаратуру, снижая ее металлоемкость. Дано описание конструкций резервуаров для хранения и перевозки сжиженных хлора и этилена. В. Г.

80347 К. Химическая аппаратура. 18 докладов на избранные темы, прочитанные на информационном совещании в 1951 г. во Франкфурте-на-Майне (Chemisches Apparatewesen. 18 Beiträge über ausgew. Themen, die anläßl. d. Informations-Tagung 1951 in Frankfurt a. M. behandelt wurden in neubearb., erw. Fassung. Weinheim, Verl. Chem., 1955, 200 S., ill., 23.50 DM) (нем.)

80348 К. Основные процессы и аппараты химической технологии [Учебник для хим.-технол. вузов и фак.]. Изд. 6-е. Касаткин А. Г. М., Госхимиздат, 1955, 755 стр., илл., 23 р. 90 к.

80349 Д. Исследование теплоотдачи в псевдооживленном слое. Тренс (Heat transfer studies in gas-solid fluidized beds. Trense Ronald Victor. Doct. diss., Northwestern Univ., 1955), Dissert. Abstrs, 1955, 15, № 10, 1814 (англ.)

Определены коэф. теплоотдачи от нагревателя к слою стеклянных шариков диам. 0,15—1,10 мм, поддерживаемых воздухом в псевдооживленном состоянии. Шарик загрузился в медную трубу диаметром $D_t = 100$ мм слоем 76—457 мм. Нагреватель ($D_h = 32$ мм) длиной 500 мм погружался в псевдооживленный слой аксиально. Весовая скорость воздуха 474—19200 кг/час м². Коэф. теплоотдачи (h) варьировали от 34 до 107 ккал/м² час град. Приведено ур-ние, описывающее опытные данные со средним отклонением $\pm 12\%$: $N_{St} = 0,0178 N_{Re}^{-0,41} \times (L_0 / (D_t - D_h))^{0,5}$, где N_{St} — число Стэнтона ($N_{St} = h / C_p \cdot G_{макс}$), $N_{Re} = D_e G_{макс} / \mu$ — число Рейнольдса, L_0 — длина нагревателя, покрытая покоящимся слоем частиц (не превышает 395 мм), $D_t - D_h$ — гидравлич. диаметр, C_p — теплоемкость газа при постоянном давлении, $G_{макс}$ — весовая скорость газа, отнесенная к среднему свободному сечению слоя, D_e — эквивалентный диаметр системы, μ — вязкость газа. С. З.

80350 Д. Характеристики условий захлебывания пульсационной колонны. Эдуардс (Flooding characteristics of a pulse column. Edwards Robert B. Abstr. doct. diss., Iowa State Coll., 1954), Iowa State Coll. J. Sci., 1956, 30, № 3, 351—352 (англ.)

Изучены условия захлебывания пульсационной колонны (ПК) диам. 25 мм с 10 тарелками, расположенными на расстоянии 50 мм одна от другой и снабженными отверстиями диам. 0,8 мм, которые занимают 25% всего сечения ПК, выполненной из отдельных стеклянных секций, стянутых четырьмя анкерными болтами. Установлено, что захлебывание происходит как при недостаточной интенсивной, так и при слишком интенсивной пульсации. На основании теоретич. соображений выведено ур-ние, определяющее условия захлебывания ПК: $V_r = V_p \cos h(G / (\pi V_p)) - (G / 2) - L$, где V_r — скорость обратного перемешивания в направлении оси ПК, V_p — объемная скорость пульсации (произведение объема жидкости, перемещаемого при одном ходе пульсатора,

и частоты пульсации), G — объемная скорость органич. жидкости (гексана) и L — объемная скорость воды. При $V_r > 0$ наблюдается обратное перемешивание, при $V_r = 0$ наступает начальная стадия захлебывания и при $V_r < 0$ захлебывание определяется недостаточно интенсивной пульсацией. Опытные данные по захлебыванию в последнем случае хорошо согласуются с приведенным ур-нием. Возникновение начальной стадии захлебывания, в соответствии с ур-нием, определяется исключительно переменными, характеризующими рабочие условия процесса, однако ур-ние неприменимо в случае захлебывания при слишком интенсивной пульсации. Ур-ние позволяет также вычислить скорость обратного перемешивания V_r в различных рабочих условиях. Замечено, что эффективность ПК в сильной степени зависит от смачиваемости тарелок; улучшение смачиваемости, достигнутое обработкой тарелок HNO_3 , привело к повышению производительности ПК вдвое. Предложена и осуществлена простая методика определения удерживающей способности ПК: осуществлялись одновременная и полная отсечка питания ПК обеими фазами и прекращение пульсаций, при этом фиксировались условия, существующие в ПК при стационарном режиме. Предложен также относительно простой метод определения условий захлебывания, обусловленного слишком интенсивными пульсациями. Для последующих обобщений необходимо тщательно исследовать влияние смачиваемости тарелок на характеристики ПК. Ю. П.

80351 П. Способ очистки газов от пыли, обладающей высокими изоляционными свойствами. Граве, Шницлер (Verfahren zum elektrischen Abscheiden von hochisolierend wirkenden Stäuben aus Gasen. Grave Georg, Schnitzler Hermann) [Metall. Ges. A.-G.]. Пат. ФРГ 940110, 8.03.56

Патентуется способ очистки газов от пыли, имеющей диэлектрич. постоянную < 5 , с помощью переменного тока высокого напряжения, с частотой колебания < 50 Hz. Между силой тока в электрофилт্রে и частотой колебания наблюдается постоянное соотношение. Сдвиг фаз между током и напряжением составляет $\sim 45^\circ$ (несколько $> 45^\circ$ и $< 90^\circ$). Факторами, улучшающими процесс очистки, являются высокая т-ра газа и добавление к очищаемому газу незначительного кол-ва масляных паров, или другого газа, обладающего высокой электропроводностью. Способ рекомендуется для очистки аэрозолей. Н. Б.

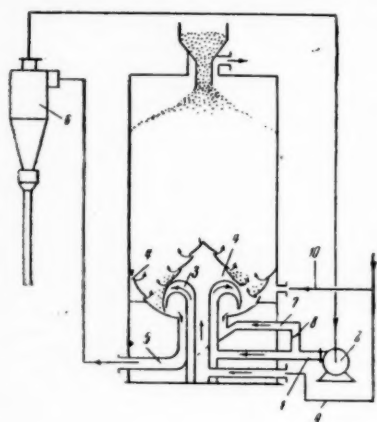
80352 П. Аппарат для отвода взвешенного вещества из газового потока. (Apparatus for removing suspended materials from gas streams) [Research Corp.]. Англ. пат. 724790, 23.02.55

Комбинированный пылеуловитель состоит из мультициклонов (М) и электрофилтра (Э), размещенных в одном общем корпусе, разделенном на верхнюю и нижнюю части камерой входящего газа. В нижней части корпуса (первой по ходу газа) установлены М, концы выхлопных трубок которого снабжены лопатками для лучшего распределения газа по сечению Э. Осажденная в Э пыль собирается в отдельные бункеры и выводится в общий для всего аппарата бункер с помощью пылепроводов. Перед входом в М газоход оборудован распыляющими воду форсунками, предназначенными для предварительного увлажнения газа. Патент охватывает также модификации аппарата с совершенно раздельными бункерами для материала, уловленного в М и Э. Ю. С.

80353 П. Приспособление для удаления твердых частиц из реакторов с помощью циркулирующего потока газа, а также для распределения газов в реакторах. Шток (Vorrichtung zur Walzgasaustragung von Feststoffen und Gasverteilung in Reaktoren. Stock Max). Пат. ФРГ 933146, 22.09.55

Циркуляционные газы (ЦГ), с помощью которых

осуществляется удаление твердых частиц, подаются по трубе 1 воздуходувкой 2 под конич. или седлообразные колосниковые решетки 4 в спец. распределительное устройство 3; удаление пылевоздушной смеси происходит по вытяжному каналу 5 через циклон 6, откуда ЦГ вновь возвращается в цикл. Часть ЦГ по линии 7 поступает непосредственно в вытяжной канал. Регулирование кол-ва удаляемых твердых частиц осуществляется с помощью заслонки 8, установленной на 7 (максим. унос твердых частиц происходит при полностью закрытой 8). Благодаря регулированию скорость ЦГ в вытяжном канале остается практически постоянной, что благоприятно сказывается на работе 6. Подача реакционных газов происходит отдельно от подачи ЦГ по линиям 9 и 10. Основное преимущество приспособления состоит в том, что в нем отсутствуют движущиеся части, что представляет большое удобство при наличии высоких т-р в реакторе. Описанное приспособление может быть использовано во всех случаях, когда происходит р-ция между газообразными и твердыми в-вами, напр. в каталитич. процессах, где отработанный катализатор. должен непрерывно удаляться.



В. Р.

80354 П. Сепарация в гидроциклоне смеси частиц, различающихся удельным весом и размерами (Separation of mixtures of particles differing in specific gravity and in size and hydrocyclone apparatus) [Stamicarbon N. V. formerly Maatschappij voor Kolenscheiding Stamicarbon N. V.]. Англ. пат. 726683, 23.03.55

Патентуется конструкция гидроциклона (Г) и метод разделения взвешенной в воде смеси тонких частиц угля и пустой породы. Г отличается от обычных наличием двух концентрически расположенных вертикальных труб, что позволяет получать, кроме легкой и тяжелой фракций частиц, еще и третью—промежуточную. Г снабжен манометрами на патрубках подачи суспензии в Г и выхода промежуточной фракции; этот выход оборудован также регулирующим клапаном. Процесс сепарации частиц ведется в трех последовательных Г таким образом, что промежуточная фракция из первого по ходу суспензии Г подается во второй, а наиболее легкие фракции из первых двух подаются в третий Г меньших размеров.

Ю. С.

80355 П. Циклоны и методы их работы (Cyclone separators and methods of operating) [Aktiebolaget B. A. Hjorth & Co.]. Англ. пат. 727215, 30.03.55

Запатентованы три модификации завихряющих устройств (розеток) для циклонов. Розетки представляют собой сужения типа трубки Вентури, снабженные внутри системой из 4 или 8 лопаток различной формы, равномерно распределенных по окружности.

Ю. С.

80356 П. Способ удаления углекислоты из газов. Гра-
снер, Клинг, Райхле, Витман (Verfahren zur Entfernung von Kohlendioxyd aus solches enthaltenden Gasen. Grassner Friedrich Kling Georg, Raichle Ludwig, Wittmann

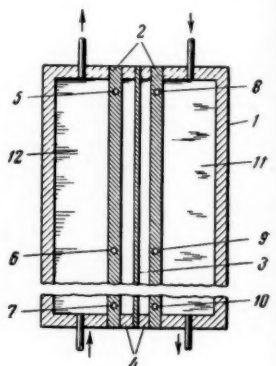
Ernst) [Badische Anilin- & Soda-Fabrik A.-G.]. Пат. ФРГ 939866, 8.03.56

Предлагается способ очистки газов от CO_2 путем их промывки полярными р-рителями (преимущественно метанолом) при низкой т-ре и повышенном давлении. Способ отличается тем, что карбонил металла, образующийся при взаимодействии CO_2 с металлом аппарата (обычно карбонил железа), удаляют из р-рителя одним из следующих способов: путем обработки р-рителя активированным углем; окислением карбонила перманганатом калия с последующим удалением образующегося шлама; облучением р-рителя короткими световыми волнами, разлагающими карбонил. Содержание карбонила в обработанном р-рителе не превышает 0,05%, благодаря чему поглощательная способность регенерированного р-рителя по отношению к CO_2 не убывает с течением времени.

Н. Б.

80357 П. Аппарат для непрерывного разделения смеси жидкостей термодиффузией. Джонс, Милбергер (連続液液熱濃散による物質分離装置. アーサー・ジョーンズ; Эрнест-О. Шюр-Омилбергер) [The Standard Oil Co.]. Япон. пат. 5763, 18.08.55

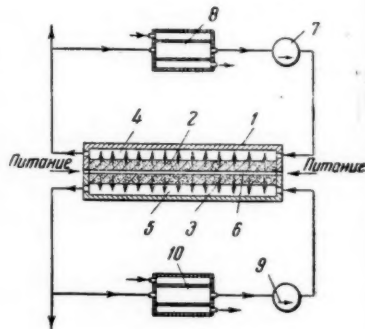
Аппарат состоит из корпуса 1 прямоугольной формы, внутри которого находятся две теплопроводные и непроницаемые для жидкости пластинки 2 и проникаемая для жидкости перегородка 3. Между 2 и 3 помещены прокладки 4. В 2 имеются каналы 5—10 соединенные отверстиями с пространствами между 2 и 3 (эти отверстия на рис. не показаны). В камеру 11 поступает пар при 100° , а в камеру 12—вода при 20° . Действие аппарата было испытано при разделении жидкой смеси цетана и метилнафталина. При испытании поступление смеси и удаление продуктов разделения производились по нескольким вариантам. Напр., смесь поступала по каналу 6 (канал 9 закрыт), а продукты разделения удалялись по каналам 5, 7, 8 и 10; смесь поступала по каналу 5 (каналы 6, 9 и 10 закрыты), а продукты разделения удалялись по каналам 7 и 8 и т. д. Результаты испытаний даны в виде графиков. Приведен также двуденный аппарат описанного типа с двумя охлаждающими и одной нагревательной камерами. М. Г.



К реф. 80358

80358 П. Термодиффузионное разделение жидкостей и аппарат для его осуществления. Томас (Thermal diffusion apparatus and method. Thomas John W.) [The Standard Oil Co.]. Пат. США 2720980, 18.10.55

Аппарат состоит из корпуса 1, внутри которого рас-



положены две пористые перегородки 2 и 3, образующие камеры 4 и 5; между 2 и 3 существует узкий канал 6, в который вводится подлежащая разделению жидкость. Через камеру 4 непрерывно циркулирует горячая жидкость, которая растворяет жидкость, диффундирующую через перегородку 2; циркуляция осуществляется с помощью насоса 7, а нагревание жидкости производится в теплообменнике 8; часть жидкости выводится в качестве продукта. Аналогичным образом через камеру 5 циркулирует холодная жидкость, которая подается насосом 9 и охлаждается в теплообменнике 10. Ю. П.

80359 П. Дистилляционный аппарат с испарением в тонком слое. Фелль (Destillationsapparat mit Dünnschichtverdampfung. Feil Otto). Пат. ГДР 10680, 21.10.55

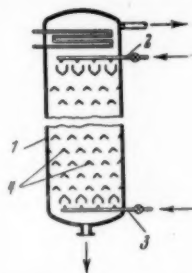
Пленочный дистилляционный аппарат, предназначенный для дистилляции термолабильных органич. в-в под вакуумом, состоит из трех цилиндрич. частей 1, 2, 3. В средней части 2, снабженной нагревательной рубашкой 4, расположены греющие элементы грушевидной формы 5, обращенные острыми концами вниз и сообщающиеся друг с другом. Нижний нагревательный элемент соединен с греющим змеевиком 6, который одновременно является компенсатором напряжений. Верхняя часть 3 аппарата является дефлегматором, т-ра в котором регулируется охлаждающим змеевиком 7. Исходный р-р подается через штуцер 8 и поступает в карман с переливным порогом 9, установленный на нагревательном элементе 5. Жидкость, стекая в виде пленки, поступает в карман, находящийся на следующем нагревательном элементе. Кубовая жидкость отбирается через штуцер 10. В. К.

80360 П. Устройство для высоковакуумной дистилляции или выпаривания жидкостей. Шнейдер, Зигварт (Vorrichtung zur Destillation oder Verdampfung von Flüssigkeiten im Hochvakuum. Schneider Rudolf, Sigwart Karl) [Farbenfabriken Bayer A.-G.]. Пат. ФРГ 922770, 24.01.55

Для облегчения условий поддержания высокого вакуума в испарителе аппарата со стекающей пленкой при высоковакуумной дистилляции или выпаривании в-в с обильным газовыделением рекомендуется предельно уменьшать кол-ва жидкости, находящейся в испарителе. Это достигается устройством в нижней части испарителя гидравлич. затвора высотой несколько мм, через который продукт стекает в сборник; выделяющийся в сборнике газ откачивается вспомогательным вакуумным насосом. Если перерабатывается термолабильная жидкость, то рекомендуется затвор устраивать с миним. кол-вом жидкости, размещать его как можно ближе к концу обогреваемой стенки, а сборник снабжать охлаждающей рубашкой. А. Р.

80361 П. Колонна для экстракции в системе жидкость-жидкость. Скуайрс (Contacting tower for liquid-liquid extraction. Squires Walter, Jr) [Standard Oil Development Co.]. Канад. пат. 512346, 26.04.55

Колонна состоит из вертикального цилиндрич. кожуха 1, в верхней части которого размещено устройство 2 для ввода тяжелой жидкости, а в нижней части — устройство 3 для ввода легкой жидкости. Внутри 1 находятся параллельные ряды перегородок, имеющих форму равнобокового угольника, вершина которого обращена вверх, перегородки расположены в шахматном порядке. Перегородки обеспечивают тщательное перемешивание жидкостей и большую контактную поверхность. Ю. П.



80362 П. Разделение на фракции по удельному весу мокрой смеси твердых частиц

(Separation into fractions according to specific gravity of wet mixtures of solid particles). [Stamicarbon N. V.]. Англ. пат. 726757, 23.03.55

Описан процесс сепарации суспензии, содержащей магнетитовые частицы, при помощи нескольких параллельных гидrocиклонов (Г). Подаваемая в Г суспензия получается в результате предварительного грохочения флотированного магнетита для освобождения от мелочи и отмывки последней на ситах от флотоагента. Из Г выходящая снизу более тяжелая фракция пропускается через магнитный сепаратор для извлечения частиц магнетита, а средняя фракция возвращается в сгуститель. Ю. С.

80363 П. Аппарат для сепарации смеси частиц на фракции в соответствии с удельным весом (Apparatus for separating mixtures of particles into fractions according to specific gravity) [Stamicarbon N. V., formerly Maatschappij voor Kolenbewerking Stamicarbon N. V.]. Англ. пат. 733583, 13.07.55

Аппарат состоит из промывного ящика с наклонным дном, в который непрерывно подается смесь частиц, взвешенная в несущей жидкости. Близко к наклонному дну и параллельно с ним размещен вращающийся двухходовой червячный шнек с цепным приводом от электродвигателя. Шнек вытаскивает наверх опустившиеся на дно более тяжелые частицы и выгружает их из промывного ящика под прямым углом к своей оси вращения в менее глубоком конце аппарата. Всплывшие на поверхность жидкости более легкие частицы сгоняются приводным гребком к противоположному глубокому концу ящика и выгружаются. Ю. С.

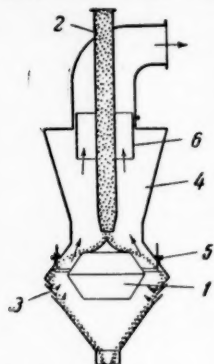
80364 П. Методы и аппаратура для сепарации твердых веществ разного удельного веса. Тромп (Methods and apparatus for separating solids having different specific gravities. Tromp K. F.). Англ. пат. 733282, 6.07.55

Метод сепарации состоит в том, что различающиеся по уд. весам твердые в-ва образуют с несущей жидкостью определенной плотности суспензию, в которой более легкое в-во всплывает на поверхность и выводится в одну сторону, а более тяжелое тонет и выгружается в другом направлении. Подробно описана конструкция аппарата, который использует данный принцип. Ю. С.

80365 П. Аппарат для обеспыливания и классификации зернистых веществ, в частности минеральных удобрений. Шауб (Vorrichtung zur Entstaubung und Klassierung von körnigen Stoffen, insbesondere von mineralischen Düngemitteln. Schaub Franz). [Ruhchemie A.-G.]. Пат. ФРГ 933928, 6.10.55

В нижней расширенной части аппарата находится закрытая камера 1 с конич. крышкой и днищем, образующая со стенками аппарата кольцевое пространство, расширяющееся книзу. Материал поступает сверху по передвижной трубе 2. Воздух или газ подается или засасывается через щели 3. Верхняя часть аппарата 4 расширяется конически вверх для уменьшения скорости выходящего воздуха и

отделения унесенных крупных частиц. Размер частиц продукта регулируется кол-вом воздуха, а также изменением его скорости в кольцевом пространстве перемещением 1 с помощью винтов 5 и изменением скорости выходящего воздуха перемещением втулки 6. Патентуется также конструкция, в которой нижняя часть аппарата и коробка после сужения вновь расширяются и сужаются несколько раз.



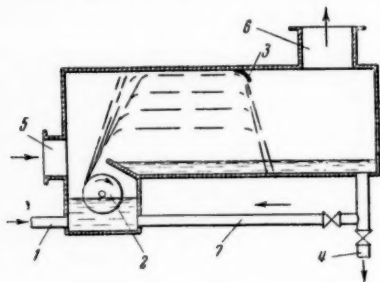
Г. Р. 80366 П. Способ и приспособление для проведения химических реакций, термических обработок и т. д. Штейнман (Verfahren und Vorrichtung zur Durchführung chemischer Reaktionen, thermischer Behandlungen u. dgl. Steinmann Heinrich) [Dynamit-Actien Ges. vormals

Alfred Nobel & Co.]. Пат. ФРГ 939865, 8.03.56

Патентуется способ и аппаратура для проведения непрерывных процессов при высоких т-рах и давлении. Исходные материалы вначале поступают в двух- или многоспиральный обогреваемый шнековый пресс, винты которого вращаются в одном или разных направлениях. Здесь при интенсивном перемешивании происходит взаимодействие между компонентами. Реакционная смесь, постепенно продвигаясь, попадает в реакционное пространство, являющееся продолжением корпуса шнекпресса. В это пространство по трубопроводу подаются дополнительные материалы, необходимые для дальнейшего превращения смеси. Затем реагирующая смесь поступает во второй шнековый пресс, где заканчивается процесс и выгружается готовый продукт.

Н. Б. 80367 П. Приспособление для обработки газов жидкостью. Юнгстрём (Anordning för behandling av gas med vätska. Ljungström A. B.) [AB Rosenblads Patent]. Швед. пат. 149276, 22.03.55

Патентуется аппарат для обработки газов, напр. для промывки их жидкостью, охлаждения или пр. Жидкость поступает по трубопроводу 1 и разбрызгивается с по-



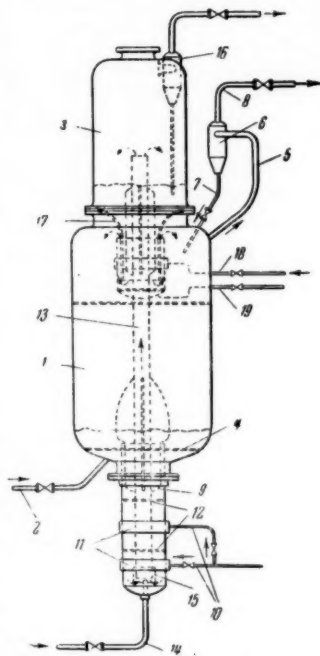
мощью центробежного распылителя 2. Затем жидкость перегородкой 3 направляется в виде пленки к дну аппарата и выводится через штуцер 4. Газ подается через штуцер 5 и удаляется через штуцер 6. По пути он два раза приходит в тесное соприкосновение с жидкостью. Предусмотрена частичная рециркуляция жидкости по трубе 7.

М. Г. 80368 П. Аппарат для превращения жидких реагентов в присутствии измельченных частиц, находящихся в псевдооживленном состоянии. Леффер (Apparatus for the conversion of fluid reactant streams in the presence of subdivided particles maintained in dispersed sus-

pension. Leffer [Frederick W.]. Пат. США 2727810, 20.12.55

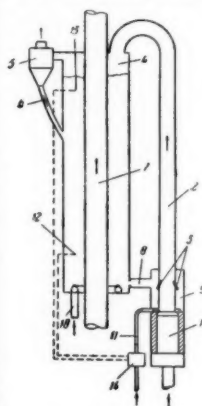
Описан аппарат для проведения процессов превращения жидких реагентов в присутствии измельченных частиц твердого материала, находящихся во взвешенном состоянии. В камере 1 происходит регенерация катализатора (К), загрязненного соединениями углерода, которые являются побочными продуктами р-ций превращения.

Регенерирующий газ (РГ), содержащий свободный кислород, по трубопроводу 2 поступает в нижнюю часть 1 и поднимается вверх, двигаясь противотоком к частицам К, которые опускаются в 1 из сепаратора 3. В нижней части 1 установлена решетка 4 для равномерного распределения потока РГ по сечению регенератора. Отработанные газы удаляются из верхней части 1 по трубе 5 в сепаратор центробежного типа 6, в котором частицы К, унесенные газами, отделяются и по трубе 7 возвращаются в 1. Горячие дымовые газы по трубе 8 направляются в теплообменники для утилизации тепла. Регенерированный К удаляется из нижней части 1 и поступает в зону десорбции 9. Десорбирующий газ поступает по трубопроводам 10 и распределительные устройства 11. Две решетки 12, установленные в зоне десорбции, обеспечивают равномерное распределение потоков по сечению. После десорбции К поступает в нижнюю часть трубы 13, туда же по трубопроводу 14 подается поток жидких реагентов. Скорость перемещения К регулируется с помощью передвижных перегородок 15. Жидкие реагенты, двигаясь вверх по 13 вместе с частицами К, подвергаются превращению, при этом длина трубы 13 рассчитывается таким образом, чтобы обеспечить необходимое время контакта. Продукты р-ции удаляются через циклон 16. Из 3 К через U-образный затвор, образованный с помощью перегородок 17, поступает в верхнюю часть 1. При перемещении через затвор К подвергается десорбции паром или инертными газами, которые подаются по трубам 18 и 19. Если регенерация К осуществляется не газом, а жидкостью, то используется видоизмененная форма описанного аппарата, в которой при том же относительном расположении основных узлов генератор имеет значительно меньшее поперечное сечение. Описанные аппараты предназначены главным образом для производства бензина путем каталитич. крекинга высших углеводородов, для каталитич. дегидрогенизации легких углеводородов, для проведения реформинг-процесса. Подробно описаны преимущества данной системы. Рекомендуемая скорость жидких реагентов в реакторе 8—20 м/сек. Оптимальный размер частиц К 45—200 м.



80369 П. Способ и устройство для регулирования циркуляции тонкоизмельченных твердых веществ в процессах, происходящих в псевдоожиженном слое. Схунмакерс, Пютте (Verfahren und Vorrichtung zur Regelung der Zirkulation von fein verteilten Feststoffen im Wirbelschichtverfahren. Schoenmakers Pieter Jan, Putte Willem Lodewijk) [N. V. De Bataafsche Petroleum Maatschappij]. Пат. ФРГ 936744, 22. 12. 55

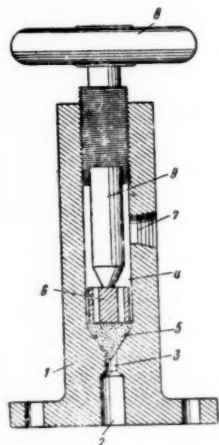
Устройство состоит из горелки 1, в которой происходит сгорание газов, а продукты горения попадают в трубу 2, представляющую собой непосредственное



продолжение камеры сгорания. В нижнюю часть 2 через отверстия или сопла 3 поступает тонкоизмельченное твердое в-во, которое подхватывается потоком горячих газов и переносится в более широкую трубу 4. Газы удаляются через циклон 5, задерживающий частицы твердого в-ва и направляющий их обратно в 4 по трубе 6; поток горячих твердых частиц оседает вниз, нагревая при этом в-во, протекающее в трубе 7. Из нижней части 4 измельченное твердое в-во по трубе 8 поступает в кольцевую камеру 9 и его цикл заканчивается. Для поддержания частиц твердого в-ва в псевдоожиженном состоянии, для изменения скорости

циркуляции, а также для охлаждения нижней части трубы 2, по трубкам 10 и 11 подается холодный газ. Для автоматич. регулирования скорости циркуляции, а следовательно и теплопередачи, в двух точках 12 и 13 установлены измерители т-ры, связанные с регулятором подачи газа 14. Описанное устройство может быть использовано для регулирования скорости циркуляции тонкоизмельченной катализаторной массы в установках катализа. крекинга.

80370 П. Вентиль для гомогенизации жидкостей, содержащих полутвердые вещества. Хансон (Ventil zum Homogenisieren von halbfeste Stoffe enthaltenden Flüssigkeiten. Hanson Rodney Leo) [The Creamery Package Mfg. Co.]. Пат. ФРГ 935482, 24.11.55



Предлагается вентиль, обеспечивающий устойчивое диспергирование полутвердого в-ва, содержащегося в различных жидкостях. Жидкость подается гомогенизирующим насосом в канал 2 в корпусе 1 вентиль (канал имеет сужение 3, а затем расширение 4). Переход от 3 к 4 является седлом, на котором располагается комок тонкой пружинящей проволоки 5 (диаметр проволоки от 0,08 до 0,4 мм; проволоку рекомендуется делать волнистой). Затем жидкость проходит через 5. Между густо расположенными проволоками

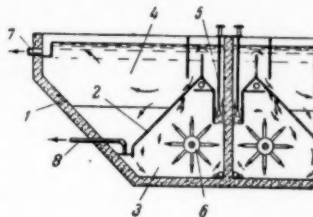
она разветвляется на тонкие струйки, которые перемешиваются в свободном объеме комка. В результате последовательного обтекания беспорядочно распо-

ложенных проволок полутвердые частицы дробятся и обеспечивается устойчивое диспергирование. Далее поток проходит через каналы в лежащем на комке цилиндрической 6 в 4 и выходит через отверстие 7. Шпинделем 9, перемещаемым вверх и вниз при помощи маховика 8, возможно изменять сжатие комка и подбирать наилучший режим при работе с различными продуктами.

С. З.

80371 П. Аппарат для обработки жидкости. Хьюз (Liquid treating apparatus. Hughes Walter J.) [Infilco Incorp.]. Пат. США 2718496, 20.09.55

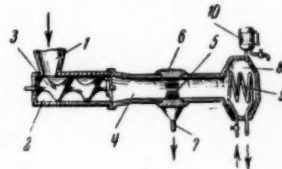
Аппарат для осуществления р-ции между жидкостью и гранулированными твердыми частицами (ТЧ) состоит из резервуара 1, имеющего в плане форму прямоугольника, внутри которого устроена перегородка 2, делящая резервуар на две реакционные камеры 3 и 4. Эти камеры соединены между собой вертикальным каналом 5. По всей длине камеры 3 проходит ротор 6 с лопастями, который осуществляет интенсивное перемешивание жидкости и ТЧ, поступающих в камеру 3, и не допускает оседание ТЧ на дно камеры. Из 3 по 5 смесь жидкости и ТЧ поступает в 4, где происходит отстаивание жидкости: осветленная жидкость выводится через штуцер 7, а осевшие ТЧ — по трубе 8.



Ю. П.

80372 П. Процесс концентрирования жидкостей и аппарат для его осуществления. Шмидт (Process of producing concentrated liquids out of their weak dilutions and apparatus for practicing it. Schmidt Joachim) [Phillips Petroleum Co.]. Канад. пат. 517209, 4.10.55

Устройство для концентрирования р-ров включает приспособление для охлаждения р-ра, при котором происходит вымерзание р-рителя в форме кристаллов льда, а остающаяся жидкость обогащается растворенным в-вом. Смесь жидкости и кристаллов льда через загрузочную воронку 1 поступает в камеру 2, где расположен подающий винт 3, проталкивающий поступившую массу в цилиндрич. горизонтальную камеру 4, в которой создается винтом 3 повышенное давление. В средней части камеры 4 имеется ряд продольных сквозных щелей 5, через которые конц. р-р выводится из 4 в кольцевой коллектор 6, а оттуда отбирается через штуцер 7. В камере 8 лед плавится; необходимое для этого тепло доставляется жидкостью, циркулирующей через змеевик 9. Жидкость, образовавшаяся при плавлении льда, выводится через затвор 10, снабженный указателем уровня. Представлены варианты конструкции.

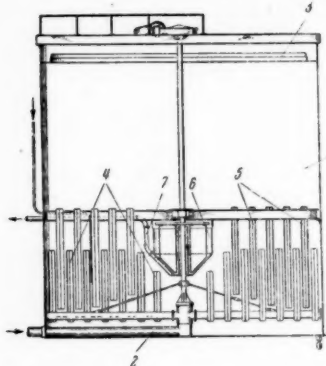


Ю. П.

80373 П. Установка для обработки жидкости. Дарби, Унбер, Фишер (Anordning för behandling av vatskor. Darby G. M., Weber W. C., Fischer A. J.) [The Dorr Co.]. Швед. пат. 148210, 21.12.54

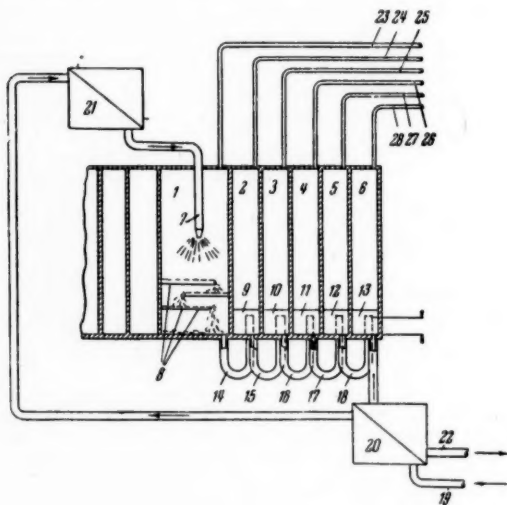
Установка для очистки жидкости, содержащей твердые взвешенные частицы, представляет собою сосуд 1, снабженный у дна трубопроводом 2 для подачи обрабатываемой жидкости, а в верхней части — водосливом 3 для удаления очищ. жидкости. В сосуде имеется мешалка, состоящая из ряда вертикальных пластин

или стержней, один из которых 4, имея свободные верхние концы, могут вращаться вокруг вертикальной



для удаления газов из жидкостей. Холланд-Мертен (Verfahren und Vorrichtung zum Entgasen von Flüssigkeiten. Holland-Merten Erwin Lothar). Пат. ГДР 10304, 23.08.55

Предлагается способ дегазации жидкостей (Ж), в частности трансформаторного масла, при котором предотвращается сильное пенообразование и выброс пены в вакуумную систему в процессе откачки Ж, а также



резко сокращается время обработки масла, что позволяет существенно поднять т-ру, при которой производится дегазация, не опасаясь старения масла. Аппарат для дегазации состоит из ряда концентрически расположенных цилиндров, образующих центральную камеру 1 и ряд кольцевых камер 2-6. В 1 смонтировано разбрызгивающее устройство 7 и ряд полок 8. 2-6 имеют по одной радиальной перегородке 9-13 и соединены с 1 и между собой сифонными трубками 14-18 так, что для перетока Ж, напр. из 2 в 4, она должна пройти по всему каналу 3. Сырая Ж поступает по трубе 19, проходит теплообменник 20, дополнительно нагревается в подогревателе 21, разбрызгивается с помощью 7 в 1 и стекает по 8. При этом из Ж удаляется основная

масса газа, и так как процесс происходит в тонких слоях Ж, то сильного пенообразования не происходит. В дальнейшем Ж проходит по всем кольцевым каналам, где полностью дегазируется, охлаждается в 20, отдавая свое тепло поступающей сырой Ж, и удаляется по трубе 22 в откачиваемый резервуар или через барометрич. трубку. 1-6 соединены с вакуум-насосом трубками 23-28, на которых установлены заслонки, позволяющие поддерживать по мере удаления от 1 к 6 все более высокий вакуум.

А. Р. 80375 П. Промыватели для гранулированных материалов. Уэлс (Washers for washing granular materials. Wells A. A.). Англ. пат. 731099, 1.06.55

Промыватель предназначен для гравия, песка и сходных с ними гранулированных материалов и представляет собой вращающийся горизонтальный барабан, разделенный поперечной перегородкой на 2 отделения А и Б. Промываемый материал загружается в барабан со стороны отделения А и выходит через отделение Б, заканчивающееся системой концентрич. сит, сортирующих промываемый материал по размерам. Продвижение материала вдоль промывателя осуществляется укрепленными на стенках косыми подземными лопатками. Промывная вода поступает и вытекает в каждом отделении и при этом так, что в отделении А вода и материал движутся противоточно, а в отделении Б — прямоточно.

Ю. С.

См. также: Процессы: гидродинамич. 79006; тепловые 79891; массопередача 77538, 77543, 77561, 77691, 77705, 77756, 77762, 77770, 78728, 79146, 79205, 79330, 79561, 79819, 80395

КОНТРОЛЬНО-ИЗМЕРИТЕЛЬНЫЕ ПРИБОРЫ. АВТОМАТИЧЕСКОЕ РЕГУЛИРОВАНИЕ

80376. Измерительные приборы на химическом заводе. Кобаяси (化学プラントと計装小—バ社英—), 化学工業, Кагаку корэ, Chem. Ind. (Japan), 1956, 7, № 4, 30-33 (япон.)

80377. Серийный выпуск контрольно-измерительных приборов ЛИОТ. Кудачков И. А., Теплоэнергетика, 1956, № 6, 62

Всесоюзный н.-и. ин-т охраны труда ВЦСПС в Ленинграде разработал ряд контрольно-измерительных приборов для целей охраны труда: универсальный газоанализатор для быстрого определения в воздухе огне-взрывоопасных и токсич. газов (сероводорода, хлора, бензина и др.); кондуктометрич. установку для определения в воздухе окиси и двуокиси углерода и паров бензина; переносный газоанализатор для определения взрывоопасных конц-ий паров бензина в воздухе. Приведены краткие технич. характеристики приборов.

А. Л. 80378. Применение электроники в управлении производственными процессами. Саргров (Electronic control in industry. Sargrove John A.), Process Control, 1955, 2, № 5, 155-162 (англ.)

После краткого изложения общих принципов применения электроники для автоматизации производства рассматриваются основные виды датчиков (фотоэлектрич., хим., тепловые, звуковые, электромагнитные) и исполнительных устройств (соленоиды, сервомеханизмы, пневматич. и гидравлич. системы, счетчики). Подробно описано несколько типичных примеров автоматизации: автоматич. отweighивание определенных кол-в сыпучих в-в, контроль положения бумажной ленты при перематке с рулона, машина для завертывания шоколада и др. Описаны также устройства техники безопасности для падающего молота и для тестомесильных машин (на хлебозаводах) и ряда других применений. Приведены многочисленные фотографии (13 шт.) автоматизированных устройств и их отдельных узлов.

В. И.

80379. Новые применения приборов для автоматического регулирования. Нобелс (New applications of devices for automatic control. Noebels Henry J.), Chem. Engng Progr., 1956, 52, № 6, 228—232 (англ.).

Приведены несколько технологич. схем хим. процессов, контролируемых или автоматически регулируемых по показанию проточного колориметра. Описана опытная установка для исследовательских работ с проточными колориметрами и рН-метрами. Новыми приборами для контроля состава хим. в-в являются ИК-анализаторы, пламенные спектрофотометры, масс-спектрометры, паровые хроматографы и непрерывные рН-метры. Приведена таблица типового применения автоматич. анализаторов, среди которых большинство составляют ИК-анализаторы. Имеется тенденция к переходу на цифровую регистрацию результатов измерения. Приводятся фото 50-точечного прибора, имеющего чувствительность 1 мв при точности 0,1%. Скорость печати 1 точка в сек., но может быть повышена до 10 точек в сек. Обращается внимание на важность подготовки пробы для анализа. И. И.

80380. Некоторые свойства частотных характеристик систем автоматического управления. Блох З. Ш., Изв. АН СССР, Отд. техн. н., 1956, № 2, 43—58.

80381. Британская выставка промышленных приборов 1955 г. в Лондоне. Феста Н. Я., Елшин Н. Н., Хим. пром-сть, 1956, № 3, 173—182.

Приводится описание конструкции и принципа действия основных типов датчиков, контрольно-измерительных и регулирующих приборов, аппаратуры для автоматизации технологич. и теплоэнергетич. процессов, а также лабор. приборов для физ. и физ.-хим. исследований, испытательных установок и отдельных элементов систем автоматизации, экспонировавшихся на Британской выставке промышленных приборов 1955 г. Наиболее полно представлена разнообразная пневматич. аппаратура. Экспонировалась продукция 166 английских и основных американских приборостроительных фирм. М. Л.

80382. Конференция Общества технологии приборостроения по динамическим характеристикам процессов. (Society of Instrument Technology Conference on Plant and Process Dynamic Characteristics.), Instrum. Practice, 1956, 10, № 6, 529—530 (англ.).

Сообщение о конференции, состоявшейся 4—6 апреля 1956 г. в Кембридже. И. И.

80383. Приборы для измерения давления и расхода. Часть I и II. Манометры для высоких и средних давлений. Романьоли (Apparecchi e strumenti per la manometria e la venturimetria. Romagnoli Giancarlo), Misure e regolaz., 1956, 4, № 2, 47—54, № 1, 3—10 (итал.).

Описаны конструкции и рассмотрена теория различных приборов для измерения давления. З. Х.

80384. Введение в химическую технологию. I. Диафрагменные расходомеры. Фудзита 化学工学入門 I. オフイス流量計 藤田重文) 化学工業, Гакаку корё, Chem. Ind. (Japan), 1956, 7, № 1, 82—87 (япон.).

80385. Транспортировка и измерение сжиженных газов. Ли (How to move and meter liquefied gases. Lee Chesman A.), Chem. Engng, 1956, 63, № 5, 193—195 (англ.).

Практические указания по разгрузке цистерн с жидким NH_3 . При измерении расхода жидкого NH_3 рекомендуется устанавливать перед измерительным прибором газоотделитель и переохлаждать жидкость для того, чтобы избежать парообразования в приборе. И. И.

80386. Определение постоянной тепловой инерции термометров и пирометров. Кондратьев Г. М., В сб.: Теплоэнерг. приборы и регуляторы, М.—Л., Машгиз, 1954, 16—43.

Рассматривается вопрос об инерционности приборов для измерения т-ры, причем задача ограничивается термоприемниками, погружаемыми в среду, т-ра которой подлежит

измерению. Радиационные пирометры и поверхностные термометры не рассматриваются. Предлагается универсальный метод эксперим. определения постоянной тепловой инерции ϵ , основанный на теории регулярного режима. На примерах дается методика обработки данных прямого опыта в целях определения ϵ . Производится анализ общепринятых методов определения постоянной тепловой инерции термометров и пирометров. М. Л.

80387. Применение платиновых металлов в термометрии. Лакруа (Emploi des métaux de la mine du platine en thermométrie. Lacroix R.), Rev. métallurgie, 1956, 53, № 1, 48—56 (франц.).

Обзор термометрич. свойств Pt и ее сплавов (термометры сопротивления и термометры) и результатов определения устойчивости х. ч. Pt и платино-родия (от 6 до 30% Rh) при т-рах до 1400°. Л. Б.

80388. Динамические характеристики промышленных термометров, помещенных в пирометрических карманах. Лайнахан (The dynamic response of industrial thermometers in wells. Linahan T. C.), Trans. ASME, 1956, 78, № 4, 759—762, discuss. 762—763 (англ.).

Составлено ур-ние второго порядка, описывающее динамику чувствительного элемента измерителя т-ры (термопатрона), помещенного в пирометрич. кармане. Ур-ние учитывает распределенное сопротивление и емкость кармана. Сравнение переходных кривых, полученных расчетным и опытным путями, подтверждает правильность принятых допущений. И. И.

80389. Регулирование температуры. Буратти (La regolazione diretta della temperatura. Buratti Alessandro), Misure e regolaz., 1955, 3, № 6, 241—246 (итал.).

Рассматривается регулятор т-ры прямого действия. Преимущество его — простота конструкции, дешевизна, отсутствие внешних источников питания. Недостаток — наличие лишь одной пропорциональной характеристики. В работе определяется устойчивость системы регулирования путем составления передаточной функции системы из передаточных функций ее элементов. Дан пример расчета регулятора с термобаллоном. А. Н.

80390. О некоторых погрешностях объективной фотометрии в автоматических устройствах. Файерман И. Д., Измерит. техника, 1956, № 2, 48—51.

Рассмотрены погрешности фотоэлектрич. измерения, связанные с плохой стабилизацией напряжения на лампах накаливания, влиянием расстояния от фотоэлемента до светящейся поверхности и избирательностью фотоэффекта. Подчеркивается важность точного знания спектральных характеристик облучаемых тел и элементов прибора. М. Л.

80391. Нагревание горючих жидкостей. Аппаратура для регулирования и обеспечения безопасности. Тешель (Le chauffage aux combustibles liquides. Appareils de régulation et de sécurité. Tschel E. de), Techn. et inform. chauff. et plomb., 1956, № 41, 16—17 (франц.).

Краткое описание четырех схем терморегулирования и автоматич. блокировки установок для нагревания горючих жидкостей. Л. Б.

80392. Новый прибор для изучения загрязнений воздуха. Роджерс (New instruments for air pollution studies. Rogers Lewis H.), Perkin-Elmer Instrum. News Sci. and Ind., 1956, 7, № 3, 1, 6—7 (англ.).

Для непрерывной регистрации степени загрязнения воздуха применен стандартный ИК-спектрофотометр фирмы Perkin-Elmer с кюветой многократного отражения длиной 10 м. В основном загрязнение состоит из углеводородов, получающихся в результате неполного сгорания топлива в моторах автотранспорта, и достигают 0,4 млн. долей. Воздух для анализа очищался от влаги и CO_2 и сжимался до 12 кг/см² компрессором с графитовым уплотнением. Анализ производился под давл. 7—8 кг/см² и

при длине волны спектра 3,45 μ . Расход воздуха через кювету 2,5 л/мин.

80393. Масс-спектрометрия в исследованиях загрязнений воздуха. — (Mass spectrometry in air pollution research.—), Electronics and Commun., 1956, 4, № 4, 20—21, 52 (англ.)

Описан принцип действия масс-спектрометра (МС) и приведены примеры его применения для анализа загрязнений воздуха. С помощью МС 21-610 и 21-620 производились исследования состава выхлопных газов автомобильных моторов с точки зрения образования тумана. Применение МС для контроля состава серосодержащих газов нефтеперерабатывающих заводов позволило значительно уменьшить загрязнение атмосферы SO_2 , а на установках с излучением элементарной S — снизить потери последней. На заводе производительностью 40 т S в день установка МС снизила потери с 1,3 до 0,1 т в день. Затраты на МС окупаются менее чем за год.

80394. Теоретические расчеты и опытное определение частотной характеристики струйного регулятора. Кисихара, Савараги, Савамура, Ино (ある油蒸式制御装置の定量的解析と周波数応答試験・西原利夫, 橋本義一, 澤村泰造, 井野英明), 自動制御, Дзидо сэйгё, Automatic Control, 1955, № 3, 153—160 (япон.; рез. англ.)

Описываются результаты исследования работы изоморфного струйного регулятора типа «Аскания» путем опытного определения его частотных характеристик и математич. анализа. Делается вывод о необходимости улучшения характеристик измерительного элемента регулятора.

80395. Новый тип парорегулятора ректификационных колонн. Чернявский А. И., Науч. зап. Львовск. политехн. ин-та, 1955, № 29, 141—143

Описан поплавковый регулятор давления (типа Савалы с некоторыми конструктивными отличиями) в перегонных колоннах.

80396. Механические особенности регулирующих клапанов. Бирд (Mechanical features of control valves. Beard C. S.), Instruments and Automat., 1956, 29, № 4, 698—703 (англ.)

Рассматриваются регулирующие клапаны (РК) с точки зрения их конструктивных особенностей. Рассмотрены виды соединений РК с трубопроводами, типы и материал корпусов, конструкции элементов РК-штоков, золотников, седел, направляющих, подшипников, прокладок, охлаждающих рубашек, обогревных устройств и др.

80397. Монтаж терморегулирующего вентиля. Сенягин Ю., Холодильн. техника, 1956, № 2, 67—68

Рекомендуются способы монтажа терморегулирующего вентиля на аммиачных холодильных установках.

80398. Фактор времени в управлении производственными процессами. Девон (The time factor in process control. Devon V. A.), Process Control, 1955, 2, № 4, 119—123 (англ.)

Описываются различные применения реле времени для контроля и поддержания правильности ведения технологич. процессов. В качестве примеров приводятся вулканизация резиновых изделий, стерилизация мороженого, изготовление олифы, тушение кокса, смазка подшипников шагающего экскаватора, гальваностегия и др. Приведено 8 фотографий реле времени различного назначения.

80399. Применение электронного регулятора для ведения химического процесса. Растон (Application of an electronic control system to a chemical processing problem. Ruston H. J.), Chem. Engng Progr., 1956, 52, № 6, 86 (англ.)

Для программного, циклич. регулирования хим. процесса установлен электронный регулятор давления. Так как при высокой скорости подъема давления возникают по-

бочные р-ции, вызывающие чрезмерные повышения т-ры и потери продукта, то первоначально был установлен еще и регулятор т-ры, который понижал скорость роста давления при повышении скорости роста т-ры. Как показал опыт эксплуатации системы, регулятор давления настолько точно поддерживает режим, что необходимость в регуляторе т-ры отпадает и можно ограничиться обычным термореле для целей защитной блокировки. Эта система позволила работать при максим. допустимой скорости роста давления, а следовательно, получить максим. производительность.

80400. Автоматическое регулирование нагревания непрерывно действующих печей с подвижным пламенем для обжига терракоты. Милс (Régulation automatique du chauffage des fours continus à feu mobile pour produits de terre cuite. M i l l s M.), Terre cuite, 1953, № 27, 21—28 (франц.)

Установка для регулирования нагрева обжиговых терракотовых печей (до 1200°) с применением в качестве датчиков термпар, расположенных в трех последовательных зонах (предварительный нагрев, обжиг, расхолаживание). Показания каждой термпары регистрируются самопишущим прибором. Рассмотрены оптимальные условия контроля и регулирования нагрева печей.

80401. Из опыта автоматического регулирования производственных процессов. Бордун Н. Ф., Спирт. пром-сть, 1956, № 2, 37—41

Описана схема автоматич. регулирования технологич. процесса, отличающаяся применением отработанной производственной воды в качестве силового агента для привода исполнительного механизма вместо сжатого воздуха.

80402. Регулирование температуры электропечей для термической обработки. Хоровиц (Temperaturregulierung von Elektroöfen zur Wärmebehandlung. Horowitz J.), Sprechsaal Keramik-Glas-Email, 1955, 88, № 1, 2—5 (нем.)

Описываются приборы для автоматич. регулирования т-ры электропечей для термич. обработки. Приводятся схемы, описание конструкций и принцип действия контактных, компенсационных и программных регуляторов. Критически рассматриваются регуляторы с точки зрения точности их работы и целесообразности применения в различных печах.

80403. Двухимпульсное автоматическое регулирование параметров сушильного агента. Розенберг М. С., Пусеп А. О., Деревообработ. пром-сть, 1955, № 12, 7—9

Предлагается регулирование сушильной установки по психрометру, состоящему из двух ртутно-контактных термометров — сухого и мокрого. При этом контакт сухого термометра воздействует на подачу пара в калорифер, а контакт мокрого термометра изменяет соотношение свежего и рециркуляционного воздуха в смеси, подаваемой в сушильную камеру. Термометры регулируются так, чтобы установка сухого соответствовала требуемой т-ре, а установка мокрого была ниже на величину психрометрич. разности т-р, соответствующей требуемой влажности. Контакты включены в сеточные цепи электронных реле. Исполнительные механизмы — клапаны с электромагнитным приводом. Приведена схема устройства.

80404. Элементы автоматизации нефтяной промышленности. Эйк, Кемпбелл (Elements of field processing. Oil-field instrumentation — how controllers work. Ache Paul S., Campbell John M.), Oil and Gas J., 1956, 54, № 57, 95 (англ.)

Изложение принципа действия пропорционального регулятора уровня буйкового типа и анализ влияния размера и характеристики регулирующего клапана на процесс регулирования.

80405. Приборы нефтедобычи. Определения терминов Эйк, Кемпбелл (Elements of field processing.

Oil-field instrumentation-definition of terms. Ache Paul S., Campbell John M.), Oil and Gas J., 1956, 54, № 54, 146 (англ.)

Определения терминов, применяемых в теории и практике автоматич. регулирования процессов нефтедобычи.

А. Л.

80406. Автоматическое регулирование котельной бумажной фабрики.— (The automatic control of paper mill boiler plant.—), World's Paper Trade Rev., 1954, 141, № 8, 609, 610, 612, 614, 616, 621 (англ.)

Дан общий обзор преимуществ автоматич. регулирования, в частности для котельной бумажной фабрики. Приведено краткое описание системы автоматич. регулирования горения применительно к различным котлам. Н. Е.

80407 К. Объемные счетчики для нефтепродуктов.

Польский С. М. М., Гостоптехиздат, 1956, 62 стр., илл., 1 р. 55 к.

80408 П. Абсолютный микроанометр. Хониг (Absolute micromanometer. Honig Richard E.) [Socopy Mobil Oil Co.]. Пат. США 715339, 16.08.55

Патентуется схема и конструкция прибора для измерения малых давлений — абс. микроанометра, состоящего из чувствительного элемента-сильфона, помещенного в рабочую камеру, и механо-электронного преобразователя, подающего импульсы на вторичный прибор в соответствии с перемещениями сильфона.

А. Л.

80409 П. Присоединительная арматура для объемных счетчиков. Шенке (Anschlußarmatur für Mengenzähler, insbesondere Gaszähler. Schenke Gustav Adolf). Пат. ФРГ 937669, 19.01.56

Патентуется присоединительная арматура для объемных счетчиков (С) и в особенности для газовых С, позволяющая право- и левостороннее крепление С по отношению к газоотборному трубопроводу. Арматура предусматривает как непосредственное крепление С, так и при необходимости через регулятор давления. Арматура состоит из соответствующим образом спрофилированного патрубка, фитингов и запорного клапана, отсекающего входной канал С от выходного.

М. Л.

80410 П. Газоанализатор. Шерье (Apparatus for analyzing gases. Cherrier Claude M.) [Soc. An. des Manufactures des Glaces et Produits Chimiques de Saint-Gobain, Chauny & Cirey]. Пат. США 2729097, 3.01.56

Термомагнитный газоанализатор для определения концентрации O_2 в газовых смесях отличается тем, что для питания измерительного моста применяется ток звуковой частоты, а для питания нагревательной спирали — ток низкой частоты (50 гц). Этим повышается чувствительность и стабильность прибора. В одном из вариантов нагревательные и измерительные сопротивления объединены и питаются от обоих источников напряжения через соответствующие разделительные фильтры. В другом варианте имеется отдельная нагревательная обмотка и термисторы или термометры сопротивления для измерения т-ры. И. И.

См. также: Контроль состава 78594, 78726, 79879. Контроль общетехнич. параметров 78575, 78883

ТЕХНИКА БЕЗОПАСНОСТИ. САНИТАРНАЯ ТЕХНИКА

80411. О методах безопасной работы на химических предприятиях. Смит (Safety methods in chemical plant. Smith B. J. H. F.), Chem. Trade J. and Chem. Engr., 1956, 138, № 3580, 77—79 (англ.)

Изложены материалы конференции инженеров-химиков, состоявшейся в 1956 г. в Лондоне, по технике безопасности на хим. произ-вах (проведение работ под давлением с применением предохранительных устройств, работ с газо-воздушными смесями и определение взрывных конд-ций последних и пр.).

И. Л.

80412. Техника безопасности на химических заводах в Англии и США.— (American and British safety practices.—), Industr. and Engng Chem., 1956, 48, № 2, 233 (англ.)

Изложены результаты обследования мероприятий по борьбе с профессиональными вредностями и по безопасности работ на хим. з-дах Англии и США.

М. Ф.

80413. Снижение числа несчастных случаев на химическом заводе.— (En deux ans, à l'usine Hutchinson de Puteaux l'opération «sécurité» a permis une diminution des accidents de 51,5%.—), Trav. et sécur., 1955, 7, № 9, 349—353 (франц.)

Описана деятельность Комитета гигиены труда и техники безопасности на з-де Хетчинсона в Путо (Франция). Приведены статистич. данные, показывающие постепенное уменьшение числа несчастных случаев и связанных с ними дней нетрудоспособности. В 1955 г. кол-во несчастных случаев снизилось до 51,5% от их числа за период 1951—1953 гг.

С. Я.

80414. Техника безопасности в производстве серной кислоты. Паску (Tehnica securității la fabricarea acidului sulfuric. Pascu M.), Rev. chim., 1956, 7, № 4, 239—242 (рум.; рез. русс., нем.)

Приведены важнейшие правила техники безопасности, соблюдаемые во всех стадиях произ-ва серной к-ты. З. Х.

80415. Информационные листочки для описания профессиональных болезней.— (Notices d'information pour la déclaration des maladies professionnelles.—), Sécur. et hyd. travail, 1955, 5, № 4, 187—200; 1956, 6, № 1, 5—23 (франц.)

Приведен текст 22 информационных листочков по профессиональным болезням, составленных в 1954 г. Комитетом по технике безопасности и промышленной гигиене. Описаны заболевания, вызванные действием As, Be, Cr, F, Pb, Mn, Hg, P и их производными, тетраэтилсвинцом, бензолом и его гомологами, нитро- и аминопроводными ароматич. углеводородов, их окси- и галоидопроводными, Si, CO, CS₂, хлорированными углеводородами, канцерогенными в-вами, радиоактивными в-вами (диагностика острых и хронич. отравлений, врачебный контроль и необходимые лечебные мероприятия). Приведен алфавитный список в-в, способных вызвать профессиональные заболевания (300 наименований).

С. Я.

80416. Новый практический метод определения углекислоты в атмосфере. Бессон, Пельтье (Un nouveau procédé pratique pour le dosage de l'anhydride carbonique dans les atmosphères confinées. Besson Albert, Pelletier Jean), Bull. Acad. nat. méd., 1954, 138, № 31—32, 521—523 (франц.)

В основе метода лежит обесцвечивание углекислотой щел. реактива, представляющего насыщ. р-р CaO в смеси CH₃OH и C₂H₅OH, окрашенный тимолсульфоталеном. Заполненный реактивом прибор эталонируют по воздуху с определенной конц-ией CO₂. Чувствительность метода 0,1%, точность 5—10%, продолжительность анализа < 5 мин.

Н. С.

80417. Исследования вредности дыма, образующегося при сварке известково-щелочными электродами. Келлерман, Леман, Старлингер (Untersuchungen über die Schädlichkeit des Schweißrauches kalkbasi-

scher Elektroden. Kellermann K., Lehmann G., Starlinger H.), Arch. Gewerbepathol. und Gewerbehyg., 1956, 14, № 5, 558—578 (нем.)

80418. Растворители. Стокингер (Solvents. A review. Stokinger Herbert E.), Arch. Industr. Health, 1955, 12, № 6, Sec. 1, 683—684 (англ.)

Описаны способы снижения токсичности и воспламеняемости р-рителей (Р): замена высоко токсичных Р менее токсичными (напр., C_6H_6 — толуолом и ксилолом, CCl_4 — трихлорэтиленом, перхлорэтиленом, трихлорэтаном и т. д.); применение растворяющих смесей, где воспламеняемый Р смешивается с невоспламеняемым Р (напр., 25% хлористого метилена, 5% перхлорэтилена и 70% Р Stoddard). Предельно допустимая конц-ия этой смеси 500 мл/м³. Приводятся краткие сведения о новой группе Р «ОХО» (продукты соединения ненасыщ. олефинов с O_2), которая будет иметь широкое применение в качестве Р красок и лаков и в др. произ-вах. Рассматриваются вопросы антагонизма и синергизма при комбинированном действии на организм различных Р. Г. Д.

80419. Физиологические свойства нефтяных углеводородов. Фабр (Les propriétés physiologiques des hydrocarbures constituant le pétrole. Fabre René), Rev. Pétrol., 1955, № 967, 27—29 (франц.)

Рассматриваются токсич. свойства различных классов содержащихся в нефти легких углеводородов, а также смазочных масел, парафинов и других нефтепродуктов и действие их на развитие профессиональных дерматитов, заболеваний раком, изменение состава крови, на центральную нервную систему и т. д. В. Ш.

80420. Ответ на замечания по статье «К вопросу об ограничении содержания ароматических углеводородов в уайт-спирите». Ретнев В. М., Гигиена и санитария, 1956, № 3, 53

На критич. замечания по статье приведены возражения автора, вызванные неправильным сокращением текста статьи редакцией. См. РЖХим, 1956, 31549. И. Л.

80421. Вопросы гигиены труда при производстве бумаги для художественной печати и обоев. Муглер (Hygienische Probleme bei der Fabrikation von Kunstdruckpapier und Tapeten. Muggler Hermann), Textil-Rundschau, 1956, 11, № 4, 207—209 (нем.)

Отмечается вредное действие паров аммиака и формальдегида, выделяющихся при сушке бумаги, а также повышенной влажности воздуха. Максим. допустимая конц-ия паров NH_3 не должна превышать 100 мл/м³, а формальдегида 10 мл/м³ воздуха. Давление водяных паров при сушке > 35,7 мм рт. ст. вызывает усиленную нагрузку на вегетативную нервную систему. Сушку рекомендуется проводить кондиционированным воздухом в закрытой аппаратуре. При произ-ве обоев способом глубокой печати и нанесении «лаков второго покрытия» необходимо обеспечивать полный отсос паров органич. р-рителей. При крупном масштабе выгодна регенерация р-рителей. Устройства для регенерации окупаются менее чем за 1 год. В. С.

80422. Дерматиты при контакте с тканями. Шварц (Dermatitis from fabrics. Schwartz Louis), Med. Ann. District Columbia, 1953, 22, № 4, 179—184 (англ.)

Последняя вспышка заболеваний дерматитами (Д) среди населения в связи с ношением тканей (Т) была в 1941 г. За 1953 г. зарегистрировано 486 случаев Д, связанных с ношением одежды (белье, подкладка пальто и др. главным образом из Т из синтетич. волокон). Установлено, что Т из волокон животного происхождения также могут вызывать Д (аллергич.), Т из растительных волокон вызывают их очень редко. Основной причиной Д являются красители, протравы, в-ва, применяющиеся для предохранения Т от действия воды (напр., нерастворимые мыла Al и Pb), огня (хлорированные нафталины), насекомых, плесени (силикофлориды, гексахлорбензол, метилбромид, ДДТ, пиретрум, rotenon, Си-нафенат, меркаптобензоил, салициланилид и др.), затем в-ва, применяющиеся

для очистки, отбеливания и дезинфекций Т, для предохранения их от сморщивания и др. Рекомендуется перед выпуском Т в продажу обязательно испытывать их действие на кожу в течение 24 час. Г. Д.

80423. Уменьшение опасности при окраске распылением. Швейсхеймер (Reducing fume hazards in finishing. Schweisheimer W.), Canad. Paint and Varnish Mag., 1956, 30, № 2, 20, 39 (англ.)

При отделочных работах (окраске и лакировке), производимых методом распыления красок в закрытых помещениях, возникает опасность отравлений и взрыва. Большая часть р-рителей красок (бензол, бензин и др.) обладает значительной токсичностью, и конц-ия их паров в воздухе намного превышает допустимые нормы. Ведущий окраску оператор должен работать только под колпаком, снабжаемым свежим воздухом. Для уменьшения опасности воспламенения паров рекомендуются применение непроницаемой для паров осветительной аппаратуры и подача воздуха в кол-ве ≥ 900 м³/час на 1 м² площади поперечного сечения окрашиваемого помещения. Ю. С.

80424. Катаarakты, возникающие при действии излучений в промышленности. Китинг, Пирсон, Саймонс, Уайт (Radiation cataract in industry. Keatinge G. F., Pearson J., Simons J. P., White E. E.), Arch. Industr. Health, 1955, 11, № 4, 305—314 (англ.)

Исследования влияния ИК-излучения (И) на развитие катаракты у рабочих сталепрокатного з-да показали, что интенсивность И у рабочего места на уровне глаз колеблется в пределах 0,02—0,1 кал/см²/сек; из 44 обследованных рабочих только у трех (все старше 65 лет) была обнаружена классич. катаракта, вызванная И. Изменения в хрусталике нередко наблюдались также у рабочих контрольной группы, не подверженных действию И. У некоторых лиц была обнаружена высокая чувствительность к И, которая могла бы привести даже в домашних условиях (при слабой интенсивности И) к изменению их хрусталиков. Библ. 25 назв. Б. Т.

80425. Германский стандарт DIN 6843. Проект. Защита от излучения при работе с открытыми радиоактивными препаратами в медицинской практике. — (Strahlenschutz beim Arbeiten mit offenen radioaktiven Präparaten in medizinischen Betrieben. Regeln. Normen-Entwurf DIN 6843.—), Fortschr. Geb. Röntgenstrahlen, 1955, 82, № 1, 135—143 (нем.)

Предложены правила хранения, транспортировки и работы с радиоактивными изотопами, дозиметрич. контроля, удаления радиоактивных и других отходов. Предельно допустимая доза облучения тела человека 0,3 рентген в неделю, для кистей рук и предплечья 1,5 рентген в неделю. Мощность дозы на рабочем месте, измеренная в воздухе, не должна превышать 2 мкРентген/сек, а для жилых помещений 0,5 мкРентген/сек. Приводятся графики зависимости допустимого недельного времени пребывания на рабочем месте от мощности дозы и толщины экранов для полного поглощения β -излучения от энергии излучения, а также вспомогательные таблицы для расчета экранирования γ -излучения. Для Na^{24} , P^{32} , Co^{60} , $Sr^{90} + Y^{90}$, J^{131} и Ra^{226} указаны наивысшие безвредные кол-ва в теле человека. Максимально допустимая конц-ия C^{14} в виде CO_2 в воздухе 1 мкКюри/м³. В. Ф.

80426. Новое в определении внутренней дозы радиоизотопов. Морган, Форд (Developments in internal dose determinations. Morgan K. Z., Ford M. R.), Nucleonics, 1954, 12, № 6, 32—39 (англ.)

Описаны методы вычисления максимально допустимых конц-ий (МДК) радиоизотопов в воздухе и воде. Приводятся МДК в организме (при систематич. и одновременном попадании радиоизотопов в организм), а также метод расчета кол-ва радиоизотопов в выделениях организма. В качестве дополнения к данным по МДК, содержа-

щимся в американском справочнике по внутренним дозам, приведена таблица МДК различных радионуклидов в воде и воздухе при одновременном (в течение одного дня) попадании в организм (через органы дыхания и пр.) соответствующих доз облучения, равных 0,043 б. э. р. в день, 0,3 б. э. р. в неделю и 15,7 б. э. р. в год. 1-я величина рекомендуется авторами в качестве МДК для непрофессионального облучения, 2-я для нормальных производственных условий и 3-я — при аварийных случаях. В той же таблице приведены допустимые кол-ва радионуклидов в фекалиях (соответствующие МДК в организме) в первые дни после одновременного попадания их в организм и общее кол-во в выделениях за день при систематич. их попадании.

В. Л.

80427. Методы обработки радиоактивных материалов в количествах многих тысяч кюри. Рапп А. Ф. В сб.: Дозиметрия ионизирующих излучений. М., Гостехтеоретиздат, 1956, 543—562

Описаны методы работы с высокоактивными материалами. Работа с твердыми материалами производится на расстоянии или под водой с помощью дистанционных инструментов, а также в защитных камерах, снабженных манипуляторами. Для транспортировки активных жидкостей используются паровые и воздушные эжекторы и спец. типы насосов. Под водой обрабатываются топливные элементы, блоки Co^{60} , демонтируется загрязненное оборудование и т. п. Вода непрерывно очищается от активных и неактивных загрязнений посредством фильтрования и ионного обмена. Наиболее гибким устройством является защитная камера с манипулятором. В Оксфордской лаборатории были приготовлены из жидкого р-ра Cs^{137} источники для лучевой терапии активностью 1540 кюри в виде CsCl , спрессованного под давл. 1406 кг/см², и запаянные в контейнер из нержавеющей стали. Приведены фотоснимки камеры, инструментов для манипулятора и момента загрузки источника в защитное устройство. Для транспортировки радионуклидов применяют контейнеры, представляющие заполненные свинцом оболочки из нержавеющей стали. Описана камера для 10 000 кюри Co^{60} , которая имеет стены из баритобетона толщиной 0,9 м и окно из 4 пластин цериево-бариевого стекла толщиной по 10,2 см каждая. Приведены фотоснимки передней и задней стенок камеры. Хранение Co^{60} и аналогичных материалов производится в трубках длиной 2,5 м из нержавеющей стали, погруженных в землю. Описаны конструкции установок для получения I^{131} и других продуктов деления. Установка для получения продуктов деления (в том числе 200 000 кюри Cs^{137} в год) состоит из двух частей: в одной производится разделение продуктов, в другой — приготовление и упаковка источников активностью в тысячи кюри. Приготовление источников производится в камерах с манипуляторами и включает следующие операции: прессование порошков в таблетки, отливку расплавленного CsCl в формы, приготовление керамич. слоев, содержащих Sr^{90}O и $\text{Ce}^{144}\text{O}_2$ или $\text{Pt}^{192}\text{O}_2$, электроосаждение на медных пластинках Ru^{106} , изготовление капсул для источников, запайвание их и упаковку.

В. Л.

80428. Устройство горячих лабораторий и техническое оснащение их для работы с радиоактивными материалами. Дисмьюк С. Е., Фельдман М. Дж., Паркер Г. В., Ринг Франк. В сб.: Дозиметрия ионизирующих излучений. М., Гостехтеоретиздат, 1956, 502—542

Рассмотрены устройство и оснащение горячих лабораторий для работы с радиоактивными в-вами. Описаны конструкции горячих камер, их вентиляции, типы смотровых устройств, освещение, типы манипуляторов и т. п. Изложены принципы планировки лабораторий, методы работы в горячих камерах и спец. вытяжных шкафах в зависимости от характера операции и уровня радиоактивности; дана характеристика применяемого оборудования. При-

ведены схемы и фотографии горячих камер, вытяжных шкафов и опытной установки для выделения радиоактивных продуктов деления.

В. Л.

80429. Сброс радиоактивных отходов в землю. Мортон, Стракснес (Pound disposal of radioactive wastes. Morton Roy J., Struxness Edward G.), Amer. J. Public Health, 1956, 46, № 2, 156—163 (англ.)

Рассматривается проблема удаления радиоактивных отходов (РО), образующихся при произ-ве ядерного горючего. Приведена классификация РО и краткая характеристика их свойств и методов сброса (существующих и предполагаемых в будущем). Особое внимание уделено сбросу РО в землю. Приведены результаты изучения последствий сброса в землю (слой сланца) РО в виде сильнощел. солевых р-ров в кол-ве 7,6·10³ л, содержащих 30—35% твердых в-в (преимущественно Na^+ , NH_4^+ , NO_3^-). Общая активность РО составляла ~27 000 кюри (по β-активности) (Cs^{137} — Ba^{137} 60—70%, Ru^{106} 12—40% и Sr^{90} — Y^{90} до 11%). Обнаружено, что Ru^{106} и NO_3^- проникают сквозь слой сланца.

Проникновения других элементов не было обнаружено в течение 4 лет. Указано направление дальнейших исследований, ведущихся в Оксфордской лаборатории по изучению последствий сбросов РО.

В. Л.

80430. Удаление продуктов деления. Данквэртс (Fission product disposal from Windscale. Danckwerts P. V.), Nuclear Engng, 1956, 1, № 1, 25—27 (англ.; рез. франц., нем., исп.)

На основе опытов по влиянию прилива и ветра на распределение 10 т р-ра флуоресценции в море и последующих исследований по концентрированию активности в иле, водорослях и рыбе разработан наиболее удобный метод удаления отходов с низкой активностью из реакторов, расположенных вблизи морского берега. Рассчитано, что в случае 50-дневного шторма (весьма маловероятное допущение) при сбросе в море 100 кюри в день по трубам на расстоянии 3,2 км от берега, максим. активность на поверхности должна составлять ~10 мкюри/л. Концентрирование активности в рыбах и водорослях (особенно Pu^{239} в рыбе) определяет допустимую границу скорости сброса отходов в море. 5-летний опыт в Уиндскейле показал, что можно абсолютно безопасно сбрасывать в море ежедневно сотни кюри β-излучателей и сотни мкюри α-излучателей.

В. Ш.

80431. Индустриальные запахи. — (Industrial odours. —) Scope, 1955, Jan., 34—41, 68 (англ.)

Для борьбы с неприятными запахами (З) в пром-сти рекомендуют устранение источника выделения З, применение нормального кондиционирования воздуха и т. п. Рассмотрены некоторые способы дезодорации индустриальных З: хлорирование, окисление с помощью озона; соединение нескольких З попарно с исчезновением З; адсорбция З активированным углем и др. Предлагается в дальнейшем упростить существующие методы дезодорации и сделать их более многосторонними. Рекомендуют применение электро-энцефалографа для регистрации деятельности головного мозга в области вхождения обонятельных нервов и наблюдения специфичности р-ций головного мозга на различные З.

Г. Д.

80432. Заметки по вопросу уничтожения запахов. — (Notes on odour control. —) Scope, 1955, Jan., Suppl. Factory and office Serv., 21—24 (англ.)

Кратко описываются современные методы промышленной дезодорации: окисление резко пахнущих газов и жидкостей при помощи озона (рассматриваются способы получения озона); абсорбция запахов (З) при помощи активированного угля, который способен абсорбировать на своей поверхности пахнущие в-ва в кол-ве > 57% от собственного веса; «нейтр-ция» З другими З (взаимоуничтожение З). Подчеркивается тесная связь устройств для очистки воз-

духа от 3 с вентиляционным оборудованием. Наиболее широко применяется метод устранения неприятных 3 при кондиционировании воздуха. Г. Д.

80433. Приготовление пахучей смеси регулируемого состава для исследования запахов. Ниверс (Preparation of controlled odorous atmospheres for olfactory research. Nevers Ashley D., ASTM Bull., 1955, № 208, 45—47 (англ.))

Дан обзор методов обнаружения запахов и описан прибор для приготовления и испытания газовой смеси с регулируемой конц-ией пахучих в-в. Газ-носитель проходит через очиститель, заполненный силикагелем и активированным углем (для удаления влаги и запаха), и смешивается с парами пахучей жидкости, которая подается шприцем, приводимым в действие синхронным мотором. Газовая смесь далее разбавляется очисти. от влаги и запаха воздухом и поступает в нюхательную воронку. Скорость ввода пахучей жидкости 0,0067 мл/мин, газа-носителя от 1 до 6 л/мин в зависимости от т. к. пахучей жидкости. Прибор применяется также для определения запахов в атмосфере производственных помещений. Н. С.

80434. Профессиональные заболевания в промышленности по обработке кремнезема. Равет (I rischi professionali nell'industria della silice fossile. Ravet R., Securitas, 1956, 41, № 1, 3—18 (итал.))

Среди рабочих предприятий, применяющих ископаемый кремнезем в виде инфузорной земли, диатомита, кизельгура и т. д., отмечены заболевания силикозом, имевшие иногда смертельный исход. Однако эти заболевания не следует приписывать именно аморфной SiO_2 , поскольку имеющиеся сведения противоречивы, и вопрос должен быть дополнительно изучен. Некоторые компоненты, содержащиеся в сырье или применяемые при его обработке, (напр., окись алюминия) могут ингибировать заболевания, другие же могут ускорять их течение (галонды, их к-ты и некоторые соли). Кроме того, в процессе обработки аморфная SiO_2 переходит при нагревании в кристаллич. форму (при 450° в значительной мере, при 900° — целиком). В предприятиях, где продукт обжигается при 900° , наблюдаются более серьезные случаи заболевания, чем в тех, где он обжигается при 450° и почти не наблюдаются там, где SiO_2 только высушивается. Описаны меры безопасности, применяемые при обработке SiO_2 и особенно подробно рассмотрен вопрос о пневмотранспорте материалов, надежность работы которого значительно снижает кол-во заболеваний силикозом. Н. С.

80435. О безопасности труда при обслуживании печей для обжига руд. Пулавский (Pieczę paleniznicze a ochrona pracy. Puławski Zygmunt, Ochrona pracy, 1954, 8, № 5, (83), 159—162 (польск.))

Показано вредное действие на организм печей для обжига железных, цинковых, свинцовых и медных руд. Наиболее вредными факторами являются выделение SO_2 , содержание которого в отходящих газах достигает 1%, и лучистое тепло, величина которого для некоторых типов печей (напр., Герестоффа) на расстоянии 0,5 м от печи составляет 1,1—1,9 кал·см²/мин. В качестве защитных мероприятий применяется аэрация помещений, искусств. вентиляция и различные виды тепловой изоляции стенок печей и газопроводов. С. Я.

80436. Органические, бериллиевые и ванадиевые пыли. Стокингер (Organic, beryllium and vanadium dusts. A review. Stokinger Herbert E., Arch. Industr. Health, 1955, 12, № 6, Sec. 1, 675—677 (англ.))

Обзор литературы о пылевых профессиональных заболеваниях, связанных с воздействием на организм пыли п-дихлорбензола, тефлона, хлопка, синтетич. смол, соединений Be, V и др. Указано, что для диагностики бериллиевой грануломы легкого целесообразно применять кожную пробу; признаком ванадиевого отравления является уменьшение содержания цистина в ногтях. Приводятся данные об успешном предупреждении отравления Be путем вве-

дения ауринтрикарбоксильной к-ты, кортикотропина или кортизона. Подчеркивается решающая роль полноценной диеты (особенно наличия в ней достаточных кол-в аскорбиновой к-ты) в профилактике отравлений V. Библ. 26 назв. Г. Д.

80437. Плотность дыма как показатель загрязнения воздуха. Норклифф (Smoke measurement is vital to the clean air campaign. Norcliffe D. C.), Municipal. Engng, 1956, № 3461, 418 (англ.)

Описывается индикатор для быстрого обнаружения неполадок процесса сжигания топлива промышленными установками. В качестве индикатора рекомендуется фотоэлектрич. измеритель плотности дыма, устанавливаемый в дымовой трубе. Прибор состоит из источника света, устанавливаемого по одну сторону трубы; лучи последнего пропускаются через поток проходящего по трубе дыма. Со стороны трубы, противоположной источнику, помещается светочувствительный элемент, который фиксирует поглощение световых лучей дымовым потоком. Показания прибора регистрируются, а чрезмерная плотность дыма вызывает звуковой сигнал. Ю. С.

80438. Химическое определение кварца в минералах и пыли. Цурло, Гриффини (Determinazione chimica del quarzo nei minerali e nelle polveri. Zurlo N., Griffini A. M.), Med. lavoro, 1954, 45, № 12, 675—691 (итал.; рез. англ., нем.)

Для хим. определения в минералах и пыли свободной SiO_2 , вызывающей силикоз, предложено видоизменение метода Даркэна (Durkan T., J. of Ind. Hyg. Toxicol., 1946, 28, 217). Предварительными опытами, произведенными по методу Даркэна была установлена зависимость растворимости силикатов от состава минералов и размера частиц: напр., в случае ортоклаза полное растворение силиката при действии к-т (HCl) наступает при размере частиц 8 м, в случае пиррофилита 3 м, ставролита 1 м. Рекомендовано измельчение до среднего размера 5—10 м. Метод Даркэна упрощен и сокращена продолжительность определения. Приведена пропись анализа. Н. С.

80439. Об улавливании свинцовой пыли из воздушного потока мокрым способом. Ермилов П. И., Уч. зап. Ярославск. технол. ин-та, 1956, 1, 111—128

При произ-ве металлург. Pb из руд, 6—8% перерабатываемого Pb переходит в пыль, уносимую газами. Во избежание больших потерь Pb и загрязнения атмосферы, основная масса пыли улавливается из газового потока циклонами, тканевыми фильтрами, скрубберами, сухими и мокрыми электрофильтрами. Однако пыль при произ-ве Pb трудно улавливается, и существующие (наиболее сложные) схемы дают степень улавливания (η) ≤ 97 —98%. Причиной недостаточного улавливания является высокая дисперсность пыли (средний размер частиц 0,6—0,8 м) и наличие вокруг частиц оболочки кислорода, адсорбированного в процессе конденсации и препятствующей смачиванию. При использовании поверхностно-активных в-в, напр. неионогенных смачивателей типа ДБ при конц-ии его 0,2% или типа ОП-10 при конц-ии 0,3% η , в пленочных центробежных скрубберах составляет 99,7—99,9%. Даны дисперсные характеристики Pb-пыли и методика ее определения. Приведены результаты измерения объема адсорбированного частицами газа и десорбции газа поверхностно-активными в-вами. Библ. 20 назв. Ю. С.

80440. Очистка дымовых газов и обеспыливание. Нагель (Probleme der Rauchgasenstaubung und der Staubbelästigung. Nagel R.), Brennstoff-Wärme-Kraft, 1954, 6, № 9, 344—348 (нем.)

Степень очистки дымовых газов зависит от размера частиц, кол-ва газов, мощности парокотельной установки, типа топки, сорта угля, его измельчения и зольности. Установлено, что мелкие частицы эффективнее задерживаются в электрофильтрах (Э). В циклонах (Ц) слабой мощности степень очистки газов тем больше, чем выше нагрузка, а в Э, наоборот. Отмечается, что в случае пере-

менных нагрузок наиболее эффективной бывает очистка при последовательном включении Э и Ц. Б. С.

80441. Удаление аэрозолей. Часть II. Смит (The removal of aerosols. Part 2. Smith I. J.), Industr. Chemist, 1956, 32, № 373, 73—79 (англ.)

Рассматриваются методы и аппаратура для улавливания аэрозолей (А), образующихся при эксплуатации атомных энергетич. установок, нуждающихся в удалении радиоактивных пылей и туманов. Рассматривается улавливание А волокнистыми фильтрами (Ф). Фильтрация идет вполне удовлетворительно при низких начальных концентрациях А и зависит от допустимого перепада давления, площади рабочего сечения Ф, природы фильтрующего и фильтруемого материалов. Степень улавливания А (η) растет с уменьшением диаметра волокон Ф и увеличением скорости газа. Эта закономерность действительна для частиц $A \geq 0,5 \mu$, ниже этой величины инерционный эффект улавливания резко падает, замещаясь диффузионным, при котором главную роль играет время пребывания газа в Ф, а увеличение скорости газа уменьшает η . Частицы $A \leq 0,1 \mu$ наиболее трудно улавливаемые. Для улавливания их необходимо воздействие сил электростатич. притяжения, что достигается зарядкой волокон Ф. Описаны также методы агрегации частицы А с последующим их улавливанием. Библ. 31 назв. Часть I см. РЖХим, 1956, 49519. Ю. С.

80442. Воздухоочистное оборудование. Гаррис, Мейсон (Operating economics of air-cleaning equipment utilizing the reverse jet principle. Harris William B., Mason Mont G.), Industr. and Engng Chem., 1955, 47, № 12, 2423—2425 (англ.)

Жесткость требований к пылеулавливанию на з-де по переработке урана обуславливается токсичностью и ценностью пыли. При выборе воздухоочистителей были отвергнуты: 1) инерционные и скрубберные устройства, из-за присущей им низкой степени очистки воздуха $\eta_{0\mu}$; 2) электрофильтры, ввиду неэкономичности; 3) аппараты с глубоким фильтрующим слоем, как обладающие малой емкостью и затрудняющие извлечение ценного уловленного материала. В качестве аппарата, удовлетворяющего всем требованиям, выбран рукавный фильтр со струйной обратной промывкой и шерстяным фетром в качестве фильтрующей ткани. Всего установлено 18 фильтров, работающих при разности давлений между рукавами и корпусом 100—250 мм вод. ст. Производительность отдельных аппаратов от 1200 (на системе пневматич. транспорта) до 20 000 м³/час (на простых воздухоочистителях). Суммарный объем очищ. воздуха до 187 000 м³/час. Входная конц. пыли в воздухе для разных аппаратов 0,005—73 г/м³ при средней 11,5 г/м³. В системе пневмотранспорта наблюдаются пики до 230 г/м³. Выходные конц. пыли колеблются от 0,00023 г на 1000 м³ до 0,95 г на 1000 м³ при средней 0,3 г/1000 м³. По данным 2-летней практики $\eta_{0\mu}$ составляет 99,946—99,9996% при среднем 99,986%. Нагрузка на ткань 4,5—6 м³/мин на 1 м², при среднем сопротивлении проходу воздуха 75—100 мм вод.ст. Срок службы рукавов 6—8 месяцев. Предельная т-ра 80°. Рукава для щел. газов сшиваются нейлоновыми нитками, для кислых орловыми. Приведены эксплуатационные рекомендации и детальный расчет затрат. Ю. С.

80443. Опыт эксплуатации бумажных фильтров в вентиляционных установках. Кучерук В. В., Матюхин Г. С., Водоснабжение и сан. техника, 1955, 8, 6—10

Для очистки воздуха вместо масляных фильтров с заполнителями Московским институтом охраны труда ВЦСПС предложены бумажные фильтры из алигнина (освобожденная от лигнина целлюлоза) и шелковки (шелковистая пористая бумага). Алигнин и шелковка укрепляются в несколько слоев в спец. кассетах. В кассету можно закладывать до 10 слоев алигнина, причем общая тол-

щина закладки должна быть ~ 2 мм. Фильтрующая поверхность закладки до 1,9 м²; воздушная нагрузка на 1 кассету 1000—1100 м³/час при нормальной воздушной нагрузке 500—600 м³/час. Установлено, что основным преимуществом бумажных фильтров является высокая степень очистки воздуха (95,7%) при незначительном сопротивлении (до 3,3 кг/м²). Пылеемкость фильтра из 6 слоев алигнина составляет до 160 г. Продолжительность срока службы фильтра до 1180 час. Бумажные фильтры применяются с высоким эффектом на кинофабриках, фармацевтич., текстильных ф-ках и пр. Н. С.

80444. Очистка воздуха и газов при использовании атомной энергии. Силверман Л. В сб.: Дозиметрия ионизирующих излучений. М., Гостехтеоретиздат, 1956, 435—458

Обзорный доклад о методах решения проблем очистки воздуха и газов, возникающих при добыче, обогащении, переработке и энергетич. использовании ядерного горючего (U и Th). Описаны процессы образования радиоактивных газов и аэрозолей и сформулированы требования к газо- и воздухоочистительному оборудованию, соответствующие специфичности проблем. Для оценки эффективности оборудования предложен термин «коэфф. очистки» (КО), отражающий прошедшую и не уловленную аппаратом часть аэрозоля; КО-10 означает степень улавливания 90%, КО-1000 99,9% и т. д. Для некоторых случаев очистки воздуха от радиоактивных аэрозолей необходим КО-100. Приведенные данные о работе различных газо- и воздухоочистительных устройств сведены в таблицу, содержащую дисперсные характеристики, эффективность, рабочие скорости, перепады давления, примерную стоимость очистки и области применения в атомной пром-сти (по двадцати типам аппаратов). Библ. 28 назв. Ю. С.

80445. Улавливание ядовитых паров и снижение потерь электролита. Ямольский А. М., Технол. трансп. машиностроения, 1956, № 3, 49—50

При электролитич. процессах, применяемых при гальванич. покрытиях деталей Cu, Zn, Ni, Cr и другими металлами, с поверхности электролита происходит интенсивное выделение газов, паров и тумана, что связано с потерей электролита и загрязнением атмосферы. Для уменьшения (до 50%) уноса электролита из ванны предложены и опробованы два мероприятия: 1) покрытие поверхности электролита цилиндрич. пустотелыми поплавками из плексигласа, винипласта, стекла и других химически стойких материалов; 2) устройство над ванной легкого подвижного экрана, изготовленного из плексигласа или целлулоида и устанавливаемого посредством текстолиновых или винипластовых роликов на катодные штанги либо на спец. направляющие. Ю. С.

80446. Борьба с пожарами нефти путем покрытия ее поверхности пенящимся составом. Френч, Хинкли, Фрай (Surface application of foam to petrol fires. French R. J., Hinkley P. L., Fry J. F.), Chemistry and Industry, 1956, № 15, 260—265 (англ.)

Показано, что стойкость пены, применяемой для тушения пожаров, к действию огня зависит от содержания в ней воды. Эффективность же огнегасительного действия пены зависит от «критического напряжения сдвига», т. е. от ее способности растекаться по поверхности горячей жидкости. При скорости растекания, значительно превышающей крит. значение, стойкость пены к огню играет меньшую роль. При скорости растекания пены ниже крит. значения тушение пожаров становится неэффективным. М. Ф.

80447. Классификация пожаров и огнетушителей и приемы тушения. Ниби (Classificazione, metodi di spegnimento, rilevazione degli incendi nell' ambito dell' amministrazione P. T. Nibi G.), Poste e telecomun., 1956, 24, № 3, 241—246 (итал.)

Описано несколько типов огнетушителей — жидко-

стные, пенные и сухие (с галоидопроизводными углеводородов, с твердой CO_2 и др.) с приведением их схем и приемов пользования. Описаны сигнальные приборы (акустич. и световые), предупреждающие о наличии огня на расстояниях 12—15 м. Рекомендовано для тушения пожаров, возникших при загорании целлюлозы, пользоваться жидкостными огнетушителями; спирта, бензина и т. п. — пенными, сухими и с галоидопроизводными углеводородов; при воспламенении электрич. проводов — огнетушителями с твердой CO_2 и с галоидопроизводными углеводородов.

Н. С.

80448. Стойкость пены, применяемой при тушении пожаров, к разрушительному действию бензина. Френч, Хинкли (The resistance of fire-fighting foams to destruction by petrol. French R. J., Hinkley P. L.), J. Appl. Chem., 1954, 4, № 9, 513—516 (англ.)

Показателем стойкости пены является время, в течение которого может быть собрано 25% жидкости, содержащейся в слое пены, находящейся на поверхности бензина и образующейся при ее разрушении. Эти величины (при 15°) определены для некоторых пенящихся составов и составляют соответственно для гидролизованного кератина, гидролизованного протеина, мыла и смачивающего агента: 8, 14, 7,6 и 2 мин.

М. Ф.

80449. Опасность загорания защитной одежды. Бреггер (Verbreunungsgefahren am Arbeitsplatz. Brägger W.), Schweiz. Mech.-Z., 1956, 27, № 1, 8 (нем.)

Описан метод определения воспламеняемости (горючести) импрегнированных тканей, применяемых для изготовления защитной одежды. Испытуемая ткань обрабатывается р-ром хромата калия, высушивается, разрезается на полоски стандартного размера и подвергается воздействию газового пламени длиной 3 см. Неимпрегнированная ткань через короткий промежуток времени воспламеняется и сгорает без остатка. Импрегнированная ткань не воспламеняется и не горит, а лишь обугливается. Образцы неимпрегнированной ткани сгорали за 30—50 сек., а импрегнированной медленно тлели в течение 5—7 мин. Даже смоченная бензином импрегнированная ткань не повреждается при соприкосновении с пламенем и при попадании на нее искры и капель расплавленного металла, образующихся при автогенной сварке или резке металлов.

М. Ф.

80450. Техника безопасности при работе со щелочными металлами. Ситтиг (Safe handling of alkali metals. Sittig Marshall), Industr. and Engng Chem., 1956, 48, № 2, 227—229 (англ.)

Приведены правила обращения со щел. металлами (ЩМ), применяемыми в пром-сти (Na, сплавом Na с K и Li). Описаны условия безопасного хранения ЩМ на складах и противопожарные мероприятия при работе с ЩМ (применение инертных газов для предупреждения соприкосновения с воздухом), а также средства индивидуальной защиты. Рекомендуются меры безопасной очистки аппаратуры от ЩМ и отходов (промывка спиртом, обработка паром или смесью его с инертным газом) и средства огнетушения при возникновении пожара.

М. Ф.

80451. Взрывы газов, паров и пыли. Асцик (Wybuchy gazów, par i pyłów. Aścik Kazimierz), Przem. włókienniczy, 1956, 10, № 2, 88—90 (польск.)

Приведены таблицы с данными по пределам взрываемости газо- и паро-воздушных смесей. Классификация горючих жидкостей по т-рам их воспламенения и самовоспламенения, а также условия взрываемости некоторых пылей в воздухе. К профилактич. мероприятиям относятся: герметизация газопроводов, устранение электрич. аппаратуры, уменьшение трения при работе движущихся механизмов, применение автоматич. клапанов, защитных мембран, огнегасителей и водн. противопожарных заслонов.

С. Я.

80452. Пути предупреждения взрывов от статического электричества при наливке цистерн и резервуаров нефте-

продуктами. Лукьянов Ф. Н., Нефть. х-во, 1956, № 5, 59—63

Установлено, что цистерны, в которые наливаются легковоспламеняемые жидкости, должны быть не только заземлены, но и электрически соединены с металлич. частями шлангов. Скорость налива при влажности воздуха 70% можно повысить, так как влажный воздух способствует рассеянию возникающих электрич. разрядов, начиная с $\frac{3}{4}$ высоты наливаемой цистерны; скорость налива следует снижать, так как максим. электрич. потенциалы накапливаются в верхней половине цистерны, где и появляется опасность возникновения электрич. искры. Наиболее опасными нефтепродуктами с точки зрения накопления электрич. зарядов является жидкость с электрич. проницаемостью до 2,5—3 и уд. проводимостью 10^{-10} — 10^{-15} ом см^{-1} .

М. Ф.

80453. Взрыв смеси хромовой кислоты с уксусным ангидридом. Докинс (Chromic acid — acetic anhydride «explosion». Dawkins A. E.), Chemistry and Industry, 1956, № 12, 196 (англ.)

Описан взрыв р-ра, применяемого для электролитич. полировки металлов, происшедший во время приготовления р-ра. К р-ру 100 г CrO_3 в 200 мл воды охлажд. до комнатной т-ры было добавлено 700 мл $(\text{CH}_3\text{CO})_2\text{O}$ при непрерывном перемешивании. Через 15 мин. содержимое стакана оказалось выброшенным, и помещение было заполнено мелкими брызгами, вызвавшими ожоги лица исследователя.

М. Ф.

80454. Дополнение к статье Штетбахера «Теоретическое изучение взрывчатых веществ и их практическое применение». Роникке (Ergänzung zum Aufsatz «Sprengstoffe und ihre Wirkung in Theorie und Praxis» von Dr. A. Stettbacher. Ronicke), Explosivstoffe, 1954, № 11/12, 153 (нем.)

Высказано предположение, что причиной необъясненного Штетбахером (РЖХим, 1956, 8912) взрыва в Людвигсгафене, происшедшего в 1948 г., является разрыв вагона-цистерны, переполненной жидким диметиловым эфиром, за которым последовал взрыв образовавшейся легковоспламеняемой смеси паров диметилового эфира с воздухом.

М. Ф.

80455. Вентилирование и кондиционирование воздуха в бумажной промышленности. — (La ventilation et le conditionnement de l'air dans l'industrie du papier.—), Papeterie, 1955, 77, № 3, 173, 175, 177, 179, 181 (франц.) Рассмотрены вопросы использования тепла удаляемого влажного воздуха, распределения воздуха в верхних зонах рабочих помещений и контроля за работой вентиляционных устройств и установок для кондиционирования воздуха. Предыдущее сообщение см. РЖХим, 1956, 49692.

С. Я.

80456. О технических условиях на проектирование и эксплуатацию санитарно-технических устройств на асбестообогащительных фабриках. Глушков Л. А. В сб.: Вопр. гигиены труда, профессиональной патологии и токсикологии в пром-сти Свердл. обл., Свердловск, 1955, 80—88

Приведена оценка разработанных Свердловским ин-том охраны труда санитарно-технических правил по борьбе с запыленностью воздуха на асбестообогащительных ф-ках. Правила составлены с целью создания единых санитарных норм проектирования промышленных предприятий, которые учитывают специфичность асбестообогащительного произ-ва и содержат, кроме норм проектирования и правил приемки, также нормы и правила эксплуатации санитарно-технических устройств и самих помещений асбестовых ф-к. В числе рекомендаций содержатся: нормирование расположения фабрик относительно жилых поселков (ЖП) с учетом преобладающего направления ветра в теплое время года; установление степени разрыва между границей ЖП и фабрики, выделяющей пыль, в зависимости от объема выброса запыленного воздуха в атмо-

сферу, который ограничивается 25 000 м³/час на высоте 3 м от крыши. При больших объемах выбросов запыленного воздуха должны устанавливаться высокие трубы. Разовое содержание асбестовой пыли вблизи ЖП должно быть 0,5 мг/м³, а среднесуточное ≤ 0,15 мг/м³. Норма пыли в воздухе производственных помещений устанавливается 2 мг/м³. Приведены рекомендуемые схемы организации респираторного хозяйства и службы обеспечения.

Ю. С.

80457. Психрометрический анализ как средство для ускоренного проектирования башен для охлаждения воздуха. Агнон, Сперлок (Psychrometric analysis for design of forced draft air cooling towers. Agnon S. E., Spurlock B. H., Jr, Heat., Piping and Air Cond., 1955, 27, № 7, 137—144 (англ.))

Изложен графич. метод, основанный на психрометрич. анализе, используемый при проектировании башен для охлаждения воздуха (В). В основу метода положена зависимость между влагосодержанием В и его энтальпией. Рассмотрен процесс охлаждения В при его постоянной и переменной т-рах и способ определения энтальпии В. Даны примеры расчетов сооружений для охлаждения В.

С. Я.

80458. Отведение тепла от ног настилами и бесшовными полами. Чермак (Die Fußwärmeableitung von Bodenbelägen und Estrichen. Cermak Harry), Silikattechnik, 1953, 4, № 11, 506—510 (нем.)

Описание прибора для определения кол-ва отводимого полом тепла от ног. Приведена краткая характеристика различных материалов для изготовления полов. Е. Ш.

80459. Моющие средства на основе фосфатных соединений. Фрейтаг (Vielseitige Reinigungsmittel auf Phosphatbasis. Freitag Rudolf), Sprechsaal Keramik, Glas, Email, 1955, 88, № 16, 354—355 (нем.)

Моющие средства (МС) для домашнего обихода и промышленности на основе полифосфатов производятся в последние годы в огромных кол-вах: за период 1941—1953 гг. их выпуск в США возрос с 500 до 350 000 т в год. Эти МС содержат 25—60% триполифосфата, 20—40% органич. соединений в виде синтетич. продуктов из мыл и поверхностно-активных в-в. Синтетич. МС на основе триполифосфатов применяются для мойки кухонной посуды и буты-

лок на молочных з-дах, очистки поверхности металлов в машиностроении, удаления типографской краски из бумажной массы, стирки белья и т. д.

С. И.

80460 П. Тушение пожара пенным составом. Перри (Fire extinguishing foam composition. Perri Joseph M.) [National Foam System, Inc.]. Пат. США 2697691, 21.12.54

Пенообразующий состав состоит из смеси растворимого белкового в-ва с уд. в. 1,17—1,18 и рН 7,0—7,5, гидротропного в-ва (натриевые соли ксилл-, толуол- и п-цимол-сульфоновых к-т) и в-в, понижающих т-ру застывания (воднорастворимые спирты, гликоли и их эфиры). Приводится пример состава, содержащего 25—35 об. % 40%-ного водн. р-ра гидротропного в-ва и 20—30 об. % в-ва, понижающего т-ру застывания, обеспечивающего высокую степень растворимости белковых в-в в холодной воде при любой т-ре выше т-ры застывания.

Б. Т.

80461 П. Аппарат для тушения пожаров (Apparatus for extinguishing fires) [Aktiebolaget Pumpindustri]. Англ. пат. 721185, 29.12.54

Описан огнетушитель, заряжаемый пенообразующими или смачивающими в-вами, отделенными от воды (служащей для их выбрасывания) слоем не растворимого в воде и в пламягасящем агенте и несмешивающегося с ними соединения, уд. вес которого является промежуточным между уд. весами воды и пламягасящего агента. В качестве такого соединения применяется, напр. хлорированное минер. масло, которое, после добавления к нему ароматич. углеводов и красящего в-ва, имеет уд. вес 1,05—1,10.

М. Ф.

80462 П. Получение огнестойкого материала (Flame resistant materials) [National Lead Co.]. Австрал. пат. 167123, 15.03.56

Хлопчатобумажную ткань обрабатывают водн. *р-ром $TiCl_3$ (1—100 г/л) или $TiCl_4$ (50—150 г/л).

М. Ф.

См. также: Отравления и борьба с ними 78425, 78502, 78549, 78570, 78572—78574, 78594; 23946—23953Бх, 23956Бх, 23958—23960Бх, 23964Бх. Борьба с запыленностью 80296, 80297, 80365, 80392, 80393. Пожары и взрывы 80391

ТАБЛИЦА ПАТЕНТОВ, ВЫДАННЫХ В РАЗНЫХ СТРАНАХ НА ОДНО И ТО ЖЕ ИЗОБРЕТЕНИЕ

В таблице даны сведения о патентах, совпадающих по содержанию, но выданных в разных странах.

В таблице указаны по отдельным странам: номер данного патента, страна и номер совпадающего патента и ссылка на реферат, помещенный в РЖХим.

Первый столбец: порядковый номер по РЖХим; на этот номер дается ссылка в годовом патентном указателе.

Второй столбец: номер патента по данной стране.

Третий столбец: страна и номер совпадающего патента.

Четвертый столбец: номер (и год) реферата по РЖХим, в котором даны сведения о совпадающем патенте.

Пример:

АВСТРАЛИЯ

80463 | 153333 | Англ. | 693323 | 27632 55

Это значит, что австралийский патент 153333 по содержанию совпадает с английским патентом 693323; сведения о последнем даны в реферате 27632 за 1955 год.

Годовой патентный указатель за 1956 год дает по указанному австралийскому патенту ссылку по РЖХим на реферат 80463.

АВСТРАЛИЯ

Номер по РЖ Хим	Номер патента по данной стране	Страна и номер совпадающего патента		Номер и год реферата по РЖ Хим	Номер по РЖ Хим	Номер патента по данной стране	Страна и номер совпадающего патента		Номер и год реферата по РЖ Хим
80463	153333	Англ.	693323	27632 55	80487	155597	Англ.	698976	50221 55
80464	591	Франц.	1022862	29676 54	80488	677	Канад.	497475	27524 55
80465	669	Англ.	692942	41453 55	80489	994	Англ.	693051	15284 55
80466	892	Англ.	700463	8502 55	80490	156030	Франц.	1030180	30076 55
80467	990	Франц.	1027889	36380 55	80491	123	Англ.	689504	49018 54
80468	154014	Дат.	76601	47376 55	80492	141	США	2624730	41367 55
80469	027	Франц.	1028585	29999 55	80493	202	Франц.	1032678	30109 55
80470	475	Англ.	686438	20947 54	80494	236	Англ.	693086	22719 55
80471	685	Англ.	697278	33386 54	80495	288	Фин.	26904	13086 55
80472	720	Франц.	1032106	14866 55	80496	395	Дат.	75717	21456 54
80473	758	Франц.	1029032	4570 55	80497	397	Франц.	1043575	30512 55
80474	804	Англ.	700475	8505 55	80498	446	США	2678902	38760 55
80475	806	Англ.	694010	47539 54	80499	757	Англ.	692376	37063 54
80476	976	США	2649401	49036 54	80500	761	Швейц.	292073	33052 55
80477	155136	Англ.	689278	38854 54	80501	763	Англ.	687328	29723 54
80478	190	США	2659757	38710 55	80502	803	США	2652356	45597 54
80479	284	США	2631951	7937 53	80503	856	ФРГ	882248	27881 55
80480	290	Франц.	1034659	10421 55	80504	157067	Канад.	497344	8455 55
80481	315	Франц.	1032678	30109 55	80505	282	Швед.	142990	47563 55
80482	349	Голл.	72275	46622 55	80506	339	Норв.	81367	9989 53
80483	413	США	2653455	17044 55	80507	767	США	2653154	38667 54
80484	506	Канад.	497475	27524 55	80508	815	Англ.	710846	27485 55
80485	526	Канад.	497475	27524 55	80509	920	Инд.	47606	31720 54
80486	581	Инд.	49700	50711 55	80510	974	Англ.	703826	53793 55

Таблица патентов, выданных в разных странах на одно и то же изобретение

Номер по РЖ Хим	Номер патента по данной стране	Страна и номер совпадающего патента	Номер и год реферата по РЖ Хим	Номер по РЖ Хим	Номер патента по данной стране	Страна и номер совпадающего патента	Номер и год реферата по РЖ Хим
80511	158010	ФРГ 879305	30314 55	80536	160594	США 2666764	38562 55
80512	118	США 2664424	17504 55	80537	603	США 2655514	4163 55
80513	171	Австр. 174122	39237 55	80538	691	ФРГ 877956	19651 55
80514	373	Англ. 698027	10565 55	80539	860	Канад. 507273	56444 55
80515	383	Англ. 688747	15012 55	80540	891	Швед. 142138	47564 55
80516	448	Швед. 146242	54050 55	80541	907	Франц. 1037198	44263 55
80517	503	США 2671806	8456 55	80542	161015	США 2660565	16771 55
80518	745	США 2662082	38686 55	80543	086	Англ. 711375	56328 55
80519	805	Франц. 1059507	50307 55	80544	087	Англ. 711375	56328 55
80520	806	Инд. 47771	43618 54	80545	437	Франц. 1036111	49062 54
80521	893	Франц. 1045162	56454 55	80546	822	Инд. 48209	22214 55
80522	159080	США 2687447	46503 55	80547	162010	Англ. 699897	32313 55
80523	151	США 2650930	44435 55	80548	210	Канад. 496952	30244 55
80524	265	Инд. 49129	50032 54	80549	306	Канад. 504112	26958 55
80525	486	Англ. 688159	22447 55	80550	428	США 2668122	22594 55
80526	621	Англ. 698120	8402 55	80551	451	Франц. 1064875	44294 55
80527	734	США 2656246	32835 55	80552	474	США 2669592	17559 55
80528	789	Англ. 705308	41196 55	80553	902	США 2651643	8449 55
80529	833	Франц. 1039090	15003 55	80554	163104	Канад. 503959	47440 55
80530	865	Франц. 1062459	50359 55	80555	193	Франц. 1058136	44188 55
80531	886	Инд. 47892	3076 55	80556	573	Франц. 1057368	53377 55
80532	907	Англ. 716212	55729 55	80557	948	Англ. 718390	52553 55
80533	160262	Англ. 708232	27630 55	80558	955	Франц. 1071339	52390 55
80534	367	Швед. 145130	32145 55	80559	165013	Канад. 500764	44425 55
80535	538	Швейц. 292326	15055 55	80560	205	США 2698337	41302 55

АВСТРИЯ

80561	173700	Швейц. 292079	4697 55	80580	176107	США 2665210	47914 55
80562	174206	Англ. 687984	38790 54	80581	217	Австрал. 155054	22270 55
80563	339	Англ. 705095	21933 55	80582	365	Англ. 695598	1293 55
80564	379	Дат. 76642	4100 55	80583	533	Швейц. 292326	15055 55
80565	608	США 2653939	47348 54	80584	560	США 2658871	50607 54
80566	666	Австрал. 153155	28030 55	80585	672	Швейц. 291788	22587 55
80567	698	ФРГ 902076	56648 55	80586	840	Канад. 489855	22264 55
80568	914	Швейц. 290583	35723 55	80587	846	Англ. 700720	38557 55
80569	175002	Франц. 1026767	53150 55	80588	177401	Дат. 76087	15164 55
80570	228	Дат. 75364	2397 54	80589	405	США 2653857	41869 54
80571	250	Дат. 76384	27389 55	80590	420	Англ. 695084	12615 55
80572	261	Швейц. 291194	22301 55	80591	755	Англ. 708269	44393 55
80573	560	США 2659714	22494 55	80592	779	Франц. 1057936	47250 55
80574	564	США 2664439	27434 55	80593	178224	Дат. 75734	5290 53
80575	568	США 2666764	38562 55	80594	179134	Швед. 146631	24189 55
80576	866	Австрал. 153206	1200 55	80595	136	Норв. 84107	34994 55
80577	871	Англ. 689708	36916 54	80596	283	Австрал. 151162	35331 54
80578	894	Англ. 710047	44418 55	80597	603	Франц. 1038254	53152 55
80579	176017	Франц. 1032662	20036 55				

АНГЛИЯ

80598	685498	Франц. 1033625	30061 55	80613	687399	США 2639234	36944 54
80599	583	Австрал. 152640	12781 55	80614	750	США 2666766	30091 55
80600	607	Австрал. 150800	11803 54	80615	855	США 2667502	8296 55
80601	608	Австрал. 150801	13756 54	80616	688640	Франц. 1022862	29676 54
80602	613	Австрал. 150992	36948 54	80617	802	Швейц. 293298	44420 55
80603	621	США 2645656	25194 55	80618	689283	Норв. 81257	3594 53
80604	840	Швейц. 289987	35738 55	80619	436	Франц. 1038184	30039 55
80605	980	США 2656383	32840 55	80620	574	США 2662817	4543 55
80606	686061	США 2666788	12671 55	80621	607	Франц. 1038660	15017 55
80607	151	США 2653952	19812 55	80622	642	Франц. 1022377	32992 54
80608	269	Франц. 1023925	15328 55	80623	801	Австрал. 150162	13821 54
80609	402	США 2650940	17399 55	80624	690323	США 2645674	42298 54
80610	574	Франц. 1028173	40618 55	80625	381	Австрал. 149871	47382 55
80611	630	США 2651634	30213 55	80626	594	США 2663731	15042 55
80612	876	Швейц. 288419	43713 54	80627	710	США 2632701	17328 54

Таблица патентов, выданных в разных странах на одно и то же изобретение

Номер по РЖ Хим	Номер патента по данной стране	Страна и номер совпадающего патента	Номер и год реферата по РЖ Хим	Номер по РЖ Хим	Номер патента по данной стране	Страна и номер совпадающего патента	Номер и год реферата по РЖ Хим				
80628	690949	Франц.	1023662	19833	55	80694	697963	США	2670185	22943	55
80629	972	Австрал.	153482	27575	55	80695	698093	Швед.	146273	34989	55
80630	691024	Швейц.	296660	56436	55	80696	443	Канад.	492243	36028	55
80631	042	США	2647876	12843	55	80697	456	США	2652315	21602	55
80632	282	Франц.	1033720	30209	55	80698	463	США	2636905	26274	54
80633	641	США	2673216	41160	55	80699	562	США	2663727	38532	55
80634	820	Франц.	1033154	44202	55	80700	576	США	2669515	56658	55
80635	866	США	2649475	20073	55	80701	699111	США	2660583	35720	55
80636	692145	Австрал.	153917	2828	55	80702	201	Австрал.	153482	27575	55
80637	169	США	2663723	27398	55	80703	292	США	2656295	42491	54
80638	194	США	2669538	33662	55	80704	311	США	2637534	28304	54
80639	279	США	2652432	22244	55	80705	362	Швейц.	292408	30085	55
80640	324	Австрал.	151798	6378	55	80706	415	Австрал.	154025	50423	55
80641	334	Австрал.	152892	44022	54	80707	470	Франц.	1037665	44309	55
80642	360	США	2666787	32908	55	80708	618	США	2665560	3205	55
80643	421	Канад.	490980	30208	55	80709	658	США	2629726	44246	55
80644	433	США	2628886	9850	53	80710	659	Австрал.	157699	50356	55
80645	583	Франц.	1025283	47959	55	80711	743	Дат.	75717	21456	54
80646	589	Австрал.	156125	21752	55	80712	818	Франц.	1030180	30076	55
80647	639	Франц.	1028504	36785	54	80713	829	Канад.	489855	22264	55
80648	683	Дат.	76915	6129	55	80714	976	Швейц.	288729	48994	54
80649	693162	США	2662046	35896	55	80715	700044	Швейц.	288173	42209	54
80650	166	Австрал.	153659	22552	55	80716	111	Австрал.	152883	44041	54
80651	311	Франц.	1028310	41624	55	80717	132	Франц.	1040391	43456	55
80652	353	США	2650221	53326	55	80718	210	Швейц.	270584	45541	54
80653	390	США	2660602	41307	55	80719	322	Дат.	77612	29432	55
80654	489	Австрал.	150251	15830	54	80720	396	Австрал.	152881	12690	55
80655	666	США	2665210	47914	55	80721	512	США	2687409	27838	55
80656	760	Франц.	1023307	2981	55	80722	557	США	2666017	10535	55
80657	829	США	2653859	49298	54	80723	566	США	2640846	31544	54
80658	904	Франц.	1033272	12692	55	80724	578	Франц.	1056313	41198	55
80659	906	Франц.	1033273	30112	55	80725	701	США	2667476	4627	55
80660	938	Франц.	1034072	12854	55	80726	711	США	2650209	47407	54
80661	981	Австрал.	149990	24655	54	80727	798	США	2657140	53455	55
80662	694021	Канад.	492715	32639	55	80728	806	Австрал.	152466	38847	55
80663	190	Австрал.	150201	9743	53	80729	867	Франц.	1032455	41746	55
80664	317	США	2631177	11845	54	80730	701020	США	2666075	6396	55
80665	354	США	2670380	8290	55	80731	106	США	2686208	17385	55
80666	490	Дат.	76325	1153	55	80732	129	Франц.	1041913	7856	55
80667	804	Франц.	1027905	13549	55	80733	140	Швейц.	291813	6454	55
80668	806	США	2662868	25018	55	80734	162	Франц.	1029393	10401	55
80669	943	Австрал.	152220	6524	55	80735	167	Франц.	1038839	3065	55
80670	961	Франц.	1036924	44283	55	80736	241	Швейц.	2889551	8356	55
80671	695028	ФРГ	880133	50122	55				2889591		
80672	171	США	2652356	45597	54	80737	341	США	2657139	33097	55
80673	468	Канад.	494875	19790	55	80738	349	США	2656321	2459	55
80674	593	США	2663719	15411	55	80739	438	Франц.	1035779	35678	55
80675	716	Австрал.	151053	31512	54	80740	702	США	2683688	50102	55
80676	758	США	2650916	43957	55	80741	706	Франц.	1041828	35601	55
80677	768	США	2650915	43956	54	80742	708	Франц.	1038453	17383	55
80678	779	Австрал.	155026	19854	55	80743	714	Англ.	695610	44661	55
80679	812	Франц.	1027414	34851	54	80744	843	США	2652328	53465	55
80680	856	Канад.	495187	21911	55	80745	926	США	2678885	41540	55
80681	877	Франц.	1020741	19359	55	80746	965	США	2629724	45594	54
80682	696237	США	2674579	35699	55	80747	702206	Франц.	1039669	8295	55
80683	357	Франц.	1028872	6442	55	80748	220	Канад.	501155	52557	55
80684	943	Канад.	494234	19470	55	80749	335	США	2628654	7655	53
80685	697107	Швейц.	288587	12773	55	80750	403	Дат.	76886	32819	55
80686	150	Канад.	498305	38700	55	80751	566	Канад.	498694	33050	55
80687	225	Швед.	144192	55728	55	80752	595	Австрал.	153251	12582	55
80688	480	Франц.	1031237	19893	55	80753	753	Канад.	503146	27370	55
80689	626	Австрал.	153016	53718	55	80754	928	Австрал.	153701	47487	55
80690	697	Фин.	26999	44455	54	80755	936	Швейц.	295354	53030	55
80691	724	США	2640802	36812	54	80756	982	Канад.	491634	49288	54
80692	769	Франц.	1043625	47476	55	80757	703010	Швед.	141952	36056	55
80693	918	Дат.	76885	15580	55	80758	016	Канад.	501863	16843	55

Таблица патентов, выданных в разных странах на одно и то же изобретение

Номер по РЖ Хим	Номер патента по данной стране	Страна и номер совпадающего патента	Номер и год реферата по РЖ Хим	Номер по РЖ Хим	Номер патента по данной стране	Страна и номер совпадающего патента	Номер и год реферата по РЖ Хим
80759	703029	Австрал. 153073	49045 54	80825	710023	Швейц. 291814	38670 54
80760	087	Австрал. 153233	6576 55	80826	033	США 2666685	33232 55
80761	133	Швейц. 290585	48993 54	80827	057	Австрал. 158285	26758 55
80762	289	Франц. 1041378	47616 55	80828	116	ФРГ 9014191	47715 55
80763	294	США 2677693	50211 55			9015401	
80764	394	Австрал. 152402	38939 55	80829	134	Франц. 1036111	49062 54
80765	418	Франц. 1028654	45532 54	80830	148	Франц. 1047448	35128 55
80766	434	США 2666707	10584 55	80831	151	США 2666073	6423 55
80767	446	Франц. 1039101	32931 55	80832	266	США 2666056	12686 55
80768	510	США 2628257	43928 54	80833	383	Австрал. 154457	1377 55
80769	949	США 2653926	45543 54	80834	511	Швейц. 296840	41510 55
80770	954	Австрал. 153648	10431 55	80835	631	ФРГ 911371	44413 55
80771	704043	Швейц. 290295	48990 54	80836	729	Швед. 138988	33370 54
80772	044	ФРГ 888110	16797 55	80837	734	Франц. 1054979	44324 55
80773	109	США 2651603	48926 54	80838	737	США 2666074	4874 55
80774	121	Франц. 1035590	35677 55	80839	739	Канад. 495543	4149 55
80775	185	ФРГ 900037	4215 55	80840	711037	Франц. 1041414	39073 55
80776	377	Швейц. 291811	8359 55	80841	060	Австрал. 156139	22477 55
80777	390	Австрал. 154084	17735 55	80842	194	Швейц. 294903	35850 55
80778	391	Австрал. 154084	17735 55	80843	307	США 2698328	56486 55
80779	461	США 2683182	40704 55	80844	345	Австрал. 151779	47700 55
80780	542	Австрал. 153277	29804 54	80845	350	США 2666718	41802 55
80781	567	Австрал. 154229	25153 55	80846	355	Австрал. 154434	41680 55
80782	687	Франц. 1046639	35945 55	80847	376	США 2673854	17430 55
80783	874	Австрал. 152417	45113 55	80848	392	Австр. 175572	38516 55
80784	705037	Австрал. 155850	19307 55	80849	495	Франц. 1039028	50621 54
80785	098	Швед. 142989	47562 55	80850	611	Франц. 1039811	30473 55
80786	212	Франц. 102611	29600 55	80851	615	Австрал. 155438	40630 55
80787	300	Франц. 1029910	29995 55	80852	656	Франц. 1061870	50181 55
80788	427	США 2667468	6393 55	80853	663	США 2658082	17331 55
80789	434	Австрал. 156325	56848 55	80854	669	США 2682513	22654 55
80790	436	Швейц. 290583	35723 55	80855	843	США 2651624	24989 55
80791	465	Канад. 497645	52705 55	80856	964	США 2654692	50571 54
80792	609	Швейц. 288888	22341 55	80857	712018	США 2685532	32648 55
80793	680	США 2634213	19294 54	80858	033	США 2672433	27345 55
80794	979	Франц. 1057936	47250 55	80859	037	Франц. 1033563	15113 55
80795	706012	Франц. 1041734	25028 55	80860	130	США 2683099	49985 55
80796	121	США 2666046	24978 55	80861	220	США 2665271	33210 55
80797	256	США 2666736	8278 55	80862	225	США 2665991	4875 55
80798	290	Франц. 1060089	50565 55	80863	333	ФРГ 879305	30314 55
80799	555	Франц. 1029713	43908 54	80864	343	Канад. 498230	53323 55
80800	568	Франц. 1039000	15005 55	80865	356	США 2625475	2421 53
80801	598	США 2658927	19793 55	80866	459	США 2658075	32825 55
80802	849	Австрал. 156054	14824 55	80867	467	Франц. 1064490	43471 55
80803	707004	Австрал. 150859	33394 54	80868	479	Австрал. 157314	27634 55
80804	462	Инд. 47327	10505 55	80869	601	США 2687995	24235 55
80805	488	Швейц. 290298	19895 55	80870	687	Швейц. 391828	45860 54
80806	935	США 2653918	53537 55	80871	735	США 2690630	24332 55
80807	708039	Швейц. 292413	53357 55	80872	755	Франц. 1030935	44633 55
80808	040	США 2686184	38586 55	80873	784	США 2662835	17382 55
80809	061	ФРГ 882284	27881 55	80874	922	Австрал. 153214	27725 54
80810	138	Австр. 176547	21657 55	80875	983	США 2679492	53646 55
80811	294	Швейц. 286112	50757 54	80876	713248	ФРГ 904657	53630 55
80812	312	Канад. 490662	27410 55	80877	250	Австрал. 154255	50427 55
80813	481	США 2656246	32835 55	80878	257	Франц. 1037261	36278 55
80814	681	Швейц. 290299	36871 54	80879	264	Инд. 47689	15333 55
80815	823	Франц. 1037183	15102 55	80880	316	Франц. 1047495	48115 55
80816	831	США 2638476	11987 54	80881	337	Франц. 1041500	47101 55
80817	945	Австрал. 154247	24677 55	80882	386	США 2683143	39039 55
80818	970	Швейц. 295398	32080 55	80883	393	Канад. 492244	4589 55
80819	709386	Франц. 1023965	32976 55	80884	489	США 2659714	22494 55
80820	591	США 2687976	33163 55	80885	590	Австрал. 157414	27631 55
80821	610	Франц. 1060545	19179 55	80886	634	Австрал. 150288	20948 54
80822	614	США 2663708	53329 55	80887	746	Норв. 81235	3594 53
80823	808	США 2637730	42276 54	80888	812	Франц. 1055446	50188 55
80824	988	Австр. 176676	26744 55	80889	823	США 2664439	27434 55

Таблица патентов, выданных в разных странах на одно и то же изобретение

Номер по РЖ Хим	Номер патента по данной стране	Страна и номер совпадающего патента	Номер и год реферата по РЖ Хим	Номер по РЖ Хим	Номер патента по данной стране	Страна и номер совпадающего патента	Номер и год реферата по РЖ Хим				
80890	713979	Франц.	1035771	21947	55	80934	716648	США	2637694	29672	54
80891	714043	Франц.	1067790	32990	55	80935	662	Швейц.	294691	50200	55
80892	055	США	2671015	14947	55	80936	717041	Австрал.	158192	50155	55
80893	167	Канад.	502912	39077	55	80937	062	США	2687986	53156	55
80894	501	Канад.	492162	44604	55	80938	281	Канад.	497344	8455	55
80895	557	США	2673188	33535	55	80939	357	Швейц.	294388	24810	55
80896	617	США	2694736	24760	55	80940	580	Норв.	81367	9989	53
80897	674	Франц.	1024087	22388	54	80941	763	США	2650242	42453	54
80898	940	Франц.	1046507	29601	55	80942	807	США	2655485	17604	55
80899	954	Франц.	1059017	33150	55	80943	904	Франц.	1022925	12650	55
80900	715039	Швейц.	287872	8355	55	80944	939	Инд.	48262	12592	55
80901	170	ФРГ	906214	44384	55	80945	971	ФРГ	877669	50440	55
80902	194	Норв.	83261	39058	55	80946	998	Франц.	1042187	7846	55
80903	198	Дат.	77369	29626	55	80947	718050	США	2689814	21730	55
80904	213	США	2665188	10510	55	80948	205	Фин.	26921	37969	55
80905	232	США	2654721	22674	55	80949	212	Австрал.	159133	46881	55
80906	236	США	2663706	12685	55	80950	217	Франц.	1063960	30319	55
80907	238	Швейц.	295672	53261	55	80951	218	Австрал.	159084	53395	55
80908	250	Австрал.	157824	44724	55	80952	515	Франц.	1042310	47681	55
80909	341	США	2673871	10430	55	80953	551	Франц.	1063866	23684	55
80910	422	Канад.	491493	41317	55	80954	716	Инд.	47981	4722	55
80911	478	США	2657118	1087	55	80955	719098	Франц.	1057044	38794	55
80912	511	США	2666792	47221	55	80956	099	Франц.	1071339	52390	55
			2666793			80957	177	Франц.	1064508	44328	55
80913	666	Австрал.	155625	27690	55	80958	382	Инд.	46062	25215	55
80914	715	Франц.	1065327	50247	55	80959	720110	Швед.	144872	46695	55
80915	733	США	2677635	30413	55	80960	850	США	2687941	47280	55
80916	734	США	2651642	30231	55	80961	721052	Франц.	1059866	30519	55
80917	738	США	2659727	15119	55	80962	053	Франц.	1059866	30519	55
80918	763	Швейц.	290892	17436	55	80963	081	Дат.	78480	32143	55
80919	774	Канад.	495555	22733	55	80964	380	Австр.	177758	35819	55
80920	861	Канад.	491651	41321	55	80965	415	Франц.	1069049	56732	55
80921	867	США	2687408	50506	55	80966	673	Австрал.	156475	47514	55
80922	881	Австрал.	154002	42161	55	80967	722482	США	2634284	19145	54
80923	913	США	2692256	38868	55	80968	484	Австрал.	157983	47595	55
80924	716081	США	2657239	15046	55	80969	723057	Франц.	1063325	38524	55
80925	087	США	2667464	25024	55	80970	079	США	2628963	43945	54
80926	155	США	2690452	41303	55	80971	580	США	2626876	5697	53
80927	159	Австрал.	158777	39230	55	80972	628	Швейц.	295063	47938	55
80928	234	Франц.	1042795	50743	55	80973	751	США	2669592	17559	55
80929	331	Канад.	496449	22245	55	80974	933	США	2659719	48989	54
80930	338	Швейц.	293677	27467	55	80975	725951	Франц.	1055208	47684	55
80931	460	ФРГ	878197	32077	55	80976	726191	США	2668122	22594	55
80932	517	Австрал.	159584	47834	55	80977	732538	Австрал.	160388	46510	55
80933	547	США	2643233	47479	55						

ГЕРМАНИЯ

ГЕРМАНСКАЯ ДЕМОКРАТИЧЕСКАЯ РЕСПУБЛИКА

80978	5192	ФРГ	879542	15236	55	80980	6935	ФРГ	875809	15430	55
80979	5353	ФРГ	905317	50731	55	80981	7310	Австр.	173794	22368	54

ФЕДЕРАТИВНАЯ РЕСПУБЛИКА ГЕРМАНИЯ

80982	869796	Канад.	495217	41293	55	80993	874940	Австрал.	153384	40426	55
80983	870147	Англ.	697136	22337	55	80994	875048	Австрал.	151757	44293	55
80984	306	США	2653149	1167	55	80995	356	США	2630456	29994	55
80985	314	Франц.	1027636	44727	55	80996	384	Англ.	705266	35611	55
80986	418	Австрал.	151757	44293	55	80997	876032	Австрал.	150091	11789	54
80987	873539	США	2665981	44068	55	80998	358	США	2637655	28238	54
80988	542	США	2673216	41160	55	80999	503	Англ.	697240	12929	55
80989	546	Англ.	691352	38451	55	81000	877072	ГДР	6717	19303	55
80990	695	США	2666085	6406	55	81001	086	США	2674553	39299	55
80991	840	США	2664439	27434	55	81002	141	США	2650237	22731	55
80992	874086	ГДР	4715	4165	55	81003	146	Франц.	1028872	6442	55

Таблица патентов, выданных в разных странах на одно и то же изобретение

Номер по РЖ Хим	Номер патента по данной стране	Страна и номер совпадающего патента	Номер и год реферата по РЖ Хим	Номер по РЖ Хим	Номер патента по данной стране	Страна и номер совпадающего патента	Номер и год реферата по РЖ Хим				
81004	877455	США	2634287	22628	54	81070	896559	ГДР	5371	44654	55
81005	608	США	2653859	49298	54	81071	810	США	2651605	19823	55
81006	612	ФРГ	875809	15430	55	81072	937	США	2668127	6501	55
81007	668	Англ.	693628	49071	54	81073	944	Англ.	693522	24738	55
81008	901	США	2672476	10385	55	81074	897310	США	2647045	50020	55
81009	878229	Англ.	701644	49490	55	81075	460	Англ.	695084	12615	55
81010	554	США	2663747	47488	55	81076	844	Англ.	697804	21913	55
81011	642	Швейц.	286112	50757	54	81077	898658	Англ.	680492	37065	54
81012	689	Франц.	1036134	44652	55	81078	678	Англ.	695552	45674	54
81013	707	Франц.	1028728	38803	55	81079	737	США	2652432	22244	55
81014	789	Франц.	1028905	22389	55	81080	808	США	2626941	3942	53
81015	879096	Англ.	687522	6587	55	81081	902	Англ.	695084	12615	55
81016	134	Англ.	695760	32933	55	81082	962	Канад.	497475	27524	55
81017	204	Англ.	695873	24911	55	81083	899433	Англ.	703160	24191	55
81018	306	Англ.	696518	10593	55	81084	634	Франц.	1035233	4662	55
81019	308	Швейц.	289078	33161	55	81085	637	Англ.	693497	45575	54
81020	880134	Англ.	704388	53233	55	81086	900097	США	2661370	27382	55
81021	462	США	2666773	20230	55	81087	326	Англ.	690791	38614	54
81022	881092	США	2650916	43957	54	81088	933	США	2653974	27424	55
81023	511	США	2686208	17385	55	81089	901111	ГДР	5025	30387	55
81024	577	Англ.	691707	41611	55	81090	242	Франц.	1043625	47476	55
81025	711	США	2636030	17271	54	81091	537	Австрал.	153627	43622	54
81026	882280	США	2658888	8353	55	81092	707	Австрал.	150859	33394	54
81027	281	Англ.	698008	4618	55	81093	775	Канад.	498100	41325	55
81028	737	Швейц.	292087	50240	55	81094	902169	США	2670281	17126	55
81029	738	Англ.	695330	8357	55	81095	190	Франц.	1036843	41312	55
81030	883804	Англ.	700461	8503	55	81096	266	США	2687445	43554	55
81031	883	Англ.	704896	47340	55	81097	581	США	2652328	53465	55
81032	892	Австрал.	149990	24655	54	81098	613	Австр.	174602	44227	55
81033	884185	Англ.	692942	41453	55	81099	904411	США	2659731	2856	55
81034	186	Франц.	1036510	2896	55	81100	466	США	2625533	2482	53
81035	364	ГДР	5339	12628	55	81101	533	США	2698328	56486	55
81036	534	ГДР	3627	19792	55	81102	905188	США	2683181	49492	55
81037	885542	США	2649475	20073	55	81103	370	Швейц.	293565	41498	55
81038	698	Англ.	702473	50174	55	81104	604	Франц.	1029624	22382	55
81039	886143	Англ.	691287	30105	55	81105	737	Швейц.	293298	44420	55
81040	887044	Англ.	694204	27463	55	81106	906217	Канад.	490242	48648	54
81041	649	Швейц.	293808	27565	55	81107	454	США	2652432	22244	55
81042	888840	Франц.	1027411	36517	54	81108	566	Англ.	686104	22392	55
81043	903	Швейц.	290300	35772	55	81109	965	Англ.	710797	38579	55
81044	889448	США	2624730	41367	55	81110	907684	Австрал.	153155	28030	55
81045	492	Англ.	700299	32932	55	81111	897	США	2686788	53307	55
81046	890030	США	2635068	22846	54	81112	908020	Англ.	700757	27455	55
81047	047	Франц.	1029057	36929	54	81113	396	Англ.	705166	33598	55
81048	648	Англ.	695513	53276	55	81114	409	Англ.	705622	44450	55
81049	891746	Англ.	687984	38790	54	81115	909977	Австр.	176548	47749	55
81050	916	Франц.	1026113	29600	55	81116	978	Швейц.	290308	53852	55
81051	988	США	2660602	41307	55	81117	910121	Австрал.	153277	29804	54
81052	892376	Англ.	692040	24538	54	81118	475	Франц.	1061311	41443	55
81053	378	Франц.	1043143	20043	55	81119	526	Франц.	1042764	57052	55
81054	442	США	2643268	17401	55	81120	540	Дат.	76742	10533	55
81055	514	Франц.	1026226	2947	55	81121	911647	США	2647128	38673	54
81056	587	Франц.	1023823	7851	55	81122	729	Франц.	1042419	9855	55
81057	592	ГДР	5107	10418	55	81123	782	Швейц.	299376	44828	55
81058	595	Канад.	494875	19790	55	81124	912019	Швейц.	291788	22587	55
81059	860	США	2629658	11735	54	81125	213	США	2647134	42270	54
81060	894	США	2650249	19808	55	81126	388	США	2628885	5051	53
81061	893143	США	2668112	44481	55	81127	505	Канад.	492242	41674	55
81062	568	Австр.	174122	39237	55	81128	694	Швед.	138988	33370	54
81063	894237	Англ.	702695	41452	55	81129	695	Франц.	1060930	38699	55
81064	245	США	2637743	31550	54	81130	913173	США	2666764	28562	55
81065	296	США	2657984	2814	55	81131	178	Швед.	138953	47285	54
81066	995	Франц.	1028427	34721	54	81132	476	Англ.	688339	19203	54
81067	895228	Англ.	688766	34744	54	81133	770	Австрал.	153648	10431	55
81068	291	США	2648660	43958	54	81134	819	Австрал.	154531	12826	55
81069	960	США	2652356	45597	54	81135	820	Англ.	707140	47478	55

Таблица патентов, выданных в разных странах на одно и то же изобретение

Номер по РЖ Хим	Номер патента по данной стране	Страна и номер совпадающего патента	Номер и год реферата по РЖ Хим	Номер по РЖ Хим	Номер патента по данной стране	Страна и номер совпадающего патента	Номер и год реферата по РЖ Хим
81136	914068	Англ. 692957	53624 55	81151	922049	США 2666056	12686 55
81137	249	Франц. 1037648	38508 55	81152	584	США 2690630	24332 55
81138	376	Франц. 1038453	17383 55	81153	733	Канад. 501264	29596 55
81139	903	Англ. 713878	50428 55	81154	734	Англ. 699897	32313 55
81140	915560	Австрал. 154116	6727 55	81155	924511	Австрал. 150065	13731 54
81141	916848	Австрал. 149796	19239 54	81156	632	США 2661352	30219 55
81142	904	Англ. 687476	22420 55	81157	753	Франц. 1060089	50565 55
81143	917662	Англ. 696029	41431 55	81158	925466	Франц. 1042187	7846 55
		696030		81159	469	Австрал. 176835	56429 55
81144	918293	США 2662876	17557 55	81160	926270	США 2628886	9850 53
81145	633	США 2656099	47329 55	81161	927293	США 2654728	56841 55
81146	919432	Англ. 690877	41664 55	81162	506	Швед. 296660	56436 55
81147	735	Англ. 691786	4707 55	81163	929607	США 2658084	30015 55
81148	920075	США 2690444	53243 55	81164	789	Англ. 688359	4591 55
81149	324	Швед. 138798	22908 54	81165	932065	Канад. 496952	30244 55
81150	667	Швейц. 296582	26760 55	81166	934046	Англ. 695346	40455 54

ГОЛЛАНДИЯ

81167	73929	Франц. 1043625	47476 55	81174	75612	Англ. 703091	12136 55
81168	983	Англ. 687984	38790 54	81175	685	Англ. 709854	26735 55
81169	74469	Швейц. 290139	33044 55	81176	76164	Дат. 77001	4902 55
81170	824	Англ. 703290	47618 55	81177	315	ФРГ 876335	41862 54
81171	75009	Канад. 499870	30247 55	81178	643	Канад. 492171	19974 55
81172	262	Англ. 706117	44409 55	81179	705	Швейц. 295534	53030 55
81173	289	Швейц. 289071	32915 55				

ДАНИЯ

81180	76176	США 2647897	15056 55	81213	78303	Швейц. 294176	44410 55
81181	434	Австрал. 154215	786 55	81214	454	Швейц. 294697	33047 55
81182	780	Франц. 1027885	6404 55	81215	455	Австрал. 158192	50155 55
81183	77063	Швейц. 291195	45526 54	81216	517	Швед. 146273	34989 55
81184	077	Австрал. 153057	45784 54	81217	555	Франц. 1039811	30473 55
81185	131	Канад. 497168	10443 55	81218	577	Австрал. 156529	47372 55
81186	172	Канад. 492248	17508 55	81219	594	Англ. 688159	22447 55
81187	174	Англ. 687529	43600 54	81220	609	Швейц. 288724	35848 55
81188	217	Англ. 693075	4621 55	81221	639	Канад. 503332	22929 55
81189	229	Англ. 689278	38854 54	81222	695	Австрал. 154425	27726 55
81190	242	Швед. 139168	1199 55	81223	717	Франц. 1037407	24882 55
81191	315	Австрал. 152299	22336 55	81224	727	Англ. 692654	53779 55
81192	517	Англ. 686509	28184 54	81225	769	Швейц. 290583	35723 55
81193	550	Англ. 685973	24501 54	81226	830	Австрал. 151613	49073 54
81194	569	Англ. 685403	8337 55	81227	851	Швейц. 291152	25161 55
81195	598	США 2659757	38710 55	81228	857	Швейц. 293445	57328 55
81196	630	Швейц. 291372	4685 55	81229	871	Австрал. 151486	24726 55
81197	772	Англ. 690352	44617 55	81230	872	США 2650930	44435 55
81198	787	Англ. 703091	12136 55	81231	881	Англ. 689724	22910 54
81199	790	Австрал. 149569	43952 54	81232	965	Англ. 710047	44418 55
81200	806	США 2678901	35941 55	81233	966	Англ. 696084	12615 55
81201	824	Швейц. 288160	46957 54	81234	979	Канад. 492769	10606 55
81202	954	США 2666056	12686 55	81235	79000	Швейц. 292079	4697 55
81203	78025	США 2643255	10467 55	81236	013	Франц. 1041676	41013 55
81204	038	Австрал. 150849	38738 54	81237	037	Канад. 497344	8455 55
81205	060	Канад. 497307	57433 55	81238	131	Швейц. 294895	35750 55
81206	070	Австрал. 152220	6524 55			296833	
81207	079	Австр. 176394	26722 55	81239	152	Англ. 688736	40150 54
81208	196	США 2659714	22494 55	81240	168	Швейц. 291194	22301 55
81209	197	Швейц. 291805	22135 55	81241	230	Канад. 492463	22589 55
81210	203	Австр. 174122	39237 55	81242	290	Норв. 84107	34994 55
81211	233	США 2666056	12686 55	81243	335	США 2654656	12069 55
81212	299	ФРГ 878788	8403 55	81244	406	Швед. 144872	46695 55

Таблица патентов, выданных в разных странах на одно и то же изобретение

Номер по РЖ Хим	Номер патента по данной стране	Страна и номер совпадающего патента	Номер и год реферата по РЖ Хим	Номер по РЖ Хим	Номер патента по данной стране	Страна и номер совпадающего патента	Номер и год реферата по РЖ Хим
И Н Д И Я							
81245	48269	Швейц.	287872	8355 55	81246	50344	Австрал. 150013 14453 55
К А Н А Д А							
81247	489845	США	2624710	13007 55	81306	500858	США 2635093 20924 54
81248	491215	Франц.	1018384	31650 54	81307	918	Англ. 699185 2983 55
81249	482	США	2635117	15427 54	81308	936	США 2662046 35896 55
81250	492429	США	2632772	9632 53	81309	501084	США 2631135 13515 54
81251	443	Франц.	1026197	22404 55	81310	156	Австрал. 153461 50356 54
81252	558	США	2658251	47169 55	81311	165	США 2635119 47287 54
81253	603	США	2652432	22244 55	81312	172	Австрал. 153405 8436 55
81254	681	Англ.	687984	38790 54	81313	312	США 2634277 22697 54
81255	493200	США	2634271	20870 54	81314	333	США 2631951 7937 53
81256	382	США	2651650	30024 55	81315	449	США 2640764 824 55
81257	494085	США	2628962	19962 55	81316	461	Норв. 81343 27730 54
81258	100	США	2653173	19803 55	81317	589	США 2651643 8449 55
81259	495407	США	2635983	22694 54	81318	672	США 2635068 22846 54
81260	936	США	2635959	11802 54	81319	723	Англ. 689762 29643 54
81261	957	Австрал.	153321	53717 55	81320	854	США 2639272 33466 54
81262	496631	Дат.	76557	22419 55	1321	866	США 2639999 35138 55
81263	632	Англ.	685531	31662 54	81322	885	США 2641541 49011 54
81264	651	США	2633444	13391 54	81323	946	США 2646354 33071 55
81265	661	Австрал.	154187	29588 55	81324	502008	Австрал. 151968 32910 55
81266	662	США	2647935	35197 54	81325	037	США 2651604 24713 55
81267	815	США	2633473	13690 54	81326	038	США 2651605 19823 55
81268	853	США	2641549	45798 54	81327	024	США 2644820 22632 54
81269	854	Дат.	75780	12002 54	81328	084	США 2667439 4702 55
81270	886	США	2649444	10461 55	81329	144	Англ. 700124 44414 55
81271	953	США	2639998	1320 55	81330	153	Франц. 1023451 37222 54
81272	979	США	2651642	30231 55	81331	380	США 2644755 47335 54
81273	497254	Австрал.	149621	30291 55	81332	381	США 2659673 33098 55
81274	470	США	2649401	49036 54	81333	385	США 2635048 15490 54
81275	734	Англ.	690546	33805 54	81334	388	США 2630385 15491 54
81276	824	США	2625515	5785 53	81335	423	США 2667448 51056 55
81277	980	США	2625516	13336 54	81336	607	США 2638405 17209 54
81278	498068	США	2654249	9814 55	81337	653	США 2639243 30201 55
81279	334	США	2658866	45255 54	81338	836	США 2644815 33368 54
81280	384	США	2648687	44021 54	81339	857	США 2665256 56907 55
81281	427	США	2641586	33218 55	81340	870	США 2657239 15046 55
81282	807	США	2627475	7731 53	81341	916	США 2632323 29910 54
81283	822	США	2656332	36038 55	81342	984	США 2648675 42187 54
81284	973	США	2639987	30518 55	81343	985	США 2638474 29710 54
81285	499018	США	2645615	22717 55	81344	987	США 2642440 35104 54
81286	038	США	2645637	6424 55	81345	503086	США 2631153 9684 53
81287	135	Швейц.	288022	8446 55	81346	113	США 2636010 29408 54
81288	304	США	2629493	5725 53	81347	226	Дат. 76087 15164 55
81289	305	США	2629494	5725 53	81348	260	США 2651584 24130 55
81290	318	США	2662108	44201 54	81349	304	США 2653085 29479 55
81291	428	США	2640062	50664 54	81350	402	США 2673139 10475 55
81292	494	Швейц.	293677	27468 55	81351	421	США 2632717 15467 54
81293	522	Франц.	1030282	20002 55	81352	475	Англ. 692513 50663 54
81294	535	Швейц.	288887	6518 55	81353	484	США 2637654 24706 54
81295	644	США	2653904	32879 55	81354	817	США 2631999 9788 53
81296	887	США	2639990	50750 54	81355	835	США 2626949 43946 54
81297	500118	США	2631972	29428 54	81356	862	Англ. 688624 21939 55
81298	200	США	2639237	29989 54	81357	877	США 2656346 27482 55
81299	280	США	2624163	45587 54	81358	880	США 2669588 8321 55
81300	442	США	2635755	27019 55	81359	894	Англ. 687716 38661 54
81301	706	США	2643951	47531 54	81360	900	США 2669594 21786 55
81302	747	Англ.	687342	52279 54	81361	913	США 2656309 2768 55
81303	759	США	2624691	39624 54	81362	914	Англ. 693951 36552 54
81304	789	Австрал.	152892	44022 54	81363	504030	США 2645651 47445 54
81305	808	США	2643268	17401 55	81364	059	Дат. 75631 17310 54

Таблица патентов, выданных в разных странах на одно и то же изобретение

Номер по РЖ Хим	Номер патента по данной стране	Страна и номер совпадающего патента	Номер и год реферата по РЖ Хим	Номер по РЖ Хим	Номер патента по данной стране	Страна и номер совпадающего патента	Номер и год реферата по РЖ Хим
81365	504128	США 2647050	49046 54	81431	506845	США 2681121	22921 55
81366	129	США 2666700	50342 55	81432	852	Англ. 698971	792 55
81367	146	США 2636851	38932 55	81433	859	США 2641567	36938 54
81368	173	США 2658078	44458 55	81434	877	США 2694079	47375 55
81369	438	США 2628984	3810 53	81435	922	США 2640078	27966 54
81370	442	Англ. 689734	50183 55	81436	928	Англ. 697196	52558 55
81371	444	Англ. 688033	41284 55	81437	507153	США 2690974	24351 55
81372	478	США 2628233	53328 55	81438	198	США 2637706	4775 55
81373	483	Австрал. 152220	6524 55	81439	222	Инд. 48858	19499 55
81374	487	США 2628939	7520 53	81440	322	США 2663702	24993 55
81375	544	США 2642336	20508 54	81441	336	США 2628933	14071 54
81376	634	США 2643981	41621 55	81442	348	ФРГ 880133	50122 55
81377	708	США 2631942	11965 54	81443	350	США 2640853	27400 55
81378	765	Канад. 491490	44250 55	81444	363	ФРГ 901419	47715 55
81379	791	США 2678902	38760 55			901540	
81380	806	США 2655796	48799 54	81445	514	Швед. 140008	12775 55
81381	851	Франц. 1042419	9855 55	81446	515	США 2647884	45552 54
81382	875	Австрал. 150091	11789 54	81447	536	США 2642633	32309 55
81383	902	Франц. 1030281	24132 55	81448	544	США 2658881	15291 55
81384	903	США 2647086	29407 54	81449	547	Англ. 694356	55637 55
81385	959	США 2640059	36861 54	81450	548	Англ. 704388	53233 55
81386	970	Франц. 1023857	40462 54	81451	572	Швейц. 291207	4767 55
81387	977	США 2643950	38749 54	81452	574	Англ. 687020	37000 54
81388	983	Франц. 1038660	15017 55	81453	588	США 2638476	11987 54
81389	505003	США 2644823	24449 54	81454	590	США 2640028	24084 54
81390	064	США 2650078	32973 54	81455	591	Англ. 686968	50342 54
81391	124	США 2668796	6710 55	81456	600	Англ. 690879	36931 54
81392	158	Англ. 699557	21650 55	81457	723	США 2642337	27758 54
81393	167	Англ. 687807	2865 55	81458	763	Франц. 1023530	19945 55
81394	180	США 2631139	24537 54	81459	833	США 2694037	56282 55
81395	270	Австрал. 151592	29403 54	81460	890	США 2659672	6547 55
81396	271	Австрал. 151593	25875 54	81461	948	Франц. 1062403	41554 55
81397	295	Швед. 139428	22304 55	81462	956	Австрал. 153912	49060 54
81398	343	Англ. 688339	19203 54	81463	508080	США 2648204	33647 54
81399	460	США 2643207	33159 55	81464	092	США 2658893	41370 55
81400	761	Дат. 77130	17503 55	81465	115	США 2633445	9687 53
81401	770	США 2640763	24118 54	81466	118	США 2669523	41948 55
81402	771	США 2640763	24118 54	81467	124	США 2687447	46503 55
81403	772	США 2640763	24118 54	81468	131	США 2691690	29745 55
81404	773	США 2640763	24118 54	81469	163	США 2664442	35661 55
81405	858	Англ. 686610	26558 54	81470	217	США 2626246	961 53
81406	965	США 2654690	22515 55	81471	229	США 2692183	36194 55
81407	966	Франц. 1045602	47368 55	81472	233	Швед. 141415	19165 55
81408	974	Франц. 1045518	35816 55	81473	431	Швед. 139205	40640 55
81409	979	США 2631100	17538 54	81474	508	Франц. 1029631	22388 55
81410	506083	США 2647119	30097 55	81475	509	США 2650152	6503 55
81411	146	Австрал. 150235	15827 54	81476	530	Англ. 693075	4621 55
81412	165	США 2643245	2975 55	81477	533	США 2661299	25155 55
81413	173	Австр. 175572	38516 55	81478	571	Франц. 1026153	19949 55
81414	202	Швед. 139046	4670 55	81479	573	США 2633466	20810 54
81415	247	США 2662069	44623 55	81480	581	Англ. 694174	42034 55
81416	248	США 2662069	44623 55	81481	596	США 2634213	19294 54
81417	254	США 2627467	7799 53	81482	600	Франц. 1028654	45532 54
81418	255	США 2627468	5781 53	81483	611	Австрал. 153384	40426 54
81419	267	Англ. 685879	17454 54	81484	614	США 2653889	15532 55
81420	268	Англ. 685879	17454 54	81485	639	Англ. 697804	21913 55
81421	282	США 2668113	41550 55	81486	878	США 2666020	1111 55
81422	283	США 2647836	47353 54	81487	895	Канад. 508652	56638 55
81423	310	США 2643242	53712 55	81488	981	Англ. 687760	53414 55
81424	335	Англ. 698302	35813 55	81489	982	Австрал. 151522	30206 55
81425	410	США 2677675	33526 55	81490	985	Швейц. 288159	34762 54
81426	483	Англ. 688766	34744 54	81491	509081	Швед. 138988	33370 55
81427	491	Англ. 696525	45919 54	81492	510986	Франц. 1064875	44294 55
81428	535	Австрал. 150202	11718 54	81493	511006	Австрал. 150552	24636 54
81429	817	Австрал. 149990	24655 55	81494	027	США 2650198	40419 54
81430	844	США 2630407	11408 54	81495	037	Франц. 1025875	4561 55

Таблица патентов, выданных в разных странах на одно и то же изобретение

Номер по РЖ Хим	Номер патента по данной стране	Страна и номер совпадающего патента	Номер и год реферата по РЖ Хим	Номер по РЖ Хим	Номер патента по данной стране	Страна и номер совпадающего патента	Номер и год реферата по РЖ Хим				
НОРВЕГИЯ											
81496	82941	США	2653939	47348	54	81523	83646	Франц.	1042187	7846	53
81497	955	Англ.	690004	3052	55	81524	647	Англ.	706177	44409	55
81498	83037	Дат.	75717	21456	54	81525	648	Англ.	698559	27429	55
81499	040	Швейц.	291372	4685	55	81526	651	Дат.	75565	5288	55
81500	041	Австрал.	155054	22270	55	81527	658	Австрал.	153155	28030	55
81501	169	Швейц.	289914	2437	55	81528	684	Швейц.	296660	56436	55
81502	176	Франц.	1026969	38655	55	81529	706	Англ.	690980	1508	55
81503	177	Франц.	1028872	6442	55	81530	713	Англ.	695703	41430	55
81504	183	Франц.	1037407	24882	55	81531	716	США	2666056	12686	55
81505	205	США	2654678	41668	55	81532	717	Швейц.	291196	4586	55
81506	206	Англ.	690352	44617	55	81533	819	Дат.	76342	4160	55
81507	210	Австрал.	154266	50617	54	81534	832	Австрал.	154552	4706	55
81508	218	Австрал.	156125	21752	55	81535	868	Австрал.	151484	1141	55
81509	219	Дат.	76537	795	55	81536	896	Австрал.	157463	50779	55
81510	234	США	2650249	19808	55	81537	907	Канад.	500696	28133	55
81511	261	Австр.	176018	39058	55	81538	931	США	2665210	47914	55
81512	388	США	2668127	6501	55	81539	84091	США	2658084	30015	55
81513	392	Франц.	1028585	29999	55	81540	194	США	2644815	33368	54
81514	393	Швед.	142189	19964	55	81541	317	Англ.	698987	32313	55
81515	415	Дат.	76835	1600	55	81542	402	Англ.	708940	33411	55
81516	430	Австрал.	155118	19850	55	81543	430	Швейц.	289071	32915	54
81517	466	Франц.	1057936	47250	55	81544	431	Швейц.	289071	32915	54
81518	490	Фин.	27019	4843	55	81545	503	Австрал.	156529	47372	55
81519	552	Англ.	705633	51034	55	81546	516	США	2672458	25129	55
81520	578	Франц.	1039811	30473	55	81547	525	Австрал.	152872	27648	55
81521	581	ФРГ	876335	41862	54	81548	566	США	2650930	44435	54
81522	585	Канад.	503332	22929	55	81549	660	Фин.	26999	44455	55
ПОЛЬША											
81550	35343	Дат.	76087	15164	55	81551	35388	Австрал.	155118	19850	55
СОЕДИНЕННЫЕ ШТАТЫ АМЕРИКИ											
81552	2653150	Англ.	687300	20825	54	81581	2671776	Швейц.	290295	48990	54
81553	929	Франц.	1039101	32931	55	81582	784	Канад.	496440	44377	55
81554	2655496	Канад.	492243	36028	55	81583	2672398	Швейц.	288722	30006	55
81555	2657021	Англ.	695491	31890	54	81584	459	Канад.	491654	38496	55
81556	151	Англ.	692045	47332	54	81585	2673171	Англ.	695604	27653	55
81557	162	Англ.	691252	28051	54	81586	199	Швейц.	288729	48994	54
81558	987	Канад.	494907	56349	55	81587	456	Австрал.	153599	33653	54
81559	2658092	Франц.	1026292	43619	54	81588	2674515	Англ.	693245	47304	54
81560	921	Канад.	492843	10393	55	81589	528	Англ.	695925	34995	54
81561	2659709	Англ.	697798	36093	55	81590	580	Англ.	693323	27632	55
81562	721	Швейц.	291811	8359	55	81591	2675397	Англ.	695610	44661	55
81563	2661349	Англ.	691364	17760	55	81592	398	Англ.	695610	44661	55
81564	356	Канад.	496952	30244	55	81593	2676010	Англ.	692067	43853	54
81565	2662873	Франц.	1030935	44633	55	81594	944	Англ.	695532	10595	55
81566	2665265	Англ.	695810	36092	55	81595	998	Англ.	701244	24691	55
81567	2666062	Швейц.	293677	27467	55	81596	2677644	Канад.	492776	53430	55
81568	069	Канад.	496439	38702	55	81597	2678313	Франц.	1026197	22404	55
81569	738	Англ.	690978	46988	54	81598	334	Австрал.	155054	22270	55
81570	759	Англ.	689623	25115	55	81599	900	Канад.	495416	24890	55
81571	2668419	Канад.	497645	52705	55	81600	910	ФРГ	900037	4215	55
81572	764	Австрал.	153057	45784	54	81601	2679530	Франц.	1027182	4556	55
81573	859	Франц.	1035590	35677	55	81602	548	Швед.	143155	7883	55
81574	2670346	Швейц.	291510	38669	54	81603	2680067	Канад.	492059	8417	55
81575	347	Канад.	491654	41320	55	81604	101	Австрал.	151379	19947	55
81576	356	Франц.	1024073	35117	54	81605	693	Англ.	690700	49113	55
81577	572	Франц.	1039276	17029	55	81606	762	Швейц.	291196	4586	54
81578	2671011	Австрал.	150292	45199	54	81607	2681271	Франц.	1037729	27905	55
81579	081	Франц.	1030495	32924	55	81608	2682484	Англ.	699049	47706	55
81580	775	Швейц.	291197	48991	54	81609	2683122	Франц.	1033273	30112	55
						81610	643	Англ.	698039	32968	55

Таблица патентов, выданных в разных странах на одно и то же изобретение

Номер по РЖ Хим	Номер патента по данной стране	Страна и номер совпадающего патента	Номер и год реферата по РЖ Хим	Номер по РЖ Хим	Номер патента по данной стране	Страна и номер совпадающего патента	Номер и год реферата по РЖ Хим
81611	2683711	Австрал.	150307	81676	2696299	Австрал.	150235
81612	729	Франц.	1037364	81677	486	Швейц.	290298
81613	2684311	Англ.	690895	81678	505	Швед.	138724
81614	391	Австрал.	154565	81679	2697121	Австр.	175572
81615	393	Канад.	491750	81680	122	Англ.	712835
81616	911	Канад.	501264	81681	662	Англ.	714012
81617	2685590	Англ.	690096	81682	2698266	Австрал.	153214
81618	595	Англ.	692073	81683	2699046	Дат.	75545
81619	707	Англ.	686438	81684	373	Англ.	696135
81620	2686144	Канад.	492171	81685	382	Англ.	709537
81621	180	Англ.	691838	81686	391	Англ.	689930
81622	339	Канад.	502912	81687	410	Англ.	697451
81623	761	Англ.	697248	81688	433	Англ.	708120
81624	782	Швейц.	288587	81689	2700017	Англ.	714210
81625	2687946	Австрал.	154224	81690	019	Англ.	710474
81626	947	Австрал.	154224	81691	054	Англ.	693522
81627	2688028	Швейц.	285999	81692	282	Канад.	499488
81628	035	Австр.	176838	81693	2701188	Швейц.	290209
81629	540	Англ.	698046	81694	190	Швейц.	290209
81630	624	Канад.	499596	81695	266	Англ.	698870
81631	636	Англ.	706574	81696	267	Франц.	1028504
81632	2689169	Франц.	1028162	81697	753	Франц.	1028143
81633	217	Франц.	1032565	81698	759	Англ.	705469
81634	796	Англ.	698661	81699	760	Англ.	705469
81635	823	Англ.	703868	81700	816	Австрал.	151446
81636	829	Австрал.	152958	81701	2702273	Франц.	1034659
81637	847	Англ.	699332	81702	287	Франц.	1068006
81638	856	Швейц.	292408	81703	294	Англ.	693075
81639	870	Англ.	688359	81704	2703318	Франц.	1041500
81640	2690062	Англ.	697804	80705	319	Швейц.	299710
81641	422	Англ.	711065	81706	817	Франц.	1041828
81642	438	Франц.	1050386	81707	2704279	Франц.	1032732
81643	952	Англ.	693251	81708	740	ФРГ	887338
81644	958	ФРГ	878197	81709	765	Канад.	491674
81645	2691055	Англ.	699674	81710	775	Англ.	698386
81646	568	Англ.	690492	81711	2705204	Канад.	504112
81647	595	ФРГ	901419	81712	706	Канад.	494441
			901540	81713	707	Швейц.	297021
81648	601	Франц.	1030279	81714	2706185	Англ.	712986
81649	642	Англ.	701996	81715	187	ФРГ	883180
81650	657	Англ.	700124	81716	197	Швейц.	293298
81651	675	Канад.	497051	81717	207	Англ.	690355
81652	870	Англ.	694763	81718	709	Англ.	688004
81653	2692292	Англ.	707705	81719	729	Франц.	1029522
81654	817	Канад.	489739	81720	2707168	Швед.	143580
81655	866	Франц.	1032455	81721	197	Франц.	1022411
81656	877	Франц.	1059866	81722	2708289	Англ.	715181
81657	879	Англ.	707924	81723	668	Франц.	1053473
81658	886	Австрал.	149990	81724	677	Швейц.	291373
81659	896	Мекс.	53231				291678
81660	2693406	ФРГ	902731				291937
81661	443	Англ.	704213	81725	2709146	Австрал.	152495
81662	446	Канад.	495908	81726	177	ФРГ	883747
81663	473	Австрал.	152299	81727	179	Швейц.	296660
81664	475	Швейц.	286275	81728	2710245	Франц.	1026240
81665	492	Англ.	706151	81729	304	Австр.	177766
81666	996	Англ.	694586	81730	2711356	Франц.	1057358
81667	2694064	Швейц.	285750	81731	383	Англ.	699373
81668	074	Канад.	495461	81732	424	Англ.	696265
81669	629	Англ.	711404	81733	2714102	Швейц.	291813
81670	636	Англ.	711233	81734	2716586	Франц.	1065710
81671	640	Австрал.	158215	81735	657	Англ.	692633
81672	744	Швейц.	291328	81736	664	Англ.	694356
81673	2695258	Норв.	84107	81737	2717825	США	2641336
81674	872	Канад.	497716	81738	2720446	Франц.	1042419
81675	896	Англ.	690352	81739	2721827	Канад.	506208

Таблица патентов, выданных в разных странах на одно и то же изобретение

Номер по РЖ Хим	Номер патента по данной стране	Страна и номер совпадающего патента	Номер и год реферата по РЖ Хим	Номер по РЖ Хим	Номер патента по данной стране	Страна и номер совпадающего патента	Номер и год реферата по РЖ Хим				
ФИНЛЯНДИЯ											
81740	26761	Австрал.	151162	35331	54	81745	27323	Швед.	142189	19964	55
81741	793	Швейц.	291828	45860	54	81746	324	Швед.	142189	19964	55
81742	932	Франц.	1037407	24882	55	81747	408	Норв.	84107	34994	55
81743	998	Франц.	1030943	25151	55	81748	457	Дат.	75977	47428	54
81744	27162	Мекс.	53231	56470	55	81749	470	Дат.	78480	32143	55
ФРАНЦИЯ											
81750	1023869	Австрал.	154757	17971	55	81803	1034927	США	2632704	10554	55
81751	955	Швед.	138853	1202	55	81804	1035504	Англ.	695595	39366	55
81752	1025040	Англ.	691564	8587	55	81805	693	Англ.	689279	22648	54
81753	060	Канад.	495948	52907	55	81806	730	Англ.	687387	45547	54
81754	074	Швейц.	290591	4788	55	81807	1036034	Швед.	142547	22169	55
81755	843	США	2677006	43551	55	81808	574	Швейц.	288722	30006	55
81756	1026805	Англ.	685386	17455	54	81809	583	Австрал.	153627	43622	54
81757	806	Швед.	139331	41316	55	81810	926	Англ.	696678	29808	54
81758	978	США	2649355	6792	55	81811	1037034	США	2628886	9850	53
81759	1027202	Швейц.	289380	30035	54	81812	072	США	2628964	6429	55
81760	235	Австрал.	150552	24636	54	81813	103	Швейц.	290581	45221	54
81761	650	Англ.	688785	15438	54	81814	126	Англ.	688004	24692	55
81762	1028768	США	2632701	17328	54	81815	202	Англ.	698135	41428	55
81763	1029205	США	2631977	14086	54	81816	632	Швед.	138673	27843	55
81764	207	Швейц.	289078	33161	55	81817	797	Англ.	686605	29383	54
81765	628	Англ.	690261	47076	54	81818	1038430	Канад.	495059	50538	54
81766	638	Англ.	688786	20827	54	81819	651	Австрал.	154224	43450	55
81767	698	Австрал.	151659	25196	55	81820	799	Англ.	692073	47305	54
81768	986	Швейц.	289073	8362	55	81821	1039011	Англ.	696679	15117	55
81769	1030026	Швейц.	286117	8556	55	81822	028	США	2658869	50621	54
81770	121	Англ.	696967	41454	55	81823	314	США	2650916	43957	54
81771	164	США	2647086	29407	54	81824	383	Англ.	699530	22738	55
81772	547	Англ.	687385	47205	54	81825	436	Англ.	695915	44467	55
81773	1031036	Англ.	692280	24622	54	81826	559	Австрал.	149990	24655	54
81774	046	Австрал.	149955	33467	54	81827	625	ФРГ	896297	47400	55
81775	111	Англ.	689416	41635	55	81828	667	США	2657246	47516	55
81776	254	США	2659764	26948	55	81829	718	США	2673809	37396	55
81777	323	Австр.	176676	26744	55	81830	888	Швейц.	287872	8355	55
81778	720	Англ.	688790	22650	54	81831	1040000	Англ.	695513	53276	55
81779	1032063	Англ.	685539	20941	54	81832	098	Дат.	77160	15261	55
81780	183	Англ.	692651	40457	54	81833	369	Англ.	710191	41934	55
81781	334	Австрал.	150182	13981	54	81834	389	Англ.	701177	57155	55
81782	445	Англ.	690352	44617	55	81835	446	Австрал.	151807	38324	54
81783	623	Англ.	687888	2320	55	81836	692	США	2632727	17223	54
81784	954	США	2659738	35708	55	81837	723	Швейц.	288729	48994	54
81785	1033013	США	2649353	19940	55	81838	742	Англ.	696518	10593	55
81786	134	Дат.	76642	4100	55	81839	766	Англ.	692384	47333	54
81787	274	США	2650940	17399	55	81840	778	Англ.	687243	27444	55
81788	530	Англ.	692654	53779	55	81841	815	Англ.	695330	8357	55
81789	557	США	2640088	20899	54	81842	860	Англ.	700356	41669	55
81790	668	Англ.	696031	27914	55	81843	937	Канад.	501863	16843	55
			696032			81844	1041121	Австрал.	157314	27634	55
81791	783	Англ.	690008	25192	55	81845	220	Англ.	689761	2861	55
81792	1034066	Австрал.	150002	7774	53	81846	221	Англ.	695521	38814	55
81793	321	Англ.	692962	1172	55	81847	223	Англ.	704388	53233	55
81794	494	Англ.	690899	33507	54	81848	257	Швейц.	291373	36853	54
81795	538	Англ.	692383	40477	54				291678		
81796	642	Англ.	685540	20941	54				291937		
81797	643	Англ.	685541	17267	54	81849	454	Англ.	702695	41452	55
81798	644	Англ.	685542	22764	54	81850	557	Дат.	75718	15482	54
81799	645	Англ.	685543	17268	54	81851	565	Австрал.	152967	41376	55
81800	661	Англ.	688033	41284	55	81852	637	Англ.	697488	15111	55
81801	692	Швед.	138642	38715	54	81853	668	Австрал.	150003	22824	54
81802	910	США	2669594	21786	55	81854	674	США	2667476	4627	55

Таблица патентов, выданных в разных странах на одно и то же изобретение

Номер по РЖ Хим	Номер патента по данной стране	Страна и номер совпадающего патента	Номер и год реферата по РЖ Хим	Номер по РЖ Хим	Номер патента по данной стране	Страна и номер совпадающего патента	Номер и год реферата по РЖ Хим				
81855	1041702	США	2679469	27697	55	81917	1051022	Англ.	699674	47491	55
81856	792	Швед.	143030	15094	55	81918	089	Англ.	713878	50428	55
81857	934	Англ.	603755	56384	55	81919	515	Австрал.	153646	33246	55
81858	1042299	Швейц.	291508	47303	54	81920	516	Англ.	689297	25966	54
81859	357	Англ.	695810	36092	55	81921	1052455	Швейц.	291815	15110	55
81860	426	Швейц.	290892	17436	55	81922	710	Англ.	707705	53351	55
81861	430	Англ.	699133	57435	55	81923	890	Англ.	707016	37768	55
81862	731	США	2662302	47620	54	81924	1053109	Англ.	707557	38591	55
81863	867	США	2687445	43554	55	81925	117	Англ.	707710	30123	55
81864	961	Англ.	694681	47395	55	81926	268	Англ.	710808	32930	55
81865	983	США	2656333	36033	55	81927	442	США	2636010	29408	54
81866	1043431	Англ.	694076	47325	54	81928	472	Англ.	710808	32930	55
81867	794	Англ.	692876	42394	54	81929	782	Англ.	692105	45600	54
81868	1044038	ФРГ	900610	28029	55	81930	829	Англ.	686469	31164	54
81869	132	Англ.	700646	47391	55	81931	834	Англ.	685712	2619	55
81870	161	Австрал.	153695	48945	54	81932	917	ФРГ	887636	12734	55
81871	208	Австр.	175966	50735	55	81933	947	Дат.	75565	5288	53
81872	300	Швейц.	288173	42209	54	81934	982	Англ.	691694	47302	54
81873	586	США	2657184	27473	55	81935	1054002	Англ.	691028	22791	54
81874	628	Англ.	708120	36244	55	81936	080	США	2649471	38671	54
81875	659	Швейц.	292326	15055	55	81937	094	Англ.	697940	47386	55
81876	812	Англ.	699376	53578	55	81938	638	Канад.	496305	38647	54
81877	1045251	Англ.	699210	32978	55	81939	835	Швейц.	290296	36870	54
81878	785	Англ.	704013	47276	55	81940	864	США	2651605	19823	55
81879	850	Англ.	697136	22337	55	81941	885	Швейц.	290299	36871	54
81880	1046126	Канад.	505638	56840	55	81942	996	Швейц.	292087	50240	50
81881	164	Англ.	694702	38861	55	81943	1055073	Швейц.	294338	24810	55
81882	368	ФРГ	883183	53664	55	81944	154	Англ.	715849	32188	55
81883	657	Англ.	696984	41422	55	81945	199	Англ.	703558	27486	55
81884	693	Швейц.	270584	45541	54	81946	455	Англ.	705738	37760	55
			289687			81947	708	Япон.	2957	49760	55
81885	716	Швейц.	270584	45541	54	81948	810	Англ.	694204	27463	55
			289687			81949	824	Австрал.	153632	22424	55
81886	739	Франц.	1032678	30109	55	81950	844	Англ.	695905	44468	55
81887	803	Англ.	695760	32933	55	81951	846	Канад.	499870	30247	55
81888	1047081	США	2657139	33097	55	81952	1056034	США	2661370	27382	55
81889	404	ФРГ	888110	16797	55	81953	077	Австрал.	152153	26306	54
81890	585	Австрал.	153902	6637	55	81954	102	Швейц.	142189	19964	55
81891	621	Англ.	697278	33386	54	81955	136	Швейц.	291811	8359	55
81892	1048022	ФРГ	886072	15265	55	81956	806	Англ.	691618	22498	55
81893	094	ФРГ	885036	40171	54	81957	810	Австрал.	150859	33394	54
81894	099	Швейц.	290592	38929	55	81958	955	Англ.	709772	25424	55
81895	118	США	2677693	50211	55	81959	1057552	Англ.	714004	35125	55
81896	139	США	2645674	42298	54	81960	916	Англ.	699332	44415	55
81897	192	Швейц.	291501	15023	55	81961	1058170	Англ.	706380	32929	55
81898	365	США	2627461	3913	53	81962	419	Англ.	709613	43482	55
81899	404	США	2640904	24187	54	81963	585	США	2654770	32865	55
81900	418	ФРГ	900037	4215	55	81964	808	Англ.	710301	35775	55
81901	569	Канад.	492243	36028	55	81965	818	Швейц.	291813	6454	55
81902	695	Швейц.	288955	8356	55	81966	822	Англ.	708972	29381	55
			288959			81967	1059786	Англ.	701414	47386	55
81903	756	Англ.	707563	33592	55	81968	869	США	2659714	22494	55
81904	915	Англ.	698046	6549	55	81969	884	США	2645628	17603	55
81905	1049447	Австрал.	153846	33530	55	81970	1060443	США	2664439	27434	55
81906	478	ФРГ	901419	47715	55	81971	769	Австрал.	150926	28073	54
			901540			81972	822	ФРГ	877669	50440	55
81907	483	Канад.	492242	41674	55	81973	1061606	США	2663715	22238	55
81908	636	Англ.	705920	44331	55	81974	639	Швейц.	293298	44420	55
81909	1050351	ФРГ	892552	53451	55	81975	660	Англ.	699838	27428	55
81910	446	Англ.	686962	29781	54	81976	813	Австрал.	159291	44780	55
81911	450	Англ.	698047	10567	55	81977	1062126	Англ.	710564	51047	55
81912	522	Австрал.	158195	57197	55	81978	521	Канад.	495543	4149	55
81913	567	Швейц.	291814	38670	54	81979	660	ФРГ	888904	56511	55
81914	755	США	2665188	10510	55	81980	1063218	США	2650174	38793	55
81915	770	США	2687339	37736	55	81981	574	Англ.	701366	36294	55
81916	775	Англ.	705455	57080	55	81982	648	США	2658922	44203	55

Таблица патентов, выданных в разных странах на одно и то же изобретение

Номер по РЖ Хим	Номер патента по данной стране	Страна и номер совпадающего патента	Номер и год реферата по РЖ Хим	Номер по РЖ Хим	Номер патента по данной стране	Страна и номер совпадающего патента	Номер и год реферата по РЖ Хим				
81983	1063710	США	2630427	20951	54	82916	1068108	США	2662924	35670	55
81984	730	Дат.	57683	12041	55	82017	680	Англ.	700124	44414	55
81985	822	Швейц.	290300	35772	55	82018	695	Швейц.	295054	41363	55
81986	1064544	ФРГ	900212	46378	55	82019	1069023	США	2642449	22630	54
81987	682	США	2653163	22295	55	82020	261	Фин.	27019	4843	55
81988	757	Инд.	47784	12044	55	82021	413	Англ.	715376	53388	55
81989	789	США	2633207	21182	54	82022	660	Швейц.	294698	32934	55
81990	1065359	Канад.	491493	41317	55	82023	1070375	США	2659727	15119	55
81991	422	Англ.	706441	49372	55	82024	492	США	2668122	22594	55
81992	506	Англ.	705041	56079	55	82025	520	США	2656382	32896	55
81993	532	США	2626876	5697	53	82026	1071278	Австрал.	158593	41109	55
81994	535	США	2652408	15116	55	82027	608	США	2631999	9788	53
81995	599	США	2640803	33301	54	82028	750	Англ.	712219	33299	55
81996	614	США	2705731	52480	55	82029	1072319	США	2669592	17559	55
81997	716	Англ.	706045	33679	55	82030	431	ФРГ	911371	44413	55
81998	718	Англ.	699897	32313	55	82031	474	Австрал.	158545	27421	55
81999	719	Англ.	699897	32313	55	82032	482	Канад.	491654	38496	55
82000	1066012	США	2632702	17325	54	82033	507	Англ.	709690	38493	55
82001	020	Австрал.	151662	29705	54	82034	564	Англ.	714037	45090	55
82002	021	Англ.	687532	41626	55	82035	614	США	2688066	50569	55
82003	063	Англ.	711640	35774	55	82036	1073301	Швейц.	291372	4685	55
82004	065	США	2635105	8318	55	82037	902	Швейц.	295063	47938	55
82005	277	США	2658084	30015	55	82038	1075350	США	2700641	53153	55
82006	301	Канад.	495015	1175	55	82039	1076126	Австрал.	157463	50779	55
82007	412	Англ.	708232	27630	55	82040	805	Инд.	49453	15109	55
82008	718	Англ.	715450	56717	55	82041	835	США	2678281	37932	55
82009	864	Австрал.	157524	29589	55	82042	911	Англ.	702252	44142	55
82010	1067488	США	2628963	43945	54	82043	1080488	США	2651659	2845	55
82011	728	ФРГ	885034	55721	55	82044	1081113	США	2666076	8280	55
82912	869	США	2663706	12685	38	82045	1082387	Канад.	507253	56444	55
82013	889	Канад.	491651	41321	55	82046	907	США	2669523	41968	55
82014	997	Канад.	492776	53430	55	82047	1084651	Австрал.	150086	56463	55
82015	1068075	Англ.	713396	50438	55	82048	1088904	Австрал.	152507	20038	55

ШВЕЙЦАРИЯ

82049	286281	Дат.	77332	13285	55	82078	290893	Франц.	1031870	40474	54
82050	от 286326 до 286336	Франц.	1026969	38655	55	82079	897	Англ.	692450	30697	55
82051	359	Франц.	1029740	8351	55	82080	291211	Австрал.	152507	20038	55
82052	287583	Англ.	701039	30265	55	82081	212	Англ.	690352	44617	55
82053	849	США	2631100	17538	54	82082	481	Англ.	695346	40455	54
82054	873	Англ.	690096	22649	54	82083	498	Норв.	81235	3594	53
82055	876	Англ.	686568	25076	55	82084	722	Англ.	692332	50714	54
82056	877	Англ.	686570	7849	55	82085	723	Англ.	692332	50714	54
82057	288404	Англ.	694786	25240	55	82086	724	Англ.	692332	50714	54
82058	418	Канад.	489739	56424	55	82087	292034	Австрал.	150167	25157	55
82059	429	Англ.	688651	15436	54	82088	049	Франц.	1029032	4570	55
82060	430	Швед.	139375	12885	55	82089	070	США	2686106	32072	55
82061	434	Австрал.	151820	19797	55	82090	075	США	2667482	41888	55
82062	725	США	2660604	15043	55	82091	085	США	2653926	45543	54
82063	730	Франц.	1026865	6460	55	82092	358	Франц.	1032078	4860	55
82064	731	Англ.	688790	22650	54	82093	434	США	2671783	12681	55
82065	289072	Франц.	1026653	24454	54	82094	733	Англ.	708972	29381	55
82066	246	ФРГ	886280	25218	55	82095	791	Франц.	1037411	4780	55
82067	685	Франц.	1023857	40462	54	82096	793	Англ.	689623	25115	55
82068	696	Франц.	1023307	2981	55	82097	812	Франц.	1032732	22713	55
82069	978	Англ.	690980	1508	55	82098	814	Англ.	688343	30699	55
82070	993	Франц.	1024073	35117	54	82099	293080	Франц.	1035233	4662	55
82071	994	Франц.	1021204	10641	55	83100	103	Австрал.	154389	24973	55
82072	290251	Австрал.	151379	19947	55	82101	129	Англ.	696622	47450	54
82073	294	Англ.	692465	19898	55	82102	422	Англ.	696463	28152	55
82074	305	Франц.	1026726	1290	55	82103	700	США	2657221	17428	55
82075	450	Англ.	689835	38735	54	82104	294022	Англ.	692383	40477	54
82076	452	Англ.	699332	44415	55	82105	023	Франц.	1038719	44233	55
82077	586	Англ.	688786	20827	54	82106	175	Англ.	687032	8447	55
						82107	177	Англ.	700757	27455	55

Таблица патентов, выданных в разных странах на одно и то же изобретение

Номер по РЖ Хим	Номер патента по данной стране	Страна и номер совпадающего патента	Номер и год реферата по РЖ Хим	Номер по РЖ Хим	Номер патента по данной стране	Страна и номер совпадающего патента	Номер и год реферата по РЖ Хим
82108	от 294230 до 294238	Англ. 710797	38579 55	82132	296346	Англ. 695826	12837 55
82109	337	Канад. 489855	22264 55	82133	983	Франц. 1051341	44801 55
82110	346	Франц. 1033618	39069 55	82134	297006	Франц. 1032678	30109 55
82111	513	Англ. 703091	12136 55	82135	011	Англ. 688253	38677 55
82112	685	Англ. 693780	12071 55	82136	325	Англ. 702943	32330 55
82113	900	Австрал. 153482	27575 55	82137	613	Австрал. 154552	4706 55
82114	295047	Франц. 1028585	29999 55	82138	615	Франц. 1032676	12680 55
82115	068	Англ. 693864	26301 54	82139	797	Англ. 701469	50736 55
82116	070	Англ. 687984	38793 54	82140	298130	Англ. 691028	22791 54
82117	074	Англ. 695598	1293 55	82141	145	Англ. 692967	40570 54
82118	084	Франц. 1024432	54101 55	82142	482	США 2666075	6396 55
82119	244	Австрал. 153482	27575 55	82143	886	Франц. 1064508	44328 55
82120	365	Австрал. 154084	17735 55	82144	299340	Англ. 708269	44393 55
82121	389	Франц. 1038660	15017 55	82145	364	Инд. 47771	43618 55
82122	402	Англ. 699113	56895 55	82146	379	Швед. 142987	20037 55
82123	658	США 2653974	27424 55	82147	706	Франц. 1063325	38524 55
82124	685	Франц. 1039811	30473 55	82148	876	Австрал. 156553	50217 55
82125	994	Австрал. 156529	47372 55	82149	300906	Франц. 1043240	53398 55
82126	996	США 2628964	6429 55	82150	945	Англ. 692962	1172 55
82127	296002	Франц. 1030779	43620 54	82151	301411	США 2665188	10510 55
82128	008	Англ. 701478	26825 55	82152	414	Англ. 694076	47325 54
82129	009	Франц. 1032470	3178 55	82153	590	Франц. 1036111	49062 54
82130	335	Франц. 1066011	34937 55	82154	302524	Канад. 503432	44947 55
82131	339	Англ. 692368	47235 55	82155	533	Канад. 496476	48982 54

ШВЕЦИЯ

82156	139891	Дат. 75253	1141 53	82192	141745	США 2666764	38562 55
82157	972	Франц. 1026934	34758 54	82193	813	Дат. 75294	1198 53
82158	976	США 2660604	15043 55	82194	858	США 2656246	32835 55
82159	140004	Франц. 1034976	12888 55	82195	861	США 2657235	19960 55
82160	079	Франц. 1028585	29999 55	82196	898	Англ. 689724	22910 54
82161	110	США 2657984	2814 55	82197	900	США 2678901	35941 55
82162	187	ФРГ 870840	12600 55	82198	968	Швейц. 290590	10692 55
82163	216	Англ. 692951	20970 54	82199	971	США 2674606	44429 55
82164	292	Канад. 492426	26627 55	82200	976	Швейц. 290583	35723 55
82165	294	Канад. 491490	44250 55	82201	142003	Англ. 685973	24501 54
82166	314	Канад. 498647	32165 55	82202	084	Австрал. 155147	17372 55
82167	355	Швейц. 291994	798 55	82203	085	Англ. 700720	38557 55
82168	490	Франц. 1042419	9855 55	82204	475	США 2628885	4051 53
82169	492	США 2662854	35871 55	82205	477	Франц. 1032078	4860 55
82170	494	США 2653154	38667 54	82206	481	Англ. 690261	47076 54
82171	631	Австрал. 150045	5651 53	82207	630	Канад. 493498	47538 54
82172	691	Канад. 494562	32863 55	82208	856	Франц. 1029032	4570 55
82173	731	Канад. 491550	44722 55	82209	143028	Дат. 75550	41532 55
82174	752	Австрал. 154151	36447 55	82210	138	США 2666064	35713 55
82175	809	США 2637694	29672 54	82211	209	США 2658032	24242 55
82176	893	Франц. 1032678	30109 55	82212	241	Канад. 503146	27370 55
82177	898	Норв. 81328	4691 55	82213	267	Франц. 1048508	56971 55
82178	141003	США 2626941	3942 53	82214	343	Австр. 174570	20621 54
82179	005	Дат. 75505	15480 54	82215	469	США 2629683	11691 54
82180	006	Франц. 1024013	50731 54	82216	535	ФРГ 887141	50960 55
82181	225	Англ. 696984	41422 55	82217	698	Канад. 497307	57433 55
82182	226	Англ. 692942	41453 55	82218	797	США 2667483	33375 55
82183	230	Австрал. 150894	15090 55	82219	843	Англ. 698367	16862 55
82184	236	Швейц. 292079	4697 55	82220	851	Англ. 697827	33087 54
82185	239	Австрал. 153263	35718 55	82221	885	Австрал. 150481	24092 54
82186	318	Англ. 690978	46989 54	82222	890	США 2653939	47348 54
82187	373	Англ. 699664	41455 55	82223	971	Дат. 75565	5288 53
82188	511	США 2654770	32865 55	82224	144021	Франц. 1032678	30109 55
82189	666	Англ. 692450	30697 55	82225	023	Австрал. 151522	30206 55
82190	686	Англ. 686875	50776 54	82226	024	Швейц. 293298	44420 55
82191	688	США 2629726	44246 55	82227	055	Швейц. 290595	50355 54

Таблица патентов, выданных в разных странах на одно и то же изобретение

Номер по РЖ Хим	Номер патента по данной стране	Страна и номер совпадающего патента	Номер и год реферата по РЖ Хим	Номер по РЖ Хим	Номер патента по данной стране	Страна и номер совпадающего патента	Номер и год реферата по РЖ Хим
82228	144084	Австрал.	154116	82272	147363	Швейц.	289706
82229	090	США	2650930	82273	503	Австрал.	151592
82230	288	Франц.	1026934				151593
82231	289	Дат.	76642	82274	505	США	2658067
82232	381	Дат.	77036	82275	580	Австрал.	153482
82233	496	Швейц.	290898	82276	594	США	2662032
82234	628	ФРГ	895686	82277	621	Австрал.	153128
82235	145129	Швейц.	288090	82278	672	США	2654755
82236	181	Канад.	498230	82279	757	Дат.	78480
82237	372	Австрал.	152495	82280	783	Австрал.	158777
82238	387	США	2637730	82281	875	США	2687408
82239	492	Канад.	490242	82282	944	Франц.	1030180
82240	572	Австрал.	156125	82283	946	Англ.	699821
82241	614	Финн.	26921	82284	947	США	2686788
82242	670	Англ.	696463	82285	967	США	2662022
82243	788	США	2662868	82286	997	Дат.	78320
82244	813	Англ.	711404	82287	148043	США	2687434
82245	835	Англ.	697713	82288	161	Австрал.	153902
82246	883	Англ.	688766	82289	172	Англ.	695532
82247	937	Англ.	687529	82290	189	США	2657140
82248	966	Англ.	703091	82291	205	Франц.	1067538
82249	146036	США	2672458	82292	220	Англ.	705738
82250	101	США	2678914	82293	248	Австрал.	156466
82251	113	Швед.	142189	82294	249	Австрал.	156466
82252	445	ФРГ	876335	82295	250	Франц.	1052176
82253	452	ФРГ	900037	82296	346	Англ.	712129
82254	469	США	2644009	82297	614	Франц.	1058067
82255	522	Норв.	84107	82298	773	Англ.	695826
82256	556	Англ.	702943	82299	774	Англ.	695598
82257	570	Дат.	77596	82300	903	Инд.	47327
82258	756	США	2665210	82301	967	ФРГ	893010
82259	788	Франц.	1062689	82302	990	Англ.	709174
82260	796	Франц.	1038495	82303	149190	Англ.	715468
82261	830	Канад.	499856	82304	196	ФРГ	888110
82262	831	Австрал.	152220	82305	220	Франц.	106570
82263	846	Швед.	291788	82306	274	Англ.	710441
82264	904	ФРГ	906214	82307	471	Франц.	1064989
82265	909	Англ.	690355	82308	546	Франц.	1030630
82266	939	Франц.	1030779	82309	583	Швейц.	290367
82267	147049	Канад.	496462	82310	587	Канад.	496649
82268	081	США	2653882	82311	641	Франц.	1037358
82269	270	Австрал.	154425	82312	658	Австрал.	159471
82270	275	Англ.	709854	82313	150082	Англ.	695084
82271	332	Англ.	686384	82314	108	Англ.	708232

Я П О Н И Я (1953 г.)

82315	1088	Англ.	686757	41620	55	82316	1283	США	2658079	32872	55
-------	------	-------	--------	-------	----	-------	------	-----	---------	-------	----

НОВЫЕ КНИГИ, ПОСТУПИВШИЕ В РЕДАКЦИЮ

Труды III Международного симпозиума по химии цемента (Proceedings of the 3rd International symposium on the chemistry of cement. London, 1952. London, Cement and Concrete Assoc., 1954, 870 pp., ill.) (англ.)

Приведены доклады по вопросам химии цемента на состоявшемся в 1952 г. в Лондоне симпозиуме, в котором принимали участие химики-технологи, работающие в области строительства и вяжущих материалов.

Большое внимание было уделено структуре клинкерных минералов, процессам гидратации цементов в зависимости от их минералогического состава и условий твердения.

Приведены данные по результатам исследований реакций в твердеющих системах при помощи электронной микроскопии, рентгенографии и петрографического анализа.

Рассматривались вопросы коррозии цементов в различ-

ных агрессивных средах, в частности в растворах сернокислых солей.

Обсуждались также вопросы применения различных цементов в строительстве и в производстве строительных деталей и конструкций.

Успехи ядерной энергетики. Серия VI. Биологические науки. Том I. Ред. Бьюэр, Курсаже, Лаутит (Progress in nuclear energy. Series III. Biological Sciences. Vol. 1. Eds Bugher J. C., Coursaget J., Loutit J. P., London, Pergamon Press Ltd, 1956, 205 pp., ill., 50 sh.) (англ.)

Сборник статей по вопросам биологического действия радиаций (канцерогенное действие, влияние на половые железы) и использования радиоактивных изотопов в агробиологии, биохимии растений и животных.

Л. Б.

АВТОРСКИЙ УКАЗАТЕЛЬ

А

Аблов А. В. 77850
Абрамов М. И. 77904
Абрамова В. Ф. 77864
Абрикосова И. И. 77753
Аброськина С. А. 80175
Абэ 77422
Абэ К. 78653 П
Аваллани А. Ш. 78738,
78740
Авгуль В. Т. 78591
Агафонов А. В. 79050
Агеев И. К. 79752
Агладзе Р. И. 78707,
78738, 78740
Адамчик К. А. 78888 К
Азбель М. Я. 77447
Александров А. Т. 78545
Александров Г. П. 78437
Алексанова В. Ф. 79831
Алибекова Ф. М. 77252 Д
Алимарин И. П. 78424,
78446
Алимов Р. З. 80306
Аmano 77452
Анашкина Н. П. 78425
Ангелов И. И. 77827,
77835
Андо 80112
Андреевский А. И. 77425
Анисонян А. А. 79072
Ано 79917
Антипин Л. Н. 77856
Антонова И. Н. 77583
Аншелес О. М. 77461
Аогг Е. 20201 П
Арбузов А. Е. 78190
Арбузова И. А. 78080
Аритомн 79543
Арсениевич С. Р. 77243
Архангельский Н. А.
79335
Арьев А. М. 78328
Асахара 78333
Асратян Г. С. 77771
Атрошенко В. И. 77183,
77191
Афанасьева Л. П. 78456
Аэров М. Э. 77559, 80326

Б

Баба 78106
Баба 78242

Баба 78634
Бабачев Н. 79825
Бабин П. Н. 78838
Бабичев Ф. С. 77195
Бабко А. К. 78488
Баженова А. В. 78155
Баландин А. А. 77640
Балах И. К. 78840
Бан 78184
Бао Гуан-ди 79297
Баранов Т. М. 78823
Баранова А. Б. 80267
Барский Ю. П. 78580
Бартнев Е. Н. 79992
Барышников М. Н.
78569
Басин Г. Л. 78604
Басс З. М. 79108
Батуев М. И. 77167
Бахвалов В. М. 79459
Бахман В. И. 77930
Бацанов С. С. 77407,
77408
Баюла А. Г. 78970
Белавская Ю. И. 78432
Белов Н. В. 77341, 77342
Белова О. И. 77922,
77923
Берг Л. Г. 77546, 77550
78577, 78578
Бергман А. Г. 77556
Бережной А. С. 78846
Березницкая Е. Г. 18511
Берлин А. М. 78085
Блешинский С. В. 77864
Блох З. Ш. 80380
Боброва М. И. 78545
Богданов Н. Ф. 79052
Бокгий Г. Б. 77358
Большухин А. И. 78079
Бонч-Бруевич В. Л.
77426
Бордун Н. Ф. 80401
Борзова Л. Д. 78500,
78950
Бороздина М. С. 78723
Борышская Е. 78759
Боярская Р. К. 77809
Брегер И. А. 77906
Бродский А. И. 77597
Бродянский В. М.
78942
Броуде В. Г. 80295

Буданова Л. М. 78447
Бухман А. С. 80336
Бхатнагар Д. В. 77824
Бык С. Ш. 77559

В

Вайнберг В. М. 80117
Вайнштейн Б. К. 77345
Вайнштейн Ю. И. 78540
Вакано 77646
Вакано 77754
Ванаг Г. Я. 78514
Вартанян А. Г. 77196
Вартанян К. Т. 78758
Васенко Е. Н. 77307
Васильев Ф. Ф. 78941
Вата Д. 80279 П
Вата С. 79179
Ватанабэ 78634
Ватанабэ И. 78652 П,
80285 П
Веденев В. И. 77582
Веденева Н. Е. 78504
Векслер В. И. 78107
Великая Е. И. 79941
Верещинская В. А. 78723
Веселова З. И. 78847
Веселовский В. И. 77715
Виденов Н. 78635
Визгерт Р. В. 77961
Викторов А. М. 78889 К
Вилкова Т. Ф. 80266
Вильбог С. С. 78462
Винер Л. Р. 77864
Винник М. И. 78829
Воеводский В. В. 77582
Войнова Н. В. 79965
Волженский А. В.
78886 К
Волина И. А. 77695
Волкова Л. И. 77645
Вольнский Н. П. 79080
Волькенштейн М. В.
78266
Вольнова В. А. 78579
Вольпин М. Е. 78091
Воробейчиков В. А.
78376
Выстрчал А. 77746
Выщепан А. Г. 80134 К
Вячеславов П. М. 78718

Г

Габович М. О. 79875
Габриэлянц М. А. 80113
Гайлевский Л. И. 79786
Галабутская Е. А.
78890 К
Галанец З. Г. 77828
Галдина Н. М. 78833
Гальперн Г. Д. 79031
Гамбарян Н. П. 78087
Ганаго Л. И. 78544
Ганелина С. Г. 77550,
78578
Ганз С. Н. 78623, 80298
Гарифьянов Н. С. 77442
Гармашова Л. И. 77812
Геллер Б. Э. 79789
Геллер З. И. 79037
Герасимов М. А. 79973
Герасимова В. А. 78474
Герцриген С. Д. 77343
Гибало И. М. 78446
Гиндин Л. Г. 77611
Гладков А. В. 77490
Глазовская М. А. 77875
Глушенкова А. И. 79852
Глушков Л. А. 80456
Гневушев М. А. 77463
Гои 78110
Голик А. З. 77560
Головацкий М. Т. 77154
Головин Е. Т. 78146,
78147
Гольденберг С. А. 77627
Гольдфарб Я. Л. 77313,
78092
Горбачев С. В. 77544
Гороховский Ю. Н.
79459
Горшенниа Т. В. 79076
Гостева М. И. 77430
Грабецкий А. А. 77234
Грандберг И. И. 78115
Грацианская З. И.
77667 Д
Грдзелишвили 78707
Григорьев С. М. 79095
Гринберг И. В. 78890 К
Губанов В. П. 78588
Гуркина К. М. 78430
Гусев В. С. 79828
Гусев С. И. 78421

Д

Данчев В. И. 77891
Данюшевский Я. Л.
77313
Дворжак Ю. 77759
Делмарский Ю. К.
77134
Денисов П. В. 77922,
77923
Дерягин Б. В. 77753
Джанполадян Л. М.
79915
Джонс А. Р. 80357 П
Джуварлы Ч. М. 79032
Дзидерьева И. П. 77713
Дианов-Клоков В. И.
78476
Дивания Н. М. 78105
Димитрова Л. 78635
Дисмьюк С. Е. 80428
Динтриева Н. А. 77563
Добкина Б. М. 78435
Добронравов Ф. Н.
79889
Довлатян В. В. 78105
Домановский Б. Ф.
80132 К
Домбровская Т. Н. 78576
Домбровский Я. 78155
Дональдсон Е. Е. 78573
Доу Го-жень 80293
Драпкина Д. А. 78434
Дридзе С. М. 79682
Дробанцева Н. Т. 78722
Дрогайцева А. М. 79831
Дроздов В. А. 78462
Дружнин И. Г. 77864,
77922, 77923, 78972
Дуброво С. К. 78777
Дубровская Р. 80075
Дунина А. А. 77430
Душкина В. Г. 79655
Дьюл М. 77906
Дяковская Ц. 78632
Дятлова Н. М. 78540

Е

Егоров А. Г. 78079
Егоров М. М. 77773
Егоров Н. И. 79682
Елченко С. И. 79820
Елшин Н. Н. 80381

Ельяшевич М. Г. 78971
Емченко М. П. 78856
Еременко Р. К. 77597
Ермилов П. И. 80439
Ершов Б. П. 78543
Ершов В. В. 78166
Есенберлин Р. Е. 78943
Ефремова В. Н. 78080

Ж

Жаворонков Н. М. 80330
Жарский А. М. 79822, 79851
Жданов В. А. 77397
Железская М. 78783
Жеребов Л. П. 79778
Жигарев Г. А. 78482
Жихарев С. А. 78830
Журавлев В. А. 77425

З

Заблочная В. Л. 78457
Заваров Г. В. 78482
Зазирная М. В. 79942
Зазулина З. А. 79780
Залманзон Э. С. 77909
Залманзон Я. С. 79330
Замятин А. З. П. 79027
Занько А. А. 78386
Заринский В. А. 78543
Зарипов М. М. 77443
Заславский А. И. 77344
Затворинский А. С. 79844
Захаров В. Г. 78942
Захарова А. И. 78069
Захаров-Нарциссов О. И. 77852
Зворыкина В. К. 78093
Згонник Н. П. 78849
Зеленская М. Г. 78534
Зелтынь В. М. 79336
Зманов Р. Х. 78501
Золотарева О. В. 78401
Зотова С. В. 78091
Зрелов В. Н. 79075
Зубаков С. М. 78840
Зубов В. Г. 77398
Зульфугаров З. Г. 77643
Зырина Л. В. 77750

И

Ибрагимов М. Б. 78092
Иван 79691 К
Ивакура 77200
Иваненко Л. К. 78448
Иванишко С. А. 80215
Иванов В. В. 77913
Иванов В. И. 77785
Иванов Д. Н. 78419
Иванов И. Д. 79984
Иванова З. М. 79063
Иванова Н. Н. 77902
Ивао 78241
Ивасаки И. 80278 П
Ивницкая Р. Б. 78580
Игнатов Н. Н. 78823
Игонин Л. А. 78325
Идэ 78164
Идэ Х. 80200 П
Иевиньш А. Ф. 77339, 79745

Издад-Дин Фаррад 78685
Ийда 78165
Икзгами 80072
Икзура К. 80274 П
Ильина Г. Д. 78069
Иман 77679
Имото 78282, 78292, 78329, 78330—78332, 78334, 78357
Инагаки 78222
Ино 80394
Иноки С. 80273
Иноуэ 79556
Иноуэ Т. 78915 П
Ионэдэ 78184
Иосики Б. 78939 П
Ирисака Е. 78748 П
Иродов М. В. 79838
Исаченко Л. М. 78963
Исида 78631
Исимура А. 78653 П
Исцука Х. 78650 П
Итикава 78170
Ито 78530
Ито Т. 78658 П

Й

Йокон 78136
Йокотэ 78164
Йокояма 80115
Йосида 77218
Йосида 78008
Йосида 78173
Йосида 79556
Йосимура 78402

К

Кавабата 78520
Каван 78170
Каван Н. 80200 П
Кавано 78520
Кавасуги 79077
Кавата 80116
Каганов И. Н. 79882
Кадагер Л. И. 77709, 77710
Кадоваки 78117
Кадыров В. 77922—77924
Казавчинский Я. З. 77510
Казакое Е. И. 77547, 78985
Какэми 78241
Калачева А. В. 78542
Калмыков К. Ф. 77166
Кальнина Е. Р. 78401
Каминск 78760
Каминский В. К. 78832
Канадзав 78631
Кананива 78111
Канер Э. А. 77447
Канторович Б. В. 79093
Канэко 78289
Каплан Б. Я. 78419
Капустинский А. Ф. 77278
Карабанов Н. Т. 78482
Каравацкая В. А. 77665
Каранович Г. Г. 78428
Караулова Е. Н. 79079

Каргин В. А. 78324, 78325
Карлышев Б. Н. 78838
Картужанский А. Л. 77663
Каримова А. И. 78401
Касаткин А. Г. 80348 К
Касимова С. 77904
Касимура 79568
Касэ 79510
Катаока 78242
Като 77476
Като 78173
Като 78492
Като С. 78916 П
Катхе О. И. 77510
Каурковский В. И. 77548, 77549
Кац Б. А. 78852
Каштанов Л. И. 77141
Каштанова М. Я. 77141
Кейер Н. П. 77635
Келер Э. К. 78847
Кибя 78473
Ким Гиль Хон 78607 Д
Кимура Э. 78619 П
Киносита 78101
Киреев П. С. 77283
Кирияма 78334
Кирияма 80109
Киришин Д. М. 77241
Кислова А. И. 77556
Китайгородский М. М. 79656
Китакава Я. 78653 П
Китамура 78289
Клейнер К. Е. 78488
Клименков В. С. 79777
Климов Б. К. 77547
Климова В. А. 78511
Климова Н. В. 79032
Клочко М. А. 77694
Клюева Т. К. 79488
Клячко Ю. А. 78368
Кнорре Д. Г. 77600
Кнюцки И. Л. 78087
Князев Г. А. 77852
Кобаяси 78164
Кобаяси 78484
Кобаяси 78549
Кобаяси 80376
Кобылянская Т. В. 78545
Коваки 78241
Ковалев И. А. 78410
Коварский В. А. 77404
Ковригина Г. И. 79682
Когата А. 80284 П
Когата К. 80284 П
Коган А. И. 79656
Коган И. Б. 78406
Кодзима 78011
Козарев Х. 78632
Козин Н. И. 79488
Козлов В. А. 77648 Д
Козловский М. Т. 78418 К
Козырев Б. М. 77442
Кондзуми 77571
Койкэ 78165
Колбановский Ю. А. 79011
Колесников Н. Н. 77262
Колобова К. К. 78474
Комаки 78858

Комаров Ф. П. 79747
Комарь Н. П. 78477
Комлев О. И. 77741, 77828
Кондо 77646
Кондо 78242
Кондо 78870
Кондратьев Г. М. 80386
Кониси 78110
Коно 78489
Кононов Н. Ф. 79724
Коноров А. В. 77165
Коноров П. П. 77431
Копыленко С. Д. 79851
Коренева В. В. 78424
Коренман И. М. 78569
Королёв Ф. А. 77286
Корчешкин Г. И. 79778
Коршуи М. О. 78511
Косевич А. М. 77446
Кост А. Н. 78085, 78115, 78149, 78166
Котакэ 78057
Котина В. Е. 79777
Котова И. П. 78314
Кочетков Н. К. 78155
Кочелева Г. И. 78389
Кошкин Д. И. 78543
Коштыяк Х. С. 77166
Крацов В. А. 77264
Красильников В. М. 79752
Красильников К. Г. 77773
Красинцева В. В. 77915
Красницкая К. М. 80089
Красулин Н. А. 78325
Кренцель Б. А. 79072
Кретинин С. А. 80175
Крешков А. П. 78462, 78516
Кривоглаз М. А. 77427
Крупаткин И. Л. 77551
Крушель Л. Е. 78830
Крылов В. Н. 78991
Крылова А. В. 77643
Кубокава 78008
Кубота 78058
Кубота 78061
Кубота Ц. 80193 П
Кувабара 78165
Кувата 79549
Кудачков И. А. 80377
Кудрявцев Б. Б. 77562
Кудрявцев Р. В. 77955
Кудрявцева Н. В. 77397
Кузнецов В. И. 78434, 78447
Кузнецов М. П. 78508
Кузьмин В. А. 77583
Кузьмин Л. Л. 78706
Кулаков Н. К. 78978
Кульберг Л. М. 78500, 78950
Кумада 78329
Кумов В. И. 78421
Куплетская Н. Б. 78513
Курниева 80072
Куркова Н. С. 79114 Д
Курсанов Д. Н. 77955
Кусаков М. М. 77760
Кустов Б. И. 78978

Кустова Л. И. 80089
Кусуда 78106
Кушев В. С. 78600
Кучеренко Ф. Т. 79990
Кучерук В. В. 80443
Кушнерик Н. И. 78832

Л

Лавровский К. П. 79011
Ладыйженский Н. Р. 78890 К
Лазарев Н. М. 79996 К
Лангер Н. А. 80220
Лапидус Э. С. 78486
Ларенков А. П. 78832
Ласточкин Я. Л. 77767
Латухова А. Г. 78401
Левин С. А. 78996 Д
Левина Р. С. 78768
Левина С. Д. 77901
Ледикотт Г. В. 78443
Леншина Н. Я. 77785
Лепинь Л. 80216
Либман С. 79826
Линейский В. Ф. 78890 К
Липовская К. С. 79062
Литвин О. Б. 79166
Литвиненко А. У. 77905
Лифшиц И. М. 77446
Личарев М. А. 77889
Ли Шоу-чжэн 78192
Лобеев М. В. 79050
Лозгачев П. М. 79034
Лосев И. П. 79058
Лосев Л. Л. 77714
Лукач Ю. Е. 80308
Лукевич Э. Я. 78514
Луковников А. Ф. 77570, 78532
Лукьяннича В. Г. 79031
Лукьянов Ф. Н. 80452
Луценко В. И. 78758
Луцкий А. Е. 77153, 77191, 77479
Луцковская Н. Л. 77547
Лысянский В. М. 79876
Лээтс К. В. 78067
Лкбушкина З. С. 79831

М

Магдамов С. 79852
Мада Е. 78936 П
Маки 77728
Макушенко В. М. 78588
Малаховский В. Ф. 77897
Малашенко Л. П. 78985, 78986
Малин К. М. 80336
Маль С. С. 78998 Д
Мальман Х. А. 78443
Мальцев П. М. 79941, 79942
Малюков В. А. 80330
Манелис Г. Б. 77829
Марголин И. Л. 79460
Марков Б. Ф. 77698
Маркова Л. В. 78488
Мартыненко И. У. 78477
Марьяновская К. Ю. 78077

- Масик А. Х. 77709, 77710
Маслов В. А. 79912
Масько В. А. 77251 Д
Матвеева А. Н. 78545
Матвеевский Р. М. 79102
Матвида Д. 80201 П
Матросова Т. В. 78447
Матysiна З. А. 77427
Матюхин Г. С. 80443
Махлис А. И. 78588
Махо Г. 78937 П
Махова Г. С. 79727
Мацуда 77790
Мацуда М. 80274 П
Мацуи 78089
Мацумото К. 78939 П
Мацумото Т. 79226
Мацуо 77731
Мацуо 78454
Мацура 78106
Мацура 79916
Мазда 78183
Медведева З. С. 77711
Мединец Б. М. 79844
Медников Ф. А. 79727
Медовар Б. И. 80220
Мехеницкая Л. И. 77760
Мелконян Л. Г. 77673
Мельман М. Е. 80134 К
Мельниченко Л. Г. 77152
Мельтцер Л. Б. 78575
Мендерян А. М. 78481
Мидзоба Е. 80274 П
Мидзуно 78551
Мидзуно 78872
Мисесеров К. Г. 78505
Милбергер Э. С. 80357 П
Минакова Т. Ф. 80106
Миноура 78334
Миронов С. И. 77907, 79009
Миропольский Л. М. 77888
Мисаки Т. 78619 П
Мискиджян С. П. 77695
Мискинова Т. А. 77611
Миура 77754
Михайлу Н. Г. 79831
Михальчиков Н. 78807
Михантьев Б. И. 79169
Михеев А. П. 78987
Мишина В. Н. 79852
Миядаки 77653
Миясима М. 78747 П
Миджоян А. Л. 78105
Миджоян Е. Л. 79915
Мовсумзаде М. М. 78020, 78022
Могилевский Е. М. 79784, 79787
Могильный Е. А. 79883
Молдавер Т. И. 78721, 80267
Молдованская И. 79984
Молчанов И. В. 79845
Монев Г. 78635
Морачевский Ю. В. 77142, 78506
Морита 77488
Морковкин К. Н. 77914
Мошкина Р. И. 77583
Мукаи 79829
Мураками 78222
Мурасаки 77790
Мурашов Г. М. 78069
Мута 78470
Мухина Л. С. 78302
Мюрти Т. К. С. 77824
Нагава 78247
Наган 78397
Наган 78631
Наган 78634
Нагамацу 77788
Нагасава Ф. 79226 П
Наденский Б. П. 78416 К
Назаров И. Н. 78146, 78147
Накагава 77936, 78059
Накадзава 78106
Накадзава Т. 80193 П
Накадзима М. 79179
Накамура 77728
Накамура Х. 80274 П
Накано 78409
Накахара 77838
Налбандян А. Б. 77583
Нарбутт К. И. 78556
Науменко П. В. 79856
Нахманович М. И. 78209
Недзу 78454
Нейман М. Б. 77570, 77583
Нейман О. В. 77812
Некрасов А. С. 79079
Некрасов Л. И. 77826
Некрич М. И. 77183
Неронов Н. П. 80345
Несмеянов А. Н. 78155
Неуймин Г. Г. 77197
Нечаева Е. А. 78486
Нешумова А. М. 78516
Никитин В. И. 78076
Никитская В. А. 78508
Никки 77732
Николинский П. Д. 79516, 79517
Никольская Т. Л. 77554
Никольский М. И. 80132 К
Нисида 79506
Нисихара 80394
Нитто 78306
Низялов А. 79027
Новачок А. И. 78508
Новикова Е. Н. 78355
Новикова Т. М. 79851
Новосильцев Н. С. 78328
Нодзиро 79917
Номидзо 78492
Номура 80059
Нушев И. Х. 79913
Нюхольм Р. С. 77821
Ода 79573
Одава Е. 80193 П
Одинцов В. И. 77286
Одинцов П. Н. 79728
Ожигов Е. П. 78448, 78496
Оива 78357
Окава 78165
Окада 78185
Окадзаки 78333
Окамато Г. 78117
Окамато К. 78117, 78118
Окамато Х. 78748 П
Оки М. 79179
Олейник Б. Н. 78856
Онага Ю. 80285 П
Ордина З. Г. 80245
Орищенко А. В. 77560
Ормонт Б. Ф. 78600
Осава 77679
Осипов Н. В. 79972
Остроумова Н. М. 78718
Ота 77541
Охара 78397
Охашин 78473
Охотин М. В. 78768
Оцу 78282
Оцу 78292
Оцу 78330
Ошис З. 80216
Ощиповский В. 78386, 78463
Павлов И. Н. 77920
Панасюк В. И. 78883 К
Паничкин С. Е. 78823
Панкова Ф. И. 80106
Панкратов Д. И. 78832
Панов В. В. 79007
Паркань К. 77746
Паркер Г. В. 80428
Пароло Л. В. 79838
Пасовская Г. Б. 78475
Певзнер К. С. 78452
Пейве Я. В. 77902
Перельман Я. М. 78522
Петренко Л. П. 78086
Петров А. А. 78067
Петров А. Д. 78064
Петровская Е. А. 80089
Петровский Ю. В. 77524
Пигузова Л. И. 79044
Пичук Н. Х. 78506
Плате А. Ф. 78091
Плиев Т. Н. 77664 Д
Плисов А. К. 79834
Плоткина С. А. 78080
Плят Ш. Н. 78849
Погонкина Н. И. 79823
Подольский М. А. 79063
Пожогина П. М. 80111
Познанская В. С. 78976
Покровская В. Л. 78543
Покровский Е. И. 78314
Полосин В. С. 77233
Полуэктова Е. Ф. 78893 Д
Польский С. М. 80407 К
Поляков Е. С. 80132 К
Пономарев А. А. 77640
Пономарев Ф. Г. 78075
Попмарнинов П. 80049
Попов В. Д. 79891
Попов М. А. 78465
Попов М. С. 77850
Порай-Кошиц Б. А. 78077
Поройко И. В. 77506
Портнов А. И. 78449
Портной Р. И. 78942
Порфирьев В. Б. 78890 К
Постникова Н. 79104
Посыпайко В. И. 77556
Потапенков В. М. 79015
Преображенский А. И. 79728
Привалова Г. К. 77397
Прокопчикас А. Ю. 77833
Проскурин М. А. 77666 Д
Прянишников В. П. 78882 К
Пурмаль А. П. 77825
Пусеп А. О. 80403
Путилова И. Н. 77611
Пухликова Р. В. 78987
Пчелин В. А. 80177 К
Пшенников Н. В. 80132 К
Пятницкая Г. Н. 77827
Рабинович И. Б. 77715
Равинович С. Д. 77560
Разумова Н. А. 78190
Рамонаяте С. 78509 Д
Рассонская И. С. 78578
Ратникова К. И. 79655
Рафниенко М. А. 78448
Рахимов Х. Р. 77566
Репенко К. Н. 78841
Ретнев В. М. 80420
Реформатская Е. А. 78091
Реш В. К. 78573
Решетникова Е. В. 77903
Ржехин В. П. 79823
Ривкин С. Л. 80324
Ринг Ф. 80428
Робев С. 78108
Рогачев Д. Л. 77344
Рогинский С. З. 77635
Рогов И. А. 80091
Роговин З. А. 79780
Рогожин С. В. 79775
Родионов В. М. 78093
Родионова К. Ф. 77909
Родкевич С. Д. 77751
Розенберг М. С. 80403
Розинер И. М. 77932 Д
Розовская Н. Г. 77768
Романов П. Р. 78811
Романова Т. Е. 79822
Рыбников В. А. 78757
Рыс Н. 78801
Рябова Р. С. 77829
Рябенков А. В. 80219
Рязанцев М. Д. 79178 Д
Сава 78183
Савамура 80394
Савараги 80394
Сагадакова В. 77924
Сазонова И. С. 77635
Сайто 77476
Сайто 77790
Сайто 80188
Сакаи 77788
Сакаи 78251
Сакикава 79077
Сакураи 77646
Самитов Ю. Ю. 79076
Самусь Н. М. 77850
Самэдзима 78241
Сано 77818
Сапир А. Д. 78472
Саранчук Л. 79104
Саруно 79916, 79917
Саруя 80112
Сасаки 79916
Сатака 77778, 77779
Сато 77567
Сато 78489
Сато 79077
Сато С. 78938 П
Сато Т. 78619 П
Сацука 78409
Сваричевский Л. Б. 78890 К
Свентославский В. 77528
Северин Е. С. 78155
Сендова Р. 77904
Селезнев К. А. 78417 К
Семенидо Е. Г. 79100
Сёно 78098
Сениягин Ю. 80397
Сергеев Г. Б. 77579
Сергеева В. Н. 79745
Сибанума 80255
Сига А. 78932 П
Сидельниковская Ф. П. 78534
Сидоров В. Г. 79015
Силверман Л. 80444
Симада 78858
Симидзу 78247
Симидзу 80109
Симон В. 78442
Симосэ 77475
Синагава 77731
Синагава 78454
Сингаки 78089
Синдо 77646
Синельников К. Д. 77403
Синра 78492
Синяевский В. В. 78614
Синоя 77452
Сиракава 78184
Сирбиладзе А. Л. 79914
Сирота А. М. 80324
Скоробогатов Б. С. 77403
Скорослов И. И. 77826
Скрамтаев Б. Г. 78875
Скробушкин Г. Г. 80134 К
Славнова Е. Н. 77453
Славникова Л. В. 77914
Смирнов А. А. 77427
Смирнов В. И. 77179
Смирнов Р. Н. 78967, 79058
Смит В. А. 78149
Согри Р. 80283 П

Авторский указатель

- Соголова Т. И. 78324
Соколов Н. М. 77178
Соколова Л. А. 78545
Соколова М. Н. 77907
Солдак Ю. В. 79061
Соломни Н. В. 78833
Соломко В. П. 77560
Солтан С. Г. 79842
Сорокин А. Ф. 80310
Сорокин Я. З. 79786
Соснина А. С. 79078
Соменова З. И. 79943
Сояма 79528
Сперанский В. А. 78066
Спивак Г. В. 78576
Старик И. Е. 77768
Степанов Ф. Н. 78084
Стефанов С. 79553
Страхов Н. М. 77909
Стрельникова В. А. 77919
Стрельцова С. Г. 78054 Д
Стрепихеев А. А. 79795
Стокель Т. Б. 78493
Сунахара Ю. 80193 П
Судаков В. М. 79838
Судзуки 77653
Судзуки 78164, 78165
Судзуки 78247
Судзуки 78489
Судзуки С. 78934 П,
78935 П
Судо 77892
Сунто 77388
Сулимов А. Д. 79050
Сунагава 78185
Суражский Д. Я. 77882
Сурхай В. Т. 77864
Суслов Б. Н. 77562
Сыдыков Ж. 77919
Сысоев Е. А. 77773
Сыч Е. Д. 77192
Сэдзакки 77728
Сэяма 77788
Сэки 78306
Сэкимото 80255
Сэкинэ 77743
Сэно 78251
Сэто 78097
Свяцццло С. В. 78516
- Такэо 77541
Такэацу 77822
Такэути 77754
Тамура 78183
Танабэ 78187
Танака 77733
Танака 78170
Танака 78760
Танака 80072
Танакадэ 78165
Тананаев И. В. 78373
Тананаев Н. А. 78544
Тананайко Ю. М. 80309
Тани 79549
Танида 78183
Танидзаки 78136
Танцырев Г. Д. 77829
Тарасова А. В. 79169
Тариовский Н. Н. 77751
Тархова Т. Н. 77341,
77342
Таскаев Н. Д. 78972
Татевский В. М. 77294
Твердохлебов Л. С. 79882
Тейтельбаум Б. Я. 78578
Телишевский Б. 80090
Терентьев А. П. 78085,
78149, 78513
Терешин Б. Н. 79885,
79890
Терпиловский Я. 77515
Тесленко Г. И. 79851
Тжебятковский В. 77515
Тимошенко Н. Е. 77713
Титов Н. Г. 78967
Тихонов В. 78759
Тихонова В. С. 78437
Товбин А. В. 77707
Товбин И. М. 79824
Товбин М. В. 77707,
77755
Токштейн А. 77759
Томита 78244
Томсон Е. Г. 79834
Толчбашева В. Н. 79795
Толчиев А. В. 78038,
79008
Толчиева К. В. 77643
Торочешников Н. С.
78942
Тояма 78008
Тояма 80112
Трам Р. С. 78452
Тронцкий А. В. 78788
Тромбинский В. 77528
Туркельтауб Н. М. 78401
Турьян Я. И. 77738
Тэплин Д. В. 78572
Тэракава 78119
Тэйт В. П. 78560
Тюльпанова Т. Н. 79727
- Укита 78336
Ульянов А. И. 78373
Уминик Н. Н. 80326,
80330
Уода 78136
Урусибара Йо 79179
- Уставщиков Б. Ф. 78065,
78066
Утияма 80115
Уткин В. К. 80266
Уэсима 78760
Уэхара Я. 80197 П
- Файнберг Е. Е. 79824
Файнерман И. Д. 80390
Фара П. П. 78706
Фарберов М. И. 78065,
78066
Фастовский В. Г. 77524
Фаткулина Л. Г. 77566
Федоров В. С. 79012
Федоров Н. Е. 80091
Федорович Г. П. 79765
Федотьев Н. П. 78718
Феклисов Г. И. 77583
Фельдман М. Д. 80428
Феста Н. Я. 80381
Фикини А. Г. 80049
Филлипова К. И. 78462
Фиошин М. Я. 77164
Флейшман А. 80079
Фокеев В. М. 77908
Фомин В. В. 77852
Фомичев М. М. 77916
Фрейдлин Б. Г. 79842
Фридман Е. М. 78556
Фридман Н. Г. 78580
Фридман Р. А. 79494
Фришштейн И. Л. 79166
Фрисман Э. В. 78302
Фува 78495
Фудзавара 77876
Фудзанага 78405
Фудзита 80384
Фудзитани 78402
Фукусима 78530
Фукута 77818
Фунакубо 78550
Фурукава 79506
- Ханнисон С. И. 77835
Хаматов А. Х. 78076
Хаммацу 78185
Хаммонд Р. П. 78571
Харада 78869
Хасэгава 80289
Хасэгава 80292
Хата 79543
Хачидзе О. Т. 79980
Хаякава К. 80278 П
Хейфец Е. М. 79062
Херсонская Л. М. 78435
Хино 80116
Хирабасия М. 78917 П
Хиракоса 78634
Хироти 78473
Хитрик М. Е. 77934 Д
Хитрин Л. Н. 77627
Ходашова Т. С. 77358
Хомуты Н. Е. 77163
Хомяков В. Г. 77164
Хонда 78409
- Хориути 78097
Хорошая Е. С. 79682
Хорькова О. Г. 79787
Хосон 78859
Хосокава 78289
Хохель А. Н. 78885 К
Хуан Цзы-цин 77677
Хуан Цин-юнь 78357
Хуань Лань-сунь 77139
Ху Бин-фан 78192
- Цахалок И. Ф. 78976
Цветков В. Н. 78302
Цветков В. П. 78563
Цветков Л. А. 77234
Цвечинский С. В. 79875
Ценков Ц. 78989
Цзи Жу-юнь 78019
Цзоу Кэ-н 79321
Циглер В. Д. 78832
Цубаки 78760
Цубоути 78106
Цутида 77838, 77839
Цысковский В. К. 79842
- Чемерисская А. А. 78539
Черникин В. И. 79016
Черников Ю. А. 78435,
78452
Чернобыльский И. И.
80308, 80309
Чернуха Г. Н. 78430
Чернявский А. И. 80395
Чертков Я. Б. 79075
Чигалик Я. 78388
Чижов В. Н. 79330
Чирков Н. М. 77829
Чмутов К. 78591
Чудакова И. К. 79080
Чуканова В. Н. 79823
Чукмасова М. А. 79996 К
Чань Вань-и 78192
- Шадгарын Ц. 77933 Д
Шайкина Ю. В. 77645
Шамовский Л. М. 77430,
77516
Шамонин Ю. Я. 77443
Шанкар Я. 77824
Шапошников Д. А. 78806
Шапошникова Н. В.
77812
Шаргородский И. И.
78508
Шарков В. И. 77809
Шаталов А. А. 77417
Шатенштейн А. И. 77610
Шафрановский И. И.
77155
Швабская Н. А. 80117
Шварц Е. М. 77339
Шварцзайд М. С.
78886 К
Шейн Т. И. 79795
Шемятенкова В. Т. 78516
- Шестакова Н. М. 77648
Шингорин Д. Н. 77313
Шиманский Ю. И. 77560
Шинкина В. И. 78838
Шинкина М. В. 79112 Д
Шинкина Н. 80090
Шкляревский И. Н.
77403
Шлыков А. В. 77544
Шлягин К. Н. 77270
Шмидт Ю. А. 78777
Шолохович М. Л. 77555
Шостаковский М. Ф.
78534, 78967, 79724
Штрихман Р. А. 77142
Шуб Н. С. 78433
Шуба Ю. А. 77433
Шульте Д. В. 78571
Шумиловский Н. Н.
78575
Шухова Г. В. 79831
- Щеглова Ц. Н. 79842
Щенников С. Т. 80089
Щербак Л. И. 77559
Щербаков Н. Г. 79828
- Эйсмунд М. В. 78832
Эйнзон М. П. 78875
Эмирасланов А. М. 77689
Энтон Н. 78574
Эпельбаум В. А. 78608
Эпштейн Я. В. 79771 К
Эфендиев Г. А. 78562
Эфрос Л. С. 78077
- Юй Чан-цин 79757
Юкава 78012, 78013
Юферов В. М. 78508
- Яворский И. В. 78561
Яги 78165
Ягудаев М. Д. 77750
Ягфаров М. Ш. 78577
Якимец Е. М. 78493
Ямагути 78244
Ямагути 78530
Ямагути Х. 80274 П
Ямада 73117
Ямадзакки 78361
Ямасакки 77295
Ямасакки 77877
Ямпольский А. М. 80445
Ян Вэнь-чжи 77677
Янцкиис И. В. 77835
Ян Куань 77138
Янсон Э. Ю. 79745
Яромолниский М. Б.
79885
Ярослав Т. Е. 78987
Ярцев Н. Н. 79768
Ясумори 77567
Яхонтова Л. К. 77909
Яцмирский К. Б. 78459

A

- Ababi V. 79661
 Abbate M. J. 78558
 Abbey A. 79579 П
 Abel E. 77591, 77602
 Abendschein P. A. 78529
 Abrahams S. C. 77386
 Acharya M. V. R. 77529
 Achaya K. T. 79841
 Ache P. S. 80404, 80405
 Adam-Briers M. 77607
 Adams G. A. 79720
 Adams J. B. 78161
 Adams K. B. 78557
 Adams R. 78113
 Adams R. M. 77273
 Adamson A. W. 77605
 Adhya B. B. 78772
 Alfsprung H. E. 80137 Д
 Agarwal B. K. 77487
 Agarwal J. C. 79819
 Agethen K. H. 79699 П
 Aggarwal S. P. 77629
 Agnon S. E. 80457
 Ahearn A. J. 77435
 Ahlbrecht A. H. 79203 П
 Ahlers N. H. E. 78553
 Ahmed M. N. 79000 П
 Ahrens C. B. F. W. 79331
 Aiken J. L. 78378
 Ainsworth L. 78766
 Albers-Schoenberg E. 77659
 Alderton G. 79955
 Alessandrini M. 78682
 Alexander A. L. 79665
 Alexander E. 77410
 Al-Kazimi H. R. 78265
 Allan R. J. P. 77581
 Allen C. F. H. 79461 П
 Allen E. 79704 П
 Allsebrook W. E. 79666
 Almásy G. 78400
 Alvist L. 78804
 Ambard L. 77678
 Ambler E. 77263
 Ambros D. 77979
 Amelinckx S. 77878
 Amidon R. W. 79627 П
 Aminoff C. F. 77805
 Amorosa M. 78148
 Amos J. L. 79583 П
 Anastasiu S. 79861
 Ancrum R. W. 79716 П
 Andersen E. 79881
 Anderson A. R. 78867
 Anderson J. H. 80006
 Anderson J. M. 78208
 Anderson M. L. 79700 П
 Anderson R. C. 78510
 Andres E. A. 80314
 Andreux J. L. 78739
 Angelescu E. 78028 К
 Angell P. 80048
 Anger H. 78900 П
 Angus W. R. 77204
 Antkiw S. 77769
 Antropoff A. 77244 К
 Apelt G. 78881 К
 Apers D. J. 77495
 Appel E. C. 80052
 Archer R. J. 77540
 Archibald F. M. 79183 П
 Arcus C. L. 77993, 78162, 78163
 Ardao M. I. 77310
 Ardemagni M. 79489
 Arden T. V. 77235
 Ardizio P. 78219, 78221
 Arendale W. F. 79084
 Arey W. F. 79138 П
 Aris R. 77668
 Armbrust B. F. 77921
 Arndt F. 77935
 Aroesle H. 77534
 Arpal J. 79894
 Asaro F. 77268, 77275
 Asclik K. 80451
 Ash J. R. 79648 П
 Ashford T. A. 77210
 Ashmore P. G. 77575
 Ashton G. C. 78535
 Ashworth J. T. 80157 П
 Asmus E. 77199
 Asperen K. 78689
 Aspey S. A. 78367 Д
 Asunmaa S. 79718
 Aswathanarayana V. 77884
 Atwater H. A. 77537
 Atwood G. R. 78133
 Aubrey K. V. 77880
 Audran R. 78589
 Aumüller W. 79401 П, 79432 П
 Auro M. A. 80314
 Austin I. G. 77441
 Austin J. M. 79540
 Austin R. O. 79658
 Auwarter M. 80280 П
 Avery W. H. 77624
 Avrahami M. 77596
 Awe W. 78243
 Axford A. J. 79450
 Axford D. W. E. 80018
 Ayant Y. 77335
 Aylward F. 80131 К
 Ayscough P. B. 77573
- B**
- Baba Y. 78242
 Babb A. L. 77527, 77561
 Babička J. 80130
 Bachmann P. 77150
 Backstrom J. E. 78863
 Bacot A. M. 80121
 Baddeley G. 77959
 Baer F. H. 79756
 Baer M. 79623 П
 Baetsle R. 79938
 Bahr R. E. 78450
 Bähr 77208
 Bailey A. S. 78131
 Bailey G. F. 79955
 Bailey J. H. 78952
 Baker A. W. 77309
 Baker B. R. 79279 П
 Baker L. C. 79144 П
 Baker M. 80312
 Balacéanu J. C. 77649
 Balgalies E. 78478
 Baliga B. P. 79841
 Balka W. H. 79074
 Ball H. J. 78678
 Ballhausen C. 80207 П
 Ballinger P. 77966
 Balios C. L. 79940
 Baltes J. 79860
 Balu V. 79817, 79998
 Balwit J. S. 78344, 78350
 Balz O. 78629 П
 Balzer H. 79113 Д
 Bambach G. 79111 К
 Bamford C. H. 78276
 Bandtel O. 79186 П
 Banerjee S. 78387
 Banes D. 79391
 Banes F. W. 79869 П
 Banholzer K. 77986
 Banks R. E. 78512
 Banton C. W. 79513
 Bányai E. 78375
 Baranowski B. 77533
 Bartier H. 77150
 Barbier-Andrieux M. J. 78739
 Barker G. R. 78207
 Barker S. A. 77782
 Barlot J. 78440
 Barnett E. B. 78036 К
 Barr J. A. 78636
 Barrett F. L. 77161
 Barta G. 79944
 Bartholomew G. A. 77261
 Barton D. H. R. 78240
 Bartunek R. 78363
 Barzik H. 78931 П
 Basolo F. 77605
 Basu A. N. 78979
 Basu A. S. 77700
 Bateman L. 79500
 Batterham A. 79742
 Baudin J. 79539
 Bauer O. 79836
 Bauer T. W. 79751
 Baumann K. 78930 П
 Bawn C. E. H. 77601
 Bayer O. 80204 П
 Beard C. S. 80396
 Beattie D. M. 80078
 Beaulieu C. 77457
 Bebb R. L. 79521 П
 Bechtel W. G. 80024
 Beck G. 78016
 Beck M. T. 74394
 Becker W. 80204 П
 Beckett C. W. 77480
 Beckett J. S. 80145 П
 Becking L. G. M. B. 77184
 Beckwith A. L. J. 77937
 Bednář J. 77831
 Bedoukian P. Z. 79480
 Beduneau H. 79541
 Beek L. K. H. 78303
 Beerens H. 80103
 Beesch S. C. 79907
 Begun G. M. 77496
 Behnisch R. 79440 П
 Behr G. E. 80275 П
 Beirne T. 79028
 Bellin L. 77228
 Bellamy L. J. 77336
 Bellen N. 78521
 Bellet P. 79417 П
 Bello J. 77810
 Bellomonte G. 78152
 Belluco U. 77505
 Beltran R. 79997
 Ben-Bassat A. 78461
 Bender M. L. 77956
 Bene G. J. 77335
 Benedict B. C. 79864 П
 Benedict W. S. 77480
 Bennett G. J. 77993
 Bennett J. E. 77318, 77321
 Bennett L. A. 77564
 Bennett R. 80018
 Benninga N. 79615 П
 Benton B. E. 79385
 beracková D. 78024 К
 Beresne T. M. 77704
 Berg A. 78903 П
 Berg H. 78585
 Berg H. W. 79977
 Bergel F. 78249
 Bergerhoff G. 77363
 Berghe H. 78441
 Bergman K. 78803
 Bergmann F. 78198
 Bergmeister E. 79593 П
 Bergstein A. 77630
 Bergström I. 77266
 Berl L. 78699 П
 Bernard A. 80154 П
 Bernard M. L. J. 77742
 Bernasconi R. 78233
 Bernauer K. 78261, 78262
 Bernhard P. 79544
 Bernhauer K. 79420 П
 Berruto B. 79664
 Berry P. J. 77658
 Bertaut E. F. 77834
 Bertaut F. 77361
 Berthier P. 77297
 Bertocci U. 77708
 Bertsch C. R. 77844
 Besson A. 80416
 Best C. E. 79650 П
 Bestian W. 79401 П
 Bettschart A. 78536
 Bewley T. 79262 П
 Beyer H. 77208
 Beyer G. H. 80341
 Beyer W. 78585
 Bhar B. N. 77334
 Bhargava P. N. 78181
 Bhatnagar J. N. 78979
 Bhatt C. S. 77798
 Bhurud S. D. 79388
 Bhupala Rao Y. 77280
 Bianchi G. 77708
 Bidaud A. F. 79241 П
 Bieguszewski Z. 80228
 Bien G. S. 78460
 Bigelow L. A. 78195
 Bignon J. 80254
 Bilkenroth G. 78983
 Billek G. 78204
 Biondi M. A. 77419
 Birch A. J. 78138
 Bird C. L. 77158
 Bisi A. 77265
 Bitterlin O. 79305 П
 Bivort P. 77607
 Bjerklie J. W. 79092
 Bjerregaard J. H. 77272
 Bjornson A. S. 78072
 Blair J. 78109
 Blanc E. C. 78671
 Blanchard J. R. 80217
 Bland D. E. 79742
 Blasius E. 78396
 Blaszyk P. 78694
 Blattná J. 80004
 Blattner R. H. 78781
 Blatz P. J. 79083
 Blažević K. 78426
 Blecker H. H. 78056 Д
 Blench R. O. 80158 П
 Blicke F. F. 78081, 78144, 78145
 Blitzer S. M. 79255 П
 Block B. P. 77844
 Bloem D. L. 78867
 Bloemendal H. 78372
 Blomberg R. N. 79218 П
 Blomstrom D. C. 78113
 Blouri B. 79039
 Blout E. R. 78558
 Bobalek E. G. 79709 П
 Bobtelsky M. 78461
 Bock R. 78393
 Bockris J. O' M. 77726
 Bocquet G. 78377
 Bodenstein O. F. 78686
 Boekelheide V. 77995
 Boggs M. M. 80055
 Bognár J. 78391
 Bohlmann F. 78255, 78256
 Böhme E. 80179 П
 Böhme H. 78094
 Bohne A. 79437 П
 Boisier J. R. 78124
 Bok J. 77438
 Bolding J. 79418 П
 Bolland E. 79858
 Bollenbacher K. 79312
 Bollini V. 80080
 Bollman M. C. 80052
 Boltz D. F. 78412
 Bomli Lloris J. 79552
 Bond D. C. 79131 П
 Bonfiglioli G. 77464
 Bonner O. D. 77784
 Bookman R. 78592
 Boone J. L. 77830
 Boosch H. J. 80240
 Booth A. H. 77456
 Booser C. E. 77939
 Borck A. E. G. 79863 П
 Bordeaux J. J. 77598
 Bordwell F. G. 77947, 77948
 Borgen O. 77399
 Borlik R. F. 78636
 Börner H. 78531
 Borrevang P. 78228
 Borst W. R. 78203
 Bosch J. J. 79967
 Bose A. K. 78843
 Böß J. 79172
 Bossard W. 79305 П
 Bothner-By A. A. 77970
 Böttger G. 77472
 Botvinkin O. K. 78884 К
 Boudakian M. M. 77975
 Boudart M. 77636
 Bouillé A. 77860
 Bourdon J. 78135
 Bourgoin D. 77808

- Bourne E. J. 77782
Bousquet P. 77402
Boutan P. J. 77947, 77948
Bovey L. F. H. 77279
Bowers R. 77415
Bowers S. D. 77614
Bowles A. V. 80169
Bowles J. S. 77348
Bowman H. H. M. 77912
Box P. L. 78669
Boyd G. E. 77783
Boyd J. C. 80071, 80082
Boyd J. W. 79017
Boyer J. R. 79550
Boyer R. F. 79601 II
Boysen M. 78351
Bradley D. C. 78010
Bradley T. F. 79608 II
Bradley W. 77849
Brägger W. 80449
Brakeley P. W. 79582 II
Bramhall G. 79732
Brancker A. V. 77256
Brand B. G. 79681
Brand J. C. D. 77305
Brandau K. W. 79523 II
Braniste C. 79661
Branton P. D. 79128 II
Bratfisch G. 79439 II
Braude E. A. 77069
Brauer G. M. 78335
Braun T. 78415
Braunstein E. 78922 II
Brealley G. J. 77299
Breck W. G. 77683
Bretling K. 78930 II
Brenet J. 77727
Brewer R. C. 78808
Brill R. 77518
Brindell M. C. 77972
Briner E. 77749
Brito da Conceicao A. 79987
Britton E. C. 79202 II
Brockmann H. 78248, 79437 II
Broderick J. J. 80125
Brodskaia H. I. 78637
Broich F. 79211 II
Brokaw R. 77482
Bromley L. R. A. 77483
Brooks D. 80056
Brooks R. A. 79308 II
Brophy V. A. 77357
Brouckere L. 78303
Broul J. 78784
Broumand H. 80140 II
Brouquet J. P. 80322
Brown A. H. 80016
Brown A. P. 78535
Brown D. V. 79687
Brown F. 78296
Brown J. J. 78109
Brown L. 78276
Brown L. L. 77496
Brown O. M. 79255 II
Brown R. H. 79147 II
Brown R. N. 77385
Brown R. W. 79502, 79504, 79522 II
Brown T. H. 77320
Bruce W. F. 79218 II
Bruck P. 77954
Brunkhurst W. 78253
Bruno M. 77505
Brunt N. A. 79680
Brzyski W. 79895
Buchanan J. 79090
Buchdahl R. 79623 II
Buck A. D. 77893
Buckley H. E. 77456
Budgett F. T. 80265
Bueche F. 78294
Buessem W. R. 78797
Bullough R. K. 77338
Bumm E. 79400 II
Bunnell R. H. 79392 II, 79618 II
Bunton C. A. 77960, 77992
Buratti A. 80389
Buré J. 80009
Burek J. 79458
Burg A. B. 77830
Burge R. S. 78272
Burger I. J. 80118
Burgess W. H. 80067
Burlánek J. 79880
Burke J. C. 79443 II
Burkhardt H. 79298 II
Burkhardt G. N. 77204
Burkin A. R. 77841
Burlant W. J. 78041 II
Burnett M. C. 80141 II
Burnop V. C. E. 78249
Burns F. R. 78335
Burns K. 78557
Burr A. A. 77470
Burr H. K. 80055
Burrige K. C. 78296
Burrill-Martí F. 78853
Burrows R. W. 78863
Burton D. 80171
Burton M. 77658
Burt B. P. 78438
Burzstyn I. 79548
Buscarons F. 78423
Butenandt A. 79268 II
Butler C. G. 78483
Butler M. L. 79312
Butterworth E. 79346
Buttiaux R. 80103
Buu-Hoi H. P. 78132
Buyle-Bodin M. 77335
Byčichin 80174
Byerum R. U. 78951
Byers J. R. 79461 II
C
Cabryk E. K. 77961
Cain R. F. 80058
Caldwell C. S. 77561
Calé M. T. 79983
Cails M. 78904 II
Calleja 78857
Calo A. 78152
Calus H. 77240 K
Camin D. L. 78063
Campbell A. A. 80006
Campbell A. W. 79508
Campbell H. S. 80238
Campbell J. M. 80404, 80405
Campbell N. 78029 K
Canfield T. 80259
Cant E. M. 78276
Cantor R. 79624 II
Caplan D. 77470
Capron P. C. 77495
Capuano G. 80060
Carbona F. 78666
Carelli V. 78518
Carius C. 80214
Carles J. 78480
Carlyon S. J. 78485 II
Carmichael L. T. 77565
Carpenter A. E. 77159
Carpenter E. L. 79224 II
Carpenter L. L. 79642 II
Carrison W. M. 77659
Carroll B. H. 79464
Caruthers T. G. 77220
Carter S. R. 77204
Cartledge G. H. 77720, 77721, 80224
Cassaday J. T. 79250 II
Castellan G. W. 77231
Catsliff E. 78321
Čauchois Y. 77281
Causeret J. 79974
Cazes J. 79667
Cecil O. B. 77481
Čelíkowsky J. 80004
Cencely L. 77312
Ceri R. 78301
Cermak H. 80458
Černov N. V. 80176 K
Černý J. 78517
Cerrai E. 80190
Cerruti G. 79837
Chabot G. L. 79928
Chadda L. R. 78860
Chadwick J. 77959
Chakraborty M. M. 79818
Chakraborty S. R. 79818
Challenger F. 77180
Chalmers B. 77537
Chalon G. 79853
Chamberlin E. M. 79429 II
Chambers V. H. 78701 II
Chané J. P. 77748
Chang I. C. L. 80052
Chapiro A. 78352
Chapman D. 77409
Chari S. T. 80108
Charlesby A. 78349
Charlesby A. 79501
Charrin V. 78761, 78834
Chatten C. K. 79518
Chatten L. C. 79386
Chatterjee J. N. 78150
Chatterjee A. 78515
Chatterjee B. 77699
Chatterjee S. K. 78792
Chauveau F. 77848
Chemeda J. M. 79429 II
Chepeswick C. 77796
Cherrier C. M. 80410 II
Chesley K. G. 79741
Chiavarelli S. 78250
Chillingar G. V. 77910, 79030
Chipault J. R. 80124
Chodkowski J. 77729
Christian J. E. 78203
Christman D. R. 78510
Chu Ju Chin 78296
Chyzewski E. 77257
Ciborowski J. 77216
Cicilabin A. E. 78023 K
Ciferri O. 78695
Čihálek J. 78408
Cines M. R. 77531
Citta D. 80080
Civera M. 79082
Čiz K. 79880
Čizek J. 77736, 77737
Claeys C. 78478, 78527
Clampitt B. H. 77792 II
Clarebrough J. M. 77394
Clark C. G. 78751 II
Clark D. S. 79994
Clark K. A. 79545
Clarvoe G. W. 78940 II
Clausen-Kaas N. K. F. W. 79280 II
Cleaton R. B. 79099
Clemo G. R. 78160
Clermont L. P. 79719
Closs G. 78188
Cocker W. 78259
Coduro E. 80156 II
Coenen A. 79211 II
Coering H. L. 77938
Coes L. 78926
Coetsee W. H. K. 80118
Coffman D. 79289 II
Cohn C. 77672
Cohn C. C. 78752 II
Coimbra A. L. 80329
Coker J. N. 78072
Colgate R. B. 79871 II
Colonge J. 78078
Colonna M. 78157
Commerford J. D. 78128
Condo F. E. 79591 II
Connors W. M. 79732
Cook A. A. 79326, 79334
Cook A. H. 79235 II
Cook W. R. 78798
Cooke D. E. 79688
Cookson M. A. 80018, 80020
Coombs M. H. 78162
Coonradt H. L. 79135 II
Coover H. W. 79215 II, 79808 II
Copenhaver J. W. 79214 II
Coppadoro A. 77189
Coppock J. B. M. 80018, 80020
Copson D. A. 80001
Corbridge D. E. C. 77377
Coretti K. 80097
Corson B. B. 77974, 78133
Cosgrove L. A. 77764
Cotholr L. J. 77770
Cotton F. H. 79507
Couchman J. F. 79314
Coudere de St. Chamant H. 78674 II
Courtier A. J. 79286 II
Courtois J. E. 78214
Coveney R. D. 79726
Cover R. 80148
Cowan P. M. 78273, 78275
Cowper G. 77873
Cox E. G. 77377
Craemer K. 79375 II
Craig A. B. 79807 II
Craig W. G. 75276 II
Cram D. J. 77973
Cranston J. A. 77204
Creamer R. H. 78567
Crespi A. 79840
Cressey S. C. 80025
Criscom R. W. 78699 II
Cristau B. 78383
Cristol S. J. 77972
Crichtfield F. E. 87547, 78548
Croes A. W. 80014
Crofts T. I. M. 80316
Croisier R. 77976
Cromer D. T. 77364, 77372
Crompton E. 79340
Crossley E. L. 80066
Crovetti A. J. 78154
Crowe C. 78581
Crukshank A. J. 77873
Cruse K. 78587
Csányi F. 77494
Cuisinier A. H. 79451
Cullis C. F. 77599
Cundiff R. H. 78370
Cunningham O. D. 79210 II
Curphey E. C. 79547
Curti R. 78171
Ćuta F. 78490
Cuthbertson F. 78512
Cutting C. L. 80136 K
Cuvellier G. 79311
Cymerman-Craig J. 78004, 78161
Cyphers E. B. 79159 II
Cyr H. M. 77149
Czike K. 77494
D
Dadape V. V. 78665
Dahl O. 80083
Dahlberg A. C. 80068
Daidone P. C. 79559
Dainton F. S. 78342
Dalalion H. P. 79291 II
Danby C. J. 77574
Dankverts P. V. 80430
Dandreaux C. F. 79513
Danforth J. D. 79122 II, 79124 II
Danielsson I. 77805
Darby G. M. 80373 II
Darcissac M. 79446 II
Das Gupta A. K. 77500
Das Gupta N. H. 78792
Das Sarma B. 77840
Datar D. S. 78664
Datner P. 79089
Datner P. P. 77621
Datta R. L. 77497
Datta S. K. 78384
Datz S. 77572
Daul G. C. 79313
David J. J. 79994
Davidson J. R. 77305
Davidson S. 78672 II
Davie A. G. 79966

Авторский указатель

- Davies I. A. 79271 II
 Davies M. 77225, 77230, 77806
 Davis H. E. 78822
 Davis J. G. 80006
 Davis N. S. 79086
 Davission J. W. 77465
 Dawkins A. E. 80453
 Day E. J. 79148 II
 Day J. 78904 II
 Day N. E. 78510
 De G. 78864
 Deardurff L. R. 79383 II
 Deatherage F. E. 80101
 Deckenbrock W. 79910
 Decker C. F. 78951
 Decker G. E. 79511
 De Ford D. D. 78499
 Dehlinger U. 77349
 Dehmel F. 78903 II
 Delbner L. 79978, 79988
 Dekeyser W. 77878, 77879, 77895, 77896
 Dell F. R. 80333
 Delmonte J. 79565
 De Long H. K. 78744 II
 Delwaule M. L. 77685
 Demmler K. 78260
 Denis P. M. 77335
 Dennett F. L. 79376 II
 Denney D. B. 77991
 Dennis P. O. 78602
 Deno N. C. 77950, 77951
 Denton I. N. 77954
 Deputy C. H. 77973
 Derungs L. 79067
 Dervichian D. G. 77756
 Desalbres L. 79976
 Descotes G. 78078
 Deshpande V. V. 77794
 De Vaux L. H. 77395
 Dévay J. 77704
 Devon W. A. 80398
 Devreux A. 79923
 Dewein H. 78137
 Dewey R. S. 77956
 De Witt E. G. 79254 II
 Dhar M. L. 78143
 Diaconescu C. 80166
 Dickey J. B. 79808 II
 Dickinson D. 80246
 Dickinson W. E. 78873
 Dickson W. J. 80186 II
 Diekmann H. 78629 II
 Dietrich A. 78621 II
 Dietrich W. 78359
 Diffni A. 78021
 Di Fonzo M. 78006
 Digglin M. B. 78716, 78717
 Dighton D. T. R. 78589
 Dinglinger G. 78948
 Dippy J. F. J. 78000
 Dittmar H. F. K. 80038
 Dittmar H. R. 79269 II
 Divatia A. S. 77798
 Diven B. C. 77274
 Djik C. P. 79580 II
 Dobrowolski R. 78964
 Doering F. F. 79125 II
 Dolder F. 78230
 Dole M. 78318, 78596
 Dolezel B. 80225
 Domen S. 78568
 Donahoe H. B. 78128
 Donaldson W. T. 78698 II
 Dondes S. 77657
 Donovan B. 77444
 Doremus R. H. 77690
 Dörfeldt W. 79878
 Dörfeler F. 77182
 Dorland R. M. 79751
 Dornfeld C. A. 79409 II
 Dorsey J. W. 80315
 Douglass R. M. 77354, 77355
 Downing J. 79187 II
 Downing J. H. 77521
 Draudt H. N. 80101
 Draycott A. 78975
 Dreger E. E. 79871 II
 Drew J. 79658
 Dreyfus B. 77451
 Dreyfus R. W. 77662
 Drinberg A. 79693 K
 Drisdale J. J. 78073
 Drout W. M. 79204 II
 Dry M. E. 77557
 Drys B. 79110
 Dubois J. E. 78003
 Duchesne J. 77401
 Duclaux J. 77672
 Dudák F. 79893
 Dudaš E. 79860
 Duffy J. H. 78216
 Duflos J. 79564
 Duinjtjer E. 78120, 78121
 Dumont P. 79241 II
 Dunbrook R. F. 79521 II
 Dunn G. E. 78005
 Durif A. 77834
 Dürre A. 78818
 Durup J. 78352
 Dutt P. 78258
 Dutta P. C. 78258
 Duveen D. I. 77168
 Duvven D. L. 77144
 Duydens L. N. M. 77800
 Dye W. T. 78700
 Dyekjaer J. C. C. 80144 II
 Dyer H. B. 77439
- E**
- Eber M. 78927 II
 Eckart F. 77434
 Ecker J. 79338
 Eckstein Z. 79168
 Eddie G. C. 80110
 Edelmann O. 78235
 Edward J. T. 78259
 Edwards J. F. 79005 II
 Edwards O. D. 79038
 Edwards R. B. 80350 II
 Edwards R. K. 77521
 Edwards W. J. 77503
 Egberts B. 78825, 78826
 Egli H. 79359 II
 Egli R. H. 80039
 Egloff G. 79020, 79165
 Egri L. 80122
 Ehms H. 78945
 Ehrhard F. 77642
 Ehrhart G. 79283 II,
 79401 II, 79421 II,
 79426 II, 79432
 Ehringer H. J. 78927 II
 Ela G. 77384
 Eichenauer F. 78894 II
 Eichler E. 77867 II
 Eiding D. 77692
 Elgen H. 78854
 Elgen M. 77587, 77588
 Ekwall P. 77801, 77805
 Elbe G. 77616
 Elbek B. 77272
 Elton G. B. 79290 II
 Eller S. A. 79518
 Ellinger F. H. 77368, 77370
 Elliott A. 78276
 Elliott P. 78138
 Ellwood E. L. 79735
 Elmore C. 78681
 El Sheriff I. M. 78403
 Elving P. J. 78459
 Emeril A. 77304
 Emmett P. H. 77761
 Emmick R. D. 79236 II, 79237 II
 Emmons W. D. 78090
 Emory J. H. 79005 II
 Ender H. 77518
 Endres G. F. 78345
 Engelhardt E. L. 79402 II
 Engell H. J. 77637
 Enoki T. 79918
 Enqvist O. 77633
 Epstein A. M. 78742
 Epszteln R. 78068
 Erbe F. 79712 II
 Erdey L. 78375
 Erickson J. G. 79293 II
 Erickson P. W. 77967
 Eriksson A. F. V. 78288
 Esayan M. 80338
 Eschard F. 77649
 Estienne V. 79774
 Étienne A. 78135
 Etelstein N. 80127
 Euw J. 78238
 Evans D. P. 77608
 Evans E. M. 79509
 Evans E. W. 80300
 Evans T. R. 79624
 Evans W. L. 77951
 Eveson G. F. 78595
 Extermann J. C. 77335
 Eyring H. 77569
- F**
- Faber W. 78657 II
 Fáborsky M. 78427
 Fabre R. 80419
 Fagerlund U. H. M. 78224
 Faini H. W. 78728
 Falconer E. L. 79720
 Fales J. H. 78686
 Fall U. 79173
 Fano L. 77480
 Farber E. 79772 II
 Farkaš J. 78175, 78178, 78179
 Farlow W. M. 79190 II, 79193 II, 79289 II
 Farmer S. N. 79545
 Farquhar W. A. 80318
 Farrington E. F. 78874
 Farris R. W. 78869 II
 Fate D. R. 79073
 Favre C. 78219
 Favreau R. L. 77552
 Fawcett F. S. 79180 II
 Fedoroňko M. 77746
 Fell O. 80359 II
 Fencil Z. 79970
 Ferguson E. E. 78315
 Fernández A. J. I. 77289
 Fernando Q. 78385
 Fernellus W. C. 77844
 Ferrari E. 79562
 Ferro A. 77464
 Fesneau M. 79474
 Fetter N. R. 78439
 Fierens P. J. C. 77607, 77976
 Fieser L. F. 77310
 Fless N. W. 79300 II
 Finch J. 78959
 Fine III R. D. 79381 II
 Fink F. W. 79681
 Fink H. 79958
 Fischer A. J. 80373 II
 Fischer E. O. 77845
 Fischer J. W. 79613 II
 Fischer K. 79145 II
 Fischl F. B. 79159 II
 Fishbein L. 78047 II
 Fitta D. D. 77331
 Fitza E. 79790
 Fitzek H. 75571
 Fitzgerald J. S. 77613
 FitzGerald W. P. 79869 II
 Flammersfeld A. 77193
 Flanzny M. 79971, 79974, 79978
 Fletcher B. S. 79249 II
 Fletcher J. H. 79249 II
 Fletcher T. L. 78129
 Fletcher W. E. 79576
 Fleury P. 78214
 Flood H. 78828
 Flory P. 78356
 Flück H. 78536
 Foley H. M. 77284
 Foley R. T. 77632
 Follett A. E. 79503
 Fontell K. 77801
 Ford M. R. 80426
 Forman R. L. 77581
 Forrat F. 77361
 Forst W. 77576
 Forster E. L. 77227
 Forward F. A. 78656 II
 Foster W. E. 78071
 Foulon A. 79479
 Fourman V. G. 79482
 Fournari P. 77748
 Fournier A. A. 77968
 Fox M. 78352
 Fox M. S. 80015
 Foxwell G. E. 78965
 Fraenkel G. K. 77322
 Fraeys P. 79939
 Fragner J. 80004
 Fram P. 79537
 Franc J. 77780
 Francis C. B. 78745 II
 Francis W. C. 78197
 Franck H. 78762
 Franck H. G. 78990
 François T. 77171
 Frank C. E. 78071
 Frank J. C. 79583 II
 Franklin E. B. 79109
 Franklin J. L. 77644
 Franklin R. C. 79272 II
 Franz C. L. 78933 II
 Franzen V. 78014
 Franzke C. 79847
 Fraser M. J. 77470
 Frazer G. H. 79407 II
 Freedman M. S. 77273
 Freeman J. P. 78090
 Freeman K. A. 80127
 Freuden O. 80268
 Frelser H. 77851
 Freltag R. 80459
 French C. M. 77681
 French R. J. 80446, 80448
 Fresenius W. 77169
 Freshwater D. C. 80334
 Freund H. 78445
 Freyermuth H. B. 79466 II
 Freytag J. 78999 II
 Fried S. M. 77267
 Fried V. 77532
 Friedrich M. 78427
 Friedrich W. 79420 II
 Frisch H. L. 77795
 Frishman D. 79318
 Fritsch W. 79426 II
 Fritzsche H. W. 80054
 Frosterus E. G. 78814
 Fry J. F. 80446
 Fuchs H. 79699 II
 Fuga V. 77302
 Fujimoto M. 77789
 Fuller W. R. 79674
 Füllgrabe A. 79896
 Fulton R. A. 80226
 Fundárek R. 77143
 Funk G. L. 78547
- G**
- Gabannes-Ott C. 77314
 Gabe I. 77688
 Gallillard R. 77319, 77335
 Gaida K. 79964
 Galik V. 78151
 Gallagher J. L. 80300
 Gallo A. 78609
 Gangl K. 78639 II
 Gardner J. F. 79723
 Gardner R. E. 79575
 Garfunkel M. P. 77419
 Gargani M. 80187 II
 Garino-Canina V. 77418
 Garlet R. 78625
 Garner C. S. 77592
 Garner F. H. 80334
 Garner R. G. 80053
 Garrick P. 79899
 Garten W. 78741 K
 Gärtner K. 79930
 Gash V. W. 79294 II
 Gaspar E. 79563
 Gaspar-Tebar 78855
 Gatecka B. 78696 K
 Gatha K. M. 77260

- Gaut H. 79251 II
Gaunt W. E. 79443 II
Gauthier J. 77228
Gautier J. A. 78524
Gavrilescu G. 79766
Gay P. 77374
Gayle J. B. 77964
Gdynia J. 78667
Gebhardt E. 78651 II
Geckler R. D. 77622
Gehatia M. 78358
Gellmann W. 80239
Geissler G. 77989
Gellert H. G. 79181 II, 79252 II
Georg A. 78225
Gerbaux R. 78362
Gerber M. I. 78637
Geret H. 79685
Gerhold M. 79070
Gerlach G. 78983
Gerlett M. 80243
Gerlich H. 79696 II
Gerrens H. 78340
Gerris V. 78226
Gesser H. 77652
Gherasimov M. A. 79982
Ghormley J. 77317
Ghosh D. N. 79886
Gibson I. A. S. 78693
Gibson S. A. 80264
Giddey C. 80039
Giesbrecht E. 78193, 78194
Gijn G. 78791
Gillissen M. 79939
Gilmont P. L. 79741
Ginsburg L. 78603
Giovannini E. 78503
Gisiger L. 78663
Giua M. 78291
Giulotto L. 77327
Glaser F. W. 77356
Glasier R. H. 77996
Gledhill J. A. 77557
Gleditsch E. 77174
Glemser O. 77855
Glocklin V. 78205
Gloetzl J. 79925
Gluck P. 78913 II
Gnanasoorian K. 78385
Gocar M. 79935
Goddard H. P. 80237
Goddard H. O. 79753
Goedheer J. C. 77303
Goering H. L. 77981 — 77985
Goldbeck M. 79208 II
Goldberg E. D. 78460
Goldberg M. W. 79411 II
Golden S. 77568
Goldstein J. H. 77291
Golod W. H. 79387
Goodenow E. L. 77592
Gooding E. J. 78773
Gooding R. M. 79099
Goodridge F. 77585
Göpp K. 79929
Gordon A. S. 77628
Gordon L. 78438, 78603
Gordon L. B. 79606 II
Gordon M. J. 77962
Gordon R. B. 77412
Gordy W. 77292
Gore R. C. 78414
Gorin E. 79003 II
Goring D. A. I. 77796
Gorter E. W. 77449
Gosden J. H. 80265
Goto T. 78114
Götz M. 78817
Goula R. M. 80301
Gould D. E. 79689
Gouvêla A. J. A. 77190
Gove H. E. 77261
Gover T. A. 77682
Grady F. A. 79701 II
Graefe G. 80035
Graf A. 78204
Gräflinger G. 79207 II
Gräichen C. 80127
Graig W. G. 79248 II
Grailfisk M. 79322
Grandjean H. H. 79495 II
Granet I. 80301
Grant P. M. 77782
Grassie N. 78348
Grassner F. 80356 II
Graul R. 80084, 80085, 80093
Grave G. 80351 II
Gray G. W. 78565
Gray P. 77511
Gray P. P. 79920
Graybill B. M. 77593
Green A. D. 79184 II
Green J. W. 79921, 79945
Green M. B. 79220 II
Green T. 79343
Green W. P. 79300 II
Greene F. D. 77973
Greene-Kelly R. 77772
Greenhalgh M. 79651 II
Greensfelder B. S. 79281 II
Greenwald S. 77353
Gregg S. J. 77631
Griffenhagen G. 77148
Griffin W. C. 79901 II
Griffini A. M. 80438
Griffiths D. M. L. 77806
Grimaldi F. S. 78487
Grimshaw R. W. 77220
Grivet P. 77328, 77335
Gröbe A. 79785
Gronvold F. 77351
Gross E. P. 77474
Groß G. 77214
Grosskinsky O. 78628 II
Grossman A. 78982, 78984
Grubb W. T. 78344
Gruber R. 80092
Grubert H. 77845
Grulckshank D. W. J. 77338
Grunmitt W. E. 77873
Grund A. 77727
Grundmann 78955
Guare C. 77373
Gudheim A. 80036
Guelard J. 79898
Guerillot J. 79974
Guha S. K. 78150
Gulinsky E. 79676
Gulyas E. 77870 II
Günther O. 80030
Gustafson 80019
Gustus E. L. 79444 II
Gut H. 79764
Guthrie J. G. 79346
Gwózdź R. 77211
H
Haagen E. 77238
Haas H. 79561
Haas J. 78719, 80251
Häberli 78380
Hachet L. 78851
Hack C. H. 80275 II
Hackerman N. 77718, 77722, 77723
Hadley C. P. 78593
Hadley D. J. 79201 II
Hadzi D. 77312
Haede W. 79426 II
Haehn H. 77198
Hagenmüller K. 80184 II
Hager G. P. 78112
Hahn H. 79232 II
Hahn V. 78126, 78127
Halasinsky M. 77504
Hála E. 77532
Halámek 80174
Halford R. G. 77601
Hall E. W. 78595
Hall H. 78956
Hall N. 78715, 78724
Hall W. B. 80316
Hall W. L. 80247
Halm L. 78839
Halonen E. A. 77957
Halpern J. 78656 II
Ham G. E. 79779, 79807 II
Hamard P. 79536
Hambrock K. O. 79237 II
Hamm R. 80088
Hammer G. E. 80024
Hammond G. S. 77593
Hanby W. E. 78276
Hanker J. S. 78112
Hankins E. M. 79292 II
Hanlon R. T. 80233
Hannan R. S. 80000
Hannes H. 78564
Hannum C. W. 79307 II
Hansell P. R. 78510
Hansen F. 77366
Hansens E. J. 78683
Hanson G. H. 77531
Hanson H. L. 80006
Hanson R. L. 80370 II
Hanula P. 79894
Hardie D. W. F. 77176
Hardman H. F. 79149 II
Hardt R. W. 77632
Hardy W. B. 79288 II
Hargrave K. R. 77604
Hargreaves M. E. 77394
Harker R. P. 79343
Harkins T. R. 77851
Harns V. J. 80105
Harper L. H. J. 77484
Harrington D. L. 77995
Harrington T. P. 78323
Harris J. P. 79962
Harris M. 79318
Harris W. B. 80442
Hart F. A. 78189
Harteck P. 77657
Härtl E. 77766
Hartley G. A. P. 79205 II
Hartley H. 77204
Hartung W. H. 79239 II
Harvey B. G. 77268
Harvey H. W. 77931 K
Haskó L. 77170
Hassel O. 77383, 77384
Haszeldine R. N. 78197
Hatch L. F. 79170
Hatcher D. B. 79392 II
Hatem S. 77843
Haulleville P. 79024
Hauser C. R. 77988, 77994, 78125
Hausner H. 78749 II
Haussmann H. 79207 II
Hawkins E. G. E. 79265 II
Hawthorne M. F. 77593
Hayes J. C. 80272 II
Haymovich M. 78616
Hearle J. W. S. 79804
Heberling H. 80257
Heck C. 78908 II
Heck R. 77971
Hecker E. 78070
Heckmaier J. 79593 II
Heck K. T. 78278
Hecko A. 78782
Hedvig P. 77448
Heerdt M. 80114
Heger J. 78027
Heibron I. M. 79235 II
Heiligmann W. 77237
Heintzelman W. J. 78133
Heinz G. 79791
Heiss R. -80133 K
Hejtmánek M. 78490
Heller C. A. 77628
Heller P. 78094
Heller R. 78629 II
Helleur D. 79753
Hellö K. 78100
Henbest H. B. 77958
Hendel C. E. 80055
Henderson L. F. 79870 II
Hendriks H. 77998
Henecka H. 79268 II
Henglein A. 78351
Hengstenberg J. 78290
Hennig B. 79186 II
Henning H. 79126 II
Henry W. T. 79575
Hensel O. 79306 II
Henshaw D. G. 77486
Hepler L. G. 77762
Heppellette R. L. 77945
Hepworth M. A. 77362
Herbert B. D. 79090
Herbst H. 78824
Herescu F. 78494
Hérissey H. 78214
Herman E. C. 79282 II
Hermans J. J. 77803, 78270, 78299
Hermans P. H. 78309
Herpin P. 77340
Herrington B. L. 80067
Herrmann E. 80331
Herrmann M. 78393
Herschelmann W. 78903 II
Hersh C. K. 79087
Hertel O. 78243
Herzig A. J. 80217
Herzig J. 79733
Herz A. H. 79468 II
Hess M. 79683
Hess R. C. 79642 II
Hetrick J. 78698 II
Heuer R. P. 78920 II
Heumann T. 77545
Hey D. H. 77204
Heyna J. 79274 II, 79306 II
Heyndryckx P. 78431
Heyrovský J. 77730, 78404
Heywood B. J. 79220 II
Hibbert G. S. 77160
Hidalgo A. 77301
Higgins J. J. 79744
Higgins T. J. 79621 II
Higgins W. A. 79276 II
Hilburg W. 80041
Hill E. F. 79156 II
Hill G. R. 77641
Hill T. L. 78304
Hillner E. 77725
Hilsenrath J. 77480
Hilsenrod A. 77660
Hinkley P. L. 80446, 80448
Hirt R. C. 78413
Hlaváček I. 79933
Hobler T. 77216
Hoch J. H. 77145
Hock R. L. 79013
Hodges E. 78726
Hoebeke F. 77879, 77895, 77896
Hoeksema H. 79435 II
Höfer E. 78816
Hofer K. 79199 II
Hoffenberg D. S. 77988, 77994, 78125
Hoffman P. 78265
Hoffmann E. 80017
Hoffmann U. 79397 II, 80179 II
Hofman-Bang N. 77861
Hofmann F. 80139 II
Hofmann H. 79858
Hofmeier H. 79533
Hofstadt C. E. 79663
Hogaboom G. B. 78733
Hogan R. J. 77531
Hoge H. J. 77480
Hogg W. H. 79624 II
Hohlweg E. 78319
Höfinghaus W. 78820
Holbein R. 78648 II
Holden A. N. 77423
Holer R. 79634 II
Holland D. O. 79228 II
Holland-Merten E. L. 80374 II
Hollock L. 77745
Holley T. F. 78259
Hollingshead E. A. 77559
Hölscher F. 79375 II
Holz W. 78694

- Honig J. M. 77763
 Honig R. E. 80408 II
 Honkanen E. 78263
 Honsch W. M. 79762
 Hoover W. J. 80063
 Hope D. B. 78215
 Hopper T. R. 79657
 Hoppert C. A. 78951
 Horie T. 77405
 Horn H. 78499
 Horn O. 79212 II,
 79227 II
 Horner E. C. A. 77584
 Hornsby K. M. 79448,
 79458
 Horowitz J. 80402
 Horsley G. W. 80234
 Horstemeier W. 79642 II
 Hošpes B. 79893
 Hoste J. 78441
 Hostettler H. U. 77499
 Hottel H. C. 77615
 House H. O. 78074
 Hove H. 79325
 Howard E. 79441 II
 Howard E. L. 78867
 Howard J. R. 77538
 Howard L. B. 80053
 Howe R. 78160
 Howell D. D. 79660
 Howitt F. O. 79343
 Howland L. H. 79502,
 79504
 Hrdý O. 80004
 Huang Chen-Jung
 77508
 Huber H. 79926
 Huber R. 78587
 Hüchel W. 78032 K,
 78033 K
 Huckert G. 77813
 Hückstädt J. 80008
 Hudson G. A. 79681
 Hudson J. C. 80211
 Hudson R. P. 77263
 Huebner C. F. 79403 II
 Hueter R. 78082
 Hughes L. E. 79350 II
 Hughes W. J. 80371 II
 Hugot 79974
 Hühn W. 78645 II
 Huizenga J. R. 77267
 Hunter E. A. 79119 II
 Hunter L. 77204
 Hunter S. N. 79706 II
 Hunyar A. 79776
 Hurd C. D. 78088
 Hurlbut E. 79404 II
 Hurst D. G. 77486
 Hürzeler H. 77499
 Husted D. R. 79203 II
 Hutcheon J. M. 79028
 Hutchison A. W. 79021
 Hutchings G. H.
 79290 II
 Hüttig G. F. 77766
 Huus T. 77272
 Huyck C. L. 79387
 Hvoslaf J. 77383
 Hyde J. W. 79116 II,
 79132 II
 Hyler J. E. 79574
 Ibbotson A. 78565
 Idler D. R. 78224
 Idriceanu T. 79661
 Ikawa M. 78153
 Ilic B. 79344
 Ilinski M. 79457
 Illingworth J. W. 79792
 Inaba E. 79287 II
 Ince A. N. 77411
 Ingle P. H. B. 78483
 Ingram D. J. E. 77318,
 77321
 Inhoffen H. H. 78246
 Ionescu M. 79788
 Iovtscheff A. 79833
 Ipatiew W. W. 78637
 Isensee R. W. 77686
 Isitt J. S. 79117 II
 Islip H. T. 79726
 Isobe I. 78489
 Issa I. M. 78403
 Itoh J. 77326
 Ittner P. 78815
 Ivanitzky V. 79356 II
 Jordan D. O. 77684
 Ivanooff C. 79475
 Ivanooff N. 77504
 Ivin K. J. 78342
 Iwakura Y. 79612 II
 Iwanow N. 79341
 Iwanow S. M. 78852
 Iya K. K. 80081
 Iyer V. G. 78993
 Jack K. H. 77362
 Jackman E. A. 77460
 Jacobs G. 77894
 Jacobs M. B. 79481
 Jacquemin W. 77989
 Jaquet P. A. 77469
 Jaeger K. 80151 II
 Jaffe B. 78794
 Jäger A. 78980
 Jagtisch R. 77857
 Jain A. C. 78134, 78139
 Jain T. C. 77654
 Jakobsen J. L. 79874 II
 James A. E. 79389
 James A. T. 78398
 Jampolski L. M. 79411 II
 Janák J. 78608 II
 Janežič Ž. 79333
 Janovsky H. L. 80126
 Janowitz H. C. 79490
 Jason A. C. 78594
 Jasqué L. 79536
 Jayme G. 79746
 Jedliński Z. 79839
 Jefferson G. D. 79381 II
 Jeffreys R. A. 78186
 Jeger O. 79424 II
 Jennings A. B. 79465 II
 Jennissen J. 77625
 Jensen J. A. 78690
 Jensen O. 79708 II
 Jentzsch H. 79737
 Jockers K. 78643 II,
 78644 II
 Jockusch H. 77940
 Johannes K. P. 80235
 Johnson A. I. 77508
 Johnson D. 78958
 Johnson D. P. 78538
 Johnson E. 79670
 Johnson F. C. 79208 II
 Johnson F. D. 80344
 Johnson H. A. 80304
 Johnson J. B. 78547,
 8548
 Johnson P. D. 77414
 Johnson R. A. 78055 II
 Johnson V. A. 79146 II
 Johnson W. C. 79384 II
 Johnson W. T. 78684
 Johnson J. R. 78072
 Johnston H. 79191 II
 Johnston J. C. 78901 II
 Johnston J. J. 79073
 Jokl J. 77780
 Joly M. 77808
 Jones D. A. 80333
 Jones J. E. 79464
 Jones W. I. 78977
 Jonge A. P. 78519
 Jönsson A. 78120—78123
 Jordan D. O. 77684
 Jousot-Dubien J. 77330
 Joyce A. E. 80051
 Joyce A. W. 79288 II
 Jung J. 77883
 Jungers J. C. 77649
 Junghans W. 77526
 Jupp W. B. 80230
 Juricek G. 79948
 Jurist A. E. 79443 II
 Jurowska-Wernerowa M.
 78521
 Justin-Mueller E. 77172,
 77177
 Juza R. 77360
 K
 Kabadi M. B. 77794
 Kaffer H. 79592 II
 Kaganoff S. 79652 II
 Kahlert W. 78786
 Kahlweit M. 77676
 Kaiser E. 79428 II
 Kaiser L. 80013
 Kajanne P. 79857
 Kalberer F. 78045 II
 Kalinowski B. 78982
 Kalinowski M. L. 79150 II
 Kalisch J. 79491
 Kall H. L. 78374 II
 Kaller A. 78789
 Kallischnigg R. 79412 II
 Kalmus A. 78198
 Kamlet J. 79773 II
 Kammerer O. F. 77392
 Kaneko T. M. 77595
 Karger W. W. 78566
 Kärnbach K. 79960
 Karski R. 78612
 Kartha G. 78274
 Kase S. 79520
 Kaspar E. 79427 II
 Kastening B. 77745
 Kataoka H. 78242
 Katchalski E. 78358
 Katchalsky A. 78269
 Kattwinkel G. 78980
 Katz A. 78231
 Katzin L. L. 77298
 Kaufmann H. P. 79676,
 79860
 Kaul C. L. 78181
 Kawabe K. 77405
 Kawai K. 77306
 Kayser W. G. 79223 II
 Kazumov N. B. 79981
 Keatinge G. F. 80424
 Kebrich L. M. 79703 II
 Keefe J. H. 79086
 Keefer J. H. 77468
 Keeling C. D. 78596
 Keenan C. W. 77859
 Keheren M. 78312
 Kekesz L. 79995 K
 Keller A. G. 79884
 Keller E. 79304 II
 Keller W. E. 77489
 Kellermann K. 80417
 Kelly J. T. 79606 II
 Kemula W. 77316
 Kendall F. H. 78354
 Kendall J. D. 79450,
 79873 II
 Kennaway T. 78669
 Kennedy J. 77787
 Kennedy T. 79643 II
 Kent P. W. 78215
 Kercheval J. W. 77221,
 77222
 Kerk G. J. M. 78692
 Kern W. 78268
 Kertess A. F. 77162
 Kertesz Z. I. 79900
 Kester E. B. 80016
 Keyes C. H. 79468 II
 Khan N. A. 77612
 Khorana M. L. 79388
 Kiefer J. 77813
 Kijewski W. 78973
 Kikuchi R. 77507
 Kilpatrick M. 77519
 Kimberlin C. N. 79138 II
 Kincl F. A. 78598
 Kind C. A. 78223
 Kinderman E. M. 77269
 Kine B. B. 79382 II
 King C. V. 77725
 King E. L. 77232
 King G. R. 79047
 King J. A. 78159
 King J. R. 79449
 King N. 80077
 Kirby H. W. 77493
 Kirby R. D. 79315
 Kirjakka P. 78100
 Kirkwood J. G. 77202,
 77331
 Kirrmann A. 78031 K
 Kirsop B. 79908
 Kirsten W. 78610
 Kiss A. I. 77300
 Kitson J. A. 80058
 Klaphake W. 79240 II
 Klare H. 79785
 Klarer J. 79440 II
 Kleckner L. 79390
 Kleeberg W. 79242 II
 Klein F. J. 78750 II
 Klein W. 79542
 Kleinheins P. 78552
 Klenk W. 80150 II
 Klickstein H. S. 77144
 Klieger P. 78867
 Klimek J. W. 78952
 Kling G. 80313
 Kling G. 80356 II
 Klinkhammer F. 79959
 Kloppe W. 80120
 Klubertanz G. P. 77224
 Kmitowa K. 78696 K
 Knappwost A. 78497
 Knauf R. W. 78836
 Kneip T. J. 77744
 Knochel W. J. 78927 II
 Knopfe E. 78668
 Knorr F. 79937, 79949
 Kobayashi Y. 78009
 Koch P. A. 79781, 79793
 Koch R. 79924
 Koch T. 79615 II
 Koch W. 78647 II
 Kochanský Z. 78126
 Kocsanyi L. 80296
 Koczky F. 78429
 Koegel A. O. 78710
 Koenig P. E. 78366 II
 Köhler R. 79233 II
 Kohman Z. 79173
 Kohn W. 77389
 Kohnstam G. 77966
 Kokert E. 80195 II
 Kolbach P. 79953
 Kolbe E. 78660 II
 Kolditz L. 77846
 Kolinský A. 78577
 Kolling H. 79221 II,
 79222 II
 Komm E. 80147 II
 Komodromos N. M. 77718
 Koncz S. 77832
 Kondo H. 78242
 König J. 78639 II
 Konopik N. 78407
 Kontoleon D. 78799
 Köppen N. 78769
 Korach M. 78810
 Korst W. L. 77350
 Kostas G. J. 79503
 Kotrla-Hapalova M.
 79961
 Kotter L. 80092
 Kötz G. 79245 II
 Koutecký J. 77736,
 77737
 Kovac G. M. 80048
 Kovács K. 80271 K
 Kowalczyk W. 79492
 Kowalewski W. 78995
 Kowalski B. 78982
 Koyama M. 77347
 Koyama T. 77890, 77929
 Koyemann H. E. 80229
 Kráčmar J. 71371
 Kraft H. 79413 II
 Kramer R. 79212
 Kramers H. C. 77485
 Krane W. C. 79554
 Krasnec L. 78027
 Kratky O. 77802, 78272,
 78284, 78310, 78313

- Kratzl K. 78204
Krause A. 79531
Krause W. 79227 **п**
Krauss P. B. 78662 **п**
Krebs K. H. 79452
Kreglewski A. 77535
Krekel P. 80242
Krepuska J. 79177 **к**
Krigbaum W. R. 78283
Krogh-Moe J. 77399
Krohs W. 79421 **п**
Królikiewicz T. 80236
Kroner A. 79060
Krumbein E. 79622 **п**
Krumholz P. 77854
Kruppa W. J. 79001 **п**
Krzywicki E. 80165
Krzywicki L. 79514
Kubouchi Y. 78341
Kučera Z. 78490
Küchenmeister H. J. 79445 **п**
Kuchinke E. 79936
Kuchta P. 79133 **п**
Kudrnovská-Pavliková E. 78408
Kuhn S. 77953
Kuhn W. 78305
Kulash W. M. 78687
Kulesza C. P. 80128
Kumler W. D. 78172
Küntzel A. 78455
Kunze W. 79803
Kuper A. B. 77473
Kuroda P. K. 77921
Kurtenacker A. 77199
Kurth E. F. 78264
Kushner S. 79291 **п**
Kutscher U. 79679, 79993
Kutter F. 79954
Kwan T. 77636
Kyi Zu-Yoohg 78167
- L**
Labash J. A. 77558
Labeille P. 77842
Lablanchy A. 80070
Lacey W. N. 77565
Lačňák 80174
Lacourt M. A. 78431
Lacroix R. 80387
Ladbury J. W. 77599
Ladd E. C. 79247 **п**
Ladell J. 77378
Laevastu T. 77925
LaForge L. H. 78796
Lagoni H. 79846
Lagowski J. J. 78450
Lahiri D. 78772
Lahourcade B. 79976
Laitinen H. A. 77744
Lall B. S. 78684
Lamb B. 77734
Lamb J. 80263
Lamb W. E. 77282
Lambe J. 77413
Lambert R. 78007
Lamberton A. H. 77954
Lambuth A. L. 79648 **п**
La Mer V. K. 77540
Lamprecht F. 80033
- Lancaster J. K. 79105
Land J. E. 77847
Landais J. 78582
Landqvist N. 77702
Lane A. M. 80343
Lang H. U. 78007
Lang K. 80069
Lang W. 79749
Langbein G. 79299 **п**
Lang-Dupont M. 77860
Lange G. 78969
Lange H. 79830
Lange P. W. 79718
Langenbeck W. 77941
Langford S. 78684
Lanham W. M. 79244 **п**
Lánikova J. 78293
Larsen D. W. 77938
Lasky J. S. 78043 **д**
Laslovsky J. 78498
Laszlo T. S. 79056
Lathrope H. R. 78668
Laughton P. M. 77609
Lavin M. I. 79900
Law J. T. 77435
Lawson C. W. 79504
Lawton E. J. 78344, 78350
Laxminarayana H. 80081
Leaman W. K. 79135 **п**
Leary R. F. 79695 **п**
Leblanc M. E. 78202
Lečickij I. M. 80176 **к**
Lecomte J. 77860, 78220
Leddy J. J. 77869 **д**
Leditschke H. 79283 **п**, 79401 **п**
Le Dizet P. 78214
Lee C. A. 80385
Lee C. C. 77980
Lee D. C. 80315
Lee F. A. 78606
Lee K. S. 77847
Lee R. J. F. 78053 **д**
Lefaux R. 79551
Lefevre H. W. 77269
Le Fevre R. J. W. 77477
Lefter F. W. 80368 **п**
Legault R. R. 80054
Lehmann G. 80417
Leighly H. P. 77458
Leighton A. E. 80034
Leistner L. 80100, 80102
Leitch L. C. 78199—78202
Lemanceau B. 77330
Lennartz G. 80212
Leo H. T. 79903 **п**
Leon S. I. 80037, 80044
Lessor A. E. 77373
Letzig E. 80047
Levey M. 77140
Levi D. W. 78365 **д**
Levine H. 78487
Levitt A. E. 78445
Levitt B. P. 77575
Levy P. W. 77392, 77662
Lewenstein M. J. 79416 **п**
Lewin M. 77596
Lewis A. D. 78159
Lewis F. A. 79761
Lewis J. C. 79955
Lewis K. G. 80241
- Lewis R. L. 79744
Lewis T. A. 77992
Ley J. B. 77987
Lhomme H. 79758
Libby L. H. 79870 **п**
Libby W. H. 79466 **п**
Lidiard A. B. 77444
Lilson S. 78298
Liger J. 78709
Ligett W. B. 79267 **п**, 79269 **п**
Lillie H. 78451
Limborg F. 79280 **п**
Zimido G. E. 77649
Limontschew W. 79722
Linahan T. C. 80388
Lindner M. W. 80119
Lindner R. 77633
Lindström G. 77534
Lineweaver H. 80006
Linicus W. 80242
Linley E. 79632 **п**
Lipman H. J. 80031
Lipovšćak R. 79049
Lippert E. 77332
Lipsky S. 77658
Liquori A. M. 78518
Litant I. 79192 **п**
Litherland A. E. 77261
Li Tsi Tieh 78311
Little R. Q. 78052 **д**
Liveris M. 77945
Livingston F. L. 77784
Livingston R. 77317
Li Yin-Yuan 77393
Ljungström A. B. 80367 **п**
Llewellyn D. R. 77960, 77992
Lloyd P. 77623
Loc T. B. 78132
Locchi S. 78171
Lodge J. P. 77816
Löffler J. 78778
Lohmann P. 77545
Lombard S. H. 80138 **д**
Lömker F. 77989
Londergan T. E. 78072
Long D. 77424
Long D. J. G. 79209 **п**
Long L. M. 79393
Long R. S. 79300 **п**
Longrée K. 80123
Loon W. 79002 **п**
Lord R. C. 77309
Lorenz A. 79194 **п**
Lorenz W. 77705
Loux H. M. 78154
Lovell B. J. 77958
Lovell W. G. 77619
Low W. 77410
Lower E. S. 80025
Lucas R. T. 78780
Lucken E. A. 78163
Ludekens W. L. W. 78385
Ludwig R. 77977
Luft R. 78003
Lukeš R. 78151
Lula R. A. 80221
Lundberg W. O. 80124
Lusby G. R. 77558
Lüthi U. 78037 **к**
Lüttringhaus A. 77979
- Lutz C. 79311
Lutz P. G. 77945
Lynch D. L. 77770
Lynch E. 78745 **п**
- M**
Maaß H. 80087
McBee E. T. 79188 **п**
McBride B. V. 80282 **п**
McCallum K. J. 77503
McCarley R. E. 78469
McCavin S. 78275
McConnell H. M. 77323
McCormick W. R. 78661
McCoubrey A. O. 77419
McCossen F. C. 79472 **п**
McCutcheon J. W. 79859
McDonald R. 77509
McDonald T. R. R. 77378
McDowell W. J. 77859
McElhinney J. 78568
McEvoy F. J. 79279 **п**
McEwen E. 80010
McEwen W. E. 77996
McGavin S. 78273
McGuire P. 79054
Mach W. J. 77791
Machu W. 77898
Maciejko M. 79770
MacIntyre W. R. 79373 **п**
MacIver D. S. 77761
McIver H. 79897
McKeag A. H. 77416
McKenzie J. P. 78597
McKisson R. L. 77512
McLaren B. A. 80105
MacLaren F. H. 79150 **п**
McLeod H. L. 77963
McQuarrie C. M. 78797
McWilliams J. A. 80333
Maddock A. G. 77502, 77661
Mader E. 79749
Magat M. 78338, 78352
Magne F. C. 79558
Maguire M. H. 78191
Magyar M. 77639
Mahaffy R. A. 80159 **п**
Mai K. L. 77527
Maine M. M. 77502, 77661
Majer H. 78305
Major A. 78206
Majumdar A. K. 78387
Majumdar S. G. 78515
Makrides A. C. 77718, 77722, 77723
Maksimović R. 80227
Malatesta L. 77865
Malcolm B. R. 78276
Malen C. 78124
Mallessan P. 77727
Malhotra P. D. 77887
Maloof S. R. 78559
Malowan J. E. 79380 **п**
Maller L. 79843
Mancini C. 78291
Manescu I. 77281
Manfredi R. E. 78795
Mann F. G. 78189
Mann J. 78354
Manoušek O. 77746
- Manowitz B. 77656
Mantell C. L. 80337
Manton B. G. 79065
Mapes J. E. 80022
Mapstone G. E. 79051
March N. H. 77444
Marchetti C. 80190
Marcus A. D. 79385
Marcus J. 78775
Marcus R. A. 77706
Marcus R. J. 77569
Marcus S. 80164
Mare P. B. D. 77960, 77966
Marécolff N. 79475
Marens W. J. 80145 **п**
Margoshes M. 78554
Marini Bettolo G. B. 78250
Mark H. 79527
Marsh G. L. 79977
Marsh N. H. 79285 **п**
Marsh P. B. 79312
Markunas P. C. 78370
Marshall C. A. 78295
Marshall C. E. 78575
Marshall H. B. 80173
Marshall H. S. B. 77580
Marshall J. B. 77223
Marshall W. R. 80327, 80342
Marszak I. 78068
Martell A. E. 77680
Martens S. C. 79651 **п**
Martens T. F. 78072
Martin A. J. 79219 **п**
Martin B. J. A. 79519
Martin C. W. G. 79026
Martin F. 79198 **п**
Martin H. C. 77274
Martin J. J. 78731
Martin L. F. 79558, 79888
Martin R. J. L. 77613
Marutani T. 79686
Marvel C. S. 78073
Marvin D. N. 79796
Marwedel G. 79677
Marzullo S. 78794
Masi J. F. 77480
Mason M. G. 80442
Massey P. J. 79640
Mässing W. 78679
Matagrín A. 79750
Mathai K. U. 77594
Mathias E. V. 80263
Mathieson A. R. 77684
Mathieu J. P. 77400
Mathis W. 78681
Matoušek L. 78286
Matoušek M. 78878
Matsui Y. 78285
Mattano L. A. 79261 **п**
Matthews C. N. 77965
Matthews J. B. 79161 **п**
Matthews W. S. A. 79726
Matthias B. T. 77423
Matti J. 78104
Matty S. 77684
Maurice M. 80040, 80045
Maushart R. 77542

Авторский указатель

- Mauther H. G. 78172
 Mauvisssean P. 79799
 Mavroides J. G. 77478
 Maxwell B. 78323
 Mayfield F. D. 80315
 Meacock G. 79783
 Mehta A. C. 78141
 Meier H. 78643 II, 78644 II
 Meigs R. A. 78223
 Meininger F. 79296
 Melssner J. 78570
 Meister A. 78529
 Meites L. 78528
 Meites T. 78528
 Meitner W. 79329
 Méker G. 78754
 Melamed N. T. 77415
 Melamed S. 79292 II
 Mele A. 78518
 Mellon M. G. 78412
 Meltzer R. I. 78159
 Menčík Z. 78293
 Menis O. 78468
 Meoc A. U. 79786
 Mercer R. S. 78736
 Merola G. V. 79312
 Merrill E. W. 78297
 Merritt L. L. 77373, 77380
 Mertens W. 79242 II
 Merwe H. C. 80118
 Merz W. J. 77423
 Meschino J. A. 77968
 Meshitsuka G. 78285
 Mester L. 78206
 Meyer G. 79668
 Meyer K. M. 78611
 Mialki W. 77217
 Michajlov N. A. 80176 K
 Michal J. 78399
 Micheel F. 78253
 Michelbacher A. E. 78688
 Michels F. 77918
 Michl H. 77781
 Micka K. 77740
 Middendorf L. 79447 II
 Migeotte P. G. 78774
 Mihalcu M. 80268
 Miller E. 78127
 Milinković M. 78708
 Millard E. H. 79185 II
 Miller A. 80321
 Miller A. A. 78350
 Miller B. 78044 II
 Miller C. A. 79393 II
 Miller C. B. 79192 II
 Miller C. O. 79248 II
 Miller D. G. 78322
 Miller J. 77944, 77945
 Miller J. L. H. R. 79952
 Miller R. G. J. 78316
 Miller R. L. 78317
 Miller W. A. 80007
 Millington R. J. 77670
 Mills G. A. 79035
 Mills M. 80400
 Millson H. E. 78145
 Milsted J. 77271
 Minárik E. 79986
 Mindermann F. 78188
 Minto W. L. 77886
 Mira J. 77289
 Miranda H. 79485
 Mirov N. T. 79725
 Misener A. D. 78581
 Mitchell A. M. J. 77498
 Mitchell J. 77382
 Mitra D. K. 77699
 Miyauchi D. T. 80114
 Mizuno G. R. 80124
 Moates G. H. 77454
 Mock R. A. 78295
 Möckel F. 77705
 Mod R. R. 79558
 Model E. 78704 II
 Moe O. A. 79906 II
 Mohajir A. 78664
 Mohr K. 78238, 78240
 Molinari E. 77624
 Molnar I. 78737
 Momotani M. 77536
 Monfils A. 77401
 Monica R. E. 78323
 Monroe E. S. 80290
 Monsheimer R. 78455
 Monson L. T. 80186 II
 Montequet G. 78364
 Montmorey R. 77459
 Montorfano N. 79673
 Moore A. M. 78169
 Moore G. Z. 80315
 Moore H. 78770
 Moore J. J. 79281 II
 Moorman J. M. 79040
 Morello B. 78411
 Morgan K. Z. 80426
 Morini M. 79877
 Morita Y. 77881
 Morningstar M. G. 79229 II
 Morris A. L. 77604
 Morrison W. S. 78729
 Morse A. T. 78202
 Morton R. J. 80429
 Mosher R. A. 79581 II
 Moskowitz D. 77356
 Mosna E. 78682
 Moss T. S. 77428
 Moltren H. O. 79183 II
 Mould D. L. 78218
 Moyle M. 78004
 Muchlenow I. P. 80287
 Mueller E. R. 79681
 Muetteries E. L. 79190 II, 79193 II
 Muggler H. 80421
 Mühlbauer F. 79309 II
 Mukaiyama T. 78009
 Mukerjee L. N. 77811
 Mukerjee S. K. 78138
 Mukherjee S. N. 77799
 Müller A. 79578
 Müller E. 77978
 Müller E. 78949 II
 Müller W. 78725
 Mulliken R. S. 77288
 Mulvaney J. F. 79277 II
 Munch R. H. 77481
 Municio A. M. 78254
 Munro L. A. 77236
 Munro W. P. 79288 II
 Murakawa K. 77285
 Murata H. 77306
 Murdoch R. 80339
 Murthi N. N. K. 79817
 Murty P. S. 77525
 Musgrave W. K. R. 78512
 Mussa I. K. C. 78353
 Musselman J. M. 79158 II
 Muth B. R. 77300
 Muto H. 79918
 Myers G. E. 77783
 Myers W. R. 79550
 N
 Nace D. M. 79678
 Nace H. R. 77968
 Naczynski J. 78973
 Nadel M. 78732
 Nadolski J. 79168
 Naegeli C. 78030 K
 Nagel R. 80440
 Nagelschmidt G. 78502
 Nagy A. 77448
 Nagy L. 78391
 Nagy R. 80196
 Nagy Z. 78400
 Nair C. K. N. 77500
 Nakahara F. 78923 II
 Nakatsu K. 77536
 Namba K. 77747
 Nandi U. S. 77603
 Nancollas G. H. 77538
 Napolitan D. S. 80222
 Narayana Rao M. 79892
 Nasini A. 77188
 Natta G. 77187
 Naves Y. R. 78219—78221
 Navrátil J. 80065
 Nay E. V. 79947
 Nederveen G. 79759
 Nedey G. 79524
 Nehring E. 80104
 Nehring O. 77687
 Neimann W. 78912 II
 Nikola W. 79946
 Nelson A. I. 80053, 80054, 80063
 Nelson J. F. 79869 II
 Nelson J. W. 80281 II
 Nelson W. T. 77531
 Némec 80174
 Nemir C. T. 79630 II
 Nemmers R. J. 79041
 Nenadović M. 78988
 Neri A. 80076
 Neugebauer W. 79469 II
 Neumann K. 77520
 Nevers A. D. 80433
 Nevitt T. D. 77982, 77984
 New A. A. 79584 II
 Newbold G. T. 78109
 Newby H. 79590 II
 Newcombe A. G. 80173
 Newcomer J. S. 78705 II
 Newell J. G. 79969
 Newey H. A. 79608 II
 Nibi G. 80447
 Nichol R. J. 79201 II
 Nichols W. B. 77523
 Nicholson A. J. C. 78004
 Nicholson D. E. 77644
 Nicholson E. W. S. 79143 II
 Nicholson O. P. 78829
 Niederhe H. 80095
 Nielsch W. 78464
 Nierychlewski T. 79770
 Nieto F. 78423
 Niewodniczański H. 77192
 Nightingale E. R. 78590
 Niinivaara F. P. 80086
 Nilson M. E. 78088
 Noebels H. J. 80379
 Noeske H. 79221 II, 79222 II
 Nogare S. D. 78523
 Nolte H. J. 78795
 Noorduy J. 79120 II
 Noorigaete C. H. 79922
 Norcliffe D. C. 80437
 North A. C. T. 78273
 Norton H. W. 80054
 Norymberski J. K. 78227
 Nottebohn C. L. 79815 II
 Nowick A. S. 77412
 Noyes R. M. 77651
 Nuttall R. L. 77480
 Nyholm R. S. 77296, 77820
 O
 Oana S. 77911
 Oatley C. W. 77411
 Obashi M. 77491
 Obata Y. 79686
 Oberberg W. 79675
 Oborin B. N. 78852
 O'Boyle C. J. 79200 II
 O'Callaghan J. R. 80010
 O'Connor D. J. 77758
 Odasz F. B. 79057
 O'Donoghue J. P. 79753
 Offret S. 77436
 Ogawa S. 77387
 Ogawa T. 78641
 Ognianoff I. 79475
 Ohl F. 79854
 Oksala T. O. 79473
 Olah G. 77953
 Olbrich G. 78396
 Olbrich H. 79963
 Oldham S. C. 80015
 Olivari L. 79848
 Olson E. C. 78459
 Oltványi F. 80122
 Onițiu T. 78369
 Onyon P. F. 78337
 Opp K. 77360
 Oppenheimer C. 78030 K
 Oppenorth F. J. 78680, 78689
 Oršić I. 79043
 Orthmann H. J. 78319
 Osada K. 77421
 Osborne R. T. 77212
 Oshima T. 77536
 Osol A. 79390, 79755
 Othmer D. F. 79819
 Otte K. 77997
 Overberger C. G. 78345
 Owen W. R. 79476
 Ozaki S. 78009
 P
 Pacault A. 77330
 Packer R. K. 77631
 Padbury J. J. 79604 II
 Padovani C. 77188
 Page G. A. 78265
 Pagenstedt B. 80012
 Paine F. A. 80232
 Palazzo F. C. 79740
 Palit S. R. 77603
 Palko A. A. 77496
 Palomo Coll A. L. 78156
 Panik I. M. 79379 II
 Pánková M. 78177, 78178
 Pann A. F. 80427
 Paoloni A. 78850
 Paoloni L. 77290
 Pappas N. 77968
 Paquin A. M. 79217 II
 Paquot C. 79827
 Parlaud J. C. 77842
 Paris H. 78537
 Páris R. A. 78377
 Park H. F. 79231 II
 Parkányi C. 77746
 Parkyn B. 79566
 Parry G. A. 79161 II
 Partmann W. 80107
 Parzen G. 77390
 Pascu M. 80414
 Pasedach H. 79213 II
 Passinen K. 77805
 Passmore L. W. 79989
 Pastor R. C. 77320
 Paszkowski M. 78025 K
 Patron A. 80057
 Patt P. 78248
 Patterson D. C. 80061
 Patterson P. D. 79515
 Patterson R. E. 77552
 Patton B. J. 77277
 Paul E. B. 77261
 Paulevé J. 77451
 Pauls J. T. 79068
 Pavlin R. J. 79760
 Pawtowski S. 78837
 Payne C. J. 77466
 Pazur J. H. 78217
 Pearce G. W. 78690
 Pearson J. 80424
 Pearson R. B. 77960
 Pedersen C. 78083
 Pedler A. E. 77580
 Pékncice J. R. 80004
 Pektor V. 80167
 Pellerin F. 78524
 Pelletier J. 80416
 Pemsel H. 80208 II
 Penner S. S. 77621
 Pennington W. A. 80323
 Penot D. 77400
 Percival E. 78208
 Perlman I. 77268, 77275
 Pernarowski M. 79386
 Peroni C. 79371 II
 Perovici C. 77752
 Perri J. M. 80460 II
 Perrier M. 78104
 Perrine T. D. 78605
 Perry A. S. 78690
 Perry R. I. 80261
 Perry S. F. 79123 II
 Perthuis E. 79094
 Peruchon de Brochard J. 80155 II
 Perutz M. F. 78277
 Pestil P. 77304

- Petch N. J. 77775
 Peters W. 78960
 Peterson E. P. 79703 II
 Peterson H. C. 80341
 Peterson J. 78438
 Peterson M. D. 77492
 Petit J. 79667
 Petrangeli B. 78518
 Pettersson A. V. 78555
 Pettersson H. 77928
 Petzoldt H. 79991
 Peynaud E. 79975
 Pfeiffer R. R. 77379
 Pfeil E. 77989
 Pfister A. 78383
 Pfeleiderer H. 77349
 Pfohe H. 78749 II
 Philibert B. J. 80209
 Phillips G. 77498
 Phillips M. 80121
 Phillips N. W. F. 77553
 Philipps S. D. 78897 II
 Planka M. 78701 II
 Piccard A. 77543
 Pick J. 77532
 Pien J. 78546
 Pienta J. 79385
 Pieroen A. P. 77517
 Pierrey J. 80256
 Pietsch H. 79233 II
 Pilar A. J. 80168
 Pilz I. 78284
 Pinkney P. S. 79602 II
 Pino P. 77302
 Pinte C. 79798
 Pinter T. 77539
 Plontelli R. 77708
 Pippard A. B. 77420
 Pizatzky W. 79957
 Pizzarello F. A. 77395
 Pizzarello R. A. 79702 II
 Plank C. J. 79128 II
 Plas F. J. F. 79580 II
 Plath E. 79721
 Plath L. 79721
 Platt H. 79389
 Platz G. M. 79087
 Plazek E. 78026 K
 Ploppa M. 78981
 Plötze E. 77813
 Plunkett M. A. 77927
 Plusje M. H. R. J. 78670
 Pochhali L. 77799
 Pohl J. 97014
 Pohloudek-Fabini R. 80029
 Polčin J. 78526
 Polej B. 77696
 Politi I. 80074
 Pollard E. H. 77580
 Pollermann M. 77542
 Polley M. H. 77774
 Polly O. L. 79210 II
 Pölnitz W. F. 79421 II
 Ponder B. W. 77939
 Ponte J. G. 80024
 Pope R. 80213
 Pople J. A. 77324
 Popow K. 78844
 Porod G. 77802
 Porter F. W. B. 79116 II, 79117 II, 79132 II
 Posey F. A. 77853
 Post B. 77356
 Postman B. F. 78735
 Potter O. 77147
 Potterat M. 77779
 Poulet H. 77406
 Poulson C. A. 78974
 Powers D. H. 77990
 Powles J. G. 77329
 Pozin M. E. 80287
 Prah K. 80346
 Prasad R. N. 78103
 Prasada Rao G. H. S. V. 77887
 Pratt B. C. 79602 II
 Prait E. F. 77967
 Pratt J. W. 78212
 Pratt H. R. C. 80333, 80339
 Pražák J. 78876
 Prelog V. 77970, 77971
 Preston R. D. 78308
 Presti B. M. 77966
 Price E. O. 77847
 Price H. A. 79054
 Price J. A. 79604 II
 Prins W. 77803, 78299
 Pritchard J. G. 77960
 Prochaska F. 78831
 Procopio M. 79983
 Protekta J. 79754
 Pryce M. H. L. 77259
 Pryor M. J. 77719
 Puente H. A. 77136
 Pufahl A. E. 79659
 Pulawski Z. 80435
 Pulwer H. 78663
 Pummerer R. 79296
 Pussell R. A. 77315
 Putnam R. C. 80169
 Putte W. L. 80369 II
 Pyle G. L. 77267
 Q
 Quill L. L. 77493
 Quin D. C. 79265 II
 Quintard N. 78953
 R
 Radaković I. 80227
 Raelthel H. 79835
 Raghava R. S. V. 78436
 Raichle L. 80356 II
 Raimann E. Z. 80038
 Rains T. C. 78468
 Rainu A. 78891 K
 Raj H. 78860
 Rajagopalan T. R. 78138
 Rakestraw N. W. 77927
 Ralph C. 78161
 Ramachandran G. N. 78274
 Ramage W. D. 80016
 Ramanathan V. 78264
 Ramanjaneyulu J. V. S. 78379
 Ramanujam V. V. 78422
 Rama Rao G. 79892
 Ramchander G. 79911
 Rammler E. 78968, 78983
 Ramos V. P. 78691
 Rance G. H. 79600 II
 Randall D. 77552
 Randall J. T. 78272
 Randall M. 78713
 Rankoff G. 79833
 Rao B. S. V. R. 78444
 Rao C. L. A. 78327
 Rao C. V. 77525, 77529
 Rao K. V. K. 77522, 77525
 Rao M. N. 77522
 Rao M. R. A. 78665
 Rao R. V. G. S. 77381
 Rao S. N. 79887
 Raspé G. 78246
 Rauch E. 77175
 Räumle A. 79317
 Raudenbusch H. 79081
 Rautenstrauchs S. 78025 K
 Ravet R. 80434
 Ray F. E. 78205
 Raynor S. 77273
 Reamer H. H. 77523, 77565
 Rebenstock A. 79469 II
 Redfield A. G. 77450
 Reed L. 78779
 Reich G. 80182 II
 Reich I. 77804
 Reichert H. 79776
 Reichherzer R. 78360
 Reichstein T. 78230, 78232—78236, 78238, 78240
 Reid J. 79313
 Reid R. J. 79650 II
 Reilly J. 77204
 Reilly T. H. 79687
 Reilly W. L. 78133
 Reinbach R. 77823
 Reinhardt H. 77513
 Reinhardt R. M. 79313
 Relyea D. I. 77938
 Rembaum A. 77586
 Remelka J. P. 77423
 Remond J. 78630
 Remy H. 77366
 Renaud R. 78199—78201
 Renault J. 78524
 Renner U. 79268 II
 Rennerfelt E. 79734
 Rennhard H. H. 78040 II
 Renshaw W. G. 80221
 Rentz A. 79730
 Renzoni R. 80190
 Repa A. G. 78884 K
 Reppe W. 79213 II
 Res M. 78776
 Rey M. 78925 II
 Rheinboldt H. 78193, 78194
 Rhuland L. 79435 II
 Rhuland L. E. 79435 II
 Ricca M. 77749
 Rich L. G. 78957
 Richard J. M. 77926
 Richardson J. O. 79017
 Richter A. F. 77194
 Richter M. 77941
 Richter R. 79196 II
 Richter W. 78820
 Richtmyer N. K. 78212
 Rick A. W. 79069, 79671
 Riddle E. H. 79175
 Ride R. N. 77724
 Rieck G. D. 77467
 Riedel W. 78898 II
 Rieder M. 78800
 Riemenschneider R. W. 79850
 Riemenschneider W. 79274 II
 Rieveschl G. 79278 II
 Rigot H. 79797
 Riiber O. 79748
 Rinckoff J. B. 79001 II
 Rinehart W. G. 80235
 Ripley G. W. 78308
 Risaliti A. 78157
 Ritchie P. D. 77581
 Rittman A. 77898
 Rius A. 79840
 Rivolta B. 77708
 Roach D. A. 79017
 Roberts A. G. 80294
 Roberts E. J. 79558, 79888
 Roberts J. D. 77980, 78018
 Roberts J. P. 77460
 Roberts M. H. 78855
 Roberts R. L. 80016
 Roberts S. L. 77220
 Robertson E. R. 78339
 Robertson G. R. 78583
 Robertson R. E. 77609
 Robinet M. 79342
 Robinson C. 78281
 Robinson R. 78001
 Robu I. V. 80332
 Rocha H. J. 80212
 Rochas P. 79798
 Rodel W. 79067
 Roder O. 79662
 Rodgers G. F. 79264 II
 Roelen O. 79195 II, 79198 II
 Roger P. 77293
 Rogers A. O. 79237 II
 Rogers J. D. 78946
 Rogers L. H. 80392
 Rohden C. 78648 II
 Röhm W. 79533
 Röhsler K. 78284
 Romagnoli G. 80383
 Romberg J. W. 80286 II
 Ronicke 80454
 Rösch M. 78312
 Röscheisen G. 77978
 Rose A. J. 77340
 Rose B. 77271
 Rosenberg A. 77311
 Rosenberg D. U. 80288
 Rosenthaler L. 79909
 Rosenwasser H. 77662
 Roseo L. 80190
 Rosnati L. 77776
 Rosner R. 78360
 Ross C. 79089
 Ross J. M. 78265
 Ross R. M. 78090
 Rossi S. 78182
 Rossini F. D. 78063
 Rostoker N. 77389
 Roszak W. 78861
 Roth F. L. 79511
 Roth R. S. 78794
 Rothe O. 78021
 Rothemann K. 79493
 Rothman A. J. 77484
 Rothman E. S. 78229, 79866 II
 Rotisch A. 80027
 Roubert J. 79985
 Roux P. L. 79316
 Roux Y. 78599
 Rowe J. J. 78487
 Rowland R. A. 77376
 Roy A. K. 78979
 Royals E. E. 78103
 Royen A. H. H. 79759
 Royen P. 77513, 77642
 Rulidge E. A. D. 78879
 Rubin A. 77813
 Rubin B. 77454
 Rubinstein M. 78727, 78734
 Ruch J. W. 78636
 Ruciński J. 79514
 Ruckenstein E. 80302
 Rudershausen C. G. 79046
 Rudolph G. G. 77492
 Rudy H. 80180 II
 Rudzinska J. 78973
 Rüetschi P. 77589
 Ruiter L. I. 77514
 Rulfs C. L. 78450
 Runge F. 78082
 Ruppert A. 79943
 Ruschig H. 79421 II, 79426 II, 79432 II
 Rushton J. H. 79036
 Ruskin S. L. 79419 II
 Russell P. B. 77952
 Ruston H. J. 80399
 Rutherford H. A. 79315
 Rutkowski J. 79754
 Ruždić I. 78426
 Ruzicka L. 79424 II
 Rydberg B. 78392
 Rydberg J. 78392
 Ryland A. L. 77382
 Rzymkowski J. 79463 II
 S
 Saalfeld H. 77359
 Sabo S. 79478
 Sacco A. 77865
 Sachsse H. 79738
 Sachtlar W. M. H. 77427
 Saenz Lascano Ruiz I. M. 80073
 Sage B. H. 77523, 77565
 Saha N. G. 77603
 Saint-Guily B. 77674
 Salač V. 79933, 79965
 Salé B. 79094
 Salletore S. A. 79841
 Saller W. 79956
 Salmon O. N. 77554
 Salt F. E. 79265 II
 Salutsky M. L. 77493
 Salyer D. 78466
 Salzmann G. 79570

Авторский указатель

- Samara P. L. 79884
 Samec M. 78992
 Samhammer E. 79846
 Sanchis Batalla A. 79731
 Sanders J. V. 77758
 Sanders W. B. 77212
 Sandri G. C. 78533
 Sanengen A. 77206
 Sanger M. J. 79945
 Santelli E. 79821
 Sappir S. 78954
 Sargrove J. A. 80378
 Sarma D. V. N. 78444
 Sarma T. P. 78436
 Sarnowski M. 77533
 Sasse E. 79145 П
 Sastry A. V. R. 77884
 Sato S. 77287
 Sato S. 77567
 Saubestre E. B. 78720
 Saul W. 79632 П
 Saunders W. H. 77980
 Sauter E. A. 80105
 Sauve D. M. 78051 Д
 Savel P. 77276
 Savur G. R. 80046
 Savul M. 79661
 Sawada M. 77491
 Sawada S. 77405
 Sawicki E. 78205
 Sawicki J. 77258
 Schaeppi W. H. 78039 П
 Schäfer G. 79259 П
 Schäfer H. G. 77203
 Schäfer J. 79004 П
 Schafroth M. R. 77255
 Schaub F. 78676 П,
 80365 П
 Schauenstein E. 78284
 Schaufelberger F. A.
 77858
 Schenck M. 79427 П
 Schenke G. A. 80409 П
 Scherer O. 79232 П
 Scherwood P. W. 79174
 Schetty G. 78704 П
 Schetty O. 80042
 Schick K. 80142 Д
 Schie A. J. 79769
 Schiebold E. 78880
 Schindler O. 78236 —
 78240
 Schittenhelm R. 80269
 Schlack P. 79809 П
 Schlapfer W. 80003
 Schlegel H. 78802
 Schlenker F. 79620 П
 Schlicht R. 79505
 Schlitt H. 78867
 Schlittler E. 79406 П
 Schmatloch A. 78675 П,
 78676 П
 Schmid H. 77986
 Schmid R. 78042 Д
 Schmidhofer T. 80092
 Schmidt E. 80303
 Schmidt F. 80204 П
 Schmidt G. 80205 П
 Schmidt G. M. J. 77378
 Schmidt H. 78638 П
 Schmidt H. 78660 П,
 79447 П
 Schmidt J. 78029 К
 Schmidt J. 80372 П
 Schmidt K. H. 78597 Д
 Schmidt M. P. 79469 П
 Schmidt O. T. 78260 —
 78262
 Schmidt W. D. 79147 П
 Schmidt-Thome J. 79426 П
 Schmitt F. 79489
 Schmitz-Dumont O. 77363
 Schmölzer A. 77917
 Schneer C. J. 77346
 Schneid A. F. 79702 П
 Schneider H. G. 79582 П
 Schneider J. 78654 П
 Schneider R. 79341
 Schneider R. 80360 П
 Schneider W. 78245
 Schnitzler H. 80351 П
 Schnur F. 78627 П
 Schock R. U. 79436 П
 Schoen J. 77588
 Schoen W. 79649 П
 Schoenbaun A. W.
 80157 П
 Schoenmakers P. J.
 80369 П
 Schollenberger C. S.
 79229 П
 Scholz C. R. 79403 П
 Schön W. 79320
 Schoof H. F. 78681
 Schoon T. G. F. 77793
 Schöpf C. 77997
 Schotte L. 77311, 78095
 Schrad G. 79414 П
 Schrag G. 78651 П
 Schreiner P. 78756
 Schroeder D. 77375
 Schroeder E. 77380
 Schulek E. 78471
 Schulenberg F. 80320
 Schulerud A. 80023
 Schuller H. 77757
 Schulman J. H. 79669
 Schultheis A. 78602 П
 Schultheis P. 78602 П
 Schultz O. E. 78395
 Schulz E. O. 78785
 Schulze W. 77246 К
 Schussler M. 80222
 Schuster J. 80033
 Schutz J. M. 79523 П
 Schwab G. M. 77638
 Schwanzer P. 79324
 Schwartz H. M. 79927
 Schwartz L. 80422
 Schwartzman L. H.
 77974
 Schwarz F. 79141 П
 Schwarz H. 79487
 Schwarzkopf O. 79257 П
 Schweers W. 78204
 Schweisheimer W. 79486
 Schweisheimer W. 80423
 Schweitzer P. H. 77620
 Schwenkedel S. 79802
 Schwenzon K. 79729
 Schwen F. 80218
 Schwiete H. E. 78763
 Scienska J. 77533
 Sclar R. N. 80127
 Scott R. B. 77962—77964
 Seanor J. G. 78805
 Sears P. G. 77682
 Sedláček B. 78286
 Sedlmeier H. 80092
 Seel F. 77836
 Seelig H. S. 79258 П
 Segura M. A. 79119 П
 Sehgal I. M. 78140,
 78142
 Seidler C. 79592 П
 Seidler H. 77701
 Seki S. 77536
 Sekora A. 78284
 Sellers E. S. 77215
 Semenow D. A. 78018
 Sender-Lapińska I.
 79754
 Senfite F. E. 77769
 Sen-Sik M. 77436
 Seroneit A. 78451
 Serra R. 78157
 Seshadri T. R. 78134,
 78138—78143
 Sessler A. M. 77284
 Šestakovova I. S. 80176 К
 Seutold F. H. 77308
 Severs E. T. 79540
 Sevon J. 78659 П
 Seymour D. C. 79587 П—
 75589 П
 Shah G. Z. 77260
 Shalit H. 79130 П
 Shalitin Y. 78358
 Shamp J. E. 79713 П
 Shane N. C. 79334
 Shapiro H. 78254 П
 Sharma N. N. 78525
 Shartsis L. 78753
 Shaw G. 78191
 Shaw W. H. R. 77598
 Shea J. A. 78924 П
 Sheard D. R. 78342
 Shearer N. H. 78215 П
 Shedd H. W. 80325
 Sheffield J. V. 79057
 Shermel H. F. 78753
 Sherwood P. W. 79018,
 79171
 Shipp H. 78602
 Shipton P. 80005
 Shiraiwa T. 77491
 Shoemaker B. H. 79260 П
 Shrader M. O. 79277 П
 Shryne T. M. 78049 Д
 Shukla B. K. 78379
 Shuler K. E. 77618
 Shull G. M. 79907
 Sicher J. 78175—78180
 Sicilio G. 77492
 Siddiqui S. 79000 П
 Sideri C. N. 79755
 Siemes W. 80291
 Sigg H. P. 78232, 78233
 Sigtermans A. A. I.
 79546
 Sigwart K. 80360 П
 Sijpesteijn A. K. 78692
 Silander K. 78263
 Silcocks C. G. 77577
 Sillén L. G. 77247 К
 Sils V. 77391
 Silva Lacaz P. 78021
 Silver A. 79332
 Silver D. Z. 78592
 Silversmith E. F. 77981,
 77985, 78048 Д
 Silvertown J. V. 77386
 Silvestri M. 80190
 Silvestroni P. 77739
 Šiman H. 80065
 Simcock J. H. 78793
 Šimek Z. 77249 К
 Šimerská M. 77337
 Simms J. A. 77975
 Simon V. 78350
 Simons J. P. 80424
 Simpson J. I. 80052
 Simpson T. P. 79128 П
 Singer F. 78812
 Singer N. 77681
 Singer S. F. 77872
 Singh B. 78382
 Singh S. 78382
 Singleton R. H. 77553
 Sinha A. K. 78150
 Sinton J. S. 79525
 Sircar A. K. 77797
 Širola J. 49043
 Šiške V. 77239 К
 Sittig M. 80450
 Sitzler R. R. 79206 П
 Sivaraman S. R. 77381
 Sixma F. L. J. 77998
 Skalkas B. G. 79348 П
 Škaric V. 78127
 Skirrow G. 77626
 Skledar S. 78692
 Skogen N. 77814
 Slaviček E. 80307
 Slawinski E. J. 78317
 Slayter G. 78897 П
 Smakula A. 77391
 Smiatek G. 79345
 Smiley N. B. 75919
 Šmirous K. 77831
 Smith A. C. 79599 П
 Smith A. Q. 80248
 Smith B. J. H. F. 80411
 Smith C. K. 80071, 80082
 Smith C. W. 79246 П
 Smith D. C. 80235
 Smith D. C. C. 78207
 Smith F. A. 79253 П
 Smith F. H. 80244
 Smith I. 77777
 Smith I. J. 80441
 Smith K. M. G. 77647 Д
 Smith P. L. 79244 П
 Smith R. L. 77229
 Smith W. F. 78699 П
 Smith W. R. 77774
 Smoluchowski R. 77393
 Smull M. L. 80007
 Snedze A. A. 79693 К
 Sneed M. C. 77866
 Snell E. E. 78153
 Snow H. 78897 П
 Snyder R. H. 79627 П
 Söderberg O. 77805
 Sodemann H. 79194 П
 Sohngen R. 79025
 Sojka J. 78624
 Sokol L. 78479
 Solin V. 78962
 Soltész G. 79064
 Sommer L. H. 79243 П
 Sommer S. 79455
 Sondij F. 78765
 Sood S. P. 78346
 Soto M. 77815
 Soullou A. 79743
 Soutif M. 77335
 Sowards D. M. 78469
 Spanzaro F. 80099
 Spauschus H. O. 77632
 Speakman J. B. 79316
 Spector M. 77578
 Speier J. L. 79275 П
 Sponi G. 77302
 Spiess H. G. 78809
 Spillane L. J. 79223 П
 Spitnik P. 78269
 Spode E. 77655
 Sporkenbach 78813
 Sprecher M. 78050 Д
 Spring S. 78711
 Springall H. D. 77204
 Spruance F. P. 80276 П
 Spurlock B. H. 80457
 Squires W. 80361 П
 Srinivasan N. R. 77693
 Srivastava S. N. 77811
 Stacey M. 77204, 77782
 Stadelman W. J. 80105
 Stang L. G. 77273
 Stangacilović D. 80191
 Stangalini L. 79641 П
 Stange R. 77703
 Stanners J. F. 80211
 Stannett V. 78346
 Staritzky E. 77352,
 77355, 77364, 77367—
 77372
 Starlinger H. 80417
 Staronka W. 77242
 Stastny F. 79529, 79572
 State C. W. 78697 Д
 Stather F. 80182 П
 Staveley C. M. 78131
 Staverman A. J. 78267
 Steacie E. W. R. 77652
 Stefanescu A. 79801
 Stein L. 77862
 Stein L. 79432 П
 Stein R. 77950
 Stein R. S. 78311
 Steinberg M. P. 80054,
 80063
 Steinberger I. T. 77410
 Steinmann H. 80366 П
 Steinhoff E. 78918 П
 Stepek Z. 79103
 Stephen M. J. 77574
 Stephens F. S. 77268
 Stephenson A. 78633
 Stern K. H. 77680
 Stern M. 77716, 77717
 Stern S. 80343
 Stevens C. M. 77267
 Stevens R. G. 79021
 Stevenson D. H. 79035
 Stewart C. T. 79537
 Stiehler R. D. 79511
 Stijntjes G. J. F. 79055
 Stillman A. L. 78677 П

- Stitt P. 79955
 Stober K. E. 79583 **П**
 Stock J. A. 78249
 Stock M. 80353 **П**
 Stocker E. 79339
 Stojanac Ž. 78127
 Stokoy S. D. 78895 **П**
 Stokinger H. E. 80418, 80436
 Stosick A. J. 79088
 Strachan C. C. 8005f
 Strachota J. 80172
 Stráfelda F. 77696, 77697
 Stralen S. J. D. 80311
 Straten H. A. C. 78491
 Stratford R. K. 79010
 Stratzmann W. 80143 **П**
 Straub W. 79512
 Straumanis M. E. 80223
 Street J. M. 79521 **П**
 Strock L. W. 77357
 Stromberg R. R. 80161—80163
 Strube I. 77135
 Struckhoff H. J. 78730
 Struxhold H. 77871
 Struxness E. G. 80429
 Stubbs A. E. 77161
 Stueber G. E. 79229 **П**
 Stull D. R. 77509
 Stüpel H. 79855
 Sturtevant J. M. 77614
 Style D. W. G. 77584
 Subit M. 79096
 Subrahmanyam V. 79892
 Sugarman N. 77273
 Sügi J. 78641
 Suhrmann R. 77765
 Sukava A. J. 77712
 Sulc J. 80065
 Sullivan E. P. A. 77477
 Sullivan R. D. 79160 **П**
 Sullivan W. E. 79379 **П**
 Summers D. 77584
 Sundaram N. 78993
 Sundman F. V. 78659 **П**
 Sundstrom K. V. 78113
 Suthankar S. V. 78015
 Suter H. 79284 **П**
 Sutherland J. D. 78597
 Sutherland M. D. 79476
 Suzuki J. 79612 **П**
 Suzuki K. 77747
 Suzuki S. 79905 **П**
 Svarz J. 79428 **П**
 Svoboda M. 78176, 78178—78180
 Swain T. 78606
 Swaminathan M. 79892
 Swaminathan S. 77381
 Swaminathan V. S. 79023
 Sward G. 79538
 Swatosch L. 79101
 Sweet T. R. 78466
 Swerdlow M. 80161, 80163
 Swern D. 79557
 Swieczkowski C. 79767
 Swinehart D. F. 78439
 Swinton E. A. 80340
 Sygne R. L. M. 78218
 Szabó Z. G. 74394
 Szakács M. 78471
 Szakács O. 78471
 Szántó S. 77832
 Szczygiel A. 80002
 Szebenyi I. 79053
 Szlachetun A. J. 79537
 Sznajder J. 79173
 Szpilfogel S. A. 78226
 Szwarc M. 77586, 78346, 78347
- T**
- Tachiki M. 77405
 Tait G. W. C. 77501
 Takaki H. 77347
 Talet P. A. 79694 **П**
 Talik T. 78158
 Talik Z. 78158
 Tamm C. 78230, 78232, 78234, 78235
 Tapp T. C. 80244
 Tarasov B. V. 78884 **К**
 Tarat E. J. 80287
 Tarbell D. S. 77990, 78265
 Tarjan I. 77455
 Taschek R. F. 77274
 Taube H. 77853
 Täufel K. 80029
 Tawney P. O. 79596 **П**, 79627 **П**
 Taylor A. W. C. 79271 **П**
 Taylor C. C. 79903 **П**
 Taylor E. C. 78154
 Taylor E. H. 77572
 Taylor G. E. 79230 **П**
 Taylor H. T. 77959
 Taylor J. E. 79329
 Taylor M. E. 78129
 Techel E. 80391
 Tegart W. J. M. G. 77348
 Temmer G. M. 77263
 Temperley H. N. V. 78279
 Tendille G. 78420
 Teodorowicz W. P. 78637
 Terrell J. 77274
 Teuber W. 79176
 Težak-Jenic V. 78126
 Theis W. R. 77254
 Thilo E. 77245 **К**, 77837
 Thomas J. W. 80358 **П**
 Thomas W. J. O. 77292
 Thomas W. M. 79605 **П**
 Thompson A. B. 78320
 Thompson B. R. 78343
 Thompson H. W. 77315
 Thompson J. H. 80016
 Thompson T. G. 77925
 Thomson A. G. 79526
 Thomson C. H. 78169
 Thomson E. W. 77213
 Thornton D. P. 79045
 Thornton J. D. 80339
 Throssell J. J. 78346
 Thurman P. J. 79187 **П**
 Ticozzi R. 79555
 Tiefenthal H. E. 78133
 Tiers G. V. D. 78196
 Tihomirov A. V. 79693 **К**
 Timmler H. 79268 **П**
 Tinker J. F. 78102
 Tirouillet J. 77748
 Titus L. 80194 **П**
 Titze H. 78429
 Tobolsky A. V. 78321
 Tódt F. 80270 **К**
 Toles G. E. 79968
 Tomita M. 78099
 Tomlinson J. 78799
 Tomlinson T. G. 78956
 Tomonari T. 79794
 Tootill J. P. R. 78535
 Toril T. 78467
 Tóth K. 74394
 Touloukian Y. S. 77480
 Tow D. J. 80317
 Toy G. R. 78144
 Trautmann S. 77678
 Trebitsch F. 79240 **П**
 Treiber E. 79749
 Trementozzi Q. A. 79154 **П**
 Trense R. V. 80349 **Д**
 Trepp S. G. 79644 **П**
 Tressler D. K. 80050
 Trevisso C. 77530
 Trexler P. C. 80183 **П**
 Triebeneck J. 79692 **К**
 Trisler J. C. 77939
 Trivedi A. K. M. 77798
 Trojer F. 78835
 Tromp K. F. 80364 **П**
 Tromszczyński J. 78973
 Trout G. M. 80071, 80082
 Truce W. E. 77975
 Trusler R. B. 79714 **П**
 Trzebiatowski W. 77819
 Tschinkel J. G. 79085
 Tsubomura H. 77333
 Tsutsumi K. 77491
 Tuddenham W. M. 77641
 Tufts B. J. 77816
 Tulagin V. 79273 **П**
 Tumarkina E. S. 80287
 Turchányi G. 77455
 Turkevich A. 77273
 Turkevich J. 77320
 Turner E. E. 77204
 Turner H. A. 77156
 Turner W. E. S. 78773
 Tutwiler T. S. 79159
 Tyckowski E. A. 78195
 Tympl M. 78479
- U**
- Ubbelohde A. R. 77617
 Ueberreiter K. 78319
 Uesugi S. 79287 **П**
 Uffer A. 79406 **П**
 Uher O. 77248 **К**
 Ulsenheimer G. 80156 **П**
 Umbach H. 78628 **П**
 Unruh C. C. 79599 **П**
 Uraneck C. A. 79503
 Urban W. 79042
 Urbančzyk S. 79103
 Urech H. 78046 **Д**
 Urech H. J. 77970
 Uzzan A. 79849
- V**
- Vacek J. 71371
 Vadehra K. 78142
 Vahrenkamp G. J. 80275 **П**
 Valcum L. 77671
 Valence M. 77650
 Valenta P. 78586
 Valentin F. 79894
 Valkanas G. 77969
 Vallee B. 78554
 Valter V. 79880
 Van Allan J. 78102
 Vancura M. 79961
 Vandecapelle H. P. C. 78774
 Vander W. J. C. 79202 **П**
 Van Gheluwe J. 79939
 Van Isterbeek A. 79569
 Van Keymeulen J. 77895
 Van Lonen W. F. 80194 **П**
 Van Paemel O. 79569
 Vantu V. 77250 **К**
 Van Tuyl H. H. 77269
 Varadaiah V. V. 78287
 Varadarajan S. 78138
 Varley D. 79684
 Vasey C. H. 79410 **П**
 Vavřin F. 78877
 Veerkamp T. A. 78372
 Vegezzi G. 79909
 Veibel S. 78083
 Veijola V. E. 78096, 78100
 Veit P. L. 78714
 Venkataraman B. 77322
 Venkataraman K. 78264
 Venkataraman R. 80108
 Venner H. 78584
 Venugopalan M. 77594
 Verburg W. 79746
 Verduin J. 77669
 Verhaegen L. 79569
 Vernon C. A. 77987
 Vesce V. C. 79707 **П**
 Vickerstaff T. 79328
 Viehe H. G. 78255
 Vieru R. 80062
 Vignoli L. 78383
 Vigyazo G. 80296
 Vilim O. 77532
 Villani S. 80190
 Villar G. E. 77815
 Vincenz A. 79455
 Vine A. 79800
 Vines R. G. 77564
 Vinograd J. R. 77810
 Vitagliano M. 79979
 Vittum P. W. 79472 **П**
 Vláduť N. 79805
 Vlček A. A. 77735
 Vodar B. 77432
 Vogel R. C. 78762
 Vogt E. 78821
 Vogt H. R. 78265
 Volf M. B. 78767
 Volungis R. J. 78311
 Voorhies A. 79125 **П**
 Voorn M. J. 77807
 Voorwijk J. F. 80328
 Vos A. S. 80311
 Voß K. 79739
 Voudsen P. 77365
 Vromen S. 78198
 Vystročil A. 77746
- W**
- Wacek A. 79722
 Wachal A. 79091
 Waddington T. C. 77511
 Wadsworth M. E. 77595
 Waesche H. 77769
 Waeser B. 80210
 Wagner C. 77440
 Wahl H. 78174
 Waight E. S. 77969
 Wainer E. 78654 **П**
 Wainwright T. 77390
 Waite G. W. 80263
 Walba H. 77686
 Walden P. 77146
 Waldhauser H. 77832
 Waldron W. R. 79272 **П**
 Walker D. I. 77365 77371
 Walker H. L. 77458
 Walker L. H. 80061
 Walker W. C. 79676
 Wall F. T. 77690, 78322
 Wall M. E. 78229, 79866 **П**
 Wallace R. H. 79994
 Walmsley L. L. 79327
 Walt J. P. 79927
 Walter G. W. 78712
 Walter H. 78317
 Walter M. 78702 **П**
 Walz E. 80094, 80098
 Wang Y. N. 80223
 Wapstra A. H. 77266
 Ward S. 79271 **П**
 Wardlaw W. 78010
 Warf J. C. 77350
 Wargotz B. 78265
 Waring C. E. 77578
 Warkentin J. 78005
 Warner A. J. 79584 **П**
 Warren A. V. 79621 **П**
 Warwicker J. O. 78307
 Wassermann A. 77675
 Watanabe D. 77387
 Watanabe Y. 78099
 Waterhouse R. B. 79669
 Waterman H. I. 79055
 Waters E. H. 78857
 Waters W. A. 77937, 78035 **К**
 Watkins W. M. 78213
 Watson W. F. 79500
 Watt G. W. 78469
 Wayne W. J. 79602 **П**
 Webb G. M. 79127 **П**
 Webber T. G. 79715 **П**
 Weber E. 77655
 Weber F. 79323
 Weber H. H. 77360
 Weber J. Q. 77972
 Weber U. 77526
 Weber W. C. 80373 **П**
 Weberpals F. W. 80028
 Webster H. A. 80260
 Weck H. I. 79258 **П**
 Wedepohl P. T. 77439
 Weeks B. M. 77659
 Wegerle D. 80160
 Wehner P. 79384 **П**
 Wehr W. 79639 **П**
 Weidinger A. 78309

- Weihe A. 79397 II
Weil B. H. 79019
Weil J. A. 77320
Weingaertner E. 77497
Weinmayr V. 79270 II
Weisburger E. K. 78130
Weisburger J. H. 78130
Weiss D. E. 80340
Weiss E. J. 77376
Weiss H. 80032
Weiss U. 79416 II
Weissberger A. 79472 II
Welborn J. I. 79068
Welliver L. G. 79454
Wells A. A. 80375 II
Wells C. F. 77942
Wells F. V. 79484
Welty A. B. 79123 II
Wendland R. 78601
Wendlandt R. 80195 II
Wendler L. 78755
Wendtorf R. C. 77691 II
Wendt A. S. 79698 II
Wenker K. 80096
Wente V. A. 78780
Werber T. 77211
Werner R. L. 78004
Wertz J. E. 77325
West G. W. 77394
West H. J. 80250
West L. E. 79456
West T. S. 78381
Westland G. J. 77362
Wheatley E. W. 79613 II
Wheeler D. M. S. 78259
Wheeler G. K. 79705 II
Wheeler K. W. 75294 II
Whetstone J. 77471
Whistler R. L. 78216
White E. E. 80424
White N. E. 77519
Whiteside H. 79710 II
Whitley A. 78010
Whittemore O. 78845
Whyte C. B. 79022
Wibaut J. P. 77185
Wickstrom A. 78214
Wideqvist S. 77599
Wiedermann A. 79763
Wieland T. 78007
Wiggins T. J. 79632 II
Wightman C. E. 77939
Wijk W. R. 80311
Wilcock C. C. 77157
Wiles L. A. 78017
Wilkinson F. B. 80121
Willbanks O. L. 77137
Willi A. V. 77946
Williams A. E. 79736
Williams O. B. 79950
Williams T. T. 78613
Williams V. A. 77945
Williamson W. O. 78790
Willis D. 78161
Willis H. A. 78316
Wiloth F. 78359
Wilputte-Steinert L. 77607
Wilson M. 77169
Winding C. C. 77219
Winfield M. E. 77590
Winkelmann H. 78770
Winkler C. A. 77576, 77712
Winkler G. 79904 II
Winter S. S. 77786
Winterhalter L. 75266 II
Wintersberger K. 78643 II
Wiseman G. 79358 II
Wiśniewski W. 80170
Wissing O. 80021
Wittcoff H. 75609 II
Wittig G. 77977
Wittig G. 78188
Wittmann E. 80356 II
Wittner C. 77949
Witzmann 77208
Woertz B. B. 79155 II
Wöger K. 79958
Wohlfarth E. P. 77445
Wolf A. P. 77996
Wolf C. N. 79267 II, 79269 II
Wolfe R. 77441
Wolff G. A. 77462
Wolfhard H. G. 77626
Wood C. W. 78669
Wood D. L. 78278
Wood J. K. 78294
Wood J. O. 79152 II
Woods D. W. 78320
Wooley H. W. 77480, 78280
Woolf C. 79189 II
Work R. N. 78326
Wray J. R. 78294
Wright I. 77849
Wright L. M. 77770
Wroński M. 78541
Wulf H. D. 78082
Würsch J. 77570
Würz A. 75317 II
X
Xuong N. D. 78132
Y
Yaeger L. L. 79638 II
Yamagata N. 77326
Yamakawa K. 78257
Yanagita M. 78257
Yasumori I. 77567
Yates O. W. 78957
Yates P. 77310
Yega 77368
Yoke III J. T. 77868 II
Young D. W. S. 79264 II
Young J. R. 77608
Young J. T. 78000
Young V. V. 79431 II
Yule P. A. A. 80110
Yvernault T. 77606
Z
Zaheer S. H. 79841
Zahn E. A. 79672
Zanh H. 79317, 80160
Zanki W. 79059
Zappa L. 77265
Zeerleder A. 77173
Zeiss H. 77965
Zeldes H. 77317
Zelley W. G. 78746 II
Zendle B. 78568
Ziegler G. 78763
Ziegler K. 79181 II, 79182 II, 79252 II
Ziegler M. 77855
Zieliński J. 78961
Zijl-Langhout W. C. 79055
Zimmer E. 77265
Zimmerman H. E. 78002
Zimmerschied W. J. 79129 II, 79130 II
Zinnes H. 78081
Zinszer H. J. 77437
Živanovic D. 78453
Zlotowski I. 77181
Zollinger H. 77943, 77949
Zosel K. 79182 II
Zoulovsky P. 80011
Zuckerman K. 79635 II
Zukowski H. 78819
Zuman P. 77746
Zurakowski M. 80170
Zurlo N. 80438
Zwolinski B. J. 7756
Zygadlo J. 77533
Zyka J. 78390

აგლაძე რ. 78707

გაბელიშვილი მ. 78707

სიბილაძე ა. 79914

ბაჩიძე ო. 79980

- 三解省三 78438
三崎剛 78619
三浦重義 77754
上池修 78760
上原康夫 80197, 80198
下瀬有郎 77475
不破敏一郎 78495
天動開一 77452
中川正澄 77396, 78059
中村典道 77728
中村壽雄 80274
中塾邦夫 78409
中原昭次 77838
中島操 79179
中澤忠久 80193
中澤浩一 78106
丸谷貞次郎 79686
久保田尚志 78058, 78061
井上茂樹 79556
井上時 78915
井手平三郎 80200
井本稔 78282, 78282, 78329, 78330, 78331, 78332, 78334, 78357
井出道明 78164
井野英郎 80394
五井満寛 78110
仁木榮次 77732
仁山勇 78306
仁山均 80115
今井宣久 77679

- 伊藤卓爾 78658
伊藤みよ子 78530
佐竹一夫 77778
佐々木喜代 79916
佐田惲 77818
伴彰一 78154
伴塚昭人 78409
佐藤伸 77567
佐藤武四郎 78619
佐藤専八 78938
佐藤惠子 78489
佐藤進 79077
依信次 80273
入坂頼勝 78748
八木忠翁 78165
八木裕 78626
前田量三 78183
加藤左治 78916
加藤武 78492
加藤 鶴一 77476
加藤嘉文 78173
加藤滋男 79510
包光田 79297
野間新 B. C. 78233
北川康生 78653
北村一夫 78289
有富孝美 79543
眞田孝彰 78936
加藤義郎 78937
卯井田秀隆 78136
原田千三 78869

- 古川淳二 79506
吉田文乎 78939
吉本文武 77218
吉田英雄 78008
吉田善一 78173, 79556
吉村長藏 78402
名川方敏 78247
向井克憲 79829
和田後洋 79179
品川陸明 77731, 78454
坂井渡 78788
坪内幸恵 78106
堀内光 78097
鹽谷繁雄 77452
外山修 78008
外山健三 80112
大川勝昭 78165
大木道則 79179
大永幸隆 80285
大岩正芳 78357
大津隆行 78282, 78292, 78330
大原英一 78397
大澤文夫 77679
大澤祥廣 80193
太田時男 77541
太藤利一 78530
妹尾四郎 78251
李首貞 78192
安盛岩雄 77567
安藤一夫 80112

- 宮崎正藏 77652
宮島全世 78747
富田雄 78244
寺川敏雄 78119
小川喜代一 80284
小山明 80284
小夫妻良正 80197, 80198
小田良平 78062, 78173, 79162, 79163, 79164, 79295, 79556, 79573
小竹無二雄 78057
小池榮二 78165
小西謙三 78110
小牧高志 78858
小林一 78647
小林正光 78484
小林英一 80376
小林謙之助 78164
小村義隆 78549
小泉正夫 77571
小島頼男 78011
小野喬雄 78654
小幡壽太郎 79696
山口一孝 78530
山口秀夫 78244, 80274
山田肇 78117
山田嘉典 78654
崎山太郎 78361
岡田典昌 78626
岡田清昌 78185
岡本宏章 78748

- 岡本悟一 78117
岡本喜八郎 78117, 78118
岡崎英博 78333
岡難久郎 78647
岩井信次 79691
岩永榮一 78641
岩尾順一 78241
岩倉善男 77200
島戸欣二 78858
崎川 進行 79077
山崎一雄 77295, 77877
川田寛 80116
川合眞一 78170
川杉満壽子 79077
川野義男 78520
川端修一 78520
市川淨 78170
平井英二 80289
平林正也 78917
幸勝主税 78241
庄野唯衛 78098
後藤佐夫 78114
志賀澤水 78932
折見英夫 78241
新良宏一郎 78492
新垣忠男 78089
日野篤夫 80116
早川數馬 80278
曾山進 79528
曾木隆次 80283
木下圭三 78101

木村頼基 78619	武田英吉 78862, 78871	田中早苗 78170	胡秉方 78191	長谷川猛虎 80289, 80292
本田雅雄 78409	武野正三 77396	田中清行 77733	船久保英一 78550	長澤不二男 79226
村上信三 78222	武藤清 79918	田中清一 80072	船岡正男 78641	門崎宏和 78717
村上増雄 78012	武藤慶 78470	田中雅美 78760	茂藤弘弘 80194	關本眞吾 80255
村越昌彦 77790	水野俊一 78872	田中館イ木 78165	若野二 77466, 77754	關本根郎 77743
松元邦治 79939	水野義久 78551	田代三郎 78622	若井利可夫 77234	關集三 78306
松井壽 78049	水渡英二 77388	田村郁子 78183	莫里達能爾 T. H. 78721	阿部久二 78653
松田正美 80274	永井英夫 78397	田所宏行 78306	菅原勇次郎 80193	阿部清 77422
松田祥三 77790	永井必一郎 78631	田邊良久 78187	藤田重文 80384	阿野藤七 79917
松本哲朗 79226	永松政俊 77788	町田充作 80201	藤永太一郎 78405	陳萬義 78192
松尾博 77731, 78454	永野卓三 78622	白川研藏 78184	藤村義郎 78626	青木米作 80201
松浦松雄 79916	池上宏 80072	目村雄 78251	藤谷卓巳 78402	須藤俊男 77892
松浦信 78106	池村恭一 80274	相見久次 78654	藤原瑠璃 77876	飯田博子 78165
桐山茂 78334	河合登 80200	石田寛 78631	西田政三 78506	馬場茂雄 78106
桐山隆文 80109	河合俊雄 78626	石村明 78653	西原利夫 80394	馬場義雄 78242
格別別次基 77234	河野哲郎 78489	岩崎一布 80278	谷田博 78183	高井明 78136
柴田桂治 78914	渡部忠浩夫 A. E. 78449	石塚博 8650	谷崎太吉 78136	高木銳一 79226
柴沼七郎 80255	浮田純二 78336	砂川友俊 78185	谷敏行 79549	高林昇 78168
桑田勉 79549, 80193	清山哲郎 77748	磯部育子 78489	幸島敦 78626	高林利雄 78968
桑原仁太郎 78165	清水文治 78247	福田短彦 77818	近藤平三郎 78242	高橋三雄 78210, 78211
栗岩治雄 80072	清水亘 80109	福島清吾 78530	近藤信一 77646	高橋治男 80194
根津弘幸 78454	淺原順三 78333	和木次郎 80279	近藤泰夫 78870	高橋秋水 78098
森田章 77488	湯川泰秀 78012, 78013	季弘 79543	野溝清晴 78402	高橋等 78116
植田夏 73483	渡邊市郎 78652	稽川運 78019	進藤益男 77646	高橋喬 80116
植嶋裕郎 78760	渡邊猪之助 80285	稻垣瑞穂 78222	達納納耶夫 H. A. 78544	鯨島正義 78241
植木義一 80394	溝部義宣 80274	窪川谷 78008	鄧克毅 79321	鳥居鉄也 78467
楊文治 77677	漆原義之 79179	竹井俊郎 80116	野日芳明 79917	黃子卿 77677
楊寛 77138	澤村泰造 80394	竹内茂雄 77754	野村男次 80059	黃雲雲 78357
楠田貞典 78706	澤芳郎 78183	竹田津富次 78222	金子曾政 78289	黃聯孫 77139
齋藤行 78760	浜津洋 78185	生信 77541	金庭延慶 78111	齊藤武男 77790
磯良之 77728	瀬戸正二 78097	竹本常松 78222	金庭祖子 78111	齊藤信房 80188
榎徹 79918	瀬崎幸 77728	竹本一 78331	金澤孝文 78631	齊藤信彦 77476
横山和吉 80115	能日誠 78329	竹林松二 78089	鈴木一成 78164	アース・エール
堀田龍太郎 77839, 77899	片岡英世 78242	箕浦有 78334	鈴木信一 78934, 78935	ジョーノズ 80357
横井敏子 78136	猪木四郎 80273	米田雅彦 78184	鈴木茂 78165	アネストロシー
横手正夫 78164	狼谷九萬 80112	細川幸雄 78289	鈴木桃太郎 77653	ミルベルガ 80357
櫻村壽雄 79568	狼野琳次郎 79916, 79917	細井潤三 78859	鈴木瑞枝 78489	
櫻井浩 77646	甘納野 JI. H. 78544	織田雄一 77790	鈴木珍 78247	

عز الدين فراج 78685

УКАЗАТЕЛЬ ДЕРЖАТЕЛЕЙ ПАТЕНТОВ

Abbott Labs. 79436	Asahi Garasu Kabushiki Kaisha 78939	Ltd 79361	Corning Glass Works 78895
AB Hjorth B. A. & Co. 80355	Aschaffenburg Zellstoffwerke Akt. Ges. 79420	British Oxygen Co. Ltd 79697	Courtaulds Ltd 79205, 79811
AB Pumpindustri 80461	Aseptic Thermo Indicator Co. 80145	British Petroleum Co., Ltd 79116, 79132, 79137	Centre National de la Recherche Scientifique 79251
AB Rosenblads Patentor 80367	Atlas Powder Co. 79381, 79872, 79901	British Thomson-Houston Co., Ltd 78928, 80203	Centre National de la Recherche Scientifique et Lab. Central des Poudres 78655
AB Separator 79863	Badische Anilin- & Soda-Fabrik Akt. Ges. 78629, 78643—78645, 79207, 79213, 79309, 79310, 79375, 79646, 79696, 80181, 80356	British United shoe Machinery Co., Ltd 79647	Chemical Construction Corp. 78673
Allied Chemical & Dye Corp. 79189, 79192, 79219, 79223, 79392, 79618	Beecham Research Lab. Ltd 79228, 79235	Byk-Gulden Lomberg, Chemische Fabrik G. m. b. H. 79266	Chemische Fabrik Theodor Rotta 79372
Alois Vogt 80280	Benckiser J. A. G. m. b. H. Chemische Fabrik 80180	Cassella Fabwerke Mainkur Akt. Ges. 79217, 79366	Chemische Verwertungsgesellschaft Oberhausen m. b. H. 79195
Aluminium Co. of America 78746	Bergwerksverband zur Ververtung von Schutzrechten der Kohlentechnik G. m. b. H. 78628	Colgate-Palmolive Co. 79871, 79497	Chemische Werke Albert 79620, 79711
American Chemical Paint Co. 80276	Bird & Son, Inc. 79644	Collin F. J. Akt. Ges. zur Ververtung von Brennstoffen und Metallen Dortmund 79004	Chemische Werke Buna 79194
American Cyanamid Co. 78649, 79224, 79249, 79250, 79279, 79285, 79288, 79291, 79300, 79434, 79604, 79605	Bjorksten Research Lab. Inc. 79638	Commercial Solvents Corp. 79431	Chemische Werke Hüls Akt. Ges. 79211, 79259, 79590
American Home Products Corp. 79218	Böhme Fettchemie G. m. b. H. 80178	Commonwealth Industrial Gases Ltd. 78626	Chemstrand Corp. 79807
American Tobacco Co. 80157	Borax Consolidated Ltd. 78642	Compagnie General D'Electro Ceramique 78911	Ciba Akt. Ges. 79301, 79302, 79354, 79358, 79403, 79406, 79423, 79424, 79425
American Viscose Corp. 79621	Bradford Dyers Association	Compagnie Générale de Télégraphie Sans Fil 78904, 78919	Cilag Akt. Ges. 78703, 79284, 79392, 79405
Amino Acids, Inc. 80183		Comptoir des Phosphates de l'Afrique du-Nord 78674	Cilander Akt. Ges. 79816
Anglo-Iranian Oil Co. Ltd 79115			
Ansporn H. D. 79598 II			
Arco C. 79709			
Armour & Co. 79428, 79579			
Armstrong Cork Co. 79629			

- Cie Fse des Matières Colorantes 79356
 Creamery Package Mfg. Co. 80370
 Davis-Young Soap Co. 79714
 Dental Fillings Ltd 79594
 Der Niederländische Staat, vertreten durch De Directie van de Staatsmijnen in Limburg 79002
 Deutsche Edelstahlwerke 80207
 Deutsche Vacuum Oil Akt. Ges. 79133
 Devoe & Reynolds Co., Inc. 79200
 Deutsche Gold-und Silber-Scheideanstalt vormals Roessler 78914, 79196, 79397, 80179, 80195
 Dick A. B. Co. 79645
 Didier-Werke Akt. Ges. 78918
 Distillers Co. Ltd 79201, 79209, 79225
 Dominion Rubber Co., Ltd 79247, 79596
 Dorr Co. 78618, 80373
 Dow Chemical Co. 79191, 79202, 79583, 79601
 Dow Corning Corp. 79243, 79275, 79376, 79619
 Dreyfus C. 79187, 79188, 79613
 Du Pont de Nemours E. I. and Co. 78662, 79180, 79190, 79193, 79208, 79236, 79237, 79270, 79272, 79282, 79289, 79307, 7908, 79350, 79465, 79602, 79713, 79715
 Duisburger Kupferhütte 78621
 Dunlop Rubber Co., Ltd 79624
 Dynamit-Akt. Ges. vormals Alfred Nobel & Co. 79639, 80366
 Eastman Kodak Co. 79215, 79264, 79461, 79464 79472, 79599, 79808, Edeleanu G. m. b. H. 79145
 Ered Fear Co. 79698
 Eric Risistor Corp. 78906
 Esso Research and Engineering Co. 79119, 79123, 79125, 79134, 79142, 79159, 79204, 79695, 79869
 Etablissements Blin et Blin 79355
 Etablissements Georges Bobet et Cie 79374
 Ethyl Corp. 78698, 79156, 79254, 79255, 79257, 79269
 Fabriques de Produits Chimiques de Thann et de Mulhouse 78648
 Farbenfabriken Bayer Akt. Ges. 79268, 79360, 79363, 79364, 79368, 79399, 79414, 79437, 79467, 79617, 79626, 80204, 80360
 Farbenfabrik Wolaren 79245
 Farbwerke Hoechst Akt. Ges. vormals Meister Lucius & Brüning 78639, 78660, 79227, 79232, 79274, 79283, 79299, 79303, 79357, 79401, 79421, 79426, 79432, 79447, 79712
 Fertilizers & Chemicals, Ltd 78672
 Filmfabrik Agfa Wolfen 79810
 Film-und Chemiefaserwerk Agfa Wolfen 79809
 Firestone Tire & Rubber Co. 79521, 79523, 79650
 Foster Wheeler, Ltd 79140
 Fuel Research Corp. 78677
 Geigy J. R., Soc Anon. 78704, 79304, 79305, 79398
 General Aniline & Film Corp. 79214, 79273, 79277, 79466, 79598
 General Electric Co. 79651
 General Mills Inc. 79293, 79609, 79874, 79906
 General Motors Corp. 78750, 80277
 Ges. für Agri kultur und Technik m. b. H. 79445
 Ges. für Teerverwertung m. b. H. 79592
 Glanzstoff Courtaulds G. m. b. H. 79812
 Godfrey L., Cabot Inc. 79153
 Goodrick B. F. Co. 79229, 79707
 Hans Christoph Riedel 78898
 Heberlein & Co Akt. Ges. 79369, 79814
 Henkel & Cie G. m. b. H. 79233
 Heraeus W. C. G. m. b. H. 78646
 Herbert Richter 80149
 Hercules Powder Co. 79262, 79265
 Hodogaya Kagaku Kogyo Kabushiki Kaisha 78652
 Hoffmann-La Roche & Cie 78702, 79411, 79415
 Holding Luxembourgioise «Inventas» 79902
 Hunter Metallic Products Corp. 79706
 Ilford, Ltd 79873
 Imperial Chemical Industries Ltd 79271, 79303, 79410
 Industrielackwerke G. m. b. H. 79699
 Infilco Incorp 80371
 Interchemical Corp. 79702, 79717
 International Mineral & Chemical Corp. 79238, 80185
 International Standard Electric Corp. 79584
 International Telephone and Telegraph Corp. 79652
 Institut für angewandete Mineralogie 78930
 Institut Textile de France et Centre de Recherches Textiles 79351
 Iwaki Semento Kabushiki Kaisha 78936
 Johns-Manville Corp. 78940
 Johnson & Hohnson 79216
 Joseph Bancroft & Sons Co. 79373
 Josef Schäfer 79006
 Kabushiki Kaisha Hitachi Seisakusho 80196, 80201
 KAFO Kasein-Forschungs Ges. m. b. H. 80184
 Kaiser Aluminium & Chemical Corp. 78921, 80194
 Kalle & Co Akt. Ges. 79469—79471, 79622
 Kamlet Lab. 79773
 K. N. H. Corp. 79630
 Knoll Akt. Ges. Chemische Fabriken 79412, 79413
 Kodak, Ltd 79462
 Kubota Tsutomu, Sugahara Jujiro 80193
 Kukirol-Fabrik Kurt Krisp K. G. 79496
 Kurt Vogelsang Akt. Ges. 79633
 Lepetit S. p. A. 79395
 Lever Brothers and Unilever Ltd 79870
 LICENTIA Patent-verwaltungs G m. b. H. 78647
 Loewe Opta Akt. Ges. 80206
 Lonza Elektrizitätswerke und Chemische Fabriken Akt. Ges. 79595
 Lubrizol Corp. 79248, 79276
 Lukon, Inc. 79148
 Maier-Bode H. 79245
 Masonite Corp. 79649
 Matsukaze Kogyo Kabushiki Kaisha 78917
 May and Baker Ltd 79220
 Meinecke Metallurgie G. m. b. H. 78651
 Merck & Co., Inc. 79402, 79429
 Merrell Wm. S. Co. 79294
 Metallges Akt. Ges. 78929, 80351
 Metals Disintegrating Co., Inc. 79704
 Mezzera S. p. A. 79352
 Minnesota Mining and Manufacturing Co. 79203, 79234, 79616
 Mitsubishi Denki Kabushiki Kaisha 80200
 Mitsubishi Kasei Kogyo Kabushiki Kaisha 79226
 Monsanto Chemical Co. 78700, 79230, 79231, 79348, 79380, 79623, 79648
 Murphy Chemical Co. Ltd 78701
 National Foam System, Inc. 80460
 National Lead Co. 79703, 79716 80275, 80462
 National Research Council 78656
 National Research Development Corp. 80146
 Nihon Denki Kabushiki Kaisha 78658, 80284
 Nihon Denki Kagaku Kabushiki Kaisha 80201
 Nippon Monopoly Corp. 78641
 North Thames Gas Board 78620
 Norton Co. 78926
 N. V. De Bataafsche Petroleum Maatschappij 78622, 79151, 79197, 79586, 79607, 80369
 N. V. Koninklijke Pharmaceutische Fabrieken v/h Brocades-Stheeman & Pharmacia 79396
 N. V. Onderzoekingsinstituut Research 79615
 Olin Mathieson Chemical Corp. 79443
 Owens-Corning Fiberglas Corp. 78897, 78899, 79383
 Pan American Refining Corp. 79606
 Parke, Davis and Co. 79278, 79393, 79433
 Pellon Corp. 79815
 Pennsylvania Salt Manufacturing Co. 78705
 Perfogit Societa per Azioni 79614
 Petrolite Corp. 80186
 Phillips Petroleum Co. 79152, 79864, 80372
 Phrix Werke Akt. Ges. 79813
 Pittsburgh Consolidation Coal Co. 79003
 Polyxor Chemical Co., Inc 79772
 Pomosin-Werke G. m. b. H. 79904
 Purdue Research Foundation 79188
 Pure Oil Co. 79126, 79131, 79155
 Raytheon Manufacturing Co. 79700
 Refining & Marketing Co., Ltd 79157
 Research Corp. 80352
 Riedel-de Haën Akt. Ges. 78657
 Robinson Foundation, Inc. 79441
 Rohm & Haas Co. 79292, 79382, 79597
 Rolls-Royce Ltd 79585
 Ruhrchemie Akt. Ges. 78627, 78675, 78676, 79198, 79221, 79222, 80365
 Runar Mauritz Rafaelsson Örnholm und Lilly Elvira Sevón 78659
 Sadolin and Holmblad A/S 79280
 Sandoz Akt. Ges. 79199, 79359
 Schenley Industries, Inc. 79440
 Schering Akt. Ges. 79422, 79427, 79439
 Schultheis & Söhne 78902
 Searle G. D. & Co. 79409
 Seidlitz Paint and Varnish Co. 79708
 Semtex Ltd 79632
 Sell Development Co. 79120, 79160, 79281, 79246, 79608, 79580, 79591
 Shadan Hojin Nihon Boira Kyokai 80285

- Shell Refining & Marketing Col., Ltd 79161
 Shibata Keiji Kato Hiroyuki 78914
 Shinetsu Chemical Industries Co. 79287
 Shinko Kinzoku Kogyo Kaishiki Kaisha 80274, 80283
 Showa Denko Kaishiki Kaisha 78642
 Siemens & Halske Akt. Ges. 79242
 Sillnwerk van Baerle & Co., G. m. b. H. 78640
 Sinclair Refining Co. 79146, 80281
 Soc. Anon. des Manufactures des Glaces et Produits Chimiques de Saint-Gobain, Chauny & Cirey 79286, 80410
 Soc. Anon. pour les Applications de l'Electricité et des Gas Pares, ets Claude Paz & Silva 80202
 Soc. Bergedorfer Eisenwerk Akt. Ges Astra Werke 80152, 80153
 Soc. des Electrodes et Refractaires Savoie 78925
 Soc. des Usines Chimiques Rhône-Poulenc 79377, 79408
 Soc. Gle des Cires Françaises 79865
 Société Nobel Française 79694
 Soc Le Carbone-Lorraine 78910
 Socony Mobil Oil Co., Inc. 79128, 79135, 80408
 Socony-Vacuum Oil Co., Inc. 79136
 Soc. Parco Cny Inc. 79499
 Soc Uslaf 79417
 Stabilimenti di Ponte Lambro S. p. A. 79370
 Stabilovolt G. m. b. H. 78949
 Stamicarbon N. V. formerly Maatschappij voor Kolonbewerking Stamicarbon N. V. 80354, 80362 80363
 Standard Oil Co. 79127, 79129, 79130, 79147, 79149, 79150, 79158, 79258, 79260, 79261, 79581, 80357, 80358
 Standart Oil Development Co. 79121, 79139, 79142, 79183, 79184, 79582, 79603, 79631, 80361
 Standard Packaging Corp. 80159
 Steatite Research Corp. 78907
 Steatit-Magnesia Akt. Ges. 78905, 78909
 Sterling Drug Inc. 79442
 Stoffel & Co. 79365
 Stolzle Glasindustrie Akt. Ges. 78896
 Säddeutsche Apparate-Fabrik G. m. b. H. 78908
 Süd-West-Chemie G. m. b. H. 79637
 Sun Oil Co. 79144
 Supralux Leuchtstoff G. m. b. H. 80199
 Sylvania Electric Products Inc. 78654
 Tanabe Selyaku Kaishiki Kaisha 78653
 Teintureries Laval 79367
 Tennessee Products and Chemical Corp. 78699
 Tensora G. m. b. H. für technische und industrielle Erzeugnisse 80156
 Texace Development Corp. 80286
 Tintoria Comense S. p. A. 79362
 Titan Co., Inc 78661 79378, 79379
 Tokyo Shibaura Denki Kaishiki Kaisha 78748, 80197
 Treadwell M. H. Co. Inc. 79347
 Trenton Corp. 79643
 Troponwerke Dinklage & Co. 79400
 Trustees of Iowa College 79122
 Udyllite Corp. 78751
 Unilever Ltd 79868
 Union Carbide und Carbon Corp. 78743, 79244, 79253, 79642
 Union Chimique Industrielle 79867
 Union Française Commerciale et Industrielle 79498
 Union Oil Co. of California 79210
 United Aircraft Corp. 79611
 United Products Co. 80148
 Universal Oil Products Co. 79118, 79124, 80192
 Upjohn Co. 79435, 79404
 USA, the Secretary of Agriculture 79866
 USA, the Secretary of the Navy 79384
 Usines Chimiques Rhône-Poulenc 79241
 U.S. Rubber Co. 79522, 79587—79589, 79625, 79627, 79628
 U. S. Steel Corp 78745, 78924
 Vanderbilt R. T. Co., Inc. 79705
 Wacker-Chemie G. m. b. H. 79593
 Warner-Hudnut, Inc. 79438
 Wellcome Foundation, Ltd 79290
 Werner & Pfleiderer 80150
 Westinghouse Electric Corp. 78927, 80196, 80282
 Wilhelm Schuler G. m. b. H. 78900
 William R. Warner and Co., Inc. 79257
 Wingfoot Corp. 79263, 79610
 Yawata Iron Manufg. Co. 78923
 Younghusband, Barnes & Co., Ltd 79256

Технический редактор Т. П. Поленова

Подписано к печати 7. III. 57 г. Тираж 4875 Формат 84X108^{1/2} Заказ 1058
 Печ. л. 51.66 Бум л. 15^{1/4} Уч.-изд. л. 94.4

2-я тип. Издательства АН СССР. Москва, Шубинский пер., д. 10

ale
nia
11
48
Co.

ri-
vy

—
28
24
05
H.

38

y
p.
H.

O.,
10
23
O.,

Цена 22 р. 50 к.

Printed in the USSR



XUM